

АКАДЕМИЯ НАУК СССР

ИНСТИТУТ НАУЧНОЙ ИНФОРМАЦИИ

UNIVERSITY
OF MICHIGAN

JUL 7 1958

CHEMISTRY
LIBRARY

34507

РЕФЕРАТИВНЫЙ ЖУРНАЛ

ХИМИЯ

РЕФЕРАТЫ

3450—6807

*

№ 2

1958

ИЗДАТЕЛЬСТВО АКАДЕМИИ НАУК СССР

МОСКВА

УЧЕНЫЙ СЕКРЕТАРЬ **В. А. Терентьев**

36-112996

РЕФЕРАТИВНЫЙ ЖУРНАЛ ХИМИЯ

Рефераты 3450—6807

№ 2

25 января 1958 г.

I

(Рефераты 3450—4461)

ОБЩИЕ ВОПРОСЫ

МЕТОДОЛОГИЯ. ИСТОРИЯ. НАУЧНЫЕ УЧРЕЖДЕНИЯ И КОНФЕРЕНЦИИ. ПРЕПОДАВАНИЕ.
ВОПРОСЫ БИБЛИОГРАФИИ И НАУЧНОЙ ДОКУМЕНТАЦИИ

Редактор Д. И. Тумаркин

3450. Очерк развития советской биохимии за 40 лет. Владимир Г. Е., Физиол. ж. СССР, 1957, 43, № 11, 1052—1064

3451. Развитие коксохимической промышленности СССР за 40 лет. Шелков А. К., Кокс и химия, 1957, № 11, 3—10

3452. Коксохимическая промышленность СССР и основных капиталистических стран за 40 лет. Улицкий Л. И., Кокс и химия, 1957, № 11, 48—51

3453. Лесохимическая промышленность за 40 лет. Хлызов А. Н., Фефилов В. В., Терентьева В. В., Гидролизная и лесохим. пром-сть, 1957, № 7, 3—6

3454. Развитие советского холодильного хозяйства за 40 лет. — Холодильная техника, 1957, № 3, 1—6

3455. История развития атомно-молекулярной теории. Чжан Цзы-гао (原子—分子理論的歷史發展 張子高), 化學世界, Хуасюэ тунбао, 1957, № 9, 1—3 (кит.)

3456. К истории изучения вулканических пеплов Европейской части СССР. Карлов Н. Н., Бюл. Моск. о-ва испыт. природы. Отд. геол., 1957, 32, № 2, 25—47

Исторический очерк и обзор исследований за 1863—1953 гг. Библ. 74 назв. Д. Т.

3457. Двадцатилетие Сяевского лесохимического комбината. Смирнов А. Г., Гидролизная и лесохим. пром-сть, 1957, № 7, 15—16

3458. Из истории мельничного расцева в России (до 1917 г.). Воронцов О. С., Тр. Моск. технол. ин-т пищ. пром-сти, 1957, вып. 9, 159—178

Исторический очерк; 18 илл.; библи. 29 назв. Д. Т.

3459. Развитие мукомольной и комбикормовой промышленности Ленинграда и ее роль в техническом прогрессе. Акатнов И. Н., В сб.: Пищевая пром-сть. Л., Сельхозгиз, 1957, 42—59

3460. Развитие хлебопекарной промышленности Ленинграда. Смирнов Н. А., Яблонский А. С., Фефилов В. А., Пуховицкая З. Н., Колдобский Я. М., В сб.: Пищевая пром-сть. Л., Сельхозгиз, 1957, 23—41

3461. Развитие кондитерской промышленности Ленинграда. Смольникова А. Ф., В сб.: Пищевая пром-сть. Л., Сельхозгиз, 1957, 169—186

3462. Развитие мясной промышленности Ленинграда и роль Ленинградского мясокомбината в техническом

прогрессе мясной промышленности СССР. Хранихин П. П., В сб.: Пищевая пром-сть. Л., Сельхозгиз, 1957, 60—74

3463. Внедрение новой техники в рыбную промышленность и роль в этом Ленинграда. Курапцев П. А., В сб.: Пищевая пром-сть. Л., Сельхозгиз, 1957, 102—112

3464. Роль Ленинграда в создании и развитии витаминной и лимоннокислотной промышленности СССР. Бурутто И. В., В сб.: Пищевая пром-сть. Л., Сельхозгиз, 1957, 187—203

3465. Выдающийся русский ученый-химик Михаил Григорьевич Кучеров и его знаменитая реакция присоединения воды к ацетилену. (К 75-летию открытия реакции). Никитин В. И., Изв. Отд. естеств. наук АН ТаджССР, 1957, вып. 19, 117—127 (рез. тадж.)

3466. Петр Григорьевич Меликишвили [Меликов] Цицишвили Н. (პეტრე გრიგოლისძე მელიქიშვილი. ციციშვილი ნ.), თბილისის უნივერსიტეტის შრომები, Тр. Тбилисск. ун-та, 1957, 62, IX—XIV (груз.)

К 30-летию со дня смерти. См. также РЖХим, 1957, 68089. Д. Т.

3467. А. Н. Бах — основоположник советской биохимии. Опарин А. И., Изв. АН СССР. Сер. биол., 1957, № 5, 635—639

К столетию со дня рождения. См. также РЖХим, 1957, 68091. Д. Т.

3468. Академик Александр Ерминингельдович Арбузов. Кабачник М. И., Хим. наука и пром-сть, 1957, 2, № 4, 493—496

К 80-летию. См. также РЖХим, 1958, 11, 12. Д. Т.

3469. Аптечное дело и фармацевтическое образование в Китайской Народной Республике. Благовидова Ю. А., Аптечн. дело, 1957, 6, № 5, 81—85

См. также: Новые минералы 4138, 4139, 4189, 4204. Классификация: минералогия 3599, 4217; газогенераторы 5840; смазочные материалы 5948. Номенклатура: минералы 4138; углеводороды 4496. Терминология: структурная кристаллография 3598; литогенез 4194. История: коксогозовое произ-во 5847; произ-во спиртных напитков 6195; хим. волокна 6563; бум. произ-во 6621. Институты: подземная газификация угля 5849, 5850; ката-

литич. крекинг 5901; бродильная пром-сть 6152; исследование зерна 6222. Конференция: рентг. спектроскопия 3667; катализ 3891; хемосорбция 4029; геология 4129, 4132; химия почв 4224; аналитич. химия 4258; жиры и масла 6035; пластич. массы 6342; стирка, хим.

чистка и крашение одежды 6700; высокомолекуляр. соед. 6756, 6757; иммунохимия 1906Бх; антибиотики 1960Бх; биохимия нервной системы 2167Бх. Учебная литература: органич. химия 4497; содовое произ-во 5230. Документация: подземная газификация угля 5851.

ФИЗИЧЕСКАЯ ХИМИЯ

ОБЩИЕ ВОПРОСЫ

Редактор А. Б. Нейдинг

3470. Определение молекулярного веса органических веществ изопиестическим полумикрометодом. Тоффоли, Боккаччи (Determinazione del peso molecolare di sostanze organiche con semimicrometodo isopiastico. Toffoli F., Boccacci M.), Rend. Ist. super. sanità, 1956, 19, № 10, 836—847 (итал.; рез. англ., нем., франц.)

Предложенный ранее для определения осмотич. давления водн. р-ров изопиестич. полумикрометод (РЖХим, 1957, 18682) использован для определения мол. весов. Для исследования применяются несколько капель 4—10%-ного р-ра изучаемого в-ва в изооктиловом спирте, циклогексанол или *n*-цимоле. Для нелетучих в-в ошибка измерения не превышает 2%. В. Каплан

3471. Квантовомеханическая задача многих тел со взаимодействием типа жестких шаров. Хуан, Ян (Quantum-mechanical many-body problem with hard-sphere interaction. Huang Kerson, Yang C. N.), Phys. Rev., 1957, 105, № 3, 767—775 (англ.) См. РЖФиз, 1957, 27035.

3472. Пути развития химических исследований при сверхвысоких давлениях. Гоникберг М. Г., Вестн. АН СССР, 1957, № 2, 50—58

Характеристика основных направлений исследований. А. Лихтер

3473. Перенос массы между параллельно текущими потоками и решение для граничного слоя. Поттер (Mass transfer between co-current fluid streams and boundary layer solutions. Potter Owen E.), Chem. Engng Sci., 1957, 6, № 4-5, 170—182 (англ.; рез. франц.)

Вывод ф-л для расчета переноса массы между параллельно текущими потоками на основе теории граничного слоя. А. Алмазов

3474. Режим нестационарной диффузии веществ в ограниченном пространстве. Моро, Сальвиньен (Régime non stationnaire de diffusion de deux réactifs en milieu limité. Moreau Jean-Jacques, Salvinien Jean), C. r. Acad. sci., 1957, 244, № 24, 2918—2920 (франц.)

3475. Некоторые физико-химические аспекты гидрометаллургии. Халперн (Some aspects of the physical chemistry of hydrometallurgy. Halpern J.), J. Metals, 1957, 9, № 2, 280—289 (англ.)

НЕКОТОРЫЕ ВОПРОСЫ СУБАТОМНОГО СТРОЕНИЯ ВЕЩЕСТВА

Редактор Г. А. Соколик

3476. Эксперименты с ориентированным ^{56}Co . Поппема, Стенланд, Бён, Гортер (Experiments on oriented ^{56}Co nuclei. Poppeema O. J., Steenland M. J., Beun J. A., Gorter C. J.), Commun. Kamerlingh Onnes Lab. Univ. Leiden, № 298B, 1—18; Repr.-Physica, 1955, 21, 233 (англ.) См. РЖХим, 1956, 28127.

3477. Об излучении As^{76} . Григорьев Е. П., Густова Л. В., Золотавин А. В., Крачик Б., Полещук Т. В., Чубинский О. В., Вестн. Ленингр. ун-та, 1957, № 10, 37—39 (рез. англ.)

Исследуются β - и γ -излучения As^{76} с $T_{1/2}$ 26,75 часа. β -Спектр исследовался на β -спектрометре с двойной фокусировкой. γ -Излучение As^{76} измерено на магнитном спектрометре для измерения жесткого γ -излучения по электронам отдачи. Обнаружены 5 β -линий и 6 γ -линий с E 350 \pm 30; 880 \pm 100; 1760 \pm 40; 2410 \pm 30; 2960 \pm 20 кэв и 1,21 \pm 0,02; 1,43 \pm 0,03; 1,77 \pm 0,04; 2,10 \pm 0,03; 2,42 \pm 0,04 Мэв соответственно. А. Алмазов

3478. О β -спектре Ta^{182} . Демёйнк, Вархаге, Ван-дер-Велде (Sur le spectre β du noyau ^{182}Ta . Demuynck Jean, Verhaeghe Julien, Van der Velde Bernard), C. r. Acad. sci., 1957, 244, № 25, 3050—3052 (франц.)

β -Активный Ta^{182} с $T_{1/2}$ 111 дней переходит на несколько возбужденных уровней W^{182} . В работе исследован β -спектр Ta^{182} . Измерение велось с помощью спектрометра с двойной фокусировкой. Показано, что спектр состоит из трех частей с E_{β_1} , E_{β_2} , E_{β_3} , равными 514 \pm 5 кэв; 443 \pm 10 кэв; 363 \pm 15 кэв. А. А.

3479. Реакции на некоторых легких ядрах с участием дейтронов и тритонов. Копалейшвили Т., Тр. Тбилисс. ун-та, 1957, 62, 83—102 (рез. груз.)

Рассматриваются r -ции срыва на легких ядрах (df) и (dn). Предлагается способ расчета, учитывающий внутреннюю область ядра. Рассмотрены r -ции с участием дейтронов, а также r -ции (dt) на Be^9 и C^{13} . В рассуждениях ядра Be^9 , C^{13} , O^{17} , N^{13} и F^{17} рассматриваются как остов ядра + слабо связанный с ним непарный нуклон. А. Алмазов

3480. Изучение реакций (γ, n) и (γ, f) для Th^{232} радиохимическим методом с энергией γ -квантов до 13 Мэв. Авдонин Н. П., Петржак К. А., Тр. Ленингр. технол. ин-та им. Ленсовета, 1957, вып. 40, 5—15

Исследованы фотореакции на Th^{232} . В качестве источника γ -излучения использовался бетатрон. Образцы Th облучались γ -квантами с $7 \leq E \leq 13$ Мэв. Число актов деления измерялось по активностям Mo^{99} и Ce^{143} с $T_{1/2}$ 67 и 33 часа соответственно. Измерено отношение интегральных сечений двух конкурирующих процессов: фотodelения и испускания фотонейтрона. Были выделены радиоактивные цепочки с массовыми числами: 143, 117, 113, 99, 97 и 91. А. Алмазов

3481. Исследование группы нейтронов из B^{10} (d, n) C^{11} при E_d 7,0 Мэв. Грауэ, Трумпи (An investigation of neutron groups from the reaction $^{10}\text{B}(d, n)^{11}\text{C}$ at 7.0 Mev deuteron energy. Graue A., Trumpp V.), Philos. Mag., 1957, 2, № 13, 138—140 (англ.) Энергетический спектр и угловое распределение нейтронов из r -ции $\text{B}^{10}(d, n)\text{C}^{11}$ было измерено при E_d до 8 Мэв. Исследование нейтронного спектра позволило найти возбужденные уровни C^{11} с E возбуждения 8,5; 9,0; 10,0; 10,5 и 10,85 Мэв. При вычислении кривой углового распределения нейтронов радиус B^{10} предполагался равным $R = 0,43 \cdot 10^{-12}$ см. Резюме автора

См. также: Радиоактивные изотопы 3730—3735.

АТОМ

Редактор Н. М. Яшин

3482. Влияние электронных столкновений на ширину спектральных линий. Маргенау, Кайвел (Effects of electron collisions on the width of spectral lines. Margenau Henry, Kivel Benneett), Phys. Rev., 1955, 98, № 6, 1822—1824 (англ.)

Движение квантовомеханической частицы (атома, электрона) в плазме рассматривается в представлении, при котором волновое число k диагонально, так что элементы статистической матрицы имеют вид $P_{k'k''} = P_k \delta_{k'k''}$.

Для P_k принимается распределение вероятностей идеального газа $P_k = l^{-1} (2\pi m k T)^{1/2} \exp(-h^2 k^2 / 2m k T)$, где k — постоянная Больцмана, а остальные обозначения имеют обычный смысл. Показано, что волновой пакет, описывающий движение можно рассматривать как частицу при $h / (2\pi m k T)^{1/2} = \bar{\lambda} \leq a$ (a — среднее расстояние между столкновениями; при расчете уширения линии a серии Лаймана авторы считают a боровским радиусом). Учитывая только возмущенное движение электрона в поле атома, авторы на основе результатов предыдущей работы (РЖХим, 1956, 45976) получают ф-лу для уширения спектральной линии, обусловленного «универсальным» эффектом. Оценена интенсивность спектральной линии.

А. Алмазов

3483. Модифицированный метод Слейтера вычисления энергий ионизации атомов. Сюй Гуан-сянь, Чжао Сюэ-чжуан (Slater型原子軌函和電離能的近似計算法的改進. 徐光憲, 趙學莊), 化學學報, Хуасюэ сюэбао, Acta chim. sinica, 1956, 22, № 6, 441—446 (кит.; рез. англ.)

Предложен новый ряд величин эффективных главных квантовых чисел и постоянных экранирования в методе Слейтера для вычисления приближенных уровней в атоме. Вычислены величины энергий ионизации (от первого ионизационного потенциала по четвертый) атомов, для которых известны электронные конфигурации, и произведено сравнение с эксперим. данными. Предложенная модификация метода Слейтера приводит к хорошему согласию теоретич. и эксперим. величин.

Резюме автора

3484. Величины диамагнитной восприимчивости неоподобных ионов, вычисленные по методу Хартри-Фока. Кобаяси (Hartree-Fock values of diamagnetic susceptibilities of neon-like ions. Kobayashi Shigehiro), J. Phys. Soc. Japan, 1957, 12, № 6, 737 (англ.)

Методом Хартри-Фока вычислены величины молярной диамагнитной восприимчивости χ_{HF} для F^- , Al^{3+} и Si^{4+} и для полноты данных более точные вычисления сделаны для Ne , Na^+ и Mg^{2+} . Сравнение χ_{HF} с χ_{TED} , вычисленным ранее (РЖХим, 1957, 29512) по модели Томаса — Ферми — Дикара, показывает, что отклонения между χ_{HF} и χ_{TED} уменьшаются по мере увеличения степени ионизации.

Н. Яшин

3485. О ступенчатом возбуждении атомов. Розгачев К. И., Фабрикант В. А. Докл. АН СССР, 1957, 114, № 3, 528—529

Описаны эксперименты по ступенчатому возбуждению уровня $Hg\ 7^3S_1$ электронами. Возбуждение происходило с уровней $6^3P_{0,1,2}$ и 6^1P_1 . Энергия электронов контролировалась по методу задерживающего поля. Спектр регистрировался фотографически и фотозатрически. Приводится зависимость фототока для линии 5461 Å от энергии электронов, из которой ясно видно наличие ступенчатого возбуждения уровня 7^3S_1 .

Ю. Донцов

3486. Эмиссионный спектр актиния. Меггерс, Фред, Томкинс (Emission spectra of actinium. Meggers William F., Fred Mark, Tomkins Frank S.), J. Res. Nat. Bur. Standards, 1957, 58, № 6, 297—315 (англ.)

В области $\lambda\ 2062,00—7886,82$ Å исследован спектр Ас. Возбуждение Ас производилось в разрядной трубке с полым катодом, в дуге и искровом разряде между медными или серебряными электродами. Спектр регистрировался на фотографич. пластине. В исследованной области спектра измерены длины волн ~ 500 линий и оценены их относительные интенсивности в различных источниках света, а также определены некоторые другие характеристики этих линий. Точность определения длин волн обычно выше 0,01 Å. Анализ спектра Ас основан на волновых числах линий, разностях частот, интенсивностях, на правиле отбора для J и на правилах интервалов и интенсивностей для мультиплетов. Из всего множества линий 8 линий приписаны спектру Ас III, среди которых на двух линиях обнаружена сверхтонкая структура. Найдено, что основное состояние Ас III есть $(7s)^2S_{0,1}$. Определены энергетич. уровни этого спектра. Спектр Ас II очень сложен (измерено >300 линий) и подобен соответствующему спектру La. Основное состояние Ас II — $(7s^2)^1S_0$. Уровни $7s^2a^1S_0$ и $7s8se^1S_0$ являются первыми двумя членами серии, которая может быть представлена ф-лой Ридберга, что приводит к потенциалу ионизации для иона Ас⁺, равному $\sim 12,2$ эв. Для спектра Ас II определены энергетич. уровни и электронные конфигурации. 140 линий принадлежит спектру нейтрального Ас. Основное состояние Ас I — $(6d7s^2)^2D_{3/2}$. Сравнение спектров Sc, Y, La и Ас показало, что спектр Ас очень напоминает спектр Y. Сила связи 5f-электрона в оболочке Ас II значительно слабее силы связи 4f-электрона в La II. В видимом спектре Ас обнаружено несколько полос, которые приписаны АсО.

Н. Яшин

См. также: Расчет многоэлектронных систем 3471

МОЛЕКУЛА. ХИМИЧЕСКАЯ СВЯЗЬ

Редакторы Д. А. Бочвар, А. А. Мальцев

3487. Электронные спектры поглощения гетероциклических систем. I. Сравнение теоретических методов. Пиридин и пиразин. Мак-Уини (Electronic absorption spectra of heterocyclic systems. I. A comparison of theoretical methods. Pyridine and pyrazine. McWeeny R.), Proc. Phys. Soc., 1957, A70, № 8, 593—604 (англ.)

Для выяснения степени зависимости результатов расчета электронных спектров поглощения гетероциклич. систем (при учете взаимодействия ограниченного числа конфигураций) от выбора одноэлектронных орбит, производится расчет основного и первых четырех возбужденных электронных состояний (α , ρ , β и β') молекул пиридина и пиразина с привлечением следующих одноэлектронных орбит: а) МО Хюккеля для исходного углеводорода, т. е. бензола; б) орбит Хюккеля для рассматриваемой гетероциклич. системы; в) МО для «стандартного возбужденного состояния» (Hall G. G., Proc. Roy. Soc. 1952, A213, 102) бензола; д) тех же орбит для рассматриваемой гетероциклич. системы; е) самосогласованных МО для основного состояния молекулы бензола; ф) самосогласованных орбит для основного состояния гетероциклич. системы; г) линейных комбинаций орбит f , дающих ту же многоэлектронную волновую функцию основного состояния, но измененные волновые функции возбужденных состояний. Для каждого набора одноэлектронных

орбит вычислены указанные выше уровни энергии в молекулах пиридина и пиразина. Расчеты произведены в двух приближениях: в одноконфигурационном и в учитывающем взаимодействие основной и первых четырех возбужденных электронных конфигураций. Результаты табулированы. Наибольший интерес представляет сопоставление результатов, полученных с помощью орбит a и f , которые (в смысле точности и трудоемкости расчетов) обычно наиболее резко различаются. Оказывается, что орбиты a , при учете взаимодействия указанных выше конфигураций, приводят в случае молекулы пиридина к теоретич. смещениям электронных полос поглощения (по сравнению с бензолом), которые весьма близки к значениям, вычисленным с орбитами f . В случае же молекулы пиразина (в особенности, для полос α и β этой молекулы) результаты, полученные с помощью орбит a и f , согласуются значительно хуже. Причина этого заключается в более высокой симметрии молекулы пиразина (по сравнению с молекулой пиридина), которая препятствует улучшению вычисляемых с помощью «бензольных» орбит Хюккеля уровней энергии путем взаимодействия конфигураций: вследствие симметрии, ряд элементов матрицы взаимодействия конфигураций обращается в нуль. В пиридине, напротив, взаимодействие конфигураций не ограничено какими-либо требованиями симметрии; в случае основного электронного состояния этой молекулы оно позволяет ликвидировать ~70% первоначального отклонения энергии, вычисленной с орбитами типа a , от соответствующего значения, вычисленного с орбитами f . Выводы автора. 1) Орбиты исходного углеводорода образуют удовлетворительный базис для расчета уровней энергии гетероциклич. системы только в том случае, когда учет взаимодействия конфигураций позволяет эффективным образом учесть перераспределение электрич. заряда в молекуле. В противном случае следует с самого начала пользоваться МО, учитывающими наличие гетероатомов. 2) Самосогласованные МО, найденные для основного состояния гетеросистемы, дают (при учете взаимодействия конфигураций) очень хорошие значения энергии возбуждения первых электронных переходов. 3) Использование более простых МО, напр. орбит Хюккеля для основного состояния гетеросистемы (вместо самосогласованных орбит), дает при учете взаимодействия конфигураций, весьма точные результаты. 4) В расчетах невозбужденных и первых возбужденных уровней энергии гетеросистем, МО «стандартного возбужденного состояния» d приводят к неудовлетворительным результатам. Т. Ребане

3488. Порядки связей в молекулах некоторых сопряженных углеводородов. Холл (The bond orders of some conjugated hydrocarbon molecules. Hall G. G., Trans. Faraday Soc., 1957, 53, № 5, 573—581 (англ.).

С помощью электронной счетной машины произведен расчет МО, порядков и длин связей для 23 полициклич. альтернантных углеводородов. Программа расчета составлялась на основе теории, изложенной в работе автора (РЖХим, 1956, 12104). Для перехода от порядков связей к длинам связей используется соотношение Дика (РЖХим, 1956, 3134). Расчеты произведены для 8 молекул, содержащих 5 бензольных колец, для 11 молекул, содержащих 6 бензольных колец, для 2-х молекул с 7 и для 2-х молекул с 8 бензольными кольцами. Приводятся вычисленные значения следующих величин: порядков и длин связей; энергий двух первых МО; энергий возбуждения низшего триплетного состояния вертикальных энергий делокализации — для каждой из 23 молекул, рассмотренных в работе. Вычисленные порядки связей находятся в очень хорошем согласии с порядками связей, вычисленными по методу Шальве (РЖХим, 1957, 29535), основанному на рас-

смотрении чисто геометрич. свойств молекул. Для сравнения порядки связей в некоторых молекулах вычислены также по методу самосогласованных МО. Оказывается, что метод самосогласованных МО, как правило, приводит к некоторому увеличению наибольших и к уменьшению наименьших порядков π -связей. Т. Ребане

3489. Сравнение методов расчета порядков связей и электронных плотностей. Берр (Comparison of methods for computing bond orders and electron densities. Burr John G., Jr., J. Chem. Phys., 1957, 26, № 3, 431—434 (англ.).

Произведен расчет состояний π -электронов в α -(1), α - и α -толуидине с помощью следующих методов: 1) полуэмпирич. метода МОЛКАО, с пренебрежением интегралами неортогональности; 2) полуэмпирич. метода МОЛКАО с самосогласованным полем и пренебрежением интегралами неортогональности и только одним циклом процесса последовательных приближений; 3) полуэмпирич. метода МОЛКАО, с учетом интегралов неортогональности. Используемые значения параметров: $\alpha_N = \alpha_C - 0,80\beta_0$; $\alpha_H = \alpha_C + 0,20\beta_0$; $\alpha_{C_s} = \alpha_C + 0,10\beta_0$; $\beta_{12} = 2,0\beta_0$; $\beta_{23} = 0,70\beta_0$; $\beta_{CN} = \beta_0$. Сопоставление вычисленных π -зарядов и порядков π -связей не обнаруживает существенных различий в распределениях π -электронов, найденных тремя методами, указанными выше. Исследуется также зависимость полной энергии π -электронов, энергии высшей занятой МО, распределения заряда и электрич. дипольного момента молекулы I от кулоновского параметра атома N. Значение $\alpha_N = \alpha_C - 0,80\beta_0$, указанное выше, соответствует совпадению теоретич. и эксперим. значений π -электронного дипольного момента молекулы I. В первом приближении теории возмущений исследуется также возмущающее влияние атома N на кулоновские интегралы атомов C в I. Т. Ребане

3490. Исследование основного электронного состояния молекулы аммиака. Каплан (Study of the electronic ground state of the ammonia molecule. Kaplan Harvey, J. Chem. Phys., 1957, 26, № 6, 1704—1713 (англ.).

По методу самосогласованных молекулярных орбит (СМО) произведен расчет основного электронного состояния молекулы NH_3 : 1) для наблюдаемой равновесной конфигурации ядер и 2) для плоской симметричной конфигурации, в которой расстояния N—H равны их равновесным значениям в молекуле аммиака. В обоих случаях МО строятся в приближении ЛКАО из стандартных $1s$ -орбит атомов H и из самосогласованных $1s$ -, $2s$ - и $2p$ -орбит атома N, найденных Хартри и Хартри (Hartree D. R., Hartree W., Proc. Roy. Soc. (London), 1948, A193, 299). Необходимые интегралы вычислены теоретически, на основе методов Барнетта и Коулсона (Barnett M. P., Coulson C. A., Trans. Roy. Soc. (London), 1951, A243, 221), Лундквиста и Лёвдина (Lundqvist S. O., Löwdin P. O., Arkiv fys., 1951, 3, 147), с представлением надлежащих линейных комбинаций $1s$ -орбит атомов H, обладающих симметрией C_{3v} , в виде бесконечных рядов, где отдельные члены — функции с центрами в ядре атома N. Для расчета мош. интегралов и решения вековых ур-ний использована электронная счетная машина. В одноконфигурационном приближении (т. е. с электронной волновой функцией основного состояния 1A_1 в виде одного определителя) найдены самосогласованные МО и вычислены значения полной энергии молекулы (в ат. ед.): в случае 1) — 56,266; в случае 2) — 56,120. Учитывая взаимодействие основной электронной конфигурации с возбужденными конфигурациями, построенными из найденных СМО (ради удобства, последние представ-

лены в виде эквивалентных орбит в смысле Леннарда — Джонса), удается понизить вычисленное значение энергии в случае 1) до — 56,280 ат. ед. и в случае 2) до — 56,133 ат. ед. Вычисленная энергия связи молекулы в случае 1) равна 10,3 эв, т. е. 82% от эксперим. значения. Вычисленная полная энергия молекулы в том же случае 99,4% от соответствующего эксперим. значения. Вычисленная высота потенциального барьера, затрудняющего прохождение атома N через плоскость атомов H, составляет 3,97 эв и очень плохо согласуется с экспериментами (0,25 эв). Причину автор видит в вероятном накоплении ошибок расчета, а также в том, что при прохождении ядра N через плоскость протонов изменяется значение расстояния N—H (по сравнению с его значением в пирамидальной молекуле). Вычисленное значение дипольного момента молекулы ($1,82 \cdot 10^{-18}$ эл.-ст. ед.) на 25% превосходит экспериментальное ($1,46 \cdot 10^{-18}$ эл.-ст. ед.). Вычисленные в случае 1) значения двух первых потенциалов ионизации: 14,0 и 19,3 эв (эксперимент: $11,0 \pm 0,2$ и $17,0 \pm 0,5$ эв). Данные расчета энергии возбужденных электронных состояний не приводятся, так как при рассмотрении последних нельзя пренебречь 3S-орбитой атома N. Обсуждается также характер распределения электронов в основном состоянии молекулы NH₃. Приводятся численные значения многих мол. интегралов, вычисленных автором. Т. Ребане

3491. Теоретическое исследование конденсированных ароматических соединений. II. Терилен, кватерилен и терантен. Паунц, Вильхейм (Theoretical examination of condensed aromatic compounds, II. Terylene, quaterylene and teranthene. Pauncz R., Wilhelm I., Acta chim. Acad. sci. hung., 1957, 11, № 1-2, 63—71 (англ.; реф. русск., нем.))

Простым методом МОЛКАО вычислены длины связей, индексы свободной валентности и волновые числа первых разрешенных электронных переходов для первых членов в рядах полириленов и полиантенов (терилен, кватерилен, терантен). Для сравнения приведены результаты, ранее (часть I, РЖХим, 1956, 53607) полученные для бис-антена. Найдено, что 1) связи между отдельными нафталиновыми (соответственно, антраценовыми) структурными единицами имеют длину, большую, чем все остальные связи в молекуле, и колеблются в пределах, 1,440—1,445 Å в полириленовом и в пределах 1,440—1,430 Å в полиантеновом ряду; 2) наиболее высокие значения индекса свободной валентности в одном и том же ряду имеют атомы C, занимающие аналогичные положения; 3) смещение волновых чисел первых разрешенных электронных переходов в сторону меньших значений при увеличении номера соединения в ряду происходит быстрее, чем в ряду полиантенов и качественно согласуется с закономерностью наблюдаемой Кларом (Klar. E., Chem. Ber., 1948, 81, 52). Д. Б.

3492. Электронные состояния *p*-бензохинона. I. Расчет уровней энергии по полумпирическому методу молекулярных орбит без учета взаимодействия конфигураций. Анно, Мацубара, Садо (Electronic states of para-benzoquinone. I. Calculation of the energy levels by a semi-empirical molecular orbital method neglecting configuration interaction. Anno Tosinobu, Matubara Ikuo, Sado Akira, Bull. Chem. Soc. Japan, 1957, 30, № 2, 168—177 (англ.))

Производится расчет электронных состояний *p*-бензохинона с помощью полумпирич. метода Паризера и Парра с учетом явно не только всех *p*-электронов молекулы, но также и не связывающих *p*-электронов атомов O. Теоретич. значения энергии различных электронных состояний вычисляются с помощью одноконфигурационных волновых функций, составленных из МО, найденных авторами ранее в простом приближе-

нии МОЛКАО (РЖХим, 1956, 28188). Подробно описываются способы, использованные для определения различных интегралов. Для определения интегралов остава используются значения потенциалов ионизации 2рл-электронов из атомов C и O и 2рл-электронов из атома O, вычисленные ранее (РЖХим, 1954, 28433). Интегралы кулоновского отталкивания электронов на небольших расстояниях определены по методу, близкому к методу Паризера и Парра, а при больших расстояниях — вычислены теоретически со слейтеровскими атомными орбитами (полагая $Z_c = 3,25$ и $Z_o = 4,55$).

Интегралы взаимодействия орбит валентных электронов с нейтр. атомами учтены только в случае ближайших соседей и сведены к табулированным интегралам (Kopineck H. J., Z. Naturforsch., 1950, 5a, 420). По такому методу вычислены энергии всего 35 однократно возбужденных электронных конфигураций и 2 двукратно возбужденных конфигураций, энергии возбуждения которых не превосходят 10 эв. На основе анализа имеющихся эксперим. данных дается следующая интерпретация электронного спектра поглощения *p*-бензохинона (Указаны: порядковый номер полосы поглощения; симметрия верхнего электронного состояния; наблюдаемое значение энергии возбуждения и теоретич. значение энергии возбуждения (в эв.)): 1), 1A_u , $^1B_{2g}$, 2,68; 3,285; 2), $^1B_{1g}$, 4,25; 5,360; 3), $^1B_{1u}$ 5,13; 6,003. Для более полной проверки теории авторы считают желательным дополнить расчет учетом взаимодействия конфигураций. Т. Ребане

3493. Изучение молекул стирола, пирена и перилена методом молекулярных орбит. Основные конфигурации. Фернандес-Алонсо, Мира, Алькоканис (Estudio de las moleculas de estireno, pireno y perileno por el metodo de los orbitales moleculares. Configuraciones fundamentales. Fernández Alonso J. I., Mira J., Alcañiz Luisa), An. Real soc. esp. fis. y quim., 1957, B53, № 2, 101—108 (исп.; реф. англ.)

Методом МО рассчитаны мол. диаграммы стирола (I), пирена (II) и перилена (III). При расчете принималось во внимание перекрывание атомных орбит соседних атомов углерода, если расстояние между ними было $< 3,5\text{Å}$, и предполагалось, что обменные интегралы пропорциональны кулоновским. Эффективный заряд атомов углерода принимался равным 3,18. Молекулы I, II и III считались плоскими, хотя у III экспериментально найден дипольный момент 0,45 D. Наибольшие заряды атомов и индексы свободной валентности у I — в положении 8, у II — в положении 1,36 и у III — в положении 3, 4, 9, 10. Примерно таковы же мол. диаграммы для I, II, рассчитанные другими методами. В более ранней работе было найдено, что для III наиболее активные положения 1, 6, 8, 11. Рассчитанный дипольный момент I равен 0,43 D, эксперим. значение 0,12 D. Сравнение вычисленных энергий перехода с эксперим. спектрами I, II и III дают для неизвестного параметра, входящего в секулярное уравнение, значения, отличающиеся на ~ 25%. Вычисленные и эксперим. силы осцилляторов отличаются в 2—3 раза. Е. Никитин

3494. Соотношение между распределением заряда в молекуле стирола и его реакционной способностью по отношению к бензонитрилоксида. Ло-Веккьо, Монфорте (Relazione fra distribuzione di carica degli stiroli e loro reattività con benzonitrilossido. Lo Vecchio Giacomo, Monforte Pietro), Ann. chimica, 1956, 46, № 1—3, 76—83 (итал.)

В продолжение работ (РЖХим, 1954, 21612) о реакционной способности в-в с этиленовыми связями в-в-и присоединения к бензонитрилоксида теоретически исследуется реакционная способность стирола и

его замещенных в этой р-ции. В приближении МО вычислены мол. диаграммы *о*-оксистирила (I), *м*-нитростирила (II), стирила (III), *п*-нитростирила (IV), *о*-нитростирила (V), ω -*м*-динитростирила (VI), ω -нитростирила (VII), ω -*п*-нитростирила (VIII) и ω -*о*-нитростирила (IX). π -Электронный дипольный момент этиленовой связи уменьшается в ряду I—V в соответствии с экспериментально наблюдаемым уменьшением реакционной способности в-в I—V в названной выше р-ции. Из мол. диаграмм ω -нитростирилов следует, что в подобной р-ции присоединения реакционная способность ω -нитростирилов уменьшается в ряду VI—IX.

Е. Никитин

3495. Энергия пара-локализации в металлической модели молекулы и полярографические потенциалы некоторых многоядерных углеводородов. Фернандес-Алонсо, Доминго (Para-localization energy (free — electron molecular — orbital method) and polarographic half-wave potentials of some polynuclear hydrocarbons. Fernandez-Alonso J. I., Domingo Rosario), Nature, 1957, 179, № 4564, 829 (англ.)

Сообщается о проведенных на основе сетчатой модели свободного электрона (РЖХим, 1956, 21666) расчетах энергии пара-локализации для многоядерных ароматич. углеводородов, рассмотренных в ранее опубликованных работах (РЖХим, 1957, 33507). Зависимость вычисленной энергии пара-локализации от полярографич. потенциала может быть аппроксимирована линейным законом. Обсуждаются расхождения с результатами работ (РЖХим, 1956, 21681).

Е. Никитин

3496. Электрическая поляризуемость атомов и молекул. Попл, Скофилд (Electric polarizability of atoms and molecules. Pople J. A., Schofield P.), Philos. Mag., 1957, 2, № 17, 591—598 (англ.)

Предполагается обобщение вариационного метода (Kirkwood J. G., Z. Phys., 1932, 33, 57) для расчета поляризуемости α атома или молекулы внешним потенциалом $V(r)$. Возмущенная волновая функция пишется в виде $\Psi = \Psi_0(1 + \sum_{i=1}^N u(r_i))$ (Ψ_0 — антисимметричная невозмущенная многоэлектронная волновая функция; суммирование производится по всем N электронам). Минимизация энергии системы по отношению к виду функции $u(r)$ приводит к ур-нию $\text{div}(\rho_1 \text{grad } u) = 2\sigma$, формально совпадающему с ур-нием, определяющим потенциал, создаваемый переменным распределением заряда в пространстве с переменной диэлектрич. проницаемостью, σ — функция $\rho_1(r)V(r) + \int V(r')\rho_2(r,r')dr'$, а ρ_1 и ρ_2 суть пространственные плотности электронного заряда 1-го и 2-го порядка $\rho_1(r) = N \int \Psi_0^2 d\tau_2 d\tau_3 \dots d\tau_N ds_1$; $\rho_2(r_1, r_2) = N(N-1) \int \Psi_0^2 d\tau_3 d\tau_4 \dots d\tau_N ds_1 ds_2$. В случае когда сферически симметричный атом возмущается постоянным электр. полем напряженности E , функции σ и u принимают соответственно вид $\sigma = Es(r)\cos\theta$ и $u = Eg(r)\cos\theta$. В этом случае новая искомая функция $g(r)$ подчиняется ур-нию $(d/dr)(r^2\rho_1 dg/dr) - 2\rho_1 g =$

$= 2r^2s$ и $\alpha = -(8\pi/3) \int_0^\infty sgr^2 dr$. В случае H $g = -(r + 0,5r^2)$; $\alpha = 4,5$ ат. ед. Для Ag , если ρ_1 и ρ_2 определять с помощью волновых функций Хартри (Hartree D. R., Hartree W., Proc. Roy. Soc. 1938, A166, 450), $\alpha = 2,03 \cdot 10^{-24}$ см³ (эксперимент: $1,69 \cdot 10^{-24}$ см³); обычный метод Кирквуда, соответствующий $g(r) = -0,61r$, дает $\alpha = 0,98 \cdot 10^{-24}$ см³. Если в методе Кирквуда использовать двухпараметрич. вариационную функцию $g(r) = \lambda r + \mu r^2$ (оптимальные значения: $\lambda = -0,02$; $\mu = -0,49$), то $\alpha = 1,95 \cdot 10^{-24}$ см³. Показано, что знание функции $g(r)$ позволяет произвести вариационный расчет константы диполь-дипольного взаимодействия атомов (c). Для взаимодействия двух атомов H получено $c = 6,36$ ат. ед. (По

Кирквуду $c = 6,00$ ат. ед.). Вычисленная $c = 109 \cdot 10^{-60}$ эрг/см⁶ для взаимодействия двух атомов Ag , вероятно, превосходит истинное значение, так как атомная поляризуемость Ag , найденная с помощью соответствующей $g(r)$, превосходит наблюдаемое значение.

Т. Ребане

3497. Энергии активированных комплексов. Сноу, Эйринг (Activated complex energies. Snow Richard, Eyring Henry), J. Phys. Chem., 1957, 61, № 1, 1—6 (англ.)

Рассматривается распространение ф-лы Лондона для 4-электронной проблемы на 6 электронов. С применением метода валентных схем получается ур-ние 5-го порядка, общее решение которого невозможно; исследуются только различные частные случаи. Используя тот факт, что линейные комбинации 2ⁿ функции Слейтера дают все функции полного спина системы, авторы находят среднюю энергию различных мультиплетов. Вычисляется энергия связи симметричной системы H_2 с помощью функции Гайтлера — Лондона с независимым вариированием констант экранирования для средней и крайних орбит. Интегралы электронного взаимодействия брались в приближении Малликена. Вычисленная энергия связи 52,2 ккал/моль при $R = 1,80$ меньше вычисленной ранее (Hirschfelder J. O., J. Chem. Phys., 1936, 1, 121), но авторы полагают, что при точном вычислении интегралов электронного взаимодействия результат может быть значительно улучшен. Путем учета приближения к « p -характеру» у АО крайних атомов авторы надеются получить значение энергии активации р-ции $H_2 + H \rightarrow H + H_2$, не слишком далекое от экспериментального (~ 7 ккал/моль).

Е. Никитин

3498. Энергия диссоциации углеводородов. Гейтлер (L'énergie de dissociation des hydrocarbures. Heitler W.), J. chim. phys. et phys.-chim. biol., 1957, 54, № 4, 265—268 (франц.)

Доклад о методе расчета энергий диссоциации углеводородов, описанном ранее (РЖХим, 1955, 39506).

3499. Масс-спектрометрия свободных радикалов. Лоссинг (Mass spectrometry of free radicals. Lossing F. P.), Ann. N. Y. Acad. Sci., 1957, 67, № 9, 499—516. Discuss., 516—517 (англ.)

3500. Масс-спектрометрия газов в электрическом разряде. Шифф (Mass spectrometry of gases subjected to electrical discharge. Schiff H. I.), Ann. N. Y. Acad. Sci., 1957, 67, № 9, 518—528. Discuss., 528—529 (англ.)

3501. Определение свойств переноса для электронного возбуждения атомов и молекул. Хершфелдер, Элайасон (The estimation of the transport properties for electronically excited atoms and molecules. Hirschfelder Joseph O., Eliason Morton A.), Ann. N. Y. Acad. Sci., 1957, 67, № 9, 451—461 (англ.)

3502. Состав равновесного пучка, образующегося при прохождении однозарядных положительных ионов кислорода через газовые мишени. Фогель Я. М., Крупник Л. И., Коваль А. Г., Слабоспицкий Р. П., Ж. техн. физики, 1957, 27, № 5, 988—996
Исследовано относительное содержание нейтральных положительных и отрицательных частиц (f^0 , f^+ и f^- соответственно) в равновесном пучке, образовавшегося при прохождении O_2^+ с энергией $E = 12,3—46,2$ кэв через проточную газовую мишень, заполненную Ne , Ag , H_2 , N_2 и O_2 . Для O_2 и N_2 f^0 сравнительно велика ($\sim 0,9—0,7$) и монотонно, почти линейно, уменьшается с ростом энергии; для Ne и Ag f^0 заключено в интервале $0,5—0,7$ и имеет соответственно максимум и минимум, для H_2 — слабо колеблется вблизи 0,8. Для N_2 и O_2 f^+ почти линейно растет ($\sim 0,1—0,25$), для Ne — падает ($\sim 0,5—0,3$), для H_2 и Ag — слабо изменяется

близки 0,1 с увеличением E . Изменение f с ростом E наиболее ярко выражено у Ag (максимум $\sim 0,3$ при 30 кэВ и $f \approx 0,2$ на границах исследованного интервала); у остальных мишеней f изменяется слабо. Таким образом, проточная газовая мишень, заполненная Ag, весьма эффективна с точки зрения получения интенсивных пучков O_2^- . Аппаратура описана ранее (РЖХим, 1957, 68155).

В. Анзигитов.
3503. Масс-спектральное изучение триметилбора. Толлин, Шеффер, Свек (Mass spectral studies of trimethyl boron. Tollin B. C., Schaeffer Riley, Svec H. J.), J. Inorg. and Nucl. Chem., 1957, 4, № 5-6, 273—278 (англ.)

С целью изучения возможности обмена алкильными группами производных бора изучался переход меченых групп $^{13}CH_3$ в гипотетич. р-ции $B^{13}C_3H_9 + B^{12}C_3H_9 \rightleftharpoons [B^{13}C_2^{12}C_3H_9] \rightleftharpoons B^{13}C_2^{12}CH_3 + B^{13}C^{12}C_2H_6$. Предполагалось, что промежуточный продукт р-ции структурно подобен хорошо известному соединению $Al_2(CH_3)_6$. Контакт обычного (I) и меченого (II) триметилбора производился в различных условиях как в жидком, так и в газообразном состоянии в течение продолжительного времени. На 60° масс-спектрометре при энергии ионизирующих электронов 70 эВ регистрировался масс-спектр I, а также масс-спектр смеси I и II после продолжительного контакта. Сравнение токов ионов $B^{13}C_3H_9^+$ и $B^{13}C_2CH_3^+$ позволило вычислить эффективную атомную долю ^{13}C . Оказалось, что полученная величина равна атомной доле ^{13}C в II (66%) и значительно отличается от атомной доли, рассчитанной в предположении полного осуществления обмена. Таким образом, показано, что обмен молекул $B(CH_3)_3$ метильными группами не происходит.

Е. Франкевич.
3504. Крайя поглощения в рентгеновских спектрах ионов Cr, Mn, Fe, Co и Ni в комплексных соединениях. Коттон, Хансон (K x-ray absorption edges of Cr, Mn, Fe, Co, Ni ions in complexes. Cotton F. A. Hanson H. P.), J. Chem. Phys., 1957, 26, № 6, 1758—1759 (англ.)

Исследована тонкая структура К-краев поглощения в рентгеновских спектрах $[Ni(NH_3)_6]Br_2$ (I), $[Ni(En)_3](NO_3)_2$ (II), $[Ni(NH_3)_4(H_2O)_2] \cdot (NO_3)_2$ (III), $[Co(En)_3]Cl_3$ (IV), $Ni(C_2H_5O)_2(H_2O)_2$ (V) ($C_2H_5O = -C_2H_5-CO-$), $Na_3[Cr(C_2O_4)_3]$ (VI), $Cr(CO)_6$ (VII), $(NH_4)_3[Co(NO_2)_6]$ (VIII), $K_3[Fe(CN)_6]$ (IX) и $Na_2[Fe(CN)_5NO] \cdot 2H_2O$ (X). В октаэдрич. ионах I и II наблюдается расщепление главного пика, но отсутствие такого расщепления у гексааквациона указывает, что расщепление обусловлено не только симметрией. У III наблюдается такая же тонкая структура, как у I, несмотря на понижение симметрии. Авторы объясняют это тем, что переход $1s-4p$ может происходить и без изменения конфигурации d -электронов и с изменением от $3F$ до $3P$. V, который ранее считался тетраэдрич. комплексом, обладает слабым поглощением в области малых энергий, так что это соединение не тетраэдрическое, а, вероятно, октаэдрическое и группы H_2O являются аддендами. Наблюдаемые пики VIII объясняются переходом $1s$ -электрона на МО, образованную из $3d_{2g}$ -орбиты Co и разрыхляющей $4p$ -орбиты NO_2^- , переходом $1s-4p$ и $1s-np$ ($n=5,6...$). Аналогично объясняется первый пик VI. Высокий пик у VII, IX и X авторы относятся к переходу с $1s$ на разрыхляющую орбиту ($\Psi_{адденд} - \psi 4p$), а слабое поглощение при малых энергиях — к переходу на $\Psi_{адденд}$ $\pi 2p + \psi 3d_{2g}$.

М. Дяткина

3505. Исследование спектров высокочастотного газового разряда при атмосферном давлении. Россин В. С., Цикора И. Л., Науч. зап. Днепропетр. ун-та, 1956, 45, 9—13

Исследованы спектры ВЧ-разряда в воздухе, CO_2 и C_2H_2 при атмосферном давлении, возбуждаемые генератором затухающих колебаний (типа трансформатора Тесла) или ламповым генератором. В спектре разряда от лампового генератора наряду с полосами и линиями нейтр. молекул и атомов присутствуют также полосы и линии ионов, в то время как спектр разряда от генератора затухающих колебаний содержит полосы нейтр. молекул, т. е. первый вид разряда имеет более «искровой» характер. Обсуждаются элементарные процессы, протекающие в ВЧ-разрядах при атмосферном давлении, и отмечается отсутствие в спектре разряда через C_2H_2 полос CH .

А. Мальцев

3506. О полосах, отнесенных к молекуле ZrF . Карролл, Дейли (Bands assigned to ZrF . Carroll P. K., Daly P. J.), Proc. Phys. Soc., 1957, A70, № 7, 549—550 (англ.)

В голубой области спектра медной дуги, в анод которой вносился ZrF_4 , Афаф (Afaf M., Proc. Phys. Soc., 1950, A63, 544, 1156) наблюдал ряд полос, которые были отнесены им к молекуле ZrF . Однако попытки воспроизвести эти полосы, используя различные источники спектров, не дали результата. Показано, что эти полосы являются известными полосами CuF .

В. Юнгман

3507. Исследования эмиссии некоторых газов при повышенном давлении. Венигер (Recherches sur l'émission de quelques gaz sous pression élevée. Weniger S.), Ann. phys., 1957, 2, № 5—6, 369—418 (франц.)

3508. Электронные спектры многоатомных свободных радикалов. Рамзи (Electronic spectra of polyatomic free radicals. Ramsay D. A.), Ann. N. Y. Acad. Sci., 1957, 67, № 9, 485—498. Discuss., 498 (англ.)

3509. Спектры отражения безводных хлоридов и бромидов Ni (2+) и их двойных солей с одновалентными катионами. Асмуссен, Боstrup (The reflection spectra of anhydrous nickel (II) chlorides and bromides and their double salts with monovalent cations. Asmussen R. W., Bostrup Ole), Acta chem. scand., 1957, 11, № 4, 745—746 (англ.)

Получены спектры отражения α - и β - $NiCl_2$, $RbNiCl_3$, $CsNiCl_3$, $C_5H_5NHNiCl_3$, α - и β - $NiBr_2$, $RbNiBr_3$, $CsNiBr_3$ и $C_5H_5NHNiBr_3$. Возбужденные уровни, соответствующие максимумам поглощения, согласуются с теорией поля аддендов для систем d^8 в поле симметрии O_h . Вычислены параметры поля аддендов $\Delta = 10Dq$ и величина $15B$, связанная со слейтеровскими интегралами F_4 . Параметр Δ лежит в пределах 6800—7600 cm^{-1} ; он убывает с ростом радиуса аниона и катиона (в двойных солях), что указывает на возможный частично ковалентный характер связи — смешение $3d$ -орбит с орбитами аддендов. Это подтверждается также пониженными значениями $15B$ по сравнению с Ni^{2+} . Спектры α - и β -модификации $NiCl_2$ и $NiBr_2$ идентичны, так что наличие беспорядка в структуре, не сказывающегося на непосредственном окружении Ni^{2+} , не влияет на d^n -уровни. Наиболее прочные связи имеются в галогенидах Ni без одновалентных катионов, так как в этих случаях Δ велико, а $15B$ понижено сильнее всего.

М. Дяткина

3510. Колебательная энергия переноса из дезактивирующих соударений простых молекул и стабилизации флуоресценции сложных молекул. Стивенс, Будар (Vibrational energy transfer from collisional deactivation of simple molecules and fluorescence stabilization of complex molecules. Stevens B., Boudart M.), Ann. N. Y. Acad. Sci., 1957, 67, № 9, 570—596. Discuss., 596—599 (англ.)

3511. О связи между химическим строением карбо- и гетероциклических соединений и их сцинтилляционной активностью. Адлова Н. А., Котон М. М., Панов Ю. Н., Флоринский Ф. С., Докл. АН СССР, 1957, 114, № 2, 311—313

Исследовалась сцинтилляционная активность (СА) производных антрацена, полифенилов, арильных производных диенов и ряда гетероциклических соединений (всего 60 соединений) при введении их в полистирольную пластмассу. Исследуемые соединения вводились в мономер стирола в кол-вах, отвечающих их максимальным эффективным (1—2% по весу), и полимеризовались в присутствии 0,2% перекиси бензола при постепенном повышении т-ры от 80 до 120° в течение 4—5 суток. Наибольшей СА в пластмассе обладают: 1,4-ди-(2-(5-фенилоксазолил)-бензол), кватерфенил, 9,10-диарилаптрацены, 2,5-дифенилоксазол, 2-(α -нафтил)-5-фенилоксазол, *n*-терфенил и 1,1,4,4-тетраарилбутадienes, т. е. углеводороды, содержащие 4—5 циклов и сопряженные двойные связи. В. Ермолаев

3512. Наблюдение относительных поляризаций электронных переходов. Вильямс (Observation of the relative polarizations of electronic transitions. Williams Richard), J. Chem. Phys., 1957, 26, № 5, 1186—1188 (англ.)

Исследовалась поляризация флуоресценции некоторых ароматич. систем. В-во, растворенное в вязком р-рителе (пропиленгликоль, при т-ре —78°), освещалось поляризованным светом, длина волны которого соответствует энергии переходов на возбужденные уровни, расположенные выше нижнего синглетного возбужденного уровня, участвующего во флуоресценции. Учитывая, что за время жизни возбужденного состояния ориентация молекулы в вязкой среде практически не меняется, изучение поляризации флуоресценции позволяет установить относительные поляризации нижнего синглетного и следующих возбужденных уровней. Метод применен для исследования антрацена (I), 9-метилантрацена, 9-цианоантрацена, акридина, пирена (II), перилена (III) и дифенилгексатриена (IV). Установлено, что направления поляризации переходов на нижний возбужденный синглетный и следующий возбужденный уровень в I и его производных и III взаимно перпендикулярны. Напротив, в II направления поляризации рассматриваемых переходов совпадают, а в IV образуют угол 50°.

В. Алексанян

3513. Изучение 3,4; 9,10-дибензапирена: спектры флуоресценции и хроматографическое отделение от 3,4-бензапирена. Мюэль, Хьюберт-Хейбарт, Ву-Хой (Étude du dibenzo-3:4; 9:10 pyrène: spectre de fluorescence et separation chromatographique du benzo-3:4 pyrène. Muel Bernard, Hubert-Habart Michel, Buu-Hoi Ng. Ph.), J. chim. phys. et phys.-chim. biol., 1957, 54, № 6, 483—484 (франц.)

Фотоэлектрически изучались спектры флуоресценции (СФ) 3,4; 9,10-дибензапирена (I), канцерогенная активность которого была недавно показана. Максимумы основных полос СФ I в циклогексане расположены у 431,7; 446,7; 459,0; 475,7; 490,6 и 525,0 мμ. Описаны условия выделения I. В. Ермолаев

3514. Спектры флуоресценции, спектры возбуждения и спектры поглощения некоторых внутрикомплексных соединений металлов. Уайт, Гофман, Маги (Fluorescence emission spectra, fluorescence excitation spectra, and absorption spectra of some metal chelates. White Charles E., Hoffman Donald E., Magee John S., Jr), Spectrochim. acta, 1957, 9, № 2, 105—112 (англ.)

Фотоэлектрически измерены спектры поглощения, флуоресценции и возбуждения р-ров следующих

комплексов металлов: алюминий-3,5,7,2',4'-пентаоксифлаво, алюминий 2,2'-окси-1,1'-азонафталин-3-сульфоновая к-та (натриевая соль), алюминий-2,4,2'-триокса-азобензол-5'-сульфоновая к-та, бериллий-3,5,7,2',4'-пентаоксифлаво, бериллий-1-4-диоксидантрахинон, бериллий-1-амино-4-оксидантрахинон, торий-1-амино-4-оксидантрахинон, цирконий флавонол, борбензойн и литий-8-хинолинол. Спектор флуоресценции перекрывается со спектром поглощения (длинноволновая полоса). Максимум спектра возбуждения приблизительно совпадает с максимумом длинноволновой полосы поглощения. Резюме авторов

3515. Об ультрафиолетовых спектрах поглощения. Исидзака (U. V. とは. 石坂哲夫), 薬局の領域. Яккёку-но рёнки, 1957, 6, № 3, 29—30 (японск.)

3516. О комплексных соединениях. XXII. Поглощение света галогенопентаминных комплексами Co^{3+} в красной и ближней инфракрасной областях. Линхард, Вейгель (Über Komplexverbindungen XXII. Lichtabsorption von Halogeno-pentammin-Co(III)-komplexen im Rot und nahen U. R. Linhard Martin, Weigel Melitta), Z. phys. Chem. (BRD), 1957, 11, № 5-6, 308—317 (нем.)

Получены спектры поглощения $[\text{Co}(\text{NH}_3)_5\text{F}]^{2+}$, $[\text{Co}(\text{En})_3]^{3+}$ и $[\text{Co}(\text{NH}_3)_5\text{F}]^{2+}$ с $\Gamma-\text{F}$, Cl , Br , J . в водн. р-рах в области 10 000—50 000 cm^{-1} . У всех комплексов в области 10 000—18 000 cm^{-1} обнаружено по две новые полосы А и В, отнесенные к синглет-триплетным переходам $^1A_1 \rightarrow ^3F_1$ и $^1A_1 \rightarrow ^2F_2$ в центральном ионе Co^{3+} . Измерено также положение найденных ранее полос в видимой и УФ-областях. Авторы полагают, что р-ция акватизации ацидокомплексов идет через возбужденные состояния, соответствующие полосам А и В. Из температурной зависимости констант акватизации найдено предварительное значение энергии активации для $[\text{Co}(\text{NH}_3)_5\text{Br}]^{2+}$, равное ~24 ккал/моль, тогда как положение максимумов полос и соответствует 31 и 42 ккал. В случае $[\text{Co}(\text{NH}_3)_5\text{F}]^{2+}$ предполагается, что происходит также акватизация группы NH_3 с образованием $[\text{Co}(\text{NH}_3)_4(\text{H}_2\text{O})\text{F}]^{2+}$. Описаны методы получения перхлоратов хлоро-, бром- и йодопентаминов Co^{3+} . Часть XXI см. РЖХим, 1957, 47072

М. Дяткина

3517. Поглощение света комплексными ионами Cr^{2+} . Шлефер, Сколудек (Zur Lichtabsorption komplexer Ionen des II-wertigen Chroms. Schläfer H. L., Skoludek H.), Z. phys. Chem. (BRD), 1957, 11, № 5-6, 277—296 (нем.)

Исследованы спектры поглощения р-ров Cr^{2+} , полученных восстановлением солихнокислых и сернокислых р-ров $\text{K}_2\text{Cr}_2\text{O}_7$ амальгамой Zn и безводного CrCl_2 в абс. CH_3OH и $\text{C}_2\text{H}_5\text{OH}$, насыщенных N_2 , в атмосфере H_2 . Во всех спектрах найдена одна длинноволновая полоса в области 700—800 мμ. В р-рах в HCl и H_2SO_4 с ростом конц-ии к-ты положение λ (макс.) смещается в длинноволновую сторону и растет интенсивность. В спирт. р-рах λ (макс.) расположена при 782 (CH_3OH) и 798 мμ. В кислых р-рах имеются сложные ступенчатые равновесия между комплексными ионами различного состава $[\text{Cr}(\text{H}_2\text{O})_n\text{Cl}_{6-n}]^{2+}$, однако, несмотря на понижение симметрии по сравнению с гексааквоионом, расщепления полосы поглощения не происходит, что объясняется малой силой поля вокруг двухзарядного иона. В спирт. р-рах поглощающей единицей являются, по-видимому, ионы Cr^{2+} (спирт).²⁺ М. Дяткина

3518. Спектры поглощения щелочных растворов таллия и свинца. Белый М. У. Шишловский А. А. (Спектры вбирания лужних различив таллю та свинцю. Білий М. У., Шишловський О. А.), Наук. зап. Київськ. ун-т, 1956, 15, № 5, 47—52 (укр.; рез. русск.)

В работе приводятся данные по поглощению хлористых, бромистых, йодистых и роданистых р-ров Pb. Во всех указанных случаях проявляется энергетич. структура катиона Pb. Следовательно, ионы Pb, которые входят в комплекс, образуют соединения, где в определенной степени сохраняется индивидуальное поведение этих ионов. Исследования поглощения щел. р-ров солей Pb показали, что в таких р-рах возникают чрезвычайно прочные комплексы, связь в которых близка к гомеополарной, о чем свидетельствует устойчивость соответствующей полосы поглощения ($\lambda_{\text{макс.}} = 242 \text{ м}\mu$) при изменении конц-ии ионов OH^- в широких пределах. В случае щел. р-ров солей Tl образуется комплекс со слабой связью. Это также видно из поведения определенной полосы поглощения ($\lambda = 256 \text{ м}\mu$). Выводы о прочности комплексов подтверждаются измерениями поглощения полианионных р-ров типа $\text{M} + \text{KOH} + \text{KNaI}$, а также исследованием люминесценции щел. р-ров Pb и Tl.

3519. Спектрофотометрическое исследование взаимодействия между ацетоном и серной кислотой. Нагакүра, Минэгиси, Стэнфилд (Spectrophotometric studies on the interaction of acetone and sulfuric acid. Nagakura S., Minogishi A., Stanfield K., J. Amer. Chem. Soc., 1957, 79, № 5, 1033—1037 (англ.))

С целью выяснения природы гипсохромного смещения полосы поглощения ацетона (I) в сернокислых р-рах исследованы УФ-спектры поглощения I в H_2SO_4 (II) различной конц-ии. С ростом конц-ии II смещение полосы перехода $\pi^* \leftarrow n$ увеличивается, по-видимому, в результате существования равновесия $(\text{CH}_3)_2\text{CO} + \text{H}^+ \rightleftharpoons [(\text{CH}_3)_2\text{C}=\text{OH}]^+$. На основе полученных данных с использованием функции кислотности Гамметта вычислена константа равновесия по уравнению $K = (\text{AH}^+) / (\text{A})(\text{H}^+) = \{(\lambda' - \lambda)p'' - (\lambda'' - \lambda)p'\} / (\lambda'' - \lambda')p''$, где λ , λ' и λ'' — мод. коэф. экстинкции, вычисленные для длины волны λ с водн. р-ром I в его р-ра в II, функции кислотности которых — H_0' и H_0'' соответственно, p' и p'' — сокращенные обозначения $10^{-\text{H}_0'}$ и $10^{-\text{H}_0''}$. Почти одинаковые значения pK в 1,39—1,72 для различных λ и различных комбинаций H_0' и H_0'' подтверждают сделанные предположения. Причиной смещения λ (макс.) в коротковолновую область спектра, по мнению авторов, может являться изменение кулоновского интеграла кислорода карбонильной группы в результате присоединения H^+ (Nagakura S., Bull. Chem. Soc. Japan, 1952, 25, 164). Р-ры I в конц. II (~93%), окрашенные в желтый или коричневый цвет, дают полосу поглощения с $\lambda_{\text{макс.}} = 284 \text{ м}\mu$. Исследования спектров поглощения окиси мевтила (III) и форона в конц. II, воде и *n*-гептане показали, что в р-рах I в конц. II идет р-ция конденсации с образованием III. Смещение $\lambda_{\text{макс.}}$ III в конц. II в длинноволновую область по сравнению с $\lambda_{\text{макс.}}$ III в *n*-гептане авторы объясняют образованием в р-ре окисевого иона $[(\text{CH}_3)_2\text{C}=\text{CH}-\text{C}(\text{CH}_3)=\text{OH}]^+$.

3520. Комплексы йода в инертных растворителях. II. Комплексы йода с некоторыми ароматическими эфирами и дифенилом в четыреххлористом углеороде. Мейн (Iodine complexes in inert solvents. II. Complexes of iodine with some aromatic ethers and biphenyl in carbon tetrachloride. Maine P. A. D. de), J. Chem. Phys., 1957, 26, № 5, 1189—1191 (англ.))

Исследованы спектры, поглощения комплексов йода с анизолом, *n*-диметоксибензолом, дифенилом, *o*-метоксидифенилом и *n*-метоксидифенилом в р-рах в CCl_4 . Измерены длины волн, интенсивности полос поглощения этих комплексов и вычислены их константы рав-

новесия. При измерениях учитывалось поглощение за счет свободных компонент. В спектрах поглощения комплексов анизол и *n*-диметоксибензола с йодом наблюдаются три отчетливые полосы соответственно при 4900, 3450, 2950 и 5100, 4040 и 2950 (?) Å, из которых первая отнесена к молекуле I_2 в комплексе. При интерпретации остальных полос автор исходит из представления Оргела (РЖХим, 1956, 15335) о существовании у монопроизводных бензола двух типов орбит, так называемых продольных и поперечных, с разными потенциалами ионизации, соответствующих дважды вырожденной орбите e_1 самого бензола. В соответствии с этим возможны два изомера комплекса, в которых в качестве донорной служат различные орбиты. Присутствием двух изомеров объясняется появление двух УФ-полос поглощения. Разделение этих полос в спектре поглощения *n*-диметоксибензола по сравнению с анизолом ~ в 2 раза больше, что согласуется с теорией Оргела. Предложен метод для определения кривой поглощения и константы равновесия отдельных изомеров комплексов. Часть I см. РЖХим, 1957, 7237.

3521. Ультрафиолетовое поглощение изолированных двойных связей. Уиллер, Матеос (The ultraviolet absorption of isolated double bonds. Wheeler Owen H., Mateos José L., J. Organ. Chem., 1956, 21, № 10, 1110—1112 (англ.))

Исследование кажущегося УФ-поглощения в области 200—215 мμ 39 в-в с изолированными двойными связями: ациклич. и циклич. терпенов, стероидов, тритерпенов и др., при помощи регистрирующего спектрофотометра Бекмана ДК (нижний предел измерения ~ 190 мμ), показало, что интенсивность наблюдаемого максимума (205—212 мμ) сильно зависит от числа и характера заместителей при двойной связи или от напряжения цикла, содержащего двойную связь. Так как максимум собственного поглощения однозамещ. этиленов лежит при ~ 180 мμ, а в исследуемой области находится ложный максимум низкой интенсивности, обусловленный попаданием на фотоэлемент рассеянного света, сделан вывод, что переменная интенсивность кажущегося поглощения вызвана батохромным сдвигом собственного максимума поглощения двойной связи под влиянием соседних заместителей или структурных особенностей и частичным наложением его на ложный максимум. Приведены λ (макс.) с некоторыми спектральными кривыми.

3522. Спектрофотометрическое исследование симметричного тринитробензола с гидроокисью натрия. Чута, Писецкий (Spektrofotometrická studie reakce symetrického trinitrobenzenu s hydroxydem sodným. Čůta František, Písecký Jan), Chem. listy, 1957, 51, № 3, 433—439 (чешск.))

В щел. водн. р-рах симм-тринитробензола (I) имеет место присоединение OH^- с образованием окси-аниона со структурой полухинона, что проявляется в смещении максимума поглощения недиссоциированного I с 330 до 445 или 485 мμ. Отношение высот обоих последних максимумов и изобестич. точка при 262 мμ приводят к выводу, что в весьма разб. р-рах NaOH (II) присоединяется один эквивалент II, в р-рах с конц-ией II > 0,15 н. имеет место равновесие аниона с двумя эквивалентами и выше 0,5 н. — с тремя эквивалентами. При конц-ии II 9 н. наступает насыщение. На кривой поглощения кислого водн. р-ра I был обнаружен не описанный до сих пор максимум при 225 мμ. Установленная изобестич. точка при 262 мμ использована для вычисления первой константы диссоциации I, $K = 1,2 \pm 0,2 \cdot 10^{-14}$. Нейтр. хлорид полностью обесцвечивает I даже в разб. р-рах II.

3523. УФ-спектры 2-замещенных фуранов и 5-замещенных метиловых эфиров пирролиновой кислоты.

Манли, Амштутц (2-substituted furans and 5-substituted methyl furates. Manly Donald G., Amstutz E. D.), J. Organ. Chem., 1957, 22, N 3, 323—324 (англ.)

Исследованы УФ-спектры 2-замещ. фуранов общей ф-лы 2- $\text{XC}_4\text{H}_3\text{O}$ (X—H) (I), Br, CH_3O , $\text{C}_6\text{H}_5\text{O}$, $\text{C}_6\text{H}_5\text{S}$, $\text{C}_6\text{H}_5\text{SO}_2$, COOCH_3) и 5-замещ. метиловых эфиров (МЭ) пирозлизеовой к-ты (II, к-та) общей ф-лы 5- $\text{XC}_4\text{H}_2\text{O}$ COOCH_3 —2 (III), X—Cl (IIIa), $\text{C}_6\text{H}_5\text{SO}_2$ (IIIb), Br, COOCH_3 , $\text{C}_6\text{H}_5\text{O}$ (IIIв), CH_3O , $\text{C}_6\text{H}_5\text{S}$ (IIIг), NO_2). Приведены λ (макс.) $\lg \epsilon$ и $\Delta\lambda = \lambda$ (макс.) — λ (макс.) I. Найдено, что по величине $\Delta\lambda$ заместители 1-го порядка располагаются в последовательности: $\text{C}_6\text{H}_5\text{S} > \text{C}_6\text{H}_5\text{O} > \text{CH}_3\text{O} > \text{Br} > \text{Cl} > \text{H}$, а 2-го порядка в последовательности $\text{NO}_2 > \text{COOCH}_3 > \text{C}_6\text{H}_5\text{SO}_2 > \text{H}$; из сравнения найденных величин $\Delta\lambda$ и аналогичных величин в бензольном ряду сделан вывод, что фурановый цикл более нуклеофилен, чем бензольный. IIIa получен пропусканием Cl_2 в МЭ II (150°, 3 часа), выход 42%, т. пл. 40—41°. IIIb синтезирован окислением IIIг избытком 30%-ной H_2O_2 в лед. CH_3COOH , выход колич., т. пл. 102—103° (из водн. CH_3OH). IIIв получен р-цией CH_3N_2 и 5-феноксипирозлизеовой к-ты, выход 98%, т. кип. 133—135°/0,3 мм. Аналогично получен IIIг, выход 98%, т. кип. 146—148°/0,5 мм, т. пл. 39—40°. МЭ n-феноксипирозлизеовой к-ты получен прямой этерификацией, т. пл. 69—70° (из сп.). МЭ n-тиофеноксипирозлизеовой к-ты (IV, к-та) синтезирован следующим образом: р-цией охлажденного диазосоединения из n- $\text{NH}_2\text{C}_6\text{H}_4\text{COOH}$ с р-ром $\text{C}_6\text{H}_5\text{SH}$ в разб. NaOH получена IV, т. пл. 170—174° (из сп.), этерификация которой привела к МЭ IV, т. пл. 69—70° (из сп.). Фенил-n-карбометоксисульфид получен аналогично IIIb из МЭ IV, т. пл. 145—146° (из сп.). А. Сергеев

3524. Об ультрафиолетовых спектрах поглощения селенонафтена, селенового индиго и 3-оксиселенонафтена. Кишш, Мут (Über die ultravioletten Absorptionsspektren von Selenonaphthen, Selenindigo und 3-Oxy-selenonaphthen. Kiss A. I., Muth B. R.), Acta chim. Acad. sci. hung., 1957, 11, № 1—2, 57—61 (нем.; рез. русск., англ.)

Авторами снимались УФ-спектры селенонафтена (I), селенового индиго (II) и 3-оксиселенонафтена (III). Кривая поглощения III, снятая в 96%-ном этиловом спирте, существенно отличалась от кривой I. Кривые II, снятые в трех разных р-рителях (хлороформ, толуол, диоксан), были характерны для структуры индиго, поскольку кривые состояли из двух областей поглощения, причем одна из них находилась в видимой области, а другая в УФ-области. Спектр I содержит 3 области поглощения, что указывает на присутствие конденсированной системы колец. Резюме авторов

3525. Физические свойства аминоазобензольных красителей. IV. Место присоединения протона. Савицкий (Physical properties of the aminoazobenzene dyes. IV. The position of proton addition. Sawicki Eugene), J. Organ. Chem., 1957, 22, № 4, 365—367 (англ.)

На основании сопоставления данных спектров поглощения р-ров (в кислой среде) (РЖХим, 1957, 29575) и измерений pK_a (РЖХим, 1955, 23582) азобензола (I), 4-диметил-амино-I (II), 4-окси-I (III), 4'-окси-II (IV) показано, что присоединение протона к II дает 2 таутомера (различающиеся положением протона), один из них изoeлектронный с I; присоединение протона к IV дает также смесь двух изомеров, из которых один является изoeлектронным с III. Таутомеры одного и того же соединения различаются по своим спектральным данным (смещение максимумов поглощения). Максимумы поглощения изoeлектронных соединений совпадают. Исследование спектров поглощения р-ров в этиловом спирте (с 1 н. HCl) 3-аминоазобензола, 4-триметиламмонийазобензола и 3-метил-4-диметилами-

ноазобензола в области 310—550 мμ подтверждают вышеизложенные представления о таутомерии красителей. Часть III см. РЖХим, 1957, 30442. В. Алексанян 3526. Ультрафиолетовые спектры поглощения пиридиновых аналогов халкона. Колман (The ultraviolet absorption spectra of the pyridine analogs of chalcone. Coleman Lester E. Jr), J. Organ. Chem., 1956, 21, № 10, 1193—1194 (англ.)

Исследованы УФ-спектры поглощения полученных ранее (РЖХим, 1956, 68349) пиридиновых аналогов халкона (I) общей ф-лы $\text{A}-\text{CH}=\text{CH}-\text{CO}-\text{B}$ (II) (A=2-, 3- и 4-пиридил, B= C_6H_5 ; A= C_6H_5 , B=2-пиридил-, 2-метил-5-пиридил-, 4-пиридил-; A=B=2-пиридил-), имеющих транс-конфигурацию и плоское строение. Приведены λ (макс.) и ϵ . Спектры II аналогичны спектру транс-I; введение гетероциклич. ядра в положение A вызывает гипсохромный, а в B — bathохромный сдвиг полосы поглощения II относительно таковой же у I, что связано с большей электронофильностью пиридинового цикла по сравнению с бензольным. А. Сергеев

3527. Электронный спектр поглощения амидов в поляризованном свете и отнесение изученных переходов. Петерсон, Симпсон (Polarized electronic absorption spectrum of amides with assignments of transitions. Peterson Don L., Simpson William T.), J. Amer. Chem. Soc., 1957, 79, № 10, 2375—2382 (англ.)

Изучен УФ-спектр поглощения миристамида в области 2300—1600 Å в поляризованном свете. В исследованной области найдены полосы следующих типов переходов: n— π^* (2200 Å), NV_1 (2050—1700 Å) и первая полоса ридберговской серии 2p, 3s (1660 Å). Полоса перехода NV_2 , по-видимому, не обнаруживается и лежит в более коротковолновой области. Пользуясь данными по УФ-спектрам поглощения N,N' -диалкилгексаметилендиамина и N-ацетилглицина, авторы установили направление поляризации NV_1 -перехода в миристамиде: момент перехода образует угол 9,1° с направлением N—O, отклоняясь к связи C=O, и лежит в плоскости угла N—C=O. В. Алексанян

3528. Спектрофотометрическое исследование дифениламина и его производных в концентрированной серной кислоте. Бугай П. М., Ж. общ. химии, 1957, 27, № 6, 1632—1641

Исследовано окисление дифениламина (I), 4-окси-I (II) и 4-метокси-I (III) при длительном воздействии конц. серной к-ты (IV). В спектрах изученных соединений в момент растворения обнаружена одна полоса поглощения при 254—285 мμ. При стоянии р-ров на холоду или, для ускорения р-ции, при нагревании появлялись новые полосы (более длинноволновые), причем интенсивность их со временем возрастала в десятки раз. После выдерживания I с IV в течение 265 суток получена кривая с максимумом при 590 мμ и минимумом при 464 мμ; интенсивность поглощения очень мала. Окрашивание наблюдалось: у I через 28, у II через 12, у III через 13 суток. Отмечено, что II образует с IV соль в незначительном кол-ве; наоборот, I и III отличаются хорошей солеобразующей способностью, однако соль III неустойчива. Приводятся схемы механизма р-ции окисления. Автор считает, что вначале оно идет по азоту с образованием азениевых солей (РЖХим, 1955, 33818), которые и дают характерную полосу с максимумом поглощения при 318—330 мμ, обнаруженную у всех в-в. При дальнейшем окислении и конденсации эти соли дают окрашенные продукты типа производных бензидина, сохраняющие свою окраску при многократном разбавлении. Последнее, по мнению автора, указывает на их стойкость. Подтверждено электрофорезом, что окрашенные ионы положительно. О. Гайсинская

С целью подтверждения строения тетраарилбутадиенов и тетраарилгидрофуранов исследованы УФ-спектры следующих соединений: 1,1,4,4-тетра-*n*-метоксифенил-, 4-*o*-этоксифенил-1,1,4-три-*o*-метоксифенил-, 1,1,4-три-*o*-этоксифенил-4-*o*-метоксифенил-1,3-диенов; 2,2,5,5-тетрафенил-, 2,2,5,5-тетра-*o*-метоксифенил-, 2,2,5,5-тетра-*o*-этоксифенил-, 2,2-ди-*o*-метоксифенил-5,5-дифенилтетрагидрофуранов; 3,3-дифенил-, 3,3-ди-*o*-метоксифенил-, 3,3-ди-*n*-метоксифенилпропен-2-карбоновых-1 кислот; γ,γ -дифенил-, γ,γ -ди-*o*-метоксифенил-, γ,γ -ди-*n*-метоксифенил-, γ -*o*-метоксифенил- γ -*o*-этоксифенилбутиролактонов. Смещения полос при введении алкоксизаместителей в орто- и пара-положения фенильных ядер в тетрафенилбутадиенах объясняются с точки зрения стерич. препятствий плоскостным расположением частей молекулы друг относительно друга. Обсуждаются также изменения интенсивности поглощения. Подтверждением строения бутадиеновых производных служит их способность флуоресцировать под действием УФ-излучения. Этим они отличаются от тетрагидрофурановых производных, которые такой флуоресценции не дают. Часть V см. РЖХим, 1956, 22424. Е. Переслени

3533. Полиацетиленовые соединения. Сообщение XVIII. Поглощение света нитрилами полиацетиленовых кислот. Бо́льман, Манхардт (Polyacetylenverbindungen. XVIII. Mitt. Über die Lichtabsorption von Polyin-Carbonsäurenitrilen. Bohlmann Ferdinand, Mannhardt Heinz-Jürgen), Chem. Ber., 1956, 89, № 10, 2268—2272 (нем.)

Исследование УФ-спектров поглощения *p*-ров в эфирах, нитрилов енополикарбоновых к-т общей ф-лы $\text{H}_2\text{CCH}:\text{CH}(\text{C}\equiv\text{C})_n\text{CN}$ (I, Ia, $n = 1$; Ib, $n = 2$) и сравнение их со спектрами соответствующих енополинов общей ф-лы $\text{H}_2\text{CCH}:\text{CH}(\text{C}\equiv\text{C})_n\text{H}$ ($n = 2, 3$), а также сравнение спектров поглощения нитрилов ацетиленкарбоновой (II) и гептатриин-1,3,5-карбоновой (III) к-т и динитрилов ацетилендикарбоновой (IV) и ди-ацетилендикарбоновой (V) к-т со спектрами соответствующих полиацетиленовых углеводородов (с числом атомов C, большим, чем у II и III, на 1 и IV и V — на 2) показало, что $\text{C}\equiv\text{N}$ -группа спектрально эквивалентна $\text{C}\equiv\text{C}$ —, однако у I—V по сравнению с углеводородами наблюдается гипсохромный сдвиг на 3—10 мμ. Спектральные данные приводятся для соединений I—V и для некоторых соответствующих им углеводородов. В ИК-спектрах наблюдается явление, аналогичное УФ-спектрам поглощения. Амид пентен-3-ин-1-карбоновой к-ты (VI) синтезирован *p*-цией *p*-ра 2 г ее метилового эфира (МЭ) в 10 мл CH_3OH и 20 мл жидкого NH_3 (24 часа), т. пл. 145°. I получен *p*-цией 1,5 г VI и 2 г P_2O_5 (150°), выход 1,1 г, т. кип. 60—70°/20 мм (т-ра бани), т. пл. —15°. Амид гептадин-1,3-ен-5-карбоновой к-ты (VII) синтезирован аналогично VI из ее МЭ, т. пл. 155° (разл.; из хлф.). Ib получен нагреванием 0,5 г VII, 2 г P_2O_5 и песка (150°, 0,01 мм рт. ст.), т. пл. 40—41°. МЭ гептатриин-1,3,5-карбоновой к-ты (VIII) синтезирован смешиванием *p*-ров 1,5 г метилдиацетилена и 3 г МЭ пропиоловой к-ты в 40 мл CH_3OH и 8 г Cu_2Cl_2 , 24 г NH_4Cl и 0,5 мл кон. HCl в 70 мл воды и пропусканием O_2 (~0°, 4 часа); VIII выделен хроматографич. путем из петр. эфира на Al_2O_3 выход 1,5 г, т. пл. 57° (из петр. эф.). Из VIII получен аналогично VI соответствующий амид (IX), взрывает при 160°. IX аналогично VII превращен в III, разлагается выше 130°. Сообщение XVII см. РЖХим, 1957, 15205.

А. Сергеев

3534. Исследование поглощения твердой, жидко-кристаллической и жидкой фаз *nn'*-азоксанизола в линейно поляризованном свете в ультрафиолетовой области. I. Экспериментальная часть. Майер, Зау-

пе (Untersuchungen mit linear polarisiertem Ultraviolett an der festen, kristallin-flüssigen und normal-flüssigen Phase des *pp'*-Azoxyanisols. I. Experimenteller Teil. Maier W., Saupe A.), Z. phys. Chem. (DFR), 1956, 6, № 5-6, 327—344 (нем.)

Измерены коэф. поглощения жидкого, кристаллич. и однородно ориентированного («кристаллически-жидкого») *nn'*-азоксанизола в области 2300—4000 Å. Исследованные образцы имели вид клинообразных слоев. Измерения интенсивности производились методом фотографич. фотометрии. Съемка спектров проводилась в линейно поляризованном свете (параллельно или перпендикулярно мол. оси) и результаты сравнивались с данными спектров *p*-ров в циклогексане. В полученных спектрах наблюдаются 3 полосы поглощения. Спектр изотропно жидкой фазы похож на спектр *p*-ра. Интегральное поглощение не изменяется; лишь исчезает слабая колебательная структура. В спектрах поглощения анизотропно-жидкой фазы (130, 86 и 109°) наблюдается заметное различие в поведении трех полос. Интегральное поглощение полос сохраняется. Наиболее длинноволновая и интенсивная полоса дихроична: это показывает, что она связана с переходом, поляризованным вдоль мол. оси, несколько отклоненной от оптич. оси кристаллически-жидких слоев, причем это отклонение уменьшается при охлаждении. В кристаллич. образцах ось наибольшего показателя преломления индикатрисы лежит в плоскости образца и с ней практически совпадает направление мол. оси. В спектрах поглощения кристаллов наиболее длинноволновая полоса также обладает дихроизмом. На основании того, что спектры всех исследованных фаз ничем принципиально друг от друга не отличаются, делается вывод, что существование анизотропно жидкой фазы не связано с наличием специфич. межмолекулярного взаимодействия и молекулы в этой фазе связаны обычными дисперсионными дипольными и индукционными силами.

В. Еременко

3535. Ультрафиолетовый спектр α -фенил- α -этилглютаримида в щелочной среде. Хейсман, Бос (Het ultraviolet spectrum van α -fenyl- α -ethylglutaarimide in alkalisch milieu. Huysman J. W., Bosch A. N.), Pharmac. weekbl., 1957, 92, № 13, 437—439 (гол.; рез. англ.)

На основе анализа УФ-спектров сделан вывод, что α -фенил- α -этилглютаримид (дорицен) (I) испытывает енолизацию, когда растворяется в щел. *p*-рах; однако I быстро гидролизуется, особенно в 0,5 н. NaOH . Первоначальное поглощение вычислялось экстраполяцией погашения, найденного через 120, 180, 240, 300 и 360 сек. после растворения I в щел. среде при комнатной т-ре. Обсуждается расхождение со скоростью гидролиза β -метил- β -этилглютаримида (мегимида).

Резюме авторов

3536. Ультрафиолетовые спектры поглощения нитрозамещенных ароматических карбонильных соединений. Уокер, Янг (The ultraviolet absorption spectra of nitro-substituted aromatic carbonyl compounds. Walker E. A., Young J. R.), J. Chem. Soc., 1957, May, 2041—2045 (англ.)

Изучены УФ-спектры поглощения *o*-, *m*- и *n*- $\text{NO}_2\text{C}_6\text{H}_4\text{CH}:\text{O}$ (Ia—Iv), *o*-, *m*- и *n*- $\text{C}_6\text{H}_4\text{COCNH}_2$ (IIa—IIv), *транс*-моновитро- (III) и (по-видимому, *транс*-)динитро халконов (IV) общей ф-лы $\text{RC}_6\text{H}_4\text{CH}:\text{C}(\text{NO}_2)_2\text{R}'$ (IIIa, $\text{R}=\text{R}'=\text{H}$; IIIб, $\text{R}=\text{H}$, $\text{R}'=\text{NO}_2$; IIIв, $\text{R}=\text{H}$, $\text{R}'=\text{NO}_2$; IIIг, $\text{R}=\text{H}$, $\text{R}'=\text{NO}_2$; IIIд, $\text{R}=\text{H}$, $\text{R}'=\text{NO}_2$; IIIе, $\text{R}=\text{H}$, $\text{R}'=\text{NO}_2$; IIIж, $\text{R}=\text{H}$, $\text{R}'=\text{NO}_2$; IVа, $\text{R}=\text{R}'=\text{H}$; IVб, $\text{R}=\text{H}$, $\text{R}'=\text{NO}_2$; IVв, $\text{R}=\text{H}$, $\text{R}'=\text{NO}_2$; IVг, $\text{R}=\text{H}$, $\text{R}'=\text{NO}_2$; IVд, $\text{R}=\text{H}$, $\text{R}'=\text{NO}_2$; IVе, $\text{R}=\text{H}$, $\text{R}'=\text{NO}_2$; IVж, $\text{R}=\text{H}$, $\text{R}'=\text{NO}_2$; IVз, $\text{R}=\text{H}$, $\text{R}'=\text{NO}_2$; IVи, $\text{R}=\text{H}$, $\text{R}'=\text{NO}_2$) в спирте (IVд и IVи — в сп. + 1% ди-

оксана). Приведены λ (макс.) и ϵ . Полосы поглощения I—II в области 244—263 м μ отождествлены с К-полосами (Braude, Ann. Repts, 1945, 42, 125); низкие значения ϵ для Ia и II объяснены стeric. эффектом типа I (РЖХим, 1957, 73677). Полоса в области 209—237 м μ для всех I—III отнесена к переходу типа E. Отсутствие полосы К у III (кроме IIIa и IIIж) объяснено электронным влиянием заместителей (РЖХим, 1957, 70893). III—IV синтезированы встряхиванием эквимолекулярных кол-в I (или незамещ. C_6H_5CHO) и II (или незамещ. $C_6H_5COCH_3$) в 0,2 M р-ре NaOH в CH_3OH указаны в-во и р-ры плавления в °C; (в скобках р-ритель): IIIa 57,5 (из сп.); IIIб 149 (из сп.); IIIв 141 (из сп.); IIIг 162—163 (из сп.); IIIд 125—126 (из сп.); IIIе 130,5 (из сп.); IIIж 147—148 (из сп.); IVa 133—134 (из сп.); IVб 124—125 (из сп.); IVв 178—179 (из сп.); IVг 160—161 (из CH_3COOH); IVд 206—208 (из $(CH_3CO)_2O$); IVе 205 (из $(CH_3CO)_2O$); IVж 121—122 (из бэл.); IVз 197—199 (из CH_3COOH); IVи 129 (из CH_3COOH).

А. Сергеев
3537. Влияние некоторых кислот и основных веществ на спектры поглощения хлорофилла и хлорофиллида. Годнев Т. Н., Ефремова Р. В., Кравцов Л. А., Изв. АН СССР, Сер. физ., 1956, 20, № 5, 540—546

Спектр поглощения (СП) хлорофилла (I) в видимой области имеет два максимума (М): в бензоле 415 и 658 м μ , в эфире 429 и 662 м μ . При введении в р-р I жирной к-ты происходит по мере роста конц-ии к-ты увеличение интенсивности поглощения коротковолнового М (KM) и незначительное гипсохромное смещение длинноволнового М (DM): на 2—4 м μ с пальмитиновой к-той и на 2 м μ — с уксусной. СП хлорофиллида (II), образующегося из I при действии фермента хлорофиллазы, в воде имеет максимум 402 и 656 м μ . С введением в р-р II соляной к-ты наблюдается по мере увеличения ее конц-ии уменьшение интенсивности DM. Начиная с конц-ии HCl 0,0043 н. DM начинает раздвигаться, при 0,0015 н. отчетливо выявляются М 648 и 670 м μ , а при дальнейшем увеличении конц-ии HCl М 648 м μ пропадает, а М 670 м μ увеличивает свою интенсивность. Это связано с удалением из молекулы II магния и образованием феофорбида. При действии двусловных аминокислот — аспарагиновой (III) и глутаминовой (IV), интенсивность KM уменьшается и он слегка смещается bathochromно, а DM сначала (при 0,001 н. IV) раздвигается на М 642 и 675 м μ . По мере роста конц-ии к-ты интенсивность М 642 м μ растет, а М 675 м μ постепенно пропадает. Начиная с конц-ии 0,2 н. IV интенсивность М 642 м μ также начинает падать. Эти изменения связываются с образованием некоторых кол-в феофорбида, дающего неустойчивые комплексы с II, а также образованием комплексов II — кислоты. С нейтр. аминокислотами — гликоколом и цистеином, имеют место лишь межмолекулярные взаимодействия. Исследования действия на водн. р-р II аминов — диэтиламина (V), диметиламина (VI), — нафтиламина (VII) и пиридина (VIII), показало, что наиболее сильное основание — V смещает KM на 10 м μ bathochromно, а DM на 20 м μ гипсохромно; VI гипсохромно смещает только DM на 15 м μ , VII не смещает М, но уменьшает интенсивность KM. По-видимому, при высоких конц-иях аминов происходит разрыв циклопентанового кольца. При действии VIII уменьшается интенсивность KM, тогда как DM смещается bathochromно, так что, по-видимому, разрыва циклопентанового кольца не происходит, а образуются лишь комплексы. Опыты указывают на возможность образования в живом листе неустойчивых комплексов I с аминогруппами аминокислот и карбоксильными группами аминокислот и липидов. В прениях высказано предположение

о возможности образования в живом листе растения агрегированных состояний ХЛ.

Н. Спасокукоцкий
3538. Колебательные спектры ароматических соединений. IV. Расчет и интерпретация колебательных спектров дифенила и декадейтеродифенила. Ковнер М. А., Оптика и спектроскопия, 1956, 1, № 6, 742—751

Произведен расчет фундаментальных частот и предложена полная интерпретация комб. и ИК спектров дифенила и декадейтеродифенила. Были допущены следующие приближения: взаимодействие между кольцами принято равным нулю, все силовые постоянные дифенила выражены через ранее найденные силовые постоянные бензола, за исключением постоянных взаимодействия углов, образованных межкольцевой связью с бензольными кольцами, m_a и n_a , которые приняты равными 0,12 и —0,02 соответственно, и силовой постоянной межкольцевой связи, принятой равной 7,02. На основе модели D_{2h} получены следующие значения частот (в см $^{-1}$): A_g 280, 730, 993, 1012, 1198, 1300, 1540, 1617, 3055, 3061, 3069 ($C_{12}H_{10}$); 230, 686, 826, 887, 975, 1197, 1450, 1579, 2278, 2290, 2299 ($C_{12}D_{10}$); B_{1g} 368, 600, 1079, 1130, 1331, 1472, 1605, 1670, 3049, 3074 ($C_{12}H_{10}$); 343, 572, 805, 865, 1056, 1349, 1589, 1589, 2265, 2304 ($C_{12}D_{10}$); B_{2g} 250, 512, 697, 768, 930, 996, ($C_{12}H_{10}$); 221, 461, 561, 639, 779, 837, ($C_{12}D_{10}$); B_{3g} 404, 859, 986 ($C_{12}H_{10}$); 356, 676, 803 ($C_{12}D_{10}$); B_{1u} 120, 415, 711, 741, 916, 995 ($C_{12}H_{10}$); 105, 379, 549, 628, 754, 828 ($C_{12}D_{10}$); B_{2u} 118, 605, 1062, 1133, 1294, 1439, 1585, 1657, 3049, 3074 ($C_{12}H_{10}$); 102, 576, 824, 852, 1028, 1290, 1546, 1582, 2264, 2304 ($C_{12}D_{10}$); B_{2u} 599, 999, 1008, 1044, 1197, 1510, 1590, 3054, 3062, 3068 ($C_{12}H_{10}$); 575, 823, 874, 976, 977, 1354, 1555, 2278, 2292, 2297 ($C_{12}D_{10}$). Хорошее согласие рассчитанных значений частот с экспериментальными, по мнению автора, показывает, что исходные предположения об отсутствии взаимодействия между бензольными кольцами и об ординарном характере межкольцевой связи соответствуют действительности. Часть III см. РЖХим, 1057, 7200.

В. Александрия

3539. Структура цианистого карбонила $CO(CN)_2$. Трамер, Вержховский (The structure of carbonyl cyanide. Traimer A., Wierzchowski K. L.), Bull. Acad. polon. sci., 1957, Cl. 3, 5, № 4, 417—420, XXXIII (англ.; рез. русск.)

Описанный авторами колебательный спектр цианистого карбонила (РЖХим, 1958, 3545) был использован для расчета силовых постоянных молекулы. Нулевым приближением служили найденные авторами силовые постоянные непределных нитрилов (след. реф.). Расчет подтверждает приведенную в первой работе интерпретацию частот. Сравнение силовых постоянных $CO(CN)_2$ и нитрилов свидетельствует о сильном сопряжении связей $C=O$ и $C\equiv N$. Большая реактивность $CO(CN)_2$ объясняется высокой поляризуемостью молекулы. Коэффициенты динамич. влияния координат γ и ω немногим выше, чем у нитрилов.

Резюме авторов

3540. Силовые постоянные и колебательные спектры нитрилов. Трамер, Вержховский (Vibration spectra and force constants of nitriles. Traimer A., Wierzchowski K. L.), Bull. Acad. polon. sci., 1957, Cl. 3, 5, № 3, 335—341, XXVII (англ.; рез. русск.)

Проведен приближенный расчет силовых постоянных предельных (I) и непределных нитрилов (II) и дициана (III) методом Ельяшевича и Степанова. Постоянные в каждой из групп считались одинаковыми. В некоторых молекулах группы CH_2 и CH_3 исключались из расчета на основе приближенной внутрен-

ней симметрии. Рост силовой постоянной связи C—C от $K_s = 7,02$ в углеводородах до $K_s = 8,0$ в I, 8,3 в II и 10,0 в III с одновременным уменьшением постоянной K связи C≡N свидетельствует о сильной гиперконъюгации (в I) и сопряжении (в II и III) связей. Дается общая интерпретация спектров всех молекул. Характерные особенности спектров нитрилов в области 100—600 см^{-1} объясняются сильным взаимодействием полносимметрических координат γ и ω .

Резюме авторов

3541. Интенсивности основных колебательно-вращательных полос сернистого ангидрида. I. Экспериментальное определение. II. Обсуждение результатов. Морсильо, Эрранс (Intensidades de las bandas fundamentales de vibración-rotación del anhídrido sulfuroso. I. Determinación experimental. II. Discusión de los resultados. Morcillo J., Herranz J.), An. Real soc. esp. fis. y quim., 1956, A52, № 9-10, 207—216, 217—222 (исп.; рез. англ.)

I. Определены абс. интенсивности колебательно-вращательных ИК-полос ν_1 1151, ν_2 517,5 и ν_3 1360 см^{-1} SO₂. Спектр снимался при давлении паров от 1 до 25 атм, причем инертным газом служил азот или воздух. Разрешающая способность спектрографа менялась от 1—2 до 3—4 см^{-1} . Для полос ν_1 , ν_2 и ν_3 получены следующие абс. интенсивности при нормальных условиях (10¹² сек⁻¹ см^{-1}): A_1 3,5±0,2, A_2 3,6±0,3 и A_3 26,4±0,8.

II. Обсуждаются эксперим. результаты по определению абс. интенсивностей колебательно-вращательных ИК-полос SO₂: ν_1 1151 см^{-1} симм. вал. кол., ν_2 517,5 см^{-1} симм. деф. кол. и ν_3 1360 см^{-1} асимм. вал. кол. Неопределенность в знаке эффективного заряда приводит к четырем возможным значениям $\partial\mu/\partial Q_k$. Из них наиболее вероятны следующие два: $|\partial\mu/\partial r_1| = |\partial\mu/\partial r_2| = 5,32 \cdot 10^{-10}$ CGSE, $|\partial\mu/\partial \alpha| = 2,48D$ и $|\partial\mu/\partial r_1| = |\partial\mu/\partial r_2| = 4,81 \cdot 10^{-10}$ CGSE, $|\partial\mu/\partial \alpha| = 2,60D$. Здесь r_1, r_2, α — естественные координаты. В 1-м случае μ уменьшается при возрастании r_1, r_2 , во 2-м — увеличивается. Различие между $|\partial\mu/\partial \alpha|$ и соответствующей величиной, вычисленной по аддитивной схеме из постоянного дипольного момента SO₂ (1,3D), показывает, что в этом случае аддитивная схема неприменима и связям SO нельзя приписать не зависящего от угла α дипольного момента.

Е. Никитин

3542. Интенсивность инфракрасной полосы поглощения группы OH у некоторых третичных алифатических спиртов; индуктивные свойства циклопропильной группы. Браун, Сандри, Харт (The intensity of infrared O—H absorption for some tertiary aliphatic alcohols; the inductive properties of the cyclopropyl group. Brown Theodore L., Sandri J. M., Hart H.), J. Phys. Chem., 1957, 61, № 5, 698—699 (англ.)

Определена интегральная интенсивность ИК-полосы группы OH в трет-бутиловом спирте (I), триэтиле (II), три-изо-пропиле (III), ди-изо-пропил-циклопропиле (IV), изо-пропилдициклопропиле (V) и трициклопропил-карбиноле (VI) в р-ре CCl₄. Интенсивность полосы OH в VI больше, чем в I, II и III. Предполагается, что интенсивность данной полосы увеличивается при уменьшении электродонорной способности групп, присоединенных к трет. атому C; авторы делают вывод о наличии положительного индуктивного эффекта у циклопропильной группы по своей величине меньшего, чем у метильной группы и большего, чем у винильной.

Е. Попов

3543. Ширина линий в инфракрасном спектре газообразных хлористого водорода и метана. Камеро-Боско (Largeur des raies dans le spectre infrarouge du gaz chlorhydrique et du méthane. Camero-

Bosco Mireille, M-me), C. r. Acad. sci., 1957, 244, № 21, 2597—2599 (франц.)

Проверяется соотношение между полушириной линии Δ , интенсивностью I , давлением газа P и толщиной слоя l $Z^2 = \pi \Delta I l$. Δ является линейной функцией P . Экстраполяция прямой, снятой при низких давлениях, позволяет найти значения Δ при атмосферном давлении. Величины Δ определены при значениях вращательного квантового числа J , изменяющегося от -10 до +10 в полосе 2885 см^{-1} HCl. Максимум Δ соответствуют наиболее интенсивным вращательным линиям. В случае полосы ν_3 3010 см^{-1} метана зависимость Δ от J оказывается более сложной, что объясняется возмущениями Корниолиса, наличием запрещенных ветвей P и R полос $2\nu_4$ и $\nu_2 + \nu_3$. Значения Δ возрастают в смеси метана и воздуха по мере возрастания концентрации последнего, так как диаметр соударения N₂ больше, чем CH₄.

М. Ковнер

3544. Колебательные спектры формилфторида и d-формилфторида. Морган, Статс, Голдштейн (Vibrational spectra of formyl fluoride and d-formyl fluoride. Morgan H. W., Staats P. A., Goldstein J. H.), J. Chem. Phys., 1956, 25, № 2, 337—342 (англ.)

Приводятся ИК-спектры газообразных и твердых, при т-ре жидкого азота, HCOF (I) и DCOF (II) в области 600—5000 см^{-1} и спектры комб. рас. при -35, -40°. Табулированы все наблюдаемые частоты и сделано отнесение основных частот к представлениям S_n и к колебаниям связей и углов: I A' 2976 CH, 1834 C=O 1064 C—F, 661 OCF, 1344 CH. Частота неплоских колебаний A'' точно не установлена и отнесена к области 1000—1050 см^{-1} . II A' 2270 CD, 1793 C=O 1074 C—F, 968 CD, 658 OCF, A'' 858. Интерпретированы также обертоны и составные частоты. При CH = 1,08 Å, C=O 1,15 Å, C—F 1,40 Å, $\angle FCO$ 125°, HCO 117,5°, HCF = 117,5° вычислены моменты инерции и найдено, что в полосах A' расстояние между максимумами должно составлять ~ 27 см^{-1} . В полосах A' найдены интенсивные P- и R-ветви, а в полосе A'' — Q-ветвь. Основные частоты подтверждены расчетом с квадратичной потенциальной функцией, содержащей силовые постоянные C—H 4,80; C=O 11,34; C—F 4,76; C—N (деформ.) 0,26; FCO 1,43 · 10⁵ дин/см. Для расчета частот использовано симметричное вековое ур-ние $|F^{1/2} G F^{1/2} - \lambda E| = 0$.

М. Ковнер

3545. Колебательный спектр цианистого карбонила. Трамер, Вержховский (Vibration spectrum of carbonyl cyanide. Tramer A., Wierzchowski K. L.), Bull. Acad. polon. sci., 1957, Cl. 3, 5, N 4, 411—415, XXXIII (англ.; рез. русск.)

Исследован ИК-спектр поглощения пара CO(CN)₂ в области 2—14 μ при давл. 10—120 мм рт. ст. и спектр комб. рас. жидкости и эфирного р-ра. Основные частоты, отвечающие валентным колебаниям, идентифицированы на основании сравнения интенсивностей и контуров полос в ИК-спектре. В спектре комб. рас. наблюдается 6 из 7 возможных деформационных частот, что подтверждается анализом обертонов и составных тонов ИК-спектра. По анализу составных тонов можно полагать наличие частоты ~ 370 см^{-1} . Симметрия молекулы принята C_{2v}. Основные частоты (в см^{-1}): в ИК-спектре ν_1 2245; ν_2 1720; ν_3 714; ν_6 2245; ν_7 1115; ν_{10} (370); в спектре комб. рас. ν_1 2248; ν_2 1709; ν_3 710; ν_4 520; ν_5 142; ν_6 2248; ν_8 565; ν_9 306; ν_{11} 475; ν_{12} 255. См. также РЖХим, 1958, 3539.

А. Мальцев

3546. Инфракрасный спектр и структура молекулы фосфористого ангидрида. Сидоров Т. А., Собо-

лев Н. Н., Оптика и спектроскопия, 1957, 2, № 6, 710—716

Получен ИК-спектр расплава фосфористого ангидрида (I) в области 2,5—24 μ . Из анализа ИК-спектра и спектра комб. расс. (Gerding H. и др. *Rec. trav. chim.*, 1942, 61, 549) авторы делают вывод, что I состоит из молекул P_4O_6 , имеющих симметрию T_d . Это согласуется с электронографич. исследованиями в парах I. Дано отнесение колебательных частот к типам симметрии. Е. Попов

3547. Инфракрасный спектр и структура молекулы фосфорного ангидрида. Сидоров Т. А., Соболев Н. Н., Оптика и спектроскопия, 1957, 2, № 6, 717—723

В спец. вакуумной кювете получен ИК-спектр легколетучей модификации фосфорного ангидрида в области 2,5—24 μ . Показано, что ИК-спектр и спектр комб. расс. (H. Gerding и др. *Rec. trav. chim.*, 1945, 64, 191) удовлетворительно согласуются с моделью молекулы P_4O_{10} , принадлежащей к группе симметрии T_d , что подтверждается рентгенографич. исследованиями. Дано отнесение колебательных частот к типам симметрии. Е. Попов

3548. К спектрографическому изучению алюмогидрида лития. Д'Ор, Фуже (*Contribution à l'étude spectrographique de l'aluminohydru de lithium*. D'Or L., Fuger J.), *Bull. Soc. roy. sci. Liège*, 1956, 25, № 1, 14—26 (франц.)

Описаны методы приготовления, очистки и анализа $LiAlH_4$ (I). Получены ИК-спектры в области 3—15 μ твердого I, снятые для суспензии I в парафине и для таблеток прессованной смеси I с KBr. В области 15—35 μ полосы поглощения отсутствуют. В ИК-спектрах I и его эфирного р-ра наблюдаются частоты (cm^{-1}): F_2 704, 1647, 1782 и 764, 1740, а в спектрах комб. расс. 782 (E), 1832 (A_1) и 767 (F_2), 799 (E), 1743 (F_2), 1797 (A_1). Частоты 1647, 1782 cm^{-1} возникают вследствие снятия вырождения в поле решетки. ИК-спектры р-ров I в эфире при различных конц-ях одинаковы и не указывают на полимеризацию или взаимодействие I с эфиром. Образование комплексов $LiAlH_4$ -эфир следует из того, что интенсивность линии 1153 cm^{-1} группы CO эфира уменьшается с увеличением конц-ии р-ров. М. Ковнер

3549. Изучение гидроокисей меди и ванадила с помощью инфракрасной спектроскопии в области 300—4000 cm^{-1} . Кабанн-Отт (*Etude par spectrographie infrarouge, entre 300 et 4000 cm^{-1} des hydroxydes de cuivre et de vanadyle*. Cabannes-Ott Christiane), *C. r. Acad. sci.*, 1956, 242, № 24, 2825—2827 (франц.)

Для полученного автором соединения возможны 2 ф-лы: $V_2O_4 \cdot 2H_2O$ и $VO(OH)_2$. Сделан вывод в пользу второй ф-лы, основанный на аналогии ИК-спектров: $VO(OH)_2$ (I) и $Cu(OH)_2$ (II). Получен также спектр $Cu(OH)_2$ (III). Предложено следующее объяснение отдельных частот I: 3529—3566 и 3276 cm^{-1} , которые отнесены к вал. кол. свободных и связанных групп OH; 1675 = 792 + 860, 1620 cm^{-1} объяснены наличием примеси воды; 955 — вал. кол. VO; 860 и 915 — деф. кол. связанных OH; 792, 685 и 565 (спектр III) — δ_{OH} свободных OH и OD; 605 и 470 — неплоские колебания (ν_{OH}) связанных и свободных OH; 385 — γ_{OH} (своб.). Отмечается, что частоты γ_{OH} наблюдаются впервые. Линии 400 и 520 не объяснены. I обладает свойством старения: через 2—3 месяца цвет становится зеленым вместо розового, а полосы вал. кол. OH 860, 792, 1675 исчезают. М. Ковнер

3550. Интенсивности линий в инфракрасном спектре. Замечания к теории экспериментального метода.

Морсильо, Фернандес-Бьярхе, Эррране (*Intensidades en infrarrojo nota sobre la teoria del metodo experimental de medida*. Morcillo J., Fernández Biarge J., Herranz J.), *An. Real soc. esp. fis. y quim.*, 1956, A52, № 9-10, 193—206 (исп.; рез. англ.)

Рассмотрена теория эксперим. метода определения абс. интенсивностей полос поглощения в ИК-спектре. Получены соотношения между абс. интегральной интенсивностью A , кажущимся интегральным поглощением B и относительной поглощенной энергией C . Показано, что при любой функции дисперсии $g(\nu, \nu')$ спектрометра справедливо неравенство $C < B < A$. В пределе при уменьшении толщины поглощающего слоя и давления $C \rightarrow B \rightarrow A$. Разбирается влияние давления и толщины щели прибора на величину B . Рассмотрен пример «треугольной» функции дисперсии $g(\nu, \nu')$. Е. Никитин

3551. Изучение строения металлических сульфитов с помощью инфракрасных спектров. Роккиччолли (*Etude de la structure des sulfites métalliques par spectrographie d'absorption infrarouge*. Rocchiccioli Claude, M-lle), *C. r. Acad. sci.*, 1957, 244, № 22, 2704—2706 (франц.)

Описана методика приготовления и очистки следующих препаратов Na_2SO_3 , K_2SO_3 , $NaHSO_3$, $CaSO_3$, $SrSO_3$, $BaSO_3$, Ag_2SO_3 , $CdSO_3$, $PbSO_3$, UO_2SO_3 . Группа SO_3 образует правильную пирамиду и обладает симметрией C_{3v} . Три основных области в ИК-спектрах поглощения данных в-в 480, 630 и 930—1000 cm^{-1} соответствуют дважды вырожденному деформационному колебанию δ_{12} , деформационному колебанию δ_3 и валентным колебаниям ν_1 и ν_2 . Вследствие взаимодействия колебаний молекул, входящих в ячейку кристалла, происходит снятие вырождения, поэтому число колебаний превышает 4. М. Ковнер

3552. Инфракрасные спектры поглощения *o*-оксазобензола и его внутрикомплексных соединений с металлами. Уэно (*Infrared absorption spectra of o-hydroxyazobenzene and its metal chelate compounds*. Ueno Keihei), *J. Amer. Chem. Soc.*, 1957, 79, № 12, 3066—3068 (англ.)

Получены ИК-спектры *o*-оксазобензола (I) и его внутрикомплексных соединений (BC) с Cu, Ni и Co. В спектрах как BC, так и I не обнаружено полосы вал. кол. OH, что объясняется образованием внутримолекулярной водородной связи в азоформе I. Частота вал. кол. C=O у I понижена до 1640 cm^{-1} . При комплексообразовании эта полоса и полоса азогруппы (1418 cm^{-1}) смещается в длинноволновую сторону; смещение наибольшее для Co и наименьшее для Cu, симбатно понижению устойчивости комплексов. Комплексообразование приводит также к исчезновению полос 1272 и 1283 cm^{-1} , что подтверждает отнесение их к плоскому деф. кол. C—O—H. М. Дяткина

3553. Инфракрасный спектр раствора йода в гексадеутеробензоле. Фергусон (*Infrared spectrum of hexadeuterobenzeneiodine solution*. Ferguson E. E.), *J. Chem. Phys.*, 1957, 26, № 5, 1357—1358 (англ.)

Ранее, при исследовании р-ров I_2 или Br_2 в бензоле (I) было отмечено увеличение интенсивности полос 850 и 992 cm^{-1} , запрещенных в ИК-спектре колебаний e_{1g} и a_{1g} , и высказано предположение, что снятие запрета на эти колебания происходит из-за понижения симметрии I до C_{6v} при комплексообразовании с I_2 или Br_2 (РЖХим, 1957, 29628). При исследовании ИК-спектра насыщ. р-ра I_2 в C_6D_6 найдено, что и в этом случае комплексообразование с йодом приводит к увеличению интенсивности полос тех же колебаний, имеющих в C_6D_6 , соответственно, частоты 862

и 944 см^{-1} , что подтверждает высказанное ранее предположение.

В. Александрия

3554. Исследование изомерии некоторых соединений анилина по их спектрам в ближней инфракрасной области. Сообщение II. Биркэ-Гэлэциу (Studiul izomeriei prin spectre de absorbtie în infraroșul apropiat al unor compusi ai anilinei. Nota II. Bîrscă-Gălăteanu D.), Comun. Acad. RPR, 1956, 6, № 6, 767—773 (рум.; рез. русск. франц.)

Для выяснения влияния природы и положения заместителя в бензольном ядре автор изучал ИК-спектры *o*-, *m*- и *p*-нитроанилинов в области $1\text{—}3,7\text{ м}$ и сопоставлял с ранее полученными им для изомеров хлоранилина (сообщение I, РЖХим, 1956, 38708). Показано, что спектры каждого изомера отличаются от остальных полосами поглощения при 4070 и 5002 см^{-1} для мета-, 3172 и 3346 см^{-1} для орто- и 3080 и 3108 см^{-1} для пара-изомеров. Сравнение их расположения и увеличение частоты в каждой из них позволяет заключить, что основные полосы, обусловленные валентными колебаниями групп NH_2 , или не смещаются, или смещаются незначительно в сторону более высоких частот по направлению орто \rightarrow мета \rightarrow пара-изомеров. В том же направлении смещается и большинство других полос, но в сторону более низких частот. Так как масса нитрозаместителя больше, чем хлора, то предполагается, что замещение атома водорода в бензольном ядре влияет незначительно на колебания групп NH_2 , а влияние на колебания бензольного ядра растет с расстоянием заместителя от NH_2 -группы и его массой.

А. Аблов

3555. Связь между конформацией и инфракрасным поглощением в 1,2-галоидгидринах. Никсон (A relationship between conformation and infrared absorption in 1,2-halohydrins. Nickon Alex), J. Amer. Chem. Soc., 1957, 79, № 1, 243—247 (англ.)

При помощи ИК-спектров поглощения исследовалось влияние атома галогена на частоты вал. кол. групп O—H ($3561\text{—}3623\text{ см}^{-1}$) и C—OH ($990\text{—}1065\text{ см}^{-1}$) алициклич. спиртов в *p*-ре CS_2 . Были получены спектры следующих соединений и их галоидо-производных в *p*-ре CS_2 : 2 β -холестанола; 3 α ,2 β -хлорхолестанола; 3 α ,2 β -бромхолестанола; 3 β -холестанола; 2 α ,3 β -хлорхолестанола; 2 α ,3 β -бромхолестанола; 3 α -холестанола; 2 β ,3 α -хлорхолестанола; 2 β ,3 α -бромхолестанола; 2 α ,3 α -бромхолестанола; метил-3 β -оксидхолестанола; метил-3 β -оксид-4 β -бромхолестанола; метил-4 β -бромхолестанола; 3 β -копростан-5 β -диол-3-ацетата; 6 α ,3 β -бромкопростан-5 β -диол-3-ацетата; 3 β -холестан-6 β -диола; 5 α ,3 β -хлорхолестан-6 β -диол-3-ацетата; 3 β -копростан-5 β -диол-3-ацетата; 3 β -копростан-5 β -диол-3-ацетата; 3 β ,5 β ,6 α -дибромкопростан-5 β -диол-3-ацетата; псевдопропина; 2 β -бромпсевдопропина; циклогексанола; транс-2-хлорциклогексанола; транс-2-бромциклогексанола; транс-2-йодциклогексанола; инданола-1, транс-2-хлоринданола-1; транс-2-броминданола-1; транс-2-йодинданола-1; цис-2-хлоринданола-1. В молекулах с внутримолекулярной водородной связью частота вал. кол. O—H понижается на $25\text{—}48\text{ см}^{-1}$, C—OH повышается на $13\text{—}25\text{ см}^{-1}$. Для различных галоидопроизводных понижение валентных частот O—H происходит в последовательности $\text{J} > \text{Br} > \text{Cl}$, а для повышения валентных частот C—OH наблюдается обратная зависимость. Приведена таблица, где для 12 типов конфигураций конформации сопоставлены с частотами вал. кол. O—H и C—OH .

Е. Покровский

3556. Исследование характеристического колебания карбонильной группы у некоторых кетонов и альдегидов с помощью инфракрасной спектроскопии. Деппр (Etude de la vibration caractéristique du groupe carbonyle de quelques cétones et de quelques aldéhydes par spectrométrie d'absorption infra-rouge.

Depireux J.), Bull. Soc. chim. belges, 1957, 66, № 3-4, 218—228 (франц.; рез. англ.)

С целью выяснения природы наблюдаемого расщепления частоты вал. кол. группы C=O в кетонах и альдегидах, получены ИК-спектры 23 соединений указанных классов (ацетона, дифенилацетона, ацетофенона, бутанола, циклогексанола, ацетальдегида, салицилового альдегида и др.) в области 1700 см^{-1} . Спектры изучались у в-в в твердом, жидком и газообразном состояниях. Для сравнения приведены также спектры комб. расщ. Найдено, что в большинстве случаев в спектрах паров наблюдаются три частоты, напоминающие типичную картину колебательно-вращательной полосы с *PQR*-ветвями. Расстояние *P—R* для ацетона 22 см^{-1} ($1730, 1740, 1752\text{ см}^{-1}$) соответствует теоретическому (24 см^{-1}), вычисленному из моментов инерции молекулы в этом предположении. Оказалось, что расстояние *P—R* уменьшается с увеличением массы молекул. Эти факты, а также совпадение частот комб. расщ. с одной из частот триплетта позволяют утверждать, что расщепление обусловлено взаимодействием колебательных и вращательных уровней.

Ю. Егоров

3557. Об ультрафиолетовых и инфракрасных спектрах поглощения 2,2-динитропропан-1,3-диола. Экштейн, Урбанский, Собутка (On ultraviolet and infra-red absorption spectra of 2,2-dinitropropane-1,3-diol. Eckstein Z., Urbaniski T., Sobótka W.), Bull. Acad. polon. sci., 1957, Cl. 3.5, № 6, 679—684 (англ.; рез. русск.)

2,2-динитро-1,3-пропандиол (I) в *p*-ре в этиловом спирте дает два максимума $\sim 276\text{ м}$ и 363 м . Первый из них характерен для нитрогруппы. Второй, как мы полагаем, вызван двумя хромофорами (группами NO_2) в сочетании с двумя гидроксильными группами. Действительно, если гидроксильные группы связать, образуя производную 1,3-диоксана, то в спектре выступает только один максимум $\sim 279\text{ м}$. ИК-спектр I в суспензии в парафиновом масле не дает полосы, типичной для гидроксильной группы, а в *p*-ре в CCl_4 выступает только слабая полоса 3174 см^{-1} , что характерно для гидроксильных групп, связанных водородной связью. Считаю возможным существование форм, в которых обе гидроксильные группы связаны с нитрогруппой водородной связью. Для нитрогруппы найдены три полосы: в кристаллич. состоянии: $1587, 1568$ и 1544 см^{-1} , а в *p*-ре в CCl_4 $1568, 1562$ и 1527 см^{-1} . Кажется вероятным, что первая из них принадлежит к свободной нитрогруппе, вторая — к «полусвязанной» нитрогруппе и третья — к «полностью связанной» нитрогруппе.

Резюме авторов

3558. Инфракрасные спектры поглощения третичных этилкарбинолов. Хейльман, Тренар, Глена (Absorption dans l'infrarouge d'éthylcarbinols tertiaires. Heilmann René, Trénard Philippe, Glénat René), C. r. Acad. sci., 1956, 242, № 25, 2953—2955 (франц.)

Дается краткий анализ ИК-спектров третичных спиртов вида $\text{RR}_1\text{C}(\text{OH})\text{—C}\equiv\text{CH}$ (R и $\text{R}_1\text{—CH}_3, \text{C}_2\text{H}_5$, *изо*- и *трет*- $\text{C}_4\text{H}_9, \text{C}_6\text{H}_5$). В области $3300\text{—}3450\text{ см}^{-1}$ наблюдается полоса OH (ассоц.), которая в *p*-ре смещается и обычно раздваивается (3450 и 3570 см^{-1}). Частота вал. кол. $\nu(\text{CH})$ группы $\text{C}\equiv\text{CH}$ наблюдается в области $3260\text{—}3300\text{ см}^{-1}$. Частота вал. кол. $\text{C}\equiv\text{C}$ находится при $2100\text{—}2130\text{ см}^{-1}$. В области 1700 см^{-1} никаких характерных полос, на что указывалось в работе (Wotiz J. H. и др., J. Amer. Chem. Soc., 1950, 72, 5055), не обнаружено.

Ю. Егоров

3559. Тиазолы. III. Инфракрасные спектры метилтиазолов. Тауринс, Феньеш, Джонс (Thiazoles. III. Infrared spectra of methylthiazoles. Tau-

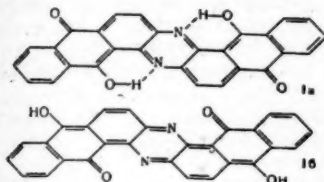
rins Alfred, Fenyues J. G. E., Jones R. Norman), Canad. J. Chem., 1957, 35, № 5, 423—427 (англ.)

В области 600—3600 см^{-1} получены ИК-спектры поглощения жидких тиазола, 2-метил-, 4-метил-, 5-метил-, 2,4-диметил- и 2,5-диметилтиазола. Полосы поглощения в области 1340—930 см^{-1} отнесены к скелетным колебаниям тиазольного кольца. Часть II см. РЖХим, 1957, 23058.

3560. Спектроскопическое исследование красителей.

III. Строение индантронов. Уайман (Spectroscopic studies on dyes. III. The structure of indanthrones. Wymann George M.), J. Amer. Chem. Soc., 1956, 78, № 18, 4599—4604 (англ.)

Для выяснения причин некоторого несоответствия общепринятой структуры индантрона (I) и его поведения, исследованы спектры поглощения в области



400—800 $\text{м}\mu$ и ИК-спектры поглощения размолотых или спрессованных с KBr образцов: N-метил-(II), NN'-диметил-(III), 3,3'-дибром-(IV) и 3,3'-дихлориндантронов (V), дейтерированного I, 1,2,2',4'-антрахиноназина и его 3,3'-дихлор- и 3,3'-дибромпроизводных. В спектрах отсутствуют частоты вал. кол. связи N—H. Наличие сильной полосы поглощения $\sim 6,3 \mu$ указывает на присутствие вал. кол. связи C=N. Наблюдаемые факты совместимы лишь с диенольным строением I (Ia или Ib); при этом структура Ia предпочтительнее вследствие более низкого уровня потенциальной энергии, обусловленного возникновением водородной связи; возможно также образование резонансного гибрида Ia \rightarrow Ib с преобладанием структуры Ia. Ia хорошо объясняет общеизвестную стойкость и глубокую окраску I. Подробное обсуждение структуры Ia дало возможность идентифицировать главные полосы поглощения I—V. Хотя различные твердые модификации I обладают несколько отличными спектрами поглощения в видимой области, их ИК-спектры тождественны; следовательно, причиной различия является не таутомерия, а полиморфизм. Для дейтерирования I в 20 мл 5%-ного р-ра NaOD в D_2O нагревали до 60—65°, добавляли требуемое кол-во NaHSO_3 (перемешивание 5 мин.), затем пропускали сухой воздух (5 мин.). Степень дейтерирования $\geq 35\%$. Часть II см. РЖХим, 1957, 43749.

А. Сергеев

3561. Инфракрасные спектры поглощения NN'-замещенных ацетамидинов. Преворшек (Spectres d'absorption infrarouges d'acétamidiines NN'-disubstituées. Prevorsek Dusan), C. r. Acad. sci., 1957, 244, N 21, 2599—2602 (франц.)

Изучены ИК-спектры в области 3600—650 см^{-1} серии в-в $\text{CH}_3\text{NRCNR}'\text{H}$ (I) и $\text{CH}_3\text{NRCNR}'\text{D}$ (II), где R, R' — бензольные или нафталиновые остатки. Полосы 3450 и 3380 см^{-1} принадлежат валентным колебаниям $\nu(\text{N—H})$ мономерных молекул в р-рах. В твердой фазе вместо них возникает ряд максимумов в области 3250—3100, что объясняется образованием водородных связей. Раздвоение частоты $\nu(\text{N—H})$ объясняется, во-первых, тем, что вследствие резонанса с π -электронами атом азота изменяет гибридизацию с пирамидальной на плоскую и, во-вторых, наличием двух потенциальных минимумов для атома водорода,

расположенных над и под плоскостью группы C—N—R'. Обе причины не могут иметь места, если R и R' — алифатич. радикалы, и в спектре NN'-диэтил-ацетамида имеется только одна полоса $\sim 3400 \text{ см}^{-1}$. В спектрах всех исследованных в-в типа I имеются 4 полосы 1540, 1440, 1330, 1220 см^{-1} . При переходе к II вместо полосы 1540 см^{-1} возникает полоса 1400 см^{-1} , полосы 1440, 1330 см^{-1} исчезают и возникает слабая полоса 1080 см^{-1} . Полоса 1220 см^{-1} смещается в сторону больших частот. Эти 4 частоты относятся к $\delta(\text{N—H})$ и возникают вследствие взаимодействия колебаний $\delta(\text{N—H})$ с антисимметричным валентным колебанием группы $\text{N}=\text{C—N}$ и с $\nu(\text{N—R})$. При замещении H \rightarrow D, это взаимодействие исчезает. В спектре N-фенил-N'-n-изопропоксинацетамида имеются полосы валентных колебаний 3448 и 3378 и $\delta(\text{N—H})$ 1562, 1410, 1345, 1230 группы H—N+—H. М. Ковнер

3562. Инфракрасный спектр остреастерола (халинастерола). Канман (The infrared spectrum of ostreasterol (chalinasterol). Cahnmann H. J.), J. Organ. Chem., 1956, 21, № 12, 1412—1414 (англ.)

Сопоставляются ИК-спектры поглощения двух стеролов: выделенного из оysters (*Crassostrea virginica*) — остреастерола (I), т. пл. 141,5—143°, и синтетич. халинастерола (II). Поскольку спектры I и II в области 2—15 μ оказались тождественными, то строению I может быть приписана форма — $\Delta^5,22$ -кампестадие-3 β -ол. Неожиданным явилось отсутствие в ИК-спектрах I и II частоты $\sim 970 \text{ см}^{-1}$, характерной для транс-конфигурации стероидов типа Δ^2 . Автор утверждает, что это не может служить достаточно веским доказательством *цис*-строения I и II из-за возможных особенностей появлений частот в области 965—974 см^{-1} . Ю. Егоров

3563. Спектроскопическое изучение нитрозосоединений. Сообщение 1. Характеристические инфракрасные полосы нитрозосоединений. Лютке (Spektroskopische Untersuchungen an Nitrosoverbindungen. 1. Mitt. Die charakteristischen Infrarotbanden der monomeren Nitrosoverbindungen. Lüttke Wolfgang), Z. Elektrochem., 1957, 61, № 2, 302—313 (нем.)

С целью выяснения вопроса о строении и природе сил связи в димерах нитрозосоединений исследованы ИК-спектры 12 алифатич. и 18 ароматич. C-нитрозосоединений в кристаллич. состоянии и в р-рах CS_2 и C_6Cl_6 в области 5000—400 см^{-1} , и определены характеристики. частоты группы CNO. У незамещенных мономерных алифатич. нитрозосоединений валентное колебание N—O находится в области 1540—1560 см^{-1} , замещение в α -положении заметно увеличивает эту частоту, замещение в β -положении оказывает на нее незначительное влияние. У ароматич. нитрозосоединений среднее значение $\nu(\text{NO}) = 1500 \text{ см}^{-1}$, влияние заместителей слабее, чем в α -замещенных алифатич. нитрозосоединениях. Валентное колебание группы C—N сильно связано с колебаниями остальной части молекулы и чаще всего проявляется в виде двух полос ~ 1100 и $760\text{--}860 \text{ см}^{-1}$. Деф. кол. группы CNO наблюдается в области 400—600 см^{-1} и очень сильно зависит от остатка молекулы. При сравнении мономерных и димерных нитрозосоединений наблюдается резкое изменение спектра. Третичные алифатич. нитрозосоединения существуют в виде мономеров. Первичные и вторичные нитрозосоединения образуют очень стабильные димеры, при этом в спектрах полоса группы NO мономера значительно смещается в длинноволновую сторону. Так, у нитрозометана $\nu(\text{NO})$ 1564 см^{-1} , а у *бис*-нитрозометана 1290 см^{-1} . У нитрозобензола $\nu(\text{NO})$ 1517 см^{-1} , группе C—N отвечают два колебания: 1110 и 810 см^{-1} ; в спектре димера исче-

зают эти полосы и появляется двойная полоса с максимумами при 1397 и 1408 см^{-1} . Сдвиг $\nu(\text{NO})$ в среднем на 240 см^{-1} при образовании димеров соответствует понижению кратности связи от ~ 2 до $\sim 1,5$. Этим подтверждается, что молекулы связаны в димерах через группы NO.

Б. Головнер
3564. Инфракрасные спектры некоторых одноосновных кислот. Кориш, Чапман (The infrared spectra of some monocarboxylic acids. Corish P. J., Chapman D.), J. Chem. Soc., 1957, April, 1746—1751 (англ.)

Получены ИК-спектры ряда нормальных одноосновных к-т от уксусной до ундекановой в жидком и кристаллич. состояниях в области 3500—670 см^{-1} . Произведено следующее отнесение ряда полос поглощения (см^{-1}): $\sim 1725 \nu(\text{C}=\text{O})$, $\sim 1300 \nu(\text{C}-\text{O})$, 935 δ (неплоск.) (ОН) и 680 — деформ. угла $\text{O}=\text{C}-\text{O}$. Сделан вывод, что все исследованные к-ты в твердом и жидком состояниях димеризованы. При кристаллизации значительно возрастает четкость спектра и увеличивается интенсивность некоторых полос, связанных с карбоксильной группой; наблюдается небольшой сдвиг $\nu(\text{C}=\text{O})$ в длинноволновую сторону и появление дополнительной полосы в области валентных колебаний ОН (2500—3000 см^{-1}). В спектрах к-т с четным и нечетным числом атомов углерода наблюдается различие в положении полос поглощения ~ 680 и $\sim 1300 \text{ см}^{-1}$, обусловленное их различной кристаллич. структурой. На основании изменений в спектре каприновой к-ты в зависимости от t -ры (от 24 до -186°) сделан вывод о существовании полиморфных кристаллич. форм этой к-ты.

Б. Головнер
3565. Инфракрасные спектры дезоксинуфаридина и родственных соединений. Нарисада (Desoxynupharidine 及び関連化合物の赤外線吸収スペクトル. 成定昌幸), 薬学雑誌, Якугаку дзасси, J. Pharmas. Soc. Japan, 1957, 77, № 3, 321—323 (японск.; рез. англ.)

Из ИК-спектров поглощения принято наличие фуранового кольца в дезоксинуфаридине (по полосам 3135, 1499 и 874 см^{-1}) и тетрагидрофуранового кольца в продуктах распада тетрагидродезоксинуфаридина (по полосам около 1060 и 905 см^{-1}). Резюме автора

3566. Золотой красный и его комплексное соединение с серебром. Сватос, Голденсон (Zolon red and the zolon redsilver complex. Svatos George F., Goldenston Jerome), J. Organ. Chem., 1956, 21, № 10, 1171—1173 (англ.)

Исследованы видимые и ИК-спектры поглощения золотого синего (I), золотого красного (II) и комплексного соединения II и Ag^+ (III); I и II изомерны друг другу. Обсуждаются вопросы их строения в связи с различием ИК-спектров и приведены наиболее вероятные структурные ф-лы I и II. I и II получены ранее описанным способом (РЖХим, 1955, 52134). III получен приливанием р-ра 0,085 г AgNO_3 в 50 мл воды к р-ру 0,2 г II в 200 мл CH_3OH (50° ; охлаждение в темноте), выход 99%, синий порошок. Методом непрерывных изменений (Job. P., Ann. chim., 1928, [10] 9, 113) показано, что Ag^+ и II входят в III в отношении 1:1. II является хорошим р-ром для Ag^+ .

А. Сергеев
3567. Изменение инфракрасных спектров стероидов в бромистом калии. Роберте (Alteration of infrared spectra of steroids in potassium bromide. Roberts Glyn), Analyt. Chem., 1957, 29, № 6, 911—916 (англ.)

Исследована зависимость воспроизводимости и качества ИК-спектров полиоксистероидов, прессованных с KBr, от способа смешивания в-в с KBr, т-ры продолжительности хранения прессованных дисков и качества KBr. Сделаны следующие выводы: 1. Энер-

гичная и продолжительная обработка стероидов с KBr в механич. мельнице перед прессованием приводит к размыванию полос в ИК-спектрах этих стероидов. Изменение в ИК-спектрах больше при меньшей конц-ии стероидов. Ручное смешивание в ступе дает спектры, идентичные со спектрами, полученными при съемке стероидов в вазелиновом масле. 2. При нагревании до 100—110° дисков из порошков, обработанных на мельнице в течение нескольких минут, ИК-полосы становятся более резкими. 3. При хранении дисков «ручной обработки» не происходит никаких заметных изменений в их спектрах. При хранении дисков «механической обработки» их спектры переходят в спектры дисков «ручной обработки». 4. В ИК-спектрах KBr, механически обработанного, имеются полосы 3400 и 1635 см^{-1} . При ручной обработке KBr эти полосы значительно слабее.

А. Васильев
3568. Исследование насыщенных линейных и разветвленных жирных кислот при помощи инфракрасной спектрофотометрии. Венцель, Шидт, Брэйш (Infrarot-spektrophotometrische Untersuchung gesättigter linearer und verzweigter Fettsäuren. Wenzel Franz, Schiedt Ulrich, Breusch Friedrich L.), Z. Naturforsch., 1957, 12b, № 2, 71—85 (нем.)

Получены ИК-спектры поглощения 104 разветвленных и неразветвленных жирных к-т в жидком состоянии, прессованных с KBr и в р-ре CS_2 . Определен ряд ключевых полос поглощения, положение максимумов которых зависит в неразветвленных молекулах от числа (n) атомов C, а в разветвленных молекулах от чисел (x, y) CH_2 -групп в радикалах, связанных с C-атомом, представляющим место разветвления. Для определения n в бариевых солях линейных жирных к-т с $n = 6-18$ можно использовать смещение полос поглощения (в μ) при изменении числа атомов C при $n = 6$ (в скобках при $n = 18$): 7,47 (8,15); 8,16 (8,42); 9,03 (8,98); 9,92 (9,05); 11,75 (13,71); 13,75 (13,93). В спектрах нормальных жирных к-т с $n = 7-22$ ключевые полосы поглощения находятся при $n = 7$ (в скобках $n = 22$): 8,01 (8,37); 8,34 (8,47); 8,92 (8,94); 9,66 (9,04); 12,50 (12,42); 13,45 (12,78); 13,83 (13,09). В разветвленных жирных к-тах для определения x, y и 7 типов разветвленности используются главным образом 2 области колебательных частот при 7 и 8,5—10 μ . В симметричных диалкилуксусных к-тах с $x = y$ для $x = 8-14$ ключевые полосы поглощения расположены при $x = 8$ (в скобках $x = 14$) μ : 7,71 (8,02), 8,07 (8,25), 8,22 (8,39), 8,77 (8,81), 9,21 (9,05), 12,32 (13,55), 12,95 (13,93), 13,52 (13,89). Для асимметричных диалкилуксусных к-т с $x \neq y$ при $x = 8-15$ и $y = 3-9$ по расстоянию между полосами при 9 μ можно определять x и y с погрешностью ± 1 , а также, в отдельных случаях, можно использовать дополнительно полосы 12,2—12,85 μ . Симметричные диалкилуксусные к-ты с $x = 5-17$ различаются по полосам (при $x = 5$, в скобках при $x = 17$): A 8,05 (8,43), 8,33 (8,51), 8,57 (8,60); B 8,84 (8,86); C 9,26 (8,95), 9,50 ($x = 7$) (9,19) и разности A—C, изменяющейся от 1,21 μ при $x = 5$ до 0,52 μ для $x = 17$ и B—C от 0,42 до 0,09 μ соответственно. Полосы 2-окси-2-метилжирных к-т при $x = 9, 11, 13$ и 14 смещаются с ростом x от 9 до 14 от B = 9,08 до 8,99 μ и C = 9,43 до 9,24 μ с изменением B—C от 0,35 μ при $x = 9$ до 0,25 μ при $x = 14$. Спектры 3-окси-3-алкилжирных к-т с $x = y = 3-119$ (кроме 4, 5, 6 и 10) и с $x = 9-15$ и $y = 1-8$ различаются по A—B только при $y + 1 < 4$. Для жирных к-т были проведены определения числа последовательно расположенных групп CH_2 по полосе поглощения р-ров с CS_2 при 13,86 μ и соотношение групп $\text{CH}_2 : \text{CH}_3$ по интегральным интенсивностям полос деф.

кол. групп CH_2 при 6,8—6,9 μ и групп CH_3 при 7,25 μ . Отклонения для соотношения коэф. поглощения групп CH_2 и CH_3 для различных типов разветвлений к-т достигают $\pm 30\%$. Определенные соотношения $\text{CH}_2 : \text{CH}_3$ иногда отличаются от теоретич. на $\pm 10\%$. Изучена полоса поглощения полносимметричных колебаний группы $\text{C}=\text{O}$ при 5,75—5,95 μ . Е. Покровский

3569. Спектры в инфракрасной и ультрафиолетовой области спектра некоторых растительных масел. Венков, Бъркз-Галэцину, Георгица-Оанча (Spectrele de absorbție în infraroșu și ultraviolet ale unor uleiuri vegetale. Vencov Șt., Bîrcă-Gălățeanu D., Gheorghită-Oancea C.), Bul. stiinț. Acad. R.P.R. Sec. mat. și fiz., 1956, 8, № 2, 391—404 (рум.; рез. русск., франц.)

Исследованы ИК- и УФ-спектры поглощения касторового (I), подсолнечного (II) и льняного (III) масел в природном состоянии. Различие в спектрах I—III наблюдается лишь в интенсивности отдельных полос. Полосы 3,5 и 3,42 μ отнесены к вал. кол. групп CH_2 , 3,32 μ — к обертоу деф. кол. CH_2 , 1,9 μ 3 ν ($\text{C}=\text{C}$), 1,72 и 1,75 μ симм. и несимм. 2 ν (CH_2), 1,4 μ 3 ν ($\text{C}-\text{C}$). На последнюю полосу в спектре I налагается обертон ν (ОН). В области 3,7—14 μ отмечается полоса 5,87 μ ν ($\text{C}=\text{O}$), 8,1 и 8,6 μ ν ($\text{C}-\text{O}$). УФ-спектры исследовались в циклогексане. Наблюдались две полосы 2340 и 2700 А, вторая полоса менее интенсивна. Появление полосы 2700 А может быть объяснено изомеризацией кратных связей в цепочке линолиновой к-ты, появлением сопряженных связей $\text{C}=\text{C}$. Интенсивность этой полосы была минимальной у I ($lg \epsilon = 0,210$) и максимальной у III ($lg \epsilon = 1,090$). Эти данные согласуются с данными хим. работ и позволяют судить о числе сопряженных связей в маслах. Также исследовался УФ-спектр III в трех видах (невареный, вареный и беленый). Сопряжение наблюдалось лишь в образце сваренном. Ю. Егоров

3570. Инфракрасный спектр и спектр комбинационного рассеяния диазинов. Лорд, Марстон, Миллер (Infra-red and raman spectra of the diazines. Lord R. C., Marston A. L., Miller Foil A.), Spectrochim. acta, 1957, 9, № 2, 113—125 (англ.)

Получены спектры комб. расс. и ИК-спектры пиразина (I), пиримидина (II), пиридазина (III). Приводятся кривые поглощения в области 300—3500 cm^{-1} и составлены таблицы всех наблюдаемых частот и интенсивностей. В некоторых случаях указаны свойства поляризации. Все наблюдаемые частоты интерпретированы как составные или основные частоты. Последние отнесены к представлениям групп D_{2h} для I и C_{2v} для II и III: I — A_g 609, 1015, 1232, 1584, 3060; B_{2g} 516, 1118, 1523, 3045; B_{1u} 1022, 1067, 1490, 3066; B_{3u} 1148, 1342, 1418, 3066; B_{1g} 753; B_{2g} 641, 703; A_u 340, 950; B_{2u} 417, 804; II — A_1 624, 991, 1066, 1141, 1467, 3001, 3048, 3083; B_1 567, 1021, 1161, 1227, 1371, 1402, 1570, 3095; A_2 394, 870; B_2 344, 679, 722, 806, 980; III — A_1 619, 964, 1063, 1160, 1283, 1414, 1572, 3043, 3063; B_1 664, 1009, 1052, 1239, 1444, 1565, 3043, 3075; A_2 421, 751, 863, 936; B_2 370, 696, 760. Перечисленные частоты сопоставлены с частотами бензола, дейтеробензолов и дейтеропиридинов. М. Ковнер

3571. Исследования в области сопряженных систем. LXXIII. К вопросу о порядке присоединения брома к винилацетилену. Петров А. А., Семенов Г. И., Сопов Н. П., Ж. общ. химии, 1957, 27, № 4, 928—933

Исследованы ИК-спектры 1- и 2-бромбутадиена-1,3, 1,2-дибромбутадиена-1,3, 4-хлорбутадиена-1,2 и двух главных фракций дибромидов винилацетилена. Показано, что в результате действия брома на винилацети-

лен образуются все 3 возможных дибромидов с преобладанием алленового (I) и 1,3-диенового (II). Это подтверждает выводы, сделанные ранее на основе хим. данных (Петров А. А. и др. Ж. общ. химии, 1950, 20, 708). С понижением т-ры при бромировании винилацетилена увеличивается содержание в смеси I за счет II. В результате сравнения ИК-спектров 1-бром-, 2-бром- и 1,2-дибромбутадиенов-1,3 выявлено характерное смещение частот вал. кол. кратных связей в длинноволновую область за счет сопряжения с атомом Вг. Часть LXXII, РЖХим, 1957, 68750. И. Качкурова

3572. Комбинационное рассеяние двухкомпонентными силикатными стеклами и их строение. Бобович Я. С., Тулуб Т. П., Оптика и спектроскопия, 1957, 2, № 2, 174—185

Изучены частоты, интенсивности и деполяризации в спектрах комб. расс. (возбуждаемых мощной спиральной ртутной лампой низкого давления и регистрируемых фотоэлектрич. методом) двухкомпонентных натриево- и калиевосиликатных стекол, метасиликата свинца и плавного кварца. В спектрах образцов, бедных щелочью, наблюдается сплошное комбинационное рассеяние, близкое к возбуждающей линии. Для натриевосиликатных стекол даны кривые зависимости частот от процентного содержания SiO_2 и отношения интенсивностей некоторых линий от состава. Приведены поляризационные спектры плавного кварца, некоторых натриевосиликатных стекол и метасиликата натрия, причем наблюдаются большие отличия, свидетельствующие о резкой разнице в строении стекол и кварца. Сделано подтвержденное расчетом предположение, что двухкомпонентные силикатные стекла представляют собой кварцеподобные островки, перемежающиеся с цепочечными образованиями из тетраэдров SiO_4 . Составлены вековые ур-ния для частот колебаний бесконечной цепочки. По частотам 1170 (A_1) и 696 (A_2) определены силовые постоянные связей $\text{Si}-\text{O}$ (своб.) и $\text{Si}-\text{O}$ (связ.) равные (10^5 дин/см) 7,33 и 3,79. Вычисленные с этими постоянными частоты A_1 и B_2 хорошо совпадают с наблюдаемыми (1170, 1090, 525 A_1 , 945 B_2). Первые три поляризованы. Частоты B_1 не определены. Дан обзор литературы. Библ. 32 назв.

М. Ковнер

3573. Спектры комбинационного рассеяния галогенидов моно- и диметиларсинов. Ван-дер-Келен, Герман (Les spectres Raman des halogénures de la mono- et de la diméthyl-arsine. Van der Kelen G. P., Herman M. A.), Bull. Soc. chim. belges, 1956, 65, № 3-4, 350—361 (франц.; рез. англ.)

Согласно электронографич. данным (Skinner H. A., Sutton L. E., Trans. Faraday Soc., 1944, 40, 164—184), в рядах $(\text{CH}_3)_2\text{AsX}$, CH_3AsX_2 , AsX_3 ($\text{X}=\text{Cl}$, Br , I) происходит последовательное сокращение длин связей $\text{As}-\text{X}$. По теории этих авторов, оно объясняется тем, что с увеличением числа присоединенных к атому As атомов Cl возрастает его положительный заряд. Одновременно возрастают отрицательный заряд присоединенного атома Cl и силы притяжения между As и Cl. С целью проверки описанных фактов и теории изучены спектры комб. расс. $(\text{CH}_3)_2\text{AsX}$ и CH_3AsX_2 ($\text{X}=\text{Cl}$, Br , I). Описана методика измерений. Табулированы частоты, интенсивности и деполяризации. Интерпретация спектров и отнесение частот к колебаниям групп AsX_2 и $>\text{AsCH}_3$ выполнены на основе C_s -модели молекул. При этом также использованы в целях сравнения частоты $\text{As}(\text{CH}_3)_3$, AsCl_3 , AsBr_3 . Сравнение частот валентных колебаний $\text{As}-\text{Cl}$ в ряду $(\text{CH}_3)_2\text{AsCl}$, CH_3AsCl_2 подтверждает сокращение длин и увеличение силовых постоянных связей $\text{As}-\text{Cl}$, в согласии с теорией. Небольшое сокращение связей $\text{As}-\text{C}$ в ряду $\text{As}(\text{CH}_3)_3$, $(\text{CH}_3)_2\text{AsCl}$, CH_3AsCl_2 компенсируется утя-

желением масс. Последний фактор определяет изменчивость частот деформационных колебаний. М. Ковнер

3574. Исследование спектров комбинационного рассеяния системы пиридин — двуокись серы. II. Исследование контуров линий и их температурной зависимости. III. Применение модели водородной связи. Трамер (Investigation of the pyridine-sulphur dioxide system by Raman spectroscopy. II. Investigation of the contours of the lines and their dependence on temperature. III. Application of the hydrogen bond model. Tramer A.), Bull. Acad. polon. sci., 1957, Cl. 3, 5, № 5, 501—508; 509—512 (англ.; рез. русск.)

II. Исследованы частота, ширина и интегральные интенсивности сильных линий пиридина (I) и двуокиси серы (II) в чистых в-вах и их смеси в зависимости от состава смеси и т-ры. Линии 1006 и 3073 см^{-1} I, связанного в комплексе, значительно расширены по сравнению с линиями свободной молекулы. Повышение т-ры приводит к дальнейшему расширению и изменению частоты линии 1006 см^{-1} . В связанных молекулах II вместо узкой линии ν_1 наблюдается широкая полоса ν_1^* , лишенная тонкой структуры. При высоких т-рах полоса становится значительно более узкой, асимметричной и частота ее растет. Возможность присутствия других комплексов, кроме $\text{C}_5\text{H}_5\text{N} \cdot \text{SO}_2$, (III) исключена. Действие Ван-дер-Ваальсовых сил между молекулами комплекса не объясняет вполне влияния т-ры и конц-ии р-ра на контуры линий. На основе сравнения интенсивностей линий свободных и связанных молекул определяются константа равновесия при различных т-рах и теплота образования комплекса (ΔH 6 ккал/моль).

III. Автор делает попытку объяснить присутствие полосы $\nu_1^* = 1132 \text{ см}^{-1}$ I в спектре комплекса III. С этой целью построена модель, основанная на модели водородной связи Степанова. В модели не применяется предположение о преддиссоциационном характере возбужденного колебательного уровня. Полоса рассматривается как сумма переходов между различными уровнями вал. кол. межмолекулярной связи N...S. Эти уровни расширены вследствие наложения межмолекулярных деформационных колебаний (заторможенных вращений составных молекул). Сравнение эксперим. и вычисленного контура полосы ν_1^* показывает качеств. сходство формы кривых и ее температурной зависимости. Часть I см. РЖХим, 1957, 56807.

Резюме автора
3575. Спектры комбинационного рассеяния гетероциклических соединений. III. Акишин П. А., Рамбиди Н. Г., Юрьев Ю. К., Вестн. Моск. ун-та, 1956, № 5, 61—67

Получены спектры комб. расс. десяти серусодержащих гетероциклов: триметиленсульфида, тиофена, 2- и 3-метилтетрагидротиофенов, 2,2-, 3,3-, 2,5-, 3,4- и 2,4-диметилтетрагидротиофенов и тетрагидротиопирана. Интенсивности линий измерены фотометрически в единой объективной шкале. Показана характеристичность дифференциальной интенсивности полос вал. кол. связи C—S. Исключением является интенсивность частот $\nu(\text{C—S})$ в спектре 3,3-диметилтетрагидротиофена, которая завышена на 20%. Этот факт объясняется возможным взаимодействием частот $\nu(\text{C—S})$ и полностью симметричных колебаний группы с четвертичным атомом C. Отмечается понижение интенсивности полос $\nu(\text{C—S})$ в соединениях, имеющих сопряжение связей C—S и C=C, напр., в Δ^2 -дигидротиопиране и тиофене. Часть II см. РЖХим, 1956, 53677.

Ю. Егоров
3576. Возбуждение линейных молекул давлением постороннего газа. Перкинс, Бухкевич, Киффер (Foreign gas pressure broadening of linear molecules. Perkins Kenneth L., Bushko-

vitch A. V., Kieffer L. J.), J. Chem. Phys., 1957, 26, № 4, 779—781 (англ.)

Теория Андерсона (Anderson P. W., Phys. Rev., 1940, 76, 647) применяется для изучения неупругих столкновений линейных полярных молекул с «чужими» молекулами следующих 3 типов: одноатомными, линейными неполярными и линейными полярными. Столкновения возбуждают квантовые переходы линейных молекул основного газа с изменением квантового числа полного мол. углового момента. Рассчитывается эффективный диаметр столкновения $r_e = (\sigma/\pi)^{1/2}$, где σ — полное поперечное сечение. Полученные r_e применяются для численных расчетов r_e для перехода $I = 1 \rightarrow 2$ молекул OCS, взаимодействующих с He, O₂ и N₂O. Результаты, равные соответственно 3,22, 5,41 и 7,41 Å, находятся в хорошем согласии с экспериментом (РЖХим, 1955, 13415).

Э. Фрадкин

3577. Спектры комбинационного рассеяния газов при большом разрешении. VIII. Вращательные спектры ацетилен, диацетилен, диацетилен- d_2 и диметилацетилен. Калломон, Стойчев (High resolution Raman spectroscopy of gases. VIII. Rotational spectra of acetylene, diacetylene, diacetylene- d_2 and dimethylacetylene. Callomon J. H., Stoiceff B. P.), Canad. J. Phys., 1957, 35, № 4, 373—382 (англ.)
На спектрографе с дифракционной решеткой получены чисто вращательные спектры комб. расс. C_2H_2 (I), C_4H_2 (II), C_4D_2 (III) и C_4H_6 (IV). Графически найдены следующие вращательные постоянные (см^{-1}): B_0 I 1,1769, II 0,14689, III 0,12767, IV 0,1122; D_0 I $1,9 \cdot 10^{-6}$, II $3,2 \cdot 10^{-8}$, III $2,3 \cdot 10^{-8}$, IV $1,3 \cdot 10^{-8}$. Анализируя имеющиеся и полученные данные по вращательным спектрам I и его дейтерозамещенных, авторы нашли, что эффективная длина связи $r_0(\text{C—H})$ несколько больше равновесного межъядерного расстояния $r_e(\text{C—H})$, и, принимая среднее значение разности $r_0(\text{C—H}) - r_0(\text{C—D}) = 0,002 \text{ Å}$, получили $r_0(\text{C}\equiv\text{C})$ 1,2067 и $r_0(\text{C—H})$ 1,061 Å. Из данных для II и III следует, что $r_0(\text{C—H})$ в II короче, чем в I и диацетилене, и равна $1,046 \pm 0,009 \text{ Å}$; длина центральной связи C—C в II составляет $1,376 \pm 0,002 \text{ Å}$. Из сравнения момента инерции молекулы IV, вычисленного из B_0 с моментом инерции, рассчитанным по данным микроволнового спектра метилацетилен, следует, что по крайней мере одна из связей C—C в молекуле IV длиннее, чем у метилацетилен. Часть VII см. РЖХим, 1957, 33587.

Г. Батюков

3578. Микроволновые спектры и структура молекулы 1,1,1-трифторэтана и его моно-, ди- и тридейтеро-производных. Эджелл, Миллер, Эйми (The microwave spectra and molecular structure of 1,1,1-trifluoroethane and its mono-, di- and trideutero derivatives. Edgell Walter F., Miller George B., Amy Jonathan W.), J. Amer. Chem. Soc., 1957, 79, № 10, 2391—2393 (англ.)

С помощью спектрометра со штарковской модуляцией исследованы спектры CF_3CH_3 (I), $\text{CF}_3\text{CH}_2\text{D}$ (II), CF_3CHD_2 (III) и CF_3CD_3 (IV) в диапазоне 17—30 кМгц . Наблюдались частоты переходов R-ветви $J = 1 \rightarrow 2$ и $J = 2 \rightarrow 3$ и частоты крутильных колебаний, а в случае асимметричных молекул — также полосы переходов Q-ветви, соответствующие $J \geq 9$, идентификация которых не производилась. Определены значения вращательных постоянных. Найденные из эксперимента моменты инерции (в $\text{гсм}^2 \cdot 10^{40}$): I $I_b = 161,812$; IV $I_b = 182,177$; II $I_a = 151,3$, $I_b = 168,618$, $I_c = 169,601$; III $I_a = 155,1$, $I_b = 174,634$, $I_c = 176,900$ — имеют ошибку $\pm 0,007$ (кроме значений I_a , точность которых $\pm 6,8$). Получены значения межатомных расстояний (в Å): C—C $1,530 \pm 0,005$; C—F $1,335 \pm 0,005$; CH $1,085 \pm 0,008$; и углов: $\angle \text{CCF}$

111°02'±17'; ∠CSN 108°19'±35', находящиеся в хорошем согласии с электронографич. данными. При расчете предполагалась независимость структуры молекул от изотопич. замещения. Т. Бирштейн

3579. Парамагнитный резонанс свободных радикалов. Френкел (Paramagnetic resonance of free radicals. Fraenkel George K.), Ann. N. Y. Acad. Sci., 1957, 67, № 9, 546—567. Discuss., 567—569 (англ.)

3580. Применение парамагнитного резонанса для изучения реакций свободных радикалов. Тркал (Užití paramagnetické resonance ke studiu reakcí volných radikálů. Trkal Viktor), Českosl. časop. fys., 1957, 7, № 4, 453—455 (чешск.)

Эффект парамагнитного резонанса α,α'-дифенил-β-тринитрофенилгидразила (I) в твердой фазе является устойчивым в области т-р от -36° до +115°, а в р-ре м-ксилола до 90°. Это было использовано для изучения термич. распада азобутиронитрила (II) и перекиси бензоила (III). Р-цию между I и свободными радикалами, образующимися при распаде II или III, можно наблюдать с 70°. Она проявляется в изменении первоначального фиолетового цвета р-ра на желто-коричневый. Хим. анализ смеси произведен не был. П. Дриеновский

3581. Магнитный резонанс ядерного спина. Бурген (Magnetisk kjernespin-resonans. Borgen O.), Tidsskr. kjemi, bergves. og metallurgi, 1957, 17, № 5, 68—72 (норв.)

Изложение основных понятий.

А. М.

3582. Структурные исследования с помощью ядерного квадрупольного резонанса. I. (Определение симметрии кристаллов). Симомура (Structural investigation by means of nuclear quadrupole resonance. I. (Determination of crystal symmetry). Shimomura Kenji), J. Phys. Soc., Japan, 1957, 12, № 6, 652—657 (англ.)

3583. Дипольные силы между макромолекулами. Кроупа (Dipólové síly mezi makromolekulami. Kroupa František), Českosl. časop. fys., 1957, 7, № 3, 314—315 (чешск.)

На основании эксперим. данных Герчика (Herčík, Problém bakteriofága, Naklad. CSAV, Praha, 1953) при помощи методов теории упругости произведена оценка дипольного момента p , энергии связи и силы взаимодействия между макромолекулами. Если рассматривать молекулу как точечные заряды, то $p \approx 660 D$, а энергия связи 0,05 эв. Если молекула рассматривается как шар конечных размеров, $p = 340 D$. П. Д.

3584. Вычисление производных дипольного момента по инфракрасным спектрам отражения или спектрам комбинационного рассеяния кристаллов. Хаас, Хорниг (Calculation of dipole derivatives from infrared reflection spectra or Raman spectra of crystals. Haas C., Hornig D. F.), J. Chem. Phys., 1957, 26, № 3, 707 (англ.)

Величину $\partial\mu/\partial Q$ для кристаллов предлагается вычислять по данным спектра отражения в ИК-области или спектра комб. расс., используя ф-лу $\partial\mu/\partial Q = \pm 3[\mu_0^2(v_l^2 - v_t^2)/N]^{1/2}(n_0^2 + 2)$, где N — число осцилляторов в 1 см^3 , v_l и v_t — низко- и высокочастотная границы ИК-полосы отражения. Для куб. кристаллов спектр комб. расс. колебания, активного и в поглощении дает две линии — для продольной (v_l) и поперечной волны (v_t). Зная величины v_l и v_t , различие между которыми обусловлено диполь-дипольным взаимодействием, можно по этой же ф-ле вычислить $\partial\mu/\partial Q$. Предложенным методом по литературным данным для v_l и v_t вычислены $\partial\mu/\partial Q$ для 8 основных и куб. кристаллов. Л. Розенштейн

3585. Рефрактометрическое исследование азометиновой связи в шиффовых основаниях. Хиреш, Янчо (Refraktometrische Untersuchung der Azomethin-Bindung in Schiff-Basen. Hires J., Jancsó H.), Acta phys. et chem. Szeged, 1956, 2, № 1—4, 95—100 (нем.)

Определены мол. рефракции R 33 алифатич. и ароматич. шиффовых оснований $R_1CH=N-R_2$ (R_1 и $R_2 = CH_3, C_2H_5, C_3H_7, \text{изо-C}_3H_7, C_4H_9, ClC_2H_4$ и др. и в разных комбинациях) и вычислены экзальтации рефракции ΔR , R и средние поляризуемости $\bar{\alpha}$ связи $N=C$ в этих соединениях. Результаты показали, что $\bar{\alpha}$ растет с увеличением длины цепочки алкильного радикала в пределах $\bar{\alpha} = 1,525 \cdot 10^{-24} - 1,892 \cdot 10^{-24}$. Присутствие двойной связи в радикале не оказывает существенного влияния на $\bar{\alpha}$. В случае фенил- и бензаль-радикалов $\bar{\alpha}$ заметно возрастает ($\bar{\alpha} = 2,15 \cdot 10^{-24} - 4,63 \cdot 10^{-24}$). Полученные значения ΔR показывают, что среднее значение $\Delta R \approx 1,20 \text{ см}^3$ правильно только для алифатич. шиффовых оснований. В случае ароматич. соединений ΔR колеблется в широких пределах (0,99—6,94 см^3).

В. Казакова

3586. Дисперсия бромистого водорода в инфракрасной области. Шурин, Роллефсон (Infrared dispersion of hydrogen bromide. Schurin Bertram, Rollefson R.), J. Chem. Phys., 1957, 26, № 5, 1089—1091 (англ.)

Измерен показатель преломления газообразного HBr в области 1—10 μ . Полученные, а также имеющиеся в литературе данные о дисперсии HBr в видимой и ближней УФ-областях использованы для определения дипольного момента HBr ($0,82 \pm 0,04$) D и его производного по нормальной координате ($0,48 \pm 0,04$) $\cdot 10^8 D/A$.

В. Александрия

3587. Теория деполаризации света, рассеянного плотной средой. Баккингем, Стивен (A theory of the depolarization of light scattered by a dense medium. Buckingham A. D., Stephen M. J.), Trans. Faraday Soc., 1957, 53, № 7, 884—893 (англ.)

Развивается общая теория деполаризации света при релеевском рассеянии. Индуцированный дипольный момент молекулы разлагается в ряд по компонентам действующего электрич. поля $m_\alpha = \mu_\alpha + \alpha_{\alpha\beta} E_\beta + 1/2 \beta_{\alpha\beta\gamma} E_\beta E_\gamma + 1/6 \gamma_{\alpha\beta\gamma\delta} E_\beta E_\gamma E_\delta + \dots$ (1). Поле E складывается из поля световой волны и поля всех остальных молекул среды. Полное поле рассеянной световой волны получается в результате наложения полей, создаваемых всеми колеблющимися мол. диполями. Введены ф-лы для коэф. деполаризации в случаях поляризованного и естественного падающего света $q = 3A/(4A + B)$; $q' = 6A/(7A + B)$ (2), A, B зависят от компонента тензоров поляризуемости α и сверхполяризуемости β, γ , входящих в (1), и от разностей фаз между световыми волнами, рассеянными различными молекулами. Табулированы числа различных компонент тензоров α, β, γ для 34 групп симметрии. Для идеальных газов из (2) следуют обычные ф-лы. q и q' реальных газов разлагаются в ряды по степеням мол. объема. Для плотных жидкостей со сферич. молекулами A и B выражаются через радиальную функцию распределения молекул g , определяемую из рентгенографич. данных, α и коэф. сжимаемости K . Для жидкого аргона при $-188,8^\circ$ функция g известна, $\alpha = 1,63 A$, $K = 1,8 \cdot 10^{-10} \text{ см}^2/дн$, $q = 0,12$. q тетраэдрич. молекул зависит от $\alpha, \beta_{123}, K, g$ и от среднего квадрата электрич. поля \bar{F}^2 , действующего на молекулу. \bar{F}^2 метана определяется из условия равенства величины $-1/2 Na\bar{F}^2$ изменению внутренней энергии при испарении и равно $1 \cdot 10^{11}$ эл.-ст. ед., $\alpha = 2,4 A^3$. С помощью квантовомеханич. теории возмущений найдено значение $\beta = 0,21 \cdot 10^{-30}$ эл.-ст. ед. При вычислении q для полярных жидкостей использована ф-ла Онзагера,

определяющая внутреннее поле. В этом случае A , B зависят от показателя преломления, диэлектрич. постоянной, дипольного момента и продольных и поперечных поляризуемостей α_{\parallel} , α_{\perp} , β_{\parallel} , β_{\perp} . Расчет для хлороформа показывает, что β_{\parallel} , β_{\perp} существенно влияют на ρ . Выведены ф-лы, определяющие A , B для неполярных анизотропных молекул. Для CS_2 $\alpha_{\parallel} = 12,1 \text{ \AA}^3$, $\alpha_{\perp} = 6,04 \text{ \AA}^3$, $K = 66 \cdot 10^{-6} \text{ атм}^{-1}$, $\gamma = 0$, $\rho = 0,49$. По указанному выше значению β_{123} вычислен окупольный момент молекулы CH_4 : $-1,1 \cdot 10^{-34} \text{ эл.-ст.ед.}$

М. Ковнер

3588. Об особом механическом действии поляризованного света. Тейтель (Über eine besondere mechanische Wirkung des polarisierten Lichts. Teitel A. A.), *Naturwissenschaften*, 1957, 44, № 13, 370—371 (нем.)

После высыхания р-ра конго красного, хризопенина или бензопурпурина на объективном стекле образуется изотропная пленка. При облучении ее поляризованным светом она делается двулучепреломляющей; при увлажнении двулучепреломление исчезает. Явление наблюдается и при облучении поляризованным светом, отфильтрованным через р-р красителя, т. е. оно не связано с поглощением в полосах, обуславливающих окраску. Появление двулучепреломления под влиянием поляризованного света можно наблюдать также в поверхностном слое геля желатин, окрашенного конго красным, и в окрашенных эритроцитах. Автор объясняет это явление ориентирующим действием поляризованного света на адсорбированные молекулы красителя.

И. Слоним

3589. Оптическая активность и химическое строение.

V. Дисперсия вращения Шиффовых оснований (—)- α -фенил-этиламина с замещенными бензальдегидами. Нердель, Беккер, Кресе (Optische Aktivität und chemische Konstitution, V. Mitteil.: Rotationsdispersionen von Benzalverbindungen des (—)- α -Phenyl-äthylamins. Nerdel Friedrich, Becker Kurt, Kresze Günter), *Chem. Ber.*, 1956, 89, № 12, 2862—2869 (нем.)

Получен ряд Шиффовых оснований (—)- α -фенил-этиламина с замещенными бензальдегидами и гетероцикл. альдегидами ароматич. характера. В рамках ранее (сообщение IV, РЖХим, 1956, 50604) развитых представлений обсуждаются дисперсии вращения полученных соединений.

Д. Б.

3590. Дипольный момент и внутреннее вращение 1,4-дихлорбутин-2 в газообразном состоянии. Морино, Мингава, Тиба, Симодзава (Dipole moment and internal rotation of 1,4-dichloro-2-butyne in the gaseous state. Morino Yonezo, Miyagawa Ichiro, Chiba Takehiko, Shimozawa Takashi), *Bull. Chem. Soc. Japan*, 1957, 30, № 3, 222—223 (англ.)

Для определения высоты барьера внутреннего вращения 1,4-дихлорбутин-2 измерен его дипольный момент (μ) в D в газообразном состоянии. В пределах т-ры 364,8—433,3° К μ остается постоянным и равным 2,08. При $V = (V_0/2)(1 - \cos \theta)$ значение $V < 0,1 \text{ ккал/моль}$. Молекула не имеет предпочтительной конфигурации при вращении. Компонента момента группы CH_2Cl — перпендикулярная оси $\text{C}-\text{C}\equiv\text{C}$, равна 1,47. Если считать $\angle \text{C}-\text{C}-\text{Cl}$ равным 111° , то момент $\text{C}-\text{Cl}$ равен 1,57, т. е. меньше обычно принимаемого 1,86. Это уменьшение не согласуется с резонансной трактовкой Паулинга (Pauling L. и др., *J. Amer. Chem. Soc.*, 1942, 64, 1942), включающей ионную структуру, повышающую момент $\text{C}-\text{Cl}$.

3591. Оценка высоты потенциального барьера внутреннего заторможенного вращения в молекулах CH_3SH при помощи рассеивания медленных нейтронов. Будзановский, Гротовский, Яник,

Маняевский, Ржаний, Шкатула, Ваник (Estimation of the potential barrier height of torsional rotation in CH_3SH molecules by means of slow-neutron scattering. Budzanowski A., Grotowski K., Janik J. A., Maniawski F., Rżany H., Szkatula A., Wanic A.), *Bull. Acad. polon. sci.*, 1957, Cl. 3, 5, № 3, 295—297, XXIV (англ.; русск.)

Произведена оценка высоты потенциального барьера внутреннего заторможенного вращения V_0 молекулы метилового меркаптана CH_3SH по методу рассеивания тепловых нейтронов. Источником нейтронов являлись 100 $\mu\text{юри}$ Ra, смешанного с Be, по р-ции (α, n). Измерено эффективное сечение для молекулы CH_3SH ($\sigma_{\text{CH}_3\text{SH}} = 194,1 \pm 5 \text{ барн}$), определенное методом относительного ослабления пучка. В качестве стандартной жидкости применялась вода ($\sigma_{\text{H}_2\text{O}} = 91 \text{ барн}$). Эффективное сечение для жесткой молекулы CH_3SH , вычисленное на основании теории Закса и Теллера, ($\sigma_{\text{жест.}}$) = 258 барн. На основании теории Колоса (в которой эффективное сечение является функцией высоты потенциального барьера V_0) было установлено, что для измеренного сечения $\sigma_{\text{CH}_3\text{SH}} = 194,1 \text{ барн}$ высота потенциального барьера $V_0 = \sim 1000 \text{ кал/моль}$. Такая высота согласуется с результатами, полученными при помощи методов микроволновой спектроскопии, но не согласуется с данными, полученными при использовании термодинамич. методов.

Из резюме авторов

3592. Микроволновый спектр и барьер внутреннего вращения в CH_3BF_2 . Нейлор, Вильсон (Microwave spectrum and barrier to internal rotation in CH_3BF_2 . Naylor Robert E., Jr., Wilson B. Bright, Jr.), *J. Chem. Phys.*, 1957, 26, № 5, 1057—1060 (англ.)

С помощью спектрометра со штатковской модуляцией в диапазоне 12,5—32,5 Мгц исследован спектр CH_3BF_2 . Обнаружено ~ 150 линий, большая часть которых связана с большими J . Идентифицировано 13 переходов $J = 1 \rightarrow 2$, $m = 0, 1, 2, 3$ (из четных и нечетных K), а также по одному из переходов $J = 0 \rightarrow 1$, $2 \rightarrow 3$, $4 \rightarrow 4$, $6 \rightarrow 6$, $9 \rightarrow 9$, $12 \rightarrow 12$. Анализ спектра произведен на основе ранее опубликованной теории (РЖХим, 1956, 12147) в приближении низкого потенциального барьера V 6-кратной симметрии. Найдено $A(\text{BF}_2) = 10\,586, 73 \text{ Мгц}$; $B = 8329, 0,1 \text{ Мгц}$; $C = 4650,52 \pm 0,05 \text{ Мгц}$. Вращательные постоянные хорошо согласуются с размерами молекулы CH_3BF_2 , определенными электронографически. Найден тормозящий потенциал $V_0 = 13,77 \pm 0,03 \text{ кал}$, коэф. центробежного возмущения, связанного с CH_3 , $\gamma = 0,19 \text{ Мгц}$. По эффекту Штарка определено $\mu = 1,67 \pm 0,02 \text{ D}$. Малая величина V_0 характерна для барьеров с 6-кратной симметрией (напр. CH_3NO_2).

Т. Вирштейн

3593. Доказательство существования внутримолекулярной водородной связи в ариловых эфирах аллофановой кислоты и в алкил- или арилалкилбиуретах. Когон (Evidence for intramolecular hydrogen bonding in aryl allophanates and alkyl or aryl-alkyl biurets. Kogon I. C.), *J. Amer. Chem. Soc.*, 1957, 79, № 9, 2253—2254 (англ.)

Получены спектры поглощения в близкой ИК-области ($4600\text{—}6800 \text{ см}^{-1}$) ряда производных карбаминной и аллофановой к-ты. Спектры 1-этил-3-фенилуретана, 1-метил-1,3-дифенилуретана, 1,1,3-триэтилуретана, этилового эфира карбаминной к-ты n -хлорфенил- и m -метоксибензилкарбата имеют сильную полосу поглощения 6750 см^{-1} (первый обертон вал. кол N—H) и три полосы в области $4800\text{—}5100 \text{ см}^{-1}$. В спектрах этиловых эфиров α , γ -фенилаллофановой, α - n -хлорфенил- γ -фенилаллофановой и α - n -метоксифенил- γ -фенилалло-

фановой к-т, 1,3,5,5-тетраэтилбиурета и 1-фенил-3,5,5-триэтилбиурета отсутствуют указанные выше полосы поглощения и появляется одна широкая полоса в области 4831—4877 см^{-1} , что интерпретируется как следствие образования внутримолекулярной водородной связи. В симметричных триэтил- и трифенилбиуретах имеется слабая полоса при 6750 см^{-1} и три узких полосы в области 4800—5300 см^{-1} , что свидетельствует о наличии в молекуле неассоциированной группы NH. Б. Головнер

3594 Д. Тушение флуоресценции некоторых органических соединений. Бантле (Die Fluoreszenzlöschung einiger organischer Verbindungen. Bantle Wolfgang. Diss., Dokt. Naturwiss., Techn. Hochschule, Stuttgart, 1956 (нем.).

3595 Д. Спектры поглощения и флуоресценции ароматических амидов щелочных металлов в диэтиловом эфире. Реннер (Absorptions- und Fluoreszenzspektren aromatischer Alkalamide in Diäthyläther. Renner Herbert. Diss., Dokt. Naturwiss., Techn. Hochschule, Stuttgart, 1956 (нем.).

3596 Д. Качественные и количественные исследования спектров комбинационного рассеяния смесей. Лелль (Qualitative und quantitative raman-spektroskopische Untersuchungen an Gemischen. Lell Eberhard. Diss., Dokt. Naturwiss., Techn. Hochschule, Stuttgart, 1956 (нем.).

3597 Д. Измерения дипольных моментов в растворах. Грожан (Mesures de moments dipolaires en solutions. Grosjean Marc. Thèse, ingr.-doct., Fac. sci. Nancy, 1955) (франц.).

См. также: Структура молекул: неорганич. 3651, 4064, 4072; органич. 3650, 3944, 4469, 4474; по рентген. данным 3613, 3616, 3620, 3623—3625, 3632, 3633, 3637, 3641, 3642, 3644—3646. Энергия связей 3756. Дипольн. моменты и диэлектрич. св-ва 3710. Магнитные св-ва 3690, 3711. Внутр. вращение 4464. Реакц. способность 3639, 4475, 4491, 4691. Межмол. взаимодействие и водородная связь 3942. Квантовая химия 3471, 3483, 3885, 3886. Др. вопр. 3455, 3887.

КРИСТАЛЛЫ

Редакторы Э. А. Гулинская, А. Б. Нейдинг, А. Б. Шестер

3598. Проект единой терминологии по структурной кристаллографии. Ганиц, Дюрович (Návrh na jednotné názvoslovie štruktúrnej kryštalografie. Hanic F., Durovič S.), Chem. zvesti, 1957, 11, № 3, 178—184 (словацк.).

3599. К вопросу о кристаллохимических и типохимических элементах. Кутина (Zur Frage der kristallchemischen und typochemischen Elemente. Kutina Jan), Tschermales mineral. und petrogr. Mitt., 1957, 6, № 3, 206—214 (нем.).

Автором, в порядке дискуссии, предлагается классификация хим. элементов, которой он придерживается при обсуждении результатов спектральных анализов рудных минералов. Согласно этой классификации, элементы делятся на следующие группы: 1) элементы, составляющие стехиометрич. ф-лу минерала, а также элементы, не входящие в ф-лу, но присутствие которых может быть объяснено, исходя из принципов изоморфизма; 2) элементы, присутствие которых в минералах не может быть объяснено изоморфизмом, но которые, однако, не являются составными частями гетерог. примесей постороннего минерала; 3) элементы гетерог. примесей посторонних минералов; 4) элементы газовых и жидких включений. Ю. Пятенко

3600. Последние исследования по структурной неорганической химии ртути. Липском (Recent studies in the structural inorganic chemistry of mercury. Lipscomb William N.), Ann. N. Y. Acad. Sci., 1957, 65, № 5, 427—435 (англ.). Обзор. Библ. 37 назв.

3601. Кристаллохимические исследования строения некоторых комплексных соединений. Звонкова З. В., Кристаллография, 1957, 2, № 3, 408—413 (рев. англ.).

Рассмотрены некоторые вопросы кристаллохим. теории строения комплексных соединений на основе работ, выполненных в рентгеновской лаборатории Физико-химического ин-та им. Л. Я. Карпова. Э. Г.

3602. Оценка хода кривой распределения электронных состояний в интерметаллических фазах со структурой типа MgCu_2 . Бодэ (Eine Abschätzung des Verlaufs der Eigenwertdichte in intermetallischen Phasen mit der Kristallstruktur des MgCu_2 . Bode H. J.), Z. Elektrochem., 1957, 61, № 3, 376—379 (нем.). Для кристаллич. структуры типа MgCu_2 (куб. фаза Лавеса) установлена зависимость распределения электронных энергетич. состояний $N(E)$ от энергии E в случае почти свободных электронов в зоне Бриллюэна, ограниченной плоскостями $\{311\}$ и $\{222\}$. П. Крипякевич

3603. Слоистые структуры магнитных окислов. Иида (Layer structures of magnetic oxides. Iida Shūichi), J. Phys. Soc. Japan, 1957, 12, № 3, 222—233 (англ.).

Рассматривается вопрос о строении ферромагнитных окислов, состоящих из слоев анионов, образующих тригон. решетки с плотнейшей упаковкой. Ионы металла расположены в пустотах между ними и образуют слои разных типов. Обсуждаются энергетич. и геометрич. условия существования слоистых магнитных структур. Показана возможность осуществления 13 конфигураций $\text{M}_1\text{—O—M}_2$ (где M_1 , M_2 — ионы металла). Л. Школьников

3604. О представлении атомов в кристаллах в виде симметричных фигур. Конобеевский С. Т., Кристаллография, 1957, 2, № 4, 447—455

Предпринята попытка дальнейшего развития ранее опубликованного (Ж. эксперим. и теор. физики, 1951, 21, 9, 953) способа вычисления атомных факторов рентгеновского рассеяния для атомов, обладающих анизотропным распределением электронной плотности. Симметрия атома должна отвечать занимаемой им в решетке позиции и конфигурации группы ближайших соседей. Учет анизотропии «формы» атома приводит к поправкам на интенсивность различных интерференций. Показано, что в некоторых случаях снимаются погасания и возникают так называемые запрещенные интерференции. Указан способ вычисления коэф. анизотропии по интенсивностям запрещенных рентгеновских интерференций. «Форма» атомов, по мнению автора, наглядно выявляет особенности хим. связей в кристаллах. По резюме автора

3605. Экспериментальная проверка влияния анизотропии кристаллов на форму дебаевского кольца от напряженного образца. Аксенов Г. И., Мощанский В. А., Изв. АН СССР. Сер. физ., 1957, 21, № 2, 226—230

Теоретические расчеты условий отражения монохроматич. рентгеновских лучей с учетом анизотропии упругих свойств кристаллитов экспериментально проверены для граней (112) и (310) Fe и для грани (511) Al. Установлено, что размытие дебаевских линий начинается еще в области упругой деформации далеко от предела упругости. Таким образом, с установленным ранее (Китайгородский А. И. Рентгеноструктурный анализ. Гостехтеоретиздат, 1950, стр. 596; Ровинский В. М.,

Ж. техн. физики, 1948, 18, 1273) критерием для суждения о напряжениях 2-го рода по размытию линий авторы не соглашались. Указано на отличие модулей упругости, определяемых механич. и рентгенографич. методами. За пределами упругости вследствие значительного взаимодействия отдельных кристаллитов и их деформации наступает усреднение индивидуальных анизотропных свойств кристаллитов, вследствие чего поликристаллич. тело начинает вести себя как изотропное.

Г. Гольдер

3606. Рентгеновская кристаллография. Дефренн (La radiocristallographie. Defrenne G.), Philips Ind., 1957, 7, № 28, 4—7 (франц.)

Продолжение (см. РЖХим, 1957, 3527).

3607. Диффузное расстояние рентгеновских лучей на упругих тепловых волнах как новый метод структурного анализа жестких атомных групп (молекул). Псевдоакустический случай. Хорпе (Die diffuse Röntgenstreuung an elastischen Wärmewellen in Kristallen als neue Methode zur Strukturanalyse starrer Atomgruppen (Moleküle). Der pseudoakustische Fall. Horpe W.), Z. Kristallogr., 1956, 107, № 5-6, 406—432 (нем.)

Показано, что из рассмотрения рентгенограммы диффузного теплового рассеяния можно сделать выводы об упругих свойствах кристалла и о рассеянии отдельными молекулами, а в предположении жесткости молекул — о фазовых соотношениях волн, рассеянных отдельными атомами. Таким образом, предлагается вспомогательный метод при определении структуры, позволяющий находить ориентацию молекул в кристалле. Показано, что упругие колебания любого кристалла можно описывать спектром частот, содержащих только 3 ветви (псевдоакустич. приближение), для чего вводится псевдопримитивная ячейка, объем которой равен среднему «собственному пространству» молекулы. Вычисляется структурная амплитуда кристалла при сдвиге атомов вследствие тепловых колебаний. Оценка рассеяния на вращательных колебаниях приближенно приводит к тому же результату, что и наложение независимых рассеяний на трансляционных колебаниях повернутых друг относительно друга атомных групп. Кажущийся угол поворота зависит от соотношения амплитуд трансляционных и вращательных колебаний. В некоторых случаях выводы о структуре можно сделать из анизотропии упругих свойств, подобно тому, как это делается на основании анизотропии преломления и поглощения света, магнитного момента и других физ. свойств. Находится связь между структурными амплитудами и упругими постоянными.

И. Овсянникова

3608. Структурный анализ жестких атомных групп с помощью изучения диффузного рассеяния рентгеновских лучей на упругих тепловых волнах в кристалле. Диффузное расстояние молекул антрахинона. Хорпе (Strukturanalyse starrer Atomgruppen (Moleküle) durch Untersuchung der diffusen Röntgenstreuung an elastischen Wärmewellen in Kristallen. Die diffuse Streuung des Anthrachinonmoleküls. Horpe W.), Z. Kristallogr., 1956, 107, № 5-6, 433—450 (нем.)

Указаны возможные эксперим. методы структурного анализа на основе диффузного рассеяния рентгеновских лучей кристаллами. Показано их применение в случае антрахинона.

Резюме автора

3609. Об определении знаков методами оптического преобразования. Ватанабэ, Оцука (Note on the sign determination by optical-transform methods. Watanabé Tokunosuke, Otsuka Masamoto), Acto crystallogr., 1957, 10, № 5, 377 (англ.)

Знаки структурных амплитуд, по величине меньших определенного предела, не могут быть найдены ранее

описанным методом оптич. преобразования структуры с добавлением отверстия в центре симметрии (РЖХим, 1957, 14443). Для определения знаков таких структурных факторов предложен видоизмененный оптич. метод с использованием суперпозиции оптически преобразованной структуры и единичного отверстия. Метод допускает дальнейшее усовершенствование. Т. Тархом

3610. Прецизионные измерения параметров решеток при рентгенографических исследованиях тонкой структуры. I. Фотографические методы. Вейерер (Genaue Gitterkonstanten — Vermessung bei Röntgen-Feinstruktur — Untersuchungen. Die Filmmethoden I. Weyerer Hermann), Arch. techn. Messen, 1957, № 257, 125—128 (нем.)

Обзорная статья.

3611. Рентгенографическое исследование графита, подвергнувшегося облучению нейтронами. Бейкон, Уоррен (X-ray diffraction studies of neutron-irradiated graphite. Bacon G. E., Warren B. E.), Acta crystallogr., 1956, 9, № 12, 1029—1035 (англ.)

Установлено, что облучение графита нейтронами приводит к увеличению параметра c и уменьшению a . Уменьшение плотности блоков графита в 5 раз меньше соответствующего уменьшения плотности кристаллов графита, рассчитанной по изменению параметров. Это объяснено пористостью блоков; при увеличении объема кристаллов уменьшается пористость. Последнее хорошо согласуется с увеличением модуля Юнга при облучении графита. Увеличение параметра c пропорционально дозе облучения вплоть до значения $c = 7,3$ Å, что соответствует увеличению этого параметра на 8%. По мере увеличения дозы облучения интерференционные рентгеновские линии смещаются и сильно размываются. Такие изменения рентгеновских отражений могут быть приписаны влиянию групп атомов C , внедренных в решетку и равномерно распределенных между слоями основной структуры графита. Отжиг при 750° частично восстанавливает первоначальную форму интерференционных линий. Полное восстановление достигается при отжиге до 1500° .

Р. Гарбер

3612. О сверхструктуре упорядоченного сплава Cu_3Pd . II. Рентгенографическое исследование. Хирабаяси, Огава (On the superstructure of the ordered alloy Cu_3Pd . II. X-ray diffraction study. Hirabayashi Makoto, Ogawa Shiro), J. Phys. Soc. Japan, 1957, 12, № 3, 259—271 (англ.)

Предварительное сообщение см. РЖХим, 1956, 38758.

Часть I см. РЖХим, 1956, 77387.

3613. Новый борид никеля Ni_3B со структурой цемента. Фрочарт, Мишель (Un nouveau borure de nickel Ni_3B de même structure que la cémentite. Fruchart Robert, Michel André), C. r. Acad. sci., 1957, 245, № 2, 171—172 (франц.)

Рентгенографически изучен Ni_3B (I), полученный взаимодействием B и Ni при 900° без доступа воздуха. Параметры ромбич. решетки I: a 4,352, b 5,223, c 6,615 Å, ф. гр. $Pbnm$. Кристаллы имеют структуру Fe_3C (II). Расстояние $Ni-B$ 2,02 Å, расстояние $Ni-Ni$ 2,44—2,74 Å. I устойчив, плавится без разложения, парамагнитен. Проводится сравнение I с карбоборидом (III), полученным замещением C на B (до 80%) во II. III значительно устойчивей II и имеет параметры решетки: a 4,463, b 5,364, c 6,665 Å.

П. Зоркий

3614. Структурное исследование селенидов железа $FeSe$. I. Упорядочение дефектов в расположении атомов Fe . Окадзаки, Хиракава (Structural study of iron selenides $FeSe_x$. I. Ordered arrangement of defects in Fe atoms. Okazaki Atsushi, Hirakawa Kinshiro), J. Phys. Soc. Japan, 1956, 11, № 9, 930—936 (англ.)

Рентгенографически (методы Лауэ и вращения) установлено, что ферримангнитные свойства FeSe_x связаны с упорядочением дефектов в расположении атомов Fe подобно тому, как это было найдено для FeS (РЖХим, 1956, 197). Синтезирован и изучен ряд образцов $\beta\text{-FeSe}$ с $x = 1/7, 1/6, 1/5, 1/4, 1/3$. В этом интервале, считавшемся ранее однофазным, найдены новые фазы, также обусловленные упорядоченным расположением дефектов в решетке из атомов Fe в слоях, перпендикулярных c -оси. Надежные результаты получены лишь для крайних членов. Fe_7Se_8 имеет гексагон. ячейку с параметрами, увеличенными относительно основной структуры β -фазы (тип NiAs) в 2 раза вдоль a - и b -осей и в 3 раза вдоль c -оси, в то время как параметры псевдогексагон. ячейки Fe_3Se_4 увеличены в 2 раза вдоль всех трех осей. Приведена схема расположения дефектов для Fe_7Se_8 в ромбич. установке с $A = 12,5$, $B = 2a = 7,23$, $C = 3c = 17,6$, $A, Z = 6$ и наиболее вероятной ф. гр. $C222$. Fe_3Se_4 имеет монокл. ячейку с $A = 6,16$, $B = 3,53$, $C = 2c = 11,1$, $A, \beta 92^\circ, Z = 2$ и расположением дефектов в решетке из атомов Fe по объемноцент. закону. В. Баканин

3615. Размеры элементарной ячейки сфалерита. Хенриквес (Cell dimensions of sphalerite. Henriques Ake), Arkiv mineralogi och geol., 1957, 2, № 3, 275—278 (англ.)

Проведено рентгенографич. (камера Гинье diam. 78,9 мм, λ Cu) исследование 5 образцов цинковой обманки, отличающихся различным содержанием Fe. В качестве стандарта использовался KCl. Замеры осуществлялись с точностью 0,02 мм. Точность вычисления a 0,002 Å. Установлено, что с увеличением содержания Fe возрастает a и уменьшается уд. вес.

Ф. Франк-Каменецкий

3616. Кристаллическая структура моноклинного Sm_2O_3 . Кроммер (The crystal structure of monoclinic Sm_2O_3 . Crommer Don T.), J. Phys. Chem., 1957, 61, № 6, 753—755 (англ.)

Определена структура монокл. Sm_2O_3 , предварительные данные для которой опубликованы ранее (РЖХим, 1956, 77355). Интенсивности рефлексов измерены при помощи Г.—М.-счетчика на излучении Mo-K_α . Выбрана ф. гр. $C2/m$. Из проекции Паттерсона вдоль оси b найдены координаты xz атомов Sm. Остальные координаты получены из проекции Фурье и уточнены методом наименьших квадратов. Структура Sm_2O_3 имеет слоистый характер с атомами, расположенными при $y = 0$ или $y = 1/2$. Каждый слой имеет состав Sm_2O_3 . Несколько изогнутые (гофрированные) параллельные плоскости xz слоев атомов O чередуются с так же изогнутыми слоями атомов Sm. Каждый атом Sm имеет 7 соседних атомов O; шесть из них образуют тригон. призму, седьмой лежит вдоль нормали к грани призмы; среднее расстояние $\text{Sm}—\text{O} \sim 2,46$ Å. Г. Гольдер

3617. Изменение размеров ячейки при окислении лопита в магнетит и маггемит. Сальдау Э. П., Зап. Всес. минералог. о-ва, 1957, 86, № 3, 324—335. Выведена ф-ла, устанавливающая зависимость между размером ребра элементарной ячейки закиси железа и числом катионов Fe^{2+} , замещенными катионами Fe^{3+} . Построена диаграмма для определения состава промежуточных соединений, отвечающих ф-лам $(\text{Fe}_{1-x}\text{Fe}_x^{3+})\text{O}$ (I) и $(\text{Fe}_{1-x}\text{Fe}_x^{3+})\text{Fe}_2^{3+}\text{O}_4$ (II). Установлена взаимосвязь между кристаллич. структурами Fe^{2+}O , $\text{Fe}^{2+}\text{Fe}_2^{3+}\text{O}_4$, $\gamma\text{Fe}_2^{3+}\text{O}_3$. Выведенные ф-лы позволяют проверить эксперим. результаты рентгенометрич. исследований соединений типа I и II. Резюме автора

3618. Кристаллография эйкайрита, CuAgSe . Фру, Чаманске, Найт (The crystallography of eucairite, CuAgSe . Frueh A. J., Jr, Czamanske G. K.,

Knight Ch.), Z. Kristallogr., 1957, 108, № 5-6, 389—396 (англ.; рез. нем.)

На материале из Швеции проведено кристаллографич. исследование эйкайрита (I), образующего дендриты в кальците. Параметры ромбич. решетки: a 4,105, b 20,35 ($5 \times 4,07$), c 6,31 Å. Истинная ячейка состоит из псевдоячеек, расположенных в двух взаимных ориентировках. Ее параметры: a_0 4,07, b_0 4,105, c_0 6,31 Å, $Z = 2$, ф. гр. $P4/nmm$. По проекциям $P(0kl)$ и $p(100)$ установлены координаты атомов в псевдоячейке: Ag $1/4, 1/4, 0,449$; $3/4, 3/4, 0,551$; Se $1/4, 1/4, 0,873$; $3/4, 3/4, 0,127$; Cu $1/4, 3/4, 0,105$; $3/4, 1/4, 0,895$. Атомы Ag лежат в плоскости, перпендикулярной c -оси. Межатомные расстояния (в Å): Ag—4Ag 2,96, Ag—Se 2,67 (1), 3,59 (4), 3,64 (1), Se—4Se 3,30, Cu—2Se 2,06, Cu—2Se 2,50 (искаженный тетраэдр), наименьшее Cu—Ag 2,98. Основные связи, создающие структуру: связь Ag с ближайшим атомом Se и металлич. связи Ag—Ag, обуславливающие ковкость I. При 190—195° происходит обратимое превращение в высокотемпературную форму. Г. Сидоренко

3619. Термическое и рентгенографическое исследование медного колчедана. Хиллер, Пробстхайн (Thermische und röntgenographische Untersuchungen am Kupferkies. Hiller Joh.-E., Probsthain K.), Z. Kristallogr., 1956, 108, № 1-2, 108—129 (нем.; рез. англ.)

С помощью описанной ранее (РЖХим, 1956, 22869) установки для дифференциального термич. анализа сульфидов проведено исследование медного колчедана (I) на материале двух природных и одной искусств. проб CuFeS_2 . Идентификация осуществлялась рентгенографич. путем (порошковые и рентгенограммы вращения). Обсуждаются различные возможности статистич. распределения металлич. атомов в структуре I и отклонения от целых рациональных соотношений между числом атомов металла и S. Установлены 3 самостоятельные фазы I— α , β и γ . α -Фаза (халькопирит) переходит при нагревании до 550° в γ -фазу, являющуюся промежуточным твердым р-ром, в котором содержание S уменьшается с возрастанием t -ры (минимум при 720°). γ -Фаза неустойчива и в течение трех дней полностью переходит в устойчивую β -фазу. Обратное превращение $\beta \rightarrow \gamma$ происходит при нагревании до 230° . При пониженном содержании S в образце ($\text{CuFeS}_{1,8-1,95}$) или при прекращении нагревания в интервале t -р $550-720^\circ$ смешанные кристаллы γ -фазы разрушаются при охлаждении с образованием $\alpha + \beta$. γ -Фаза — тетрагон, с a 10,58 и с 5,37 Å. β -Фаза имеет ф-лу $\text{Cu}_{17+x}\text{Fe}_{17-x}\text{S}_{32}$ ($x \approx 0,6$) и относится к куб. сингонии с ф. гр. $I43m$ и a 10,60 Å. Избыточные атомы металла расположены в междузлиях (за счет дополнительного центрирования по объему гранецентрир. ячейки). С этими выводами согласуются кристаллооптич. и магнитные измерения авторов. В. Баканин

3620. Кристаллографическое исследование нового двойного окисла тантала и урана. Гасперен (Étude cristallographique d'un nouvel oxyde double de tantale et d'uranium. Gasperin Madeleine, m-me), C. r. Acad. sci., 1957, 244, № 9, 1225—1226 (франц.)

При сплавлении в индукционной печи смеси порошков Ta_2O_5 и UO_2 в различных соотношениях, получено: 1. При $\sim 1600^\circ$ смесь состава $3\text{UO}_2 + 1\text{Ta}_2\text{O}_5$ образует черные кристаллы U_3O_8 (I). 2. При эквимолярном составе UO_2 и Ta_2O_5 и 1200° получена желтая, прозрачная кристаллич. масса, покрытая белым порошком $\text{U}_2\text{Ta}_2\text{O}_7$ (РЖХим, 1957, 47664). Желтое в-во, по предположению автора, является новым двойным окислом состава UTa_2O_8 (II), изоструктурным I. Параметры гексагон. решетки II: a 6,41, c 3,95 Å, $Z = 1$. Атом U

занимает место $U_{(1)}$ в I, а атомы Ta — $U_{(2)}$. Атомы O размещены в положениях, соответствующих ф. гр. $P\bar{3}1m$. В структуре II атомы U и Ta каждый окружен 6 атомами O, на расстояниях $O_{(1)} - U(Ta)$ 2,24 Å; цепочки Ta — $O_{(1)}$ — Ta параллельны оси c, так что Ta — O = $c/2 = 1,975$ Å.

Г. Гольдер
3621. Получение и рентгенографическое исследование $MnWO_4$ и вольфрамов ряда $FeWO_4 - (Fe_x Mn_{1-x})WO_4 - MnWO_4$. Симанов Ю. П., Куршакова Р. Д. Ж. физ. химии, 1957, 31, № 4, 820—824 (рез. англ.)

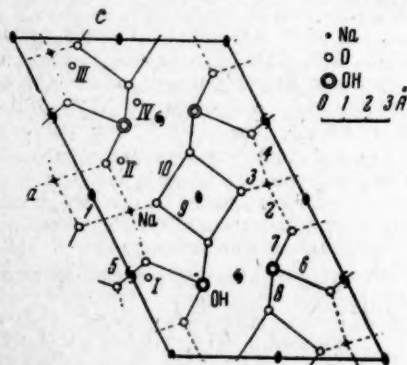
Синтезированы двойные вольфраматы следующих составов: $(Fe_{0,25} Mn_{0,75})WO_4$, $(Fe_{0,41} Mn_{0,59})WO_4$ и $(Fe_{0,66} Mn_{0,34})WO_4$. Проведен хим. анализ полученных продуктов. Определены параметры решетки $MnWO_4$ и двойных вольфраматов. Найдена (графически) их зависимость от хим. состава.

Резюме авторов
3622. Параметры решетки ниобата свинца. Рот (Unit-cell data of the lead niobate $PbNb_2O_6$. Roth R. S.), Acta crystallogr., 1957, 10, № 6, 437 (англ.)

Из порошковой диаграммы сегнетоэлектрич. образца чистого $PbNb_2O_6$, обожженного при t-ре 1350°, определены параметры ромбич. решетки: a 17,63, b 17,93, c 3,868 Å, $Z = 10$, возможные ф. гр. C 222 и $Cmm2$. Рентгено-съемка при 700° показала, что образец почти полностью переходит в низкотемпературную несегнетоэлектрич. форму, описанную ранее (РЖХим, 1957, 7263), которая остается стабильной при комнатной t-ре. При составе $PbNb_2O_6 + 2$ вес. % $ZrTiO_4$, «высокотемпературная» форма оказалась стабильной в области от комнатной t-ры до 700°.

Г. Гольдер
3623. Кристаллические структуры гидратов едкого натра. I. Кристаллическая структура $NaOH \cdot 4H_2O$. II. Псевдо-гомометрические структуры $NaOH \cdot 4H_2O$. Эмили (Structures cristallines des hydrates de la soude. I. Structure cristalline de $NaOH \cdot 4H_2O$. II. Structure pseudo-homométriques de $NaOH \cdot 4H_2O$. Hemily P. W.), Acta crystallogr., 1957, 10, № 1, 37—44; 45—47 (франц.)

I. Исследованы монокл. кристаллы $NaOH \cdot 4H_2O$ с т. пл. 5,4°; a 15,45, b 4,05, c 9,43 Å, β 116°50', ρ (рент.) 1,41, $Z = 4$, ф. гр. $C2/m$. Методика съемки подобна опи-



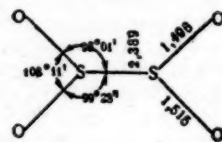
санной ранее (РЖХим, 1953, 6090). Расшифровка структуры осуществлялась с помощью модифицированного 3-мерного синтеза Паттерсона. Координаты атомов определялись по проекциям и сечениям электронной плотности и уточнялись с помощью разностных рядов. Проекция структуры на грань ac дана на рисунке. Водородные связи в структуре (все связи $O...O < 2,90$ Å рассматриваются как водородные) образуют 3-мерный каркас. На каждую единицу $NaOH \cdot 4H_2O$ приходится 8 H-связей. К. ч. атома Na — 5 (тригон. бипирамида). Аномальная валентная конфигурация в этом случае

объясняется, очевидно, существованием H-связей. Р. ч. 4 атомов O (молекул H_2O) — 4 (тетраэдрич.). Схема H-связей сходна с расположением их в структуре льда. Расположение атомов вокруг пятого атома O иное (ион OH^+). Здесь 4 связи из 5 располагаются в одной плоскости. Указано возможное расположение атомов H молекул H_2O .

II. Попытки определения структуры методом наложения с помощью 2-мерного ряда Паттерсона дали ложные результаты. Ложность 3 вариантов из 4 удалось выявить с помощью R-кривых Лудзати (Luzzati V., Acta crystallogr., 1952, 5, 802). Все приводимые ложные структуры являются «псевдо-гомометрическими», поскольку они характеризуются почти одинаковыми функциями Паттерсона. В противоположность истинным гомометрич. решениям, случай псевдо-гомометрич. структур не является очень мало вероятным. В особенности это относится к структурам, содержащим атомы, близкие по рассеивающей способности и большое число близких по длине межатомных векторов.

Т. Ходякова
3624. Структура дитионита натрия и природа иона дитионита. Дьюни (The structure of sodium dithionite and the nature of the dithionite ion. Dunite J. D.), Acta crystallogr., 1956, 9, № 7, 579—586 (англ.)

Дитионит $Na_2S_2O_4$ образует монокл. кристаллы. Параметры решетки: a 6,404, b 6,559, c 6,586 Å, β 119°31', $Z = 2$, ф. гр. $P2/c$. Предварительное определение струк-



туры проведено на основании проекции Паттерсона (010) (обостренной и необостренной) и проекций Фурье с определением фаз по методу неравенства. Для уточнения координат использованы разностные синтезы с применением метода последовательных приближений. Ион $S_2O_4^{2-}$ — неплоский, угол между S — S и плоскостью SO_2 равен 105°18'. Группы SO_2 расположены друг над другом и плоскости их отклоняются от параллельности на 30°. Структура состоит из слоев, перпендикулярных оси b , связанных сильным взаимодействием Na — O. Расстояния Na — O 2,32—2,92 Å. Расстояние S — S значительно больше, чем это обычно наблюдалось в ди- и полисульфидах (2,04—2,15 Å). Обсуждается электронная структура SO_2 , SO_2^- и $-SO_2-SO_2-$.

Е. Шутай
3625. Кристаллическая структура буры. Моримото (The crystal structure of borax. Morimoto Nobuo), Mineral. J., 1956, 2, № 1, 1—18 (англ.)

Параметры решетки $NaB_4O_7 \cdot 10H_2O$ определены из рентгенограмм вращения и порошковых, снятых на дифрактометре: a 11,858, b 10,674, c 12,197, β 106°41', $Z = 4$, ф. гр. $C2/c$. Использованы 1800 отражений типа $F(hkl)$, из которых для 225 больших значений $F(hkl)$ определены знаки при помощи неравенств Харкера — Каспера и статистич. метода Сахарисена. Структура определена из 3-мерного синтеза Фурье; координаты атомов уточнены многократным построением 2-мерных проекций Фурье и 3-мерного ряда Фурье. Структура состоит из цепей состава $[Na_2B_4O_{10}]$, построенных из соприкасающихся вдоль ребер $Na \cdot 6H_2O$ -октаэдров (Na — H_2O 2,42; H_2O — H_2O 3,45 Å), параллельных оси c . Между слоями находятся изолированные группы $B_4O_5(OH)_4$, между которыми имеются водородные связи. Эти группы образуют с помощью H-связей слой, параллельный (100). Положение атомов H локализовано из рассмотрения электростатич. валентностей ато-

мов О и межатомных расстояний О—О. Атом В⁽¹⁾ имеет 4 соседей: одну ОН-группу (В—О(ОН) 1,48 А) и 3 атома О²⁻ (О—О(ОН) 2,42 А), расположенных в вершинах правильного тетраэдра. Атом В⁽²⁾ имеет 3 соседей в углах треугольника: ОН-группу (В—О(ОН) 1,36 А) и два атома О²⁻ (О—О(ОН) 2,35 А). На основе структуры предложена для буры структурная ф-ла В₄О₅(ОН)₄·Na₂·8H₂O. Г. Гольдер 3626. О существовании гидрата фосфата стронция. Брассер, Плюмье (Sur l'existence du phosphate tristronciac hydraté. Brasseur H., Plumier R.), Bull. cl. sci. Acad. roy. Belgique, 1957, 43, № 1, 19—22 (франц.)

Методом порошков проведено рентгенографич. измерение параметров кристаллич. решеток гидрата фосфата Sr (I) и гидроксилпатита Sr (II). Для I найдено: гексагон. a 9,772, 7,228 kX, c/a 0,7394; II гексагон., 9,792, 7,31 kX, 0,7464. Приведена таблица межплоскостных расстояний I и II. Различия в параметрах решетки указывает, по мнению авторов, на существование I в виде самостоятельной фазы. Г. Гольдер 3627. Структурный анализ диоптаза. Хойде (Die Strukturanalyse des Dioptas. Heide Hans Gunt-her), Abhandl. Dtsch. Akad. Wiss. Berlin. Kl. Chem. Biol. und Geol., 1955 (1957), № 7, 104—112 (нем.)

Проведено рентгенографич. исследование кристаллич. структуры диоптаза CuO·SiO₂·H₂O (I). Структура определена по синтезам Паттерсона и Фурье; использованы все отражения, $\sin \theta/\lambda \leq 1,0$. Координаты атомов в структуре: Cu 0,406; 0,403; 0,068; Si 0,175; 0,217; 0,042; O₍₁₎ 0,066; 0,183; —0,074; C₍₂₎ 0,284; 0,292; —0,055; O₍₃₎ 0,159; 0,263; 0,223; O₍₄₎ (H₂O) 0,133; 0,174; 0,586. Для отражений hki 0, 0 kil и 1 kil $R = 0,16$. Основа структуры — 6-членные кольца Si₆O₁₈. Вдоль осей, лежащих друг над другом колец Si₆O₁₈ образуются пустоты-каналы; эти каналы «узкие», не позволяющие молекулам H₂O свободно перемещаться по структуре. Полученная структура в основных чертах (кольца Si₆O₁₈) соответствует структуре, ранее предложенной для I (Белов Н. В., Бутузов В. П., Головастики Н. В. Докл. АН, 1952, 87, 953—956), но отличающейся от последней положением и ориентировкой Si-тетраэдров. Автор считает, что найденная им структура I свободна от недостатков, имевшихся в предыдущей работе: неправдоподобное, по мнению автора, координационное число 5 для атомов Cu, невозможность удовлетворительного объяснения специфики поведения H₂O и др.

Ю. Пятенко 3628. Кристаллическая структура кизерита MgSO₄·H₂O. Леонхардт, Вейсс (Das Kristallgitter des Kieserits MgSO₄·H₂O. Leonhardt J., Weiss R.), Naturwissenschaften, 1957, 44, № 11, 338—339 (нем.)

Проведено рентгенографич. исследование кизерита (II). Параметры решетки: a 6,89, b 7,61, c 7,63 А, β 117°43', $Z = 4$, ф. гр. $C2/c$. Структура I определена с помощью метода проб и двумерных рядов электронной плотности; приведены координаты всех атомов. Основные элементы строения — тетраэдры SO₄ и октаэдры Mg(4O + 2H₂O). Группа H₂O (или OH) занимают противоположные вершины октаэдров, соединяясь которыми, последние образуют бесконечные цепочки. Каждая из остальных вершин Mg-октаэдров связана с тетраэдром SO₄. Ю. Пятенко 3629. Структурный анализ бурнонита и зелигманнита с помощью методов наложения. Лейневекер (Struktur-Analyse des Bournonits und Seligmannits mit Hilfe der Superpositions-Methoden. Leineweb-er Günter), Z. Kristallogr., 1956, 108, № 3-4, 161—184 (нем.; рез. англ.)

Рентгенографически расшифрована структура изоморфных минералов бурнонита CuPbSbS₃ (I) и зелиг-

маннита CuPbAsS₃ (II) на кристаллах различных месторождений. Параметры x и z определены из проекций Паттерсона и уточнены методом последовательных сдвигов. Параметр y получен методом наложения (РЖХим., 1957, 65541) и уточнен методом проб и ошибок. Результаты сравниваются с данными, полученными методом векторной конвергенции Биверса и Робертсона, методом «тяжелого атома» в синтезе Фурье и методом разностного синтеза Паттерсона. Подтверждена их ценность для частных случаев. Методы наложения признаны весьма важными и действенными для общего случая структурного анализа кристаллов. В ходе анализа для I и II принята ф. гр. $Pn2m$ вместо предполагавшейся ранее $Pnmm$ (Ofstedahl I., Z. Kristallogr., 1932, 83, 157—158; Frondel Cl., Amer. Mineralogist, 1941, 26, 25—28). Описание структур и их констансы см. в РЖХим, 1957, 7267. В. Бакакин 3630. Минералы группы аносовита. Тагиров К. Х., Руднева А. В., Моделъ М. С., Дмитриевский Е. Б., Тр. Ин-та металлургии. АН СССР, 1957, вып. 1, 21—32

Изучена серия высокотитановых шлаков — продуктов восстановительных плавов. В шлаках установлено 5 разновидностей минералов группы аносовита: Ti³⁺-аносовит, Ti⁴⁺-аносовит, Mg-аносовит, Al-аносовит, Fe-аносовит. Исследование эвтектик. области системы CaO—MgO—TiO₂ показало присутствие в шлаках наряду с перовскитом и Mg-аносовитом фазы ортитаната Mg (т. пл. 1830°). Подтверждена правильность представления о минералах группы аносовита как о непрерывном ряде твердых р-ров на основе структуры Ti₂O₅. Проведена рентгенографич. идентификация полученных фаз. Г. Сидоренко 3631. Кристаллическая структура NH₄Cu₂S₄. Гат-тов (Die Kristallstruktur von NH₄Cu₂S₄. Gattow G.), Naturwissenschaften, 1957, 44, № 4, 87—88 (нем.)

Действием р-ра (NH₄)₂S на мелкоизмельченную Cu при 20° в атмосфере H₂ или N₂ (200 мм рт. ст.) в течение 2—3 месяцев получены черные с металлик. блеском игольчатые кристаллы состава NH₄Cu₂S₄. Рентгенографич. съемка проведена методами Вейсберга и порошка. Параметры решетки: a 10,25, c 3,84 А, ρ (эксп.) 5,07, $Z = 2$, ф. гр. $I4$. Параметры x и y атомов определены по проекциям $P(u0)$ и $\rho(xu0)$ и уточнены с помощью разностного синтеза. Параметры z определены методом проб ($R = 0,146$ для 70 рефлексов): NH₄ в 2 (с) 0, $1/2$, $1/4$; Cu₍₁₎ в 8 (г) 0,141, 0,025, 0,750; 6Cu₍₂₎ статистически в 8 (г) 0,286, 0,198, 0,354; S в 8 (г) 0,432, 0,263, 0,250. Атомы Cu₍₁₎ образуют тетрагон. тетраэдры, связанные друг с другом ребрами параллельно оси c ; Cu₍₁₎—Cu₍₁₎ 2,83 и 2,94 А. Атомы S расположены в вершинах тетрагон. призм с ребрами $3,93 \times 3,93 \times 3,84$; в центре призмы расположены ионы NH₄⁺; NH₄—S 3,38. К каждому атому S примыкают с одной стороны 3 атома Cu₍₁₎; Cu₍₁₎—S 2,31, 2,37 А. S-призмы, а также Cu₍₁₎-тетраэдры связаны друг с другом атомами Cu₍₂₎; Cu₍₂₎—S 2,25; Cu₍₂₎—Cu₍₂₎ 1,64 и 2,97 А; <Cu₍₂₎—S—Cu₍₂₎ 42,7°; <S—Cu₍₂₎—S 137,3°; Cu₍₁₎—Cu₍₂₎ 2,48, 2,66, 3,18 и 3,81 А. Структура NH₄Cu₂S₄ является промежуточной между интерметаллич. и солеобразными структурами. Я. Блейделис 3632. Кристаллическая структура тетрагидрата ацетата магния, Mg(CH₃COO)₂·4H₂O. Шанкар, Кхубчандани, Падманабхан (The crystal structure of magnesium acetate-tetrahydrate Mg(CH₃COO)₂·4H₂O. Shankar Jagdish, Khubchandani P. G., Padmanabhan V. M.), Proc. Indian Acad. Sci., 1957, A45, 117—123 (англ.)

Проведено рентгенографич. исследование структуры Mg(CH₃COO)₂·4H₂O. Параметры решетки: a 4,75, b 11,79,

с 8,52 Å, β 94°54', $Z = 2$, ф. гр. $P2_1/c$. Положение атомов Mg принято 000. Координаты всех атомов определены из 2-мерных проекций Фурье вдоль осей a и b . Структура аналогична структуре ацетата Ni. Расстояния между атомами (в Å): O—O 2,33; O—C 1,33 и 1,25; C—C 1,57; Mg—O 2,11; Mg—H₂O 2,08 и 2,07. Валентные углы: O₍₁₎—C₍₁₎—O₍₂₎ 120°30'; O₍₁₎—Mg—H₂O₍₁₎ 90°48'; H₂O₍₁₎—Mg—H₂O₂ 88°48'. Ацетатные группы плоские и расположены centrosymmetricно относительно атома Mg. Каждый атом Mg окружен 4 молекулами H₂O и 2 атомами O. Остальные атомы O связаны с молекулами H₂O. Ацетатные группы в положениях (000) и (0 1/2 1/2) связаны водородными связями. Г. Гольдер

3633. Кристаллографические свойства группы солей сульфаминовых кислот. Бичелли, Ля-Веккья (Propriétés cristallographiques d'un groupe de sels de l'acide aminosulfonique. Bicelli L., La Vecchia A.), Acta crystallogr., 1956, 9, № 6, 536—537 (франц.). На основании определенных в работе параметров решетки и пространственных групп некоторых солей сульфаминовых к-т (катионы Ag⁺, Pb²⁺, Cd²⁺, Zn²⁺) обсуждаются возможные выводы о природе хим. связей в их решетке. Г. Гольдер

3634. К вопросу о соответствии морфологии струвита его структуре. Клебер, Кюн (Zur Frage der Korrespondenz zwischen Morphologie und Struktur von Struvit. Kleber W., Kühn L.), Chem. Erde, 1957, 19, № 1, 65—85 (нем.).

Проведен морфологич. и кристаллохим. анализ структуры струвита MgNH₄[AsO₄]·H₂O (I). Рассматривается связь морфологич. особенностей и свойств I с его структурой. Объясняется причина несоответствия федоровских групп, определенных рентгенографически и на основании морфологич. данных. Ю. Пятенко

3635. Трехмерная функция Паттерсона для таумасита. Бру, Куберо, Лопес (Funcion de Patterson tridimensional de la thaumasita. Bru L., Cubero M., López A.), An. Real soc. esp. fís. y quim., 1957, A53, № 3-4, 67—76 (исп.; рез. англ.).

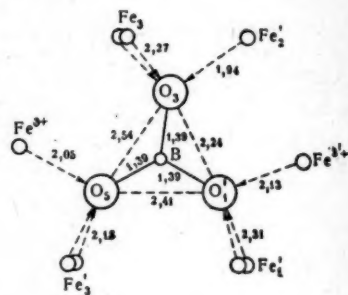
При построении сечений 3-мерной функции Паттерсона для таумасита применялась оптич. машина Эллера. Дается простой графич. метод определения координат x и y атомов в различных сечениях посредством локализации межатомных векторов Ca—X. Ю. Пятенко

3636. Кристаллографическое изучение кальциевого и стронциевого гидроксиллапатитов. Лагергрэн, Карлстрём (Crystallographic studies of calcium and strontium hydroxyapatites. Lagergren Curt, Carlström Diego), Acta chem. scand., 1957, 11, № 3, 545—550 (англ.).

Синтезированы и рентгенографически изучены апатиты смешанного ряда Ca₁₀(PO₄)₆(OH)₂ (I) — Sr₁₀(PO₄)₆(OH)₂ (II). Использован дифрактометр Филлипса с Cu-излучением при Ni-фильтре. Для крайних членов ряда определены параметры решетки: I а 9,423; с 6,884; II 9,761; 7,277. Величина $a = f(\text{Ca/Sr})$ пропорциональна степени замещения Ca на Sr. По мере замещения Ca на Sr дифракционные максимумы расширяются. Твердые р-ры не существуют в области состава: Ca₈Sr₂(PO₄)₆(OH)₂—Ca₇Sr₃(PO₄)₆(OH)₂, за исключением Ca₅Sr₅(PO₄)₆(OH)₂, который обладает типичной структурой апатита. Авторы полагают, что и в ряду Ca₁₀(PO₄)₆(OH)₂—Pb₁₀(PO₄)₆(OH)₂, изученном ранее (Müller M., Helv. chim. acta, 1947, 30, 2069), нет непрерывного ряда твердых р-ров, а Ca₅Sr₅(PO₄)₆(OH)₂ и Ca₅Pb₅(PO₄)₆(OH)₂ существуют не как твердые р-ры, а как более или менее упорядоченные структуры. Установлено сокращение параметра a Ca-гидроксиллапатита при его нагревании до 1300°, что объяснено частичной потерей конституционной воды. Предполагается, что

даже малое содержание стронция в р-ре значительно препятствует упорядоченной кристаллизации апатита. Учитывая ограниченный изоморфизм Ca и Sr в апатитах, авторы делают вывод, что Sr может располагаться на поверхности мельчайших кристалликов Ca-гидроксиллапатита. Г. Сидоренко

3637. Кристаллическая структура вонсенита. Такаэути (The crystal structure of vonsonite. Takéuchi Yoshio), Mineral J., 1956, 2, № 1, 19—26 (англ.). Проведено рентгенографически, методом двухмерного Фурье-синтеза, определение структуры вонсенита (Fe-людовигита). Параметры решетки: a 9,73, b 12,35, c 3,05,



ф. гр. $Pbam$. Как показал хим. анализ, на элементарную ячейку приходится $8(\text{Fe}_{0.625}\text{Mg}_{0.375})\text{O} \cdot 2\text{Fe}_2\text{O}_3 \cdot 2\text{B}_2\text{O}_3$. При определении структуры использованы значения координат атомов (за исключением атома В) из структуры людовигита (Acta crystallogr., 1950, 3, 98). Для уточнения координат проводились разностный ($F_{\text{опт}} - F_{\text{Fe}}$) и дифференциальный синтезы. Атомы Fe окружены октаэдрически 6 атомами O. Среднее значение расстояний Fe^{2+} —O 2,16 Å и Fe^{3+} —O 2,05 Å. Треугольник атомов O вокруг В слегка искажен, что обусловлено, по мнению авторов, сближением атомов Fe^{2+} и Fe^{3+} к атому В. Г. Гольдер

3638. Кристаллические цеолиты. I. Свойства нового синтетического цеолита типа А. Брек, Эверсол, Милтон, Рид, Томас (Crystalline zeolites. I. The properties of a new synthetic zeolite, type A. Breck D. W., Eversole W. G., Milton R. M., Reed T. B., Thomas T. L.), J. Amer. Chem. Soc., 1956, 78, № 23, 5963—5971 (англ.).

Описаны свойства нового цеолита $\text{Na}_{12}(\text{AlO}_2)_{12} \cdot \text{SiO}_2)_{12} \cdot 27\text{H}_2\text{O}$, полученного кристаллизацией натриевых алюмосиликатных гелей; он относится к типу А, ф. гр. $Pm3m$, a 12,32 Å. Структура состоит из 3-мерного каркаса, содержащего полости диам. 11,4 Å, которые разделены округлыми каналами диам. 4,2 Å. После удаления воды сохраняется стабильная кристаллич. структура, содержащая связанные друг с другом внутрикристаллич. пустоты, которые занимают ~45% объема. Приводятся данные хим. анализов, рентгеновского (метод порошка) и электронографич. исследований, ИК-спектров поглощения, термич. стабильности. Особенно подробно изучены адсорбционные свойства нового цеолита в отношении способности поглощать молекулы только определенного типа и размера. Исследованы возможности катионных замещений в данном цеолите. Эти свойства изучены при разных t -рах и давлениях. Отмечается практич. значение синтезированного цеолита. В. Франк-Камецецкий

3639. Структура каринтина и барруазитной пороховой обманки. Герич, Паулиц, Валицци (Die Struktur von Karinthin und einer barroisitischen Hornblende. Heritsch Haymo, Paulitsch Peter, Walitzi Eva-Maria), Tschermaks mineral. und petrogr. Mitt., 1957, 6, № 3, 215—225 (нем.).

Проведено рентгенографич. исследование кристаллич. структур каринтина (I) и барруазитной роговой обманки (II); при исследовании использовались методы вращения и Вейсберга. Структуры I и II определены по аналогии с крокидолитом (Whittaker E. J. W., Acta crystallogr., 1949, 2, 312). Параметры решеток в установке $I2/m: I a 9,86, b 17,99, c 5,30; \beta 105^\circ 34'; II a 9,90, b 18,04, c 5,33 A, \beta 106^\circ 45'$. Координаты атомов в структурах I и II очень близки к таковым в структурах других амфиболов: тремолита, крокидолита и актинолита. Обращено особое внимание на координацию атомов (K, Na), занимающих положение 01/20 (положение A). По мнению авторов, координационное число атомов, находящихся в положении A, должно быть принято равным 10. Кристаллохим. ф-лы:

$$I - \frac{1}{\infty} (Na_{0,63}K_{0,22})^{[10]} (Ca_{1,75}Na_{0,25})^{[8]} (Mg_{3,31}Fe_{0,56}^{2+}Fe_{0,17}^{3+} \times \\ \times Al_{0,76}Ti_{0,17})^{[6]} [(Si_{6,37}Al_{1,63}O_{22,00}) \cdot (OH_{1,76}O_{0,24})]; II - \\ - \frac{1}{\infty} (Na_{0,67}K_{0,03})^{[10]} (Ca_{1,59}Na_{0,41})^{[8]} (Mg_{2,61}Fe_{1,21}^{2+}Fe_{0,01}^{3+} \times \\ \times Mn_{0,03}Al_{0,90}Ti_{0,15})^{[6]} [(Si_{6,54}Al_{1,46}O_{22,00}) \cdot (OH_{1,87}O_{0,13})].$$

Ю. Пятенко

3640. Рентгенометрическое определение соотношения железо — магний в биотитах. Гауэр (X-ray measurement of the iron-magnesium ratio in biotites. Gower John Arthur, Amer. J. Sci., 1957, 255, № 2, 142—156 (англ.).

Предложен рентгенографич. метод определения отношения Fe: Mg в биотитах, который основан на определении соотношения интенсивностей рефлексов (004) и (005), которые наиболее чувствительны к замещению Fe — Mg и практически нечувствительны к другим возможным замещениям. При использовании разработанной автором методики приготовления образца и оценки интенсивностей с помощью дифрактометра фирмы Филлипс отношение Fe: Mg может быть определено с точностью $\sim 5\%$. Отмечается, что определение параметров решетки имеет при определении состава биотитов ограниченное значение. Обсуждается влияние разного рода замещений на величины параметров решетки. Найдено, что биотиты из метаморфич. пород имеют несколько больший параметр c , чем из изверженных. Обнаружено, что у биотитов имеется значительно более широкие области изоморфного замещения с мусковитами, чем это ранее предполагалось.

В. Франк-Каменецкий

3641. Изучение кристаллов триэтилендиаминных комплексов металлов. II. Кристаллическая структура $2d \cdot [CoEn_3] \cdot Cl_3 \cdot NaCl \cdot 6H_2O$. Накацу, Сиро, Сайто, Куроя (Studies on crystals of metallic tris-ethylenediamine-complexes. II. The crystal structure of sodium d-tris-ethylenediamine-cobalt (III) chloride hexahydrate, $2d \cdot [CoEn_3]Cl_3 \cdot NaCl \cdot 6H_2O$. Nakatsu Kazumi, Shiro Motoo, Saito Yoshihiko, Kuroya Hisao, Bull. Chem. Soc. Japan, 1957, 30, № 2, 158—164 (англ.).

Структура $2d \cdot [CoEn_3]Cl_3 \cdot NaCl \cdot 6H_2O$ (I) (РЖХим, 1956, 46125) расшифрована построением проекций Паттерсона и Фурие и разностных синтезов Фурие с учетом соображений упаковки. Межатомные расстояния и валентные углы: Co—N 1,98—2,00, N—C 1,47—1,48, C—C 1,54 Å; Co—N—C 109° , N—C—C 109° и $110,2^\circ$, N—Co—N $87,4^\circ$. Структура состоит из ионов $(CoEn_3)^{3+}$, $[Na(H_2O)_6]^{2+}$ и Cl^- . 6 атомов N образуют вокруг атома Co искаженный октаэдр. Конфигурация аддендов такая же, как и в $d \cdot L \cdot [CoEn_3]Cl_3 \cdot 3H_2O$ (часть I РЖХим, 1957, 7281). Угол между плоскостями, содержащими связи C—N и C—C, составляет 48° . Комплексный ион окружен 9 ионами Cl , из которых 6 располагаются по вершинам тригональной призмы и 3 — по вершинам равностороннего треугольника. Между атомами N и Cl осуществляется водородная связь длиной 3,17—3,19 Å.

Ион Na окружен 6 молекулами H_2O в виде несколько искаженного октаэдра на расстоянии 2,62 Å. В структуре имеются трубчатые пустоты в направлении, параллельном оси c , в которых располагаются ионы $[Na(H_2O)_6]^{2+}$ и Cl^- . Аналогично I получено $2L \cdot [CoEn_3] \cdot Cl_3 \cdot NaCl \cdot 6H_2O$ (II). Вращающая способность $[a]_D$ для I $+138^\circ$, для II -133° . Л. Школьников

3642. Атомная структура кристаллов комплексных соединений никеля ацидоаминового типа. Порай-Кошиц М. А., Юхно Э. К., Анцишклина А. С., Дикарева Л. М., Кристаллография, 1957, 2, № 3, 371—381 (рез. англ.).

Приведены результаты рентгенографич. исследования $Ni(C_5H_5N)_4Br_2$ (I), $Ni(C_5H_5N)_4(NCS)_2$ (II), $Ni(NH_3)_4 \cdot (NO_2)_2$ (III), $Ni(NH_3)_4(NCS)_2$ (IV), $NH_4[Ni(NH_3)_2 \cdot (NCS)_2]$ (V), $(NH_4)_2[Ni(NH_3)_2(NCS)_4]$ (VI). Во всех исследованных соединениях атом Ni имеет октаэдрич. конфигурацию. Кислотные остатки входят во внутреннюю сферу комплекса, причем соединения III и IV изоструктурны. Группа NCS во всех случаях линейна и присоединяется к атому Ni атомом N. В структурах V и VI ионы NH_4^+ располагаются в октаэдрич. пустотах и окружены атомами S. Вследствие отсутствия центров симметрии в кристаллах V и VI определение точных межатомных расстояний было затруднено. Определение межатомных расстояний в соединениях III и IV показало, что характер хим. связи в них несколько различен: по сравнению с ковалентными связями в $Ni(C_5H_5N)_4Cl_2$ в III ослаблена связь Ni—NO₂ (Ni—N 2,15, Ni—NH₃ 2,07 Å), в IV Ni—NH₃ (Ni—N 2,07; Ni—NH₃ 2,15 Å). В соединении $Ni(NH_3)_4(NCS)_2$ расстояние N—C в изороданидной группе соответствует тройной связи. В соединении IV, вероятно, нужно рассматривать связь Ni—N как промежуточную между ионной и ковалентной, а связь N—C как промежуточную между двойной и тройной. Е. Шугам

3643. Бикоординационные комплексы двухвалентных металлов с тиомочевинной. Нарделли, Кавалька, Брайбантти (Complessi bicoordinati di metalli bivalenti con la tiourea. Nardelli Mario, Cavalc Luigi, Braibanti Antonio, Gazz. chim. ital., 1956, 86, № 11, 1037—1040 (итал.).

Продолжено исследование комплексов 2-валентных металлов с тиомочевинной (РЖХим, 1957, 40403, 40404); приведены предварительные данные рентгенографич. (методы порошка, вращения и Вейсберга, $\lambda Cu = K_\alpha$ исследование кристаллов $M^{2+}[SCN(NH_2)_2]_2Cl_2$, где M — Zn (I), Cd (II) и Pb (III). Параметры ромбич. решетки: I $a 12,72, b 13,02, c 5,87 A, \beta$ (эксп.) $1,976, Z = 4$, ф. гр. D_{2h}^{25} или $C_{2v}^{2,4}$; II $13,07, 6,48, 5,80 A, 2,320, 2, D_{2h}^{18}$ или $C_{2v}^{7,7}$; III $21,20, 4,06, 12,02 A, 2,781, 4, D_{2h}^{18}$ и C_{2v}^{20} . I — III не изотипны, но отмечается заметная связь между структурами I и II.

В. Глазков

3644. Кристаллическая структура рейнеката пиридиния. Такэути, Пенпинский (The crystal structure of pyridinium reineckate. Takeuchi Y., Pepinsky R., Z. Kristallogr., 1957, 109, № 1, 29—41 (англ.; рез. нем.).

Произведено рентгенографич. исследование $C_5H_5NH \cdot [Cr(NCS)_4(NH_3)_2]$. Кристаллы монокл. $a 15,52; b 7,64; c 14,64 A; \beta 102,4^\circ, Z = 4$, ф. гр. $A2/a$. Структура определена построением двумерных синтезов Паттерсона и Фурие. Атомы Cr расположены в центрах симметрии. Ион пиридиния, лежащий на двойной оси, окружен 12 атомами S, 4 из которых координированы с атомами N пиридиния с расстояниями 3,36 (2) и 3,60 (2) Å. Средние значения расстояний в ионе рейнеката: Cr—N 1,95, N—C 1,15; C—S 1,76, Cr—NH₃ 2,11; в ионе пиридиния C—C 1,40; C—N 1,35 Å. Получены кристаллографич. данные ряда других рейнекатов (приведены ф. гр., a, b, c, β, Z): холина Ictm; 12,70; 22,80; 6,75; —; 4; тропи-

на *Pmcb*; 11,92; 13,2; 6,87; —; 2; *l*-гистидина $P2_12_12_1$; 12,74; 22,04; 13,18; —; 4; кофеина $P2_12_12_1$; 14,68; 25,30; 7,02; —; 4; цистина $P2_1$; 12,96; 23,70; 13,50; 95°; 2; стрихнина $P2_12_12_1$; 18,10; 22,87; 13,62; —; 8; α -нафтиламина *Pnma*; 12,47; 23,96; 13,74; —; 8; бензидина $C2/c$; 13,82; 15,04; 11,95; 109,2°; 4.

М. Дяткина
3645. Рентгенографическое исследование кристаллов некоторых производных ферроцена. Стручков Ю. Т., Хоцянова Т. Л., Кристаллография, 1957, 2, № 3, 382—383
См. РЖХим, 1958, 210.

3646. Кристаллические структуры дифенилгалогеноновых соединений. Хоцянова Т. Л., Стручков Ю. Т., Кристаллография, 1957, 2, № 3, 384—385

Приводятся ранее опубликованные данные о структурах $(C_6H_5)_2JCl$ и $(C_6H_5)_2J-J$ (РЖХим, 1957, 47171, 70979). Определены параметры решетки для $[(C_6H_5)_2J+BF_4]$ (I) $[(C_6H_5)_2Br]+BF_4$ (II) и $[(C_6H_5)_2Cl]+BF_4$ (III): I a 6,05, b 12,80, c 1726 Å, β 97°15', Z = 4, ф. гр. $P2_1$; c; II a 8,16, 14,80, 10,17, 96°30', 4, $P2_1/c$; III 18,85, 8,51, 21,60, 125°20', 8, $P2_1/c$. Структура I (определена по проекциям Паттерсона и по трехмерному синтезу Фурье) чисто ионная. Катионы $(C_6H_5)_2J^+$ имеют угловую конфигурацию. Угол $C_6H_5-J-C_6H_5 \sim 90^\circ$; бензольные кольца выведены из плоскости C—J—C для уменьшения пространственных затруднений. Структура $(C_6H_5)_2JCl \cdot HgCl_2$ определена по проекциям Паттерсона и Фурье. Параметры решетки: a 13,50, b 5,82, c 18,60 Å, Z = 4, ф. гр. $P2_12_12_1$. Молекулы $(C_6H_5)_2JCl$ и $HgCl_2$ теряют свою индивидуальность. Структура — ионная, образованная бесконечными цепочками $[HgCl_2]^-$, тянущимися вдоль $2_1[010]$. Координационные многогранники Hg — искаженные тригон. бипирамиды с общими гранями. Катионы $(C_6H_5)_2J^+$ имеют угловую конфигурацию.

Т. Хоцянова
3647. Электронографический структурный анализ. Пинскер З. Г., Вайнштейн Б. К., Кристаллография, 1957, 2, № 4, 552—572 (рез. англ.)
Обзор. Библ. 84 назв.

3648. Дифракция нейтронов. 3. Изучение молекулярной структуры. Бейкон (Neutron diffraction. 3. The study of molecular structure. Bacon G. E.), Research, 1957, 10, № 6, 241—248 (англ.)
Обзор. Библ. 15 назв. Часть 2 см. РЖХим, 1955, 18220.

3649. Нейтронографическое изучение текстур, возникающих при отжиге протянутых кубических объемноцентрированных металлов. Суэйлин, Гейслер (Neutron diffraction study of annealing textures in drawn body-centered-cubic metals. Swalin R. A., Geisler A. H.), J. Metals, 1956, 8, № 10, Sec. 2, 1259—1263 (англ.)

Изучалось изменение текстуры Mo, Fe и сплава Fe-14% Al в зависимости от t -ры отжига. Выбор нейтронографич. метода исследования обусловливался слабым поглощением нейтронов в исследуемых материалах, что позволило изучать текстуру в относительно крупнозернистых образцах. После рекристаллизации наблюдалась текстура деформации $[110]$ во всех образцах и степень текстурованности увеличивалась с увеличением t -ры отжига. Особый вид текстуры найден у Mo при высоких t -рах отжига. Аномальный дифракционный эффект найден у Fe: при определенной ориентации плоскости (110) интенсивность отражения была много больше, чем в других (тоже отражающих) положениях. Проведен анализ полученных результатов с точки зрения магнетострикционных свойств образцов.

Р. Озеров
3650. Нейтронографическое определение положений атомов водорода в мочевины. Уэршман, Леви, Питерсон (The positions of hydrogen atoms in

urea by neutron diffraction. Worsham J. E., Jr., Levy H. A., Peterson S. W.), Acta crystallogr., 1957, 10, № 4, 319—323 (англ.)

Проведено нейтронографич. уточнение положения атомов H в молекуле мочевины. Использовался метод проекций Фурье и метод наименьших квадратов. Наименьший фактор достоверности R получен при положениях (ф. гр. $P4_2/m$): C в 2 (c) z = 1,022, O в 2 (c) z = 0,5968, N в 4 (e) x = 0,1439, z = 0,1832, H₍₁₎ в 4 (e) x = 0,2522, z = 0,2839, H₍₂₎ в 4 (e) x = 0,1365, z = 0,9724. Подтверждена копланарность молекулы. Расстояние N—H 0,99 Å, угол C—N—H близок к -120° . Установлено сильное тепловое колебание атомов молекулы.

Р. Озеров
3651. Нейтронографическое изучение гидрата окиси кальция. Бьюсинг, Леви (Neutron diffraction study of calcium hydroxide. Busing William R., Levy Henri A.), J. Chem. Phys., 1957, 26, № 3, 563—568 (англ.)

Нейтронографическое исследование (методы Фурье и наименьших квадратов) монокристалла $Ca(OH)_2$ при 20 и -140° подтвердило определенную ранее рентгенографически структуру, включая постулированное положение атомов H. Уточненные положения атомов H и O: z_O = 0,2341 и z_H = 0,4248 (при 20°). Межатомные расстояния (в Å): Ca—O 2,371, O—O 3,333, H—H 2,202 и O—H 0,936 (после поправки на асимметрию теплового колебание — 0,984).

Р. Озеров
3652. Изучение роста кристаллов при помощи электронного микроскопа. V. Рост кристаллов n -пентакантанола-1. Досон, Уотсон (The study of crystal growth with the electron microscope. V. The crystal growth of n -pentacontanol-1. Dawson I. M., Watson D. H.), Proc. Roy. Soc., 1957, A239, № 1218, 349—364 (англ.)

Изучено влияние ассоциации молекул n -пентакантанола-1 ($C_{50}H_{101}OH$) в p -ре на высоту ступенек, образующихся при его кристаллизации из ряда полярных и неполярных p -рителей (петр. эф., бензола, ксилола, амиллацетата, диоксана, n - и изопропиловых спиртов, n -бутилового и амидового спиртов). Кристаллы образуются непосредственно на формваровой пленке или на стекле испарением капли разб. p -ра. На электронных микрофотографиях, полученных сплавом Ni—Pd, по длине теней определяют высоту ступенек. Кристаллы, полученные из полярных p -рителей, имеют, как правило, мономолекулярные ступеньки роста, в случае неполярных p -рителей наблюдаются преимущественно бимолекулярные ступеньки роста. Этот результат подтверждает предположение о том, что высота ступенек определяется степенью ассоциации растворенных молекул. Отмечено, что спирт. p -ры не подчиняются этому правилу. Двойниковые образования возникают чаще из неполярных p -рителей, чем из полярных. При кристаллизации из спиртов наблюдается изменение габитуса кристаллов, что, по мнению авторов, связано с присутствием воды в p -рителе. Полиморфизм наблюдается крайне редко. Часть IV см. РЖХим, 1956, 3289.

И. Третьяков
3653. Стереоскопичность и разрешающая способность в электронной микроскопии. Андерсон (Stéréoscopie et résolution en microscopie électronique. Anderson Thomas F.), Bull. microsc. appl., 1957, 7, № 2, 21—23 (франц.)

3654. Непосредственное наблюдение поверхностей металлов с помощью электронов, испускаемых под влиянием ионной бомбардировки. Мелленштедт, Келлер (Direkte Sichtbarmachung von Metall-Oberflächen mittels ionenausgelöster Elektronen. Meltenstedt G., Keller M.), Radex Rundschau, 1956, № 4-5, 153—162 (нем.; рез. англ., франц.)

Описана конструкция эмиссионного микроскопа, в котором испускание электронов с поверхности металлических шлифов происходит под влиянием бомбардировки пучка ионов, направленного на образец под углом $\sim 20^\circ$ к его поверхности. Яркость изображения данного участка образца сильно зависит от величины угла между нормалью к поверхности этого участка и направлением пучка ионов, поэтому получаемые снимки хорошо воспроизводят рельеф исследуемой поверхности. Разные металлы при условии полной чистоты их поверхности обладают различной эмиссией и вследствие этого становятся различимыми на изображении. Описанным методом исследованы поверхности массивных образцов Pt, Al, а также сплавов Fe—Cu и Fe—Ni—Cr.

И. Третьяков
3655. Новый метод приготовления тонких металлических пленок для электронно-микроскопических исследований и его применения. Такахаши, Кадзато, Асинума, Ватанабэ (Nouvelle méthode de préparation de films métalliques minces pour la microscopie électronique et applications. Takahashi N., Kazato K., Ashinuma K., Watanabe M.), Bull. microsc. appl., 1957, 7, № 2, 29—33 (франц.)

3656. Автоэлектронная эмиссия с ртутных усиков. Гомер (Field emission from mercury whiskers. Gomer Robert), J. Chem. Phys., 1957, 26, № 5, 1333—1334 (англ.)

При конденсации паров Hg в вакууме на охлаждаемой до низкой т-ры W-ножке электронного проектора образуются ртутные усики, автоэлектронные изображения которых можно наблюдать на экране. Усики представляют собой монокристаллич. нити с diam. $\sim 5 \cdot 10^{-7}$ см и длиной 0,1 мм. Их рост происходит путем миграции атомов Hg, ударяющихся об их боковую поверхность, к винтовой дислокации, находящейся на конце усика. Постоянство числа образующихся усиков, по мнению авторов, указывает на то, что зародыши образуются в местах разрыва окисной пленки на поверхности W. В пульсирующих полях наблюдаются упругий изгиб и вращение усиков.

И. Третьяков
3657. Подвижность и адсорбция водорода на вольфраме. Гомер, Уэртман, Ланди (Mobility and adsorption of hydrogen on tungsten. Gomer R., Wortman R., Lundy R.), J. Chem. Phys., 1957, 26, № 5, 1147—1164 (англ.)

Поверхностная диффузия водорода на W изучена при низких т-рах в отпаянном электронном проекторе, погруженном в криостат с жидким He. Источником H₂ служил нагревавшийся в Pt-тигле гидрид Zr; благодаря низкой т-ре острия H₂ покрывал только часть поверхности острия, обращенную к струе H₂. При покрытиях, значительно превышающих монослой, уже при т-рах $< 20^\circ$ К наблюдается равномерное движение резкой границы, происходящее путем миграции физически адсорбированного слоя водорода поверх хемосорбированного слоя к границе последнего; при этом все новые физически адсорбированные молекулы переходят в хемосорбированное состояние. При толщине исходного слоя ~ 1 монослой диффузия начинается при $\sim 180^\circ$ К и протекает путем движения резкой границы радиально от граней (110); наибольшая скорость наблюдается в направлении граней (211), наименьшая — в направлении граней (111). Энергия активации (E) этого процесса ~ 6 ккал/моль. При еще меньших покрытиях диффузия происходит без резкой границы с $E \approx 16$ ккал/моль. В зависимости от типа грани E диффузии составляет 10—20% от энергии связи атомов H с поверхностью. Начальная теплота хемосорбции ~ 64 ккал/моль; она быстро падает с увеличением заполнения. Из опытов по низкотемпературной диффузии следует, что $\sim 75\%$ хемосорбционного слоя образуется при т-рах $< 20^\circ$ К без

заметной E. Рассматриваются некоторые применения полученных результатов к выяснению механизма каталитич. р-ций, протекающих с участием водорода, адсорбированного на W.

И. Третьяков
3658. Определение сил связи и искажений решетки в некоторых тугоплавких соединениях алюминия и титана и твердых растворах на их основе. Уманский Я. С., Николаева С. М. (Az atomok közötti kötősszilárdság és a rácsorzulás meghatározása néhány nagy olvadáspontu Al-es Ti-tartalmú fémes vegyület, valamint ezek szilárd oldatai esetén. Umanский J. Sz., Nikolajeva Sz. M.), Kohász. lapok, 1955, 10, № 12, 530—533 (венг.)

По относительной интенсивности интерференций рентгеновских лучей при разных т-рах определены характеристики т-ры некоторых сплавов. Si—Al, Ni—Al и Ti—C. Вычислены силы связи в этих сплавах и изучена зависимость между силами связи, статич. искажениями решетки и составом сплава.

Р. З.
3659. Влияние свободных концов на частоты колебаний одномерных решеток. Уоллис (Effect of free ends on the vibration frequencies of one-dimensional lattices. Wallis Richard F.), Phys. Rev., 1957, 105, № 2, 540—545 (англ.)

3660. К теории твердых растворов на основе переходных металлов. Боровский И. В., Гуров К. П., Физ. металлов и металловедение, 1957, 4, № 1, 187—189

3661. Измерение внутреннего потенциала электронным интерферометром. Мёлленштедт, Келлер (Elektroneninterferometrische Messung des inneren Potentials. Möllenstedt G., Keller M.), Z. Phys., 1957, 148, № 1, 34—37 (нем.)

3662. Энергетическое распределение нейтронов, рассеянных парамагнитными веществами. Брокхаус (Energy distribution of neutrons scattered by paramagnetic substances. Brockhouse B. N.), Phys. Rev., 1955, 99, № 2, 601603 (англ.)

См. РЖФиз, 1956, 34111.
3663. Вычисление структурных полос «сложных» кристаллов. Сигалл (Calculation of the band structure of «complex» crystals. Segall B.), Phys. Rev., 1957, 105, № 1, 108—115 (англ.)

3664. Стехиометрия интерметаллических полупроводников. Ходжкинсон (The stoichiometry of intermetallic semiconductors. Hodgkinson R. J.), J. Electronics, 1956, 1, № 6, 612—624 (англ.)

3665. Испарение примесей на полупроводнике. Леговец, Шени, Зулиг (Evaporation of impurities from semiconductors. Lehovec K., Schoeni K., Zuleeg R.), J. Appl. Phys., 1957, 28, № 4, 420—423 (англ.)

Получены ур-ния для распределения примесей в полупроводнике, с поверхности которого эти примеси могут испаряться.

И. Ф.
3666. Распределение концентрации примесей в кристалле, приготовленном с помощью зонного плавления в случае, когда примесь находится только в первой зоне. Кремпаский (Koncentrácia prímiesi v kryštáli pripravenom zónálnou tavbou pri znečistení len prvej zóny. Krempaský Július), Mat.-fyz. časop., 1957, 7, № 1, 7—15 (словацк.; рез. русск., нем.)

Выведены ф-лы для расчета конц-ии примеси в кристалле, приготовленном с помощью зонного плавления, с начальной примесью только в первой зоне. Для некоторых случаев конц-ии вычислены и графически изображены. Кроме очень сложных формул точного решения, даны и приближенные ф-лы, применимые для быстрого вычисления конц-ии даже в случае, когда неизвестны конц-ии после предшествующего плавления.

Резюме автора

3667. Совершенствование методов рентгеновской спектроскопии (Совещание в Институте кристаллографии). Нарбутт К. И., Вестн. АН СССР, 1957, № 5, 108—110

3668. Теплопроводность металлов при низких температурах. Отклонения от идеальности. Розенберг (The thermal conductivity of metals at low temperatures. Deviations from ideal behaviour. Rosenberg H. M.), Philos. Mag., 1957, 2, № 16, 541—547 (англ.)

Измерена теплопроводность монокристаллов Zn и Cd при 2—20° К. Результаты представлены на кривой зависимости WT от T^3 , где W — термич. сопротивление, T — абс. т-ра. Полученная кривая состоит из двух прямолинейных участков; угол наклона α при низкой т-ре в 3 раза меньше, чем при высокой. Для Cd изменение α происходит при $T^3 \approx 80$, для Zn при $T^3 \approx 150$. Измерение α связано с изменением θ Дебая; увеличение α сопровождается резким уменьшением θ при тех же т-рах. А. Золотаревский

3669. Структура спектра поглощения KCl и NaCl с примесью AgCl. Бубакова (Struktura absorpčního spektra KCl a NaCl znečištěných AgCl. Bubařková Růžena), Českosl. časop. fys., 1956, 6, № 5, 596—597; Чехосл. физ. ж., 1957, 7, № 1, 110—111

Исследован спектр поглощения (СП) монокристаллов KCl и NaCl, содержащих примесь ионов Ag^+ , введенных диффузией из поверхностного слоя AgCl при 660—750°. Ионы Ag^+ дают широкую полосу поглощения, расширяющуюся с ростом конц-ии Ag^+ и совпадающую со СП AgCl (210—310 мμ) на поверхности кристалла. После аддитивного окрашивания в парах K или Na кристаллы приобретают переменную по толщине окраску. В направлении от поверхности к середине кристалла чередуются следующие зоны окраски: коричневая, желтая, бесцветная и голубая. СП коричневых и желтых участков походит на СП тонких слоев Ag (Кириллов Е. А. Тонкая структура в спектре поглощения фотохимически окрашенного галогенного серебра. Изд-во АН СССР, 1954): наблюдается резкий минимум при 320—330 мμ и тонкая структура в области 330—500 мμ. На этом основании коричневая-желтая окраска приписана кол. Ag, что подтверждается расчетом кривой поглощения по теории Ми. Поглощение прозрачной части лежит в УФ-области и обусловлено А-центрами (Кац М. Л., Докл. АН СССР, 1952, 85, 539). В СП голубого участка кристалла имеется F-полоса. При нагревании она исчезает, а бесцветный участок желтеет вследствие коагуляции Ag. Колл. Ag выделяется по границам блоков. В. Свиридов

3670. О колебательной «структуре» спектров поглощения кристаллов, окраска которых вызвана изоморфными примесями. Грум-Гржимайло С. В., Еникеева М. Г., Кристаллография, 1957, 2, № 1, 186—189

Продолжены исследования (РЖХим, 1956, 31784) колебательной структуры широких полос примесного поглощения кристаллов в поляризованном свете. При 100° К в спектрах корунда, содержащего до ~2% Cr_2O_3 , максимумы структуры наблюдаются только в обыкновенной волне, причем их положение не зависит от конц-ии Cr_2O_3 . В спектрах корунда с изоморфными примесями Ni, Mn и Ti структура не обнаружена. В спектре кианита для света с колебаниями по ng и по nt наблюдаются 2 широкие колоколообразные полосы поглощения, совпадающие с гауссовой кривой ошибок. На длинноволновой ветви полосы поглощения, лежащей в желтой части спектра, для света с колебаниями по nt имеются 5 сильно поляризованных эквидистантных узких максимумов поглощения, возможно, принадлежащих колебательной структуре.

Однако в синей области спектра имеются узкие, но не эквидистантные максимумы. Сделан вывод, что результат для корунда с примесью Cr_2O_3 подтверждает теорию примесного поглощения (РЖХим, 1955, 39590). Отсутствие структуры в спектрах ряда минералов приписано низкой конц-ии примеси. А. Х.

3671. Осаждение в вакууме пленок соединений аминокантрахинона на кварц. Эджерсон, Рош (Vacuum deposition of aminoanthraquinone compounds on quartz. Egerton G. S., Roach A. G.), Nature, 1957, 179, № 4557, 491—492 (англ.)

3672. 2-я зеленая полоса в спектре фотолюминесценции ZnS. Томлинсон, Уайт (The green-2 band in the ultraviolet luminescence of zinc sulphide. Tomlinson T. B., White E. A. D.), J. Electronics, 1957, 2, № 4, 404—405 (англ.)

Продолжены исследования 2-й зеленой полосы люминесценции (Л) ZnS-(Cu,Cl) (РЖХим, 1957, 43853). В результате нагревания ZnS- (0,01 вес.% Cl, 0,05 вес.% Cu) в атмосфере H_2S в запаянной трубке при 1200° с градиентом т-ры ~6 град/см на стенках трубки образуются мелкие кристаллики ZnS-(Cu, Cl) с переменной по длине трубки конц-ией Cu. Цвет Л изменяется от зеленого при низкой конц-ии Cu (холодный конец трубки) до синего при высокой конц-ии Cu. При охлаждении до -183° область синей Л расширяется в сторону низких конц-ий Cu. При нагревании область зеленой Л расширяется в сторону высоких конц-ий Cu, область синей Л сужается, и вместо нее со стороны высоких конц-ий Cu появляется и все более расширяется область 2-й зеленой полосы Л. В случае кристаллов, содержащих 0,047 вес.% Cu и соответственно более высокие конц-ии Cl, 2-я зеленая полоса наблюдается уже при 20°. При -183° она вытесняется синей полосой. Так как 1-я и 2-я зеленые полосы имеют одинаковый спектральный состав и при повышении т-ры усиливаются за счет подавления синей полосы, то авторы заключают, что обе эти полосы обусловлены одним и тем же центром свечения. Появление 2-й зеленой полосы зависит только от конц-ии центров свечения и т-ры, что объяснено взаимодействием Cu- и Cl-центров. А. Хейнман

3673. Вспышечное разгорание свечения в цинк-сульфидных фосфорах и двухступенчатый механизм возбуждения. Толстой Н. А., Докл. АН СССР, 1956, 111, № 3, 582—584

С помощью новой методики (РЖХим, 1957, 18331) обнаружено, что вспышечное разгорание (ВР) длинноволновой полосы свечения (Толстой Н. А., Феофилов П. П., Докл. АН СССР, 1949, 68, 285) наблюдается у целого ряда фосфоров на основе ZnS (возбуждение λ 365 мμ), напр. у ZnS-Ni; ZnS-Ni, Ag; ZnS-Co; ZnS-Fe; ZnS-Eu; ZnS-P; ZnS-Cu и у безактиваторного ZnS. Рассмотрены характеристики ВР и предложен механизм свечения фосфоров, обладающих ВР. Первичное действие возбуждающего света переводит электроны из зоны проводимости (или с невозбужденных активаторных уровней) на локальные уровни (ЛУ). Число электронов на ЛУ ограничивается тем, что они выбрасываются с ЛУ в зону проводимости при вторичном действии возбуждающего света и спонтанно уходят на уровни вспышки. Возможны также безызлучательные переходы с ЛУ и уровней вспышки в валентную зону. С помощью этой модели объяснены явление ВР и характеристики фосфоров. Указано, что ВР есть авто-стимуляция возбуждающим светом. А. Хейнман

3674. Длина диффузионного смещения экситонов в кристаллах антрацена. Агранович В. М., Кучеров И. Я., Файдыш А. Н. (Довжина дифузійного зміщення екситонів у кристалах антрацену. Агранович В. М., Кучеров І. Я., Файдиш О. М.),

Укр. фіз. ж., 1957, 2, № 1, 61—67 (укр.; рез. русск., англ.)

В продолжение ранее опубликованной работы (РЖХим, 1956, 57373) исследована зависимость относительных квантовых выходов B люминесценции твердых p -ров нафтацена (I) в антрацене (II) от концентрации I в интервале $1,5 \cdot 10^{-6} - 4,7 \cdot 10^{-4}$ моль/моль при возбуждении λ 365 м μ . В чистого II принят за 1. В указанном интервале концентрации B_{II} изменяется от 0,84 до 0,04, а B_I — от 0,08 до 0,715. Исследована также зависимость B от коэф. поглощения k света для λ 313, 366 и 405 м μ . С ростом k B_{II} растет, а B_I уменьшается. Теоретич. ур-ния для зависимости B_I и B_{II} от концентрации I и k получены путем решения ур-ния диффузии экситонов $D(d^2f/dx^2) + \Phi_0 \exp(-kx) - fr = 0$, где $f(x)$ — конц-ия экситонов, D — коэф. диффузия, Φ_0 — кол-во экситонов, возбужденных в 1 см³ за 1 сек. при $x = 0$, r — вероятность исчезновения экситона за 1 сек. в результате высвечивания в молекулах II, захвата в I и тушения. Теория удовлетворительно согласуется с опытом. Из этих же ур-ний найдено, что диффузионная длина экситона в I равна $\sim 0,15 \mu$. Наблюдаемая зависимость B_I и B_{II} от k объяснена тем, что с ростом k уменьшается глубина образования экситонов, т. е. увеличивается вероятность их выхода на поверхность, где они высвечиваются преимущественно в молекулах II.

А. Хейнман

3675. Об ориентации излучающих диполей в кристаллах с низкой симметрией. Хельвеге (Über die Orientierung strahlender Dipole in Kristallen niedriger Symmetrie. Hellwege K.-H.), Z. Phys., 1955, 143, № 3, 340—347 (нем.)

3676. Поглощение света кристаллами галогенидов серебра при повышенных температурах. Матеяц (Lichtabsorptionsmessungen an Halogensilberkristallen bei höheren Temperaturen. Matejcek R.), Z. Phys., 1957, 147, № 5, 593—599 (нем.)

3677. Фотоэффекты в интерметаллических соединениях. Фредериксе, Блант (Photoeffects in intermetallic compounds. Fredericks H. P. R., Blunt R. F.), Proc. IRE, 1955, 43, № 12, 1828—1835, 1976 (англ.)

Обзор. Библ. 40 назв.

В. К.

3678. Механизм проводимости окислов переходных металлов, содержащих Li в твердом p -ре. Хейкс, Джонстон (Mechanism of conduction in lithium substituted transition metal oxides. Heikes R. R., Johnston W. D.), J. Chem. Phys., 1957, 26, № 3, 582—587 (англ.)

Изучено влияние введения Li в решетку окислов MnO, CoO, NiO, CuO на их электрич. свойства. Методом спекания, описанным ранее (РЖХим, 1957, 26136) получены окислы состава $Li_x Mn_{1-x} O$ ($0 \leq x \leq 0,35$), $Li_x Co_{1-x} O$ ($0 \leq x \leq 0,20$), $Li_x Ni_{1-x} O$ ($0 \leq x \leq 0,15$) и $Li_x Cu_{1-x} O$ ($0 \leq x \leq 0,02$). Рентгеноструктурный анализ показывает, что все образцы однофазны и параметры решетки в каждой системе монотонно уменьшаются при увеличении конц-ии Li. На основании данных, полученных для $Li_{0,2}Co_{0,8}O$, авторы полагают, что во всех изученных системах имеется ближний порядок, при котором каждый ион Li окружен большим числом ионов переходного металла (M), чем при хаотич. распределении последних. Энтальпия активации проводимости ΔH всех образцов резко возрастает вблизи антиферромагнитной точки Кюри. При введении Li ΔH и сопротивление образцов сначала резко падают, достигая постоянного значения при содержании $\sim 2\%$ Li. Это начальное падение возрастает в ряду MnO, CoO, NiO, CuO. Анализ эксперим. результатов показывает, что модели проводимости Вервея

(Verwey E. J. W. et al., Phillips Res. Repts, 1950, 5, 173) и Морина (РЖХим, 1956, 6242) не применимы к этим в-вам. Предложен механизм проводимости, согласно которому последняя обусловлена термически активированной диффузией дырок, которые захватываются локальными деформациями решетки, созданными полем самих дырок (самолокализация). Принимается, что дырка перемещается от иона M^{3+} к иону M^{2+} (M — переходный металл). Величина ΔH есть работа, необходимая для смещения ионов, окружающих M^{3+} , в такое положение, какое они занимают вокруг иона M^{2+} (т. е. это работа уменьшения локальной деформации вокруг дырки до нулевого значения).

А. Хейнман

3679. Особенности поляризации кристаллов сегнетовой соли с примесями. Константинова В. П., Юрин В. А., Кристаллография, 1957, 2, № 2, 294—296

Примеси Cu^{2+} сильно влияют на электрич. свойства сегнетовой соли (I). Из p -ра I, содержащего 2% $CuCO_3$, вырастают кристаллы голубого цвета с неравномерной окраской. Интенсивность окраски весьма высока в пирамиде роста грани с (001), убывая в пирамиде роста других граней в порядке (001), (210), (110), (100) и (010). Образцы, вырезанные из пирамиды роста грани с (001), имеют самую низкую диэлектрич. проницаемость, наиболее узкий температурный интервал сегнетоэлектрич. области и дают аномальные двойные петли гистерезиса, аналогичные петлям у антисегнетоэлектриков. Отжиг при 40° устраняет аномалии, а хранение при 18° восстанавливает их. С уменьшением интенсивности окраски аномалии уменьшаются. Аномальная поляризация приписана напряжениям решетки, вызванным примесями. А. Х.

3680. Синтез монокристаллов двойного сульфата гуанидина и алюминия. Шапель, Шолло (Synthèse de monocristaux de sulfate double de guanidine et d'aluminium. Chapelle Jean, Chollet Bernard), C. r. Acad. sci., 1957, 244, № 9, 1185—1187 (франц.)

Монокристаллы двойного сульфата гуанидина и Al (I), обладающие хорошими сегнетоэлектрич. свойствами и достаточно совершенной структурой, получены охлаждением насыщ. p -ра I в 0,1 н. H_2SO_4 , содержащего 0,01 моль/л $Cr_2(SO_4)_3$. При 20° растворимость I равна ~ 750 г/л. Она мало изменяется до 60° и резко возрастает между 60 и 100°. Исходный p -р должен иметь наибольшую возможную т-ру. Приведена петля гистерезиса I для частоты 50 гц и максим. поля 4500 в/см. Форма петли не зависит от толщины и положения исследуемого участка кристалла.

А. Хейнман

3681. Влияние гидростатического давления на гистерезисную петлю гексагидрата двойного сульфата гуанидина и алюминия. Мерз (Effect of hydrostatic pressure on the hysteresis loop of guanidine aluminum sulfate hexahydrate. Merz Walter J.), Phys. Rev., 1956, 103, № 3, 565—566 (англ.)

Исследовано влияние давления на форму и величину гистерезисной петли для гексагидрата двойного сульфата гуанидина и алюминия при 60-периодном токе. Найдено, что самопроизвольная поляризация P_s и коэрцитивная сила E_c увеличиваются с увеличением давления и уменьшением т-ры. При сокращении оси поляризации с увеличивается дипольный момент вдоль этой оси.

А. В.

3682. Анизотропия в поляризованной керамике $BaTiO_3$. Марутака, Икэда (Anisotropy in polarized barium titanate ceramics. Marutake Masakazu, Ikeda Takuro), J. Phys. Soc. Japan, 1957, 12, № 3, 233—240 (англ.)

3683. Переходные эффекты в ионной проводимости анодно-окисленных пленок в сильных полях. Дьюалд (Transient effects in the ionic conductance of anodic-oxide films at high fields. Dewald J. F.), Phys. and Chem. Solids, 1957, 2, № 1, 55—56 (англ.)

3684. Ориентация доменов и макросимметрия свойств сегнетоэлектрических монокристаллов. Желудев И. С., Шувалов Л. А., Изв. АН СССР. Сер. физ., 1957, 21, № 2, 264—274

3685. Характер изменения доменной структуры сегнетовой соли в переменных электрических полях. Желудев И. С., Ситко Р. Я., Изв. АН СССР. Сер. физ., 1957, 21, № 2, 286—288

Приведены результаты микрокиносъемки доменной структуры сегнетовой соли на частоте 32 и 1000 гц. А. Хейнман

3686. Некоторые детали доменного строения кристаллов сегнетовой соли (по оптическим наблюдениям). Чернышева М. А., Изв. АН СССР. Сер. физ., 1957, 21, № 2, 289—292

3687. Опыты по поляризации и распаду электретов. Уайзмэн, Фистер (Experiments on the polarization and decay of electrets. Wiseman G. G., Feaster G. R.), J. Chem. Phys., 1957, 26, № 3, 521—527 (англ.)

3688. О магнитных свойствах сульфидов хрома. Юдзур, Хиронэ, Ватанабэ, Нагасаки, Маэда (On the magnetic properties of chromium sulfides. Yuzuri Motoyoshi, Hirone Tokutaro, Watanabe Hiroshi, Nagasaki Seizo, Maeda Seiji), J. Phys. Soc. Japan, 1957, 12, № 4, 385—389 (англ.)

Исследовалась природа магнитного превращения в $\text{CrS}_{1.17}$ (I), состоящего в исчезновении спонтанного магнитного момента I при охлаждении ниже -120° . Изменения структуры в точке превращения отсутствуют. Как выше, так и ниже точки превращения I обладает решеткой типа NiAs (a 3,45, c 5,76 Å) со сверхструктурой, параметры которой в $2\sqrt{3}$ и в 2 раза больше, чем соответственно параметры a и c основной решетки. Теплота превращения очень мала (7 кал/моль). По-видимому, переход связан с внезапным изменением угла между направлениями магнитных моментов подрешеток ионов Cr^{2+} и Cr^{3+} .

Ш. Коган

3689. Магнитные свойства MnAu_3 . Мейер (Propriétés magnétiques de MnAu_3 . Mayer André J.-P.), C. r. Acad. sci., 1957, 244, № 15, 2028—2031 (франц.)

Кубическая фаза MnAu_3 (устойчивая выше 625°) является ферромагнетиком с т-рой Кюри 120°K . Низкотемпературная фаза, которая обладает, по-видимому, тетрагональной решеткой, обнаруживает антиферромагнитную т-ру Кюри при 145°K . В интервале 600 — 900°K зависимость χ от т-ры следует закону Кюри — Вейсса с константами $C = 3,62 \cdot 10^{-3}$ и $\Theta = 235^\circ \text{K}$. На основании измерений зависимости χ от т-ры и напряженности поля делается вывод о том, что низкотемпературная фаза MnAu_3 является немагнетиком, т. е. антиферромагнетиком со слабым взаимодействием между магнитными подрешетками. Поле, необходимое для того, чтобы разрушить это взаимодействие, оценивается косвенным образом в $\sim 60\,000$ э.

Ш. Коган

3690. Сравнение и оценка абсолютных величин парамагнитного резонансного поглощения в некоторых порошках. Сундарамма (Comparison and evaluation of the absolute values of paramagnetic resonance absorption in some powders. Sundaramma K. miss), Proc. Indian Acad. Sci., 1956, A44, № 5, 345—350 (англ.)

Предлагается простой способ вычисления отношения $\chi_1'' : \chi_2''$ для двух в-в (1 и 2). Для этого нужно измерить χ'' (в отн. ед.) при двух значениях постоянного магнитного поля чистых образцов 1 и 2 и для смеси 1 с 2 известного состава. Метод становится тем точнее, чем сильнее отличаются друг от друга по форме кривые 1 и 2. По сравнению с методами, применявшимися ранее, данный метод удобен тем, что для получения χ'' в абс. единицах достаточно знать абс. значение χ'' лишь для одного какого-нибудь в-ва. Предварительные опыты, проведенные автором с порошками солей Mn , Cu и Cr , дали воспроизводимые результаты, хорошо совпадающие с некоторыми известными данными. Л. Шекун

3691. Распределение катионов в феррошпинелях. Теоретическая часть. Каллен, Гаррисон, Крисман. Магнито-марганцевые ферриты. Крисман, Гаррисон (Cation distributions in ferros spinels. Theoretical. Callen Herbert B., Harrison S. E., Kriessman C. J. Magnetism-manganese ferrites. Kriessman C. J., Harrison S. E.), Phys. Rev., 1956, 103, № 4, 851—856, 857—860 (англ.)

I. Рассмотрена модель смешанного феррита $\text{X}_x\text{Y}_y\text{Fe}_2\text{O}_4$, где X , Y — 2-зарядные ионы, а $(x+y) = 1$. На основе положений статистич. термодинамики строится термодинамич. потенциал U^* , являющийся функцией т-ры, давления и распределения обоих ионов между октаэдрич. и тетраэдрич. позициями в решетке шпинели. Выясняется вид зависимости U^* от распределения катионов в предположении, что спектр колебаний кристаллич. решетки носит характер дебаевского спектра. Из условий термодинамич. равновесия (минимум U^* по отношению к конц-ии каждого катиона в октаэдрич. позициях) определяется зависимость распределения обоих катионов между различными позициями в решетке от т-ры. В левую часть полученного выражения входят конц-ии, а в правую, кроме т-ры, входят производные по конц-ии от C_v и от той части внутренней энергии u_i , которая не зависит от колебаний решетки и в которую входят энергия кулоновского расталкивания зарядов ионов, энергия ковалентной связи, борновская энергия расталкивания и энергия магнитного обменного взаимодействия. Измерив экспериментально зависимость распределения катионов от т-ры, можно определить зависимость u_i от конц-ий ионов в различных позициях решетки.

II. Измерена зависимость намагнитченности насыщения ферритов системы $\text{Mg}_x\text{Mn}_{1-x}\text{Fe}_2\text{O}_4$ от т-ры закали в интервале 400 — 1400° . Из этих данных получено распределение ионов Mg между октаэдрич. и тетраэдрич. позициями в решетке шпинели. Результаты использованы в выражении для температурной зависимости конц-ии, полученном в части I, с целью определения зависимости энергии u_i , в которую входят тепловые колебания решетки, от конц-ий ионов Mg в октаэдрич. позициях. Если спектр колебаний носит характер дебаевского и соответствующая характеристич. т-ра не зависит от вышеуказанной конц-ии η и если теплоемкость G_v также не зависит от η , то u_i пропорциональна η . Е. Мазель

3692. Проверка появившегося в литературе сообщения о ферромагнетизме $\text{Li}_x\text{Ni}_{1-x}$. О. Януш, Хейкс, Джонстон (Reinvestigation of reported ferromagnetism in $\text{Li}_x\text{Ni}_{1-x}$. O. Janusz T. P., Heikes R. R., Johnston W. D.), J. Chem. Phys., 1957, 25, № 4, 973—974 (англ.)

Цель работы — проверка появившегося ранее сообщения (РЖХим, 1957, 11048) о наличии ферромаг-

литных свойств у твердого р-ра Li в NiO ($1,02 \cdot 10^{21} \text{ см}^{-3} \text{ Li}^+$). Восприимчивость образцов NiO, содержащих $\sim 10^{21} \text{ см}^{-3} \text{ Li}^+$, в интервале 190—480° K слабо зависит от т-ры и с точностью до погрешностей опыта не зависит от поля. Авторы делают вывод об отсутствии ферромагнетизма в системе $\text{Li}_x\text{Ni}_{1-x}\text{O}$.

III. Коган

3693. Выращивание кристаллов кремния с помощью метода пиролитического осаждения из газовой фазы. Сангстер, Маврик, Крауч (Growth of silicon crystals by vapor phase pyrolytic deposition method. Sangster R. C., Maverick E. F., Crouch M. L.), J. Electrochem. Soc., 1957, 104, № 5, 317—319 (англ.).

Описывается метод выращивания кристаллов Si путем взаимодействия газообразных SiBr_4 и H_2 на поверхности монокристаллич. Si-стержня при высоких т-рах по уравнению $2\text{H}_2 + \text{SiBr}_4 = \text{Si} + 4\text{HBr}$. Описана примененная установка для выращивания; дается полуэмпирич. анализ процесса осаждения, а также разбирается влияние вариации различных параметров на ход процесса кристаллизации из газовой фазы. Установлено, что монокристаллич. нарастание Si на монокристаллич. затравочном Si-стержне со скоростью 0,125—0,25 мм/час происходит при внутреннем диаметре реакционной трубки 25 мм, конц-ии SiBr_4 0,6—1,0 мол.%, скорости течения струи H_2 1,5 л/мин и т-ре Si-стержня 1000—1200°. Можно также получить дендритный рост на стержнях из Si и Ta при внутреннем диаметре реакционной трубки 25 мм, конц-ии SiBr_4 0,3 мол.%, скорости течения струи H_2 1,0—1,5 л/мин и т-ре образца 1275°. Отдельные дендритные кристаллы имеют размеры 0,25—0,5 мм и могут быть использованы в некоторых точечно-контактных схемах.

Л. Цинюбер

3694. Исследование динамики некоторых элементарных процессов роста и испарения кристаллов. Лемлейн Г. Г., Дукова Е. Д., Чернов А. А., Кристаллография, 1957, 2, № 3, 428—436 (рез. англ.).

Описаны результаты исследования (с помощью микрокиоскопии) образования спиральных дислокаций и взаимного сближения и уничтожения 2 дислокаций с противоположными знаками. Определена и интерпретирована зависимость скорости движения ступени дислокации от толщины соответствующего слоя. Изучено поведение капель расплава на поверхности кристалла и их взаимодействие со ступенями. Описаны некоторые результаты наблюдения процесса спирально-слоистого испарения. Дано полуколич. рассмотрение нестационарных процессов роста и испарения в применении к переходу от спирального роста к спиральному испарению.

По резюме авторов

3695. О выращивании искусственных кристаллов кварца. Надь, Тарьян (Über die Züchtung künstlicher Quarzkristalle. Nagy J., Tarján I.), Acta phys. Acad. sci. hung., 1957, 6, № 3-4, 485—488 (нем.).

Приведены результаты 12 опытов по выращиванию кварца в автоклавах длиной 28 и диам 1,9 см из водн. р-ра 5% $\text{Na}_2\text{CO}_3 + 0,4\%$ КОН на затравочных пластиках АТ-срезов. Данные, полученные авторами, находятся в удовлетворительном соответствии с более ранними данными (Kennedy G., Econ. Geol., 1950, 45, 629). Опыты, проводившиеся при различных заполнениях (40—80%) и при низких т-рах, показали монотонное возрастание растворимости с повышением т-ры. Скорость роста кристаллов в этих условиях незначительна. При низких заполнениях и высоких т-рах, в полном соответствии с данными Кеннеди, наблюдалось явление обратной растворимости. При средних значениях заполнения и т-ры (эти условия являются наиболее благоприятными для промышленного выращивания кристаллов кварца) была достигнута скорость

роста 1 мм в сутки по оси Z, что является, по мнению авторов, наивысшим значением, полученным до сего времени.

Л. Цинюбер

3696. Кристаллографический и геологический факторы при росте гранатов из Центрального Пертшира. Раст, Стерт (Crystallographic and geological factors in the growth of garnets from central Perthshire. Rast N., Sturt B. A.), Nature, 1957, 179, № 4552, 215 (англ.).

Изучались кристаллы гранатов из графитизированных известняков Центрального Пертшира. Кристаллы, как правило, состоят из двух зон — внутренней и внешней. Авторы полагают, что кристаллы включений внутренней зоны образовались в предгранатовую стадию. Кристалл граната в быстро растущих секторах обрастал кристаллы включений и не взаимодействовал с ними. В медленно росших секторах происходило растворение захваченных кристаллов. Включения из наружной зоны росли одновременно с ростом граната. Изогнутость этих кристаллов является следствием вращения зерен граната во время роста. Динамич. фактор вращения оказывал влияние также на величину кристаллов в наружной зоне, которая, как правило, больше, чем величина кристаллов включений во внутренней зоне.

Л. Цинюбер

3697. Тела растворения и анизотропия скорости растворения в тетрагональных кристаллах олова. Ямамото, Ватанабэ (On the solution-body phenomenon and anisotropy of solution rate in tetragonal tin crystal. Yamamoto Mikio, Watanabe Jiro), Sci. Repts Res. Insts Tohoku Univ., 1956, A8, № 4, 271—279 (англ.).

3698. Кристаллы реалгара из Македонии. Лабунцов А. Н., Тр. Минералог. музея. АН СССР, 1957, вып. 8, 159—161.

Приведены результаты гониометрич. изучения 3 крупных и хорошо образованных кристаллов реалгара из Македонии.

Ю. Пятенко

3699. Современная физика о дислокации (в кристаллах). Судзук (轉位を中心とする最近の物性物理学. 鈴木平), 科学, Karaky, 1957, 27, № 5, 218—224 (японск.).

Обзор. Библ. 47 назв.

3700. Асимметрический эффект при эпитаксии D-камфоры на биотите и кальците. Клебер, Мейер (Asymmetrieffekte bei der Epitaxie von d-Campher auf Biotit und Calcit. Kleber W., Meyer K.), Naturwissenschaften, 1957, 44, № 13, 373—374 (нем.).

В связи с изучением взаимодействия асимметричных комплексов с гранями кристаллов (РЖХим, 1957, 62969) проведено исследование нарастания энантиоморфной D-камфоры (вид симметрии 32) на плоскости спайности биотита и кальцита. Нарастание осуществлялось из газовой фазы при $\sim 40^\circ$ в закрытой трубке на свежую плоскость спайности минерала. На биотите установлена совершенная эпитаксия D-камфоры при нарастании плоскостью (0001) в двух зеркально-симметричных ориентировках под углом $\sim (\pm) 19^\circ$ оси [100] D-камфоры к следу от плоскости (010) биотита. Дано структурногеометрич. объяснение такого срастания. Отмечается, что 2 симметричные по отношению к (010) биотита ориентировки D-камфоры встречаются с различной частотой: левое положение 90% и правое 10%. На кальците эпитаксия D-камфоры обнаружена не столь отчетливо, однако здесь встречены 2 ориентировки, зеркально-симметричные по отношению к следу плоскости симметрии на (1011) кальцита. Меньшая частота закономерных срастаний обусловлена большими расхождениями в межatomных расстояниях (максим. расхождение 8,4%). Установлено, что зеркально-равные эпитаксич. ориентировки энантиоморфных кристаллов неравнозначны, что согласуется

с данными травления граней кристаллов оптически активными к-тами (см. ссылку выше).

В. Франк-Каменецкий

3701. Тонкие пленки и эпитаксия. Руайе (Lames minces et épitaxie. Royer L.), Colloq. internat. Centre nat. rech. scient., 1956, 61, 3—6; J. phys. et radium, 1956, 17, № 3; 171—175 (франц.; рез. англ.)

Рассмотрены случаи эпитаксии тонких металлич. пленок, полученных напылением из вакуума на различных кристаллич. субстратах. Более подробно изучены случаи эпитаксии ориентировки металлич. пленки на металлич. подложке, на подложке, состоящей из спайной выколки ионного кристалла (NaCl, AgCl и др.), а также на подложке из гомополярного кристалла (алмаз). Экспериментально полученные данные сопоставляются с существующими теориями эпитаксии.

В. Франк-Каменецкий

3702. Эпитаксический рост и окисление никеля, кобальта и железа на каменной соли. Коллинс, Хевенс (The epitaxial growth and oxidation of nickel, cobalt and iron on rocksalt. Collins L. E., Heavens O. S.), Proc. Phys. Soc., 1957, B70, № 3, 265—281 (англ.)

Электроннографическое исследование структуры и ориентировки пленок Fe, Ni и Co, напыленных на плоскости спайности NaCl. Кроме того, изучены окислы, образующиеся спонтанно на эпитаксически выросших пленках металла. Полученные результаты рассмотрены в свете существующих теорий эпитаксии. Показано, что расхождение значений параметров решетки у субстрата и пленки металла имеют меньшее значение для возникновения эпитаксич. нарастания, чем соответствие в координации атомов в первом слое. Не подтверждено предположение о наличии напряженного слоя в решетке в плоскости срастания (кроме пленки FeO на Fe).

В. Франк-Каменецкий

3703. Двойникование в структурах алмазного типа. Двойники высшего порядка в кремнии. Кон (Twinning in diamond-type structures: high-order twinning in silicon. Kon J. A.), Amer. Mineralogist, 1956, 41, № 9-10, 778—784 (англ.)

Исследованию подвергался двойниковый участок на кристалле Si, полученном путем вытягивания затравки из расплава вдоль направления (001) основного кристалла. С помощью съемки лауэграммы на отражение установлено, что двойник состоит из четырех индивидов: 2 из них (А и В) являются двойниками 1-го порядка по отношению к кристаллу-хозяину (Н) и срастаются с ним по двум граням октаэдра (111) и (111). По отношению друг к другу А и В являются двойниками 2-го порядка. По одной из октаэдрич. граней индивида В с ним срастается 4-й индивид С, который является двойником 1-го порядка по отношению к В, двойником 2-го порядка по отношению к Н и двойником 3-го порядка по отношению к А. Все 4 двойниковых индивида берут начало от напряженного участка, расположенного внутри кристалла вокруг пузырька газового включения. Более часто двойники образуются на всех четырех верхних (или нижних) гранях октаэдра, вытягиваемого из расплава вдоль направления (001). Причиной возникновения таких двойников, очевидно, является резкое изменение скорости вытягивания кристалла или резкое изменение температурного градиента вдоль направления (001). Образование двойников высшего порядка является одной из причин образования прерывчатой структуры кристаллов Si. Разбираются геометрич. аспекты возможных двойников и двойниковых границ в алмазоподобных структурах.

Л. Цинобер

3704. Древесина как пьезоэлектрическая текстура. Баженов В. А., Кристаллография, 1957, 2, № 1, 108—114

Рассмотрено влияние ориентации целлюлозы в точных оболочках древесных клеток с учетом их формы и слоистого строения на пьезоэлектрич. свойства древесины как пьезоэлектрич. текстуры. Резюме автора

См. также: Рентгеногр. исслед. 3789, 3793, 3801, 3802, 4058, 4059, 4088, 4089, 4093, 4096, 4189, 6778, 16615. Электроногр. исслед. 6780, 3963; нейтронограф. исслед. 3797. Магнитный резонанс 3582. Фазовые превращения 3777, 3778. Термодинамика 3742. Спектры и оптич. св-ва 3564. Рост 3783, 3784. Приборы и оборудование 4412—4416

ЖИДКОСТИ. АМОРФНЫЕ ТЕЛА. ГАЗЫ

Редактор А. Б. Алмазов

3705. Метод интегрального уравнения для приближенного определения функций распределения жидкостей. Пуарье (Integral equation method for determining approximate fluid distribution functions. Poirier Jacques C.), J. Chem. Phys., 1957, 26, № 1, 1427—1439 (англ.)

С целью приближенного расчета свойств некоторой реальной классической системы N -частиц рассматривается фиктивная система, идентичная реальной системе во всех отношениях, за исключением параметров связи λ_i , $0 \leq \lambda_i \leq 1$, уменьшающих взаимодействия каждой (i -ой) частицы с другими частицами. Считается, что в фиктивной системе n частиц имеют произвольные λ , а $N-n$ остальных имеют $\lambda = 1$. Для фиктивной системы рассматриваются функции распределения $(n)R_N^{(n)} = \int \dots \int \exp[-\beta(n)\Phi_N] dr_{n+1} \dots dr_{N-1} dr_N / \int \dots \int \exp[-\beta(n)\Phi_N] dr_1 \dots dr_N$, $\beta = 1/kT$, соответствующие n -арным функциям распределения реальной системы: $R_N^{(n)} = \int \dots \int \exp(-\beta\Phi_N) dr_{n+1} \dots dr_N / \int \dots \int \exp(-\beta\Phi_N) dr_1 \dots dr_N$. Дифференцируя условие нормировки функций $(n)R_N^{(n)}$ по λ_i и используя некоторые очевидные свойства $(n)R_N^{(n)}$, автор получает систему интегро-дифференциальных уравнений, решение которых записывает в виде ряда Тейлора по переменным λ_i относительно точки $\lambda_1 = \lambda_2 = \dots = \lambda_n = 0$. Расчеты проведены до третьего приближения включительно. Рассмотрен жидкий диэлектрик, в котором находятся точечные заряды (ионы), и система частиц, взаимодействие которых описывается потенциалом: $\Phi(r_i, r_j) = \sum_j a_j \exp(-b_j |r_k - r_l|)$. В. Авантис

3706. Теория вакансий решетки для жидкого состояния. Мюллер, Ступеджа (Lattice vacancy theory of the liquid state. Mueller Charles R., Stupedja Donald C.), J. Chem. Phys., 1957, 26, № 4, 1522—1525 (англ.)

На основании аппроксимации Флори для р-ров (Flory P. J., J. Chem. Phys., 1942, 10, 51) уравнение для свободной энергии записано в виде: $(F - F_0)/KT = N_1 \ln N_1 / (N_1 + N_2) + \gamma N_2 \ln N_2 / (N_1 + N_2) + (\omega/KT) N_1 N_2 / (N_1 + N_2) - (\omega/KT)^2 [N_1^2 N_2^2 / 12 (N_1 + N_2)^2]$, где F_0 — свободная энергия жидкости без дырок, γN_2 — число дырок $N_1 / (N_1 + N_2)$ — объемная доля молекул, $N_2 / (N_1 + N_2)$ — объемная доля дырок; дырки занимают объем, равный $1/\gamma$ объема, занимаемого молекулами; эмпирич. оценка дает $\gamma \approx 7/2$. Энергия сцепления, приходящаяся на молекулу, равна ω ; в предположении, что в этом состоянии молекулу окружают 12 ближайших соседей $\omega = 6\epsilon$, где ϵ — энергия взаимодействия пары молекул

находящихся на расстоянии равновесных положений в решетке. Ур-ние состояния имеет вид: $PV/PT = -7/3 - (10/3) \ln x / (1-x) - (1-x) \omega / KT - [(3x^2 - 2x) \times (1-x) / 12] (\omega / KT)^2$, где x — объемная доля дырок. Найденно, что при $\omega / KT = 4,422$ наступает фазовый переход; эта точка отождествлена с критич. точкой. Рассчитанные зависимости равновесных объемов жидкости и пара от T -ры, а также давления от T -ры, удовлетворительно согласуются с наблюдаемыми величинами (для Ag, O_2, Xe, Ne, N_2 эксперим. точки нанесены на график рассчитанных величин). Теория согласуется с правилом прямолинейного диаметра. Рассмотрено обобщение на случай смесей и получено удовлетворительное согласие эксперим. и расчетных величин для смесей изооктан-перфторгептан и ацетон- CS_2 .

В. Анзигитов

3707. Кинетическая теория несферических молекул. 2. Кертисс, Маккенфусс (Kinetic theory of nonspherical molecules. 2. Curtiss C. F., Muckenfuss Charles), J. Chem. Phys., 1957, 26, № 6, 1619—1636 (англ.)

Подробно описана методика вычисления многомерных интегралов, определенных в части 1 (РЖХим, 1956, 57434) и связанных с коэф. переноса. Окончательное выражение для коэф. переноса получено для моделей молекул в виде геометрически простых твердых тел, ограниченных выпуклыми поверхностями так, что центр масс модели совпадает с центром ее симметрии, в частности для цилиндра, основания которого закруглены в виде полусфер. Для последней модели сдвиговая и объемная вязкость и теплопроводность представлены функциями двух параметров, характеризующих форму молекул и распределение масс в них.

В. Анзигитов

3708. Квантовомеханические эффекты в газовой динамике. Лейтон (Quantum-mechanical effects in gas dynamics. Laitone E. V.), J. Chem. Phys., 1957, 26, № 6, 1560—1565 (англ.)

В результате обсуждения ряда работ, посвященных учету квантовомеханич. эффектов в газовой динамике (библ. 15 назв.), автор приходит к выводу, что интегралу столкновений, видоизмененному с целью получения более общего решения, чем это допускает обычное ур-ние Больцмана можно придать физ. смысл путем учета высказанных ранее соображений (РЖХим, 1956, 3319).

В. Анзигитов

3709. Явные формы уравнений для расчета путем последовательных приближений равновесных составов газов при высоких температурах. Системы водород — углерод — кислород и водород — углерод — кислород — азот без твердых углеродных образований. Уэйнберг (Explicit equations for the calculation, by successive approximations, of equilibrium gas compositions at high temperatures: the hydrogen + carbon + oxygen and hydrogen + carbon + oxygen + nitrogen systems without solid carbon formation. Weinberg F. J.), Proc. Roy. Soc., 1957, A241, № 1224, 132—140 (англ.)

В обзорном введении обсуждаются трудности расчета T -ры пламени в термодинамич. функций газов при высоких T -рах, когда существенны процессы диссоциации. Предлагается метод расчета, принцип которого заключается в следующем. Поведение системы в целом описывается системой n ур-ний с n неизвестными — парц. давлениями компонентов p_j . Придавая некоторые определенные значения небольшому числу m неизвестных, можно произвольно выбравшие $n - m$ ур-ний (ур-ния группы А) использовать для нахождения зависимости всех искоемых величин от принятых значений m неизвестных. Полученные p_j' отличаются от точных величин: $p_j = p_j' + \delta_j$. Погрешности δ_j вычисляются

на основе неиспользованных m ур-ний (ур-ния группы В); эти ур-ния записываются с заменой p_j на $p_j' + \delta_j$ и рассматриваются как новые неизвестные. Их подстановка в $n - m$ ур-ний группы А, разложение в ряд Маклорена ур-ний группы А с пренебрежением членами порядка δ_j^2 и выше позволяют рассчитать p_j с той степенью точности, с которой справедливо указанное пренебрежение. Найденные p_j могут быть использованы для следующего аналогичного расчета и т. д. При конкретных расчетах рекомендуется исходить из ур-ний равновесия (т. е. соотношений между степенями диссоциации и константами равновесия) и ур-ний сохранения в терминах фиктивных давлений (Stein M. R. von, Forsch. Ing. Wes. 1943, B14, 113). Для первой из рассмотренных систем учтены равновесия: $CO_2 \rightleftharpoons CO + 1/2 O_2$, $H_2O \rightleftharpoons H_2 + 1/2 O_2$, $H_2O \rightleftharpoons 1/2 H_2 + OH$, $1/2 H_2 \rightleftharpoons H$, $1/2 O_2 \rightleftharpoons O$ и для второй, кроме того, $1/2 N_2 + 1/2 O_2 \rightleftharpoons NO$. Результаты согласуются с литературными данными.

В. Анзигитов

3710. Влияние сильного магнитного поля на диэлектрическую проницаемость диамагнитной жидкости. Баккингем (The influence of a strong magnetic field on the dielectric constant of a diamagnetic fluid. Buckingham A. D.), Proc. Phys. Soc., 1957, B70, № 8, 753—760 (англ.)

Обычным образом рассматривается сферич. объем, помещенный в сильное однородное магнитное поле H . Расчет на основе статистич. механики приводит к следующей зависимости диэлектрич. проницаемости диамагнитной жидкости от T -ры: $\epsilon = \epsilon_0 + BH^2 + CH^4 + \dots$. Показано, что изменение ϵ незначительно для неполярных и сравнительно велико для полярных жидкостей и, вероятно, для p -ров крупных молекул. В полярных v -вах указанное изменение связано главным образом с анизотропией тензора магнитной восприимчивости и пропорционально квадрату электр. дипольного момента. Рассмотрена связь рассчитанного эффекта с двойным лучепреломлением.

В. Анзигитов

3711. Квадрупольный резонанс в жидкостях. Сейден (La résonance quadrupolaire dans les liquides. Seiden Joseph), J. phys. et radium, 1956, 17, № 10, 876—886 (франц.)

Разработана теория квадрупольного резонанса в жидкостях. Теория строится для случаев быстрых мол. движений, частота которых $1/\tau$ превышает частоту квадрупольного резонанса, $\tau\omega \ll 1$, и медленных молекулярных движений, $\tau\omega \gg 1$. В первом случае ($\tau < 10^{-7} - 10^{-9}$ сек.) строится гамилтониан, являющийся случайной стационарной функцией времени. Если вращение молекул в жидкости изотропно, то собственные значения усредненного гамилтониана квадрупольного взаимодействия равны нулю и квадрупольный резонанс отсутствует. Квадрупольный резонанс в вязких жидкостях может иметь место, лишь когда вращение не изотропно. Рассмотрен случай, когда вращение молекул возможно около одной фиксированной оси. Частоты квадрупольных переходов уменьшаются по сравнению со случаем фиксированных молекул в решетке, а линии перехода сильно уширяются. При медленных движениях (вязкие жидкости) расчет формы линии проведен с помощью функции корреляции, причем показана эквивалентность квантовой функции корреляции (РЖФиз, 1956, 16344) и классической (РЖХим, 1956, 46055). Расчет проведен в адиабатич. приближении. Показано, что линии квадрупольного резонанса имеют лоренцевую форму и ширину $1/\tau$. Подробно проанализирован случай изотропных вращений. Рассмотрен также случай быстрых вращений около оси, медленно смещающейся со временем.

Т. Бирштейн

3712. Упругое и неупругое рассеяние медленных ионов гелия. Креймер, Саймонс (Elastic and inelastic scattering of low-velocity He⁺ ions in helium. Cramer W. H., Simons J. H.), J. Chem. Phys., 1957, 26, № 5, 1272—1275 (англ.)

Разработана аппаратура для измерения сечения упругого рассеяния и перезарядки ионов при прохождении через газ. Проведены измерения для рассеяния He⁺ в He. Ионы образовывались путем ионизации атомов в струе газа электронным пучком. Далее ионы вытягивались электрич. полем и формировались ионный пучок с помощью магнитной и электростатич. фокусировки. Пучок поступал в камеру столкновений, заполненную исследуемым газом. Упруго рассеянные ионы и медленные ионы, полученные при перезарядке, детектировались сеткой с отрицательным потенциалом и коаксиальным с нею и с пучком цилиндрич. детектором. Сечение перезарядки и полное сечение рассеяния вычислялись по току на цилиндре, на сетке и на детекторе неотклоненного пучка. Сечение упругого рассеяния определялось как их разность. Приведены результаты для энергий ионов от 4 до 400 эв. Все сечения монотонно убывают. Сечения упругого рассеяния использовались для вычисления параметров потенциала взаимодействия методом, изложенным в предыдущей работе авторов (J. Chem. Phys., 1950, 18, 473). Для области энергий 4—12,5 эв $V = -34,5 \cdot r^{-6,98}$; для области 12,5—400 эв $V = -5,15 \cdot r^{-2,90}$. Л. Ванштейн

3713. Соотношение между временем релаксации и вязкостью воды. Грант (Relationship between relaxation time and viscosity for water. Grant E. H.), J. Chem. Phys., 1957, 26, № 6, 1575—1577 (англ.)

Показано, что соотношение Дебая между вязкостью и временем релаксации можно получить на основе представления о разрыве водородных связей (Haggis и др. J. Chem. Phys., 1952, 20, 1452). При этом $[T/n_2(1-p)](\eta/T)$ (p — процент разорванных водородных связей, n_2 — процент молекул, имеющих i -кратные связи). Величина $T/n_2(1-p)$ действительно оказывается почти постоянной (убывает от 0,295 при 0° до 0,260 при 100°). В. Анзигитов

3714. Диффузия в трехкомпонентных газовых смесях. Тур (Diffusion in three-component gas mixtures. Toor H. L.), A. I. Ch. E. Journal, 1957, 3, № 2, 198—207 (англ.)

Если систему n ур-ний Максвелла $(-P/RT)dy_A/dx = (N_Ay_B - N_By_A)/D_{AB} + (N_Ay_C - N_Cy_A)/D_{AC} + \dots$ решать для случая, равного нулю полного давления, то число независимых ур-ний равно $n-1$ и система неопределенна. В качестве дополнительных условий рассматриваются: 1) неподвижность одного компонента (напр., абсорбция, при которой один компонент не растворяется в жидкой фазе) и 2) эквивалентная диффузия при противотоке (напр., дистилляция многокомпонентной смеси, когда колонка адиабатически изолирована и теплоты испарения всех компонентов одинаковы). При диффузии в 3-компонентной смеси условие 2) эквивалентно требованию $N = N_A + N_B + N_C = 0$, при котором ур-ния Стефана — Максвелла, как показано, решаются известным методом (Sherwood T. K. Absorption and extraction, 1 ed., McGraw-Hill Book Company, Inc., New York, 1949). Обсуждаются существенные черты обоих типов диффузии; определены условия, при которых: 1) скорость диффузии одного компонента равна нулю, хотя градиент конц-ии отличен от нуля (диффузионный барьер), 2) скорость диффузии некоторого компонента отлична от нуля, хотя градиент конц-ии равен нулю (осмотическая диффузия), 3) некоторый компонент диффундирует против градиента конц-ии (обратная диффузия). Получены приближенные ур-ния для непосредственного расчета скорости диффузии.

В качестве примера рассматривается система $H_2O - H_2 - CO_2$. В. Анзигитов

3715. Новый метод измерения коэффициента диффузии газов. Уэстенберг, Уокер (New method of measuring diffusion coefficients of gases. Westenberg A. A., Walker R. E.), J. Chem. Phys., 1957, 26, № 6, 1753—1754 (англ.)

Если небольшое кол-во газа 1 вводится стационарно через точечный источник в ламинарный поток газа 2, имеющего во всех точках постоянную скорость U , то мол. доля газа 2 в произвольной точке определяется ф-лой: $f = (Q/4\pi D N r) \exp[(x-r)U/2D]$, где Q — скорость впуска газа 1, D (постоянная) — коэф. диффузии, N (постоянная) — полная мол. плотность, r — расстояние от источника, x — проекция r на ось потока. Предлагаются следующие методы определения D : а) при измерении f по любой прямой, перпендикулярной r (т. е. при исследовании конц-ии в различных образцах газа, взятых на этой прямой), $\ln(fr)$ должен быть линейной функцией $(x-r)$ с наклоном $(U/2D)$; если U известно, D можно вычислить, б) при $x=r$ максимум конц-ии может быть использован для оценки D , если Q известно (N можно рассчитать по законам идеальных газов). Для смесей $CO_2 = N_2$, $Ar = N_2$ и $He = N_2$ измеренные методом а) D с точностью 2% воспроизводят литературные данные. Метод б) не дал удовлетворительных результатов, так как конц-ии диффундирующего газа были слишком малыми. Аналогичная методика применялась при исследовании турбулентной диффузии (Towle и др. Prog. Fifth Intern. Congr. Appl. Mech., 1938, 396; РЖХим, 1955, 34088). В. Анзигитов

3716. О приближенном вычислении критических давлений жидкостей. Мориц (On the approximate calculation of critical pressures of liquids. Moritz P.), Acta chim. Acad. sci. hung., 1957, 11, № 3-4, 271—276 (англ.; рез. русск., нем.)

Показано, что крит. давление может быть удовлетворительно вычислено на основании того, что его логарифм аддитивно складывается из инкрементов атомов, групп и связей. Если давление измерять в атмосферах, то инкременты равны: $CH_3 = -0,8236$; $-CH_2 = -0,0416$; $CH = -0,9057$; $C \equiv -1,7395$; C_6H_5 (фенил) 0,7978; OH (в спиртах) 0,9923; $-O-$ (в эфирах) 0,2040—0,0409 n ; $COOH$ 0,9508; $-COO-$ (в эфирах) 0,1388—0,0368 n ; NH_2 (в алифатич. соединениях) 1,0924—0,0568 n ; NH (в алифатич. соединениях) 0,1167—0,0258 n ; $N \equiv$ (в алифатич. соединениях) —0,8634, где n — число атомов C в молекуле. Библ. 24 назв. См. также РЖХим, 1957, 14567. В. Цукерман

3717. Сжатие кислорода при очень высоких давлениях ударными волнами, образуемыми в жидкостях. Дануаньи, Киффер, Водар (Compression de l'oxygène aux très hautes pressions par ondes de choc engendrées dans le liquide. Dapigny J., Kieffer J., Vodar B.), J. phys. et radium, 1956, 17, № 7, 606—607 (франц.)

3718. Процессы перехода и другие явления при вязком течении. Линдгрен (The transition process and other phenomena in viscous flow. Lindgren E. Rune), Arkiv fys., 1957, 12, № 1, 169 pp., ill. (англ.)

3719. Измерение плотности жидкого рубидия. Коэн (Measurement of the density of liquid rubidium. Cohen Stanley), Nucl. Sci. and Engng, 1957, 2, № 4, 530—531 (англ.)

Экспериментально установлена справедливость следующего соотношения между плотностью в г/см³ жидкого Rb и t -рой в °C: $\rho = 1,52 - 0,00054 (t - 39)$, выполняющегося в интервале 39—400°.

3720. Течение гелиевой пленки при температурах ниже 1° К. Хеберт, Чопра, Браун (Helium film flow below 1° K. Hebert G. R., Chopra K. L.,

Brown J. B.), Phys. Rev., 1957, 106, № 3, 391—393 (англ.)

Для исследования скорости R перетекания He-пленки при t -рах ниже 1°K использован капсульный метод. Капсула — трубка из стекла пирекс с внешним диам. 8 мм — заполнялась газообразным He под давл. ~ 50 атм и запаивалась (кратко описана методика заполнения). При охлаждении капсулы до гелиевых t -р He в ней сжижался; при этом получалось кол-во жидкого He, достаточное для проведения экспериментов. Для измерения R служил расположенный по оси капсулы стеклянный капилляр. Часть капсулы была занята парамагн. солью ($1/2$ г марганцово-аммониевого сульфата), служившей для получения t -р ниже 1°K и для их измерения. Капсула подвешивалась на нитях в He-криостате и перед началом каждого из измерений переворачивалась при помощи вспомогательной нити (при этом опорожнялся капилляр). Измерения t -ры производились до и после каждого заполнения капилляра. Время отогрева в хороших случаях составляло $\sim 1/2$ часа. Установлено, что с уменьшением t -ры R проходит минимум (в районе 1°K , при этом $R = R_{\text{мин}} \approx 7 \cdot 10^{-5} \text{ см}^3/\text{см сек}$), а затем монотонно возрастает вплоть до $0,3^\circ\text{K}$. При этой наименьшей t -ре значение R на $\sim 25\%$ выше $R_{\text{мин}}$. Наблюдаются признаки замедления температурного хода R при еще более низких t -рах. Полученные авторами данные качественно согласуются с измерениями R при t -рах ниже 1°K , выполненными другими авторами, однако, колич. расхождения между различными работами весьма значительны. Р. Ченцов

3721. Адиабатические осцилляции в жидком гелии II. Манчестер, Браун (Adiabatic oscillations in liquid helium II. Manchester F. D., Brown J. B.), Canad. J. Phys., 1957, 35, № 4, 483—497 (англ.)
Продолжено исследование адиабатич. осцилляций (РЖХим, 1956, 18700), в отличие от этой работы, основные измерения были проведены с использованием в качестве «сверхтечи», соединяющей теплоизолированный сосуд А с внешней гелиевой ванной, трубки с плотно заполняющими ее проволоками. Осцилляции инициировались разрядом конденсатора через нагреватель, находившийся в А. В пяти сериях измерений определена температурная зависимость частоты колебаний ω . Найдено, что с повышением t -ры от $\sim 1,4$ до $\sim 2^\circ\text{K}$ ω возрастает от $\sim 2 1/2$ до 4 радиан/сек. Есть признаки того, что около 2°K ω переходит через максимум, однако измерения вблизи λ -точки мало надежны ввиду малой амплитуды и большого затухания осцилляций. Общий характер зависимости $\omega(T)$ соответствует теоретич. расчету (Robinson J. E., Phys. Rev., 1951, 82, 440). В соответствии с работой Робинсона наблюдался также аperiodич. возврат уровня к начальному значению после затухания осцилляций. Скорость возврата при разных t -рах соответствует зависимости эффективной теплопроводности от t -ры по закону T^6 . Однако скорости течения оказались заметно меньшими ($\sim 1 \text{ см/сек}$), чем крит. скорости, обычно наблюдаемые для щелей, меньших 1μ . Отмечается аналогия между адиабатич. осцилляциями He II и акустич. колебаниями в резонаторе Гельмгольца. Р. Ченцов

3722. О существовании критических скоростей в жидком гелии II. Винкел, Делсинг, Поля (On the existence of critical velocities in liquid helium II. Winkel P., Delsing A. M. G., Poll J. D.), Commun. Kamerlingh Onnes Lab. Univ. Leiden, № 299B, 1—14 (англ.)
См. РЖХим, 1956, 15493.

3723. О тепловых импульсах в жидком гелии между $0,1$ и $1,0^\circ\text{K}$. Крамерс, Пески-Тинберген, Вибекс, Бург, Гортер (On heat pulses in liquid he-

lium between $0,1$ and $1,0^\circ\text{K}$. Kramers H. C., Peski-Tinbergen Tineke van, Wiebes J., Burg F. A. W. vanden, Gorter C. J.), Commun. Kamerlingh Onnes Lab. Univ. Leiden, № 296B, 1—19 (англ.)
См. РЖХим, 1956, 35240.

3724. О распространении тепла в жидком гелии II. Винкел, Грунау, Гортер (On the heat conduction in liquid helium II. Winkel P., Groenou A., Broese van, Gorter C. J.), Commun. Kamerlingh Onnes Lab. Univ. Leiden, № 299 C, 1—10 (англ.)
См. РЖХим, 1956, 15494.

3725. Некоторые опыты по внутреннему трению в жидком гелии II. Винкел, Делсинг, Гортер (Further experiments on mutual friction in liquid helium II. Winkel P., Delsing A. M. G., Gorter C. J.), Commun. Kamerlingh Onnes Lab. Univ. Leiden, № 299A, 1—10 (англ.)
См. РЖХим, 1956, 15491.

3726. Удельная теплоемкость чистого He⁴ и смеси He⁴ с 2,50% He³ между 1 и 23°K . Докоупил, Суэст, Вансинк, Кападнис (Specific heats of pure ⁴He and of a mixture of ⁴He with 2.50% of ³He between 1°K and 23°K . Dokoupil Z., Soest G. van, Wansink D. H. N., Kapadnis D. G.), Commun. Kamerlingh Onnes Lab. Univ. Leiden, № 298A, 1—8 (англ.)
См. РЖХим, 1956, 9308.

3727. Прочность и усталость стекла при очень низких температурах. Кропшот, Майкселл (Strength and fatigue of glass at very low temperatures. Kropschot R. H., Mikesell R. P.), J. Appl. Phys., 1957, 28, № 5, 610—614 (англ.)

Изучалась прочность и усталость боросиликатного оптич. стекла BSC-2 (корнинг № 8370) при 20 — 296°K . Полированные стержни стекла размером $6,35 \times 12,7 \times 152,4 \text{ мм}$ помещались на два упора — ножа с расстоянием между ними 127 мм . Нагрузка прилагалась в двух точках, расположенных на расстоянии $\sim 20 \text{ мм}$ от середины образца. Образцы вместе с устройством, передающим нагрузку при низкотемпературных измерениях, помещались в сосуд Дьюара. Шлифовка стержней струей песка уменьшала прочность, но снижала одновременно разброс получаемых данных. При каждых определенных условиях опыта испытывалось не менее 10 шлифованных и 30 нешлифованных образцов. Шлифованные песком образцы испытывались при 20 , 76 , 194 и 296°K и при скоростях увеличения нагрузки 56 , $0,7$ и $0,07 \text{ кг/см}^2 \text{ сек}$, нешлифованные образцы — при 76 и 296°K и скорости увеличения нагрузки $56 \text{ кг/см}^2 \text{ сек}$. Шлифовка стекла уменьшает прочность при всех t -рах. Понижение t -ры повышает прочность шлифованных и нешлифованных образцов. При 194 и 296°K разрушающие усилия тем больше, чем больше скорость увеличения нагрузки, при t -рах 20 и 76°K они не зависят от указанной скорости. Контакт с жидким азотом или водородом не сказывается неблагоприятно на прочности стекла. Усталость стекла, т. е. уменьшение разрушающей нагрузки с увеличением длительности ее приложения, наблюдается при 194 и 296°K ; при 76°K она почти не проявляется. Модуль упругости стекла изменяется в исследованном интервале на $<2\%$. Ю. Шмидт

3728. Некоторые вопросы жидкого состояния. Абазаде А. К. Тр. 1-й научн. сессии Совета по координации АН АзербССР. Баку, АН АзербССР, 1957, 31—38

Обзор работ группы, руководимой автором.

В. Анзигитов

3729. Энергия активации вязкости металлических расплавов. Грбек (Die Aktivierungsenergie der Zähigkeit metallischer Schmelzen. Hrbek Anton),

Z. Metallkunde, 1957, 48, № 3, 134—137 (нем.; рез. англ.)

При предположении, что ход изменения вязкости с t -рой для всех металлов одинаков и что энергия активации вязкости Q и t -ра плавления $T_{пл}$ металлов слабо зависят от давления, показано, что $\omega = Q/RT_{пл} = \text{const}$. Экспериментально определенные значения ω для Al, K, Fe, Zn, Ag, Sn, Pb, Au, Hg, Sb, Bi находятся в пределах 2,56—3,40 и среднее значение составляет 3. Для идеальной жидкости энергия $E = 3RT_{пл}$, причем величина $3R$ имеет смысл теплоемкости C_p и, следовательно, $Q = C_p T_{пл}$ (1). Температурный ход Q соответствует температурному ходу C_p . Кроме того, величины C_p , вычисленные из значений η , хорошо совпадают с известными величинами C_p . Если ур-ние (1) справедливо для каждого из компонентов бинарного сплава, то оно должно быть справедливо и для сплава, если он является идеальным р-ром. По литературным данным температурных зависимостей η рассчитана энергия активации для ряда бинарных систем. Идеальная система Ag—Au хорошо подчиняется линейной зависимости. В системах Cu—Sn, Mg—Pb, Cu—Sb, Bi—Sn, Bi—Pb, Ag—Cu и Au—Cu наблюдаются пики в области составов, отвечающих хим. соединениям типа A_mB_n . Л. Б.

См. также: Межмол. взаимодействие 3593, 3597. Строение и физ. характеристики 3744, 3749—3751.

РАДИОХИМИЯ. ИЗОТОПЫ

Редакторы В. И. Левин, В. В. Лосев, Г. А. Соколик

3730. Масса изотопа He^3 . Демирханов Р. А., Гуткин Т. И., Дорохов В. В., Атомн. энергия, 1957, 2, № 5, 469—470

По ранее описанной методике (РЖХим, 1957, 7399) производилось масс-спектрографич. определение массы He^3 в смеси, содержащей 99,5%, He^3 , по дублетам $\text{H}^3 - \text{He}^3$ и $\text{HD} - \text{He}^3$. Полученная величина $3,016970 \pm \pm 0,000002$ хорошо согласуется с новейшими данными, полученными из ядерных р-ций. В. Любимов

3731. Распределение изотопов свинца и радия между раствором и кристаллами неизоморфных солей. Меркулова М. С., Потапова С. А., Шевелкина Т. С., Частухина В. И., Ж. физ. химии, 1957, 31, № 5, 1056—1062 (рез. англ.)

Исследовано распределение $\text{Pb}(\text{ThB})$ и Ra между р-ром и твердой фазой в системах $\text{K}_2\text{SO}_4 - \text{PbSO}_4 - \text{H}_2\text{O}$, $\text{K}_2\text{SO}_4 - \text{RaSO}_4 - \text{H}_2\text{O}$ и $\text{K}_2\text{CrO}_4 - \text{PbCrO}_4 - \text{H}_2\text{O}$ при 25 и 100°. Равновесие распределения устанавливалось в течение 10 мин. Коэф. кристаллизации D не зависит от кол-ва выделенного в осадок макрокомпонента. В кислой среде D несколько ниже, чем в нейтральной. D сильно зависит от t -ры. При введении ионов Bi^{3+} в сульфатную и ионов Al^{3+} в хроматную системы D резко падает с увеличением кол-ва добавки. По мнению авторов, такое влияние многовалентных ионов указывает на образование внутренних адсорбционных систем. С увеличением конц-ии Pb или Ba (вместо Ra) величина D уменьшается. Авторы объясняют это заполнением активных адсорбционных центров. В. Левин

3732. К вопросу о диспропорционировании изотопов элементов воды при некоторых превращениях нормальной воды. Кноп, Кристан (Beitrag zur Kenntnis der Wasserisotopenindisproportionierung nach einigen Wandlungsprozessen normalen Wassers. Knop L., Kristan J.), Repts. «J. Stefan» Inst., 1956, 3, 141—148 (нем.)

Описана методика стандартизации изотопного состава воды по кислороду путем обмена кислородом с SO_2 для уточнения определения Н и D посредством измерения плотности. SO_2 из баллона через осушитель с CaCl_2 и P_2O_5 со скоростью 5 мл/сек барботировал в 50 мл исследуемой воды при 15—17°. Вода, уносимая с SO_2 , вымораживалась в ловушке при -20° . При отношении $\text{SO}_2/\text{H}_2\text{O}$ (4 моля на 1 моль) достигалось равновесие. По окончании обмена к основной пробе воды добавляли кол-ва, задерживаемые в ловушках, и вытесняли из пробы SO_2 продувкой N_2 . Измеряя плотность поплавковым методом до и после обмена, находят изотопный состав воды по кислороду и водороду. Приведены результаты ряда анализов вод различного происхождения. Г. Газиев

3733. Электролитическое разделение изотопов металлов. Андрус, Черешня, Рорман, Атлаут (Electrolytic separation of metallic isotopes. Andrews James H., Ceresna Ivan, Rohrmann F. A., Utlaut William F.), Chem. Engng Progr. Sympos. Series, 1956, 52, № 19, 49—52 (англ.)

Изучена возможность разделения изотопов нескольких металлов электролитич. способом. Электроосаждение Ni производилось из хлористого р-ра, Cd и Ag — из цианистых, U — из щавелевокислого. Электролитич. осадки Ni, Cd и Ag после электролиза исследовались радиохим. методом, а осадки U — на масс-спектрометре. Показано, что при электроосаждении Ni происходит обогащение электролитич. осадка изотопом Ni^{64} , который ведет себя как более благородный металл по сравнению с обычным Ni. Разделение изотопов в случае Cd (Cd^{115}), Ag (Ag^{110}) и U электрохим. способом оказалось невозможным. З. Соловьева

3734. Получение Mg^{28} без носителя из Al. Хьюдье (Production of carrier-free Mg^{28} from aluminium. Hudis J.), J. Inorg. and Nucl. Chem., 1957, 4, № 5-6, 237—238 (англ.)

Mg^{28} получали по р-ции $\text{Al}(\alpha, 3p)$. Практич. порог р-ции ~ 35 Мэв. Сечение при $E_\alpha = 41$ Мэв равно $\sim 0,2$ мбарн. Хим. отделение Mg^{28} от Al производилось растворением мишени в конц. р-ре NaOH и фильтрованием р-ра через плотный стеклянный фильтр. После промывки щелочью и водой Mg^{28} смывали с фильтра разб. HCl или HNO_3 (Garrison W. M., Hamilton J. G., Chem. Rev., 1951, 49, 237). В. Левин

3735. Получение Re^{188} без носителя методом, основанным на нарушении химических связей при β -распаде. Нефедов В. Д., Торопова М. А., Ж. неорганич. химии, 1957, 2, № 7, 1667—1671

Разработан быстрый метод выделения Re^{188} без носителя используя $\text{W}(\text{CO})_6$ (I). Re^{188} возникает при β -распаде W^{188} , образующегося при последовательном захвате двух нейтронов ядром W^{186} . Из WO_3 (облученной медленными нейтронами) получали WCl_6 и затем I, который очищали от неорганич. форм Re перегонкой с водяным паром и возгонкой в вакууме. 500 мг I растворяли в 10 мл хлороформа и выдерживали р-р для накопления Re^{188} . Экстрагировали 10 мл дистилл. воды, водн. слой дважды промывали эфиром. Re^{188} извлекается количественно и радиохимически чист. Не обнаружено образования Re^{188m} при распаде W^{188} . Когда накопление Re^{188} проводили в кристаллич. I, $\sim 60\%$ Re^{188} оказалось в неизвлекаемой форме. По мнению авторов, в этих условиях происходит синтез $\text{Re}(\text{CO})_5$. И. Звара

3736. Простой способ приготовления проб Ba^{140} центрифугированием. Паолетти, Паолетти (Eine einfache Methode zur Gewinnung von Ba^{140} -Proben durch Zentrifugieren. Paolletti P., Paolletti R.), Atompraxis, 1957, 3, № 6, 222 (нем.)

Усовершенствован ранее описанный (Hutchens T. T. и др., Nucleonics, 1950, 7/3, 41) метод приготовления

проб BaCl^4O_2 . Р-р КОН, содержащий активную CO_2 , помещают в спец. разборную трубку для центрифугирования, добавляют р-р BaCl_2 и носитель Na_2CO_3 . Центрифугированием в течение 10 мин. при 2000 об/мин BaCO_3 осаждают на смонтированную в качестве дна трубки счетную тарелочку. После 2—3-кратной промывки водой и затем CH_3OH вновь центрифугируют, сушат и измеряют активность.

В. Левин
3737. Определение Sr^{90} в воде, содержащей Са. Коэн, Пардо, Вормсер (Détermination du ^{90}Sr dans des eaux chargées en calcium. Cohen P., Parado G., Wormser G.), Energie nucl., 1957, 1, № 2, 89—90 (франц.)

Для определения Sr^{90} в воде, содержащей Са в высокой конц-ии, применен метод Страуба (РЖХим, 1956, 6340). Введенный Sr -носитель осаждают вместе с Са в виде карбонатов, переводят в нитраты дымящей HNO_3 , экстрагируют Са безводн. ацетоном, Sr переосаждают дымящей HNO_3 , очищают осаждением гидроокиси Fe, переводят в хромат и, наконец, в оксалат, взвешивают и определяют активность.

В. Левин
3738. Анализ соединений, содержащих H^3 и C^{14} . Окита, Кабара, Ричардсон, Ле-Рой (Assaying compounds containing H^3 and C^{14} . Okita George T., Kabara Jon J., Richardson Florence, LeRoy George V.), Nucleonics, 1957, 15, № 6, 111—114 (англ.)

Описан метод одновременного определения H^3 и C^{14} в пробах дважды меченных соединений. Импульсы от счетчика с жидким сцинтиллятором анализируются по амплитудам при помощи 2-канального анализатора. Подбирают оптимальные величины напряжения фотомножителя и потенциала дискриминации. Описано 3 способа измерений, лучший из которых дает стандартную ошибку 3,7% для H^3 и 4,6% для C^{14} . Наиболее точные результаты получены при отношении активностей H^3 и C^{14} в пределах 1—15.

В. Левин

7339 Д. Пути увеличения точности раздельного определения радиоактивных элементов при их совместном нахождении при лабораторных радиометрических измерениях. Назаров И. М. Автореф. дисс. канд. техн. н., Моск. геол.-развед. ин-т, М., 1957

См. также: Радиоактивн. св-ва 3477, 3478, 3480. Введение в молекулу 4706, 4719, 5657. Изотопные эффекты 3538, 3553, 4006, 4483. Изотопный обмен 3894, 4018, 4407, 4469. Измерение активности 4426, 4477, 4459. Применения в исслед.: кинетики и механизмы р-ций 3878, 3897, 3898, 3900, 3911, 3917, 4020, 4471, 4476, 4479, 4488, 4499, 6539; строения хим. соединений 3503, 3578, в биохимии: C^{14} 1467Бх, 1536Бх, 1560Бх, 2123Бх, 2130—2132Бх, 2136Бх, 2138Бх, 2143Бх, 2147Бх, 2176Бх, 2180Бх, 2208Бх, 2215Бх, 2216Бх, 2257Бх; N^{15} 1559Бх, 2119Бх; Na^{24} 1741Бх; P^{32} 1735Бх, 1739Бх, 2051Бх, 2149Бх; 2159Бх, 2160Бх, 2281Бх; Cu^{64} 2153Бх; Rb^{83} 1712Бх; J^{131} 1439Бх, 1698—1700Бх, 1755Бх, 1780Бх, 2188Бх; W^{185} 1419; общие вопросы 1466Бх; в пром-сти 4019, 5190, 5820, 6552; в аналитич. химии 4258. Хим. технол. вопросы ядерной техники 4841, 5193, 5201, 5209. Изотопы в геохимии 4125, 4130, 4137, 4163, 4231, 4232, 4241, 4256. Защита от излучений 5167, 5168

ТЕРМОДИНАМИКА. ТЕРМОХИМИЯ. РАВНОВЕСИЯ. ФИЗИКО-ХИМИЧЕСКИЙ АНАЛИЗ. ФАЗОВЫЕ ПЕРЕХОДЫ

Редактор В. А. Соколов

3740. Замечания к основной гипотезе теории необратимых процессов К. Попова. Пенлу (Remarques sur l'hypothèse fondamentale de la théorie des proces-

sus irréversibles de K. Popoff. Péneloux André), С. г. Acad. sci. 1957, 244, № 21, 2589—2591 (франц.) Обсуждается гипотеза К. Попова (РЖХим, 1957, 3835), согласно которой в термодинамике необратимых процессов можно ввести связь между обобщенными силами и ускорениями (т. е. производными по времени от потоков), аналогичную 2-му закону Ньютона. На примере маятника с трением показана несправедливость этой гипотезы.

И. Фишер

3741. Теория явлений переноса в полностью ионизированном газе на основе статистической механики. Бриттин (Statistical mechanical theory of transport phenomena in a fully ionized gas. Brittin Wesley E.), Phys. Rev., 1957, 106, № 5, 843—847 (англ.)

Статистическая механика неравновесных процессов, развитая Кирквудом. Ирвингом и Цвангигом, применена к системе заряженных частиц, взаимодействующих через электромагнитное поле. Частицы и поле рассматриваются с точки зрения как классической, так и квантовой статистик. Показано, что макроскопич. ур-ния Максвелла справедливы для усредненных полей квантово-статистич. ансамблей. Выведены точные формы гидромагнитных ур-ний, которые отличаются от общепринятых.

Резюме автора

3742. Второе начало термодинамики и образование структур в природе. Ха-зе (Der Zweite Hauptsatz der Thermodynamik und die Strukturbildung in der Natur. Haase Rolf), Naturwissenschaften, 1957, 44, № 15, 409—415 (нем.)

Иногда считают, что процесс образования кристаллов и процесс развития организма протекают в направлении, противоположном тому, которое следовало бы ожидать, исходя из второго начала термодинамики, ибо кристалл представляет собой более упорядоченную структуру, чем жидкость, и организм — как отдельно взятый в процессе развития, так и совокупность организмов некоторого вида — развивается в направлении усложнения. Если учесть, что второе начало термодинамики применимо только к изолированным системам, то противоречия, как показано, не возникает: кристаллизующаяся жидкость вместе с термостатом, которому она отдает тепло, действительно переходит из менее вероятного состояния в более вероятное. Организм представляет собой стационарную (если отвлечься от колебаний типа: сон — бодрствование, работа — отдых и т. п.) неравновесную систему, поэтому следует учитывать не только увеличение энтропии из-за распада в в организме, но и потоки энтропии, возникающие в результате взаимодействия организма со средой. Как показывает анализ на основе феноменолог. термодинамики необратимых процессов, для необратимых процессов в произвольной системе характеристич. величиной является не энтропия или какая-либо другая функция состояния (напр. свободная энергия), а возникновение энтропии, которое всегда, за исключением равновесных состояний, положительно; это общее положение применимо и в биологии и согласуется с наблюдаемыми явлениями. Обсуждается вопрос о «тепловой смерти».

А. Алмазов

3743. Выражение химического потенциала через интенсивные величины. Тьюнелл (Evaluation of the chemical potential in terms of intensive quantities. Tunell George), Amer. J. Sci., 1957, 255, № 4, 261—265 (англ.)

Показано, что хим. потенциал μ_k следующим образом выражается через интенсивные величины: $\mu_k = E - TS + pV - m_1(\partial E / \partial m_1)_S, V, m_2, \dots, m_{n-1} - \dots + (1 - m_k) \times (\partial E / \partial m_k)_S, V, m_1, \dots, m_{k-1}, m_{k+1}, \dots, m_{n-1} - m_{n-1}(\partial E / \partial m_{n-1})_S, V, m_1, \dots, m_{n-2}$, где E — уд. энергия, T — абс.

т-ра, S — уд. энтропия, p — давление, V — уд. объем, m_k — доля массы компонента k . А. Алмазов

3744. Первое начало термодинамики для непрерывной среды при движении. Гроссман (The first law of thermodynamics for a continuous medium in mass motion. Grossman Lawrence M.), Amer. J. Phys., 1957, 25, № 4, 257—261 (англ.)

Из первого начала термодинамики в обычной дифференциальной форме выведена интегральная форма закона сохранения энергии для непрерывной среды, в которой происходит перемещение в-ва. Рассмотрены различные частные случаи. А. Алмазов

3745. На пути к достижению температур порядка 10^{-6} абсолютной шкалы. Курти (Towards the microdebye absolute temperature range. Kurti N.), Sci. Progr., 1957, 45, № 179, 401—417 (англ.)

Обзор. Библ. 18 назв. А. Алмазов
3746. Теплоемкость сверхпроводящих Al, Sn и V ниже 1°K . Гудман (La chaleur spécifique des supraconducteurs Al, Sn et V au-dessous de 1°K . Goodman Bruce Bailey), C. r. Acad. sci., 1957, 244, № 24, 2899—2902 (франц.)

При помощи калориметра, основанного на адиабатич. размагничивании (Goodman B. B. Comptes rendus de la conférence de physique des basses températures. Paris, 1955, p. 506), измерена теплоемкость в сверхпроводящем состоянии Al при $0,2$ — $1,3^\circ\text{K}$, Sn при $0,4$ — 2°K ; для V получены предварительные результаты при $0,4$ — $0,6^\circ\text{K}$; ниже $0,4^\circ\text{K}$ теплоемкость Sn и V слишком мала для измерения. Зависимость теплоемкости от т-ры может быть приближенно выражена экспоненциальным ур-нием. Зависимость C_p/T^3 от T , где C_p — общая теплоемкость, проходит для Al и Sn через максимум. При нанесении на график электронной теплоемкости в приведенных координатах кривые для различных металлов не совпадают, т. е. закон соответственных состояний неприменим. Б. Анвар

3747. Термодинамические свойства некоторых метилбензолов от 0° до 1000°K . Хастингс, Николсон (Thermodynamic properties of selected methylbenzenes from 0 to 1000°K . Hastings S. H., Nicholson D. E.), J. Phys. Chem., 1957, 61, № 6, 730—735 (англ.)

Получены ИК-спектры 1,2-диметилбензола (I), 1,2,3- (II) и 1,2,4-триметилбензолов (III), 1,2,3,4- (IV), 1,2,3,5- (V) и 1,2,4,5-тетраметилбензолов (VI), пентаметилбензола (VII) и гексаметилбензола (VIII). Чистота в-в 99,93; 99,98; 99,67; 99,92; 99,92; 99,86; 95,8 и 95 мол. % соответственно. Рассчитаны моменты инерции. Барьеры внутреннего вращения групп CH_3 вычислены с использованием эксперим. значений энтропии и составляют в I 1800, а в II и III 1400 и 3200 кал/моль для крайнего и центрального положений соответственно. Предположено, что в VIII вращение каждой группы CH_3 заторможено более, чем на 3200 кал/моль. Вычислены и табулированы (H° — H_0°)/ T , (F° — H_0°)/ T , S° , C_p° , ΔH° (обр.) и ΔF° (обр.) для I—VIII в состоянии идеального газа в интервале 0° — 1000°K . В. Колесов

3748. Термодинамические функции некоторых галогенированных ацетонитрилов. Джанз, Уэйт (Thermodynamic functions for some halogenated methyl cyanides. Janz George J., Wait Samuel C., Jr.), J. Chem. Phys., 1957, 26, № 6, 1766—1768 (англ.)

На основании спектроскопич. данных вычислены для CF_3CN , CF_2ClCN , CFCl_2CN и CCl_3CN в интервале 298 — 1500°K значения ($H - H_0^\circ$)/ T , ($F^\circ - H_0^\circ$)/ T , C_p° и S° .

А. Золотаревский
3749. Влияние многократной термической ионизации на теплоемкость газов. Гаек Ю. В., Тиман Б. Л.,

Ж. эксперим. и теор. физики, 1956, 31, № 4, 706—707
В общем виде вычислена поправка (C_p°) к теплоемкости газа, обусловленная многократной термич. ионизацией. Теплоемкости сильно зависят от т-ры при десятках и сотнях тысяч градусов. См. также РЖХИ, 1955, 54609.

Ю. Любимов
3750. Измерение теплоемкостей газов. Хюц-Обер (Contribution à la mesure des chaleurs spécifiques des gaz. Huetz-Aubert, m-me), J. phys. et radium, 1956, 17, № 10, 849—858 (франц.)

Изэнтропическая сжимаемость газа находится из частоты колебаний столба ртути в U-образной трубке, к коленам которой присоединены шарообразные резервуары, содержащие исследуемый газ. Колебания возбуждаются либо путем качания всей установки, либо с помощью импульсов, подаваемых в соединительное колено U-образной трубки. Изотермич. сжимаемость вычисляется по ур-нию состояния Бертолле или Ронара. Полученные значения $\gamma = C_p/C_v$ для $p \rightarrow 0$ для ряда газов сравнены с результатами измерений других авторов и со значениями, вычисленными из спектроскопич. данных. А. Ликтер

3751. О сжимаемости и теплоемкости метилового, этилового и пропилового спиртов. Ширкевич М. Г., Уч. зап. Моск. обл. пед. ин-т, 1956, 43, 119—127

По данным о зависимости объема от давления при постоянной т-ре рассчитаны изотермич. сжимаемости (ИС) метилового, этилового и пропилового спиртов, воды и этилового эфира. Расчетные данные для этилового эфира согласуются с литературными. Показано, что ИС насыщ. паров CH_3OH и $\text{C}_2\text{H}_5\text{OH}$, а также ИС перегретых паров всех указанных выше спиртов подчиняются закону соответственных состояний. По рассчитанным значениям ИС и заимствованным из литературы данным об адиабатич. сжимаемости рассчитано отношение C_p/C_v насыщ. и перегретых паров всех указанных спиртов, а также C_p и C_v перегретых паров CH_3OH и $\text{C}_2\text{H}_5\text{OH}$. В. Котан

3752. К вопросу об определении показателя адиабаты легкокипящих углеводородов при различных давлениях и температурах на основании измерения скоростей ультразвука. Террес, Ян, Рейсман (Zur Kenntnis der Bestimmung von adiabatischen Exponenten leicht siedender Kohlenwasserstoffe bei verschiedenen Drucken und Temperaturen durch Messung der Ultraschallgeschwindigkeiten. Terres Ernst, Jahn Willy, Reissmann Helmut), Brennstoff-Chemie, 1957, 38, № 9-10, 129—141 (нем.)
Описан интерферометр для прецизионного измерения скоростей с ультразвука (частота ~ 500 кгц). Измерены величины c в метане, этане, пропане, этилене и пропилене при 20 — 175° и давлениях до 120 кг/см² (через 10 кг/см²) с ошибкой $0,2$ — $0,5\%$. Рассмотрено возможное влияние дисперсии звука на точность вычисления из акустич. данных отношения теплоемкости при постоянном давлении C_p к теплоемкости при постоянном объеме C_v . На основании найденных значений c и литературных данных об изотермич. сжимаемости указанных выше углеводородов, а также для бутана и этилена вычислены и табулированы (ошибка ~ 1 — 2%) значения C_p/C_v . Особое внимание уделено зависимости между т-рой и давлением, при которых скорость звука в углеводородах имеет миним. величину. Обсуждены акустич. свойства в-ва вблизи крит. точки. Сопоставлен с опытом вывод теории соответственных состояний, согласно которому отклонение наблюдаемых величин C_p/C_v от идеальных в одинаковых приведенных состояниях тем больше, чем

меньше мол. вес углеводорода. Приведены значения постоянных A , B и C в приближенном уравнении $C_p/C_v = A + Bp + Cp^2$ (p — давление) для интервала t от 20—175° для всех исследованных углеводородов. Библ. 53 назв. Б. Кудрявцев

3753. О термохимическом разложении сульфата цинка. Печковский В. В., Ж. неорганической химии, 1957, 2, № 7, 1467—1470

Исследованы скорость термического разложения $ZnSO_4$ и состав твердых и газообразных продуктов обжига в зависимости от t -ры, продолжительности опыта и конц-ии O_2 в газе, пропускаемом над нагреваемым сульфатом. Разложение $ZnSO_4$ в токе воздуха протекает с заметной скоростью уже при 750° с образованием ZnO , SO_3 , SO_2 и O_2 . С увеличением t -ры и продолжительности опыта и уменьшением конц-ии O_2 доля SO_3 в обжиговом газе падает (особенно при 850—900°), однако во всех случаях остается выше рассчитанной по равновесной p -ции $SO_3 \rightleftharpoons SO_2 + \frac{1}{2}O_2$.

А. Золотаревский

3754. Термохимическое исследование взаимодействия двуокиси хлора с перекисью водорода. Флис И. Е., Салин К. Ю., Мищенко К. П., Ж. неорганической химии, 1957, 2, № 7, 1471—1473

Измерен при 10—35° тепловой эффект взаимодействия ClO_2 с H_2O_2 с образованием хлоритов. В цел. среде H_2O_2 диссоциирует с образованием иона пергидроксила HO_2^- и p -ция протекает по механизму $2ClO_2(p-p) + H_2O^- + OH^- = 2ClO_2^- + H_2O(жидк.) + O_2(газ)$. На основании эксперим. данных получено $lgK = -98840/T - 1669 lgT + 1,27 T + 4099,8$. Вычислены изменения энтальпии, изобарного потенциала и энтропии p -ции при указанных t -рах. При 298° $\Delta H = -21,3$ ккал/моль, $\Delta Z^\circ = -23,4$ ккал/моль, $\Delta S = -6,78$ энтр. ед. А. Золотаревский

3755. Теплота образования соединения треххлористого галлия с хлорокисью фосфора. Гринвуд, Перкинс (The heat of formation of gallium trichloride — phosphorus oxychloride. Greenwood N. N., Perkins P. G.), J. Inorg. and Nucl. Chem., 1957, 4, № 5—6, 291—295 (англ.)

Описан цельностеклянный калориметр для измерений теплот p -ций гигроскопич. и нестойких в-в в инертной среде, позволяющей производить определение с суммарной ошибкой $\pm 0,5$ —1%. Измерены теплота гидролиза $POCl_3$ — $\Delta H = 79,60 \pm 0,05$ ккал/моль, теплота p -ции $GaCl_3$ (тв.) + $POCl_3$ (жидк.) = $GaCl_3 \cdot POCl_3$ (тв.) при 25° равно $\Delta H = 10,1 \pm 0,01$ ккал/моль, что соответствует стандартной теплоте образования комплекса из элементов, равной $-\Delta H_f^\circ 280,0$ ккал/моль. Для p -ции $GaCl_3$ (газ) + $POCl_3$ (газ.) = $GaCl_3 \cdot POCl_3$ (газ.) $-\Delta H = 22,6$ ккал/моль. А. Золотаревский

3756. Теплоты гидрирования. Часть I. Додекадины-3,9 и -5,7. Флиткрофт, Скиннер, Уайтинг (Heats of hydrogenation. Part 1. Dodeca-3:9 and -5:7 diynes. Flitcroft T., Skinner H. A., Whiting M. C.), Trans. Faraday Soc., 1957, 53, № 6, 784—790 (англ.)

Описан калориметр для определения теплот гидрирования (ΔH) ненасыщ. углеводородов в p -ре. Перемешивание реагентов осуществляется встряхиванием всего калориметра, что позволяет улучшить контакт реагентов с катализатором и ускорить p -цию. При 25° для полного гидрирования необходимо время 10—20 мин. Определены ΔH фумаровой и малеиновой к-т (кристаллич.), гексена-1, додекадина-3,9 (I), додекадина-5,7 (II) и октадина-1,7 (жидк.). до кристаллич. алкановой к-ты и жидких алканов, составляющие $31,15 \pm 0,3$; $36,61 \pm 0,4$; $30,1 \pm 0,4$; $131,15 \pm 0,5$; $127,25 \pm 0,7$ и $139,7 \pm 1,2$ ккал/моль соответственно. По разности ΔH I и II описанным ранее методом (Mulliken

и др., J. Amer. Chem. Soc., 1941, 63, 41) вычислена энергия сопряжения системы $-C \equiv -C \equiv C-$, равная ~ 10 ккал/моль. В. Колесов

3757. Золотой калориметр для изучения термохимии растворов с термометрической чувствительностью в 0,00005°. Определение удельной теплоемкости растворов йодистого цезия с точностью $\pm 0,03\%$. Капустинский А. Ф., Липилина И. И., Самойлов О. Я. (Calorimètre en or pour étude thermochimique des solutions avec une sensibilité thermométrique de 0,00005°; détermination de la chaleur spécifique des solutions d'iodure de césium à 0,03% près. Kapoustinsky A. F., Lipilina I. I., Samoilov O. J.), J. chim. phys. et phys.-chim. biol., 1957, 54, № 5, 343—347 (франц.)

Перевод (см. РЖХим, 1957, 12264).

3758. Термодинамическое рассмотрение влияния раздробления реагента на состояние химического равновесия системы. Томаси (Metoda termodynamicznego opisu reagujacych ukladów o uornomowanych warunkach przepływu strumienia reagentów. Tomasi Witold), Zesz. nauk. Politechn. warsz., 1957, № 30, 3—17 (польск.; реж. русск., англ.)

Доказано, что раздробление реагента влияет в значительной степени на константу равновесия p -ции. Раздробление реагирующих в-в оказывает действие, обратное тому, что происходит при раздроблении продукта p -ции. Раздробление на частицы с плоскими сторонами термодинамически сказывается больше, чем раздробление на частицы с искривленной поверхностью. Резюме автора

3759. В вопросе о равновесии $UJ_4 \rightleftharpoons UJ_3 + J$. Попов М. М., Сенин М. Д., Ж. неорганической химии, 1957, 2, № 7, 1479—1481

Исследована p -ция $UJ_4 \rightleftharpoons UJ_3 + J$ при 1097—1176° К методом замораживания равновесного состояния и последующим анализом продуктов диссоциации. Константа равновесия $K_p = P_J / P_{UJ_4} = 4,57 \cdot 10^{-2}$ при 1097° К и $5,37 \cdot 10^{-2}$ при 1176° К. Вычислены (в ккал/моль) для p -ции $UJ_3(жидк.) + J(газ) = UJ_4(газ)$ теплота p -ции при 1136° К $5,2 \pm 0,7$, максим. работа при 1097° К $A = 6,73 \pm 0,05$, при 1176° К $A = 6,83 \pm 0,01$. Для UJ_3 найдена плотность $d_4^{25} = 6,38$ г/см³, т. пл. $766,5 \pm 1^\circ$ С. А. Золотаревский

3760. Исследование обратимой реакции водорода с окислом четырехвалентного молибдена. Монье (Etude de la réaction réversible de l'hydrogène sur l'ozide molybdène tétravalent. Monnier Gilbert), Bull. Soc. chim. France, 1957, № 6, 766—767 (франц.)

Равновесие p -ции $\frac{1}{2} MoO_2(тв.) + H_2(газ) = \frac{1}{2} Mo(тв.) + H_2O(газ)$ изучено способом, отличающимся от прежних работ, в приборе, описанном ранее (РЖМет, 1957; 5572). Ток газа с определенным соотношением $p(H_2O)/p(H_2)$ проходит через горизонтальную печь диам. 20 мм, в которой находится Mo-лодочка, содержащая порошкообразный MoO_2 и металлы, полученные при 450° из молибдата NH_4 восстановлением H_2 . При данной t -ре скорость восстановления вблизи равновесия выше скорости окисления. Выше 1200° скорость окисления такова, что лодочка быстро превращается в MoO_2 . Результаты измерения константы равновесия при 850—1200° выражены уравнением: $lgK = -2450/T + 1,68$. Отсюда, пользуясь величиной $\Delta H = 140,9$ для образования MoO_2 (РЖХим, 1956, 42591), получают для p -ции $\Delta H_{298}^\circ = 12,65$ ккал/моль. Для стандартной энтропии MoO_2 вычислено 11,4 энтр. ед. Б. Анвар

3761. Влияние заместителей в нафталине. Константы ассоциации комплексов замещенных нафталинов с пикриновой кислотой. Гарднер, Стампи (Substituent effects of naphthalene. Association constants of

substituted naphthalene-picric acid complex. Gardner Pete D., Stump Warren E., J. Amer. Chem. Soc., 1957, 79, № 11, 2759—2762 (англ.)

Определены константы ассоциации комплексов, образованных 25 замест. нафталинами (донор) (I) с пикриновой к-той (акцептор) (II) методом изучения распределения компонентов между хлороформом и водой. Экспериментально определялось изменение содержания II в CHCl_3 в присутствии I. Из значений констант ассоциации $K_{27} = 2,31$ и $K_{28} = 3,31$ найдено $\Delta H = -3,1$ ккал/моль, $\Delta S = 8,7$ энтр. ед., что значительно отличается от величин, полученных спектрофотометрич. методом. Это объясняется тем, что последний определяет лишь образование π -комплекса с кольцом, тогда как по методу распределения можно оценить также дополнительные силы (дисперсионные и др.). У алкилнафталинов устойчивость комплексов понижается с увеличением размеров заместителя. Константы ассоциации галогеннафталинов значительно ниже, чем у алкилнафталинов, а у алкоксинафталинов — значительно выше. Присутствие ацетильной группы уменьшает π -электронную плотность кольца и ослабляет связь в комплексе. Обсуждены влияние стерич. факторов, индуктивного эффекта и резонанса.

А. Золотаревский

3762. Промежуточные стадии реакций образования карбидов титана, циркония, ванадия, ниобия и тантала. Самсонов Г. В., Укр. хим. ж., 1957, 23, № 3, 287—296

С применением тензиметрич. методики (РЖХим, 1955, 46307) исследовано образование карбидов Ti, Zr, V, Nb и Ta при восстановлении соответствующих окислов углеродом. Рентгеновским и хим. анализом подтверждено прохождение р-ций через стадии промежуточных окислов. Определено, что ZrO имеет куб. гранецентр. решетку с периодом a 4,62 Å. По данным тензиметрич. опытов вычислены энтальпии образования окислов (ккал/моль): Zr_2O_3 433, ZrO 151, VO 102, V_2O 109, Ta_2O_3 190 и Ta_2O_5 96.

А. Золотаревский

3763. Равновесие и кинетические явления в жидких тройных системах Au—Cd—Hg и Au—Zn—Hg. Хартман, Шёльцель (Gleichgewichte und kinetische Erscheinungen in den flüssigen ternären Systemen Au—Cd—Hg und Au—Zn—Hg. Hartmann Herman, Schölzel Karl), Z. phys. Chem. (BRD), 1956, 9, № 1-2, 106—126 (нем.)

Изменение активности a Cd и Zn в разб. жидких амальгамах Au—Cd—Hg (I) и Au—Zn—Hg (II) в зависимости от т-ры и конц-ии изучено методом измерения эд.с. Обнаружено ранее (Tammann G., Jander W. Z., anorgan. und allgem. Chem., 1922, 124, 105) сильное понижение a Zn при атомном отношении Au:Zn=1 связывается с образованием соединения AuZn (III). III незначительно диссоциировано при 20 и 90°, а AuCd (IV) незначительно — при 20° и почти полностью — при 90° и при содержании Au в I < $4 \cdot 10^{-4}$ мол. долей. Отмечено, что a Au уменьшается вследствие образования соединения Au с Hg, значительно менее устойчивого, чем III и IV. В амальгамах Ag—Cd—Hg, Cu—Cd—Hg, Ag—Zn—Hg и Cu—Zn—Hg a Cd и Zn сильно зависит от конц-ии Ag и Cu. Вычислено изменение свободной энергии ΔG (в ккал/моль) для р-ции образования III: $-12,4$ (20°); -11 (90°) и IV: $-6,3$ (20°). Энтальпия образования ΔH (в ккал/моль) для III: -19 (20°); -13 (90°) и для IV: между -7 и -10 (20°). На примере I рассмотрена кинетика р-ций на основании предположения об электростатич. взаимодействии атомов.

Г. Бабкин

3764. О давлении паров полония при комнатной температуре. Ауслендер, Джорджеску (Despre presiunea de vapori a poloniului la temperatura camerei. Ausländer J., Georgescu Iulia), Studii

și cercetări fiz., 1957, 8, № 1, 17—23 (рум.; реэ. русск. англ.)

Предварительные результаты опытов с толстослойными фотопластинками показывают для давления паров полония при комнатной т-ре значение порядка $0,5 \cdot 10^{-14}$ мм рт. ст.

Резюме авторов

3765. Изучение равновесных упругостей пара двуокиси германия. Давыдов В. И., Ж. неорган. химии, 1957, 2, № 7, 1460—1466

Изучены эффузионным методом Кнудсена в интервале 880—1080° равновесные давления над GeO_2 . Описаны методика работы и аппаратура. Диссоциация GeO_2 при указанных т-рах практически отсутствует. При 980° происходит переход GeO_2 из одной кристаллич. модификации (тетрагон.) в другую (гексагон.); теплота перехода 42 ккал/моль. Рассчитаны давления диссоциации GeO_2 при 880—980° по ур-нию $\lg P$ (мм) = $-15\,620/T + 10,16$. Вычислены изменения энтальпии и энтропии при испарении GeO_2 до фазового превращения $\Delta H = 29,5$ ккал/моль, $\Delta S = -0,2$ энтр. ед., после превращения $\Delta H = 71,5$ ккал/моль, $\Delta S = 33,3$ энтр. ед.

А. Золотаревский

3766. Давление диссоциации $\text{Li}_2\text{SO}_4 \cdot \text{H}_2\text{O}$ при 25—45°. Попов М. М., Гагаринский Ю. В., Степаненко Н. Н., Ж. неорган. химии, 1957, 2, № 7, 1457—1459

С применением дифференциальных тензиметров измерено давление диссоциации $\text{Li}_2\text{SO}_4 \cdot \text{H}_2\text{O}$ при 25—45°. Исправленные средние эксперим. значения удовлетворяют ур-нию $\lg P$ (мм рт. ст.) = $10,228 - 2967/T$. Вычисленная теплота гидратации Li_2SO_4 жидкой водой равна 3,18 ккал/моль.

А. Золотаревский

3767. Исследование появления молекулярных соединений в паре расплавов амальгам калия. Рёдер, Моравец (Untersuchungen über das Auftreten von Verbindungsmolekülen im Dampf von Kaliumamalgam-Schmelzen. Roeder Alfred, Modawietz Wilhelm), Z. Elektrochem., 1956, 60, № 5, 431—454 (нем.)

Для установления состава паровой фазы над расплавами амальгам калия были применены 3 различных метода: определение общего давления спиральным кварцевым манометром, анализ конденсата при перегонке под вакуумом и определение мол. веса по методу Фольмера — Неймана — Фелькера. Поведение пара при низких т-рах описывается при допущении появления молекул HgK_2 . При т-рах более высоких, чем 250°, появляются соединения более бедные калием. Истинные активности, полученные для парц. атомных долей, при интерпретации с помощью закона действующих масс находятся в согласии с результатами, полученными при измерении эд.с. Эти активности удовлетворяют ур-нию Дюгема — Маргулеса. Из температурных зависимостей активности вычислены теплоты и энтропии смешения; помимо этого, вновь определены кривые давления паров чистой ртути и калия и теплоты испарения сплавов в зависимости от составов.

В. Илларионов

3768. Физические свойства галогенфторидов. Сообщение X. Система трехфтористый хлор — фтористый водород. Измерения давления пара и электропроводности. Роджерс, Спирс, Паниш (Physical Properties of the Halogen Fluorides. X. The chlorine trifluoride — hydrogen fluoride system. Some vapor pressure and conductance measurements. Rogers Max T., Speirs John L., Panish Morton B.), J. Phys. Chem., 1957, 61, № 3, 366 (англ.)

Измерены давление пара при 0° и уд. электропроводность при 25 и -78° жидкого р-ра HF в ClF_3 . Методика и аппаратура описаны ранее (РЖХим, 1957, 29937; 53898). Система проявляет значительные положительные отклонения от закона Рауля. Азеотропная смесь имеет состав 65 ± 10 мол. % HF. Проведенные иссле-

дования не подтверждают факта существования стабильного комплекса HF с ClF₃. Сообщение IX см. РЖХим, 1957, 40563.

3769. Двухкомпонентные системы с ограниченной взаимной растворимостью. Свентославский, Стецкий (Series of binary mixtures with limited mutual solubility. Świętosławski W., Stecki J.), Bull. Acad. polon. sci., 1957, Cl. 3, 5, № 2, 155—159 XIV (англ.; рез. русск.)

Представлены схемы образования зеотропов и азеотропов 2-компонентных систем (A, H₂) из азеотропного агента A и представителя гомологич. ряда H в случае ограниченной взаимной растворимости компонентов.

3770. Гетероазеотропные трехкомпонентные системы. I. Стецкий (Heteroazeotropic ternary systems. I. Stecki J.), Bull. Acad. polon. sci., 1957, Cl. 3, 5, № 4, 424—427, XXXIII (англ.; рез. русск.)

Изложены общие условия, определяющие положение гетероазеотропной линии и состав 3-компонентного гетероазеотропа в частично смешивающихся системах. Рассмотрены системы, в которых одна пара жидких компонентов (1,3) вовсе не смешивается, тогда как 2 основные пары (1,2) и (2,3) образуют 2-компонентные системы, смешивающиеся во всех отношениях. Предполагается, что в 3-компонентной системе можно пренебречь гомогенизацией в пределах конц-ий от стороны треугольника конц-ий 1—3 вплоть до гетероазеотропной линии (коннода, на которой лежит точка тройного гетероазеотропа). Это предположение позволяет найти колич. зависимости, выведенные для регулярных p-ров. Выведен ряд неравенств, включающих составы 2-компонентных азеотропов, состав 3-компонентного гетероазеотропа и состав жидких фаз, образующих гетероазеотроп.

3771. Вычисление равновесных составов жидкости и пара для бинарных смесей углеводородов при различных давлениях. Лу (Prediction of vapor-liquid equilibrium data for binary hydrocarbon mixtures at various total pressures. Lu Benjamin C.-Y.), AIChE Journal, 1956, 2, № 4, 525—528 (англ.)

Предложен метод расчета равновесных составов жидкости и пара для неидеальных бинарных смесей углеводородов при различных давлениях, в котором используются данные для рассматриваемой системы, полученные при каком-либо одном известном давлении. Метод основан на соотношениях, установленных Кларком (Clark A. M., Trans. Faraday Soc., 1945, 41, 718): $y_1/y_2 = (ax_1/x_2) + b$ для высоких значений x_1 и $y_2/y_1 = (a'x_2/x_1) + b'$ для высоких значений x_2 . В этих ур-ниях x_1, x_2 — мол. доли легко- и тяжелолетучего компонентов в жидкости, а y_1 и y_2 — в равновесном паре; a, a', b и b' — константы, для вычисления которых приведены соответствующие ур-ния. Применимость предложенного метода проверена на 6 неидеальных смесях: гептан—этилбензол, гексан—толуол, метилциклогексан—толуол, нафталин—тетрадекан, октан—этилбензол и 2,2,4-триметилпентан—толуол, для которых отправными являлись данные, полученные при атмосферном давлении. Расчеты производились в области давл. от 50 мм рт. ст. до 4 атм, причем во всех случаях отмечено хорошее соответствие эксперим. и расчетных данных.

3772. Равновесие жидкость—пар при высоком давлении в неидеальных растворах. Часть II. Система бензол—метилэтилкетон. Рао, Свами, Рао (High pressure vapour-liquid equilibria of non-ideal solutions. Part II. Benzene-methyl ethyl ketone system. Rao V. N. Kumarkrishna, Swami D. R., Rao M. Narasinga, J. Scient. and Industr. Res., 1957, BC16, № 5, B195—B201 (англ.))

Равновесие жидкость—пар системы бензол—ме-

тилэтилкетон (I) исследовано при давл. 3—18 кг/см². Измерения проводились на описанном ранее (часть I, РЖХим, 1957, 68456) приборе циркуляционного типа, работающем при повышенном давлении. Эксперим. равновесные данные коррелировались при помощи ур-ния Редлиха—Кистера с 3 константами A, B и C; получены ур-ния, связывающие эти константы с общим давлением п. Предложены ур-ния, связывающие состав азеотропной смеси x_{1az} (в мол.% I) с т-рой: $t_{az}^2 = (61 \cdot 10^3) \lg x_{1az} - 93,979 \cdot 10^3$ и азеотропную т-ру в °K с общим давлением: $\lg T = 2,4263 + 0,1018 \lg p$; $x-y$ -данные описываются ур-нием $\lg y_1/y_2 = m \lg x_1/x_2 + C$. Система становится неазеотропной при давл. $> 9 \text{ кг/см}^2$.

3773. Равновесие жидкость—пар для смесей диоксан—бензол—и диоксан—толуол. Гропшиану, Мурэреску (Echilibre lichid—vapori pentru amestecuri dioxan—benzen și dioxan—toluen. Groșianu Z., Murărescu M.), Studii și cercetări științ. Acad. RPR. Baza Timișoara. Ser. științe chim., 1956, 3, № 1—2, 81—86 (рум.; рез. русск., франц.)

Описан простой прибор для определения равновесия жидкость—пар при атмосферном давлении, в котором осуществляется дифференциальная перегонка, вследствие уменьшения объема паров и конденсата. Дополнены литературные данные, относящиеся к двум бинарным системам с диоксаном. Результаты опытов представлены на диаграммах $t-x$ и $y-x$ при атмосферном давлении и в таблицах. Резюме авторов

3774. Равновесие жидкость—пар. I. Прибор для определения равновесия жидкость—пар. Свентославский, Земборак, Бжостовский. II. Система—декан—уксусная кислота—2,6-лутидин. Земборак, Бжостовский (Vapour-liquid equilibria. I. An apparatus for determining the vapour-liquid phase equilibria. Świętosławski W., Zięborak K., Brzostowski W. II. The n-decane-acetic acid-2,6-lutidine system. Zięborak K., Brzostowski W.), Bull. Acad. polon. sci., 1957, Cl. 3, 5, № 3, 305—308, XXV; 309—314 (англ.; рез. русск.)

I. Описан прибор, позволяющий одновременно измерять т-ру кипения и определять состав жидкости и пара. Прибор проверен на системе вода—метанол и работает безукоризненно во всех случаях, когда пар находится в равновесии только с одной жидкой фазой.

II. Исследовано равновесие жидкость—пар системы *n*-декан—уксусная к-та—2,6-лутидин и составляющих ее бинарных систем. Состав определялся хим. анализом и по коэф. преломления смесей. При 25° анализа характеризуются ограниченной взаимной растворимостью компонентов. При т-ре кипения при 1 атм все смеси однофазны. Определено положение хребтовой линии и точки, отвечающей седловому азеотропу.

3775. Критические константы нафтенных углеводородов. Тодос (Critical constants of the naphthenic hydrocarbons. Thodos George), A. I. Ch. E. Journal, 1956, 2, № 4, 508—513 (англ.)

Для расчета крит. т-р T_c и давлений P_c на основании значений констант a и b ур-ния ван-дер-Ваальса рекомендованы зависимости $a_{c,0.626} = 0,928 \cdot a_{n,0.626}$ (1) и $b_{c,0.76} = 0,8555 \cdot b_{n,0.76}$ (2), в которых сопоставляются a и b *n*-циклопарафинов (*c*) и соответствующих *n*-алканов (*n*). Значения a_c и b_c определяются сочетанием (1) и (2) с поправками $\Delta a_{c,0.626}$ и $\Delta b_{c,0.76}$ на замещение H группами CH₃; поправки частично приведены в статье, частично опубликованы ранее (Thodos J., A. I. Ch. E. Journal, 1955, 1, 165, 168). Для расчета крит. объема алкилнафтенных предложено ур-ние $v_c/3b = 0,8061 -$

$-0,01373 n_c - 0,00785 (\alpha_n + \alpha_i) - 0,01337 (n_{cn}' - \alpha_n) - 0,0138 (n_{ci}' - \alpha_i)$, где α_n, α_i — общее число нормальных и разветвленных боковых цепей, связанных с углеродным ядром; n_c — общее число атомов углерода в кольце; n_{cn}', n_{ci}' — общее число атомов углерода в боковых цепях. Метод расчета иллюстрирован примерами и применен для вычисления T_c, P_c и v_c более 50 в-в; для 18 в-в результаты сравниваются с расчетом другими методами. Для 5 нефтяных результаты расчета P_c и T_c сопоставлены с температурной зависимостью давления пара, позволяющей оценить надежность последних (РЖХим, 1957, 58351). М. Карапетьянц 3776. Правило определения точки кипения жидкостей. II, III. Коцука (液体の沸點に關する法則について, 第2~3報, 小塚多吉), Япон. хим. журн., Нихон кагаку дзасси, J. Chem. Soc. Japan. Pure Chem. Sec., 1956, 77, № 2, 203—211 (японск.) Часть I, см. РЖХим, 1956, 4235.

3777. Фазовый переход в In_2Se_3 . Миядзава, Сугаки (Phase transition of In_2Se_3 , Miyazawa Hisao, Sugaike Suetzo), J. Phys. Soc. Japan, 1957, 12, № 3, 312 (англ.)

In_2Se_3 (гексагон. ячейка a 4,01, c 19,2 Å, $c/a = 4,80$) претерпевает вблизи 200° фазовый переход первого рода, что доказано измерением электропроводности вдоль (0001), термо-э.д.с., константы Холла, термич. расширения в направлении, перпендикулярном оси c , и термографически. Переход сопровождается сильным сжатием (скорость которого вдоль оси c в 4 раза больше, чем вдоль плоскости 0001) и поглощением тепла. Обратный переход происходит с переохлаждением до 100°.

Н. Афонский 3778. Новый фазовый переход в HJ. Хиберт, Хорниг (New phase transition in HJ. Hiebert G. L., Hornig D. F.), J. Chem. Phys., 1957, 26, № 6, 1762—1763 (англ.)

Исследованы ИК-спектры HJ при низких т-рах. На основании полученных данных сделан вывод, что в фазе, которая устойчива при 25—70° К. HJ обладает упорядоченной структурой, отличающейся от структуры низкотемпературных модификаций HBr и HCl. При ~25° К происходит ранее не описанный переход в фазу, строение которой, в отличие от более высокотемпературной фазы, по-видимому, характеризуется большим числом молекул в элементарной ячейке. Фазовый переход совершается быстро и обратимо, без гистерезиса. Предполагается, что теплота перехода невелика.

А. Золотаревский 3779. Влияние величины напряженности электрического переменного поля на температуру фазового перехода в титанате бария. Сняков Е. В., Никоненко А. С., Научн. зап. Днепропетр. ун-та, 1956, 45, 29—33

Исследована температурная зависимость диэлектрической проницаемости ϵ BaTiO_3 при различных значениях напряженности E электрич. переменного поля, приложенного к образцу. Сильное электрич. поле (до 7,6 кВ/см) и высокая т-ра (до 300°) вызывают большую разрыхленность решетки, сохраняющуюся вплоть до низких т-р. В зависимости $\epsilon = f(T)$ при увеличении E точка Кюри смещается в сторону низких т-р. Прямой и обратный температурный ход ϵ для одной и той же E не совпадают и их различие увеличивается с ростом E . Величина ϵ сильно возрастает, если образец прогреть выше точки Кюри, а затем охлаждать в поле. При этом величина поля насыщения смещается в сторону более низких полей. В сегнетоэлектрич. области т-р величина насыщения уменьшается с увеличением т-ры. А. Золотаревский 3780. Кинетика и теплота превращения моноклинной серы в ромбическую. Дорабяльская, Кро

(Kinetyka i ciepło przemiany siarki jednoskośnej w rombową. Dorabalska Alicja, Kroh Jerzy), Zesz. nauk. Politechn. łódzkiej, 1957, № 15, 3—16 (польск.; рез. русск., нем.)

Методом математич. анализа кривых охлаждений по Лазневскому исследованы кинетика и теплота превращения (2,57 кал/г) монокл. серы S_8 в ромбич. S_8 . Изучено влияние на кинетику процесса т-ры, степени измельчения и присутствия зародышей S_8 .

А. Золотаревский

3781. Энергетическое изучение превращений «второго рода» кремнезема. Лакоде, Эро, Претр (Étude énergétique des transformations «secondaires» de la silice. Lakodey Pierre, Eyraud Charles, Prettre Marcel), C. r. Acad. sci., 1956, 242, № 26, 3074—3074 (франц.)

Описан дифференциальный метод энтальпийного анализа, при котором как к исследуемому, так и к контрольному образцам подмешивается хорошо проводящий теплоту и электричество порошок (напр., графит); нагревание образцов производится пропусканием через них электрич. тока, причем так, чтобы их т-ры были все время одинаковы. Энтальпия ΔH (процесса) ΔH находится графич. интегрированием по результатам измерений добавочной (положительной или отрицательной) электрич. мощности как функции времени; при сравнительно больших тепловых эффектах ΔH воспроизводимость результатов составляет 1—2%. Описанным методом произведены измерения и расчеты для переходов у кристобалита ($\alpha \rightarrow \beta$ при 225° К) и кварца ($\alpha \rightarrow \beta$ при 573° К). Подмешивалось 25% графита, контрольный образец состоял из 75% TiO_2 и 25% графита. ΔH составляет 3,2 кал/г для кристобалита и 1,75 кал/г для кварца; ввиду малости ΔH точность не превышает 10%. Так как $\Delta H \neq 0$, то эти превращения нельзя отнести к фазовым переходам 2-го рода.

В. Урбах

3782. О молекулярном полиморфизме. Поведение серы, растворенной в нитробензоле, вблизи ее точек превращения и плавления. Феррони, Габриэлли (Del «polimorfismo molecolare». Punto di trasformazione e di fusione dello solfo in nitrobenzolo. Ferroni Enzo, Gabrielli Gabriella), Atti Accad. naz. Lincei. Rend. Cl. sci. fis., mat. e natur., 1956, 21, № 1-2, 96—99 (итал.)

Методом обрыва кольца измерено поверхностное натяжение 1%-ного р-ра серы в нитробензоле в интервале 81—125°. Обнаружены экстремумы при 90 (мин.), 95 (макс.), 113 (мин.) и 119° (макс.). Отмечено появление максимума поверхностного натяжения при т-рах, соответствующих полиморфным превращениям, также и у р-ров фенантрена и антрацена в декагидронафталине и α -нафтиламина в CCl_4 .

Г. Левина

3783. Скорость кристаллизации солевого раствора пропорциональна пересыщению. Кретъен, Эбелъ (La vitesse de cristallisation d'une solution saline est proportionnelle à la sursaturation. Chrétien André, Heubel Joseph), C. r. Acad. sci., 1956, 242, № 24, 2837—2839 (франц.)

Для выяснения зависимости скорости кристаллизации (СК) солей от степени пересыщения р-ров изучена кристаллизация р-ров KNO_3 (I), NaNO_3 (II), NaClO_3 (III) и NH_4NO_3 (IV). СК для I, II, III и IV и KCl (V) при очень слабых пересыщениях р-ров (0,2—0,5°) пропорциональна пересыщению р-ров. При больших пересыщениях (1—3°) СК I, IV и V пропорциональна квадрату пересыщения. Микроскопич. и фотографич. исследования показали, что кажущееся двойное поведение I, IV и V обусловлено образованием при значительных пересыщениях р-ров дополнительных очень мелких кристаллов — вторичных зароды-

шей, отщепляемых с поверхности кристаллов, осажденных на введенной затравке. Скорость осаждения вторичных зародышей в 60—100 раз меньше, чем первичных.

Ю. Третьяков
3784. Измерение скорости роста кристаллов хлористого калия в растворе. Давьон (Mesure de la vitesse de croissance de cristaux de chlorure de potassium au sein d'une solution. Davion Maurice), C. r. Acad. sci., 1956, 243, № 17, 1222—1225 (франц.).

Рост кристаллов KCl исследовался в водн. р-ре, пересыщ. KCl и NaCl. Мелкие кристаллы находились во взвешенном состоянии в восходящем потоке. Циркуляция жидкости поддерживала постоянное пересыщение в р-ре, в который вводили несколько тысяч кристаллов одинакового размера от 0,3 до 0,9 мм. В течение опыта продолжительность 8 час. брались пробы между 3,5 и 8 часами. Константа K_c скорости роста в фле $dm/dt = K_c \Delta C$ не зависит от площади A кристалла и скорости потока; $K_{c(30^\circ)}$; $K_{c(26^\circ)} = 1,13$. Г. М.

3785. О некоторых закономерностях в системе алюминатный щелок — этанол. I. Образование новой фазы. Йековић, Баич (Über einige Gesetzmäßigkeiten im System Aluminatlauge — Äthanol. I. Bildung einer neuen Phase. Iveković H., Bačić I.), Croat. chem. acta, 1956, 28, № 3, 181—190 (нем.; реэ. сербо-хорв.).

Изучены концентрационные отношения компонентов при титровании алюминатных щелков (I) этанолом (II) при 30° до появления первого неустойчивого помутнения, временного насыщения, отвечающего возникновению новой фазы. Последнее в большей степени зависит от конц-ии Al_2O_3 , чем Na_2O ; кол-во II для данного I пропорционально кол-ву воды. Составлены ур-ния, определяющие распределение воды между составными частями I в момент помутнения. С увеличением конц-ии II и времени постепенно уменьшается растворимость новой фазы выпадает осадок гидрата окиси алюминия. Это объясняется структурными изменениями, в процессе которых при отщеплении OH- гидроксокомплексы переходят в тетрагидроксоалюминат, затем в полиалюминат $Al_n(OH)_{3n}$. Конц-ия отдельных ионов зависит от конц-ии Al_2O_3 , Na_2O и модуля щелочности (Na_2O/Al_2O_3). При высоком модуле щелочности равновесие смещается в сторону гидроксокомплексов, при низком — в сторону полиалюмината.

Н. Евсеева
3786. Массопередача при низких давлениях. Шервуд, Кук (Mass transfer at low pressures. Sherwood Thomas K., Cooke Norman E.), A. I. Ch. E. Journal, 1957, 3, № 1, 37—42 (англ.).

Исследован процесс испарения шарика нафталина диам. 1 см при давл. от 10^{-4} до 3 мм рт. ст. в воздухе, He, CO_2 , фреоне-12 и испарения в воздухе жидкого диэтиламидината из чашки диам. 1,49 см. Шарик нафталина закреплялся на стержне и помещался внутри Cu-трубы диам. 5,08 см. Т-ра установки поддерживалась равной 0°. Кол-во испарившегося в-ва определялось взвешиванием. Скорость испарения определялась в неподвижном и движущемся газе при числах Рейнольдса Re от 0 до 1,37. Найдено, что в исследованных пределах изменения давления коэф. испарения не зависит от последнего. Скорость испарения в атмосфере He и фреона-12 выше, чем в воздухе и CO_2 . С увеличением Re скорость испарения возрастает. Полученные результаты подвергнуты теоретич. обработке при допущении, что скорость испарения зависит от скорости выхода молекул с поверхности испаряющегося в-ва и скорости диффузии через окружающий ее слой газа и что общее сопротивление равно сумме сопротивлений выходу молекул с поверхности и диффузионного. Это предположение подтверждается хорошим согласием

расчетных и эксперим. данных. Указывается на колич. согласие полученных данных с теорией сублимации, предложенной Странским (Stranski I. N., Wolff G., Z. Elektrochem., 1949, 53, 1).

В. Коган
3787. Топоаналитическое исследование диаграмм равновесия многокомпонентных эвтектических систем. П. Палатник Л. С., Копелювич И. М., Ж. физ. химии, 1957, 31, № 5, 952—959 (реэ. англ.).

Дается обобщение результатов предыдущей статьи авторов (сообщение I, РЖХим, 1957, 60090) на эвтектич. системы с любым кол-вом компонентов. Получены ур-ния всех линейчатых гиперповерхностей, разделяющих области кристаллизации компонентов. Эти ф-лы дают, в частности, и ур-ния гиперплоскостей ликвидуса и солидуса. Для топологич. построения изотермич. и политермич. плоских сечений диаграмм равновесия эвтектич. многокомпонентных систем можно давать только точки плавления компонентов и конц-ии эвтектич. точек частных двойных систем. Расчет сечений сводится к вычислению простых определителей. Предложенная система обозначений позволяет автоматически выписывать все необходимые ур-ния.

Л. Палатник
3788. Криометрический анализ механизма образования смешанных кристаллов в среде расплавленной соли (Na_2SO_4). Пити (Analyse cryométrique du mécanisme de formation de cristaux mixtes en milieu sel fondu (SO_4Na_2). Petit C.), Colloq. nat. Centre nat. rech. scient., 1955, № 10, 217—222. Discuss, 222—223 (франц.).

Расплавленный Na_2SO_4 образует смешанные кристаллы (СК) с большинством растворяющихся в нем солей. «Криометрическим» методом, т. е. путем измерения понижения т-ры плавления в зависимости от содержания растворенного в-ва в СК, изучены систематически СК сульфатов щел. и щел.-зем. металлов с галоидными солями Na. Образование СК зависит от коэф. электроотрицательности Паулинга, валентности и ионного радиуса. Результаты представлены в виде зависимости величины $(1/K)(\Delta t/m) = 1 - \rho$ от молярности m ; K — криоскопич. константа, ρ — отношение конц-ий растворенного в-ва в СК и в р-ре. Полученные кривые горизонтальны для K^+ , Rb^+ , Cs^+ и ионов галоидов, т. е. образование СК пропорционально конц-ии растворенных в-в. Для щел.-зем. металлов форма кривых различна. При $m \rightarrow 0$ $1 - \rho$ стремится к пределу. Для галоидных солей K и $BaCl_2$ ионы ведут себя независимо друг от друга, для CaF_2 термич. изменения не аддитивны. Б. Анвар
3789. О системе церий — водород. Дилер, Роте (Über das System Cer-Wasserstoff. Dialer K., Rothe W.), Z. Elektrochem., 1955, 59, № 10, 970—976 (нем.).

Рентгенографическое исследование показало, что β - и γ -модификации Ce имеют гранецентр. куб. решетку с параметрами соответственно 5,142 и 5,126 Å. Превращение β -Ce в γ -Ce, происходящее при т-ре выше 70°, сопровождается уменьшением межатомных расстояний в металле и увеличением электрич. проводимости. Только лишь γ -форма может реагировать с H_2 с образованием CeH_3 . Измерения давления диссоциации в зависимости от т-ры и содержания H_2 , а также калориметрич. определение теплоты растворения в 2 н. HCl показали, что присоединение трех водородных атомов происходит не с одинаковым значением теплового эффекта. Сделан вывод о существовании промежуточного соединения CeH_2 .

Г. Бабкин
3790. Фазовые превращения в системе железо — хром — ванадий. Корнилов И. И., Матвеева Н. М., Ж. неорганич. химии, 1957, 2, № 2, 355—366. Методами дифференциального термич. анализа

(ДТА), измерения твердости, уд. электросопротивления, микроструктурного и рентгеноструктурного анализов исследованы фазовые превращения в системе Fe—Cr—V для составов, соответствующих разрезам с постоянным содержанием Fe 50 ат. % (P_1) и с постоянными вес. отношениями Cr:V 1:3 (P_2) 1:1 (P_3) и 3:1 (P_4). При высокой т-ре сплавы представляют собой тройные ферритовые твердые р-ры, испытывающие при отжиге или медленном охлаждении превращение $\sigma \rightarrow \alpha$, т-ра которого, определенная методом ДТА, для P_1 непрерывно повышается от 868° для FeCr до 1225° для FeV и изменяется по плавным кривым с максимумом при 1170, 1095 и 970° для P_2 , P_3 и P_4 соответственно. Образование σ -фазы сопровождается повышением хрупкости и твердости сплавов. Полученные данные подтверждают, что σ -фаза в данной системе является твердым р-ром соединений FeCr и FeV. Построена пространственная диаграмма системы и определена область существования σ -фазы.

Н. Афонский

3791. О превращениях в твердом состоянии в сплавах системы медь—цинк в области α -твердого раствора. Григорьев А. Т., Соколовская Е. М., Пятницкий В. Н., Ж. неорг. химии, 1957, 2, № 7, 1547—1551

Исследованы сплавы системы Cu—Zn в области α -твердого р-ра (дифференц. термич. анализ, электросопротивление и его температурный коэф., твердость, теплоемкость и рентгеновский анализ). Обнаружены фазовые превращения, сопровождающиеся образованием хим. соединения Cu₂Zn, имеющего низкотемпературную модификацию α_1 (превращение при 233°) и высокотемпературную α_2 (превращение при 452°). Приведена диаграмма состояния системы в интервале 0—40 ат. % Zn.

А. Золотаревский

3792. Система медь—серебро—кадмий. II. Гебхардт, Петцов (Das System Kupfer—Silber—Kadmium. II. Gebhardt Erich, Petzow Günter), Z. Metallkunde, 1956, 47, № 12, 751—759 (нем.; рез. англ.)

В продолжение прежней работы авторов (сообщение I см. РЖХим, 1957, 18504) исследовано равновесие тройной системы Cu—Ag—Cd методами термич., рентгенографич., микроскопич. и дилатометрич. анализов, а также путем измерения микротвердости. Для определения областей существования твердых фаз сплавов изучены изотермич. разрезы при 600, 500 и 300° и политермич. разрезы с постоянным содержанием Cu (~5%) и Ag (~5%). Установлено образование непрерывного ряда смешанных кристаллов между γ -фазой системы Ag—Cd и γ -фазой системы Cu—Cd. Обнаружено 10 точек 4-фазного равновесия. При 630, 535, 530, 525, 350 и 325° в равновесии участвует жидкая фаза, а при 410, 340, ~150 и ~130° в равновесии находятся лишь твердые фазы. Приведена схема процессов превращений в исследованной тройной системе.

Ю. Счесленок

3793. Исследование фазового состава, строения и границ гомогенности фаз системы ванадий—углерод—кислород. I. Система ванадий—углерод. Гуревич М. А., Ормонт Б. Ф., Ж. неорг. химии, 1957, 2, № 7, 1566—1580

Рентгенографическим и хим. методами исследована система V—C в области составов от V до VC в интервале 980—2300°. В системе образуются α -фаза (V и, возможно, твердый р-р C в V, <1 ат. % C), куб. объемноцентр. ячейка с периодом идентичности $a \sim 3,018$ Å; γ -фаза с границами гомогенности от VC_{0.41} до VC_{0.50}, гексагон. решетка с параметрами в зависимости от состава в пределах a 2,870—2,894, c 4,546—4,572 Å, c/a 1,584—1,580; δ -фаза с границами гомогенности от VC_{0.60}

до VC_{0.63}, куб. гранецентр. решетка a 4,113—4,130 Å; ϵ -фаза с границами гомогенности от VC_{0.63} до VC, куб. гранецентр. решетка, a 4,150—4,160 Å. Приведены рентгенограммы образцов и схематич. фазовая диаграмма системы. Данные испытаний на микротвердость указывают на большую твердость ϵ -фазы (до 3000 кг/мм²). Шлифоспособность карбидных фаз V приближается к таковой SiC.

А. Золотаревский

3794. Исследование части диаграммы состояния Ti—TiAu₂. Петроковский, Фринк, Дюве (Investigation of the partial constitution diagram Ti—TiAu₂. Pietrowsky Paul, Frink Ellis P., Duwez Pol.), J. Metals, 1956, 8, № 8, Sec. 2, 930—935 (англ.)

Исследована система Ti—Au в интервале от 0 до 66,66 ат. % Au и от 400 до 1500°. Все промежуточные фазы: Ti₃Au, TiAu и TiAu₂, плавятся конгруэнтно. Небольшие добавки Au понижают т-ру полиморфного превращения Ti. β -Твердый р-р распадается в эвтектичной точке на α -твердый р-р и Ti₃Au. Растворимость Au в α -твердом р-ре уменьшается с увеличением т-ры.

С. Рубинчик

3795. Аллотропические превращения в сплавах титана, циркония и урана. Дуайт (Allotropic transformations in titanium, zirconium and uranium alloys. Dwight Austin E.), J. Metals, 1956, 8, № 2, Sec. 2, 162—163 (англ.)

Исследована применимость ур-ния (Oelsen W., Wever F., Arch. Eisenhüttenwesen, 1948, 19, 97), предложенного для описания равновесия α - и γ -фаз при аллотропич. превращениях сплавов Fe: $\chi_\alpha/\chi_\gamma = -Q_B/RT$, где χ_α и χ_γ — конц-ия растворенного элемента в каждой из фаз, Q_B (в кал/моль) — константа. Это ур-ние согласуется с экспериментом для сплавов на основе Ti, Zr и U. Получены кривые периодич. зависимости величины Q_B от атомного номера растворенного в-ва, по которым можно путем экстраполяции определять Q_B для неизученных бинарных систем. Предложен метод контроля правильности диаграмм состояния бинарных сплавов.

Л. Миркин

3796. Растворимость тория в жидком цинке. Смирнов М. В., Ильющенко Н. Г., Детков С. П., Ивановский Л. Е., Ж. физ. химии, 1957, 31, № 5, 1013—1018 (рез. англ.)

Методом электрофотографич., металлографич. и термич. анализов исследовались сплавы Zn с Th, содержащие до 25 вес. % Th. Структурными составляющими сплавов являются практически чистый Zn и металл. соединения Th₂Zn₁₇ (I), состав которых установлен хим. анализом. Определена растворимость Th в Zn, составляющая $3,55 \cdot 10^{-3}$ при 419,4° и 1,44% при 907°. Найдено изменение изобарного потенциала при образовании I из элементов и вычислены активности и коэф. активностей Th в двухфазном сплавном I (тв.) + Zn (жидк.). При 419,4° активность Th составляет $1,82 \cdot 10^{-4}$, при 907° $1,35 \cdot 10^{-3}$. Коэф. активности в интервале 419,0—907° возрастает от 0,182 до 0,328, что указывает на сильное взаимодействие между Th и Zn, незначительно меняющееся с т-рой.

Н. Груадина

3797. Система уран—свинец. Тейтел (The uranium—lead system. Teitel Robert J.), J. Ind. Metals, 1957, 85, № 9, 409—412 (англ.)

Плавлением чистых U и Pb или полученного шредварительно гомог. сплава (~50% U) при т-ре >1280° и последующим охлаждением подтверждено существование выше 1280° области расслоения в жидкой фазе для конц-ий ~40—98% U. Растворимость U в Pb определялась плавлением U-стружки и Pb в тигле из плотного графита на фильтре

спеченного графита. После расплавления при 1000° и давл. 10^{-3} мм рт. ст. сплав охлаждался до требуемой т-ры и фильтровался через графитовый фильтр под давлением $\text{Ag } 0,014 \text{ кг/мм}^2$. Растворимость U в Pb при 416, 612, 806 и 1000° составляет 0,002; 0,046; 0,26 и 0,59% соответственно. Теплота растворения U в Pb 17 900 кал/моль. Нейтроннографич. исследованием соединения UPb установлено, что оно имеет объемно-центр. тетрагон. решетку с a 11,04, c 10,60 Å, $c/a = 0,961$, 48 (или 13,7) атомами на элементарную ячейку и плотностью 52,7 г/см³. Л. В.

3798. Физико-химический анализ некоторых полупроводниковых систем. Абрикосов Н. Х., Изв. АН СССР. Сер. физ., 1957, 21, № 1, 141—145

Обзорная статья по результатам исследования систем Cr—Sb, Co—Sb, Fe—Si и Bi—Te. Л. Резницкий 3799. Исследование влияния никеля на свойства полупроводникового соединения CoSb₃. Дудкин Л. Д., Абрикосов Н. Х., Ж. неорган. химии, 1957, 2, № 1, 212—221

Исследовано влияние присадок Ni на свойства открытого авторами (РЖХим, 1957, 71107) полупроводникового соединения CoSb₃. Измерения термоэлектрич. свойств указывают на преимущественно металлич. природу связи атомов в NiSb и NiSb₂. Изотермич. разрез тройной системы Co—Ni—Sb в области > 50% Sb подтверждает существование непрерывного твердого р-ра между γ-фазами двойных систем. Установлено существование тройного твердого е-р-ра на основе CoSb₃, граница насыщения которого Ni отвечает соотношению Ni:Co = 1:9. Ni, вводимый в CoSb₃, образует донорные примесные уровни, полностью ионизированные при комнатной т-ре. При Ni:Co < 1% значительно повышается подвижность электронов в CoSb₃. При больших конц-ях Ni подвижность электронов уменьшается вследствие существенного рассеяния электронных волн ионами Ni. Решеточная теплопроводность ε-фазы снижается с увеличением конц-и Ni. А. Золотаревский

3800. Арсениды переходных металлов. Арсениды железа и кобальта. Хейдинг, Калверт (Arsenides of transition metals: the arsenides of iron and cobalt. Heyding R. D., Calvert L. D.), Canad. J. Chem., 1957, 35, № 5, 449—457 (англ.)

Рентгенографически исследованы при комнатной и высокой т-рах сплавы Co с As, содержащие до 60 вес.% As. При комнатной т-ре существуют Co₂As и CoAs, претерпевающие фазовые превращения соответственно при 400—500° и ~ 950°. Третье соединение, вероятно Co₃As₂, образуется по р-ции Co₂As с CoAs выше 940°. Структуры этих соединений сопоставлены со структурами соответствующих соединений в системе Fe—As. Полученные данные указывают на необходимость пересмотра диаграммы состояния системы Co—As. Авторы выражают сомнение в правильности литературных данных по давлению арсенидов Co (Кочев М. И., Ж. прикл. химии, 1950, 23, 595).

А. Золотаревский

3801. Твердые растворы металл-окисл. металла. Часть 1. Постоянные решетки и фазовые соотношения в окиси двухвалентного железа (вюстите) и в твердых растворах окислов двухвалентных железа и марганца. Фостер, Уэлш (Metal-oxide solid solutions. Part 1. Lattice—constant and phase relationships in ferrous oxide (wustite) and in solid solutions of ferrous oxide and manganous oxide. Foster P. K., Welch A. J. E.), Trans. Faraday Soc., 1956, 52, № 12, 1626—1635 (англ.)

Измерены постоянные решетки (a) для установления границ устойчивости вюститной фазы при 1000°. На образцах с 76,13 и 76,82% Fe, соответствующих границам гомогенности этой фазы, изучено влияние

термич. обработки на структуру сплавов. При 570° и малом давлении O₂ вюстит устойчив. Ниже этой т-ры начинается распад на Fe и Fe₃O₄ с частичной диффузией магнетита в решетку остаточного вюстита. В образце с ~ 25% свободного Fe найдено значение a 2,8683 Å. Малое изменение a магнетита (от 8,395 до 8,3945 Å) указывает на незначительную растворимость в нем вюстита. У твердых р-ров FeO—MnO величина a при быстром охлаждении меньше, чем при медленном. Для образца с 5% MnO эта разница равняется 0,0015 Å, с 40% MnO 0,003 Å. Присутствие Mn в вюститной фазе мало влияет на область гомогенности. В двухфазной области, на стороне богатой O₂, a вюстита и шпинельной фазы повышаются с увеличением содержания O₂, а шпинельной фазы уменьшается с ростом отношения Mn/Fe. Н. Евсеева

3802. О расшифровке природы термических эффектов на кривых нагревания. Рассонская И. С., Ж. неорган. химии, 1956, 1, № 6, 1284—1291

На примере кривой нагревания шенита K₂SO₄·MgSO₄·6H₂O показано, что выяснение сущности фазовых превращений и расшифровка природы термич. эффектов возможно при условии использования нескольких методов исследования. На термограмме K₂SO₄·MgSO₄·6H₂O обнаружено 6 эндотермич. эффектов при 85, 105, 125, 175, 580, и 750°. Первые 4 эффекта обусловлены процессом ступенчатой дегидратации с образованием K₂SO₄·MgSO₄·4H₂O, K₂SO₄·MgSO₄·2H₂O, K₂SO₄·2MgSO₄. По полученным дебаграммам определены межплоскостные расстояния в кристаллич. решетках шенита и в-в, образующихся в процессе его нагревания. И. Рассонская

3803. Дифференциально-термический анализ некоторых сульфидов. Сабатье (Analyse thermique différentielle de quelques sulfures. Sabatier G.), Bull. Soc. franç. minéral. et cristallogr., 1956, 79, № 1-3, 172—174 (франц.)

Экзотермический эффект на термограммах сульфидов, отвечающий процессу окисления серы кислородом воздуха, фиксируется при различных т-рах для различных сульфидов. Окисление FeS₂ наблюдается ~ 550°, ZnS между 700 и 900°, FeAsS при 570°, CuFeS между 400 и 700°, PbS при 850°. Автор считает возможным наблюдающуюся неодинаковость характера окисления и т-р экзотермич. эффекта использовать для идентификации сульфидов. И. Рассонская

3804. О термических эффектах на кривых нагревания дистена и андалузита. Соболев В. С., Цветков А. И., Геохимия, 1956, № 4, 45—47

Полученные авторами термограммы дистена и андалузита показали, что превращения, протекающие в указанных минералах при нагревании в интервале 800—1650°, сопровождаются поглощением тепла, а не выделением его, как указывалось в прежних работах (Соболев В. С. Введение в минералогию силикатов. Львовский гос. ун-т, 1949). По мнению авторов, наблюдающиеся экзотермич. эффекты обусловлены превращением дистена и андалузита в муллит или, практически, ввиду незначительности теплового эффекта перехода силлиманита в муллит, соответствуют переходам дистен—силлиманит и андалузит—силлиманит. И. Рассонская

3805. Изучение системы двуокись циркония—двуокись титана и исследования превращений закаленных фаз. Валлайс, Шодрон (Contribution à l'étude du système oxyde de zirconium-oxyde de titane et recherches sur les transformations des phases trempées de haute température. Wal-laey R., Chaudron G.), Colloq. nat. Centre nat. rech. scient., 1955, № 10, 155—159. Discuss. 160—161 (франц.)

Для уточнения диаграммы состояния системы $ZrO_2 - TiO_2$ авторами проведено рентгенографич. исследование фаз, образующихся после закалки образцов, нагретых до 600, 700, 800, 900 и 1050°. Установлено наличие 5 однофазных областей, отвечающих существованию: 1) ZrO_2 , 2) твердого р-ра на основе ZrO_2 в пределах 22—38% TiO_2 с величиной параметров решетки, лежащей между значениями таковых для ZrO_2 и рутила, 3) $ZrO_2 \cdot TiO_2$ с параметрами решетки a 4,819, b 5,024, c 5,444, 4) твердого р-ра ZrO_2 (до 15%) в бруките, 5) твердого р-ра ZrO_2 (до 15%) в рутиле.

И. Рассонская
3806. Изучение глиноземистой области тройных алюмосиликатных систем. Сообщение 1. Системы $FeO - Al_2O_3 - SiO_2$ и $MnO - Al_2O_3 - SiO_2$. Галахов Ф. Я., Изв. АН СССР. Отд. хим. н., 1957, № 5, 525—534

Методом отжига и закалки в атмосфере Ar и последующего исследования под микроскопом в полированных шлифах и в иммерсионных препаратах изучена глиноземистая область в системах FeO (I) — Al_2O_3 (II) — SiO_2 (III) и MnO (IV) — II — III. Проверено положение эвтектич. точки и проведены границы полей муллита и корунда. Исправлена ранее известная диаграмма двойной системы I — II; найдено, что герцинит ($FeO \cdot Al_2O_3$) плавится без разложения. Приводится цифровой материал, диаграммы состояния и микрофотографии кристаллов корунда, муллита и герцинита (т. пл. 1800°).

О. Домбровская
3807. Возможные границы твердых фаз ниже плоскости солидуса в поле корунда системы $SiO_2 - Al_2O_3 - Na_2O$. Кристи (Possible sub solidus phase borders in the corundum field of the system $SiO_2 - Al_2O_3 - Na_2O$. Christie Olav H. J.), Norsk geol. tidsskr., 1956, 36, № 1, 56—61 (англ.)

Исследование кристаллов, извлеченных из стекла, образовавшегося на футеровке заводской стеклоплавильной печи, показало, что в стекле, точка состава которого лежит в поле корунда диаграммы $SiO_2 - Al_2O_3 - Na_2O$, образовались кристаллы из альбита и нефелина.

С. Рубинчик
3808. Экспериментальные данные о кривой $P_{CO_2} - T$

для реакции: кальцит + кварц \rightleftharpoons волластонит + двуокись углерода. Харкер, Татл (Experimental data on the $P_{CO_2} - T$ curve for the reaction: calcite + quartz \rightleftharpoons wollastonite + carbon dioxide. Har-ker R. I., Tuttle O. F.), Amer. J. Sci., 1956, 254, № 4, 239—256 (англ.)

Получены эксперим. данные для р-ции кальцит + кварц \rightleftharpoons волластонит + двуокись углерода и построена моновариантная кривая $P_{CO_2} - T$; эксперим. кривая сравнена с рассчитанной. При давл. $< 2813 \text{ кг/см}^2$ образование в земной коре волластонита и CO_2 из кальцита и кварца происходит при более низких т-рах, чем образование периклаза, кальцита и CO_2 из доломита.

С. Рубинчик
3809. Растворимость жидкого аммиака в сжатом азоте при давлениях до 4000 атмосфер. Циклис Д. С., Тр. Гос. н.-и. и проект. ин-та азотн. пром-сти, 1954, вып. 3, 12—17

Исследована растворимость жидкого аммиака (I) в сжатом до 4000 ата азоте (II) при 75 и 80°, а также II в I при давл. 1600—2600 ата. Точка максимума на кривой растворимости I в II по мере приближения к т-ре двойной гомог. точки (в которой происходит совмещение крит. точек равновесий газ—газ и жидкость—газ; для системы I—II 87°) превращается в точку возврата, которая, слившись с точкой возврата на кривой растворимости II в I, дает двойную гомог. точку. Подтверждено, что наличие в системе точки перегиба на кривой растворимости жидкости в газе и максимума на кривой растворимости газа в жидко-

сти указывает, что такая система должна иметь область ограниченной взаимной растворимости газов.

В. Коган
3810. Исследование системы $ClF_3 - HF$. Николаев Н. С., Малюков И. М., Ж. неорган. химии, 1957, 2, № 7, 1587—1590

Исследована кривая ликвидуса системы $ClF_3 - HF$ в диапазоне конц-ий 0—100% в аппаратуре из тефлона путем снятия кривых нагревания замороженных смесей со скоростью 1 град/мин. Система относится к типу простой эвтектической с составом эвтектики (в вес. %) 44,0 ClF_3 и 56,0 HF : т-ра плавления эвтектики равна $-110,7^\circ$.

А. Золотаревский
3811. Нитрующие кислотные смеси из HNO_3 и SO_3 . Хертъес (Nitreezuren samengesteld uit HNO_3 en SO_3 . Heertjes P. M.), Chem. weekbl., 1957, 53, № 26, 343—346 (гол.)

В общих чертах рассмотрены свойства смесей HNO_3 и SO_3 и механизм действия их при нитровании ароматических в-в. Приведены фазовые диаграммы системы $N_2O_5 - SO_3 - H_2O$ и изотермы давления пара в зависимости от содержания SO_3 в HNO_3 .

А. Золотаревский
3812. Термическое разложение нитратов редкоземельных и некоторых других металлов. Уэндландт (The thermolysis of the rare earth and other metal nitrates. Wendlandt Wesley W.), Analyt. chim. acta, 1956, 15, № 5, 435—439 (англ.; реэ. нем., франц.)

Пиролизом на термовесах (РЖХим, 1956, 22229) определены температурные пределы различных ступеней разложения гидратов нитратов редкоземельных и некоторых других металлов.

Ю. Любитов
3813. Диаграмма плавкости системы $BeSO_4 - Na_2SO_4$. Федоров П. И., Чжан Ци-юнь (硫酸铍—硫酸钠在高温下的相互作用. 費多洛夫 П. И. 張啓運), 化學學報, Хуасюэ сюэбао, Acta chim. sinica, 1957, 23, № 1, 9—13 (кит.; реэ. русск.)

Изучена диаграмма состояния двойной системы сульфата натрия и сульфата бериллия. В системе наблюдается взаимная растворимость компонентов в жидком состоянии, образование небольшой области твердого р-ра со стороны Na_2SO_4 и образование трех двойных соединений: $BeSO_4 \cdot 3Na_2SO_4$ (образуется при 485°), $BeSO_4 \cdot (Na_2SO_4)$ (т. пл. 660°) и $3BeSO_4 \cdot Na_2SO_4$.

Резюме авторов
3814. Поведение окислов тяжелых металлов в расплавленных хлоридах. Есин О. А., Люмкин С. Е., Ж. неорган. химии, 1957, 2, № 5, 1145—1148

Найдено, что р-ры окислов тяжелых металлов (М) в хлоридах Na, K, Ba расслаиваются из-за микрогетерогенности (образование ионных группировок $M^{2+} - O^{2-}$). Коэф. активности M^{2+} снижается при переходе в богатую М область. Р-ры МО в $CaCl_2$ не расслаиваются, благодаря увеличению энергии связи катиона р-рителя с O^{2-} .

В. Гейдэрх
3815. Исследование взаимодействия пентахлорида ниобия и тетраоксида циркония с хлоридом магния в расплавах. Коршунов Б. Г., Сильвестрова Н. А., Тр. Моск. ин-та тонкой хим. технол., 1956, вып. 6, 21—25

Изучены диаграммы плавкости систем $NbCl_5 - MgCl_2$ и $ZrCl_4 - MgCl_2$. Растворимость $MgCl_2$ в расплавленных $NbCl_5$ и $ZrCl_4$ весьма мала. Эвтектика 1-й системы лежит при 97% $NbCl_5$ и 192°; 2-й системы — при 98,5% $ZrCl_4$ и 426°. $NbCl_5$ и $ZrCl_4$ не растворяются в расплавленном $MgCl_2$. Давление пара $NbCl_5$ над расплавом смеси 30 вес. % $MgCl_2$ и 70 вес. % $NbCl_5$ определено методом струи (носитель — хлор), примерно равно давлению пара $NbCl_5$ при соответствующей т-ре, что указывает на возможность полного отделения $NbCl_5$ и $ZrCl_4$ от $MgCl_2$ возгонкой.

Н. Есеева

3816. Закономерность сдвига реакций обмена и замещения в отсутствие растворителя. Угай Я. И., Палкин А. П., Тр. Воронежск. ун-та, 1956, 40, 11—16

На 30 примерах авторы показывают, что о направлении р-ции обмена можно судить по разности сумм энергий кристаллич. решетки для солей, стоящих справа и слева от знака равенства в уравнении р-ции $AX + BY = AY + BX$. И. Васильева

3817. Политерма взаимной системы из хлоридов и сульфатов натрия и калия. Рустамов П. Г., Азерб.ССР элмер Акад. хабэрлэри. Изв. АН Азерб.ССР, 1957, № 4, 33—45 (рез. азерб.)

Визуально-политермическим методом изучена растворимость системы из хлоридов и сульфатов натрия и калия в воде от $-23,6$ (полное замерзание р-ров) до $+30^\circ$. Построены изотермы через 5° ; на основании литературных и эксперим. данных построена политерма до $+100^\circ$. Нижняя граница существования глазерита находится при $\sim -8^\circ$, а безводн. NaCl при $\sim -3,6^\circ$. Приводится цифровой материал и проекции изотерм системы на квадрат основания. Диаграмма равновесия водн. системы может найти практич. применение в комплексном разращении проблемы заглицких алунинов Азерб. ССР и в проблеме конверсии KCl в K_2SO_4 и глазерит. О. Домбровская

3818. Диаграмма плавкости взаимной системы из хлоридов и йодидов кадмия и калия. Бергман А. Г., Ильясов И. И., Ж. неорган. химии, 1957, 2, № 2, 395—406

Диаграмма плавкости взаимной системы K, Cd|Cl, J изучена визуально-политермич. методом. Ввиду разложения CdJ_2 исследование системы проводилось лишь в более легкоплавкой части при $t \leq 550^\circ$. Уточнены и пополнены данные о двойных системах. При изучении системы $CdJ_2-K_2J_2$ установлено существование плавящихся с разложением соединений $CdJ_2 \cdot KJ$ (223°) и $CdJ_2 \cdot 2KJ$ (272°). Система $CdCl_2-CdJ_2$ характеризуется эвтектикой при 360° , 31 экв. % $CdCl_2$ и гомеоморфным превращением $CdCl_2$ при 460° . В системе $CdCl_2-K_2Cl_2$ обнаружено плавящееся без разложения соединение $CdCl_2 \cdot KCl$ (428°) и плавящееся с разложением $CdCl_2 \cdot 4KCl$ (462°); для обоих соединений найдены полиморфные превращения при 375 и 389° соответственно. На диаграмме взаимной системы установлено наличие 11 полей кристаллизации и 6 инвариантных точек. Три адиагональными триангулирующими сечениями система делится на 4 фазовых треугольника. Р-ция комплексобразования в исследованной системе доминирует над р-цией обмена. Согласно предложенной классификации (Бергман А. Г. Бухалова Г. А., Изв. Сектора физ.-хим. анализа ИОНХ АН СССР, 1949, 19, 33) система является поясной адиагональной. Ю. Заверьяев

3819. Номограмма растворимости двуокиси хлора. Дейвис (Solubility nomograph for chlorine dioxide. Davis D. S.), Paper Ind., 1956, 38, № 2, 130 (англ.)

Дана номограмма, позволяющая находить растворимость ClO_2 в воде при парц. давлении ClO_2 от 0 до 160 мм рт. ст. и t от 0 до 30° . С. Рубинчик

3820. Физико-химические константы азотнокислых солей. Сообщение 1. Клевке В. А., Конторович Л. М., Тр. Гос. н.-и. и проект. ин-та азотн. пром-сти, 1956, вып. 5, 71—85

Измерены уд. вес водн. р-ров NH_4NO_3 (I) ($60-180^\circ$), $Ca(NO_3)_2$ (II) ($50-110^\circ$), II с добавкой 5% I ($50-130^\circ$), вязкость водн. р-ров I ($20-180^\circ$), II ($50-110^\circ$), $NaNO_3$ ($60-110^\circ$) и II с 5% I ($50-120^\circ$), парц. давления H_2O и HNO_3 над р-рами I- HNO_3-H_2O и I- NH_3-H_2O , т-ры кипения водн. р-ров I различной конц-ии. Приведено описание примененной аппаратуры. С. Бык

3821. О растворимости хлоридов рубидия и цезия в соляной кислоте. Плющев В. Е., Кузнецова Г. П., Тр. Моск. ин-та тонкой хим. технол., 1956, вып. 6, 15—20

Изотермы растворимости (P) при 0 и 25° в системах $HCl-RbCl-H_2O$ и $HCl-CsCl-H_2O$ имеют в обоих случаях одну ветвь кристаллизации безводн. RbCl и CsCl. P RbCl при всех t -рах больше P NaCl и KCl, но в значительном интервале конц-ий HCl ниже P LiCl. P CsCl в соляной к-те при всех t -рах выше P других хлоридов. С повышением t -ры разница в P увеличивается. Во всех системах $HCl-MCl-H_2O$ P с повышением t -ры и уменьшением конц-ии HCl увеличивается. Твердыми фазами являются безводн. хлориды за исключением LiCl, образующего кристаллогидраты. Возможна очистка р-ров, содержащих CsCl от NaCl и KCl высаливанием из горячих р-ров газообразным HCl. Н. Евсеева

3822. О двойной системе с четверной точкой и тремя твердыми двойными соединениями и газовой фазой. Д'Анс, Фрейнд, Кауфман (Über binäre Systeme mit einem Quadrupelpunkt mit drei festen binären Verbindungen und einer Gasphase. D'Ans Jean, Freund Heinz-Eberhard, Kaufmann Erhard), Z. Elektrochem., 1957, 61, № 4, 546—549 (нем.)

Рассмотрены случаи, когда в двойных системах имеются инвариантные четверные точки. В системах $ZnSO_4-H_2O$ и $MgSO_4-H_2O$ обнаружены четверные инвариантные точки, в которых находятся в равновесии с газовой фазой три твердые фазы $ZnSO_4 \cdot 7H_2O$ — $6H_2O$ — $1H_2O$ и соответственно $MgSO_4 \cdot 7H_2O$ — $6H_2O$ — $1H_2O$. Для системы $ZnSO_4-H_2O$ эта четверная точка лежит при $\sim 23^\circ$; t -ра эта является нижней точкой существования гексагидрата сульфата цинка. Нижняя точка существования гексагидрата сульфата магния с достоверностью не определена, но она должна лежать несколько ниже 25° . Н. Домбровская

3823. Изучение растворимости в системе карбонат лития — сульфат лития — вода при 0° . Плющев В. Е., Тулинова В. Б., Ж. неорган. химии, 1957, 2, № 2, 467—469

Изотермическим методом изучена растворимость в системе $Li_2CO_3-Li_2SO_4-H_2O$ при 0° . С увеличением конц-ии Li_2SO_4 в р-ре растворимость Li_2CO_3 уменьшается от 1,5 до 0,050 вес. % в эвтонич. р-ре (26,41% Li_2SO_4). Твердыми фазами в системе являются Li_2CO_3 и $Li_2SO_4 \cdot H_2O$; двойных солей и твердых р-ров не обнаружено. Ю. Заверьяев

3824. Растворимость тройной системы $NaNO_3-Na_2HPO_4-H_2O$ при 25° . Макин А. В., Карнаухов А. С., Ж. неорган. химии, 1957, 2, № 6, 1420—1423

Растворимость в системе $NaNO_3-Na_2HPO_4-H_2O$ исследована при 25° изотермич. методом. Изотерма растворимости характеризуется кривой, состоящей из двух ветвей кристаллизации ($NaNO_3$ и $Na_2HPO_4 \cdot 12H_2O$). Средний состав р-ра в эвтонич. точке (в вес. %): Na_2HPO_4 6,34, $NaNO_3$ 26,05. Исходные соли не образуют твердых р-ров и хим. соединений. С. Бык

3825. Изучение растворимости в водных системах, образованных азотнокислым лантаном и некоторыми нитратами металлов. I. Изотермы растворимости систем: $La(NO_3)_3-Mg(NO_3)_2-H_2O$ при 25 и 50° ; $La(NO_3)_3-NH_4NO_3-H_2O$ при 25° . II. Изотермы растворимости систем: $La(NO_3)_3-Ni(NO_3)_2-H_2O$; $La(NO_3)_3-Zn(NO_3)_2-H_2O$ при 25° . Уразов Г. Г., Шевцова З. Н., Ж. неорган. химии, 1957, 2, № 3, 655—658; 659—661

I. Изучена изотермич. методом растворимость при 25 и 50° в системах $La(NO_3)_3(I)-Mg(NO_3)_2(II)-$

—H₂O и I—NH₄NO₃(III)—H₂O. Состав твердых фаз установлен хим., термографич. и кристаллооптич. способами. В системе I—II—H₂O выделяется двойная соль состава 2La(NO₃)₃·3Mg(NO₃)₂·24H₂O, ветвь кристаллизации которой занимает большую часть диаграммы. Ветвей кристаллизации чистых компонентов не обнаружено. В системе I—III—H₂O кристаллизуются двойная соль состава La(NO₃)₃·2NH₄NO₃·4H₂O, III и твердые р-ры.

А. Золотаревский
II. Системы изучены изотермич. методом при 25° (±0,1°). Равновесие устанавливалось в течение 20 суток. Состав твердых и равновесных жидких фаз установлен по методу Шрейнемакера; состав твердых фаз, кроме того, определялся кристаллооптич. и термографич. методами. Изотерма растворимости системы I—Ni(NO₃)₂—H₂O состоит из трех ветвей, из которых средняя, наибольшая по длине, отвечает соединению 2La(NO₃)₃·3Ni(NO₃)₂·24H₂O. Изотерма растворимости системы I—Zn(NO₃)₂—H₂O аналогична. Средняя ветвь кривой растворимости отвечает соединению 2La(NO₃)₃·3Zn(NO₃)₂·24H₂O.

Н. Домбровская

3826. О растворимости в системах пированадат натрия—хлористый натрий—вода и метаванадат натрия—хлористый натрий—вода. Андреев В. В., Ж., прикл. химии, 1957, 30, № 2, 299—302.

Определена растворимость в системах Na₄V₂O₇—NaCl—H₂O при 35°, NaVO₃—NaCl—H₂O при 12,5±2,0° и 60°. Твердые фазы в обоих случаях — исходные соли; ни кристаллогидратов, ни двойных солей не образуется. NaCl высаливается из водн. р-ров Na₄V₂O₇ и высаливает NaVO₃. Это делает возможным применение NaCl при выделении и промывке NaVO₃ и при выделении ванадия из руд и шлаков методом хлорирующего (окислительного) отжига. Н. Евсеева

3827. Поверхностное натяжение и образование комплексных соединений в системах MNO₃—Pb(NO₃)₂—H₂O (M—K, Tl, Rb, Cs). Феррони, Габриэлли, Барболани-ди-Монтауто (Tensione superficiale e formazione di complessi nei sistemi: MNO₃—Pb(NO₃)₂—H₂O (con M—K, Tl, Rb, e Cs). Ferroni Enzo, Gabrielli Gabriella, Barbolani di Montauro Emilia), Ann. chimica, 1956, 46, № 5-6, 459—464 (итал.).

В указанных системах исследованы (при конц-ях солей в р-рах 1, 0,25 и 0,1 M при 20°) поверхностное натяжение, уд. вес, вязкость, электропроводность и изменение ширины пучка света, отраженного от осциллирующей поверхности исследуемого р-ра. Построены кривые зависимости свойств от мольного отношения солей; все кривые имеют минимумы при мол. отношениях MNO₃:Pb(NO₃)₂, равных 4:1, 2:1 и 1:1. Такое совпадение в положении минимумов различных свойств позволяет заключить об образовании комплексных соединений 4MNO₃·Pb(NO₃)₂, 2MNO₃·Pb(NO₃)₂ и MNO₃·Pb(NO₃)₂. Г. Левина

3828. Зависимость кажущегося молярного объема некоторых солей от концентрации и температуры. Барон Н. М., Тр. Ленингр. технол. ин-та им. Ленсовета, 1957, вып. 37, 19—28.

Вычислены кажущиеся мол. объемы (Ф_v) LiCl, LiBr, LiI, NaCl и RbCl в H₂O при различных т-рах и конц-ях соли. Вычисления производились по ф-ле: $\Phi_v = (V - V_0)/m$, где V объем р-ра в см³, содержащего m молей соли и 1000 г H₂O; V₀ — объем 1000 г H₂O. Построены кривые зависимости Ф_v от \sqrt{m} и т-ры. Полученные результаты рассмотрены с точки зрения характера взаимодействия между ионами соли и диполями воды, изменения координационного числа воды в результате растворения соли и т. д. С. Бык

3829. Кажущиеся молярные объемы NaBr в системе CH₃OH—H₂O. Барон Н. М., Тр. Ленингр. технол. ин-та им. Ленсовета, 1957, вып. 37, 10—18.

Плотности р-ров CH₃OH—H₂O и CH₃OH—H₂O—NaBr измерены при 25° в интервале конц-й соли от 0,1—1,0 и конц-й спирта в р-рителе 0—99,5 вес.%. Вычислены кажущиеся мол. объемы соли (Ф_v). Построены кривые зависимости Ф_v от состава р-рителя и конц-й соли в р-ре. Сделана попытка вычислить кажущиеся мол. объемы спирта и воды в 3-компонентных р-рах. Результаты исследования поставлены в зависимость от изменения состава сольватных оболочек иона.

С. Бык

3830. Фазовая диаграмма системы d-глюкоза—вода. Янг (D-glucose—water phase diagram. Young Frank E.), J. Phys. Chem., 1957, 61, № 5, 616—619 (англ.).

Фазовая диаграмма системы d-глюкоза—вода исследована в интервале от —30 до +62°. Измерения растворимости твердых фаз проводились по описанной ранее (Young F. E., Jones F. T., J. Phys. Chem., 1949, 53, 1334) методике. Получены данные по растворимости для всех твердых фаз: льда, α-d-глюкозы, β-d-глюкозы и моногидрата α-d-глюкозы. Предложены ур-ния растворимости: лед: $(p - 100)t = 11,38p - 9,07 \cdot 10^{-2}p^2 + 3,455 \cdot 10^{-3}p^3 - 2,653 \cdot 10^{-5}p^4$ (t от 0° до —27°; p от 0 до 67%); α-d-глюкоза (безводн.): $p = 53,80 + 0,335t + 3,65 \cdot 10^{-4}t^2$ (t от —11 до +62°; p от 50 до 76%); β-d-глюкоза (безводн.): $p = 67,00 + 0,224t$ (t от —17 до +62°; p от 63 до 81%); α-d-глюкоза (моногидрат): $p = 33,78 + 0,6215t + 3,08 \cdot 10^{-3}t^2 - 2,31 \cdot 10^{-5}t^3$ (t от —4° до +52°; p от 31 до 71%), где p — вес. % безводн. глюкозы в р-ре, t — т-ра в °C. Найденны т-ра и состав эвтектик. Лед—α-d-глюкоза—моногидрат (—4,93°, 30,79% глюкозы), лед—β-d-глюкоза (—16,1°, 56,4% глюкозы). Мутаротационное равновесие между α- и β-изомерами в р-рах d-глюкозы приблизительно не зависит от т-ры, но сдвигается при изменении конц-й. С. Бык

3831. Вязкость углеводородных газовых смесей при высоких давлениях. Мецераков Н. В., Голубев И. Ф., Тр. Гос. н.-и. и проектн. ин-та азот. пром-сти, 1954, вып. 3, 27—45.

Методом капилляра (РЖХим, 1955, 53138) определены вязкости газовых смесей метан (I)—пропан (II), этан—этилен, этан—пропилен при т-рах до 250° и давл. до 600 атм и смесей этан—этилен—пропилен при 50, 100 и 150° и давл. до 450 атм. Вязкость смесей увеличивается с повышением давления тем больше, чем ниже т-ра, с повышением т-ры возрастает при низких давлениях и уменьшается при высоких. Эксперим. значения при всех давлениях ниже вычисленных по правилу аддитивности и удовлетворительно согласуются с величинами, вычисленными по ур-нию Голубева и Петрова $\eta_{P_t} = \eta_t + a(P_t/T)^n$, где a и n — константы для каждого газа, P_t — давление при т-ре t, η_{P_t} и η_t — соответственно вязкости при т-ре t и давлениях P и 1 атм. Величина a для газовых смесей может быть вычислена по ур-нию $a_m = a_1x_1^2 + \frac{2}{3}(a_1 + a_2)x_1x_2 + a_2x_2^2$, где a₁ и a₂ — константы для 1-го и 2-го компонентов смеси и x₁ и x₂ — их мол. доли в смеси. Отмечены значительные расхождения (до 20%) литературных данных для смесей I—II, найденных методом катящегося шарика, с данными авторов. В. Коган

3832. Измерения равновесия в системах из анилина, N-метиланилина, N,N-диметиланилина и 1,2-этилендиола. Крютчен, Йост, Зиг (Gleichgewichtsmessungen im System Anilin—N—Methylanilin, N—N—Dimethylanilin, 1,2—Äthandiol. Crützen J. L., Jost W., Sieg L.), Z. Elektrochem., 1957, 61, № 2, 230—246 (нем.).

Исследована растворимость бинарных жидких систем: N-метилфениламин (I) — 1,2-этандиол (II), NN-диметилфениламин (III) — II, а также взаимная растворимость в тройных системах фениламин (IV) — I — II, IV — III — II, I — II — II. Для I, II, III, IV приведены значения d_4^{20} , n_D^{20} (D) (кип.) (760 мм) и dt/dp . Излагаются методы очистки препаратов. Построены бинодальные кривые, проведены конноды, установлены составы крит. точек. В изотермич. условиях (95, 120 и 145°) исследовано равновесие жидкость — пар, измерено общее давление в системах I — IV, III — IV, I — II и II — IV для гомог. и гетерог. областей. В системе III — IV впервые найден азеотроп. Для бинарных систем определены мол. теплоемкости и энтальпии смешения. Вычислены термодинамич. функции ΔH , ΔG° и $T\Delta S^\circ$. Проведена корректировка эксперим. данных по методу Редлиха и Кистера.

3833. О способности к изоморфному замещению цианогруппы галогенами и гидроксильной группой в бензойной кислоте. Клеeson (On the isomorphous replaceability of the cyano group by halogens and by the hydroxyl group in benzoic acid. Claeson G. Östergren, Arkiv kemi, 1956, 10, № 3, 227—231 (англ.))
На 10 фазовых диаграммах бинарных систем, относящихся к IV и V к типу по Розебоому, изучено изоморфное замещение цианогруппы галогенами и гидроксильной группой. m- и n-цианобензойные к-ты образуют ограниченные твердые р-ры с соответствующими окси-, фтор-, хлор-, бром- и йодбензойной к-тами. n-цианобензойная к-та, по видимому, образует с n-оксibenзойной к-той молекулярное соединение, содержащее ~90% n-цианобензойной к-ты.

3834. Тройные жидкие системы. III. Лейбниц, Кёненекке, Низе (Über ternäre flüssige Systeme. III. Leibnitz E., Könenekke H.-G., Niese S.), J. prakt. Chem., 1957, 4, № 5-6, 278—285 (нем.)

Плотность ряда бинарных и тройных расслаивающихся жидких смесей, содержащих ароматич. углеводород (бензол) и спирт (метанол, гликоль, дигликоль, тригликоль), измерена в интервале 20—60°. Плотности равновесных 2-компонентных жидких фаз вычислялись по ф-ле $d(\text{теор.}) = (d_1 \cdot d_2) / [d_2 + (d_1 - d_2) \cdot (\text{вес. \%}/100)]$; показано хорошее совпадение вычисленных и эксперим. значений d . Для исследованных бинарных и тройных систем соблюдается правило прямолинейной зависимости средней плотности равновесных фаз от т-ры (правило Кальете — Маттасси). Часть II см. РЖХим, 1957, 40633.

3835 К. Математические основы теории термодинамики необратимых процессов. Попов (Les bases mathématiques de la théorie des processus thermodynamiques irréversibles. Poroff Kyrylle. Paris Mém. sci. phys., 1956, № 63, 85 p.) (франц.)

3836 Д. Измерение парциальных давлений пара золота, серебра и меди в твердых растворах Au — Ag и Au — Cu. Смахтин Л. А. Автореф. дисс. канд. хим. н., МГУ, М., 1957

3837 Д. Исследование двойных жидких систем в критической области. Линшиц Л. Р. Автореф. дисс. канд. хим. н., Н.-и. физ. хим. ин-т, М., 1957

См. также: Фазовые переходы 3614, 3619, 3693, 3695, 3884, 4067. Термохимия 3926, 3927. Термодинамика: кристаллов 3668, 3691; жидкостей и растворов 3706, 3726, 3925, 4064. Ур-ния состояния 3990. Равновесия 3843, 3935, 3936, 4076, 4078, 4081. Физ.-хим. анализ систем: металл. 3612; неорганич. 3658, 3709, 3714,

3940, 3951, 3974, 4070, 4084, 4114; органич. 3928, 4086, 4887. Приборы и методы 4428—4432; Др. вопр. 3498, 6760, 6762, 4888, 4892—4895

КИНЕТИКА.

ГОРЕНИЕ. ВЗРЫВЫ. ТОПОХИМИЯ. КАТАЛИЗ

Редакторы Х. С. Багдасарьян, А. С. Соколик, А. Б. Шехтер

3838. Теоретическое обоснование несуществования мономолекулярных реакций нуклеофильного замещения. Прево (Démonstration théorique de l'inexistence de réactions de substitution nucléophile monomoléculaire. Prévost Charles), C. r. Acad. sci., 1957, 244, № 12, 1646—1648 (франц.)

На основании кинетич. соображений автор приходит к выводу, что нуклеофильные р-ции, которым приписывается механизм S_N1 , в действительности являются бимолекулярными.

А. Шиллов

3839. Состояние теории кинетики реакций горения. Уббеллоде, Портер, Ричардсон, Шулер (Status of the theory of the kinetics of combustion reactions. Ubbelohde A. R., Porter George, Richardson Johns M., Shuler Kurt E.), 5th Sympos. (Internat.) Combust. 1954. New York, Reinhold Publ. Corp., 1955, 799—802 (англ.)

3840. Замороженные свободные радикалы. Херцфельд, Басс (Radicali liberi congelati. Herzfeld Charles M., Bass Arnold M.), Illustr. scient., 1957, 9, № 92, 14—17 (итал.)

Краткое описание некоторых методов получения и исследования замороженных свободных радикалов.

Д. Кнорре

3841. Образование окиси азота при адиабатическом сжатии горючих смесей. Рябинин Ю. Н., Маркевич А. М., Тамм И. И., Докл. АН СССР, 1957, 112, № 2, 283—286

Предложен способ повышения выхода NO при адиабатич. сжатии воздуха до давл. 9000 кг/см² путем повышения т-ры за счет горения добавляемых к воздуху горючих газов. Методика проведения опытов описана ранее (РЖХим, 1954, 37431). Максим. выход NO (в %) в смесях 5,5% CH₄ = 94,5% воздуха, 5,5% CH₄ = 52,7% O₂ = 41,8% N₂, 18,3% H₂ = 45,4% O₂ = 36,3% N₂ и 15,6% CO = 46,1% O₂ = 38,3% N₂ соответственно равен 1,4, 2,86, 2,37 и 1,7. Авторы отмечают влияние скоростей охлаждения реагирующей смеси на выход NO.

З. Майзус

3842. Реакция $H + Cl_2 \rightarrow HCl + Cl$ в молекулярном пучке. Мартин, Дисковский (Der Vorgang $H + Cl_2 \rightarrow HCl + Cl$ als Molekularstrahlreaktion. Martin H., Diskowski H.), Z. Elektrochem., 1956, 60, № 9-10, 964—970 (нем.)

Полученные термич. диссоциацией при 2300 и 2490° K атомы H вместе с молекулами H₂ вводились в реактор, находившийся при комнатной т-ре, через который просасывался Cl₂. Доля эффективных соударений для р-ции $H + Cl_2 \rightarrow HCl + Cl$ при 2300° K равна $6,91 \cdot 10^{-2}$, при 2490° K $7,68 \cdot 10^{-2}$. Энергия активации $9,4 \pm 0,4$ ккал/моль. В условиях этих опытов р-ция $Cl + H_2 \rightarrow HCl + H$ исключалась вследствие рекомбинации атомов Cl на стенках сосуда.

Г. Б. Сергеев

3843. Дисперсия и поглощение звука в жидкостях, в которых осуществляется произвольное химическое равновесие и применение акустических измерений в химической кинетике. Табути (Dispersion and absorption of sound in liquids in general chemical equilibrium and its application to chemical kinetics. Tabuchi Daisaku), J. Chem. Phys., 1957, 26, № 5, 993—1001 (англ.)

Получены выражения для скорости v и коэф. поглощения звука α в жидкости при наличии в ней произвольного хим. равновесия: $aA + bB + \dots \rightleftharpoons qQ + rR + \dots$. Выражения для v и α включают плотность, статич. изотермич. сжимаемость, коэф. термич. расширения, парциально мол. объем, константу равновесия, тепловые эффекты и константы скоростей соответствующих р-ций. Указан способ определения на основании результатов измерения v и α , тепловых эффектов и констант скоростей р-ций, обуславливающих хим. равновесие, а также изменения объема в результате р-ции. Специально рассмотрено приложение полученных результатов к равновесиям в р-рах электролитов. Указано на необходимость учета неадекватности поглощения, обусловленного изменением энергии и объема при распространении звуковой волны, при использовании акустич. измерений в хим. кинетике. Акустич. измерения позволяют определять скорости очень быстро протекающих р-ций в равновесных системах.

Б. Кудрявцев

3844. О кинетике реакций поворотной изомеризации.

Поздышев В. А., Пентин Ю. А., Татевский В. М., Докл. АН СССР, 1957, 114, № 3, 583—585

На основании исследования кинетики р-ции для поворотной изомеризации C_3H_7Cl в твердом состоянии, наблюдаемой спектроскопически по уменьшению интенсивности полосы 1310 см^{-1} внешнего деформационного колебания группы CH_2 , найдена энергия активации р-ции «повернутая форма» \leftarrow «транс»-форма, $E(\text{акт.}) = 4800\text{ кал/моль}$. При известной величине разности высот потенциальных ям, которая определяется по температурной зависимости относительной интенсивности полос ИК-спектра, это дает возможность определить два из трех параметров, входящих в функцию потенциальной энергии заторможенного вращения системы типа $CXY_2 - CXY_2$.

Е. Никитин

3845. Реакция нитратов с жидким сернистым ангидридом. Айвин (Reaction of nitrates with liquid sulphur dioxide. Ivin K. J.), Nature, 1957, 180, № 4576, 90 (англ.)

Автор полагает, что при катализе неорганич. нитратами образования полисульфонов при взаимодействии олефинов с SO_2 в жидкой фазе активными в-вами являются NO_2 или ион-радикал $\cdot SO_3^-$, образующиеся по р-ции между нитратами и SO_2 ; эта р-ция является стадией, лимитирующей скорость иницирования образования полисульфонов.

А. Ревзин

3846. Этерификация посредством иона нитрония (NO_2^+) в водных растворах хлорной кислоты. Боннер, Фрайзел (Esterification by the nitronium ion in aqueous perchloric acid. Bonner T. G., Frizel D. E.), Nature, 1957, 179, № 4568, 1022—1023 (англ.)

Нитрование изоамилового спирта HNO_3 в 55—62%-ных водн. р-рах $HClO_4$ протекает при участии иона нитрония (NO_2^+). Р-ция исследована спектрофотометрически при 25° . Скорость ее подчиняется ур-нию: $d[C_5H_{11}NO_3]/dt = k[C_5H_{11}OH][HNO_3] - k'[C_5H_{11}NO_3]$. Механизм р-ции через NO_2^+ доказывается путем сравнения полученных данных с литературными данными по этерификации азотистой к-той в той же среде.

В. Маркович

3847. К экспериментальному определению скорости реакции. Хёлинг (Zur experimentellen Bestimmung der Reaktionsgeschwindigkeit. Höhling Helmut), Praxis Phys. Chem. Photogr., 1957, 6, № 3, Chemie, 19—20 (нем.)

Окисление Na_2SO_3 под действием KJO_3 изучалось в условиях, аналогичных исследованию, проведенному ранее (Günther E., Praxis Phys. Chem., Photogr., 1956, № 11, 391). Автоокисление Na_2SO_3 было заторможено

добавками р-ра салициловой к-ты в C_2H_5OH . Скорость р-ции следует ур-нию 2-го порядка.

Л. Вартанян

3848. Окисление солей кобальта в аммиачном растворе. Хахам И. Б., Рейбель И. М., Тр. Книневак. с.-х. ин-та, 1956, 11, 145—157

Описана статич. установка для изучения способных к присоединению мол. O_2 2-ядерных комплексных соединений Co с NH_3 и с другими аддендами (этилендиамин, гликолем). Для определения непрореагировавшего Co^{2+} используются потенциометрич. и полярографич. методы.

З. Майзус

3849. Активация каталитической функции индигокармина в реакции окисления сероводорода. Николаев Л. А., Ж. физ. химии, 1957, 31, № 4, 923—924

На примере р-ции окисления H_2S описывается модель дегидразы, в которой активная группа имитируется красителем (индигокармин), способным превращаться в лейкоформу, а роль носителя выполняет целлюлоза. Дегидразная функция индигокармина значительно активируется посредством адсорбции его на целлюлозе. Крахмал также является хорошим активатором. Делается заключение, что активирующее действие определяется углеводной природой носителя.

В. Пикаева

3850. Изучение кинетики реакций производных тиомочевин. I. Метилтиомочевина. Шоу, Уокер (Kinetic studies of thiourea derivatives. I. Methylthiourea. Shaw William H. R., Walker David G.), J. Amer. Chem. Soc., 1957, 79, № 11, 2681—2684 (англ.)

Изучена кинетика распада метилтиомочевин в водн. р-ре при pH 1—12 и $100-140^\circ$. Показано, что при $pH < 7$ протекают 2 параллельные р-ции 1-го порядка с образованием NCS^- , NH_3 и CH_3NH_2 , причем CH_3NH_2 образуется в обеих р-циях. Энергия активации этих р-ций $37,9$ и $34,5\text{ ккал/моль}$, предэкспоненты $9,87 \cdot 10^{14}$ и $3,37 \cdot 10^{13}\text{ сек}^{-1}$ соответственно. При $pH > 7$ обнаружены некоторые побочные р-ции. Полученные данные подтверждают механизм, предложенный ранее для изомеризации мочевины (РЖХим, 1956, 77598) и тиомочевин (РЖХим, 1957, 57394) и состоящий во внутримолекулярном переносе H и диссоциации активированного комплекса.

А. Ревзин

3851. Устойчивость и кинетика реакций комплексообразования. VII. К вопросу о скорости образования комплексов тетрафенилпорфина. Фаллаб, Эрленмейер (Stabilität und Kinetik bei Komplexbildungsreaktionen. VII. Zur Bildungs- geschwindigkeit von Tetraphenylporphyrinkomplexen. Fal lab S., Erl enmeyer H.), Helv. chim. acta, 1956, 39, № 7, 2130—2132 (нем.; рез. англ.)

Кинетика р-ций образования комплексов тетрафенилпорфина с $Cu(ClO_4)_2$ и $Zn(ClO_4)_2$ изучалась спектрофотометрически в смеси H_2O , CH_3OH и диоксана в присутствии $NaClO_4$ и перхлората α -пиколоина в качестве буфера. Бимолекулярные константы скорости при 20° (л/моль час) для Cu и Zn равны соответственно $2,5 \cdot 10^3$ и 10^2 . Часть VI см. РЖХим, 1957, 76821.

Д. Кнорре

3852. Влияние летучих веществ на химическую активность ультразвуковой кавитации. Эльфольк, Виртанен (The effect of volatile substances on the chemical activity of ultrasonic cavitation. Ellfolk Nils, Virtanen Artturi I.), Acta chem. scand. 1957, 11, № 2, 230—234 (англ.)

Исследовано влияние различных добавок на хемотропную люминесценцию водн. р-ров люминола (5-амино-2,3-дигидро-1,4-фталазиндион) под действием ультразвука. Добавки этилового, пропилового, n -бутилового и изоамилового спиртов не оказывают влияния на хемотропную люминесценцию р-ров люминола, ингибируя другие окислительные р-ции, протекающие при озвучивании.

ваний, и звуколюминесценцию чистой дистил. воды. Предполагается, что влияние добавок обусловлено изменением поверхностного натяжения внутри кавитационных пузырьков.

Б. Кудрявцев
3853. Применение функции кислотности к механизму кислотного катализа. Лонг (Application of acidity functions to the mechanisms of acid-catalyzed reactions. Long F. A.), Proc. Chem. Soc., 1957, Aug., 220—225 (англ.)

Обзор. Библ. 22 назв.

Э. Блумберг

3854. Кинетика кислотно-катализированного гидролиза этилаля в смесях вода—этанол. Саломан (The kinetics of the acid-catalysed solvolysis of ethylal in water-ethanol mixtures. Salomaa Pentti), Acta chem. scand., 1957, 11, № 3, 461—467 (англ.)

Исследована кинетика обратимой р-ции гидролиза этилаля в присутствии 0,1 н. HCl в смесях вода—этанол (0—78,1 мол.%) при 25°. Автор принимает, что гидролиз идет через образование в стадии, лимитирующей скорость р-ции, неустойчивого катиона этоксиметила, который одновременно реагирует по р-ции 1-го порядка с молекулами H₂O и C₂H₅OH. Если принять величину отношения скоростей этих р-ций, определенную из кинетики гидролиза этоксиметилхлорида (РЖХим, 1957, 65699, 71154), то зависимость $\lg k_1$, где k_1 — общая константа скорости р-ции гидролиза 1-го порядка, от кислотной функции р-ра — H_0 линейна с наклоном, близким к 1, что подтверждает мономолекулярный механизм р-ции. Отклонение от 1 объясняется влиянием диэлектрич. постоянной р-ра D и описывается уравнением $\lg k_1 = \text{const} - H_0 + b/D$. Для изученной р-ции постоянная $b = 14,8$. А. Ревзин

3855. О механизме катализа стеаратом кобальта в начальный период окисления циклогексана. Денисов Е. Т., Эмануэль Н. М., Ж/физ. химии, 1956, 30, № 11, 2499—2509

В начале р-ции окисления циклогексана (I), катализированной стеаратом Co, при 90—110° в автоклавной установке (Березин И. В., Диссертация, МГУ, 1953), происходит быстрый переход Co²⁺ в Co³⁺ с одновременным образованием незначительных кол-в спирта и кетона. Затем наступает период заторможенной р-ции, после которого процесс образования Co³⁺ и продуктов окисления возобновляется с большой скоростью. Добавки к исходному I циклогексана (0,6 ммоль/л) приводят к увеличению выхода продуктов начальной стадии; добавки циклогексанола (3,35 ммоль/л) увеличивают продолжительность заторможенной р-ции. При добавлении к I St₂Co, содержащего кристаллизационную воду, переход Co²⁺ в Co³⁺ и инициирование процесса окисления не происходит. Авторы считают, что в начальный период окисления протекает быстро затормаживающаяся макроскопическая инициирующая стадия, в течение которой Co²⁺ переходит в Co³⁺, катализирующий дальнейшее протекание процесса. Опыты с разной конц-ией St₂Co и с добавками Co²⁺ в развинувшуюся р-цию свидетельствуют о том, что Co²⁺ тормозит р-цию. Начальное инициирование не связано, по мнению авторов, с р-цией между St₂Co и перекисью, а происходит при участии комплекса St₂CoO₂ с I.

З. Майзус

3856. Кинетика разложения щавелевой кислоты в неводных растворителях. Кларк (The kinetics of the decomposition of oxalic acid in non-aqueous solvents. Clark Louis Watts), J. Phys. Chem., 1957, 61, № 5, 699—701 (англ.)

Кинетика разложения щавелевой к-ты изучена в разных неводах. р-рителях при 156—178° по выделению CO₂. Р-ция следует 1-му порядку. Найденные следующие величины энергии активации (кал/моль) и предэкспонента (сек⁻¹): в диметилсульфоксиде 40650; 3,0 · 10¹⁷;

триэтилфосфате 29 950; 1,74 · 10¹²; хинолине 40130; 1,0 · 10¹⁷; анилине 41450; 1,45 · 10¹⁸; N-метиланилине 38 850; 5,76 · 10¹⁴; N,N-диметиланилине 33 100; 3,39 · 10¹³. Автор полагает, что механизм распада щавелевой и малоновой к-т (РЖХим, 1957, 50770; 57084) одинаков и состоит в том, что свободная пара электронов основного атома р-рителя связывается с недиссоциированной к-той с образованием активированного комплекса, облегчающего разрыв связи.

А. Ревзин

3857. Кинетика деметилирования некоторых йодидов фторфенилтриметиламмония метоксидом натрия в абсолютном метаноле. Беван, Бай (Kinetics of the demethylation of some fluorophenyltrimethylammonium iodides by sodium methoxide in absolute methanol. Bevan C. W. L., Bye G. C.), J. Chem. Soc., 1957, July, 3194—3197 (англ.)

Изучена кинетика деметилирования йодидов R-фенилтриметиламмония, где R—o-F, m-F, n-F, H и n-CH₃, с помощью NaOCH₃ в абс. CH₃OH. Р-ция следует 2-му порядку; скорость р-ции уменьшается с увеличением полярности р-ра. Энергия активации увеличивается в приведенном ряду R от 30,51 до 33,33 ккал/моль, величина предэкспонента A · 10⁻¹⁶ для R—o-F 3,6, H 6,7, m-F 6,8, n-F 9,5, n-CH₃ 9,8 л/моль сек. Полученные результаты обсуждаются с точки зрения поляризирующего влияния F на ароматич. кольцо.

А. Ревзин

3858. Кинетика и химизм поликонденсации эфиров α-аминокислот. 3. Влияние двуокиси углерода на состав продуктов поликонденсации этилового эфира глицина. Козаренко Т. Д., Порошин К. Т., Хургин Ю. И., Изв. АН СССР, Отд. Хим. н., 1957, № 5, 563—568

Исследован состав продуктов поликонденсации этилового эфира глицина при различных значениях отношения начальных молярных конц-ий CO₂ и мономера. Анализ продуктов р-ции производился после удаления мономера. Продукт р-ции обрабатывался диэтиловым эфиром и представлял собой густую массу, содержащую смесь этиловых эфиров пептидов. Полученные кинетич. кривые позволяют установить 2 фазы в процессе поликонденсации, отличающиеся по скорости, причем 1-я, замедленная фаза, зависит от начальной конц-ии CO₂, 2-я — подчиняется одинаковым кинетич. закономерностям независимо от содержания CO₂. Качеств. исследование продуктов поликонденсации проведено методом распределительной хроматографии на бумаге с применением систем бутанол—уксусная кислота—вода, пиридин—бутанол—вода и фенол—вода; в подвижную фазу добавлялось до 0,1% трилона Б для устранения влияния солей тяжелых металлов, содержащихся в бумаге. Показано, что на первых стадиях процесса эфир глицилглицина быстро расходуется как на превращение его в дикетопиперазин, так и на образование эфира диглицилглицина. Основной р-цией является присоединение мономера к эфирам пептидов, а не взаимодействие эфиров и пептидов между собой. Определено содержание дикетопиперазина методом дифференцированного титрования на разных стадиях р-ции, а также в сумме различных пептидов. Сообщение II см. РЖХим, 1957, 60782.

Н. Мотовилова

3859. Тепловое уравнение для тушения пламени. Поттер, Берлад (A thermal equation for flame quenching. Potter A. E., Jr, Berlad A. L.), Rept. Nat. Advis. Comm. Aeronaut., 1956, № 1264, 6 pp. (англ.)

На основании постулата о возможности распространения пламени лишь при сохранении в зоне р-ции определенной доли теплоты горения FH_T выводится ф-ла для тушащего размера: $d^2 = (FG_i NK_X) / (C_{p,T} u)$, в которой N — число Авогадро, X_i — мол. конц-ия топ-

лива в смеси, C_p , γ — теплоемкость, k_r — средняя теплопроводность, w — скорость р-ции в реакционной зоне (моль / см² сек), G_i — безразмерный множитель, характеризующий геометрию канала. Расчет α может быть распространен как на богатые, так и на бедные смеси, если принять, что происходит р-ция молекул топлива с активными частицами, и только на бедные, если исходить из р-ции топлива с O_2 . Вычисленная зависимость α от давления лучше совпадает с наблюдаемой на опыте; для 1-го случая $\alpha \approx p^{-1}$. Авторы отмечают преимущество ф-лы для α по сравнению с диффузионной при выборе подходящего типа р-ции для различных расчетных целей.

А. Соколик
3860. Самовоспламенение газообразной азотистой водородной кислоты. Грей. Уоддингтон (Spontaneous ignition of gaseous hydrogen azide. Gray Peter, Waddington T. C.), Nature, 1957, 179, № 4559, 576—577 (англ.)

Методом, описанным ранее (РЖХим, 1956, 61057), исследовалось самовоспламенение HN_3 при впуске в нагретый сосуд при 650° и давл. < 4 см рт. ст. Период индукции самовоспламенения равен 1/5 сек, конечное повышение давления ~ 100%, что соответствует ур-нию $HN_3 \rightarrow 1/2 H_2 + 3/2 N_2$, $\Delta H = -71$ ккал/моль. При давл. < 0,5 см рт. ст. наблюдалось медленное разложение HN_3 с периодом индукции с беловатым свечением и повышением давления на 2—5%. Энергия активации E , вычисленная по тепловой теории из температурной зависимости пределов воспламенения (в предположении 1-го порядка брутто-реакции), равна 21 ккал/моль. Для медленной р-ции разложения HN_3 , $E = 70$ ккал/моль. На основании этого авторы предполагают наличие при воспламенении разветвленных радикальных цепей.

А. Соколик
3861. Влияние размера зонда на измеренную концентрацию ионов в пламенах. Кинг, Калкот (Effect of probe size on ion concentration measurements in flames. King I. R., Calcote H. F.), J. Chem. Phys., 1955, 23, № 11, 2203—2204 (англ.)

В качестве источника наблюдавшегося ранее (РЖХим, 1958, 463) расхождения между измеренной зондом Ленгмюра $[N_+]$ (изм.) и теоретич. конц-ией ионов N_+ в пламенах, содержащих щел. металлы, рассматривается влияние на N_+ (изм.) радиуса зонда (r). Для учета этого влияния предлагается ф-ла N_+ (испр.) = $(r/l) N_+$ (изм.), где l — длина свободного пробега (Bohm и др. The characteristics of electrical discharges in magnetic fields. New York, 1949). Показано, что при изменении r от 0,063 до 0,014 см N_+ (изм.) изменяется с 4,68 до 23,0 · 10⁹, а N_+ (испр.) с 3,76 до 4,02 · 10⁹. Вычисленное из этой же ф-лы l для различных солей также оказывается близким к ее действительному значению.

А. Соколик
3862. Экспериментальное определение вращательных температур и концентраций OH в пламенах с помощью спектров излучения. Пеннер, Бьёнеруд (Experimental determination of rotational temperatures and concentration of OH in flames from emission spectra. Penner S. S., Björnerud E. K.), J. Chem. Phys., 1955, 23, № 1, 143—152 (англ.)

См. РЖФиз, 1957, 18426.

3863. Стабилизация пламени в пограничном слое. Хоттел, Дун Дау-и, Мартин (Flame stabilization in a boundary layer. Hottel Hoyt C., Toong Tau-Yi, Martin John J.), Jot Propuls., 1957, 27, № 1, 28—30, 48 (англ.)

Для устранения неопределенности при изучении механизма стабилизации пламени (II) в бунзеновской горелке, связанной с разбавлением смеси окружающей атмосферой и искажением поля скоростей у основания II, была применена стабилизация II в бедных

пропано-воздушных смесях в пограничном слое толстого стержня, расположенного по оси трубы. Стабильное положение II относительно переднего кончика стержня, при отсутствии вибраций и на расстоянии ≥ 50 мм от выхода, не зависит от расположения стержня внутри трубы. Расстояние II от переднего конца стержня уменьшается с уменьшением скорости потока, с увеличением кол-ва охлаждающей жидкости и конц-ии C_2H_6 . Крит. значение градиента скорости, вычисленное из профиля скоростей в пограничном слое (по Блазиусу), линейно растет с т-рой охлаждающей жидкости, с увеличением конц-ии C_2H_6 и не зависит от скорости основного потока (с точностью $\pm 10\%$).

А. Соколик
3864. Явления самовоспламенения в двигателях внутреннего сгорания и машинах быстрого сжатия. Ливенгуд, У (Correlation of autoignition phenomena in internal combustion engines and rapid compression machines. Livengood J. C., Wu P. C.), 5th Sympos. (Internat.) Combust. 1954. New York, Reinhold Publ. Corp., 1955, 347—356 (англ.)

Обзор. Библ. 24 назв.

А. Борисов

3865. Кинетические зависимости при воспламенении нагретой поверхностью в условиях двигателя. Воннов А. Н., Докл. АН СССР, 1957, 114, № 1, 135—138. Исходя из общего соотношения Зельдовича для условий воспламенения газа от нагретой поверхности, выведен ф-ла применительно к такому воспламенению в двигателе: $T(p) (T(p) - T(сж.)^{-1}) [v \cdot p^n (сж.) \exp(F/RT(p)) / \lambda E]^{1/2} = \text{const}$, где $T(p)$ и $T(сж.)$ — т-ры поверхности и конца сжатия, $p(сж.)$ — давление сжатия, v — кинематич. вязкость, λ — теплопроводность. Для ряда горючих — бензола, изооктана и др. — $E \approx 60—77$ ккал/моль. Наблюдается резкое уменьшение E по мере повышения $T(сж.)$ и развития предпламенных р-ций рассматривается как фиктивное и объяснено повышением фактической $T(сж.)$ за счет тепловыделения в предпламенных р-циях. Из опытов при $T(сж.) = \text{const}$ и переменном $p(сж.)$ вычислены значения эффективного порядка р-ции n для бензола, изооктана и диизобутилена равные 0,1; 0,6 и 0,8 соответственно.

А. Соколик

3866. Образование углерода из C_2H_2 и CO в разрядных трубках. Гейдон, Фэрбэрн (Carbon formation from C_2H_2 and CO in discharge tubes. Gaydon A. G., Fairbairn A. R.), 5th Sympos. (Internat.) Combust. 1954. New York, Reinhold Publ. Corp., 1955, 324—328 (англ.)

Автор считает, что образование сажи в пламенах углеводородов с предварительным смешением идет в 2 стадии: образование C_2H_2 и его полимеризация и дегидрогенизация. Вторая стадия в пламенах внешне протекает почти так же, как в синеватой области послесвечения в разрядных трубках. Спектр послесвечения в CO содержит полосы C_2 и свободного углерода. При небольших добавках C_2H_2 на стенках медленно образуется твердый осадок (состав $C_{15}H_5O$), при больших добавках наблюдается рыхлый быстрообразующийся осадок (состав $C_{20}H_4O$). В обоих осадках присутствует графит, оба неастворимы в органич. р-рителях. Авторы предлагают схему образования осадка: $C_2 + C_2H_2 = C_4 + H_2$, $C_4 + C_2H_2 = C_6 + H_2$ и т. д. Выделяющаяся энергия оставляет зерна углерода горячими, способными термически разлагать C_2H_2 . Состав осадка, полученный по этой схеме, очень мало отличается от обычной сажи.

А. Борисов

3867. Образование углерода и родственных веществ в диффузионных пламенах. Артур, Нейпир (Formation of carbon and related materials in diffusion flames. Arthur J. R., Napier D. H.), 5th Sympos. (Internat.) Combust. 1954. New York, Reinhold Publ. Corp., 1955, 303—316 (англ.)

Исследовались форма состава и пламени, физ. и хим. свойства продуктов горения и твердого осадка, а также УФ- и ИК-спектры поглощения диффузионных пламен смесей C_2H_6 -воздух, $C_2H_6-O_2$; $N_2-C_2H_6-O_2$; $CH_4-O_2-N_2$ и $C_6H_6-O_2-N_2$. Обращение пламени, уменьшение давления и разбавление смеси уменьшает интенсивность излучения пламени и изменяет состав продуктов р-ции (газообразных и осадка). В промежуточных соединениях, из которых образуется сажа, содержится О. Ингибиторы полимеризации не оказывают влияния на состав свойства твердого осадка. Авторы считают, что образование сажи нельзя объяснить только дегидрогенизацией и полимеризацией промежуточных продуктов.

А. Борисов
3868. Высота диффузионных пламен и относительная влажность скоростей смешения и реакции. Пауэлл (The height of diffusion flames and the relative importance of mixing and reaction rates. Powell H. N.), 5th Sympos. (Internat.) Combust. 1954. New York, Reinhold Publ. Corp., 1955, 290—302 (англ.)

Влияние диффузионного смешения и хим. кинетики на скорость горения в турбулентных пламенах разбирается на модели плоской горелки типа «сэндвич», в которой получаются любые периоды, пульсации концы топлива и окислителя. В предположении, что р-ция бимолекулярна, что диффузия реагирующих в-в происходит только в горизонтальном направлении и что концы реагирующих в-в на каждой высоте состоит из постоянной и синусоидально меняющейся составляющей, численно решены кинетич. ур-ния, получено выражение для степени выгорания в зависимости от расстояния над горелкой. Из решения следует, что высота с данной степенью выгорания зависит от диффузионного смешения и скорости р-ции аддитивно, что степень выгорания с давлением сначала падает до минимума ($\sim 1/P$), затем растет ($\sim P$); в турбулентном потоке из-за зависимости числа Рейнольдса от давления эта зависимость не выполняется. Получено выражение для толщины нормально распространяющегося пламени в ламинарном потоке.

А. Борисов
3869. Техника эксперимента с ударной трубой. Харшбарджер (Shock tube technique. Harshbarger Frederick C.), Z. Elektrochem., 1957, 61, № 5, 592—599. Diskuss., 599—600 (англ.)

Обзор. Библ. 29 назв. А. Соколик
3870. Теория распространения пламени в пороховых «грядках». Уоктелл (A theory of the spread of flame in a propellant bed. Wachtell George Peter), Proc. Gas Dynam. Sympos. Aerothermochem., 1955. Evanston, Ill., 1956, 49—53 (англ.)

Получены приближенные выражения для волн давления для узких длинных слоев пороха, поджигаемых посередине. При расчете предполагается, что скорость горения пропорциональна давлению, что продукты горения являются идеальными газами и что массовая скорость газа пропорциональна градиенту давления. Для трубок пороха, длина которых превышает некоторую критич. величину, амплитуда волн давления растет со временем.

А. Борисов
3871. Скорости горения, определенные методом бунзеновской горелки. I. Угледородо-кислородные смеси при атмосферном давлении. II. Угледородо-воздушные смеси при давлениях ниже атмосферного. Зингер, Грумер, Кук (Burning velocities by the Bunsenburner method I. Hydrocarbon-oxygen mixtures at one atmosphere. II. Hydrocarbon-air mixtures at subatmospheric pressures. Singer J. M., Grumer Joseph, Cook E. B.), Proc. Gas Dynam. Sympos. Aerothermochem., 1955. Evanston, ill., 1956, 139—150 (англ.)

Скорости горения (СГ) в цилиндрич., прямоугольной и сопловой горелках измерялись по площади конуса пламени на плилен- и прямой фотографиях. СГ кислородных смесей CH_4 , C_2H_6 и C_3H_8 при 1 атм существенно отличны от СГ в сферич. бомбе. Для воздушных смесей в цилиндрич. горелке при малом объеме камеры СГ изменяется пропорционально p^{-2} , в прямоугольной и сопловой горелках СГ не зависит от p в пределах $1-1/2$ ат. Это различие в эффекте давления и самих значений СГ объясняется возрастающим (с понижением давления) расхождением линий тока у основания цилиндрич. горелки, что приводит к возрастанию пространства, отделяющего пламя от края горелки, к уменьшению фактич. объемного расхода газа через поверхность горения и, наконец, к возрастающему разбавлению горящей смеси окружающей атмосферой. СГ, измеренные по фактич. углу наклона к поверхности пламени линий тока, оказываются практически независимыми от давления.

А. Соколик

3872. Исследование зависимости скорости горения от давления методом сферической бомбы. Мантон, Милликен (Study of pressure dependence of burning velocity by the spherical vessel method. Manton John, Milliken B. B.), Proc. Gas Dynam. Sympos. Aerothermochem., 1955. Evanston, Ill., 1956, 151—157 (англ.)

Скорости горения (СГ) воздушных смесей CH_4 и C_2H_6 в сферич. бомбе, измеренные по изменению радиуса пламенной сферы и по изменению давления, возрастают с уменьшением давления. С уменьшением давления в смесях C_2H_6 -воздух СГ падают при значениях $СГ < 50$ см/сек, не зависят от давления при $СГ \approx 50-100$ см/сек и понижаются в смесях H_2 -воздух. Авторы предполагают, что эти измерения зависимости СГ от давления отражают возрастающие роли диффузионного переноса в медленно горящих смесях, скорость которого обратно пропорциональна давлению. Отмечается связь этой зависимости с пределами детонации — горящие смеси становятся детонационно-способными только при положительной зависимости СГ от давления.

А. Соколик

3873. Математическая теория турбулентного пламени. Ричардсон (Mathematical theory of turbulent flames. Richardson John M.), Proc. Gas Dynam. Sympos. Aerothermochem., 1955. Evanston, Ill., 1956, 169—177 (англ.)

Турбулентное пламя рассматривается как искривленная непрерывная поверхность, элементы которой распространяются относительно свежего газа с постоянной ламинарной скоростью горения S , а искривления изменяются во времени и пространстве по закону Гаусса. Для отношения турбулентной скорости горения к ламинарной S^*/S получены выражения для двух предельных случаев очень сильной турбулентности: $S^*/S = 1 + 2^{-1/2} (u'T/L)^{1/2} (u'/S)^{1/2}$ и слабой турбулентности: $S^*/S = 1 + 2^{-1/2} (u'/S)$, где u' , T , L — соответственно средне-квадратичная пульсационная скорость, характеристич. время и масштаб. Выводы сопоставляются с выражениями для S^*/S , полученными ранее (Шелкин К. И., Ж. техн. физики, 1943, 13, 520).

А. Соколик

3874. Аэротермохимические аспекты стабилизации. Бьеркли (Aerothermochemical aspects of flameholder performance. Bjerklie John W.), Proc. Gas Dynam. Sympos. Aerothermochem., 1955. Evanston, Ill., 1956, 221—232 (англ.)

При теоретич. рассмотрении механизма стабилизации гомог. смесей за плохообтекаемыми телами принимается, что условием стабильного горения является наличие достаточного времени для достижения некоторой опре-

деленной t -ры при смешении продуктов сгорания со свежей смесью и частичном саморазогреве последней от p -ции. Выводится ур-ние для теоретич. повышения t -ры, необходимого для стабильного горения: $\Delta T_{th} \geq (R_0/R_x)(T_0/P_0V_0)[(P_xV_x/T_x)\Delta T_R/(t_a/t_R)]_{x_0}$, где R — газовая постоянная, T — t -ра, V — объем (индексы 0 и x относятся соответственно к начальным условиям и к точке воспламенения), ΔT_R — требуемое повышение t -ры, t_a и t_R — характерные времена. Делается попытка объединения известного эмпирич. и теоретич. материала по процессам стабилизации графич. схемой, содержащей колич. соотношения для факторов стабилизации: свойств топлив, отношения топливо/воздух, содержания продуктов p -ции, формы и размеров стабилизатора, различных физ. и гидродинамич. свойств потока. В. Басевич

3875. Условия образования стоячей детонационной волны. Рутковский, Николис (Considerations for the attainment of a standing detonation wave. Rutkowski J., Nicholis J. A.), Proc. Gas Dynam. Sympos. Aerothermochem., 1955, Evanston, Ill., 1956, 243—253 (англ.)

Условие образования неподвижного фронта детонационной волны в потоке горючей смеси определяется точкой пересечения кривых изменения статич. t -ры в функции от числа Маха (M) для данной детонационной волны и для газового потока при выбранной t -ре торможения. Миним. M , при котором возможна стабилизация плоской волны, тем меньше, чем выше t -ра торможения потока. При стабилизации с помощью стабилизаторов — конусов, пластин, — т. е. в условиях косої детонационной волны, требуемое M , а вместе с ним и динамич. давление в потоке повышаются. Цикл последовательных операций состоит из раздельного подогрева топлива и окислителя при высоком давлении, расширения компонентов, смешения сверхзвуковых потоков и окончательного расширения до требуемого M . Приводится вывод характеристик ударной и детонационной волн в полярных координатах. А. Соколик

3876. Возрастание полной энтропии в химических необратимых процессах. Ли Шао-линь, Ли (Total entropy production in chemically irreversible processes. Lee Shao-lin, Lee John F.), Proc. Gas Dynam. Sympos. Aerothermochem., 1955, Evanston, Ill., 1956, 265—272 (англ.)

На основе законов классич. термодинамики и термодинамики необратимых процессов Онзагера получено общее выражение полной энтропии для хим. необратимого процесса. Рассмотрены некоторые частные случаи: процессы при постоянном давлении, постоянной t -ре, равновесном и неравновесном исходном и конечном состояниях реагирующей смеси. В. Басевич

3877. Обзор термодинамических свойств газобразных продуктов сгорания смесей C_nH_{2n} с воздухом. Пауэлл, Зунцу (Survey of the thermodynamic properties of C_nH_{2n} —air combustion gases. Powell H. N., Suci S. N.), Proc. Gas Dynam. Sympos. Aerothermochem., 1955, Evanston, Ill., 1956, 273—281 (англ.)

Излагаются результаты расчетов термодинамич. свойств продуктов сгорания (CO , CO_2 , H_2 , H_2O , O_2 , N_2 , H , O , N , NO , OH) воздушных смесей углеводородов с общей ф-лой C_nH_{2n} , при t -рах $> 2800^\circ K$ и давл. > 10 ат, применительно к условиям сгорания реактивного топлива. Приводятся графики зависимости изотерм анталпии, теплоемкости, мол. веса, изотермич. показателя (а также изменение коэф., характеризующих отклонение от свойств идеального

газа) от соотношения топлива/воздух при 1 ат и от давления для стехиометрич. смеси. А. Соколик

3878. Характеристика твердых веществ с помощью радиоактивных индикаторов. Фейткнехт, Бусер (Kennzeichnung fester Stoffe mit radioaktiven Indikatoren. Feitknecht W., Buser W.), Z. Elektrochem., 1956, 60, № 8, 789—796 (нем.)

Метод радиоактивных индикаторов применен в сочетании с рентгенографич. и электронномикроскопич. методами и с измерениями поверхности по БЭТ для характеристики твердых в-в как с упорядоченной решеткой, так и с решеткой, содержащей нарушения структуры. Установлено, что у MnO , β - MnO_2 , CoO и ZnO , обладающих упорядоченными решетками, лишь часть металлич. ионов поверхности участвует в изотопном обмене с металлич. ионами p -ра, причем доля обменивающихся поверхностных ионов, возрастающая в ряду CoO , β - MnO_2 , MnO , ZnO , не зависит от способа приготовления окисла. У различных препаратов γ - MnO_2 (I), кристаллич. решетки которых отличаются значительными нарушениями структуры, доля обменивающихся ионов растет с увеличением степени неупорядоченности. Для образцов I с наиболее значительными нарушениями структуры в обмене участвуют не только ионы поверхности, но и ионы прилегающих к поверхности слоев. У основных Со-солей и $Mn(2+)$ - и Zn -манганитов, обладающих совершенными двухслойными решетками (между каждыми двумя основными слоями с упорядоченной структурой расположен слой с неупорядоченной структурой), происходит быстрый и полный изотопный обмен металлич. ионов в слоях с неупорядоченной структурой. Обмен ионов упорядоченных слоев если и происходит, то со значительно меньшими скоростями. Результаты измерения скорости изотопного обмена металлич. ионов подтверждают и уточняют рентгенографич. данные об ионном составе неупорядоченных слоев решетки $Mn(2+)$ - и Zn -манганитов и основных хлоридов и нитратов Со. М. Сахаров

3879. О реакциях веществ в твердом состоянии. Финч, Синха (On reaction in the solid state. Finch G. I., Sinha K. P.), Proc. Roy. Soc., 1957, A239, № 1217, 145—153 (англ.)

Используя представление о фоновых кристаллич. решетках (Seitz F., Imperfections in nearly perfect crystals. New York, Wiley, 1952), авторы дают уточненное выражение для миним. t -ры начала спекания твердого тела. Рассмотрена зависимость скорости (v) взаимодействия двух твердых тел от их физ. и кристаллографич. свойств. С помощью теории абс. скоростей p -ций выведено аналитич. выражение для v и установлено, что основным фактором, определяющим изменение кристаллографич. фазы, образование промежуточных структур и кинетику p -ции, является диффузия катионов, вызванная наличием градиентов хим. и электронного потенциалов. Г. Леви

3880. Об ускорении реакции на границах зерен смешанных кристаллов. Граф, Клатте (Über eine Reaktionssteigerung an den Korngrenzen von Mischkristallen. Graf L., Klatte H.), Z. phys. Chem. (BRD), 1957, 10, № 5-6, 306—309 (нем.)

При образовании смешанных кристаллов в сплавах обнаружено ускорение процессов диффузии и коррозии, протекающих, в основном, на границах зерен этих кристаллов. Это явление названо авторами «эффектом смешанных кристаллов». При изучении диффузии Hg в сплавах Cu-Au и Cu-Zn при 120° найдено, что коэф. диффузии резко увеличивается с ростом конц-ии смешанных кристаллов, достигая максим. значения при 50 ат.%. Показано, что коррозия сплава Cu-Au, содержащего 10 ат.% Au, в 2%-ном p -ре $FeCl_3$ протекает по границам зерен. При пластич. де-

формации коррозии также протекает по границам зерен и предел прочности сплава значительно понижается. Причиной «эффекта смешанных кристаллов» является, по мнению авторов, понижение энергии активации на границах зерен смешанных кристаллов.

Л. Березкина

3881. Влияние некоторых благородных газов на термический распад оксалата серебра. Сабо, Биро-Шугар (Beeinflussung der thermischen Zersetzung des Silberoxalats durch verschiedene Edelgase. Szabó Zoltán G., Biró-Sugár E.), Naturwissenschaften, 1957, 44, № 7, 232 (нем.)

Экспериментально изучено влияние газов H_2 , He, Ne, Kr, Xe, Ar, CO_2 и N_2 на термич. распад оксалата серебра (I). Количественно влияние газов на р-цию разложения I авторы характеризуют «ускоряющим фактором» α (отношение скорости р-ции в присутствии данного газа к скорости р-ции в вакууме). Наибольшее значение α наблюдается в H_2 ($\alpha > 6$), несколько меньшие — в He, Ar, Ne (1,0—2,0); Kr и Xe несколько замедляют р-цию. Авторы считают, что влияние указанных газов на скорость р-ции связано с вытеснением ими CO_2 , образующегося при распаде I. Эксперим. данные удовлетворительно согласуются с вытекающей из этого предположения линейной зависимостью α от $1/\sqrt{M}$ (M — мол. вес газа, в атмосфере которого происходит разложение I). См. также РЖХим, 1957, 63122.

Л. Березкина

3882. Реакции между металлом и водой. III. Кинетика реакции между торием и водяным паром. Дил, Свек (Metal-water reactions. III. Kinetics of the reaction between thorium and water vapor. Deal Bruce E., Svec Harry J.), J. Electrochem. Soc., 1956, 103, № 8, 421—425 (англ.)

Весовым и манометрич. методами изучена р-ция между массивным Th и парами H_2O при 200—600° и давл. 25—100 мм рт. ст. Основные продукты р-ции — ThO_2 и H_2 . Скорость р-ции w изменяется со временем t по закону $w = k \lg(1 + 0,45 t)$, где k — константа. Зависимость k от давления p и абс. т-ры T между 200 и 275° выражается ур-нием $k = 31,5 p \exp(-6440/RT)$, а между 300 и 400° ур-нием $k = 21,9 p \cdot \exp(-6440/RT)$. Выше 400° скорость р-ции падает, по мнению авторов, вследствие усиления десорбции H_2O . Авторы считают, что диффузия молекул H_2O в Th является лимитирующей стадией р-ции. Во время р-ции H_2 диффундирует в Th, образуя побочную фазу, вероятно, ThH_2 . Этот водород выделяется обратно при нагревании препарата в вакууме до 1200°. Часть II, см. РЖХим, 1955, 48524. См. также РЖХим, 1957, 30070.

О. Крылов

3883. Изучение реакций газ — твердое тело. I. Скорость окисления сульфида цинка. Каннон, Дебн (Studies on gas-solid reactions. I. The oxidation rate of zinc sulphide. Cannon K. J., Denbigh K. G.), Chem. Engng Sci., 1957, 6, № 4-5, 145—154 (англ.; рез. франц.)

Весовым методом изучена скорость окисления плоскостей (110) монокристалла ZnS (I) при 680—940° при парц. давл. O_2 0,014—0,50 атм. При t -рах $< 830^\circ$ скорость изученной р-ции экспоненциально зависит от t -ры; энергия активации равна 50 ккал/моль. Стадией, определяющей скорость р-ции, является, по мнению авторов, хим. акт. При t -рах $> 830^\circ$ наблюдается диффузионное торможение. При t -рах $> 900^\circ$ толщина окисной пленки становится неравномерной из-за термич. неустойчивости I, а при дальнейшем повышении t -ры механизм окисления изменяется из-за значительной термич. диссоциации I. Найдено, что скорость окисления I в газовой фазе приблизительно пропорциональна $P_{O_2}^{1/2}$. Приведено теоретич. рассмотрение

р-ции, объясняющее переход ее из кинетич. области (при t -рах $< 830^\circ$) в диффузионную (при t -рах $> 900^\circ$).

Л. Березкина

3884. Кинетика полиморфного превращения $\alpha \rightarrow \beta$ резорцин. Ерофеев Б. В., Мендзелев Л. Т. (Кинетика полиморфного превращения $\alpha \rightarrow \beta$ резорцина. Ерофеев Б. В., Мендзелев Л. Т.), Вестн АН БССР. Сер. физ.-техн. н. Изв. АН БССР. Сер. физ.-техн. н., 1956, № 4, 99—110 (белорусск.; рез. русск.)

При 72—100° изучена кинетика превращения низкотемпературной модификации резорцина в высокотемпературную. Показано, что изученная р-ция следует топкинетич. ур-нию: $1/(1-\alpha)-1 = kt$. Найдена энергия активации 33 900 кал/моль.

А. III.

3885. Исследование хемосорбции молекулы на двухмерном кристалле с локализованным электроном связи при помощи метода молекулярных орбит. Коутецкий (Studie der Chemisorption eines Moleküls an einem zweidimensionalen Kristall mit lokalisiertem Bindungselektron mit Hilfe der Methode der Moleküleigenfunktionen. Koutecký J.), Сб. чехосл. хим. работ, 1957, 22, № 3, 669—682 (нем.; рез. русск.)

См. РЖХим, 1957, 14358.

3886. Исследование хемосорбции молекулы на двухмерном кристалле с нелокализованным электроном связи при помощи метода молекулярных орбит. Коутецкий (Studie der Chemisorption eines Moleküls an einem zweidimensionalen Kristall mit nicht-lokalisiertem Bindungselektron mit Hilfe der Methode der Moleküleigenfunktionen. Koutecký J.), Сб. чехосл. хим. работ, 1957, 22, № 3, 683—696 (нем.; рез. русск.)

См. РЖХим, 1957, 14359.

3887. Ковалентная связь и отщепление водорода при хемосорбции бензола на металлических поверхностях. Зурман, Хан, Ведлер (Kovalente Bindung und Wasserstoffabspaltung bei der Chemisorption von Benzol an Metalloberflächen. Suhrmann R., Hahn B., Wedler G.), Naturwissenschaften, 1957, 44, № 3, 60—61 (нем.)

При условиях, исключающих возможность каталитич. разложения C_6H_6 (I), при охлаждении всего прибора до 90° К установлено увеличение сопротивления (R) напыленной Ni-пленки (НП) на 7% при адсорбции I. При 293° К адсорбция I на НП тоже сопровождается увеличением R на 12%, но с последующим уменьшением R на 4%, которое авторы приписывают действию водорода, каталитически отщепляющегося от I. Аналогичные эффекты наблюдаются при 293° К для Fe и Pt, обладающих незаполненными d -зонами, и не наблюдаются для Au и Cu, d -зона которых заполнена. Сопоставление данных, полученных при 90° К и R НП при адсорбции I свидетельствует, по мнению авторов, о ковалентной природе связи хемосорбированного I с металлом. См. также РЖХим, 1957, 60162.

М. Сахаров

3888. Изучение адсорбции газов на двуокиси марганца методом электропроводности. Елович С. Ю., Марголис Л. Я., Изв. АН СССР, сер. физ., 1957, 21, № 2, 206—210

Изучена электропроводность (λ) спрессованных порошкообразных образцов MnO_2 в ходе адсорбции O_2 , CO , CO_2 , H_2O , C_2H_6 и C_6H_6 при t -рах от -78° до 20° . Авторы считают, что по изменению λ образцов MnO_2 при адсорбции можно судить о характере адсорбции: сильные изменения λ указывают на протекание хим. сорбции, полное отсутствие изменения λ при значительной адсорбции (как, напр., при адсорбции CO при -78°) свидетельствует о протекании, в основном, адсорбции физ. типа. По мнению авторов, температур-

ная зависимость λ , снятая и для образцов с разным содержанием ионов марганца, показывает, что MnO_2 — полупроводник p -типа.

3889. Связь каталитической активности окиси цинка с ее электропроводностью, и влияние оптического излучения на эти свойства. Мясников И. А., Изв. АН СССР. Сер. физ., 1957, 21, № 2, 192—200

В струе N_2 , содержащего незначительные кол-ва O_2 , при 250—320° изучено разложение паров изопропилового спирта на пленке ZnO , нанесенной на кварцевую трубку. Варьирование конц-ии O_2 в зоне p -ции позволяет изменять электропроводность пленки ZnO (σ) в широких пределах. Показано, что изменения σ линейно связаны с изменениями каталитич. активности ZnO . Зависимость величины σ от равновесного давления O_2 , а также ход изменения σ со временем при адсорбции и десорбции O_2 , по мнению автора, свидетельствуют об образовании O_2^- на поверхности ZnO при адсорбции кислорода. Падение каталитич. активности, пропорциональное уменьшению σ , автор связывает с блокировкой иона Zn^{2+} при адсорбции кислорода с захватом электрона. Показано, что в области собственного УФ-поглощения ZnO сенсibilизируется окисление паров изопропилового спирта.

В. Фролов

3890. К вопросу об электронной эмиссии катализаторов. Нассенштейн, Менольд (Zur Frage der Elektronenemission von Katalysatoren. Nassenstein H., Menold R.), Acta phys. austriaca, 1957, 10, № 4, 453—459 (нем.)

См. РЖХим, 1957, 44108.

А. Ш.

3891. Некоторые вопросы полупроводникового катализа (по материалам Международного конгресса по катализу в Филадельфии). Волькенштейн Ф. Ф., Успехи химии, 1957, 26, № 6, 659—672

3892. Исследование кинетики и механизма неполного окисления углеводородов. Поляков М. В. В сб.: Хим. переработка нефт. углеводородов. М., АН СССР, 1956, 369—377

Результаты своих и чужих эксперим. исследований ряда окислительных процессов разбираются автором с позиции теории гетерогенно-гомогенного катализа. Библ. 50 назв.

В. Кельцев

3893. Гетерогенный катализ орто-пара-конверсии водорода под давлением и при низких температурах. Чейпин, Джонстон (The surface catalysis of the orthoto para- conversion in hydrogen under pressure at low temperatures. Chapin Douglas S., Johnston Herrick L.), J. Amer. Chem. Soc., 1957, 79, № 10, 2406—2412 (англ.)

Изучена орто-пара-конверсия H_2 на ряде Cr_2O_3 -катализаторов, нанесенных на Al_2O_3 (0,05—2,47% Cr_2O_3) в интервале давлений 5—100 атм при 77° К. Образец, содержащий 0,05% Cr_2O_3 , исследован при 55—195° К и ~29 атм. Для катализаторов с достаточно низким содержанием Cr_2O_3 время половинного превращения пропорционально давлению и обратно пропорционально содержанию Cr_2O_3 . Кинетич. данные подтверждают теорию Гаррисона и Мак-Дауэлла (РЖХим, 1955, 11327), распространивших теорию Вигнера (Wigner E., Z. physik. Chem., 1933, B23, 28) на случай конверсии в физическ. адсорбированном слое водорода на поверхности парамагнитного в-ва. В согласии с теорией в случае больших заполнений поверхности водородом был найден положительный температурный коэф. скорости конверсии. Рассчитанные значения абс. скоростей p -ции находятся в хорошем согласии с эксперим. данными.

В. Фролов

3894. Реакция обмена между дейтерием и аммиаком на катализаторах синтеза аммиака, содержащих один, два или три промотора. Утида, Тодо (Exchange reaction between deuterium and ammonia on

synthetic ammonia catalysts promoted singly, doubly, and triply. Uchida Hiroshi, Todo Naoyuki), Bull. Chem. Soc. Japan, 1956, 29, № 7, 762—767 (англ.)

Показано, что в квазистатич. системе при 115, 130 и 150° и давл. 30—300 мм рт. ст. скорость изотопного обмена (r) NH_3 с дейтерием на Fe-катализаторах, промотированных добавками 5% Al_2O_3 (K-I), 5% $\text{Al}_2\text{O}_3 + 1\%$ K_2O (K-II) или 4% $\text{Al}_2\text{O}_3 + 1\%$ $\text{CaO} + 1\%$ K_2O (K-III), следует ур-нию $r = k p_{\text{D}_2} / (1 + a p_{\text{NH}_3})$, где k и a — постоянные, p_{D_2} , p_{NH_3} — парц. давления D_2 и NH_3 . Кажущаяся энергия активации при начальных давлениях NH_3 60, 120 и 200 мм рт. ст. на K-I равна соответственно 13,8; 13,2 и 12,8 ккал/моль, на K-II 15,3; 15,1 и 15,2 ккал/моль на K-III 14,2; 14,1 и 14,1 ккал/моль. Начальная скорость p -ции обмена, отнесенная к единице поверхности Fe, максимальна на K-I и минимальна на K-III, а начальная скорость синтеза NH_3 при 350° минимальна на K-I и максимальна на K-II. Доля незанятой промоторами поверхности у K-I, K-II и K-III равна соответственно 0,51; 0,24 и 0,44. По мнению авторов, эти различия обуславливают и различия в активностях изученных контактов при p -циях синтеза NH_3 и дейтеробмена.

С. Киперман

3895. Расчет режима реакции (на примере реакции синтеза NH_3). Кубота (反應操作の設計. NH_3 合成反應を例にとつて. 久保田宏), 化学工学, Kagaku kogaku, Chem. Engng (Tokyo), 1955, 19, № 10, 562—565 (японск.)

3896. Предварительная адсорбция окиси углерода и водорода на железном катализаторе Фишера—Тропша. Гангули, Кини, Басак, Лахири (Pre-sorption of carbon monoxide and hydrogen on an iron Fischer—Tropsch catalyst. Ganguli N. C., Kini K. A., Basak N. G., Lahiri A.), J. Scient. and Industr. Res., 1957, BC16, № 2, B86—B88 (англ.)

Изучена адсорбция CO и H_2 на железном катализаторе Фишера — Тропша при 99°. Предварительная адсорбция CO снижает адсорбцию H_2 , в то время как предварительная адсорбция H_2 увеличивает кол-во адсорбированного CO . Показано, что из смеси $\text{H}_2 + \text{CO}$ (с соотношением $\text{H}_2 : \text{CO}$, равным $1/4 - 1/6$) адсорбируется большее кол-во CO , чем при пропускании над катализатором чистой CO .

В. Фролов

3897. Проверка при помощи меченого спирта дегидратационно-конденсационного механизма образования углеводородной цепи при синтезе углеводородов из CO и H_2 . Головина О. А., Рогинский С. З., Сахаров М. М., Эйдуе Я. Т., Докл. АН СССР 1956, 108, № 2, 253—255

Проведен синтез углеводородов (У) из CO и H_2 на Со-катализаторе при 195° с добавлением к исходной смеси газов $\text{C}_2\text{H}_5\text{OH}$, меченого C^{14} . Установлены падение уд. радиоактивности У с увеличением длины их молекул и постоянство мол. радиоактивности У , в молекулах которых содержится >5 атомов C . Обнаруженное постоянство мол. радиоактивности У свидетельствует о цепном механизме роста углеводородных молекул на поверхности катализатора с участием спирта в иницировании или обрыве плоских цепей нарастания. Вместе с тем авторы считают, что полученные ими данные, также как и данные Каммера и Эмметта (РЖХим, 1954, 49641), не дают достаточных оснований для опровержения метиленовой схемы и для поддержки дегидратационно-конденсационной схемы синтеза, выдвинутой Сторчем, Голамбиком и Андерсоном (Синтез углеводородов из окиси углерода и водорода, Изд-во иностр. литературы, М., 1954, 499).

3898. Исследование роли плоских цепей в синтезе углеводородов из CO и H_2 . Головина О. А., Докукина Е. С., Рогинский С. З., Сахаров М. М., Эйдуе Я. Т., Докл. АН СССР, 1957, 112, № 5, 864—867

Проведены опыты по синтезу углеводородов из CO и H_2 при 195° на катализаторе состава 100 Co : 18 ThO_2 : 100 низельгура с добавлением 0,78 или 1,45 об. % C_2H_4 (I), меченного C^{14} , к исходной газовой смеси состава $1CO + 2H_2$. Установлено, что молярная радиоактивность (A) образовавшихся углеводородов постоянна и не зависит от их мол. веса. С изменением конц-ии меченого I выход продуктов синтеза практически не изменяется, отношение же A исходного I к средней величине A полученных углеводородов, равное 9,6 при 0,78 об. % I в исходной смеси газов, падает до 4,5 при 1,45 об. %. I. Полученные результаты свидетельствуют об участии I в иницировании плоских цепей нарастания на катализаторе и о близких скоростях образования иницирующего комплекса по двум параллельным путям: с участием добавленного I в образовании комплекса и без его участия. Авторы считают, что полученные результаты, в сопоставлении с результатами ранее проведенной работы по синтезу углеводородов из CO и H_2 с добавлением меченного C_2H_5OH (см. пред. реф.), заставляют сомневаться в правильности дегидратационно-конденсационного механизма для синтеза углеводородов на Co-катализаторе.

М. Сахаров
3899. Влияние меди, постепенно осаждающейся на поверхности платинированной платины, на зависимость скорости гидрирования бензола от pH. Foresti (Influenza del rame, progressivamente depositato su platino platinato, sulla velocità d'idrogenazione del benzolo in funzione del pH. Foresti Bruno), Ann. chimica, 1957, 47, № 3, 306—314 (итал.)

Для исследования степени неоднородности поверхности платинированной Pt (I) изучено влияние pH среды на скорость каталитич. гидрирования C_6H_6 в жидкой фазе в присутствии I, предварительно отравленной различными кол-вами Cu, нанесенными электрохимически на ее поверхность. Показано, что Cu не проявляет селективного действия при отравлении I, и уменьшение каталитич. активности I в р-циях гидрирования C_6H_6 и $H_2 \rightleftharpoons 2H^+ + 2e$ происходит одновременно, причем I полностью теряет свою активность только после покрытия всей поверхности мономолекулярным слоем Cu. Отравление I Cu отличается от отравления I тиофеном, по отношению к которому, как было показано ранее (Ann. chimica, 1951, 41, 425), поверхность I неоднородна.

С. Самойлов
3900. Каталитическое действие металлов VIII группы. Часть I. Взаимодействие циклопропана и пропана с дейтерием над палладиевым катализатором. Часть II. Взаимодействие дейтерия с пропиленом и пропилахлоридами над палладиевым катализатором. Часть III. Взаимодействие циклопропана и пропана с дейтерием над родиевым и иридиевым катализаторами. Часть IV. Взаимодействие циклопропана и пропана с дейтерием над платиновым катализатором. Эдди, Бонд (Catalysis on metals of group 8. Part 1. Reaction of cyclopropane and of propane with deuterium over a palladium catalyst. Part 2. The reaction of deuterium with propylene and with propyl chlorides over a palladium catalyst. Part 3. The reaction of cyclopropane and of propane with deuterium over rhodium and iridium catalysts. Part 4. The reaction of cyclopropane and of propane with deuterium over a platinum catalyst. Addy J., Bond G. C.), Trans. Faraday Soc., 1957, 53, № 3, 368—376; 377—382; 383—387; 388—392 (англ.)

I. Продолжая начатое ранее исследование (РЖХим, 1955, 34079), авторы установили, что в статич. условиях в присутствии 5%-ного Pd, нанесенного на пемзу, (K_1) скорость р-ции в смеси циклопропана (I) с H_2 пропорциональна $[H_2]^x [I]^y$, где x возрастает от —0,8 до 0, а y — от 0,4 до 1 при повышении т-ры от 50 до 200°.

Р-ция в смеси I с D_2 (1) приводит к образованию смеси дейтеропропанов, относительные кол-ва которых не зависят ни от начального соотношения реагирующих в-в, ни от т-ры, причем ~80% смеси составляют C_3D_8 и C_3HD_7 . Результаты теоретич. расчета распределения дейтеропропанов (РДП) хорошо совпадают с данными анализа. Аналогичное, но зависящее от т-ры РДП имеет место и в результате р-ции в смеси $C_3H_8 + D_2$ (2) при 100—200°. Обсуждается возможный механизм р-ции; найдены значения предэкспоненциального множителя (A) и кажущейся энергии активации (E) р-ции (2); $E = 17,2 \pm 0,5$ ккал/моль.

II. Изучены р-ции $C_3H_8 + D_2$ (3) при 50° и $n-C_3H_7Cl + D_2$ (4) и $iso-C_3H_7Cl + D_2$ (5) при 100° в присутствии K_1 . В продуктах р-ции (3) кол-во дейтеропропанов возрастает с увеличением начального соотношения D_2 : C_3H_8 . Р-ции (4) и (5) — 1-го порядка; для (4) константа скорости $k = 7,25 \cdot 10^{-2}$, для (5) $k = 1,80 \cdot 10^{-3}$ час.⁻¹; при давлении D_2 135 ± 6 мм рт. ст. РПД (для (4) и (5) близки друг к другу, а также к распределению в р-ции (2) и хорошо совпадают с рассчитанными теоретически.

III. Изучены р-ции (1) и (2) в присутствии нанесенных на пемзу катализаторов: 5%-ных Rh (K_2) и Ir (K_3). В присутствии K_2 при р-ции (1) при 0—200° РДП не зависит от т-ры, $E = 9,5 \pm 1$ ккал/моль. При р-ции (2) при 50—200° РДП зависит от т-ры, $E = 17,3 \pm \pm 0,5$ ккал/моль. При р-циях (1) (15—100°) и (2) (100—200°) в присутствии K_3 РДП близко к полученному в присутствии K_2 . Порядок р-ции (1) при 50° по H_2 равен 0, а по I ~0,5, $E = 9,8 \pm 1$ ккал/моль. Для (1) в присутствии K_3 $E = 8,4 \pm 1$, а для (2) $17,7 \pm 0,5$ ккал/моль.

IV. Получены данные о РДП в р-циях (1) (50—200°) и (2) (100—250°) в присутствии 5%-ной Pt, нанесенной на пемзу (K_4). В обоих случаях содержание дейтерия в продуктах р-ции и характер РДП зависят от т-ры; для (2) $E = 18,2 \pm 0,5$ ккал/моль. Обсуждая результаты, полученные при изучении каталитич. свойств K_1 — K_4 , авторы приходят к выводу, что активность этих катализаторов в р-циях дейтерообмена изменяется симбатно с активностью в р-циях дегидрогенизации и что эта взаимосвязь для металлов VIII группы более ярко выражена вдоль ряда, чем вдоль подгруппы. Г. Левин

3901. Кинетика и механизм гидрогенизации циклопропана в присутствии никель-алюмосиликатного катализатора. Бенсон, Кан (Kinetics and mechanism of the hydrogenation of cyclopropane over a nickel-silica-alumina catalyst. Benson John E., Kwan Takao), J. Phys. Chem., 1956, 60, № 12, 1601—1605 (англ.)

Изучена гидрогенизация циклопропана (I) при 56—100° в статич. условиях в присутствии никель-алюмосиликатного катализатора (K) промышленного типа, а также адсорбция на K H_2 (при 0—400°) и I (при 0°—32°). Найдены значения констант ур-ния Фрейндлиха при разных т-рах для H_2 и I и определены теплоты адсорбции H_2 . Скорость р-ции (v) при ~74° выражается кинетич. ур-нием: $v = 0,327 p_1^{0,3} p_{H_2}^{-0,1}$, кажущаяся энергия активации 15,2 ккал/моль. По мнению авторов, алюмосиликат играет в K только роль носителя, а взаимодействие адсорбированных на поверхности K H_2 и I является наиболее медленной лимитирующей стадией гидрогенизации. Рассмотрена возможность вывода кинетич. ур-ния из теории абс. скоростей р-ции. Г. Левин

3902. Исследование расщепления молекул при каталитической гидрогенизации. VII. Каталитическая гидрогенизация *n*-нитробензонитрила. VIII. Каталитическая гидрогенизация *m*-нитробензонитрила. IX. Каталитическая гидрогенизация *o*-нитробензонитрила.

ла. Х. Каталитическая гидрогенизация этил-*о*-цианобензоата. Ватанабэ (接觸の水素化による分子の開裂に関する研究. 第7報. *p*-ニトロベンゾニトリルの接觸の水素化. 第8報. *m*-ニトロベンゾニトリルの接觸の水素化. 第9報. *о*-ニトロベンゾニトリルの接觸の水素化. 第10報. *о*-シアノ安息香酸エチルの接觸の水素化. 渡邊健一), 日本化学雑誌, Нихон кагаку дзасси, J. Chem. Soc. Japan. Pure Chem. Sec., 1955, 76, № 4, 391—395; 395—398; 398—402; № 8, 888—891 (японск.)

VII. Смешанный Ni-Cu-катализатор (K) гидрогенизации нитрилов приготовлен добавлением 10 г кизельгура к 13 г смеси NiO с CuO (Ni:Cu = 6:4) с последующим восстановлением в токе H₂ при 300°. При гидрогенизации *n*-нитробензонитрила в газовой фазе максим. образование *n*-толуидина имеет место при 280—300°; в качестве побочного продукта образуется *n*-аминобензонитрил. При 300° начинается частичное образование анилина, усиливающееся при повышении т-ры. Изучена кинетика р-ции при различных условиях.

VIII. На K проведена гидрогенизация *m*-нитробензонитрила в газовой фазе. Максим. образование *m*-толуидина имеет место при ~250°. В качестве побочного продукта образуется *m*-аминобензонитрил. При т-рах ≥ 300° происходит частичный распад нитрилового радикала и образование анилина.

IX. На K проведена каталитич. гидрогенизация *о*-нитробензонитрила в газовой фазе. Максим. образования *о*-толуидина (16,7%) наблюдается при 300°. Образование анилина достигает максим. величины (63,6%) при 330°. В качестве побочного продукта образуются *о*-аминобензамид и кристаллы желтого цвета с т. пл. 324°. Пана стадийная схема процесса.

X. На K проведена каталитич. гидрогенизация этил-*о*-цианобензоата в газовой фазе при 260—340°. Основным продуктом р-ции является фталимидин. Максим. выход его (74%) имеет место при 260°. Указаны кинетич. особенности процесса. Часть VI см. Нихон кагаку дзасси, 1952, 73, 85. М. Гусев

3903. Кинетика дегидрогенизации спиртов над осажденным медным катализатором. Баландин А. А., Тетени П., Докл. АН СССР, 1957, 113, № 5, 1090—1093

Исследована кинетика дегидрогенизации C₂H₅OH (I), изо-C₃H₇OH (II), C₆H₅CH₂OH (III) и C₆H₁₁OH (IV) на Cu-катализаторе, приготовленном восстановлением CuO, полученной осаждением аммиаком из р-ра Cu(NO₃)₂. Опыты проводились в проточной установке при *p* = 1 ат и 180—280°. С помощью реакционно-кинетич. метода для продуктов р-ции определены относительные адсорбционные коэф. *z*₂ (для альдегида или кетона) и *z*₃ (для водорода), оказавшиеся в среднем равными 0,68 и 0,54, 0,62 и 0,34, 1,33 и 0,53, 1,20 и 0,50 для дегидрогенизации I, II, III и IV, соответственно. Рассчитанные значения истинных энергий активации этих р-ций мало зависят от строения углеводородного радикала и равны 12,8, 10,7, 12,3 и 11,1 ккал/моль соответственно. Значения *z*₃ не зависят от т-ры, что, по мнению авторов, указывает на равенство теплот адсорбции I—IV на изученной каталитически активной поверхности. В. Вассерберг

3904. Исследование каталитической дегидрогенизации некоторых алкилбензолов. I. Активность катализаторов Cr₂O₃—CuO—Al₂O₃ при реакции дегидрогенизации изопропилбензола в α-метилстирол. Николеску, Модестину, Хим. ж. Акад. РНР, 1956, 1, № 1, 149—161

Дегидрогенизация изопропилбензола в α-метилстирол изучена в проточной системе при атмосферном давлении при 560—640° и объемных скоростях *v* 0,20—0,60 в присутствии смешанных катализаторов Cr₂O₃:Al₂O₃ = 11:89 (K-I), CuO:Al₂O₃ = 8:92 (K-II), Cr₂O₃:

:CuO:Al₂O₃ = 10,55:7:82,45 (K-III). Оптимальные выходы 84—88,5% получены при 560° и *v* = 0,4 или при 600° и *v* = 0,6 в присутствии K-III при 3-часовом рабочем цикле. При постоянной *v* выход уменьшается с возрастанием т-ры, а кол-во легкой фракции при этом увеличивается, за счет разрыва боковой цепи. На один проход исходного в-ва в присутствии K-I, K-II и K-III получены выходы соответственно 47,6; 32,8; 64—65%; кол-во побочных продуктов меньше в случае K-III. Отмечено взаимно активирующее действие компонентов Cr₂O₃ и CuO в K-III. С. Киперман

3905. Скорость зауглероживания катализатора при дегидрировании *n*-бутана. Тюрчев И. Я., Бушнин А. Н., Михайлов Р. К., Сарычева Е. А. Ж. физ. химии, 1957, 31, № 1, 93—99 (рез. англ.)

Исследована скорость зауглероживания окисного алюмохромового катализатора (в виде половинок или четвертинок шариков диам. ~6 мм) в р-ции C₄H₁₀ → C₄H₆ при 510—600°, объемных скоростях 400—2560 час.⁻¹ и длительностях цикла 3—68 мин. Найден, что в условиях опытов кол-во отлагающегося угля, определяемое по кол-ву CO₂, выделяющейся при регенерации катализатора, почти не зависит от объемной скорости и от величины зерна катализатора. Скорость зауглероживания *v* равна $\Theta^{0,684} \exp(-15226/T + 15,11)$, где Θ — продолжительность цикла в минутах, *T* — абс. т-ра. В. Вассерберг

3906. «Асимметричный» восстанавливающий катализатор. Акабори, Идзуми, Фудзин, Сакураи (不斉還元触媒. 赤堀五郎, 泉美治, 藤井康男, 櫻井節二), 日本化学雑誌, Нихон кагаку дзасси, J. Chem. Soc. Japan. Pure Chem. Sec., 1956, 77, № 9, 1374—1378 (япон.)

3907. Каталитическая активность алюмосиликатов, обработанных щелочью. Сообщение I. Антипина Т. В., Синицына М. Д., Вестн. Моск. ун-та. Сер. матем., механ., астрон., физ., химии, 1957, № 1, 137—142.

Исследована кинетика дегидратации C₂H₅OH при *p* = 1 ат и 400° на катализаторах (K); промышленном алюмосиликатном K Гудри (K₁); K₁, обработанном 0,47 н. р-ром NaOH до содержания Al₂O₃ 5,0% и NaOH 12,5% (K₂), на смеси 16% Al₂O₃ + 84% SiO₂ K₃, на K₃, обработанном 0,11 н. р-ром NaOH до содержания 4,5% Al₂O₃ и 6,6% NaOH (K₄) или на смеси 5,0% Al₂O₃ и 7,8% NaOH (K₅) соответственно. Дегидратация C₂H₅OH резко снижается от 83 на K₁ и 70 на K₂ до 10, 35 и 30% на K₃, K₄ и K₅ соответственно. Различия в активности K₂ и K₄ авторы объясняют различной степенью заполнения поверхности ионами Na. Выход эфира не уменьшается после обработки щелочью. В. Вассерберг

См. также: раздел Производство катализаторов и сорбентов и рефераты. Реакционная способность и строение 3494, 3499, 3579, 3580, 3761, 4473, 4474, 4491. Кинетика и механизмы р-ций 3497, 3528, 4465, 4471, 4475—4477, 4479—4484, 4486—4488, 4490, 4494. Произ-во и свойства катализаторов 5903. Каталитические процессы 4907, 4910, 5884, 5899—5902, 5904. Адсорбция 3657, 3998, 4029. Аппарат для проведения каталитич. процессов 4906

РАДИАЦИОННАЯ ХИМИЯ. ФОТОХИМИЯ. ТЕОРИЯ ФОТОГРАФИЧЕСКОГО ПРОЦЕССА

Редактор Х. С. Багдасарьян

3908. Действие ультрафиолетового излучения на водные растворы солей закиси железа. Орехов В. Д., Чернова А. И., Проскурнин М. А., Ж. физ. химии, 1957, 31, № 3, 673—681 (рез. англ.)

Изучались фотохим. процессы в 0,01 М водн. р-рах Fe^{2+} , насыщ. воздухом в присутствии 0,2—5,0 н. H_2SO_4 или HCl . Источником УФ-излучения служила Hg-кварцевая лампа высокого давления ПРК-2. Дозиметрия осуществлялась хим. методом, основанным на выделении J_2 из 6·10⁻² М KJ , подкисленного H_2SO_4 . С повышением содержания к-ты в р-ре уменьшение конц-ии Fe^{2+} при облучении (ΔFe^{2+}) возрастает, достигая предельного значения при конц-ии к-ты, равной 5н. Выход Fe^{3+} в р-рах HCl имеет ту же зависимость от конц-ии к-ты, что и ΔFe^{2+} . Выход Fe^{3+} в р-рах H_2SO_4 не зависит от конц-ии к-ты в изученном интервале и остается меньше ΔFe^{2+} . Квантовые выходы в 5н. H_2SO_4 приблизительно равны 0,16 для уменьшения кол-ва Fe^{2+} и 0,04 для образования Fe^{3+} . На основании спектрофотометрич. исследований авторы предполагают, что в р-рах Fe^{2+} в присутствии воздуха УФ-излучение поглощается комплексом $\text{Fe}^{2+} \cdot \text{O}_2$. При облучении этот комплекс способен давать 2 вида перекисных соединений: $\text{Fe}^{2+} + \text{OON} \cdot$ и $\text{Fe}^{3+} + \text{OON} \cdot$. $\text{Fe}^{2+} + \text{OON} \cdot$ разлагается при взаимодействии с Fe^{2+} , давая Fe^{3+} . $\text{Fe}^{3+} + \text{OON} \cdot$ способен переходить в устойчивое соединение $\text{Fe}^{2+} - \text{O} - \text{O} \cdot$, которое не окисляется KMnO_4 и Ce^{4+} . Образование $\text{Fe}^{3+} + \text{OON} \cdot$ является причиной превышения ΔFe^{2+} над выходом Fe^{3+} .

3909. Образование аминокислот в воде, содержащей растворенный углекислый газ и коллоидную окись молибдена, под влиянием искусственного света. Багадур Кришна, Ранганаяки С., Изв. АН СССР. Отд. хим. н., 1957, № 6, 754—755

Предварительно стерилизованные воды. р-ры CO_2 , содержащие колл. окись Mo , подвергались продолжительному освещению светом лампы накаливания (1000 вт). В освещенном р-ре, в отличие от неосвещенного, обнаружены глицин, аланин, аспарагиновая к-та и норлейцин, которые были определены методом радиальной бумажной хроматографии с использованием смеси бутанолуксусная к-та-вода в качестве проявителя. Предполагено, что С для синтеза аминокислот берется из растворенной CO_2 , а N в результате прямой фиксации N_2 воздуха.

3910. О фосфоресценции аминокислот, возбужденной в области запрещенных полос поглощения. Дюмартен, Лоше, Рыбак, Руссе (Sur la phosphorescence des amino-acides excitée par les bandes d'absorption interdites. Dumartin Maurice, Lochet Robert, Rybak Boris, Rousset Auguste), C. r. Acad. sci., 1957, 244, № 24, 2905—2907 (франц.)

3911. Действие ультрафиолетового света и γ -излучения на растворы акридина. I. Фотодимеризация акридина и метил-9-акридина. Кельман, II. Галоген-содержащие растворители. Иванова, Вальх (Action des rayonnements U. V. et γ sur les solutions d'acridine. I. Photodimérisation de l'acridine et de la méthyl-9 acridine. Kellmann Arlette m-lle. II Solvants halogenes. Jvanoff Nina, Walch France), J. chim. phys. et phys.-chim. biol., 1957, 54, № 6, 468—472; 473—478 (франц.)

I. При облучении УФ-лучами ($\lambda > 3100$) и γ -лучами Co^{60} 0,01—0,1 М р-ров акридина (I) в $\text{C}_2\text{H}_5\text{OH}$ или C_6H_6 в отсутствие воздуха выпадает светло-желтый кристаллич. осадок, плохо растворимый, не дающий солей с к-тами и не флуоресцирующий. В-во возгоняется при 276° с разложением и имеет брутто-формулу акридина. При облучении р-ров метил-9-акридина (II) также выпадает светло-желтый кристаллич. осадок, имеющий брутто-формулу II. УФ- и ИК-спектры полученных осадков указывают на образование димеров исходных акридинов.

II. При облучении УФ-лучами ($\lambda > 2000$ А и $\lambda > 3100$ А) и γ -лучами Co^{60} в отсутствие воздуха р-ров

I и II в CCl_4 и CCl_3Br образуются желтые осадки, хорошо растворимые в полярных р-рителях, неустойчивые во влажном воздухе и имеющие спектр, аналогичный спектру катиона акридина. На основании исследования УФ- и ИК-спектров, мол. весов и элементарного анализа авторы делают вывод, что осадки представляют собой комплексы I и II с р-рителем.

Л. Бугаенко

3912. Исследование сенсibilизации фотоокисления органических соединений производными антрахинона по инфракрасным спектрам поглощения. Карякин А. В., Шабли А. В., Докл. АН СССР, 1957, 112, № 4, 688—691

Окисление бензальдегида, тетралина и изопропилбензола проводилось при непрерывном барботировании O_2 и освещении Hg-лампами СВДШ-250 и СВДШ-500 со светофильтрами. Сенсibilизаторами служили антрахинон (I), β -оксидантрахинон (II), β -аминоантрахинон (III), антрахинон (IV), α -хлорантрахинон (V), α -оксидантрахинон (VI), α -аминоантрахинон (VII), 1,4-диоксидантрахинон (VIII). Р-ция прослеживалась по появлению полос поглощения OH (6800 и 4220 см⁻¹). Окисление сенсibilизируется I—V и не сенсibilизируется VI—VIII, что авторы связывают с сильным тушением флуоресценции I—V кислородом и наличием у I—V триплетного уровня; флуоресценция VI—VIII не тушится кислородом. Начальной стадией р-ции является переход молекулы сенсibilизатора S в возбужденное, а затем в триплетное состояние, присоединение O_2 с образованием бирадикала $\cdot\text{SO}_2\cdot$, который начинает ценную р-цию окисления, переводя окисляемую молекулу в бирадикальное состояние (окисление бензальдегида) или же дегидрируя ее с образованием радикала (окисление тетралина и изопропилбензола).

Р. Васильев

3913. О механизме реакций органической молекулы в положительной оболочке тлеющего разряда. Шюлер, Штокбургер (Über den Reaktionsmechanismus organischer Moleküle in der positiven Säule einer Glimmentladung. Schüler H., Stockburger M.), Z. Naturforsch., 1957, 12a, № 6, 507—513 (нем.)

Измерена интенсивность I отдельных частей спектра бензола, толуола, хлорбензола и дифенилметана в тлеющем разряде в зависимости от силы тока разряда i и парц. давления в-ва р. Получены 2 типа кривых: линейная зависимость I от i при малых р, отклоняющаяся к оси i при увеличении р (тип I) и квадратичная зависимость I от i (тип II). Разность между тангенсом к кривой типа I в начале координат и самой кривой типа I («дифференциальная кривая») также имеет квадратичную зависимость от i. Кривые типа I соответствуют возбуждению материнской молекулы в-ва при электронном ударе, причем часть энергии возбуждения рассеивается посредством излучения, а другая («энергия переноса») передается без помощи излучения. Передаваемая при ударе 2-го рода энергия переноса возбуждает р-ции, ведущие к излучению спектра в виде кривых типа II. Авторы полагают, что соударение между возбужденными и невозбужденными молекулами в-ва является одним из основных процессов, обуславливающих свечение органич. молекул в тлеющем разряде. Приведены данные о наличии кривых типа I и II при излучении атомов He в разряде.

А. Ревзин

3914. Механизм некоторых химических реакций, происходящих под действием ионизирующих излучений. Пшежецкий С. Я., Дмитриев М. Т., Успехи химии, 1957, 26, № 7, 725—767

Обзор. Библ. 215 назв.

3915. Химические реакции под действием радиоактивных лучей. Хирота (放射線による化学反応. 廣

田鋼藏), 化学, Kagaku, Chemistry (Japan), 1957, 12, № 4, 10—12 (японск.)
Обзор за 1956 г. Х. Б.

3916. Изучение радиационной химии органических соединений. Уэмацу, Гото (有機放射線化学概観. 植松卓史, 後藤信行), 有機合成化学協会誌, Юки госэй кагаку кёкайси, J. Soc. Organ. Synth. Chem., Japan, 1957, 15, № 5, 251—265 (японск.)

3917. Действие рентгеновских лучей (200 кэ) и γ -лучей (Co^{60}) на водные растворы солей четырехвалентного церия. Джонсон, Уэйсс (The action of X-rays (200 kV) and γ -rays (^{60}Co) on dilute aqueous solutions of ceric salts. Johnson G. R. A., Weiss J.), Proc. Roy. Soc., 1957, A240, № 1221, 189—205 (англ.)

С целью изучения механизма радиолитического исследования действия рентгеновских лучей (РЛ) 200 кэ и γ -лучей (Co^{60}) на водн. р-ры $\text{Ce}(4+)$. Выход $\text{Ce}(3+)$, равный $3,15 \pm 0,10$ для РЛ и $2,45 \pm 0,08$ для γ -лучей, одинаков в обезгаженных р-рах и р-рах, насыщ. воздухом, и не зависит от конц-ии $\text{Ce}(4+)$ $2 \cdot 10^{-5} - 10^{-3} \text{ M}$, от мощности дозы $0,6 \cdot 10^{17} - 2,4 \cdot 10^{17} \text{ эв/мл}$ в 1 мин и от конц-ии H_2SO_4 (0,1—0,8 н.). Для доз, меньших $1,2 \cdot 10^{17} \text{ эв/мл}$ значение $G(\text{Ce}(3+))$ для РЛ равно $5,7 \pm 0,4$. В присутствии HCOOH (I) $G(\text{Ce}(3+))$ для РЛ равен $8,5 \pm 0,1$ при конц-ии $10^{-3} - 5 \cdot 10^{-2} \text{ M}$ и $6,2 \pm 0,1$ при конц-ии 10^{-4} M . Для γ -лучей в присутствии 10^{-2} M I $G(\text{Ce}(3+))$ составляет $8,15 \pm 0,1$. При действии РЛ на обезгаженные р-ры сульфата $\text{Ce}(4+)$ $G(\text{H}_2)$ составляет $0,54 \pm 0,03$, а $G(\text{O}_2)$ $1,07 \pm 0,5$. Для γ -лучей эти выходы уменьшаются соответственно до $0,40 \pm 0,02$ и $0,84 \pm 0,04$. Насыщение р-ров водородом ведет к увеличению $G(\text{Ce}(3+))$ до 7,5 для доз $\sim 7,2 \cdot 10^{16} \text{ эв/мл}$. При облучении р-ров перхлората $\text{Ce}(4+)$ в HClO_4 первоначальный высокий выход $\text{Ce}(3+)$, связанный с разложением HClO_4 , падает до 3,10. Применяя полученные данные и используя общепринятый механизм действия излучения на водн. р-ры $\text{Ce}(4+)$, авторы рассчитали выходы H , OH , H_2 , H_2O_2 при радиолитическом разложении. Для РЛ $G(\text{H}) = 3,7$, $G(\text{OH}) = 2,68$, $G(\text{H}_2\text{O}_2) = 1,07$, $G(\text{H}_2) = 0,57$, для γ -лучей $G(\text{H}) = 3,62$, $G(\text{OH}) = 2,85$, $G(\text{H}_2\text{O}_2) = 0,84$ и $G(\text{H}_2) = 0,40$. Эти величины находятся в хорошем согласии с данными других авторов. Для объяснения полученных соотношений между выходами различных продуктов радиолитического разложения воды авторы делают некоторые предположения о первичных процессах, протекающих при действии излучения на воду. Предложено выражать дозу при нанесении на график в единицах эв/N , где N — число Авогадро. Л. Рыбин

3918. Влияние «свободного пространства» при разложении твердых нитратов рентгеновскими лучами. Каннингем, Хил (Effect of «free space» in the decomposition of solid nitrates by X-rays. Cunningham J., Neal H. G.), Nature, 1957, 179, № 4568, 4021—4022 (англ.)

Определены радиационно-хим. выходы $G(\text{NO}_2^-)$, образующегося при разложении безводн. нитратов Li , Ag , Na , Rb , Cs , K , Sr , Mg , Ba под действием рентгеновских лучей (44,5 кэ, Be — окно). Установлена корреляция между величинами «свободного пространства» — разностью между объемом кристалла и объемом составляющих его ионов — и соответствующими $G(\text{NO}_2^-)$. В случае KNO_3 увеличение $G(\text{NO}_2^-)$ при возрастании т-ры (52, 150, 200°) соответствует возрастанию «свободного пространства» при термич. расширении кристалла. Наличие корреляции показывает, что размеры «клетки» из окружающих ионов определяют относительные шансы хим. разложения возбужденного иона NO_3^- или его возвращения в основное состояние.

И. Верещинский

3919. Действие ультразвуковых волн на углеводы. Эльгинер И. Е., Сокольская А. В. Биохимика, 1957, 2, № 2, 225—233 (рез. англ.)

Исследовано действие ультразвука (частота 385 кГц, интенсивность $4-5 \text{ вт/см}^2$) на водн. р-ры моно-, ди- и трисахаридов: арабинозы (I), глюкозы (II), сахарозы (III), мальтозы (IV) и раффинозы (V). После озвучивания щел. р-ров во всех случаях наблюдалось появление в УФ-спектре полосы поглощения с максимумом 265 м μ . Тот же эффект наблюдается при нагревании в р-рах I, II и IV, но отсутствует в III и V. Во всех р-рах (как щелочных, так и кислых) указанных выше соединений, а также многоатомных спиртов и глицерина при озвучивании возникают в-ва, обладающие восстанавливающими свойствами. При озвучивании щел. р-ров многоатомных спиртов и глицерина возникает максимум поглощения при 265 м μ . Предварительно озвученные кислые р-ры III, V и маннита, нейтрализованные и доведенные избытком щелочи до pH 13, при нагревании претерпевают такие же изменения, как р-ры I, II и IV. Предполагается, что, независимо от pH среды, в случае р-ров III и V ультразвуковые волны разрывают кислородные мостики с освобождением альдегидных групп, а многоатомные спирты при тех же условиях окисляются с образованием тех же групп. Дальнейшие изменения осуществляются как при озвучивании, так и при нагреве, если воздействие производится в щел. среде, в которой альдегидные группы находятся преимущественно в энольной форме.

Б. Кудрявцев

3920. О процессе галоидирования углей под действием ультразвуковых волн. Лосев Б. И., Эльгинер И. Е., Мельникова А. Н., Докл. АН СССР, 1957, 114, № 2, 372—374

Экспериментально исследовано влияние озвучивания (частота ультразвука 380 кГц, интенсивность 8 вт/см^2) на жидкофазное бромирование и парофазное хлорирование углей. Под действием ультразвука бромирование протекает в 160 раз, а хлорирование в 2,5 раза быстрее, чем в тех же условиях без озвучивания.

Б. Кудрявцев

См. также: Фотохимия 4492. Реакция под действием ультразвука 3852

РАСТВОРЫ. ТЕОРИЯ КИСЛОТ И ОСНОВАНИЙ

Редактор М. Д. Сурова

3921. Интерпретация результатов измерений эффекта Сорэ в водных растворах электролитов по методу Таннера. Чапман, Террелл, Вильсон (The interpretation of soré-effect measurements on aqueous electrolyte solutions by the tanner method. Chapman J., Tyrrell H. J. V., Wilson P. J.), J. Chem. Soc. 1957, May, 2135—2142 (англ.)

Обсуждена теория и источники возможных ошибок в определении коэф. Сорэ ($S = D'/D$; D' — коэф. термодиффузии, D — коэф. диффузии) для водн. р-ров электролитов прямым наблюдением термодиффузии (Т) оптич. методом Таннера (Tanner, Trans. Faraday Soc., 1927, 23, 75; РЖХим, 1954, 42768) по изменению показателя преломления р-ра в направлении градиента т-ры. Этим методом проведены новые прецизионные измерения T в водн. р-рах NaNO_3 , KNO_3 , NH_4NO_3 , AgNO_3 , $\text{Ba}(\text{NO}_3)_2$, $\text{Mg}(\text{NO}_3)_2$, LiOH , KBr , KJ , $\text{N}(\text{CH}_3)_4\text{Br}$, $\text{N}(\text{C}_2\text{H}_5)_4\text{Br}$, йодистого и бромистого 1-этилхлонилия и $\text{N}(\text{C}_6\text{H}_5)(\text{CH}_3)_4\text{Br}$ при 25—30°. Экспериментально определенные значения градиента т-ры (τ) сопоставлены со значениями τ , вычисленными по Таннеру, и из вычисленных разными методами величин τS рас-

считаны для этих солей коэф. S , D и теплота переноса по Хас (РЖХим, 1955, 273). На основе обсужденных данных авторы приходят к выводу, что оптич. метод Таннера дает заниженные значения S по двум причинам: 1) из-за более низких величин усредненных изменений конц-ий по сравнению с изменением в центре ячейки и 2) из-за возможной завышенной оценки градиента t -ры.

И. Зайденман
3922. Молекулярная гидродинамика. Диффузия молекул и ионов через жидкости. Стокс (Molecular hydrodynamics: the diffusion of molecules and ions through liquids. Stokes R. H.), Austral. J. Sci., 1957, 19, № 3а, р35—р41 (англ.)

Проблемная лекция. Приведена точка зрения автора на связь между электропроводностью σ и вязкостью η р-ров электролитов. Автор полагает, что при загущении воды глицирином, раффинозой и т. д. σ — снижается не вследствие возрастания η среды. Уменьшение σ за счет уменьшения подвижности ионов и увеличение η суть параллельные эффекты, обусловленные одной общей причиной — внедрением больших посторонних молекул в водн. континуум. Колич. теория этого явления может быть создана, по мнению автора, с помощью простой электростатич. аналогии (расчет диэлектрич. постоянной суспензии).

С. Френкель
3923. Поглощение звука в электролитах. Вада (電解質水溶液中の音の吸収. 和田八三久), 日本物理學會誌, Нихон буццри гаккайси, Proc. Phys. Soc., Japan, 1955, 10, № 11, 421—422 (японск.)

3924. К теории ионных растворов Майера. Мйрон (Mayer's treatment of ionic solutions. Meeron Emmanuel), J. Chem. Phys., 1957, 26, № 4, 804—806 (англ.)

Дано небольшое видоизменение теории Майера (Mayer J. E., J. Chem. Phys., 1950, 18, 1426). Показано, что ур-ния для коэф. активности и осмотич. давления включают некоторые хорошо известные и табулированные функции. Суммированы бесконечные ряды интегралов, имеющиеся в ур-ниях Майера, что привело к интегралу, включающему дебай — хюккелевский потенциал средних сил. Рассмотрена допустимость применения для бинарных электролитов только одного параметра наибольшего сближения ионов. Показано, что это приближение обычно не вносит существенной ошибки, так как влияние на коэф. активности соответствующих параметров для ионов одинакового заряда мало.

Л. Кришталек
3925. Термодинамика растворов смешанных электролитов. Варма (Thermodynamics of solutions of mixed electrolytes. Varma K. T. Rama), J. Indian Chem. Soc., 1957, 34, № 3, 183—188 (англ.)

Ур-ния Сривастава и Растог (РЖХим, 1955, 42579) приведены в форме, пригодной для описания свойств р-ров смесей нелетучих электролитов (полностью диссоциированных и не имеющих общих ионов). Рассмотрены равновесные системы: неидеальный пар — конденсированная фаза (нелетучие электролиты); неидеальный пар — р-р (нелетучий электролит); неидеальный пар — твердая фаза (один электролит) — р-р (несколько нелетучих электролитов).

Н. Хомутов
3926. Тензиметрическое и термохимическое изучение водных растворов электролитов (CoCl_2 , NH_4Cl , NaCl , MgCl_2). Купина Н. А., Тр. Ленингр. технол. ин-та им. Ленсовета, 1957, вып. 40, 92—111

Измерены давления пара над р-рами CoCl_2 — H_2O , NaCl — H_2O и NH_4Cl — H_2O при -6 , $+2$, 18 , 25 и 50° статич. методом в широком интервале конц-ий, а также давление пара над р-ром MgCl_2 — H_2O при -6 , $+2$ и 25° . Определены интегральные теплоты растворения и теплоемкости: при $+2^\circ$ для р-ра NH_4Cl — H_2O ($c = 0,04$ до насыщ.), при -6° для NH_4Cl — H_2O ($c = 2,0$ до насыщ.) и CoCl_2 — H_2O ($c = 1,0$ до насыщ.). Измерены

плотности р-ров CoCl_2 в H_2O при -6 , $+2$, 25 и 50° . Расчитаны парц. моляльные термодинамич. характеристики вышеприведенных р-ров. Показано, что отмеченное И. Ф. Яковлевым для р-ра NaCl в H_2O пересечение изотерм теплоемкости соли $\bar{c}_p = f(c)$ в области границы полной сольватации характерно и для р-ров, изученных автором. Изотерма уд. теплоемкости c_p для р-ров CoCl_2 при -6° в большей своей части расположена выше изотермы $+2^\circ$, что, по мнению автора, связано с существованием в этом температурном интервале кристаллогидрата.

А. Сырота
3927. Объемы и теплоты смешения некоторых бинарных систем, содержащих бензилацетат. Мур, Стайан (Volumes and heats of mixing of some binary systems containing benzyl acetate. Moore W. R., Styau G. E.), Trans. Faraday Soc., 1956, 52, № 12, 1556—1563 (англ.)

Измерены плотности и теплоты смешения ΔH смесей бензилацетата с ацетоном, пиридином, диоксаном, нитрометаном, анилином, хлороформом и м-крезолом при 25° . ΔH [кал/моль] измерена калориметрически. Из плотностей вычислены объемы смешения ΔV [мл/моль]. Полученные данные изображены графически в виде кривых $\Delta H - x$, $\Delta V - x$, где x — мол. доля. Для смесей бензилацетата с хлороформом, м-крезолом и диоксаном результаты выражены в виде ур-ний, связывающих величины ΔH и ΔV с x_1 и x_2 . Для названных смесей при любой конц-ии $\Delta H < 0$ и $\Delta V < 0$. Для акви-молекулярных смесей, содержащих бензилацетат и одно из приведенных в-в ΔH и ΔV соответственно равны: ацетон $+15$; $-0,43$; пиридин $+0,16$; $+0,02$, нитрометан $+0,67$; $+0,07$; анилин -16 ; $+0,02$; хлороформ -295 ; $-0,13$, м-крезол -266 ; $-0,12$; диоксан $-29,5$; $-0,05$. Опытные данные обсуждены с точки зрения термодинамич. теории р-ров при учете взаимодействия полярных групп, содержащихся в молекулах компонентов смеси.

Н. Е. Хомутов
3928. К вопросу о коэффициентах активности для бинарных смесей неэлектролитов. Рукенштейн Е., Смигельский Д., Докл. АН СССР, 1956, 111, № 6, 1282—1285

Путем применения ур-ния ван-Лаара для коэфф. активности γ бинарных смесей неэлектролитов и ур-ния Гиббса — Дюгема выведены новые ур-ния, выражающие зависимость γ от состава. Предложенные ур-ния содержат эмпирич. постоянные. Авторы показали, что полученные ими ур-ния описывают опытные данные для систем метилэтилацетон — м-гептан; 2-метил-3-бутин-2-ол — вода; 3-гидроксипропан-3-метил-2-бутанол — вода, лучше чем ур-ния ван-Лаара.

Н. Хомутов
3929. Соотношения между коэффициентами активности и кристаллическими радиусами щелочных и щелочноземельных металлов, в частности для бериллия. Отаки (Relations between activity coefficients and crystal radii of alkali and alkaline earth metals with special reference to beryllium. Ohtaki Hito-shi) Naturwissenschaften, 1957, 44, № 15, 417 (англ.)

Для хлоридов, бромидов, йодидов, ацетатов щел. металлов, а также для хлоридов, бромидов, йодидов и нитратов щел.-зем. металлов установлена линейная зависимость между коэф. активности в водн. р-рах разной конц-ии и кристаллич. радиусами металлов. Методом экстраполяции вычислены коэф. активности хлорида Be, соответственно равные для 0,1; 0,2; 0,3 М р-ров 0,60; 0,56; 0,55.

Н. Хомутов
3930. Коэффициент активности азотной кислоты — частично ионизированного 1,1—1 электролита. Мак-Кей (The activity coefficient of nitric acid, a partially ionized 1:1-electrolyte. McKay H. A. C.), Trans. Faraday Soc., 1956, 52, № 12, 1568—1573 (англ.)

Вычислены истинные ионные коэф. активности f азотной к-ты вплоть до высоких конц-ий C из стехиометрич. коэф. активности и величины степени диссоциации термодинамич. методом с применением ур-ния Сеченова. Вид кривой $f-C$ для азотной к-ты аналогичен зависимостям $f-C$ для полностью диссоциированных электролитов типа 1-1 вплоть до $C = 8$. В расчетах применялось значение константы диссоциации азотной к-ты $K = 23,5$. Н. Хомутов

3931. Исследования электропроводности органо-металлических хлоридов элементов группы IVB и хлористого водорода в N,N-диметилформамиде. Некоторые наблюдения, относящиеся к очистке растворителя. Томас, Рохов (Conductance studies of organometallic chlorides of group IVB and of hydrogen chloride in N,N-dimethylformamide. Some observations about the purification of the solvent. Thomas Alvin B., Rochow Eugene G., J. Amer. Chem. Soc., 1957, 79, № 8, 1843—1848 (англ.))

В развитие исследований N,N-диметилформамида (I) как ионизирующего р-рителя (РЖХим, 1957, 22401) определена проводимость р-ров HCl, трифенилхлорметана (II), трифенилхлорсилана (III) и органо-металлич. галогенидов Ge, Sn и Pb. Установлено, что наблюдаемая электропроводность р-ров II, III и органо-металлич. галогенидов обусловлена образованием в р-ре свободной HCl за счет сольволиза, в большей мере за счет гидролиза примесью воды, присутствующей в I, несмотря на различные методы очистки (подробно описано несколько способов очистки I). Исследованные в-ва не являются электролитами в данном р-рителе. Критерием наличия ионизации растворенных в-в является подчинение закону разведения Оствальда. Обсужден механизм замедленной электромиграции катиона H^+ в среде I. В. Анохин

3932. Растворители с высокой диэлектрической постоянной. V. Предельные ионные эквивалентные электропроводности в N-метилацетамиде при 40°. Досон, Уилхойт, Холмс, Серс (Solvents having high dielectric constants. V. Limiting ionic equivalent conductances in N-methylacetamide at 40°. Dawson Lyle R., Wilhoit Eugene D., Holmes Richard R., Sears Paul G., J. Amer. Chem. Soc., 1957, 79, № 12, 3004—3006 (англ.))

Определена при $40,00 \pm 0,02^\circ$ электропроводность 20 одно-одновалентных электролитов в N-метилацетамиде (I) ($D = 165,5$) в интервале конц-ий 10^{-4} — $1,65 \cdot 10^{-2}$ н. Предельные эквивалентные электропроводности (Σ) найдены графически из ур-ния Шидловского. Из полученных результатов следует, что пикировка к-та, HCl и изученные соли в разб. р-рах в I полностью диссоциированы; в этом отношении I, в противоположность изомерному ему диметилформамиду, проявляет как р-ритель нивелирующее действие на свойства к-т и солей аммония. Исходя из предположения о равенстве Σ ионов октадецилтриметиламмония и октадецилсульфата (Thompson W. E., Kraus C. A., J. Amer. Chem. Soc., 1947, 69, 1016), вычислены предельные ионные Σ 18 катионов и 10 анионов в I; полученные результаты хорошо согласуются с данными, вычисленными в предположении равенства Σ ионов триметилфениламмония и бензолсульфоната. Отмечено согласие полученных результатов с данными предыдущих сообщений (часть II РЖХим, 1956, 9438; часть IV, РЖХим, 1957, 500). В. Рабинович

3933. Характеристическая вязкость водных растворов небольших молекул. Эдвард (The intrinsic viscosities of aqueous solutions of small molecules. Edw. J. T.), Canad. J. Chem., 1957, 35, № 6, 571—573 (англ.). Фактор гидратации молекул (H) рассчитан для 12 органич. соединений по ур-нию $[\eta] = \lim_{C \rightarrow 0} \eta/C = a_0 NVH/100 M$, где $[\eta]$ — характеристич. вязкость, a_0 — фактор

формы, N — число Авогадро, V — объем молекул, M — мол. вес. Необходимые для расчета a_0 соотношения осей эллипсоидов, определенные из атомных моделей (Hartley G. S. и др., Trans. Faraday Soc., 1952, 48, 847, 854) варьировались в интервале 1,0—2,23. Полученные из вискозиметрич. данных H_η хорошо совпадают с H_D , рассчитанными на основе литературных данных для коэф. диффузии D по ф-ле $D = (kT/5\eta a_0)(f_0/f)(4\pi/3VH)^{1/2}$, где η_0 — вязкость воды f_0/f — фрикционное соотношение — поправка на несферич. форму молекулы. Б. Шахгельдин

3934. Изучение вязкости неводных растворов миристата и пальмитата магния. Бозе, Диксит (A study of viscosity of non-aqueous solutions of magnesium myristate and palmitate. Bose A. N., Dixit Virendra K.), Z. phys. Chem. (DDR), 1957, 206, № 5-6, 414—417 (англ.)

Измерение вязкости (η) р-ров миристата (I) и пальмитата (II) Mg в бензоле, толуоле, *o*-, *m*- и *p*-ксилолах, бутаноле-1, 3-метилбутаноле-1, гексаноле-1 и октаноле-2 показало, что при 50 — 60° (для бензола 40 — 50°) справедливо ур-ние Аррениуса $\eta = A \exp(E/RT)$. Значение $E/R = K$ мало изменяется с конц-ией, но зависит от вида р-рителя. Для углеводородных р-ров $K = 950$ — 1270 , для спиртовых $K = 2300$ — 3200 . Эти значения близки к полученным ранее при изучении $\eta = f(T)$ р-ров капрата (III) и лаурата (IV) Mg и чистых р-рителей. Относительные вязкости (η/η_0) р-ров I, II, III и IV при конц-ии 1—2% практически одинаковы, что объясняется агрегацией мицелл в р-рах низших мыл и снижением ее в р-рах высших. Последнее подтверждается также независимостью η/η_0 от T -ры (50 — 70°) для I и II. Изучение зависимости $\eta = f(C)$, где C — конц-ия, показало, что, в отличие от р-ров III и IV, для I и II $C/\eta(\text{уд.}) = f(C)$ нелинейно, что вероятно связано с изменением размеров мицелл при росте C . Б. Шахгельдин

3935. Общее исследование протолитического равновесия. II. Химическое равновесие в водном растворе смеси кислот и оснований. Кехианан (Studiu general al echilibrului protolitic. Nota II. Echilibrul chimic in solutia apoasa a unui amestec de acizi si de baze. Kehiaian Henry V.), Studii si cercetari chim., 1957, 5, № 1, 35—49 (рум.; рез. русск., франц.). Исследовано ур-ние хим. равновесия и его применение к р-рам к-т, оснований и амфотерных в-в (протолитов). Рассмотрен случай водн. р-ров, образованных смесью многоосновных к-т и многоосновных оснований. Полученное ур-ние является обобщением ур-ния, полученного ранее (часть I, РЖХим, 1956, 32081).

Из резюме автора

3936. О составе борных кислот и щелочных боратов в водных растворах. I. Приложение к общему исследованию протолитического равновесия. Кехианан (Asupra constitutiei acizilor borici si a boratilor alcalini in solutii apoase. Nota I. O aplicatie la studiul general al echilibrului protolitic. Kehiaian Henry V.), Studii si cercetari chim., 1957, 5, № 1, 51—71 (рум.; рез. русск., франц.)

Приведены ф-лы для расчета состава частично нейтрализованных р-ров борной к-ты, в частности р-ров буры. С помощью ур-ний протолитич. равновесия доказывается, что гипотеза образования четырехборной к-ты $H_2B_4O_7$, находящейся в равновесии с H_3BO_3 , подтверждает ненормальные значения pH конц. и нейтр. р-ров борной к-ты. Показано, что точки замерзания, вычисленные в предположении образования $H_2B_4O_7$, совпадают довольно точно со значениями, найденными экспериментально. Для расчета использованы данные, полученные разными исследователями. Отмечено, что из полученных результатов не следует существование

варяду с четырехборной к-той другой многоборной к-ты.

Из резюме автора

3937. Летучесть водных растворов борной кислоты. Гропшиану, Мурэреску (Volatilitatea solutiilor apoase de acid boric. Cropsianu Z., Murărescu M.), Studii și cercetări științ. Acad. RPR. Baza Timișoara. Ser. științe chim., 1956, 3, № 3-4, 67-73 (рум.; рез. русск., франц.)

Определены летучести водн. р-ров борной к-ты при общем давл. 750, 600, 450 и 300 мм рт. ст. Результаты согласованы с помощью закона Рау. Полученные данные указывают, что борная к-та слаболетуча и что ее летучесть находится в прямой зависимости от конц-ии до среднего состава 25 вес.%. При высоких конц-иях летучесть растет немного. Отмечено, что завышенные результаты других авторов обусловлены тем, что борная к-та легко улетучивается при кипячении.

Из резюме авторов

3938. Шкала кислотности H_0 в водной хлорной кислоте. Боннер, Локхарт (The H_0 acidity scale in aqueous perchloric acid. Bonner T. G., Lockhart J. C.), J. Chem. Soc., 1957, June, 2840-2841 (англ.)

Некоторые индикаторы, стабильные в конц. H_2SO_4 , разлагаются в р-рах хлорной кислоты (I), вследствие чего функция H_0 была ранее измерена лишь для р-ров, содержащих $\leq 64\%$ I. Стабильность индикатора 2,4-динитро-1-нафтиламина в р-рах I вплоть до 72% I позволила измерить H_0 в этой области конц-ий. Проверены также данные по ионизации 2,4-динитроанилина в области конц-ий I 49,6-62,2%. Для 71,3% I $H_0 = -8,46$.

А. Гельбштейн

3939. Электростатические эффекты в основном и возбужденных состояниях мезомерных молекул. Гроб, Кайзер, Ренк (Electrostatic effects in the ground and excited states of mesomeric molecules. Grob C. A., Kaiser A., Renk E.), Chemistry and Industry, 1957, № 19, 598-599 (англ.)

Измерены константы основности хинуклидина (I), дегидрохинуклидина (II) и их производных ($R - H$, C_6H_5 , $n-(CH_3)_2NC_6H_5$, $CONH_2$, CO_2CH_3 и CN). Разность pK для соответствующих соединений рядов I и II после учета индуктивного эффекта, вносимого двойной связью, отнесена к электростатич. эффекту, обусловленному дипольным характером мезомерных основных состояний в соединениях ряда II. Найдено, что ΔpK для $R - C_6H_5$ равна нулю, т. е. конфигурация стирола в основном состоянии неполярна. Для остальных R разность ΔpK имеет заметную величину, знак которой для разных R находится в соответствии с предсказаниями электронной теории. Изучение УФ-спектров поглощения солей соединений обоих рядов показало, что 1) возбужденное состояние системы стирола неполярно, поскольку полоса поглощения соли соответствующего соединения ряда I расположена при той же длине волны; 2) в тех случаях, когда наличие положительного заряда на атоме N в солях соединений ряда II способствует стабилизации полярной структуры, в спектрах наблюдается гипсохромный или батохромный эффект в зависимости от знака заряда на атоме N двойной связи, расположенном рядом с атомом N.

В. Александрия

3940. Система $H_2SO_4 - HNO_3$. Свинарский, Дембинский (O układzie $H_2SO_4 - HNO_3$. Swinarski Antoni, Dembinski Wojciech), Roczn. chem., 1956, 30, № 3, 709-722 (польск.; рез. англ.)

Приведен обзор возможных соединений в системе $H_2SO_4 - HNO_3$. Измерены вязкость исследуемой смеси в зависимости от процентного состава, и ее электропроводность. На кривой вязкости наблюдается четкий максимум для 20 мол.% HNO_3 . На кривой электропроводности наблюдаются максимумы для 9 мол.% HNO_3

и для 80 мол.%. На основании полученных данных авторы считают, что при 0-9% HNO_3 происходит полная ионизация азотной к-ты на ионы H_3O^+ и NO_3^+ . Отмечено, что с ростом конц-ии HNO_3 снижается кислотность среды, вследствие чего возможно образование двуположительных ионов $H_2NO_3^{2+}$. Уменьшение кислотности среды, вызванное дальнейшим прибавлением HNO_3 , приводит к превращению иона $H_2NO_3^{2+}$ в ион $H_2NO_3^+$ и дальше — в ион $NO_2^+ \cdot H_2O$. При этом возможна кислотная ионизация азотной к-ты на ионы H^+ и NO_3^- .

Н. Wróblewa

3941. Изопиестическое исследование водных растворов перхлората трехвалентного галлия. Паттерсон, Тирри (Isopiestic studies on aqueous gallium (III) perchlorate solutions. Patterson C. S., Tyree S. Y., Jr.), J. Amer. Chem. Soc., 1957, 79, № 8, 1821-1826 (англ.)

Для изучения природы частиц в водн. р-рах $Ga(ClO_4)_3$ измерены методом уравнивания со стандартными р-рами KCl или $CaCl_2$ (РЖХим, 1957, 26278) относительные упругости пара р-ров в пределах 0,1-1,2 Мл при различных r — отношение кол-ва добавленной щелочи к кол-ву катиона Ga^{3+} (в пределах 0-2,5 моля OH^- : 1 моль Ga^{3+}). Результаты рассмотрены с точки зрения механизма ступенчатой полимеризации и образования нерастворимой формы гидроокиси Ga. Степень полимеризации определена экстраполяцией опытных данных к нулевой конц-ии; результаты представлены графически. Полимерным ионам приписывается общая ф-ла $Ga_n O_{n/2}^{(3--r)n+}$ и сделан вывод, что полимеризация осуществляется кислородными мостиками, подобно тому, как это установлено Граннером и Силленом при гидролизе солей $Bi(3+)$ (Granner F., Sillen L. G., Acta chem. scand., 1947, 1, 631). В. А.

3942. Взаимодействие бромидов алюминия с олефинами и бензолом. Фэрбротер, Филд (The interaction of aluminium bromide with olefins and with benzene. Fairbrother Fred, Field Kenneth), J. Chem. Soc., 1956, Aug., 2614-2619 (англ.)

Проведены измерения давлений пара над р-рами бромидов алюминия (I) в *цис-транс*-пентене-2 (II) и чистом *цис*-пентене-2 (III). Из измерений мол. веса по понижению давления следует, что в конц. р-рах олефинов I представляет собой слабо сольватированный димер, Al_2Br_6 (IV), который подвергается частичной диссоциации при разбавлении. При 0° I с II и III не образуют твердого комплекса, а из конц. р-ров выделяется кристаллический IV. Твердый комплекс также не образуется и с другими изученными олефинами: циклогексеном, триметилэтиленом, циклопентадиеном и диизобутеном. Однако при концентрировании бензоольных р-ров I выделяется определенный сольват состава $Al_2Br_6 \cdot 2C_6H_6$ или $AlBr_3 \cdot C_6H_6$, кристаллич. решетка которого совершенно отлична от решетки I. Для некоторых р-ров измерены УФ-спектры поглощения. Р-р I в C_6H_6 (V) в отличие от чистого V сильно поглощает около 2800 Å. Это поглощение не подчиняется закону Бера, и молярная экстинкция увеличивается при разбавлении приблизительно линейно с конц-ией. Это соответствует тому, что в конц. бензоольных р-рах I присутствует в виде слабо сольватированного димера IV, диссоциирующего при разбавлении. Спектры р-ров I в II и III показывают аналогичную картину, только наблюдаемый край поглощения несколько смещен в коротковолновую часть спектра (2700 Å).

Е. Шусторович

3943. Спектрофотометрическое исследование комплексных ионов бромидов индия. Бернс, Хьюм (A spectrophotometric study of the indium-bromide complex ions, Burns Eugene A., Hume David N.), J. Amer. Chem. Soc., 1957, 79, № 11, 2704-2711 (англ.)

Исследованы УФ-спектры поглощения водн. р-ров бромидов индия при ионной силе $\mu = 4,00$ и $t_{\text{ре}} = 21,7 \pm 0,6$. Полученные результаты хорошо согласуются с гипотезой о существовании в р-ре ионов InBr_2^{2+} , InBr_2^+ , InBr_3 и InBr_4^- . Методами, описанными ранее (McConnell H., Davidson N., J. Amer. Chem. Soc., 1950, 72, 3164; Kingery W. D., Hume D. N., J. Amer. Chem. Soc., 1949, 71, 2393), вычислены константы образования этих ионов, которые соответственно равны 120; 19; 4 и 7. В. Рабинович

3944. Константы ионизации и спектрофотометрическое изучение ИК- и УФ-областей спектра метилпроизводных пирролидинкарбоновых кислот. Скротто, Николаус (Costanti di ionizzazione acida e comportamento spettrofotometrico nell'I. R. e nell'U. V. di acidi c-metil-pirrolidici. Scrocco Maria, Nicolaus Rodolfo), Atti. Accad. naz. Lincei. Cl. sci. fis., mat. e natur., 1957, 22, № 3, 341—347 (итал.)

Исследовались в УФ- и ИК-областях спектра метилпроизводные α - и β -пирролидинкарбоновых к-т. В УФ-области обнаружен один максимум поглощения в ИК-два. Константа ионизации pK_a определялась потенциометрически; как для α -, так и β -к-т pK_a зависит от расположения CH_3 -группы. На основании полученных данных сделан вывод, что отрицательный заряд в молекуле расположен у карбоксильной группы и вызывает ионизацию последней. Положительный заряд мигрирует и его положение обусловлено положением CH_3 -группы. Приведены структурные ф-лы исследованных в-в. В. Мухин

3945. О взаимодействии водных растворов $\text{Be}(\text{NO}_3)_2$ с некоторыми органическими кислотами. Танакав И. В., Щеглова Е. П., Ж. неорганической химии, 1957, 2, № 6, 1365—1373

Измерены рН смесей р-ров $\text{Be}(\text{NO}_3)_2$ (I) и органич. к-т при постоянной суммарной молярности и переменных отношениях I: к-та. Характер отклонения конц-ий H^+ от аддитивности указывает, что взаимодействие ионов Be^{2+} в кислой среде с исследованными к-тами незначительно и не идет далее образования средних или кислых солей. Взаимодействие ослабляется в следующем ряду к-т: щавелевая = малоновая > салициловая > малеиновая-лимонная > винная > янтарная > молочная. Резкое различие растворимости CaC_2O_4 в р-рах I и в р-рах $\text{Al}(\text{NO}_3)_3$ может быть использовано для определения Al в присутствии Be. И. Рысс

3946. Коэффициент распределения фенола между водой и бутилацетатом. Рёк, Роте (Der Verteilungskoeffizient von Phenol zwischen Wasser und Butylacetat. Röck H., Rothe R.), Z. phys. Chem. (BRD), 1957, 12, № 1-2, 47—51 (нем.)

Из измеренных при 20, 40 и 60° равновесных конц-ий фенола, а также по давлению пара в бинарных системах вода—фенол и бутилацетат—фенол при 60 и 82,5° определен коэф. распределения K фенола между водой и бутилацетатом. Из полученных данных вычислен коэф. активности фенола. Коэф. активности при 20 и 40° определялся экстраполяцией. Найденные двумя методами значения K различаются на 20%. Расхождение, по мнению авторов, объясняется тем, что при измерениях K косвенным методом не учитывалась взаимная растворимость воды и бутилацетата, и каждая из фаз рассматривалась как бинарная система. А. Сирота

3947. Растворимость пирофосфата серебра в щелочных пирофосфатах. Басинский, Конечна (Rozpuszczalność pirofosforanu srebrowego w pirofosforanach alkalicznych. Basiński Antoni, Konieczna Maria), Roczn. chem., 1956, 30, № 4, 1077—1082 (польск.; рез. англ.)

Исследована растворимость $\text{Ag}_2\text{P}_2\text{O}_7$ (I) в р-ре $\text{Na}_2\text{P}_2\text{O}_7$ (II) разной конц-ии при 20, 30, 40, 50 и 60°. Обнаружено, что растворимость растет с конц-ией II. С увеличением t -ры до 50° растворимость I в р-рах II возрастает, затем уменьшается. Установлено, что растворимость I в р-рах $\text{K}_2\text{P}_2\text{O}_7$ значительно больше, чем в эквимолярных р-рах II. Н. Вгроблова

3948. Сульфатные комплексы Sn(4+). Брубейкер (Sulfate complexes of tin (IV). Brubaker Carl H., Jr.), J. Phys. Chem., 1957, 61, № 5, 696—697 (англ.)

Проведено исправление расчетов, основанных на измерении зависимости УФ-спектра р-ров Sn(4+) от конц-ий H_2SO_4 (РЖХим, 1956, 39160) с учетом, что в р-ре содержится не SnO^{2+} , а SnSO_4^{2+} (I) (РЖХим, 1956, 57629) и что ранее использованные данные о диссоциации H_2SO_4 были неточны. Константа равновесия р-ции $\text{I} + \text{SO}_4^{2-} \rightleftharpoons \text{Sn}(\text{SO}_4)_2$ (II) равна 1,9 · 10⁴. Вторая стадия процесса описывается ур-нием $\text{II} + \text{H}_2\text{SO}_4 = \text{H}_2\text{Sn}(\text{SO}_4)_3$. И. Рысс

3949 Д. Сжимаемость нитратов и хлоридов некоторых редких земель в водном растворе. Аткинсон (Compressibilities of some rare earth nitrates and chlorides in aqueous solution. Atkinson Gordon), Abstr. doct. diss., Iowa State Coll., 1956) (англ.)

См. также: Растворимость 3817, 3819, 3821, 3823—3826, 3830, 4083. Термодинамика р-ров 3835. Термохимия р-ров 3757. Диффузия 3474, 3714. Структура и исслед. состояния веществ в р-рах 3516—3519, 3522, 3525, 3555, 3829, 3908, 3919, 4076. Растворы электролитов 3828. Кислотно-основные равновесия 3853. Гидролиз 3854. Твердые р-ры 3660, 3801. Расплавы 3729, 3815, 3974

ЭЛЕКТРОХИМИЯ

Редакторы О. А. Есин, В. В. Лосев

3950. К теории эффекта напряженности поля у сильных электролитов. Фалькенхаген, Ульбрихт (Zur Theorie des Feldstärkeeffektes starker Elektrolyte. Falkenhagen H., Ulbricht H.), Naturwissenschaften, 1957, 44, № 9, 277 (нем.)

При помощи теории Дебая—Хюккеля—Онагара выведено новое выражение для вычисления коэф. A в ур-нии Вина $\Delta E = (\Delta E - \Delta E_0)/\Delta E_0 = AE^2 - BE^4 + \dots$, где E — напряженность поля. Вычисленные величины ΔE с использованием нового значения A для 0,00156 н. $\text{Ba}_2[\text{Fe}(\text{CN})_6]$ при 18° хорошо согласуются с опытными вплоть до $E = 9$ кВ/см. Н. Хомутов

3951. Протонные перескоки и электрическое поведение льда и растворов лед- NH_4F . Заром (Proton jumps and the electrical behavior of ice and ice- NH_4F solutions. Zarembo Sol.), J. Chem. Phys., 1956, 25, № 2, 350—356 (англ.)

Развиты представления о механизме диэлектрической релаксации (вращение диполей) во льду и в р-рах NH_4F во льду, в основе которых лежит предположение об образовании «дефектов Бьеррума» (Bjerrum N., Kgl. Danske Videnskab. Selskab., Mat.-fys. Medd., 1951, 27, № 1) путем перескоков протонов от одной молекулы воды к другой в чистом льду и между вторичными соседями ионной пары $\text{F}^- - \text{H}_2\text{O} - \text{NH}_4^+$ в твердом р-ре лед- NH_4F . Показано, что с помощью этих представлений можно объяснить более низкие значения электропроводности льда по сравнению с водой при 0° и существование высоких конц-ий «дефектов Бьеррума» в чистом льду, а также некоторые свойства р-ров лед- NH_4F . Н. Хомутов

3952. Замечания о некоторых измерениях чисел переноса. Форланд, Крог-Му (A remark on some

measurements of transference numbers. Forland T., Krogh-Moe J.), J. Phys. Chem., 1957, 61, № 4, 511 (англ.)

Определение чисел переноса (ЧП) по Гитторфу требует наличия в-ва (напр., воды), которое предполагается неподвижным относительно электродов. Поэтому нельзя определить ЧП в расплавленном NaCl (РЖХим, 1957, 44047). В смеси расплавленных NaCl и KCl определяется только отношение ЧП Na^+ и K^+ . Аналогичным образом, водн. р-р NaOH можно рассматривать как состоящий только из ионов Na^+ , H^+ и OH^- , так что определение по Гитторфу дает лишь отношение ЧП Na^+ и H^+ . Аналогичные соображения применимы для интерпретации своеобразного поведения р-ра NaF в безводной HF (РЖХим, 1957, 44165). Л. Кришталек

3953. Электропроводность высококонцентрированных растворов уксуснокислого натрия. (Сообщение 3). Кобус Г. Л., Тр. Одесск. гидрометеорол. ин-та, 1957, вып. 11, 29—34

Измерена уд. электропроводность водн. р-ров $\text{CH}_3\text{CO}_2\text{Na} \cdot 3\text{H}_2\text{O}$ (15—100 вес.%) при 10—90°. Изотермы κ и Λ имеют вид, обычный для конц. р-ров солей, однако изменение Λ с т-рой меньше обычного, что объясняется дегидратацией соли при повышении т-ры. Сообщение 2 см. РЖХим, 1957, 26292.

А. Городецкая
3954. Электропроводность расплавленных сульфидов, шлаков и шпеев. Кнакке, Штрезе (Die elektrische Leitfähigkeit von geschmolzenen Sulfiden, Schlacken und Speisen. Knaacke O., Strese G.), Z. Erzbergbau und Metallhüttenwesen, 1957, 10, № 5, 207—212 (нем.)

Измерялась электропроводность (κ) Cu_2S , Sb_2S_3 , многокомпонентных шлаков и Cu-Ni-шпеев мостиком постоянного тока (Томпсона) и электронным мостиком. Для Cu_2S при 1100—1480° зависимость κ от T выражается прямой, отвечающей ур-нию $\lg \kappa = 3,556 - (3110/T)$, и изменяется от 25 до 97 $\text{ом}^{-1} \text{см}^{-1}$. Для Sb_2S_3 в интервале 555—904° $\lg \kappa = 5,403 - (7200/T)$ и κ изменяется от 0,0005 до 2,6 $\text{ом}^{-1} \text{см}^{-1}$. Для многокомпонентного шлака, содержащего (в %) 19 Zn, 33,13 FeO, 17,36 SiO_2 , 1,92 Pb, 0,98 Cu, 3,67 S, 7,08 CaO, 4,17 BaO, 4,37 Al_2O_3 , 1,12 MgO и 0,82 Mn, при 1000—1435° κ изменяется от 0,0005 до 0,01 $\text{ом}^{-1} \text{см}^{-1}$ по ур-нию $\lg \kappa = 1,596 - (6350/T)$. Cu-Ni-шпеев, содержащий (в %) 39,1 Cu, 10,7 Ni, 15,2 Pb, 17,5, As, 13,7 Sb, 0,8 Fe, 0,1 Co, не подчиняется ур-нию Аррениуса, а зависимость (κ , t) выражается параболой.

Б. Лепинских
3955. Электроды и потенциалы сравнения. Милаццо (Elettrodi e potenziali di riferimento. Milazzo Giulio), Rend. ist. super. sanità, 1957, 20, № 4, 379—396 (итал.; рез. франц., англ., нем.)

Обзор.
3956. Температурный эффект в полужелатках. Бонне (The temperature effect in half-cells. Bonnemay M.), Proc. Meet. Internat. Comm. Electrochem. Thermodyn. and Kinet., 1954, London, 1955, 68—76, Discuss., 77—78 (англ.)

Из измерений э.д.с. ΔE элемента, состоящего из двух одинаковых электродов, погруженных в одинаковые р-ры и находящихся при разных т-рах, определены кажущиеся темп. коэф. $\gamma = dE/dT$ электродных потенциалов E водородного, кадмиевого, цинкового, а также амальгированного медного и кадмиевого электродов в р-рах различного состава. Для некоторых электродов приведены линейные зависимости (ΔE , ΔT). Введение в р-р постороннего электролита изменяет величину γ . При помощи методов термодинамики обратимых и необратимых процессов количественно оценены темп. коэф. потенциалов на границах одинаковых р-ров электролита, имеющих разные т-ры. Эти величины оказались $< 10^{-6}$ в/град и поэтому автор счи-

тает, что γ могут рассматриваться как приближенные значения истинных темп. коэф. Е. Н. Хомутов
3957. Об асимметрическом потенциале стеклянного электрода. Сообщение II. Иовшиц В. И., Уч. зап. ЛГУ, 1957, № 211, 140—146

Исследованы асимметрич. потенциалы (АП) стеклянных электродов. Подтверждена отмеченная ранее (сообщение I РЖХим, 1954, 32159) инверсия знака АП при переходе от кислых (0,1 н. HCl) к щел. р-рам (0,1 н. NaOH). При переходе от кислых р-ров к р-ру $\text{Ba}(\text{OH})_2$ инверсия знака АП не наблюдается. Показано, что АП сильно зависит от времени, протекшего с момента замены р-ра. При перемене р-ра АП больше в тех областях, где наблюдаются большие отклонения от водородной функции.

М. Шульц
3958. Поведение стеклянного электрода в растворах перекиси водорода. Кольчинский, Рот, Шанли (The behavior of the glass electrode in hydrogen peroxide solutions. Kolczynski J. R., Roth E. M., Shanley E. S.), J. Amer. Chem. Soc., 1957, 79, № 3, 531—533 (англ.)

Стеклянные электроды (СЭ) ведут себя в водн. р-рах H_2O_2 (0—100%), как обратимый H_2 -электрод. Кажущиеся низкие значения pH, наблюдаемые в исследованных р-рах, обусловлены сдвигом равновесного потенциала электродной системы; предложен метод расчета поправки на этот сдвиг. По эксперим. данным рассчитано ионное произведение р-ров H_2O - H_2O_2 . Отмечается, что H_2O_2 сильнее диссоциирует, чем вода, но меньше, чем ее водн. р-ры. Показано, что эксперим. данные не согласуются с ур-нием Дола и высказано предположение о влиянии изменения энергии сольватации протона в исследованных р-рах на поведение СЭ.

М. Шульц
3959. К вопросу о распределении плотности тока и потенциала на электродах с неоднородной поверхностью. I. Дросбах, Мерле (Zur Kenntnis der Stromdichte- und Potentialverteilung bei Elektroden mit inhomogener Oberfläche. I. Drossbach P., Meggle R.), Z. Elektrochem., 1957, 61, № 3, 415—423 (нем.)

Аналитически рассмотрено распределение потенциала и плотности тока i при электролитич. осаждении металлов при двух схемах неоднородного катода: 1) чередующиеся полосы более положительного и менее положительного металлов и 2) полоса положительного металла, включенная в бесконечную поверхность более отрицательного металла. В расчет вводятся нулевые потенциалы (НП) на обоих участках, электропроводности р-ра и обоих металлов, контактный потенциал и «характеристическая длина» L (по Вагнеру): $L = \sigma \partial \eta / \partial i$, где σ — уд. электропроводность р-ра, $\partial \eta / \partial i$ — поляризуемость участка электрода. Показано, что при близких значениях L_1 и L_2 для обоих участков i повышена на участке с более высоким НП и понижена на участке с низким НП (особенно у границы раздела участков). Но если L_1 на более положительном участке значительно больше, чем L_2 на менее положительном, то создается повышенная i на участке с низким НП, особенно вблизи границы раздела участков. Если участок с высоким НП включен в бесконечный электрод с низким НП (схема 2), то L_1 на этом участке значительно больше, чем L_2 на основном электроде, то ток через такой участок практически проходить не будет.

В. Машовцев
3960. Распределение плотности тока в электролизерах при наличии естественной конвекции. Вагнер (Current distribution in galvanic cells involving natural convection. Wagner C. A.), J. Electrochem. Soc., 1957, 104, № 2, 129—131 (англ.)

В меднографитировочной ванне возникает движение р-ра у катода вверх, у анода вниз, вследствие измене-

ния конц-ий Cu^{2+} . Из аналогии законов тепло- и массо-передачи выведены ур-ния распределения конц-ий Cu^{2+} в приэлектродных слоях и изменения конц. поляризации по высоте электродов. Отсюда рассчитано распределение плотности тока по высоте и показано, что в условиях технич. электролиза ток распределен практически равномерно, так как роль конц. поляризации пренебрежимо мала по сравнению с омич. сопротивлением слоя р-ра.

В. Машовец
3961. Применимость кинетического уравнения Аррениуса к электролизу при малых величинах поляризации. Памфилов А. В., Цинман А. И., Укр. хим. ж., 1957, 23, № 2, 168—173

Методом поляризационных кривых в интервале 20—80° изучалось катодное осаждение Pb из р-ров 0,1 M $\text{Pb}(\text{NO}_3)_2$ и 0,01 M $\text{Pb}(\text{CH}_3\text{COO})_2 + 0,02$ M CH_3COOH , а также измерены уд. электропроводности κ этих р-ров. Зависимости плотности тока i от катодной поляризации ΔE , являющиеся линейными при постоянной т-ре; значения $(di/d\Delta E)$ возрастают линейно с возрастанием T от 20 до 80°. Зависимости $(\lg i, 1/T)$ (при постоянных ΔE), полученные описанным ранее методом (Горбачев С. В., Старостенко Е. П., Ж. физ. химии, 1952, 26, 624), а также зависимости $(\lg \kappa, 1/T)$ описываются двумя пересекающимися прямыми. Вычисленные эффективные энергии активации электролитного процесса составляют 2,6—2,0 ккал (для верхней зоны т-р) и 3,8—3,3 ккал (для нижней зоны т-р). Величины энергий активаций электропроводности для тех же температурных зон составляют соответственно 2,5—2,6 и 3,2 ккал. Авторы считают природу поляризации для процессов осаждения Pb из исследованных р-ров концентрационной.

Н. Хомутов
3962. Причины аномального хода зависимости скорости электроосаждения меди от температуры. Емельяненко Г. А., Укр. хим. ж., 1957, 23, № 2, 243—250

Описанным ранее (РЖХим, 1955, 19341) методом изучено влияние т-ры на скорость электроосаждения Cu из сернокислых р-ров. Наличие максимума на кривых $[\lg i, (1/T)]$ и снижение скорости электроосаждения при повышении т-ры выше той, что соответствует максимуму, обусловлено не фазовой поляризацией (РЖХим, 1953, 8266), а образованием на поверхности электрода продуктов хим. р-ций на границе раздела металл — р-р, протекающих при изменении т-ры (образование окислов, гидратов окислов и основных солей металла), которые препятствуют электрохим. р-ции. С увеличением конц-ий H_2SO_4 кривые $[\lg i, (1/T)]$ постепенно выпрямляются, приближаясь к линейному ходу; при этом постепенно устраняются и заметные необратимые изменения на поверхности катода.

З. Соловьева
3963. Структура электролитического серебра, осажденного на грани [110] серебра из комплексной йодистой ванны. Сетти (The structure of silver electro-deposited from a complex silver iodide bath on a silver (110) face. Setty T. H. V.), J. Scient. and Industr. Res., 1957, B116, № 4, B139—B143 (англ.)

В продолжение работы (РЖХим, 1956, 15383) изучена структура осадков Ag, полученных из комплексной йодистой ванны, методом электронной дифракции и оптич. микроскопии. Осаждение Ag производилось на электрополированную грань [110] монокристалла Ag при различных рН, т-рах и плотностях тока i . Показано, что при высокой т-ре осадок растет параллельно решетке подкладки, даже при высокой i . Интервал, в котором осадок растет с беспорядочной ориентацией, расширяется при снижении рН. Ag-осадки содержат некоторое кол-во включенного AgI, что препятствует продолжению ориентированного роста Ag.

З. Соловьева

3964. Определение внутренних напряжений в электролитических покрытиях по изгибу плоского катода. Поперека М. Я., Заводск. лаборатория, 1957, 23, № 6, 720—725

Критически рассмотрен общепринятый метод расчета внутренних напряжений электролитич. осадков и обоснован новый метод расчета по изгибу плоского катода. Установлено, что изгиб катода происходит не по дуге окружности, а по куб. параболе. Теоретически выведена ф-ла для расчета начальных напряжений в покрытии, эксперим. проверка которой дала хорошие результаты.

З. Соловьева
3965. Изучение состояния поляризуемых катодов в области водородного перенапряжения по кривым спада потенциала. Бакуменко Т. Т., Полторах О. М., Кобозев Н. И., Сб. тр. Укр. н.-и. ин-та полигр. пром-сти, 1956, 4, 135—155

Изучались спады потенциалов после выключения поляризующего тока на катодах из чистых W, Mo, Ta, Pt, Cu, Pd, Fe, Hg, Pb, Sn и на отравленных сулемой Pt, Pd, Fe в р-рах 0,2 и 0,5 н. HCl. Зависимости $(\eta, \lg i)$ в стационарных условиях для всех исследованных катодов описываются ур-нием Тафеля. Характеристики спадов потенциала представлены в виде графиков $(\Delta\eta, \lg i_{\text{от}})$, где t — продолжительность спада. Эти кривые для большинства катодов (W, Mo, Ta, Pd, Cu, кратковременно поляризованный Pd) располагаются выше теоретич. кривой (т. е. кривой для процесса разряда конденсатора с емкостью, равной емкости двойного слоя), для некоторых катодов (близи к теоретич. (Pb, Sn) и иногда располагаются ниже ее (длительно поляризованный Pd, отравленные сулемой Pd, Pt, Fe). Из анализа опытных зависимостей $(\Delta\eta, \lg i_{\text{от}})$ и из сопоставления их с теоретическими авторы приходят к заключению, что на поляризованных катодах наиболее обычным случаем является присутствие атомного водорода в конц-иях, превышающих равновесные.

Н. Хомутов
3966. Влияние алкалоидов на скорость выделения водорода на ртути и на других катодах. Конуэй, Бокрис, Ловречек (Effects of alkaloids on the rate of hydrogen evolution at mercury and other cathodes. Conway B. E., Bockris J. O. M., Lovrecek B.), Proc. Meet. Internat. Comm. Electrochem. Thermodyn. and Kinet., 1954, London, 1955, 207—230 (англ.)
В водн. р-рах HCl, содержащих добавки алкалоидов (хинин (I), цинхонин, морфин, наркотин), измерено перенапряжение водорода η на стационарном Hg-электроде, на Pb, W и платинированной Pt, а также сняты электрокапиллярные кривые (ЭКК) в присутствии I наркотина. На Hg-электроде хинолиновые алкалоиды (I и цинхонин) при $i < 10^{-2}$ а/см² понижают η , а при более высоких i повышают η , тогда как изохинолиновые алкалоиды (морфин и наркотин) не понижают η при низких i . В случае Pb I оказывает каталитич. влияние, а на W и на платинированной Pt все исследованные алкалоиды вызывают слабый тормозящий эффект. Адсорбция алкалоидов на Hg наиболее значительна в области отрицательной ветви ЭКК и понижается при более положительных потенциалах. Вычислены значения специфич. адсорбционных потенциалов I в максимумах ЭКК для р-ров с различной конц-ией I. Выведены кинетич. ур-ния для скорости выделения водорода (СВВ) из специфически адсорбированных ионов, являющихся источником протонов, аналогичным ионам H_3O^+ . Влияние алкалоидов на СВВ авторы рассматривают как результат наложения двух эффектов: увеличение СВВ за счет специфич. адсорбции ионов алкалоидов, являющихся донорами протонов, и уменьшение СВВ за счет более высокой устойчивости протонов в алкалоидных ионах по сравнению с ионами H_3O^+ .

Н. Хомутов

3967. Электролиз переменным током. Часть VI. Электролиз растворов серной кислоты с золотыми электродами. Часть VII. Осциллографическое изучение изменений потенциала платинового электрода в серной кислоте. Джоши (Alternating current electrolysis with gold electrodes. Part VI. Electrolysis of sulphuric acid solutions with gold electrodes. Part VII. Oscillographic study of potential variations at a platinum electrode in sulphuric acid. Joshi K. M.), J. Indian Chem. Soc., 1957, 34, № 1, 51—55, 1956, 33, № 12, 917—922 (англ.)

VI. Изучалось влияние частоты тока (ЧТ) (10—50 гц), плотности тока (ПТ) i (50—300 мА/см^2), конц-ии H_2SO_4 (0,05—2 н.) и продолжительности электролиза (Θ) на выходы по току (ВТ) H_2 и O_2 при Э водн. р-ров H_2SO_4 переменным током с применением Au-электродов. ВТ < 1 , при постоянной ПТ уменьшаются с увеличением ЧТ, возрастают с увеличением i , уменьшаются с возрастанием конц-ии к-ты, а также с увеличением продолжительности Э. Низкие ВТ H_2 и O_2 объяснены р-циями рекомбинации промежуточных продуктов разряда в последовательных полуволнах. Образование H_2O_2 в ходе Э рассматривается как результат р-ций: $\text{H} + \text{O}_2 \rightarrow \text{HO}_2$; $2\text{HO}_2 \rightarrow \text{H}_2\text{O}_2 + \text{O}_2$.

VII. Осциллографич. методом на полированных Pt-электродах в р-вах H_2SO_4 изучался Э симметричным переменным током (5—30 гц). Опытные данные приведены в виде кривых, выражающих изменение анодного и катодного потенциалов во времени, а также в виде поляризационных кривых. Сделан вывод, что анодный полуволн включает десорбцию и ионизацию адсорбированного водорода, заряджение двойного электрич. слоя и образование мономолекулярной пленки PtO , ведущее к устойчивому выделению O_2 , а катодный полуволн включает заряджение двойного слоя, восстановление окислов и образование моноатомарного слоя H-атомов на электроде, ведущее к устойчивому выделению водорода. Сообщ. В РЖХим, 1957, 58084.

Н. Хомутов

3968. Исследование природы локальной пассивности при электролитической полировке меди методом кривых заряджения. Воздвиженский Г. С., Турашев А. И., Докл. АН СССР, 1957, 114, № 2, 358—360

Осциллографическим методом снимались анодные кривые заряджения (КЗ) на Cu в р-вах H_3PO_4 уд. веса 1,55—1,77 в условиях, соответствующих электрополировке (Э) Cu. Форма КЗ указывает на протекание процесса в 3 стадии, для 1-й из которых, не связанной с Э, имеет силу соотношение $it^{1/2} = \text{const}$ (РЖХим, 1954, 18724), где t — продолжительность задержки потенциала на КЗ. Предполагается, что скорость 1-й стадии лимитируется диффузией; 2-я и 3-я стадии связаны с последовательным образованием Cu_2O и CuO , что подтверждается опытами по влиянию на форму КЗ и на стационарные потенциалы Cu 1) добавок глицерина, гипофосфита K и CrO_3 и 2) различных исходных состояний поверхности Cu (напр., применение электродов, предварительно покрытых Cu_2O или CuO).

Г. Флорианович

3969. Метод определения электрического сопротивления фосфатных покрытий на стали. Скотт, Шрейр (A method for determining the electrical resistance of phosphate coatings on steel. Scott J. W., Shreir L. L.), Chemistry and Industry, 1957, № 25, 807—808 (англ.)

Предложенный метод не требует разрушения покрытия и позволяет следить за изменением состава пленки во времени. Для обеспечения электрич. контакта с образцом, покрытым пленкой, применяется Hg. Описывается спец. приспособление, позволяющее поддерживать постоянным давление Hg и площадь ее контакта с покрытием. Г. Флорианович

3970. Применение вращающихся электродов в электролитических реакциях. Удупа, Дей (Use of rotating electrodes in electrolytic reactions. Udupa H. V. K., De y B. B.), Proc. Meet. Internat. Comm. Electrochem Thermodyn. and Kinet., 1954, London, 1955, 87—92. Discuss., 92—93 (англ.)

При осуществлении в лабор. условиях электролитич. процессов получения NaClO_3 , $(\text{NH}_4)_2\text{S}_2\text{O}_8$, Cu_2O и глюконата Ca в качестве вращающихся анодов применялись соответственно графитовый цилиндр, Pt, Cu, графитовый цилиндр. В этих процессах были достигнуты плотности тока i , равные соответственно (в а/дм^2): 43, 1000, 30, 28—36; конц-ии тока (в а/а): 60, 50, 12, —; выхода по току (ВТ) продуктов (в %): 85, 80, ~ 100, ~ 100. При электролитич. получении Sb из сульфат-фторидной ванны и Mn из сульфатной ванны применялись вращающиеся катоды из пержавеющей стали, достигнуты i соответственно 20 и 28—40 а/дм^2 ; ВТ составляли 84 и 83—84%. См. также РЖХим, 1957, 14892.

Н. Хомутов

3971. Концентрационная поляризация при высоких температурах. Есин О. А., Топорщев Г. А., Ж. физ. химии, 1957, 31, № 2, 474—480 (рез. англ.)

Коммутаторным методом (РЖХим, 1956, 12533; 1957, 3961) измерялась конц. поляризация (КП) в расплавленных силикатах, содержащих 55—60% MnO , 30—40% SiO_2 , 10% MgO и до 4% окислов Fe, при 1350—1400° с электродами из Mn или сплава Mn-Ag. Обнаружены предельные токи $i_{\text{пр}}$, которые обусловлены замедленной диффузией ионов Fe^{2+} и Fe^{3+} . Меньшая величина $i_{\text{пр}}$ для Fe^{3+} подтверждает, что последний находится в расплаве в форме комплексного иона (РЖХим, 1954, 26094). Отмечено, что при осаждении металлич. Fe и перезарядке его ионов имеет место лишь КП, тогда как разряд ионов Mn^{2+} сопровождается не только КП.

Б. Лепинских

3972. Причины возникновения анодного эффекта при электролитическом получении алюминия. Антипин Л. Н., Тюрин Н. Г. Ж. физ. химии, 1957, 31, № 5, 1103—1110 (рез. англ.)

На основании результатов измерений поляризационных напряжений на угольном, Pt- и Fe-электродах автор связывает появление анодного эффекта (АЭ) с образованием соединений фтора с C в газах Al-ванны. На предварительно фторированных анодах АЭ появляется при малых плотностях тока и его продолжительность пропорциональна времени фторирования. Анализируя характер поляризационных кривых для расплавов с различным содержанием Al_2O_3 , автор приходит к выводу, что при содержании $\text{Al}_2\text{O}_3 > 0,5\%$ на поверхности анода образуется не проводящая ток пленка, содержащая COF_2 , а при содержании $\text{Al}_2\text{O}_3 < 0,5\%$ — CF_4 . Возникновением этой пленки объяснена несмачиваемость электрода расплавом при АЭ.

Б. Лепинских

3973. Механизм получения титана электролизом расплавленных галогенидов, содержащих соли титана. Вурм, Гравель, Потвен (The mechanism of titanium production by electrolysis of fused halide baths containing titanium salts. Wurm J. G., Gravel Lucien, Potvin Roger J. A.), J. Electrochem. Soc., 1957, 104, № 5, 301—308 (англ.)

Изучалось получение металлич. Ti электролизом из расплавов K_2TiF_6 или Na_2TiF_6 с добавками 20—30% NaCl и KCl при 650—700° в графитовых тиглях с Мо-или стальными электродами. Напряжение между электродами 3,8—5,2 в. После электролиза катодный осадок имел 2 зоны: внутренняя — металлич. Ti с вкрапленными кристаллами соли, и наружная — замороженный расплав, содержащий K_2NaTiF_6 (2KF , NaF , TiF_3), K_3TiF_6 и Na_3TiF_6 . При электролизе с охлаждаемым катодом

наряду с Ti выделяется металлич. Na. Измерение поляризации и присутствие Ti^{3+} в расплаве указывают, что электролиз идет через 2 стадии: восстановление Ti^{4+} до Ti^{3+} : $Na_2TiF_6 + Na \rightarrow Na_3TiF_6$ и $Na_3TiF_6 + 2KCl \rightarrow K_2NaTiF_6 + 2NaCl$; восстановление Ti^{3+} : $K_2NaTiF_6 + 3NaCl \rightarrow Ti + 4NaF + 2KF + \frac{3}{2} Cl_2$.

В. Лепинских

3974. О состоянии кислорода в солевых расплавах, содержащих титан. Смирнов М. В., Пальгуйев С. Ф., Волченкова З. С., Изв. вост. фил. АН СССР, 1957, № 3, 94—101

Проводился электролиз фтортитаната K (74,1% K_2TiF_6 и 25,9% K_2TiOF_6) в распл. смесях NaCl + KCl при 830°. При низких плотностях тока под воздействием O_2 воздуха в расплаве образуются оксидионы TiO^{2+} и $Ti_2O_3^{2+}$ (РЖХим, 1957, 63206), которые выделяются на катоде, наряду с восстановлением Ti^{4+} , в виде осадков низших оксидов Ti. На угольном аноде одновременно с окислением Ti низких степеней валентности протекает р-ция углерода с адсорбированными оксидионами: $TiO^{2+} + \frac{1}{2} C - 2e \rightarrow Ti^{4+}$ (расплав) $+ \frac{1}{2} CO_2$, а также возможны р-ции хлорирования взвешенных в расплаве частиц оксидов титана (TiO_2 , Ti_2O_3 , TiO).
Б. Лепинских

3975. К вопросу о выделении тантала путем электролиза расплавленных солей. Дросбах, Петрик (Zur Kenntnis der Abscheidung von Tantal durch Elektrolyse geschmolzener Salze. Drossbach P., Petrick P.), Z. Elektrochem., 1957, 61, № 3, 410—415 (нем.)

Проводился электролиз расплава K_2TaF_7 (I) в эквимолекулярной смеси NaCl-KCl при 850°. Катодом служила Ni-пластинка, а анодом — графитовый стержень. Анализ катодного осадка: 97,5—98,7% Ta, 0,04% Si, 0,52% Al, Ca, Na и Fe < 0,01%. Катодный выход по току возрастает во времени от 19,3 до 100% (с 25-й до 220-й минуты электролиза). Характер поляризационных кривых указывает на диффузионную природу перенапряжения. Кривые имеют 2 ступени, отвечающие процессам $Ta^{5+} \rightarrow Ta^{4+}$ и $Ta^{4+} \rightarrow Ta$. Для выявления изменения состава электролита у электродов проводились опыты с пористой диафрагмой из MgO. Б. Лепинских

3976. Уравнения для предельного тока на вращающемся ртутном капельном электроде. Окинака, Кольтгофф (Equations for the limiting current at the rotated dropping mercury electrode. Okinaka Yutaka, Kolthoff I. M.), J. Amer. Chem. Soc., 1957, 79, № 13, 3326—3339 (англ.)

На основании исследования гидродинамич. процессов у ртутного капельного вращающегося электрода (ВЭ) выведены ур-ния для предельных токов в случае свободного движения внешних слоев Hg-поверхности и заторможенного движения, т. е. в присутствии поверхностно-активных в-в (желатин). Полученные ур-ния проверены для случая восстановления ионов металлов на ВЭ (РЖХим, 1957, 18732), у которого можно было менять высоту столба Hg h над электродом. Показано, что $i_{пр}$ почти не зависит от h и во всех случаях пропорционален конц-ии деполаризатора.

С. Майрановский

3977. Определение констант скорости реакций второго порядка из измерений кинетического тока. Рейнольдс, Прейгер (Rate constants of second — order reactions from kinetic current measurements. Reynolds W. L., Prager Stephen), J. Chem. Phys., 1957, 26, № 5, 1006—1009 (англ.)

Рассмотрено изменение конц-ий в-в у электродной поверхности и выведены выражения для полярографич. предельного тока в случае, когда в р-ре имеются 2 электроактивных в-ва O и Z, восстанавливающихся в одной и той же области потенциалов, причем продукт

восстановления O (R) может восстанавливать в приэлектродном слое по р-ции 2-го порядка в-во Z, давая при этом в-во Y' и превращаясь в O. Y' восстанавливается на электроде (Э) лишь при более отрицательном потенциале, чем O и R. При катодном восстановлении Z и Y' образуется неактивный продукт Y. $Z + me \rightarrow Y$ (на Э) (1); $O + ne \rightarrow R$ (на Э) (2); $R + Z \rightarrow Y' + O$ (в р-ре) (3). Показано, что протекание р-ции (3) уменьшает суммарный предельный ток восстановления р-ций (1) и (2); из величины этого уменьшения может быть определена k — константа скорости р-ции (3). Выведенные ур-ния применены к системе: О-версенат Fe (3+) и Z-гидроперекись кумола. Найденное на полярографич. данных значение $k = 800$ л/моль сек, тогда как непосредственное измерение (РЖХим, 1957, 37188) дало $k = 1200 \pm 15\%$. По мнению авторов, различие объясняется упрощениями, сделанными при выводе ур-ний.

С. Майрановский

3978. Полярографическое поведение металлов в этаноламинах. Часть III. Никель. Часть IV. Кобальт (2+). Субрахмания (Polarographic behaviour of metals in ethanalamines. Part III. Nickel. Part IV. Cobalt (II). Subrahmanya R. S.), Proc. Indian Acad. Sci., 1957, A45, № 3, 184—194; 195—203 (англ.)

III. Изучено полярографич. поведение Ni в присутствии моно-(I), ди-(II) триэтанолamina (III) в NaOH, Na_2CO_3 и 1 M NH_4Cl + 1 M NH_3 при разных pH. В I и II наблюдается максимум, который при pH 11 не поддается желатиной. При всех изученных pH, за исключением цел. р-ров I, процесс необратим. В III при pH > 7 и в сильнощел. р-рах II волна Ni раздваивается; это соответствует восстановлению различных комплексов (K) Ni. Из полярографич. данных установлено наличие различных K. Высота волны уменьшается при переходе от I к III вследствие уменьшения коэф. диффузии.

IV. Изучено полярографич. поведение Co(2+) в тех же условиях. Во всех р-рах за исключением р-ра Na_2CO_3 , содержащего I, процесс необратим. В сильнощел. р-рах III Co(2+) не дает волн. При снижении pH до 11 появляется волна, которая принимает наилучшую форму при pH 8—10. Волна Co(2+) в II и I наблюдается при более высоких pH и может быть использована для аналитич. целей. При pH 7 $E_{1/2} = -1,21$ в (насыщ. к.э.) в I и II и $E_{1/2} = -1,29$ в III. В кислых р-рах восстанавливается аквокомплекс Co(2+). При повышении pH до 9 образуются аминокомплексы, а при более высоких pH в состав K входят ионы OH^- . Из полярографич. данных установлено образование различных K Co(2+). Сообщение II см. РЖХим, 1957, 26329.

С. Жданов

3979. Исследование восстановления элементарной серы на капельном ртутном электроде. Штакельберг, Ханс, Хаук (Untersuchungen zur Reduktion elementaren Schwefels an der Quecksilbertropfelektrode. Stackelberg M. V., Hans W., Hauck G.), Z. Elektrochem., 1957, 61, № 4, 473—480 (нем.)

В метаноловом ацетатном или аммиачном буферном р-ре S дает четкую волну с i_d , пропорциональным конц-ии S. В интервале pH 0—13 $dE_{1/2}/d(pH) = -0,059$. Волна S характеризуется резким переходом к i_d . Такая форма волны обусловлена постоянством активности исходного в-ва, поскольку электродной р-ции $HgS + 2H^+ + 2e = Hg + H_2S$ предшествует образование HgS . Выведено ур-ие волны, отвечающее этой р-ции. Вычисленная с помощью этого ур-ния зависимость $E_{1/2}$ от C_S хорошо следует экспериментальной, однако вычисленные величины $E_{1/2}$ несколько менее отрицательны, причем отклонение возрастает с ростом C_S (РЖХим, 1957, 11375).

На волне S имеется минимум (M) тока, слабо выраженный в кислых р-рах ($\text{pH} < 5,5$), но углубляющийся по мере роста pH. M устраняется при повышении т-ры, при добавлении бруцина или деформирующихся катионов ($\text{Cs}^+ > \text{K}^+ > \text{Na}^+ > \text{Li}^+$). Доказано, что спад тока в M вызывается кинетич. ограничениями, и путем электрокапиллярных измерений показано, что M связан с адсорбционными явлениями. С. Жданов

3980. О влиянии теллура на полярографическую волну селена. Быков И. Е., Зелянская А. И., Изв. вост. фил. АН СССР, 1957, № 2, 47—51

На фоне 0,5 M NH_4Cl и 0,5 M NH_4OH присутствие SeO_3^{2-} не оказывает влияния на высоту волны TeO_3^{2-} . Высота волны SeO_3^{2-} не изменяется до $[\text{Te}]/[\text{Se}] = 1$. При более высоком относительном содержании TeO_3^{2-} волна SeO_3^{2-} снижается. По мнению авторов, образующиеся при восстановлении SeO_3^{2-} ионы Se^{2-} диффундируют в р-р и реагируют с TeO_3^{2-} : $2\text{Se}^{2-} + \text{TeO}_3^{2-} + 6\text{H}^+ \rightarrow 2\text{Se} + \text{Te} + 3\text{H}_2\text{O}$. С целью проверки этого предположения р-р SeO_3^{2-} подвергался электролизу на угольном катоде, после чего на полярограмме обнаруживалась анодно-катодная волна. После приливания этого р-ра к р-ру, содержащему SeO_3^{2-} и TeO_3^{2-} , волна SeO_3^{2-} оставалась неизменной, а волна TeO_3^{2-} при наличии избытка Se^{2-} исчезала; анодная волна Se^{2-} соответственно уменьшалась. См. также РЖХим, 1955, 29202. С. Жданов

3981. О полярографическом поведении геометрически-изомерных кислот. Маркман А. Л., Зинкова Э. В., Ж. общ. химии, 1957, 27, № 6, 1438—1448

Изучено полярографич. поведение цитраконовой (I), мезаконовой (II), цис-аконитовой (III), транс-аконитовой (IV), цис-коричной (V), транс-коричной (VI), изокротеновой (VII) и кротеновой (VIII) к-т на фоне KCl , Na_2HPO_4 , лимонной и борной к-т, NaOH , HCl и буферных смесей. I и II дают одну волну в интервале pH 0,02—3,38 и две волны при pH 3,38—6,62, причем с увеличением pH 1-й волны уменьшается до исчезновения, а 2-я увеличивается, при pH > 6,62 остается только 2-я волна. При pH 9 и выше I и II не восстанавливаются. I восстанавливается в водн., спиртоводн. и безводн. средах, II в безводн. спиртах не восстанавливается. В 1 н. HCl в 75%-ном спиртоводн. р-ре $E_{1/2}$ I и II различаются на 0,2 e, что позволяет определять их в смеси. III и IV при pH 0,02—5,44 дают 1 волну, при pH 5,44—8,5 — две волны, причем с увеличением pH 1-й и 2-й волн уменьшается. $E_{1/2}$ III и IV близки, причем $E_{1/2}$ III более положительна. При pH 9 III, а при pH 8,5 IV не восстанавливаются. В 50%-ном спирт. р-ре на фоне 1 н. HCl возможно совместное определение III и IV, поскольку их $E_{1/2}$ отличаются на 0,2 e. При pH < 1,14 V, и при pH > 9 V и VI не восстанавливаются. С увеличением содержания спирта $E_{1/2}$ V и VI становятся отрицательнее. Пропорциональность между i_d и конц-ий наблюдается только в р-рах с конц-ией спирта $\geq 50\%$. В цитратно-фосфатных и боратных буферных р-рах с pH от 0 до 10 VII и VIII не восстанавливаются. В 0,1 н. NH_4Cl в воде и в 25—75%-ных спиртоводн. р-рах VII и VIII дают волны; в 100%-ном спирте и 0,1 н. NH_4Cl восстанавливается только VII. Цис-изомеры восстанавливаются при более положительных E, чем транс-изомеры. Восстановление изученных к-т протекает необратимо с участием двух электронов. Предложены методики определения цис- и транс-изомеров в их смеси. Рассчитаны коэф. диффузии для всех к-т. Объяснено возникновение двух волн для I и II, III и IV в некотором интервале значений pH. Н. Малюгина

3982. Электрическая теория озонаторов. I. Статические вольтамперные характеристики озонаторов. Ф и

липпов Ю. В., Емельянов Ю. М. Ж. физ. химии, 1957, 31, № 4, 896—903 (рез. англ.)

Проведено изучение статич. вольтамперных характеристик (СВХ) озонаторов (О) с величинами разрядного промежутка 1,0; 2,1; 2,9 и 4,2 мм. Выяснено, что СВХ могут быть в первом приближении представлены в виде двух прямолинейных отрезков, наклон которых определяется соответственно общей электр. емкостью О и емкостью диэлектрич. барьеров. На основании рассмотрения СВХ сделан вывод, что напряжение на разрядном промежутке О во время горения разряда остается постоянным, не зависящим от силы тока, протекающего через О. Выведены ур-ния для расчета силы тока, текущего через О, при заданном напряжении на О. Описана установка, позволяющая автоматически поддерживать постоянное давление и заданную скорость протока газа. Ю. Емельянов

3983. Электрическая прочность газообразных насыщенных углеводородов. Девинс, Кроу (Electric strength of saturated hydrocarbon gases. Devins J. C., Crowe R. W.), J. Chem. Phys., 1956, 25, № 5, 1053—1058 (англ.)

Измерялась зависимость потенциала пробоя V_δ от $P\delta$ (P — давление, δ — расстояние между электродами) для метана, этана, пропана, н-бутана, н-пентана, гексана, 2-метилпропана, 2-метилбутана, 2,2-диметилпропана, 2-метилпентана, 2,2-диметилбутана, 2,3-диметилбутана, циклопентана и циклогексана. В ряду n-алканов V_δ (при данном $P\delta$) растет с ростом длины цепи. В соответствии с теорией $\ln V_\delta$ для n-алканов линейно зависит от $P\delta/V_\delta$. Разветвленность цепи для гексанов не влияет на V_δ , а для бутанов и пентанов приводит к небольшому увеличению V_δ . О. Птицын

3984. Изучение выпрямляющего действия газовых пламен. Мавродиев (Прилог кон вентилното действо на гасниот пламен. Мавродиев Георги Т.), Годишен зб. Филоз. фак. Ун-т Скопје. Природно-матем. одд., 1955, 8, 37—47 (макед.; рез. англ.)

Изучалось выпрямляющее действие конусообразного пламени бунзеновской горелки, работающей на смеси паров бензола или бутана с воздухом, и пламени горелки Меккера, работающей на смеси бутана с воздухом. Получены кривые зависимости силы тока от расстояния между электродами при постоянной напряженности поля (25 в/см). Сделан вывод, что максим. эффект выпрямления может быть получен только при вполне определенном положении электродов в пламени. Ю. Емельянов

3985 Д. Электролитическое осаждение металлов в нецеланистых электролитах током переменной полярности. Бибиков Н. Н. Автореф. дис. канд. хим. н., Ленингр. технол. ин-т им. Ленсовета, Л., 1957

См. также: Электроосаждение металлов 5268, 5272, 5281, 5285, 5286, 5290. Коррозия 3880, 4950, 4953, 4954, 4956, 4958. Полярография 4087, 4269, 4274, 4280, 4348, 4373, 4436, 5295. Электропроводность 3888, 3889, 4036

ПОВЕРХНОСТНЫЕ ЯВЛЕНИЯ. АДСОРБЦИЯ. ХРОМАТОГРАФИЯ. ИОННЫЙ ОБМЕН

Редактор Н. А. Фукс

3986. Поверхностное натяжение жидкости в микрокапиллярах. Федякин Н. Н., Тр. Моск. ин-та пищ. пром-сти, 1957, вып. 8, 37—41

Для изучения свойств воды в микрокапиллярах автор погружал цилиндрич., запаянный с одного конца,

капилляр открытым концом в воду и измерял, насколько поднимается вода, сжимая воздух. Измерялась также скорость движения мениска воды в открытых капиллярах того же радиуса r . Показано, что во всех капиллярах вплоть до $r = 0,038 \mu$ поверхностное натяжение и вязкость остаются такими же, как у объемной воды.

И. Слоним
3987. Поверхностное натяжение и поверхностный потенциал водных растворов смачивателя. Яникова (Surface tensions and electric potentials on the free surface of aqueous solutions of a wetting agent. Janikowa J.), Bull. Acad. polon. sci., 1957, Cl. 3, 5, № 4, 407—410, XXXII (англ.; рез. русск.)

Измерены поверхностное натяжение (σ) и смещение поверхностного потенциала (ΔV) водн. р-ров диоктилсульфосукцината Na в зависимости от pH и добавок KCl. Показано, что эти добавки снижают σ р-ров и повышают ΔV и притом тем сильнее, чем ниже pH. Особенно резко влияние pH проявляется в области pH < 2.

А. Таубман

3988. Об ошибках при измерениях поверхностного натяжения, вызываемых испарением. Хоммелен (Sur les erreurs causées par l'évaporation dans les mesures de tension superficielle. Hommelen J.), Bull. Soc. chim. belges, 1957, 66, № 7-8, 476—490 (франц.; рез. англ.)

Показано, что при измерении поверхностного натяжения (σ) водн. р-ров длинноцепочечных спиртов и к-т методом отрыва кольца или пластинки равновесные значения σ получаются только при предохранении р-ров от испарения. Равновесные значения σ р-ров спиртов C_6 — C_{10} и каприловой к-ты ниже, чем соответствующие кватеритич. значения σ , полученные в открытых сосудах или приведенные в литературе. Для измерения σ в отсутствие испарения применен усовершенствованный метод висиящей капли с поддержанием насыщ. атмосферы вокруг капли. Показано, что описанные в литературе аномальная зависимость σ р-ра децилового спирта от методики измерения, а также минимум на кривой $\sigma = f(t)$ (t — время) для р-ра каприловой к-ты обусловлены эффектом испарения.

М. Липец

3989. Смачивание адсорбционных слоев. Федякин Н. Н., Тр. Моск. технол. ин-та пищ. пром-сти, 1957, вып. 8, 42—46

Предлагается новый, динамич. метод измерения краевого угла Θ , основанный на измерении скорости движения жидкости в капилляре. Показано, что пленка, остающаяся за движущимся столбиком воды в капилляре и имеющая толщину 45—50А, обладает свойствами массы воды и полностью смачивается водой. Чистая поверхность стекла, покрытая лишь адсорбированной пленкой воздуха, также смачивается полностью. Если же на стекле имеется адсорбционная пленка воды толщиной не больше нескольких молекулярных слоев, образующаяся в атмосфере насыщенного водяного пара, то наблюдается неполное смачивание, среднее значение $\cos \Theta = 0,75$. Очевидно, переход от адсорбционного слоя к жидкой фазе происходит скачком, ряд промежуточных между ними состояний лабилен.

И. Слоним

3990. О поверхностном уравнении состояния нонизированных монослоев. Пайенс (Note on the surface equation of state for ionized monolayers. Payens T. A. J.), Kolloid-Z., 1957, 153, № 1, 57—58 (англ.)

Интегрирование изотермы поверхностного давления $d\pi = \Gamma_S - d\mu_S - \Gamma_D + d\mu_{D^+}$ (1) для монослоя (МС) мыла $S-D^+$ на чистой воде приводит, если пренебречь электростатич. взаимодействием, к тому же ур-нию состояния $\pi = kT\Gamma_S = kT / A_S$ (2), как и для МС на водн. р-ре с большой ионной силой (A — площадь на молекулу

в монослое). Очевидно противоионы D^+ не влияют на свободную энергию и поверхностное давление МС. Применяемое некоторыми авторами ур-ние типа (2), но с коэфф. 2 в правой части неверно, так как получается лишь при ошибочном допущении, что $\Gamma_S + \Gamma_{D^+} = 2/A_S$.

И. Слоним

3991. Исследование монослоев желчных кислот с помощью поверхностных весов. I. Монослой холановой и гликохолановой кислот. II. Монослой литохолановой и гликолитохолановой кислот. Эквалль, Экхольм, Нурман (Surface balance studies of bile acid monolayers. I. Cholanic and glycocholanic acid monolayers. II. Monolayers of lithocholic and glycolithocholic acids. Ekwall Per, Ekholm Reino, Norman Arne), Acta chem. scand., 1957, 11, № 4, 693—702; 703—709 (англ.)

I. Диаграммы (π, A) монослоев (МС) холановой (I) и гликохолановой (II) к-т показывают, что они относятся к конденсированному типу. Это объясняется наличием в их молекулах в отличие от других желчных к-т только одной полярной группы на конце цепей, что позволяет образоваться МС с плотной упаковкой. При их сжатии A убывает от $44 A^2$ (при $\pi = 0$) до 40 и $39 A^2$ для I и II соответственно при разрушении слоев ($\pi \approx 20$ и 30 дн/см). Жидкоконденсированный МС I при сжатии отверждается только после разрушения. У II на кривой при $\pi = 6$ дн/см в области π 15—22° имеется изгиб, указывающий на наличие перехода МС из жидкого в твердое состояние; ниже 14° МС II твердообразен при любом сжатии, начиная с $\pi = 0$. С помощью ур-ния типа Клапейрона — Клаузиуса рассчитано изменение мол. теплосодержания, связанное с указанным фазовым переходом, порядка минус 1000—2000 кал/моль. На основании сопоставления полученных данных со свойствами МС холестерина высказаны соображения о строении и характере ориентации МС I и II.

II. Аналогичными опытами с литохолановой (III) и гликолитохолановой (IV) к-тами выяснено, что молекулы III и IV, несмотря на наличие в них двух полярных групп и горизонтальную ориентацию вдоль поверхности, образуют МС конденсированного типа с плотной упаковкой ($A = 107$ и $122 A^2$ соответственно). При дальнейшем сжатии до $A = 24 A^2$ монослой III разрушается. Так как при вертикальной ориентации молекулы III должны были бы, подобно I и II, занимать площадь $44 A^2$, то сделан вывод о полимолекулярном строении МС III и IV. Предполагается, что по мере их сжатия гидрофильные группы молекул постепенно выжимаются из подкладки и связывают их (водородными связями) попарно. В результате образуются жидкообразные тримолекулярные слои, которые при расширении обратно могут переходить в МС. Высказаны соображения о строении мицелл желчных к-т.

А. Таубман

3992. Влияние температуры на монослой полиметилметакрилата. Ллопис, Ребольо (Influencia de la temperatura sobre monocapas de poli (metacrilato de metilo). Llopis J., Rebollo D. V.), An. Real soc. esp. fis. y quim., 1957, 53, № 6, 419—428 (исп.; рез. англ.)

При последовательных расширениях и сжатиях монослоев (МС) полиметилметакрилата с большим мол. весом на поверхности раздела вода/воздух наблюдается гистерезис. При постоянном поверхностном давлении МС самопроизвольно расширяются. Расширение значительно при более высокой π -ре, при меньшем давлении и для полимеров с большим мол. весом и, по мнению авторов, связано с разворачиванием макромолекул на поверхности субстрата. Изучена кинетика разворачивания молекул и показано, что решающим является энтропийный фактор. Поэтому процесс идет

медленнее с увеличением длины цепи. Измерение поверхностного потенциала показывает, что при расширении МС делаются более равномерными. И. Слоним

3993. Влияние дозировки жирных спиртов на способность их монослоев к сохранению воды. Дарем, Мак-Артур (The influence of dosage on the efficiency of films of fatty alcohols for water conservation. Durham K., McArthur I. K. H.), Research, 1957, 10, № 7, 291—292 (англ.)

Исследование зависимости кол-ва испаряющейся воды от дозировки цетилового спирта в виде двух образцов: 90%-ного препарата (I) и технич. смеси гомологов спиртов C_{14} — C_{18} (II) — показало, что наибольшее снижение скорости испарения (на 60—80%) достигается при дозировке, соответствующей покрытию поверхности слоем толщиной в 5—8 монослоев. При этом эффективность II заметно выше, чем у I. Эти результаты получили подтверждение при полевых испытаниях.

А. Таубман

3994. Явления гистерезиса при растекании монослоев как процесс осаждения. Крум (Hystereserscheinungen bei Spreitungsmessungen als Fällungsproblem. Krum F.), Kolloid-Z., 1957, 153, № 1, 47—51 (нем.)

При проведении циклов сжатия и расширения монослоев (МС) поверхностно-активных и высокомолекулярных в-в на поверхности воды наблюдаются явления гистерезиса, связанные с тем, что в сжатом МС образуются агрегаты, не распадающиеся при расширении. Автор отмечает аналогию между процессами образования и сжатия МС и осаждения высокомолекулярных в-в из р-ра при добавлении нерастворителя; в последнем случае, как показывает измерение светорассеяния и электронномикроскопич. изучение, также образуются агрегаты макромолекул. При сжатии МС роль нерастворителя играет поверхность воды; уменьшение площади на молекулу в слое соответствует увеличению концентрации осадителя.

И. Слоним

3995. Исследование адсорбции при высоких давлениях. Васильев Б. Н., Беринг Б. П., Дубинин М. М., Серпинский В. В., Докл. АН СССР, 1957, 114, № 1, 131—134

В описанном ранее приборе (РЖХим, 1957, 74788) объемным методом изучена адсорбция CO_2 на двух образцах силикагеля в интервале от -85 до $+40^\circ$ при давл. 0—85 атм. Петля адсорбционного гистерезиса наблюдается только в интервале от -60 до -20° . Изотермы -30 и -50° приводят к несовпадающим распределениям объемов пор по их радиусам. При высоких давлениях полное содержание в-ва а заметно отличается от гиббсовской адсорбции. Показано, что средняя плотность ρ_a для CO_2 в адсорбированном состоянии больше плотности нормальной жидкости (напр., при 25° на 14%). Характеристики. кривые потенциальной теории адсорбции несколько зависят от т-ры вблизи $t_{кр.}$ (0 и 25°). При вычислении этих кривых через α и ρ_a получается единая кривая для всех т-р, включая 0 и 25° . Наблюдаемый на изостерах адсорбции излом истолковывается как указание на фазовый переход CO_2 в адсорбированном состоянии — «двумерный аналог кристаллизации». В-во, капиллярно-сконденсированное в сорбционном объеме вплоть до -85° , находится в состоянии перохлажденной жидкости.

Б. Беринг

3996. Адсорбционные измерения при очень низких давлениях. II. Уагенер (Adsorption measurements at very low pressures. II. Wagener S.), J. Phys. Chem., 1957, 61, № 3, 267—271 (англ.)

Описанным ранее (часть I, РЖХим, 1957, 563) методом при давлениях $p \approx 10^{-5}$ мм рт. ст. и комнатной т-ре измерена адсорбция (A) CO , CO_2 и N_2 на пленках

Ba, Sr, La, Ti, Zr, Nb, Ta, Cr, Mo, W, Mn, Fe и Ni, сублимированных на стекло при $p \leq 10^{-5}$ мм рт. ст. Начальная скорость A CO (V_{CO}) на всех металлах выше $2500 \text{ см}^3/\text{сек см}^2$. В случае N_2 металлы делятся на 2 группы: 1) у расположенных в III—IV группах периодич. системы $V_{N_2} \approx V_{CO}$; 2) у остальных (Sr, Ba, Cr, Mn, Fe, Ni) $V_{N_2} < 1 \text{ см}^3/\text{сек см}^2$. V_{CO} на Ba и Ti мало отличается от V_{CO} . Адсорбированное кол-во CO в ~ 2 раза больше, чем N_2 , что подтверждает точку зрения о диссоциативной A N_2 и мол. A CO . CO хорошо адсорбируется на Ti и W после предварительной A N_2 ; при обратной последовательности N_2 почти не адсорбируется, что авторы объясняют, с одной стороны, насыщением поверхностных связей при A CO и, с другой, небольшими стерич. затруднениями со стороны малых атомов N_2 . С ростом т-ры V_{CO} и величина A возрастают, по-видимому, в связи с начинающейся поверхностной миграцией. Сделан общий вывод, что степень заполнения d-слоя металла определяет скорость хемосорбции газов на нем.

3. Высоцкий

3997. Физическая адсорбция на никеле Рэней. Дельмон, Балачану (Adsorption physique sur le nickel de Raney. Delmon Bernard, Balascanu Jean-Claude), C. r. Acad. sci., 1957, 244, № 15, 2053—2056 (франц.)

Статическим методом и в хроматографич. колонке изучена адсорбция на никеле Рэней (I) ряда жидкостей из бинарных смесей (ацетон в воде, октан в бензоле, циклогексен в изопропанол и др.). Показано, что во всех исследованных случаях, кроме р-ра бутанола в бензоле, во всем изученном интервале конц-ий растворенного в-ва (до 50 об.%) применимо уравнение Ленгмюра. Измеренная значительная (напр., 1 г I адсорбирует $\sim 0,3$ мл ацетона, что отвечает ~ 40 мол. слоям) и быстрая (равновесие устанавливается в течение секунд) адсорбция является физ., слабо избирательной и непосредственно не связана с хемосорбцией на I, изучавшейся кинетич. методом.

3. Высоцкий

3998. Хемосорбция этана на окисях железа и никеля. Томас (Chemisorption of ethane at iron and nickel oxide. Thomas W. J.), Trans. Faraday Soc., 1957, 53, № 8, 1124—1131 (англ.)

Результаты измерений сорбции C_2H_6 на Fe_2O_3 и NiO на носителях и без носителей указывают на хемосорбционную природу связывания насыщ. углеводородов обоими катализаторами при различных температурных условиях. При т-рах 200—400° наблюдается медленная, но сильная хемосорбция на Fe_2O_3 , в то время как на NiO быстрая адсорбция протекает при т-рах от -25 до 0° . Результаты измерений равновесных отношений и кинетики процесса адсорбции, рассматриваемые с точки зрения качеств. представлений об образовании ковалентных связей с металлич. ионом, бросают некоторый свет на механизм процесса адсорбции. Большая адсорбция на Fe_2O_3 соответствует сильной активности этого катализатора в процессе Фишера — Тропша; благодаря малой сорбции на NiO его используют в качестве катализатора окисления парафинов.

По резюме автора

3999. Адсорбция и ионизация натрия на горячем вольфраме. Романов А. М., Стародубцев С. В., Ж. техн. физики, 1957, 27, № 4, 722—723

В отпаянных лампах, а также методами пучка и «вспышки» исследована адсорбция и ионизация Na на чистом W при т-рах ≤ 2200 — 2400° K. Вычисленная по наклону измеренных температурных кривых ионного тока Na кажущаяся работа выхода ϕ больше, чем ϕ , рассчитанная для соответствующих т-р по графикам Ричардсона на основе предположения об однородности

поверхности W. Следы O_2 и посторонних щел. металлов не могли сказаться на результатах, которые объяснены авторами естеств. неоднородностью поверхности W.

З. Высоцкий

4000. Потенциометрические определения изотерм адсорбции. Часть III. Левницкий (Potencjometryczne badanie izotermu absorpcji. Cz. III. Lewicki W.), Przem. chem., 1957, 13, № 5, 268—270 (польск.; рез. русск., англ.)

Приводятся значения потенциалов угольных порошковых электродов, насыщ. газообразным аммиаком. Показана зависимость потенциала от равновесного давления NH_3 . Часть II см. РЖХим, 1957, 47585.

По резюме автора

4001. Кинетика адсорбции n-гептана на саже при низких давлениях. Дейси, Янг, Мак-Дугалл (The kinetics of adsorption of n-heptane on carbon black at low pressures. Dacey J. R., Young D. M., McDougall H. J.), Canad. J. Chem., 1957, 35, № 7, 689—703 (англ.)

При t -рах 0—30° измерены скорости адсорбции n-гептана на саже сферон 6 при постоянном давлении в интервале 0,005—0,120 мм рт. ст. с применением чувствительных весов с кварцевой спиралью. Из эксперим. данных вычислены коэф. диффузии в функции от t -ры и поверхностной конц-ии с и определены энергии активации диффузии в функции с. Теплота адсорбции в функции с, вычисленная по изотермам адсорбции при разных t -рах, совпадает с энергией активации. Предложена модель механизма процесса, согласно которой молекулы гептана диффундируют в массу порошка путем последовательных скачков через поверхность раздела между частицами порошка. Вычислено распределение гептана в слое сажи при адсорбции в функции времени.

Резюме авторов

4002. Кинетика физической адсорбции этилена из смесей. Алексеева А. В., Гольберт К. А., Докл. АН СССР, 1957, 113, № 6, 1310—1313

Разработанным авторами дифференциальным методом, позволяющим следить за кинетикой адсорбции смесей в условиях малого изменения коэфф. внутренней диффузии и практически линейной зависимости между изменениями величины адсорбции и конц-ии компонента в газовой фазе, изучена кинетика адсорбции этилена (I) из смесей с водородом, азотом и метаном на промышленном угле АГ-2. Показано, что кинетика адсорбции I определяется внутренней диффузией I в порах угля, причем одновременно происходят: 1) обычная, 2) кнудсеновская и 3) поверхностная диффузия I. Энергия активации процесса диффузии I, вычисленные из данных для интервалов 25—50 и 25—75°, равны 5100 и 5500 кал/моль, а теплоты адсорбции 5600 и 5200 кал/моль соответственно.

З. Высоцкий

4003. Адсорбция паров трихлорэтилена на активированном угле. Ковач, Кралик (Adsorpcia pár trichlóretyléna na aktivnom uhlí. Kováč S., Králik P.), Chem. zvesti, 1957, 11, № 6, 319—323 (словацк.; рез. русск., нем.)

Для измерения адсорбции трихлорэтилена (I) на активированном угле применен динамич. интерферометрич. метод. Измерения проводились при t -ре 20 и 50° при различных конц-иях I в воздухе. Из полученных результатов вычислены константы ур-ния Фрейндлиха.

Резюме авторов

4004. Теплота адсорбции кислорода двуокисью урана при —183°. Фергусон, Мак-Коннелл (Heat of adsorption of oxygen on uranium dioxide at —183° C. Ferguson I. F., McConnell J. D. M.), Proc. Roy. Soc., 1957, A241, № 1224, 67—79 (англ.)

Измерена теплота адсорбции q O_2 при —183° на нескольких образцах двуокиси урана. При последовательных добавках O_2 дифференциальная q снижается у

всех образцов вплоть до полного насыщения поверхности. Начальная q равна 55 ± 2 ккал/моль. Скорость выделения тепла постепенно убывает по мере увеличения кол-ва адсорбированного O_2 . Этот медленный процесс наблюдается и после полного исчезновения O_2 в газовой фазе и должен быть отнесен к p -ции, происходящей в толще или на поверхности окисла. Результаты обсуждаются с точки зрения представлений о быстрой начальной стадии физ. адсорбции молекулы O_2 и последующей медленной хемосорбционной стадии.

По резюме авторов

4005. Определение изотерм адсорбции методом газовой хроматографии. Шан, Фейеш, Халас, Край (Adszorpciós izotermák meghatározása frontális gázkromatográfiával. Schay Géza, Fejes Pál, Halász István, Király János), Magyar kém. folyóirat, 1957, 63, № 4-5, 143—149 (венг.; рез. нем.)

Ранее описанным (РЖХим, 1955, 51625) динамич. газохроматографич. методом сняты изотермы адсорбции CO_2 на активном угле при 20—60°. Сравнение изотерм, полученных этим методом, с данными волюметрич. метода показывает, что в случае физ. адсорбции результаты практически идентичны, если хроматография производилась с малой скоростью. Таким образом, показана возможность определения равновесных соотношений при адсорбции в условиях динамич. постановки опыта.

По резюме авторов

4006. Изотопный эффект при адсорбции газа на твердом теле. Кальдиrola, Росси (Effetti isotopici nell'adsorbimento di gas su solidi. Caldirola P., Rossi G.), Nuovo cimento, 1957, 5, № 5, 1316—1332 (итал.; рез. англ.)

Исходя из Леннард-Джонсовской теории взаимодействия атомов и молекул газа с твердыми поверхностями, развита теория изотопных эффектов при адсорбции газовой смеси на твердом теле. Ф-ла для смеси двух изотопов применена к частному случаю адсорбции смеси He^3 и He^4 на LiF. Найдено, что на поверхности адсорбента коэф. изотопного обогащения всегда меньше, чем кнудсеновский коэф. обогащения, характеризующий процесс диффузии, и приближается к нему с ростом t -ры.

З. Высоцкий

4007. Влияние функциональных групп на адсорбцию органических соединений ртутью из водных растворов. Хансен, Минтерн, Хиксон (Functional group effects in the adsorption of organic compounds from aqueous solution by mercury. Hansen Robert S., Minturn Robert E., Hickson Donald A.), J. Phys. Chem., 1957, 61, № 7, 953—957 (англ.)

Изотермы адсорбции пентанола-1, пентанола-3, пентанонитрила, 2,4-пентадиона, фенола и октановой к-ты из водн. р-ров $HClO_4$ на ртуть построены на основе измерений емкости двойного слоя на поверхности раздела фаз. Вычислены стандартные значения свободной энергии адсорбции этих в-в ΔF (принимая за 1 коэф. активности их в бесконечно разб. р-рах и монослое). Значения ΔF приблизительно пропорциональны разности оптич. поляризуемости адсорбата и р-рителя, отнесенной к единице объема, и мол. объему адсорбата в степени $2/3$. Свободная энергия взаимодействия в монослое (разность значений ΔF между состояниями бесконечно разб. и завершеного монослоя) $\approx 1/2$ соответствующей величины внутри р-ра. У исследованных в-в функциональные группы влияют на адсорбируемость, по-видимому, только в той мере, в какой они влияют на мол. поляризуемость и на характер взаимодействия между адсорбатом и р-рителем.

По резюме авторов

4008. Хемосорбция и физическая адсорбция воды на кремнеземе. III. Влияние нагревания и воды на объем пор и на удельную поверхность. Бур, Влекенс (The chemisorption and physical adsorption of

water on silica. III. Influence of heat and of water on pore volume and on surface area. Boer J. H. de, Vleeskens J. M.), Proc. Koninkl. nederl. akad. wet., 1957, B60, № 3, 234—244 (англ.)

Изучено изменение уд. поверхности S (определявшейся по БЭТ) и объема пор v ряда образцов силикагелей (СГ) в результате нагревания при различных температурах и воздействия воды в различных условиях (части I и II см. РЖХим, 1957, 71276). При нагревании первичные частицы СГ, покрытые ОН-группами, вступают в реакцию конденсации, уменьшающую S . Понижение среднего радиуса пор r при 890°, вероятно, обусловлено некоторой подвижностью первичных частиц, способствующей стягиванию скелета геля. Величины S и v независимы. В некоторых типах СГ можно вызвать изменение одной из них без изменения другой. После гидротермальной обработки СГ, вследствие растворения мелких частиц, S уменьшается до 15% от исходной величины, а v падает только на 5%.

Б. Беринг

4009. Исследование состояния воды, адсорбированной на силикагеле, методом ядерного магнитного резонанса. Зиммерман, Холмс, Ласатер (A study of adsorbed water on silica gel by nuclear resonance techniques. Zimmerman J. R., Holmes B. G., Lasater J. A.), J. Phys. Chem., 1956, 60, № 9, 1157—1161 (англ.)

Методом спинного эхо измерено время поперечной магнитной релаксации в протонах воды, адсорбированной на мелкопористом (625 м²/г) силикагеле (СГ) в зависимости от степени покрытия θ . При $\theta \geq 2$ обнаружено существование двух времен поперечной магнитной релаксации T_{21} и T_{22} , что объяснено различием в состоянии протонов в монослое и в последующих слоях воды, адсорбированной на СГ, причем относительные кол-ва воды в обоих состояниях можно найти по соотношению амплитуд спинного эхо, отвечающих T_{21} и T_{22} соответственно. С ростом θ в результате возрастающего влияния молекул полислоя подвижность молекул в монослое увеличивается. При $\theta < 0.5$ обнаружены 2 типа адсорбционных центров с различной энергией адсорбции E ; места с повышенной E отвечают, по-видимому, примесям Al_2O_3 в СГ. Полученные данные и их истолкование хорошо согласуются с результатами диэлектрич. измерений Куросаки (РЖХим, 1955, 16059) для этой же системы.

З. Высоцкий

4010. Влага в целлюлозе. III. Сорбционный гистерезис и влияние температуры. Вахба, Нашед (Moisture relations of cellulose. III. Sorption hysteresis and the effect of temperature. Wahba M., Nashed S.), J. Text. Inst. Trans., 1957, 48, № 1, T1—T20 (англ.)

На одном и том же образце стандартной чистой целлюлозы (I; прокипяченный в щелочи хлопок) весовым методом в интервале P/P_s 0—1 сняты изотермы ад(де)сорбции паров воды при 20, 30 и 40°. По изотермам вычислены изостерич. теплоты адсорбции q_n , сравненные с измеренными ранее калориметрич. q_n . Полученные результаты объяснены с помощью предположения, что уд. поверхность (S) I при данном влагосодержании начинает возрастать по достижении некоторой крит. T -ры $30^\circ < T_k < 40^\circ$. Ниже T_k $q_n > q_k$ благодаря эндотермич. набуханию I, а выше T_k увеличение S действует компенсирующим образом. Подтверждены теория гистерезиса Уркварта, согласно которой сорбирующая поверхность более активна в процессе десорбции, чем при адсорбции.

З. Высоцкий

4011. Кинетика сорбции и десорбции воды в регенерированной целлюлозе. Ньюнс (The sorption and desorption kinetics of water in a regenerated cellulose. News A. C.), Trans. Faraday Soc., 1956, 52, № 11, 1533—1545 (англ.)

С помощью кварцевых пружинных весов изучена при 15° кинетика сорбции и десорбции паров H_2O в нижней части гистерезисной петли на пленках целлюлозы (I) толщиной 12—39 м, полученных гидролизом ацетата I. Сорбция H_2O на I протекает в 2 стадии; первая, быстрая стадия, лимитируется диффузией паров H_2O в толщу I и приводит к достижению квазиравновесного состояния системы; во второй, медленной стадии, скорость которой не зависит от толщины пленки I, происходит разрыв вторичных релаксирующих связей в набухающей I — этот релаксационный механизм напоминает механизм ползучести полимера. Такой двухстадийный диффузионно-релаксационный механизм, по-видимому, может объяснить все аномалии, наблюдающиеся при нестационарном переносе паров в полимерах ниже соответствующих T -р переходов 2-го рода.

З. Высоцкий

4012. Письмо редактору. Дубинин М. М., Изв. АН СССР. Отд. хим. н., 1957, № 3, 392

На основании тщательного эксперим. определения изотерм адсорбции паров C_6H_6 при 20° и N_2 при —195° на активных углях (АУ) 1-го структурного типа установлена применимость уравнения изотермы Дубинина и Радushkevicha. Это позволяет применить метод «моля щупов» для эксперим. нахождения распределения объема микропор АУ по размерам, если имеется набор v -в с примерно шарообразными молекулами разных размеров, так как в упомянутое уравнение входит предельный объем адсорбционного пространства, изменяющейся от v -ва к v -ву при наличии эффекта ультрапористости.

З. Высоцкий

4013. Упрощенный метод определения удельной поверхности пористых адсорбентов. II. Изотермы n -бутана при 0°. Халас, Шай, Венке (Vereinfachte Methode zur Bestimmung der spezifischen Oberfläche von porösen Adsorbentien. II. Isothermen von n -Butan bei 0°C. Halász I., Schay G., Wencke K.), Z. anorgan. und allgem. Chem., 1956, 287, № 4-6, 253—260 (нем.)

В предыдущем сообщении (РЖХим, 1957, 44233) было показано, что так называемая чистая теплота адсорбции весьма мало зависит от природы адсорбента. На этом основании для определения уд. поверхности по адсорбции n -бутана при 0° предложено рассчитывать емкость монослоя v_{mk} с помощью упрощенного уравнения БЭТ $v_{mk} = v(1-x)K(x)$, где v — кол-во адсорбированного бутана, x — относительное давление. Функция $K(x) = [1-x]/cx + 1$ находится графически для различных x . Константа c равна в среднем 13, что соответствует чистой теплоте адсорбции паров n -бутана ~ 1400 ккал/моль. На примерах железного катализатора и десяти глиноземных адсорбентов показана пригодность этого метода расчета. Отклонение рассчитанной этим методом величины v_{mk} от величин v_m , вычисленных по обычному методу БЭТ, $\leq 3\%$.

В. Афанасьев

4014. Исследование пористой структуры твердых тел сорбционными методами. III. Весовые методы измерения изотерм сорбции и десорбции паров азота и бензола. Беринг Б. П., Дубинин М. М., Жуковская Е. Г., Сахаров А. И., Серинский В. В. Ж. физ. химии, 1957, 31, № 3, 712—716 (рез. англ.)

С целью выбора и обоснования наиболее рациональных методов измерения изотерм сорбции (ИС) паров на твердых телах сконструирована усовершенствованная вакуумная установка, позволяющая надежно снимать ИС N_2 при низкой и паров бензола при обычной T -ре весовым методом. Определенные на описанной установке ИС N_2 при —195° на силикагеле и паров бен-

зола при 20° на активном угле практически совпали с соответствующими ИС, снятыми объемным (N_2) или весовым методом на других установках другими авторами (часть II см. РЖХим, 1957, 26362). З. Высоцкий

4015. Об адсорбционных свойствах углеродных адсорбентов. Сообщение 1. Анализ ранее полученных экспериментальных данных. Дубинин М. М., Заверина Е. Д., Тимофеев Д. П., Изв. АН СССР, Отд. хим. н., 1957, № 6, 670—677

Детально проанализированы эксперим. данные по адсорбции 12 различных в-в на двух образцах активного угля и показано хорошее соответствие с опытом ранее развитой потенциальной теории адсорбции паров на адсорбентах с неоднородной поверхностью. Выяснена роль структуры угля в адсорбционном процессе и показано, что для хорошо адсорбирующихся паров (коэф. активности $\beta \approx 1,5$) степень заполнения F объема микропор при больших p/p_0 близка к единице независимо от величины структурной характеристики угля V . Адсорбция таких в-в определяется преимущественно суммарным объемом микропор, но не их размерами. Для мало адсорбирующихся в-в ($\beta \approx 0,5$) при небольших p/p_0 величины F малы и резко зависят от V , т. е. от размеров микропор, а объем их играет второстепенную роль. Эти выводы определяют выбор условий активирования углей для тех или иных целей.

Б. Беринг

4016. Получение титаносиликагелей и их пористая структура. Неймарк И. Е., Растрененко А. И., Пионтковская М. А. Коллоидн. ж., 1957, 19, № 3, 324—332 (рез. англ.)

Разработаны методы приготовления титаносиликагелей (ТСГ) и титаногелей (ТГ) с различной текстурой (суммарная пористость $0,3—2,2 \text{ см}^3/\text{г}$) и содержанием TiO_2 до 22%. Измерением кажущейся и истинной плотностей и снятием изотерм сорбции паров метанола при 20°, по которым вычислены уд. поверхности и распределение пор по радиусам, изучена текстура ТСГ. Показано, что условия получения ТСГ и ТГ влияют на конечную текстуру сухих гелей в том же направлении, что и в случае силикагелей (СГ), откуда сделан вывод об аналогии в механизмах формирования текстуры ТГ, ТСГ и СГ.

З. Высоцкий

4017. Метод определения конфигурации органических молекул с помощью «стереоселективных» адсорбентов. Беккетт, Андерсон (A method for the determination of the configuration of organic molecules using «stereo-selective adsorbents»). Beckett A. H., Anderson Patricia), Nature, 1957, 179, № 4569, 1074—1075 (англ.)

На основе описанного ранее метода получения специфич. адсорбентов (РЖХим, 1957, 34093) разработан способ приготовления так называемых стереоспецифич. силикагелей (СГ), по величине адсорбции на которых можно делать вывод о пространственной конфигурации молекул адсорбата (в данной работе — алкалоидов). СГ, полученные в присутствии алкалоида (А) известной конфигурации (напр., правовращающего хинина), обладают значительной селективностью при адсорбции не только этого А, но и близких по хим. строению А, если только последние обладают аналогичным пространственным строением; напр., селективный по хинину СГ лучше адсорбирует также правовращающий цинхонидин, чем хинидин и цинхонин (левовращающие изомеры хинина и цинхонидина соответственно). Сообщается об успешном получении стереоселективных адсорбентов для различения оптич. и геометр. изомеров нескольких классов органич. соединений.

З. Высоцкий

4018. Исследование поверхностных свойств фосфатных материалов методом изотопного обмена. I. Руд-

ный фосфат. Кано-Рунс, Талибуден (Surface properties of phosphate materials by isotopic exchange. I.—Rock Phosphate. Cano Ruiz J., Talibudeen O.), J. Sci. Food and Agric., 1957, 8, № 5, 305—308 (англ.)

Изучена кинетика изотопного обмена между 9 апатитовыми минералами (АМ) из различных месторождений и р-ром, содержащим радиоактивный р-ий. Предполагая, что быстрый обмен обусловлен поверхностными группами PO_4^{3-} , и принимая площадь, занимаемую группой PO_4^{3-} , равной 20 \AA^2 , авторы вычислили уд. поверхность S АМ, оказавшуюся в несколько раз меньшей, чем S , вычисленная по изотермам адсорбции N_2 .

З. Высоцкий

4019. Адсорбция радиоактивных изотопов на минералах для целей обогащения руд. Халфави, Сенфл (Adsorption of radionuclides on minerals for ore beneficiation purposes. Halfawy M., Senfle F. E.), Z. phys. Chem. (BRD), 1957, 12, № 34, 196—205 (англ.)

Изучена адсорбция радиоактивных изотопов Ag, Zn, Pb, Bi, Po, Na, Tl, Ca, Cu, Sr, Y из разб. водн. слабых р-ров на минералах: галените, сфалерите, пирите, кварце, берилле, базите, кальците и на граните. Показано, что адсорбция, как правило, завершается в течение 10 мин. В ряде случаев адсорбция селективна: при примерно одинаковой поверхности кусков минералов разница в адсорбированном кол-ве изотопа достигает двух порядков. Авторы считают, что при правильном выборе короткоживущих изотопов можно использовать адсорбцию их на некоторых минералах с последующим разделением с помощью механич. устройства для обогащения руд.

И. Слоним

4020. О молекулярном механизме действия реагентособираателей при закреплении зерен на пузырьках. Классен В. И., Цветн. металлы, 1957, № 7, 9—13

Взаимодействие этилксантогената с галенитом исследовано двумя путями: нанесением капли водн. р-ра ксантогената, содержащего радиоактивный изотоп S^{35} , на шлифованную поверхность галенита и получением отпечатка шлифа на фотопластике и автораддиографич. методом. Этими опытами экспериментально установлена возможность повышения конц-ии реагента, состоящего из дифильных молекул, в зоне 3-фазного контакта минер. зерен с пузырьками воздуха. Сделан вывод о принципиальной возможности непосредственного перемещения собирателя по поверхности пузырька и минерала, а не только через р-р. Дальнейшее развитие представлений о конц-ии реагентособираелей в зоне 3-фазного контакта может сыграть большую роль в разработке теории флотации.

М. Липец

4021. Газожидкостная распределительная хроматография. Паттон, Льюис, Кей (Gas-liquid partition chromatography. Patton H. W., Lewis J. S., Kaye W. I.), J. Tennessee Acad. Sci., 1957, 32, № 3, 185—197 (англ.)

Обзор. Библ. 29 назв.

Н. Ф.

4022. Газовая хроматография. I-а. Есаян, Есаян (Cromatografia gazelor. Nota I-a. Esayan L., Esayan Mariana), Rev. chim., 1957, 8, № 7, 447—452 (рум.; рез. русск., франц., нем., англ.)

Обзор. Библ. 9 назв.

4023. Газовая хроматография. Рей (Gas chromatography. Ray N. H.), Nature, 1957, 180, № 4583, 403—405 (англ.)

Обзор. Библ. 20 назв.

4024. К теории хроматографии на бумаге непрерывно разбавляемыми элюентами. I. Движение и распределение жидкостей на бумаге. Зичи, Сентйоби (A hígításos papírkromatográfia elméletéhez. I. Folyadékmozgása és eloszlása a papírban. Zichy

Ernő, Szentjőbi Ottó), Magyar kém. folyóirat, 1957, 63, № 4-5, 104—109 (венг.; рез. нем.)

Измерено распределение жидкостей на хроматографич. бумаге и дано объяснение процессам, происходящим вблизи поверхности жидкости и на границе фронта жидкости. Выведены ф-лы, с помощью которых можно определить соотношение кол-в неподвижной и подвижной жидких фаз. Исходя из различия в распределении жидкостей, имбибирующих и неимбибирующих аморфную целлюлозу, определены значения уд. емкости капилляров бумаги и аморфной целлюлозы для жидкостей. На основе этих данных могут быть вычислены скорости перемещения фронта жидкости при ее капиллярном поднятии. Эти скорости могут быть измерены экспериментально при помощи индикаторов.

Резюме авторов

4025. Основы хроматографии на бумаге. Аврамова (Основы на книжната хроматография. Аврамова Б.), Фармация (Бълг.), 1957, 7, № 3, 5—9 (болг.)

4026. Катарометрическое измерение числа теоретических тарелок в газовой хроматографии. Бохем, Пернелл (Katharometric measurement of theoretical plate numbers in gas chromatography. Bohemen J., Purnell J. H.), Chemistry and Industry, 1957, № 25, 815—816 (англ.)

«Инверсия пиков» при применении для газовой хроматографии газоанализаторов, основанных на теплопроводности (катарометров), может объясняться либо наличием максимума или минимума на изотермах теплопроводности смесей, либо изменением наклона изотерм при изменении т-ры. Авторы считают последнее объяснение более широко применимым. В области инверсии невозможно измерять эффективность хроматографич. колонок. При применении полиэтиленгликоля на силоселе для пара ацетона в N_2 максимум чувствительности лежит при температуре $t \sim 200^\circ$, выше этой т-ры число теоретич. тарелок, вычисленное по ур-нию Глюкауфа (РЖХим, 1956, 546), неправильно. При $t = 390^\circ$ пики совершенно отсутствуют. Аналогичные результаты получены и для других в-в полярного и неполярного характера. Ввиду этого следует критически относиться к результатам хроматографич. анализа с применением катарометров с CO_2 и N_2 в качестве газов-носителей, особенно при высоких т-рах.

Б. Анваер

4027. Экспериментальное изучение процессов обмена у различных глинистых минералов. Морель (Etude expérimentale des phénomènes d'échange sur différents minéraux argileux. Morel R.), Ann. Inst. nat. rech. agron., 1957, A8, № 1, 5—90 (франц.; рез. англ., нем., русск.)

Изучена адсорбция ионов разных размеров воды. суспензиями каолина, галонита, монтмориллонита, пермукулита, флогопита, сепиолита, почвенной глины. Сняты изотермы адсорбции ионов на минералах, взятых в Са-форме, изотермы десорбции и составлены балансы всех участвующих в процессе ионов. Определена катионообменная емкость минералов; показано, что метод Хиссинка в ряде случаев дает завышенные значения. При обмене ионов малых и средних размеров соблюдаются стехиометрич. соотношения как для индивидуальных ионов, так и для смесей. Из р-ров полиаминнов с большим катионом — додецилпропилендиамина, додецилпропилентетрамина и поливинил-амина — минералы поглощают избыток катиона. При этом десорбируется кол-во Ca^{2+} , равное катионообменной емкости, одновременно адсорбируются из р-ра анионы до эквивалентности поглощенному избытку крупного катиона.

И. Слоним

4028. Катионный обмен в глине и почве. Викаландер (Kationbyte i ler och jord. Wiklander

Lambert), I. V. A. tidskr., 1955, 26, № 5, 198—207 (шведск.)

4029 К. Хемосорбция. Труды симпозиума, организованного Британским Химическим обществом (Университетский колледж Сев. Стаффордшира, Киль, Стаффордшир, 16—19 июля 1956 г.). Гарнер (Chemisorption: proceedings of a symposium held at the University College of North Staffordshire, Keele, Staffordshire, by the Chemical Society, 16—19 July 1956. Ed. Garner W. E. London, Butterworths Scient. Publs, 1957, XII, 277 pp., ill., 50 sh.) (англ.)

4030 К. Основы хроматографии. Кассиди (Fundamentals of chromatography. Cassidy Harold G. New York—London, Interscience, 1957, XVII, 447 pp., ill., 78 sh.) (англ.)

4031 К. Хроматография. Принципы и применения. Изд. 2-е, пересм. и доп. Ледерер, Ледерер (Chromatography. A review of principles and applications. 2nd, compl. rev. and enl. ed. Lederer Edgar, Lederer Michael. Amsterdam. Elsevier publ. Cy, 1957, XX, 712 pp., 37.50 fl.) (англ.)

4032 Д. Изучение адсорбции и десорбции на жидких поверхностях. Сарага-тер-Минасиан (Contribution à l'étude de l'adsorption et de la désorption aux surfaces liquides. Saraga-ter Minasian Lisbeth. Thèse, doct. sci. phys., Fac. sci. Univ. Paris. Besançon, Impr. Jacques et Demontrond, 1956 (франц.)

4033 Д. Исследование адсорбционных фаз. Буттилон (Contribution à l'étude des phases adsorbées. Boutillon Gabriel. Thèse, ingr.—doct., Fac. sci. Univ. Lyon, 1955 (франц.)

См. также: Адсорбция 3657, 3731, 3887—3889, 3896, 3966, 5260, 5265, 5309. Поверхн. натяжение 3827, 4892. Исслед. поверхностей 3899, 3962, 4898, 4933. Хроматография 4265, 4362, 4374, 4382, 4384, 4446, 4448; 1406—1408Бх, 1415Бх, 1418Бх. Ионный обмен 4062, 4102, 4332, 4433. Электрофорез 4447, 4449, 4460; 1397Бх, 1409—1413Бх. Тонкие пленки 3655, 3671, 3683, 3701, 3967, 3969, 3972

ХИМИЯ КОЛЛОИДОВ. ДИСПЕРСНЫЕ СИСТЕМЫ

Редактор Н. А. Фукс

4034. Влияние электролитов на структурно-механические свойства бентонитовых суспензий. Усков И. А. Коллоидн. ж., 1957, 19, № 4, 511—514 (рез. англ.)

Электролиты, даже в малых конц-ях, вызывают структурообразование водн. суспензий (С) аскангеля. В течение первых суток после прибавления электролитов к С показатели прочности упругости и вязкости структуры С возрастают в десятки раз. В дальнейшем эти показатели увеличиваются не так быстро, но они продолжают изменяться даже через месяц. Малые конц-ии хлоридов и сульфатов Са и Na вызывают резкое увеличение структурно-механич. констант С за счет коагуляционного структурообразования. Конц-ии, необходимые для достижения равной степени структурирования, качественно находятся в соответствии с правилом Шульце — Гарди. Сульфаты Na и Са являются более сильными коагуляционными структурообразователями, чем соответствующие хлориды.

Резюме автора

4035. Изучение коллоидных силикатов. Часть I. Коудуктометрическое и потенциометрическое изучение образования силикатов железа. Ядава,

Гхонш (Studies in colloidal silicates. Part I. Conductometric and potentiometric study of the formation of ferric silicates. Yadava K. L., Chosh S.), Kolloid-Z., 1957, 153, № 1, 39—40 (англ.; рез. нем.)

При прибавлении р-ра силиката Na (I), содержащего избыток щелочи, к р-ру FeCl_3 (II) при т-ре 32° электропроводность λ вначале уменьшается из-за р-ции нейтр-ции HCl, образовавшейся при гидролизе II. Затем λ возрастает, и образуется смесь гидроокиси Fe (III), силиката Fe и кремневой к-ты (IV). Через некоторое время двойной силикат Fe и Na выпадает в осадок и λ уменьшается до тех пор, пока кол-во прибавленной щелочи не будет эквивалентно кол-ву II. При взаимодействии разб. р-ров образуется больше III и IV. Перегиб на кривой рН, вследствие образования IV, наблюдается при прибавлении более чем эквивалентного кол-ва I. И. Слоним

4036. Электропроводность пористых тел. Системы ионообменной смолы — растворитель. Сауэр, Саутгук, Спиглер, Уилли (Electrical conductance of porous plugs. Ion exchange resin — solution systems. Sauer M. C., Jr., Southwick P. F., Spiegler K. S., Yullie M. R. J.), Industr. and Engng Chem., 1955, 47, № 10, 2187—2193 (англ.)

Измерена уд. электропроводность K_0 колонок с ионообменной смолой амберлит IR-120, заполненных р-рами KCl, NaCl, CaCl_2 , HCl, AgNO_3 различных кон-ций. Выведено ур-ние зависимости K_0 от уд. электропроводности р-ра K_w и твердых частиц K_R : $K_0 = [K_R K_w / (x K_R + y K_w)] + K_R / z + K_w / F$ (1). Указаны способы расчета по эксперим. величинам K_0 входящих в ур-ние (1) параметров x, y, z, F , характеризующих геометрию засыпки. При учете равновесия Доннана между р-ром и частицами ур-ние (1) удовлетворительно описывает эксперим. данные и может быть использовано при изучении структуры осадочных пород, почвы, дерева и других пористых систем, содержащих проводящий р-р. И. Слоним

4037. Исследование электроосмоса на капиллярных системах различного заряда и структуры. Григоров О. Н., Тихомолова К. И. Коллоидн. ж., 1957, 19, № 4, 406—411 (рез. англ.)

Установившийся электроосмотич. поток жидкости возникает в поршковой диафрагме при определенном отношении длины столбика порошка к сечению капилляров. Это отношение возрастает с увеличением размеров частиц порошка и уменьшается с увеличением заряда поверхности, характеризующего величину электрокинетич. потенциала. Отношение величин максим. электроосмотич. поднятия для диафрагм с частицами различных размеров пропорционально квадрату обратного отношения радиусов капилляров, что соответствует ф-ле классич. теории. Резюме авторов

4038. Экспериментальная проверка выражения Овербека для суспензионного эффекта. Блоксма (An experimental test of Overbeek's treatment of the suspension effect. Bloksma A. H.), J. Colloid Sci., 1957, 12, № 2, 135—143 (англ.)

Измерены потенциалы стеклянного, каломельного и AgCl-электродов в суспензиях (C) монтмориллонита и каолинита и в их диализатах. Показано, что величина суспензионного эффекта — разности между э. д. с. в C и в равновесном с ней р-ре, может быть, в первом приближении, получена расчетом по методу Овербека (РЖХим, 1955, 7301). Наблюдаемые расхождения между эксперим. и вычисленными величинами связаны, во-первых, с тем, что при расчете для подвижности адсорбированных на частицах ионов K^+ взяты величины, полученные в диффузионных опытах с Na^+ , и, во-вторых, повышенной конц-ией электролита в переходном слое между солевым мостиком и C. Никакого измеримого капиллярного эффекта —

изменения э. д. с. при перемещении жидкостного соединения между конц. р-ром KCl и разб. р-ром из пористой трубки в капилляр — обнаружить не удалось. Анализ результатов, полученных Лузе (Loosjes R., Chem. Weekbl. 1950, 46, 902), показывает, что в опытах кажущийся капиллярный эффект вызывался, по-видимому, утечками тока. И. Слоним

4039. Флоккуляция, оседание и фильтрация фосфатных шламов. IV Флоккуляция под действием смол и полиэлектролитов и их влияние на скорость фильтрации. Ла-Мер, Стелли, Ли Пуи-Кум (Flocculation, subsidence, and filtration of phosphate slimes. IV. Flocculation by gums, and polyelectrolytes and their influence on filtration rate. La Mer Victor K., Smellie Robert H., Jr., Lee Pui-Kum), J. Colloid Sci., 1957, 12, № 2, 230—238 (англ.)

Флоккуляция и фильтрование фосфатных шламов, содержащих шламов (часть III, РЖХим, 1957, 47625) могут быть ускорены прибавлением смол и полиэлектролитов. Флоккулирующие агенты (ФА) должны быть растворимы в воде, иметь в молекуле группы (ОН или COO^-), способные химически или физически связываться с поверхностью частиц и иметь достаточно длинную цепь для образования мостиков между частицами. Изучено около 200 полимерных ФА и выбрано 12 наиболее эффективных из них. Характер флоккуляции в значительной степени зависит от способа смешивания р-ра ФА со шламом, главным образом от характера перемешивания. Для каждого ФА имеется относительно узкий интервал конц-ий (в пределах 30—1500 ч. на 1 млн.), в котором его эффективность максимальна. С увеличением конц-ии ФА сверх этой оптимальной средней размер образующихся при флоккуляции агрегатов уменьшается, и длительность фильтрации возрастает. И. Слоним

4040. Анализ кривой нейтрализации коллоидной резорцинформальдегидной смолы. Гупта (On the analysis of the neutralisation curve of the colloidal resorcinol formaldehyde resin. Gupta S. L.), Sci. and Culture, 1957, 22, № 11, 635—637 (англ.)

Описанный автором ранее (РЖХим, 1957, 14991) метод расчета констант диссоциации по кривым нейтр-ции кол. к-т распространен на случай двух основных к-т, у которых константы диссоциации двух групп значительно различаются между собой. Показано, что в этом случае кривая титрования должна иметь излом или точку перегиба. Кривая такого типа эксперим. получена при титровании Н-формы кол. р-ра резорцинформальдегидной смолы. Ее анализ дает два ряда рК, так как две ОН-группы резорцина в смоле обладают различной кислотностью. И. Слоним

4041. Анализ кривой нейтрализации коллоидной амберлита IR 100. Гупта (On the analysis of neutralisation curve of the colloidal amberlite IR 100. Gupta S. L.), Sci. and Culture, 1957, 22, № 12, 693—695 (англ.)

Анализ кривой нейтр-ции кол. р-ра ионообменной смолы амберлит IR 100 в Н-форме показывает, что вначале нейтрализуются имеющиеся в смоле $\text{CH}_2\text{SO}_3\text{H}$ -группы, а затем уже фенольные ОН-группы. Методом автора (РЖХим, 1957, 14991) рассчитаны значения констант диссоциации и построена теоретич. кривая нейтр-ции, почти точно совпадающая с опытной. И. Слоним

4042. Образование мицелл поверхностно-активных веществ в полярных органических растворителях. Сата, Сасаки (Die Mizellbildung von oberflächenaktiven Substanzen in polaren organischen Lösungsmitteln (Vorläufige Mitt.). Sata Naoyasu, Sasaki Hiroji), Kolloid-Z., 1957, 152, № 1, 76—77 (нем.)

Спектральным методом установлено образование мицелл (М) цетилапиридинийхлорида, бензолсульфоната Na (I) и азобензола в полярных р-рителях — метаноле, этаноле, пропаноле, хлороформе, воде и др. Крит. конц-ия мицеллообразования цетилапиридинийхлорида С(кр.) $\approx 10^{-3}$ М. В плохих р-рителях М образуются при значительно более низких конц-иях. Показано, что повышение растворимости труднорастворимых в воде соединений при добавлении к ним I вызвано растворением этих в-в в М I. Э. Казбеков 4043. Исследование мицелл спектроскопическим методом. IV. Влияние добавок посторонних соединений на мицеллы поверхностно-активных веществ в водных растворах. Сата, Сасаки (Mizell-Untersuchung mit spektroskopischer Methode. IV. Der Einfluß eines Zusatzes fremder Verbindungen auf Mizellen oberflächen-aktiver Substanzen in wässriger Lösung. Sata Naoyasu, Sasaki Hiroji), Kolloid-Z., 1957, 153, № 1, 41—44 (нем.)

Исследовано поглощение света азобензолом (I) в водн. р-рах поверхностно-активных в-в (ПАВ). В р-рах ионных и неионных детергентов поглощение I возрастает при добавлении высших спиртов, что объясняется соответственно уменьшением электрич. отталкивания и увеличением плотности упаковки мицелл (М) или уплотнением структуры М за счет вытеснения из них воды. Аналогичный эффект наблюдается при добавлении электролитов к р-рам ионных ПАВ. При добавлении низших спиртов поглощение неионными ПАВ уменьшается, что объясняется увеличением растворимости углеводородных частей ПАВ, вследствие чего М становятся более рыхлыми и содержание воды в них возрастает. Поглощение ионными ПАВ в этом случае усиливается, так как при этом затрудняется их диссоциация и уменьшается содержание воды. При увеличении конц-ии низших спиртов до $> 10\%$ поглощение возрастает как в случае ионных, так и неионных ПАВ, что является следствием непосредственного взаимодействия I со спиртом. Часть III см. РЖХим, 1957, 50946. Э. Казбеков 4044. Изучение коллоидных свойств натриевых солей эфиров сульфоянтарной кислоты. 1. Эфиры низших алифатических спиртов. Кучер Р. В., Яворовский А. А., Ковбуз М. А. Коллоидн. ж., 1957, 19, № 4, 454—458 (рез. англ.)

Исследованы изотермы поверхностного натяжения водн. р-ров Na-солей диметилового, диэтилового, дибутилового и диизоамилового эфиров сульфоянтарной к-ты. В исследованном ряду заметная поверхностная активность начинается с дибутилового эфира. У низших трех членов мицеллообразование в водн. р-рах проявляется в незначительной степени, что подтверждается найденными методом светорассеивания значениями крит. конц-ии мицеллообразования и мицеллярного веса. Диизоамиловый эфир обладает отчетливо выраженными колл. свойствами. В ряду водн. р-ров низших эфиров сульфоянтарной к-ты сопряженная растворимость судана III начинает заметно возрастать с дибутилового эфира и особенно велика в случае диизоамилового эфира. Резюме авторов 4045. Выделение тепла в начальный период гидратации цемента с добавками пластификатора. Лукьянова О. И., Сегалова Е. Е., Ребиндер П. А. Коллоидн. ж., 1957, 19, № 4, 459—464 (рез. англ.)

Разработана методика колич. исследования начального тепловыделения при гидратации цемента (I) в условиях цементного теста, затворяемого внутри калориметра. Исследована кинетика тепловыделения на начальной стадии гидратации безгипсовых I с разным содержанием трехкальцевого алюмината и влияние на кинетику тепловыделения добавок гидрофиль-

ного пластификатора ССБ в кол-ве 0,1—1,0% от веса I. Индукционный период гидратации I (по тепловыделению) возрастает с увеличением добавки ССБ, что вызывает появление индукционного периода структурообразования такой же продолжительности. Для широкой области добавок ССБ наблюдается прирост начального тепловыделения по сравнению с цементным тестом, не содержащим пластификатора, что вызывает повышение прочности кристаллизационной структуры гидроалюмината на соответствующей стадии структурообразования. Резюме авторов 4046. Влияние концентрации на вязкость растворов желатинны. Бенеш (Vliv koncentrace na viskozitu želatinyových roztoků. Beneš Jaroslav); Chem. průmysl, 1957, 7, № 7, 385—386 (чешск.; рез. русск., англ.)

Изучено влияние конц-ии с на вязкость η р-ров желатинны в пределах с 2—10% при 35 и 45° и давл. 10—160 г/см². Найдена эмпирич. ф-ла $\eta = A \exp kc$, где A и k — константы. Резюме автора 4047. Своеобразное изменение комплексов основных хлоридов хрома при их взаимодействии с коллагеном. Густавсон (Unique complex change in basic chromium chlorides on their interaction with collagen. Gustavson K. H.), Chemistry and Industry, 1957, № 31, 1070—1072 (англ.)

В р-рах основных хлоридов хрома при средних конц-иях (1 экв Cr/л) весь хлор присутствует в ионной форме, во внешней сфере комплексов эмпирич. ф-лы $\text{Cr}_2(\text{OH})_2\text{Cl}_2 \cdot 2 \text{NaCl}$. Но при дублировании этими р-рами в полученной коже содержатся соединения с комплексно связанными хлорогруппами. При pH 8,2 ионный Cl полностью извлекается, и оставшийся хромированный коллаген содержит один атом Cl на два атома Cr, что соответствует фиксации комплексов состава $(\text{ClCrOCrOH}) < .$ В свободном р-ре такие комплексы образуются лишь при конц-ии 6—8 экв Cr/л. Автор считает, что переход хлора из внешней сферы комплексов во внутреннюю связан с увеличением конц-ии р-ра в поверхностном слое коллагена. И. Слоним 4048. Влияние температуры на величину и скорость набухания агара. Мишин В. П., Вердеревская Н. Д. Коллоидн. ж., 1957, 19, № 4, 472—477 (рез. англ.)

При помощи авторегистрирующего прибора изучена зависимость величины и скорости набухания (Н) агара в воде и р-рах солей лиотропного ряда от т-ры Т. Если процесс Н не осложнен растворением, то величина Н возрастает с Т, в противном случае поли-терма $\Delta V_\infty = f(T)$ проходит через максимум, смещающийся в сторону более низких Т при переходе к средам, в которых температурный коэф. растворимости набухающего в-ва прогрессивно увеличивается. Скорость Н с увеличением Т возрастает незначительно; температурный коэф. скорости Н близок к единице и зависит от природы жидкости и от температурного интервала. Резюме авторов 4049. Желатинизация кремневой кислоты и продуктов реакции обмена силиката натрия и хлоридов железа и хрома. Ядава, Гхош (Studies in gelation of silicic acid and the products obtained in the metathesis of sodium silicate and chlorides of iron and chromium. Yadava Kanhaiya Lal, Ghosh Satyeshwar), Kolloid-Z., 1957, 153, № 1, 40—41 (англ.; рез. нем.)

Время желатинизации t кремневой к-ты и продуктов, получаемых при р-ции обмена между силикатом Na и FeCl_3 или CrCl_3 , сильно зависит от pH и минимально при некотором, зависящем от конц-ии значении pH, соответствующем оптим. условиям полимеризации. Показано, что миним. значение t (t(мин.))

меняется с конц-ией кремнезема в системе C по уравнению $1/t(\text{мин.}) = A \exp(BC)$, где A и B — постоянные. Это же уравнение описывает зависимость $t(\text{мин.})$ от C при $pH = \text{const}$. И. Слоним

4050. О действии защитных коллоидов суспензий глины и талька. Нурмухамедов Ф. Н., Тр. Ташкентск. с.-х. ин-та, 1957, вып. 8, 119—124

Изучено влияние защитных коллоидов: камеди урюка, агар-агара и желатины (I) — на структурно-механич. свойства водн. суспензий (C) кувасайской глины и кара-калпакского талька. Камедь урюка и агар-агар, адсорбируясь на поверхности частиц, гидрофилизируют их. Вследствие стабилизации C замедляется скорость фильтрации и уменьшается седиментационный объем C. Особенно сильно стабилизация проявляется в C талька, частицы которого анизотропны, и меньше — в C глины, у которой частицы достаточно гидрофильны и без защитного коллоида. I в малых конц-иях уменьшает агрегативную устойчивость C, увеличивает объем осадка и скорость фильтрации; большие конц-ии I вызывают частичную стабилизацию C. И. Слоним

4051. Абсолютные измерения удельных поверхностей посредством рассеяния рентгеновских лучей под малыми углами. Дюриф (Essais de mesure absolue de surfaces spécifiques par la diffusion des rayons X aux petits angles. Durif Simone), J. chim. phys. et phys.-chim. biol., 1957, 54, № 7-8, 633—636 (франц.)

Описано применение метода рассеяния рентгеновских лучей под малыми углами для измерения уд. поверхности пористых или порошкообразных в-в. Результаты хорошо согласуются с полученными по методу БЭТ, или, в ряде случаев, с геометрич. величиной поверхности, определенной гранулометрич. методом для образцов сажки, аморфного кремнезема и измельченного кварца. Метод применен к образцам кокса и угля. Резюме авторов

4052. Исследование суспензий. Оптическая гранулометрия суспензий. Доньон, Сюке (Granulométrie optique de suspensions. Dognon André,

Suquet Pierre), C. r. Acad. sci., 1957, 245, № 2, 166—168 (франц.)

Приводятся расчеты, показывающие, что сравнение монохроматич. потоков, рассеянных соответственно суспензией (C) из достаточно больших идентичных поглощающих частиц и C из агрегатов этих частиц, позволяет определить объемную конц-ию агрегатов m и среднюю степень агрегации n . Расчеты проверялись при сопоставлении рассеяния от C красных кровяных шариков и соответствующих проб крови. Показано, что для такой системы $m = 3 \cdot 10^6 \text{ см}^{-3}$ и $n = 16$. С. Френкель

4053. Расчет удельной поверхности минеральными порошками на основании их гранулометрического анализа. Гун Юй-лэй, У Цзинь-вэй (根據顆粒分析結果計算礦物粒料比面的方法. 魏雨雷, 吳晉偉). 同濟大學學報, Тун-Цзи дасюэ сюэбао, Научн. ж. Политехн. ин-та Тун-Цзи, 1957, № 2, 81—92 (кит.; рез. русск.)

Описан метод косвенного определения уд. поверхности различных минер. порошков на основании их гранулометрич. анализа, без применения каких-либо спец. приборов и оборудования. Разработанный авторами метод усреднения геометрич. диаметра частиц позволяет вывести точные и простые ф-лы для раздельного вычисления уд. поверхности песка и грунта. По резюме авторов

4054. Об аэрозолях. Кукулеску (Despre aerosoli. Cuculescu V.), Farmacia (Român.), 1957, 5, № 3, 208—211 (рум.)

4055 K. Флотация. Изд. 2-е. Годен (Flotation. 2nd ed. Gaudin Antoine Mark. New York—London, McGraw-Hill, 1957, X, 573 pp., ill., 94sh.) (англ.)

См. также: Химия высокомолекулярных в-в и рефераты. Применение насоса для получения пены 4904. Глинистые суспензии 5311, 5312. Коллоидные св-ва глины 5316. Новые возможности применения битумных эмульсий 5458. Коллоидно-химические св-ва растительной клетки 2052Bx

НЕОРГАНИЧЕСКАЯ ХИМИЯ. КОМПЛЕКСНЫЕ СОЕДИНЕНИЯ

Редактор А. Б. Нейдинг

4056. Галлий как побочный продукт извлечения германия из газовой воды. I. Инагаки, Мория, Ямаути (ガスマスよりゲルマニウムを製造する際の副産物としてのガリウム. 第1報. 稻垣勝, 守屋茂雄, 山口卓也), 炭研, Танкан, J. Coal Res. Inst., 1957, 8, № 1, 1—7 (японск.; рез. англ.)

4057. Некоторые свойства металлического нептуния. Эддред, Кертис (Some properties of neptunium metal. Eldred V. W., Curtis G. C.), Nature, 1957, 179, № 4566, 910 (англ.)

Для устойчивой при комнатной т-ре ромбич. α-фазы Np найдены $\rho^{20} = 20,2$, C_p (для 29—99° C) = $0,0319 \text{ кал г}^{-1} \text{ град}^{-1}$. Величина плотности понижена против теоретич. (ρ 20,45) из-за наличия примесей. Определение твердости методом Мейера привело к выражению $L = 360 d^{2,19}$, где L — нагрузка в кг и d — диаметр шара; ф-ла годна для $L > 15 \text{ кг}$. Твердость по Виккерсу равна 355. При одинаковых условиях Np более тверд, чем U. Вычисленное предельное сопротивление Np составляет 11—14 т/см². И. Рысс

4058. Амиды и нитриды металлов. Часть 33. Об амиде калия. Юца, Лидтке (Über Metallamide

und Metallnitride. 33. Mitteilung. Zur Kenntnis des Kaliumamids. Juza Robert, Liedtke Hans), Z. anorgan. und allgem. Chem., 1957, 290, № 3-4, 205—208 (нем.)

Тензиметрически показано, что KNH_2 (I) образует при низких т-рах кристаллоаммиакат $\text{KNH}_2 \cdot 2\text{NH}_3$, давление диссоциации которого равно 52 мм рт. ст. при -65° и 175 мм рт. ст. при -53° . Обладающий наименьшей симметрией I переходит при т-ре $> 50^\circ$ в куб. β-форму (решетка NaCl); α 6,115 кХ при 100° и 6,15 кХ при 160° . Часть 32 см. РЖХим, 1957, 7345.

И. Рысс

4059. Условия образования силикатов бария. 3. Получение и свойства трехбариевого силиката. Глушкова В. Б., Келер Э. К., Ж. неорган. химии, 1957, 2, № 6, 1254—1258

Синтезирован Ba_3SiO_5 и определены его важнейшие оптич. константы. Показано, что Ba_3SiO_5 и Sr_3SiO_5 кристаллизуются в гексагональной сингонии с параметрами элементарных ячеек: Ba_3SiO_5 : a 15,62 ± 0,20, c 7,19 ± 0,04 кХ; Sr_3SiO_5 : a 15,06 ± 0,41, c 6,89 ± 0,08 кХ. Часть II см. РЖХим, 1957, 73898. Резюме авторов

4060. Экстракция йодной ртути. Мозер, Войт (The extraction of mercury (II) iodide. Moser Herbert C., Voigt Adolf F.), J. Inorg. and Nucl. Chem., 1957, 4, № 5-6, 354—357 (англ.)

С применением радиоактивного индикатора Hg^{203} изучена экстракция HgI_2 бензолом при 25° из водн. р-ров, содержащих 0,001—0,02 М КJ и 0,001—0,02 М HNO_3 , при ионной силе $\mu = 0,03$ и общей конц-ии $\text{Hg} \sim 10^{-5}$ — 10^{-4} М. Показано, что в бензольной фазе присутствуют лишь молекулы HgI_2 . В водн. фазе имеют место равнове-

сия $\text{HgI}_2 (\text{водн.}) + \text{J}^- \xrightleftharpoons{K_1} \text{HgJ}_3^-$; $\text{HgI}_2 (\text{водн.}) + 2\text{J}^- \xrightleftharpoons{K_2} \text{HgJ}_4^{2-}$. Константа экстракции $E_0 = [\text{HgI}_2] (\text{бэл.}) / [\text{HgI}_2] (\text{водн.}) = 47,2$. Кажущиеся значения констант образования комплексов $K_1 = (5,05 \pm 0,12) \cdot 10^5$ и $K_2 = (7,24 \pm 0,11) \cdot 10^6$. Рассчитаны по уравнению Дебая — Хьюккеля коэф. активности J^- , HgJ_3^- и HgJ_4^{2-} при $\mu = 0,03$ равны соответственно 0,84; 0,85 и 0,52, что дает для термодинамич. значений констант образования $K_1 = (5,1 \pm 0,2) \cdot 10^5$ и $K_2 = (5,4 \pm 0,2) \cdot 10^6$.

И. Слоним

4061. Об устойчивости анатаза. Кноль, Кунхольд (Über die Stabilität des Anatas. Knoll H., Künhold U.), Naturwissenschaften, 1957, 44, № 14, 394 (нем.)

Вливанием разб. р-ров нитрата, хлорида, сульфата и фторида титана в конц. водн. р-р NH_3 получены препараты анатаза (I), содержащие $\sim 0,1\%$ соответствующих анионов. Методом дифференциального термич. анализа и рентгенографич. методом изучено превращение этих образцов I, а также препарата I, полученного гидролизом тетраэтилового эфира титановой к-ты и содержащего примесь брукита, в рутил. Переход анатаза \rightarrow рутил для I, не содержащего анионов, происходит при 620—690°; для I с NO_3^- , Cl^- , SO_4^{2-} , F^- соответственно при 620—700, 660—810, 710—840, 790—1010°, что подтверждает стабилизирующее действие анионов.

И. Слоним

4062. Исследование константы диссоциации фторобериллат-иона (BeF_4^{2-}) методом ионного обмена. Рай (Studies on the dissociation constant of the fluoberyllate (BeF_4^{2-}) ion by the method of ion-exchange. Ray Asit Kumar), Naturwissenschaften, 1957, 44, № 9, 279 (англ.)

В результате исследования с применением метода ионного обмена (Schubert J., J. Phys. Chem., 1948, 52, 340; Schubert J. и др., J. Biol. Chem., 1950, 185, 387; J. Phys. Chem., 1952, 56, 113) установлено, что в присутствии большого избытка ионов F^- $\text{Be}(2+)$ находится в р-ре в виде иона BeF_4^{2-} . Нет доказательств образования иона BeF_3^- в водн. р-рах при низких конц-иях F^- .

И. Рысс

4063. Некоторые физические и химические свойства пентафторида ванадия. Кларк, Эмелеус (Some physical and chemical properties of vanadium pentafluoride. Clark H. C., Emeléus H. J.), J. Chem. Soc., 1957, May, 2119—2122 (англ.)

VF_5 (I) получен действием F_2 на V в стеклянной аппаратуре (РХХим, 1957, 40852). Т. пл. I равна $19,5 \pm 0,5^\circ$, давление пара от -20 до 45° описывается уравнениями: для сублимации $\lg p (\text{мм}) = 11,049 - 2808/T$, для испарения, $\lg p (\text{мм}) = 10,430 - 2423/T$; отсюда т. кип. $48,3 \pm 1^\circ$, ΔH плавления 11,94 и ΔH испарения 10,64 ккал/моль, константа Трутона 33,1. Резкое отличие найденных величин т. пл. и т. кип. от старых данных (Ruff, Lickfett, Ber. dtsch. Chem. Ges., 1914, 44, 2539), по мнению авторов, вызвано тем, что исследованный Руффом образец был сильно загрязнен VOF_3 . Электропроводность (κ) I растёт между 25 и 45° от 2,43 до $6,20 \cdot 10^{-4} \text{ ом}^{-1} \text{ см}^{-1}$; κ линейно зависит от $1/T$ и возрастает при прибавлении KF до $8,1 \cdot 10^{-4}$ при 25° . Высокое значение константы Трутона и κ жидкого I объяснены диссоциацией $2\text{I} \rightleftharpoons \text{VF}_4 + \text{VF}_6^-$.

Мол. вес пара I равен 148. CCl_4 количественно фторируется избытком I при комнатной т-ре, образуя главным образом CCl_3F ; в тех же условиях CBr_4 и CJ_4 фторируются медленнее, в основном до CF_4 . I является более энергичным фторирующим средством, чем JF_5 .

И. Рысс

4064. О строении ренид-иона. Коббл (On the structure of the renide ion. Cobble J. W.), J. Phys. Chem., 1957, 61, № 6, 727—729 (англ.)

На основании результатов термодинамич. расчетов, для которых использованы как известные величины, так и приближенно оцененные (теплота гидратации Re^- , сродство Re к электрону, энергии решеток ионных ренидов), автор приходит к выводу, что гидратированный (в смысле ион-дипольного взаимодействия) ион Re^- , а также безводн. твердые рениды не могут быть устойчивыми. Предположено, что существующий в р-рах ион имеет ф-лу H_2ReO_4^- и что устойчивый «гидратированный» твердых ренидов вызвана образованием dsp^2 -связей между Re^- и $4\text{H}_2\text{O}$. По мнению автора, не исключена возможность образования ионов $\text{Ta}(\text{H}_2\text{O})_6^-$ и $\text{Te}(\text{H}_2\text{O})_4^-$.

И. Рысс

4065. О строении различных форм гидрата закиси кобальта. Краузе, Божешковский, Вольский (O strukturze wodorotlenków kobaltowych. Krause Alfons, Bożeszowski Edmund, Wolski Włodzimierz), Roczn. chem., 1956, 30, № 3, 671—680 (польск.)

Строение голубой, зеленой, розовой и черно-коричневой форм гидрата закиси кобальта (I) и CoO изучалось с применением метода рентгеноструктурного анализа, а также хим. методами (р-ция связывания Ag и каталитич. обесцвечивание индигокармина). Описано получение различных форм I, черного CoO и продуктов р-ции связывания Ag. Установлено, что наибольшее связывание Ag имеет место в случае розовой формы I; черно-коричневая форма I и CoO совершенно не связывают Ag. На рентгенограммах продуктов, содержащих Ag, с отношениями $\text{Ag}_2\text{O} : \text{CoO} = 1 : 2,5$ и $\text{Ag}_2\text{O} : \text{CoO} = 1 : 4,2$ отсутствуют линии Ag_2O , металлич. Ag и I, из чего авторы делают вывод об образовании определенных хим. соединений. Лучшее обесцвечивает индигокармин также розовая форма I, а наиболее трудно — черно-коричневая форма; CoO совершенно инертен. На основании полученных данных авторы приходят к выводу, что розовая форма представляет собой смесь полимеризованных молекул $\text{Co}(\text{OH})_2$ различной величины, что может быть выражено эмпирич. ф-лой $2 \text{Co}(\text{OH})_2 \cdot 3(\text{CoO} \cdot \text{H}_2\text{O})$. По мере старения I активные группы OH исчезают, и образуется кислородный мостик. Возможно, что голубая, аморфная и зеленая слабо кристаллич. формы I содержат, кроме групп OH, также и гидратную воду. Превращения происходят без изменения пространственной решетки I, зеленая, розовая и черно-коричневая формы которого дают идентичные рентгенограммы, отвечающие типу структуры брукита. Черно-коричневая I содержит воду исключительно в гидратном виде.

Н. Barańska

4066. Получение и состав силицидов лития. Масдюпюи (Sur la préparation et la composition des siliciures de lithium. Masdupuy Emile), C. r. Acad. sci., 1957, 244, № 19, 2390—2393 (франц.)

Нагревание смеси Si и Li в вакууме при $400-500^\circ$ приводит к образованию гетерог. смеси, содержащей силициды, а также Si и Li. При нагревании тщательно измельченной и перемешанной смеси LiH и Si в атмосфере Ar быстрая экзотермич. р-ция начинается выше 610° ; после нагревания до 720° и охлаждения образуется кристаллич. масса, содержащая Si и смесь силицидов Li_4Si_2 и Li_6Si_2 .

И. Рысс

4067. Окислы празеодима. IV. Исследование области $\text{PrO}_{1,83}$ — $\text{PrO}_{2,00}$. Сиглафф, Айринг (Praseodymium oxides. IV. A study of the region $\text{PrO}_{1,83}$ — $\text{PrO}_{2,00}$. Sieglaff C. L., Eyring L.), J. Amer. Chem. Soc., 1957, 79, № 12, 3024—3026 (англ.)

В результате окисления при 350° и давл. O_2 4,25 атм Pr_6O_{11} с параметром решетки a $5,3919 \pm 0,0008$ Å частично переходит в PrO_2 с a $5,4694 \pm 0,0007$ Å, а PrO_2 , восстанавливаясь, частично переходит в Pr_6O_{11} с a $5,3918 \pm 0,0001$ Å. В продукте окисления Pr_6O_{11} при давл. < 331 атм и t -рах < 760° содержится PrO_2 и (или) $\text{PrO}_{1,83}$. По мнению авторов, в интервале между $\text{PrO}_{1,83}$ и $\text{PrO}_{2,00}$ ниже 350° имеет место вероятный переход системы в гомог. состояние при более высоких t -рах. На основании результатов исследования низших окислов Nd — Pr авторы считают верхним пределом t -ры превращения 585°. Окислы Pr, Ce и Tb обнаруживают сходные фазовые переходы. Часть III, РЖХим, 1957, 29875. Н. Полянский

4068. Неорганические соли высокомолекулярных анионов в растворенном и в твердом состояниях. Тило (Anorganische Salze hochmolekularer Anionen im gelösten und im festen Zustand. Thilo Erich), Abhandl. Dtsch. Akad. Wiss. Berlin. Kl. Chem., Biol. und Geol., 1955 (1957), № 7, 57—71 (нем.)

См. РЖХим, 1956, 3632

4069. Конденсированные фосфаты. Тило (縮合磷酸 洛 (Erich Thilo)), 科學同報, Кэсюэ тунбао, Scientia, 1957, № 13, 400—403 (кит.)

Лекция, прочитанная в Пекинском ун-те 9 сентября 1956 г. В. III.

4070. Некоторые данные по химии фосфатов железа, их различным комплексам и окислительно-восстановительному потенциалу системы $\text{Fe}(3+) - \text{Fe}(2+)$. Дейбнер (Les données actuelles relatives à la chimie des phosphates de fer, de ses différents complexes et au potentiel oxydo-réducteur du système ferri-ferrosique. Deibner Léone), Rev. ferment. et inds. aliment., 1957, 12, № 2, 57—75 (франц.)

Обзор. Библ. 57 назв. В. III.

4071. О структуре и свойствах полуметаллов. XI [в статье эта часть ошибочно обозначена X]. Новая ромбическая модификация мышьяка и образование ею смешанных кристаллов с черным фосфором. Кребе, Хольц, Вормс (Über die Struktur und die Eigenschaften der Halbmetalle. X. Eine neue rhombische Arsenmodifikation und ihre Mischkristallbildung mit schwarzem Phosphor. Krebe Heinz, Holz Wilhelm, Worms Karl Heinz), Chem. Ber., 1957, 90, № 6, 1031—1037 (нем.)

В кристаллич. решетке черного фосфора (I) до 74% атомов P замещаются на атомы As; при этом сильно возрастают параметры решетки a и c и мало b . Твердые p -ры с 53—74 ат.% As образуются при кристаллизации сплавов соответствующих составов; сплавы с 43—74 ат.% As необходимо нагревать при 600° в течение 3 дней; для получения твердых p -ров с 0—43 ат.% As необходимо нагревание смесей I и As в присутствии катализатора Hg и небольших кол-в белого P в течение 4 недель при 380—400°. Нагреванием тщательно перемешанных смесей Hg с аморфными β - и α -As при 125—175° или конденсацией смеси паров As и Hg получен ромбич. As, изотипный I, ф. гр. D_{2h}^{18} — *Vtab*, $3,61$, b $4,47$, c $10,83$; для него предложено обозначение ϵ -As. При 200° в присутствии Hg ϵ -As превращается в ромбоэдрич. As. Электропроводность ϵ -фазы с атомным отношением As:P = 2 равна $0,6 \text{ ом}^{-1} \text{ см}^{-1}$; характер влияния примесей Si, Ge, Sn, Te и Sb показывает, что ϵ -фаза обладает дырочной проводимостью. Часть X, РЖХим, 1957, 7248. И. Рысс

4072. Химия серы. XXXIV. Молярные объемы и молярные рефракции сульфатов и их зависимость от длины цепи. Фехер, Лауэ, Винкхаус (Beiträge zur Chemie des Schwefels. XXXIV. Molvolumina und Molrefraktionen der Sulfate und ihre Abhängigkeit von der Kettenlänge. Feher F., Laue W., Winkhaus G.), Z. anorgan. und allgem. Chem., 1957, 290, № 1—2, 52—57 (нем.)

Измерены d^{20} и n_D^{20} ряда индивидуальных сульфатов H_2S_n с $n = 2—8$, а также смесей сульфатов и p -ров серы в сульфатах. Для сульфатов с $n = 2, 3, 4, 5, 6, 7, 8$ $d^{20} = 1,334; 1,491; 1,582; 1,644; 1,688; 1,721; 1,747$ и $n_D^{20} = 1,631; 1,729; 1,791; 1,836; 1,893; 1,912$. Молярный объем V и молярная рефракция R растут линейно с длиной цепи по уравнениям $V = 2,24,8 + 16,4(n-2)$ и $R = 2,8,9 + 8,6(n-2)$, что дает для атомов S в цепях инкремент $V_S = 16,4 \text{ см}^3$ и $R_S = 8,6 \text{ см}^3$ и для конечных SH групп инкремент $V_{SH} = 24,8 \text{ см}^3$ и $R_{SH} = 8,9 \text{ см}^3$. В смесях сульфатов V и R аддитивны. V_S физ. растворенной в сульфатах серы близок к инкременту S в цепи, влияние конц-ии и среды незначительно. Полученные результаты подтверждают цепное строение сульфатов. Часть XXXIII см. РЖХим, 1957, 5482. И. Слоним

4073. Химия рения и технеция. I. Синтез ReCl_5 , TeCl_4 и родственных соединений. Нокс, Тайр, Сривастава, Норман, Бассетт, Холлвей (Chemistry of rhenium and technetium. I. Synthesis of ReCl_5 , TeCl_4 and related compounds. Knox Kerro, Tyree S. Young, Jr., Srivastava Ram Dularay, Norman—Vello, Bassett Joseph Y., Jr., Holloway J. H.), J. Amer. Chem. Soc., 1957, 79, № 13, 3358—3361 (англ.)

Для получения безводн. хлоридов металлов изменен ранее описанный метод (Michael A., Murphy A., Amer. Chem. J., 1910, 44, 365), основанный на взаимодействии соответствующих окислов с 5-кратным избытком CCl_4 . Заплавленную стеклянную трубку с реакционной смесью помещали в стальную бомбу, содержащую для балансирования давления воду или CCl_4 , и нагревали несколько часов при 400°. Re_2O_7 в этих условиях дает черно-зеленые кристаллы ReCl_5 с выходом до 99%. В заплавленной трубке ReCl_5 сохраняется долгое время, но быстро разлагается на воздухе, вероятно, с отщеплением Cl_2 . Тс образует кроваво-красные кристаллы тетрахлорида, по устойчивости превосходящего аналогичное соединение Mn. В результате взаимодействия MoO_3 с CCl_4 образуются крупные темноокрашенные кристаллы MoCl_5 . Из WO_3 получены почти черные кристаллы WCl_6 , отличающиеся от продукта прямого синтеза из элементов меньшей растворимостью. Ta_2O_5 переходит при действии CCl_4 в белые кристаллы TaCl_5 . В противоположность ранее опубликованным данным (Sidgwick N. V. The chemical elements and their compounds. London, 1950) авторы считают Ta_2O_5 более активным по отношению к CCl_4 , чем Nb_2O_5 . Последний лишь частично переходит в желтые игольчатые кристаллы, по составу приближающиеся к NbCl_5 . Степень превращения тугоплавких окислов зависит от их предшествующей обработки. Так, активная Al_2O_3 количественно переходит в хлорид, а сильно прокаленный окисел почти не взаимодействует с CCl_4 . Окислы Co и Ni вообще не реагируют с CCl_4 , а ZnO , La_2O_3 и ThO_2 частично переходят в хлориды. Fe_2O_3 , ZrO_2 и V_2O_5 переходят в хлориды, по-видимому, в FeCl_3 , ZrCl_4 и VCl_4 .

Н. Полянский

4074. Изучение химии астатия методом распределения между растворителями. Ньюман (Solvent distribution studies of the chemistry of astatine.

Neumann H. M.), J. Inorg. and Nucl. Chem., 1957, 4, № 5-6, 349—353 (англ.)

Методами распределения между р-рителями изучены р-ции положительных степеней окисления аста-тия. At^{210} и At^{211} получали облучением Bi-мишени α -частицами с энергией 43 Мэв. Изучаемые р-ры At имели конц-ию порядка 10^{-12} М. При пропускании Cl_2 через р-ры At в HCl образуется хлорокомплекс, экстрагируемый изопропиловым эфиром. Экстракция максимальная при конц-ии HCl 8—9 М, фториды не уменьшают ее эффективности. Состав комплексов, вероятно, $AtCl^-$. At количественно извлекается из изопропилового эфира р-ром NaOH, причем образуется AtO^- , устойчивый в области малых конц-ий. Вливание основного р-ра AtO^- в большой объем разб. H_2SO_4 получают $HAto$. Р-ры $HAto$ реагируют с фенолом и C_6H_6 с образованием органич. соединений At, аналогичных органич. соединениям HJO и $HBrO$. AtO^- окисляется в р-ре 0,1 М $K_2S_2O_8$ + 0,5 М H_2SO_4 при 80° до высших степеней окисления At. Разработан метод выделения At из облученных Bi-мишеней. Растворяют Bi в HNO_3 , упаривают р-р, добавляют конц. HCl до 8 М, охлаждают и экстрагируют изопропиловым эфиром. Выход > 90%, в экстрактах содержится < 0,01% Bi. И. Слоним

4075. Алкоголяты плутония. Брэдли, Хардер, Хадеуэлл (Plutonium alkoxides. Bradley D. C., Harder B., Hudswell F.), J. Chem. Soc., 1957, July, 3318 (англ.)

При пропускании избытка NH_3 через энергично встряхиваемую суспензию $(C_5H_5N)_2PuCl_2$ в смеси бензола с изопропиловым спиртом образуется светло-зеленый продукт, состав которого соответствует смеси $Pu(изо-C_3H_7O)_4$ с $Pu(изо-C_3H_7O)_4 \cdot C_5H_5N$. При кристаллизации продукта из $изо-C_3H_7OH$ образуется изумрудно-зеленый сольват $Pu(изо-C_3H_7O)_4 \cdot 4, iso-C_3H_7OH$ (I), аналогичный соответствующим соединениям Zr, Hf и Ce. I возгоняется при 220°/0,05 мм рт. ст. При действии избытка трет-бутанола I превращается в светло-зеленый тетрабутилалкоголят с т-рой возгонки 112°/0,05 мм рт. ст.; с избытком 3-этилпента-3-ола I дает продукт с т-рой возгонки > 150°/0,05 мм рт. ст. Алкоголяты Pu очень легко гидролизуются, но сухой воздух на них не действует. И. Слоним

4076. Комплексы меди в щелочных растворах этилендиамина. Спектрофотометрическое исследование. Винк (Copper complexes in alkaline ethylenediamine solutions. A spectrophotometric study. Vink Naps), Arkiv kemi., 1957, 11, № 1, 9—21 (англ.)

Растворимость $Cu(OH)_2$ в щел. р-ре En при $C_{En} = 0,1088$ М растёт от 0,0628 до 0,0734 М с увеличением C_{NaOH} от 0,200 до 0,500 М, что связано с образованием гидроксокомплексов Cu с En. Спектрофотометрич. методом определены константы образования при 25° двух комплексов. Для $CuEn_2OH^+$ в 0,08—0,2 М NaOH $K = [CuEn_2OH^+]/[CuEn_2^{2+}][OH^-] = 3$; для комплекса $CuEn(OH)_2$ с плоской квадратной структурой в 0,63 М NaOH $K = [CuEn(OH)_2]/[Cu \times En_2OH^+][OH^-] = 5 \cdot 10^{-2}$. Образование $Cu(OH)_4^{2-}$ в р-ре $Cu(OH)_2$ в 0,5 М NaOH в присутствии En менее вероятно, ориентировочное значение $K = [Cu \times (OH)_4^{2-}]/[CuEn(OH)_2][OH^-]^2 = 3 \cdot 10^{-4}$. При больших C_{Cu} вблизи предела осаждения $Cu(OH)_2$ образуются, кроме того, многоядерные комплексы. И. Слоним

4077. Реакции обмена аддендов в органических внутрикомплексных соединениях меди. Мурто (有機第二銅分子内錯鹽の配位子交換反應について. 武藤米一郎), 日本化学雑誌, Нихон кагаку дзасси, J. Chem. Soc. Japan. Pure Chem. Sec., 1955, 76, № 3, 252—256 (японск.)

4078. Ассоциация 4-метилимидазола с ионами Cu^{2+} и Zn^{2+} . Некоторые данные для 2,4-диметилимидазола. Нодзак, Герд, Чжэнь, Эдсэлл (The association of 4-methylimidazole with the ions of cupric copper and zinc; with some observations on 2,4-dimethylimidazole. Nozaki Yasuhiko, Gurd Frank R. N., Chen Raymond F., Edsall John T.), J. Amer. Chem. Soc., 1957, 79, № 9, 2123—2129 (англ.)

Потенциометрическим титрованием при разных ионных силах μ определены константы диссоциации протона от катионов, образуемых 4-метилимидазолом (I) при 2,5 и 29° и 2,4-метилимидазолом (II) при 4 и 22°. Экстраполированные к $\mu = 0$ величины pK при 25° для I и II равны 7,55 и 8,38. Найденные значения ΔF^0 (10,3 и 11,4 ккал/моль), ΔH^0 (8,6 и 9,2 ккал/моль) и ΔS^0 (—5,7 и —7,4 энтр. ед.) сопоставлены с известными для имидазола (РЖХим, 1955, 20985) и некоторых его производных. Потенциометрич. титрованием при тех же т-рах установлено, что при высоких конц-иях I ионы Cu^{2+} и Zn^{2+} присоединяют до 4 молекул I. Логарифмы ступенчатых констант $lg K$ образования комплексов Cu^{2+} с I при 25° и $\mu = 0,15$ —0,16 равны 4,13, 3,49, 2,87 и 1,96, комплексов Zn^{2+} с I 2,44, 2,53, 2,64, 2,38; $lg K$ для комплекса Cu^{2+} с II равен 3,8. Для первых трех ступеней образования комплексов Cu^{2+} с I величины ΔH^0 равны $-6,7 \pm 1$, $-6,4 \pm 3$ и $-5,3 \pm 3$ ккал/моль; для комплексов Zn^{2+} с I соответствующие величины равны $-2,8 \pm 1$, $-3,1 \pm 3$ и $-3,1 \pm 3$. Резкое различие характера зависимости $lg K$ от i для комплексов I с Cu^{2+} и с Zn^{2+} объяснено стереохим. условиями. И. Рысс

4079. О существовании комплексных хлоробромаргентаатов. Шато, Эрвье (Sur l'existence d'ions complexes mixtes argentichlorobromure. Chateau M. H., Hervier B., m-lle), J. chim. phys. et phys.-chim. biol., 1957, 54, № 5, 356—362 (франц.)

Результаты потенциометрич. титрования р-ров, содержащих смеси KCl и KBr, р-рами $AgNO_3$ и измерения растворимости $AgCl$ и $AgBr$ в этих смесях указывают на образование наряду с бром- и хлор-комплексами также и смешанных комплексов $AgClBr_3^{3-}$ (I) и $AgCl_3Br^{3-}$ (II). Полные константы диссоциации I и II при 25° соответственно равны $3,3 \cdot 10^{-10}$ и $1,2 \cdot 10^{-8}$. И. Рысс

4080. Комплексные соединения двухвалентного серебра с пиридинкарбоновыми кислотами. Часть II. Соединения двухвалентного серебра с пиридинкарбоновыми кислотами. Банерджи, Рай (Complex compounds of bivalent silver with pyridine carboxylic acids. Part II. Argentate compounds of pyridine dicarboxylic acids. Banerjee Bireswar, Ray Priyadarajan), J. Indian Chem. Soc., 1957, 34, № 3, 207—212 (англ.)

Внутрикомплексные соединения $Ag(2+)$ с пиридиндикарбоновыми к-тами общего состава $Ag(O_2CC_5H_4NCO_2H) \cdot nH_2O$ получены введением соответствующей к-ты и $AgNO_3$ в конц. холодный р-р $Na_2S_2O_8$ и длительным перемешиванием взвеси; осадки солей промывались водой и сушились в вакууме при охлаждении. Комплексы разлагаются при действии к-т и щелочей. Соли хинолиновой, динихомеиновой, изонихомеиновой и лутидиновой к-т окрашены в красный цвет; n для них соответственно равны 2, 0, 0 и 0; эффективные магнитные моменты μ равны 1,743, 1,742, 1,712 и 1,644 μ_B . Соль диникотиновой к-ты образуется при 15° в зеленой ($n = 4$, $\mu = 1,747$), а при 25° — в коричневой ($n = 2$, $\mu = 1,807$) формах, возможно, являющихся *цис*- и *транс*-изомерами; дебаграммы обеих форм, а также хинолиноват $Ag(2+)$ и $Cu(2+)$ ($n = 1$) различны. Предполагается, что цин-

хомерат является димером или полимером, а остальные комплексы мономерны. Часть I см. РЖХим, 1957, 22625.

4081. Константы нестойкости пирофосфатных комплексов соединений стронция и бария. Васильев В. П., Ж. неорг. химии, 1957, 2, № 4, 805—807

Колориметрическим методом по описанной ранее (РЖХим, 1956, 68104) методике определены значения рН нескольких серий р-ров, содержащих $\text{Sr}(\text{NO}_3)_2$ и $\text{Na}_4\text{P}_2\text{O}_7$, а также $\text{Ba}(\text{NO}_3)_2$ и $\text{Na}_4\text{P}_2\text{O}_7$. Из полученных данных рассчитаны константы нестойкости пирофосфатных комплексов $\text{SrP}_2\text{O}_7^{2-} - [(2,2 \pm 0,2) \cdot 10^{-5}]$ и $\text{BaP}_2\text{O}_7^{2-} - [(2,3 \pm 0,1) \cdot 10^{-5}]$. В. Васильев

4082. Диоксаны хлорида кадмия. Хазанов, Линч (Dioxanates of cadmium chloride. Chazanov Martin G., Lynch Cecil C., Jr), Nature, 1957, 179, № 4560, 627 (англ.)

Диоксаны CdCl_2 осаждаются из р-ра безводн. CdCl_2 в диоксане. При откачивании их при $25,5 \pm 0,1^\circ$ обнаружены площадки постоянных давлений при 36,80, 28,55, 25,40, 23,70 и 19,10 мм рт. ст., указывающие на существование, по крайней мере четырех стабильных или метастабильных диоксанатов. И. Рысс

4083. Смешанные галогенидные комплексы двухвалентной ртути в растворе. I. Экспериментальный метод и распределение нейтральных комплексов. Маркус (Mercury (II) halide mixed complexes in solution. I. The experimental method and the distribution of the neutral complex. Marcus Y.), Acta chem. scand., 1957, 11, № 2, 329—339 (англ.)

Коэффициенты распределения HgCl_2 (I), HgBr_2 (II), HgI_2 (III) и $\text{Hg}(\text{SCN})_2$ (IV) между бензолом и водой (λ°) и между бензолом и водн. р-рами с конц-ией H^+ , равной 0,010 M и регулировавшейся введением р-ра NaClO_4 с ионной силой μ (λ), определены при $25,0 \pm 0,2^\circ$ с помощью радиоактивных Hg^{203} или J^{131} . Для I, II и III величины $\lg \lambda^\circ$ равны соответственно $-1,057 \pm 0,007$, $0,040 \pm 0,007$ и $1,658 \pm 0,010$; при $\mu = 0,50$, $\lg \lambda$ для I, II, III и IV равны $-0,965 \pm 0,010$, $0,150 \pm 0,005$, $1,782 \pm 0,010$, $-2,2 \pm 0,1$. Изотермич. методом определена растворимость в насыщ. водой бензоле (в моль/л): I $(1,92 \pm 0,01) \cdot 10^{-2}$, II $(1,90 \pm 0,01) \times 10^{-2}$, III $(4,78 \pm 0,05) \cdot 10^{-3}$ и IV $(8 \pm 2) \cdot 10^{-6}$. Растворимость IV в воде и в р-ре с $\mu = 0,50$ соответственно равна $(2,20 \pm 0,03) \cdot 10^{-3}$ и $(1,34 \pm 0,03) \cdot 10^{-3}$. Величины $\lg \lambda^\circ$, вычисленные из отношения растворимостей в H_2O и в C_6H_6 , удовлетворительно сходятся с непосредственно найденными. Зависимость $\lg \lambda$ от μ выражается вплоть до $\mu = 2$ уравнением $\lg (\lambda/\lambda^\circ) = 0,14 \mu^{1/2}$; коэф. высаливания $k_c = 0,14$ одинаков для I, II и III. И. Рысс

4084. Исследование комплексообразования между двухвалентными и одновалентными солями в растворе. Система $\text{HgCl}_2 - \text{NH}_4\text{Cl} - \text{H}_2\text{O}$. Аггарвал (A study on the complex compound formation between bivalent and univalent salts in solution. The system: $\text{HgCl}_2 - \text{NH}_4\text{Cl} - \text{H}_2\text{O}$. Aggarwal R. C.), Z. phys. Chem. (DDR), 1957, 207, № 1-2, 1—7 (англ.)

Результаты исследований понижения т-ры замерзания, электропроводности, вязкости и рН р-ров системы $\text{HgCl}_2 - \text{NH}_4\text{Cl} - \text{H}_2\text{O}$ показали существование соединений NH_4HgCl_3 и $(\text{NH}_4)_2\text{HgCl}_4$. Резюме автора

4085. О комплексных соединениях олова. III. Сумарокова Т., Литвяк И., Ж. общ. химии, 1957, 27, № 4, 837—840

По описанной ранее методике (Сумарокова Т. Н., Литвяк И. Г., Изв. Сектора платины АН СССР, 1952, вып. 27, 127; Сумарокова Т. Н., Максай Л. И., Изв. Сектора платины АН СССР, 1952, вып. 27, 137) изучены уд. электропроводность, вязкость, плотность при 60, 80 и 100° и плавкость системы $\text{SnCl}_4 \cdot 2\text{CH}_3\text{COOH}$ —

$\text{C}_6\text{H}_5\text{COOH}$. На основании полученных данных сделано заключение об образовании смешанного комплексного соединения состава $\text{SnCl}_4 \cdot 2\text{CH}_3\text{COOH} \cdot \text{C}_6\text{H}_5\text{COOH}$. Это соединение представляет собой бесцветное кристаллич. в-во с т. пл. 35° ; в расплавленном состоянии — бесцветная, очень вязкая жидкость.

4086. Комплексы четырехвалентного ванадия. VII. Система четырехвалентный ванадий — 1,10-фенантролин. VIII. Система четырехвалентный ванадий — 8-оксихинолин. Трухильо, Брито (Complejos de vanadio (IV). VII. El sistema vanadio (IV) — 1,10 fenantrolina. VIII. El sistema vanadio (IV) — 8-hydroxiquinoleina. Trujillo R., Brito F.), An. Real soc. esp. fis. y quim., 1957, B53, № 3, 249—252; № 4, 313—316 (исп.; рез. англ.)

VII. Исследованы комплексы V (4+) с 1,10-фенантролином; методом Бьеррума установлено образование комплексов состава 1:1 и 1:2. Константы устойчивости (pK) этих комплексов при 25° и ионной силе 0,082 равны соответственно 5,47 и 4,22.

VIII. Исследовано комплексообразование иона ванадила с 8-оксихинолином. При 25° pK $[\text{VO}(\text{C}_6\text{H}_4\text{ON})^+]$ составляет 10,97, а pK $[\text{VO}(\text{C}_6\text{H}_4\text{ON})_2]$ 9,22. Часть VI см. РЖХим, 1957, 71348.

4087. Исследование устойчивости комплексных соединений с аддендами, содержащими селен. Торопова В. Ф., Ж. неорг. химии, 1957, 2, № 3, 515—522

На основании анализа анодных полярографич. волн сделан вывод о большей устойчивости селеносульфатного комплекса $\text{Hg} (2+)$ по сравнению с соответствующим тиосульфатным комплексом. Из полярографич. данных для $[\text{Hg}(\text{SeSO}_3)_2]^{2-}$ (состав принят по аналогии с тиосульфатным комплексом) найдено значение показателя константы нестойкости $pK = 36,8$. Качественно показано, что Ag, Cd, Pb, Co, Ni и Zn не образуют селеносульфатных комплексов. Установлено отсутствие комплексообразования между SeO_3^{2-} и Ag^+ и Cu^+ . Устойчивость $[\text{Hg}(\text{SeO}_3)_2]^{2-}$ изучена методом определения растворимости HgSeO_3 . Для показателя константы нестойкости найдено значение 12,48. Результаты полярографич. исследования селенитного комплекса Cd указывают на существование комплекса $[\text{Cd}(\text{SeO}_3)_2]^{2-}$ с $pK = 5,15$; для иона $[\text{Cd}(\text{SO}_3)_2]^{2-}$ $pK = 4,19$. Устойчивость некоторых Se-содержащих комплексов сопоставлена с устойчивостью аналогичных S- и O-содержащих соединений. Различное поведение ионов разных металлов по отношению к аддендам, содержащим S или Se, автор связывает с различным электросродством ионов металлов. По мнению автора, ионы, обладающие большим электросродством, присоединяют адденды через S или Se, что обеспечивает большую устойчивость комплексов; в менее устойчивых комплексах координация осуществляется через O.

4088. Система трехвалентный хром — арсенат — вода. II. Донные фазы системы. А. Фиолетовый и зеленый ортоарсенаты трехвалентного хрома. III. Донные фазы системы. В. Донные фазы, находящиеся в равновесии с маточным раствором. Баумгертель (Das System Chrom (III)/Arsenat/Wasser. II. Die Bodenkörper des Systems. A. Das violette und das grüne Chrom (III) — orthoarsenat. III. Die Bodenkörper des Systems. B. Die mit der Mutterlauge im Gleichgewicht befindlichen Bodenkörper. Baumgärtel Eberhart), Z. anorgan. und allgem. Chem., 1957, 290, № 3-4, 133—156; 157—173 (нем.)

II. Ортоарсенат Cr (3+) существует в двух формах — легко разлагающейся, малорастворимой в воде, но легкорастворимой в к-тах серо-фиолетовой форме $[\text{Cr}(\text{H}_2\text{O})_6]\text{AsO}_4 \cdot \text{H}_2\text{O}$ (I) и устойчивой рентгено-

аморфной зеленой форме $\text{CrAsO}_4 \cdot n\text{H}_2\text{O}$ (II). При смешении охлажденных во льду р-ров $[\text{Cr}(\text{H}_2\text{O})_6](\text{NO}_3)_3$ (III) и Na_2HAsO_4 (IV) всегда сначала выпадает I, но если мол. отношение IV:III $\leq 1,2$, то I вновь растворяется в виде $[\text{Cr}(\text{H}_2\text{O})_n\text{HAsO}_4]^+$. Для синтеза I смешивают эквимольные кол-ва охлажд. до 0° 1 M р-ров III и IV, через 5 сек. отсасывают осадок, промывают его ледяной водой до удаления NO_3^- , взбалтывают со спиртом и эфиром и высушивают. I кристаллизуется в тетрагон. сингонии, a 6,78 Å, c/a 0,707, ρ (рент.) 2,22, ρ 2,20. С течением времени, особенно легко при нагревании, I превращается в II, который может быть получен и непосредственно, в частности смешением р-ров солей Cr (3+) с избытком р-ра NaH_2AsO_4 , насыщ. H_3AsO_4 (V), восстановлением смеси V и CrO_3 гидразином или H_2O_2 и т. п. По мнению автора, II является полимерным продуктом, в котором часть молекул H_2O в координационной сфере Cr замещена арсенат-анионами.

III. Исследованы составы осадков, находящихся в равновесии с маточным р-ром в системах: а) $\text{Cr}(\text{OH})_3 + n$ V (получены восстановлением смесей CrO_3 и V действием H_2O_2), б) III + n IV и в) III + $n\text{Na}_2\text{AsO}_4$ при обычной т-ре; n изменялось от 1 до 4. В системах (а) и (б) осадком являлся II, адсорбировавший значительные кол-ва избыточного осадителя; в системе (б) при больших n в осадке содержится и $\text{Cr}(\text{OH})_3$. Осадки системы (в) состоят из смесей II и $\text{Cr}(\text{OH})_3$; при высоких n в осадке содержится только $\text{Cr}(\text{OH})_3$, адсорбировавший растворенные в-ва. Часть I см. РЖХим, 1956, 71393.

И. Рысс
4089. Некоторые комплексы тетрахлоридов урана и тория. Ферраро (Some complex chlorides of uranium tetrachloride and thorium tetrachloride. Ferraro John R.), J. Inorg. and Nucl. Chem., 1957, 4, № 5-6, 283—286 (англ.)

Взаимодействием UCl_4 с 30%-ным избытком $(\text{CH}_3)_4\text{NCl}$ в 4 M HCl в вакууме с последующей сушкой при 105° и 10^{-5} мм рт. ст. с колич. выходом синтезированной $[(\text{CH}_3)_4\text{N}]_2\text{UCl}_6$ (I). Аналогично получены $[(\text{C}_2\text{H}_5)_4\text{N}]_2\text{UCl}_6$ (II) и $[(\text{CH}_3)_4\text{N}]_2\text{ThCl}_6$ (III); III высушен над конц. H_2SO_4 (1 месяц, 0,2 мм рт. ст.) Cs_2UCl_6 (IV), т. пл. $425 \pm 10^\circ$, и Cs_2ThCl_6 (V), т. разл. $580-600^\circ$, получены сходным путем из эквивалентных кол-в CsCl и UCl_4 или ThCl_4 . I и III разлагаются при 150° . I, II, IV на воздухе окисляются, воду поглощают медленно, гидратов не образуют. Безводн. III и V быстро поглощают воду и образуют соответственно три- и иона-гидраты, что подтверждено рентгенографически. Для I—V рентгенографически (метод порошка) найдены соответственно симметрия, Z и ρ : I — гранецентр. куб., 4, 1,788; II — ромбич., 4, 1,69; III — гранецентр. куб., 4, 1,83; IV — тригональная 1, 4,030; V — тригональная, 1, 3,87. Свежеосажденный V не изоструктурирован IV, но при стоянии переходит в тригональную форму. Последняя образуется также при сплавлении 1 моля ThCl_4 с 2 молями CsCl . Найдены межкатионные расстояния: в комплексах урана $\text{U}-\text{Cl}$ 2,75; $\text{Cs}-\text{Cl}$ 3,70 Å, в комплексах тория $\text{Th}-\text{Cl}$ 2,81; $\text{Cs}-\text{Cl}$ 3,7 Å.

А. Москвин
4090. Получение и свойства комплексных фторарсенатов. Десс, Парри (The preparation and properties of complex fluoroarsenates. Dess H. M., Parry R. W.), J. Amer. Chem. Soc., 1957, 79, № 7, 1589—1591 (англ.)

При выпаривании KH_2AsO_4 с 48%-ной HF образуется не KAsF_6 (I), как считалось ранее (Langa W., Müller R., Ber. dtsh. chem. Ges., 1930, 63, 1058), а $\text{K}(\text{AsF}_6\text{OH})$ (II) с ρ 2,97; приведены межплоскостные расстояния и интенсивности II. Ионы AsF_6^- и AsF_6OH^- осаждаются нитроацетатом (Ланге, см. ссылку, описал нитровую соль AsF_6OH^- как моно-

гидрат соли AsF_6^-) и р-ром $[\text{As}(\text{C}_6\text{H}_5)_4]\text{Cl}$. В отличие от чрезвычайно устойчивого иона AsF_6^- , ион AsF_6OH^- быстро разлагается щелочью, гидролиз его ускоряется также присутствием H^+ и нагреванием. I образуется при обработке II избытком HF при комнатной т-ре в течение нескольких часов с последующим испарением HF в токе воздуха и сушкой при $110-115^\circ$. Растворимость I равна 1,1 моль/л при $29-30^\circ$, ρ 3,29. Осаждением р-ра I р-ром CsCl получен CsAsF_6 , растворимость которого равна 0,067 моль/л. Испарением в вакууме р-ра HAsF_6 , полученного взбалтыванием р-ра I с катионитом дауэкс-50 и в H -форме, получены гексагональные кристаллы $\text{HAsF}_6 \cdot 6\text{H}_2\text{O}$, плавящиеся при комнатной т-ре. NH_4AsF_6 растворим в воде значительно лучше, чем I.

И. Рысс

4091. Карбонилы металлов. 81. Реакции карбониллов железа с аммиаком. Соли гексаминферро-иона с анионами типа $[\text{Fe}_n(\text{CO})_m]^{2-}$. Хибер, Вернер (Über Metallcarbonyle. 81. Reaktionen von Eisencarbonylen mit Ammoniak: Hexammin-eisen (II)-carbonylferrate. Hieber Walter, Werner Robert), Chem. Ber., 1957, 90, № 6, 1116—1120 (нем.)

Продукт взаимодействия $\text{Fe}(\text{CO})_5$ с NH_3 в присутствии $\text{C}_5\text{H}_5\text{N}$ при 65° , описанный ранее (Hieber W. и др., Ber. dtsh. chem. Ges., 1930, 63, 974, 980) как $\text{Fe}(\text{CO})_5(\text{NH}_3)_2$, является неоднородным в-вом. После экстрагирования жидким NH_3 растворимых в нем сиропообразных темно-красных, содержащих $\text{C}_5\text{H}_5\text{N}$, примесей, остается плохо растворимый мелкокристаллич. оранжево-красный $[\text{Fe}(\text{NH}_3)_6][\text{Fe}_2(\text{CO})_8]$ (I) (часть 80, РЖХим, 1957, 63283). Обработка I разб. р-ром KOH приводит к $\text{Fe}(\text{OH})_2$ и $\text{K}_2[\text{Fe}_2(\text{CO})_8]$, осаждением р-ра последнего $[\text{Co}(\text{C}_6\text{H}_5)_2]\text{Br}$ получен нерастворимый в ацетоне $[\text{Co}(\text{C}_6\text{H}_5)_2][\text{Fe}_2(\text{CO})_8]$. При -33° $\text{Fe}_2(\text{CO})_{12}$ (II) быстро реагирует с жидким NH_3 ; первичной р-цией является: $4\text{II} + 18\text{NH}_3 = 3[\text{Fe}(\text{NH}_3)_6][\text{Fe}_3(\text{CO})_{11}]$ (III) + $+ 15\text{CO}$, но III не выделяется в чистом виде как вследствие превращения CO в формамид, так и вследствие р-ции диспропорционирования: $2[\text{Fe}_3(\text{CO})_{11}]^{2-} \rightarrow [\text{Fe}_2(\text{CO})_8]^{2-} + [\text{Fe}_4(\text{CO})_{13}]^{2-} + \text{CO}$. Введение $[\text{Co} \times (\text{C}_6\text{H}_5)_2]^+$ облегчает диспропорционирование вследствие осаждения $[\text{Co}(\text{C}_6\text{H}_5)_2][\text{Fe}_4(\text{CO})_{13}]$. Учитывая существование $[\text{Fe}(\text{NH}_3)_6][\text{Fe}(\text{CO})_4\text{H}_2]$ (Hieber W., Fack E., Z anorgan. und allgem. Chem., 1938, 236, 84, 972), авторы отмечают, что известны все карбонильные комплексы иона $[\text{Fe}(\text{NH}_3)_6]^{2+}$, как с одно-, так и с многоядерными анионами; конечные члены этого ряда, напр., наиболее бедный и наиболее богатый CO комплексы $[\text{Fe}_4(\text{CO})_{13}]^{2-}$ и $[\text{Fe}(\text{CO})_4]^{2-}$ более устойчивы, чем средний член ряда $[\text{Fe}_3(\text{CO})_{11}]^{2-}$.

И. Рысс

4092. Неорганические комплексные соединения, содержащие полидентатные группы. XII. Комплексы двухвалентного кобальта с тетраэтиленпентамином. Йонассен, Фрей (Inorganic complex compounds containing polydentate groups. XII. Cobalt (II) complexes of tetraethylenepentamine. Jonassen Hans B., Frey Fred W.), J. Amer. Chem. Soc., 1957, 79, № 10, 2454—2455 (англ.)

Коричневый $[\text{Co}(\text{tetren})(\text{CH}_3\text{OH})]\text{Cl}_2$ (I), где tetren — тетраэтиленпентамин, выделен прибавлением 300 мл 0,041 M CoCl_2 в ацетоне (II) к 100 мл 0,2134 M tetren в II и дальнейшим прибавлением II до полноты осаждения. При прибавлении р-ра tetren к избытку р-ра CoCl_2 в II осаждается зеленый $[\text{Co}(\text{tetren})(\text{CH}_3\text{OH})][\text{CoCl}_4]$ (III); осадки I и III перекристаллизовываются из II и CH_3OH . Коричневый $[\text{Co}(\text{tetren})(\text{CH}_3\text{OH})](\text{ClO}_4)_2$ (IV) получен введением 22 мл 0,56 M $\text{Co}(\text{ClO}_4)_2$ в 20 мл 0,6015 M tetren в CH_3OH и дополнительным осаждением эфиром. IV мало растворим в CH_3OH , но легко растворяется в р-рах KOH или NaOH в CH_3OH ; прибавление р-ра H_2PtCl_6 в CH_3OH

осаждают коричневый $[\text{Co}(\text{tetren})(\text{OH})_2]\text{PtCl}_6$. Ион $[\text{Co}(\text{tetren})(\text{OH})]^{+}$ (V) в р-ре NaOH в CH_3OH обратимо присоединяет O_2 , по мнению авторов, путем образования перекисного мостика между двумя комплексами, лишь медленно окисляясь до $\text{Co}(3+)$; в нейтр. или щел. водн. р-рах V окисляется до $\text{Co}(3+)$. Логарифмы констант образования $[\text{Co}(\text{tetren})(\text{H}_2\text{O})]^{2+}$ в водн. р-рах при 25, 35 и 45° равны соответственно 15,07, 14,97 и 14,87. Комплекс $\text{Co}(2+)$ с tetren состава 1:1 значительно прочнее комплекса с триэтилтетраминном. Часть XI см. РЖХим, 1956, 9591. И. Рысс

4093. Комплексный аммиакат трехвалентного кобальта с борной кислотой. Нателис Л. Б., Иевиньш А. Ф., Уч. зап. Латв. ун-та, 1956, 9, 35—39. При сливании р-ров $\text{Na}_2\text{B}_4\text{O}_7$ и $\text{Co}(\text{NO}_3)_2$ выпадал бледно-розовый осадок, который отфильтровывали и растворяли в разб. H_3BO_3 . По мере растворения добавлялся конц. р-р NH_3 и по каплям H_2O_2 до появления вновь бледно-розового осадка. pH среды был 9—10. В течение последующих дней появлялись ярко-красные кристаллы, устойчивые на воздухе. Они принадлежат к планаксидальному классу ромбич. системы: a 16,24, b 12,77, c 10,95 Å. Согласно данным анализов, ф-ла полученного соединения $6(\text{NH}_4)_2\text{O} \cdot \text{Co}_2\text{O}_3 \cdot 8\text{B}_2\text{O}_3 \cdot 17\text{H}_2\text{O}$ или $[\text{Co}(\text{NH}_3)_5\text{H}_2\text{O}]_2(\text{B}_4\text{O}_7)_3 \cdot (\text{NH}_4)_2\text{B}_4\text{O}_7 \cdot 2\text{H}_2\text{O}$. Снята термограмма комплекса и изучен процесс его обезвоживания. Ц. Кочунова

4094. Потенциометрическое исследование состава ферроданидного комплекса кобальта. Саксена (Potentiometric studies on the composition of cobalt ferrocyanide complex. Saxena Ram Sahai), Z. analyt. Chem., 1957, 157, № 1, 24—26 (англ.)

Потенциометрически с применением $\text{Fe}(\text{CN})_6^{3-}/\text{Fe}(\text{CN})_6^{4-}$ -электрода исследована р-ция между р-рами $\text{Co}(\text{NO}_3)_2$ и $\text{K}_4\text{Fe}(\text{CN})_6$. Как при прямом, так и при обратном титровании, а также в присутствии $(\text{NH}_4)_2\text{SO}_4$, NH_4NO_3 , K_2SO_4 или спирта кривые соответствуют образованию $4\text{Co}_2\text{Fe}(\text{CN})_6 \cdot 3\text{K}_4\text{Fe}(\text{CN})_6$ (Тананаев И. В., Левина М. И., Ж. аналит. химии, 1948, 3, 34). И. Рысс

4095. Использование обмена для разделения геометрических изомеров. I. Разделение флаво- и кроцеолей кобальта. Мори, Сибата, Адзэми (イオン交換樹脂による幾何異性体の分離. 第1報. フラボコバルト鹽, クロセオコバルト鹽の分離. 森元七, 柴田村治, 助純治), 日本化学雑誌, Нихон катэку дзэсси, J. Chem. Soc. Japan. Pure Chem. Sec., 1955, 76, № 9, 1003—1007 (японск.)

4096. Синтез некоторых этилендиаминплато- и этилендиаминплато-бромидов и -йодидов. Уотт, МакКарли (The synthesis of certain ethylenediamineplatinum (II) and (IV) bromides and iodides. Watt George W., McCarley Robert E.), J. Amer. Chem. Soc., 1957, 79, № 13, 3345—3347 (англ.)

Описаны методы синтеза ряда этилендиаминовых комплексов платины: $[\text{Pt}(\text{En})\text{Br}_2]$ (I) $[\text{Pt}(\text{En})_2]\text{PtBr}_4$ (II), $[\text{Pt}(\text{En})_2]\text{Br}_2$ (III), *транс*- $[\text{Pt}(\text{En})_2\text{Br}_2]\text{Br}_2$, $[\text{Pt}(\text{En})\text{Br}_4]$ (IV), $[\text{Pt}(\text{En})\text{Cl}_2]$, $[\text{Pt}(\text{En})\text{I}_2]$ и $[\text{Pt}(\text{En})\text{I}_4]$; комплексы получены весьма чистыми и с хорошими выходами. Желтый I и зеленый II легко разделяются обработкой при —33,5° жидким NH_3 , в котором I растворяется, а II переходит в нерастворимый коричневый аммиакат, превращающийся в II при комнатной т-ре и 10^{-2} мм рт. ст. Приведены межплоскостные расстояния и интенсивности линий дебаеграмм I, II, III, IV, K_2PtBr_6 и $(\text{EnH}_2)\text{PtBr}_6$. И. Рысс

4097. Карбонильные комплексы родия. Часть I. Комплексы с триарилфосфинами, триариларсинами и триарилстибинами. Валларино (Carbonyl complexes of rhodium. Part I. Complexes with triarylphosphines, triarylarsines, and triarylstibines. Vallarino

L., Miss.), J. Chem. Soc., 1957, May, 2287—2292 (англ.)

Растворенный в бензоле $[\text{Rh}_2(\text{CO})_4\text{Cl}_2]$ легко реагирует с твердыми или растворенными в бензоле Ar_3P , Ar_3As или Ar_3Sb (Ar — арил) по общему уравнению $[\text{Rh}_2(\text{CO})_4\text{Cl}_2] + 4\text{L} \rightarrow 2[\text{RhL}_2(\text{CO})\text{Cl}]$ (тип A) + 2CO . Выделены комплексы с L — $(\text{C}_6\text{H}_5)_3\text{P}$ (I), $(n\text{-C}_6\text{H}_4\text{CH}_3)_3\text{P}$ (II), $(n\text{-CH}_3\text{OC}_6\text{H}_4)_3\text{P}$ (III), $(n\text{-C}_6\text{H}_4\text{Cl})_3\text{P}$ (IV), $(\text{C}_6\text{H}_5)_3\text{As}$ (V), $(n\text{-C}_6\text{H}_4\text{CH}_3)_3\text{As}$ (VI), $(n\text{-CH}_3\text{OC}_6\text{H}_4)_3\text{As}$ (VII), $(\text{C}_6\text{H}_5)_3\text{Sb}$, $(n\text{-C}_6\text{H}_4\text{CH}_3)_3\text{Sb}$, $(n\text{-C}_6\text{H}_4\text{Cl})_3\text{Sb}$. Комплексы фосфинов и арсинов окрашены в желтый цвет, а стибиноы — в оранжево-красный или красный цвет. Т. пл. комплексов (разл.) лежат в интервале 150—250°. Дипольные моменты I—VII соответственно равны 3,15; 3,1; 4,0; 2,5; 3,2; 3,6 и 2,9 D, что соответствует ожидаемому для плоских квадратных *транс*-изомеров. Все комплексы типа A устойчивы к действию кипящих разб. к-т и щелочей, кипящей конц. HCl или холодного спирта. р-ра щелочей. Они не восстанавливают AgNO_3 или HgCl_2 . Спиртово-водн. взвеси комплексов не восстанавливаются действием H_2PO_2 , $\text{N}_2\text{H}_4 \cdot \text{H}_2\text{O}$ или взвеси Mg. Атом Cl комплексов не замещается при кипячении ацетонового р-ра их с LiBr или LiI, но замещается действием избытка NaI или NaCN в тех же условиях; этим методом получены желтые $[\text{Rh} \{(\text{C}_6\text{H}_5)_3\text{P}\}_2(\text{CO})\text{X}]$, где X — J (VIII) или CNS (IX), т. пл. (разл.) VIII 190—195°. IX 188—194°. Комплексы типа A не разрушаются кипячением в ксилоле с избытком L или кипячением в CHCl_3 с избытком пиридина или *n*-толуидина. Комплексы разлагаются действием $(\text{ArO})_3\text{P}$ или, особенно легко ArNC ; при этом образуются $[\text{Rh} \{(\text{ArO})_3\text{P}\}_2\text{Cl}]$ и $[\text{Rh}(\text{ArNC})\text{Cl}]$. Р-ции образования и превращений комплексов типа A и малая устойчивость VIII автор объясняет наличием *транс*-влияния в комплексах Rh. Принято, что в р-рах комплексов типа A в C_6H_6 существует равновесие между *транс*- и *цис*-формами, с преобладанием первой.

И. Рысс

4098. Новые замещенные 2,2'-дипиридилы и образование ими комплексных катионов с $\text{Fe}(2+)$ и $\text{Cu}(1+)$. Шильт, Смит (New substituted 2,2'-dipyridines and their chelation as Fe (II) and Cu (I) complex cations. Schilt A. A., Smith G. Frederick), Analyt. chim. acta, 1957, 16, № 5, 401—405 (англ.; нем., франц.)

Исследованы внутрикомплексные соединения трех производных 2,2'-дипиридила (Dipy): 4,4'-дифенил-Dipy (I), 4,4'-диамино-Dipy (II) и 4,4',6,6'-тетраметил-Dipy (III) с $\text{Fe}(2+)$ и $\text{Cu}(1+)$. Комплекс I с $\text{Fe}(2+)$ образуется в водн. р-ре при pH 3,1—8,8; он нерастворим в воде, растворим в водн. спирте и в спирте и количественно экстрагируется изоамиловым спиртом; λ (макс.) (в мμ) равны 386 и 552, ϵ равны соответственно 21360 и 21280. Комплекс I с $\text{Cu}(1+)$ легко окисляется O_2 воздуха; в отсутствие O_2 λ (макс.) 463, ϵ 6800. Комплекс II с $\text{Fe}(2+)$ устойчив при pH 4—14; он растворим в водн. спирте и извлекается трехкратной экстракцией изоамиловым спиртом; в водно-спирт. р-ре комплекса λ (макс.) 379 и 569, ϵ 13640 и 8135; II восстанавливает $\text{Fe}(3+)$ до $\text{Fe}(2+)$. Комплекс II с $\text{Cu}(1+)$ недостаточно прочен и слабо окрашен. III не образует комплекса с $\text{Fe}(2+)$; для комплекса с $\text{Cu}(1+)$, λ (макс.) 450, ϵ 6800. 2,6-бис-(6-фенил-2-пиридил)-4-фенилпиридин (IV) не образует комплексов с $\text{Fe}(2+)$ и $\text{Co}(2+)$; IV образует малопрочный комплекс с $\text{Cu}(1+)$, λ (макс.) 423 и 567, ϵ 4520 и 3180. Составлены оптич. свойства комплексов I—IV и других производных ди- и трипиридила. И. Рысс

4099. Этиanolбигуанид как адденд в комплексных соединениях. Сенгупта, Рай (Ethanolbiguanide as a complexing ligand. Sengupta Nihar, Ray

Priyadarajan), Sci. and Culture, 1957, 22, № 9, 519 (англ.)

При кипячении с обратным холодильником водн. р-ра, содержащего 2 моля дициандиамида, 3 моля $\text{HOC}_2\text{H}_4\text{NH}_2$ и 1 моль CuSO_4 , образуется темно-синий осадок (I) и розово-фиолетовый р-р. Охлаждением р-ра выделены розово-фиолетовые кристаллы $[\text{Cu}(\text{R})_2]\text{SO}_4 \cdot 5\text{H}_2\text{O}$ (II), где $\text{R} = \text{HOCH}_2\text{CH}_2\text{NHC}(=\text{NH})\text{NHC}(=\text{NH})-\text{NH}_2$, т. пл. 148° , хорошо растворимые в воде, умеренно в спирте, очень мало в ацетоне. Комплекс I получается и при стоянии предварительно нагретого на водяной бане р-ра I и является диоловой солью $[(\text{R})\text{Cu}(\text{OH})_2]\text{Cu}(\text{R})\text{SO}_4$ (III); получены соли $[\text{Cu}(\text{R})_2]^{2+}$ с рядом других анионов, а также соответствующие диоловые соли. Из подкисленных р-ров I выделены $[\text{Cu}(\text{R})(\text{H}_2\text{O})_2]\text{X}_2$ (IV), где $\text{X} = \text{Cl}$ или $\frac{1}{2}\text{SO}_4$. Аналогичным получению II методом выделен $[\text{Ni}(\text{R})_2]\text{SO}_4 \cdot 5\text{H}_2\text{O}$, а также соли $[\text{Ni}(\text{R})_2]^{2+}$ с другими анионами. Аналогичные III и IV комплексы Ni получить не удалось. Получены гидроксоаquoкомплексы Cr с R. И. Рысс

4100. Синтез комплексных соединений с высоким молекулярным весом. Канда, Сайто (Synthesis of co-ordination compounds of high molecular weight. Kanda Seiichi, Saito Yoshihiko), Bull. Chem. Soc. Japan, 1957, 30, № 2, 192—193 (англ.)

1,6-диоксифеназин (I) образует устойчивые комплексы с $\text{Cu}(2+)$, $\text{Ag}(1+)$, $\text{Fe}(3+)$ и $\text{Hg}(2+)$; введением спирта р-ра I в водн. р-р CuSO_4 или CuCl_2 получен черный осадок эмпирич. состава $\text{CuC}_{12}\text{H}_6\text{O}_2\text{N}_2$. 2,5-диоксибензохинон образует комплексы типа $1:1$ с $\text{Cu}(2+)$ (эмпирич. состава $\text{CuC}_6\text{H}_2\text{O}_4$ (II)), $\text{Ni}(2+)$ и $\text{Cd}(2+)$; II образует устойчивые колл. р-ры, приобретающие двойное лучепреломление при их течении; колл. пленки, содержащие II, приобретают дихроизм при их растяжении. На основании свойств и электронномикроскопич. исследования комплексов авторы считают их координационными полимерами; II является линейным полимером. И. Рысс

4101. «Энтальпическое титрование» в применении к внутрикомплексным цитратам и тартратам. Джордан, Бен-Яир (Enthalpy titrations involving citrate and tartrate chelates. Jordan Joseph, Ben-Yair M. P.), Arkiv kemi, 1957, 11, № 3, 239—249 (англ.)

Термин «энтальпич. титрование» (ЭТ) предложен вместо ранее применявшихся терминов «термометрич.» или «термич.» титрование. При ЭТ р-ров солей металлов р-рами Na_2T и Na_3Cit (где T^{2-} — и Cit^{3-} — анионы винной или лимонной к-ты) обнаружены изломы кривых, соответствующие образованию $[\text{MCit}]^-$, где $\text{M} = \text{Cu}(2+)$, Zn или Cd , $[\text{MT}]$ и $[\text{ZnT}_2]^{2-}$. При ЭТ р-ром NaOH р-ры $[\text{MCit}]^-$ и $[\text{CdT}]$ ведут себя как одноосновные к-ты, $[\text{ZnT}_2]^{2-}$ — как одновременно отщепляющая 2 протона двухосновная к-та и $[\text{CuT}]$ — как ступенчато диссоциирующая двухосновная к-та. Даны схемы равновесий, существующих в р-рах, и вероятные структуры комплексов. ЭТ р-рами M^{2+} может быть применено для определения содержания T^{2-} или Cit^{3-} в р-рах. И. Рысс

4102. Определение зарядов некоторых неорганических комплексов тория методом ионного обмена. Шульц, Герак (The determination of the charge of some inorganic thorium complexes with the ion-exchange method. Schulz K. F., Herak M. J.), Croat. chem. acta, 1957, 29, № 1, 49—52 (англ.; рез. сербо-хорв.)

Изучены равновесия ионного обмена на ноните амберлит IR-120 между $\text{Th}(\text{NO}_3)_4$, меченным Th^{234} , и рядом других солей. Из зависимости коэф. распределения Th между р-ром и нонитом от конц-ий других содержащихся в р-ре катионов выведено, что в присутствии HCl , LiCl , NaCl , MgCl_2 и CaCl_2 образуется в основном ThCl_2^{2+} , в присутствии HNO_3 , LiNO_3 , NaNO_3 и

$\text{Ca}(\text{NO}_3)_2$ — в основном $\text{Th}(\text{NO}_3)_2^{2+}$, но в присутствии $\text{Mg}(\text{NO}_3)_2$ — ион Th, содержащий заряд $4+$. В присутствии сульфат-ионов преимущественно образуется $\text{Th}(\text{HSO}_4)_3^{3+}$. И. Рысс

4103. О «Химии координационных соединений» Бейлара. Цутида (Бейлара «配位化合物の化学」. 樋田龍太郎), 化学, Kagaku, Chemistry (Japan), 1957, 12, № 3, 24—27 (японск.)

Указано, что книга Мартелла и Кальвина «Химия внутрикомплексных соединений с металлами» менее полна, чем книга Бейлара «Химия координационных соединений» (1956, N. Y.). Даны пояснения к работам японских авторов, упомянутых в книге Бейлара. В. Ш.

4104. О восстановлении хлористой меди. — (關於「氯化亜銅的收回」の商榷), 化学世界, Хуасюэ шицзе, 1955, № 9, 448 (кит.)

4105. Реакции двухвалентной ртути с галогенидами в ледяной уксусной кислоте. Коллинг (Reaction of mercury (II) with halides in glacial acetic acid. Kolling Orland W.), J. Amer. Chem. Soc., 1957, 79, № 11, 2717—2719 (англ.)

Р-ции между $\text{Hg}(\text{CH}_3\text{COO})_2$ (I) и KX , где $\text{X} = \text{Cl}$, Br , I , в лед. CH_3COOH исследованы методами визуального (индикатор — малахитовая зелень) и потенциометрич. (цепь из стеклянного и каломельного электродов) титрования при 25° . Основными продуктами р-ций являются HgX_2 . Избыток KX частично образует ионные пары или комплексы состава $\text{K}_n\text{HgX}_{2+n}$. Кислотность реагентов, ведущих себя в лед. CH_3COOH , как слабые к-ты, возрастает в ряду $\text{I} < \text{KCl} < \text{KBr} < \text{KI}$. И. Рысс

4106. Восстановление плутония четырехвалентным ураном. Рюдберг (The reduction of plutonium by tetravalent uranium. Rydberg Jan), J. Inorg. and Nucl. Chem., 1957, 5, № 1, 79—86 (англ.)

Изучено восстановление с помощью $\text{U}(4+)$ плутония в смесях, образующихся при облучении UO_2 нейтронами и содержащих до 10^{-5} M U после растворения в HNO_3 . При конц-ии HNO_3 1 M и более $\text{U}(4+)$ восстанавливает $> 99\%$ всего Pu , присутствующего главным образом в виде $\text{Pu}(4+)$, до $\text{Pu}(3+)$ в течение 5 мин. $\text{U}(4+)$ является более эффективным восстановителем для $\text{Pu}(4+)$, чем $\text{NH}_2\text{OH} + \text{Fe}^{2+}$ или $\text{H}_4\text{NOOS}_2\text{NH}_2 + \text{Fe}^{2+}$. Кроме того, при восстановлении $\text{U}(4+)$ в систему не вводится посторонних ионов. В присутствии органич. р-рителя, эфира или метилизобутилкетона, $\text{Pu}(6+)$ и $\text{Pu}(4+)$ находятся почти целиком в органич. фазе, но при восстановлении переходят в виде $\text{Pu}(3+)$ в водн. р-р, $\text{U}(4+)$ и $\text{U}(6+)$ остаются в органич. фазе, что позволяет осуществить полное выделение Pu из облученного U . Восстановление $\text{Pu}(4+)$, находящегося в органич. фазе в виде комплекса с тиофенилтрифторацетоном, идет значительно медленнее, чем восстановление свободного $\text{Pu}(4+)$. И. Слоним

4107. Обмен атомами серы в полисульфидах. Кёрёш, Марош, Фехер, Шулек (The exchange of sulphur atoms in polysulphides. Kőrös E., Maros L., Fehér I., Schulek E.), J. Inorg. and Nucl. Chem., 1957, 4, N 3-4, 185—186 (англ.)

С помощью р-ций с S^{35} показано, что происходит полный обмен атомами S между полисульфидами и сульфидами при одновременном нахождении их в р-ре. Обнаружен также обмен между элементарной S и Na_2S в р-ре в толуоле. Не обнаружено обмена между сульфидами и роданидами, а также между роданидами и тиосульфатами. А. Ревзин

4108. Восстановление селенистой кислоты карбоновыми кислотами. Сривастава, Агарвал (Reduction of selenous acid with carboxylic acids. Srivastava T. N., Agarwal S. P.), J. prakt. Chem., 1957, 4, № 5-6, 319—323 (англ.; рез. нем.)

Восстановление H_2SeO_3 яблочной, лимонной, винной, малоновой, малеиновой, молочной и гликолевой к-тами

в присутствии HCl резко ускоряется, если к-ту предварительно обработать небольшим кол-вом KMnO_4 . Действие KMnO_4 объяснено образованием промежуточных продуктов окисления к-т, обладающих различной устойчивостью и быстро восстанавливающих H_2SeO_3 . Результаты аналогичны найденным при изучении восстановления AuCl_3 в аналогичных условиях (Mac Mahon, Srivastava, J. Indian Chem. Soc., 1943, 20, 307).

И. Рысс

4109. Растворение вольфрама в смесях плавиковой и азотной кислот. Роббинс (The dissolution of tungsten in mixtures of hydrofluoric and nitric acids. Robbins D.), Metallurgia, 1957, 55, № 331, 257—259 (англ.)

Скорость растворения W в смесях 69%-ной HNO_3 (I) и 55%-ной HF (II) максимальна при содержании ~ 40 об. % I и 60 об. % II; растворение W имеет автокаталитич. характер. W не растворяется в II, но введение NaNO_2 , NaNO_3 или NO_2 резко ускоряет р-цию. По мнению авторов, W окисляется действием NO_2 до окисла; пленка окисла нерастворима в HNO_3 и в HCl, но легко растворяется в HF.

И. Рысс

4110. О поведении рения по отношению к алюминию.

Дамс, Зауэрвальд (Über das Verhalten von Rhenium zu Aluminium. Dahms H., Sauerwald F.), Naturwissenschaften, 1957, 44, № 8, 260 (нем.)

Рентгенографически установлено образование смешанной фазы Al и Re в области 25 ат. % Re. Т. пл. 1500—1700°; кристаллы обладают большой твердостью.

В. Штерн

4111 К. Молекулы и кристаллы в неорганической химии. Изд. 2-е. Ван-Аркел (Molecules and crystals in inorganic chemistry. 2nd ed. Van Arkel A. E. New York, Interscience, 1957, 279 pp., ill., 4.75 doll.) (англ.)

4112 Д. Исследования в области химии металлических соединений. (Свойства Mg_2Pb , Mg_2Sn , Mg_2Sb_2 , Mg_2Bi_2 и пути их применения). Канкьян А. Г. Автореф. дисс. докт. хим. н., Ереванск. ун-т, Ереван, 1957

4113 Д. Получение и исследование некоторых соединений бериллия с азотом. Ракинцис (Darstellung und Untersuchung einiger Beryllium-Stickstoff-Ver-

bindungen. Rakintzis Mikolaus Th. Diss., Dokt. Naturwiss., Techn. Hochschule. Stuttgart, 1957 (нем.)

4114 Д. Равновесия реакций комплексообразования в системе йодат—серебро. Реньер (Iodato-silver complexing equilibria. Renier James J. Abstr. doct. diss., Iowa State Coll., 1955), Iowa State Coll. J. Sci., 1957, 31, N 3, 510—511 (англ.)

4115 Д. Образование комплексов хлорида таллия и их экстракция в эфире. Хоррокс (The formation of thallium chloride complexes and their extraction into ether. Horrocks Donald L. Abstr. doct. diss., Iowa State Coll., 1955), Iowa State Coll. J. Sci., 1957, 31, N 3, 444—445 (англ.)

4116 Д. Влияние окислительно-восстановительных потенциалов заместителей на реакции замещения во внутренней сфере комплексных галогенидов сурьмы. Адамкулов К. А. Автореф. дисс. канд. хим. н., Среднеаз. ун-т, Ташкент, 1957

4117 Д. Внутрикислечные соединения азокрасителей. Эллингбо (Chelate ring derivatives of azo dyes. Ellingboe John LaVerne.—Abstr. doct. diss., Iowa State Coll., 1956), Iowa State Coll. J. Sci., 1957, 31, N 3, 403—404 (англ.)

4118 Д. Пространственные влияния на константы образования комплексов металлов с β -дикетонами. Гутер (Steric effects on the formation constants of metal chelates of betadiketones. Guter Gerald A. Abstr. doct. diss., Iowa State Coll., 1955), Iowa State Coll. J. Sci., 1957, 31, N 3, 430 (англ.)

4119 Д. Исследование восстановления водородом некоторых молибдатов и реакций сероводорода с молибденовым ангидридом. Коллэй (Étude de la réduction par l'hydrogene de quelques molybdates et des réactions de l'hydrogene sulfure sur l'anhydride molybdique. Colleuille Yves. Thèse, ingr-doct., Fac. sci. Univ. Lyon, BOSC Frères, 1955 (франц.)

См. также: Элементы и простые в-ва 3780, 3789. Строение и св-ва молекул и кристаллов 3509, 3539, 3546—3549, 3551, 3613, 3616, 3620—3628, 3631—3633, 3637, 3651, 3762, 3768, 3778. Кинетика и механизм неорг. р-ций 3845. Комплексные соед. 3504, 3516—3518, 3552, 3566, 3601, 3641—3645, 3827, 3851, 3943, 3948. Синтез неорг. соед. 4671, 5195, 5210, 5248

КОСМОХИМИЯ. ГЕОХИМИЯ. ГИДРОХИМИЯ

Редакторы Г. Г. Воробьев, М. С. Яншина

4120. Космическая радиация и взаимосвязь Солнца и Земли. Симпсон (The cosmic radiation and solar-terrestrial relationships. Simpson J. A.), Ann. géophys., 1955, 11, № 3, 305—329 (англ.)

4121. Химические испытания и активность Солнца. Пиккарди, Беккер (Test chimico ed attività solare. Piccardi G., Becker U.), Geofis. e meteorol., 1956, 4, № 4-5, 103—104 (итал.)

С 1 III. 1951 г. во Флоренции непрерывно производятся хим. испытания и произведено 83 812 дифференциальных осадения BiOCl . Данные сопоставлены с активностью Солнца. Зависимость от активности Солнца получалась ясной и наглядной.

Н. Халатова

4122. Влияние земных, солнечных и космических явлений на физико-химические и биологические реакции. Пиккарди (L'influence des phénomènes terrestres, solaires et cosmiques sur les réactions physico-chimiques et biologiques. Piccardi G.), Ciel et terre, 1956, 72, № 5-6, 227—244 (франц.)

Результаты ежедневных опытов по гидролизу р-ров BiCl_3 в течение ~ 5 лет графически обработаны, и изменения р-ций сопоставлены с космич. явлениями.

В. Красничева

4123. Зависимость между осаждением оксихлорида висмута (неорганическая реакция Пиккарди) и солнечной деятельностью. Беккер (Ein Zusammenhang zwischen der Fällung von Wismutoxychlorid (anorganischer Test Piccardi) und der Sonnentätigkeit. Becker Udo), Arch. Meteorol., Geophys. und Bioklimatol., 1955, B6, № 4, 511—516 (нем.; рез. англ., франц.)

Доказывается, что скорость осаждения BiOCl находится в тесной связи с деятельностью солнечных пятен (коэф. корреляции ~ 0,9).

А. Гарибаяц

4124. Воздействие на воду электрического поля и излучения атмосферного и космического происхождения. Бут (Wirkungen elektrischer Felder und Strahlungen atmosphärischen und kosmischen Ursprungs

auf das Wasser. *Boute Carmen*, Arch. Meteorol., Geophys. und Bioklimatol., 1955, B7, № 1, 146—155 (нем.)

Применяя статистич. метод при изучении влияния внешних источников энергии на характер р-ций в воде, автор подтвердил, что течение процесса гидролиза с образованием BiOCl зависит от того, в какой степени защищен сосуд, в котором происходит р-ция, от воздействия космич. и атмосферных лучей. С. Когон

4125. Измерение содержания Li^6 , He^3 и H^3 в метеоритах и их отношение к космической радиации. Файрман, Шварцер (*Measurement of Li^6 , He^3 and H^3 in meteorites and its relation to cosmic radiation. Fireman E. L., Schwarzer D.*), *Geochim. et cosmochim. acta*, 1957, 11, № 4, 252—262 (англ.)

С помощью активации нейтронами было измерено содержание He^3 и Li^6 в 6 железных (ЖМ) и 5 каменных метеоритах (КМ). Те и другие содержат большие кол-ва He^3 ($0,13-9 \cdot 10^{-6}$ см³/г. В КМ содержание Li^6 колеблется от $1,1 \cdot 10^{16}$ до $6,2 \cdot 10^{16}$ атом/г, а в ЖМ — $< 10^{14}$ атом/г. В ЖМ и КМ содержание He^3 обусловлено расщеплением ядер, вызываемым скорее космич. лучами большой энергии, чем медленными нейтронами. Измерялось содержание трития в ЖМ Norfolk, Para de Minas и Chacaras. Оказалось, что в момент падения в 1-ом содержалось $(2,7 \pm 0,3) \cdot 10^6$, во 2-ом $(5,9 \pm 1,2) \cdot 10^5$ и в 3-м $< 1,2 \cdot 10^4$ атом/г. трития. По содержанию трития и He^3 , найденных в Norfolk, вычислен его возраст, равный $\geq 0,9 \cdot 10^9$ лет; возраст остальных двух ЖМ составляет $\geq 1,7 \cdot 10^9$ лет.

А. Искандерова

4126. Содержание германия в хондритах. Точность и тщательность анализа, необходимые для его обнаружения. Ониси (コンドライトのゲルマニウム含量、痕跡分析の Accuracy と Precision. 大西寛), 科學, Karaku, 1956, 26, № 6, 306—307 (японск.)

Определено содержание Ge в двух смесях хондритов, каждая из которых состояла из 7 проб. Из размельченного материала отделяли путем обработки крепкой азотной и серной к-тами сульфидную и металлич. части. Из остатка выделяли силикаты путем обработки фтористоводородной к-той. Остаток растворяли в крепкой соляной к-те, после чего экстрагировали четыреххлористым углеродом и измеряли экстинкцию комплексной соли германий-фенилфлуорона. Среднее содержание Ge равно $10,8 \cdot 10^{-4}\%$, что на 7% больше величины, полученной Эль-Вардани (РЖХим, 1957, 60353), $10,0 \cdot 10^{-4}\%$. Эль-Вардани обрабатывал материал только фтористоводородной к-той, остаток фторида расплавлял с пиросульфатом калия и после разделения перегонкой Ge и HCl проводил колориметрич. определение с помощью фенилфлуорона. Расхождение данных автора и Эль-Вардани вызвано различием методов приготовления нормального р-ра германия и индикатора, а также различным выходом Ge. Данные Ониси и Эль-Вардани значительно ниже данных И. и В. Нодда о среднем содержании Ge в хондритах — $31 \cdot 10^{-4}\%$ и Гольдшмидта — $55 \cdot 10^{-4}\%$ в метеоритах. Вычислено космич. атомное отношение $\text{Ge/Si} = 2,3 \cdot 10^{-5}$, среднее содержание Si в хондритах 18% взято по Юри и Крейгу (РЖХим, 1955, 21023). Л. Левин

4127. О ядрах морской соли в атмосфере. Исоно (*On sea-salt nuclei in the atmosphere. Isono K.*), *Geofis. pura e appl.*, 1957, 36, № 1, 156—164 (англ.)

Капли облаков, собранные на высоте 1500 м над уровнем моря, изучены с помощью электронного микроскопа. Установлено, что $\sim 30\%$ ядер капель с радиусом $> 5 \mu$ состоит в основном из NaCl. Масса ядер составляет $\sim 10^{-12} - 10^{-13}$ г. Частицы соли были обнаружены также в кристаллах снега. По-видимому,

они являются центрами конденсации тех капель, радиус которых превосходит 5μ . Л. Афанасьева

4128. Методы геохимических исследований за рубежом. Щербина В. В., Зап. Всес. минералог. о-ва, 1957, 86, № 2, 294—300

Обзор. Библ. 23 назв.

Т. Ионас

4129. Отчет о некоторых важнейших итогах XX Международного Геологического Конгресса. Садецкий-Кардоши (*Beszámoló a XX. Nemzetközi Geológiai Kongresszus néhány fontosabb tudományos eredményéről. Szádeczky-Kardoss Elemér*), *Földt. közlöny*, 1957, 87, № 1, 102—113 (венг.)

4130. Об изотопических исследованиях для хронологии мира. Панет (*Beiträge der Isotopenforschung zur Chronologie der Welt. Paneth F. A.*), *Svensk kem. tidskr.*, 1957, 69, № 5, 257—279 (нем.)

Обзор метода определения абс. возраста.

В. Любимов

4131. Методика составления металлогенических карт. Дворцова К. И., Горецкая Е. Н., Материалы Всес. н.-и. геол. ин-та, 1957, вып. 22, 129—149

4132. Сопоставление о типах металлогенических карт. Радкевич Е. А., Изв. АН СССР. Сер. геол., 1957, № 5, 130—135

4133. Рудные комплексы и типы эндогенных месторождений подвижных зон и их распределение в ходе геологического развития этих зон. Лабазин Г. С., Материалы Всес. н.-и. геол. ин-та, 1957, вып. 22, 65—110

4134. Общие принципы регионального металлогенического анализа. Семенов А. И., Серпухов В. И., Материалы Всес. н.-и. геол. ин-та, 1957, вып. 22, 5—20

4135. Генетические типы месторождений редких элементов. Гинзбург А. И., Разведка и охрана недр, 1957, № 6, 1—12

Рассмотрены следующие типы месторождений:

I. Магматич. и метасоматические, генетически связанные с чел. породами: 1) магматич.; 2) позднемагматич.; 3) метасоматич. карбонатитовые. II. Магматические, связанные с основными магмами. III. Пегматитовые, связанные с гранитами: 1) урано-редкоземельные; 2) берилло-мусковитовые; 3) тантало-бериллиевые; 4) литиевые; 5) сподуменовые. IV. Пегматитовые, связанные с сиенитами: 1) пироксоло-цирконовые; 2) пироксоло-ильменитовые. V. Пневматолито-гидротермальные: 1) в алломосиликатной среде; 2) в карбонатной среде. VI. Гидротермальные: 1) кварц-касситеритовые и кварц-вольфрамитовые; 2) кварц-молибденитовые; 3) золото-кварцево-турмалиновые и золото-кварцевые; 4) медно-колчеданные и колчеданно-полиметаллические; 5) медно-молибденовые; 6) полиметаллич. (галенито-сфалерито-кварцево-карбонатные); 7) тетраэдрит-борнит-халькопиритовые; 8) полиметаллич. с широким развитием сульфантимонидов свинца; 9) редкоземельные (гематит-паризитовые, сидерит-паризитовые, галенит-паризитовые); 10) золото-теллурические; 11) киноварь-антимонитовые, реальгар-аурипигментовые и марказитовые. VII. Осадочные: 1) обломочные — цирконо-ильменитовые и цирконо-ильменито-рутиловые, ксенотимо-монацитовые, танталито-касситеритовые; 2) соляные — существенно натриевые, существенно калиевые; 3) железные, марганцовые и алюминиевые; 4) ураново-ванадиевые; 5) биохимические; 6) угольные.

Г. Воробьев

4136. Электропроводность мерзлых горных пород и зависимость ее от процессов миграции и фазовых превращений воды. Апанян А. А., Тр. совещания по ниж.-геол. свойствам горн. пород и методам их изучения. М., 1957, 117—122

4137. Величины радиоактивности пород и минералов. Айтхал (Radioactive contents of rocks and minerals. Aithal V. Seetharam), J. Indian Inst. Sci., 1956, 38, № 3, A15-A162 (англ.)

Исследована α-активность 24 образцов минералов из различных мест-ний Индии. Эквивалентное содержание урана составляет (в %): урановая смоляная руда 55,93, самарскит 6,42—1,87, монацит 3,70—1,12, колумбит 3,08, магнетит 0,65—0,015, ортит 0,62—0,03, циркон 0,42—0,09, апатит 0,25—0,06, колумбит-танталит, 0,06, ильменит 0,02. См. также РЖХим, 1956, 51129; 1957, 47727.

4138. Новые минералы. В. Бонштедт-Куплетская Э. М., Зап. Всес. минералог. о-ва, 1957, 86, № 3, 375—381

Новые минералы; изостаннин (изостаннит), циркополит, урановый минерал А (окисел или уранат с Pb, K, Na, Ca и Ba), урановый минерал В (кальциевый аналог казолита?), урановый минерал С (с Th, Pb, Ca и Ba), кеттнерит, алюмоферрошарит, преображенскит, хейдорнит, арсенат-беловит, фосфат-беловит, коффинит (дополнения), болтудит, виокалит, серпентиниталк, ледикит. Номенклатура минералов группы серпентина: хризотил (ортохризотил, клинохризотил, парохризотил); лизардит, антигорит. Номенклатура минералов глины: группа монтмориллонита — смектиты, группа каолинита — кандиты. Сообщение IV см. РЖХим, 1957, 68631.

4139. Козсит, новая, устойчивая при высоких давлениях модификация кремнезема и связанные с ней вопросы. Хитаров Н. И., Геохимия, 1957, № 3, 265—266

Обзор. Библ. 5 назв.

4140. Тождество нозерита и флюоборита. Бризз, Эйтель (Identity of nocerite and fluoborite. Brizzi Cesare, Eitel Wilhelm), Amer. Mineralogist, 1957, 42, № 3-4, 288—293 (англ.)

См. РЖХим, 1957, 33671.

4141. Материалы по изучению люминесценции минералов. В. Свободные атомы элементов и интерметаллические соединения. Барсанов Г. П., Шевелева В. А., Тр. Минералог. музея. АН СССР, 1957, вып. 8, 17—24

Изучен характер люминесценции алмазов в УФ- и катодных лучах, по данным просмотра 159 образцов. 267 образцов 24 других минералов из класса самородных элементов и интерметаллич. соединений свечения не обнаружили. Сообщение IV см. РЖХим, 1956, 38828.

4142. Несколько замечаний о явлениях химического изменения минералов. Григорьев Д. П., Зап. Узбекист. отд. Всес. минералог. о-ва, 1955, вып. 8, 85—104

Рассмотрены образование псевдоморфоз замещения и замещение минералов с переотложением. Определены возможные пути поступления и удаления в-ва, механизм хим. р-ций, возможность избирательного характера замещения, объемные соотношения при явлениях изменения. Библ. 36 назв.

4143. Определение содержания воды в минерале с помощью инфракрасных лучей. Карюкина В. Н., В сб.: Соврем. методы минералог. исследования горн. пород руд и минералов. М., Гостеолтехиздат, 1957, 230—240

4144. Обобщенные представления о генезисе отложений самородной меди. Корнуолл (A summary of ideas on the origin of native copper deposits. Cornwall Henry R.), Econ. Geol., 1956, 51, № 7, 615—631 (англ.)

Рассмотрены условия образования самородной меди в базальтовых лавах, гипабиссальных мафических интрузивах, ультрамафических интрузивах, кластич.

осадочных породах, окисленных рудах и современных болотах.

4145. Обнаружение некоторых соединений урана в горных выработках методом люминесцентного анализа. Чаплыгин М. И., Разведка и охрана недр, 1957, № 7, 54—59

4146. Интрузивные комплексы. Морозенко Н. К., Грушевой В. Г., Материалы Всес. н.-и. геол. ин-та, 1957, вып. 22, 32—64

4147. Дискуссия по статье: Кузнецов Ю. А. «Железородушение и генетические типы интрузий». Ответ автора на замечания В. Г. Кореля. Кузнецов Ю. А. Изв. АН СССР, Сер. геол., 1957, № 7, 119—122

4148. Современные петрологические теории и гипотезы в области образования магматических пород. Соболев В. С., Зап. Всес. минералог. о-ва, 1957, 86, № 2, 301—310

Обзор. Библ. 46 назв.

4149. Проблема образования гранита. Половинкина Ю. Ир., Материалы Всес. н.-и. геол. ин-та, 1957, вып. 21, 123—152

Обзор. Библ. 304 назв.

4150. Об определении глубины кристаллизации изверженных пород и магматических рудных отложений. Садецкий-Кардош (On the determination of the depth of crystallization of igneous rocks and magmatic ore deposits. Szádeczky-Kardoss E.), Acta geol. Acad. Sci. hung., 1957, 4, № 3-4, 341—360 (англ.; рез. русск.)

4151. К характеристике некоторых докембрийских гранитов Северной Карелии (интрузивный комплекс Нуорунен). Билибина Т. В., Дашкова А. Д., Материалы Всес. н.-и. геол. ин-та, 1957, вып. 21, 39—47

Проведено микроскопич. изучение шлифов и искусств. протолок и выполнено 2 хим. анализа.

Г. Воробьев

4152. Авгитовый гранит из гранодиоритового массива Боранья (Западная Сербия). Карамата (Augit-Granite im Granodioritmässig der Boranja (West-Serbien). Karamata Stevan), Schweiz. mineral. und petrogr. Mitt., 1957, 37, № 1, 51—63 (нем.)

Исследованы узкие полосы авгитового гранита в третичном массиве гранодиоритов и монцититов в связи с процессом контактного метаморфизма (образование скарнов и мраморов). При переходе роговообманково-кварцевого монцитита в авгитовый гранит роговая обманка (20,0%) и биотит (4,0%) полностью замещаются авгитом (19,0%); кол-во ортоклаза увеличивается от 30,0 до 48,0%; кол-во андезина уменьшается от 30,5 до 24,0%, кварца от 14,5 до 8,0%. Хим. состав обейх пород соответственно (в %): SiO₂ 62,01; 61,52; TiO₂ 0,36; 0,39; Al₂O₃ 16,21; 17,56; Fe₂O₃ 2,21; 0,61; FeO 2,68; 1,55; MnO 0,11; 0,08 MgO 3,67; 2,25; CaO 4,68; 6,32; Na₂O 3,31; 2,86; K₂O 4,63; 6,37; P₂O₅ 0,21; 0,20; H₂O^{+110°} 0,29; 0,24; H₂O^{-110°} 0,05; 0,21; сумма 100,42; 100,16. Намечается следующий миграционный ряд хим. элементов: Fe, Mn, Mg > Na, (P) > Si > Al, (Ti); Ca и K инертны.

Г. Воробьев

4153. Ритмично-полосчатые кварцевые порфиры горы Бугдан (юго-восточное Забайкалье). Кормилицин В. С., Мануйлова М. М., Зап. Всес. минералог. о-ва, 1957, 86, № 3, 355—364

Описана петрография кварцевых порфиров, приуроченных в составе серии малых интрузий к крупной тектонич. зоне. Последняя пересекает варисские порфировидные граниты и метаморфизованные отложения палеозоя и юры. Приведено 4 хим. анализа кварцевых порфиров. Образование полосчатости объясняется воздействием легкоподвижных, обогащенных SiO₂ р-ров,

которые обособлялись по ослабленным поверхностям течения магмы.

Г. Воробьев
4154. Триасовые диабазы западного склона Западного Верхоянья. Вихерт А. В., Докл. АН СССР, 1957, 114, № 1, 169—171

Описаны диабазовые тела в толще триаса, представленной чередующимися аргиллитами и песчаниками. Выделяются три типа диабазов: 1) с мелкозернистой гналофитовой и пойкилофитовой структурой, 2) порфириты с мелкозернистой интерсерпентальной и сидеронитовой структурой и миндалекаменной текстурой и 3) порфириты с мелкозернистой интерсерпентальной и долеритовой структурой. Приведен хим. состав нормального диабаза и среднего из 4 анализов миндалекаменных диабазовых порфиритов.

Г. Воробьев
4155. Основные и ультраосновные породы северной части Першанских гор. Димитреску (Asupra unor roci eruptive bazice și ultrabazice din nordul munților Perșani. Dimitrescu R.), Comun. Acad. RPR, 1957, 7, № 2, 243—248 (рум.; рез. русск., франц.)

Кратко описаны серпентиниты, габбровидные породы и диабазы в составе верхнемезозойских отложений. Приведено 3 неполных хим. анализа серпентинитов.

Г. Воробьев
4156. О генезисе щелочных пород интрузии Ирису (Таласский Алатау). Молчанова Т. В., Изв. АН СССР. Сер. геол., 1957, № 7, 87—97

Щелочные породы интрузии Ирису, представленные широкситами с нефелином, шонкинитами и нефелиновыми сиенитами, ранее рассматривались как продукты дифференциации магмы. Полученный автором материал позволил сделать выводы, что некоторые разновидности этих пород образовались в результате процессов метасоматоза, другие имеют гибридное происхождение и лишь незначительной части пород интрузии свойственна собственно магматич. природа. Процессам метасоматоза подвергались карбонатные породы, при ассимиляции которых магма претерпевала значительную десиликацию.

Резюме автора
4157. О наличии щелочных горных пород в северной части Першанских гор. Димитреску (Asupra prezentei rocilor alcaline în partea nordică a Munților Perșani. Dimitrescu R.), Comun. Acad. RPR, 1957, 7, № 1, 113—116 (рум.; рез. русск., франц.)

По данным микроскопич. и хим. анализов исследованные породы являются трахитами и бостонитовыми порфиритами с фенокристаллами санидина.

Т. Ионас
4158. Щелочные трахиты на северо-западном Кавказе. Афанасьев Г. Д., Борсук А. М., Изв. АН СССР, сер. геол., 1957, № 3, 83—87

Кратко описаны трахиты, относящиеся к кайнозойскому вулканизму. Определен минералогич. состав и произведен частичный хим. анализ.

Г. Воробьев
4159. О контактовых явлениях в диабазовых ксенолитах. Фишман М. В., Тр. Коми фил. АН СССР, 1957, № 5, 67—76

Описано сложное взаимоотношение метаморфизованных диабазов (кембрий) и прорывающих их гранитов по р. Торговой в Приполярном Урале. Минералогич. состав нормального диабаза: плагиоклаз № 45—48, роговая обманка, хлорит, сфен, гранат, апатит, рудный минерал (вторичные процессы — соссуритизация, хлоритизация). Состав диабаза из ксенолита: плагиоклаз № 40—42, роговая обманка, биотит, хлорит, кварц, альбит, сфен, апатит, гранат, циркон, рудный минерал (вторичные процессы — каолинизация, биотитизация, окварцевание, хлоритизация, альбитизация). Последовательность процесса приконтактовых преобразований: моноклинный пироксен → роговая обманка → биотит (с одновременным образованием циркона); роговая обманка → биотит → хлорит (с одновременным образова-

нием рутила). В ходе биотитизации амфиболов высвобождаются Са и Ti, которые в случае взаимодействия могут образовывать сфен. При деаортотизации плагиоклаза Са может перейти в апатит. Автор обращает внимание на образование в процессе метасоматоза идиоморфных акцессорных минералов, по которым, таким образом, не может быть определено относительное время их образования.

Г. Воробьев
4160. Полевые шпаты порфиров Зырянского района Рудного Алтая. Ким В. А., Изв. АН КазССР. Сер. геол., 1957, вып. 2, 42—59 (рез. каз.)

Произведено микроскопич. и хим. изучение (хим. анализы не приводятся) альбита, микроклина, ортоклаза, анортклаза и адуляра из пластообразных порфиров, залегающих в палеозойских осадочных и туфогенных отложениях. Все полевые шпаты имеют вторичное происхождение (поствулканич. метасоматоз, гидротермальный метаморфизм и пр.). Изучены взаимные переходы и изменение кристаллооптич. свойств в связи с изменением хим. состава (изоморфизм).

Г. Воробьев
4161. О типах карбонатитовых месторождений и их связи с массивами ультраосновных — щелочных пород. Бородин Л. С., Изв. АН СССР. Сер. геол., 1957, № 5, 3—16

Для карбонатитовых месторождений можно наметить единый ряд, в котором выделяются 2 крайних типа: 1) столбообразные тела карбонатитов («ядра», plug), приуроченные к генетически чуждым породам — гранито-гнейсам, гранитам и т. п., и 2) карбонатитовые тела или зоны, пространственно связанные с массивами ультраосновных — щел. пород. Автор приходит к выводу, что образование карбонатитовых месторождений тесно сопряжено с процессами метасоматич. изменения ультраосновных пород (пироксенитов и др.). Важнейшую роль при этом играет процесс нефелинизации пироксенита.

Резюме автора
4162. Петрография и возрастные взаимоотношения некоторых дайковых пород восточной Волыни. Лебединский В. И., Научн. зап. Днепротр. ун-та, 1956, 53, 109—120

На основе микроскопич. изучения в составе дайковых пород выделены разновидности: 1) гранит-порфиры и фельзиты и 2) порфириты. Вмещающие породы — гнейсо-магматитовый комплекс, интрузивный и магматизированный породами Житомирско-Коростышевского интрузивного комплекса. Приведены хим. анализы названных и близких к ним пород, частично по литературным данным. Кратко воспроизводится хим. обстановка образования даек.

Г. Воробьев
4163. К геохимии урана и тория. Распределение радиоактивных элементов в изверженных породах Северной Киргизии. Туровский С. Д., Геохимия, 1957, № 2, 166—176 (рез. англ.)

В 340 пробах из интрузивных комплексов различных тектоно-магматич. эпох и разновозрастных магматич. фаз одной эпохи определено содержание Th, U, Ra и отношение Th:U. Полученные средние значения (в %) соответственно: варисская эпоха $6,6 \cdot 10^{-3}$; $0,9 \cdot 10^{-3}$; $3,06 \cdot 10^{-10}$; 7,3; каледонская эпоха $1,34 \cdot 10^{-3}$; $0,31 \cdot 10^{-3}$; $1,05 \cdot 10^{-10}$; 4,3; допалеозойские эпохи $2,8 \cdot 10^{-3}$; $0,16 \cdot 10^{-3}$; $0,54 \cdot 10^{-10}$; 17,5. Породы варисской эпохи по сравнению с породами других эпох характеризуются повышенным содержанием Th и U (при $Th \geq U$). Различие в содержании этих элементов может быть использовано для возрастной корреляции интрузивных образований. Колич. распределение и соотношение U и Th позволяет предположить наличие в каждой эпохе самостоятельного источника протоматмы со специфич. геохим. особенностями. Максимум накопления U и Th происходит в конечных петрохимически кислых, ультракислых и щел. дифференци-

тах. Однако U в них накапливается в относительно больших кол-вах, чем Th, в связи с большей подвижностью его соединений. Т. Ионас

4164. Некоторые аномальные отношения K:Rb в изверженных породах и их петрологическое значение. Тейлор, Эмелеус, Эксли (Some anomalous K/Rb ratios in igneous rocks and their petrological significance. Taylor S. R., Emeleus C. H., Exley C. S.), *Geochim. et cosmochim. acta*, 1956, 10, № 4, 224—229 (англ.)

Исследовано 58 образцов. Величины K (в %), Rb (в 10^{-4} %) и K:Rb соответственно равны: Новой Зеландии — габбро и базальты 0,26—1,44, 9—56, 244—375, андезиты 1,31—2,65, 39—153, 173—377, трахиты (I) 3,06—4,59, 125—205, 186—312, сиенит 2,90, 105, 276, риолит (II) 3,08—3,89, 345—365, 84—110, неизменные граниты Корнуэлла (III) 3,84—5,00, 345—800, 78—111, гранодиориты, фельзиты и граптофиты Ирландии (IV) 2,15—4,97, 115—240, 176—283, неизменные граниты (V) 4,03—4,10, 285—380, 106—144. Содержание Ba, Sr и Zr (в 10^{-4} %) в II, III, V и в 42 образцах гранитов Северной Америки (VI), исследованных Аренсом (частное сообщение), равно: Ba II < 10, III 105, V 230, VI 1300; Sr II < 10, III 60, V 45, VI 180; Zr II 115, III 47, V 340, VI 170. Величина отношения K:Rb в I и IV согласуются с величинами, полученными Аренсом для большого числа образцов изверженных пород и метеоритов (Ahrrens L. H. и др., *Geochim. et Cosmochim. Acta*, 1952, 2, 229—242). Сравнительно малая величина отношения K:Rb в II, III и V, величины содержания Ba, Sr и Zr приводит к выводу, что эти породы кристаллизовались из магмы, прошедшей более быстро фазу дифференциации. Р. Хмельницкий

4165. Изменение состава и физических свойств турмалинов в зависимости от их положения в пегматите. Стац, Мурата, Гласе (Variation of composition and physical properties of tourmaline with its position in the pegmatite. Staatz M. H., Murata K. J., Glass Jewell J.), *Amer. Mineralogist*, 1955, 40, № 9-10, 789—804 (англ.)

По данным полуколич. спектральных анализов 10 образцов в турмалине из пегматитов Кварц-Крик содержание K, Rb, Cs, Pb, Be, Li возрастает по направлению к центральной части пегматитового тела, а Fe, Mg, Ti, Na, Co, Ni, Cr, V — падает. Стабильные элементы: Ga, Ir, Se, Zr, Nb, Sn, Cu, Bi, Zn. Концентрация Mn и La максимальна на участках между ядром и краевой зоной пегматита. Т. Ионас

4166. Новая находка минерала из группы чильдренита эосфорита в пегматитах Восточного Забайкалья. Корнетова В. А., *Тр. Минералог. музея. АН СССР*, 1957, вып. 8, 154—159

В пегматитовых телах грубообразной и сигарообразной формы, залегающих в слюдястых сланцах, встречен редкий минерал — средний член изоморфного ряда чильдренит — эосфорит. Он приурочен к пустоткам во внутренних частях сильно альбитизированного пегматита, где ассоциирует с кварцем, альбитом и апатитом. Размер кристаллов до 12 мм длины и 0,5 мм в поперечнике. Хим. состав (в %): CaO 0,80, MgO 0,54, FeO 15,70, MnO 14,74, Al₂O₃ 17,33, Fe₂O₃ 1,79, P₂O₅ 31,22, H₂O+ 15,28, неуст. остаток (SiO₂) 1,60, сумма 99,56. Спектральным анализом дополнительно открыты: Sr и Be — слабые линии, Sn — очень слабые, Ti — ничтожные следы; ф-ла: (Fe²⁺, Mg, Mn, Ca)_{1,00}(Al, Fe³⁺)_{0,82}PO₄(OH)_{1,46} · 1/18 H₂O. Сверху кристаллы покрыты тонкокристаллич. светлой корочкой состава: Al и Si — выше средних линий, Ca, Mn и Fe — средние линии, Be и Sr — слабые линии, P — очень слабые, Ti — ничтожные следы. Парагенетич. ассоциация эосфорита указывает на его выделение в гидротермальную стадию пегматитового процесса. Образование розовых го-

ловов кристаллов связано с переходом железистых разностей в марганцевые. Г. Воробьев

4167. Шведские пирофиллитовые отложения и оптические свойства пирофиллита. Хенриксес (Swedish pyrophyllite deposits and the optical properties of pyrophyllite. Henriques Ake), *Arkiv mineralogi och geol.*, 1957, 2, № 3, 279—282 (англ.)

Краткое сообщение о новых определениях оптич. свойств и хим. состава пирофиллита из докембрийских квантитов кварцитов. Результаты хим. анализа (в %): SiO₂ 64,88, TiO₂ 0,02, Al₂O₃ 28,64, FeO 0,48, MnO 0,02, CaO 0,03, MgO 0,08, Na₂O 0,03, K₂O 0,04, H₂O — 0,09, H₂O+ 5, 47, сумма 99,78. Г. Воробьев

4168. Случай вторичного обогащения железистых кварцитов на Оленегорском месторождении. Белец Я. Н., Теплицкая Н. В., *Докл. АН СССР*, 1957, 113, № 2, 411—413

Вторичное обогащение железистых кварцитов (увеличение кол-ва рудных минералов, пироксена и амфиболов, заменяющих кварц в рудных и безрудных прослоях) относится к периоду общего метаморфизма осадков. Минералогич. состав руды (в %): амфибол и пироксен 18, гематит 12, магнетит 59, кварц 8. Хим. состав первых четырех соответственно (в %): SiO₂ 51,78; 55,29; 0,46; 0,40; TiO₂ 0,10; 0,09; 0,02; сл.; Al₂O₃ 0,07; 4,45; 0,20; 0,08; Fe₂O₃ 10,92; 8,86; 97,20; 69,99; FeO 6,80; 3,23; 0,14; 29,00; MnO 0,13; 0,08; не обн.; 0,10; MgO 19,95; 9,86; 0,25; 0,32; CaO 8,92; 13,40; 0,07; 0,14; Na₂O + K₂O 0,02; 4,26 + 0,16; 0,36; 0,06; P₂O₅ 0,17; 0,17; 0,11; 0,11; H₂O 0,00; 0,16; 0,00; 0,00; п. п. п. 1,20; 4,47; 1,26; 0,14; сумма 100,06; 100,48; 100,07; 100,34. Среднее содержание Fe 33%. Т. Ионас

4169. Метасоматическая эволюция гранито-гнейса из Вондроте — Вельке (Нижние Судеты). Козловская (Metasomatic evolution of the granite-gneiss of Wądroże Wielkie (Lower Silesia). Kozłowska M.), *Bull. Acad. polon. sci.*, 1957, Cl. 3, 5, № 5, 554—554 (англ.; рез. русск.)

По новым петрографич. данным, названные гнейсы образовались не из гранита, а путем многофазной метасоматич. гранитизации слюдяных парасланцев.

Г. Воробьев
4170. Проблемы происхождения гранита из Кудовы. Борковская (Problems of the genesis of granite from Kudowa. Borkowska M.), *Bull. Acad. polon. sci.*, 1957, Cl. 3, 5, № 5, 555—559 (англ.; рез. русск.)

По данным микроскопич. изучения кудовского гранита в Средних Судетах и его контактов с роговообманковыми и слюдяными сланцами, сделан вывод о метасоматич. происхождении этой породы. Г. Воробьев

4171. Метаморфическое происхождение гранита из Яворника (Нижняя Силезия). Бурхарт (The metamorphic origin of the granite of mount Jawornik (Lower Silesia). Burchart J.), *Bull. Acad. polon. sci.*, 1957, Cl. 3, 5, № 5, 555—559 (англ.; рез. русск.)

На основе петрографич. изучения гранита и вмещающих сланцевых пород установлено, что гранит образовался путем многоэтапного метасоматич. преобразования милонитов. Г. Воробьев

4172. О так называемом пержанском граните Украины. Половинкина Ю. Ир., *Материалы Всес. н.-и. геол. ин-та*, 1957, вып. 21, 56—65

По данным геологич. и петрографич. исследования с применением микроскопич., хим. и термич. методов, породы р-на Перги (Ровенская обл.) не являются гранитами, как считали ранее. В действительности это кварц-микропертитовые метасоматич. образования, возникшие путем замещения микроклин-пертитом и кварцем различных пород — мигматита, гранита, гнейса и пегматита. Приведены хим. анализы названных пород. Г. Воробьев

4173. Апофиллит из ущелья Гакмана в Хибинах. Барабанов В. Ф. Докл. АН СССР, 1957, 114, № 14, 876—879

В эгирино-роговообманковых нефелиновых сиенитах прослеживается серия маломощных апофиллитово-натролитовых жил. Кроме этих двух минералов, в жилах присутствуют: эгирин, лампрофиллит и в меньшем количестве арфведсонит, микроклин, апатит, эвколит, флюорит, кальцит, опал и катаплектит. Генезис жил конкреционно-метасоматический; они возникли в результате глубокого изменения вмещающих пород под действием постмагматич. р-ров. При этом часть минералов перераспределась (апатит, эвколит, эгирин, арфведсонит, микроклин), иногда с незначительным изменением состава (эвдиалит → эвколит). Другие минералы подверглись существенному хим. изменению: за счет нефелина образовались последовательно содалит, канкринит и натролит; последний замещался микроклином. Образование апофиллита связано с изменением ринколито-лещковрита при участии углекислых гидротермальных р-ров. Апофиллит представлен двумя разновидностями: желто-зеленой и белой. Хим. состав первой (в %): SiO_2 52,86, TiO_2 0,15, Al_2O_3 0,76, Fe_2O_3 0,19, CaO 24,59, MgO 0,11, MnO 0,04, Na_2O 0,15, K_2O 4,89, F_2 1,77, $\text{H}_2\text{O} + 12,12$, H_2O — 0,27, сумма (с поправкой на F и H_2O) 96,89. В белой разновидности определено 1,92% F; кроме того спектральный анализ открыл: средние линии Sr и следы Be, Ga, Y, Ba. Произведено подробное кристаллографич. изучение обеих разновидностей. В процессе выветривания апофиллит покрывается белой землистой корочкой, состоящей из смеси опала и кальцита.

Г. Воробьев

4174. О боровой минерализации Верхне-Учуженского месторождения в Горной Шории. Кларовский В. М., Изв. вост. фил. АН СССР, 1957, № 1, 40—43

В составе контактово-метасоматич. скариновых железных руд описана борная минерализация, представленная апатитом, люденитом и аксинитом. В тесной ассоциации с ними находится магнетит, образующий совместные псевдоморфозы по карбонатам (доломит, анкерит и сидерит). Приведены 7 полных хим. анализов боратовых руд (содержание B_2O_3 колеблется от 0,75 до 2,93%) и рентгенограмма апатита. Предполагается, что все районы прорыва кембрийских доломитовых известняков и доломитов Тельбесским плутоном являются перспективными в отношении бора.

Г. Воробьев

4175. Схема генетической классификации гидротермальных месторождений. Миловский А. В., Вестн. Моск. ун-та. Сер. биол., почвовед., геол., геогр., 1957, № 1, 191—197

Выделяются следующие типы руд: I. Высокотемпературные (500—350°) — 1) золото-кварцевые и золото-мышьяковые; 2) кварцево-касситеритовые (с W); 3) кварцево-вольфрамитовые; 4) кварцево-молибденовые; 5) глаукодо-кобальтиновые; 6) свинцово-цинковые; 7) графитовые; 8) магнетитовые; 9) медно-(золото)-турмалиновые и медно-оловянные; 10) олововольфрамово-висмут-мышьяковые. II. Среднетемпературные (350—200°) — 11) кобальт-медно-урановые; 12) золото-сульфидные; 13) полиметаллич. и медные (жильные); 14) марганцовые карбонатно-окисные и силикатно-окисные; 15) сидеритовые; 16) асбестовые, тальковые и магнезитовые; 17) баритовые и флюоритовые; 18) медные, медно-молибденовые и молибденовые (порфировые); 19) сульфидно-касситеритовые; 20) кобальт-никель-висмут-серебро-урановые; 21) колчеданные; 22) оловянные и свинцово-цинковые (с Ag или Au). III. Низкотемпературные (200—50°) — 23) борнит-халькопиритовые; 24) сурьмяно-ртутные; 25) пнево-кварцевые; 26) свинцово-цинковые; 27) медно-цеолитовые; 28) золото-серебряные; 29) сурьмяно-ртутно-

мышьяковые; 30) баритовые и флюоритовые; 31) алуитовые; 32) кальцитовые (исландский шпат). Г. В.

4176. Гипогенные жилы северного Перу. Эриксен (Hypogene veins of northern Peru. Ericksen George E.), Bol. Soc. geol. Peru, 1956, 30, 141—157 (англ.; рез. исп.)

Описаны структуры, минералогия, парагенезис и условия формирования гидротермальных жил с Pb, Zn, Cu, Sb и W. Установлен порядок выделения минералов.

Г. Воробьев

4177. Минералогия Александровского и Западно-Александровского месторождений. Моссур П. М., Моссур Е. А., Сб. науч. тр. Казахск. горно-металлург. ин-та, 1956, № 14, 44—68

Исследован минералогич. состав руд двух из 6 полиметаллич. месторождений Александровской группы в Байнаульском р-не Павлодарской обл. Вмещающие породы — осадочно-вулканич. осадки силура и девона, раннеаравские интрузивы и четвертичные слои. Описаны минералы: первичные рудные — пирит, гематит, магнетит и мушкетовит, сфалерит, халькопирит, пирротин, блеклая руда, галенит, борнит, халькозин; вторичные рудные — борнит, халькозин, ковеллин; жильные — кварц, кальцит, хлорит, серицит, флюорит, барит. Месторождение формировалось в 4 этапа: 1) кварц-пиритовый, 2) кварц-пирит-магнетитовый, 3) полиметаллич. и 4) хлорит-кальцитовый. Спектральные анализы обнаружили в рудах, кроме Pb, Zn и Cu—Bi, Sn, Mo, F, при полном отсутствии Ni, Co и Cr, что указывает на связь месторождения с кислой магмой.

Г. Воробьев

4178. Новое меднопорфировое месторождение в массиве вторичных кварцитов Жекежуан в Центральном Казахстане. Русаков М. П., Изв. АН КазССР, Сер. геол., 1957, вып. 1 (26), 37—45 (рез. каз.)

Приведены геология, тектоника и некоторые геофиз. данные о новом месторождении Cu, приуроченном к массиву вторичных кварцитов. Последние образовались в результате гидротермального окварцевания эффузивных порфиров и их туфов в связи с ватской интрузией гранитов. Оруденение представлено сульфидными Cu и Fe с примесью Mo, Pb и, возможно, Ag и Au. По предварительным данным, запасы валовой Cu до глубины 100 м составляют 50—100 тыс. т, при содержании Cu в руде 0,5—1%.

Г. Воробьев

4179. Некоторые методические вопросы изучения элементов-спутников в полиметаллических рудах Алтая. Литвинович А. Н., Тр. Алтайск. горно-металлург. н.-и. ин-та, 1957, 4, 3—14

4180. Минералы Азатекского свинцово-сурьмяного месторождения и их парагенетические ассоциации. Сагатеян Э. А., Изв. АН АрмССР, 1957, 10, № 2, 11—27 (рез. арм.)

В Даралагезском рудном районе (Армения) в вулкано-осадочной толще среднего эоцена прослеживаются рудные тела сложной формы. Руды включают 3 парагенетич. ассоциации: 1) пирит — галенит — сфалерит, 2) сульфидантимониты — галенит — блеклая руда — пирит — сфалерит, 3) антимонит — пирит — сфалерит. Описаны следующие минералы (с использованием рентгеновских, спектральных и хим. анализов и хим. испытаний, в скорбках состав в %): антимонит (Sb 65,84, Cu 0,30, Fe 0,23, As 0,1, S 25,63), буланжерит (Pb 29,91, Sb 12,52, S 10,12, Fe 0,31, As 0,1—0,5, Cu 0,08, SiO_2 44,35, Ni и Ag $n \cdot 10^{-2}$, Te $n \cdot 10^{-3}$), плагионит (Sb и Pb $n \cdot 1$, Ag , Bi и Fe $n \cdot 10^{-1}$, As и Hg $n \cdot 10^{-2}$), геокронит (Pb , Sb и As $n \cdot 1$, Fe и Cu $n \cdot 10^{-1}$, Ag $n \cdot 10^{-2}$, Bi и Sr $n \cdot 10^{-4}$), семсент (Pb и Sb $n \cdot 10$, As и Ag $n \cdot 10^{-1}$, Bi $n \cdot 10^{-3}$), бурнонит (Cu 13,22, Pb 41,30, Sb 24,35, Fe 3,06, S 18,22, As 0,1, Ag $n \cdot 10^{-2}$, Sr $n \cdot 10^{-3}$, Bi $n \cdot 10^{-4}$), блеклая руда (тетраэдрит) (примеси As и Ag), галенит, сфалерит (Fe 3—8, Mn

и $\text{Cd } n \cdot 10^{-1}$, $\text{In } n \cdot 10^{-2}$), пирит (примеси Sb , As , Cu), арсенопирит, золото, пираргирит, халькопирит, аурипигмент и др. Рассмотрен химизм гидротермальных р-ров.

Г. Воробьев
4181. Замечания по поводу некоторых взглядов на генезис силезско-краковских залежей цинка и свинца. Грудчик (Uwagi w sprawie niektórych poglądów na powstanie śląsko-krakowskich złóż cynku i ołowiu. Gruszczyk Hubert), Przegl. geol., 1957, 5, № 7, 319—321 (польск.)

4182. Генезис силезских свинцово-цинковых залежей. Экерт (Geneza śląskich złóż cynkowo-olowiowych. Ekierť Franciszek), Przegl. geol., 1957, 5, № 7, 322—325 (польск.)

4183. Генезис силезско-краковских цинково-свинцовых залежей в интерпретации К. Кейля. Галкевич (Geneza śląsko-krakowskich złóż cynkowo-olowiowych w ujęciu K. Keila. Gałkiewicz Tadeusz), Przegl. geol., 1957, 5, № 7, 314—319 (польск.)

4184. Замечания по вопросу о генезисе верхнесилезских свинцово-цинковых залежей. Краевский (Uwagi na temat genezy górno-śląskich złóż cynkowo-olowiowych. Krajewski Roman), Przegl. geol., 1957, 5, № 7, 311—314 (польск.)

4185. «Бурундучьи» руды Кадаинского месторождения и их генезис. Полякова О. П., Изв. АН СССР. Сер. геол., 1956, № 8, 78—90

Охарактеризованы симметрично-полосчатые карбонатно-сульфидные руды Кадаинского месторождения, их текстурно-структурные особенности, минер. состав и условия залегания в рудных телах месторождения. Принимается, что симметрично-полосчатое сложение руд в данном случае обусловлено развитием их в обстановке метасоматич. замещения рудообразующими р-рами расланцованных и трещиноватых известняков одновременно по сериям параллельных трещин, а также образованием в результате наложения сульфидной минерализации на вторичные гидротермальные доломиты симметрично-полосчатой текстуры.

Резюме автора

4186. Дискуссия по статье: Бадалов С. Т. «Некоторые результаты изучения гидротермального геллина». Беус А. А., УзССР Фанлар Акад. ахроботи. Геол. фанлар. сер., Изв. АН УзССР. Сер. геол., 1957, 2, 85. РЖХим, 1957, 44345. Г. Воробьев

4187. Данные о гидротермальном генезисе бентонита на основе исследований в районе Комлошка (Венгрия). Секи-Фукс (Angaben zur hydrothermalen Genese des Bentonits auf Grund von Untersuchungen in Komlósk. Székely-Fux V.), Acta geol. Acad. sci. hung., 1957, 4, № 3-4, 361—382 (нем.; русск.)

Описан случай образования Са-бентонита из риолитового туфа и андезита под воздействием гидротермальных р-ров (в связи с третичным вулканизмом). Установлено, что процесс монтмориллонитизации может начинаться на основе любых изверженных пород, если присутствует хотя бы незначительное кол-во вулканич. стекла. Другие условия образования комлошского бентонита: цел. характер р-ров (каолинит отсутствует), высокая конц-ия ионов Mg^{2+} и Fe^{2+} (из андезита), окислительная среда (наличие лимонита и гематита). О гидротермальном генезисе говорит также присутствие сфалерита, галенита и пирита в остатке от отмучивания. Приведено 7 хим. и 10 спектральных анализов андезита и различных сортов бентонита. Получены термич. кривые. Г. Воробьев

4188. Сурьмянистый теллуризмутит Зодского золоторудного месторождения (Басаргечарский район Армянской ССР). Магакьян И. Г., Зап. Всес. минералог. о-ва, 1957, 86, № 3, 343—346. См. РЖХим, 1957, 40931.

4189. Смизит, новый сульфид железа, и сопутствующий ему пирротин из Индианы. Эрд, Эванс, Рихтер (Smythite, a new iron sulfide, and associated pyrrhotite from Indiana. Erd Richard C., Evans Howard T., Jr., Richter Donald H.), Amer. Mineralogist, 1957, 42, № 5-6, 309—333 (англ.)

В районе Блумингтон в криноидных известняках наблюдаются жеоде кварца с включениями пирита, сфалерита и ангидрита. Трещины, секущие кварц, заполнены сидеритом, доломитом и кальцитом двух генераций с миллеритом, баритом, новым минералом смизитом и пирротинном. Смизит Fe_3S_4 (C), названный в честь американского петрографа Ч. Г. Смида (С. Н. Smyth), и пирротин (П) встречаются в виде мелких таблитчатых кристалликов, заключенных в кальцит. Оба минерала обладают сильным ферромагнетизмом, по внешнему виду и свойствам очень сходны и надежно диагностируются лишь на основе рентгенограмм. Для тригон. С определены: Φ . гр. $R3m = D_{3d}^5$. a_{rh} 11,66 Å, α 17° 7'; a_h 3,47, c_h 34,5 Å, $Z = 3$ (у гексагон. псевдоячейки П a_h 3,44, c_h 5,70 или $6c_h = 34,2$ Å). Интенсивные линии порошковых: 1,732 (10), 1,897 (8), 1,979 (7), 11,5, 3,00, 2,36 и 2,26 (6): Спайность по (0001) совершенная, излом раковистый или ровный; в отличие от П тонкие таблочки С гибки и эластичны. На (0001) блеск сильный, цвет менее бронзовый, чем у П. Кристаллы несовершенные, по-видимому, образованы (0001) и ромбоэдром; отмечаются двойники по (0001), иногда полисинтетические. Черта темно-серая. Уд. в. 4,06 (вычисленный 4,09). Качеств. микрохим. анализ открыл большие кол-ва Fe и S, немного Ni, следы Cu и Zn. Минерал медленно растворяется в разб. HCl, HNO₃ и KOH, быстрее в холодной разб. H₂SO₄; разлагается легко H₂O₂. Предположительно, что в системе Fe—S С образует устойчивую низкотемпературную фазу, которая диссоциирует на П и пирит между 200 и 290°. Однако попытки синтеза С не увенчались успехом. На основе изучения однофазовых жидких включений в кальците, содержащем С и П, установлено, что оба минерала кристаллизовались при t -рах от 25 до 40° и при низком давлении (не превышающем 30 б).

Э. Куллетская

4190. О франкенте из оловянно-полиметаллических руд Смирновского месторождения (Восточное Забайкалье). Полякова О. П., Тр. Минералог. музея. АН СССР, 1957, вып. 8, 103—107

В названном месторождении франкент ассоциирует с буланжеритом, джемсонитом, геокронитом, тиллитом, цилиндритом, а также с галенитом, сфалеритом, пиритом, пирротинном и жильными минералами — кварцем и карбонатами. Со всеми ними он находится в тесном сростании, являясь одним из поздних минералов. Результаты хим. анализа (в %): Pb 49,25, Fe 3,42, Sn 15,88, Sb 10,62, S 20,90, сумма 100,21. Спектральный анализ дополнительно открыл In, Cu и Ag, а также Ca, Mg и Si (последние три — за счет механич. примесей кварца и карбонатов). В зоне окисления во франкенту развиваются буланжерит, галенит и касситерит, образующие четкие псевдоморфозы. Приведены описание физ. свойств и рентгенограмма франкента.

Г. Воробьев

4191. Геокронит из Смирновского месторождения (Восточное Забайкалье). Полякова О. П., Тр. Минералог. музея. АН СССР, 1957, вып. 8, 99—102

В Смирновском месторождении (см. пред. реф.) геокронит встречен в двух генерациях. Вторая генерация, более распространенная, тесно ассоциирует с буланжеритом, джемсонитом, франкентом, цилиндритом, тиллитом, галенитом, пиритом, касситеритом, а также с кварцем и карбонатами. Под микроскопом

геокронит содержит тонкую равномерную вкрапленность сфалерита, касситерита и пирита, что указывает на возможность его образования из сложных по составу гелей. Результаты хим. анализа (в %): Pb 68,95, Cu 0,03, Zn 0,41, Fe 0,15, Sb 11,08, As 1,93, S 17,34, сумма 99,89. Спектральный анализ открыл слабые линии Ag. Определены простейшие физ. свойства и получена рентгенограмма.

Г. Воробьев

4192. О гипогенном борните в одном из месторождений восточной Тувы. Рафиненко Н. И., Зап. Всес. минералог. о-ва, 1957, 86, № 3, 405—408

Описан гипогенный борнит из золото-медно-молибденового месторождения в восточной части Тувы. Руды представлены прожилкововкрапленным и жильным типами. Минералогич. состав: кварц, кальцит, серицит, гематит, пирит, молибденит, самородное золото, халькопирит, борнит и галенит. Из гипогенных минералов установлены халькозин, ковеллин, малахит, хризокolla, азурит, куприт, церуссит, ферримолибдит, повеллит, гидроокислы Fe и Mn. Более тесно борнит ассоциирует с халькопиритом, образуя с ним взаимные прорастания. Порядок выделения минералов: молибденит, халькопирит + золото, борнит. Хим. состав борнита (в %): Fe 11,2, Cu 63,42, S 24,8. Спектральный анализ дополнительно открыл в следах и малых кол-вах Ag, Al, Bi, In, Mg, Pb, Mn и Be. В зоне окисления борнит быстро замещается халькозином и ковеллином.

Г. Воробьев

4193. К результатам определения pH растворов жидких включений. Калужный В. А. Геохимия, 1957, № 1, 77—79 (рез. англ.)

Микроколориметрическим методом обнаружена кислая р-ция р-ров включений в минералах из пегматитовых месторождений. В кристаллах мориона (Вольф) pH р-ра $6,2 \pm 0,1$ и повышается с улетучиванием газовых компонентов до $6,5 \pm 0,1$. Многофазовые р-ры включений в топазе из того же месторождения имеют pH $4,3 \pm 0,2$, двухфазовые с 60% газовой фазы $5,2 \pm 0,2$ (а при улетучивании газовых компонентов $5,5 \pm 0,2$). Р-ры включений во флюорите из Центрального Казахстана имеют pH $5,4 \pm 0,2$. Первичные включения в кварце гидротермальных жил Нагольного кряжа показали при вскрытии pH 7 и при улетучивании $8,0 \pm 0,2$. Полученные значения, с учетом условий т-ры и давления, могут служить основой для определения pH минералообразующих р-ров. Л. Листова

4194. О терминологии, применяемой для обозначения стадий и этапов литогенеза. Вассоевич Н. Б. В сб.: Геол. и геохимия, 1(7), Л., Гостоптехиздат, 1957, 156—176

Рассмотрены следующие термины: диагенез, эпигенез, катагенез, метаморфизм, гипергенез, сингенез, апогенез, телегенез, прогенез, седиментогенез, метатенез, гальмиролиз. Автор различает следующие основные стадии изменения осадков: I. Сингенез (образование осадка) ранний (начало формирования осадка с момента прекращения механич. движения его частиц, вызывавшегося средой седиментации), поздний (завершение начального этапа изменения осадка в геохим. условиях, близких к условиям среды седиментации). II. Диагенез (преобразование осадка и образование породы): ранний (взаимодействие между средой седиментации и средой в самом осадке); поздний (завершение физ.-хим. перераспределения в геохим. условиях, возникших в осадке в результате его изоляции от среды, из которой он выпал). III. Катагенез (диагенез породы): преобразование породы под влиянием возрастающей т-ры, давления, изменения хим. состава флюидов в результате взаимодействия смежных пластов.

Г. Воробьев

4195. Опыт сопоставления разновозрастных отложений по данным геохимического исследования.

Юрганов Н. Н., Тр. Всес. нефт. н.-и. геолого-развед. ин-та, 1957, вып. 105, 251—260

На основе петрографо-геохим. исследований проведено сопоставление разновозрастных миоценовых свит (алевролиты, глины и пески) из 5 р-нов Северного Сахалина. В 56 образцах определялись отношение $Fe^{2+} : Fe^{3+}$, pH, Eh (расчетный), $CaCO_3$, $FeCO_3$, железистые силикаты, гидроокислы Fe, $C_{(орг)}$, битумы, гуминовые к-ты. Установлена хорошая корреляция для отдельных свит. Как правило, все песчанистые отложения обладают более окисленным современным обликом, повышенной кислотностью воды, суспензий, более высоким окислительно-восстановительным потенциалом; по сравнению с алевролитами и глинами в них меньше кислотнорастворимого железа.

Г. Воробьев

4196. Осадочные и осадочно-эффузивные формации подвижных зон и их рудоносность. Домарев В. С., Материалы Всес. н.-и. геол. ин-та, 1957, вып. 22, 21—31

4197. Замечания к обобщению спектральных анализов на одной из площадей Средней Азии. Тепикин Е. К., Глух Е. К., УзССР Фанлар Акад. ахбороти. Геол. фанлар сер., Изв. АНУзССР. Сер. геол., 1957, 2, 65—67 (рез. узб.)

По данным спектральных анализов установлено, что породы нижнего мела (независимо от литологич. состава) отличаются от пород сеномана и неогена наличием Sr, Co и частым проявлением Be и Ni. В постоянных кол-вах присутствуют Mn, Ti, Cu, Pb и Ba. Слабо проявляются Mo и W, отсутствует Sn. Предлагается программа дальнейших работ по выявлению источника выноса Pb в мезозойские породы.

Г. Воробьев

4198. Минералогическая характеристика карбонатных марганцевых руд Никопольского бассейна. Грязнов В. И., Научн. зап. Днепропетр. ун-т, 1956, 53, 37—61

Описаны геология, петрография и минералогия никопольских руд с приведением хим., термич. и рентгеновских анализов. Mn представлен кольцевым родохрозитом и манганокальцитом. С ними ассоциируют кальцит, нонтронит, лимонит, пирит, марказит, мельниквит, глауконит, барит и другие минералы. Пределы хим. состава руд (по 20 анализам, в %): SiO_2 4,47—39,16, Al_2O_3 0,24—4,68, Cr_2O_3 до следов, Fe_2O_3 1,01—11,80, FeO следы—23,69, MnO 13,99—40,28, MnO_2 до 6,98, CaO 3,36—32,92, MgO 0,68—6,03, BaO до 0,27, NiO до следов, $K_2O + Na_2O$ 0,40—1,62, P_2O_5 0,09—1,08, SO_3 0,04—1,30, H_2O 0,16—1,64, CO_2 18,06—37,07, п.п.п. 30,01—39,07. Приведено 5 хим. анализов включений: волокнистого нонтронита и конкреций — карбонатной, бейделлит-глауконитовой и гидрогетито-нонтронитовой. Рассмотрены 3 этапа образования руд: седиментогенез, диагенез и эпигенез.

Г. Воробьев

4199. Третичные оолитовые железистые породы Приднепровья. Грязнов В. И., Хорошева Д. П., Научн. зап. Днепропетр. ун-т, 1957, 58, 63—69

Приведена геология и петрография кварцевых песчаников: 1) с гидрогетито-хлоритовыми оолитами и хлоритовым цементом, 2) с редкими гидрогетитовыми оолитами и гидрогетитовым цементом, 3) с редкими гидрогетито-хлоритовыми оолитами и гидрогетито-хлоритовым цементом и 4) с хлоритовым и сидеритовым цементом. Выполнены термич., рентгеновские и хим. анализы. Осаждение колл. соединений Fe происходило в условиях кратковременной трансгрессии среднемиоценового моря. Сначала образовывались гидрогетитовые ядра оолитов, потом цементировались кварцевые зерна и оолиты хлоритом и сидеритом (диагенез). В стадию эпигенеза окислялось 2-валент-

ное железо с полным или частичным замещением сидерита и хлорита гидрогётитом. Г. Воробьев

4200. Материалы к геологии и петрографии Яхтенского месторождения бурых железняков и сидеритов на Южном Урале. Штейнберг Д. С., Подногин А. К., Тр. Свердл. горн. ин-та, 1956, вып. 26, 45—86

Приведено 29 хим. анализов сидеритов, доломитов и вмещающих карбонатно-серпичитовых сланцев. Построена вариационная диаграмма состава. Г. Воробьев

4201. К генезису железистых доломитов во Флишевых Карпатах. Нарембский (On the genesis of the ferrous dolomites from the Carpathian Flysch. Narembski W.), Bull. Acad. polon. sci., 1957, Cl. 3, 5, № 4, 445—449, XXXVI (англ.; рез. русск.)

Химические, термич. и микроскопич. анализы показали, что карбонатные прослои и конкреции в карпатском флише состоят не из сидерита, как полагали ранее, а из доломита с 10—25% Ca(Fe, Mn)(CO₃)₂. Спец. хим.-битуминол. исследование сопутствующего им сланца позволило выделить их в самостоятельную доломито-анкеритовую фацию, возникшую путем осаждения из иловых р-ров. Высокий щел. резерв и pH последних, вызванные бактериальным восстановлением сульфатов, пониженное из-за этого содержание активного Fe, а также очень высокое парц. давление CO₂ в связи с разложением органич. в-в, исключили возможность образования сидерита.

Г. Воробьев

4202. Пластово-монокристаллические фосфоритовые руды на периферии юго-восточного Донбасса (Несветаевское месторождение). Шамрай И. А., Орехов С. Я., Докл. АН СССР, 1957, 114, № 1, 176—179

Описан новый для восточного Донбасса — монокристаллический тип фосфоритных руд. Пласты фосфоритов встречаются в верхнеолигоценых отложениях Радионо-Несветаевского р-на Ростовской обл. Порода в основной своей массе состоит из фосфатного в-ва с примесью глины, лауконита, кварца, сидерита и кальцита. Пределы хим. состава 5 образцов (в %): SiO₂ 16,92—23,42, Al₂O₃ 7,46—15,28, FeO 1,58—3,66, Fe₂O₃ 1,12—2,08, P₂O₅ 19,78—22,80, CaO 25,06—33,46, MgO 1,20—2,21, CO₂ 7,30—8,47, SO₂ 0,30—1,49, F 1,55 (1 определение), н.п.п. 0,02—1,84, H₂O 3,72—7,26, нерастворимый остаток 20,06—25,80. Спектральный анализ обнаружил: Ti 1—0,1, Sr 0,1, V 0,01, Cu 0,01—0,001. Руды образовались в связи с гидрохим. процессами в мелководной обстановке олигоценевого бассейна.

Г. Воробьев

4203. К вопросу о бокситах Кундаджуазского месторождения в Южном Узбекистане. Коинов Л. П., Докл. АН УзССР, 1957, № 4, 25—29 (рез. узб.)

Месторождение представлено рядом линзообразных тел в 2 фациях: 1) бокситом-латеритом, аллитом и силаллитом — на сланцевой толще; 2) силаллитом, ферриаллитом и железистым бокситом — на эффузивных породах спилито-диабазовой серии. Минералогич. состав: диаспор и бёмит с примесями каолинита, карбоната, кварца, хлорита, гидроокислов Fe, пирита, галенита и др. Приведено 6 хим. анализов названных типов. Спектральным анализом установлено присутствие от следов до 0,1% Ni, Zr, Cr, V, Cu, Mo, Sn. В кровле пород залегает пласт каменного угля (приведен хим. состав золы), что подтверждает мнение А. С. Уклонского о постоянной ассоциации бокситов с углями.

Т. Ионас

4204. Бонатит — новый минерал из месторождения Капо-Каламита на Эльбе. Гаравелли (Bonattite: un nuovo minerale di alterazione del giacimento elba-no di capo Calamita. Garavelli Carlo L.), Atti. Accad. naz. Lincei. Cl. sci. fis., mat. e natur., 1957, 22, № 3, 318—327 (итал.)

Минерал состава CuSO₄·3H₂O найден вблизи этого минер. источника, содержащего свободную H₂SO₄. Внешние признаки: компактные агрегаты непрозрачных кристаллов, без блеска, окраска светло-лазурная. Показатель преломления 1,576—1,601, для более мелких зерен <1,578, уд. в. 2,62 ± 0,06 (при 25°). Среднее из 2 хим. анализов материала с примесью 14,85% халькантита (%): CuO 35,23, FeO 0,82, MnO следы, MgO 0,25, SO₃ 36,49, H₂O 27,33, сумма 100,12. Рентгенограммы минерала и искусств. соединения дают хорошее совпадение, так же как и параметры их решеток. Предполагается, что под воздействием свободной H₂SO₄ сначала образовался халькантит, который в условиях медленного испарения рассола, приводящего к повышенной конц-ии H₂SO₄, стал превращаться в CuSO₄·3H₂O. Автор искусственно воспроизвел этот процесс на основе слабых кислот р-ров и получил моногидрат. Новый минерал назван «бонатитом» в честь проф. С. Бонатти — представителя Пизанской минералогической школы.

Н. Халатов

4205. Соотношение доломита и магнезиального кальцита при высоких температуре и давлении CO₂. Граф, Гольдсмит (Dolomite-magnesian calcite relations at elevated temperatures and CO₂ pressures. Graf Donald L., Goldsmith Julian R.), Geochim. et cosmochim. acta, 1955, 7, № 3/4, 109—128 (англ.)

Приводится методика эксперим. работ и анализ условий равновесия при тепловом разложении доломита и магнезиального кальцита по уравнениям: CaMg(CO₃)₂ ⇌ CaMg_(1-x)(CO₃)_(2-x) + xMgO + xCO₂; CaMg_(1+x)(CO₃)₂ ⇌ Ca_yMg_y(CO₃)_{2y} + Ca_(1-y)Mg_(x-y)(CH₃)_(1+x-2y) где <1, y < x. Авторы пришли к выводу, что исследуемые условия могут быть отнесены к существованию карбонатов в метаморфич. окружении. При термометаморфизме CaMg-карбонатных пород необходимо достаточное давление CO₂ для образования и сохранения устойчивого поля доломита и ассоциации доломита с магнезиальным кальцитом. Доломит существует при определенном давлении и т-ре до ~ 375°, при которой он начинает разлагаться. Кол-во замещ. Mg зависит от давления CO₂ и при условиях метаморфизма, допускающих удаление CO₂, конечный кальцит будет фактически не связан с Mg. В условиях осадочного окружения карбонатных пород замещение кальцита магнием очень незначительно.

Т. Ионас

4206. О содержании кобальта в кальците. Яхонтова Л. К., Сергеева Н. Е., Тр. Минералог. музея. АН СССР, 1957, вып. 8, 167—169

В зоне окисления безымянного мест-ния с тенантитово-халькопиритовым оруденением обнаружен кобальтистый кальцит розового цвета в виде прожилков до 0,4 см. Хим. состав (в %): CaO 54,64, MgO 0,70, CoO 0,37, NiO следы, SO₃ 0,47, CO₂ 44,61, H₂O—110° 0,00; сумма 100,79. Спектральный анализ дополнительно открыл Cu n·10⁻², Mn n·10⁻³ и следы Zn, Sr, Al и Si. Получена термич. кривая, определены простейшие физ. свойства и оптич. константы. Предполагается, что Co присутствует в кальците в виде сульфата.

Г. Воробьев

4207. Редкая находка нитрокальцита Еникеев М. Р., Зап. Всес. минералог. о-ва, 1957, 86, № 3, 403—404

На стенках древних выработок, проходящих в известняках нижнего карбона в Алтын-Топкане (Курминские горы), обнаружен нитрокальцит. В жаркое время года он образует сплошные корки, выплеты и налеты, а в период выпадения осадков исчезает. Хим. состав (в %): CaO 22,80, MgO 0,72, N₂O₅ 46,00, H₂O 30,50, сумма 100,02. Ф-ла Ca(NO₃)₂·4H₂O. Магний присутствует в виде изоморфной примеси. Определены простейшие физ. свойства и получена термич. кривая

Предполагается, что образование нитрокальцита связано с биохим. процессами разложения и нитрофикации отбросов животных и птиц, селившихся в течение веков в этих выработках. Кальций и частично магний поступали в р-р при выщелачивании известняка. Г. Воробьев

4208. Кальциевый родохрозит Керченского месторождения. Станкевич Л. О., Докл. АН СССР, 1955, 105, № 6, 1328—1331

В составе керченских железных руд обнаружен Са-родохрозит, идентифицированный хим., термич., рентгеновским и кристаллооптич. методами. Минерал выстилает внутреннюю часть раковин ископаемых моллюсков и образует линзовидные стяжения, в которых цементирует гидрогетит-феррисиликатные конкреции. Результаты хим. анализа 2 образцов (в %): SiO_2 4,10; 2,98; TiO_2 следы; 0,14; Al_2O_3 0,50; 2,30; Fe_2O_3 6,39; 4,58; FeO 0,14; 0,29; MgO 0,80; 0,47; MnO 44,77; 44,44; CaO 8,86; 8,11; BaO —; 0,10; $\text{Na}_2\text{O} + \text{K}_2\text{O}$ 0,06; 0,43; P_2O_5 0,60; 0,68; SiO_2 —; 1,41; $\text{H}_2\text{O} + 0$, 01; 0,72; CO_2 33,0; 32,34; сумма 99,23; 98,99. Са-родохрозит образовался в стадии диагенеза, позднее феррисиликатов, Са-олигонита и почти одновременно или несколько раньше фосфатов закисного железа и барита; образование двух последних минералов, по-видимому, происходило в стадии эпигенеза. Г. Воробьев

4209. Криптомелан из Майсура (Индия). Сринивас (Cryptomelane from Mysore (India). Sreenivas B. L.), Mineral. Mag., 1957, 31, № 237, 497—498 (англ.)

Краткое сообщение о результатах рентгеноструктурного определения мелкозернистого криптомелана, тесно ассоциирующего с псидомеланом. Г. Воробьев

4210. Явления собирательной кристаллизации и природного высаливания в некоторых галогенных породах. Яржемский Я. Я., Изв. АН СССР. Сер. геол., 1957, № 2, 93—104

На основании многочисленных примеров первичного и вторичного возникновения мономинеральных или близких к ним образований во вмещающих породах делается вывод, что при гипергенных процессах главную роль играют концентрирование естественных р-ров и высаливание одних компонентов другими. Т. Ионас

4211. Карстовый провал у с. Брехово Суксунского района, Молотовской области. Максимович Г. А., Шимановский Л. А., Уч. зап. Молотовск. ун-та, 1956, 10, № 2, 79—82

Описывается провал, происшедший на дне карстовой воронки 15.VI.53 г. в 1 км от с. Брехово, в результате выщелачивания пород пермского возраста. Глубина провала ~ 40 м. В отступе от Акташского в Татарии (1939 г.—52 м) и Усть-Осинского в Иркутской области (1949 г.—56 м) он имеет с глубины 28 м наклонные стенки, затрудняющие спуск к его дну. К. Богородицкий

4212. Химический состав и условия формирования палеозойских карбонатных толщ Русской платформы (по данным литолого-геохимических карт). Романов А. Б., Тр. Геол. ин-та. АН СССР, 1956, вып. 4, 256—343

По 23 100 хим. анализам построены литолого-геохим. карты с изолиниями процентного содержания Mg для всех ярусов палеозойской системы. Установлено, что изменению хим. состава карбонатных пород сопутствует всегда изменение кол-ва и видового состава фауны. Размещение известняков и доломитов на платформе строго закономерно, отображает зональность в кон-ции морских вод и обусловлена тектонич. режимом континента, примыкавшего к бассейну, так как тектонич. режим определял рельеф берега и водосборных бассейнов, а совместно с климатом — кол-во

пресных вод, поступающих с суши. Проведена оценка распространенности средне- и верхнепалеозойских известняков и доломитов. Выделено по парагенезису и времени появления два типа доломитовых формаций. Т. Ионас

4213. Кристаллические известняки района Портель. Мартинс-да-Силва (Calcários cristalinos da região de Portel. Martins da Silva João), Estud., notas e trab. serv. fomentomineiro, 1956, 11, № 3-4, 185—203 (порт.; реф. франц.)

В комплексе филлитовых пород района Портель прослеживаются известняки с метаморфич. сланцами, амфиболитами и лептитами. По данным хим. анализов, в составе известняков выделяются чистые мраморы, а также доломитовые, магнезиальные, кремнистые и кремнисто-магнезиальные разновидности. Запасы известняков оцениваются примерно в $129 \cdot 10^6$ т. Л. Афанасьева

4214. Роль карбонатных пород, содержащих углеродное вещество и битумы, в образовании Рулихинского месторождения на Рудном Алтае. Румянцев Т. А., Изв. АН КазССР. Сер. геол., 1957, вып. 2, 60—66

Установлено, что богатые вкрапленные и сплошные сульфидные полиметаллич. руды месторождения образуются при метасоматич. замещении битуминозных известняков и углесто-карбонатных сланцев (обладающих большим кол-вом восстановителя и наибольшей конц-ией H_2S) гидротермальными р-рами. Это привело к интенсивному выпадению сульфидов тяжелых металлов. Ограниченный характер процесса окисления определил существенное преобладание сульфида Zn в рудах. Т. Ионас

4215. К изучению оолитовых известняков понтийского яруса Приисавья. Литвиненко А. У., Невойса Г. Г., Научн. зап. Днепропетр. ун-та, 1957, 58, 87—96

Приведены результаты микроскопич., хим. и термич. исследования оолитовых известняков из Арабатской стрелки, Никополя и некоторых других р-нов южной Украины. Г. Воробьев

4216. Материалы к изучению пиритизированных сланцев в Вещишовицах и генезис пирита. Нелюбович, Яскульский (Materiały do poznania złoża łupków piritowych w Wieściszowicach do jego genezy. Nielubowicz Ryszard, Jaskolski Stanisław), Przegl. geol., 1957, 5, № 7, 303—310 (польск.)

4217. Схема классификации песчано-алевритовых пород. Иванова З. А., Ломоть К. И. В сб.: Геол. и геохимия, 1(7), Л., Гостоптехиздат, 1957, 176—181

В составе обломочных пород ($\geq 50\%$ материала крупнее 0,01 мм) рассмотрены песчаные (1—0,1 мм), алевритовые (0,1—0,01 мм) и переходные породы с более дробными подразделениями по крупности, неравнозернистости, составу, текстуре и пр. Приведен рекомендуемый порядок описания этих пород. Г. В.

4218. К вопросу о корреляции красноцветных отложений Западной Туркмении методом спектрального анализа. Катченков С. М., Виноградова А. П., Тр. Всес. нефт. н.-и., геологоразвед. ин-та, 1957, вып. 105, 174—180

Изучены образцы керны и сделаны водн. вытяжки из них по разрезу красноцветной толщи Чемкена (16—3000 м). В 37 образцах керны определялось относительное почернение спектральных линий Na, Mg, Ca, Sr, Ba, Fe, Mn, Ti, V, Ni, Cr, Cu, Si и Al. В 20 водн. вытяжках количественно определялись Mg, Ca, Sr, Fe, Mn, Cu и по относительному почернению Si, Na, Ti, Cr, V, Ni, Al, B. В 5 образцах пород дополнительно определен C (орг.) и в 3 образцах — битум. Показано,

что наиболее целесообразно при корреляции пользоваться водн. вытяжками. По содержанию Mg, Ca, Sr, Cu и присутствию V толща разделяется на 2 части — верхнюю и нижнюю, с более дробным делением на горизонты.

Г. Воробьев

4219. Эволюция химического состава глин Русской платформы. Виноградов А. П., Ронов А. Б. Геохимия, 1956, № 2, 3—18 (рез. англ.)

Ранее описанным методом (Ронов А. Б., Ратынский В. М., Докл. АН СССР, 1952, 86, № 4) определен средний хим. состав глин почти всех геологич. систем Русской платформы (252 пробы, в %): SiO_2 50,65, TiO_2 0,78, Al_2O_3 15,10, $\text{Fe}_2\text{O}_3 + \text{FeO}$ 6,47, MgO 3,31, CaO 7,19, Na_2O 0,81, K_2O 3,49, CO_2 6,10, SO_3 0,63, п.п.п. 5,58. Средняя распространенность важнейших хим. элементов (в %): Si 23,64, Al 7,99, Fe 4,52, Ti 0,47, Ca 5,14, Mg 2,05, K 2,90, Na 0,60, S (сульф.) 0,25, отношения K:Na 4,83, Ca:Mg 2,51, SiO_2 : Al_2O_3 3,35. От рифейского до третичного возраста наблюдается общее уменьшение K:Na от 5,87 до 2,21, в связи с сокращением выноса продуктов выветривания K-полевых шпатов и слюд, рост Ca:Mg от 0,28 до 3,83 с максимумами в периоды формирования терригенных осадков, рост SiO_2 : Al_2O_3 от 3,17 до 4,93 с периодич. минимумами в эпохи накопления континентальных, прибрежных и угленосных фаций. Содержание Al и Ti максимально в эпоху трансгрессий. Максимум Th:U приходится на континентальные периоды развития (рифей, кембрий, юра). Хим. состав глин испытывал в течение послепротерозойской геологич. истории необратимые качества. Изменения и определялись ходом общей эволюции условий в биосфере. Выявлено исключительное влияние вещественного состава древней суши и процессов, происходящих на ней, на хим. состав образующихся осадков. См. также РЖХим, 1957, 65946. Т. Ионас

4220. Зональное сложение остаточных глин. Sakamoto (Zonal arrangement of residual clays. Sakamoto Takao), J. Fac. Sci., Univ. Tokyo, 1954, Sec. 2, 9, № 2, 301—324 (англ.)

На основании литературных данных рассмотрены вопросы, связанные с образованием глинистых минералов при выветривании горной породы. Показано, что под влиянием различных факторов (ионный обмен, климатич. условия и др.) происходит образование двух групп минералов: 1) монтмориллонит, бейделлит, иллит и 2) галлуазит, гибсит. В образовании 1-ой группы решающую роль играет состав материнских пород, а в образовании 2-й поверхностные гидрологич. условия.

А. Фуфаев

4221. Химический состав цветных глин Закарпатской области. Орловский С. Т., Научн. зап. Ужгородск. ун-т, 1957, 18, 67—69

Произведено 14 хим. анализов цветных глин из четырех месторождений: Новоселица, Малая Копаня, Онок и Лавки (Виноградовский и Мукачевский р-ны). Пределы хим. состава (в %): SiO_2 15,88—65,86; Fe_2O_3 0,38—40,82; Al_2O_3 13,46—29,86; TiO_2 0,39—0,74 (2 определения); CaO 0,25—2,58; MgO 0,13—1,14; K_2O 0,49—1,72; п.п.п. 4,81—14,48. Глины могут быть использованы в качестве минер. красок, для очистки нефтепродуктов и для производства керамики. Г. Воробьев

4222. Физико-химические свойства глин Шенгавитского месторождения. Шехоян Т. А., Изв. АН АрмССР. Сер. техн. н., 1957, 10, № 3, 51—58 (рез. арм.)

Изучено 3 образца глины из аллювиальных отложений р-на г. Еревана. Применялись методы: механич., хим., термич. и рентгенографич. Пределы хим. состава (в %): SiO_2 51,00—53—84, Al_2O_3 16,01—17,46, Fe_2O_3 6,85—7,20, CaO 6,28—7,48, MgO 2,96—3,57, Na_2O 2,51—2,89, K_2O 2,84—3,27, SO_3 0,11—0,18, п.п.п. 8,10—9,86, влага 4,55—7,03, CO_2 3,26—4,46. Минералогич. состав:

монтмориллонит и гидрослюды с примесью каолинита. Глины легкоплавкие, кирпичные, с высоким содержанием колл. фракции, обладают большой чувствительностью к сушке и требуют внедрения отоющих добавок.

Г. Воробьев

4223. Способность к замещению аммония, фиксированного в глинистых минералах, под действием аммония или калия в экстрагирующем растворе. Хануэй, Скотт, Станфорд (Replaceability of ammonium fixed in clay minerals as influenced by ammonium or potassium in the extracting solution. Hanway J. J., Scott A. D., Stanford G.), Soil Sci. Soc. America Proc., 1957, 21, № 1, 29—34 (англ.)

Исследованы условия замещения NH_4 в вермикулите и бентоните в присутствии р-ров NaOH , $\text{NaOH} + \text{KCl}$, KOH . На способность к обмену влияют величины отношений K:Na и NH_4 :Na в р-ре.

Р. Хмельницкий

4224. О работе комиссии химии почв VI Международного конгресса почвоведов. Чернов В. А., Пономарева В. В., Почвоведение, 1957, № 2, 109—116

Обзор докладов по разделам: 1) кислотность и поглощательная способность почв; 2) методы анализа; 3) микроэлементы; 4) органич. в-во и азот почв; 5) фосфор.

Л. Лысова

4225. Гидрофильность почв. Чапек (The hydrophilicity of the soil. Tschapek M.), Agrochimica, 1957, 1, № 3, 236—247 (англ.; рез. франц., нем., исп., итал.)

4226. Некоторые данные о химическом составе марганцево-железистых конкреций дерново-подзолистых и осолоделых почв. Попазов Д. И., Докл. Моск. с.-х. акад. им. К. А. Тимирязева, 1957, вып. 29, 208—213

4227. Характеристика некоторых почв района тиллей Айовы (северо-восточная Айова). Уайт, Риккен (Characteristics of some soils of the Iowan till area of northeast Iowa. White E. M., Rickken F. F.), Proc. Iowa Acad. Sci., 1956, 63, 460—469 (англ.)

Изучено 5 профилей илесто-глинистых и глинистых почв Айовы по 9—12 горизонтам на глубине 0—178 см. По данным физ.-хим. исследований почв образовались из двух различных материнских пород. По содержанию N и C можно сделать заключение, что 2 профиля формировались преимущественно в стесненных условиях, один — в лесных и 2 других — в смешанных.

А. Фуфаев

4228. Водно-физические свойства торфов низинных болот южной Мещеры. Шишков К. Н., Емельянов В. А., Тр. Совещания по инж.-геол. свойствам горн. пород и методам их изучения. М., 1957, 228—232

4229. Фосфаты из современных торфянистых отложений Центрально-Русской лесостепи. Добровольский В. В., Тр. Минералог. музея. АН СССР, 1957, вып. 8, 134—140

С помощью хим. спектрального, термич. и кристаллооптич. методов, идентифицированы фосфаты β -керченит и босфорит — из торфяников Рокшневского р-на Тамбовской области. Хим. состав первого и второго соответственно (в %): Fe_2O_3 21,14; 37,18; FeO 16,57; 0,62; CaO 1,57; 0,60; MgO 0,62; 0,14; SO_3 0,07; 0,06; P_2O_5 21,73; 20,75; $\text{H}_2\text{O}^{-900}$ 10,42; 12,67; $\text{H}_2\text{O}^{+900}$ 20,79; 22,24; сухой неаств. остаток (за вычетом прокаленного) 6,97; 5,85; неаств. остаток прокаленный 0,37; 0,57; сумма 100,55; 100,68. CO_2 и As_2O_5 не обнаружены. Спектральный анализ дополнительно открыл: в обоих минералах слабые линии Mn, Si и Al, в β -керчените — кроме того Ni, и в босфорите — Sr. Для сравнения получена спектрограмма торфа. Установлено, что

в условиях торфообразования сначала образуется вианит, который на дневной поверхности почти мгновенно превращается в ярко-синий β -керченит; последний при длительном соприкосновении с воздухом желтеет и переходит в босфорит. Названные фосфаты наблюдаются в торфяниках других р-нов Тамбовской области, а также в Брянской, Орловской, Липецкой и Воронежской областях. Г. Воробьев

4230. Проблема генезиса таежных почв юга Средней Сибири. Макеев О. В., Изв. АН СССР. Сер. биол., 1957, № 4, 416—430

4231. Использование метода наведенной активности для выделения нефтеносных и водоносных пластов, определение положения водо-нефтяных контактов в разрезе скважин и для элементного анализа горных пород. Алексеев Ф. А., Шимелевич Ю. С. В сб.: Применение радиоактивных изотопов и излучений в нефть. пром-сти. М., Гостоптехиздат, 1957, 43—53

4232. Состояние и перспективы использования радиометрических методов для поисков и разведки нефтяных месторождений. Алексеев Ф. А. В сб.: Применение радиоактивных изотопов и излучений в нефть. пром-сти. М., Гостоптехиздат, 1957, 8—18

4233. Геология донных отложений и гидрохимический режим Кургузальской бухты и Сартасекого залива Кара-Богаз-Гола. Дзене-Литовский А. И., Еловская Л. В., Гаркави М. Ю., Тр. Ин-та геол. АН ТуркмССР, 1956, 1, 187—227

Изложены результаты работ, начатых с 1948 г., по разведке донных отложений указанных объектов. Приведены схематич. карты донных отложений, описание разрезов поверхностного соляного пласта и его геохим. состав. Разбираются геологич. условия формирования донных отложений, процесс метаморфизации рапы залива, садки солей: галита, галита и астраханита, галита и эпсомита, а также процесс образования донной межкристалльной рапы поверхностного соляного пласта. Л. Листова

4234. Грязи горячих источников курорта Харкани-фюрде. Чаяги (Harkányfürdő hőforrásainak iszárja. Csajághy Gábor), Hidrol. közl., 1956, 36, № 4, 294—296 (венг.)

4235. Малый Белт. Минералогические исследования. Графф-Петерсен (Lillebæltter. En lerninergalogisk undersøgelse. Graff-Petersen Poul), Medd. Dansk geol. foren., 1955, 13, № 1, 1—14 (дат.; рез. англ.)

В морских осадках эоцена преобладает так называемая пластич. глина (фракция $< 2 \mu$ составляет $> 80\%$). При исследовании на электронном микроскопе обнаружены частицы диам. $\sim 200 \text{ \AA}$, глина богата Fe, преобладающим минералом предполагается иллит. Емкость катионов при pH 7, определена $\sim 60-70 \text{ мг-экв на } 100 \text{ г}$ ранее описанным методом (Rosengvist I. T. Proceedings of the Second Radioisotope Conference. Oxford, 1954. S. 412—416) О. Шишкина

4236. Ионный обмен в отложениях водоемов. Оле (Ionenaustausch der Gewässersedimente. Ohle Waldemar), Publs. Union internat. sci. biol., 1955 B, № 19, 221—245 (нем.); Mem. Ist. Ital. Idrobiol. suppl. 1955, 8, 221—245 (нем.)

Производилось всалтывание воды Пльенского водопровода разной степени разбавления с иловыми отложениями озера М. Уклейное с малым кол-вом электролитов и оз. Б. Пльенского с большим содержанием CaCO_3 . После отфильтровывания в первом случае наблюдается поглощение ионов из воды, особенно Ca^{2+} и HCO_3^- , с одновременным уменьшением электропроводности и pH воды, во втором случае их увеличение в воде. Эти чисто физ.-хим. процессы имеют большое значение в ионном режиме водоемов, в частности ими

обуславливается автохтонное изменение ионного состава вод, напр. в гумусовых озерах, ведущее к обогащению воды щелочами и хлоридами. В. Коншин

4237. Йодная карта УССР. Савченко П. С., Докл. АН СССР, 1956, 108, № 5, 889—891

По данным анализов 1500 проб воды и 500 проб почвы составлена йодная карта Украины. Семь изолиний соединяют районы с одинаковым содержанием J в грунтовых водах: 1,5; 2,0; 2,5; 3,0; 3,5; 4,0 и 10,0 $\gamma/\text{л}$. Более других обогащены J юго-восточные р-ны, менее других — северо-западные, западные и частично северные. Полученные данные согласуются с данными по распространению эндемического зоба. Ободрение йодом связывается с высоким уровнем грунтовых вод, наличием мощной толщи мела и относительным поднятием отдельных территорий (Карпаты, Подольский край, Украинский кристаллич. массив, Донецкий край, Кременчугско-Сумский вал и Черниговский вал). В Предкарпатском прогибе, Восточно-Польской, Припятской, Днепровско-Донецкой, Приднепровской и Причерноморской впадинах, напротив, отмечается обогащение йодом. Г. Воробьев

4238. Исследования по растворимости природных газов в природных водах. Лозовский М. Р., Тр. Всес. нефт. н.-и. геологоразвед. ин-та, 1957, вып. 105, 78—106

Изучалась растворимость CH_4 , C_2H_6 , CO_2 , N_2 и смесь C_2H_6 и C_4H_{10} в р-рах различной конц-ии NaCl и CaCl_2 в лабор. условиях при давлении до 50 ат и т-рах 4 и 45°. В Волго-Уральской обл. на Северном Кавказе и в западных областях Украины в полевых условиях изучалась растворимость природных газов в природных пластовых водах. Описаны методы и аппаратура. Предлагается методика расчета растворимости природных газов в пластовых водах. Библ. 40 назв. М. Элинсон

4239. Электропроводность смесей электролитов, входящих в состав природных вод. Воробьев Н. И., Гидрохим. материалы, 1957, 26, 249—261

Предложена ф-ла для вычисления относительной конц-ии каждой из предполагаемой в р-ре соли в их смеси по ионному составу этого р-ра (данным хим. анализа). $\text{KA}\% = \text{K}\% \cdot \text{A}\% / 100$, где KA%, K%, A% — процент эквивалентов соли, катиона и аниона соответственно. Такое вычисление можно также производить графически. Эквивалентная электропроводность р-ра смеси солей $\lambda = \sum a_{in} \lambda$, где $a_{in} = \text{KA}\%$ каждого из предполагаемых в смеси электролитов. Уд. электропроводность λ природных вод, вычисленная согласно данным хим. анализа и указанной ф-ле для λ , отличается от измеренных значений \times не более чем на 1,6%, что дает возможность использовать данные электропроводности при анализе природных вод, содержащих смесь солей с общей конц-ией 0,05—0,001 н. А. Городецкая

4240. Особенности гидрографии и гидрологического режима рек бассейна Вишеры. Вяткина А. М., Тр. Коми фил. АН СССР, 1957, № 5, 77—87

4241. Влияние радиоактивной воды на состав газа и нефти в природных условиях. Евдокимов В. А., Геол. нефти, 1957, № 2, 51—54

Исследование проводилось в газонесном районе Русской платформы. Установлена зависимость между составом газа и нефти и их удаленностью от кристаллич. фундамента; под влиянием последнего происходит окисление нефти и метанизация попутного газа. Этот процесс объясняется действием радиоактивной воды, источником которой являются метаморфич. сланцы, слагающие фундамент. В северо-западной части района отмечен непосредственный контакт нефти и газа с такой водой. Под действием радиоактивных излучений происходит разложение не только углево-

дорогов, но и воды на O_2 , H_2 и H_2O_2 . Поэтому в сфере радиоактивных излучений действуют два фактора: окислительный и восстановительный. Выделена культура нефтяной микрофлоры, которая хорошо переносит минерализацию и радиоактивность. Процесс окисления нефти заканчивается образованием полутвердого и твердого битума. Радиоактивная вода может служить причиной разрушения нефтяной залежи и превращения ее в газовую с сухим CH_4 -газом. А. Ф. 4242. К вопросу о роли подземных вод в формировании, сохранении и разрушении залежей газов преимущественно углеводородного, гелиево-азотного, азотного и углекислого состава. Смирнов А. А., Тр. Всес. н.-и. ин-та гидрогеол. и инж. геол., 1956, сб. 14, 78—91

Даны общие представления о формировании газовых залежей с помощью подземных вод. Приведены данные по растворимости CH_4 и CO_2 при разных т-рах, давлении и минерализации, которые показывают возможность переноса газа водой и формирования новых залежей газа. Рассмотрены случаи разрушения газовых залежей подземными водами в сочетании с биохим. процессами. При взаимодействии с сульфатами, углеводородные залежи превращаются в азотные, гелиево-азотные, азотно-углекислые и углекислые. На основании всего этого автор приписывает экзогенное происхождение залежам углекислого газа в южном Дагестане и в США. Обращается внимание на необходимость изучения газоносности источников и пластовых вод в буровых скважинах для оценки перспективности газонефтеносности. М. Элинсон

4243. Заиление гипolimниона. Дивин (The obliteration of the hypolimnion Devey Edward S., Jr), Publ. Union internat. sci. biol., 1955, B, № 19, 9—38 (англ.; рез. франц.); Mem. Ist. Ital. Idrobiol., 1955, suppl. 8, 9—38 (итал.)

Исследование ряда прудов и озер показало, что кол-во образующегося в отложениях органич. в-ва увеличивается сигмообразно до некоторого равновесного состояния. Процесс эвтрофирования может быть связан не только с действительным увеличением продуктивности озера, но может происходить вследствие изменения морфологии, а именно заиления гипolimниона, что влечет уменьшение его объема, дефицит в нем кислорода и возникновение в нем восстановительных условий, способствующих накоплению неокислившегося органич. в-ва. Восстановительные условия, содействующие растворению фосфатов, могут вести к увеличению продуктивности водоемов. В. К. 4244. О химическом составе некоторых вод из заповедника Мор Хауз. Горем (On the chemical composition of some waters from the Moor House Nature Reserve. Gorham Eville), J. Ecol., 1956, 44, № 2, 375—382 (англ.)

В болотных водах установлена низкая общая конц-ия ионов (до 0,17 мг/экв/л в дождливое время). Влияние морской воды, приносимой осадками, сказывается в повышенном содержании в болотной воде Cl^- (2,2—6,5 мг/л) и Na^+ в дождливый период. Для болотных вод pH 3,68—4,14, которое еще ниже в мхе, особенно с падением в нем влажности. Содержание SO_4^{2-} в воде в сухой период 8,0—19,9 мг/л, что составляет до 64% всех анионов. В небольших «окнах» болота в сухое время наблюдается более низкий pH и более высокое содержание SO_4^{2-} и катионов; отношения $Na:Cl$ и $Mg:Cl$ здесь также выше. Содержание NO_3^- , PO_4^{3-} и SiO_2 очень небольшое (последнего <0,6 мг/л). В. Коншин

4245. Связь между химическим составом поверхностных вод штата Миннесота и их населением. Мойл (Relationships between the chemistry of Minnesota surface waters and wildlife management. Moyle

John B.), J. Wildlife Manag., 1956, 20, № 3, 303—320 (англ.)

Химические данные получены в результате 1546 анализов образцов воды, собранных в летние периоды 1940—1951 гг. Определялись карбонаты (общая щелочность), SO_4^{2-} , Cl^- , общий P, формы N, распределение которых в водах штата (по округам) дано на схематич. картах. Все исследованные в-ва показывают увеличение конц-ии с северо-востока на юго-запад штата, что объясняется изменением пород, осадков и почвенно-ботанич. условий. Установлена определенная связь между хим. составом воды и рыбной продуктивностью. В. Коншин

4246. Молекулярный состав органических веществ в озерах и океанах, а также в сточных водах и почвах. Валлентайн (The molecular nature of organic matter in lakes and oceans, with lesser reference to sewage and terrestrial soils. Vallentyne J. R.), J. Fish. Res. Board Canada, 1957, 14, № 1, 33—82 (англ.)

4247. Гидрологические исследования в эстуарии реки Хугли. Бос (Observations on the hydrology of the Hooghly estuary. Bose Benoy B.), Indian J. Fish., 1956, 3, № 1, 101—118 (англ.)

По солености выделяются 3 района: 1) район в глубине эстуария (до 333 км) с пресной водой в течение всего года; 2) район, примыкающий к морю, с солоноватой водой, где соленость колеблется между 1,6 и 30‰ в зависимости от сезона; 3) промежуточный район с соленостью промежуточного характера. Разницы по солености между поверхностными и придонными слоями почти не наблюдается. Т-ра воды в эстуарии 18—33°, без выраженной вертикальной стратификации; pH 7,9—8,4; кол-во O_2 больше в районах и в периоды с большей соленостью, ко дну его содержание обычно немного увеличивается; щелочность 2,0 мэкв на л в период муссонов, 4,5 и 7,0 мэкв на л соответственно в солоноватой и пресной воде в январе-феврале. Содержание PO_4 низко в период муссонов и повышается летом. Кол-во SiO_2 выше в районах и в периоды преобладания пресной воды. Мутность воды эстуария высокая и сильно увеличивается при перемешивании воды. В. Коншин

4248. Химические исследования в море Ирмингера в июне 1955 г. Калле (Chemische Untersuchungen in der Irminger See im Juni 1955. Kalle Kurt), Ber. Dtsch. wiss. Kommiss. Meeresforsch., 1957, 14, № 4, 313—328 (нем.; рез. англ.)

Для распределения фосфатов в воде характерно наличие в среднем горизонте максимума, который располагается не горизонтально, от 1200 м на востоке поднимается до 300 м на западе, следуя изопникам. Распределение O_2 подвержено большим неправильностям, но все же в средних горизонтах имеется кислородный минимум, аналогичный промежуточному фосфатному максимуму. Определения флуоресценции, производившиеся впервые в открытом море, показали, что максимум флуоресценции совпадает с максимумом фосфатов и минимумом O_2 , а непосредственно над ним расположен слабый минимум флуоресценции. На станции в Норвежском море максимум флуоресценции совпадает с минимумом фосфатов. В глубоководных частях моря имеются слабые, но хорошо выраженные максимумы и минимумы мутности без закономерной связи с распределением O_2 и фосфатов. В. Коншин

4249. Органическое вещество в водах Рижского залива. Скопинцев Б. А., Цурикова А. П., Гидрохим. материалы, 1957, 26, 65—70

Общее содержание органич. в-ва учитывалось по перманганатной окисляемости (ПО) в нейтр. среде с умножением полученной величины на 2; гумусовые

в-ва почвенного происхождения определялись фотометром типа Пульфриха по коэф. ослабления света (α) в фиолетовой части спектра в фильтрованной воде. Отношение α : ПО $\times 2$ позволяет оценить относительное участие окрашенных органич. в-в во всей массе органич. в-ва. Среднее значение α по всему заливу составляло летом 1949 г. 0,96, осенью — 0,76; ПО $\times 2$ равна в те же сроки соответственно 5,18 и 4,60, отношения этих величин — соответственно 0,19 и 0,17. По ПО воды Рижского залива близки к водам Азовского и Белого морей, по α — к водам Белого моря, но отличаются от вод Азовского моря. Постоянство значений α указывает на устойчивость окрашенных гумусовых в-в в морской воде. В. Коншин

4250. Геохимическое изучение подземных вод Хиласи-Тикума, префектура Нагано. I. П. Йокояма (長野縣東筑摩郡の地下水の化学的研究. I. 横山時秋), 資源科学研究所報, Сигэн какаку энкюсё, Misc. Repts Res. Inst. Natur. Resources, 1955, № 38, 96—100; № 39, 39—47 (японск.; рез. англ.)

I. Приведены результаты анализов вод.

II. Данные хим. анализа ряда компонентов, растворенных в грунтовых водах района Хиласи-Тикума, рассмотрены в связи с геологич. и географич. данными района. Отмечено увеличение содержания Cl и SO₄ там, где растворенные в-ва легко проходят через земную поверхность. Конц-ия SiO₂—Si хорошо отражает свойства пород, по которым протекают грунтовые воды, и зависит также от свойств воды рек, связанных с грунтовыми водами. Содержание Cl невелико в грунтовых водах южной части района (конусы выноса и речные террасы), где источником Cl является поверхность земли, и велико в северной части (горный район, сложенный третичными породами), где источником Cl являются месторождения природных газов, и в центральной части, где Cl поступает из минер. источников. Содержание PO₄ уменьшается в конусах выноса, покрытых полями, по-видимому, она потребляется растениями. Содержание P увеличивается в центральной части и на севере района, где P поступает из внутренних пластов. Высокое содержание SO₄ наблюдается в грунтовых водах, связанных с минер. источниками, и низкое содержание — в грунтовых водах, находящихся в восстановительной среде. Л. Левин

4251. Геология подземных вод частей графств Ларамии и Албани, (штат Вайоминг) и графства Вельд (штат Колорадо). Химический состав подземных вод. Бабкок, Бьорклунд, Кистер (Ground-water geology of parts of Laramie and Albany counties Wyoming, and Weld county, Colorado Chemical quality of the ground water. Babcock H. M., Bjorklund L. J., Kister L. A.), Geol. Survey Water-Supply Paper, 1956, № 1367, IV, 61 pp., ill.) (англ.)

Породы описываемой площади имеют различный возраст от докембрия до четвертичного. Более древние осадочные породы, выходящие на поверхность в крайней западной части, круто погружаются на восток. Верхнемеловые песчаники Фокс-Хилла и верхнемеловой ярус Ларамии, залегающие близко от земной поверхности, являются значительным источником питания для подземных вод в южной части площади. Воды в основном гидрокарбонатно-натриевые с довольно большой минерализацией. Олигоценные и плиоценовые, а также террасовые и аллювиальные отложения дают слабо минерализованную гидрокарбонатно-кальциевую воду. В. Красинцева

4252. О состоянии гидроминеральных ресурсов курорта Ессентуки и мерах по их увеличению. Палтеев И. Я., Уч. зап. Гос. н.-и. бальнеол. ин-та на Кавминводах, 1957, 1(29), 387—395

В результате разведочных гидрогеологич. работ существенно увеличены эксплуатационные ресурсы ессентукских минер. вод. Глубокими буровыми скважинами в северной части месторождения (район с. Ново-Благодарное) выведено большое кол-во углекислой соляно-щел. воды и хлоридно-натриевой йодобромной воды. В 3—4 км к северу от Ессентуков, около Греческого хутора, вскрыта горячая углекислая вода, близкая по составу к воде Карловых Вар. Запасы ессентукских минер. вод утверждены ГКЗ в следующих кол-вах (в л/сутки): по старым источникам курорта Ессентуки. 1. Углекислые соляно-щел. воды по категории А: а) типа Ессентуки № 17—15000, б) типа Ессентуки № 4—13400. 2. Углекисло-сероводородные соляно-щел. воды по категории А—200.000, В—100.000, С₁—200.000. По новым источникам в районе с. Благодарное: а) типа Ессентуки № 17 по категории А—150.000, В—100.000, С₁—500.000, б) типа Ессентуки № 4 по категории В—50.000, С₁—200.000. Хлоридно-натриевые йодобромные воды по категории С₁—500.000. Резервом на будущее могут быть горячие углекислые воды у Греческого хутора и слабодиссоцируемые термальные воды в районе с. Ново-Благодарное (скв. 8). Предлагается ряд мероприятий по дальнейшему увеличению эксплуатационных ресурсов курорта. В. Красинцева

4253. Влияние хранения на физико-химические и радиоактивные свойства цхалтубской минеральной воды. Цагарели К. К., Беродзе Б. Е., Шихашвили Т. Г., Сб. тр. Цхалтубск. фил. н.-и. ин-та курорт. и физиотерапии, 1956, 1—2, 57—68

Поставлены опыты по хранению минер. воды в открытых и закрытых резервуарах. Содержание ионов остается неизменным даже после трех суток. При хранении в течение 7—8 час. происходят изменения главным образом в составе газов. Содержание Ru уменьшается на 14—34% (от первоначального содержания), N₂+ редкие газы — на 8—10%, CO₂ — на 40—50%. Растворенный в воде O₂ увеличивается в 1,5—2 раза, кол-во короткоживущих продуктов распада Ru увеличивается в 5—7 раз; pH повышается. В. К.

4254. К вопросу о генезисе некоторых минеральных вод района КМВ. Сурков В. Н., Уч. зап. Гос. н.-и. бальнеол. ин-та на Кавминводах, 1957, 1(29), 397—406

Для разрешения вопросов генезиса минер. вод были поставлены опыты по выщелачиванию в различных условиях пород третичной толщи и отжатию поровых р-ров. При многократном выщелачивании одной и той же водой новых порций песчаника были получены хлоридно-натриевые р-ры с значительным содержанием сульфатов. При многократном выщелачивании водой, насыщенной CO₂, аргиллитов получался гидрокарбонатно-натриевый р-р, также с значительным кол-вом сульфатов. При отжимании посредством мощного пресса песчаников и аргиллитов получено от 1 до 2,5 мл р-ра на 1 кг породы; состав р-ров хлоридно-сульфатно-натриевый с различной минерализацией. Наличие сульфатов в полученных р-рах объясняется окислением сульфидных минералов. Формирование углекислых минер. вод района КМВ, по мнению автора, происходит следующим образом: воды инфильтруются с поверхности и получают свою минерализацию в осадочных горных породах при участии CO₂ метаморфич. происхождения; наличие Na связывается с катионным обменом. Возможно, в формировании солянощел. вод принимают участие воды тектонич. отжатия. В. Красинцева

4255. Исследования по определению химического состава минеральных вод в Венгерской автономной области и в горах Родны. Шош, Шеленьи, Сёч

(Cercetări privind compoziția chimică a apelor minerale din Regiunea Autonomă Maghiară și din Munții Rodnei. Soós P., Selényi Zs., Szécs J.), Studii și cercetări științ. Acad. RPR Fil. Cluj. Ser. I., 1955, 6, № 3-4, 161—192 (рум.; рез. русск., франц.)

Описаны различные по составу минер. воды. Железистые воды в большинстве случаев происходят из андезитов массива горы Харгит. Содержание Са и Mg связано с известняками и доломитами. Гидрокарбонатно-хлоридно-натриевые воды формируются в песчанниках, а хлоридные — в засоленном массиве у западной подошвы вулканических гор. В водах содержатся различные микроэлементы (в мг/кг): Br 0,077—90,0; J следы — 6,4; F 0,0098—1,15; H₂O₂ следы — 10,58; H₂AsO₄ до 1,7. Среди источников имеются радиоактивные с максим. содержанием Ru до 50 ед. Махе. В. Красинцева

4256. Новый источник радиоактивной воды в районе станции Знаменка. Бондарь А. Г. (Нове джерело радіоактивної води в районі ст. Знаменка. Бондар О. Г.), Геологічний ж., 1957, 17, № 2, 75—77 (укр.)

Исследованы радоновые воды, вскрытые 6 скважинами, и 2 источника. Радиоактивность колеблется от

12,9 до 260,6 эман. Пределы хим. состава по 6 анализам (в мг/л): Na⁺ + K⁺ 11,3—100,3, Ca²⁺ 60,1—32,2, Mg²⁺ 15,7—39,7, Cl⁻ 7,1—35,5, SO₄²⁻ 32,9—111,9, HCO₃⁻ 256,2—478,8; общая минерализация 734,6—796,2. В состав газа, выделяющегося из воды, входят (в %): CO₂ 6—10, N 65,4—78, He 0,0017—0,0028, Ar 1,094, —1,4. Источники связаны с гранитами Кировоградского типа. Г. Воробьев

4257 К. Образование и разрушение химических элементов в Космосе. Бурксер Е. С. (Утворення та руйнування хімічних елементів у Космосі. Бурксер Е. С. Київ, АН УРСР, 1956, 59, стор., іл., 1 крб.) (укр.)

См. также. Физ. и хим. методы анализа минералов 3615, 3618, 3619, 3630, 3636, 3640, 3696, 3697, 4278, 4332, 4333. Радиоактивность 3739. Изотопы 3732, 3737. Структура, состав и св-ва минералов 3627—3629, 3634, 3637—3639. Состав и св-ва руд, почв и природных вод 3732, 4028, 4284, 4285, 4287, 4299, 4304, 4312, 4313, 4336, 4340, 5031, 5317. Микроэлементы и минералы в живых организмах 1451Бх, 1452Бх. Синтез минералов 3621, 3636, 3638, 3695. Др. вопр. 3599.

АНАЛИТИЧЕСКАЯ ХИМИЯ

ОБЩИЕ ВОПРОСЫ

Редактор А. И. Бусев

4258. Вопросы аналитической химии на Всесоюзной научно-технической конференции по применению радиоактивных и стабильных изотопов и излучений в народном хозяйстве и науке. (Москва, 4—12 апр. 1957 г.). Золотов Ю. А., Яковлев Ю. В. Ж. аналит. химии, 1957, 12, № 4, 570—571

4259. К вопросу о влиянии объема осадка при реакциях осаждения в количественном анализе. Будешинский (O vlivu objemu sraženiny při sražecích reakcích v kvantitativní analýse. Buděšinský Břetislav), Chem. listy, 1957, 51, № 1, 166—168 (чешск.)

Выведены ф-лы для вычисления ошибок, возникающих под влиянием объема осадка, когда берут аликвотную часть осажженного р-ра для дальнейшего анализа, и найдены условия, при которых эти ошибки обладают наименьшим значением. В ф-ле для вычисления результата анализа $A = \pm 100 FV(b-a)/nv$ (A — результат в %, E — эквивалент определяемой составной части, V — объем осажженного р-ра, n — навеска, v — объем аликвотной части, b — отсчет (объем затраченного реагента и т. п.), найденный при нулевом опыте, a — тот же самый отсчет при собственном опыте) не учитывают объема осадка. Включением этой величины (w) находят ф-лу $A^* = \pm 100 E[Vb - a(V-w)]/nv$. Объем осадка пропорционален навеске, что и дает возможность вычислить его из двух определений с разными навесками (n, n') по ф-ле $w = Vn(A'-A)/(A'n'-An)$. После внесения величин $B = 100 EVb/A^*v$ и $k = n/w$ -конст. находят условия для миним. ошибки: если $b > a$: $y_{\min} = -\lim_{n \rightarrow b} A^* \times [B - n]/(Vk - n) = 0$; если $b < a$: $y_{\min} = -\lim_{n \rightarrow 0} A^* \times [A^*(B + n)/(Vk - n)] = 100 Eb/vk$. В первом случае навеска должна быть по возможности близкой значению B , в другом случае она должна быть возможно наименьшей. Значения ошибок вычислили для обоих случаев при среднем значении k (~ 1000 мг/мл) и $V = 100$ мл и при различных навесках и эквивалентах; результаты расчетов хорошо совпадают с результатами опытов. Karel Kármán

4260. Дитизонатные методы в химическом анализе. Обзор работ за последние 15 лет. Иванчев (Dithizon-Verfahren in der chemischen Analyse Überblick über die Entwicklung der letzten 15 Jahre. Iwantscheff G.), Angew. Chem., 1957, 69, № 13—14, 472—477 (нем.)

Обзор. Библ. 25 назв.

М. Сканава

4261. Диалкил- и диарилдитиофосфорные кислоты как аналитические реактивы. Сообщение 2. О дифенилдитиофосфорной кислоте и некоторых ее солях. Бусев А. И., Иванютин М. И., Турчинский М. Ф., Вестн. Моск. ун-та. Сер. матем., механ., астрон., физ., химии, 1957, № 2, 177—182

Разработан синтез дифенилдитиофосфорной к-ты, $(C_6H_5O)_2PSSH$, из фенола и P_2S_5 . Более полно описаны свойства этой к-ты. Синтезированы следующие соединения: $(C_6H_5O)_2PSSHCd$ (т. пл. 132°), $[(C_6H_5O)_2PSS]_2Ni$ (т. пл. 130°), $[(C_6H_5O)_2PSS]_2[Ni(C_6H_5N)_2]$ (т. пл. 180°), $[(C_6H_5O)_2PSS]_2[Co(C_6H_5N)_2]$ (т. пл. 146—150°, с отщеплением C_6H_5N), $[(C_6H_5O)_2PSS]_2Zn(C_6H_5N)_2$ (т. пл. 126°), $[(C_6H_5O)_2PSS]_2Cd(C_6H_5N)_2$ (т. пл. 121°). На основании сопоставления свойств названных соединений высказано предположение о существовании устойчивых внутрикомплексных соединений с четырехчленным циклом. Сообщение 1 см. РЖХим, 1957, 23395.

М. Иванютин

4262. Аналитическое исследование диаминоглиоксима. Венгер, Монье, Капетанидис (Etude analytique de la diaminoglyoxime. Wenger P. E., Monnier D., Kapetanidis I.), Helv. Chim. acta, 1957, 40, № 5, 1456—1468 (франц.; рез. англ.)

Диаминоглиоксим (HD) получен несколькими видами. Основным методом Фишера (Fischer F., Ber. Deutsch. chem. Ges., 1889, 22, 1930), основанным на взаимодействии дициана с гидросиламином, охлаждаемым до -20° . HD более растворим в воде, чем диметилглиоксим: при $21,5^\circ$ в 1 л воды растворяется $15,6 \pm 0,16$ г HD. Растворимость HD сильно зависит от т-ры. В кислой среде в равновесии с молекулами HD находится ион HDH^+ . Показатель константы диссоциации pK иона HDH^+ на H^+ и HD по данным потенциометрических измерений с применением стеклянного электрода со

составляет $2,95 \pm 0,05$. Спектрофотометрич. методом для той же ступени диссоциации получено значение $pK = 2,96 \pm 0,05$. В щел. среде с HD сосуществуют ионы D- и ничтожные кол-ва ионов $[H_2NCCNO]^{2-}$. pK последней ступени диссоциации ≥ 13 . Для диссоциации HD на H^+ и D- потенциометрич. методом получено значение $pK = 11,37 \pm 0,07$. Близкое к этому значение ($11,31 \pm 0,20$) получено и спектрофотометрич. методом. Приводятся спектры поглощения р-ров HD с рН 1,04—13,07.

Н. Полянский
4263. Применение диазониевых катионов, стабилизированных полианионами, и диазониевой бумаги в качестве аналитических реактивов. Ламберт, Кейте (Polyanion-stabilized diazonium cations and diazonium spot test papers as analytical reagents. Lambert Jack L., Cates Vernon E.), *Analyt. Chem.*, 1957, 29, № 4 Part 1, 508—512 (англ.)

Катионы диазония могут быть стабилизированы путем диспергирования и высушивания на ноните, содержащем группы SO_3H (амберлит IR = 120 в H-форме), или нанесения на фильтровальную бумагу в форме Zr-соли. Приведены прописи получения ионов 2,5-дихлорбензолдиазония, 4-нитробензолдиазония и 2-карбокситетра-4-нитробензолдиазония. Для приготовления реактивной бумаги фильтровальную бумагу обрабатывали 5%-ным р-ром $ZrOCl_2 \cdot 8H_2O$, сушили на воздухе, помещали в насыщ. р-р *n*-арсаниловой к-ты; промывали водой, вымачивали в р-ре, содержащем 5 г $NaNO_2$ и 2 мл конц. HCl на 100 мл, промывали и сушили. Выполнены опыты с 33 ионами диазония и установлено, что в качестве стабилизированных ионитом реактивов наиболее пригодны ионы 2,5-дихлор-, 4-нитро- и 2-карбокситетра-4-нитробензолдиазония. Приведены окраски азокрасителей, полученных при взаимодействии указанных реактивов с ароматич. аминами и фенолами при различных значениях рН и при выполнении капельных р-ций на реактивной бумаге с ароматич. аминами и фенолами при использовании буферных р-ров с рН 5 и 8.

Т. Леви
4264. Некоторые новые микрохимические реакции пиперазина и α -диметилпиперазина и их применение для микроанализа. Бериссо (Sobre nuevas reacciones microquímicas de la piperacina y del licetol y su aplicación microanalítica. Berisso Benjamín), *Mikrochim. acta*, 1957, № 3-4, 296—305 (исп.; рез. англ., франц., нем.)

Калий-йодвисмутит образует характерные осадки с пиперазином и α -диметилпиперазином. Р-цию можно применить для микрокристаллоскопии. Характеристики этих соединений. Образующиеся кристаллы с обоими в-вами отличаются по цвету и форме. Чувствительность р-ции 1:5000.

Д. Васкевич
4265. Адсорбционная газовая хроматография с индикацией по теплопроводности. Сокол (Plynová adsorpční chromatografie s vodivostní indikací. Sokol L.), *Chem. průmysl*, 1957, 7, № 4, 189—190 (чешск.; рез. русск., англ.)

Автор описывает газовую хроматографию углеводородов C_1 — C_5 на окиси алюминия, применяя в качестве носителя газообразный водород. Элюированные составные части автоматически регистрируются ламповым компенсационным милливольтметром 0—10 или 0—50 мВ по принципу теплопроводности. Из площади пиков на выходных кривых можно непосредственно вычислить весовой состав анализируемой смеси.

Резюме автора

4266. Количественный анализ смесей изомерных или родственных веществ методом спектроскопии в инфракрасной области. Смеси хлорированных инсектицидов. Мак-Доналд, Уотсон (Quantitative infrared analyses of mixtures of isomeric or closely related substances. Mixtures of chlorinated insecti-

cides. McDonald I. R. C., Watson C. C.), *Analyt. Chem.*, 1957, 29, № 3, 339—346 (англ.)

Для изучения смесей органич. соединений (хлорированные инсектициды) предложен метод дифференциального анализа в ИК-области спектра. Применяли 2-лучевой спектрофотометр Перкина—Эльмера; в качестве р-рителя употребляли CS_2 . Продажные препараты в форме дустов экстрагировали диэтиловым эфиром, эфир удаляли испарением и растворимые экстракты использовали для анализа. Исследованы препараты ГХЦГ, ДДТ, технич. дихлордифенилдихлорэтана, линдана и овекса. Приведены коэф. экстинкции для *n*, *n'*- и *o*, *n*-ДДТ, γ -ГХЦГ, *n*, *n'*- и *o*, *n*-дихлордифенилдихлорэтана.

Т. Леви

4267. Процессы испарения растворов из чашечного электрода при дуговом разряде и спектральный анализ доменных шлаков. Хэ И-чжэнь, Ван Чжэнь-шу, Ли Шин-чжо (杯形電極溶液電弧法光源中の燃燒過程與平爐渣的光譜分析. 何怡貞, 王植樞, 李詩鍾), *化學學報*, Хуасюэ сюэбао, *Acta chem. sinica*, 1957, 23, № 3, 159—168 (кит.; рез. англ.)

На примере анализа доменных шлаков исследован процесс испарения р-ров при дуговом разряде из медного фульгуратора с внутренним электродом. В 1-й стадии испарение в-в в излучающее облако происходит с поверхности р-ра. Фракционная дистилляция отсутствует. За счет бурного кипения р-ра допускается попадание в разряд нерастворившихся частиц пробы. Во 2-й стадии испарение происходит с внутреннего электрода фульгуратора. Наблюдается фракционная дистилляция. Результаты исследований позволили учесть сдвиги градуированных графиков при анализе доменных шлаков. Указано на необходимость строгого контроля уровня поверхности жидкости в фульгураторе и тщательную отделку внутреннего электрода. Средняя арифметич. ошибка анализа доменных шлаков равна 4%. Метод применим к анализу маргеновских шлаков и магнезии.

Л. Капорский

4268. Условные графики для определения высоких концентраций методом спектрального анализа. Топалов Л. И., *Заводск. лаборатория*, 1957, 23, № 5, 549—556

Ошибка при спектральном определении очень высоких конц-ий элементов в пробах обычно равна 1,5—3 абс. %. Описан метод анализа, при котором погрешность равна чаще всего 0,6—1,2% (относительных). Линиями сравнения берут линии определяемых элементов, что приводит к крутым градуировочным графикам в координатах $lg I_1/I_2$, $lg C_1/C_2$. Напр., в случае 3-компонентного сплава фотометрируют только 3 линии и каждый элемент определяют по двум графикам. В общеизвестной ф-ле $I = AC^b$ величины b для различных линий не совпадают и графики в указанных координатах криволинейны. Кроме того, одному и тому же значению $lg I_1/I_2$ (или ΔS) соответствует в некоторых пределах ряд значений $lg C_1/C_2$, что объясняется колебаниями конц-ий 3-го компонента. Практически разброс точек на плоскости ограничивается пределами фигуры, близкой к параллелограмму, стороны которого, параллельные оси абсцисс, ограничены предельными конц-иями 3-го компонента, а 2 другие, близкие к прямым, ограничиваются максим. и миним. значениями ΔS или $lg I_1/I_2$. Внутри параллелограмма по диагонали проводится градуировочный условный график. По найденным величинам $lg I_1/I_2$ находят $lg C_1/C_2$ и вносят из заранее составленных по эталонам таблиц в эту величину поправку, которая берется на основании значений $lg I_2/I_1$. Неизвестную конц-ию (в %) находят по ф-ле $C_n = [100 - (a - \alpha)] / [1 + C_m/C_n + C_r/C_n]$, где a — сумма определяемых примесей, α — сумма неопределяемых примесей, изменяющихся в небольших

пределах, $C_{\text{ти}}$ и C_r — конц-ии остальных компонентов сплава. Описан порядок анализа многокомпонентных проб. Приведен пример проверки метода на эталонах силикомарганца (Mn 65—86%, Si 13—23%, Fe 2—10%). При разработке частных методик затрачивается значительная по объему предварительная расчетная работа по составлению таблиц поправок. Точность анализа повышается с ростом конц-ии определяемого элемента и при конц-иях 70—80% ошибка может быть в пределах 0,5—0,7% (относительных). Г. Кибисов

4269. Полярографические исследования в безводном морфолине. Гутман, Недбалек (Polarographische Untersuchungen in wasserfreiem Morphin. Gutmann V., Nedbalek E.), Monatsh. Chem., 1957, 88, № 3, 320—324 (нем.)

В морфолине (I) хорошо растворимы следующие соли: $(C_4H_9)_4NJ$, LiJ , $LiNO_3$, NH_4NO_3 , NH_4Cl , $CuCl_2$, $La(NO_3)_3$, NdJ_3 , $Nd(CH_3COO)_3$. Хуже растворимы $LiCl$, NaJ , KJ , $(C_2H_5)_4NCl$, CaJ_2 , $AgNO_3$, $ZnCl_2$, $CdCl_2$, $PbCl_2$, $NiCl_2$, $CrCl_3$, $BiCl_3$, $NbBr_3$, $TiCl_4$ и $(C_2H_5)_2TiCl_2$. В безводн. I O_2 дает 2 волны при -0.95 в и -2.0 в без максимумов (М). Из исследованных в-в лишь немногие не дают М. В ряде случаев образуются М первого ряда, которые не подавляются метиленовой синей, сахаром, бруннуном, метиловым красным, агар-агаром, желатиной. Волны без М в безводн. I дают: $PbCl_2$ (-0.70 в), $CdCl_2$ (-0.95 в), $NiCl_2$ (-1.17 в), BaJ_2 (-1.70 в), KJ (-1.89 в), NaJ (-1.89 в) и LiJ (-2.03 в). Однако при конц-ии $> 2.3 \cdot 10^{-3}$ М Cd дает четкий М. Катионы нижеследующих солей дают М: $ZnCl_2$ (-1.3 в), $CrCl_3$ (-1.8 в), $BiCl_3$ (-1.8 в), CaJ_2 (-1.9 в), $TiCl_4$ (-1.9 в), $(C_2H_5)_2TiCl_2$ (-1.9 в) и RbJ (-1.9 в). В скобках указаны значения потенциалов полуволны, отнесенные к нормальному каломельному электроду. Полярографирование в безводн. I затрудняется из-за большой чувствительности остаточного тока основного электролита (0,1 М р-р-м-тетрабутил-аммонийиодида) к ничтожным примесям в р-рителе. Н. Полянский

4270. Активационный анализ — новый метод в аналитической химии. Борн (Aktivierungsanalyse — ein neues Hilfsmittel des Analytikens. Born H. J.), Wiss. und Fortschr., 1957, 7, № 5, 157—159 (нем.)

Изложены основы радиоактивационного анализа и приведены примеры его применения в аналитич. химии. Ф. Линкова

4271. Определение воды в некоторых гидразинах. Кордес, Тейт (Determination of water in several hydrazines. Cordes Herman F., Tait Charles W.), Analyt. Chem., 1957, 29, № 4, Part 1, 485—487 (англ.)

Для определения H_2O в гидразине, монометилгидразине и 1,1-диметилгидразине предложен метод, основанный на измерении интенсивности полосы поглощения при 19 м, характерной для H_2O . Для измерений пользовались спектрофотометром Бекмана, модель Ж-2, с W-лампой и PbS_2 -детектором, обеспечивающим непосредственную регистрацию оптич. плотности. Колебания т-ры в пределах 2° почти не влияют на величину оптич. плотности (отклонение $\leq 1\%$). Закон Бера выполняется при 0,1—15% H_2O . Присутствие небольшого кол-ва ($< 5\%$) диметиламина и нитрозо-диметиламина не мешает. O_2 мешает; CH_3OH и C_2H_5OH эквивалентны, по своему поглощению, соответственно $1/50$ и $1/150$ воды (в %), присутствующий в 1,1-диметилгидразине. Т. Леви

4272 П. Метод и прибор для газового анализа. Фейхтингер (Verfahren und Vorrichtung zur Gasanalyse. Feichtinger Heinrich). Пат. ФРГ 949197, 13.09.56

Патентуется метод анализа газов, при котором газ

проходит последовательно через несколько камер для абсорбции с жидкими или твердыми поглотителями и для сжигения с накаливаемой спиралью, причем движение газа через все камеры осуществляется в одном направлении и кол-во газа определяется по вытесняемому объему жидкости, служащей для транспортировки газа; измерение объемов проводится по меткам, нанесенным на капиллярные трубки, присоединенные к каждой камере. В качестве транспортирующей жидкости может служить Hg , масло или р-р КОН; в последнем случае происходит растворение CO_2 , но не затрагиваются другие компоненты. Так как газ не проходит через вентили и краны, то в приборе устранено вредное пространство и возможно анализировать пробы объема $\sim 0,1$ см³. Для отсчета кол-ва газа применены точные часы, соединенные с поршнем, причем смазочное средство служит одновременно для герметизации. Прибор изображен схематически в двух вариантах: в одном анализируется газ, содержащий CO_2 , CO , H_2 и N_2 , другой позволяет анализировать более сложные смеси. Б. Аньвер

АНАЛИЗ НЕОРГАНИЧЕСКИХ ВЕЩЕСТВ

Редактор Ф. П. Судакос

4273. Нагревание в токе окислительного или восстановительного газа в качественном анализе неорганических веществ. Бенедетти-Пихлер, Шнейдер (Heating in a stream of oxidizing or reducing gas for the qualitative analysis of inorganic substance. Benedetti-Pichler A. A., Schneider Herbert E.), Mikrochim. acta, 1957, № 3-4, 567—571 (англ.; рез. нем., франц.)

Разработаны приемы предварительного качества анализа неорганич. в-в нагреванием в окислительном пламени и в атмосфере водорода (AB). Описана спец. микроаппаратура, позволяющая также улавливать выделяющиеся газы (NH_3 , H_2S , SO_2 , SO_3 , CO_2 , NO_2 , HF , SiF_4 , HCl , HBr , HJ , Br_2) и сублимирующиеся в-ва. 0,1—1 мг в-ва нагревают на воздухе до 100°, затем постепенно повышают т-ру до 800° и остаток (если он имеется) нагревают в АВ. S и C превращаются при этом в соответствующие двуокиси. Сульфаты и фосфаты восстанавливаются соответственно до сульфидов и фосфидов. Галоиды Ag, $PbSO_4$, метастаннаты, антимоанаты, окислы Fe, а также окислы и соли ряда других тяжелых металлов восстанавливаются до металлов, которые идентифицируют после их растворения. Соли щел. и щел.-зем. металлов Al и Mg в АВ до металлов не восстанавливаются. Восстановление нагревания в АВ рекомендовано также для исследования остатков, не растворимых в к-тах. А. Немодрук

4274. Аналитическое применение квадратно-волнового полярографа Баркера. Часть III. Использование ортофосфорной кислоты в качестве растворителя и фона при полярографическом анализе неорганических веществ. Милнер, Сли (Analytical applications of the Barker square-wave polarograph. Part III. Orthophosphoric acid as a solvent and base electrolyte in direct inorganic polarographic analysis. Milner G. W. C., Slee L. J.), Analyst, 1957, 82, № 972, 139—151 (англ.)

Описаны методы полярографич. определения Pb в Cu-, Sn-, Zn- и Al-сплавах и некоторых минералах, Cu — в Pb-, Sn- и Al-сплавах, Zn — в Sn- и Pb-сплавах, не содержащих Fe и Cd, на фоне 1 М H_3PO_4 . Изучено полярографич. поведение ряда ионов (Fe^{3+} , Bi^{3+} , Cu^{2+} , Pb^{2+} , Tl^+ , Cd^{2+} , Zn^{2+} , Ni^{2+} , Co^{2+} , Sb^{3+} , Sn^{4+} , In^{3+}) на фоне H_3PO_4 и определены их коэф. диффузии. Доказано, что указанный метод имеет преимущества перед известными методами в быстроте и точности. Часть II см. РЖХим, 1957, 27225. Р. Моторкина

4275. Оксидиметрия с использованием стандартного раствора феррицианида калия. Определение хрома, молибдена и вольфрама. Кибоку (赤血鹽による酸化滴定. クロム, モリブデン, タングステンの定量. 木ト光夫), 分析化学. Бунсэки какаку, Japan Analyst, 1957, 6, № 6, 356—359 (японск.; рез. англ.)

При использовании $\text{Na}_2\text{P}_2\text{O}_7$ и $\text{Na}_4\text{P}_2\text{O}_7$ в качестве маскирующих в-в окисление $\text{Cr}(2+)$ до $\text{Cr}(3+)$, $\text{Mo}(3+)$ до $\text{Mo}(6+)$ и $\text{W}(4+)$ до $\text{W}(6+)$ происходит соответственно при $\text{pH} < 10,7$, $9,1-11,2$ и $6,6-10,6$ для $\text{Na}_2\text{P}_2\text{O}_7$ и при $\text{pH} < 10,4$, $8,8-11,0$ и $6,5-10,6$ для $\text{Na}_4\text{P}_2\text{O}_7$. Резюме автора

4276. Тетраэтилтиурамдисульфид как аналитический реактив. IV. Фотометрическое определение ртути и серебра. Михал, Зыка (Tetraethylthiuramdisulfid jako analytické činidlo, IV. Fotometrické stanovení rtuti a stříbra. Michael Jan, Zýka Jaroslav), Chem. listy, 1957, 51, № 1, 58—62 (чешск.); Сб. чехосл. хим. работ, 1957, 22, № 4, 1135—1140 (нем.; рез. русск.)

Описан косвенный фотометрич. метод определения Hg и Ag , основанный на ослаблении интенсивности окраски окрашенного р-ра внутрикомплексного соединения Cu^{2+} с тетраэтилтиурамдисульфидом (I) в результате обменной р-ции с Hg^{2+} и Ag^{+} . Комплексное соединение Cu^{2+} с I, названное авторами меркурпаль (II), в чистом состоянии получают смешением равных объемов насыщ. р-ров I и CuSO_4 в 50%-ном $\text{C}_2\text{H}_5\text{OH}$, отсасыванием выделившихся кристалликов и их промыванием водой и небольшим кол-вом $\text{C}_2\text{H}_5\text{OH}$. При определении Hg к анализируемому р-ру в делительной воронке прибавляют 2 мл р-ра II (10 мг II в 250 мл бензола), 15 мл бензола и энергично встряхивают 3 мин. Бензольный слой отделяют, разбавляют спиртом до 25 мл и фотометрируют при 445 мμ (сильный светофильтр). Для построения калибровочного графика используют р-ры, содержащие 10—50 ν Hg . Определению Hg не мешает присутствие значительного избытка HCl , H_2SO_4 и многих катионов. Мешают, кроме Ag , только HNO_3 и Ce^{4+} и большие кол-ва Sb и Bi . В присутствии Cu^{2+} необходимо следить за тем, чтобы применяемый р-р II не содержал свободного I. Ag определяют аналогично; обесцвечивание р-ра II протекает быстрее, чем в случае Hg . Сообщение III см. РЖХим, 1955, 26396. Karel Kámen

4277. Определение калия в натриевых солях методом пламеннофотометрического анализа. Фишер А. М., Финкельштейн А. И., Заводск. лаборатория, 1957, 23, № 7, 788—791

Описан фотометр с двухлучевой схемой, с электрич. установкой нуля и электрич. компенсацией, обеспечивающий высокую точность измерений. Приемником света служат сернисто-серебряный фотоэлемент ФЭСС-У10 (для K) или селеновый фотоэлемент К-10 (для Na), а нуль-гальванометром — прибор ГМП. Выделение линий K 7698,98 и 7664,91 Å, Na 5895,9 и 5889,9 Å производят светофильтрами. Фильтр для K изготовлен из отфиксированной фотопластинки, окрашенной водн. р-ром кристаллич. фиолетового, фильтр для Na — из стекла С ЖС-5. Для устранения фона применяют оранжевый фильтр из фотопленки, окрашенной метиловым оранжевым. В горелке из молибденового стекла без металл. наконечника сжигают этилен в смеси с воздухом. Давление обоих газов выбирают так, чтобы пламя окрашивалось в синий цвет с резко очерченным внутренним конусом. Электрич. схема прибора аналогична схеме обычного фотокориметра. Градуировочные графики строят по извест. смесям и проверяют ежедневно. Анализ в цеховых условиях производят при конц-ях солей K 3—25%. Ошибка анализа ~ 2%. Г. Кибисов

4278. Определение калия в порохах с помощью тетрафенилборнатрия. Гавриж, Вржештай (Stanovení draslíku v praších tetrafenylbornatrim. Havíř J., Vřešťál J.), Chem. zvesti, 1957, 11, № 1, 35—39 (чешск.; рез. русск., нем.)

Описан метод определения калия в нитроглицериновых и перхлоратных порохах. 10 г нитроглицеринового пороха размешивают с нитробензолом для желатинизации, прикрывают беззольным фильтром и сжигают. Остаток слабо прокалывают, золу растворяют в 10—20 мл воды, фильтруют и фильтр промывают горячей водой. Фильтрат подкисляют 2—3 каплями CH_3COOH (1:1), осаждают K при 50—70° прибавлением избытка (10—20 мл) 2%-ного водн. р-ра тетрафенилборнатрия и охлаждают. Осадок отфильтровывают через тигель Гуча, промывают насыщ. водн. р-ром тетрафенилборнатрия, высушивают 30—60 мин. при 105—120° и взвешивают в форме $\text{KB}(\text{C}_6\text{H}_5)_4$. При анализе перхлоратных порохов поступают аналогично. В этом случае можно также провести сжигение с помощью H_2SO_4 . С этой целью пробу выпаривают досуха с разб. H_2SO_4 в Pt -чашке (применяют ИК-лампу), остаток слабо прокалывают, растворяют в воде, фильтруют и далее поступают, как описано выше. Расхождение результатов, полученных перхлоратным методом и методом с тетрафенилборнатрием, составляет от 0,08 — до 0,09%.

Н. Туркевич

4279. Изучение условий определения калия и натрия в силикатах при помощи пламенного фотометра. Шауман (Studie podmínek k stanovení draslíku a sodíku v silikátech plamenným fotometrem. Šauman Zdeněk), Chem. zvesti, 1957, 11, № 3, 168—174 (чешск.; рез. русск., нем.)

Для определения Na и K в силикатах применяют пламенный фотометр Цейсса, модель III, со светофильтром. Спектр возбуждают в ацетиленовом пламени при давлении C_2H_2 40 мм вод. ст. и давлении воздуха 0,4 атм. Установлено взаимное влияние Na и K , мешающее анализу. Особенно большое влияние оказывает избыток Na_2O по отношению к K_2O . На результаты анализа сильно действует также Ca . Дублет Na усиливается от линии Ca 5857,46 Å. На линии K 7698,98 и 7664,91 Å линии Ca 7721,0 и 7715,6 Å действия не оказывают, так как имеют очень низкую интенсивность. При определении K можно пренебречь влиянием Ca в любых конц-ях. Fe_2O_3 до 10% и MgO до 15% не мешают определению Na и K . Al при конц-ях Al_2O_3 до 50% анализу не мешает. При содержании в пробе >4% CaO делают поправку по кривой или применяют контрольные р-ры, содержащие кроме Na_2O и K_2O такое же кол-во Ca , как и анализируемый р-р. Для устранения ошибки также применяют калибровочные кривые, полученные при отношениях K_2O к Na_2O , близких к анализируемым р-рам. Для перевода в р-р высушенной при 110° пробы обрабатывают 0,5 г в-ва плавиковой к-той в Pt -чашке, после добавления 1 мл конц. HCl оставляют на 1—2 часа и затем испаряют на песчаной бане. К остатку прибавляют равные кол-ва HF и HCl , снова испаряют и остаток прокалывают 15 мин. в электропечи при 550°. После охлаждения прибавляют 5 мл конц. HCl горячей воды, размешивают, ставят чашку на 1/2 часа в кипящую водяную баню и фильтруют в мерную колбу на 250 мл. Остаток на фильтре промывают горячей водой, дополняют колбу до метки и фотометрируют. Хотя точность спектральных измерений ниже, чем при анализе по Лавренчу-Смиту, метод отличается простотой и требует меньшей затраты времени.

Е. Шпитальная

4280. Полярграфическое определение $\text{Na}_2\text{O} + \text{K}_2\text{O}$ в различных огнеупорных материалах. Ермолаева Е. В., Коробка Л. А., Бюл. научно-техн. информ. Всес. н.-и. ин-та огнеупоров, 1957, 2, 89—93

Изучены условия полярографич. определения сумм $\text{Na}_2\text{O} + \text{K}_2\text{O}$ в различных огнеупорных материалах. Ввиду значительного изменения высоты полярографич. волны для $\text{Na}_2\text{O} + \text{K}_2\text{O}$ в зависимости от соотношения $\text{Na}_2\text{O} : \text{K}_2\text{O}$ (возрастает с увеличением содержания Na_2O) и т-ры (при $15-25^\circ$ изменение т-ры на 1° дает ошибку измерений 2,8 отн. %) рекомендуется каждые 6—8 час. полярографировать контрольный р-р хим. чистых Na_2SO_4 и K_2SO_4 с известным содержанием $\text{Na}_2\text{O} + \text{K}_2\text{O}$; в контрольном р-ре соотношение $\text{Na}_2\text{O} : \text{K}_2\text{O}$ должно соответствовать соотношению $\text{Na}_2\text{O} : \text{K}_2\text{O}$ в анализируемых р-рах. При использовании в качестве фона $[\text{N}(\text{C}_2\text{H}_5)_4]\text{I}$ ход анализа аналогичен таковому при усоренном весовом методе определения суммы $\text{Na} + \text{K}$ в глине и шамоте (Балюк С. Т., Гурвич Т. А., Завод. лаборатория, 1951, № 3, 364), а при использовании $[\text{N}(\text{CH}_3)_4]\text{OH}$ или $[\text{N}(\text{C}_2\text{H}_5)_4]\text{OH}$ подготовка пробы к полярографированию несколько упрощается. Присутствие до 5% Mg^{2+} и Al^{3+} и 1% Fe^{3+} и Mn^{2+} не мешает; присутствие $\sim 0,5\%$ TiO_2 или CaO мешает. Дисперсия, среднеквадратичная ошибка и воспроизводимость результатов определения соответственно равны 0,0007, $\pm 0,03$ и $\pm 0,07$. Л. Горин

4281. Быстрый титриметрический метод определения меди в медноцианидных ваннах. Накагава, Танака, Хонда (シアン化銅メッキ液中の銅の迅速滴定法について, 中川義矩, 田中孝, 本田繁), 大阪工業技術試験所季報, Осака корё гидзюцу сикансё кихо, Bull. Osaka Industr. Res. Inst., 1957, 8, № 1, 46—49 (японск.; рез. англ.)

Описан метод, основанный на разрушении цианидного комплекса Cu , добавлении Ag^+ и на последующем определении освободившейся Cu прямым или косвенным комплексометрич. титрованием. Получены удовлетворительные результаты. Резюме авторов

4282. Определение следов магния в хлориде натрия, используемом в качестве первичного стандарта. 1. Фотометрический метод с применением титанового желтого. Сато, Такаутти (標準試薬鹽化ナトリウム中の微量マグネシウムの定量について, 第1報, チタニエローによる比色方法, 佐藤清, 高内啓一), 大阪工業技術試験所季報, Осака корё гидзюцу сикансё кихо, Bull. Osaka Industr. Res. Inst., 1957, 8, № 1, 35—40 (японск.; рез. англ.)

Изучено влияние сопутствующих солей на определение Mg и критически рассмотрены методы удаления этих солей. При незначительном содержании Mg присутствие сопутствующих солей приводит к неточным результатам. Для 0—1 г NaCl увеличение светопоглощения окрашенного в красный цвет р-ра соединения Mg с титановым желтым обратно пропорционально кол-ву NaCl . При определении малых кол-в Mg предварительно NaCl отделяют осаждением спиртом. Отклонение результатов определения Mg по величине на $\sim 30\%$ меньше, чем добавленное кол-во Mg . Резюме авторов

4283. Быстрое определение магния в алюминийевых сплавах комплексометрическим методом. Вакамацу (アルミニウム合金中のマグネシウムの迅速定量方法, 若松茂雄), 分析化学, Бунсёки кагаку, Japan Analyst, 1957, 6, № 5, 295—299 (японск.; рез. англ.)

Анализируемый образец обрабатывают 20%-ными р-рами NaOH и KCN ; осадок отфильтровывают и растворяют в HCl (1:1). Al и другие металлы осаждают в форме гидроксидов, а Ca — в форме оксалата. Р-р, содержащий эти осадки, обрабатывают 20%-ным р-ром KCN (для маскировки Cu , Ni , Mn и др.) и титруют р-ром комплекса III в присутствии эриохрома черного Т в качестве индикатора. При применении описанного метода продолжительность определения Mg в Al -сплавах сокращается до 30 мин.; результаты определения хорошо воспроизводимы. Резюме автора

4284. Быстрое фотометрическое определение магния в почве. Эдсон, Миллс (Rapid colorimetric estimation of soil magnesium employing a single, self-compensating reagent, Edson S. N., Mills R. H.), Chemist Analyst, 1957, 46, № 1, 4—5 (англ.)

Описан метод определения 2—30 μMg при помощи красителя бриллиантового желтого (I). Навеску почвы обрабатывают определенным объемом экстрагирующего р-ра (5 г NaOH и 11 мл лед. CH_3COOH в 1 л), фильтруют, отбирают 1,5 мл фильтрата, переносят в колориметрич. пробирку, разбавляют до 5 мл 0,01%-ным р-ром I в смеси (1:1) воды и CH_3OH , перемешивают и через 4 мин. сравнивают полученную малиновую окраску р-ра с окраской стандартных р-ров визуальным или фотометрически (при 560 м μ).

Р. Моторина

4285. К пламеннофотометрическому определению магния в золе растений и в почвах по методу Шахтсхабеля. Кик, Бухер (Zur flammenphotometrischen Bestimmung des Magnesiums in Pflanzenaschen sowie des pflanzenverfügbaren Magnesiums in Böden nach Schachtschabel, Kick H., Bucher R.), Landwirtsch. Forsch., 1957, 10, № 2, 96—99 (нем.; рез. англ., франц.)

Растворяют в HCl или HNO_3 1—2 г обожженной в муфельной печи пробы и доводят объем р-ра водой до 100 мл. Почвенные вытяжки готовят, экстрагируя Mg 0,025 н. CaCl_2 (РЖХим, 1956, 39377) или 1 н. $\text{CH}_3\text{COONH}_4$ или же 0,05 н. HCl . Эталоны готовят из р-ра MgO с установленным содержанием Mg и обрабатывают аналогично с пробами. В эталонные р-ры для зола растений добавляют, в зависимости от содержания в них Mg , соответствующее кол-во синтетич. свободного от Mg р-ра зола. Помех от присутствия Ca , Cu и Na в обычных конц-ях не наблюдается. Анализы проводят без предварительного отделения Fe , Al , P и S по линии Mg 2852 Å. Спектры возбуждают в ацетиленово-воздушном пламени. Измерения производят монохроматором Цейсса при ширине входной щели 0,06—0,08 мм и фотоумножителем, соединенными с зеркальным гальванометром. При сравнении с фотометрич. методом анализа получаются хорошо совпадающие результаты. Т. Гуревич

4286. Полярографическое определение стронция. Селиванова Н. М., Зубова Г. А. Ж. аналит. хим., 1957, 12, № 4, 466—468 (рез. англ.)

Описаны условия полярографич. определения Sr в р-рах солей Sr с конц-ей $> 0,001 \text{ M}$ без применения $\text{C}_2\text{H}_5\text{OH}$. С целью подавления максимумов на полярографич. кривых, полученных на фоне 0,1 н. LiCl , а также 0,1 н. $[\text{N}(\text{C}_2\text{H}_5)_4]\text{I}$, изучено влияние добавок некоторых поверхностно-активных в-в (желатина, метиловый красный, фенолфталеин, атар-агар). Эффективной оказалась только желатина, причем с возрастанием конц-ии Sr^{2+} в р-ре кол-во желатины, необходимое для подавления максимумов, увеличивается. Изучено также влияние на полярографич. волны Sr аниона Sr -соли; кривые, полученные для эквимоларных р-ров SrSO_4 , SrCl_2 , $\text{Sr}(\text{NO}_3)_2$, SrSeO_4 и $(\text{CH}_3\text{COO})_2\text{Sr}$ на фоне LiCl , а также $[\text{N}(\text{C}_2\text{H}_5)_4]\text{I}$, имеют одинаковую высоту волны, за исключением $\text{Sr}(\text{NO}_3)_2$, где высота волны в 2 раза больше. Л. Горин

4287. Полярографическое определение цинка в минеральных водах. Добровольский Н. Ф., Козарезенко П. М., Королева В. И., Укр. хим. ж., 1956, 22, № 5, 673—675

1 л анализируемой воды последовательно обрабатывают 15 мл насыщ. хлороформного р-ра дитизона, 2 раза по 10 мл р-ра дитизона в CCl_4 и 15 мл смеси (1:1) CHCl_3 и CCl_4 . Полученные вытяжки соединяют и обрабатывают в делительной воронке 2 раза по 10 мл 0,5 н. HCl . Солянокислые вытяжки соединяют,

прибавляют NH_4OH до pH 6,2, выпаривают почти досуха, переносят в электрич. ячейку и полярографируют. Продолжительность определения 2—3 часа. Приведены результаты определения Zn в воде некоторых минер. источников СССР. Л. Сазонов

4288. Прямое определение металлического цинка и окиси цинка в одном продукте. Эк (Dosages directs du zinc métallique et du zinc oxydé dans un même produit. Ek Corneille), Rev. univers. mines, 1957, 13, № 7, 249—253 (франц.)

Метод основан на избирательном растворении Zn в смеси $\text{HgCl}_2 + \text{KCN}$ с pH 6 и последующем определении Zn в р-ре и в нерастворившемся остатке. Смесь для растворения Zn готовят смешением 100 мл р-ра HgCl_2 с конц-цией 18,5 г/л и с таким кол-вом р-ра KCN (80 г/л), чтобы довести pH до 6. После 6 час. перемешивания со скоростью 700 об/мин при комнатной т-ре в р-р переходит 98,67% Zn. При кипячении Zn количественно растворяется в течение 15 мин. ZnO в этих условиях не растворяется. Для выполнения анализа Zn-пыли к 200 мл кипящей смеси $\text{HgCl}_2 + \text{KCN}$ добавляют 0,2 г анализируемого в-ва, кипятят с обратным холодильником 15 мин., охлаждают, отфильтровывают осадок и промывают его водой. Осадок растворяют на фильтре в 22,5 мл теплой конц. HCl и из охлажд. р-ра добавлением 58 мл конц. NH_4OH и 10 мл 10%-ного $\text{NH}_4\text{OH} \cdot \text{HCl}$ осаждают ртуть. После охлаждения фильтрата добавляют 40 мл 0,5%-ного р-ра желатин и определяют Zn полярографич. методом. В фильтрате от отделения ZnO, после устранения Hg^{2+} и $\text{Hg}(\text{CN})_2$, определяют кол-во растворившегося Zn. Сначала к фильтрату добавляют 5 мл конц. HCl, 2 мл брома и кипячением удаляют избыток окислителя. Затем восстанавливают Hg^{2+} , применяя 20 мл конц. NH_4OH и 50 мл 10%-ного $\text{NH}_4\text{OH} \cdot \text{HCl}$, и через несколько минут смесь разбавляют до метки и фильтруют. К 400 мл фильтрата добавляют эриохром черный Т и титруют 0,05 М р-ром комплексона. Результаты титрования исправляют на содержание Zn в KCN. Полное содержание Zn в образцах Zn-пыли определено с относительной погрешностью $< 0,15\%$.

Н. Полянский

4289. Потенциометрическое титрование кадмия раствором ферроцианида калия. Басинский, Боготко (Potencjometryczne miareczkowanie kadmu żelazocyjankiem potasowym. Basiński Antoni, Bogotko Witold), Roczn. chem., 1956, 30, № 2, 613—618 (польск.; рез. англ.)

Потенциометрическое титрование Cd^{2+} р-ром $\text{K}_4[\text{Fe}(\text{CN})_6]$ производят в присутствии 10 мл 10%-ного р-ра $(\text{NH}_4)_2\text{SO}_4$ с применением Pt- и Hg_2Cl_2 -электродов. Введение H_2SO_4 до pH 1,69 не влияет на результаты титрования. Метод неприменим в присутствии ионов металлов, образующих труднорастворимые соединения с $\text{K}_4[\text{Fe}(\text{CN})_6]$. Титрование $\text{K}_4[\text{Fe}(\text{CN})_6]$ р-ром соли Cd не дает четкого скачка потенциала, а состав осадка непостоянен. Ошибка определения не превышает нескольких десятых процента. А. Hulanicki

4290. Определение следовых количеств бора. Мураки, Хиро (微量ホウ素の定量法について. 村木勇夫, 日色和夫), 分析化学, Бунсэки кагаку, Japan Analyst, 1957, 6, № 5, 319—327 (японск.)

Обзор. Библ. 41 назв.

4291. Определение малых количеств бора. Фунасака, Мизаки (微量硼素定量. 舟阪渡, 三枝樹昭彦), 分析化学, Бунсэки кагаку, Japan Analyst, 1957, 6, № 5, 328—332 (японск.)

Обзор. Библ. 74 назв.

4292. Определение окиси алюминия в металлическом алюминии. Капитанчик, Кужава, Медзинский (Oznaczenie tlenku glinu w glinie metalicznej. Kapitańczyk Kazimiers, Kurzawa

Zbigniew, Miedziński Mieczysław), Roczn. chem., 1956, 30, № 2, 607—612 (польск.; рез. нем.)

Разработан метод определения инклюзивированного Al_2O_3 в металлич. алюминии, основанный на селективном растворении Al и Al_2O_3 в р-ре, содержащем 4 г винной к-ты, 1 г лимонной к-ты и 3 мл насыщ. р-ра HgCl_2 на 100 мл. К полученному таким образом р-ру прибавляют 10 мл HCl (1:1), кипятят 5 мин., фильтруют, промывают 5%-ным р-ром винной к-ты и удаляют Hg. Фильтр с осадком сжигают, остаток сливают с 3—4 г $\text{K}_2\text{S}_2\text{O}_7$ и плав растворяют в воде. К полученному р-ру прибавляют сначала 1 мл HCl (1:25), 20 мл 40%-ного р-ра $\text{CH}_3\text{COONH}_4$, по 4 мл 5%-ных р-ров Na_2CO_3 и KCN, а через 10 мин. прибавляют 10 мл 0,01%-ного р-ра гематоксилина и 4 мл 10%-ной CH_3COOH , разбавляют до 100 мл и фотометрируют при 540 мμ. А. Hulanicki

4293. Применение расчетного градуировочного графика при спектральном анализе редкоземельных элементов по методу добавок. Акимов А. И., Оптика и спектроскопия, 1957, 2, № 6, 809—811

Предполагают, что в ф-ле $I = ac^b$ показатель b известен. Ур-ние $\lg I_1/I_2 = \lg a + b \lg (c+x)$, где x — конц-ия определяемого элемента, а c — известная добавляемая конц-ия, переписывают в виде: $\lg R_c/R_0 = b \lg (I + c/x)$, где $R_c = \lg I_1/I_2$ для эталона и $R_0 = \lg I_1/I_2'$ для основы. При анализе величину x подбирают так, чтобы интенсивности линий в спектрах эталона и основы заметно отличались. На графике в координатах $\lg I/c/R_0$, $\lg (I + c/x)$ берут точку, ордината которой равна величине $\lg R_c/R_0$, найденной из данных фотометрирования спектров эталона и основы. Абсцисса этой точки служит для вычисления x , которое производят по вспомогательному графику в координатах $\lg (I + c/x)$, x . Для каждого эталона строят отдельный вспомогательный график. Для определения x достаточно иметь лишь один эталон. Предлагаемый способ расчета проверен при определении Nd в самарии при анализе из р-ров и возбуждении спектров в дуге переменного тока с применением большого спектрографа со стеклянной оптикой. На определение x при 3-кратной съемке спектров затрачивается $\leq 0,6$ мг в-ва. Г. Кибисов

4294. Исследование некоторых азокрасителей как реактивов на ионид. Коренман И. М., Шеянова Ф. Р., Рощина Р. В. Ж. аналит. химии, 1957, 12, № 4, 476—480 (рез. англ.)

Качественно изучено взаимодействие In^{3+} с некоторыми азокрасителями (АК), содержащими группировку $-\text{C}(kc) - \text{C}(cl)-$, где kc — комплексообразующая группа $(-\text{OH}-\text{SH}=\text{O})$, а cl — солеобразующая группа $(-\text{OH}-\text{SH}-\text{COOH})$. Установлено, что АК, реагирующие с J^{3+} , имеют, кроме указанной группировки, еще и группу NO_2 в пара-положении к группе OH или в мета-положении к азогруппе. АК, содержащие группу NO_2 в орто-положении к азогруппе, не дают цветных р-ций с In^{3+} . Определена чувствительность открытия In^{3+} при различных pH; при pH ≤ 2 и pH ≥ 10 ни один из изученных АК не дает р-ции с In^{3+} ; оптимальным является pH 5. Показана возможность открытия In^{3+} в присутствии Al^{3+} , Fe^{3+} , Th^{4+} , UO_2^{2+} , Ce^{3+} , La^{3+} , Zn^{2+} , Mn^{2+} , Mg^{2+} . Л. Г.

4295. К открытию таллия. Клиффмюллер (Zur Praxis des Thallium-Nachweises. Kliffmüller Richard), Z. analyt. Chem., 1957, 157, № 2, 81—85 (нем.)

Для открытия Tl в моче и в-ве волос используют р-цию TlBr₄ с родамином В или метод хроматографии на бумаге (РЖХим, 1954, 25758). Tl предварительно выделяют экстрагированием эфиром в форме HTlCl_4 . 50 мл мочи упаривают в колбе Кьельдаля до

8 мл, добавляют 5 мл конц. H_2SO_4 , кипятят до обугливания, охлаждают и добавляют сначала 10 мл, а затем по 5 мл пергидроля до полного разрушения органич. в-в. Сухой остаток обрабатывают 2 мл конц. HCl и твердым $KClO_3$, нагревают и желто-зеленый р-р после охлаждения экстрагируют 2 раза по 10 мл эфира до исчезновения Tl в водн. слое. В. Типцова

4296. Открытие таллия при помощи метилового фиолетового. Коваржик, Моучка (Nachweis von Thallium mit Methylviolett. Kovarik M., Moučka M.), *Anal. chim. acta*, 1957, 16, № 3, 249 (нем.; рез. англ., франц.)

Для открытия Tl использована избирательная и высокочувствительная р-ция Tl^{3+} с метиловым фиолетовым (I) в среде HCl . Tl^{3+} в этих условиях не дает цветной р-ции с I. К 1 капле анализируемого р-ра в микропробирке добавляют 1 каплю бромной воды (для окисления Tl^{+} до Tl^{3+}), несколько кристаллов сульфосалициловой к-ты (для удаления избытка брома), 2 капли конц. HCl и 2 капли 0,2%-ного водн. р-ра I и экстрагируют бензолом (0,2 мл). В присутствии Tl бензольный слой окрашивается в голубой цвет. Hg , Au , Sb и MoO_4^{2-} реагируют с I аналогично Tl ; Hg , Au и Sb удаляют восстановлением металлич. медью. VO_3^- и WO_4^{2-} с I образуют соединения, также окрашенные в голубой цвет, но не экстрагирующиеся бензолом. А. Немодрук

4297. Весовое определение одновалентного таллия в форме тетрафенилборталлия. Уэндландт (The gravimetric determination of thallium(I) as thallium(I) tetraphenylboron. Wendlandt Wesley W.), *Anal. chim. acta*, 1957, 16, № 3, 216—220 (англ.; рез. нем., франц.)

Tl^{+} с тетрафенилборнатом (I) образует осадок состава $Tl(B(C_6H_5)_4)$, обладающий незначительной растворимостью (5—6 μ в 100 мл) и не изменяющийся при нагревании до 180°. Прокаливание осадка приводит к получению неопределенной весовой формы (наряду с Tl_2O_3 образуется также $TlBO_2$). При определении Tl к слабому анализируемому р-ру, содержащему от 0,0166 до 0,0416 г Tl в форме Tl_2SO_4 , прибавляют ~ 40 мл воды, 20 мл 2 М CH_3COONa , 2 капли 0,1%-ного р-ра аэрозоля и 3—8 мл 2%-ного р-ра I. Через 2 часа выпавший осадок отфильтровывают (с отсасыванием) через взвешенный фильтрующий тигель; промывают 3 раза водой по 10 мл и сушат при 100—105°. Средняя ошибка ~ 0,4%. При кислотности 1 н. осаждение Tl неполное. Хлориды мешают (осаждают Tl^{+} в форме $TlCl$). K , Pb , Zn , Cs , $Hg(1+)$, $Hg(2+)$, Ag , $Ce(4+)$, Zr , Co , Ni , $Mn(2+)$, $Pt(4+)$, $Sb(3+)$, $Bi(3+)$ и NH_4^{+} также образуют осадки с I; однако в результате изучения этих осадков при помощи термовесов оказалось, что осадки, образуемые Zn , $Ce(4+)$, Zr , $Sb(3+)$, Co , Ni , $Mn(2+)$ и $Bi(3+)$, не содержат талла и представляют собой $C_6H_5B(OH)_2$. Описанный метод обладает рядом преимуществ перед хроматным методом (большая точность, меньшее мешающее влияние других ионов). А. Немодрук

4298. Определение свинца методом амперометрического титрования с применением индикатора. Усатенко Ю. И., Виткина М. А., Завод. лаборатория, 1957, 23, № 4, 427—429

К 10 мл р-ра электролита для рафинирования Pb (содержащего сульфаминовокислый Pb) в мерной колбочке емк. 100 мл разбавляют водой до метки и отбирают для анализа 2—5 мл полученного р-ра (15—40 мг Pb); добавляют ~ 25 мл воды 0,1—1 мл 0,1 М р-ра Na_2SiO_3 (для коагулирования клея) и нагревают 5 мин. при 70°. Р-р охлаждают, приливают 10 мл 0,1 М р-ра NH_4Cl , нейтрализуют 0,1 н. р-ром $NaOH$, дают 2—3 капли его в избыток и затем прибав-

ляют CH_3COOH до бледно-розового окрашивания до метилового красному. Опускают в р-р вращающийся Pt -микроэлектрод, ключ от ртутнокадмиевого полуэлемента, включают мешалку и добавляют точно 1 мл р-ра соли Cu ; при этом стрелка гальванометра резко отклоняется к концу шкалы и даже может уйти за ее пределы. Титруют р-ром $(NH_4)_2C_2O_4$ сначала осторожно, а затем более быстро. Вблизи точки эквивалентности исчезает диффузионный ток, обусловленный ионами Cu^{2+} . Вычерчивают кривую титрования, находят точку эквивалентности и делают поправку на Cu . Метод дает удовлетворительные результаты. Не мешают до 0,01% Sn , 0,05% Sb , 0,01% As , 0,01% Bi и 0,1% Zn . В. Сааганова

4299. Фосфатно-оксихинолиновый метод отделения и объемного определения циркония. Виноградов А. В., Шпинель В. С., *Атом. энергия*, 1957, 3, № 8, 130—134

Описан метод, представляющий собой комбинацию известного фосфатного метода выделения Zr и метода определения Zr в форме оксихинолината. Изучены условия отделения Zr от Ti и Th при фосфатном осаждении и от Nb и Ta при оксихинолиновом осаждении. К 50—60 мл анализируемого р-ра (1—12 мг Zr), 10%-ного по H_2SO_4 , прибавляют 3—5 мл 30%-ной H_2O_2 (в случае присутствия Ti) и 10—100-кратный избыток (по отношению к Zr) 10%-ного р-ра $(NH_4)_2HPO_4$, нагревают до 80—90°, отстаивают, осадок отфильтровывают через бумажный фильтр, промывают холодным 5%-ным р-ром $(NH_4)_2HPO_4$ в 5%-ной H_2SO_4 , до исчезновения муты при нейтр-ции аммиаком и растворяют на фильтре 10%-ным р-ром $H_2C_2O_4$. В присутствии Ti к промывной жидкости добавляют 1—2 мл 30%-ной H_2O_2 и осадок перед растворением в $H_2C_2O_4$ промывают 3—4 раза жидкостью, не содержащей H_2O_2 . К полученному щавелевоокислому р-ру прибавляют 3—5 мл 3%-ного р-ра оксихинолина в 1%-ной CH_3COOH и NH_4OH до полного выделения осадка (в случае присутствия Nb и Ta к р-ру сразу прибавляют 60—70 мл конц. NH_4OH , нагревают до 70—80° до коагуляции осадка и охлаждают. Осадок отфильтровывают, промывают 3—4 раза сначала горячей (70—80°), а затем теплым 5%-ным р-ром NH_4Cl до получения бесцветных промывных вод, растворяют на фильтре горячей 20%-ной (по объему) HCl и той же к-той промывают фильтр. К охлажд. солянокислому р-ру добавляют 2 г KBr и 3—4 капли метилового красного, титруют 0,05—0,01 н. р-ром $KBrO_3$ до перехода окраски из оранжевой в чисто желтую, добавляют еще 2—3 мл р-ра $KBrO_3$ и 5 мл 20%-ного р-ра KJ и через 3—5 мин. выделившийся J_2 оттитровывают 0,05—0,01 н. р-ром $Na_2S_2O_3$ в присутствии крахмала. Определяют 2—5 мг Zr с ошибкой от ± 2 до $\pm 4\%$. Метод обеспечивает отделение Zr от всех сопутствующих элементов (кроме Hf) и применим для анализа любых циркониевых сплавов, руд и полупродуктов. Л. Горин

4300. Количественное спектрохимическое определение гафния в цирконии. I. Определение гафния в цирконии при возбуждении спектра в угольной дуге переменного тока. Накано, Морита (分光分析法によるジルコニウム中のハフニウムの定量. 第1報. 交流弧光法による定量. 中野允, 森田清), *名古屋工業技術試験所報告*, Нагоя коге гидзюу сикансё хококу, Repts govt. Industr. Res. Inst. Nagoya, 1957, 6, № 3, 163—167 (японск.; рез. англ.)

Разработана методика определения Hf в Zr в интервале конц-й 0,01—2%. Спектр возбуждают в дуге переменного тока при 23 а и напряжении 220 в. К пробам добавляют $CaCO_3$ в отношении 1:0,5 для более спокойного горения дуги и повышения чувствительности линий Hf . Пробы помещают в кратер пин-

ного электрода диам. 4 мм, глубиной 5 мм при диаметре угля 6 мм. Верхний электрод — угольный стержень, заточенный на конус с площадью 2 мм. Расстояние между электродами 3 мм. Пробу предварительно обжигают 30 сек. при силе тока 5 а. В следующие 60 сек. силу тока увеличивают до 23 а, после чего 60 сек. длится экспозиция. Спектры фотографируют на кварцевом спектрографе большой дисперсии при ширине щели 25 м. Аналитич. пары линий: Hf 2641, 406—Zr 2665, 177 А для конц-ий 0,01—0,5% и Hf 2641, 406—Zr 2665, 177, Hf 2351, 215—Zr 2351, 656, Hf 2641, 406—Zr 2643, 395 А для интервала конц-ий 0,1—2%. Выбранные пары линий отличаются высокой гомологичностью. Средняя ошибка анализа $\pm 7,8\%$.

Л. Капорский

4301. Спектрофотометрическое определение ванадия в стали и железе. Вакамацу (鉄鋼中のバナジウムの吸光度定量方法. 若 松茂雄), 分析化学, Бунсэки кагаку, Japan Analyst, 1957, 6, № 5, 273—277 (японск.; рез. англ.)

Описан метод, основанный на образовании ионами V(5+) в среде конц. H_2SO_4 интенсивно желтой окраски. По 1-му варианту анализируемый образец растворяют в $HClO_4$; полученный р-р обрабатывают конц. H_2SO_4 и спектрофотометрируют при 390 мμ, используя в качестве р-ра сравнения р-р контрольного опыта с чистым железом. По 2-му варианту анализируемый образец растворяют в $HClO_4$; полученный р-р для удаления Fe и других металлов подвергают электролизу на Hg-катоде, обрабатывают конц. H_2SO_4 и спектрофотометрируют при 390 мμ, используя в качестве р-ра сравнения воду.

Резюме автора

4302. Разделение ниобия и тантала с помощью купферона. Маджумдар, Чаудхури (Separation of niobium and tantalum with cupferron. Majumdar A. K., Chowdhury J. B., Ray), Naturwissenschaften, 1957, 44, № 15, 420 (англ.)

Установлено, что при соотношении Nb:Ta, равном 1:2 и pH 4,5—5,5 Nb количественно осаждается купфероном, тогда как Ta остается в р-ре. При больших количествах Ta часть Nb удерживается в р-ре. Применением Sn^{2+} или Sn^{4+} в качестве коллектора достигнуты удовлетворительные результаты разделения Nb и Ta при соотношении Ni:Ta, варьирующем от 30:1 до 1:30. В этих условиях при использовании комплексона III в качестве маскирующего в-ва Nb можно отделить от всех мешающих ионов, за исключением ионов U, Be, Ti и PO_4^{3-} . Ti во всех случаях количественно осаждается купфероном вместе с Nb; полное осаждение Nb в присутствии Ti возможно только при соотношении Nb:Ta, равном 1:1,5 (избыток Ti способствует осаждению Ta вместе с Nb). В присутствии 100-кратного избытка (по отношению к Nb) Fe и других 3-валентных элементов необходимо двойное осаждение. Метод применим к анализу Nb-содержащих сталей.

Л. Горин

4303. Быстрое фотометрическое определение молибдена в ферромolibдене с использованием хлорида 2-валентного олова в качестве восстановителя. Мидзогути (吸光度法によるフェロモリブデン中のモリブデンの迅速定量方法. 溝口修郎), 分析化学, Бунсэки кагаку, Japan Analyst, 1957, 6, № 6, 376—381 (японск.; рез. англ.)

К 0,1 г образца прибавляют 15 мл H_2SO_4 (1:1) и ~2 мл HNO_3 (уд. в. 1,4), нагревают на песчаной бане при 300—350° до прекращения выделения белых паров, охлаждают, разбавляют водой до ~50 мл, фильтруют; разбавляют до ~80 мл, охлаждают проточной водой, прибавляют 0,2 мл р-ра $CuSO_4$ (1 мг/мл Cu) и 10 мл 10%-ного р-ра $SnCl_2$ (при перемешивании), разбавляют до 100 мл, тщательно взбалтывают и через 2 мин. фотометрируют со светофильтром S47 (470 мμ).

При содержании в образце >0,2% Cu добавление р-ра $CuSO_4$ необязательно. Закон Бера соблюдается до 90 мг Mo, окраска устойчива 60 мин. Продолжительность определения ~20 мин.

Резюме автора

4304. Фотометрическое определение вольфрама в рудах роданидным методом с использованием хлорида 2-валентного олова в качестве восстановителя. Нисида (鉄石中のタングステンの光度定量法. 西田宏), 分析化学, Бунсэки кагаку, Japan Analyst, 1957, 6, № 5, 299—302 (японск.; рез. англ.)

Навеску анализируемой W-руды обрабатывают при нагревании смесью HCl , H_2SO_4 и H_3PO_4 , нагревают 5 мин. в присутствии 10 мл $KSCN$ и 2 мл H_2PO_4 до прекращения выделения белых паров, охлаждают, прибавляют 8—10 мл воды, 20 мл HCl , 3 г $SnCl_2$, еще 5 мл воды и 10 мл 10%-ного р-ра $KSCN$, разбавляют водой до 100 мл и фотометрируют со светофильтром S43. Метод применим для анализа руд, содержащих <50% WO_3 ; максим. ошибка 0,5%; средняя ошибка 0,3—0,02%.

Иа резюме автора

4305. Микроанализ при помощи ионообменных смол.

XIV. Открытие тысячных долей микрограмма железа с применением α,α'-дипиридила. Фудзимото (Mikroanalyse mit Hilfe von Ionenaustauscherharzen. XIV. Über den Nachweis in Tausendstelgammamenge vorhandenen Eisens mit 2,2'-Bipyridyl. Fujimoto Masatoshi), Bull. Chem. Soc. Japan, 1957, 30, № 3, 283—287 (нем.)

Описан метод, основанный на сорбции внутрикмплексных катионов Fe^{2+} с α,α'-дипиридилом (I) бесцветным катионитом, приобретающим при этом красную окраску. Наибольшая интенсивность окраски при использовании катионита с 2,5% дивинилбензола. Интенсивность окраски повышается с увеличением конц-ии I, достигая максимума для 0,5%-ного р-ра I, несколько понижается с увеличением конц-ии посторонних солей. Оптимальное значение конц-ии $NH_2OH \cdot HCl$ составляет 3%. Однако и в отсутствие этого восстановителя катионит заметно окрашивается в красный цвет, что автор объясняет восстанавливающим действием неопределенных групп, присутствующих в катионите. При определении Fe на белую капельную пластинку помещают несколько зернышек бесцветного сильноокислого катионита с низкой степенью поперечной связанности и прибавляют по 1 капле анализируемого р-ра, 3%-ного р-ра $NH_2OH \cdot HCl$, 1 н. CH_3COONa и 0,5%-ного спирт. р-ра I. Смесью защищают стеклянной пластинкой от попадания пыли воздуха и через несколько минут наблюдают возникающую окраску. Открываемый минимум 0,0025 γ Fe при предельной конц-ии 1:1,6 · 10⁷. Метод достаточно специфичен; несколько мешают присутствие Cu^{2+} и Co^{2+} . Сообщение XIII см. РЖХим, 1958, 4309.

Н. Полянский

4306. К вопросу об открытии кобальта. Багдасаров К. Н., Коваленко П. Н., Мельникова С. С. Ж. аналит. химии, 1957, 12, № 4, 564—565 (рез. англ.)

Высказано предположение, что возникновение синей окраски при открытии Co с помощью тиосульфата, тиомочевины и других реактивов связано не с образованием комплексных соединений, а является результатом дегидратации аквокомплексов Co тиосульфатом, тиомочевинной и другими водоотнимающими в-вами. Показана возможность открытия Co в сухих солях и р-рах методом растирания порошков или методом смачивания не только при помощи тиосульфата и тиомочевины, но и других водоотнимающих в-в, и даже осторожным просушиванием фильтровальной бумаги, смоченной р-ром Co^{2+} .

Л. Горин

4307. Микроанализ при помощи ионообменных смол.
XII. Открытие тысячных долей микрограмма нике-

ля с применением рубеевводородной кислоты. Фудзимото (Mikroanalyse mit Hilfe von Ionenaustauscherharzen. XII. Über den Nachweis in Tausendstelligemammange vorhandenen Nickels mit Rubeewasserstoffsäure. Fujimoto Masatoshi), Bull. Chem. Soc. Japan, 1957, 30, № 3, 274—278 (нем.)

Описан метод, основанный на образовании интенсивно окрашенного в сине-фиолетовый цвет комплексного соединения рубеевводородной к-ты (I) с Ni, предварительно сорбированным (в форме аммиачного комплекса) катионитом. На белую капелюную пластинку помещают несколько зернышек бесцветного катионита дауэкс 50W-X8, 1 каплю анализируемого р-ра, 1 каплю 1 н. NH_4OH и выдерживают 5 мин. для развития окраски. Если солевая конц-ия р-ра > 1 н., его предварительно разбавляют водой, а затем прибавляют 1 каплю 0,1%-ного спирт. р-ра I и через 2—3 мин. с помощью лупы наблюдают возникающую окраску. Открывают 0,0021 γ Ni при предельной конц-ии 1:1,9 $\cdot 10^7$. Интенсивность окраски понижается с увеличением конц-ии $\text{NH}_4\text{OH} > 3$ н. и с уменьшением степени поперечной связанности $< 8\%$. Определению Ni мешают Cr^{3+} , Fe^{3+} , Co^{2+} , Cu^{2+} , Pb^{2+} и Sb^{3+} . Мешающее влияние Cr^{3+} устраняют окислением Cr^{3+} до $\text{Cr}(6+)$. Fe^{3+} , Co^{2+} и Cu^{2+} от Ni отделяют сорбцией хлоридных комплексов этих элементов на колонке, заполненной тонко измельченным силаноосновным анионитом дауэкс 1—X10 в Cl-форме. В колонку с анионитом, через которую предварительно пропущено 10 капель 12 н. HCl , вводят р-р остатка от выпаривания пробы с конц. HCl и вымывают Ni конц. HCl . Из элюата нагреванием удаляют избыток HCl и производят испытание на Ni. При описанном способе полностью удаляются не только Fe^{3+} , Co^{2+} и Cu^{2+} , но и $\text{Sn}(4+)$, $\text{Sb}(3+)$, Zn^{2+} и $\text{Hg}(2+)$. Сообщение XI см. РЖХим, 1957, 57777.

Н. Полянский

4308. Фотометрическое определение кобальта в стеклах при помощи нитрозо-R-соли. Цубаки, Мория (ニトロソ R 鹽によるガラス中のコバルトの比色定量. 椿勇, 守屋喜郎), 大阪工業技術試験所季報, Осака когё гидзюцу сикансё кихо, Bull. Osaka Industr. Res. Inst., 1957, 8, № 1, 31—34 (японск.; рез. англ.)

При быстром фотометрич. определении малых кол-в Co в стеклах при помощи нитрозо-R-соли применяют светофильтр с максимумом пропускания при 575 м μ . При 0,5—5 $\gamma/\text{мл}$ Co закон Бера соблюдается. Определению Co мешает присутствие соответственно 10-, 200-, 30-, 25-, 25-, 1500- и 1000-кратных кол-в (по отношению к Co) Fe^{2+} , Fe^{3+} , Al^{3+} , Ca^{2+} , Zn^{2+} , BO_3^{3-} , SO_4^{2-} и PO_4^{3-} . Co, специально введенный в анализируемый р-р (этот р-р получают обработкой анализируемого стекла фтористоводородной к-той), указанным методом определяется количественно. Приведены результаты анализа Co-содержащих стекол.

Резюме авторов

4309. Микроанализ при помощи ионообменных смол. XIII. Открытие тысячных долей микрограмма кобальта с применением нитрозо-R-соли. Фудзимото (Mikroanalyse mit Hilfe von Ionenaustauscherharzen. XIII. Über den Nachweis in Tausendstelligemammange vorhandenen Kobalts mit Nitrose-R-salze. Fujimoto Masatoshi), Bull. Chem. Soc. Japan, 1957, 30, № 3, 278—283 (нем.)

Описан метод, основанный на сорбции внутрикомплексных катионов Co^{2+} с нитрозо-R-солью (I), бесцветным силаноосновным анионитом, приобретающим при этом красную окраску. На белую капелюную пластинку помещают несколько зернышек бесцветного анионита с малой степенью поперечной связанности, напр. дауэкс 1—X1, и добавляют по 1 каплю

0,05%-ного р-ра I, 0,3 н. CH_3COONa и анализируемого р-ра. Для разрушения избытка I, окрашивающего анионит, к смеси через 5 мин. добавляют 1 каплю 2 н. HNO_3 , нагревают 3 мин. на водяной бане и охлаждают. Такой же обработкой достигают разрушения комплексных соединений Ni и Cu с I, которые мешают наблюдению окраски соли Co. Открывают 0,0029 γ Co при предельной конц-ии 1:1,4 $\cdot 10^7$. Конц-ия CH_3COONa и посторонних нейтр. солей не влияет на интенсивность окраски. Интенсивность окраски повышается с увеличением конц-ии I, достигая максимума для 0,05%-ного р-ра I, и уменьшается с повышением степени поперечной связанности анионита. Метод достаточно специфичен; несколько мешает присутствие Fe^{3+} . Сообщение XII см. РЖХим, 1958, 4307.

Н. Полянский

4310. Открытие никеля в присутствии кобальта, меди и других элементов. Шунько А. Д., Ж. аналит. химии, 1957, 12, № 4, 569

Отбирают в пробирку 8—9 капель анализируемого р-ра, прибавляют 7—8-кратное кол-во насыщ. при комнатной т-ре р-ра $(\text{NH}_4)_2\text{CO}_3$ и 0,5 мл суспензии диметилглиоксима в CCl_4 (смешивают 2 г диметилглиоксима и 30 мл CCl_4) и энергично взбалтывают. В присутствии Ni слой CCl_4 окрашивается в ало-красный цвет и затем появляется осадок такого же цвета. Ni можно открывать при соотношении Ni:Co:Cu, равном 1:500:1000. Открываемый минимум 1,8 γ Ni; предельное разбавление 1:200 000. Оптимальный pH р-ра 8—9.

Л. Горин

4311. Фотометрическое определение больших количеств двуокиси кремния. Петков, Радукану (Dozarea colorimetrică a SiO_2 în cantități mari. Petcov Raisa, Răducanu G.), Rev. chim., 1957, 8, № 4, 259 (рум.; рез. русск., нем.)

При прибавлении NaF к подкисленному р-ру силикатов образуется кремнефтористоводородная к-та, которая в свою очередь реагирует с молибдатом аммония с образованием желтой формы кремнемолибденовой гетерополиокислоты, пригодной для фотометрирования. Избыток F $^-$ мешает определению, поэтому его связывают при помощи Al^{3+} . При анализе сначала в Ni-тигле сплавливают 9 г КОН и 3 г KNO_3 до начала вскипания, а затем охлаждают, прибавляют $\sim 0,2$ г тонкоизмельченной анализируемой пробы (глины, силикаты, катализаторы, руды) и нагревают 20 мин. при 600°. Плав охлаждают, растворяют в воде и разбавляют до 1 л. 10 мл полученного р-ра помещают в парафинированный стакан, прибавляют сначала 1,5 мл 2 н. HCl , 2 мл 2,5%-ного р-ра NaF , а через 10 мин. 0,3 г кристаллич. AlCl_3 и после перемешивания — 3 мл 5%-ного молибдата аммония, разбавляют до 100 мл и через 15 мин. фотометрируют со светофильтром 843. Отн. ошибка определения $\leq 0,46\%$.

Б. Манолов

4312. Определение минерального азота в почвах методом микродиффузии. Ферри, Блашер (Dosage de l'azote minéral dans les sols par microdiffusion. Ferry P., Blachere H.), Ann. Inst. nat. rech. agron., 1957, A8, № 1, 111—118 (франц.; рез. англ., нем., русск.)

Анализируемую пробу обрабатывают 2 н. р-ром CaCl_2 в течение 30 мин., 1 мл полученного р-ра, содержащего 0,5—25 γ аммиачного N, помещают в спец. камеру для микродиффузии и вытесняют NH_3 действием 50 мг MgO ; NH_3 поглощают 1 н. р-ром H_2SO_4 , который перемешивают стеклянной мешалкой. После установления диффузионного равновесия (~ 15 час.) извлекают мешалку, промывают ее бидистил. водой (2 мл) и к полученному сернокислому р-ру последовательно добавляют 0,5 мл р-ра фенолята Na (готовят нейтрализацией 5 г перегнанного фенола 2,5 г NaOH и разбавлением продукта р-ции до 100 мл водой),

0,5 мл 0,1 M Na_2HPO_4 с pH 12, 0,5 мл 0,02%-ного р-ра нитропруссиды Na, 0,1 мл р-ра NaOCl и воду до 5 мл. Смесь фотометрируют при 620 мμ. При содержании 0–5 γ аммиачного N в 5 мл р-ра закон Бера соблюдается. По точности диффузионный метод превосходит дистилляционный; средняя ошибка определения 4%. Н. Полянский

4313. Полярографическое определение нитратов и нитритов при их совместном присутствии. Бартик, Купка (Polarografické stanovenie dusičnanov a dusitanov vedľa seba. Bartík M., Kupka J.), Chem. zvesti, 1957, 11, № 4, 185–191 (словацк.; рез. русск., нем.)

Восстановление $(\text{CH}_3\text{COO})_2\text{UO}_2$ в ацетатном буферном р-ре (БР) с pH 3,6 характеризуется появлением трех полярографич. волн $\text{U}(6+) \rightarrow \text{U}(5+) \rightarrow \text{U}(4+) \rightarrow \text{U}(3+)$, причем высота последней волны увеличивается в присутствии NO_3^- . При 0,00001–0,001 M NO_3^- наблюдается линейная зависимость между высотой этой волны и конц-ией NO_3^- . При определении NO_3^- и NO_2^- 0,5 мл анализируемого р-ра (конц-ии NO_3^- и NO_2^- соответственно равны 0,0001 до 0,0005 M) прибавляют к смеси 7 мл БР и 2 мл 0,5%-ного р-ра нафтионата Na (I), выдерживают 5 мин., нагревают до 40–50°, охлаждают и прибавляют 0,5 мл 0,001 M р-ра $(\text{CH}_3\text{COO})_2\text{UO}_2$. Полярографируют в атмосфере N_2 при $\pm 5 \pm 0,1^\circ$. Диазотирование I ионами NO_2^- и сочетание образующегося при этом продукта с избытком I происходит при pH 3,6 (БР) быстро (~4 V 5 мин.) и количественно. Высота полярографич. волны окрашенного продукта пропорциональна конц-ии NO_2^- . Метод пригоден для анализа питьевой воды.

Н. Туркевич

4314. Определение пирофосфата в продажном трифосфате. Уэйзер (The determination of pyrophosphate in commercial triphosphate. Weiser Herman J., Jr.), J. Amer. Oil Chemists' Soc., 1957, 34, № 3, 124–127 (англ.)

Присутствующие в продажном трифосфате (I) в виде примесей пиро- (II), орто- (III) и триметафосфат (IV) наряду с основным компонентом препарата — I, определяют фотометрированием фосфоромолибденовой сини при 630 мμ после предварительного хроматографич. разделения смеси фосфатов на колонке с силиконом дауэкс 1-X10 и превращения фосфатов в III путем гидролитич. расщепления при кипячении с 8 н. H_2SO_4 . Из адсорбированных в верхней части колонки фосфатов последовательно элюируют III р-ром, 0,05 M по HCl и 0,1 M по KCl, II — 0,2 M р-ром KCl, I — 0,4 M р-ром KCl и IV — 0,75 M р-ром KCl (к последним трем элементам прибавляют ацетатный буферный р-р до pH 5,0). Р-ры для фотометрирования готовят добавлением к каждой из полученных фракций элюата 10%-ного р-ра $(\text{NH}_4)_6\text{Mo}_7\text{O}_{24}$ с последующим экстрагированием фосфоромолибденовой к-ты смесью бензола и изобутилового спирта (1:1) и восстановлением ее до фосфоромолибденовой сини р-ром SnCl_2 . Для построения калибровочного графика используют стандартные р-ры III, содержащие 0–300 γ P_2O_5 . Стандартное отклонение результатов от среднего значения: 0,05 для III; 0,10 для II; 0,62 для I и 0,06 для IV. Метод пригоден также для анализа синтетич. детергентов, приготовленных на основе I. А. Горюнов

4315. Определение триполифосфата и пирофосфата в триполифосфате. Рамакерс (Dosage du tripolyphosphate du pyrophosphate dans le tripolyphosphate. Ramaekers R.), Chim. analyt., 1957, 39, № 7, 254–259 (франц.)

Описан метод, основанный на образовании осадка пирофосфата Zn и смешанного триполифосфата Zn и Na. Осадок не имеет стехиометрич. состава, и по-

тому для выполнения анализа требуется калибровочный график (КГ). КГ, выражающий зависимость между ZnO в осадке и содержанием пирофосфата в смеси с триполифосфатом, прямолинеен. При испытании метода в различных лабораториях установлено, что наклон КГ остается во всех случаях одинаковым, но положение начальной точки прямой несколько изменяется. Поэтому при исследовании продажных продуктов необходимо в тех же условиях анализировать стандартный препарат $\text{Na}_5\text{P}_3\text{O}_{10} \cdot 6\text{H}_2\text{O}$ и определить положение начальной точки КГ. При выполнении этого условия различными лабораториями получены с помощью описываемого метода согласующиеся результаты. При анализе 1 г исследуемого в-ва растворяют в 20 мл воды и добавляют 40 мл реактива (готовят растворением 175 г $\text{Zn}(\text{CH}_3\text{COO})_2$ в смеси 464 мл 4 н. HCl + 300 мл воды с последующим разбавлением до 1 л), 3 капли смешанного индикатора (метилловый оранжевый + ксиленцианол FF) и при помешивании в течение 20 мин. 20 мл 1 н. NaOH. Не прекращая перемешивания, добавляют еще 8 мл 1 н. NaOH со скоростью 2 мл/мин, после чего по стеклянному электроду доводят pH р-ра до 3,8. Р-р перемешивают 15 мин. и медленно добавляют 30 мл ацетона (для понижения растворимости осадка), снова перемешивают 15 мин., через 1 час осадок отфильтровывают и промывают 20 мл воды. Фильтрат и промывные воды сохраняют для определения PO_4^{3-} . Осадок промывают 100–150 мл $\text{C}_2\text{H}_5\text{OH}$, сушат 1 час при 130°, прокалывают 0,5 часа при 800° и взвешивают. Для определения Zn прокаленный остаток растворяют при кипячении в 200 мл 4 н. HCl, р-р выпаривают до 10 мл, разбавляют до 250 мл водой, отбирают аликвотную порцию, нейтрализуют аммиаком и титруют р-ром комплексона III по эриохрому черному Т. Присутствие до 2% ортофосфата и до 3% триметафосфата в исходном анализируемом в-ве не мешает анализу. Гексаметафосфат мешает анализу и может быть определен подобно триполифосфату. Н. Полянский

4316. Использование п-нитробензолазореорцина для открытия мышьяка. Мелиг, Марш (Use of p-nitrobenzeneazoresorcinol as confirmatory test for arsenic. Mehlig J. P., Marsh T. P.), Chemist Analyst, 1957, 46, № 1, 3–4 (англ.)

Описан новый метод открытия As, основанный на образовании синей окраски в результате р-ции As с п-нитробензолазореорцином (I). As предварительно отделяют от других элементов в форме MgNH_4PO_4 . Осадок MgNH_4PO_4 , отмытый метиловым спиртом до отрицательной р-ции на Cl^- и на Mg^{2+} (с I), растворяют в разб. HCl, добавляют 1 каплю 0,5%-ного р-ра I в 1%-ном р-ре NaOH и подщелачивают 6 н. р-ром NaOH. Образование небесно-голубой окраски свидетельствует о присутствии As (при малых кол-вах As окраска развивается через 2–3 мин.). Открываемый минимум $1 \cdot 10^{-3}$ мг As. Мешают Sn^{4+} , Sn^{2+} и Sb. Р. Моторкина

4317. Фотометрическое определение мышьяка в угле и дегте. Флум (Kolorimetrické stanovení arsenu v uhli a v dehtu. Flum Z.), Paliva, 1957, 37, № 1, 33–36 (чешск.; рез. русск., нем.)

Пробы угля или дегтя сплавливают с содой и MgO по методу Герцога (Industr. and Engng Chem. Anal. Ed., 1935, 7, 163). Сплав растворяют в H_2SO_4 , р-р обрабатывают металлик. цинком и выделившийся AsH_3 определяют по методу Вапана и Шедивец (Vašák V., Sedivec V., Chem. listy, 1952, 46, 341). Фотометрируют с применением зеленого фильтра с максимумом пропускания при 5300 Å. Присутствие < 20 γ Sb не мешает; при 50–100 γ Sb образуется оранжевая окраска, но выделение SbH_3 предупреждается введением $\text{FeNH}_4(\text{SO}_4)_2$. Воспроизводимость результатов

при анализе углей и дегтей 3,3 и 8,0% соответственно. Установлено, что при сжигании углей в золе остается 85—92% от общего кол-ва As. Содержание As в различных видах углей составляет 0,0004—0,0036%, в дегтях 0,0032—0,0056%. Н. Туркевич 4318.

Анализ микрограммовых количеств сурьмы. I. Разложение и концентрирование сурьмы в свинце.

II. Ионнообменное выделение сурьмы из высококислотного металлического свинца. Мацуура, Кодзима (マイクログラム量のアンチモンの分析化学的研究. 第1報. 高純度鉛中のアンチモンの分解と濃縮. 松浦二郎, 小島益生), 分析化学, Бунсэки кагаку, Japan Analyst, 1957, 6, № 3, 155—160; 160—164 (японск.; рез. англ.)

I. При изучении фотометрич. определения микрограммовых кол-в Sb в металлич. Pb (99,999% Pb) применяли Sb¹²⁴. Анализируемую пробу обрабатывали различными к-тами и с помощью Г.—М.-счетчика устанавливали распределение Sb между осадком и отстоявшейся жидкостью. Затем Sb в жидкой фазе собирали соосаждением с MnO₂ или BiONO₃. Установлено, что > 95% Sb(5+) может быть извлечено эфиром из 1—8 н. HCl. Аналогичным образом можно экстрагировать комплексное соединение Sb с родамином В, бензолом или эфиром из р-ров HCl или H₂SO₄ в присутствии комплексобразующих реактивов. Более тщательно изучены экстракция Sb в бензол (радио-химически) и интенсивность окраски комплексного соединения Sb с родамином В в бензольном экстракте. Установлены оптимальные условия определения Sb в Pb.

II. Описан метод отделения микрограммового кол-ва Sb от Pb, основанный на поглощении Sb(5+) из солянокислого р-ра сильноосновным анионитом; Pb(2+) в этих условиях анионитом не поглощается. Радиохим. изучением установлено, что при растворении анализируемой пробы в разб. HNO₃ Sb можно перевести в адсорбируемую форму нагреванием р-ра с конц. HCl. Установлено также, что Sn(4+) можно отделить алоированием 1 М р-ра HNO₃ перед алоированием Sb(5+) 1 М р-ром NaOH. Приведены предварительные результаты ионнообменного выделения Sb из металлич. Pb. М. Пасманник 4319.

Амперометрическое определение висмута пирогаллолом. Мусина Т. К., Сонгина О. А., Изв. АН КазССР. Сер. хим., 1957, вып. 1, 36—44 (рез. казах.)

Кислый р-р Bi нейтрализуют аммиаком по креоловому красному и титруют р-ром пирогаллола (I) при внешней э. д. с., равной +1,0 в. В этих условиях Bi не участвует в электродной р-ции и образует с I пирогаллолят Bi. В точке эквивалентности наступает резкое увеличение силы тока за счет анодного окисления избытка добавляемого I. Расход I к моменту увеличения силы тока соответствует стехиометрич. кол-ву в соответствии с ф-лой Bi(C₆H₃O₃). Ошибка определения 4%. Ag, Cu, Cd и Zn мешают определению. В присутствии до 3,3-кратного кол-ва Ag ошибка ≤ 10%. При определении 6—14 мг Bi в присутствии до 26-кратного кол-ва Cu ошибка < 10%. При соотношении Zn:Bi, варьирующем от 0,73:1 до 2,1:1, результаты титрования Bi завышены на 6—8%, а при соотношении Cd:Bi, равном 10:1, — на 16%. Pb определению Bi не мешает. А. Немодрук 4320.

Органический количественный анализ. IX. Микроопределение серы в веществах, содержащих барий, свинец, серебро и магний. Вечержа, Синец (Kvantitativní organická analýza. IX. Mikrostanovení síry v látkách obsahujících baryum, olovo, stříbro nebo hořčík. Večeřa Miroslav, Synek Ladislav), Chem. listy, 1957, 51, № 1, 171—173 (чешск.)

Ранее описанный микрометод для определения S в органич. в-вах (РЖХим, 1955, 2305, 49236; 1957, 4880) применен к анализу в-в, содержащих Ba, Pb, Ag и Mg. Сульфаты указанных металлов, образующиеся при сжигании анализируемого в-ва, разрушаются 15-минутным нагреванием до 1200—1300° в присутствии 30 мг V₂O₅; при этом происходит колич. вытеснение окислов S. В качестве нагревателя применены спец. электрич. печь, которая состоит из кварцевой трубки, снабженной спиралью из Pt-провода. Указанным методом определена S в солях Ba, Pb, Ag и Mg с различными органич. сульфокислотами; метод применим также для быстрого определения S в фосфатах, сульфатах этих металлов, колчеданных отходах, барите, золе, суперфосфате и других материалах. В случае BaSO₄, MgSO₄ и PbSO₄ добавление V₂O₅ обязательно. Средняя погрешность определения 0,17%; стандартное отклонение 0,22%. Сообщение VIII см. РЖХим, 1957, 77416. Karel Kámen 4321.

Амперометрическое определение сульфатов. Теньковцев В. В., Ж. аналит. химии, 1957, 12, № 4, 504—508 (рез. англ.)

Изучены условия определения Ba амперометрич. титрованием Ba²⁺ р-ром K₂CrO₄; оптимальными условиями являются: pH < 6,5; э. д. с. = 0,2 в (н. к. к.). Показана возможность амперометрич. титрования Ba²⁺ при э. д. с., равной 0 (оптимальный pH 5,6—6,3); в этих условиях ионы многих тяжелых металлов и O₂ воздуха не восстанавливаются на Hg-катоде. Разработан метод определения SO₄²⁻ в присутствии больших кол-в щел. и тяжелых металлов, основанный на осаждении SO₄²⁻ в форме BaSO₄ и на последующем амперометрич. титровании избытка BaCl₂ р-ром K₂CrO₄ при э. д. с., равной 0. Точность и воспроизводимость получаемых результатов существенно зависят от отношения объема р-ра BaCl₂, идущего на осаждение SO₄²⁻, и объема р-ра BaCl₂, оттитрованного р-ром K₂CrO₄; наиболее точные результаты получаются при миним. избытке р-ра BaCl₂, взятого для осаждения SO₄²⁻. Для устранения затруднения, связанного с необходимостью предварительного ориентировочного определения этого миним. избытка р-ра BaCl₂, предложен метод «двойного титрования» (опресс-метод). При этом методе анализируемый р-р сначала титруют при э. д. с., равной 0, стандартным р-ром BaCl₂; после окончания осаждения SO₄²⁻ для установления конца осаждения в титруемый р-р периодически вводят стандартный р-р K₂CrO₄; в случае неполноты осаждения SO₄²⁻ введение CrO₄²⁻ вызывает резкое возрастание силы тока, а в случае полноты осаждения SO₄²⁻ зайчик гальванометра остается в первоначальном положении) к р-ру добавляют C₂H₅OH и избыток BaCl₂ оттитровывают р-ром K₂CrO₄. Метод проверен на производственных образцах и внедрен в практику лабораторий Научно-исследовательского аккумуляторного ин-та. Л. Горин 4322.

Определение элементарной серы методом спектрофотометрии в УФ-области. Морис (A. U. V. spectrophotometric determination of elemental sulphur. Maurice M. J.), Analyst. chem. acta, 1957, № 6, 574—577 (англ.; рез. франц., нем.)

Описан метод, основанный на спектрофотометрировании S с использованием в качестве р-рителя спектрально чистого n-гексана. Калибровочный график выражается квадратным ур-нием. A = 0,0284 c—0,00008 c², не позволяющим вычислить мол. адсорбцию S в n-гексане при 276 мμ. Навеску анализируемого в-ва растворяют в n-гексане, р-р разбавляют n-гексаном до конц-ии S 5—40 γ/мл и спектрофотометрируют при 276 мμ, используя в качестве р-ра сравнения чистый р-ритель. Стандартное отклонение результатов определения ≤ 0,23 γ/мг S. Графич. метод определения

концентрация S менее точна, чем расчетный метод по уравнению.

4323. Определение серной кислоты в технической молочной кислоте. Матерный (Stanovenie kyseliny sírovej v technické kyselině mléčné. Mather-pny Mikuláš), Chem. zvesti, 1957, 11, № 3, 157—161 (словацк.; рез. русск., нем.)

Приведены результаты сравнительного изучения методов определения H_2SO_4 в технич. молочной к-те (1). При определении H_2SO_4 в 1 методом Берля — Лунге для уменьшения растворимости сульфатов вместо C_2H_5OH рекомендуется применять ацетон. Описан быстрый метод косвенного полярографич. метода определения H_2SO_4 . 20 мл анализируемого р-ра разбавляют ацетоном до 50 мл и через 3 часа отфильтровывают сульфаты. К порции фильтрата, содержащей < 7 мг H_2SO_4 , в пересчете на $BaSO_4$, прибавляют 2 мл HCl (1:1) и 2 мл 10%-ного р-ра $BaCl_2$. Осадок отцентрифугируют в течение 5 мин. при 1600 об/мин, промывают 3 раза горячей водой и растворяют в смеси 10 мл 10^{-2} M комплексона II (слабо перетитрованного р-ром $AgNO_3$ в 1 н. NH_4OH) и 10 мл 1 н. NH_4OH . К полученному р-ру прибавляют 1 мл 0,5%-ного р-ра желатин, 3 мл 10^{-3} M диамантфуксина, разбавляют водой до 50 мл и полярографируют в сосудах Калоуса с Hg_2SO_4 -электродом. Максим. ошибка 1,2—0,4 мг H_2SO_4 на 100 мл 1. Н. Туркевич

4324. Качественное и полуколичественное определение иона фтора капельным методом. Гладышев В. П., Толстиков Г. А., Ж. аналит. химии, 1957, 12, № 4, 567—568 (рез. англ.)

Описан метод, основанный на образовании окрашенного соединения F^- с $Fe_4[Fe(CN)_6]_3$ в кислой среде. При > 1 мг/мл F^- на фильтровальную бумагу наносят 1 каплю 0,1 M $K_4[Fe(CN)_6]$, прибавляют 1 каплю анализируемого р-ра и наносят в центр пятна 1 каплю 0,1 M $FeCl_3$. Тотчас же образуется сильнее пятно берлинской лазури, которое в присутствии F^- окрашено в зависимости от концентрации F^- розоватым или сиреневым цветом. Открываемый минимум 2—3 γ F^- в 1 капле (0,005 мл). При < 0,4 мг/мл F^- меняют порядок нанесения реактивов и проводят контрольный опыт; открывают 0,01 γ F^- при предельном разбавлении 1:100 000. Анионы, мешающие проведению р-ции (фосфат, борат, силикат, тартрат и оксалат), осаждают р-ром $AgNO_3$ на часовом стекле или в углублении капельной пластинки; избыток Ag^+ удаляют добавлением нескольких кристаллов NaCl. Не мешает присутствие больших кол-в SO_4^{2-} , NO_3^- , NO_2^- , Cl^- и Br^- . Метод применим для полуколич. определения F^- . Для определения достаточно 0,01 мл анализируемого р-ра; продолжительность определения 1—2 мин. Л. Горня

4325. Быстрые методы определения малых количеств хлора в броме. Исибаси, Сигэмацу, Сибата (臭素中の微量元素の迅速定量法. 石橋雅義, 重松恒信, 柴田正三), 日本薬学会誌, Нихон сьо гаккайси, Bull. Soc. Salt Sci. Japan, 1956, 10, № 6, 284—287 (японск.; рез. англ.)

Для определения 0,2—1% хлора в броме предложены два метода. Прямой метод. В навеске пробы Br_2 восстанавливают до бромидов, пользуясь H_2O_2 или Na_2SO_3 ; одновременно Cl_2 , содержащийся в броме, восстанавливается до Cl^- . К р-ру прибавляют небольшой избыток $KBrO_3$, бромид окисляется до Br_2 и последний экстрагируется CCl_4 . Ион Cl^- , оставшийся в водн. слое, определяют по Фольгарду. Большой избыток $KBrO_3$ может быть причиной ошибок. Косвенный метод. К р-ру восстановленной пробы прибавляют $KBrO_3$ до почти полного окисления Br_2^- . Образовавшийся Br_2 экстрагируют CCl_4 , а водн. слой доводят до точного объема и делят на две аликвотные

части. В одной по Фольгарду определяют сумму Cl^- и Br^- , в другой прибавляют избыток $NaOCl$ и, титруя образовавшийся BrO_3^- йодом, определяют содержание Br^- . По этому методу точные результаты получаются, если молярное отношение $Br^-:Cl^- < 2$.

Д. Васкевич

4326. Фотометрическое микроопределение цианистоводородной кислоты и цианидов. Бардодей, Кривуцова, Кукачкова, Пиха, Здражил (Kolorimetrické mikrostanovení kyanovodíku a kyanidů. Bardeděj Zdeněk, Krivucová Marie, Kukačková Věra, Picha František, Zdražil Josef), Českosl. hyg., 1957, 2, № 4, 244—250 (чешск.; рез. русск., англ.)

Модифицирован ранее описанный метод (Epstein E., Analyst. Chem., 1947, 19, 272). При определении HCN 1 л анализируемого воздуха в течение ~ 10 мин. пропускают через 2 промывалки, содержащие 3 мл 0,1 н. NaOH. Содержимое промывают, нейтрализуют прибавлением 0,3 мл 2 M NaH_2PO_4 . К 2 мл полученного р-ра прибавляют 0,2 мл 1%-ного р-ра хлорамина Т, взбалтывают 1 мин., прибавляют 5 мл пиридин-пиразолонового реактива ППР (1 объем ч. пиридина + 4 объема ч. 1%-ного р-ра 1-фенил-3-метил-5-пиразолона), нагревают 7 мин. на водяной бане при 70°, охлаждают и фотометрируют со светофильтром S61. Возникающая красно-фиолетовая окраска, переходящая затем в синюю, устойчива 20 мин. Открываемый минимум 0,1 γ HCN, предельное разбавление 1:10⁷. Вместо ППР можно применять пиридин-флороглюциновый реактив (ПФР) (1 объем ч. пиридина + 4 объема ч. 1%-ного р-ра флороглюцина), в этом случае р-р фотометрируют, после 7-минутной выдержки при комнатной т-ре, со светофильтром S50. Возникающая красно-фиолетовая окраска устойчива 20 мин. Для построения калибровочных графиков используют стандартные р-ры, содержащие 2 γ/мл HCN (при применении ППР) или 8 γ/мл HCN (при применении ПФР). Ошибка определения < 5%. Для приготовления р-ров пиридина и флороглюцина растворяют 1 г в-ва в 70 мл C_2H_5OH , содержащего 1% низкокислотного бензина, полученные р-ры разбавляют водой до 100 мл. При определении аэрозолей цианидов 20—50 л анализируемого воздуха пропускают через 5 мл 0,1 н. NaOH со скоростью 1,5 л в 1 мин. Вместо флороглюцина можно применять также резорцин или орцин, возникающая при этом красно-фиолетовая окраска менее интенсивна. Н. Туркевич

4327. Фотометрическое микроопределение цианистоводородной кислоты в пищевых продуктах. Малкус (Kolorimetrické mikrostanovení kyanovodíku v potravinách. Malík Z.), Českosl. hyg., 1957, 2, № 4, 251—256 (чешск.; рез. русск., англ.)

Цианиды в пищевых продуктах определяют по методике Бардодей и др. (см. пред. реф.). К 5—10 г анализируемой пробы прибавляют 100 мл воды, 2 г винной к-ты и перегоняют из круглодонной колбы с водяным паром. Одновременно через колбу пропускают воздух. Вытесненную HCN поглощают в двух промывках Полежаева, содержащих по 8 мл 0,1 н. КОН. По окончании перегонки (45 мин.) содержимое промывалок разбавляют 0,1 н. р-ром КОН до 20 мл. К 2 мл полученного р-ра прибавляют 0,2 мл 1 M Na_2HPO_4 и 0,2 мл 1%-ного р-ра хлорамина Т, взбалтывают 1 мин., прибавляют 5 мл пиридин-пиразолонового реактива (ППР) (1 об. ч. пиридина и 4 об. ч. р-ра 1-фенил-3-метил-5-пиразолона) перемешивают, выдерживают 7 мин. в водяной бане при 70°, охлаждают и фотометрируют при 630 мμ (светофильтр РС-4). Для построения калибровочного графика используют р-р, содержащий 1 γ/мл HCN; закон Бера соблюдается при 0—5 γ HCN. Получаемые результаты занижены на < 15% по срав-

нению с данными аргентометрич. титрования, но фотометрич. метод более чувствителен и требует небольших навесок. Влияние восстановителей (спиртов, альдегидов, H_2S) следует устранить действием $KMnO_4$. Приведены результаты определения HCN (в мг на 1000 г пробы) в различных пищевых продуктах: вlime (42,0), какао (6,6), фасоле (10,4), чечевице (12,5), горохе (5,4), маке (8,3), муке (29,4) и абрикосовом компоте (2,2).

Н. Туркевич

4328. Амперометрическое титрование сульфата аммония в лечебных сыворотках. Абрамов М. К., Теодорович И. Л., Ж. аналит. химии, 1957, 12, № 4, 566 (рез. англ.)

К порции анализируемой сыворотки прибавляют 20 мл $\sim 0,05 M Pb(NO_3)_2$, выдерживают 3—5 мин. в кипящей воде, охлаждают, добавляют ~ 66 мл ацетона (или C_2H_5OH) и разбавляют водой до 200 мл. Отбирают 30 мл в стакан для титрования, вводят 0,2 мл насыщ. р-ра KNO_3 и избыток р-ра $Pb(NO_3)_2$ и оттитровывают 0,01 M р-ром $K_4Fe(CN)_6$ (применяют анодно-поляризованный вращающийся Pt-микроэлектрод). Метод дает удовлетворительные результаты при определении $\sim 0,1\%$ $(NH_4)_2SO_4$ в сыворотке.

Л. Горин

4329. Определение следов элементов в эталонных образцах гранита и диабазы. Хауэр, Фанчер (Analysis of standard granite and standard diabase for trace elements. Hower John, Fancher Thomas W.), Science, 1957, 125, № 3246, 498 (англ.)

Для определения следов Mg , Ni , Cu , Zn , Rb , Sr , Zr в образцах гранита и диабазы, используемых в качестве эталонов при анализе силикатных пород, применен рентгенофлуоресцентный метод. Применяли спектрометр с ионизационным методом регистрации и с гелиевой дорожкой. Стандарты готовили из оксидов определяемых элементов и окиси Al (наполнитель). Для Ni , Cu , Zn , Rb , Sr и Zr внутренним стандартом служил Se , для Mg — Ti . При содержании $>25 \mu$ элемента на 1 г образца ошибка определения составляла 10%, при $<25 \mu$ —15%.

Л. Смирнов

4330. Количественный анализ анатазо-рутиловых смесей при помощи рентгеновского дифрактометра. Сперр, Майерс (Quantitative analysis of anatase-rutile mixtures with an X-ray diffractometer. Spurr Robert A., Myers Howard), Analyt. Chem., 1957, 29, № 5, 760—762 (англ.)

Анализировали смеси, состоящие из почти чистого анатаза (образец А) с небольшим содержанием рутила и почти чистого рутила (образец Р) с небольшим содержанием анатаза. Общие кол-ва чистых анатаза и рутила в анализируемой смеси выражаются соответственно уравнениями: $w_A = a_1w_1 + a_2w_2$ и $w_R = r_1w_1 + r_2w_2$, где w_1 и w_2 — соответственно кол-ва взятых образцов А и Р (в г), a_1 и a_2 — весовая доля анатаза в образцах А и Р соответственно, а r_1 и r_2 — весовая доля рутила в образцах А и Р соответственно. Если считать, что отношение интенсивностей линий для анатаза и рутила I_A/I_R прямо пропорционально отношению w_A/w_R , то $(a_1w_1 + a_2w_2)/(r_1w_1 + r_2w_2) = KI_A/I_R$; при $w_1 \ll w_2$ $I_A/I_R = a_2/k_1r_2 + a_1w_1/k_1r_2w_2$ (1), а при $w_2 \ll w_1$ $I_A/I_R = k_2r_1/a_1 + k_2r_2w_2/a_1w_1$ (2). Из опыта получено: $I_A/I_R = 0,0165 + 1,425w_1/w_2$ (3) и $I_R/I_A = 0,0230 + 0,820w_2/w_1$ (4). Сравнением (1) и (3), а затем (2) и (4) можно определить k_1 , k_2 , a_1 , a_2 , r_1 , r_2 . Для смесей, в которых w_1 того же порядка, что и w_2 , весовую долю анатаза x_A , равную $w_A/(w_A + w_R)$, можно вычислить по ф-ле $x_A = 1/(1 + I_R/kI_A)$, где k — среднее между k_1 и k_2 . Применяли спектрометр Норелко со счетчиком Гейгера. Погрешность метода 3—4%.

Л. Смирнов

4331. К химии ферратов. I. Заметка к анализу ферратов. Валтр, Тоушек, Тоушкова (K chemii železanov (I). Príspevok k analýze železanov. Valtř Z., Toušek J., Toušková A.), Chem. zvesti, 1957, 11, № 1, 30—34 (словацк.; рез. русск., нем.)

Описаны арсенидный и газометрич. методы определения ферратов. Около 0,1 г анализируемого в-ва растворяют в 10 мл $\sim 0,2$ н. щел. р-ра арсенита, полученный р-р подкисляют смесью 30 мл воды и 15 мл конц. HCl , разбавляют водой до 250 мл, прибавляют 10 мл р-ра Рейнгартта—Циммермана, 3—4 капли р-ра ингибитора (0,12 г KJO_3 и 18 г KJ в 1 л р-ра) и титруют 0,1 н. р-ром $KMnO_4$ (4,95 г As_2O_3 растворяют в 200 мл 1 н. $NaOH$ и к р-ру прибавляют 240 мл насыщ. р-ра $NaOH$). Газометрич. метод основан на разложении анализируемой пробы (0,08—0,15 г) серной к-той (1:5): $2K_2FeO_4 + 5H_2SO_4 = 5H_2O + 2K_2SO_4 + Fe_2(SO_4)_3 + \frac{1}{2}O_2$. Проведено сравнение указанных методов с методом определения ферратов при помощи щел. р-ра $CrCl_3$.

Н. Туркевич

4332. Анализ силикатов с использованием ионообменных смол. Иосимура, Ваки (イオン交換樹脂を用いた珪酸鹽分析法. 吉村均, 脇博彦), 分析化学, Бунсакки какагу, Japan analyst, 1957, 6, № 6, 362—368 (японск.; рез. англ.)

Описан систематич. анализ силикатов, при котором определяемые элементы: Na , K , Mg , Ca , Mn , Al , P и Fe разделяют ионообменным методом. Около 100 мл р-ра анализируемой пробы в конц. HCl пропускают через анионит и элюируют последовательно 10,5 н. р-ром HCl (получают элюат, содержащий Na , K , Mg , Ca и Al), 6 н. р-ром HCl (получают элюат, содержащий Mn , Ti и P) и 0,5 н. р-ром HCl (получают элюат, содержащий Fe). 1-й элюат пропускает через катионит и вытесняют Na и K разб. р-ром HCl , а Ca и Mg отделяют Al при помощи р-ра CH_3COONH_4 . Mn и Ti с использованием катионита отделяют предварительно от P , а затем разделяют друг от друга при помощи H_2SO_4 . Для определения указанных элементов, за исключением Al , применяют фотометрич. или титриметрич. методы. При использовании описанного метода в анализе некоторых силикатных пород получены удовлетворительные результаты.

Резюме авторов

4333. Сравнительное изучение различных методов определения способных к обмену катионов в глинах и слюдах. Митра, Пракаш (A comparative study of different methods of determining exchangeable cations from clays and micas. Mitra S. P., Prakash Dharan), Analyt. chim. acta, 1957, 16, № 5, 431—435 (англ.; рез. нем., франц.)

Содержание способных к обмену катионов в монтмориллоните, вермикулите, бэютите, мусковите, каолине и галлоизите определено различными методами. По мнению авторов, наилучшим является метод, основанный на выщелачивании образцов 1 н. р-ром CH_3COONH_4 (Schollenberger C. J., Science, 1927, 65, 552); кол-во адсорбированного NH_4^+ является сравнительно точной мерой катионообменной способности при рН 7.

И. Рыж

4334. Применение комплексов при анализе сланцев глини и других материалов с высоким содержанием магния. Тихомирова, Шимачкова (Použití komplexů v chemické analýze vysokého hořčnatých materiálů, strusek a hlin. Tichomírová V., Šimáčková O.), Stavivo, 1957, 35, № 4, 135—139 (чешск.; рез. русск., англ., нем., франц.)

Описан анализ карбонатов и силикатов, содержащих $>10\%$ MgO . 1 г анализируемой пробы растворяют в HCl или сплавляют с Na_2CO_3 . Для удаления SiO_2 полученный р-р 2 раза выпаривают с HCl и фильтруют. Из фильтрата удаляют 3-валентные металлы 2-кратным

осаждением аммиаком и фильтрат разбавляют водой до 500 мл. В аликвотных порциях полученного р-ра комплексометрич. титрованием определяют CaO и сумму CaO + MgO. Определение можно проводить в присутствии 3-валентных металлов и SiO₂, если к р-ру прибавить триэтанолламин и KCN. При анализе силикатов с высоким содержанием SiO₂ 1 г пробы выпаривают с 5 мл H₂SO₄ (1:1) и 10 мл HF до небольшого объема, прибавляют HCl, полученный р-р фильтруют, разбавляют водой до 500 мл и используют для комплексометрич. определения CaO и суммы CaO + MgO. Аналогичным образом определяют CaO и MgO в присутствии MgO, причем MgO титруется вместе с MgO. Приведены результаты анализа форстерита, магнезита, доломитного песка, жженого доломита, венской извести, талька и различных шлаков. Описан также анализ материалов, содержащих большие кол-ва SiO₂ и небольшие кол-ва CaO и MgO. Н. Туркевич

4335. Исследование метода отбора проб при определении газов в железе и стали. Кимура (鉄鋼中のガス分析用試料採取法について. 木村伸), 分析化学, Бунсэки кагаку, Japan Analyst, 1957, 6, № 4, 232—237 (японск.; рез. англ.)

Для анализа рекомендуется брать маленькие образцы; пробы следует отбирать из центра исследуемого металлич. стержня. Н. Полянский

4336. Определение урана и тория в урано-торианите и моназите с помощью метода «равновесия». Ланге (The determination of uranium and Thorium in uranothorianite and monazite by the «equilibrium» method. Lange P. W. de) Trans. and Proc. Geol. Soc. S. Africa, 1956, 59, 259—273. Discuss., 275—276 (англ.)

Для анализа урановых руд (УР) модифицирован ранее описанный метод (Thommeret J., J. phys. Radium, 1949, 10, 249), основанный на одновременном измерении β- и γ-активностей различных продуктов радиоактивного распада U. Измерения β-активности производят торцовым счетчиком с окошком 2,1 мк/см². В случае анализа УР с низким содержанием U к одному и тому же усилителю параллельно подключают 2 счетчика. γ-Активность измеряют сцинтилляционным методом с применением фотоумножителя (с кристаллом NaJ). Сигналы фотоумножителя поступают в пропорциональный усилитель и интегральный дискриминатор, а затем регистрируются пересчетным устройством. В качестве стандарта применяют U₃O₈. Нижняя граница применимости метода 0,001—0,005% U₃O₈. Для определения малых активностей берут 75 г УР, больших активностей 18 г УР. Пробы УР должны быть измельчены до 200 меш. Если измельчение сопровождается потерей радона или торона, пробы перед измерением активности следует выдерживать 3 недели. В случае анализа УР, содержащих Th, для получения воспроизводимых результатов исследуемый образец смачивают метанолом, а затем высушивают. Наличие радиоактивного равновесия не обязательно для выполнения анализа. Определение U в присутствии Th также выполнимо при отсутствии радиоактивного равновесия между U и продуктами его распада. Результаты радиометрич. и хим. анализов УР, содержащих 0,0019—0,55% U₃O₈ и до 2,3% Th, удовлетворительно согласуются. Н. Полянский

4337. Спектральное определение Mo, Be, Fe, Cr и Ni в висмуте и урано-висмутовых сплавах. Оуэрс, Уэбб (The spectrographic determination of Mo, Be, Fe, Cr and Ni in bismuth and bismuth-uranium alloys. Owers M. J., Webb M. S. W. Repts Atomic Energy Res. Establ., 1957, N C/R 2115, 9 pp., ill.) (англ.)

Образец пробы весом 1 г растворяют в миним. кол-ве перегнанной HNO₃, разб. равным объемом воды, и р-р выпаривают в муфеле при 600°. Навеску 450 мг окиси смешивают с 50 мг внутреннего стандарта и растирают.

Внутренним стандартом служит смесь V₂O₅, Co₃O₄ с чистой Bi₂O₃ при содержании V 0,02% и Co 5% в расчете на Bi. Отвешивают 70 мг полученной смеси и помещают в кратер графитового электрода глубиной 3 мм. Противозлектрод заточен на конус с углом при вершине 30°, расстояние между электродами 4 мм. Спектры возбуждают в дуге постоянного тока при 15 а, пробу включают анодом. Спектры фотографируют при экспозиции 45 сек. на спектрографе большой дисперсии со щелью 0,015 мм. Применяют пластинки типа Kodak B10 для области 2000—3500 Å и Ilford Ordinaly для области 2800—4900 Å. Градуировочные графики в координатах ΔS — конц-ия элемента в устрой по синтетич. эталонам. Содержание примесей в эталонах изменяется в интервале 1—200 γ. Аналитич. линии и пределы конц-ий: Mo 3170, 35—V3183, 98 (1—200 γ), Be 2348,61—Co 2347,39 (1—10 γ), Be 2494,56—Co 2495,55 (10—200 γ), Fe 2483,17—Co 2483,61 (10—200 γ), Cr 4289,72—Co 4285,79 (1—50 γ), Cr 2849,84—Co 2850,04 (0—200 γ — при использовании регистрирующего микрофотометра) и Ni 3002,49—Co 3000,55 Å (2—200 γ). Спектры фотографируют через фильтр с пропусканием 100 и 50%. При определении малых содержаний применяют регистрирующий микрофотометр. Ошибка единичного определения для конц-ии 50 γ равна для Cr 12%, Ni и Mo 6%. Л. Капорский

4338. Полирографическое определение индия, меди, свинца и кадмия в чистом цинке. Цзи Цинь-юй (純潔中鎳、銅、鉛鎳的極譜測定法. 汲勤玉). 化學世界 Хуасюэ шицзе, 1957, 12, № 2, 69, 70 (кит.)

Проверка методики С. И. Синяковой (Ж. аналит. химии, 1946, 1, 241). Сун Ин-чжу

4339. Трилонометрический метод определения алюминия и железа в различных материалах алюминиевых заводов. Башкирцева А. А., Якимец Е. М., Тр. Уральского политех. ин-та, 1957, сб. 58, 76—87

При определении Al³⁺ к анализируемому р-ру прибавляют избыток титрованного р-ра комплексона III (I), нагревают до 70—80°, добавляют 100 мл горячей воды, нейтрализуют, прибавляют 10 мл ацетатного буферного р-ра с pH 6,0, 1 мл 0,20%-ного водн. р-ра гематоксилина и через 2—3 мин. оттитровывают избыток I 0,025 M р-ром соли Al³⁺. Определению Al³⁺ мешают Fe³⁺, Fe²⁺, Cu²⁺, Ti(4+), Fe-, Zn²⁺ и Mn²⁺; не мешают Na⁺, K⁺, Cl⁻, SO₄²⁻, NO₃⁻, CH₃COO⁻. При определении Al в алюминатных р-рах (в отсутствие мешающих ионов) горячий анализируемый р-р нейтрализуют по фенолфталину 2н. р-ром CH₃COOH. Определение Fe производят (после окисления до Fe³⁺) прямым титрованием горячего р-ра (pH 1—2) р-ром I в присутствии SCN⁻ или сульфосалицилата Na. Определение Fe мешают Cu²⁺, Zn²⁺, Ni²⁺, Co³⁺, Cr³⁺ и > 10,00 мг Al. Метод применим для определения Al и Fe в материалах алюминиевых заводов. Л. Чепелева

4340. Методы определения жесткости воды, кальция и магния. (Recommended methods for the analysis of trade effluents.—), Analyst, 1957, 82, № 972, 197—200 (англ.)

Описан метод определения постоянной и временной жесткости, а также Ca, Mg и щел. металлов в сточных водах при условии присутствия в сточных водах только этих компонентов. Общую жесткость (общее содержание всех катионов, включая катионы щел. металлов в пересчете на CaCO₃) определяют переводом всех солей в хлориды обработкой HCl и ацидиметрич. титрованием к-ты, выделяющейся при пропускании анализируемого р-ра через хроматографич. колонку. Щел. металлы определяют методом пламенной фотометрии или взвешиванием в форме сульфатов после отделения CaCO₃ и MgCO₃, а Ca и Mg — титрованием р-ром комплексона III. Р. Моторкина

4341. Анализ удобрений. 1. Асапо (肥料の分析法. 1. 淺野千秋), 分析化学, Бунсэки кагаку, Japan Analyst, 1957, 6, № 5, 312—318 (японск.)
Обзор. Библ. 94 назв.

4342. Фотометрическое определение ванадия и никеля в минеральных остатках нефтяных продуктов. Грегорович (Fotometryczne oznaczanie wanadu i niklu w pozostałościach mineralnych produktów naftowych. Gregorowicz Z.), Nafta (Polska), 1957, 13, № 2, 39—41 (польск.)

При определении V ~ 10 мг слабо прокаленной золы нефтяных продуктов выпаривают с 2 мл конц. H_2SO_4 и 0,5 мл конц. HNO_3 до появления белых паров SO_3 , нагревают 5 мин. на небольшом газовом пламени, охлаждают, прибавляют 2 мл конц. HNO_3 и ~ 15 мл воды и нагревают до растворения осадка. К полученному р-ру прибавляют 1 мл H_3PO_4 (уд. в. 1,72) и 2 мл 0,25 M р-ра вольфрамата Na, нагревают до кипения, охлаждают, разбавляют водой до 25 мл, фильтруют и фотометрируют со светофильтром S 47. Для построения калибровочного графика используют стандартный р-р ванадата аммония (0,5740 г в 500 мл); аликвотные порции этого р-ра, содержащие 0,05—0,5 мг V, кипятят 2 мин. с 2 мл 0,25 M вольфрамата Na, 1 мл H_3PO_4 , 2 мл конц. HNO_3 , 15—20 мл воды и далее продолжают, как описано выше. Стандартная ошибка 6,9%. При определении Ni ~ 10 мг золы выпаривают досуха с 3 мл конц. HCl и 1 мл конц. HNO_3 , остаток растворяют при нагревании в смеси 2—3 капель конц. HCl и 3—5 мл воды, к полученному р-ру прибавляют 1 мл насыщ. р-ра сегнетовой соли, 1 мл 0,1%-ного спирт. р-ра диметилглиоксима, 8 мл насыщ. водн. р-ра I_2 и 2 н. NH_4OH до щел. р-ции, встряхивают 2 мин., разбавляют водой до 50 мл и через 5—6 мин. после прибавления NH_4OH фотометрируют со светофильтром S 47. Стандартные р-ры для построения калибровочного графика готовят растворением 100 мг металлич. Ni в конц. HNO_3 выпариванием р-ра почти досуха, растворением остатка в 1 л воды и 10-кратным разбавлением водой; для фотометрирования используют аликвотные порции этого р-ра, содержащие 0,005—0,1 мг Ni в 50 мл. Стандартная ошибка 5,4%. Продолжительность определения V и Ni ~ 15 мин. При <0,5% V, <0,05% Ni и ~ 10 мг навески золы применяют спектрографич. метод.

4343. Полярографическое определение катионов тяжелых металлов в винах. Бонастр, Пуэнто (Dosage polarographique des cations lourds dans les vins. Bonastre J., Pointeau R.), Chim. analyt., 1957, 39, № 5, 193—196 (франц.)

При определении Pb, Zn и Cu 10—20 мл вина выпаривают досуха в кварцевом тигле и остаток прокалывают при <500° до получения чисто-белой золы, которую охлаждают и растворяют в 1—2 мл конц. HCl. Полученный р-р выпаривают досуха, растворяют в нескольких мл кипящей воды, вливают в цитратный буферный р-р (5 мл 1 н. р-ра цитрата аммония + 10 мл воды), доведенный прибавлением NH_4OH до pH 9,5 и очищенный от катионов тяжелых металлов экстрагированием дитизонатов этих металлов хлороформом, и экстрагируют Pb, Zn и Cu двумя порциями (по 10 мл) свежеприготовленного р-ра дитизона в $CHCl_3$ (100 мг/л); Sn, Al и Fe в этих условиях не экстрагируются. Водн. фазу отбрасывают, а органич. фазу обрабатывают 10 мл 0,5 н. HCl; Pb и Zn переходят в водн. фазу, а Cu остается в органич. фазе. Водн. фазу выпаривают досуха, остаток растворяют в 5 мл фонового электролита, 0,1 M по CH_3COONH_4 , 0,03 M по NH_4SCN и доведенного прибавлением CH_3COOH до pH 4,6 и полярографируют. $E_{1/2}$ для Pb и Zn в этом электролите равен соответственно 0,46 и 1,046 в (н.к.э.); волны Pb и Zn очень четки и не накладываются друг на друга. Cu полярографи-

руют отдельно в 5 мл 2-го фонового электролита (3 мл 0,1 н. р-ра комплексона III + 2 мл 0,1 н. Na_2CO_3 ; pH 8). $E_{1/2}$ для Cu в этом электролите равен — 0,40 в (н.к.э.). При определении Mn золу из 10 мл вина растворяют в HCl, выпаривают досуха и остаток растворяют в 3-м фоновом электролите (pH 11,5), 0,3 M по KCN, 0,1 M по лимонной к-те и 5 M по NH_4OH и содержащий 5 капель 0,05%-ного р-ра желатины на 1 л, и полярографируют. $E_{1/2}$ для Mn в этом электролите равен — 1,36 в (н.к.э.). Во всех трех фоновых электролитах высоты волн строго пропорциональны конц-ям растворенных в них катионов. При конц-ях катионов в виде <10⁻⁶ моль/л применяют метод добавок. При строгом выполнении указанных условий высоты волн лежат обычно в пределах 20—50 мм и ошибка определения составляет ≤ 5%.

А. Горюнов

АНАЛИЗ ОРГАНИЧЕСКИХ ВЕЩЕСТВ

Редактор Н. А. Фукс

4344. Завышенные результаты при определении метоксильных групп в смесях, содержащих многоатомные спирты. Рудлофф (High results in methoxyl determinations on mixtures containing polyhydric alcohols. Rudloff E. von), Analyt. chim. acta, 1957, 16, № 3, 294—295 (англ.)

Изучены причины завышения результатов, наблюдаемого при определении метоксильных групп в смесях, содержащих многоатомные спирты. Установлено, что при применении ранее описанного способа определения (Hoffman D. O., Wolfrom M. L., Analyt. Chem., 1947, 19, 225), модифицированного путем замены носителя N_2 на CO_2 , определение алкоксильных групп может дать точные результаты лишь в присутствии многоатомных спиртов, содержащих OH-группы в положении 1,2; последние количественно удаляются окислением периодатно-перманганатным реактивом (РЖХим, 1956, 50634, 68783). Другие многоатомные спирты и их алкиловые эфиры, образующие свободные спирты при р-ции с HJ, ведут к завышенным результатам. Т. Левин

4345. К изучению реакции Кьельдаля. IV. Шваб Нейвирт (Zur Kenntnis der Kjeldal-Reaktion. IV. Schwab Georg-Maria, Neuwirth Otto), Monatsh. Chem., 1957, 88, № 3, 288—291 (нем.)

После кратковременной (15 мин.) кьельдализации (K) анилина (I) в конц. H_2SO_4 при 300° из реакционной смеси выделена сульфаниловая к-та (II), идентифицированная по ИК-спектру поглощения, форме кристаллов и аналитич. р-циям. Добавление небольшого кол-ва продуктов кратковременной K I к смеси нафталина (III) с конц. H_2SO_4 при 300° вызывает значительное повышение скорости его окисления. Каталитич. действие продуктов неполной K I на окисление III обусловливается присутствием в них II. Добавление соответствующего кол-ва чистой II вызывает такой же эффект. Остаток после полной K, не содержащий II, каталитич. действием не обладает. Сообщение III см. РЖХим, 1956, 46814.

А. Немодур

4346. Аналитические методы определения карбоксильных групп в полиэфирах. Фийолка, Ленц Рунге (Analytische Untersuchungsmethoden für Polyester Carboxylgruppenbestimmung. Fijolka P., Lenz I., Runge F.), Makromolek. Chem., 1957, 23, № 1, 60—70 (нем.; рез. англ.)

Для определения мол. веса линейных полиэфиров, образующихся при конденсации оксикислот или при взаимодействии дикарбоновых к-т с 2-атомными спиртами, использован метод непосредственного электрометрич. титрования с применением алкоголята Na. Такое видоизменение обычного метода приводит к сни-

жению скорости расщепления, возможности проводить титрование в безводн. среде и к более точному определению конца титрования. Исследованы эфиры непредельных и предельных к-т (малеиновой, фумаровой, янтарной и адипиновой) и этиленгликоля или гександиола. В отдельных случаях, напр. для эфира малеиновой к-ты, возможно определение еще непрореагировавшей к-ты; кроме того, обе карбоксильные группы этой к-ты имеют различную кислотность. Спец. опытами показано, что в процессе титрования не происходит расщепления сложноэфирной цепи. Результаты потенциометрич. титрования были проверены титрованием в присутствии индикатора (смесь тимолового синего и фенолфталеина), а также метоксильрованием с последующим определением метоксильной группы. Средние данные хорошо согласуются между собой, причем наиболее точным методом следует признать потенциометрич. титрование. Определение содержания карбоксильных групп до 0,15%, что соответствует мол. в. 30 000, еще вполне удовлетворительно.

Н. Мотовилова

4347. Спектрофотометрическое титрование олефинов при помощи электрически генерируемого брома. Миллер, Де-Форд (Spectrophotometric titration of olefins with electrically generated bromine. Miller John W., DeFord Donald D.), *Analyt. Chem.*, 1957, 29, № 4, Part 1, 475—479 (англ.)

Спектрофотометрич. титрование олефинов (I) при помощи электрически генерируемого Br_2 выполняют в смеси лед. $\text{CH}_3\text{COOH} = \text{CH}_3\text{OH}$ (3:1), содержащей небольшое кол-во KBr , HCl и HgCl_2 (HgCl_2 является катализатором, дающим возможность прямого титрования). 646 мл лед. CH_3COOH смешивают с 256 мл CH_3OH 16 мл конц. HCl и 30 мл 40%-ного р-ра KBr ; HgCl_2 употребляют в виде 15%-ного р-ра в CH_3OH . Измерение оптич. плотности ведут при 360 мк. В качестве анода применяют Pt-фольгу, катода — Pt-проволоку; катодное пространство заполняют 1 н. р-ром HCl . Конечную точку титрования определяют экстраполяцией двух линейных участков кривой титрования до точки пересечения. Кол-во генерируемого Br_2 (мг) вычисляют по ур-нию: $x = t \cdot i \cdot 79,916/96,5$, где t — время (в сек.), i — сила тока (в а). Приведены результаты кулометрич. титрования 13 I различных типов; при навесках 3,4—11 мг воспроизводимость результатов ~ 2%.

Т. Леви

4348. Полярографическое определение бромформа в лекарствах. Волкова, Иха (Polarografické stanovení bromoformu v lécích. Volková Věra, Icha František), *Geskosl. farmas.*, 1957, 6, № 3, 141—145 (чешск.; рез. русск., англ., нем.)

При восстановлении бромформа (I) в водно-спиртовых р-рах на капельном Hg-электроде при $\text{pH} > 4$ наблюдаются 2 восстановительные волны, соответствующие образованию CH_2Br_2 и CH_3Br . Определение I в лекарствах основано на методе стандартных добавок, так как зависимость высоты волн от конц-ии I является линейной. Пропускание через р-ры I азота с целью удаления O_2 ведет к сильному улетучиванию I, вследствие чего определение ведут в присутствии Na_2SO_3 (II). При анализе лекарств, не содержащих сахара, вводят в 2 мерные колбы на 10 мл по 2,5 мл 0,4 М NaBr , по 0,25 мл свежеприготовленного насыщ. р-ра II и по 0,5—1,0 мл пробы. Затем к 1-й колбе прибавляют 0,5—1,0 мл спирт. стандартного р-ра I (80 мг I в 25 мл 96%-ного спирта), ко 2-й — такое же кол-во чистого спирта и доводят обе колбы водой до метки. Р-ры оставляют на 5—10 мин. для связывания O_2 и полярографируют.

Н. Туркевич

4349. Диизоцианаты как реактив для характеристики спиртов. Сумма, Джанк (Diisocyanates in the characterization of alcohols. Summa Angelo F., Jan-

nke Paul J.), *J. Amer. Pharmac. Assoc. Scient. Ed.*, 1957, 46, № 6, 363—366 (англ.)

Метод основан на р-ции спиртов и 2,4-толуолдиизоцианата (I) и дифенилметан-4,4'-диизоцианата (II) и идентификации спиртов по т-рам плавления полученных диуретанов. Для высших спиртов и фенолов применялось нагревание на кипящей водяной бане в течение 15 мин. в присутствии 1—2 капель катализаторов — триэтиламина или пиридина. Для остальных спиртов р-ция идет на холоду с выделением тепла. Полученное метильное производное, перекристаллизованное из метанола, имело т-ру плавления для I 177°, для II 190° (здесь и далее т-ры плавления приведены с точностью 0,5—1°). Диуретаны, полученные с I, перекристаллизовывались из этанола и имели следующую т-ру плавления: этил- 114°, *n*-пропил- 109°, изопропил- 118°, *n*-бутил- 77°, трет-бутил- 208°, *n*-амил- 86°, изоамил- 81°, коричный 117°, бензил- 102°, гераниол- 89°, ментол- 174—179°, борнеол- 217—220°, холестерин- 184—187°, линалоол- 228—232°, фенил- 144°, хлорбутанол-189—194°, тимол- 190°, карвакрол- 159°. Начиная с гераниола, применялось нагревание (кроме линалоола), фенил- и хлорбутанолпроизводные получались с катализатором пиридином, остальные, начиная с гераниола, с катализатором триэтиламином. Диуретаны, полученные со II, перекристаллизовывались из этанола или из смеси этанола с лигроином или этиленхлоридом. Полученные соединения имели т-ру плавления: этил- 135°, *n*-пропил- 118°, изопропил- 153°, *n*-бутил- 121°, трет-бутил- 275°, *n*-амил- 111°, изоамил- 105°, коричный- 169°, бензил- 197°; остальные спирты (см. выше для I) не дали производных при нагревании в присутствии катализаторов. Полученные диуретаны титровались 0,1 н. р-ром метилата К в смеси бензол-метанол с индикатором о-нитроанилином. Полученные значения эквивалента в пределах ошибок опыта совпадают с вычисленными.

Д. Васкевич

4350. Одновременное открытие, идентификация и определение вторичных и третичных спиртов в микромасштабе. Юречек, Хладек, Хладкова, Соучек, Српова (Současný důkaz, identifikace a stanovení sekundárních a terciárních alkoholů v mikroměřítku. Jureček Miroslav, Chládek Oldřich, Chládková Růžena, Souček Milan, Srpová Blanka), *Chem. listy*, 1957, 51, № 3, 448—451 (чешск.)

Исследуемый спирт реактивом Лукаса (конц. HCl , уд. в. 1,19, или р-р 136 г безводн. ZnCl_2 в 105 г конц. HCl) переводят в соответствующий хлористый алкил, который после выделения при помощи тиомочевны (I) превращают в растворимый хлористый алкилтиуроний. Последний после нейтр-ции CH_3COONa действием 3,5-динитробензоата Na (II) переводят в нерастворимый алкилтиуроний-3,5-динитробензоат. В этой соли после ее перекристаллизации из $\text{C}_2\text{H}_5\text{OH}$ определяют ее нитрогруппы титрованием избытка ~ 0,4 н. р-ра TiCl_3 0,05 н. р-ром $\text{NH}_4\text{Fe}(\text{SO}_4)_2$ с применением NH_4SCN . Требуется глухой опыт. Одновременно определяют т. пл. препарата. При взаимодействии хлористых алкилов с I или II целесообразно прибавление КJ. Для пентанола-(3), 2,3-диметилпентанола-(3), циклогексанола и трифенилкарбинола метод непригоден.

Karel Kámek

4351. Количественное определение спиртов методом дегидратации. Петрова Л. Н., Новикова Е. Н. *Ж. аналит. химии*, 1957, 12, № 3, 411—414 (рез. англ.)

Разработан метод определения некоторых спиртов, основанный на способности их к дегидратации в р-ре толуола в присутствии толуолсульфокислоты (I) в качестве катализатора с колич. выделением воды, титруемой реактивом Фишера. В колбочку емк. 50 мл, соединенную с помощью шлифа с обратным холодиль-

ником, помещают 0,02—0,045 г I, приливают 10 мл р-ра анализируемого спирта (II) (1—1,2 г II растворяют в толуоле) и кипятят в течение 5 мин. По окончании р-ции охлаждают, холодильник смывают 5 мл сухого метилового спирта и титруют реактивом Фишера. Проводят также холостое титрование. В отдельной пробе определяют влажность II. Предложенный метод пригоден для определения третичных спиртов (линалоол, терпинеол, цедрол, диметилфенилкарбинол, триметилкарбинол) и легко дегидратирующихся вторичных (4-окси-3-метоксифенилэтилкарбинол, метилфенилкарбинол) и первичных (гераниол, коричный спирт) в присутствии стойких (предельных) первичных и вторичных спиртов.

А. Немодрук

4352. Потенциометрическое определение фторированных спиртов в водных и неводных системах. Робертс, Мак-Би, Хатавей (The potentiometric titration of fluorinated alcohols in aqueous and non-aqueous systems. Roberts C. W., McBee E. T., Hathaway C. E., J. Organ. Chem., 1958, 21, № 12, 1369—1370 (англ.))

Для изучения распределения изомеров при р-ции расщепления фторированных эпоксидных смол необходим метод, при помощи которого можно было бы быстро определить положение OH-группы по отношению к перфторалкиловой группе в спирте, содержащем 2 функциональные группы. По мере передвижения атомов F в фторированных спиртах к концу углеводородной цепи константы ионизации значительно снижаются. Проведены опыты по определению рК 3-амино-1,1,1-трифтор-2-пропанола и 3-диэтиламино-1,1,1-трифтор-2-пропанола в водн. р-ре. Диэтиламинспирт менее кислотен, чем незамещ. аминспирт. Определение рК в водн. р-ре позволит установить положение группы OH в чистом соединении, но при анализе смесей изомеров с подобными физ. свойствами необходим потенциометрич. метод, дающий реакцию точку эквивалентности только для более кислого спирта. Кислотность фенола значительно увеличивается при смешивании с карбоновой к-той в р-ре бутиламина, что дает возможность получения резкой точки эквивалентности. Применение этого метода к фторированным спиртам позволяет провести колич. анализ системы с соседними перфторалкиловыми и карбинольными группами при отсутствии других фторированных структурных изомеров.

М. Пасманик

4353. Применение метода термической диффузии для выделения алифатических спиртов и жирных кислот из их смесей. Блессин, Кречмер, Уиб (Application of thermal diffusion to separation of aliphatic alcohols and fatty acids from their mixtures. Blesin C. W., Kretschmer C. B., Wiebe Richard, Analyt. Chem., 1957, 29, № 3, 408—409 (англ.))

При попытках разделить бинарные смеси низших алифатич. спиртов методом диффузии (РЖХим, 1956, 39008) наилучшие результаты получены для смеси CH_3OH и трет- $\text{C}_4\text{H}_9\text{OH}$ (1:1); степень разделения составила 15%. Разделения смесей $n\text{-C}_3\text{H}_7\text{OH}$ — изо- $\text{C}_3\text{H}_7\text{OH}$ и $n\text{-C}_4\text{H}_9\text{OH}$ — трет- $\text{C}_4\text{H}_9\text{OH}$, а также всех тройных смесей не достигнуто. При опытах с жирными к-тами также не получено удовлетворительных результатов. Неприменимость метода термич. диффузии для разделения спиртов и жирных к-т объясняется наличием водородных связей, маскирующих существующие структурные различия указанных соединений. Т. Леви

4354. Потенциометрическое определение меркаптанов в присутствии элементарной серы. Карчмер (Potentiometric determination of mercaptans in presence of elemental sulfur. Karchmer J. H., Analyt. Chem., 1957, 29, № 3, 425—431 (англ.))

Потенциометрич. метод определения меркаптанов в бензине, дающий неудовлетворительные результаты в

присутствии элементарной S, модифицирован путем употребления менее цел. р-рителя, в присутствии которого не образуются неорганич. полисульфиды. При молярном соотношении между S и определяемым соединением, меньшим 1:1, в качестве р-рителя можно употреблять смесь, полученную добавлением к р-ру 13,7 г $\text{CH}_3\text{COONa} \cdot 3\text{H}_2\text{O}$ в 20 мл воды 400 мл CH_3OH и 400 мл изо- $\text{C}_3\text{H}_7\text{OH}$ и разбавленную бензолом до 1 л. При большем содержании S в качестве р-рителя рекомендуется употреблять смесь, полученную разбавлением р-ра 13,7 г $\text{CH}_3\text{COONa} \cdot 3\text{H}_2\text{O}$ и 6 мл лед. CH_3COOH в 500 мл CH_3OH до 1 л при помощи C_6H_6 . Показано, что при р-ции между S и меркаптаном образуется моноалкилдисульфида (RSS), разлагающийся при стоянии с образованием S^{2-} ; при избытке S образуются неорганич. сульфиды.

4355. Электрофорез на бумаге альдегидов и кетонов в присутствии бисульфита. Теандер (Paper ionophoresis of aldehydes and ketones in the presence of hydrogen sulphite. Theander Olof, Acta chem. scand., 1957, 11, № 4, 717—723 (англ.))

Используя способность альдегидов и кетонов превращаться в присутствии бисульфита (I) в окислительные к-ты, автор разработал простой метод разделения таких соединений с помощью электрофореза на бумаге. Электролит готовится добавлением в р-р I соответствующего буфера и доведением pH до нужного значения. Пятна после разделения получают круглыми и резко очерченными. Изменением концентрации и pH можно изменять степень разделения компонентов; повышение т-ры мало сказывается на разделии.

Л. Дмитриев

4356. Определение следов кетона в карбиноле методом дифференциального анализа в инфракрасной области. Уолшберн, Шеске (Determination of traces of ketone in a carbinol by differential infrared analysis. Washburn W. H., Scheske F. A., Analyt. Chem., 1957, 29, № 3, 346—347 (англ.))

Для оценки содержания этилхлорвинилкетона, присутствующего в β -хлорвинилэтилкарбиноле (плацидил), применен метод дифференциального ИК-анализа. Применяли 2-лучевой спектрофотометр Перкина — Эйлера. Стандартный 25%-ный р-р плацидила вносили в 2 кюветы (0,5 мм) из NaCl и сканировали при ширине щели 0,165 мм и длине волны 5,93 μ , а затем при 5,6—6,1 μ . В одну из кювет вносили исследуемый 25%-ный р-р и сканировали от 5,6 до 6,1 μ , меняли р-ры (по не кюветы) и вновь сканировали. Затем измеряли общее поглощение при 5,93 μ и оценивали содержание кетона по калибровочной кривой. При содержании 0,1% кетона воспроизводимость результатов составляла $\pm 0,01\%$.

Т. Леви

4357. Церато-хроматная оксидиметрия. Часть II. Определение муравьиной и щавелевой кислот при совместном присутствии. Шарма (Cerate-chromat oxidimetry. Part II. Estimation of formic and oxalic acids in their mixtures. Sharma N. N., Z. analyt. Chem., 1957, 157, № 2, 110—113 (англ.))

Метод основан на различном поведении $\text{H}_2\text{C}_2\text{O}_4$ (I) и HCOOH (II) по отношению к хромат-цератной смеси. I окисляется $\text{Ce}(\text{SO}_4)_2$ до CO_2 и H_2O в среде разб. H_2SO_4 при непродолжительном нагревании (~ 5 мин.) в колбе с обратным холодильником; II не реагирует при этих условиях, но количественно окисляется до указанных выше продуктов при длительном нагревании (30—80 мин.) в среде конц. H_2SO_4 в присутствии нескольких капель 1%-ного р-ра $\text{KCr}(\text{SO}_4)_2$ (I также окисляется при этих условиях). Для определения I и II при совместном присутствии определяют сначала конц. I, затем сумму I + II и по разности находят конц. II. Предыдущее сообщение см. РЖХим, 1957, 63819.

А. Зозуля

4358. Анализ хлорангидрида ацетилсалициловой кислоты. Литвиненко Л. М., Поляков В. П., Греков А. П., Чернецкая А. М., Мед. пром-сть СССР, 1957, № 4, 42—43

Метод состоит в смешении р-ра хлорангидрида ацетилсалициловой к-ты (I) в C_6H_6 с бензольным р-ром $C_6H_5NH_2$; кол-во $C_6H_5NH_2$ в ~3 раза (в мол. отношении) превышает кол-во I. Избыток $C_6H_5NH_2$ оттитровывают р-ром $NaNO_2$ потенциометрически с индикаторным Pt-электродом. Присутствие в анализируемой смеси N-фениламида ацетилсалициловой к-ты не мешает. Метод проверен на ряде хлорангидридов; погрешность определения не превышает 1%; анализ продолжается ≤ 30 мин. Т. Леви

4359. Количественное определение четвертичных аммонийных соединений с длинной цепью. Ней (Die quantitative Bestimmung langkettiger quartärer Ammonium-Verbindungen. Neu R.), Fette, Seifen, Anstrichmittel, 1957, 59, № 7, 503—505 (нем.; рез. англ., франц., исп.)

Метод основан на том, что катионные галоидсодержащие детергенты количественно осаждаются р-ром $NaClO_4$, избыток которого титруется $AgNO_3$ при индикаторе $KBrO_3$. По содержанию галоида вычисляют мол. вес в-ва. Новый метод обладает следующими преимуществами: 1) прямое объемное определение аниона; при этом мешающий катион осаждается в виде труднорастворимого в-ва; 2) быстрота и дешевизна по сравнению с титрованием р-ром $HClO_4$ в уксусной к-те или диоксане; 3) применимость метода ко всем четвертичным аммонийным соединениям с длинной цепью. Содержание воды в них должно быть известно или предварительно определено. Найденные этим методом мол. веса в четвертичных аммонийных соединениях с длинной цепью удовлетворительно совпали с вычисленными. А. Бамдас

4360. Определение ϵ -капролактама при помощи йодовисмутита калия. Франц, Книжек (Stanovení ϵ -kaprolaktamu jodovizmutitanem daselným. Franc Jaroslav, Knížek Jaroslav), Chem. listy, 1957, 51, № 1, 72—75 (чешск.); Сб. чехосл. хим. работ, 1957, 22, № 4, 1253—1256 (нем.; рез. русск.)

Авторы разработали метод определения ϵ -капролактама (I), который можно применить также для определения метил- ϵ -капролактама (II) или для определения I в присутствии ϵ -аминокапроновой к-ты (III) и т. п. Метод заключается в осаждении йодовисмутитом калия (IV) и титровании избытка висмута комплексом III (V). Авторами исследовано влияние конц-ии, времени и т-ры на воспроизводимость метода и определены опт. условия работы при определении I, K 0,15—1,5 г I прибавляют 50 мл воды, 25 мл 0,25 M IV и 10 мл конц. HCl и разбавляют до 100 мл. Р-р выдерживают ~3 часа при $20 \pm 0,1^\circ$, выделившийся осадок I + IV отфильтровывают, 10 мл фильтрата после прибавления 10 мл ацетатного буфера (рН 4,5), 2 мл 0,1 н. $Na_2S_2O_3$ и 10 мл воды титруют V до обесцвечивания. Переход окраски улучшают добавкой 3 мл 20%-ного р-ра KI. При описанных условиях результаты оказываются вполне удовлетворительными. Необходимо поддерживать т-ру в течение осаждения с точностью до $\pm 0,1^\circ$. Для запасного р-ра IV, который вообще очень стабилен, надо построить калибровочную кривую, показывающую зависимость между потреблением V и конц-ией I. Авторами рассчитаны для этого метода стандартное отклонение для одного определения $\pm 0,95\%$ и максим. погрешность $\pm 2,00\%$. Состав осадка IV с I, который выделяется в форме рубиново-красных кристалликов гексагональной сингонии, отвечает ф-ле $[(C_6H_{11}NO)_2H_2BIJ_4]$. Miloslav Kolinský

4361. Колориметрическое определение малых количеств тиофена в бензоле. Такэути, Сиба (\sim ゼン中の微量チオフェンの比色定量について. 武内次夫, 柴弘), コールタール, Кору тапу, Coal Tar, 1957, 9, № 1, 5—7 (японск.)

Р-ры нужной конц-ии готовились разбавлением бензолом (I) 2%-ного р-ра тиофена (II) в I. Для приготовления р-ра сернокислого изатина (р-р А) к 1000 мл H_2SO_4 ($d_{40}^{20} = 1,84$) добавлялось 100 мг изатина и 100 мг $Fe_2(SO_4)_3$; р-р энергично встряхивался; после недельного стояния при $\sim 20^\circ$ $Fe_2(SO_4)_3$ полностью растворялся. Конц-ии р-ров измерялись с помощью спектрофотометра при длинах волн 530, 540 и 550 мμ. При конц-ии II 0,02—0,002 вес. % проба готовилась добавлением к 20 мл р-ра А 1 мл испытуемого р-ра; после энергичного встряхивания 2 мин. и отстаивания 30 мин. получался однородный р-р. Пробы с содержанием II 0,0020—0,0002 добавлялись к 10 мл р-ра А 4 мл испытуемого р-ра; при содержании II 0,00020—0,00002 вес. % к 2,5 мл р-ра А добавлялось 10 мл р-ра II; в этих двух случаях р-р после стояния расслаивался. В качестве эталонного р-ра применялся чистый I, обработанный тем же способом, что и проба. В пределах 0,020—0,00002% р-ры I в I подчиняются закону Бера. Максим. чувствительность наблюдалась при длине волны 530 мμ. Ю. Ермаков

4362. Количественная хроматография на бумаге фенолов и ее применение в аналитической химии феноластов. Гудечек, Беранова (Quantitative Papierchromatografie der Phenole und ihre Anwendung in der analytischen Chemie der Phenoplaste. Hudeček S., Beranova Dana), Plaste und Kautschuk, 1957, 4, № 3, 88—90 (нем.)

Методом хроматографии на бумаге (ватман № 1) полностью колич. определение фенола (I) и о-крезола (II) в смеси и свободного I в новоласах и резоллах. Бумагу предварительно (в течение 4 суток) выдерживали в парах воды в закрытой камере. Хроматограммы проявляли между горизонтально установленными стеклянными пластинками; в качестве проявителя употребляли смесь 21 мл циклогексана, 9 мл $CHCl_3$ и 0,6 мл C_2H_5OH . Анализируемые в-ва употребляли в форме р-ров в C_2H_5OH . Расстояние между уровнем элюента и бумагой должно составлять ≥ 45 мм. Для обнаружения пятен применяли р-р диазотированного л-нитроанилина. Для колич. оценки употребляли хроматограммы стандартных р-ров. При определении I и II в смеси относительная погрешность определения составляет $\pm 4,3\%$ и $\pm 3,95\%$ соответственно. Т. Леви

4363. Фотометрическое ультрамикроразделение фенола в воздухе. Брейверман, Хоххейзер, Джекобс (Colorimetric ultramicro determination of phenol in air. Braverman M. M., Hochheiser Seymour, Jacobs Morris B.), Amer. Industr. Hyg. Assac. Quart., 1957, 18, № 2, 132—134 (англ.)

Метод основан на р-ции фенола с л-аминодиметиланилином в щел. среде. Исследуемый воздух пропускают со скоростью 2,8 л/мин через 45 мл 0,5%-ного р-ра $NaHCO_3$. Р-р переносят в делительную воронку, прибавляют 4 капли реактива и затем 0,1%-ный р-р гипохлорита Са до перехода розовой окраски в голубую или бесцветную. Оставляют стоять 5 мин. и экстрагируют 10 мл хлороформа. Хлороформенный слой фильтруют через плотный комоч ваты в маленькую кювету, которую оставляют в покое на 30 мин. Измеряют оптич. плотность при 600 мμ. Содержание фенола находят по калибровочной кривой (0—7 γ фенола). Обязательно ставят холостой опыт. В пределах 0—7 γ фенола наблюдается линейная зависимость оптич. плотности р-ров от конц-ии. Чувствительность метода $1:10^9$. Для приготовления реактива смешивают 50 мл конц. H_2SO_4 с 30 мл воды; после охлаждения прибавляют 20 г л-аминодиметиланилина и встряхивают до полно-

го растворения, доводят объем до 100 мл. 20 мл полученного р-ра разбавляют водой до 100 мл. Анализ выполняют с разб. р-ром реактива. Д. Васкевич

4364. Новый йодометрический метод определения гидрохинона. Шуллек, Бургер (Uj jodometriás eljárás hidrocchinon meghatározására. Schulek Elemér, Burger Kálmán, Acta pharm. hung., 1957, 27, № 1-2, 5-7 (венг.; рез. нем.)

В колбу с притертой пробкой берут навеску водн. р-ра гидрохинона (I) 3—10 мг и доводят до объема 30—40 мл. По каплям прибавляют бромной воды до желтоватой окраски р-ра. Колбу встряхивают, через 1/2 мин. быстро приливают 5 мл 5%-ного р-ра фенола (II), сильно встряхивают, прибавляют ~ 0,20 г KI и подкисляют 5 мл 20%-ной HCl. Через 15—20 мин. титруют 0,01 н. $\text{Na}_2\text{S}_2\text{O}_3$, 1 мл которого соответствует 0,5505 мг I. Точность $\pm 1\%$. Определение можно производить в присутствии таких восстановителей, которые бромом не переводятся в соединения, окисляющие йод (сульфиты, сульфиды, тиосульфаты и др.). Метод пригоден для анализа разложенного продукта. При этом до бромирования делают йодометрич. измерение (это указывает на содержание хинона), а дальше, как указано выше. С некоторыми изменениями метод применим для определения хинона и I в хингидроне. И. Криштофори

4365. Поглощение альдегидной группы С—Н инфракрасной области спектра. о-Замещенные бензальдегиды. Пинхас (Infrared absorption of aldehydic С—Н group. Ortho-substituted benzaldehydes. Pinchas Shraga, Analyt. Chem., 1957, 29, № 3, 334—339 (англ.)

Для проверки предположения о влиянии водородной связи на частоту колебаний связи С—Н изучены спектры ИК-поглощения 16 замещ. бензальдегидов, в частности 10 с заместителями в орто-положении. Установлено, что замещ. бензальдегиды, не содержащие водородных связей, поглощают в области 2720—2745 и 2812—2832 см^{-1} . Замещ. бензальдегиды, содержащие альдегидную группу с водородной связью, поглощают при 2747—2765 и 2860—2900 см^{-1} . Сделано предположение, что полоса поглощения при 2820 см^{-1} представляет собой комбинационную полосу, образовавшуюся за счет колебаний при 1380—1390 и 1455—1470 см^{-1} (последняя полоса характерна для многих альдегидов). Увеличение частоты колебаний связи С—Н за счет водородной связи может быть использовано для обнаружения о-замещ. бензальдегидов. Т. Левин

4366. Редуктометрическое определение антрахинона при помощи сернистой кислоты ванадия. Матрка, Сагнер (Reduktometrické stanovení antrachinonu siranem vanadnatým. Matka Miroslav, Sagner Zdeněk, Chem. listy, 1957, 51, № 1, 68—71 (чешск.); Сб. чехосл. хим. работ, 1957, 22, № 4, 1131—1134 (нем.; рез. русск.)

Количественное определение антрахинона (I) производится путем титрования 0,1 н. р-ром сернистой кислоты ванадия (II), восстанавливающей I до антрагидрохинона (III). 0,0005 моля I, растворенного при 50° в 70 мл лед. CH_3COOH , разводят 10 мл воды и титруют при 50° р-ром II в атмосфере N_2 . За ходом титрования наблюдают потенциометрически. Примененное разбавление CH_3COOH обеспечивает лучшее растворение I и образующегося III. Метод быстрый и ошибка определения составляет $\pm 0,3\%$. Метод можно использовать также в случае технич. I. Jiří Vaníček

4367. Фотометрическое определение п-аминобензойной кислоты в лекарственных препаратах в присутствии хлоридата новокаина. Сообщение 2. Рихтер (Photometrische Bestimmung von p-Aminoben-

zoensäure neben Novocainhydrochlorid in Arzneifertigwaren. 2. Mitt. Richter J., Arzneimittel-Forsch., 1957, 7, № 3, 200—201 (нем.; рез. англ.)

Описанный ранее метод (сообщение 1, РЖХим, 1955, 37631) определения п-аминобензойной к-ты (I) изменен таким образом, чтобы влияние агента подкисления не изменялось во времени. 2 мл исследуемого р-ра, содержащего ~ 0,5% хлоридата новокаина (II), обрабатывают 5%-ным р-ром $\text{Na}_2\text{HPO}_4 \cdot 2\text{H}_2\text{O}$ (5 мл) и встряхивают, последовательно, с 20 и 10 мл CHCl_3 (по 30 сек.) Водн. фазу центрифугируют ~ 1 мин., отбирают 5 мл р-ра и смешивают с 5 мл 1 н. HCl и 5 мл 0,5%-ного р-ра NaNO_2 . Через 2 мин. добавляют 10 мл 0,1%-ного р-ра тимоло в 5%-ном р-ре NaOH, разбавляют до 100 мл и фотометрируют через ~ 2 мин. в 10-мм кювете фотометра Пульфриха с фильтром S 47. При анализе р-ров, содержащих > 0,5% II, необходимо соответствующее разбавление. Описанным методом определяют $\geq 2,5 \text{ мг \%}$ I в 0,5%-ных р-рах II. Т. Левин

4368. Подколориметрическое определение производных барбитуровой кислоты. Рапанорт Л. И. Ж. аналит. химии, 1957, 12, № 3, 415—419 (рез. англ.)

Разработан йодхлориметрич. метод колич. определения барбитуратов, содержащих неперелетные группировки (малил, эвипан натрия и фанодорм) и производных тиобарбитуровой к-ты (тиопентал натрия) в смеси с карбонатом натрия. Применение данного метода дало возможность определить вышеуказанные препараты в смеси с другими барбитуратами (люминал, веронал), не реагирующими с солянокислым р-ром JCl.

Резюме автора

4369. Анализ смесей толуол-2,4-диизоцианата и толуол-2,6-диизоцианата методом спектрофотометрии в инфракрасной области. Лорд (Infrared analysis of toluene-2,4-diisocyanate and toluene-2,6-diisocyanate mixtures. Lord S. S., Jr, Analyt. Chem., 1957, 29, № 4, Part 1, 497—499 (англ.)

Для анализа смесей толуол-2,4-диизоцианата (I) и толуол-2,6-диизоцианата (II) предложено 2 метода. 1. При анализе смесей, содержащих 5—95% I, пробу ~ 2 г разбавляют до 50 мл циклогексаном (III), вводят порцию р-ра в 0,2-мм кювету спектрофотометра, регистрируют спектр в интервале 11,5—13,5 μ , а затем спектр чистого III в том же интервале. Измеряют светопоглощение I при 12,35 μ и II при 12,8 μ (I_0 вычисляют по результатам, полученным для III). Содержание I или II (в %) вычисляют из ур-ния: $x = 5000 A/abP$, где A — измеряемая величина светопоглощения, > 95% I в смеси неразб. р-р пробы вводят в 0,1-мм кювету и регистрируют спектр в интервале 12,0—13,5 μ . Измеряют светопоглощение II при 12,70 μ , принимая за I_0 линию, полученную интерполяцией между двумя ветвями кривой светопоглощения; содержание II (в %) вычисляют из ур-ния $x = 100A/ab$. Для вычисления уд. поглощения пользуются соответствующими калибровочными кривыми. Воспроизводимость результатов 1-го метода $\pm 0,8\%$, 2-го $\pm 0,08\%$. Т. Левин

4370. Микроопределение толуолдиизоцианатов в атмосфере. Маркали (Microdetermination of toluenediisocyanates in atmosphere. Marcali Kalmán, Analyt. Chem., 1957, 29, № 4, Part 1, 552—553 (англ.)

Метод основан на гидролизе толуолдиизоцианата (I) до соответствующего диамина, диазотировании последнего, сочетании его с N-1-нафтилэтилендиамин и фотометрировании окраски полученного р-ра при 550 м μ . Воздух просасывают через абсорбер с водн. р-ром 0,4 н. по CH_3COOH и HCl. Описанный метод применим для обнаружения 0,01 $\mu\text{г/мл}$ толуол-2,4-диизоцианата. Возможно определение толуол-2,4-

диизоцианата в полевых условиях в течение 10–15 мин., с чувствительностью 0,02 μ /мл. В присутствии I можно определить 0,03 μ /мл 3,3'-диизоцианат-4,4'-диметилкарбанилида; для этой цели измеряют интенсивность желтой окраски (при 450 м μ), развивающейся после поглощения диметилкарбанилида водн. р-ром этилцеллолосольва, содержащим NaNO₂ и H₂BO₃. Т. Леви

4371. Определение меламина в присутствии гуанидина. Энгелбрект, Мозли, Донаху, Роллинсон (Estimation of melamine in presence of guanidine. Engelbrecht R. M., Moseley H. E., Donahoo W. P., Rolington W. R.), *Analyst. Chem.*, 1957, 29, № 4, Part 1, 579–580 (англ.)

Для определения меламина (I) в присутствии гуанидина (II) предложены 3 метода. 1. Осаждают I в форме пикрата в присутствии II при контролируемой т-ре. К \sim 10 г пробы добавляют 150 мл воды, нагревают, фильтруют, р-р разбавляют до 250 мл. 10 мл порции добавляют к 15 мл воды и 25 мл лед. CH₃COOH. Нагревают почти до кипения, добавляют 150 мл насыщ. р-ра пикриновой к-ты (III) нагревают до кипения, фильтруют, осадок промывают холодной водой и 10 мл эфира, сушат 1 час при 105° и взвешивают. При расчете учитывают, что растворимость пикрата в воде составляет 0,00055 г на 100 мл воды. 2. Удаляют II до осаждения пикрата I. рН аликвотной порции устанавливают на уровне 10,5–11,0 (NH₄OH), вводят \sim 20 мл насыщ. р-ра III, через 20 мин. фильтруют, фильтрат смешивают с равным объемом лед. CH₃COOH, нагревают до кипения и далее ведут определение, как указано выше. 3. Удаляют I экстракцией р-ром NaOH, добавляемым до 10%-ной конц-ии в р-ре. Фильтрат выдерживают 3–4 часа при 5°, фильтруют, осадок сушат 1 час при 105°. При расчете учитывают, что растворимость I в 10%-ном р-ре NaOH составляет 0,106 г на 100 мл р-ра. Метод 2 требует наименьшей затраты времени, метод 3 применим для анализа проб, непригодных для фильтрования после обработки горячей водой. Т. Леви

4372. Изучение и применение реакции аммиака с пиридином и пиразолоном. Лип, Меллон (Ammonia-pyridine-pyrazolone reaction. Further study and application. Lear J. B., Mellon M. G.), *Analyst. Chem.*, 1957, 29, № 2, 293–295 (англ.)

С целью выяснения механизма р-ции определены миним. кол-ва реактивов, необходимые для протекания р-ции до конца, а также изучено влияние заместителей в пиридиновом кольце и замены пиразолона другими ароматич. аминами (2-нафтиламин-6,8-ди-сульфокислота, 2-аминонафтол-7-сульфокислота, 1-нафтиламин, бензидин, дибензиламин, 2,4-диаминоанизол, 1-фенилендиамин, аллоксантин и фенилгидразин). Установлена недостаточность полученных данных для выяснения механизма р-ции. Показана возможность применения указанной р-ции для определения N в стали. Недостатками метода являются необходимость ежедневного приготовления реактива и необходимость экстрагирования четыреххлористым углеродом. Точность определения не уступает точности других методов. М. Пасманик

4373. Деривативная полярография углеводов. Гидразоны альдопентоз. Хас, Линч (Derivative polarography of carbohydrates. The aldopentose hydrazones. Haas John W., Jr., Lynch Cesile), *Analyst. Chem.*, 1957, 29, № 4, Part 1, 479–481 (англ.)

Анализируемый р-р, содержащий альдопентозы ($1 \cdot 10^{-3}$ – $2 \cdot 10^{-2}$ M), добавляют к забуференному до рН 2,3 р-ру N₂H₄ · H₂SO₄; при полярографировании ток восстановления гидразонов альдопентоз пропорционален их конц-ии; i_k/C имеет различное значение в за-

висимости от гидразона. Изучение вели с полярографом Сарджента, модель 21, с использованием H-образной ячейки; через р-ры пропускали N₂. Индифферентный электролит содержал 0,0528 M Na₂HPO₄ и 0,1 M N₂H₄ · H₂SO₄. Для всех альдопентоз $E_{1/2}$, одинаков и зависит от рН. Получены отчетливые и воспроизводимые полярографич. кривые; при анализе смесей 2 сахаров применяли дифференциальный метод. При определении индивидуальных сахаров погрешность < 2%, при анализе бинарных смесей 2–10%. Т. Леви

4374. Новый реактив для обнаружения пятен сахаров на бумажных хроматограммах. Боренфрэйнд, Дисхе (A new spray for spotting of sugars on paper chromatograms. Borenfreund Ellen, Dische Zacharias), *Arch. Biochem. and Biophys.*, 1957, 67, № 1, 239–240 (англ.)

Модифицированная р-ция сахаров (C) с флороглюцином (в HCl) применена для обнаружения пятен C при распределительной хроматографии на бумаге. Указанный реактив дает возможность отличать триозы, тетрозы и пентозы от высших C, а также отличать альдо- и кетоформы от C с 3, 4 и 5 атомами углерода. Хроматограммы получают в нисходящем потоке на бумаге ватман № 1; в качестве р-рителя употребляют смесь n-C₄H₉OH-CH₃COOH-H₂O (40:10:50). После сушки (18 час.) хроматограммы опрыскивают смесью 25 мл лед. CH₃COOH с 1 мл HCl и 2,5 мл 5%-ного р-ра флороглюцина в C₂H₅OH и снова сушат сначала при 18–20°, а затем 2 мин. при 90°. Альдопентозы дают пурпурные пятна, кетопентозы темно-зеленые, кетогексозы желто-коричневые, метилпентозы желтые, гептулозы зеленые, диоксиацетон зеленовато-желтые, глицеридовый альдегид и альдотетрозы фиолетовые, кетотетрозы красновато-коричневые. Дальнейшую идентификацию осуществляют наблюдением в УФ-свете. Т. Леви

4375. Открытие и разделение многоатомных спиртов, превращающихся при окислении в моносахариды и присутствующих в растительных экстрактах. Штейнер, Мас (Nachweis und Trennung von Zuckerkalkohlen in Pflanzenpreßsäften. Steiner Maximilian, Maas Elizabeth), *Naturwissenschaften*, 1957, 44, № 4, 90–91 (нем.)

Многоатомные спирты, превращающиеся при окислении в моносахариды (МС), разделяют методом хроматографии на бумаге Шлейхер-Шюль № 2043 в восходящем потоке с применением в качестве р-рителя смеси C₄H₉OH-C₂H₅OH-H₂O (40:11:19). Члены гомологич. ряда обнаруживают опрыскиванием высушенной хроматограммы ранее описанным реактивом (40 мг бромкрезолового пурпурного + 100 мл 95%-ного CH₃OH + 100 мг H₂BO₃, 7,5 мл 1%-ного Na₂B₄O₇). R_f

для тетрита, пентита, гексита и гептита соответственно равен 0,38, 0,31, 0,24 и 0,19 (\pm 0,02). Стереоизомеры МС разделяют в форме боратных комплексов методом электрофореза на бумаге; в качестве электролита используют буферный р-р: 1 ч. 0,2 M H₃BO₃ + 1 ч. 0,2 M NaOH (рН 9,5). После испарения ацетона полосы бумаги погружают в кипящую воду, обрабатывают 30 мин. р-ром Na₂S₂O₃ (3 г Na₂S₂O₃ + 1,5 г Na₂SO₃ + 100 мл воды), промывают и сушат при 30°. Скорость перемещения стереоизомеров МС изменяется в следующей последовательности: дульцит > маннит > сорбит, арабит > адонит. Открываемый минимум \sim 10 μ МС. Метод применим для анализа соков, полученных прессованием, а также водн. вытяжек из свежих и сухих растительных материалов. Т. Леви

4376. О реактиве Вайса для определения йодного числа жиров. Беллуччи, Де-Гори (Sul reattivo Wijs per determinare il numero di iodio nei grassi. Bellucci Italo, De Gori Roberto), *Ann. chimica*, 1957, 47, № 3, 299–305 (итал.)

Приготовление реактива Вайса (р-р JCl в уксусной к-те (I)) из JCl₃ (II) и J затруднительно, ввиду нестойкости II. В одной из продажных проб II авторы нашли 17% HJO₃. Рекомендуется смешивать 13 г хорошо измельченного J с 500 мл 99%-ной I и пропускать через полученную смесь ток промытого и сухого Cl₂ до почти полного растворения и значительного уменьшения интенсивности окрашивания р-ра. После 5—6 час. стояния р-р декантируют от нерастворившегося J (0,5—1 г), разбавляют I до 1 л и хранят в темном месте. На титрование 10 мл реактива расходуется 19,1 мл (вместо 20 мл) 0,1 н. арсенита.

Н. Туркевич

4377. Полярграфическое определение отдельных составных частей в смесях котарнина-наркотина и гидрастинин-гидрастин. Голубек, Волке (Polarographische Bestimmung der einzelnen Bestandteile in den Gemischen Kotarnin-Narkotin und Hydrastinin-Hydrastin. Holubek J., Volke J.), Pharmazie, 1957, 12, № 5, 261 (нем.).

Описан полярграфич. метод определения в смесях котарнина (гидрастинина) (I) и наркотина (гидрастина) (II). Содержание I определяется непосредственно полярграфически, сумма I и II — из высоты полярграфич. ступени после окислительного расщепления с помощью HNO₃. РЖХим, 1957, 19731.

Б. Шемякин

4378. Реактивы — осадители для калия как реактивы на алкалоиды. Розенталер, Людвиг-Тенгер (Kaliumfällungsmittel als Alkaloidreagentien. Rosenthaler L., Lüdy-Tenger F.), Pharmazie, 1957, 32, № 1, 35—46 (нем.; рез. англ., франц., итал.).

Изучена пригодность реактивов, применяемых для осаждения K (хромат Na-VO₃, ферроцианид Na-Ca, дигидрилат Na, HClO₄, нитрат Ag-Na-Co, флавиановая к-та, тетрафенилборнатрий, фуросан и 2-нафтил-амин-6,8-дисульфокислота) в качестве осадителей для 37 алкалоидов растительного происхождения (1%-ные р-ры) и для 8 синтетич. оснований. В 193 случаях из 400 (47,7%) имело место осаждение; во многих случаях (28%) образовались кристаллич. осадки. Для колич. определений применим лишь тетрафенилборнатрий.

Т. Леви

4379. Флуориметрическое определение 11-дезоксипрезерпина. Гордон, Кемпбелл (Fluorometric determination of 11-desmethoxyreserpine. Gordon James A., Campbell Donald J.), Analyt. Chem., 1957, 29, № 4, Part 1, 488—490 (англ.).

При взаимодействии солей Ce(4+) с 11-дезоксипрезерпином (I) (алкалоид группы нохимбина, выделенный из *Rauwolfia canescens*) развивается флуоресценция, по интенсивности которой можно оценить кол-во I. К аликвотной порции р-ра I (1 γ/мл) в 5 н. CH₃COOH, содержащей 0,5—4,5 γ I, прибавляют 1 мл 0,001 н. р-ра Ce(SO₄)₂ в 0,1 н. H₂SO₄ и разбавляют 5 н. CH₃COOH до 10 мл. Смесь выдерживают 1 час в кипящей водяной бане, охлаждают, разбавляют 5 н. CH₃COOH до 10 мл и измеряют интенсивность флуоресценции в фотофлуориметре Колемана, модель 12 с фильрами В₁ и РС₁. Для установки гальванометра на нуль употребляют смесь, содержащую 1 мл 0,001 М р-ра Ce(SO₄)₂ в 9 мл 5 н. CH₃COOH. Интенсивность флуоресценции р-ра, обработанного перчатом и содержащего 0,2 γ/мл, I составляет 7,0 при 450 мμ.

Т. Леви

4380. Спектрофотометрическое определение стрихнина в сиропе Истона. Пател, Ганди (Spectrophotometric determination of strychnine in Easton's Syrup. Patel S. Z., Gandhi B. S.), Indian J. Pharmacy, 1957, 19, № 2, 37—40 (англ.).

Предложен быстрый фотометрич. метод, основан-

ный на измерении интенсивности окраски окрашенного продукта, образующегося в результате взаимодействия стрихнина (I) с реактивом Манделина (50 мл NH₄VO₃ растворяют в 100 мл 65%-ной H₂SO₄). 1 мл р-ра пробы (40—100 γ I) смешивают с 5 мл реактива Манделина, через 2 мин. смесь разбавляют до 10 мл и через 10 мин. окраску р-ра фотометрируют при 530 мμ, употребляя в качестве р-ра сравнения смесь р-ра реактива с 1 мл воды. I (+ хинин) извлекают из анализируемого сиропа экстрагированием, остаток после выпаривания р-рителя растворяют в разб. H₂SO₄, р-р разбавляют и фильтруют. Т. Леви

4381. Комплекс морфина с реактивом Марме. Леви (The morphine-Marmé complex. Levi Leo), Analyt. Chem., 1957, 29, № 4, Part 1, 470—474 (англ.).

Изучена р-ция между хлоргидратом морфина (M) и водн. р-ром, содержащим CdJ₂ и KJ; установлено, что чувствительность р-ции образования комплексного соединения возрастает с увеличением конц-ии KJ в р-ре реактива; наилучшие результаты получены при употреблении в качестве реактива р-ра, 0,2 М по K₂CdJ₄, содержащего избыток KJ (0,4 моля). Присутствие KJ не влияет на состав образующегося комплекса [C₁₇H₁₉NO₃][CdJ₂], но ускоряет р-цию его образования, т. е. KJ ведет себя, по-видимому, как катализатор. Чувствительность р-ции комплексобразования максимальна, когда объем р-ра M в ~ 3 раза больше объема реактива (мол. соотношение M: CdJ₂: KJ = 1:10:40). Максим. чувствительность соответствует 0,1 γ наркотика. Изучены спектры поглощения комплекса в УФ- и ИК-области, дифракционная картина, оптич. вращение и растворимость. Рекомендуется пользоваться микрохим. методом: к 0,1 мл 0,1%-ного р-ра хлоргидрата M добавляют 0,03 мл реактива (0,2 М по K₂CdJ₄, избыток KJ (0,4 моля) и наблюдают образующиеся кристаллы под микроскопом. Приведены микрофотографии характерных кристаллов, образующихся через 1, 3—4 и 5—6 мин.

Т. Леви

4382. Определение α-токоферола методом хроматографии на вторичном фосфате магния. Бро-Рассмуссен, Ярде (Determination of α-tocopherol by chromatography on secondary magnesium phosphate. Bro-Rasmussen Finn, Hjarde Willy), Acta chem. scand., 1957, 11, № 1, 34—43 (англ.).

Анализируемый материал омывают спирт. р-ром КОН, содержащим пирогаллол (предотвращающий окисление токоферолов). Полученный р-р экстрагируют эфиром (I), объединенные вытяжки промывают водой и сушат над Na₂SO₄. Эфирный экстракт выпаривают досуха в атмосфере CO₂, остаток растворяют в петр. эфире (II) и α-токоферол (I) выделяют методом хроматографии на колонке MgHPO₄ после обработки последнего конц. серной к-той, кипячения с р-ром 20 г Na₂HPO₄ · 2H₂O в 1,6 л воды, промывания и сушки. Хроматографируют в атмосфере N₂, запуская MgHPO₄ в II, вводят в колонку (20 см × 12 мм) и покрывают слоем Na₂SO₄. В колонку вносят аликвотную порцию анализируемого р-ра (~ 0,4 мг I), промывают II (50 мл) и элюируют 2%-ным р-ром I в II (150 мл); β-, α- и δ-токоферолы, а также витамин А указанным элюентом не элюируются. Фракцию I выпаривают при 30° до 5—10 мл, остаток разбавляют абсолютным спиртом и II таким образом, чтобы соотношение обоих р-рителей составляло 1:1. В полученном р-ре I определяют на основе р-ции Эммери — Энгеля при помощи FeCl₃ и α,α-дипиридила.

Т. Леви

4383. Определение стигмастерина в стеринах соевым методом изотопного разбавления. Донна, Отт, Дрейк (Determination of stigmastrol in soy sterols by radioactive isotope dilution. Donna Robert A., Ott Arnold C., Drake Norman), Analyt. Chem., 1957, 29, № 4, Part 1, 464—467 (англ.).

К анализируемой смеси стерина сои добавляют ацетат стигмастерила (меченного C^{14} по месту группы $COOH$) и смесь ацетируют при помощи $(CH_3CO)_2O$ (1,5 мл) в течение 1,25 час. Р-р разбавляют дихлорэтаном (2 мл), добавляют 1 мл р-ра Br_2 в дихлорэтано (соотношение Br_2 :стерин = 2:1), охлаждают до -10° , добавляют 10 мл CH_3OH и выдерживают 18 час. при -10° . Осадок отфильтровывают, промывают метиловым спиртом и ацетоном и растворяют в 0,5–1 мл дихлорэтана. Р-р разбавляют ацетоном (1:6), ацетат тетрабромстигмастерила перекристаллизовывают, р-р в $CHCl_3$ наносят на планшеты и измеряют уд. активность полученного продукта в форме тонкого слоя при помощи торцового Г.—М.-счетчика. Для предварительного выделения стерина сои применяют метод хроматографии на флоризиле. Содержание стигмастерина вычисляют по соотношению исходной и конечной активности.

Т. Леви
4384. Определение дегидроаскорбиновой кислоты с помощью хроматографии на бумаге. Давидек, Шанда (Stanovení kyseliny dehydroaskorbové chromatografií na papíře. Davidek Jiří, Šanda Vlastimil), Českosl. farm., 1957, 6, № 3, 151–153 (чешск.; рез. русск., англ., нем.)

Дегидроаскорбиновую к-ту (I) определяют по разности результатов анализа пробы до и после восстановления с помощью H_2S . На бумагу наносят в нескольких точках (в атмосфере CO_2) по 10 мкл исследуемого экстракта (диаметр пятен 1 см), а в других точках — по 5 мкл экстракта с добавлением 5 мкл стандартного р-ра аскорбиновой к-ты (II) различной конц-ии. Хроматографируют верхней фазой смеси бутанол-уксусная к-та — вода (4:1:5) в течение ~4 час. Хроматограммы обрабатывают 0,1%-ным спирт. р-ром 2,6-дихлорфенолиндифенола, высушивают и измеряют величину пятен ($R_f = 0,37$). Методом сравнения полученных результатов определяют кол-во II. Параллельно производят аналогичное хроматографирование исследуемой пробы, восстановленной H_2S . По разнице определяют кол-во I.

Н. Туркевич
4385. Колориметрический метод определения пеницилловой кислоты. Штернберг (O metodă de dozare colorimetrică a acidului penicilic. Șternberg M.), Studii și cercetări de chim., 1956, 4, № 3-4, 315–320 (рум.; рез. русск., франц.)

При взаимодействии водн. или спирт. р-ра пеницилловой к-ты (I) с гидроксиламином (II) в щел. среде появляется желтая окраска, которая скоро переходит в красную и остается постоянной в течение 30 мин. при комнатной т-ре ($\lambda(\text{макс.}) = 530 \text{ мμ}$). Закон Бера соблюдается при конц-ях 80–1000 мкг/мл. Ионы F, Cl, Br, J, SO_4 , PO_4 , NO_3 , NH_4 , щел. и щел.-зем. металлов не влияют на определение. Из производных I ацетилпеницилловая к-та дает цветную р-цию в тех же условиях, что и I, в то время как дибромпеницилловая к-та не реагирует. Из общеизвестных антибиотиков только хлоромидетин и бацитрадин дают цветную р-цию (желтая окраска) с II. Продукты кислотного и щел. разложения I не дают ее. Установлен полный параллелизм между биохим. и фотометрич. определениями I. Данным методом можно определить I и в первичных фильтратах культур без предварительной экстракции и концентрирования. Для анализа прибавляют по 0,05 мл 4%-ного р-ра солянокислого II и по 0,3 мл 40%-ного р-ра КОН на каждый мл анализируемой жидкости. По данным экстинкции на эталонированной кривой находят содержание I.

Б. М.
4386. Количественное микро- и макроопределение метилтиоурацила (2-тио-4-оксиг-6-метилпиримидина) кулометрическим и перманганатобромометрическим методами. Калиновский, Берштель, Феcko, Звешховский (Mikro i makrooznaczenie

ilościowe metylotiouracylu (2-tio-4-hydroksy-6-metylopirymidyna) metodą kulometryczną i manganobromometryczną. Kalinowski Kazimierz, Bersztel Józef, Fecko Jerzy, Zwierzchowski Zbigniew), Acta polon. pharm., 1957, 14, № 2, 77–83 (польск.)

Перманганатобромометрическое определение метилтиоурацила (I) производят в бромоскопе, состоящем из конич. колбы, к которой присоединены на шлифах ферментационная трубка (ФТ) и делительная воронка (ДВ). В колбу вливают сначала 50 мл 0,1 н. $KMnO_4$ (II) и 10 мл 10%-ного р-ра KBr , а после введения в ФТ 3 мл 0,1 н. As_2O_3 (III) вводят через ДВ 10 мл 25%-ной HCl (IV), а также 25–50 мг пробы, растворенных в 5 мл 10%-ного р-ра $NaOH$ (V). ДВ промывают водой и оставляют бромоскоп в темноте на 60 мин. при $\sim 20^\circ$, часто перемешивая р-р. Затем прибавляют III в кол-ве, необходимом до обесцвечивания р-ра, и титруют вместе с жидкостью, находящейся в ФТ, с помощью II в присутствии метилового красного. 1 г-моль I восстанавливает 12 г-атом Br . Погрешность определения $\pm 0,9\%$. Кулометрич. определение I ведут при плотности тока на аноде 5,5 мА/см². В анодное пространство вводят 10 мл исследуемого р-ра (0,05–0,10 г/1000 мл) и 10 мл 20%-ной IV. а в катодное пространство — несколько мл 10%-ной IV. Электролиз производят при 20° , до появления свободного Cl_2 в исследуемом р-ре. 1 г-атом Cl_2 соответствует 1/8 моля I. Погрешность определения $\pm 1\%$.

Н. Туркевич
4387. К вопросу о фотометрическом определении эфиров холина. Бенгер, Кайзер (Beitrag zur kolorimetrischen Bestimmung von Cholinestern. Benger H., Kaiser E.), Scientia pharm., 1957, 25, № 1, 1–7 (нем.)

Ранее описанный метод определения эфиров карбоновых к-т (Hestrin S., J. Biol. Chem., 1949, 180, 249) модифицирован и применен для определения эфиров холина. К 1 мл исследуемого р-ра (0,05–0,80 мг/мл эфира холина) прибавляют 2 мл щел. р-ра NH_4OH (17,5 г $AgNO_3$ и 7 г $NH_4OH \cdot HCl$ растворяют каждый в 25 мл воды, р-ры смешивают, $AgCl$ отфильтровывают, прозрачный р-р смешивают в отношении 1:1 с 14%-ным р-ром $NaOH$ и фильтруют), перемешивают, через 10 мин. добавляют 1 мл разб. HNO_3 (1:4), 1 мл 15%-ного $Fe(NO_3)_3$ (15 г $Fe(NO_3)_3 \cdot 9H_2O$ и 4 мл конц. HNO_3 разбавляют до 100 мл) и фотометрируют при 505 мμ, употребляя в качестве р-ра сравнения смесь 1 мл воды с р-рами реактивов. Закон Бера выполняется при 0,05–0,80 мг/мл ацетилхолина.

Т. Леви
4388. Быстрое фотометрическое определение тиозинамина. Пател, Моды (A rapid colorimetric determination of thiosinamine. Patel S. Z., Mody H. M.), Indian J. Pharmacy, 1957, 19, № 2, 34–37 (англ.)

Предложен метод, основанный на использовании модифицированного реактива Гроте. Аликвотную порцию анализируемого р-ра, содержащую ~100 μ тиозинамина, разбавляют фосфатным буферным р-ром (рН 6,8) до 5 мл, добавляют реактив (к 10 мл 5%-ного р-ра нитроферрицианида Na добавляют 5 мл 10%-ного р-ра $NH_4OH \cdot HCl$ и через 2 мин. 10 мл 10%-ного р-ра $NaHCO_3$, перемешивают, вводят 0,11 мл Br_2 по каплям (~10 мин.), 5 мл 2%-ного р-ра C_6H_5ON , выдерживают 8–10 час. при 30° и хранят при $\sim 5^\circ$ 8 недель; перед употреблением разбавляют фосфатным буферным р-ром с рН 6,8 в отношении 1:20 и через ≤ 15 мин. фотометрируют при 650 мμ, через интервалы времени по 5 мин., употребляя в качестве р-ра сравнения смесь р-ра реактива и буферного р-ра. При анализе препаратов для инъекций последние разбавляют; мази экстрагируют горячей водой.

4389. Определение менадиона полярографическим методом. Джонгкайнд, Буцца, Фокс (Assay of menadione. A polarographic procedure. Jongkind Jan C., Buzza Edmund, Fox Sereck H.), J. Amer. Pharmac. Assoc. Scient. Ed., 1957, 46, № 4, 214—216 (англ.)

К исследуемому образцу добавляют 25 мл р-ра $(\text{NH}_4)_2\text{Ce}(\text{NO}_3)_6$ (26 г в 1 л 1 н. H_2SO_4), 20 мл бензола и встряхивают 20 мин., центрифугируют, отбирают аликвотную пробу бензольного слоя, содержащую ~0,5 мл менадиона (I), добавляют 10 мл 0,2 М метанолового р-ра LiCl, содержащего 0,005% метиленовой синей и 0,1 мл NH_4OH , пропускают 8 мин. N_2 и полярографируют. Далее добавляют 1 мл стандартного р-ра I (1 мг I в 1 мл смеси бензола и метанола 1:1), снова пропускают 8 мин. N_2 и повторяют полярографирование. Измеряют диффузионные токи обеих полярограмм и по разности находят исходное содержание I. В пределах 0,01—0,1 мг/мл конц-ия I прямо пропорциональна диффузионному току. Градуировочная кривая представляет собой в данном случае прямую. При определении I в смеси отклонения $\leq 2,4\%$. М. Пасманик

4390. Колориметрическое определение диазотирующихся аминов (новокаиин, анестезин, сульфамиды) сочетанием с тимолом. Цёльнер, Вастаг (Kolorimetrische Bestimmung von diazotierbaren Aminen (Novocain, Anästhesin, Sulfonamide) durch Kuppeln mit Thumol. Zöllner Eva, Vastagh Gabor) Pharmaz. Zentralhalle, 1957, 96, № 5, 199—206 (нем.)

Разработано определение новокаиина, анестезина и сульфамидных препаратов (сульфаниламида, сульфаметилтиазола, сульфатиазола натрия, сульфатуанидина, сульфамидодиметилпиримидина), основанное на сочетании образующихся при их диазотировании соединений с тимолом (I) и последующем колориметрировании окрашенного продукта р-ции. В мерную колбу емк. 100 мл вносят 5—10 мл р-ра, содержащего 20—200 мг анализируемого препарата, прибавляют 2,5 мл 10%-ного р-ра HCl и охлаждают на ледяной бане. К охлажд. р-ру добавляют 5 мл 0,5%-ного р-ра NaNO_2 и через 5 мин. прибавляют 1 г мочевины (для удаления избытка HNO_2 , образующей с I нитрозосоединение, сообщающее р-ру желтую окраску и мешающее колориметрированию). По удалении HNO_2 (что узнается по прекращению газовой выделения) прибавляют 1 мл свежеприготовленного 0,5%-ного р-ра I (в 10%-ном р-ре NaOH) и 5 мл 10%-ного р-ра NaOH. Спустя 10 мин. водой разбавляют до метки и на фотометре (светофильтр S 47) измеряют интенсивность образовавшейся желто-оранжевой окраски. Холостой опыт применяют в качестве р-ра сравнения. Конц-ию анализируемого препарата находят с помощью калибровочной кривой. Ошибка $< 3,0\%$. А. Немодрук

4391. Применение микрометодов Кофлера в анализе лекарственных веществ. III. Количественный анализ бинарных смесей. Секера, Покорный (Anwendung der Koflerschen Mikromethoden in der Arzneimittelanalyse. III. Quantitative Analyse binärer Gemische. Sekera Aleš, Pokorný Jaroslav), Mikrochim. acta, 1957, № 1, 103—112 (нем.; рез. англ., франц.)

Микрорефрактометрический метод Кофлера применен для определения компонентов 19 бинарных смесей лекарственных в-в. Хорошие результаты получены для смесей ацетилсалициловая к-та (I)-фенацетин (II), кофеин (III)-II; III-ацетанилид, амидопирин (IV)-диэтилбарбитуровая к-та, IV-фенилэтилбарбитуровая к-та (V), IV-II, V-α-бромизовалерианилмочевина и сantonin-фенолфталеин. Для смесей II-III,

I-фосфат кодеина, IV-хлоргидрат хинина, V-хлоргидрат папаверина, сульфаниламид- $\text{CO}(\text{NH}_2)_2$ метод применим лишь в определенных интервалах содержания компонентов. Сообщение II см. РЖХим, 1957, 2295. Т. Левя

4392. Анализ лекарств и химикатов по инфракрасным спектрам поглощения. I. Количественный анализ сantonina, тимола, тетрахлорэтилена и аскаридола в смеси лекарств. Ои (Analyses of drugs and chemicals by infrared absorption spectra. I. Quantitative analyses of santonin, thymol, tetrachloroethylene, and ascaridol in mixed drugs. Oi Naofumi), Pharmac. Bull., 1957, 5, № 2, 149—152 (англ.)

Описана методика колич. определения сantonина (I), тимола (II), тетрахлорэтилена (III) и аскаридола (IV) по ИК-спектрам поглощения. В качестве аналитич. полос были выбраны: для I полоса поглощения с частотой 5,56 μ , II 2,78 μ , III 2,90 μ и IV 4,42 μ . Градуировочные графики строят по р-рам в CS_2 . I в пределах конц-ий 0,5—1,5, II 2—6, III 4—8 и IV 4—8 мг/см³. Максим. ошибка в определении указанными компонентами составляет $\pm 3\%$ относит. Измерения проводят на спектрофотометре Перкина—Эльмера модель 21. Толщина поглощающего слоя 0,5 мм. И. Демиденкова

4393. Применение метода газо-жидкостной хроматографии для анализа жидких нефтяных фракций. Дести, Уайман (Application of gas-liquid chromatography to analysis of liquid petroleum fractions. Desty D. H., Whymann B. H. F.), Analyt. Chem., 1957, 29, № 3, 320—329 (англ.)

Приведены результаты определения удерживающего объема 81 углеводородов и 7 серусодержащих соединений при использовании в качестве стационарной фазы n-гексатриаконтана и бензилдифенила. Установлено, что энергия взаимодействия указанных соединений со стационарной фазой возрастает на постоянную величину для каждой введенной группы CH_2 . Три пары соединений (3-метилгексан и 3-этилпентан; 2,3-диметилбутан и циклопентан, 2,2,3-триметилпентан и толуол) характеризуются одинаковым удерживающим объемом. Осуществлено определение примесей (2,2,4-триметилпентан, 2- и 3-метилгексан, 2,3-диметилпентан, нафтен C_7) в изооктане. Т. Леви

См. также: Растворы 3945—3947. Индикаторы 3938, 4060. Комплексные соед. 3517, 3518, 4076, 4079, 4080, 4083—4087, 4089—4101. Экстракция 4895, 4896, 4903. Хроматографич. методы анализа 4024—4026, 4030, 1421Бх. Электрохимич. методы анализа 3953, 3954, 3966, 3975, 4437—4439, 5295, 5296. Спектральные методы анализа 3513, 3516, 3524, 3526, 3528, 3529, 3531, 3546, 3548, 3549. Радиохимические методы анализа 3732—3734, 3736—3739. Химия рения и технеция 4073. Химия асбатия 4074. Алкоголяты плутония 4075. Растворение W в смесях плавиковой и азотной кислот 4109. Измерение содержания Li^6 , He^3 и H^3 в метеоритах 4125. Величины радиоактивности пород и минералов 4137. Анализ минералов 4152, 4157, 4158, 4163—4168, 4173, 4180, 4189—4192, 4198, 4200—4202, 4204, 4206, 4208. Анализ глини 4219, 4221, 4222, 4224. Анализ торфа 4229. Анализ вод 4237, 4244, 4245, 4247, 4249, 4255, 4256. Элементарный органический анализ и определение функциональных групп 3981. Анализ производных углеводорода 1429Бх. Анализ природных соединений 1428Бх, 1470Бх, 1475Бх, 1480Бх. Анализ биологически продуктов и лекарственных препаратов 1399—1402Бх, 1419Бх, 1420Бх, 1425Бх—1427Бх, 1432Бх, 1443Бх, 1446Бх, 1451Бх, 1454Бх, 1458Бх, 1460Бх, 1498Бх

ОБОРУДОВАНИЕ ЛАБОРАТОРИЙ. ПРИБОРЫ, ИХ ТЕОРИЯ, КОНСТРУКЦИЯ, ПРИМЕНЕНИЕ

Редактор А. И. Саразов

4394. Взвешивание методом подстановки. Бьетри (Warum Substitutionswägung? Biétry L.), *Chimia*, 1957, 11, № 4, 92—96 (нем.).

Описаны неравноплечные весы с постоянной нагрузкой, жестко связанной с одним плечом. Данная конструкция исключает ошибку вследствие неравноплечности, гарантирует постоянную чувствительность и требует двух опорных ножек вместо трех. Последнее улучшает воспроизводимость результатов.

4395. Заметки о чувствительности равноплечных весов. Джонс (A note on the sensitivity of an equal-arm balance. Jones Robert N.), *Amer. J. Pharmacy*, 1957, 129, № 4, 143—145 (англ.).

Элементарный расчет чувствительности аналитических весов. Н. Москвитин

4396. Основные методы определения ошибок нормальных ареометров. Шёнек, Ваннингер (Verfahren zur fundamentalen Bestimmung der Fehler von Normalareometern. Schoeneck H., Wanninger W.), *Amstbl. Phys.-techn. Bundesanstalt*, 1957, № 1, 44—46 (нем.).

Показано, что метод свободно плавающего ареометра (А) требует слишком много времени для проверки всей шкалы. Наилучший метод — гидростатическое взвешивание А, позволяющий определять ошибку по всей шкале для любого А в одной и той же жидкости при постоянной т-ре. Б. Анваер

4397. Автоматический прибор для отмеривания постоянных объемов жидкости. Окубо (自動定量分取装置の試作. 大久保 亨二), *分析化学*, Бунсэки кагаку, *Japan Analyst*, 1957, 6, № 5, 308—309 (японск.).

4398. Фильтрация под давлением при помощи Seitz-фильтра и аппарата Boda. Ветцель (Druckfiltration mit «Seitz-Filter» und «Boda-Gerät». Wetzel), *Dtsch. Apoth.-Ztg.*, 1957, 97, № 22, 490 (нем.).

Приведена схема для стерильного фильтрования под давлением легколетучих и разлагающихся в-в. Основными узлами схемы являются фильтр «Seitz-EK» Gr. 14 и автоклав. В схеме предусмотрена стерилизация всей системы перед фильтрованием. А. Лопманов

4399. Два лабораторных аппарата для ультрафильтрации. Копс (Beschrijving van twee ultrafiltratie-apparaten voor gebruik in het laboratorium. Koops J.), *Chem. weekbl.*, 1957, 53, № 30, 406—408 (гол.; рез. англ.).

Описаны приборы для быстрой ультрафильтрации молока и молочных продуктов. Первый, целиком сделанный из нержавеющей стали, состоит из цилиндра с двойными стенками, внутри которого вращается лопастная мешалка, а между стенками помещается двойной диализирующий слой из сарана и нейлона. Рабочее давление 1—60 атм. При 12 атм ультрафильтрация молока производится со скоростью 50 мл/час. Во втором, стеклянном приборе применяется коллодиевая мембрана в форме пробирки, соединенная шлифом с резервуаром для молока и помещенная внутри цилиндра, который снабжен внизу краном, а сверху соединен со склянкой, содержащей 0,85%-ный солевой р-р для исключения испарения филтраты. При избыточном давл. 16—18 см рт. ст. достигается скорость фильтрации 50 мл/час. Б. Анваер

4400. Небольшой вакуумный циркуляционный выпарной аппарат. Петуэли, Мейкснер (Ein kleiner Vakuum-Umlaufverdampfer. Kurze Mitteilung.

Petuely F., Meixner N.), *Mikrochim. acta*, 1957, № 3-4, 613—615 (нем.).

Описан цельностеклянный выпарной аппарат с производительностью по воде. р-рам ~250 мл/час. Циркуляционный кипятильник может быть изготовлен объемом ≥ 5 мл, что будет определять миним. кол-во выпариваемой жидкости. Кипятильник обогревается водяным паром или горячей жидкостью. В. Лыгин

4401. Новый астропризматический спектрограф. Рёшке (Ein neuer Astro-Prismenspektrograph. Röschke Karl), *Jenaer Rundschau*, 1957, 2, № 3, 90—93 (нем.).

4402. Конструкция инфракрасных спектрометров. Роберте (The design of infrared spectrometers. Roberts D. H.), *Chemistry and Industry*, 1957, № 16, 482—485 (англ.).

Приведены характеристики (площадь поверхности, постоянная времени, длинноволновая граница, чувствительность) фотоспротивлений из CdS, Ge, PbS, PbSe, используемых в настоящее время в спектрометрах фирм RCA, Хильгер, Кодак и Миллард. Отмечены преимущества эталонов Фабри-Перо с многослойными покрытиями по сравнению с ИК-спектрометрами. В. Лыгин

4403. О дополнительном приспособлении к спектрофотометру «Спектроник 20». Свейда (Über ein Zusatzgerät zum Spektralphotometer «Spectronic 20». Svejda H.), *Österr. Chem.-Ztg.*, 1957, 58, № 9-10, 123—125 (нем.).

Описана конструкция держателя образцов для измерения спектрального пропускания твердых тел. Держатель состоит из двух трубок — внешней (для крепления держателя на спектрофотометре) и вставляемой в нее трубки с образцом. Пластина твердого образца размером 10 × 30 мм помещается между стеклянными пластинками, одна половина которых служит эталоном сравнения. Исследуемый образец и стекло сравнения вводятся в пучок поочередно путем вращения внутренней трубки держателя образца. В. Лыгин

4404. Сенситометр с вращающимся затвором. Кемпни (Senzitometar s jednoličnim rotacionim zatvorom. Kempni Karlo), *Kamija u. industriji*, 1957, 6, № 3, F1—F10 (сербо-хорв.; рез. нем.).

Описан сенситометр для контроля фотографич. материалов. В. Лыгин

4405. Приспособление для изготовления газовых микрокамер. Козлов А. С., Поляков П. И., *Вестн. Моск. ун-та. Сер. матем., механ., астроном., физ., химия*, 1956, № 2, 195—196

Кратко описан способ изготовления коротких (12—16 мм) толстостенных (1,5—2,0 мм) стеклянных трубок с пришлифованными торцами.

А. Бабад-Захрияни
4406. Логарифмический электронный преобразователь для регистрирующего микрофотометра. Латышев В. К., Феллигер А. К., *Заводск. лаборатория*, 1957, 23, № 5, 630—632

Разработана приставка к микрофотометру МФ-4, позволяющая непосредственно получать логарифм отношения интенсивности падающего и проходящего через пленку светового пучка. Логарифмирующий каскад построен на половине лампы 6Н8. Источником тока служит фотозлемент типа ЦВБ-3. Приставка может использоваться с микрофотометром МФ-2, если его снабдить механизмом перемещения предметного столика. А. Бабад-Захрияни

4407. Регистрирующее приспособление к микрофотометру. Каретников Г. С., Бартини Г. Р., Заводск. лаборатория, 1957, 23, № 5, 635—636

Описано устройство, преобразующее микрофотометр МФ-2 в регистрирующий фотометр. Поступательное движение столика МФ-2 передается барабану кассеты. Набор шестерен позволяет осуществлять разные коэф. передачи. А. Бабад-Захрияни

4408. Отражение света от поглощающих жидкостей. Грачева Т. И. (Reflection of light from absorbing liquids. Gracheva T. I.), Оптика и спектроскопия, 1957, 2, № 6, 792—799

В рефрактометрах типа Аббе сделано спец. окно для определения показателей преломления поглощающих жидкостей в отраженном свете. Цель данной работы — внести ясность в вопрос о границах применения к поглощающим жидкостям рефрактометров, основанных на полном отражении. Резюме автора

4409. Оптический анализатор. Донне, Донне (Optical analyzer. Donnay Gabrielle, Donnay J. D. H.), Rev. Scient. Instrum., 1957, 28, № 2, 145 (англ.)

Описан оптич. анализатор со скрещенными николями для исследования анизотропных кристаллов. В. Лыгин

4410. Дифференциальный рефрактометр. Цянь Жэнь-юань, Шэнь Шоу-пэн, Ши Лян-хэ, У Жэнь-цзе, Чжан Дэ-хэ (示差折光計. 錢元元, 沈壽彭, 施良和, 吳人傑, 張德祿), 化學學報, Хуасюэ сюэбао, Acta chim. sinica, 1957, 23, № 1, 14—18 (кит.; рез. англ.)

Описан рефрактометр, в котором пучок монохроматич. света (4360 или 5460 Å) проходит через стеклянную ювету квадратного сечения, наполненную р-ром и помещенную в р-ритель. Показатель преломления n рассчитывают из величины расстояния между двумя изображениями щели, возникающими при прохождении пучка через две половины юветы. Чувствительность прибора $\Delta n = 2,5 \cdot 10^{-6}$. Из резюме авторов

4411. Усовершенствованный метод определения показателя преломления жидкостей и его абсолютного температурного коэффициента рефрактометром ИРФ-23. Фронтасев В. П., Шрайбер Л. С., Ж. физ. химии, 1957, 31, № 5, 1157—1161 (рез. англ.)

Ошибки определения показателя преломления (n) и температурного коэф. рефракции ($\Delta n/\Delta t$) уменьшены путем герметизации и термостатирования юветы и призмы рефрактометра и путем более точного измерения т-ры слоя жидкости вблизи поверхности призмы. Т-ру измеряют термопарой медь-константан с зеркальным гальванометром. Один спай термопары касается середины верхней грани призмы рефрактометра, другой в стеклянном капилляре погружают в термостат. Достигнута точность отсчета предельного угла преломления $\pm 0,001^\circ$. Общая предельная ошибка определения n равна $\pm 5 \cdot 10^{-6}$. При измерении $\Delta n/\Delta t$ ($\Delta t \sim 5^\circ$) ошибка $\leq \pm 2 \cdot 10^{-6}$ град $^{-1}$. В. Лыгин

4412. Рентгеновая камера высокой разрешающей способности. Заславский А. И., Толкачев С. С., Уч. зап. ЛГУ, 1957, № 211, 212—222

Описана конструкция рентгеновской порошковой камеры высокой разрешающей способности ВРС-3-ЛГУ. Камера позволяет получать на одной рентгенограмме раздельные снимки пробы и эталона и пригодна для точного определения межплоскостных расстояний и фазового анализа. Диаметр кассеты 141,1 мм, размер рентгенограммы 36×450 мм, область регистрируемых углов $3-85^\circ$. Приведено описание способа съемки и обработки рентгенограмм для получения прецизионных данных на примере Au (эталон) и Ag (проба). В. Лыгин

4413. Усовершенствованная рентгеновская камера для исследований под малыми углами. Хенке, Шульце (Eine verbesserte Rahmenkammer für Röntgen-Strahl-Kleinwinkelstreuung. Henke J., Schulze Gustav E. R.), Z. Naturforsch., 1957, 12a, № 4, 346 (нем.)

Кратко описана камера с удвоенной интенсивностью рассеяния за счет отсутствия второй диафрагмы. Ограничение расходимости первичного пучка достигается точной установкой образца в определенном месте. В камере использована целевая диафрагма из плоскопараллельных стекол с концевым калибром. Наименьший угол составляет $1,7^\circ$. А. Лошманов

4414. Интегрирующая приставка к камере Байесберга. Нордман, Паттерсон (Integrating attachment for the Weissenberg camera. Nordman C. E., Patterson A. L.), Rev. Scient. Instrum., 1957, 28, № 5, 384—385 (англ.)

Описан интегрирующий механизм к камере Байесберга, аналогичный описанному ранее для камеры Бюргера (РЖХим, 1956, 54911). При съемке дифракционного пятно описывает на пленке кривую Лиссажу в пределах узкой прямоугольной области, причем плотность почернения одинакова вдоль этой кривой. Период интегрирующего движения 12 час. А. Бабад-Захрияни

4415. Рентгеновские люминесцентные экраны и усиливающие фольги. Пфанль (Über Röntgenleuchschirme und Verstärkerfolien. Pfahnl A.), Röntgen-Bl., 1957, 10, № 5, 135—146 (нем.; рез. англ., франц.)

Обзор. Библ. 25 назв. А. Лошманов

4416. Пропорциональный счетчик для рентгеновского дифракционного анализа. Самнер, Уэбб (A proportional counter tube for X-ray diffraction analysis. Sumner F. H., Webb D. P. D.), J. Scient. Instrum., 1957, 34, № 5, 209—210 (англ.)

Показано, что в математич. части работы (РЖХим, 1957, 12230) имеется неточность, связанная с необоснованностью пренебрежения членом Θ/π в ф-ле для общего числа A освобождаемых в счетчике фотоэлектронов. При учете этого члена A уменьшается в 3 раза и равно 0,015. А. Бабад-Захрияни

4417. Приготовление электронно-микроскопических реплик с грубых пористых поверхностей. Холл (The preparation of electron microscope replicas from rough porous surfaces. Hall D. M.), Brit. J. Appl. Phys., 1957, 8, № 7, 295—296 (англ.)

Негативный отпечаток получают путем нанесения 1%-ного р-ра коллодия в амилцетате на поверхность пористого образца после пропитки его в воде и слабого подсушивания. Пропитка образца водой препятствует проникновению коллодия вглубь пор и позволяет отделять отпечаток сдиранием с помощью желатина. Коллодиевый отпечаток подтягивают окисью урана и покрывают угольной пленкой толщиной ~ 100 Å. Желатину растворяют в горячей воде. Для растворения коллодия на поверхность воды наносят слой амилцетата толщиной 2 мм. Вылавливание угольной реплики на поддерживающую сеточку производят в другом сосуде с водой, куда реплику переносят вместе с частью амилцетата и к которой добавляют в-во, уменьшающее поверхностное натяжение. В. Лыгин

4418. Усовершенствованное приспособление для охлаждения микротомного ножа. Инке (Verbesserte Messerkühlvorrichtung. Inke G.), Mikroskopie, 1957, 11, № 9-10, 335—337 (нем.)

Описаны нож и препаратодержатель для микротомы, позволяющие производить срезы при пониженных т-рах. Охлаждение производится с помощью жидкой CO_2 , поступающей из баллона во внутренние полости ножа и препаратодержателя. В. Лыгин

4419. Вакуумные замазки и особенности их изготовления. Кемуля, Ролинский, Сенковский (Kity próżniowe, ich własności i wytwarzanie. Kemuła Wiktor, Roliński Józef, Sękowski Stefan), Zesz. nauk Politechn. warsz., 1957, № 30, 19—54 (польск.; рез. русск., англ.)

Разработан метод изготовления вакуумных замазок (ВЗ) из легкодоступных в-в, а также методы измерения упругости паров, т-ры наилучшего прилипания и размягчения ВЗ. Определены указанные свойства для продажных и изготовленных ВЗ. Полученные данные приведены в виде таблиц. Авторы рекомендуют свои рецепты ВЗ для высоковакуумных установок.

А. Бабад-Захряпин

4420. Точный манометр с автоматическим отсчетом. Фаркуарсон, Кермайкл (Precise automatic manometer reader. Farquharson J., Kermicle H. A.), Rev. Scient. Instrum., 1957, 28, № 5, 324—325 (англ.)

Разработан прибор для автоматич. определения и отметки на цифровом счетчике высоты уровня Hg в манометрич. трубке. По винту вдоль манометра движется каретка, несущая источник света и фотоэлемент, включенный в мостовую схему. Разбаланс схемы при изменении уровня Hg запускает сервомотор, перемещающий каретку вслед за мениском. Винт через кончик, передачу связан с цифровым указателем высоты уровня. Точность отсчета $\pm 0,05$ мм.

Э. Финкель

4421. Датчик с латунным сильфоном для манометров с нулевым отсчетом. Де-Крешенте, Джанз (Brass bellows gauge for null-reading manometers. DeCrescente Michael, Janz George J.), Rev. Scient. Instrum., 1957, 28, № 6, 468 (англ.)

Для измерения давления методом компенсации в качестве упругой мембраны предложено применять латунный сильфон, позволяющий работать при давл. 0,1—20 мм рт. ст. и т-ре 25—300°. Чувствительность сильфона 0,15 мм на 1 мм рт. ст. Нулевое положение сильфона отмечается электр. контактом.

Н. Москвитин

4422. Ловушка для вакуумных систем. Конн, Даглиш (A vapour trap for vacuum systems. Conn G. K. T., Daglish H. N.), J. Scient. Instrum., 1957, 34, № 6, 245 (англ.)

Ловушка состоит из стакана, изготовленного из металла с низкой теплопроводностью (Ni—Ag), герметично соединенного с системой. В дно стакана ввинчен полированный Cu-стержень, проходящий внутрь рабочей вакуумной камеры и несущий на конце большую металлич. поверхность для конденсации паров. Снаружи стакан охлаждается жидким азотом.

Э. Финкель

4423. Стекланный кран для работ с жидкостью в вакуумом. Левина С. Д., Мокров П. М., Заводск. лаборатория, 1957, 23, № 6, 744—745

Предложено 2 двойных крана, в которых 1-я часть, смазанная обычной смазкой, служит для отъединения системы от окружающей среды, а 2-я часть — собственно кран — смазывается той жидкостью, которую он перекрывает. Во 2-м кране предусмотрено вымораживание паров вакуумной смазки. В. Лыгин

4424. Трубка с вакуумной оболочкой. Джейкобс, Ричардс (Vacuum-insulated transfer tube. Jacobs Robert B., Richards Robert J.), Rev. Scient. Instrum., 1957, 28, № 4, 291—292 (англ.)

Предложена конструкция металлич. U-образной трубки с вакуумной теплоизоляцией для переливания сжиженных газов.

А. Бабад-Захряпин

4425. Применение сцинтилляционного спектрометра в физико-химических исследованиях. Алексеев Н. Г., Григал В. П., Козлова А. В., Прохоров

В. А. Ж. физ. химии, 1957, 31, № 4, 915—919 (рез. англ.)

Описана конструкция сцинтилляционного спектрометра с кристаллом NaI(Tl), предназначенного для анализа смеси γ -активных изотопов с точностью 5—10%. Приведены результаты анализа смеси Zr^{95} , Zn^{65} , Sn^{113} .

В. Лыгин

4426. Радиоактивный сенситометр для испытания фотографических материалов, применяемых в радиоавтографии. Картужанский А. Л., Солтцки Б. П., Ж. научн. и прикл. фотогр. и кинематогр., 1957, 2, № 3, 167—171

Описана конструкция сенситометра, имеющего в качестве источника излучения радиоактивный изотоп ^{14}C . Шкала интенсивности задается 9-ступенчатым клином, составленным из слоев конденсаторной фольги толщиной 10 μ . Приведены данные о чувствительности к β -излучению ядерных эмульсий и фотографич. слоев, применяемых в радиоавтографии.

В. Лыгин

4427. Нанесение радиоактивного слоя для диффузионных исследований методом испарения в вакууме. Извеков В. И., Приборы и техн. эксперимента, 1957, № 2, 111—112

Описан вакуумный стеклянный прибор для нанесения радиоактивного металлич. слоя методом возгонки в вакууме для изучения диффузии в окислах металлов. Для ограничения сферы распространения радиоактивного в-ва изготовлен спец. закрытый стеклянный стакан, в котором покрывается одновременно до 6 спрессованных образцов. Приведен пример осаждения Fe^{59} на магнетит, корунд и рутил. Перед возгонкой Fe^{59} осаждается из конц. р-ра хлористого железа на W-спираль.

А. Бабад-Захряпин

4428. Аппарат для изучения равновесий. Курата, Кон (This new apparatus may help. Kurata Fred, Kohn James P.), Petrol. Process., 1956, 11, № 12, 57—62 (англ.)

Описывается установка для исследования условий равновесия между твердой, жидкой и паровой фазами при т-рах от -180 до 150° и давл. до 200 атм. Установка состоит из стеклянного сосуда для установления равновесия объемом от 1,3 до 12,5 см³, обеспечивающего возможность визуальных наблюдений, и связанных с ним посредством насоса двух емкостей для газа объемом по 620 см³. Все части установки термостатируются с точностью $\pm 0,02^\circ$. Давление измеряется двумя манометрами Бурдона диам. 400 мм с точностью $\sim 0,02$ атм, а разрежение — ртутным манометром. Т-ра в термостате, в котором находится сосуд для установления равновесия, измеряется платиновым термометром сопротивления с точностью $0,02^\circ$. Описываются отдельные детали установки и техника работы на ней.

В. Коган

4429. Постоянные термометрические точки. Дусе, Раву (Réalisation et utilisation de points fixes thermométriques. Doucet Y., Ravoux J. P.), J. phys. et radium, 1957, 18, № 3, Suppl., 41—44 (франц.)

Предложено для проверки различных термометрич. приборов использовать следующие тройные точки: воды 0,0100°, бензойной к-ты 122,36° и феноксibenзола (фенилового эфира) 26,88°. Описаны методы осуществления перечисленных тройных точек.

Б. Пилипчук

4430. Применение динамического калориметра для исследования химических реакций. Таневская-Осиенская, Козловский (Badanie kinetyki reakcji za pomocą mikrokalorymetru dynamicznego, Taniewska-Osińska Stefania, Kozłowski Zygmunt), Zesz. nauk. Uniw. łódz., 1956, Ser. 2, № 2, 101—106 (польск.; рез. русск., франц.)

Описанный в работе метод делает возможным одно-

временное определение тепловых эффектов и кинетики р-ций. Приведены результаты исследований гидролиза метилацетата. В. Лыгин

4431. Германиевые термометры сопротивления для низкотемпературного калориметра. Кунцлер, Гибалл, Халл (Germanium resistance thermometers suitable for low-temperature calorimetry. Kunzler J. E., Geballe T. H., Hull G. W.), Rev. Scient. Instrum., 1957, 28, № 2, 96—98 (англ.)

В качестве термочувствительного элемента в термометре используется термосопротивление, изготовленное из кристалла Ge с присадкой As. Термочувствительный элемент помещают в небольшую Pt-гильзу, заполненную He. Стабильность и чувствительность этого термометра для т-р 2—35° K после повторных циклов нагревания и охлаждения между комнатной т-рой и т-рой жидкого He оказались лучше, чем у существующих термометров. Г. Березин

4432. Измерение температуры ниже 1° K при помощи угольных сопротивлений. Маркем, Нецел, Диллингер (Carbon resistor thermometry below 1° K. Markham A. H., Netzel R. G., Dillinger J. R.), Rev. Scient. Instrum., 1957, 28, № 5, 382—383 (англ.)

Угольные сопротивления (2,7 ом) были применены в калориметре при т-ре < 1° K. Калибровка производилась в области 1,15—2,16° K при помощи ф-лы $\lg R/T = a(\lg R)^2 + b\lg R + C$, где R — сопротивление, T — абс. т-ра, a, b, и c — постоянные, определяемые при калибровке. В. Лыгин

4433. Фотоэлектрический пирометр для измерения цветовой температуры пламен. Соболев Н. Н., Файзуллоев Ф. С. Оптика и спектроскопия, 1957, 3, № 2, 162—168

Разработана и осуществлена конструкция двухканального фотоэлектрич. цветового пирометра, пригодная для измерения т-р нестационарных и кратковременных пламен, излучающих сплошной спектр.

Резюме авторов

4434. Германиевые фотодиоды в системах инфракрасной пирометрии. Свет Д. Я., Приборостроение, 1957, № 6, 16—17

Германиевые фотодиоды (ФД) применены в схеме пирометров спектрального отношения в близкой ИК-области спектра на длинах волн 1,0 и 1,5 м. Требуемая для пирометров 1-го класса стабильность достигается при термостатировании ФД. Измерения проводят на модулированном потоке излучения. Применение ФД позволяет снизить границу диапазона измеряемых т-р до 600—650°. Приведена электрич. схема регулятора т-ры на ФД. В. Лыгин

4435. Электронный самопишущий полярограф. Клейнштейн Л. С., Хим. пром-сть, 1956, № 5, 29—32

Разработана модель самопишущего полярографа (СП), на базе автоматич. самопишущего потенциометра типа ЭПД-07 с дисковой диаграммой, по окружности которой записывается напряжение, а по радиальной кривой — сила тока. Подробно описана передка ЭПД и схема сигнальной системы СП, позволяющая простым переключением переводить СП на однократную или многократную запись полярограмм. Описанный СП можно применять как в лабораторных, так и в производственных условиях. И. Зенков

4436. Новый прибор по осциллографической полярографии. Гохштейн Я. П., Вестн. АН СССР, 1956, № 12, 49—52

Кратко описаны две модели (1953 и 1955 гг.) осциллографич. полярографов, состоящих из следующих основных частей: генератора пилообразных напряжений, блока, позволяющего одновременно подавать на электроды электролитич. ячейки пилообразное и

постоянное напряжение, усилителей и источника питания. В модель 1955 г. введены: блок для полной компенсации емкостного тока; компенсатор, устраняющий влияние нагрузочного сопротивления на ток, текущий через полярографич. ячейку, и устройство для дифференцирования осциллографич. кривой. Прибор предусматривает возможность использования как импульсного, так и пилообразного методов. С помощью последнего прибора можно определять ионы, потенциалы полуволи которых отличаются на 30—40 мВ. И. Зенков

4437. Электрод сравнения для серийного полярографического анализа. Берг (Bezugselektroden für polarographische Serienanalysen. Berg Hermann), Chem. Technik, 1956, 8, № 7, 417 (нем.)

Описан электрод сравнения с малым сопротивлением и переносный электрод сравнения, используемые для полярографич. исследований. Электроды пригодны (после соответствующего наполнения) и для невод. сред. И. Зенков

4438. Микрососуд для осциллографического полярографического анализа. Зикмунд (Mikronádobka pre oscilografickú polarografiu. Zikmund Miroslav), Chem. zvesti, 1957, 11, № 5, 310—312 (словацк.; рез. русск., нем.)

Описана ячейка со струйчатым Hg-электродом для осциллографич. полярографич. анализа. Резюме автора

4439. Новая электролитическая ячейка для серийного полярографического анализа. Йошенич (Új elektrolizáló edény polarográfias sorozatvizsgálatokhoz. Josepovits Gyula), Magyar kém. folyóirat, 1957, 63, № 2-3, 91—92 (венг.; рез. нем.)

Предложена электролитич. ячейка (ЭЯ), в которой процессы обезгаживания и измерения пространственно разделены. Смена р-ра в ЭЯ происходит без контакта с воздухом. Конструкция ЭЯ гарантирует постоянство высоты капельного Hg-электрода и исключает расщепление Hg. А. Лопманов

4440. Конструкция лабораторной ванны для электролиза раствора хлористого натрия. Малкова М. Е., Уч. зап. Ярославск. технол. ин-та, 1956, 1, 163—165

Разработана ванна с горизонтальной намывной диафрагмой, позволяющая снимать материальный и энергетич. балансы процесса электролиза. Ванный служит лабор. эксикатор диам. 195 мм; рабочая поверхность анода составляет 240 см². Нагрузка на ванну составляет 15—25 а, напряжение 4—6 в. Выход по току для Cl 96—97%. Общая продолжительность опыта 3 часа. И. Зенков

4441. Усовершенствование прибора для измерения эластичности анодных пленок. Богоявленский А. Ф., Шамес С. И., Заводск. лаборатория, 1957, 23, № 6, 731—733

Эластичность анодной Al-пленки и Al-сплавов оценивают по величине угла изгиба образца, фиксируемого в момент появления на пленке первых трещин. Эластометр снабжен приспособлением, позволяющим фиксировать во времени картину растрескивания анодной пленки с помощью кинокамеры. С помощью описываемого прибора показано, что при постоянных т-ре электролита, плотности тока и времени окислирования эластичность пленки возрастает с увеличением концентрации электролита. Увеличение времени анодирования несколько снижает эластичность пленки. В. Лыгин

4442. Аппаратура и процесс высушивания фотографических слоев эмульсионных камер. Самойлович Д. М., Приборы и техн. эксперимента, 1957, № 3, 47—51

Рассмотрен процесс высушивания отдельных слоев эмульсионных камер толщиной 450÷500 м, изготовленных из эмульсии НИКФИ-Р, после фотографич. обработки, проведенной без предварительной наклейки

слоев на стеклянную подложку. Описано устройство сушильного шкафа и приведен режим процесса высушивания, при использовании которого искажения в слоях $\leq 20 \div 25$ ковансов. Резюме автора.

4443. Измерения времен возрастания и спада возбуждаемой эмиссии фосфоров. Черофф, Келлер (Measurements of rise and decay times of stimulated emission from phosphors. Cheroll G., Keller S. P.), J. Opt. Soc. America, 1957, 47, № 5, 440 (англ.)

4444. Стекло-каломельная электродная цепь для микротитрования в инертной атмосфере. Зимон (Notiz über eine Glas-/Kalomelelektroden-Meßkette zur Mikrotitration in inerter Atmosphäre. Simon W.), Chimia, 1956, 10, № 12, 286—287 (нем.)

Описана стекло-каломельная измерительная цепь, дающая возможность проводить кислотно-основное титрование с кол-вами жидкости 0,3—3,0 мл в инертной атмосфере. Перемешивание измерительного раствора достигается введением азота. И. Зенков

4445. Прибор для определения парафинов в нефтях и нефтепродуктах. Казакова Н. Д., Соломин А. В., Гуцалюк В. Г., Заводск. лаборатория, 1957, 23, № 8, 996

4446. Установка для хроматографического анализа газов «Хромакон 9400-А». Хаттори (Chromacon Series 9400-A (ガス・クロマトグラフィ装置)・服部正敏), 分析化学, Бунсэки какаку, Japan Analyst, 1957, 6, № 6, 339—405 (японск.)

4447. Аппаратура для разделения веществ методом электрофореза на бумаге. Пох (Apparaturen zur papierelektrophoretischen Stofftrennung. Poch Treubert), Chem. Technik, 1957, 9, № 5, 274—279 (нем.)

Обзор. Библ. 49 назв. А. Лошманов
4448. Количественный микроскопический ионофорез и хроматография. Тернер (Quantitative microscopic ionophoresis and chromatography. Turner B. M.), Nature, 1957, 179, № 4567, 964—965 (англ.)

Краткое описание использования микроскопа в колич. ионофорезе и хроматографии. Капля кислого раствора соли объемом 1—100 мкл помещается на предметное стекло микроскопа с Pt-контактами. Прибор позволяет определять < 1 мкг катиона. Величина капли определялась ранее описанным методом (Sonders L. R., Enright D. P., Weyl W. A., J. Appl. Phys., 1950, 21, 388).

4449. Прибор для вымывания при хроматографии и электрофорезе на бумаге. Бизерт (Dispositif d'éluion pour chromatographie et électrophorèse sur papier. Biserte Gérard), Bull. Soc. chim. biol., 1957, 39, № 5-6, 661—664 (франц.; рез. англ., нем.)

Описан простой прибор для вымывания без потерь компонентов смеси с бумаги после разделения. Прибор изготовлен из прозрачной пластмассы; полоска бумаги, предназначенная для вымывания, помещается в узкую щель, к верхнему концу которой из шприца автоматически подается растворитель, который пропитывает бумагу и стекает снизу в приемник фракций.

Л. Дмитренко
4450. Применение глянцевой бумаги для определения размеров капелек. Йоу, Кутс (Use of glossy paper for determining droplet sizes. Yeo D., Coutts H. N.), Nature, 1957, 179, № 4565, 864—865 (англ.)

На примере нескольких жидкостей показано применение глянцевой бумаги для определения размеров маленьких капелек. Зависимость между диаметром капли D и размером отпечатка на бумаге S выражается в виде $D = a(S)^b$, где a и b — постоянные, зависящие от природы жидкости. В. Дунский

4451. Фотоэлектрический прибор для измерения и контроля цвета окрашенных поверхностей. Степанов О. Д., Приборостроение, 1957, № 6, 18—19

Описан прибор для определения цвета окрашенных поверхностей в 3-цветной зональной системе. В качестве зональных светофильтров используются цвето-отделительные репродукционные светофильтры ОС-14, ЗС-1, СС-5. Приемниками отраженного излучения служат селеновые фотоэлементы СФ-5, включенные в дифференциальную мостовую схему. Суммарная ошибка измерения $\leq 1,4\%$. В. Лыгин

4452. Лабораторный полиэтиновый конденсатор для сушки фтористого водорода. Кин, Хайд (A polythene condenser for the disposal of hydrogen fluoride on laboratory scale. Keen N. J., Hyde K. R.), Chemistry and Industry, 1957, № 25, 805 (англ.)

Сконструирован полиэтиновый конденсатор для сушки HF после его взаимодействия при высоких температурах с оксидами. Конденсатор состоит из герметич. цилиндра, в который поступает HF, и змеевика с охлаждающей водой. Конденсат собирается в трубку с 10%-ным раствором NaOH. А. Бабад-Захрияни

4453. Метод измерения толщин твердых пленок от 5 до 30 микрон. Томсон (A method for the measurement of solid film thicknesses in the 5 to 30 micron range. Thomson Garry), J. Scient. Instrum., 1957, 34, № 8, 332 (англ.)

Исследуемую пленку помещают на подложку из стекла (или perspex), а сверху накладывают другую стеклянную пластинку так, чтобы она одним концом опиралась на пленку, а другим — на подложку. При освещении монохроматич. светом образовавшегося воздушного клина появляются интерференционные полосы, число которых пропорционально толщине пленки. Н. Москвитин

4454. Тефлон как среда для передачи давления. Андрич, Андерсон (Teflon as a pressure medium. Andreatch P., Anderson O. L.), Rev. Scient. Instrum., 1957, 28, № 4, 288 (англ.)

Описан опыт использования тефлона в качестве среды для передачи давления на исследуемый образец при повышенных температурах. Метод применялся для исследования обратимых и необратимых изменений плотности стекла и температурных превращений 2-фазного порошка GeO_2 в зависимости от давления.

А. Бабад-Захрияни
4455. Поведение пробок при высоких температурах. Никитуш (Comportareaa plutei la temperaturi ridicate. Nichituş Constantin), Paza contra incendii, 1957, № 6, 11 (рум.)

Изучено поведение корковых пробок при постепенном повышении температуры в присутствии, так и в отсутствие воздуха. Видимые изменения наступают при соответственно 250° (дым) и 300° (обугливание).

Я. Машлин
4456. О неудовлетворительной работе аспираторов. Горленко И. И., Заводск. лаборатория, 1957, 23, № 7, 874—875

4457. Автоматические электронные потенциометры. Альперт (Autokompensatory elektroniczne. Cz. I. Alpert Wolf), Pomiary, automat., kontrola, 1957, 3, № 5, 173—180 (польск.)

Обзор. Библ. 12 назв. Л. Буторина
4458. Замечания к статье Кеннеди и Кента «Электролитические ванны, проектирование и применение». Фэпп (Comments on electrolytic tank, design and applications) by P. Kennedy and G. Kent. Farr Harold K.), Rev. Scient. Instrum., 1957, 28, № 4, 296—297 (англ.)

Высказаны замечания относительно формы магнитного поля в электролитич. ваннах и относительно терминологии в ранее опубликованной работе (РЖХим, 1957, 48440).

А. Лошманов

4459 П. Определение радиоактивных излучений.

Омарт (Radio-activity detection. Ohmart P. E.).
Англ. пат. 730199, 18.05.55

Описан прибор для измерения радиоактивных излучений, основанный на явлении возникновения э.д.с. между двумя электрохимически разнородными электродами при ионизации воздушной среды между ними (ионизационная камера, работающая без внешнего источника напряжения). В цилиндрич. корпус заключены ячейки, состоящие из пары разнородных электродов, соединенных между собой последовательно или параллельно. Ток камеры регистрируется баллистич. гальванометром. Для определения α - и β -излучения в крышке камеры вделано тонкое окно, наполняющим газом служит аргон, азот или воздух. Для определения нейтронов стенки камеры делаются из водородсодержащих материалов, наполняющим газом является водород, метан и др.

Н. Волкова

4460 П. Микрокамера для электрофореза. Дейвис, Парк (Electrophoretic microcell. Davis William W., Parke Thomas V.) [Eli Lilly and Co.]. Пат. США, 2748074, 29.05.56

Сконструирована простая камера для микроэлектрофореза, требующая для анализа ~ 1 мк в-ва. Камера состоит из стеклянного капилляра высотой 75, внешним диам. 7,5 и внутренним 1,75 мм. Стекло имеет коэф. преломления 1,474. Размеры капилляра могут быть изменены, но при этом должно оставаться постоянным отношение внешнего диаметра к внутреннему, равное 4,3. Капилляр с одной стороны шлифуется и заполняется гелеобразным в-вом, которое имеет коэф. преломления такой же, как у разбавленных водн. р-ров солей. Разделяемая смесь наносится на шлифованный торец и обычным образом подвергается электрофорезу. После разделения капилляр помещается в оптич. систему. Благодаря соответствующему отношению диаметров капилляра и коэф. преломления стекла и геля такой капилляр пропускает без изменения параллельный пучок лучей, проходящих только через гель, рассеивая все остальные лучи. Этот пучок после капилляра фокусируется на экран и по изменению коэф. преломления обнаруживаются компоненты разделяемой смеси в-в.

Л. Дмитриенко

4461 П. Электролитическое разложение с помощью ультразвуковых волн. Сиранси (超音波を利用する電解析出法. 白石武) [海上電機株式会社, Уками дэнки кабусики кайся]. Японск. пат. 201, 21.01.55

См. также: Спектрограф с дифракционной решеткой 3577. Оптическая машина Эллера 3635. Электронный микроскоп 3652. Эмиссионный микроскоп 3654. Электронный интерферометр 3661. Установка для выращивания кристаллов кремния 3693. Аппаратура для измерения сечения упругого и неупругого рассеяния медленных ионов гелия 3712. Прочность и усталость стекла при очень низких температурах 3727. Калориметр, основанный на адиабатическом размагничивании 3746. Интерферометр для прецизионного измерения скоростей ультразвука 3752. Цельностеклянный калориметр для измерения теплот реакций гидроокисл. и нестойких в-в 3755. Золотой калориметр 3757. Дифференц. тензиметры 3766. Прибор для опред. равновесия жидкости — пар 3773, 3774. Автоклавная установка 3855. Проточная установка 3903. Электролизер 3960. Вращающиеся электроды 3970, 3976. Кварцевые пружинные весы 4011. Полярнограф Баркера 4274. Пламенный фотометр 4279. Спектрометр Норелко со счетчиком Гейгера 4330. Термостойкость стекла 5368. Комбинированный аппарат для электрофореза на бумаге 1483Бх. Простой прибор для быстрого разделения методом хроматографии на бумаге 1484Бх. Новый прибор для изучения свертывания 1487Бх.

Реф

4462.

пол
инд
Схе
Ис
и —
зыпа
мами
у-тия
сход
с ти
чен
поло
4463.

пи
к
ру
К
(а
Сз

бон
обра
вер
дае
при
ся
~ 2
вол
в ст
с в
I п
кол
ван
пра
да
VI
(±
3-в
рас
по
пр
зо
(+
ку
по
эф
т
р-

РЕФЕРАТИВНЫЙ ЖУРНАЛ ХИМИЯ

Рефераты 4462 — 4835

№ 2

25 января 1958 г.

II

ОРГАНИЧЕСКАЯ ХИМИЯ

ОБЩИЕ И ТЕОРЕТИЧЕСКИЕ ВОПРОСЫ ОРГАНИЧЕСКОЙ ХИМИИ

Редактор М. Е. Вольпин

4462. Псевдо-азулены, псевдо-тропоны и псевдо-трополонны. Майер (Pseudo-Azulene, Pseudo-Tropone und Pseudo-Tropolone. Mayer Roland), Angew. Chem., 1957, 69, № 13-14, 481—482 (нем.)

Исходя из сходства группы $>C=C<$ с атомом $-S-$ и $-O-$ при образовании ароматич. систем, автор указывает на сходство ряда гетероциклич. систем с системами азулена, тропона и трополонна. α -Пирон, α - и γ -тиапироны и 1-тиапиклогексадиен-2,4-тион-6 (I) сходны по свойствам с тропоном. I получен р-цией S с тиациклогексаном. Окислением α и γ -пиринов получены оксипроизводные, сходные по свойствам с трополоннами.

М. Вольпин
4463. Кольчато-цепная таутомерия кислых эфиров пиридин-2,3-дикарбоновой кислоты. Кенъон, Тхакер (Ring-chain tautomerism in the acid esters of pyridine-2:3-dicarboxylic acid. Kenyon J., Thaker Kumar), J. Chem. Soc., 1957, June, 2531—2536 (англ.)

Смесь эквимольных кол-в ангидрида пиридиндикарбоновой-2,3 к-ты (I—к-та) и CH_3OH (II) при $\sim 20^\circ$ образует вязкую жидкость, представляющую собой, вероятно, полуацеталь (III), который гигроскопичен и дает устойчивый кристаллич. моногидрат (IV). Свеже-приготовленный III с водой тотчас колич. превращается в I. Смесь III и воды, постоявшая ~ 1 часа при $\sim 20^\circ$, дает 3-метиловый эфир I (V). При самопроизвольном затвердевании III с разогревом превращается в смесь V и 2-метилового эфира I (VI). При смешении с водой IV не теряет II, а превращается в V. Смесь I и II при нагревании дает как V, так и VI, причем кол-во VI возрастает при увеличении времени нагревания. Чистый V, нагретый в этилацетате (VII), превращается в VI. Как III, так и IV при действии CH_2N_2 дают диметиловый эфир I с т. пл. 54° . При т-ре 150° VI изомеризуется в V. При нагревании смеси I с (\pm) -втор- C_4H_9OH (VIII) получается как 2-, так и 3-втор-бутиловый эфир I (IX) и (X). Кол-во IX возрастает с увеличением времени нагревания. (+)-X, подогретый в VII, в течение 2 час. почти полностью превращается в IX, имеющий $[\alpha]_D +20,8^\circ$ в $CHCl_3$. Близость к наивысшему наблюдаемому углу вращения $(+22,2^\circ)$ говорит о сохранении дисимметрии в молекуле IX. При декарбоксилировании (—)-IX при 160° получается оптически чистый (—)-втор-бутиловый эфир никотиновой к-ты. Нагревание V в VIII дает VI, что указывает на внутримолекулярное протекание р-ции. (+)-X и (—)-IX дают бруциновую соль с т. пл.

186° . Бруциновая соль (—)-IX, нагретая некоторое время при т-ре плавления и обработанная затем HCl, дает X. При фракционной кристаллизации бруциновых солей X из ацетона выделяют (—)-IX, что указывает на быстрое изомерное превращение кислых эфиров I. 7,6 г ангидрида I и 5 мл II нагревают 40 мин. при 100° и выделяют V, выход 45%, т. пл. $102-103^\circ$ (из VII), и VI, выход 23%, $122-123^\circ$ (из VII). При времени нагревания 10 мин. выход V 62% и выход VI 21%. Для 2 час. соответственно 17 и 73%. Из 7,45 г ангидрида I и 2 г II получают III в виде прозрачной вязкой жидкости. После добавки нескольких капель воды выделяют IV с т. пл. 84° . Смесь 30 г ангидрида I и 20 мл VIII нагревают 1 час при 100° . Получают 29,4 г IX, т. пл. 149° (из VII), и из фильтрата 15 г X, т. пл. 129° .

К. Вацуро
4464. Стереохимия. I. Инубуси (立體化学. I. 太伏康夫), 薬学研究, Якутаку канкю, Japan. J. Pharmacy and Chem., 1957, 29, № 3, 28—38 (японск.)

Обзор. Рассматриваются вопросы конформаций и стереохимии р-ций соединений с открытой цепью.

М. В.
4465. Рацемизация фенилалканов в присутствии львоисовских кислот. Илил, Уилкен, Фанг (Racemization of phenylalkanes in presence of Lewis acids. Eliel Ernest L., Wilken Philip H., Fang Fabian T.), J. Organ. Chem., 1957, 22, № 3, 231—234 (англ.)

Оптически активный 2-фенилбутан (I) полностью рацемизуется в присутствии $AlCl_3$ при 0° за 2 часа. Одновременно образуется 9% смеси м- и п-ди-втор-бутилбензолов. Если р-цию проводят в присутствии эквимольного кол-ва кумола-(α,β - D_2) (II), то выделенный I содержит дейтерий (0,28 атома D на молекулу). Оптически активный этилбензол-(α -D) (III) рацемизуется значительно труднее I и при $65-70^\circ$ за несколько часов сохраняет $\sim 1/3$ первоначальной активности. Образующийся одновременно дейтеродиэтилбензол оптически не активен. Авторы полагают, что рацемизация осуществляется по ионно-цепному механизму с промежуточным образованием ионов карбония (IV): $d-I + AlCl_3 + HCl \rightarrow C_6H_5O^+ (CH_3) (C_2H_5) + AlCl_4^- + H_2$; $IV + d-I \rightarrow dl-I + IV$. Образование монодейтерированного I в присутствии II подтверждает, по мнению авторов, цепной характер этой р-ции, протекающей с перемещением гидрид-иона. Большая трудность рацемизации III объясняется тем, что образование вторичного иона карбония энергетически менее выгодно. I получен восстановлением $LiAlH_4$, оптически активной β -фенилмасляной к-ты (V). Промежуточным продуктом восстановления является активный 3-фенилбутанол, который переводят в бромид действием PBr_3 и далее восстанавливают в I $LiAlH_4$, V получена

по схеме: $C_6H_5CHBrCH_3 + CH_2(COOC_2H_5)_2 \rightarrow C_6H_5CH(CH_3)CH(COOC_2H_5)_2$ (выход 82%, т. кип. 131—133°/0,8 мм) $\rightarrow C_6H_5CH(CH_3)CH(COOH)_2$ (выход 92%, т. пл. 142—143°) $\rightarrow V$, выход 87—91%, т. кип. 118—119°/0,8 мм, $n_D^{25} 1,5140$, т. пл. 35—36°. Разложение на оптич. антиподы V достигается фракционной кристаллизацией (+)- α -фенилгаламмониевых солей V из спир. р-ра. II получен дейтерированием над Pt-катализатором α -метилстирола.

В. Сеткина

4466. Стереохимия реакции Принса с циклогексеном. Смисман, Мод (Stereochemistry of the Prins reaction with cyclohexene. Smismann Edward E., Mode Robert A., J. Amer. Chem. Soc., 1957, 79, № 13, 3447—3448 (англ.))

Показано, что при взаимодействии НСНО с циклогексеном (I) в кислой среде (р-ция Принса) получается *транс*-2-оксиметил-1-оксикиклогексан (II). *Цис*-диол (III) при этом не образуется. Это доказано независимым синтезом II и III и изучением их ИК-спектров. Р-р триоксана в лед. CH_3COOH в присутствии H_2SO_4 нагревается до 100—110°. После завершения деполимеризации смесь охлаждается и при 45—65° добавляется I. Затем смесь нагревается 1,5 часа при 65° и перемешивается при ~ 20° 24 часа, после чего добавляется 1 л воды и р-р экстрагируется эфиром (3 \times 750 мл). Эфирный р-р промывается водой, насыщ. р-ром $NaHCO_3$ и снова водой. Перегонкой выделяют диацетат 2-оксиметил-1-оксикиклогексана (т. кип. 88—93°/0,8 мм), который омыляется водно-спирт. р-ром КОН и экстрагируется эфиром; выход II 19,7%, т. кип. 101—103°/0,96 мм, $n_D^{25} 1,4840$, *бис*-фенилуретан, т. пл. 159—160°. III был получен при восстановлении *цис*-2-карбоксикиклогексанола (*цис*-IV) $LiAlH_4$ в абс. эфире, т. кип. 124°/2 мм, т. пл. 48—49°. Аналогичным методом из *транс*-IV синтезирован II (т. кип. 103,5—104°/0,9 мм, $n_D^{25} 1,4829$; *бис*-фенилуретан, т. пл. 159—160,5°). Для получения IV 2-карбоксикиклогексанон гидрируют над Pt (из PtO_2) и получают *цис*-2-карбоксикиклогексанол (выход 87%, т. кип. 125—127°/27 мм, $n_D^{25} 1,4585$); последний омыляли 25%-ным NaOH до *цис*-2-карбоксикиклогексанола, выход 44%, т. пл. 79—80° (из эф.). Обработкой CH_2N_2 получен IV, выход ~ 100%, т. кип. 87,5—83,5°/3 мм, $n_D^{25} 1,4647$.

Р. Кудрявцев

4467. Производные ацетилена. 179. Стереохимия бромирования ацетиленовых спиртов. Назаров И. Н., Бергельсон Л. Д., Ж. общ. химии, 1957, 27, № 6, 1540—1547

Изучена стереохимия бромирования ацетиленовых спиртов в ионных и радикальных условиях. Бромирование диметилэтинилкарбинола (I) и этинилдициклогексанола (II) в водн. уксусной к-те приводит преимущественно к *транс*-дибромвинилдиметилкарбинолу (III) и *транс*-1-(дибромвинил)-циклогексанолу (IV), тогда как при фотохимич. бромировании в петр. эфире образуются в основном *цис*-изомеры III (V) и IV (VI). При перегонке в вакууме V и VI в отличие от *транс*-изомеров дегидратируются с образованием *цис*-3,4-дибромизопрена (VII) и *цис*-дибромвинил-1-циклогексена (VIII). При нагревании же с $(CH_3CO)_2O$ в присутствии H_2SO_4 V дегидратируется, а III ацетируется. Дегидратацию III с образованием *транс*-3,4-дибромизопрена (IX) удается также осуществить при перегонке с P_2O_5 . Отличия в поведении *цис*- и *транс*-дибромвинилкарбинолов в условиях дегидратации вызваны, вероятно, наличием внутримолекулярной водородной связи в III и IV, препятствующей копланарной ориентации реагирующих центров. При действии CH_3ONa при 20° IX не изменяется, тогда как VII и VIII дегидробромируются, превращаясь в изопропенилбромацетилен (X) и Δ^1 -циклогексенилбромацетилен. Кипячение X или VIII с метанольной щелочью при-

водит соответственно к диметилакриловой (XI) и Δ^1 -циклогексенилуксусной к-те (XII). К р-ру 42 г I в 150 мл 70%-ной водн. CH_3COOH , содержащей 0,5 г KBr , добавляют 82 г Br_2 в 100 мл 70%-ной CH_3COOH (20—25°, 2 часа), получают III, выход 90,6 г, т. кип. 76,5—77°/7 мм, $n_D^{20} 1,5469$, $d_4^{20} 1,855$; *n*-нитробензоат, т. пл. 119,2—119,4° (из петр. эф.-эф., 2:1). В тех же условиях из 6,2 г II получают IV, выход 10,1 г, т. кип. 107—109°/2,5 мм, $n_D^{18,5} 1,5684$; *n*-нитробензоат, т. пл. 153,2—154° (из петр. эф.-эф., 2:1). К р-ру 42 г I и 0,2 г $(C_6H_5COO)_2$ в 150 мл петр. эфира добавляют при освещении 82 г Br_2 (35°, 2 часа), промывают водой, р-рами $Na_2S_2O_3$ и $NaHCO_3$. Разгонкой выделяют VII, выход 8,8 г, т. кип. 53,6—55°/6 мм, $n_D^{20} 1,5662$, $d_4^{20} 1,828$; III, выход 5,1 г (содержит V) и V, выход 60,7 г, т. кип. 79—80°/6 мм, $n_D^{20} 1,5416$, $d_4^{20} 1,845$; *n*-нитробензоат, т. пл. 101—102°. Аналогично из 6,2 г II получают VI, выход 12,1 г, т. пл. 72—73° (из эф.-петр. эф., 1:2). VI не дает кристаллич. *n*-нитробензоата, при стоянии в эксикаторе над P_2O_5 частично дегидратируется. 20 г V, 50 мл $(CH_3CO)_2O$ и 3 мл конц. H_2SO_4 нагревают 6 час. при 70°. После обработки получают ацетат V, выход 18,5 г, т. кип. 84—86°/9 мм, $n_D^{17} 1,5180$, $n_D^{20} 1,5172$, $d_4^{20} 1,671$. В аналогичных условиях III (20 г) дает IX, выход 14,1 г, т. кип. 41—43,5°/7 мм, $n_D^{20} 1,5473$, $d_4^{20} 1,7805$. 25 г III добавляют (при 20 мм) к 15 г P_2O_5 с одновременной отгонкой продуктов дегидратации. Разгонкой выделяют IX, выход 10,6 г, и VII, выход 2,95 г. 12 г I бромруют в петр. эфире, получают VII, выход 17,5 г, и 8,3 г смеси III и VII, т. кип. 55—70°/6,5 мм. 25 г VII добавляют к р-ру CH_3ONa (из 5,2 г Na) в 100 мл CH_3OH , нагревают 30 мин. при 30°, выдерживают 12 час., разбавляют водой, извлекают эфиром X, выход 8,2 г, т. кип. 41—43°/68—70 мм (в атмосфере N_2), $n_D^{20} 1,5076$. 3,4 г X кипятят 12 час. с р-ром CH_3ONa (из 2 г Na) в водн. CH_3OH , отгоняют CH_3OH в вакууме, остаток экстрагируют эфиром, водный подкисляют, эфиром извлекают XI, выход 2,2 г, т. пл. 69—70° (из воды + 5% CH_3OH). Неочищ. VI (из 10,3 г II) перегоняют при 135°/8 мм. Из дистиллата, переходящего вместе с водой, разгонкой выделяют VIII, выход 9,4 г, т. кип. 93—94°/5 мм, $n_D^{21} 1,5856$, $d_4^{21} 1,722$. 9 г VIII и р-р CH_3ONa (из 4 г Na) в CH_3OH выдерживают 12 час. при 20°, добавляют водн. NaOH и кипятят смесь 20 час. После обычной обработки и перегонки при 140—150°/1,5 мм получают XII, выход 4,5 г, т. пл. 37—38° (из воды + 5% CH_3OH). Из маточных р-ров после упаривания выделяют 0,35 г циклогексенилуксусной к-ты, т. пл. 90—91° (из воды). Приведены данные об ИК-спектрах III—VI. Сообщение 178 см. РЖХим, 1957, 60515. Л. Бергельсон

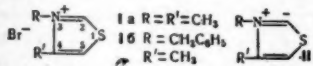
4468. Реакция *dl*- и *мезо*-2,3-дибромбутана с нитратом серебра в ацетонитриле. Отсутствие влияния нитроэфирной группы на соседние группы. Фишбейн (The reaction of *dl*- and *meso*-2,3-dibromobutane with silver nitrate in acetonitrile. Failure of the nitrate ester grouping to exhibit the neighboring group effect. Fishbein Leon., J. Amer. Chem. Soc., 1957, 79, № 11, 2959—2962 (англ.))

При взаимодействии *dl*-2,3-дибромбутана (I) с $AgNO_3$ в CH_3CN образуется с сохранением конфигурации нитроэфир *трео*-2-бром-3-бутанола (II), который гораздо медленнее превращается затем с обращением конфигурации в динитрат *мезо*-2,3-бутандиола (III). Совершенно аналогичные стереохим. результаты были получены при р-ции *мезо*-2,3-дибромбутана (IV) с $AgNO_3$ в CH_3CN . Отсюда следует, что в противоположность атому брома, который участвует в р-циях соседних групп, нитрогруппа подобного действия не оказывает. I (т. кип. 73°/47 мм, $n_D^{20} 1,5147$) и IV (т. кип. 71,5—72°/50 мм, $n_D^{20} 1,5116$) были получены бромированием *цис*- и *транс*-2-бутенов. *Трео*-2-бром-3-бутанол (V), т. кип.

49—50°/13 мм, n_D^{25} 1,4752, и эритро-2-бром-3-бутанол (VI), т. кип. 53—54°/13 мм, n_D^{25} 1,4763, были получены при р-ции соответственно *цис*- и *транс*-2-эпоксибутанов с 48% HBr. К нитрующей смеси (0,9 моля дымящей HNO_3 + 0,06 моля конц. H_2SO_4) по каплям добавлялся V при -20° . После завершения р-ции смесь выдерживалась 10 мин. при -15° , 45 мин. при 0° была вылита на ~ 50 г толченого льда. Продукт р-ции экстрагировался CH_2Cl_2 , экстракт промывался ледяной водой, 5%-ным р-ром $NaHCO_3$, снова водой и высушивался над безводн. $MgSO_4$. CH_2Cl_2 отгонялся в вакууме при -20° , после чего при перегонке в вакууме получен II (выход 86%, т. кип. 58°/8 мм, n_D^{20} 1,4685). Аналогичным образом при нитровании VI получен эритро-2-бром-3-нитроксидбутан (VII), выход 81%, т. кип. 54°/6—7 мм, n_D^{20} 1,4695. При нитровании *ди*-2,3-бутандиола нитрующей смесью (0,4 моля дымящей HNO_3 + 0,3 моля конц. H_2SO_4) в аналогичных условиях получен *ди*-2,3-динитроксидбутан, выход 75%, т. кип. 71°/3 мм, n_D^{20} 1,4412. Аналогичным образом получен мезо-2,3-динитроксидбутан (выход 75%, т. кип. 65—66°/2 мм, n_D^{20} 1,4414). Р-ция I (0,05 моля) с $AgNO_3$ в CH_3CN проводилась при 25° . Смесь выдерживалась 24 часа в темноте при $\sim 20^\circ$. $AgBr$ (выход 96%) отфильтровывался и промывался CH_3CN , фильтрат и CH_3CN после промывания $AgBr$ объединялись и выливались в 100 мл дистил. воды. Смесь экстрагировалась CH_2Cl_2 (2×20 мл). Экстракт промывался 25 мл воды, высушивался над безводн. Na_2SO_4 и после отгонки CH_2Cl_2 в вакууме перегонялся II (выход 72%, т. кип. 58°/8 мм, n_D^{20} 1,4680). Р-ция IV с $AgNO_3$ в CH_3CN проводилась аналогичным образом. При этом был выделен VII, выход 73%. Р. Кудрявцев

4469. Быстрый водородный обмен в солях тиазолия. Бреслоу (Rapid deuterium exchange in thiazolium salts. Breslow Ronald, J. Amer. Chem. Soc., 1957, 79, № 7, 1762—1763 (англ.))

Соли 3,4-замещ. тиазолия (Ia) и (Ib) очень легко вступают в р-цию водородного обмена с D_2O при 20° и при этом обмениваются атом H при C_2 . Такой быстрый обмен в нейтр. среде объясняется, по мнению



автора, легкостью образования биполярного иона (II).

3. Парнес

4470. Спектрографический метод определения активности метиленовых групп и синтез некоторых производных стирола и стиблена. V. Гомологи фенилацетонитрила. Зегерс, Брюлан (Méthode spectrographique de détection des méthylènes actifs et synthèse de quelques dérivés styryliques et stilbéniques. V. Les homologues du nitrile phénylacétique. Segers J., M-lle, Bruylants A.), Helv. chim. acta, 1957, 40, № 3, 561—568 (франц.; рез. англ.)

Синтезированы гомологи фенилацетонитрила (I) — 4-метил- (II) (т. кип. 115°/10 мм, d_4^{25} 0,9963), 2-метил- (III) (т. кип. 119°/9 мм, d_4^{25} 1,0142), 2,4-диметил- (IV) (т. кип. 140°/11 мм, d_4^{25} 0,9929), 2,4,6-триметил-фенилацетонитрил (V). Для суждения об активности CH_2CN -групп этих нитрилов изучена их конденсация с C_6H_5CHO в присутствии C_6H_5ONa в абс. спирте при 25° . Выходы α -цианостилбенов в %: из I 99,5 (очень быстро); из II, III, IV, V 41, 33, 53, 0 соответственно за 76 час. Спектрографически найдено, что кислотность нитрилов убывает от I к V. В отношении ур-ния первой стадии конденсации $C_6H_5CH_2CN + B \rightleftharpoons (C_6H_5CHCN)^- + BH^+$ их константы ионизации K образуют следующий ряд: I > II > III > IV >>> V. Наблюдаемая дезактивация CH_2CN -группы объяснена гиперконъюгацией CH_3 -группы, снижающей протони-

зацию водорода. Сообщение IV см. РЖХим, 1956, 16005. А. Курсанова

4471. Подвижность серы в 2-меркаптопроизводных бензимидазола, бензоксазола и бензтриазола. Сулима Л. В., Рекашева А. Ф., Миклухин Г. П., Ж. общ. химии, 1955, 25, № 7, 1351—1355

Изучена кинетика обменных р-ций радиоактивной серы с серой 2-меркаптобензтриазола (I), 2-меркаптобензоксазола (II) и 2-меркаптобензимидазола (III). Скорость указанной р-ции падает в ряду I > II > III. При уменьшении конц-ии I и элементарной серы в 3 раза скорость обмена уменьшается только в 2 раза, что свидетельствует о дробном порядке р-ции.

Резюме авторов

4472. Пространственное строение и реакционная способность. VIII. О взаимодействии атомных группировок через систему двух бензольных колец, связанных мостиковым атомом серы, по данным исследования кинетики ацилирования 4-аминодифенилсульфида и 4-амино-4'-нитродифенилсульфида. Литвиненко Л. М., Цукерман С. В., Чешко Р. С., Колесникова Б. М., Ж. общ. химии, 1957, 27, № 6, 1663—1667

Изучена кинетика ацилирования 4-аминодифенилсульфида (I) и 4-амино-4'-нитродифенилсульфида (II) *n*-нитробензоилхлоридом при 25 и 50°. Отношение констант скоростей ацилирования I и II при 25° (фактор f_{25}°) равно 23,8. Полученные результаты показывают, что система дифенилсульфида является значительно лучшим проводником электронного влияния заместителей, чем система бифенила (f_{25}° 12,1), и несколько лучшим, чем система дифенилсульфида (f_{25}° 10,6). Сообщение VII см. РЖХим, 1957, 68700. Р. Кудрявцев

4473. Переацилирование. III. Реакционная способность N-ацилпроизводных индола, бензимидазола и бензтриазола. Штаб (Transacylierungen. III. Über die Reaktionsfähigkeit der N-Acyl-Derivate in der Reihe Indol (Benzimidazol) Benztriazol. Staab Heinz A.), Chem. Ber., 1957, 90, № 7, 1320—1325 (нем.)

В продолжение исследований по гидролизу и аминолу N-ацилпроизводных пиррола (I), имидазола (II), 1,2,4-триазола (III) и тетразола (см. сообщение II, РЖХим, 1957, 34255) изучалась реакционная способность N-ацильной группы в индоле (IV), бензимидазоле (V) и бензтриазоле (VI). Было показано, что из-за делокализации электронной пары амидного азота при сопряжении в ненасыщ. 5-членном гетероциклич. кольце и уменьшения электронной плотности связи $>N-COCH_3$ с ростом числа атомов азота в кольце увеличивается подвижность ацетильной группы. Квантовомеханич. вычисление распределения электронной плотности в I и IV (Coulson C. A. и др., Trans. Faraday Soc., 1947, 43, 87) показало, что одиночная электронная пара атома азота локализована сильнее у IV, чем у I. Предполагая, что подобное явление имеет место во всем ряду IV, V и VI, авторы нашли, что скорость гидролиза N-ацилпроизводных IV, V и VI в 20—30 раз меньше, чем скорость гидролиза N-ацилпроизводных I, II и III с равным кол-вом атомов азота в гетероцикле. Скорость р-ции возрастает в ряду IV—V—VI. Волновые числа группы CO увеличиваются, в согласии с выводами автора, от N-ацилпроизводных IV к VI. Кинетика р-ции измерялась с помощью УФ-спектрофотометрии. N-ацетилпроизводное V получено обработкой V ацетилхлоридом в C_6H_6 , т. пл. 51° (из бзл. бзл.). В. Якерсон

4474. К ориентации при замещении в ароматическом ядре. II. Об электронных сдвигах в бензольном ядре. Спрысков А. А., Ж. общ. химии, 1957, 27, № 7, 1949—1956

В бензольном ядре под влиянием заместителя происходит смещение электронных облаков по ядру

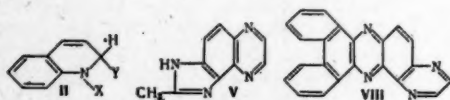
в направлении от заместителя или к заместителю в зависимости от его природы. Исходя из этого, определена относительная плотность электронных облаков у углеродных атомов ядра. Показаны причины ориентации в ядро при заместителях I и II рода, активации и дезактивации ядра. Объяснен порядок реакционной способности орто-, мета- и пара-изомеров двузамещ. бензола по отношению к введению третьего заместителя и к обмену одного заместителя на другой. Объяснен ряд других явлений и свойств замещ. бензолов. Сообщение I см. РЖХим, 1957, 63384.

Резюме автора

4475. Электрофильное замещение. Часть IX. Аномальное нитрование хинолина. Часть X. Нитрование хиноксалина. Часть XI. Нитрование некоторых шестичленных азотгетероциклических соединений в серной кислоте. Дьюар, Мейтлис (Electrophilic substitution. Part IX. The anomalous nitrations of quinoline. Part X. Nitration of quinoxaline. Part XI. Nitration of some six-membered nitrogen-heterocyclic compounds in sulphuric acid. Dewar M. J. S., Maitlis P. M.), J. Chem. Soc., 1957, March, 944—949; June, 2518—2524, 2521—2528 (англ.)

IX. Литературные данные об образовании 7-нитрозамещ. при нитровании хинолина (I) HNO_3 и ее солями или оксидами азота в $(\text{CH}_3\text{CO})_2\text{O}$ оказались ошибочными. На самом деле главным продуктом мононитрования является 3-нитрохинолин наряду с 6 и 8 изомерами. Авторы полагают, что р-ция подвергается не сам I, а продукт присоединения реагента к I по связи 1,2 строения (II). Нитрование II (как производного анилина) дает 6- и 8-нитропроизводные, присоединение окислов азота по стирольной двойной связи приводит к 3-нитрохинолину. При действии на I надзотистой к-ты образуются все 4 замещ. в бензольном ядре нитропродукты. 3-нитрохинолин не получается. Авторы полагают, что надзотистая к-та действует на I подобно озону, присоединяясь сначала к 5,6 и 7,8 двойным связям.

X. При нитровании хиноксалина (III) HNO_3 в олеуме (11 г III, 25 мл HNO_3 (d 1,5), 50 мл олеума (65% SO_3) и 100 мл H_2SO_4) при 90° 24 часа получено 1,5% 5-нитрохиноксалина (т. пл. 94—95°) и 24% 5,6-динитрохиноксалина (IV) (т. пл. 172—173°). Строение IV подтверждено получением метилхиноксалиногликоксида (V) (т. пл. 249—249,5°) и 5,6-диаминохиноксалина (VI) при осторожном восстановлении IV Fe-порошком в лед. CH_3COOH . При проведении восстановления в смеси CH_3COOH и $(\text{CH}_3\text{CO})_2\text{O}$ образуется 5,6-диацетамидохиноксалин (VII) (т. пл. 232—233°). Восстановлением IV гидразингидратом в присутствии Pd/C и последующим ацетилированием $(\text{CH}_3\text{O})_2\text{O}$ в присутствии H_2SO_4 получен 5-ацетамидохиноксалин (т. пл. 130—131°). При



взаимодействию VI с фенантренхиноном образуется 1,2—3,4-добензопиразино-(2',3'-6,7)-феназин (VIII) (т. пл. > 300°), р-р которого в H_2SO_4 имеет типичный для производных феназина красный цвет. В спектре VIII в CCl_4 наблюдаются линии при 401, 390, 379,5, 359,5 и 322 мμ, которые с учетом батохромного сдвига ~13 мμ совмещаются с линиями спектра изоконъюгированного углеводорода 1,2-3,4-5,6-трибензантрацена. VII не гидролизуются при кипячении с 5 н. HCl 30 мин., 5 н. NaOH разлагает VII. При нитровании III HNO_3 в р-ре трифторуксусного ангидрида получен лишь оксинитрохиноксалин, выход 28%, т. пл. 182—183° (из ацетона).

XI. При нитровании I HNO_3 в H_2SO_4 при 0° в условиях, когда образуются только мононитропроизводные, получены 5- и 8-нитрохинолины в отношении 48:52.

Нитрование изохинолина (IX) приводит к образованию 5- и 8-нитроизохинолинов, отношение кол-в которых составляет при 0° 90,4:9,6, при 100° 84,8:15,2. Р-ция при 0° полностью завершается за время <1 мин. Соотношение изомеров не зависит от начальной конц-ии HNO_3 и не изменяется, если реакционная смесь подвергается дополнительной обработке HNO_3 и H_2SO_4 . Из опытов по нитрованию смесей I и IX и I и акридина (X) получены отношения значений реакционной способности I: IX = 1:24,5 и I: X = 1:190. Вычислены изменения энергии π-электронов гетероциклич. соединения ($\Delta E_\pi'$) при переходе в активированное состояние р-ции нитрования по ф-ле: $\Delta E_\pi' = \Delta E_\pi - A \sum_{oi}^2 \alpha_i$, где ΔE_π — соответствующая разность в энергии

π-электронов при р-циях замещения в ядре изоконъюгированного ароматич. углеводорода, α_{oi} — коэф. атома i в несвязывающей мол. орбите переходного состояния углеводорода, α_i — разность значений кулоновских интегралов атома i и C-атома, A = +1 и -1 соответственно для электрофильного и нуклеофильного замещения, и A = 0 для радикального замещения (Longuet-Higgins, J. chem. Phys., 1950, 18, 265, 275, 283). Значения $\Delta E_\pi'$ вычислялись по ф-ле: $\Delta E_\pi' = 2\beta_x (\alpha_{or} - \alpha_{oi})$

при принятом значении $\beta_x = -4 \text{ ккал}$, где β_x — разность значений резонансных интегралов связи C—C между местом атаки и соседними атомами r и s в исходном углеводороде и в переходном состоянии. Для переходного состояния принята модель, аналогичная предложенной ранее для нитрования ароматич. углеводородов (РЖХим, 1957, 51127). Среднее значение α_i , вычисленное в пренебрежении энтропийными изменениями из парциальных скоростей р-ции (ПСР) в позициях 8 и 5 IX при 0° и 100°, составляет —40 ккал/моль. Это значение α_i принято в вычислениях $\Delta E_\pi'$ для всех позиций в предположении, что гетероатом существенно изменяет кулоновский член лишь непосредственно связанных с ним атомов. Вычисленные значения для различных позиций I, III, IX, хиразолина, циннолина, X, фенантридина (XI), бензо-[j]-хинолина, феназина, бензо-[c]-циннолина изменяются в интервале от -7 до -37 ккал/моль и находятся в удовлетворительном согласии с известными эксперим. данными о порядке замещения в этих ядрах. Исключение представляет пониженное против ожидаемого замещение в периположениях по отношению к атому азота в кольце (позиция 8 в I и 1 в X), что объясняется увеличением электронной плотности (и значения ΔE_π) в этом положении за счет влияния атома азота. Кроме того, приближению иона NO_2^+ к этой позиции препятствует положительный заряд на атоме азота в кольце, так как в исследуемых сильноокислых средах нитрование подвергается протонированная молекула основания. Позиция 4 в XI обладает меньшей реакционной способностью по сравнению с расчетной из-за стерич. препятствий. Вычисленное из эксперим. данных отношение ПСР для позиций 5 в IX и I и позиций 8 в I и 1 в X находится в удовлетворительном согласии с полученными из значений $\Delta E_\pi'$. Для встречного синтеза

8-нитроизохинолина (XII) N-окиси изохинолина (18 г) в р-ре H_2SO_4 (80 мл) нагревали с HNO_3 (6,2 мл) 1 час при 95°; фракционированной перекристаллизацией из CHCl_3 и ацетона выделено 64% N-окиси-5-нитроизохинолина, 7% N-окиси 8-нитроизохинолина, последняя кипячением с PCl_5 превращена в XII, выход 67%, т. пл. 87—87,5° (из эф.-петр. эф.). При восстановлении XII гидразингидратом в присутствии Pd/C получен

8-аминозохинолин, выход 60%, т. пл. 170—171° (из петр. эф.). Часть VIII см. РЖХим, 1957, 51129.

И. Моисеев

4476. Изучение гидролиза сложных эфиров с помощью меченых атомов. Часть V. Кинетика и стереохимия гидролиза *n*-метоксидифенилметилацетата. Бантон, Хадвик (Tracer studies in ester hydrolysis. Part V. The kinetic form and stereochemical course of the hydrolysis of *p*-methoxydiphenylmethyl acetate. Bunton C. A., Hadwick T.), J. Chem. Soc., 1957, July, 3043—3047 (англ.)

Изучены кинетика, стереохимия и место разрыва связей при гидролизе $\text{CH}_3\text{COOCH}(\text{C}_6\text{H}_5)\text{C}_6\text{H}_4\text{OCH}_3$ -*n* (I) в водн. диоксане. Гидролиз I ускоряется ионами OH^- и H^+ . Щел. гидролиз протекает с разрывом ацилкислородной связи по механизму $\text{B}_{\text{AC}}2$. Кислый гидролиз протекает с разрывом алкилкислородной связи по механизму $\text{B}_{\text{AC}}1$. Его скорость в водн. 60% диоксане пропорциональна функции кислотности H_0 . Скорость кислого гидролиза в *p*-ре D_2O + диоксан больше, чем в *p*-ре H_2O + диоксан, что подтверждает специфич. участие ионов водорода при кислотном катализе. Алкилкислородная связь рвется также и в нейтр. среде (механизм $\text{B}_{\text{A}}1$), при этом происходит полная потеря оптич. активности. Каждый акт разрыва алкилкислородной связи приводит к полной потере асимметрии алкильного углеродного атома. В этом случае скорость гидролиза, измеряемая химически, близка к скорости гидролиза, измеряемой поляриметрически. Ионы азиды и ацетата снижают скорость гидролиза, измеряемую химически, так как они связывают карбониевые ионы, но они не влияют на скорость потери оптич. активности во время гидролиза. Это указывает на то, что ион карбония успевает стать плоским до атаки нуклеофильного реагента. Из *n*-метоксибензальдегида и $\text{C}_6\text{H}_5\text{MgBr}$ получен *n*- $\text{CH}_3\text{OCH}_2\text{CH}(\text{C}_6\text{H}_5)\text{OH}$ (II), т. пл. 65,5°. Ацетилированием II $(\text{CH}_3\text{CO})_2\text{O}$ в пиридине получен I, т. кип. 158°/0,9 мм, $n_D^{25} 1,5593$. При разделении цинхонидиновой соли кислого фталата II и восстановлении кислого фталата LiAlH_4 в эфире получен оптически активный II, $[\alpha]_D^{25} -10,6^\circ$ (в CS_2); при ацетилировании которого получен I с $[\alpha]_D^{25} \approx -12^\circ$ (в 70%-ном водн. диоксане). Часть IV см. РЖХим, 1957, 68703.

Р. Кудрявцев

4477. Алкоголизы эфиров толуолсульфокислоты. II. Кинетика сольволиза *цис-цис*- α -декалтолуолсульфоната. Хюккель, Швен (Alkoholyse von Toluolsulfonatsäureestern. II. Kinetik der Solvolyse von *cis-cis*- α -Dekal-Toluolsulfonat. Huckel Walter, Schwen Roland), Liebigs Ann. Chem., 1957, 604, № 1-3, 97—104 (нем.)

Измерена скорость сольволиза толуолсульфоната *цис-цис*- α -декалола (I) в CH_3OH (A), $\text{C}_2\text{H}_5\text{OH}$ (B), *изо*- $\text{C}_3\text{H}_7\text{OH}$ (B) и получены следующие значения относительных скоростей *p*-ции (при 30°) и $E_{\text{акт}}$ (в $\text{kcal} \cdot \text{моль}^{-1}$): A, 3, 21,96; B, 1, 21,98; B, 0,5, 21,64. Таким образом, снижение скорости *p*-ции при переходе от A и B и далее к B обусловлено не различием в $E_{\text{акт}}$, а является следствием пространственного фактора, обозначаемого авторами как «константа действия» (die Aktionskonstante). Продуктом *p*-ции во всех случаях является $\Delta^9,10$ -окталан. *Цис-цис*- α -декалол получен гидрированием α -тетралола над PtO_4 и переведен в I действием *n*-толуолсульфохлорида в сухом $\text{C}_5\text{H}_5\text{N}$. Предыдущее сообщение см. РЖХим, 1956, 15938.

Г. Балуева

4478. Новая перегруппировка при сольволизе в ряду 1,2-бензоцикленил-(3)-метила. Хейсен, Зейдл (Neue Umlagerung bei Solvolysen in der 1,2-Benzocyclenyl-(3)-methyl-Reihe. Huisgen R., Seidl G.), Angew. Chem., 1957, 69, № 11, 390—391 (нем.)

При сольволизе 1,2-бензо-3-тозилосиметилциклооктана в HCOOH при 65° образуется 2,3-бензобикло-[1,2,3]-нонен (тетрагидроперинафтан) (I), выход 65%. Строение I доказано тем, что при его дегидрировании образуется перинафтан. Авторы предлагают схему механизма *p*-ции через промежуточное образование ионов фенония и карбония.

З. Парнес

4479. *аци*-Нитроалканы. II. Механизм реакции Нефа.

Хоторн. III. Сольволиз α -хлорнитроалканов в присутствии электрофильного иона серебра. IV. Механизм гидролиза 1-хлорнитроэтана. Хоторн, Страм (*aci*-Nitroalkanes. II. The mechanism of the Nef reaction. Hawthorne M. Frederick. III. The solvolysis of α -chloronitrosocycloalkanes in the presence of electrophilic silver ion. IV. The mechanism of the hydrolysis of 1-chloronitroethane. Hawthorne M. Frederick, Stram R. Donald), J. Amer. Chem. Soc., 1957, 79, № 10, 2510—2515, 2515—2517; № 13, 3471—3473 (англ.)

II. С целью исследования механизма *p*-ции гидролиза *аци*-нитроалканов (*p*-ция Нефа) измерена кинетика гидролиза ряда вторичных *аци*-нитроалканов в 80%-ном (по объему) метаноле при 0°. Определения проведены в атмосфере N_2 с помощью специально разработанного спектрофотометрич. микрометода анализа *аци*-нитроалканов с JCl . *p*-ция первого порядка по отношению к *аци*-нитроалкану и к конц-ии H^+ . По степени ускоряющего влияния на скорость гидролиза исследованных соединений алкилы располагаются в порядке: циклогексил > циклобутил > 2-пропил > 1-циклопропилэтил > циклопентил > дициклопропилметил > циклогептил. Стадией, определяющей скорость *p*-ции, является нуклеофильная атака *p*-рителя на ненасыщ. атом C сопряженной *аци*-нитроалкану к-ты. В результате *p*-ции, с почти колич. выходом, образуются соответствующие кетоны (выделены в виде 2,4-динитрофенилгидразонов). Для синтеза 1-циклопропилнитроэтана (I) к кипящему *p*-ру 0,075 моля циклопропилметилкетоксима, 2 г мочевины и 78 г Na_2HPO_4 в 200 мл ацетонитрила медленно добавляли *p*-р 0,20 моля 90%-ной H_2O_2 и 0,24 моля ангидрида трифторуксусной к-ты в 50 мл ацетонитрила. Продолжали кипячение еще 1 час., охлаждали, добавляли 1 л воды и экстрагировали эфиром, выход I 42%, т. кип. 70°/22 мм, $n_D^{16} 1,4338$. Аналогично из 0,10 моля дициклопропилкетоксима получен с выходом 35% дициклопропилнитрометан, т. кип. 110°/15 мм, $n_D^{16} 1,4619$.

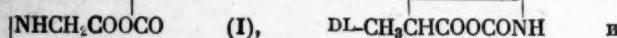
III. Изучена кинетика *p*-ции 1-хлорнитроэциклопентана (II) и 1-хлорнитроэциклогексана (III) с AgClO_4 при 50° в смешанном *p*-рителе этанол-вода-ацетонитрил (2:3:5, по объему). Бимолекулярные константы скорости равны: II, $5,08 \cdot 10^{-2}$; III, $2,07 \cdot 10^{-2} \text{ лмоль}^{-1} \text{ см}^{-1}$. При сольволизе образуется к-та, выходом AgCl ; выход соответствующих кетонов 85 и 92% (выделены в виде 2,4-динитрофенилгидразонов). Хроматографич. анализом показано присутствие в реакционной смеси больших кол-в N_2O . В *p*-ции ион Ag^+ действует как электрофильный, а *p*-ритель — как нуклеофильный реагент; первой стадией *p*-ции, определяющей ее скорость, является замещение при атоме C с образованием α -оксинитроалкана, который далее разлагается на кетон и N_2O .

IV. С целью исследования механизма гидролиза 1-хлорнитроэтана (IV) определены скорости ионизации (первая цифра, $K_1 \cdot 10^5$ в мин^{-1}) в отщеплении хлорид-иона (вторая цифра, $K_2 \cdot 10^5$ в мин^{-1}) для IV и 1-дейтеро-1-хлорнитроэтана (V) в воде при 35°: IV, 12,0, 3,50; V, 6,00, 1,75. Таким образом, введение D в обоих случаях замедляет *p*-цию в два раза. Продуктами *p*-ции являются эквивалентные кол-ва HCl , CH_3COOH и значительные кол-ва бесцветного газа,

по-видимому, N_2O . Полученные результаты согласуются с предположением о том, что гидролизу IV предшествует таутомерное превращение его в соответствующий *аци*-изомер, который гидролизует по механизму, предложенному ранее для р-ции Нефа. Сообщение I см. РЖХим, 1957, 57395. Г. Балуева

4480. Кинетическое изучение ангидридов Лейкса в водном растворе. Сообщение I. Бартлетт, Джонс (A kinetic study of the Leuchs anhydrides in aqueous solution. I. Bartlett Paul D., Jones Richard H.), J. Amer. Chem. Soc., 1957, 79, № 9, 2153—2159 (англ.)

Реакции превращения ангидридов Лейкса (АЛ)



$(CH_3)_2CCOOCONH$ в водн. р-ре при 0°, изученные по выделению CO_2 в вакууме, являются р-циями первого порядка, за исключением короткого начального индукционного периода (обусловленного установлением равновесия между CO_2 , водой и промежуточной карбамидной к-той). Р-ции не чувствительны к к-там (0,1 M HCl, 1 M H_2SO_4) и 0,1 M BaCl₂ и значительно ускоряются основаниями: NaOH, Ba(OH)₂ и др. Превращение идет по двум конкурирующим направлениям: 1) гидролиз и 2) взаимодействие с образующимися при гидролизе аминокислотами. В случае I ~ 30% измеренной скорости приходилось на второй процесс. Для определения константы гидролиза применялся ацетатный буферный р-р с pH 4,76 в различных разбавлениях, в котором реакционная способность образованной аминокислоты значительно снижена, так как аминогруппы находятся преимущественно в форме иона NH_4^+ . Скорости гидролиза, катализированного основаниями, не удалось измерить вследствие прекращения выделения CO_2 в избытке основания; верхний предел константы скорости оценен экстраполированием прямой на «графике Брэнстеда». Взаимодействие АЛ с аминокислотами было изучено в ацетатном буфере (pH 4,74) на примере р-ций I с глицином (II), DL-аланином, α-аминоизомасляной к-той, L-лейцином, глицилглицином (III) и глицилаланином (IV) и ангидро-N-карбоксиаланинов (D- и L-) с аланинами (D-, L-, DL-), DL-аланилаланином и L-лейцином. В случае р-ций оптически активных ангидро-N-карбоксиаланинов с оптически активными аланинами аналогичные конфигурации реагируют примерно на 20% скорее противоположных. Процессы характеризовались константой скорости k_{AA} второго порядка, полученной вычитанием рассчитанной константы гидролиза из наблюдавшейся константы k_1 суммарной р-ции, причем учитывалась только часть аминокислоты, обладающая свободными аминогруппами, что определяется величиной pH. Предположив, что активной формой аминокислоты со свободной аминогруппой является только анион, авторы рассчитали также соответствующие константы скорости, k_{AA^-} , которые оказались достаточно большими, чтобы объяснить способность этой р-ции конкурировать с р-цией гидролиза. При взаимодействии I с II, III и IV в ацетатном буфере отношение k_{AA} равно соответственно 1:6:6,5 [аналогичное соотношение получено для N-карбоксиангидроаланина (D-) и аланинов]. Эту тенденцию к образованию высших пептидов авторы объясняют не большей реакционной способностью полипептидов (так как отношение k_{AA^-} обратное 12:1:6:1), а уменьшением константы K_2 — кислотной диссоциации с увеличением числа аминокислот в молекуле (pK_2 для глицина 10,53, для диглицина 8,86), из-за чего повышается относительная концентрация анионов высших пептидов. На «графике Брэнстеда» в координатах $\lg k_{AA^-} - pK_2$ для каждого АЛ получается своя прямая линия. При pH 10—11 все пептиды

переходят в анионы и наиболее активным оказывается II, вследствие чего появляется возможность преимущественного получения III. В р-ции I с II (при исходном соотношении (1:1)) в случае боратного буфера (pH 10,61 и 10,89) удалось получить наибольший выход III (83 и 68%). Однако в карбонатном буфере с близким значением pH (10,3 и 11,71) III не образовался, вероятно, из-за мешающего взаимодействия CO_2 с аминогруппой II. Р-ция в буфере Ba(OH)₂ (pH 9,5 и 13,2) также не привела к удовлетворительным выходам III. Малая селективность не позволяет использовать исследованные р-ции в качестве общего метода ступенчатого синтеза полипептидов. А. Дулов

4481. Кинетическое изучение ангидридов Лейкса в водном растворе. Сообщение II. Бартлетт, Дитмер (A kinetic study of the Leuchs anhydrides in aqueous solution. II. Bartlett Paul D., Dittmer Donald C.), J. Amer. Chem. Soc., 1957, 79, № 9, 2159—2160 (англ.)

Изучена кинетика р-ции ангидро-N-карбокси-DL-аланина (I) с DL-аланином (II), DL-фенилаланином, DL-метионином, DL-аспарагиновой к-той, L-гистидином, L-цистеином (III) и глутатионом (IV), а также ангидро-N-карбокси-DL-фенилаланина (V) с II, III и IV при 0° по методу, описанному в сообщении I (см. пред. реф.). III и IV реагируют с I значительно скорее, чем метионин и не содержащие серу аминокислоты. Концентрация свободных групп SH во время р-ции с V в случае III в первую минуту уменьшается до 67% начального содержания, возрастая затем до исходной цифры; в случае IV падение гораздо медленнее и глубже (через 1 час остается 9%), а рост даже через 3 дня происходит только до 45%. Результаты объяснены первоначальной атакой карбоксиангидридом группы SH с последующим переходом ацильной группы от серы к азоту. В молекуле IV такой переход совершается труднее, чем у III. Р-ции I и V с II при pH 9—12 протекали без заметного влияния боратного и фосфатного буферов, гидроокисей Li, Na и Ti и дали меньшие выходы дипептида, чем в случае образования диглицина. А. Дулов

4482. Лактоацетали — новый класс производных карбоновых кислот. Определение промежуточных продуктов реакции с помощью изобестических точек. Кун, Вейзер (Lactonacetale, eine neue Klasse von Carbonsäure-Derivaten. Zur Theorie des isobestischen Punktes in ihrer Bedeutung für die Erkennung von Reaktionszwischenprodukten. Kuhn Richard, Weiser D.), Angew. Chem., 1957, 69, № 14, 371—376 (нем.)

УФ-спектрофотометрическое исследование гидролиза 3-фенилкумаринимида (I) в системах: а) $CH_3OH - H_2O - HCl$, б) $C_2H_5OH - H_2O - HCl$, в) тетрагидрофуран — $H_2O - HCl$ показало, что 3-фенилкумарин (II) образуется через 3-фенилкумаринлактоацеталь (III). III был обнаружен по изменению поглощения в изобестич. точке II и хлоргидрата I (IV) при 330 мμ. Во время р-ции гидролиза IV е при 330 мμ и 42° понижается до 12800, а затем вновь возрастает до 14500, что связано с промежуточным образованием III. Превращение III в II протекает в две ступени с промежуточным образованием полуацетала II (V). е в изобестич. точке II и III при 302 мμ в системе а (23°) понижается за счет образования полуацетала до 12500, затем вновь возрастает до 14500. Максим. конц-ия промежуточного продукта при превращении III и IV достигается через $2,5 \cdot 10^3$ сек. Гидролиз I является ионной р-цией, скорость р-ции при 32—52° возрастает при переходе от тетрагидрофурана к C_2H_5OH и воде. Гидролиз IV при 42° в системе в с увеличением конц-ии HCl до $-\lg[HCl] = 1,7$ возрастает, затем падает. В системах а и б константы скорости (KC) превращения IV в V больше, чем KC превраще-

ния V в II. KC гидролиза III в V и V в II в системе а больше, чем в системе в. С повышением концентрации KC возрастает, но во всех случаях образование V протекает быстрее, чем его гидролиз до II. IV растворяют в метаноле (20°, 3 дня), отделяют NH_4Cl , получают 3-фенилкумариндиметилацеталь, выход 79%, т. пл. 68–69°. Приведены УФ- и ИК-спектры. IV с этанолом дает 3-фенилкумариндиэтилацеталь, выход 55%, т. кип. 122°/0,001 мм, n_D^{21} 1,6070. В. Якерсон

4483. Механизм реакции расщепления. Изотопный эффект серы при разложении некоторых сульфониновых солей. Сондере, Ашпергер (Mechanisms of elimination reactions. Sulfur isotope effects in the decomposition of some sulfonium salts. Saunders William H., Jr., Ašperger Smiljko), J. Amer. Chem. Soc., 1957, 79, № 7, 1612–1615 (англ.). Изотопный эффект (ИЭ) S^{32}/S^{34} , измеренный для S_N1 р-ции расщепления йодистого трет-бутилдиметилсульфония (I) при 58,95° в воде, равен 1,77%. Полученная величина выше рассчитанной 1,51–1,57% (25°) при предположении полного разрыва связи C–S в переходном состоянии и при принятой частоте для C–S 700–800 см^{-1} . Предполагается, что при расщеплении I карбанионный характер переходного состояния приближает ИЭ к максимуму. Величине для расщепления связи C–S. ИЭ р-ции расщепления (Se 2) бромистого 2-фенилэтилдиметилсульфония (II) NaOH в воде характеризуется величиной 0,15%. $E_{\text{акт}}$ и $\Delta S_{\text{акт}}$ для II при 58,95° равны 24,8 ккал/моль и –1,9 энтр. ед. Незначительный ИЭ у II указывает на небольшую деформацию связи C–S в переходном состоянии. Предполагается, что фенильная группа вызывает значительную стабилизацию переходного состояния путем делокализации отрицательного заряда. В. Якерсон

4484. Константы и механизм реакции образования амидов из жидких алифатических кислот и газообразного аммиака. Кита, Сугахара (高級脂肪酸とアンモニアの氣、液混相反應によるアミドの生成速度ならびに反應機構. 喜多久博, 菅原悟郎), 工業化學雜誌, Kōgi Kagaku zasshi, J. Chem. Soc. Japan. Indust. Chem. Sec., 1957, 60, № 2, 183–184 (японск.).

Показано, что при взаимодействии NH_3 с жидкими алифатич. к-тами (на примере стеариновой к-ты; при 135–200°) в системе газ–жидкость р-ция имеет первый порядок по отношению к к-там. Кажущаяся скорость р-ции определяется скоростью хим. взаимодействия. Определена $E_{\text{акт}} = 14,7$ ккал/моль, $A = 2,8 \cdot 10^5$.

Резюме авторов

4485. Пара-кляйзеновская перегруппировка: перегруппировка 6-аллил-2,6-диметил-2,4-циклогексадиена. Кертин, Крофорд (The para Claisen rearrangement: rearrangement of 6-allyl-2,6-dimethyl-2,4-cyclohexadiene. Curtin David Y., Crawford Robert J.), J. Amer. Chem. Soc., 1957, 79, № 12, 3156–3159 (англ.).

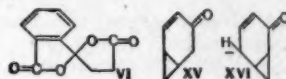
Предполагая, что 6-аллил-2,6-диметилциклогексадиен-2,4 (I) является промежуточным продуктом в процессе пара-кляйзеновской перегруппировки, авторы нашли, что I при 70° в циклогексане перегруппировывается в смесь 4-аллил-2,6-диметилфенола (II) и аллилового эфира 2,6-диметилфенола (III) в соотношении 2,7:1. Р-ции превращения I в II и I в III идут параллельно по ур-нию первого порядка, последняя р-ция обратима. Кинетика перегруппировки I изучалась спектрофотометрически при 70–100° и небольших концентрациях, когда обратная перегруппировка III в I и димеризация I незначительны. $E_{\text{акт}}$ и $\Delta S_{\text{акт}}$ при 83,96° для р-ции превращения I в III и I во II соответственно равны 26,8 и 26,8 ккал/моль; –8,8 и –7,1 энтр. ед. Полученные данные хорошо согласу-

ются с литературными по перегруппировке III в I. При стоянии (3 недели, 20°) I дает димер. При нагревании до 120° димер распадается на две молекулы I. 2,6-диметилфенол обрабатывают CH_3ONa в бензоле (N_2), затем аллилбромидом (15°, 44 часа, N_2), получают I, выход 60%, т. кип. 36–37°/0,05 мм, n_D^{15} 1,5050; приведены данные по ИК- и УФ-спектрам.

В. Якерсон

4486. Механизм превращения гидробромида карвона в эйкарвон. Тамелен, Мак-Нэри, Лорниццо (Mechanism of the carvone hydrobromide euscavone transformation. Tamelen Eugene E. van, McNary John, Lornitzo Frank A.), J. Amer. Chem. Soc., 1957, 79, № 5, 1231–1236 (англ.).

n-Толуолсульфонат (I) 3-оксиметил-α-тетралона (II) переходит при действии $\text{C}_2\text{H}_5\text{ONa}$ в спирте в 3,4-бензобикцикло-[4,1,0]-гептанон-2 (III), изомеризующийся в более жестких условиях в 2,3-бензоциклогептен-4-он (IV), строение которого подтверждено УФ-спектром и образованием при озолизе β-(2-карбоксибензил)-пропионовой к-ты (V) и дилактона (VI). В условиях образования III n-толуолсульфонат (VII) 5-оксиметилциклогексен-2-она (VIIa) дает циклогептадиен-2,4-он (VIII), однако при осторожном проведении р-ция при 0° и pH 7,6–7,8 удается выделить норкаренон (IX),



переходящий в более жестких условиях в VIII. При дегидробромировании гидробромида карвона (X) направленность р-ции также зависит от щелочности среды: при pH ~ 9–10 образуется в основном эйкарвон (XI), а при pH < 7 карвон (XII). При проведении р-ции в условиях образования IX получена жидкая фракция $\text{C}_{10}\text{H}_{14}\text{O}$ (XIII), содержащая наряду с XII, вероятно, и каренон (XIV) и переходящая в более жестких щел. условиях в XI. На этом основании авторы считают, что перегруппировка X в XI проходит через образование XIV. Возможность промежуточного образования бициклич. циклопропилкетонного типа (XV) отвергается авторами на том основании, что XV должен перейти в циклогептадиен-2,6-он, который в мягких щел. условиях не изомеризуется в Δ^{2,4}-изомер. Переход циклопропилкетонных III, IX и XII в циклогептадиеноны осуществляется не путем перехода в δ-оксикетон с последующей дегидратацией, как предложил Валлах (Liebig's Ann. Chem., 1899, 305, 242, 247; 1905, 399, 94), а путем отщепления протона с образованием карбаниона типа (XVI), изомеризующегося в циклогептадиеновый анион, так как IX в случае нуклеофильной атаки по Валлаху должен дать VIIa, который в щел. условиях устойчив (РЖХим, 1957, 68777). Смесь 10,6 г 3-карбокси-α-тетралона, 17,6 мл абс. спирта и 3 капли конц. H_2SO_4 кипятят 24 часа с отделением воды. Выделяют этиловый эфир XVI (XVII), выход 96%, т. пл. 40–40,5° (из сл.). Смесь 10,9 г XVII, 2 мл абс. спирта, 7,6 мл $\text{HC}(\text{OC}_2\text{H}_5)_3$ и 2 капли конц. H_2SO_4 выдерживают 12 час., добавляют триэтанолламин, отгоняют р-рители и выделяют неустойчивый этиловый эфир енольной формы XVII (XVIII), выход 50%, т. кип. 133–134°/0,35 мм, n_D^{20} 1,5400. Неочищ. XVIII восстанавливают LiAlH_4 в эфире (20°, 4 часа) до II, выход 59%, т. кип. 155–156°/0,35 мм, n_D^{25} 1,5765–1,5780. Этерификацией II (14,9 г) посредством n- $\text{CH}_3\text{C}_6\text{H}_4\text{SO}_2\text{Cl}$ (19,3 г) в пиридине (12–14 час. в холодильнике) получают I, выход 79%, выделен в виде полиморфных форм с т. пл. 96–96,5° и 99–100° (из сл.). К р-ру 27,2 г I в 900 мл спирта добавляют 6 г NaOH в 150 мл воды, смесь выдерживают 17 час. и выделяют III, выход 86%, т. кип.

123°/0,1 мм, n_D^{25} 1,5852—1,5865. Р-р 6,04 г III в небольшом кол-ве C_6H_6 добавляют в атмосфере N_2 к смеси трет- C_4H_9OK (из 28 г K) и 1000—1500 мл C_6H_6 , кипятят 2,5 мин., нейтрализуют и выделяют IV, выход 82%, т. кип. 80—83°/0,22 мм, n_D^{25} 1,6039—1,6052. 0,997 г IV озонируют в CH_2Cl_2 при охлаждении твердой CO_2 — дихлорэтаном, озонид кипятят 3 часа с 80 мл воды, 20 мл CH_3COOH и 10 мл 30%-ной H_2O_2 . Эфиром извлекают 81 мг VI. Из кислых продуктов р-ция выделяют V, выход 25%, т. пл. 134,5—135,5° (из эф.-петр. эф.). К р-ру 9,2 г VII в 450 мл спирта добавляют (0°, 40 мин.) 330 мл 0,0892 н. р-ра $Ba(OH)_2$ при $pH < 8$, перемешивают до уменьшения pH до 6, спирт отгоняют в вакууме, эфиром извлекают смесь IX и VIII (9:1, судя по УФ-спектру), т. кип. 44—46°/0,25 мм n_D^{25} 1,5130—1,5150. К р-ру 2 г смеси IX и VIII (3:1) в эфире добавляют 0,8 г $NaOH$ в 25 мл воды, перемешивают 5,5 часа и выделяют VIII, выход 58%, т. кип. 34—36°/0,8 мм, n_D^{20} 1,5305. В аналогичных условиях (20°) 19 г X дают 0,75 г XIII, т. кип. 52—54°/0,03 мм. При обработке 1 M метанольным р-ром КОН (30 мин.) XIII переходит в XI, выход 36% (судя по УФ-спектру). В тех же условиях XI разрушается на 45% за 2,5 часа, XII не изменяется. Приведены данные об УФ-спектрах I, VIII, XI, XIII.

Л. Бергельсон

4487. К вопросу о механизме газофазного каталитического взаимодействия ацетилена и уксусной кислоты. Флид Р. М., Чирикова А. В., Ж. общ. химии, 1957, 27, № 5, 1256—1261

Изучено влияние объемной скорости и соотношения реагентов на выход винилацетата (I) и этилиденцетата (II) при газофазной р-ции C_2H_2 с CH_3COOH в присутствии $Zn(CH_3COO)_2$ на носителях в интервале 200—300°. С помощью термодинамич. данных для I и II, вычисленных по методу Хоугена и Ватсона, получены значения констант равновесия и степеней превращения для р-ций: а) $C_2H_2 + CH_3COOH \rightleftharpoons I$; б) $C_2H_2 + \frac{1}{2}(CH_3COOH)_2 \rightleftharpoons I$; в) $C_2H_2 + 2CH_3COOH \rightleftharpoons II$; г) $C_2H_2 + (CH_3COOH)_2 \rightleftharpoons II$; д) $I + CH_3COOH \rightleftharpoons II$; е) $I + \frac{1}{2}(CH_3COOH)_2 \rightleftharpoons II$. На основании этих расчетов сделан вывод о том, что в газовой фазе I может образоваться при взаимодействии C_2H_2 как с CH_3COOH , так и $(CH_3COOH)_2$, образование II возможно при р-ции C_2H_2 с $(CH_3COOH)_2$ или при одновременном присоединении двух молекул CH_3COOH к C_2H_2 . Образование II при р-ции I с CH_3COOH термодинамически невозможно. Экспериментально установлено, что выход I не изменяется при замене части C_2H_2 азотом. Выход I падает, а выход II растет при изменении соотношения $(C_2H_2 + N_2) : CH_3COOH$ от 16:1 до 1:1, что объясняется уменьшением степени диссоциации $(CH_3COOH)_2 \rightleftharpoons 2CH_3COOH$ и увеличением вероятности р-ции $(CH_3COOH)_2$ с C_2H_2 . При увеличении объемной скорости (270—290°, эквимолекулярное соотношение $C_2H_2 : CH_3COOH$) выход II повышается от 0 при 250 до 12,4% при 600 л/л катализатора в 1 час. Предполагается, что при высоких объемных скоростях р-ция $(CH_3COOH)_2 \rightarrow 2CH_3COOH$ не доходит до равновесия, вследствие чего конц-ия $(CH_3COOH)_2$ оказывается выше равновесной. Авторы полагают, что I и II образуются при параллельно протекающих р-циях C_2H_2 с CH_3COOH и C_2H_2 с $(CH_3COOH)_2$ через соответствующие адсорбционные комплексы $C_2H_2 \cdot Zn(CH_3COOH)_2 \cdot (CH_3COOH)$ и $C_2H_2 \cdot Zn(CH_3COOH)_2 \cdot (CH_3COOH)_2$. CH_3COOH определялась титрованием, I — бромированием, II — омылением 0,5 н. $NaOH$. Катализаторами служили: 1) обезгаженный уголь марки AP-3, пропитанный р-ром $(CH_3COO)_2Zn$ (III), из расчета 25% III к общему весу катализатора, и 2) III, нанесенный на активированную $\gamma-Al_2O_3$ в кол-ве 30%. Последний применялся при 270—290°.

В. Райгородская

4488. Место атаки при окислении углеводородов. Берт, Эбейд, Минков (Point of attack in hydrocarbon oxidation. Burt R., Ebeid F. B., Minkoff G. J.), Nature, 1957, 180, № 4578, 188 (англ.)

При изучении кинетики медленного окисления 1- и 2-дейтеропропанов кислородом при 360 и 420° в условиях, исключающих возможность разрушения углеводного скелета, установлено, что разрыв вторичных C—H- или C—D-связей происходит, по крайней мере, в 1,9 раз быстрее, чем первичных. Авторы считают, что образование пропилена из пропильного радикала в условиях р-ции происходит с участием радикалов или молекул, не содержащих кислорода.

Р. Кудрявцев

4489. Окисление ароматических углеводородов кислородом. Окисление о- и п-диизопропилбензолов. Эвентова М. С., Машкина А. В., Вестн. Моск. ун-та. Сер. матем., механ., астрон., физ., химии, 1957, № 1, 159—163

Показано, что при окислении O_2 (175°, 3 часа, циркуляция O_2 6 л/час в приборе МГУ) о-диизопропилбензол (Ia) вступает в р-цию в 3 раза труднее, чем параизомер (Ib). Окисление Ia приводит к образованию фталевой к-ты, фенола, $C_6H_5COCH_3$, CH_3COOH , $HCOOH$, CO и CO_2 . Ib образует $n-CH_3COC_6H_4COCH_3$, терефталевую к-ту, $n-CH_3COC_6H_4COOH$, гидрохинон (II), CH_3COOH , $HCOOH$ и CO. При окислении Ia отмечен индукционный период, равный 1 часу. Первичными продуктами р-ции, вероятно, являются дигидроперекиси [о- и $n-(CH_3)_2C(OOH)C_6H_4C(OOH)(CH_3)_2$], при распаде которых образуются перечисленные в-ва. II не окисляется далее в хинон вследствие антиокислительного действия $HCOOH$. Ia и Ib получены алкилированием C_6H_5 изо- C_3H_7OH и фракционированием смеси в вакууме; Ia, т. кип. 64—65°/3 мм, n_D^{20} 1,4951, d_4^{20} 0,8697; Ib, т. кип. 70—71°/3 мм, n_D^{20} 1,4899, d_4^{20} 0,8598. Скорость циркуляции O_2 6 л/час.

П. Аронович

4490. Эфиры хромовой кислоты. III. Механизм окисления 2-метилфенхола и 1-метил- α -фенхена. Зейсс, Цванциг (Chromate esters. III. Mechanism of oxidation of 2-methylfenchol and 1-methyl- α -fenchene. Zeiss Harold H., Zwanzig Frances R.), J. Amer. Chem. Soc., 1957, 79, № 7, 1733—1738 (англ.)

Исследован механизм окисления 2-метилфенхола (I) и 1-метил- α -фенхена (II) CrO_3 . Окисление I в CH_3COOH ведет к образованию ди-2-метилфенхилхромата (III); окисления продуктов дегидратации I — 1-метилкамфена (IV) и II не происходит, хотя обе р-ции приводят к одним и тем же продуктам: камфоре (V), фенхону (VI) и смеси C_{12} -кислот. Измерена скорость разложения III в абс. CH_3OH (25 и 50°), 80%-ном водн. CH_3OH , лед. CH_3COOH и 90%-ной CH_3COOH (25°) (по данным УФ-спектров); р-ция разложения везде 1-го порядка. В CH_3OH получают I, смесь II и IV и CH_2O . Разбавление водой повышает скорость разложения. В CH_3COOH III разлагается на V, VI, C_{12} -кислоты и карбонильные соединения. Скорость разложения, не меняющаяся при прибавлении воды или в присутствии большого избытка I, в $5 \cdot 10^3$ раз больше, чем скорость р-ции в CH_3OH . 1-й порядок р-ции показывает, что р-ритель не принимает участия в стадии, определяющей скорость р-ции. Высокая $E_{акт} = 23$ ккал/моль и независимость скорости от I показывают, что гидролиз или этерификация также не определяют скорость р-ции. Стадий, определяющей скорость р-ции разложения, является восстановление III. Окисление I CrO_3 в CH_3COOH приводит к III, конц-ия которого в начале увеличивается; однако этерификация не доходит до конца, значительное кол-во I остается. Смесь II и IV, полученная дегидратацией I, и смесь, полученная сольволизом III в CH_3OH , CH_3COOH , CH_3CN или

CCl_4 , окислены CrO_3 в CH_3COOH до продуктов, выделенных при окислении I или разложении III. Чистый II (получен пиролизом камфан-2-карбирилацетата; строение установлено окислением OsO_4 в гликоль и расщеплением ацетатом свинца на V и CH_2O) окисляется CrO_3 в V, содержащий 6% VI и карбонильные фракции; окисление протекает по 2-му порядку. Механизм окисления II включает в себя окислительное присоединение CrO_3 по двойной связи в стадии, определяющей скорость. Промежуточно образующийся эфир 4-валентного хрома расщепляется по двум направлениям, давая V и эпиксид. Предполагается, что окисление I и разложение III может протекать через те же промежуточные продукты с 4-валентным хромом, которые разлагаются на смесь VI и V и смесь эпиксидов, дающих в свою очередь смесь C_{12} -кислот. Сообщение II см. РЖХим, 1957, 40994. В. Якерсон

4491. К вопросу об электронном строении и реакционной способности свободных радикалов. Разумовский В. В., Ж. общ. химии, 1957, 27, № 5, 1215—1217

С точки зрения теории электронной таутомерии объясняются различия в активности свободных радикалов. Так, падение активности в ряду $\text{CH}_3 \cdot > \text{C}_2\text{H}_5 \cdot > n\text{-C}_3\text{H}_7 \cdot > \text{изо-C}_3\text{H}_7 \cdot > \text{втор-C}_4\text{H}_9 \cdot$ связывается с падением электроотрицательности углеродных атомов в этом ряду и повышением энергии взаимодействия свободного электрона с ядром. Предложены объяснения низкой активности $\text{CH}_2=\text{CHCH}_2 \cdot$, $\text{C}_6\text{H}_5\text{CH}_2 \cdot$, $(\text{C}_6\text{H}_5)_3\text{C} \cdot$, $\text{CCl}_3 \cdot$, $\text{NO}_2 \cdot$ и других свободных радикалов. М. В.

4492. Синтезы активированных молекул: метилциклопропан. Ноке, Тротман-Диккенсон (Synthesis of activated molecules: methyl cyclopropane. Knox J. H., Trotman-Dickenson A. F.), Chemistry and Industry, 1957, № 30, 1039 (англ.)

Изучалась р-ция бирадикала CH_2 (I), полученного фотолизом кетена, с циклопропаном (II) и пропиленом (III). Полученные молекулы метилциклопропана (IV) обладают избыточной энергией в 86 и 78 ккал соответственно и могут изомеризоваться в бутены или превращаться в неактивные молекулы IV. При взаимодействии I с II и III получены: IV, бутен-1, цис- и транс-бутен-2, изобутен. Относительные кол-ва IV и бутенов зависят от давления. При низком давлении ($P \leq 10$ мм рт. ст.) смесь состоит преимущественно из бутенов, а при высоком из IV. Высокоактивные молекулы IV могут быть стабилизированы высоким давлением инертного газа (CO_2 или N_2). Аналогичные превращения испытывают и молекулы метилциклопентана, полученные из I и циклопентана. А. Слинкин

4493. Образование нафталинов из инденов. III. Замещенные метаны как источники карбенов. Парем, Туэллс (Formation of naphthalenes from indenenes. III. Substituted methanes as carbene precursors. Parham William E., Twelves Robert R.), J. Organ. Chem., 1957, 22, № 7, 730—734 (англ.)

В развитие предыдущих работ (см. сообщение II, РЖХим, 1957, 872) исследована возможность использования замещ. метанов CHCl_2Br (I), CHClBr_2 (II), CHCl_2F (III), CHClF_2 (IV), $\text{CHCl}_2\text{COOC}_2\text{H}_5$ (V), $\text{CHCl}_2\text{COOC}(\text{CH}_3)_3$ (VI), $n\text{-BrC}_4\text{H}_9\text{COCHBr}_2$ (VII) как возможных источников карбен-радикалов в р-ции с инденом (VIII) и трет- $\text{C}_4\text{H}_9\text{OK}$ (IX). Установлено, что I дает с VIII и IX главным образом циклопропильное производное (X), продукт присоединения CCl_2 к VIII; тенденция к элиминированию из аниона I у Br- в 6 раз сильнее, чем у Cl-. При р-ции II, VIII и IX промежуточное циклопропильное производное выделить не удалось ввиду его термич. нестойкости. Перегонка с паром реакционной смеси приводит к эквимолярной смеси 2-бром- и 2-хлорнафталинов (XI), что указывает на близкую скорость элиминирования Br- и

Cl- из циклопропильных производных. III, циклогексен (XII) и IX дают термически стойкий продукт присоединения CFCl_2 к XI. При р-ции III, VIII и IX также происходит образование CFCl_2 ; выделен 2-фторнафталин (XIII). При р-циях IV—VII с VIII и IX выделить индивидуальных продуктов не удалось. 0,172 моля I прибавляют в течение 20 мин. при 0—40° к смеси 0,174 моля VIII и 0,172 моля IX, перемешивают 75 мин. при 0—5°, оставляют на 12 час. при 25°, разбавляют 200 мл петр. эфира (XIV), фильтрат упаривают, непрореагировавший VIII удаляют при 60°/2—3 мм. Остаток хроматографируют на Al_2O_3 . Выход X 33,5%, т. пл. 73—76°. Смесь 0,172 моля II, 0,174 моля VIII и 0,172 моля IX перемешивают при 0—40° 5 час., через 12 час., разбавляют 100 мл воды и перегоняют с паром. После хроматографирования выход смеси XI 70%, т. пл. 41—48°. Р-цию 0,16 моля III, 0,86 моля VIII и 0,087 моля IX проводят при —10°. Реакционную смесь разбавляют XIV и перегоняют с паром. После хроматографирования получают с выходом 24% промежуточный продукт, который обработкой спиртовым KOH переводят в XIII. Выход 7,6%, т. пл. 58—54°. Р-цию 0,074 моля III, 0,097 моля IX и 0,486 моля XII проводят при т-ре —15—20°. Время прибавления 1 час; перемешивание при т-ре —10° 3 часа. Реакционную смесь разбавляют 100 мл воды, экстрагируют эфиром. Выделяют с выходом 24,5% масло, быстро реагирующее с KMnO_4 и Br_2 , т. кип. 158—159°/739 мм, n_D^{20} 1,4571—1,4577. К. Вацуро

4494. Присоединение метильных радикалов к этилену, пропилену, бутенам и высшим олефинам. Бакли, Шварц (The addition of methyl radicals to ethylene, propylene, the butenes and higher 1-olefines. Buckley R. P., Szwarz M.), Proc. Roy. Soc., 1957, A240, № 1222, 396—407 (англ.)

При 55—85° изучалась кинетика р-ции присоединения радикалов $\text{CH}_3 \cdot$, полученных термич. разложением перекиси ацетила в р-е изоктана, к этилену (I), пропилену (II), изобутену (III), цис (IV)- и транс (V)-бутену-2, бутену-1 (VI), пентену-1 (VII), гексену-1 (VIII), децену-1 (IX), гексадецену-1 (X), 3-метилбутену-1 (XI). Относительные константы скорости (OKC) р-ции $\text{CH}_3 \cdot$ с I и II (если скорость р-ции $\text{CH}_3 \cdot$ с изоктаном принять за 1) не зависят от их конц-ии в пределах 0,75—2,75 мол.% для I и 2,8—7,7 мол.% для II. OKC для III, IV и V зависят от конц-ии олефина, что связано с конкурирующей р-цией отрыва атома водорода от олефина радикалом $\cdot\text{CH}_3$. OKC при 64,9 и 85,0—85,2° соответственно равны для I 34,0, 35,5; II, —, 24,7; III, —, 33,3; IV, 6,9, 6,2; V, 3,4, 3,1; VI, 26,9, 24,9; VII 24,5, 17,3; VIII, 25,6, —; IX, 24,8 —; X, 25,0, —; XI, 22,8, —. Изменение сродства к $\text{CH}_3 \cdot$ в ряду I < II < III (с учетом статистич. фактора 2 для I) объясняется повышающейся стабильностью первичного, вторичного и третичного радикалов, образующихся при присоединении $\text{CH}_3 \cdot$ к I, II и III соответственно. Присоединение $\text{CH}_3 \cdot$ к IV и V характеризуется значительно более низкими OKC, чем к I, II и III, из-за стерич. препятствий, обусловленных метильной группой у углеродного атома, атакуемого $\cdot\text{CH}_3$. Близкие значения OKC для VI—XI указывают на независимость скорости присоединения $\text{CH}_3 \cdot$ от характера радикала в алкенах-1. $E_{\text{акт}}$ в ккал/моль и частотные факторы (вычисленные из OKC) соответственно равны: I, —0,6 и 13,0; II, —1,1 и 4,3; III, —0,5 и 16,2; IV, —1,9 и 0,4; V, —1,9 и 0,2. $\text{CH}_3 \cdot$ также отрывает атомы H от алкенов с образованием CH_4 и неопределенных радикалов, причем отрывают лишь атомы H, находящиеся в α -положении к двойной связи; для первичного, вторичного и третичного водородов OKC соответственно равны 0,5, 5,3 и 22,1 при 65°, что является критерием подвижности этих атомов.

А. Слинкин

4495. Реакция Вильгеродта. Кальтвассер (Die Willgerodtsche Reaktion. Kaltwasser Hans), Chem. Technik, 1957, 9, № 7, 392—395 (нем.)
Обзор. Библ. 74 назв. М. В.

4496. Словацкая химическая терминология. I. II. Номенклатура углеводородов. (Slovenská chemická terminológia. I. II. Názvoslovie uhlíkovodíkov.—), Chem. zvesti, 1957, 11, № 5, 313—315; № 7, 435—445 (словацк.)

Материалы подкомиссии по терминологии органич. химии, составленные в основном на основании Льежских правил номенклатуры. М. В.

4497 К. Основы органической химии. т. I. Чичибабин А. Е. Перев. с русск. (Podstawy chemii organicznej. T. I. Cičibabin A. E. Tłum. z ros. Warszawa, PWN, 1957, 791 s., il., 70 zł.) (польск.)

4498 К. Физические методы органической химии. Т. 5. Ред. Вайсбергер. А. Перев. с англ. М., Изд-во ин. лит., 1957, 445 стр., илл., 21 р. 40 к.

4499 Д. Изучение бромирования циклогексена по Вольфу — Циглеру с помощью соединений, меченных C^{14} . Холлендер (C^{14} -tracer study of the Wohl-Ziegler bromination of cyclohexene. Hollander Marsha. Abstr. doct. diss., Iowa State Coll., 1956), Iowa State Coll. J. Sci., 1957, 31, № 3, 442 (англ.)

4500 Д. Ориентация при нитровании ароматических нитрилов. Дуглас (Orientation in nitration of aromatic nitriles. Douglas Katherine Janvier. Abstr. doct. diss., Iowa State Coll., 1955), Iowa State Coll. J. Sci., 1957, 31, № 3, 394—395 (англ.)

4501 Д. Ориентация при реакциях феноксантина и его производных. Эйдт (Orientation reactions of phenoxathin and its derivatives. Eidt Scott H. Abstr. doct. diss., Iowa State Coll., 1955), Iowa State Coll. J. Sci., 1957, 31, № 3, 397—398 (англ.)

См. также: Строение органич. соед. 3488, 3491, 3525, 3538, 3560, 3578, 4548. Реакционная способность 3493, 3494, 4702. Механизмы и кинетика р-ций см. раздел Кинетика и рефераты 3528, 3571, 3580, 4645

СИНТЕТИЧЕСКАЯ ОРГАНИЧЕСКАЯ ХИМИЯ

Редакторы М. А. Атабекова, Н. С. Вульфсон, Б. М. Дубинин, В. А. Загоревский, Я. Ф. Комиссаров, Г. Я. Кондратьева, Л. А. Хейфиц

4502. Основные тиолы как катализаторы внутримолекулярной реакции Канниццаро. Францен (Basische Tiole als Katalysatoren der intramolekularen Cannizzaroreaktion. Franzen V.), Chem. Ber., 1955, 88, № 9, 1361—1367 (нем.)

α -Кетоальдегиды диспропорционируются при добавлении N-диалкилстеаминов $R_2NCH_2CH_2SH$ (I) в α -оксикислоты (OK). I катализируют р-цию, не изменяя в ходе процесса. Предложен механизм р-ции: $RCOCHO + OH^- \rightarrow [RCOCH(O^-)OH] \rightarrow [RCH(O^-)COOH] \rightarrow RCH(OH)COO^-$. Миццальная к-та (II), полученная из фенилглиоксаля (III) в D_2O , не содержит D, связанного с углеродом. К 15 г свежеперегнанного III в 100 мл CH_3OH добавляют в атмосфере N_2 15 г I ($R = C_2H_5$), через 12 час. CH_3OH отгоняют, из остатка экстрагируют эфиром метиловый эфир II, выход 85%, т. пл. 57°. Аналогично получены другие OK (приведены OK, выход в г, т. кип. в °C/мм): этиловый эфир II 11,8 г (из 15 г III), 144/14, т. пл. 29°; бутиловый эфир II, —, 113/15; бутиловый эфир молочной к-ты, 8,7 г (из 15 г III), 83/13. Из гидрата III в воде и N-(β -меркаптоэтил)-морфолина после подкисления 2 н. H_2SO_4 получена II, т. пл. 120° (из этилацетата-пепт. эф.)

12 г III прибавляют к р-ру 20 мл $(C_2H_5)_2NH$ в 100 мл диоксана, затем в атмосфере N_2 добавляют 15 мл этилмеркаптана (IV); через 12 час. IV отгоняют, остаток извлекают эфиром и подкисляют 2 н. H_2SO_4 , получают этиловый эфир моноэтиомиццальной к-ты (V), т. кип. 125—126°/0,5 мм. V с NH_3 дает амид II, т. пл. 132° (из CH_3OH -воды). III с N-(β -меркаптоэтил)-пиперидином дает аддукт, т. пл. 92°.

И. Цветков
Бибер (Etudes sur la série méthacrylique. Biebet Paul), Ann. chimie, 1954, 9, novembre-décembre, 674—709 (франц.)

Исследовано взаимодействие эфиров (I) и нитрилов (II) метакриловой к-ты со спиртами и аминами, а также р-ция эфиров $CH_2XCH(CH_3)COOR$ (III, X — галоген) и эфиров α,β -дигалогидизомасляной к-ты (IV) с алколятами. I и II обладают меньшей реакционной способностью, чем соответствующие производные акриловой к-ты. Спирты реагируют с I в присутствии щел. катализаторов, основными направлениями р-ции являются алколюлиз сложнойэфирной группы (перестерификация) и, в меньшей степени, присоединение по $C=C$ -связи. С увеличением мол. веса спиртов и усложнением их структуры выход продуктов присоединения снижается. CN-группа активирует сопряженную $C=C$ -связь нитрилов II сильнее, чем COOR-группа в I. Взаимодействие III с алколятами проходит стадию I, которые далее реагируют, как описано выше. Амины реагируют с I в присутствии кислых катализаторов или без них, первой стадией р-ции является присоединение по $C=C$ -связи, затем аминотиз COOR-группы (более медленный, чем алколюлиз); образующиеся β -аминоизобутирамиды при t -рах $> 200^\circ$ превращаются в замещ. амиды метакриловой к-ты. Скорость р-ции с аминами определяется их основностью и (меньше) строением, уменьшаясь в ряду пиперидино-диэтиламин-анилин-этиламин. Р-ция IV с 1 молем алколята дает III; III (X = Cl) реагирует медленнее, чем III (X = Br). С 2 молями алколята $R'ONa$ IV образуют равновесную смесь $(R'O)_2CHCH(CH_3)COOR$ (главный компонент) и $R'OCH=C(CH_3)COOR$. Промежуточно при этом получаются эфиры $CHX=C(CH_3)COOR$ с активной $C=C$ -связью, быстро присоединяющие $R'OH$. В ходе исследования получены соединения: $CH_3OCH_2CH(CH_3)COR$ (R, т. пл. в °C): OH, т. кип. 209—210°; OCH₃, т. кип. 84°/120 мм (n_D^{20} 1,406); OC₂H₅-н, т. кип. 81—83°/15 мм (n_D^{20} 1,415, d_4^{20} 0,9275); NH₂, 42—42,5; NHC₂H₅, 90; NHC₂H₅CH₃-н, 85; OCH₂COC₂H₅-н, 63,5—64; C₂H₅OCH₂CH(CH₃)COR: OH, т. кип. 111°/15 мм; NHC₂H₅, 91; NHC₂H₅CH₃-н, 66—66,5; n -C₃H₇OCH₂CH(CH₃)CONHR: C₆H₅, 79; C₆H₅CH₃-н, 64—65. Эфиры $ROCH_2CH(CH_3)COOR$ (R, т. кип. в °C/мм, $t^\circ C$, n_D^{20} , d_4^{20}): CH₃, 148—149/760, 23, 1,404, 0,975; C₂H₅, 63,5/14, 20, 1,407, 0,9255; n -C₃H₇, 93/18, 21, 1,4145, 0,9091; n -C₄H₉, 12/16 (121°/760 мм), 19,5, 1,4225, 0,9065; $ROCH_2CH(CH_3)CN$: CH₃, 76/40, 19,5, 1,404, 0,9076; C₂H₅, 75/14, 19,5, 1,407, 0,886; n -C₃H₇, 75/14, 19,5, 1,422, 0,875; $изо$ -C₃H₇, 63/14, 19,5, 1,4078, 0,8686; n -C₄H₉, 89/16, 20, 1,4175, 0,871; $трет$ -C₄H₉, 75/14, 21,5, 1,412, 0,8622; C₆H₅OCH₂CH(CH₃)COOCH₃, т. кип. 136—140°/19 мм; CH₂=C(CH₃)COOC₂H₅-н, т. кип. 158—160°, 58—61°/20 мм, n_D^{20} 1,422. n -C₄H₉OCH₂CH(CH₃)COOC₂H₅-н, т. кип. 119—123°/17 мм; CH₂BrCH(CH₃)COOC₂H₅-н, т. кип. 105°/16 мм; C₆H₅NCH₂CH(CH₃)COOCH₃, т. кип. 102—103°/18 мм, n_D^{24} 1,4488, d_4^{24} 0,9618; HCl-соль, т. пл. 156°; пикрат, т. пл. 103°; кислый оксалат, т. пл. 136°. C₆H₅NCH₂CH(CH₃)₃COCH=N=C(CH₃)COOCH₃, т. кип. 86—87°/14 мм; C₆H₅NCH₂CH(CH₃)CH₂OH, т. кип. 100°/13 мм, n_D^{20} 1,467, d_4^{20} 0,9311; HCl-соль, т. пл. 145—146°; пикрат, т. пл. 107°; йодметилат, т. пл. 92—95°. C₆H₅NCH₂CH(CH₃)CH₂OOCOC₂H₅·HCl, т. пл. 191°. C₆H₅NCH₂CH(CH₃)CONC₂H₅IO, т. пл. 44—45°, т. кип. 150—154°/2 мм;

НСI-соль, т. пл. 189—190°; пикрат, т. пл. 128°; кислый оксалат, т. пл. 146°. $\text{CH}_2=\text{C}(\text{CH}_3)\text{CONC}_5\text{H}_{10}$, т. кип. 117°/16 мм, n_D^{25} 1,487, d_4^{25} 0,9826. $(\text{C}_2\text{H}_5)_2\text{NCH}_2\text{CH}(\text{CH}_3)\text{COOCH}_3$, т. кип. 77°/15 мм, n_D^{22} 1,425, d_4^{22} 0,9005; пикрат, т. пл. 90—90,5°. $(\text{C}_2\text{H}_5)_2\text{NCH}_2\text{CH}(\text{CH}_3)\text{COOH}$, т. пл. 84—86°. $(\text{C}_2\text{H}_5)_2\text{NCH}_2\text{CH}(\text{CH}_3)\text{CON}(\text{C}_2\text{H}_5)_2$, т. кип. 127—128°/15 мм, n_D^{24} 1,453, d_4^{24} 0,889. $\text{C}_6\text{H}_5\text{NHC}_2\text{H}_4\text{CH}(\text{CH}_3)\text{COOCH}_3$, т. кип. 152°/15 мм, n_D^{17} 1,5375, d_4^{17} 1,075; кислый оксалат, т. пл. 120°. $\text{C}_6\text{H}_5\text{NHC}_2\text{H}_4\text{CH}(\text{CH}_3)\text{CON}(\text{C}_2\text{H}_5)_2$, т. пл. 122°. $\text{CH}_2=\text{C}(\text{CH}_3)\text{CONHC}_6\text{H}_5$, т. пл. 87°. $\text{CHBr}=\text{C}(\text{CH}_3)\text{COR}$ (R, т. кип. в °C/мм, t° C, n° D, d° 4): 164/760, 20, 1,488, 1,4877; OC_2H_5 , 180/760, 23, 1,477, 1,3856; Cl, 62—64/20; NH_2 , т. пл. 109°, NHC_6H_5 , т. пл. 102—103°; $\text{NHC}_6\text{H}_4\text{CH}_3$ -п, т. пл. 88,5°. $\text{CHCl}=\text{C}(\text{CH}_3)\text{COOCH}_3$, т. кип. 140—143°/760 мм. $(\text{CH}_3\text{O})_2\text{CHCH}(\text{CH}_3)\text{CONH}_2$, т. пл. 90°. $\text{CH}_3\text{OCH}=\text{C}(\text{CH}_3)\text{COOH}$, т. пл. 105,5—106°. $\text{CH}_3\text{OCH}=\text{C}(\text{CH}_3)\text{COOCH}_3$, т. кип. 175—176°/760 мм, n_D^{18} 1,460, d_4^{18} 1,070. $\text{CH}_3\text{OCHClCH}(\text{CH}_3)\text{COOCH}_3$, т. кип. 88—91°/15 мм. $(\text{NO}_2)_2\text{C}_6\text{H}_3\text{NHN}=\text{CHCH}(\text{CH}_3)\text{COOCH}_3$, т. пл. 99,5—100°. $\text{C}_2\text{H}_5\text{OCH}=\text{C}(\text{CH}_3)\text{COOH}$, т. пл. 107—107,5°. $\text{C}_2\text{H}_5\text{OCH}=\text{C}(\text{CH}_3)\text{COOC}_2\text{H}_5$, т. кип. 196—198°/760 мм. $\text{C}_6\text{H}_5\text{OCH}=\text{C}(\text{CH}_3)\text{COOC}_2\text{H}_5$, т. кип. 100—103°/18 мм. $(\text{NO}_2)_2\text{C}_6\text{H}_3\text{NHN}=\text{CHCH}(\text{CH}_3)\text{COOC}_2\text{H}_5$, т. пл. 109°. $(\text{CH}_3)_3\text{COCH}=\text{C}(\text{CH}_3)\text{COOH}$, т. пл. 117—117,5°. n_D^{16} 1,4555, d_4^{16} 0,983. $\text{C}_6\text{H}_5\text{OCH}=\text{C}(\text{CH}_3)\text{COR}$: OH, т. пл. 109°; OCH_3 , т. кип. 121°/4 мм, n_D^{19} 1,540, d_4^{19} 1,111; Cl, т. кип. 142—143°/14 мм, NH_2 , т. пл. 100°; NHC_6H_5 , т. пл. 152—153°. $\text{C}_6\text{H}_5\text{OCH}=\text{CHCH}_3$, т. кип. 74°/15 мм, n_D^{10} 1,525, d_4^{10} 0,9713. В. Руденко

4504. Этилирование. I. Реппе (Äthinylierung. I. Reppe Walter), Liebigs Ann. Chem., 1955, 596, 1—11 (нем.)

Этилирование (Э) — конденсация $\text{RC}\equiv\text{CH}$ с аминами, N-α-оксикаламидами и карбонильными соединениями. Катализатор Э (К) — силикагель с добавкой сахара, крахмала — прокаливают при 800°, насыщают $\text{Cu}(\text{NO}_3)_2$ и $\text{Bi}(\text{NO}_3)_3$ в HNO_3 (до 12% Cu и 3% Bi в К), прокаливают при 450—500°, пропускают 12 час. (60—80°) сильно разб. CH_2O и смесь C_2H_2 с N_2 (5 ат, % C_2H_2 постепенно повышают от 10 до 90). Образование купрена подавляется J_2 , Hg или BiO. К устойчивее при повышенном давлении C_2H_2 . Меры предосторожности при работе с К: полное отсутствие воздуха, невысокая концентрация К и т-ра р-ции, давление в коммуникациях выше, чем в реакторе, непосредственно сообщаемом с улицей, К всегда должен быть покрыт жидкостью. И. Котляревский

4505. Этилирование. II. Реппе (Äthinylierung. II. Reppe Walter), Liebigs Ann. Chem., 1955, 596, 12—25 (нем.)

В присутствии Cu-катализатора C_2H_2 конденсируется с N-α-оксикаламидами (получаются в процессе р-ции из аминов и карбонильных соединений) по схеме: $\text{RR'NH} + \text{R''CHO} + \text{C}_2\text{H}_2 \rightarrow \text{RR'NCHR''C}\equiv\text{CH}$ (I); по бо́льшю образуются $\text{RR'NCHR''C}\equiv\text{CCHRR'NRR'}$ (II). Р-ция аминов RR'NH с 2 молями C_2H_2 приводит к в-вам $\text{RR'NCH}(\text{CH}_3)\text{C}\equiv\text{CH}$ (III), которые могут быть изомеризованы в диены $\text{CH}_2=\text{C}(\text{NRR'})\text{CH}=\text{CH}_2$ (IV). I и III гидратируются в аминокетоны вида RR'NCHR''COCH_3 (V). К 50%-ному р-ру 450 г $(\text{CH}_3)_2\text{NH}$ добавляют 822 г CH_3COOH , затем 40 г $(\text{CH}_3\text{COO})_2\text{Cu}$ в 972 г 40%-ного CH_2O и при 30—40° насыщают в автоклаве смесью N_2 (5 ат) и C_2H_2 (10 ат) до поглощения 280 г C_2H_2 . Нейтрализуют, извлекают эфиром 580 г I, $\text{R}=\text{R}'=\text{CH}_3$, $\text{R}''=\text{C}_6\text{H}_5$, т. кип. 135—136°. Так же (18 ат, 30 час.) из т. кип. 178—180°. Так же из 1320 г $(\text{C}_2\text{H}_5)_2\text{NH}$, 2210 г 40%-ного CH_2O , 2400 г CH_3COOH и 120 г $(\text{CH}_3\text{COO})_2\text{Cu}$ получено 1200 г I, $\text{R}=\text{R}'=\text{C}_2\text{H}_5$, $\text{R}''=\text{H}$ (Ia), т. кип. 120—121°, и 170 г II, $\text{R}=\text{R}'=\text{C}_2\text{H}_5$, $\text{R}''=\text{H}$, т. кип. 109—111°/10 мм; из *изо*- $\text{C}_4\text{H}_9\text{NH}_2$ получен I, $\text{R}=\text{изо-C}_4\text{H}_9$, $\text{R}'=\text{R}''=\text{H}$, т. кип. 134—136°, из 516 г $(\text{H-C}_4\text{H}_9)_2\text{NH}$, 300 г р-ра CH_2O , 252 г CH_3COOH и 10 г

Cu_2Cl_2 получено 530 г I, $\text{R}=\text{R}'=\text{H-C}_4\text{H}_9$, $\text{R}''=\text{H}$, т. кип. 87—89°/19 мм, и 60 г II, $\text{R}=\text{R}'=\text{H-C}_4\text{H}_9$, $\text{R}''=\text{H}$, т. кип. 171—173°/3 мм. 500 г 50%-ного $(\text{CH}_3)_2\text{NH}$, 225 г CH_3CHO , 1370 г HCOOH и 10 г Cu_2Cl_2 насыщают смесью N_2 - C_2H_2 , 2:3, при 20 ат и 25°; получен I, $\text{R}=\text{R}'=\text{R}''=\text{CH}_3$, т. кип. 95—96°. Аналогично (40°, 15 ат, C_2H_2 - N_2 , 2:1, 8 час.) получен I, $\text{R}=\text{R}'=\text{CH}_3$, $\text{R}''=\text{C}_6\text{H}_5$, т. кип. 135—136°. Так же (18 ат, 30 час.) из 225 г $(\text{CH}_3)_2\text{NH}$, 530 г $\text{C}_6\text{H}_5\text{CHO}$, 330 г CH_3COOH и 10 г Cu_2Cl_2 получено 600 г I, $\text{R}=\text{R}'=\text{CH}_3$, $\text{R}''=\text{C}_6\text{H}_5$, т. кип. 69°/1 мм. Р-р $(\text{CH}_3)_2\text{C}(\text{OH})\text{N}(\text{CH}_3)_2$ и Cu_2Cl_2 насыщают C_2H_2 при 80°; $(\text{CH}_3)_2\text{NC}(\text{CH}_3)_2\text{C}\equiv\text{CH}$, т. пл. 97—98° (возогнан). Кипятят 30 г параформа, 80 г диоксана, 73 г $(\text{C}_2\text{H}_5)_2\text{NH}$, 71 г бутин-1-ола-3-и 30 г ZnCl_2 , выход $(\text{C}_2\text{H}_5)_2\text{NCH}_2\text{C}\equiv\text{CCH}(\text{OH})\text{CH}_3$ 25 г, т. кип. 118—122°/20 мм. 400 г $(\text{C}_2\text{H}_5)_2\text{NH}$, 700 г тетрагидрофурана (ТГФ) и 100 г катализаторной пасты (133 г $\text{CuSO}_4 \cdot 5\text{H}_2\text{O}$ в 6 л воды, 550 г 20%-ного NH_3 и 408 г $\text{NH}_2\text{OH} \cdot \text{HCl}$ насыщают C_2H_2 , осадок разбавляют ТГФ, встряхивают 80 час. при 20 ат N_2 - C_2H_2 , 1:1 и 90—100°, выход III, $\text{R}=\text{R}'=\text{C}_2\text{H}_5$, 50%, т. кип. 127—128°, т. пл. 10°. Из 465 г $\text{C}_6\text{H}_5\text{NH}_2$ в 1,2 л спирта, 180 г CH_3COOH и гидрохинона с К (20°, 25 ат, C_2H_2 - N_2 , 3:2, периодич. нагревание до 60°) выделяют 180 г III, $\text{R}=\text{C}_6\text{H}_5$, $\text{R}'=\text{H}$ (IIIa). Так же получены III, $\text{R}=\text{C}_6\text{H}_5$, $\text{R}'=\text{CH}_3$, т. кип. 116°/15 мм, и III, $\text{R}=\text{C}_6\text{H}_5$, $\text{R}'=\text{C}_2\text{H}_5$, т. кип. 120—122°/15 мм. Из 50 г $\text{H-C}_4\text{H}_9\text{NH}_2$ и 5 г Cu_2Cl_2 в тетралине (20 ат, C_2H_2 - N_2 , 2:1, 100—110°) дали 47 г III, $\text{R}=\text{C}_4\text{H}_9$, $\text{R}'=\text{H}$ (IIIб), т. кип. 148°, 49°/10 мм. Кипячением IIIб с NaHSO_3 в воде получена 3-н-бутиламинобутан-1,2-дисульфокислота. Так же, как IIIб синтезированы: III, $\text{R}=\text{C}_6\text{H}_5\text{CH}_2$, $\text{R}'=\text{H}$; III, $\text{R}=\text{цикло-C}_6\text{H}_{11}$, $\text{R}'=\text{H}$, т. кип. 58—60°/5 мм, т. пл. 44°; III, $\text{RR}'\text{N}=\text{пирролидил}$, т. кип. 67—68°/35 мм; III, $\text{RR}'\text{N}=\text{пиперидил}$, т. кип. 58—59°/12 мм; III, $\text{RR}'\text{N}=(\text{CH}_2)_6\text{NH}$, т. кип. 82—83°/15 мм. Гидратацию III и I ведут в конц. или 50%-ной H_2SO_4 в присутствии Hg^{2+} . 200 г Ia вносят при 70° в 500 г 50%-ной H_2SO_4 + 5 г HgO , через 1 час выделяют 120 г V, $\text{R}=\text{R}'=\text{C}_2\text{H}_5$, $\text{R}''=\text{H}$, т. кип. 156—158°, 61—63°/23 мм. Перечисляются R, R', R'' в V, т. кип. в °C: CH_3 , CH_3 , H, 123—124; C_2H_5 , C_2H_5 , CH_3 , 168; C_6H_5 , H, CH_3 , 74—76/18 мм; C_6H_5 , H, CH_3 , 87/1 мм, т. пл. 40°; C_6H_{11} -цикло, H, CH_3 , 72—75/2 мм; C_6H_{11} -цикло, C_6H_{11} -цикло, CH_3 , 154/9 мм, т. пл. 66°; $\text{RR}'\text{N}=\text{пирролидил}$, $\text{R}''=\text{CH}_3$, 189—191. 30 г IIIa проводят (1 час, 250°) над 1%-ной $\text{Fe}_2\text{O}_3/\text{Al}_2\text{O}_3$, выход IV, $\text{R}=\text{C}_6\text{H}_5$, $\text{R}'=\text{H}$, 22 г, т. кип. 112—115°/10 мм; так же получены IV, $\text{R}=\text{C}_6\text{H}_5$, $\text{R}'=\text{CH}_3$, т. кип. 250—260°, 123—126°/10 мм, и IV, $\text{R}=\text{C}_6\text{H}_5$, $\text{R}'=\text{C}_2\text{H}_5$, т. кип. 126—129°/10 мм. И. Котляревский

4506. Этилирование. III. Реппе (Äthinylierung. III. Reppe Walter), Liebigs Ann. Chem., 1955, 596, 25—38 (нем.)

Сжатый C_2H_2 реагирует с RCHO и RR'CO , образуя спирты $\text{RCH}(\text{OH})\text{C}\equiv\text{CH}$ (I) и $\text{RR'C}(\text{OH})\text{C}\equiv\text{CH}$ (II) и диолы $\text{RCH}(\text{OH})\text{C}\equiv\text{CCH}(\text{OH})\text{R}$ (III) и $\text{RR'C}(\text{OH})\text{C}\equiv\text{CC}(\text{OH})\text{RR'}$ (IV). Р-цию с RCHO катализирует $\text{Cu}\equiv\text{CCH}(\text{K})$ (поддерживать pH 2—7), а с RR'CO — щелочи. I, II и аминокетны в тех же условиях дают с RCHO несимметричные γ-алкиндиолы и γ-аминоалкины. 40 г Cu_2Cl_2 , 100 г фуллеровой земли (ФЗ) и 1 л воды насыщают (80—90°, 30 мин.) C_2H_2 , К отмывают от Cl-. 500 г 30%-ного CH_2O , 1,5 л тетрагидрофурана, 21 г К и 50 г ФЗ насыщают C_2H_2 (23 часа, 5 ат, C_2H_2 - N_2 , 1:2, 100°) получают I, $\text{R}=\text{H}$ (Ia), 62%; III, $\text{R}=\text{H}$ (IIIa), 30%. 0,5 л 30%-ного CH_2O и К (из 15 г Cu_2Cl_2 и 15 г CaCO_3 , осаждение C_2H_2 при 80°) насыщают 42 час., 100° и 15 ат, C_2H_2 - N_2 , 1:2, выход IIIa 95%. 800 г CH_3CHO , 0,4 л воды и 290 г смеси К-ФЗ (42:100) дали (15 ат, C_2H_2 - N_2 , 2:1, 125°, 22 часа) 230 г I, $\text{R}=\text{CH}_3$, т. кип. 107,5°; азотроп с водой, т. кип. 93°, и ~100 г III, $\text{R}=\text{CH}_3$, т. кип. 105°/0,4 мм, т. пл. 71—72°. Из Ia

и CH_3CHO (вода, 50 г K/CaCO_3 , pH 5,5, 10 ат N_2 , 12 час., 130°) или I, R = CH_3 и CH_2O получают пентин-2-диол-1,4, т. кип. 134—136°/10 мм, 110—112°/1,5 мм. Так же из II, R = R' = CH_3 , получают 2-метилпентин-3-диол-2,5, 80%, т. кип. 102—104°/2 мм. Аналогично I, R = CH_3 , из 1 кг $\text{C}_3\text{H}_7\text{CHO}$ получают 400 г I, R = C_3H_7 (56—58°/10 мм), и 100 г III, R = C_3H_7 (112—114°/2—3 мм), из 1,1 кг $\text{C}_6\text{H}_{13}\text{CHO}$ (K высушен диоксаном) — 100 г I, R = C_6H_{13} (63—64°/2 мм), и 65 г III, R = C_6H_{13} (170°/1—2 мм), из $\text{CH}_3\text{CH}=\text{CHCHO}$ получен I, R = C_4H_5 (т. кип. 153—154°), и III, R = C_4H_5 (103—105°/1 мм), а из 1250 г $\text{C}_6\text{H}_5\text{CHO}$ — 105 г I, R = C_6H_5 (92—93°/2 мм, т. пл. 35—36°). 250 г формалина, 75 г $\text{CH}_2=\text{CHC}\equiv\text{CH}$, 10 г $(\text{HCOO})_2\text{Cu}$ и 10 г CaCO_3 (25 час., 100°, 10 ат N_2) дали 40 г пентин-1-ин-3-ола-5, 35—36°/1 мм. Кипятят 20 час. 83 г $(\text{CH}_3)_2\text{NCH}_2\text{C}\equiv\text{CH}$ с 100 г формалина, 1 г CaCO_3 и 5 г CuOH получают $(\text{CH}_3)_2\text{NCH}_2\text{C}\equiv\text{CCH}_2\text{OH}$, 45 г, 74°/0,6 мм. Так же получены $(\text{C}_2\text{H}_5)_2\text{NCH}_2\text{C}\equiv\text{CCH}_2\text{OH}$ (84—87°/2 мм), $n\text{-C}_4\text{H}_9\text{NCH}_2\text{C}\equiv\text{CCH}_2\text{OH}$ (93—95°/2 мм), $(\text{C}_2\text{H}_5)_2\text{NCH}(\text{CH}_3)\text{C}\equiv\text{CCH}_2\text{OH}$ (94—97°/2 мм), $\text{C}_6\text{H}_5\text{NCH}_2\text{C}\equiv\text{CCH}_2\text{OH}$, $(\text{CH}_3)_2\text{NCH}_2\text{C}\equiv\text{CCH}(\text{OH})\text{CH}_3$ (95°/2 мм). Смесь 800 г ацетона, 0,8 л воды и 30 г KOH насыщают $\text{C}_2\text{H}_2\text{N}_2$, 3:1 (100°, 20 ат), нейтрализуют CO_2 , получают 110 г II, R = R' = CH_3 , т. кип. 104—105°; азеотроп с водой, т. кип. 90°, 42 г IV, R = R' = CH_3 , т. кип. 113°/15 мм, т. пл. 96°. Так же получены II, R = CH_3 , R' = C_2H_5 (т. кип. 117—120°), II, R = R' = $n\text{-C}_3\text{H}_7$ (CH_3ONa в CH_3OH , $\text{C}_2\text{H}_2\text{N}_2$, 2:1, 15 ат, 95°) (147—160°/13 мм, т. пл. 124—125°), и II, R, R' = C_6H_{11} -цикло, 79—80°/18 мм, т. пл. 32°, и IV, R, R' = C_6H_{11} -цикло, 185—193°/16 мм, т. пл. 112—113°. И. Котляревский

4507. Этилирование. IV. Ренне (Athinylierung. IV. Renne Walter), Liebigs Ann. Chem., 1955, 596, 38—79 (нем.)

α -Алкинолы (I) гидрируются до алканолов или α -алкенолов (II). На Fe, полученном нагреванием $\text{Fe}(\text{CO})_5$, $\text{HC}\equiv\text{CCH}_2\text{OH}$ (III) дает $\text{H}_2\text{C}=\text{CHCH}_2\text{OH}$ и $\text{C}_3\text{H}_7\text{OH}$, а его гомологи гидрируются только до II. Над Pd при pH 2—6 I образуют $\text{C}_2\text{H}_5\text{CHO}$ или метилкетоны. $\text{HOCH}_2\text{C}\equiv\text{CCH}_2\text{OH}$ (IV) гидрируется в $\text{HO}(\text{CH}_2)_2\text{OH}$ (V) или в $\text{HOCH}_2\text{CH}=\text{CHCH}_2\text{OH}$ (VI), или в $\text{C}_2\text{H}_5\text{OH}$; при непрерывном процессе гидрирования IV в V применяют Ni/кизельгур с добавкой Cr_2O_3 или MnO. При 150—200° IV гидрируется в $\text{C}_4\text{H}_9\text{OH}$ на Si, нанесенной на дегидрирующие носители. Гомологи IV легко гидрируются до замещ. V, а при повышенных т-рах — до одноатомных спиртов и кетонров. IV и V гидрируют над Ni, Pt, Pd или Si- Cr_2O_3 с примесью H_3PO_4 , H_3BO_3 , Na_2HPO_4 или пиперидина или с добавкой 3—5% CO к H_2 . Гомологи IV гидрируются при 100° и 200 ат на Fe до алкенидиолов. I гидрируются в α -оксикетоны, а с низшими спиртами дают 2,5-диалкокси-2,5-диметил-1,4-диоксаны. Перегруппировка I и дегидратация α -оксикетонов дает непредельные кетоны. Эфиры γ -алкиндиолов гидратируются в эфиры γ -алкандиолов. γ -Алкиндиолы изомеризуются (Hg^{2+}) в оксиметилвинилкетоны, которые легко присоединяют воду, спирты, к-ты и амины. Гидратация IV в воде дает $\text{HOCH}_2\text{CO}(\text{CH}_2)_2\text{OH}$ (VII), в разб. спиртах — 4-алкоксибутанол-1-оны-2, а в абс. спиртах — ацетали 2,5-дикетодиоксана-1,4. Сложные эфиры VII получают при этерификации VII или при присоединении воды к сложным эфирам IV либо, присоединения к-ту к $\text{HOCH}_2\text{COCH}=\text{CH}_2$ (VIII); моноэфиры VIII получают отщеплением при нагревании 1 молекулы к-ты от диэфиров VII. Продукты гидратации I и γ -алкиндиолов в мягких условиях окисляются в замещ. глиоксали. Если VII окислят CuSO_4 в присутствии NH_3 и HCHO , то получают β -оксалимидазол, который далее превращают в гистамин. Двувторичные γ -алкиндиолы изомеризуются в α -дикетоны; из γ -алкиндиолов и спиртов образуются эфиры α -оксикислот. В присутствии Hg^{2+} III

присоединяет HCl (т-ра до 85°), образуя $\text{CH}_2=\text{CHClCH}_2\text{OH}$; кипячение III, IV и $(\text{CH}_3)_2\text{C}(\text{OH})\text{C}\equiv\text{CH}$ с водн. NaHSO_3 дает Na-соли пропанол-4-дисульфокислоты-2,3, бутандиол-1,4-дисульфокислоты-2,3 и 2-метилбутанол-2-дисульфокислоты-3,4. I дают обычные р-ции OH-группы и окисляются (CuCl , O_2 воздуха) в алкенидиолы, при окислении смеси I получают симметричные и несимметричные диацетилены. Эфиры I и IV с $\text{C}_6\text{H}_5\text{SO}_3\text{H}$ или $n\text{-CH}_3\text{C}_6\text{H}_4\text{SO}_3\text{H}$ (ТСК) служат для обменной р-ции с AgOH и ароматич. аминами. С эквивалентным кол-вом SOCl_2 IV дает $\text{OSO}-\text{O}-\text{CH}_2\text{C}\equiv\text{CH}_2$.

$\text{OSO}-\text{OCH}_2\text{C}\equiv\text{CH}_2$, т. пл. 196—197°, а с избытком

$\text{SOCl}_2 - \text{ClCH}_2\text{C}\equiv\text{CCH}_2\text{Cl}$, где атомы Cl подвижны. Водн. р-р $\text{HC}\equiv\text{CCH}(\text{OH})\text{CH}_3$ гидрируют над Fe (50°, 100 ат) до $\text{H}_2\text{C}=\text{CHCH}(\text{OH})\text{CH}_3$, т. кип. 97°; азеотроп с водой, т. кип. 85—86°. Так же получены $\text{H}_2\text{C}=\text{CHC}(\text{CH}_3)_2\text{OH}$, т. кип. 99°, $\text{H}_2\text{C}=\text{CHC}(\text{C}_2\text{H}_5)(\text{CH}_3)\text{OH}$, т. кип. 118°, и 1-винилциклогексанол-1, т. кип. 77°/20 мм, т. пл. 4°. 200 г $\text{HC}\equiv\text{CC}(\text{CH}_3)_2\text{OH}$ (5 г Ni, 50 ат, затем 200 ат, 80°) дали 185 г $\text{C}_2\text{H}_5\text{C}(\text{CH}_3)_2\text{OH}$, т. кип. 102°; так же получены $(\text{C}_2\text{H}_5)_2\text{C}(\text{CH}_3)\text{OH}$, т. кип. 124°, и 1-этилциклогексанол-1, т. кип. 93°/40 мм, 0,5 кг кизельгура (3% Fe и 0,6% сульфатной S) пропитывают 5 г $\text{PdCl}_2 \cdot 2\text{H}_2\text{O}$ в 0,2 л воды, упаривают, восстанавливают H_2 при 200°. Через 100 мл этого контакта пропускают 50 г водн. III (70%), 40 л H_2 (105°), получают $\text{C}_2\text{H}_5\text{CHO}$, 1,5 кг 30%-ного IV гидрируют с 50 г Ni (40—60°, 200 ат), получают 500 г V; бис-уретан, т. пл. 198—200°. V, параформ и FeCl_3 (4 часа, 100°) дают $\text{CH}_2(\text{CH}_3)_2$.

OCH_2O , т. кип. 117°. Гидрированием алкиндиолов над

Fe получены: VI (диацетат, т. кип. 108—110°/13 мм; ацеталь $\text{C}_6\text{H}_5\text{O}_2$, т. кип. 126°, аддукт с антраценом (т-ра р-ции 250°), $\text{C}_{18}\text{H}_{18}\text{O}_2$, т. пл. 221°, его диацетат, т. пл. 135°, $\text{CH}_3\text{CHONCH}=\text{CHCHONCH}_3$ (т. кип. 109—111°/6 мм; аддукт с антраценом, $\text{C}_{20}\text{H}_{22}\text{O}_2$, т. пл. 213°, $(\text{CH}_3)_2\text{C}(\text{OH})\text{CH}=\text{CHC}(\text{CH}_3)_2\text{OH}$, т. кип. 120—122°/20 мм, т. пл. 77°. Гидрированием над Ni получены $\text{HO}(\text{CH}_2)_2\text{CHONCH}_3$ (125—128°/15 мм, 104°/1,5 мм), $\text{CH}_3\text{CHON}(\text{CH}_3)_2$, CHONCH_3 (диацетат, 114°/15 мм), $(\text{CH}_3)_2\text{CON}(\text{CH}_3)_2$, $\text{C}(\text{CH}_3)_2\text{OH}$ 117—118°/15 мм, т. пл. 91°, 1,2-ди-(1'-оксидициклогексил)-этан, 145°/2 мм, т. пл. 128—130°. Бис-оксидициклогексилдиэтилен в CH_3OH дает (Pd/кизельгур, 20°, давление) 1,2-ди-(1'-оксидициклогексил)-этилен, т. пл. 154°. 1,5 кг 30%-ного III, 50 г HgSO_4 и 5 г конц. H_2SO_4 при 70° дают 350 г $\text{CH}_3\text{COCH}_2\text{OH}$, 49—51°/15 мм. К кипящей смеси 5 г HgO , 2 г $\text{BF}_3 \cdot (\text{C}_2\text{H}_5)_2\text{O}$ и 66 г CH_3OH прибавляют 56 г III; выход 2,5-диметил-2,5-диметокси-1,4-диоксана 55 г, т. пл. 126—128°. 2,5-диметил-2,5-диэтокси-1,4-диоксан, т. пл. 73—74°. 105 г $\text{HC}\equiv\text{CCH}_2\text{OCH}_3$, 3,5 г HgSO_4 и 70 мл воды (кипение) дали 400 г $\text{CH}_3\text{COCH}_2\text{OCH}_3$, т. кип. 114—116°. При 130 мм в колбу подают $\text{HC}\equiv\text{CCHONCH}_3$ с водой и 3—5% HgSO_4 воду отгоняют с 2,5-диметил-ТГФ и получают ацетон, 100 г $\text{CH}_3\text{OCH}_2\text{C}\equiv\text{CCH}_2\text{OCH}_3$ и 32 г HgSO_4 в 0,4 л воды (1 час, 80°) дали $\text{CH}_3\text{OCH}_2\text{CO}(\text{CH}_2)_2\text{OCH}_3$ (83—85°/17 мм). Смесь 5 г HgO , 1,5 г CCl_3COOH , 5 г $\text{BF}_3 \cdot (\text{C}_2\text{H}_5)_2\text{O}$ (60°) вносят в 100 г IV в 400 г этилацетата (кипятят 1 час, вакуум, 45°), нейтрализуют Na_2CO_3 , получают 20 г VIII, т. кип. 45°/10 мм. 172 г IV, 1,5 л воды, 9 г HgSO_4 и 20 г конц. H_2SO_4 (50—60 час., 30°) дали 120 г VII, 108—110°/0,5 мм. Выход VII из VIII (10%-ный р-р VIII изомеризуют конц. H_2SO_4 при 30°) 65%. Кипячение VII с $(\text{CH}_3\text{CO})_2\text{O}$ дает $\text{CH}_3\text{COOCH}_2\text{COCH}=\text{CH}_2$ (81°/12 мм, полимеризуется), который с $n\text{-C}_6\text{H}_5\text{CH}_2\text{NHC}_6\text{H}_5\text{OH}$ образует 2-ацетоксиацетил-6-ацетоксиметил-2,3-дигидропиран, т. кип. 171°/1 мм, т. пл. 49°. IV в CH_3OH выдерживают с $\text{HgO} + \text{BF}_3 \cdot (\text{C}_2\text{H}_5)_2\text{O}$ при 30°, образовавшийся 2,5-диметокси-2,5-бис-(β -метоксипропил)-1,4-диоксан, т. пл. 82°, нагревают с 0,5 л 1%-ной H_2SO_4 , нейтрализуют и

получают $\text{CH}_3\text{O}(\text{CH}_2)_2\text{COSH}_2\text{OH}$, 84—87°/7 мм. $\text{C}_2\text{H}_5\text{O}(\text{CH}_2)_2\text{COSH}_2\text{OH}$, 104—106°/16 мм; *изо*- $\text{C}_3\text{H}_7\text{O}(\text{CH}_2)_2\text{COSH}_2\text{OH}$, 94°/5 мм. Гидратацией 165 г гексин-3-диола-2,5 (IX) р-ром $\text{HgSO}_4 + 25$ г конц. H_2SO_4 в 0,9 л воды (24 часа, 25°) получают $\text{CH}_3\text{CHONHCOCH}_2\text{CHONHCH}_3$, 96—98°/2 мм. Из $\text{CH}_3\text{CHONHCOCH}_2\text{CHONHCH}_3$ в воде (60°/130 мм) получен $\text{CH}_3\text{CH}=\text{NHCOSH}_2\text{OH}$ или $\text{CH}_2=\text{NHCOSH}_2\text{CH}_2\text{OH}$, т. кип. 75°/18 мм. Из 200 г IX, 0,8 л воды, 10 г HgSO_4 и 60 г 17%-ной H_2SO_4 (30—35°, 8 час.), получают 140 г гексен-2-ол-5-она-4, 48°/2 мм. 25%-ный III пропускают (330°, 80 мм/час) над $\text{Cu/Cr}_2\text{O}_3/\text{SiO}_2$ (20:2:78), восстановленный H_2 при 200—250°, выход акролеина 63%. $\text{HC}\equiv\text{SSONHCH}_3$ над графитом, обработанным 6% H_3PO_4 и 50% NaH_2PO_4 (280—300°), дает 50% $\text{C}_3\text{H}_5\text{COSH}=\text{CH}_2$. 1-этинилциклогексанол-1 кипятят с 40%-ной H_2SO_4 ; 1-ацетилциклогексен-1, т. кип. 73—75°/10 мм. Гидрирование водн. ацетонна (Ni , 20°, 200 ат) дает бутандиол-2,3 (т. кип. 179°), а водн. $\text{HOCH}_2\text{COOH}=\text{CH}_2-\text{HOCH}_2\text{CHONHC}_2\text{H}_5$ (X), т. кип. 191°, 96—97°/10 мм; диацетат, 85—90°/2 мм. X получен также из водн. VII (Ni , 100 ат H_2 , 150°). VII (60—100°, 200 ат H_2) дает $\text{HOCH}_2\text{CHON}(\text{CH}_2)_2\text{OH}$ (130—131°/1 мм); ацеталь, $\text{C}_6\text{H}_{11}\text{O}_3$, т. кип. 198—199°, 67—68°/0,1 мм. Гександиол-2,3-он-3 ($\text{Ni}-\text{Cr}_2\text{O}_3$, 100°, 200 ат) дает гександиол-2,3 (102°/0,7—0,8 мм) и немного гександитриола-2,3,5 (140—150°/0,7 мм). При гидрировании (40—120°, давление) $\text{RO}(\text{CH}_2)_2\text{COSH}_2\text{OH}$ на Ni получены $\text{RO}(\text{CH}_2)_2\text{CHONHCH}_2\text{OH}$ (R, т. кип. в °C/мм): CH_3 , 116/12; C_2H_5 , 122/10; *изо*- C_3H_7 , 126—127/10 и *трет*- C_4H_9 , 110—111/4. Из $\text{C}_2\text{H}_5\text{CHONHCH}_2\text{OH}$ и TSK (160°) получено немного $\text{C}_3\text{H}_7\text{CHNO}$, 2,5-диол-1,4-диоксан (62°/2,1 мм). От смеси бутандиола-2,3 или бутандитриола-1,2,4, TSK и KHSO_4 отгоняют 2,3,5,6-тетраметил-1,4-диоксан (т. кип. 138—139°) или 2,5-ди- β -оксэтилдиоксан, 50%, 90°/20 мм. К водн. р-ру 3,8 г FeSO_4 , 41,4 г $\text{Fe}_2(\text{SO}_4)_3$, 0,15 г HgSO_4 и 1,2 г H_2SO_4 добавляют 75 г бутин-1-ола-3, отгоняя диацетил (20 ат). Перегонкой водн. р-ра $(\text{CH}_3)_2\text{CONH}\equiv\text{SSON}(\text{CH}_3)_2$, H_2PO_4 , HgSO_4 получают гександион-2,3 (82—85°/150 мм); диоксим, т. пл. 173°; Ni -диоксим, т. пл. 158—160°, и немного 2,5-диметил-3-кетофуранидина (94—95°/150 мм); семикарбазон (СК), т. пл. 168—171°. Смесь IV, $(\text{CH}_3\text{OH})_2$ и HgCl_2 (135°) образует *бис*-этиленацеталь $\text{C}_2\text{H}_5\text{COSHCHO}$, 100—105°/12 мм, который гидролизуетс 1%-ной H_2SO_4 при 90°; моноэтиленацеталь $\text{C}_2\text{H}_5\text{COSHCHO}$, 90—85°/12 мм. 0,5 кг CuSO_4 , 4 л 10%-ного NH_3 , 0,3 л формалина и 104 г VII нагревают (80°, 2 часа), осадок разлагают в воде H_2S , получают β -оксиэтилимидазол, 170—175°/1 мм (пикрат, т. пл. 144°), который обрабатывают SOCl_2 и спирт. NH_3 , получая гистамин-2HCl, т. пл. 236—238°; дипикрат, т. пл. 144°. Нагреванием IV с RON и ZnCO_3 (3 часа, 200°) получены $\text{C}_2\text{H}_5\text{CHONHCOOR}$ (R, т. кип. в °C/мм): CH_3 , 68/30; C_2H_5 , 167—169; *n*- C_4H_9 , 200—202; $\text{CH}_2=\text{CHCH}_2$, 85—86/20; $\text{C}_6\text{H}_5\text{CH}_2$, 170—175/33; C_6H_{11} -цикло, 145—150/37. Смесь 36,5 г CuCl , 120 г NH_4Cl , 440 г 14%-ного III перемешивают при 0° с O_2 , добавляют по мере поглощения O_2 83%-ный III — всего 580 г, подкисляют HCl и извлекают эфиром 430 г гександиин-2,4-диола-1,6 (XI), т. пл. 111—112°, гидрируется (Ni , 20°, 200 ат) в $\text{CH}_2\text{OH}(\text{CH}_2)_2\text{CH}_2\text{OH}$, т. кип. 143°/13 мм, т. пл. 41,5°. Аналогично XI получены: из бутин-1-ола-3 — смесь стереоизомеров октадиин-3,5-диола-2,7, т. пл. 69—90° (чистые изомеры, т. пл. 68—109), из $\text{CH}_2=\text{CHC}\equiv\text{CH}$ — октадиин-3,5-диен-1,7 (40°/3 мм), из $\text{HC}\equiv\text{SSCH}_2\text{CH}(\text{CH}_3)\text{COOH}$ — декадиин-4,6-дикислоту-1,10 (т. разл. >220°), из $\text{CH}_2=\text{CHC}\equiv\text{CH}$ и $(\text{CH}_3)_2\text{C}(\text{OH})\equiv\text{CH}$ — 2-метилоктадиин-3,5-ен-7-ол-2, т. кип. 75°/3 мм. Прибавляя при —20° к 600 мл 24%-ного III 102 г $(\text{CH}_3\text{CO})_2\text{O}$ и 114 мл NaOH, получают 70 г ацетата III, т. кип. 110—112°. Так же получают ацетат бутин-1-ола-3, т. кип. 124—126°, ацетат пентин-1-ола-3 (с $(\text{CH}_3\text{CO})_2\text{O}$ и TSK, 75°), т. кип. 139—140°. Получены эфиры III и к-т (к-та, т. кип. эфира °C/мм): H_2CO_3 , 97/20; $\text{HOOC}(\text{CH}_2)_2\text{COOH}$, 100/20.

142—145/4; C_6H_5COOH , 102—107/9; $n\text{-NO}_2C_6H_4COOH$, т. пл. 88—90°; $C_6H_5SO_3H$, 140—142/2 (XII); ТСК, 161—162°/5 (XIII). Эфиры $HC\equiv CCH_2OR$ (R, т. кип. °C/мм): CH_3 , 65; $CNCH_2CH_2$, 101—104/13; C_6H_5 , 81—83/10; $o\text{-NO}_2C_6H_4$, т. пл. 78—79°; $n\text{-NO}_2C_6H_4$, т. пл. 118—120°; $o\text{-NH}_2C_6H_4$, 115—119/2 (обменной) р-цией XII с $o\text{-CH}_3CONHC_6H_4OH$, 90°, р-р NaOH); $n\text{-CH}_3CONHC_6H_4$, т. пл. 109—111°; $n\text{-NH}_2C_6H_4$, 118—120/4 (дает с 1-фенил-3-метилпиразолоном-5 азокраску $C_{19}H_{16}O_2N_4$); $o\text{-ONSC}_6H_4$, т. пл. 72—74° (обменная р-ция XIII с $o\text{-ONHSC}_6H_4OH$); $n\text{-HOOCSC}_6H_4$, т. пл. 212—214° (через XIII); $\beta\text{-C}_{10}H_{17}$, т. пл. 64—66° (через XIII). Эфир III с $n\text{-HOSC}_6H_4OH$, т. кип. 121—124°/13 мм. Эфир III с $O(CH_2CH_2O)_2$, $C_7H_{12}O_2$, т. кип. 79—80°/14,5 мм. Аналогично эфирам III получают: $C_6H_5COOCH(CH_3)C\equiv CH$, т. пл. 27—29°; $n\text{-CH}_3C_6H_4SO_3CH(CH_3)C\equiv CH$, т. пл. 58—60°; диацетат IV, 106°/3 мм, диметилловый эфир IV, 58°/14 мм (из IV и $(CH_3)_2SO_4$); монометилловый эфир IV, 106°/30 мм (из IV и CH_3OSO_3H , 80°); диметилловый эфир IX, 86—88/19 мм. K 93 г $C_6H_5NH_2$ добавляют 196 г XII, охлаждая льдом, 100 мл ацетона, из р-ра отгоняют с паром N,N-дипропаргиланилин (XIV), который очищают ацидированием $(CH_3CO)_2O$, ацетат разлагают разб. HCl, и получают XIV, 94—96°/4 мм. 32 г $C_6H_5NHCH_3$ и 63 г XIII (без охлаждения, р-р NaCO₃) дают (очистка как у XIV) N-пропаргил-N-метиланилин (XV), 80—83°/4 мм, т. пл. 35—36°. Так же, как XV получены N-метил-N-бутил-1-ил-3-анилин, 76—78°/1 мм, N-пропаргил-N-β-оксипропиламин, 135—137°/2 мм, N-бутил-1-ил-3-N-β-оксипропиламин, 137—140°/3 мм. 344 г IV и 1,2 кг $SOCl_2$ (10—15° 12 час., затем 80°) дают 370 г $ClCH_2C\equiv CCH_2Cl$ (XVI), 65—66°/16 мм. Выше 100° взрывает. Так же получают 2,5-дихлор-2,5-диметилгексин-3, 60—70°/11 мм. 430 г пирролидина и 123 г XVI (3 часа, 20°) образуют 170 г 1,4-бис-пирролидиллбутина-2, 116—116,5°/2,5 мм. Пиперидин и XVI (60—70°, 4 час, подщелачивание) дали 1,4-бис-пиперидиллбутин-2, 160—161°/5 мм.

И. Котляревский

4508. Этинилирование. V. Реппе (Äthinylierung. V. Reppe Walter), Liebigs Ann. Chem. 1955, 596, 80—158 (нем.)

Бутандиол-1,4 (I) дегидрируется через стадию тетрагидрофурана (ТГФ) в бутadiен-1,3 (II). Первая стадия протекает на Al_2O_3 , Cr_2O_3 , СаНРО_3 (на Al_2O_3 возможен распад на C_2H_6 и CH_2O). Р-ция $\text{I} \rightarrow \text{ТГФ}$ проводится в жидкой фазе при нагревании с к-тами (H_3PO_4 , H_2SO_4 , $(\text{COOH})_2$ и др.) или при pH 5, под давлением при 250° (катализаторы — окисл Al, Ti, Zr, W, Mo, гетерополикислоты, металлич. Cu и Ni). Дегидратации может подвергаться 30%-ный р-р I (без примесей соединений металлов I и II групп). Также дегидрируются гомологи I — бутен-2-диол-1,4 (III) в 2,5-дигидрофуран (IV), бутантриол-1,2,4 (V) и его гомологи в гомологи 3-оксн-ТГФ (VI). Превращения $\text{ТГФ} \rightarrow \text{II}$ и $\text{I} \rightarrow \text{II}$ проводятся на фосфатном катализаторе. При хлорирования ТГФ получают 2,3- Cl_2 -ТГФ (VII) и 2-(4'-хлорбутоксн)-3-хлор-ТГФ (VIII). VII хлорируется при 100° в смесь полихлорфуранидинов (напр., гексахлор-ТГФ, т. пл. 40°). Атом Cl во 2-м положении VII легко замещается; VIII присоединяет в присутствии SnCl_4 ($40-80^\circ$) олефины и ацетилены, образуя, напр., 2-(2'-хлорктил)- и 2-(2'-хлордодецил)-3-хлор-ТГФ или соединения вида $\text{O}(\text{CH}_2)_2\text{CHClCHCR}=\text{CRCl}$, VII конден-

сируется с C_6H_6 и $C_{10}H_8$ и дает $2-C_6H_5-3-Cl-TGF$ (IX) и $2-(1'-нафтил)-3-хлор-TGF$ (X). Мочевина и тиомочевина образуют с VII 2-амино-5-(2'-оксиптил)-оксазол (XI) или -тиазол (XII). Под действием HCl , $SOCl_2$, SCl_2 галоидоангидридов к-т цикл VII раскрывается, и образуются производные бутана, напр., $Cl(CH_2)_4Cl$ (XIII) и $O[(CH_2)_4Cl]_2$ (XIV). При пропускании HCN и TGF или IV над Al_2O_3 при 400° получается смесь $CH_2=$

$=\text{CH}(\text{CH}_2)_2\text{CN}$ (т. кип. 140—142) и $\text{C}_6\text{H}_5\text{N}$. Оба атома Cl в XIII обмениваются на RO-группы при р-ции с алколатами или фенолятами: с $\text{C}_6\text{H}_5\text{ONa}$ при 150° образуется $\text{C}_6\text{H}_5\text{O}(\text{CH}_2)_2\text{OC}_6\text{H}_5$, т. пл. 97—98°. С KCN или NaCN XIII образует δ-хлорвалеронитрил (XV) или $\text{CN}(\text{CH}_2)_4\text{CN}$, выход которого снижается в присутствии Na_2CO_3 за счет образования 1-циан-2-циклопентанонимина. XV дает при гидролизе δ-валеролактон (XVI), гидрируется (100 ат, 70°) в присутствии NH_3 в пиперидин, образует с аминами δ-аминовалеронитрилы, с NaNH_2 — циклобутилцианид. XVI с NaCN дает $\text{CN}(\text{CH}_2)_4\text{COOH}$, при гидрировании эфиров которой в присутствии NH_3 получается ε-капролактон. XIV вступает в р-цию обмена, замещая Cl на группы OH, SH, NH_2 , CN, образует диафиры алифатич. к-т, превращается по Вюрцу (100°, в C_6H_6) в полиоктандиоловый-1,8 эфир, который окисляется HNO_3 в пробковую к-ту. Р-ция III или IV с SOCl_2 и ZnCl_2 дает $\text{XCH}_2\text{CH}=\text{CHCH}_2\text{X}$ (XVII), где X = Cl (XVIIa); XVII хлорируется при —10° в 1,2,3,3-тетрахлорбутан (т. кип. 203—206°, 92—93°/18 мм) с примесью 1,2,3,4-тетрахлорбутана (т. кип. 130—140°/50 мм, т. пл. 73°). Последний образуется рядом с 1,2, 2,4-тетрахлорбутаном (т. кип. 86—88°/8 мм) и пентахлорбутаном (т. кип. 102°/7 мм) при обработке XVII SO_2Cl_2 (80°, примесь $(\text{C}_6\text{H}_5\text{COO})_2$). Обменными р-циями XVII получены XVIII, где R = OAlk, CN, NAlk, SO_3Na . С избытком III из XVIII образуется (NaOH , 120°) $\text{HO}(\text{CH}_2\text{CH}=\text{CHCH}_2\text{O})_3\text{H}$ (диацетат, т. кип. 178—182°/1 мм) или $\text{OCH}_2\text{CH}=\text{CHCH}_2\text{OCH}_2\text{CH}=\text{CHCH}_2$

(XVIII). Хлорирование IV в CHCl_3 (т-ра < 10°) дает 3,4- Cl_2 -ТГФ (т. кип. 156°, 59—61°/14 мм), а в водн. среде (0°, CaCO_3) — 3- Cl -4-НО-ТГФ (XIX); XIX с щелочами дает 3,4-оксидо-ТГФ (XX), легко превращающийся в различные $\text{OCH}_2\text{CH}=\text{CHCH}_2\text{OCH}_2\text{CH}=\text{CHCH}_2$ (XXI). Полученный из

XVIIa 1,2,4-трихлорбутанол-3 (XXII) аналогично XIX переводит в оксидохлорбутан, т. кип. 68—71°/3 мм, строение не установлено), а из $\text{ClCH}_2(\text{CHON})_2\text{CH}_2\text{Cl}$ и NaOH (кипение в ТГФ) получают двуокись бутандиена (т. кип. 50—51°/23 мм). Монокисл бутандиена получена из 1-хлор-3,4-оксидобутана (XXIII) — продукта дегидрохлорирования $\text{ClCH}_2\text{CHONCH}_2\text{CH}_2\text{Cl}$. I и ТГФ и их производные образуют с аминами соединения $\text{CH}_2(\text{CH}_2)_3\text{NR}$ (XXIV), бутиндиол и NH_3 — пиррол (над

$\text{ThO}_2/\text{Al}_2\text{O}_3$), а тетрагидропиран — соединения ряда пиперидина. Исследованы р-ции замещения, дегидрирования и восстановительного расщепления XXIV, R = H. (XXIVa). Изучено окисление ТГФ и IV в жидкой и газовой фазе в производные янтарной (XXV) и малеиновой к-т. Пиролизом ангидрида XXV (200°, добавка $\text{C}_6\text{H}_5\text{COONa}$) получен дилактон γ-кетопимелиновой к-ты $\text{OOC}(\text{CH}_2)_2\text{C}(\text{CH}_2)_2\text{COO}$ (XXVI), т. кип.

170°/1 мм. Изучено также гидроксילирование алкенолов, алкендиолов и производных IV в многоатомные спирты, конденсация Фриделя — Крафта с участием ТГФ, XIII, XVIIa. I превращают в ТГФ с колич. выходом: а) с 10%-80%-ной H_3PO_4 , б) проведением над Cr_2O_3 , 300—325°, объемная скорость (ОС) 0,077 час⁻¹, в) нагреванием 540 г 35%-ной водн. I с 2 г H_3PO_4 + 2 г NH_4Cl 10 час. 280°. Азеотроп II с 5% воды, т. кип. 66°. 250 г пентандиола-1,4 перегоняют при 160° с 1 г H_3PO_4 и 1 г конц. H_2SO_4 , выход 2- CH_3 -ТГФ 80%. 300 г гександиола-2,5 кипятят 30 мин. с 30 г $\text{K}_2\text{S}_2\text{O}_7$, получают 220 г 2,5-(CH_3)₂-ТГФ, азеотроп с 13% воды, т. кип. 78°. 100 мл 20%-ного водн. 2,5-диметилгександиола-2,5 кипятят 2 часа с 5 г 89%-ной H_3PO_4 или 10 г $\text{K}_2\text{S}_2\text{O}_7$, получают 15 г 2,2,5,5-(CH_3)₄-ТГФ. Смесь 120 г 1,2-ди-(1'-оксициклогексил)-этана и 2 мл 25%-ной H_2SO_4 перегоняют при 150°/10 мм, получают 85 г 2,2,5,5-бис-

(пентаметилен)-ТГФ, т. кип. 93—95°/2 мм. 80%-ный водн. I пропускают над контактом (K) (100 г NaH_2PO_4 + 40 г H_2O + 8 г $n\text{-C}_4\text{H}_9\text{OPO}(\text{OH})_2$ + 20 г графита нагревают до 160°) при 300—350°, ОС 0,1 час⁻¹; выход II 98%. Выход II из 60%-ного ТГФ (280°, ОС 0,25 час⁻¹, $\text{C}_4\text{H}_9\text{OPO}(\text{OH})_2$ в K заменен на H_3PO_4), 90%. IV получают: а) перегоняя 50 г III с 2 г 20%-ной H_2SO_4 при 18 мм и 125—130° (баня), выход 17 г, т. кип. 63,5°, дает азеотроп с 7,5% воды; б) перегонкой при 140° III в токе HCl; дегидратацией III на Al_2O_3 (250°, ОС ~ 1 час⁻¹). Аддукт IV с антраценом (т-ра р-ции 220°), $\text{C}_{18}\text{H}_{16}\text{O}$, т. пл. 180°; в) аддукт с 9,10-дихлорантраценом (220°), $\text{C}_{18}\text{H}_{14}\text{OCl}_2$, т. пл. 165°. Из гексен-3-диола-2,3 (HCl-газ, 90°) получают 2,5-диметилдигидрофуран т. кип. 90—93°. 1,2-ди-(1'-оксициклогексил)-этилен с 1—3 мл 25%-ной H_2SO_4 (вакуум, 130°) дает 2,2,5,5-бис-(пентаметилен)-дигидрофуран, т. кип. 123—125°/16 мм. 320 г V насыщают при 50° HCl-газом и отгоняют в вакууме 250 г VI т. кип. 183°/740 мм, 93—95°/20 мм; аддукт, т. кип. 64°/12 мм; 3-тетрагидрофурилуретан (и VI, COCl_2 и NH_3), т. пл. 91°; N-фенил-3-тетрагидрофурилуретан, т. пл. 112°, гексаметилен-бис-(3'-тетрагидрофурилуретан), т. пл. 113°. 176 г VI и 1 г Na перемешивают при 30° с 125 г $\text{CH}_2=\text{CHCN}$, подкисляют H_3PO_4 и отгоняют 150 г β-(3-тетрагидрофурил)-оксипропионитрила, 108—110°/2 мм. K 70 г пентандиола-1,3,4 и 0,7 г конц. H_2SO_4 при 150°/вакуум добавляют по 100 г триола в час, отгоняя 3-НО-5- CH_3 -ТГФ, т. кип. 183°, 90—91°/20 мм. В 800 г VII при 15—25° подают Cl_2 и за 8 час. 1,2 кг ТГФ, выход VII 3 кг, т. кип. 62°/20 мм. Смесь 156 г ТГФ и 280 г VII насыщают HCl-газом, выход VIII 100%, т. кип. 153°/24 мм. VII обрабатывают водой с CaCO_3 при 20°, т-ра кипения $\text{O}(\text{CH}_2)_2\text{CHClCH}_2\text{R}$ (XXVII), R = OH (XXVIIa)

92—95°/13 мм, 105—106°/21 мм, и побочное в-во — бис-(3'-хлортетрагидрофуриловый) эфир, т. кип. 106°/0,6 мм. Нагреванием VII со спиртами получены эфиры XXVIIa: метиловый, т. кип. 150°, 50—51°/14 мм; этиловый, 60—62°/17 мм; n-бутиловый, 86—88°/15 мм; n-додециловый, 166—167°/1,2 мм; β-оксизтиловый, 127—130°/12 мм (и 1,2-этилен-бис-(3'-хлортетрагидрофуриловый-2') эфир, 140—145°/1 мм), диэфир XXVIIa и I, 168—169°/0,8 мм; моноэфир XXVIIa и I, 135°/0,5 мм; триэфир XXVIIa и глицерина, 205°/0,4 мм; триэфир V и XXVIIa, 150—180°/4 мм. Кипячением VII и лед. CH_3COOH получают ацетат XXVIIa, 110—115°/25 мм. VII нагревают (3 часа, 100°) с 40%-ным NaHSO_4 , р-р упаривают в вакууме, получают Na-соль хлортетрагидрофурансульфокислоты. 140 г VII и 120 г CuCN нагревают (100°) и отгоняют с паром XXVII, R = CN, т. кип. 97—99°/21 мм; XXVII, R = COOH, т. пл. 91°. XXVII, R = COOC_2H_5 , 100—106°/17 мм. В р-р 280 г VII в 1 л C_6H_6 пропускают BF_3 (5—10°), выход IX 154 г, т. кип. 123—132°/10 мм; с нафталином и AlCl_3 получают X, т. кип. 171—173°/0,5 мм. 141 г VII кипятят 4 часа с 76 г $(\text{NH}_2)_2\text{CS}$ и 0,4 мл воды и нейтрализуют NaOH, выход XII 110 г, т. пл. 98,5°; монохлоргидрат, т. пл. 227°; моноацетат, т. пл. 209°; диацетат, т. пл. 163—164°. VII и $(\text{NH}_2)_2\text{CO}$ дали хлоргидрат XI, т. пл. 207°; XI, т. пл. 132—133° (из сп.). При хлорировании 2- CH_3 -ТГФ + 1% J_2 при 30—40° получают трихлорметил-ТГФ, т. кип. 110—112°/19 мм. ТГФ насыщают на холоду HCl-газом, через 48 час. получают 85% $\text{Cl}(\text{CH}_2)_4\text{OH}$, т. кип. 76—78°/15 мм. Смесь 360 г ТГФ, 10 г ZnCl_2 и 650 г SOCl_2 нагревают до 130°, выход XIII 560 г, т. кип. 55—56°/19 мм. 870 г ТГФ и 60 г H_2SO_4 нагревают с 750 г SOCl_2 15 час. при 65—85°, добавляют 100 г SOCl_2 , нагревают до 110°, получают 970 г XIV, т. кип. 125—128°/12 мм, и 94 г XIII. Смесь 1152 г ТГФ, 15 г H_2SO_4 и 1 кг SOCl_2 кипятят 72 часа, получают 550 г XIV и 270 г $(\text{CH}_2)_4\text{O}(\text{CH}_2)_4\text{Cl}_2$, т. кип. 144—

147°/0,6 мм. Нагреванием 95 г 3-С₂H₅O-ТГФ с 5 г ZnCl₂ и 120 г SOCl₂ до 80–90° получают 75 г ClCH₂CH(OC₂H₅)(CH₂)₂Cl, т. кип. 65–80°/8 мм, и 23 г 4,4-дихлор-2,2'-(3,3')-диэтоксидибутилового эфира, 140–145°/0,1 мм. Аналогично получены ClCH₂CH(OCN₂)(CH₂)₂Cl, 67°/8,5 мм, и 4,4'-дихлор-2,2'-(3,3')-диметоксидибутилового эфира. 258 г 2-СН₃-ТГФ и 12 г ZnCl₂ кипятят с 400 г SOCl₂, получают 220 г Cl(CH₂)₃CHClCH₃, 53–54°/11 мм, и O(CH₂CHClCH₂)₃, 125–140°/10 мм. Также получены ClCH₂CH(CH₃)(CH₂)₂Cl, 46–66°/8–9 мм, и дихлордиметилдибутилового эфира, 125–138°/8–10 мм. Из 2,5-(СН₃)₂-ТГФ получен СН₃CHCl(CH₂)₂CHClCH₃, т. кип. 170–172°, 59–62°/9–8 мм, из тетрагидропирана — Cl(CH₂)₄Cl, 75–76°/16 мм. Из IV получен XVIIIа, т. кип. 145°, 48–51°/11 мм, едкое в-во. Из III, насыщ. HCl при 40°, образуются XVIIа и 4-хлорбутен-2-ол-1; в р-ре С₆H₆ (80°) — только последний (т. кип. 75–76°/10 мм). 216 г ТГФ 10 мл воды и 490 г Br₂ (60–70°, 4 часа) дают 500 г Br(CH₂)₄Br, 90–93°/23 мм. Из тетрагидропирана также (3 часа, 80° и 3 часа, 120°) получают Br(CH₂)₄Br, 104–105°/18 мм. Из IV и HBr-газа при 40° получен XVII, R = Br, т. кип. 74–76°/14 мм, т. пл. 54°. 72 г ТГФ, 13 г H₂SO₄ и 148 г n-C₄H₉OH (5 час., 155°) дают 46 г H₂C=O(CH₂)₄OC₄H₉, 116–120°/16 мм. Действием на ТГФ СН₃COCl (добавка Zn) получают Cl(CH₂)₄OCOSCH₃, 90–92°/19 мм. Также получены Cl(CH₂)₄OCOR (R, т. кип. в °С/мм): CH₃Cl, 124/17; n-C₃H₇, 116–118/21; C₆H₅, 176–178/20; n-NO₂C₆H₄ (в присутствии BiCl₃), 167–172/0,7, т. пл. 38°; n-CH₃C₆H₄SO₂, 90–95/6. 180 г ТГФ насыщают HCl (35°, 12 час.), при 0–4° добавляют 250 г SOCl₂, получают 120 г Cl(CH₂)₄OCOSCl, т. кип. 90°/10 мм, который с NH₃, NH₂C₂H₄NH₂ и NH₂(CH₂)₆NH₂ дает Cl(CH₂)₄OCONH₂, т. пл. 77°; [CH₂NHCOO-X(CH₂)₄Cl]₂, т. пл. 104°, и [(CH₂)₃NHCOO(CH₂)₄Cl]₂, т. пл. 94°. Из замещ. ТГФ или тетрагидропирана и хлоргидридов к-т в присутствии металлов получены (в-во, металл, т. кип. °С/мм): 1,2,4-трихлорбутилацетат, Mg, 154–158/50; 4-хлор-n-амилацетат, Zn, 92–95/21; диацетат пентандиола-1,4, Cu (р-ция с (СН₃CO)₂O, 240°, 12 час.), 123–126/22, при нагревании с СН₃COOH превращается в пентенилацетат, т. кип. 149–150°; диацетат хлорпентандиола, Zn (из тетрагидрофурилового спирта, в С₆H₆), 158–160/26; ацетат 4-хлорбутен-2-ола-1, Zn (из IV, в С₆H₆), 92–94/24. Хлорируют 650 г XIII + 83 г PCl₅ + 17 г P (120–160°), получают 1,2,4-трихлорбутан, т. кип. 74°/7 мм, 1,2,2,4-тетрахлорбутан, 86–88°/7 мм, 1,2,2,3,4-пентахлорбутан, 102°/7 мм, 1, 2,2,3,3,4-гексахлорбутан, 115°/7 мм, и гентахлорбутан, 125°/7 мм. К 380 г XIII в 0,7 л n-C₄H₉OH при 100–120° добавляют 200 г KCN; выход XV 140 г, т. кип. 100–103°/16 мм, и 12 г CN(CH₂)₄CN (XXVIII), 50 г XV гидролизуют 35%-ной HCl (100°, 2 часа), XVI, т. кип. 110–115°/18 мм, дает гидразид δ-оксисалериановой к-ты, т. пл. 107°. XV + 50% жидкого NH₃ дают (70–120°) немного пиперидона и N-4-цианбутилпиперидона (т. кип. 200–215°/10 мм). Из 585 г XV и 550 г (С₂H₅)₂NH, (10 час., 100–120°) получают 720 г (С₂H₅)₂N(CH₂)₄CN, т. кип. 130–135°/45 мм. 585 г XV, 550 г (С₂H₅)₂NH и 50 г скелетного Со нагревают 8 час. 120° и гидрируют при 200 ат, 120°, получают 400 г (С₂H₅)₂N(CH₂)₅NH₂, т. кип. 103–105°/27 мм. Аналогично получены n-C₄H₉NH(CH₂)₅NH₂, 165–168°/20 мм. С₆H₅NH(CH₂)₄CN (в оригинале С₆H₅(CH₂)₄CN), 155–165°/17 мм. С₆H₅NH(CH₂)₅NH₂, 133–135°/17 мм, o-СН₃С₆H₄SO₂NH(CH₂)₄CN, 296–298°/10 мм. 100 г XV долго кипятят с 40 г NaNH₂ в 0,5 л эфира, циклобутилцианид (т. кип. 149°, 55°/25 мм) гидролизуют (50%-ный NaOH, СН₃OH, 70°) в циклобутилкарбоновую к-ту, т. кип. 190–191°. 250 г XVI нагревают с 100 г NaCN до 270°, разбавляют водой, выделяют 120 г CN(CH₂)₄COOH, т. кип. 162–170°/1 мм; этиловый эфир, 145–150°/24 мм.

К смеси 720 г XXVIII, 720 г NaCN, 30 г СаСО₃ и 5 г NaHCO₃ добавляют при 180–200° 0,8 кг XIII, через 2 часа (200°) из р-ра получают 1320 г XXVIII, т. кип. 175°/30 мм. 440 г XXVIII и 130 г жидкого NH₃ дают (30 г Ni, 20 ат Н₂, 130°) 200 г NH₂(CH₂)₅CN, т. кип. 106°/10 мм, С₆H₅CONH(CH₂)₅CN, т. пл. 96–97°. 400 г XXVIII, 10 г NH₃ (Ni, 120–140°, 120–150 ат Н₂) дают 310 г NH₂(CH₂)₅NH₂; диформиат, т. пл. 112°; диацетат, т. пл. 127°. Гидролиз 600г XIV и 4,3 л 8%-ного р-ра Na₂CO₃ (2 часа, 150°) приводит к 380 г O[(CH₂)₄OH]₂, т. кип. 150–155°/1,5 мм; диацетат, 139–140°/2 мм (получен из XIV, HCOONa, Н₂O и спирта, 140°, 2 часа); диформиат, 120–130°/0,8 мм. К 720 г XIV и 240 г NaOH при 180° прибавляют 800 г XIII, через 30 мин. промывают водой, выделяют HO[(CH₂)₄O]_n(CH₂)₄OH с n ≈ 17, т. кип. > 250°/0,5 мм. 250 г Na₂S в 4 л воды и 600 г XIV насыщают Н₂S и нагревают 10 час., 145°. Получают 400 г O[(CH₂)₄SH]₂, т. кип. 113°/0,6 мм. XIV с избытком NH₃ в спирте в присутствии CaO или BaO (100–120°) превращается в O[(CH₂)₄NH₂]₂, 105–108°/1,4 мм. XIV с водно-спирт. NaCN (130°) дает O[(CH₂)₄CN]₂, 172–176°/1 мм, который гидрируется в O[(CH₂)₅NH₂]₂, 137–138°/1 мм. Нагреванием XVIIIa со спиртами в присутствии щелочей получены XVII, R = OAlk или OAg (Alk или Ag, т. кип. XVII в °С/мм): CH₃, 141/760; C₂H₅, 61–63/12; iso-C₃H₇, 80–82/12; CH₃=CHCH₂, 106/20; n-C₄H₉, 128/18; CH₃OCH₂CH₂, 105–106/13. С₄H₉OCH₂CH₂, 148–150/2; С₆H₅, 175/1; CH₃C₆H₄, 170–176°/0,4; С₆H₁₁-цикло, 160/15; С₆H₅CH₂, 137–139/1; тетрагидрофурил-3, 148/2; тетрагидрофурурил, 150/2. Смесь 420 г III 0,9 кг ТГФ, 350 г NaOH и 0,5 кг XVIIa кипятят 2 часа и отгоняют ТГФ; XVIII, т. кип. 184°, т. пл. 117°. Из XVIII пад Pd/H₂, 120° получают циклич. диэфир дибутандиола-1,4, т. кип. 183–185°. К 800 г морфоллина прибавляют (<80°) 250 г XVIIa, через 1 час (100°) извлекают С₆H₆ 144 г XVII, R = N-морфоллин, т. кип. 141–142°/0,9–1 мм. Также (100°, много часов) получают XVII, R = N-пирролидин, т. кип. 98–105°/0,5 мм. Из меркаптобензотиазола и XVIIa в ТГФ (NaOH, кипячение 2 часа) получен XVII, R = меркаптобензотиазол, т. пл. 86°; из XVIIa и NaCN в спирте (кипячение 5 час.) — XVII, R = CN, т. кип. 150–180°/14 мм (добавка метиленовой сини), т. пл. 76°. 500 г XIII за 8 час. добавляют (30–35°) к 700 г С₆H₆ и 80 г AlCl₃, через несколько часов (35°, затем 80°) выделяют тетралин, 1,4-дифенилбутан, октагидроантрацен (25 г, т. кип. 100–130°/0,2 мм, т. пл. 70°, окисляется KMnO₄ в пиромеллитовую к-ту, т. пл. 275°), смесь последнего с октагидрофенантеном, т. кип. 85–100°/0,2 мм, и декагидротрифенилен (XXIX). В смесь XIII и С₆H₆ или С₆H₅CH₃, или m-C₆H₄(CH₃)₂ вносят AlCl₃, получают XXIX, т. пл. 239°, смесь метилоктагидроантрацена и -фенантрена с т. кип. 140–145° мм, диметилтетралин, т. кип. 86–87°/0,25 мм (дегидрируется в диметилнафталин; пикрат, т. пл. 118–119°), и смесь диметилоктагидроантрацена и -фенантрена, т. кип. 156°/0,3 мм, т. пл. 132°. m-C₆H₅(CH₃)₂, Br(CH₂)₃CHBrCH₃ и AlCl₃ (1 час, 90–100°) дают смесь 1,5,7- и 4,5,7-триметилтетралина с т. кип. 90–130°/13 мм. 508 г XIII вносят в 256 г С₁₀H₈ в 0,3 л CS₂ с 20 г AlCl₃ (40–45°, 24 часа), получают 23 г смеси тетрагидрофенантрена и тетрагидроантрацена, т. кип. 100–120°/1 мм, и 4-хлорбутилнафталин, т. кип. 140–150°/1 мм. При р-ции С₁₀H₈ с ТГФ (570 мл) в присутствии 20 г СоJ₂ и 3 мл СН₃COOH (6 час., 100 ат СО, 280–290°) получают фенантрен, углеводороды С₁₄H₁₆, С₁₄H₁₄ и С₁₄H₁₂ (фракция 95–123°/1 мм разделена на Al₂O₃), динафтилбутиловый эфир, т. кип. 141–142°/1 мм, С₁₀H₇(CH₂)₄OH, т. кип. 247–260°/1 мм. В 100 мл 0,5-ного р-ра OsO₄ или HgSO₄ при 30° одновременно вносят 720 г 70%-ного СН₂=CHCH₂OH, 870 г 35%-ной Н₂O₂ и р-р

КОН для поддержания pH 3,5—3,75, получают 90% глицерина. Из 680 г 70%-ного бутен-1-ола-3 аналогично получают 395 г бутантриола-1,2,3 (т. кип. 140—142°/1 мм), который образуется также при хлорировании разб. р-ра бутенола при 20° с последующим омылением хлоргидрина р-ром Na_2CO_3 . В смесь 44 г XVII, $\text{R} = \text{OH}$, 72 г $\text{Na}_2\text{CO}_3 \cdot 10\text{H}_2\text{O}$ и 0,2 л воды при 0—5° за 6 час. вводят 36 г Cl_2 , упаривают (вакуум, 70°), разбавляют спиртом, из р-ра получают 70 г хлорбутантриола-1,2,4, т. кип. 145°/15 мм (разл.), омыляется в эритрит, который (122 г) при перегонке (150—170°/15 мм) с 2 мл 30%-ной H_2SO_4 дает 3,4-(HO) $_2$ -ТГФ (92 г, т. кип. 121—122°/4 мм). Окисление XVII, $\text{R} = \text{OH}$, с помощью OsO_4 приводит к мезоэритриту. Присоединением HClO к IV получают XIX 102—103°/14 мм. 60 г XIX вносят в теплое известковое молоко, отгоняя в вакууме 27 г XX, т. кип. 143°, 45°/14 мм. Нагреванием XX с спиртами в присутствии Al_2O_3 получены XXI (R , т. кип. в °С/мм): CH_3 , 107/11; C_2H_5 , 112/12; $n\text{-C}_4\text{H}_9$, 134/15; $\text{OH}(\text{CH}_2)_4$, 201/12; C_6H_5 , 131/0,5; $\text{C}_6\text{H}_5\text{CH}_2$, 162/0,6. 2,5-(CH_3) $_2$ -3-НО-4- CH_2O -ТГФ, т. кип. 102°/10 мм. К 86 г XX при 0° прибавляют 400 г 25%-ного NH_4OH , после стояния отгоняют XXI, $\text{R} = \text{NH}_2$, т. кип. 142°/11 мм, т. пл. 78°. С избытком аминов при 200° XX дает XXI (R , т. кип. в °С/мм, т. пл. в °С): $\text{C}_6\text{H}_5\text{NH}_2$, 205/0,5, —; $\text{C}_6\text{H}_5\text{NH}$, —, 105; $\text{C}_6\text{H}_5\text{N}(\text{CH}_3)$, 175/2,5, 63—64; N-пирролидил, 153/17, —. 228 г бис-(3'-тетрагидрофурилового) эфира III (т. кип. 145—150°/2 мм) и ток Cl_2 (71 г) вводят в 2,3 л воды (<20°), через 1 час насыщают 600 г NaCl и извлекают CH_2Cl_2 хлоргидрин, который нагревают с 74 г $\text{Ca}(\text{OH})_2$ в 0,5 л воды; из р-ра извлекают эфиром 150 г бис-(3'-тетрагидрофурилового) эфира 2,3-оксидобутандиола-1,4, т. кип. 162—170°/1 мм. В 665 г III пропускают при 5—10° 247 г HCl , затем воздух, получают 300 г 3- Cl -ТГФ, 70—75°/17 мм. В эмульсию 280 г XVIIa в 10 л воды (9 г дигидрофосфата натрия) пропускают при 20° 205 г разб. водного Cl_2 , органич. слой растворяют в воде и извлекают CH_2Cl_2 287 г XXII, изомеры с т. кип. 74—76°/1,2 мм и 103—104°/1 мм; ацетат, т. кип. 102—103°/1 мм (в оригинале «ацетат 1,2,4-трихлорбутанола-2»); побочный продукт — 1,2,2,3-тетрахлорбутан(?), т. кип. 93—95°/20 мм. К 125 г XVIIa, 200 г CH_3COOH , 0,04 г OsO_4 прибавляют 110 г 40%-ной H_2O_2 , через 20 час. упаривают в вакууме, получают 56 г $\text{ClCH}_2(\text{CHON})_2\text{CH}_2\text{Cl}$, т. пл. 127°. Хлорированием III (в CH_3COOH , 0—10°) получен $\text{HOCH}_2\text{CHClCHClCH}_2\text{OH}$, т. кип. 134—136°/1 мм, т. пл. 70°, бромированием (в CH_2Cl_2 , т-ра от —5 до 0°) получен $\text{HOCH}_2\text{CHBrCHBrCH}_2\text{OH}$, т. кип. 148—150°/1,3—1,5 мм, т. пл. 87°. 400 г V и 8 г CH_3COOH насыщают при 80—100° HCl до веса 300 г; $\text{ClCH}_2\text{CHONCH}_2\text{CH}_2\text{Cl}$, т. кип. 95—100°/18 мм, разб. водн. р-ром NaOH при 10—20° (медленно прибавляя) циклизуется в XXIII, 63°/45 мм. 190 г XXIII и 90 г NaOH перемешивают при 130°, отгоняя моноокись бутадиена, т. кип. 68°. При р-ции ТГФ (или I) и NH_3 (1:20) над Al_2O_3 (300—320°, ОС 0,01 час $^{-1}$) выделены: а) XXIVa (выход 85%, XXIV, $\text{R} = \text{CH}_3\text{CO}$, т. кип. 112—114°; XXIV, $\text{R} = n\text{-NO}_2\text{C}_6\text{H}_4\text{CO}$, т. пл. 92—93°); б) XXIV, $\text{R} = \text{бутил}$ (т. кип. 152—154°, 64—65°/14 мм; пикрат, т. пл. 105°); в) XXIV, $\text{R} = \text{NH}_2(\text{CH}_2)_4$ (т. кип. 205°, пикрат, т. пл. 126°; дибензильное производное, $\text{C}_{22}\text{H}_{30}\text{N}_2$, т. кип. 180°/1 мм); г) 1,4-N, N'-дипирролидилбутан (т. кип. 100°/1 мм; дигидрат, т. пл. 70°; дипикрат, т. пл. 158°); д) трибутилламмин, т. кип. 120°/1 мм. Над $\text{ThO}_2/\text{Al}_2\text{O}_3$ из ТГФ и аминов (300—320°, ток N_2) получены XXIV, $\text{R} = \text{CH}_3$, C_2H_5 , $n\text{-C}_3\text{H}_7$, $n\text{-C}_4\text{H}_9$ (т. кип. 48—50°/15 мм). $\text{C}_{10}\text{H}_{21}$ (т. кип. 114—116°/1 мм), C_6H_5 (т. пл. 11°, XXIV, $\text{R} = n\text{-NOC}_6\text{H}_4$, т. пл. 128°), C_{10}H_7 (т. кип. 137°/04 мм), C_6H_{11} -цикло (т. кип. 213—215°), 2-пиридил (из α -амилопиридина; т. кип. 120—121°/11 мм), 4-хинолил (из

γ -аминохинолина; т. кип. 158—160°/0,8 мм) и XXIV, $\text{R} = 2\text{-метил-5-этилпирролидил-6}$ (из 2-метил-5-этиламинопиридина и ТГФ при 230°), т. кип. 120—130°/10 мм. Также из 180 г I и 120 г $\text{NH}_2(\text{CH}_2)_2\text{NH}_2$ (300°, $\text{ThO}_2/\text{Al}_2\text{O}_3$) получено 23 г XXIV, $\text{R} = \text{NH}_2\text{CH}_2\text{CH}_2$, т. кип. 55—57°/10 мм, и 37 г 1,2-N, N'-дипирролидиэтан, т. кип. 98—100°/10 мм, гидрат, т. пл. 50°. В смесь 50 г $\text{HCON}(\text{CH}_3)\text{C}_6\text{H}_5$ и 69 г POCl_3 при 10° вносят 22 г XXIV, $\text{R} = \text{C}_6\text{H}_5$, нагревают 40—45°, выделяют XXIV, $\text{R} = n\text{-C}_6\text{H}_4\text{CHO}$, т. пл. 81°, СК, т. пл. >300°. Р-р XXIV, $\text{R} = \text{C}_6\text{H}_5$ в CHCl_3 (1:1) насыщают при 5° SOCl_2 4 часа, нагревают до 50°, разбавляют CHCl_3 ; XXIV, $\text{R} = n\text{-C}_6\text{H}_4\text{COCl}$ возгоняется при 100—150°/0,1 мм. XXIV, $\text{R} = n\text{-C}_6\text{H}_4\text{COOH}$, т. пл. 294—295°. Нагреванием (12 час., 190°) V (160 г) с $\text{C}_6\text{H}_5\text{NH}_2$ (115 г) или $m\text{-NH}_2\text{C}_6\text{H}_4\text{NH}_2$ и их HCl -солями (160 г $\text{C}_6\text{H}_5\text{NH}_2 \cdot \text{HCl}$) получают N-фенил-3-оксипирролидин (50 г) (т. кип. 138—144°/1 мм) и N-м-толил-2-оксипирролидин, т. кип. 131—140°/0,7—0,5 мм. На Al_2O_3 V и $\text{C}_6\text{H}_5\text{NH}_2$ (250°) образуют N-фенилпирролин. Также получены (в-м, т. кип. в °С/мм (исходные в-ва и условия р-ции): N-фенил-2-метилпирролидин, 125—135°/13 (2- CH_3 -ТГФ, NH_3 , 270°); N-фенил-2,5-диметилпирролидин, 80—88°/0,6 (гександиол-2,5, $\text{C}_6\text{H}_5\text{NH}_2$, 300°, ОС 0,22 час $^{-1}$); пирролидин и N-пентенилпирролидин, 93—88°/13 (тетрагидропиран, NH_3 , 310°); N-фенилпиперидин, 135—136°/15. Р-цией XXIVa с различными в-вами получены XXIV (R , т. кип. в °С/мм (исходные в-ва и условия р-ции)): $m\text{-HOC}_6\text{H}_4$, т. пл. 128° (резорцин, разб. HCl , 160°, 12 час.); $\beta\text{-C}_{10}\text{H}_7$, т. пл. 92° (β -нафтол, актив. земля, 200, 6 час.); $\text{CH}_2\text{CH}_2\text{COOCH}_3$, 66—68°/0,5 ($\text{CH}_2 = \text{CHCOOCH}_3$, 0—5°, затем 100°); $\text{CH}_2\text{CH}_2\text{CN}$, 105—106°/20 ($\text{CH}_2 = \text{CHCN}$, 10—20°; восстанавливается CO , при 100 ат, 100°); XXIV, $\text{R} = (\text{CH}_2)_3\text{NH}_2$, 76/10; пикрат, т. пл. 145°; $n\text{-NH}_2\text{C}_6\text{H}_4\text{CONH}(\text{CH}_2)_3$, т. пл. 138°; CHO , 112—114°/20 (CO , 200 ат, 60 час., 150°); CONH_2 , т. пл. 218° ($\text{CO}(\text{NH}_2)_2$, конц. HCl , 100°); CSSCH_3 , 155—158°/9, т. пл. 90° (CS_2 в сп., затем $(\text{CH}_3)_2\text{SO}_4$); $\text{CONHSO}_2\text{C}_6\text{H}_4\text{CH}_3$, т. пл. 214° ($n\text{-CH}_3\text{C}_6\text{H}_4\text{SO}_2\text{NCO}$); $n\text{-NO}_2\text{C}_6\text{H}_4$, т. пл. 168° ($n\text{-NO}_2\text{C}_6\text{H}_4\text{Cl}$ в сп., 100°, 10 час.; гидрируется в XXIV, $\text{R} = n\text{-NH}_2\text{C}_6\text{H}_4$, 140/2, т. пл. 35°); $n\text{-NH}_2\text{C}_6\text{H}_4\text{CH}_2$, 129/3, т. пл. 51° ($n\text{-NO}_2\text{C}_6\text{H}_4\text{CH}_2\text{Cl}$, кипячение в спирте, затем гидрирование); 3-хинолил, 162—190°/2, т. пл. 96—98° (3-бромхинолин, ZnCl_2 , 180°, 3 часа, затем 200°); $n\text{-NH}_2\text{C}_6\text{H}_4\text{SO}_2$, т. пл. 168° ($\text{CH}_3\text{CONHC}_6\text{H}_4\text{SO}_2\text{Cl}$, 0°, затем 70°, 30 мин., омыление 5 н. HCl , ацетильное производное, т. пл. 177°); 3,4- $\text{Cl}_2\text{C}_6\text{H}_3\text{SO}_2$, т. пл. 112° ($\text{Cl}_2\text{C}_6\text{H}_3\text{SO}_2\text{Cl}$, кипячение); 3,5- Cl_2 -2- $\text{HOC}_6\text{H}_4\text{SO}_2$, т. пл. 146° (3,5- Cl_2 -2- $\text{HOC}_6\text{H}_4\text{SO}_2\text{Cl}$, 0°, затем 100°, 90 мин.); 3,4- $\text{Cl}_2\text{C}_6\text{H}_3\text{SO}_2$, т. пл. 126° (3,4- $\text{Cl}_2\text{C}_6\text{H}_3\text{SO}_2\text{Cl}$, охлаждение, затем кипячение 2 часа); $\text{C}_7\text{H}_4\text{S}_2\text{N}$, т. пл. 178° (меркаптобензотиазол, вода, к смеси их с XXIVa прибавляют 15%-ный NaOCl); $\text{CH}_2\text{C}(\text{CH}_3)_2\text{CHO}$, 85/14 (смесь 30%-ного CH_2O и $(\text{CH}_3)_2\text{CHCHO}$, 0°, затем 50° гидрируется в присутствии NH_4OH на Ni при 150 ат, H_2 , 150° в XXIV, $\text{R} = \text{CH}_2\text{C}(\text{CH}_3)_2\text{CH}_2\text{NH}_2$, 55—57°/0,5 мм); N, N'-2,6-нафтиленпирролидин, т. пл. 240° (2,6-диоксинафталин, актив. земля, 200°, 6 час.); XXIV, $\text{R} = \text{HOCH}_2\text{CH}_2$, 57—62°/1, XXIV, $\text{R} = \text{HOCH}_2\text{CH}_2\text{OCH}_2\text{CH}_2$, 92—94°/1, и β -N-пирролидилэтилдигликолевый эфир, 120—124°/1 (окись этилена, <50°, 4 часа, затем 50°, 1 час.); бис-(N-пирролидил)-метан, 82—85°/10 (30%-ный CH_2O , охлаждение, затем 50°); β , β' -бис-(N-пирролидил)-этиловый эфир, 166—172°/22, $[\text{O}(\text{CH}_2\text{CH}_2\text{Cl})_2]$, 160°, 12 час.; 1,4 бис-(N-пирролидил)-бутан, 146—152°/22 ($\text{Cl}(\text{CH}_2)_4\text{Cl}$ в C_6H_6 , 160°); диэфир XXIV, $\text{R} = \text{COOH}$, и I, 190—200°/1, т. пл. 61° [$\text{ClCOO}(\text{CH}_2)_4\text{Cl}$, OSOCl в воде, 70°]; пирролидил о-крезилдисульфовой-4,6 к-ты, т. пл. 153°; пирролидил 4-хлор-о-крезилдисульфокислоты, т. пл. 126°. α -Метилпирролидил-метан, т. кип. 57—58°/1 мм. К 80 г сульфата XXIV, $\text{R} = 4\text{-NH}_2\text{C}_6\text{H}_4$, в 250 г H_2SO_4 + 115 мл воды при 110°

добавляют 72 г XXIV, $R = n\text{-NO}_2\text{C}_6\text{H}_4$ + 95 г глицерина, отгоняют воду до 140°, кипятят 7 час., фракция 145—170°/2 мм дает XXIV, $R = 6\text{-хинолид}$, т. пл. 117°. Гидрирование XXIVa (Co, 12 час., 200 ат, 200°) приводит к XXIV, $R = \text{C}_6\text{H}_5$; та же р-ция в присутствии NH_3 дает α -бутилпирролидин, т. кип. 154—156°; пикрат, т. пл. 122—123°. Нагревание 200 г жидкого NH_3 с 200 г XXIVa и 40 г Ni (300°, 12 час., N_2) приводит к смеси $\text{NH}_2(\text{CH}_2)_4\text{NH}_2$, XXIV, $R = \text{NH}_2(\text{CH}_2)_4$ (т. кип. 89—119°/10 мм; пикрат, т. пл. 125°), и 1,4-дипирролидинбутана. Производные XXIVa, дегидрируются над $\text{ZnO}/\text{CaO}/\text{Al}_2\text{O}_3$ в соединения пиррола, напр., XXIV, $R = \text{C}_6\text{H}_5$, дает N-фенилпиррол, который при т-ре красного каления изомеризуется над глиной в α -фенилпиррол. III, IV или V и $\text{C}_6\text{H}_5\text{NH}_2$ (300°, $\text{ThO}_2/\text{Al}_2\text{O}_3$) после подкисления катализата и промывания эфиром дают N-фенил-2,5-дигидропиррол, т. кип. 85—93°/5 мм, т. пл. 88°, формилируется в 4-N-2', 5'-дигидропиррилбензальдегид, т. пл. 90—91°; СК, т. пл. 270°. 110 г $(\text{NH}_4)_2\text{MoO}_4$, 32 г H_3VO_4 и 40 г TiO_2 кипятят 1 час с 1 л 4%-ной $(\text{COOH})_2$, упаривают с 30 г NH_4Cl и 500 г пемзы, нагревают 300° 2 часа; над 100 г этого катализатора пропускают за 1 час. 370°, 6 г IV или III и 240 л воздуха; получают $\text{HOOCCH}=\text{CHCOOH}$ и ее ангидрид (XXX). Также (290°, 200 л O_2 на 5 г ТГФ) реагирует ТГФ. В ангидрид XXV пропускают Cl_2 при 150°—180°, получают XXX. Хлорирование XXX (160—180°, 1,1 моля Cl_2) дает ~90% $\text{OCCCl}=\text{CHCOO}$, а с добавкой FeCl_3 (2,2 моля Cl_2 дает $\text{OCCCl}=\text{CClCOO}$. Из XXVI, спирта и H_2SO_4 получен (60 час., 100°) $\text{OC}((\text{CH}_2)_2\text{COOC}_2\text{H}_5)_2$, т. кип. 165°/12 мм. И. К.

4509. Этилирование. VI. Реппе (Äthinylierung. VI. Reppe Walter), Liebigs Ann. Chem., 1955, 596, 158—224 (нем.)

Синтез и превращения γ -бутиролкетона $\text{RCH}(\text{CH}_2)_2\text{COO}$ (I), $R = \text{H}$ (Ia), пирролидона $\text{RN}(\text{CH}_2)_3\text{CO}$ (II), $R = \text{H}$ (IIa), и их производных. При нагревании диолов $\text{RCHON}(\text{CH}_2)_3\text{OH}$ (III) с катализаторами гидрирования (K) образуются I. Лучший K получается восстановлением H_2 при 200° CuCO_3 с примесью Cr_2O_3 . $\text{HO}(\text{CH}_2)_5\text{OH}$ и $\text{HO}(\text{CH}_2)_6\text{OH}$ дают δ -валеролактон и ϵ -капролактон и их полимеры, высшие диолы — только полимеры. Вторичные γ -диолы дегидрируются в γ -кетоспирты и γ -дикетоны, а на катализаторах дегидрирования-дегидратации дают замещ. циклопентаноны и циклопентеноны. Дегидрирование 2,5-дигидрофурана (IV) в фуран проходит стадию 2,3-дигидрофурана, так как при дегидрировании смеси IV и абс. CH_3OH образуется 2- CH_3O -ТГФ (ТГФ — тетрагидрофуран), т. кип. 104°. Для Ia характерны р-ции с сохранением, с разрывом цикла и с заменой эфирного O на N. Ia конденсируется с карбонильными соединениями и галогенируется в положение α . α -Атом галоида в замещ. Ia подвижен. Расщепление цикла Ia при р-ции с HCl приводит к $\text{R}(\text{CH}_2)_3\text{COOH}$ (V, $R = \text{Cl}$), где атом Cl подвижен; расщепление Ia SOCl_2 дает хлорангидрид V, $R = \text{Cl}$. Аналогично проходит расщепление Ia спиртами, фенолами, сульфидами, NaHS , NaCN , аминами. Р-ция Ia с р-ром Na_2SO_3 (автоклав, 200°) приводит к $\text{HO}_2\text{S}(\text{CH}_2)_3\text{COOH}$, выделенной через Ba-соль. KOCN , NaSCN и Na_2CN_2 реагируют аномально: KOCN с Ia дает V, $R = \text{N}$ -пирролидонил —, NaSCN — тиобутиролактон, Na_2CN_2 — $\text{N,N'$ -карбонил-бис-пирролидон. C_6H_5 и его производные конденсируются по Фриделю — Крафту с Ia, образуя V, $R = \text{арил}$, и γ,γ' -ариленидимасляные к-ты. Алифатич. дигетероциклические диаминны дают с Ia ω -аминоалкилпирролидоны или $\text{N,N'$ -алкилен-бис-пирролидоны, или перидиаминны образуют 1,2-триметиленпиримидиновыми кол-

дом. При нагревании с щелочами IIa, и его N-замещ. переходят в соли V, $R = \text{NH}_2$. Смесь 250 г III, $R = \text{H}$, и 12 г K нагревают до 170—200° и отгоняют Ia, добавляя III, $R = \text{H}$. Выход Ia 100%, окисляется HNO_3 при 70° в янтарную к-ту. Аддукт Ia с BF_3 , т. кип. 75°/0,05 мм, т. пл. 60—62°. Так же получены: из III, $R = \text{CH}_3$ — I, $R = \text{CH}_3$, выход 80%, аддукт с BF_3 , т. кип. 110—111°/20 мм; из III, $R = \text{C}_2\text{H}_5$ — I, $R = \text{C}_2\text{H}_5$, т. кип. 100—102°/18 мм. Из 69 г аддукта бутен-2-диола-1,4 и антрацена, $\text{C}_{18}\text{H}_{18}\text{O}_2$, получают 9,10-дигидроантрацен (9,10-эндо)-бутиролактон, т. пл. 226. Комплексы с BF_3 : фталида, т. пл. 84° (разл.); гексагидрофталида, т. пл. 62°, кумарина, т. пл. 152° (разл.). Над K при 160° пропускают $\text{HO}(\text{CH}_2)_5\text{OH}$, выход δ -валеролактона 75%. Нагревают 200 г $\text{HO}(\text{CH}_2)_6\text{OH}$ в 1 л Ia или циклогексанона с 10 г K, получают 70 г ϵ -капролактона, т. кип. 76—78°/1 мм, 20 г его димера, т. пл. 110—111°, и 100 г полимеров. Гександиол-2,5 (VI) над K (40 мл/час, 190°) дает 70% ацетонилактона, а при 150°—70% $\text{CH}_3\text{CHON}(\text{CH}_2)_2\text{COCH}_3$, т. кип. 85—87°/11 мм; оксим, т. кип. 109—110°/2 мм; СК, т. пл. 148,5°. $\text{CuCO}_3 + 1\%$ Cr_2O_3 и 2% KOH восстанавливают H_2 при 200° и, пропуская VI (200°), получают 13,5% 2,5-(CH_3)₂-ТГФ и 31% 3-метилциклопентанона, т. кип. 142—143°; оксим, т. кип. 106—108°/22 мм, т. пл. 68—70°; СК, т. пл. 174°. Также получены: из октандиола-3,6 — 2-метил-3-этилциклопентанон (60%, т. кип. 175—180°; оксим, т. пл. 83—85°; СК, т. пл. 186—187°), а при 250° 2-метил-3-этилциклопентен-2-он-1 (80%, т. кип. 180—185°, 105—110°/21 мм; оксим, т. пл. 97—98°; СК, т. пл. 185°); из ундекандиола-2,5 — смесь 2-н-амил-3-метилциклопентанона (38%, т. кип. 120—125°/18 мм; СК, т. пл. 141—144°) и 2-н-амил-3-метилциклопентен-2-он-1 (7,5%, т. кип. 130—135°/18 мм. Без добавки KOH образуется 2- CH_3 -5- C_6H_{13} -ТГФ. 103—106°/20 мм); из 1-фенилгександиола-2,5 — 2-фенил-3-метилциклопентанон (150—155°/3 мм); из октандиола-2,7 — 1-метил-2-ацетилциклопентан (80%, т. кип. 167°; оксим, т. кип. 74—75°/0,5 мм; СК, т. пл. 153—154°), а при 300° — 1-метил-2-ацетилциклопентен (т. кип. 180—187°; СК, т. пл. 188°); из 3-НО-ТГФ — 3-кето-ТГФ (250°, выход 40%, т. кип. 34—35°/9 мм; оксим, т. пл. 66°). Из 2,2,5,5-(CH_3)₄-3-НО-ТГФ — 2,2,5,5-тетраметил-3-кето-ТГФ, выход ~100%, т. кип. 155°; СК, т. пл. 195°. Над ZnO IV (90%-ный р-р, 40 мл/час, 450—500°) дает 60% фурана. K 160 г Ia и 100 г $\text{C}_6\text{H}_5\text{CHO}$ в 0,4 л C_6H_5 при 20° добавляют 70 г NaOCH_3 ; получают 140 г $\text{CH}_2\text{CH}_2\text{C}(\text{=CHR})\text{COO}$ (VII), $R = \text{C}_6\text{H}_5$ (VIIa), т. пл. 115—116°. Также получены VII: $R = o\text{-ClC}_6\text{H}_4$, т. пл. 92°; $\text{RRCH} = \text{C}_6\text{H}_{10}$ -цикло, т. кип. 170—180°/19 мм; $R = \text{C}_6\text{H}_{17}$, т. кип. 187—194°/20 мм; $R = \alpha$ -фурил, т. пл. 95°. Гидрирование VII (Ni, 100°, 200 ат) дало $\text{CH}_2\text{CH}_2\text{CH}_2\text{CH}_2\text{COO}$ (VIII) (R, т. кип. °C/мм); $\text{C}_6\text{H}_5\text{CH}_2$, 123—

129/0,2—0,5; $o\text{-ClC}_6\text{H}_4\text{CH}_2$, 143—147/0,1; C_6H_{11} -цикло, 162—165/17; C_6H_9 , 174—182/20, α -фурфурил, 126—136/0,3—0,8; α -тетрагидрофурил, 156—166/20 (из дибутиролактона). K 258 г Ia при 80° добавляют 344 г $\text{CH}_3\text{COOC}_2\text{H}_5$ и 70 г Na, выделяют 130 г VIII $R = \text{COCH}_3$ (VIIIa), 130—132°/18 мм. Производные VIIIa: α -нитрозо- α -ацетобутиролактон, т. пл. 88°; фенилгидразон VIIIa (азосочетанием VIIIa с $\text{C}_6\text{H}_5\text{N}_2\text{Cl}$), т. пл. 221°; 3-метил-4-(β -оксиэтил)-пиразолон-5 (из VIIIa и NH_2NH_2), т. пл. 182°; 1-фенил-3-метил-4-(β -оксиэтил)-пиразолон, т. пл. 94°, с CH_3J в CH_3OH дает 1-фенил-2,3-диметил-4-(β -оксиэтил)-пиразолон, т. пл. 115°; 1-н-нитро-фенил-3-метил-4-(β -оксиэтил)-пиразолон, т. пл. 159°. Так же, как VIIIa, получен VIII, $R = \text{C}_6\text{H}_5\text{CO}$, т. кип. 210—213°/12 мм, т. пл. 57°. Р-цией 256 г VIIIa, 200 г CH_3Br и 46 г Na в 1 л CH_3OH (при 20° до нейтр. р-ции, потом долго кипятят), получают 130 г VIII, $R = \text{CH}_3$, т. кип. 195—203°. Из VIIIa и $\text{C}_7\text{H}_{15}\text{COOC}_2\text{H}_5$

получен VIII, $R = C_7H_{15}CO$, 160—170°/11 мм, из VIIa и $C_{10}H_{19}COOC_2H_5$ — VIII $R = C_{10}H_{19}CO$, 215—221°/11 мм, из VIIa и фталевого эфира — α, α' -фталондидбутиролактон, т. пл. 186°. Алкилированием VIIa (CH_3ONa в CH_3OH) получены α -*n*-бутил- α -ацетобутиролактон (выход плохой, т. кип. 133—137°/13 мм), метиловый эфир α -ацетил- α -карбоксиметилбутиролактона, 500 г VIIa хлорируют при 125—140° 6 час., выход VIII, $R = Cl$, 550 г, т. кип. 125°/20 мм, 90—93°/0,5 мм, с горячим р-ром $Ba(OH)_2$ дает VIII, $R = OH$, т. кип. 128—130°/0,5 мм, который с HCl в спирте дает $Cl(CH_2)_2CHClCOOC_2H_5$ (т. кип. 77—84°/10 мм), а с NH_3 превращается в $HO(CH_2)_2CH(OH)CONH_2$, т. пл. 108°. Р-ция (8 час., 130°) 105 г VIII, $R = Cl$, и 200 мл 50%-ного $(CH_3)_2NH$ приводит к HCl -соли VIII, $R = N(CH_3)_2$; пикрат, т. пл. 162°. VIII, $R = N(C_2H_5)_2$, т. кип. 165—168°/20 мм. 165 г VIII, $R = Br$, и 1 л 20%-ного NH_4OH (8 час. 120—130°) после упаривания и обработки спиртом и HCl дают 138 г смеси HCl - и NH_4Br -солей VIII, $R = NH_2$, т. пл. 138—195°. 165 г VIII, $R = Br$, в 0,5 л ксилола кипятят 3 часа с 185 г фталимида калия, выделяют 231 г VIII, $R = C_6H_5O_2N$, т. пл. 176—178°, гидролизует 20%-ной HCl в HCl -соль VIII, $R = NH_2$, т. пл. 190°; гидрат, т. пл. 90°. С избытком NH_3 (180—190°) дает α -фталмидопирролидин, т. пл. 195°. Обменными р-циями VIII, $R = Br$, получают VIII (R, исходное в-во, т. пл. °C): SO_3Na , р-р $NaHSO_3$ при 60°, 240—242; SCN , р-р $NaSCN$ при 30°, т. кип. 138—143°/5 мм (разл.); $SC(=NH)NH_2$, $CS(NH_2)_2$, 132—134, NH_4Br -соль, т. пл. 164—166°. VIII, $R = Br$, и р-р Na_2S или Na_2S_2 (охлаждение) дали α, α' -тиодибутиролактон, т. пл. 88°, т. кип. 208°/2 мм, и α, α' -дитиодибутиролактон, т. пл. 111—113°. 560 г Ia хлорируют (200°) до привеса 400 г, получают 580 г α, α' -дихлорбутиролактона (т. кип. 127—130°/17 мм), который гидролизуют (100°) $NaOH$, подкисляют и извлекают эфиром $HO(CH_2)_2CCl_2COONa$, т. пл. 67°; амид к-ты; т. пл. моногидрата 142°. 1 кг Ia насыщают HCl (20 ат, 20°, затем 30 ат 100°), получают, 1,1 кг V, $R = Cl$, т. кип. 92—100°/0,3 мм. $Cl(CH_2)_2COCl$ (из Ia, $SOCl_2$, $ZnCl_2$), т. кип. 72—80°/12 мм. Р-цией Ia с HCl в р-рах спиртов (в случае CH_3OH добавка $ZnCl_2$) получены эфиры $Cl(CH_2)_2COOR$ (R, т. кип. в °C): CH_3 , 80—85°/28 (IX); C_2H_5 , 185/60, 82—84/20 (побочно $Cl(CH_2)_2COO(CH_2)_2COOC_2H_5$, 175—180/30); $n-C_3H_7$, 78—81/8; $n-C_4H_9$, 110/16. 682 г Ia и 592 г C_4H_9OH насыщают HCl -газом (80°, 6 час.) получают 65 г $Cl(CH_2)_2COO(CH_2)_2COOC_4H_9$, 100—103°/1 мм. Из I, $R = CH_3$, получают $CH_3CHCl(CH_2)_2COOC_4H_9$, 70—75°/2 мм. Нагреванием (15—20 час., 120—160°) $Cl(CH_2)_2COOR$ с ROH и аминами получены (в-во, т. кип. °C/мм): $(C_2H_5)_2N(CH_2)_2COOC_2H_5$, 98—103/14; $(C_2H_5)_2N(CH_2)_2COOC_4H_9$, 104—112/9, 83—87/3; $n-C_4H_9N(C_2H_5)(CH_2)_2COOC_2H_5$, 132—146/15; $(C_6H_{11})_2N(CH_2)_2COOC_2H_5$, 167/3 (омылен в к-ту, $C_{16}H_{33}O_2N$, т. пл. ~109°). IX и KCN (12 час., 170°) дали эфир $CONRCONHCONR$, $R = (CH_2)_2COOCH_3$, т. кип. 250—255°/1 мм. IX хлорируют с добавкой P при 120° по привесу, добавляют CH_3OH , получают $Cl(CH_2)_2CHClCOOCH_3$, т. кип. 212—214°. 80—90°/7 мм. Хлорированием $Cl(CH_2)_2COCl$ (P, 120—130°, по привесу), получены: $Cl(CH_2)_2CHClCOCl$, 80—82°/20 мм (к-та, 138°/24 мм); $Cl_2CHCH_2CHClCOCl$, 90—92°/18 мм ($Cl_2CHCH_2CHClCOOCH_3$, 87—90°/8 мм); $C_3H_7Cl_4COCl$, т. кип. 110—114°/16 мм ($C_3H_7Cl_4COOCH_3$, 98—101°/8 мм); $C_3H_7Cl_5COCl$, т. кип. 108°/1 мм ($C_3H_7Cl_5COOCH_3$, 110—112°/8 мм). Синтезирваны эфиры $RO(CH_2)_2COOH$ указаны R, в скобках метод синтеза, т. кип. в °C/мм): CH_3 (V, $R = OH$, + $(CH_3)_2SO_4$, в р-ре $NaOH$, 80°), 103—105/8; C_2H_5 (Ia + C_2H_5ONa в спирте, 80°, 24 часа), 126—138/23; $n-C_4H_9$ (C_4H_9OH , Ia, Na, 140°), 137—180/20; C_6H_5 (C_6H_5ONa + Ia, 200°), 180—185/12, т. пл. 64°, $n-NO_2C_6H_4$ ($NO_2C_6H_4ONa$, из 14 г $NO_2C_6H_4OH$, 26 г Ia, кипячение 24 часа,

при больших загрузках возможны взрывы), т. пл. 128° (CH_3) $_2C_6H_5$ ($(CH_3)_2C_6H_5ONa$ + Ia, 180°, 24 часа), 177/15. Эфиры $RO(CH_2)_2COOR$: $n-C_4H_9$ (172 г, Ia, 300 г C_4H_9OH , 5 мл H_2SO_4 , 160°, 5 час.), 134/15; C_2H_5 , 78—80/16; C_6H_5 , 155—160/2; C_6H_{11} , 160—165/2. От 200 г $OH(CH_2)_2OH$ и 70 г $NaOH$ отгоняют воду, при 200° вносят 86 г Ia, через час упаривают в вакууме, остаток растворяют в воде + 4 мл HCl , упаривают: $HO(CH_2)_2O(CH_2)_2COO$. На сушат над KOH (150°, вакуум), извлекают спиртом и осаждают эфиром. $HO(CH_2)_2O(CH_2)_2COOC_2H_5$ (из Na-соли с 300 мл 7%-ного спирт. р-ра HCl , т. кип. 112°/0,6 мм) хлорируют при 80° $SOCl_2$, получают $Cl(CH_2)_2O(CH_2)_2COOC_2H_5$, 125—127°/19 мм. $C_6H_5(CH_2)_2COOCH_3$ (т. кип. 100—102°/1 мм) гидрируют (Ni , 180°, 200 ат) до $C_6H_{11}O(CH_2)_2COOCH_3$, 102—105°/1 мм; к-та, т. кип. 135—138°/1 мм. $n-NaOC_6H_4CH_2C_6H_4ONa$ и Ia (24 часа кипячения) дали $CH_2(C_6H_4O(CH_2)_2COOH)_2$, т. пл. 176°. 100 г I, $R = CH_3$, 300 г $n-C_9H_{19}OH$ и 2 г $NaHSO_4$ (4 часа, 170°) дали $n-C_9H_{19}OCH(CH_3)(CH_2)_2COOC_9H_{19}$, т. кип. 161—165°/0,6 мм. K 430 г Ia при 50—60° добавляют смесь 300 г 40%-ного $NaOH$ и 225 г 30%-ного KOH , упаривают (вакуум, ~210°) растворяют в воде, подкисляют; выход $O(CH_2)_2COOH$, т. кип. 200—210°/1 мм, т. пл. 81°; диамид, т. пл. 155°. $O[(CH_2)_2COOR]_2$ (даны R, т. кип. °C/мм): CH_3 , 154—155/12; C_2H_5 , 109—110/0,4; C_4H_9 , 165/2; диэтилгексилэтиловый эфир, т. кип. 220°/5 мм; Ia, CH_3Na и CH_3OH кипятят 12 час., упаривают, нагревают до 120°, выделяют $CH_3S(CH_2)_2COOH$, 138—145°/9 мм; этиловый эфир, т. кип. 165°/1,3 мм. Также получены $RS(CH_2)_2COOH$ (R, т. кип. в °C/мм): C_2H_5 , 144/10; C_6H_5 , 182/5, т. пл. 69°; $n-CH_3C_6H_4$, 180/4, т. пл. 81°; $\beta-C_{10}H_7$, т. пл. 89°. 430 г Ia нагревают с 110 г Na_2S при 200°, отгоняют Ia, остаток растворяют в воде и HCl выделяют 240 г $S[(CH_2)_2COR]_2$ (X), $R = HO$, т. пл. 100°. Эфиры X (R, т. кип. в °C/мм): CH_3O , 132—136/0,6; C_2H_5O , 138—140/0,8; $izo-C_4H_9O$, 180/0,5; $n-C_4H_9O$, 172—175/0,6 (из Ia и Na_2S в р-ре C_4H_9OH при 120°); диэтилгексилэтиловый эфир X, $R = OH$, т. кип. 210—225°/0,6 мм. Через X, $R = OH$ пропускают NH_3 при 150° до выделения 2 молей воды; т. пл. X, $R = NH_2$, 148°. Далее приведены R и т. пл. в °C X: CH_3NH , 127; C_2H_5NH , 133; $n-C_4H_9NH$, 133; $izo-C_4H_9NH$, 129; цикло- $C_6H_{11}NH$, 165. X, $R = NNNH_2$ (из X, $R = OCH_3$, и NH_2NH_2 , отгонкой CH_3OH) 130°. 50 г Na_2S_2 кипятят 4 часа с 120 г Ia в 170 г $n-C_4H_9OH$, выливают в воду, водн. слой подкисляют HCl при 0—10°, получают 100 г $S_2((CH_2)_2COOH)_2$, т. пл. 107°. В 100 г X, $R = OH$, и 0,7 л воды 3 часа при 20° пропускают Cl_2 , при 0° выпадает 110 г $O_2S((CH_2)_2COOH)_2$, т. пл. 198°; приведены т. пл. в °C диаэфиров: метилового 67, этилового 38; *n*-бутилового 44, *izo*-бутилового 41, циклогексильного 76. 300 г Ia и 170 г $NaCN$ нагревают при 200°, растворяют в воде, подкисляют, упаривают в вакууме, при —5° выделяется V, $R = CN$, т. пл. 35°, при перегонке в вакууме дает глутаримид. $CN(CH_2)_2COOCH_3$ (т. кип. 116—120°/20 мм) гидрируется с NH_3 (Co, 90° и 200 ат) в пиперидон. 200 г Ia и 80 г KCN нагревают до 200°, растворяют в воде, выделяют к-той V, $R = N$ -пирролидонил, т. кип. 202°/2 мм. Нагреванием Ia с 1 экв RNH_2 при 100—150° получены $HO(CH_2)_2CONHR$ (R, т. пл. в °C): CH_3 , т. кип. 153—158°/1 мм; $HOCH_2CH_2$, 50; $n-C_4H_9$, т. кип. 156°/2 мм; $n-C_{12}H_{25}$, 78—79; $n-C_{18}H_{37}$, 86—87; олеил, 63—64; $C_6H_5CH_2$, 70—72. $NH_2(CH_2)_2NH_2$ и $NH_2(CH_2)_6NH_2$ дали с Ia $HOOC(CH_2)_nNH(CH_2)_nNH(CH_2)_2COOH$, где $n = 6$ (т. пл. 124°) и $n = 2$ (т. пл. 139°; диацетильное производное, т. пл. 132°). При нагревании 475 г Ia и 120 г NH_3 (8 час, 230°) получают 430 г IIa. *N*-ацилпроизводные IIa (ацид, т. кип. в °C/мм): CH_3CO , 118/20; C_2H_5CO , 112/12, т. пл. 76°; C_3H_7CO , 115/8; C_6H_5CO , т. пл. 89°; $n-NO_2C_6H_4CO$, т. пл. 120—121°; $n-CH_3C_6H_4SO_2$, т. пл. 149. Нагреванием Ia с RNH_2 получены II (R, отношение Ia к RNH_2

в 2, т-ра р-ции в °С, время р-ции в часах, т. кип. II в С/мм): CH_3 , 344/248, 250, 7, 206/760,86—90/12, 65—67/1, т. пл. —24°; хлоргидрат, т. пл. 86—88°; C_2H_5 , 258/135, 300, 7, 218/760, 92—95/12, 53—55/0,5 (омыляется в V, $\text{R} = \text{C}_2\text{H}_5\text{NH}$, т. пл. 123°); $\text{n-C}_3\text{H}_7$, 86/80, 240, 117—120/23; $\text{HO}(\text{CH}_2)_3$, 86/73, 250, 5, 123—128/0,5; *изо*- C_3H_7 , 86/80, 240, 20, 110—115/25; *н*- C_4H_9 , 292/344, 300, 7, 118—120/13, 80—85/05; *изо*- C_4H_9 , 173/292, 250, 20, 122/20; *изо*- C_5H_{11} , 300/490, 250, 20, 136—142/20; *изо*- C_6H_{13} , 300/560; 250, 20, 146—151/25; $\text{n-C}_{12}\text{H}_{25}$, 86/185, 250, 6, 174—175/1; $\text{n-C}_{18}\text{H}_{37}$, 86/247, 300, 5, 190—195/0,5; олеил, 86/267, 300, 5, 170—190/0,5; C_6H_{11} -цикло, 172/198, 300, 7, 94—97/0,5; $\text{NH}_2\text{CH}_2\text{CH}_2$, 240/344, 280, 7, 125—130/0,5 (побочно $\text{N,N}'$ -этилен-бис-пирролидон, 218—222/18, 150—155/1,5, т. пл. 116°); $\text{NH}_2(\text{CH}_2)_6$, 139/520, 250, 15, 205—212/19, 132—137/0,2 (при соотношении 310/140 образуется $\text{N,N}'$ -гексаметилен-бис-пирролидон 240—246/3, 218—225/0,1); $\alpha\text{-C}_{10}\text{H}_7$, 86/143, 250, 5, 174—178/0,8, т. пл. 110—112°; $\beta\text{-C}_{10}\text{H}_7$, 100/100, 220, 4, т. пл. 125°; 7-окси-1-нафтил, 86/159, 260, 5, т. пл. 214; $\text{m-NH}_2\text{C}_6\text{H}_4$, 172/490, кипячение 48 час. в тетралине, 205—210/1, т. пл. 105—107° (при соотношении 86/108, 300°, 7 час. образуется $\text{N,N}'$ -м-фенилен-бис-пирролидон, т. пл. 170—172°); $\text{n-NH}_2\text{C}_6\text{H}_4$, 258/324, 270, 7, т. пл. 127°; $\text{n-CH}_3\text{CONHC}_6\text{H}_4$, 86/150, 250, 6, т. пл. 207—210; $\text{n-NH}_2\text{C}_6\text{H}_4$, 86/184, 300, 7, (II извлекают $\text{o-ClC}_6\text{H}_4\text{Cl}$); ацетильное производное (АП), т. пл. 265° (при соотношении 172/184, 300°, 2 часа образуется $\text{N,N}'$ -*п*,*п*-дифенил-бис-пирролидон, т. пл. > 275°); 5- NH_2 -1-нафтил, 86/158, 300, 7, т. пл. 161°; 200 г $\text{HO}(\text{CH}_2)_3\text{CONH}(\text{CH}_2)_2\text{OH}$ нагревают 5 час., 250°, получают 140 г II, $\text{R} = \text{CH}_2\text{CH}_2\text{OH}$, 140—143°/1 мм, 147 г II, $\text{R} = (\text{CH}_2)_2\text{Cl}$ и 142 г пирролидина (12 час., 160°) дают 50 г $\text{N,N}'$ -β-пирролидилэтилпирролидона, 181—184°/43 мм, 344 г Ia и 200 г диэтилентриамин (15 час., 250°) дали 170 г бис-(β-пирролидонилэтил)-амина, 244—247°/5 мм, 690 г Ia и 750 г $\text{C}_6\text{H}_5\text{NH}_2$ (7 час., 280°) дали 1,1 кг II, $\text{R} = \text{C}_6\text{H}_5$, т. кип. 123°/0,2 мм, т. пл. 67—68°. 161 г II, $\text{R} = \text{C}_6\text{H}_5$, в 540 г конц. H_2SO_4 нитруют (0°, 1 час.) 80 г HNO_3 (*d* 1,48), выход II, $\text{R} = \text{n-NO}_2\text{C}_6\text{H}_4$, 180 г, т. пл. 131°, гидрируется ($\text{Ni-Cr}_2\text{O}_3$, 80°, 200 ат) в II, $\text{R} = \text{n-NH}_2\text{C}_6\text{H}_4$, т. пл. 127°, из сульфата которого диазореакцией получают Na-соль *n*-N-пирролидонилфенилгидразин- N' -сульфокислоты. Аналогично II, $\text{R} = \text{C}_6\text{H}_5$, из 172 г Ia и 370 г $\text{C}_6\text{H}_5\text{CH}_2\text{NH}_2$ (20 час., 250°) получен II, $\text{R} = \text{C}_6\text{H}_5\text{CH}_2$, т. кип. 178—187°/14 мм, II, $\text{R} = \text{n-NO}_2\text{C}_6\text{H}_4\text{CH}_2$, т. пл. 101°; II, $\text{R} = \text{n-NH}_2\text{C}_6\text{H}_4\text{CH}_2$, т. пл. 131°. Из $\text{o-CH}_3\text{C}_6\text{H}_4\text{NH}_2$ (300°) получен II, $\text{R} = \text{o-CH}_3\text{C}_6\text{H}_4$, т. кип. 130—132°/1 мм, т. пл. 47, окисленный KMnO_4 в II, $\text{R} = \text{o-HOOC}_6\text{H}_4$, т. пл. 147°. II, $\text{R} = 2\text{-CH}_3\text{-4-NO}_2\text{C}_6\text{H}_3$, т. пл. 84°; II, $\text{R} = 2\text{-CH}_3\text{-4-NH}_2\text{C}_6\text{H}_3$, т. пл. 143°. Из $\text{m-CH}_3\text{C}_6\text{H}_4\text{NH}_2$ получен II, $\text{R} = \text{m-CH}_3\text{-C}_6\text{H}_4$, т. кип. 136°/02 мм, т. пл. 58°; II, $\text{R} = 4\text{-NO}_2\text{-3-CH}_3\text{C}_6\text{H}_3$, т. пл. 90°; II, $\text{R} = 4\text{-NH}_2\text{-3-CH}_3\text{C}_6\text{H}_3$, т. пл. 120°. $\text{m-ClC}_6\text{H}_4\text{NH}_2$ дал II, $\text{R} = \text{m-ClC}_6\text{H}_4$, т. кип. 143°/0,7 мм, т. пл. 66°; II, $\text{R} = 4\text{-NO}_2\text{-3-ClC}_6\text{H}_3$, т. пл. 93°. Из $\text{o-HOC}_6\text{H}_4\text{NH}_2$ получен (260°) II, $\text{R} = \text{o-HOC}_6\text{H}_4$ (IIб), т. пл. 131°. 15 IIб в 120 мл CH_3COOH нитруют при 40° 6 мл 98%-ной HNO_3 + 18 мл H_2SO_4 до II, $\text{R} = 2\text{-HO-3(5)-NO}_2\text{C}_6\text{H}_3$; т. пл. 268°; II, $\text{R} = 2\text{-HO-3(5)-NH}_2\text{C}_6\text{H}_3$, т. пл. 165°. Нитрование 13 г IIб в 40 мл CH_3COOH 9 мл HNO_3 (*d* 1,5) при 50° дает II, $\text{R} = 2\text{-HO-3,5-(NO}_2)_2\text{C}_6\text{H}_2$, т. пл. 165°; АП, т. пл. 179°. При метилировании IIб $(\text{CH}_3)_2\text{SO}_4$ и NaOH получают II, $\text{R} = \text{o-CH}_3\text{OC}_6\text{H}_4$ (IIв), 148—152°/0,1 мм, 96 г IIв и 150 мл H_2SO_4 при —10° нитруют 40 мл HNO_3 (*d* 1,52) и 15 мл H_2SO_4 , выход II, $\text{R} = 2\text{-CH}_3\text{O-3(5)-NO}_2\text{C}_6\text{H}_3$ 46 г, т. пл. 144°; II, $\text{R} = 2\text{-CH}_3\text{O-3(5)-NH}_2\text{C}_6\text{H}_3$, т. пл. 104°. Из Ia и *m*- $\text{HOC}_6\text{H}_4\text{NH}_2$ получен (260°) II, $\text{R} = \text{m-HOC}_6\text{H}_4$, т. пл. 203°; II, $\text{R} = \text{m-CH}_3\text{OC}_6\text{H}_4$, т. кип. 188°/0,4 мм, т. пл. 58°; II, $\text{R} = 3\text{-HO-4-NO}_2\text{C}_6\text{H}_3$, т. пл. 141°; АП, т. пл. 166°. II, $\text{R} = 3\text{-HO-4-NH}_2\text{C}_6\text{H}_3$, т. пл. 179°. Из *n*- $\text{HOC}_6\text{H}_4\text{NH}_2$ получен (260°) II, $\text{R} = \text{n-HOC}_6\text{H}_4$ (IIг), т. пл. 162°; АП, т. пл. 117°, при

нитровании дает моновитросоединение $\text{C}_{12}\text{H}_{12}\text{O}_2\text{N}_2$, т. пл. 189°. 50 г IIг в 400 мл CH_3COOH нитруют при 35—40° 25 мл HNO_3 (*d* 1,5) до II, $\text{R} = 4\text{-HO-3,5-(NO}_2)_2\text{C}_6\text{H}_2$, т. пл. 165°; АП, т. пл. 165°. Метилирование IIг дает II, $\text{R} = 4\text{-CH}_3\text{OC}_6\text{H}_4$, т. пл. 115°, который нитруется в H_2SO_4 при 5—10° 75%-ной HNO_3 до II, $\text{R} = 4\text{-CH}_3\text{O-3-NO}_2\text{C}_6\text{H}_2$, т. пл. 123°; II, $\text{R} = 4\text{-CH}_3\text{O-3-NH}_2\text{C}_6\text{H}_2$, т. пл. 108°. Кипятят 86 г Ia, 108 г *о*- $\text{NH}_2\text{C}_6\text{H}_4\text{NH}_2$, 400 мл HCl (1:1), выделяют 2-γ-оксипропилбензимидазол, т. пл. 163°. Также из 3,4-диаминотолуола получают 2-γ-оксипропил-5-метилбензимидазол, т. пл. 137°; из 2,3-нафтилендиамин — 2-γ-оксипропилнафтимидазол, т. пл. 216°. 258 г Ia и 324 г *о*- $\text{NH}_2\text{C}_6\text{H}_4\text{NH}_2$ (7 час., 270°) дали 1,2-триметиленбензимидазол, т. кип. 130°/0,2 мм, т. пл. 115°, нитруется при 10—15° в моновитросоединение $\text{C}_{10}\text{H}_9\text{O}_2\text{N}_3$, т. пл. 173°, которое гидрируют в амин $\text{C}_{10}\text{H}_{11}\text{N}_3$, т. пл. 205°; АП т. пл. 266°. Аналогично Ia и 2,3-нафтилендиамин дают 1,2-триметиленнафтимидазол, т. пл. 168—170°. Кипятят 4 часа 340 г Ia, 200 мл 30%-ного CH_2O и 10 мл конц. HCl нейтрализуют, отгоняют 230 г II, $\text{R} = \text{CH}_2\text{OH}$, 185—188°/4 мм, 170 г Ia кипятят с 0,2 л 40%-ного NaOH, при 20° прибавляют 108 г $\text{CH}_2=\text{CHCN}$ и после стояния подкисляют HCl , упаривают в вакууме, извлекают CH_3OH 100 г V, $\text{R} = \text{NH}(\text{CH}_2)_2\text{CN}$, т. пл. 136°; АП, т. пл. 129°. V, $\text{R} = \text{NH}(\text{CH}_2)_2\text{CN}$ при 150° дает II, $\text{R} = \text{CN}(\text{CH}_2)_2$ (IIд), т. кип. 148—151°/1,5 мм, который превращается метанольным HCl в II, $\text{R} = \text{CH}_2\text{CH}_2\text{COOCH}_3$, 175—185°/25 мм; к-та, т. кип. 230—234°/24 мм, 450 г IIд и 0,4 л 20%-ного спирт. р-ра NH_3 гидрируют (Co, 100°, 200 ат), получают 170 г 1,2-триметилен-1,4,5,6-тетрагидропиримидина (т. кип. 81—83°/1—2 мм; пикрат, т. пл. 315°) и 60 г II, $\text{R} = (\text{CH}_2)_3\text{NH}_2$, т. кип. 121—124°/1,5 мм (получен также из $\text{CH}_2=\text{CHCN}$ и V, $\text{R} = \text{NH}_2$ (водн. р-р, 120°, 15 час.) с последующим гидрированием). Гидрирование V, $\text{R} = \text{NH}(\text{CH}_2)_2\text{CN}$ (Co, 100°, 100 ат) дает *N*-γ-аминопропилпирролидин, т. кип. 120—130°/13 мм; пикрат, т. пл. 145°. Из Ia и $\text{C}_6\text{H}_5\text{NCO}$ (2 часа, 180°) получен II, $\text{R} = \text{CONHC}_6\text{H}_5$, т. пл. 98°, из Ia и *m*- $\text{C}_6\text{H}_4(\text{NCO})_2$ получают фенилендиамид *m*-бис-(пирролидон-*N*-карбоновой к-ты), т. пл. 190°, из Ia и $\text{OCN}(\text{CH}_2)_2\text{NCO}$ (120°) — гексаметилендиамид бис-(пирролидон-*N*-карбоновой к-ты), т. пл. 95°, из Ia и *n*- $\text{CH}_3\text{C}_6\text{H}_4\text{SO}_2\text{NCO}$ (кипячение в C_6H_6) — *n*-толуолсульфамид II, $\text{R} = \text{COOH}$, т. пл. 153°. К 70 г Na в 0,5 л C_6H_6 добавляют (80°) 260 г Ia, C_6H_6 заменяют ксилолом, добавляют 200 г $\text{O}(\text{CH}_2\text{CH}_2\text{Cl})_2$, 3 часа кипятят, получают 170 г бис-(β-*N*-пирролидонил)-диэтилового эфира, 195—200°/0,15 мм. Аналогично получены (реагент, условия р-ции, в-во, т. кип. в °С/мм): $\text{ClCH}_2\text{COOC}_2\text{H}_5$ (2 часа, 80°), II, $\text{R} = \text{CH}_2\text{COOC}_2\text{H}_5$, 108—113°/1—2 (к-та т. пл. 143°); эпихлоргидрин (спирт. р-р), II, $\text{R} = \text{C}_2\text{H}_5\text{OCH}_2\text{CHONHC}_2\text{H}_5$, 139—142°/2; 2,4-(NO_2) $_2\text{C}_6\text{H}_3\text{Cl}$ (спирт. р-р, кипячение с 40%-ным NaOH 1 час), II, $\text{R} = 2,4(\text{NO}_2)_2\text{C}_6\text{H}_3$, т. пл. 86°. Кипячением Ia, *n*- $\text{NO}_2\text{C}_6\text{H}_4\text{COCl}$, ацетона и $\text{C}_6\text{H}_5\text{N}$ получают II, $\text{R} = \text{n-NO}_2\text{C}_6\text{H}_4\text{CO}$, т. пл. 126°, кипячением 12 час. Ia, и CaO в воде (после упаривания р-ра) — Ca-соль V, $\text{R} = \text{NH}_2$, т. пл. 193°; HCl-соль к-ты, т. пл. 133°; V, $\text{R} = \text{CH}_3\text{CONH}$, т. пл. 129°; γ,γ'-оксамидодимасляная к-та, т. пл. 215°; γ-сукцинимидомасляная к-та, т. пл. 104°; γ-фталимидомасляная к-та, т. пл. 118°; *n*-бутиловый эфир, т. кип. 262—267°/24 мм; γ-фталимидомасляная к-та, т. пл. 127°, γ-уреидомасляная к-та, т. пл. 175°; V, $\text{R} = \text{C}_6\text{H}_5\text{SO}_2\text{NH}$, т. пл. 86°; $\text{CH}_2(\text{CH}_2\text{SO}_2\text{NH}(\text{CH}_2)_3\text{COOH})_2$, т. пл. 176°. К 206 г V, $\text{R} = \text{NH}_2$, 0,4 л формалина и 0,7 л 50%-ной H_2SO_4 при 0° добавляют 600 г 34%-ного р-ра NaCN, через 24 часа (40°) получают 225 г V, $\text{R} = (\text{CNCH}_2)_2\text{N}$, т. пл. 108°; II, $\text{R} = \text{CH}_3$, гидролизуют $\text{Ba}(\text{OH})_2$, как Ia, получают V, $\text{R} = \text{CH}_3\text{NH}$, т. пл. 146°, к последней прибавляют при 0—5° $\text{ClCOOC}_2\text{H}_5$, $\text{ClCH}_2\text{COOC}_2\text{H}_5$ или $\text{Cl}(\text{CH}_2)_2\text{Cl}$ и одновре-

менно 40%-ный NaOH, получают $\text{CH}_3\text{N(R)(CH}_2)_3\text{COOH}$: $\text{R} = \text{COOC}_2\text{H}_5$, т. кип. 195–200°/16 мм; $\text{(CH}_3\text{N(COOC}_2\text{H}_5)_2\text{)(CH}_2)_3\text{COOC}_2\text{H}_5$, т. кип. 160–165°/25 мм; $\text{R} = \text{CH}_2\text{COOC}_2\text{H}_5$, —; $\text{R} = \text{Cl(CH}_2)_4$, т. пл. 196°. Гидролизом 1,2-этилен-бис-пирролидона получают $[\text{CH}_2\text{NH(CH}_2)_3\text{COOH}]_2$, т. пл. 185° (разл.). Осторожно нагревают $\text{Cl(CH}_2)_4\text{Cl} + 4\%$ KJ с II, $\text{R} = \text{K}$, извлекают эфиром, р-рители отгоняют до 130°/16 мм; $[\text{CH}_2\text{CH}_2\text{NH(CH}_2)_3\text{COOH}]_2$, т. кип. 52°. Гидролизом гексаметилен-бис-пирролидона получают $[(\text{CH}_2)_6\text{NH(CH}_2)_3\text{COOH}]_2$, т. пл. 216°, бис-м-нитробензойное производное, т. пл. 185°; 2HCl-соль этилового эфира, т. пл. 240°; 2HCl-соль бутилового эфира, т. пл. 205°; бис-нитропропановое, т. пл. 120°. К-та с фталевым ангидридом дает $[(\text{CH}_2)_3\text{N(COOC}_6\text{H}_4\text{COOH-}o\text{)(CH}_2)_3\text{COOH}]_2$, т. пл. 145° (из сп.). 182 г II, $\text{R} = \text{C}_6\text{H}_5$, 2 л 1 н. NaOH и 0,8 л воды нагревают 5 час., 240°, добавляют 0,6 л 1 н. HCl, через 2 дня получают 80 г V, $\text{R} = \text{C}_6\text{H}_5\text{NH}$, т. пл. 55°. II, $\text{R} = n\text{-NO}_2\text{C}_6\text{H}_4$, гидролизуют кипячением с водн. Ba(OH)₂ до V, $\text{R} = n\text{-NO}_2\text{C}_6\text{H}_4\text{NH}$, т. пл. 186°, из которой получена (Ni-Cr₂O₃, 80°, 200 ат) V, $\text{R} = n\text{-NH}_2\text{C}_6\text{H}_4\text{NH}$, т. пл. 154–160°. При гидрировании V, $\text{R} = n\text{-NO}_2\text{C}_6\text{H}_4\text{CONH}$ (из II, $\text{R} = \text{NO}_2\text{C}_6\text{H}_4\text{CO}$ и NaOH) получают V, $\text{R} = n\text{-NH}_2\text{C}_6\text{H}_4\text{CONH}$, т. пл. 114°. 100 г IIa, кипятят с 203 г 2,4-(NO₂)₂-C₆H₃Cl, 0,4 л воды и 0,1 л 40%-ного NaOH подкисляют CH₃COOH, выделяют 120 г V, $\text{R} = 2,4\text{-(NO}_2)_2\text{C}_6\text{H}_3\text{NH}$, т. пл. 142°, восстанавливается р-ром FeSO₄ + NH₄OH в V, $\text{R} = 2\text{-NH}_2\text{-4-NO}_2\text{C}_6\text{H}_3\text{NH}$. Гидролиз II, $\text{R} = o\text{-CH}_3\text{-C}_6\text{H}_4$, 0,5 н. NaOH (5 час., 240°) дает V, $\text{R} = o\text{-CH}_3\text{C}_6\text{H}_4\text{NH}$, т. пл. 72–73°. II, $\text{R} = \beta\text{-C}_6\text{H}_7$, гидролизуют р-ром Na в CH₃OH (130°) в V, $\text{R} = \beta\text{-S}_10\text{H}_7\text{NH}$, т. пл. 101°, 220 г К-индола и 220 г Ia при 200° (10 час.) дают γ-N-индол-лимазную к-ту, т. кип. 180°/2 мм, т. пл. 70°. Также карбазол-К и Ia дают γ-N-карбазолмазную к-ту (т. пл. 150°), а n-CH₃C₆H₄SO₂NHNa и Ia дают V, $\text{R} = n\text{-CH}_3\text{C}_6\text{H}_4\text{SO}_2\text{NH}$, т. пл. 131°. 86 г Ia кипятят 50 час. с 400 г (n-C₄H₉)₂NH и 13 г (NH₄)₂SO₄, отгоняя воду; выход (n-C₄H₉)₂N(CH₂)₃CON(C₄H₉)₂ 238 г, т. кип. 160°/1 мм. Аналогично 157 г цикло-C₆H₁₁NH₂, 26 г (NH₄)₂SO₄ и 150 г Na₂SO₄ (12 час., 180°) дают 59 г n-C₆H₁₁NH(CH₂)₃CONHC₆H₁₁ (т. кип. 180–193°/1,2 мм), Ia и пирролидин (20 час., 180°) — пирролидин V, $\text{R} = \gamma\text{-пирролидин}$, т. кип. 182–184°/9 мм, 135–141°/1 мм. К 200 г AlCl₃ в 0,4 л C₆H₆ при 50–55° добавляют 86 г Ia, получают 115 г V, $\text{R} = \text{C}_6\text{H}_5$ (Va) (т. кип. 175°/20 мм, т. пл. 51°); хлорангидрид, т. кип. 140°/12 мм; ангидрид, т. пл. 46–48°, и γ,γ'-фенилендимазную к-ту, т. пл. 128°; диметиловый эфир, т. кип. 155°/1 мм; ди-н-бутиловый эфир, т. кип. 171°/1 мм. Va нитруют в (CH₃CO)₂O HNO₃ (d 1,42) при 20–40°; получают R = n-NO₂C₆H₄ (Vb), т. пл. 95° (из 50%-ной CH₃COOH), с примесью V, $\text{R} = o\text{-NO}_2\text{C}_6\text{H}_4$, т. пл. 55–57°. Vb гидрируется над Pd/CaCO₃ в V, $\text{R} = n\text{-NH}_2\text{C}_6\text{H}_4$, т. пл. 127°. При 270° над H₃PO₄/C Va циклизуется в α-тетралон. К 33 г Va в 100 мл конц. H₂SO₄ при 20° добавляют 14 мл HNO₃ и 14 мл H₂SO₄, получают 7-нитротетралон, т. пл. 105°, который гидрируется (Pd/CaCO₃) в 7-аминотетралон, т. пл. 137°. Так же, как Va, из C₆H₅Cl и Ia получают V, $\text{R} = n\text{-ClC}_6\text{H}_4$, т. кип. 181–184°, т. пл. 78°, из толуола и Ia при 55° — V, $\text{R} = \text{CH}_3\text{C}_6\text{H}_4$, 140–150°/1 мм (смесь o- и n-изомеров). В смесь 2,1 л C₆H₅C₂H₅ и 258 г Ia при 20° вносят 1 кг AlCl₃, через 4 часа (60°) выделяют 530 г V, $\text{R} = n\text{-C}_2\text{H}_5\text{C}_6\text{H}_4$ (Vv), т. пл. 68°. Метилловый эфир Vv гидрируют и омыляют, получают V, $\text{R} = 4\text{-C}_2\text{H}_5\text{C}_6\text{H}_4$ -цикло, 135–137°/1 мм. К 150 г янтарного ангидрида (XI) в 0,9 л C₆H₆ за 2 часа добавляют 225 г AlCl₃, через 4 часа, 60° + 12 час., выделяют (20°) CO(CH₂)₂COOH (XII, $\text{R} = \text{C}_6\text{H}_5$) (т. пл. 115°; метилловый эфир, 122–125°/1 мм; этиловый эфир, 127–128°/1 мм), гидрируется в 20%-ном NH₄OH (Ni-Cr₂O₃, 150°, 50 ат) до C₆H₅CH(NH₂)(CH₂)₂COOH, т. пл. 73°, которая

при 130–140° переходит в RCH(CH₂)₂CONH (XIII,

$\text{R} = \text{C}_6\text{H}_5$), т. пл. 108°, последний нитруется в конц. H₂SO₄ при 5–10° смесью HNO₃ (d 1,51) и H₂SO₄ до XIII, $\text{R} = n\text{-NO}_2\text{C}_6\text{H}_4$ (XIIIa), т. пл. 139°. XIII, $\text{R} = n\text{-NH}_2\text{C}_6\text{H}_4$ получен из XIIIa (Ni-Cr₂O₃, 50°, 200 ат), т. пл. 180–182°. К 70 г XI и 100 г AlCl₃ добавляют 350 г анизола, через 12 час. выделяют 65 г XII, $\text{R} = n\text{-CH}_2\text{OC}_6\text{H}_4$, т. пл. 147°, которая при гидрировании (Ni/Cr₂O₃, 190°, 200 ат) в 1,5 л 20%-ного NH₄OH дает 61 г XIII, $\text{R} = n\text{-CH}_2\text{OC}_6\text{H}_4$ (XIIIb), т. пл. 133°. К 40 г XIIIb в 250 мл конц. H₂SO₄ + 40 мл CH₃COOH добавляют при 5–12° 14 мл HNO₃ + 14 мл H₂SO₄, получают XIII, $\text{R} = 4\text{-CH}_2\text{O-3,5-(NO}_2)_2\text{C}_6\text{H}_2$, т. пл. 178°, который при гидрировании (50°, 200 ат) дает XIII, $\text{R} = 4\text{-CH}_2\text{O-3,5-(NH}_2)_2\text{C}_6\text{H}_2$, т. пл. 180°. Из XI, толуола и AlCl₃ (10 час., 60–70°) получена XII, $\text{R} = n\text{-CH}_2\text{C}_6\text{H}_4$, т. пл. 127°; из C₆H₅CH₂ и XI получена XII, $\text{R} = n\text{-C}_2\text{H}_5\text{C}_6\text{H}_4$, гидризованная в 10%-ном р-ре Na₂CO₃ (170°, 200 ат) до Vb, а в р-ре декалина при 240–250° — до 7-этил-декалона-1, т. кип. 218–226°/0,25 мм. При действии 1080 г AlCl₃ на смесь 480 г C₆H₅C₃H₇-изо, 100 г X, 2 л C₆H₅NO₂ и 0,5 л C₂H₂Cl₄ получают 780 г XII, $\text{R} = n\text{-изо-C}_3\text{H}_7\text{C}_6\text{H}_4$, т. пл. 137°, которая при гидрировании (200°, 200 ат) в расчетном кол-ве 1,5%-ного NaOH дает V, $\text{R} = n\text{-изо-C}_3\text{H}_7\text{C}_6\text{H}_4$, т. пл. 86°; этиловый эфир, т. кип. 138–142°/0,15 мм. Из дифенила и XI в C₆H₅NO₂ (AlCl₃, 20°) получают XII, $\text{R} = n\text{-дифенил}$, т. пл. 185°, гидрируется (100°, 200 ат) в 3%-ном р-ре Na₂CO₃ до V, $\text{R} = n\text{-дифенил}$, т. пл. 115°. Из C₆H₅C₆H₁₁-цикло и XI в C₆H₅NO₂ + C₂H₂Cl₄ (AlCl₃, 12 час., 10°) получена XII, $\text{R} = n\text{-C}_6\text{H}_{11}\text{C}_6\text{H}_4$, т. пл. 130°. гидрированная (190–220°, 200 ат) в 1,7%-ном NaOH в V, $\text{R} = n\text{-C}_6\text{H}_{11}\text{C}_6\text{H}_4$, т. кип. 193–195°/0,2 мм, т. пл. 48°. Из (C₆H₅)₂O и XI (AlCl₃, C₂H₂Cl₄ + C₆H₅NO₂, 48 час., 0°) получена XII, $\text{R} = \text{C}_6\text{H}_5\text{OC}_6\text{H}_4$, т. пл. 179–180°, гидрированная (200°, 200 ат) в 2,6%-ном NaOH в V, $\text{R} = \text{C}_6\text{H}_5\text{OC}_6\text{H}_4$, т. пл. 109°; этиловый эфир, т. кип. 188–192°/0,2–0,3 мм. Из тетралина, XI, AlCl₃ в C₆H₅NO₂ при 5–10° получают XII, $\text{R} = 2\text{-тетралин}$, т. пл. 123°, гидрируется в декалине при 200° до V, $\text{R} = 2\text{-тетралин}$, т. кип. 180–184°/0,2 мм, т. пл. 49°. К 92 г аценафтаена и 66 г XI в C₆H₅NO₂ + C₂H₂Cl₄ при 0° добавляют 160 г AlCl₃, после стояния при 0° нагревают до 20° и выделяют 120 г XII, $\text{R} = 3\text{-аценафтил}$, т. пл. 153–155°, гидрируется (100°) в 4%-ном р-ре Na₂CO₃ в V, $\text{R} = 3\text{-аценафтил}$, т. пл. 149°; при 200°, 200 ат H₂ образуется в-во, C₁₆H₂₀O₂, т. кип. 205–214°/0,7 мм, т. пл. 98°. И. К.

4510. Новый метод синтеза циклобутановых углеводородов. Левина Р. Я., Кузьмин М. Г., Шабаров Ю. С., Вестн. Моск. ун-та. Сер. матем. механ., астрон., физ., химии, 1957, № 1, 170–171

Показано, что тетрагидропиридины при нагревании в присутствии КОН и Pt разлагаются с выделением N₂ и образованием циклобутанов (ЦБ) аналогично образованию циклопропанов из пиразолинов по р-ции Кижнера. Наряду с ЦБ образуются два этиловых углеводорода. Диэтиловый эфир азодикарбонной к-ты с 1-фенилбутadiеном-1,3 в C₆H₆ при охлаждении дает 3-фенил-1,2-дикарбэтокс-1,2,3,6-тетрагидропиридин, выход 92%, т. кип. 199–200°/7,7 мм, т. пл. 47° (из CH₃OH), который при кипячении 3 часа с метанольным р-ром КОН превращается в 3-фенил-1,4,5,6-тетрагидропиридин (I), выход 79%, т. кип. 160°/8 мм, т. пл. 108° (из CH₃OH). Разложение I нагреванием до 300° в присутствии небольших кол-в КОН и Pt на глине приводит к C₂H₄, стиrolу и фенилциклобутану, выход 35%, т. кип. 189–190°/750 мм, n_D²⁰ 1,5269, d₄²⁰ 0,9375.

Л. Хейфиз

4511. О взаимодействии реактива Иодича с Δ²-циклопентенилхлоридом. Платэ А. Ф., Станко В. И., Докл. АН СССР, 1957, 113, № 3, 616–619

При взаимодействии Δ^2 -циклопентенилхлорида (I) с реактивом Иоцича в эфирном р-ре в присутствии Cu_2Cl_2 или без нее (3 часа при $\sim 20^\circ$ и 6 час. на водяной бане) образуются ди- Δ^2 -циклопентенилацетилен (II) (выход 20–36%, т. кип. $106^\circ/9$ – $9,5$ мм, n_D^{20} 1,5172, d_4^{20} 0,9596) и Δ^2 -циклопентенилацетилен (III) (выход 28–35%, т. кип. $97,2^\circ/752$ мм, n_D^{20} 1,4363, d_4^{20} 0,8014). Выходы II и III не зависят от относительных кол-в взятых реагентов. Строение II доказано гидрированием над скелетным Ni в 1,2-дициклопентилазан (IV) (т. кип. $92^\circ/8$ – $8,5$ мм, n_D^{20} 1,46628, d_4^{20} 0,8620), а строение III — гидрированием до этилциклопентана, т. кип. $102,8^\circ/750$ мм, n_D^{20} 1,4198, d_4^{20} 0,7668. При введении в р-цию циклопентанона (после того как 50% I уже прореагировало) образуются II, III, 1,2-ди-(1-оксидициклопентил)-ацетилен (V) и 1-(Δ^2 -циклопентенил)-2-(1-оксидициклопентил)-ацетилен (VI). II и V из смеси не выделялись, а гидрированием над скелетным Ni были переведены соответственно в IV и 1,2-ди-(1-оксидициклопентил)-этан, т. пл. 131 – 132° (из ацетона). Из VI гидрированием над скелетным Ni дегидратацией с $(\text{COOH})_2$ и повторным гидрированием получен IV.

Н. Куплетская

4512. Гидрирование циклопентадиена в бинарных смесях с непредельными углеводородами на Pd- и Pt-чернях. Фрейдлин Л. Х., Полковников Б. Д., Изв. АН СССР, Отд. хим. н., 1957, № 5, 541–545

Изучалась последовательность гидрирования циклопентадиена (I) до циклопентена (II) в бинарных смесях с непредельными углеводородами (мол. соотношение 1:2) на Pd-черни в циклогексане и Pt-черни в спирте. Найдено, что в присутствии Pd-черни, как и скелетного Ni, I избирательно гидрируется в бинарной смеси с циклогексеном (III) и неизбирательно в смеси со стиролом (IV), в смеси с толаном (V), над Pd-чернью (в отличие от Ni) I гидрируется неизбирательно. В присутствии Pt-черни I в бинарных смесях с II и октеном (VI) гидрируется неизбирательно. Все смеси гидрируются по нулевому порядку, причем скорость гидрирования смеси значительно меньше суммы скоростей гидрирования компонентов. Гидрирование I–V, взятых отдельно, на Pd-черни также протекает по нулевому порядку (скорость р-ции сохраняется постоянной до поглощения 40–70% теоретически рассчитанного H_2), причем по скорости присоединения H_2 углеводороды располагаются в ряд: I (11,4) > IV (5,6) > II (5,2) > V (4,7) > III (3,8) (в скобках приведены константы скорости р-ции). На Pt-черни I гидрируется с несколько возрастающей скоростью, а II и VI — с постоянной скоростью, причем II быстрее, чем VI.

Л. Хейфиц

4513. Превращения этилциклогексана в контакте с Pd-глиноземом в проточной системе при повышенных температуре и давлении водорода. Шуйкин Н. И., Миначев Х. М., Виноградов В. Л., Егоров Ю. П., Изв. АН СССР, Отд. хим. н., 1957, № 5, 598–603

Показано, что при контактно-каталитич. превращениях этилциклогексана (I) над 0,5%-ным $\text{Pd}/\text{Al}_2\text{O}_3$ в проточной системе (объемная скорость пропускания I 1,0 час $^{-1}$) при 460° и давлениях H_2 от 35 до 65 ат (мол. соотношение I : H_2 = 1:5) он претерпевает глубокие превращения в различных направлениях: дегидрогенизацию, гидрогенолиз боковой цепочки и изомеризацию с сужением цикла и последующим размыканием 5-членного кольца. Установлено, что с увеличением давления от 35 до 65 ат степень превращения I возрастает с 61,4 до 84,8%, выход ароматич. углеводородов (АУ) (о-, м- и п-ксилолы, $\text{C}_6\text{H}_5\text{C}_6\text{H}_5$, $\text{C}_6\text{H}_5\text{C}_6\text{H}_5$) снижается от 57,7 до 44,7%, а содержание алканов (А) (н-пентан, 2-метилпентан) и цикланов (Ц) (циклопентан, метилциклопентан, транс-1,2-диметилциклопентан,

тан, цис-транс-цис-1,2,4-триметилциклопентан (цис-транс-цис-II), цис-цис-транс-II, цис-цис-цис-II, 1-метил-1-этилциклопентан, циклогексан) увеличивается с 16,7 до 21,1%. При пропускании I над катализатором (460° , 50 ат), в котором Al_2O_3 предварительно обработана HF (к-той), образуется на 9,3% больше АУ и на 5,4% меньше А и Ц. Описание аппаратуры см. РЖХим, 1955, 23616.

С. Кустова

4514. Синтетические спазмолитические средства.

XIII. Диметиламиноциклогексилдифенилкарбинолы. Михайлишин, Йилек, Протива (Synthetická spasmolytika. XIII. Basické cyklohexyldifenylkarbinoly. Mychajlyszyn Vladimír, Jilek Jifi O., Protiva Miroslav), Chem. listy, 1956, 50, № 12, 1982–1987 (чешск.); Сб. чехосл. хим. работ, 1957, 22, № 3, 799–805, (нем.; рез. русск.)

С целью получения новых спазмолитич. средств синтезированы некоторые диметиламиноциклогексилдифенилкарбинолы. Метилированием метилового эфира N-метилантранилиловой к-ты и метилового эфира м-аминобензойной к-ты (т. кип. 178 – $180^\circ/25$ мм, получен с выходом 76% при гидрировании метилового эфира м-нитробензойной к-ты над скелетным Ni при 50° и 120 ат) получены соответственно метиловый эфир N,N-диметилантранилиловой к-ты (I) (выход 69%, т. кип. 132 – $136^\circ/15$ мм; йодгидрат, т. пл. 163° (из водн. ацетона)) и метиловый эфир м-диметиламинобензойной к-ты (II) (выход 46%, т. кип. 97 – $102^\circ/1,3$ мм; шикрат (ПК), т. пл. 161 – 163° (из сп.); йодметилат, т. пл. 224° (из водн. сп.)). Гидрированием I, II и этилового эфира п-диметиламинобензойной к-ты над Pt в CH_3COOH соответственно получены метиловый эфир 2-диметиламиноциклогексанкарбоновой к-ты (III) [выход 21%, т. кип. 130 – $132^\circ/40$ мм; ПК, т. пл. 141° (из сп.)], метиловый эфир 3-диметиламиноциклогексанкарбоновой к-ты (IV) [выход 60%, т. кип. 120 – $123^\circ/10$ мм; ПК, т. пл. 138° (из сп.)] и этиловый эфир 4-диметиламиноциклогексанкарбоновой к-ты (V) [выход 38%, т. кип. 124 – $128^\circ/12$ мм; ПК, т. пл. 119° (из сп.)]. При дальнейшем гидрировании III над скелетным Ni при 150° и 140 ат с небольшим выходом образуется N,N-диметилциклогексаламин, т. кип. 80 – $87^\circ/40$ мм; ПК, т. пл. 174° (из сп.). Взаимодействие III, IV и V с $\text{C}_6\text{H}_5\text{MgBr}$ приводит соответственно к 2-диметиламиноциклогексилдифенилкарбинолу (VI) (выход 33%, т. пл. 175° (из сп.-бэл.); ПК, т. пл. 200° (из сп.); хлоргидрат (ХГ), т. пл. 253°), 3-диметиламиноциклогексилдифенилкарбинолу (VIII) [выход 27%, т. пл. 135° (из бэл.); ПК, т. пл. 190° (из сп.); ХГ, т. пл. 243° (из сп.-эф.)] и 4-деметиламиноциклогексилдифенилкарбинолу (VIII) [выход 12%, т. пл. 149° (из сп.); ХГ, т. пл. 229° (из сп.-эф.)]. При получении VII и VIII побочно образуются 3-диметиламиноциклогексилфенилкетон [ПК, т. пл. 170° (из сп.)] и соответственно 4-диметиламиноциклогексилфенилкетон; ПК, т. пл. 180° . При кипячении 2 часа с H_2SO_4 (1:4) VII превращается в 1-диметиламино-3-бензилгидриденциклогексан; ПК, т. пл. 195° (из сп.); ХГ, т. пл. 227° (из сп.-эф.). ХГ VI–VIII обладают лишь весьма незначительным спазмолитич. действием. Сообщения XII см. РЖХим, 1957, 47915.

Л. Хейфиц

4515. Исследования в области непредельных циклических углеводородов и их галогенпроизводных. XXV. Взаимодействие метилциклогексана-1,3 с гексабромэтаном и хинолином. Домнин Н. А., Черкасова В. А., Ж. общ. химии, 1957, 27, № 5, 1214–1215

Установлено, что при взаимодействии метилциклогексана-1,3 (I) с C_2Br_6 и хинолином (3 часа при 135° , затем при 145 – 155°) в результате сопряженного галогенирования и дегалогенирования образуется толуол (выход 60–63%). При аналогичном взаимодействии I с симм-тетрабромэтаном и изобутилендибромидом

толуола образуется меньше. I получен действием КОН-порошка на смесь 2,3-дибромметилциклогексана и 1,2-дибромметилциклогексана. Сообщение XXIV см. РЖХим, 1957, 68767.

4516. Взаимодействие циклогексанацетилена с низшими предельными одноосновными кислотами. Большухин А. И., Егоров А. Г., Ж. общ. химии, 1957, 27, № 5, 1185—1187

Присоединение CH_3COOH , $\text{C}_2\text{H}_5\text{COOH}$ и $\text{C}_3\text{H}_7\text{COOH}$ к циклогексанацетилену (I) в присутствии Hg-солей этих к-т и $\text{BF}_3 \cdot (\text{C}_2\text{H}_5)_2\text{O}$ приводит соответственно к 1-ацетокси-1-циклогексилэтену (II) (выход 33,8%, т. кип. 123,5—124,5°/56 мм, n_D^{20} 1,4582, d_4^{20} 0,9900, d_4^{20} 0,9725, d_{20}^{20} 0,9742), 1-пропиониокси-1-циклогексилэтену (III) (выход 18%, т. кип. 94,5—96°/6 мм, n_D^{20} 1,4580, d_4^{20} 0,9748, d_4^{20} 0,9585, d_{20}^{20} 0,9601) и 1-бутирокси-1-циклогексилэтену (IV), выход 30%, т. кип. 96—98°/5 мм, n_D^{20} 1,4560, d_4^{20} 0,9639, d_4^{20} 0,9472, d_{20}^{20} 0,9487; во всех случаях образуется также метилциклогексилкетон (V), II—IV в присутствии уксуснокислого семикарбазида при 100—110° гидролизуются значительно медленнее, чем эфиры, полученные присоединением тех же к-т к октину-1 и его изомерам (РЖХим, 1956, 78079). Во всех случаях среди продуктов гидролиза обнаружен только V [семикарбазон, т. пл. 174—175° (из сл.)], что подтверждает строение II—IV. I получен нагреванием 1,1-дихлор-2-циклогексилэтана (VI) с твердым КОН, выход I 47%, т. кип. 129,5—132°, n_D^{20} 1,4580, d_4^{20} 0,8727, d_4^{20} 0,8543, d_{20}^{20} 0,8556. VI синтезирован конденсацией $\text{CH}_2=\text{CHCH}_2\text{Cl}$ с хлористым циклогексидом по известному методу (Schmerling L., J. Amer. Chem. Soc., 1949, 71, 698), выход 37,7%, т. кип. 92—95°/11 мм, n_D^{20} 1,4811.

4517. О пространственном протекании диенового синтеза циклогептадиена-1,3 и маленового ангидрида. К изучению бициклических мостиковых систем. Альдер, Мёлльс (Über den sterischen Verlauf der Dien-Synthese von Cycloheptadien-(1,3) mit Maleinsäureanhydrid. Ein Beitrag zur Kenntnis bicyclischer Systeme mit Brüchen. Alder Kurt, Mölls Hans-Heinz), Chem. Ber., 1956, 89, № 8, 1960—1971 (нем.)

Изучена р-ция диенового синтеза циклогептадиена-1,3 (I) с маленовым ангидридом (II) и установлена конфигурация аддукта (III). Присоединение II к I происходит значительно труднее, чем присоединение II к циклопентадиену (IV) и циклогексадиену-1,3 (V), и приводит к пространственно индивидуальному III. При окислении HNO_3 или O_3 из III получен моноангидрид-2,3-циклогептантетракарбоновой-1,2,3,4 к-ты (VI), который не дает диангидрида, а при окислении NaMnO_4 — ангидрид 4,5-дикето-3,6-эндопропиленциклогександикарбоновой-1,2 к-ты (VII), при действии H_2O_2 превращающийся в VI. Ангидридный цикл в VI очень устойчив и расщепляется лишь при длительном нагревании с р-ром Na_2CO_3 или разб. к-той, образуя циклогептантетракарбоновую-1,2,3,4 к-ту (VIII), т. пл. 180° (разл.), которая имеет полную *цис*-конфигурацию, так как дает диангидрид (IX). Следовательно, диеновый синтез I и II протекает обычным образом, и III обладает *эндо*-конфигурацией. Конденсация I с дихлорангидридом фумаровой к-ты (X) приводит к *транс*-аддукту (XI), который после омыления легко окисляется в соответствующую циклогептантетракарбоновую-1 (*цис*), 2 (*цис*), 3 (*транс*), 4 (*цис*) к-ту (XII). Диангидрид XII (XIII) при нагревании перегруппировывается в диангидрид циклогептантетракарбоновой-1 (*цис*), 2 (*цис*), 3 (*транс*), 4 (*транс*) к-ты (XIV), образующийся также при нагревании IX. Присоединение HBrO к III — в отличие от аддукта IV и II (XV) — привело не к бромлактоноокислоте, а к 5-бром-4-окси-3,6-эндопропиленциклогександи-

карбоновой-1,2 к-те (XVI). Замыкание лактонного цикла не происходит, потому что OH-группа в XVI занимает *экзо*-положение, а COOH-группы — *эндо*-положение. При обработке XVI р-ром КОН в CH_3OH происходит замена Br-атома на гидроксил и образуется соответствующая 4-оксилактоноокислота (XVII). Окисление III H_2O_2 в CH_3COOH дало очень устойчивую окись III (XVIII), которая не расщеплялась даже при 8-дневном нагревании в водн. диоксане про 160°. При действии на XVIII $(\text{CH}_3\text{CO})_2\text{O}$ получен ангидрид 4,5-диацетокси-3,6-эндопропиленциклогександикарбоновой-1,2 к-ты (XIX), при кислотном омылении давший соответствующую оксилактоноокислоту (XX), изомерную XVII по OH-группе. Получение XVII и XIX также доказывает *эндо*-конфигурацию III. Ангидридный цикл в III подобно ангидриднему циклу аддукта V и II (XXI) — в отличие от XV и аддукта бутадиена и II (XXII) — чрезвычайно устойчив и при подкислении щел. р-ра III не расщепляется. Сравнительное рассмотрение некоторых свойств III, XV, XXI и XXII показало, что углеродный скелет III является довольно жестким и занимает промежуточное положение между углеродным скелетом XXII и скелетами XV и XXI, приближаясь к последним. Подобно этому УФ-спектр 1,2-диметиленициклогексана (XXIII) резко отличается от сходных УФ-спектров жестких копланарных 2,3-диметилена-1,4-эндоиметиленициклогексана (XXIV), 2,3-диметилена-1,4-эндоиметиленициклогексана (XXV) и 2,3-диметилена-1,4-эндопропиленциклогексана (XXVI). Смесь I и II кипятят в о-ксилоле и получают III, выход 90%, т. пл. 114° (из этилацетата). Аналогично из I и X получают XI, т. кип. 79—83°/0,02 мм. Смесь 1 ч. XI и 10 ч. воды осторожно нагревают до начала р-ции и получают *транс*-3,6-эндопропиленциклогексен-4-дикарбоновую-12 к-ту (XXVII), т. пл. 202—203° (из водн. CH_3COOH), которая при гидрировании над Pt (из PtO_2) дает предельную к-ту, т. пл. 228—229° (из водн. CH_3COOH), не образующую ангидрида. К 160 мл кипящей HNO_3 (d 1,4) осторожно прибавляют 10 г III, кипятят 2 часа и получают VI, выход 25%, т. пл. 216° (разл.; из 75%-ной HCOOH); диметилловый эфир, т. пл. 163° (из этилацетата). Омыливание III дает VI с выходом 28%. Суспензию 5 г III в 200 мл воды обрабатывают Na_2CO_3 до растворения и при 50° в токе CO_2 прибавляют по каплям 15%-ный р-р NaMnO_4 , получают VII, выход 43%, т. пл. 193° (из CH_3CN -лигр.); диметилловый эфир (XXVIII), т. пл. 152° (из бzl.); хиноксалиновое производное XXVIII, т. пл. 190° (из CH_3OH). К 30 мл смеси 30%-ной H_2O_2 и лед. CH_3COOH (1:3), которую предварительно нагревали 1 час при 85°, прибавляют 2 г VII, нагревают 1 час про 100° и получают VI, выход 72%. Смесь 1 ч. VIII и 20 ч. CH_3COCl выдерживают 3 недели при ~20° или кипятят 6 час., получают IX, т. пл. 230°. При многократной перекристаллизации IX из $(\text{CH}_3\text{CO})_2\text{O}$, CH_3CN или смеси этилацетата с лигроином получают XIV, т. пл. 223—224° (из CH_3CN). Смесь 1 г VIII и 20 мл $(\text{CH}_3\text{CO})_2\text{O}$ кипятят 1 час и получают XIV. Окисляют XXVII HNO_3 , как описано выше, и получают XII, выход 35%, т. пл. 173° (разл.). Окисление XXVII O_3 дает XII с выходом 25%. Смесь 1 ч. XII и 20 ч. CH_3COCl кипятят 6 час. или выдерживают 3 недели при ~20°, получают XIII, т. пл. 245—248° (разл.). При многократной перекристаллизации XIII (аналогичной перекристаллизации IX) или при кипячении XII с $(\text{CH}_3\text{CO})_2\text{O}$ получают XIV. К содовому р-ру III прибавляют небольшой избыток Br₂ и получают XVI, т. пл. 173° (из CH_3CN), которая при кипячении с $(\text{CH}_3\text{CO})_2\text{O}$ дает ангидрид ацетоксидибромдикарбоновой к-ты, т. пл. 135° (из этилацетата). Смесь 5 г XVI и 20 мл 10%-ного р-ра КОН в CH_3OH кипятят 2 часа и получают XVII, т. пл. 193° (разл.; из

CH_3CN -этилацетата); метиловый эфир, т. пл. 148° (из этилацетата). К 10 г смеси 30%-ной H_2O_2 и лед. CH_3COOH (1:3) прибавляют 2 г III, нагревают 3 часа при 100° и получают XVIII, выход 95%, т. пл. 162° (из этилацетата-лигр.). Смесь 3 г XVIII, 20 мл $(\text{CH}_3\text{CO})_2\text{O}$ и 0,5 мл конц. HCl кипятят 16 час. и получают XIX, т. пл. 170° (из этилацетата). К суспензии 3 г XIX в 10 мл 2%-ной HCl прибавляют диоксан до растворения, кипятят 30 час. и получают XX, выход 1,8 г, т. пл. 221° (из CH_3OH); метиловый эфир, т. пл. 118° (из этилацетата-лигр.). Смесь 40 г продукта гидрирования III (XXIX), CH_3OH и H_2SO_4 кипятят 4 часа и получают диметиловый эфир XXIX, выход 34 г, т. кип. $177-178^\circ/12$ мм. При восстановлении диметилового эфира XXIX LiAlH_4 образуется соответствующий гликоль, выход 97%, т. пл. 67° (из лигр.); диацетат, выход 90%, т. кип. $125-126^\circ/0,03$ мм, т. пл. $37-38^\circ$. Пиролиз диацетата при 520° в токе N_2 приводит к XXVI, выход 20%, т. кип. $102,9^\circ/30$ мм. При смешивании XXVI и II в C_6H_6 получают аддукт, т. пл. 155° (из этилацетата). Аналогично из XXVI и X получают аддукт, который омыляют р-ром Na_2CO_3 в транс-кислоту, т. пл. 214° (из этилацетата-лигр.). При восстановлении диметилового эфира 1,4-эндостиленициклогексен-5-дикарбоновой-2,3-к-ты LiAlH_4 образуется гликоль (т. пл. 89°), диацетат которого (выход 90%, т. кип. $176^\circ/12$ мм) гидрируют над Pt (из PtO_2) в предельный диацетат, т. кип. $179^\circ/12$ мм; пиролиз последнего при 540° приводит к XXV, т. кип. $93^\circ/50$ мм, n_D^{20} 1,5106, d_4^{20} 0,9184; аддукт XXV с II, т. пл. 132° (из лигр.); аддукт XXV с диацетиловым эфиром ацетилендикарбоновой к-ты, т. пл. 65° (из CH_3OH). Приведены УФ-спектры XXIII—XXVI.

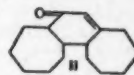
В. Андреев
4518. Реакция гуанидина с 2-метокси-3-фенил- и 2-метокси-3-(*п*-метоксифенил)-тропонами. Мурон (2-メトキシ-3-フェニル および 2-メトキシ-3-(*p*-メトキシフェニル)トロポンに對するグアニジンの作用. 室井忠), 日本化学雑誌, Нихон кикаку дзасси, J. Chem. Soc. Japan. Pure Chem. Sec., 1956, 77, № 7, 1084—1086 (японск.).

При р-ции 2-метокси-3-фенил-(I) и 2-метокси-3-(*п*-метоксифенил)-тропона (II) с хлоргидратом гуанидина (III) происходит сужение семичленного цикла и образуются соответственно 2-фенилбензоилгуанидин (IV), 2-*п*-метоксифенилбензоилгуанидин (V), а также 2-гуанидино-3-(*п*-метоксифенил)-тропон (VI). Строение IV и V подтверждено щел. расщеплением до *о*- $\text{C}_6\text{H}_5\text{C}_6\text{H}_4\text{COOH}$ (VII), *о*-(*п*- $\text{CH}_3\text{OC}_6\text{H}_4$) COOH (VIII) и их амидов. Амид VIII получают также из VI. При обработке I и II NH_3 в спирте получают 3-фенил-2-аминотропон (IX) и 3-(*п*-метоксифенил)-2-аминотропон (X), 280 мг I нагревают 3 часа с 50 мг NaOH и 240 мг III в 3,5 мл спирта при 100° , получают 140 мг IV, т. пл. $203-204^\circ$ (из сп.), из маточного р-ра после нагревания с 2 н. NaOH выделяют 20 мг VII. 120 мг I кипятят 4 часа с 50 мг III и р-ром 13 мг Na в 2 мл спирта, получают 40 мг IV и 30 мг VII. Нагревают 10 час. 50 мг IV с 0,5 мл водно-спирт. KOH при 100° , получают 20 мг амида VII, т. пл. $171-173^\circ$. Аналогично получают амид VIII, т. пл. $114-115^\circ$ (из сп.). Из 180 мг II при нагревании с 150 мг III в 2,5 мл спирта, 30 мг NaOH , 3 часа при 100° , получают 30 мг VI, т. пл. $166-167^\circ$ (из сп.), а из маточного р-ра после обработки 2 н. NaOH выделяют 70 мг V, т. пл. $176-177^\circ$ (из сп.), и после нейтр-ции HCl (к-той) — 10 мг VIII. 50 мг I нагревают 2 часа со спирт. NH_3 при 100° , получают 40 мг IX, т. пл. $126-128^\circ$. Аналогично получают X, т. пл. $136-137^\circ$. Приведены УФ-спектры IV, V, амида VIII и X.

Н. Швецов
4519. Изучение алициклических соединений. Часть IX. 1,2,3,4,5,8,9,10,11,12-декагидродициклогепта-[а, с]-бензол. Розенфельдер, Гинзбург (Alicyclic

studies. Part IX. 1:2:3:4:5:8:9:10:11:12-decahydrodicyclohepta-[a, c]-benzene. Rosenfelder Walter J., Ginsburg David) J. Chem. Soc., 1957, Marsh, 1301—1302 (англ.).

1,2,3,4,5,8,9,10,11,12-декагидродициклогепта-[а, с]-бензол (I) синтезирован следующим образом. Восстановление 1,2,3,4,5,6,8,9,10,11,12, 5а, 12а, 12в-тетрадекагидро-6-оксидициклогепта-[а, с]-бензола (II) приводит к со-

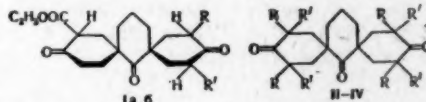


ответствующему спирту, который при дегидратации с помощью $\beta\text{-C}_{10}\text{H}_7\text{SO}_3\text{H}$, Al_2O_3 или POCl_3 в $\text{C}_6\text{H}_5\text{N}$ дает смесь соответствующих гомоаннуляриного ($\lambda_{\text{макс}}$ 2740 Å) и гетероаннуляриного ($\lambda_{\text{макс}}$ 2450 Å) диенов, т-ра кипения смеси $127-128^\circ/1$ мм, $120-122^\circ/0,5$ мм. Дегидрирование смеси диенов нагреванием с S (1 час при $180^\circ/25$ мм), Se (2 часа при 200° и 1 час при 345°) или бромированием N-бромсукцинимидом с последующим дегидробромированием лутидином приводит к I, т. кип. $144-147^\circ/2,3$ мм, т. пл. $57-57,5^\circ$ (из эф.- CH_3OH). Приведены УФ-спектры I и смеси диенов.

Часть VIII см. РЖХим, 1958, 1233. Л. Хейфиц

4520. Химия акрилонитрила. III. Синтез диспиро-[5,1,5,3]-гексадекантриона-3,7,11. Цзинь Шэн, Син Цин-и (Chemistry of acrylonitrile. III. Synthesis of dispiro [5,1,5,3] hexadecanetrione-3,7,11. King Sheng, Hsing Chiyi) 中國科學, Чжунго кэсюэ Acta sci. sinica, 1956, 5, № 3, 455—460 (англ.) Хуасюэ сюэбао, 化學學報, Acta Chim. Sinica, 1956, 22, № 2, 138—143 (кит., рез. англ.).

Из ранее описанного (Bruson, Riener, J. Amer. Chem. Soc., 1942, 64, 2850) 2,2,6,6-тетра-(β -цианэтил)-циклогексанона омылением с последующей этерификацией образующейся к-ты получают 2,2,6,6-(β -карбэтоксизтил)-циклогексанон (выход 80,3%, считая на к-ту, т. кип. $240^\circ/0,5$ мм), который после циклизации по Дикману (6 час. при $110-115^\circ$) дает 4,10-ди-(β -карбэтоксизтил)-диспиро-[5,1,5,3]-гексантрион-3,7,11 (I) (выход 56,7%, т. пл. $138-139^\circ$ (из сп.)), имеющий строение (Ia) или (Ib). I после 6-час. кипячения с $\text{CH}_3\text{COOH}-\text{HCl}$ превращается в диспиро-[5,1,5,3]-гексадекантрион-3,7,11 (II), выход 93%, т. пл. $156-157^\circ$ (из сп.); бис-2,4-динитрофенилгидразон, т. пл. $135-139^\circ$;



а $\text{R}=\text{COOC}_2\text{H}_5$; $\text{R}'=\text{H}$; б $\text{R}=\text{H}$, $\text{R}'=\text{COOC}_2\text{H}_5$; II $\text{R}=\text{R}'=\text{H}$; III $\text{R}=\text{R}'=(\text{CH}_2)_6\text{CN}$; IV $\text{R}=\text{R}'=-(\text{CH}_2)_4\text{COCH}_2\text{CH}_2-$

фенилгидразон, $208-210^\circ$ (разл.). С избытком $\text{CH}_2=\text{CHCN}$ в присутствии 1 капли 40%-ного KOH в р-ре трет.- $\text{C}_4\text{H}_9\text{OH}$ II дает 2,2,4,4,10,10,12,12-окта-(β -цианэтил)-диспиро-[5,15,5,3]-гексантрион (III), выход 48%, т. пл. $192-194^\circ$ (из ацетона), из которого легко может быть получен полиспирокетон (IV). Сообщение II см. РЖХим, 1957, 44575. Л. Хейфиц

4521. Простой метод получения адамантана. Шлейер (A simple preparation of adamantane. Schleyer Paul von R.), J. Amer. Chem. Soc., 1957, 79, № 12, 3292 (англ.).

Содержащийся в нефти трициклич. углеводород адамантан (I) получен кипячением (~ 12 час.) эндо-триметиленнорборнана (эндо-II) с AlBr_3 или AlCl_3 (10% от веса эндо-II), выход чистого I $12-13\%$, т. пл.

269,6—270,8° (после возгонки, в запаянном капилляре); наряду с I образуется ~50% экзо-II, т. кип. 185°, n_D^{20} 1,4871. Экзо-II при нагревании с $AlBr_3$ или $AlCl_3$

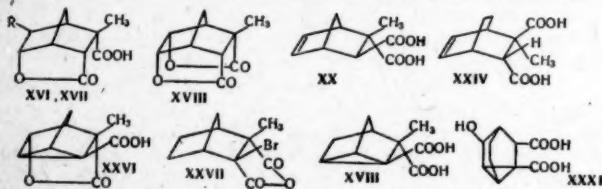


дает I с тем же выходом. Строение I подтверждено ИК- и масс-спектроскопич. данными. Эндо-II получен с колич. выходом гидрированием дидиклопентадиена.

Л. Хейфиц

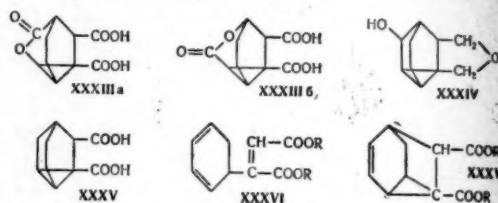
4522. Получение соединений типа трициклена. О циклических гомологах трициклена. Альдер, Брокхаген, Кайзер, Рот (Darstellung von Verbindungen des Tricyclen-Typus. Über ein Ringhomologes des Tricyclens. Alder Kurt, Brochhagen Franzkarl, Kaiser Christelmargot, Roth Wolfgang), Liebigs Ann. Chem., 1955, 593, № 1, 1—22 (нем.)

Изучено пространственное строение аддуктов циклопентадиена (I) и циклогексадиена-1,3 (II) с цитраконовым (III), фенилмалеиновым (IV), ацетоксималеиновым (V), итаконовым (VI), бромцитраконовым (VII), броммалеиновым (VIII), хлормалеиновым (IX) ангидридами, мезаконилхлоридом (X), β -бромакриловой к-той (XI), α -бромакролеином (XII) и броммезаконилхлоридом (XIII). Из I с VII образуется 2-бром-экзо-3-метил-экзо-1,4-эндометиленициклогексен-5-дикарбоновый-2,3-эндо-цис ангидрид (XIV). Строение XIV доказывают восстановлением двойной связи или



элиминированием галоида с последующим гидролизом до 1,4-эндометил-3-метил-экзо-циклогексен-5-дикарбоновой-2,3-эндо-цис к-ты (XV), идентичной с получаемой при гидролизе аддукта I с III. Присоединения $HBrO$ к XV, получают бромлактонкарбоновую к-ту (XVI R = Br), которую переводят в оксилактонкарбоновую к-ту (XVII R = OH) и далее в дилактон (XVIII). При кипячении диметилового эфира XV с CH_3ONa образуется экзо-транс-XV (XIX), конфигурация которой устанавливается из общих стерич. соображений. Из I и X получают эндо-транс-XV (XX). При гидрировании XX образуется 1,4-эндометил-3-метил-эндо-циклогександикарбоновая-2,3-транс к-та (XXI), которая при перегонке дает цис-ангидрид. Последний при гидролизе превращается в эндо-экзо-цис-XXI (XXII). Диеновые синтезы с II протекают аналогично. Так, из II и III образуется 1,4-эндостил-3-метил-экзо-циклогексен-5-дикарбоновый-2,3-эндо-цис ангидрид (XXIII), а из II с X получен эндо-транс-XXIII, выделенный в виде дикарбоновой к-ты (XXIV). В случае галоидсодержащей филодиеновой компоненты р-ции проходит легче, чем при отсутствии галоида. Из XIII с I синтезируют дихлорангидрид эндо-экзо-транс-XIV (XXV). Строение XXV авторы устанавливают на основании стереоспецифичности р-ции его гидролиза, в результате чего после отщепления HBr и образования лактона образуется производное нор-трициклена (XXVI). При гидролизе XIV также полу-

чено XXVI. Гидрированием XIV превращен в ангидрид (XXVII), который после отщепления HBr и гидролиза образует к-ту (XXVIII). Р-ции I с V, VI, XII, цис- и транс-XI не приводят к образованию трицикленов. Присоединения II к VIII или IX синтезируют 2-бром-1,4-эндостиленициклогексен-5-дикарбоновый-2,3 ангидрид (XXIX) или 2-хлор-1,4-эндостиленициклогексен-5-дикарбоновый-2,3 ангидрид (XXX). При гидролизе XXIX и XXX отщепляют галоидоводород и дают 5-окситрицикло-[2,2,2 = 0^{2,6}]-оксандикарбоновую к-ту (XXXI). Окислением конц. HNO_3 XXXI превращена в 5-кетотрицикло-[2,2,2 = 0^{2,6}]-оксандикарбоновую-2,3 к-ту (XXXII), устойчивую к действию SeO_2 в толуоле, диоксане или $(CH_3CO)_2O$. При действии CH_3COOH XXXII превращается в лактондикарбоновую к-ту (XXXIIIa или б), при восстановлении снова дает XXXI, а при более жестких условиях образует производное тетрагидрофурана (XXXIV). Восстановление XXXII по Кижнеру приводит к трицикло-[2,2,2 = 0^{2,6}]-оксандикарбоновой-2,3 к-те (XXXV), строение которой подтверждается встречным синтезом: при действии $ROOC=CCOOR$ на 1,4-дигидробензол получают эфир



(XXXVI), который благодаря внутримолекулярному диеновому синтезу переходит в (XXXVII). Каталитич. гидрирование XXXVII с последующим омылением приводит к XXXV. Р-р 4 г III в 5 мл C_6H_6 смешивают с 2,4 г I, через 24 часа C_6H_6 отгоняют в вакууме, остаток растворяют в водн. Na_2CO_3 , фильтруют, охлаждают, подкисляют разб. HCl , концентрируют и выделяют XV, выход 90%, т. пл. 139° (из CH_3CN). Действие $HBrO$ на XV дает XVI, т. пл. 93° (из воды), после высушивания над P_2O_5 т. пл. ~160°, и его стереоизомер (XVIa), т. пл. 218° (из этилацетата-лигр.). При действии CH_3N_2 на XVIa получают его монометиловый эфир, т. пл. 125° (из 70%-ного метанола). Кипячение неочищ. XVI со спирт. КОН приводит к XVII, т. пл. 208° (разл.; из воды). Из XVII кипячением с избытком $(CH_3CO)_2O$ получают XVIII, т. пл. 245° (из этилацетата или воды). XV метилируют действием CH_3N_2 , кипятят 4 часа с р-ром CH_3ONa в CH_3OH , добавляют воды, кипятят еще 2 часа и выделяют XIX, т. пл. 185° (из CH_3CN). Гидрированием XV в этилацетате над PtO_2 получают эндо-эндо-цис-XXI (XXXVIII), т. пл. 153° (из CH_3CN); ангидрид, т. пл. 129° (из лигр.). Из XV получен диметилловый эфир, т. пл. 63° (из разб. CH_3OH), который при перегруппировке (аналогично получению XIX) дает эндо-транс-XXI, т. пл. 202° (из CH_3CN). Конц. р-р 1 г диметилового эфира XV в CH_3OH смешивают с 0,6 г фенилааза, через 24 часа кипятят 5 час. и выделяют фениламинолактон монометилового эфира XV, т. пл. 198° (из CH_3OH). Из 4 г X и 4 г I в 30 мл эфира после окисления выделяют XX, выход 64%, т. пл. 170—171° (из CH_3CN). Гидрированием над PtO_2 из XX почти количественно получают XXI, т. пл. 191—192° (из CH_3CN). При перегонке XXI (290—300°) образуется ангидрид, т. пл. 140° (разл.; из этилацетата-лигр.). Бромированием XX в водн. р-ре получены в-ва с т. пл. 110° (из CH_3CN) и 162—163° (из этилацетата-лигр.). При действии CH_3N_2 на неочищ. продукты присоединения $HBrO$ к XX выделен эфир $C_{11}H_{13}O_4Br$, т. пл. 120° (из CH_3OH). Этерификацией XX с помощью

$\text{C}_6\text{H}_5\text{N}_3$ с последующим действием $\text{C}_6\text{H}_5\text{N}_3$ получено фенилгидротриазольное производное, т. пл. 169° (разл.; из CH_3OH -этилацетата). Из 5 г IV и 10 г I в 100 мл C_6H_6 после гидролиза получают 1,4-эндометилен-3-фенил-экзо-циклогексен-5-дикарбоновую-2,3-эндо-цис-к-ту (XXXIX), выход 74%, т. пл. 173° (разл.; из этилацетата-лигр.). При бромировании XXXIX в водн. CH_3COOH получена бромлактоноиксидная (XL), т. пл. 247°. Ее метиловый эфир, т. пл. 158° (из CH_3OH). Наряду с XL из маточного р-ра после метилирования выделен изомерный эфир с т. пл. 117° (из 80% CH_3OH). При обработке XL 25%-ным метанольным р-ром КОН выделяют дилактон, т. пл. 238° (из этилацетата или воды). Из диметилового эфира XXXIX с $\text{C}_6\text{H}_5\text{N}_3$ получено фенилгидротриазольное производное, т. пл. 212° (разл.; из этилацетата). При гидрировании над PtO_2 XXXIX присоединяет H_2 и образует к-ту с т. пл. 180° (разл.; из этилацетата); диметиловый эфир, т. пл. 82° (из 70%-ного CH_3OH). Из I и V (в C_6H_6 , 5–6 час., 50–60°) получен аддукт, т. пл. 105° (из C_6H_6 -лигр.). Р-р 8,7 г $\text{HC}\equiv\text{CCOOH}$ в 50 мл HBr (к-ты, насыщ. при 0°) оставляют на 20 час. и получают 1 г транс-XI, т. пл. 121° (из лигр.); из маточного р-ра выделяют 3,8 г цис-XI, т. пл. 55° (из лигр.). Из транс-XI и I (кипение в эфире 7 час.) получен аддукт, т. пл. 134° (из этилацетата-лигр.). Также из цис-XI и I аддукт имеет т. пл. 179° (из этилацетата-лигр.). В 100 мл эфира постепенно смешивают 100 г XII и 50 г I, эфир отгоняют, остаток перегоняют с водяным паром и получают аддукт, выход 90 г; обработкой 15-кратным кол-вом 5%-ной метанольной H_2SO_4 выделяют в виде ацетата, т. кип. 125°/12 мм, который с $\text{C}_6\text{H}_5\text{N}_3$ образует аддукт, т. пл. 135° (из этилацетата). Из I и VI получена 2-карбоксиметил-1,4-эндометилен-циклогексен-5-карбоновая-2 к-та (XLI), т. пл. 158° (разл.). Гидротриазольное производное ангидрида XLI, т. пл. 189° (разл.; из этилацетата-лигр.). При гидрировании над PdO_2 XLI дает 2-карбоксиметил-1,4-эндометиленциклогексанкарбоновую-2 к-ту (XLII), т. пл. 153° (разл.; из воды); ангидрид, т. пл. 60° (из лигр.). При окислении XLI азотной к-той выделена 1-карбоксиметилциклопентантрикарбоновая-1,2,4 к-та, т. пл. 215° (разл.; из этилацетата); диангидрид, т. пл. 214° (из этилацетата). Из I и VII в эфире получено XIV, выход 85%, т. пл. 176° (из C_6H_6). Каталитич. гидрированием XIV над PtO_2 синтезирован XXVII, т. пл. 204° (из циклогексана). Если восстанавливать XIV действием Zn в CH_3COOH , то элиминируется галонд и получается XV. При кипячении XIV с 5%-ной HBr образуется XXVI, т. пл. 195°; монометиловый эфир, т. пл. 70° (из 50% CH_3OH). Кипятят XXVII с водой или разб. КОН и получают XXVIII, т. пл. 255°. Из бромезаконовой к-ты (Vaughan W. R., Milton K. M., J. Amer. Chem. Soc., 1951, 73, 5497) кипячением 5 час. с SOCl_2 получен XIII, т. кип. 61°/3 мм, который с I в эфире образует XXV, выход 75%, т. кип. 130–135°/3,5 мм. Нагреванием XXV с разб. р-ром соды синтезировано XXVI, выход 64%. Из II и III получен XXIII, т. пл. 181° (из лигр.). При бромировании в водн. CH_3COOH XXIII дает бромлактоноиксидную с т. пл. 227–233° (из водн. CH_3COOH); монометиловый эфир, т. пл. 116° (из CH_3OH), щел. гидролизом которой получают оксиллактоноиксидную с т. пл. 266° (из воды), а обработкой последней (CH_3CO_2) $_2\text{O}$ получают дилактон, т. пл. 303° (из этилацетата). Перегруппировка XXIII через метиловый эфир, как это описано для XIX, приводит к транс-изомеру XXIV, т. пл. 215° (из этилацетата-циклогексана). Гидрированием над PdO_2 XXIII переводят в дигидроангидрид, т. пл. 194° (из лигр.), который через метиловый эфир перегруппировывают в дигидро-XXIV, т. пл. 213° (из этилацетата-лигр.); диметиловый эфир, т. пл. 69° (из 70%

CH_3OH). Из II и X (кипение 2 часа) после подкисления получают XXIV, т. пл. 199° (из CH_3CN). Каталитич. гидрированием XXIV получают дигидро-XXIII. Из II с VIII или IX получены смолообразные XXIX или XXX. Кипячением с водой из XXIX или XXX образуется XXXI, т. пл. 236° (из этилацетата), которая при окислении конц. HNO_3 превращается в XXXII, выход почти колич., т. пл. 227° (из воды); семикарбазон диметилового эфира, т. пл. 198–199° (из CH_3OH); ангидрид, т. пл. 147° (из этилацетата-лигр.). Из XXXII действием H_2O_2 и CH_3COOH (4 часа, 80–90°) получена XXXIII, т. пл. 224° (из CH_3OH -этилацетата-лигр.); диметиловый эфир, т. пл. 94° (из этилп. эф.). Гидрируют (2 часа, 270°, 160 ат) XXXII в диоксане над $\text{Cu/Cr}_2\text{O}_3$ и получают XXXIV, т. пл. 144° (из этилацетата-лигр.). Из 20 г XXXII в 100 мл этиленгликоля с 14 г КОН и 10 мл 90% $\text{N}_2\text{H}_4 \cdot \text{H}_2\text{O}$ выделяют 3 г XXXV, т. пл. 250° (из воды). Предыдущее сообщение см. РЖХим, 1955, 48864. С. Цукерман

4523. Тенденции развития в современной химии соединений ароматического ряда. Сёхара (現代芳香族化学の動向. 莊原和), Коул-Тарл, Кору-тару, Coal Tar, 1956, 8, № 8, 2–40 (японск.).

Показаны основные направления современного развития различных областей органич. синтеза; изложены современные тенденции в изучении физ. свойств ароматич. соединений. Ю. Ермаков

4524. Каталитическое алкилирование бензола алканами в паровой фазе. Сообщение I. Алкилирование бензола пропаном. Шуйкин Н. И., Поздняк Н. А., Изв. АН СССР. Отд. хим. н., 1957, № 6, 697–701

Исследована р-ция алкилирования C_6H_6 пропаном (II) в присутствии ZnCl_2 , нанесенном на Al_2O_3 или SiO_2 , при атмосферном и повышенных (2–20 ат) давлениях. При проведении р-ции алкилирования при атмосферном давлении лучшие результаты — 52,5% изопропилбензольной фракции (ИФ) с т. кип. 150–160° (содержит 75% изопропилбензола (II) — получены при 300° мол. соотношении (MC) $\text{C}_6\text{H}_6:1 = 2:1$ и объемной скорости (OC) 0,15 час⁻¹. При OC > 0,2 час⁻¹ и MC > 4:1 выход ухудшается; снижение содержания ZnCl_2 в катализаторе до < 15% (исследовался катализатор с содержанием ZnCl_2 8–40%) резко снижает активность катализатора; катализатор, в котором носителем является SiO_2 , менее активен, чем катализатор с носителем Al_2O_3 ; Al_2O_3 , обработанная HCl (газом), не является катализатором. При повышенном давлении наилучшие результаты — выход чистого II 50%, считая на введенный в р-цию I и 75,5% при расчете на I, вступивший в р-цию — получены при проведении алкилирования при 200° и 5 ат, при MC = 4:1–6:1 и OC 0,45 час⁻¹; увеличение содержания I в газовой смеси с 16 до 23% не влияет существенным образом на выход ИФ; изменение давления от 5 до 20 ат не влияет на выход ИФ в расчете на пропущенный I, в то же время, выход ИФ на прореагировавший C_6H_6 увеличивается с уменьшением давления; при повышении избытка C_6H_6 в реакционной массе выход ИФ повышается. Кроме II образуется смесь 1,2-, 1,3- и 1,4-диизопропилбензолов. Г. Швехгеймер

4525. Ароматическое замещение. Часть III. Алкилирование ароматических соединений фтористыми алкилами в присутствии трехфтористого бора. Ола, Кун, Ола (Aromatic substitution. Part III. Alkylation of aromatic compounds by the boron trifluoride-catalysed reaction of alkyl fluorides. Oláh G., Kuhn S., Oláh J.), J. Chem. Soc., 1957, May, 2174–2176 (англ.)

Установлено, что фтористые алкилы (ФА) алкилируют ароматич. углеводороды (АУ) в присутствии

BF_3 , 0,5 моля ФА растворяли в 1 моле АУ при т-ре от -20 до -80° и в р-р пропускали $\sim 0,5$ моля BF_3 (газ). Смесь нагревали до разрушения комплекса, отделяли органич. слой, отмывали от к-ты, сушили и фракционировали, собирая смесь изомерных продуктов моноалкилирования (ПМА). Ниже перечислены исходные АУ и ФА и выход смеси изомерных ПМА: $\text{C}_6\text{H}_5\text{CH}_3$, CH_3F , 62; $\text{C}_6\text{H}_5\text{CH}_3$, $\text{C}_2\text{H}_5\text{F}$, 81; $\text{C}_6\text{H}_5\text{CH}_3$, $n\text{-C}_3\text{H}_7\text{F}$, 77; $\text{C}_6\text{H}_5\text{CH}_3$, *изо*- $\text{C}_3\text{H}_7\text{F}$, 84; $\text{C}_6\text{H}_5\text{CH}_3$, *трет*- $\text{C}_4\text{H}_9\text{F}$, 68; $\text{C}_6\text{H}_5\text{CH}_3$, $\text{C}_6\text{H}_{11}\text{F}$, 79; $m\text{-C}_6\text{H}_4(\text{CH}_3)_2$, $\text{C}_2\text{H}_5\text{F}$, 83; *симм*- $\text{C}_6\text{H}_3(\text{CH}_3)_3$, $\text{C}_2\text{H}_5\text{F}$, 79; C_6H_6 , $\text{C}_6\text{H}_{11}\text{F}$, 85. При пропускании BF_3 (газ) в ФА при т-ре от -50 до -110° удается выделить комплексные соединения BF_3 и ФА типа $\text{R}+\text{BF}_4^-$. Выделены следующие $\text{R}+\text{BF}_4^-$ (приведены R, т. пл. или т. разл. в $^\circ\text{C}$ и проводимость в 10^{-2} ом $^{-1}\text{см}^{-1}$): CH_3 , -110 , 0,0002; C_2H_5 , -105 , 0,0005; $n\text{-C}_3\text{H}_7$, -95 , 0,4; *изо*- C_3H_7 , -95 , 0,4; *трет*- C_4H_9 , -80 , 0,4; C_6H_{11} , от -54 до -52 , 0,5. Низкая проводимость CH_3BF_4 и $\text{C}_2\text{H}_5\text{BF}_4$ связывается авторами с наличием слабо диссоциированной полярной ковалентной связи. При действии $\text{R}+\text{BF}_4^-$ на $\text{C}_6\text{H}_5\text{CH}_3$ при -80° моноалкилированные продукты образуются с выходами 80–85%. Часть II см. РЖХим, 1957, 77055.

В. Антонов
4526. О парофазном окислении стирола и α -метилстирола на ванадате олова. Суворов Б. В., Рафиков С. Р., Соломин А. В., Хмура М. И., Докл. АН СССР, 1957, 113, № 3, 624–626

При парофазном окислении стирола (I) и α -метилстирола (II) влажным воздухом над гранулированным ванадатов олова выделены $\text{C}_6\text{H}_5\text{COOH}$ (III), малеиновый ангидрид (IV), хинон (V), CH_2O , CO , CO_2 , $\text{C}_6\text{H}_5\text{CHO}$ (VI; при окислении I) и $\text{C}_6\text{H}_5\text{COCH}_3$ (VII; при окислении II). Первичным продуктом р-ции является, вероятно, $\text{C}_6\text{H}_5\text{CRCH}_2\text{OO}(\text{R}=\text{H}, \text{CH}_3)$, который подвергается затем термич. распаду. Опыты проведены на установке проточного типа при времени контакта 0,08–0,1 сек. и объемной скорости 0,10–0,12, содержание воды в воздухе до 300 г/м 3 . Перечисляются т-ра окисления I в $^\circ\text{C}$, выходы VI, III, V и IV в %: 285, 7,8, 30,3, не определено, 5,3; 340, следы, 57,1, 0,8, 10,5; 374, следы, 35, 0,7, 12,7 (выделены также CH_2O , CO и CO_2 соответственно 0,09, 1,06 и 0,42 моля на 1 моль I); 400, следы, 23,1, 0,1, 15,6. Перечисляются т-ра окисления II, выходы VII, III, V и IV в %, выходы CH_2O , CO и CO_2 в молях на моль II. 310, 9,4, 25,2, 0,2, 10,1, не определено; 342, следы, 61,2, 1,1, 16,6, 0,24, 1,31, 0,11; 390, следы, 40, 1,8, 23,8, 0,23, 1,95, 0,2.

П. Аронович
4527. Каталитические реакции в присутствии металлического алюминия. III. Алкилирование хлорбензола бромистым этилом, *n*-бромистым пропилом и *n*-бромистым бутилом. Турова-Поляк М. Б., Маслова М. А., Ж. общ. химии, 1957, 27, № 4, 897–899

Изучена р-ция алкилирования хлорбензола (I) $\text{C}_6\text{H}_5\text{Br}$, $n\text{-C}_3\text{H}_7\text{Br}$ и $n\text{-C}_4\text{H}_9\text{Br}$ в присутствии металлич. Al. Смесь I, бромалкила и Al-стружек нагревали до начала выделения HBr. По окончании бурной р-ции смесь нагревали при 100° 30–40 мин., фракционировали и собирали смесь изомерных алкилхлорбензолов (АХБ). Многократной разгонкой выделяли АХБ, близкие по константам к индивидуальным в-вам. Сравнением констант АХБ и продуктов их окисления HNO_3 показано, что смесь АХБ содержит в основном пара-изомеры. Установлено, что выходы АХБ увеличиваются с увеличением мол. веса исходных бромалкилов (ср. РЖХим, 1957, 15293), а также зависит от соотношения реагентов. Ниже приведены оптимальные соотношения I и алкилбромидов и соответствующие им выходы этил-, изопропил- и бутилхлорбензо-

ла: 3:1, 46,6; 5:1, 59,2; 5:1, 69,1. Сообщение II см. РЖХим, 1957, 34315.

В. Антонов
4528. Синтез и спектры α,α -дихлор- и α,α,β -трихлор- ω -фенилполиенов. Рёдиг, Клапперт (Synthese und Lichtabsorption von α,α -Dichlor und α,α,β -Trichlorphenyl-polyenen. Roedig Alfred, Klappert Ernst), Liebigs Ann. Chem., 1957, 606, № 1–3, 126–141 (нем.)

С целью изучения УФ-спектров синтезированы $\text{Cl}_2\text{C}=\text{CH}(\text{CH}=\text{CH})_{n+1}-\text{C}_6\text{H}_5$ (I) а $n=0$, б $n=1$, в $n=2$ и $\text{Cl}_2\text{C}=\text{CCl}(\text{CH}=\text{CH})_{n+1}-\text{C}_6\text{H}_5$ (II а–в). Синтез I и II осуществлен следующим образом: конденсация хлорала с $\text{CH}_3\text{CO}(\text{CH}=\text{CH})_n\text{C}_6\text{H}_5$ (III а–в) привела к $\text{Cl}_3\text{CCNONH}-\text{CH}_2\text{CO}(\text{CH}=\text{CH})_n\text{C}_6\text{H}_5$ (IV а–в). Дегидратирование IVб дает $\text{Cl}_3\text{CCN}=\text{CHCO}(\text{CH}=\text{CH})_n\text{C}_6\text{H}_5$ (Vб), восстановление которого приводит к вязким, неперегоняющимся маслам. При действии SOCl_2 на IV а–в получается $\text{Cl}_3\text{CCNCHClCH}_2\text{CO}(\text{CH}=\text{CH})_n\text{C}_6\text{H}_5$ (IV а–в), восстановление которого LiAlH_4 дает $\text{Cl}_3\text{CCNCHClCH}_2\text{CHONH}(\text{CH}=\text{CH})_n\text{C}_6\text{H}_5$ (VIIа–в). Дегидрохлорирование VII приводит к $\text{Cl}_2\text{C}=\text{CHCH}_2\text{CHONH}(\text{CH}=\text{CH})_n\text{C}_6\text{H}_5$ (VIIIа–в) и далее замена OH-группы на Cl с одновременным дегидрохлорированием дает Ia–в. При дехлорировании VII получается $\text{Cl}_2\text{C}=\text{CClCH}_2\text{CHONH}(\text{CH}=\text{CH})_n\text{C}_6\text{H}_5$ (IXа–в), в котором OH-группа также заменяется на Cl с образованием $\text{Cl}_2\text{C}=\text{CClCH}_2\text{CHCl}(\text{CH}=\text{CH})_n\text{C}_6\text{H}_5$ (Xа–в). Последний, отщепляя HCl, дает IIа–в. Восстановление IVа,б приводит к смеси диастереоизомеров $\text{Cl}_3\text{CCNONHCH}_2\text{CHONH}(\text{CH}=\text{CH})_n-\text{C}_6\text{H}_5$ (XIа, б). Дегидратирование XIб дает $\text{Cl}_3\text{CCNONH}(\text{CH}=\text{CH})_{n+1}-\text{C}_6\text{H}_5$ (XIIб), который при действии PCl_5 превращается в Iб. При действии SOCl_2 на XIа, б образуется только $\text{Cl}_3\text{CCNONHCH}_2\text{CHCl}(\text{CH}=\text{CH})_n-\text{C}_6\text{H}_5$ (XIIIа, б). Атом хлора в VIб легко заменяется на метоксигруппу, давая $\text{Cl}_3\text{CCN}(\text{OCH}_3)\text{CH}_2\text{CHONH}(\text{CH}=\text{CH})_n-\text{C}_6\text{H}_5$ (XIV). Восстановление XIV LiAlH_4 дает $\text{Cl}_3\text{CCN}(\text{OCH}_3)\text{CH}_2\text{CHONHCH}=\text{CHC}_6\text{H}_5$ (XV), заменой OH-группы на Cl получают $\text{Cl}_3\text{CCN}(\text{OCH}_3)\text{CH}_2\text{CHClCH}=\text{CHC}_6\text{H}_5$ (XVI). Этот Cl также заменяется на метоксил с образованием $\text{Cl}_3\text{CCN}(\text{OCH}_3)\text{CH}_2\text{CH}(\text{OCH}_3)\text{CH}=\text{CHC}_6\text{H}_5$ (XVII). Дегидрохлорирование XVI приводит к $\text{Cl}_2\text{C}=\text{C}(\text{OCH}_3)\text{CH}=\text{CHCH}=\text{CHC}_6\text{H}_5$ (XVIII). УФ-спектры полученных конъюгированных соединений находятся в согласии с ур-нием (РЖХим, 1955, 33821; 1956, 15294), если конъюгация не нарушается стерич. факторами. Приведены УФ-спектры I, II, β , β -дихлорстирола и α , β , β -трихлорстирола. Смесь 0,5 моля IIIв, 0,75 моля безводн. хлорала, 26 г CH_3COOH , 9 г $(\text{CH}_3\text{CO})_2\text{O}$ и 25 г CH_3COOK нагревают 17 час. при 80° , отгоняют легколетучие в-ва в вакууме и после выливания в воду получают IVв, выход 36%, т. пл. 126° (из бэл.). К р-ру 0,5 моля IVа и 5 мл NC_5H_5 в 180 мл CHCl_3 понемногу прибавляют р-р 0,55 моля SOCl_2 в 40 мл CHCl_3 при т-ре $< 5^\circ$. Через 20 час. при 20° упаривают в вакууме и получают VIа, выход 68%, т. пл. 63° (из бэл.). Аналогично из 0,2 моля IVб получают VIб, выход 70%, т. пл. 83° (из бэл.), и из 0,15 моля IVв (реакционную массу промывают р-ром NaHCO_3) получают VIв, выход 64%, т. пл. 112° (разл. из бэл.). Р-р 0,2 моля IVб, 5 капель NC_5H_5 и 0,22 моля SOCl_2 в 120 мл CHCl_3 кипятят 90 мин., отгоняют р-р-тель и получают Vб, выход 80%, т. пл. 95° (из бэл.). Р-р 73 г VIа в 100 мл абс. C_6H_6 и 70 мл абс. эфира обрабатывают при т-ре от 0 до -5° небольшим избытком эфирного р-ра LiAlH_4 и разлагают 300 мл 2 н. H_2SO_4 . Получают VIIа, выход 90%, т. кип. $126-130^\circ/0,03$ мм, n_D^{20} 1,5592. Аналогично из 100 г VIб получают 100 г VIIб в виде вязкого масла и из 32,5 г VIв 33 г VIIв также в виде вязкого масла. Р-р 0,2 моля

VIIa в 85 мл ацетона прибавляют к смеси 50 г Zn-пыли, 85 мл ацетона и 12 мл воды при t -ре не выше 45–50°, фильтруют, разбавляют водой и получают VIIa, выход 92%, т. кип. 156–158°/12 мм, n_D^{20} 1,5580. Аналогично получают VIIb, выход 90%, и VIIc, выход 74%. К р-ру 0,1 моля VIIa и 5 капель NC_5H_5 в 30 мл $CHCl_3$ прибавляют р-р 0,11 моля $SOCl_2$ в 10 мл $CHCl_3$ кипятят 1 час, промывают р-ром соды, отгоняют $CHCl_3$, остаток растворяют в 40 мл ацетона и прибавляют при охлаждении 0,11 моля 20%-ного метанольного KOH. Через 5 час. выливают в воду и получают Ia, выход 85%, т. пл. 41° (из бз.), т. кип. 141°/12 мм. Аналогично (вместо кипячения оставляют на 15 час.) получают Ib, выход 45%, т. пл. 81° (из бз.), и Ic (оставляют на 20 час.), выход 40%, т. пл. 120° (из бз.). 0,2 моля VIIa в 150 мл ацетона обрабатывают при охлаждении 0,21 моля 20%-ного метанольного KOH. Через 5 час. при 20° выливают в воду и получают IXa, выход 97%, т. кип. 118–121°, n_D^{20} 1,5679. Аналогично получают IXb, выход 68%, т. пл. 56° (из бз.), и IXc (стояние 12 час.), выход 72%, т. пл. 76° (из бз.). 0,1 моля IXa и 5 капель NC_5H_5 в 40 мл $CHCl_3$ обрабатывают при 0° 0,11 моля $SOCl_2$ в 10 мл $CHCl_3$. Через 20 час. при 20° промывают р-ром $NaHCO_3$ и получают Xa, выход 88%, т. кип. 93–100°/0,04 мм, n_D^{20} 1,4755. Аналогично получают Xb. Однако IXb при такой обработке непосредственно дает Ib, выход 68%, т. пл. 92° (из бз.). 0,1 моля Xa в 100 мл ацетона обрабатывают при 0° 0,11 моля 20%-ного метанольного KOH. Через 10 час. при 20° выливают в воду и получают IIa, выход 94%, т. пл. 46° (из сп., петр. эф.), т. кип. 87°/0,04 мм. Аналогично получают IIb, выход 97%, т. пл. 79° (из бз.). Восстановлением IVa $LiAlH_4$ (аналогично восстановлению VIa) получают XIa, выход 92%; диацетат, т. пл. 99°. При кристаллизации XIa из C_6H_6 получают два диастереоизомера с т. пл. 103° и 84°. Аналогично получают XIb, выход 92%, t -ра плавления изомеров 133° и 91°. 0,2 моля XIa в 80 мл абс. эфира обрабатывают при 5–10° 0,2 моля $SOCl_2$ в равном объеме эфира. Через 20 час. при 20° упаривают в вакууме и получают XIIa, выход 35%, т. пл. 86° (из бз.). Р-р 17 г XIb в 130 мл $CHCl_3$ обрабатывают при 0° 4,5 мл $SOCl_2$ в 5 мл $CHCl_3$ и через 20 час. выливают на лед. Получают XIIb, выход 17%, т. пл. 70° (из бз.). 50 г XIb и 50–100 мг J_2 в 120 мл $CHCl_3$ кипятят 20 час. и получают XIIc, выход 82%, т. пл. 81° (высаживанием петр. эф. из бз.). 0,18 моля XIIb в 300 мл C_6H_6 и 0,24 моля PCl_5 кипятят 45 мин., выливают на лед, отгоняют р-ритель и перегоняют с паром при 140–160°. Получают 3,5 г Ib. 100 г неочищ. VIb кипятят с 450 мл CH_3OH и получают 94 г XIV, т. пл. 83°. 50 г XIV восстанавливают $LiAlH_4$ аналогично VIa и получают 50 г неочищ. XV. 30,8 г этого продукта и 5 капель NC_5H_5 в 90 мл абс. эфира обрабатывают при 0° 0,11 моля $SOCl_2$ в 10 мл абс. эфира. Через 24 часа получают XVI, выход 82%, т. пл. 85–93° (из бз.). 3 г XVI в 10 мл CH_3OH и 6 мл 20%-ного метанольного KOH нагревают 4 часа при 40–50°, выливают в воду и получают XVII, выход 70%, т. пл. 75° (из CH_3OH). 15 г XVI и 15 г CH_3COONa в 70 мл CH_3COOH нагревают 2,5 часа при 85°, выливают в воду и извлекают эфиром. Получают 11 г вязкого масла. Р-р 10 г этого масла в 10 мл CH_3OH обрабатывают при нагревании 9,6 мл 20%-ного метанольного KOH, выливают в воду и извлекают эфиром. Получают XVIII, выход 58%, т. пл. 73° (из бз.).

В. Великов

4529. Реакция эфиров фенолов с реагентами типа MX_n . I. Избирательное расщепление эфиров при помощи хлористого алюминия. Сантан (Fenoléterek reakciója MX_n típusú reaktánsokkal. I. Szélektív éterhasítás alumíniumkloriddal. Szántay Csaba),

Magyar kém. folyóirat, 1956, 62, № 10, 335–338 (венг.; рез. нем.)

Осуществлено расщепление эфирной связи в соединениях типа 1-X-3-OR-4-OR'- C_6H_5 , где X=CHO или H, действием $AlCl_3$ в абс. C_6H_6 при 50°. Найдено, что $AlCl_3$ является весьма чувствительным реагентом для установления небольших различий в нуклеофильной реакционной способности. Далее приводятся R, R', кол-во $AlCl_3$ в молях на 1 моль исходного соединения, общий выход в %, степень расщепления по связи R-O в %, степень расщепления по связи R'-O в %; для X=CHO: CH_3 , CH_3 , 1, —, —, —; CH_3 , CH_3 , 2, 90,5, 20, 80 [в присутствии 1 моля C_6H_5CHO (I) р-ция не идет]; C_2H_5 , CH_3 , 1, —, —, —; C_2H_5 , CH_3 , 2, 95, 100, — (в присутствии 1 моля I выход снижается до 1,8%); CH_3 , C_2H_5 , 2, 89, —, 100; *изо*- C_3H_7 , CH_3 , 1, 78, 100, — (в присутствии 1 моля I выход 40%); CH_3 , *изо*- C_3H_7 , 1, 55, —, 100; C_2H_5 , C_2H_5 , 2, 95, 78, 21; *н*- C_3H_7 , *н*- C_3H_7 , 2, 95, 65, 32,5; *изо*- C_3H_7 , *изо*- C_3H_7 , 2, 80, 100, 100; для X=H: CH_3 , CH_3 , 1, 9,3, 100, —; CH_3 , CH_3 , 2, 80, 100, —; CH_3 , C_2H_5 , 2, 80, —, 100; CH_3 , *изо*- C_3H_7 , 1, 90, —, 100. Сделаны выводы, что $AlCl_3$ образует аддукты по местам наибольшей электронной плотности молекулы, что нуклеофильная реакционная способность групп, входящих в молекулу, возрастает в ряду $CH_3O < C_2H_5O < CHO < iso-C_3H_7O$, и что, в отличие от группы —CHO, группа —CHO· $AlCl_3$ сообщает параложенно большую электронную плотность, чем металоженно. Предполагается, что расщепление CH_3 -O-связи идет по механизму $S_N 2$, а *н*- C_3H_7 -O и *изо*- C_3H_7 -O-связей — по механизму $S_N 1$. Продукты р-ции разделялись на основе их различной кислотности при помощи 10%-ного р-ра Na_2CO_3 , причем точность разделения оценивалась в 2–3%. И. Амбруш

4530. Синтез и свойства производных метилфенилкарбинола. Нежута Е. И., Савицкий А. В., Ж. общ. химии, 1957, 27, № 4, 1079–1080

Нитрованием $C_6H_5CH(CH_3)OR$ (I), где R=H (Ia), CH_3 (Ib) и C_2H_5 (Iv), получены о-(II) и *н*- $NO_2C_6H_4CH(CH_3)ONO_2$ (III), легко омыляемые водой в нейтральной среде. К 70 мл HNO_3 (d 1,5), освобожденной от HNO_2 и окислов азота пропусканием CO_2 в присутствии 4 г мочевины, и 0,2 г *н*- $NH_2C_6H_4SO_3H$ добавляють по каплям 20 г Ia при —5°, выливают на лед, отфильтровывают III, перекристаллизовывают из CH_3OH , выход 40%, т. пл. 50–51°, т. кип. 130–133°/0,3 мм, в фильтрате содержится 16,8 г смеси II и III. Аналогично из Ib получен III, выход 35%, из Iv — 30%. Из I и соответствующего спирта (H_2SO_4 , 2 часа, 55°) получены Ib, в и I, R=CH(CH₃)₂ (Iv) (приведены выход в %, т. кип. в °C/мм, n_D^{20}): Ib, 80,5, 70–72/21, 1,493; Iv, 78, 70–72/10, 1,487; Iг, 35, 82–84/19, 1,486; во всех случаях образуется также ди- α -фенетиловый эфир, выход до 5%, т. кип. 103–105°/0,3 мм, n_D^{20} 1,539, d_4^{20} 1,000. Омылением III 3%-ным водн. р-ром мочевины (8 час., 100°) получают *н*- $NO_2C_6H_4CH(CH_3)OH$ (IV). Окисление IV CrO_3 приводит к *н*-нитроацетофенону (V), выход 88%. Образующаяся при нитровании Ia смесь изомеров после омыления окислена в смесь изомерных нитроацетофенонов, из которой выкристаллизовывается V, выход 40%.

Г. Крюкова

4531. Иницированное бромирование N-бромсукцинимидом некоторых эфиров фенола и тиофена. Корнев К. А., Коробейникова Л. А., Укр. хим. ж., 1957, 23, № 3, 341–343

Бромирование анизола (I), фенола (II), вератрола (III), 1,4-диметоксибензола (IV) и тиофена (V) с помощью N-бромсукцинимидом (VI) значительно ускоряется при добавке $C_6H_5NHN=NC_6H_5$ (VII) в качестве индуктора (ср. РЖХим, 1956, 64793). С целью сопо-

ставления опыты проводились в условиях бромирования в отсутствие VII (Buñ-Hoi, Liebigs Ann. Chem, 1944, 556, 1). Из 15 г I, 9 г VI и 0,1 г VII за 20 мин. получено 4,5 г *n*-бром-I, т. кип. 213—214°. Из 440 г II, 250 г VI и 0,2 г VII получено 142 г *n*-бром-II; 13,7 г III, 8,5 г VI и 0,1 г VII за 15 мин. дали 4,5 г бром-вератрола, т. кип. 130°/10 мм, а из 15 г IV в 20 мл CCl_4 , 18 г VI и 0,2 г VII за 20 мин. получено 16,7 г 2-бром-IV, т. кип. 130—131°/10 мм. К 25 г V и 8,5 г VI добавили 0,1 г VII (на холоду энергичная р-ция), через 10 мин. получили 2-бром-V, т. кип. 149—151°.

Г. Крюкова

4532. Реакция Фриделя — Крафта с ненасыщенными кетонами и эфирами. Часть V. Алкилирование кумола и *n*-цимола этиловым эфиром аллилуеусной кислоты и аллилацетоном. Мукхерджи, Виг, Махешвари, Сандху. Часть VI. Алкилирование анизола этиловым эфиром аллилуеусной кислоты и аллилацетоном. Мукхерджи, Виг, Махешвари (Friedel — Crafts' reaction involving unsaturated ketones and esters. Part V. Alkylation of cumene and *p*-cymene with ethyl allylacetate and allylacetone. Mukherji S. M., Vig O. P., Maheshwary N. K., Sandhu Sarjit Singh. Part VI. Alkylation of anisol with ethyl allylacetate and allylacetone. Mukherji S. M., Vig O. P., Maheshwary N. K.), J. Indian Chem. Soc., 1957, 34, № 1, 1—13 (англ.)

V. В отличие от р-ции по Фриделю — Крафту (РФК) между $\text{C}_6\text{H}_5\text{CH}_3$ и $\text{CH}_2=\text{CHCH}_2\text{CH}_2\text{COOC}_2\text{H}_5$ (I) и аллилацетоном (II), приводящей к замещению в мета-положении (см. часть IV, РЖХим, 1957, 19118), конденсация I и II с кумолом (III) происходит в пара-положении, а с *n*-цимолем (IV) в орто-положении к CH_3 -группе; положение заместителей установлено окислением продукта РФК; полученные в-ва используются для синтеза производных нафталина. Проводят РФК в условиях, описанных ранее (см. ссылку выше); даны исходные в-ва (их кол-ва), получаемое в-во, выход в %, т. кип. в °C/мм: III (75 мл), I (25 г), AlCl_3 (V) (52 г), 4-(CH_3) $_2\text{CHC}_6\text{H}_4\text{R}$ (VI) [везде $\text{R} = \text{CH}(\text{CH}_3)\text{CH}_2\text{CH}_2\text{COOC}_2\text{H}_5$], 66, 160—162/10; III (80 мл), II (20 г), V (42 г), 4-(CH_3) $_2\text{CHC}_6\text{H}_4\text{R}'$ (VII) [везде $\text{R}' = \text{CH}(\text{CH}_3)\text{CH}_2\text{CH}_2\text{COOC}_2\text{H}_5$], 40, 145—148/8 [семикарбазон (СК) т. пл. 81—82° (из водн. сп.)]; IV (100 мл), I (15 г), V (30 г), 2- CH_3 -5-(CH_3) $_2\text{CHC}_6\text{H}_3\text{R}$ (VIII), 58, 145—148/8; IV (60 мл), II (16 г), V (32 г), 2- CH_3 -5-(CH_3) $_2\text{CHC}_6\text{H}_3\text{R}'$ (IX), 43, 155—158/9 [СК, 156, (из водн. сп.)]. 16 г VI гидролизуют кипячением 13 час. с 10 г КОН в 10 мл воды и 220 мл спирта, получают 4-(CH_3) $_2\text{CHC}_6\text{H}_4\text{R}''$ (X) [везде $\text{R}'' = \text{CH}(\text{CH}_3)\text{CH}_2\text{CH}_2\text{COOH}$], выход 84%, т. кип. 161—165°/5 мм; S-бензиллизотиоурониевое производное (БИТ), т. пл. 125° (из водн. сп.). 11,5 X циклизуют по ранее описанному методу (см. ссылку выше) действием 13,8 г PCl_5 , получают 4-метил-7-изопропилтетралон-1 (XI), выход 76%, т. кип. 146—148°/20 мм; СК, т. пл. 175—176° (из сп.); 2,4-динитрофенилгидразон (ДНФГ), т. пл. 146—147° (из этилацетата). 8 г XI, 18 г амальгамированного Zn, 30 мл конц. HCl, 14 мл воды, 25 мл $\text{C}_6\text{H}_5\text{CH}_3$ и 1 мл CH_3COOH кипятят 36 час., через каждые 6 час. прибавляя 5 мл HCl, получают 1-метил-6-изопропилтетралин (XII), выход 74%, т. кип. 154—156°/9 мм. 5 г XII и 2,1 г S нагревают 6 час. при 180°, отгоняют с паром, из дистиллата эфиром экстрагируют 1-метил-6-изопропилнафталин (XIII), выход 66%, т. кип. 117—120°/7 мм; пикрат (ПК), т. пл. 148° (из сп.). 1 г X окисляют щел. р-ром KMnO_4 , получают 0,4 г *n*- C_6H_4 (COOH) $_2$; БИТ, т. пл. 202—203°. К 14 г VII в 120 мл влажного эфира постепенно прибавляют 20 г Na; при замедлении р-ции добавляют 1,2 мл воды; по растворении Na получают 4-(CH_3) $_2\text{CHC}_6\text{H}_4\text{R}'''$ [где $\text{R}''' = \text{CH}(\text{CH}_3)\text{CH}_2\text{CH}_2\text{CHONCH}_3$] (XIV), выход 63%;

т. кип. 160—163°/8 мм. XIV при $\sim 0^\circ$ встряхивают при охлаждении 20 мин. с 10 мл конц. H_2SO_4 , выливают в воду, получают 1,4-диметил-6-изопропилтетралин (XV), выход 71%, т. кип. 131—134°/10 мм. Обработкой 4 г XV S аналогично XII получают 1,4-диметил-6-изопропилнафталин, выход 3 г, т. кип. 136—137°/9 мм. ПК, т. пл. 102—103°. 3 г VII в 60 мл диоксиана и 80 мл 10%-ного NaOH окисляют р-ром I_2 ($\text{KI}:\text{I}_2:\text{H}_2\text{O} = 2:1:4$), получают X, выход 1,65 г. 18 г VIII, 2 г КОН в 5 мл воды и 200 мл спирта кипятят 12 час., получают 2- CH_3 -5-(CH_3) $_2\text{CHC}_6\text{H}_3\text{R}''$ (XVI), выход 81%, т. кип. 172—174°/5 мм; БИТ, т. пл. 119° (из сп.). 10 г XVI превращают в хлорангидрид действием 10 г PCl_5 и аналогично X циклизуют с 6,3 г V, получают 4,5-метил-8-изопропилтетралон-1 (XVII), выход 76%, т. кип. 128—130°/6 мм; ДНФГ, т. пл. 220—221° (из этилацетата). 7 г XVII, 45 г амальгамированного Zn, 70 мл конц. HCl, 40 мл $\text{C}_6\text{H}_5\text{CH}_3$, 2 мл CH_3COOH и 30 мл воды кипятят 34 часа, выход 1,8-диметил-5-изопропилтетралина (XVIII) 81%, т. кип. 118—121°/10 мм. XVIII аналогично XIII превращают в 1,8-диметил-4-изопропилнафталин, выход 57%, т. кип. 125—128°/6 мм; ПК, т. пл. 146° (из сп.). Строение XVI доказано следующим путем: 50 г 2- CH_3 -5-(CH_3) $_2\text{CHC}_6\text{H}_3\text{COCH}_2\text{CH}_2\text{COOH}$ этерифицируют кипячением 12 час. с 34 мл конц. H_2SO_4 и 550 мл абс. спирта, получают 44 г 2- CH_3 -5-(CH_3) $_2\text{CHC}_6\text{H}_3\text{COCH}_2\text{CH}_2\text{COOC}_2\text{H}_5$ (XIX), т. кип. 190—192°/12 мм; к 15 г XIX в 200 мл эфира при 0° прибавляют CH_3MgI (из 9 г CH_3I , 1,5 г Mg и 100 мл эфира), через ~ 12 час. кипятят 3 часа, разлагают разб. HCl, получают 2- CH_3 -5-(CH_3) $_2\text{CHC}_6\text{H}_3\text{C}(\text{CH}_3)=\text{CHCH}_2\text{COOH}$ (XX), выход 81%. 10 г XX нагревают с 7 г красного P и 80 г HJ ($d = 1,7$) при 130—140° 15 час., разбавляют водой, из эфирного р-ра выделяют XVI, выход 6 г. 14 г IX восстанавливают 11 г Na во влажном эфире аналогично VII, получают 11 г 2- CH_3 -5-(CH_3) $_2\text{CHC}_6\text{H}_3\text{R}''$ (XXI), т. кип. 138—142°/5 мм. 9 г XXI циклизуют 9 мл конц. H_2SO_4 аналогично XIV, получают 6 г 1,4, 8-триметил-5-изопропилтетралина (XXII), т. кип. 110—114°/4 мм. Дегидрогенизацией 5 г XXII посредством 1,7 г S аналогично XII получают 3,2 г 1,4,8-триметил-5-изопропилнафталин, т. кип. 130—133°/8 мм; ПК, т. пл. 114° (из сп.). Окислением 3,5 г IX аналогично VII получают XVI.

VI. При РФК I и II с $\text{CH}_3\text{OC}_6\text{H}_5$ (XXIII) замещение происходит исключительно в пара-положении. Из полученных в-в синтезированы производные нафталина. Из 75 мл XXIII, 14 г I и 30 г V получают 4- $\text{CH}_3\text{OC}_6\text{H}_4\text{R}$ (XXIV), выход 31%, т. кип. 152—154°/10 мм. Щел. гидролизом 13 г XXIV получают 4- $\text{CH}_3\text{OC}_6\text{H}_4\text{R}''$ (XXV), выход 87%, т. кип. 171—173°/6 мм; БИТ, т. пл. 125—126° (из водн. сп.). Из 10 г XXV в 20 мл $\text{C}_6\text{H}_5\text{CH}_3$ и 11 г PCl_5 после циклизации с 7,5 г V получают 4-метил-7-метокситетралон-1 (XXVI), выход 44%, т. кип. 102—105°/4 мм; ДНФГ, т. пл. 215—216° (из этилацетата). 3,5 г XXVI восстанавливают аналогично XVII, получают 2,7 г 1-метил-6-метокситетралина (XXVII), т. кип. 120—122°/5 мм. Нагреванием 2,5 г XXVII с 1,1 г S при 180° 6 час. и перегонкой с паром получают 1,6 г 1-метил-6-метоксинафталина, т. кип. 135°/10 мм. 2,5 г XXV окисляют KMnO_4 + NaOH, получают 1,2 г 4- $\text{CH}_3\text{OC}_6\text{H}_4\text{COOH}$. Аналогично XXIV, из 100 мл XXIII и 20 г II в присутствии 42 г V получают 4- $\text{CH}_3\text{OC}_6\text{H}_4\text{R}'$ (XXVIII), выход 31%, т. кип. 136—140°/7 мм; СК, т. пл. 151—152° (из водн. сп.). 6 г XXVIII в 75 мл влажного эфира при постепенном прибавлении 1 мл воды восстанавливают 5,5 г Na, выход 4- $\text{CH}_3\text{OC}_6\text{H}_4\text{R}'''$ (XXIX) 68%, т. кип. 135—136°/4 мм. 4 г XXIX под действием 10 мл конц. H_2SO_4 при 0° циклизуют в 1,4-диметил-6-метокситетралин (XXX), выход 2,5 г, т. кип. 195—197°/12 мм. 2 г XXX под действием 0,9 г S превращается в 1,4-диметил-

тил-6-метоксинафталин (XXXI), выход 1 г, т. кип. 156–158°/12 мм; ПК, т. пл. 107–108°. 3 г XXVIII окисляют H₂O₂, получают 1,65 г XXV, т. кип. 178°/7 мм. 50 мл XXIII и 10 г II конденсируют аналогично XXIII с 20,8 г V, но после прибавления V охлаждают до ~25°, затем нагревают при 50° 30 мин. и оставляют на ~12 час., получают 1,4-диметил-6-метоксинафталин, выход 52%, т. кип. 194–198°, 5 г последнего с 1,04 г S превращают в 2,5 г XXXI.

В. Скородумов

4533. Распад производного бензилстирилкетона до транс-коричной кислоты. Саппер, Саутунк (The degradation of a derivative of benzyl styryl ketone to trans-cinnamic acid. Sapper David I., Southwick Philip L.), J. Organ. Chem., 1956, 21, № 1, 105–106 (англ.).

$C_6H_5CH=CHCOCH_2C_6H_5$ (I) дает с пиридином (II) или хинолином (III) четвертичные соли (IV и V соответственно), которые при нагревании с водноспиртовым NaOH распадаются на транс-коричную к-ту (VI) и $C_6H_5CH_2J$ (не выделялся из реакционной массы). IV и V могут быть также получены при действии на $C_6H_5CH=CHCOCH_2C_6H_5$ (VII) йодом в присутствии II или III соответственно. Образование VI подтверждает то, что I имеет транс-конфигурацию. К 10,5 г I в 20 мл спирта прибавляют 2,4 г II. Через несколько часов эфиром осаждают IV, выход 35%, т. пл. 178° (разл.). 5 г VII и 5,7 г J₂ нагревают в 30 мл II 2 часа при ~100°, прибавляют спирт, охлаждают твердым CO₂. Осадок промывают холодной водой, выход IV 62,4%. Аналогично из 2 г VII, 2,3 г J₂ и 15 мл III получена V, выход 45%, т. пл. 182° (разл.). 1,5 г IV в 20 мл 50%-ного спирта нагревают 1 час с 1,5 г NaOH при ~120°, оставляют на ~12 час., разбавляют водой, подкисляют HCl, получают VI, выход 58%, т. пл. 131–132° (из воды).

В. Смит

4534. Четвертичные гидразоны и их перегруппировка. Смит, Мост (Quaternary hydrazones and their rearrangement. Smith Pater A., Most E. E., Jr.), J. Organ. Chem., 1957, 22, № 4, 358–362 (англ.). Синтезированы диметилгидразоны $RR'C=NN(CH_3)_2$ (Ia–ж; где а R = R' = $C_6H_5CH_2$; б R = R' = C_6H_5 ; в R = $(CH_3)_3C$, R' = CH_3 ; г R = R' = $(CH_3)_2CHCH_2$; д R = R' = $n-CH_3OC_6H_4$; е R = CH_3 , R' = C_6H_5 ; ж R = CH_3 , R' = $C_6H_5CH_2$) и циклогексаноны (II), а также йодметилаты (IM) Ia–е (IIIa–е) и диметилгидразона 2,4-динитрофенилацетона (IIIж). IIIa–ж гидролизуются к-тами или щелочами в соответствующие кетоны и йодид N,N,N-триметилгидразина (IV), что показано на примерах IIIб, е; при нагревании без р-рителя разлагаются в смолообразные в-ва, при действии спирта р-ра C_2H_5ONa IIIa,е подвергаются превращению аналогичному перегруппировке Небера, причем из IIIa образуется α-аминодибензилкетон (V), превращенный в 2,5-добензил-3,6-диметилпиразин (VI); из IIIе — фенациламин (VII) и IV; IM ж в аналогичных условиях превращается в 1-амино-1-фенилацетон, выделенный в виде хлоргидрата (XГ), т. пл. 184–188° (разл.), и бензоата, т. пл. 105–107° (из петр. эф.), и $(CH_3)_3N$, а IIIб–д не изменяются. 0,25 моля ацетофенона (VIII) и 0,33 моля диметилгидразина нагревают 19 час. при 100° и извлекают эфиром Ie, выход 13,6%, т. кип. 41,3°/0,07 мм, n_D^{25} 1,5455, d_4^{25} 0,9689. Аналогично получают (указано в-во, выход в %, т. пл. в °С/мм, n_D^{25} D и d_4^{25}): Ia, 77, 114/0,3, 183, 5–185,5/13, n_D^{25} 1,5544, —; Ib, 78, 101/0,3, 1,6057, 1,0424; Ic, 76, 130/740, 1,4261, 0,7930; Id, 62, 70–71/9,5, 1,4347, 1,8012; Ie, 34, т. пл. 72–77°, —; Iж, 76, 57,1/0,6, 101,5–102/10, 1,5156, 0,9395, и II, 66, 59–60/11,5, 1,4728, 0,8962. Смесь Ia–е с избытком CH_3J кипятят 4 часа или оставляют на 4 дня при 20° и отделяют (указано в-во, выход в %, т. пл. в °С);

IIIa, 44, 147–147,1; IIIб, 73, 171–172,5; IIIв, 81, 168–169; IIIг, 52, 60–80; IIIд, 88, 177–180; IIIе, 88, 145–148; аналогично получают IIIж, 61, 157–160. Р-р IIIе в 5 мл воды и 20 мл конц. HJ кипятят 5 час. и извлекают эфиром VIII, водн. слой упаривают досуха и получают IV, выход 85%, т. пл. 258°. К р-ру 0,17 г Na в 40 мл спирта добавляют 2,84 г IIIa, кипятят 18 час., разбавляют 50 мл воды, отгоняют спирт, продукт извлекают эфиром и выделяют V в виде XГ, выход 29%, т. пл. 219–221°, или к реакционной смеси после кипячения добавляют $n-CH_3C_6H_4SO_3H$, продукт растворяют в воде, упаривают досуха, подщелачивают NH₃ и извлекают эфиром VI, выход 0,08 г, т. пл. 149–151° (из сп.). Смесь р-ров C_2H_5ONa (из 0,25 г Na в 15 мл спирта) и 3,05 г IIIе в 25 мл спирта кипятят 22 часа, отделяют IV, выход 0,33 г, приливают воду, отгоняют часть спирта и выделяют (см. выше) XГ VII, выход 35%, т. пл. 190–194° (разл.). Приведены кривые УФ-спектров бензофенона, его O-метилоксима, Ib и IIIб.

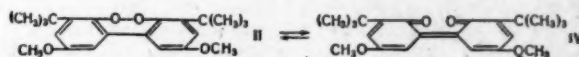
Д. Витковский

4535. Самоокисление n-ди-втор-бутилбензола и разложение его гидроперекисей кислотами. Ямада, Мацумото (p-ジ第二ブチルベンゼンの自酸化と、同ハイドロパーオキシドの酸接觸分解. 山田 恵彦, 松本幸隆), 工業化学雑誌, Korô Kagaku daasshi, J. Chem. Soc. Japan. Industr. Chem. Sec., 1957, 60, № 1, 85–86 (японск.).

При окислении n-ди-втор-бутилбензола (I) током O₂ (50–70 л/кг/час) при 110, 120 или 130° образуется смесь моно- и дигидроперекиси I, разложение которой в присутствии конц. H₂SO₄ (54±5°, 240 мин.) привело к образованию метилэтилкетона, выход 90% (выделен в виде 2,4-динитрофенилгидразона), n-втор-бутилфенола, выход 59,4%, и гидрохинона, выход 60% (выделены в виде продуктов сочетания с хлористым n-нитрофенилдиазонием).

Л. Яновская

4536. 2,2'-перекись 3,3'-ди-трет-бутил-5,5'-диметоксидифенила, продукта дегидрирования 3-трет-бутилметоксинанизола, и ее превращение в 4-бис-[метокси-6-трет-бутилбензол-(2)]-индиго. Бальтес, Фольберт (Über 3,3'-Di-tert.butyl-5,5'-dimethoxy-diphenylperoxyd-(2,2'), ein Dehydrierungsprodukt des 3-tert. Butylhydroxyanisols, und seine Umlagerung in Bis-[4-methoxy-6-tert.butyl-benzol-(2)]-indigo. Baltes J., Volbert F.), Fette, Seifen, Anstrichmittel, 1955, 57, № 9, 660–666 (нем.; рез. англ., франц., исп.). При окислении 2-трет-бутил-4-метоксифенола (I) образуются темно-синие р-ры, из которых можно выделить 3,3'-ди-трет-бутил-5,5'-диметоксидифенилпероксид-2,2' (II). Восстановление II приводит к образованию 3,3'-ди-трет-бутил-5,5'-диметокси-2,2'-диоксидифенила (III). В неполярных р-рителях II претерпевает обратную перегруппировку в бис-[4-метокси-6-трет-бутилбензол (2)]-индиго (IV), что проявляется в постепенном окрашивании р-ра в синий цвет; причина



цветности IV рассмотрена с позиций мезомерии. Таутомерное равновесие II и IV при низких т-рах сдвигается в сторону II, при ~20° и выше — в сторону IV. Наличие II и IV доказывалось УФ-спектром и титрованием йодометрически или с гидразобензолом. В 10 г I в ~100 мл 1 н. KOH + 100 мл воды в присутствии 150 мл гексана пропускают ток N₂ 1 час для удаления воздуха, добавляют 50 г K₂Fe(CN)₆ в 250 мл воды и нескольких мл KOH и сильно встряхивают 10 мин. Из р-ра в гексане охлаждением от –15 до –20° выделяют II, выход 8,5 г, т. пл. 122° (из гексана или петр. эф.), почти бесцветные кристаллы. Йодо-

метрически в гексановом р-ре выход II определен в 95,8%. II образуется также при дегидрировании I PbO_2 в C_6H_6 (добавление 1 н. КОН ускоряет р-цию), выход 50–60%. 3 г II в 100 мл C_6H_6 смешивают со 100 мл 10%-ного NaJ в CH_3COOH , выделяют 2,5 г III, т. пл. 228° (из бзл.), который получен также из 2 г I в 50 мл C_6H_6 медленным добавлением 7,5 г $\text{K}_3\text{Fe}(\text{CN})_6$ в 200 мл воды, выход 1,7 г, или встряхиванием р-ра в C_6H_6 180 мг II и 300 мг I в присутствии 20 мл 1 н. КОН, выход 240 мг. III окисляется $\text{K}_3\text{Fe}(\text{CN})_6$ в II почти количественно; с PbO_2 и KOBg р-ция протекает медленнее и выходы ниже.

Н. Герштейн

4537. Синтез 2-метокси-6-нитробензальдегида. Сираи, Ода (2-Methoxy-6-nitrobenzaldehyde の合成. 白井秀明, 織田藤一),名古屋市立大学薬学部紀要, Нагоя-сирицу дайгаку якугакубу кий, Bull. Nagoya Univ. Pharmas. School, 1956, № 4, 30–34 (японск.).

Синтезирован $2\text{-CH}_3\text{O}-6\text{-NO}_2\text{C}_6\text{H}_3\text{CHO}$ (I). 1,5 г $2\text{-CH}_3\text{O}-6\text{-NO}_2\text{C}_6\text{H}_3\text{COOH}$ (II) обрабатывают 2 часа при $\sim 20^\circ$ 4 г SOCl_2 , получают хлорангидрид II (III), выход 73,4%, т. пл. 86–87° (разл.; из петр. эф.). Смесь 1,08 г III в 2 мл C_6H_6 и 0,3 мл безводн. HCN в 1,4 мл хинолина оставляют при $10^\circ \sim 12^\circ$ час., упаривают, получают 1-(2-метокси-6-нитробензоил)-2-циано-1,2-дигидрохинолин (IV), выход 76,5%, т. пл. 197–198° (разл.; из сп.). 1 г IV и 10 мл 5 н. H_2SO_4 нагревают 2 часа при $\sim 100^\circ$, извлекают C_6H_6 , получают I, выход 33,3%, т. пл. 111° (из CCl_4). Испытан второй путь синтеза I на основе м-нитрофенола (V). 4 г V нагревают 120 час. при 37–38° с 12 г метилаля и 32 мл конц. HCl, получают 1,8 г продукта с т. пл. 120–140°; при обработке его эфир. р-ром CH_2N_2 при 0° образуется $2\text{-CH}_3\text{O}-6\text{-NO}_2\text{C}_6\text{H}_3\text{CH}_2\text{Cl}$, т. пл. 58–60°, который может быть превращен в I по р-ции Соммле. Смесь 3 г V и р-ра 20 г NaOH в 20 мл воды + 2,4 мл CHCl_3 нагревают 1 час при 70–80°, удаляют CHCl_3 , подкисляют H_2SO_4 , отгоняют с паром, извлекают эфиром, обрабатывают NaHSO_3 , получают бисульфитное производное 6-нитросалицилового альдегида (VI—альдегид), выход 8,6%, из него выделяют 10%-ной H_2SO_4 VI, т. пл. 53–54°. Метилирование VI посредством $(\text{CH}_3)_2\text{SO}_4$ в 20%-ном NaOH (50–60°, 50 мин.) дает $\text{CH}_3\text{O}-6\text{-NO}_2\text{C}_6\text{H}_3\text{CHO}$ (VII), выход 71%, т. пл. 111° (?) (из CCl_4). VII, т. пл. 91° (?) (из CCl_4) получают также действием на VI эфир. р-ра CH_2N_2 , выход 61,8%, семикарбазон, т. пл. 190–191° (разл.), оксим, т. пл. 152° (разл.); окисление VII посредством KMnO_4 дает II; метиловый эфир (II, эфир. р-р CH_2N_2 , $\sim 20^\circ$, 2 часа, выход 84,1%), т. кип. 162–164°/5 мм, т. пл. 64–65° (из сп.); этиловый эфир II (безводн. сп., H_2SO_4 , кипячение 8 час., выход 46,5%), т. кип. 157–158°/4 мм; гидразид, (метиловый эфир II, $\text{N}_2\text{H}_4 \cdot \text{H}_2\text{O}$, 80–90°, 3 часа), выход 62,6%, т. пл. 157–158° (из сп.); (или этиловый эфир II, $\text{N}_2\text{H}_4 \cdot \text{H}_2\text{O}$, кипячение 7 час.), выход 15% с т. пл. 157–159° и 25% с т. пл. 207–208° (из сп.). Смесь 0,21 г гидразида II с т. пл. 157–158°, 0,6 мл пиридина и 0,18 г $\text{C}_6\text{H}_5\text{SO}_2\text{Cl}$ нагревают 1 час при $\sim 100^\circ$, получают N-2-метокси-6-нитробензоил-N'-бензолсульфогидразид (VIII), выход 94%, т. пл. 239–240° (разл.). Из гидразида II с т. пл. 207–208° получают VIII с выходом 91,2% и т. пл. 170–171° (разл.; из бзл.). При нагревании ($\sim 100^\circ$, 15 час.) III с бензолсульфогидразидом в пиридине образуется с выходом 46,9% высокоплавкий VIII. Разложение высокоплавкого и низкоплавкого VIII нагреванием (160°, 2 мин.) в этиленгликоле с Na_2CO_3 приводит к VII. 1 г III в 5 мл эфира смешивают с 0,6 г $\text{N}_2\text{H}_4 \cdot \text{H}_2\text{O}$, получают NN'-бис-(2-метокси-6-нитробензоил)-гидразин, выход 66,3%, т. пл. выше 310° (из сп.); он же получается при р-ции III с гидразидом II в пиридине (нагревание 20 мин. $\sim 100^\circ$), выход 77,4%.

Л. Яновская

4538. О действии металлоорганических соединений на хинолы. VIII. О действии гриньяровых соединений ацетилена и замещенных ацетиленов на хинолацетаты. Вессели, Збирал (Über die Einwirkung metallorganischer Verbindungen auf Chinole. VIII. Über die Einwirkung der Grignard-Verbindungen des Acetylens und substituierter Acetylene auf Chinolacetate. Wessely Friedrich, Zbiral Erich), Liebigs Ann. Chem., 1957, 605, № 1–3, 98–110 (нем.).

Изучено действие $\text{C}_6\text{H}_5\text{C}\equiv\text{CMgBr}$ (I), $\text{C}_4\text{H}_9\text{C}\equiv\text{CMgBr}$ (II) и $\text{BrMgC}\equiv\text{CMgBr}$ (III) на 2-метил-о-хинолацетат (IV) и 4-метил-п-хинолацетат (V). При р-ции IV с I образуются 1-метил-2-(β-фенилэтинил)-циклогексадиен-3,5-диол-1,2 (VI), 2-метил-5-(β-фенилэтинил)-фенол (VII), 2-метил-5-этилфенол (VIII) и $(\text{C}_6\text{H}_5\text{C}\equiv\text{C})_2\text{C}(\text{OH})\text{CH}_3$ (IX). Образование VI происходит в результате 1,2-присоединения; VII является продуктом 1,4-присоединения; VIII образуется под действием $\text{C}_2\text{H}_5\text{MgBr}$, применяемого при синтезе I; образование IX объясняется, вероятно, действием I на эфирную группу IV. При взаимодействии II с IV также имеет место 1,2-присоединение, приводящее к получению 1-метил-2-гексинилциклогексадиен-3,5-диола-1,2 (X), наряду с в-вом, имеющим, вероятно, строение 2-метил-5-гексинилфенола (XI), но загрязненного примесью изомера. При действии I на V удалось выделить лишь 4-метил-2-(β-фенилэтинил)-фенол (XII). При р-ции I с 4-метилхинолом (XIII), вместо ожидаемого 1-метил-4-(β-фенилэтинил)-циклогексадиен-2,5-диола-1,4, получен 4-метил-5-(β-фенилэтинил)-циклогексен-2-ол-4-он-1 (XIV). При действии III на IV образуются 2-метил-5-этинилфенол (XV) и ди-(4-метил-5-оксифенил)-ацетилен (XVI). К 0,18 моля I в 300 мл эфира прибавляют за 30 мин. при $\sim 20^\circ$ р-р 0,06 моля IV в 40 мл эфира, кипятят 1 час., разлагают р-ром NH_4Cl , отгоняют половину эфира, оставляют на 10 час. при $\sim 0^\circ$ и отфильтровывают VI, выход 24%, т. пл. 160–161° (из эф.-петр. эф.). Перегонкой фильтрата получают 1 г VIII и фракцию с т. кип. 150–200°/0,01 мм, из которой выделяют 4,9 г кристаллов, последние обрабатывают 1 н. NaOH, нерастворимый в щелочи осадок является IX, выход 17,5%, т. пл. 107° (из водн. сп.); из щел. фильтрата подкислением выделяют VII с выходом 19,4%, т. пл. 118–119° (из петр. эф.). При кипячении VI с 0,1 н. NaOH получается $\text{C}_6\text{H}_5\text{C}\equiv\text{CH}$. При гидрировании VI в присутствии Pd/C образуется октагидропроизводное, т. пл. 114–115° (из петр. эф.), которое при окислении KMnO_4 дает бензойную, фенилуксусную, янтарную, глутаровую и адипиновую к-ты. 2,5 г VI, 50 мл $(\text{CH}_3\text{CO})_2\text{O}$ и 16 мл NC_5H_5 нагревают 4 часа при $\sim 95^\circ$ и выделяют 1-метил-2-(β-фенилэтинил)-4-ацетоксибензол (XVII) с выходом 40%, т. кип. 120–130° (т-ра бани)/0,05 мм, т. пл. 74–76° (из петр. эф.); из маточного р-ра от XVII хроматографией на Al_2O_3 выделяют 1-метил-2-ацетокси-2-(β-фенилэтинил)-циклогексадиен-3,5-ол-1 (XVIII), выход 14%, т. кип. 100–110° (т-ра бани)/0,03 мм; гидрированием и последующим омылением XVIII превращают в октагидропроизводное VI. Омылением XVII 0,1 н. NaOH получают 4-метил-3-(β-фенилэтинил)-фенол (XIX), т. пл. 84–86° (из петр. эф.). При гидрировании XIX дает тетрагидропроизводное, т. кип. 110–120°/0,005 мм; метиловый эфир XIX последовательным окислением SeO_2 и щел. H_2O_2 превращают в 2-метил-5-метоксибензойную к-ту. VII при гидрировании дает 2-метил-5-(β-фенилэтил)-фенол (XX) с выходом 84%, т. кип. 97–100°/0,001 мм, т. пл. 63–65° (из петр. эф.). Смешивают эфирные р-ры $\text{C}_6\text{H}_5\text{CH}_2\text{CH}_2\text{MgCl}$ (из 0,07 моля $\text{C}_6\text{H}_5\text{CH}_2\text{CH}_2\text{Cl}$) и 0,022 моля IV, кипятят 20 мин., разлагают р-ром NH_4Cl и получают XX с выходом 23%. Действием $(\text{CH}_3)_2\text{SO}_4$ на VII получают метиловый

эфир VII, т. пл. 53–54° (из водн. CH_3OH), который при окислении SeO_2 дает фенил-(3-метокси-4-метилфенил)-дикетон, выход 22%, т. пл. 100–101° (из водн. сп.), последний при окислении H_2O_2 в щел. среде превращается в 4-метил-5-метоксибензойную к-ту. К 0,17 моля II в 200 мл эфира прибавляют за 30 мин. р-р 0,042 моля IV в 100 мл эфира, кипятят 20 мин., разлагают NH_4Cl , отгоняют эфир и добавлением 100 мл петр. эфира выделяют X с выходом 14%, т. пл. 106–107° (из петр. эф.); от фильтрата отгоняют р-ритель, обрабатывают 1 н. NaOH и подкислением щел. р-ра получают XI, выход 27,5%, т. кип. 120–140° (т-ра бани)/0,05 мм. При гидрировании XI дает тетрагидропроизводное; фенилуретан, т. пл. 70–87°. Действием $\text{C}_6\text{H}_5\text{MgBr}$ на IV получают 2-метил-5-гексилфенол; фенилуретан, т. пл. 96–99°. X при гидрировании дает октагидропроизводное, т. пл. 73–75° (из петр. эф.). К 0,35 моля III (получение см. РЖХим, 1955, 28772) быстро прибавляют нагретый до 50–60° р-р 0,06 моля IV в 400 мл анизола, нагревают 1 час при 80°, оставляют на 2 дня при ~20°, разлагают разб. HCl , анизольный р-р обрабатывают 2 н. NaOH , щел. р-р насыщают CO_2 и выделившееся масло перегоняют, получают XV, выход 15%, т. кип. 90–100° (т-ра бани)/0,05 мм, n_D^{22} 1,5782, и XVI, выход 12,5%, т. кип. 180–210° (т-ра бани)/0,05 мм, т. пл. 186–187° (возгонка). XV неустойчив по отношению к щелочи, при гидрировании превращается в VIII. Р-цию I с V проводят так же, как с IV, перегонкой выделяют XII, выход 60%, т. кип. 120–130° (т-ра бани)/0,05 мм, т. пл. 59–63°. 0,2 г XII и 3 мл 2 н. NaOH нагревают 45 мин. при ~95°, выпадает 5-метил-2-фенилкумарон, выход 90%, т. пл. 126–129° (из водн. сп.). При гидрировании XII дает тетрагидропроизводное; фенилуретан, т. пл. 108–109°. К р-ру 0,083 моля I в 175 мл эфира прибавляют за 10 мин. р-р 0,042 моля XIII в 120 мл эфира, кипятят 30 мин., разлагают р-ром NH_4Cl и перегонкой выделяют 4,1 г фракции с т. кип. 160–170°/0,001 мм, которую хроматографируют на Al_2O_3 в эфире, получают XIV, т. кип. 140–150° (т-ра бани)/0,001 мм. Гидрированием XIV превращают в 4-метил-3-(β -фенилэтил)-4-оксициклогексанон-1, т. пл. 60–61° (из эф.-петр. эф.), который при дегидрировании дает 4-метил-5-(β -фенилэтил)-фенол; фенилуретан, т. пл. 122–124°. 0,27 г XIV, 20 мл $(\text{CH}_3\text{CO})_2\text{O}$, 10 мл NC_5H_3 и следы безводн. ZnCl_2 кипятят 30 мин. и перегонкой выделяют XVII. Сообщение VII см. РЖХим, 1957, 8090.

П. Аронович

4539. Некоторые производные *n*-терфенила. Гилман, Уэйперт (Some derivatives of *p*-terphenyl. Gilman Henry, Weipert Eugene A., J. Organ. Chem., 1957, 22, № 4, 446–447 (англ.))

Синтезированы *n*-терфенилкарбоновая-4 к-та (I), дифенил-*n*-терфенил-4-карбинол (II), 4-бензиль-*n*-терфенил (III), 2-метил (IVa)-, 3-метил (IVb)- и 4-метил (IVv)-*n*-терфенил. Исходными продуктами для синтезов служили *n*-терфенил-4-литий (V) и *n*-дифениллитий (VI). К суспензии 0,015 моля 4-бром-*n*-терфенила в 75 мл эфира прибавляют р-р 0,016 моля $n\text{-C}_4\text{H}_9\text{Li}$ (см. Gilman H. и др., J. Amer. Chem. Soc., 1949, 71, 1499), перемешивают 10 мин., выливают в смесь сухого льда и эфира, перемешивают до испарения эфира, остаток смачивают лед. CH_3COOH , перемешивают 1 час с 10 мл 10-ной HCl и фильтруют; получают I, выход 53%, т. пл. 315–317° (из лед. CH_3COOH). К р-ру V, полученному как описано выше, прибавляют 0,016 моля бензофенона в 50 мл эфира, перемешивают 5 мин., гидролизуют 30 мл насыщ. р-ра NH_4Cl , извлекают 100 мл C_6H_6 II, выход 72%, т. пл. 216–217° (из бал.-петр. эф.). Аналогично из 0,015 моля V и 0,016 моля $\text{C}_6\text{H}_5\text{CN}$ получают III с выходом 88,3%, т. пл. 196–197° (из бал.-петр. эф.). Из 0,016 моля

$(\text{CH}_3)_2\text{SO}_4$ и V получают IVv, выход 67%, т. пл. 207–208° (из бал.-петр. эф.). К р-ру 0,08 моля 3-метилциклогексанона в 50 мл эфира приливают за 30 мин. р-р 0,077 моля VI в 200 мл эфира, перемешивают 30 мин., гидролизуют разб. HCl , и водн. слой обрабатывают 50 мл C_6H_6 , после отгонки р-рителей отфильтровывают 0,45 г кватерфенила, фильтрат нагревают с 20 мл 20%-ной H_2SO_4 1 час при 90–100°, добавляют 30 мл C_6H_6 , промывают водой и перегонкой выделяют 7,77 г 1-(*n*-дифенил)-2-метилциклогексена, т. кип. 152–158°/0,1 мм. Последний нагревают с 0,064 г атома S 5 час. при 205–210° и перегоняют; выход IVb 21% (считая на VI), т. кип. 145–150°/0,04 мм, т. пл. 125,5–126° (из сп. и возгонкой при 100°/0,01 мм). Из VI и 2-метилциклогексанона таким же путем получают смесь 3-метил- и 5-метил-1-(*n*-дифенил)-циклогексена, т. кип. 138–151°/0,1 мм, которая при дегидрировании дает IVa, выход 10,4%, т. кип. 125–140°/0,05 мм, т. пл. 93–94° (из сп.).

П. Аронович

4540. К автоокислению метиленовой группы, связанной с ароматическим ядром. Получение эфиров фенилглиоксиловой кислоты. Сергеев П. Г., Сладков А. М., Ж. общ. химии, 1957, 27, № 3, 819–821. Окислением воздухом $\text{C}_6\text{H}_5\text{CH}_2\text{COOR}$ (I), где $\text{R} = \text{CH}_3$ (а) и C_2H_5 (б), получены $\text{C}_6\text{H}_5\text{COCOOR}$ (II). Через стеклянную колонку с 42 г Ia и 0,1 г бензоилокислого кобальта пропускали воздух (0,5 л/мин, 110–115°). Через 36 час. перегонкой в вакууме выделили 85,7% IIa (с учетом возврата 15 г Ia), т. кип. 78–79°/2 мм, n_D^{20} 1,5850; 2,4-динитрофенилгидразон, т. пл. 173°. Аналогично получен IIb, выход 82%, т. кип. 117°/5 мм, n_D^{20} 1,5198.

Г. Крюкова

4541. Опыты синтезов в группе эстрогенных гормонов. VII. Кристаллический метиловый эфир 2-метил-2-карбометокси-5-(4-метоксифенил)-циклогексанон-6-уксусной кислоты и попытки осуществить циклизацию стереоизомерных 2-метил-5-(4-метоксифенил)-циклогексанон-6-уксусных кислот. Йилек, Протива (Synthetische Versuche in der Gruppe der östrogenen Hormone. VII. Der kristalline Methyl-ester der 2-Methyl-2-carbomethoxy-5-(4-methoxyphenyl)-cyclohexanon-6-essigsäure und Cyclisierungsversuche mit den stereoisomeren 2-Methyl-5-(4-methoxyphenyl)-cyclohexanon-6-essigsäuren Jilek J. O., Protiva M.), Сб. чехосл. хим. работ, 1955, 20, № 4, 765–776 (нем.). См. РЖХим, 1956, 938.

4542. Разделение *цис-транс*-изомеров с помощью ионообменной хроматографии. 4-хлор-*цис* и 2,4-дихлор-*цис*-коричная кислота. Линденфос (Separation of *cis-trans* isomers by ion-exchange chromatography. 4-chloro-*cis*-cinnamic acid and 2,4-dichloro-*cis*-cinnamic acid. Lindenfors Sven), Arkiv kemi, 1957, 10, № 6, 561–568 (англ.)

Описан метод разделения *транс*- (I) и *цис*-4-хлор- (Ia), а также неописанной ранее метод получения *цис*-2,4-дихлор- (*цис*-II)-коричной к-ты с помощью ионообменной хроматографии. Приведены кривые ИК-спектров I, Ia и II и показано, что с их помощью можно сделать вывод о *цис*- или *транс*-конфигурации в-ва. К 15 г I [синтезирована по методу Дёбнера, выход 80%, т. пл. 248–250° (из сп.)] прибавляют 1 н. NaOH до pH 11, разбавляют до 225 мл водой и облучают УФ-светом (40 час., 15–20°), расстояние от лампы 10 см). Подкисляют (2 н. HCl), осадок сушат (~20°) в темноте, экстрагируют кипящей водой (4 × 100 мл), сухой осадок (2,6 г) в р-ре 75%-ного спирта пропускают (20 мл/час) через колонку, наполненную последовательно ионообменной смолой IR-4B (13 × 1 см) и IRA-400 (5 × 1 см) и вымывают последовательно I (0,004 M р-ром HCl в 75%-ном спирте, 15–20 мл/час) и Ia (р-ром 0,4 M CH_3COOH и 0,3 M

NaCl в 75%-ном спирте). Отгоняют р-ритель в вакууме и получают Ia, т. пл. 113,8—116,2° (из воды). Полнота разделения I и Ia характеризуется постоянной величиной отношения оптич. плотностей при 295 и 340 мμ. К 10 г транс-II [синтезирована аналогично I, выход 75%, т. пл. 233—234,5° (из сп.)] прибавляют H₂NC₂H₄OH до pH ~ 10, разбавляют водой до 200 мл, р-р обрабатывают аналогично Ia и получают цис-II, т. пл. 131,5—133,9°.

4543. Приготовление ацетилбензонилперекиси. Юрачка, Хромечек (Připrava acetylbenzoylperoxydu. Juračka Fr., Chroměček Richard), Chem. průmysl, 1956, 6, № 1, 27—30 (чешск.; рез. русск., англ.)

C₆H₅COOOCOC₆H₅ (I) получена действием O₂ воздуха на смесь C₆H₅CHO (II) и (CH₃CO)₂O (III). Изучена зависимость выхода I от т-ры, соотношения II и III, введения уксусной или бензойной к-ты и облечения смеси светом разных длин волн. Выход I заметно увеличивается в присутствии Na, CaCO₃, BaCO₃, MgCO₃, ZnCO₃, CaO, MgO, Al₂O₃, Mg, сплава Ni-Al. Через смесь 0,5 моля II, 1,25 моля III и 0,25 моля CaCO₃, помещенную в стеклянную колонну (диам. 32 мм, высота 600 мм, снабженную охлаждающей рубашкой и обратным холодильником, продувают при 40—45° сухой воздух (3 часа, 80 л/час) при освещении рассеянным дневным светом или лампой накаливания 40 ат; фильтруют, фильтрат выливают в 2 л холодной воды; осадок неочищ. I (выход 83—87%) растворяют в эфире или C₆H₆, моют 5%-ным NaHCO₃; р-ритель упаривают в вакууме не полностью во избежание взрыва при самопроизвольной кристаллизации остающегося масла. Продукт содержит 98—99,5% I, т. пл. 38,5°; на холоду в темноте хранится без разложения 5 месяцев.

4544. Исследования в области синтеза душистых веществ. XIV. Синтез мускусиллола. Хоригути (ムスク・キシロールの合成. 香料合成に関する研究. 第十四報. 堀口博), 香料, Корё, 1955, № 34, 24—31 (японск.)

Из смеси ксидолов (n²⁰_D 1,5000, d²⁰ 0,858) сульфированием 85%-ной H₂SO₄ (80°, 1 час) с последующим гидролизом полученных сульфокислот (125°, в токе пара) выделен м-ксидол (I) (приведены таблицы фракционной разгонки с паром и констант выделенного образца I). Бутилирование I посредством изобутилена (II) в присутствии AlCl₃ при 20° без р-рителя дает 3-тет-бутил-м-ксидол (III), выход 27%; низкий выход обусловлен значительной полимеризацией II в этих условиях; ведение р-ции с одновременным проведением через реакционную смесь HCl снизило выход III до 7,4%; добавка р-рителя (CS₂) повысила выход III до 53,2%. Максим. выход III (76,4%) получен при бутилировании I посредством трет-С₄H₉Cl (II + HCl) в CS₂ в присутствии AlCl₃ при 20° (приведены таблицы условий опытов и констант полученного III). Нитрование II осуществлено HNO₃ (d²⁰ 1,5297) при 2—3° по способу, описанному в литературе. Полученный мускусиллол (тринитро-3-тет-бутил-м-ксидол) очищен фракционной кристаллизацией из CH₃OH (приведены таблицы фракционной кристаллизации нескольких образцов). Приведена микротопография кристаллов мускусиллола. См. РЖХим, 1957, 35774.

4545. Каталитические перегруппировки некоторых ацетилированных арилиминов. Ардашев Б. И., Минкин В. И., Ж. общ. химии, 1957, 27, № 5, 1261—1263

Установлено, что при применении ZnCl₂ или AlCl₃ + ZnCl₂ происходит орто-перегруппировка ArNHCOSCH₃ (I), являющаяся, по-видимому, результатом внутримолекулярного перемещения ацетильного радикала.

Из I (Ar = C₆H₅) (Ia) наряду с n-NH₂C₆H₄COSCH₃ (II) получен флаванилин (III) — продукт конденсации II с o-NH₂C₆H₄COSCH₃, а из I (Ar = C₆H₄CH₃-n) (Ib) образуется 2-NH₂-5-CH₃C₆H₃COSCH₃ (IV). C₆H₅N(C₂H₅)COSCH₃ (V) при применении AlCl₃ перегруппировывается в лепадин (VI), перемещение COSCH₃-радикала объяснено ослаблением связи COSCH₃-группы с N за счет ее поляризации по CO-группе при образовании прочного комплекса с AlCl₃, а циклизацию по CH₃-группе остатка NCH₂CH₃ в промежуточно образовавшемся o-NH(C₂H₅)C₆H₄COSCH₃ (VII), как следствие орто-сопряжения в боковой цепи VII. В нагретые до 220—230° 20—25 г ZnCl₂ в 8—10 приемов добавляли 10 г Ia и выдержали 15—20 мин. После выделения (Курсанов Н. Д., Ж. общ. химии, 1943, 13, 286; Dippy J., Wood J., J. Chem. Soc., 1949, 2719) получено 46% III (т. кип. 133—141°/15 мм, т. пл. 94—95°, ацетильное производное, т. пл. 161—163°), и 10% II, т. кип. 175—190°/15 мм, т. пл. 105—107°; 2,4-динитрофенилтиразон (ДНФТ), т. пл. 259—261°. К 12 г AlCl₃ и 9,2 г ZnCl₂ прибавляли 10 г Ib, отгонкой с паром выделено 10% IV, т. кип. 235—265°, т. пл. 43°, ДНФТ, т. пл. 235°. Применение в этой р-ции ZnCl₂ ведет к продукту циклизации двух молекул аминкетона. Диазотированием IV в HCl (d 1,10) получен 2-Cl-5-CH₃C₆H₃COSCH₃, выход 20%, оксим, т. пл. 90—91°, отделенный от 2-HO-5-CH₃C₆H₃COSCH₃ встраиванием с 15%-ным NaOH. IV с выходом 40% получен также при выделении 1 час при кипячении 20 мл CH₃COBr к 15 г Ib и 39,9 г AlCl₃ в 200 мл бензина (т. кип. 80—100°) и последующим нагреванием 5—6 час. 2 г V, 24 г AlCl₃ и 18,5 г ZnCl₂ нагревали 1,5 часа при 290° (т-р бани), плав растворяли в HCl, подщелачивали и перегоняли с паром. После очистки [осаждение K₂Fe(CN)₆, перегонка] получено 7% VI; пикрат, т. пл. 209°.

4546. Некоторые производные дифенила и их туберкулоstaticкая активность. Трефилова Л. Ф., Пустовский И. Я., Докл. АН СССР, 1957, 114, № 1, 116—119

Для испытания туберкулоstaticкой активности (ТА) синтезированы n-RC₆H₄C₆H₄N=CHR'-n (I), n-C₆H₄CH=NR (II) и n-RC₆H₄C₆H₄NHC(S)NHR'-n (III). 0,01 моля n-NH₂C₆H₄C₆H₅ в 4 мл спирта нагревали 30 мин. с 0,01 моля ванилина в 4 мл спирта, получен I (R = H, R' = 4-OH-5-CH₃OC₆H₃) (Ia), выход 95,7%. Аналогично получены другие I [приведены R и т. пл. в °C (из сп.)] последовательно при R' = C₆H₅, 2-OH-C₆H₄, 4-OH-5-CH₃C₆H₃, 4-CH₃-CONHC₆H₄, CH=CHC₆H₅ и фурил-2]: H, 147—148 (Ib), 140—141 (Iв), 185—186, 235—236, 189—190, 106—107; OH, 202—203, 210—212, 254—255, 244—246, 210—212, 266—267; OCH₃, 173—174, 193—194, 186—187 (Iг), 263—264, 190—191, 126—127; OC₂H₅, 146—147, 185—186, 182—183, 273—279, 181—182, 157—158; OC₄H₉, 180—181, 175—176, 129—130, 244—245, 175—176, 165—166; Синтезированы также I, где R = H и R' = 3,4-(O₂CH₂)C₆H₃, т. пл. 144—145°; R = H, R' = акридил-9 (Id), т. пл. 205—206°. II синтезированы взаимодействием эквимолекулярных кол-в n-C₆H₄CH=O с соответствующими ароматич. аминами [приведены R и т. пл. в °C (из сп.)]: C₆H₅, 150—151; C₆H₄OCH₃-n, 181—182; C₆H₄SO₂NH₂-n, 239—240; C₆H₄C₆H₅-n, 245—246; C₆H₄C₆H₄OCH₃-n, 241—243. Нагревают 15 мин. 0,002 моля n-CH₃OC₆H₄C₆H₄NH₂-n в 10 мл спирта с 0,002 моля n-C₂H₅OC₆H₄NCS в 3 мл спирта, выход III (R = OCH₃, R' = C₆H₄OC₂H₅-n) 92%. Аналогично получены другие III (приведены R и т. пл. в °C (из сп.)] последовательно при R' = CH₂CH=CH₂, C₆H₄OCH₃-n, C₆H₄OC₂H₅-n и C₆H₄Cl-n: H, 159—160, 193—194, 197—198, 202—203; OH, 237—238, 244—246, 243—245, 246—247; CH₃O, 177—178, 206—207, 210—212, 215—216; OC₂H₅, 169—170, 209—210, 211—212, 216—218.

C_4H_9O , 169—170, 202—203, 204—205, 205—207. При испытании ТА I и II *in vitro* по отношению к вирулентному штамму K_1 (человеческого типа) Ia—д полностью подавляли рост бактерий при конц-ии от $1 \cdot 10^{-6}$ до $1 \cdot 10^{-7}$; остальные соединения менее или вовсе неактивны. III не проявили ТА в конц-ии $1 \cdot 10^{-4}$. Г. Крюкова

4547. О некоторых аминопроизводных ряда дибензила. Крупеникова К. А., Маклецова В. И., Уч. зап. Казахск. ун-та, 1956, 22, 109—116. При восстановлении двух пространственных изомеров *n,n'*-динитро- α,α' -диметилдибензила, низкоплавкого (Ia) и высокоплавкого (Ib), получены низкоплавкая (IIa) и высокоплавкая (IIb) формы *n,n'*-диамино- α,α' -диметилдибензила. При гидрировании Ia над Ni—Pd получена IIa. Ib в этих условиях не гидрируется. Ia—b при гидрировании в лед. CH_3COOH дают соответствующие диацетильные производные II. Гидрируют *p-p* 0,3582 г Ia в 30 мл спирта над скелетным Ni при 50°, отделяют катализатор, спирт отгоняют и получают IIa, выход 65,9%, т. пл. 59—60° (из водн. CH_3OH). Гидрируют 1 час *p-p* 0,3582 г Ib в 30 мл лед. CH_3COOH над скелетным Ni в присутствии Pt, *p-p* декантируют, отгоняют CH_3COOH и получают диацетат IIb, т. пл. 345°; тетраацетат, т. пл. 239° (из ацетона). К катализатору от предыдущего опыта добавляют 30 мл лед. CH_3COOH , встряхивают в атмосфере H_2 30 мин. при 50°, добавляют 0,3582 г Ia, гидрируют 1 час и получают диацетат IIa, т. пл. 285° (из лед. CH_3COOH). Р. Журич

4548. Кристаллические производные альдегидов. II. Специфический реагент на альдегиды: 1,2-бис-(*n*-хлорбензиламино)-этан. Билман, Чжэнь-Хэ, Жу-Ю, Касуэлл (Solid derivatives of aldehydes. II. A specific reagent for aldehydes: 1,2-bis (*p*-chlorobenzylamino) ethane. Billman, John H., Chen Ho, Ju-Yu, Caswell Lyman R., J. Organ. Chem., 1957, 22, № 5, 538—539 (англ.))

При конденсации *n*-хлорбензальдегида с этилендиаминном образуется 1,2-бис-(*n*-хлорбензилденамино)-этан (I), выход 98%, т. пл. 144—145° (из абс. сп.). Гидрированием I над PtO₂ в абс. C_2H_5OH получали, после обработки лед. CH_3COOH , диацетат 1,2-бис-(*n*-хлорбензиламино)-этана (II — основание), выход 70,4%, т. пл. 139—140° (из воды). Обработкой диацетата II 20%-ным водн. NaOH и затем $(CH_3CO)_2O$ получали *N,N'*-диацетильное производное II, т. пл. 135—135,5° (из абс. сп.). Установлено, что II образует с альдегидами (A) кристаллич. 2-замещ. 1,3-бис-(*n*-хлорбензил)-имидазолины (III). К 2,5 г диацетата II добавляют 15 мл 20%-ного водн. *p-p* NaOH, нагревают и после охлаждения сливают водн. слой с образовавшегося масла. Последнее промывают водой с декантацией, растворяют в абс. C_2H_5OH , добавляют 1 г A и встряхивают 10—15 мин. или нагревают при 65° 10 мин. Полученные III кристаллизуют из спирта. Получены следующие III (перечисленные заместители, выход в %, т. пл. в °C): метил, 57, 57—58; 2-метоксифенил, 64, 63—64; 4-метилфенил, 60, 67—68; *n*-бутил, 58, 72—73; *n*-пропил, 51, 75—75,5; 3,4-диэтоксифенил, 80, 76,6—77,5; изопропил, 30, 79—80; 2-фурфурил, 63, 80—81; 3,4-диметоксифенил, 52, 79,5—80,5; бензил, 45, 82,5—83; этил, 56, 84—85; 2,3-диметоксифенил, 65, 87,5—88; 3,4-дихлорфенил, 75, 89,5—90; 2,4-дихлорфенил, 83, 89,5—90; 2-хлорфенил, 80, 91—92; фенил, 74, 98—99; 3,4-диоксиметиленфенил, 21, 106—107; 3-нитрофенил, 30, 110—110,5; 3-тиенил, 53, 118—118,5; 4-хлорфенил, 44, 122—123; 4-метоксифенил, 75, 122—123; 2-фенилэтилен, 66, 131,5—132,5; 4-окси-3-метоксифенил, 76, 140—140,5; 2-оксифенил, 85, 164—165,5; 2,4-диоксифенил, 50, 167—171 (разл.); 4-оксифенил, 48, 200—201. III легко гидролизуются 10%-ной HCl

(*k*-той), давая дихлоргидрат II и исходный A. II, в отличие от 1,2-бис-(*n*-метоксибензиламино)-этана (IV) (см. Billman и др., J. Organ. Chem., 1952, 17, 1375), не реагирует с кетонами: ацетоном (V), циклогексаном, метилэтилкетон, диэтилкетон, ацетофеноном, диизопропилкетон и бензофеноном. Различное поведение II и IV по отношению к V объясняется авторами повышенной, по сравнению с Cl-атомом, электроотрицательностью CH_3O -группы, что создает у N-атома повышенную электронную плотность и позволяет преодолеть пространственные препятствия, создаваемые CH_3 -группами V. В. Антонов

4549. Реакционноспособные промежуточные продукты, полученные из стибенхинона. Стюарт (Reactive intermediates derived from stilbenequinone. Stewart F. H. C., Chemistry and Industry, 1957, № 24, 761—762 (англ.))

Установлено, что продукт, полученный при восстановлении *n*-(CH_3)₂NC₆H₄CHO (I) с помощью Sn и HCl, которому ранее приписывалась структура 2,6-бис-диметиламиноантрацена (Albano, Anal. Assoc. Quim. Argentina, 1946, 34, 18), является в действительности 4,4'-бис-диметиламиностильбеном [*n*-(CH_3)₂NC₆H₄CH=] (II). При *p*-ции I с амальгамой Na получают два стереоизомерных [*n*-(CH_3)₂NC₆H₄CH(OH)—] (III). Установлено, что выше плавящийся III идентичен диолу, полученному при действии *p-p* SnCl₂ на йодометилат I. При нагревании III с *p*-ром SnCl₂ он превращается в II; изучено поведение других растворимых в HCl металлов в *p*-ции с I. Найдено, что образование II происходит в меньшей степени, чем Sn, за исключением In, где II образуется в большем кол-ве. K. Вацуро

4550. О производных ацетамидина. Дымек (O pochodnych acetamidyny. Dymek Wojciech, Ann. Univ. M. Curie—Skłodowska, 1954 (1956), AA9, № 1-9, 53—59 (польск.; рез. русск., нем.))

Синтезирован ряд производных ацетамидина общей ф-лы $CH_3C(=NR)NR'R''$ (I). 0,2 моля $CH_3C(=NH)OC_2H_5$ в 50 мл абс. эфира и 0,2 моля анилина в 50 мл абс. эфира выдерживают 18 дней при ~20°, отгоняют эфир, остаток после кристаллизации в вакууме (10—20 час.) растворяют в 100 мл 20%-ной HCl, нейтрализуют $NaHCO_3$, извлекают $CHCl_3$, водн. слой подщелачивают KOH, извлекают $CHCl_3$, получают $CH_3C(=NC_6H_5)NH_2$ (Ia), выход 21 г, т. пл. 68—70° (из петр. эф.); пикрат (PK), т. пл. 187—189° (из сп.). К 1,34 г I в присутствии 10 мл 50%-ного KOH добавляют при перемешивании 2,8 г C_6H_5COCl , получают I ($R = C_6H_5$, $R' = R'' = C_6H_5CO$), т. пл. 160—162° (из сп.). При смешении кипящих *p*-ров 1,34 г Ia в 5 мл спирта и 1,35 г C_6H_5NCS в 5 мл спирта получают I ($R = C_6H_5$, $R' = H$, $R'' = C_6H_5NHCS$), т. пл. 149—150° (из сп.). Аналогично получены I [приводятся R, R', R'' и т. пл. в °C (*p*-ритель)]: *n*-толил, H, H, 103—105 (эф. + петр. эф.); PK, т. пл. 160—161° (сп.); *n*-толил, $R' = R'' = C_6H_5CO$, 156—158 (сп.); *n*-толил, H, C_6H_5NHCS , 140 (сп.); α -нафтил, H, H, вязкое масло [хлоргидрат (XG), т. пл. 278—280° (из сп.)]; α -нафтил $R' = R'' = C_6H_5CO$, 160 (сп.); α -нафтил, H, C_6H_5NHCS , 166; β -нафтил, H, H, 90—92 (петр. эф.); PK, т. пл. 183—185° (сп.); β -нафтил, $R' = R'' = C_6H_5CO$, 162—164 (сп.); β -нафтил, H, C_6H_5NHCS , 153—155 (сп.); α -пиридил, H, H, 60—62 (петр. эф.); PK, т. пл. 220° (сп.); α -пиридил, $R' = R'' = C_6H_5CO$, 82 (сп.); α -пиридил, H, C_6H_5NHCS , 169 (сп.); α -пиридил, H, $n-NO_2C_6H_4NHCS$, 196—198 (сп.). К 1,46 г $CH_3CONHCH_3$ в абс. $CHCl_3$ добавляют при охлаждении 4,8 г PCl_5 , затем медленно добавляют 1,9 г анилина, нагревают 2,5 часа, отгоняют $CHCl_3$, получают XG $CH_3C(=NC_6H_5)NHCH_3$, т. пл. 221—223°; основание, т. пл. 70—72° (из разб. сп.); PK, т. пл. 116—118°. Аналогично получают I ($R = n$ -толил,

$R' = H$, $R'' = CH_3$, т. пл. 73–75° (из разб. сп.); ХГ, т. пл. 200–202; ПК, т. пл. 129–131. Т. Амбруш

4551. Реакции ароматических диазосоединений с непредельными соединениями. Домбровский А. В., Успехи химии, 1957, 26, № 6, 689–716. Обзор. Рассмотрен механизм р-ции галондарилрования и арилирования на основании представлений о первоначальном гомолитич. распаде диазосоединения с образованием свободных арильных радикалов и атомарного галонда. Библ. 103 назв. Г. Крюкова

4552. Дальнейшие исследования принципа винилологии: связь винилологии и изостерии. Шиффовы основания и азопроизводные соединений, имеющих фармацевтический интерес. Рунти (Ulteriori ricerche sul principio di vinilologia: associazione di vinilologia ed isosteria. Basi di Schiff ed azoderivati di composti d'interesse farmaceutico. Runti C.), Farmaco. Ed. scient., 1955, 10, № 9, 579–594 (итал.)

Исходя из того, что такие изостеры группы $-CH=CH-$ как $-CH=N-$ и $-N=N-$ подпадают под принцип винилологии, приготовлены соответствующие винилологи — изостеры некоторых фармакологических препаратов. При действии тиогликолевой к-ты (I) на различные основания Шиффа (ОШ) приготовлены соответствующие замещ. тиазолидоны-4. При кипячении 15–20 мин. *n*-ацетиламинобензальдегида и амина в спирте получены ОШ следующих аминов: сульфаниламида (II), выход 74%, т. пл. 141–143°, основание (кипятием с конц. HCl 4–5 мин. или действием 2 н. NaOH 5–6 мин.), выход 76%, т. пл. 151–153°; сульфазола, выход 63%, т. пл. 221–223°; норсульфазола, выход 78%, т. пл. 87–88° (разл.); сульфаметазина, выход 79%, т. пл. 77–79°; фенетидина (III), выход 82%, т. пл. 204–206°; основание, выход 72%, т. пл. 148–149,5°; *n*-аминофенола (IV), выход 77%, т. пл. 203–204°; *m*-аминофенола, выход 72%, т. пл. 263°; *o*-аминофенола, выход 75%, т. пл. 182–183°; основание, выход 55%, т. пл. 157–159°; *n*-аминобензойной к-ты, выход 74%, т. пл. 262–264°; основание (V), выход 69%, т. пл. >290°; этиловый эфир V, т. пл. 84–88°; β -диэтиламиноэтиловый эфир V, т. пл. 221° (разл.); *n*-аминосульфазола к-ты (VI), выход 78%, т. пл. 146–148°; основание, выход 77,5%, т. разл. 202°; 2-аминотиазола, выход 80%, т. пл. 253–255° (разл.). Аналогично получен *n*-ацетиламинобензальдегидразид изоникотиновой к-ты (VII), т. пл. 277–278°; основание, т. пл. 251–253°, и *N*-4-(*n*-нитробензаль)-*n*-аминобензолсульфонамид, т. пл. 173–175° (из сп.). При действии I, на ОШ получены тиазолидоны-4 (приведены исходные ОШ, выход в %, т. пл. в °C): II, 75, 190–191 (разл.); III, 74, 153–155 (разл.); IV, 67, 115–116 (разл.); VI, 68, 138–139°; VII, 64, 230–232 (разл.). При сочетании диазосульфаниламида с салициловым альдегидом получают 2-окси-5-(*n*-сульфонамидофенилазо)-бензальдегид, выход 62,3%, т. пл. 135–137° (разл.; из сп.), который при конденсации с *n*-фенилендиамин дает *N*-1-(2'-окси-5'-*n*-сульфонамидофенилазо)-бензаль-*n*-фенилендиамин, выход 78,9%, т. пл. >290°. Получены также медные и кобальтовые комплексы ОШ.

В. Великов

4553. Синтез азофенолкарбоновых кислот и их эстрогенные свойства. I. Синтез. Номура (アゾフェノールカルボン酸の合成と發情作用. I. 合成. 野村祐次郎), 日本化学雑誌. Нихон кагаку дзасси, J. Chem. Soc. Japan. Pure Chem. Sec., 1956, 77, № 7, 1091–1093 (японск.)

При азосочетании диазотированного *n*-нитроанилина с *m*-оксибензойной к-той (I) получают 4-окси-4'-нитробензолкарбоновую-2 к-ту (II). Восстановление II гидросульфитом приводит к образованию 2-амино-5-оксибензойной к-ты (III), которую диазотируют и сочетают с резорцином (IV), I и фенолом. Эстрогенные свойства

полученных таким образом 4,2',4'-триоксиназобензолкарбоновой-2 к-ты (V), 4,4'-диоксиназобензол-2,2'-дикарбоновой к-ты (VI) и 4,4'-диоксиназобензолкарбоновой-2 к-ты (VII) исследуются. Диазотируют 6,9 г *n*-нитроанилина в 275 мл р-ра HCl (из 28 мл конц. HCl) и сочетают с 6,9 г I в 250 мл воды с 23 г NaOH. После окисления выделяют II, выход 42%, т. разл. 219°. Восстанавливают 6 г I в 100 мл кипящего спирта сульфидом 22 г гидросульфита в 90 мл воды, фильтруют и из фильтрата получают III, выход 69%, т. пл. 242° (очистка через Na-соль). 2,1 г III в 20 мл разб. HCl (из 3,4 мл HCl и 20 мл воды) диазотируют и сочетают с 1,5 г IV в 40 мл воды с 3,5 г NaOH. Получают V, выход 92%, т. пл. >330°. Аналогично получают VI, выход 78%, т. пл. >320°, и VII, выход 67%, т. пл. >300°. Н. Швецова

4554. Исследование восстановления нитробензола и его производных. VI. Синтез гидразобензола с использованием ферросилиция; реакционная способность ферросилиция. Инда (ニトロベンゼンおよびその誘導體の還元に関する研究. 第6報. ケイ素鉄還元によるヒドラゾベンゼンの合成. ケイ素鉄の反応性について. 飯田弘忠), 工業化学雑誌, Kōgō kagaku dзасси, J. Chem. Soc. Japan. Industr. Chem. Sec., 1956, 59, № 4, 436–440 (японск.)

В продолжение прошлой работы (см. РЖХим, 1957, 74391) изучена реакционная способность (PC) ферросилиция (Fe-Si) в процессе восстановления $C_6H_5NO_2$ (I) в гидразобензол в щел. среде $[NaOH + Ca(OH)_2]$. При восстановлении 10–27 г I посредством 10–20 г Fe-Si (содержит 15% Si) в 20 г 15%-ного NaOH + 7,9 г $Ca(OH)_2$ используется ~84% выделяющегося H_2 ; в отсутствие восстанавливающихся в-в Fe-Si изменяется только на 10%. Наибольшей PC обладает Fe-Si с размерами частиц >170 меш, в этих условиях лучше всего применять 15–20%-ный NaOH. PC Fe-Si сильно зависит от т-ры, ниже 80° PC резко падает. Восстанавливающая способность Fe-Si для различных в-в различна; в порядке снижения активности Fe-Si при восстановлении расположены: азоксибензол > *o*-нитроанилин > I > *m*-динитробензол; это связано с повышением электроотрицательности этих в-в. PC Fe-Si зависит также от кол-ва используемой жидкости, что обусловлено изменениями величины трений между частицами. Активность Fe-Si в процессе восстановления падает за счет обволакивания его частиц образующимся $Fe(OH)_3$. Л. Яновская

4555. Исследование серусодержащих органических соединений. IX. Получение и десульфурование оптически активного 1,1-дифенил-3-меркаптопропанола-2. Дьерасси, Гроссман (Studies in organic sulfur compounds. IX. Preparation and desulfurization of optically active 1,1-diphenyl-3-mercaptopropan-2-ol. Djerassi Carl, Grossman J.), J. Amer. Chem. Soc., 1957, 79, № 10, 2553–2555 (англ.)

При кислотном расщеплении диастереоизомерных спиро-(5-дифенилметил-1,3-оксатиолан-2,3'-холостанол) (Ia), т. пл. 194° (16), т. пл. 175°, или (Ib), т. пл. 153° образуются холостанол-3 (II) и в 1-м случае (+)-а во 2 и 3-м случаях (—)-бис-(1,1-дифенил-2-окси-3-пропил)-дисульфиды (III), восстанавливающиеся $LiAlH_4$ в оптич. чистые (+)- и (—)-1,1-дифенил-3-меркаптопропанола (IV). (+)-IV и *O,S*-дибензоаты (ДБ) *dl*-IV и (—)-IV десульфурованы скелетным Ni в (+)-1,1-дифенилпропанол-2 (V), ДБ *dl*-V и бензоат (—)-V, идентичные описанным ранее продуктам десульфурования Ia—в (см. сообщение VIII, РЖХим, 1957, 41245), это свидетельствует о том, что десульфурование Ia—в и IV не сопровождается рацемизацией. 1,5 г Ia—в 0,1 л неочищ. диоксана, 8 мл конц. HCl и 20 мл воды кипятят 18 час., разбавляют водой и извлекают эфиром, хроматографируют на Al_2O_3 и вы-

мывают гексаном Iв (0,21 г), смесью гексан-С₆H₆ (8:2) — II, выход 0,62 г, т. пл. 127—129°, и смесью гексан-С₆H₆ (1:1) — (—)-III, выход 0,32 г, т. пл. 140—142° (из гексана-эф.). $[\alpha]_D^{20} -168^\circ$ (с 0,55). Аналогично получают (+)-III, $[\alpha]_D^{20} +170^\circ$ (с 0,6). 0,3 г (—)-или (+)-III, 50 мл тетрагидрофурана и избыток LiAlH₄ кипятят 24 часа, добавляют этилацетат, затем 10%-ную HCl и извлекают эфиром (—)-IV, выход 0,28 г, т. пл. 74—75°, $[\alpha]_D^{20} -36^\circ$, или (+)-IV, выход 0,24 г, $[\alpha]_D^{20} +38^\circ$ (с 1,05); 4 г Ia или Iв, 0,2 л перегнанного над Na диоксана, 16 мл конц. HCl и 40 мл воды кипятят 24 часа и выделяют (см. выше) (+)-IV, выход 0,28 г, или (—)-IV, 0,2 г (+)-IV, 1 мл C₆H₅COCl и 5 мл C₆H₅N оставляют на 24 часа, разбавляют водой и извлекают эфиром ДБ (+)-IV, выход 0,23 г, т. пл. 129—131° (из CH₃OH), $[\alpha]_D^{20} +69^\circ$ (с 0,7). Кипятят 0,35 г (+)-IV, 0,1 л метилэтилкетона (VI) и 6 г скелетного Ni (дезактивированного 1-часовым кипячением в VI), продукт (см. часть VIII) хроматографируют на Al₂O₃, вымывают гексаном дифенилацетон. выход 0,65 г, затем смесью гексан-С₆H₆ — (+)-V, выход 150 мг, т. пл. 56—58°, $[\alpha]_D^{20} +6^\circ$; 3,5-динитробензоат, т. пл. 154—155°, $[\alpha]_D^{20} -44,4^\circ$ (с 0,95); бензоат, т. пл. 78—79°, $[\alpha]_D^{20} +18^\circ$ (с 2,03). Аналогично из ДБ dl-IV, т. пл. 146—147°, получают ДБ dl-V, т. пл. 90—92°, гидролизированный 10%-ным метанольным р-ром КОН в dl-V, т. пл. 59—61°; из ДБ (—)-IV получают бензоат (—)-V, т. пл. 77—79° (из CH₃OH), $[\alpha]_D^{20} -17^\circ$ (с 0,43). Д. Витковский

4546. Синтетические спазмолитические средства. XII. Производные α,α -дифенил γ -метилмеркаптобутири-нитрила. Михайлишин, Йилек (Synthetische Spasmolytica. XII. Derivate des α,α -Diphenyl- γ methylmercaptobutyronitrils. Muchajlyszyn V., Jilek J. O.), Сб. чехосл. хим. работ, 1957, 22, № 3, 793—798 (нем.; рез. русск.)
См РЖХим 1957, 47915.

4557. Сульфирование дифенилсульфида. Чатт, Вильямс (The sulphonation of diphenyl sulphide. Chatt J., Williams A. A.), J. Chem. Soc., 1956, Aug., 3246—3248 (англ.)
С целью получения водорастворимых комплексобразователей с Ag-ионом синтезирован n -C₆H₅SC₆H₅SO₂H (I) и его орто-изомер по схеме: n -ClC₆H₄NO₂ + C₆H₅SNa \rightarrow n -C₆H₅SC₆H₄NO₂ \rightarrow n -C₆H₅SC₆H₄NH₂ (II) (Willgerodt, Klinger, J. prakt. Chem., 1862, 85, 194) \rightarrow n -C₆H₅SC₆H₄SO₂H \rightarrow I. При непосредственном сульфировании (C₆H₅)₂S также образуется I (ср. Otto, Tröger, Ber., 1893, 26, 993). 20 г сульфата II в 8,2 мл конц. H₂SO₄ и 112 мл воды диазотируют при 3—4° 6 г NaNO₂ в 50 мл воды, выливают в охлажд. смесь 16,5 мл конц. H₂SO₄ и 22 мл воды, пропускают SO₂ при 3—8° (до поглощения 18 г), при перемешивании медленно добавляют 25 г Cu по Гаттерману, нагревают до прекращения выделения азота, фильтруют, осадок извлекают смесью NH₄OH (d 0,880) и воды (1:3) до отрицательной пробы на сульфитовую к-ту (FeCl₃); вытяжку (A) медленно добавляют при перемешивании к смеси 100 мл 60%-ного FeCl₃ и 400 мл 18%-ной HCl, осадок Fe-соли сушат при 40°, добавляют при интенсивном перемешивании к 500 мл разб. NH₄OH, нагретого почти до кипения, перемешивают 4 часа, фильтрат упаривают до 1/3 объема, охлаждают, фильтрат упаривают до 100 мл, при 50° добавляют H₂O₂ порциями по 0,5—1 мл до прекращения образования оранжевого осадка при смешении пробы с FeCl₃ (через 5 мин. после добавления очередной порции H₂O₂), кипятят, добавляют избыток р-ра BaCl₂, получают Ba-соль I, выход 0—4 г, очищают экстрагированием ацетоном и перекристаллизацией из воды. Ba-соль превращают в Na-соль обработкой р-ром Na₂SO₄ и пропусканием фильтрата через колонку с катионообменной смолой (Na-форма). Из Na- или Ba-соли I получают S-бензилтиуриновую

соль (BC) I, т. пл. 155° (из водн. сп.). Аналогично, исходя из o -NO₂C₆H₄SC₆H₅ (после окисления H₂O₂ р-р подкисляют и непосредственно осаждают BC), получают BC o -C₆H₅SC₆H₄SO₂H, т. пл. 146° (из водн. сп.). Из нейтральной вытяжки, аналогичной A, осаждают BC o -C₆H₅SC₆H₄SO₂H, т. пл. 171,5—172° (из водн. сп.). При сульфировании (C₆H₅)₂S посредством HSO₃Cl (см. ссылку выше) или H₂SO₄ при 100° получают n -HSO₃-C₆H₄)₂ в виде Ba- или Na-соли; BC, т. пл. 198,5—200,5° (из водн. сп.). Т. Амбруш

4558. Взаимодействие оксиацетофенонов и их производных с хлористым тионилем в присутствии мелко-раздробленной меди. Часть IX. Получение 3,3'-диацетил-4,4'-диокси-6,6'-диметилдифенилсульфида и 3,3'-диацетил-4,4'-диметил-6,6'-диоксидифенилсульфида и их производных. Кулкарни, Джадхав (Interaction of hydroxyacetophenones and their derivatives and thionyl chloride in presence of finely divided copper. Part IX. Preparation of 3,3'-Diacetyl-4,4'-dihydroxy-6,6'-dimethyldiphenyl sulphide and 3,3'-Diacetyl - 4,4'-dimethyl-6,6'-dihydroxy-diphenylsulphide and their derivatives. Kulkarni V. G., Jadhav G. V.), J. Indian Chem. Soc., 1956, 33, № 7, 519—522 (англ.)

Синтезированы 3,3'-диацетил-4,4'-диокси-6,6'-диметилдифенилсульфид (I) и 3,3'-диацетил-4,4'-диметил-6,6'-диоксидифенилсульфид (II) и их производные. К смеси 3 мл 2-окс-4-метилацетофенона и 3 мл SOCl₂ добавляют при встряхивании за 2 часа 2 г Si-порошка, через ~12 час. при ~20° извлекают сухим CHCl₃, упаривают, растворяют в CHCl₃, упаривают, остаток кипятят с водой и получают I, т. пл. 100—101° (из сп.); диацетоксипроизводное [из I и (CH₃CO)₂O в присутствии пиридина], т. пл. 101° (разл.; из сп.); 2,4-динитрофенилгидразон (ДНФГ), т. пл. 124—125° (из бzl.). Аналогично получают II (второй раз извлекают спиртом вместо растворения в CHCl₃), т. пл. 105—106° (из сп.); диацетоксипроизводное, т. пл. 98—99° (из CH₃COOH); ДНФГ, т. пл. 125—126° (из CH₃COOH). I и II получают также при взаимодействии соответствующего кетона с SCl₂ или S₂Cl₂ (12 час. при ~20°). 1 г I в 15 мл H₂SO₄ нитруют 7 мл дымящей HNO₃, через 1 час. выливают на лед, фильтруют, из фильтрата через 12 час. получают 2,4,6-тринитро-м-крезол, т. пл. 108—109° (из сп.), который получается также из II при нитровании смесью HNO₃ и H₂SO₄ (3 часа, 100°). 1 г I в 20 мл CHCl₃ бромруют избытком 20%-ного р-ра Br₂, через ~12 час. при ~20° удаляют р-ритель, получают пасту; ДНФГ, т. пл. 90°, которая при нитровании конц. HNO₃ в присутствии H₂SO₄ при ~20° дает 2-бром-4,6-динитро-м-крезол (III). 1 г II нагревают с 20 мл конц. HNO₃ (30 мин., ~100°, после разбавления извлекают CS₂), получают (нерастворимый осадок) 5,5'-динитро-II (IV), т. пл. 150—151° (из CH₃COOH); ДНФГ, т. пл. 137—138° (из CH₃COOH). 1 г II или IV нитруют смесью 20 мл H₂SO₄ и 15 мл HNO₃, оставляют на 12 час. при ~20° и получают 2-метил-3,5-динитро-4-оксиацетофенон, т. пл. 103—104° (из CH₃COOH); ДНФГ, т. пл. 120—121°. 0,5 г II в 20 мл CH₃COOH бромруют 5%-ным р-ром Br₂ в CH₃COOH (несколько минут при 100°, затем ~12 час. при ~20°) и получают 5,5'-дибром-II, т. пл. 190—191° (из CH₃COOH); ДНФГ, т. пл. 130° (разл.; из CH₃COOH). При нитровании 0,05 г дибром-II смесью 15 мл HNO₃ и 20 мл H₂SO₄ при ~20° получают III. Часть VIII см. РЖХим, 1957, 66083

Т. Амбруш

4559. Взаимодействие хлористого тионила с ароматическими оксикетонами и их производными в присутствии мелко-раздробленной меди. Часть X. Получение 3,3'-добензоил-2,6,2',6'- и -4,6,4',6'-тетраокси-дифениловых тиозфиров и их производных. Далви, Джадхав (Interaction of thionyl chloride and aro-

matic hydroxy ketones and their derivatives in presence of finely divided copper. Part X. Preparation of 3:3'-dibenzoyl-2:6-2':6'- and 4:6-4':6'-tetrahydroxydiphenyl thioethers and their derivatives. Dalvi V. J., Jadhav G. V., J. Indian Chem. Soc., 1956, 33, № 11, 807—811 (англ.)

Продолжая ранее начатые работы (см. часть VIII, РЖХим, 1957, 66083), действием SOCl_2 (I) на 2,4-(HO) $_2$ -C $_6$ H $_3$ CO-C $_6$ H $_5$ (II) в присутствии мелкоизмельченной Cu в CHCl_3 получают (3-C $_6$ H $_5$ CO-2,6-(HO) $_2$ C $_6$ H $_3$) $_2$ S (III) и (3-C $_6$ H $_5$ CO-4,6-(HO) $_2$ C $_6$ H $_3$) $_2$ S (IV); образование III при действии S_2Cl_2 на II, а IV — из II р-цией с SCL_2 подтверждает предположение (Hirwe и др., J. Amer. Chem. Soc., 1935, 57, 101) о том, что при действии I + Cu промежуточно образуются S_2Cl_2 и SCL_2 . Бромирование III и IV в CH_3COOH приводит к (3-C $_6$ H $_5$ CO-5-Br-2,6-(HO) $_2$ C $_6$ H $_3$) $_2$ S (V) и (3-C $_6$ H $_5$ CO-5-Br-4,6-(HO) $_2$ C $_6$ H $_3$) $_2$ S (VI) соответственно. V и VI при нитровании дают 2,4-(HO) $_2$ -3-Br-5-NO $_2$ -C $_6$ H $_3$ CO-C $_6$ H $_5$ (VII), что свидетельствует о миграции атома Br при нитровании V. VII образуется также при действии HNO_3 на 2,4-(HO) $_2$ -5-Br-C $_6$ H $_3$ CO-C $_6$ H $_5$ (VIII) и при бромировании 2,4-(HO) $_2$ -5-NO $_2$ -C $_6$ H $_3$ CO-C $_6$ H $_5$ (IX); бромирование III и IV избытком Br $_2$ при $\sim 100^\circ$ приводит к 2,4-(HO) $_2$ -3,5-Br $_2$ -C $_6$ H $_3$ CO-C $_6$ H $_5$ (X). Строение III, а следовательно и IV, установлено тем, что III образуется из VIII при действии SCL_2 в эфире (0° , затем $\sim 20^\circ$ 1 час.). Действие I и Cu на 2-HO-4-CH $_3$ OC $_6$ H $_3$ CO-C $_6$ H $_5$ (XI) приводит только к одному (3-C $_6$ H $_5$ CO-4-HO-6-CH $_3$ OC $_6$ H $_3$) $_2$ S (XII), получаемого также при метилировании IV. К охлаждаемой суспензии 13 г II, 6 г Cu-порошка и 100 мл CHCl_3 за 30 мин. прибавляют 9 мл I, через 36 час. ($\sim 20^\circ$) осадок промывают CHCl_3 , остаток после удаления CHCl_3 ($\sim 20^\circ$) промывают петр. эфиром (XIII), C $_6$ H $_6$ и спиртом, получают III, выход 1 г, т. пл. $246-247^\circ$; тетраацетильное производное (ТА), т. пл. $121-122^\circ$ (из водн. сп.); динитрофенилгидразон (ДНФГ), т. пл. $210-211^\circ$ (разл.; из CH_3COOH). Не растворенный в CHCl_3 осадок кипятят с разб. HCl (удаление Cu_2Cl_2), получают IV, выход 5 г, т. пл. $236-237^\circ$ (из CH_3COOH); ТА, т. пл. $146-147^\circ$ (из водн. сп.); ДНФГ, т. пл. $284-285^\circ$ (разл.). К 2 г II в 40 мл эфира при $\sim 0^\circ$ прибавляют 2 мл S_2Cl_2 , через 1 час ($\sim 0^\circ$) удаляют эфир ($\sim 20^\circ$), кипятят с водой, экстрагируют спиртом, из экстракта упариванием выделяют 1 г III. 1 г SCL_2 прибавляют к хорошо охлаждаемому р-ру 2 г II в 40 мл абс. эфира, через 1 час ($\sim 20^\circ$) удаляют эфир ($\sim 20^\circ$), остаток обрабатывают XIII, затем C $_6$ H $_6$, выход IV 0,5 г, К 0,9 г III в 10 мл CH_3COOH постепенно прибавляют 3,2 мл 20%-ного (вес/объем) р-ра Br $_2$ в CH_3COOH , получают V, т. пл. $220-221^\circ$ (из CH_3COOH). Аналогично из IV получают VI, т. пл. $198-199^\circ$ (из CH_3COOH). 5 мл HNO_3 (d 1,4) постепенно прибавляют ($\sim 0^\circ$) к 1 г V в 10 мл CH_3COOH , спустя 1 час ($\sim 20^\circ$) выливают на лед, получают VII, т. пл. $208-209^\circ$. VII получают также из VI. 7 мл 10%-ного (вес/объем) р-ра Br $_2$ в CH_3COOH прибавляют к горячему р-ру 1 г IX в 10 мл CH_3COOH , через 2 часа ($\sim 20^\circ$) получают VII. 15 мл 20%-ного (вес/объем) Br $_2$ в CH_3COOH прибавляют к 4,3 г II в 5 мл CH_3COOH , через ~ 12 час. ($\sim 20^\circ$) разбавляют водой, получают VIII, т. пл. $148-149^\circ$ (из водн. сп.). 0,5 г III в 5 мл CH_3COOH и 1 мл Br $_2$ в 25 мл CH_3COOH нагревают 4 часа при $\sim 100^\circ$, разбавляют водой, получают X, т. пл. $150-151^\circ$ (из водн. сп.). X получают также при действии 2,5 мл Br $_2$ в 25 мл CH_3COOH на 2 г II в 5 мл CH_3COOH ~ 12 час. при $\sim 20^\circ$. Р-цией I и Cu с 4,5 г XI (аналогично III, остаток от выпаривания CHCl_3 с водой, промывают XIII) получают 2 г XII, т. пл. $182-183^\circ$ (из сп.). XII получают также р-цией 0,5 г IV, 0,25 мл $(\text{CH}_3)_2\text{SO}_4$ (XIV), 1 г K_2CO_3 в ацетоне (кипчение 10 час.), или действием S_2Cl_2 или SCL_2 на 4 г 2-HO-4-CH $_3$ OC $_6$ H $_3$ CO-C $_6$ H $_5$

в условиях получения III из II, выход 1 г. Аналогично XII, метилированием III синтезируют (3-C $_6$ H $_5$ CO-2-HO-6-CH $_3$ OC $_6$ H $_3$) $_2$ S, т. пл. $181-182^\circ$. При действии на III или IV большего кол-ва XIV получают (3-C $_6$ H $_5$ CO-2,6-(CH $_3$ O) $_2$ C $_6$ H $_3$) $_2$ S, т. пл. $159-160^\circ$, и (3-C $_6$ H $_5$ CO-4,6-(CH $_3$ O) $_2$ C $_6$ H $_3$) $_2$ S, т. пл. $148-149^\circ$. 5 мл HNO_3 (d 1,4) постепенно прибавляют к 1 г IV в 10 мл CH_3COOH , через 1 час разбавляют льдом, получают IX, т. пл. $144-145^\circ$ (из сп.).

В. Скороходов
4560. Взаимодействие ароматических оксинтонов с хлористым тионилем в присутствии мелкоизмельченной меди. Часть XI. Получение 2,2'-диоксис-3,3'-ди-ацетил- и 3,3'-дипропионил-5,5'-диметилдифенилсульфидов и 2,2'-диоксис-3,3'-диметил-5,5'-ди-ацетилдифенилсульфида. Кулкарни, Джахав (Interaction of aromatic hydroxy ketones and thionyl chloride in presence of finely divided copper. Part XI. Preparation of 2:2'-dihydroxy 3:3'-diacetyl-and-3:3'-dipropionyl-5:5'-dimethyldiphenyl sulphides and 2:2'-dihydroxy-3:3'-dimethyl-5:5'-diacetyldiphenyl sulphide. Kulkarni V. G., Jadhav G. V., J. Indian Chem. Soc., 1956, 33, № 11, 818—820 (англ.))

При обработке 2-оксис-5-метилацетофенона (I), 2-оксис-5-метилпропиофенона (II) и 3-метил-4-оксинацетофенона (III) SOCl_2 в присутствии Cu или S_2Cl_2 или SCL_2 получают соответственно 2,2'-диоксис-3,3'-ди-ацетил-5,5'-диметилдифенилсульфид (IV), 2,2'-диоксис-3,3'-дипропионил-5,5'-диметилдифенилсульфид (V) и 2,2'-диоксис-3,3'-диметил-5,5'-ди-ацетилдифенилсульфид (VI). Строение IV—VI доказано деструктивным нитрованием, причем получены соответственно 2-оксис-3-нитро-5-метилацетофенон (VII), 2,6-динитро-*n*-крезол (VIII) и 4,6-динитро-*o*-крезол (IX). 2 г Cu-порошка прибавляют в течение 2 час. к смеси 2 г I и 3 мл SOCl_2 , оставляют на 12 час., разбавляют сухим C $_6$ H $_6$, фильтруют отгоняют р-ритель, отгоняют примеси с паром и получают 0,5 г IV, т. пл. 100° (разл.; из бzl.); диацетильное производное, т. пл. $77-78^\circ$ (из сп.); 2,4-динитрофенилгидразон, т. пл. $175-176^\circ$ (из CH_3COOH). 2 г Cu прибавляют к смеси 3 мл II и 5 мл SOCl_2 , кипятят 3 часа, извлекают CHCl_3 и полученную после отгонки CHCl_3 пасту обрабатывают спиртом, получают 2 г V, т. пл. 110° (из бzl.); диацетильное производное, т. пл. $101-102^\circ$ (из бzl.); 2,4-динитрофенилгидразон, т. пл. $200-201^\circ$ (из CHCl_3). 1 г Cu за 1 час прибавляют к 2 г III и 3 мл SOCl_2 . На следующий день извлекают эфиром и полученный продукт кипятят с водой, получают 0,8 г VI, т. пл. $98-99^\circ$ (разл.; из сп.); диацетильное производное, т. пл. 112° (из сп.); 2,4-динитрофенилгидразон, т. пл. $158-159^\circ$ (из CH_3COOH). 2 г I и 2 мл S_2Cl_2 или SCL_2 оставляют на 12 час., выход IV 1 г. Аналогично получают VI и V (кипчение 3 часа), выход 0,5 г (из 3 мл II). 1 г IV и 20 мл конц. HNO_3 нагревают на кипящей водяной бане 1 час, получают VII, т. пл. $130-131^\circ$ (из сп.). Оставляют на 12 час. смесь 1 г V, 20 мл конц. H_2SO_4 и 15 мл конц. HNO_3 и получают VIII, т. пл. $80-81^\circ$. Аналогично получают IX (но сначала нагревают 1 час при 100°), т. пл. $86-87^\circ$.

В. Беликов
4561. Синтетические спазмолитические средства. XIV. Две новые парасимпатолитические и спазмолитические высокоактивные сульфоновые соли. Протива, Адлерова (Synthetische Spasmolytica. XIV. Zwei neue parasymphatholytisch und spasmolytisch hoch wirksame Sulfoniumsalze. Protiva M., Adlerova E.), Сб чехосл. хим. работ, 1957, 22, № 3, 1066—1068 (нем.; рез. русск.)
См. РЖХим, 1957, 47916.

4562. Алкилирование ароматического ядра эфирами сульфоновых кислот. Неницеску, Иоан, Теодореску (Über die Alkylierung des aromatischen Kerns mit Sulfonsäureestern. Nenitzescu Costin

D., Ioan Viorgia, Teodorescu Lucian), Chem. Ber., 1957, 90, № 4, 585—592 (нем.)

Бензолсульфонаты (БС) вторичных и первичных спиртов алкилируют C_6H_6 в присутствии $C_6H_5SO_3H$, причем р-ция имеет автокаталитич. характер. Для первичных спиртов требуется большой избыток $C_6H_5SO_3H$ (~10 молей/моль). Конденсация БС (+)-бута-нола-2 с C_6H_6 приводит к неактивному втор-бутилбензолу (I). Параллельно основной р-ции идет образование олефинов, которые также принимают участие в образовании алкилбензолов. Однако последние р-ция идет через образование исходных БС в результате имеющего место равновесия в системе $БС \rightleftharpoons C_6H_5SO_3H + \text{олефин}$. Степень диссоциации БС циклогексанола (II) в $C_6H_5Cl_2$ при 50° достигает 8%. 0,12 моля спирта и 0,1 моля $C_6H_5SO_2Cl$ обрабатывают при -5° 0,12 моля NC_5H_5 , после стояния 12 час. в холодильнике разбавляют водой и извлекают эфиром БС. Таким образом получены БС (указаны радикал, выход в %, т. кип. в °C/мм или т. пл. в °C): изопропил (III), 80, не перегоняется; (±)-бутил-2 (IV), 78, то же; (±)-октил-2 (V), 70, то же; циклопентил (VI), 85, то же; II, 98, 43—44 (из эф.-петр. эф.); метил (VII), 85, 115/4; этил (VIII), 75, 160/18; *n*-пропил (IX), 75, 153—154/9; *n*-бутил (X), 65, 147—148/4; (+)-бутил-2 (XI), —, d_4^{21} 1,1290, $[\alpha]_D^{20} +15,18^\circ$. 0,25 моля III и 0,0125 моля $C_6H_5SO_3H$ в 250 мл C_6H_6 кипятят 7 час., собирая выделяющийся газ. Получают пропилен, выход 55%, и изопропилбензол (XII), выход 43%. Аналогично III реагирует с $C_6H_5CH_3$, давая метилизопропилбензол, выход 50%, т. кип. 175—180°, и с $C_6H_5OCH_3$, давая изопропиланизол, выход 40%, т. кип. 95—100°/20 мм. IV и XI дают I, выход 50 и 48%. 1 М р-р V в C_6H_6 в присутствии 0,1 М $C_6H_5SO_3H$ через 19 час. кипячения дают октилбензол с выходом 62%, т. кип. 119—120°/15 мм. Превращение VI (1 М р-р в C_6H_5 , 72°, 6 час.) достигает 48%. В случае II (60°, 20 час.) ~30%. Для первичных спиртов приведены БС, время кипячения в часах, процент превращения БС: VII, 50, 0; VIII, 64, 16,5; IX, 80, 95; X, 50, 97,9. Продукт алкилирования C_6H_6 IX содержит 95% XII.

В. Беляков
4563. Диарил-2,2'-дисульфокислоты и родственные соединения. Часть II. Оптическая устойчивость циклического 2,2'-тиолсульфоната. Армарега, Тернер (Diaryl-2,2'-disulphonic acids and related compounds. Part II. The optical stability of a cyclic 2,2'-thiol sulphonate. Armarego W. L. F., Turner E. E.), J. Chem. Soc., 1956, Sept., 3668—3673 (англ.)

Из 2,4-ксилидина (I), через его сульфокислоту и ее диазопроизводное (II), получен феноловый эфир 2-бром-(III) и 2-йод-(IV)-3,5-диметилбензолсульфокислоты (к-ты IIIa, IVa). Нагреванием III или IV с Cu синтезирован дифениловый эфир (V) 4,6,4',6'-тетраметилдифенилсульфокислоты-2,2' (VI). Гидролизом V получены Na- и Ba-соли VI. Из Na-соли VI получен дихлорангидрид VII (VII). Показано, что VII нельзя восстановить до 4,6,4',6'-тетраметилдифенилдитиола-2,2' (VIII) и следовательно нельзя получить циклич. 4,6,4',6'-тетраметилдифенилсульфид-2,2' (IX). Найдено, что восстановление VII щел. Na_2SO_3 или с помощью Zn и конц. HCl приводит к циклич. 4,6,4',6'-тетраметилдифенилтиолсульфонату-2,2' (X). При восстановлении X с помощью лед. CH_3COOH получено немного VIII, окислившегося при попытке его очистить. При действии $LiAlH_4$ на X получена 2'-меркапто-4,6,4',6'-тетраметилдифенилсульфиновая-2 к-та, при метилировании которой в щел. среде выделен метил-(2'-метилтио-4,6,4',6'-тетраметилдифенил-2)-сульфон, т. пл. 146—147° (из C_6H_5OH). Из Na-соли VI и хлоргидрата стрихнина (XI) получены соли (+)-XI-(—)-VI и (+)-XI-(+)-VI; из которых выделены Na-соли

(+)-VI и (—)-VI. Из оптически активных (АО) Na-солей получены (—)-VII и (+)-VII, а из них ОА 4,6,4',6'-тетраметилдифенилдисульфанилиды-2,2' [(—)-XII, (+)-XII]. Восстановлением ОА VII получены (+)-X и (—)-X. Найдено, что синтезированные ОА в-ва не рацемизируются в следующих условиях: Na-соли VI в водн. р-рах при 180—200°, 26 час.; VII в вакууме при 170—175°, 0,5 часа; XII при кипячении в *m*-нитротолуоле 1,5 часа. Показано, что (—)-X в кипящем $C_6H_5C_2H_5$ имеет полупериод рацемизации (ППР) 24 мин., т. е. вдвое больше, чем 9,10-дигидро-3,4,5,6-дибензофенантрен. ППР для (—)-X в кипящем толуоле равен 291 ± 2 мин. Вычислена энергия активации 31 ккал/моль. I сульфировать и диазотировать по известной методике (Ber., 1912, 32, 3747) с выходом 68%. II нагревают с 48%-ной HBr, выделяя безводн. соль IIIa и обрабатывают ее PCl_5 . Из 56 г полученного хлорангидрида IIIa (XIII) и 40 г фенола в 100 мл пиридина (100°, 0,5 часа) синтезируют III, выход 71%, т. пл. 96—97° (из сп.). Из 2,3 и 2,4-(NO_2) $_2$ C_6H_3OH в 35 мл $CHCl_3$ и 7 г XIII в 2,2 мл пиридина (кипячение 2 часа) получают 2,4-динитрофениловый эфир IIIa, выход 19%, т. пл. 147—148° (из сп.). 30 г III нагревают (240—260°), прибавляют 60 г Cu-порошка (т-ра не выше 280°) и выделяют V, выход 39%, т. пл. 180—181° (из лед. CH_3COOH). 160 г II прибавляют к р-ру 160 г KJ в 800 мл 25%-ной H_2SO_4 , нагревают (~100°) и получают IVa, выход 231 г. 156 г IVa обрабатывают на холоду 156 г PCl_5 (1 час) и выделяют хлорангидрид IVa (XIV), выход 66%, т. пл. 86—87° (из петр. эф.). Действием конц. водн. р-ра NH_3 на XIV получен соответствующий амид. Из 265 г XIV, фенола и Na_2CO_3 (100°) получают IV, выход 94%, т. пл. 105—106° (из сп.). Нагреванием 129 г IV с 100 г Cu-порошка (170—180°) получают V, выход 80%. 5,9 г XIV в 60 мл лед. CH_3COOH обрабатывают 50 мл 55%-ной HJ (1 час), выливают смесь в насыщ. водн. р-р $NaHSO_3$ и выделяют ди-(2-йод-3,5-диметилфенил)-дисульфид, выход 85%, т. пл. 160—161° (из лед. CH_3COOH). 16,7 г V в 160 мл C_6H_5OH гидролизуют кипячением с C_6H_5ONa (3 г Na в 100 мл C_6H_5OH), отгоняют C_6H_5OH до объема 75 мл, прибавляют 200 мл воды, кипятят, подкисляют HCl, экстрагируют фенол эфиром, нейтрализуют 10%-ной NaOH, упаривают до 50 мл и получают Na-соль VI, выход 88%. Из Na-соли получают Ba-соль. Из 31 г Na-соли VI и 32 г PCl_5 (100°, 10 мин.) получают VII, выход 77%, т. пл. 164° (из лед. CH_3COOH). Из VII с фенолом в пиридине получают соответствующий дифениловый эфир, выход 31%, т. пл. 181°, а с анилином — XII, выход 37%, т. пл. 208—209° (из сп.). 7,8 г VII встрихивают при 100° с 250 мл 30%-ного водн. р-ра Na_2SO_3 и 20 мл 10%-ного р-ра NaOH, через 8—10 час. прибавляют избыток 2 н. H_2SO_4 , нагревают (~100°) и выделяют X, выход 4,2 г, т. пл. 177—178° (из лед. CH_3COOH). K р-ру 4 г VII в 50 мл горячего спирта прибавляют 5 г Zn-пыли и (10—20°) 20 мл конц. HCl, нагревают (100°, 10 мин.) и получают 2 г X; избыток Zn и HCl приводит к полимеризации. Восстановление VII с помощью лед. CH_3COOH -HJ тоже приводит к образованию полимера. 0,5 г X в 10 мл лед. CH_3COOH восстанавливают (5 мин.) с помощью 10 мл 55%-ной HJ до VIII, т. пл. 138—139° (из лед. CH_3COOH), который быстро окисляется на воздухе. 41,4 г Na-соли VI в 400 мл воды прибавляют к горячему р-ру 66,88 г XI в 2 л воды и 7,3 г конц. HCl и через 12 час. отфильтровывают (+)-XI-(—)-VI, выход 25 г, т. пл. 340° (разл.; из CH_3OH) (здесь и далее $[\alpha]_{589} = [\alpha]_D$ и $[\alpha]_{579} = [\alpha]_B$), $[\alpha]_D^{19,2} -100^\circ (\pm 0,5^\circ)$, как и в следующих примерах), $[\alpha]_B^{19,2} -96^\circ$ (с 1,031; хлф; везде 2).

(+)-XI-(+)-VI выделяют в виде масла при упаривании маточного р-ра; соль закристаллизовывается при высушивании в вакууме, выход 25 г, т. пл. 270° (разл.), $[\alpha]_D^{18.2} -70.5^\circ$, $[\alpha]_D^{18.2} -61^\circ$ (с 1,0905; хлф.). Р-р 22 г соли (+)-XI-(+)-VI в CHCl_3 экстрагируют 400 мл 10%-ного водн. р-ра NaOH, щел. вытяжки промывают CHCl_3 , нейтрализуют конц. HCl, упаривают (вакуум, ~100°), остаток высушивают (120—130°, 2 часа) и абс. спиртом извлекают Na-соль (—)-VI, выход 8,5 г, $[\alpha]_D^{18} -39^\circ$, $[\alpha]_D^{20} -35^\circ$ (с 1,1015; вода), $[\alpha]_D^{18} -9.5^\circ$, $[\alpha]_D^{20} +8^\circ$ (с 0,968; абс. сп.); из маточного р-ра получают еще 3 г соли. Таким же способом из (+)-XI-(+)-VI получают Na-соль (+)-VI, $[\alpha]_D^{20} +40.5^\circ$, $[\alpha]_D^{20} +35^\circ$ (с 1,087; вода), $[\alpha]_D^{18} -9.5^\circ$, $[\alpha]_D^{20} -9^\circ$ (с 0,968; абс. сп.). Из 6 г Na-соли (—)-VI и 6 г PCl_5 получают (—)-VII, выход 2,7 г, т. пл. 165° (из лед. CH_3COOH), $[\alpha]_D^{20} -94.5^\circ$, $[\alpha]_D^{20} -83.5^\circ$ (с 1,03; хлф.). Из Na-соли (+)-VI получают (+)-VII, т. пл. 165°, $[\alpha]_D^{20} +95^\circ$, $[\alpha]_D^{20} +83.5^\circ$ (с 1,0415; хлф.). (—)-VII нагревают (0,5 часа, 100°) с анилином и выделяют (+)-XII, т. пл. 218—219°, $[\alpha]_D^{23} +238^\circ (\pm 1^\circ)$, как и в следующих примерах (с 0,4220; хлф.). (—)-XII, т. пл. 218—219°, $[\alpha]_D^{22} -237^\circ$ (с 0,4250; хлф.). 1,8 г (—)-VII восстанавливают щел. р-ром Na_2SO_3 (3 часа) до (+)-X, выход 0,7 г, т. пл. 178—178,5°, $[\alpha]_D^{20} +253^\circ$, $[\alpha]_D^{20} +188^\circ$ (с 0,5705; хлф.). Из 1,7 г (+)-VII получают (—)-X, выход 0,7 г, т. пл. 178—178,5°, $[\alpha]_D^{20} -252^\circ$, $[\alpha]_D^{20} -190^\circ$ (с 0,5385; хлф.). Часть I см. РЖХим, 1957, 8036. Н. Волькену

4564. Ацилирование арилсульфамидов и N,N-дихлорарилсульфамидов ангидридами кислот жирного ряда. Кретов А. Е., Укр. хим. ж., 1957, 23, № 3, 344—347

При ацилировании ArSO_2NH_2 (I) (где всюду а $\text{Ar} = \text{C}_6\text{H}_5$, б $\text{Ar} = n\text{-CH}_3\text{C}_6\text{H}_4$, в $\text{Ar} = n\text{-ClC}_6\text{H}_4$ и г $\text{Ar} = \beta\text{-C}_{10}\text{H}_7$) в присутствии AlCl_3 действием $(\text{CH}_3\text{CO})_2\text{O}$ (II) сперва образуется комплекс I· AlCl_3 (III), а затем с выделением 2 HCl смешанная соль $\text{ArSO}_2\text{N}(\text{COCH}_3)\text{Al}(\text{Cl})\text{OOCCH}_3$ (IV), которая разлагается водой или спиртом до $\text{ArSO}_2\text{NHCOCCH}_3$ (V). Ацилирование $\text{C}_6\text{H}_5\text{SO}_2\text{NCl}_2$ (VI) проводят в р-ре способного хлорироваться ароматич. углеводорода; первая стадия р-ции, по-видимому, идет по схеме: $2\text{C}_6\text{H}_5 \cdot \text{AlCl}_3 + \text{VI} \rightarrow 2\text{C}_6\text{H}_5\text{Cl} + \text{C}_6\text{H}_5\text{SO}_2\text{NH}_2 \cdot \text{HCl} \cdot \text{AlCl}_3$ (VII). 0,025 моля I в 50 мл C_6H_6 (или $\text{C}_6\text{H}_5\text{Cl}$) смешивают (~20°) с 0,025 моля AlCl_3 , нагревают 30 мин. при 40—50°, добавляют 0,025 моля II в 20 мл C_6H_6 и нагревают при ~100° еще 1—2 часа, охлаждают, разлагают водой (под конец при 40—50°) и отфильтровывают V (приведены в-во, выход в % и т. пл. в °C): Va, 71, 123—125; Vб, 85, 137—138; Vв, 84, 191—192; Vг, 81, 145—146. IIIб получен нагреванием до образования прозрачного р-ра 0,025 моля AlCl_3 с 0,025 моля Iб в 140 мл C_6H_6 с последующей отгонкой C_6H_6 в вакууме до постоянного веса. К IIIб, полученному в р-ре C_6H_6 (из 0,1 моля Iб), добавляют по каплям 0,1 моля II в 25 мл C_6H_6 и кипятят до выделения 2 молей HCl, после отгонки в вакууме р-рителя получают IVб. Аналогично получают IVа. Гидролиз IV водой в присутствии H_2SO_4 дает I. При действии $\text{C}_6\text{H}_7\text{COOH}$ на IVа (нагревание 6 час.) идет р-ция переацилирования и образуется $\text{C}_6\text{H}_5\text{SO}_2\text{NHCOC}_6\text{H}_7$ (VIII). К 0,1 моля VI, AlCl_3 и $(\text{C}_6\text{H}_7\text{CO})_2\text{O}$ (IX) в C_6H_6 за 30 мин. добавляют еще 0,1 моля IX в 35 мл C_6H_6 , через 1,5 часа (под конец 70°) отгоняют C_6H_6 и получают соль $\text{C}_6\text{H}_5\text{SO}_2\text{N}(\text{COC}_6\text{H}_7)\text{Al}(\text{Cl})\text{OOC}_6\text{H}_7$, гидролиз которой дал VIII. К 0,05 моля AlCl_3 в 40 мл C_6H_6 добавляют по каплям (охлаждение) 0,05 моля VI, через 2 часа отгоняют в вакууме C_6H_6 , $\text{C}_6\text{H}_5\text{Cl}$ и получают VII с почти колич. выходом. Г. Крюкова

4565. Стереоспецифичность при реакциях образования 2,3-диалкилинданонов. I. Синтез 3-метил-2-этилинданонов. Гранже, Корбье, Вина, Но (Stéréospécificité dans les réactions de formation de dialkyl-2-3 indanones. I. Synthèse des méthyl-3 éthyl-2 indanones (1-er mémoire). Granger Robert, Corbier Monique, m-lle, Vinas Jacques, Nan Pierre), Bull. Soc. chim. France, 1957, № 6, 810—814 (франц.)

При конденсации хлорангидрида 2-этилпропионовой к-ты (I) с C_6H_6 , циклизации хлорангидрида (II) 2-этил-3-фенилмасляной к-ты (III) в присутствии AlCl_3 или этилирования 3-метилинданона (IV) образуется только один, по-видимому, транс-изомер 3-метил-2-этилинданона (V); образование незначит. кол-ва другого в-ва (VI), возможно являющегося цис-изомером V, наблюдается только при нагревании неочищ. через II с полифосфорной к-той (VII) III, очищ. III в этил. условиях также дает с 92%-ным выходом только V. III синтезирован конденсацией 1-фенил-1-бромэтанна (VIII) с натрмалоновым эфиром (IX) в этиловый эфир 2-этил-3-фенил-2-карбэтоксимасляной к-ты (X), гидролизированный и декарбоксилированный в III. При попытке выделения III из р-ра ее амида (IIIa) в конц. H_2SO_4 действием NaNO_2 получена 2-этил-3-(*n*-нитрофенил)-масляная к-та (XI); такое же превращение испытывает в аналогичных условиях амид 3-фенилпропионовой к-ты (XII); в 50%-ной H_2SO_4 XII деадирируется без нитрования, в отличие от IIIa, незначительного в этих условиях. Смесь 1 моля C_6H_6 , 0,1 моля I и 0,2 моля AlCl_3 кипятят 2,5 часа и после разложения перегоняют V, т. кип. 139—140°/18 мм; 2,4-динитрофенилгидразон (ДНФГ), т. пл. 145° (из сл.). К 0,44 моля IX в 0,4 л спирта приливают по каплям 0,44 моля VIII в 80 мл спирта, кипятят 2 часа, отгоняют спирт, остаток смешивают с водой и извлекают эфиром X, выход 82%, т. кип. 135°/0,5 мм. 100 г X и 150 мл 40%-ного р-ра K_2OH в CH_3OH кипятят 15 час., продукт гидролиза кипятят 15 час. с 10-кратным объемом конц. HCl и извлекают эфиром III, выход 82%, т. кип. 130°/1 мм, и этиловый эфир III, выход 13 г, который вновь гидролизуют и получают III, выход 10 г, т. пл. 30—35°. 27 г III в 75 мл C_6H_6 , 75 мл SOCl_2 и несколько капель $\text{C}_6\text{H}_5\text{N}$ кипятят 2 часа и выделяют II, выход 95%, т. кип. 94°/1 мм. 0,025 моля II в 50 мл CS_2 и 4,5 г AlCl_3 кипятят 4 часа и выделяют V, выход 90%. 10 г неочищ. III и 100 г VII нагревают 30 мин. при 135°, выливают на лед, продукт извлекают эфиром, превращают в ДНФГ и кристаллизацией из $\text{CHCl}_3/\text{CH}_3\text{OH}$ выделяют ДНФГ V и ДНФГ VI, т. пл. 215°. Кипятят смесь 0,017 моля IV, 0,022 моля NaNO_2 и 25 мл эфира, заменяют эфир 30 мл C_6H_6 , добавляют 0,025 моля $\text{C}_2\text{H}_5\text{Br}$, нагревают 4 часа при 150—160°, вымывают водой NaBr и отгоняют V или к 0,069 моля IV в 50 мл трет-бутилового спирта (XIII) приливают по каплям в N_2 р-р 0,069 моля трет-бутилата K в XIII, постепенно добавляют 0,069 моля $\text{C}_2\text{H}_5\text{J}$ в XIII, размешивают 5 час. при 20°, отгоняют XIII, кипятят с водой и извлекают эфиром V. К р-ру 5,2 ммоль IIIa, т. пл. 135°, в 16 мл конц. H_2SO_4 постепенно приливают при 0° 0,05 моля NaNO_2 в 16 мл воды, размешивают 15 мин. при 20°, нагревают 5 мин. при 100°, разбавляют водой и извлекают эфиром XI, т. пл. 176—178° (из бал. петр. эф.). Д. Витковский

4566. Стереоспецифичность при реакциях образования 2,3-диалкилинданонов. II. Синтез 5-окси- (или 5-метокси)-3-метил-2-этилинданонов. Гранже, Корбье, Вина, Но (Stéréospécificité dans les réactions de formation de dialkyl-2-3 indanones. II. Synthèse des hydroxy-5 (ou méthoxy-5) méthyl-3 éthyl-2 indanones (2-е mémoire). Granger Robert, Corbier Monique, m-lle, Vinas Jacques, Nan

Pierre), Bull. Soc. chim. France, 1957, № 6, 815—819 (франц.)

При конденсации хлорангидрида 2-этилкротоновой к-ты (I) с фенолом или анизолом в присутствии $AlCl_3$ или при этилировании 5-метокси-3-метилиндауона (II) C_6H_5Br и $NaNH_2$ так же, как и при аналогичных синтезах 3-метил-2-этилиндауона (см. пред. реф.), образуются только транс-5-окси- (III) и 5-метокси- (IV)-3-метил-2-этилиндауоны. При р-ции I с фенолом сначала колич. образуется фениловый эфир I (Ia), который при дальнейшем воздействии $AlCl_3$ изомеризуется в III, причем при избытке I наряду с III получается его эфир с I (IIIa). Синтез II осуществлен конденсацией хлорангидрида м-метоксибензойной к-ты (т. кип. 134—136°/20 мм, 160°/80 мм) с натрмалоновым эфиром в смеси с толуолом (кипчение 2 часа), декарбониллизированием продукта 6-часовым кипячением со смесью CH_3COOH и HCl в м-метоксиацетофеноне (V), выход 80%, т. кип. 93°/4 мм, 121—122°/12 мм; динитрофенилгидразон (ДНФГ), т. пл. 180—181° (из бзл.); конденсацией V с $BrCH_2COOC_2H_5$ (VI) в этиловый эфир 3-(м-метоксифенил)-3-оксимасляной к-ты (VII), дегидратированный в метиловый эфир (VIII) 3-(м-метоксифенил)-кротоновой к-ты (IX), гидрированный в этиловый эфир (X) 3-(м-метоксифенил)-масляной к-ты (XI), хлорангидрид которой циклизуется нагреванием с $AlCl_3$ в II, 0,042 моля фенола, 0,084 моля I, 0,11 моля $AlCl_3$ и 40 мл нитробензола (XII) нагревают 3 часа при 90°, разлагают $AlCl_3$ разб. H_2SO_4 , встряхивают с эфиром, вытяжку извлекают 10%-ным р-ром $NaOH$, который подкисляют и извлекают эфиром III, т. пл. 95° (из эф.-птр. эф.); ДНФГ, т. пл. 218—220°; из 1-й эфирной вытяжки получают IIIa, т. кип. 200—205°/10 мм; применения 0,042 моля $AlCl_3$ получают Ia, т. кип. 145°/23 мм, d_4^{25} 1,0185, и I, 0,053 моля фенола, 0,106 моля I, 0,137 моля $AlCl_3$ и 50 мл CS_2 кипятят 24 часа и выделяют Ia, IIIa и III. При 1-часовом кипячении 0,053 моля фенола, 0,053 моля I и 0,053 моля $AlCl_3$ в 50 мл CS_2 получают Ia, выход 90%. Смешивают 0,16 моля фенола и 0,16 моля I и через 1 час перегоняют Ia, выход колич. 0,053 моля Ia, 0,14 моля $AlCl_3$ и 0,1 л XII нагревают 3 часа при 100° и выделяют с хорошим выходом III, 0,046 моля анизол, 0,092 моля I, 0,012 моля $AlCl_3$ и 50 мл XII нагревают 3 часа при 90° и получают IV, т. кип. 180°/15 мм; ДНФГ, т. пл. 164—165° (из CH_3OH), и III. Метируют III $(CH_3)_2SO_4$ и получают IV, 5,2 г Zn и $1/3$ смеси 0,08 моля V, 0,084 моля VI, 50 мл C_6H_6 и 1 кристалла J_2 нагревают до кипения, постепенно приливают остальную часть смеси, добавляют разб. H_2SO_4 , органич. слой перегоняют и получают VII, выход 53%, т. кип. 175—180°/22 мм, 155°/5 мм. К 10 г VII в 80 мл C_6H_6 добавляют 5 мл $POCl_3$, кипятят 30 мин. и получают VIII, выход 85%, т. кип. 150—152°/5 мм, гидролизуют в IX, т. пл. 101—102° [из бзл.-циклогексана (XIII)]; S-бензилдизотиурониевая соль (БИТ), т. пл. 135—137° (из XIII). Гидрируют VIII в спирте над скелетным Ni и получают X, выход 400%, т. кип. 150—151°/5 мм, который гидролизуют водно-спирт. щелочью в XI; БИТ, т. пл. 157—159° (из бзл.-XIII). Кипятят 15 г XI и 25 г $SOCl_2$, приливают птр. эфир, отгоняют $SOCl_2$, добавляют 150 мл птр. эфира и 10 г $AlCl_3$, через 1 час кипятят 1 час при 35° и выделяют II, т. кип. 175—180°/23 мм; ДНФГ, т. пл. 234—235° (из бзл.-сп.), и 5-окси-3-метилиндауон, т. пл. 145°; ДНФГ, т. пл. 257—259° (из сп.). Кипятят 2,5 г II в 25 мл эфира с 0,7 г $NaNH_2$, приливают 30 мл C_6H_6 , отгоняют птр. эфир, добавляют 4 г C_2H_5Br , нагревают 3 часа при 100° и из органич. слоя выделяют IV. Д. Витковский

4567. Получение алкилнафталинов. Гилман, Браннен, Ингем (Preparation of alkynaphthalenes. Gilman Henry, Brannen Cecil G.,

Ingham Robert K.), J. Organ. Chem., 1957, 22, № 6, 685—687 (англ.)

При действии $n-C_4H_9Li$ (I) на 1-бромнафталин (II) получен 1-н-бутилнафталин (III). При карбоксилировании реакционной массы через 20 мин. после начала р-ции с выходом 90% получена 1-нафтойная к-та (IV). Это указывает на то, что взаимодействие I и II идет по схеме: $1-C_{10}H_7Br + C_4H_9Li \rightarrow 1-C_{10}H_7Li + C_4H_9Br \rightarrow 1-C_{10}H_7C_4H_9 + LiBr$. Аналогично при действии n -гексиллития (V) на II был получен 1- n -гексилнафталин (VI). При действии хлористого бензила (VII) на 1-нафтиллитий вместо ожидаемого 1-бензилнафталина был получен продукт, которому по аналогии с 1,1,2-трифенилэтаном (получаемым при действии C_6H_5Li на VII) приписано строение 1-нафтилфенилбензилметана (VIII). Получить VIII другими методами не удалось. К 0,49 моля II добавляют эфирный р-р 0,49 моля I, кипятят 36 час., гидролизуют водой, эфирный слой промывают разб. HCl , отгоняют эфир, остаток перегоняют и получают III, выход 79%, т. кип. 136—143°/3,5 мм, 287—288°/745 мм, n_D^{20} 1,5812, d_4^{20} 0,978. Если к реакционной массе добавить 20%-ный избыток C_4H_9Br , то при кипячении 24 часа получают III с выходом 87%. К 0,41 моля V в эфире добавляют 0,41 моля II и 20%-ный избыток $C_6H_{13}Br$, кипятят 5 дней, выливают в смесь сухого льда и эфира, щел. экстракцией извлекают IV, выход 4,2%, т. пл. 155—156°. Из эфирного р-ра перегонкой выделяют VI, выход 61%, n_D^{20} 1,5652, d_4^{20} 0,957. К 1 молю II при —5° добавляют 1 моль I в эфире, перемешивают 30 мин. и медленно прибавляют 1,5 моля VIII, выливают в воду, отделяют органич. слой, перегоняют и получают 33 г VIII, т. кип. 250—270°/3,5 мм, т. пл. 82—83° (из сп.). Л. Лукашина

4568. Синтезы и ультрафиолетовые спектры 1-(5- и 8-метил-1-нафтил)-1-циклопентенов и 1-циклогексенов. Клемм, Спрейг, Мак (Syntheses and ultraviolet spectra of 1-(5- and 8-methyl-1-naphthyl)-1-cyclopentenes and 1-cyclohexenes. Klemm L. H., Sprague J. W., Mak E. Y. K.), J. Organ. Chem., 1957, 22, № 2, 161—166 (англ.)

Синтезированы 1-(8-метилнафтил-1)-(I) и 1-(5-метилнафтил-1)-(II)-циклогексены и 1-(8-метилнафтил-1)-(III) и 1-(5-метилнафтил-1)-(IV)-циклопентены и изучены их УФ-спектры. I получен нитрованием 1-нитронафталина (V) в смесь 1,5-динитро-(VI) и 1,8-динитро-(VII)-нафталинов, разделенную кристаллизацией; каталитич. восстановлением VII в 1,8-диаминонафталин (VIII), превращенный (см. Fieser L. F., Seligman A. M., J. Amer. Chem. Soc., 1939, 61, 136) через 8-бром-1-нафтиламин, выход 43—46%, т. пл. 86—88° и 1-бром-8-йоднафталин (IX), т. пл. 97—99°, в 1-бром-8-метилнафталин (X), выход 65%, т. пл. 74—76°, и конденсацией X по Гриньяру с циклогексаном (XI); кроме того, I синтезирован через 1-(8-бромнафтил-1)-циклогексен (XII), полученный по Гриньяру из IX и XI. II получен бромированием V в 5-бром-1-нитронафталин (XIII), восстановленный Fe и CH_3COOH в 5-бром-1-нафтиламин (XIV), превращенный диазотометодом в 5-бром-1-йоднафталин (XV), из которого через 1-бром-5-метилнафталин (XVI) синтезирован II. III и IV получены аналогично из X или XVI и циклопентанона (XVII). 0,5 кг V в 4,1 кг конц. H_2SO_4 нитруют (1,5—2 часа, 0—5°) смесь 0,2 л конц. HNO_3 и 0,8 л H_2SO_4 , выливают на 16 кг льда, продукт кристаллизуют из ацетона и получают VI, выход 21%, т. пл. 215—216° (из пиридина); из маточного р-ра выделяют VII, выход 33%, т. пл. 171—172° (из бзл.). 100 г VII в 1 л спирта гидрируют при 1,7—4 ат над 2 г 30%-ного Pd/C , к р-ру приливают 250 мл конц. HCl и 250 мл эфира и отделяют хлоргидрат (XG) VIII, выход 89—94%, т. пл. 290° (разл.). К реактиву Гриньяра (PG) (полученному из 0,05 моля X в 7 мл C_6H_6 и 30 мл эфира) приливают по калим

при 0° 0,055 моля XI в 8 мл C_6H_6 , выделенный обычным способом продукт превращают в комплексное соединение с тринитрофлуореноном (ТНФ), хроматографируют на Al_2O_3 , перегоняют и получают I, выход 36%, т. кип. 108–109°/0,3 мм; пикрат, т. пл. 119–120° (из сл.), комплексное соединение с ТНФ, т. пл. 119–120°.

К РГ (из 0,01 моля IX в 0,1 г эфира) приливают 0,11 моля XI в 20 мл C_6H_6 , размешивают 10 час. при 20°, смешивают с избытком разб. CH_3COOH , продукт нагревают при 200° в атмосфере N_2 , перегоняют и получают XII, выход 39%, т. пл. 55–56° (из CH_3OH).

От смеси РГ, полученной из 0,052 моля XII в 30 мл эфира и 0,16 моля $(CH_3)_2SO_3$ в 60 мл C_6H_6 , отгоняют 30 мл C_6H_6 , остаток кипятят 18 час. и выделяют I, выход 50%.

К смеси 2,89 моля V и 5–6 г Fe приливают (2–3 часа, 80–85°) 2,81 моля Br_2 и через 1 час отделяют XIII, выход 47%, т. пл. 121–122° (из ацетона).

К взвеси 3 молей Fe в 1,25 л горячей воды приливают 5 мл CH_3COOH , затем постепенно добавляют 1 моль XIII, кипятят 1 час, продукт извлекают эфиром, отгоняют р-ритель, остаток кипятят с 3,3 л 0,33 н. HCl и из полученного XIV, т. пл. 225° (из разб. HCl), получают XIV, выход 53%, т. кип. 156–158°/1,4 мм, т. пл. 69,5–71° (из CCl_4 -пепт. эф.).

К холодному р-ру 0,69 г XIV в 1,4 л CH_3COOH последовательно приливают при < 20° 37 мл конц. H_2SO_4 , 0,77 моля $NaNO_2$ в 550 мл конц. HCl и 15 г мочевины, смесь выливают в р-р 1,02 моля KJ в 340 мл воды, нагревают 30 мин. при 90°, смешивают с р-ром 120 г $NaHSO_3$ в 6 л воды, продукт перегоняют при 1,5 мм и получают XV, выход 72%, т. пл. 119–120° (из ацетона).

Продукт р-ции РГ (из 50 г XVI, т. пл. 63–64 г и 22 XI) дегидратируют $HCOOH$ (см. Bachmann W. E., Koetrel M. C., J. Amer. Chem. Soc., 1938, 60, 2204), перегоняют и получают II, выход 41%, т. кип. 153–154°/1,8 мм; пикрат, т. пл. 96–111° (из CH_3OH).

Аналогично из XVI и XVII получают IV, выход 37%, т. кип. 134–140°/1,4 мм; комплексное соединение с ТНФ, т. пл. 103–119 (из CH_3COOH).

Из 0,23 моля X в 0,3 л C_6H_6 и 0,1 л эфира и 0,45 моля XVII в 60 мл C_6H_6 получают карбинол, который дегидратируют в атмосфере N_2 (30 мин., 200°) в III, выход 30%, т. кип. 128–129°/0,6 мм; пикрат, т. пл. 99–100° (из абс. сл.).

Д. Витковский

4569. Исследование в области виниларилловых эфиров. Сообщение 5. Некоторые свойства винил-β-нафтилового эфира. Шостаковский М. Ф., Богданова А. В., Красильникова Г. К., Изв. АН СССР Отд. хим. н., 1957, № 3, 339–344

Реакцией β-нафтола (I) с C_2H_2 получен винил-β-нафтиловый эфир (II). Последний при действии HCl (газа) дает α-хлоретил-β-нафтиловый эфир (III), при разложении которого получается, по-видимому, димер II (IV). При действии C_2H_5ONa или NH_3 на II образуются диалкиловый (V) и ди-β-нафтиловый (VI) ацетали и 4-метилдинафто-2',1'; 2,3; 1'',2''; 5,6-пиран (VII). Образование этих соединений авторы объясняют симметризацией вначале образующегося смешанного алкил-β-нафтилового ацетала в V и VI и последующей перегрушировкой VI в VII. Последний образуется также при действии фенола на II. 50 г I, 30 мл воды и 16,5 г KOH нагревают с C_2H_2 (начальное дав. 17–18 ат) при 184–188°. Перегонкой смеси с паром, а затем в вакууме получают II, выход 73%, т. кип. 114°/5 мм, 147°/22 мм, т. пл. 34°, n_D^{20} 1,6172, d_4^{20} 1,0612. В р-р 10 г II в эфире пропускают 5 час. при –7° ток сухого HCl. Испаряют р-ритель в токе N_2 , выход III 96,3%, т. пл. 18–20° (разл.). 10 г III нагревают при 100° в вакууме в токе N_2 , получают IV, выход 89%, т. пл. 196–197°. Эфирный р-р 5 г III и 5 г I насыщают сухим NH_3 , выход VII 86%, т. пл. 173–174°. Пропусканием NH_3 через 8 г III и 6 г $n-C_4H_9OH$ получают 69,2% бутилового ацетала и 75,4% VII. К C_2H_5ONa (из 1,7 г

Na) добавляют по каплям 15 г III. Из осадка выделяют IV, а из фильтрата диэтилацеталь и VII, выход 47,5%. К 10 г II и 5,8 г C_6H_5OH в C_6H_6 прибавляют 4 капли конц. HCl и через 5 час. при 50° получают VII, выход 82%. Взаимодействием I (Ж. общ. химии, 1950, 20, 615) с винилэтиловым, винилциклогексильным и винилфениловым эфирами получены соответствующие ацетали (VIII а–в) (приведены VIII, выход в %, т. кип. в °C/мм, n_D^{20} , d_4^{20}): а, 83, 168/11, 1,5762, 1,0369; б, 62,3, 165/1, 1,5670, 1,0720; в, 74,2, 183/1, 1,6139, 1,1282. В. В. 1264–1266, 1266–1269

Получение 1-окси-2-нафталальдегида. Лаврищева Л. Н., Пржиалговская Н. М., Войтквич С. А., Белов В. Н., II. Синтез 2,3-тетралонкарбоновой кислоты и разложение ее до β-тетралона. Пржиалговская Н. М., Лаврищева Л. Н., Белов В. Н., Ж. общ. химии, 1957, 27, № 5, 1264–1266, 1266–1269

I. Разработан метод непрямого электровосстановления (ЭВ) 1-окси-2-нафтойной к-ты (I) (в виде Na-соли комплексного соединения с H_3BO_3) в 1-окси-2-нафталальдегид (II). Выход II зависит от конц-ии I и от рН среды. ЭВ проводят в электролизере, в котором анодом является Ni, а катодом Hg, разделяющая прибор на две части: в одной происходит электролиз щелочи с образованием амальгамы Na, в другой восстановление I в II. К 10 г I, 8 г Na_2CO_3 в 500 мл воды и 20 г H_3BO_3 добавляют 8 г $n-C_4H_9NH_2$ и включают ток (20°, 5а). Для поддержания постоянной слабоскислой р-ции периодически добавляется H_3BO_3 (~80 г); через 2 часа выключают ток, перемешивают еще 30 мин., отделяют шиффово основание и обрабатывают его 50 мл разб. H_2SO_4 , отгоняя с паром II, выход 62%, т. пл. 55–56° (из сл.).

II. При восстановлении нафтол-2-карбоновой-3 к-ты (III) амальгамой Na (получаемой электролитически) в слабоскислой среде в условиях, описанных в предыдущем сообщении, образуется не 1,2,3,4-тетрагидро-2-нафталальдегид (Weil H., Ber., 1911, 44, 3058), а тетралон-3-карбоновая-2 к-та (IV), т. разл. 113° (из бал.); выход IV сильно зависит от рН среды; при рН 6–7 (H_3BO_3) выход IV 60–65%. При рН 3–4 (HCl) или в отсутствие небольших кол-в H_3BO_3 восстановление не идет. При нагревании до 110–113° IV разлагается с выделением CO_2 и образованием β-тетралона, который лучше получать восстановлением III и последующей перегонкой с паром; выход 60% (с H_3BO_3), т. кип. 104–106°/4 мм, 89–90°/0,4 мм, n_D^{20} 1,5598; оксим, т. пл. 88–88,2°; фенилгидразон, т. пл. 106–107° (из сл.), 2,4-динитрофенилгидразон, т. пл. 147–148° (из сл.); семикарбозон, т. пл. 193–194° (из сл.). Г. Крюкова

4571. Синтез перекиси фталила и ее разложение в растворе. Расселл (The preparation of phthalyl peroxide and its decomposition in solution. Russell K. E.), J. Amer. Chem. Soc., 1955, 77, № 18, 4814–4815 (англ.)

Реакцией Na_2O_2 с фталилхлоридом получена перекись фталила (I) и изучен ее термический распад в толуоле, ксилоле, метилметакрилате (II) и стироле (III). Распад I лишь в незначительной степени инициирует полимеризацию II и III. М. В.

4572. Хиноны. Сообщение VI. Некоторые новые полиоксинафтохиноны. Гарден, Томсон (Quinones. Part VI. Some new polyhydroxynaphthoquinones. Garden J. E., Thomson R. H.), J. Chem. Soc., 1957, June, 2483–2489 (англ.)

Синтезированы 5,6-диокси (I)-, 5,7-диокси (II)-, 2,3,5-триокси (III)- и 2,3,6-триокси (IV)-нафтохинон-1,4. При синтезе III и IV использован метод Шукниной. Виноградовой и Шемякина (Ж. общ. хим., 1951, 21, 1661), предложенный для получения 2,3-диоксинафтохинона-1,4. К р-ру 55 г $SnCl_2$ в 100 мл конц. HCl при

60° прибавляют 5,5 г 6-окси-5-нитронафтохинона-1,4, выпадающий при охлаждении хлоридат 5-амино-1,4,6-триоксинафталина, растворяют в 1050 мл воды, прибавляют р-р 12 г FeCl_3 в 350 мл воды и на следующий день отфильтровывают 5-амино-6-оксинафтохинон-1,4 (V), выход 48%, т. пл. 196—200° (из воды); диацетильное производное, т. пл. 187° (разл., из бзл.). Действием $\text{C}_6\text{H}_5\text{COCl}$ на V в $\text{C}_6\text{H}_5\text{N}$ получают 5-амино-6-бензонилокси-нафтохинон-1,4, который при 35° в лед. CH_3COOH превращается в 5-бензамидо-6-оксинафтохинон-1,4, т. пл. 165—170° (разл.). 0,6 г 3,5,6-триоксинафтохинона-1,4 прибавляют к горячему р-ру 3 г SnCl_2 в 130 мл 5 н. HCl , кипятят 30 мин., теплый профильтрованный р-р обрабатывают CHCl_3 , к водн. слою добавляют 20 мл 6 н. HCl , кипятят 30 мин., обрабатывают CHCl_3 и вновь повторяют операции: после отгонки CHCl_3 остается 1,2,3,4-тетрагидро-5,6-диокси-1,4-диоксонафталин (VI), выход 27%, т. пл. 186° (разл.; из петр. эф.). При действии холодного $(\text{CH}_3\text{CO})_2\text{O}$, содержащего каплю конц. H_2SO_4 , VI превращается в 1,4,5,6-тетраацетокси-нафталин (VII), т. пл. 178° (из водн. CH_3COOH). Через р-р 0,5 г VI в 10 мл 2 н. NaOH продувают 10 мин. воздух, фильтруют, подкисляют и извлекают CHCl_3 I с выходом 66%, т. пл. 180—183° (разл.; из петр. эф.); при действии $(\text{CH}_3\text{CO})_2\text{O}$ в присутствии HClO_4 образует ацетоксипроизводное, т. пл. 138—140°; при восстановительном ацетилировании I превращается в VII. К р-ру 1,5 г 5-хлор-1,2,3,4-тетрагидро-7,8-диметокси-1-оксонафталина и 2,5 г $n\text{-ONC}_6\text{H}_4\text{N}(\text{CH}_3)_2$ в 100 мл спирта прибавляют 3 мл 10%-ного NaOH , через 4 дня отфильтровывают дианил и кипятят его 1 час с 6 мл конц. H_2SO_4 и 100 мл воды; получают 8-хлор-3-окси-5,6-диметокси-нафтохинон-1,4 (VIII), который переосаждают из р-ра NaHCO_3 , выход 26,1%, т. пл. 209° (возгонка при 125°/0,02 мм); ацетат, т. пл. 187° (из лед. CH_3COOH). К суспензии 5 г нафтазарина в 70 мл лед. CH_3COOH прибавляют 12,5 г $\text{Pb}(\text{OCOCN}_3)_4$, фильтруют, осадок прибавляют к 25 мл $(\text{CH}_3\text{CO})_2\text{O}$ + 1 мл конц. H_2SO_4 и через 2 часа выливают на лед; получают 3 г триацетата нафтопурпурина (IX), т. пл. 160° (из сл.). Смешивают теплые р-ры 7,5 г NaOH в 15 мл воды и 2,5 г SnCl_2 в 5 мл конц. HCl , охлаждают, фильтруют, к фильтрату прибавляют 0,5 г IX, кипятят 5 час., выливают в 25 мл охлажд. конц. HCl , обрабатывают эфиром, эфирный р-р приливают к 3 г Ag_2O , смешанной с MgSO_4 , встряхивают 30 мин., фильтруют и выпаривают; получают II, выход 30%, т. разл. 165—170° (из толуола); диацетат (X), т. пл. 126—127° (разл.); при восстановительном ацетилировании II превращается в 1,4,5,7-тетраацетокси-нафталин, т. пл. 181° (из петр. эф.). Суспензию 5 г 5-оксинафтохинона-1,4 в 125 мл CHCl_3 встряхивают 1 час с 10 г Ag_2O и 7,5 мл CH_3J , добавляют дважды по 5 г Ag_2O и 4 мл CH_3J с интервалом 1 час, встряхивают до прекращения появления фиолетовой окраски при смешении р-ра с водн. NaOH , фильтруют, осадок извлекают теплым CHCl_3 и выделяют 5-метоксинафтохинон-1,4 (XI) с выходом 92%, т. пл. 187° (из CH_3OH). К р-ру 5 г XI в 250 мл спирта прибавляют при 45° 20 мл 30%-ной H_2O_2 и 17 мл 30%-ного р-ра соды, встряхивают 5 мин., разбавляют 200 мл воды, оставляют на ~ 12 час. при 0° и отфильтровывают 5-метоксис-2,3-эпоксинафтохинон-1,4 (XII), выход 57%, т. пл. 109° (из CH_3OH). 2 г XII в 15 мл $(\text{CH}_3\text{CO})_2\text{O}$ и 0,9 мл конц. H_2SO_4 перемешивают 10 мин. при ~ 20°; выпадает 2,3-диацетокси-1,2,3,4-тетрагидро-5-метокси-1,4-диоксонафталин (XIII), выход 80%, т. пл. 185° (разл.; из CH_3OH). Через р-р 0,5 г XIII в 15 мл 10%-ного NaOH продувают 10 мин. воздух, фильтруют и подкислением выделяют 2,3-диокси-5-метоксинафтохинон-1,4 (XIV) с выходом 70%, т. пл. 229° (разл.; из лед. CH_3COOH); диацетат, т. пл. 201° (из бзл.). К раствору 24 г безводн. AlCl_3 и 4,8 г NaCl при 140° прибавляют 0,8 г XIV, при-

чем т-ра поднимается до 190°, разлагают HCl (к-той) и выделяют III с выходом 45%, т. пл. 234° (разл.; из петр. эф.); триацетат, т. пл. 140° (из петр. эф.). Взабальтыванием 5 г 6-оксинафтохинона-1,4 в 125 мл CHCl_3 с 20 г Ag_2O и 15 мл CH_3J получают 6-метоксинафтохинон-1,4, выход 77%, т. пл. 136° (из петр. эф.). Последний превращают по вышеописанному способу в 6-метоксис-2,3-эпоксинафтохинон-1,4 (XV), выход 77%, т. пл. 109° (из CH_3OH). При ацетилировании XV дает 2,3-диацетокси-1,2,3,4-тетрагидро-6-метокси-1,4-диоксонафталин, выход 75%, т. пл. 192°, который окислением воздухом в щел. р-ре превращают в 2,3-диокси-6-метоксинафтохинон-1,4 (XVI) с выходом 60%, т. пл. 214—217° (разл.; из лед. CH_3COOH); диацетат, т. пл. 169° (из петр. эф.). Деметилирование XVI $\text{AlCl}_3\text{-NaCl}$ дает IV, выход 50%, т. пл. 300—305° (разл.; из петр. эф.). 3,3 г XV, 17 мл $(\text{CH}_3\text{CO})_2\text{O}$ и 1,5 мл конц. H_2SO_4 перемешивают 15 мин., осадок растворяют в 60 мл 1 н. NaOH , перемешивают 10 мин., подкисляют и осадок (1,8 г) хроматографируют в CHCl_3 на Al_2O_3 ; выделяют 0,5 г XVI и 1,1 г 3-окси-6-метоксинафтохинона-1,4, т. пл. 214° (разл.; из лед. CH_3COOH); ацетат, т. пл. 123° (из CH_3OH). Р-р 2 г нафтазарина в 70 мл CHCl_3 кипятят 8 час. с 5 г Ag_2O и 4 мл CH_3J , за 3 часа прибавляют 4 раза по 5 г Ag_2O и 4 мл CH_3J , фильтруют и продолжают метилирование до отсутствия окраски р-ра при смешении с NaOH , фильтруют, фильтрат пропускают через Al_2O_3 и получают 5,8-диметоксинафтохинон-1,4 (XVII), выход 31%, т. пл. 155°. Действием H_2O_2 превращают XVII в 5,8-диметоксис-2,3-эпоксинафтохинон-1,4 (XVIII) с выходом 60%, т. пл. 195° (из петр. эф.). 0,87 г последнего смешивают с 9 мл $(\text{CH}_3\text{CO})_2\text{O}$ и 0,8 мл конц. H_2SO_4 и через сутки разбавлением водой выделяют 2,3-диацетокси-1,2,3,4-тетрагидро-5,8-диметокси-1,4-диоксонафталин (XIX) с выходом 38%, т. пл. 182° (из CH_3OH). Пропусканием воздуха через р-р XIX в спирт. KOH получают 2,3-диокси-5,8-диметоксинафтохинон-1,4, т. пл. 211—213° (разл.; из бзл.); диацетат, т. пл. 127° (из петр. эф.). Р-р 0,35 г XVIII в 10 мл 1 н. NaOH нагревают 5 мин. при 30—35°, фильтруют, подкисляют и CHCl_3 извлекают 2-окси-5,8-диметоксинафтохинон-1,4 (XX), выход 57%, т. пл. 200° (разл.; из петр. эф.). Суспензию 0,2 г 2,3-дихлорнафтазарина в 3 мл конц. H_2SO_4 и 3 мл воды кипятят 30 мин., разбавляют водой, извлекают эфиром, эфирный р-р встряхивают с 5%-ным NaHCO_3 и подкислением выделяют 2-хлор-3-оксинафтазарин с выходом 65%, т. пл. 183—187° (разл.; из петр. эф.). К р-ру 0,5 г 2,3-дизабилтионафтохинона-1,4 (XXI) в 15 мл лед. CH_3COOH прибавляют 1,5 мл конц. H_2SO_4 и 1,5 мл воды, кипятят 3 часа, разбавляют водой, экстрагируют эфиром, эфирный р-р промывают р-ром соды и подкисляют; получают 0,21 г 2-бензилтио-3-оксинафтохинона-1,4, т. пл. 152° (из петр. эф.); ацетат, т. пл. 138° (из петр. эф.). Кипятят 0,5 г 2-фенилтионафтохинона-1,4 в 3 мл лед. CH_3COOH и 3 мл 48%-ной HBr 2 часа; получают 0,04 г 2-оксинафтохинона-1,4 (XXII), т. пл. 188—190°. Гидролиз XXI в тех же условиях также дает XXII; 2-ацетоксинафтохинон-1,4 (XXIII), т. пл. 128°. Нагревают 0,35 г $\text{C}_6\text{H}_5\text{CH}_2\text{SH}$ и 0,56 г XXIII в 12 мл спирта до растворения, на следующий день отфильтровывают хиноль (выход 0,46 г, т. пл. 158°), растворяют в 5 мл спирта и выливают в 10 мл 70%-ного р-ра FeCl_3 ; получают 0,32 г 2-ацетоксис-3-п-толилтионафтохинона-1,4, т. пл. 105° (из петр. эф.). 1,1 моля Br_2 прибавляют при 10—12° к р-ру 5 г γ -(2,4-диметоксифенил)-масляной к-ты в 15 мл лед. CH_3COOH , на следующий день кипятят 3 мин. и выливают в воду; выделяют γ -(5-бром-2,4-диметоксифенил)-масляную к-ту (XXIV) с выходом 80%, т. пл. 107° (из петр. эф.). 4,4 г XXIV прибавляют к 44 г полифосфорной к-ты при 165°, через 5 мин. охлаждают и выливают в воду; получают 0,28 г 8-бром-5,7-диметокситетралона-1,

т. кип. 140° (т-ра бани)/0,3 мм; 2,4-динитрофенилгидразон, т. пл. 205° (из CH_3COOH). 15 г Na-соли хромотроповой к-ты, 75 г КОН и 1,5 мл воды нагревают 15 мин. при 290°; выделяют 2,4-диоксифенозную к-ту. Приведены УФ-спектры I, II, III, VIII, X, XIV и XX. Сообщение V см. РЖХим, 1956, 9777.

П. Аронович
4573. 2-нитро-1-нафтольная кислота. Топсом, Вон (2-nitro-1-naphthoic acid. Topsom R. D., Vaughan J.), J. Chem. Soc., 1957, June, 2842—2843 (англ.)

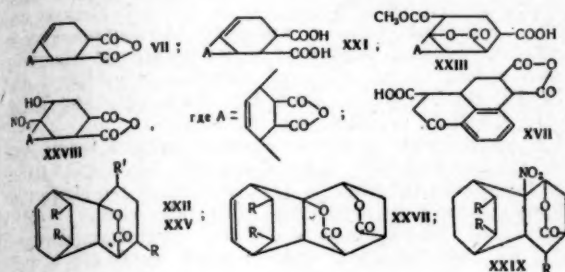
2-нитро-1-нафталальдегид (I) и 2-нитро-1-нафтольная к-та (II) получены окислением (2-нитронафтил-1)-пировиноградной к-ты (III), образующейся при конденсации (< 0°) 1-метил-2-нитронафталина (IV) с избытком $(\text{COOC}_2\text{H}_5)_2$ (V). При конденсации (нагревание) IV с V, взятым без избытка, основным продуктом р-ции является 1,2-ди-(2-нитронафтил-1)-этан (VI). IV с выходом 57%, т. пл. 56° (из сп.), синтезирован нитрованием 4-бром-1-метилнафталина (VII) по методу, описанному ранее (Vesely и др., Coll. Czech. Chem. Comm., 1929, 1, 493) с последующим дебромированием полученного 4-бром-1-метил-2-нитронафталина, т. пл. 122° (из бзн. и сп.) (Edwards, Stewart, Chemistry and Industry, 1952, 472). 38 мл Br_2 в 200 мл CCl_4 добавляли за 2 часа (—7°) к 100 г 1-метилнафталина в 250 мл CCl_4 , в присутствии небольшого кол-ва Fe-порошка и J_2 , размешивали 1 час, оставили на 2 часа, обработали 2 н. NaOH, промыли водой и перегоняли, получено 93% VII, т. кип. 170—171°/120 мм. К $\text{C}_2\text{H}_5\text{OK}$ (из 2,5 г K и 10 мл сп.) и 10 мл эфира добавили (0°) 75 мл V и через 15 мин. внесли за 30 мин. (0°) 11,5 г IV, через 24 часа (—10°) отфильтровывали K-производное III; после обработки 12 час. 250 мл 0,5 н. HCl выделен этиловый эфир III, выход 62%, т. пл. 110,5° (из сп.), из которого получена III, т. пл. 179° (из 30%-ной CH_3COOH). К 3 г III в 0,96 г NaOH + 120 мл воды за 10 мин. добавили 2,4 г KMnO_4 в 250 мл воды, через 30 мин. отфильтровали, подкислили и экстрагировали эфиром; эфирный слой извлекли р-ром NaHCO_3 и подкислением выделили II, выход 24%, т. пл. 202° (из сп.); этиловый эфир II (из Ag-соли II и $\text{C}_2\text{H}_5\text{J}$), т. пл. 92° (из сп.); из эфирного слоя после отгонки эфира получен I, выход 24%, т. пл. 119° (из бзн., затем из CH_3OH); семикарбазон, т. пл. 279°. II с выходом 50% получена также окислением I KMnO_4 в водн. ацетоне. 3 г IV и 2 мл V добавляют к $\text{C}_2\text{H}_5\text{ONa}$ (из 0,75 г Na и 20 мл сп.), через 20 мин. кипячения выливают в 100 мл воды, получают 1,5 г VI, т. пл. 232° (из $\text{C}_6\text{H}_5\text{Cl}$).

Г. Крюкова
4574. О присоединении малеинового ангидрида к стиrolу. Диеновый синтез и замещающее присоединение в ряду стиrolа. Альдер, Шмиц-Йостен (Über die Addition von Maleinsäure-anhydrid an Styrol. Dien-Synthesen und substituierende Addition in der Styrolreihe). Alder Kurt, Schmitz-Josten Robert), Liebigs Ann. Chem., 1955, 595, № 1, 1—37 (нем.)

Исследована р-ция между стиrolом (I) и малеиновым ангидридом (II). При р-ции в присутствии гидрохинона (III) и J_2 из реакционной смеси выделены (после обработки р-ром соды) нафталиндикарбоновая-1,2 к-та (IV) и 1,2,3,4-тетрагидро-IV (V). В присутствии пикриновой к-ты главным продуктом р-ции является диангидрид 1,2-дикарбокси-1,2,3,4-тетрагидронафтил-(4)-янтарной к-ты (VI) и в небольшом кол-ве образуется изомерный аддукт ненасыщ. характера (VII). Строение VI и VII доказано описанными ниже превращениями. Смесь 21 г I, 60 г II, 0,5 г III, 0,25 г J_2 и 60 мл C_6H_6 выдерживают 27 час. в бане, нагретой до 130°; при перегонке получают фракции с т. кип. 200—220°/13 мм (3 г) и с т. кип. 220—240°/13 мм (2 г). Первую фракцию обрабатывают р-ром соды, промывают эфиром, подкисляют и выделившееся масло рас-

тирают с CHCl_3 , получают IV, т. пл. 175—178° (из ацетонитрила). Из второй фракции аналогичным образом выделяют V, т. пл. 182° (разл.; из воды). Смесь 75 г I, 150 г II, 10 г пикриновой к-ты и 100 мл C_6H_6 нагревают 35—45 час. при ~ 100°, оставляют на несколько дней в рефрижераторе, осадок промывают 100 мл теплого C_6H_6 и растворяют со смесью этилацетата и лигроином (1:1), получают 120—135 г смеси VI и VII. Для разделения VI и VII 115 г смеси извлекают в аппарате Сокслета 800 мл высушенного над Na тетрагидрофурана (VIII) до тех пор, пока останется 10—20 г нерастворившегося в-ва; из р-ра при охлаждении получают ~ 40 г VI, т. пл. 203° (из VIII); из нерастворившегося остатка кристаллизацией из VIII, $(\text{CH}_3\text{CO})_2\text{O}$ (VIIIa) или ацетона получают VII, т. пл. 268° (разл.). При длительном кипячении с водой VI превращается в 1,2-дикарбокси-1,2,3,4-тетрагидронафтил-(4)-янтарную к-ту (IX), т. пл. 178° (разл.). При нагревании IX со смесью равного кол-ва CH_3COCl и 5-кратного кол-ва VIIIa снова образуется VI. Смесь IX с 5—10-кратным (по весу) кол-вом CH_3OH и двойным молярным кол-вом $(\text{CH}_3)_2\text{SO}_4$ кипятят 4 часа, упаривают вдвое, разбавляют водой и извлекают эфиром, получают тетраметилловый эфир IX (X), т. пл. 78° (из CH_3OH или лигр.). При сплавлении IX (240°, 2 часа) образуется изомерный VI диангидрид (VIa), выход 30%, т. пл. 229—230° (из VIIIa и ацетона). При этерификации VIa указанным выше образом получают изомерный X тетраметилловый эфир (Xa), т. пл. 66° (из CH_3OH). Р-р 4 г X в 30 мл CH_3OH кипятят 4 часа с 30 мл 40%-ного р-ра КОН, разбавляют водой, отгоняют CH_3OH , подкисляют HCl (к-той), упаривают досуха, остаток извлекают в аппарате Сокслета ацетоном, к экстракту добавляют бутилацетат и отгоняют ацетон; при охлаждении получают изомерную IX к-ту (IXa), т. пл. 220—221°, которой соответствует отличающийся от X и Xa изомерный им тетраметилловый эфир, т. пл. 79°. Короткое нагревание IXa с VIIIa при 80—90° приводит к VI. Окисление IX при помощи KMnO_4 приводит к о-фталевой к-те. При нагревании VI с серой (230—240°, 1 час) образуется IV; из последнего действием CH_2N_2 получен диметилловый эфир, т. пл. 80° (из CH_3OH или лигр.). К нагретой до кипения смеси 4 г VI и 25 мл перегнанной над KMnO_4 и дважды вымороженной лед. CH_3COOH прибавляют за 1 час при облучении кварцевой лампой р-р 8,6 г Br_2 в 20 мл лед. CH_3COOH и кипятят 2,5—3 часа, получают диангидрид 1,2-дикарбоксинафтил-(4)-янтарной к-ты (XI), выход 65%, т. пл. 255° (из VIIIa и диоксана). При длительном кипячении с водой или разб. CH_3COOH XI превращается в 1,2-дикарбоксинафтил-(4)-янтарную к-ту (XII), т. пл. 230° (моногидрат; разл., из воды). Нагревание р-ра XI в CH_3OH с $(\text{CH}_3)_2\text{SO}_4$ приводит к тетраметилловому эфиру XII, т. кип. 280°/12 мм, т. пл. 111—112° (из CH_3OH). Строение XII подтверждено ее окислением в нафталинтрикарбоновую-1,2,4 к-ту, охарактеризованную в виде триметилового эфира, т. пл. 120° (из CH_3OH), идентичного с полученным известным методом синтетич. образом. При декарбоксилировании XII с медно-хромовым катализатором по Адкинсу (J. Amer. Chem. Soc., 1931, 53, 1092) получена 1-(или 2)-карбоксинафтил-(4)-янтарная к-та (XIII), выделенная в виде триметилового эфира (XIV), выход 4 г (из 12 г XII), т. пл. 99° (из CH_3OH). При многократной кристаллизации из лед. CH_3COOH продукта омыления XIV водно-спирт. р-ром КОН получен ангидрид XIII, т. пл. 224° (разл.). Смесь 20 г IX, 300 мл лед. CH_3COOH и 18 г SeO_2 кипятят 24 часа, отгоняют р-ритель, остаток растворяют в 300 мл горячей воды, обрабатывают SO_2 и кипятят до превращения избытка SeO_2 в серую модификацию Se, фильтрат упаривают до 100 мл, извлекают 24 часа 300 мл эфира и остаток после упаривания эфирного

экстракта нагревают 2 часа при 100° с VIIIa, получают диангидрид 1,2-дикарбокси-3,4-дигидронафтил-(4)-янтарной к-ты (XV, к-та XVI), выход 15 г, т. пл. 195° (разл.; из VIIIa и смеси этилацетата-лигр.); из XV описанным выше способом получают тетраметилловый эфир XVI, т. пл. 107° (из CH₃OH). Термич. распад VI (260°, 15 мин.) приводит к образованию CO₂, акриловой к-ты и лактона 2-оксинафтил-(3)-уксусной к-ты. К теплому р-ру 20 г VI в 150 мл C₆H₅NO₂ постепенно прибавляют 40 г AlCl₃ в 150 мл C₆H₅NO₂, размешивают 3–4 часа при ~ 20°, обрабатывают смесью льда и HCl (к-ты), отделяют осадок, фильтрат промывают разб. HCl и водой и извлекают р-ром NaHCO₃; подкислением бикарбонатной вытяжки получают кетокарбоновую к-ту (XVII), выход 17–18 г, т. пл. 288–295° (разл.; из



XXII R=COOH, R'=OH; XXV R=COOH, R'=H;
XXVII, XXIX R=COOCH₃

CH₃COOH), из XVII получают триметилловый эфир соответствующей ей трикарбоновой к-ты (XVIII, к-та), т. пл. 171° (из CH₃OH). При восстановлении XVIII по Клемменсену образуется перинафтидин; пикрат, т. пл. 150° (из CH₃OH). Аналогично из VIa получают изомерную XVIII кетокарбоновую к-ту (XIX), выход 70–75%, т. пл. 242–244° (разл.; из воды), и триметилловый эфир соответствующей XIX трикарбоновой к-ты, т. пл. 151° (из CH₃OH). При длительном кипячении с водой VII превращается в соответствующую тетракарбоновую к-ту (XX); описан ее тетраметилловый эфир (получаемый обычным образом из VII), т. пл. 163° (из CH₃OH). При нагревании XX с VIIIa вновь образуется VII. При нагревании с серой (230°, 30 мин.) VII превращается в IV. При нагревании XX в вакууме при 100° образуется ангидродикарбоновая к-та (XXI), т. пл. 263° (разл.). При нагревании 1 г XXI с 6 мл H₂SO₄ и 10 мл воды получают 0,5 г V. Смесь 2 г VII и 200 мл воды кипятят до растворения, охлаждают до 0°, прибавляют избыток Br₂, взбалтывают и упаривают частично в вакууме, получают окситрикарбоксилатон (XXII), т. пл. 250° (дигидрат; разл.; из воды) или 260° (моногидрат; разл.); XXII получают также при окислении XX KMnO₄ в кислой среде. При обработке р-ра XXII в CH₃OH избытком CH₂N₂ получают триметилловый эфир, т. пл. 221°. Смесь 1 г XXII и избытка VIIIa кипятят 7 час. и упаривают до 20–30 мл, получают ацетилированный ангидрид XXII (XXIII), т. пл. > 280° (из VIIIa), который при кипячении с разб. HCl снова превращается в XXII. В аналогичном опыте после упаривания реакционного р-ра прибавляют избыток CH₃OH, кипятят 10 мин., упаривают, остаток растворяют в CH₃OH, снова упаривают, остаток растворяют в CH₃OH и обрабатывают CH₂N₂ в эфире, получают триметилловый эфир ацетокси-XXII (XXIV), т. пл. 196°. При термич. разложении XXIV (перегонка при 250° в вакууме), кроме эфиров маленовой и фумаровой к-т, получают в-во с т. кип. 200–240°/12 мм, которое после кипячения с конц. HCl пре-

вращается в ангидрид IV. Водн. р-р XX, полученный при омылении 3 г VII, упаривают до 5 мл, прибавляют теплую (50°) смесь 20 г конц. H₂SO₄ и 15 мл воды, нагревают 10 час. при 60°, оставляют на 8 дней при ~ 20° и разбавляют равным объемом воды, получают трикарбоксилатон (XXV), выход 2–2,5 г, т. пл. 285° (дигидрат; разл.; из воды); действием CH₂N₂ на р-р XXV в CH₃OH получают его триметилловый эфир (XXVI), т. пл. 237–238° (из CH₃OH). При действии на XXV надуксусной к-ты или H₂O₂ в CH₃COOH в присутствии WO₃ большая часть XXV возвращается в неизменном виде. При озонировании XXVI выделено небольшое кол-во в-ва C₁₀H₂₂O₈, т. пл. 208–209° (из воды). Смесь 2 г XXII, 8 мл конц. H₂SO₄ и 12 мл воды кипятят 30 мин., частично упаривают, нагревают 1 час при 100°, разбавляют водой, после длительного стояния отделяют осадок, растворяют его в CH₃OH и обрабатывают CH₂N₂, получают дилактон (XXVII), т. пл. 249° (из CH₃OH). К 3 г VII прибавляют приготовленную при тщательном охлаждении смесь 1 объема дымящей HNO₃ (d 1,53) и 1 объема свободной от воды лед. CH₃COOH и выдерживают некоторое время при 0°, получают нитрооксидангидрид (XXVIII), т. разл. 300–320°. Смесь 1,5 г неочищ. XXVIII, 30 мл CH₃OH и 2 мл (CH₃)₂SO₄ кипятят 8 час., фильтруют и оставляют на ~ 12 час., получают нитротрикарбометоксидилатон (XXIX), выход 0,5 г, т. пл. 242° (разл.; из CH₃OH). При глубоком окислении XX (действием O₃ и HNO₃) среди продуктов р-ции найдена циклогексантетракарбоновая-1,2,3,4 к-та, т. пл. 224°; тетраметилловый эфир, т. пл. 71° (из петр. эф.).

А. Травин

4575. Лабораторные опыты по восстановлению аценафтена в тетрагидроаценафтен. Деле, Палло (Note de laboratoire sur d'hydrogénation de l'acénaphène en tétrahydroacénaphène. Delest Philippe, Pallaud Robert), Bull. Soc. chim. France, 1957, № 7, 889 (франц.)

15 г аценафтена в 50 мл декалина (I) гидрировали при 150° и обычном давлении в присутствии скелетного Ni; после фильтрования и отгонки I выделен тетрагидроаценафтен с выходом 70%, идентифицированный по физ.-хим. константам и УФ-спектру.

Г. Крюкова

4576. Применение реакции Михаэля в ароматическом ряду и в химии щелочного лигнина. Новый синтез производных фенантрена, исходя из производных нафталина. Калинин П. Ф., Калинин Э. П., Изв. АН ЛатвССР, 1956, № 12, 93–100 (рез. лат.)

Пользуясь представлением о том, что р-ция Михаэля является диеновым синтезом оксидиативным (Meerwein, Ber., 1944, 77, 227), авторы приложили ее к о-оксиметилкетонам ряда C₆H₆ и нафталина для синтеза производных соответственно нафталина и фенантрена. Ввиду того, что щел. лигнин (I) по представлениям авторов (РЖХим, 1957, 39465), является о-оксиметилкетонном ряда нафталина, проведено предварительное исследование р-ции Михаэля с I. Фенилацетат (II) синтезирован взаимодействием 5 г фенола и 15 мл (CH₃CO)₂O (III) в присутствии 1 г K₂CO₃ (нагревание 1 час), выход 62,2%, т. кип. 191–193°. 2-Оксиацетофенон (IV) получен нагреванием 124 г II и 130 г AlCl₃ (120°, 5 час.), выход 26 г, т. кип. 113°/9–13 мм. Этиловый эфир (ЭФ) 2,4-диоксинафтойной к-ты синтезирован из 8 г малонового эфира (V), 6,8 г IV и C₂H₅ONa (из 3,5 г Na в 45 мл спирта); по окончании бурной р-ции смесь нагревали 3 часа при 150°, выход 39,4%, т. кип. 217–220°. β-Нафтилацетат (VI) получен из 28 г β-нафтола и 100 мл III + 5 капель конц. H₂SO₄ (50°, 1 час), выход 70,2%, т. пл. 68–69° (из сп.). 2-Окси-1-ацетилнафталин (VII) синтезирован р-цией 15 г VI и 15 г AlCl₃ в 30 мл CS₂ (кипчение 1 час, после отгонки CS₂ нагревание при 120°

4 часа), маслянистая жидкость. Р-цией 3,7 г неочищ. VII, 3,2 г V и C_2H_5ONa (из 1,9 г Na в 25 мл спирта) получено 2,5 г в-ва, вероятно, динатриевого производного ЭФ 2,4-диоксифенантренкарбоновой-1 к-ты; ацетильное производное, т. пл. 60—62°. При р-ции (2 часа, 140—150°) 5 г I, 3,2 г V и C_2H_5ONa (из 2,3 г Na в 50 мл спирта) получено 9,4 г в-ва, превращенного в ацетильное производное.

А. Сергеев
4577. Конденсация фенантрена с малеиновым ангидридом, катализируемая $AlCl_3$. Де-Уолт, Хоторн, Шепард, Шоуолтер ($AlCl_3$ -catalyzed condensation of phenanthrene with maleic anhydride. DeWalt C. W., Jr., Hawthorne J. O., Sheppard C. S., Schowalter K. A.), J. Organ. Chem., 1957, 22, № 5, 582—583 (англ.)

Конденсация фенантрена (I) с малеиновым ангидридом (II) в присутствии $AlCl_3$ приводит к образованию 1'-кето-3'-карбокси-9,10-циклопентенофенантрена (III). Строение III подтверждено декарбоксилизацией в 1'-кето-9,10-циклопентенофенантрен (IV), восстановлением по Клемменсену в 1'-карбокси-9,10-циклопентенофенантрен (V), выход 62%, т. пл. 297—299° (разл.). Из V декарбоксилизацией получен 9,10-циклопентенофенантрен, выход 48%, т. пл. 148,6—149,8°. К р-ру 0,0422 моля $AlCl_3$ в 25 мл $C_6H_5NO_2$ при 5° прибавляют 0,0125 моля I и затем 0,0125 моля II, через 4 часа при 5° и 40 час. при 20° выделяют III, выход 16%, т. пл. 200—201° (из бзл.). Р-р 0,5724 г III в 25 мл 0,1 н. р-ра КОН в этиленгликоле 10 мин. нагревают до 130°, через 5 мин. охлаждают, разбавляют 50 мл воды и подкислением выделяют IV, выход 34%, т. пл. 170—171° (из *n*-гексана). Т. Краснова

4578. Синтез α -метилтетрагидрофурана. Дашкевич Б. Н., Череп В. И., Научн. зап. Ужгородск. ун-та, 1955, 12, 18—20

α -Метилтетрагидрофуран (I) синтезирован циклизацией пентен-4-ола-1 (II), легко получаемого из $CH_2=CHCH_2MgBr$ и окиси этилена (III). К 12 г Mg в эфире, содержащем I_2 , приливают до начала р-ции немного бромистого аллила (IV), затем в течение 4 час. добавляют 0,5 моля IV, одновременно пропуская в смесь 1 моль III, разлагают комплекс разб. H_2SO_4 и получают II, выход 58%, т. кип. 138—142°. К 30 г разб. H_2SO_4 (из 300 г конц. H_2SO_4 и 100 г льда) приливают (1 час, 0°) 15 мл II, на следующий день добавляют 90 г 60%-ной H_2SO_4 , нагревают 1 час при 100°, через 24 часа разбавляют водой и отгоняют I, выход 30%, т. кип. 79—80°, n_D^{20} 1,4058. Д. Витковский

4579. Производные 5-нитрофурфурола. Неницеску Костин Д., Букур Константин, Хим. ж. Акад. РНР, 1956, 1, № 1, 163—173

Семикарбазон (I) 5-нитрофурфурола (II) может быть получен в больших кол-вах р-цией $NH_2CONHNH_2 \cdot HCl$ (III) и II, образующегося при действии $NaNO_2$ на 5-нитрофурфуральдоксим (IV), получаемый нитрованием фурфуральдоксима (V) нитрующей смесью. Нагреванием (1 час, 50°) IV с $(CH_3CO)_2O$ или действием CH_3COCl на IV при 20° получен *O*-ацетил-5-нитро-2-фурфуральдоксим, выход 40—72%, т. пл. 161—162° (из сл.); при нагревании же IV с 1,25 моля $(CH_3CO)_2O$ в течение 1 или 3 час. при 140° образуются соответственно нитрил (VI) (выход 83%, т. кип. 136°/14 мм) или *N*-ацетиламид (выход 30%, т. пл. 172,5° (из сл.)) 5-нитро- α -фурканкарбонной к-ты (VII), гидролизованные смесью CH_3COOH с H_2SO_4 или 10%-ной H_2SO_4 в 5-нитро-2-фуриламид, т. пл. 162—162,5° (из воды); кипящая конц. HCl гидролизует VI в течение 3 час. в VII, выход 85%, т. пл. 184—185° (из воды); хлорангидрид которой кипячением в C_6H_6 в $HOCH_2CH_2N(C_2H_5)_2$ превращен в диэтиламиноэтиловый эфир VII, т. пл. 61—61,5° (из лигр.), а при взаимодействии с аминотиазолом в эфире дает 5-нитро-2-фуриламинотиазол,

т. пл. 274—275° (из CH_3COOH). Конденсацией при 20° в CH_3OH II с *n*-аминобензойной к-той или ее этиловым эфиром, или с сульфаниламидом получены соответственно 5-нитро-2-фурфуриден-*n*-аминобензойная к-та, т. пл. > 300° (разл.), ее эфир, т. пл. 145° (из CH_3OH), и 5-нитро-2-фурфуриденсульфаниламид, т. пл. 197—198,5° (разл., из ацетона). Все синтезированные в-ва подвергнуты фармакологич. испытаниям. 20 молей I в 8 л конц. H_2SO_4 нитруют (4 часа, 0°) смесью 1,34 л HNO_3 (d 1,41) и 2,68 л конц. H_2SO_4 и получают IV в виде 2 изомеров, выход 55—58%, т. пл. 154 и 121° (из CH_3OH). К 1 молю IV в 185 мл кипящей HCl (d 1,15) приливают по каплям 330 мл 27,5%-ного р-ра $NaNO_2$, добавляют 1,7 л спирта, затем (при 20°) — конц. р-р 102 г III и отделяют I, выход 100%, т. пл. 240° (разл., из CH_3COOH). Тиосемикарбазон II, т. пл. 224—226° (разл.; из CH_3COOH). Д. Витковский

4580. Бактериальное и химическое восстановление нитрофуразона. Беккетт, Робинсон (Bacterial and chemical reduction of nitrofurazone. Beckett A. H., Robinson Ann E.), Chemistry and Industry, 1957, № 17, 523—524 (англ.)

Исследованием спектров поглощения показано, что при восстановлении нитрофуразона (семикарбазон 5-нитрофуранальдегида-2) (I) *Aerobacter aerogenes* или гидрирования в присутствии Pd/C (абс. спирт, ~20°) получается семикарбазон 5-аминофуранальдегида-2 (λ_{\max} 333 мμ), который при стоянии, особенно в присутствии влаги воздуха, превращается в соединение с открытым фурановым кольцом (λ_{\max} 272 мμ). Тенденция к превращению уменьшается при замене 4'- NH_2 -группы боковой цепи I в следующем порядке: $NHCH_3 > NH_2 > CH_3 > CONHCH_2CH_2OH > CONH_2$ в соответствии с уменьшением электронноотталкивающей способности групп. Бактериальное восстановление I, в которых 2'- NH -группа блокирована алкильной группой или образованием нового кольца на основе 2'- NH - и 4'- NH_2 -групп, сопровождается расщеплением фуранового кольца. Б. Дубинин

4581. Восстановление нитрофуразона скелетным никелем. Остин (Reduction of nitrofurazone with galley nickel. Austin F. L.), Chemistry and Industry, 1957, № 17, 523 (англ.)

С целью выяснения превращений семикарбазона 5-нитрофурфурола (нитрофуразона) (I) при биохим. воздействиях водн. взвесь I гидрирована в присутствии скелетного Ni, отфильтрованный р-р оставлен на 19 час. при pH 8,5—9,2, продукт адсорбирован «шумом», извлечен спиртом и идентифицирован как семикарбазон (II) [т. пл. 203—204° (разл.; из воды)] гликоксилипропионитрила (III); дисемикарбазон, т. пл. 210—211° (разл.); строение II подтверждено синтезом из левулинонитрила, т. кип. 80—81°/0,5 мм, бромированного в абс. спирте в дибромлевулинонитрил, гидролизанный кипячением 4 часа в воде в III. λ_{\max} III и продукта превращения I при биохим. воздействиях идентичны. Д. Витковский

4582. Перегруппировка фурфуролового спирта в метиловый эфир левулиновой кислоты. Льюис (The rearrangement of furfuryl alcohol to methyl loevulalate. Lewis K. G.), J. Chem. Soc., 1957, Febr., 531—537 (англ.)

Показано, что в-во $C_5H_8O_4$, полученное (см. Pummer, Gump, Ber., 1923, 56, 999) при нагревании фурфуролового спирта (I) с метанольным р-ром HCl , является диметилацеталем (ДМА) α -метоксилевулинового альдегида (II). Действительно, II дает бис-2,4-динитрофенилгидразон (бис-ДНФГ), т. пл. 220° (из этилацетата), имеющий 1 С-метиловую и 1 CH_3O -группу; в кипящем 1%-ном метанольном р-ре HCl образует ДНФГ метилового эфира левулиновой к-ты (III), т. пл.

141—142°, и бис-ДНФГ 4-кетопентен-2-аль-1, т. пл. 267° (разл.), ДМА которого (IV), т. кип. 83°/9 мм, n_D^{20} 1,4460, получен при нагревании I в метаноле в присутствии бензоильсульфиновой к-ты и гидрирован в CH_3OH над Pd/BaSO_4 в ДМА леулинового альдегида, т. кип. 91—92°/19 мм, n_D^{20} 1,4193; бис-ДНФГ, т. пл. 236—237° (из CH_3NO_2), образующий с фенилгидразином дигидрометилфенилпиридазин, т. пл. 196—197° (из сп.); при нагревании с NaOCl (1 час, 50°) II дает дихлоруксусную к-ту и ДМА (т. кип. 99°/18 мм, n_D^{20} 1,4450) 3,3-дихлор-2-метоксипропанала; ДНФГ, т. пл. 125—126° (из CH_3OH). Для сравнения с II, нагреванием метилового эфира тетрагидро-2,5-диметоксифурфурилового спирта (V) получен ДМА δ -метоксилеулинового альдегида (VI). II, IV и 2,5-диметоксис-2,5-дигидросильван при нагревании с метанольным р-ром HCl и взаимодействии продукта с 2,4-динитрофенилгидразином превращены в III. Предложен механизм описанной перегруппировки, основанный на представлении теории резонанса, 100 г I и 1 л CH_3OH , содержащего 1 г HCl , кипятят 4 часа, добавляют K_2CO_3 , отгоняют CH_3OH , продукт перегоняют и получают II, т. кип. 92°/9 мм, n_D^{20} 1,4262. 21 г V, т. кип. 86°/14 мм, n_D^{20} 1,4325, в 80 мл CH_3OH , содержащего 2 г HCl , оставляют на 4 дня при 15°, затем на 4 дня при 30°, р-р подщелачивают CH_3ONa в CH_3OH , насыщают CO_2 , перегоняют и получают VI, выход 12 г, т. кип. 119—120°/15 мм, n_D^{20} 1,4312; бис-ДНФГ VI, т. пл. 242° (разл., из $\text{C}_6\text{H}_5\text{NO}_2$).

Д. Витковский

4583. Хлорметилирование 7-метокси-2,3-диметилхромона и 7-метокси-3-метилфлавона. Да-Ре, Верликки (Clorometilazione del 7-metossi-2,3-dimetilchromone e del 7-metossi-3-metilflavone. Da Re Paolo, Verlicchi Lucia), Ann. chimica, 1956, 46, № 11, 904—909 (итал.).

Из 51 г 2-окси-4-метоксипропиофенона по Костанецкому — Робинсону [CH_3COONa , $(\text{CH}_3\text{CO})_2\text{O}$, 170—180°, 7—8 час.] получено 31 г 7-метокси-2,3-диметилхромона (I), т. пл. 122—124° (из абс. сп.). Аналогично из 20 г 4-метокси-2-оксипропиофенона ($\text{C}_6\text{H}_5\text{COCl}$, $\text{C}_6\text{H}_5\text{COONa}$, 180—190°, 8 час.) получено 14 г 7-метокси-3-метилфлавона (II), т. пл. 107—110° (из лигр.). Хлорметилирование 9 г I (конц. HCl , 40%-ный формалин, ток HCl (газ), 7 час. при 60—70°) привело к 5,65 г 7-метокси-8-хлорметил-2,3-диметилхромона (III), т. пл. 180—183° (из абс. сп.); аналогично хлорметилирование 40 г II дало 21 г 7-метокси-8-хлорметил-3-метилфлавона (IV), т. пл. 170—172° (из абс. сп.). Строение III подтверждено восстановлением ($\text{CH}_3\text{COONH}_4$ -вода, порошок Zn , 60—70°, 1,3 часа) 10 г III до 6,65 г 7-метокси-2,3,8-триметилхромона (V), т. пл. 145—148° (из 50%-ного сп.), который кипячением 2 часа с 20%-ным KOH превращен в известную 4-метокси-3-метил-2-оксibenzo-ную к-ту, аналогичным путем подтверждено строение IV. При р-ции 10 г I с CH_3COONa и $(\text{CH}_3\text{CO})_2\text{O}$ (170—180°, 3 часа) образуется 7,7 г 7-метокси-8-ацетокси-метил-2,3-диметилхромона, т. пл. 161—162° (из 50%-ного сп.), при омылении которого (водно-спирт. KOH , кипячение 1 час) получен 7-метокси-8-оксиметил-2,3-диметилхромон, т. пл. 189—191°. Деметилирование 2,1 г V посредством AlCl_3 (C_6H_6 , кипячение 8—10 час.) дало 1 г 7-окси-2,3,8-триметилхромона. Аналогично соответствующим производным хромона из 1,4 г IV получено 1,15 г 7-метокси-8-ацетокси-3-метилфлавона (VI), т. пл. 168—169° (из 50%-ного сп.); из 3,3 г VI получен 1 г 7-метокси-8-оксиметил-3-метилфлавона, т. пл. 158—160° (из абс. сп.); из 2 г IV — 1,2 г 7-метокси-3,8-диметилфлавона, т. пл. 139—141° (из 50%-ного сп.), из 3 г которого — 1,2 г 7-окси-3,8-диметилфлавона, т. пл. 274—276° (из абс. сп.).

Л. Яновская

4584. Хлорметилирование о-оксипропиофенона и синтез двух спиртов и двух альдегидов ряда хромона.

Да-Ре, Верликки (Clorometilazione dell'idrossipropiofenone e sintesi di due alcoli e due aldeidi del gruppo del cromone. Da Re Paolo, Verlicchi Lucia), Ann. chimica, 1956, 46, № 11, 910—919 (итал.).

Хлорметилирование 40 г 2-оксипропиофенона (I) пропусканием тока HCl (7 час., $\leq 30^\circ$) через р-р I и параформальдегида (II) в конц. HCl приводит к 17,7 г 5-хлорметил-2-оксипропиофенона (III), т. кип. 145—150°/4 мм, т. пл. 54—55° (из лигр.); при хлорметилировании 30 г I в присутствии избытка II и при 60—70° образуется 7,5 г 3,5-дихлорметил-2-оксипропиофенона, т. кип. 161—164°/2 мм, т. пл. 73—74° (из лигр.). Аналогично II из 30 г 2-метокси-пропиофенона (40%-ный формалин, ток HCl , 6 час.) получено 21 г 5-хлорметил-2-метоксипропиофенона, т. пл. 107—108° (из метанола). Из 20 г III добавлением порошка Fe (2 часа) к кипящему р-ру III в спирте + конц. HCl получено 11,5 г 5-этоксиметил-2-оксипропиофенона (IV), т. кип. 145—147°/4 мм, т. пл. 31,5—34°. Из 10,4 г III и лед. $\text{CH}_3\text{COOH} + \text{CH}_3\text{COONa}$ (125—130°, 2 часа) получено 10 г 5-ацетоксиметил-2-оксипропиофенона, т. пл. 55—57° (из водн. CH_3COOH). Действие на 50 г II ($\text{CH}_3\text{CO})_2\text{O}$ и CH_3COONa по Костанецкому — Робинсону (70—80°, 7 час.) привело к образованию 50 г 6-ацетокси-2,3-диметилхромона (V), т. пл. 75—78° (из лигр.). 10 г V легко омыляется 0,2 н. спирт. KOH , образуя 6,4 г 6-оксиметил-2,3-диметилхромона (VI), т. пл. 152—153° (из 56%-ного сп.). Действием на 3,8 г VI конц. HCl (ZnCl_2 , нагревание 1 час) получают 2,6 г 6-хлорметил-2,3-диметилхромона (VII), т. пл. 143—144° (из лигр.). VII легко восстанавливается ($\text{CH}_3\text{COONH}_4$ -вода, 80°, порошок Zn , 1 час) до 1,2 г 2,3,6-триметилхромона, т. пл. 99—101°, строение последнего подтверждено гидролизом посредством 5%-ного KOH (кипячение 2 часа) с образованием 4-окси-м-толуидовой к-ты. При обработке 10 г III по Костанецкому — Робинсону посредством $\text{C}_6\text{H}_5\text{COCl}$ и $\text{C}_6\text{H}_5\text{COONa}$ (180—190°, 7 час.) образуется 15 г 6-бензоилоксиметил-3-метилфлавона, т. пл. 113—115° (из 75%-ного сп.), омыление 10 г которого в абс. спирте 0,2 н. KOH (кипячение 1 час) дало 6,5 г 6-оксиметил-3-метилфлавона (VIII), т. пл. 148—150°. Аналогично из 6,5 г VIII получено 4 г 6-хлорметил-3-метилфлавона (IX), т. пл. 135—136° (из лигр.). 3,6 г IX восстановлено в 2,9 г 3,6-диметилфлавона, т. пл. 90—92° (из водн. сп.). Из 13,6 г IV аналогично V получено 5,7 г 6-этоксис-2,3-диметилхромона, т. пл. 75—76° (из гексана). Из 6 г VI и янтарного ангидрида (безводн. пиридин, ~20°, 12 час.) получено 6,6 г 6-(ω -карбоксихропоксиметил)-2,3-диметилхромона, т. пл. 138—139° (из водн. сп.). Аналогично из 5 г VIII получено 3,5 г 6-(ω -карбоксихропоксиметил)-3-метилфлавона, т. пл. 129—130° (из водн. сп.). Кипячением 2 часа 5 г VII в CHCl_3 с гексаметилентетраминном и последующим гидролизом (кипячение 2 часа с 50%-ной $\text{CH}_3\text{COONH}_4$) получено 2 г 2,3-диметил-6-формилхромона (X), т. пл. 184—185°; 2,4-динитрофенилгидразон (ДНФГ), т. пл. 300°. Аналогично из 7,5 г IX получают 2,7 г 3-метил-6-формилфлавона (XI), т. пл. 148—150° (из разб. сп.); ДНФГ, т. пл. > 300°; анил, т. пл. 180—182° (из сп.). X и XI характеризованы УФ-спектрами.

Л. Яновская

4585. Новый синтез флавилиновых солей. Мерсье, Шопен, Менцер (Sur une nouvelle synthèse des sels de flavylum. Mercier Marc, Chopin Jean, Mentzer Charles), C. r. Acad. sci., 1957, 244, № 7, 907—909 (франц.).

Показано, что при действии HClO_4 (I) на кумариновые соединения, замещ. в положении 3 ацильными радикалом жирного или ароматич. ряда, образуются соответствующие флавилиновые соли. Р-р 2 г 3-бензоилкумарина в 90 мл 33%-ной I кипятят 16 час., охла-

ждают и извлекают CHCl_3 ; получают перхлорат флавилия, выход 88%, т. пл. 184° (из 10%-ной I), R_f 0,84 (в системе CH_3COOH — вода — конц. HCl , 30:10:3).

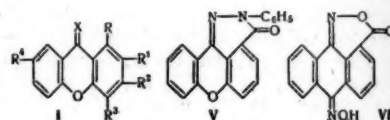
A. Травин

4586. Реакции солей флавилия с диметиланилином и малоновой кислотой. Блэкберн, Санки, Робертсон, Уолли (Reactions of flavylum salts with dimethylaniline and malonic acid. Blackburn M., Sankey G. B., Robertson Alexander, Whalley W. B., J. Chem. Soc., 1957, Apr., 1573—1576 (англ.))

Перхлораты (ПХ) флавилия (Ia) и 7-окси- (Ib), 7-метокси- (Iв), 4'-окси- (Iг), 4'-метокси- (Iд), 6,7-диметокси- (Iе) или 7,4'-диокси- (Iж)-флавилий реагируют с диметиланилином (II) в CH_3OH или CH_3COOH , образуя окрашенные ПХ соответствующих 4-*n*-диметиламинофенилфлавилий (IIIa—ж). Соли флавилия, замещ. в пара-положении, не реагируют в аналогичных условиях, что подтверждает принятое строение продуктов р-ции; ПХ 3-метокси- (IVa) 7-окси-3-метокси-, 3-фенил- (IVб), 5,7-диметил- и 5,7-диметокси- (IVв)-флавилий, судя по появляющемуся окрашиванию р-ров, реагируют с II, но выделить продукты р-ции не удается. Хлорид флавилия также конденсируется с II, но р-ция не идет в атмосфере N_2 или без доступа воздуха. Ia—г и ПХ 6-окси-, 8-метокси- и 4'-окси-8-метоксифлавилий реагируют также с малоновой к-той (V), причем получают соответственно ПХ 4,4'-флавенилиденметилфлавилия (VIa), 7-окси-4-(7-окси- (VIб), 7-метокси-4-(7-метокси- (VIв), 4'-окси-4-(4'-окси- (VIг), 4'-метокси-4-(4'-метокси- (VIд), 6-окси-4-(6-окси- (VIе), 8-метокси-4-(8-метокси- (VIж) и 4'-окси-8-метокси-4-(4'-окси-8-метокси- (VIз)-4-флавенилиденметил-флавилий; ПХ IVa—в, 4-фенил- (VII) флавилий не реагируют с V. Попытки доказать строение IIIa—ж на примере IIIa не имели успеха, так как IIIa не окисляется, при окислении KMnO_4 или CrO_3 дает только $\text{C}_6\text{H}_5\text{COOH}$, а при нагревании с метанольным р-ром КОН дает II и ацетофенон (VIII); VIa при озонировании дает салициловую к-ту, а при сплавлении с КОН образуется $\text{C}_6\text{H}_5\text{COOH}$. VII, т. пл. 229° (из CH_3COOH), и ПХ 6,7-диметоксифлавилия, т. пл. 298° (из CH_3COOH), синтезированы конденсацией 4,6-диметил- и 4,5-диметокси-2-оксисбензальдегидов с VIII. 1 г Ia, 13 мл CH_3OH и 0,5 г II кипятят 1,5 часа и получают IIIa, выход 0,3 г, т. пл. 250° (из CH_3OH или CH_3COOH). К 2 г IIIa в 20 мл CH_3OH приливают по каплям 2 н. NaOH и отделяют метиловый эфир 4-*n*-диметиламинофенил-2-фенилбензопиранола (IX), выход 1,5 г, т. пл. 118° (из CH_3OH); пикрат (PK), т. пл. 244° (из CH_3COOH); феррихлорид, т. пл. 149° (из CH_3COOH); диперхлорат (ДПХ), т. пл. 100 — 170° . Аналогично из Ib—ж получают (указаны т. пл. в $^\circ\text{C}$) IIIб 273; ДПХ, 135—180; PK, 250—260; IIIв, 246—248 (из CH_3COOH); PK, 258; IIIг, 280; ДПХ, 110—150; PK, 256 (из CH_3COOH); IIIд, 134; ДПХ, 120—140; PK, 226; IIIе, 286; PK, 270, и IIIж, 350. 6,2 г Ia, 1,04 г V, 1,5 г CH_3COONa и 150 мл CH_3COOH кипятят 20 мин. или оставляют на 12 час. при 20° и отделяют VIa, выход 4 г, т. пл. 254° (из $\text{CH}_3\text{COOH} \cdot \text{HClO}_4$) из которого (см IX) выделяют основание, т. пл. 148° (из петр. эф.); PK, т. пл. 270° ; аналогично получают [указаны т. пл. в $^\circ\text{C}$ (из CH_3COOH)] VIб, 283; VIв, 289; VIг, 280; VIд, 281; VIе, 306; VIж, 296, и VIз 330. Все полученные в-ва, кроме IX и III, плавятся с разложением. Д. Витковский

4587. Реакционная способность карбонильной группы в ксантонах. Кемпбелл, Мак-Каллум, Маккензи (Reactivity of the carbonyl group in xanthenes. Campbell Neil, McCallum Sheila R., Miss, Mackenzie Donald J.), J. Chem. Soc., 1957, Apr., 1922—1924 (англ.)

Исследованы р-ции ксантонов (Ia—г) и антрахинонкарбоновой-1 к-ты (II) с $\text{C}_6\text{H}_5\text{NHNH}_2$ (III) и NH_4OH (IV). Кипятят 24 часа 5 г Ia, 25 г хлоргидрата IV и 50 мл $\text{C}_6\text{H}_5\text{N}$ и получают оксим Ia, т. пл. 161° (из бзл.). Из 1 г оксима Ia и 1 г III кипячением 12 час. получают фенилгидразон (ФГ) Ia, т. пл. 149 — 150° (из CH_3COOH). Смесь 2 г Ia, 2 г 2,4-динитрофенилгидразина, 4 мл конц. H_2SO_4 и 30 мл спирта кипятят 4 часа и выделяют 2,4-динитрофенилгидразон Ia, т. пл. 278° (из тетралина). Смесь 0,25 г Ib с 2 мл III кипятят 5 мин., разбавляют спиртом и получают фенилгидразонфенилгидразон Ib (Id), т. пл. 316 — 319° (из CH_3COOH). Кипячение 5 мин. 0,1 г Iv с 1 мл III приводит к образованию пиридазона (V), т. пл. 240° (из сз.). 1-хлор-4-метил- и 4-хлор-1-метилтиоксантоны не реагируют с IV, а из 2 г диокси 2-метилтиоксантона (VI) с 10 г хлоргидрата IV в 25 мл $\text{C}_6\text{H}_5\text{N}$ (4 часа кипячения) получают оксим VI, т. пл. 199 — 200° (из вод. ацетона). Кипячением 30 мин. 0,5 г II с 3 мл III в 10 мл $\text{C}_6\text{H}_5\text{N}$ получают 2,3-дигидро-2-фенил-3-оксо-1,2-диазабензоантрон, т. пл. 298 — 299° (из CH_3COOH).



Ia—г X=O, Id X=NNHC₆H₅; а R=R'=R''=R'''=R''''=H; 6R=COOH, R'=R''=R'''=Cl, R''''=CH₃; бR=COOH, R'=R''=R'''=H, R''''=CH₃; вR=R'=H; гR=COOH, R'=Cl, R''=R'''=H, R''''=CH₃; дR=CONHNHC₆H₅, R'=R''=R'''=Cl, R''''=CH₃.

Из 1 г II, 5 г хлоргидрата IV и 25 мл $\text{C}_6\text{H}_5\text{N}$ (4 часа кипячения) получают оксим (VII). Т. Краснова

4588. Фенилксантоны. Троценко А. Т., Ж. общ. химии, 1957, 27, № 4, 967—969

С целью изучения хим. и физиол. свойств фенилзамещ. ксантона (I) синтезированы о-(2-бифенил)- (II), о-(4-бифенил)- (III) и 5-хлор-о-(4-бифенил)- (IV)-салициловые к-ты, циклизацией которых получены 2-фенил- (Ia), 4-фенил- (Iб) и 2-фенил-6-хлор- (Iв) ксантоны. От смеси 4,5 г о-BrC₆H₄COOH (V), 1 г Na в 20 мл спирта, 17 г *n*-оксифенила (VI) и 0,1 г Si-порошка отгоняют спирт и остаток нагревают 4 часа при 210 — 230° , выделяют III, т. пл. 148 — 150° (из бзл. + петр. эф. (1:1)). Аналогично из 4,5 г V и 17 г о-оксифенила получают II, выход 8,2 г, т. пл. 156 — 157° (из бзл.). В 50 мл CH_3OH растворяют 2,3 г Na, 20 г VI и 8,5 г 2,4-дихлорбензойной к-ты; CH_3OH отгоняют, к остатку прибавляют 0,1 г Si-порошка, нагревают 4 часа при 200 — 230° и выделяют IV, т. пл. 222 — 224° (из лед. CH_3COOH). Кипячением 2 часа бензольных р-ров II, III и IV с P_2O_5 получены I (приведено кол-во II, III или IV в г, полученное в-во, выход в г, т. пл. в $^\circ\text{C}$): 0,14 II, Iб, 0,13, 131—132 (из CH_3OH); 1,5 III, Ia, 1,34, 143—145 (из CH_3COOH); 1,6 IV, Iв, 1,5, 231—232 (из бзл.). При циклизации II, III и IV с помощью H_2SO_4 , PCl_5 и SOCl_2 I образуются с более низким выходом. Т. Краснова

4589. Синтез 2-винилтиофена и 2-винилдибензотиофена. Андреева И. В., Котон М. М., Ж. общ. химии, 1957, 27, № 4, 997—1002

Описаны синтезы 2-винилтиофена (I) из 2-магнийдибензотиофена (II) и окиси этилена (III) и 2-винилдибензотиофена (IV) из ацетилдибензотиофена (V), восстановленного методом Пондорфа—Меервейна в метилдибензотенилкарбинол, термически дегидратированный в IV. К эфирному р-ру II (из 16 г Mg и 130 г 2-йодтиофена) прибавляют при -10° 70 г III в C_6H_6 , медленно нагревают до кипения, на следующий день смесь разлагают NH_4Cl и получают тиенилат

нол, т. кип. $74^{\circ}/0,5$ мм, n_D^{20} 1,5500, который перегоняют при $40-50$ мм над КОН, и из дистиллата извлекают эфиром I, выход 50%, т. кип. $65,5-66,5^{\circ}/48$ мм, n_D^{20} 1,5722, d_4^{20} 1,0410. К смеси 60 г дибензотиофена, 40 г CH_3COCl , 250 мл C_6H_6 и 150 мл толуола добавляют (2-3 часа, 0°) 120 г AlCl_3 , размешивают 3-4 дня при $0-10^{\circ}$, разлагают 5%-ной HCl и получают V, выход 30%, т. пл. $111,5-112,5^{\circ}$. 10-15%-ный р-р V в *изо*- $\text{C}_3\text{H}_7\text{OH}$ нагревают 2-3 часа с 1 молем *изо*пропилата-Al, отгоняют (5-6 час.) смесь ацетона и *изо*- $\text{C}_3\text{H}_7\text{OH}$, остаток выливают в разб. HCl , продукт извлекают C_6H_6 , к р-ру (25-30%-ному) добавляют фенил- β -нафтиламин и по каплям пропускают при $2-5$ мм через колонку, заполненную Al_2O_3 , нагретую при $320 \pm 20^{\circ}/5-10$ мм, продукт перегоняют и получают IV, т. кип. $167^{\circ}/0,5$ мм, т. пл. 42° (из CH_3OH).

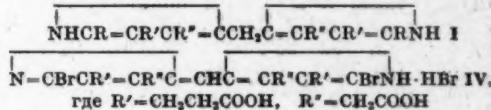
Д. Витковский

4590. Металлирование тиантрен-5,5-диоксида *n*-бутиллитием и фениллитием и расщепление тиантрен-5,5,10-триоксида *n*-бутиллитием. Гилман, Сваямпати (Metalation of thianthrene-5-dioxide by *n*-butyllithium and by phenyllithium and cleavage of thianthrene-5,5,10-trioxide by *n*-butyllithium. Gilman Henry, Swayampati Dhairyasheel R.), J. Amer. Chem. Soc., 1957, 79, № 1, 208-212 (англ.)

Исследованы р-ции тиантрен-5,5-диоксида (I) с *n*-бутиллитием (II) или фениллитием (III) и тиантрен-5,5,10-триоксида (IV) или тиантрен-5,10-диоксида (V) с II. При взаимодействии I и II при -70° и последующем карбоксилировании продукта получен с 41%-ным выходом 4-карбокситиантрен-5,5-диоксид (VI); при т-ре -70° до $+25^{\circ}$ — смесь VI и 4,6-дикарбокситиантрен-5,5-диоксида (VII), образующегося также с 54%-ным выходом при р-ции I с III при 20° ; при всех р-циях I и II значительная часть I возвращается неизменной. Строение VI подтверждено его окислением в 1-карбокситиантрен-5,5,10,10-тетраоксид (VIII) (полученный также окислением H_2O_2 тиантренкарбонной-1 к-ты (IX)) и аналогией с образованием 1-аминоттиантрена (X) при р-ции продукта металлирования тиантрена III (являющегося, очевидно, 1-тиантрениллитием (XI)) с NH_2OCH_3 ; строение VII — данными ИК-спектра. Р-ция IV и I при -70° сопровождается отщеплением сульфоксидной группы, поэтому после карбоксилирования продукта получают 2,2'-дикарбоксидифенилсульфон (XII) и дибензотиофен-5,5-диоксид (XIII), являющийся, очевидно, продуктом циклизации XII. Предположен ионный механизм этой р-ции. При р-ции V с II большая часть V возвращается неизменной, и в результате карбоксилирования получается немного неустойчивого некристаллизующегося в-ва. Для сравнения с VIII из эфирных р-ров 0,02 молей 2-бромтиантрена и II при -70° получен 2-тиантрениллитий, карбоксилированный в тиантренкарбонную-2 к-ту, выход 70%, т. пл. $227-228^{\circ}$ (из CH_3COOH), окисленную (см. VIII) 30%-ной H_2O_2 в 2-карбокситиантрен-5,5,10,10-тетроксид, выход 87%, т. пл. $302-303^{\circ}$. X превращен диазотетом в 1-хлортиантрен (XIV), окисленный 30%-ной H_2O_2 в 1-хлортиантрен-5,5,10,10-тетроксид, выход 65%, т. пл. 242° (из CH_3COOH). Взаимодействием XI с три-*n*-бутиловым эфиром борной к-ты (XV) или трифенилхлорсиланом (XVI) синтезированы тиантреборная-1 к-та (XVII) и тиантренил-1-трифенилсилан (XVIII). К взвеси 0,04 моля I в 0,2 л эфира приливают (0° , 15 мин.) эфирный р-р 0,044 моля II, оставляют на 2 часа при 0° , размешивают 30 мин. без охлаждения, приливают к взвеси CO_2 в эфире, испаряют CO_2 , отгоняют эфир, остаток обрабатывают водой, отделяют I, выход 37%, фильтрат подкисляют 10%-ной HCl и кристаллизацией из CH_3OH разделяют продукт на VI,

выход 21,7%, т. пл. $255-256^{\circ}$ (из водн. ацетона), и VII, выход 2%, т. пл. 364° (разл.); при -40° выход VII составляет 12%, при 20° 22,7%. Аналогично из 0,2 моля тиантрена (XIX) и 0,3 моля II (40 час., 20°) получают IX, выход 28%, т. пл. $224-225^{\circ}$ (из бэл.). К горячему р-ру 5 ммоль VI в 20 мл CH_3COOH приливают 9 г 30%-ной H_2O_2 в 10 мл CH_3COOH , смесь кипятят 2 часа и выделяют VIII, выход 99%, т. пл. $307-308^{\circ}$. К р-ру XI (из 0,2 моля XIX и 0,4 моля II) приливают (15 мин., $0-15^{\circ}$) р-р 0,2 моля NH_2OCH_3 в 60 мл эфира, размешивают 1 час, подкисляют разб. HCl в эфирный р-р пропускают HCl и отделяют хлоргидрат X, выход 23 г, т. пл. 231° (разл.); X т. пл. $120-121^{\circ}$ (из 70%-ного сп.). К 0,1 моля IV в 0,2 л эфира добавляют при -70° 0,3 моля II в 0,3 л эфира, размешивают 3 часа, продукт карбоксилируют, испаряют CO_2 , приливают воду, из органич. слоя выделяют XIII, выход 5%, т. пл. 234° , водн. слой подкисляют 10%-ной HCl и отделяют XII, выход 17%, т. пл. $220-221^{\circ}$ (из CH_3COOH). К взвеси 0,03 моля X в 7,5 мл HCl и 15 мл воды приливают при $0-5^{\circ}$ 2,1 NaNO_2 в 10 мл воды, затем р-р Cu_2Cl_2 , смесь нагревают 30 мин. при 100° , продукт возгоняют и получают XIV, выход 18,6%, т. пл. $85-85,5^{\circ}$ (из CH_3OH). К р-ру 0,25 моля XV в 0,2 л эфира приливают при -70° р-р XI (из 0,25 моля XIX), размешивают 6 час. при -70° , подкисляют при 20° 10%-ной H_2SO_4 , эфирный р-р извлекают 10%-ным р-ром NaOH , который подкисляют и получают XVII, выход 22,2%, т. пл. $147-148^{\circ}$ (из бэл.). Р-р XI (из 0,2 моля XIX) и 0,23 моля XVI в 0,7 л эфира размешивают 48 час. при 20° и получают XVIII, выход 9,5%, т. пл. $190-191,5^{\circ}$ (из бэл. или килола). Д. Витковский 4591. Дипирролиметаны. Мак-Дональд (Dipyrrylmethanes. MacDonald S. F.), J. Amer. Chem. Soc., 1957, 79, № 10, 2659 (англ.)

С целью получения возможных промежуточных в-в для биосинтеза порфиринов дипирролиметан (I $\text{R} = \text{COOH}$) с 10%-ным NaOH превращен при нагревании (170° , 4 часа) в I ($\text{R} = \text{H}$), выход 80%, т. пл. 199° (разл.), который с CH_2N_2 образует тетраметилловый эфир (II), т. пл. 105° . II при р-ции с HCN и HCl дает тетраметилловый эфир I ($\text{R} = \text{CHO}$) (III), выход 80%, т. пл. 203° . Уропорфинин (IV) получен из I ($\text{R} = \text{H}$) с HCOOH в $\text{HBr}-\text{CH}_3\text{COOH}$ при 100° (выход $\sim 20\%$;



метилловый эфир, т. пл. $\sim 310^{\circ}$, расщепляется в метилловый эфир копропорфинина IV, т. пл. $284-286^{\circ}$) и также из II с III действием р-ра HBr в CH_3OH при 20° и последующим нагреванием с водн. NaOH (выход $\sim 25\%$). При этих условиях ни II, ни III отдельно не дают порфирина. I ($\text{R} = \text{H}$) был получен также из IV и амальгамы Na.

Б. Дубинин 4592. Синтез 3,4-диметилспиробипирролидиниевых солей циклизацией пирролидинаalkanолов. Мак-Касленд, Просков (Synthesis of 3,4-dimethylspirobipyrrolidinium salts by cyclization of pyrrolidinealkanols. McCasland G. E., Proskow Stephen), J. Organ. Chem., 1957, 22, № 2, 422-426 (англ.)

Конденсацией янтарного ангидрида (I) или 2,3-диметил-I (II) с пирролидином (III) или 3,4-диметил-III (IV) синтезированы 4-оксо-4-(пирролидил-1')-малеиновая к-та (V) и ее гомологи. Восстановлением их метиловых эфиров получены 4-(пирролидил-1')-бутанол (VI) и его диметил- или тетраметилпроизводные, карбинольная группа которых превращена затем в CH_2Br -группу. Циклизацией бромпроизводных полу-

ченны спиробипирролидиниевые соли (VII). К р-ру 25 г I в 200 мл абс. эфира прибавляют при размешивании 17,8 г III в 50 мл эфира и кипятят 1 час; получают V, выход 60%, т. пл. 106,5—108° (из этилацетата; здесь и далее т-ры плавления исправлены, по Кофлеру). Из 26,3 г V действием CH_2N_2 получен метиловый эфир (VIII), выход 17,5 г, т. кип. 161°/8 мм, d_{20} 1,120, n_D^{20} 1,4798. Смесь 8 г LiAlH_4 и 150 мл абс. эфира размешивают при кипении 4 часа, прибавляют р-р 17 г VIII в 100 мл абс. эфира, кипятят 2 часа, разрушают избыток LiAlH_4 при 0°, фильтрат извлекают разб. HCl , кислоту вытяжку подщелачивают NaOH , насыщают NaCl и извлекают эфиром; получают VI, выход 81%, т. кип. 103—104°/7 мм, d_{20} 0,943, n_D^{20} 1,4705; пикрат, т. пл. 97—98° (из бутанола). Взаимодействием 0,47 г VI с 0,92 г $(\text{C}_6\text{H}_5)_3\text{CHCl}$ в 5 мл сухого пиридина получен хлоргидрат 1-(4-трифенилметоксипутил)-пирролидина, т. пл. 194,6—195,5° (из бэл.). Смесь 1,9 г IVa и 4,7 мл HBr (к-ты), насыщ. при 0°, нагревают 3 часа при 150° в запаянной трубке; получают бромгидрат 1-(4-бромбутил)-пирролидин (IX), выход 3,8 г (неочищ.); хлороплатинат, т. пл. 132,5—135° (из воды). Р-р 0,8 г IX в 41 мл 0,069 M р-ра NaOH нагревают 30 мин. при 90—100° и обрабатывают, как указано в аналогичных случаях (см. Вег., 1924, 57, 187); получают VIIa ($\text{R} = \text{R}' = \text{H}$), выход 97%; пикрат, т. пл. 259—261°. Аналогично осуществлены синтез мезо-цис-VII ($\text{R} = \text{CH}_3$, $\text{R}' = \text{H}$) (VIIb) (из мезо-II и VI), выход 45%, т. пл. 294—298° (разл.; из ацетона); пикрат, т. пл. 124—125,5°; хлораурат, т. пл. 68—69°, из сп.), через промежуточные продукты *dl*-эритро-2,3-диметил-V, выход 99% (неочищ.), т. пл. 132—134° (из этилацетата-бэл.); метиловый эфир, выход 90%, т. кип. 123—124°/1 мм, d_{20} 1,060, n_D^{20} 1,4728; *dl*-эритро-2,3-диметил-VI, выход 78%, т. кип. 81—83°/0,8 мм, d_{20} 0,923, n_D^{20} 1,4679; пикрат, т. пл. 71,5—75°; тритильное производное, т. пл. 169—173°, *dl*-эритро-2,3-диметил-IX, выход 57%, т. пл. 138—144° (из 4-метилпентанола-2 (X)); хлораурат, т. пл. 79,5—82° (из сп.), и синтез *dl*-транс-VII ($\text{R} = \text{CH}_3$, $\text{R}' = \text{H}$) (VIIa) (из рацемических II и III), выход 63%, т. пл. 261—265; хлораурат, т. пл. 97—98° (из сп.), через промежуточные продукты *dl*-трео-2,3-диметил-V, выход 70%, т. пл. 104—107° (из этилацетата); метиловый эфир, выход 83%, т. кип. 174—175°/12 мм, d_{20} 1,058, n_D^{20} 1,4724; *dl*-трео-2,3-диметил-VI, выход 79%, т. кип. 134—135°/12 мм, d_{20} 0,929, n_D^{20} 1,4712; пикрат, т. пл. 83—88°; тритильное производное, т. пл. 130—148; *dl*-трео-2,3-диметил-IX, выход 36%, т. пл. 130—137° (из X); хлораурат, т. пл. 97—99° (из сп.). Синтез VIIa, VIIb и VIIв осуществлен также конденсацией III с 1,4-дибромбутаном, мезо-1,4-дибром-2,3-диметилбутаном и *dl*-1,4-дибром-2,3-диметилбутаном, выходы равны соответственно 49, 76 и 68%. Конденсацией мезо-II и *dl*-IV получена смесь диастереоизомеров 2,3-диметил-4-оксо-4-(3',4'-диметилпирролидил-1')-масляной к-ты (XI), вероятно, *dl*-(2,3,3')- и *dl*-(2,3,4')-диастереоизомеров, т. пл. 142—147° (из бэл.). Аналогично из *dl*-II и *dl*-IV получена смесь диастереомеров XI, выход 97%, т. пл. 92—105° (из CHCl_3), из которой с CH_2N_2 получена смесь диастереомерных метиловых эфиров, выход 85%, т. кип. 133—135°/2 мм, d_{20} 1,033, n_D^{20} 1,4651; последняя действием LiAlH_4 превращена в смесь диастереомеров 2,3-диметил-4-(3',4'-диметилпирролидил-1')-бутанола-1 (XII), выход 87%, т. кип. 101—102°/2 мм; пикрат т. пл. 115—117° (из бэл.). Из пикрата регенерирован, по-видимому, один из диастереомеров XII, выход 74%, т. кип. 110—112°/4 мм, d_{20} 0,905, n_D^{20} 1,4595, из которого, как описано выше, получен чистый *dl*-(2,3')-диастереомер бромгидрата 1-бром-2,3-диметил-4-(3',4'-диметилпирролидил-1')-бутана, т. пл. 152—165° (из X), превращенный далее в *dl*-транс-транс-VII ($\text{R} = \text{R}' = \text{CH}_3$), т. пл. 318° (разл.; из

бутанола); пикрат, т. пл. 130—135,5° (из разб. сп.). Аналогично из рацемического II и (+)IV получены (+)-XI, $[\alpha]_D^{25} + 16,3^\circ$ (с 1; в эфире), ее метиловый эфир, $[\alpha]_D^{25} + 8,7^\circ$ (с 1; в эфире), и (+)-XII, $[\alpha]_D^{25} + 5,7^\circ$ (с 1; в бэл.); пикрат, т. пл. 114,5—117° (из бэл.).

B. Потапов

4593. Реакция замещенных индолов с метилвинилкетонами. Новый синтез 2-метилкарбазола. Шмункевич (The reaction of substituted indoles with methyl vinyl ketone. New synthesis of 2-methylcarbazole. Szמושzkowicz J.), J. Amer. Chem. Soc., 1957, 79, № 11, 2819—2821 (англ.)

Индол (I), 2-метил-I (Ia) и 3-метил-I (Ib) реагируют с метилвинилкетонами (II) в $\text{CH}_3\text{COOH} + (\text{CH}_3\text{CO})_2\text{O}$ с образованием 1-(индолил-3)-(III), 1-(2-метилиндолил-3)-(IIIa) и 1-(3-метилиндолил-2)-бутанола-3 (IIIb) соответственно. С худшим выходом I и Ia реагируют в отсутствие р-рителей. При нагревании Ia с II в присутствии гидрохинона (280°) с выходом 10% образуется 2-метилкарбазол (IV). Из III через оксим приготовлен 3-(индолил-3)-1-метилпропиламин (V). Приведены данные ИК-спектры III, IIIa, б и IV. К р-ру 0,02 моля I в 12 мл лед. CH_3COOH и 4 мл $(\text{CH}_3\text{CO})_2\text{O}$ прибавляют 0,06 моля II, через 5 мин. нагревают (~100°, 25 мин.), охлаждают, добавляют 100 мл воды и через несколько минут отделяют III, выход 75%, т. пл. 93—94° (из бэл.-петр. эф.). Из 1 г III, 10 мл спирта, 2 г $\text{NH}_4\text{OH} \cdot \text{HCl}$ и 3 г безводн. CH_3COONa в 10 мл воды (нагревание 15 мин.) через 45 мин. выделяют водой оксим III, выход 97%, т. пл. 89—111° (из бэл.-петр. эф.), который при восстановлении LiAlH_4 в эфире (прибавление при 0° и кипячение 2 часа) дает V, выход 95%, светл.-желтое масло. К р-ру 0,253 г V в 1,45 мл 1 н. H_2SO_4 + 4 мл воды прибавляют 0,21 г сульфата креатинина, нагревают до ~60°, добавляют 45 мл ацетона и через 2 часа отделяют комплекс $\text{C}_{16}\text{H}_{25}\text{N}_5\text{O}_6\text{S} \cdot 1,5\text{H}_2\text{O}$, выход 80%, т. пл. 153—156° (из теплой воды) + ацетон). 6,6 г Ia, 4,2 г II и 0,3 г гидрохинона (155—160° 1,5 часа и 280—290° 20,5 часа) дают IV, выход 10,5%, т. пл. 261,5—262,5° (из бэл.). Аналогично III из Ia получают IIIa, выход 84,6%, т. кип. 185°/0,05 мм, $n_D^{27,5}$ 1,5835. Из 10 г Ib получают 2,76 г IIIb, т. кип. 170—175°/0,05 мм (очищают нагреванием 0,641 г в-ва 5 мин. с р-ром 1 г KOH в 10 мл CH_3OH + 10 мл воды, выход 0,3296 г), вероятно, в-во еще содержит примесь N-ацетильного производного.

B. Дубинин

4594. Некоторые азопроизводные 9-этилкарбазола. Гилман, Ханикатт (Some azo derivatives of 9-ethylcarbazole. Gilman Henry, Honeycutt Julian B., Jr), J. Organ. Chem., 1957, 22, № 5, 562—564 (англ.)

Сочетанием солей диазония на основе 2,4-динитро-(I) и *n*-нитроанилина (II) с 9-этилкарбазолом (III) получены 3-(2,4-динитрофенилазо)-III (IV) и 3-(*n*-нитрофенилазо)-III (V) соответственно. Проведена также р-ция сочетания диазотированного 3-амино-III (VI) с фенолом (VII) и 2-нафтолом (VIII) с выделением в последнем случае 3-(2-окси-1-нафтилазо)-III (IX). Р-р диазосоли из 0,02 моля I и нитрозилсерной к-ты фильтруют в р-р 0,02 моля III в 150 мл спирта + 10 мл 10%-ного водн. р-ра NaOH , перемешивают 10 час. и выделяют IV, выход 0,7%, т. пл. 214—215° (разл., из лед. CH_3COOH). Р-р диазосоли из 0,01 моля II и HCl фильтруют в р-р 0,01 моля III в 50 мл лед. CH_3COOH при 14°, через 30 мин. добавляют 0,2 моля безводн. CH_3COONa , перемешивают 5 час., выход V 1,4%, т. пл. 183—184° (из лед. CH_3COOH). Р-р диазосоли из 0,01 моля VI в HCl фильтруют в р-р 0,01 моля VII, 0,072 моля NaOH и 0,036 моля безводн. Na_2CO_3 в 50 мл воды при 1°, перемешивают 6 час., подкисляют 3 н. HCl и при 0° отделяют осадок, обрабатывают его спирт. р-р углем, выливают в воду, извлекают C_6H_6 , снова обрабатывают

углем, выход 7,9%, т. пл. 130—132° (разл., из бэл.), анализ по N сильно занижен. Р-р диазосоли из 0,01 моля VI в HCl фильтруют в р-р 0,01 моля VIII, 0,072 моля NaOH и 0,036 моля безводн. Na₂CO₃ в 50 мл воды, перемешивают 6 час. при 5° и 4 часа при ~20° и после хроматографии выделяют IX, выход 19,1%, т. пл. 179—181°.

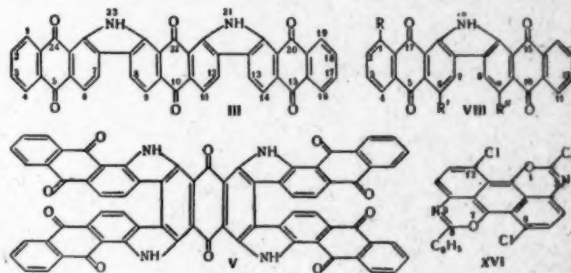
С. Гурвич
4595. Некоторые ароматические и гетероциклические производные карбазола. Гилман, Ханникатт (Some aromatic and heterocyclic derivatives of carbazole. Gilman Henry, Honeycutt Julian B., Jr), J. Organ. Chem., 1957, 22, № 2, 226—227 (англ.).

Действием на карбазол (I) галогидных соединений в присутствии безводн. K₂CO₃ и Cu-бронзы синтезированы 9-*n*-дифенил- (IIa), 9-пиридил-2'- (IIб) и 9-хинолил-2'-карбазолы (IIв), а также 4,4'-бис-(карбазолил-9)-бибензил (III) и *n*-бис-(карбазолил-9)-бензол (IV). Неудачны были попытки получить 9-(*n*-диметиламинофенил)-карбазол. Ранее описанный метод (Tucker, Stevens, J. Chem. Soc., 1923, 123, 2140) не пригоден для синтеза IIб, в. Смесь I, *n*-бромбифенила, K₂CO₃ (по 0,1 моля) и 0,2 г Cu в 250 мл лигроида (т. кип. 190—210°) кипятят 12 час. (ловушка для влаги), р-ритель отгоняют с паром, остаток экстрагируют горячим C₆H₆, остаток после отгонки C₆H₆ хроматографируют в 300 мл смеси C₆H₆-петр. эфира (2:1) на Al₂O₃, вымывают C₆H₆-петр. эфиром (1:1), главную фракцию (т. пл. 81—165°) экстрагируют спиртом, в остатке IIа, выход 10%, т. пл. 224—226° (из петр. эф.-бэл.). 0,0598 моля I, 0,025 моля *n*-дийодбензола, 0,1 моля K₂CO₃, 1 г Cu в 200 мл лигроида кипятят 24 часа, отгоняют с паром, из остатка горячим C₆H₆ экстрагируют IV, выход 39%, т. пл. 320—322° (из маточного р-ра выделяют еще 15% IV). Аналогично из 0,11 моля I, 0,05 моля 4,4'-дибромбифенила, 0,11 моля K₂CO₃, 1 г Cu и 2,7 г J₂ в 250 мл нитробензола (кипение 24 часа) получают III, выход 13%, т. пл. 282,5—284° (из бэл. и экстракция горячим сп.). Также из 0,05 моля I, 2-бромпиридина, K₂CO₃ (по 0,075 моля), 1 г Cu и 1,9 г J₂ в 200 мл лигроида (кипение 24 часа) выделяют IIб, выход 13%, т. пл. 93—95° (из сп. и затем петр. эф.). Смесь 0,1 моля I, 2-хлорхинолина, K₂CO₃, J₂ (по 0,015 моля) и 2 г Cu кипятят 48 час., экстрагируют горячим C₆H₆, упаривают, р-р остатка в горячем спирте охлаждают и сливают со смолы в равный объем воды и получают IIв, выход 10%, т. пл. 93—94° (из петр. эф.). Сняты ИК-спектры полученных в-в. Б. Дубинин

4596. Циклизация 1,8-ди- и 1,4,5,8-тетра-(α -антрахинониламином)-антрахинона с образованием производных карбазола. Брэдли, Пандит (The cyclisation of 1:8-di- and 1:4:5:8-tetra-(α -anthraquinonylamino) anthraquinone to derivatives of carbazole. Bradley William, Pandit P. N.), J. Chem. Soc., 1957, Febr., 819—826 (англ.).

В продолжение опубликованной ранее работы (РЖ-Хим., 1956, 43170) нагреванием с TiCl₄ подвергнут циклизации 1,8-ди-(α -антрахинониламином)-антрахинон (I, II — антрахинон). Продуктом р-ции является 21,23-дигидробиснафто-[2',3',6,7]-индоло-[2,3-а,2',3'-j]-антрацен-трихинон-5,10,15,20,22,24 (III); замыкание легче протекает при применении AlCl₃. Аналогично из 9,11-ди-(α -антрахинониламином)-производного III (IV) получено в-во, которому приписано строение тетракарбазолпентахинона (V). 28 г 1-хлор-8-нитро-II, 22 г амино-II, 6 г Na₂CO₃ и 1 г Cu-бронзы кипятят 12 час. в 500 мл C₆H₅NO₂ (VI) и получают 8-нитро-1,1'-диантрахинониламидин, выход 28 г (неочищ.). 8 г последнего кипятят 2,5 часа с 40 мл TiCl₄ в 150 мл о-Cl₂C₆H₄ (VII), продукт р-ции (10,2 г) нагревают 1 час с 10 г CrO₃ в 150 мл CH₃COOH и получают замещ. динафто-[2,3-а,2',3'-j]-карбазолдихион-5,10,15,17 (VIII, R = NO₂, R' =

= R'' = H) (VIIIa). 2,2 г VIIIa кипятят 4 часа с 8 г Na₂S · 9H₂O в 10 мл воды и 50 мл спирта; выход VIII (R = NH₂, R' = R'' = H) (VIIIб) 1,5 г. Для дезаминирования VIIIб к р-ру 0,5 г этого в-ва в 10 мл конц. H₂SO₄ прибавляют при 0° за 30 мин. 0,25 г NaNO₂, через 4 часа выливают на лед, выделившуюся соль диазона размешивают 3 часа при 0° с 70 мл 30%-ной H₃PO₄ и отделяют VIII (R = R' = R'' = H) (VIIIв) выход 0,4 г; VIIIв получают также при циклизации ди- α -антрахинониламида действием AlCl₃. 0,5 г VIIIб, 0,3 г 1-хлор-II, 0,1 г Na₂CO₃ и небольшое кол-во Cu-бронзы кипятят 20 час. в 6 мл VI и осадок VIII (R = α -антрахинониламином, R' = R'' = H) (VIIIг) кристаллизуют на Cl₂C₆H₃, 0,05 г VIIIг и 4 мл TiCl₄ кипятят 3 часа в 15 мл VII, осадок нагревают 6 час. при 70° с щел. р-ром NaOCl и получают III. 27,7 г 1,8-дихлор-II, 45 г 1-амино-II, 12 г Na₂CO₃ и 2 г Cu-бронзы кипятят 36 час. в 500 мл VI; выход I 55 г. 2 г I нагревают 15 мин. при 260° с 18 г AlCl₃ и плав обрабатывают кипящей разб. HCl; полученный III кристаллизуют из VI. 7 г 1,4,5,8-тетраамино-II, 30 г 1-хлор-II, 5 г CuCl и 24 г CH₃COOK кипятят 24 часа в 600 мл VI и получают 1,4,5,8-тетра-(α -антрахинониламином)-II (IX), выход 5,2 г (неочищ.).



IX получают также при кипячении 8,3 г 1,4,5,8-тетрахлор-II, 25 г 1-амино-II, 7 г Na₂CO₃ и 0,5 г Cu-бронзы в 600 мл VI, выход 20,7 г (неочищ.). Через смесь 40 г 1,8-дибензамидо-II, 20 г CH₃COONa, 320 мл (CH₃CO)₂O и 350 мл VI при 120—130° пропускают 6 час. ток сухого Cl₂ и отделяют 1,8-дибензамидо-4,5-дихлор-II (X), выход 35,5 г (неочищ.), т. пл. 335° (из VII). После упаривания маточного р-ра от X выделяют 6 г неочищ. 1,8-дибензамидо-2,5-дихлор-II (XI), т. пл. 295° (из C₆H₅Cl). 10,2 г X гидролизуют нагреванием на водяной бане (4 часа) с 100 мл конц. H₂SO₄ и выливают в ледяную воду; выход 1,8-диамино-4,5-дихлор-II (Xa) 6 г (неочищ.), т. пл. 314° (из VII). 3 г XI нагревают 12 час. на водяной бане с 10 мл конц. H₂SO₄; выход 1,8-диамино-2,5-дихлор-II (XIa) 1,7 г, т. пл. 222° (из VII, с последующим хроматографированием на Al₂O₃). При дезаминировании Xa и XIa в условиях, аналогичных указанным для VIIIб, образуются соответственно 1,8-дихлор-II, т. пл. 202° (из CH₃COOH), и 1,6-дихлор-II, т. пл. 204,5° (из CH₃COOH). 24 г X, 24 г 1-амино-II, 18 г Na₂CO₃ и 5 г Cu-бронзы кипятят 24 часа в 400 мл VI и получают 32,5 г неочищ. 1,8-ди-(α -антрахинониламином)-4,5-дибензамидо-II (XII). 10 г XII нагревают (2,5 часа, 150—160°) с 30 г AlCl₃ в 75 мл пиридина, прибавляют к смеси 600 мл воды и 100 мл конц. HCl и отфильтровывают выделяющееся 9,11-дибензамидо-производное III. 15 г этого производного растворяют в 100 мл конц. H₂SO₄, нагревают 12 час. на водяной бане, выливают в воду и отфильтровывают 9,11-диаминопроизводное III (XIII), выход 11,5 г; XIII может быть очищен переосаждением водой из его р-ров в конц. H₂SO₄. При дезаминировании 1,5 г XIII в условиях, аналогичных указанным для VIIIб, получено 1,3 г III, 1 г XIII, 1 г 1-хлор-II, 0,2 г CH₃COOK, 0,1 г Cu-бронзы, 0,1 г (CH₃COO)₂Cu и 30 мл VI нагревают 24 часа

при 170—230° и 24 часа при 230°; выход IV 0,9 г. 0,5 г IV кипятят 2 часа с 5 мл TiCl_4 в 20 мл VII и отфильтровывают образовавшийся V. 16 г 4,5-ди-(α -антрахинониламино)-1,8-дибензамидо-II размешивают 12 час. с 100 мл конц. H_2SO_4 , разбавляют 35 мл воды, перемешивают еще 12 час., отфильтровывают выделившийся сульфат, нейтрализуют разб. NH_4OH и получают 8,4 г (неочищ.) 1,8-диамино-4,5-ди-(α -антрахинониламино)-II (XIV). При дезаминировании 1,5 г XIV в условиях, аналогичных указанным для VIIIb, получено 1,3 г I. 1,2 г XIV, 1,2 г 1-хлор-II, 0,2 г Na_2CO_3 , 0,1 г Cu-бронзы и 100 мл VI кипятят 48 час., отгоняют VI с паром, остаток кипятят с разб. HCl , непрореагировавшие исходные извлекают $1,2,4\text{-Cl}_3\text{C}_6\text{H}_3$ и получают IX. В смесь 6 г 1,5-дибензамидо-II, 3 г CH_3COONa , 50 мл CH_3COOH и 100 мл VI при 150° пропускают 3,5 часа ток сухого Cl_2 ; по охлаждению выделяется 1,5-дибензамидо-4,8-дихлор-II (XV), выход 5,5 г, т. пл. 340° (из VII). При кипячении (12 час.) 1 г XV с 50 мл 20%-ного спирт. р-ра KOH образуется 1,5-диамино-4,8-дихлор-II, т. пл. 305° (из VII). Попытка гидролизовать XV (2,5 г) действием конц. H_2SO_4 (15 мл) при ~20° (2 часа) привела к отщеплению воды и образованию соединения (XVI), которому авторы приписывают строение 6,12-дихлор-2,8-дифенилантра-9,1-d',e', 10,5-ed'-ди-м-оксазина; XVI выделен из реакционного р-ра выливанием в воду, т. пл. >400° (из $1,2,4\text{-Cl}_3\text{C}_6\text{H}_3$). Конденсацией 4 г XV с 3,7 г 1-амино-II в присутствии 1 г Na_2CO_3 и 0,5 г Cu-бронзы при кипячении (18 час.) в 50 мл VI синтезирован 1,5-ди-(α -антрахинониламино)-4,8-дибензамидо-II, выход 6 г. Это в-во при нагревании с AlCl_3 в пиридине (140°, 1 час) остается неизменным; при нагревании с конц. H_2SO_4 на водяной бане (6 час.) превращается в 1,5-диамино-4,8-ди-(α -антрахинониламино)-II, который дезаминируется в условиях, аналогичных указанным для VIIIb, с образованием 1,5-ди-(α -антрахинониламино)-II. 3,1 г 1,4-диамино-2,3-дихлор-II (т. пл. 296°), 4,9 г 1-хлор-II, 1,1 г Na_2CO_3 , 0,2 г Cu-бронзы и 50 мл VI кипятят 18 час., осадок (3,8 г) растворяют в конц. H_2SO_4 , постепенно прибавляют воду, перемешивают 12 час. и отфильтровывают выделившийся 1,4-ди-(α -антрахинониламино)-2-хлор-3-окси-II (XVII). 5 г XVII осторожно нагревают с 12 мл TiCl_4 в 120 мл VII и после того как затихнет бурная р-ция, происходящая при т-ре кипения, нагревают еще 3 часа; получают VIII ($\text{R} = \text{R}' = \text{H}$, $\text{R}'' = \text{Cl}$), выход 5,2 г. Сходным образом из 5 г 4,4'-динитро-1,1'-диантрахинониламины синтезируют VIII ($\text{R} = \text{H}$, $\text{R}' = \text{R}'' = \text{Cl}$), выход 4,2 г. Приведены положения полос в видимом и УФ-спектрах соединений I, III и VIIIb.

Г. Браз

4597. Синтез производных пиперидина. Сугасава, Дэгутти (二, 三のビペリジン誘導体の合成. 菅澤重彦, 出口義雄), 藥學雜誌, Якутаку дзасси, J. Pharmas. Soc. Japan, 1956, 76, № 8, 968—970 (японск.)

Хлорметилаты амидов никотиновой и изоникотиновой к-т гидрируют над Pt из PtO_2 . Полученные амиды 1-метилпиперидинкарбоновых к-т (AK) нагревают с $(\text{CH}_3\text{CO})_2\text{O}$, получают нитрилы, которые восстанавливают посредством LiAlH_4 в аминометил-1-метилпиперидины (АП). При действии на АП диметил- и диэтилкарбамилхлоридов (I и II) получают 1-метил-3-диалкилуреидометилпиперидины (III) и 1-метил-3-диалкилуреидометилпиперидины (IV) $\text{C}_8\text{H}_{15}\text{ON}_2\text{R}_2$. Расщепление AK по Гофману дает 1-метил-3 или 4-аминометилпиперидины (AM), которые с I и II дают 1-метил-3- или 4-диалкилуреидометилпиперидины (V и VI) $\text{C}_7\text{H}_{13}\text{ON}_2\text{R}_2$. К р-ру 1 моля АП или AM в эфире за 1 час при 0—20° добавляют 2 моля I или II и кипятят 10 час. Получают III, $\text{R} = \text{CH}_3$, т. пл. 66—69°, $\text{R} = \text{C}_2\text{H}_5$, масло; IV, $\text{R} = \text{CH}_3$, т. пл. 40—44°; хлоргидрат, т. пл. 230°, $\text{R} = \text{C}_2\text{H}_5$, т. пл. 66—68°; V, $\text{R} = \text{CH}_3$, т. пл. 110—112°, $\text{R} = \text{C}_2\text{H}_5$, масло; пикролат,

т. пл. 195—197° (из эф.); VI, $\text{R} = \text{CH}_3$, т. пл. 136—138°, $\text{R} = \text{C}_2\text{H}_5$, 89—90°. Н. Швецов

4598. Получение некоторых винилпиперидинов. Коэн, Минск (The preparation of some vinylpiperidines. Cohen H. L., Minsk L. M.), J. Amer. Chem. Soc., 1957, 79, № 7, 1759—1762 (англ.)

Описан синтез 2-винилпиперидина (I) и N-метил-I (II) по схемам: 1) 2-винилпиридин (III) + $(\text{CH}_3)_2\text{NH} \rightarrow 2$ -(β -диметиламиноэтил)-пиридин (IV) $\rightarrow 2$ -(β -диметиламиноэтил)-пиперидин (V) \rightarrow N-ацетил-V (VI) \rightarrow йодметилат VI (VII) \rightarrow [хлоргидрат хлористого β -пиперидил-(2)-этилтриметиламмония (VIII)] \rightarrow I-II или 2) 2-(β -хлорэтил)-пиперидин (IX) + $(\text{CH}_3)_3\text{N} \rightarrow$ (VIII) \rightarrow I-II. Аналогично синтезированы 4-винилпиперидин (X) и 1-метил-X (XI). Винилпиперидины не подвергаются полимеризации даже под влиянием катализаторов (перекиси бензоила, азобисобутиронитрила, BF_3 , H_2SO_4 , окислительно-восстановительной системы персульфат — бисульфит). Смесь 0,62 моля III, 1 г гидрохинона и 100 г безводн. $(\text{CH}_3)_2\text{NH}$ нагревают в бомбе 18 час. при 140—150°; получают IV, выход 68%, т. кип. 104—105°/20 мм; монопикрат, т. пл. 84,5—85° (из бзл.-эф.); дипикрат, т. пл. 184—185° (из диоксана). Аналогично из 4-винилпиридина получают 4-(β -диметиламиноэтил)-пиридин (XII), выход 83%, т. кип. 108—109,5°/14 мм; монопикрат, т. пл. 105,5—106° (из сп.); дипикрат, т. пл. 159—160° (из диоксана). Смесь 0,12 моля XII и 150 мл лед. CH_3COOH гидрируют над 1 г Pt (PtO_2) при 60° 3 часа; получают 4-(β -диметиламиноэтил)-пиперидин (XIII), выход 66%, т. кип. 103—104°/17 мм; дипикрат, т. пл. 188—189° (из сп.). Аналогично из IV получен V, выход 70%, т. кип. 80—81°/9 мм; дипикрат, т. пл. 175—175,5° (из диоксана). Смесь 0,1 моля хлоргидрата IX, 0,5 моля безводн. $(\text{CH}_3)_2\text{NH}$ и 60 мл абс. спирта нагревают в трубке 12 часа. при 120—130°, отделяют $(\text{CH}_3)_2\text{NH} \cdot \text{HCl}$, фильтрат упаривают в вакууме, остаток растворяют в 25 мл воды, обрабатывают при <10° 20 мл 50%-ного NaOH и извлекают эфиром; получают V, выход 54%. Р-р 1,4 моля $(\text{CH}_3\text{CO})_2\text{O}$ в 350 мл эфира прибавляют за 0,5 часа к р-ру 0,7 моля V в 1 л эфира, кипятят 1 час, упаривают, остаток растворяют в воде, обрабатывают безводн. K_2CO_3 и извлекают диоксаном; получают VI, выход 72%, т. кип. 91—92°/0,1 мм; пикрат, т. пл. 162—163 (из сп.). Аналогично из XIII получают 1-ацетил-XIII (XIV), выход 85%, т. кип. 131,5—131,7°/1 мм; пикрат, т. пл. 114—116° (из сп.). К р-ру 0,5 моля VI в 500 мл ацетона прибавляют при охлаждении и размешивании р-р 1 моля CH_3J в 350 мл ацетона и оставляют на ~12 час; получают VII, выход 100%, т. пл. >250°. Аналогично получают йодметилат XIV, выход 95%. Р-р 0,2 моля VII в 500 мл HCl (1:1) кипятят 72 часа, упаривают в вакууме, остаток растворяют в 100 мл воды и обрабатывают суспензией Ag_2O (из 120 г AgNO_3) в 750 мл воды, размешивают 1 час, фильтруют и фильтрат отгоняют досуха. Первые 750 мл дистиллята отбрасывают, остальное насыщают K_2CO_3 и извлекают эфиром (50 мл \times 3); получают I, выход 55%, т. кип. 141—142°, 68—69°/58 мм, 54°/25 мм, 47°/17 мм, n_D^{25} 1,4639; пикрат, т. пл. 142,5—143,5° (из бзл. и из сп.). Аналогично получают X, выход 45%, т. кип. 75,5—76,1°/54 мм, 54,5—55°/18 мм, n_D^{25} 1,4674; пикрат, т. пл. 136,5—137,5° (из сп.). Смесь 0,15 моля хлоргидрата IX, 0,84 моля безводн. $(\text{CH}_3)_3\text{N}$ и 100 мл абс. CH_3OH нагревают в бомбе 12 час. при 125°, упаривают в вакууме, остаток растворяют в 50 мл воды, обрабатывают Ag_2O (из 100 г AgNO_3), фильтрат после отделения Ag-солей перегоняют и из дистиллята описанным выше образом выделяют I, выход 20%. Аналогично получают X, выход 35%. Смесь 0,2 моля I, 0,5 моля 90%-ной HCOOH и 26 г 37%-ного формалина нагревают 8 час. при ~100°, прибавляют по охлаждению 40 мл 6 н. HCl, упаривают в

вакууме, остаток обрабатывают при $<30^\circ$ 20 мл 50%-ного NaOH и извлекают эфиром; получают II, выход 14 г, т. кип. $59-59,6^\circ/40$ мм; пикрат, т. пл. $150-151^\circ$ (из сп.). Аналогично получают XI, выход 60%, т. кип. $62-62,2^\circ/40$ мм; пикрат, т. пл. $143-144^\circ$ (из сп.). Л. Яхонтов

4599. О некоторых N-замещенных 4-этилпиперидинолах-4. Да-Ре (Su alcuni 4-etinil-piperidin-4-oli-N-sostituiti. Da Re P.), Farmaco. Ed. scient., 1957, 12, № 1, 34-40 (итал.; рез. англ.)

Присоединением ацетиленов к соответствующим N-алкилпиперидинам получают ряд N-алкил-4-этилпиперидинов-4 (I), которые при испытании на крысах оказались практически лишенными анальгетич. активности. К 40 г порошка КОН в 300 мл эфира при -10° и при одновременном пропускании C_2H_2 1,5 часа добавляют 20 г N-бутилпиперидона-4, пропускание C_2H_2 продолжают еще 2,5 часа, через 12 час. выделяют 12,8 г I (алкил — C_4H_9), т. кип. $100^\circ/2$ мм; хлоргидрат, т. пл. $174-175^\circ$. Аналогично получают I (приведены алкил, выход I в г на 1 г исходного в-ва, т. кип. в $^\circ C/мм$, т. пл. I и т. пл. в $^\circ C$ хлоргидрата): CH_3 , 6/10, —, $124-125$ (из лигр.), $197-198,5$; C_2H_5 , 9,1/15, 81-83/15, 88-90, $146,5-148,5$; C_3H_7 , 8/23, 95/2, —, 189-190; *изо*- C_3H_7 , $145/30$, 94-96/2, $105-105,5$, 181-183; $C_6H_5CH_2$, 23/25, $160-161/7$, —, $210-211,5$. 6 г I (алкил — C_2H_5) нагревают 2 часа на водяной бане с 10 мл C_5H_5N и 4 мл $(CH_3CO)_2O$, через 12 час. получают 3,9 г ацетата, т. кип. $87-90^\circ/2$ мм; хлоргидрат, т. пл. 236° . С. З.

4600. Частичное каталитическое гидрирование четвертичных солей пиридиния и изохинолиния. Шёфф, Херберт, Рауш, Шрёдер (Partielle katalytische Hydrierung von quartären Pyridinium- und Isochinolinium-Salzen. Schöpf Clemens, Herbert G., Rausch R., Schröder G.), Angew. Chem., 1957, 69, № 11, 391-392 (нем.)

Найдено, что р-ры ω -алкиламиноалериановых альдегидов (I), реагирующих в таутомерной форме N-алкил-2-оксипиперидинов (Ia) или гидроокисей N-алкилтетрагидропиридиния (Ib), получают легко и с хорошим выходом при гидрировании солей N-алкилпиридиния (II) в водн. или спирт. р-ре в присутствии 1 экв. едкой щелочи. Гидрирование проводят при $0-5^\circ$, лучше всего над скелетным Ni , и обрывают процесс после поглощения 2 молей H_2 . Наличие в полученных р-рах Ia или Ib доказано тем, что при прибавлении $CH_3COCH_2COONH_4$ или $C_6H_5COCH_2COONH_4$ в физиологических условиях образуются с выходом $\sim 60\%$ N-алкилпиперидины, содержащие в положении 2 остаток CH_3COCH_2- или же $C_6H_5COCH_2-$. При прибавлении к р-ру II (алкил — CH_3) (IIa) после гидрирования добавочного кол-ва щелочи и извлечения эфиром, вместо ожидаемого N-метилтетрагидропиридина (III) получают 3-(N-метилпиперидил-2)-N-метилтетрагидропиридин (IV), выход 70%, т. кип. $124^\circ/13$ мм. При конденсации р-ра IV в к-те с $CH_3COCH_2COONH_4$ в физиологических условиях, происходит распад IV на 2 моля Ia или Ib, у которых алкил — CH_3 , и образуется метилизохлорпирин, выход 88%. Р-р соли N-метилизохинолиния (V) при частичном гидрировании в условиях, указанных для II, после поглощения 1 моля H_2 содержит N-метил-3-оксипиридин-2,3,4-тетрагидроизохинолин (VI) или четвертичную соль N-метилдигидроизохинолиния (VIa), так как при конденсации с $C_6H_5COCH_2COONH_4$ образуется N-метил-3-фенадил-2,3,4-тетрагидроизохинолин. Следовательно, частичное гидрирование V в щел. р-ре протекает таким образом, что в находящемся в равновесии с V N-метил-1-оксипиридин-2,3,4-тетрагидроизохинолине (VII) OH-группа замещается на атом Н и VII превращается в N-метил-1,2-дигидроизохинолин, который при дальнейшей обработке р-ра образует равновесную систему VI \rightleftharpoons VIa. При гидрировании IIa в щел. р-ре в перво-

начально образующемся N-метил-2-окси-1,2-дигидропиридине OH-группа также замещается на атом Н с образованием в качестве промежуточного продукта N-метил-1,2-дигидропиридина, который гидрируется далее в III и затем превращается в Ia или Ib или IV.

Г. Браз

4601. Синтез пиридина из ацетондикарбоновой кислоты. Дашкевич Б. Н., Орбаченко Е. В., Научн. зап. Ужгородск. ун-т, 1955, 12, 28-32

Описан синтез пиридина (I) из лимонной к-ты (II). Нагреванием II с олеумом получают ацетондикарбоновую к-ту (III), выход 83%. В охлажд. конц. NH_4OH вносят III и р-р полученной NH_4 -соли III перегоняют из реторты; получают имид III (IV), выход 70%, т. пл. $93-95^\circ$ (разл.); пикрат, т. пл. $280-282^\circ$. Смесь 10,7 г IV и 15 г Zn-пыли нагревают 15 мин. при 500° в автоклаве и извлекают по охлаждению эфиром; получают I, выход 57% (на III) или 35,2% (на II). А. Травин

4602. Алкилпиридины. Расширение метода алкилирования с помощью амида натрия в жидком аммиаке. Лохт, Чивенс (Alkylpyridines. Extension of the sodamide-liquid ammonia alkylation method. Lochte H. L., Cheavens Tom H.), J. Amer. Chem. Soc., 1957, 79, № 7, 1667-1669 (англ.)

Ранее описанный метод алкилирования боковых цепей алкилпиридинов (Brown H. C., Murphy W. A., J. Amer. Chem. Soc., 1951, 73, 3308) $NaNH_2$ в жидком NH_3 распространен на метилирование (CH_3J) 2,3-, 2,4-, 2,5- и 2,6-диметилпиридинов (Ia — г). Показано, что β - CH_3 -группы в Ia и Ib менее активны, чем α - CH_3 -группы, а в Ib более активной является γ - CH_3 -группа. 3-метилпиридин (II) алкилируется C_2H_5Br с образованием 3-пропилпиридина (III) наряду с 3-(пентил-3)-пиридином. Перечисляются I, число молей I, CH_3J и $NaNH_2$, время добавления CH_3J в минутах, продукт р-ции, процент превращения, т. кип. в $^\circ C/мм$, n_D^{25} , т. пл. пикрата в $^\circ C$: а, 0,34, 0,33, 0,35, 30 (размешивание 1 час), 2-этил-3-метилпиридин, 60, 89, $5-90,0/74$, $1,5012$, $138-140$; б, 0,37, 0,66 (2 порции, через 30 мин.), 0,70, 75, 2-метил-4-(пропил-2)-пиридин, —, 98-99/40, $1,4939$, $119-121$; в, 1, 1, 1, 20, 2-метил-4-этилпиридин, 87, $178/760$, —, $140-142$; г, 0,34, 0,69 (2 порции, через 30 мин.), 0,70, 60, 2-этил-5-метилпиридин, 53, $86/40$, —, $142,5-144,0$ и вторично $149,5-150,5$; г, 0,37, 0,66 (2 порции, через 1 час), 0,70, 130, 2-этил-6-метилпиридин, 56, $77/40$, $1,4920$, $127-130$ (побочно получается 2,6-дизтилпиридин, выход 26%, т. кип. $91^\circ/40$ мм, n_D^{25} $1,4890$; пикрат, т. пл. $115-117^\circ$); II, 0,69, 0,70, (C_2H_5Br), 0,70, 45, III, 63, $94/40$, $1,4931$, $100,5-101,5$. Б. Дубинин

4603. О некоторых химических особенностях 2,6-дихлорпроизводных пиридина. Яхонтов Л. Н., Докл. АН СССР, 1957, 113, № 5, 1088-1089

3-этил-, 3-винил-, 3-(β -оксипропил)-, 3-(β -метоксиэтил)-, 3-(β -ацетоксиэтил)-, 3-(β -хлорэтил)-, 3-карбоксамид-, 3-карбамат- и 3-ацетил-4-метил-2,6-дихлорпиридин, в отличие от соответствующих им соединений, не содержащих галоида в положениях 2 и 6, не дают солей с минер. к-тами, не образуют пикратов и N-оксидов и при многочасовом кипячении в ацетоновом р-ре с CH_3J не превращаются в йодметилаты. Содержащаяся в положении 4 у названных 2,6-дихлорпроизводных пиридина CH_3 -группа не реакционноспособна. Так, эти соединения не конденсируются с альдегидами и мезоксальем эфиром и не изменяются при нагревании с SeO_2 , тогда как, напр., 3-(β -ацетоксиэтил)-4-метилпиридин при кипячении с SeO_2 в толуоле (25 мин.) окисляется в 3-(β -ацетоксиэтил)-изоникотиновую к-ту, т. пл. $155-156^\circ$ (из толуола). Далее, в то время как 4-метилникотиновая к-та при действии $SOCl_2$ превращается в хлорангидрид 4-трихлорметилникотиновой к-ты (Преображенский Н. А., Безр А. А., Ж. общ. химии, 1945, 15, 667), при р-ции I с $SOCl_2$ в тех же условиях CH_3 -груп-

па остается незатронутой и образуется только хлорангидрид I, последний действием абс. спирта превращается в этиловый эфир I, выход 91%. 2-хлор-4-метил-3-(β-хлорэтил)-пиридин способен давать хлоргидрат, устойчивый на воздухе, но легко гидролизуемый водой.

Г. Браз

4604. Третичные аминоалкилкарбинолы и родственные им соединения. Часть V. Антигистаминные препараты. Стереохимия *цис*- и *транс*-3-фенил-3-пиридилаллиламинов. Адамсон, Барретт, Биллингхерст, Джонс (Aminoalkyl tertiary carbiniols and derived products. Part V. Antihistamines. The stereochemistry of *cis*- and *trans*-3-phenyl-3-pyridylalylamines. Adamson D. W., Barrett P. A., Billinghurst J. W., Jones T. S. G.), J. Chem. Soc., 1957, May, 2315—2326 (англ.)

Показано, что при дегидратации (H_2SO_4) 1-*n*-хлорфенил-1-(2'-пиридил)-3-пирролидинопропанола-1 (I) образуется смесь *цис*- и *транс*-1-*n*-хлорфенил-1-(2'-пиридил)-3-пирролидинопропенов-1 (*цис*-II, *транс*-II) (*цис*- и *транс*- в отношении N-содержащих групп). *Транс*-II (препарат «405C49») обладает высокой антигистаминной активностью, *цис*-II почти не активен (см. Nature, 1951, 168, 204, а также часть III, J. Chem. Soc., 1950, 1039). Содержание *транс*-II в смеси возрастает с увеличением продолжительности р-ции, т-ры и конц-ии H_2SO_4 . Показано, что при нагревании *цис*-II с H_2SO_4 он переходит в *транс*-II. Оба стереоизомера при окислении (CrO_3 или $KMnO_4$) образуют 2-*n*-хлорбензоилпиридин (III), а при гидрировании — 1-*n*-хлорфенил-1-(2'-пиридил)-3-пирролидинопропан (IV), что подтверждает *цис*-*транс*-изомерию. При нагревании с $(CH_3CO)_2O$ *транс*-II не изменяется, а *цис*-II образует 3-ацетил-1-*n*-хлорфенилпирроколин (V). Конфигурации стереоизомерных II определены с помощью УФ-спектров, исходя из того, что C_6H_4N -группа и $n-ClC_6H_4$ -группа обе сразу не могут находиться в одной плоскости с $C=C$ -связью и, следовательно, в сопряжении с ней. Н-атомы $CH_2-NC_4H_8$ -группы еще увеличивают пространственные препятствия, взаимодействуя с группой, стоящей в *цис*-положении к ним. Нарушение копланарности сказывается на УФ-спектрах. Стереоизомеру, спектр которого оказался похожим на спектр винилпиридина (VI), приписана *транс*-конфигурация, а стереоизомеру, спектр которого напоминал спектр *n*-хлорстирола (VII), — *цис*-конфигурация (приведены кривые поглощения, как и в остальных случаях). Показано, что спектр монохлоргидрата (XГ) *транс*-II (в воде) не отличается от спектра *транс*-II. Это объяснено тем, что ХГ образуется за счет C_6H_4N -группы, не сопрягающейся с $C=C$ -связью. В кислом р-ре максимум (281 мμ для *транс*-II) сдвигается в сторону длинных волн, а интенсивность возрастает, что характерно и для VI. Спектры *цис*-II в щел. и кислом р-рах почти не отличаются, так как C_6H_4N -группа не участвует в сопряжении. Определена основность двух аминогрупп стереоизомерных II: для C_6H_4N -группы в *транс*-II pK $9,46 \pm 0,03$, в *цис*-II $9,51 \pm 0,07$ (25°, ионная сила 0,05); для C_6H_4N -группы в *транс*-II 3,21, в *цис*-II 2,47 (25°, ионная сила 0). Показано, что дегидратация 1-*n*-хлорфенил-1-фенил-3-пирролидинопропанола-1 (VIII) тоже приводит к смеси *цис*- и *транс*-1-*n*-хлорфенил-1-фенил-3-пирролидинопропенов-1 (*цис*-IX, *транс*-IX) (*цис*- и *транс*- в отношении $n-ClC_6H_4$ - и $C_6H_5NCH_2$ -групп). Конфигурации определены с помощью УФ-спектров (сходство со спектрами VII и стирола). Исследована также дегидратация 1-*n*-фтор-(X), 1-*n*-бром-(XI), 1-*n*-метоксифенил-1-(2'-пиридил)-3-пирролидинопропанола-1 (XII), 1-(2'-хлортиенил-5')-1-(2'-пиридил)-3-пирролидинопропанола-1 (XIII) и 1-*n*-хлорфенил-1-(2'-пиридил)-3-метилэтиламинопропанола-1 (XIV). Повторена дегидратация ряда карбинолов исследованных в III

части. Во всех случаях в стандартных условиях получены смеси соответствующих *цис*- и *транс*-пропенов-1. Конфигурации установлены с помощью УФ-спектров тем же методом, что для II. *Транс*-изомеры устойчивее *цис*-изомеров: под действием H_2SO_4 вторые превращаются в первые, под действием $(CH_3CO)_2O$ *цис*-изомеры разрушаются. Разработаны методы разделения стереоизомеров с помощью дробной кристаллизации нейтр. оксалатов (OK) и с помощью ионообменной хроматографии (на сульфированном полистироле; вымывают водно-спирт. р-ром NH_3). *Цис*-изомеры во всех случаях обладают более низкой фармакологич. активностью. Нагреванием ($\sim 100^\circ$, 15 мин.) 20 г I в 100 мл конц. H_2SO_4 получают 95% смеси II. Из 18 г смеси и 7,6 г $(COOH)_2 \cdot 2H_2O$ в 50 мл спирта получают смесь стереоизомерных OK II, которую дробной кристаллизацией из спирта и $CHCl_3$ разделяют на OK *транс*-II, выход 23%, т. пл. 184° , и OK *цис*-II, выход 34%, т. пл. $156-157^\circ$. Щелочью из OK выделяют: *транс*-II, т. кип. $180-182^\circ/0,2$ мм, n_D^{20} 1,603, т. пл. $61-62^\circ$ (из петр. эф.); OK, т. пл. 184° ; XГ, т. пл. $180-182^\circ$; бромгидрат (БГ), т. пл. $183-184^\circ$, и *цис*-II, т. кип. $172-176^\circ/0,1$ мм, n_D^{20} 1,600; OK, т. пл. 157° ; БГ, т. пл. $135-136^\circ$. *Цис*- и *транс*-II разделяют также хроматографически на Al_2O_3 . 5 г OK *цис*-II в 150 мл лед. CH_3COOH окисляют с помощью 36 г CrO_3 в 25 мл воды и 240 мл лед. CH_3COOH ($\sim 100^\circ$, 5 мин.) и получают III, выход 68%, т. пл. 64° (из петр. эф.); *n*-нитрофенилгидразон, т. пл. 186° (из сп.). Из *транс*-II получают 85% III. 4 г *транс*-II в 20 мл воды + 2 н. HCl (конго) окисляют 4,25 г $KMnO_4$ в 250 мл воды ($15-20^\circ$, 1 час) до III, выход 48%. Тем же методом из *цис*-II получают 31% III. 5 г *транс*-II в 50 мл лед. CH_3COOH гидрируют (1 г Pd/C, 48 час.) до IV, который выделяют в виде OK, выход 72%, т. пл. $146-147^\circ$ (из сп.). Из 5 г *цис*-II (2 г Pd/C, 24 часа) получают OK IV, выход 82%. Из *n*-фтор-β-пирролидинопропиофенона (т. пл. $55-56^\circ$; XГ, т. пл. 153°) методом, описанным в части III, получают X, выход 69%, т. пл. $91,5-93^\circ$ (из сп.); OK, т. пл. $154-155^\circ$ (разл.; из CH_3OH -сп.). Из *n*-бром-β-пирролидинопропиофенона ($79-80^\circ$; XГ, $197-198^\circ$) получают XI, выход 72%, т. пл. $143,5-145^\circ$ (из сп.). Из XГ *n*-метокси-β-пирролидинопропиофенона ($183-183,5^\circ$) получают XII, выход 71%, т. пл. $82-83^\circ$ (из сп.); OK, т. пл. $142,5-143^\circ$ (разл.; из сп.-этилацетата). Из XГ (2-хлортиенил-5)-β-пирролидинопропиофенона (189° (разл.)) получают XIII, выход 51%, т. пл. $90-90,5^\circ$ (из сп.); OK, т. пл. $149-150,5^\circ$ (разл.; из сп.-этилацетата). Из *n*-хлор-β-метиламинопропиофенона ($13-14^\circ$; XГ, т. пл. $148,5-150^\circ$) получают XIV, т. пл. $46-47^\circ$ (из петр. эф.); OK, т. пл. $160-162^\circ$ (разл.; из CH_3OH). Дегидратацию спиртов проводят 5-кратным кол-вом 85%-ной H_2SO_4 (100° , 15-20 мин.); XI дегидратируют конц. H_2SO_4 ; неустойчивые XII и XIII — 65%-ной H_2SO_4 при 120 и 105° соответственно. Методы разделения полученных стереоизомерных пропенов-1: а) дробная кристаллизация OK; б) ионообменная хроматография; в) хроматография на Al_2O_3 ; г) разрушение *цис*-изомера с помощью $(CH_3CO)_2O$; д) изомеризация смеси в *транс*-изомер с помощью H_2SO_4 ; е) кристаллизация твердых оснований. Ниже приведены некоторые стереоизомеры, полученные из спиртов, описанных в части III, остальные — из вышеописанных спиртов. *Транс*-1-фенил-1-(2'-пиридил)-3-диметиламинопропен-1 (*транс*-XV) (выделен методами а, г, д); OK, т. пл. 179° (разл.) (как и в большинстве случаев) (обычно из сп.). *Цис*-XV (а); OK, т. пл. $180-181^\circ$. *Транс*-1-фенил-1-(2'-пиридил)-3-диэтиламинопропен-1 (а, б, г); OK, т. пл. $130-131^\circ$. *Цис*- (б); OK, т. пл. 163° . *Транс*-1-фенил-1-(2'-пиридил)-3-пирролидинопропен-1 (б, г, д); OK, т. пл. $164-165^\circ$. *Цис*- (б); OK, т. пл. $169-170^\circ$. *Транс*-1-фенил-1-(2'-пиридил)-3-пиперидинопропен-1 (а, г); OK, т. пл. $173-174^\circ$. *Цис*-

(а); ОК, т. пл. 175—176°. *Транс-1-п-хлорфенил-1-(2'-пиридил)-3-диметиламинопропен-1* (а, г, д); ОК, т. пл. 182—183°. *Цис-* (а, е), т. пл. 61—62° (без разл.); ОК, т. пл. 174—175°. *Транс-1-п-хлорфенил-1-(2'-пиридил)-3-диэтиламинопропен-1* (а, г); ОК, т. пл. 130—131°. *Цис-* (а); ОК, т. пл. 155—156°. *Транс-1-п-хлорфенил-1-(2'-пиридил)-3-пиперидинопропен-1* (а, г, д); ОК, т. пл. 175—176°. *Цис-* (а); ОК, т. пл. 173—174°. *Транс-1-п-хлорфенил-1-(2'-пиридил)-3-морфолинопропен-1* (а, г); ОК, т. пл. 187°. *Цис-* (а); ОК, т. пл. 164—165°. *Транс-1-п-хлорфенил-1-(2'-пиридил)-3-метилэтиламинопропен-1* (г); ОК, т. пл. 161—162°. *Цис-* (а); ОК, т. пл. 157°. *Транс-1-п-фторфенил-1-(2'-пиридил)-3-пирролидинопропен-1* (б); ОК, т. пл. 184—185°. *Цис-* (б); ОК, т. пл. 166—167°. *Транс-1-п-бромфенил-1-(2'-пиридил)-3-пирролидинопропен-1* (б, в, д) т. пл. 90—91° (без разл.); ХГ (е), т. пл. 179—180°; БГ, т. пл. 186—188°; ОК, т. пл. 182—183°. *Цис-* (б, в); БГ, т. пл. 159—160°; ОК, т. пл. 163—164°. *Транс-1-п-метоксифенил-1-(2'-пиридил)-3-пирролидинопропен-1* (б); ОК, т. пл. 179—180°. *Цис-* (б); ОК, т. пл. 140—142°. *Транс-1-(2'-хлортиенил-5')-1-(2'-пиридил)-3-пирролидинопропен-1* (б, д); ОК, т. пл. 148—149°. *Цис-* (б); ОК, т. пл. 155—156°. 2 г *цис-II* кипятят 30 мин. с $(\text{CH}_3\text{CO})_2\text{O}$ и получают V, выход 0,4 г, т. пл. 173—174° (из сп.). В тех же условиях *транс-II* не изменяется. Для сравнения V получают взаимодействием 10 г 2-(4'-хлорбензил)-пиридина с 60 мл $(\text{CH}_3\text{CO})_2\text{O}$ (280°, 7 час.), выход 5,2 г, т. кип. 215—235°/0,1 мм. Кипячение с $(\text{CH}_3\text{CO})_2\text{O}$ применяют для выделения чистых *транс-* изомеров из смесей с *цис-* изомерами. При различных т-рах из I действием конц. H_2SO_4 получают следующие кол-ва *транс-II*: при <10°, 2 часа, получают 78% смеси и из нее 13,5% ОК *транс-II*; 10 мин., 200° — 98% *транс-II*; 10 мин., 250° — 35% ОК *транс-II*. При нагревании 9 г *цис-II* с 50 мл конц. H_2SO_4 (160°, 10 мин.) получают 9 г *транс-II*. Полное превращение *цис-II* в *транс-II* происходит также в конц. H_2SO_4 при 120° за 3 часа, при 200° за <2 мин., при 100° за 3—6 час., при 80° за >21 час; с 90%-ной H_2SO_4 при 180° за 10 мин., при 140° за 3 часа; с 60%-ной H_2SO_4 при 200° за 10 мин., при 160° за 3 часа. Нагревание с конц. H_2SO_4 при 100—185° в течение 5—10 мин. применяют для изомеризации исследуемых смесей в чистые *транс-* изомеры. VIII, т. пл. 118—120° (из петр. эф.), получают взаимодействием $\text{C}_6\text{H}_5\text{MgBr}$ с 4-хлор-β-пирролидинопропиофеноном. 10 г VIII дегидратируют с помощью HCl -лед. CH_3COOH и разделяют стереоизомерные IX в виде ХГ кристаллизациями из спирта и этилацетата. ХГ *транс-IX*, выход 3 г, т. пл. 165—167°; ХГ *цис-IX*, выход 3,6 г, т. пл. 219—221°. Часть IV см. J. Chem. Soc., 1951, 52. Н. Волькену

4605. Прямое С-ацилирование пиридина. Бакман, Шисла (The direct C-acylation of pyridine. Bachman G. Bryant, Schisla R. M.), J. Organ. Chem., 1957, 22, № 7, 858 (англ.)

Взаимодействием пиридина (I) с производными к-т в присутствии амальгамированного Mg (II) удается получить пиридилкетоны, выход 30—60%. 1 г-атом Mg нагревают с 0,17 моля HgCl_2 (100°, 1 час), к полученному II прибавляют смесь 25 г I и 25 г $\text{C}_6\text{H}_5\text{CON}(\text{CH}_3)_2$, нагревают до кипения, приливают за 1 час еще 250 г I и за 4 часа прибавляют к кипящей смеси 273 г $\text{C}_6\text{H}_5\text{CON}(\text{CH}_3)_2$. Затем кипятят до исчезновения II (~4 час.), охлаждают, гидролизуют р-ром 100 г NH_4Cl в 500 мл воды и фильтруют. Верхний слой фильтрата экстрагируют 6 н. HCl , экстракт подщелачивают 6 г NaOH , извлекают эфиром и вытяжку фракционируют. Из фракции 138—156°/2,8 мм вымораживанием выделяют 4-бензоил-I, выход 5,4%, т. пл. 72—73° (из петр. эф.), остаток разгоняют повторно и получают 2-бензоил-I, выход 50%, т. кип. 128—135°/1 мм. Г. Браз

4606. Синтез 2,6-лутидина из метилвинилкетона. Такака, Мурата (メチルビニルケトンから2,6-ルチジンの合成. 田中誠, 村田二郎), 工業化学雑誌, Kōsei Kagaku Zasshi, J. Chem. Soc. Japan. Industr. Chem. Sec., 1956, № 10, 1181—1183 (японск.)

На основе 3-карботоксигептадиона-2,6 (I), полученного по р-ции Михаэля из метилвинилкетона (II) и ацетоуксусного эфира (III), разработано четыре способа получения 2,6-лутидина (IV). К 200 г III + р-р 1,5 г CH_3CONa в 3 мл CH_3OH за 2 часа при <34—35° добавляют 54 г I, перемешивают 1 час, добавляют немного конц. H_2SO_4 , подщелачивают конц. NH_4OH , после удаления NH_4OH разгонкой органич. слоя в вакууме выделяют I, выход 87,7%, т. кип. 111—112°/2,5 мм, n_D^{20} 1,4446, d_4^{20} 1,0556; диоксим, т. пл. 91—92°. Р-р 100 г I в спирте насыщают NH_3 , через 2 дня (20°) получают 95 г 2,6-диметил-3-карботокси-1,4-дигидропиридина (V) (?), т. пл. 70—80° (из сп.); легко окисляется в 2,6-диметил-3-карботокси-1,4-дигидропиридин (VI). 75 г V, 38 г конц. H_2SO_4 , 36 г HNO_3 (d 1,38) и 135 мл воды нагревают до начала бурной р-ции, затем кипятят 30 мин., выливают в ледяную воду, извлекают эфиром VI, выход 33,3%, т. кип. 88—88,5°/5 мм, n_D^{20} 1,5031, d_4^{20} 1,0537; пикрат, т. пл. 137—138° (этот же пикрат получен из V). Нагревают 50 г V при 100—110° в токе воздуха, через 24 часа получают VI, выход 59,4%. 20 г VI омыляют кипячением (2 часа) с 7,28 г KOH в 160 мл спирта, полученный 2,6-диметил-3-карбокси-1,4-дигидропиридин декарбоксилируют обычным путем и получают 8,2 г IV. 50 г I проводят со скоростью 1 капля в 2 сек. через трубку (30 × 1,6 см), нагревают до 500—520°, разгонкой выделяют гептадион-2,6 (VII), выход 44,7%, т. кип. 104—107°/14 мм; бис-2,4-динитрофенилгидразон, т. пл. 192—193°. 14 г VII циклизуют спирт. NH_3 (см. получение V) и получают 5 г 2,6-диметилдигидропиридина т. кип. 82—92°/11 мм, окисление которого при 120—130° воздухом (20 час.) дало IV с выходом 25,6%. Смесь 15 г I, 5,3 г $\text{NH}_2\text{OH} \cdot \text{HCl}$, 4 г Na_2CO_3 и 40 мл воды кипятят 5 час., извлекают CHCl_3 IV, выход 32,9%, и 1 г VI. 20 г I кипятят 3 часа с 20 мл 10%-ной H_2SO_4 , CHCl_3 извлекают 3-метилциклогексен-2-он-1 (VIII), выход 55%, т. кип. 86—88°/10 мм, n_D^{20} 1,4942, d_4^{20} 0,9701; 2,4-динитрофенилгидразон, т. пл. 174—175°, и немного VII. 10 г I кипятят 5 час. с 32 мл 5%-ного KOH, выход VIII 90,9%. Л. Яновская

4607. 1-бензилдигидроникотинамид. Модель восстановления ДПН (дифосфопиридиннуклеотида). Мозералл, Уэстгеймер (1-Benzylidihydronicotinamide. A model for reduced DPN. Mauzerall David, Westheimer F. H.), J. Amer. Chem. Soc., 1955, 77, № 8, 2261—2264 (англ.)

1-бензилдигидроникотинамид восстанавливается малохитовым зеленым (I) до его лейкооснования. Продукт восстановления никотинамид-1-бензилхлорида в D_2O переносит D к I. Также ведет себя 1-бензил-4-дейтероникотинамид; однако ни 2-дейтеро-, ни 6-дейтероникотинамид не переносят D к I. 1-бензилдигидроникотинамид также восстанавливает дифенилпикрилгидразил, но не восстанавливает ацетон или пировиноградную к-ту. Изученные р-ции восстановления сравниваются с энзиматич. действием дифосфопиридинового нуклеотида. Резюме авторов

4608. К изучению 4,6-диоксипиколиновой кислоты. Штеттер, Шельхаммер (Zur Kenntnis der 4,6-Dihydroxy-picolinsäure. Stetter Hermann, Schellhammer Carl-Wolfgang), Chem. Ber., 1957, 90, № 5, 755—758 (нем.)

Показано, что при воздействии конц. NH_4OH на этиловый эфир 4-этоксипирон-2-карбоновой-6 к-ты (I, к-та II) образуется амид II (III) (ср. Wislicenus W., Schöllkopf K. J., prakt. Chem., 1917, (2), 95, 269). Предложен способ получения 4,6-диоксипиколиновой к-ты (IV),

основанный на взаимодействии 4-оксипирон-2-карбоновой-6 к-ты (V) с конц. NH_4OH . Смесь 0,9 г I, 4 мл спирта и 4 мл конц. NH_4OH нагревают 10 мин. на водяной бане, получают III, выход 90%, т. пл. 203° (из воды). Аналогично из этилового эфира 4-метоксипирон-2-карбоновой-6 к-ты (VI — к-та) получают амид VI, выход 67,5%, т. пл. 259° (из воды). Строение III доказано его превращением в V при кипячении со смесью лед. CH_3COOH и 48%-ной HBr . Смесь 15 г V и 65 мл конц. NH_4OH нагревают 18 час. при 120° а автоклаве и подкисляют конц. HCl , получают IV, выход 93,7%, т. пл. 323° (разл.). Суспензию 0,5 г IV в 10 мл абс. спирта насыщают сухим газообразным HCl , кипятят 4 часа и упаривают в вакууме, получают этиловый эфир IV, выход 81%, т. пл. 229° (из воды). Суспензию 0,084 моля IV в 100 мл эфира обрабатывают эфирным р-ром CH_2N_2 (из 52 г нитрозометилмочевины, 104 мл 50%-ного р-ра KOH и 800 мл эфира), выдерживают 16 час. и упаривают, получают метиловый эфир N-метил-4-метоксипирон-2-карбоновой-6 к-ты (VII, к-та VIII), выход 91,5%, т. пл. 109° (из воды). К р-ру 0,025 моля VII в 200 мл эфира прибавляют р-р 0,03 моля NaOH в абс. CH_3OH , выдерживают 16 час., фильтруют, осадок растворяют в небольшом кол-ве воды и подкисляют HCl (к-той), получают VIII, выход 76,5%, т. пл. 261° (разл.; из воды). При воздействии на VIII CH_2N_2 получают VII, выход 89%. Смесь 0,65 г VIII и 1 г Cu (в порошке) нагревают на голом пламени, получают N-метил-4-метоксипирон-2, выход 65%; пикрат, т. пл. 155° ; пикролат, т. пл. 126° (разл.). А. Травин

4609. Получение гидразидов 2-нитроизоникотиновой кислоты и гидразидов 2-аминоизоникотиновой кислоты. Станонис (Preparation of 2-nitroisonicotinic acid hydrazide and 2-aminoisonicotinic acid hydrazide. Stanonis David J.), J. Organ. Chem., 1957, 22, № 4, 475 (англ.)

Для исследования противотуберкулезной активности синтезированы гидразиды 2-нитроизоникотиновой к-ты (I, к-та — II) и гидразиды 2-аминоизоникотиновой к-ты (III, к-та — IV). Окислением 2-амино-4-метилпиридина надсерной к-той получен 2-нитро-4-метилпиридин, выход 52%, т. пл. $65,5-67^\circ$. Последний действием KMnO_4 окислен в II, выход 26%, т. пл. $172,5-173,5^\circ$. Смесь 1 ммоль II, 1 мл CH_3OH и 0,4 г полифосфорной к-ты кипятят 6 час., CH_3OH отгоняют в вакууме, остаток нейтрализуют р-ром NaOH и извлекают эфиром метиловый эфир II (V), выход 68%, т. пл. $80-81^\circ$ (из бzl.) 0,2 ммоль V кипятят 1 час. с небольшим избытком 85%-ного $\text{NH}_2\text{NH}_2 \cdot \text{H}_2\text{O}$ в 0,6 мл спирта и отфильтровывают выделившийся I, выход 67%, т. пл. $181,5-183,5^\circ$. 1,8 ммоль V восстановлены Fe -стружками в 1 мл р-ра 12 н. HCl в CH_3OH (1:5) при кипячении (2 часа), фильтрат нейтрализован р-ром NaOH в CH_3OH , выпарен досуха и эфиром извлечен метиловый эфир IV, выход 39%, т. пл. $149,5-151^\circ$ (из бzl.). 0,3 ммоль этого эфира превращены в III как указано выше для V, выход 31%, т. пл. $194,5-195^\circ$. I и III оказались в эксперименте значительно менее активны, чем гидразид изоникотиновой к-ты.

Г. Браз

4610. Изучение веществ антигистаминного действия. 1-фенил-1-(пиридил-4)-3-аминопропаны. Фукуда, Касахара (抗ヒスタミン剤の研究. 1-フェニル-1-(4-ピリジル)-3-アミノプロパン型化合物. 福田英臣, 笠原宏造), 薬学雑誌, Якугаку дзасси, J. Pharmac. Soc. Japan, 1956, 76, № 12, 1430—1432 (японск.; рез. англ.)

Изучено антигистаминное действие ряда в-в производных 1-фенил-1-(пиридил-4)-3-аминопропана $\text{RCH}(\text{R}')\text{CH}_2\text{CH}_2\text{R}''$, где $\text{R}=\text{C}_6\text{H}_5$, $\text{C}_6\text{H}_4\text{Cl}$, $\text{R}'=4$ -(2-пиридил) и 4-(2,6-лутидил), $\text{R}''=(\text{CH}_3)_2\text{N}$, N-пиперидил, N-морфолл. Наиболее сильное действие из этого ряда оказывает 1-*n*-хлорфенил-1-[4-(2-пиридил)]-3-диметиламинопропан (50% действия дифенгидрамина). С. Гурвич

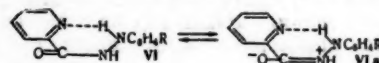
4611. Синтезы органических оснований. X. Синтезы гетероциклических производных пропиламина. Синагава, Мураяма, Накадзава (Syntheses of organic bases. X. Syntheses of heterocyclic propylamine derivatives (3). Sunagawa Genshu, Murayama Keisuke, Nakazawa Jun-ichi), 薬学雑誌, Якугаку дзасси, J. Pharmac. Soc. Japan, 1954, 74, № 11, 1177—1180 (японск.; рез. англ.)

79 г $\text{C}_6\text{H}_5\text{N}$ и 5 г CuCl_2 в 462 г $\text{C}_6\text{H}_5\text{N} \cdot \text{HCl}$ кипятят 10 час. с 161 г $n\text{-ClC}_6\text{H}_4\text{CH}_2\text{Cl}$, $\text{C}_6\text{H}_5\text{N} \cdot \text{HCl}$ отгоняли в вакууме, остаток растворяли в разб. HCl , подщелачивали NH_4OH и экстрагировали C_6H_6 ; получали $n\text{-ClC}_6\text{H}_4\text{CH}_2\text{R}$ (I) (здесь и ниже $\text{R}=2$ -пиридил), выход 70%, т. кип. $143-147/2$ мм; пикрат, т. пл. $166-167^\circ$. К 31,8 г I и 15,3 г NaNH_2 прибавляли 50 г $(\text{CH}_3)_2\text{NCH}_2\text{CH}_2\text{Cl}$, кипятят 7 час. в 180 мл толуола, продукт промывали водой и перегоняли, выход $n\text{-ClC}_6\text{H}_4\text{CH}_2\text{RCH}_2\text{CH}_2\text{N}(\text{CH}_3)_2$ (Ia) 7 г, т. кип. $160-170/4$ мм; малеат, т. пл. $132-133^\circ$. 37,5 г $\text{C}_6\text{H}_5\text{CH}_2\text{R}$, 65,5 г $\text{BrCH}_2\text{CH}(\text{OC}_2\text{H}_5)_2$, 170 мл толуола и 14 г NaNH_2 кипятят 8 час., перегонкой получали 8 г $\text{C}_6\text{H}_5\text{CH}_2\text{R}$ и 43 г $\text{C}_6\text{H}_5\text{CH}_2\text{RCH}_2\text{CH}(\text{OC}_2\text{H}_5)_2$ (II), т. кип. $169-171/2-5$ мм. Аналогично 50,9 г I, 73,8 г $\text{BrCH}_2\text{CH}(\text{OC}_2\text{H}_5)_2$ и 14,6 г NaNH_2 дали $n\text{-ClC}_6\text{H}_4\text{CH}_2\text{RCH}_2\text{CH}(\text{OC}_2\text{H}_5)_2$ (III), т. кип. $175-185/2$ мм; выход 92,3%. 18 г III в 5% H_2SO_4 омыляли 30 мин. при 100° в атмосфере CO_2 , продукт извлекали C_6H_6 , который удаляли, остаток кипятят 6 час. с 41,1 г $\text{HCOON}(\text{CH}_3)_2$ и $\text{HCOON}(\text{CH}_3)_2$ отгоняли в вакууме, остаток подщелачивали C_6H_5 и перегонкой выделяли 11,2 г Ia, т. кип. $155-160/3$ мм. К 59,1 г $\text{HCOON}(\text{CH}_3)_2$ и 13 г 60% HCOON прибавляли 18 г III, спирт удаляли, нагревали 3 часа, продукт обрабатывали, как указано выше, получили 13,6 г Ia. Из 84,5 г $\text{R}'\text{CHO}$ (здесь и ниже $\text{R}'=2$ -пиридино) (IV) 11 г (68%) HCOON и 14,3 г II получено 8,2 г $\text{C}_6\text{H}_5\text{CH}_2\text{RCH}_2\text{CH}_2\text{R}'$, т. кип. $180-182/3$ мм; малеат, т. пл. $122-123^\circ$; пикрат, т. пл. $162-163^\circ$. 53 г IV, 6,6 г 65% HCOON и 10 г III дали 5,5 г $n\text{-ClC}_6\text{H}_4\text{CH}_2\text{RCH}_2\text{CH}_2\text{R}'$, т. кип. $185-188/2$ мм; малеат, т. пл. $141-142^\circ$; пикрат, т. пл. $176-177^\circ$. 5 г II, 13,8 г $\text{R}'\text{CHO}$ ($\text{R}'=2$ -пиридил) (V) и 3,6 г 68% HCOON дали 3,1 г $\text{C}_6\text{H}_5\text{CH}_2\text{RCH}_2\text{CH}_2\text{R}'$, т. кип. $166-168/3$ мм; малеат, т. пл. $76-77^\circ$; пикрат, т. пл. $166-167^\circ$. III (5,5 г), 17 г V и 3,5 г 68% HCOON дали 3,7 г $n\text{-ClC}_6\text{H}_4\text{CH}_2\text{RCH}_2\text{CH}_2\text{R}'$, т. пл. $180-185/2$ мм; малеат, т. пл. $123-124^\circ$; пикрат, т. пл. $185-186^\circ$. Сообщение IX см. РЖХим, 1957, 23021.

Chem. Abstrs, 1955, 49, № 21, 14763d. K. Kitsuta

4612. Реакция солей диазония с α -пиридином. Эйстерт, Мундер (Die Umsetzung von Diazoniumsalzen mit α -Pyridoin. Eistert Bernd, Munder Hans), Chem. Ber., 1955, 88, № 2, 226—233 (нем.)

При прибавлении водн. р-ра $\text{RC}_6\text{H}_4\text{N}_2\text{SO}_3\text{H}$ (I $\text{R}=\text{H}$) к водно-ацетоному р-ру α -пиридина (II) образуется пиколиновая к-та (III) и фенилгидразид III (IIIa). Так как II рассматривается как эндий $\text{R}'\text{C}(\text{OH})=\text{C}(\text{OH})\text{R}'$ (R' здесь и далее пиридил-2), стабилизированный благодаря двукратному образованию внутреннего комплекса за счет водородной



связи $-\text{OH} \dots \text{N}$ (РЖХим, 1955, 51776), химизм указанного расщепления сравнивается с химизмом взаимодействия солей диазония с α -окси- β -дикарбонильными соединениями в енольной форме. Приведены соображения, высказанные ранее о механизме этой последней р-ции (Erlbach H., Ber., 1935, 68, 534), в принципе правильными, авторы уточняют их и

применении к II предлагают следующую схему: $I + II \rightarrow R'CH(ON=NC_6H_4R)COR' \text{ (IV)}$ и $R'COOC(ON=NC_6H_4R)R' \text{ (V)}$ (внутрикомплексное соединение за счет связи $-OH \dots N$) или $R'COOC(R')=NN=NC_6H_4R \text{ (Va)}$ (внутрикомплексное соединение за счет связи $-NH \dots N$). При действии воды V отщепляет III и дает (VI) \rightleftharpoons (Via). Тенденция к образованию сопряженной внутрикомплексной системы, подобной VI \rightleftharpoons Via, по мнению авторов, и является движущей силой расщепления энолов солями диазотия. К р-ру 4 г II в смеси 185 мл ацетона и 15 мл воды сразу приливают р-р 3,9 г свежеполученного I ($R = CH_3$) в 8 мл воды и через 12 час. отфильтровывают *n*-толуолгидразид III (IIIб); дополнительное кол-во IIIб может быть выделено из фильтрата после осторожной нейтр-ции р-ром $NaHCO_3$ и упаривания в вакууме; выход 63,5%, т. пл. 146° (из эфира). Аналогично получены IIIа, выход 53%, и *n*-хлорфенилгидразид III (IIIв), т. пл. 146° (из эф.). Кислые фильтраты после отделения IIIа—в прибавлением р-ра CH_3COONa доводят до pH 6, фильтруют в горячем состоянии и прибавлением насыщ. водн. р-ра $CuSO_4$ осаждают III в виде Cu-соли, выход 50—70%. 4 г II растворяют в 200 мл безводн. ацетона и при $\sim 20^\circ$ постепенно прибавляют 3,9 г сухого I ($R = CH_3$). При этом наблюдается энергичное выделение N_2 ; через 48 час. кол-во выделенного N_2 составляет 89% от введенного с I. Одновременно выделяется $\sim 4,6$ г гигроскопичной кристаллич. массы (KM). 2 г KM суспендируют в 50 мл абс. спирта, нейтрализуют р-ром C_2H_5ONa , упаривают в вакууме, остаток растворяют в воде и извлекают эфиром 0,32 г II; выделенный II, возможно, не вступил в р-цию, либо образовался в результате разложения IV. 5 г KM суспендируют в 200 мл ацетона, прибавляют водн. р-р $NaHCO_3$ до pH 5,5—6,5, фильтруют и упаривают в вакууме. Из полученного смолообразного осадка в некоторых опытах удается выделить немного V (или Va), т. пл. 158° (из эф.). 0,07 г последнего растворяют в 4 мл ацетона, приливают 2 мл 1 н. H_2SO_4 , через 20 мин. прибавляют 20 мл воды, нейтрализуют р-ром $NaHCO_3$ и извлекают эфиром IIIб, выход 83%.

Г. Браз

4613. Приготовление некоторых четвертичных солей аммония. Виллемс, Нейс (The preparation of some quaternary ammonium salts. Willems J., Nys J.), Bull. Soc. chim. belges, 1957, 66, № 7-8, 502—511 (англ.)

Описано получение и физ. свойства четвертичных солей аммония (I). Р-р основания в ацетоне или C_6H_6 в присутствии алкилирующего агента (II) кипятят 4—5 час., I отделяют, промывают абс. эфиром и кристаллизуют. Перечисляются основания, II, р-ритель в р-ции, I, выход (неочищ.) в %, т. пл. в $^\circ C$ (из сл.): триэтиламин, диэтилсульфат, ацетон (III), сульфатилат тетраэтиламмония, 93, 44—45° (из сл.-эф.; гигроскопичен); пиридин (IV), C_2H_5Br , III, бромистый 1-этилпиридин, 95, 120—121° (содержит 1,5 моля H_2O из сл.-эф.; гигроскопичен); изохинолин, $(CH_3)_2SO_4$ (V), C_6H_6 , N-метилметосульфат основания (MMC), 90, 100° (из сл.-III); 2-метил-(6,7)-бензобензотиазол, V, C_6H_6 , MMC, 87, 250°; IV, бензилбромид, III, бромистый 1-бензилпиридин, 100, 98—100° (дигидрат, из сл.-эф.; гигроскопичен), IV, $n-O_2NC_6H_4CH_2Cl$, III, хлористый 1-(*n*-нитробензил)-пиридин, 80, 218° (из сл.-III); IV, 2-хлорметилбензимидазол, III, хлористый 1-(2-бензимидазолилметил)-пиридин, 85, 250° (из сл.-эф.; α -хинолин, V, III, MMC, 64, 72—73° (из сл.-эф.; гигроскопичен); 2-метилмеркаптопиридин, V, — (смесь нагревают при 100° 5 мин. и промывают абс. эфиром), MMC, 98, 162°; 2-метилхинолин, V, III, MMC, 83, 220° (из сл.-III); 2-метилмеркаптохинолин,

V, — (120°, 30 мин., промывают III), MMC, 98, 146°; 2-метилбензотиазол, V, C_6H_6 , MMC, 92, 140°; 2-метилмеркаптобензотиазол, V, C_6H_6 , MMC, 95, 145°; 2-метил- Δ^2 -тиазолин, V, C_6H_6 , MMC, 93, 73° (очень гигроскопичен); 2-метилмеркапто- Δ^2 -тиазолин, V, — (сильное охлаждение при смешении и 2 часа при $\sim 20^\circ$), MMC, 93, масло, n_D^{20} 1,5600; IV, *n*-карбоксибензилбромид, III, бромистый 1-(*n*-карбоксибензил)-пиридин, 72, 178° (из CH_3OH -III); хинолин, V, III, MMC, 91, 102° (из сл.-III); 4-метилхинолин, V, III, MMC, 96—162° (из сл.-III); 2-метил-5-хлорбензотиазол, V, C_6H_6 , MMC, 97, 215°; 2-метил-5,6-диметоксibenзотиазол, V, C_6H_6 , MMC, 93, 257—260°; 2,4-диметилтиазол, *n*- $CH_3C_6H_4SO_3Na$, — (нагревают в автоклаве 48 час. (тра не указана) и кипятят со спиртом), *n*-толуолсульфат 2,3,4-триметилтиазолия, 70, 98°; 2-метил-5-диметиламинобензотиазол, V, — ($\sim 20^\circ$, 2 дня), MMC, 89, 135° (из CH_3OH -эф.).

Б. Дубинин

4614. Реакция *n*-толуолсульфохлорида с N-окисями пиридина и хинолина. Отан, Ватанабэ, Судзуки (Pyridin-及びChinolin-N-oxid に対する Tosylchlorid の反應. 落合英二, 渡邊智夫, 鈴木幸子), 薬学雜誌, Якугаку дзасси, J. Pharm. Soc. Japan, 1956, 76, № 12, 1421—1422 (японск.; рез. англ.)

При кипячении 3 г N-окиси пиридина с 6 г *n*-толуолсульфохлорида (I) в 20 мл $C_6H_5NO_2$ образуется *n*-толуолсульфонат N-(α -пиридил)- α -пиридола, выход 35%, т. пл. 126—127°, из которого обработкой Na_2CO_3 выделено свободное основание, т. кип. 155—160°/4 мм, т. пл. 43—45°; шикрат, т. пл. 116,5—117,5°. Безводн. N-окись хинолина (II) при стоянии с I в $CHCl_3$ -р-ре (12 час.) образует *n*-толуолсульфонат II, т. пл. 133—135,5°, из которого действием Na_2CO_3 выделен II; гидрат II в $CHCl_3$ при кипячении с I образует *n*-толуолсульфонат карбостирила, т. пл. 143—145°, а при разложении маточного р-ра выделены: карбостирил, 4-хлорхинолин, т. кип. 127—129°/14 мм, т. пл. 214—215°; шикрат, т. пл. 215°; полугидрат N-(α -хинолил)-карбостирила, т. пл. 174—175°; шикрат, т. пл. 181—182°.

С. Гурвич

4615. Об аналогии некоторых свойств производных β -пиридинсульфамида и *m*-нитробензолсульфамида. Цеханович Е. Ю., Постовский И. Я., Дегтярев В. Ф., Ж. общ. химии, 1955, 25, № 6, 1162—1169

Синтезирован ряд производных β -пиридинсульфамида и *m*-нитробензолсульфамида конденсацией хлорангидридов сульфокислот с соответствующими аминами. При измерении констант кислотной диссоциации (pK_a) полученных в-в установлено, что введение в мета-положение бензольного ядра нитрогруппы или замена бензольного кольца на β -пиридиновое увеличивает кислотность соединения, при этом в обоих случаях величина pK_a изменяется одинаково.

Введение в фенильное ядро β -(N-фенил)-пиридинсульфамида (I) и *m*-(N-фенил)-нитробензолсульфамида нитрогруппы или атома хлора увеличивает, а введение метоксигруппы — уменьшает кислотность сульфамида.

β -(N-фенил)-пиридинсульфамида (выход 73,4%, т. пл. 144—145° (из сл.), pK_a 9,60) получен при взаимодействии 10 мл NC_6H_5 , 1,8 г анилина и 3,6 г β -пиридинсульфохлорида. Аналогичным путем синтезированы и определены pK_a для следующих соединений (в скобках даны т. пл. в $^\circ C$ и pK_a): β -пиридинсульфамиды с N-заместителями: *n*-нитрофенил (216; 6,6); *m*-нитрофенил (206; 7,35); *o*-нитрофенил (134; 6,70); α -пиридил (184; 8,45); *n*-хлорфенил (180; 8,70); *m*-хлорфенил (168; 8,45); *o*-хлорфенил (127; 8,20); *n*-метоксифенил (144; 10,05); *n*-нит-

робензолсульфамиды с N-заместителями: фенил (128; 9,55), *п*-нитрофенил (179; 6,65); *м*-нитрофенил (152; 7,20); *о*-нитрофенил (167; 6,65); α -пиридил (228—229; 8,35), *п*-хлорфенил (123; 8,60); *м*-хлорфенил (147; 8,35); *о*-хлорфенил (149; 8,10); *п*-метоксифенил (134; 10,00). Л. Яхонтов

4616. Производные пиридинена. III. Синтез из ареколины. Плати, Ингберман, Веннер (Pyridindene derivatives. III. Synthesis from arecoline. Plati John T., Ingberman Arthur K., Wenner Wilhelm), J. Organ. Chem., 1957, 22, № 3, 261—265 (англ.)

При р-ции ареколины (I) с C_6H_5MgBr образовался 1-метил-3-карбометокси-4-фенилпиридин (II) в двух рацемич. формах, произвольно обозначенных как форма α (IIa) и форма β (IIb). Гидролизом IIa и IIb получены соответствующие стереоизомерные 1-метил-3-карбокси-4-фенилпиридины (IIIa и IIIb). Последние при действии $SOCl_2$ превращены в хлоргидриды, которые при циклизации дали один и тот же 2-метил-2,3,4,4a,9,9a-гексагидро-9-кето-1-пиридин (IV). Действием C_6H_5Li из IV синтезирован 2-метил-2,3,4,4a,9,9a-гексагидро-9-оксид-9-фенил-1-пиридин (V). Полученное из V 9-хлорпроизводное при отщеплении HCl превратилось в 2-метил-9-фенил-2,3,4,9-тетрагидро-1-пиридин (VI). К р-ру C_6H_5MgBr (из 0,32 моля C_6H_5Br) в 200 мл абс. эфира прибавляют за 1 час при -10° 25 г I в 65 мл абс. эфира и получают II в виде смеси IIa и IIb, выход 73%, т. кип. $124-128^\circ/0,5$ мм. 27,7 г II растворяют в 1 л эфира, пропускают HBr (газ) и осадок кристаллизуют из 150 мл CH_3OH , выход бромгидрата IIa 8,15 г, т. пл. $214-217^\circ$ (из сп.). 8,09 г бромгидрата IIa растворяют в 50 мл воды, приливают при охлаждении 8 мл 50%-ного р-ра K_2CO_3 и извлекают эфиром 5,44 г IIa, т. кип. $100^\circ/0,2$ мм, $n_D^{24,5} 1,5188$, 5,44 г IIa, 11 мл воды и 15 мл конц. HCl медленно перегоняют до тех пор, пока не перестанет отгоняться CH_3OH , упаривают в вакууме и получают 4,57 г хлоргидрата IIa, т. пл. $214-216^\circ$ (из сп.). Металловый маточный р-р от бромгидрата IIa (см. выше) упаривают в вакууме, к остатку добавляют 3,6 г такого же в-ва из другого опыта, обрабатывают 10%-ным р-ром соды, извлекают эфиром и осаждают из вытяжки насыщ. эфирным р-ром $(COOH)_2$ 18,2 г оксалата IIb, т. пл. $157-158^\circ$ (из сп.). 18,3 г оксалата IIb растворяют в 150 мл воды, приливают 50%-ный р-р K_2CO_3 и извлекают осадок эфиром, выход IIb 12 г, т. кип. $100-110^\circ/0,25$ мм, т. пл. $55-58^\circ$. Смесь 12 г IIb, 33 мл воды и 44 мл конц. HCl перегоняют через колонку до прекращения отгонки CH_3OH и упаривают остаток в вакууме, выход хлоргидрата IIb 14,3 г, т. пл. $212-213^\circ$ (из сп.; кристаллизуется с 1 молекулой сп.). К 7,25 г хлоргидрата IIa прибавляют 50 мл $SOCl_2$, выдерживают 2 часа при $\sim 20^\circ$, удаляют избыток $SOCl_2$, прибавляют к остатку 100 мл безводн. CCl_4 , отгоняют 50 мл дистиллята, добавляют к остатку 50 мл CCl_4 , нагревают до 40° , присыпают 9 г $AlCl_3$, перемешивают еще 1 час при 40° и выливают в смесь 300 г льда и 25 мл конц. HCl. Через ~ 12 час. водн. слой отделяют, сильно подщелачивают и извлекают эфиром IV, выход 88%, т. кип. $120^\circ/0,15$ мм, т. пл. $64,5-65,5^\circ$; бромгидрат, т. пл. $208-210^\circ$ (из сп.). 0,13 моля хлоргидрата IIb смешивают при охлаждении с 160 мл $SOCl_2$, выдерживают 3,5 часа при $\sim 20^\circ$ и по удалении избытка $SOCl_2$ остаток обрабатывают $AlCl_3$, как в случае хлоргидрата IIa, выход IV 74%, т. кип. $127^\circ/0,3$ мм. К р-ру C_6H_5Li (из 0,083 моля C_6H_5Br) в 260 мл безводн. эфира при $3-5^\circ$ приливают за 40 мин. р-р 16,7 г IV в 65 мл безводн. эфира, перемешивают 22 мин. при охлаждении и затем еще 1,5 часа без

охлаждения, получают V, который осаждают из эфирного р-ра в виде оксалата, выход 12,73 г, т. пл. $208-210^\circ$ (разл.). 8,2 г оксалата растворяют в 200 мл воды, прибавляют 10%-ный р-р NaOH и после затвердевания смолистого осадка отфильтровывают 6,07 г неочищ. V, т. пл. $91-93^\circ$ (из сп.). К 1 г V при охлаждении прибавляют ~ 10 мл $SOCl_2$, оставляют на 1,5 часа, избыток $SOCl_2$ удаляют в вакууме, к остатку прибавляют 10 мл 10%-ного NaOH, разбавляют несколько минут и приливают 5 мл спирта и 5 мл конц. NH_4OH . Выход VI 0,15 г, т. пл. $89-90^\circ$ (из водн. ацетона). Неочищ. VI, полученный из 1 г V аналогично указанному выше, растворяют в небольшом избытке разб. HCl, прибавляют разб. р-р NaOH до pH 6—7, разбавляют до 20 мл и к половине этого р-ра прибавляют 3 г KSCN в 3 мл воды. Выделившийся маслянистый осадок тиоцианата VI кристаллизуют из спирта в атмосфере N_2 , выход 0,3 г, т. пл. $191-192^\circ$. К другой половине р-ра VI приливают переохлад. р-р 3 г KNO_3 в 5 мл воды, через 30 мин. декантируют жидкость с маслянистого осадка, смешивают его с 5 мл горячего ацетона и оставляют на 3 часа при $\sim 20^\circ$, получают нитрат VI, выход 0,185 г, т. пл. $176-179^\circ$ (из сп.). 30 г 5-карбометокси-4-фенилпиридина-2 гидриду в 176 мл CH_3OH над 12 г меднохромитного катализатора (200 ат, $160-200^\circ$, 3 часа), фильтруют, упаривают, остаток разгоняют и фракцию $125-127^\circ/0,16$ мм растворяют в 100 мл петр. эфира, при стоянии из р-ра выделяется 12,6 г 1-метил-3-оксиметил-4-фенилпиридина, т. пл. $107-109^\circ$ (из этилацетата). Петр.-эфирный фильтрат упаривают досуха, остаток растворяют в эфире и пропускают в р-р HBr (газ), получают бромгидрат этилового эфира IIIa, выход 23 г (неочищ.), т. пл. $206-207,5$ (из сп.); свободное основание, т. кип. $125-126^\circ/0,15$ мм, $n_D^{19,5} 1,5158$. 10 г последнего и 50 мл 20%-ной HCl перегоняют 30—40 мин. через колонку при т-ре паров 110° и остаток упаривают досуха. Выход хлоргидрата IIIa 10,3 г (неочищ.). Сообщение II см. РЖХим, 1956, 58081. Г. Брау

4617. Циклизация диндандионилметана. Гейтс Л. С., Ванс Г. Я., Ж. общ. химии, 1957, 27, № 4, 977—980

Диндандионилметан (метилтенбисиндандион) (I) при нагревании с $(CH_3CO)_2O$ и CH_3COONa циклизуется в 2,3(CO),6,5(CO)-дибензоилениранин (II), превращающийся при действии NH_3 в 2,3(CO),6,5(CO)-дибензоилен-1,4-дигидропиридин (III), а при действии соответствующих первичных аминов — в N-этил-(IV), N-н-бутил-(V) или N-этил-(VI)-производные III; р-цией III в CH_3COONa и $NaNO_2$ получают N-нитрозопроизводное, т. пл. 175° (из сп.); добавлением NH_4OH к р-ру I в ацетоне получена аммонийная соль I, т. пл. 144° , при нагревании ее водн. р-ра также получается III, 10 г I, 25 мл $(CH_3CO)_2O$ и немного CH_3COONa кипятят, нагревают 30 мин. при 100° и получают II, выход 71,2%, т. пл. 339° . 1,5 г II, 30 мл спирта и 1 мл конц. NH_4OH нагревают 15 мин. и отделяют III, выход 0,95 г, т. пл. $304-306^\circ$. 2 г II и 15 мл 10%-ного спирт. р-ра NH_2R кипятят 30 мин. и получают IV, выход 78,1%, т. пл. $230-232^\circ$, V, выход 73,5%, т. пл. 210° , или VI, выход 28,2%, т. пл. $240-242^\circ$. Д. Витковский

4618. Реакции 3-хлорпропионитрила и алкильных эфиров 3-хлорпропионовой кислоты с аминами. Хейнинггер (Reactions of 3-chloropropionitrile and alkyl 3-chloropropionates with amines. Heiningger S. Allen), J. Organ. Chem., 1957, 22, № 6, 704—706 (англ.)

Найдено, что при р-ции аминов с $ClCH_2CH_2CN$ (I) или $ClCH_2CH_2COOR$ (II) в зависимости от природы амина образуются: а) хлоргидрат исходного амина

(ХГА) и $\text{CH}_2=\text{CHCN}$ или акриловый эфир, б) хлоридат N-замещ. аминопропионитрила $\text{RR}'\text{NCH}_2\text{CH}_2\text{CN} \cdot \text{HCl}$ (III) или же эфира N-замещ. 3-аминопропионон-ой к-ты либо в) четвертичная аммониевая соль $[\text{R}'\text{CH}_2\text{CH}_2\text{N}^+\text{R}]\text{Cl}^-$ (IV), где $\text{R}' = \text{CN}$ (IVa), или соответственно COOR (IVb). Для проведения р-ции к р-ру амина в абс. спирте (200–300 мл на 1 моль) прибавляют эквимолярное кол-во I или II и кипятят от 30 мин. до 90 час. Р-ция с алифатич. аминами обычно бывает экзотермич. Спирт отгоняют в вакууме, затвердевший остаток промывают эфиром и спиртом и, если возможно, кристаллизуют из смеси спирта с эфиром. Взаимодействием аминов с I получены (указаны исходный амин, продолжительность р-ции в часах, выделенное в-во, его выход в % и т. пл. в °C): NH_3 , 0,5, NH_4Cl , 97, — (одновременно получены $\text{CNC}_2\text{H}_4\text{NH}_2 \cdot \text{HCl}$, выход 8,4%, т. пл. 126–128° и $\text{NH}(\text{CH}_2\text{CH}_2\text{CN})_2$, выход 80%); $n\text{-C}_4\text{H}_9\text{NH}_2$, 72, III, ($\text{R} = n\text{-C}_3\text{H}_7$, $\text{R}' = \text{H}$), 82 176–177; пирролидин, 72, III ($\text{RR}' = \text{пирролидил-1}$) (IIIa), 89, 171–173; морфолин, 24, III ($\text{RR}' = \text{N-морфоллинил}$), 84, 212,5–213; $(\text{CH}_3)_3\text{N}$, I, ХГА, 95, > 255; $(\text{C}_2\text{H}_5)_3\text{N}$, I, ХГА, 96, 255–256; $\text{C}_6\text{H}_5\text{NH}_2$, 24, ХГА, 55, 193–194; пиридин (VI), 87, ХГА, 85, 114–117 (при кипячении VI с I в C_6H_6 51 час. выход ХГА 72%); изохинолин, 87, IVa ($\text{R}'' = \text{изохинолиний}$), 86, 220–222; хиналидин, 48, ХГА, 79, 220–221; 8-окси-VI, 69, ХГА, 77, 228–229; 2-метил-V, 48, ХГА, 98, 75–77; 3-метил-V, 72, IVa ($\text{R}'' = \text{3-метилпиридиный}$), 88, 65–75 (неочищ.; не кристаллизуют в-во из смеси сп.-эф. не удалось); 4-метил-V, 72, IV ($\text{R}'' = \text{4-метилпиридиный}$), 90, 161–163; акридин, 72, ХГА, 85, 233–235. Взаимодействием аминов с II получены следующие IVb в виде воскообразных или гелеобразных в-в (указаны амин, значение R'' , значение R в II и одновременно в полученном IVb, продолжительность р-ции в часах, выход в %): V, пиридин, C_2H_5 , 90, 87; V, пиридин, C_6H_5 , 72, 83; V, пиридин, C_6H_{11} , 72, 88; V, пиридин, C_2H_5 , 72, 70; V, пиридин, $\text{C}_{12}\text{H}_{27}$, 90, 42; VI, хинолиний, C_6H_{17} , 69, 5,7. Образование III при действии первичных и вторичных аминов на I, вероятно, объясняется отщеплением HCl из I с последующим циклизированием ХГА, так как при кипячении 0,4 моля хлоргидрата пирролидина с 0,4 моля $\text{CH}_2=\text{CHCN}$ в 80 мл абс. спирта (72 часа) получается IIIa, выход 90% (неочищ.). Г. Браз

4619. О некоторых замещенных альдегидах хинолинового и пиридинового ряда. Матес, Зауэрмилх (Über einige substituierte Aldehyde der Chinolin- und Pyridinreihe. Mathes Wilhelm, Sauermilch Walter), Chem. Ber., 1957, 90, № 5, 758–761 (нем.)

Окислением соответствующих производных хинолидина и α -пиколина при помощи SeO_2 или воздухом в газовой фазе получены следующие отвечающие общей ф-ле RCHO (I) альдегиды (указаны R, т. кип. в °C/мм. т. пл. в °C): 7-метилхинолил-2 (Ia), —, 87–88 (из бан.); 6-метоксихинолил-2, —, 105 (из бан.); пикрат, т. пл. 124–125° (из CH_3OH); 8-метоксихинолил-2, —, 103 (из бан.); 6-хлорхинолил-2, —, 140 (из бан.); в качестве побочного продукта получен 6-хлорхинолон-2, т. пл. 234–237°; 7-хлорхинолил-2, —, 159 (из бан.); 8-хлорхинолил-2, —, 146 (из бан.); 6-бромхинолил-2, —, 164 (из бан.); 3-метилпиридил-2 (Ib), 52–54/0,2, —, оксим, т. пл. 151°; семикарбазон, т. пл. 197°; тиосемикарбазон, т. пл. 209°; фенилгидразон, т. пл. 160°; 5-метилпиридил-2 (Iv), 70–72/0,7, 41,5; оксим, т. пл. 158,5°; семикарбазон, т. пл. 208,5°; тиосемикарбазон, т. пл. 220,5°; фенилгидразон, т. пл. 160°; 3-оксипиридил-2 (Iv), —, 83 (выход 26,5%); оксим, т. пл. 171°. Описаны соответствующие произ-

водные Ib и Iv: пиридоины (т. пл. 107 и 126°), карбоновые-2 к-ты (т. пл. 118 и 124,5°), соответствующий Iб пиридил, т. пл. 105°, соответствующий Iв пиангидрин, т. пл. 66°. Строение Ia (ср. РЖХим, 1957, 15382) и Iv доказано их окислением соответственно в 7-метилхинолилкарбовую-2 к-ту (II), т. пл. 157° (разл.), и 3-оксипиридилкарбовую-2 к-ту, т. пл. 216–217°. При декарбоксилировании II получен 7-хлорхинолин; пикрат, т. пл. 235°. А. Травин

4620. Новая реакция дезоксидирования окисл. ароматических третичных аминов (дополнение). Реакция 1-окиси 4-нитрохинолина с бромокисью фосфора. Хамана, Хосидэ, Канада (Pyridine 系アミノオキシドの一新脱オキシ反應. 補遺. 4-Nitroquinoline 2-Oxide と POBr_3 との反應. 濱名政和, 星出安雄, 金田旭立), 薬學雑誌, Якутаку дзасси, J. Pharmac. Soc. Japan, 1956, 76, № 12, 1337–1341 (японск.; рез. англ.)

Изучено взаимодействие N-окисей 4-нитрохинолина (I) и 4-нитропиридина (II) с бромистыми соединениями Р (РЖХим, 1957, 8048). Р-ция N-окиси I (III) с POBr_3 протекает в двух направлениях в зависимости от т-ры. Главным продуктом р-ции, проведенной в CHCl_3 при 5°, является 2-бром-I (IV), выход 73%; из IV при гидрировании (Pd/C) может быть получен 4-аминохинолин, а с избытком POBr_3 — 2,4-дибромхинолин (V); выход V достигает 79% при кипячении IV с 2,5 моля POBr_3 1,5 часа в этилацетате (VI). Второе направление р-ции III с POBr_3 , роль которого усиливается при нагревании, образование N-окиси 4-бромхинолина (VII); которая так же, как IV, дает V при действии POBr_3 (в CHCl_3 , 1,1 моля POBr_3 , 10°, 15 мин., выход 40,6%) и кроме того, образует в этой р-ции 4-бромкарбостирил (VIII) с выходом 24%, в отличие от IV, который не превращается в VIII. Для р-ций III с POBr_3 (1:1,2, 15 мин.) перечислены р-ритель, т-ра в °C, выходы IV, V, VII, VIII в %, возврат III в %: CHCl_3 , 5–10, 73, 2, 0,8, 0,4, 4; CHCl_3 , 61, 25,6, 51, 0,8, 0,8, 2,5; VII, 5, 10,5, 0, 0, 0,8, 78; VI, 78, 3,8, 64, 5, 0,8, 0. Высокий выход V, полученный при нагревании, объясняется, по-видимому, вторичным превращением VII. Образование большого кол-ва IV в CHCl_3 при низкой т-ре свидетельствует о том, что N-окисная группа в III гораздо более активна, чем NO_2 -группа. Основным направлением р-ции III с PBr_3 при 10° является дезоксидирование, т. е. образование I; кроме того, из этой р-ции получены IV (побочное направление процесса) и V, по-видимому, за счет дальнейшего превращения IV. При нагревании выход I падает, а V возрастает, т. е. и в этом случае роль побочного процесса увеличивается при нагревании. Для р-ций III с PBr_3 (15 мин.) перечислены р-ритель, кол-во PBr_3 в молях, т-ра в °C, выходы I, IV, V, 4-бромхинолина, VIII в %, возврат III в %: CHCl_3 , 1,2, 10, 40,4, 15,8, 8,9, 0, < 1, 8; CHCl_3 , 3, 10, 65,5, 13,5, 6,6, 2,7, < 1, 0; CHCl_3 , 1,2, 61, 28,4, 9,8, 18,5, < 1, 15,5; CHCl_3 , 3, 61, 41,5, 14,3, 5,3, 0, 0, 22,9; VII, 1,2, 10, 76,5, 6,8, 0, 0,9, 0, 6; VI, 3, 10, 94, 3, 0,7, 0, 0, 2; VI, 1,2, 78, 6,6, 3, 17,2, 47,3, < 1, 0; VI, 3, 78, 4,4, 3, 2,6, 87, 0, 0. Из р-ции N-окиси II с POBr_3 , так же как из III, может быть получен 2-бром-II (0,22 г из 2 г).

Е. Головинская

4621. 3,4-дигидро-4-фенилкарбостирил и -изокарбостирил и некоторые их производные. Стивенсон (3:4-dihydro-4-phenyl-carbostyryl and -isocarbostyryl and some of their derivatives. Stephenson E. F. M., miss), J. Chem. Soc., 1956, July, 2557–2558 (англ.)

Улучшен ранее описанный метод (Hauser, Reynolds, J. Amer. Chem. Soc., 1948, 70, 2404) получения 4-фенилкарбостирила (I) применением полифосфор-

ной к-ты (II) для циклизации $C_6H_5NHCOSCH_2COC_6H_5$ (III); I восстановлен в 3,4-дигидро-I (IV) с помощью амальгамы Na (V), каталитич. восстановление не удалось. В присутствии Pd-черни IV дегидрируется в I. IV получен также из 3-фенилпиперидина (VI) р-цией Шмидта. Циклизацией $(C_6H_5)_2CHCH_2NHCOC_2H_5$ (VII) в присутствии II получен 3,4-дигидро-4-фенилпиперидинкарбостирил (VIII), который дегидрируется (Pd-чернь) в 4-фенилпиперидинкарбостирил (IX). К р-ру 63 г P_2O_5 в 36 мл H_3PO_4 добавляют (105°) 2,39 г III, через 30 мин. (т-ру бани повышают от 123 до 143°) выливают на лед и через 5–6 час. выделяют 1,55 г I, т. пл. 259–261° (из водн. сп.); из I и $POCl_3$ получен 2-хлор-4-фенилхинолин, т. пл. 91–92°. К 0,88 г I в 80 мл спирта и 12 мл воды добавляют (45 мин., 20°) 55 г V, через 2 часа декантируют, разбавляют 200 мл воды и подкисляют HCl (к-той), через 4 часа выделяют 0,76 г IV и очищают сублимацией при 190–210°/0,2 мм, т. пл. 180–180,5° (из водн. сп.). К 0,58 г азиды Na, 1,04 г VI в 30 мл $CHCl_3$ добавляют за 30 мин. (20–25°) 3 мл конц. H_2SO_4 , через 1 час (40°) декантируют хлороформный слой и выливают остаток на лед, через 24 часа экстрагируют C_6H_6 и очищают полученный IV (общий выход 275 мг) сублимацией. К р-ру 21 г P_2O_5 в 12 мл H_3PO_4 добавляют (110°) 1,47 г VII, нагревают (до 148° за 50 мин.), выливают на лед, через 6 час. выделяют 0,93 г неочищ. VIII (очистка сублимацией при 170–180°/0,2 мм), т. пл. 173,5–174° (из бэл.). VII (т. пл. 70–71°) получен из $(C_6H_5)_2CHCH_2NH_2$; хлоргидрат, т. пл. 259–261°; диацетиловое производное, т. пл. 96–97° (из водн. сп., очистка сублимацией при 190°/0,4 мм). 200 мг VIII нагревают (255–265°, N_2) со 100 мг Pd-черни, получают 170 мг неочищ. IX, т. пл. 243,5–244,5° (из сп., сублимация при 190–205°/0,5 мм). К 70 г P_2O_5 в 40 мл H_3PO_4 добавляют (105°) 4,52 г $(C_6H_5)_2CHCH_2COOH$, через 30 мин. (105–110°) выливают на лед и нейтрализуют NaOH, через 6 час. промывают Na_2CO_3 полученный VI, выход 2,88 г, т. пл. 78,5–79,5° (сублимация при 155°/0,4 мм из бэл.). Нагреванием (250°, 35 мин., N_2) 100 мг IV с 50 мг Pd-черни получают I.

Г. Крюкова

4622. Новый способ получения эфиров хинолила и пиридилсульфоксидов. Зымалковский, Шауэр (Über eine neue Darstellung von Chinolyl- und Pyridylsulfoxidestern. Zymalkowski F., Schauer W.), Arch. Pharmazie, 1957, 290/62, № 5, 218–224 (нем.).

Синтезированы $RCH_2COOC_2H_5$ (I), где R-остаток C_6H_5N или хинолина, по схеме: $RCHO$ (II) + C_6H_5COCl (III) + KCN → $RCH(CN)OCOC_2H_5$ (IV) → $RCH(CONH_2)OCOC_2H_5$ (V) → RCH_2CONH_2 (VI) → I. К охлажд. до –15° р-ру 5 г гидрата II (R-хинолил-4) и 4,03 г III в 45 мл эфира медленно и при хорошем размешивании прибавляют р-р 2 г KCN в 10 мл воды и размешивают (–10°, 2 часа), получают IV (R-хинолил-4) (IVa), выход 84,7%, т. пл. 133–134° (из сп.). Аналогично получают IV (R-хинолил-2), выход 82,4%, т. пл. 114–116° (из CH_3OH). К охлажд. до –15° р-ру 7,2 г III в 25 мл абс. эфира каплями прибавляют одновременно (атмосфера N_2) р-р 5 г II (R-пиридил-4) в 20 мл эфира и р-р 3,35 г KCN в 10 мл воды, размешивают (–10°, 2 часа), получают IV (R-пиридил-4), выход 78%, т. пл. 130–132° (из CH_3OH); хлоргидрат, т. пл. > 180° (разл.). Аналогично получают другие IV (указаны R, выход в %, т. пл. в °C): пиридил-2, 97,3, 100–102 (из сп.); пиридил-3, 50, 94 [из (изо- C_3H_7) $_2O$]. К охлажд. до –15° (70 мл) конц. H_2SO_4 прибавляют 5 г IVa, размешивают до растворения (~5 час.), оставляют на 10 час. при ~0°, выливают на 250 г льда, нейтрализуют р-ром NaOH и подщелачивают

р-ром Na_2CO_3 ; получают V (R-хинолил-4) (Va), выход 85,8%, т. пл. 198–199° (из водн. сп.). Аналогично получают следующие V (указаны R, выход в %, т. пл. в °C): хинолил-2, 78,2, 212–216 (из сп.); пиридил-4, 74,5, 196–198 (из водн. сп.); пиридил-2, 78,2, 140–142 (из водн. сп.); пиридил-3, 63, 163–164 (из воды). Р-р 3 г Va в 150 мл абс. спирта гидрируют над 3 г Pd/ $BaSO_4$ (~20°, 1 экв H_2) и выделяют VI (R-хинолил-4) (VIa), выход 90,4%, т. пл. 211–212° (из сп.). Аналогично получают следующие VI (указаны R, выход в %, т. пл. в °C): хинолил-2, 60, 189–190 (из сп.); пиридил-4, 75,3, 142–144 (из сп. эф.-петр. эф.); пиридил-2, 91,7, 123–124 (из бэл.). Р-р 1 г VIa в 20 мл абс. спирта насыщают сухим HCl, кипятят 4 часа, упаривают досуха в вакууме, остаток растворяют в воде, прибавляют эфир и подщелачивают при охлаждении р-ром Na_2CO_3 ; из эфирного р-ра получают I (R-хинолил-4), выход 91%, т. пл. 64° (из этилацетат-петр. эф.-гексана); хлоргидрат, т. пл. 145–150° (разл.). Аналогично получают другие I (указаны R, время кипячения в часах, выход в %, т. кип. в °C/мм): хинолил-2, 12, 26,6, 130/0,5; пикрат, т. пл. 151–152°; пиридил-4, 2,5, 85,8, 127–128/14; хлоргидрат, т. пл. 162–163,5° (разл.); пиридил-2, —, 82,3, 129–131/12; пикрат, т. пл. 138,5–140°.

А. Трайнт

4623. Некоторые реакции замещения в ядре нона 4,7-дихлор-1-метилхинолиния. Шок (Some displacement reactions of 4,7-dichloro-1-methylquinolinium ion. Schock R. U.), J. Amer. Chem. Soc., 1957, 79, № 7, 1670–1672 (англ.).

Изучены р-ции взаимодействия сульфометилата 1-метил-4,7-дихлорхинолина (I) с неорганич. и органич. основаниями. При обработке I KOH образуется смесь 4,7-дихлор-1-метил-2-хинолина (II) и 7-хлор-1-метил-4-хинолона (III). Р-ция I с аминами и хлоргидратами ароматич. аминов приводит к замещению на аминогруппу хлора в положении 4; при повышенной т-ре на аминогруппу замещается также хлор в положении 7. Взаимодействием I с дихлоргидратом 4-амино-2-диэтиламинометилфенола (IV) получен хлорметилат амодиамина (V). Смесь 50 г 4,7-дихлорхинолина, 75 мл диметилсульфата и 400 мл C_6H_6 кипятят 5 час.; получают I, выход 99%, т. пл. 176–177° (разл.; из ацетона CH_3OH). Р-р 3 г KOH в 20 мл воды прибавляют к р-ру 6 г I в 60 мл воды и выделившийся после стояния осадок очищают кристаллизацией из CH_3OH ; получают II, выход 0,81 г, т. пл. 159–160°. Обработка II PCl_5 приводит к 2,4,7-трихлорхинолину, т. пл. 100–101°. Фильтрат после отделения II упаривают до небольшого объема; получают III, выход 1,2 г, т. пл. 235–236° (из разб. CH_3OH). Р-р 5 г I и 5 г $NaHCO_3$ в 100 мл воды нагревают 4 часа при ~100°, получают III, выход 84%. К р-ру 4 г I в 30 мл CH_3OH прибавляют 4 мл пиперидина (VI), оставляют на ~12 час., обрабатывают р-ром 4 г NaI в воде; получают йодистый 4-пиперидил-7-хлор-1-метилхинолиний, выход 3,8 г, т. пл. 257–258°. Смесь 5 г I и 15 мл VI нагревают 5 час. при 100°, прибавляют 100 мл эфира, декантируют и осадок обрабатывают р-ром 5 г NaI в 100 мл воды; получают йодистый 4,7-диниперидил-1-метилхинолиний (VII), выход 3 г, т. пл. 237–238° (из воды). Смесь 1 г VII, 5 г KOH и 125 мл воды нагревают 16 час. при ~100° и извлекают $CHCl_3$ (75 мл × 2); получают 7-пиперидил-1-метил-4-кето-1,4-дигидрохинолин, выход 0,51 г, т. пл. 166–167° (из ацетона-циклогексана). Аналогично указанному для VII, из 4 г I и 10 мл n-амиламина получают йодистый 4,7-ди-n-амиламино-1-метилхинолиний, выход 3,1 г, т. пл. 216–218° (из CH_3OH), р-р 3,24 г I и 5 г 2-аминопиперидина в 50 мл CH_3OH оставляют на 16 час., нагревают до растворения осадка и обрабатывают 2–3 г NaI;

получают йодистый 7-хлор-4-(α -пиридиламино)-1-метилхинолиний, выход 3,1 г, т. пл. 268—269° (из CH_3OH). Р-р 0,02 моля I и 0,02 моля $\text{C}_6\text{H}_5\text{NH}_2 \cdot \text{HCl}$ в 60 мл воды оставляют на 72 часа, нагревают до кипения, нейтрализуют NH_4OH и прибавляют NaCl ; получают хлористый 7-хлор-4-фениламино-1-метилхинолиний, выход 6,5 г, т. пл. 285—286° (разл.; из ацетона). Р-р 0,05 моля I и 0,055 моля 4- $\text{HOC}_6\text{H}_4\text{NH}_2 \cdot \text{HCl}$ в 75 мл воды оставляют на 16 час.; получают хлористый 7-хлор-4- α -оксифениламино-1-метилхинолиний (VIII), выход 10,6 г. Р-р 4 г VIII в 350 мл воды обрабатывают NH_4OH ; получают 7-хлор-4- α -оксифениламино-1-метил-1,4-дигидрохинолин, выход 3 г, т. пл. 275—277° (из $\text{HCON}(\text{CH}_3)_2$). Р-р 12,8 г I и 10,6 г IV в 75 мл воды оставляют на 24 часа, подщелачивают NH_4OH , осадок отделяют, растворяют в 400 мл ацетона и осаждают 15 мл конц. HCl ; получают V, выход 11,8 г, т. пл. 132—134° (из CH_3OH и ацетона). Р-р 4 г V в 100 мл воды подщелачивают NH_4OH ; получают 7-хлор-4-(4'-окси-5'-диэтиламинометилфениламино)-1-метил-1,4-дигидрохинолин, выход 3,1 г, т. пл. 143—144° (из разб. CH_3OH). Л. Яхонтов

4624. Фуорохинолины. VIII. Синтез и гидрирование 5-метилфуоро[3,2-с]хинолинона-4. Ота, Мори (Furoquinolines. VIII. Synthesis and hydrogenation of 5-methylfuro [3,2-c] quinolin-4-one. Ohta Tatsuo, Mori Yo), Proc. Japan. Acad., 1956, 32, № 10, 769—773 (англ.).

Описан синтез 5-метилфуоро[3,2-с]хинолинона-4 (I). 3-(β -этоксипропил)-4-оксикарбостирил (II) циклизуется в 2,3-дигидрофуоро[3,2-с]хинолинон-4(5H) (III), который при метилировании образует 2,3-дигидро-5-метилфуоро[3,2-с]хинолин-ОН-4 (IV), полученный также прямо из $\text{C}_6\text{H}_5\text{NHCN}$. При дегидрировании IV получают I. 0,1 г II в 5 мл $(\text{C}_6\text{H}_5)_2\text{O}$ кипятят 5 час., по охлаждению прибавляют петр. эфир, получают III, т. пл. 280—282° (из пиридина). К 2 г III прибавляют поперечно 4 мл $(\text{CH}_3)_2\text{SO}_4$ в 5 мл 50%-ного KOH , оставляют стоять, прибавляют 50 мл воды, экстрагируют теплым C_6H_6 , хроматографируют на Al_2O_3 , выделяют 1,2 г IV, т. пл. 137—138°. 13,8 г диэтилового эфира β -этоксипропилоновой к-ты, 6,4 г N-метиланилина и 50 мл $(\text{C}_6\text{H}_5)_2\text{O}$ кипятят 6 час., выделяют IV, выход 58,5%. 2,7 г IV, 2 г 10%-ного Pd/C и 30 мл $(\text{C}_6\text{H}_5)_2\text{O}$ кипятят 14 час., выделяют 0,7 г I, т. пл. 132—133° (из разб. сп.). 0,2 г фуоро[3,2-с]хинолинона-4(5H) (V) в 200 мл спирта и 0,2 г I в 60 мл спирта соответственно гидрируют с PdO , получают III и IV. 20 г метилового эфира N-метилантралиновой к-ты и 20 г масляного ангидрида нагревают ($\sim 100^\circ$, 2 часа), получают 19 г метилового эфира N-бутирил-N-метилантралиновой к-ты (VI), т. кип. 155—156°/3—4 мм, 12 г VI кипятят в толуоле с 1,5 г Na, получают 5,1 г 3-этил-4-окси-1-метилхинолин-2-она (VII), т. пл. 185° (из разб. сп.). 0,1 г V и 0,1 г I гидрируют ($\sim 20^\circ$, 760 мм) с Pt (из 0,1 г PtO_2), получают соответственно 3-этил-4-оксихинолин-2, т. пл. 262° и VII. Ю. Розанова

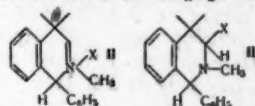
4625. Бимолекулярные соединения, получаемые при восстановлении азотистых гетероциклов путем растворения металла. Эллотт, Мак-Грифф (Bimolecular compounds from dissolving-metal reductions of N-heterocyclics. Elliott I. W., Jr., McGriff R. B.), J. Organ. Chem., 1957, 22, № 5, 514—516 (англ.).

Изохинолин (I) при действии Zn в $(\text{CH}_3\text{CO})_2\text{O}$ восстанавливается в 2,2'-диацетил-1,2,1',2'-тетрагидро-1,1'-дизохинолин (II). Аналогично из 3-метил-I образуется 3,3'-диметил-II (III). При замене $(\text{CH}_3\text{CO})_2\text{O}$ на $\text{C}_6\text{H}_5\text{COCl}$ I дает 2,2'-дифенил-1,2,1',2'-тетрагидро-1,1'-дизохинолин (IV). При восстановлении в сходных условиях акридин (V) превращается в 9,10,9',10'-тетрагидро-9,9'-биакридин (VI). К р-ру 25 г I в 110 мл

$(\text{CH}_3\text{CO})_2\text{O}$ прибавляют за 2 часа 20 г Zn-пыли, перемешивают еще 2 часа, фильтруют, фильтрат обрабатывают CH_3OH , упаривают и выделяют II, выход 18%, т. пл. 193—194°. Для доказательства строения II гидролизуют кипячением (30 мин.) со смесью 20 мл H_2SO_4 и 15 мл воды, приливают 200 мл воды и к кипящему р-ру прибавляют водн. р-р 2,8 г $\text{K}_2\text{Cr}_2\text{O}_7$; получают 1,1'-дизохинолин (VII), т. пл. 161—163°. Для сравнения VII получен также по схеме: I \rightarrow N-оксид-I (выход 53%) \rightarrow 1-хлоризохинолин \rightarrow VII (выход 8%). 43 г 3-метил-I в 125 мл $(\text{CH}_3\text{CO})_2\text{O}$ восстанавливают действием 25 г Zn-пыли, выход III 1,4%, т. пл. 181—183°. 20 г I в 29 г $\text{C}_6\text{H}_5\text{COCl}$ и 100 мл $\text{HCON}(\text{CH}_3)_2$ восстанавливают действием 13 г Zn-пыли, как указано выше, реакционную смесь выливают в воду, фильтруют и фильтрат смешивают с большим кол-вом воды. Выделившееся масло растирают с водой, прибавляют CH_3OH и получают IV, выход 6%, т. пл. 246—247° (из сп.-хлф.). УФ-спектры II, III и IV сходны со спектрами 2-бензоил-1,2-дигидроизохинональдонитрила (VIII) и 2-бензоил-3-метил-1,2-дигидроизохинональдонитрила (IX), что также подтверждает строение продуктов восстановления I и III. К кипящему р-ру 20 г V в 125 мл $(\text{CH}_3\text{CO})_2\text{O}$ прибавляют за 1,5 часа 13 г Zn-пыли, перемешивают еще 30 мин., оставляют на 12 час., фильтруют, промывают водой и кристаллизуют из $\text{HCON}(\text{CH}_3)_2$, получают VI, т. пл. 247—248°. При попытке прогидролизовать VI кипячением (36 час.) с HCl (к-той) получается V, выход 64%. Образование V объясняется тем, что VI при нагревании диспропорционируется на V и акридин, последний O_2 воздуха окисляется в V. Приведены положения полос в УФ-спектрах ($\lambda_{\text{макс}}$ и $\lg \epsilon$) соединений II, III, IV, VII и IX. Г. Брау

4626. К изучению 1-фенил-2-метил-1,2-дигидроизохинолина. Брук, Каррер (Zur Kenntnis des 1-Phenyl-2-methyl-1,2-dihydro-isochinolins. Brook P. R., Karrer P.), Helv. chim. acta, 1957, 40, № 2, 260—264 (нем.).

Показано, что соединения, образующиеся при взаимодействии йодметилата изохинолина с $\text{C}_6\text{H}_5\text{MgBr}$ (Freund, Bode, Chem. Ber., 1909, 42, 1746) и при восстановлении йодметилата 1-фенилизохинолина LiAlH_4 (Schmid, Karrer, Helv. chim. acta, 1949, 32, 960) идентичны и представляют собой 1-фенил-2-метил-1,2-дигидроизохинолин (I). При изучении устойчивости I по отношению к к-там в атмосфере N_2 и O_2 найдено,



что отмеченное в литературе быстрое разрушение I к-тами имеет место только в присутствии O_2 . Высказано мнение, что в кислой среде I имеет форму иммониевой соли (II), которая частично может перегруппировываться в неионное, псевдо-четвертичное соединение (III). Р-р 163 мг I в 1 мл спирта, содержащего 0,25 мл конц. HCl , разбавляют 5 мл воды, прибавляют избыток KCN в 1 мл воды и подкисляют HCl (к-той) до pH 1—2, получают III ($\text{X} = \text{CN}$), выход 167 мг, т. пл. 124—125,5° (из разб. сп.). Строение этого соединения доказано почти полной идентичностью его УФ-спектра со спектром 1-фенил-2-метил-1,2,3,4-тетрагидроизохинолина. Последний получен восстановлением I при помощи NaBH_4 . А. Травин

4627. 2,3,4,5-тетрагидро-1-метил-5-оксо-6,7-бензазепин. Бронхольц, Манн (2:3:4:5-tetrahydro-1-methyl-5-oxo-6:7-benzazepine. Bronholtz J. T., Mann F. G.), Chemistry and Industry, 1957, № 9, 266—267 (англ.).

Методом, описанным ранее (РЖХим, 1956, 25800), синтезирован 2,3,4,5-тетрагидро-1-метил-5-оксо-6,7-бензазепин (I), т. кип. 119–120°/0,2 мм; 2,4-динитрофенилгидразон, т. пл. 202–203°; семикарбазон, т. пл. 198°; хлоргидрат, т. пл. 160–161° (из сп.; разл.). Строение I подтверждено сравнением УФ-спектров в спирте I и 1,2,3,4-тетрагидро-1-метил-4-оксохинолина. А. К.

4628. **Пиридо-[2,3,4,5-*l,m,n*]-фенантридин. Мосби** (Pyrido[2,3,4-*lmn*]phenanthridine. Mosby W. L.), J. Organ. Chem., 1957, 22, № 6, 674–673 (англ.)

Описан синтез пиридо-[2,3,4,5-*l,m,n*]-фенантридина (I) и 5,10-диметил-I (II). 450 г 2-нитрохлорбензола нагревают до 240–245°, прибавляют за 2 часа небольшими порциями 450 г Cu-порошка, перемешивают еще 2 часа при 250°, выливают в 2 л толуола и фильтруют. Толуольный р-р хроматографируют на Al_2O_3 , первую часть фильтрата отбрасывают, вымывают толуолом и выделяют из р-ра 2,2'-динитродифенил (III), выход 71%, т. пл. 119–122° (из бзл.). Смесь 60 г Fe-порошка, 30 мл воды и 2 мл CH_3COOH кипятят 15 мин., затем постепенно прибавляют 0,1 моля III и одновременно приливают в несколько приемов 10 мл спирта, кипятят 5,5 часа, добавляют 200 мл C_6H_6 и нагревают еще 1 час. Бензольный р-р отделяют, р-ритель отгоняют и получают 2,2'-диаминодифенил (IV), выход 97,8%, т. пл. 75,4–77,6°. Из смеси 92 г IV и 80 мл 98%-ной $HCOOH$ отгоняют воду и $HCOOH$ до тех пор, пока т-ра жидкости не поднимется до 150°, выдерживают при 150° 30 мин., охлаждают, остаток растирают со спиртом и отфильтровывают 2,2'-диформамидодифенил (V), выход 91,7% (неочищ.), т. пл. 147,2–147,8° (из CH_3OH). Аналогично при нагревании 18,4 г IV с 10 мл CH_3COOH и 20 мл $(CH_3CO)_2O$ (150°, 10 мин.) с последующей обработкой охлажд. смеси небольшим кол-вом CH_3OH получают 21,5 г неочищ. 2,2'-диацетамидодифенила (VI), т. пл. 164,2–165,3° (из бзл.). Сплавливают смесь 35 г безводн. $AlCl_3$ с 15 г $NaCl$, нагревают на бане до 250°, сразу прибавляют 10 г V, перемешивают 2 часа при 250° и выливают в смесь льда с HCl (к-той). Полученный р-р кипятят, фильтруют, упаривают до начала кристаллизации и выделяют хлоргидрат I, выход 12%, т. пл. 301–302° (из воды), либо упаривают до ~300 мл и прибавляют р-р пириновой к-ты в CH_3OH , выход пикрата I 30,4%, т. пл. 226, 8–228,3° (из CH_3OH). I выделяют из его хлоргидрата, т. пл. 220–220,7° (из C_6H_5N). Аналогично I из VI получают II, выход 13%, т. пл. 260–261,4° (из C_6H_5N); пикрат плавится при 261–261,5°, если капилляр опустить в прибор при 260°. Приведены кривые УФ-спектров I, II и пирена, а также положения полос в УФ-спектре (λ_{max} и $lg \epsilon$) I и II. Г. Браз

4629. **Приготовление некоторых производных меримина. Райт, Уэбб, Смит** (The preparation of some merimine derivatives. Wright William B., Jr, Webb John S., Smith James M., Jr), J. Amer. Chem. Soc., 1957, 79, № 9, 2199–2203 (англ.)

Восстановлением γ -лактама 3-амино-5-аминометил-2-метилизаникотининовой к-ты (I) действием $LiAlH_4$ получают 6-метил-7-аминомеримин (IIa). Так как прямое диазотирование IIa не приводит к получению определенных продуктов, то для получения 2,7-диамещ. производных меримина диазотированию подвергают (IIб) и (IIв). Кислотным или щел. гидролизом II ($R' = COOCH_3$) или II ($R' = COC_6H_5$) получают II ($R' = H$), являющиеся сильными основаниями. При нагревании (IIг) с 48%-ной HBr получают (IIд). Каталитич. гидрированием (IIе) получают (IIж). (IIз) и (IIи), трудно получаемые через диазотирование, легко получают при бензоилировании IIе и (IIк) по Шоттену-Бауману с хорошими выходами. II ($R' = C(=NH) \cdot NH_2$) и II ($R' = C=NCH_2CH_2NH$) получены взаимодей-

ствием с тиурониевыми солями, II ($R' = CONH_2$) с KCN , II ($R' = SO_2N(CH_3)_2$) с $ClSO_2N(CH_3)_2$, а II ($R' = SO_2C_6H_4NH_2$) гидролизом соответствующих II ($R' = SO_2C_6H_4NHCOCH_3$), получаемых при взаимодействии II ($R' = H$) с $ClSO_2C_6H_4NHCOCH_3$. При ацилировании II ($R' = H$) действием $(CH_3CO)_2O$ получают II ($R' = COCH_3$), легко дающие йодметилаты. К р-ру 2,0 г $LiAlH_4$ в 100 мл тетрагидрофурана (III) добавляют р-р 1,0 г I в 200 мл III (45–50°, ток N_2), нагревают (60–65°, 7 час.) и выдерживают ~12 час. при ~20°, выдвигают дихлоргидрат (ДХГ) IIa, выход 15%. Из 4,55 г которого и 2,16 г CH_3ONa в 20 мл абс. спирта (20°, перемешивание, 2 часа, ток N_2) после упаривания в вакууме получают IIa, выход 67%, т. пл. 167–169°.

а $R = NH_2$, $R' = H$; б $R = NH_2$, $R' = COOC_2H_5$;
в $R = NH_2$, $R' = COC_2H_5$; г $R = OCH_3$,
 $R' = H$; д $R = OH$, $R' = H$; е $R = Br$,
 $R' = H$; ж $R = R' = H$; з $R = Br$, $R' = COC_2H_5$;
и $R = J$, $R' = COC_2H_5$; к $R = J$, $R' = H$;
л $R = OH$, $R' = COOC_2H_5$; м $R = J$,
 $R' = COOC_2H_5$; н $R = Br$, $R' = COOC_2H_5$; о $R = H$, $R' = COOC_2H_5$;
п $R = CCH_3$, $R' = COC_2H_5$; р $R = OH$, $R' = COC_2H_5$; с $R = OCH_3$,
 $R' = C(=NH)NH_2$; т $R = OCH_3$, $R' = SO_2C_6H_4NHCOCH_3$.



К р-ру 448 г ДХГ IIa в 2500 мл воды с 800 мл 5 н. $NaOH$ добавляют при 10° 194 мл $ClCOOC_2H_5$ и 400 мл 5 н. $NaOH$ (15 мин., т-ра поднимается до 20°), перемешивают 1,5 часа и получают IIб; моногидрат, выход 65%, т. пл. 182–183° (из сп.). К р-ру 280 г ДХГ IIa и 150 г $NaOH$ в 2400 мл воды добавляют 165 г C_6H_5COCl (30–35°, 40 мин.), смесь перемешивают 2 часа (30–35°) и отфильтровывают IIв, выход 61%, т. пл. 202–203° (из сп.). К смеси 95,5 г моногидрата IIб 320 мл 5 н. HCl и 4 л льда и воды добавляют р-р 29 г $NaNO_2$ в 150 мл воды (10 мин.), смесь нагревают до 25° (3 часа), р-ром $NaOH$ доводят до pH 3, упаривают в вакууме досуха, экстрагируют горячим спиртом хлоргидрат (IIл), выход 69%, т. пл. 246° (разл.; из сп.). К смеси 239 г моногидрата IIб, 1,2 л 5 н. H_2SO_4 и 6,2 л воды добавляют р-р 72 г $NaNO_2$ в 300 мл воды (т-ра от –2 до –5°, 5 мин.), перемешивают 20 мин. (т-ра от –2 до –5°) и выливают в р-р 176 г KJ в 500 мл воды, нагревают (до 25–30°, 4 часа), добавляют $NaHCO_3$ и получают (IIм), выход 34%, т. пл. 130–131° (из сп.). Р-р 2,9 г $NaNO_2$ в 30 мл воды добавляют (т-ра от –1 до –4°, 5 мин.) к смеси 9,56 г моногидрата IIб, 15 мл 48%-ной HBr и 150 мл воды, выдерживают (т-ра от –1 до –4°, 20 мин.) и выливают в р-р 7 г $SnCl_2 \cdot 2H_2O$ в 25 мл 48%-ной HBr и 15 мл воды, смесь выдерживают (20°, 12 час.), нагревают до 60°, пропускают ток H_2S , фильтруют, добавляют $NaHCO_3$ и получают (IIн), выход 28%, который получают также из IIе и $ClCOOC_2H_5$ в присутствии воды. р-ра щелочи – выход 78%, т. пл. 99–101° (из эф.). Р-р 2,17 г $NaNO_2$ в 10 мл воды добавляют к р-ру 7,17 г моногидрата IIб и 24 мл 5 н. HCl в 200 мл воды (10 мин., т-ра от 0 до –5°), перемешивают 5 мин., добавляют 19,8 г 50%-ной фосфороватистой к-ты (0–22°, 7 час.), добавляют $NaHCO_3$ до тех пор, пока смесь не перестанет дымиться, выделяют хлоргидрат в-ва (IIо), выход 45%. Взаимодействием IIж с $ClCOOC_2H_5$ в присутствии воды. р-ра щелочи получают IIп, выход 67%; хлоргидрат, т. пл. 221–223° (разл.; из сп.-эф.). К смеси 101 г IIв, 4 л CH_3OH и 166 мл конц. HCl добавляют р-р 56 г $NaNO_2$ в 160 мл воды (48–59°, 1 час.), нагревают 1 час (48–59°), частично упаривают, разбавляют водой, добавлением $NaCO_3$ доводят до pH 8, удаляют CH_3OH , подкисляют (pH 3), осветляют углем и доводят (Na_2CO_3) до pH 5,2. Получают (IIп), выход 38%, т. пл. 149–151° (из сп.- $CH_3COOC_2H_5$ -изо). К 76 г IIв, 3500 мл воды и 240 мл 5 н. HCl (от 0 до –5°, 30 мин.), нагревают до 28° (2 часа), доводят добавлением 5 н. $NaOH$

до pH ~3 и упаривают в вакууме. Получают хлоргидрат (Пр), выход 59%, т. пл. 228–230° (из сп.). Нагревают смесь 295 г Пн, 1,1 л 5 н. NaOH и 1,8 л спирта (~100°, 3 часа). После охлаждения добавляют 475 мл конц. HCl, удаляют спирт, добавляют смесь 200 мл конц. HCl и 400 мл воды, отфильтровывают C_6H_5COON , добавляют 530 мл 5 н. NaOH, упаривают остаток в воде, подкисляют конц. HCl и получают ДХГ Пг, выход 65%, т. пл. ~290° (разл.; из разб. сп.). Кипятием смеси 166 г последнего, 75,5 г CH_3ONa и 1,5 мл спирта (3 часа, ток N_2) получают Пг, выход 76%, т. кип. 125–130°/2 мм, т. пл. 57–59°. Нагревают 40 г хлоргидрата Пр и 80 мл 5 н. HCl (~100°, 5 час.), удаляют C_6H_5COON и получают ДХГ Пд, выход 91%, т. пл. >290°. Щел. гидролизом монохлоргидрата Пл получают Пд, выход 68%. При нагревании Пг с 48%-ной HBr (к-та) (~100°, 16 час.), выход ДХГ Пд 70%. Нагревают 86 г Пн, 267 мл 4,5 н. NaOH и 333 мл спирта (~100°, 2,5 часа), охлаждают, фильтруют, добавляют 125 мл конц. HCl, упаривают досуха, остаток промывают спиртом, смешивают с 26,4 г CH_3ONa 500 мл спирта (20°, 1 час. и кипячение, 30 мин.), фильтруют, насыщают HCl (газ) и получают ДХГ Пе, выход 84%, т. разл. ~275° (из 85%-ного сп.). Нагреванием 113 г Пн в 500 мл конц. HCl (100°, 30 мин.) и упариванием досуха в вакууме получают ДХГ Пе, выход 87%. При щел. гидролизе (см. выше) Пм выделяют ДХГ Пк, выход 28%, т. пл. 257° (разл.; из водн. ацетона). Кислотным гидролизом (см. выше) По получают ДХГ Пж, выход 76%, т. пл. 280° (разл.); при щел. гидролизе выход 30%. Гидрированием (в приборе Парра для встряхивания) р-ра 5,72 г ДХГ Пе в 50 мл воды в присутствии 1 г Pd/C, фильтрованием, упариванием досуха, растворением в спирт. р-ре HCl и упариванием досуха получают смешанный хлоргидрат-бромгидрат Пж, выход 92%. ДХГ Пк и C_6H_5COCl в р-ре щелочи дают Пн, т. пл. 193–195° (разл.); аналогично получают Пз, т. пл. 174–176°. Р-р 1,7 г Пг и 1,85 г бромистого S-этилтиурония в 10 мл спирта оставляют (20°, 2 часа), затем нагревают (~100°, 1 час.) и получают бромгидрат в-ва (Пе), выход 87%, темнеет при 260° (из разб. сп.); аналогично из Па получают П (R = NH_2 , R' = C(=NH)NH $_2$), определенной т-ры плавления нет (из воды). Пг с йодгидратом 2-метилмеркаптоимидозолина (аналогично получению Пе)

дает йодгидрат П (R = OCH_3 , R' = C(=N)CH $_2$ CH $_2$ NH), выход 89%. К р-ру 2,37 г ДХГ Пг в 20 мл 1 н. NaOH добавляют 1,08 мл $ClSO_2N(CH_3)_2$ и через 1 час 10 мл 1 н. NaOH. Получают П [R = OCH_3 , R' = $SO_2N(CH_3)_2$], выход 33%, т. пл. 100–103° (из водн. сп.); аналогично получают: П [R = OH, R' = $SO_2N(CH_3)_2$], выход 33%, определенной т-ры плавления нет, и П [R = OH, R' = $SO_2N(C_2H_5)_2$], выход 22%, т. пл. 195–197°. Смесь 32,8 г Пг, 200 мл 1 н. HCl и 16,2 г $KClO$ оставляют при 20° (12 час.), нагревают (~100°, 30 мин.) и получают П (R = OCH_3 , R' = $CONH_2$), выход 97%, т. пл. 233° (разл.). Аналогично получают П (R' = $CONH_2$) (приведены R, выход в %, т. пл. в °C): NH_2 , 95, 275 (разл.); OH, 82, >275; Br, 58, 243–244; I, 56, 232–234 (разл.). Смесь 49,3 г Пд и 150 мл $(CH_3CO)_2$ нагревают (~100°, 90 мин.) и выделяют П (R = OH, R' = $COCH_3$), выход 70%, т. пл. 115–116° (из сп.). Аналогично получают П (R' = $COCH_3$) (приведены R, выход в %, т. пл. в °C): $OCOCN_3$, 26, 143–144; $NHCOCH_3$, 71, 226–228. Смесь 2,06 г П (R = OCH_3 , R' = $COCH_3$), 1,87 мл CH_3I и 15 мл спирта через 5 дней кипятят 90 мин., упаривают и разбавляют эфиром. Получают йодметилат П (R = OCH_3 , R' = $COCH_3$), выход 89%, т. пл. 175–177° (из сп.). Аналогично получают йодметилаты П (приведены R, R', выход в %, т. пл. в °C): $OCOCN_3$, $COCH_3$, 61, 222–224;

$NHCOCH_3$, $COCH_3$, 41, 198–199; H, $COOC_2H_5$, 54, 183–185, 1,18 г ДХГ Пг, 1,23 г $n-CH_3CONHC_6H_4SO_2Cl$ и 30 мл 1 н. NaOH (30–35°, 1 час и 100°, 2 часа) дают (Пт), выход 44%, т. пл. 212–213° (из сп.). Аналогично получают П (R' = $O_2SC_6H_4NHCOCH_3-n$) (приведены R, выход в %, т. пл. в °C): OH, 35, >250; NH_2 , полугидрат, 75, >280. Нагреванием (100°, 1 час) смеси 1,08 г Пт, 20 мл спирта и 5 мл 5 н. NaOH с последующим упариванием и разбавлением водой получают П (R = OCH_3 , R' = $O_2SC_6H_4NH_2-n$), выход 58%, т. пл. 204–205° (из сп.); аналогично из П (R = NH_2 , R' = $O_2SC_6H_4COCH_3-n$) получают П (R = NH_2 , R' = $O_2SC_6H_4NH_2-n$), выход 80%, т. пл. 217° (разл.) Р. О. 4630. Получение и свойства некоторых пиразолилуксусных кислот. Брейн, Файнер (The preparation and properties of some pyrazolylacetic acids. Brain E. G., Finar I. L.), J. Chem. Soc., 1957, May, 2356–2359 (англ.)

С помощью р-ции Вильгеродта (РВ) синтезирован ряд пиразолилуксусных к-т $CH_3C = CRNR'N = CR''$

(I а R = $COOC_2H_5$, R' = H, R'' = $COCH_3$; б R = $COOH$, R' = CH_3 , R'' = $COCH_3$; в R = $COOH$, R' = H, R'' = $COCH_3$; г R = $COOCH_3$, R' = H, R'' = $COCH_3$; д R = $COOCH_3$, R' = CH_3 , R'' = $COCH_3$; е R = $COOC_2H_5$, R' = CH_3 , R'' = $COCH_3$; ж R = $COOC_2H_5$, R' = CH_3 , R'' = $CH_2CSN(CH_2CH_2)_2O$; з R = $COOH$, R' = CH_3 , R'' = CH_2COOH ; и R = $COOH$, R' = H, R'' = CH_2COOH ; к R = $COOH$, R' = H, R'' = $CH_2CSN(CH_2CH_2)_2O$; л R = H, R' = CH_3 , R'' = $COCH_3$; м R = $COOH$, R' = CH_3 , R'' = CH_2COOCH_3 ; н R = H, R' = CH_3 , R'' = CH_2COOCH_3 ; о R = H, R' = CH_3 , R'' = CH_2COOH ; п R = R' = H, R'' = $COCH_3$; р R = R' = H, R'' = CH_2COOH), причем в двух случаях выделены промежуточные продукты — хлоргидраты тионморфолидов $CH_3C = CRNH = CSH_2$

$CSN(CH_2CH_2)_2O \cdot HCl$ (II а R = $COOC_2H_5$, б R = H). Изучено влияние некоторых I на прорастание пшеницы. 19,6 г Ia метилируют, гидролизуют и неочищ. продукт р-ции (17,5 г) кипятят 3 часа с 500 г 1%-ного HCl (газ) в CH_3OH , быстро упаривают, остаток обрабатывают эфиром и р-ром $NaHCO_3$, из водн. слоя подкислением выделяют Ib, выход 83%, т. пл. 189–191°, из эфирного слоя — Iv, выход 17%; 3 г Iv обрабатывают 100 г 1%-ного HCl в CH_3OH 3 часа, выход Ig 45%, т. пл. 157–158° (из водн. сп.); 14,5 г Ib кипятят с 400 г 1%-ного HCl в CH_3OH 3 часа, выход Id 9,7%, т. пл. 110–111°. 0,024 моля Ie, 0,038 г атома S и 7 мл морфолина (III) кипятят 1 час при 150°, массу растирают с водой, разб. HCl и водой, и выделяют Iж, выход 50%, т. пл. 103–104° (кремовые иголки, при быстром охлаждении) или 107–108° (ромбы или пластинки, при длительном контакте с маточным р-ром, обе формы из CH_3OH); обе формы дают идентичные ИК-спектры. 5 г Iж кипятят 5 час. с 75 мл 10%-ного спирт. р-ра KOH, добавляют 100 мл воды, упаривают до 50 мл, добавляют 50 мл 3 н. HCl и снова упаривают до 50 мл, выход Iz 82%, т. пл. 197°. 4 г Ia подвергают РВ аналогично предыдущему, кристаллич. в-во не образуется, реакционную смесь обрабатывают 10–15 мл конц. HCl и выделяют Па, т. пл. 160–161° (из бэл.-хлф.). 1 г Па кипятят 3 часа с 3 н. NaOH, фильтруют подкисляют и выделяют Пн, т. пл. 265–267° (из воды). По РВ из 4,2 г Iv получают Пк, т. пл. 235–236° (разл.; пересаживают HCl и $NaHCO_3$); при гидролизе Ik выделяют Пн, выход 91%. При пиролизе 15 г 16 (240 ± 10°) выделяют перегонкой Ил, выход 76,5%, т. кип. 63–65°/0,1 мм, т. заст. 19–20°. 1,55 г Iz кипятят 3 часа с 250 мл 1%-ного HCl в CH_3OH , упаривают досуха, остаток растворяют в водн. $NaHCO_3$ и эфиром извлекают Им, выход 90%, т. пл. 141–142°, 2 г последнего нагревают (200–240°, 1 час) и выделяют Ин, выход 70%, т. кип. 76–78°/0,55–0,08 мм; гидролизую Ин спирт. р-ром KOH (1 час.), полу-

чают **Io**, выход 49%, т. пл. 107—109° (из бэл.-петр. эф. и бэл.). 6,75 г **II** вводят в РВ, избыток **III** удаляют в вакууме при 120—130°, остаток обрабатывают 10—20 мл конц. HCl, выход **IIa** 43%, т. пл. 206° (разл.; из сп.). 7 г **IIa** гидролизуют обычным образом, водн. фильтрат упаривают досуха при 130°/20 мм остаток извлекают кипящим спиртом и выделяют 0,4 г **Ip**, т. пл. 116—117° (из бэл.).

С. Гурвич
4631. О продуктах конденсации арилкарбинолов с 1-фенил-3-метилпиразолоном-5. **III**. Гинзбург О. Ф., Гольдберг П. М., Квят Э. И., Ж. общ. химии, 1957, 27, № 4, 993—997

При конденсации 1-фенил-3-метилпиразолона-5 (**I**) с 9-фенилксантгидролом (**II**) в спиртовой и уксуснокислой средах образуется 9-фенил-9-(1'-фенил-3'-метил-4'-, 5'-дигидро-5'-оксо-4'-пиразолил)-ксантен (**III**), устойчивый к водно-спиртовым щелочам. **III** под действием диазосульфаниловой к-ты (**IV**) расщепляется с выделением **II** и образованием красителя $\text{CH}_3\text{C}=\text{NN}(\text{C}_6\text{H}_5)-$

$\text{C}(\text{OH})=\text{CN}=\text{NC}_6\text{H}_4\text{SO}_3\text{H}-n$ (**V**). Аналогично действует

IV на 1-фенил-3-метил-4-(9'-фенил-10'-метил-9',10'-дигидроакридил-9')-пиразолон-5 (**VI**), 1-фенил-3-метил-4-трифенилметилпиразолон-5 (**VII**), бис-фенил-*n*-диметиламинофенил-(1-фенил-3-метил-4, 5-дигидро-5-оксо-4-пиразолил)-метан и бис-(*n*-диметиламинофенил)-фенил-(1-фенил-3-метил-4, 5-дигидро-5-оксо-4-пиразолил)-метан (**VIII**). В связи с высказанным ранее предположением о способности **VIII** диссоциировать в нитробензоле за счет разрыва C—C-связи при C(4) пиразолонового кольца показано медленное увеличение электропроводности во времени для нитробензольных р-ров **VIII** и **VI** при 25°. Р-р 1,7 ммоль **I** и 1,4 ммоль **II** в 20 мл абс. CH_3OH кипятят 2 часа, выход **III** 95,8%, т. пл. 220—221°; при нагревании по 1,1 ммоль **I** и **II** в 10 мл лед. CH_3COOH (2 часа) выход **III** 95,6%. В 10 мл 60%-ного спирта, содержащего 1 г NaOH, растворяют 1 ммоль **III** и приливают р-р 1 ммоль **IV**, выпавший **II** отделяют, наличие **V** доказано снятием УФ-спектра. При аналогичной р-ции **VII** с **IV** выделяют трифенилкарбинол и идентифицируют в р-ре **V**. Сообщение II см. РЖХим, 1954, 28795.

С. Гурвич
4632. Расщепление пиразолинового кольца при ацилировании. Ершов В. В., Кост А. Н., Евреннов Э. Б., Докл. АН СССР, 1957, 113, № 4, 813—816

Исследовано действие ацилирующих агентов на пиразолины в различных условиях. Установлено, что при прибавлении 3,5,5-триметилпиразолина (**I**) в избыток $\text{C}_6\text{H}_5\text{COCl}$ в водн. щелочи идет отщепление протона из положения 4 с последующим раскрытием кольца **I** и образованием 1,2-дибензоилгидразина (**II**), а при обратном порядке смешивания компонентов или в безводн. среде отщепляется HCl и идет ацилирование с образованием 1-бензоил-**I** (**Ia**). Аналогично идет р-ция с азидом ацетона. К р-ру 0,2 моля $(\text{C}_6\text{H}_5\text{CO})_2\text{O}$ в 50 мл абс. C_6H_6 прибавляют 0,1 моля **I**, выделяют **Ia**, выход 83%, т. пл. 92,5—93° (из абс. сп.). В смесь 0,1 моля **I** и 50 мл 2 н. NaOH прибавляют по каплям 0,12 моля $\text{C}_6\text{H}_5\text{COCl}$, перемешивают 10 мин., кристалл промывают 40%-ным NaOH и отделяют **Ia**, выход 29,6%, из щел. вытяжки получают **II**, выход 22,4%, т. пл. 234—236°. При медленном прибавлении 11 г **I** к смеси 0,1 моля $\text{C}_6\text{H}_5\text{COCl}$, 25 мл C_6H_6 и 7 г влажной кристаллич. соды выделяют **II** с выходом 97%. При прибавлении $\text{C}_6\text{H}_5\text{COCl}$ к **I** в присутствии C_6H_6 и влажной соды образуется **Ia** с выходом 67,5%. В безводн. среде $\text{C}_6\text{H}_5\text{COCl}$ и **I** образуют **Ia**, выход 74%, т. кип. 145—149°/4 мм, т. пл. 92—93°. К 0,05 моля 4-этил-5-пропилпиразолина (**III**) (т. кип. 110—112°/22 мм, n_D^{20} 1,4682, d_4^{20} 0,9130) и 5 г соды прибавляют 0,07 моля $\text{C}_6\text{H}_5\text{COCl}$, выделяют 1-бензоил-**III**, выход 48,3%, т. кип. 180—181°/10 мм, n_D^{20} 1,5689, d_4^{20} 1,0357. К 0,05 моля $\text{C}_5\text{H}_{11}\text{COCl}$ и 5 г влажной соды при-

бавляют 0,05 моля **I**, выделяют 1,2-дикапроилгидразин (**IV**), выход 80,6%, т. пл. 159° (из сп.). Аналогично из 0,1 моля $\text{C}_5\text{H}_{11}\text{COCl}$ и 0,1 моля 3-метил-5-фенилпиразолина получают **IV** с выходом 62%. Смесь 0,08 моля $\text{C}_6\text{H}_5\text{COCl}$, 0,036 моля 1-бензил-**I** и 4,5 г кристаллич. соды нагревают до кипения, выделяют N,N'-дибензоилбензилгидразин, выход 16%, т. пл. 148° (из сп.). К 0,1 моля $\text{C}_6\text{H}_5\text{COCl}$ прибавляют 11,2 г азина ацетона в 25 мл C_6H_6 , а затем 30 мл воды, выделяют **II**, выход 72,5%, с семикарбазон ацетона, т. пл. 185—186°; если реакционную смесь сразу разогнать в вакууме, то получают **Ia**, выход 12,4%, т. кип. 145—147°/4 мм. Аналогично из 0,1 моля **I** в присутствии 5 г кристаллич. соды и 0,1 моля $\text{C}_3\text{H}_7\text{COCl}$ получают 1-пропионил-**I**, выход 43%, т. кип. 125—127°, n_D^{20} 1,4779, d_4^{20} 0,9813; из 0,1 моля **I** и 0,1 моля $\text{C}_3\text{H}_7\text{COCl}$ — 1-бутирил-**I**, выход 45,7%, т. кип. 121—123°/13 мм, n_D^{20} 1,4665, d_4^{20} 0,9663; из 0,04 моля **I** и 0,06 моля *изо*- $\text{C}_4\text{H}_9\text{COCl}$ в 25 мл C_6H_6 — 1-*изо*-валерил-**I**, выход 42,5%, т. кип. 108—110°/10 мм, n_D^{20} 1,4712, d_4^{20} 0,9520; из 0,04 моля **I** и 0,05 моля *м*- $\text{NO}_2\text{C}_6\text{H}_4\text{COCl}$ — 1-(*м*-нитробензоил)-**I**, выход 72,3%, т. пл. 99,5—100° (из сп.).

Ю. Розанова
4633. Моногидрат хлоргидрата 5,6-дихлор-1-(3-диметиламинопропил)-бензимидазола. Типсон (5,6-dichloro-1-(3-dimethylaminopropyl)-benzimidazole monohydrochloride monohydrate. Tipson R. Stuart), J. Organ. Chem., 1957, 22, № 5, 587—588 (англ.)

Описан синтез моногидрата хлоргидрата 5,6-дихлор-1-(3-диметиламинопропил)-бензимидазола (**I**). Нитрованием 1,2,4-трихлорбензола (**II**) получают 2,4,5-трихлор-1-нитробензол (**III**), который с N,N'-диметил-1,3-пропандиамином (**IV**) образуют N-(4,5-дихлор-2-нитрофенил)-N',N'-диметил-1,3-пропандиамин (**V**). Катализатором восстановления **V** и конденсацией с HCOOH получают **I**. К 240 мл дымящей HNO_3 прибавляют 50 мл **II** (—1,5, 2 часа), перемешивают при 0° 1 час, выливают в лед, выделяют **III**, выход 90%, т. пл. 57—59° (из гексана). К 7,9 г безводн. пиридина прибавляют 10,2 г **IV** и 25 г **III**, выделенные кристаллы с 100 мл безводн. толуола кипятят 3,5 часа, выделяют 23,1 г хлоргидрата **V** (**Va**), т. пл. 195—197° (из абс. сп.). Из р-ра **Va** в водном Na_2CO_3 и эфиром выделяют **V**, выход колич., т. пл. 34—35°. К р-ру 7 г **V** в 70 мл абс. спирта прибавляют 3 г 10%-ного Pd/C, встряхивают с H_2 при 20°, фильтрат смешивают с 8 мл конц. HCl, выпаривают досуха, прибавляют по 100 мл абс. спирта 2 раза, выпаривают, растворяют в 50 мл 4 н. HCl, прибавляют 4 мл 98%-ной HCOOH, кипятят 2 часа, разбавляют 250 мл воды, прибавляют 0,5 г угля, кипятят 20 мин., к фильтрату прибавляют 44 мл конц. NH_4OH , экстрагируют эфиром 6,5 г основания **I**, которые дают 6,7 г **I**, т. пл. 232—235° (из абс. сп.).

Ю. Розанова
4634. Синтез бензимидазольных соединений, содержащих бис-(β-хлорэтил)-аминогруппу. Гинзбург О. Ф., Порай-Кошиц Б. А., Крылова М. И., Лотарейчик С. М., Ж. общ. химии, 1957, 27, № 2, 411—414

С целью изучения физиологич. активности синтезированы 2-бис-(β-хлорэтил)-аминометилбензимидазол (**I**) и 1-β-хлорэтил-**I** (**II**). Смесь 4,2 г 2-хлорметилбензимидазола (**III**) (т. пл. 139—140°) и 6,0 г диэтанолamina (**IV**) нагревают (~100°, 4,5 часа) и растворяют в горячей воде (150 мл); к фильтрату прибавляют вычисленное кол-во 4%-ного водн. р-ра пикриновой к-ты (**V**) и через 2 часа выделяют пикрат 2-бис-(β-оксиэтил)-аминометилбензимидазола (**VI** — основание), выход 63,2%. Эту же соль получают нагреванием смеси 11 г **III**, 5,4 г безводн. CH_3COONa , 7,0 г **IV** в 130 мл ацетона (кипчение 4,5 часа), выход 65,3%, т. пл. 186° (из воды). К суспензии 35 г пикрата **VI** в 140 мл конц. HCl прибавляют 210 мл C_6H_6 , водн. слой разбавляют равным объемом воды и после обработки углем упаривают досуха. Остаток трижды упаривают с 50 мл спирта.

обрабатывают смесью 25 мл абс. спирта и 25 мл безводн. ацетона и получают дихлоргидрат VI, выход 81,1%, т. пл. 184—186°. Суспензию 11 г дихлоргидрата VI в 110 мл CHCl_3 обрабатывают р-ром 25 мл SOCl_2 в 25 мл CHCl_3 и после кипячения (3,5 часа) оставляют три дня при $\sim 20^\circ$, отгоняют в вакууме (30—35°), остаток трижды упаривают в вакууме с 25 мл CHCl_3 и порциями растворяют в большом кол-ве кипящего ацетона, обесцвечивают углем, упаривают и выделяют хлоргидрат I, выход 91%, т. пл. 154—155°. Р-р 3,5 г N-(β -оксиэтил)- α -фенилендиамин и 3,3 г ClCH_2COOH в 21 мл 15%-ной HCl кипятят 3 часа, через 12 час. нейтрализуют при охлаждении NaHCO_3 ; осадок растворяют в разб. HCl и осаждают NaHCO_3 , выделяют 1- β -оксиэтил-2-хлорметилбензимидазол (VII), выход 78,1%, т. пл. 136—137°. Смесью 21,0 г VII, 8,2 CH_3COONa , 10,5 г IV и 200 мл ацетона кипятят 3,5 часа. Из фильтрата отгоняют ацетон, остаток растворяют в 100 мл воды, обрабатывают горячим р-ром 45,8 г V в 1700 мл воды и после кипячения и стояния р-ра выделяют пикрат 1- β -оксиэтил-2-бис-(β -оксиэтил)-аминометилбензимидазола (VIII), выход 53,5%, т. пл. 178—179°. Из 39,2 г пикрата VIII аналогично дихлоргидрату выделяют 16,3 г хлоргидрата VIII (порошок). 3,2 г полученного хлоргидрата осторожно обрабатывают при охлаждении 10,5 мл SOCl_2 (2 часа). Смесью охлаждают 2 часа, оставляют ($\sim 20^\circ$, 12 час.) и упаривают в вакууме. Остаток растворяют в CHCl_3 , обесцвечивают углем и абс. эфиром выделяют хлоргидрат II, выход 86,6%, т. пл. 132—134°. В. Яшунский

4635. Имидазолидинтионы-4. Кристман (4-Imidazolidinethiones. Christian John D.), J. Organ. Chem., 1957, 22, № 4, 396—399 (англ.)

Нагреванием R(R')C(CN)OH (I), R(R')CO (II) и $(\text{NH}_4)_2\text{S}$ (III) (метод А) или I, CS_2 (IV) и NH_4OH (V) (метод Б), или жидкой стабилизированной HCN (VI), II и III (метод В), или же KCN , NH_4Cl , II и III (метод Г) получают замещ. имидазолидинтионы-4

$\text{NHC(R)(R')NHC(=S)C(R'')R'''} \text{ (VII)}$. Из II (R и $\text{R}' \neq \text{H}$) они получают с хорошими выходами, из I ($\text{R}' = \text{H}$) и II (R и $\text{R}' \neq \text{H}$) — с низкими выходами и не образуются из I ($\text{R} = \text{R}' = \text{H}$ и $\text{R} = \text{CH}_3$, $\text{R}' = \text{H}$) без II. Для получения VII в больших кол-вах автор рекомендует метод В (при доступности VI). Метод Г, сводящий до минимума побочные р-ции, связанные со щелочностью среды, позволяет получать VII из II в одну стадию с высокими выходами. Анализом литературного материала доказана идентичность ряда продуктов, полученных ранее другими авторами (Gatewood, Johnson, J. Amer. Chem. Soc., 1928, 50, 1424; Abe, Science Repts. Tokyo Bunrika Daigaku, Sect. A, 1934, 2, 1; Bucherer и др., J. prakt. Chem., 1934, 140, 129; 1934, 141, 5; Carrington, J. Chem. Soc., 1947, 681, 684). Строение продукта р-ции из I ($\text{R} = \text{CH}_3$, $\text{R}' = \text{H}$), II ($\text{R} = \text{R}' = \text{CH}_3$) и III как VII ($\text{R} = \text{R}' = \text{R}'' = \text{CH}_3$, $\text{R}''' = \text{H}$), доказано переводом его в VII ($\text{R} = \text{R}' = \text{R}'' = \text{H}$, $\text{R}''' = \text{CH}_3$). Метод А: смесь 170 г I ($\text{R} = \text{R}' = \text{CH}_3$) и 170 г II ($\text{R} = \text{R}' = \text{CH}_3$) добавляют к смеси 602 г 22,6%-ного р-ра III и 1 л воды (2,25 часа, 25—47°, перемешивание) и нагревают при 45—55° (1 час). Получают VII ($\text{R} = \text{R}' = \text{R}'' = \text{R}''' = \text{CH}_3$), выход 89,5%, т. пл. 152—154° (испр.). Метод Б: смесь 19 г IV и 21,3 г I ($\text{R} = \text{R}' = \text{CH}_3$) добавляют к 136 мл конц. V (1,5 часа, 24—35°) и получают VII ($\text{R} = \text{R}' = \text{R}'' = \text{R}''' = \text{CH}_3$), выход 7,2 г, ртутное производное (из эфирного р-ра VII и HgO), т. пл. 174—176°. Метод В: смесь 13,5 г VI (стабилизирована H_3PO_4) и 80,1 г II [$\text{RR}' = -(\text{CH}_2)_4-$] добавляют к смеси 225 г 22,6%-ного р-ра III и 250 мл спирта (1,5 часа), нагревают (1 час, 50—60°) и получают VII [$\text{RR}' = \text{R}''\text{R}''' = -(\text{CH}_2)_4-$], выход 73,5%, т. пл. 195—196° (из CH_3OH).

Метод Г: 196 г II [$\text{RR}' = -(\text{CH}_2)_5-$] добавляют (45 мин.) к смеси 65 г KCN , 450 г 22,6%-ного р-ра III, 54 г NH_4Cl и 250 мл CH_3OH , нагревают (60°, 1 час) и получают VII [$\text{RR}' = \text{R}''\text{R}''' = -(\text{CH}_2)_5-$] выход 94%, т. пл. 231—232°. Аналогично получают следующие VII (приведены RR' , $\text{R}''\text{R}'''$, метод, выход в %): $-(\text{CH}_2)_5-$, $-(\text{CH}_2)_5-$, А, 90%; $\text{CH}_3\text{CH}_2\text{CH}_2\text{CH}_2\text{CH}_3$, Н, А, 33% (т. пл. 160—161° (из CH_3OH), из 78,1 г ($\text{R} = \text{CH}_3$, $\text{R}' = \text{H}$), 58 г II ($\text{R} = \text{R}' = \text{CH}_3$) и 300 г 22,5%-ного р-ра III, 50°, 2 часа); $-(\text{CH}_2)_5-$, $-(\text{CH}_2)_5-$, В, 92%; $\text{CH}_3\text{CH}_2\text{CH}_2\text{CH}_2\text{CH}_3$, В, 84%. 5 г VII ($\text{R} = \text{R}' = \text{R}'' = \text{CH}_3$, $\text{R}''' = \text{H}$) кипятят 4 часа с 20%-ной HCl (к-та), упаривают досуха, растворяют в 20 мл воды, добавляют 10 г KCN и 10 г NaOH , нагревают (100°, 1,5 часа), доводят до pH 2, нагревают 10 мин., упаривают досуха и остаток экстрагируют CH_3OH . Получают 2,3 г VII ($\text{R} = \text{R}' = \text{R}'' = \text{H}$, $\text{R}''' = \text{CH}_3$), т. пл. 143,5—145,5°. Р. Окунев

4636. Синтезы производных 2-замещенных аценафтен-(4',5'-4,5)-имидазола. Сайган, Цуга, Йосимура (2-置換—アセナフテン(4',5'-4,5)イミダゾール誘導体の合成. 西海枝東雄, 拓植乙彦, 吉村和樹), 工業化學雜誌, Kōgō kagaku daasshi, J. Chem. Soc. Japan. Industr. Chem. Sec., 1956, 59, № 8, 933—936 (японск.)

4-нитро-5-аминоаценафтен (I) восстанавливают в 4,5-диаминоаценафтен (II). Нагревают II с HCOOH или $(\text{CH}_3\text{CO})_2\text{O}$, получают аценафтен-(4',5'-4,5)-имидазол (III) и 1- N -ацетил-2-метилаценафтен-(4',5'-4,5)-имидазол (IV). Последний получают также при восстановлении 5-ацетильного производного I (V) в $(\text{CH}_3\text{CO})_2\text{O}$. Аналогично из 5-формильного производного I (VI) получают 1- N -карбокси-2-метилаценафтен-(4',5'-4,5)-имидазол (VII). При омылении IV получают 2-метилаценафтен-(4',5'-4,5)-имидазол (VIII). В результате р-ции II с мочевиной получают аценафтен-(4',5'-4,5)-имидазолин-2 (IX), а с тиомочевинной — аценафтен-(4',5'-4,5)-тиоимидазолин-2 (X). При нитровании N-5-аценафтилфталимида (т. пл. 230—231°) получают N-5 (или 4)-нитроаценафтилфталимид, выход 47%, т. пл. 251—252° (из сп.). Кипятят V или VI в спирте, подкисленном HCl , 20 час., получают I, выход 85%, т. пл. 212—213°; бензойное производное, т. пл. 228—229°, в этих условиях не омыляется. Восстанавливают 10 г I в 120 мл насыщ. спирт. HCl посредством SnCl_2 6 час. при 65—70°. После обработки 10%-ным NaOH получают II, выход 27%, т. пл. 137° (из лигр.); 4,7-дибензойное производное, т. пл. 282—283°. 1 г II и 3 мл 80%-ной HCOOH нагревают 2 часа при 100° и кипятят 15 мин., получают III, выход 49%, т. пл. 221—222° (из сп.). Р-р 1 г II в 6 мл C_6H_6 кипятят 30 мин. с 2 мл $(\text{CH}_3\text{CO})_2\text{O}$, получают IV, выход 44,4%, т. пл. 263°. IV получают также при восстановлении 1 г V в 10 г $(\text{CH}_3\text{CO})_2\text{O}$ 1,3 г Zn (кипчение 15 мин.), выход 31%. Аналогично получают VII, выход 33,3%, т. пл. 279° (из сп.). Р-р 0,3 г IV в 10 мл спирта кипятят с 5 каплями конц. HCl 10 час., получают VIII, выход 69%, т. пл. 235° (из сп.). 1 г хлоргидрата II нагревают 45 мин. при 150—155° с 0,3 г мочевины. После обработки NaOH получают IX, выход 63,1%, т. пл. > 340° (из сп.). Из 1 г хлоргидрата II и 0,4 г тиомочевины после 45 мин. нагревания при 230° получают X, выход 40%, т. пл. > 340° (из NC_5H_5). Н. Швецов

4637. Некоторые четвертичные соли пиридазина. Блуд, Нолле (Some quaternary salts of pyridazine. Blood A. E., Noller C. R.), J. Organ. Chem., 1957, 22, № 7, 844—845 (англ.)

Показано, что взаимодействие пиридазина (I) с CH_3J , $\text{C}_2\text{H}_5\text{Br}$, а также с *цис*- (II) и *транс*-1,4-дибромбутенами-2 в CH_3OH , CCl_4 и ацетоне при различных кол-вах и конц-ях I приводит только к бромистому *транс*-1,4-дипиридазиний-2-бутену (III). К р-ру 25,6 г II в 35 мл CCl_4 при охлаждении прибавляют по каплям р-р 5,5 г I в 20 мл CCl_4 , смесь выдерживают при $\sim 0^\circ$ 4 часа,

получают III; выход 71%, т. пл. 179—180° (разл. из C_2H_5OH). Смесь 5,5 г I и 34 г CH_3J нагревают (100°, 12 час.) в запаянной трубке, охлаждают во льду, выливают в 40 мл ацетона, получают йодистый N-метилпиридазиний (IV), выход 75%, т. пл. 95—96° (разл. из C_2H_5OH). Смесь 2,21 г I и 14,5 г C_2H_5Br нагревают (трубка, 110°, 20 час.), получают бромистый N-этилпиридазиний (V), т. пл. (в запаянном капилляре) 118—120° (разл. из C_2H_5OH). III—V гигроскопичны.

Р. Глушков

4638. N-диалкиламиноалкилпиримидин. Сен, Прайсе (An N-dialkylaminoalkylpyrimidine. Sen Achintya K., Price Charles C.), J. Organ. Chem., 1957, 22, № 3, 348—349 (англ.)

Описан метод получения 6-амино-1-(3-диэтиламинопропил)-2-меркапто-(1H)-пиримидона-4 (I). К смеси 20 мл воды и 0,1 моля CS_2 прибавляют (0°, 45 мин.) 0,1 моля 3-диэтиламинопропиламина, размешивают 30 мин., добавляют ($\sim 20^\circ$, 1 час) 0,1 моля $SiCOOC_2H_5$, через 30 мин. подщелачивают конц. р-ром NaOH и эфиром выделяют 3-диэтиламинопропилизотиоцианат, выход 58%, т. кип. 95°/3,5 мм, n_D^{25} 1,4968. 10 г последнего и 10 мл конц. NH_4OH нагревают ($\sim 100^\circ$, 30 мин.), охлаждают, обрабатывают 10 мл ацетона и получают 3-диэтиламинопропилиотмочевину (II), выход 91%, т. пл. 98° (из ацетона). К охлажд. смеси 0,05 моля II и р-ра C_2H_5ONa (из 0,08 моля Na и 25 мл абс. спирта) прибавляют 0,053 моля $NCCH_2COOC_2H_5$, кипятят 2 часа, охлаждают, добавляют 30 мл воды, нейтрализуют эквивалентным кол-вом CH_3COOH и получают I, выход 74%, т. пл. 215—216° (из сп.).

Б. Дубинин

4639. Синтез некоторых новых 3-замещенных производных 2,4(1H, 3H)-хиназолиндина и 4(3H)-хиназолина. Сандберг (Synthesis of some new 3-substituted 2,4(1H, 3H)-quinazolinone and 4(3H)-quinazolinone derivatives. Sundberg Finn), Svensk farmas. tidskr., 1957, 61, № 15, 417—425 (англ.)

Для изучения зависимости между хим. строением и фармакологич. действием синтезирован ряд 3-замещ. производных хиназолиндина и хиназолина. Полученный из антрапиловой к-ты (I) и $KCNO$ 2,4(1H, 3H)-хиназолиндина (II) переводят действием N_2H_4 в 3-амино-II (III). При действии на III хлорацетила хлорида (IV) и β -хлорпропионилхлорида (V) получены соответственно 3-(хлорацетиламино)-II (VI) и 3-(β -хлорпропиониламино)-II (VII). VI с соответствующими аминами дает замещ. 3-аминоацетиламино-II

CO(C_6H_4 -o)NHCONNHCOCH₂CH₂NRR' [VIIIa R = R' = C_2H_5 ; б R = H, R' = $CH(CH_3)_2$; в R = R' = CH_3 ; г R = H, R' = $n-C_4H_9$; д R = R' = $CH_2C_6H_5$; е RR' = $N(CH_2CH_2)_2O$, ж RR' = NC_6H_5]. Аналогично из VII получены 3-(β -диэтиламинопропиониламино)-II (IXa) и 3-(β -диметиламинопропиониламино)-II (IXб); обработкой VIIIв CH_3J выделен йодистый 3-(триметиламмонийацетиламино)-II (X). 4(3H)-хиназолинон (XI), синтезированный из I и формамида, с N_2H_4 переведен в 3-амино-XI (XII); из XII и V получен 3-(β -хлорпропиониламино)-XI (XIII), который с соответствующими аминами дает

замещ. 3-(β -аминопропиониламино)-XI CO(C_6H_4 -o)N = $CHNNHCOCH_2CH_2NRR'$ [XIVa R = R' = C_2H_5 ; б R = CH_3 ; в R = H, R' = $n-C_4H_9$; г R = R' = $CH_2C_6H_5$, д RR' = NC_6H_5 ; е RR' = $N(CH_2CH_2)_2O$]. Приведены кривые УФ-спектров VIIIж и XIVе в нейтр. кислом (0,1 н. HCl) и щел. (0,1 н. NaOH) р-рах. Р-р 0,1 моля III и 0,13 моля IV в 1,7 л лед. CH_3COOH нагревают ($\sim 100^\circ$, 3—4 часа), отгонкой р-рителя в вакууме доводят до 1/5 объема и выделяют VI, т. пл. 220—223° (из воды). 0,1 моля VI и 0,5 моля $(C_2H_5)_2NH$ в 180 мл абс. C_6H_6 нагревают в запаянной трубке (90—95°, 7—8 час.),

C_6H_6 удаляют, к остатку добавляют 25%-ный р-р K_2CO_3 , извлекают $CHCl_3$ и экстракт испаряют досуха, остаток растворяют в абс. спирте и р-р полностью испаряют (повторяя это 4 раза), из р-ра остатка в абс. спирте сухим HCl выделяют хлоргидрат VIIa, т. пл. 233—234° (из сп.-эф.); аналогично с $(CH_3)_2CHNH_2$ и $n-C_4H_9NH_2$ получают хлоргидраты VIIб, т. пл. 229—230°, и VIIг, т. пл. 220—225°. 0,1 моля VI и 0,25 моля морфолина в 90 мл абс. C_6H_6 нагревают в запаянной трубке (150°, 12 час.), остаток после удаления C_6H_6 растворяют в $CHCl_3$, отмывают водой от Cl^- , $CHCl_3$ удаляют, остаток, растворенный в спирте, переводят в хлоргидрат VIIе, т. пл. 245—247° (из сп.-эф.). Из 0,1 моля VI с избытком пиридина (100°, 4 часа) выделяют VIIIж, т. пл. 266—268° (из сп.). Аналогично получению VIIIе из VI $(C_6H_5CH_2)_2NH$ синтезируют VIIIк (свободное основание), т. пл. 143—145° (из сп.). VII получают из III с V, т. пл. 234—235° (из воды); из VII с $(C_2H_5)_2NH$ и $(CH_3)_2NH$ синтезируют хлоргидраты IXa, т. пл. 192—194°, и IXб, т. пл. 196—200°; р-р 0,1 моля VIIв и 0,5 моля CH_3J в абс. спирте оставляют на ~ 12 час., т. пл. X 132—134° (из сп.). XI аминировать в водн. р-ре 100%-ным избытком N_2H_4 (100°, 15 час.), т. пл. XII 203—205° (из сп.). XIII получают аналогично VI, т. пл. 174—175°; аналогично VIIIa синтезируют хлоргидрат XIVa, т. пл. 172—175°, дихлоргидрат XIVб, т. пл. 209—211°; хлоргидрат XIVв, т. пл. 220—223°. 0,1 моля XIII и 0,19 моля $(C_6H_5CH_2)_2NH$ кипятят в толуоле 17 час., отмывают Cl^- , р-ритель удаляют, в спирт. р-р остатка пропускают сухой HCl и выделяют хлоргидрат XIVг, т. пл. 170—185°. Аналогично VIIIа из XIII с пиридином получают хлоргидрат XIVд, т. пл. 193—195, свободное основание XIVе (аналогично XIVг), т. пл. 189—192°.

С. Гуревич

4640. Исследование в ряду пиримидина. Действие хлора на меркаптопиримидин. Синтез 4-метил-5-пропилцитозина. Цзи Юй-фын, Лин, Юй-чун (Pyrimidine research. The action of chlorine on mercaptopyrimidines; synthesis of 4-methyl-5-propylcytosine. Chi Yuoh-Fong, Ling Yuoh-Chen), 中國科學, Чжунго кэсюэ, Sci. sinica, 1956, 5, № 2, 205—217 (англ.)

См. РЖХим, 1957, 4411.

4641. Некоторые производные малонового альдегида. Улбрихт, Прайсе (Some derivatives of malondialdehyde. Ulbricht T. L. V., Price Charles C.), J. Organ. Chem., 1957, 22, № 3, 235—238 (англ.)

Натрийнитромалоновый альдегид (I), полученный из α , β -дибром- β -формилакриловой (II), α , β -дихлор- β -формилакриловой (III) или β -бром- α -хлор- β -формилакриловой (IV) к-т, при конденсации с n -аминобензойной к-той (V) образует n -(2-формил-2-нитроэтилендиамин)-бензойную к-ту (VI) с примесью n -(3-(n' -карбоксифенил)-амино-2-нитропропилидениамино)-бензойной к-ты (VII); замена V ее метиловым эфиром (VIII) приводит к метиловому эфиру VI (IX). Na-соль 2-амино-6-окси-4-(2'-нитро-2'-формилэтилендиамин)-пиримидина (X), синтезированная конденсацией 2,4-диамино-6-окси-пиримидина (XI) с I или с VI, не подвергается нитрозированию. Взаимодействием тетраметилацетата малонового альдегида (XII) с V получена n -(2-формилэтилендиамин)-бензойная к-та (XIII). Приведены данные ИК-спектров VI, ее метилового эфира, X, XI и 4-амино-5-нитрозопиримидина. Кристаллизуя соответствующую α -фуранкарбоновую к-ту из CCl_4 и упаривая маточный р-р, получают II с выходом 72%, вместо 60% (Синтезы органич. препаратов, М., Изд-во Ин. лит. 1953, сб. 4, 157); I получают из II (там же, стр. 345), выход 35%. 42,4 г IV в 100 мл спирта и 52,2 г $NaNO_2$ в 100 мл воды перемешивают 30 мин. при 58—60° 1 час без нагревания, затем смесь нагревают до 60° помещают при $\sim 0^\circ$ на 12 час. и кристаллизуют 1

75%-ного спирта, выход 26% (если нагревать 1,5 часа, выход 18%). Аналогично предыдущему 33,8 г III вводят в р-цию (25 мин.), не допуская подъема т-ры > 60°, перемешивают 35 мин., оставляют на 12 час., из осадка 70 мл 75%-ного спирта извлекают I, выход 13%. К 6,3 г I в 45 мл воды добавляют (75 мин.) р-р 6 г V и 1,9 г NaOH в 60 мл воды, через 5 час. подкисляют HCl и выделяют VI, выход 82%, т. пл. 265° (разл.; из лед. CH₃COOH); одновременно выделяют хуже растворимую в горячей лед. CH₃COOH VII, выход ~ 0,3 г, т. пл. 329° (разл.); быстрое нагревание после внесения при 315°; VII получают также из VI и V в CH₃OH или водн. щелочи. К 4,7 г I в 75 мл 60%-ного CH₃OH добавляют (1,5 часа) 5,1 г VIII в 50 мл 80%-ного CH₃OH, содержащего 4 капли пиперидина, через 4 часа упаривают в вакууме, остаток подкисляют 20 мл 2н. HCl, выход IX 74%, т. пл. 186—188° (из CH₃OH). I и XI по 1 г в 10 мл воды нагревают (120°, 1 час) и из водн. NaOH кристаллизуют 1,4 г X; 1 г VI, 0,58 г XI и 0,39 г NaOH в 25 мл воды кипятят 15 мин. и выделяют 1 г неочищ. X. Р-р 6,3 г XII и 10 г NH₄Cl в 50 мл воды нагревают (60°, 15 мин.) и добавляют (5 мин.) 5 г V в 100 мл 50%-ного CH₃OH, нагревают (60°, 25 мин.) и выдерживают 5 час. при ~ 20°, выход XIII 6,2 г, т. пл. 247—248° (разл.).

С. Гурвич

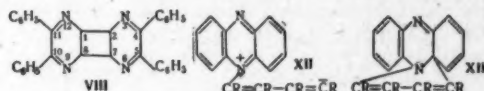
4642. Восстановление 6-ароиламинопуринов алюмогидридом лития. Булэк, Хэнд, Стокстед (Reduction of 6-arylaminopurines with lithium aluminum hydride. Bullock Milton W., Hand John J., Stokstad E. L. R., J. Organ. Chem., 1957, 22, № 5, 568—569 (англ.))

Аденин (I) с C₆H₅COCl (II) и фурилхлоридом (III) дает 6-бензоил- (IV) и 6-фуриламинопурин (V) соответственно. Восстановление IV и V LiAlH₄ (VI) приводит к 6-бензил- (VII) и 6-фуриламинопурину (VIII). 0,074 моля I и 0,222 моля II кипятят 2 часа в 50 мл пиридина (IX), избыток р-рителя удаляют, кашицу растирают с теплым р-ром NaHCO₃, обрабатывают CHCl₃, из последнего выделяют неочищ. IV, кристаллизуют из спирта и обрабатывают лигроином в аппарате Сокслета, выход IV (в гильзе) 72,5%, т. пл. 240—240,5° [из CH₃OCH₂CH₂OH (X)]. К теплому р-ру 0,01 моля IV в 25 мл IX добавляют 0,5 г VI в 10 мл N-метилморфолина, смесь перемешивают (20°, 1 час + 100°, 1 час), р-рителя удаляют в вакууме, остаток обрабатывают 50 мл 1 н. NaOH, фильтрат нейтрализуют, осадок встряхивают с 20 мл 0,1 н. HCl и отделяют IV, выход 26,3%, из кислого фильтрата р-ром NaOH выделяют VII, выход 13%, т. пл. 230—231° (из X). 0,074 моля I и 0,148 моля III нагревают (100—110°, час) в 50 мл IX, последний удаляют в вакууме, остаток кристаллизуют последовательно из ацетонитрила (XI), воды, водн. XI и CH₃COOH, выход V 24%, т. пл. 200—210°. К 0,01 моля V в 25 мл IX приливают 0,025 моля VI в 10 мл эфира, смесь выдерживают 1 час при 70°, переносят в небольшое кол-во CH₃OH, р-рителя удаляют в вакууме, остаток извлекают 0,1 н. NaOH и, нейтрализуя щел. вытяжку, выделяют VIII, выход 21,8%. С. Г.

4643. Азотсодержащие соединения с сопряженными связями — производные пиазина, хиноксалина и феназина в реакции Дильса — Альдера. Санс-Бурата (Pirazines, quinoxalinas y fenacinas como tipos de conjugaciones con N en la reacción Diels — Alder. Sanz Burata Manuel S. I., Rev. Real acad. cienc. exáct., fis y natur. Madrid, 1955, 49, № 1, 23—101 (исп.))

Исследовано взаимодействие производных пиазина, хиноксалина и феназина (I) с анетолом (II), стильбеном (III), толаном (IV), толухиноном (V), CH₃OCOSOCSSOCH₃ (VI) и малеиновым ангидридом (VII) в условиях р-ции Дильса — Альдера. Диметил-эфир пиазиндикарбоновой-2,3 к-ты не образует

аддуктов с II и IV; 2,3-дифенил-5,6-дигидропиазин также не образует аддуктов с II, V и VI; с III и VII получается в-во, т. пл. 284° (из эф.-хлф.), которому на основании данных УФ-спектра приписывается строение 4,5,10,11-тетрафенил-3,6,9,12-тетраазатрицикло-[6,4,0,0,2,7]-додекатетраена-3,5,9,11 (VIII). VIII идентичен в-ву, полученному ранее (Mason, Dryfoos, J. Chem. Soc., 1893, 63, 1299), которое было принято ими за 1,8,2,7-дегидропроизводное VIII. Хиноксалиндикарбоновая-2,3 к-та (IX) (фенилгидразид, т. пл. 162,5° (из сп.); ангидрид, т. пл. 255° (из (CH₃CO)₂O) не образует аддуктов с II и VII; диметил-эфир IX (т. пл. 131,5—133°) также



не образует аддуктов с II, IV, VII. I не дает аддукта с II и VII, а 1,2,3,4-тетрахлорпроизводное I (X) не дает аддуктов с II—IV и VII. I с VI образует в CH₃OH (45°, 48 час.) в-во с т. пл. 233,5° (XIa), а в спирте при кипячении 45 мин. в-во с т. пл. 107—108° (XIb). На основании данных УФ-спектров авторы считают, что XI имеют, вероятно, строение (XII) или, возможно (XIII) (где R = COOCH₃ или COOC₂H₅) или же являются тетраметил- (этилов-) эфиром бенз[с]-феназин-тетракарбоновой-1,2,3,4 к-ты. С целью синтеза феназин-хинона и введения его в р-цию Дильса — Альдера конденсацией о-нитроанилина (XIV) с п-хиноном получен 2-(N-о-нитроанилино)-п-хинон (с примесью 2,5-ди-(N-о-нитроанилино)-п-хинона), очистить который, однако, оказалось нельзя. Аналогично кипячением смеси XIV и V в лед. CH₃COOH получен 6-(N-о-нитроанилино)-2 (или 3)-метил-п-хинон (XV) (выход 61%, т. пл. 163—164°), который при восстановлении с помощью (NH₄)₂S в спирте при 100—115° (15—100 час.) превращается, вопреки литературным данным (Leicester, Ber., 1890, 23, 2793), не в ожидаемый хинон, а в 1-амино-2 (или 3)-метил-4-окси-9,10-дигидрофеназин (XVI), т. пл. 230—250°. Последний при действии C₆H₅COCl дает 1-амино-2 (или 3)-метил-4-бензокси-9,10-дигидрофеназин, т. пл. 139—143° (из сп.). Выказано предположение, что восстановление XV в XVI протекает следующим путем: XV восстанавливается в 6-(N-2-аминоанилино)-2 (или 3)-метил-п-хинон, который затем циклизуется в 2-(или 3)-метил-1-окси-4-кето-9,10-дигидрофеназин, превращающийся в 2-метил-1,4-диокси-9,10-дигидрофеназин или 2-(или 3)-метил-1-окси-4-имино-9,10-дигидрофеназин. Последние два в-ва переходят в 2-(или 3)-метил-1-окси-4-амино-9,10-дигидрофеназин, который превращается в XVI. I получен из XIV превращением его в о-хлорнитробензол и восстановлением его сначала в о-нитродифениламин, затем в о-аминодифениламин, который в присутствии PbO циклизуется в I. X получен конденсацией 2,2,3,4,5,5-гексахлорцикло-гексен-3-диола-1,6 с о-фенилендиаминном. Приведены кривые УФ-спектров VIII, XIa и XIb. В. Дашунин

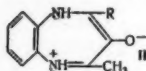
4644. Конденсация о-фенилендиамина с 2-ацетил-п-бензохиноном. Амонкар, Джоши, Кулкарни (Condensation of o-phenylene diamine with 2-acetyl-p-benzoquinone. Amonkar N. S., Joshi D. V., Kulkarni A. B., Current Sci., 1957, 26, № 2, 48—49 (англ.))

Изучалась конденсация о-фенилендиамина (I) с 2-ацетил-п-бензохиноном (II). К р-ру 1,5 г II в 40 мл диоксана прибавляют р-р 0,54 г I в 15 мл диоксана (30°, 15—20 мин.), а через 2 часа — воду, выделяют в-во А, т. пл. 157° (из сп.); моноацетат, т. пл. 142° (из сп.); 2,4-динитрофенилгидразон, т. пл. 270° (из CH₃COOH); хлоргидрат, т. пл. 162° (разл.). Экспериментально определено, что в-во А имеет строение 1-ацетил-2-оксифена-

зина или 2-ацетил-3-оксифеназина или же их хиноидных аналогов. 1 моль II и 3 моля I образуют в-во $C_{20}H_{18}N_4O$ (т. пл. 208°), строение которого еще не установлено.

Ю. Розанова
4645. Восстановление 2-ацилхиноксалинов. Новый вид расширения кольца. Барлтроп, Ричардс (The reduction of 2-acylquinoxalines: a novel ring-expansion. Barltrop J. A., Richards C. G.), Chemistry and Industry, 1957, № 29, 1011—1012 (англ.)

В отличие от ранее сделанных выводов (РЖХим, 1957, 44424) доказывалось, что каталитич. восстановление (Pd/C или скелетный Ni) 3-метил-(Ia) и 3-фенил-2-ацетилхиноксалинов (Ib) приводит к образованию красного цвета бетаинов (IIa R = CH₃, IIb R = C₆H₅), т. пл. 164—165° и 184—185° (в вакууме) соответственно. Строение II подтверждается диамагнитностью их р-ров (отсутствие радикалов), ИК-спектром (ОН или NH-связь, отсутствие СО-группы), способностью быстро в р-ре переходить при окислении воздухом обратно в



Ia, б, неидентичностью IIa с бесцветным 3-метил-2-(1-оксизил)-хиноксалином и сходством УФ-спектров IIa и 2,4-диметил-1,5-бензодиазепиновой соли. Приведен возможный механизм р-ции образования II.

Б. Дубинин
4646. Синтез 4,5,9,10-тетраазапирена. Штеттер, Шварц (Synthese des 4,5,9,10-Tetraazapyrens. Stetter Hermann, Schwarz Maximilian), Chem. Ber., 1957, 90, № 7, 1349—1351 (нем.)

При каталитич. гидрировании 2,6,2',6'-тетранитродифенила (I) в щел. среде получается 4,5,9,10-тетраазапирен (II), а при гидрировании в нейтр. среде I, а также II образуется 2,6,2',6'-тетрааминодифенил (III). К 40 г 2,6-динитрохлорбензола в 60 мл безводн. диметилформамида (IV) прибавляют 20 г Cu, нагревают (145°, 4 часа), через 1 час прибавляют 20 г Cu, выливают в 500 мл воды, выделяют I, выход 51%, т. пл. 217—218°, и побочные продукты — м-динитробензол и 2,6-динитрофенол. 3 г I в 300 мл спирта гидрируют 2,2 л H₂ над скелетным Ni, выделяют III, выход 68%, т. пл. 204° (из сл.). 6 г I в смеси 600 мл спирта и 1,4 мл 1 н. NaOH при аналогичном гидрировании (3,2 л H₂) дают II, выход 45%, т. разл. 360° (из IV и C₆H₅NO₂; при 310° темнеет). Вместо скелетного Ni можно применять 10%-ный Pd/C. 1 г II в 100 мл спирта гидрируют над скелетным Ni, получают III, выход 50%. Аналогично из 3 г 2,2'-динитродифенила, 15 мл 4%-ного р-ра NaOH и 200 мл спирта (1,1 л H₂) получают феназон, выход 50%, т. пл. 156°. При применении 10%-ного Pd/C выход 90%.

Ю. Розанова
4647. Некоторые производные 2-фенил-4-формилтриазола-1,2,3. Карабинес (Some derivatives of 2-phenyl-4-formyl-1,2,3-triazole. Karabinos J. V.), Euclides, 1956, 16, № 189-190, 279 (англ.; рез. исп.)

В качестве возможных антитуберкулезных препаратов из 2-фенил-4-формилтриазола-1,2,3 (I) получены его семикарбазон (II), тиосемикарбазон (III) и альдазин (IV). 1,73 г I, 10 мл спирта, 1,2 г H₂NCONHNH₂ · HCl и 1,5 г CH₃COONa (нагревание 5 мин.) дают 1,5 г II, т. пл. 219—222° (из сл.). Аналогично из 1,73 г I и 0,9 г тиосемикарбазида в 40 мл спирта получают 1,7 г III, т. пл. 210—212° (из сл.) и из 1,73 г I, 20 мл спирта, 1,5 г гидразинсульфата и 3,3 г CH₃COONa 0,7 г IV, т. пл. 236—237° (из сл.).

Б. Дубинин
4648. О слабой ароматичности 1,3,5-триазина и реакциях превращения различных производных. Руске (Über die wenig aromatische Natur des 1,3,5-Triazins und Umlagerungsreaktion verschiedener Derivate.

Ruske W.), Chem. Technik, 1954, 6, № 12, 644—647 (нем.)

На основании рассмотрения данных о строении и свойствах 1,3,5-триазина (I) сделан вывод, что I по сравнению с NC₅H₅ и пиримидином сильнее поляризован. Альтернирующей поляризацией молекулы объяснены различные р-ции и превращения производных I.

А. Гуревич
4649. Исследования в ряду триазинов, включающие новый синтез триазинов-1,2,4. Лаксо, Робинсон, Вандревала (Studies in the triazine series including a new synthesis of 1:2:4-triazines. Laakso P. V., Robinson R., Vandrewala H. P.), Tetrahedron, 1957, 1, № 1/2, 103—118 (англ.)

Найдено, что 6-хлор-2,4-дифенил-симм-триазин (I) при р-ции с C₆H₅MgBr с хорошим выходом превращается в киафенин (2,4,6-трифенил-симм-триазин) (II). Аналогично из I и n-CH₃C₆H₄MgBr синтезирован 2,4-дифенил-6-n-толил-симм-триазин (III). Предполагается, что процесс восстановления II в лофин (2,4,5-трифенил-1,2,4-триазин) (IV) подобен образованию пинакола из кетона. Разработан новый метод синтеза 3-арил-5,6-дифенил-триазинов-1,2,4 RC=NC(C₆H₅)=C(C₆H₅)N=N (V,

где R а фенил, б n-толил, в м-нитрофенил, г п-нитрофенил, д n-хлорфенил, е n-оксифенил, ж n-аминофенил, з м-метоксифенил, и 2,4-диметоксифенил, к 3,4-диметоксифенил, л 3,4-метилendioксифенил, м 3,4,5-триметоксифенил, н α-фурил, о 1-аминоантрахинонил-2, п 1,4-диаминоантрахинонил-2) нагреванием соответствующих арилгидразонов бензила RCONHN=C(C₆H₅)CO₂C₆H₅ (VI) с CH₃COONH₄ в CH₃COOH; при этом лучше брать смесь бензила (VII) и RCONHNH₂ и не выделять промежуточный VI. В случае бензоилгидразона фенатрахинона (VIII) р-ция является более сложной; в ней видимо участвуют 2 молекулы дикетона. Изомер II—Va восстановлен IV действием Zn + CH₃COOH. Описанный ранее V (R = OH) превращен в V (R = Cl) (Vp), реакционноспособный Cl которого замещался на различные аминогруппы. Моносемикарбазон фенатрахинона (IX) с водн. р-ром КОН дает 3-окси-5,6-фенатриазин (X). Этиловый эфир 1-нитроантрахинонкарбоновой-2 к-ты (XI к-та) с гидразином вместо ожидаемого гидразида образует 3-окси-6,11-дикето-6,11-дигидро-1-антра-(1,2-d)-пирозол (XII), енольная форма XII указана на основании легкой растворимости в-ва в разб. NaOH. Вторым продуктом р-ции является этиловый эфир пиразолантронкарбоновой-2 к-ты (XIII), идентифицированный превращением при гидролизе в описанную ранее (герм. пат. 575680) к-ту. XII и XIII получены также действием гидразина на хлорангидрид XI. Р-р C₆H₅MgBr (из 1,1 мл C₆H₅Br и 0,25 г Mg) в 10 мл эфира прибавляют в р-р 1 г I в 10 мл C₆H₅, кипятят 12 час. и отфильтровывают 0,7 г II, т. пл. 232—233°. Аналогично получают III, т. пл. 199—200° (из толуола). 140 г V (R = OH) и 280 мл POCl₃ нагревают (150°, 50 мин.) и выделяют 148 г Vp, т. пл. 156—157° (из бал.). 0,5 г Vp в 100 мл CH₃OH кипятят 4,5 часа и при упаривании получают гидрат V (R = OCH₃), т. пл. 221—222°. Аналогично в C₂H₅OH получают этоксипроизводное, которое, вероятно, имеет строение C₂H₅OC(OH)NHC-

(C₆H₅)C(C₆H₅)N=N, так как оно плавится (220—221°) с

разложением на V (R = OH) и спирт. 5,4 г Vp и 3 мл 90%-ного N₂H₄ · H₂O в 10 мл пиридина (кипячение 1 час и добавление воды) дают V (R = NHNH₂), т. пл. 171—173° (из сл.). К 0,5 г последнего в 20 мл 10%-ного CH₃COOH прибавляют 1 г CuSO₄ и 1 г CH₃COONa в 10 мл воды и через 12 час. эфиром выделяют 0,5 г V (R = H), т. пл. 112—115° (из водн. сл.). 20 г Vp, 20 г фенилгидразина и 55 мл пиридина (кипячение 1 час) дают V (R = NHNHC₆H₅), т. пл. 197—198° (из толуола).

2 г последнего в 10 мл CH_3COOH окисляют 2 г FeCl_3 в 10 мл CH_3COOH , черный осадок [вероятно V , $\text{R} = \text{N} = \text{NC}_6\text{H}_5$, т. пл. $> 280^\circ$ (разл.)] смешивают с равным кол-вом порошка Cu и сильно нагревают в хорошем вакууме, получают 5,6,5',6'-тетрафенил-3,3'-ди-1,2,4-триазинил, выход 0,8 г, т. пл. $219-222^\circ$ (из 85%-ной CH_3COOH). Vp с 10%-ным NH_4OH (трубка, 140° , 6 час.) дают V ($\text{R} = \text{NH}_2$), т. пл. 175° (из разб. HCl осаждают NH_3). Из $\text{C}_6\text{H}_5\text{MgBr}$ и Vp получено немного II (I), дифенила и VII, а при р-ции $\text{CH}_3\text{C}_6\text{H}_4\text{MgBr}$ и Vp выделен Vb и дитоллил. 21 г VII и 18 г $\text{m-O}_2\text{NC}_6\text{H}_4\text{CONHNH}_2$ в 100 мл CH_3COOH нагревают, сразу охлаждают и получают VI ($\text{R} = \text{C}_6\text{H}_4\text{NO}_2\text{-m}$), т. пл. $145-146^\circ$, и почти перастворимое в ксилоле в-во $\text{C}_{21}\text{H}_{18}\text{O}_6\text{N}_4$, т. пл. $231-233^\circ$ (из CH_3COOH). Смесь 14,6 г VIb , 20 г $\text{CH}_3\text{COONH}_4$ и 50 мл CH_3COOH кипятят 10 мин., добавляют немного воды и получают 12 г Vb , т. пл. 197° (из $\text{CH}_3\text{COOH-CH}_3\text{OH}$). Смесь VII, гидразид $\text{CH}_3\text{COONH}_4$ и CH_3COOH кипятят и при охлаждении (иногда с добавлением воды) получают V (перечисляются кол-ва в г VII, RCONHNH_2 (R тот же, что и в полученном V), $\text{CH}_3\text{COONH}_4$, CH_3COOH (в мл), время кипения в часах, выход г, т. пл. в $^\circ\text{C}$): 0,5, 0,8, 3,5 (+0,5 мл воды), 6, 1,1 г Vb , 136-137° (из 90%-ной CH_3COOH); 0,5, 0,8, 3,5 (+0,5 мл воды), 6, Va , 145-146° (из бзл.-петр. эф.); 0,6, 0,5, 5, 10, 0,5, Vd , 134-135° (растирают с петр. эф.; из сп.); 4,3, 40, 50, 0,5, 4,5 г Ve , 254-255,5° (из этилацетата); ацетильное производное, т. пл. $175-176^\circ$ (из CH_3COOH); 2, 1,44, 20, 20, 0,25, 2 г Vж , 218-219° (из $\text{CH}_3\text{COOH-сп.}$); ацетильное производное, т. пл. $264-265^\circ$ (из CH_3COOH); 0,5, 0,43, 5, 10, 0,3, 0,6 г Vg , 200-201° (из CH_3COOH); 0,5, 0,4, 5, 10, 0,3 (добавление воды), 0,5 г Va , 129-130° (из сп.-петр. эф.); 0,5, 0,47, 5, 10, 0,25, 0,66 г Vк , 177-178° (из $\text{CH}_3\text{COOH-сп.}$); 0,5, 0,47, 5, 15, 0,25, 0,65 г Vл , 167-168° (из CH_3COOH); 0,5, 0,55, 5, 10, 0,25, 0,6 г Vm , 158-159° (из $\text{CH}_3\text{COOH-сп.}$); 1, 0,9, 10, 20, 0,3, 1,3 г Vн , 159-160° (из $\text{CH}_3\text{COOH-сп.}$); 0,5, 0,3, 5, 15, 0,3, 0,4 г Vи , 181-183° (из $\text{CH}_3\text{COOH-сп.}$); 9,9 (получен из 4 г метилового эфира 1-аминоантрахинонкарбоновой-2 к-ты, 16 мл 90%-ного $\text{N}_2\text{H}_4 \cdot \text{H}_2\text{O}$ в 30 мл пиридина при нагревании ($120-130^\circ$, 3 часа), выход 2,4 г, т. пл. 230° (разл.; из пиридина); 18, 225, 2, 9 г Vo , 236-237,5° (из пиридина); бензойное производное, т. пл. $275-277^\circ$ (из CH_3COOH); 4,8, 6, 60, 420, 1 (добавлено 200 мл воды), 3 г Vп , 244-246° (из CH_3COOH); 4'-бензойное производное (1 г в-ва, 0,33 мл $\text{C}_6\text{H}_5\text{COCl}$, 8,5 мл пиридина, $120-130^\circ$, 2 часа), т. пл. $240-242^\circ$ (из CH_3COOH); 1',4'-дibenзойное производное (1 мл $\text{C}_6\text{H}_5\text{COCl}$, 3 часа), т. пл. 270° (разл.; из CH_3COOH). Из 0,5 г Ve , 2 г Zn-пыли и 10 мл CH_3COOH (постепенное прибавление и нагревание при $\sim 100^\circ$ 1 час) получают 2-п-оксифенил-4,5-дифенилимидазол, т. пл. $252-253^\circ$ (из водн. сп.). К 1 г Vo в 10 мл пиридина осторожно прибавляют 1 мл Br_2 , нагревают ($\sim 100^\circ$, 1 час) и получают 0,8 г 4'-бром- Vo , фиолетовые иголки с т. разл. 250° (из пиридина). Бромирование в CH_3COOH приводит к в-ву с т. разл. $> 340^\circ$. В суспензию 5 г 1-амино-4-нитроантрахинонкарбоновой-2 к-ты в 225 мл воды и 120 мл NH_4OH (0,88) пропускают 40 мин. слабую струю H_2S и выделают через некоторое время 4 г 1,4-диаминоантрахинонкарбоновую-2 к-ту (XIV), т. пл. 340° (из нитробензола), которую превращают (спирт, H_2SO_4 , 100° , 8-10 час.) в этиловый эфир XIV, выход 2 г из 4 г к-ты, т. пл. 210° (из $\text{CH}_3\text{COOH-сп.}$). 3,5 г последнего, 2,5 мл 90%-ного $\text{N}_2\text{H}_4 \cdot \text{H}_2\text{O}$ и 35 мл пиридина ($\sim 100^\circ$, 4 часа) дают 2,5 г гидразид XIV, т. пл. 275° (из нитробензола), из которого и получают (см. выше) Vп . Конденсацией эквимолекулярных кол-в фенантрахинона (XV) и $\text{C}_6\text{H}_5\text{CONHNH}_2$ в горячей CH_3COOH получают VIII, т. пл. $189-190^\circ$ (из CH_3COOH). 0,5 г VIII и 10 г $\text{CH}_3\text{COONH}_4$ в 20 мл CH_3COOH кипятят 3 часа и после охлаждения отделяют в-во (не плавится при 360°), не

содержащее кислород. *n*-Аминобензоилгидразон XV (коричневые иголки), полученный в горячей CH_3COOH , при кипячении в CH_3COOH с $\text{CH}_3\text{COONH}_4$ дает *n*-N-ацетильное производное, т. пл. $257-259^\circ$, которое более удобно получать с помощью $(\text{CH}_3\text{CO})_2\text{O}$. 1 г VIII и 250 мл 5%-ного КОН кипятят 5 час., фильтрат подкисляют после охлаждения и получают 0,5 г 9-фенантрола, т. пл. $152-153^\circ$ (из бзл.-петр. эф.). 2 г IX в 100 мл 5%-ного КОН кипятят 1,5 часа, фильтрат подкисляют разб. HCl и отделяют 1,5 г X, т. пл. 288° (разл.; из пиридина). 2 г X и 4 мл POCl_3 ($140-150^\circ$, 1 час.) дают 1,5 г 3-хлор-5,6-фенантратриазина, т. пл. $238-240^\circ$ (промывают 2%-ным р-ром КОН при 50° ; из диоксана). При конденсации последнего с 1-аминоантрахиноном в феноле ($100-110^\circ$, CH_3COONa или CuCl_2) получают, вероятно, 3-феноксифенантратриазин, т. пл. $165-167^\circ$ (из сп.). Этиловый эфир *n*-ацетамидобензойной к-ты, полученный ранее описанными методами (герм. пат. 151795; Covello M., Chem. Zbl., 1939, II, 76), имеет т. пл. 101° (указано 110 и 181° соответственно). При нагревании ($\sim 100^\circ$, 2 часа) 2 г этилового эфира XI в 60 мл пиридина с 2 мл 90%-ного $\text{N}_2\text{H}_4 \cdot \text{H}_2\text{O}$ получают в осадке 0,6 г XII, т. разл. $> 300^\circ$ (из нитробензола); 3-ацетильное производное, т. пл. $230-232^\circ$ (разл.; из $\text{CH}_3\text{COOH-сп.}$). Маточный р-р после отделения XII разбавляют водой и отделяют 0,6 г XIII, т. пл. $221-222^\circ$ (из $\text{CH}_3\text{COOH-сп.}$). Аналогично XIV из 10 г XI получают 8 г 1-аминоантрахинонкарбоновой-2 к-ты (XVI), т. пл. $288-290^\circ$ (неочищ. к-ту растворяют в конц. H_2SO_4 и фильтрат разбавляют водой; из нитробензола). К 3 г XVI в 20 мл $\text{C}_6\text{H}_5\text{NO}_2$ прибавляют 1,1 мл SOCl_2 , нагревают ($85-90^\circ$, 2 часа) и при охлаждении получают ангидрид XVI, не плавится при 360° (из $\text{C}_6\text{H}_5\text{NO}_2$), который с $\text{N}_2\text{H}_4 \cdot \text{H}_2\text{O}$ в нитробензоле ($130-140^\circ$, 6 час.) дает коричневые кристаллы в-ва, т. пл. $> 360^\circ$. В. Дубинин

4650. Меркаптотриазолопиримидины. Банер, Виланчо, Сентер, Хамфрис, Нейшн, Порч, Вильсон (Mercaptotriazolopyrimidines. Bahner Carl Tabb, Bilancio Dorothy Ellis, Senter Emma Brown, Humphries Sara, Nations Ronald, Porch William, Wilson Joan), J. Organ. Chem., 1957, 22, № 5, 558-559 (англ.).

Описанный ранее (Bahner и др. J. Techn. Acad. Sci., 1952, 27, 179) дихлоргидрат 5-меркапто-7-амино-1-виц-триазоло-[d]-пиримидина (виц — вицинальный) (I), судя по УФ-спектру, в действительности является моноклоргидратом дигидрата 5-меркапто-7-окси-1-виц-триазоло-[d]-пиримидина (II) (ошибка произошла из-за одинакового эквивалента при определении по Фольгардту). I превращается в II при кипячении с разб. HCl . При синтезе 5,7-димеркапто-1-виц-триазоло-[d]-пиримидина (III) выделен 5-окси-7-меркапто-1-виц-триазоло-[d]-пиримидин (IV); диазотированием 2-меркапто-4,5-диаминопиримидина (V) получен 5-меркапто-1-виц-триазоло-[d]-пиримидин (VI). Синтезированные в-ва испытаны для задержки роста некоторых опухолей. К 10 г бисульфата 4,5,6-триамино-2-меркаптопиримидина в 3,5 л воды добавляют р-р 3,5 г KNO_2 в 110 мл воды и через 20 мин. выделяют I. Р-р 1 г I в 75 мл 6н. HCl кипятят 35 мин. и выделяют 0,85 г II, т. разл. 265° . Из маточного р-ра после отделения III (см. РЖХим, 1955, 9526) при стоянии выделяют 2,2 г продукта окисления IV, последний восстанавливают растворением в водн. р-ре NaHS с последующим осаждением CH_3COOH , т. пл. IV 300° (из CH_3OH). К 5,4 г V в 200 мл 1н. H_2SO_4 добавляют при 60° 2,6 г NaNO_2 в 30 мл воды, перемешивают (60° , 20 мин.) и выделяют 3,8 г VI, т. разл. 249° (темнеет при 233° , из воды).

С. Гурвич

4651. Полнотетрацисные системы на основе гидразинкарбоновых кислот. Часть VIII. Синтез и определение некоторых нитрогуанилгидразонов. Часть IX. Синтез

и бромирование некоторых 5-тетразолил- и родственных ему гидразонов. Скотт, Морриш, Рейли (Polynitrogen systems from the hydrazinocarbonic acids. Part VIII. The synthesis and estimation of some nitroguanylhyaзонов. Part IX. The synthesis and bromination of some 5-tetrazolyl- and related-hydrazones. Scott F. L., Morrish W. N., Reilly J.), J. Organ. Chem., 1957, 22, № 6, 690—692, 692—694 (англ.).

VIII. Описан метод аналитич. определения ряда карбонильных соединений (КС) в виде нитрогуанилгидразонов (НГ), основанный на кислотном гидролизе НГ с последующим титрованием йодатом освободившейся гидразогруппы. Заниженные результаты, получаемые в ряде случаев, объяснены протеканием р-ции внутреннего окисления — восстановления, затрагивающей определяемую гидразогруппу нитроаминогуанидина. Получены обычным методом следующие НГ (перечисляются исходные КС, выход, т. пл., р-ритель кристаллизации): акролеин, 77, 165, 50%-ный спирт; аллоксан, 90, 251, вода (для дигидрата: 90, 198, разл.); 4-аминоацетофенон, 90, 203, водн. CH_3COOH ; бензилиденацетон, 91, 181, 75%-ный спирт; 2,4-динитробензальдегид, 97, 240, водн. CH_3COOH ; метилбензилкетон, 92, 174 (разл.), абс. спирт.; метилнилокетон, 80, 114 (размягчение при 110°); 3,4-диоксibenзальдегид, 97, 232, вода и водн. CH_3COOH ; пировиноградный альдегид (дигидразон), 92, 344 (разл.), абс. спирт.; 2-формилтиофен, 87, 199, 75%-ный спирт; терефталевый альдегид (дигидразон), 92, 254 (промыт кипящими водой и сп.). Приведены некоторые типовые детали аналитич. определения на примере НГ фурфурола, 2-оксibenзальдегида и других КС.

IX. Показана целесообразность применения 5-тетразолилгидразонов $\text{RCX}=\text{NNHC}=\text{NN}=\text{NNH}$ (I, где а $\text{R}=\text{C}_6\text{H}_5$, $\text{X}=\text{H}$; б $\text{R}=\text{C}_6\text{H}_5$, $\text{X}=\text{Br}$; в $\text{R}=\text{4(?)}-\text{C}_6\text{H}_4$, $\text{X}=\text{Br}$; г $\text{R}=\text{3-NO}_2\text{C}_6\text{H}_4$, $\text{X}=\text{H}$) для характеристики КС. Бромирование Ia протекает в зависимости от условий р-ции в ω -положение или одновременно и в цикл; ди-(2-нитробензилиден)-диаминогуанидин и трибензилидендиаминогуанидин пробромировать не удалось. Ib и Ig переведены в тетразины $\text{RC}=\text{NN}(\text{T})\text{CR}=\text{NNT}$

(II, где Т — 5-тетразолил; а $\text{R}=\text{C}_6\text{H}_5$, б $\text{R}=\text{3-O}_2\text{NC}_6\text{H}_4$). Из бензоилированного гуанилгидразона $\text{C}_6\text{H}_5\text{CX}=\text{NN}(\text{COC}_6\text{H}_5)\text{C}(\text{=NN})\text{NHCOC}_6\text{H}_5$ (IIIa $\text{X}=\text{H}$) через бромпроизводное (IIIб $\text{X}=\text{Br}$) получен гидразин (IIIв $\text{X}=\text{NH}_2$). К р-ру 5 г дихлоргидрата 5-гидразинотетразола (IV) и 8,5 г CH_3COONa . $3\text{H}_2\text{O}$ в 125 мл воды + 10 мл спирта добавляют 2,9 мл коричневого альдегида, кипятят 10 мин. и выделяют I ($\text{R}=\text{C}_6\text{H}_5\text{CH}=\text{CH}$, $\text{X}=\text{H}$), выход 82%, т. пл. 207° (из 70%-ного сп.). Аналогично получают другие I (перечисляются заместители в исходном бензальдегиде, выход в %, т. пл. в °C): 4-хлор, 98, 233; 3,4-диметокси-, 97, 217; 2,3-диметокси-, 98, 212; 4-изопропил-, 92, 227; 2-окси- (моногидрат), 98, 212; 2-нитро-, 96, 245 (разл.); 3-нитро-, 99, 250; 3-окси-4-метокси-, 100, 212. Бензоилированием бензилиденгуанилгидразона получают IIIa, выход 90%, т. пл. 164° (из водн. сп.); последний бромируют Br_2 в лед. CH_3COOH , выход неочищ. IIIб 83%, т. пл. 261—267°; при обработке IIIб избытком конц. NH_4OH выделяют IIIв, выход 73%, т. пл. 230° (из сп.). Ia бромируют (Br_2 , лед. CH_3COOH), выход 16 72%, т. пл. 176° (из хлф.), при кристаллизации из лед. CH_3COOH Ib превращают в Ia; в 50%-ном спирте Ib переводят в Па, т. пл. 188° (разл.). Из Ia с Br_2 без р-рителя получают Iv, т. пл. 190° (размягчение при 187°, из лед. CH_3COOH). При бромировании Ig (Br_2 , лед. CH_3COOH , ~ 20°, 3 дня) выделяют IIб, выход 20%, т. пл. 194°. Часть VII см. РЖХим, 1957, 41154.

С. Гурвич
4652. Синтез 1-фенил-5-аминотетразола из бензальдегида и азотистоводородной кислоты. Хауфф (Syn-

thesis of 1-phenyl-5-aminotetrazole from benzaldehyde and hydrazoic acid. Hauff Wm. H.), J. Organ. Chem., 1957, 22, № 3, 344—345 (англ.).

Бензальдегид (I) конденсируется с 3 молями HN_3 в присутствии H_2SO_4 с образованием 1-фенил-5-аминотетразола (II); с 1 молем HN_3 получается бензонитрил, который при р-ции с 2 молями HN_3 дает II. При применении других альдегидов (коричный, 1-нафталальдигид, n -масляный) образуются смолы. К р-ру 0,1 моля I в 110 мл 1 н. HN_3 в C_6H_6 медленно прибавляют (35—40°) 40 г H_2SO_4 и через 30 мин. выливают в 200 мл воды, выход $\text{C}_6\text{H}_5\text{CN}$ 77%. Аналогично из 0,1 моля $\text{C}_6\text{H}_5\text{CN}$ и 250 мл 1 н. HN_3 в C_6H_6 через 3 часа выделяют льдом и щелочью II, выход 37%, т. пл. 160,5—161,5° (из сп.), и из 0,1 моля I в 330 мл 1 н. HN_3 в C_6H_6 (35—40°, 5 час.) получают II, выход 30%. Б. Дубинин

4653. Действие гидразина на 1,4-ди-(n -этоксibenзоил)-бутан. 3,8-ди- n -этоксифенил-4,5,6,7-тетрагидро-1,2-дiazоцин. Цанден, Врис (The action of hydrazine on 1,4-di-(p -ethoxybenzoyl)-butane. 3,8-di- p -ethoxyphenyl-4,5,6,7-tetrahydro-1,2-diazocine. Zanden J. M. van der, Vries G. de), Recueil trav. chim., 1957, 76, № 6, 519—522 (англ.).

Установлено, что при р-ции N_2H_4 и 1,4-ди-(n -этоксibenзоил)-бутана (I) образуются 3,8-ди-(n -этоксифенил)-4,5,6,7-тетрагидро-1,2-дiazоцин $\text{RC}=\text{NN}=\text{CR}(\text{CH}_2)_2$

CH_2 (II, где здесь и далее $\text{R}-n\text{-C}_2\text{H}_5\text{OC}_6\text{H}_4$) и 3,8,11,16-тетра-(n -этоксифенил)-1,2,9,10-тетразациклогексадека-

2,8,10,16-тетраен $\text{RC}=\text{NN}=\text{CR}(\text{CH}_2)_4\text{CR}=\text{NN}=\text{CR}(\text{CH}_2)_4$

CH_2 (III), подобные в-вам, которые получают при действии N_2H_4 на 1,4-дианизоилбутан (см. РЖХим, 1957, 30652). 0,226 моля I в 2 л спирта, 0,84 моля 84%-ного $\text{NH}_2\cdot\text{NH}_2\cdot\text{H}_2\text{O}$ и 32 мл 98%-ной CH_3COOH кипятят 2,5 часа, получают 53,7 г II, т. пл. 177—178° (из бад.). 5 г неочищ. II и 100 мл 98%-ной CH_3COOH нагревают, получают 400 мг III, т. пл. 248—248,5° (из толуола). II (т. пл. 178°) и $(\text{CH}_3\text{CO})_2\text{O}$ нагревают ~ 1 час, получают III. Из 6,1 г II в 250 мл лед. CH_3COOH и 400 мг PtO_2 (встряхивание с H_2 5 час.) выделяют 3,3 г тетрагидро-II (IV), т. пл. 100—101° (разл.). Р-р IV в $(\text{CH}_3\text{CO})_2\text{O}$ (~ 20°, несколько дней) дает ацетильное производное IV, т. пл. 99—100°. Р-р IV в спирте подкисляют HCl (к-той), получают хлоргидрат IV, т. пл. 174—176° (разл.). ~ 2,5 г HgO прибавляют к кипящему р-ру 0,5 г IV в 50 мл спирта, из фильтрата выделяется 0,3 г 3,8-ди-(n -этоксифенил)-1,2-дiazоциклогексана, т. пл. 101—101,5° (из сп.). 600 мг последнего нагревают до 170° 30 мин. и затем до 200°, по охлаждении кипятят со спиртом, обрабатывают углем, получают 400 мг 1,6-ди- n -этоксифенилгексен-1, т. пл. 99—100° (из сп.). Ю. Розанова

4654. Исправление к статье: Струков И. Т. «К вопросу о механизме оксазолонов, замещенных в положении 2». Ж. общ. химии, 1953, 23, № 3, 438—441 К РЖХим, 1953, 3079. В статье и реферате (8-я строка от начала) вместо «ангидрид N -ацетилфенацетуровой к-ты» должно быть: «2-бензилиден-3-ацетил-5-оксазolon». О. М.

4655. Получение 2,5-дифенилоксазола и изучение его скитиляционной эффективности в пластмассах. Адлова Н. А., Котон М. М., Флоринский Ф. С., Изв. АН СССР, Отд. хим. н., 1957, № 3, 385—387

Синтез 2,5-дифенилоксазола (I) осуществлен из ω -бромацетофенона (II) через фенациламин (III) и ω -бензоиламиноацетофенон (IV). Скитиляционная эффективность (СЭ) I в стирольной пластмассе превышает СЭ терфенила. Из смеси 20 г II и 14,2 г уротропина в 200 мл CHCl_3 через 12 час. выделяют продукт

присоединения (V), выход 80%, т. пл. 165°. 43 г V в 37 мл конц. HCl + 290 мл спирта оставляют на 3 дня и выделяют 18 г III · HCl, т. пл. 192°. К р-ру 7 г III · HCl в 35 мл лед. CH₃COOH добавляют 3,5 г CH₃COONa и по каплям 7 г C₆H₅COCl и еще 3,5 г CH₃COONa, смесь нагревают (~100°, 10 мин.) и выливают в 350 мл воды, выход IV 4,4 г, т. пл. 122° (из сп.). Р-р 1 г IV в 5 мл конц. H₂SO₄ нагревают (~100°, 2 мин.), выливают в воду, высушенные кристаллы растворяют в C₆H₆, пропускают через колонку с Al₂O₃ и выделяют I, т. пл. 71–72° (из петр. эф.). В стеклянную ампулу помещают мономер стирола, 1% I и 0,2% перекиси бензоила, ампулу охлаждают, эвакуируют, запаивают и нагревают (90°, 24 часа + 100°, 72 часа + 110°, 24 часа + 120°, 6 час.), получают стирольную пластмассу с высокой СЭ. С. Гурвич

4656. Химия 2-изоксазолинов. Методы восстановительного размыкания. Перолд, Рейхе (The chemistry of the 2-isoxazolines: reductive cleavages. Perold G. W., Reiche F. V. K. von), J. Amer. Chem. Soc., 1957, 79, № 2, 465–467 (англ.)

При восстановительном размыкании 3,5-дифенил-2-изоксазолина (I) под действием HJ выделены β-фенилпропиофенон (II) (главный продукт), 4-фенил-3,4-дигидрокарбостирол (III), гидрокоричная к-та и анилин. Строение III подтверждено его синтезом из анилида коричной к-ты (IV) и восстановлением в 4-фенил-1,2,3,4-тетрагидрохинолин (V), а также идентичностью с образцом, полученным ранее (см РЖХим, 1958, 4621) восстановлением 4-фенилкарбостирола. Восстановление I LiAlH₄ приводит к 1,3-дифенил-3-аминопропанолу (VI). Высказаны предположения по механизму размыкания I. Приведены данные ИК- и УФ-спектров некоторых из полученных в-в. 513 мг I кипятят с 10 мл HJ (здесь и далее — постояннокипящая) 90 мин., добавляют 30 мл воды и извлекают эфиром (3 × 20 мл) 396 мг нейтр. в-ва, из которого растворением в 2 мл C₆H₆ + 1 мл петр. эфира получают 61 мг III, т. пл. 179–180° (из сп.); 333 мг маточного р-ра растворяют в 20 мл C₆H₆-петр. эфир (1:3), фильтруют и хроматографируют на 50 г Al₂O₃, промывают 200 мл того же р-рителя и вымывают 300 мл C₆H₆-петр. эфира (1:1) 117 мг II, т. пл. 70–71° (из петр. эф.). 100 мг IV кипятят 1 час с 20 мл HJ, выход III 32 мг. 156 мг III в 30 мл спирта восстанавливают 4 г Na, реакционную смесь разлагают водой, спирт удаляют в вакууме и через хлоргидрат выделяют 124 мг масла, которое в петр. эфире очищают на Al₂O₃, выход V 91 мг, т. пл. 72–74°; бензоильное производное, т. пл. 145° (из сп.). 1,92 г I и 0,34 г LiAlH₄ в 50 мл абс. эфира кипятят 5,5 часа, разлагают HCl + + лед н. подщелачивая, выделяют 1,208 г VI, т. пл. 121–122° (из сп.); моно-(N)-бензоильное производное, т. пл. 169–170° (из бал. и из сп.); дибензоильное производное, т. пл. 190–191° (из сп.). Все т-ры плавления исправлены. С. Гурвич

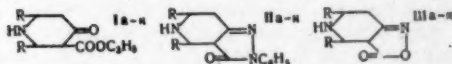
4657. Синтез гетероциклических аминоэфиров, родственных дифенгидрамину. Крейг, Олмстед (Synthesis of heterocyclic aminoethers related to diphenhydramine. Craig Paul N., Olmsted Michael P.), J. Organ. Chem., 1957, 22, № 5, 559–561 (англ.)

Для фармакологич. испытания в качестве противогистаминных средств синтезированы 7 аминоэфиров (I), близких по строению к диметролу (бенадрилу), в котором одно фенильное кольцо замещено различными гетероциклами и изменен характер боковой цепи. Гетероциклич. эфир при омылении NaOH образует соответствующую гетероциклич. карбоновую к-ту, которая с SOCl₂ дает хлорангидрид к-ты. По р-ции Фриделя — Крафта из хлорангидридов к-т получены кетоны, выход свыше 90% (перечисляются кетон, т. кип. в °С/мм, т. пл. в °С, р-ритель): 4-метил-5-бензоилтиазол, 176–

178/10, 79,5, 80,5, бензол, петр. эфир; 2,4-диметил-5-бензоилтиазол, 113–114/0,7, —, —; 3,5-диметил-4-бензоилтиазол, 105/0,2, 62–63, циклогексан. Кетоны с помощью LiAlH₄ превращены в карбинолы, выход 80–85% (перечисляются карбинол, т. кип. в °С/мм, т. пл. в °С, р-ритель): 4-метил-5-тиазолилфенилкарбинол (II), 152–157/0,7, 106–107, бензол-петр. эфир; 2,4-диметил-5-оксазолилфенилкарбинол (III), 132–136/0,7, 91,5–92, спирт-вода; 3,5-диметил-4-изоксазолилфенилкарбинол (IV), 140/0,3, 53–54, бензол-петр. эфир. Из карбинолов и хлоралкиламинов получены соответствующие I, выход 70–85% [перечисляются I, т. кип. в °С/мм, т. пл. лимонной соли (из сп.)]: диэтиламиноэтиловый эфир II, 137/0,2, 103–105; диметиламинопропиловый эфир II, 145–150/0,6, 100–103; диэтиламиноэтиловый эфир III, 168–171/0,1, 82–86 (полугидрат). Диметиламинопропиловый эфир III, 130–140/0,7, 118–119,5 (полугидрат); диэтиламиноэтиловый эфир IV, 135–136/0,2, 70–72; диметиламинопропиловый эфир IV, 145–150/0,7, 121–123; диметиламиноэтиловый эфир IV, 143–148/0,3, 130–132. Ю. Розанова

4658. 2,6-диарил-3-карбэтоксипиперидоны-4 и их производные. Бхаргава, Сингх (2:6-diaryl-3-ethoxycarbonyl-4-piperidones and their derivatives. Bhargava P. N., Singh R. P.), J. Indian Chem. Soc., 1957, 34, № 2, 105–108 (англ.)

Описан синтез 2,6-диарил-3-карбэтоксипиперидонов-4 (Ia–к). 0,25 моля CH₃COCH₂COOC₂H₅, 0,5 моля ароматич. альдегида и 0,5 моля CH₃COONH₄ кипятят с 35 мл CH₃COOH, по окончании р-ции растворяют смесь в эфире, пропускают ток безводн. HCl и осажженный хлоргидрат обрабатывают при 0° в соответствующем р-рителе конц. NH₄OH. 2 г полученного таким образом I растворяют в 20 мл эфира или C₆H₆, приливают 10 мл конц. HCl и хлоргидрат кристаллизуют из спирта. 0,1 моля I нагревают 10 мин. на водяной бане с 0,1 моля C₆H₅CHO и выделившееся бензилиденовое производное кристаллизуют из хлороформа или ацетона. Ниже для синтезированных I приведены т-ра в °С, при которой они получены, продолжительность конденсации в часах, выход основания в % и его т. пл. в °С, р-ритель для кристаллизации, выход хлоргидрата в % и его т. пл. в °С, выход 2,4-динитрофенилгидразона в % и его т. пл. в °С (из сп.-эф. 1:1), выход бензилиденового производного в % и его т. пл. в °С: а 110, 1, 80, 167, бал.-петр.-эф., 75, 150, 60, 105, 50, 140; б 100, 1, 5, 90, 120, петр., эф., 80, 178, 65, 89, 55, 130; в 100, 2, 86, 112, петр. эф., 70, 104, 70, 95, 54, 125; г 160, 1, 5, 80, 176, бал.-петр. эф., 65, 105, 50, 100, 60, 110; д 160, 1, 82, 170, CH₃OH, 75, 165, 68, 98, 64, 135; е 190, 4, 77, 135, сп.-эф., 80, 148, 70, 120, 68, 128; ж 160, 2, 5, 85, 110, фенол-сп., 85, 180, 60, 108, 60, 150; з 97, 2, 5, 93, 110, ацетон, 80, 190, 64, 109, 55, 155; и 98, 3, 97, 105, CH₃OH, 68, 185, 60, 115, 50, 138; к 100, 2, 5, 70, 111, CH₃OH, 65, 205, 50, 125, 45, 146. 0,1 моля Ia–к и 0,1 моля C₆H₅NHNH₂ нагревают 1 час при 125°, затем обрабатывают реакционную смесь спиртом и отфильтровывают образовавшийся соответствующий 2,6-диарил-3,4-пиперидофенилпиразолон (IIa–к).



а R = м-НОС₂H₄, б R = 3-СН₃-О-НОС₂H₄, в R = С₆H₅СН=СН
г R = о-НОС₂H₄, д R = о-NO₂С₆H₄, е R = п-СН₃С₆H₄,
ж R = 3,4-(СН₃)₂С₆H₃, з R = п-(СН₃)₂NC₆H₄, и R = фурил-2,
к R = 2-оксинафтил-1

Ниже для синтезированных II приведены выход в %, т. пл. в °С и р-ритель для кристаллизации: а 80, 160, ацетон; б 75, 128, хлф.; в 80, 131, ацетон; г 60, 150, ацетон; д 70, 146, хлф.; е 75, 152, хлф.-СН₃ОН; ж 76, 138, СН₃ОН; з 75, 142, хлф.; и 85, 166, ацетон; к 65, 280, аце-

тон. 0,2 моля Ia—к, 0,2 моля $\text{NH}_2\text{OH} \cdot \text{HCl}$, 0,3 моля CH_3COONa и 15 мл абс. спирта кипятят 2,5 часа, выливают в 100 мл ледяной воды и отделяют выпавший соответствующий 2,6-диарил-3,4-пиридиноизоксазолон (IIIa—к). Ниже указаны выход в %, т. пл. в °C и р-ритель для кристаллизации полученных III: а 75, 167, CH_3OH ; б 70, 150, CH_3OH ; в 75, 168, ацетон; г 75, 170, CH_3OH ; д 70, 190, CH_3OH ; е 65, 185, CH_3OH ; ж 70, 200, CH_3OH ; з 75, 210, ацетон; и 78, 250, CH_3OH ; к 75, 198, CH_3OH . Г. Браз

4659. Нитрилы в синтезах гетероциклического ядра. I. Дигидрооксазины-1,3. Гилманс, Риттер (Nitriles in nuclear heterocyclic syntheses. I. Dihydro-1,3-oxazines. Tillmanns Emma-June, Ritter John J.), J. Organ. Chem., 1957, 22, № 7, 839—840 (англ.)

Реакция 2-метилпентадиона-2,4 (I) с CH_3CN в присутствии H_2SO_4 приводит к образованию 2,4,4,6-тетраметил-5,6-дигидрооксазину-1,3 (II) вместо ожидаемого диамида. Вероятно в начале из I образуется ион $(\text{CH}_3)_2\text{C}^+\text{CH}_2\text{CH}(\text{OH})\text{CH}_3$, который с CH_3CN дает $\text{HOCH}(\text{CH}_3)\text{CH}_2\text{C}(\text{CH}_3)_2\text{N}=\text{C}(\text{CH}_3)\text{OSO}_3\text{H}$, замыкающийся далее в II. При применении бензонитрила и фенилацетонитрила вместо CH_3CN получают 2-фенил- (III) и 2-бензил-4,4,6-триметил-5,6-дигидрооксазин-1,3 (IV) соответственно. К 500 г 92%-ной H_2SO_4 прибавляют (6—7, 30 мин.) 55 мл CH_3CN и затем (8—10°, 4 часа) 118,2 г I, выливают на 1 кг льда, наполовину нейтрализуют 40%-ным NaOH, экстрагируют примеси CHCl_3 и из кислого слоя щелочью и эфиром выделяют II, выход 44%, т. кип. 56°/24 мм, n_D^{25} 1,4370. II при щел. расщеплении (Smith M. E., Adkins H., J. Amer. Chem. Soc., 1938, 60, 407) дает 4-амино-4-метилпентанол-2, т. кип. 174—175°, n_D^{20} 1,4340. Аналогично (прибавление $\text{C}_6\text{H}_5\text{CN}$ 20 мин. при 2—4° и I при 3—6° 2 часа) получают III, выход 47%, т. кип. 103—106°/3 мм, т. пл. 34—35° (из разб. сп.), и из 11,7 г $\text{C}_6\text{H}_5\text{CH}_2\text{CN}$, 50 г H_2SO_4 и 11,8 г I синтезируют IV, выход 26%, т. кип. 116—119°/5 мм, n_D^{20} 1,5125; пикрат, т. пл. 125—126°.

Б. Дубинин

4660. Строение «3-фенилтиазетидина». Кемпбелл (Structure of «3-phenylthiazetidine». Campbell Tod W.), J. Organ. Chem., 1957, 22, № 5, 569—570 (англ.)

Установлено (ИК-спектр и определение мол. веса), что при р-ции CH_2O и H_2S с N-бензилиденанилином (I) образуется не 3-фенилтиазетидин (см. РЖХим, 1954, 44651), а 3,7-дифенил-1,5-дитиа-3,7-дизащитлооктан $\text{C}_6\text{H}_5\text{NCH}_2\text{SCH}_2\text{N}(\text{C}_6\text{H}_5)\text{CH}_2\text{SCH}_2$ (II). 20 г H_2S пропуска-

ют в 250 г 38%-ного водн. р-ра CH_2O , смешивают с р-ром 100 г I в 850 мл абс. спирта, оставляют при ~20° 24 часа, кристаллы кипятят с 1 л абс. CH_3OH , получают 75 г II, т. пл. 186° (из хлф.). Ю. Розанова

4461. Исследования в области цианиновых красителей. X. О некоторых мероцианинокарбоцианинах. Дейчмейстер М. В., Левкоев И. И., Лившиц Э. В., Ж. общ. химии, 1957, 27, № 1, 202—215

Для более подробного изучения свойств мероцианинокарбоцианиновых красителей синтезировано ряд нуль- и диметинмероцианинокарбоцианинов — производных тиазолинона-4, содержащих в мероцианиновой части молекулы остатка бензтиазола и хинолина-4, а в цианиновой части — остатки бензтиазола, бензоксазола, 3,3-диметилиндоленина, пиридина-2 и 4,5-дифенилтиазола. Установлено, что: 1) при удлинении полиметиновой цепи батохромный сдвиг основного максимума поглощения (МП) уменьшается; 2) повышение основности гетероциклич. азотистого остатка в цианиновой части молекулы вызывает повышение окраски красителей; 3) вступление CH_3 - или C_2H_5 -групп в положение 7 полиметиновой цепи обуславливает гипсохромный

сдвиг МП. 3,37 г йодэтилата 2-метилмеркаптобензтиазола, 1,6 г 3-этилроданина, 50 мл абс. спирта и 1 г $(\text{C}_2\text{H}_5)_3\text{N}$ кипятят 30 мин., получают 3-этил-5-(3'-этилбензтиазолиниден-2')-тиазолидинтион-2-он-4 (I), выход 80,7%, т. пл. 256—257°. К р-ру $\text{C}_2\text{H}_5\text{ONa}$ (из 0,23 г Na и 25 мл спирта) прибавляют 0,8 г 3-этилроданина и 2,85 г йодэтилата хинолина, кипятят 10 мин., получают 3-этил-5-(1'-этилдигидрохинолиниден-4')-тиазолидинтион-2-он-4 (II), выход 47,4%, т. пл. 200—201° (из сп.). 1,2 г II и 1,5 г $(\text{CH}_3)_2\text{SO}_4$ нагревают при 110—115° 10 мин., промывают абс. эфиром, растворяют в 35 мл абс. CH_3OH , выливают в 35 мл 25%-ного р-ра NaClO_4 в CH_3OH , получают этилперхлорат 2-метилмеркапто-5-(1'-этилдигидрохинолиниден-4')-тиазолинона-4 (III), выход 98,8%, т. пл. 127°. 1,6 г I и 1,89 г $(\text{CH}_3)_2\text{SO}_4$ нагревают при 130° 15 мин., промывают абс. эфиром, прибавляют 1,9 г ацетоуксусноэтилового эфира (IV), 35 мл абс. спирта и 0,5 г $(\text{C}_2\text{H}_5)_3\text{N}$, кипятят 30 мин., получают 3-этил-2-ацетилкарбэтоксиметил-5-(3'-этилбензтиазолиниден-2')-тиазолидинон-4 (V), выход 43%, т. пл. 186—187° (из бzl.). Аналогично с применением бензоилуксусноэтилового эфира (VI) вместо IV получают 3-этил-2-бензоилкарбэтоксиметил-5-(3'-этилбензтиазолиниден-2')-тиазолидинон-4, выход 57,8%, т. пл. 245—247° (из сп.). Аналогично V из 3-этил-5-(3'-этилбензтиазолиниден-2'-этилиден)-тиазолидинтион-2-она-4 получают 3-этил-2-ацетилкарбэтоксиметил-5-(3'-этилбензтиазолиниден-2'-этилиден)-тиазолидинон-4, выход 38,2%, т. пл. 222° (хроматография в C_6H_6 на Al_2O_3 ; из сп.). МП (здесь и далее в сп.) 534 м. 2,45 г йодэтилата 2-метилмеркапто-5-(3'-этилбензтиазолиниден-2'-этилиден)-тиазолинона-4, 1,9 г VI, 7,5 мл абс. спирта и 0,5 г $(\text{C}_2\text{H}_5)_3\text{N}$ кипятят 30 мин., получают 3-этил-2-бензоилкарбэтоксиметил-5-(3'-этилбензтиазолиниден-2'-этилиден)-тиазолидинон-4 (VII), выход 65%, т. пл. 225° (из сп.). Аналогично из 0,86 г III, 0,77 г VI, 20 мл абс. спирта и 0,2 г $(\text{C}_2\text{H}_5)_3\text{N}$ получают 3-этил-2-бензоилкарбэтоксиметил-5-(1'-этилдигидрохинолиниден-4')-тиазолинона-4 (VIII), выход 67,5%, т. пл. 153—154° (из сп.). 0,418 г V и 8,8 мл 25%-ной HCl кипятят 30 мин., выделяют хлорэтилат 2-метил-5-(3'-этилбензтиазолиниден-2')-тиазолинона-4 (IX), выход 47,8%, т. пл. 200°. 0,8 г IX в 10 мл абс. CH_3OH выливают в 10 мл 10%-ного р-ра NaI в CH_3OH , получают йодэтилат основания IX (IXa), выход 80,6%, т. пл. 211—212° (из абс. CH_3OH). Аналогично из 2,38 г VII, 44 мл 25%-ной HCl и 10 мл 20%-ного р-ра NaI в CH_3OH получают йодэтилат 2-метил-5-(3'-этилбензтиазолиниден-2'-этилиден)-тиазолинона-4 (X), выход 45,8%, т. пл. 193° (из абс. CH_3OH , содержащий HI), МП 508 м. Аналогично из 0,47 г VIII, 10 мл 16%-ной HCl и 0,2 г NaI получают йодэтилат 2-метил-5-(1'-этилдигидрохинолиниден-4')-тиазолинона-4 (XI), выход 64,8%, т. пл. 116° (из абс. сп., содержащего HI). 0,32 г I и 0,38 г $(\text{CH}_3)_2\text{SO}_4$ нагревают при 130° 15 мин., промывают абс. эфиром, прибавляют 1,05 г этил-п-толуолсульфоната 2-метилбензтиазола, 5 мл пиридина (XII), кипятят 1 час, по охлаждении прибавляют 200 мл эфира, декантируют, остаток растворяют в 25 мл спирта, выливают в 75 мл 10%-ного водн. р-ра KBr , получают 3,3'-диэтил-4-кето-5-(3'-этилбензтиазолиниден-2'')-тиазолинотиадианинбромид, выход 86%, т. пл. 239—241° (из сп.). Аналогично из 0,32 г I, 0,38 г $(\text{CH}_3)_2\text{SO}_4$, 0,75 г этил-п-толуолсульфоната 2-метил-4,5-дифенилтиазола в 3 мл XII выделяют 3,3'-диэтил-4,5'-дифенил-4-(3'-этилбензтиазолиниден-2'')-тиазолинотиазолинонидийодид, выход 98,5%, т. пл. 187—189° (из сп.). 0,21 г IXa, 0,24 г йодэтилата 2-б-ацетанилинобутиденилбензтиазола и 2 мл XII нагревают при 130° 5 мин., выделяют 3,3'-диэтил-4-кето-5-(3'-этилбензтиазолиниден-2'')-тиазолинотиадианинбромид, выход 21,7%, т. пл. 214—216° (из сп.), МП 720 м. По-

лучены следующие мероцианинокарбонцианины (перечисляются исходные продукты, полученный краситель, выход в %, т. пл. в °C, р-ритель, МП в мл): IX и йодэтилат 2-β-ацетанилиновинилбензтиазола (XIII) в XII, 3,3'-диэтил-4-кето-5-(3"-этилбензтиазолинилиден-2")-тиазолинотиакарбонцианинийодид, 35, 5, 262—263, спирт, 633; IX и йодэтилат 2-β-ацетанилиновинилбензтиазола в XII, 3,3'-диэтил-4-кето-5-(3"-этилбензтиазолинилиден-2")-тиазолинооксакарбонцианинийодид, 26,5, 231, абс. спирт, 597; IX и 1,3,3-триметил-2-формилметилениндоллин в (CH₃CO)₂O, 3-этил-1',3',3'-триметил-4-кето-5-(3"-этилбензтиазолинилиден-2")-тиазолиноиндокарбонцианинийодид, 58,5, 240—241, спирт, 636; IX и йодэтилат 2-β-ацетанилиновинилипидина и (C₂H₅)₃N в абс. спирте, 3,1'-диэтил-4-кето-5-(3"-этилбензтиазолинилиден-2")-тиазолинопиридо-2-карбонцианинийодид, 14,2, 185—187, спирт, 572; IX и йодэтилат 2-β-метилмеркаптовинил-4,5-дифенилтиазола (XIV) в XII, 55,5, 228, спирт, 625; XI и XIV в XII, 3,3'-диэтил-4'-5'-дифенил-4-кето-5-(1"-этилдигидрохинолиниден-4")-тиазолинотиакарбонцианинийодид, 24,7, 263—264, CH₃OH, 650; X и XIII в XII, 3,3'-диэтил-4-кето-5-(3"-этилбензтиазолинилиден-2"-этилиден)-тиазолинотиакарбонцианинийодид, 27,9, 243—244, спирт, 696; X и йодэтилат 3,3-диметил-2-β-ацетанилиновинилиндоленина в XII, 3-этил-1',3',3'-триметил-4-кето-5-(3"-этилбензтиазолинилиден-2"-этилиден)-тиазолиноиндокарбонцианинийодид, 18,7, 260, C₆H₆, спирт, 713; X и XIV в XII, 3,3'-диэтил-4-кето-4',5'-дифенил-5-(3"-этилбензтиазолинилиден-2"-этилиден)-тиазолинотиакарбонцианинийодид, 37,4, 239, спирт, 672; IX и этилметилсульфат 2-β-метилмеркаптопропенилбензтиазола (XV) и (C₂H₅)₃N в абс. спирте, 3,3'-диэтил-4-кето-7-метил-5-(3"-этилбензтиазолинилиден-2")-тиазолинотиакарбонцианинийодид, 44,2, 236—237, спирт, 612; IX и этил-*n*-толуолсульфонат 2-β-метилмеркаптобутилбензтиазола в XII, 3,3'-диэтил-4-кето-7-этил-5-(3"-этилбензтиазолинилиден-2")-тиазолинотиакарбонцианинийодид, 6,1, 231—233, спирт, 617; X и XV в XII, 3,3'-диэтил-4-кето-7-метил-5-(3"-этилбензтиазолинилиден-2"-этилиден)-тиазолинотиакарбонцианинийодид, 33,3, 237, спирт, 686. Сообщение IX см. РЖХим, 1955, 40182.

Ю. Розанова

4662. О некоторых диниридил- и терпиридиланалогах.

Менассе, Прейс, Эрленмейер (Über einige Dipyridyl- und Terpyridyl-Analoga. Menassé R., Prijs B., Erlemeyer H.), *Helv. chim. acta*, 1957, 40, № 3, 554—560 (нем.; рез. англ.)

Для применения в аналитич. химии и изучения комплексообразующей способности синтезированы в-ва, изостерные диниридилу и 2,6-ди-(2'-пиридил)-пиридину (терпиридилу), содержащие кольца тиазола. Конденсацией 2-хлорацетилпиридина (I) с RCSNH₂ (II а R = NH₂, б R = C₆H₅CH₂, в R = H) получены соответствующие 4-(2'-пиридил)-тиазолы 2'-C₆H₄NC=CHSCR=N

(IIIа—в). Изомерный 2-(2'-пиридил)-тиазол (IV) синтезирован при р-ции тиамида пиколиновой к-ты (V) с хлорацетальдегидом. Конденсацией V с 2-бромацетилтиазолом (VI) получен 2-(2'-пиридил)-4,2'-дитиазол-ил SCH=CHN=C—CHSC(2'-C₆H₄N)=N (VII). Анало-

гично синтезированы 4 изомерных тритиазолила, также содержащих группировку —N—C—C—N—C—C—N—. 3 г I и 5 г IIа в 50 мл абс. спирта кипятят 10 час., отгоняют спирт, остаток нагревают 90 мин. при 150°, растворяют в 50 мл 4 н. HCl, экстрагируют смеси эфиром, подщелачивают р-ром NaHCO₃ и извлекают эфиром IIIа, выход 0,1 г, т. пл. 175—176° (из лигр.). Аналогично из 2 г I и 2 г IIб в 50 мл абс. спирта (кипятят 12 час., нагревают 30 мин. при 130°, р-р в 4 н. HCl медленно обрабатывают 10 мл 20%-ного NaNO₂) получают 0,3 г IIIб, т. пл. 53—54° (отжимают

на пористой пластинке и в-во перегоняют при 100°/13 мм), 5 г I и 5 г IIв в 100 мл эфира кипятят 5 час., отгоняют эфир, нагревают 90 мин. при 110°, извлекают 50 мл 2 н. HCl и выделяют 1,1 г IIIв, т. пл. 99—100° (из петр. эф.; возгоняется при 80—85°/13 мм). 5 г V и 4,5 г ClCH₂CHO растворяют в 50 мл (CH₃CO)₂O, после окончания р-ции кипятят 5 час., отгоняют (CH₃CO)₂O, растворяют в 50 мл 8 н. HCl, избыток V разлагают р-ром 2 г NaNO₂ в 10 мл воды и аналогично IIIа выделяют IV, т. пл. 60—61° (отжимают на пластинке; из лигр.; возгонка при 45°/12 мм). К 1,5 г проволоки Na в 100 мл абс. эфира прибавляют (20°, 15 мин.) 10 г этилового эфира тиазолкарбоновой-2 к-ты (VIII — к-та) и 5,8 г этилацетата в 50 мл эфира, размешивают 1 час, кипятят 4 часа, декантируют, к остатку прибавляют 10 мл CH₃OH, затем 50 мл конц. HCl, кипятят 2,5 часа, упаривают в вакууме и эфиром извлекают 2-ацетилтиазол, выход 21%, т. кип. 90—95°/12 мм. Из 1 г VI (Erlenmeyer H. и др., *Helv. chim. acta*, 1948, 31, 1142) и 0,7 г V в 100 мл абс. спирта (кипение 9 час., нагревание остатка 30 мин. при 150°) аналогично IIIа (6 н. HCl) выделяют 0,15 г VII, т. пл. 154—155° (возгонка при 150—160°/0,01 мм). К эфир. р-ру 4 г CH₂N₂ при 0° прибавляют р-р 1,8 г хлорангидрида VIII в 50 мл эфира, размешивают (20°, 2 часа), отгоняют при 50° и при т-ре < 0° прибавляют 10 мл конц. HCl, нагревают (25°, 2 часа) и отгоняют в вакууме досуха. Из полученного хлоргидрата 2-хлорацетилтиазола (IX — основание) 1 н. NaHCO₃ и эфиром выделяют IX, выход 0,7 г (кристаллы, превращающиеся через несколько минут в смолу). 8,5 г амида VIII и 15 г P₂O₅ нагревают (200°, 5 час.) и при 70°/12 мм отгоняют нитрил VIII, выход 68%, т. пл. 30,5°. 5 г нитрила VIII в 5 мл абс. C₆H₆ насыщают при 0° H₂S, прибавляют 2 капли диэтиламина и через 2 часа (0°) отделяют тиаомид VIII, выход 92%, т. пл. 175°. Из 6 г CH₂N₂ в 550 мл абс. эфира и 4,8 г хлорангидрида тиазолкарбоновой-4 к-ты (X — к-та) аналогично IX получают 4-хлорацетилтиазол (XI), выход 64% (кристаллы разлагаются через несколько минут). 3,8 г амида X и 12,5 г P₂O₅ (200°, 4,5 часа) дают при перегонке (100°/12 мм) нитрил X, т. пл. 59,5—60,5° (возгонка при 50°/12 мм). Тиаомид X, выход 95%, т. пл. 195—196° (из бал.) получают аналогично тиаомиду VIII. Смесь 0,8 г IX в 60 мл эфира и 0,8 г тиамида VIII в 75 мл абс. спирта кипятят 5 час., упаривают в вакууме, остаток нагревают (180°, 90 мин.), извлекают 25 мл 6 н. HCl, фильтрат подщелачивают ~12%-ным NH₄OH, осадок растворяют в эфире, упаривают, возгоняют при 140°/0,01 мм, обрабатывают 20 мл 6 н. HCl и NH₄OH осаждают 0,12 г 2,4',2',2"-тритиазолила, т. пл. 175,5° (возгонка). Аналогично получают из 1 г тиамида VIII и 1 г XI в 50 мл абс. спирта (остаток нагревают 90 мин. при 150°) 0,11 г 4,4',2',2"-тритиазолила, т. пл. 152—153° (возгонка при 140°/0,05 мм); из тиамида X и XI 4,4',2',4"-тритиазолила, т. пл. 181—182° (возгонка при 160°/0,01 мм), и из тиамида X и IX (150°, 90 мин.) 2,4',2',4"-тритиазолила, т. пл. 149—150° (возгонка при 140°/0,01 мм). Б. Дубинин

4663. Результаты лабораторного исследования синтеза сульфатиазола. Ян Тхэ Хо (윤피타하의 촉합 실험에서 얻은 몇가지 경험. 양 테 호), *조선 의학*, Чосон хыхак, 1955, № 5, 93—100 (кор.)

Показано, что при синтезе *n*-ацетилсульфатиазола (*n*-ацетаминобензолсульфанилотиазола) (I) из *n*-CH₃-CONHC₆H₄SO₂Cl и хлоргидрата 2-аминотиазола лучше проводить конденсацию в водн. р-ре, чем в пиридине. Технологич. процесс при этом проще. В качестве конденсирующего средства использован 18%-ный р-р Na₂CO₃; т-ра постепенно повышалась от 10 до 50°. В тех же условиях получается *n*-ацетаминобензолсульфанид, который можно отделить от I, используя их различную растворимость в водн. NH₄OH.

В. Баклыков

4664. Исследования в области химии пиазтиола (3,4-бенз-1,2,5-тиадиазола). Халецкий А. М., Песин В. Г., Чжао Чжи-чжун, Докл. АН СССР, 1957, 113, № 3, 627—630

Показано, что пиазтиол (I) и его производные, наряду с ароматич. свойствами, обладают свойствами, характерными для непредельных соединений. При р-ции с Cl_2 или Br_2 галлоид присоединяется к хиноидной форме I с образованием смеси стереоизомерных тетрагалондтетрагидро-I, которые при действии спирт. КОН дают дигаллоид-I, строение последних доказано синтезом из дигаллоид-о-диаминов и тиониланилина (II). Аналогичными I свойствами обладает и 1',2'-нафтиадиазол-2,1,3. В расплав 13,6 г I при 60° пропускают 7,1 г Cl_2 . 35 г хлорированного I нагревают с 50 мл спирта, декантируют от масла и при охлаждении <0° получают тетрахлортетрагидро-I, выход 22%, т. пл. 120—124° (из сп.); из масла 50 мл горячего спирта экстрагируют 1,4 г изомера с т. пл. 82°. К 3,6-дихлор-1,2-диаминбензола в C_6H_6 постепенно прибавляют II, нагревают (~100°, 30 мин.) и получают 4,7-дихлор-I, выход 88,7%, т. пл. 181—182,5° (из сп.). К 9 г расплава I прибавляют (25 мин.) 32 г Br_2 , нагревают до кипения 1 час, оставляют на воздухе до испарения Br_2 и получают тетрабромтетрагидро-I, выход 95,55%, т. пл. 142° (из сп.). 1 г последнего в 20 мл спирта + 0,32 г КОН в 1 мл воды кипятят 1 час, разбавляют водой и отделяют 4,7-дибром-I, выход 65%, т. пл. 184—185° (из сп.). 1 г 3,6-дибром-1,2-диаминбензола и 1,2 г II в 3 мл C_6H_6 (кипение 30 мин.) дают 1 г 4,7-дибром-I.

В. Дубинин

4665. Диоксиды бензотиадиазина как новые диуретики. Новелло, Спрейг (Benzothiadiazine dioxides as novel diuretics. Novello Frederick C., Sprague James M.), J. Amer. Chem. Soc., 1957, 79, № 8, 2028—2029 (англ.)

Описан синтез нового типа весьма активных при оральном введении диуретиков, образующихся в результате циклизации 6-ацетиламино-4-хлорбензол-1,3-дисульфамидов, иллюстрированный примерами получения 6-хлор-(I) и 6-хлор-3-метил-(II)-7-сульфамил-1,2,4-бензотиадиазиндиоксидов-1,1: хлорсульфированием м-хлоранилина при 150° в присутствии NaCl получен 6-амино-4-хлорбензол-1,3-дисульфохлорид (III), ацетильное производное которого, т. пл. 137—139°, действием спирт. р-ра NH_3 превращено в смесь 6-ацетиламино-4-хлорбензол-1,3-дисульфамида, т. пл. 261—262°, и II, т. пл. 322° (разл.), разделенную кристаллизацией из воды. I, т. пл. 342,5—343° (разл.), синтезирован кипячением с HCOOH 6-амино-4-хлорбензол-1,3-дисульфамида, т. пл. 251—252°, полученного действием NH_3 на III.

Д. Витковский

4666. Структурная химия алкоксидов. Часть VII.

Вторичные алкоксиды четырехвалентного церия и тория. Брэдли, Чаттерджи, Уордло. Часть VII. Изомерные бутилаты и пентилаты ниобия. Брэдли, Чакраварти, Уордло (Structural chemistry of the alkoxides. Part VII. Secondary alkoxides of quadrivalent cerium and thorium. Bradley D. C., Chatterjee A. K., Wardlaw W. Part VIII. Isomeric butoxides and pentyloxides of niobium. Bradley D. C., Chakravarti B. N., Wardlaw W.), J. Chem. Soc., 1956, Sept., 3469—3472; Nov., 4439—4442 (англ.)

VII. Описано получение $\text{Ce}(\text{OCHR}_2)_4$ (Ia $\text{R} = \text{CH}_3$, б $\text{R} = \text{C}_2\text{H}_5$), $\text{Ce}(\text{OCH}(\text{CH}_3)\text{R})_4$ (IIa $\text{R} = \text{C}_2\text{H}_5$, б $\text{R} = \text{C}_3\text{H}_7$, в $\text{R} = \text{изо-C}_3\text{H}_7$) и $\text{Th}(\text{OCH}(\text{C}_2\text{H}_5)\text{R})_4$ (IIIa $\text{R} = \text{CH}_3$, б $\text{R} = \text{C}_2\text{H}_5$) и исследовано влияние разветвления цепи на степень ассоциации (СА) и свойства I—III. Указанные в-ва получены обменной р-цией изопропилов со спиртами. Ib и IIв синтезированы также р-цией $(\text{C}_6\text{H}_5\text{N})_2\text{CeCl}_6$ (IV) с соответствующим спиртом и

NH_3 . Синтез I—III производят в C_6H_6 по описанной прописи (см. часть VI, РЖХим, 1957, 44617). Указаны исходный алкоксид, вес его в г, число мл соответствующего спирта, продукт р-ции, вес его в г: Ia · $(\text{CH}_3)_2\text{CHOH}$ (V), 4,14, 40, IIa, 4; Th(OC_2H_5 -изо) (VI), 4,32, 20,5, IIIa, 4,84; V, 5,26, 15,4, IIb, 5,73; IV, 21,2, 38,5, IIв, 5,80; V, 6,47, 14,8; IIв, 6,8; V, 7,63, 21, 16, 8,49; VI, 4,57, 10,9, IIIb, 5,01; IV, 19,5, 35, 16, 9,85. Кристаллич. V диссоциирует при 100°/0,05 мм и дает Ia который возгоняется при 160—170°/0,05 мм. Остальные I—III нелетучи в вакууме. Определение мол. веса I и II указывает на ассоциацию, составляющую в среднем в C_6H_6 $3,04 \pm 0,11$ и в толуоле $2,80 \pm 0,02$. СА вторичных алкоксидов Се меньше, чем первичных. Это указывает на то, что атом Се в I—II обладает преимущественно координационным числом 6 (~98% в C_6H_6 и ~96% в толуоле), тогда как в нормальных алкоксидатах соотношения 8- и 6-координационных структур составляют 46% и 54% в C_6H_6 , а в толуоле соответственно 20 и 80%. СА вторичных алкоксидов различных металлов убывает в ряду $\text{Th} > \text{Ce} > \text{Zr} > \text{Ti}$, что отражается в их летучести и согласуется с изменением атомного радиуса металла. Повышенная СА алкоксидов Th может быть связана также с наличием диполя $\text{Th}^+ - \text{OR}^-$.

VIII. Описано получение изомерных Nb (OR)₅ (VII) ($\text{R} = \text{C}_2\text{H}_5$ и C_3H_7). Приводятся R, т. кип. в °C/0,1 мм, степень ассоциации на основании определения мол. веса: $\text{н-C}_2\text{H}_5$, 195, 2,01; $\text{изо-C}_2\text{H}_5$ (VIIa), 160 (т. пл. 150°), 1,83; $\text{втор-C}_2\text{H}_5$ (VIIб), 112,5, 1,14, $\text{н-C}_3\text{H}_7$, 228, 2,00; $\text{изо-C}_3\text{H}_7$, 199, 1,81; $\text{втор-C}_3\text{H}_7\text{CH}_2$, 183, 1,81; $\text{трет-C}_3\text{H}_7\text{CH}_2$ (VIIв), 126 (т. пл. 90°), 1,52; $(\text{C}_2\text{H}_5)_2\text{CH}$, 138, 1,16; $\text{н-C}_3\text{H}_7(\text{CH}_3)\text{CH}$, 137,5, 1,03; $\text{изо-C}_3\text{H}_7(\text{CH}_3)\text{CH}$, 139, 1,05. Получить $(\text{трет-C}_3\text{H}_7\text{O})_5\text{Nb}$ и $(\text{трет-C}_3\text{H}_7\text{O})_5\text{Nb}$ в отличие от аналогичных устойчивых алкоксидов Ta не удалось; вместо них образуются $\text{Nb}_2\text{O}(\text{OC}_2\text{H}_5\text{-трет})_8$ или $\text{NbO}(\text{OC}_2\text{H}_5\text{-трет})_3$ и $\text{Nb}_2\text{O}(\text{OC}_3\text{H}_7\text{-трет})_8$, что связывается со склонностью Nb к образованию оксосоединений с освобождением карбониевого иона из системы $\text{Nb}-\text{O}-\text{C}$: $\text{Nb}=\text{O} + \text{R}^+ \rightarrow \text{Nb}=\text{O} + \text{R}^+$. Т-ра кипения VII ниже, чем соответствующих Ta(OR)₅, в особенности при $\text{R} = \text{C}_2\text{H}_5$. 7,9 г NbCl_5 в 200 мл C_6H_6 обрабатывают 50 мл $\text{изо-C}_2\text{H}_5\text{OH}$ и избытком NH_3 , получено 12,65 г VIIa. Из 9,9 г NbCl_5 и 50 мл $\text{втор-C}_2\text{H}_5\text{OH}$ в тех же условиях получено 11,9 г VIIб; аналогично получают другие VII, кроме VIIв, синтезированного перегидрификацией $\text{Nb}(\text{OC}_2\text{H}_5)_5$ (5,9 г в 100 мл C_6H_6) $\text{трет-C}_3\text{H}_7\text{CH}_2\text{OH}$ (12,3 г) с азеотропич. отгонкой спирта с C_6H_6 .

С. Иоффе

4667. Изучение диазометана. VII. Взаимодействие диазометана с метиллитием. VIII. Новый синтез диазометана и изодиазометана. Мюллер, Рундель (Untersuchungen an Diazomethanen, VII. Zur Kenntnis der Umsetzung von Diazomethan mit Methyl-lithium. VIII. Eine neue Synthese von Diazomethan und von Isodiazomethan. Müller Eugen, Rundel Wolfgang), Chem. Ber., 1957, 90, № 7, 1299—1302; 1302—1306 (нем.)

VII. При действии на CH_2N_2 (I) CH_3Li (II) образуется диазометилитий $[\text{HCN}_2]^- \text{Li}^+$ (III), выход 70%, наряду с $[\text{H}_2\text{C}=\text{NNCH}_3]^- \text{Li}^+$ (IV), выход 10—20%. Из 30 ммоль II с небольшим избытком I выделен III, который отфильтровывают и промывают эфиром, фильтрат разлагают водой, из водн. слоя выделен CH_3NHNH_2 (V); к эфирному р-ру добавляют 2 г $\text{м-O}_2\text{NC}_6\text{H}_4\text{COOH}$ (VI) и выделяют соль VI с $\text{CH}_3\text{NHNH}=\text{CH}_2$ (VII), т. пл. 140° (из этилацетата). При кипячении VII с разб. к-тами образуется V, CH_2O и VI. Из 100 ммоль сульфата V в 30 мл воды и 40 мл 5 н. NaOH при добавлении 90 ммоль CH_2O в виде 40%-ного р-ра получают 2,5 г гидразона, который при добавлении VI образует VII.

VIII. При действии N_2O на II выделяется CH_4 и образуется осадок, состоящий из III и $LiOH$. При щел. гидролизе осадка образуется I с выходом 70% наряду с IV, выход 6–12%. При кислотном гидролизе осадка образуется изодиазометан $HNCN_2H$ (VIII). В 75–100 мл абс. эфира при -80° растворяют ~ 300 ммолей N_2O , высушенного над P_2O_5 , добавляют 35 ммолей р-ра II, содержащего $LiBr$, через 24–36 час. (охлаждение). Осадок центрифугируют в атмосфере N_2 и разлагают 20 мл 45%-ного р-ра КОН при -50° , разбавляют водой и отделяют желтый р-р I. Из эфирного р-ра после отделения осадка III, гидролиза водой и добавления VI выделяют соль VII. При разложении осадка р-ром фосфата K получают VIII, из которого действием V получен $m-O_2NC_6H_4CONHNHCHO$ с выходом 37%. При р-ции N_2O с C^4H_5Li образуется C^4H_4 . Сообщение VI см. РЖХим, 1957, 34273. С. Иоффе

4668. Гриньяровы и литийорганические соединения из дигаллодзамещенных. Миллар, Хини (Grignard and organolithium reagents derived from dihalogen compounds. Millar I. T., Heaney H.), Quart. Revs London. Chem. Soc., 1957, 11, № 2, 109–120 (англ.)

Обзор. Библ. 64 назв.

Я. К.

4669. Некоторые реакции о-галлоидфениллитиевых соединений. Гилман, Горсич (Some reactions of o-halophenyllithium compounds. Gilman Henry, Gersich Richard D.), J. Amer. Chem. Soc., 1957, 79, № 10, 2625–2629 (англ.)

При распаде о-галлоидфениллитиевых соединений промежуточно образуется циклогексадиенин (I); это доказывалось получением 1,4-дигидронафталин-1,4-эпидоксида (II) (выход 41–68%) при взаимодействии о-дигаллоидбензолов (ГБ) с Li в фуране (III) при t -ре от -60 до 90° , а также р-цией ГБ с CH_3Li (IV) в III при -20° (выход II до 84%). В первом случае из реакционной массы после карбоксилирования (КБ) выделены также 2-карбоксы-2'-галлоидбифенилы с выходом не более 11%. Проведены р-ции (даны ГБ, RLi, t -ра в $^\circ C$, выход II в %): о- ClC_6H_4Br (V), $n-C_4H_9Li$ (VI), 40, 64; о- BrC_6H_4Br (VII), VI, 50, 80; V, IV, 20, 84; VII, IV, 35, 77; о- FC_6H_4Br , C_6H_5Li , 30, 74. В р-ции ГБ с RLi I не всегда является промежуточным продуктом. При взаимодействии C_6H_5Cl (VIII) с VI в III при t -ре от -35 до 40° с последующим КБ при -60° аддукт диенового синтеза не выделен; получено 60% VIII и немного 2-фуранкарбоновой к-ты. 2 экв VII в тетрагидрофуране реагируют с 1 экв VI, образуя с хорошим выходом 2,2'-дибромбифенил (IX). о-Хлорфениллитий (X), взаимодействуя с $(C_6H_5)_3SiCl$ (XI) в эфире, образует 2-хлор-2'-(трифенилсилил)-бифенил (XII). К р-ру 0,10 моля X в эфире при -70° прибавляют 0,034 моля XI в 90 мл эфира, оставляют реакционную смесь постепенно нагреваться до 20° , добавляют 4,73 г XI в 25 мл эфира и перемешивают 10 час. После гидролиза 5%-ной HCl высушенный эфирный слой упаривают досуха, остаток суспендируют в теплом петр. эфире и фильтрат хроматографируют на Al_2O_3 , вымывая продукт петр. эфиром и смесью петр. эфир- C_6H_6 (1:1). Выделяют последовательно 0,15 г $(C_6H_5)_2Si$, XII (выход 13%, т. пл. 157,5–158,5 $^\circ$) и 0,25 г трифенилена, т. пл. 194–196 $^\circ$. Р-р 0,032 моля VI в 25 мл эфира прибавляют в течение 6 мин. к энергично перемешиваемому р-ру 0,032 моля IX в 100 мл эфира при -20° , перемешивают 45 мин. при -15° и затем прибавляют 0,32 моля XI в 85 мл эфира. Реакционную массу перемешивают (12 час., 20°), кипятят 7 час., добавляют 100 мл n -гептана и отгоняют р-ритель до 70° . Остаток гидролизуют водой, из осадка и фильтрата выделяют 2-бром-2'-(трифенилсилил)-бифенил (XIII), выход 24%, т. пл. 152,5–154 $^\circ$. ИК-спектры XII и XIII аналогичны. Ф. Величко

4670. Металлирование трет-бутилдифенилсульфона n -бутиллитием. Шерли, Лето (The metalation of 4-*t*-butyldiphenyl sulfone with *n*-butyllithium. Shirley David A., Lehto Erwin A.), J. Amer. Chem. Soc., 1957, 79, № 13, 3481–3485 (англ.)

Трет- C_4H_9 -группа в результате индуктивного эффекта в большей степени, чем CH_3 дезактивирует бензольное кольцо в дифенилсульфоне при металлировании n -бутиллитием (I). При действии I на 4-трет-бутилдифенилсульфон (II) наблюдается металлирование в орто-положение на 69% в незащ. кольцо и на 34% в замещ. Действием $HOSO_2Cl$ на трет- $C_4H_9C_6H_5$ в $CHCl_3$ при 0° синтезирован с выходом 81% 4-трет- $C_4H_9C_6H_4SO_2Cl$ (III), т. пл. 78–80 $^\circ$. Аналогично получен 2-Бр-4-трет- $C_4H_9C_6H_4SO_2Cl$, выход 67%, т. пл. 67–68 $^\circ$ (из петр. эф.), переведенный в амид, т. пл. 109–110 $^\circ$ (из разб. сл.). Кипячением III с C_6H_6 и $AlCl_3$ 2 часа получен II, выход 75%, т. пл. 129–130 $^\circ$ (из CH_3OH). Аналогично синтезированы 2-Бр-4-трет- $C_4H_9C_6H_4SO_2C_6H_5$, выход 63%, т. пл. 110–111 $^\circ$ (из сл.), и 4-трет- $C_4H_9C_6H_4SO_2C_6H_4CH_3$ (IV), выход 52%, т. пл. 103–104 $^\circ$ (из CH_3OH). IV окислен CrO_3 в лед. CH_3COOH (V) (кипчение 16 час.) в 2-карбоксы-4'-трет-бутилдифенилсульфон (VI), т. пл. 168–169 $^\circ$ (из бzl.). Взаимодействием эквимольных кол-в I и II (эфир, N_2 , 0° , 15 мин.) с последующим карбоксилированием получена смесь, содержащая (на основании диаграммы плавокости смеси чистых компонентов) VI (69%) и 2-карбоксы-4'-трет-бутилдифенилсульфон (VII) (31%); при обработке этой смеси конц. H_2SO_4 (190–200 $^\circ$, 15 мин.) образуется 2-трет-бутилтиооксантрон-5-диоксид, т. пл. 109–110 $^\circ$ (из абс. сл.). 2-бром-4-трет-бутиланилин диазотируют, нейтрализуют CH_3COONa и медленно прибавляют к щел. р-ру C_6H_5SNa при 70° , затем нагревают 2 часа, подкисляют HCl, экстрагируют эфиром, экстракт обрабатывают Zn-пылью в спирте. HCl, фильтруют горячим, из фильтрата отгоняют тиофенол с паром, остаток экстрагируют эфиром, экстракт промывают NaOH, к остатку после отгонки р-рителя прибавляют I в эфире, после карбоксилирования выделена 2-НООС-4-трет- $C_4H_9C_6H_4SC_6H_5$ (VIII), выход 35%, т. пл. 205–206 $^\circ$ (из бzl.). Окислением VIII 30%-ной H_2O_2 и V получена VII, выход 55%, т. пл. 241–242 $^\circ$. Р-р диазотиевой соли из антралиновой к-ты прибавляют к щел. р-ру 4-трет- $C_4H_9C_6H_4SH$ (получен восстановлением III Zn-пылью в H_2SO_4), нагревают 1 час, подкисляют конц. HCl и отфильтровывают 2-карбоксы-4'-трет-бутилдифенилсульфид (выход 36%, т. пл. 193–194 $^\circ$), окисленный в VI, выход 67%. Ф. Величко

4671. О веществах $HMgX$, прототипах гриньяровских соединений. Виберг, Штребель (Über die Grundkörper $HMgX$ der Grignard-Verbindungen. Wiberg Egon, Strebel Paul), Liebigs Ann. Chem., 1957, 607, № 1-3, 9–15 (нем.)

При пропускании $(BH_3)_2$ через 50–60 мл 4 М р-ра C_2H_5MgX в эфире или тетрагидрофуране в N_2 (0,5 часа, -25°) по р-ции: $6C_2H_5MgX + (BH_3)_2 \rightarrow 6HMgX$ (I) + $+2B(C_2H_5)_3$ образуются кристаллич. комплексные соединения I (а $X=Cl$, б $X=Br$, в $X=J$) с р-рителями: Ia $\cdot 2(C_2H_5)_2O$, Ib $\cdot 2C_2H_5O$, Ic $\cdot 2(C_2H_5)_2O$ и Iv $\cdot 2(C_2H_5)_2O$ (II) с выходом $\sim 50\%$. При осторожном нагревании II светящимся пламенем горелки 3–5 мин. в высоком вакууме образуется Iv $\cdot (C_2H_5)_2O$.

А. Берлин

4672. Реакции ацильных перекисей со ртутью. Рагузавев Г. А., Ольдекоп Ю. А., Ж. общ. химии, 1957, 27, № 1, 196–199

По влиянию на р-цию ацильных перекисей (АП) с Hg р-рителя можно разделить на три класса: а) реагирующие с АП труднее, чем с Hg(C_6H_5 , диоксан), б) реагирующие с АП легче, чем с Hg (спирты), в) взаимодействующие с Hg за счет иницирования АП (CCl_4).

При 100-часовом перемешивании перекись ацетила (I) образует с Hg в C_6H_6 при $\sim 20^\circ$ $CH_3COONHg$ с выходом 68%. Аналогично ведут себя перекиси хлорацетила, *м*-нитробензоила (II) и бензоила (последняя — в диоксане). I с Hg в кипящем C_6H_6 дает тот же продукт, р-ция проходит за 2 часа. При проведении р-ции в этилцеллозольве, а также в C_6H_6 , но с добавкой гидроксина, ртутных соединений не образуется. II с Hg в кипящем CCl_4 образует $m-NO_2C_6H_4COONHg$. Стабильность к декарбоксилированию в C_6H_6 $ClCH_2CO_2$ выше, чем CH_3CO_2 , и $m-NO_2C_6H_4CO_2$ выше, чем $C_6H_5CO_2$.

Ф. Величко

4673. Метоксимеркурирование циклогексен-3-ола и его производных. Новый ориентирующий эффект. Хенбест, Николс (Methoxymercuration of cyclohex-3-enol and its derivatives. A new directing effect. Henbest H. B., Nicholls B.), Proc. Chem. Soc., 1957, Febr., 61 (англ.)

При взаимодействии циклогексен-3-ола-1 (I) с $(CH_3COO)_2Hg$ в CH_3OH образуется только *цис-цис-транс*-изомер продукта присоединения, изолированный с выходом $> 95\%$ в виде хлористой 3-окси-6-метоксидихлоргексилртути, т. пл. 161—162°. Восстановлением I получен *транс*-4-метоксидихлоргексанол; динитробензоат, т. пл. 130—134°. Метоксимеркурирование метилового эфира и ацетата I протекает в том же стереохим. направлении.

Ф. Величко

4674. Синтез и химические превращения трихлорметилных и ω,ω -дихлораллильных соединений ртути. Несмеянов А. Н., Фрейдлина Р. Х., Величко Ф. К., Докл. АН СССР, 1957, 114, № 3, 557—559

CCl_3Br (I), $CHCl_2Br$, $CHCl_2I$, $CCl_2=CHCH_2I$ (II) и $CCl_2=C(CH_3)CH_2I$ (III) реагируют с Hg при УФ-облучении (перемешивание и нагревание до 70—80°) с образованием CCl_3HgBr (IV), т. пл. 165°, $CHCl_2HgBr$, т. пл. 152°, $CHCl_2HgI$, т. пл. 130, $CCl_2=CHCH_2HgI$ (V), т. пл. 46°, и $CCl_2=C(CH_3)CH_2HgI$ (VI), т. пл. 101°, с выходами 41, 1,2, 2,5, 67, 12% соответственно. IV, наряду с C_2Cl_6 , получена также взаимодействием I с 0,5%-ной Na/Hg. CCl_3I реагирует с Hg на холоду без освещения с образованием CCl_3HgI (VII), т. пл. 117°. Действием на IV влажной Ag_2O получена CCl_3HgOH (VIII), т. пл. 175°. Нейтральной водн. р-ра VIII к-тами синтезированы CCl_3HgCl (IX), т. пл. 173°, и VII. Аналогично из V и VI получены $CCl_2=CHCH_2HgBr$, т. пл. 94,5°, $CCl_2=CHCH_2HgCl$, т. пл. 100°, $CCl_2=C(CH_3)CH_2HgBr$, т. пл. 109°, и $CCl_2=C(CH_3)CH_2HgCl$, т. пл. 127°. По хим. свойствам CCl_3HgX похожи на «квазикомплексные» соединения. С пиридином VI дает комплекс (1:1), т. пл. 87°. IX и NH_3 в $CHCl_3$ реагируют с образованием $ClHgNH_2$ (выход 95,5%) и $CHCl_3$. При действии H_2S в спирте на IV выпадает HgS . При взаимодействии IV с C_6H_5MgBr образуется $C_6H_5HgCCl_3$ (X), т. пл. 116° и C_6H_5HgBr . IV, $(C_6H_5)_2SnCl_2$ и NaOH (2:1:6) в обычных условиях дают X, выход 49%. Из тех же реагентов (1:1:5) получена $(C_6H_5)_2Hg$ с выходом 29%. HCl в CH_3OH превращает X в C_6H_5HgCl (XI), который образуется с выходом 80% при нагревании X (150°, 30 мин.). $C_6H_5HgOCOCCH_3$, т. пл. 240° (из C_6H_5HgOH и CCl_3COOH), при облучении УФ-светом в CH_3OH или нагревании в вакууме до 240° превращается в XI. Из CH_3HgX не удалось получить $(CCl_3)_2Hg$ действием KJ, $Na_2S_2O_3$ или Cu. II (т. кип. 69—70°/10 мм) и III (т. кип. 77°/10 мм) получены взаимодействием $CCl_2=CHCH_2Cl$ и $CCl_2=C(CH_3)CH_2Cl$ с NaJ в ацетоне.

Ф. Величко

4675. Ртутные производные амидов фторкарбоновых кислот. Паттон, Саймонс (Mercury derivatives of fluorocarbon carboxylic acid amides. Patton R. H., Simons J. H.), J. Organ. Chem., 1956, 21, № 10, 1199—1200 (англ.)

Нагреванием амидов к-т с избытком красной HgO (150—170°, 5 мин.) с последующим извлечением продукта р-цией кипящим спиртом получены с колч. выходом $(RCONH)_2Hg$, где $R = CF_3$, C_2F_5 и C_3F_7 , с т-рой плавления соответственно 219, 244 и 286°.

Ф. Величко

4676. Фенилдиборная кислота. Нилсен, Мак-Юэн (Benzenediboric acids. Nielsen Donald R., McEwen William E.), J. Amer. Chem. Soc., 1957, 79, № 12, 3081—3084 (англ.)

Описано получение фенил-1,4-диборной (I) и фенил-1,3-диборной (II) к-т и их производных. I была получена при взаимодействии: а) $(n-BrC_6H_4BO)_3Na$ и $(CH_3O)_3B$ (III), б) $n-BrC_6H_4B(O-n-C_4H_9)_2$ (IV) с Mg и III, в) $n-LiC_6H_4Li$ (V) или $n-BrMgC_6H_4MgBr$ (VI) и твердым или жидким III при низкой т-ре. Максим. выход получен из VI. К-та II получена из $m-LiC_6H_4Li$ (VII) или $m-BrMgC_6H_4MgBr$ (VIII) и III. К-ты I и II были превращены в *n*-бутиловые эфиры (IX) и (X), а при действии PCl_5 в тетрабориды (XI) и (XII) соответственно. Для установления строения I и II были подвергнуты расщеплению р-ром брома в KBr. К 0,31 г-атома Mg добавлен р-р 0,155 моля $n-BrC_6H_4Br$ (XIII) в 250 мл тетрагидрофурана (XIV). После 7 час. нагревания при 60—64° в охлажд. до -70° смеси прибавлено 0,26 моля III. Смесь медленно нагрета до 20° и гидролизована разб. HCl. Продукты р-ции этерифицированы $n-C_4H_9OH$, из смеси отогнано 13,9 г $(n-C_4H_9O)_3B$ (XV) и 19% $C_6H_5B(O-n-C_4H_9)_2$ (XVI). Перекристаллизованный из воды остаток снова этерифицирован $n-C_4H_9OH$. Получено 5% неочищ. IV, т. кип. 87—130°/0,4 мм, и 35% IX, т. кип. 160—176°/0,4 мм. При обработке IX водой количественно образуется I, не плавится при 420°. Р-р 0,00604 моля I в разб. NaOH нейтрализован по фенолфталеину разб. HCl и смешан при охлаждении с избытком р-ра Br_2 в KBr. Через несколько часов получено 75% XII, т. пл. 90—92° (из сп.). К 0,426 моля PCl_5 добавили р-р 0,107 моля IX в 126 г CCl_4 и смесь кипятили несколько часов. Р-ритель и летучие продукты р-ции удалены, остаток подвергнут возгонке при 0,5 мм. Выход XI 84%, т-ра плавления после повторной возгонки 93—96° (в запаянном капилляре). Р-р 0,165 моля $m-BrC_6H_4Br$ в 410 г XIV добавлен в течение 5 час. к 0,34 г-атома Mg. После 5 час. размешивания при 40° VII был охлажден до -70° и смешан с 0,384 моля III. В результате последующего гидролиза, этерификации $n-C_4H_9OH$ и фракционирования в вакууме было выделено 36% X, т. кип. 170—181°/0,1 мм, наряду с меньшими кол-вами XV, XVI и $m-BrC_6H_4B(O-n-C_4H_9)_2$. К-та II (т. пл. $> 420^\circ$) была получена при обработке X водой. Расщепление II Br_2 произведено аналогично расщеплению I. Выделено $m-BrC_6H_4B(OH)_2$, т. пл. 169—173°. Хлорид XII был получен в тех же условиях, что и XI. Выход 58%, т. кип. 82—84°/1,2 мм. После двух сублимаций при 50 мм, т. пл. 54—56° (в запаянном капилляре).

В. Вазер

4677. Получение эфиров дифенилборной кислоты. Эйбел, Джеррард, Лэпперт (The preparation of esters of diphenylboronic acid. Abel E. W., Gerrard W., Lappert M. F.), J. Chem. Soc., 1957, Jan., 112—115 (англ.)

Описан ряд эфиров $(C_6H_5)_2BOR$ (I), полученных при этерификации $(C_6H_5)_2BOH$ (II) или $[(C_6H_5)_2B]_2O$ (III) спиртами и фенолом, а также при взаимодействии спиртов с $(C_6H_5)_2BCl$ (IV) в CH_2Cl_2 или $n-C_6H_{14}$. В отсутствие р-рителя *трет*- C_4H_9OH (V) реагирует с IV, образуя *трет*- C_4H_9Cl (VI) по схеме: IV + V \rightarrow VI + II, что, по мнению авторов, обусловлено р-цией V с HCl, выделяющимся на первой стадии процесса. Определена M_RD полученных эфиров. Этерификацией II или III при удалении воды с избытком спирта полу-

ны следующие I (даны R, выход в %, т. кип. в °C/мм, n_D^{20} , d_4^{20}): C_2H_5 , 80, 138/10, 1,5557, 1,005; $n-C_3H_7$, 91, 152/10, 1,5458, 0,987; $n-C_4H_9$, 93, 158/9, 1,5390, 0,997; $изо-C_4H_9$, 84, 153/10, 1,5276, 0,963; $втор-C_4H_9$, 86, 152/10, 1,5291, 0,961; $n-C_5H_{11}$, 79, 155/0,05, 1,5259, 0,950; $n-C_6H_{13}CH_2CH_3$, 84, 148/0,2, 1,5196, 0,941; $нео-пентил$, 82, 114/0,5, 1,5370, 0,965; C_6H_5 , 72, 140/0,05, 1,6053, 1,084. В результате переэтерификации I более высококипящими R'OH получены следующие $(C_6H_5)_2BOR'$ (перечислены R, R', выход в %, т. кип. в °C/мм): C_2H_5 , $n-C_4H_9$, 89, 158/9; $n-C_5H_{11}$, $n-C_6H_{13}$, 83, 160/0,3; $n-C_3H_7$, $n-C_6H_{13}CH(CH_3)$, 92, 152/0,5; $втор-C_4H_9$, $n-C_6H_{13}CH(CH_3)$, 83, 140/0,05; C_2H_5 , $трет-C_4H_9CH_2$, 85, 110/0,2 (n_D^{20} 1,5369); C_2H_5 , C_6H_5 , 88, 139/0,05. К I экв IV в 20 мл CH_2Cl_2 добавлено 1 экв спирта в 20 мл CH_2Cl_2 . После удаления р-рителей и перегонки продуктов р-ции в токе N_2 выделены следующие I (перечислены R, выход в %, т. кип. в °C/мм, n_D^{20} , d_4^{20}): CH_3 , 80, 132/10, 1,5709 (d_4^{20} 1,082); $трет-C_4H_9$, 57, 142/10, 1,5396 (d_4^{20} 0,972); $n-C_6H_{13}CH_2CH_3$, 93, 134/0,001, 1,5218; $трет-C_4H_9CH_2$, 79, 116/0,5, 1,5374; C_6H_5 , 83, 136/0,01, 22,23 г IV медленно добавлены к 8,23 г V при 0°. VI удален в вакууме и сконденсирован при -80°. Выход VI 83%, т. кип. 53°. Остаток промыт $n-C_5H_{11}$ и высушен в вакууме. Получено 95% III, т. пл. 114°. К 0,994 г $втор-C_4H_9OH$ 15 мин. добавляли при 0° 2,68 г IV. Выделено 86% $(C_6H_5)_2B(OC_4H_9-втор)$, т. кип. 149°/8 мм, n_D^{20} 1,5310. В. Вавер

4678. Получение кремнийсодержащего простого эфира и его строение. Валад, Каля (Préparations et structure d'un éther oxyde silicié. Valade Jacques, Calas Raymond), C. r. Acad. sci., 1956, 243, № 4, 386—387 (франц.)

Независимым синтезом и ИК-спектром доказано, что продукт присоединения Cl_3SiH к $CH_2=CHCH_2OCH_3$ (РЖХим, 1956, 3946) обладает строением $CH_3O(CH_2)_3SiCl_3$ (I). Действием $(CH_3)_2SO_4$ в щел. среде на $Cl(CH_2)_3OH$ получен $Cl(CH_2)_3OCH_3$ и из него $ClMg(CH_2)_3OCH_3$, который реагирует с $(CH_3)_3SiCl$ с образованием $(CH_3)_3Si(CH_2)_3OCH_3$ (II), т. кип. 138°/762 мм, n_D^{20} 1,4105, d_4^{20} 0,7907. II с такими же свойствами получен также действием избытка CH_3MgBr на I.

Я. Комиссаров

4679. Некоторые тетразамещенные силаны, полученные свободнорадикальным присоединением к алкенам. Мин, Гилман (Some tetrasubstituted silanes prepared by free radical addition to alkenes. Meen R. H., Gilman Henry), J. Organ. Chem., 1957, 22, № 6, 684—685 (англ.)

Изучено присоединение Ar_3SiH (I) (здесь и далее $Ar=C_6H_5$) к $RSiAr_3$ (II) (здесь и далее $R=CH_2=CHCH_2$) и R_2SiAr_2 (III). Смесь 16 ммоль II, 0,1 моля I, 1,3 ммоль перекиси бензоила (IV) и 25 мл C_6H_{14} нагревают 24 часа при 75°, из остатка после отгонки летучих продуктов при разбавлении его C_6H_6 и абс. спиртом выделено 1,1 г $Ar_3Si(CH_2)_3SiAr_3$, т. пл. 150—152° (из C_6H_6 и абс. сп., $n-C_3H_7OH$ и CH_3COCH_3). Аналогично при взаимодействии 8,3 ммоль III и 0,1 моля I в присутствии IV получен $(Ar_3Si(CH_2)_3)_2SiAr_2$, выход 9%, т. пл. 108—111° (из $n-C_3H_7OH$), 115—117° (из петр. эф.). R_3SiAr (V) и R_4Si с I не реагируют. Ar_3GeH (VI) взаимодействует с II значительно лучше, чем I. Смесь 8 ммоль II, 0,05 моля VI, 0,66 ммоль IV и 25 мл C_6H_{14} нагревают 24 часа при 75°, отгоняют неизмененный VI, из остатка при разбавлении его 12 мл петр. эфира выделен $(Ar_3Si(CH_2)_3)_2Ge(Ar)_2$, выход 76%, т. пл. 134—135° (из смеси абс. сп.-бзд.). Р-р 0,448 моля $RmMgBr$ (VII) в 350 мл эфира прибавляют к эфирному р-ру 0,186 моля $(Ar)_3SiCl_2$, смесь кипятят 12 час. и гидролизуют разб. HCl, выделен III, выход 51%, т. кип. 128—130°/1,2 мм, n_D^{20} 1,5753, d_4^{20} 0,995. Аналогично из 0,696 моля VII и 0,194 моля $ArSiCl_3$ получен V,

выход 76%, т. кип. 90—92°/0,8 мм, n_D^{20} 1,5339, d_4^{20} 0,924.

Г. Моцарев

4680. Изучение кремнийорганических соединений, содержащие олово. Папетти, Пост (Studies in silico-organic compounds. XXXIII. Organosilicon compounds containing tin. Papetti Stelvio, Post Howard W.), J. Organ. Chem., 1957, 22, № 5, 526—528 (англ.)

Раствор 20 ммоль $(C_6H_5)_3SnCl$ (I) и 21,8 ммоль $(C_6H_5)_3SiONa$ в 100 мл абс. эфира кипятят 14 час., после обычной обработки получен $(C_6H_5)_3SnOSi(C_6H_5)_3$, выход 67%, т. пл. 138—139° (из сп.). К р-ру $(CH_3)_2SiCH_2MgCl$ (из 0,1 моля $(CH_3)_3SiCl$) в 50 мл эфира прибавляют по каплям 0,05 моля I в 50 мл эфира, перемешивают при ~20° до исчезновения коричневой окраски, кипятят 3 часа, выделен $(C_6H_5)_3SnCH_2Si(CH_3)_2$, выход 62%, т. кип. 162—163°/2 мм, n_D^{25} 1,5943, d_4^{25} 1,2369. Аналогично синтезированы (указан выход в %, т. кип. в °C/мм, n_D^{25} , d_4^{25}): $(CH_3)_3SnCH_2Si(CH_3)_2$, 58,5, 165—166°/760, 1,4569, 1,1244; $(C_6H_5)_3Sn(CH_2Si(CH_3)_2)_2$, 57, 138—140°/1,5, 1,5425, 1,1404; $(CH_3)_2Sn(CH_2Si(CH_3)_2)_2$, 51, 146,5—147,5°/65, 1,4644, 1,0559; $n-(CH_3)_3SiC_6H_4Sn(C_6H_5)_3$ (II) 71,5, т. пл. 132,5—133,5°; $n-(CH_3)_3SiC_6H_4)_2Sn(C_6H_5)_2$ (III), 23,5, т. пл. 95—96°. В случае II и III (полученных из $n-(CH_3)_3SiC_6H_4MgBr$) требуется кипячение 24 часа. Сообщение XXXII см. РЖХим, 1957, 60628. Ф. Величко

4681. Об эфирах силанолов и амидосульфокислот. Нибергалль (Beitrag zur Kenntnis von Aminosulfonsäureestern von Silanolen. Niebergall Heinz), Chem. Ber., 1957, 90, № 7, 1235—1240 (нем.)

Взаимодействием $(CH_3)_3SiCl$ (I) или $(C_2H_5)_3SiCl$ и Ag-солей сульфаминовой (II), N,N-диметилсульфаминовой, N,N-диэтилсульфаминовой или N-пропилсульфаминовой к-т получены следующие $R_3SiOSO_2NR''R''$ (III) (перечисляются R, R', R'', выход на R_3SiCl в %, т. кип. в °C/мм, т. пл. в °C, т. разл. в °C): CH_3 , $Si(CH_3)_3$, H, 94, 110—112°/2,8, 50—51, 244; C_2H_5 , $Si(C_2H_5)_3$, H, 97,5, 141—143,5°/1,5, от -1 до +0,5, 190; CH_3 , CH_3 , CH_3 , 91,5, 71/2, 7,3—8,1, 202; C_2H_5 , CH_3 , CH_3 , 95,5, 101,5—103°/1,5, от -51 до -50, 205; CH_3 , C_2H_5 , C_2H_5 , 97,4, 76/1,8, от -10,5 до -9,8, 223; C_2H_5 , C_2H_5 , C_2H_5 , 96,5, 108—109°/1,8, < -78, 187; CH_3 , C_6H_5 , H, 95, 115/2, от -15,5 до -14,5, 215. III легко гидролизуются на воздухе, разлагаются водой с образованием силанолов и амидокислоты, при нагревании разлагаются водой с образованием $(R_3Si)_2O$, SO_2 , SO_3 , NH_3 и аминов. К суспензии 49 г Ag-соли II в 40 мл CCl_4 за 60 мин. приливают р-р 24 г I в 80 мл CCl_4 и перемешивают 22 часа. Аналогично получены другие III (продолжительность перемешивания 30 мин.—24 часа при ~20°). При взаимодействии $(CH_3)_3SiONa$ и $ClSO_2N(CH_3)_2$ образуются только $[(CH_3)_3Si]_2O$, NaCl и $NaSO_3N(CH_3)_2$. В. Черкаев

4682. Фенильные и n-триметилсилилфенильные соединения кремния, германия и олова. Мин, Гилман (Phenyl and p-trimethylsilylphenyl compounds of silicon, germanium, and tin. Meen R. H., Gilman Henry), J. Organ. Chem., 1957, 22, № 5, 564—565 (англ.)

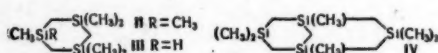
Описан синтез $[n-(CH_3)_3SiC_6H_4]_nSi(C_6H_5)_n$ (I) ($n=2, 3, 0$). К эфирному р-ру $n-(CH_3)_3SiC_6H_4Li$ (II) (из 0,1 моля $n-BrC_6H_4Si(CH_3)_3$, 0,26 моля Li и 240 мл эфира, выход 80%) добавляют р-р 35 ммоль $(C_6H_5)_2SiCl_2$ в 100 мл эфира (0—5°, 30 мин.), доводят т-ру смеси до 20—25° (30 мин.), гидролизуют разб. H_2SO_4 и из эфирного слоя выделяют I ($n=2$), выход 86%, т. пл. 163,5—165° (из абс. сп.). Аналогично из II и $(C_6H_5)_3SiCl$ (1,2 : 1; 0—25°, 8 час.) получен I ($n=3$), выход 83%, т. пл. 163—165° (из абс. сп.). Из продуктов р-ции II и $SiCl_4$ (6,3 : 1; 36°, 12 час.) выделен I ($n=0$), выход 77%, т. пл. 355—357° (из абс. сп.-хлф.; 2 : 1). При

взаимодействии II с GeCl_4 (5,3:1; 110°; в толуоле, 12 час.) получен $[\text{n}-(\text{CH}_3)_3\text{SiC}_6\text{H}_4]_n\text{Ge}$ (III), выход 49%, т. пл. 351—354° (из бал.-абс. сп.). При р-ции II с SnCl_4 (4,5:1; 12 час.) образуется $[\text{n}-(\text{CH}_3)_3\text{SiC}_6\text{H}_4]_n\text{Sn}$ (IV), выход 58%, т. пл. 343—345° (из абс. сп.-бал.; 1:1, и петр. эф.). I (n=0), III и IV изоморфны, смеси их не обнаруживают депрессии т-ры плавления.

Г. Моцарев

4683. Образование кремнийорганических соединений.
V. Термический распад $\text{Si}(\text{CH}_3)_4$ и $\text{Si}(\text{C}_2\text{H}_5)_4$. Фриц, Рабе (Bildung siliciumorganischer Verbindungen. V. Die thermische Zersetzung von $\text{Si}(\text{CH}_3)_4$ und $\text{Si}(\text{C}_2\text{H}_5)_4$. Fritz G., Raabe B.), Z. anorgan. und allgem. Chem., 1956, 286, № 3-4, 149—167 (нем.)

Изучен термич. распад $\text{Si}(\text{CH}_3)_4$ (I) и $\text{Si}(\text{C}_2\text{H}_5)_4$ (II) при 580—700° в замкнутом пространстве и в потоке. Из I образуются H_2 , CH_4 , SiH_4 , C_2H_4 , C_2H_6 , метилсиланы, напр., $(\text{CH}_3)_3\text{SiH}$; высококипящие продукты частично кристаллизуются, содержат Si—C—Si-связи и преимущественно обладают циклич. строением. Выделены:



а) в-во $\text{C}_7\text{H}_{20}\text{Si}_2$, т. кип. 107°/640 мм, т. зам. —57°, которому приписано строение $(\text{CH}_3)_3\text{SiCH}_2\text{SiH}(\text{CH}_3)(\text{C}_2\text{H}_5)$; б) $\text{C}_9\text{H}_{24}\text{Si}_3$, содержащее смесь в-ва (II) с примесью в-ва (III), т. кип. 173—175°/100 мм; в) кристаллич. продукт $\text{C}_{11}\text{H}_{28}\text{Si}_4$, т. пл. 106—107°, которому на основании свойств и данных модели приписано бициклич. строение (IV). При распаде II образуется H_2 , CH_4 , C_2H_4 , C_2H_6 и в-ва с Si—H-связью. Обсуждается возможный механизм распада I—II.

Я. Комиссаров

4684. Кремнийорганические соединения. VIII. Определение углерода и водорода в кремнийорганических соединениях. Кёрбль И., Комерс Р., Сб. чехосл. хим. работ, 1957, 22, № 1, 222—229 (рез. нем.)

См. РЖХим, 1957, 44899.

4685. Полимеризация непредельных германийорганических соединений. Коршак В. В., Полякова А. М., Петров А. Д., Миронов В. Ф., Докл. АН СССР, 1957, 112, № 3, 436—438

Алильные соединения Ge по способности к полимеризации мало отличаются от аналогичных Si-соединений. Исследованы следующие $\text{R}_n\text{Ge}(\text{CH}_2\text{CR}'=\text{CH}_2)_{4-n}$ (даны R, n, R', т. кип. в °C/мм, n^{20D} , d_4^{20}): CH_3 , 3, H (I), 101/764, 1,4333, 0,9952; C_2H_5 , 3, H (II), 180/732, 1,4594, 1,0004; CH_3 , 3, CH_3 (III), 121/733, 1,4416, 0,9908; CH_3 , 2, H (IV), 146/737, 1,4645, 1,0337; CH_3 , 1, H (V), 190/747, 1,4867, 1,0222. Под давл. 6 000 ат при 120° в присутствии перекиси трет-бутила I и II образуют маслообразные полимеры, IV и V — тримеры. III не полимеризуется. II более склонен к полимеризации, чем I. I—V образуют линейные сополимеры с метилметакрилатом (VI). Введение в макромолекулу VI звеньев алкенилгермания снижает вязкость полимера. Приведены графики зависимости η от конц-ии для VI и его сополимеров с I—III.

Ф. Величко

4686. Реакции триэтилгерманийгидрида с солями переходных элементов и с органическими галогендиоксидными. Андерсон (Reactions of triethylgermanium hydride with salts of transitional elements and with organic haloacids. Anderson Herbert H.), J. Amer. Chem. Soc., 1957, 79, № 2, 326—328 (англ.)

При р-ции $(\text{C}_2\text{H}_5)_3\text{GeH}$ (I) с некоторыми солями переходных элементов происходит восстановление последних до низшей степени окисления или иногда до свободного металла. Восстановление имеет место только в том случае, если окислительный потенциал E для высшей степени окисления переходного элемента имеет значение —0,06 в или менее. С перфторкарбо-

выми к-тами I образует эфиры, а более слабые галогендиоксиды восстанавливает до свободных к-т. При р-ции I с CuBr_2 , HgBr_2 и SbBr_3COOH (кипение 45—90 мин.) главным продуктом является $(\text{C}_2\text{H}_5)_3\text{GeBr}$ с выходом 90—98%, т. кип. 190,9°, n^{20D} 1,4892, d_4^{20} 1,412. Побочными продуктами являются соответственно Cu_2Br_2 , Hg и CH_3COOH . Из I и KAuCl_4 , HgCl_2 , Hg_2Cl_2 , TiCl_4 , VOCl_3 , CrO_2Cl_2 , PdCl_2 , K_2PtCl_6 и CCl_3COOH получают $(\text{C}_2\text{H}_5)_3\text{GeCl}$ (II) с выходом 45—95%, т. кип. 175,9°, n^{20D} 1,4643, d_4^{20} 1,175, соответственно образуются также KCl и Au , Hg и HCl , TiCl_3 и TiCl_2 , VOCl_2 и VOCl , Cr_2O_3 , Pd , KCl и Pt , CH_3COOH и $(\text{C}_2\text{H}_5)_3\text{GeOCOCOC}_2\text{H}_5$ с т. кип. 228°. С HgI_2 и CH_2JCOOH I образует $(\text{C}_2\text{H}_5)_3\text{GeI}$ с выходом 99% и 94%, т. кип. 212,3°, n^{20D} 1,528, d_4^{20} 1,608, и соответственно Hg_2I_2 и CH_3COOH . I с H_2SO_4 дает $[(\text{C}_2\text{H}_5)_3\text{Ge}]_2\text{SO}_4$ с выходом 70% и т. кип. 342° наряду с $[(\text{C}_2\text{H}_5)_3\text{Ge}]_2\text{O}$ (III) с т. кип. 252°. III получают также из I и KMnO_4 с выходом 28%; с $(\text{CH}_3\text{COO})_2\text{Hg}$ I образует $(\text{C}_2\text{H}_5)_3\text{GeOCOCOC}_2\text{H}_5$ с выходом 60% и т. кип. 190,5° и выделяет Hg . С перфторкарбонными к-тами I образует соответственно: $(\text{C}_2\text{H}_5)_3\text{GeOCOCF}_3$, выход 95%, т. кип. 183°/760 мм, n^{20D} 1,402, d_4^{20} 1,272; $(\text{C}_2\text{H}_5)_3\text{GeOCOC}_2\text{F}_5$, выход 99%, т. кип. 189,6°/760 мм, 115—116°/21 мм, n^{20D} 1,3844, d_4^{20} 1,324; $(\text{C}_2\text{H}_5)_3\text{GeOCOC}_2\text{F}_7$, выход 97%, т. кип. 201°/760 мм, 124—125°/66 мм, n^{20D} 1,3780, d_4^{20} 1,383. Для получения I добавляют 76 г II 30 мин. к 15 г LiAlH_4 в 500 мл сухого эфира и кипятят 2 часа. Разбавляют водой и добавляют 300 мл 3 M H_2SO_4 . Выход I 79%, т. кип. 124,7°/760 мм, n^{20D} 1,4382, d_4^{20} 1,009.

С. Иоффе

4687. Реакции трифенилгермиллития, трифенилгермилкалия и трифенилгермания с некоторыми олефинами. Гилман, Героу (The reactions of triphenylgermyllithium, triphenylgermylpotassium and triphenylgermane with some olefins. Gilman Henry, Gerow Clare W.), J. Amer. Chem. Soc., 1957, 79, № 2, 342—345 (англ.)

Исследованы р-ции $(\text{C}_6\text{H}_5)_3\text{GeLi}$ (I) и $(\text{C}_6\text{H}_5)_3\text{GeK}$ (II) с некоторыми олефинами. Установлено, что I и II присоединяются к $(\text{C}_6\text{H}_5)_2\text{C}=\text{CH}_2$ (III) с образованием $(\text{C}_6\text{H}_5)_2\text{CHCH}_2\text{Ge}(\text{C}_6\text{H}_5)_3$ (IV). I и II не присоединяются к транс-стильбену. I не присоединяется к октену-1 и циклогексену. При р-ции I с октадецен-1 (V) получают трифенил- α -октадецилгерман (VI). С бензил-ацетофеноном (VII) I образует $(\text{C}_6\text{H}_5)_3\text{GeCH}(\text{C}_6\text{H}_5)\text{CH}_2\text{COC}_6\text{H}_5$ (VIII). $(\text{C}_6\text{H}_5)_3\text{GeH}$ (IX) в присутствии $(\text{C}_6\text{H}_5\text{CO})_2\text{O}_2$ (X) присоединяется к V с образованием VI и к $(\text{C}_6\text{H}_5)_3\text{GeCH}_2\text{CH}=\text{CH}_2$ (XI) с образованием $[(\text{C}_6\text{H}_5)_3\text{GeCH}_2\text{CH}_2]_n$ (XII). К эфирной суспензии II в эфире (из 0,0082 моля $[(\text{C}_6\text{H}_5)_3\text{Ge}]_2$ (XIII) и 0,026 г K) добавляют 0,0165 моля III в 30 мл эфира. Перемешивают 19 час. и гидролизуют 100 мл воды. Выход IV 15%, т. пл. 96—97°, выход $[(\text{C}_6\text{H}_5)_3\text{Ge}]_2\text{O}$ (XIV) 12%, т. пл. 183—185°. К р-ру I в $(\text{CH}_3\text{OCH}_2)_2$ (XV) (из 0,016 моля XIII и 0,14 г атома Li) добавляют 0,032 моля III в 20 мл XV, через 24 часа гидролизуют водой. Выход IV 14,8%, выход XIV 8%. К 0,02 моля V в 25 мл XV добавляют р-р I в XV (из 0,02 моля $(\text{C}_6\text{H}_5)_3\text{Ge}$ (XVI)). Через 17 час. гидролизуют насыщ. р-ром NH_4Cl выход VI 27,3%, т. пл. 76—77° (препарат не дает депрессии при плавлении смешанной пробы с образцом VI (т. пл. 79,5—80,5°), полученным с выходом 30% из $(\text{C}_6\text{H}_5)_3\text{GeCl}$ (XVII) и $n\text{-C}_{13}\text{H}_{27}\text{MgBr}$), выход трифенилгерманола 15,6%, т. пл. 132,5—134,5° (из 7,62 г XVI) добавляют к 0,02 моля VII в 25 мл XV. Через 12 час. разлагают NH_4Cl . Выход VIII 26,4%, т. пл. 119—120°. Нагревают р-р 0,09 моля IX, 0,01 моля V и 0,0013 моля X в 40 мл n -гептана 17,5 часа при 85°. Выход VI 67%, выход XIV 18%. Кипятят 18,5 часа 0,09 моля IX с 0,016 моля XI в присутствии 0,0013 моля X в 30 мл n -гексана. Выход XII 86,5%, т. пл. 135—135,5° (из бал.-сп.). Из $(\text{C}_6\text{H}_5)_2\text{CHNA}$ и $(\text{C}_6\text{H}_5)_3\text{GeCH}_2\text{Cl}$ (XVIII)

с выходом 9% получают IV, идентичный с полученным из II и III. Для получения XVIII к 0,309 моля C_6H_5MgBr в 260 мл эфира добавляют 0,09 моля CH_2Cl_2 в равном объеме эфира. Выход XVIII 76%, т. пл. 117,5—118,5°. К 0,147 моля XVII в 100 мл эфира добавляют за 1,5 часа 0,212 моля $CH_2=CHCH_2MgBr$ в 200 мл эфира. Оставляют на 12 час. при $\sim 20^\circ$, отгоняют эфир и нагревают остаток 48 час. при 100° . Разлагают 100 мл 6 н. HCl. Выход XI 59%, т. пл. 90—91° (из сп.). С. Иоффе

4688. Синтез некоторых винилоловянных соединений при помощи хлористого винилмагния. Розенберг, Гиббонс, Рамсен (The preparation of some vinyltin compounds with vinylmagnesium chloride. Rosenberg Sanders D., Gibbons Ambrose J., Jr., Ramsden Hugh E.) J. Amer. Chem. Soc., 1957, 79, № 9, 2137—2138 (англ.)

Реакцией Гриньяра (кипение 3—5 час.) с эквивалентным кол-вом или небольшим избытком $RMgCl$ (I) (здесь и далее $R = CH_2=CH$) в тетрагидрофуране-пентане синтезированы следующие соединения (указаны исходное в-во, продукт р-ции, его выход в %, т. кип. в $^\circ C/mm$, n_D^{25} , d_4^{25}): $SnCl_4$, R_4Sn , 82, 55—57/17, 1,4993, 1,267; $(C_6H_5)_2SnCl_2$, $(C_6H_5)_2SnR_2$ (II), 89, 78—80/2, 1,4824, 1,127; $(CH_3)_2SnCl_2$, $(CH_3)_2SnR_2$, —, 120—121/760, 1,4720, 1,284; $(C_6H_5)_2SnCl_2$, $(C_6H_5)_2SnR_2$, —, 153—154/5, 1,5049, 1,3195; $[(C_6H_5)_3Sn]_2O$, $(C_6H_5)_3SnR$, 85, 114/3, 1,4761, 1,085; $(C_6H_5)_3SnCl$, $(C_6H_5)_3SnR$, 79, т. пл. 39—40°, —, —; $C_6H_5SnCl_3$, $C_6H_5SnCl_2R$, 53,5, 99—101/3, 1,5254, 1,533, т. пл. 27—28°; $(C_6H_5)_2SnCl_2$, $(C_6H_5)_2SnR_2$, —, 112—114/4, 1,4987 (20°), 1,266 (20°); $C_4H_9SnCl_3$, $n-C_4H_9SnR_2Cl$, 50, 82—84/3, 1,4970, 1,370, в последнем случае кипение длилось 1 час. II получено также взаимодействием I с $(C_6H_5)_3SnO$ (III), выход 58%. В р-циях нуклеофильного замещения в-ва типа III напоминают в-ва со связью Si или Sn с галоидом или $ROOC$ -группами. Описано получение I. Ф. Величко

4689. Циклопентадиенильные и родственные им оловоорганические соединения. Гилман, Джист (Organotin compounds: cyclopentadienyl and related derivatives. Gilman Henry, Gist Lewis A., Jr.) J. Organ. Chem., 1957, 22, № 3, 250—255 (англ.)

Синтезированные р-цией Гриньяра $(C_6H_5)_4Sn(C_6H_5)_4$ (Ia—g) ($n = 1-4$) по своим свойствам (нестойкость при хранении, легкая окисляемость, в случае Ig — пирофорность) более сходны с циклопентадиенильными производными щел. металлов, чем с ферроценом. В отличие от трифенил-2-фурилолова I легко вступают в р-цию диенового синтеза с малеиновым ангидридом (II), диэтиловым эфиром (ДЭЭ) малеиновой к-ты (III) и ДЭЭ ацетилендикарбоновой к-ты (IV). К р-ру 0,1 моля бромистого циклопентадиенил-магния (V) в 105 мл смеси C_6H_6 с эфиром (т. кип. 60°) быстро прибавляют 0,05 моля $(C_6H_5)_3SnCl$ в 200 мл эфира, кипятят 4 часа, упаривают, дважды размешивают с 200 мл C_6H_6 -петр. эфир (1:1), после упаривания горячего фильтрата выделяют Ia, выход 71,5, т. пл. 130—131° (из петр. эф.). Аналогично синтезированы (время кипячения в часах, продукт р-ции, выход в %, т. пл. в $^\circ C$): 48, Ib, 70, 105—106; 16, Ic, 40, 64—65; 24, Id, 41,5, 71—73. Строение I подтверждено ИК-спектрами. В спирте Ia уже на холоду почти нацело гидролизуется до $(C_6H_5)_3SnOH$. При взаимодействии Ia с $n-C_4H_9Li$ в эфире- C_6H_6 при $\sim 20^\circ$ получен с выходом 46,5% $(C_6H_5)_3Sn$. При действии Br_2 в CCl_4 на Ia образуется $(C_6H_5)_3SnBr$, выход 60,5%. Кипячением 1 час эквивалентных кол-в Ia и II в C_6H_6 с последующей отгонкой C_6H_6 , промыванием остатка петр. эфиром синтезирован ангидрид 7-(трифенилстаннил)-бицикло-[2,2,1]-гептен-5-дикарбоновой-2,3 к-ты, выход 59%, т. пл. 144—145°. Аналогично из Ia и III получен ДЭЭ 7-(трифенилстаннил)-бицикло-[2,2,1]-гептен-5-дикарбоновой-

2,3 к-ты, выход 49,9%, т. пл. 109,5—111° (из эф.). Из Ia и IV синтезирован ДЭЭ 7-(трифенилстаннил)-бицикло-[2,2,1]-гептадиен-2,5-дикарбоновой-2,3 к-ты, выход 44,5%, т. пл. 107—108° (из эф.). Для сравнения с I р-цией Гриньяра (кипение 24—48 час.) получены трифенил-1-инденилово (VI) (выход 45,5%, т. пл. 129—130°) и дифенилди-1-инденилово (VII) (выход 29,9%, т. пл. 108—110°). VI и VII в условиях гидролиза I не изменяются. Приведены данные о р-ции V с кетоном Михлера при разных конц-ях реагентов. Ф. В. 4690. Окислительное хлорфосфинирование хлорзамещенных олефинов. Соболевский Л. З., Зинovieв Ю. М., Мулер Л. И., Докл. АН СССР, 1956, 109, № 1, 98—100

При окислительном хлорфосфинировании $CH_2=CHCl$ образуется смесь изомерных $CH_2ClCHClP(O)Cl_2$ (I) и $CHCl_2CH_2P(O)Cl_2$ (II), выделить которые в чистом виде не удалось. Наличие изомеров доказано рядом хим. превращений. Из I—II обработкой RON (R здесь и далее $n-C_4H_9$) получена смесь изомерных $CH_2ClCHClP(O)(OR)_2$ (III) и $CHCl_2CH_2P(O)(OR)_2$ (IV). Действием избытка триэтиламина на смесь III—IV выделен $CHCl=CHPO(OR)_2$ (V), образовавшийся из IV; при этом остаются без изменений выделенный III, строение которого подтверждено детализированием Zn в $CH_2=CHP(O)(OR)_2$ (VI). Хлорфосфинирование $CH_2ClCH=CH_2$ (VII) приводит к $CH_2ClCHClCH_2POCl_2$ (VIII), строение которого доказано его хим. свойствами. Из VIII и спирта получен $CH_2ClCHClCH_2PO(OC_2H_5)_2$ (IX). Обработкой Zn IX превращен в $CH_2=CHCH_2PO(OC_2H_5)_2$ (X), идентичный продукт р-ции $(C_2H_5O)_3P$ с $CH_2=CHCH_2Br$ по Арбузову. Образование из VII хлорангидрида, изомерного VIII, осталось не доказанным. Из VIII получены метиловый (XI) и аллиловый (XII) эфиры дихлорпропанфосфиновой к-ты, а также свободная к-та (т. пл. 67—68°). Приводятся в-во, выход в %, т. кип. в $^\circ C/mm$, n_D^{20} , d_4^{20} : смесь I—II, 68, 208—210/750, 1,4998, 1,6376; III, —, 143—145/3, 1,4492, 1,1548; смесь III и IV, 74, 134—136/3, 1,4510, 1,1583; V, —, 119—120/4, 1,4502, 1,0712; VI, —, 101—102/1,5, 1,4300, 0,9757; VIII, 79, 104—107/3, 1,5073, 1,5891; IX, 89, 116—118/3, 1,4570, 1,2457; X, 17, 90—91/12, 1,4312, 1,0380; XI, 74, 110,5—111,5/3, 1,4685, 1,3537; XII, 7, 137—140/2, 1,4709, 1,2810. Ю. Зинovieв

4691. О реакционной способности щелочных солей кислых эфиров алкилтиофосфиновых кислот. Реакции алкилирования и ацилирования. Кабачник М. И., Матрющкова Т. А., Курочкин Н. И., Родионова Н. П., Попов Е. М., Ж. общ. химии, 1956, 26, № 8, 2228—2233

Подобно в-вам типа $(RO)_2P(S)ONa$ (РЖХим, 1956, 35930, 71764) $RP(S)(OC_2H_5)ONa$ (Ia—r) (здесь и далее а R = CH_3 , б R = C_2H_5 , в R = C_3H_7 , г R = C_4H_9) реагируют с алкилирующими агентами с образованием S-алкилпроизводных $RP(O)(SR')OC_2H_5$ (II) и с ацилирующими агентами в сторону O-производных $RP(S)(OCOR')OC_2H_5$ (III). Исходные I получены нейтр-цией $RP(S)(OC_2H_5)OH$, очищ. перегонкой в вакууме. Т-ра плавления Ia 216—218° (из петр. эф.), Ib 185—186° (из петр. эф.), Ic 197—199°, Id 169—171°. Р-р 6,4 г Ia в спирте и 11,5 г C_2H_5Br нагревают ~ 3 час. и выделяют II. Получены следующие II ($R' = C_2H_5$) (указаны значения R, выход в %, т. кип. в $^\circ C/mm$, n_D^{20} , d_4^{20}): а, 59, 87—88/7, 1,4768, 1,0951; б, 89, 93,5—94,5/7, 1,4729, 1,0658; в, 74, 100—101,5/8, 1,4721, 1,0447; г, 81, 82,5—84/1, 1,4730, 1,0268. Аналогично из Ia и $ClCH_2OCH_3$ в эфире получен IIa ($R' = CH_3OCH_3$), выход 40%, т. кип. 117,5—120°/2 мм, n_D^{20} 1,4778, d_4^{20} 1,1538. Строение II подтверждено ИК-спектрами (приведены кривые) и их синтезом изомеризацией $RP(S)(OC_2H_5)_2$. К взвеси 6 г Ib в 25 мл эфира прибавляют по каплям 5,5 г CH_3COCl , смесь нагревают 3 часа, получено 5,1 г IIIб ($R' = CH_3$) (т. кип.

68—69°/1,5 мм, n_D^{20} 1,4701, d_4^{20} 1,1232), строение которых подтверждено ИК-спектром. Я. Комиссаров

4692. Фосфорорганические соединения с активной метиленовой группой. II. Эфиры 2-пиридилметилфосфиновой (RO)₂P(O)CH₂(2-C₅H₄N) и 2-пиридилметилтиофосфиновой кислот (RO)₂P(S)CH₂(2-C₅H₄N). М. Арушевская-Вечёрковская, Михальский Я., Сковронская (Związki fosforoorganiczne z czynną grupą metylenową II. Estry kwasu 2-pirydylometylofosfonowego (RO)₂P(O)CH₂(2-C₅H₄N) i 2-pirydylo-metylotionofosfonowego (RO)₂P(S)CH₂(2-C₅H₄N). M. A. ruszewska - Wierzchowska, Elżbieta, Michalski Jan, Skowrońska Aleksandra), Roczn. Chem., 1956, 30, № 4, 1197—1205 (польск.; рез. англ.)

(RO)₂P(X)CH₂C₅H₄N (I) (X = O или S) синтезированы конденсацией хлористого 2-пиколила с (RO)₂PONa или с (RO)₂P в нейтр. среде или же с (RO)₂PSNa. I (X = O) — высококипящие жидкости, легко растворимые в воде и в органич. р-рителях. При действии HCl (к-ты) эфиры омыляются с образованием внутренней бетаиноподобной соли. I (X = O) реагирует с Na и еще энергичнее с K и затем с R'Br с образованием (C₂H₅O)₂P(O)CH(C₅H₄N)R' (II). Получены I, очищенные перекристаллизацией из спирта (указаны R, X, т. кип. в °C/мм, n_D^{25} , d_4^{25} , т. пл. пикрата в °C): H, O (разл.), —, —, —; CH₃, O, 96—97/0,2, 1,5118, 1,2249, 133—134; C₂H₅, O, 112—113/0,2, 1,4947, 1,1426, 110—111; n-C₃H₇, O, 134—125/0,6, 1,4860, 1,0818, 120—121; изо-C₃H₇, O, 120—121/0,7, 1,4810, 1,0742, 135—136; n-C₄H₉, O, 147—148/0,5, 1,4818, 1,0571, 122—123; C₂H₅, S, 88—89/0,01, 1,5302, 1,1421, 120—121. Получены следующие II, перекристаллизованные из водн. спирта (указан R', выход в %, т. кип. в °C/мм, n_D^{25} , d_4^{25} , т. пл. пикрата в °C): n-C₄H₉, 76, 105—106/0,02, 1,4860, 1,0621, 105—106; C₂H₅, 50, 95—96/0,02, 1,4902, 1,0908, 97—98. Предыдущее сообщение см. РЖХим, 1955, 3795. J. Wolf

4693. Об эфирах метафосфористой кислоты. Шварц, Гейлен (Über Ester der metaphosphorigen Säure. Schwarz Robert, Geulen Hans), Chem. Ber., 1957, 90, № 6, 952—956 (нем.)

Реакцией ROPCl₂ (Ia—б) (здесь и далее а R = C₆H₅, б R = изо-C₅H₁₁) с Ag₂O, PbO и Cu₂O в N₂ в C₆H₆ получены (ROP=O)_n (IIa—б). Для IIa найдено n = 4 и предложено циклич. строение. II образуют комплексы с Cu₂Cl₂. При мягком гидролизе и алкоголизе рвется P—O—P-связь, а не P—O—R-связь, в отличие от эфиров кремневых к-т. К 0,3 моля Ia в 100 мл C₆H₆ добавляют по каплям суспензию 0,315 моля Ag₂O в 120 мл C₆H₆ при < 30°, через сутки из фильтрата удаляют р-ритель в вакууме, под конец при 100°/0,01 мм. IIa получен кипячением с PbO 1 час в ксилоле. Суспензию 0,5 моля Cu₂O в 100 мл C₆H₆ добавляют постепенно к 0,5 моля Ia в 150 мл C₆H₆ при < 35°, комплекс IIa с Cu₂Cl₂ — светло-бурая очень вязкая жидкость, растворимая в HCON(CH₃)₂. Аналогично получен IIб. При растворении 10 г IIa·Cu₂Cl₂ в 250 мл абс. CH₃OH выпадает осадок Cu₂Cl₂. Сделано предположение об образовании при алкоголизе эфиров типа (RO)₃P, (RO)₂PONH и ROP(OH)₂. Р-р 0,1 моля IIб·Cu₂Cl₂ в 200 мл диоксана добавляют р-р 2,0 г 0,1 н. HCl в 20 мл диоксана, осадок Cu₂Cl₂ отделяют, р-ритель удаляют (100°/0,5 мм), остаток — изо-C₅H₁₁OP(OH)₂. В. Гиляров

4694. Эфиры N-фосфорной кислоты, трихлорминноуксусной кислоты и эфиры триоксифосфатотрихлор-ацетила. II. Кирсанов А. В., Деркач Г. И., Ж. общ. химии, 1957, 27, № 4, 1080—1083

Описано получение кристаллич. CCl₃CON=P(OAr)₃, (Ia—б) (здесь и далее а Ar = α-нафтил, б Ar = α-C₁₀H₆Cl-4) и CCl₃C(OAr)=NPO(OAr)₂ (IIa—б), строение которых подтверждено рядом превращений. К 45 мг-атома Na и 45 ммоль α-нафтола в 70 мл эфира

при перемешивании медленно приливают 15 ммоль CCl₃CON=P(Cl)₃ (III) в 50 мл эфира, смесь нагревают и выделяют Ia, выход 77,5%, т. пл. 114—116° (из петр. эф.). К охлажд. р-ру 0,06 моля α-C₁₀H₆ONa в 60 мл эфира при перемешивании медленно добавляют 0,02 моля CCl₃CCl=NPOCl₂ (IV) в 50 мл эфира, промывают при 0° 70 мл 1 н. NaOH, из эфирного р-ра выделен IIa, выход 37,1%, т. пл. 60—64°. К р-ру 0,04 моля α-C₁₀H₆ONa в 45 мл эфира при перемешивании добавляют за 10—15 мин. р-р 0,02 моля CCl₃CONHPOCl₂ в 40 мл эфира и кипятят 10 мин. Выход CCl₃CONHPO(Ar)₂ (Va) 66,8%, т. пл. 139—141° (из сп.), 1 ммоль Ia, 30 мл спирта и 2 мл 1 н. NaOH кипятят 50—60 мин., выход Va 60,9%. В тех же условиях при гидролизе IIa выход Va 36,3%. К 0,03 моля хлорнафтолята (из 4-хлорнафтола-1 (VI)) и спирт. р-ра C₂H₅ONa постепенно добавляют р-р 0,01 моля III в 45 мл эфира, получают IIб, выход 49,8%, т. пл. 124—125° (из петр. эф.), и ~ 2 г (Vб), т. пл. 180—182°. К 0,03 моля VI добавляют (10—15 мин.) р-р 0,01 моля IV в 40 мл эфира, получают IIб, выход 62,1%, т. пл. 36—45°. При кипячении (~ 5 мин.) 1 ммоль Ia с 10 мл спирта получают Vб, выход 71%. При нагревании 1 ммоль IIб с 40 мл спирта выход Vб 74,5%. Предыдущее сообщение см. РЖХим, 1957, 77154. М. Энгель

4695. Эфироксимы кислот пятивалентного фосфора. Аллен (Phosphorus (V) acid esters of oximes. Allen J. Forrest), J. Amer. Chem. Soc., 1957, 79, № 12, 3071—3073 (англ.)

α-Галоидонитропарафины RR'XCNO₂ (Ia—н) (а R = R' = CH₃, X = Br; б R = CH₃, R' = X = Cl; в R = R' = X = Cl) реагируют с (C₂H₅O)₃P (II) с образованием RR'C=NOP(O)(OC₂H₅)₂ (IIIa—н) (а R = R' = CH₃; б R = CH₃, R' = Cl; в R = R' = Cl), (C₂H₅O)₃PO (IV) и C₂H₅X (V). Ia с (C₂H₅O)₂P(OC₂H₅)₂ (VI) дает (CH₃)₂C=NOP(O)(OC₂H₅)(OC₂H₅) (VII). Р-ция аналогична описанной ранее (РЖХим, 1956, 12955) и, возможно, включает восстановление I до нитрозосоединения ((CH₃)₂CCl(NO) (VIII) с II образует IIa). Строение III доказано синтезом из оксимов и (C₂H₅O)₂POCl (IX) и ИК-спектрами. Р-ция I и II облегчается с накоплением атомов галоида. CH₃CHCINO₂ с II не реагирует. 1 моль II добавляют при размешивании к 0,5 моля Ia при 55—60° и нагревают 30 мин. при 75—85°, выходы V, IIIa и IV 94, 64 и 108%; IIIa, т. кип. 95—98,5°/0,2 мм, n_D^{25} 1,4359, d_4^{25} 1,0949. 0,5 моля II добавляют к р-ру 0,5 моля VIII в 200 мл CCl₄ при 0°, выход IIIa 51%. 0,2 моля IX добавляют при 15—17° к р-ру 0,2 моля ацетоксима и 0,3 моля NaOH в 100 мл воды, выход IIIa 33,5%, 0,5 моля II добавляют к 0,25 моля Iб при 25—40°, выход IIб 73%, т. кип. 103°/0,3 мм, n_D^{25} 1,4408. 1 моль II добавляют при 25° к 0,5 моля Iв в 300 мл CCl₄, выход IIв 63%, т. кип. 80—85°/0,2 мм, n_D^{25} 1,4518; выделены также фракции, содержащие IX. 0,31 моля VI добавляют к 0,115 моля Ia при 15—28°, выход C₆H₅OP(O)(OC₂H₅)₂ 82%; выход VII 27%, т. кип. 140°/0,5 мм, n_D^{25} 1,5082. К смеси 0,16 моля C₆H₅CH=NOH, 0,16 моля C₆H₅N добавляют 0,16 моля IX, после удаления летучих продуктов получен неочищ. III (R = C₆H₅, R' = H), выход 88%. При нагревании IIIа до 175° наблюдается р-ция, но выделить продукт бекмановской перегруппировки не удалось. При гидролизе IIIa (кипячение с 5%-ной HCl) образуется ацетон. В. Гиляров

4696. Арсеносилоксаны. Кэри, Фриш (Arsenosiloxanes. Kary Roland M., Frisch Kurt C.), J. Amer. Chem. Soc., 1957, 79, № 9, 2140—2142 (англ.)

Описан синтез RAsO(OSiR_nCl_{3-n})₂, где R = CH₃

и n = 2 (I), n = 1 (II); R = C₆H₅ и n = 2 (III)

n = 1 (IV), n = 3 (V). К суспензии 0,5 моля

$\text{CH}_3\text{AsO}(\text{OH})_2$ (VI) в 400 мл C_6H_6 добавляют при 10–15° 1 моль $(\text{CH}_3)_2\text{SiCl}_2$, смесь кипятят 24 часа, из продуктов р-ции выделен I в виде желтого масла, выход 68%. Аналогично из 0,5 моля VI и 1 моля CH_3SiCl_2 получен II, резиноподобное в-во, выход 84%. Так же из 0,1 моля $\text{C}_6\text{H}_5\text{AsO}(\text{OH})_2$ (VII) и 0,2 моля $(\text{C}_6\text{H}_5)_2\text{SiCl}_2$ синтезирован III, аморфное в-во, выход 80%; из 0,1 моля VII и 0,2 моля $\text{C}_6\text{H}_5\text{SiCl}_2$ — IV, аморфное в-во, выход 78,2%. К смеси 0,1 моля VII, 400 мл C_6H_6 и 0,2 моля $\text{C}_5\text{H}_5\text{N}$ добавляют р-р 0,2 моля $(\text{C}_6\text{H}_5)_2\text{SiCl}_2$ в 400 мл C_6H_6 , кипятят 24 часа (80–82°), выделен V, воскоподобное в-во, выход 92,6%. При гидролизе I–IV образуются соответствующие арсиносилосаны с Si–O–As-связями. Р-р 10 г I в 100 мл CCl_4 добавляют (40–50°, 25–35 мин.) в смесь 100 мл CCl_4 и 300 мл воды, из органич. слоя выделено 3,6 г полиметиларсондиметилсилоксана, $\text{C}_{25}\text{H}_{75}\text{O}_{14}\text{Si}_{12}\text{As}$ (VIII), резинообразное полупрозрачное в-во. Аналогично при обработке 109 г II кипящей водой 1 час получено 45 г полиметиларсонметилсилоксана, белый твердый порошок. Гидролиз III и IV в $\text{C}_6\text{H}_5\text{Cl}$ или $\text{C}_6\text{H}_5\text{Br}$ осуществляют при помощи воды. Приведены ИК-спектры I, VIII и полидиметилсилоксана. Арсиносилосаны, в отличие от полиметилсилоксанов, обладают пестицидным действием. Г. Моцарев

4697. Реакции окиси этилена с хлоридами сурьмы. Баллун, Карабинное (Reaction of ethylene oxide with antimony chlorides. Ballun A. T., Karabinos J. V.). Trans. Illinois State Acad. Sci., 1956 (1957), 49, 77–79 (англ.)

При р-ции SbCl_5 с окисью этилена (I) получают диоксан (II), этиленхлоргидрин (III) и дихлорэтан (IV) наряду с SbOCl (V). В смолстом остатке содержится $\text{ClCH}_2\text{CH}_2\text{OSbCl}_2$ (VI), который выделить в чистом виде не удалось. При р-ции I с SbCl_3 также получают II, III и IV и в остатке $(\text{ClCH}_2\text{CH}_2\text{O})\text{SbCl}$, который выделить не удалось. В 0,86 моля SbCl_5 при т-ре 75–100° пропускают 5,68 моля I 7 час., причем т-ра поднимается до 180–200°, выделяются HCl, отгоняются 160 мл летучих продуктов при 80–130° и сублимируется 10 г V. Выход II 23,2%, III 12,9%, IV 2,2%. Пропускают 5,68 моля I в 0,915 моля SbCl_3 8 час., выделение HCl не происходит и V не сублимируется. Получают 195 мл дистиллята с т. кип. 80–130°. При разгонке получают II с выходом 38,3%, III 13,1% и IV 8%. Предложены возможные ур-ния р-ции.

С. Иоффе

4698. Окрашенные висмуттрибензилы. Бер, Цохе (Über farbige Wismuttribenzyle. Bähr Gerhard, Zoche Günter), Chem. Ber., 1957, 90, № 6, 1176–1178 (нем.)

Синтезированы $(o\text{-RC}_6\text{H}_4\text{CH}_2)_3\text{Bi}$ (I R = H, II R = Cl, III R = Br), окрашенные в желто-оранжевые тона, разлагаются в присутствии O_2 и на свету, что указывает на некоторые особенности С–Bi-связи в этих в-вах (ср. РЖХим, 1956, 3948). К охлажд. до –20° р-ру 0,16 моля BiCl_3 в 300 мл эфира медленно добавляют при перемешивании в атмосфере N_2 охлажд. р-р $\text{C}_6\text{H}_5\text{CH}_2\text{MgCl}$ (из 0,5 моля $\text{C}_6\text{H}_5\text{CH}_2\text{Cl}$ и 15 г Mg) в 300–400 мл эфира, кипятят 15 мин., разлагают при 0° миним. кол-вом воды, к эфирному р-ру добавляют 0,5 л воды, отгоняют в токе N_2 при < 30 мм ~ 250 мл воды, осадок I измельчают под водой, выход I 21%, т. пл. 64,5–65,5° (из сп.), разлагается при 150°. Аналогично из 40 г $\text{o-ClC}_6\text{H}_4\text{CH}_2\text{Br}$, 7 г Mg, 19,5 г BiCl_3 в 200 мл эфира получен II (после разложения водой остаток обрабатывают теплым C_6H_6), выход 56%, т. пл. 54° (из $\text{iso-C}_3\text{H}_7\text{OH}$), из $\text{o-BrC}_6\text{H}_4\text{CH}_2\text{Br}$ получен III, выход 55%, т. пл. 83–84° (из $\text{m-C}_4\text{H}_9\text{OH}$), разлагается при 170–180° (в атмосфере N_2). Т. Амбруш

4699. Трициклопентадиенилвисмут. Фишер, Шрейнер (Wismut-tri-cyclopentadienyl. Fischer

E. O., Schreiner S.), Angew. Chem., 1957, 69, № 6, 205–206 (нем.)

При р-ции BiCl_3 с NaC_5H_5 в среде тетрагидрофурана на холоду с последующей кристаллизацией в очень мягких условиях из петр. эфира получают оранжево-красный $\text{Bi}(\text{C}_5\text{H}_5)_3$ (I). Очень чувствителен к окислению, мономерен, растворим в C_6H_6 , эфире, петр. эфире. При ~ 20° I необратимо превращается в черную модификацию, которая нерастворима и постепенно полимеризуется. Обе формы диамагнитны и разлагаются водой при ~ 20° с отщеплением C_5H_6 . При сублимации в высоком вакууме при ~ 75° I разлагается с образованием зеркала Bi. Имеется указание на доступность кармино-красного $\text{Sb}(\text{C}_5\text{H}_5)_3$ и черного $\text{As}(\text{C}_5\text{H}_5)_3$, имеющих большую чем I склонность к полимеризации.

С. Иоффе

4700. Легко протекающий гидролиз трифторметильной группы в присутствии основания. Некоторые трифторметилированные индолы. Борнштейн, Лион, Салливан, Беннетт (Facile hydrolysis of the trifluoromethyl group in the presence of base. Some trifluoromethylated indoles. Bornstein Joseph, Leone Stephen A., Sullivan William F., Bennett O., Francis), J. Amer. Chem. Soc., 1957, 79, № 7, 1745–1748 (англ.)

CF_3 -группа в этиловых эфирах (ЭЭ) 4-трифторметил-(1-к-та) и 6-трифторметил-2-индолкарбоновой к-ты (II – к-та) легко омыляется в группу COOH. Для получения I и II восстанавливают $\text{m-CF}_3\text{C}_6\text{H}_4\text{N}_2\text{Cl}$ до $\text{m-CF}_3\text{C}_6\text{H}_4\text{NHNH}_2$ (III), который с CH_3COCOON (IV) образует $\text{CH}_3\text{C}(\text{COOH})=\text{NNHC}_6\text{H}_4\text{CF}_3$ -м (V); ЭЭ V в присутствии ZnCl_2 циклизуется по Фишеру в смесь ЭЭ I и II. Нагревание I и II или их ЭЭ с р-ром NaOH приводит к индолкарбоновой-2,4 (VI) и -2,6 (VII) к-там. Декарбоксилировать I и II не удалось. В ИК-спектрах ЭЭ I и II обнаружены колебания в области 3300–3350 cm^{-1} , указывающие на внутримолекулярную водородную связь. К диазораствору из 0,4 моля $\text{m-NH}_2\text{C}_6\text{H}_4\text{CF}_3$ (VIII) добавляют за 3 часа 0,89 моля $\text{SnCl}_2 \cdot 2\text{H}_2\text{O}$ в 200 мл конц. HCl, перемешивают 1 час, осадок разлагают 700 мл 25%-ного водн. р-ра NaOH, экстрагируют бензолом III, выход 65%, т. кип. 80–83°/9 мм, n_D^{20} 1,5052, d_{20}^{20} 1,348. К бензольному экстракту III медленно добавляют 0,42 моля IV, выход V 83%, т. пл. 193–194° (из 80%-ного сп.). Пропускают в кипящий р-р 0,325 моля V в 550 мл абс. спирта 3 часа ток HCl, выливают на лед и получают ЭЭ V, выход 98%, т. пл. 108,6–109,6° (из сп.). CF_3 -группа в V и VIII не гидролизуются. 40 ммоль ЭЭ V смешивают с 0,85 моля ZnCl_2 и перемешивают 5 мин. с 135 мл лед. CH_3COOH и 5 мл $(\text{CH}_3\text{CO})_2\text{O}$, кипятят 20 мин., выливают на лед, через 12 час. отделяют 8 г смеси ЭЭ I и II, которые растворяют в 50 мл горячего спирта, после добавления 12 мл воды и охлаждения через 1 час выделен ЭЭ II, выход 5,8%, т. пл. 163–164°; из маточного р-ра через 12 час. выделен ЭЭ I, выход 9,7%, т. пл. 148–149°. При осторожном гидролизе 1,56 ммоль ЭЭ II 5 мл 50%-ного водн. CH_3OH и 5 мл 10%-ного водн. р-ра NaOH получают II, выход 60%, т. пл. 165–165,8° (из водн. сп.). В тех же условиях из 0,78 ммоль ЭЭ I получен I, выход 85%, т. пл. 219,4–220,4°. 0,39 ммоль ЭЭ II или эквивалентное кол-во II нагревают с 10 мл водн. р-ра 10 н. NaOH при 80–90° 4 часа и получают VII, не плавящуюся до 330°. Из I или его ЭЭ в тех же условиях получен VI, выход 94%, т. пл. 299–300°. Этерификацией VI или VII спиртом в присутствии HCl или диазоэтаном получают ЭЭ VI, т. пл. 143,4–144,2°, и ЭЭ VII, т. пл. 131–132°.

С. Иоффе

4701. Металлоорганические реакции ω-фторалкилгалогенидов. II. Реакции ω-фторалкилмагниихлоридов. Хауэлл, Котт, Паттисон (Organometal-

lic reactions of ω -fluoroalkyl halides. II. Reactions of ω -fluoroalkylmagnesium chlorides. Howell W. C., Cott W. J., Pattison F. L. M., J. Organ. Chem., 1957, 22, № 3, 255—259 (англ.)

Описаны р-ции $F(CH_2)_nMgCl$ (I) ($n = 6-10$) с $ClCOOC_2H_5$ (II), CH_3COCl (III), C_6H_5COCl (IV), $F(CH_2)_5COCl$ (V), $F(CH_2)_6COCl$ (VI), $(CH_3CO)_2O$ (VII), $[F(CH_2)_5CO]_2O$ (VIII), $(CH_2)_2O$ (IX), C_6H_5CN (X) и $HC(OC_2H_5)_3$ (XI). Приводятся исходные в-ва, продукт р-ции, выход в %, т. кип. в $^{\circ}C/mm$, n_D^{25} или т. пл. в $^{\circ}C$: I ($n = 6$) и II, $F(CH_2)_6COOC_2H_5$ (XII) ($n = 6$), 48, 97—97,5/11, 1,4111, и $C_2H_5OOC(CH_2)_6COOC_2H_5$ (XIII) ($n = 6$), 6, —, —; I ($n = 7$) и II, XII ($n = 7$), 49, 106,5—107/9, 1,4158, и XIII ($n = 7$), 8, —, —; I ($n = 8$) и II, XII ($n = 8$), 54,5, 120—120,5/9, 1,4191, и XIII ($n = 8$), 10, —, —; I ($n = 9$) и II, XII ($n = 9$), 61, 136—136,5/11, 1,4228, и XIII ($n = 9$), 6, —, —; I ($n = 10$) и II, XII ($n = 10$), 54, 145—146/9, 1,4257, и XIII ($n = 10$), 4, —, —; I ($n = 6$) и III, $F(CH_2)_6COCH_3$ (XIV) ($n = 6$), 47, 87—88/11, 1,4132; 2,4-динитрофенилгидразон (ДНФГ), т. пл. 82° (из сл.); I ($n = 6$) и IV, $F(CH_2)_6COC_6H_5$ (XV), 49, 138,5—139/13, 1,4278, ДНФГ, т. пл. 47,5 (из CH_3OH); I ($n = 6$) и V, $F(CH_2)_6CO(CH_2)_5F$, 51, 136—136,5/4, 1,4254; ДНФГ, т. пл. 41° (из CH_3OH); I ($n = 6$) и VI, $F(CH_2)_6CO(CH_2)_6F$ (XV), 55, 99—99,5/0,18, 1,4292; ДНФГ, т. пл. 21—23 (из CH_3OH); I ($n = 6$) и VII, XIV ($n = 6$), 59, и $CH_3CO(CH_2)_6COCH_3$ (XVI) ($n = 6$), 17, —, —; I ($n = 7$) и VII, XIV ($n = 7$), 64, 98—98,5/9, 1,4180; ДНФГ, т. пл. 65° (из CH_3OH), и XVI ($n = 7$), 16, —, —; I ($n = 8$) и VII, XIV ($n = 8$), 68, 113—113,5/9, 1,4213; ДНФГ, т. пл. 83,5° (из CH_3OH), и XVI ($n = 8$), 19, —, —; I ($n = 9$) и VII, XIV ($n = 9$), 65, 126—126,5/9,5, 1,4258; ДНФГ, т. пл. 70° (из CH_3OH), и XVI ($n = 9$), 21, т. пл. 71—72°; бис-ДНФГ, т. пл. 165,5—166,5; I ($n = 10$) и VII, XIV ($n = 10$), 64, 138—138,5/9,5, 1,4288; ДНФГ, т. пл. 87,5° (из CH_3OH), XVI ($n = 10$), 22, —, —; I ($n = 6$) и VIII, $F(CH_2)_6CO(CH_2)_5F$, 47, 136—136,5/4, 1,4254; ДНФГ, т. пл. 41° (из CH_3OH); I ($n = 6$) и IX, $F(CH_2)_6OH$ (XVII), 46, 106—108/9, 1,4248, и $HO(CH_2)_{10}OH$, 4, т. пл. 68—70°; I ($n = 8$) и X, $F(CH_2)_8COC_6H_5$ (XVIII), 70, 134—137/0,7, 1,4983; ДНФГ, т. пл. 129,5° (из сл.), и $C_6H_5CO(CH_2)_8COC_6H_5$, 10, т. пл. 93—93,6°; диоксим, т. пл. 121—123°; I ($n = 8$) и XI, $F(CH_2)_8CHO$ (XIX), 25, 99—100/9, 1,4220; ДНФГ, т. пл. 101,5 (из CH_3OH), и $ONC(CH_2)_8CHO$, 43, —, —. Приведены т. пл. в $^{\circ}C$ (из петр. эф.) для $F(CH_2)_9CO(CH_2)_9F$ 59; $F(CH_2)_{10}CO(CH_2)_{10}F$ 64,5; $F(CH_2)_5C(OH)(CH_2)_6F$ 72. XII ($n = 6$) получен из 72 ммоль $F(CH_2)_6Cl$, 70 мл эфира и 0,124 моля Mg , отфильтрованный р-р I ($n = 6$) добавляют при -75° к 0,40 моля II в 75 мл эфира, через 12 час. кипятят 1 час и разлагают 10%-ной H_2SO_4 . Для получения XV р-р I ($n = 6$) (из 72 ммоль $F(CH_2)_6Cl$) добавляют 15 мин. к смеси 0,18 моля $F(CH_2)_6COCl$ и 0,27 г $FeCl_3$ в 25 мл эфира; в качестве побочного продукта образуется $[F(CH_2)_6]_3CON$ с выходом 11%, т. пл. 74°. XIV ($n = 9$) получен при действии 0,21 моля VII в 50 мл эфира при охлаждении твердой CO_2 на I ($n = 9$) (из 72 ммоль $F(CH_2)_9Cl$). XVII получают из I ($n = 6$) (из 72 ммоль $F(CH_2)_6Cl$) и 0,16 моля IX при охлаждении твердой CO_2 . XVIII синтезируют из I ($n = 8$) и 72 ммоль X в 15 мл эфира при $\sim 20^{\circ}$. XIX получен из I ($n = 8$) и 81 ммоль XI в 50 мл эфира при кипячении 6 час. Сообщение I см. РЖХим, 1957, 34464.

С. Иоффе

4702. Трифторацетаты тетраметилентринитрамина. Рид (Tetramethylenetrinitramine trifluoroacetates. Reed Russell, Jr., J. Amer. Chem. Soc., 1956, 78, № 4, 801—804 (англ.)

Описано получение $CH_3ZOCOCF_3$ (I) (Z здесь и далее группировка $[CH_2N(NO_2)_3]$, $CF_3COOZCH_2OCOCF_3$ (II) и $CF_3COOZCH_2OCOCF_3$ (III) действием CF_3COOH (IV) на соответствующие ацетаты. III получен также действием смеси HNO_3 и $(CF_3CO)_2O$ на гексамин. При метанолизе или этанолизе I, II и III образуются CH_3ZON (V), $HOCH_2ZOCOCF_3$ (VI) и $HOCH_2ZON$ (VII). V также получен из I и 48%-ной HBr . При нагревании до 50° V переходит в $CH_3N(NO_2)CH_2NH_2NO_2$ (VIII) с выделением H_2O . VII в р-ре термически разлагается. При действии на I, II и III избытка бензиламина (IX) образуется $[C_6H_5CH_2NH_2]_3[N(NO_2)CH_2N(NO_2)]$ (X) и $C_6H_5CH_2NHCOCF_3$ (XI), а действием IX на $CH_2(OCOCF_3)ZOCOCF_3$ (XII) получают ацетат бензиламмония и 1,3,5-трибензил-1,3,5-триазациклогексан (XIII). Большая реакционная способность трифторацетатов по сравнению с ацетатами и склонность к разрыву ацил-кислородной связи объясняются сильным электронопритягивающим эффектом CF_3 -группы, облегчающим атаку нуклеофильных реагентов по карбонильному углероду. HNO_3 превращает XII, II и III в CH_2ZONO_2 и $CH_2(ONO_2)ZONO_2$. Кипящая CH_3COOH превращает I, II и III в ацетаты. При действии HCl на I образуется CH_3ZCl , из II и III образуется смесь $ClCH_2ZCl$ и $ClCH_2ZOCOCF_3$. К 1,34 моля IV добавляют 50,6 ммоль $CH_3ZOCOCF_3$, через 4 часа выход I 72%, т. пл. 136—137° [из дихлорэтана (ДХЭ)]. Из I и 99%-ной HNO_3 получен CH_2ZONO_2 , т. пл. 145—146° (из $(CH_3)_2CHNO_2$). Из 2,02 моля IV и 73,4 ммоль XII через 3 часа получен II, выход 84%, т. пл. 151—152° (из ДХЭ). При нитровании II переходит в $CH_2(ONO_2)ZONO_2$, т. пл. 154—155°. К 3,35 моля смеси IV добавляют 0,113 моля XII, кипятят 10 мин., через 1 час ($\sim 20^{\circ}$) и 1 час (-5°) выход III 84%, т. пл. 149,5—150,5° (из ДХЭ). Из 95 ммоль гексамина в 0,67 моля IV, 0,43 моля 99,6%-ной HNO_3 и 0,58 моля $(CF_3CO)_2O$ при $10-15^{\circ}$ через 3 часа ($\sim 20^{\circ}$) получен $CH_2(ONO_2)ZONO_2$, выход 57%. При потенциометрич. титровании I, II и III 0,1 н. $NaOH$ получают две точки перегиба, отвечающие рН 4,5 и 11,5. На 11 ммоль I в 90 мл CH_3OH через 3—4 мин. получен V, выход 73%, т. пл. 141—142° (из водн. ацетона). Аналогично получен VI, выход 51%, т. пл. 130° (разл.); VII, выход 67%, т. пл. 145—147° (из ацетона). Выход V из 68 ммоль $CH_2ZOCOCF_3$ и 60 мл 48%-ной HBr (55°, 10 мин.) 81%. V при растворении в ацетоне и разбавлении эфиром переходит в VII. При кристаллизации V из кипящего ДХЭ образуется VIII, т. пл. 125—126°. К р-ру 0,01 моля I, II или III в 75 мл диоксана добавляют 0,06 моля IX, соответственно выходы X 40, 30 и 37% и выходы XI 63, 54 и 70%, т. пл. 74—75°. Из 14,1 ммоль XII в 120 мл диоксана и 0,234 моля IX через 2 дня выделен ацетат бензиламина с выходом 91% и 3 г XIII, т. пл. 50,2—51°. Из 0,01 моля III в 50 мл диоксана и 0,2 моля анилина через 6 дней получен $C_6H_5NHCOCF_3$ с выходом 70%. Из 8,6 ммоль I в 60 мл безводн. диоксана, содержащего 8 экв безводн. HCl , через 5 дней выделяют CH_3ZCl , выход 81%, т. пл. 140,7—141,7° (из ДХЭ). 7,4 ммоль II в 50 мл безводн. диоксана выделяют HCl при 10° , через 12 час. выделен $ClCH_2ZOCOCF_3$, выход 55%, т. пл. 144,5—145,5° (из бзл.). $ClCH_2ZOCOCF_3$, выход 24%, т. пл. 114—115° (из смеси бзл.- C_6H_{12}).

С. Иоффе

4703. Циклоизомеризация ди-(*n*-галондфенил)-трифторметилкарбинолов. Коэн, Калумини (A cycloisomerization reaction of di-(*p*-halogenophenyl)-trifluoromethyl-carbinols. Cohen S., Kalumini zupner A., Experientia, 1957, 13, № 6, 236 (англ. рез. франц.)

При разбавлении водой или CH_3OH р-ра (*n*- ClC_6H_4)

$\text{C}(\text{OH})\text{CF}_3$ (РЖХим, 1956, 25751) в конц. H_2SO_4 образуются соответственно 3-хлор-6-окси-9-трифторметилфлуорен, т. пл. 192—193°, или 6-метоксипроизводное (I). Действием щелочи в CH_3OH I превращен в 3-хлор-6-метокси-9-карбометоксифлуорен (II), т. пл. 129—130°. Окислением II H_2O_2 получен 3-хлор-6-метоксифлуоренон, т. пл. 181—182°. Обсуждается механизм циклизации через стадию карбониевого иона.

Ф. Велтчко

4704. Фторциклогексаны. Часть I. *cis*- и *trans*-1H, 2H-декафторциклогексаны. Смит, Татлоу (Fluorocyclohexanes. Part I. *cis*- and *trans*-1H, 2H-decafluorocyclohexanes. Smith R. P., Tatlow J. C., J. Chem. Soc., 1957, June, 2505—2511 (англ.))

При фторировании C_6H_6 образуется смесь, из которой выделены перфторциклогексан (I), ундекафторциклогексан (II), *trans*-декафторциклогексан (III) и его *cis*-изомер (IV). Действием КОН III превращен в перфторциклогексанин-1,3 (V), 1 H-нонафторциклогексен-1 (VI) и следы 3H-нонафторциклогексена-1, а IV — в VI и следы (<1%) V. Из перфторциклогексана (VII) также получены III и IV. При окислении VI получена октафторадипиновая к-та (VIII). Для анализа и выделения чистых в-в применена газовая хроматография на диноилфталате-кизельгуре (1:2) при 55—100° в токе N_2 . Через медную трубку с 3,5 кг CoF_2 при 170—220° за 3 часа пропущено 65,5 г C_6H_6 , получено 180 г смеси фторидов. После добавления эфира из этой смеси выделены: азеотропная смесь I с эфиром, т. кип. 27,5°, II, т. кип. 63,4—63,7°, III, т. кип. 70—71°, т. пл. 22—23°, n_D^{25} 1,2929, дипольный момент 0,88, и IV т. кип. 91°, дипольный момент 2,59. Смесь 10 г III, 10 г КОН и 10 мл воды нагревали 3 часа при 100°, после хроматографирования выделено 16% V и 80% VI. Из 25 г 1,2-дихлордекафторциклогексана (из VII и Cl_2 при УФ-облучении) в 10 мл эфира и 5 г LiAlH_4 в 50 мл эфира (1,5 часа, 0°) после хроматографирования выделено 4,5 г III и 11,4 г IV. При обработке 1,8 г VI 12 г KMnO_4 , 6 г NaHCO_3 и 30 мл воды (15 час., 120—130°) получена VIII, выделенная в виде диангидриновой соли, выход 3 г, т. пл. 210—211° (из ацетона-хлф.).

А. Берлин

4705. Диоксиды 1,1,1-трифтордиона-2,3 и родственные соединения. Белчер, Сайкс, Татлоу (1:1:1-trifluoro-2:3-dione dioximes and related compounds. Belcher R., Sykes A., Tatlow J. C., J. Chem. Soc., 1957, May, 2393—2397 (англ.))

При бромировании $\text{C}_2\text{H}_5\text{COCF}_3$ (I) в H_2SO_4 образуется $\text{CH}_3\text{CHBrCOCF}_3$ (II). Действием Br_2 на I или II в $\text{CH}_3\text{COONa}-\text{CH}_3\text{COOH}$ получен $\text{CH}_3\text{CBr}_2\text{COCF}_3$ (III). При обработке III $\text{NH}_2\text{OH} \cdot \text{HCl}$ (IV) в водн. р-ре CH_3COONa образуется $\text{CH}_3\text{C}(\text{NOH})\text{C}(\text{NOH})\text{CF}_3$ (V) [смесь устойчивой кристаллич. γ -амфи-формы (γ -V) и неустойчивой, по-видимому, α -анти-формы (α -V)]. При действии ионов Ni в NH_4OH на γ -V образуется темно-зеленый осадок, нерастворимый в CCl_4 , CHCl_3 и др., состава $\text{C}_4\text{H}_2\text{O}_2\text{N}_2\text{F}_6\text{Ni}$. Из α -V в тех же условиях образуется красный осадок $\text{C}_4\text{H}_2\text{O}_4\text{N}_2\text{F}_6\text{Ni}$, растворим в CCl_4 и CHCl_3 , при действии HCl разлагается с образованием γ -V. При гидролизе V или обработке I SeO_2 образуется $\text{CH}_3\text{COCOCF}_3$. Из $\text{CHBr}_2\text{COCF}_3$ (VI) и IV получен $\text{CF}_3\text{C}(\text{NOH})\text{CH}(\text{NOH})$ (VII). При действии $\text{H}_2\text{NNHCONH}_2 \cdot \text{HCl}$ (VIII) на VI получается в зависимости от условий $\text{CH}(\text{NNHCONH}_2)\text{C}(\text{NNHCONH}_2)\text{CF}_3$ (IX) или $\text{CHBr}_2\text{C}(\text{NNHCONH}_2)\text{CF}_3$ (X). К смеси 39,2 г I и 130 мл конц. H_2SO_4 при 15—20° медленно добавляют 25 г Br_2 , перемешивают 6 час и нагревают 30 мин. при 60—70°, получено 48,5 г II, т. кип. 92,5—93,5°, n_D^{25} 1,3792; семикарбазон, т. пл. 113—114°. К 17,8 г II, 7,8 г CH_3COONa и 65 мл лед. CH_3COOH медленно добавляют при 15—20°

15,3 г Br_2 , перемешивают 7 час., через 10 час. к фильтрату добавляют 300 мл конц. H_2SO_4 , получено 15,2 г III, т. кип. 124°, n_D^{25} 1,4302. 8,3 г III нагревают 3 часа при 100° с 9,5 г IV и 19 г $\text{CH}_3\text{COONa} \cdot 3\text{H}_2\text{O}$ (XI) в 60 мл воды, экстрагируют эфиром γ -V (1,17 г), т. пл. 89,5—90,5° (из бал.), а из маточного р-ра 1 г полутвердого в-ва и 0,7 г вязкой жидкости, представляющей собой α -V. Так же протекает окисмирование III в среде 1 M Na_2CO_3 . При нагревании γ -V 3 часа при 100° с 5 н. HCl и последующем кипячении 1 час со спирт. р-ром o - $\text{NH}_2\text{C}_6\text{H}_4\text{NH}_2$ (XII) получен 2-метил-3-трифторметилхиноксалин (XIII), т. пл. 83—84°. XIII получен также из 10,9 г I и 12 г SeO_2 в 30 мл воды (нагревание 15 час., <100°) с последующим прибавлением XII. 2,05 г VI нагревают 1 час при 100° с 1,75 г VIII и 2,7 г XI в 15 мл воды, получено 1 г IX, т. пл. 208—210° (раал.). Из 0,7 г VI, 0,5 г VIII и 0,75 г XI в 4 мл воды при 10—15° получено 0,51 г X, т. пл. 134,5—135° (раал.). 8 г VI нагревают 90 мин. при 100° с 8,2 г IV и 16,4 г XI в 50 мл воды, получено 2,7 г VII, т. пл. 117,5—119,5°.

С. Иффе

4706. Синтез органических соединений, меченных C^{14} . Миятака, Хасэгава, Огава, Камуро (放射性同位元素- C^{14} 識有機化合物の合成 宮武一夫, 長谷川賢, 小川弘加室仁, 薬學雜誌, Якугаку канкю, Japan. J. Pharmacy and Chem., 1957, 29, № 1, 26—65 (японск.))

Обзор. Библ. 87 назв.

4707 К. Гетероциклические соединения. Т. 5. Пятичленные гетероциклы, содержащие два гетероатома, и их бензопроизводные. Элдерфилд (Heterocyclic compounds. Vol. 5. Five-membered heterocycles containing two hetero atoms and their benzo derivatives. Ed. Elderfield Robert Cooley. New York, Wiley, London, Chapman and Hall, 1957, VII, 744 pp., ill. 8L) (англ.)

4708 Д. Строение и химические превращения щелочноорганических соединений анилов. Курдюмова К. Н. Автореф. дисс. канд. хим. н., Ин-т эксперим. патол. и терапии рака. Акад. мед. наук СССР, М., 1957

4709 Д. Получение и расщепление некоторых германийорганических соединений. Героу (The preparation and cleavage of some organogermanium compounds. Gerow Clare William. Abstr. doct. diss., Iowa State Coll., 1956), Iowa State Coll. J. Sci., 1957, 31, № 3, 418—419 (англ.)

4710 Д. Реакции металлорганических соединений с азлактонами. Руф (Reaktionen metallorganischer Verbindungen mit Azlaktone. Ruf Josef. Diss. Dokt. Naturwiss., Techn. Hochschule. Stuttgart, 1956, 110 S., ill.) (нем.)

4711 Д. Некоторые соотношения между оловоорганическими соединениями и их германийорганическими аналогами. Джист (Some correlations between organotin compounds and their organogermanium analogs. Gist Lewis Alexander, Jr. Abstr. doct. diss., Iowa State Coll., 1956), Iowa State Coll. J. Sci., 1957, 31, № 3, 423—424 (англ.)

См. также разделы: Промышленный органический синтез и Промышленный синтез красителей и рефераты: Соединения: алифатич. 3533, 4467, 4468, 4487, 4737, ациклич. 4466, 4478, 4479, 4485, 4777, 4788, ароматич. 3536, 4465, 4410, 4489, 4493, 4752, 4792, 6744; гетероциклич. 4462, 4463, 4475, 4476, 4482, 4782

ПРИРОДНЫЕ ВЕЩЕСТВА И ИХ СИНТЕТИЧЕСКИЕ АНАЛОГИ

Редакторы Л. Д. Бергельсон, М. М. Ботвинник,
А. Д. Кузнецов, В. В. Некрасов, И. В. Торгов,
Л. М. Уткин, В. В. Шпанов

4712. 5-метилглюкоза. Шмидт, Цинке-Альманг, Хольцах (5-Methyl-glucose. Schmidt Otto Th., Zinke-Allmang Gertrud, Holzsch Ulrich), Chem. Ber., 1957, 90, № 7, 1331—1336 (нем.)

Подтверждены данные Варга (В) (Vargha, Ber., 1936, 69, 2098), касающиеся 5-метилглюкозы (I), которая синтезирована несколькими измененными методами; получены ее некоторые производные. Опровергнуты выводы прежних авторов (Percival E. E., Percival E. G. V., J. Chem. Soc., 1935, 1398) о 5-метилфенилглюкозазоне (II) (полученный ими продукт представлял собой смесь, не содержащую II) и вытекающее из этого утверждение о пиранозной структуре фенилглюкозазона. Из 1,2-ацетон-3,6-диацетилглюкофуранозы с $\text{Ag}_2\text{O} + \text{CH}_3\text{I}$ в присутствии CaSO_4 синтезируют 1,2-ацетон-3,6-диацетил-5-метилглюкофуранозу, выход низкой (по В из 1,2-ацетон-3-тозил-6-бензилглюкофуранозы выход 40%), т. пл. 88° (из *n*-бутилового эфира, затем лигр. или петр. эф.), $[\alpha]^{20}_D -13,4 \pm 1,5$ (с 2,7; хлф.), с CH_3ONa в CH_3OH получают очищаемую кристаллизацией из *n*-пропилового эфира 1,2-ацетон-5-метилглюкофуранозу (III), выход 80—85%, т. пл. 71°. Гидролизом III 0,1 н. H_2SO_4 (90°) получают I, сироп; бензилфенилгидразон I (IV), выход 77%, т. пл. 151—152,5° (из бэл.), $[\alpha]^{20}_D -12,7 \pm 1^\circ$ (15 мин.) $\rightarrow -14,2 \pm 1^\circ$ (24 часа; с 2; CH_3OH): $-51,3 \pm 0,8^\circ$ (10 мин.) $\rightarrow -54,3 \pm 0,8^\circ$ (40 час., с 4; $\text{C}_6\text{H}_5\text{N}$). Из 3 г IV с 9 г *n*- $\text{C}_6\text{H}_4(\text{NO}_2)\text{CHO}$ в воде (2 часа, 95°) получают I, $[\alpha]^{20}_D -7,3 \pm 0,5^\circ$ (с 10; вода); $-13,2 \pm 1^\circ$ (с 2,3; сп.); II, выход 52%. В различных опытах получены образцы II с т. пл. ~130°; после сушки в высоком вакууме (80°, 12—16 час.) т. пл. 153—153,5° (из бэл.), $[\alpha]^{20}_D -67 \pm 4^\circ$ (20 мин.) $\rightarrow -47,8 \pm 4^\circ$ (48 час.; с 1; абс. сп.). Из II получен фенилглюкозазон 5-метилглюкозы, выход 79%, т. пл. 104—105° (из бэл.), $[\alpha]^{20}_D -56,4 \pm 1,5^\circ$ (с 1,4; абс. сп.); $-74,5 \pm 2^\circ$ (с 1,1; $\text{C}_6\text{H}_5\text{N}$); $-31,0 \pm 1,7^\circ$ (с 1,2; хлф.).

В. Зеленкова

4713. Устойчивость гликозидов к кислотному гидролизу. Конформационный анализ. Эдуард (Stability of glycosides to acid hydrolysis. A conformational analysis. Edward John T.), Chemistry and Industry, 1955, № 36, 1102—1104 (англ.)

Обзор. Библ. 14 назв.

Л. А.

4714. Детритилирование (удаление трифенилметила) N-(2,3,4-триацетил-6-трифенилметил- β -глюкозил)-*n*-нитроанилина. Иноуэ, Онодэра, Цудзи, Китаока (Detritylation of N-(2,3,4-triacetyl-6-trityl- β -glucosyl)-*p*-nitroaniline. Inoue Yoshiyuki, Onodera Konoshin, Tsuji Tamio, Kitaoka Shozaburo), 日本農薬化学会誌, Япония, 1955, 29, № 11, 910—912 (японск.; рез. англ.)

В случае получения гентиобиозы из N-(β -глюкозил)-*n*-нитроанилина в качестве исходного материала, необходимо провести детритилирование N-(2,3,4-триацетил-6-трифенилметил- β -глюкозил)-*n*-нитроанилина в N-(2,3,4-триацетил- β -глюкозил)-*n*-нитроанилина. Обычные методы детритилирования дают низкие выходы продукта из-за неустойчивости N-глюкозидной связи в кислой среде. Разработан новый метод детритилирования на основе теории согласованной рции Суэйна: детритилирование проводят в CH_3OH , содержащем небольшое кол-во конц. HCl (к-ты). По этому методу

получен N-(2,3,4-триацетил- β -глюкозил)-*n*-нитроанилин, выход 27%. Метод может иметь широкое применение.

Резюме авторов

4715. Синтезы с применением ангидросахаров. I. 6-толиловые эфиры β -глюкозы. Коцюрек, Ирижичек (Synthesen mit Anhydrosuckern. I. Über β -Glucose-6-tolyläther. Kocourek J., Jiftšek V.), Сб. чехосл. хим. работ, 1957, 22, № 3, 806—810 (нем.; рез. русск.)

См. РЖХим, 1957, 48062.

4716. Фенилборонаты пентоз и 6-дезоксигексоз. Вулфром, Солмс (Phenylboronates of pentoses and 6-deoxyhexoses. Wolfrom M. L., Solms J.), J. Organ. Chem., 1956, 21, № 7, 815—816 (англ.)

Описан синтез бис-фенилборонатов (БФБ) моносахаров. Смесь 4,0 ммоль монозы и 8,0 ммоль фенилборной к-ты (I) расплавляют (110—160°, 10—15 мин.) выдерживают 1—3 мин., охлаждают и извлекают петр. эфиром БФБ (указаны сахар, выход в %, т. пл. в °C, $[\alpha]^{20}_D$ (с < 5, бэл.): L-арабинозы, 45, 166, +8,5°; D-рибозы, 24, 140—142, +116°; D-ксилозы, 41, 137, —8,5°; D-ликозы, 25, 109—110, —60,4°; L-фукозы, 30, 109,5, +29,4°; L-рамнозы, 35, 107,5, +87°. Гидролиз БФБ L-арабинозы кипячением в водн. CH_3OH дал арабинозу и I.

А. Юркович

4717. Глюкозилоксиязоксиметан, составная часть семян *Cycas circinalis* L. Риггс (Glucosyloxazoxymethane, a constituent of the seeds of *Cycas circinalis* L. Riggs N. V.), Chemistry and Industry, 1956, № 35, 926 (англ.)

Из семян саговой пальмы *Cycas circinalis* L. выделен глюкозид $\text{C}_8\text{H}_{16}\text{O}_7\text{N}_2$ (I), оказавшийся идентичным с циказинном — глюкозилоксиязоксиметаном, выделенным из *Cycas revoluta*. I имеет т. пл. 154° (разл.), $[\alpha]^{18}_D -44^\circ$ (с 0,62; вода); тетраацетат I, т. пл. 137° (из ацетона-петр. эф.). $[\alpha]^{18}_D -27^\circ$ (с 0,98; хлф.). Гидролиз I дал глюкозу, CH_2O и N_2 . УФ-спектр I, совпадает со спектром макрозамина.

А. Юркович

4718. Бензилоксималоновый диальдегид как промежуточный продукт в окислении 2-бензил-D-арабинозы периодатом натрия. Шварц, Мак-Дугалл (Benzylloxymalondialdehyde. An intermediate in the oxidation of 2-O-benzyl-D-arabinose with sodium periodate. Schwarz J. C. P., MacDougall Myra), J. Chem. Soc., 1956, Aug., 3065—3069 (англ.)

Изучена р-ция окисления 2-бензил-D-арабинозы (I) с помощью NaJO_4 (II), протекающая с образованием промежуточных продуктов: бензилоксималонового диальдегида (III) и гликолевого альдегида (IV). III при дальнейшем окислении дает бензилглиоксидат (V) и HCOOH (VI), окисление IV дает VI и CH_2O . Из 7,7 г 3-бензил-D-глюкозы и 9,12 г II в 120 мл воды получили (20 мин., ~20°), после извлечения CHCl_3 , 7,0 г 2-бензил-4-формил-D-арабинозу (VII), т. пл. 120—130°, $[\alpha]^{17}_D -99^\circ$ (10 мин., с 2,03; ацетон). 9,5 г VII в 200 мл воды нагревали при 100° 4 часа с 3 г Амберлита IR-120 (H+ форма), извлекли CHCl_3 , 6,3 г I, т. пл. 110—112° $[\alpha]^{17}_D -80^\circ$ (5 мин.) $\rightarrow -75^\circ$ (с 1,1; вода); 16,5 г I прибавили к р-ру 29,4 г II в 600 мл воды, через 5 мин. добавили $\text{HOCH}_2\text{CH}_2\text{OH}$, осадили йодат 150 мл 2 м р-ра SrCl_2 и восстановили оставшийся йодат до йодида с помощью SO_2 , из фильтрата получили 8,9 г III, т. пл. 135—137°. Из 0,9 г III в 50 мл р-ра 2,0 г NaHCO_3 и 0,75 г $\text{C}_6\text{H}_5\text{COCl}$ получили енолбензоат III (VIII), т. пл. 62,5—63,5°. Взаимодействие фенола с VIII привело к образованию фенилбензоата. Из 0,3 г III в 150 мл воды и 0,2 г анилина в 5 мл воды, подкисленной HCl, получили 3-анилино-2-бензилоксипропен-2-ал, т. пл. 150—151°. Приводятся кривые окисления I и III. V выделен в виде 2,4-динитрофенилгидразона, т. пл. 190—192°.

А. Юркович

4719. Получение D-арабинозы-5-C¹⁴ из D-глюкозы-6-C¹⁴. Исбелл, Холт, Фраш (Preparation of D-arabinose-5-C¹⁴ from D-glucose-6-C¹⁴. Isbell Horace S., Holt Nancy B., Frush Harriet L.), J. Res. Nat. Bur. Standards, 1956, 57, № 2, 95 (англ.).

D-арабиноза-5-C¹⁴ (I) получена из D-глюкозы-6-C¹⁴ (II) по методу Рупфа без выделения промежуточных продуктов. К 1 ммоль (II) (а 230 мкюри) и 600 мг бензоата Ba в 7,5 мл воды приливают 0,1 мл Вг₂, через сутки добавляют 2 ммоль Ag₂CO₃, фильтрат пропускают через катионит, нагревают с CaCO₃ 30 мин., р-р упаривают до 5 мл и добавляют ацетат Ba, FeSO₄ и 0,2 мл 30%-ной H₂O₂ (1,5 часа, 45°). Р-р обесцвечивают, пропускают через катионит и анионит и получают I (а 135 мкюри, выход 58%). А. Юркевич

4720. Действие водной серной кислоты на сахара. II. Спектрофотометрическое изучение реакции с гексозами; идентификация образующихся продуктов, растворимых в эфире. Райс, Фишбейн (Effect of aqueous sulfuric acid on sugars. II. Spectrophotometric studies on the hexoses; identification of the ether-soluble products formed. Rice F. A. H., Fishbein Lawrence), J. Amer. Chem. Soc., 1956, 78, № 15, 3731—3734 (англ.).

С помощью спектрофотометрич. и хроматографич. методов изучено действие водн. р-ров H₂SO₄ на гексозы (Г). Спектральные кривые одинаковы для всех Г, однако скорость появления устойчивых УФ-спектров зависит от конфигурации Г. Для р-ции с 4 н. H₂SO₄ при 100° скорость образования устойчивых структур: D-гулоза > D-талоза (I) > D-галактоза (II) > D-альтроза (III) > D-манноза (IV) > D-глюкоза (V). При р-ции с 20 н. H₂SO₄ при ~20° порядок изменяется: I > IV > II > V > III. Показано, что в этих условиях порядок для пентоз: D-ксилоза > D-рибоза > D-лихсоза > D-арабиноза. В-ва, образующиеся при р-ции, извлекают из кислого водн. р-ра эфиром и превращают в динитрофенилгидразоны; идентифицированы формальдегид, пропионовый альдегид, ацетальдегид и 5-оксиметилфурфурол. Предыдущее сообщение см. РЖХИМ, 1957, 30731. А. Юркевич

4721. Биохимические исследования углеводов. CLXXVI. Анализ мутаротации N-гликозидов. 2-я статья. Анилин-N-рибозид. Цунки (Biochemical studies on carbohydrates. CLXXVI. Analysis of mutarotation of N-glycosides. Second paper. On aniline-N-ribose. Tsunki Shigeru), Tohoku J. Exptl Med., 1955, 61, № 4, 365—379 (англ.).

Исследована мутаротация двух изомеров анилин-N-рибозида (Ia—b), полученных по методу Берджера и Ли (Berger, Lee, J. Organ. Chem., 1946, 11, 75): Ia, выход 67%, т. пл. 130—132°. [α]_D²⁰ +173,8° (с 1,5; пиридин); Ib, выход 89%, т. пл. 124—126°, [α]_D²⁰ +62,1° (с 1,5; пиридин). При хранении Ia менее устойчив. Смесь Ia и Ib не обнаруживает депрессии т-ры плавления. В CH₃OH [α]_D²⁰ для Ia +131,2° → +11,0° (15 час.); Ib +26,5° → +8,7° (15 час.). В 0,01 н. NaOH мутаротация аналогична и является следствием быстрой аномеризации, сопровождающейся медленным образованием шифрова основания. При pH 5,6—7,0 одновременно протекает и гидролиз I. При pH 9,6 мутаротация нет. Ia является α-, а Ib β-пиранозидной формой I. Приведены кривые спектров Ib в пределах 320—500 мμ и полярограммы р-ров Ib. В. Некрасов

4722. Новый метод синтеза N-п-толил-D-изоглюкозамина и NH₄-соли арабеновой кислоты. Акия, Тэдзима (N-p-Tolyl-D-isoglucosamine 及び Ammonium p-Arabonate の合成, 秋谷七郎, 手島節三), 薬学雑誌, Якугаку дааси, J. Pharm. Soc. Japan, 1957, 77, № 2, 214—215 (японск.; рез. англ.).

D-глюкоза и п-толуидин в 50%-ной CH₃COOH (вы-

держка) дают N-п-толил-D-изоглюкозамин (I) с хорошим выходом. При окислении I 34% H₂O₂ в аммиачно-щел. среде получают CH₂OH(CHONH₂)₂COONH₄ с хорошим выходом. Г. Челпанова

4723. Производные меркапталей сахаров. V. Бензоаты и л-нитробензоаты альдоз и меркапталей альдоз. Циннер, Вессели, Брк, Рикхофф, Штрайт, Ниммих (Derivate der Zuckermercaptale. V. Benzoate und p-Nitrobenzoate von Aldosen und Aldose-mercaptalen. Zinner Helmut, Wessely Karl, Bock Willy, Rieckhoff Kurt, Strandt Fritz, Nimmich Wolfgang), Chem. Ber., 1957, 90, № 4, 500—515 (нем.).

Получены монобензоильные и моно-л-нитробензоильные производные (по первичной OH-группе) димеркапталей альдоз (MA): D-глюкозы (I), D-галактозы (II), D-маннозы (III), D-рибозы (IV), D-арабинозы (V), D-лихсозы (VI), D-ксилозы (VII). Р-р 0,01 моля MA в 25 мл C₂H₅N (VIII) смешивают с р-ром 0,01 моля C₆H₅COCl (IX) или л-NO₂C₆H₄COCl (X) в 5 мл C₂H₅N при -15°, перемешивают 8 час. (-10°), через 16 час. (0°) выливают в 200 мл 10%-ной CH₃COOH. При избытке IX или X получены полностью ацилированные производные MA. К р-ру 0,005 моля MA в 40 мл C₂H₅N при -10° прибавляют по каплям р-р 0,03 моля IX или X в 10 мл C₂H₅N. Монобензоаты MA (МБМА) (перечисляются альдоза, радикал меркаптана, выход в %, т. пл. в °C, [α]_D²⁰): I, C₂H₅, 47, 101—103, -1,9° (с 3,61; VIII); I, изо-C₄H₉, 46, 123—124, +0,5° (с 8,41; VIII); II, C₂H₅, 65, 109—111, +6,2° (с 3,47; VIII); II, изо-C₄H₉, 60, 113—114, +7,5° (с 4,63; VIII); III, CH₃, 42, 121—122, -9,5° (с 5,21; VIII); III, C₂H₅, 36, 112—114, +14,4° (с 5,02; VIII); IV, CH₃, 48, 91—92, +2,5° (с 3,45; CH₃OH (XI)); IV, C₂H₅, 56, 80—81, -13,3° (с 3,12; XI); IV, C₄H₉CH₂, 45, 117—119, -21,2 (с 3,11; XI); V, C₂H₅, 68, 113—114, +5,9° (с 3,80; XI); V, изо-C₄H₉, 69, 130—131, +3,1° (с 4,08; XI); V, изо-C₄H₉, 54, 122—123, +5,8° (с 4,10; XI); VI, CH₃, 59, 81—83, +0,3° (с 2,56; XI); VI, изо-C₄H₉, 72, 81—83, +1,5° (с 4,91; XI); VI, C₆H₅CH₂, 62, 103—104, -10,4° (с 2,43; XI); VII, CH₃, 59, 74—75, +12,5° (с 3,52; XI); VII, C₂H₅, 51, 65—66, +6,19° (с 3,66; XI). Моно-л-нитробензоаты MA (МНБМА): I, изо-C₄H₉, 40, 107—109, +3,6° (с 4,44; VIII); II, C₂H₅, 60, 157—158, +6,9° (с 2,95; VIII); II, изо-C₄H₉, 61, 134—137, +9,2° (с 3,69; VIII); III, C₂H₅, 60, 142—145, +9,2° (с 2,61; VIII); IV, C₂H₅, 35, 132—134°, -6,3° (с 1,92; VIII); V, C₂H₅, 67, 125—127, -49,9° (с 2,04; хлф.); V, C₄H₉, 67, 98—100, -50,0° (с 2,22; хлф.); VI, CH₃, 60, 110—112, +2,1° (с 2,31; XI); VI, C₆H₅CH₂, 55, 94—96, ±0,0° (с 1,40; XI). Тетрабензоаты MA (ТБМА) и пентабензоаты MA (ПБМА): I, изо-C₄H₉, 76, 92—93, +42,8° (с 3,62; VIII); I, C₂H₅, 80, 109—110°, +24,9° (с 0,94; VIII); II, C₂H₅, 80, 100—101, -12,3° (с 0,75; VIII); II, C₂H₅, 52, 71—72, -17,2° (с 1,04; VIII); III, C₂H₅, 70, 97—98, +17,1° (с 0,71; VIII); III, C₂H₅, 84, 87—88, +28,4° (с 0,86; VIII); IV, CH₃, 89, 105—106, +34,4° (с 2,34; хлф.); IV, изо-C₄H₉, 88, 105—106°, +8,9° (с 2,43; хлф.); V, C₂H₅, 85, 74—75, +56,1° (с 2,89 хлф.); V, C₂H₅, 86, 69—70, +54,9° (с 3,11; хлф.); γ-рамноза (XII), C₂H₅, 87, 108—109, -2,8° (с 3,35; хлф.). Тетра-л-нитробензоаты MA (ТНМА) и пента-л-нитробензоаты MA (ПНМА): I, C₂H₅, 81, 123—126, +26,6° (с 2,80; VIII); I, изо-C₄H₉, 89, 186—188, +38,4° (с 3,15; VIII); II, CH₃, 92, 188—190, -14,1° (с 2,27; VIII); II, C₂H₅, 89, 197—199, -14,2° (с 1,48; VIII); III, C₂H₅, 90, 214—215, +37,0° (с 0,40; VIII); III, изо-C₄H₉, 73, 210—212, +39,1° (с 2,89; VIII); IV, CH₃, 73, 112—114°, +46,7° (с 1,20; VIII); IV, C₂H₅, 37, 84—86, +42,3° (с 5,26; VIII); IV, изо-C₄H₉, 85, 121—122, +24,5° (с 1,92; VIII); V, C₂H₅, 88, 153—154, -42,2 (с 2,77; VIII); V, изо-C₄H₉, 87, 158—160°, +65,9° (с 3,00; хлф.); VI, C₂H₅

76, 130—131, +12,3° (с 2,50; хлф.); VI, C_4H_8 , 90, 124—126, +18,9° (с 3,44; хлф.); VII, CH_3 , 76, 104—105, —8,4 (с 1,30; хлф.); VII, C_2H_5 , 71, 89—90, +4,12° (с 1,66; хлф.); XII, C_2H_5 , 91, 224—225, $\pm 0,0^\circ$ (с 0,60; VIII). Взаимодействием МБМА и НБМА с $HgCl_2$ получены соответствующие моноацелированные альдозы. К 0,01 моля МБМА в 40 мл ацетона и 6 мл воды прибавляют 6 г HgO и р-р 6 г $HgCl_2$ в 20 мл ацетона, перемешивают 3 часа ($\sim 20^\circ$), 2 часа при 40° и кипятят 2 часа, фильтрат выпаривают в вакууме с 1 г HgO , остаток извлекают горячей водой, из экстракта удаляют Cl^- -ионами Li и снова выпаривают в вакууме. 6-бензоил (6Б)-II, аморфный, $[\alpha]^{20}_D +116,0^\circ$ (10 мин.) $\rightarrow +84,3^\circ$ (24 часа, с 0,21; VIII); моногидрат, т. пл. 140—141° (из воды). $[\alpha]^{20}_D +104,4^\circ$ (через 10 мин.) $\rightarrow +62,5^\circ$ (24 часа, с 3,37; VIII); фенилгидразон (Ф), т. пл. 191° (из сп.), $[\alpha]^{20}_D +31,5^\circ$ (с 1,48; VIII); *n*-нитрофенилгидразон (НФ), т. пл. 203—204° (из разб. сп.), $[\alpha]^{20}_D +48,8^\circ$ (с 1,03; VIII); 6Б-I, т. пл. 120—123°, $[\alpha]^{20}_D +51,2^\circ$ (7 мин.) $\rightarrow +47,4^\circ$ (24 часа, с 3,13; XI); Ф, т. пл. 134—135°, $[\alpha]^{20}_D +26,1^\circ$ (с 1,76; VIII); тетрафенилуретан, аморфный, $[\alpha]^{20}_D +52,8^\circ$ (с 0,79; VIII); 6Б-III, сироп, $[\alpha]^{20}_D +21,1^\circ$ (7 мин.) $\rightarrow +24,3^\circ$ (24 часа, с 3,58; XI); Ф, т. пл. 182—184°, $[\alpha]^{20}_D +17,7^\circ$ (с 1,26; VIII); НФ, т. пл. 199—201°, $[\alpha]^{20}_D +66,2^\circ$ (с 2,10; VIII). 5Б-VI, т. пл. 115—125°, $[\alpha]^{18}_D +47,5^\circ$ (5 мин.) $\rightarrow +72,7^\circ$ (6 час., с 0,43; VIII); НФ, т. пл. 183—185°, $[\alpha]^{20}_D +81,0^\circ$ (с 2,09; VIII). 5Б-V, т. пл. 96—97°, $[\alpha]^{20}_D +20,9^\circ$ (5 мин.) $\rightarrow +33,5^\circ$ (5 час., с 2,99; VIII); НФ, т. пл. 190—192° (из сп. + эф.), $[\alpha]^{18}_D -14,8^\circ$ (с 0,57; VIII); 5Б-IV, сироп, $[\alpha]^{20}_D -24$ (10 мин.) $\rightarrow +3,5^\circ$ (24 часа, с 6,19; XI); Ф, т. пл. 159—160° (из разб. сп.); $[\alpha]^{20}_D -10,8^\circ$ (с 2,94; VIII). 5Б-VII, т. пл. 149—150° (из XI + бэл.), $[\alpha]^{20}_D +5,4^\circ$ (5 мин.) $\rightarrow +11,1^\circ$ (72 часа, с 2,88; VIII); 6Б-II, разлагается при 80° , $[\alpha]^{19}_D +89,2^\circ$ (5 мин.) $\rightarrow +67,9^\circ$ (18 час., с 2,89; VIII); Ф, т. пл. 157—158° (разл.), $[\alpha]^{20}_D +30,0^\circ$ (с 2,04; VIII); НФ, т. пл. 203—204° (разл.; из разб. VIII), $[\alpha]^{19}_D +57,2^\circ$ (с 1,00; VIII). 6Б-I, т. пл. 169—171° (из C_4H_9OH + бэл.), $[\alpha]^{20}_D +41,3^\circ$ (5 мин.) $\rightarrow +43,8^\circ$ (18 час., с 3,12; VIII); Ф, т. пл. 153—154° (из сп.), $[\alpha]^{19}_D +41,5^\circ$ (с 2,43; VIII). 6Б-III, разлагается при 75—85°, $[\alpha]^{19}_D +44,9^\circ$ (3 мин.) $\rightarrow +51,4^\circ$ (24 часа, с 3,56; VIII); моногидрат, т. пл. 101—104° (из воды), $[\alpha]^{20}_D +51,2^\circ$ (6 мин.) $\rightarrow +49,0^\circ$ (24 часа, с 3,46; VIII); Ф, т. пл. 160—161° (разл.), $[\alpha]^{19}_D +16,0^\circ$ (с 2,29; VI); НФ, т. пл. 174—175° (разл.; из *iso*- C_3H_7OH), $[\alpha]^{19}_D +59,8^\circ$ (с 2,58; VIII). Взаимодействием ТБМА и ПБМА с $HgCl_2$ в среде водн. ацетона получены полностью бензоилированные производные альформ альдоз. ПБ-аль-I, аморфный, $[\alpha]^{24}_D +22,6^\circ$ (с 3,47; хлф.); изоникотинилгидразон (И), т. пл. 122° (из сп.), $[\alpha]^{20}_D +17,7^\circ$ (с 3,44; хлф.); ПБ-аль-II, аморфный, $[\alpha]^{18}_D +6,4^\circ$ (с 5,14; хлф.); И, т. пл. 121—122° (из *iso*- C_3H_7OH), $[\alpha]^{23}_D -14,9^\circ$ (с 1,96; хлф.). ПБ-аль-III, моногидрат аморфный, $[\alpha]^{18}_D +28,5^\circ$ (с 4,78; хлф.); семикарбазон, т. пл. 120—123° (из XI), $[\alpha]^{20}_D +38,1^\circ$ (с 1,70; хлф.). ТБ-аль-XII, аморфный, $[\alpha]^{20}_D \pm 0,0^\circ$ (с 5,69; хлф.); И, т. пл. 174° (разл.), $[\alpha]^{20}_D -69,2^\circ$ (с 1,15; хлф.). Действием 20 мл $(CH_3CO)_2O$ + 1 мл конц. H_2SO_4 на полностью ацелированный МА (0,0025 моля) при t -ре от -10 до $+20^\circ$ получают соответствующие ацилпроизводные 1,1-диацетилальдоз (ДА) (приведены производные альдозы, выход в %, т. пл. в $^\circ C$ (из XI), $[\alpha]^{20}_D$): ПБ II, 58, 118, $-6,3^\circ$ (25°, с 2,13; хлф.); ПБ III, 60, 133—134°, $+31,9^\circ$ (24°, с 2,49; хлф.); ТБ V, 49, 130°, $+46,5^\circ$ (25°, с 2,60; хлф.); ТБ X, 41, 145—146°, $-25,9^\circ$ (25°, с 2,78; хлф.); ПН I, 53, 136°, $+17,7^\circ$ (с 2,04; VIII); ПН II, 74, 187°, $-10,5^\circ$ (с 2,34; VIII); ПН III, 73, 208—209°, $+27,6^\circ$ (с 1,14; VIII); ТН V, 47, 150°, $-29,3^\circ$ (с 2,85; VIII); ТН IV, 58, 116—118°, $-74,6^\circ$ (с 2,40; VIII); ТН VI, 60, 211—212°, $\pm 0,0^\circ$ (с 2,60; VIII); ТН XII, 46, 197°,

$-16,0^\circ$ (с 2,76; VIII). При гидролизе ДА (0,001 моля) 50 мл диоксана + 12 мл 15%-ной $HClO_4$ (100°, 2 часа) отщепляются обе CH_3CO -группы и получаются описанные ПБ- и ТБ-аль-альдозы, ТН- и ПН-аль-альдозы. Сообщ. IV см. РЖХИМ, 1958, 1403. Н. Сидорова

4724. Производные меркапталей сахаров. VI. Частичное ацелирование меркапталей альдоз. Циннер, Вессели (Derivate der Zucker-mercaptale, VI. Die partielle Acetylierung der Aldose-mercaptale, Zinner Helmut, Wessely Karl), Chem. Ber., 1957, 90, № 4, 516—520 (нем.)

При обработке димеркапталей D-галактозы (I), D-глюкозы (II), D-ликозы (III) и D-арабинозы (IV) $(CH_3CO)_2O$ в пиридине (-15° , 6 час.) получены моноацетильные производные (А) за счет первичной OH-группы. А диэтилмеркапталей I, т. пл. 144—146° (из хлф.), $[\alpha]^{21}_D +11,0^\circ$ (с 0,79; CH_3OH). А дипропилмеркапталей I, т. пл. 145—148° (из хлф.), $[\alpha]^{19}_D +11,5^\circ$ (с 2,21; CH_3OH), 2,3,4,5-тетра-(фенилуретан), т. пл. 256—259° (из пиридина + CH_3OH), $[\alpha]^{20}_D -14,8^\circ$ (с 1,83; пиридин). А диэтилопропилмеркапталей I, т. пл. 123—126°, $[\alpha]^{18}_D +21,9^\circ$ (с 2,02; CH_3OH). А дибутылмеркапталей I, т. пл. 132—137° (из хлф.), $[\alpha]^{18}_D +11,1^\circ$ (с 3,06; CH_3OH). А диизобутилмеркапталей I, т. пл. 137—140,5°, $[\alpha]^{18}_D +8,5^\circ$ (с 2,18; CH_3OH). А дибензилмеркапталей II, т. пл. 137—141° (из C_4H_9OH + бэл. + петр. эф.), $[\alpha]^{21}_D -20,7^\circ$ (с 2,44; пиридин). А дибензилмеркапталей III, т. пл. 90—92° (из бэл. + петр. эф.), $[\alpha]^{22}_D +99,0^\circ$ (с 2,38; из хлф.); 2,3,4-три-(фенилуретан), т. пл. 226—227° (из диоксана + C_2H_5OH), $[\alpha]^{20}_D +74,4^\circ$ (с 0,58; пиридин). А дипропилмеркапталей IV, т. пл. 70—71° (из хлф. + петр. эф.), $[\alpha]^{19}_D -7,1^\circ$ (с 4,02; CH_3OH). А диэтилопропилмеркапталей IV, т. пл. 84—86° (из хлф. + петр. эф.), $[\alpha]^{18}_D -14,5^\circ$ (с 1,89; CH_3OH). А дибутылмеркапталей IV, т. пл. 81—82° (из бэл. + петр. эф.), $[\alpha]^{21}_D -6,3^\circ$ (с 2,63; CH_3OH). А диизобутилмеркапталей IV, т. пл. 87—90° (из хлф. + петр. эф.), $[\alpha]^{17}_D -6,5^\circ$ (с 2,21; CH_3OH). А дибензилмеркапталей IV, т. пл. 91—92° (из хлф. + петр. эф.), $[\alpha]^{19}_D +4,8^\circ$ (с 1,8; CH_3OH). После отщепления меркаптана действием $HgCl_2$ (см. пред. реф.) и очистки через *n*-нитрофенилгидразоны (НФГ) получены А альдоз. А IV сироп, $[\alpha]^{17}_D -27,9^\circ$ (с 3,00; CH_3OH); НФГ, т. пл. 189—191° (из сп. + этилацетат), $[\alpha]^{20}_D -23,9^\circ$ (с 0,65; CH_3OH). А III сироп, $[\alpha]^{20}_D +3,7^\circ$ (4 мин.) $\rightarrow +0,3^\circ$ (12 час., с 1,85; CH_3OH); НФГ, т. пл. 164—165°, $[\alpha]^{23}_D +89,5^\circ$ (с 3,19; пиридин). А I стекло, $[\alpha]^{20}_D +107,2^\circ$ (4 мин.) $\rightarrow +115,5^\circ$ (24 часа; с 1,26; вода); НФГ, т. пл. 188—191°, $[\alpha]^{17}_D +34,2^\circ$ (с 0,96; пиридин).

Н. Сидорова

4725. Меркапталей сахаров. I. Производные 6-дезоксигалактозы. Фернандес-Боланьос, Гусман-де-Фернандес-Боланьос (Mercaptales de azucares. I. Derivados de la 6-deoxi-glucosa. Fernandez-Bolaños J., Guzman de Fernandez-Bolaños R.), An. Real soc. española. fis. y quim., 1957, B53, № 5, 377—380 (исп.; рез. англ.)

Описано получение меркапталей 6-дезоксигалактозы (I) и 6-тозил-D-глюкозы (II), а также их тетраацетильных производных. 1 г 1,2,3,4-тетраацетил-6-дезоксигалактозы-3-D-глюкопиранозы (III), 3,3 мл спирта и 2,5 мл 5%-ной HCl нагревают на водяной бане 1 час, упаривают в вакууме, остаток перемешивают 1 час с 0,7 мл конц. HCl и 0,7 мл этилмеркаптана, выделяют 0,47 г диэтилмеркапталей I, т. пл. 96—97° (разл.), $[\alpha]^{23}_D -13^\circ$. Аналогично из 1 г III и тозилколя получают 0,3 г этиленмеркапталей I, т. пл. 127—129° (разл.), $[\alpha]^{26}_D -5^\circ$. К 0,9 г III в 2,2 мл абс. CH_3OH добавляют р-р CH_3ONa (из ~ 1 мг Na и 0,9 мл CH_3OH), через несколько часов ($\sim 20^\circ$) упаривают в вакууме и обрабатывают 0,6 мл бензилмеркаптана, по-

лучают 0,47 г дибензилмеркаптал I, т. пл. 107° (разл.), $[\alpha]_D^{20} -67^\circ$. 1 г 1,2,3,4-тетра-ацетил-6-тозил-β-D-глюкопиранозы при дезацетилировании посредством CH_3ONa или HCl и последующей обработке тиогликолем дает 0,1 г этиленмеркаптал II, т. пл. 128–129° (разл.). К 0,53 г этиленмеркаптал I в 4 мл пиридина при 0° добавляют 4 мл $(\text{CH}_3\text{CO})_2\text{O}$, через 12 час (~20°) получают 0,6 г этиленмеркаптал 2,3,4,5-тетра-ацетил-6-дезоксид-6-йод-D-глюкозы (IV), т. пл. 114–115°, $[\alpha]_D^{20} -10,6^\circ$. При ацетилировании в этих условиях 1,4-этиленмеркаптал II дают 0,6 г этиленмеркаптал 2,3,4,5-тетра-ацетил-6-тозил-D-глюкозы, т. пл. 102–104°, 0,16 г которого при кипячении (30 мин.) с 0,6 г NaI и 2 мл $(\text{CH}_3\text{CO})_2\text{O}$ образуют 0,1 г IV. Ацетилирование 0,15 г дибензилмеркаптал I посредством $(\text{CH}_3\text{CO})_2\text{O}$ в пиридине приводит к 0,1 г дибензилмеркаптал 2,3,4,5-тетра-ацетил-6-дезоксид-6-йод-D-глюкозы, т. пл. 67–69°. $[\alpha]_D^{20}$ указаны для пиридина. Все в-ва перекристаллизованы из спирта.

Л. Песни
4726. N-глюкозиды поливиниламина и их перегруппировка по типу Амадори. Микель, Бюнинг (N-Glucoside des Polyvinylamins und deren Amadori-Umlagerung. Michael Fritz, Büning Robert), Chem. Ber., 1957, 90, № 8, 1606–1611 (нем.)

Изучена р-ция поливиниламина (I) с глюкозой, приводящая к образованию поли-N-глюкозидов (ПГ) (см. РЖХим, 1956, 7013), и дальнейшим превращением ПГ. При обработке I-D-глюкозой удается до 60% NH_2 -групп превратить в N-глюкозидные. ПГ растворимы в воде с сильным набуханием и частичным отщеплением глюкозных остатков (ГО). Часть ГО претерпевает в воде перегруппировку Амадори с образованием остатков 1-дезоксид-1-амино-D-фруктозы. Первичные водорастворимые ПГ легко претерпевают в уксуснокислом р-ре перегруппировку Амадори, полученные в-ва вступают в р-цию конденсации с образованием менее растворимых в-в. Конденсация с выделением молекулы воды проходит за счет глюкозидного гидроксид-фруктозного остатка и свободной NH_2 -группы в той же или соседней цепях I. Определены константы седиментации полученных в-в при помощи ультрацентрифуги. Для получения ПГ к р-ру 330 мг сухой глюкозы в 30 мл абс. CH_3OH прибавляют р-р 78,6 мг I в 25 мл CH_3OH , через 3 дня центрифугируют и промывают ПГ CH_3OH ; выход 96%, содержание глюкозы 54%. ПГ практически ионодисперсны.

Л. Михайлова

4727. Реакция углеводов с азотсодержащими соединениями. IV. Перегруппировка Амадори в пиридине. Розен, Вудс, Пигман (Reaktionen von Kohlenhydraten mit stickstoffhaltigen Substanzen. IV. Amadori-Umlagerung in Pyridin. Rosen Lawrence, Woods James W., Pigman Ward), Chem. Ber., 1957, 90, № 6, 1038–1046 (нем.)

При нагревании D-глюкозы с аминами в присутствии 0,33 н. HCl получают продукты перегруппировки Амадори — 1-дезоксид-1-аминопроизводные D-фруктозы (ДАФ) с выходом тем большим, чем выше основность амина. Выходы ДАФ для различных аминов составляют (в %): n-толуидин, 67; анилин 55, n-броманилин 34, n-хлоранилин 33; с n-нитроанилином, N-метиланилином, дифениламино и ди-n-бутил-амином р-ция не происходит. На примере превращения n-толуидин-D-глюкозид в 1-дезоксид-1-n-толуидин-D-фруктозу (I), т. разл. 152–153°, $[\alpha]_D^{20} -24,2^\circ$ (с 1; CH_3OH), показано, что перегруппировке благоприятствует применение р-рителя $\text{C}_6\text{H}_5\text{N}$ и катализатора CH_3COOH (0,377–0,754 н.), выход I 53–57% (2 часа, 100°). С HCl в $\text{C}_6\text{H}_5\text{N}$ получают меньшие выходы вследствие разрушающего действия на I (распад на 95% с 0,097 н. HCl за 2 часа при 100°). Р-ция перегруппировки объясняется как случай кис-

лотно-основного катализа, причем CH_3COOH действует в недиссоциированной форме, а HCl в виде соли $\text{C}_6\text{H}_5\text{N}$ (или ее агрегатов). Содержание ДАФ (в пределах 0,4–2 мг I) определялось титрованием 2,6-дихлорфенолиндифенолом в присутствии избытка NaOH с точностью $\pm 5\%$. Впервые описан N-(n-броманилин)-D-глюкозид, т. разл. 154–155°, $[\alpha]_D^{20} -64,4^\circ$ (с 0,6; CH_3OH), $[\alpha]_D^{20} \pm 26,4^\circ$ (с 0,46; 0,35 н. HCl). Сообщение III см. РЖХим, 56, 43275. В. Векслер

4728. Фосфолипиды. Часть I. Гидролиз некоторых сложных эфиров циклогександиолфосфатов. Браун, Хигсон (Phospholipids. Part I. The hydrolysis of some esters of cyclohexanediol phosphates. Brown D. M., Higson H. M.), J. Chem. Soc., 1957, May, 2034–2041 (англ.)

Гидролиз фосфатов *цис*- и *транс*-циклогександиолов-1,2 целочаши или к-тами протекает быстрее, чем гидролиз диалкилфосфатов, не имеющих винциальной OH-группы; это показывает, что гидролиз идет через промежуточную стадию циклич. *цис*- или *транс*-циклогексидиден-1,2-фосфатов. Последние были синтезированы и гидролизировались очень легко, напротив, *цис*-циклогексидиден-1,3-фосфат оказался весьма устойчивым к гидролизу. Сделан вывод, что при гидролизе фосфолипидов, содержащих миоинозит, до моно- или дифосфата инозита имеет место миграция фосфорильной группы. При гидрогенолизе 1,03 г соли циклогексидиден-1,3-фосфата (ЦГАМ) *транс*-2-оксициклогексидиден-1,2-диола (III) в 25 мл спирта над 5%-ным Pd/C (9 час., 20°) получают ЦГАМ *транс*-2-оксициклогексидиден-1,2-диола (I), выход 0,884 г, т. пл. 208–211° (из сп.). Р-р I пропускают через дауекс-50, N-форма (Д), фильтрат упаривают досуха, выделяют *транс*-2-оксициклогексидиден-1,2-диол (II), т. пл. 164–168° (из диоксана). К р-ру 4,05 г сухого *цис*-циклогексан-1,2-диола (III) в 10 мл сухого $\text{C}_6\text{H}_5\text{N}$ прибавляют (–20°, 30 мин., без доступа влаги) $\text{Cl}(\text{C}_6\text{H}_5\text{CH}_2\text{O})_2\text{PO}$ (IV) (из 5,1 г дибензилфосфита (V) в CCl_4 , через 18 час. (3 часа, –15°, –20°, ~15 час., 0°), получают дибензил-*цис*-2-оксициклогексидиден-1,2-диол (VI), выход 62%, т. пл. 64–67° (из петр. эф.). При нагревании (100°) с 1 н. NaOH *цис*- или *транс*-VI превращаются в соответствующий монобензиловый эфир. Р-р 0,49 г VI в 15 мл этилового эфира этилэтананола нагревают 2 часа (200°) с 0,5 г свеже-спекленного LiCl, прибавляют 30 мл 1 н. NaOH, непрореагировавший VI извлекают эфиром; из водн. слоя после подкисления и экстракции CHCl_3 получают бензил-*цис*-2-оксициклогексидиден-1,2-диол (VII), его превращают в соль циклогексидиден-1,2-диола (ЦГА) (VII), выход 0,19 г, т. пл. 187–193° (из сп.-этилацетата). VII получают также при гидрогенолизе 1 г некристаллич. VI над Pd/C, выход 0,91 г, 0,43 г кристаллич. VI гидролизуют над 10%-ным Pd/C в 20 мл спирта, выделяют стекловидный *цис*-2-оксициклогексидиден-1,2-диол (VIII); его превращают в соль ЦГА. выход 0,23 г, т. пл. 192–204° (из сп.). Ди-Аг-соль VIII получают действием р-ра AgNO_3 на р-р 0,32 г VIII в 10 мл воды, выход 0,35 г. К р-ру 0,5 г III в 5 мл $\text{C}_6\text{H}_5\text{N}$ добавляют 8 мл р-ра из 0,5 мл POCl_3 и 10 мл $\text{C}_6\text{H}_5\text{N}$; через 15 час. (0°) удаляют $\text{C}_6\text{H}_5\text{N}$, к водн. р-ру остатка прибавляют $\text{Ba}(\text{OH})_2$ до pH 10, пропускают CO_2 , осадок отделяют, р-р пропускают через Д, фильтрат упаривают (под конец при 0,5 мм над KOH), получают кристаллич. VIII, выход 0,45 г, т. пл. 134–135° (из ацетона). Р-р 115 мг сухого ЦГАМ *цис*-2-оксициклогексидиден-1,2-диола в 5 мл $(\text{CF}_3\text{CO})_2\text{O}$ оставляют на 2 дня без доступа влаги, упаривают в вакууме, маслообразный остаток растворяют в 3%-ном NH_4OH и пропанол-2; хроматографией на бумаге в возгонкой при 75/0,5 мм выделяют аммониевую соль *цис*-1,2-циклогексидиден-1,2-диола. К р-ру 345 мг сухого VIII в 5 мл сухого

$\text{HCON}(\text{CH}_3)_2$ (IX) добавляют 217 мг дициклогексилкарбодимида в 5 мл IX; через 2 дня отделяют осадок N, N'-дициклогексилмочевины, фильтрат упаривают в вакууме, остаток извлекают водой, р-р доводят до pH 10 ЦГА; при сгущении получают кристаллич. соль ЦГА *цис*-1,2-циклогексиденгидрофосфата (X), выход 75%, т. пл. 182—188°. Аналогично получают *транс*-X из 120 мг II, выход 89 мг; хроматографически однородное в-во, плавится не резко. Из 5 г *цис*-циклогександиола-1,3 (XI) с IV (из 11,5 г V) в CCl_4 получают 12,34 г масла, 1,8 г масла гидрируют в спирте над 10%-ным Pd/C; р-р продукта р-ции в воде доводят до pH 10 с помощью $\text{Ba}(\text{OH})_2$, избыток Ba удаляют CO_2 . Из фильтрата выделяют кристаллич. ди-Ba-соль *цис*-1,3-циклогексиденбисфосфата, выход 0,11 г. Ba-соль превращают в к-ту, затем в соль ди-ЦГА, т. пл. 230—245° (разл.; из водн. ацетона). Из маточных р-ров Ba-соли хроматографией на целлюлозе выделяют циклогександиол-1,3-дигидромонофосфат. Из *транс*-XI образуются аналогичные моно- и дифосфаты. К р-ру 0,465 г XI в $\text{C}_6\text{H}_5\text{N}$ (0°) прибавляют 3,9 мл р-ра, 1 мл POCl_3 и 9 мл сухого $\text{C}_6\text{H}_5\text{N}$; через 15 час. (20° без доступа влаги) удаляют осадок $\text{C}_6\text{H}_5\text{N} \cdot \text{HCl}$, р-р вливают в воду, р-рителю отгоняют в вакууме, ионы PCl_3 удаляют в виде Ba-соли, ионы Ba^{2+} — посредством Д, р-р выпаривают досуха (под конец над КОН); получают кристаллич. *цис*-1,3-циклогексиденгидрофосфат (XII), выход 0,645 г, т. пл. 170—172° (из воды). *Цис*-1,3-циклогексиденметилфосфат (из 74 мг XII в 5 мл CH_3OH и эфирного р-ра CH_2N_2), выход 50 мг, т. пл. 120—127° (из петр. эф.). При р-ции 4 г монобензоил-*транс*-циклогександиола-1,3 (Clarke, Owen, J. Chem. Soc., 1950, 2103) с 1 молем IV получают 4,5 г неочищ. 3-бензоилоксициклогексидибензилфосфата (XIII); гидрогенолиз 1 г XIII в 50 мл спирта над Pd/C приводит, по-видимому, к 3-бензоилоксициклогексидигидрофосфату (XIV), масло, R_f 0,30. После омыления XIV 0,5 н. NaOH и удаления $\text{C}_6\text{H}_5\text{COOH}$ экстракцией эфиром, водн. слой нейтрализуют ЦГА, выделяют кристаллич. дигидрат *транс*-3-оксициклогексидигидрофосфата в виде соли ди-ЦГА, т. пл. 200—203° (из сп.), R_f 0,19. 155 мг ЦГАМ соли *транс*-2-оксициклогексидибензилгидрофосфата (XV) кипятят 25 час. с 10 мл 1 н. NaOH, катионы удаляют Д, получают соль ЦГА *транс*-2-оксициклогексидигидрофосфата (XVI), выход 102 мг. XVI идентифицирован по ИК-спектру и т-ре плавления. Аналогично из *цис*-XV получают *цис*-XVI. Приведены значения R_f в 2 системах растворителей.

А. Лютенберг
4729. Синтез глюкозамин-6-фосфата. Андерсон, Персивал (The synthesis of glucosamine 6-(dihydrogen phosphate). Anderson J. M., Percival Elizabeth), J. Chem. Soc., 1956, Apr., 814—819 (англ.)

Глюкозамин-6-фосфат (I) синтезирован по следующей схеме: N-ацетил-D-глюкозамин (II) → 1,3,4-триацетил-N-ацетил-β-D-глюкозамин (III) → 1,3,4-триацетил-N-ацетил-β-D-глюкозамин (IV) → 1,3,4-триацетил-N-ацетил-(дифенилфосфат)-β-D-глюкозамин (V) → 1,3,4-триацетил-N-ацетил-6-фосфат-β-D-глюкозамин (VI) → I. Строение I доказано окислением его NaJO_4 (теоретич. расход окислителя 4 моля — 3,9 моля практич., отсутствие CH_2O в продуктах окисления). Исходный II, т. пл. 209—210° (разл.), $[\alpha]_D^{25} +41^\circ$. Р-р 75 г II в 500 мл $\text{C}_6\text{H}_5\text{N}$ в присутствии 8 г безводн. CaSO_4 нагревали 20 мин. до 100° с 98 г $(\text{C}_6\text{H}_5)_3\text{CCl}$, добавили 150 мл $(\text{CH}_3\text{CO})_2\text{O}$ и после стояния выделили III, выход 85%, $[\alpha]_D +33^\circ$ (с 1), т. пл. 189—191°; кристаллосольват III с CCl_4 теряет р-рителю при 100—110°, т. пл. 187—189°, $[\alpha]_D +22^\circ$ (с 1,4). Выделены также α-аномер III, т. пл. 154—156°, $[\alpha]_D +97^\circ$

(с 1,2), и 3,4-диацетил-N-ацетил-1,6-ди-(трифенилметил)-D-глюкозамин (VII), т. пл. 254—256°, $[\alpha]_D -29^\circ$ (с 1,0). Из 1,01 г VII нагреванием в 18 мл лед. CH_3COOH (1 час, 100°) и добавлением 12 мл воды получен 3,4-диацетил-N-ацетил-α-D-глюкозамин (VIII), выход 38%, т. пл. 186—187°, $[\alpha]_D +75^\circ$ (с 0,9), $[\alpha]_D^{18} +65^\circ$ (5 мин., с 1,0; вода) → +35° (8 час.). Действием лед. CH_3COOH на III получено 43% VIII. Действием на р-р III в CH_3COOH р-ром HBr (1 мин., при охлаждении) получено 67% IV, т. пл. 175—176°, $[\alpha]_D^{18} +5,5^\circ$ (с 1,0), $[\alpha]_D^{18} +18^\circ$ (с 1,1; вода); 6-толуолсульфо-IV, т. пл. 170—171°, $[\alpha]_D +16^\circ$ (с 1,1). Из 11 г IV в 45 мл $\text{C}_6\text{H}_5\text{N}$ и 9,35 г дифенилхлорфосфата в присутствии безводн. CaSO_4 при 0° получили 11,8 г V, т. пл. 144—145°, $[\alpha]_D +25^\circ$ (с 0,7). V гидрировали над PtO_2 и получили 75% VI, т. пл. 166—168° (разл.), $[\alpha]_D^{18} +25^\circ$ (с 1,0; вода). Гидролизом 1 н. H_2SO_4 (2,5 часа, 100°) получили Ba-соль I, $[\alpha]_D^{18} +53^\circ$ (с 0,3; вода, pH 2,5). После удаления Ba и осаждения спиртом получили 45% I, т. пл. 170—180° (разл.), $[\alpha]_D +54^\circ$ (с 0,5 гидрата; вода). $[\alpha]_D$ определены при 20° в CHCl_3 . А. Юрневич

4730. Строение барбалоина и изобарбалоина. Барнс, Холфелд (The structure of barbaloin and isobarbaloin. Barnes R. A., Holfeld Winfried), Chemistry and Industry, 1956, № 33, 873—874 (англ.)

Сравнение ИК- и УФ-спектров стереоизомерных барбалоина (I) и изобарбалоина (II) со спектрами 10-(1,5-ангидроглюкозил)-хризацин-9-антрона показало, что первые, по-видимому, являются производными хризацин-9-антрона, $\text{C}_{14}\text{H}_{10}\text{O}_3$ (III) и углеводный остаток в I и II присоединен к $\text{C}_{(10)}$ связью C—C. Вторым заместителем при $\text{C}_{(10)}$, по мнению авторов, является H, а не CH_3 , как предполагалось ранее (РЖХим, 1957, 23215). Прямым бромированием III получен 10-бром-III, дающий с CH_3OH 10-метокс-III. Алкилированием Na-соли III действием $\text{C}_2\text{H}_5\text{Br}$ получен 10-этил-III.

Р. Топштейн

4731. Тетра-хлорфенилуретаны D-метилглюкозидов.

Вулф, Меллис (Methyl D-glucoside tetra-(chlorocarbanilates). Wolff I. A., Mellies R. L.), J. Amer. Chem. Soc., 1955, 77, № 20, 5449—5450 (англ.)

Из α- и β-D-метилглюкозидов (Г) и α- и β-хлорфенилизотиоцианатов в пиридине получены изомерные тетра-о- и м-хлорфенилуретаны. Перечисляются: тип Г, положение хлора в ядре, т-ра плавления (при нагревании 1°/мин.), р-рителю для кристаллизации, $[\alpha]_D^{25}$ в пиридине (с ≈ 1), $[\alpha]_D^{25}$ в морфолине (с ≈ 1): α, о-, 139,5—140,5°, абс. спирт, +83,6°, +50,4°; α, м-, 208,5—210,5°, ацетон-гептан, метанол-вода, +79,1°, +52,2°; β, о-, 202—205°, ацетон-вода, н-бутанол, +3,5—1,3°; β, м-, 223—226°, спирт-вода, +6,3°, —3,0°, орто-изомеры лучше растворимы, нежели мета-изомеры, в CHCl_3 , бензоле, что объясняется эффектом клешнеобразования. Предыдущее сообщение о трихлорфенилуретанах крахмала см. J. Amer. Chem. Soc., 1952, 74, 3061.

4732. Тетра-О-метил-D-глюкопираноза из О-метилцеллюлозы. Мак-Гилври (Tetra-O-Methyl-D-glucopyranose from O-methylcellulose. McGilvray D. I.), Text. Res. J., 1955, 25, № 6, 568 (англ.)
См. РЖХим, 1957, 59193.

4733. ИК-спектры харонинсерной кислоты, хондритинсерной кислоты и некоторых сходных полисахаридов. Наканиси, Такахаси, Эгами (Infrared spectra of charoninsulfuric acid, chondroitinsulfuric acid, and some related polysaccharides. Nakinishi Koji, Takahashi Noriko, Egami Fujio), Bull. Chem. Soc. Japan, 1956, 29, № 3, 434—438 (англ.)

Изучение ИК-спектров харонинсерной к-ты (I) и

Charonia lampas и в-в, полученных в результате фракционирования I (РЖХим, 1957, 15536), подтверждает предыдущие исследования, проведенные хим. методами. Полученные спектры сравнены с ИК-спектрами целлюлозы, амилозы, декстрина, сульфатцеллюлозы, сульфата картофельного крахмала и хондроитинсерной к-ты (II) из хряща акулы. Показано, что II идентична с к-той, выделенной из бычьих клеток. А. Ю. 4734. Олигосахариды сладкого рожка *Cerantonia siliqua* L. Выделение примверозы и цератозы. Валленфельс, Леман (Die Oligosaccharide des Johannisbrotens (*Cerantonia siliqua* L.) Isolierung von Primverose und Ceratose. Wallenfels Kurt, Lehmann Jochen), Chem. Ber., 1957, 90, № 6, 1000—1007 (нем.).

Водный экстракт мякоти зрелых плодов *Cerantonia siliqua* L. упаривают в вакууме до сиропа, разбавляют водой и пропускают через амберлит IR-120 и IR-4в. Хроматографией на кизельгуре/С разделяют монозы и олигосахариды; монозы вымывают водой, олигосахариды — 30%-ным спиртом; упаренные элюаты хроматографируют на бумаге (РЖХим, 1953, 8612). Найденны моносахариды: ксилоза, глюкоза (I), фруктоза (II), мальтоза, сахароза (III), лактоза; восстанавливающие дисахариды: 0,1% ксилозидоглюкозы (IV), т. пл. 190—192° (из 80%-ного сп.), $[\alpha]_D^{25} -1,5^\circ$ (с 3,5; вода); 0,05% фруктозидоглюкозы или цератозы (V), описанной впервые, $[\alpha]_D^{25} +21^\circ$ (с 2,8; вода). IV идентична примверозе. Гептаацетат IV, т. пл. 204° (из сп.), не дал депрессии в смеси с гептаацетатом примверозы. Идентичны также хроматограммы IV и примверозы и их бензиламинопроизводных. V и его ацетат не удалось получить в кристаллич. виде. Азобензолсульфонилгидразин V (при кипячении р-ра V в CH_3OH и ацетонитриле с р-ром азобензолсульфонилгидразина в тех же р-рителях), т. разл. 160—163° (из $\text{C}_6\text{H}_5\text{N}-\text{CH}_3\text{OH}$, 3:1). Действием хлорида азобензолкарбоновой к-ты на V в сухом $\text{C}_6\text{H}_5\text{N}$ образуется сложный эфир цератозоктаазобензолкарбоновой к-ты, выход 19%, т. пл. 270—273° (разл.; из диоксана, после хроматографии на Al_2O_3). Установлено, что во время созревания плодов *C. siliqua* кол-во сахаров возрастает в следующем порядке: апрель I; май I, II; июнь I, II, III; IV появляется только в августе; V — в зрелых плодах.

А. Лютенберг

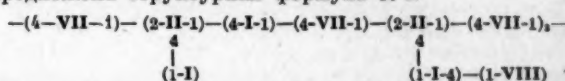
4735. О природных веществах, подавляющих митоз. Сообщение 7. Лигнанглюкозиды из *Podophyllum peltatum* L. Вартбург, Англикер, Ренц (Lignanglucoside aus *Podophyllum peltatum* L. 7. Mitt. über mitosehemmende Naturstoffe. Wartburg A. Von, Angliker E., Renc J.), Helv. chim. acta, 1957, 40, № 5, 1331—1357 (нем.; рез. англ.).

Из американского *P. peltatum* L. выделены и идентифицированы лигнанглюкозиды (ЛГ), обладающие антимитотич. активностью: подофиллотоксин- β -D-глюкозид, $\text{C}_{28}\text{H}_{32}\text{O}_{13}$ (I), β -пельтатин- β -D-глюкозид, $\text{C}_{28}\text{H}_{32}\text{O}_{13}$ (II), 4'-деметилподофиллотоксин- β -D-глюкозид, $\text{C}_{27}\text{H}_{30}\text{O}_{13}$ (III), и α -пельтатин- β -D-глюкозид, $\text{C}_{27}\text{H}_{30}\text{O}_{13}$ (IV). Разработана методика разделения и очистки ЛГ посредством многократной хроматографии. I, II и III аморфны, IV — кристаллич. I, II, III, IV: выход (из расчета на высушенное сырье) в %: 1, 0,5—1, 0,05—0,1, 0,5—1,5; т. пл. 152—154°, 156—159°, 165—170°, 168—170°; $[\alpha]_D^{25}$ в CH_3OH и $\text{C}_6\text{H}_5\text{N}$ — 76° и —117°, —123° и —169°, —81° и —123°, —129° и —174°; I, II и III идентифицированы в виде кристаллич. ацетатов; тетраацетат I, т. пл. 133—134°, $[\alpha]_D^{25} -89,7^\circ$ (с 0,636; хлф.); тетраацетат II, т. пл. 158—160° (из CH_3OH), $[\alpha]_D^{25} -93,2^\circ$ (с 0,637; хлф.); пентаацетат III, т. пл. 167—169° (из CH_3OH), $[\alpha]_D^{25} -76,2^\circ$ (с 0,72; хлф.). Пентаацетат IV, т. пл. 222—223° (из CH_3OH), $[\alpha]_D^{25} -96^\circ$ (с 0,625; хлф.). I и III при кипячении их р-ров в CH_3OH с NH_3

дают соответственно пикроподофиллин- β -D-глюкозид, т. пл. 231—233° (252—254°) (из CH_3OH), $[\alpha]_D^{25} -10,9^\circ$ (с 0,549; $\text{C}_6\text{H}_5\text{N}$), и 4'-деметилпикроподофиллин- β -D-глюкозид, т. пл. 274—278° (из водн. сп.), $[\alpha]_D^{25} -15,9^\circ$ (с 0,565; $\text{C}_6\text{H}_5\text{N}$). Строение ЛГ установлено их расщеплением эмульсином. Агликоны, выделенные из II, III и IV, идентифицированы соответственно как β -пельтатин (V), т. пл. 238—241° (из абс. сп.), $[\alpha]_D^{25} -122,9^\circ$ (с 0,578; хлф.); ацетат V, т. пл. 231—232° (из абс. сп.), $[\alpha]_D^{25} -128,6^\circ$ (с 0,692; хлф.); 4'-деметилподофиллотоксин (VI), т. пл. 250—252° (из сп.; спекание при 246°), $[\alpha]_D^{25} -131,1^\circ$ (с 0,503; хлф.); диацетат VI, т. пл. 230—231° (из сп.), $[\alpha]_D^{25} -130,4^\circ$ (с 0,698; хлф.), и α -пельтатин (VII), т. пл. 242—246° (из абс. сп.; спекание при 236°), $[\alpha]_D^{25} -124,8^\circ$ (с 0,5; хлф.); диацетат VII, т. пл. 233—234° (из абс. сп.), $[\alpha]_D^{25} -113,3^\circ$ (с 0,597; хлф.). Из VI получен 4'-деметилпикроподофиллин, т. пл. 230—236° (из 75%-ного CH_3OH); после высущивания в высоком вакууме (80°) т. пл. 218—220°, $[\alpha]_D^{25} +9,3^\circ$ (с 0,592; ацетон). Углевод всех ЛГ идентифицирован через α -метил-D-глюкозид как глюкоза. Положения углеводного остатка в III и IV подтверждено метилированием (CH_3N_2) с образованием соответственно I и II. Приведены кривые ИК- и УФ-спектров I, II, III и IV и УФ-спектры для V, VI и тетраацетата II. Приведены также цветные р-ции ЛГ с р-ром FeCl_3 , с FeCl_3 по Келлеру — Киллиану и с H_2SO_4 по Либерману. Сообщ. VI см. РЖХим, 1957, 19385. Р. Топштейн

4736. Растительные камеди семейства *Khaya*. Строение камеди из *Khaya grandifolia*. Аспиналл, Херст, Матесон (Plant gums of the genus *Khaya*. The structure of *Khaya grandifolia* gum. Aspinall G. O., Hirst E. L., Matheson N. K.), J. Chem. Soc., 1956, Apr., 989—997 (англ.).

Изучен состав и строение камей из красного дерева Западной Африки *Khaya grandifolia* (K-1) и из *Khaya senegalensis* (K-2). При гидролизе K-1 2н. H_2SO_4 образуется 18% D-галактозы (I), 15% L-рамнозы (II) и 1% L-арабинозы. Остаток после гидролиза (52%) представляет смесь кислых олигосахаридов-2-D-галактуронозил-L-рамнозы, 4-(4-метил-D-глюкуронозил)-D-галактозы, D-галактуронозил-(1→2)-L-рамнозил-(1→4)-D-галактозы и других в-в. Из метилированного K-1 после гидролиза и фракционирования на колонке с целлюлозой выделены 2,3,4,6-тетраметил-D-галактоза, 2,3,6-триметил-D-галактоза (III), 3-метил-L-рамноза (IV), диметилгалактоза и смесь кислых в-в; последние подвергнуты метилированию, восстановлению LiAlH_4 и гидролизу, в результате найдены III, IV, 2,3,4-триметил-D-глюкоза (V) и 2,3-диметил-D-галактоза (VI). V и VI образуются при восстановлении 2,3,4-триметил-D-глюкуроновой к-ты и 2,3-диметил-D-галактуроновой к-ты. Установлено, что K-1 состоит в основном из остатков I и II, D-галактуронозой к-ты (VII) и 4-O-метил-D-глюкуронозой к-ты (VIII) (все в пиранозной форме) в соотношении 3:2:4:1. Предложена структурная формула K-1.



Найдено также, что K-2 состоит из тех же сахаров, что и K-1, но в ином соотношении. А. Юркевич 4737. Монокисл мирцена в синтезе Гриньяра. Пигулевский Г. В., Андрова Н. А., Ж. общ. химии, 1957, 27, № 2, 375—377.

Взаимодействием окиси мирцена (I) с CH_3MgI получен не ожидаемый 2,3-диметил-6-метиленоктен-7-ол-2, а 2,3-диметил-6-метиленоктадиен-2,7 (II), т. кип. 44°/4 мм, n_D^{20} 1,4740, d_4^{20} 0,8095, строение которого подтверждено спектром комб. расщ. и озонлизом в $(\text{CH}_3)_2\text{CO}$. Из 100 г I получено 35 г II. Окись тетрагидромирцена (III), полученная гидрированием I над PtO_2 (выход 17 г

III из 20 г I) имеет т. кип. 65—66°/23 мм, n_D^{20} 1,4278, d_4^{20} 0,8321, с CH_3MgI , дает углеводород $\text{C}_{11}\text{H}_{22}$, т. кип. 40—42°/14 мм, n_D^{20} 1,4360, d_4^{20} 0,7640, являющийся, по-видимому, 2,3,6-триметилуктеном-2. Приведены спектры комб. рас. II и III. С. Кустова

4738. Об оптической активности линалоола и линалацетата мускатного шалфея *Salvia Sclarea* L. Нав (Sur l'activité rotatoire optique du linalol et de l'acétate de linalyle chez la sauge sclarée (*Salvia Sclarea* L.). Naves Yves-René, C. r. Acad. sci., 1956, 242, № 4, 547—550 (франц.)

По ИК- и УФ-спектрам, поверхностному натяжению и диэлектрич. постоянной установлено, что экстракт мускатного шалфея (*Salvia Sclarea* L.) содержит l-линалоол (I) (выход 1%, $[\alpha]_D^{20}$ —20,35° и ацетат I (выход 6%, $[\alpha]_D^{20}$ —8,95°), которые при перегонке дают рацематы. Приведены ИК-спектры α - и β -линалоола и их ацетатов. С. Кустова

4739. О присутствии β -фелландрена в терпентинном масле из французских Ланд. Роммер (Sur la présence de β -phellandrene dans l'essence de térébenthine des Landes. Rommert Lucie, C. r. Acad. sci., 1957, 244, № 11, 1509—1512 (франц.)

Установлено, что в высококипящих фракциях терпентинного масла из французских Ланд содержатся дипентен (идентифицирован через тетрабромид) и β -фелландрен, идентифицированный через нитроэпохлорид, нитрозит по УФ-спектру и спектру комб. рас. Приведены колич. данные разгонки и соответствующие кривые. С. Кустова

4740. О строении пироненов. Тищенко Д., Сумм Н., Ж. общ. химии, 1957, 27, № 2, 379—384

Поставлена под сомнение достоверность структур, приписанных ранее пироненам (Dupont, Bull. Soc. Chim., 1949, 309). При окислении KMnO_4 в ацетоне 50 г так называемого β -пиронена (I) (получен термич. изомеризацией аллооцимена, т. кип. 63—64°/20 мм, d_4^{20} 0,847, n_D^{20} 1,4804) выделено 20 г γ,γ -диметил- δ,δ -дикетокaproнового альдегида, 8 г соответствующей к-ты, 10 г CH_3COOH , 2 г HCOOH , много CO_2 , 3 г диметилантарной и 4,5 г α,α -диметилтевулиновой к-ты; при озонлизе I получено $\frac{1}{3}$ г-моля CH_2O и HCOOH , 1 г-моль CH_3COOH , дикетокальдегид $\text{C}_9\text{H}_{14}\text{O}_3$ и к-та $\text{C}_9\text{H}_{14}\text{O}_4$. На основании этих данных сделан вывод, что I является смесью более 80% 1,1,3-триметил-2-метилциклогексена (« γ -пиронен» Дюпона) и менее 20% 1,1,2,3-тетраметилциклогексана-2,4 (« β -пиронен» Дюпона). В. Черкаев

4741. К исследованию окиси пулегона. Пигулевский Г. В., Миронова И. К., Ж. общ. химии, 1957, 27, № 4, 1104—1103

Окислением пулегона гидроперекисью бензоила получена окись пулегона (I), т. кип. 137—138°/24 мм, т. пл. 43—45°, $[\alpha]_D + 10,28^\circ$; $[\alpha]_J + 11,08^\circ$; $[\alpha]_V + 13,61^\circ$. При нагревании (200°, 10 час) I переходит в жидкую модификацию с $[\alpha]_D + 35,08^\circ$; $[\alpha]_J + 44,09^\circ$; $[\alpha]_V + 50,45^\circ$, являющаяся, по-видимому, диастереоизомером I. Спектры обеих модификаций различаются лишь интенсивностью некоторых линий. В. Черкаев

4742. О реакции d-1,2-эпоксипинана с порошкообразным натрием. Кучинский, Хабудзинский (O reakcji d-1,2-epoksy-pinanu ze sproszkowanym sodem. Kuczyński Henryk, Chabudziński Zenon, Roczn. Chem., 1956, 30, № 3, 773—780 (польск.; рез. нем.)

При изомеризации d-1,2-эпоксипинана (I) порошкообразным Na образуются d- α -пинан (II) (48,2%), 1-пинокарвеол (III) (23,3%), d-транс-пинокамфон (IV) (6,4%) и небольшое кол-во неидентифицированного сложного эфира с т. пл. 116—117°. Суспензию 46 г раздробленного Na в 600 мл C_6H_6 и 152 г I кипятили 30 час., причем прореагировало только 25% Na. Бен-

зольные экстракты продуктов р-ции фракционировались в вакууме. II идентифицирован через нитроэпохлорид, т. пл. 106°, IV через семикарбазон с т. пл. 227°. Из последнего нагреванием с насыщ. р-ром $(\text{COOH})_2$ получен IV. III идентифицирован через кистый фталат, т. пл. 116° омыление которого 10%-ным NaOH дало III, т. кип. 93°/13 мм, d_4^{20} 0,9781, n_D^{20} 1,4989, $[\alpha]_D^{20}$ —40,85°. Окислением III смесью Бекмана получен 1-пинокамфон. J. Wolf

4743. О синтезе инона. Сюй Гуань-цзюнь (葉蘭製備討論. 徐冠羣), 化學世界, Хуасюэ шицзе, 1955, № 7, 333—339 (кит.)

4744. Дополнение к статье: Сюй Гуань-цзюнь «О синтезе инона». Хуан Вэй-юй (關於葉蘭製備討論的補充. 黃渭漁), 化學世界, Хуасюэ шицзе, 1955, № 9, 411—413 (кит.)

4745. О терпенах LXXII. Получение чистых веществ α - и β -санталинового рядов. Героут, Яролим, Плива. LXXIII. О цис- и транс-бицикло-(0,3,5)-декане. Шорм, Романюк. LXXIV. Юненол, новый сесквитерпеновый спирт из можжевельного эфирного масла. Мотль, Героут, Шорм (On terpenes. LXXII. Preparation of pure compounds of the α - and β -santalene series. Herout V., Jarolim V., Pliva J. LXXIII. Cis- und trans-Bicyclo (0,3,5) decan. Sorm F., Romanuk M. LXXIV. Junenol, ein neuer Sesquiterpen-alkohol aus Wacholderbeeröl. Motl O., Herout V., Sorm F.), Сб. чехосл. хим. работ, 1957, 22, № 3, 773—778 (англ.; рез. русск.); 779—784, 785—792 (нем.; рез. русск.) См. РЖХим, 1957, 44658—44660.

4746. Новые кристаллические производные гумулона. Давид, Дюшмен (Nouveaux dérivés cristallisés de l'humulone. David Serge, Duchemin Jeanne), Bull. Soc. chim. France, 1956, № 11-12, 1634—1635 (франц.)

Дополнительно к известному кристаллич. производному (КП) гумулона (I) с o-фенилендиаминном (Wollmer, Ber. Dtsch. Chem. Ges., 1916, 49, 780) смешенном эквимолярных кол-в ~ 20%-ного р-ра I в C_6H_6 и конц. р-ра диамина (~ 80%, 25 мин.) получен ряд КП I, позволяющих отделить I от его природных спутников (перечисляются исходный диамин, т. пл. КП в °C (р-ритель): 1,2-диамино-4-метилбензол, 122— (бзл.); 1,2-диамино-4,5-диметилбензол, 133 (бзл.); 1,2-диамино-4-метоксibenзол, 99 (бзл.); 2,6-диаминопиридин, 142 (сп.). Невозможность получения КП I с 4-нитро-, бром-, и хлор-1,2-фенилендиаминами, 1,2- и 1,8-нафтилендиаминами и 9,10-диаминофенантроном объяснено низкими значениями pK_a этих в-в и частично пространственными затруднениями. А. Сергеев

4747. Неоабиегеновая кислота — первичная кислота живицы сосны обыкновенной. Бардышев И. И., Кохомская В. В., Ухова Л. И., Докл. АН СССР, 1957, 112, № 4, 653—654

Из живицы сосны обыкновенной *Pinus silvestris* через соль (I) с $(\text{C}_2\text{H}_5)_2\text{NH}$ выделена неоабиегеновая к-та (II), т. пл. 177,5—179°, $[\alpha]_D + 175^\circ$; I, т. пл. 154—157° (из ацетона), $[\alpha]_D + 121^\circ$. Приведены УФ-спектры исходной смеси смоляных к-т (III — смесь), III после удаления левопимаровой к-ты, I, II и соли III с $(\text{C}_2\text{H}_5)_2\text{NH}$ на различных стадиях перекристаллизации. С. Кустова

4748. Химия и стереохимия бутироспермола — трициклического тритерпеноида. Спринг (The chemistry and stereochemistry of butyrospermol, a tetracyclic triterpenoid. Spring Frank S.), Rec. Chem. Progr., 1957, 18, № 2, 102—108 (англ.) Обзор. Библ. 13 назв.

4749. Тритерпеноиды. IV. Выделение новых тритерпенов из *Barringtonia acutangula* Gaertn. Мант, Баруа (Triterpenoids. IV. Isolation of new triterpe-

nes from *Barringtonia acutangula* Gaertn. Maiti P. C., Barua A. K., Sci. and Culture, 1957, 22, № 9, 516 (англ.)

Из семян *Barringtonia acutangula* Gaertn. выделена смесь сапонинов и подвергнута кислому гидролизу. Из нейтр. фракции выделено два новых сапонилина, названных акутагенолом А, т. пл. 249°, $[\alpha]_D^{20} +6^\circ$ (хлф.) и акутагенолом В (I), т. пл. 306—312°, $[\alpha]_D^{20} +39,5^\circ$ (диоксан); пентаацетат I, т. пл. 217°, $[\alpha]_D^{20} +8^\circ$ (сп.); пентабензоат I, т. пл. 312—315°, $[\alpha]_D^{20} +22,6^\circ$ (диоксан). Из кислой фракции после этерификации CH_2N_2 получены известный метиловый эфир барринтогеновой к-ты, т. пл. 253—254°, и метиловый эфир неизвестной к-ты, $\text{C}_{31}\text{H}_{50}\text{O}_4$, т. пл. 301—303°, названной акутагеновой. Сообщение III см. РЖХим, 1957, 30769. С. Аланченко

4750. Химия тритерпенов и родственных соединений.

Часть XXX. Относительная устойчивость кольца А ненасыщенных углеводородов, приготовленных из 3,4-диметилхолестана и 3-метил-24-норурсена-12. Битон, Холсалл, Джонс, Филлипс (The chemistry of the triterpenes and related compounds. Part XXX. The relative stabilities of ring-A unsaturated hydrocarbons derived from 3:4-dimethylcholestan and 3-methyl-24-norurs-12-ene. Beton J. L., Halsall T. G., Jones E. R. H., Phillips P. C.), J. Chem. Soc., 1957, Febr., 753—765 (англ.)

Реакция (120 час., 20°) холестерана с $\text{C}_2\text{H}_5\text{OCON}$ и CH_3ONa в эфире- CH_3OH привела к 2-оксиметилхолестану-3 (I), т. пл. 180—181° (из хлф.- CH_3OH) (все т-ры плавления исправлены). Кипячением (7,5 часа) 10 г I и 12 г триметилендитолоул-*n*-тиосульфата в спирте в присутствии 25 г CH_3COOK получена смесь, из которой после хроматографирования на Al_2O_3 выделен 3-кетохолестан-2-спиро-2'-(1',3'-дитиан) (II), выход 7,4 г (вымыт C_6H_6), т. пл. 182—183° (из хлф.- CH_3OH), $[\alpha]_D^{20} +114^\circ$ (с 1,5). Горячая смесь 10 г II в C_6H_6 и *p*-ра 1,08 моля трет- $\text{C}_4\text{H}_9\text{OK}$ в трет- $\text{C}_4\text{H}_9\text{OH}$ обработана 6 мл CH_3J , продукт хроматографирован на Al_2O_3 . Смесь C_6H_6 -петр. эфир (1:1) вымыты 4,4-диметил-3-кетохолестан-2-спиро-2'-(1',3'-дитиан) (III), выход 17%, т. пл. 128—129° (из хлф.- CH_3OH), $[\alpha]_D^{20} -19^\circ$ (с 1,52); 4а-метил-3-кетохолестан-2-спиро-2'-(1',3'-дитиан) (IV), выход 48%, т. пл. 127—130° и 159—162° (из хлф.- CH_3OH), после свблмации т. пл. 160—161°. $[\alpha]_D^{20} +70^\circ$ (с 1,73); 4β-метил-3-кетохолестан-2-спиро-2'-(1',3'-дитиан) (V), выход 8%, т. пл. 161—162° (из хлф.- CH_3OH), $[\alpha]_D^{20} +89^\circ$ (с 1,21). Кипячением III в спирте в присутствии скелетного Ni и последующим окислением $\text{Na}_2\text{Cr}_2\text{O}_7$ в CH_3COOH синтезирован 4,4-диметилхолестанон-3, т. пл. 100—101° (из CH_3OH), $[\alpha]_D^{20} +8^\circ$ (с 1,42). Аналогично 10 г IV переведены в 5,76 г 4а-метилхолестанона-3 (VI), т. пл. 122—122,5° (из CH_3OH), $[\alpha]_D^{20} +25^\circ$ (с 2,17; хлф.), а 760 мг V — в 455 мг 4β-метилхолестанона-3 (VII), т. пл. 125—127° (из CH_3COOH), $[\alpha]_D^{20} +36^\circ$ (с 1,71). В условиях метилирования V изомеризуется в IV, чем подтверждается А-ориентация 4- CH_3 -группы в V и Э-ориентация ее в IV. Изомеризовать VII в VI не удалось, по-видимому, из-за преимущественной енолизации 3-С=О-группы в сторону С(2), так как в VII отсутствует А-ориентированный Н-атом у С(4). Р-цией 455 мг VII с CH_3MgJ привела к смеси, из которой хроматографированием на Al_2O_3 выделены 3β,4β-диметилхолестанол-3а (VIII), выход 48% (вымыт C_6H_6 -эф., 1:1), т. пл. 126,5—128° (из CH_3OH), $[\alpha]_D^{20} +27^\circ$ (с 1,34), и 3а,4β-диметилхолестанол-3β (вымыт эф.- CH_3OH , 19:1), т. пл. 135—137°, $[\alpha]_D^{20} +28^\circ$ (с 1,58). Аналогично из 5,6 г VI синтезированы 3β,4а-диметилхолестанол-3β (IX), выход 70%, т. пл. 133—134° (из CH_3OH), и 3а,4а-диметилхолестанол-3β (X), выход 30%, т. пл. 142—143,5° (из CH_3OH), $[\alpha]_D^{20} +27^\circ$ (с 2,72). Дегидратация X с POCl_3

в пиридине привела к 4а-метил-3-метилхолестану (XI), т. пл. 66—67° (из ацетона), $[\alpha]_D^{20} +12,5^\circ$ (с 2,17). Дегидратацией IX с свежеперегнанным SOCl_2 в C_6H_6 (условия *cis*-отщепления) получен 3,4а-диметилхолестен-2 (XII), т. пл. 111,5—113° (из ацетона), $[\alpha]_D^{20} +20^\circ$ (с 1,1), а дегидратацией IX с POCl_3 в пиридине (условия *trans*-отщепления) синтезирован 3,4-диметилхолестен-3 (XIII), т. пл. 106,5—108° (из ацетона), $[\alpha]_D^{20} +5^\circ$ (с 0,57). Дегидратация VIII с POCl_3 в пиридине привела к продукту с т. пл. 75—80°, состоящему в основном из 3,4β-диметилхолестена-2 (XIV). Структура XIII подтверждена окислением с OsO_4 в 3β,4β-диметилхолестандиол-3а,4а (XV), т. пл. 162,5—163° (из CH_3OH), $[\alpha]_D^{20} +1,3^\circ$ (с 2,39). Окислением последнего с помощью HJO_4 получен 2-ацетил-2,3-секохолестанон-4, т. пл. 99—100,5° (из водн. CH_3OH), $[\alpha]_D^{20} +10^\circ$ (с 1,23), который при адсорбции на Al_2O_3 циклизуется в 2-ацетил-3-метил-А-норхолестен-2 (XVI) (вымыт C_6H_6 -эф., 4:1), т. пл. 105—108° (из водн. CH_3OH); 2,4-динитрофенилгидразон XVI (XVII), т. пл. 225—227,5°. Дегидратация XV с POCl_3 в пиридине привела к 3-метил-4-метилхолестену-2 (XVIII), т. пл. 92—99° (из ацетона), $[\alpha]_D^{20} +85^\circ$ (с 0,85), что подтверждает Э-ориентацию 4-ОН-группы в XV. Изомеризацией XI, XII или XIII (20°, 96 час.) под влиянием 10%-ного *p*-ра H_2SO_4 в спирте и C_6H_6 получена, как показано спектральным анализом, одна и та же смесь, состоящая из 35—40% XII и 60—65% XIII, что говорит о приблизительно равных энергиях образования обоих углеводородов и неустойчивости экзоциклической двойной связи. Аналогичные превращения проведены и в ряду урсана. Окислением 13 г β-босвелловой к-ты CrO_3 в CH_3COOH и последующим декарбоксилированием получен нор-β-босвелленон (XIX), выход 4,25 г (очищен хроматографированием на Al_2O_3 , вымыт C_6H_6), т. пл. 194—196° (из хлф.- CH_3OH), $[\alpha]_D^{20} +120^\circ$ (с 0,62). Р-цией 1,7 г XIX с CH_3MgJ привела к смеси, из которой хроматографированием на Al_2O_3 выделены 3β-метил-24-норурсен-12-ол-3а (XX), выход 1,42 г (вымыт петр. эф., C_6H_6 и эф.), т. пл. 85—88° (из хлф.- CH_3OH), $[\alpha]_D^{20} +95^\circ$ (с 0,83), и 3а-метил-24-норурсен-12-ол-3β (XXI), выход 0,34 г (вымыт эф.- CH_3OH , 95:5), т. пл. 191—192° (из водн. CH_3OH), $[\alpha]_D^{20} +107^\circ$ (с 0,67). Р-цией с дикетеном XXI переведен в ацетоацетат с т. пл. 145—147° (из водн. CH_3OH), $[\alpha]_D^{20} +106^\circ$ (с 1,3). При дегидратации (POCl_3 в пиридине) XX дает 3-метил-24-норурсадиен-3,12 (XXII), т. пл. 129—131° (из хлф.- CH_3OH), $[\alpha]_D^{20} +123^\circ$ (с 0,86), а XXI переходит в 3-метил-24-норурсен-12 (XXIII), т. пл. 150—151° (из хлф.- CH_3OH), $[\alpha]_D^{20} +109^\circ$ (с 0,54). Дегидратация XX с SOCl_2 в C_6H_6 привела к 3-метил-24-норурсадиену-2,12 (XXIV), т. пл. 145—148° (из хлф.- CH_3OH), $[\alpha]_D^{20} +135^\circ$ (с 0,64). Р-цией 0,48 г XXIV с OsO_4 синтезирована смесь изомерных гликолей, которая окислена CrO_3 в разб. H_2SO_4 . Продукт р-ции (выход 110 мг) обработан CH_2N_2 . Получен метиловый эфир 3-метил-3-кето-24-нор-2,3-секоурсен-12-карбоновой-21 к-ты (XXV), т. пл. 108—110° (из CH_3OH), $[\alpha]_D^{20} +118^\circ$ (с 0,4). Кислотная изомеризация XXII привела к смеси, которая, судя по данным спектрального анализа, состоит из приблизительно равных кол-в XXII и XXIV. Р-цией 1 г холестерана-3 с CH_3MgJ получена смесь, из которой хроматографированием на Al_2O_3 выделены 3β-метилхолестанол-3а (XXVI), выход 510 мг (вымыт эф.), т. пл. 128,5—129° (из водн. CH_3OH), $[\alpha]_D^{20} +26^\circ$ (с 1,15), и 3а-метилхолестанол-3β (XXVII), выход 380 мг (вымыт CH_3OH -эф., 1:9), т. пл. 148—150° (из водн. ацетона), $[\alpha]_D^{20} +38^\circ$ (с 0,6). Строение XXVI и XXVII доказано дегидратацией: из XXVI с POCl_3 в пиридине получен 3-метилхолестен-2 (или 3) (XXVIII), т. пл. 83—84° (из CH_3OH), $[\alpha]_D^{20} +65^\circ$ (с 1,5); XXVII в тех же условиях дал смесь 3-мети-

ленихолестана и XXVIII. β -Амирин дегидратирован с SOCl_2 в C_6H_6 в олеадиен-2,12, т. пл. 147—149° (из ацетона), $[\alpha]_D^{20} +145^\circ$ (с 0,5). Аналогично лупанол дал лупен-2, т. пл. 189—191°, $[\alpha]_D^{20} +13,5^\circ$ (с 0,95). 2-Оксиметиленилупен-20-он-3 (0,46 г, т. пл. 220—225°) превращен аналогично I в 315 мг Δ^{20} -3-кетолупен-2-спиро-2'-(1',3'-дитиан) (XXIX), т. пл. 257—258,5° (из хлф. CH_3OH), $[\alpha]_D^{20} -14,4^\circ$ (с 5,53). Приведены данные об УФ-спектрах I, XVI—XIX и об ИК-спектрах III—VII, XI—XIV, XVII, XXIII—XXV, XXVIII и XXIX. $[\alpha]_D$ определены в CHCl_3 . Часть XXIX см. РЖХим, 1957, 44663.

4751. Пентациклические тритерпеноиды. Уайт (The pentacyclic triterpenoids. White D. E.), Revs. Pure and Appl. Chem., 1956, 6, № 4, 191—248 (англ.)

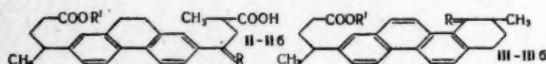
Обзор современных данных о пентациклич. тритерпеноидах ряда олеана, урсана, лупана, тараксера, 18 α -олеана, тараксастана, фриделана и тритерпеноидов неизвестной структуры. Библ. 269 назв.

С. Анащенко

4752. Многоядерные ароматические углеводороды.

VII. Синтез 1,2,9-триметилпипцена. Филлипс, Тьюнтс (Polynuclear aromatic hydrocarbons. VII. The synthesis of 1,2,9-trimethylpicene. Phillips Donald D., Tuites Donald E.), J. Amer. Chem. Soc., 1956, 78, № 20, 5438—5441 (англ.)

Синтезирован 1,2,9-триметилпипцен (I), оказавшийся отличным от углеводорода с т. пл. 306°, полученного при дегидрогенизации α -амирина. Авторы считают, что строению последнего отвечает ф-ла Спринга (РЖХим, 1957, 4514). К смеси 0,039 моля метилэтарного ангидрида, 0,034 моля метилового эфира γ -(9,10-дигидрофенантрил-2)-валериановой к-ты и 75 мл $(\text{CH}_2\text{Cl})_2$ добавляют при хорошем охлаждении и перемешивании 0,15 моля безводн. AlCl_3 за 10 мин., перемешивают 3 часа при 0° и 24 часа при 20°, разлагают, обрабатывают р-ром Na_2CO_3 , подкисляют, извлекают эфиром, получают к-ту (II) — полукристаллич. масса, выход 93%. Смесь 0,046 моля II, 4,4 г 10%-ного Pd/C и 100 мл абс. спирта встряхивают 24 часа при 60° и давл. 3 ат, фильтруют, упаривают, полученное масло содержащее примесь лактона (ИК-спектр), растворяют в эфире, извлекают р-ром Na_2CO_3 , подкисляют, извлекают эфиром к-ту (IIIa), выход 89%, вязкое масло. Для подтверждения строения II 0,0037 моля метилового эфира IIa в 15 мл C_6H_6 добавляют к $\text{C}_6\text{H}_5\text{MgBr}$ (из 0,064 моля Mg и 0,07 моля $\text{C}_6\text{H}_5\text{Br}$), кипятят 2 часа, разлагают льдом и к-той, извлекают эфиром, упаривают, растворяют в CH_3OH , содержащем 0,8 г NaOH , кипятят 2 часа, выливают в воду, извлекают эфиром,



II, III R—O, R'—CH₃; IIa R—H₂, R'—CH₃;
IIIb R—H₂, R'—CH₃, Δ^1 ; IIIa R—O, R'—H;
IIIb R—OH, R'—H

упаривают, остаток нагревают 1 час с 10 г $(\text{CH}_3\text{CO})_2\text{O}$, разлагают водой, неочищ. olefin извлекают, растворяют в CH_3COOH , к которой добавлено при 17° 5 г CrO_3 в 15 мл 60%-ной CH_3COOH , смесь перемешивают 1 час при 16°, разлагают р-ром NaHSO_3 , выливают в 100 мл 2 н. HCl , извлекают эфиром, промывают к-той, упаривают, полученное масло (0,6 г) этерифицируют CH_3OH и хроматографируют на Al_2O_3 , продукт обрабатывают р-ром J_2 — KI и получают CHJ_3 , что может быть лишь в случае α -положения CH_3 -группы к карбоксилу в IIa. Р-р 0,027 моля IIa в 25 мл n -гексана, содержащий 1,1 г 10%-ного Pd/C , кипятят 4 часа, фильтруют, упаривают в вакууме, получают к-ту (IIb),

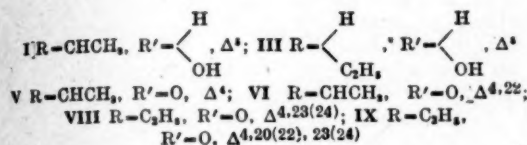
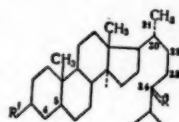
выход 97% (масло). К 0,047 моля IIb добавляют 0,052 моля PCl_5 , нагревают 20 мин. до 70°, после охлаждения добавляют 15 мл абс. C_6H_6 , отгоняют, повторяют отгонку с C_6H_6 еще 2 раза, неочищ. хлорангидрид в 25 мл C_6H_6 добавляют при 5° и перемешивают к суспензии 0,063 моля AlCl_3 в 50 мл C_6H_6 , перемешивают 5 час. при $\sim 20^\circ$ и разлагают. Полученное масло хроматографируют на Al_2O_3 , вымывая C_6H_6 , затем смесью C_6H_6 — CHCl_3 ; выделяют кетозфир (III), выход 78% (полукристаллич.), и из последних фракций — 7-метил-8-кето-3'-(1-карбметокси-3-бутил)-5,6,7,8-тетрагидро-1,2-бензантрацен, выход 0,44 г. Их строение определено путем сравнения УФ-спектров со спектрами 4-кето-1,2,3,4-тетрагидрохризена и соответственно 8-кето-5,6,7,8-тетрагидро-1,2-бензантрацена. 0,027 моля III при омылении дают к-ту (IIIa), выход 86%, т. пл. 70—80°; 2,4-динитрофенилгидразон, т. пл. 114—115° (из сп.-этилацетата). К 0,022 моля IIIa в 75 мл C_6H_6 добавляют при перемешивании 50 мл р-ра CH_3MgI (из 1,78 г Mg и 0,067 моля CH_3I), поддерживая кипение, кипятят при перемешивании еще 4 часа, разлагают, обрабатывают р-ром Na_2CO_3 , подкисляют, получают оксикислоту (IIIb), выход 65%, при кипячении (2 часа) с безводн. HCOOH не дегидратируется. 0,0135 моля IIIb превращают в хлорангидрид (как при получении III) и добавляют при перемешивании и охлаждении к 0,019 моля AlCl_3 в 50 мл абс. C_6H_6 , перемешивают 5 час. при $\sim 20^\circ$, после обычной обработки и хроматографирования на Al_2O_3 получают, вероятно, 1,2,9-триметил-1-окси-12-кето-1,2,3,4,9,10,11,12-октагидропипцен (IV), выход 1,71 г; 2,4-динитрофенилгидразон, т. пл. 159—170° (трижды из сп.-этилацетата) — вероятно, смесь дегидратированного и недегидратированного продукта. При кипячении смеси 0,012 моля LiAlH_4 в 25 мл эфира и 0,004 моля IV в 25 мл эфира кетогруппа восстанавливается до OH-группы, получают соответствующий диол, выход 88%, 1 г которого нагревают 2 часа при 300° с 0,15 г 10%-ного Pd/C , плав обрабатывают смесью петр. эфира и C_6H_6 , хроматографируют на Al_2O_3 , получают (2-я фракция) I, выход 0,50 г, т. пл. 252—254° (из сп.-бэл.); комплекс с 2,4,7-тринитрофлуороном, т. пл. 203—205° (из CH_3COOH), дана кривая УФ-спектра. Приведены данные УФ- и ИК-спектров для II, IIIa, IIIb, IV и УФ-спектра для IIIa. Сообщение VI см. РЖХим, 1957, 8175.

Т. Амбрум

4753. Сагастерин из Sargassum Ringgoldianum Harvey. Акаги, Кисидо, Хаяну (Sargasterol from Sargassum Ringgoldianum Harvey. Akagi Saburo, Kishida Yukichi, Hayatsu Ryoichi), Pharmac. Bull., 1957, 5, № 1, 85—86 (англ.)

Из растения Sargassum Ringgoldianum Harvey выделен новый стерин — сагастерин $\text{C}_{20}\text{H}_{38}\text{O}$ (I), являющийся первым представителем C_{20} -изостериннов. I имеет т. пл. 129—130,5°, $[\alpha]_D -47,5^\circ$; ацетат, т. пл. 138—139°, $[\alpha]_D -52,9^\circ$; бензоат I, т. пл. 114—115°, $[\alpha]_D -22,5^\circ$. При гидрировании I с PtO_2 в нейтр. среде образуется 5,6-дигидросагастерин (II), т. пл. 138—139°, $[\alpha]_D -13^\circ$, тогда как с Pd/C в нейтр. среде образуется 24,28-дигидросагастерин (III), т. пл. 138—139°, $[\alpha]_D -44,6^\circ$. II и III восстанавливаются PtO_2 в кислой среде до сагастанола, т. пл. 131—132°, $[\alpha]_D +6,5^\circ$. При озонировании ацетата I получается ацетат 24-кетостерина (IV), т. пл. 115—117°, $[\alpha]_D -25^\circ$, отличный от 24-кетостерина из фукостерина. При окислении I по Опнауэру образуется кетон (V), т. пл. 109—111,5°, $[\alpha]_D +84,7^\circ$. Последний при действии N-бромсукцинимидом с последующим дегидробромированием превращается в триенон (VI), при озонировании которого получается 3-кето-20-изо- Δ^6 -биснорхолестераль-22 (VII), т. пл. 139—140°, $[\alpha]_D +102,9^\circ$. При восстановлении IV по Кижнеру образуется 20-изохолестерин, т. пл. 134,5°.

[α]_D -43°. Присоединение HCl к V с последующим дегидрохлорированием приводит к кетону (VIII), где двойная связь находится уже в положении 23-24.



При действии на VIII N-бромсукцинимидом с последующим дегидробромированием получается триенон (IX), который при озонировании дает прогестерон. Поскольку IX может быть в 4 стадии получен из известного фукостерина, то I является 20-изофукостерином.

С. Ананченко

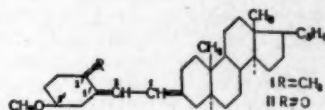
4754. Стероиды. Часть XI. 3,5-циклостероидная перегруппировка *n*-толуолсульфоната дегидроэргостерина. Нес, Шоппи (Steroids. Part XI. The 3:5 cyclosteroid rearrangement of dehydroergosteryl toluene-*p*-sulphonate. Nes W. R., Shoppee C. W., J. Chem. Soc., 1957, Jan., 93-96 (англ.))

При гидролизе *n*-толуолсульфоната (I) дегидроэргостерина (II) в водн. ацетоне в присутствии CH₃COOK образуется Δ^{9,14,22}-3,5-циклоэргостатриенон (III), в котором OH-группа, возможно, занимает положение 11. Наряду с III выделены II и небольшое кол-во смеси углеводов (IV), содержащей Δ^{6,8(14),9(11),22}-3,5-циклоэргостатетраен. Полученный ранее в аналогичных условиях препарат III с т. пл. 47°, которому ошибочно приписывалось строение Δ^{7,9(11),22}-3,5-циклоэргостатриенола-6β (РЖХим, 1955, 46001), вероятно, представляет собой полиморфную форму III. Первичным продуктом р-ции является III, который затем медленно переходит в II, что подтверждается уменьшением выхода II при сокращении времени р-ции и изучением изменения интенсивности характерных спектральных полос II (324 мμ) и III (247 мμ). Р-р 1,3 г I и 2,6 г CH₃COOK в 30 мл воды и 90 мл ацетона кипятят 20 мин., часть ацетона отгоняют, остаток охлаждают до 0° и отфильтровывают III, выход 68%, т. пл. 123-125° (из водн. ацетона). В другом аналогичном опыте продукт р-ции (из 2 г I) хроматографируют на Al₂O₃; пентаном вымывают IV, выход 27 мг. 2 г I кипятят в вышеуказанном р-ре 6 час., ацетон отгоняют в вакууме, эфиром извлекают продукт, который хроматографируют на Al₂O₃ (в пентане). Пентаном вымывают углеводороды (110 мг), а эфиром — II, выход 0,12 г, т. пл. 141-143° (из сп., очищают вторичным хроматографированием), и III, выход 0,6 г. В тех же условиях, но при кипячении в течение 20 час., 0,52 г I дают 0,3 г в-ва с т. пл. 80-100°, из которого (0,2 г) хроматографированием на Al₂O₃ выделяют IV (вымывают пентаном), выход 17 мг, т. пл. 96-98° (из ацетона), и II (вымывают эф.-пентаном, 1:1), выход 70 мг, т. пл. 147-149° (из сп.). При кипячении аналогичной смеси в течение 48 час. из 1 г I получают 134 мг IV. Часть X, см. РЖХим, 1956, 13015.

Л. Бергельсон

4755. Исследования в области антирахиитных витаминов. IV. Синтез биологически активного витамина D. Майлас, Присинг (Studies in the synthesis of the antirachitic vitamins. IV. The synthesis of a biologically active vitamin D homolog. Milas Nicholas A., Priesing Charles, J. Amer. Chem. Soc., 1957, 79, 3610-3611 (англ.))

Описан синтез 1-холестанилиден-2-(5'-метокси-2'-метил-1'-циклогексиден)-этана (I), биологически активного гомолога витамина D, по схеме р-ций, аналогичной описанной в предыдущем сообщении (РЖХим, 1956, 36004). Смесь 7,54 г 2-холестанилиден-этанала-1 и 4,7 г 4-метоксидигидрохексанона в 1 л трет-С₄H₉ОН, содержащего 4 г NaOH, и 10 мл воды перемешивают в темноте, в атмосфере N₂, 24 часа.



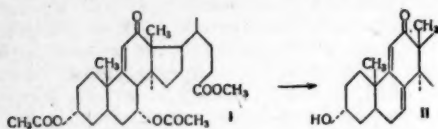
Продукт хроматографируют в темноте на Al₂O₃ и получают *транс*-1-холестанилиден-2-(2'-кето-5'-метокси-1'-циклогексиден)-этан (II), выход 10%, т. пл. 221-224° (разл.), [α]_D²⁵ +86,8° (хлф.); семикарбазон, т. пл. 220-222°, и *цис*-изомер, (III), выход 12%, т. пл. 186°, [α]_D²⁵ +40,3° (хлф). Обработка II и III трифенилфосфинметилом под давлением приводит к получению соответственно *цис*- и *транс*-изомеров I, из которых более активный *цис*-изомер I, полученный с выходом 23%, т. пл. 193°, [α]_D²⁵ -10,6°, обладает активностью (на крысах), близкой к активности витамина D₂. Приведены данные спектров II и III. М. Бурмистрова

4756. Получение метилового эфира биснорхолановой кислоты. Уиттингем, Джонс (The preparation of methyl bishorcholanate. Whittingham D. J., Jones R. Norman, Canad. J. Chem., 1957, 35, № 5, 515-518 (англ.))

В связи с систематич. изучением ИК-спектров производных желчных к-т описано получение метилового эфира биснорхолановой к-ты (I) двумя путями, исходя из метилового эфира 3α-оксисхолановой к-ты (II). Показано, что ранее полученные продукты (Hollander V. P., Gallagher T. F., J. Biol. Chem., 1946, 162, 549; Wieland H. и сопр., Z. physiol. Chem., 1926, 161, 80), которым приписывалось строение I, не являются биснорхолановыми к-тами. По первому пути II расщепляли по Барбье — Виланду по видоизмененной методике (Hoeft, Mason, J. Amer. Chem. Soc., 1938, 60, 1493; 1940, 62, 569) в метиловый эфир 3α-оксинорхолановой к-ты, т. пл. 137-137,5°, [α]_D +36° (с 1,13). При повторной деградации последнего получили 3α-оксиснорхолановую к-ту, при окислении которой по известному методу (РЖХим, 1954, 35924) с последующей этерификацией получен метиловый эфир 3-кетобиснорхолановой к-ты, т. пл. 164-164,5°, [α]_D +22° (с 1,42). Восстановление последнего по Кижнеру с последующей этерификацией дало I, т. пл. 126-127°, [α]_D +11° (с 1,16). По второму пути II окисляли до метилового эфира 3-кетохолановой к-ты, которую восстанавливали по методу Кижнера и этерифицировали 1%-ным р-ром HCl в CH₃OH до метилового эфира холановой к-ты. Последнюю подвергали двукратной деградации по Барбье-Виланду, и после этерификации получили I. Показано, что I не изомеризуется в присутствии 1 н. CH₃ONa, ни при 20, ни при 70°, ни при стоянии с 3н. NaOH в спирте. При кипячении I (7 час.) со щелочью образуется биснорхолановая к-та, т. пл. 190-195°, [α]_D +5,5° (с 1,10). С. Ананченко

4757. Реакции отщепления в ряду ненасыщенных желчных кислот. Хуан Мин-лун, Тао Чжэн-э (不能和胆酸一類物中的消除反應, 黃鳴龍, 陶正娥), 化學學報, Хуасюэ сюэбао, Acta chim. sinica, 1956, 22, № 6, 581-584 (кит.; рез. англ.)

Обсужден механизм р-ции превращения 12-кетосоединения (I) в соединение (II) путем гидролиза метак-



нольным р-ром HCl. При этом 3-ацетокси-гидролизуется, а 7-ацетоксигруппа отщепляется. С. А.

4758. Перемещение 7,9-двойных связей в ряду желчных кислот. Хуан Мин-лун, Цай Цзюнь (7,9 雙重不飽和胆酸的移位反應, 黃鳴龍, 秦祖暉) 化學學報, Хуасюэ сюэбао, Acta chim. sinica, 1956, 22, № 6, 585—588 (кит.; рез. англ.)

Показано, что при этерификации $\Delta^{7,9}$ -лиохоладиеновой к-ты метанольным р-ром HCl происходит сдвиг двойной связи и образуется соединение, имеющее, вероятно, строение $\Delta^{8(9),14}$ (15)-лиохоладиеновой к-ты (I). I после поглощения 1 моля H_2 превращается в дигидропроизводное (II) с двойной связью в положении либо 8(14) (B/C-цис), или 8(14) (B/C-транс), или 8(9). Обсужден синтез II из апохолевой к-ты С. Анащенко

4759. Синтез 17 α -метил- Δ^4 -андростендиола-3 β , 17 β . Бернштейн, Стблар, Хеллер (Synthesis of 17 α -methyl-4-androstene-3 β , 17 β -diol. Bernstein Seymour, Stolar Stephen M., Heller Milton), J. Organ. Chem., 1957, 22, № 4, 472—473 (англ.)

При восстановлении 1 г 17-метилтестостерона 0,25 г NaBH₄ в смеси 80 мл CH₃OH и 20 мл этилацетата ($\sim 20^\circ$, 24 часа) получен обладающий высокой андрогенной активностью 17 α -метил- Δ^4 -андростендиол-3 β , 17 β (I), выход 70%, т. пл. 166—170° (из ацетона), $[\alpha]^{24D} + 14^\circ$ (с 1,345; CH₃OH); 3-ацетат (II, из 0,3 г I и 1 мл (CH₃CO)₂O в C₆H₅N, 20°, 12 час.), т. пл. 115,5—117° (из эф.-петр. эф.), $[\alpha]^{24D} - 17^\circ$ (с 0,950; хлф.); 3-пропионат (III, аналогично из 0,20 г I и 1 мл (CH₃CH₂CO)₂O), т. пл. 105—106,5° (из разб. CH₃OH и эф.-петр. эф.), $[\alpha]^{24D} - 18^\circ$ (с 1,360; хлф.). β -Конфигурация I у C₃ подтверждается образованием из I дигитонида. В. Контиг

4760. Эфиры 17 α -этиниландростандиола-3 β , 17 β и 17 α -этинил- Δ^5 -андростендиола-3 β , 17 β . Клинтон, Ньюман, Ласковский, Кристнаесен (Esters of 17 α -ethinylandrostane-3 β , 17 β -diol and 17 α -ethinylandrost-5-ene-3 β , 17 β -diol. Clinton R. O., Neumann H. C., Laskowski S. C., Christensen R. G.), J. Organ. Chem., 1957, 22, № 4, 473—475 (англ.)

Ацилированием 17 α -этиниландростандиола-3 β , 17 β (I) и 17 α -этинил- Δ^5 -андростендиола-3 β , 17 β (II) ангидридами (1,3—1,5 моля, $\sim 20^\circ$, 17—70 час.) и хлорангидридами (1,1 моля, сначала при 0°, затем 5 час. при $\sim 20^\circ$) к-т в C₆H₅N получены следующие 3-моноэфиры I и II (перечисляются ацильный остаток, т. пл. в °C и $[\alpha]^{25D}$ (с 1; хлф.) для эфиров I и II соответственно): CH₃CH₂CO, 174,7—177,2, —43,3°; 149,7—152,2 (выход 83%), —108,6°; CH₃(CH₂)₂CO, 149,8—154,6, —36,1°; 115,4—117,0, 102,5°; CH₃(CH₂)₃CO, 164,2—166,6, —34,5°; 129,0—131,2, —98,8°; CH₃(CH₂)₄CO, 118,6—121,6, —34,3°; 106,6—107,4, —94,2°; CH₃(CH₂)₅CO, 89,8—91,4, —32,1°; 89,0—91,0 (при повторном плавлении 97,0—97,2), —93,2°; CH₃(CH₂)₆CO, 67,8—70,8, —30,2°; 94,0—95,6, —87,4°; CH₃(CH₂)₇CO, 91,0—92,6, —30,0°; 91,6—93,4, —84,5°; CH₃(CH₂)₈CO, 72,2—74,4, —29,3°; —, —; (CH₃CH₂)₂CHCO, 147,6—152,0 (выход 50%), —32,3°; 171,4—173,8, —93,5°; (CH₃)₂CH(CH₂)₂CO, 142,6—144,2, —34,1°; 135,6—138,4, —92,7°; (CH₃)₃CCO, 216,2—218,0, —37,9°; 200,0—202,6, —97,2°; C₆H₁₁CO, 201,6—203,4, —30,4°; 175,4—178,8, —87,5°; C₆H₁₁CH₂CH₂CO, 91,8—94,2, —30,4°; 115,2—116,6 (выход 86%), —83,8°;

C₆H₁₁(CH₂)₅CO, 83,6—85,4, —28,5°; 106,2—107,0, —72,7°; C₆H₅CH₂CH₂CO, 125,0—127,5, —30,0°; 129,7—131,2, —86,0°; а также 3-моноэфиры II: (CH₃)₂CHCO, 168,2—170,4, —102,4°; (CH₃)₂CHCH₂CO, 119,4—120,9 (при повторном плавлении 126,0—127,8), —96,9°; C₆H₁₁CH₂CO, 191,8—194,8, —83,6°; C₆H₁₁(CH₂)₃CO, 108,8—110,4, —81,2°; C₆H₁₁(CH₂)₄CO, 98,0—101,8, —79,5°; HOOC(CH₂)₂CO (III), 203,0—204,4, —92,6°. III получен кипячением 3 часа 0,01 моля II с 0,015 моля (CH₃CO)₂O в 25 мл C₆H₅N, выход 2,56 г; соль III с (HOC₂H₄)₂NH, т. пл. 154,2—157,2° (из абс. сп.-эф.), $[\alpha]^{25D} - 34,5^\circ$ (с 2; сп.). При взаимодействии 0,01 моля II с 25 мл (CH₃CH₂CO)₂O и 400 мг n-CH₃C₆H₄SO₃H·H₂O в 15 мл CH₃CH₂COOH ($\sim 20^\circ$, 18 час.) получен дипропионат II, выход 3,18 г, т. пл. 139,4—141,2° (из n-C₆H₁₄), $[\alpha]^{25D} - 99,4^\circ$ (с 1; хлф.). II (0,01 моля) кипячением 18 час. с 0,03 моля ангидрида β -циклогексилпропионовой к-ты в 50 мл C₆H₅N переведен в ди-(β -циклогексилпропионат) II, т. пл. 114,0—115,6° (из сп.), $[\alpha]^{25D} - 61,0^\circ$ (с 1; хлф.). Многие из эфиров I и II обладают ингибиторным действием на секрет задней доли гипофиза, причем оно тем выше, чем ниже их эстрогенная активность. Наилучшим соотношением активностей обладает 3-(β -циклогексилпропионат) II. В. Контиг

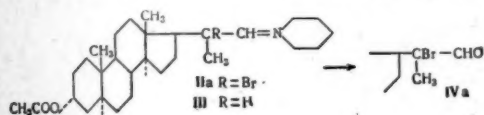
4761. Действие тетраацетата свинца на энолацетаты. Эпимерные 16-ацетоксипроизводные ацетата эпиадростерона, взаимопревращения и перегруппировка. Джонсон, Гастамбид, Паппо (The action of lead tetraacetate on an enol acetate. The epimeric 16-acetoxy derivatives of epiaandrosterone acetate, their interconversion and rearrangement. Johnson William S., Gastambide Bernard, Pappo Raphael), J. Amer. Chem. Soc., 1957, 79, № 8, 1991—1994 (англ.)

Найдено, что при действии Pb(OCOCH₃)₄ на энолацетат ацетата эпиадростерона (I) образуется с выходом 57% диацетат андростандиол-3 β , 16 β -она-17 (II). Устойчивость II к нагреванию и к хроматографированию на силикагеле позволила по новому рассмотреть механизм перегруппировки диацетата 16,17-эпоксиандростандиола-3,16 (III) в диацетат андростандиол-3 β , 16 α -она-17 (IV) и отказаться от предположения, что в момент перегруппировки III в IV, в качестве промежуточного продукта, образуется неустойчивое соединение II. Авторы предполагают, что при превращении III в IV протекают две конкурирующие р-ции — одна с сохранением, а другая с инверсией конфигурации у C₁₆. При действии на III разб. H₂SO₄ образуется IV, в то время как при действии на II разб. H₂SO₄ образуется диацетат андростандиол-3 β , 17 β -она-16 (V). Обсужден возможный механизм этого превращения. Найдено, что ни нагревание (190°) II и IV, ни обработка их силикагелем не приводят к эпимеризации, в то время как обработка их CH₃COOK в CH₃COOH дает (как показано данными ИК- и УФ-спектров и поляриметрией) равновесную смесь с 44 до 56% содержанием β -формы. Смесь 3,74 г I, 60 мл лед. CH₃COOH, 2 мл (CH₃CO)₂O и 4,43 г Pb(OCOCH₃)₄ оставляют при 20° на 6 час. и после обработки получают 2 г II в двух полимерных формах, т. пл. 138—140° и 158—158,8°, $[\alpha]^{27D} + 60^\circ$ (с 5). IV получен по методу Галлагера (РЖХим, 1956, 16199). Смесь 0,865 г III, 50 мл CH₃OH и 50 мл 6 н. H₂SO₄ оставляют на 5 дней при 20°, продукт р-ции ацетируют (CH₃CO)₂O в пиридине (50, 2 дня) и получают 0,788 г IV, т. пл. 186—187,5°, $[\alpha]^{27D} + 57,4^\circ$ (с 5). При обработке 6 н. H₂SO₄ и последующем ацетилировании из 0,129 г II получают 0,119 г V, т. пл. 180—181°, $[\alpha]^{27D} - 118^\circ$ (с 3,8). IV не изменяется в этих условиях. При обработке 50 мг II метанольным р-ром NaOH с последующим ацетилированием получено 23 мл V. Смесь 0,15 г II, 0,750 г CH₃COOK и 22,5 мл CH₃COOH нагревают 16 час. при

115°, выделено 0,14 г смеси, т. пл. 131—142,5°, $[\alpha]_D^{25} + 58,3^\circ$ (с Б). Все $[\alpha]_D$ измерены в CHCl_3 . С. А.

4762. Синтез Δ^4 -андростендиона-3,17 из 22-(пиперидил-1)- Δ^4 ,²⁰(22)-биснорхолодиенон-3 через четвертичные β -бромиминиевые бромиды. Педерсон, Джонсон, Голыш, Отт (A synthesis of 4-androstenedione-3,17-dione from 22-(1-piperidyl)-bisonor-4, 20-(22)-choladien-3-one via a β -bromo ternary iminium bromide. Pederson R. L., Johnson J. L., Holysz R. P., Ott A. C.), J. Amer. Chem. Soc., 1957, 79, № 5, 1115—1118 (англ.).

При присоединении брома к 22-(пиперидил-1)- Δ^4 ,²⁰(22)-биснорхолодиенону-3 (I) и к ацетату 22-(пиперидил-1)- Δ^4 ,²⁰(22)-биснорхолодиенон-3-аля-22 (IIa) образуются соединения, которым на основании УФ- и ИК-спектров приписано строение четвертичных иминиевых бромидов (II и IIa соответственно). При присоединении к Ia HBr образуется бромид (III). Из II и IIa при гидролизе получены соответственно 20-бром- Δ^4 -биснорхолодиен-3-аль-22 (IV) и ацетат 20-бромбиснорхолодиен-3-аль-22 (IVa). IV превращен двумя путями в Δ^4 -андростендион-3,17 (V). Изучено отщепление HBr от IVa, приводящее к образованию ацетата $\Delta^{17(20)}$ -биснорхолодиен-3-аль-22 (VI). В р-р 300 мг Ia в 45 мл абс. эфира опускают при 0° HBr — газ и выпавший III отфильтровывают, выход 290 мг, т. пл. 224—227°. К охлажд. до -78° суспензии 11,87 г I в 300 мл петр. эфира прибавляют за 30 мин. р-р 4,80 г Br₂ в 50 мл CH_2Cl_2 , р-рители отгоняют в вакууме и получают II, выход 98,5%, т. пл. < 50° (разл.). К р-ру 0,10 моля I в 1200 мл CH_2Cl_2 прибавляют при -25° за 20 мин. р-р 0,10 моля Br₂ в 100 мл CH_2Cl_2 , образовавшийся II гидролизуют добавлением при -5° 300 мл воды (размешивание 1,5 часа), органич. слой упаривают, остаток подвергают повторному гидролизу и получают IV, выход 40,1 г, т. пл. 124—126° (разл.; из технич. гексана), $[\alpha]_D^{25} + 33^\circ$ (с 1,11;



хлф.). IV получен также при прибавлении к р-ру 30 ммоль I в смеси 70 мл трет- $\text{C}_4\text{H}_9\text{OH}$ и 30 мл 10%-ной HCl р-ра 33 ммоль N-бромацетамида в 30 мл трет- $\text{C}_4\text{H}_9\text{OH}$ (~20°, 10 мин.) и размешивании смеси в течение 30 мин., выход 83,7%. К р-ру IV (из 40 ммоль I и Br₂) в CH_2Cl_2 прибавляют 20 мл $\text{C}_6\text{H}_5\text{N}$, CH_2Cl_2 отгоняют в вакууме, добавляют еще 80 мл $\text{C}_6\text{H}_5\text{N}$ и смесь нагревают 1 час при 70° и 0,5 часа при 100°, $\text{C}_6\text{H}_5\text{N}$ удаляют отгонкой в вакууме и промывкой остатка 10%-ной HCl и получают $\Delta^{17(20)}$ -биснорхолодиенон-3-аль-22 (VII), выход 12,46 г, очинч. хроматографией на флоризиле (вымывание 1—4%-ными р-рами ацетона в петр. эф., т. пл. 139—141°, $[\alpha]_D^{25} + 113^\circ$ (с 1,186; хлф.)). Р-р 4,36 ммоль VII и 2 мл $\text{C}_6\text{H}_5\text{N}$ в смеси 100 мл этилацетата и 100 мл CH_2Cl_2 озонируют при 0° (4,8 ммоль O_3 за 22 мин.), добавляют 20 мл воды и смесь за 1,5 часа нагревают до кипения, органич. слой упаривают и из остатка хроматографией на флоризиле (вымывание 0,5—2%-ными р-рами ацетона в петр. эф.) выделяют V, выход 0,28 г, т. пл. 171—172° (из ацетона), из водн. слоя выделен CH_3COSCHO . 25 ммоль неочищ. VII прибавляют к охлажд. до -20° р-ру 250 ммоль NaCN в 75 мл безводн. CH_3OH , затем при энергичном размешивании за 1 час добавляют 11,5 мл лед. CH_3COOH , смесь нагревают за 2 часа до 0°, выдерживают 48 час. при 0—5°, разбавляют 300 мл CH_2Cl_2 , промывают водой, сушат Na_2SO_4 и упаривают в вакууме до 250 мл (при полном упаривании р-ра получают цингидрин VII (VIII), т. пл. 178—183° (разл.; из эф.)). К полученному р-ру прибавляют 30 ммоль безводн.

$\text{C}_6\text{H}_5\text{N}$ и смесь озонируют при -70°, пропуская за 75 мин. 29,4 ммоль O_3 , добавляют 50 мл CH_3COOH и 5 г Zn-пыли и т-ру смеси за 2 часа поднимают до ~20° (при размешивании); фильтруют и из фильтрата выделяют V, выход 91,4%. К р-ру 7,1 ммоль Ia в 210 мл этилацетата прибавляют при ~8° 12,7 мл 0,5 M р-ра Br₂ в CCl_4 , выпавший $\text{C}_6\text{H}_{11}\text{N} \cdot \text{HBr}$ отфильтровывают (0,92 г) и из фильтрата упариванием выделяют IVa, выход 3,07 г, т. пл. 131—132° (из ацетона). Отщепление HBr от IVa осуществлено нагреванием 10 ммоль IVa с 25 мл $\text{C}_6\text{H}_5\text{N}$ (100°, 2 часа), выход VI 69,3%, т. пл. 151—154° (из эф.-петр. эф.), $[\alpha]_D^{25} + 43^\circ$ (с 0,938; хлф.), нагреванием 10 ммоль IVa с 30 ммольями безводн. LiCl в 12,5 мл $\text{HCON}(\text{CH}_3)_2$ (100°, 2 часа, N_2), выход VI 65,2%. Приведены данные УФ-спектров для VI, VII и VIII и ИК-спектров для IIb, III, IVb, VI и VIII.

В. Коптюг

4763. Получение душистых веществ ряда терпеноциклогексанола и терпеноциклогексанона. Белов В. Н., Хейфиц Л. А., Ж. общ. химии, 1957, 27, № 4, 960—966

Конденсацией (24 часа при кипении) ментилхлорида (т. кип. 97—100,5°/12 мм, n_D^{20} 1,4640, d_4^{20} 0,9407), с фенолом (I) и смеси борнил- и изоборнилхлоридов с I, о-крезолом (II) и м-крезолом получены соответственно: ментилфенол (III) (выход 84,2%, т. кип. 149—154°/2,5 мм, n_D^{40} 1,5248, d_4^{40} 0,9874); фенилгиретан (ФУ), т. пл. 140° (из бан., CH_3OH); борнилфенол (IV) (выход 66%, т. кип. 154,5—157°/1 мм, n_D^{20} 1,5505, d_4^{20} 1,0484); 3,5-динитробензоат (ДНБ), т. пл. 156,5—157,5° (из $\text{CH}_3\text{OH} \cdot \text{CHCl}_3$, 3:1); борнил-2-метилфенол (V) (выход 127 г из 680 г II) (т. кип. 172,5—174°/7 мм, n_D^{20} 1,5444, d_4^{20} 1,0261) и борнил-3-метилфенол (VI) (выход 163—166°/3,5 мм, n_D^{20} 1,5470, d_4^{20} 1,0278); ДНБ, т. пл. 154—156° (из $\text{CH}_3\text{OH} \cdot \text{CHCl}_3$, 3:1). Гидрирование III над скелетным Ni в присутствии 0,5 н. спирт. KOH (при 150 ат, 125—165°) дает ментилциклогексанола (VII), выход 70%, т. кип. 165—168°/4 мм, 156,5—159,5/1,5 мм, n_D^{40} 1,4915, d_4^{40} 0,9470; ФУ, т. пл. 128,5—129° (из бан.); ацетат, выход 62,5%, т. кип. 154—155°/1 мм, т. пл. 80,2—80,7° (из сп.). Гидрированием IV (при 170 ат, 125—180°) получают борнилциклогексанола (VIII), выход 73,3%, т. кип. 173—174°/3 мм, n_D^{20} 1,5092, d_4^{20} 0,9931; ацетат, выход 60,2%, т. кип. 155—156°/1,5 мм, n_D^{20} 1,4913, d_4^{20} 0,9998; гидрированием V (при 145 ат, 115—142°) — борнил-2-метилциклогексанола (IX), выход 73,4%, т. кип. 157—158°/5 мм, n_D^{20} 1,5087, d_4^{20} 0,9826, а гидрированием VI (при 160 ат, 112—157°) — борнил-3-метилциклогексанола (X), выход 85,5%, т. кип. 153—154°/5 мм, n_D^{20} 1,5050, d_4^{20} 0,9783. Окислением CrO_3 (1 час при 18° и 1 час при 70—80°) из VII получают ментилциклогексанон, выход 51,5%, т. пл. 82,5—83° (из сп.); оксим, т. пл. 137,5—138° (из CH_3OH); семикарбазон (СК), т. пл. 155,5—156,5° (из сп.); 2,4-динитрофенилтидразон, т. пл. 156,5—157° (из сп.-этилацетата); окислением VIII — борнилциклогексанон (XI), т. кип. 133—136°/0,55 мм, n_D^{20} 1,4998, d_4^{20} 0,9901; СК, т. пл. 211—212° (из $\text{CH}_3\text{OH} \cdot \text{CHCl}_3$, 3:1); окислением IX — борнил-2-метилциклогексанон (XII), т. кип. 138—140°/4 мм, n_D^{20} 1,4930, d_4^{20} 0,9722; СК, т. пл. 203,5—204° (из $\text{CH}_3\text{OH} \cdot \text{CHCl}_3$, 3:1), а окислением X — борнил-3-метилциклогексанон (XIII), т. кип. 137—138°/3,5 мм, n_D^{20} 1,4955, d_4^{20} 0,9767; СК, т. пл. 201—202,5° (из $\text{CH}_3\text{OH} \cdot \text{CHCl}_3$, 3:1). VI, VII, IX, X и XIII обладают запахом кедрового оттенка, VIII — санталового, XII — мускусно-бальзамич., а XI — запахом ионных препаратов и ацетата 4 трет-бутилциклогексанола, причем запах кетонов сильнее запаха исходных спиртов.

С. Кустова

4764. Электроорганические синтезы. I. Восстановление стероидных кетонов. Лунин (Electroorganic reduc-

parations. I. Reduction of steroid ketones. Lund Henning), Acta chem. scand., 1957, 11, № 2, 283—290 (англ.)

Прогестерон (I) и андростадиен-1,4-ол-17 β -он-3 (II) восстанавливаются полярографически в 75%-ном CH_3OH на фоне 0,5 M LiCl и 0,05 M буферных р-ров, образуя одну обратимую диффузионную волну. $E^{1/2}$ (здесь и далее в в, относительно насыщ. Ag/AgCl-электрода) для I изменяется от -1,01 до -1,67, для II от -0,855 до -1,488 при изменении pH от 1,05 до 11. Препаративное восстановление 1 г андростендиона (III) при pH 5 и контролируемом потенциале -1,30 в привело к 600 мг пинакона (IV), выделен после разбавления реакционной смеси водой и извлечением смесью тетрагидрофурана с эфиром, $[\alpha]_D^{25} +153 \pm 2^\circ$ (с 0,438; тетрагидрофуран); при плавлении IV дегидратируется и дает в-во с т. разл. $\sim 305^\circ$. Строение IV подтверждено УФ- и ИК-спектрами и окислением посредством $(\text{CH}_3\text{COO})_2\text{Pb}$ в C_6H_6 при обычной т-ре с образованием III, выход колич. Электролитич. восстановление 1 г III при pH 12,5 и контролируемом потенциале -1,70 в дало 420 мг IV и 410 мг пинакона (V) с $[\alpha]_D^{25} +174 \pm 2^\circ$ (с 0,705; тетрагидрофуран), выделен из маточного р-ра после отделения IV. Окисление V посредством $(\text{CH}_3\text{COO})_2\text{Pb}$ дало III, ИК-спектр V подобен спектру IV, на основании этого V придана структура изомерного пинакона III. Восстановление 1 г I при pH 5 и -1,30 в дало пинакон (VI) с $[\alpha]_D^{25} +162 \pm 2^\circ$ (с 1,27; тетрагидрофуран); VI дегидратируется при нагревании и образует продукт с т. разл. $\sim 290^\circ$; при обработке к-тами или нагревании выше 190° VI переходит в желтое соединение, при окислении $(\text{CH}_3\text{COO})_2\text{Pb}$ VI дает I, что подтверждает структуру VI как одного из изомеров пинакона I. Восстановление I при pH 12,5 и -1,70 в дало VI и его изомер (VIa) с т. пл. 165° (из водн. сп.), $[\alpha]_D^{25} +186 \pm 2^\circ$ (с 0,536; тетрагидрофуран), при нагревании выше т-ры плавления дегидратируется и дает продукт с т. разл. $\sim 285^\circ$. ИК-спектры VI и VIa сходны, окисление VIa посредством $(\text{CH}_3\text{COO})_2\text{Pb}$ дает также I. Восстановление 0,62 г II при pH 12,5 и -1,60 в дало 510 мг пинакона с т. пл. $180-182^\circ$ (разл.; из бэл.) и $[\alpha]_D^{25} +8 \pm 2^\circ$ (с 0,683; тетрагидрофуран). дегидратируется при нагревании выше 200° или обработке HCl (к-той), количественно окисляется $(\text{CH}_3\text{COO})_2\text{Pb}$ до II. Восстановление 1 г холестерина при pH 5 и -1,30 в дало 850 мг пинакона с $[\alpha]_D^{25} +92 \pm 2^\circ$ (с 3,052; тетрагидрофуран); окисление пинакона посредством $(\text{CH}_3\text{COO})_2\text{Pb}$ дает количественно исходный холестерин; в тех же условиях восстановление 1 г пропионата тестостерона дало 700 мг пинакона с $[\alpha]_D^{25} +76 \pm 2^\circ$ (с 0,586; тетрагидрофуран). Л. Яновская

4765. Побочный путь синтеза кортизона из гекогена. Часть II. Путь к соединениям, окисленным в положении 11 через диацетат 11-бромаллопрегнандиол-3 β , 20 β -она-12. Каллоу, Джеймс (By-ways of synthesis of cortisone from hecogenin. Part II. A route to 11-oxygenated compounds through 3 β :20 β -diacetox-11-bromoallopregnan-12-one. Callow R. K., James V. H. T.), J. Chem. Soc., 1956, Dec., 4744—4749 (англ.)

Ацетат Δ^4 -аллопрегненол-3 β -диона-12,20 (I), полученный из гекогена, был подвергнут превращениям с целью отыскания пути синтеза кортизона. Поскольку селективное восстановление 20-кетогруппы в I осуществить не удалось, также как бромирование ацетата аллопрегненол-3 β -диона-12,20 (II, спирт IIa), то II был превращен в 12-этиленкеталь II (III). Восстановлением III с последующим омылением получен аллопрегнандиол-3 β , 20 β -он-12 (IV), бромированный в виде диацетата IV (V) в ди-

ацетат 11-бромаллопрегнандиол-3 β , 20 β -она-12 (VI). Путем восстановления VI был превращен в 3,20-диацетат 11 α -бромаллопрегнантриол-3 β , 12 β , 20 β (VII), который дал 11 β , 12 β -эпоксиаллопрегнандиол-3 β , 20 β (VIII), последовательно омыленный, окисленный и дебромированный в аллопрегнантрион-3,11,20 (IX). Гидрирование I с Pd/SrCO $_3$, с PtO $_2$, с Ni-Раней или восстановление Zn и CH_3COOH дает II, т. пл. $197-199^\circ$, $[\alpha]_D^{25} +140^\circ$. Омылением II метанольным КОН получен IIa, т. пл. $189-195^\circ$ (из ацетона), $[\alpha]_D^{25} +165^\circ$. Гидрирование 1 г I на PtO $_2$ в CH_3COOH привело к ацетату аллопрегнантриола -3 β , 12 β , 20 β , т. пл. $148,5-152^\circ$, $[\alpha]_D^{25} -6^\circ$, омыленному метанольным КОН в аллопрегнантриол-3 β , 12 β , 20 β , т. пл. $230-234^\circ$ (из этилацетата), $[\alpha]_D^{25} -2^\circ$. Бромированием 1 г II в CHCl_3 получен продукт с т. пл. $167,5-171^\circ$ (из CH_3OH), который при кипячении с коллидидом и хроматографировании дал I. Увеличение кол-ва Br_2 привело, по-видимому, к трибромиду с т. пл. $195-197^\circ$ (разл.; из сп.), $[\alpha]_D^{25} -55^\circ$. Кипячением 1,8 г II с $(\text{CH}_3\text{OH})_2$ и $n\text{-CH}_3\text{C}_6\text{H}_4\text{SO}_3\text{H}$ в $\text{CH}_3\text{C}_6\text{H}_5$ (2 часа) получено 1,27 г III, т. пл. $161-164,5^\circ$ (из CH_3OH), $[\alpha]_D^{25} +104^\circ$, омыленный метанольным NaOH (20°) в 12-этиленкеталь IIa (IIIa), т. пл. $198,5-200^\circ$ (из этилацетата-петр. эф.), $[\alpha]_D^{25} +115^\circ$. При бромировании IIa или IIIa в CHCl_3 (0°) образовывался, по-видимому, монобромаллопрегнандион-12,20, т. пл. $131-134^\circ$ ($133-135^\circ$). Путем обработки CH_3ONa и $\text{NH}_2\text{NH}_2\text{OH}$ в CH_3OH (200° , 6 час.) 2,47 г IIIa были превращены в 1 г аллопрегнанол-3 β -он-12 (X), т. пл. $197-199^\circ$ (из C_6H_{14}), $[\alpha]_D^{25} +109^\circ$, ацетат X, т. пл. $138-141,5^\circ$ (из водн. CH_3OH), $[\alpha]_D^{25} +86^\circ$. Восстановление 3,3 г III с помощью LiAlH_4 в эфире (1 час, 35°) позволило получить 2,8 г 12-этиленкетала IV, т. пл. $197-202^\circ$ (из ацетона), $[\alpha]_D^{25} +48^\circ$, омыленный путем кипячения с метанольным р-ром HCl в IV, т. пл. $238-243^\circ$, $[\alpha]_D^{25} +91^\circ$; 3-ацетат IV, т. пл. $199-207^\circ$, $[\alpha]_D^{25} +72^\circ$, V, т. пл. $141-143^\circ$ (из ацетона), $[\alpha]_D^{25} +96^\circ$. Бромирование 0,75 г V в C_6H_6 (45 мин.) привело к 0,5 г VI, т. пл. $161-178^\circ$ (из C_6H_{14}), $[\alpha]_D^{25} +56^\circ$, который (5,14 г) восстанавливался NaBH_4 в водн. NaHCO_3 в спирте и диоксане (2,5 часа, 35°) в смесь продуктов (5,2 г). Хроматографированием 2,4 г этой смеси выделено: 70 мг диацетата VIII, т. пл. $153-155^\circ$ (из C_6H_{14}), $[\alpha]_D^{25} +51^\circ$, омыленного метанольным КОН в VIII, т. пл. $216-226^\circ$, $[\alpha]_D^{25} +5^\circ$; 420 мг VII, т. пл. $170-172,5^\circ$ (из C_6H_{12}), $[\alpha]_D^{25} +10^\circ$; 1,31 г 3,20-диацетата 11 α -бромаллопрегнантриола 3 β , 12 α , 20 β , т. пл. $160-164^\circ$ (из C_6H_{14}), $[\alpha]_D^{25} +5^\circ$, омыленного метанольным КОН в IV, т. пл. $238-241,5^\circ$; 70 мг 3,20-диацетата 11 β -бромаллопрегнантриола-3 β , 12 α , 20 β , т. пл. $214-221^\circ$ (из ацетона- C_6H_{14}), $[\alpha]_D^{25} +49^\circ$, дашего при обработке КОН, по-видимому, 11 α , 12 α -эпоксиаллопрегнандиол-3 β , 20 β (XI), т. пл. $200-220^\circ$ и 0,2 г, по-видимому, 3-ацетата 11 β -бромаллопрегнантриола-3 β , 12 α , 20 β , т. пл. $210-217^\circ$ (из ацетона- C_6H_{14}), $[\alpha]_D^{25} -20^\circ$, омыленный в XI. Омыление 70 мг VIII с помощью HBr (к-ты) в CHCl_3 (30 мин.) привело к 68 мг 12 α -бромаллопрегнантриола-3 β , 11 β , 20 β (XII), т. пл. $204-210^\circ$ (из ацетона- C_6H_{14}), который (66 мг) окислялся CrO_3 в водн. CH_3COOH (1,5 часа) и полученный бромкетон с т. пл. $176-179^\circ$ (из ацетона- C_6H_{14}) дебромировался Zn и CH_3COOH в IX, т. пл. $212-218^\circ$. Когда 60 мг диацетата VIII обрабатывался HBr (к-той) в CHCl_3 (30 мин.), то образовывался 3,20-диацетат XII, 70 мг которого окислялся CrO_3 (1,5 часа) и дебромировался Zn в CH_3COOH , давал 3,20-диацетат аллопрегнандиол-3 β , 20 β -она-11 (XIII), т. пл. $165-173^\circ$ (из эф.- C_6H_{12}), $[\alpha]_D^{25} +34^\circ$. При омылении и окислении XIII CrO_3 в CH_3COOH получен IX, т. пл. $212-218^\circ$. Ацетат гекогена при восстановлении NaBH_4 и ацетилировании дал ацетат рокогени-

т. пл. 199—207° (из CH_3OH), $[\alpha]_D^{22} - 60^\circ$ (в диоксане), омыленный в рокогенин, т. пл. 195—200° (из CH_3OH), $[\alpha]_D^{22} - 63^\circ$ (диоксан), который превращался в ф-рокогенин, ацетилировался и окислялся CrO_3 в CH_3COOH , омылялся и ацетилировался, давая ди-ацетат Δ^4 -аллопрегнендиол-3 β , 12 β -она-20 (XIV), т. пл. 140—143° (из водн. CH_3OH), $[\alpha]_D^{22} + 19^\circ$. Гидрированием XIV с Pd/SrCO_3 в этилацетате получен аллопрегнендиол-3 β , 12 β -она-20, т. пл. 109—113° (из водн. CH_3OH), $[\alpha]_D^{22} + 48^\circ$. Все $[\alpha]_D$ определены в CHCl_3 , кроме отмеченных. В статье приводятся данные ИК-спектров всех полученных в-в. Часть I см. РЖХим, 1957, 74538. А. Камерницкий

4766. 16-оксистероиды. IV. Синтез 16 α -оксипрегно-диол-3,20 (I) получены 9 α -фтор-16 α -оксистероиды и изучена их биологич. активность. Гидроксильрование I OsO_4 в C_6H_6 и пиридине привело к 21-ацетату Δ^4 -(11)-прегнадиентриол-16 α , 17 α , 21-диона-3,20 (II), т. пл. 195—197,5°, $[\alpha]_D + 93^\circ$, ацетилированному в 16-ацетат III (III), т. пл. 194—195°, $[\alpha]_D + 43^\circ$. При обработке III N-бромацетамидом и HClO_4 в водн. диоксане получен 16,21-диацетат 9 α -бром- Δ^4 -прегнентетрол-11 β , 16 α , 17 α , 21-диона-3,20 (IV), т. пл. 125—126° (разл.), $[\alpha]_D + 76^\circ$. Кипячение с CH_3COONa в абс. спирте превратило IV в 16,21-диацетат 9 β , 11 β -оксидо- Δ^4 -прегнентриол-16 α , 17 α , 2-диона-3,20 (V), т. пл. 191,5—193,5°, $[\alpha]_D - 48^\circ$. Обработкой V HCl (газом) в CHCl_3 (0°, 4,5 часа) получен 16,21-диацетат 9 α -хлор- Δ^4 -прегнентетрол-11 β , 16 α , 17 α , 21-диона-3,20 (VI), т. пл. 214,5—215,5°, $[\alpha]_D + 76^\circ$, который омылялся CH_3ONa в CH_3OH в 9 α -хлор- Δ^4 -прегнентетрол-11 β , 16 α , 17 α , 21-дион-3,20, т. пл. > 400°. При действии HF на V образуется 16,21-диацетат 9 α -фтор- Δ^4 -прегнентетрол-11 β , 16 α , 17 α , 21-диона-3,20 (VII), т. пл. 237—239°, $[\alpha]_D + 70^\circ$, омыленный в 9 α -фтор- Δ^4 -прегнентетрол-11 β , 16 α , 17 α , 21-дион-3,20 (VIIIa), т. пл. 257—260° (разл.), $[\alpha]_D + 91^\circ$ (в пиридине). Микробиологическое детидрирование VII с помощью *Corynebacterium simplex* и последующее ацетилирование привели к 16,21-диацетату 9 α -фтор- Δ^4 -прегнадиентетрол-11 β , 16 α , 17 α , 21-диона-3,20 (VIII), т. пл. 158—235° (186—188°), $[\alpha]_D + 22^\circ$, омыленному в 9 α -фтор- Δ^4 -прегнадиентетрол-11 β , 16 α , 17 α , 21-диона-3,20 (VIIIa), т. пл. 260—262,5°, $[\alpha]_D + 75^\circ$ (в ацетоне). При пробе на удерживание гликогена в печени у крыс VII в 4—8, VIIIa в 3—5, VIII в 15—36 и VIIIa в 13 раз активнее гидрокортизона. VII, VIIIa, VIII, VIIIa не обладают способностью задерживать соли Na в организме. Все $[\alpha]_D$ определены при 25° в CHCl_3 , кроме отмеченных. Сообщение III см. РЖХим, 1957, 26976. А. Камерницкий

4767. 4,5-окиси 3-кетостероидов. Байбл, Плачек, Мьюр (4,5-epoxy-3-oxo steroids. Bible Roy H., Plasek Chester, Muir Robert D.), J. Organ. Chem., 1957, 22, № 6, 607—611 (англ.).

Методом щел. окисления перекисью водорода Δ^4 -3-кетостероидов получены следующие 4,5-окиси 3-кетостероидов (указаны исходный стероид, конфигурация, т. пл. в °C и $[\alpha]_D$ полученной 4,5-окиси): адреностерон, α , 252, +70°; Δ^4 -андростендион-3,17, β , 200—202, +220°; кортизон (4,5-окись, полученная из адреностерона); α , —, —; дезоксикортикостерон, β , 135—140,

+204°; 11 α -оксипрегестерон, β , 156—159, +178°; прогестерон, α , 175—177,5, +14,5°, и β , 133—135,5, +211°; тестолоактон, β , 252, +85°. Приведены данные ИК- и УФ-спектров полученных окисей. Кипячение с HCOOH смеси изомерных окисей, образующейся при окислении прогестерона, дает 4-оксипрегестерон (I), структура которого подтверждена данными ИК- и УФ-спектров. При ферментации этой смеси окисей при помощи *Rhizopus nigricans* образуется 4 β , 5-окись 11 α -оксипрегнендиона-3,20 (II). Строение II подтверждается ее восстановлением при помощи CrCl_2 в известный 11 α -оксипрегестерон (III). К р-ру 0,015 моля стероида в 200 мл CH_3OH прибавляют при 20° одновременно по каплям 24,4 мл 4 н. р-ра NaOH и 24,4 мл 30%-ной H_2O_2 . Оставляют на 12 час. при 2°, разбавляют водой, экстрагируют C_6H_6 и из бензольного р-ра получают соответствующую 4,5-окись, выход 20—60%. Р-р 4,86 г 4,5-окиси прегнендиона-3,20 (IV) в 75 мл HCOOH кипятят 45 мин. и выливают в 200 мл горячей воды. По охлаждении выпадает I, выход 2,41 г, т. пл. 221—227° (возгоняется, из водн. CH_3OH) и 226—228° (после возгонки при 0,07 мм), $[\alpha]_D + 177^\circ$ (хлф.), $[\alpha]_D + 185^\circ$ (с 1; в сп.). В 20 колб, содержащих среду сыровоточного протеина, кукурузного настоя и декстрозы, выдержанной в автоклаве 5 мин. при 120°, вносят по 3 мл суспензии спор *Rhizopus nigricans*, выдерживают 24 часа при 25° и добавляют по 100 мг IV, выдерживают 24 часа, фильтруют, промывают CH_2Cl_2 и фильтрат экстрагируют 9,6 л CH_2Cl_2 , упаривают р-р до 750 мл, экстрагируют 100 мл 2%-ного р-ра NaHCO_3 и 100 мл диетил. воды, остаток после упаривания в вакууме хроматографируют на 200 г силикагеля. При вымывании C_6H_6 -этилацетатом (3:1) получают II, выход 690 мг, т. пл. 156—159°, $[\alpha]_D + 184^\circ$ (с 1; сп.). Смесь 1 г CrCl_3 , 12 мл спирта и 0,8 г Zn -пыли перемешивают 2 часа в токе CO_2 при охлаждении, через 12 час. в токе CO_2 прибавляют р-р 200 мг II в 15 мл спирта, перемешивают 30 мин. и разбавляют водой. Экстрагируют CHCl_3 и получают III, выход 180 мг, т. пл. 159—160,5° (из водн. CH_3OH) $[\alpha]_D + 170^\circ$. При окислении $\text{CrO}_3/\text{NC}_5\text{H}_5$ III дает 11-кетопрегестерон, т. пл. 173,5—177°, $[\alpha]_D + 238^\circ$ (ацетон). М. Бурмистрова

4768. Стероидные сапонины из индийских растений *Dioscorea*. Часть II. Баруа, Чакраварти, Чакраварти (Steroid sapogenins from indian *Dioscorea* plants. Part II. Barua A. K., Chakravarti D. (Mrs), Chakravarti R. N.), J. Indian Chem. Soc., 1956, 33, № 11, 799—803 (англ.).

Проведено определение содержания сапонинов в подземных частях 11 видов *Dioscorea* по методу, описанному ранее (см. часть I, РЖХим, 1956, 32599). В клубнях *D. aculeata* и двух неклассифицированных видов (HB) *D.* сапонинов не обнаружено; *D. tomentosa*, *D. bulbifera*, *D. sativa*, *D. hispida*, *D. nummularia* и один HB *D.* содержат следы сапонинов. В *D. deltoidea* обнаружен сапонин, дающий при гидролизе диостегенин (I), выход 3,35% (от веса клубней), т. пл. 204—206° (из абс. сп.), $[\alpha]_D^{20} - 128,7^\circ$ (хлф.); ацетат, т. пл. 194—195° (из абс. сп.), $[\alpha]_D^{20} - 119,5^\circ$ (хлф.); бензоат, т. пл. 236—237°, $[\alpha]_D^{20} - 81,5^\circ$ (хлф.). Выделение I проведено аналогично его выделению из гидролизата сапонина *D. prazeri* (см. часть I). В. К.

4769. Дегградация прегнантриол-3 α ,17 α ,21-она-20- C^{14} , полученного биосинтезом из ацетата-1- C^{14} у больных синдромом Кушинга. Каспи, Унгар, Дорфман (Degradation of 3 α ,17 α ,21-trihydroxypregnan-20-one- C^{14} biosynthesized from acetate-1- C^{14} by a Cushing's patient. Caspi Eliahu, Ungar Frank, Dorfman Ralph I.), J. Organ. Chem., 1957, 22, № 3, 326—327 (англ.).

Показано, что при биосинтезе прегнантриол-3 α -17 α ,

21-она-20- C^{14} (I) из ацетата-1- C^{14} в организме человека, C_{21} в I образуется из атома углерода CH_3 -группы, а C_{20} из углерода карбоксила ацетата-1- C^{14} . I был выделен из мочи человека и для определения разбавлен в качестве носителя Δ^4 -прегнендиол-17 α ,21-дионом-3,20 (II). Смесь I и II имела уд. активность, равную $80,5 \cdot 10^3$ имп/мин/ммоль. Для определения положения C^{14} смесь I и II восстанавливают $NaBH_4$ и затем окисляют HJO_4 , при этом C_{21} окисляется до $HCHO$ (III), с C_{20} до $HCOOH$ (IV), превращаемую в CO_2 . Найдено, что III нерадиоактивен, а IV имеет активность $7,77 \cdot 10^3$ имп/мин/ммоль. После введения в организм больного 2 мкюри ацетата-1- C^{14} собирают мочу в течение 5 дней, гидролизуют ее β -глюкоронидазой, экстрагируют этилацетатом, кетонную фракцию выделяют по видоизмененной методике Жирара, хроматографируют на силикагеле и получают I, т. пл. $197-204^\circ$. Смешивают 211 мг II и 32,6 мг I. Р-р 103 мг этой смеси в 15 мл CH_3OH оставляют на 12 час. при 20° с 500 мг $NaBH_4$ и после обработки получают 108 мг в-ва, которое растворяют в 25 мл спирта и обрабатывают 135 мин. при 20° (в темноте) 36 мл р-ра HJO_4 (р-р 1 г метапериодата Na в 70 мл воды, доводят до pH 4 с помощью 2 н. H_2SO_4 и разбавляют до 100 мл). Из реакционной смеси отгоняют в вакууме 80 мл дистиллята. Через 55 мл дистиллята продувают O_2 (5 мин.) для удаления CO_2 , добавляют 2 г HgO и, продувая O_2 , кипятят смесь 30 мин., собирая CO_2 в виде $BaCO_3$. К 25 мл дистиллята прибавляют 1 мл CH_3COOH и 300 мг CH_3COONa и с помощью димедона выделяют III.

С. Ананченко

4770. Нативные гликозиды листьев и семян *Digitalis purpurea*. Хак, Кайзер, Губе, Шпинглер (Die genuinen Glykoside der Blätter und Samen von *Digitalis purpurea*. Haack E., Kaiser F., Gube M., Spingler H.), Naturwissenschaften, 1956, 43, № 13, 301-302 (нем.).

Исследовались водн. экстракты неподвергавшихся ферментированию листьев и экстракты семян *Digitalis purpurea* с целью выделения нативных гликозидов, углеводная часть которых должна заканчиваться молекулой глюкозы (I). После различной обработки и фракционирования экстракты хроматографировались на бумаге. Выделено 12 карденолидов, из них 3 неизвестных. По составу гликозидов листья и семена отличаются только количественно. В семенах преобладают дигиталинум-верум (II) и гликозид глюковеродоксин (III) с R_f 0,24; в листьях главным образом гликозиды *D. purpurea* A и B (IV) и глюкогиталоксин (V). Идентифицированы продукты расщепления V: гитоксигенин, IV, дигиталинидиоза и дигитоксоза; в кислом остатке открыта $HCOOH$. Показано, что первичным гликозидом веродоксина является III; после обработки разб. NH_4OH вырезанных из хроматограмм пятен III получено после повторного хроматографирования одно пятно, соответствующее II. После кислотного расщепления III обнаружены диангидрогитоксигенин, I и дигиталоза; в кислом остатке найдена $HCOOH$. Таким образом, III является формилдигиталинум-верум и V — формильным производным IV. Один из неизвестных карденолидов с R_f 0,32, по-видимому, является глюкоодорозидом H (одоробиозид G). Предыдущее сообщение см. РЖХимБх, 1955, 16064.

В. Мерлис

4771. Гликозиды и агликоны. Сообщение 173. О гликозидах *Bowiea volubilis* Harvey. Сообщение 9. Катц (Über die Glykoside von *Bowiea volubilis* Harvey. 9. Mitt. Glykoside und Aglykone, 173. Mitt. Katz A.), Helv. chim. acta, 1957, 40, № 2, 487-491 (нем.).

Показано, что бовозид A (I) и бовозид D (II) окисляются у C_{19} трет-бутилхроматом (III) соответственно в бовозид A (IV) и бовозид D (V). При этом около половины исходных в-в возвращается, побочных

продуктов не обнаружено. При аналогичной обработке сциллитглаукозидиол-19 (VI) окисляется только у C_{19} , но и у C_{21} . Хроматографированием на Al_2O_3 , а затем на бумаге, в продукте окисления VI наряду с исходным в-вом обнаружены сциллитглаукозидин, 3-дегидросциллитглаукозидиол-19 и 3-дегидросциллитглаукозидин. 50 мг I в трет- C_4H_9OH и $CHCl_3$ окисляют (24 час., 20°) р-ром III в CCl_4 (1%-ный р-р в пересчете на CrO_3). Продукт хроматографируют на Al_2O_3 . Смесь $C_6H_6-CHCl_3$ (1:2) и $CHCl_3$ вымывают 23,5 мг IV, т. пл. $232-256^\circ$ (из ацетона-эф.), $[a]_D^{20} -71,6 \pm 2^\circ$ (с 0,998; CH_3OH). Смесь $CHCl_3-CH_3OH$ (98:2) вымывают 18,5 мг I. Аналогичное окисление (44 часа, 20°) 42 мг II и хроматографирование на Al_2O_3 приводят к 14 мг V (вымывает $CHCl_3$ и $CHCl_3-CH_3OH$, 99:1), т. пл. $308-317^\circ$ (из ацетона-эф.), $[a]_D^{20} -70,0 \pm 3^\circ$ (с 0,773; CH_3OH), и к 13,5 мг II (вымывает $CHCl_3-CH_3OH$, 95:5). Предыдущие сообщения см. РЖХим, 1957, 41257, 74543.

Г. Сеталь

4772. Строение дитерпеноидных алкалоидов лаурифолина и куаухихицина. Изменение номенклатуры. Дьерасси, Смит, Липман, Фигдор, Херран (The structures of the diterpenoid alkaloids laurifoline and cuauhichicine. Nomenclature alteration. Djerassi Carl, Smith C. R., Lippman A. E., Figdor S. K., Herran J.), J. Amer. Chem. Soc., 1955, 77, № 24, 6633 (англ.).

Алкалоид лаурифолин (РЖХим, 1956, 39690) переименован в гаррифолин, так как лаурифолин уже ранее назван близкий к апорфину алкалоид из *Cocculus laurifolius* D. C.

Г. Челпанова

4773. Строение и синтез резерпина. Яхонтов Л. Н., Мед. пром-сть СССР, 1957, № 7, 6-14. Обзор. Библ. 40 назв.

4774. Серпинин — второстепенный алкалоид *Rauwolfia serpentina* Benth. Бозе (Serpenine, a minor alkaloid of *Rauwolfia serpentina* Benth. Bose S.), Naturwissenschaften, 1955, 42, № 3, 71-72 (англ.).

Из корней *R. serpentina* Benth. выделен новый алкалоид серпинин (I), $C_{20}H_{24}ON_2$ или $C_{21}H_{26}ON_2$, т. пл. $315-317^\circ$ (разл.; из сп.; 20 мг I из 75,0 кг корней). На основании спектральных данных (ИК и УФ) предполагают, что I относится к индолиновым алкалоидам и имеет структуру, подобную аймалину. Л. Аксанова

4775. Аналоги алкалоидов *Rauwolfia*. III. Синтез 1-замещенных тетрагидро- β -карболинов и гексадегидрохирибанов. Онда, Каваниси (Rauwolfia アルカロイド類似化合物の研究. 第3報. 1-位置換のtetrahydro- β -carboline及びhexadehydrohimbane誘導体の合成. 恩田政行, 川西正純), 薬学雑誌, Якугаку дзасси, J. Pharmac. Soc. Japan, 1956, 76, № 8, 966-968 (японск.).

0,2 г триптамина (Ia) в 5 мл C_6H_6 нагревают 10 мин. при 100° с 0,35 г 3,4- $CH_2O_2C_6H_3CH_2COOH$ в 10 мл C_6H_6 . После фильтрования нагревают 30 мин. при $180-190^\circ$, охлаждают, экстрагируют $CH_3COOC_2H_5$, промывают HCl и $NaOH$. Получают (3,4-метилendioксифенилацето)-триптамин (I), выход 0,31 г, т. пл. $118-119^\circ$ (из бад.). Аналогично получают (3,4-диметоксифенилацето)-триптамин (II), выход 69%, т. пл. $64-65^\circ$. 1,1 и 1,2,5 PCl_3 и 50 мл C_6H_6 кипятят 1 час. C_6H_6 удаляют в вакууме, остаток очищают углем в 50%-ной CH_3COOH . Фильтрат подщелачивают NH_4OH и получают 1-дипирионил-3,4-дигидро- β -карболин (III), выход 85%, т. пл. $\sim 118^\circ$; пикрат, т. пл. $227-228^\circ$ (разл.). Аналогично 1,2 и II, 2,4 мл PCl_3 в 50 мл C_6H_6 дают 1-вератриланалог III (IV), выход 0,8 г; пикрат, т. пл. $203-204^\circ$ (разл.). 0,7 г III в 35 мл 50%-ной CH_3COOH с 2 г Zn -пыли нагревают 6 час. при 100° , фильтруют. Фильтрат подщелачивают NH_4OH , экстрагируют $CH_3COOC_2H_5$. В конц. экстракт пропускают HCl -газ. Получают хлоргидрат 1-дипирионил-1,2,3,4-тетрагидро- β -карболина (V), выход

0,19 г, т. пл. 273—274° (разл.; из CH_3OH); свободное основание, т. пл. 105—107°. 1,9 г $3,4\text{-CH}_2\text{O}_2\text{C}_6\text{H}_3\text{CH}_2\text{COOH}$ (VI) и 1,76 г $\text{Ia} \cdot \text{HCl}$ в 22 мл воды обрабатывают 180 мл воды и 20 мл $\text{C}_2\text{H}_5\text{OH}$ (100°, 78 час.), упаривают. Получают V, выход 41%, т. пл. 272—273° (разл.; из CH_3OH). 0,3 г IV, 20 мл 50%-ной CH_3COOH и 1 г Zn дают 0,095 г $1\text{-}[3,4\text{-(CH}_3\text{O)}_2\text{C}_6\text{H}_3\text{CH}_2\text{]-V}$ (VII), в виде HCl -соли, т. пл. 235—236° (разл.; из CH_3OH); свободное основание, т. пл. 90°. 1,56 г $\text{Ia} \cdot \text{HCl}$ в 22 мл воды и 1,79 г VI, 20 мл воды, 18 мл $\text{C}_2\text{H}_5\text{OH}$ дают VII $\cdot \text{HCl}$, выход 39%, т. пл. 234—235° (разл.), 2,37 г $\text{Ia} \cdot \text{HCl}$ в 3 мл воды и 2,57 г $3,4\text{-CH}_3\text{O(OH)C}_6\text{H}_3\text{CH}_2\text{COCOON}$ в 250 мл воды и 25 мл $\text{C}_2\text{H}_5\text{OH}$ дают 1-(3-метокси-4-оксibenзил)-1,2,3,4-тетрагидро- β -карболин $\cdot \text{HCl} \cdot \frac{1}{2} \text{H}_2\text{O}$ (VIII), выход 7,93 г, т. пл. 253—254° (разл.). 0,92 г V, 21,7 мл 35%-ного формалина, 123 мл воды кипятят 6 час. на масляной бане, упаривают в вакууме. Остаток в CH_3OH очищают углем. Получают 17,18-метилendioкси- (IX), 15,16,17,18,19,20-гексадегидрохроман $\cdot \text{HCl} \cdot \frac{1}{4} \text{H}_2\text{O}$, выход 0,67 г, т. пл. 284—285° (разл.). Аналогично из 0,76 г VII, 20,2 мл 35%-ного формалина и 100 мл воды получают 17,18-диметокси-IX (X), $\text{C}_{21}\text{H}_{22}\text{O}_2\text{N}_2 \cdot \text{HCl}$, выход 0,49 г, т. пл. 260—263° (разл.). 0,87 г VIII, 0,57 мл 35%-ного формалина и 50 мл воды (выдержка 5 дней) дают 17- CH_3O -18-ОН-X (XI), $\text{C}_{20}\text{H}_{20}\text{O}_2\text{N}_2 \cdot \text{HCl}$, выход 0,76 г, т. пл. 256—257° (разл.). 0,56 г XI, 0,39 г $3,4,5\text{-(CH}_3\text{O)}_3\text{C}_6\text{H}_2\text{COCl}$ и 4 мл $\text{C}_6\text{H}_5\text{N}$ кипятят 4 часа, удаляют в вакууме $\text{C}_6\text{H}_5\text{N}$. Остаток в воде с NH_4OH экстрагируют $\text{CH}_3\text{COOCC}_6\text{H}_5$. Упаренный экстракт извлекают CH_3OH , пропускают HCl -газ. Получают хлоргидрат 17-метокси-18-(3,4,5-триметокси)-бензоил-оксн-15,16,17,18,19,20-гексадегидрохромана, выход 0,66 г, т. пл. 238—239° (разл.). Сообщение II см. РЖХим, 1957, 77189.

Chem. Abstrs, 1957, 51, № 4, 2824.

K. Kitsuta

4776. 3а-(2-этиламиноэтил)-аминотропан и родственные соединения. Арчер, Льюис, Ансер (3а-(2-diethylaminoethyl)-aminotropane and related compounds. Archer S., Lewis T. R., Unser M. J.), J. Amer. Chem. Soc., 1957, 79, № 15, 4194—4198 (англ.)

Тропинон (I) при восстановительном аминировании диэтиламиноэтиламином (II) дает 3а-(2-диэтиламиноэтил)-аминотропан (III), последний, присоединяя 2 моля CH_3I , переходит в соль дичетвертичного основания, в котором сохраняется функция вторичного основания. III относится к ряду тропана, а не псевдотропана, так как полученный тем же способом 3а-бензиламинотропан (IV) может быть превращен в известный 3а-аминотропан (V). III в псевдо-ряду получается при восстановлении Na в спирте основания Шиффа, полученного из I или из псевдо-пельтьерина (VI) и II. Получен ряд производных I и IV, которые изучаются на гипотензивную активность. Р-р 23 г оксима I в 150 мл CH_3OH восстанавливают с Pt (из 0,5 г PtO_2) 7 час. (50°); после удаления р-рителя выделяют 5,5 г V, т. кип. 98—102°/20 мм, n_D^{25} 1,5018; из 0,5 г V в 3 мл CH_3OH с 1 мл $\text{C}_6\text{H}_5\text{NCS}$ получают фенилтиоуреид (ФТУ) V, т. пл. 160—161° (из этилацетата (ЭА)). β -V получают из оксима V, восстанавливая Na в $\text{iso-C}_5\text{H}_{11}\text{OH}$; ФТУ, т. пл. 173—175°. К р-ру 45 г I в 100 мл CH_3OH с 40 мл 7,9 н. CH_3NH_2 в CH_3OH прибавляют PtO_2 , нагревают до 50° и гидрируют 1,5 часа, выход 3а-метиламинотропана ($\text{C}_9\text{H}_{11}\text{N}_2$) (VII) 43,5 г, т. кип. 59—60°/0,5 мм; дишкрат, т. пл. 255° (из сп.); ФТУ, т. пл. 160—161° (из ЭА). К 45 г I и 32 г $\text{C}_6\text{H}_5\text{CH}_2\text{NH}_2$ в 80 мл спирта прибавляют Pt (из 1,5 г PtO_2) в 30 мл спирта, восстановление проходит за 3 часа при 50°, выделяют IV, выход 63%, т. кип. 143—146°/0,05 мм, n_D^{25} 1,5445. К 19,2 г IV с 21,6 г HCOOH прибавляют 8,4 мл 40%-ного CH_2O , нагревают (~100°, 16 час.), выливают в ледяную воду, подщелачивают NaOH , извлекают эфиром, перегоняют при 126—

129°/0,3 мм, выход 3а-бензилметиламинотропана (VIII) 11,1 г; дишкрат, т. пл. 230—232°; моноидметилат, т. пл. 233—237° (разл.; из CH_3OH). 10 г VIII в 100 мл спирта дебензилируют с 10%-ным Pd/C , выделяют VII, ФТУ не дает депрессии с образцом ФТУ VII. Аналогично 22,8 г IV дебензилируют с Pd/C , выделяют V. Р-р 30 г I с 24 г II в 100 мл спирта оставляют на 2 часа, прибавляют Pt (из 1,2 г PtO_2) в 50 мл спирта, гидрируют 1 час, нагревают до 50°, выделяют III, выход 33,2 г, т. кип. 111—115°/0,5 мм, 99—101°/0,2 мм, n_D^{25} 1,4842. К 3,8 г III в 30 мл CH_3OH прибавляют р-р 2,2 г $\text{C}_6\text{H}_5\text{NCS}$, через 1 час выход ФТУ III 5 г, т. пл. 168—170° (из ЭА); дишкрат, т. пл. 168—170° (из сп.); тришкрат, т. пл. 230—232° [из водн. $\text{HCON}(\text{C}_2\text{H}_5)_2$]. 69,5 г I, 500 мл толуола и 500 мг ZnCl_2 кипятят 1 час, прибавляют 63,8 г II, кипячение продолжают, в 12 мин. собирают 50% воды и через 4 часа р-ция оканчивается, жидкость охлаждают, кристаллы отделяют, р-р перегоняют, главная фракция — 3-(N-2-диэтиламиноэтил)-тропинонимин (IX), т. кип. 128—131°/0,6 мм; тришкрат, т. пл. 184—185° (из сп.). Гидрирование IX со скелетным Ni при 60° и 67 ат дает III. При гидрировании IX с Pt, а также с LiAlH_4 получают III. К 47,4 г IX в 375 мл абс. спирта прибавляют 22 г Na (2 часа), кипятят 1 час, охлаждают, нейтрализуют конц. HCl , фильтруют, фильтрат сгущают, растворяют в небольшом кол-ве воды, прибавляют K_2CO_3 , извлекают эфиром, получают 26,5 г смеси аминов; 11,1 г смеси растворяют в 75 мл CH_3OH и прибавляют 6,75 г $\text{C}_6\text{H}_5\text{NCS}$; через 18 час. (0°) отделяют 0,8 г ФТУ III, остаток растворяют в 100 мл ЭА, сгущают до 60 мл, выделяют 12,7 г β -(2-диэтиламиноэтил)-аминотропана (X) в виде ФТУ, т. пл. 138—139,5°; дихлоргидрат X, т. пл. 219—221° (из CH_3OH). Из маточного р-ра выделяют при повторном действии спирт. р-ра HCl трихлоргидрат X (Ха), т. пл. 268° (разл.; из сп.). К водн. р-ру Ха прибавляют K_2CO_3 , извлекают эфиром X, т. кип. 117—119°/1,5 мм, n_D^{25} 1,4839; дишкрат (ДМ) X, т. пл. 270,5—271,5° (из CH_3OH). К 6 г III в 30 мл абс. спирта при 0° прибавляют 3,5 мл CH_3I , оставляют на 18 час., выделяют ДМ III, т. пл. 265—266° (из водн. сп.). Р-р 15,7 г полуhydrата VI в 100 мл толуола кипятят для удаления воды, прибавляют 12 г II и 100 мг ZnCl_2 , спустя 12 час. отгоняется 83% воды; фракция с т. кип. 90—120°/1 мм содержит VI, главная фракция 13,7 г, т. кип. 131—139°/0,7 мм, содержит основание Шиффа (XI); при восстановлении 10,5 г XI в спирте с Pt (из 0,5 г PtO_2) 5 час., 60°, получают N,N-диэтил-N'-(3-9-метилгранатанил)-этилендиамин (XII), выход 9,0 г, т. кип. 128—130°/0,6 мм, n_D^{25} 1,4920; ФТУ, т. пл. 188—190° (из ЭА). К взвеси 7,5 г Na в 175 мл толуола прибавляют (5,5 часа) р-р 20,5 г XI в 32,8 г 4-метилпентанола-2, перемешивают 30 мин., охлаждают, прибавляют 30 мл 10%-ного Na_2CO_3 , воды. слой отделяют, насыщают K_2CO_3 , извлекают C_6H_6 , экстракт соединяют с толуольным слоем, отгоняют в вакууме, получают 22,8 г в-ва, аналогично выделяют еще 7 г, все вместе растворяют в 100 мл спирта, прибавляют 17,5 г $\text{C}_6\text{H}_5\text{NCS}$, через 1 час охлаждают (0°), фильтруют, собирают осадок А, фильтрат выпаривают, получают остаток Б. Из А выделяют ФТУ XII, выход 22,3 г. Из маточного р-ра от А и из Б выделено 13,8 г ФТУ N,N-диэтил-N'-(3-псевдо-9-метилгранатанил)-этилендиамина; ФТУ, т. пл. 135—136° (из ЭА); трихлоргидрат, т. пл. 264—267° (из сп. с CH_3OH , 1:1); ДМ, т. пл. 270—272° (из CH_3OH). К 69 г III прибавляют 76 мл 98%-ной HCOOH и 29 мл 37%-ного CH_2O , нагревают при ~100° 17 час., выливают в ледяную воду, прибавляют 35%-ного NaOH до щел. р-ции, масло отделяют, водн. слой промывают CH_2Cl_2 , т-ра кипения метилированного III 120—124°/0,9 мм, n_D^{25} 1,4873; к 20 г этого в-ва в 250 мл абс. спирта прибавляют

спирт. р-р HBr до pH 3, оставляют на 18 час., выход трибромгидрата 3α-(N-диэтиламиноэтил)-метиламино-тропана 34 г; дибромметилат, т. пл. 230—232° (разл.; из *изо*-C₃H₇OH). 24 г III с 20 мл (CH₃CO)₂O нагревают ~100° 2 часа, оставляют на 18 час., выливают в ледяную воду, подщелачивают, извлекают C₆H₆, азеотропной перегонкой выделяют 20 г 3α-(N-2-диэтиламиноэтил)-ацетиламинотропан (XIII), т. кип. 142—144°/0,09 мм, *n*_D²⁵ 1,498; дипикрат, т. пл. 194—195° (из сп.). 10,3 г XIII в 100 мл сухого эфира восстанавливают 4 г LiAlH₄, кипятят 2 часа, прибавляют 3А и 10 мл воды, из эфирного слоя выделяют 10 г 3α-(N-2-диэтиламиноэтил)-этиламинотропана (XIV), т. кип. 142°/2 мм, *n*_D²⁵ 1,4845; ДМ, т. пл. 217,5—219,5° (разл.), из р-ра XIV в CH₃CN с CH₃I. К 48 г III при охлаждении прибавляют 50 мл (C₂H₅CO)₂O, т-ра поднимается до 70°, оставляют на 2,5 часа, выход 3α-(N-2-диэтиламиноэтил)-пропионаминотропана (XV) 45,8 г, т. кип. 160°/0,5 мм, *n*_D²⁵ 1,4945; дипикрат, т. пл. 173—176° (из водн. HCON(C₂H₅)₂). 29,5 г XV восстанавливают 4 г LiAlH₄ в 100 мл эфира, получают 3α-(N-2-диэтиламиноэтил)-пропиламинотропан, масло, выход 23,6 г, т. кип. 119—126°/0,1 мм, *n*_D²⁵ 1,4835; ДМ, т. пл. 193—195° (разл.)

К. Уткина

4777. Синтетические аналоги алкалоидов кураре. VII. Две новые модели тубокурарина и две бис-четвертичные аммониевые соли. Протива, Боровичка, Цимлер, Шедивый (Synthetické analogy kurarových alkaloidů. VII. Dva nové modely tubokurarinu a dvě další biskvartérní amoniové soli. Protiva Miroslav, Borovička Miloš, Cimler Lexa, Šedivý Zdeněk), Chem. listy, 1956, 50, № 12, 1988—1994 (чешск.)

Получено модельное в-во, имеющее макроциклич. характер тубокурарина, и в-во, в котором аммониевые функции отделили друг от друга алкоксифенилэтиленовой группой, аналогично как в тубокурарине. Дийодметилат 1,10-бис-диметиламиноциклооктадекана (I) обладает той же активностью, что и бромистый декаметаний (прокурарин). Циклооктадекандиол-1,10 (II) получен по известному методу (РЖХим, 1956, 19196) из хлорангидрида себаинон-к-ты. Диксим II, т. пл. 168—169° (из сп.), был превращен восстановлением при помощи Na в кипящем спирте в 1,10-диаминоциклооктадекан (III), выход 92%, т. кип. 180—185°/0,2 мм; сульфат, не плавится до 350° (из водн. сп.); дипикрат, т. пл. 238—240° (из ацетона). Из III, CH₃I и KOH в CH₃OH (стояние 14 час. и 7 час. кипения) получен I, выход 39%, I не плавится ниже 300° (из водн. *изо*-C₃H₇OH). Циклооктадекандиол-1,10, т. пл. 129—130° (из ацетона), был получен восстановлением II LiAlH₄, выход 79%; диацетат, т. пл. 72—73° (из водн. сп.). Из *n*-HOC₆H₄CH₂CN и (CH₃)₂NCH₂CH₂Cl в спирт. р-ре C₂H₅ONa (12 час. стояния и 5 час. кипения) получен 4-(2-диметиламиноэтокси)-фенил-ацетонитрил, выход 26%, т. кип. 135—137°/1,1 мм; пикрат, т. пл. 102—102,5° (из воды); хлоргидрат, т. пл. 156—157° (из сп.-эф.). Нитрил был подвергнут гидрированию в CH₃OH, насыщ. NH₃, над скелетным Ni при 90—100° и 100 ат до 4-(2-аминоэтил)-фенил-2'-диметиламиноэтилового эфира (IV), выход 87%, т. кип. 120°/1 мм; дипикрат, т. пл. 169—170° (из сп.-ацетофенона); N-ацетат, т. кип. 175—177°/0,6 мм, т. пл. 40—42° (из петр. эф.). При действии CH₃I и NaOH в CH₃OH (аналогичным способом, как приведено выше) IV превращен в дийодметилат 4-(2-диметиламиноэтил)-фенил-2'-диметиламиноэтилового эфира, выход ~100%, т. пл. 290—292° (из водн. сп.). Из α-бромпропиофенона и *n*-HOC₆H₄CH₂CN в спирте с C₂H₅ONa (7 час. кипения) был получен 1-фенил-2-(4-цианметилфенокси)-пропанон-(1), выход 53%, т. кип. 208—212°/0,5 мм, т. пл. 79—80,5° (из *изо*-C₃H₇OH). Путем той же р-ции из

β-бромпропиофенона был получен только β-этоксипропиофенон. При помощи вышеприведенного метода из 1,4-диамино-2-(2,5-диметоксифенил)-бутана (т. кип. 152—153°/0,5 мм) получен дийодметилат 1,4-бис-диметиламино-2-(2,5-диметоксифенил)-бутана, выход 49%, т. пл. 238—240° (из водн. сп.). Дибромметилат 1,5-дипиридинопентана, т. пл. 258—259° (разл.; из ацетона-*изо*-C₃H₇OH), был получен при кипячении 7 час. N-метилпиперидина и пентаметилендибромидом в изопропанолом спирте. Сообщение VI см. РЖХим, 1957, 5124.

Jan Kovář

4778. Некоторые модельные соединения зметина. Ежо, Земаник (Einige Modellschubstanzen des Emetins. Ježo I., Zemanik J.), Pharmazie, 1957, 12, № 5, 268—270 (нем.)

Для выяснения связи между хим. строением зметина (I) и его фармакологич. действием сопоставлены фармакологич. свойства известных из литературы в-в, которые могут рассматриваться как составные части молекулы I. Ни одно из этих соединений не обладает зметиноподобным фармакологич. действием. По-видимому, это действие присуще только всей молекуле I.

Н. Корещин

4779. Проблема строения производных котарина. I. Реакция котарина с NaHSO₃ и соответственно с H₂SO₃. Беке, Мартош-Барцан (Kotarninszarmazékok szerkezeti problémái. I. A kotarnin reakciója nátriumbiszulfittal és kénessavval. Beke Dénes, Martosné-Bárczai Marietta), Magyar kém. folyóirat, 1956, 62, № 5, 159—162 (венг.; рез. нем.)

Действием H₂SO₃ и соответственно NaHSO₃ на котарин (I) получены неизвестные ранее 1-сульфокислоты I (II), выход 88%, и ее Na-соль (III), выход 98%. Строение II и III установлено на основании их ИК-спектров. По УФ-спектрам найдено, что в разб. водн. р-ре эти соединения находятся в форме солей четвертичного аммониевого основания дигидрохинолина. II и III при действии щелочей разлагаются на I и щел. сульфит и поэтому очень удобны для очистки и хранения необработанного I. II и III с соединениями Гриньяра дают с хорошими выходами 1-замещ. производные гидрокотарина. Приведены кривые ИК-спектров 1-замещ. I.

Г. Челпанов

4780. Синтез (±)-криптоплеурина. Бадшер, Берджер (Synthesis of (±)-cryptopleurine. Bradsher C. K., Berger H.), J. Amer. Chem. Soc., 1957, 79, № 12, 3287—3288 (англ.)

Криптоплеурин (I) (РЖХим, 1956, 29152) синтезирован по следующей схеме. При конденсации 6-нитровератрового альдегида с гомоанисовой к-той получен 6-нитро-3,4,4'-триметокси-α-фенилкоричная к-та (II), C₁₈H₁₇NO₇·H₂O, т. пл. 185—186°. II восстановлен в соответствующий амин, т. пл. 206—207°, который после диазотирования и последующей циклизации превращен в 2,3,6-триметоксифенантренкарбоную к-ту (III), C₁₈H₁₆O₅·H₂O, т. пл. 222°. Этиловый эфир III, т. пл. 136,5—137°, восстановлен LiAlH₄ в 2,3,6-триметоксифенантрил-9-карбинол, т. пл. 184—187°, в бромид которого и пиридин-2-альдегида получен четвертичная соль (IV). Циклизация IV (полифосфорная к-та, 5 час., 80°) дала 2,3,6-триметоксидибензо-*h*, *j*-акридиниевую соль (V). Хлорид V восстановлен с Pt из PtO₂ до I (т. пл. 199—200°; йодметил I, т. пл. 272—274°, который является 2',3',6'-триметоксифенантро-(9',10',2,3)-хинолизидином. Н. Корещин

4781. Строение лолина и лоллина. Юнусов С. Ю., Акрамов С. Т., Докл. АН УзССР, 1957, № 3, 31—34 (рез. узб.)

При окислении лолина (I) (РЖХим, 1956, 43311) KMnO₄ в кислой среде окисляется CH₂O и получается норлолин C₇H₁₂ON₂ (II), т. кип. 94—95°/5 мм.

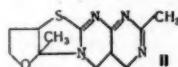
$[\alpha]_D^{20} +15,11^\circ$ (CH_3OH), d_{20}^{20} 1,1793, n_D^{20} 1,5220; карбонат, т. пл. 141° ; дихлоргидрат, т. пл. $309-311^\circ$; дибромгидрат, т. пл. $306-308^\circ$ (разл.); динитрат, т. пл. $191-192^\circ$; диникрат, т. пл. 226° (разл.). При ацетилировании II (CH_3CO)₂O был получен N-ацетилнорлолин (III), т. кип. $190-195^\circ$, содержит 2 N-COCH₃. При нагревании III с 30%-ной H_2SO_4 получен II. При р-ции II с HNO_3 образуется геминорлолин, $\text{C}_7\text{H}_{12}\text{O}_2\text{N}$, т. пл. 192° , $[\alpha]_D^{20} +8,09^\circ$; хлоргидрат, т. пл. $233-234^\circ$; бромгидрат, т. пл. $189-190^\circ$; пикрат, т. пл. $142-143^\circ$. При обработке II эквимолекулярными кол-вами CH_3O и HCOOH происходит конденсация и получается динорлолинметан, т. пл. $197-198^\circ$. При метилировании II CH_3J образуется йодметилат II. Из II, 2 молей HCON и 2 молей CH_3COOH получен N-метиллолин, который при окислении дает I или II в зависимости от условий р-ции. Из суммы алкалоидов *Lolium cuneatum*, кроме I, лоллина и лоллинидина выделен также II в виде перхлората, т. пл. 280° . На основании полученных результатов предлагается развернутая ф-ла I: $\text{C}_7\text{H}_{10}(>\text{O})(>\text{N})-\text{NHCH}_3$. Т. Платонова

4782. Изучение соединений, родственных витамину В₁.

XV. Продукты окисления 3-(2'-метил-4'-аминопиридил-5'-метил)-3а-метил-3а,5,6,6а-тетрагидрофуоро-[2,3-d]-тиазолин-2-тиона. Йосида, Асаи, Катаока

XVI. Производные S-ацитиаминна. Йосида (ビタミンB₁関係化合物の研究. 第15報. 3-(2'-Methyl-4'-aminopyrimidyl-5'-methyl)-3a-methyl-5,6,6a tetrahydrofuro-[2,3-d] thiazoline-2-thione の酸化生成物について. 吉田茂, 浅井素次, 片岡満第16報 S-Acylthiamine 誘導體について吉田茂), 薬學雑誌, Якугаку дзасси, J. Pharmac. Soc. Japan, 1954, 74, № 8, 856-858; № 10, 993-997 (японск.; рез. англ.)

XV. К 3-(2'-метил-4'-амино-5'-пиридилметил)-3а-метил-3а,5,6,6а-тетрагидрофуоро-[2,3-d]-тиазолин-2-тиону (I) (9 г) в 150 мл воды добавляют по каплям 10 г 30%-ной H_2O_2 при $40-50^\circ$, выдержка 1,5 часа ($40-50^\circ$), добавляют до избытка BaCl_2 , фильтруют, упаривают в вакууме и получают 4 г в-ва (II), т. пл. 150° (разл.;



из сп.); хлоргидрат II, т. пл. 194° (разл.), II·2HCl, т. пл. 230° (разл.). 1 г II·2HCl в 20 мл воды нейтрализуют 5%-ным NaOH , упаривают в вакууме и получают 0,5 г II, т. пл. 150° (разл.; из сп.). К I (18 г) в 300 мл воды и 12 г 35%-ной HCl при $40-50^\circ$ добавляют 18,5 г 30%-ной H_2O_2 . Выход монохлоргидрата 3-(2'-метил-4'-амино-5'-пиридилметил)-3а-метил-3а,5,6,6а-тетрагидрофуоро-[2,3-d]-тиазолинона-2 (III) 5 г, т. пл. $253-255^\circ$. 1 г III в 10 мл воды, нейтрализованный 5%-ным NaOH , дает 0,6 г свободного основания III, т. пл. $178-180^\circ$ (из сп.). К I (2 г) в 40 мл воды добавляют HCl до pH 3-3,5, нагревают на водяной бане 30 мин. с 5 г скелетного Ni, охлаждают и фильтруют. Фильтрат с 0,5 мл HCl выпаривают в вакууме и получают 1,1 г II·2HCl, т. пл. $228-230^\circ$ (разл.; из сп.). Из маточного р-ра выделяют 0,2 г дихлоргидрата 2-метил-4-амино-метилпиридина, небольшое кол-во тиахромина и витамина В₁.

XVI. Образование O,S-диацилтиаминна при ацилировании тиаминна объясняется тем, что S-ацитиамин в кислой и щел. среде легко перегруппировывается в O-ацитиамин. 10 г хлоргидрата тиаминна (I) в 100 мл воды обрабатывают 3,6 г NaOH в 20 мл воды и добавляют по каплям $n\text{-NO}_2\text{C}_6\text{H}_4\text{COCl}$ в 40 мл C_6H_6 , размешивают 2 часа и отфильтровывают 14,5 г $\text{RCH}_2\text{N}(\text{CHO})\text{SCH}_3 = \text{CSR}'(\text{CH}_2\text{CH}_2\text{OR}')'$ III R = 2-метил-4-амино-5-пиридил, R' = R'' = $n\text{-O}_2\text{NC}_6\text{H}_4\text{CO}$ (III), т. пл. 181° (разл.; из сп.); HCl-соль, т. пл. 180° (разл.).

Аналогично 5 г I, 1,8 г NaOH в 5 мл воды и 4 г $\text{C}_6\text{H}_5\text{Cl}$ дают II (R' = R'' = C_6H_5), выход 3 г, т. пл. 173° (разл.); 5 г хлоргидрата O-ацитилтиаминна (IV), 1,6 г NaOH в 5 мл воды и 2,1 г $n\text{-O}_2\text{NC}_6\text{H}_4\text{COCl}$ в C_6H_6 дают 3,5 г I (R' = $n\text{-O}_2\text{NC}_6\text{H}_4\text{O}$, R'' = CH_3CO) (V), т. пл. 160° (разл.); 5 г IV и 1,85 г $\text{C}_6\text{H}_5\text{Cl}$ дают 2,8 г II (R' = C_6H_5 , R'' = COCH_3) (VI), т. пл. 158° (разл.). 1 г III в 15 мл 25,6%-ной спирт. HCl обрабатывают небольшим кол-вом C, отфильтровывают HCl-соль II (R' = $n\text{-O}_2\text{N-C}_6\text{H}_4\text{CO}$, R'' = H) (VII), т. пл. $167-169^\circ$, аналогично V дает VII; 0,5 г VII в 5 мл 20%-ного спирта после нейтр-ции 5%-ной NaHCO_3 дает свободное основание VII, т. пл. 186° (разл.). VI в описанных выше условиях дает II (R' = C_6H_5 , R'' = H) в форме HCl-соли (VIII), т. пл. $125-127^\circ$ (разл.), свободное основание VIII, т. пл. 147° (разл.). 0,4 г VII в 30 мл спирта кипятят 30 мин. на водяной бане, охлаждают до 0° и получают O-(n -нитробензоил)-тиаминхлорид (IX), т. пл. 185° (разл.; из сп.). Перекристаллизация IX из спирта, содержащего небольшое кол-во HCl , дает хлоргидрат O-(n -нитробензоил)-тиаминна, т. пл. 240° (разл.); аналогично VIII дает O-бензоилтиаминхлорид (X), т. пл. 145° (разл.), и X в 5%-ной спирт. HCl дает хлоргидрат O-бензоилтиаминна, т. пл. 180° (разл.). Сообщение XIV см. РЖХим, 1957, 8215.

Chem. Abstrs, 1955, 49, № 14, 9626; № 17, 11664.

K. Kitsuta

4783. Синтезы каротиноидов. XX. Синтез оптически активных α -каротинов. Чарнер, Эйгстер, Карпер (Synthese der optisch aktiven α -Carotine. Carotenoidsynthesen. XX. Tscharner Ch., Eugster C. H., Karrer P.), Helv. chim. acta, 1957, 40, № 6, 1676-1677 (нем.)

Исходя из эквимолекулярной смеси (—)- α -иона с β -ионом по схеме получения (+)- α -каротина (Helv. chim. acta, 1950, 33, 1952; РЖХим, 1956, 22550), синтезирован неизвестный до настоящего времени (—)- α -каротин, т. пл. 178° , $[\alpha]_D^{20} -400^\circ$ (бал.). Приве-

дена кривая УФ-спектра для него. Предыдущее сообщение см. РЖХим, 1957, 11860. Г. Воробьева

4784. Аууреоминци. I. Восстановление и ароматизация аууреоминци и его производных. Хуан Яо-цзэн, Дин Хун-сюнь, Дин Вэй-юй, Шэн Хуай-юй, Ту Тун-юань, Хуан Цзин-цзянь, Сюй Юань-яо, Ван Ю. II. Изаууреоминци и его аналоги. Дин Хун-сюнь, Хуан Яо-цзэн, Дин Вэй-юй, Хуан Цзин-цзянь. III. Деклорирование продуктов расщепления аууреоминци. Хуан Яо-цзэн, Шэн Хуай-юй, Фэн Хуэй-минь, Сюй Юань-яо, Ту Тун-юань (金微素的化学. I. 金微素及其衍化物的氢解和芳构化. 黄耀曾, 丁宏助, 丁维钰, 盛懷禹, 涂通源, 黄敬坚, 徐元耀 汪猷. II. 異金微素及其同型物. 丁宏助, 黄耀曾, 丁维钰, 黄敬坚. III. 金微素降解物的脱氯反应. 黄耀曾, 盛懷禹, 馮韻民, 徐元耀, 涂通源), 化學學報, Хуасюэ сюэбао, 1955, 21, № 2, 132-141, 142-150; 151-158 (кит.; рез. англ.)

I. При восстановлении аууреоминци (I) Zn с CH_3COOH в мягких условиях получают дездиметиламино-аууреоминци (II), а в более жестких условиях — дездиметиламинодезоксаууреоминци (III). II восстанавливают в III. I, II, III с конц. HCl -к-той или CH_3OH - HCl образуют соответственно ангидро-I (IV), дездиметиламино-IV (V) или дездиметиламинодезокс-IV (VI). V получают восстановлением IV. VI аналогично получают из IV или V. I—VI при перегонке с Zn-пылью образуют нафтаден. УФ-спектры перечисленных соединений подтверждают положение угловой OH-группы в структуре I.

II. С разб. щелочью II дает дездиметиламиноизо-аууреоминци (VII). VII можно также получить восстановлением Zn в CH_3COOH изоаууреоминци (VIII).

При пиролизе VII образуется 3-метил-4-хлор-7-оксифталид (IX). I с разб. щелочью дает VIII, а III дает дездиметиламинодезоксизоауреомидин (X). VIII и его хлоргидрат имеют две полиморфные формы. VIII и X при перегонке с Zn-пылью, а также при пиролизе превращаются в IX.

III. При каталитич. восстановлении II дает дезхлор-II (X), а III дает дезхлор-III (XI). При нагревании с $\text{CH}_3\text{OH}-\text{HCl}$ X и XI превращаются в соответствующие ангидросоединения: дезхлор-V (XII) и дезхлор-VI (XIII). IV при каталитич. восстановлении дает дезхлор-IV (XIV), который с Zn в CH_3COOH дает смесь XII и XIII. Сходство УФ-спектров X, XI, XIV и XII и соответствующих продуктов расщепления тетрамина свидетельствует о сходстве строения ауреомидина и тетрамина.

Резюме авторов

4785. Бацитрацин А. Природа связей серы. Вейзигер, Хаусман, Крэг (The nature of the linkages surrounding the sulfur. Weisiger J. R., Hausman W., Craig L. C.), J. Amer. Chem. Soc., 1955, 77, № 11, 3132—3127 (англ.).

На основании изучения продуктов окисления надмуравьиной к-той тридинитрофенолбацитрацина А и бацитрацина Ф, а также продуктов их десульфирования никелем Ренея, предполагают, что бацитрацин А содержит тиазольное кольцо, образованное конденсацией остатков цистина и изолейцина. Из гидролизата бацитрацина Ф выделено кристаллич. в-во состава $\text{C}_9\text{H}_{11}\text{O}_3\text{NS}$, которому приписывают строение 2-изовалерилтиазол-4-карбоновой к-ты. Резюме авторов

4786. Структура бацитрацина А. Ринч (Structure of bacitracin A. Wrinch Dorothy), Nature, 1957, 179, № 4558, 336—337 (англ.).

Автор считает, что некоторые свойства декапептида бацитрацина А могут быть объяснены присутствием



в его молекуле фрагмента (I), где $\text{R} = \text{CH}(\text{CH}_3)\text{C}_2\text{H}_5$, $\text{R}' = \text{CH}_2\text{SH}$, $\text{R}'' = \text{CH}_2\text{C}_6\text{H}_5$. С. Аваева

4787. Химическое исследование *Penicillium citrinum*.

Ван Ю (橋樑素化學的研究. 汪猷), 科學通報, Касюа тунбао, 1955, № 11, 81—86 (кит.).

Изучены строение в-в, полученных при гидрировании пенициллина (I), стереохимия I и расщепление рацемич. форм I. Осуществлен синтез d- и l-I. Проведено декарбоксилирование I и синтезирован дезкарбокси-I. Обсуждается связь между хим. строением, спектрами поглощения и антибактериальным действием I и его производных. Чэн Чан-Бэй

4788. Дигидросаркомицин и родственные соединения.

I. Арендарук А. П., Будовский Э. И., Готтих Б. П., Карпейский М. Я., Кудряшов Л. И., Сколдинов А. П., Смирнова Н. В., Хорлин А. Я., Кочетков Н. К., Ж. общ. хим., 1957, 27, № 5, 1312—1318

Разработан удобный метод синтеза циклопентанон-карбоновых к-т в 2 стадии: конденсацией метилакрилата с соответствующими 1,1,2-трикарбэтоксикалканами с одновременной циклизацией в производные циклопентанона и последующим омылением и декарбоксилированием. Получены циклопентанонкарбоновая-3 к-та, выход 76,8%, т. кип. 152—154°/4 мм, т. пл. 63,5—65° (из бал.-петр. эф.) и 2-метилциклопентанонкарбоновая-3 к-та (I), выход 51,5%, т. пл. 94,5—95°. I разделена на оптич. антиподы: (–)-к-та, т. пл. 98—98,5°, $[\alpha]_D^{20} -64,5^\circ$ (с 2,5; вода), (+)-к-та, т. пл. 97,5—98,0°, $[\alpha]_D^{20} +63,8^\circ$ (с 2,5; вода). Разделение проведено через хининовые соли: соль (–)-I, т. пл. 169—170° (из абс. сп.), $[\alpha]_D^{20} -153,2^\circ$ (с 2; вода) и соль (+)-I, т. пл. 168—169° (из абс. сп.), $[\alpha]_D^{20} -93,5^\circ$ (с 3; вода). (+)-I по свойствам соответствует дигидросаркомицину (II), полу-

ченному восстановлением природного саркомицина. II восстановили по Кижнеру и перевели в амид (III). III идентифицирован по смесовой т-ре плавления с амидом транс-2-метилциклопентанкарбоновой к-ты. Следовательно, I и II являются транс-соединениями. В процессе работы синтезированы: 2-метилтрикарбэтоксидициклопентанон-3, выход 61%, т. кип. 158—160°/3 мм, n_D^{20} 1,4560; трикарбэтоксидициклопентанон, выход 67%, т. кип. 180—185°/5 мм, n_D^{20} 1,4558; 2-метилциклопентанон-3-дикарбоновая-1,1 к-та, выход 44,2%, т. пл. 158° (разл.). Г. Челпанова

4789. Изучение аминокислот. XI. Синтез DL-2-оксибензоилаланина. Сэно, Сакан (Studies on amino acids. XI. The synthesis of DL-2-hydroxybenzoylalanine. Senoh Siro, Sakan Takeo), J. Inst. Polytechn. Osaka City Univ., 1953, C4, № 2, 236—238 (англ.).

См. РЖХим, 1955, 16477.

4790. Изучение аминокислот. XIII. Синтез DL-формилизоглутамина. Ямагучи, Сакан (Studies on amino acids. XIII. The synthesis of DL-formylisoglutamin. Yamaguchi Masao, Sakan Takeo), J. Inst. Polytechn. Osaka City Univ., 1953, 64, № 2, 242—245 (англ.); 日本化学雑誌, Нихон кагаку даасси, J. Chem. Soc. Japan. Pure Chem. Sec., 1954, 75, № 6, 785—787 (японск.).

4 г 2-тиогидантоинпропионовой к-ты в 120 мл абс. диоксан-спирта (3:1) обрабатывают 35-кратным кол-вом скелетного Ni (на атом серы) в течение 8—10 час. при 90—95° в приборе, защищенном от влаги воздуха. Десульфированный продукт, адсорбированный на катализаторе, вымывают 1,5 л 0,1 н. NaHCO_3 и промывные воды хроматографируют на ионите IR-120. Элюат после обработки р-ром $(\text{CH}_3\text{COO})_2\text{Hg}$ дал 205 мг DL-формилизоглутамин (I), т. пл. 129—130° (из воды-диоксана). Приведены кривые поглощения в ИК-области для I. Сообщение XII см. РЖХим, 1958, 1470. Л. Аксанова

4791. Изучение аминокислот. Сообщение XIV. Синтез DL-5-оксикинурина и более удобный метод синтеза гомологов кинурина. Сэно, Хаяси. XV. Синтез DL-3,6-диоксикинурина. Сэно (アミノ酸の研究. 第14報 DL-5-ヒドロキシキヌレニンの合成並びにキヌレニン類の改良合成法. 妹尾四郎, 林雄二. 第15報. DL-3,6-ジヒドロキシキヌレニンの合成. 妹尾四郎), 日本化学雑誌, Нихон кагаку даасси, J. Chem. Soc. Japan. Pure Chem. Sec., 1954, 75, № 9, 927—930; № 11, 1185—1189 (японск.).

XIV. 2-нитро-5-метокситолуол, полученный из м-крезола, окисляют KMnO_4 до 2-нитро-5-метоксибензойной к-ты (I). Хлорангидрид последней обрабатывают Mg-этоксималоновым эфиром (II) и после омыления и декарбоксилирования получают 2-нитро-5-метоксифенол (III). III бромруют и из образовавшегося ω-бром-2-нитро-5-метоксифенола (IV) с $\text{CH}_3(\text{COOC}_2\text{H}_5)_2$ получают после омыления и декарбоксилирования β-(2-нитро-5-метоксибензоил)-пропионовую к-ту (V). Последнюю бромруют, от образовавшейся β,β-(2-нитро-5-метоксибензоил)-бромпропионовой к-ты (VI) отщепляют элементы HBr и к β-(2-нитро-5-метоксибензоил)-акриловой к-те (VII) присоединяют NH_3 . Восстановление образовавшегося DL-2-нитро-5-метоксибензоиламина (VIII) приводит к образованию DL-5-метоксикинурина (IX), который после омыления конц. HBr дает DL-5-оксикинурин (X). Из ω-бромацетифенона (XI) и ω-бром-2-нитро-3-метоксифенола (XII) получают β-(2-нитробензоил)-пропионовую к-ту (XIII) и β-(2-нитро-3-метоксибензоил)-пропионовую к-ту (XIV), полупродукты для синтеза кинурина и его метоксильного производного. Из I с $(\text{NH}_4)_2\text{S}$ получают 5,5-диметоксинидиго. 18 г I в 15 мл CHCl_3 обрабатывают 18 г SOCl_2 и продукт

р-ции в 30 мл C_6H_6 обрабатывают 0,11 моля II, разлагают 13 г конц. H_2SO_4 , 100 мл воды, экстрагируют эфиром и после отгонки р-рителей кипятят 10 час. со смесью 7 г конц. H_2SO_4 и 30 мл CH_3COOH с 20 мл воды. После добавления 6 н. NaOH получают III, выход 91%, т. пл. 70—71° (из 50%-ной CH_3COOH). Из 10 г III в 25 мл лед. CH_3COOH и 8,2 г Br_2 получают IV, выход 95%, т. пл. 96—97° (из сп.). К $NaHC(COOC_2H_5)_2$ из 1,1 г Na и 3,3 г спирта в 10 мл C_6H_6 и 19,2 г $H_2C(COOC_2H_5)_2$ добавляют 13,2 г III в 200 мл C_6H_6 , оставляют на 3 часа при 0°, нагревают 2 часа при 50°, разлагают разб. H_2SO_4 и продукт р-ции кипятят 28 час. в 70 мл CH_3COOH , 30 мл воды с 40 мл конц. HCl. Получают V, выход 33%, т. пл. 136—138° (из воды). 3 г V в 20 мл CH_3COOH обрабатывают при 60° 1,9 г Br_2 , получают VI, выход 92%, т. пл. 127,5—128,5° (из сп.). Р-р 3,5 г последней в 15 мл CH_3COOH нагревают 1,5 часа при 100° с 4 г безвод. CH_3COONa . Получают VII, выход 80%, т. пл. 209—210° (из воды). 2 г VII оставляют на 24 часа с 24 мл 15%-ного водн. NH_3 , получают VIII, выход 98%, хлоргидрат, т. пл. 199° (из CH_3COOH). К р-ру 6,5 г $SnCl_2 \cdot HCl$ в 25 мл конц. HCl добавляют 2,1 г VIII в 20 мл CH_3COOH и оставляют на 12 час, затем осадок растворяют в 50 мл воды, Sn осаждают H_2S и продукт р-ции сушат в вакууме, получают IX, выход 53%, т. разл. 144°. 1,29 г хлоргидрата IX кипятят в 20 мл 48%-ной HBr 6,5 часа под CO_2 . В результате разложения образовавшейся соли 1 моля пипидина получают X, выход 69%, т. разл. 196°. 24,6 г XI в 100 мл C_6H_6 добавляют к $NaHC(COOC_2H_5)_2$ [из 2,3 г Na и 7 г спирта в 20 мл C_6H_6 и 45 г $H_2C(COOC_2H_5)_2$] и оставляют на 48 час. при 0°. Продукт р-ции после разложения водой кипятят 20 час. с 100 мл воды, 100 мл конц. HCl, получают XIII, выход 40%. Аналогично, с выходом 48% получают XIV. Приведен УФ-спектр X при pH 7.

XV. Осуществлен синтез DL-3,6-диоксикинурина (I) по схеме: 2-нитро-3,6-диметоксибензойная к-та (II) → диэтиловый эфир 2-нитро-3,6-диметоксибензоилмалоновой к-ты (III) → 2-нитро-3,6-диметоксиацетофенон (IV) → ω-бром-2-нитро-3,6-диметоксиацетофенон (V) → β-2-нитро-3,6-диметоксибензоил-пропионовая к-та (VI) → β-бром-β-(2-нитро-3,6-диметоксибензоил)-пропионовая к-та (VII) → β-(2-нитро-3,6-диметоксибензоил)-акриловая к-та (VIII) → 2-нитро-3,6-диметоксибензоилаланин (IX) → хлоргидрат 3,6-диметоксикинурина (X) → I. I не оказал никакого физиологич. действия на *Drosophila melanogaster* *cn. bw*. Метиловый эфир 6-нитрогентициновой к-ты получен с выходом 10—15% из метилового эфира гидрохинона по Клеменцу (Monatsh. Chem., 1912, 33, 1254; 35, 85); метилирование его посредством $(CH_3)_2SO_4$ дало II, выход 96%, т. пл. 193,5—194° (из разб. сп.). 11,4 г II в 20 мл $CHCl_3$ нагревают 4 часа при 55—60° с 10 г $SOCl_2$, выпаривают в вакууме, растворяют в 40 мл безводн. толуола, вводят при кипячении эфир. р-р 0,055 моля диэтилового эфира магниймалоновой к-ты, кипятят 2 часа, подкисляют 7 г конц. H_2SO_4 , в 50 мл воды, из органич. слоя выделяют III, выход 82%, т. пл. 129—131°. 12 г III кипятят 5 час. с 30 мл лед. CH_3COOH , 3 мл конц. H_2SO_4 и 20 мл воды, получают IV, выход 96%, т. пл. 76—77°. 7 г IV в 30 мл лед. CH_3COOH бромруют 5,05 г брома в 10 мл лед. CH_3COOH (облучение УФ-светом), выливают в воду, получают V, выход 9,4 г, т. пл. 99—101°. Смешивают 8,5 г V и р-р натриймалонового эфира (700 мг Na, 5 мл безводн. сп., затем 20 мл безводн. C_6H_6 и 8 г малонового эф.), на другой день нагревают при 40—45° 10 час., подкисляют разб. H_2SO_4 , извлекают C_6H_6 , полученное масло кипятят 15 час. с 30 мл лед. CH_3COOH + 15 мл воды + 3 мл конц. H_2SO_4 , получают VI, выход 34%, т. пл. 164—165° (из разб. сп.). 2,4 г VI в 20 мл лед. CH_3COOH бромруют 1,4 г брома в присутствии не-

большой добавки $AlCl_3$ (облучение УФ-светом), разбавляют водой, получают VII, выход 95%, т. пл. 159—160°. 2,8 г VII нагревают 1 час на водяной бане с 15 мл лед. CH_3COOH и 4,5 г CH_3COONa , получают после разбавления водой и подкисления конц. HCl VIII, выход 87%, т. пл. 165,5—166,5° (из разб. сп.). 1,5 г VIII обрабатывают при охлаждении 15 мл 15%-ного NH_4OH , получают IX, выход 94%, т. разл. 204°. 1,45 г IX в 20 мл лед. CH_3COOH смешивают при охлаждении с 4,5 г $SnCl_2$ в 15 мл конц. HCl, нагревают при 100° 40 мин., упаривают в вакууме, разбавляют водой, проводят H_2S , фильтруют, упаривают в вакууме, получают X, выход 62%, т. разл. 185°. 1 г X деметилируют кипячением (10 час.) с 20 мл 48%-ной HBr в токе CO_2 , добавляют 30 мл воды, упаривают в вакууме до 3 мл, получают полу-гидрат дибромгидрата I, выход 67%, т. разл. 219—220°; при стоянии охлажд. водн. р-ра $I \cdot HBr \cdot \frac{1}{2} H_2O$ выделяют кристаллы $I \cdot \frac{1}{2} H_2O$, т. разл. 205°. Л. Яновская 4792. Новый синтез дихлорацетилпроизводных аминов и аминокислот. Камэда, Кимура, Ямадзоя (アミン及びアミノ酸のジクロルアセチル誘導体の新合成. 龜田幸雄, 木村行男, 山添寛), 金澤大學薬学部研究年報, Канадзава дайгаку якугакубу кэнкю хэмпо, Annual Rept. Fac. Pharmacy Kanazawa Univ., 1956, 6, 16—18 (японск.; рез. англ.)

Конденсацией β-окси-β-фенилэтиламина с хлорацетилгидратом получают N-(α-окси-β-трихлорэтил)-β-окси-β-фенилэтиламин (I), выход 90%, т. пл. 77—78°. I с KCN и $CaCO_3$ дает N-(дихлорацетил)-β-окси-β-фенилэтиламин, выход 40%, т. пл. 89—90°. Этим же методом получены: N-дихлорацетилфенилаланин (60—70°), выход 60%, т. пл. 140—141°; N-дихлорацетил-α-аминомасляная к-та, выход 51%, т. пл. 114—116°; этиловый эфир N-дихлорацетил-трео-β-фенилсерина, выход 40%, т. пл. 149—151°; этиловый эфир N-дихлорацетилфенилглицина, выход 50%, т. пл. 99—101°. Г. Челпанова 4793. Синтез 2,4-диоксиметилфенилаланинов и возможное расположение связей тирозиназы с субстратом. Ламбуи (The synthesis of the 2,4-dihydroxymethylphenylalanines and the possible sites of the linkages between tyrosinase and substrate. Lambouy J. P.), J. Amer. Chem. Soc., 1956, 78, № 4, 771—774 (англ.)

Для изучения характера связи тирозиназы (I) с субстратом (ср. РЖХимБх, 1955, 14292) синтезированы 2,4-диокси-3-метилфенилаланин (II), 2,4-диокси-5-метилфенилаланин (III), 2,4-диокси-6-метилфенилаланин (IV) и исследовано действие I на эти в-ва. II окисляется под действием I с такой же скоростью, как и тирозин; III неактивен к действию I, а IV является потенциальным обратимым ингибитором I, однако несколько более слабым, чем 2,4-диоксифенилаланин. Обсуждается связь активности с характером возможного расположения активных групп в I. Разработан метод синтеза исходных диметокситолуолов метилированием соответствующих ариллитиевых соединений. К р-ру C_6H_5Li (из 2,68 моля Li и 1,34 моля C_6H_5Br в 750 мл абс. эфира) прибавляют 1 моль м-диметоксибензола (V). Через 3 дня прибавляют при перемешивании за 2 часа 1,34 моля диметилсульфата, кипятят 1 час и выливают на лед. Смесь экстрагируют эфиром и эфирный р-р разгоняют. Из фракции с т. кип. > 110°/20 мм обработкой n-пентаном (2—3 дня стояния на холоду) выделяют 2,6-диметокситолуол (VI), выход 88—92 г, дополнительное кол-во VI выделяют разгонкой маточного р-ра, общий выход 74—76%, т. пл. 39—40°. Для получения 2,4-диметокситолуола (VII) 2,4-диметоксибромбензол действием C_6H_5Li превращен в 2,4-диметоксифенилбензол, который метилируется, как в случае VI, выход VII 92%, т. кип. 101—102°/12 мм. Диметоксибензальдегиды получены 2 методами. А) К 0,2 моля N-метил-N-

фенилформамида прибавляют по каплям 0,2 моля POCl_3 и затем по каплям 0,1 моля V. По окончании экзотермич. р-ции смесь нагревают 2 часа при 100° , выливают на 300 г льда и разбавляют водой до 1 л. Выход 2,4-диметоксибензальдегида (VIII) 72%, т. пл. $71-72^\circ$ (из сп.). Б) К 0,4 моля N,N-диметилформамида прибавляют при охлаждении 0,2 моля POCl_3 и затем 0,1 моля V. Смесь нагревают 2 часа при $\sim 100^\circ$ и выделяют VIII аналогично А, выход 68%. Аналогично получены (указан выход в % по методу А и по методу Б): из *p*-диметоксибензола — 2,5-диметоксибензальдегид, 7,0; из *o*-диметоксибензола — 3,4-диметоксибензальдегид, 52, 11; из 2,6-диметокситолуола (IX) — 2,4-диметокси-3-метилбензальдегид (X), 81, 89; из 2,4-диметокситолуола — 2,4-диметокси-5-метилбензальдегид (XI), 90, 93; из 3,5-диметокситолуола — 2,4-диметокси-6-метилбензальдегид (XII), 70, 51. X получают также и другим методом: 0,34 моля $\text{Zn}(\text{CN})_2$ в 200 мл абс. C_6H_6 разлагают пропусканием HCl (1 час), прибавляют 0,39 моля безвод. AlCl_3 и пропускают HCl еще 0,5 часа. Затем прибавляют 0,164 моля IX в 25 мл C_6H_6 (в 5 порций за 20 мин.) и нагревают 4 часа при $45-50^\circ$, пропуская ток HCl . Смесь выливают на лед, осадок кипятят 10 мин. с 500 мл 10%-ной HCl и экстрагируют эфиром. Выход X 72%, т. пл. $54-55^\circ$ (из *n*-гексана). Аналогично получены XI (полученный осадок промывают 10%-ной HCl и эфиром и разложен кипячением 10 мин. с 10%-ной HCl), выход 74%, т. пл. $120-121^\circ$ (из сп.), и 2,4-диокси-6-метилбензальдегид (после проведения р-ции эфирный р-р декантирован, осадок промывают эфиром и кипятится с 350 мл воды, при охлаждении выпадает в-во), выход 96—97%, т. пл. $181-182^\circ$. 0,05 моля X, XI или XII, 0,075 моля бензоилглицина, 0,159 моля плавящего CH_3COONa , 40 мл $(\text{CH}_3\text{CO})_2\text{O}$ и 40 мл лед. CH_3COOH нагревают 0,5 часа при $\sim 100^\circ$. Р-тель отгоняют в вакууме, остаток обрабатывают 300 мл воды, через несколько часов отфильтровывают оксазолон и перекристаллизовывают из небольшого кол-ва спирта. Из спирт. маточного р-ра нагреванием с 0,5 н. NaOH (0,5 часа) выделяют непрореагировавший альдегид. Ниже перечисляются исходный альдегид, полученный оксазолон, выход в % оксазолон, процент выделенного исходного альдегида, т. пл. оксазолон в $^\circ\text{C}$: X, 4-(2,4-диметокси-3-метилбензилден)-2-фенил-5-оксазолон, 45, 59, $173-175^\circ$; XI, 4-(2,4-диметокси-5-метилбензилден)-2-фенил-5-оксазолон, 58, 80, $207-208^\circ$; XII, 4-(2,4-диметокси-6-метилбензилден)-2-фенил-5-оксазолон, 25, 74, $166-167^\circ$. Из салицилового альдегида аналогично получена смесь (XIII) 4-(2-ацетоксибензилден)-2-фенил-5-оксазолон и 2-кето-3-бензамидокумарина. Полученные оксазолон суспендируют в 500 мл спирта, нагревают до кипения и прибавляют 200 мл нагретого до $70-80^\circ$ 0,5 н. р-ра NaOH . Р-р кипятят 0,5 часа, прибавляют 300 мл воды и спирт отгоняют. Охлаждением и подкислением 15 мл 36%-ной HCl выделяют соответствующую 2-бензамидо-3-(2,4-диметоксиметилфенил)-акриловую к-ту, которую перекристаллизовывают из спирта. Получены (указан выход в %, т. пл. в $^\circ\text{C}$): 2-бензамидо-3-(2,4-диметокси-3-метилфенил)-акриловая к-та, 95, $225-226^\circ$ (разл.); 2-бензамидо-3-(2,4-диметокси-5-метилфенил)-акриловая к-та, 96, $245-246^\circ$ (разл.); 2-бензамидо-3-(2,4-диметокси-6-метилфенил)-акриловая к-та, 93, $215-217^\circ$ (разл.). Соответствующее производное акриловой к-ты гидрируют в 0,5 н. NaOH над скелетным Ni при $80-85^\circ$ ат H_2 и 60° (48 час.), подкисляют 6 н. HCl и продукт р-ции перекристаллизовывают из 50%-ной CH_3COOH . Получены (указан выход в %, т. пл. в $^\circ\text{C}$): 2-циклогексанкарбоксамидо-3-(2,4-диметокси-3-метилфенил)-пропионовая к-та, 94, $139-141^\circ$ (из бэл.-гексана); 2-циклогексанкарбоксамидо-3-(2,4-диметокси-5-метилфенил)-про-

пионовая к-та, 98, $186-187^\circ$; 2-циклогексанкарбоксамидо-3-(2,4-диметокси-6-метилфенил)-пропионовая к-та, $\sim 100, 157-158^\circ$ (после высушивания при 100° и 3 мм.). 3 г соответствующего производного пропионовой к-ты нагревают 2 часа с 25 мл конц. HCl в трубке при 150° , разбавляют водой и экстрагируют эфиром. Водн. слой упаривают в вакууме в токе H_2 , остаток растворяют в 50 мл воды, прибавляют NH_4OH до pH 7—8 и упаривают. Полученную аминокислоту перекристаллизовывают из воды. Получены (указан выход в %, т. пл. в $^\circ\text{C}$): II, 20, 254° (разл.); III, 64, 257° (разл.); IV, 30, 260° (разл.). 46 г XIII, 6 г красного P, 175 мл H_2 (d 1,7) и 175 мл лед. CH_3COOH кипятят 2 часа в атмосфере H_2 . Фильтрат упаривают в вакууме в токе H_2 . Остаток суспендируют в 250 мл воды, фильтруют, экстрагируют эфиром. Водн. слой упаривают в вакууме, остаток растворяют в 150 мл воды, прибавляют NH_4OH до pH 7 и охлаждают. Выпавший осадок перекристаллизовывают из воды (900 мл) и промывают водой, содержащей SO_2 , получают *o*-тирозин, выход 29% (считая на салициловый альдегид), т. пл. 285° (разл.). Приведены R, аминокислот. С. Аваева

4794. Синтез соединений гуанидина и их производных. VII. Синтез солей гомоаргинина и ангидрида α, ϵ -дигуанидокапроновой кислоты. Одо, Итикава (グアニジン化合物の合成的研究. 第7報. ホモアルギニンの合成ならびに α, ϵ -ジグアニドカプロン酸無水物物についで. 大戸教二郎, 市川英一), 日本化学雑誌, Нихон какаку дзасси, J. Chem. Soc. Japan. Pure Chem. Sec., 1955, 76, № 3, 228—231 (японск.).

Оптимальный выход (51%) гомоаргинина (I) (выделен в виде флавианата) при гуанидировании лизина (II) с помощью цианамиды (III) получен при взаимодействии 0,01 моля II с 0,01 моля III в 2,9 мл воды в присутствии 0,41 мл 0,49 н. NaOH при 20° в течение 72 час.; одновременно образуется ангидрид α, ϵ -дигуанидокапроновой кислоты (IV) (выделен в виде дифлавианата), выход 13%. Оптимальный выход (69%) I при гуанидировании II с помощью сульфата S-метилизотиомочевин (V) получен при взаимодействии 0,01 моля II с 0,01 моля V в 2,95 мл воды в присутствии 3,20 мл 3,1 н. NaOH при 80° в течение 3 час., одновременно образуется IV, выход 10%; те же результаты получены при ведении р-ции при 30° в течение 60 час. По сравнению с орнитинном $\alpha\text{-NH}_2$ группа II более реакционноспособна (см. сообщение VI, РЖХим, 1956, 75070). С целью сравнения синтезирован IV: 0,582 г дихлоргидрата ϵ -аминобутилгидантоинида, 0,347 г V, 2-кратный избыток NaOH растворяют в воде, выдерживают 60 час. при $\sim 20^\circ$ и 8 час. при $30-35^\circ$, получают IV, выделен в виде дифлавианата, выход 94%, т. разл. $264-265^\circ$; приготовлены также: сульфат IV, т. разл. $168-170^\circ$; дихлоргидрат IV, т. разл. 163° ; динитрат IV, т. разл. 167° ; диникрат, т. разл. 224° . Л. Яновская

4795. О гидрировании бензиловых эфиров α -бензоил-N-ацилсерина. Зидель, Нам (Über die Hydrierung von α -Benzoyl-N-acyl-serin-henzylestern. Siedel Walter, Nahm Helmut), Chem. Ber., 1955, 88, № 6, 900—911 (нем.).

Исследовано каталитич. гидрирование бензиловых эфиров α -бензоил-N-фенацетилсерина, α -бензоил-N-ацетил-N-фенацетилсерина, α -O-дифензоил-N-фенацетилсерина и α -O,N-трибензоилсерина. Приведены образующиеся продукты р-ции и обсужден механизм р-ции. М. Б.

4796. Синтез циклосерина. Кочетков Н. К., Кучерова Н. Ф., Карпейский М. Я., Соловьев В. М., Докл. АН СССР, 1956, 109, № 5, 950—953

α, l -4-аминоизоксазолидон-3 (I) (рацемат антибиотика циклосерина (РЖХимБХ, 1956, 13562) синтезирован по

схеме: 2-фенил-4-карбоизопропокси- Δ^2 -оксазолин (II) \rightarrow 2-фенил-4-карбогидроксамидо- Δ^2 -оксазолин (III) \rightarrow хлоргидрат III (IV) $\rightarrow d$, 1- α -бензамидо- β -хлорпропионгидроксамовая к-та (V) $\rightarrow d$, 1-4-бензамидоизоксалолидон-3 (VI) \rightarrow дихлоргидрат метилового эфира d , 1- β -аминоксисаланина (VII) \rightarrow I. К 48 г II в 140 мл абс. спирта прибавляют 11 г NH_2OH и по каплям ($\sim 0^\circ$) р-р $\text{C}_6\text{H}_5\text{ONa}$ (из 4,8 г Na и 75 мл абс. сп.), размешивают 15–20 мин. ($\sim 20^\circ$), нейтрализуют 10%-ной HCl , выход III 92%, т. пл. 175–177° (из воды). 10 г III в 20–30 мл абс. спирта и 10 мл 25%-ного р-ра HCl в спирте дают IV, выход $\sim 100\%$, т. пл. 114–116°. Из 5 г IV нагреванием в 15–20 мл абс. диоксана (нагревание до растворения) получают V, выход 84%, т. пл. 153–155° (из сп. + этилацетат). 14,8 г V и 40 мл 20%-ного р-ра Na_2CO_3 кипятят 1–2 мин., нейтрализуют 20%-ной CH_3COOH , отфильтровывают III, выход 17,6%, фильтрат подкисляют разб. CH_3COOH , выход VI 70%, т. пл. 164–166° (из воды). 4 г VI обрабатывают 30 мл 35%-ного р-ра HCl в CH_3OH , нагревают ($\sim 100^\circ$, 1,5–2 часа), прибавляют эфир, выход VII 70%, т. пл. 146–148° (из абс. сп.). К 0,3 г VII прибавляют 4,1 мл спирт. р-ра KOH (в 1 мл 0,036 г KOH), выход I 66%, т. пл. 132–134° (разл.; из водн. сп.). Л. Влэдуд

4797. Синтез производных цистина и изучение их антибактериальной активности. I. Танияма, Миёси, Сакакибара, Утида (シスチン誘導体の合成及び抗菌作用. その1. 谷山兵三, 三好文彦, 橋原孝一, 内田馨), 薬学雑誌, Якугаку даасси, J. Pharm. Soc. Japan, 1956, 76, № 11, 1304–1307 (японск.; рез. англ.)

С целью приготовления специального химиотерапевтич. средства синтезированы различные L-цистили и L-цистеинилпроизводные и испытаны на антибактериальную активность с *Mycobacterium tuberculosis*, *Escherichia coli*, *Staphylococcus aureus* и *Bacillus subtilis*. Эти соединения получены по способу Виньо получения цистинпептида (Loring H. S., du Vigneaud V., J. Biol. Chem., 1935, 111, 385): бензоксикарбонил-L-цистин с P_2O_5 превращают в хлорангидрид к-ты (I). I конденсируют с основаниями (ароматич. аминами, гидразином и гидразидами). Продукты конденсации восстанавливают Na в жидком NH_3 , затем отщепляют бензоксикарбонильную группу. Производные цистина с аминогруппой, замещ. бензоксикарбонильной группой практически не обладают антитуберкулезным действием, за исключением продукта конденсации с изоникотиновой к-той: бис-(бензоксикарбонил)-L-цистин-бис- (изоникотиноилгидразид) (II), выход 40%, т. пл. 221° (разл.; из $\text{C}_6\text{H}_5\text{N} + \text{вода}$), и с фенилгидразином, выход 55%, т. пл. 206,5° (разл.; из $\text{C}_6\text{H}_5\text{N} + \text{вода}$). После отщепления бензоксикарбонильной группы образуется свободная NH_2 -группа и антитуберкулезная активность обоих соединений резко увеличивается. L-цистинди- n -фенетидид в конц.-ии 3–10 μM подавляет рост туберкулезных бактерий. II в конц. 5 μM оказывает антибактериальное действие на стафилококков. Г. Челпанова

4798. Синтез N-ациламинокислот с длинной цепью. Юнгерман, Герект, Кремс (The preparation of long chain N-acylamino acids. Jungermann E., Gerecht J. F., Krems I. J.), J. Amer. Chem. Soc., 1956, 78, № 1, 172–174 (англ.)

Обработкой α -аминокислот различными ацилхлоридами с длинной цепью получен ряд N-ациламинокислот. К 200 мл водн. р-ра 0,24 моля Na-соли саркозина прибавляют по каплям 0,20 моля деканоилхлорида в 10%-ный р-р NaOH (рН 9–12,5, $< 35^\circ$). Р-р подкисляют 30%-ной H_2SO_4 до рН 4,5 и экстрагируют эфиром. Экстракты промывают водой и высушивают над Na_2SO_4 . Р-ритель отгоняют в вакууме и получают N-деканоилсаркозин, т. пл. 37,5–38,5° (из гексана).

Аналогично получены (указаны т. пл. в $^\circ\text{C}$): N-гендеканойлсаркозин, 49,4–50,2; N-лауроилсаркозин 45,2–45,8; N-тридеканойлсаркозин 59,8–60,0; N-миристоилсаркозин 51,0–52,0; N-пентадеканойлсаркозин 66,3–67,0; N-пальмитоилсаркозин 65,5–66,5; N-гептадеканойлсаркозин 71,4–71,9; N-стеаройлсаркозин 71,8–72,0; N-элаидойлсаркозин 43,0–44,6; N-олеойлсаркозин 16,1–17,0; N-лауроилглицин 118–119; N-пальмитоилглицин 121–122; N-лауроилаланин 104–105; N-этил-N-лауроилглицин 56–57,5; N-этил-N-пальмитоилглицин, 67–69; N-метил-N-лауроилаланин 65–65,5; N-метил-N-пальмитоилаланин 76–77; N-пропил-N-лауроилглицин 47–47,5; N-бутил-N-лауроилглицин 38,5–39; N-лауроил- β -аланин 93–95; N-лауроил- α -аминомасляная к-та 102–103; N-деканоиллейцин 109–109,5; N-лауроил- ϵ -аминокапроновая к-та 85–86; N-лауроил- α -аминокапроновая к-та 79–80; N-лауроилмететионин 74,5–75,5; N-лауроилсерин 103–103,5; N-лауроилфенилаланин 100–100,5; N-пальмитоилфенилаланин 98–99; N-лауроил- n -аминобензойная к-та получение см. Ford G. M., Iowa State College, J. Sci., 1937, 12, 121), 230–231; N-лауроил- n -аминофенилуксусная к-та 155–156,5; N-лауроил- α -аминофенилуксусная к-та 113–114; N,N'-дилауроиллизин 119,5–121. К суспензии 0,2 моля аспарагиновой к-ты в 100 мл сухого этилацетата прибавляют 0,1 моля лауроилхлорида и кипятят 18 час. Фильтрат упаривают в вакууме, получают 10 г ангидрида N-лауроиласпарагиновой к-ты, т. пл. 112,5–114,0° (из гексана). Его гидролизуют растворением в NC_5H_5 и прибавлением 5%-ного NaOH до рН 9. Подкислением и экстракцией этилацетатом выделяют N-лауроиласпарагиновую к-ту. Аналогично получены N-лауроилглутаминовая к-та, т. пл. 95–96°, и ее ангидрид, т. пл. 123–125°. Получены также Na-соли перечисленных выше к-т. Исходный N-пропилглицин получен р-цией хлоруксусной к-ты с n -пропиламином. С. Аваева

4799. Полиаминокислоты с разветвленной цепью. Села, Качалский, Гехатия (Multichain polyamino acids. Sela Michael, Katchalski Ephraim, Gehatia Matatiah), J. Amer. Chem. Soc., 1956, 78, № 4, 746–751 (англ.)

Поли-L-лизин (I) и поли-DL-орнитин (II) использованы как многофункциональные инициаторы полимеризации ангидридов N-карбоксиаминокислот. Этим методом получен ряд полиаминокислот с разветвленной полипептидной цепью (приставка «мульти») — мультиполи-DL-аланилполи-L-лизин (III), мультиполисаркозилполи-L-лизин (IV), мультиполи-L-лизилполи-L-лизин (V), мультиполи-L-лизилполи-DL-орнитин (VI), мультиполи-L-тирозилполи-L-лизин (VII), мультиполи-L-глутамилполи-L-лизин (VIII) и изучены их свойства. Р-р 18 г ангидрида N-карбокси-DL-аланина в 250 мл абс. диоксана смешивают при 0° с р-ром 450 мг бромгидрата I (степень полимеризации 36) в 200 мл фосфатного буфера (0,013 M, рН 7) и оставляют при охлаждении на ~ 12 час. Образовавшийся гель подвергают диализу через целлофан (5 дней, $\sim 20^\circ$). Упариванием р-ра недиализующегося в-ва в вакууме, обработкой остатка ацетоном и высушиванием над H_2SO_4 получают 3,8 г III, растворим в воде, частично растворим в горячей лед. CH_3COOH , нерастворим в CH_3OH , спирте, CHCl_3 , диоксане, NC_5H_5 , диметилформамиде, дает нингидринную и биуретовую р-ции; III имеет строение $\text{H} \{ -\text{NHCH}[(\text{CH}_2)_9\text{NH}(\text{COCHN}(\text{CH}_2)_9\text{NH})_p\text{OH}]_b \}_n\text{OH}$, где кол-во аминокислотных остатков в главной цепи b 36, а среднее кол-во остатков в боковых цепях p 22 (вычислено из соотношения кол-ва конечных амино- и карбоксильных групп) или 25 (вычислено из соотношений кол-ва аланина и лизина в гидролизате III). Отсутствие в III свободных ϵ -аминогрупп лизина доказано: а) обработкой III 2,4-динитрофторбензолом и гидролизом продукта р-ции 10 н. HCl при 110° 24 часа;

хроматографически показано, что гидролизат содержал 2,4-динитрофенилаланин, но не содержал ϵ -2,4-динитролизина; б) дезаминированием III действием HNO_2 и гидролизом; в гидролизате не найдена ϵ -окси- α -аминокапроновая к-та. III не содержит исходного I, так как, в отличие от I, не гидролизруется при действии кристаллич. трипсина. III, в отличие от поли-DL-аланина, высаливается NaCl или $(\text{NH}_4)_2\text{SO}_4$ из водн. р-ров. При электрофорезе на бумаге III при pH 3,6 перемещается к катоду. Вязкость р-ров III в воде (глициновый буфер, pH 9,1) зависит от конц-ии, причем характер зависимости сходен с таковым для разветвленных полиэфиров. Изучена также зависимость коэф. диффузии и седиментации III от конц-ии (при pH 9,1). Аналогично получению III из 6,3 г ангидрида N-карбоксисаркозина и 275 мг бромгидрата I получают IV, выход 0,87 г, растворим в воде, спирте и лед. CH_3COOH , нерастворим в диметилформамиде, $b = 20$, $p = 7$. Из 9 г ангидрида ϵ , N-карбобензоксид- α , N-карбокси-L-лизина (IX) в 130 мл диоксана и бромгидрата I (степень полимеризации 30) в 120 мл 0,013 M фосфатного буфера (pH 7,12 час., на холоду) получен осадок, который промыт 0,2 н. HCl и 0,2 н. NaOH , высушен и обработан 20 мл 33%-ного р-ра HBr в лед. CH_3COOH . К р-ру прибавлено 100 мл абс. эфира, выпавший осадок растворен в 50 мл воды и подвергнут диализу через целлофан против 0,001 н. HBr . После упаривания в вакууме получено 1,84 г бромгидрата V, $b = 30$, $p = 15$; при действии трипсина гидролизруется до лизина и лизиллизина. Из IX и II аналогично V получен бромгидрат VI, $b = 36$, $p = 3$; при действии трипсина на VI образуется лизиллизин, лизин и полимер, содержащий остатки лизина и орнитина в соотношении 1:2. Аналогично получению V из 6 г ангидрида O-карбобензоксид-N-карбокси-L-тирозина и 150 мг бромгидрата I (степень полимеризации 200) получено 1,2 г VII, $b = 200$, $p = 8$, растворим в водн. и спирт. щелочи, частично в спирте, NC_5H_5 и горячем диметилформамиде, нерастворим в воде, диоксане, эфире. Также из 14 г ангидрида γ -бензил-N-карбокси-L-глутаминовой (X) к-ты получен VIII, очищен диализом против 0,002 н. NaOH (24 дня) и воды (4 дня), р-р упарен в вакууме и остаток обработан 20 мл лед. CH_3COOH и 20 мл абс. эфира, выход VIII 1 г, $b = 200$, $p = 6$; при электрофорезе на бумаге в 0,05 M Na_2HPO_4 передвигается к катоду, дает с Cu^{2+} комплекс, нерастворимый при pH 4. При проведении р-ции в 97%-ном диоксане выход повышается. Из 18 г X в 30 мл диоксана и I (из 610 мг бромгидрата и 0,5 мл триэтиламина) в 10 мл воды (24 часа, затем прибавление воды) получено 14 г осадка мультиполи- γ -бензилглутамилполи-L-лизина, дебензилированием 10 г которого получено 4,6 г VIII. С. Аваева

4800. Каталитическое гидрирование пиримидин-нуклеозидов и нуклеотидов и отделение рибозы и рибозофосфатов. Кон, Дохерти (The catalytic hydrogenation of pyrimidine nucleosides and nucleotides and the isolation of their ribose and respective ribose phosphates. Cohn Waldo E., Doherty David G.), J. Amer. Chem. Soc., 1956, 78, № 12, 2863—2866 (англ.)

Показано, что при гидрировании пиримидиновых нуклеотидов над родиевым катализатором происходит восстановление двойной связи в 4-положении. Дигидроуридиловая к-та (I), полученная из уридиновой (II) и цетидиновой к-ты, под действием щелочи превращена в N-рибозилфосфат β -уреидопропионовой к-ты (III). Гидролиз III дал рибозофосфат и β -уреидопропионовую к-ту (IV). Аналогичной обработке подвергнуты цитидин, тимидин, дезоксицитидиновая к-та и тимидиновая к-та. Показано, что при обработке уридиновых к-т а и б образуются рибозо-2-фосфат и рибозо-3-фосфат. Из 0,1—3,1 ммоль II в 5—25 мл воды

и 5—250 мг 5%-ного $\text{Rh}/\text{Al}_2\text{O}_3$ (давл. H_2 1,0—1,5 атм, pH 2—5) получена I, выделена на колонке с дауекс-1 (Cl-форма). Катализатор отцентрифугировали, р-р I обработали щелочью (0,1 н.), добавили дауекс-50 (H+-форма) до pH р-ра 2,3, фильтрат нагревали на паровой бане с 1 н. HCl 15 мин. и IV выделили на дауекс-1 (вымыли 0,01 н. HCl), упарили в вакууме и получили 210 мг IV. А. Юркевич

4801. Диазометоллиз глицерофосфатидов. Новый метод определения конфигурации фосфатидилсеринов и кефалинов. Бер, Маурукас (The diazomethanolysis of glycerolphosphatides. A novel method of determining the configuration of phosphatidyl serines and cephalins. Baer Erich, Maurukas Jonas), J. Biol. Chem., 1955, 212, № 1, 39—48 (англ.)

Предложен способ разрыва молекул фосфатидилсеринов (I) и кефалинов (II) по эфирной связи между глицерофосфорнокислотной и аминокислотной частями молекул, названный «диазометоллизом» и протекающий под действием диазометана (III) с образованием диметилловых эфиров глицерофосфатидов. К I и II в CHCl_3 при 22—24° прибавляют эфирный р-р III после стояния ~ 12 час. и упаривания р-ра в вакууме при ~ 20° (полученные диметилловые эфиры очищают хроматографией на силикагеле). Благодаря отсутствию изменений структуры и конфигурации реагирующих молекул, а также хорошей растворимости диметилловых эфиров глицерофосфатидов в органич. р-рителях, метод может быть использован для определения строения природных глицерофосфатидов. Получены: дистеароил-L- α -глицерофосфорная к-та (IV), т. пл. 75,5—76,5°, $[\alpha]_D + 3,7^\circ$ (хлф.); диметилловый эфир IV, т. пл. 52—53° (из CH_3OH), $[\alpha]_D + 1,9^\circ$ (хлф.), выход 92%; динальмитоил-L- α -глицерофосфорная к-та (V), т. пл. 70—71°, $[\alpha]_D + 4,0^\circ$ (хлф.); диметилловый эфир V, т. пл. 42,5—43,5°, $[\alpha]_D + 2,0^\circ$ (хлф.), выход 93%; димиристоил-L- α -глицерофосфорная к-та (VI), т. пл. 61,5—62,5°, $[\alpha]_D + 4,3^\circ$ (хлф.); диметилловый эфир VI, т. пл. 32—33°, $[\alpha]_D + 2,3^\circ$ (хлф.), выход 93%. С. Д.

4802. Химия нуклеиновых кислот. Части 1, 2 Чжан Пан (核酸的化学 (一), (二) 張榜), 化學通報, Хуасюэ тунбао, 1955, № 11, 649—659; № 12, 713—723 (кит.)

Обзор. Библ. 8 назв.

4803. Синтез некоторых n-фенилазобензоилпептидов. Лаудфут, Лаксдал (Preparation of some n-phenylazobenzoyl peptides. Loudfoot J. H., Laxdal V.), J. Organ. Chem., 1957, 22, № 6, 700 (англ.)

Синтезирован ряд пептидов общей ф-лы $\text{n-C}_6\text{H}_5\text{N}=\text{NC}_6\text{H}_4\text{CONCH(R)CONCH(R')COOH}$. Р-р 2 ммоль n-фенилазобензоилхлорида в 40 мл эфира медленно прибавляют при перемешивании к р-ру 2 ммоль дипептида и 2 ммоль NaOH при 0—5°, перемешивают 1,5 часа при 0—5°, прибавляют еще 2 ммоль NaOH за 3 часа и перемешивают 3 часа при 0—5°. Затем подкисляют HCl , осадок кипятят с петр. эфиром, бензолом и затем кристаллизуют из спирта. Получены (перечисляются выход в %, т. пл. в °C): n-фенилазобензоилглицилглицин (I), 82,3, 236—237; n-фенилазобензоилглицил-DL-аланин, 60, 236,5—237,5; n-фенилазобензоил-DL-аланилглицин, 71, 224,5—225,5; n-фенилазобензоил-DL-аланил-DL-аланин, 76, 233—234. I получен также перемешиванием исходных в-в с 2 экз NaOH 3 часа при 0—5°, экстракцией эфиром и подкислением водн. слоя, выход I 80,9%. С. Аваева

4804. N-замещенные амиды фосфорной и фосфористой кислот и их применение для построения пептидной связи. Гольдшмидт, Краусс (N-substituierte Amide der phosphorigen und der Phosphor-Säure und ihre Verwendung zum Aufbau von Peptid-Bindungen. Goldschmidt Stefau,

Krauss H. L.), Angew. Chemie, 1955, 67, № 17—18, 471—475 (нем.; рез. англ., франц.)
Обзор.

Л. А.

4805. О пептидах. Сообщение XIII. Строение пептидов. VIII. О распаде метионин-, цистин-, серин-, пролин-, триптофан- и гистидинпептидов. Шлётль, Вессели, Войдих (Konstitutionsermittlung von Peptiden. VIII. Über den Abbau von Methionin-, Cystin-, Prolin-, Tryptophan- und Histidin-Peptiden. XIII. Mitteilung über Peptide. Schlögl K., Wessely F., Woidich H.), Monatsh. Chem., 1956, 87, № 3, 425—438 (нем.)

Описывается синтез карбобензоксидов (КБЗ) производных дипептидов и образование карбонилбисаминокислот и гидантоин-3-уксусных к-т, приводится таблица значений R_f для полученных соединений. Получение этилового эфира N-КБЗ-S-бензил-L-цистеинилглицина (I): к р-ру 2,2 г N-КБЗ-S-бензилцистеина в 10 мл тетрагидрофурана прибавляют 1,6 г дициклогексилкарбодимид и 0,8 г эфира глицина в 5 мл тетрагидрофурана. Через 12 час. прибавляют CH_3COOH и отделяют дициклогексилмочевину. Фильтрат сгущают, остаток растворяют в этилацетате, промывают разб. HCl , Na_2CO_3 водой, снова сгущают и осаждают петр. эфиром. Выход I 71%, т. пл. 99—100° (из этилацетата). Получение этилового эфира N-КБЗ-DL-триптофанглицина (II): р-р 1,4 г N-КБЗ-DL-триптофана в 20 мл абс. тетрагидрофурана смешивают с 0,6 г три n-пропиламина и 0,45 г этилхлорформата (—10°). Через 30 мин. прибавляют 0,6 г эфира глицина (—10°) и оставляют на 12 час. при ~ 20°. Выход II 69%, т. пл. 123—125° (из этилацетата-петр. эф.); КБЗ-триптофанглицин, выход 70%, т. пл. 183—185° (из этилацетата-петр. эф.). Получены этиловые эфиры следующих соединений (указаны выходы в % и т. пл. в °C): ди-КБЗ-L-цистеинилглицина, 57, 169—171° (из этилацетата); КБЗ-DL-серилглицина, 78, 88—90° (из этилацетата-петр. эф.); КБЗ-L-пролилглицина, 88, масло; КБЗ-L-гистидилглицина, 79%, масло. Получение карбонилбисаминокислоты из КБЗ-пептидов: р-р эфира КБЗ дипептида в спирте смешивают с 1 н. NaOH (2,4 экв; сп.-вода, 1:1), нагревают (100°, 2—3 часа), сгущают в вакууме, подкисляют HCl и экстрагируют эфиром. Получены: карбонил-(метионин)-глицин, т. пл. 168—171° (из сп.-эф.); карбонил-(пролин)-глицин, т. пл. 167—172° (из этилацетата-петр. эф.); карбонил-(триптофан)-глицин, т. пл. 161—163° (из сп.-эф.). При 30-минутном нагревании карбонилбисаминокислот с HCl (1:1) образуются

гидантоин-3-уксусные к-ты ф-лы $\text{COCH(R)NHCONCH}_2\text{COOH}$. Получены соединения: $R = \text{CH}_3\text{SCH}_2\text{CH}_2$, т. пл. 100—103° (эф.-петр. эф.); этиловый эфир, т. пл. 81—82° (из эф.); $R = \text{C}_6\text{H}_5\text{CH}_2\text{SCH}_2$, т. пл. 153—154° (из воды); $R = \text{HOCH}_2$, т. пл. 222—226° (возгонка при 150°/0,01 мм); $\text{CH}_2\text{CH}_2\text{CH}_2\text{CHNCON}(\text{CH}_2\text{COOH})\text{CO}$, масло,

т. кип. 170—190°/0,01 мм; метиловый эфир, масло, т. кип. 135—145°/0,01 мм. $R = \text{C}_6\text{H}_5\text{N}$, т. пл. 189—193° (из этилацетата-петр. эф.); эфир, т. пл. 172—173° (из этилацетата). $R = 5$ -имидазолилметил; метиловый эфир, т. пл. 180—182° (из CH_3OH). Для получения эфиров гидантоин-3-уксусных к-т соответствующий гидантоин кипятят 1 час в р-ре $\text{C}_2\text{H}_5\text{ONa}$ или CH_3ONa (1 экв Na), затем 5 час. с эфиром (этиловым или метиловым) бромуксусной к-ты (1 моль), спирт отгоняют в вакууме, остаток обрабатывают водой и экстрагируют эфиром. Расщепление эфиров гидантоин-3-уксусных к-т до карбонилбисаминокислот происходит при 3-часовом нагревании с 2 экв NaOH ; при омылении 1 экв щелочи в спирте при ~ 20° (12 час.) полу-

чают гидантоин-3-уксусные к-ты. Получение 5-(бензилтиометил)-гидантоина (III): 1,5 г S-бензил-DL-цистеина и 0,9 г KCNO в 20 мл воды нагревают на водяной бане 30 мин., прибавляют 10 мл конц. HCl , кипятят еще 15 мин. и сгущают в вакууме. Выход III 77%, т. пл. 121—123° (из воды). Получение этилового эфира 5-(бензилтиометил)-гидантоин-3-уксусной к-ты (IV): 1,25 г III в р-ре $\text{C}_2\text{H}_5\text{ONa}$ (0,12 г Na в 15 мл абс. спирта) нагревают на водяной бане (1 час), прибавляют 0,9 г эфира бромуксусной к-ты и нагревают еще 5 час. Остаток после упаривания в вакууме обрабатывают водой и экстрагируют эфиром. Выход IV 76%, бесцветное масло. Получение дигидразида гистидин-N-карбоновой к-ты (V): к р-ру 0,6 г метилового эфира N-КБЗ-L-гистидина в 2 мл абс. спирта прибавляют 0,75 г гидразингидрата, нагревают 5 час. на кипящей водяной бане и сгущают в вакууме, т. пл. 163—164° (разл.; из сп.-эф.-петр. эф.). 5-(имидазолил-метил-3-аминогидантоин (VI) получают при кипячении водн. р-ра V (30 мин.). Выход VI 60%, т. пл. 219—221° (сп.-вода, после высушивания при 100° в высоком вакууме). Описано расщепление КБЗ-дипептида в микромасштабе. Предложен механизм р-ции. Сообщение XII см. РЖХим, 1956, 47123.

Е. Морозова

4806. Дальнейшее изучение взаимодействия полярных газов с твердыми протеинами и некоторыми простыми органическими соединениями. Сихоф, Бенсон (Further studies of the interactions of polar gases with solid proteins and some simple organic compounds. Seehof Jerrold M., Benson Sidney W.), J. Amer. Chem. Soc., 1955, 77, № 9, 2579—2585 (англ.)

Проведено изучение взаимодействия некоторых полярных газов (HCl , NH_3 , BF_3 , CH_3NH_2) с основными и кислотными группами ряда твердых протеинов (альбумин, лактальбумин, казеин, фибрин, эдестин, глиадин, желатина, β -лактоглобин, Zn-инсулин, фиброин шелка, пепсин) и для сравнения с некоторыми органич. соединениями (глицин, глицилглицин, гистидин, себаценовая к-та, цетиловый спирт). Как уже сообщалось, HCl вступает во взаимодействие с аргинином, гистидином, лизином; найдено, что NH_3 вступает во взаимодействие со всеми свободными кислотными группами протеина, CH_3NH_2 — с небольшим количеством кислотных групп; BF_3 — даже со слабыми основаниями, что может быть использовано для определения основных групп посредством их обратного титрования.

С. Давыдова

4807. Синтез некоторых моделей пиримидиновых нуклеозидов. Майлс (Synthesis of some model pyrimidine nucleosides. Mines H. Todd), J. Amer. Chem. Soc., 1957, 79, № 10, 2565—2568 (англ.)

Для изучения структуры пиримидиновых нуклеозидов синтезирован ряд их N- и O-алкилированных производных. Метилированием нуклеозидов диазометаном (I) получены 3-метилтимидин (II), 1- β -D-глюкопиранозил-3-метилурацил (III) и 1- β -D-глюкопиранозил-3-метилтимин (IV). O-алкилнуклеозиды синтезированы по ранее известному методу (Hilbert G. E., Johnson T. B., J. Amer. Chem. Soc., 1930, 52, 4489) и очищены хроматографией на колонке. 1-глюкозил-4-диметиламино-2-пиримидон (V) получен из соответствующего 4-алкоксинуклеозида и $(\text{CH}_3)_2\text{NH}$. При ацетилировании V уксусным ангидридом в пиридине образуется его тетраацетат (VI). O-алкоксинуклеозиды при нагревании с CH_3J (100°) перегруппировываются в N-метилнуклеозиды. Для идентификации полученных соединений применялась хроматография на бумаге. К суспензии 800 мг тимидина в 70 мл CH_3OH добавляют 80 мл р-ра I в эфире, оставляют на несколько часов (0°), упаривают; остаток хроматографируют на картофельном крахмале в бутаноле,

насыщ. H_2O . Фильтрат упаривают. Выход II 540 мг, т. пл. 132,5—134° (из смеси CH_3OH -этилацетат-эф. и затем CH_3OH -эф.). К суспензии 170 мг 1-глюкопиранозилурацила (VII) в 15 мл CH_3OH добавляют 8 мл эфирного р-ра I, 1 мл H_2O , кипятят до растворения основной массы осадка, охлаждают и добавляют еще 7 мл эфирного р-ра I. Получают III, т. пл. 247—248,5° (из смеси CH_3OH -этилацетат-эф.). 1-(тетра-О-ацетил-β-D-глюкопиранозил)-3-метилурацил (VIII) получают следующим образом: а) смесь 7 мл CH_3I в 4 мл ацетона и 400 мг 1-(тетра-О-ацетил-β-D-глюкопиранозил)-4-метокси-2-пиридина (IX) нагревают в запаянной ампуле (100°, 60 час.). Выход VIII 320 мг, т. пл. 105—108° (из CH_3OH). Деацетилированием VIII метилатом калия получают III; б) 300 мг IX нагревают в запаянной трубке для сжигания в атмосфере гелия (230°, 24 час.). Выход VIII 200 мг, т. пл. 104—107°; в) 50 мг III (полученного метилированием VII) в 1,5 мл пиридина и 1,5 мл уксусного ангидрида оставляют на холоду на неделю. Выход VIII 30 мг, т. пл. 100—105°. Смесь 8,5 г 2,4-дизокси-5-метилпиридина и 13,4 г бромтетраацетилглюкозы нагревают до 60°, помещают в вакуум (100 мм) и нагревают неделю (60°; последний день 75°). Выход 1-(тетра-О-ацетил-β-D-глюкопиранозил)-4-этокси-5-метил-2-пиридина 19 г, т. пл. 132—133° (после очистки на колонке из магнезита) (McNeely W. H. и др., J. Amer. Chem. Soc., 1945, 67, 527). 6 г 1-тетра-О-ацетил-β-D-глюкопиранозилтимина (X) в 40 мл CHCl_3 и 10 мл CH_3OH обрабатывают 40 мл р-ра I, упаривают, добавляют CHCl_3 и уголь, снова упаривают. Сироп кристаллизуется после стояния в течение нескольких дней. Выход тетраацетата IV (XI) 5 г, т. пл. 120—122° (из смеси сп.-эф.-гексан). 500 мг XI в 18 мл абс. CH_3OH нагревают с несколькими мг K (10 мин.), оставляют на ночь и добавлением эфира выделяют IV. Ион K удаляют титрованием HClO_4 , добавляют эфир до помутнения р-ра. Выход IV 250 мг, т. пл. 196—202° (из CH_3OH). IV получают также деацетилированием X (газообразный HCl в CH_3OH , 15 мин.) до глюкозилтимина (т. пл. 272—274,5°) с последующим метилированием I. Смесь 30 мл $(\text{CH}_3)_2\text{NH}$, 15 мл CH_3OH и 1,5 г 4-этоксиналога IX оставляют в закупоренной склянке на 48 час. (~20°), упаривают и выкристаллизовывают V добавлением этилацетата и эфира. Выход V 99%, имеет двойную т. пл. 170—180° и 271—273°. Ацетилированием V уксусным ангидридом в присутствии пиридина на холоду получают VI, т. пл. 281—282°. Для синтезированных соединений приводятся значения R_f в системах: триэтиламин-трет-бутанол — вода (2:10:3) и 88%-ная HCOOH — бутанол — вода (10:10:3). Предложен микрометод распознавания O- CH_3 - и N- CH_3 -производных хроматографией на бумаге. З. Шабарова

4808. Синтез биологически активных производных карнитина. Гравиметрическое титрование карнитина. Бинон (Synthesis of a biologically active derivative of carnitine gravimetric titration of carnitine. Binon F.), Voeding, 1955, 16, № 8, 781—785 (англ.)

Синтезирован дикарнезин (I) (карнитиновый эфир карнитина), т. пл. 200°, по схеме: $\text{ClCH}_2\text{CH}(\text{OH})\text{CH}_2\text{CN} + \text{N}(\text{CH}_3)_3 \rightarrow (\text{CH}_3)_3\text{N}^+\text{CH}_2\text{CH}(\text{OH})\text{CH}_2\text{CN} \rightarrow (\text{CH}_3)_3\text{N}^+\text{CH}_2\text{CH}(\text{CH}_2\text{COOH})\text{CH}_2\text{CN} \rightarrow (\text{CH}_3)_3\text{N}^+\text{CH}_2\text{CH}(\text{CH}_2\text{COOH})\text{CH}_2\text{CN} \rightarrow (\text{CH}_3)_3\text{N}^+\text{CH}_2\text{CH}(\text{CH}_2\text{COOH})\text{CH}_2\text{CN}$. I обладает биол. активностью (БА), равной БА природного карнитина (II). Предложен метод гравиметрич. титрования для определения содержания свободного и связанного II в в-вах животного происхождения. Л. Аксанова

4809. Компоненты Carpesium abrotanoides VI. Нейсислотные компоненты. Найто (ヤブタバコ成分の研究. 第6報. 非酸性成分について. 内藤俊一), 薬学雑誌,

Якутаку дзасси, J. Pharmas. Soc. Japan, 1955, 75, № 3, 355—356 (японск.; реф. англ.)

Эфирный экстракт семян перегоняют для получения фракции с т. кип. 190—210°/5 мм. Фракцию нагревают с р-ром KOH, экстрагируют эфиром, эфир отгоняют и из остатка получают триаконтан (I) $\text{C}_{30}\text{H}_{62}$, т. пл. 65—65,5° (из CH_3OH); из маточного р-ра от I выделяют цериловый спирт, т. пл. 78° (из петр. эф.) (ацетат, т. пл. 63°). К 28 г Ag-соли пальмитиновой к-ты в 300 мл CHCl_3 добавляют по каплям молярный эквивалент Br_2 , нагревают 3 часа (77°), обесцвечивают $\text{Na}_2\text{S}_2\text{O}_5$, отфильтровывают AgBr, удаляют CHCl_3 . Остаток в C_6H_6 нейтрализуют 0,5 н. KOH, C_6H_6 -слой промывают 50%-ным $\text{C}_2\text{H}_5\text{OH}$. После отгонки C_6H_6 получают пентадецилбромид (II), выход 102 г, т. кип. 144—145°. К 50 мл ксилола и 0,88 г Na при 140° добавляют по каплям 10,2 г II, нагревают 5 час. на 120°. Остаток, после удаления ксилола, в петр. эфире обрабатывают Al_2O_3 и получают 2 г I, т. пл. 65—66°. 40 г Ba-соли пальмитиновой к-ты с 2 экв $\text{Ca}(\text{OH})_2$ подвергают сухой перегонке в вакууме. Отгоняют фракцию <180°/5 мм. Из остатка получают пальмитон (III), выход 8 г, т. пл. 83—84° (из C_6H_6). 3 г III и 4,5 г PCl_5 нагревают в запаянной трубке (180—200°, 4 часа). Продукт р-ции растворяют в CHCl_3 , удаляют р-ритель. Остаток с 0,4 г красного P и 13 г HJ (d 1,7) нагревают в запаянной трубке (220—240°, 5 час.), продукт р-ции очищают из петр. эфира, хроматографируют на Al_2O_3 . Получают унтриаконтан, выход 0,5 г, т. пл. 67—68°. Сообщение V см. РЖХим, 1957, 57607.

Chem. Abstrs, 1956, 50, № 3, 1680. K. Kitsuta
4810. Химия растений рода *Damnacanthus*. IV. Строение дамнакантала. Нономура, Хирозэ (ノノムラオシ郎の成分について. 第4報. ダムナカンタルの構造. 野々村進, 廣瀬良男), 薬学雑誌, Якутаку дзасси, J. Pharmas. Soc. Japan, 1955, 75, № 10, 1305—1307 (японск.; реф. англ.)

Хинизарин-3-карбоную к-ту окисляют в псевдопурпурин, который восстанавливают $\text{Na}_2\text{S}_2\text{O}_5$, затем окисляют воздухом в мейнстин, т. пл. 228—230°; идентифицирован по т-ре плавления смешанной пробы с к-той, полученной из омыленной дамнакантовой к-ты. Этим подтверждено строение дамнакантала: 1-метокси-2-формил-3-оксиантрахинон. Сообщение III см. РЖХим, 1957, 71812.

Chem. Abstrs, 1956, 50, № 20, 14681. K. Kitsuta

4811. Активные компоненты *Digenaea simplex* Ag. в родственные соединения. II—V. Строение каиновой кислоты (2—5). Уэно, Нава, Уэянаги, Моримото, Накамори, Мацуока (海人草有効成分ならびに関連化合物の研究. 第2報, 第3報, 第4報, 第5報. Kaicnic Acid of the構造研究. その2,3,4,5. 上農義雄, 那波速男, 上柳次郎, 森本浩, 中守律夫, 松岡敏郎), 薬学雑誌, Якутаку дзасси, J. Pharmas. Soc. Japan, 1955, 75, № 7, 811—814, 814—821, 821—825, 825—828 (японск.; реф. англ.)

II. Синтезированы различные производные каиновой к-ты (I): N-ацетилкаиновая к-та (II), $\text{C}_{12}\text{H}_{17}\text{O}_5\text{N}$, т. пл. 161—162°, $[\alpha]_D^{25} -53 \pm 0,5$; диметилловый эфир (DMЭ) I, $\text{C}_{14}\text{H}_{21}\text{O}_5\text{N}$, т. кип. 191—193°/4 мм, $[\alpha]_D^{25} -34,5 \pm 0,5$; диамид II, $\text{C}_{12}\text{H}_{19}\text{O}_5\text{N}_3$, т. пл. 256—258° (разл.), $[\alpha]_D^{25} -50,5 \pm 0,5$. N-ацетилдигидрокаиновая к-та (IIa), $\text{C}_{12}\text{H}_{19}\text{O}_5\text{N}$; DMЭ IIa, $\text{C}_{14}\text{H}_{21}\text{O}_5\text{N}$, т. кип. 177°/3 мм, $[\alpha]_D^{25} -39 \pm 0,5$; диамид IIa, $\text{C}_{12}\text{H}_{21}\text{O}_5\text{N}_3$, т. пл. 252—253° (разл.), $[\alpha]_D^{25} -43,5 \pm 0,5$; DMЭ фенилдиэтиламид дигидрокаиновой к-ты (Ia-к-та), $\text{C}_{19}\text{H}_{25}\text{O}_5\text{N}$, т. пл. 154° ($\text{C}_6\text{H}_5\text{OH}$), $[\alpha]_D^{18} -45,2 \pm 0,5$; DMЭ N-этоксикарбонил-Ia, $\text{C}_{15}\text{H}_{25}\text{O}_6\text{N}$, т. кип. 160°/1 мм, DMЭ N-нитрозо-I, $\text{C}_{12}\text{H}_{18}\text{O}_5\text{N}_2$, т. кип. 178°/3 мм. Ангидриды II, $\text{C}_{12}\text{H}_{15}\text{O}_4\text{N}$, т. пл. 186°, $[\alpha]_D^{18} 38,4 \pm 1,2$; ангидриды IIa, $\text{C}_{12}\text{H}_{17}\text{O}_4\text{N}$, т. пл. 182—183°, $[\alpha]_D^{17} 38,7 \pm 0,5$. На осно-

вании свойств этих соединений установлено, что I является вторичным амином.

III. При сухой перегонке I с натронной известью в атмосфере N_2 получают β -изопропилпиррол, $C_7H_{11}N$ (III), т. кип. $78-80/24$ мм, который с изатином образует пирроловый синий, $C_{15}H_{14}ON_2$. III при окислении CrO_3 дает α -изопропилмаленимид (IV), $C_7H_9O_2N$, т. пл. 83° . IV каталитически восстанавливают в имид изопропилпиррола к-ты (V), $C_7H_{11}O_2N$, т. пл. 61° (Roser W., Liebigs Ann. Chem. 1883, 220, 276). При сухой перегонке с Zn-пылью I и Ia образуется III и циклич. дилактам 2-карбокси-4-изопропилпиррола (VI), $(C_8H_9ON)_2$, т. пл. $156-157^\circ$, который омыляют в 2-карбокси-4-изопропилпиррол (VII), $C_8H_{11}O_2N$, т. пл. 178° (разл.). III и VII дают положительные р-ции на сосновые стружки и пробу Эрлиха. III, IV и V идентифицированы по УФ-спектрам. VI дает полосы поглощения, характерные для $>C=O$ и $>C=C$. Строение III, IV, V, VI и VII установлено по кривым ИК-спектров и т-ре плавления смешанных проб. Сравнение ИК-спектров III, α - и α' -метил- β -изопропилпирролов, которые Миядзакэ считал III, показало, что они отличаются друг от друга. На основании полученных данных сделан вывод, что I является 2-карбокси-4-изопропилпирролидином, который содержит ацетильную группу и одну двойную связь внутри или вне кольца. Приведены кривые ИК-спектров полученных соединений.

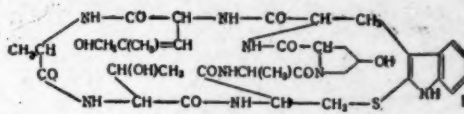
IV. ДМЭ I восстанавливают $LiAlH_4$ в каининдиол (VIII), $C_{10}H_{19}O_2N$, выход $72,5\%$, т. кип. $168/3$ мм, $[\alpha]_D^{19} -20 \pm 0,5^\circ$, а ДМЭ Ia в дигидрокаининдиол (IX), $C_{10}H_{21}O_2N$, выход 65% , т. кип. $154/2$ мм $[\alpha]_D^{18} -28,5 \pm 0,9^\circ$. По кривым ИК-спектров VIII, IX и I (при-тель-фторированный парафин) установлено, что двойная связь в I находится в изопропениловой группе. При окислении II $KMnO_4$ образуются $HCOOH$ и летучая фракция, при омылении которой получают метилкетон, $C_9H_{13}O_2N$ (X), т. пл. 205° (разл.). При озонлизе II образуются формальдегид и N-ацетилметилкетон, $C_{11}H_{15}O_4N$ (XI), т. пл. 185° , $[\alpha]_D^{20} -6 \pm 0,5^\circ$, который при омылении превращается в метилкетон, идентичный с X, полученным наряду с $HCOOH$ при озонлизе I. X образует полиморфные кристаллы, т. пл. выше 280° , дает желтое окрашивание с нингидрином, не обесцвечивает Br_2 , дает положительную йодоформу-ную р-цию и имеет характерную для кетона полосу поглощения в УФ-области. При каталитич. восстановлении X поглощает 1 моль H_2 и превращается в семи-карбазон, $C_{10}H_{16}O_3N_4$, т. пл. $235-236^\circ$ (разл.). На основании полученных результатов сделан вывод, что I и II содержат изопропениловую боковую цепь и при окислении образуют X и XI, содержащие метилкетон-ную группу и $HCOOH$ или $HCHO$. Следовательно, I является 2-карбокси-4-изопропенилпирролидином и содержит $-CH_2COOH$ -группу вне кольца.

V. При каталитич. восстановлении Ia в присутствии $HCHO$ дает N-метилдигидрокаининовую к-ту (XII), $C_{11}H_{19}O_4N \cdot \frac{1}{2}H_2O$, т. пл. $100-110^\circ$ (разл.), $[\alpha]_D^{19} -8^\circ$. При этерификации XII получают ДМЭ XII (XIII), $C_{13}H_{23}O_4N$, т. кип. $124-126/4$ мм, $[\alpha]_D^{17} -16,6 \pm 0,5^\circ$. ДМЭ Ia с CH_3I образует метйодид (XIV), $C_{14}H_{25}O_4NJ$, т. пл. $153-160^\circ$. При расщеплении XIV по Гофману Ag_2CO_3 или Ag_2O получают бетани Ia, $C_{13}H_{23}O_4N \cdot H_2O$, т. пл. 104° , как промежуточный продукт, который при нагревании перегруппировывается в XIII. При гофмановском расщеплении XIV образуется только ДМЭ N-метилкаининовой к-ты. Сообщение I см. РЖХим, 1957, 74818. Резюме авторов

4812. О яде зеленого бугоркового листового гриба. Сообщение X. Строение фаллоидина. Виланд, Шёп (Über die Giftstoffe des grünen Knollenblätterpilzes. X. Mitteilung. Die Konstitution des Phalloidins. Wie-

land Theodor, Schön Werner), Liebigs Ann. Chem., 1955, 593, № 2, 157-178 (нем.)

Для фаллоидина $C_{25}H_{40}O_{10}N_8S \cdot 6H_2O$ (I), одной из составных частей ядовитого начала бугоркового листового гриба, на основании изучения продуктов гидролиза с последующей идентификацией их при помощи бумажной хроматографии предложена структурная



ф-ла (II). При гидролизе I 25%-ной H_2SO_4 (6 час., 100°) выделен лактон δ -оксилейенина, т. пл. 215° (разл.; из сп.). Предыдущее сообщение см. РЖХим, 1954, 21744. С. Давыдова

4813. Строение нового флавонового производного, выделенного из сердцевин черешни (*Prunus avium*). Шопен, Моло, Пашеко, Менцер (Structure d'un nouveau dérivé flavonique isolé du bois de merisier (*Prunus avium*). Chopin Jean, Molho-Darius, Pacheco Henri, Mentzer Charles), C. r. Acad. sci., 1956, 245, № 8, 712-714; Bull. Soc. Chim. France, 1957, № 2, 192-204 (франц.)

Выделенное ранее из сердцевин *Pr. avium* «в-во 3В» (РЖХимБх, 1955, 7620; РЖХим, 1956, 75077) является 5,7-диокси-8-метоксифлаваном (I), выход $0,03\%$, т. пл. $151-152^\circ$ (из сп.), $[\alpha]_D^{20} -56^\circ$ (с 1,685; сп.); динитрофенилгидразон, т. пл. $223-228^\circ$ (разл.). При окислении I H_2O_2 получена к-та, т. пл. 117° , эквив. нейтрализации 160. При метилировании I $(CH_3)_2SO_4$ образуются 2,3,4,6-тетраметоксифлаван (II), димерный, т. пл. 75° и $88-89^\circ$ (из CH_3OH), и 2-окси-3,4,6-триметоксифлаван (III), т. пл. $142-144^\circ$ (из сп.). Деметилированием I HJ (к-той) + P получен 5,6,7-триоксифлаван. При нагревании (240°) или действии спирта. р-ра $NaOH$ I изомеризуется в 5,7-диокси-6-метоксифлаван (IV), т. пл. $176-177^\circ$ (из сп.), $[\alpha]_D^{20} = 0^\circ$, при метилировании дающий 5,6,7-триметоксифлаван (V), т. пл. $155-156^\circ$ (из сп.). При кипячении I с 30%-ным р-ром $NaOH$ образуются 1,3,5-триокси-2-метоксифлаван (претол) и в-во состава $C_{16}H_{14}O_5$ (VI), т. пл. 175° (из водн. CH_3OH). Действием на I йода получено в-во $C_{16}H_{13}O_5J$ (VII), т. пл. $191-196^\circ$ (из сп.). При бензилировании I образуется 5-окси-7-бензилокси-8-метоксифлаван, т. пл. $112-113^\circ$ (из си.). Из 2,3,4,6-тетраметоксифлаванона и C_6H_5CHO синтезирован II, из 2-окси-4,5,6-триметоксифлаванона аналогично — 2-окси-4,5,6-триметоксифлаван (VIII), т. пл. $98-99^\circ$ (из си.). При циклизации кипячением с HCl (к-той) + спирт VIII дает V, а III — 5,7,8-триметоксифлаван, т. пл. $156-158^\circ$. Предложены названия: для I «дигидровогонин», для IV «2,3-дигидроороксилин». Приведены данные УФ-спектров I, II, IV, VI и VII. Т-ры плавления исправлены. В. Некрасов

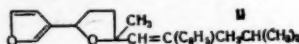
4814. Выделение 5-окси-3,6,7,3',4'-пентаметоксифлаво-на из *Artemisia arborescens* L. Мазур, Мейзельс (The isolation of 5-hydroxy-3:6:7:3':4'-penta-metoxylflavone from *Artemisia arborescens* L. Masur Yehuda, Meisels Alex), Bull. Res. Council Israel, 1955, A5, № 1, 67-69 (англ.)

Из *Artemisia arborescens* L. экстрагирован ацетоном, а из ацетона петр. эфиром 5-окси-3,6,7,3',4'-пентаметоксифлаван (I), выход 3 г из 5 кг сухого растения, т. пл. $163-164^\circ$ (хлф.). Строение I установлено на основании его хим. свойств. I идентифицирован по т-ре плавления смешанной пробы, сравнением УФ- и ИК-спектров с синтетич. образцом. Г. Челпанова

4815. Химическое изучение болезни черной гнили батата. VII. Реакция ипомеамарона с магнийбромфе-

нилом. Кубота, Мацуура (Chemical studies on the black rot disease of sweet potato. VII. The reaction of ipomeamarone with phenyl magnesium bromide. Kubota Takashi, Matsuura Teruo), J. Inst. Polytechn. Osaka City Univ., 1953, C4, № 2, 248—252 (англ.)

Из продуктов взаимодействия 13,8 г ипомеамарона (I) с 1 молем C_6H_5MgBr выделена фракция, выход 1,7 г, т. кип. 138—148°/0,002 мм, $n_D^{24.5}$ 1,5235, по-видимому, являющаяся в-вом $C_{21}H_{26}O_2$ (II). При р-ции 23,5 г I с 2 молями C_6H_5MgBr выделены 2,5 г дифенила, затем 2,3 г фракции, т. кип. 119—120°/0,002 мм, n_D^{24} 1,5125 (по-видимому, также II), и 4,7 г фракции, т. кип. 145—151°/0,002 мм, $n_D^{25.5}$ 1,5285 (вероятно, продукт расщепления тетрагидрофуранового кольца I—высоконасыщ. в-во, содержащее 2 или более C_6H_5 -



групп). При озонлизе этой последней фракции, а также при озонлизе II в обоих случаях образуется изовалерофенон без образования изовалериановой к-ты. Этим подтверждено, что в боковой цепи I СО-группа находится в β-положении. Сообщение VI см. РЖХим, 1957, 57687.

Р. Топштейн
4816. Молекулярный вес нейтральной составной части китайского лекарства цзиньголань *Calystigia hydnarum*. Сюй Чжи-фан, Цзян Ю-хэ (金果體中性物質分子量的測定. 許植方, 蔣幼和), 化學學報, Хуасюэ сюэбао, Acta chim. sinica, 1956, 22, № 1, 83—84 (кит.; рез. англ.)

По методу Раства определен мол. вес нейтр. составной части (I) китайского лекарства цзиньголань (РЖХим, 1956, 54594) 379 и 365. На основании полученного мол. веса и данных элементарного анализа предполагается, что I имеет ф-лу $C_{21}H_{24}O_6$ (вычисленный мол. вес 372, 2).

Резюме авторов
4817. Витексин-4'-рамнозид из *Grataegus oxyacantha*. Гейсман, Кранен-Фидлер (Vitexin-4'-rhamnoside from *Crataegus oxyacantha*. Geissman T. A., Kranen-Fiedler Ursula), Naturwissenschaften, 1956, 43, № 10, 226—227 (англ.)

Сравнением УФ-спектров найдено, что глюкозид *Grataegus oxyacantha* является витексин-4'-рамнозидом (I). Сравнены УФ-спектры: апигенин-7-рамнозида (II), I, 4'-метилового эфира апигенина, апигенина и витексин-4'-глюкозида из *Spirodela oligorrhiza* (в р-ре 95%-ного спирта с твердым CH_3COONa в качестве ионизирующего средства). Спектр II отличается от остальных. При гидролизе I выделен витексин. А. Юркевич

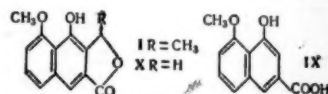
4818. Химические компоненты японского воска. О п-бромфенацетовых эфирах японской кислоты и трихокарпиновой кислоты. Кананива, Исемо (木蠟成分に就いて. 日本酸及びトリコカルビン酸の p-bromphenacyl esters. 金庭延慶, 磯野照子), 金澤大學薬学部研究年報, Канадзава дайгаку якутакубу кэнкю нэмпо, Annual Rept Fac. Pharmacy Univ., Kanazawa, 1953, 3, 17—21 (японск.)

n-Бромфенацетовый эфир (n-БФЭ) японской к-ты (I) с т. пл. 134,5—135,5° (из хлф.), выделенный из смеси n-БФЭ, приготовленных этерификацией смеси к-т, полученных при гидролизе японского растительного воска (см. Цукамото, Якутаку дзаси, J. Pharm. Soc. Japan, 1942, 62, 375), оказался смесью n-БФЭ к-т C_{20} и C_{22} ; омыление I привело к эквимолекулярной смеси к-т C_{20} и C_{22} с т. пл. 113°. Обработкой японского растительного воска по Синья (Kogé кагаку дзаси, J. Chem. Soc. Japan Industr. Chem. Sec., 40, 706; 42, 253; 43, 414; 46, 386; 47, 674; 49, 19, 19) удалось выделить в индивидуальном виде к-ту C_{22} (трихокарпиновая к-та), т. пл. 126°; n-бромфенацетовый эфир, т. пл. 146°.

Л. Яновская

4819. Синтез (±)-элеветерола. Вещества, входящие в состав *Eleutherine bulbosa* (Mill) Urb. VII. Хаббер, Эбнёттер, Шмид (Die Synthese von (±)-Eleutherol Inhaltsstoffe aus *Eleutherine bulbosa* (Mill.) Urb. VII. Haber R. G., Ebnöther A., Schmid H.), Helv. chim. acta, 1956, 39, № 6, 1520—1537 (нем.)

Описан синтез (±)-элеветерола (I) (см. Schmid H. и др., Helv. chim. Acta, 1950, 33, 595, 609; 1951, 34, 1041) из 4-аминонафтостирила (II). 4-Диазотирол (III), который при дальнейшем диазотировании переходит в лактон (IV) 3-бром-8-оксинафтольной-1 к-ты (IVa). Обработка IV $(CH_3)_2SO_4$ в щел. среде приводит к 3-бром-8-метоксинафтольной-1 к-те (V), амид которой при расщеплении по Гофману дает 1-амино-3-бром-8-метоксинафталин (VI), превращенный диазотированием в 1-окси-3-бром-8-метоксинафталин (VII). При попытке замещения гидроксильной на CN-группу по Розенмунду — фон Брауну с помощью $CuCN$ VII омыляется, однако эту р-цию удается провести с ацетатом VII. Полученный при этом 3-циано-8-метоксинафтол (VIII) дает при омылении элеветеролу



к-ту (IX), идентичную с препаратом, синтезированным из природного (+)-I. Конденсация IX с CH_3CHO приводит к I, т-ра плавления которого отличается от т-ры природного (+)-I (202—203°). Однако ИК- и УФ-спектры природного и синтетич. I совпадают. При конденсации IX с CH_2O получен нафталид (X). К водной суспензии бромгидрата II (из 10,2 г II) добавляют р-р 3,1 г $NaNO_2$ (5°, 5 час.), полученную смесь выливают порциями в кипящий р-р 10 г $CuBr$ в 30 мл 48%-ной HBr и 20 мл воды, кипятят 15 мин., фильтруют, остаток этилацетатом извлекают III, выход 68%, т. пл. 256—257° (из этилацетата, сн. и водн. ацетона) (вс т-ры плавления определены в блоке Кофлера). 1,84 г II диазотируют (630 мг $NaNO_2$), полученную диазонируемую соль добавляют порциями при 60° к р-ру 2,7 г $CuSO_4 \cdot 5H_2O$ и 3 г KCN в 18 мл воды, перемешивают 20 мин. при 60°, нагревают до кипения, фильтруют, остаток экстрагируют этилацетатом, экстракт промывают 1%-ным водн. КОН и выделяют 4-цианоафтоксирил (X), выход 49%, т. пл. 245—248° (из сн. в капилляре). Диазотировать X не удалось. К р-ру 8 г III в 90 мл кипящего 2 н. КОН добавляют 90 мл воды и (после охлаждения) 2,4 г $NaNO_2$. Полученную смесь добавляют к 250 мл охладж. HCl (1:1), нагревают медленно до 60°, выдерживают 1 час при 60—80° и отфильтровывают IV, выход 75%, т. пл. 137—138°. При подкислении щел. р-ра IV получают IVa, т. пл. 200—201° (с отщеплением воды). Метилированием 29,65 г IV диметилсульфатом (400 мл) в 5 н. р-р $NaOH$ (60°, 2 часа) получают 16,46 г метилового эфира V (Va), т. пл. 91° (из бzl.-петр. эф. и ацетона-петр. эф.) и 16,78 г V, т. пл. 195° (из хлф., бzl. и водн. ацетона). Кипячением с избытком 8%-ного спиртового р-ра КОН (3 часа) Va переводят в V, общий выход 85%. Амид V (4,91 г V, 10 мл $SOCl_2$, кипячение 10 мин. р-р хлорангидрида в эфире насыщают NH_3 при —13°) получают с выходом 91%, т. пл. 205—206° (из CH_3OH). 2,88 г V обрабатывают 48 мл 0,237 М р-ра $NaOCl$, выдерживают 1,5 часа при 50—55° и 30 мин. при 65°, добавляя 5 мл диоксана для растворения выделившегося масла. Эфиром извлекают VI, выход 64%, который очищают кристаллизацией из эф.-петр. эф. и хромато-

графированием на Al_2O_3 . Смесь C_6H_6 -петр. эф. (1:3) вымывают немного неидентифицированного в-ва с т. пл. 151–154° (из ацетона-эф.), а смесями C_6H_6 -петр. эф. (1:2 и 1:1) вымывают VI, т. пл. 65,5–66°. При проведении гофмановского расщепления при 75–80° наряду с VI образуется амин $C_{11}H_9ONClBr$, т. пл. 83–88° (из эф.-петр. эф.), содержащий Cl в ароматич. ядре. Попытки синтезировать VI деградацией V по Лоссену или по Шмидту (с полифосфорной к-той) не удалось, а при применении H_2SO_4 происходит сульфирование ядра. 1,16 г VI растворяют в 40 мл кипящей 2 н. H_2SO_4 , при охлаждении льдом добавляют конц. р-р 350 мг $NaNO_2$, полученный р-р нагревают в атмосфере N_2 до кипения (45 мин.), эфиром извлекают VII, выход 67–70%, т. пл. 111–111,5° (из CH_3OH , затем возгонка); ацетат VII (CH_3COONa , $(CH_3CO)_2O$, кипячение 0,5–1 час.), т. пл. 99° (из этилацетата-петр. эф.). 230 мг ацетата VII и 145 мг $CuCN$ нагревают в запаянной ампуле 85 мин. при 245°, смесь экстрагируют ацетоном и нерастворимый остаток возгоняют при 130–160° в высоком вакууме, получают VIII, выход 72%, 167,5–168° (из CH_3OH). В тех же условиях VII полностью осмоляется. Омыление 125 мг VIII (1 н. $NaOH$, атмосфера N_2 , кипячение 3,5 часа) приводит к IX, выход 82%, т. пл. 249–250° (разл.; из CH_3OH); метиловый эфир IX (IXa), т. пл. 127,7–128,2°; ацетат IX, т. пл. 248–250°; ацетат IXa, т. пл. 131–133°. Смесь 25,7 мг IX, 4 мл $HCOON$, 2 мл CH_3CHO и 0,5 мл конц. HCl выдерживают 3 дня при 35°. После обработки и возгонки (170–190°/0,02 мм) выделяют I, выход 9,5%, т. пл. 179–180° (из эф. $CHCl_3$ -петр. эф. (под давлением) и сп.). Аналогичной конденсацией, проведенной при 120–130° в запаянной ампуле (6 час.), из 23,8 мг IX получают 2,5 мг I. Смесь 54,7 мг IX, 6 мл $HCOON$, 2 мл H_3PO_4 (d 1,7) и 0,7 мл CH_3CHO нагревают в запаянной ампуле 3 часа при 100°, добавляя каждый час по 0,7 мл CH_3CHO (охлаждение до –80°). После перегонки с паром и обработки выделяют 6,4 мг I. В аналогичном опыте проведенном при 35° (14 дней), IX не изменялась. Приведены кривые ИК-спектров I и природного (+)-I и данные об УФ-спектре IX. Сообщение VI см. *Helv. chim. acta*, 1952, 35, 910. J. Бергельсон

4820. Выделение сиреневой кислоты из экстракта танинна мимозы. Кинг (The isolation of syringic acid from mimosa tannin extract. King H. G. C.), *Chemistry and Industry*, 1956, № 26, 658–659 (англ.). Эфир — $CH_3COOC_2H_5$ — фракцию, полученную из 8 кг танинна мимозы (*Acacia mollissima*), экстрагируют из воды $CH_3COOC_2H_5$. Получают смесь галловой (I) и сиреневой (II) к-т, которую разделяют хроматографией на целлюлозе. Выделено 4,9 г I и 162 мг II. II идентифицирована по т-ре плавления смешанной пробы 200–202°, УФ-спектру, величинам R_f , цветным р-циям и по образованию 4-ацетилпроизводного II, т. пл. 83–184°. Хроматографически также доказано наличие II в эфир. экстракте коры мимозы. Г. Ч.

4821. Антохлоровые пигменты. XI. Вещества *Coreopsis maritima*. Повторное исследование *Coreopsis gigantea*. Гейсман, Харборн, Сейкел (*Anthochlor pigments. XI. The constituents of Coreopsis maritima. Reinvestigation of Coreopsis gigantea*. Geissman T. A., Harborne J. B., Seikel Margaret K.), *J. Amer. Chem. Soc.*, 1956, 78, № 4, 825–829 (англ.).

С помощью хроматографии на бумаге и УФ-спектропии в цветах *C. maritima* обнаружены: бутенин, хлорогеновая к-та, кореопсин, сульфуренин, сульфуретин, лютеолин-7-глюкозид (I) и новые антохлоровые глюкозиды — маренин (II) и маритименин (III). В цветах *C. gigantea* найдены все эти в-ва (за исключением I), затем аглюконы II и III (окаин и маритиметин)

и кофейная к-та. Приведены данные УФ-спектров и значения R_f всех в-в. Обсужден биогенезис пигментов указанных видов *Coreopsis*. Сообщение X см. РЖХим, 1956, 25849. А. Лютенберг

4822. Антохлоровые пигменты. XII. Маритименин и маренин. Харборн, Гейсман (*Anthochlor pigments. XII. Maritimein and marlein. Harborne J. B., Geissman T. A.*), *J. Amer. Chem. Soc.*, 1956, 78, № 4, 829–832 (англ.).

Изучена структура новых антохлоровых пигментов из *Coreopsis maritima* — маритименина (I) и маренина (II) (см. пред. реф.). При хроматографии на бумаге в 30%-ной CH_3COON , R_f I 0,28; II 0,22. При гидролизе II (HCl) образуется 7,8,3',4'-тетраоксифлаванон (III). Приведены данные УФ-спектров и значения R_f III и ряда других флаванонов: 7-метокси-8,3',4'-триоксис; 8-метокси-7,3',4'-триоксис; 7,8,4'-триоксис; 6,7,3',4'-тетраоксис; 7,3',4'-триоксис (бутина); 5,7,3',4'-тетраоксис (эриодиктиола); 5,7,4'-триоксис (нарингенина). Большинство флаванонов не обнаруживает раскрытия цикла в присутствии следов щелочи, но полосы УФ-спектра сдвигаются на 20–60 мμ в сторону видимого спектра. Установлено, что II является 4'-глюкозидом-2',3',4'-тетраоксифлаванона, а I — 6-глюкозидом-7,3',4'-триоксисаурана. При хранении II переходит в I. Из I получен аглюкон маритиметина (IV), идентичный синтетич. 6,7,3',4'-тетраоксисаурану (из 6,7-диоксикумарана и протокатехуальдегида). Метилированием I с последующим гидролизом получен 6-окси-7,3',4'-триметоксисауран (V); из вератрового альдегида и соответствующих кумаранов синтезированы V, т. пл. 204–205°, и 7-окси-6,3',4'-триметоксисауран (VI), т. пл. 210–211° (оба из водн. CH_3COON). Приведены данные УФ-спектров и значения R_f ауранов: I, IV, метилированных I и IV, V, VI, лептосина (VII), лептосидина (VIII), 6-метокси-7,3',4'-триоксисаурана и 6,7-диметокси-3',4'-диоксисаурана. Приведены кривые УФ-спектров: I, III, IV, VII и VIII. А. Лютенберг

4823. Антохлоровые пигменты. XIII. Ультрафиолетовые спектры поглощения фенольных растительных пигментов. Полиоксисаураны. Гейсман, Харборн (*Anthochlor pigments. XIII. The ultraviolet absorption spectra of phenolic plant pigments. Polyhydroxyaurones. Geissman T. A., Harborne J. B.*), *J. Amer. Chem. Soc.*, 1956, 78, № 4, 832–837 (англ.).

Синтезирован ряд новых производных аурана (I) конденсацией соответствующего кумарана с подложными ароматич. альдегидами (РЖХим, 1956, 25849). Конденсацией оксигидрохинона с хлорацетонитрилом в эфире ($ZnCl_2 + HCl$ -газ) и последующим нагреванием образующегося ω-хлоркетона со спирт. р-ром Na-ацетата получен 5,6-диоксикумаранон, выход 18%, т. пл. 260° (разл., из воды). Приведены т-ры плавления синтезированных производных I: 4-оксис-, 141–143°; 4-метокси-, 149° (оба из петр. эф.); 3'-оксис-, 190–191° (из водн. сп.); 6-оксис-7-метоксис- (II), 160–162°; 5,6-диоксис- (III), 245° (оба из водн. CH_3COON); 5,6-диметоксис- (IV), 168° (из сп.); 4,4'-диоксис-, 237–238° (из водн. CH_3COON); 6,4'-диоксис- (V), 288° (разл.; из петр. эф.); 6-оксис-4'-метоксис-, 259°; 3'-оксис-4'-метоксис-, 180°; 3'-метоксис-4'-оксис-, 195–196° (все три из водн. CH_3COON); 5,6,4'-триоксис- (VI), 320° (разл.; из водн. сп.); 4,6,4'-триоксис-, 295–300°; 4,3',4'-триоксис-, 310° (оба разл.; из водн. CH_3COON); 5,6,3',4'-тетраоксис- (VII), 298° (разл.; из этилацетата — петр. эф.), его тетраацетат, т. пл. 234°; 6,7,3',4'-тетраоксис- (VIII), 292° (разл.; из воды). Приведены и обсуждены данные УФ-спектров (λмакс и мин) в 95%-ном спирте и в спирт. р-ре C_2H_5ONa и окраска щел. р-ров 16 перечисленных, а также следующих

производных I: 6-окси- (IX), 2'-окси-, 4'-окси- (X), 3,4'-диокси- (XI), 6,7-диокси- (XII), 7-окси-6-метокси- (XIII), 6,7-диметокси- (XIV), 6,7,4'-триокси- (XV), 6,3',4'-триокси- (XVI) и 4,6,3',4'-тетраоксиаурина. Приведены кривые УФ-спектров: I, II, III, IV, V, VI, VII, VIII, IX, X, XI, XII, XIII, XIV, XV, XVI. В УФ-спектрах гликозидов всех природных производных I (по сравнению с УФ-спектрами агликонов) максимумы смещены на 4—6 мμ в сторону длинных волн.

А. Лютенберг

4824. Синтезы в ряду люмифлавина. Хеммерих, Фаллаб, Эрленмейер (Synthesen in der Lumiflavinreihe. Hemmerich P., Fallab S., Erlehenmeyer H.), Helv. chim. acta, 1956, 39, № 5, 1242—1252 (нем.; рез. англ.)

Описан простой метод синтеза люмифлавина (I) и его производных, дающий возможность получить аналоги I: 2-тиолюмифлавин (II) и 2-люмифлавинин (III), обладающие окислительно-восстановительными свойствами и способностью давать с металлами клешневидные соединения и являющиеся потенциальными антиметаболитами рибофлавина. 3,4-диметиланилин (IV) → (N-толуолсульфонил)-IV, т. пл. 142,5—143,5° (из сп.; т-ры плавления в-в, плавящихся ниже 250°, определены в блоке Кофлера и испр.) → N,3,4-триметил-N-(n-толуолсульфонил)-анилин (V), т. пл. 70,5—71° → (омыление конц. HCl) → N,3,4-триметиланилин (VI), выход 83,5% (из расчета на IV), т. кип. 113—114,5°, *n*_D 1,558; нитрозамин, т. пл. 32,5—33° (из CH₃OH при —20°); пикрат, т. пл. 133—136° (из сп.). При омылении V конц. H₂SO₄ образуется 6-(n-толуолсульфонил)-VI, выход 30—40%, т. пл. 144—145° (из сп.). Сочетание р-ра VI в конц. HCOOH с взвесью диазотированной n-NH₂C₆H₄COOH приводит к 6-(n-карбоксифенилазо)-VI, C₁₆H₁₇O₂N₃ (VII), выход 59% (из расчета на VI), т. пл. 213,5—215° (из толуола). При сочетании VI с р-ром диазотированной соли в ацетатном буфере образуется изомерное VII N-карбоксифенилазопроизводное (VIII), т. пл. 190—191° (из разб. NH₄OH). Конденсация 3 г VII с 2 г барбитуровой к-ты (IX) по Тиллеру приводит к 2,2 г I. Из VII и 2-тио-IX получен II, содержащий после высушивания (20°/0,01 мм, 12 час.) 0,5 моля HCOOH, выход 82,5%, т. разл. 310° (осаждение р-ра в HCOOH изопропиловым эфиром в присутствии абс. C₄H₉OH). Из 3 г VII и 2 г 2-имида IX получено ~50 мг III, содержащего после высушивания при 20°/0,01 мм ~1,5, а при 110°/0,01 мм (5 час.) 1 моль HCOOH, т. разл. ~330° (из HCOOH-C₄H₉OH-((CH₃)₂CH)₂O; темнеет при 150°). Наряду с III выделены соединения C₁₆H₁₇O₂N₃, выход 0,3 г, и C₁₁H₁₂₋₁₄ON₂ (X), выход 90 мг, масло, кристаллизующееся при высушивании (50°/0,01 мм); сублимат (100°/0,01 мм), т. пл. 140—170°; пикрат, т. разл. 368° (из сп.; при 235° начинается отщепление пикриновой к-ты). Приведены R (HCOOH-n-C₄H₉OH-вода, 10:77:13), цвет, флуоресценция в УФ-свете: I 0,33, светло-желтый, желто-зеленая; II 0,36, красно-фиолетовый, не флуоресцирует; III 0,38, темно-желтый, зеленая (цвета резеды). При конденсации VIII с IX образуется, по-видимому, 5-(n-карбоксифенилазо)-IX. Сочетание n-нитранилина с VI приводит к маслу, из которого хроматографически выделены 3 соединения, являющиеся, по мнению авторов, 6-, 2- и N-(n-нитрофенилазо)-VI, т. пл., соответственно, 176—177,5°, 139—141° и 99—100° (из петр. эф.-бэл., 1:1). Со скелетным N при ~20° и атмосферном давлении VII легко гидрируется, VIII не гидрируется.

Р. Топштейн

4825. Строение далбергина. Ахлувалия, Сахни, Сешадри (Constitution of dalbergin. Ahluwalia V. K., Sawhney P. L., Seshadri T. R.), J. Scient. and Industr. Res., 1956, (B—C) 15, № 2, B66—B68 (англ.)

Далбергин (I), C₁₆H₁₂O₄, при метилировании образует метил-I, выход 1 г (из 1 г I), т. пл. 145—146° (из CH₃OH), который при деметилировании HJ-к-той в (CH₃CO)₂O (145—150°, 2 часа) дает нор-I, C₁₅H₁₀O₄, т. пл. 268—269° (из этилацетата-петр. эф.); диацетат нор-I, т. пл. 157—158° (из CH₃OH). Для сравнения синтезирован ряд кумаринов (KM): из 8,1 г диметиласкулетина в ацетоне и р-ра диазотированного анилина (+CH₃COONa + CuCl₂) — 3-фенил-6,7-диметокси- KM (II), выход 2 г, т. пл. 167—168° (из этилацетата-петр. эф.); деметилированием 0,5 г II (см. выше) — 3-фенил-6,7-диокси-KM (III), выход 0,3 г, т. пл. 244—245°; диацетат III, т. пл. 187—188°, получен также нагреванием смеси 1 г 2,4,5-триоксibenзальдегида и 3 г C₆H₅CH₂COONa в (CH₃CO)₂O (170—180°, 4 часа). Аналогично из 5 г 1,2,3-триоксibenзальдегида синтезирован 3-фенил-7,8-диоксидиокси-KM (IV), выход 5 г, т. пл. 174—175° (из сп.); при гидролизе 5 г IV нагреванием с HCl в водно-спиртовой среде (2 часа) образуется 3-фенил-7,8-диокси-KM, выход 4 г, т. пл. 209—210° (из этилацетата), превращенный метилированием в 3-фенил-7,8-диметокси-KM, т. пл. 138—139° (из этилацетата). I и его производные не идентичны ни с одним из синтезированных в-в; этим доказано, что I не является производным ни 3-фениласкулетина, как принималось (РЖХим, 1953, 6559), ни 3-фенилдафнетина.

Г. Лазуревский

4826. Квассин и нео-квассин. Часть III. Хансон, Яквисс, Ламбертон, Робертсон, Савиг (Quassin and neo-quassin. Part III. Hanson K. R., Jaquiss D. B., Lambertson J. A., Robertson Alexander, Savige W. E.), J. Chem. Soc., 1954, Dec., 4238—4250 (англ.)

Показано, что квассин (I) не содержит гидроксильной группы. Его лактонная система (γ- или δ-типа) не является αβ или βγ ненасыщ. и к α-углеродному атому этой системы присоединен один атом водорода. I и нео-квассин содержат две хромофорные системы (2,4,4-триметоксициклогексен-1-она-3 и 1-оксо-1,2,3,4,5,6,7,8-октагидронафталина). Деметилирование I до биснорквассина сопровождается необратимой мол. перегруппировкой. Омыление норквассина и норнеоквассина теплым водн. р-ром NaOH до соответствующих оксикислот включает разрушение енола и модификацию второй хромофоры. С норквассином это изменение не затрагивает имеющуюся лактонную систему. Часть II см. РЖХим, 1955, 37429. Л. Аксанова

4827. Хиноны и родственные им соединения. Джонсон (Quinones and related compounds. Johnson A. W.), Sci. Progr., 1957, 45, № 179, 511—518 (англ.)

Предложение обзора по хинонам (см. РЖХим, 1954, 41136), включающее хинонметины и хинонимины, встречающиеся в природе.

В. Беликов

4828. Новые данные о сialевых кислотах. Вернер, Бликс (Recent studies on sialic acids. Werner I., Blix G.), Bull. Soc. chim. belges, 1956, 65, № 1—2, 202—206 (англ.)

Сialевыми к-тами (СК) названы кристаллич. устойчивые (особенно при pH 4,5) полиоксикислоты, выделенные из муцина поджелудочной слюнной железы животных. Состав СК желез: бычьей C₁₃H₂₃NO₁₁ (I), конской C₁₃H₂₃NO₁₀ (II), овечьей C₁₁H₁₉NO₉ (III), свиной C₁₁H₁₉NO₁₀ (IV). Обнаружены в I и II одна CH₃COO- и одна CH₃CON-группы, в III одна CH₃CON-группа, в IV HOCH₂CO-группа. Из мочи, протонов плазмы и ряда нормальных и патологич. тканей тела человека и из овомуцина выделена СК, идентичная с III; содержание СК в материалах 3—20% (дана таблица). I, III и IV удалось превратить в метоксиейраминовую к-ту (V). Вероятно, СК и V являются производными одного и того же в-ва состава C₉H₁₇NO₈. III идентична с гинаминовой к-той

из женского молока и, вероятно, с лактаминной к-той из коровьего молозива. IV содержит 6 НО-групп и образует кристаллич. монометоксиметилловый эфир. Нагреванием СК в щел. среде получена пиррол- α -карбонная к-та.

В. Некрасов
4829. Синтез прунитрина. Земплер, Фаркас (Notiz über die Synthese des Prunitrins. Zemplén Géza, Farkas Loránd), Chem. Ber., 1957, 90, № 5, 836—837 (нем.).

Метилированием софорикозида (4'-гликозид 5,7,4'-триоксизофлавона) (I) CH_3J синтезирован 4'-гликозид (II) 5,4'-диокси-7-метоксизофлавона (III), идентичный природному прунитрину, кислотным гидролизом которого получен III (прунетин). Взвесы 2 г I в 30 мл CH_3OH , 2 г K_2CO_3 и 2 мл CH_3J кипятят 5 час., подкисляют CH_3COOH , отгоняют р-ритель, остаток извлекают 60 мл этилацетата, приливают несколько капель воды и через 3—4 дня отделяют II, т. пл. (после высушивания в вакууме при 100°) 235—236°, $[\alpha]_D^{20}$ —15,4° (пиридин). 0,2645 г II, 15 мл 50%-ного CH_3OH и 40 мл 10%-ной H_2SO_4 кипятят 3 часа и отделяют III, выход 0,1395 г, т. пл. 239—240° (из 5%-ного CH_3OH); диацетат, т. пл. 226—227°; 4'-метилловый эфир, т. пл. 138—139°; 4'-метилловый эфир-5-ацетат, т. пл. 202°.

Д. Витковский
4830. Выделение и выяснение строения моллисакацидина, нового лейкоантоцианидина из ядровой древесины австралийского черного дерева *Acacia mollissima*. Кеплер (The isolation and constitution of mollisacacidin, of new leucoanthocyanidin from the heartwood of *Acacia mollissima* Willd. Kerppler H. N.), J. Chem. Soc., 1957, June, 2721—2724 (англ.). Из ацетонового экстракта древесины *Acacia mollissima* выделены моллисакацидин-цис-3,4,7,3'-пентаоксифлаван $\text{C}_{15}\text{H}_{14}\text{O}_6 \cdot 2\text{H}_2\text{O}$ (I), т. пл. 125—130° (из воды), $[\alpha]_D^{20}$ 12,6° (с 1; CH_3OH), а также пинит и стероид $\text{C}_{26}\text{H}_{46}\text{O}$ (II), т. пл. 160—161° (из CH_3OH); ацетат, т. пл. 167—169° (из CH_3OH), а также пинитол и стероид, т. пл. 160—161°. Метилированием I $[\text{CH}_2\text{N}_2]$ или $(\text{CH}_3)_2\text{SO}_4$ получен триметилловый эфир I, т. пл. 129° (из эф. + петр. эф.), при окислении KMnO_2 дает 4-метоксисалициловую и вератровую к-ты. Получен пентаацетат I. Фустин (III) из древесины *Rhus glabra* при гидрировании с PtO_2 в CH_3OH дает I. При хроматографии I на бумаге (6%-ная CH_3COOH) найдено R, 0,64. Приведены данные УФ-спектров I, II и III.

Г. Воробьева
4831. Исследование летучих веществ чеснока. Халецкий А. М., Резник М. Б., Ж. общ. химии, 1957, 27, № 6, 1727—1730

Из измельченного чеснока продуванием N_2 ($\sim 20^\circ$) выделялись летучие в-ва (ЛВ), улавливаемые охлаждением (от -70 до -80°), выход 0,03%; они в 20 раз биологически активнее (на парameциях), чем в-ва, выделяемые перегонкой с паром, а отличаются от них по запаху. В 5%-ном р-ре HgCl_2 ЛВ образуют осадок состава $\text{C}_6\text{H}_6\text{OSn}_2\text{Cl}_4$, чем доказываются наличие в ЛВ диаллилсульфида.

В. Зеткин
4832. Химическое исследование веществ, экстрагируемых из древесины черной ольхи. Винхауз, Деслер (Chemische Untersuchung der Extraktstoffe des Schwarzerlenholzes. (Ainus glutinosa, Gaertner). Wienhaus Heinrich, Dässler Hans-Günther), Holz Roh- und Werkstoff, 1956, 14, № 11, 447—449 (нем.).

Из древесины черной ольхи эфиром экстрагируется жирное масло (n_D^{20} 1,4805, кислотное число 17,56) в кол-ве 1,2% от веса сухой древесины; в нем содержится (в %): жирных к-т 76,4, неомыляемых 14,3, глицерина 3,68. Жирные к-ты состоят из 16,4% твердых и 82,1% жидких, в составе последних (в %) 36,4 олеиновой, 41,4 линолевой и 3,3 линоленовой к-ты. При

экстракции древесины метанолом выделяется окрашенное в-во $\text{C}_{24}\text{H}_{36}\text{O}_{10}$ в кол-ве 3,2%, обладающее дубящими свойствами, при хранении его на воздухе наблюдалось образование флорафена. При экстракции неомыляемой части эфиром выделены: в-во $\text{C}_{20}\text{H}_{30}\text{O}$, т. пл. 269°, вероятно, идентичное тараксеролу, и в-во $\text{C}_{23}\text{H}_{34}\text{O}$, т. пл. 224°.

Н. Рудакова

4833. Лактоны. Часть V. Эксперименты, относящиеся к микофеноловой кислоте. Логан, Ньюболд (Lactones. Part V. Experiments relating to mycophenolic acid. Logan W. R. Newbold G. T.), J. Chem. Soc., 1957, May, 1946—1951 (англ.).

Для подтверждения строения микофеноловой к-ты (6-(5'-карбокси-3'-метилпентен-3')-5-метоксиз-4-метилфталата), продукта метаболизма *Penicillium brevis-compactum*, и расположения заместителей в ядре синтезирован 6-карбоксиметил-5,7-диметоксиз-4-метилфталат (I), который оказался идентичным с в-вом, полученным ранее (Birkinshaw и др., Biochem. J., 1948, 43, 216) при озонлизе 6-(5'-карбокси-3'-метилпентен-3')-5,7-диметоксиз-4-метилфталата с последующим окислением йодом. При бромировании диметилового эфира орсеиновой к-ты (II) установлено, что вначале бромруется ядро, а затем присутствие о-Br-заместителя активирует бромирование CH_3 -группы. Из этилового эфира орсеиновой к-ты получен этиловый эфир эверниновой к-ты, который при обработке $(\text{CH}_3)_2\text{SO}_4$ в 2 н. NaOH дает II, т. пл. 142—143° (из водн. сп.). К II в р-ре сухого CCl_4 при облучении 150 вт лампой и нагревании до кипения по каплям прибавляют 2 моля брома в течение 1,5 часа. Р-ритель отгоняют в вакууме, остаток кипятят 3 часа с 2 н. NaOH, экстрагируют CHCl_3 , подкисляют HCl (к-той), осадок экстрагируют CHCl_3 . Экстракт промывают 10%-ным р-ром NaHCO_3 . При подкислении р-ра бикарбоната выделена 3-бром-4,6-диметоксиз-2-метилбензойная к-та (III), т. пл. 210° (разл.; из водн. сп.). Метилловый эфир (МЭ), III (IV), т. пл. 120—121° (из водн. CH_3OH). Из CHCl_3 -экстракта после удаления р-рителя и гидролиза 2 н. NaOH выделен 4-бром-5,7-диметоксифталат (V), т. пл. 246—248° (из $\text{CH}_3\text{OH}-\text{CHCl}_3$). III получена также при обработке II 1,05 моля N-бромсукцинимидом при облучении 60 вт лампой. Т-ра плавления и смешанная т-ра плавления с к-той, полученной ранее, 210—211°. IV вновь подвергают фотобромированию 1 молем Br_2 в р-ре CCl_4 и получают МЭ 3-бром-2-бромметил-4,6-диметоксизбензойной к-ты (VI), т. кип. 60—80°, т. пл. 113,5—119° (из петр. эф.). VI получают также при бромировании МЭ II 2 молями Br_2 , т. пл. и смешанная т. пл. 118—119°. VI при омылении 2 н. NaOH 2 часа дает V, т. пл. и смешанная т. пл. 246—248° (из $\text{CH}_3\text{OH}-\text{CHCl}_3$). IV в CCl_4 и C_6H_6 при нагревании с 1,05 моля N-бромсукцинимидом и облучении 150 вт лампой 1,5 часа и последующем гидролизе 2 н. NaOH дает бромфталат, т. пл. и смешанная т. пл. 243,5—244,5° (из $\text{CHCl}_3-\text{CH}_3\text{OH}$). Из бикарбонатной промывки выделена бромкислота, т. пл. 206,5—207°. III при нагревании с хинолином и Si-пропшом при 210—230° (в бане) декарбоксилируется, давая 2-бром-3,5-диметокситолуол, т. пл. 53,5—54,5° (из водн. сп. с последующей сублимацией). Гидрирование 1,56 г V над Pd/C (из 1,2 г 2,5%-ного PdCl₂ на угле и 3,0 г MgO) в течение 12 час. приводит к 5,7-диметоксифталату (VII), т. пл. 151—153° (из $\text{CHCl}_3 + \text{CH}_3\text{OH}$). При окислении VII щел. р-ром KMnO_4 получена 3,5-диметоксифталевая к-та, т. пл. 159° (разл.). VII хлорметилируют CH_2O и HCl по методу, модифицированному Вильсоном (Wilson и др., J. Organ. Chem., 1951, 16, 792), и получают 4-хлорметил-5,7-диметоксифталат (VIII), т. пл. 187,5—189° (из этилацетата-петр. эф.). Гидролиз VIII р-ром Na_2CO_3 в течение 1,5 часа приводит к 4-оксиметил-5,7-диметоксифталату

(IX), т. пл. 233,5—240° (из сп.). Кислая фракция дает 5,7-диметоксифталанкарбоновую-4 к-ту (X), т. пл. 221—222,5° (из этилацетата). X получена также при нагревании IX с р-ром CH_3ONa (50 мг Na, 10 мл CH_3OH) в течение 7,5 часа, т. пл. и смешанная т. пл. 221—222°. VIII гидрируют над Pd/C и MgO в сухом этилацетате до 5,7-диметокси-4-метилфталида (XI), т. пл. 202—203° (из этилацетата-петр. эф.). При хлорметилировании XI получен 6-хлорметил-5,7-диметокси-4-метилфталид (XII), т. пл. 107—107,5° (из C_6H_6 -петр. эф.), который при обработке KCN дает 6-цианометил-5,7-диметокси-4-метилфталид (XIII), т. пл. 129—131,5° (из C_6H_6 -петр. эф.). XIII при омылении 10%-ным р-ром NaOH дает I, т-ра плавления и смешанная т-ра плавления с образцом, полученным из природного в-ва, 152—153° (из C_6H_6 -петр. эф.). ИК-спектры обеих к-т идентичны. МЭ I (синтетич.), т. пл. 92—93,5°, из природного в-ва, т. пл. 93—94°, не дают депрессии т-ры плавления. XII гидролизуют водн. р-ром Na_2CO_3 и получают 6-оксиметил-5,7-диметокси-4-метилфталид (XIV), т. пл. 103—104° (из C_6H_6 -петр. эф.). При окислении XIV CrO_3 в CH_3COOH после 3-кратной перекристаллизации и сублимации при 100° и 10^{-3} мм получен 6-формил-5,7-диметокси-4-метилфталид, т. пл. 131,5—133° (из петр. эф.). Приведены $\lambda_{\text{макс}}$ в-в в УФ-области (в сп.). Часть IV, см. РЖХим, 1957, 63463. Л. Аксанова

4834. Структура иминокислот из *Convallaria majalis*. Виртанен (Zur Struktur der Iminosäure aus *Convallaria majalis*. Virtanen A. I.), Angew. Chemie, 1955, 67, № 19—20, 619 (нем.)
Обзор. Библ. 20 назв.

Л. А.

4835. Изучение мочи коров. Часть 2. Химическая структура фенольных соединений, выделенных из мочи коров. Суэмицу, Хиура, Накадзима (Studies on cow's urine. Part 2. On the chemical structure of a phenolic compound obtained from cow's urine. Suemitsu Rikisaku, Hiura Makoto, Nakajima Minoru, 日本農藝化学会誌, Нихон ноугэй кагачу кайси, J. Agric. Chem. Soc., Japan, 1955, 29, № 8, 591—595 (японск.; реф. англ.)
Выделенное из мочи коров фенольное соединение $\text{C}_{15}\text{H}_{14}\text{O}_3$, т. пл. 186—189°, $[\alpha]^{22}_D -20^\circ$, является 7-окси-3(4'-оксифенил)-хроманом (I), I синтезирован по методу Марриана (J. Biol. Chem., 1939, 1927, 649). Идентичность синтетич. и природного в-в доказана ИК-спектрами и смешанными т-рами плавления: I идентичен с экволом, выделенным Маррианом из мочи кобыл. При щел. плаве I при 300—320° получены резорцин и л-оксibenзойная к-та. Диметилловый эфир I, т. пл. 88—89°, $[\alpha]^{22}_D -17,4^\circ$, окислен избытком CrO_3 до анисовой к-ты и 3,2 моля CrO_3 до кетона $\text{C}_{17}\text{H}_{16}\text{O}_4$, т. пл. 121—122°. Диацетат, т. пл. 120—122°, $[\alpha]^{22}_D -19,3^\circ$, окислен до кетона $\text{C}_{19}\text{H}_{18}\text{O}_6$, т. пл. 151—156°. Резюме авторов

См. также: Углеводы и родств. соед. 1424Бх, 1809Бх, 1918Бх. Стероиды 3562, 5623—5631; 1440Бх, 1616Бх. Алкалоиды 3565, 5622; 1478Бх, 2007Бх, 2008Бх, 2012Бх. Витамины 1435Бх, 1461Бх, 1462Бх. Антибиотики 1861Бх, 1864—1867Бх, 1879Бх, 1902Бх, 1903Бх, 1959Бх, 1960Бх. Аминокислоты и белки 3858, 3909; 1481Бх, 1490—1492Бх, 1496Бх, 1497Бх. Др. природн. в-ва 1818Бх, 1979Бх

РЕФЕРАТИВНЫЙ ЖУРНАЛ ХИМИЯ

Рефераты 4836—5479

№ 2

25 января 1958 г.

III

ХИМИЧЕСКАЯ ТЕХНОЛОГИЯ. ХИМИЧЕСКИЕ ПРОДУКТЫ И ИХ ПРИМЕНЕНИЕ (Часть 1)

ОБЩИЕ ВОПРОСЫ

Редакторы В. И. Елинек, Н. А. Ширяева

4836. Состояние химической промышленности Европы. — (La situazione delle industrie chimiche europee. —), Idrocarburi, 1957, 6, № 3, 37—40 (итал.)
4837. Развитие польской химической промышленности. Тарновский (Rozwój polskiego przemysłu chemicznego na tle przemysłu światowego. Tarnowski Konstanty, Przegl. techn., 1957, 78, № 10, 426—429 (польск.), 429—431 (англ.))
4838. Итальянская химическая промышленность в 1956 г. Видотто (L'industria chimica italiana nel 1956. Vidotto Leo), Chimica e industria, 1957, 39, № 3, 249—251; № 4, 321—323 (итал.)
4839. Химическая промышленность Пуато-Шаранта-Лимузен (Франция). Галло (Les industries chimiques du Centre — Ouest. Poitou-Charentes-Limousin. Gallo A.), Ind. chim., 1957, 44, № 477, 101—104 (франц.)
4840. Роль химиков в атомном веке. О дальнейшем развитии ядерной химии и области ее применения. Вестермарк (Kemisten i atomåldern. Något om den senaste utvecklingen inom kärnkemin och dess tillämpningar. Westermarck Torbjörn), Svensk. kem. tidskr., 1956, 68, № 11, 549—568 (швед.)
Обзор. Библи. 27 назв. К. Герцфельд
4841. Некоторые вопросы будущего развития радиохимии. Кукелберге, Гослен, Венне (Quelques aspects futurs de la radiochimie. Coekelbergs R., Gosselain P., Van der Venne M.), Ind. chim. belge, 1957, 22, № 2, 153—164 (франц.; рез. флам., англ., нем.)
Рассмотрены возможности использования ядерной энергии для осуществления хим. р-ций. Указаны основные особенности радиационно-хим. р-ций. Приведены выходы G (число молекул продукта на 100 эв поглощенной энергии) для 21 процесса. Для проведения р-ций можно использовать: излучение продуктов деления (энергия которого составляет лишь небольшую часть всей энергии деления) и кинетич. энергию осколков деления, представляющую основную массу энергии деления. Второй путь более перспективен. Показана рентабельность получения по второму пути NO_2 ($G = 6$) на N_2 и O_2 и C_2H_2 из CH_4 ($G = 5$). Библи. 56 назв. В. Левин
4842. Обобщение передовых методов работы в химической промышленности. Вайсберг Н. С., Иса-

- ков И. Е., Тр. Уральского политехн. ин-та, 1957, сб. 66, 21—38
4843. Организация изучения и обобщения передового опыта в условиях непрерывных химических производств. Ткачев С. Ф., Тесленко-Пономаренко Ф. Ф., Тр. Харьковск. инж.-экон. ин-та, 1956, 7, 53—63
4844. Нормирование аппаратурных процессов в непрерывно-поточных производствах химической промышленности. Кодолов И. В., Тр. Уральского политехн. ин-та, 1957, сб. 66, 65—77
4845. Особенности в проектировании заводов, ведущие к снижению стоимости эксплуатационных расходов. Джонсон, Даниэлс (Design your plants for low maintenance. Johnson Russell G., Daniels Ludlow S.), Petrol. Refiner, 1957, 36, № 3, 195—199 (англ.)
Рассматриваются мероприятия для снижения расходов при эксплуатации, которые необходимо предусмотреть при проектировании. Г. Рабинович

ПРОЦЕССЫ И АППАРАТЫ ХИМИЧЕСКОЙ ТЕХНОЛОГИИ

Редакторы В. А. Жужиков, В. Г. Лукьянов, В. Г. Фастовский

4846. Применение современных представлений из области гидродинамики в исследованиях процессов химической технологии. Хьюз (Use of modern developments in fluid mechanics to aid chemical engineering research. Hughes Richard R.), Industr. and Engng Chem., 1957, 49, № 6, 947—955 (англ.)
Дан обзор за 1953—1956 гг. по вопросам: 1) турбулентности и перемешивания в потоках; 2) полей скоростей, т-р, конц-ий в трубах и каналах; 3) обтекания тел и движения потоков через слои насадочных тел; 4) скоростных полей в циклонных сепараторах; 5) устойчивости жидкостных пленок; 6) образования капель и пузырей. Библи. 24 назв. Ю. Петровский
4847. Неизотермический поток вязкой неньютоновской жидкости. Джи, Лайон (Nonisothermal flow of viscous non-Newtonian fluids. Gee R. E., Lyon J. B.), Industr. and Engng Chem., 1957, 49, № 6, 956—960 (англ.)
Приложение обычных ур-ний гидродинамики к неизотермич. потоку вязкой неньютоновской жидкости затрудняется следующими обстоятельствами: 1) вязкость такой жидкости сильно зависит от т-ры, вслед-

стве чего теплопередача влияет на распределение скоростей; 2) необходимо учитывать выделение тепла, обусловленное трением, а также охлаждение при расширении; 3) в зависимости от т-ры существенно изменяются коэф. температуропроводности и теплоемкость. Выполнено решение ур-ний потока для неьютоновской жидкости, движущейся в круглой трубе (Т), т-ра стенки которой постоянна по длине, но отлична от начальной т-ры жидкости. Предполагается, что Т заполнена жидкостью, т-ра которой равна t_0 ; в момент начала отсчета на входе в Т жидкости сообщается давление P_0 и одновременно стенке Т придается желательная т-ра t_w ; в дальнейшем P_0 и t_w остаются неизменными, так же как и t_0 на входе. Сделаны допущения: 1) линии постоянной скорости в поперечном сечении Т представляют собой окружности; 2) перенос тепла в осевом направлении за счет теплопроводности мал по сравнению с переносом в радиальном направлении; 3) в отношении кол-ва движения и сплошности жидкость считается несжимаемой; 4) поток в радиальном направлении мал по сравнению с потоком в осевом направлении. Для проверки полученного решения проведены опыты с расплавленной акриловой смолой, которая подвергалась охлаждению маслом при течении внутри Т diam. 3,2 и 6,4 мм, длиной 100 и 400 мм; $P_0 = 56 \div 240 \text{ кг/см}^2$; $t_w = 150 \div 250^\circ$; $t_0 = 250^\circ$. Для этих же условий были проведены расчеты по выведенным ур-ниям, учитывающим падение давления, т-ру жидкости и стенки Т, форму и размеры канала и свойства жидкости. Получено хорошее совпадение опытных и расчетных данных. Ю. Петровский

4848. Распределение статического давления в свободной турбулентной струе. Миллер, Камингс (Static pressure distribution in the free turbulent jet. Miller David R., Comings Edward W.), Industr. and Engng Chem., 1957, 49, № 6, 985 (англ.)

При обработке опытных данных, полученных при исследовании свободной турбулентной струи (СТС), обычно предполагают, что градиент статич. давления в основном направлении движения СТС пренебрежимо мал: это позволяет считать постоянным кол-во движения в поле СТС и приводит к полумпирич. решениям. В то же время опытным путем установлено, что кол-во движения убывает по мере удаления от насадка, причиной чего, по-видимому, является существенное изменение статич. давления. Исследована двумерная СТС воздуха, вытекающая из прямоугольного насадка сечением $508 \times 12,7 \text{ мм}$, длинная сторона которого расположена вертикально. Низкая скорость воздуха, составлявшая 22 м/сек ($Re = 17800$), позволяла считать поток несжимаемым. Все измерения производились в горизонтальной плоскости, равноудаленной от краев отверстия, в 11 точках по ширине отверстия, а также в ряде сечений СТС на различном удалении от насадка. Получены данные о распределении статич. давления, составляющих скорости и касательного напряжения, которые представлены в виде графиков. Установлено, что в СТС статич. давление отрицательно. Ю. Петровский

4849. Разрушение жидкостной струи в массе более плотной жидкости. Кристьянсен, Хиксон (Breakup of a liquid jet in a denser liquid. Christiansen R. M., Hixson A. Norman), Industr. and Engng Chem., 1957, 49, № 6, 1017—1024 (англ.)

Выполнен теоретич. анализ истечения струи менее плотной жидкости из сопла в среду неподвижной более плотной жидкости, рассмотрены условия разрушения струи и получены соотношения, позволяющие определить размеры и число образующихся капелек дисперсной фазы, а также установить параметры, при которых поверхность капелек дисперсной фазы становится мак-

сим. Для проверки полученных соотношений экспериментально исследован процесс истечения ряда р-ров через пять различных сопел, которые вводились в основание стеклянной колонны прямоугольного сечения, заполненной более плотной жидкостью. Использовались различные трехкомпонентные двухфазные системы, характеризовавшиеся существенно различными поверхностными натяжениями на границе раздела фаз. Характер распределения капелек дисперсной фазы, их размеры и форма определялись на основании фотоснимков. Ю. Петровский

4850. Экспериментальное исследование распределения температур и скоростей в вихревом потоке большой скорости. Хартнетт, Эккерт (Experimental study of the velocity and temperature distribution in a high-velocity vortex-type flow. Hartnett J. P., Eckert E. R. G.), Trans. ASME, 1957, 79, № 4, 751—758 (англ.)

Экспериментально изучено распределение т-р и скоростей в вихревом потоке, который создавался в вихревой трубе (ВТ) Ранка. ВТ diam. 75 мм и длиной 760 мм выполнена из прозрачного органич. стекла; воздух вводился через 8 тангенциальных сопел, которые сообщали ему движение по винтовой линии. Сопла расположены у одного из концов ВТ, который был закрыт глухой перегородкой: весь поток выводился через кольцевой зазор на противоположном конце, образованный внутренней кромкой ВТ и конусом, положение которого фиксировалось установочным винтом. На расстоянии 25, 75, 150, 300 и 500 мм от сопел выполнены отверстия для ввода в ВТ датчиков измерительных приборов. Опыты проводились при давлениях воздуха на входе в сопла, равном 0,7; 1,05 и 1,4 атм; две серии опытов выполнены с другими выпускными устройствами (диафрагмой и соплом). В указанных сечениях ВТ определялись вектор скорости, полное давление P , статич. давление P_s , термодинамич. т-ра T_s и т-ра адиабатически заторможенного потока T . Установлено, что радиальная составляющая скорости незначительна; давление на входе воздуха не влияло на вектор скорости. Основной поток газа движется вдоль оси по направлению к выходному отверстию, сосредоточиваясь у стенок ВТ; в осевой части ВТ, ограниченной радиусом 19 мм, наблюдается движение газа в обратном направлении, т. е. к расширительным соплам. Поля P , P_s и T свидетельствуют о разделении потока на два слоя, один из которых, прилегающий к стенкам ВТ, характеризуется высоким энергетич. уровнем (высокие значения T), а другой, в осевой части ВТ — низким энергетич. уровнем (низкие значения T). В пределах данного сечения ВТ изменения T_s выражены менее резко, чем T ; различия в значениях T_s по сечению сглаживаются по мере приближения к выходному отверстию. Геометрич. характеристика выпускного устройства очень существенно влияет на характеристики потока в ВТ. Дана теоретич. интерпретация результатов исследования. Ю. Петровский

4851. Вихревая труба Ранка — Хилша. Шеллер, Браун (The Ranque — Hilsch vortex tube. Scheller William Alfred, Brown George Martin), Industr. and Engng Chem., 1957, 49, № 6, 1013—1016 (англ.)

Выполнено исследование полей т-ры, давления и скорости в вихревой трубе (ВТ) при расширении $40 \text{ м}^3/\text{час}$ воздуха, поступающего под давл. $5,25 \text{ кг/см}^2$ при т-ре $46,5^\circ$. ВТ выполнена из латуни и характеризовалась внутренним diam. 25 мм; горячий участок ВТ длиной 1090 мм имел на конце вентиль; холодный участок ВТ длиной 330 мм отделен от камеры расширения диафрагмой с отверстием diam. 9,5 мм. Расширение воздуха производилось через 4 тангенциальных

канала, сообщавших ему вихревое движение. Измерение выходящих потоков воздуха осуществлялось ротаметрами, т-ра определялась медь-константановыми термопарами, помещенными в тонкие иглы от шприца. Для измерения статич. и полного давления также применены иглы от шприца, которые размещались на горячем участке ВТ на расстоянии 32, 108 и 185 мм от места ввода воздуха; определение давления производилось в 8 точках по радиусу. Кол-во охлажденного воздуха 50,6%; для потока горячего воздуха значения критерия Маха $M = 0,068 \div 0,647$, скорость по касательной 25—224 м/сек. На основании опытных данных построены поля статич. и полного давлений, термодинамич. т-ры, т-ры адиабатически заторможенного потока и скоростей, существующих в горячем участке ВТ; из их рассмотрения следует, что максимальные скорости, статич. и полное давления и миним. термодинамич. т-ра существуют в сечении ВТ, близком к каналам для ввода воздуха, т. е. на входе в горячий участок ВТ. При поступлении в ВТ воздух подвергается адиабатич. расширению через выходные отверстия подводящих каналов, что связано с возрастанием скорости и уменьшением теплосодержания и т-ры: происходит разделение воздуха на горячий и холодный слои. Термодинамич. т-ра воздуха в осевой части ВТ выше, чем у периферии, что приводит к переносу тепла по направлению к стенкам. Поле т-р адиабатически заторможенного потока также свидетельствует о переносе энергии от воздуха в осевой части ВТ к воздуху у стенок ВТ. Через отверстие в диафрагме из горячего участка ВТ в холодный выводится та часть воздуха, которая находится у оси ВТ. Явления, происходящие в ВТ, весьма сложны и в настоящее время еще не могут быть полностью объяснены. Ю. Петровский

4852. Двухфазный поток в капиллярах. Уайтсел (Capillary two-phase flow. Whitesel H. A.), Refrig. Engng, 1957, 65, № 4, 42—44, 98—99 (англ.)

Рассмотрено течение двухфазного потока в капиллярных трубках применительно к расчету и проектированию дроссельных устройств автоматич. холодильных установок. Выведено ур-ние, определяющее расход газа при совместном движении через капилляр неконденсирующегося газа и нелетучей жидкости (напр. воздуха и воды), применимость которого подтверждена экспериментально. Аналогичное ур-ние получено для двухфазного потока насыщ. хладагента с любым паросодержанием на входе в капилляр, причем учитывается испарение жидкости, обусловленное понижением давления при движении через канал. При применимости ур-ния проверена на фреоне-12. Приведено также ур-ние для вычисления фактора трения (в ур-нии Фаннинга для двухфазного потока), включающее факторы трения для газовой и жидкой фаз; расчетные результаты, основанные на этом ур-нии, удовлетворительно согласуются с опытными данными.

Ю. Петровский

4853. Гидродинамические свойства псевдооживленного слоя. Часть II. Новая теория псевдооживления. Беранек, Клумпар (Dynamické vlastnosti fluidní vrstvy. II. Nová teorie fluidace. Beránek Jaroslav, Klumpar Ivan), Chem. listy, 1956, 50, № 11, 1673—1682 (чеш.)

Новая теория расчета процесса псевдооживления разработана на основе векторного выражения гидродинамич. сил, действующих на частицы, и теории подобия и подтверждена результатами опытов авторов и других исследователей. Выводы относятся к псевдооживленному слою, в котором не происходит ввод и вывод частиц. Теория основывается на скорости падения частицы, по которой характеризуют размер и форму частицы. С использованием скорости падения предложены новые ур-ния для вычисления потери давле-

ния и для выражения критерия Рейнольдса; эти ур-ния не содержат линейного размера частицы. Приведен общий график зависимости соотношения высот псевдооживленного и спокойного слоя от отношения скорости потока к скорости падения; из этого графика возможно определить скорости, соответствующие началу псевдооживления и началу уноса частиц, а также увеличение высоты слоя в зависимости от скорости потока. Результаты экспериментов и опубликованных данных хорошо согласуются с полученными ур-ниями. Часть I см. РЖХим, 1957, 46831

4854. Номограмма для определения падения давления при движении турбулентного потока жидкости в трубопроводах. — (Nomogram no. 10. For determination of pressure drop in liquid lines (turbulent flow).), Brit. Chem. Engng, 1957, 2, № 3, 152 (англ.)

4855. Эмпирическое уравнение для распределения скоростей в турбулентном потоке жидкости. Рут, Янг (An empirical correlation for velocity distribution of turbulent fluid flow. Ruth B. F., Yang H. N.), A. I. Ch. E. Journal, 1957, 3, № 1, 117—120 (англ.)

Исходя из предположения о том, что распределение касательных напряжений в турбулентном потоке жидкости для гладкой трубы может быть выражено линейным законом $\tau_x = \tau_r x$ (x — расстояние от оси трубы, выраженное в долях радиуса трубы r ; τ_x — касательное напряжение на расстоянии x от оси трубы и τ_r — касательное напряжение вблизи стенки трубы) и на основе использования опытных данных Никурадзе выведены новые полуэмперич. ур-ния для распределения скоростей и для определения длины пути перемешивания в турбулентном потоке жидкости в гладкой круглой трубе. Обобщенное ур-ние распределения скоростей: $u/u_m = 2,92 + 5,7 \lg \{(ru_r \rho / \mu) [e^{1,5(1-x^2)} - 1]\}$, где u — скорость на расстоянии u от стенки трубы; u_m — скорость сдвига, равная $\sqrt{\tau_r / \rho}$ (τ_r — полное касательное напряжение; ρ — плотность жидкости; μ — вязкость жидкости; $x = 1 - (y/r)$; $ru_r \rho / \mu$ — модифицированный критерий Ре. Обобщенное ур-ние для отношения средней скорости жидкости u_m к максим. $u_{\text{макс}}$: $u_m / u_{\text{макс}} = 1 - 4,07 / [6,0 + 5,7 \lg (ru_r \rho / \mu)]$. Ур-ние для определения длины пути перемешивания: $l/r = 0,18 [1 - e^{-1,5(1-x^2)}]$. Выведенные ур-ния справедливы при $Re > 100\,000$. В. Реутский

4856. Движение сферических частиц и жидкости в цилиндрических трубах. Хэппел, Бреннер (Motion of spheres and fluid in cylindrical tubes. Happel John, Brenner Howard), Industr. and Engng Chem., 1957, 49, № 6, 969 (англ.)

Рассмотрены 3 случая движения сферич. частиц (СЧ): 1) СЧ равномерно распределены по сечению трубы и неподвижны одна относительно другой (осаждение СЧ в вязкой среде); 2) СЧ равномерно распределены по сечению трубы, но имеют возможность относительного перемещения (в пневмотранспортных устройствах или при начальной стадии псевдооживления, когда скорость жидкости или газа относительно мала); 3) СЧ распределены по сечению неравномерно и имеют возможность относительного перемещения (псевдооживленный слой).

Ю. Петровский

4857. Дискуссия по статье: Цейтлин А. С. «Уравнение равномерного движения жидкости в трубах и его применение для расчета потерь напора». Альтшуль А. Д., Смыслов В. В., Гидротех. стр-во, 1957, № 5, 47—48

К РЖХим, 1957, 36517

4858. Фильтрация. Томсон, Пайпер (Filtration as a unit process. Thomson A. K. G., Piper D. B.), Chem. Ind. and Engng, 1956, 6, № 3, 30—32 (англ.)

Рассмотрены основные характеристики некоторых используемых в пром-сти фильтрующих тканей.

В. Реутский

4859. Автоматизированное устройство для обезвоживания кристаллов (супер-дегидратор Шарплеса). Ямагучи (シャープレス・スーパー・デハイドレーター (完全自動式結晶脱水機). 山口良一), ケミカル・エンジニアリング, Кэмикару энджиниарингу, Chem. Engng, 1956, 1, № 4, 18—21 (японск.)

Описано устройство аппарата и приведены его рабочие характеристики.

Б. Лукьянов

4860. Изучение рассеивания энергии, обусловленного пульсациями скорости, при перемешивании жидкости в сосуде с лопастной мешалкой. Аиба (攪拌に関する一考察. 變動流によつて散逸するエネルギー—權型攪拌羽根). 合葉修一), 化學工學, Кагаку когаку, Chem. Engng (Japan), 1957, 24, № 3, 139—146 (японск.; рез. англ.)

Часть энергии, подводимой к жидкости мешалкой, превращается в тепловую энергию за счет трения, а другая часть идет на создание пульсаций скорости перемешиваемой жидкости. За счет последней части энергии и происходит перемешивание. Для колич. определения энергии перемешивания (ЭП) при различных условиях процесса была проведена эксперим. работа. Опыты проводились в цилиндрич. сосуде, установленном на вращающемся столе. Перемешивание проводилось лопастной мешалкой диам. 12 см с шириной лопасти 1,6 см. Отношение диаметра мешалки к диаметру сосуда изменялось от 0,429 до 0,84, причем опыты производились при наличии и при отсутствии отражательных перегородок. В качестве перемешиваемых жидкостей использовались вода и р-ры глицерина с вязкостью 10 и 108 *спуз*. Скорость вращения мешалки изменялась от 70 до 400 об/мин. В результате опытов было установлено, что при турбулентном режиме движения жидкости доля ЭП в общей затрате энергии не зависит от Re, хотя на ее величину оказывают влияние размеры и в особенности диаметр лопасти. Сравнение данных, полученных при наличии и при отсутствии отражательных перегородок, показало, что отражательные перегородки увеличивают ЭП независимо от формы и размеров лопасти мешалки. В переходной области перемешивания отношение ЭП к общим затратам энергии зависит от Re, причем с уменьшением Re уменьшается ЭП. При ламинарном режиме движения жидкости вся подводимая к жидкости энергия затрачивается исключительно на создание градиентов скорости в жидкости.

В. Реутский

4861. Влияние движения жидкости на межфазовую поверхность дисперсий. Роджер, Трайс, Раштон (Effect of fluid motion on interfacial area of dispersions. Rodger W. A., Trice V. G., Jr, Rush-ton J. H.), Chem. Engng Progr., 1956, 52, № 12, 515—520 (англ.)

Экспериментально исследовалась зависимость межфазовой поверхности (МП) дисперсий (Д) типа вода — масло от определяющих ее факторов. Описана методика получения Д в цилиндрич. сосудах диам. 150—450 мм, снабженных отражательными перегородками и 6-лопастной турбинной мешалкой. Объемы обеих фаз одинаковы; мешалка расположена по центру сосуда на границе раздела фаз. МП определялась с точностью $\pm 5\%$ путем фотографирования, а также с помощью найденной ранее зависимости между МП и рассеянием света дисперсией (РЖХим, 1957, 11420). Кроме того, в каждом опыте определялось время осаждения дисперсии t_0 . В опытах заменялись отношение кинематич. вязкостей дисперсной и сплошной фаз ν_D/ν_F (0,75—9,5), отношение разности плотностей к плотности сплошной фазы $\Delta\rho/\rho_F$ (0,018—0,22), диаметр мешалки D (50—300 мм) и число ее

оборотов N (1—20 об/сек). Найденное экспериментально влияние отдельных факторов на МП выражается ур-нием: $a = (K/D) [D^3 N^2 \rho_F / \sigma_1]^{0.36} (D/T)^k (\nu_D/\nu_F)^{1/4} (t_0/t_0)^{1/4} \cdot \exp(3,6 \Delta\rho/\rho_F) \cdot \Phi$, где a — МП на единицу объема дисперсии, k — коэф. пропорциональности, σ_1 — поверхностное натяжение на границе раздела фаз, t_0 — время осаждения, принятое за единицу сравнения (1 мин); T — высота столба жидкости и Φ — величина, учитывающая систему размерностей. На величину МП в наибольшей степени влияют величины, входящие в критерий Вебера $We = D^3 N^2 \rho_F / \sigma_1$. Влияние отношений ν_D/ν_F и t_0/t_0 мало. Увеличение $\Delta\rho$ вызывает рост МП в экспоненциальной зависимости. Это объясняется возрастающим градиентом скорости и напряжения сдвига на границе раздела фаз. Это согласуется с известной гипотезой о том, что агрегация капель обусловлена влиянием стенок сосуда. Отмечено, что образование дисперсии ускоряется, если мешалку полностью поместить в ту фазу, которая должна быть сплошной.

В. Коган

4862. Насосы для перекачивания хладоагентов, применяемые на молочных заводах. Леопольд (Kältemittelpumpen in Molkerei-Kühlanlagen. Leopold Karl-Friedrich), Molk- und Käser-Ztg, 1957, 8, № 29, 955—958 (нем.)

4863. Регенеративный теплообмен при течении двух- и трехмерного потока в пористой среде. Черчилл, Абрехт, Чжу-Цзяо-минь (Regenerative heat transfer in two- and three-dimensional flow through porous media. Churchill Stuart W., Abbrecht Peter H., Chu Chiao-min), Industr. and Engng Chem., 1957, 49, № 6, 1007—1012 (англ.)

Дано теоретич. решение задачи о нестационарном теплообмене при течении двух- и трехмерного потока в пористых средах. Решение основывается на следующих допущениях. 1. Температурные градиенты внутри отдельных частиц, образующих пористую среду, отсутствуют: т-ра в массе и на поверхности частиц одна и та же. Предположение оправдывается в большей мере для небольших частиц, обладающих хорошей теплопроводностью, и при малых скоростях потока. 2. Не принимается во внимание перенос тепла теплопроводностью между частицами или через текущую среду. Полученные ур-ния позволяют рассчитать теплопередачу в нестационарном режиме при любых заданных распределениях т-р и т-ре поступающего потока.

Ю. Петровский

4864. Теплоотдача в критической области. Брингер, Смит (Heat transfer in the critical region. Bringer R. P., Smith J. M.), A. I. Ch. E. Journal, 1957, 3, № 1, 49—55 (англ.)

Исследована теплоотдача при турбулентном потоке CO_2 в металлич. трубке внутренним диам. 4,6 мм (толщина стенки 0,9 мм) и длиной 610 мм при параметрах, близких к крит. давл. 84 *ата* (крит. давл. 75 *ата*) и т-рах 21 ÷ 49° (крит. т-ра 31,1°). В подобных условиях изменения свойств среды происходят очень резко даже при весьма незначительных колебаниях т-ры, и применение обычных критериальных ур-ний, полученных для условий, далеких от крит., недопустимо. Трубка включалась в цепь электрич. тока, чем достигалось ее нагревание; металл, из которого изготовлена трубка, обладал низким температурным коэф. сопротивления, что обеспечивало равномерную по длине тепловую нагрузку, составлявшую 27 100—271 000 *ккал/м²·час*. Опытами охвачены значения $Re = (3 \div 30) \times 10^4$; значения коэф. теплоотдачи составили 1465 ÷ 12 700 *ккал/м²·час град*. Для измерения т-ры стенки к наружной поверхности трубки припаяны 15 термомар медь — ко-

ковстан; т-ра CO_2 измерялась на входе и выходе. Т-ра стенки в средней части трубки изменялась в пределах 38–65,5°. Установлено, что при отсутствии потока т-ра стенки в средней части трубки на значительном участке (до 400 мм) остается постоянной; при пропускании CO_2 т-ра стенки возрастает в направлении течения, однако характерно наличие на графиках, выражающих зависимость т-ры стенки от расстояния вдоль оси, прямолинейных участков значительной протяженности (400–500 мм). Предложено эмпирич. ур-ние для вычисления коэф. теплоотдачи: $Nu_x = 0,0266 (Re_x)^{0,77} (Pr_0)^{0,55}$. При оценке Pr_0 в качестве определяющей принимается т-ра стенки t_0 , а при оценке Re_x и Nu_x — т-ра t_x , которая выбирается в зависимости от величины $a = (t_t - t_b) / (t_0 - t_b)$, где t_b — средняя т-ра потока; t_m — т-ра, при которой среда, находящаяся при заданном давлении, обладает наибольшей уд. теплоемкостью. При $a < 0 \dots t_x = t_b$; при $0 \leq a \leq 1 \dots t_x = t_m$; при $a > 1,0 \dots t_x = t_0$. Это ур-ние и правило выбора определяющей т-ры дают хорошее совпадение с опытными данными, полученными Дейсслером и Тейлором (Deissler R. G., Taylor M. F., Natl. Advisory Comm. Aeronaut. Rept. E53B17, 1953), которые работали с водой при приведенном давл. 1,6. Расхождения с данными для CO_2 , полученными в настоящей работе, достигают 30%, что объясняется выбранным давлением, мало отличающимся от крит. (приведенное давл. 1,1). Ю. Петровский

4865. Характер движения жидкости и определение коэффициентов теплоотдачи в межтрубном пространстве кожухотрубных теплообменников с поперечными перегородками. Гупта, Кац (Flow patterns for predicting shellside heat transfer coefficients for baffled shell-and-tube exchangers. Gupta Rajeshwar K., Katz Dohald L., Industr. and Engng Chem., 1957, 49, № 6, 998–999 (англ.).

В межтрубном пространстве кожухотрубного теплообменника с поперечными перегородками наблюдаются 3 вида движения жидкости: продольное, поперечное и вихревое (в так называемых «мертвых» объемах). Для определения различных зон и коэф. теплоотдачи в них выполнено исследование теплопередачи в стеклянном одноходовом теплообменнике с 6 различными пучками труб наружн. диам. 19 мм при толщине стенки 0,75 мм. Число трубок в каждом из пучков равнялось 26, длина их 3050 мм, шаг 24 мм; пучки отличались числом перегородок (12, 18 и 26) и величиной выреза в них (10, 25 и 43,3% сечения межтрубного пространства). Внутренний диаметр кожуха 150 мм. Перегородки были тщательно уплотнены и не допускали перетекания жидкости вдоль трубок и между перегородками и кожухом. В межтрубном пространстве протекал 60 ÷ 80%-ный водн. р-р пропиленгликоля, причем определялся общий коэф. теплопередачи. Коэф. теплоотдачи внутри трубок, а также при продольном (h_p) и поперечном (h_c) обтекании их вычислялись по следующим уравнениям: $Nu = h_c (D_e)_w / k_f = 0,032 Re_{0,8} Pr^{0,33}$, где $Re = (D_e)_w G_w / \mu_f$ (Miller P. и др., A. I. Ch. E. Journal, 1956, 2, 223); $Nu = h_c D_0 / k_f = 0,33 Re_{0,8} Pr^{0,33}$, где $Re_c = D_0 G_c / \mu_f$; G_c — весовая скорость, отнесенная к живому сечению пучка (c) в диаметральной плоскости между двумя перегородками. Для коэф. теплоотдачи при вихревом движении жидкости (h) в мертвых объемах получено ур-ние: $Nu = h D_0 / k_f = 0,00187 Re_c^{1,168} Pr^{0,33}$, где $Re_c = D_0 G_{(c)} / \mu_f$; $G_{(c)}$ — весовая скорость, отнесенная к суммарному сечению ($c + e$); e — площадь сечения мертвого объема. Приведены графики, позволяющие оценить соотношение $c/(c + e)$ для теплообменников,

аналогичных по конструкции с исследованным, в зависимости от расстояния между перегородками и относительной величиной выреза в них. Ю. Петровский

4866. Теплоотдача в винтовых змеевиках. Кирпичков В. А., Тр. Моск. ин-та хим. машиностр., 1957, 12, 43–56

Экспериментально исследовалась теплоотдача и гидравлич. сопротивление при протекании воды по трубчатым медным змеевикам (З), у которых $R/d = 5 \div 9$, $l/D = 115 \div 373$ и $S/d = 2 \div 4$; здесь d , l , R и S — внутренний диаметр трубки, длина, радиус и шаг витков З. Нагревание З осуществлялось извне водяным паром, т-ра стенки и тепловая нагрузка измерялись по отдельным участкам З, каждый длиной 100 мм, и подсчитывались значения коэф. теплоотдачи α по каждому участку. Опыты проводились при $Re_f = 10000 \div 45000$; найдено, что α в З выше, чем в прямых трубах. Интенсификация теплоотдачи происходит как за счет циркуляционных токов в изогнутой трубе, так и вследствие увеличения α на входном и выходном участках; роль концевых участков уменьшается с уменьшением R/d . Опытные данные по теплоотдаче для исследованных З (без учета концевых участков) описываются ур-нием $Nu_f = 0,0394 \cdot Re_f^{0,8} \cdot Pr_f^{0,4} \cdot (d/R)^{0,21}$, причем физ. параметры жидкости берутся при средней арифметич. ее т-ре t_f . По длине З величина α сначала падает, затем растет и, наконец, принимает постоянное значение. Для наступления тепловой стабилизации в З требуется значительно большая длина, чем в прямой трубе; с увеличением R/d тепловая стабилизация наступает позднее. Как при изотермич., так и при неизотермич. течении гидравлич. сопротивление в З выше, чем в прямых трубах. При неизотермич. потоке в области $Re_{кр} = 17000 \div 24000$ происходит изменение закона сопротивления, причем с увеличением R/d от 5 до 9 $Re_{кр}$ уменьшается от верхнего предела к нижнему. Найдены выражения для коэф. гидравлич. сопротивления ξ в змеевиках: изотермич. поток $\xi = 0,521 (d/R)^{0,5} / Re_f^{0,16}$; неизотермич. поток при $Re_f = 10000 \div 21000$ $\xi = 0,521 (d/R)^{0,625} / Re_f^{0,30}$ и при $Re_f = 21000 \div 45000$ $\xi = 0,22 (d/R)^{0,475} / Re_f^{0,1}$. Применимость этих ур-ний ограничена исследованной областью переменных, указанной выше. А. Ровинский

4867. Коэффициенты теплоотдачи к суспензиям кизельгура. Хиран (珪藻土泥漿の熱傳達係数について 平井英二), 化学工化, Kagaku kogyo, Chem. Engng (Japan), 1957, 21, № 1, 26–31 (японск.; реангл.).

Исследована теплоотдача к суспензиям кизельгура в воде, протекавшим внутри медной, нагреваемой или охлаждаемой снаружи горизонтальной трубки. Эксперим. данные для ламинарного режима описываются ур-нием $\alpha_m \cdot D / \lambda = 2,36 \{ [W \cdot C_p / (\lambda \cdot l)] \{ [1 - a] / (4a \cdot \alpha) \} \}^{1/4} \cdot (\eta_{pl} / \eta_{pl,w})^{0,15}$, которое применимо при $Re_{pl} < 1200$ и $(W \cdot C_p / \lambda \cdot l) > 117$. Для турбулентного режима при $Re_{pl} > 7000$ рекомендуется ур-ние $\alpha_m \cdot D / \lambda = 0,029 (Re_{pl} \Phi)^{0,8} \times [Pr_{pl} / (4a \alpha)]^{1/4} \cdot (\eta_{pl} / \eta_{pl,w})^{0,15}$. Значения $\alpha_m \cdot D / \lambda$ в переходной области при $1200 < Re_{pl} < 7000$ могут быть найдены по приведенному в работе графику. Критерии для пластич. жидкости: $Re_{pl} = D \cdot \bar{u} \cdot \rho / \eta_{pl}$ и $Pr_{pl} = C_p \cdot \eta_{pl} / \lambda$; C_p , ρ и λ — теплоемкость, плотность и теплопроводность суспензии, η_{pl} и $\eta_{pl,w}$ — кажущаяся вязкость суспензии при т-ре жидкости и средней т-ре стенки трубы, W и \bar{u} — весовая и средняя линейная скорость потока, D и l — диаметр и длина охлаждаемой или нагреваемой части

трубы, a — относительный радиус потока, $a = (a - 4a + 3)/(12a)$, $\Phi = (1 - a) \cdot 4aa$ и a_m — среднее по длине трубы значение коэф. теплоотдачи. А. Ровинский

4868. Пленочная конденсация пара в горизонтальной трубе. Чаддок (Film condensation of vapor in a horizontal tube. Chaddock Jack B.), Refrig. Engng, 1957, 65, № 4, 36—41, 90, 92—95 (англ.)

На внутренней поверхности горизонтальной трубы охлаждаемой паром, образуется пленка конденсата, текущая вниз и создающего слой жидкости в нижней части трубки; положение уровня конденсата определяется половиной центрального угла ψ , образованного радиусами, проведенными к концам хорды, совпадающей с уровнем конденсата (при совпадении уровня с диаметром $\psi = 90^\circ$). При ламинарном течении слоя конденсата в нижней части трубы теплопередачей через омываемую им часть периметра можно пренебречь, и среднее значение коэф. теплоотдачи h_m , отнесенного ко всей внутренней поверхности трубки, можно определить на основании теории Нуссельта: $h_m = (\psi_m / \pi) \times [\beta \Omega / (D - \Delta t)^{0.25}]$, где β — коэф., значение которого приводится в зависимости от ψ_m ; Ω — параметр, учитывающий физ. свойства пара и конденсата и зависящий от т-ры (значения его приведены для водяного пара, аммиака, хлористого метила, фреонов 11, 12 и 22 в области т-р 20—50°); D — диаметр трубки; Δt — разность т-р между паром и стенкой. Из сопоставления с условиями конденсации в вертикальной трубке следует, что при $\psi \geq 90^\circ$ предпочтительнее использовать горизонтальные трубки. Для расчетного определения h_m предварительно вычисляют среднее значение ψ_m по ур-нию: $\psi_m = \pi - [0,47 JL \times (\Delta t)^{0.75} D^{-2.75}]$, где J — параметр, учитывающий физ. свойства пара и конденсата и зависящий от т-ры (значения его приводятся); L — длина трубки.

Ю. Петровский
4869. Теплоотдача при конденсации паров ртути и натрия при давлениях, не превышающих атмосферного. Мисра, Бонилла (Heat transfer in the condensation of metal vapors: mercury and sodium up to atmospheric pressure. Misra Balabhadra, Bonilla Charles F.), Chem. Engng Progr. Sympos. Series, 1956, 52, № 18, 7—21 (англ.)

Опыты с Hg проводились на трех конденсаторах с воздушным и водяным охлаждением; конденсация осуществлялась на различных металлических поверхностях: стальной, омедненной стальной, никелевой, нержавеющей стали, никелированной нержавеющей стали. Поверхности выполнялись из трубок наружным diam. 12,7 мм и длиной 12,7—75 мм, которые располагались вертикально или горизонтально. Установлено, что на омедненной и никелевой поверхностях происходит пленочная конденсация Hg, на поверхности из нержавеющей стали — капельная, а на стальной вертикальной поверхности — капельная в верхней части и пленочная в нижней части. В опытах с Hg уд. тепловая нагрузка изменялась от $q = 68\,000$ ккал/м² час при давлении $p = 0,035$ ата и воздушном охлаждении до $q = 2 \times 10^6$ ккал/м² час при $p = 1,05$ ата и водяном охлаждении. Коэф. теплоотдачи при пленочной конденсации $\alpha = 14\,000 \div 48\,800$ ккал/м² час град, а при капельной $\alpha = 19\,600 \div 245\,000$ ккал/м² час град. Конденсация паров Na производилась на никелированной трубке из нержавеющей стали, расположенной под углом 45° к горизонту; величина $q = 163\,000$ ккал/м² час при т-ре $t = 650^\circ$ и изменялась до $q = 271\,000$ ккал/м² час при $t = 870^\circ$; значения $\alpha = 54\,000 \div 63\,500$ ккал/м² час град (конденсация пленочная). Опытные значения α для Hg и Na составляют 5—15% соответствующих расчетных значений, установленных на основании известных ур-ний Нуссельта. Теоретически такие резкие

расхождения не могут быть объяснены. Снижение возможно вследствие возникновения воздушных пузырей в слое конденсата, образования газовых парманов в конденсаторе, большой толщины пленки конденсата. Опытные значения α , однако, столь велики, что практически расхождение с расчетными данными несущественно.

Ю. Петровский
4870. Исследование процесса испарения за счет солнечной радиации в концентраторе с вертикальным потоком жидкости. Часть I. Икэда, Куруки (太陽集光装置の蒸発機構について. 第1報. 池田美登, 黒木隆夫), 日本鹽學會誌, Нихон сию гаккайси, Bull. Soc. Salt Sci., Japan, 1956, 10, № 5, 225—234 (японск.; реангл.)

На основании теории граничного слоя и аналогии между тепло- и массообменом выведены два ур-ия, определяющие скорость испарения жидкости с цилиндрич. поверхности применительно к условиям работы концентратора, использующего солнечную энергию. Установлено, что в области $Re \leq 50$ ур-ия, полученные на основании аналогии, дает лучшее совпадение с эксперим. данными.

Ю. Петровский
4871. Теплопередача через двойную плоскую стеклянную стенку с воздушной прослойкой. Линке (Die Wärmeübertragung durch Thermopane-Fenster. Linke E. W.), Kältetechnik, 1956, 8, № 12, 378—384 (нем.)

На основе измеренных значений теплового потока и т-р по известным ур-ниям были найдены коэф. теплопередачи стекла в исследованном диапазоне т-р и значения кажущейся теплопроводности. На основе полученных эксперим. данных были подсчитаны коэф. теплопередачи через слой воздуха и результаты представлены графически.

В. Реутский
4872. Тепловая изоляция, поры которой заполнены разряженным воздухом или газом с низкой теплопроводностью. Вильсон (Evacuated and gas-filled insulation systems. Wilson Foster C.), Refrig. Engng, 1957, 65, № 4, 57—60, 102 (англ.)

При наличии высококачественных волокнистых материалов дальнейшее понижение эффективной теплопроводности теплоизоляции $\lambda_{эф}$ холодильных камер может быть достигнуто откачкой воздуха из слоя изоляции или заменой его газом с низкой теплопроводностью. Определено уменьшение $\lambda_{эф}$ двух сортов стеклянного волокна с диаметром нитей 0,0007 мм и 0,015 мм и плотностью 174 кг/м³ и 156 кг/м³, у которых при 24° атмосферном давлении $\lambda_{эф} = 0,028$ и 0,033 ккал/м час град; при откачке воздуха до остаточного давл. 0,01 мм рт. ст. $\lambda_{эф}$ стала 0,0012 и 0,005 ккал/м час град соответственно. Измерена $\lambda_{эф}$ волокна в атмосфере 16 газовой различной плотности с мол. весом от 2 (водород) до 200 (фреон C-318 или C₄F₈), лучшие результаты были получены с фреоном-12; при этом $\lambda_{эф}$ для волокна с плотностью 174 кг/м³ была снижена до 0,0125 ккал/м час град, т. е. более чем вдвое. Применение других газов-наполнителей вместо воздуха требует совершенной конструкции изоляционного кожуха. Исследовалось также влияние характера укладки стеклянного волокна и обнаружено, что $\lambda_{эф}$ изоляции, в которой нити ориентированы в одном направлении, несколько выше, чем при беспорядочной укладке волокна.

А. Ровинский
4873. Анализ работы рекуперативных теплообменников. Сугавара, Сато (A consideration on recuperative heat exchangers. Sugawara Sugao, Sato Takashi), Proc. 4th Japan Nat. Congr. Appl. Mech. 1954. Tokio, 1955, 337—340 (англ.)

Рассмотрена методика расчета различных рекуперативных теплообменников (прямоточных, противоточных, перекрестноточных) при меняющемся по длине коэф. теплопередачи. Произведено сопоставление с ре-

ультатами, получаемыми в предположении постоянства значения коэф. теплопередачи. Ю. Петровский 4874. Графический метод определения температуры влажной теплообменной поверхности змеевиковых холодильников для воздуха. Кусуда (Graphical method simplifies determination of air coil wet heat transfer surface temperature. Kusuda T. Tamami, Refrig. Engng, 1957, 65, № 5, 41—45, 74, 76, 78, 80 (англ.))

Предложен графич. метод расчета поверхности охлаждения холодильников для воздуха и оросительных конденсаторов с принудительной циркуляцией воздуха. В этих аппаратах теплообменная поверхность покрыта влагой, которая образуется на холодной поверхности при конденсации водяных паров из воздуха (в холодильниках), или испаряется (в конденсаторах). Расчет выполняется с использованием психрометрич. диаграммы влажного воздуха. Ю. Петровский

4875. К определению расходов тепла абсорбционно-холодильными установками. Степанов Б. В., Научн. тр. Ленингр. инж.-строит. ин-та, 1957, № 25, 114—119

Составлены графики для определения теплового коэф. идеальной абсорбционной холодильной установки в зависимости от т-р греющего пара, охлаждающей воды и испаряющегося хладагента. З. Ханмский

4876. Применение «молекулярных сит» для сушки хладагентов. Лаутенсак, О'Коннор, Сувал (Molecular sieve a refrigerant desiccant. Lautensack H., O'Connor F. M., Suval M. L.), Refrig. Engng, 1957, 65, № 5, 33—36 (англ.)

Экспериментальное исследование применимости новых адсорбентов (А) — кристаллич. алюмо-силикатов (относящихся к группе так называемых «мол. сит») для сушки хладагентов (Х) в компрессионных холодильных машинах показало возможность уменьшить конц-ию влаги в фреонах 12 и 22 до 0,001% при 60°. Вследствие высокой селективности по отношению к влаге Х и содержащееся в нем масло практически не влияют на влагоемкость А, которая в 5—40 раз выше, чем у других осушителей и достигает 12% по весу при 60°. Такие А понижают также конц-ию HCl, накапливающегося в Х в процессе его работы: при исследовании холодильной машины с фреоном-11 конц-ия HCl при применении этих А была уменьшена от 0,114% до нуля; емкость А по к-те составляет 2,5% по весу. А. Ровинский

4877. Методы получения температур ниже —100°. Нессельман (Verfahren zur Kälteerzeugung unter —100°C. Nesselmann K.), Chem.-Ingr.-Techn., 1957, 29, № 3, 198—200 (нем.; рез. англ., франц.)

Рассмотрены и сопоставлены различные термодинамич. циклы, позволяющие получать т-ры, лежащие в области (—100°) ÷ (—194°); 1) паровой компрессионный цикл с использованием в качестве рабочего в-ва некоторых фреонов; 2) цикл газовой холодильной машины (РЖХм, 1956, 42040; 11799); 3) регенеративный цикл с детандером; 4) простой регенеративный цикл, основанный на использовании эффекта Джоуля — Томсона. Ю. Петровский

4878. Способ регулирования тепловой нагрузки выпарных и теплообменных аппаратов. Нуждов Ф. И., Тр. Моск. ин-та хим. машиностр., 1957, 12, 57—62

Для увеличения продолжительности работы выпарных аппаратов между двумя последовательными операциями очистки их конструируют с некоторым избытком поверхности теплообмена для того, чтобы компенсировать ухудшение коэф. теплопередачи при постепенном образовании накипи. Предлагается запас поверхности нагревания после очередной очистки ее от накипи в вертикальных кожухотрубных аппаратах

исключать из работы путем затопления части парового пространства конденсатом. Для этого в нижней части теплообменника по высоте кожуха, образующего паровую рубашку, приваривается ряд штуцеров с кранами; по мере образования накипи и уменьшения коэф. теплопередачи регулирование тепловой нагрузки осуществляется понижением уровня конденсата путем последовательного открытия нижележащих штуцеров.

А. Ровинский 4879. Сжигание под слоем жидкости. Сундарам, Венкатесварлу (Submerged combustion. Sundaram P. S., Venkateswarlu D.), Indian and East. Engr., 1957, 120, № 5, 305—310 (англ.)

Сжигание топливного газа под слоем жидкости имеет ряд преимуществ. 1. Тепло от продуктов сгорания непосредственно передается жидкости, которая пронизывается огромным кол-вом мельчайших пузырьков, обладающих очень большой поверхностью. Достигается исключительно интенсивная теплоотдача; т-ра уходящего газа всего на 2,5—5° выше т-ры жидкости. 2. Вследствие насыщения газообразных продуктов сгорания парами нагреваемой жидкости т-ра кипения ее понижается; в одном из опытов т-ра кипения воды при атмосферном давлении составила 88°. Это позволяет применять рассматриваемый способ обогрева для упаривания термолabileльных жидкостей. 3. Легко осуществимо упаривание кристаллизующихся и химически активных жидкостей. В промышленных установках применяются спец. горелки, позволяющие получить тепла от 125×10^3 до $7,5 \times 10^6$ ккал/час; автоматич. регулирующая аппаратура обеспечивает надежную и бесперебойную их работу. Горелки могут устанавливаться в резервуары любой конфигурации, глубина погружения зависит от размера горелки: при диам. 50 мм она составляет 250 мм, а при диам. 175 мм — 450 мм. Рассмотрен ряд случаев промышленного использования сжигания под слоем жидкости и дана экономич. оценка метода. Ю. Петровский

4880. Последние достижения в химической очистке выпарных аппаратов. Беннетт, Шмидт, Уингис, Уайз (Recent developments in the chemical cleaning of evaporators. Bennett M. C., Schmidt N. O., Wiggins L. F., Wise W. S.), Internat. Sugar J., 1956, 58, № 693, 249—252 (англ.)

4881. Одновременная тепло- и массоотдача при свободной конвекции. Матерс, Мадден, Пайрет (Simultaneous heat and mass transfer in free convection. Mathers W. G., Madden A. J. Jr., Piret Edgar L.), Industr. and Engng Chem., 1957, 49, № 6, 961—968 (англ.)

При совместном протекании тепло- и массоотдачи в условиях свободной конвекции установлено сильное взаимное влияние этих процессов: при наличии градиента т-р значение коэф. массоотдачи (k_c) может вдвое превышать его значение при отсутствии теплоотдачи. Составлена система дифференциальных ур-ний для случая совместной тепло- и массоотдачи от вертикальной пластины, выполненной из легучего или растворимого в-ва, в условиях свободной конвекции. С помощью спец. счетной машины дано численное решение системы ур-ний, в которых не учитывались инерционные силы.

Решение имеет вид: $Nu = 0,67 \{ [Gr + (Pr/Sc)^{0,5} Gr'] Pr \}^{0,25}$; $Nu' = 0,67 \{ [Gr' + (Sc/Pr)^{0,5} Gr] Sc \}^{0,25}$, где $Nu = hD/k$; $Nu' = (k_G D / D_v) (P_{B_s} / P)$; $Gr = (D^3 \rho^2 g / \mu^2) [(T_s - T_0) / T_0]$; $Gr' = (D^3 \rho^2 g / \mu^2) (C_{A,s} - C_{A,0}) [(M_B - M_A) / M_A]$; h — коэф. теплоотдачи; D — определяющий линейный размер (высота пластины); k — коэфф. теплопроводности; D_v — коэф. молекулярной диффузии; P — общее давление; P_{B_s} — парц. давление инертной среды у стенки; ρ — уд. вес; g — ускорение силы тяжести; μ — вязкость;

T_s — абс. т-ра стенки; T_0 — абс. т-ра среды на бесконечном удалении от стенки; $C_{A,s}$ — конц-ия летучего или растворимого в-ва у стенки; $C_{A,0}$ — то же, на бесконечном удалении от стенки; M_A , M_B — мол. веса летучего или растворимого в-ва и инертной среды. Полученные ур-ния хорошо согласуются с опытными данными Уилки и др. (Wilke C. R. и др., Chem. Engng Progr., 1953, 49, 663—674) и полученным ими эмпирич. ур-нием. Выполнено эксперим. исследование совместных тепло- и массоотдачи от сферич. тел к газу в условиях свободной конвекции. Опыты проводились с латунными шариками диам. 24,4 и 12,7 мм, на поверхность которых наносился слой нафталина; внутри шариков помещался электрич. нагреватель, питаемый постоянным током, который позволял изменить т-ру поверхности. Шарик подвешивался к коромыслу аналитич. весов и вместе с ними помещался в герметизированную камеру, заполненную воздухом, давление которого изменялось от 2 мм рт. ст. до атмосферного; разность т-р поверхности шарика, покрытого нафталином, и воздуха составляла 0—23° (т-ра поверхности измерялась платина — платино-родиевой термопарой диам. 0,075 мм). Интенсивность массоотдачи определялась по убыли в весе, а теплоотдача — по мощности нагревателя. Ограниченное число опытов было осуществлено при низких т-рах (—40°) ÷ (—10) с использованием бензола. Стенки и дно камеры покрывались активизированным углем, который адсорбировал пары летучего в-ва (нафталина или бензола). Максим. изменение диаметра шарика, обусловленное сублимацией летучего в-ва, не превышало 2,5%. Опытные данные нанесены на совмещенный график $Nu = f[Gr + (Pr/Sc)^{0.5} Gr'] Pr$ и $Nu' = f[Gr' + (Sc/Pr)^{0.5} Gr] Sc$, причем все точки группируются около одной общей кривой. Опытные данные других исследователей также хорошо совпадают с установленной зависимостью. Ю. Петровский

4882. Основные процессы массопередачи. Отеро-де-ля-Гандара (Operaciones básicas con transmisión de materia. Otero de la Cándara J. L.), Rev. cienc. apl., 1956, 10, № 5, 389—402 (исп.).

Изложены основы массопередачи между фазами (диаграммы равновесия, определение движущей силы, числа единиц переноса, коэф. массопередачи, граничные условия). Рассмотрены процессы массообмена в бинарных и трехкомпонентных двухфазных системах

В. Мухин

4883. Влияние концентрационного уровня на скорость массопередачи. Весткампер, Уайт (Effect of concentration level on mass transfer rates. Westkaemper L. E., White Robert R.), A. I. Ch. E. Journal, 1957, 3, № 1, 69—74 (англ.).

Исследован процесс испарения CCl_4 с горизонтальной плоской поверхности в турбулентный поток воздуха, содержащий до 0,7 мол. доли CCl_4 . Все опыты проводились при атмосферном давлении; т-ра газа составляла 68—91°; $Re = 600 \div 14\,700$; $Sc = 0,23 \div 1,17$; $P_{Bm}/P = 0,29 \div 0,81$ (P_{Bm} — логарифмич. среднее парц. давление CCl_4 ; P — общее давление). CCl_4 поступал снизу через отверстия диам. 1,6 мм, выполненные в горизонтальной металлич. пластине на расстоянии 12,7 мм одно от другого; смоченная поверхность пластины составляла 1250 см². Входной участок выполнен в виде прямоугольного канала сечением 104×16 мм и длиной 915 мм; сечение входного канала такое же, как сечение испарительной секции. Для насыщения воздушного потока CCl_4 служит сатуратор с нагревателем мощностью 3 кВт и терморегулятором. Отмечено образование волн на поверхности испарения при скорости потока 3—3,6 м/сек; дальнейшее увеличение скорости связано с увеличением волнообразования,

уносом жидкости и резким возрастанием потери напора. Опытные данные с отклонениями $\pm 16\%$ выражаются эмпирич. критериальным ур-нием: $(k_g \cdot R \cdot T \cdot d/D_v) \cdot (P_{Bm}/P) \cdot Sc^{-0.44} = 0,0014 Re^{1.08}$, где k_g — коэф. массоотдачи, моль/час · м² атм; R — газовая постоянная, м³ · атм/град моль; T — абс. т-ра, °K; d — характерный линейный размер, м; D_v — коэф. мол. диффузии, м²/час.

С помощью электронной счетной машины выполнено также решение системы основных дифференциальных ур-ний, описывающих процесс испарения жидкости, причем получено удовлетворительное совпадение расчетных и опытных данных даже в области $Re < 7000$, где уже нельзя пренебрегать перемещением потока в направлении, перпендикулярном оси. Ю. Петровский

4884. Турбулентные пульсации концентрации в насадках. Праусниц, Уилхелм (Turbulent concentration fluctuations in a packed bed. Prausnitz J. M., Wilhelm R. H.), Industr. and Engng Chem., 1957, 49, № 6, 978—984 (англ.).

При наличии среднего во времени концентрационного градиента в турбулентном потоке среды через слой насадки в любой точке слоя наблюдаются пульсации конц-ии (ПК), характер которых определяется степенью турбулентности. Рассмотрен механизм ПК, в основу которого положены пульсации скорости относительно низкой частоты, свойственные потоку через слой насадки, и выведены ур-ния, определяющие ПК для двухмерного и трехмерного потоков. Для проверки справедливости ур-ний выполнено эксперим. исследование ПК в стеклянной колонне диам. 50 мм со слоем свинцовой дробин. Применялись дробинки диам. 3,7 и 6,4 мм; высота слоя составляла 6,6; 13,0; 16,5 и 18,3 см. Через слой насадки пропусклся поток воды, в который вводился индикатор — смесь соляной к-ты и метанола, одинаковой плотности с водой. Опыты дают значения $Re = 216 \div 566$ (в Re входят диаметр дробинки и скорость жидкости, отнесенная к полному сечению колонны). Непосредственно над слоем насадки, с помощью небольшой передвижной ячейки для измерения электропроводности производилось определение средней во времени конц-ии и ПК, причем последние фиксировались электронным прибором, способным регистрировать до 2000 пульсаций в 1 сек. Предварительно было выявлено, что ПК, измеренные над насадкой, соответствуют ПК в слое насадки. В процессе экспериментирования было установлено: 1) скорость потока должна быть максимальной и обеспечивать $Re > 200$, так как при этом условии существует развитая турбулентность; в то же время не должно происходить псевдооживления слоя; 2) следует выдерживать определенное соотношение между диаметрами колонны и частицами насадки, так как при больших значениях этого отношения легко наступает псевдооживление, а при малых слой насадки неравномерен; в опытах это соотношение равнялось 13,6 и 8; 3) при вращении слоя насадки распределение средней во времени конц-ии относительно оси колонны становится асимметричным; при слишком высоком слое ПК становятся слабо выраженными. Анализ данных показывает, что полученные теоретич. соотношения применимы для оценки ПК, за исключением ПК в точках, прилегающих к стенкам колонны и расположенных на ее оси. Ю. Петровский

4885. Изучение свободного стекания жидкости по насадке цилиндрической колонны. Цигла, Шмидт (Studie o chování kapaliny při volném stékání v náplně válcové věže. I. Čihla Zdeněk, Schmidt Oskar), Chem. listy, 1957, 51, № 1, 1—12 (чешск.). Выведено дифференциальное ур-ние, описывающее стекание жидкости по насадке, применяемой в насадочных колоннах при дистилляции и абсорбции. Дан

шение этого ур-ния для некоторых начальных и граничных условий (в зависимости от конструкции оросителя).

4886. Исследование условий образования пузырьков применительно к дистилляции и абсорбции. Чжу Жу-цзинь, Форгрив, Гроссо, Шах, Отмер (Study of bubbling performance in relation to distillation and absorption. Chu Ju Chin, Forgrieve John, Grosso Robert, Shah S. M., Othmer Donald F.), A. I. Ch. E. Journal, 1957, 3, № 1, 16—28 (англ.)

Изучены условия образования пузырьков воздуха в цилиндрической прорези колпачка (К), погруженного в воду или водн. р-р изоамилового спирта. Опытный аппарат выполнен в виде квадратной алюминиевой плиты с помещенным в центре К, которая образовывала дно лунки с прозрачными стенками из органич. стекла. Воздух вводился снизу через патрубок К с помощью вентилятора, а жидкость подавалась насосом. Уровень жидкости на тарелке менялся установкой сливных перегородок различной высоты. Использовались К двух типов: алюминиевые диам. 38 мм и высотой 38 мм с прорезями различной формы и промышленный чугунный К диам. 76 мм и высотой 50 мм с одной треугольной прорезью шириной 16 мм в основании и высотой 32 мм. Для выявления влияния вязкости изменялась т-ра воды, а для изменения поверхностного натяжения в воде добавляли до 2,5% изоамилового спирта. Процесс образования и подъема пузырьков фиксировался на киноплёнке со скоростью до 2500 кадров в 1 сек. Опытами охвачены следующие значения переменных: скорость воздуха в прорези 4,5—15 м/сек; плотность орошения 1,5 л/мин·см; высота сливной перегородки 25—75 мм; глубина погружения прорези 12,5—100 мм; поверхностное натяжение жидкости 30—72 дн/см; вязкость 0,4—1,0 спуз. Обработкой опытных данных и визуальными наблюдениями установлено: 1. Глубина погружения прорези s в неподвижную жидкость на тарелке сильно влияет на величину контактной поверхности a и время контакта t . При $s < 63$ мм величина a уменьшается с ростом s ; при $s > 63$ мм величина a не зависит от s . Значение t возрастает с увеличением s . 2. Размеры прорези являются второй переменной, влияющей на a в условиях, когда $s < 63$ мм, что выражается эмпирич. ур-нием. 3. При $s > 63$ мм величина a уменьшается с уменьшением вязкости и поверхностного натяжения; максим. значение a достигается при расхождении от края колпачка до лунки тарелки, равном $h \approx 6$ мм. 4. Увеличение h и скорости газа в прорези вызывает уменьшение t . Приводятся эмпирич. ур-ния, выражающие зависимость a от перечисленных факторов, а также ур-ние для вычисления локального значения к.п.д. Мерфи.

487. Ректификация смеси этанол—метанол—вода в колонне непрерывного действия. Азров М. Э., Мотина Г. Л., Голованова Л. П., Ж. прикл. хим., 1957, 30, № 4, 567—575

Экспериментально исследована при атмосферном давлении ректификация трехкомпонентной системы этанол—метанол—вода в колонне непрерывного действия диам. 38 мм с 20 решетчатыми тарелками, расстояние между которыми составляло 80 мм. Колонна (высота ~ 2 м) и конденсатор выполнены из стекла, руб.—из нержавеющей стали. Исходная смесь подавалась в среднюю часть колонны при комнатной т-ре. Анализ проб, отбираемых с 10 тарелок, производился следующим методом: сумма спиртов определялась по уд. весу смеси; конц-ия метанола определялась перекладом его в метилформат и отгонкой при постоянной т-ре; ошибка анализа $\pm 1,5\%$. Установлено, что составы жидкости на тарелках, определенные эксперименталь-

но, удовлетворительно согласуются с расчетными значениями, полученными ступенчатым методом с использованием данных о фазовом равновесии системы (Андреев К. П., Воробьев С. Н., Гидролизная пром-сть СССР, 1949, № 2, 6). Выявлено накопление компонента, обладающего промежуточной летучестью, на участке колонны, примыкающем к тарелке, на которую подается исходная смесь; состав жидкости на этой тарелке может сильно отличаться от состава исходной смеси.

4888. Ректификация бинарных смесей, состоящих из компонентов со взаимной частичной растворимостью. Гельперин Н. И., Гельперин Э. Н., Гидролизная и лесохим. пром-сть, 1957, № 4, 3—6

Отмечены принципиальные ошибки, допущенные в ряде работ, посвященных теории ректификации бинарных смесей частично растворимых компонентов. На примере смеси воды и фурфурола рассмотрены возможные схемы ректификации подобных смесей и методы их расчета (материальный баланс, определение числа теоретич. тарелок).

4889. Контактные устройства ректификационных колонн. Цыганков П. С., Спирт. пром-сть, 1957, № 4, 16—22

Дана сравнительная характеристика ряда конструкций ректификационных тарелок (колпачковых, ситчатых, туннельных, решетчатых, с клапанами), а также некоторых типов насадки. Библ. 24 назв.

4890. Противоточное выделение CO_2 из содовых щелоков с помощью пара. Янг, Дейвид (Countercurrent steam stripping of CO_2 from soda-lye solutions. Young Frank J., David M. M.), Trend Engng Univ. Wash., 1957, 9, № 1, 13—18 (англ.)

Исследовался процесс десорбции CO_2 из содовых щелоков, содержащих карбонат и бикарбонат натрия, в стеклянной колонне (К) внутренним диам. 44 мм с эффективной высотой 1080 мм. Щелок распределялся в виде пленки по внутренней поверхности трубы с помощью распределителя, зазор между которым и стенками К составлял 0,8 мм. Пар подавался вниз К через устройство, обеспечивающее выравнивание скорости по сечению. Опыты проводились при атмосферном давлении. Т-ра пара была равна 100° , а щелока — 97° . Расход пара изменялся от 2080 до 5000 кг/м² сечения К, а расход жидкости от 105 до 230 кг/м смоченного периметра. Нормальность р-ра составляла от 0,5 до 2 н. Относительное содержание бикарбоната натрия в начальной р-ре было равно 60%. По полученным данным рассчитывались общие коэф. массопередачи K_g и K_x , отнесенные соответственно к газовой и жидкой фазам. Опытные данные показывают, что с увеличением скорости пара намечается тенденция к росту K_g , который в указанных пределах изменения расхода пара изменяется от 0,0417 до 0,0475 кгмоль/м² атм час. Однако изменение K_g мало по сравнению с его абс. величиной. Изменение расхода жидкости не оказывает влияния на K_g . Коэф. массопередачи возрастает с уменьшением нормальности р-ра. Основное сопротивление массопередаче создается в жидкой фазе и, по-видимому, определяется скоростью разложения бикарбоната натрия.

4891. Выделение газа из жидкостей, движущихся через пористые среды. Хант, Берри (Evolution of gas from liquids flowing through porous media. Hunt E. B., Jr., Berry V. J., Jr.), A. I. Ch. E. Journal, 1956, 2, № 4, 560—567 (англ.)

Изучался процесс образования газовых пузырьков при их выделении из пересыщенного р-ра. Для процесса диффузии растворенного газа из жидкости в равномерно распределенные в ней газовые пузырьки на

основе закона Фика были выведены уравнения, позволяющие определить градиенты концентраций в жидкой оболочке, окружающей каждый газовый пузырек, и кол-во диффундирующего в каждый пузырек газа в функции от времени. Было также установлено, что при снижении давления в жидкости средняя скорость образования пузырьков быстро увеличивается с возрастанием относительного пересыщения жидкости растворенным в ней газом и может быть найдена из уравнения: $I \propto (p - p_h)^{-2}$, где I — скорость образования пузырьков; p — давление, соответствующее началу пересыщения жидкости; p_h — гидростатическое давление. Для расчета числа пузырьков газа, образующихся в единице объема жидкости при равномерном снижении давления, и для определения максимально достижимого пересыщения пара газа в жидкости предложены графики. Для случая, когда снижение давления происходит неравномерно, разработан аналитический метод расчета, позволяющий путем ряда последовательных вычислений установить число пузырьков газа в единице объема и пересыщения пара в любой момент времени. В. Реутский

4892. Поверхностное натяжение на границе раздела в двухфазных трехкомпонентных системах. Мерфи, Ластовица, Фаллис (Correlation of interfacial tension of two-phase three-component systems. Murphy Nelson F., Lastovica John E., Falis James G.), Industr. and Engng Chem., 1957, 49, № 6, 1035—1042 (англ.)

Исследовано поверхностное натяжение 5 бинарных систем, содержащих воду в качестве одного из компонентов, а также 7 двухфазных тройных систем, содержащих уксусную кислоту, и 6 двухфазных тройных систем с ацетоном. На основании полученных данных предложены эмпирические уравнения, позволяющие вычислять поверхностное натяжение для указанных систем. Ю. П.

4893. Массопередача при экстракции в системе жидкость — жидкость в горизонтальной трубке. Мерфи, Ластовица, Скрзек (Mass transfer in a horizontal liquid — liquid extraction tube. Murphy Nelson F., Lastovica John E., Skrzec Adam E.), A. I. Ch. E. Journal, 1956, 2, № 4, 451—455 (англ.)

Исследована массопередача при противоточном движении в горизонтальной стеклянной трубке для пяти двухкомпонентных систем; одним компонентом во всех случаях являлась вода, другим — циклогексанол, метилэтилкетон, бутанол, фурфурол и нитрометан. Горизонтальная поверхность раздела фаз совпадала с осью трубы. Изучен процесс взаимного перехода органического растворителя (ОР) в воду и воды в ОР при 27—29°. Опытными данным соответствуют уравнения: $k_s d/D_w = 2,66 \cdot 10^{17} [d\sigma(\mu_s D_w)]^{-1,012} (\mu_s/\mu_w)^{-1,0} [\mu_s/(p_s D_w)]^{-4,17} \times (dG_s/\mu_s)^{0,927}$; $k_w d/D_s = 0,552 [d\sigma/(\mu_w D_s)]^{0,67} (\mu_w/\mu_s)^{0,254} [\mu_w/(p_w D_s)]^{-1,46} (dG_w/\mu_w)^{0,397}$, где k — коэффициент массопередачи, кг-моль/час м² (единица разности концентраций); d — диаметр трубки, м; D — коэффициент диффузии, м²/час; σ — поверхностное натяжение, кг/м²; μ — вязкость, кг/м. час; p — плотность, кг/м³; G — весовая скорость потока, кг/час. м² (индекс S относится к ОР, W — к воде). При G_s и $G_w = (10 \div 50) \times 10^3$ кг/час. м² k_s при переходе воды в ОР не зависит от G_w , а при переходе ОР в воду не зависит от G_s . При G_w и $G_s > 50 \cdot 10^3$ кг/час. м² отношение $k_s d/D_w$ изменяется прямолинейно в зависимости от $\lg G_w$ и не зависит от G_s , а отношение $k_w d/D_s$ изменяется прямолинейно в зависимости от $\lg G_s$ и не зависит от G_w . К. Сакодынский.

4894. Способы определения коэффициентов массопередачи в пограничных пленках при экстракции в системе жидкость — жидкость. Фудзинава (液

液抽出における各個界面係数の求め方. 藤堀勝彦) 化学工学, Kagaku kogyaku, Chem. Engng (Japan), 1957, 21, № 4, 267—269 (японск.)

Обзор. Библ. 25 назв.

4895. Поверхностные явления при экстракции в системах жидкость — жидкость. Шервуд, Вей (Interfacial phenomena in liquid extraction. Sherwood Thomas K., Wei James C.), Industr. and Engng Chem., 1957, 49, № 6, 1030—1034 (англ.)

Процессы экстракции в системах жидкость — жидкость, сопровождающиеся медленно идущими химическими реакциями, протекают значительно быстрее, чем это следовало ожидать на основании двухфазной теории Уитмена. Выполнено экспериментальное исследование экстракции, сопровождающейся химической реакцией, в котором осуществлялось извлечение уксусной кислоты из пара изобутилового спирта с помощью водного раствора натрия, а также уксусной кислоты из водного раствора пара циклогексиламина в изобутиловом спирте. Опыты проводились в цилиндрической стеклянной посуде диаметром 152 мм, помещенной в водяной термостат при температуре $25 \pm 0,02^\circ$. В начале опыта в сосуд вводились органические и водные жидкости, предварительно взаимно насыщенные таким образом, чтобы они образовывали два раздельных слоя. Вертикальная мешалка с короткими лопастями, размещенными в каждом из двух слоев, вращалась со скоростью 78 об/мин, осуществляя тщательное перемешивание в пределах разделения жидких фаз, причем граница раздела сохранялась и на ней не возникало возмущений, обусловленных действием мешалки. Периодически отбирались пробы для анализа, на основании которых строились кривые изменения концентрации во времени, необходимые для определения коэффициента массопередачи. Значения последних оказались аномально высокими и в 1,7—3,4 раза превышали величину пленочного коэффициента массопередачи на стороне водного раствора, определенную на основании двухфазной теории. Такие значительные отклонения не могут быть объяснены изменением взаимной растворимости фаз в результате переноса уксусной кислоты, накоплением продуктов реакции или тепловым эффектом нейтрализации. В то же время было замечено, что у поверхности раздела фаз происходит интенсивное перемешивание жидкостей даже в то время, когда мешалка не действовала. В связи с этим предпринято изучение поверхностной активности, возникающей на границе раздела свыше 40 различных систем несмешивающихся жидкостей. Визуальные наблюдения, проводившиеся над жидкостями, помещенными в стеклянную трубку, не подтвердившиеся механическим перемешиванием, показали, что почти во всех случаях, когда жидкие фазы содержали химически взаимодействующие вещества, происходил самопроизвольное возмущение поверхности раздела, образование волн и эмульгирование в прилегающих слоях. В некоторых случаях капельки легкой фазы отрываются от поверхности раздела и проникают на несколько миллиметров вглубь тяжелой фазы, после чего опять всплывают. Для системы пара уксусной кислоты в изобутиловом спирте — водный пара едкого натрия наблюдалась высокая поверхностная активность, наблюдаемая для однонормального пара NaOH; при этой же концентрации коэффициент массопередачи максимален. Результаты работы указывают на существование определенной связи между массообменом и поверхностными явлениями и дают вероятное объяснение аномально высоким коэффициентам массопередачи в процессах указанного типа. Те же обстоятельства должны сказываться при абсорбции газов, сопровождающейся химическими реакциями; однако большое поверхностное натяжение на границе раздела фаз уменьшает этот эффект. Ю. Петровский.

4896. Экстракция в сосуде с мешалкой. Оверманс, Кингсли, Олли (Liquid extraction in an agi-

tated vessel. Overcashier R. H., Kingsley H. A., Jr., Olney R. B.), A. I. Ch. E. Journal, 1956, 2, № 4, 529—535 (англ.).

Исследована эффективность экстракции в сосуде с мешалкой в зависимости от размера и типа мешалок, скорости вращения, времени пребывания смеси в сосуде, соотношения фаз и степени заполнения сосуда. Намерения проводили с системой вода — нормальный бутиламин — керосин, для которой процесс экстракции идет сравнительно трудно. Диаметр сосуда с мешалкой 37,5 см. Смесь непрерывно подавалась в нижнюю часть сосуда и отводилась сверху. Эффективность сосуда с мешалкой составляла 70—90% от теоретич. ступени. Установлено, что наибольшая эффективность получается при отсутствии отражателей и использовании мешалок, диаметр которых составляет 40% диаметра сосуда.

К. Сакодинский
4897. Распределение потока и диффузии в реакторах с неподвижным слоем катализатора для двухфазных систем. Лэпидус (Flow distribution and diffusion in fixed-bed two-phase reactors. Lapidus Leon), Industr. and Engng Chem., 1957, 49, № 6, 1000—1006 (англ.).

Экспериментально исследовано распределение и контактирование двухфазного газожидкостного потока при движении его сверху вниз через неподвижный слой насадки (СН). Опыты проводились в стеклянной колонне диам. 50 мм при предельной высоте СН 915 мм; применялась насадка двух типов: гладкие стеклянные шарики диам. 3,5 мм и пористые цилиндрики катализатора размером 3,2 × 3,2 мм, которые засыпались на перфорированную латунную плиту со свободным сечением в 40%. Для распределения жидкости использовалось разбрызгивающее устройство, диаметр которого был несколько меньше диаметра колонны; жидкость вытекала из 100 отверстий в виде тонких струек (использовались вода, *n*-гептан и бензол). В том же направлении продвигался воздух. Характер распределения двухфазного потока в СН устанавливался путем анализа во времени изменений конц-ий индикаторов на выходе из колонны при внезапном прекращении подачи их в поток на входе в колонну. Для газовой фазы индикатором являлся гелий, содержание которого в воздухе на выходе из колонны определялось масс-спектрометром. В опытах с водой индикаторами являлись конц. р-ры сернокислого магния, хлористого калия и соляной к-ты; содержание их в воде определялось методом электропроводности. В опытах с *n*-гептаном индикатором был бензол и наоборот; анализы производились рефрактометром. Опытные данные представлены в виде кривых, выражающих зависимость изменения конц-ии индикатора на выходящем потоке от времени, прошедшего с момента прекращения подачи его в поток. Для гладкой насадки (стеклянных шариков) движение потока имеет «поршневой» характер: падение конц-ии индикатора на выходе происходит резко; для пористой насадки линии изменения конц-ии сильно искривлены, что объясняется диффузией индикатора в порах. Установлено, что всего 40—50% свободного объема СН заполнены жидкостью: это указывает на небольшую эффективность контактирования жидкости с поверхностью катализатора. Полученные данные использованы для оценки эффективных значений коэф. диффузии в колонне при заполнении ее пористым СН.

Ю. Петровский
4898. Поверхностные реакции при наличии ламинарного граничного слоя. Акривос, Шамбре (Laminar boundary layer flows with surface reactions. Acrivos Andreas, Chambré Paul L.), Industr. and Engng Chem., 1957, 49, № 6, 1025—1029 (англ.).

При поверхностных р-циях, происходящих между

твердыми в-вами и компонентами омывающих их р-ров, в ряде случаев основным является сопротивление переносу в-ва на стороне жидкости (особенно при быстро идущих р-циях). Для случая, когда сопротивление переносу в-ва к поверхности, на которой происходит каталитич. хим. р-ция, сосредоточено в ламинарном двумерном граничном слое, приведена система дифференциальных ур-ний, определяющих скорость переноса, и выполнено их интегрирование. Предполагается, что: 1) жидкость содержит только один компонент, вступающий в р-цию; 2) необратимая р-ция протекает со скоростью, которая зависит только от локального значения конц-ии компонента в жидкости; 3) конц-ия компонента не так велика, чтобы свойства жидкости зависели от нее.

Ю. Петровский
4899. Распределение жидкости в реакционных аппаратах. Сенекал (Fluid distribution in process equipment. Senecal V. E.), Industr. and Engng Chem., 1957, 49, № 6, 993—997 (англ.).

Рассмотрены распределители в виде трубы с глухим концом и рядом отверстий по ее образующей, щелевые распределители и спиральные смесительные камеры для перемешивания жидкостей. Даны рекомендации для выбора и конструирования указанных устройств. Библ. 87 назв.

Ю. Петровский
4900. Изготовление аппаратов, работающих под высоким давлением. Майер (Die Herstellung der Hochdruckapparate. Maier A. F.), Chem.-Ingr-Techn., 1957, 29, № 6, 387—392 (нем.; рез. англ., франц.).

4901. Применение легированных сталей для изготовления оборудования, работающего под высоким давлением. Класс (Entwicklung und Anwendung der Hochdruckstähle. Class I.), Chem.-Ingr-Techn., 1957, 29, № 6, 372—386 (нем.; рез. англ., франц.).

4902 К. Динамические характеристики процессов и установок. Труды конференции, состоявшейся в Кембридже, 4—6 апреля 1956 г. (Plant and process dynamic characteristics: proceedings of a conference held at Cambridge. 4—6 April 1956. London, Butterworths Scient. Publs, 1957, XII 246 pp., ill., 50 sh.) (англ.).

4903 К. Жидкостная экстракция. Альдерс Л. Перев. с англ. М., Изд-во ин. лит., 1957, 216 стр., илл., 9 р. 10 к.

4904 П. Применение насоса для получения пены. Гибсон, Уэнт (Pump devices for producing foam. Gibson John Edwin, Went Alexander James). Пат. США 2717770, 13.09.55

Предложено использовать ротационный насос с выпадающими пластинами для произ-ва пены из воды, воздуха и стабилизатора пены, которые засасываются в насос через всасывающий патрубок, снабженный несколькими металлич. сетками.

И. Лекае

4905 П. Аппарат и метод для регулирования температуры горячего газа в газлифте для гальки. Мид (Apparatus and method for controlling temperatures of hot gas lift for pebbles. Meade Leonard P.) [Phillips Petroleum Co.]. Пат. США 2745656, 15.05.56

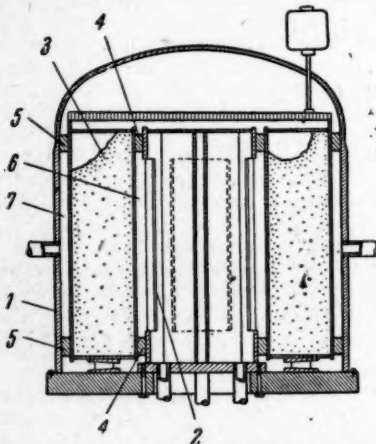
Описана система с непрерывной циркуляцией твердого теплоносителя (Т) в виде гальки (диам. кусков 7,5—12,5 мм). Т, подогреваемый дымовыми газами до необходимой т-ры, ссыпается из нагревательной камеры в установленный под ней реактор, в который подается обрабатываемый газ. Остывший Т из реактора ссыпается с постоянной скоростью в нижнюю часть пневмотранспортной трубы. Подъем осуществляется горячими дымовыми газами, т-ра которых на входе в пневмотранспортную трубу регулируется таким образом, чтобы

измеряемая дифференциальной термопарой разница t -р между дымовыми газами и T не превышала 20° . Этим обеспечивается отсутствие значительных тепловых напряжений, вызывающих растрескивание и разрушение T . В верхней части газлифта установлен сепаратор для отделения измельчившихся частиц, а T нормальных размеров из сепаратора возвращается в нагревательную камеру. В качестве T могут использоваться различные огнеупорные материалы — глинозем, магнезия.

Б. Сумм

4906 П. Метод и аппарат для проведения каталитических процессов. Тейер (Method and apparatus for contacting operations. Thayer Clarence H.) [Sun Oil Co.]. Канад. пат. 511896, 12.04.55

Аппарат для осуществления взаимодействия газа или жидкости с катализатором состоит из наружного неподвижного кожуха 1, внутреннего неподвижного кожуха 2 и вращающейся между стенками 1 и 2 коль-



цевой камеры 3, заполненной контактной массой. Пространства, образованные стенками 1, 2 и стенками камеры 3, при помощи колец 4 и 5 образуют камеры 6 и 7, 6, 7 и 3 в свою очередь разделены радиальными перегородками на ряд герметично отделенных одна от другой секций. 6 и 7 сообщаются между собой через слой контактной массы и через имеющиеся в стенках 3 отверстия, причем в процессе работы аппарата каждая из секций вращающейся камеры 3 сообщается последовательно с каждой из секций неподвижных камер 6 и 7. Поддача реагентов в 6 и вывод продуктов r -ции из 7 производится отдельно для каждой секции.

В. Реутский

4907 П. Способ осуществления гетерогенного газового катализа. Шмидт, Мика (Verfahren zur Durchführung heterogener Gaskatalysen. Schmidt Heinz, Mika Georg) [Farbwerke Hoechst Akt.-Ges. vormals Meister Lucius & Brüning]. Пат. ФРГ 953603, 6.12.56

Насадку из контактной массы выполняют в виде одного или нескольких слоев плотно и упорядоченно расположенных пористых трубок. Трубки устанавливают таким образом, что их оси совпадают с направлением потока газа. Такая насадка из трубок по сравнению с беспорядочно засыпанной кольцевой насадкой такого же диаметра дает снижение потерь давления на $\sim 92\%$.

Л. Херсонская

4908 П. Процесс проведения экзотермических химических реакций между плохо смешивающимися жидкостями. Де-Бур, Мерман (Process of effecting exothermal chemical reactions between difficultly miscible liquids. De Boer Jan H., Meerman Pieter G.) [Stamicarbon N. V.]. Пат. США 2743289, 24.04.56

Предложен метод непрерывного проведения экзотермич. r -ций между 2 плохо смешивающимися жидкостями, состоящий в том, что обе жидкости тангенциально поступают под давлением в небольшую цилиндрич. камеру (К) с конич. дном, причем вследствие высокой турбулентности потока, возникающей в К, образуется система с достаточно высокой степенью дисперсности. Кол-во выделяющегося при этом тепла, как правило, достаточно для проведения r -ции с требуемой скоростью без дополнительного нагревания. В ряде случаев применяется последовательное многоступенчатое перемешивание; в этом случае удаление промежуточного продукта из К производится через диффузор с целью повышения давления. Поддача жидкости в К может осуществляться как двумя отдельными потоками, так и по общему трубопроводу. Применяемое давление в системе зависит от свойств жидкостей, а также от формы и размеров К и может достигать 50 ат. Описаны процессы произ-ва мыла из животных жир-ов и щелоков (давл. 15 ат, диам. К 15 мм, высота К 10 мм) и получения бензосульфослоты из C_6H_6 и 96% H_2SO_4 (давл. 2,5 ат., диам. К 14 мм, высота 11 мм).

Б. Сумм

4909 П. Контактный узел. Боуэн (Catalytic assembly. Bowen William M.) [Oxy-Catalyst, Inc.]. Пат. США 2718460, 20.09.55

Описан контактный узел, предназначенный для проведения каталитич. r -ций в газовой фазе. Узел состоит из отдельных элементов, включающих керамич. или фарфоровые стержни, покрытые слоем катализатора и укрепленные в отверстиях керамич. плит. Узел характеризуется большой контактной поверхностью и позволяет регулировать интенсивность протекания r -ции путем изменения величины контактной поверхности за счет изменения числа стержней в элементах и путем нанесения на элементы узла катализатора с различной степенью активности. Ввиду наличия небольших продольных и поперечных зазоров между плитами соседних элементов исключена опасность поломки стержней при тепловом расширении (проведении r -ций при высокой t -ре). Стержням придана обтекаемая форма, что уменьшает сопротивление газового потока. Узел рекомендуется для проведения высокотемпературных каталитич. r -ций в газовой фазе при больших расходах газа, напр. при окислении паров органич. в-в, разбавленных большими объемами воздуха.

В. Реутский

4910 П. Процесс и аппарат для отмучивания твердых веществ. Берг (Process and apparatus for the elutriation of solids. Berg Clyde H. O.) [Union Oil Co. of California]. Пат. США 2743814, 1.05.56

Предложен метод проведения каталитич. r -ций в движущемся слое гранулированного катализатора (К), при котором частицы К, измельчившиеся вследствие истирания до определенного предела, непрерывно удаляются из системы циркуляции К. Отделение высокодисперсной фазы происходит в спец. сепараторе (С), который устанавливается над реактором или монтируется в его верхней части. С состоит из двух вертикальных концентрично расположенных цилиндров. Во внутренний сосуд по пневмотранспортной трубе снизу поступает регенерированный К. Над входом К установлена отбойная тарелка. Через щели в боковой поверхности внутреннего сосуда К пересыпается в наружный сосуд, в который через колпачки, смонтированные в днище С, поступает газ, скорость подачи которого устанавливается регулирующим вентилем. В результате в кольцевом пространстве между обоими сосудами устанавливается определенный уровень раздела фаз, выше которого находится высокодисперсная фаза, уносимая потоком газа. Крупные частицы собираются на дне С и направляются в реактор. Уровень раздела фаз поддерживается при помощи

регулятора поплавкового типа. Мелкие частицы пересыпаются через края внутреннего сосуда и собираются на дне конич. воронки, установленной в верхней части внутреннего сосуда, откуда они направляются в циклон, в котором происходит их улавливание. Газ, попавший через щели во внутренний сосуд, удаляется через канал в отбойной тарелке. Приведены подробные данные (состав и размер частиц К, давления, т-ры, скорости) для ряда процессов: гидроформинг-процесс, непрерывная десульфуризация, каталитич. крекинг, термич. разложение мазута, разделение углеводородов движущимся адсорбентом. Б. Сумм

См. также: Смешение жидкостей 5061, 6512. Стекланые трубопроводы 5401. Фильтрация сахарных растворов 6141. Фильтрующие материалы 6181. Трубопроводы из поливинилхлорида 6373. Исследование дробления 5815. Сушка гилкеров 5368. Дистилляция к-т жирного ряда 6076, 6077. Сушилки в сахарной пром-сти 6132. Барабанные сушилки 6133

КОНТРОЛЬНО-ИЗМЕРИТЕЛЬНЫЕ ПРИБОРЫ. АВТОМАТИЧЕСКОЕ РЕГУЛИРОВАНИЕ

Редакторы А. М. Дробиз, Н. Я. Феста

4911. Основные принципы телеавтоматизации производственных процессов. Скурин В. П. Сессия АН СССР по научн. пробл. автоматиз. произ-ва, 1956, Т. 4, М., АН СССР, 1957, 203—204

Рассмотрены вопросы, связанные с построением и характеристиками телеавтоматич. систем. Сообщается о работах, проведенных в Уральском политехнич. ин-те по разработке телеавтоматич. систем для управления вагонов-весами на распределительном и кодовом принципах. М. Людмирский

4912. Перспективы развития телемеханизации в народном хозяйстве СССР. Красивский С. П. Сессия АН СССР по научн. пробл. автоматиз. произ-ва, 1956, Т. 4, М., АН СССР, 1957, 5—14

Обзор. Современное состояние и области применения телемеханизации в народном хозяйстве СССР. Излагаются задачи по развитию произ-ва телемеханич. аппаратуры. Перечислены телемеханич. устройства, рекомендуемые для массового производства. М. Людмирский

4913. Измерение и регулирование в технологических процессах. Шинк (Messen und Regeln in der Verfahrenstechnik. Schink Heinz), Seifen-Öle-Fette-Wachse, 1957, 83, № 15, 439—441 (нем.; рез. англ., франц., исп.)

Приведена схема автоматич. регулирования загрузки мельницы по ее шуму. Для этой цели около мельницы установлен микрофон, воспринимающий ее шум. Микрофонный ток усиливается усилителем, частотная характеристика которого выбрана такой, чтобы обеспечить максим. зависимость выходного напряжения от кол-ва материала в мельнице. На выходе усилителя устанавливается прибор с электропневматич. преобразователем, управляющим пневматич. сервомотором питателя мельницы. Приведена схема автоматич. регулирования соотношения двух газовых потоков. Расходы обоих газов измеряются ротаметрами с пневматич. передачей и отдельно регистрируются. Регулятор выдает импульсы регулирования для перестановки мембранных клапанов на обеих линиях. При помощи задачика можно устанавливать соотношение в пределах от 1:1 до 1:1,5. В процессах фильтрации часто необходимо поддерживать перепад на фильтре постоянным при изменяющемся сопротивлении фильтра. Для этой цели последовательно с фильтром устанавли-

вают регулирующий клапан и при помощи регулятора перепада давлений поддерживают постоянство этого перепада. При благоприятных параметрах объекта можно с успехом регулировать т-ру при помощи двухпозиционных регуляторов. Для более точного регулирования рекомендуется применение либо термич. изодрома, либо непрерывных регуляторов. В хим. пром-сти применяют главным образом пневматич. регуляторы. Приведена схема измерения кол-ва тепла, потребляемого аппаратом. Для этой цели устанавливаются 2 термодары, на линиях входа и выхода нагреваемой жидкости, и расходомер, учитывающий расход этой жидкости. Расходомер снабжен омич. датчиком, включенным в качестве делителя разности э.д.с. обеих термодар. Таким образом, напряжение на выходе этого датчика пропорционально произведению разности т-р на расход жидкости, т. е. кол-ву тепла. Напряжение выхода датчика усиливается магнитным усилителем и подается на вторичный прибор или на интегратор (счетчик ампер-часов). И. Икхов

4914. Автоматизация и техника регулирования в дистилляционных установках. Везер (Automatik und Regeltechnik bei Destillationsanlagen. Waeser Bruno), Seifen-Öle-Fette-Wachse, 1957, 83, № 15, 427—432 (нем.; рез. англ., франц., исп.)

Обзор приборов и регуляторов, применяемых в процессах дистилляции. Измерение давления (перепада давлений) от 10 до 2000 мм вод. ст. и вакуума до 150 мм рт. ст. производится кольцевыми весами (Hartmann & Braun A.-G.). Приведены схемы пневматич. программного регулятора (J. C. Eckardt A.-G.) и регулятора соотношения 2-х расходов (Askania A.-G.). В последнем случае применены датчики, преобразующие показания ротаметров в пневматич. сигнал (условный диаметр трубопроводов от 15 до 80 мм и расход по воде от 5 до 14 000 л/час). Показана схема измерителя электропроводности р-ров (H. Wösthoff o. H. G.). В приборе применен высокочувствительный динамометрич. логометр переменного тока и спец. трехстрелковый трансформатор, что делает прибор независимым от колебаний напряжения питающей сети. Измерения производятся при малых конц-ях на частоте 50 гц, а при высоких конц-ях — на частоте 1000 гц. Компенсация влияния изменений т-ры производится термометром сопротивления. Фирма Gebr. Naake K. G. выпускает ротационные вискозиметры «Ротовиско» с коаксиальными вращающимися цилиндрами. Фирма Concordia Maschinen- und Elektrizitäts-G. m. b. H. выпускает различного рода электромагнитные двух- и многоходовые клапаны для управления цепями пневматики. Для обнаружения металлич. частей в сырье, поступающем в колонны дистилляции, выпускаются сигнализаторы (Dr. Hans Boekels & Co.), указывающие наличие как ферромагнитных, так и немагнитных металлов. Ввиду расширяющегося применения в пром-сти радиоактивных излучений заслуживает внимания портативный дозиметр FH 40 H (Frieske & Hoerpfner G. m. b. H.) для γ - и рентгеновских лучей с двумя шкалами (0—1 рентген/час и 0—25 мрентген/час). Прибор весит 900 г и питается от обычного сухого элемента э. д. с. 1,5 в. И. Икхов

4915. Прогресс в приборостроении. Вальтер (Progress in instrumentation. Walter Leo), Ceramics, 1957, 9, № 100, 28—29 (англ.)

Кратко описываются приборы для автоматич. контроля и регулирования процессов обжига и сушки изделий из керамики. Г. Людмирская

4916. Эффективность автоматизации на заводе. Вальтер (How is the instrumentation efficiency at your processing plant? Walter Leo), Indian Pulp and Paper, 1957, 11, № 11, 489—494 (англ.)

Популярное изложение основ автоматизации процессов. Приведены некоторые схемы автоматич. регулирования и измерения. И. Ихлов

4917. Применение автоматического регулирования. П. Симпсон (2 Automatic control installations. Simpson P. K.), Canad. Chem. Process., 1956, 40, № 12, 68, 71 (англ.)

Сравниваются годовые затраты 2 аналогичных з-дов, на одном из которых применено автоматич. регулирование. Часть I см. РЖХим, 1957, 65006. И. Ихлов

4918. Применение автоматического регулирования процессов в химической технологии. I—II. Управление и регулирование. III. Характеристики при флуктуирующих возмущениях. Хассетт (The application of automatic process control to chemical engineering. Part I. Part II: Pre-control and deviation control. Part 3: response to a fluctuation disturbance. Hassett N. J.), Brit. Chem. Engng, 1957, 2, № 5, 253—255; № 6, 313—315; № 8, 420—423 (англ.)

I. Приводятся и поясняются основные термины, относящиеся к регулируемому объекту: регулируемая среда, регулирующий агент, регулируемый параметр, нерегулируемые параметры. Показывается на примерах взаимосвязь отдельных параметров регулируемого объекта и целесообразность перехода к безразмерным величинам.

II. Разбираются два метода автоматич. регулирования: по отклонению с замкнутым контуром регулирования (регулирование) и по возмущению с разомкнутым контуром регулирования (управление). Даются рекомендации по выбору того или иного метода. Приведены основные ур-ния контура регулирования и переходные процессы при скачкообразном и плавном возмущениях.

III. На примерах с термометром показывается поведение объекта при изменяющемся возмущении, в частности при синусоидальном возмущении. Показывается методика интегрирования ур-ний системы с помощью преобразования Лапласа. И. Ихлов

4919. Повышение точности регулирования объектов с запаздыванием. Смит (Closer control of loops with dead time. Smith O. J. M.), Chem. Engng Progr., 1957, 53, № 5, 217—219 (англ.)

Для регулирования объектов с запаздыванием рекомендуется вводить дополнительную отрицательную обратную связь между выходом регулятора (до регулирующего клапана) и точкой, где происходит сравнение заданного значения с измеряемым. Переходная функция этой цепи обратной связи должна соответствовать ур-нию $1 - e^{-(T_1+T_2)s}$, где T_1 и T_2 — время запаздывания объекта и регулирующего органа. Таким образом, при скачкообразном возмущении действие этой дополнительной обратной связи продолжится только в течение времени $T_1 + T_2$, после чего ее действие прекращается, следовательно эта цепь пропускает только ВЧ-сигналы. Применение такой обратной связи повышает стабильность системы регулирования и позволяет понизить диапазон дросселирования регулятора. И. Ихлов

4920. Магнитный уровнемер. Кмох, Пауль (Magnetický stavoznak. Kmoch Jifi, Paul Jagomir), Chem. průmysl, 1957, 7, № 3, 139 (чешск.)

Прибор состоит из трубки из немагнитного металла, в которой на поверхности жидкости плавает полый стеклянный поплавок с заключенной в нем железной фольгой. Вне трубки на нити подвешен магнит с указателем уровня, передвигающийся вдоль нее одновременно с поплавком. Прибор может применяться при давл. до 100 атм. Е. Стефановский

4921. Регулятор уровня жидкости непосредственного действия с секторной заслонкой. Мамуня А. У.,

Ашкингузи З. К., Верещинский В. М., Спирт. пром-сть, 1957, № 4, 40—41

Описан поплавковый регулятор уровня непосредственного действия с небольшим перестановочным усилием, управляющий спец. краном с секторной заслонкой. Г. Людмирская

4922. Автоматический дистанционный указатель уровня пыли в бункерах. Япущевич Ф. П., Приборостроение, 1957, № 6, 28—29

Прибор состоит из измерительного зонда, подвешенного через ролики к одной из секций вращающегося барабана, к другой секции которого подвешен противовес. Намотка тросов на барабанах встречная. Так как вес противовеса меньше, чем вес зонда, то последний всегда будет находиться на поверхности пыли, а трос натянут на барабане противовесом. Вращение барабана передается ползунку реостатного датчика, электрически связанному с указателем уровня пыли. Для обеспечения нахождения зонда на поверхности пыли (в особенности в период заполнения бункера) схемой предусмотрено периодич. подьем его. Приводится описание схемы подъемного устройства и всего прибора в целом. М. Людмирский

4923. Что должен знать потребитель о реле давления. Морган (What the user needs to know about pressure switches. Morgan A. H.), Automat. Control, 1956, 5, № 4, 26—28 (англ.)

Реле давления (РД) бывают следующих основных типов: а) абс. давления (барометрич.); б) избыточного давления и вакуума; в) дифференциального давления; г) термич. РД. Приведены принципиальные схемы и основные области применения РД с вилкой мембранной, с упругой мембраной, с капсульной мембраной, с сильфоном, с поршнем и с трубкой Бурдона в качестве чувствительного элемента. Точность срабатывания РД с вышеуказанными чувствительными элементами от $\pm 1\%$ до $\pm 25\%$, в зависимости от типа чувствительного элемента и рабочего давления. Объясняются основные термины, связанные с сигнализацией давления (точность срабатывания, гистерезис, рабочее, максим. и испытательное давления, срок службы, разрывная мощность). И. Ихлов

4924. Сильфонный микроанометр с диапазоном измерений 10^{-2} —100 мм рт. ст. Бахтин В. П., Измерит. техника, 1957, № 3, 47—48

Разработанный автором в Саратовском ун-те микроанометр имеет в качестве датчика расположенные вертикально 2 тонкостенных сильфона из нержавеющей стали Я1-Т (НС-52—12—0,16), соединенных полой электросваркой с разделяющей их пластиной. Верхний сильфон откачивается до вакуума порядка $5 \cdot 10^{-6}$ мм рт. ст. и запаивается с геттером. В нижний сильфон через патрубок подается измеряемое давление. При отличном от нуля давлении в нижнем сильфоне система датчика перемещается, что через кинематич. систему приводит к перемещению подвижной пластины конденсатора. Изменение зазора в конденсаторе оценивается по показаниям прибора, включенного на выходе электронной схемы. Противодействие блоку сильфонов сторонними силами осуществляется в нижнем участке диапазона измеряемых давлений применением 2 постоянных магнитов с нелинейной зависимостью их силы взаимодействия от величины воздушного зазора, а в верхнем участке диапазона — упругими силами полутоннаковой пластинки. Разброс показаний прибора максимален в нижнем участке диапазона, где достигает $\pm 6\%$ от измеряемой величины. Приводится общий вид и электронная схема прибора. М. Людмирский

4925. Переградуировка дифманометров. Ламберт (Reetalonarea debitmetrelor bazate pe principiul pe-

siunii diferențiale. Lambert Valentin), Metrol. appl., 1957, № 2, 16—24 (рум.; рез. русск., франц.)
 Приведены ф-лы и графики для пересчета шкал дифманометров при изменении параметров измеряемой жидкости.

3. Хаймский
 4926. Применение принципа самолетного крыла для измерения расхода. Самс (Using an aerofoil as a means of flow measurement. Sams C. E. R.), Brit. Chem. Engng, 1957, 2, № 5, 259—262 (англ.)

Описывается новый метод измерения расхода, почти не вызывающий потерь давления в трубопроводе. Метод основан на том явлении, что если в потоке жидкости поместить тело, имеющее форму несущей поверхности самолета, вокруг этого тела возникает поле давлений в зависимости от формы этого тела и угла атаки. По величине давления в определенной точке этого поля можно судить о скорости потока. Характеристика такого прибора примерно следует закону квадратного корня, однако соответствующим выбором места установки тела можно получить линейную характеристику. В отличие от обычных методов этот метод имеет широкий диапазон измерения (до 1/10 от максим.) и не требует прямых участков трубопровода. Измерительное тело может быть установлено в трубопроводе непосредственно после колена. Прибор требует калибровки. Однако калибровка не нарушается коррозией, эрозией или отложениями. Устройство легко устанавливается в трубопроводе и для больших трубопроводов обходится дешевле трубы Вентури, причем стоимость не растет с увеличением диаметра трубопровода. Измерительное тело может быть изготовлено из любых материалов.

И. Ихлоу

4927. Интегрирующий расходомер массы с тормозным диском. Баллард, Макинтайр (Mass flowmeter with retarding disk integration. Ballard R. G., Macintyre J. R.), Commun. and Electronics, 1957, № 30, 127—130 (англ.)

Разработан и испытан интегрирующий расходомер (Р), измеряющий массу проходящего через него газа. В Р помещены соосно 2 турбинки (Т1 и Т2). Первая по ходу газа — Т1 является передающей и вращается с постоянной скоростью электромотором (3 вт, 120 в, 60 гц), а Т2 — приемной. Т1 и Т2 имеют прямые лопатки, расположенные вдоль оси их роторов и потока газа. Поэтому Т1 не создает (теоретич.) осевого напора, а только закручивает газовый поток. Т2 не чувствительна к осевой слагающей силы, возникающей от газового потока, и воспринимает только момент вращения, созданный в газовом потоке Т1. При этом момент вращения Т2 пропорционален скорости вращения Т1, умноженной на расход газа в единицах массы. При измерении мгновенных значений расхода Т2 нагружается на пружину и угол закручивания этой пружины является мерой весового (массового) расхода газа. Для измерения интегрального расхода Т2 нагружается на тормозной А1-диск, связанный со счетным механизмом через червячную передачу. Диск тормозится постоянными магнитами. Вся система тормозного диска, магнитов и счетного механизма выполнена как у обычного электросчетчика. Один оборот диска соответствует 3,6 г или 50 л природного газа; одно деление счетчика — 14 м³ газа. При допустимой потере давления на Р 12,5 мм вод. ст. максим. расход через него составляет 43 кг/час. При этом скорость Т2 составляет 1,5% от скорости Т1. В этом случае погрешность Р не превышает ±1% в диапазоне от 15 до 100% от максим. Характеристика Р остается линейной и погрешность не превышает ±1% при повышении максим. расхода на 350%. При этом возрастают потери давления в Р. При работе с таким повышенным максим. расходом рабочий диапазон Р расширяется от 4 до 100% от максим. Погрешность Р от изменения плотности газа

на 10% составляет 0,15%. Для уменьшения погрешности от изменения т-ры, вызванной изменением электропроводности диска и магнитных свойств магнитов, последние укреплены на биметаллич. пластинке. Этим погрешность Р от изменения т-ры на 1° в диапазоне от —10 до 50° снижается до 0,3%. Р обладает значительной погрешностью при малых расходах, особенно при нулевом расходе, за счет «самохода» Р. Рекомендуется снабжать Р электромагнитным тормозом, который останавливает его при малых расходах. Разрабатывается Р с Т2, нагруженной пружиной и с механич. интегратором. Этот тип Р обладает меньшим самоходом и меньшей зависимостью от плотности газа.

И. Ихлоу

4928. Расходомер для флотационной пульпы. Мелик-Гайказян В. И., Винтман Е. Я., Лившиц Г. Л., Байченко А. А., Уголь, 1957, № 7, 43—44

Описываемые расходомеры установлены перед всеми флотомашинами на Никитовской центральной обогащательной ф-ке и представляют собой открытые клиновидные желоба длиной 750 мм, через которые пропускается пульпа, поступающая из контактного чана в флотомашину. Расход пульпы характеризуется высотой жидкости в желобе, которая определяется с помощью подвешенного поплавка.

М. Людмирский

4929. Проверка и калибровка расходомеров для жидкости. Эйхерт (Prüfung und Eichung von Mengenmeßgeräten für Flüssigkeiten. Eichert Gerhard), Techn. Mitt., 1957, 50, № 5, 221—227 (нем.)

Определяется понятие погрешности объемного расходомера для жидкости и показывается зависимость этой погрешности от вязкости измеряемой жидкости, нагрузки и износа расходомера. Приведены образец протокола поверки расходомера и схемы поверочных станций с применением мерных баков, а также требования к этим бакам. В последнее время в США на нефтезаводах применяют для поверки расходомеров вместо мерных баков отрезок трубопровода известной длины. Приведена схема такого устройства, в котором через трубопровод пропускается уплотняющий поплавень. При помощи контактных устройств измеряется время прохождения поршня между двумя заданными точками трубопровода. Предполагается, что этим методом можно производить поверку проще и дешевле, чем мерными баками.

И. Ихлоу

4930. Программный датчик регулятора температуры. Кузнецов Ю. В., Ранопорт С. Р., Приборостроение, 1957, № 6, 27—28

Восточным научно-исследовательским ин-том по безопасности работ в угольной пром-сти разработан программный датчик с питающим устройством, предназначенный для равномерного подъема т-ры в термостатах до заданной величины. Датчик включается последовательно между терморпарой и регулирующим милливольтметром, управляющим нагревом термостата. Датчик состоит из потенциометра, подвижной контакт которого механически связан с приводом часового механизма. Питание потенциометра осуществляется стабилизированным напряжением. При движении скользящего контакта по потенциометру и уменьшении его активного сопротивления уменьшается и падение напряжения на нем, в то время как напряжение, подаваемое со стороны терморпары, возрастает. Если нарастание э.д.с. терморпары превысит убывание э.д.с. датчика, то на регулирующей милливольтметр поступит э.д.с. больше предельно заданной и он выключит нагреватель термостата, и наоборот. Скорость перемещения подвижного контакта устанавливается на требуемое время работы так, чтобы при окончании цикла нагрева э.д.с. от источника питания равнялась нулю.

Приводится схема датчика и питающего устройства и таблицы работы.

4931. Точное регулирование температуры в больших сушильных печах. — (Precision temperature control of large curing oven. —), Industr. Heat., 1957, 24, № 4, 772, 774—775 (англ.)

Для регулирования т-ры печи для сушки 27 м/мин текстиля установлены 2 автоматич. регулятора. 1-й регулятор, двухпозиционный, управляет $\frac{1}{3}$ нагревателей и при рабочей т-ре 165° настраивается на 157°. 2-й регулятор пропорционального типа и работает с циклом в 30 сек. Этот регулятор имеет термистор в качестве чувствительного элемента и зону пропорциональности 8°, в пределах которых изменяется отношение времени включения к времени выключения от 0 до 100%. Таким образом, 1-й регулятор служит главным образом для быстрого разогрева печи, а 2-й настраивается на нужную т-ру и поддерживает ее с точностью до 1°. Общая мощность нагревателей 60 кет. Применение пропорционального регулирования устраняет перерегулирование и тем самым значительно улучшает качество ткани. Термистор регулятора заключен в карман из нержавеющей стали, помещенный непосредственно в нагреваемое пространство печи.

И. Ихлов

4932. Термическая инерция при регулировании температуры печи. Трамбюз (Régulation de la température d'un four: problème de l'inertie thermique. Trambouze P.), Mesures et contrôle industr., 1956, 21, № 230, 491—497 (франц.)

Рассмотрен вопрос о термич. инерции цилиндрич. печи при регулировании т-ры на оси последней с помощью двухпозиционного регулятора. Выведенные уравнения проверены экспериментально.

З. Хаимский

4933. Исследование поверхности при помощи радиации. Вильямс (Surface examination by radiation. Williams A. E.), Industr. Finish. (Engl.), 1957, 9, № 109, 685—686, 688—690 (англ.)

Для измерения толщины лент выпущен прибор «Атомат». В зависимости от области применения используется эффект поглощения прямых лучей или отраженных, рассеянных. Этим прибором можно также измерять толщину Sn-покрытия на Fe-основании. Для очень тонких материалов, напр. Al-фольги, и при применении β -излучения можно не только регулировать толщину ленты, но и регистрировать малейшие неправильности ее поверхности. Исследование качества покрытий производят по дифракционным фигурам. Для этой цели рекомендуется половину фигуры снимать на исследуемом образце, а вторую половину — на контрольном. Определение пористости Ni-покрытия на стали рекомендуется производить путем нанесения радиоактивной подложки между основным металлом и Ni-покрытием, а затем фотографированием излучения на пленке. По более новому методу обходятся без радиоактивной подложки с применением внешнего источника излучения.

И. Ихлов

4934. Анализ следов влаги в производственных потоках. — (Analysis for traces of H₂O in process streams. —), Industr. and Engng Chem., 1957, 49, № 4, A67—A68 (англ.)

Описаны способы определения следов воды в жидких и газообразных продуктах нефтехим, произ-ва, основанные на измерении диэлектрич. постоянной жидкости; измерении тока электролиза влаги, содержащейся в газе; на определении тепла абсорбции при прохождении влажного газа через осушитель.

4935. Сравнительные измерения с помощью различных колориметров и фотометров. Поль (Vergleichsmessungen mit verschiedenen Kolorimetern und Photometern. Pohl Heinz), Chemiker-Ztg, 1956, 80, № 24, 855—857 (нем.)

Компенсационный фотометр для работы с окрашенными р-рами имеет приемником излучения фотоэлектронный умножитель. В качестве источника излучения применяется или 6-в лампа накаливания (при работе на длинах волн. в интервале 445—620 мμ), или ртутная лампа (при работе в близкой УФ-области с длинами волн до 366 мμ). Набор спец. светофильтров позволяет проводить измерения с максимумом излучения, приходящимся на длины волн 445, 510, 570, 620 мμ при ширине полосы 20—30 мμ. Прибор включается в сеть через стабилизатор напряжения. В компенсационном спектрофотометре с кварцевой оптической системой излучения служит или 6 в/36 вт вольфрамовая лампа накаливания, или хорошо стабилизированная водородная лампа. Прибор работает в интервале длин волн 200—1500 мμ. Приемники излучения — два шел. фотоэлемента, один из которых работает в области спектра до 620 мμ, а другой — до 1500 мμ. Отсчет показаний по шкале производится или в процентах абсорбции или в величинах экстинкции. Питание двухлампового усилителя и лампы накаливания осуществляется от 6-в аккумулятора емк. 75 а/час и шести 9-в сухих батарей со сроком службы около года. Включение водородной лампы производится через электронный стабилизатор напряжения. Монохроматор прибора настраивается и градуируется по двум линиям водородной лампы или по различным линиям ртутной. Дается сравнительная оценка точности обоих приборов. Часть I см. РЖХим, 1957, 70719.

М. Л.

4936. Автоматические газоанализаторы масс-спектрометрического типа. Шумиловский Н. Н., Стаховский Р. И. Сессия АН СССР по науч. пробл. автоматиз. произ-ва, 1956, Т. 3, М., АН СССР, 1957, 168—184. Дискус., 185—186

Излагаются принцип действия и характеристики приборов, работающих по статич. и динамич. методу анализа ионного пучка. Рассматриваются причины нестабильности ионных токов масс-спектрометрич. газоанализаторов и предлагается метод их автоматич. проверки, разработанный в ИАТ АН СССР, заключающийся в периодич. пропускании через прибор сравнительного газа, состав которого примерно соответствует составу контролируемого продукта. Постоянная первичная запись состава сравнительного газа и контролируемого продукта позволяет каждый раз при расшифровке записи пользоваться масштабными коэф. очередной записи известного сравнительного газа и тем самым устранять погрешность, накапливающуюся за время между периодич. градуировками. Из приведенных таблиц видно, что в результате применения коррекции при каждом измерении с помощью автоматич. градуировки погрешности уменьшаются в среднем до 7 раз. Развитием данного метода является применение спец. схем и устройств, обеспечивающих автоматич. коррекцию прибора и поддержание масштабных коэф. (чувствительности) все время постоянными. Отмечается, что без корректирующих устройств стабильность ионных токов в пределах 2—3% возможно получить лишь в течение нескольких дней, после чего требуется переградуировка прибора.

М. Людмирский

4937. Автоматический отбор среднесуточных проб сточной жидкости. Постников И. С., Цитович С. И., Водоснабжение и сантехника, 1957, №4, 29—30

Пробоотборник состоит из Сегнера колеса, куда поступает жидкость, засасываемая эрлифтом. Колесо вращается со скоростью 1 об/сек. Жидкость из дозирующего отверстия колеса поступает в сборный сосуд в моменты прохода дозирующего отверстия над приемной щелью сосуда. Устройство может применяться и при подаче жидкости самотеком, при наличии перепада уровней ~ 150 мм.

А. Леонов

4938. **Пробоотборник.** Лешек (Vakuvý vzorkovač. Lešek F.), Chem. průmysl, 1957, 7, № 3, 138—139 (чешск.)

Описаны две конструкции пробоотборников жидкости из сосудов, находящихся под вакуумом. Системой эрлифта жидкость из сосуда поднимается в сборник, из нижней части которого отбирается проба.

Е. Стефановский

4939. **Опыт эксплуатации фотоэлектронных дозаторов.** Огневич В. А., Титов М. А., Медведев Р. И., Строит. и дор. машиностр., 1957, № 6, 30—32. Излагаются результаты работ по модернизации конструкции циферблатного указателя и фотоприставки фотоэлектронных дозаторов. В фотоприставках применены полупроводниковые фотосопротивления типа ФС-К1 и ФС-К2. Приводится график точности дозирования, построенный по результатам работы дозаторов, из которого видно, что подавляющее большинство замеров (по цементу 93%, по крупному щебню 94%, по воде 97%) укладывается в допустимые пределы точности дозирования материалов в соответствии с ГОСТ 4068-48.

М. Людмирский

4940. **Клапаны с электромагнитным приводом для жидкостей под высоким давлением.** Глухов Е. Е., Хим. пром-сть, 1957, № 4, 35—39

4941. **Дистанционное управление насосными станциями.** Мадден, Рил (Remote controlled unattended pump stations utilized on Great Lakes system. Madden P. R., Riehl A. P.), Pipe Line News, 1956, 28, № 8, 47—48, 50—54 (англ.)

Приводится описание реконструированных насосных станций на линии нефтепровода Дес — Иллинойс протяженностью ~ 500 км. В ходе реконструкции паровые поршневые насосы были заменены на центробежные с электроприводом; осуществлено дистанционное управление насосными станциями; внедрена релейно-кодированная система контроля и управления по телефонной линии. С некоторых станций после реконструкции обслуживающий персонал был полностью выведен. Рассматриваются схемы автоматич. и ручного дистанционного управления, контроля и сигнализации. Приводится перечень параметров, по которым контролировалась работа необслуживаемых насосных станций. Описываются автоматич. аварийные блокировки. В результате реконструкции производительность нефтепровода увеличилась приблизительно на 10%, эксплуатационные расходы снизились на 33%.

Б. Вольтер

4942. **Регулирование и контроль автоматических топок с жидким топливом.** Хельбиг (Regelung und Überwachung von automatischen Ölf Feuerungen. Helbig Helmut), Wärme-Lüft.- und Gesundheitstechn., 1957, 9, № 7, 204—206 (нем.)

Применение в качестве топлива масла позволяет быстро зажигать и гасить горелки в топке и тем самым осуществлять двухпозиционное регулирование т-ры отапливаемых помещений. В качестве датчика регулятора обычно применяют биметаллич. контактный термометр. Рекомендуется применять термич. изодомное устройство, чем достигается более точное регулирование т-ры. Кроме того, желательно учитывать при регулировании т-ру наружного воздуха путем установки дополнительного контактного термометра. Для розжига горелок и контроля за пламенем имеются спец. устройства, которые следят за пламенем (при помощи фотоэлемента или по т-ре в борове) и при его погасании дают сигнал и производят повторное зажигание. В случае отказа при повторном розжиге подача топлива в горелку прекращается. Если погасание пламени происходит от сигнала регулятора т-ры, повторный розжиг получается также только при получении соответствующего сигнала от регулятора. Роз-

жиг производится по определенной программе. При водяном отоплении устанавливают контактный термометр, отключающий подачу топлива при чрезмерном повышении т-ры воды в котле.

И. Ихлов

4943. **Автоматизация вращающихся печей.** Паккетт (Instrumentation — is it a cure-all for kiln troubles? Puckett J. P.), Rock Prod., 1957, 60, № 6, 139, 140, 142, 180, 183 (англ.)

Во вращающихся печах для обжига цемента и других материалов основным параметром является т-ра. Т-ру в зонах горения и охлаждения лучше всего контролировать радиационными пирометрами. В зоне подачи материала — термометрами. Т-ра в зоне подачи автоматически регулируется путем воздействия на заданное значение регулятора тяги. Т-ра в зоне охлаждения регулируется автоматич. изменением кол-ва подаваемого в печь воздуха. Регулирование горения производят по магнитному газоанализатору, определяющему содержание O_2 в топочных газах. Автоматически контролируются скорость вращения печи и работа питателя (при помощи тахометров с электронными самописцами). Для анализа работы печи применяют систему автоматич. печати наиболее важных 10 параметров печи (т-ры топки, зоны охлаждения и зоны подачи, содержание O_2 в отходящих газах, скорость вращения печи и др.). Эта система печатает также отклонения этих параметров от нормы.

И. Ихлов

4944 П. **Гигрометр.** Местраль (Instrument för mätning av fuktighetshalten i en gasblandning. Mestral G. de) [Tesa Soc. An.]. Шведск. пат. 153890, 27.03.56

Гигрометр имеет подвижную самоустанавливающуюся биметаллом шкалу с поправками на т-ру.

К. Герцфельд

4945 П. **Пробоотборное устройство для pH-метра.** Баран, Флетчер, Яцек, Паппас (pH sampling apparatus. Baran Edward C., Fletcher William H., Jatzek Henry A., Pappas Michael A.) [The Standard Oil Co.]. Пат. США 2752307, 26.06.56

Патентуется устройство для отбора проб воды при определении pH в случае загрязнения воды углеводородами, попадание которых в ячейку вызывает ее порчу. Для этой цели предлагается устанавливать автоматич. регулятор уровня раздела воды и углеводородов, воздействующий на клапан спуска воды и одновременно на клапан подачи воды в ячейку pH-метра. Между этим клапаном и ячейкой установлен резервуар с переливом для отделения тех углеводородов, которые могли бы просочиться через клапан при пуске. Это устройство устраняет попадание углеводородов в ячейку.

И. Ихлов

4946 П. **Воздухоотделительный клапан.** Берк (Air eliminator valve. Berck William F.) [Ralph N. Brodie Co.]. Пат. США 2745511, 15.05.56

Воздухоотделительный клапан для установки перед объемными расходомерами для жидкости состоит из корпуса, внутри которого помещен поплавков, закрывающий заслонку на выходе жидкости при понижении уровня в поплавковой камере. Одновременно этот же поплавок открывает клапан выпуска воздуха. При повышении уровня жидкости заслонка открывается, а клапан закрывается. Клапан выпуска воздуха при помощи сильфона разгружен от статич. давления в камере.

И. Ихлов

См. также: Применение радиоактивных изотопов в пром-сти 5190. Приборы для измерения толщины слоев эмалей 5407. Автоматическая регистрация уровня Hg в манометрической трубке 4420. Абсорбционный газоанализатор 4272. Влагомер 6637. Электронный само-

пишущий полирограф 4435. Прибор для контроля осветления воды 5043. Прибор для измерения мутности воды и консистенции массы в бумажной промышленности 6639. Динамические характеристики процессов и установок 4902. Автоматическое регулирование газовых печей 5372. Автоматизированная фильтровальная станция 5056. Автоматическое переключение регенеративных камер в стекловаренных печах 5396

КОРРОЗИЯ. ЗАЩИТА ОТ КОРРОЗИИ

Редактор И. Я. Клинов

4947. Проблема защиты от коррозии. Зуппан (Probleme des Korrosionsschutzes. Suppan Bruno), Stahlbau Rundschau, 1956, 2, № 2, 28—29, 34 (нем.; рез. англ.)

Общие соображения по вопросам применения лакокрасочных покрытий, техника их нанесения и подготовка поверхности защищаемых изделий. Отмечается, что изготавливаемые в последнее время краски «Алурот» обладают высокой защитной способностью. Приводятся указания по составу и области применения этой краски. Ф. Сломанская

4948. Коррозия I. Саймонс (Corrosion — I. Symons George E.), Water and Sewage Works, 1957, 104, № 5, 210—213 (англ.)

Популярная статья.

4949. Изменения потенциалов с температурой и термогальванические токи для алюминия в пресной воде. Пизер (Thermogalvanic potentials and current as aluminum surfaces in industrial water. Pittzer Edgar R.), J. Electrochem. Soc., 1957, 104, № 2, 70—74 (англ.)

Отмечается, что теоретич. классич. представления неприложимы для расчета температурных изменений потенциала ϵ Al-электрода в связи с неясностью вопроса о температурном изменении величины стандартного обратного ϵ . Кроме того, поведение Al в проточной пресной воде исключает возможность подчинения ур-нию Нернста. Указывается, что общее направление смещения ϵ Al в воде с т-рой может быть предсказано на основании расчета изменения свободной энергии по величинам энтропий исходных в-в и продуктов р-ции: $2Al + 6H_2O \rightarrow Al_2O_3 \cdot 3H_2O + 3H_2$. Эксперименты ставились на образцах из Al (99,4% чистоты), погружавшихся в речную воду, р-р 1 г/л гипса и буферированную ацетатным буфером (рН = 5,0; 5,5; 6,0; 6,5; 7,0 и 7,5) дистил. воду. Определялись ϵ образцов при выдержках до 390 мин. и т-рах 20—100°. Между образцами, находившимися в идентичных средах при различных т-рах, определялись величины термогальванич. токов. Установлен сдвиг ϵ Al в отрицательную сторону на величину до 0,6 в при повышении т-ры от 20 до 100°. Такой же перепад т-р создает термогальванич. ток порядка 0,04 мА/см². А. Шрейдер

4950. Электровосстановительные процессы на окисленной стали. II. Электровосстановление кислорода. Афанасьев А. С., Чанкова Е. Н., Ж. физ. хим., 1956, 30, № 10, 2294—2300 (рез. англ.)

Исследование процесса восстановления кислорода на стальном электроде путем снятия катодных поляризационных кривых и кривых заряжения в 1,5 н. р-ре КОН показало, что сталь с окисленной и неокисленной поверхностью в аэрируемом р-ре щелочи является эффективным кислородным катодом. В отсутствие или при слабой катодной поляризации потенциал стали в указанном р-ре, по-видимому, определяется в основном электровосстановлением O_2 до H_2O_2 . Величина потенциала окисленной стали в отсутствие внешнего тока близка к значению равновесного потен-

циала этого процесса. При более сильной катодной поляризации основным потенциалопределяющим процессом является, по-видимому, электровосстановление H_2O_2 , характеризующееся электрохим. поляризацией. Для него определены приближенно постоянные ур-ния Тафеля для различных видов поверхности стали. Сообщение I см. РЖХим, 1955, 39240. П. Щеголев

4951. Роль наводороживания при коррозионной устойчивости стали. Карпенко Г. В., Докл. АН СССР, 1957, 113, № 4, 850—852

Образцы стали Ст-3 растягивались на разрывной машине с постоянной скоростью, являясь анодами и катодами в ванне с кислым электролитом. Разрушение катода было хрупкое, а анод оставался пластичным. Если на катоде выделения водорода не было, то катод не терял пластичности. Процесс наводороживания стали идет с очень большой скоростью, что можно объяснить искажением решетки и развитием множества микротрещин. В процессе циклич. нагружения в коррозионно-активной среде также происходит быстрое наводороживание катодных участков. Предполагается, что эти участки ослаблены и они подвергаются хрупкому разрушению при больших амплитудах колебания, если разрушение наступает вскоре после нагружения образцов. И. Левин

4952. О каталитическом влиянии металлов на коррозионную агрессивность моторных масел. Дружинина А. В., Тармания Г. С., Химия и технол. топлива и масел, 1957, № 7, 43—49

Исследовалась взаимосвязь между коррозией некоторых металлов и покрытий (Cu, Pb, Cu-Pb-сплав, покрытия Cu, Pb, In) и окисляемостью остаточного и дистиллятного масел. Установлено, что взаимодействие металлов с образующимися в масле коррозионно-агрессивными в-вами является в некоторой степени электрохим. процессом. Различные металлы обладают различной коррозионной стойкостью в продуктах окисления. Установлено также, что в указанных условиях склонность Cu и In к коррозии меньше, чем Pb. Каталитич. действие Cu на окисляемость масел больше, чем других исследованных металлов и сплава. Введение в масло некоторых антикоррозионных присадок, особенно присадки АзНИИ-ЦИАТИМ-1, не только уменьшает коррозию металлов но и понижает их каталитич. действие на окисляемость масел. Ф. Сломанская

4953. О механизме коррозии металлов под тонкими слоями электролитов. Розенфельд И. Л., Павлуцкая Т. И., Ж. физ. химии, 1957, 31, № 2, 328—339 (рез. англ.)

Изучены распределение потенциалов на поверхности короткозамкнутых моделей коррозионных пар Cu—Fe и Cu—Zn и сила тока в случае разделенных электродов, расположенных в одной плоскости под пленкой 0,1 н. NaCl. Толщина последней составляла 70 и 165 м; для сравнения измерения проводились и в объеме того же электролита. В результате проведенных исследований, а также изучения зависимости силы тока коррозионных пар от площади катода и анода отмечается, что коррозионный ток пары Cu—Fe или Cu—Zn над тонкими пленками р-ра NaCl определяется лишь скоростью катодного процесса. На основании этого авторы приходят к выводу, что при малых размерах реальных микропар (если даже электропроводность тонких пленок очень мала) процесс коррозии протекает с катодным ограничением, обусловленным замедленной диффузией O_2 , между тем, как роль омич. фактора остается незначительной. В очень тонких пленках электролита можно ожидать некоторое повышение доли анодного поляризационного сопротивления, одновременно более отчетливо проявляет-

ся неравномерный характер коррозии анода, локализованной в узкой зоне возле его границы.

А. Шаталов

4954. Коррозия технических материалов микроорганизмами. Ниссен (Mikroorganismer angreb på tekniske materialer. Nissen T. Vincents), Ingeniøren, 1956, 65, № 10, 222—228 (датск.)
Обзор. Библ. 7 назв.

К. Герцфельд

4955. Влияние способа обработки поверхности металлов и сплавов на их коррозионную стойкость. Мровец, Вербер (Wpływ rodzaju obróbki powierzchni metali i stopów na ich odporność na korozję. Mrowiec Stanisław Werber Teodor), Hutnik (Polska), 1957, 24, № 4, 142—147 (польск.)

Критический обзор работ последних лет, посвященных вопросам зависимости между способом обработки поверхности и коррозионной стойкостью металлов и сплавов. Влияние способа обработки на скорость коррозии и характер процессов образования окисной пленки отмечается особенно в случае сплавов. Указывается, что подвести теоретич. базу под это явление в настоящее время не представляется возможным. Библ. 15 назв.

В. Левинсон

4956. Влияние состава растворителя на коррозию металла в растворах. Кирков, Цумбелич-Гюва, Константинова-Таскова (Uticaj sastava rastvarača na koroziju metala u rastvorima. Kirkov Panče, Cumbelič-Giova Nada, Konstantinova-Taskova Divna), Zašt. mater., 1957, 5, № 4, 135—137 (сербо-хорв.)

Путем измерения тока, получаемого в гальванич. элементе $Zn/H_2O + 1,4\text{-диоксан (I)} + HCl$ 0,1 M/Pt при различных конц-ях I в электролите, установлена зависимость скорости растворения Zn от конц-ии I. При конц-ии I < 10% ток остается постоянным, он падает до минимума при увеличении конц-ии I до 20%; при дальнейшем увеличении конц-ии ток растет, достигая конечного значения при содержании I в смеси 40—50%. Авторы считают, что на процесс коррозии в р-рах влияет не pH р-ра, а структура р-рителя.

В. Левинсон

4957. Исследование влияния масштабного фактора при гальванической коррозии. Уэйбер (Study of a size effect in galvanic corrosion. Waber James T.), Corrosion, 1957, 13, № 2, 25—32 (англ.)

4958. Электрохимические процессы при коррозии под напряжением. Геришер (Elektrochemische Vorgänge bei der Spannungskorrosion. Gerischer H.), Werkstoffe und Korrosion, 1957, 8, № 7, 394—401 (нем.; рез. англ., франц.)

Доклад по вопросам коррозии под напряжением цветных сплавов на конференции, состоявшейся во Франкфурте на Майне в феврале 1957 г. Исследования, проведенные на Cu-Au-сплаве, показали, что коррозия под напряжением (КПН), наблюдающаяся у различных сплавов, обуславливается поведением сплавов при пластич. деформации (ПД) и связанными с ПД электрохим. процессами. Роль ПД заключается в том, что она вызывает локализацию процесса коррозии вследствие увеличения активности атомов сплава, расположенных по границам зерен и плоскостям скольжения, а также разрыва окисных пленок. Указывается, что КПН наблюдается только у тех сплавов, на поверхности которых образуются защитные пленки.

М. Кристаль

4959. К вопросу о межкристаллитной коррозии и коррозии под напряжением гомогенных твердых растворов медь-золото и медь-цинк и способных к распаду твердых растворов алюминий-цинк-магний. Часть II. Клатте (Zum Problem der interkristallinen- und der Spannungskorrosion an den homogenen Kupfer-Gold- und Kupfer-Zink- und an ausscheidungs-fähigen

Aluminium-Zink-Magnesium-Mischkristallen. Teil 2. Klatte Heinrich), Werkstoffe und Korrosion, 1956, 7, № 12, 708—716 (нем.; рез. англ. франц.)

Приведены результаты исследования влияния добавок Cr и различных видов термообработки на коррозионное растрескивание (КР) в условиях коррозии под напряжением сплава системы Al—Zn—Mg в 3%-ном р-ре NaCl с добавкой H_2O_2 . Испытания проводились на разрывных образцах при постоянной нагрузке и напряжениях от 30 до 90% от предела текучести на спец. установке. Изучено влияние на КР указанного сплава т-ры отпуска в интервале т-р от 20 до 250° при выдержке 4 часа, выдерживания при комнатной т-ре в период между гомогенизацией и последующей термообработкой, ступенчатой закалки. Установлено, что при определенных условиях термообработки, особенно в сплавах, не содержащих Cr, наблюдается выделение второй фазы в активном состоянии по границам зерен и возникновение склонности сплава к КР. Наиболее эффективно проведение гомогенизации при т-рах не ниже 450° и отпуска при 100—120°. Отмечается положительное влияние выдержки сплава при комнатной т-ре в течение нескольких дней в период между гомогенизацией его и последующей термообработкой. Выдержка при комнатной т-ре дает возможность выделившейся из сплава второй фазе перейти в такое состояние, что после последующей термообработки она теряет склонность к КР. Часть I см. РЖХим, 1957, 53425

М. Кристаль

4960. Применение магния для защиты стали от коррозии. Эстбю (Magnesium mot rust. Østby J. B.), Norsk hydro, 1957, 17, № 2, 14—15 (норв.)

Описание Mg-анодов фирмы Norsk Hydro.

К. Герцфельд

4961. Коррозионная стойкость титана. Эшман (Corrosion resistance of titanium. Eshman Andrew N.), Prod. Engng, 1956, 27, № 6, 187—189 (англ.)

Рассмотрено поведение Ti в различных коррозионных условиях, при различной конц-ии и т-ре среды. Приведены сравнительные данные по коррозии Ti и нержавеющей стали 18/8 и Al.

Я. Лапин

4962. Применение титана как коррозионно-стойкого металла в морском деле. Стаф, Пипле (Titanium. An answer to corrosion problems. Stough D. W., Peoples R. S.), Ship and Boat Builder, 1957, 10, № 5, 164—166 (англ.)

Обзорная статья о возможностях использования Ti в судостроении рассматривает механ. технолог. и сварочные свойства Ti и его сплавов, а также их коррозионную и эрозионную стойкость в морской воде и атмосфере. Пассивация Si дает больший эффект, чем пассивация нержавеющей стали. Указываются области применения Ti в морском флоте США.

И. Левин

4963. Коррозия никеля в перекачиваемом расплавленном едком натре. Миллер, Саймонс (Sodium hydroxide pump loops. Miller N. E., Simons E. M.), Chem. Engng Progr. Sympos. Series, 1956, 52, № 19, 113—116 (англ.)

Исследовано влияние т-ры в интервалах 480—815°, перепада т-р от 28 до 111° и скорости движения электролита (при скоростях от 2,1 до 5,4 м/сек) на коррозию Ni в расплавленном NaOH в атмосфере H_2 . Скорость коррозии определялась по времени до закупорки участка трубки, находившегося при более низкой т-ре. Установлено, что увеличение скорости движения электролита в 2 раза приводит к сокращению времени до закупорки примерно на 25%. При т-рах >565° с нормальным перепадом т-р ~ 55° перенос Ni от горячих к холодным участкам происходит настолько быстро, что срок службы Ni-аппаратуры в таких условиях слишком мал. Можно полагать, что при более низких т-рах и при умеренном перепаде т-р в случае

применения расплавленного NaOH в качестве хлад-агента срок службы Ni-аппаратуры будет исчисляться несколькими годами. И. Левин

4964. Коррозия металлов в зданиях. Хадсон, Уэрмузз (Corrosion of metals in buildings. Hudson J. C., Wormwell F.), Chemistry and Industry, 1957, № 32, 1078—1089 (англ.)

Рассмотрено ~ 40 примеров коррозии металлов различных деталей строительных конструкций. Приведен анализ причин коррозии и указаны необходимые меры для предотвращения ее в каждом отдельном случае.

4965. Три случая применения никеля в производ-ствах бумаги, бензина и удобрений. (Paper, Gasoline and fertilizer — three cases for nickel.—), Industr. and Engng Chem., 1957, 49, № 4, 75A—76A (англ.)

Указывается, что применение монель-металла вместо бронзы для изготовления валов бумажной машины дало хорошие результаты. Эффективно применяется Ni при произ-ве трикрезилфосфата — пластификатора для смол и бензинов. Применение сплава инконель (Ni-Cr-Fe) для труб холодильников в произ-ве $(\text{NH}_4)_2\text{SO}_4$ также дало очень хорошие результаты. Трубы из инконеля выдержали 12 месяцев эксплуатации, тогда как Cu- и Al-трубы выходили из строя через 6 месяцев, из нержавеющей стали 304 через 11 месяцев.

4966. К вопросу о коррозионной стойкости, механических свойств и микроструктуры свинца и сплавов на его основе. Ханафуса, Кавабата (鉛および鉛合金の耐酸性, 機械的性質および显微組織について. 花房政三, 川端六郎), 日本金属学会誌, Нихон киндзюку гаккайси, J. Japan Inst. Metals, 1957, 21, № 1, 35—39 (японск.; рез. англ.)

Проведенное исследование коррозионной стойкости, механич. свойств и микростроения Pb и сплавов Pb + Sb, применяемых в качестве конструкционных материалов аппаратостроения, показало, что в области т-р 50—80° с повышением содержания Sb в Pb, его стойкость в H_2SO_4 увеличивается. Содержание Te и Cu в сплавах на основе Pb повышает т-ру вспышки, а Bi, Zn, Sn, Sb и Ag понижают эту т-ру. С появлением в строении сплава Pb-Sb β -фазы предел прочности катаного сплава ниже, чем у литого. Предложено объяснение, связывающее строение Pb и сплавов на его основе с т-рой вспышки. И. Левин

4967. Мощность железных дорог и коррозия. Коберн (Railroad motive power — and corrosion. Coburn S. K.), Corrosion, 1956, 12, № 4, 17—18 (англ.)

Рассматривается влияние коррозии оборудования ж. д. под действием дизельного топлива, смазочных масел, охлаждающих агентов, газотурбинного топлива на сроки эксплуатации дизель-электрич. локомотивов, появившихся в США в 1940 г. Указаны меры для уменьшения коррозии. Я. Лапин

4968. Применение высококоррозионностойких сплавов в установках. Варбург (Hochkorrosionsbeständige Legierungen in Kohlenwertstoffanlagen. Warburg Günter), Werkstoffe und Korrosion, 1957, 8, № 3, 132—133 (нем.; рез. англ., франц.)

На примере нейтрализатора аммиачного газа, работающего при рабочем давл. 12 атм и т-ре 160—180°, показаны преимущества сплавов типа хастеллой перед другими сплавами и сталями. Испытание двух марок хастеллой марки В состава (в %): C < 0,08, Ni 65, Mo 30 и марки C < 0,08, Ni 60, Mo 16, Cr 16, W 4 в паро-газовой смеси, содержащей (в %) NH_3 20, H_2S 12, CO_2 6, HCN 2, показало, что коррозионные потери для сплава марки В составляют 0,0026 г/м² час, а для сплава марки C 0,0014 г/м² час. Механич. характеристики: предел текучести $\sigma_{0,2}$ 48,3 кг/мм²; предел прочности при растяжении σ_B 83,5 кг/мм²; удлинение 56%. Для

повышения коррозионной стойкости (в случае падения ее при сильном наклепе) применяется нагрет до 1210—1240° с последующим охлаждением в воде. Из хастеллой С была изготовлена и пущена в эксплуатацию в октябре 1955 г. колонна аммиачного нейтрализатора. До 1957 г. на ней не наблюдалось видимых коррозионных поражений. Р. Сален

4969. Коррозия наружных обсадных труб. (External casing corrosion. Where is it? How bad is it?—), World Oil, 1957, 144, № 6, 210, 212, 214, 217, 218, 222 (англ.)

Результаты осмотра ряда обсадных труб в нефтеносном районе Сан Мигуэли (Калифорния) показали, что коррозионное состояние этих труб находится в соответствии с потенциальными диаграммами. Ликвидация анодных зон на трубе может быть достигнута при помощи катодной защиты и силе тока в пределах 3—5 а. И. Левин

4970. Коррозионные явления в холодильниках транспортных двигателей. Бётгер (Korrosionserscheinungen an Fahrzeugkühlern. Böttger Gerhard), Kraftfahrzeugtechnik, 1956, 6, № 7, 270—271 (нем.)

Рассмотрены вопросы коррозии (К) холодильников транспортных двигателей, показано влияние на К материала холодильника, холодильной жидкости. Описано применение добавок, образующих эмульсию в воде, коррозионнозащитных масел, предотвращающих К как холодильников, так и другого оборудования, соприкасающегося с охлаждающей водой. Я. Лапин

4971. Коррозионные испытания автомашин в эксплуатационных условиях. Роу (Automotive industries back corrosion test program with field survey. Rowe Leonard C.), Corrosion, 1957, 13, № 4, 17—18 (англ.)

Для получения наиболее полных данных о коррозионном поведении различных деталей автомашин в различных защитных покрытиях в эксплуатационных условиях производится ежегодное обследование тысяч автомашин. Обработка результатов обследования дает возможность быстро оценить применяемые защитные покрытия. Эти данные позволяют также выявить соответствие между результатами ускоренных испытаний и результатами эксплуатации. И. Левин

4972. Коррозионноустойчивая разделительная колонна из монель-металла для экстракции меркаптана. Андерс (Eine korrosionsbeständige Abscheidesäule aus Monel zur Extraktion von Mercaptan. Anders Heinz), Werkstoffe und Korrosion, 1956, 7, № 7, 390—391 (нем.; рез. англ., франц.)

Сообщается об изготовлении ректификационной колонны для регенерации меркаптана из р-ров, содержащих NaOH, метанол и меркаптан. Монель-металл в качестве материала оказался наиболее целесообразным. Я. Лапин

4973. Коррозия металлов в авиации. Тейт (Corrosion: its implications in aircraft. Tate Reginald), Chemistry and Industry, 1957, № 17, 506—508 (англ.)

Рассматриваются причины коррозии обшивки и внутренних деталей самолетов, а также авиационных двигателей. Помимо известных методов борьбы с коррозией в авиации, указывается также на способ борьбы со щелевой коррозией путем замазки щелей между соприкасающимися поверхностями спец. составом на основе каучука. Весьма эффективными для защиты обшивки самолетов являются эпоксидные смолы. Указывается, что в борьбе с коррозией высокотемпературных сплавов, применяемых в поршневых и турбинных двигателях, используются эмалевые покрытия толщиной 0,02—0,08 мм. Приводятся некоторые подробности нанесения таких покрытий. Высказывается мнение, что при условии применения эмалевых покрытий жаровые трубы могут изготавливаться из перма-

входящих сталей, взамен дорогостоящих сплавов на основе Ni. Приводится пример, когда жидкость, применяющаяся для промывки деталей и содержащая хлорпроизводные углеводородов, послужила причиной коррозии коленчатого вала.

И. Левин

4974. Борьба против коррозии на нефтеперерабатывающих заводах. Нортуп (Refiners move in on corrosion. Northrup M. S.), Oil and Gas J., 1957, 55, № 9, 108—109 (англ.)

Общие принципы организации борьбы с коррозией.

В. Левинсон

4975. Коррозия холодильников на нефтеперерабатывающих заводах. Прийё (Corrosion de l'équipement de refroidissement en raffinerie. Prillieux Marcel), Corros. et anticorros., 1957, 5, № 4, 128—130 (франц.) На нефтеперерабатывающих заводах наблюдается разрушение конденсаторов, вызванное точечной коррозией со стороны охлаждающей воды, в связи с низким содержанием растворенного O_2 в речной воде, используемой для охлаждения. Испытания одной партии образцов в резервуаре, через который протекала вода от конденсаторов, а другой — в той же воде, предварительно аэрируемой в течение 30 дней при скорости протекания воды $0,6 \text{ м}^3/\text{час}$, показали, что глубина коррозии в первом случае увеличилась на $0,07—0,09 \text{ мм}$, в то время как в аэрированной воде, содержащей $9 \text{ мг/л } O_2$, на $0,04—0,03 \text{ мм}$. Пониженная коррозия в аэрированной воде обуславливается тем, что $CaCO_3$, осаждающийся на металлич. поверхности, взаимодействует при наличии достаточного кол-ва O_2 с ионами Fe и дает защитную хорошо сцепленную комплексную пленку, состоящую из гидратированного окисла Fe и $CaCO_3$. При недостатке O_2 в случае использования загрязненной речной воды вышеуказанное комплексное соединение не образуется. Для предотвращения коррозии конденсаторов рекомендуется создание станций для аэрированной воды.

Я. Матлис

4976. Причины коррозии в скважинах с откачкой. Менаул (What causes corrosion in pumping wells? Menaul Paul), World Oil, 1957, 144, № 1, 157—159 (англ.)

Рассмотрены общие принципы коррозии металлов. Для защиты трубопроводов от коррозии рекомендуется применение изолирующих фланцев. Указывается, что срок службы насосов, изготовленных только из стали или только из чугуна, больше, чем в случае применения деталей насоса из разнородных металлов. Для борьбы с коррозией в рассоле буровой скважины, содержащем H_2S , рассматривается применение замедлителей коррозии — формальдегида и цианамидных соединений. Добавка $0,01\%$ диаллилового цианамида к рассолу, содержащему $0,08\% H_2S$, с pH 5,6 снизило коррозию в 14 раз.

И. Левин

4977. Защита внутренних поверхностей бетонных и металлических емкостей в консервной промышленности и виноделии. Чричевич (Unutrašnja zaštita betonskih i metalnih sudova u konzervnoj industriji i vinarstvu. Crnčević Vlastimir), Ambalaža, 1957, 4, № 3-4, 78—82 (сербо-хорв.)

Описаны способы антикоррозионной защиты бетонных и металлич. емкостей. Для защиты первых применяют парафин, парафино-канифольную композицию, церезин, винную к-ту, CH_3COOH , MgF_2 , жидкое стекло, битумные композиции, стеклянные, керамич. и облитовые покрытия, а также некоторые пластмассы. Для защиты металлич. емкостей применяют стекломали, лаки, краски, битумные композиции, искусств. смолы и резину.

В. Левинсон

4978. Металлические антикоррозионные покрытия стальных конструкций. Эйнсберген (Metallische anticorrosieve deklagen voor staalconstructies.

Eijnsbergen J. F. H. van), Bedrijf en techn., 1957, 12, № 279, 346—350 (гол.)

Обзор способов нанесения Zn-покрытий на поверхность стали и условий их защитного действия.

К. Герцфельд

4979. Цинковые покрытия для защиты стали. Хорвик (Zinc coatings for protecting steel. Horvick Ernest W.), Prod. Engng., 1955, 26, № 13, 158—161 (англ.)

Общие вопросы по защите от коррозии стали при помощи Zn-покрытий. Рассматриваются электрохим. ряд напряжений, коррозия металлов в контакте, методы нанесения и области применения Zn-покрытий, их преимущества и недостатки. Приводится спецификация Американского общества испытания материалов (A.S.T.M.) на вес Zn-покрытий, наносимых на различные виды полуфабрикатов и изделий. Е. Зарецкий

4980. Горячее цинкование. Часть VI. Имхофф

(Hot dip galvanizing is a science. Part VI. Imhoff Wallace G.), Wire and Wire Prod., 1955, 30, № 7, 787—789, 791, 817—819 (англ.)

Рассмотрены основные закономерности горячего цинкования, выдвинутые в предыдущих сообщениях. Описаны опыты по определению веса покрытия, осаждающегося на 16 ведрах емк. $\approx 13 \text{ л}$ при обычных условиях цинкования. Обсуждаются свойства полученных Zn-покрытий с учетом технологич. факторов и др. Часть V см. РЖХим, 1957, 62632. Е. Зарецкий

4981. Нанесение металлических покрытий в газообразной среде. Ивенская Н. Д., Технол. трансп.

машиностроения, 1956, № 3, 70—75

Обзор. Рассматривается химизм процесса газовой металлизации, оборудование для нанесения Ta, Nb, Mo, W и др. металлов на металлич. и неметаллич. поверхности. Обсуждаются свойства и область применения покрытий, полученных в газовой среде, включая бориды, карбиды, нитриды, силициды и окислы металлов. Дается схема установки для непрерывного покрытия ленты и проволоки из газовой фазы. Сопоставляются процессы нанесения покрытий из электролитов и газовых сред. Библ. 2 назв.

Е. Зарецкий

4982. К вопросу о влиянии пористости на скорость коррозии анодных покрытий. Каданер Л. И., Масик А. Х., Ж. прикл. химии, 1957, 30, № 5, 796—799

Исследовано влияние пористости и толщины анодных покрытий по стали на скорость их коррозии (оловянного — в 1% -ном р-ре $(COOH)_2$ и цинкового — в 3% -ном р-ре NaCl). Показано, что график зависимости коррозионной стойкости от толщины покрытия имеет минимум.

А. Шрейдер

4983. Современная ванна для фосфатирования с хлоратым катализатором. Хейнзелман (The modern chlorate—accelerated phosphating bath. Heinzelman Edward, Jr), Metal Finish., 1957, 55, № 5, 61—64 (англ.)

Фосфатная ванна с хлоратым катализатором обладает рядом преимуществ, из которых важнейшими являются: быстрота образования покрытия 30 сек. — 5 мин., возможность работы при комнатной т-ре, тонкая структура покрытия, высокое качество покрытия (отсутствие Fe), исключительно хорошая антикоррозионная стойкость и хорошие механич. свойства покрытия, а также отсутствие изменений размеров погружаемого предмета.

В. Левинсон

4984. Преимущества фосфатных покрытий при изготовлении крепежных деталей. Гейер, Геман (Advantages of phosphate coatings in fastener forming. Geyer John H., Gehman Hugh), Wire and Wire Prod., 1955, 30, № 12, 1490—1493, 1528—1532 (англ.)

Рассматривается способ нанесения цинкфосфатных покрытий (ЦП) на сталь, подвергаемую холодному

прессованию. ЦП позволяют повысить скорость и величину деформации, срок службы инструмента, улучшить состояние поверхности изделий и уменьшить число промежуточных отжигов. В результате нанесения на проволоку из стали 1010, применяемую для изготовления заклепок diam. 9—21 мм, кол-во заготовок, обрабатываемых на одной матрице, увеличилось со 180 500 до 647 000 шт., а при высадке спец. болтов с плоской головкой diam. ~7,5 мм — с 5000—8000 до 26 000 шт. Е. Зарецкий

4985. Защита от коррозии медицинских изделий, поставляемых в страны с тропическим климатом. Федуркин В. В. Материалы по обмену опытом и научн. достиж. в мед. пром-сти, 1957, № 3 (22), 27—30

Рекомендуется внутренние части приборов и аппаратов при изготовлении либо хорошо герметизировать, либо максимально раскрывать, облегчая этим высыхание поверхности. Применение углеродистой стали без защитных покрытий и Al-сплавов без дополнительной обработки недопустимо. Cr-Ni и Cr-нержавеющие стали после полирования и бронзы не требуют дополнительной защиты. Zn- и Mg-сплавы применять не допускается, так как они быстро корродируют и не могут быть надежно защищены от коррозии. Zn-(толщиной 15—45 м) и Cd-(толщиной 8—15 м) покрытия устойчивы лишь при условии их хромирования 2 мин. при 20° в р-ре 200 г/л $\text{Na}_2\text{Cr}_2\text{O}_7 \cdot 2\text{H}_2\text{O} + 50 \text{ г/л } \text{KCr}(\text{SO}_4)_2 \cdot 18\text{H}_2\text{O}$ с последующими промывкой и 15-минутным кипячением в 10%-ном р-ре $\text{Na}_2\text{Cr}_2\text{O}_7 \cdot 2\text{H}_2\text{O}$. Трехслойное защитно-декоративное покрытие должно иметь общую толщину 30—45 м (Cu 20—30 м, Ni 10—15 м, Cr 0,5 м). Крепеж после закручивания лакируется. Мелкий крепеж и пружины изготавливаются из нержавеющей стали и бронзы. Съемный крепеж защищается трехслойным покрытием. Для защиты от эрозии и истирания рекомендуется износостойкое хромирование. При морских перевозках консервация дорогостоящих деталей осуществляется герметизацией в металлич. ящики с силикагелем, а также нанесением толстого слоя жировой смазки. А. Шрейдер

4986. Влияние содержания серы на коррозионные свойства шлаковой ваты. Швите, Жагар, Диккенс, Кёниг (Über den Einfluß des Schwefelgehaltes der Hüttenwolle auf ihr Korrosionsverhalten. Schwiete Hans Ernst, Zagar Ludwig, Dickens Peter, König Paul), Arch Eisenhüttenwesen, 1957, 28, № 4, 187—194 (нем.)

Проводилось исследование влияния изоляционной сульфидсодержащей шлаковой ваты (ШВ) на коррозию Fe-материалов (томасовская сталь, мартовская сталь) в атмосферных условиях, в горячем водяном паре, во влажном воздухе. Образцы из листового Fe-материала упаковывались в спец. ящики с отверстиями, наполненными ШВ, и помещались в соответствующую атмосферу. После выдержки в течение 9 месяцев определялись коррозионные потери. Рассматривалось влияние физ.-хим. свойств ШВ (гигроскопичность, проницаемость) на коррозию. Установлено, что выщелачиваемые из ШВ сульфиды, вопреки ранним работам Эванса, не действуют заметным образом на ход коррозионных процессов. Л. Андреев

4987. Новое норвежское неорганическое покрытие. Линдс (New inorganic surface coating from Norway. Lindsey P. B.), Corros. Technol., 1957, 4, № 6, 197 (англ.)

Применяемое в Норвегии новое покрытие «Активит», защищающее от коррозии железо, сталь и бетон и обладающее хорошей адгезией, изготавливается путем смешивания измельченного минерала с цементом. Смесь увлажняют водой из расчета 0,45 ч. воды на 1 ч. порошка, после чего полученную смесь, имеющую консистенцию масляной краски, выдерживают в те-

чение 15 мин. Покрытие наносят не позднее, чем через час на предварительно очищ. поверхность от краски, масла и смазки; некоторая влажность стали улучшает качество покрытия. Расход порошка составляет 1,085 кг/м². Стальная пластина с нанесенным покрытием выдержала 200 циклов смены т-ры от —30 до 130°, причем не наблюдались ни вздутия, ни трещины. Покрытие выдерживает напряжение 1500 а. Особенно широкое применение находит покрытие в судостроении. В. Левинсон

4988. Коррозия бетона. Снек (Korrosion av betong. Sneek Tenho), Nord. betong, 1957, 1, № 2, 117—127 (шведск.; рез. англ.)

Установлено, что коррозия бетона (Б) зависит от свойств затвердевшего цемента, качества Б и агрессивности среды. Рассмотрено влияние на коррозию CO_2 и SO_2 в атмосферном воздухе, pH и агрессивных примесей в воде, гуминовых в-в, солей Mg, сульфатов и сульфидов в почве. Подробно рассмотрено явление подземной коррозии Б. В. Левинсон

4989. Защита бетонных конструкций. Кормак (The protection of structural concrete. Cormack P. B.), Corros. Prevent. and Control, 1957, 4, № 3, 82 (англ.)

Описаны способы защиты бетонных конструкций от коррозии покрытиями из пластмасс. Из синтетич. смол, дающих хорошие защитные покрытия по бетону и цементу, наибольший интерес представляют эпоксидные смолы, отверждающиеся в присутствии аминов как катализаторов. Для получения сплошного хорошо сцепляющегося с поверхностью покрытия применяется система, состоящая 1) из грунтовочного и шпатлевочного слоя из спец. замазки на основе смеси натурального латекса с гидравлич. цементом, наносимого толщиной ≤ 4,8 мм; эта предварительная шпатлевка закрывает все неровности и поры и создает гладкую ровную поверхность и 2) верхнего слоя химически стойкой эпоксидной смолы, хорошо связывающейся с грунтовочным слоем. Эти покрытия особенно пригодны для защиты хранилищ в пищевой пром-сти, так как они не загрязняют продуктов. Эти покрытия пригодны также для защиты бетонных конструкций от кислотных паров. Т. Фабрикант

4990. Коррозия металлических деталей железобетонных сооружений. Валини (Corrosioni di metalli e strutture metalliche ferrose immerse nel calcestruzzo di cemento. Vallini Alfredo), Energia elettr., 1956, 33, № 5, 535—538 (итал.)

4991. Влияние пенкового сердечника в стальных тросах на коррозию проволок. Фишер, Бопе, Перре (Einfluss der Hanfseele in Stahldrahtseilen auf die Korrosion der Drähte. Fischer E., Bove O., Perret J.), Schweiz. Bauzeitung, 1956, 74, № 45, 688—692 (нем.)

Приведены результаты коррозионных исследований стальных тросов с пенковым сердечником. Рассмотрены вопросы контакта сердечника со сталью, влияние смазочных средств, содержания хлоридов в пенке. Я. Лаппи

4992. Применение покрытий на основе эпоксидных смол для защиты от коррозии на нефтеперерабатывающих заводах. Франсис (The use of epoxide resin based coatings for corrosion prevention in a chemical refinery. Francis J. L.), Corros. Prevent. and Control, 1957, 4, № 3, 74—75 (англ.)

Отмечается, что покрытия (П) на основе эпоксидных смол (ЭС) обладают хорошими защитными свойствами против нефтяных продуктов, к-т и щелочей. Имеет опыт применения этих П для баков, содержащих продукты переработки каменноугольной смолы, сырую и очищ. нефть, а также для хранения к-т и щелочей, в частности конц. H_2SO_4 и крепких р-ров NaOH. П наносится по слою праймера «анотект» на основе ЭС, при-

ментированной металл. Zn с последующим нанесением слоя эмали «флексакот» на основе отверждающейся на холоду ЭС. Праймер «анотект» можно нанести по легкому слою ржавчины. Кроме того, он образует идеальную поверхность для последующего нанесения эмали на основе смолы «эпикот».

Т. Фабрикант

4993. Некоторые экономичные конструкционные материалы для защиты от коррозионно-агрессивных газов и паров. — (Some economic materials of construction for corrosive fume handling.—). Industr. and Engng Chem., 1957, 49, № 4, A61—A62 (англ.)

Указывается, что некоторые виды пластмасс успешно заменяют дорогостоящие материалы, применяемые для конструирования газо- и трубопроводов. В особенности расширяется область применения пластмасс со стеклянным волокном, твердого поливинилхлорида и полиэтилена. Твердые пластики применяются также для изготовления вентиляторов. В произ-ве фосфатных удобрений, для газов, содержащих пары HF при t -ре $> 121^\circ$, для баков с раствором KCl, насыщ. хлором, с pH 2,5—5,5. Эти баки покрывали слоистым пластиком на основе эпоксидных смол и стеклянного волокна. В правильных цехах трубы для р-ров изготовляют из неплавких стеклянным волокном полиэфирных смол.

Т. Фабрикант

4994. Защитные покрытия на основе битумов. Меррей (Bituminous-based protective coatings. Murray W.), Corros. Technol., 1957, 4, № 6, 202—203 (англ.)

Общие свойства светлого битумного покрытия Ритолэстик, в состав которого входят 4 компонента: битум и 3 вида синтетич. смол, 2 из которых пентаалкиды. Покрытие отличается хорошей адгезией и на 50% превышает требования, предъявляемые стандартом к битумнозольным материалам.

В. Левинсон

4995. Покрытие днищ баков для сырой нефти. Картер (Coatings for crude oil tank bottoms. Carter R. M.), Corrosion, 1957, 13, № 4, 62—68 (англ.)

Для покрытия днищ нефтяных хранилищ рекомендуются композиция каменноугольной и эпоксидной смол и эмали из каменноугольной смолы. Первая обладает хорошим внешним видом, не изменяющимся при длительной эксплуатации, и прекрасной адгезией и эластичностью. Толщина покрытия 0,2—0,25 мм. Это покрытие не разрушается при большом содержании ароматики в сырой нефти или смеси сырой нефти с газом бензином из газа нефтяных скважин. При обычном составе нефти могут применяться оба вида покрытий. Эмали из каменноугольной горячей смолы наносятся слоем толщиной 4,7—9,5 мм. Усиление эмалевых покрытий может быть произведено введением стеклянной ткани. При необходимости нанесения покрытия зимой, при низкой t -ре, удобнее пользоваться горячей каменноугольной смолой.

Т. Фабрикант

4996. Покрытия на органической основе. Мей, Смит, Сноу, Ньюком, Мьюрхед, Каулард, Уэбб, Шарп (Organic finishing. May W. D., Smith N. D. P., Snow C. I., Newcomb A. L., Muirhead J., Cowland T., Webb J., Sharpe E. E. V.), Electroplating and Metal Finish., 1957, 10, № 5, 143—149 (англ.)

Обзор докладов о методах определения адгезии и о способах нанесения органич. покрытий распылением. Принципы определения адгезии основаны на отрыве покрытия от поверхности, срезе слоя покрытия и отрыве покрытия в результате ускорения движения и трения. В докладах о нанесении покрытия методом распыления приводится описание способа безвоздушного, автоматич. и горячего напыления. В первом методе распыляющим агентом является р-ритель. Краска нагревается до t -ры, при которой давление паров р-рителя превышает атмосферное. При внезапном

снижении давления р-ритель быстро испаряется, захватывая с собой частицы смолы. Приводится краткое описание 5 типов автоматич. распыляющих краску аппаратов. Отмечаются преимущества метода горячего напыления. При аэрозольном распылении распыляющим агентом является газ. При этом методе важным фактором является соотношение составляющих частей краски. Приводятся основные принципы составления рецептов для аэрозольного распыления.

Т. Фабрикант

4997. Лаковая антикоррозионная защита металлических сосудов в пищевой промышленности. Обрехт (Oblaganje lakom kao zaštita od korozije kod metalnih tankova u prehranbenoj industriji. Obrecht Max), Ambalaza, 1957, 4, № 3-4, 62—70 (сербохорв.)

Описан механизм защитного действия различных лаков на органич. основе и техника их применения.

В. Левинсон

4998. Применение свинцового сурика в качестве пигмента для защиты против ржавления. Бальби (Il minio di piombo come pigmento antiruggine. Balbi Giorgio), Pitture e vernici, 1956, 12, № 5, 331—333 (итал.)

4999. Структура красок, защищающих от ржавления. Цвицкий (Der Aufbau von Rostschutzanstrichen. Zwicky H.), Chem. Rundschau, 1956, 9, № 7, 165 (нем.)

Краткий обзор о коррозии металлов и защите от нее стальных конструкций красками. Отмечаются высокие защитные свойства в атмосферных условиях красок, содержащих Zn-пыль. Толщина покрытий должна быть ≤ 80 м.

Е. Зарецкий

5000. Влияние степени окисления и предварительной подготовки поверхности на срок службы лакокрасочного покрытия. Трегард (Influence, sur la durée de la peinture, du pré-traitement et du degré d'oxydation de la surface avant peinture. Trägårdh Kurt Fr.), Corros. et anticorros., 1957, 5, № 6, 169—173. Discuss., 173 (франц.)

Приводится и иллюстрируется фотоснимками принятая в Швеции и США шкала, характеризующая антикоррозионные защитные свойства лакокрасочных покрытий в атмосферных условиях: балл 10 соответствует совершенно не разрушенной и не изменившей окраски поверхности изделия, балл 5 — поверхность, частично покрытой ржавчиной и изменившей свою окраску под действием продуктов коррозии, балл 1 — полностью покрытой ржавчиной. Технич.-экономич. данные позволяют считать наиболее целесообразным производить повторную окраску, когда состояние покрытия будет характеризоваться баллом 5: для установок электропередачи в Швеции это обычно соответствует сроку службы 20 лет (Al-краска + 1—2-слоя краски с пигментом Fe_2O_3 и примесью слюды). Эффективность покрытия для стальных конструкций становится более продолжительной при пескоструйной подготовке покрываемой поверхности.

А. Шрейдер

5001. Окрашивание поверхности магниевых сплавов. Хиггинс (The painting of magnesium alloy surfaces. Higgins W. F.), Paint Manufact., 1956, 26, № 6, 204—205 (англ.)

Описаны способы окраски поверхности Mg-сплавов, обеспечивающие хорошее качество покрытий, и их антикоррозионное действие.

Я. Ладин

5002. Предохранительная окраска стальных конструкций. Чалмерс (Steelworks' maintenance painting. Chalmers W. J.), Corros. Technol., 1957, 4, № 6, 195—197 (англ.)

Наилучшей очисткой стальных конструкций является огневая. Окраска должна производиться непосредственно за очисткой. Основным условием при подборе

краски для грунтовки является быстрая высыхаемость. Поэтому наиболее подходящим для этих условий антикоррозионным праймером является быстросохнущая краска с большим содержанием Zn, высыхающая приблизительно за 30 мин. и дающая пленку толщиной 0,05—0,063 мм с содержанием металлич. Zn 95%. Значительное применение находит также изготовленный по спец. рецептуре праймер на основе синтетич. смолы, пигментированной красной окисью железа — хроматом цинка. Для верхних слоев хорошие результаты при некоторых условиях дают краски на льняном масле с графитом. Они очень эластичны и водостойки, но медленно высыхают.

Т. Фабрикант

5003. Защитная окраска стальных конструкций. Книгкам (The protective painting of structural steel. Kingcome J. C.), Corros. Prevent. and Control, 1957, 4, № 6, 65—66 (англ.)

Критический разбор книги английских авторов Фэнка и Гудсон о защитной окраске стальных конструкций.

Т. Фабрикант

5004. Защитные покрытия из окисленного асфальтового битума для стальных и чугунных труб. (Prescrizione per i rivestimenti protettivi di bitume asfaltico ossidato per tubazioni di acciaio e di ghisa aventi diametro uguale o superiore a 75 mm.), Ingegneria sanit., 1957, 5, № 2, 52—65 (итал.)

5005. Защитные покрытия против коррозии и их выбор в практике. Орловский (Les revêtements de protection contre la rouille et leur choix dans la pratique. Orłowski P.), Métallurgie et constr. méc., 1956, 88, № 12, 1027, 1028, 1031, 1033 (франц.; рез. англ.)

5006. Летучие замедлители коррозии. Синодзакэ (氣化性防錆劑. 篠崎市郎), 計測, Кэйсоку, J. Soc. Instrum. Technol., Japan, 1957, 7, № 4, 215—219 (японск.)

5007. Применение замедлителей коррозии типа органических аминов в холодильной промышленности. I. Изучение антикоррозионного действия замедлителя типа амина в охлаждающих растворах. Комацу (冷凍工業における有機アミン系インヒビターの應用. 第1報. インヒビターによる冷凍ラインの腐食防止. 小松秀生), 防蝕技術, Босёку гидзюцу, Corros. Engng, 1957, 6, № 1, 35—39 (японск.; рез. англ.)

Исследование эффективности (Э) замедлителя коррозии (ЗК) типа органич. амина, вводимого в водопроводную воду и охлаждающий рассол, показало, что добавка 0,05% ЗК вызывает как при комнатной т-ре, так и при 70° постепенное падение его Э; при ежедневной добавке к этому р-ру еще 0,0005—0,001% ЗК торможение процесса 60—70%. Изменение способа введения ЗК почти не сказывается на Э. Такое действие ЗК автор объясняет постепенным разрушением защитной окисной пленки. При проведении исследований для лучшего распределения ЗК в рассоле применялись поверхностноактивные в-ва неионного типа, кол-во которых заметно влияло на результаты исследований.

В. Левинсон

5008. Скорость реакции между железом и разбавленной уксусной кислотой при 40°. Часть II. Гарднер, Фейген, Гибсон, Холл (Reaction velocity in the system iron: dilute acetic acid at 40° C. Part II. Gardner George S., Faigen Harry L., Gibson Gregory L., Hall Wilbur S.), J. Franklin Inst., 1956, 262, № 6, 469—478 (англ.)

При оценке замедлителей коррозии (ЗК) железа в CH_3COOH определялась поверхность железа, закрывавшаяся ЗК. Предлагается применение этого показателя как критерия эффективности ЗК. Отмечено, что в отсутствие ЗК наличие в коррозионной среде масляной фазы привело к ускорению коррозии в 3—4 раза. В присутствии ЗК наличие масляной фазы приводило

к дополнительному снижению скорости коррозии. Рассматриваются возможные причины такого влияния масляной фазы. Часть I см. РЖХим 1957, 65200

И. Лескин

5009. Исследование газообразных замедлителей коррозии. Часть III. Предотвращение коррозии черных металлов. Оделл, Лайт (A study of volatile gas inhibitors. Part 3. Rust prevention of ferrous metals. Odell Malcolm J., Light Donald), Indus. Packag., 1956, 2, № 3, 34—36 (англ.)

Описываются свойства применяемого в упаковочных материалах парообразного замедлителя коррозии (ЗК). Изучена токсичность ЗК и влияние его на здоровье человека. Описываемый парообразный ЗК в отличие от других является безвредным, не обладает неприятным запахом. ЗК не гигроскопичен. Недостатком применяемого ЗК является необходимость очистки от него упаковываемых деталей, имеющих высокую точность и степень обработки (оптич. инструменты с лезвиями, части рефрижираторных моторов и т. д.). Часть II см. РЖХим, 1957, 59722

Г. Вавкин

5010. Защита от коррозии замедлителями коррозии. Аудеман (Corrosiebestrijding door middel van inhibitoren. Oudemans M.), Metalen, 1956, 11, № 14, 304—309 (гол.)

Обзор. Библ. 13 назв.

К. Герффелд

5011. Катодная защита трубопроводов от коррозии. Лоу (Cathodic corrosion control of pipelines. Lowe R. A.), Petrol. Times, 1957, 61, № 1559, 411—413 (англ.)

Основные принципы катодной защиты. Естественный потенциал стальных трубопроводов, лежащих в почве, находится в пределах от $-0,4$ до $-0,75$ в по медносульфатному электроду. При катодной защите необходимо постоянно поддерживать определенный защитный потенциал на защищаемой поверхности металла. Критерием полной катодной защиты является или сдвиг естественного потенциала на 300 мВ в отрицательную сторону или достижение потенциалов $-0,85$ в по медносульфатному электроду. При небольшом токе более удобны и экономичны системы с гальванич. анодами, а при больших токах — системы катодной защиты с наложенным током. Mg-аноды выгодно устанавливать при расчете длительности защиты > 10 лет ввиду их быстрого саморазрушения. Zn-аноды могут работать > 40 лет. Рассматриваются выгоды и недостатки применения Mg- и Zn-анодов. При системах с наложенным током наиболее обычны системы с выпрямителем и заземлением из графитовых анодов, установленных в засыпке из кокса мелочи.

В. Притур

5012. Антикоррозионное действие цинковых протекторов, применяемых в судостроении. Юхневич (Badania antykorozyjnego dzialania protektorów cynkowych stosowanych w naszym okrętownictwie. Juchniewicz Romuald), Budown. okręt., 1957, 2, № 5, 117—122

Исследование эффективности применяемых в судостроении Zn-анодных протекторов (П) из 98,7% Zn показало, что радиус действия таких П не превышает 20 см. П очень быстро покрывается слоем продуктов коррозии. Для улучшения действия П рекомендуется изготавливать их из рафинированного Zn Mg или сплавов Zn-Mg-Al. Для обеспечения электрич. контакта П с корпусом судна предлагается конструкция П, состоящего из стального стержня, при помощи которого можно приварить П к корпусу.

В. Левинсон

5013. Катодная защита морских судов. Таллох (Cathodic protection of shipping. Tulloch D.), Corros. Prevent. and Control, 1957, 4, № 6, 34—36 (англ.)

Для защиты стальных конструкций от коррозии в морской воде применяются различные системы катодной защиты. Защитный ток на всей подводной поверхности должен иметь плотность $\sim 26,9 \text{ ма/м}^2$. Это значение необходимо для сдвига потенциала стали от естественного потенциала коррозии, равного от $-0,5$ до $-0,6 \text{ в}$, до защитного в $-0,85$ или $-0,90 \text{ в}$ при измерениях по медно-сульфатному электроду сравнения. При катодной защите внутренних поверхностей танкеров, однако, необходима защитная плотность тока в $107,5 \text{ ма/м}^2$ из-за отсутствия защитных покрытий и периодичности действия защиты. До последнего времени для защиты судов применяли по большей части гальванич. аноды. Однако новые системы защиты с бужирным анодом позволяют также применять системы с наложенным током.

5014. Применение магния для борьбы с коррозией [при катодной защите]. Эстбю (Magnesium mot rust. Østby J. B.), Arbeidsled. og tekn., 1957, 6, № 4, 56—57 (норв.).

5015. Танкеры и катодная защита. Хаббард (The tanker and cathodic protection. Hubbard A. W.), World Petrol., 1957, 28, № 4, 46—47, 73 (англ.).

Рассматриваются вопросы катодной защиты танкеров. Указывается, что наиболее широко применяется 3-ступенчатая система защиты, называемая Гвардиан. Эта система применяет главные аноды и два вида дополнительных. Последние способствуют быстрому созданию на поверхности, подлежащей защите, известкового слоя. Первый вид дополнительных анодов представляет собой пучок тонких полосок Mg, которые создают на поверхности металла высокую плотность тока, способствуя быстрому образованию известковой пленки. Так как имеет место быстрое разрушение таких анодов, плотность тока поддерживается дисковыми Mg-анодами, подвешиваемыми гирилами в танке. Когда разрушаются и эти аноды, дальнейшую длительную защиту осуществляют главные Mg-аноды, изготовленные в виде полусферы. При осуществлении защиты очень важно подобрать нужную плотность защитного тока, так как слишком большой ток создает пористую пленку, имеющую небольшую ценность для защиты. При помощи катодной защиты может быть защищен и корпус судна ниже ватерлинии. Здесь предпочтительней также применение Mg-анодов. Они должны быть равномерно распределены по корпусу с несколько большей плотностью у кормы. Действие такой системы обычно продолжается 1,5—2 года.

5016. Инженеры-коррозионисты и их участие в экономическом расчете проекта подземных трубопроводов. Гросс (The corrosion engineer and his contribution to an economic underground pipeline project. Gross Anthony), Corros. Prevent. and Control., 1957, 1, № 2, 37—43 (англ.).

Краткое описание техники защиты подземных трубопроводов от коррозии. Описаны: 1) основы коррозии, протекающей во влажных условиях; 2) электрохим. защита, ее основные положения и условия применения; 3) защитные покрытия, их развитие и условия применения; 4) полевые работы по нанесению защитных покрытий и выполнению катодной защиты; 5) необходимый объем наладочных работ по катодной защите. Рассматривается координация работ инженера-коррозиониста с другими инженерами, выполняющими работы по проектированию подземных трубопроводов.

5017. Электрохимические методы испытаний оловянных покрытий и окисных пленок на белой жести. Кац (Elektrochemische Prüfung der Zinn- und Passivierungsschichten auf Weißblech. Katz Walter), Stahl und Eisen, 1956, 76, № 25, 1672—1678 (нем.).

Описан электрохим. метод определения толщины Sn-покрытия на белой жести. Толщина пленок определяется по изменению потенциала с течением времени при анодном их растворении. Этим методом может быть определена как толщина слоя чистого Sn, так и толщина пассивных пленок на Sn. М. Кристаль. 5018. О состоянии американских работ по определению качества гальванических покрытий на основе данных ускоренных методов испытаний на коррозию. Кутцельнигг (Stand der amerikanischen Arbeiten über die Beurteilung galvanischer Überzüge auf Grund von Schnellkorrosionsversuchen. Kutzelnigg A.), Werkstoffe und Korrosion, 1957, 8, № 5, 254—256, XI (нем.; рец. англ., франц.).

Обзор 24 американских ускоренных методов испытаний на коррозию, сгруппированных в 7 разделах: хранение во влажном состоянии, погружение, орошение, разбрызгивание соли, действие SO_2 , действие уличной грязи, электрохим. методы. См. также РЖХим, 1956, 27824.

5019. Коррозионные испытания с помощью солевого испарителя. Ричардс (Corrosion experience with a modern salt evaporator. Richards R. B.), Chem. Engng Progr., 1956, 52, № 6, 58, 62 (англ.).

Описана конструкция нового прибора — испарителя для проведения коррозионных испытаний в солевом тумане, а также приведены результаты испытаний.

5020. Стандартные методы определения коррозионной активности нефтяных продуктов. Маллатт, Демкович, Кроппер (The ASTM copper-strip corrosion standards. Mallatt R. C., Demkovich P. A., Cropper W. V.), ASTM Bull., 1956, № 218, 49—51 (англ.).

Американским о-вом по испытанию материалов разработан метод получения стандартных раскрашенных шкал, основанный на том, что, сравнивая окраску Cu-пластинки после испытания в нефтяном продукте с оттенками на шкале, можно определить степень коррозионной активности этого продукта в соответствии с предложенной классификацией.

5021. Защита поверхности легких металлов лаками. Мени-де-Полен (Protection des surfaces de métaux légers par vernis. Comptes rendus du VIe Congrès des fabrications mécaniques. Meynis de Paulin J.-J.), Galvano, 1956, 25, № 238, 38 (франц.).

Для сохранения декоративного вида поверхности Al, подверженной атмосферной коррозии, применяют промывку поверхности слегка мыльной водой или очищающими смесями, содержащими смачивающие и жирные в-ва, р-рители и ланолин в комбинации с тонкими и мягкими абразивами для снятия окалины; применяются также смеси из уайт-спирита, масла земляного ореха и графита, которые слегка полируют поверхность. В менее ответственных случаях поверхность один раз в 2 месяца протирается хлопчатобумажными тампонами, пропитанными воском, и очень тонкими абразивами. Применяемое анодное окисление дает возможность сохранить поверхность Al гладкой и блестящей; применяется также и лакировка металла.

5022. Испытания антикоррозионных красок. Этерен-Панхейзер (Die praktische Prüfung von Rostschutzanstrichmitteln bzw. Rostschutzanstrichen. Oeteren-Panhäuser K. A. van), Dtsch. Farben-Z., 1957, 11, № 3, 106—108 (нем.).

Для оценки степени пригодности той или иной краски предлагается метод комплексных испытаний. 1. Испытание на кислотостойкость 24 часа в H_2SO_4 , $d = 1,21$ при 20° , промывка в течение 1 мин. сильной струей воды. Стойкая краска при этом не должна терять блеска и цвета. 2. Устойчивость по отношению

к содовому р-ру. Очищ. стальную или железную пластинку после нанесения краски и 48-часовой просушки погружают наполовину в р-р содержащий 50 г Na_2CO_3 в 1 л воды на 1 час при 50°. Краска после отмывки сильной струей воды в течение 1 мин. не должна отставать и должна сохранять первоначальный вид (блеск, цвет). 3. Испытание на влагостойкость во влажной или паровой камере с разбрызгиванием, имитирующей действие дождя, влажной морской атмосферы или тропич. условия (в опытах с переменным смачиванием).

А. Шаталов

5023. Методы коррозионных испытаний. Шпиндлер (Korrosionsprüfmethoden. Spindler H.), Feingerätetechnik, 1956, 5, № 7, 290—296 (нем.).

Обзор основных методов и аппаратуры. Я. Лапин

5024. Коррозионные испытания нержавеющей стали. Гауч (Korozijska proba za nerjaveča jekla. Gautsch Otmar), Nova proizvodnja, 1957, 8, № 3-4, 215—216 (словенск.; рез. англ., франц., нем., итал.)

Обзор основных методов.

В. Левинсон

5025 К. Блуждающие токи и электрические методы защиты [металлов] от коррозии. (Теория и расчет). Стрижевский И. В., Томлянович Д. К. М., М-во коммун. х-ва РСФСР, 202 стр., илл., 7 р. 85 к.

5026 Д. Исследование одновременно защитного и антикоррозионного действия органических ингибиторов. Функе (Vergleichende Untersuchungen über die Rostschutzwirkung organischer Inhibitoren. Funks Werner. Diss., Dokt. Naturwiss., Techn. Hochsch. Stuttgart, 1956, 80 S., ill.) (нем.)

5027 Д. Исследование природы коррозии стальных и углеродных электродов электрических печей варки стекла. Налчаджян С. О. Автореф. дисс. канд. хим. н., Хим. ин-т АН АрмССР, Ереван, 1957

5028 П. Фосфатирование при температуре ниже 50°. Шустер, Краузе, Шварц (Sätt för framställning av fosfatöverdrag vid temperaturer under 50°C. Schuster L., Krause R., Schwarz L.) [Metallgesellschaft A.-G.]. Швед. пат. 150212, 31.05.55

Способ фосфатирования (РЖХим 1955, 33593) при t -ре < 50° (преимущественно при комнатной t -ре) характеризуется тем, что процесс фосфатирования в р-ре прерывается по крайней мере один раз, напр. при применении другого р-ра. Я. Лапин

5029 П. Способ обработки поверхности хромом, Гриффите (Method of surface treating and extruding die with chromium. Griffiths Edward M.) [National Glass Co., Inc.]. Пат. США 2736670, 28.02.56

Патентуется способ хромирования поверхности стали с целью получения покрытия с твердостью 50 по Роквеллу, заключающийся в покрытии стали слоем Cr заранее определенной толщины; нагревании покрытой стали до 1540° в течение ~6 час. для образования слоя аустенитной хромистой стали в результате диффузии Cr в сталь; воздушном охлаждении в течение ~6 час. для стабилизации аустенитного слоя на поверхности; повторном нагреве до t -ры ~870° для получения мелкозернистого аустенитного слоя; охлаждении слоя для образования поверхности, устойчивой против коррозии и действия электролитов. Я. Лапин

5030 П. Кислый препарат для очистки металлов. Юргес, Шнейдер (Saures metallputzmittel. Jürges Wilhelm, Schneider Kurt) [Rheinische Schmirgel-Werke Beuel-Bonn G. m. b. H.]. Пат. ФРГ 922189, 10.01.55

В состав препарата входит комплексное соединение, состоящее из соли металла и тиокарбамида или его продуктов замещения, получаемых путем алкилиро-

вания или арилирования. Предусматривается также препарат, содержащий координационное соединение тиомочевины и AgNO_3 .

Е. Зарещий

См. также: Определение внутренних напряжений в электролитических покрытиях 3964. Исследование природы локальной пассивности методом кривых поляризации 3968, 6345. Применение пластмассы в промышленности 6346; пластмассовые пленки 6360. Полиэтилен 6366. Краски на основе хлорокаучука — аллопрена 6486. Покрытия из пластмассы 6502. Разрушение защитных покрытий от действия плесени и бактерий 6503. Тензостойкость, старение и химическая стойкость бутылочного 6527. Электрохимическое осаждение металлов 5668. Напряжения в электролитических осадках 5271. Блестящее анодирование алюминия 5280. Разъединение огнеупоров во вращающихся цементных печах 5348. Новые высокоустойчивые огнеупоры 5349. Кислотоупорный цемент 5362. Применение стеклянных трубопроводов 5401. Способ нанесения эмалей на алюминий 5409

ПОДГОТОВКА ВОДЫ. СТОЧНЫЕ ВОДЫ

Редактор М. И. Лапин

5031. Применение ионитов при анализе воды. Павлик, Мах (Použití iontoměníčů v analytické vodě. Pavlik M., Mach M.), Voda, 1957, 36, № 4, 105—107 (чешск.; рез. русск., нем., англ.)

Изложены основы метода анализа с применением Н-катионитного фильтра. М. Лапин

5032. Карбонатная жесткость и бикарбонатная жесткость. Капитальный Н. Г., Реч. транспорт, 1957, № 4, 9

Учитывая значительные расхождения между величинами карбонатной жесткости, определенной по ГОСТ и по разности между величинами жесткости воды до и после кипячения, автор считает необходимой переработку соответствующего ГОСТ. М. Лапин

5033. Современные направления в анализе промышленных сточных вод. Мур, Эттингер (Recent trends in the analysis of industrial wastes. Moore W. Allan, Ettinger M. B.), Analyt. Chem., 1956, 28, № 12, 1819—1821 (англ.)

Развитие аналитич. методов направлено по пути разработки приборов для оценки и регистрации загрязненности СВ; расширения применения биологич. методов контроля для определения пригодности СВ для рыбоводства, определения токсичности СВ для людей и животных; развития новых параметров для оценки способов использования и отвода СВ и модификации классич. методов контроля. Т. Леви

5034. О возможности определения временной жесткости и общей минерализации водопроводной воды. Куйбышева по электропроводности. Мазанко Г. М., Уч. зап. Куйбышевск. гос. пед. ин-та, 1956, вып. 16, 155—161

Предложены эмпирически найденные ф-лы для определения солесодержания и карбонатной жесткости воды по величине электропроводности. Ф-лы применимы для вод, характеризующихся более или менее постоянным составом. М. Жуков

5035. Масс-спектрометрическое определение летучих жидкостей в промышленных сточных водах. Ханн, Стюарт, Купер (Mass spectrometric determination of volatile solvents in industrial waste water. Hann G. P., Stewart D. W., Cooper H. C.), Analyt. Chem., 1957, 29, № 1, 68—71 (англ.)

Разработаны 2 метода определения летучих органич. жидкостей в СВ. Наличие грубодисперсных примесей

не мешает определению. I. Пробу (~5 мл) помещают в спец. колбу, в которой под вакуумом (без доступа воздуха) летучие жидкости выделяются в газовую фазу. После установления равновесия определяют содержание летучих, ранее описанным методом (Harr G. P., Stewart D. W., Brockmyre H. E., *Analyt. Chem.*, 1950, 22, 1224). Чувствительность определения: CH_2Cl_2 1,2-дихлорэтана и 1,2-дихлорпропана 5—25 мг/л; ацетона и метанола 1—2 мг/л. Точность определения $\pm 1\%$ (для метанола + 5—10%). II. Пробу пропускают со скоростью 500 мл/мин. через подогреватель, находящийся под вакуумом. Выделяющиеся пары поступают через регулирующую щель в спец. сосуд, находящийся под вакуумом и соединенный с масс-спектрометром. Равновесие наступает через ~1,5 мин., после чего можно производить измерение. Чувствительность метода II для хлорпроизводных в 3—4 раза ниже, чем в методе I, для ацетона и метанола — примерно одинаковы. Для колич. определения пользуются калибровочными кривыми.

5036. Определение концентрации сульфатов в подземной воде путем выделения их при помощи анионитного фильтра. Мидзутани (陰イオン交換樹脂による地下水中の硫酸根の分離濃縮, 水谷義彦), *分析化学*, Бунсэки какаку, *Japan Analyst*, 1956, 5, № 11, 620—622 (японск.; рез. англ.).

Для ускорения анализа грунтовые воды пропускают через фильтр из Cl-эмберлита IR-4B, который сорбирует ионы SO_4^{2-} , отделяя их от Fe, Al, SiO_2 и большей части H_3PO_4 . SO_4^{2-} удаляют из фильтра промывкой р-ром NH_3 и определяют в фильтрате, осаждая в виде BaSO_4 . Метод позволяет закончить анализ за 3 часа, вместо 2 дней по старой методике. Г. Крушель

5037. Формы нахождения железа в поверхностных водах и их аналитическое определение. Халупа (Formy železa v povrchových vodách a jejich stanovení, Chalupa J.), *Ceskosl. hyg.*, 1957, 2, № 1, 2—11 (чешск.; рез. русск.; англ.).

Основываясь на растворимости, валентности и реакционной способности, содержащееся в поверхностных водах Fe можно разбить на 27 групп. Описаны способы отбора проб поверхностных вод, хранения и определения 6 главных форм Fe: общей конц-ии; общей конц-ии растворимого; конц-ии ионогенного Fe^{3+} ; конц-ии ионогенного растворенного Fe^{3+} ; конц-ии растворенного Fe^{2+} ; конц-ии ионогенного растворенного Fe^{2+} . Для определения Fe^{3+} применяется родановый метод, для определения Fe^{2+} — динитриловый.

С. Яворовская
5038. Колориметрическое определение алюминия в промышленных водах, содержащих железо. Гото (Colorimetric determination of aluminium in industrial waters containing iron. Goto Katsumi), *Chemistry and Industry*, 1957, № 11, 329 (англ.).

Вредное влияние Fe^{3+} при определении Al^{3+} в кислом р-ре при помощи 8-гидроксихинолина с последующей экстракцией CHCl_3 может быть устранено добавкой о-фенантролина. К 30 мл исследуемой воды с конц-ией $\text{Al}^{3+} \leq 4$ мг/л добавляют 0,5 мл HCl (1:10) и 1 мл 10%-ного NH_4OH и нагревают. После охлаждения добавляют 3 мл 0,12%-ного о-фенантролина, 0,5 мл CH_3COONa (40 г в 100 мл воды), 3 мл 8-гидроксихинолина (2 г в 200 мл воды) и еще 2 мл CH_3COONa . Р-р экстрагируют 10 мл CHCl_3 , экстракт промывают дистил. водой, высушивают и фотоколориметрируют при 400—420 мμ. Добавляемые 3 мл 0,12%-ного р-ра о-фенантролина маскируют ~9 мг/л Fe^{3+} . Определению Al^{3+} мешают также: Zr, Mo^{6+} , V^{5+} , Sb, Bi, Cd, Ba, Co, Cu, Pb, Hg⁺, Hg^{2+} , Sn^{2+} , Ti, U и Zn, которые, однако, в промышленных водах обычно отсутствуют. Влияние Zn выражено очень слабо. При конц-ии Zn 4 мг/л ошибка в определении Al^{3+} (при конц-ии 1 мг/л) составляет

0,04 мг/л. W, Ca, Mg и Cr^{3+} не взаимодействуют с 8-гидроксихинолином.

О. Мартынова

5039. Определение 4-часовой окисляемости промышленных сточных вод. Друс (The «oxygen absorbed» test: what is it worth, particularly when applied to industrial effluents? Dews R. J.), *J. and Proc. Inst. Sewage Purific.*, 1956, № 1, 97—100. Discuss., 100—105 (англ.).

Определение часто не дает правильных результатов. На них оказывают влияние: 1) конц-ия KMnO_4 после добавления всех реагентов; 2) кол-во и конц-ия к-ты; 3) кол-во испытуемой СВ; 4) т-ра определения; 5) наличие примесей, вызывающих осаждение окислов Mn. Приведены описания различных рекомендуемых способов определения. В настоящее время метод является все же наиболее пригодным (из числа оперативных) для определения конц-ии органич. примесей СВ.

Ц. Роговская

5040. Применение молекулярных мембранных фильтров для исследования питьевой воды. Томас, Вудорд, Кейблер (Use of molecular membranes for water potability control. Thomas Harold A., Jr., Woodward Richard L., Kabler Paul W.), *J. Amer. Water Works Assoc.*, 1956, 48, № 11, 1391—1402 (англ.).

На основании анализа эксперим. данных рекомендуется для определения титра кишечной палочки применение в санитарной практике метода мембранных фильтров как обладающего, несмотря на некоторые недостатки, большими преимуществами по сравнению с бродильным методом. Даны указания к оценке пригодности воды для питьевых целей на основе исследований, проведенных этим методом.

Е. Дианова

5041. Сравнительные определения коли-бактерий теплокровных в питьевой воде бродильным методом и методом мембранных фильтров. Ланг (Vergleichende Trinkwasseruntersuchungen unter besonderer Berücksichtigung der sogenannten Warmblüter-Colibakterien mit dem Titrations- und Membranfilterverfahren. Lang H.), *Arch. Hyg. und Bakteriologie*, 1957, 141, № 1, 34—40 (нем.; рез. англ., франц.).

5406 образцов различных вод параллельно исследовались на присутствие кишечной палочки бродильным методом и методом мембранных фильтров. Бродильный метод дает лучшие результаты для воды неизвестного или непостоянного качества. Метод мембранных фильтров имеет преимущество перед бродильным при исследовании воды тщательно охраняемого, централизованного водоснабжения.

Е. Дианова

5042. К вопросу о «скачках» при определении бактериологических титров питьевой воды. Леман (Zur Frage der «Springer» bei Trinkwasseruntersuchungen mit Hilfe der Titermethode. Lehmann Johannes), *Z. ges. Hyg.*, 1956, 2, № 5, 344—350 (нем.).

Часто встречающиеся противоречия при определении коли-титра (напр., обнаружение кишечной палочки в 10 мл и отсутствие ее в 100 мл исследуемой воды) обычно объясняют неравномерностью распределения бактерий в воде. Автор экспериментально показывает, что такие «скачки» обуславливаются неоднородностью физ.-хим. режима в отдельных пробах, в которых исследуемая вода добавляется к питательной среде в различном кол-ве.

Е. Дианова

5043. Прибор для контроля осветления воды. Литвинов Н., *Жил. коммуна. х-во*, 1957, № 1, 23—24

Работа прибора основана на абсорбции света взвесь, образующейся при обработке воды коагулянтами. Световой поток фиксируется фотоэлементом. Приведено описание прибора. Прибор может применяться для замера осадков в отстойниках.

М. Жукова

5044. Сравнение методов электропроводности и пламенной спектрофотометрии для определения чистоты

водяного пара котлов. Бишоф, Браун, Калер, Бец, Бец (Conductivity versus sodium by flame spectrophotometer in steam-purity studies. Bishop C. A., Brown J. K., Kahler H. L., Betz W. H., Betz L. D. Paper Amer. Soc. Mech. Engrs, 1956, № A-196, 8 pp., ill.) (англ.)

Взамен определения содержания конденсата водяного пара методом электропроводности рекомендуется определение Na методом пламенной спектрофотометрии, чувствительность которого $4 \cdot 10^{-5}$ мг/л Na. Метод проверен на 46 котельных установках, в частности, при высоком содержании в паре NH_3 . А. Говоров

5045. Типы обмена веществ в проточных водоемах. Шмассман (Die Stoffhaushalts-Typen der Fließgewässer. Schmassmann Hansjörg, Arch. Hydrobiol., 1955, Suppl. 22, № 3-4, 504-509 (нем.))

С целью определения возможности использования проточных водоемов (ПВ) для централизованного водоснабжения и допустимого сброса в них СВ разработана классификация ПВ по кислородному режиму, зависящему от характера и интенсивности обмена в-в. ПВ подразделяются на олиготрофные, мезотрофные, эйтрофные и политрофные, характеризующиеся возрастающей сапробностью организмов и определенным режимом O_2 . Олиготрофные ПВ — катаробная зона. Конц-ия O_2 не зависит от биогенных факторов и определяется только изменением т-ры воды. Степень насыщения $\text{O}_2 \approx 100\%$. Мезотрофные ПВ — олигосапробная зона. Очень слабо выражено влияние ассимиляционных и диссимилационных процессов на конц-ию O_2 , которая на протяжении суток близка к насыщению. Эйтрофные ПВ — β -мезосапробная зона. Конц-ия O_2 в основном зависит от ассимиляционной деятельности хлорофиллсодержащих растений. Степень насыщения воды O_2 днем $>100\%$, ночью $<100\%$ с амплитудой колебания $>50\%$. Политрофные ПВ, включающие α -мезосапробную и полисапробную зоны. Конц-ия O_2 зависит от интенсивности окислительных процессов. Степень насыщения воды O_2 постоянно $<100\%$. Для α -мезосапробной зоны характерно повышение степени насыщения воды O_2 вниз по течению, для полисапробной зоны — ее понижение. На протяжении года трофность и сапробность ПВ могут изменяться. М. Губарь

5046. Обследования р. Лоуэр — Фокс (шт. Висконсин). Уайли, Льюк, Скотт, Висневский (Cooperative state — industry stream studies — Lower-Fox River, Wisconsin. Wiley A. J., Lueck B. F., Scott Ralph H., Wisniewski T. F.), Sewage and Industr. Wastes, 1957, 29, № 1, 76-87 (англ.)

Исследованиями 1955-1956 гг. установлено, что в реку ежедневно сбрасывается до 400 т органич. в-ва, главным образом продуктов распада водорослей, поступающих из озера Уиннебаго, что создает критич. условия для кислородного режима реки, особенно в летние месяцы года. Даны предварительные указания для улучшения санитарного состояния реки. С. Конобеев

5047. К вопросу оценки биологической активности природных вод. Оле (Beiträge zur Produktionsbiologie der Gewässer. Ohle Waldemar), Arch. Hydrobiol., 1955, Suppl. 22, № 3-4, 456-472, Diskuss., 472-479 (нем.)

Рассмотрены принципы определения трофности водоемов (I) и значение ряда показателей обмена в-в: биомассы планктона, прозрачности воды, соотношения индикаторных организмов, конц-ии белковых в-в, CO_2 , O_2 в воде и др. Предложена схематич. классификация степени трофности в зависимости от интенсивности процессов первичного синтеза (II) и минерализации (III) органич. в-в: I крайне олиготрофные — слабые II и III (арктич. воды); I олиготрофные — слабый II, значительный III (альпийские озера); I эутрофные — значительный II, слабая III (обычно I в средних ши-

ротах); I крайне эутрофные — значительные II и III (водоемы тропиков).

5048. Радиоактивность и водное хозяйство. М. Губарь (Radioaktivität und Wasserwirtschaft. Koeck W.), Chem. Ind., 1957, 9, № 3, 94-97, A 98 (нем.; рец. англ.)

Рассматриваются: влияние радиоактивных загрязнений на источники водоснабжения, их допустимые конц-ии, пути попадания в водоемы, способы обезвреживания и задачи государства по охране водисточников. Развитие любой отрасли пром-сти, оперирующей с радиоактивными материалами, должно протекать в непрерывном контакте со спец. органом, задачей которого является защита водисточников от радиоактивных загрязнений.

5049. Влияние сброса грубодисперсных примесей и дождевых отложений на биохимическое равновесие водотоков. Ван-Бенеден (Les effets de la coulée de boue et dépôts de fond sur l'équilibre biologique des cours d'eau récepteurs. Van Beneden G.), Bull. Centre belge étude et docum. eaux, 1957, № 36, 99-104 (франц.)

Обзор. М. Лашини

5050. Влияние производственных сточных вод предприятий химической промышленности на водоемы. Каныгина А. В., Родзиллер И. Д., Водоснабжение и сан. техника, 1957, № 4, 25-28

Приведены результаты исследования и даны рекомендации. П. Кандра

5051. Синтетические детергенты — новая проблема загрязнения водотоков и водоемов. Саутгейт (Synthetic detergents — a new pollution problem. Southgate B. A.), J. Roy. Soc. Arts, 1957, 105, № 5003, 485-502; Water and Water Engng, 1957, 61, № 734, 155-158 (англ.)

Доклад о современном состоянии, прочитанный на заседании Ройал Сосайети оф артс (Лондон) 27/11-1957 г. С. Конобеев

5052. Токсичное действие нитратов, содержащихся в питьевой воде. Киттель (Zur Frage der Giftwirkung der Nitrate im Trinkwasser. Kittel Gerhard), Öffentl. Gesundheitsdienst, 1957, 18, № 12, 506-511 (нем.)

Описаны 2 случая тяжелого отравления детей в возрасте 3 и 5 недель после потребления пищевых смесей, которые готовились на воде, содержавшей 218 и 161 мг/л NO_3^- . Основным симптомом являлась меттемоглобинемия, которая объясняется восстановлением в кишечнике при определенных условиях NO_3^- в NO_2^- и всасыванием последних в кровь. По мнению автора, при использовании воды для искусств. питания грудных детей предельно допустимой конц-ией NO_3^- является 45 мг/л.

5053. Поведение урохрома при очистке сточных вод и при очистке поверхностных вод для питьевого водоснабжения. Букштег, Тиле (Über Urochrom in Abwässern, ihr Verhalten bei der Abwasserreinigung, im Vorfluter sowie bei der Oberflächenwasserreinigung. Bucksteeg Wilhelm, Thiele Hans), Gas-und Wasserfach, 1957, 98, № 2, 26-32 (нем.)

В различных СВ урохром (I) обнаружен в конц-ии 10-243 мг/л. При механич. и хим. очистке СВ конц-ия I снижается в значительно большей степени, чем при биохим. Высказывается мнение, что это снижение обусловлено адсорбционными процессами. В ряде исследованных поверхностных вод конц-ия I составляла 3-14 мг/л. В тех же водах после очистки — 0,5-1,5 мг/л. Сильные окислители (Cl_2 , H_2O_2 , HNO_3) при обычной т-ре лишь частично разрушают I. Показано, что окрашенные в-ва, образующиеся при бактериальном разложении хлорофиллсодержащих соединений, имеют ту же хим. природу, что и окрашенные в-ва мочи.

И. Марьян

5054. Реконструкция водопроводной станции с заменой медленных фильтров скорыми. Беккер, Крейбиш (Slow sand filter plant converted into modern rapid sand system. Becker R. J., Crabill M. P.), Water Works Engng, 1956, 109, № 8, 722—725, 765—767 (англ.)

Станция в Индианаполисе, построенная в 1928 г., была оборудована 6 медленными фильтрами (максим. производительность 110 000 м³/сутки) и скорыми (60 000 м³/сутки). Согласно плану развития города, к 1960 г. водопотребление достигнет 380 000 м³/сутки. Намечено строительство новой станции, оборудованной скорыми фильтрами. 2 медленных фильтра переоборудуются под отстойники. Л. Фальковская

5055. Обработка сомнительных в санитарном отношении вод, используемых для питьевого водоснабжения. Часть III. Пью (The treatment of doubtful waters for public supplies. III. Pugh Norman J.), J. Instn Water Engrs, 1957, 41, № 1, 17—40. Discuss., 41—59 (англ.)

Для водоснабжения г. Ковентри используется вода сильно загрязненной реки Севери (мутность 14—3500 мг/л; цветность 6—250°; N аммонийный 0—2,0 мг/л; N нитритный 0—0,3 мг/л; N нитратный 0,3—3,5 мг/л; 4-часовая окисляемость 0,9—5,5 мг/л O₂; число бактерий E. Coli 170—70 000 в 100 мл). На новой станции производительностью 1200 м³/час вода подвергается следующей обработке. Процеживание через сита с отверстиями 6 мм (на водозаборе). Коагулирование Al₂(SO₄)₃ (доза до 70 мг/л, часть вводится при вторичном коагулировании) с предварительным хлорированием (доза Cl₂ до 12 мг/л) и подщелачиванием известью (доза до 34 мг/л). Осветление в пирамидальных осветлителях со взвешенным слоем (8 осветлителей 8,9 × 8,9 × 9,25 м; скорость восходящего потока в верхнем сечении 0,5 мм/сек). Вторичное коагулирование Al₂(SO₄)₃ с добавкой активированной SiO₂ (доза до 2,50 мг/л SiO₂). Вторичное осветление в 12 осветлителях, одноступенчатых с первичными осветлителями (скорость восходящего потока 0,33 мм/сек). Фильтрование на скорых фильтрах (6 фильтров площадью 41 м² каждый, скорость фильтрования при работе всех фильтров 3,7 м/час). Вторичное хлорирование и дехлорирование SO₂. Активирование SiO₂ производится нейтральной половиной щелочности р-ра Na₂SiO₃ р-ром Al₂(SO₄)₃. Осветлители и фильтры расположены на открытом воздухе. Часть II см. J. Instn Water Engrs, 1950, 3, № 2, 123. В. Клячко

5056. Эксплуатация автоматизированной фильтровальной станции в Бродсайте. Денхольм (Automatic operation at Broadside filters. Denholm Eric W.), J. Instn Water Engrs, 1957, 41, № 1, 60—83. Discuss. 84—102 (англ.)

Обобщен опыт эксплуатации станции, пущенной в эксплуатацию в 1952 г. Станция очищает 48 000 м³/сутки воды водохранилища (цветность 40—60°) для питьевого водоснабжения. Коагулянт и сода (для подщелачивания) дозируются в сухом виде дозатором пропорционально расходу воды. Во избежание слеживания реагенты подсушиваются в сушилке с нефтяной топкой. Осветлители пирамидального типа (8,9 × 8,9 м, угол наклона стенок 60°) со скоростью восходящего потока в верхнем сечении 0,33 мм/сек. Фильтры открытого типа (скорость фильтрования 3,8 м/час поддерживается постоянной гидравлич. регулятором). Все операции, связанные с промывкой фильтров, осуществляются автоматически. Перед промывкой производится продувка сжатым воздухом (6,5 л/м² сек). В. Клячко

5057. Освоение новой фильтровальной станции и ее технический персонал. Швемлер («Shaking down» a new filter plant and its technical operating staff.

Schwemler Flank J.), Water Works Engng, 1956, 109, № 12, 1116—1117 (англ.)

Описана работа технич. персонала в период пуска новой станции водоснабжения Кливленда производительностью 378 тыс. м³/сутки. Технорук приступил к работе за 9 месяцев до окончания строительства, принимал от строителей и испытывал все сооружения. Шеф-оператор был направлен на 3-недельную стажировку на 3-д-изготовитель контрольно-измерительной аппаратуры. При пуске станции исходная вода пере-хлорировалась до конца остаточного Cl₂ 10 мг/л. Станция работала на сброс до тех пор, пока конца остаточного Cl₂ в фильтрате не достигла 2 мг/л. Тогда доза хлора была снижена и станция переведена на нормальную работу. В. Клячко

5058. Восстановление дебита скважин. Обетфельдер (Das «Regenerieren» von Bohrbrunnen. Obetfelder Heinz-Jürgen von), Bohrtechnik-Brunnenbau, 1957, 8, № 1, 22—23 (нем.)

Рассматриваются источники загрязнения грунтовых вод минер. и органич. в-вами, причины забивки ими фильтров артезианских скважин (АС) и механизм растворения отложений в HCl. Даны рекомендации по очистке АС ингибированной соляной к-той. А. Смирнов

5059. Влияние синтетических детергентов на процессы водоочистки и очистки сточных вод. Шмидт (Synthetic detergents in water and sewage. Schmidt O. John), Public Works, 1957, 88, № 4, 130—131, 189—191 (англ.)

5060. Исследование работы смесителей с механическим смешением воды при процессе коагуляции. Козлов В. И., Тр. Горьковск. инж.-строит. ин-та, 1956, вып. 25, 160—174

На моделях и на производственном смесителе глубиной 5,5 м исследована работа лопастных смесителей. Установлено, что эффективное смешение осуществляется за 2—3 мин. при скорости вращения концов лопастей мешалки 0,6 м/сек. Плоскость лопасти мешалки следует устанавливать под углом 45° к горизонту. Площадь лопастей мешалки должна приниматься равной 1 м² на 7—8 м³ объема воды в камере смешения. Расход электроэнергии на перемешивание — 50—80 вт на 1 м³ воды (мешалка с подшипниками скольжения). Пусковую мощность двигателя следует принимать на 40—50% больше. В. Клячко

5061. Методика лабораторных исследований коагулирования воды. Ганчарчик (Metodyka badań laboratoryjnych nad koagulacją wody. Gańczarczyk Jerzy), Gaz, woda, techn. sanit., 1956, 30, № 9, 339—343 (польск.)

Сопоставляются и критически рассматриваются способы проведения лабор. опытов, приводимые различными авторами. Рекомендуется проводить исследования в 3 стадии: ориентировочная, основная и поверочная. W. Nowakowski

5062. Влияние ионного состава на кинетику коагуляции гидроокисей алюминия и железа, образующихся при очистке воды. Горонковский И. Т. В сб.: Исследования по водоочистке. М., Гос. изд-во лит. по стр-ву и архитект., 1956, 5—17

Проведены исследования по электролитной коагуляции гидроокисей Al³⁺ и Fe³⁺, полученных гидролизом в присутствии HCO₃⁻. Кинетика возникновения и осаждения вторичных сверхмелкозернистых агрегатов — хлопьев гидроокисей — определяется в основном анионным и отчасти катионным составом системы; различаются хлоридный, сульфатный и кальциевый эффекты. Cl⁻ при высоком pH оказывают сенсibiliзирующее, а при низком pH — стабилизирующее действие на коагуляцию. В присутствии SO₄²⁻ скорость хлопьеобразования и осаждения в основном зависят от pH. При конц-ях Ca²⁺ ≥ 10 мг-экв/л (в присутствии

SO_4^{2-}) коагуляция ускоряется (образование на границе фаз кристаллов CaSO_4). Процесс скрытой коагуляции протекает через промежуточную стадию образования сетчатых коагуляционных структур, наиболее развитых в бикарбонатхлоридных р-рах; разрыв этих структур приводит к появлению видимых хлопьев гидроокисей. Строение коагулятов, образованных в бикарбонатхлоридных и бикарбонатсульфатных системах, одинаковое ($\text{Al}(\text{OH})_3$ — гидраргиллит, $\text{Fe}(\text{OH})_3$ — гетит). Коагулят в бикарбонатхлоридных системах состоит из анизиодиметрич. частиц, образующих рыхлые структуры с большой адсорбционной емкостью, в частности, по гуминовым в-вам; в бикарбонатсульфатных — преимущественно из аморфных частиц, образующих плотные агрегаты с мало доступной для гуминовых в-в поверхностью. О. Мартынова

5063. Прерывистое коагулирование при осветлении воды. Шахов А., Ширяева А., Жил.-коммун. х-во, 1956, № 8, 13—14

Приведены данные производственных опытов по прерывистому коагулированию (ПК) водопроводной воды, отличающемуся тем, что коагулянт подается то в оптимальной дозе, то в резко уменьшенной — порядка 10—15 мг/л. ПК позволяет более эффективно использовать адсорбционную способность хлопьев коагулята, уменьшить грязевую нагрузку на фильтры, увеличить продолжительность фильтроцикла и сократить расход промышленной воды. При проведении опытов, исходная вода (мутность 40—60 мг/л, цветность 50—55°, pH 6,6—7,9, т-ра 0,5—1°) пропусклась частично через осветлитель со взвешенным слоем (общая площадь 520 м²), частично через горизонтальные отстойники. В качестве коагулянта применялся неочищенный $\text{Al}_2(\text{SO}_4)_3$. Интервалы между включениями и выключениями подачи коагулянта составляли 30 мин. и 1 час. Средние суточные дозы коагулянта при ПК составляли 130—140 мг/л (при непрерывном 190—200 мг/л). Качество воды при ПК соответствует стандарту. Работа всех сооружений улучшается. Оптимальные условия ПК следует определять опытным путем. При наличии в схеме очистных сооружений только отстойников, интервалы между перерывами в подаче коагулянта должны быть уменьшены до 3—5 мин. О. Мартынова

5064. Подщелачивание воды на Таганрогском водопроводе. Воеводина К., Жил. Коммун. х-во, 1957, № 1, 23

Коагуляция воды р. Миус в паводок при т-ре <2° идет плохо, несмотря на высокую щелочность воды. Добавка в этот период извести (30—40 мг/л) резко улучшает процесс и позволяет снизить дозу коагулянта на 20—34%. В. Клячко

5065. Применение жидкого сульфата алюминия в Мильвоки. Керслейк (Liquid alum at Milwaukee. Kerslake James E.), J. Amer. Water Works Assoc., 1957, 49, № 1, 52—54 (англ.)

Товарные р-ры сульфата Al имеют уд. в. ~ 1,33 и содержат 49—50% сухого продукта. Применение жидкого сульфата Al в Мильвоки показало, что оно экономически более выгодно, чем применение сухого. Рассмотрено оборудование, применяемое при его дозировании. О. Мартынова

5066. Применение флокулирующих веществ для улучшения коагуляции воды водохранилища Эккер. Видерхольд, Хибенталь (Die Verwendung von Flockungshilfsmitteln zur Verbesserung der Eckerwasser-Aufbereitung. Wiederhold Wilhelm, Hiebenthal Fritz), Gas- und Wasserfach, 1957, 98, № 10, 225—228 (нем.)

Состав органич. примесей исходной воды подвержен значительным колебаниям. В летний период наличие гуматов Mn вызывает быстрое забивание песчаных фильтров. Коагуляция воды $\text{Al}_2(\text{SO}_4)_3$ возможна толь-

ко в узких пределах pH (6,2—6,4) при скорости фильтрования ≤ 3 м/час. Длительность фильтроцикла ≤ 35 час. Применение агар-агара, желатин, бентонитовых глин, картофельного крахмала, активированной SiO_2 не дало положительного эффекта. Процесс удалось значительно улучшить путем добавки желтого декстрина (или препарата «Д 100») в конц-ии 2 мг/л (длительность фильтроцикла возросла вдвое при скорости фильтрования 4 м/час). И. Марьясин

5067. Новые реагенты для очистки воды на водопроводной станции г. Гэри (штат Индиана). Луке (New chemicals used in treatment at Gary, Louis Leo), J. Amer. Water Works Assoc., 1956, 48, № 12, 1515—1522 (англ.)

Для очистки воды оз. Мичиган применены новые реагенты. В качестве коагулянтов использованы жидкий $\text{Al}_2(\text{SO}_4)_3$ (I) (36° Bé, 630 г/л продажного продукта) и сброшенные травильные р-ры (260 г/л FeSO_4) (II). I доставляется фирмами, производящими коагулянт, в гуммированных бочках. II перед введением в воду хлорируется для перевода Fe^{2+} в Fe^{3+} . Воду после введения в нее хлорированного II подщелачивают известью (из-за сильного снижения pH). Коагулянт воды I обходится на 10% дороже чем II, но условия эксплуатации более благоприятны. Во время цветения воды в озере отстойники плохо задерживают фитопланктон при коагуляции I и II, и фильтры приходится промывать через 2—4 часа работы. Применение в качестве коагулянта бентонита, частички которого разбухают в воде в 3—10 раз и имеют в воде отрицательный заряд, резко улучшило осветление воды в отстойниках и увеличило межпромывочный период работы фильтров до 10—12 час. В. Клячко

5068. Эффект очистки воды методом контактной коагуляции. Глинцкий, Роман, Закшевский (Efekt oczyszczania wody metodą koagulacji powierzchniowej. Glinicki Zdzisław, Roman Marek, Zakrzewski Janusz), Gaz, woda, techn. sanit., 1956, 30, № 8, 305—309 (польск.)

Рассмотрены теоретич. основы контактной коагуляции. Приведены результаты опытов, выполненных на эксперим. установке по обработке грунтовой воды, содержащей до 1,15 мг/л Fe (без коагулятора и с применением $\text{Al}_2(\text{SO}_4)_3$). При контактной коагуляции достигнут лучший эффект, чем при объемной коагуляции. W. Nowakowski

5069. Участие отдельных слоев фильтра в процессе очистки воды методом контактной коагуляции. Глинцкий, Роман, Закшевский (Udział poszczególnych warstw złoża filtru w procesie oczyszczania wody metodą koagulacji powierzchniowej. Glinicki Zdzisław, Roman Marek, Zakrzewski Janusz), Gaz, woda, techn. sanit., 1956, 30, № 8, 335—339 (польск.)

В развитие ранее выполненной работы (см. пред. реф.) проведено исследование эффективности действия отдельных слоев фильтра (без и с применением коагулятора). Установлено, что участие отдельных слоев фильтра неодинаково. Фильтрование должно производиться снизу вверх, причем верхний слой должен состоять из наиболее мелких зерен. W. Nowakowski

5070. Наблюдения над эффективностью нового метода очистки питьевой воды (контактное осветление). Блюх С. С., Перлина А. М., Козлова Н. Д. Гигиена и санитария, 1957, № 1, 70—72

Испытания контактных осветителей в опытно-производственных условиях показали, что получение воды, соответствующей требованиям ГОСТ, возможно в пределах широких колебаний качества исходной воды. На Рублевской станции (Москва) снижение кол-ва бактерий (по коли-индексу и общему содержанию) составляло 84—99%. Высокий эффект очистки достигал-

Филиппинская
интонационной
с уда-
2 м/с
и ско-
рыжения
донец
Луке
и ои
№ 12
ые ре-
и (акта) в
I до-
днит, в
после
ют на-
уляции
уловни-
етения
фото-
ходит-
ения в
го раз-
датель-
работы
сляжу
и кон-
ский
powie-
in Ma-
techn
вагули-
ны
цы, со-
с при-
вагули-
kowski
роцессе
Гла-
l poz-
zczania
nicki
owski
№ 3
пред-
йстви-
ном ко-
слом
роизво-
ения се-
kowski
о мето-
еисне).
Н. Д.
-про-
води-
в пре-
ды. На
а бак-
о) со-
стата

ся при дозах коагулянта на $\sim 30\%$ меньших, чем на основных сооружениях. Наблюдаемое, в ряде случаев, смещение слоев загрузки может быть устранено при правильном устройстве распределительных устройств. Рекомендуется ограничить применение контактных осветлителей водами с максим. конц-ией грубодисперсных примесей 150 мг/л .
П. Кандаас

3071. Опыт эксплуатации контактных осветителей на Ленинградском водопроводе. Липкин Е. В. В сб.: 15-я научн. конференция Ленингр. инж. строит. ин-та. Л., 1957, 242—244

Опыты проводились на производственном контактно-осветлителе (КО) площадью 97 м² и на опытном КО площадью 11,15 м². Наблюдения показали, что КО во все времена года дают воду устойчивого хорошего качества при меньших дозах коагулянта, чем при двухступенной схеме очистки. Трубчатая распределительная система большего сопротивления обеспечивает хорошее распределение промывной воды по площади КО.

Л. Фальковская

3072. Гигиеническая характеристика контактного осветлителя при очистке невской воды. Машине Н. Жил.-комму. х-во, 1957, № 3, 20—22

Изучался процесс накопления минер. и органич. в-в в толще загрузочного материала (ЗМ) опытного контактного осветлителя (КО) при коагулировании воды $Al_2(SO_4)_3$ (дозы 4,5–6,5 мг/л Al_2O_3). Процесс разложения органич. в-в, естественным образом протекающий в толще ЗМ, не оказывает отрицательного влияния на качество осветленной воды. Наибольшую роль в осветлении воды играют слой гравия и прилегающий к нему слой песка. Промывка КО осуществляется эффективно, кол-во загрязнений, остающихся в ЗМ после промывки, очень незначительно и концентрируется главным образом в нижних слоях. Качество воды по хим. и органолептич. показателям удовлетворяет ГОСТ.

А. Смирнов

5073. Работа опытного контактного осветлителя на Новосибирском водопроводе. Фоминых А., Жил. коммуна. х-во, 1957, № 2, 16—18

Приведены результаты 1-годичных испытаний контактного осветлителя типа КО-1 (площадь 2 м²). Осветленная вода (включая паводочный период), соответствовала требованиям ГОСТ. Применение FeCl₃ вместо Al₂(SO₄)₃ дало хороший эффект при дозах 25—55 мг/л. Оптимальная интенсивность промывки 16—17, с продувкой воздухом 14—15 л/м² сек, при расходе промывной воды (соответственно) 5,7 и 4,4 м³ на 1 м³ загрузки. Среднегодовая продолжительность фильтрования 24 часа; зимой 3 суток; минимум в период паводка 6 час. Максим. расход промывной воды 19% (при продувке воздухом 14,5%), среднегодовой — 4,9 (3,7%). Среднегодовой расход коагулянта на 30% меньше, чем на других сооружениях станции. Показана возможность работы контактного осветлителя с водах с конц-ией грубодисперсных примесей ≤ 1000 мг/л.

А. Смирнов

374. Новейшие методы очистки воды. Бинар (Novodobé způsoby čištění vody. Binar J.), Voda, 1957, 36, № 4, 90—92 (чешск.; рез. русск., нем., англ.)

Иаложены основы расчета вертикальных и горизонтальных отстойников. М. Лаппин

975. О методах интенсификации работы вертикальных водопроводных отстойников. Булыгин А. К. В сб.: 15-я научн. конференция Ленингр. инж.-строит. ин-та, Л., 1957. 216—221

Исследована на модели и на производственном отстойнике (диам. 9 м, глубина 8,5 м) возможность классификация его работы путем устройства горизонтальных диафрагм, препятствующих вертикальной циркуляции воды. Показано, что ниже диафрагм создается зона перемешивания воды с ранее выпавшим

осадком, в которой происходит образование крупных, быстрооседающих хлопьев. Концентрация осадка в этой зоне достигает 13,7 г/л, считая на сухое в-во. Реконструированный вертикальный отстойник давал в летних условиях воду прозрачностью 60—90 см по кресту при скорости восходящего потока 1,25—1,50 мм/сек.

5076. Из опыта работы осветлителей водопровода г. Горького. Варнелло В. А., Ашанин В. В., Павлов Г. Д., Водоснабжение и сан. техника, 1957, № 2, 26—31

Исследования работы осветлителей на Куйбышевской и Слудинской фильтровальных станциях водопровода г. Горький (р. Ока) в паводок 1956 г. показали, что осветлители с вертикальным шламоуплотнителем (I) и осветлители типа ВНИИГС с поддонным шламоуплотнителем (II) снижали конц-ию грубодисперсных примесей (ГДП) со 100—240 до 5—7 мг/л при скорости восходящего потока в зоне осветления 1,0—1,2 мм/сек. I на 1 м³ объема дает 0,85 м³/час, II — только 0,75 м³/час осветленной воды одинакового качества. Потеря воды с осадком ≤ 0,7—1,0%. Конц-ия ГДП во взвешенном слое была неизменной по всей высоте слоя и при скорости восходящего потока воды 1 мм/сек в 10—15 раз превосходила конц-ию ГДП в осветляемой воде. Конц-ия ГДП в удаляемом осадке (6—8 час. уплотнения) 15—25 г/л. В. Клячко

5077. Исследование осветлителей. Тушавин Н. Г.,
Тр. Горьковск. инж.-строит. ин-та, 1956, вып. 25,
145—159

Исследована работа осветлителей с вертикальным шламоуплотнителями на Слудинской станции водопровода г. Горького. Показано, что эти осветлители (диам. 6,6 м, высота 4,33 м) при скорости восходящего потока воды 1,1—1,5 м/сек в летний период снижали конц-ию грубодисперсных примесей до 2,0—14 мг/л при конц-ии их в речной воде от 6 до 104 мг/л. Конц-ия осадка во взвешенном слое колебалась в пределах 413—657 мг/л. Потери воды со шламом из шламоуплотнителя 3%. Отключение камеры р-ции не ухудшило работы осветлителей. Принудительный отсос осадка в шламоуплотнитель улучшал работу осветлителя. В. Клячко

5078. К вопросу освещения весьма мутных вод горных рек. Байрамов М. М., Тр. Энерг. ин-та АН АзербССР, 1956, 13, 123—133

Исследовано осветление воды р. Киччай (АзербССР) на опытно-промышленной установке (производительность 11,2 м³/час), состоящей из песколовки и 2 осветлителей с вертикальными шламоуплотнителями и дрычатыми днищами. Кон-ция грубодисперсных примесей (ГДП) в воде, поступающей на сооружения, 1500—75 000 мг/л, т-ра 9—18,5°. Около 50% поступающих ГДП имели гидравлич. величину < 0,2 мм/сек. Песколовка задерживала 8,23—19,2% ГДП главным образом > 1 мм. При пропуске через осветлители некоагулированной воды осветлитель с высотой взвешенного слоя 1120 мм задерживал 30—35% ГДП при скорости восходящего потока 1 мм/сек (мутность исходной воды 2—7,4 г/л). Осветлитель с высотой взвешенного слоя 2050 мм — 44—59%. При работе на коагулированной воде осветлители задерживали 98—99,5% ГДП при скорости восходящего потока 0,5—0,9 мм/сек. Мутность осветленной воды 22—136 мг/л при мутности исходной 1442—15 064 мг/л. Потери воды на продувку осветлителей 2—5%. При пропуске воды последовательно через 2 осветлителя с коагулированием воды, прошедшей первый осветлитель, расход коагулянта может быть уменьшен на 10—35% против одноступенчатого осветления в одном осветлителе. В. Кляччи

5079. Исследование возможности интенсификации работы скорых фильтров, при предварительной обработке воды на осветлителях ВНИИГС. Гладков

А. М. В сб.: 15-я научн. конференция Ленингр. инж.-строит. ин-та, Л., 1957, 263—264

Исследованиями, проведенными на невиской воде, установлено, что интенсификация работы скорых фильтров возможна при увеличении эффективной крупности загрузки до 0,6—0,7 мм при высоте фильтрующего слоя 1,0—1,2 м. При скорости фильтрации 10—12 м/час продолжительность фильтроцикла 24—34 часа, грязеемкость 3,0 кг/м². Л. Фальковская

5080. Применение комбинированной фильтрующей загрузки с целью увеличения грязеемкости сверхскоростных напорных фильтров. Никифоров Г. Н., Пермская Е. М. В сб.: 15-я научн. конференция Ленингр. инж.-строит. ин-та, Л., 1957, 225—230

С целью увеличения грязеемкости фильтрующего слоя сверхскоростных напорных фильтров проведены опыты по подбору загрузки. Были исследованы кварцевый песок, дробленый антрацит, комбинированная загрузка из антрацита и кварцевого песка. Наилучшие результаты (по увеличению грязеемкости, длительности фильтроцикла и по качеству фильтрата) получены для следующей загрузки: нижний слой высотой 350 мм — песок крупностью 0,685 мм, уд. в. 2,6; верхний слой высотой 400 мм — антрацит крупностью 1,2 мм, уд. в. 1,6. Л. Фальковская

5081. О расчетной интенсивности промывки песчаной загрузки скорых фильтров. Серебряков Н. Б., Тр. Горьковск. инж.-строит. ин-та, 1956, вып. 25, 210—214

На основе сравнения кинетич. энергии взвешенных в потоке промывной воды различных по массе частиц фильтрующей загрузки скорых фильтров показана необходимость введения большего, чем 1, коэф. запаса интенсивности промывки в ф-лу Шуберта (Минц Д. М., Шуберт С. А., Фильтры АКХ и расчеты промывки скорых фильтров. Изд. МКХ, 1951) для определения расчетной интенсивности промывки фильтров. Рекомендуется принимать величину этого коэф. равной 1,26 для песков с $d_{\text{макс}}$ 1 мм и 1,04 — с $d_{\text{макс}}$ 1,9 мм.

В. Клячко

5082. Некоторые результаты исследования верхней промывки скорых фильтров, работающих на осветление воды. Егоршин П. И., Тр. Горьковск. инж.-строит. ин-та, 1956, вып. 25, 175—190

На лабор. моделях и производственном фильтре исследована работа системы для верхней промывки. Установлено, что наилучший эффект дают многотрубные вращающиеся системы для верхней промывки. Рекомендуется угол наклона к горизонту насадок принимать равным 24°. Расстояние — a (в см) между насадками рассчитывать по ф-ле: $a = 5p$, где p — давление в подводящей трубе кг/см² (обычно 2—3 кг/см²). Число оборотов вращающейся системы равно $n = 1,83 p^{1,56} - 0,5$. Применение вращающейся системы для верхней промывки на производственном фильтре значительно улучшило состояние фильтрующей загрузки, увеличило продолжительность фильтроцикла на 28—30%, улучшило качество фильтрата (прозрачность повысилась на 12—28%), уменьшило в 2 раза расход промывной воды. При скорости выхода воды из насадок 18—30 м/сек и давлении воды в подводящем трубопроводе 2 ат система вращалась со скоростью 5 об/мин. В. Клячко

5083. Диатомитовый фильтр. Айрлан (The diatomite filter. Ireland Wayne), Iowa Engr, 1956, 57, № 2, 30—33 (англ.)

Приводится описание осветлительных диатомитовых фильтров. Испытания показали, что они с успехом могут быть применены на коммунальных водопроводах.

А. Смирнов

5084. Обеззараживание питьевых и сточных вод хлорированием. Андреас (Entkeimung von Trink-Brauch- und Abwasser. Anders H.), Wasser Boden, 1957, 9, № 4, 137—138 (нем.)

Краткий очерк.

5085. Дозы остаточного хлора, рекомендуемые для армейского водоснабжения. Сноу (Recommended chlorine residuals for military water supplies. Snow W. Brester), J. Amer. Water Works Assoc., 1956, № 12, 1510—1514 (англ.)

На основе литературных данных составлены кривые, позволяющие ориентировочно определить конц-ю остаточного Cl₂ в естественной прозрачной или фильтрованной воде, необходимую для ее обеззараживания. При этом учтены: хлоростойчивость микроорганизмов (менее стойкие вегетативные бактерии или более стойкие цисты *Endamoeba histolytica* и вирусы), хим. форма действующего Cl₂ (гипохлоритный или хлораминный), pH, т-ра воды, продолжительность контакта (для полевых условий 30 мин.). На кривых показаны миним. дозы остаточного Cl₂ (мг/л): цистицидные гипохлоритного Cl при 2—5° и при 22—25°; бактерицидные хлораминного Cl при 0—25°; бактерицидные гипохлоритного Cl. Указаны также дозы, требующие последующего дехлорирования. При обеззараживании вод с высокой конц-ей органич. в-в или большой плотностью заражения следует увеличивать контакт или дозу Cl₂. Витерологич. контроль необходим во всех случаях.

М. Губарь

5086. Озонирование воды. Догналик (Ozonowanie wody. Dohnalik Kazimierz), Gaz. woda, techn. sanit., 1957, 31, № 4, 148—150 (польск.)

Обзор.

М. Лангман

5087. Современная подготовка питьевой воды. Обеззараживание и устранение привкусов озонированием по способу Отто. — (Neuzeitliche Trinkwasseraufbereitung. Entkeimung und Geschmacksbeseitigung durch Behandlung mit Ozon nach dem M. P. Otto-Verfahren.), Bohrtechnik-Brunnenbau, 1957, 8, № 1, 24—27 (нем.)

O₃ более быстро и надежно, чем Cl₂, уничтожает бактерии и вирусы, одновременно устраняя запахи, привкусы и окраску воды. Описана установка в Нидерландах, которая эксплуатируется бесперебойно с 1904 г. O₃ получают из воздуха, предварительно обеспыленного на электрофильтрах, высушенного охлаждением и профильтрованного через силикагель. Озонаторы работают на переменном токе 12—20 тыс. в. O₃ смешивается с водой в спец. эмульсерах, откуда озонированная вода под давлением поступает в контактные колонны, где осуществляется обеззараживание. Передвижные установки производительностью 1—6 м³/час потребляют 3—18 г O₃.

М. Губарь

5088. «Нервный» газ в водопроводной воде. Эпштейн (Nerve gas in public water. Epstein Joseph), Public. Health. Repts, 1956, 71, № 10, 955—962 (англ.)

К отравляющим в-вам, называемым «нервными» газами, относятся изопропилметилфосфонофторид, зарин (I) и диметиламидостилфосфорианид, диалкилбун (II), конц-ия которых в воде может достигнуть 15—30 мг/л. Пороговая доза I для человека 2,5 мг/сутки (в течение ≤ 3 суток), что соответствует конц-ии 0,5 мг/л при потреблении воды 5 л/сутки. Токсичность II меньше токсичности I в 4 раза. Наиболее опасное отравление питьевой воды I, который гидролизует медленнее, чем II и не изменяет физ. свойства воды. Открытие II облегчается его фруктовым запахом и повышением хлороемкости воды. Косвенные методы индикации I основаны на снижении pH, повышении конц-ии F⁻ и P. Спец. р-ций с бензидином или ортолидином и щел. перекисными р-рами можно определить I в конц-ии 0,1 мг/л. Надежными методами обо-

прежизвания I и II, основанными на ускорении их гидролиза, являются: 1) обработка воды гипохлоритом дозами 100 мг/л (в пересчете на активный Cl) с последующим дехлорированием активным углем; 2) повышение pH до ~10 (добавка Na_2CO_3 , $\text{Mg}(\text{OH})_2$ или $\text{Ca}(\text{OH})_2$) с последующим коагулированием, фильтрованием и хлорированием. Обезвреживание больших количеств воды с помощью ионитов экономически невыполнимо.

М. Губарь
5089. Фторидирование воды в Чикаго. Карлайл (Fluoridation at the Chicago Avenue pumping station. Carlisle B.), Water and Sewage Works, 1957, 104, № 4, 150—152 (англ.)

Описано оборудование и процесс фторидирования на одной из трех станций в Чикаго производительностью 1,9 млн. м³/сутки. Фторидирование осуществляется H_2SiF_6 ; доза F 1 мг/л.

М. Лапшин
5090. Опреснение соленых вод. Невилл-Джонс (Fresh water from salt water: Present position and future prospects. Neville-Jones D.), Colon. Plant and Animal Prod., 1956, 6, № 1, 33—41 (англ.)
См. РЖХим, 1957, 16493.

5091. Известь и ее гашение. Лордли (Lime and lime slaking. Lordley H. E.), Water and Sewage Works, 1956, 103, № 12, 554—557 (англ.)

По экономич. соображениям при водоподготовке выгодно применение негашеной известки с гашением ее непосредственно перед введением в воду. Целесообразно сухое дозирование известки весовыми дозаторами и гашение ее в спец. баках с механич. перемешиванием — известгасителях (I). Для уменьшения объема I применяется подогрев поступающей в них воды до 70—80°, так как выделяющегося при гашении известки тепла (273 ккал/г) недостаточно для поддержания оптимальной т-ры процесса. I герметизированы, пары и пыль из них отсасываются. На подаче воды в I устанавливается ротаметр. Предыдущее сообщение см. РЖХим, 1956, 33359.

В. Клячко
5092. Докотловое умягчение воды на судах речного флота. Тув Н. А., Тр. Центр. н.-и. ин-та речн. флота, 1957, вып. 35, 142—175

Результаты испытаний водоумягчительных установок на судах речного флота, оборудованных паровыми котлами KB-5 и KB-3 с давлением пара 18 кг/см², показали, что как при схеме частичного Na-катионирования, так и при схеме содового-регенеративного умягчения воды удается обеспечить паровые котлы питательной водой удовлетворительного качества. Приведены результаты испытаний водоумягчительных установок на 3 судах речного флота. Даны рекомендации по улучшению их работы.

В. Клячко
5093. Эффективная эксплуатация фильтровальных и натрий-катионитных установок. Хинич (How to keep filter and sodium zeolite systems operating efficiently. Hinich R. E.), Plant, 1957, 15, № 2, 55—57 (англ.)

Рассмотрены наиболее распространенные причины ухудшения эффективности работы осветлительных и катионитных фильтров и даны рекомендации по их устранению.

А. Мамет
5094. Удаление кремниевой кислоты из воды для питания паровых котлов. Панапарелле (L'eliminazione della silice dall'acqua di alimentazione dei generatori di vapore. Papanarelle G. A.), Materie plast., 1957, 23, № 5, 361—366 (итал.)

Приведены нормы допустимого кремнесодержания воды и изложены основы магнезиального и ионитного методов обескремнивания.

М. Лапшин
5095. Метод расчета вакуумных дегазаторов. Ка-
стальский А. А., Водоснабжение и сан. техника, 1957, № 2, 32—36

Исследован процесс удаления из воды (10—20°) растворенных CO_2 и O_2 в вакуумном дегазаторе с насадкой из колец Рашига. При плотности орошения 1—30 м³/м² в час конц-ия O_2 снижалась с 5,6—10,3 до 0—0,84 мг/л, конц-ия CO_2 — с 4,8—23,7 до 0,7—14,1 мг/л. При вакууме в дегазаторе, соответствующем точке кипения воды при этой т-ре, необходимая площадь поверхности насадки F может быть определена по ф-ле: $F = G/\Delta C_{\text{ср}} K$, где G — кол-во десорбированного газа, кг/час; $\Delta C_{\text{ср}}$ — средняя движущая сила процесса десорбции; K — общий коэф. десорбции газа. Приведены графики для определения $\Delta C_{\text{ср}}$ и K для различных начальных и конечных конц-ий O_2 и CO_2 и для различных плотностей орошения. Величина K линейно возрастает с увеличением плотности орошения и т-ры воды.

В. Клячко
5096. Влияние ультразвука (частота 800 кГц/сек) на окисляемость питьевой воды. Глигориевич, Будимирович, Хргович (Утицај ултра-звуча (фреквенције 800 Кц/С) на утрошак KMnO_4 у води за пиће. Глигорјевић Ј., Будимировић М., Хрговић Н.), Acta veterin., 1956, 6, № 1; 43—48 (сербо-хорв.; рез. англ.)

Образцы воды Белградского водопровода подвергались действию ультразвука (УЗ) с частотой 800 кГц/сек, интенсивностью 0,5—1,25 вт/см² в течение 3—20 мин. Установлено, что окисляемость воды после УЗ-облучения повышается, достигая некоторого максимума. pH воды не изменяется. Сделано предположение, что УЗ действует на грубодисперсные примеси воды, диспергируя их.

А. Смирнов
5097. К вопросу о солесодержании пара барабаных котлов. Шуманн (Zur Frage des Salzgehalts im Dampf aus Trommelkesseln. Schumann E.), Brennstoff-Wärme-Kraft, 1957, 9, № 3, 137—141. Diskuss. 141—142 (нем.)

Указывается, что солесодержание пара котлов среднего давления, обусловленное истинной растворимостью примесей котловой воды, как правило, незначительно по сравнению с общим солесодержанием. Подчеркивается необходимость улучшения конструкций внутрикотловых сепарационных устройств.

О. М.
5098. Снижение стоимости обработки воды при применении гидразина. Вудорд (Hydrazine cuts water treating costs. Woodward E. R.), Petrol. Refiner, 1956, 35, № 12, 208—210 (англ.)

Отмечены преимущества обескислороживания воды гидразином по сравнению с сульфитированием. В 1955 г. гидразин применялся на 54 станциях и 13 отопительных системах (в последних с периодич. дозированием). Рекомендуется применение 35%-ного р-ра.

А. Мамет
5099. Применение радиоактивных изотопов при исследовании внутрикотловых процессов. Татарinov Б. Н., Вестн. Всес. н.-и. ин-та ж.-д. трансп., 1957, № 1, 18—22

Приведены данные опытов по уносу солей с водяным паром, проведенных с применением радиоактивных изотопов. Даны указания по методике исследования и рассмотрена целесообразность применения радиоактивных изотопов в данной области.

О. Мартынова
5100. Использование конденсата пара в качестве питательной воды. Нолл, Риверс (Re-use of steam condensate as boiler feedwater. Noll D. E., Rivers H. M.), Industr. and Engng Chem., 1956, 48, № 12, 2146—2150 (англ.)

Для предотвращения коррозии металла под действием конденсата пара рекомендуются следующие мероприятия. 1. Изменения в схеме водоподготовки, в результате которых снижается конц-ия CO_2 и O_2 в паре (замена соды едким натром; снижение конц-ии CO_3^{2-}

в добавочной воде путем ее подкисления, Н — катионирования, обессоливания, С1-анионирования; хорошая термич. деаэрация; хим. обескислороживание). 2. Устранение присосов воздуха в вакуумной части пароводяного цикла, хорошая вентиляция парового пространства подогревателей, отсос воздуха из конденсаторов турбин; деаэрация конденсата. 3. Ввод в питательную или котловую воду, или в паропровод летучих в-в (NH_3 , циклогексилламин, морфолин, октадециламин и др.), повышающих рН конденсата или образующих защитную пленку на поверхности металла, соприкасающегося с конденсатом. Многие станции успешно применяют NH_3 , не наблюдая коррозии С1-сплавов. Циклогексилламин и морфолин успешно применяются на электростанциях для защиты металла от действия малых конц-ий CO_2 (но не O_2). Их применение возможно при т-рах пара до 560° . При высокой конц-ии CO_2 и наличии O_2 применяются пленкообразующие амины типа октадециламина. Применение этих аминов (2—3 кг на 1000 т пара) снижало скорость коррозии стальных пластинок в обратных конденсатопроводах до нескольких мг/дм^2 в сутки (вместо $\sim 150 \text{ мг/дм}^2$ в сутки без ввода аминов). Скорость коррозии медных пластинок снижается при этом с 10 до нескольких десятых мг/дм^2 в сутки. Эти амины применяются при давлениях до 90 атм и т-ре до 500° . 4. Предотвращение присосов охлаждающей воды в конденсат (применение конденсаторных трубок из устойчивого металла). Контроль присосов следует вести по электропроводности конденсата.

А. Мамет
5101. Исследование котловой воды. Махер (Kesselwasseruntersuchungen. Macher Lorand), Alkohol-Ind., 1957, 70, № 8, 201—203; № 9, 226—228 (нем.).

Приведены указания по корректированию водн. режима котлов низкого давления на основе данных анализа котловой воды.

М. Лапшин

5102. Осветление, умягчение и дегазация воды в современных водоочистных сооружениях малой производительности. Агранович Е. З. В сб.: 15-я научн. конференция Ленингр. инж.-строит. ин-та, Л., 1957, 237—242

Рассмотрен вопрос о выборе рациональной схемы подготовки воды для промышленных котельных с котлами ДКВ-10—13 и ДКВ-6,5—13. Технико-экономич. анализом установлено, что для котельных с 95%-ным возвратом конденсата при 5%-ной продувке и исходной воде со щелочностью $< 9 \text{ мг-экв/л}$ может быть применено Na-катионирование. Для котельных с возвратом конденсата 70% при 5%-ной продувке Na-катионирование применимо при щелочности исходной воды $\leq 6 \text{ мг-экв/л}$. При большей щелочности исходной воды рекомендуется совместное NH_3 -Na-катионирование.

В. Клячко

5103. Упрощение обработки котловой воды. Брук (Simplify boiler water treatment. Brooke Maxey), Petrol. Refiner, 1956, 35, № 11, 193—196 (англ.).

Рассмотрены основные методы докотловой обработки воды, применяемые для предотвращения коррозии, накипеобразования и загрязнения пара. Указаны области применения и достигаемый эффект. Составлены таблицы оптимального состава котловой и питательной воды для котлов различного давления и при разных размерах непрерывной продувки (1—10%). Приведены примеры выбора методов обработки котловой, питательной и добавочной воды.

А. Мамет

5104. Обработка системы охлаждающей воды. Диллиплейн, Хёр, Ригли (Cooling — water treatment pays off. Dilliplane R. J. W., Hur J. J., Wrigley D. A.), Proc. Amer. Petrol. Inst., 1955, Sec. 3, 35, 110—115 (англ.).

На одном нефтеперерабатывающем з-де в оборотную систему охлаждающей воды для защиты от накипе-

образования и коррозии вводится (NaPO_3)₆, конц-ия которого поддерживается 8—10 мг/л . При этом интенсивность коррозии снизилась на 64—85%, улучшилась работа конденсаторов перегонных колонн и снизилась т-ра охлаждаемого перед компрессорами газа, что обусловило экономию топлива на 15—25%. Эта экономия в ~ 3 раза превышает затраты на обработку охлаждающей воды.

Г. Круш

5105. Вода, применяемая для нужд химической промышленности. Тэрасима (工業用水について. 寺島雄), 最近の化学工学, Сайкин-но кагаку когаку, 1955, Токио, 1955, 143—162 (японск.).

5106. Удаление и использование бытовых сточных вод. Сооружения для осветления и очистки сточных вод. Пёпель (Beseitigung und Verwertung von kommunalen Abwässern. Apparate für das Klären und Reinigen des Abwassers. Pöpel Franz), VDI-Zeitschrift, 1957, 99, № 1, 15—21 (нем.).

Описаны конструкции сооружений для механич. и биохим. очистки СВ, применяемые в США и ФРГ. Для удаления грубодисперсных примесей применяют решетки (Р) с механич. удалением осадка, барабанные Р и полукруглые Р, совмещенные с роторным размалывателем, работающим по принципу молотковой дробилки. Широкое применение находят аэрируемые пеноколовки, которые могут использоваться также и для других целей (напр., для аэрирования СВ с избыточным активным илом или для улавливания масел).

П. Кандра

5107. Примеси сточных вод города Мальмё. Мёллер (Schmutzstoffe im Malmöer Abwasser. Möller Bo), Gesundh.-Ingr, 1957, 78, № 7-8, 112—113 (нем.).

Приведены данные об изменении расхода СВ в течение суток, о кол-ве выделяемого осадка, конц-ии растворенных, и тонущих и взвешенных грубодисперсных примесей, а также данные о кинетике осаджения последних.

М. Лапшин

5108. Биохимическое окисление некоторых органических соединений. Хатфилд (Biological oxidation of some organic compounds. Hatfield Richard), Industr. and Engng Chem., 1957, 49, № 2, 192—196 (англ.).

Исследовалось биохим. окисление (БО) 23 органич. соединений, встречающихся в СВ предприятий хим. пром-сти. Определялась скорость снижения БПК, ХПК и конц-ии окисляемого в-ва в процессе аэрирования. Первичные и вторичные спирты и альдегиды легко окисляются биохимически в течение 4 часов аэрирования с высоким % снижения БПК и ХПК. Третичные спирты, метилал и гликоли окисляются трудно. Степень акклиматизации ила сильно влияет на скорость БО. Некоторые соединения (напр., ацетон) для ша-акклиматизированных микроорганизмов токсичны в конц-ии $> 2 \text{ мг/л}$. В этих случаях для наблюдения за скоростью окисления целесообразно использовать ХПК.

О. Болотин

5109. Почвенные биохимические методы очистки сточных вод. Барс (L'épuration biologique dans le sol des eaux polluées. Baars J. K.), Bull. Centre belge étude et docum. eaux, 1957, № 36, 75—82 (франц.).

Краткие сведения о процессах минерализации хим. и биологич. загрязнений, вносимых в почву со СВ.

М. Лапшин

5110. Проблема синтетических детергентов при очистке бытовых сточных вод. Мак-Ларен (The detergent problem in sewage treatment. MacLaren James F.), Munic. Utilities Mag., 1956, 94, № 12, 22—24, 29—30, 32 (англ.).

Результатом наличия в СВ синтетич. детергентов (СД) является пенообразование, которое может пов-ляться наличием определенного минимума (600—2000 мг/л) активного ила. Особенно интенсивно

вспенивание имеет место в последних секциях аэротенков. Ступенчатое аэрирование в этом случае предпочтительнее, чем обычное и так называемое модифицированное (РЖХим, 1957, 16 516), при которых процесс очистки идет при низких конц-ях активного ила. Вместе с пеной уносятся хлопья активного ила, что ухудшает условия очистки СВ. Некоторые СД не поддаются биохим. разложению и оказывают токсичное действие на активный ил. Имеются данные о сокращении газоотдачи при сбраживании осадков. Для предупреждения пенообразования практикуется разбрызгивание на поверхности аэротенка воды и введение пеногасителей (органич. и кремнеорганич. соединения) в конц-ях 0,1—1,5 мг/л. Вследствие дороговизны рекомендуется периодич. введение их в сочетании с разбрызгиванием. С. Конобеев

5111. Влияние синтетических детергентов на очистку бытовых сточных вод. Манн, Херберт (Some observations of the effect of synthetic detergents on the treatment of sewage. Mann H., Herbert D. W. M.), Water and Sanit. Engr, 1957, 6, № 5, 206—209 (англ.)

В лабор. условиях проводились опыты по влиянию на биохим. очистку бытовых СВ наличия синтетич. детергентов (СД) типа алкиларилсульфокислот в конц-ии 26,5 мг/л. По истечении 10 недель при установившемся режиме работы биофильтра снижение конц-ии СД составляло 53—72%. По сравнению с контролем (СВ без СД) не обнаружено существенной разницы БПК, а также конц-ии NH_3 и окисленного N в очищ. СВ. Отмечается более быстрое осаждение грубодисперсных примесей при добавлении СД к СВ. Опыты с очисткой СВ в аэротенках указывают на снижение эффекта очистки с повышением конц-ии СД в СВ: при изменении конц-ии СД с 20 до 80 мг/л эффект снижения БПК изменялся с ~90 до ~82%, эффект снижения перманганатной окисляемости — с 70 до 35%. С. Конобеев

5112. Исследование на действующих сооружениях влияния синтетических детергентов (типа алкилбензолсульфокислот) на очистку бытовых сточных вод. Рейбоулд, Томпсон (Some large-scale investigations on the influence of alkyl benzene sulphate detergents on sewage purification. Raybould R. D., Thompson L. H.), J. and Proc. Inst. Sewage Purific., 1956, № 1, 12—24. Discuss., 24—35 (англ.)

Опыты проводились с Tide (I), содержащим 20% алкилбензолсульфокислоты, а кроме того Na_2SO_4 , полифосфаты, силикаты, карбоксиметилцеллюлозу и алифатич. амиды, и с Santomerse (II), содержащим ~40% алкилбензолсульфокислоты (остальное Na_2SO_4). Синтетич. детергенты (СД) вводились в отстоянные СВ в конц-ии 10—20 мг/л. Установлено, что СД не производят серьезного тормозящего действия на отстаивание СВ. В жесткой воде замена мыла СД сказывается в уменьшении конц-ии грубодисперсных примесей. Чем эффективнее СД, тем большее тормозящее действие производит он на процесс очистки. Влияние I и II было особенно заметно в зимний период при наибольшей конц-ии СВ и наименьшей эффективности работы очистных сооружений. Действие СД усугублялось присутствием промышленных СВ (от газификации топлива), а также наличием конструктивных элементов, способствовавших турбулентному движению СВ в аэротенках, вызывающему пенообразование. В процессе очистки СВ на биофильтрах разрушалось ~60% II и 26—39% I. При очистке в аэротенках — 85—88% II и 60% I. Активный ил СВ, содержащих II, имел в ~2,5—3 раза больший объем по сравнению с несодержащими его. Активный ил СВ, содержащих I, в некоторых случаях имел меньший объем. Анаэроб-

ное сбраживание осадков показало, что содержащийся в СД Na_2SO_4 тормозит процесс (до 15 недель для II и до 35 недель для I). После периода торможения газоотдача достигает 85—90% газоотдачи осадка бытовых СВ. В результате сбраживания разрушается 15—20% СД, содержащихся в свежем осадке. С. Конобеев

5113. Высокий солевой состав бытовых сточных вод делает невозможным использование их для целей орошения. Гаймон (Sewage salinity prevents use of effluent for golf course irrigation. Guymon Boyd E.), Wastes Engng, 1957, 28, № 2, 80—83 (англ.)
Так как г. Коронадо (Калифорния) испытывает острый недостаток в пресной воде, предполагалось использовать очищ. бытовые СВ для орошения, однако в связи с их повышенной соленостью этот вариант не мог быть осуществлен. Причинами высокого солевого состава СВ являются: 1) инфильтрация воды океана в канализационные каналы под влиянием подпора в часы приливов, особенно в ночное время при миним. расходах СВ; 2) сброс в канализацию отходов от индивидуальных станций умягчения питьевой воды. С. Конобеев

5114. Пруды для очистки необработанных бытовых сточных вод. Гопкинс, Нил (Raw sewage lagoons. Hopkins Glen J., Neel Joe K.), Water and Sewage Works, 1956, 103, № 12, 566—570 (англ.)

На 1/1—1956 г. в США общее число прудов для очистки СВ достигало 100. Пруды используются населенными пунктами с числом жителей 150—10 000 человек. Нагрузка на 1 га пруда (глубиной 1,2 м) 18—22,5 кг/сутки по БПК (250 человек). В отдельных случаях она может быть увеличена в 10 раз. Ряд старых прудов принимает СВ после предварительной их обработки в септиктенках, в тенках Имгоффа, на ситах, в отстойниках, метантенках, аэротенках или хим. очищ. СВ. Удовлетворительных результатов можно достигнуть и при напуске в пруды необработанных СВ. Существенные условия для правильной работы прудов — непроницаемость дна и стенок и устойчивость последних к волновым и эрозийным воздействиям. Цветение и наличие прикрепленных форм водорослей сокращают полезный объем пруда и нарушают нормальную циркуляцию воды. Пруды значительно (на ~95%) снижают кол-во бактерий. Активность процессов в прудах зависит от конц-ии растворенного O_2 и затормаживается в зимний период (снижение БПК в зимний период 32%, в летний 90%). Пруды особенно целесообразны для маленьких поселков и городов. С. Конобеев

5115. Очистка сточных вод на биофильтрах. Пённингер (Biologische Abwasserreinigung durch Tropfkörper. Pönninger R.), Gesundh.-Ingr, 1957, 78, № 5—6, 75—80 (нем.)

Для устранения неполадок в работе биофильтров (Б) (заиливание, биологич. обрастание поверхности, неравномерность нагрузки) рекомендуются: введение рециркуляции; перемежающееся фильтрование; повышение высоты Б, позволяющее увеличить нагрузку СВ на его поверхность. Последний вид Б получил развитие в Германии и Австрии. Б рассчитывается на максим. суточный расход СВ и неполную работу в течение суток. Примерно 40% времени Б отдыхает (переработка накопившегося в Б органич. материала). Описан Б с искусств. вентиляцией (высота 4 м). Максим. нагрузка на Б 4,2 объема СВ на 1 объем Б в сутки. Скорость фильтрования 0,7 м/час. Снижение БНК с 150—255 до 5—54 мг/л. С. Конобеев

5116. Поглощение кислорода в процессе очистки сточных вод на биофильтрах. Зейл, Малан, Стандер (Oxygen uptake during the biological filtration of sewage. Zyl P. C. N. van, Malan

W. C., Stander G. J.), Water and Sanit. Engr, 1957, 6, № 6, 263—264, 267 (англ.)

Для выявления влияния искусств. вентиляции био-фильтра (Б) на кол-во O_2 , поглощаемого жидкостью, были проведены исследования на лабор. модели Б (асбестовая труба, внутренний диам. 10 см, высота загрузки 1,2 м, нагрузка $\sim 1 м^3$ жидкости на $1 м^3$ сооружения в сутки). Установлено, что при $\sim 100\%$ -ном дефиците O_2 (р-р Na_2SO_4 с катализатором) при естественной вентиляции в жидкость может подступить максимум $\sim 600 мг/л$ O_2 . Повышение поглощения O_2 под влиянием искусств. вентиляции начинается наблюдаться только в том случае, когда жидкость способна поглотить $> 400 мг/л$ O_2 . В аналогично проведенных опытах с бытовыми СВ найдено, что потребление ими O_2 в процессе фильтрования $\leq 160 мг/л$. Исходя из этих данных, автор считает, что искусств. вентиляция Б может быть нужна лишь при условии, что потребление O_2 СВ превышает $400 мг/л$. Для интенсивной нитрификации необходимо, чтобы конц-я O_2 в воздухе была $\geq 7\%$. Подчеркивается необходимость устранения мертвых пространств в Б. Низкую конц-ю растворенного O_2 ($< 2,5 мг/л$), обычно наблюдаемую в СВ, очищ. на Б, автор объясняет следующим. Процесс окисления протекает только на поверхности раздела жидкость — твердая фаза, где и создается дефицит O_2 , в то время как на поверхности раздела жидкость — газ СВ насыщены O_2 и дальнейшее растворение его (зависящее от скорости диффузии O_2 в жидкости) протекает крайне медленно. М. Лапшин

5117. Песчаные фильтры перемежающегося действия и их биология. Калавей (Intermittent sand filters and their biology. Calaway Wilson T.), Sewage and Industr. Wastes, 1957, 29, № 1, 1—5 (англ.)

Песчаные фильтры имеют ряд преимуществ по сравнению с другими сооружениями для биохим. очистки СВ: хорошо очищают СВ после септиков или амперских колодцев; не требуют тщательного надзора; не имеют механич. оборудования; не требуют большого напора; хорошо удаляют бактерий; не требуют сооружений для обработки активного ила. Недостатками песчаных фильтров является большая их площадь (в 20 раз большая, чем биофильтров), сильное влияние температурных и погодных условий на работу, необходимость периодич. рыхления и замены верхнего слоя песка. Очистка СВ песчаным фильтром обусловлена развитием в нем зоогейных бактерий. Положительное влияние на работу фильтра оказывает развитие на нем протозоя и олигохет, которые перерабатывают илы и поддерживают поверхность фильтра рыхлой и активной. В. Клячко

5118. К вопросу о биологической очистке сточных вод в аэротенках с механической аэрацией. Соломахи И. И. В сб.: 15-я научн. конференция Ленингр. инж.-строит. ин-та, Л., 1957, 252—256

Приводятся данные испытания простейших механич. аэраторов (МА) на опытной установке. В качестве МА применялись укрепляемые на горизонтальный вал сменные мешалки 4 различных типов. Аэратор, вращаясь, перемешивает жидкость и создает турбулентный поток ее вдоль извилистого коридора со скоростью $0,1—1,5 м/сек$. Лучшие показатели по растворению O_2 ($152 мг/л$ час O_2 при 75 об/мин) дали мешалки из металлич. решеток и деревянные лопатки шириной 10 см ($120 мг/л$ час O_2 при 40 об/мин). Аэротенки с МА, отличающиеся простотой в строительстве и эксплуатации, рекомендуются для биохим. очистки СВ небольших предприятий и населенных пунктов. О. Болотина

5119. Обеззараживание сточных вод. Шульц-Фалькенхайн (Desinfektion von Abwasser. Schulz-Falkenhain H.); Molk.-und Käser.-Ztg, 1957, 8, № 9, 255—258 (нем.)

Доза хлора, применяемая для обеззараживания СВ, зависит от конц-ии в них органич. примесей и колеблется от 5 до $100 г/м^3$. При обеззараживании СВ инфекционных отделений больниц целесообразно применять термич. метод, позволяющий уничтожать все болезнетворные бактерии. Осадки СВ туберкулезных больниц рекомендуется обрабатывать $Ca(OH)_2$ ($10 кг/м^3$). Л. Фальковский

5120. Сооружения для очистки сточных вод, обеззараживающие воздушные силы США. Корусо (Wastes treatment facilities at United States Air Force installations. Koruzo John E.), Sewage and Industr. Wastes, 1957, 29, № 3, 281—286 (англ.)

5121. Оборудование станции очистки бытовых сточных вод в Порт-Клинтон, Огайо. Хауэнштейн (Sewage treatment facilities at Port Clinton, Ohio. Hauenstein H. W.), Water and Sewage Works, 1957, 104, № 3, 123—127 (англ.)

5122. Обработка промышленных сточных вод в Модесто (Калифорния). Рей (Industrial waste treatment at Modesto, California. Ray Marvin), Sewage and Industr. Wastes, 1957, 29, № 3, 287—291 (англ.)

Описаны работы, проведенные на опытной установке по совместной очистке бытовых и промышленных СВ.

М. Лапшин

5123. Опыт очистки сточных вод свинцово-цинковых обогатительных фабрик от цианистых соединений хлорной известью. Милованов Л. В., Краснов Б. П., Корнеева В. С., Цветн. металлы, 1957, № 2, 1—5

На опытной установке, работающей с хлорной известью, установлено, что активный Cl должен быть взят в 20—40%-ном избытке по отношению к теоретически потребному (при времени контакта 10—15 мин.). В этих условиях конц-я комплексных цианидов Cu через 5 мин. контакта снижалась с 250—300 до $0,4—0,9 мг/л$, а через 10 мин. — до следов (конц-я остаточного активного Cl составляла $100 мг/л$). При более продолжительном времени хлорирования окисляются и крезолы (снижение конц-ии с $0,62$ до $0,07 мг/л$ через 1 час контакта). Даны рекомендации технологич. схемы установки и утилизации осадка, содержащего Cu , выделенную из медно-цианидного комплекса. Л. Милованов

5124. Окисление кислородом воздуха сульфидов, содержащихся в производственных сточных водах в отработанных щелочных растворах нефтеперерабатывающего завода. Смит (Ridding process waters and caustic solutions of sulfides. Smith A. G.), Oil and Gas J., 1956, 54, № 62, 95—96, 98—99 (англ.)

Метод основан на окислении сульфидов в тиосульфаты при повышенной т-ре и давлении согласно уравнениям: $2S^{2-} + 2O_2 + H_2O \rightarrow S_2O_3^{2-} + 2OH^-$; $2HS^- + 2O_2 \rightarrow S_2O_3^{2-} + H_2O$. Теоретически на 1 г сульфидов требуется 1 г O_2 . Практически ход процесса и расход воздуха зависят от характера СВ, а также от т-ры и давления (возможность дальнейшего окисления $S_2O_3^{2-}$ в SO_4^{2-}). С увеличением т-ры скорость окисления сульфидов Na возрастает, сульфидов NH_4 достигает максимума при т-ре $\sim 93^\circ$, так как дальнейшее повышение т-ры вызывает усиленный гидролиз и переход H_2S в газовую фазу, в которой скорость окисления мала. Увеличение давления повышает скорость окисления. Процесс осуществляется по следующей схеме. Воздух (давл. $\sim 7 ат$) и греющий пар (давл. $\sim 14 ат$) подаются в питательную линию для обрабатываемой жидкости и смесь поступает в колонку, где осуществляется окисление. Выходящая из колонки пароводяная смесь охлаждается и направляется в разделитель: газы идут на сжигание, жидкость — в кан-

лизацию. В зависимости от состава СВ режим работы колонок различен: окисление отработанных щел. р-ров с конц-ей сульфидов Na 50 г/л ведется при 117° и давл. 2,5 ат, избыток воздуха 150%; окисление СВ термич. и каталитич. крекинга, содержащих сульфиды NH_4 в конц-и 7 г/л при 33° и 4,2 ат, избыток воздуха 210%; СВ от дистилляции сырой нефти, содержащие сульфиды NH_4 и Na в конц-и 0,7 г/л при 63° и 0,7 ат, избыток воздуха 130%. Применение катализаторов (дубильных к-т, пикрата и пикромата Na, фенолов) не экономично. Для лучшего распределения воздуха предпочтительны высокие колонки небольшого диаметра. Механич. перемешивание жидкости не оправдывает затрат на дополнительное оборудование.

С. Конобеев

5125. Биохимическое окисление промышленных сточных вод нефтеперерабатывающих заводов на градирнях охлаждающих систем. Элкин, Молер, Камник (Biological oxidation of oil refinery wastes in cooling tower systems. Elkin Harold F., Mohler Edward F., Jr., Kumnick Lawrence R.), Sewage and Industr. Wastes, 1956, 28, № 12, 1475—1483 (англ.)

На з-де Sun Oil Company в Толедо (Огайо, США) применена оборотная система для ~ 360 м³/час промышленных СВ (48 м³/час сульфидсодержащих СВ после отгонки сульфидов и меркаптанов, 96 м³/час конденсата от операций, связанных с потреблением пара; 72 м³/час слабощел. СВ; 144 м³/час дождевых и инфильтрационных вод). СВ поступают в нефтеловушку системы Американского нефтяного института, а затем в пруд (емк. ~ 32 000 м³), из которого они подаются на вентиляционную градирню. 3-годовые наблюдения за работой градирни показали, что уже после нескольких часов работы в СВ развились колонии бактерий, разрушавших > 99% фенола (при конц-и его в СВ 70 мг/л). Бактерии относились к группе гетеротрофных мезофильных бактерий, активно развивавшихся в пределах 16—38°. ХПК СВ при этом снижалось в среднем на 89% (максим. ХПК СВ до очистки 540 мг/л). В СВ присутствовали соли NH_4^+ и фосфаты (для предупреждения коррозии и образования отложений в охлаждающую воду вводился полифосфат натрия). Для предотвращения отложений на теплообменной охлаждающей аппаратуре вначале производились обратные промывки трубок конденсаторов, а также периодич. (1 раз в неделю) хлорирование. После 6 недель такая обработка была прекращена, так как зарастаний не наблюдалось. В связи с наличием некоторого кол-ва органич. примесей СВ являются менее агрессивными для металла, чем насыщ. O_2 . При использовании СВ в обороте необходимо учитывать отрицательное влияние на очистку щел. и загрязненных нефтепродуктами СВ.

С. Конобеев

5126. Обработка сточных вод нефтеперерабатывающих заводов. Материалы для строительства очистных сооружений. Ролинге (Treating refinery effluents. Materials for the construction of the plant. Rawlings E. G.), Petroleum, 1957, 20, № 4, 125—128 (англ.)

Рассмотрены методы очистки и применяемые конструктивные материалы для очистных сооружений. Учитывая хим., физ. и механич. воздействие СВ, рекомендуется в качестве футеровки применять кислотоустойчивый кирпич с вяжущим на основе фурановых смол. В отдельных случаях, напр. при воздействии HF, хорошие результаты дают футеровочные угольные плитки на вяжущем с наполнителем из угля. В. Л.

5127. Новая станция очистки сточных вод компании Union Oil. Браун, Саблетт (Union Oil Company

builds new waste water facilities. Brown Gordon W., Sublett James E.), Industr. Wastes, 1957, 2, № 1, 6—8 (англ.)

См. РЖХим, 1957, 27878.

5128. Сточные воды газовых заводов и их обработка перед спуском в городскую канализацию. — (Gas works effluents and their disposal by discharge to public sewers. —), J. and Proc. Inst. Sewage Purific., 1956, № 1, 5—11 (англ.)

Ввиду затруднений при очистке СВ газовых з-дов указывается на необходимость изменения технологич. процесса получения газа или разработки методов предварительной очистки СВ на з-дах перед сбросом их в городскую канализацию (способ, который считается наиболее экономичным и эффективным). Возможными методами предварительной очистки СВ являются: отгонка NH_3 , H_2S и HCN; обесфеноливание органич. р-рителями или активным углем; разрушение тиоцианатов окислами азота. Тиоцианаты биохимически трудно окисляются и поэтому конц-ия их должна быть доведена до минимума. Ц. Роговская

5129. Обесфеноливание подсмольной воды на Щекинском газовом заводе. Перемышлин В. А., Газ. пром-сть, 1957, № 4, 11—14

Подсмольная вода, получающаяся на з-де при газификации подмосковных бурых углей в газогенераторах с парокислородным дутьем под давлением, имеет следующий состав (в г/л): фенолы летучие 3,10—3,33, фенолы нелетучие 1,28—1,50, H_2S 0,569—0,729, смолы 2,0—5,19, грубодисперсные примеси 0,24—0,34, карбоновые к-ты 1,22—1,41, NH_3 4,4—4,2. СВ подвергается обесфеноливанию экстракцией смесью *n*-бутилацетата и изобутилацетата, применяемых в кол-ве 10—15% от подаваемой на экстракцию СВ. После экстракции фенолов производится отдувка H_2S . Расход воздуха 15—20 м³/час на 1 м³ СВ. Конц-ия H_2S снижается до 3—5 мг/л. Окисление идет до элементарной S. Далее СВ поступает на биохим. очистку, имея следующий состав (в г/л): фенолы летучие 0,16—0,31; фенолы нелетучие 0,44—0,55; NH_3 3,42—4,02; pH 9,5—9,7. Состав смеси фенолов, выделяемых из СВ: фенольная фракция, т. кип. < 182° 7,7%, ортокрезольная фракция, т. кип. 182—192° 23,1%, мета- и паракрезольная фракция, т. кип. 192—203° 10,7%, ксиленольная фракция, т. кип. 203—240° 5,5%; остаток — 53%. Ц. Роговская

5130. Очистка и обесфеноливание сточных вод газогенераторных станций. Полубояринов Г. Н. В сб.: Газифик. твердого топлива. М., Гостоптехиздат, 1957, 205—206

Введение к серии статей.

Л. М.

5131. Очистка сточных вод установок газификации бурого и полукokesования каменного угля. Филиппов И. В. В сб.: Газифик. твердого топлива. М., Гостоптехиздат, 1957, 206—214

С целью сокращения кол-ва СВ рекомендуется подсушка топлива и введение оборота воды. При больших расходах СВ и высоких конц-иях фенолов (I) рекомендуется экстракция I бутилацетатом с последующей биохим. доочисткой. Остаточная конц-ия I 0,1—0,3 мг/л. Перед экстрагированием СВ должны быть обессмолены отстаиванием и фильтрованием на кварцевых фильтрах. Предварительная отгонка NH_3 повышает эффект извлечения I. При небольших расходах СВ целесообразны биохим. способы. Л. Милованов

5132. Очистка и обесфеноливание сточных вод газогенераторных станций биохимическим способом. Лазорин С. Н. В сб.: Газифик. твердого топлива. М., Гостоптехиздат, 1957, 214—217

При помощи чистых культур микроорганизмов, разрушающих фенолы, могут быть очищены СВ от газификации торфа, бурого угля, древесины и др. Перемешанный состав СВ требует предварительного фильтро-

вания их через угольные или торфяные фильтры для удаления смол. Метод проверен на промышленных установках коксохим. з-дов. Конц-ия фенолов снижается с 420—660 до 2—5 мг/л. Л. Милованов

5133. Биологическая очистка сточных вод газогенераторных станций. Сенатский Н. Д. В сб.: Газифик. твердого топлива. М., Гостоптехиздат, 1957, 218—219

Применение биол. способа очистки фенольных СВ целесообразно при расходе их 0,5—5 м³/час и средней конц-ии фенолов 1,5—2 мг/л. СВ необходимо разбавлять до конц-ии фенола 30—125 мг/л смешением с бытовыми СВ или чистой водой с добавлением биогенных элементов. Конц-ия фенолов снижается с 30—50 до 0,1—0,3 мг/л и с 100—125 до 0,5 мг/л. БПК₅ — с 450 до 25 мг/л. Л. Милованов

5134. О способах очистки фенольных сточных вод. Кушаковский Л. Н., Гигиена и санитария, 1957, № 2, 78—79

Автор считает наиболее целесообразным методом обесфеноливания СВ экстракцию (эффект очистки 90%) с последующей доочисткой адсорбцией на отходах углеперерабатывающих произ-в. Л. Милованов

5135. Обработка сточных вод цехов гальванических покрытий. Хосман, Китинг (Treatment of plating wastes from computer manufacturing. Hosman L. J., Keating R. J.), Sewage and Industr. Wastes, 1957, 29, № 1, 34—44 (англ.)

Общий расход СВ ~ 290 м³/час, из них ~ 210 м³/час промывные воды, большей частью (~ 130 м³/час) от операции никелирования и очистки металла. СВ канализуются 3 сепараторами: 1) промывные, 2) CrO₂²⁻-содержащие и 3) CN⁻-содержащие. Промывные СВ из сборного резервуара подаются на диатомитовые фильтры, работающие с добавкой активного угля (удаление органич. примесей), а затем последовательно проходят Н-катионитные и ОН-анионитные фильтры. Деминерализованная вода возвращается в произ-во. Вода от регенерации фильтров идет на нейтрализационную установку. pH ее после усреднения ~ 8. Содержащиеся в ней ионы тяжелых металлов выпадают в виде гидроокисей. СВ, содержащие хроматы (~ 36 м³/час), также проходят Н-катионитные и ОН-анионитные фильтры. Р-р от регенерации анионитных фильтров, содержащий Na₂CrO₄, пропускается через Н-катионитный фильтр и упаривается. H₂CrO₄ возвращается в произ-во. CN-содержащие СВ (~ 42 м³/час) обезвреживаются хлорированием в щел. среде. Содержащиеся в СВ ионы тяжелых металлов осаждаются в виде гидроокисей. Осадки, образующиеся при очистке СВ, уплотняются в концентратах и обезвреживаются на вакуум-фильтрах. С. Копобеев

5136. Очистка сточных вод от производства полупродуктов. Штербачек, Таучек, Трча (Čištění odpadních vod z výroby barvářských meziproduktů. Štěrbáček Z., Tausk P., Trča J.), Chem. průmysl, 1957, 7, № 3, 127—130 (чешск.; рез. русск., англ.)

Исходная СВ содержала (в г/л): нитросульфонафталин 1,2, сульфонафталины 16,3, другие органич. в-ва ~ 4, к-ты (главным образом HCl) 4,7, минер. соли (главным образом CaSO₄ и MgSO₄) ~ 70. При коагулировании СВ сульфатами Al, Fe и смесью их в соотношении 1:3 дозами до 1600 мг/л снижение окисляемости ≤ 10% (изменение pH от 7 до 9,5 не оказывало существенного влияния). Окисление MnO₂ (4 г/л) и Cl₂ снижало окисляемость на 27 и 35,5%. При обработке СВ активным углем (пятикратно по 20 г/л) окисляемость снижалась на 80%. Обработка СВ COCl₂ снижала окисляемость на 24%. При диазотировании СВ окисляемость снижалась на 47%. Последующее

коагулирование Al₂(SO₄)₃ (1600 мг/л) и обработка активным углем (2 г/л) снижали окисляемость до 74 и 84,1%. Обработанная СВ является безвредной. Экономически метод наиболее выгоден. М. Лапшин

5137. Очистка сточных вод шелкоткацкого производства. Мандзюк (Oczyszczalnia ścieków przemyślnego jedwabiu naturalnego. Mandziuk Wojciech), Gaz, woda, techn. sanit., 1956, 30, № 8, 303—306 (польск.)

Описана установка для очистки СВ по следующей схеме: коагулирование CaO и FeSO₄, отстаивание, обработка на высоконагружаемых биофильтрах с рециркуляцией, вторичное отстаивание. Осадок поступает на иловых площадках. Предусматривается снижение (в %): БПК₅ 97,5; окисляемость > 75; грубодисперсные примеси > 95; токсичные примеси > 90; значительно уменьшается окраска и повышается прозрачность. W. Nowakowski

5138. Обоснование предельно допустимой концентрации сточных вод меховых производств. Гуськова В. Н. (Fundamentarea științifică a concentrației-limită de ape reziduale provenite din întreprinderile de prelucrare a blănilor. Guskova V. N.), An-Rom.-Sov. Ser. Igienă și organiz. sanit., 1956, 11, № 6, 52—55 (рум.)

Перевод. См. РЖХим, 1957, 1788.

5139. Нитрификация при очистке сточных вод гидрозаводов, перерабатывающих древесные отходы. Друбянец Э. Э., Иванова З. Т., Сб. тр. Всес. н.-и. ин-та гидролиз. и сульфитно-спирт. пром-сти, 1956, 5, 114—118

Наблюдения за действующими биофильтрами позволили сделать следующие выводы: 1) нитрификация на биофильтрах зависит от конц-ии аммонийных солей в СВ; 2) высокое значение БПК₅ (300—800 мг/л) мешает образованию NO₃⁻ и NO₂⁻, если есть избыток солей NH₄⁺; 3) наличие фурфурола не оказывает вредного влияния на нитрифицирующие бактерии. М. Жукова

5140. Очистка производственных сточных вод от фенолов. Гордон Л. В., Уваров И. П., Гидролизная и лесохим. пром-сть, 1957, № 1, 16

Проверена возможность очистки СВ лесохим. предприятия путем конденсации фенолов в кислой среде с формальдегидом, приводящей к образованию новоланов. Опыты проводились с паровым антиокислительным конденсатом, получающимся при разгонке древесной смолы и содержащим 2,3—4% фенолов. Более целесообразно сперва получать диметилольные производные фенолов, конденсируя их в щел. среде (в части СВ) с формальдегидом в соотношении 1:2 молям. Обработанная таким способом часть СВ добавляется к остальным и смесь подкисляется. При этом образуются трехкольчатые новоланы. Расход формальдегида при этом снижается на 1/3. Получаемые новоланы могут быть использованы для различных синтезов. Метод не обеспечивает полного удаления фенолов и требует дополнительной очистки СВ деструктивными методами. Ц. Роговская

5141. Проблема сточных вод пищевой промышленности с точки зрения проектируемого нового закона о водном хозяйстве. Мюллер-Нейхаус (Abwasser-Probleme der Nahrungsmittel-Industrie unter dem Gesichtspunkt des geplanten Wassergesetzes. Müller-Neuhäus G.), Fette, Seifen, Anstrichmittel, 1957, 59, № 2, 106—111 (нем.) Освещены законодательная практика ФРГ по вопросам охраны водотоков и водоемов от загрязнения промышленности СВ и современное состояние очистки СВ пищевой пром-сти. И. Марьясин

5142. Исследование осветлителей на сточных водах Ленмискомбината. Иванов Г. В. В сб.: 154

научн. конференция Ленингр. инж.-строит. ин-та, Л., 1957, 245—250

Для очистки СВ мясокомбината от грубодисперсных примесей рекомендуется реконструированный осветлитель (I) диам. 6 м, глубиной 8 м, снабженный флокуляционной камерой, расположенной в середине I (диаметры оснований 2,4 и 2,8 м, высота 4,3 м, глубина погружения 4 м). СВ поступает в I снизу вверх через трубу диам. 250 мм на расстоянии 2 мм от поверхности. На конце иловой трубы расположен конфузор длиной 1,5 м и диам. 200 и 500 мм. Расчетный расход СВ 27,4 л/сек, восходящая скорость 1,2 мм/сек, время отстаивания 55,6 мин. При конц-ии грубодисперсных примесей 450—800 мг/л эффект осветления на 15—19% выше, чем у обычного отстойника.

Л. Милованов

5143. Непрерывный термохимический способ очистки сточных вод молочных заводов. Трейбер, Бедерке, Фальк (Ein kontinuierliches thermochemisches Verfahren zur Klärung von Molkereiabwässern. Treiber H., Bederke G., Falk B.), Molk- und Käser-Ztg., 1957, 8, № 5, 124—128 (нем.)

Вновь разработанный способ основан на следующем. СВ нагреваются под давлением до 150°. Этим достигается их стерилизация и вызывается осаждение альбумина и глобулина. Молочный сахар при этой т-ре разрушается. Казеиновые в-ва выделяются при добавлении CaCl_2 и NaOH. Принципиальная схема установки следующая. СВ поступают в противоточный теплообменник (ПТ), где нагреваются до 123°. Далее СВ поступают во второй ПТ, где нагреваются до 150°, выдерживаются при этой т-ре 10 сек. и направляются в вертикальный отстойник, оборудованный дозирующей установкой (добавка CaCl_2 и NaOH) и приспособлением для перемешивания. Для бесперебойной работы рекомендуется иметь 2 отстойника объемом по 10 м³. Очищ. таким образом СВ имеет БПК 129 мг/л. Из отстойника вода поступает в смеситель, где смешивается с водами от охлаждения и вместе с ними сбрасывается. Приведены ориентировочные данные о строительной стоимости и эксплуатационных расходах.

П. Кандаас

5144. Очистка сточных вод молочной промышленности. Вежбицкий (Oczyszczanie ścieków mleczarskich. Wierzbicki Jan), Przegl. mleczarski, 1957, 5, № 4, 11—16 (польск.)

Рассмотрены способы очистки, применяемые в основном в Англии и ФРГ. Указана аппаратура, применяемая при подаче СВ на поля орошения.

С. Яворовская

5145. Оценка способа обработки сточных вод свеклосахарных заводов в естественных запрудах. Гопкинс, Нил, Нелсон (Evaluation of broad field disposal of sugar beet wastes. Hopkins Glen J., Neel Joe K., Nelson Francis L.), Sewage and Industr. Wastes, 1956, 28, № 12, 1466—1474 (англ.)

Описана реконструкция прудов для очистки СВ свеклосахарного з-да: устройство распределительного коллектора для равномерного распределения СВ, повышение уровня и уплотнение стенок обвалования, устройство 3 отсеков вдоль протока СВ, позволявшая увеличить фактич. время пребывания СВ в прудах на 11,5 час. (до 25 час.). К прудам были подключены отходы пульпы после сит и прессов. В результате очистки в прудах выходящий из них сток полностью освобождался от грубодисперсных примесей и наблюдалось снижение (в %): БПК 55; щелочности 69; $\text{N}_{\text{аммон}}$ 94,3; $\text{N}_{\text{нитрит}}$ ~ 100. Конц-ия PO_4^{3-} не изменялась. Кол-во бактерий *Coli* увеличилось. С. Конобеев

5146. Сточные воды от получения виски и технического спирта. Джексон (Whisky and industrial alcohol distillery wastes. Jackson C. J.), J. and

Proc. Inst. Sewage Purific., 1956, № 3, 206—214. Discuss., 215—218 (англ.)

Приведены данные о составе и расходе СВ ряда з-дов. При произ-ве виски в зависимости от исходного сырья (ячменный солод, зерновые культуры, меласса) состав СВ сильно изменяется. Рекомендуется выделять наиболее конц. СВ от дистилляции сусла (БПК₅ 8,7—48 г/л) и упаривать их для корма скота. Остальные СВ (БПК₅ 240—420 мг/л O_2) после нейтр-ции известью могут очищаться на биофильтрах с эффектом снижения БПК₅ от 51 до 84%. Концентрат, получаемый при выпаривании остатков от дистилляции технич. спирта, не имеет питательной ценности. Рекомендуется его сжигать, а золу, при наличии в ней поташа, использовать как удобрение. Возможно его анаэробное сбраживание в термофильных условиях вместе с осадком из септиктенков с добавкой 0,16—0,20% Fe^{2+} (для связывания образующегося H_2S). Период сбраживания в среднем 21 сутки. Содержание H_2S в образующемся газе $\leq 0,02\%$.

С. Конобеев

5147. Санитарно-гигиеническая характеристика сточных вод винных и вино-коньячных заводов Молдавской ССР. Шприцман М. Л., Сб. тр. Молд. н.-и. ин-та эпидемиол., микробиол. и гигиены, 1956, вып. 2, 145—156

Приведены данные о составе СВ 2 з-дов, изготавливающих, наряду с основной продукцией, виннокислый кальций.

М. Ланшин

5148. Наличие ценных веществ в сточных водах пивоваренного производства. Поспишил (Hodnota pivovarských odpadních vod. Pozpíšil Vačvold), Kvasný průmysl, 1957, 3, № 3, 54—56 (чешск.; рез. русск., нем., англ., франц.)

Приведены колич. данные о потере экстрактивных и белковых в-в со СВ. Намечены пути сокращения этих потерь, позволяющие облегчить задачу очистки СВ.

Л. Милованов

5149. Очистка сточных вод скотных дворов ферм. Пейнтер (Treatment of waste waters from farm premises. Painter H. A.), Water and Sanit. Engr., 1957, 6, № 6, 253—257 (англ.)

СВ от мытья помещений для скота более трудно очищаются на биофильтрах, чем бытовые СВ. Лабор. опыты коагулирования СВ $\text{Al}_2(\text{SO}_4)_3$ (528 мг/л) показали снижение БПК с 814 до 570 мг/л и перманганатной окисляемости с 357 до 186 мг/л. Более экономичной оказалась очистка на биофильтре с разбавлением исходных СВ очищенными (1:2). При этом наблюдалось снижение БПК с 130 до 10 мг/л и перманганатной окисляемости с 107 до 43 мг/л. Очистка не снижает цветности СВ.

С. Конобеев

5150. Исследование свойств осадка при электролитической очистке сточных вод. Способы его обработки и утилизации. Поликовская Н. В., Тр. Горьковск. инж.-строит. ин-та, 1956, вып. 25, 191—209

Количество осадка (влажность 97—98%) при электролитич. очистке СВ в среднем равно 2,3% от кол-ва СВ. Для осаждения основной массы его при отстаивании требуется 20—30 мин. Зольность осадка в среднем 45%. 99,5% частиц имеют размер < 1 мм. Осадок хорошо сползает по наклонной плоскости, что позволяет делать днище в отстойниках с углом наклона $\leq 30^\circ$. Не имеет гнилостного запаха, хорошо обезвоживается на иловых площадках и сбраживается в метантенках (газообразование 407 л на 1 кг беззольного в-ва). Может успешно применяться в качестве удобрения или использоваться как топливо (теплота сгорания 2725 ккал/кг). Зола, получаемая при сжигании, по хим. составу и свойствам близка к краскам типа мумии. При использовании осадка в качестве топлива с последующей утилизацией золы

как пигмента для изготовления красок может быть достигнут высокий экономич. эффект. П. Кандзас

5151. Применение хлоргидрата алюминия для кондиционирования осадков бытовых сточных вод, обезвоживаемых на иловых площадках. Крандалл, Меррей, Сидлоу (Aluminium chlorohydrate as a conditioning agent for sewage sludges applied to drying beds. Crundall S. F. W., Murray A., Sidlow R.), J. and Proc. Inst. Sewage Purific., 1956, № 1, 84—88. Discuss., 88—91 (англ.)

Хлоргидрат алюминия (I) применялся в виде р-ра, содержащего 15% Al_2O_3 и 13% Cl^- ; pH 2,5—3,5; уд. в. 1,3. Лабор. опыты по кондиционированию осадка первичных отстойников, содержащего 7,7% сухого в-ва (II), показали, что при дозах I (в % на II осадка в пересчете на Al_2O_3): 0, 0,11; 0,27; 0,54; 1,1; 2,16 после 20-суточного дренирования на воронках содержание II в осадке составляло (в %): 13,5; 13,5; 14,0; 15,3; 22,7; 27,3. В опытах, проведенных в производственных условиях (содержание II в осадке 6 %) при дозах I (в %): 0; 0,55; 0,89; 2,11; содержание II в осадке после 20-суточного дренирования составляло (в %): 43,8; 41,9; 59,9; 76,8. Опыты в производственных условиях с осадком вторичных отстойников (содержание II 3%) показали, что при дозе I 1,3% через 12 суток содержание II в осадке повышается до 27,3%. Кондиционирование сброженного осадка дозой I 2,62% показало, что после 137-суточного дренирования содержание II в осадке составляет 47,0% по сравнению с 34,9% в отсутствие обработки. I не вызывает сильной коррозии и в обычно применяемых дозах не изменяет значительно pH осадка и дренажной воды.

С. Конобеев

5152. Изменение негидролизующих соединений осадка городских сточных вод в процессе метанового распада (исследовал осадок Василеостровской насосной станции г. Ленинграда). Возная Н. Ф. В сб.: 15-я научн. конференция Ленингр. инж.-строит. ин-та. Л., 1957, 468—470

В осадке бытовых СВ $\sim 1/5$ ч. приходится на долю негидролизующих к-тами в-в. В процессе брожения относительное кол-во этих в-в увеличивается, достигая в среднем 40% от органич. массы осадка. Негидролизующие в-ва были разделены на 2 группы: растворимые в разб. р-рах щелочей — гуминовые в-ва и не растворимые в них — лигнин. В процессе мезофильного брожения осадка наблюдалось изменение содержания гуминовых к-т (в % к органич. в-ву) с 2,8 до 22,4, лигнина с 18,3 до 12,5. Предполагается, что наряду с лигнином в осадке содержатся другие инкристирующие в-ва, которые подвергались распаду при метановом брожении.

О. Болотина

5153. Опыты по сбраживанию осадков сточных вод. Ван-Бенеден (Une épreuve de fermentation des boues d'égouts. Van Beneden G.), Bull. Centre belge étude et docum. eaux, 1957, № 35, 11—17 (франц.)

Описаны аппаратура и методика постановки опытов. Приведены результаты анализа осадков, взятых в различных точках, и дана характеристика их сбраживания.

М. Лапшин

5154. Исследования процесса анаэробного разложения шлама от производства вискозного волокна. Мейнк, Томашк (Untersuchungen über den anaeroben Abbau von Viskoseschlamm. Meink F., Thomasch G., Schriftenreihe Vereins Wasser-Boden- und Luftthyg. Berlin-Dahlem., 1955, № 9, 31 S.) (нем.)

Лабораторными опытами, проведенными в мезофильных условиях (30°), установлено, что соли Zn^{2+} в конц-ии $\leq 1\%$ не влияют заметно на процесс сбраживания. При конц-ии $Zn^{2+} \geq 1,7\%$ процесс прекра-

щается. Конц-ия $S \leq 1\%$ не оказывает заметного токсичного действия, даже если она находится в кол. состоянии. Так как в шламе отсутствуют N, K и мало соединений P, необходимо производить соответствующую подпитку. Эффект газоотдачи значительно возрастает при введении стимуляторов. Перед подачей шлама в метантенк рекомендуется его отмывка водой от легко растворимых солей Zn^{2+} с дальнейшей обработкой р-ром NaOH. Суточная нагрузка вискозного шлама не должна превышать 2% от объема бытового осадка, загруженного в метантенк. Присутствие Fe^{++} в конц-ии $\leq 3\%$ стимулирует развитие бактерий; в конц-ии $> 7,5\%$ вредит нормальному процессу. При соблюдении указанных условий процесс анаэробного сбраживания вискозного шлама вместе с бытовым осадком протекает с той же скоростью и с той же газоотдачей, что и одного осадка бытовых СВ.

С. Конобеев

5155 К. Загрязнение водотоков. Клейн (Aspects of river pollution. Klein Louis. London, Butterworth Scient. Publs, 1957, xii, 621 pp., ill., 84 sh.) (англ.)

5156 К. Очистка воды коагулянтами. Маркизов В. И. Перев. с русск. (Oczyszczanie wody koagulantami. Markizow W. I. Tlum. z ros. Warszawa, Budown. i Archit., 1956(1957), 63 s., il., 3 zl.) (польск.)

5157 К. Проектирование устройств для удаления из воды растворенных газов в процессе водоподготовки. Кастальский А. А., М., Госстройиздат, 1957, 148 стр., илл., 5 руб.

5158 К. Обработка сточных вод. Имхофф, Фер. Изд. 2-е (Sewage treatment. 2nd ed. Imhoff Karl, Fair Gordon Maskew. New York—London, Chapman and Hall, 1957, vii, 338 pp., ill., 60 sh.) (англ.)

5159 Д. Санитарная охрана источников водоснабжения от загрязнения сточными водами сланцевой промышленности (на примере комбината «Кивийлы»). Юргенсон И. А. Автореф. дисс. канд. биол. н., Акад. мед. наук СССР, М., 1957

5160 Д. Исследование основных факторов, определяющих эффективность процесса магnezияльного обескремнивания воды. Живилова Л. М. Автореф. дисс. канд. техн. н., Всес. теплотехн. н.-и. ин-т, М., 1957

5161 П. Водоумягчительная установка. Уэбб (Water softening apparatus. Webb Francis H.). Пат. США 2744867, 8.05.56

Установка для индивидуального пользования состоит из ионитного фильтра, напорного бака для регенерирующего рассола (годовой запас) и системы спец. клапанов и электрич. устройства. Регенерация фильтра производится автоматически через определенные промежутки времени. Приведены схематич. чертежи установки и дано описание ее действия.

А. Мамет

См. также: Анализ: Mg^{2+} 4284, 4285; жесткость 4340; Zn^{2+} 4287, В 4290, 4291; Fe 4305; NO_2^- и NO_3^- 4343; SO_4^{2-} 4321; F— 4324; CN— 4326, 4327. Фенолы 4262. Отбор проб СВ 4937. Физ.-хим. основы технологии: коэф. распределения фенола между водой и бутилацетатом 3946. Монослои, препятствующие испарению воды 3993. Внутрикотловые процессы: кристаллография кальций гидроксилата 3636. Иониты: получение 5839, 5858, 6473—6475. Кривая нейтр-ции Amberlite 4041. Утилизация и удаление отходов: СВ бумажных ф-к 6619. СВ от газификации прибалтийских сланцев 5876. Водоемы и водотоки: ионный обмен в донных отложениях 4236. Органич. в-ва природных вод 4246. Реагенты: растворимость ClO_2 в воде 3819

ТЕХНИКА БЕЗОПАСНОСТИ. САНИТАРНАЯ ТЕХНИКА

Редакторы Н. Ф. Кононов, И. В. Саноцкий

5162. Обращение с химикалиями. Вюльферт (Om gang med kjemikalier. Wulfert K.), Farg. og kjemikal., 1957, 6, № 1, 11—12, 15; № 4, 139—140, 143, 144; 147—148, 151; № 6, 236, 239—240 (норв.)

Описаны физ. и хим. свойства, взрыво-, огнеопасность и токсичность некоторых в-в и мероприятия по технике безопасности при обращении с O_2 , O_3 , S, H_2S , Mo, MoS_2 , $Mo(CO)_6$, $MoCl_5$, W, WC, $MgWO_4$, WF_6 , WO_3 , U, UO_3 , F_2 , SiF_4 , Cl_2 , $NaOCl$, $CaOCl_2$, $HClO_2$, $NaClO_2$ и др. К. Герцфельд

5163. Оценка и применение тестов экспозиции. II. Замечания к работе Фишеровой-Бергеровой. Бардодей, Кривуцова (Hodnota a použití expozicičních testů. II. Poznámka k práci V. Fišerové-Bergerové. Bardoděj Zdeněk, Krivucová Marie), Pracovní lékař., 1956, 8, № 3, 189—191 (чешск.)

Указано, что коллективные экспозиционные тесты (установленные степени вредного действия промышленных ядов путем определения кол-ва этих в-в или соответствующих продуктов их превращения в биосферах), которые предлагает Фишера-Бергерова, не удобны для санитарно-эпидемиол. службы по ряду причин. Постановка индивидуальных экспозиционных тестов, напротив, является ценным дополнением к анализам воздуха производственных помещений. На основании имеющихся материалов предложено снизить предельно допустимую конц-ию трихлорэтилена в воздухе производственных помещений. Часть I см. РЖХим, 1956, 57050. Т. Бржевская

5164. Замечания к оценке тестов экспозиции в работе Бардодей и Кривуцовой. Фишера-Бергерова (Poznámky k hodnotě expozicičních testů k práci Bardodějové a Krivucové. Fišerová-Bergerová V.), Pracovní lékař., 1956, 8, № 3, 191—192 (чешск.)

Обосновывается положение о том, что индивидуальные биол. тесты пригодны скорее для качествен. оценки среды, в то время как коллективные тесты, сглаживая индивидуальные различия, являются ценным гигиенич. показателем и свидетельствуют о средней конц-ии вредного в-ва в воздухе производственных помещений. Они технически более просты, чем долговременные отборы проб воздуха. Приводятся и другие возражения на замечания Бардодей и Кривуцовой. Т. Б.

5165. Оценка и применение тестов экспозиции. III. Бардодей, Кривуцова (Hodnota a použití expozicičních testů. III. Bardoděj Zdeněk, Krivucová Marie), Pracovní lékař., 1956, 8, № 3, 193—194 (чешск.)

Рассматривается значимость экспозиционных тестов. Подтверждено, что средняя конц-ия трихлоруксусной к-ты в суточном кол-ве мочи, равная 160—180 мг/л, соответствует 0,4 мг/л трихлорэтилена в воздухе зоны дыхания. Т. Бржевская

5166. Оценка и применение тестов экспозиции. Бардодей, Фишера-Бергерова, Кривуцова (Hodnota a použití expozicičních testů. Bardoděj Z., Fišerová-Bergerová V., Krivucová M.), Pracovní lékař., 1956, 8, № 3, 194 (чешск.)

Указано, что биол. экспозиционные тесты (ЭТ) должны применяться наряду с хим. анализом производственной среды. ЭТ дают представление о кол-ве поглощаемого людьми вредного в-ва не только при его вдыхании, но и при других путях поступления яда в организм. Считают, что колич. ценность ЭТ достаточна для установлений относительной опасности отдельных рабочих мест. Приведены примеры определения величины экспозиции трихлорэтилена по кол-ву трихлоруксусной к-ты в моче. Т. Бржевская

5167. Некоторые специальные меры защиты при работе с радиоактивными веществами. Камил (Cîteva măsuri speciale de protecție la lucrul cu substanțe radioactive. Camil J.), Rev. chim., 1957, 8, № 1, 32—41 (рум.; реж. русск., нем.)

Рассмотрены мероприятия техники безопасности при работе с радиоактивными изотопами, а также соответствующие санитарно-гигиенич. и законодательные мероприятия. И. Саноцкий

5168. Сообщение о работе печи для сжигания радиоактивных отходов. Хампсон, Хайкан, Роджер (Basic operational report of the Argonne active waste incinerator. Hampson Donald C., Hykan Edwin H., Rodger Walton A.), U. S. Atomic Energy Chem. Comm. Rpts., 1953, ANL-5067, 70 pp. (англ.)

Печь для сжигания радиоактивных отходов эксплуатировалась в течение 20 месяцев, при этом были решены как чисто производственные, так и эксперим. задачи. За этот период было сожжено ~ 450 м³ отходов; объем золы составлял 5% первоначального объема при скорости сжигания $\leq 0,48$ м³/час. Получены данные для характеристики работы оборудования. Исследования отработанных газов на выходе из скруббера в атмосферу показало, что активность их, как правило, меньше активности окружающего воздуха. Фактор очистки (отношение активностей поступающего в печь материала и отходящих газов) составлял 2—3.10⁷. Проведено также экономич. исследование работы печи. Стоимость обезвреживания горючих радиоактивных отходов путем их сжигания обходится в 2 раза дешевле, чем их обезвреживание путем захоронения. О. Мартынова

5169. Влияние алюминия на организм человека. Гигиенический обзор. Кемпбелл, Касс, Чолак, Кью (Aluminum in the environment of man. A review of its hygienic status. Campbell Irene R., Cass Jules S., Cholak Jacob, Kehoe Robert A.), Arch. Industr. Health, 1957, 15, № 5, 359—448 (англ.)

5170. Об опасности окиси углерода. Пелнарж (O nebezpečí kyslíčniku uhelnatého. Pelnář Rudolf), Bezpečn. a hyg. práce, 1957, 7, № 3, 79—82 (чешск.)

Краткий обзор литературы. Е. Стефановский

5171. Техника безопасности в производстве синильной кислоты способом Андруссона и в производстве и переработке цианистого натрия. Паску (Technica securității la fabricarea acidului cianhidric prin procedeul Andrussov și la fabricarea și prelucrarea cianurii de sodiu. Pascu M.), Rev. chim., 1957, 8, № 1, 45—48 (рум.; реж. русск., нем.)

Рекомендации по технике безопасности во всех стадиях произ-ва HCN и NaCN. И. Саноцкий

5172. Описание нескольких случаев профессионального отравления бромистым метилом. Марторано (Descrizione di alcuni casi di intossicazione professionale da bromuro di metile. Martorano Giuseppe), Med. lavoro, 1956, 47, № 10, 524—532 (итал.; реж. англ., нем.)

Описан случай отравления рабочего, работавшего в течение последних 6 лет с CH_3Br . Отмечены боли в области желудка, тошнота, рвота, судороги, экстрапиримидальный синдром. Среди рабочих того же цеха на протяжении последних 15 лет было еще 4 случая отравления CH_3Br . Приведена схема произ-ва, отмечены моменты, способствующие выделению CH_3Br в атмосферу рабочего помещения. Рекомендованы медицинский отбор рабочих и разъяснение им необходимых гигиенич. правил. Н. Соловьева

5173. Профессиональные заболевания, вызванные тетрилом. Бонетти (Tecnopatia da tetrile. Bo-

nenti Teodoro), Med. lavoro, 1956, 47, № 10, 520—523 (итал.)

Наблюдениями над 203 рабочими, занятыми зарядкой детонаторов тетрилом (I) (как таковым или в смеси с графитом или стеариновоокислым натрием), подтверждены данные американских и скандинавских авторов об объективных и субъективных симптомах отравления: пожелтение ладоней (во всех случаях), зуд лица (у 33%), эризматозный пузырчатый дерматит, головные боли, отсутствие аппетита и др. Приведены концентрации пыли I в воздухе рабочих помещений. В борьбе с отравлениями I эффективным мероприятием оказалось отстранение от работы с I на 15—20 дней после каждых 3 рабочих дней.

Н. Соловьева

5174. Действие нафталина на глаза. Гетти, Мариани (Alterazioni oculari da naftalina. Ricerche cliniche e sperimentali. G. Ghetti Giuseppe, Mariani Luigi), Med. lavoro, 1956, 47, № 10, 533—538 (итал.; рез. англ., нем.)

При медицинском обследовании 21 рабочего, работавших в течение 5 лет на предприятии по производству красителей с широким применением нафталина, отмечено точечное и разлитое помутнение хрусталика глаза по его периферии. После переоборудования установки выделение вредных паров в рабочее помещение было исключено: повреждений хрусталика не наблюдалось. В опытах на 8 кроликах установлено, что только при введении нафталина через рот имели место заметные изменения хрусталика. Приведено 2 типичных клинических случая заболевания глаз. Помещена схема модернизации установки.

Н. Соловьева

5175. Токсикологический анализ воздуха в производстве фурфурола. Иоанид, Борш, Попа, Звоник, Стэной (Analiza toxicologică a aerului dintr-o fabrică de furfural. Ioanid N., Borș Gh., Popa I., Zvîncă El., Stănoiu I.), Farmacia (Român.), 1957, 5, № 1, 18—24 (рум.; рез. русск., франц., англ., нем.)

Анализ показал, что концентрации фурфурола превосходят предельно допустимые. Предлагается ряд профилактических мероприятий.

И. Санюцкий

5176. О ядовитости нефтяного битума. Оу Фэн (石油沥青不是毒物. 歐風), 化學通報, Хуасюэ тунбао, 1956, № 5, 21—23 (кит.)

Современные данные не дают возможности сделать окончательного заключения о вредном влиянии нефтяных битумов на здоровье рабочих, занятых в нефтеперерабатывающей промышленности. Хотя среди содержащихся в нефти многоядерных ароматических углеводородов обнаружены антрацен, фенантрен и другие сравнительно сложные канцерогенные в-ва, но т-ры кипения их < 400°, вследствие чего при переработке нефти достигается практически полное удаление этих в-в из гудрона и других остаточных продуктов переработки. Это обстоятельство позволяет предполагать, что при соблюдении правил охраны труда нефтяные битумы не оказывают вредного влияния на рабочих.

А. Зонитар

5177. Сухая перегонка дерева. Дионисие (Distilarea lemnuului. Dionisie Radu), Paza incendiilor, 1956, № 1, 8—14 (рум.)

Рассмотрены технологич. процесс и огнеопасность продуктов. Перечислены правила пожарной безопасности в произ-ве и при обращении с продуктами.

Г. Маркус

5178. Химическое загрязнение воздуха в современных городах. Фабр (La pollution chimique de l'air dans les cités modernes. Fabre René). Rev. pathol. gén. physiol. clin., 1956, 56, № 681, 1327—1345, Diskuss. 1346 (франц.; рез. англ., исп.)

Рассмотрены источники хим. загрязнений атмосферного воздуха городов. Отмечено высокое токсич. действие туманов, несмотря на незначительные кол-ва со-

державшихся в них вредных газов. Перечислены замечания в живой природе, возникающие в результате атомных и термоядерных взрывов. Приведены данные, характеризующие опасность для здоровья населения наземных испытаний атомных установок.

С. Яворовская

5179. Приборы для определения содержания пыли в очищенных газах после обеспыливающих установок. Дорлейн (Geräte zur Kontrolle des Staubgehaltes von Reingasen tinger Entstaubungsanlagen. Dorelynn M.), Zement-Kalk-Gips, 1957, 10, № 4, 128—130 (нем.; рез. англ., франц.)

Описаны 2 прибора: мгновенного и длительного (24 часа) действия. Принцип действия 1-го прибора основан на рассеивании световых лучей, проходящих через газы, содержащие частицы пыли, и направляемых на фотоэлемент, снабженный электронным усилителем. Во 2-м приборе некоторое кол-во очищ. газа просасывается через предциклонный циклон, в котором происходит оседание пыли. О качестве работы обеспыливающей установки судят по весу скопившейся за сутки пыли.

Е. Штейн

5180. Измерение уноса пыли из шахтных печей. Пеликан (Kvantitativne meranie prachového úniku zo šachtových pecí. Pelikán J.), Stavivo, 1957, 35, № 5, 184—188 (словацк.; рез. русск., англ., нем., франц.)

Описаны приборы и методы измерения уноса пыли из известковых и др. шахтных печей.

М. Степанова

5181. Достижения в области улавливания дурнопахнущих веществ в производстве сульфатной целлюлозы. Тримейн (A progress report on the control of sulphate pulp mill malodours. Tremaine Breckinridge K.), Pulp and Paper Mag. Canada, 1956, 57, № 8, 132—136 (англ.)

Обобщение практич. опыта использования спец. установок (конденсаторы, скрубберы и др.). Указано на влияние метеорологич. факторов на распространение запахов.

Л. Михеева

5182. Переносные приборы для обнаружения горючих газов и паров. Колман (Portable apparatus for detecting flammable gases and vapours. Coleman E. H.), Brit. Chem. Engng, 1957, 2, № 3, 143—145; № 4, 202—207 (англ.)

Обзор переносных приборов (П) для обнаружения и измерения содержания горючих газов и паров в воздухе. П подразделяются на следующие группы: 1. Физ., основанные на измерении: а) теплопроводности; б) плотности; в) вязкости; г) скорости диффузии; д) коэф. преломления света; е) поглощении излучения (ИК- и УФ-); ж) скорости распространения звука; з) магнитных свойств; и) диэлектрич. проницаемости; к) эффекта ионизации. 2. Хим., основанные на измерении изменения объема или окраски при поглощении анализируемых газов. 3. П, основанные на измерении изменений объема, давления или теплосодержания газов при их сжигании. Последний метод наиболее точен и применяется во многих ручных газоанализаторах и автоматич. П. В этих П горючий компонент сжигается на Pt-катализаторе и после поглощения образовавшихся H_2O и CO_2 регистрируется изменение давления. Распространение получили П с измерением т-ры Pt-нити, на которой сжигается газ. Т-ра нити измеряется по изменению ее сопротивления или термодинамич. на каталитич. активность Pt-нити отравляющее действует тетраэтил свинца, поэтому при измерении содержания паров этилированных топлив необходимо повышать т-ру нити. Были исследованы 7 П с Pt-нитью. Только 2 из них соответствовали требованиям, и даже лучшие образцы требуют ежедневной наладки. Более чувствительны П, в которых происходит сжигание на низкотемпературном катализаторе (гопккалит для CO

или кварцевая вата с нанесенными Pt или Pd для СН₄). Эти П могут работать без нагрева, и т-ра сжигания в них ниже т-ры воспламенения газа. Описан П, в котором скомбинированы эффекты диффузии и сжигания (газ диффундирует внутрь пористого цилиндра, где помещена накалившая нить; при этом газ сгорает, и в цилиндре понижается давление, изменение которого служит мерой конц-ии газа). Одним из наиболее распространенных П для определения наличия СН₄ является лампа Деви, с помощью которой можно определять содержание СН₄ 1,25—4,5%. Имеется ряд П с использованием пламени для определения содержания горючих паров. Описан сигнализатор горючих газов и паров, в котором увеличение размеров пламени при повышении конц-ии горючих компонентов вызывает разрыв биметаллич. пластинки, замыкающей контакты цепи сигнализации. Описан сигнализатор, в котором имеется патрон, заполненный солью щел. металла и нагретый до 300°. Под действием горючего газа патрон становится электропроводящим и замыкает цепь сигнализации. Выпускаются П с цветовыми индикаторами, в которых содержание горючих примесей в воздухе определяется по изменению окраски реактива, через который просасывается исследуемый воздух. Библ. 56 назв. И. Ихлов

5183. Испытания водоотводящих свойств добавок к сухому огнегасительному порошку. Фридрих (Prüfung der wasserabweisenden Eigenschaften von Trockenlöschpulvern. Friedrich Max), Chemiker-Ztg, 1957, 81, № 11, 363—364 (нем.)

Одним из основных свойств порошков для тушения пожаров является их текучесть, что обуславливает возможность подачи их к месту пожара в виде струи аналогично жидкости. При хранении порошков текучесть их уменьшается из-за влажности окружающей среды. Для сохранения текучести к порошкам добавляют различные в-ва, способные поглощать влагу. Описываются методы испытания порошков с различными добавками. Я. Дозорец

5184. Придание огнестойкости древесине. Енцш (Wie macht man Holz noch hitzbeständiger? Jentzsch H.), Bau, 1956, № 3, 67—68 (нем.)

Приведены кривые зависимости воспламеняемости при 320° и максим. скорости горения в г/мин от об. веса для различных сортов древесины, обработанной и не обработанной огнезащитными средствами. В качестве последних применялись силикаты Na и K, различные известковые шламы, а также 20%-ный водн. р-р смеси: 94% (NH₄)₂HPO₄ + 5% NaF + 1% некаля (Na-соли дибутил α-нафталинсульфокислоты). Е. Калиновская

5185. Значение отключающих дверей в шахтных подъемниках во время пожара. Зенгер, Зекамп (Das Verhalten von Abschlusstüren zu Aufzugsschäch-

ten in Brande. Saenger, Seekamp), Bauwirtschaft, 1955, 33, № 9, 895—903 (нем.)

Огнестойкие одиночные двери из огнестойких и огнестойких материалов могут задержать пожар на 1,5 часа между этажами или отсеками, причем т-ра второй поверхности двери при этом не превышает 130°.

Я. Дозорец
5186. Защита от взрыва. Масков (Explosiosschutz. Maskow H. M.), Umschau, 1956, 56, № 21, 647—650 (нем.)

Изложены способы защиты от взрыва при обращении с различными взрывоопасными смесями (смеси воздуха с метаном, ацетиленом, водородом, парами этилового эфира, гексана и др.). Б. Энглин

5187. Техника безопасности при применении сжиженных газов, в частности сернистого ангидрида и хлора, на сахарных заводах. Вегнер (Betriebsgefahren bei der Verwendung verflüssigter Gase, insbesondere von schwefliger Säure und Chlor in Zuckerfabriken. Wegner A.), Zucker, 1957, 10, № 2, 38—42 (нем.)

Даны рекомендации по безопасному обращению с сернистым ангидридом и хлором. Н. Гарденин

5188. Несчастный случай на химическом заводе, связанный с явлением хрупкого излома. Уэллс (Brittle fracture: a hazard in chemical plant. Wells A. A.), Brit. Chem. Engng, 1957, 2, № 4, 186—191 (англ.)

Описаны случаи аварий на хим. з-дах, связанные с разрушением аппаратуры и вызванные хрупким изломом металлов (в частности, малоуглеродистой стали), послуживших материалом для изготовления аппаратуры. Показано, что излом вызван изменением т-ры, следствием чего являлся переход металла из одной кристаллич. модификации в другую. М. Фишбейн

5189. Предохранение от несчастных случаев на литейных машинах. Гёрц (Unfallverhütung an Spritzgußmaschinen. Goertz Wolfram), Kunststoff-Rundschau, 1956, 3, № 8, 317—319 (нем.)

При конструировании литейных машин (ЛМ) вопросам техники безопасности уделялось до сих пор недостаточное внимание, что вело к росту несчастных случаев при работе на ЛМ. Разработано предписание по технике безопасности для работы на ЛМ и рекомендованы защитные устройства для ЛМ различных конструкций. В. Гринблат

См. также: Острые и хронические интоксикации тетраэтилсвинцом, спиртом и этилированным бензином 2693Бх. Схема воздухоочистки для эффективного удаления механич. пыли и загрязнений в формалиновом произ-ве 6017. Аспираторы 4456. Фотометрич. ультрамикроред. фенола в воздухе 4363. Огнезащитные краски 6509

ХИМИЧЕСКАЯ ТЕХНОЛОГИЯ. ХИМИЧЕСКИЕ ПРОДУКТЫ И ИХ ПРИМЕНЕНИЕ (Часть 2)

ХИМИКО-ТЕХНОЛОГИЧЕСКИЕ ВОПРОСЫ ЯДЕРНОЙ ТЕХНИКИ

Редакторы В. И. Елинек, В. Д. Матвеев

5190. Радиоактивные изотопы в промышленности. Сомер (Radioaktive Isotope i industrien. Somer Erik), Ingr-og bygningsvaesen, 1957, 52, № 11, 189—194 (датск.)

5191. Атомная промышленность Франции. Эрона Жюль (Франсの原子力. ジュール. デロン), 化学

工業, Kagaku to kōgō, Chem. and Chem. Ind., 1957, 10, № 1, 3—8 (японск.)

Обзор. Размещение пром-сти; произ-во D₂O и Pu. Приведены характеристики реакторов. Н. Ширяева

5192. Использование атомной энергии в Чехословакии. Сплицы В. И., Лаврухина А. К., Вестн. АН СССР, 1957, № 6, 76—81

5193. Ядерное горючее. Рейсвейк-де-Йонг, Херманс (Nucleaire grondstoffen. Rijswijk W. E. van, Hermans M. E. A.), Chem. weekbl., 1957, 53, № 20, 245—255 (гол.; рез. англ.)

Дана характеристика основных урановых и ториевых минералов; описаны некоторые технологич. процессы получения чистых соединений U и Th из руд, а также методы разделения изотопов U. В. Левин

5194. Выделение урана и меди при кислотном выщелачивании сульфидных урановых руд под давлением. Халперн, Форуорд (Separation of uranium and copper during the acid pressure leaching of sulphidic uranium ores. Halpern J., Forward F. A.), Bull. Instn Mining and Metallurgy, 1957, № 603, 181—189 (англ.)

При обработке под давлением в атмосфере O_2 водн. пульпы (Т:Ж = 1:1) уранинитового концентрата, богатого S (~5%), растворение U идет за счет к-ты, образующейся непосредственно в зоне р-ции при автоокислении сульфидов, в частности пирита. На 1-й стадии выщелачивания (В) при оптимальных условиях (т-ре ~ 160° и давлении O_2 ~ 0,7 кг/см²) за 4 часа в р-р извлекается до 95% U. Степень измельчения руды не влияет существенно на скорость В; повышение давления и т-ры увеличивает скорость В. (В случае руд с более низким, напр. ~ 3%, содержанием S в пульпу необходимо добавлять пирит и к-ту). Наряду с U в р-р переходит от 10 до 87% содержащейся в руде Cu. На 2-й стадии В пульпа обрабатывается в тех же условиях, что и на 1-й, но без O_2 . При этом растворившаяся Cu вновь выпадает в осадок в виде CuS вследствие предполагаемой обменной р-ции: $CuSO_4 + FeS \rightarrow CuS + FeSO_4$. Из нерастворившегося остатка после двухстадийного В флотацией выделяется богатый (~44%) медный концентрат. Извлечение Cu в этот концентрат ~ 95%. Л. Херсонская

5195. Получение тетрафторидов тория и урана. Качари, Де-Леоне, Фицотти, Габальо (Preparation of uranium and thorium tetrafluorides. Cacciari A., De Leone R., Fizzotti C., Gabaglio M.), Energia nucleare, 1956, 3, № 6, 462—470 (англ.)

Исследован процесс получения UF_4 при применении в качестве фторизирующего агента и восстановителя фреона-12 — CCl_2F_2 (Ф). Найдено, что, помимо основной р-ции $UO_3 + 2CCl_2F_2 \rightarrow UF_4 + CO_2 + COCl_2 + Cl_2$, ~10% UO_3 реагирует по р-ции $UO_3 + 3COCl_2 \rightarrow UCl_4 + Cl_2 + 3CO_2$; при избытке Ф UCl_4 переходит в UF_4 по р-ции: $UCl_4 + 2CCl_2F_2 \rightarrow UF_4 + 2CCl_4$. Присутствие UCl_4 в продукте нежелательно из-за его низкой т-ры плавления; для снижения содержания Cl до 0,05% достаточно иметь избыток Ф в 30%. Другой способ устранения Cl — разрушение $COCl_2$ применением смеси Ф с O_2 (4:1); при этом идет р-ция: $UO_3 + 2CCl_2F_2 + 0,5O_2 \rightarrow UF_4 + 2CO_2 + 2Cl_2$. Примесь UO_2F_2 , образующаяся в этом случае, устраняется пропусканием в конце процесса чистого Ф. Общий избыток Ф при этом способе 10%. Оптимальная т-ра процесса 400°. Выше 400° частично образуется U_3O_8 , дающая больший выход $COCl_2$ по р-ции: $U_3O_8 + 6CCl_2F_2 \rightarrow 3UF_4 + 2Cl_2 + 4COCl_2 + 2CO_2$. Ниже 350° идет нежелательный процесс $UO_3 + CCl_2F_2 \rightarrow UO_2F_2 + COCl_2$. Приведены схемы и фотографии опытных установок для получения UF_4 по описанному способу. Средний состав получаемого продукта: UF_4 99,5—99,65%; UCl_4 0,15—0,20%; UO_2F_2 0,15—0,25%; UO_3 0,05%; общая плотность 3,7—3,8 г/см³. Разработан способ получения ThF_4 действием Ф на ThO_2 , приготовленную низкотемпературным разложением оксалата. При 330—400° получается безводн. ThF_4 по р-ции: $ThO_2 + 2CCl_2F_2 \rightarrow ThF_4 + 2COCl_2$. Аналогично наблюдаемому в случае U идет процесс $ThO_2 + 2COCl_2 \rightarrow ThCl_4 + 2CO_2$, которому подвергаются 20% Th, а также р-ция с избытком Ф: $ThCl_4 + 2CCl_2F_2 \rightarrow ThF_4 + 2CCl_4$. Разработан способ получения ThF_4 в водн. среде действием NH_4F или NH_4HF_2 на нитрат Th. При добавлении NH_4F к 0,1 M р-ру $Th(NO_3)_4$ вна-

чале образуется желатиноподобный осадок $ThF_4 \cdot nH_2O$, который с избытком NH_4F дает NH_4ThF_6 — быстро оседающий и хорошо фильтрующийся осадок. Аналогичный процесс идет с NH_4HF_2 . Рекомендуемый режим: к 0,1 M $Th(NO_3)_4$ при 50—60° и начальн. pH 1,6—1,8 добавляется 2 M NH_4F или NH_4HF_2 до образования NH_4ThF_6 . Дальнейшее превращение NH_4ThF_6 в ThF_4 происходит при 350—500°, причем низкое содержание ThO_2 (< 0,05%) в продукте достигается только проведением процесса в атмосфере Ф. Хорошие результаты получаются также при сушке $ThF_4 \cdot nH_2O$ в атмосфере Ф. При этом Ф практически не расходуется.

5196. Образование на опытной установке продуктов деления в урано-висмутовом реакторном горючем. Рейзман, Саскайнд, Уэйд (Pilot plant generation of fission products in uranium-bismuth reactor fuel. Raseman C. J., Susskind H., Waide C. H.), Chem. Engng Progr., 1957, 53, № 2, F86—F92 (англ.)

В опытной установке 0,08%-ный жидкий р-р U в Bi при 500° циркулировал через петлю, помещенную в ядерный реактор. По выходе из петли металл пропустили через дегазатор, где отделились летучие продукты деления (ПД), и через экстрактор с расщепленной смесью солей, где отделилась другая группа ПД в виде хлоридов. Затем металл возвращался в реактор. В установке создавали атмосферу чистого гелия. Определена растворимость Xe в Bi при 500° и 1 атм — $7,7 \cdot 10^{-7}$ атомов Xe на 1 атом Bi. При работе с эвтектикой $MgCl_2$ - $NaCl$ - KCl коэф. распределения (отношение конц-ий в солевом расплаве к конц-ии в металле) оказались равными: U 0,03—0,06, Cs 400—1020, Ba 342—480, Sr 125, Ce 3,17—3,82, сумма редких земель 4,07—7,55, Zr 0,03—0,14, Ru 0,9, J 48—235, Po 0,73—0,76. Аналогичные данные получены с $LiCl$ - $NaCl$. В. Левин

5197. Регенерация ядерного горючего. Кой (De reconditioning van nucleaire grondstoffen. Kooij J.), Chem. weekbl., 1957, 53, № 23, 297—307 (голл.; рез. англ.)

Описаны различные методы регенерации отработанного ядерного горючего и выделение Pu из облученного U. В. Левин

5198. Новые процессы, обещающие более экономичную очистку продуктов деления. Лавроски, Роджер (New processes promise more economic fission product removal. Lawroski S., Rodger W. A.), Chem. Engng Progr., 1957, 53, № 2, F70—F71 (англ.)

Некоторые новые типы топливных элементов ядерных реакторов невозможно перерабатывать методами регенерации, основанными на экстракции р-рителями. Применимые к этим элементам новые процессы переработки основаны на следующих принципах. 1. Растворение облученного U в BF_3 с образованием UF_6 , который отгоняют и очищают фракционной перегонкой. Плутоний отделяют в виде PuF_6 , который затем превращают в PuF_4 . 2. Сплав U—Zr растворяют в расплавленном фториде и, действуя сначала безводн. HF, а затем F_2 , при этом в чистом виде выделяют UF_6 . В процессах этого типа Pu не извлекают. 3. Горючее без длительного охлаждения переплавляют. При этом часть продуктов деления удаляется со шлаком или испаряется. Первые два типа процессов переработки проверены на опытных установках. В. Левин

5199. Подготовка горючего энергетических реакторов к переработке при помощи процесса, протекающего в водной среде. Саволайнен, Бланко (Preparation of power reactor fuels for aqueous processing. Savolainen J. E., Blanco R. E.), Chem. Engng Progr., 1957, 53, № 2, F78—F81 (англ.)

Рассмотрены два метода растворения ядерного горючего, не растворимого в HNO_3 (содержащего Zr, Nb,

нержавеющую сталь в качестве компонентов сплава или материала оболочки), для последующей переработки полученного р-ра методом жидкостной экстракции. Дарекс-процесс предназначен для растворения типов горючего, содержащих нержавеющую сталь. Растворение производят в 5 М HNO_3 — 2 М HCl . Затем из р-ра удаляют HCl противоточной дистилляцией с 15,2 М HNO_3 и направляют его на подготовку к экстракции. Из паров извлекают HCl в ректификационной колонке. Растворение идет быстро; в газовой фазе отсутствует H_2 . Аппаратуру изготовляют из Ti . Приведены схема процесса, зависимость скорости растворения от концентрации HCl и данные по равновесию пар — жидкость в системе HCl — HNO_3 — H_2O . Цирсекс-процесс предложен для переработки горючих, содержащих Zr . В 1-м варианте горючее при 300—600° обрабатывают газообразным HCl , причем ZnCl_4 возгоняется, а U (или Th) переходит в хлорид, который затем растворяют в воде, освобождают от Cl^- дистилляцией указанного типа и направляют на экстракцию. По 2-му варианту горючее растворяют в расплавленном NH_4AlCl_4 при продувке HCl (газ) при ~ 400°. Zr отгоняется в виде ZrCl_4 , а U (или Th) освобождают от NH_4AlCl_4 возгонкой последнего и перерабатывают в виде хлоридов, как указано выше. Для удаления Zr -оболочек исследовано применение кипящей 14 М H_2SO_4 и 1 М HF . В. Левин

5200. Соображения по проектированию завода химической переработки радиоактивных веществ с непосредственным доступом для ремонта. Рид, Кеннеди (Design philosophy for a direct-maintenance radioactive chemical plant. Reid D. G., Kennedy K. K.), Chem. Engng Progr. Sympos. Series, 1956, 52, № 19, 195—202 (англ.)

Описаны планировка, оборудование и технологический процесс з-да хим. переработки облученного ядерного горючего в штате Айдахо. На основании опыта трехлетней эксплуатации з-да в Айдахо авторы делают вывод о целесообразности обеспечения непосредственного доступа для ремонта. В. Левин

5201. О производстве тяжелой воды. Кубота (重水の製造について. 久保田正雄), 化学工業, Кагаку когё, chem. Ind. (Japan), 1957, 8, № 5, 27—33 (японск.)

Обзор методов получения D_2O . Н. Ширяева

5202. Получение плотной окиси бериллия. Хайд, Куэрк, Даккуэрт (Preparation of dense beryllium oxide. Hyde Collin, Quirk J. F., Duckworth W. H.), Chem. Engng Progr. Sympos. Series, 1956, 52, № 19, 105—112 (англ.)

Спеканием (С) брикетов из активной BeO высокой чистоты получены керамич. изделия (КИ) с плотностью (П), близкой к теоретич. П кристаллов BeO . С спрессованных (гидростатически или в матрице) образцов в атмосфере H_2 при 1370—1760° позволяет получить материал с П 3,00—3,02 г/см³. Изменение давления в пределах от 175 до 1400 кг/см² и при гидростатич. прессовании — до 7000 кг/см² не оказывает существенного влияния на плотность спеченного КИ. Однако с уменьшением давления прессования увеличивается усадка образца при С. Добавки в шихту перед С плотной BeO различной крупности снижает П готовых КИ. Прочность готовых КИ на излом обратно пропорциональна среднему диаметру зерен полученного при данной т-ре образца. С понижением т-ры С от 1760 до 1260° размер кристаллов BeO уменьшается от 143 до 3 м. Соответственно возрастает прочность КИ на излом от 490 до 1950 кг/см². П КИ, спеченных при 1260°, снижается до 2,86 г/см³. Наиболее активная, хорошо спекающаяся порошкообразная BeO была получена прокалкой $\text{Be}(\text{OH})_2$ при 1000°. Активность BeO зависит также от того, из какого соединения Be она была получена, от метода ее получения и условий термич. разложения исходного продукта. Л. Херсонская

5203. Разделение и очистка элементов методом ректификации. I. Разделение циркона и гафния ректификацией продуктов взаимодействия их тетрахлоридов с хлоридом фосфора. Нисельсон Л. А., Ж. неорганич. химии, 1956, 1, № 12, 2657—2669

Расчетным путем показана нецелесообразность разделения Zr и Hf простой перегонкой продуктов, близких по составу к $3\text{ZrCl}_4 \cdot 2\text{POCl}_3$ (I) и $3\text{HfCl}_4 \cdot 2\text{POCl}_3$ (II). Для иллюстрации технич. возможностей способа разделения Zr и Hf методом ректификации, подчиняющейся закону Рауля смеси I и II, приведен результат ориентировочного расчета основных геометрич. размеров (высоты и диаметра) ректификационной колонны (РК), обеспечивающей получение 10 кг Zr в час с содержанием $\text{Hf} < 0,005\%$ при его содержании в исходном Zr 1%. Экспериментально показана непригодность насадочной РК со стеклянной насадкой для ректификации вследствие несмачиваемости I и II поверхности силикатных стекол. На тарельчато-ситчатой РК с 50 реальными тарелками за одну ректификацию получено ~ 40% Zr с содержанием $\text{Hf} < 0,005\%$ (при его содержании в исходном Zr 1%). На основании опытных данных величина относительной летучести смеси I и II оценена порядка 1,150—1,155 вместо 1,140 (Gruen D.M., Katz I. I., J. Amer. Chem. Soc., 1949, 71, 3843).

А. Соловкин

5204. Редкие земли как материалы для контроля процессов в ядерных реакторах. Андерсон (Rare earths show promise as reactor control materials. Anderson W. Kermit), Nucleonics, 1957, 15, № 1, 44—46 (англ.)

По величинам сечений поглощения нейтронов, а также по физ. свойствам редкие земли имеют значительные преимущества в качестве материала для изготовления контрольных стержней ядерных реакторов перед всеми другими пригодными для этой цели материалами. Наиболее перспективным является Eu . Изотоп Eu^{151} (распространенность 47,77%) начинает цепочку $\text{Eu}^{151} (n, \gamma) \text{Eu}^{152} (n, \gamma) \text{Eu}^{153} (n, \gamma) \text{Eu}^{154} (n, \gamma) \text{Eu}^{155} (n, \gamma) \text{Eu}^{156}$, которая в 5 раз увеличивает число нейтронов, поглощаемых на 1 атом. Имеются большие запасы руд редких земель, и произ-во последних непрерывно возрастает. Текущая цена за 1 г Eu_2O_3 равна 5 долларам (в 1957 г. — 2 доллара). Приведены стоимости контрольных стержней из различных материалов Hf , B — нержавеющей стали, металлокерамики из нержавеющей стали и Eu_2O_3 и Ti-B (2% B^{10}).

В. Левин

5205. Борал — новый защитный материал от тепловых нейтронов. Мак-Кинни, Рокуэлл, Кинес, Халлингс (Boral: a new thermal neutron shield. McKinney V. L., Rockwell Theodore, III, Kitzes A. S., Hullings W. Q.), U. S. Atomic Energy Comm. Repts, 1954, AEC-3625, 40 pp. (англ.)

Разработана технология получения больших листов и отливок из борала (I) — материала, хорошо поглощающего тепловые нейтроны и не дающего при этом жесткого γ -излучения. Получали I методом горячего прессования (при ~ 610°) порошка B_4C , распределенного тонкими слоями между рядами алюминиевой фольги и методом порошковой металлургии или смешиванием B_4C с расплавленным Al . В листах I толщиной ~ 6 мм с двухсторонней алюминиевой обкладкой (толщиной 0,05 мм) содержание B составляет 36,0 вес.%; Al 55,1 вес.%; C 8,9 вес.%, что отвечает содержанию B в 1 см³ 0,58 г, Al 0,89 г, C 0,14 г. Это обеспечивает в толщине 6 мм поглощение нейтронов порядка 10^{10} (принимая поперечник захвата B — 100 см⁻¹). Плотность I в таких листах 2,53 г/см³; теплоемкость 0,175 кал/г град; т-ра плавления ~ 800°; прочность на разрыв 385 кг/см²; относительное удлинение 0,40%. Теплопроводность I несколько превышает теплопроводность стали. I под-

вергается резке, опиловке, сварке, штамповке, сверловке, нарезке, прокатке и горячему прессованию. Стоимость 1 м² I в 6-мм листах составляет 100—150 долларов. Ожидается, что I найдет широкое применение во всех областях, где необходимо поглощение больших потоков тепловых нейтронов без появления жесткого γ -излучения, в частности — во внутренних секциях защиты реакторов, для защиты тепловых колонн реакторов, в контрольно-измерительном оборудовании.

Л. Херсонская

5206. Графит для атомных реакторов. I, II. Судзуки (原子炉用黒鉛. I, II. 鈴木弘茂), 炭素, Tanco, Carbons, 1956, 5, № 3, 19—30; 1957, 6, № 1, 14—29 (японск.)

Обзор.

Н. Ширяева

5207. Графит и его использование в атомных реакторах. Черрай, Педретти (La grafite e la sua utilizzazione nei reattori nucleari. Cerrai E., Pedretti A.), Energia nucleare, 1956, 3, № 6, 421—434 (итал.)

Обзор. Библ. 8 назв.

5208 Д. Извлечение урана из шлама электрических печей для получения фосфора. Каммак (Recovery of uranium from slag from the electric furnace production of phosphorus. Cammack Hobart Z., Jr. Abstr. doct. diss., Iowa State Coll., 1955), Iowa State Coll. J. Sci., 1957, 31, № 3, 374—375 (англ.)

5209 II. Способ получения радиоактивных препаратов хрома из материала, содержащего ванадий и радиоактивный хром (Fremgangsmåte til fremstilling av radioaktive krompreparater av vanadiumholdig materiale som inneholder radioaktivt krom) [N. V. Philips' Gloeilampenfabrieken]. Норв. пат. 84787, 3.01.55

Способ получения радиоактивного Cr из материала, облученного дейтронами и содержащего, помимо радиоактивного Cr, еще и другие радиоактивные металлы, напр. Sc или Co, отличается тем, что, исходя из богатого V материала, облученного дейтронами с 20—30 мэв, который растворяют в окисляющей к-те, напр. HNO₃ или царской водке, р-р упаривают до начала выпадения V₂O₅ и устанавливают в р-ре содержание Fe в 1% от V, затем подщелачиванием осаждают Fe(OH)₃ вместе с радиоактивными металлами, но не Cr и V, в фильтрате разделяют Cr и V, подкисляя фильтрат до pH 1—2, окисляя, напр., с помощью H₂O₂ радиоактивный хромат в перхромат и извлекают перхромат эфиром (этил- или амилацетатом), кетоном (метилизобутилкетон) или спиртом (амиловым), затем из такого р-ра обработкой его р-ром щелочи получают р-р радиоактивного хромата. Пример. 2 г сплава 70%-ного V и 30%-ного Fe, облученного дейтронами с 26 мэв, в 50 мл царской водки упаривают до начала выпадения V₂O₅; добавляют к р-ру избыток NaOH и несколько капель H₂O₂ и при кипении осаждают Fe(OH)₃, содержащую радиоактивные Sc, Ca, Co, Mn и Cu; фильтрат подкисляют H₂SO₄, добавляют несколько капель 30%-ной H₂O₂ и извлекают 50 мл амилацетата. Из экстракта прибавлением к нему 10 мл 0,001 н. NaOH извлекают весь Cr в виде хромата. Преимущество описанного способа состоит в получении препарата радиоактивного Cr, свободного от примесей иных радиоактивных металлов.

К. Герцфельд

5210 II. Реэкстракция урана из органических растворителей. Хейгман, Кацин, Хелман (Re-extraction of uranium from organic solvents. Hagemann French T., Katzin Leonard I., Hellman Nison N.) [United States Atomic Energy Commission]. Пат. США, 2743157, 24.04.56

Предложен способ реэкстракции (Р) 6-валентного U из эфирной в водн. фазу. Применение комплексобра-

зователя (К) при Р обеспечивает значительное уменьшение объема получаемого реактратка. Органич. р-р контактируют с водн. р-ром, содержащим комплексобразователь — сульфат, фосфат, оксалат или фториды. Наилучший К — (NH₄)₂SO₄, в частности его насыщ. р-р. При Р U 3 н. (NH₄)₂SO₄ сокращение объема водн. фазы по отношению к органич. порядка нескольких сот раз. Процесс может быть оформлен как непрерывный (противоточный) или периодич. Соотношение объемов водн. и органич. фаз при Р — от 1:40 до 1:20. Процесс идет при комнатной т-ре, повышение т-ры благоприятствует Р. Р-р К после выделения из него U может быть повторно использован для Р.

Л. Херсонская

ЭЛЕМЕНТЫ. ОКИСЛЫ

МИНЕРАЛЬНЫЕ КИСЛОТЫ, ОСНОВАНИЯ, СОЛИ

Редакторы В. И. Елинек, В. Д. Матвеев, Н. А. Ширяева

Серная кислота, сера и ее соединения

5211. Одновременное получение глинозема и SO₂ из боксита и гипса. Лупан, Бэдой (Obținerea concomitentă a aluminei și SO₂ din bauxită și gips. Incerări industriale. Lupan Șt., Bădoi R.), Rev. chim., 1957, 8, № 2, 88—92 (рум.)

Диаспориный характер румынских бокситов исключает возможность их переработки по методу Байера; их целесообразно использовать, получая в качестве промежуточного продукта алюмината Са. Предложено заменить СаСО₃ в методе Seailles гипсом или ангидритом для того, чтобы получить при клинкеризации наряду с растворимыми алюминатами Са газы, содержащие SO₂. Полупроизводственные опыты, проведенные в промышленной печи, выявили возможность одновременного получения H₂SO₄ из гипса и Al₂O₃ путем клинкеризации смеси гипса, боксита и кокса с получением растворимых алюминатов Са. Полученные газы содержали 8—11% SO₂, что делает возможным их использование для получения H₂SO₄, а также сульфитирования целлюлозы. Библ. 28 назв. Я. Матвеев

5212. Заполнение пиритных печей. Лазович (Saržiranje piritnih peći. Lazović Milorad), Kemija u industriji, 1956, 5, № 5, 88—90 (сербо-хорв.; рез. нем., англ.)

Предложен расчет и соответствующие ур-ния для определения заполнения печи пиритом в любой момент времени.

Г. Стельмах

5213. Спекание колчеданного огарка. Вальден (Sintning av kisbränder. Walldén Sven), Svensk papperstidn., 1955, 58, № 22, 818—824 (шведск.; рез. англ.)

Приведены данные опытной агломерации колчеданного огарка в аппарате Rolfsen'a на 3-де сульфитной целлюлозы Alfredshem. Полученный обесеренный агломерат обладает свойствами кусковой, непылящей Fe-руды, пригодной для доменного и мажентовского процессов. Агломерационная машина периодич. действия имеет вращающуюся колосниковую решетку в виде усеченного конуса, ось которого наклонена так, что колосники, переходящие в верхнее положение, становятся горизонтально на загрузку, а переходя в нижнее положение — вертикально для разгрузки. Решетка секционная, колосники состоят из полых труб (охлаждаемых водой) с одним свободно лежащим концом для беспрепятственного удлинения. Два газоходов служат для раздельного отвода богатого газа, содержащего 3—5% SO₂, в колчеданную печь и бедного, практически свободного от SO₂. Поверхность решетки 8,5 м² (эффективная — 50%); производительность 2,2 т/час агломерата или 0,5—0,6 т на 1 м² эффектив-

ной поверхности решетки при соединении агломерационной машины с колчеданной печью, производительность последней повышается на 20%. Огарок от печей Никольс — Фримана, в которых колчедан обжигают в псевдоожиженном состоянии, вводят в шихту после гранулирования. Агломерат из огарка, богатого S, обладает повышенной прочностью, требуемой для доменного процесса. К. Герцифельд

5214 П. Аппарат для обжига сульфидных руд в псевдоожиженном состоянии. Суэйи, Слон (Apparatus for effecting fluidization and suspension roasting of metallic sulfide ores. Swaine James W., Sloan John C.) [Allied Chemical & Dye Corp.]. Пат. США 273137, 31.01.56

Аппарат состоит из большой камеры (БК) для обжига и малой камеры (МК) с решеткой внизу, над которой создается псевдоожиженный слой (ПС). Верхняя часть МК входит в нижнюю часть БК, причем нижние стенки БК и верхние стенки МК, наклоненные внутрь, образуют кольцеобразное корыто, где собирается и от куда отводится огарок. Руда с частицами размером $\leq 12,7$ мм подается в МК над решеткой. Под решетку для создания ПС подается циркуляционный газ (обжигательный газ, содержащий SO_2) и часть воздуха, необходимого для обжига, в таком кол-ве, чтобы в МК поддерживалась т-ра выше т-ры воспламенения и ниже т-ры плавления руды ($705-815^\circ$). Остальной воздух подается в БК. Через отверстие сверху МК газы и твердые частицы поступают в БК. Газы, содержащие SO_2 , отводятся из верхней части БК, проходят котел-утилизатор и камеру для отделения унесенного огарка, а затем направляются на произ-во H_2SO_4 . Часть газов с помощью вентилятора возвращается в МК, а часть — в БК для регулирования в ней т-ры. Из МК выше решетки отводится часть твердых частиц, которые проходят через дробилку для измельчения крупных частиц и с помощью транспортера и элеватора возвращаются в МК. Приведена схема. Г. Рабинович

5215 П. Усовершенствованные способ и аппаратура для производства контактной серной кислоты. Солане (Procédé et appareillage perfectionnés pour la fabrication d'acide sulfurique par contact. Solanet Pierre) [Entreprise René et Jean Moritz]. Франц. пат. 1114380, 11.04.56

Способ произ-ва H_2SO_4 , исходя из S, пирита, Zn-обманки или H_2S , как сухим, так и мокрым катализом, отличается тем, что для промывки обжигательного газа и для поглощения SO_2 применяют аппараты с использованием центробежной силы для перемещения к-ты и газа. Приведены 4 схемы. Г. Рабинович

Азотная промышленность

5216. Растворимость окиси углерода в карбонатном медно-аммиачном растворе. Пиклис Д. С., Кофман А. Н., Хим. пром-сть, 1956, № 7, 398—403

Исследована растворимость CO и $N_2 + 3H_2$ -смеси в р-рах, содержащих (в моль/л): Cu^{2+} 0,4—0,85, Cu^{+} 0,91—1,64, NH_3 10,7—8,9, CO_2 3,4—4,4, при парц. давлении CO до 10 атм, общем давлении до 300 атм, т-ре 0—60°. Растворимость CO хорошо описывается уравнением Жаворонкова и Чагунава: $1/V_{CO} = 1/V_m + 1/V_m \alpha P_{CO}$, где V_{CO} — кол-во CO, растворенного в 1 мл р-ра; V_m — макс. кол-во CO, которое может растворить 1 мл р-ра данной конц-ии, мл; P_{CO} — парц. давление CO; α — константа, зависящая от т-ры. Определены V_m и α для исследованных р-ров. Установлено: 1) при малых конц-иях CO слабые р-ры растворяют CO лучше, чем крепкие; 2) растворимость $N_2 + 3H_2$ -смеси пропорциональна давлению. Г. Рабинович

5217. Отмывка окиси углерода жидким азотом. Гельперин И. И., Рапопорт Л. Л., Тр. Гос. н.-и. и проект. ин-та азот. пром-сти, 1956, вып. 5, 249—260

Дан анализ имеющихся опытных данных по фазовым равновесиям системы H_2-N_2 и рассмотрены возможности их применения для расчета отмывки CO жидким N_2 из конвертированного газа для синтеза NH_3 . Показано, что т-ра насыщ. смеси $H_2 + N_2$, выходящей из промывной колонны, не может быть определена по парц. давлению в ней N_2 . Приведены диаграммы равновесных составов жидкости и пара смеси H_2-N_2-CO при 78, 83 и 90° К и давл. 12, 20 и 26 атм, которые с достаточной для практики точностью можно применить для расчета процесса, протекающего в промывной колонне, так как он осуществляется при т-рах значительно ниже крит. т-ры CH_4 . Даны метод расчета кол-ва жидкого N_2 , требуемого для отмывки CO, в зависимости от состава исходного конвертированного газа и схема блока промывки газа жидким N_2 . Г. Рабинович

5218. Методика изучения кинетики синтеза аммиака в проточно-циркуляционной системе при высоких давлениях. Сидоров И. П., Шишкова В. Н., Темкин М. И., Тр. Гос. н.-и. и проект. ин-та азот. пром-сти, 1956, вып. 6, 323—332

При проточно-циркуляционном методе в замкнутом цикле, содержащем катализатор, производится циркуляция газовой смеси (ГС) со скоростью, значительно превышающей скорость ввода свежей ГС и равную ей скорости вывода прореагировавшей ГС, так что состав ГС до и после катализатора изменяется незначительно и можно считать, что катализатор по всей длине слоя соприкасается с ГС одинакового состава. Описано оформление указанного метода при высоких давлениях: колонна синтеза с внутренним циркуляционным насосом, схема установки для изучения кинетики синтеза NH_3 , регулятор давления и контрольно-аналитич. часть. Указаны преимущества метода по сравнению с обычным проточным методом. Библ. 8 назв. Г. Рабинович

5219. Влияние начального содержания аммиака в циркуляционном газе на производительность колонны синтеза. Лившиц В. Д., Тр. Гос. н.-и. и проект. ин-та азот. пром-сти, 1956, вып. 5, 99—103

Исследовано влияние начального содержания NH_3 (3,5 и 7%) в циркуляционном газе на производительность дважды промотированного Fe-катализатора с зернами размером 3 мм под давл. 300 ат, т-рах 400—500° и объемных скоростях 15 000—45 000 л/час газа на 1 л катализатора. Производительность зависит от т-ры конденсации NH_3 после колонны синтеза. Увеличение начального содержания NH_3 снижает производительность во всем интервале т-р и объемных скоростей. Кривая зависимости производительности от объемной скорости и начального содержания NH_3 имеет пологий максимум, который при увеличении содержания NH_3 сдвигается в сторону меньших объемных скоростей. Г. Рабинович

5220. Получение концентрированной аммиачной воды. Калверт (Manufacture of concentrated gas liquor. In vapour phase & liquid phase plants. Calvert N.), Gas World, 1954, 139, № 3622, 192—194 (англ.)

Получение конц. р-ров NH_3 из аммиачной воды (АВ) газовых э-дов встречает затруднение вследствие выпадения карбонатов. Описаны два способа удаления CO_2 : I — парофазный способ, состоящий в перегонке АВ и охлаждении паров так, чтобы конденсировалась только часть водяного пара и образующийся конденсат содержал 70% начального кол-ва NH_3 и мало CO_2 ; несконденсировавшийся пар с основной массой CO_2 выводится из системы при 50—55°; II — жидкофазный способ, состоящий в нагревании АВ до такой т-ры, при которой

из нее удаляется CO_2 без больших потерь NH_3 ; освобожденный от CO_2 р-р концентрируется затем испарением. Описаны схемы 3-дов, работающих по обоим способам, перерабатывающих 60—136 м³ в сутки АВ в конц. р-р, содержащий 20—23% NH_3 . Освещается вопрос о коррозии аппаратуры.

В. Кельцев

5221. Теплопроводность и вязкость водных растворов азотной кислоты. Харбанда (Thermal conductivity and viscosity of aqueous solutions of nitric acid. Kharbanda O. P.), Industr. Chemist, 1957, 33, № 386, 174—176 (англ.)

Приведены номограммы для определения теплопроводности и вязкости водн. р-ров HNO_3 для конц-ий от 0 до 100% и т-р от —17,8 до 149°. См. РЖХим, 1957, 27424, 72058.

Г. Рабинович

5222. Газовые турбины в химической промышленности. Стис (Gas turbines for the chemical industry. Stys Z. Stanley), Canad. Chem. Process., 1957, 41, № 5, 68—69, 72 (англ.)

Приведена схема процесса Chemical and Industrial Corp. для произ-ва HNO_3 окислением NH_3 с использованием тепла р-ции и давления хвостовых газов. Воздух сжимается «изотермич.» компрессором (имеющим 9 рабочих колес с охлаждением внутри компрессора) до 8,4 атм, нагревается до ~288° в подогревателе и смешивается с NH_3 -газом. Смесь газов проходит контактный аппарат с Pt-сетками. Полученные нитрозные газы проходят подогреватель хвостовых газов, подогреватель воздуха, котел-утилизатор, холодильник-конденсатор и поступают в абсорбционную колонну, где образуется HNO_3 . Хвостовые газы, выходящие из колонны под давл. ~5,3 атм, нагреваются в подогревателе до ~482° и поступают в турбину, где расширяются до атмосферного давления. Турбина рекуперирует до 66% энергии, затраченной на сжатие воздуха; остальная энергия подается электродвигателем или небольшой паровой турбиной, находящейся на одном валу с агрегатом компрессор — газовая турбина. При установке дополнительно камеры для сжигания нефти или газа агрегат может быть с энергетич. точки зрения «самообслуживающимся». Расход электроэнергии на 1 т HNO_3 при установке агрегата составляет 240 кВт-ч, а при дополнительной камере сжигания 155—126 кВт-ч по сравнению с 350 кВт-ч на старых установках. Газовые турбины установлены с 1954 г. на 13 за-дах США, из них на 2-х с паровыми турбинами и на 1-м с камерой сжигания.

Г. Рабинович

5223 К. Технология азотных соединений. Том 2. Азотная кислота, нитраты, нитриты, соли аммония, цианистые соединения и другие. Бласяк, Бобровницкий, Бретшнайдер (Technologia związków azotowych. T. 2: Kwas azotowy, azotany i azotyny, sole amonowe, związki cyjanowe i inne. Oprac. Błasiak Eugeniusz, Bobrownicki Włodzimierz, Bretsznajder Stanisław et al. Warszawa, Panstw. Wydawn. Techn., 1956, 992 s., il., 87 zł.) (польск.)

5224 П. Способ получения синильной кислоты из окиси углерода и аммиака. Азендорф (Verfahren zur Herstellung von Blausäure aus Kohlenoxyd und Ammoniak. Asendorf Erich) [Deutsche Gold- und Silber-Scheideanstalt vormals Roessler]. Пат. ФРГ, 949166, 13.09.56

Р-цию проводят в газовой фазе при соотношении $\text{NH}_3 : \text{CO} = 1 : 2-5$ (предпочтительно 1 : 3,5), в присутствии катализатора, состоящего из ≥ 70 (предпочтительно 80—95%) $\gamma\text{-Al}_2\text{O}_3$, 2—10% ZnO и 0,5—3% обычных активаторов, в частности 1—3,5% окиси V. Для этого $\gamma\text{-Al}_2\text{O}_3\text{-ZnO}$ -катализатор пропитывают водн. р-ром соединения V и прокалывают. Р-цию в присутствии этого катализатора проводят при 520—550°.

В этих условиях р-ция протекает практически без разложения NH_3 и может быть осуществлена в виде замкнутого процесса. Так, через наполненный по длине (400 мм) катализатором и нагретый до 540° трубчатый реактор 14 × 960 мм с зоной предварительного нагрева длиной 310 мм пропускали 100 л/час газовой смеси из 1 ч. NH_3 и 10 ч. CO . При катализаторе из $\gamma\text{-Al}_2\text{O}_3 + 5\% \text{ZnO}$ выход HCN составлял 2,6 л/час. В случае же того же катализатора + вышеуказанное кол-во окиси V при соотношении $\text{NH}_3 : \text{CO} = 1 : 10$ выход HCN составлял 5 л/час, а при соотношении $\text{NH}_3 : \text{CO} = 1 : 4-8$ л/час.

Я. Кантор

5225 П. Способ получения синильной кислоты. Хатано, Кояма, Андо, Киёми (青酸を合成する方法. 秦野拓也, 小山克家, 安藤能久, 清水和夫), 工業技術院長, Kogei гидзюцу интё]. Японск. пат. 8182, 11.12.54

HCN (I) получают разложением формамида (II) в трубке из железа (или нержавеющей стали), цементированной Al, Si или их смесью при 450—500° и обычном давлении или в вакууме не выше 100 мм. Железную трубку, цементированную Al, заполняют 45 г Al в виде 2 мм зерен, нагревают до 600° и пропускают смесь газов NH_3 и CO (1 : 10) со скоростью 75 л/час; получают I с выходом 30% по отношению к NH_3 . В трубке не цементированной Al, выход I только 10%, за счет р-ции разложения I, вызываемой железом при высокой т-ре.

В. Каратаев

5226 П. Производство синильной кислоты. Сасаки (青酸製造法, 佐々木一雄). Японск. пат. 6565, 15.10.54

HCN (I) получают из метана и др. углеводородов, NH_3 и O_2 (или воздуха) по р-ции $2\text{CH}_4 + 2\text{NH}_3 + 3\text{O}_2 \rightarrow 2\text{HCN} + 6\text{H}_2\text{O} + 229800 \text{ кал}$ на платиновом катализаторе при 1000—1100°. Для увеличения выхода I применяют смесь газов, где отношение парц. давлений O_2 и NH_3 равно 1,6—20 и отношение парц. давлений CH_4 и NH_3 1,5—3 или выше. Смесь 6 объемн. ч. природного газа (содержащего 98% CH_4), 2 об. NH_3 и 17 объемн. ч. воздуха, вводят в печь с платиновой сеткой, в которой поддерживается 350°; р-ция начинается сразу, и т-ра поднимается до 900°; выход I 90% по отношению к использованному NH_3 .

В. Каратаев

5227 П. Способ и аппаратура для получения растворов сернокислого гидросиламина. Шефлер, Бах, Мейер (Verfahren und Vorrichtung zur Herstellung von Hydroxylaminsulfatlösungen. Schäffler Alfred, Bach Friedrich, Meier Gerhard). Пат. ГДР, 12122, 21.09.56

Р-р сернокислого гидросиламина (I) получают гидролитич. расщеплением солей гидросиламиндисульфокислот (II). Для ведения процесса без дополнительного расхода тепла используют теплоту р-ции гидролиза. В аппаратурной схеме предусмотрен теплообменник, в котором холодный р-р II нагревается за счет горячего р-ра I, вытекающего из реакционного аппарата. Все аппараты, работающие при повышенных т-рах (теплообменник, подогреватель и холодильник), выполняются из пластмассы, напр. пгургита, с высоким содержанием графита. Трубопроводы выполнены из фарфора; остальная аппаратура, в зависимости от условий работы, изготовлена из более или менее устойчивых материалов, в некоторых случаях с кислотостойкими покрытиями.

Л. Херсонская

Содовая промышленность

5228. Внедрение внутризаводского хозрасчета на заводе кальцинированной соды им. Карла Маркса. Деведжиев (Внедряване на вътрешнозаводската стопанска сметка в завода за сода «Карл Маркс». Деведжиев Марин), Тежка пром-ст, 1957, 6, № 3, 37—40 (болг.)

5229. Получение соды и поташа методом карбонизации карбонатно-сульфатных растворов натрия и калия. Горнев С. У., Тр. Всес. ин-та сод. пром-сти, 1956, 9, 36—44

При использовании нефелинов в качестве сырья для глиноземной пром-сти получают карбонатно-сульфатные р-ры Na и K, из которых получают технически чистые соду и поташ по следующему методу: исходные слабые щел. р-ры глиноземного произ-ва направляются на предварительное упаривание до конц-ии, при которой из р-ра еще не выпадают соли (42—45 г на 100 г H_2O); затем этот р-р разделяется на 2 потока: один направляется на глубокую карбонизацию, другой — на упаривание до совместного выделения всех солей (карбонатно-сульфатная смесь Na и K). Смесь этих солей направляется на растворение в маточном р-ре, полученном после отделения $NaHCO_3$ из карбонизированной жидкости первого потока; далее р-р поступает на глубокую карбонизацию, в результате которой выпадает в осадок большее кол-во $NaHCO_3$ и образуется маточный р-р, насыщ. $NaHCO_3$ и обогащенный $KHCO_3$. Из этого р-ра декарбонизацией с последующим упариванием выделяют содо-сульфатную смесь, сульфат калия и поташ. Процесс карбонизации изучали при барботировании газа через жидкость при 30, 45 и 60°. Скорость поглощения CO_2 карбонатно-сульфатными р-рами Na и K зависит не только от присутствия в р-рах бикарбоната Na и K, но и от конц-ии CO_3^{2-} в р-ре. Увеличение в 2 раза скорости подачи CO_2 дает увеличение скоростей карбонизации на 68—80% при степенях прокарбонизованности до 50%. При возрастании прокарбонизованности скорость карбонизации резко снижается. Карбонизация удовлетворительно проходит со 100% CO_2 и с разб. (до 32,3%) CO_2 , в обоих случаях степень прокарбонизованности составляет 80—95%. Степень превращения Na_2CO_3 в $NaHCO_3$ 83,6%.

В. Борисова

5230 К. Производство кальцинированной соды. [Учебн. пособие для хим. техникумов М-ва хим. пром-сти]. Чернов В. Ф. М., Госхимиздат, 1956, 311 стр., илл., 8 р. 50 к.

Остальные элементы, окислы, минеральные кислоты, основания, соли

5231. Получение сульфата магния из местного (болгарского) магнезита. Дянков (Производство на магнезиев сульфат от местен магнезит. Дянков Асен Ив.), Рационализация (Бълг.), 1956, 6, № 6, 24—25 (болг.)

Сырой болгарский магнезит (М) содержит 42,5% MgO ; после обжига при 650° содержание MgO возрастает до 81,96%, а при 800° — до 83,73%. М мягок, хорошо измельчается и требует для перевода в сульфат вдвое меньше к-ты, чем доломит. Порошок М смешивают 50%-ной H_2SO_4 в отношении 1:1 (в пересчете на 100%-ную к-ту); по окончании бурной р-ции смесь перемешивают и разбавляют водой (~150% по весу М) до $pH = 7$. Р-р отделяют от осадка на фильтр-прессе, выпаривают и кристаллизуют $MgSO_4$, который затем отделяют на центрифуге. По 2-му методу М нагревают с H_2SO_4 — 70—74%, в том же отношении по окончании р-ции смесь разбавляют водой до $pH = 7$ (200% по весу М) и нагревают. Дальнейшая обработка аналогична. Оба метода позволяют получить качеств. продукт и значительную экономию, сравнительно с переработкой доломита.

З. Бобырь

5232. Производство карбидов. Со Чэ Хон (카바이드 제조공법에 대하여. 서재훈), 과학파기술 (과학편, Квахак ка кисуль (хвахахпхён), 1956, № 9, 25—35, 24 (кор.)

5233. Производство карбида кальция в Индии. Дхольакия (Calcium carbide industry in India. Dholakia S. C.), Chem. Age India, 1957, 8, № 2, 185—189 (англ.)

Приведены статистич. данные за 1951—1956 гг. о росте произ-ва CaC_2 .

Н. Ширяева

5234. Тенденции развития промышленности карбида и ацетилена [в Японии]. Оримми (カーバイド, アセチレン化学工業の動向. 折美備), 有機合成化学協会誌, Юки госэй кагаку кёкайси, J. Soc. Organ. Synth. Chem. Japan, 1956, 14, № 10, 631—635 (японск.)

5235. Исследование, нормирование и сокращение удельного потребления электроэнергии при производстве карбида. Надь, Каракудович (Analiza, normarea și reducerea consumului specific de energie electrică la fabricarea carbidului. Nagy Csaba, Caracudovici V.), Comun. Acad. RPR, 1957, 7, № 2, 217—226 (рум.; реэ. русск., франц.)

Найден новый метод исследования потребления электроэнергии путем экспериментально-аналитического определения энергетич. балансов. На основании этого установлены нормы уд. потребления электроэнергии и мероприятия для их сокращения.

Н. Ширяева

5236. Поглощение воды из влажного газа карбидом кальция. Шелечник М. М., Ж. прикл. химии, 1957, 30, № 1, 164—167

Процесс поглощения влаги (В) из газов карбидом Са (I) сопровождается образованием известковой пленки на поверхности частиц I. Несмотря на это, поглощение происходит достаточно активно. Из неподвижного воздуха I поглощает за первые 5—8 час. 10—20% В по отношению к собственному весу. Продолжительность процесса полной гидратации зависит как от крупности кусков I, так и от влажности воздуха. Для начальной (~6 час.) стадии процесса выведены ф-лы расчета скорости поглощения В в условиях свободной конвекции. Данные расчетов, проведенных по этим ф-лам, хорошо совпадают с результатами эксперимента. Однако через 15 час. полученный экспериментально прирост веса I на 10—12% меньше рассчитанного. Такое несоответствие вызвано нарушением принятого при выводе ф-л условия постоянства величины поверхностей I и $Ca(OH)_2$. При незначительной (2—3 час.) продолжительности процесса определяющим фактором является сопротивление пограничного газового слоя диффузии В.

Л. Херсонская

5237. Получение окиси алюминия. Льямбиае (Obtencion de alumina. Llamblas Nogacio), Centro quimicos industr., 1955, nov., 9—23, 26—29 (исп.)

Обзор.

А. Гутмахер

5238. Номограмма для определения вязкости концентрированных карбонизированных алюминатных растворов. Дейвис (Nomogram: viscosities of concentrated carbonated aluminate solutions. Davis D. S.), Chem. and Process Engng, 1957, 38, № 6, 234 (англ.)

5239. Дисульфид молибдена в производстве. Шетелих (Molybdändisulfid im Betrieb. Schetelich O.), Maschinenbautechnik, 1957, 6, № 3, 149—152 (нем.)

Горной академией во Фрейберге детально исследовано и проверено в эксплуатации новое смазывающее в-во MoS_2 , лучшее по свойствам, чем графитовая смазка. MoS_2 применим при давлениях до 7000 kg/cm^2 и т-рах от —70 до 450° при доступе воздуха и до 1150° — в вакууме или инертной атмосфере. На 1 m^2 смазываемой поверхности должно быть нанесено 5—8 г порошка MoS_2 , 98—99%-ный MoS_2 используют в виде порошка или пасты; смазываемую поверхность предварительно тщательно очищают и обезжиривают. Грубые части

аппаратуры (печные цепи, винты и т. д.) посыпают порошком MoS_2 . Для смазки прецизионных деталей MoS_2 наносят кисточкой, резиновой губкой или льняной тряпкой. При нанесении MoS_2 вручную (давл. $\sim 10 \text{ кг/см}^2$) цвет покрытия изменяется от красного к синему и серому; толщина получаемого слоя 16 мк, после интенсивной полировки 11 мк, распределение частиц MoS_2 на поверхности равномерное.

Л. Херсонская

5240. Роль хлора и хлоридов в металлургии. Кришнан (Role of chlorine and chlorides in metallurgy. Krishnan P. S.), East. Metals Rev., 1957, 10, № 3, 188—189, 190 (англ.)

Обзор. Области и пути использования Cl_2 и хлоридов в металлургии: 1) применение Cl_2 для извлечения хлоридов Ti, Zr, Th, V, W и других металлов из окисных руд, а также для хлорирующего обжига сульфидных или силикатных руд с целью извлечения Li, Ag, Au, Pt, Pb, Cu; 2) использование хлоридов как исходного продукта для получения металлов электролизом расплавленных солей или восстановлением; 3) прочие области применения Cl_2 — каталитич. дистилляция Al, дегазация Al и Mg, получение вторичного Sn, определение O_2 в сталях, хромирование железа, обесцинкование Pb, получение сплавов путем восстановления хлоридов посредством CaC_2 .

Л. Херсонская

5241 К. Натрий. Получение, свойства и применение. Ситтинг (Sodium: its manufacture, properties and uses. Sittig Marshall. Monogr. Amer. Chem. Soc. № 133, New York, Reinhold; London, Chapman and Hall, 1956, VIII, 529 pp., ill., 5 &), (англ.)

5242 П. Способ получения перекиси водорода. Килер, Дил (Verfahren zur Herstellung von Wasserstoffperoxyd. Keeler William Rinard, Deal Carl Hosea) [N. V. de Bataafsche Petroleum Maatschappij]. Пат. ФРГ 940349, 15.03.56

Дополнение к пат. ФРГ 935303 (РЖХим, 1957, 103278) на получение H_2O_2 окислением вторичных спиртов, в частности $\text{изо-C}_3\text{H}_7\text{OH}$ в жидкой фазе O_2 , состоящее в том, что образующиеся в процессе окисления побочные перекисные продукты переводят в H_2O_2 селективной термообработкой в процессе дробной перегонки реакционной смеси или путем непрерывной (после термообработки) перегонки реакционной смеси при давлении 400—700 мм (в случае $\text{изо-C}_3\text{H}_7\text{OH}$ от 550 до ~ 700 мм) вверху колонны и на 25—75 мм выше внизу колонны, при $t\text{-ре} \geq 55^\circ$ вверху колонны и $\leq 120^\circ$ на дне колонны и времени пребывания смеси в колонне ≤ 100 мин. (предпочтительно 10—30 мин.), причем перед поступлением в ректификационную колонну смесь разбавляют таким кол-вом воды (20—60 вес. %), чтобы жидкий продукт в колонне содержал 5—35 вес. % H_2O_2 . В случае $\text{изо-C}_3\text{H}_7\text{OH}$ выход H_2O_2 в указанных условиях достигает 97—99% от общего кол-ва перекисных продуктов в колонне или значительно больше 100% от содержания H_2O_2 в исходной реакционной смеси. Последняя поступает в колонну предпочтительно в жидком виде, но может поступать в нее частично или целиком в паровой фазе с $t\text{-рой}$, близкой к $t\text{-ре}$ колонны в месте ввода (середина колонны), причем предварительно, с целью освобождения от следов металлов, ее пропускают через катионитную смолу или подвергают быстрому испарению с последующей частичной или полной конденсацией. Часть головного погона, состоящего из водно-спиртового азеотропа и кетона, непрерывно рециркулируют в колонну (в верхнюю часть зоны фракционирования) в виде наружной флегмы с флегмовым числом (отношение объемов флегмы и удаляемого из колонны продукта) от 0,2 до 4. Остальную часть головного погона, после гидрирования содержа-

щегося в нем кетона, рециркулируют на стадии окисления.

5243 П. Способ обезвоживания растворов едкого натра. Пай (Method of dehydrating sodium hydroxide solutions. Pye David J.) [The Dow Chemical Co.]. Канад. пат. 509456, 25.01.55

При концентрировании р-р электролитич. NaOH , содержащий примеси NaCl и NaClO_3 , нагревают при $t\text{-ре} < 150^\circ$ и после отделения кристаллов NaCl при конц-ции р-ра 50—75% добавляют сахарозу в кол-ве, необходимом для восстановления NaClO_3 с избытком 1 моль на 8 молей NaClO_3 . Затем концентрируют р-р в никелевой аппаратуре при $t\text{-ре} > 150^\circ$ ($> 200^\circ$), причем одновременно происходит восстановление NaClO_3 и, наконец, при $t\text{-ре}$ выше $t\text{-ры}$ плавления NaOH получают плавильный безводн. NaOH .

Г. Рабинович

5244 П. Получение безводного цианистого натрия. Оливер (Production of anhydrous sodium cyanide. Oliver George D.) [Monsanto Chemical Co.]. Пат. США 2726139, 6.12.55

Для непрерывного получения безводн. чистого NaCN проводят р-цию (слабо экзотермич.) HCN (газа) с избыточн. NaOH , взятым в таком кол-ве, чтобы в соответствии с приведенными в патенте фазовыми диаграммами системы $\text{NaCN}-\text{NaOH}-\text{H}_2\text{O}$ при выпаривании полученного р-ра при 25—55° и содержании в нем 40—36% H_2O кристаллизовался чистый NaCN . Пример. HCN (125 кг/час) и 370 кг/час 50%-ного р-ра NaOH подают в реактор, в котором поддерживают $t\text{-ру}$ 40°. Р-р, содержащий 40,7% NaCN и 4,1% NaOH , охлаждается в холодильнике и поступает в вакуум-кристаллизатор, работающий при 35° и 27 мм рт. ст. абс., где выпаривается вода (268 кг/час) и откуда с помощью насоса отводится на фильтр пульпа, содержащая 10% кристаллов. Выход составляет $\sim 273 \text{ кг/час}$ 96—98%-ного NaCN . Приведена схема процесса.

Г. Рабинович

5245 П. Способ получения цианата щелочного металла, практически свободного от цианида (Fremgangsmåte til fremstilling av alkalicyanat som er praktisk talt fritt for cyanid) [The British Oxygen Co. Ltd]. Норв. пат. 85106, 7.03.55

Цианат щел. металла получают взаимодействием циануровой к-ты или ее амидов или соединений, образующих такие амиды при нагревании, с карбонатом щел. металла при 350—550°. Р-цию ведут с Na_2CO_3 при 500—520° в атмосфере CO_2 под давл. 1—7 кг/см² при непрерывном удалении воды из зоны р-ции. Приемник аппарата должен иметь $t\text{-ру} \leq 60^\circ$. Пример. Смесь 2,2 ч. дициандиамида (I) и 3,7 ч. безводн. Na_2CO_3 нагревают под давлением CO_2 2,8 кг/см² до 200—300° (при падении давления добавляют CO_2); постепенно в течение 3,5 час. поднимают $t\text{-ру}$ до 450° и давл. до 5,6 кг/см² и, выдержав смесь при этой $t\text{-ре}$, через 1 час ее охлаждают. Выход 4,53 ч. белого хрупкого порошка (или 60% от общего N I), содержащего (в %) NaOCN 89, NaCN 0,005 и Fe следы.

К. Герцфельд

5246 П. Способ разделения соединений меди и цинка, содержащихся в окисных материалах. Дюпре (Verfahren zur Trennung von Kupfer- und Zinkverbindungen aus oxydischen Materialien. Dupré Hermann) [Th. Goldschmidt Akt. Ges.]. Пат. ФРГ 954237, 13.12.56

Материал, содержащий ZnO и CuO , выдерживается в восстановительной атмосфере при $t\text{-ре}$ ниже его $t\text{-ры}$ спекания и $t\text{-ры}$ плавления Zn (оптимально при 400—700°). Образующаяся смесь металлич. Cu и ZnO охлаждается также в восстановительной атмосфере и обрабатывается разб. минер. к-той в отсутствие окислителей. Р-р ZnSO_4 и осадок порошкообразной Cu разделяются фильтрованием.

Л. Херсонская

5247 П. Устройство для галогенирования металлов. Вагнер (Vorrichtung für die Halogenierung von

Metallen. Wagner Ernst) [Deutsche Gold- und Silber-Scheideanstalt vormals Roessler]. Пат. ФРГ 936804, 22.12.55

Для галогенирования металлов (Al, Sb, Bi, Sn и Zn), т-ра плавления которых ниже т-ры р-ции, а галоидные соли летучи, в верхнюю вертикальную часть шахты через бункер загружают гранулированный металл, который поступает затем в обогреваемую наклонную часть шахты — зону плавления. Последняя снабжена ступенчатыми переливными желобами (выполненными из графита или сланца), по которым расплавленный металл перемещается в приемный сосуд. Галоген вместе с инертным газом-носителем вводят в низ наклонной части шахты (приемный сосуд). Образовавшиеся пары галоидной соли отбирают через отвод из крышки цилиндрич. части шахты. Р. Франкфурт

5248 П. Способ получения азидо свинца (Sätt vid framställning av blyazid) [A.-G. Boström, S. Y. Ek, L. M. A. Lindnér]. Швед. пат. 154979, 26.06.56

При получении $Pb(N_3)_2$ осаждение его производят при т-ре $> 65^\circ$ (70—90°) из р-ра соли Pb (напр., $Pb(NO_3)_2$) избытком растворимого азидо, напр. азидом щел. металла, который берут в кол-ве 1,5 г-экв. на 4 г-экв. $Pb(NO_3)_2$. Перед осаждением добавляют к р-ру $Pb(NO_3)_2$ 0,1—1,0 молей щелочи на 1 моль $Pb(NO_3)_2$. Пример. К 650 мл фильтрованного 6%-ного р-ра $Pb(NO_3)_2$ при 70° добавляют 1,8 г декстрина и по каплям 40 мл 0,5 мол. р-ра NaOH, затем по каплям в течение 4 мин. 225 мл 2%-ного р-ра NaN_3 , подогретого до 70°; через 0,5 час. отфильтровывают $Pb(N_3)_2$ и промывают его 0,5 мол. р-ром ацетата Pb и, не отмывая от последнего, сушат на воздухе до 1% влажности. Состав продукта (в %): $Pb(N_3)_2$ 96,5, декстрина 2,0, ацетата Pb 1,0, примесей 0,5. Преимущество препарата, полученного по описанному способу, состоит в большей иницирующей способности $Pb(N_3)_2$ и увеличенной плотности заряда. К. Герцфельд

УДОБРЕНИЯ

Редактор И. Л. Гофман

5249. Нефтехимические продукты в сельском хозяйстве. Блом (Petrochemie und Landwirtschaft. Blom A. V.), Schweiz. Landwirtschaft. Monatsh., 1956, 34, № 10, 443—447 (нем.)

5250. О снижении кислотности сульфата аммония. Финкель М. Я., Люкиссон М. И., Кобзанцев В. В., Кокс и химия, 1957, № 4, 37—39

Испытан ряд мероприятий по снижению кислотности сульфата аммония (отстой маточного р-ра, применение подогретой до 70° технич. воды для промывки кристаллов в центрифуге и ловушке сатуратора). Осуществление рекомендованных мероприятий, а также конструктивные изменения некоторых узлов схемы позволяли снизить содержание свободной к-ты с 0,2 до 0,006—0,025%. М. Липец

5251. Применение хлористого натрия для получения фосфорного удобрения. Сообщение I. Воль (Utilizarea clorurii de sodiu pentru obținerea unui îngrășămint fosfatic. Nota I. Wohl A.), Rev. chim., 1957, 8, № 4, 234—235 (рум.; рез русск., нем.)

Лабораторные опыты показали, что при обжиге в электропечи тонкоизмельченной смеси кольского апатита, песка и NaCl, помещенной в трубке, через которую пропускались водяные пары, удается получить удобрение, содержащее до 31% общей P_2O_5 , из которых 80% лимоннорастворимы. Дальнейшие опыты проводились путем нагревания исходной смеси, состоящей из 100 ч. апатитового концентрата, 40 ч. NaCl, 12 ч. кварцевого песка и 80 ч. кокса, при 1200° непо-

средственно в пламени газовой горелки. При этом кол-во лимоннорастворимой P_2O_5 достигало 90% от общего содержания 30% P_2O_5 и $> 50\%$ были цитратнорастворимы. Полученный термофосфат содержал лишь следы Cl. Обнаружено также заметное удаление F из апатита (содержание F в конечном продукте не превышало 0,2—0,3%). Я. Матлис

5252. Производство фосфатов аммония из экстракционной фосфорной кислоты. Бернет (Ammonium phosphates via wet process acid. Burnet George, J.), J. Agric. and Food Chem., 1957, 5, № 4, 258—263 (англ.)

Приведены схемы и дано сравнение применяемых в США процессов получения экстракционной H_3PO_4 и фосфатов NH_4 : 1. Chemical Construction Corp., применяющий бельгийский процесс и фильтр Прейон (РЖХим, 1957, 41705); $NH_4H_2PO_4$ получают из неупаренной к-ты, содержащей 30% P_2O_5 . 2. Dorr-Oliver, Inc. (РЖХим, 1957, 72097); $NH_4H_2PO_4$ получают из упаренной к-ты; получают также смесь $NH_4H_2PO_4$ и $(NH_4)_2HPO_4$ (20:80) из неупаренной к-ты. 3. Knowles Associates; к-та упаривается в концентраторах с погружным горением до содержания 40% P_2O_5 . 4. Fluor Ltd, применяющий французский процесс Сен-Гобен, в котором используется 1 большой экстрактор с мощными мешалками, конвейерно-лотковый вакуум-фильтр и 1 нейтрализатор; для экстракции применяют фосфорит относительно грубого помола; циркуляция пульпы в кислотном отделении не нужна. 5) TVA — приведена схема только для получения $(NH_4)_2HPO_4$ (методом вакуум-кристаллизации). Е. Бруцкус

5253. Непрерывный процесс гранулирования удобрений Дэвисон-Трентон. Рейнольдс (Davison's trenton continuous process for granulation. Reynolds J. E.), Agric. Chemicals, 1957, 12, № 2, 41—42, 105, 107 (англ.)

Приведены схема, фото и описание аппаратуры и вспомогательного оборудования для гранулирования смешанных удобрений на з-де Davison chemical Co. в Трентоне (шт. Миссури, США). Г. Рабинович

5254. Отбор проб удобрений и материалов. Арчер (Sampling of fertilizers and materials. Archer W. A.), Agric. Chemicals, 1957, 12, № 2, 45—46, 99—100 (англ.)

Описаны приборы и методы отбора проб сырья, порошковых и гранулированных удобрений, а также стол для подготовки проб. Приведено сравнение анализов, произведенных в заводской и государственной лабораториях. Г. Рабинович

5255 П. Получение полифосфатов. Эдуардс (Preparation of polyphosphates. Edwards James W.), [Monsanto Chemical Co.]. Пат. США 2745717, 15.05.56

Смесь измельченных до размера частиц $< 0,045$ мм Na_2HPO_4 (моногидрата) и Na_2HPO_4 (дигидрата или безводн.) в эквимолярных кол-вах нагревают при 200—500° (предпочтительно 2 часа при 250° или 1 час при 350°). Продукт (во 2-м случае) содержит ~80% $Na_5P_3O_{10}$ (I). Е. Бруцкус

5256 П. Плавленные стеклообразные композиции как питательные вещества для растений. Вана, Джеронима (Fused vitreous compositions as nutrients for plant growth. Vana Charles A., Di Geronomo Guido E.) [Ferro Corp.]. Пат. США 2732290, 24.01.56

Стеклообразный материал, способный служить удобрением для растений, включает не менее одного микроэлемента, необходимого для их правильного роста. Указанный материал получают сплавлением и фритованием шихты, состоящей из 50—98% основного в-ва и 2—50% одной или нескольких добавок микроэлементов: Fe, Mn, Cu, Zn, B, Co, Mo. При обработке материа-

ла уксуснокислым аммонием из него экстрагируется 50—7500 ч. микроэлементов на 1 млн. ч. Стеклообразный материал измельчается до прохождения 90% через сита от 20 до 200 меш. В состав материала входит (в %): SiO_2 26—85, CaO 1—10, K_2O 1—15, MgO 1—5, Na_2O 1—20, один или несколько микроэлементов 2—50. Смесь плавится при 980—1530°. Кроме указанных добавок, в состав стеклообразного материала могут входить соединения К и Р.

Н. Павлушкин

См. также: Анализ удобрений 4341

ЛЮМИНЕСЦЕНТНЫЕ МАТЕРИАЛЫ

Редакторы В. Д. Матвеев, Н. А. Ширяева

5257 П. Способ получения электролюминесцентного порошка (Poudre électroluminescente et sa préparation) [N. V. Philips' Gloeilampenfabrieken]. Франц. пат. 1092211, 19.04.55 [Rev optique, 1956, 35, № 3, 172 (Франц.)]

Частицы сульфида или селенида Zn и Cd с различными активаторами обрабатывают Cu (или Au) или их солями.

Ю. Михайленко

5258 П. Электролюминесцентные лампы. (Electroluminescent lamps [Sylvania Electric Products, Inc.]. Англ. пат. 731367, 8.06.55)

Электролюминесцентная лампа состоит из плоского стекла с проводящим покрытием, на которое нанесен слой люминесцентного состава (ЛС), суспендированного в пластике. Этот слой покрыт в свою очередь отражающим слоем из Al . Лампа имеет 2L-образных металлических контакта, один — соединенный с проводящим покрытием, а второй — с отражающим слоем. Проводящие покрытие получают обработкой горячего стекла парами хлоридов Si , Sn или Ti с последующим частичным восстановлением, или же горячее стекло погружают в р-р SnCl_4 в смеси абс. спирта и лед. уксусной к-ты. Вместо стекла можно использовать проводящую прозрачную пластмассу. Металлич. контакты получают намазкой серебряной пасты на стекло с последующим обжигом. На поверхность полученного Ag электролитич. путем осаждают Cu . Слой ЛС получают пульверизацией взвеси ЛС в р-ре нитроклетчатки и касторового масла, толщина слоя несколько сотых долей мм. Вместо нитроклетчатки можно применять воск или пластик с высокой диэлектрич. постоянной и большим сопротивлением.

Б. Гугель

ПРОИЗВОДСТВО КАТАЛИЗАТОРОВ И СОРБЕНТОВ

Редакторы В. И. Елинек, В. Д. Матвеев, Н. А. Ширяева

5259. Об активированном глиноземе. Часть 2. Камитака (活性アルミナについて. その2. 神武博), 化学工業, Kagaku kōgō, Chem. Ind. (Tokyo), 1955, 6, № 3, 260—263 (японск.)

Описано применение активированного Al_2O_3 в различных областях хим. пром-сти.

М. Гусев

5260. Получение и применение активированного угля. Син Хён Сок (활성탄소의 용도와 그의 제법. 신현석), 과학과 기술 (과학편), Квахак на кисуль (хвахак-пхен), 1956, № 1, 30—34 (кор.)

Обзор. Методы получения и области применения активированного угля как адсорбента, катализатора и носителя.

Дё Дык Ман

5261 П. Способ получения катализатора — окиси кобальта. Джефферсон, Смит, Стайле (Catalyseurs à oxyde de cobalt améliorés. Jefferson

Edward Graham, Smith Robert Clifford Jr, Stiles Alvin Barber) [E. I. du Pont de Nemours and Co.]. Франц. пат. 1108166, 10.01.56

К водн. р-ру $\text{Co}(\text{NO}_3)_2$ (р-р технич. Co в 60%-ной HNO_3 , полученный при 90°) прибавляют кол. р-р SiO_2 или TiO_2 в кол-ве 0,1—0,5 вес.% по отношению Co . Из р-ра осаждают карбонат Co при помощи $(\text{NH}_4)_2\text{CO}_3$. Осадок промывают, фильтруют и нагреванием при 150—500° превращают в CoO . Из полученной массы прессованием готовят шарики диам. 6,5 мм, прокалывают их при 600—1200°, охлаждают и восстанавливают при 350—380° смесью H_2 и N_2 , постепенно повышая содержание N_2 . Процесс заканчивают в чистом H_2 . Готовый катализатор охлаждают в токе N_2 .

Ю. Михайленко

5262 П. Способ приготовления катализаторов в форме сплавленных агрегатов на основе из стекла. Винсент (Verfahren zur Herstellung von Glaskellet — Katalysatoren in Form gesinterter Aggregate. Vincent George Clarkson) [Imperial Chemical Industries Ltd]. Пат. ФРГ 949884, 27.09.56

Для приготовления катализаторов сплавляют смесь в-в, образующих силикатное стекло и содержащих одну или несколько каталитически активных составных частей. Стекло нагревают до т-ры, при которой происходит разделение его на несколько фаз, из которых по меньшей мере одна растворима в горячей 0,5 н. HCl (к-та). Затем стекло измельчают до нужных размеров зерен, последние выдерживают при т-ре, достаточной для спекания их в агрегаты, после чего экстрагируют из агрегатов горячим р-ром HCl (целиком или частично) одну или несколько растворимых фаз. Вначале можно стекло измельчить до размеров зерен 3,18 мм, а затем нагреть для разделения фаз и одновременного спекания. Напр.: применяя стекло, состоящее (до экстракции) из (в %): Al_2O_3 10—35, SiO_2 30—60, шел. земель 5—20 и V_2O_5 12—22.

В. Шацкий

5263 П. Способ получения активированного угля. Гроскинский, Ютнер, Ланге (Verfahren zur Herstellung von Aktivkohle. Grosskinsky Otto, Jüttner Bernhard, Lange Wilfried) [Bergwerksverband zur Verwertung von Schutzrechten der Kohlentechnik G. m. b. H.]. Пат. ФРГ 945088, 28.06.56

Для получения активированного угля ископаемый преимущественно каменный уголь, в виде мелочи или в порошкообразном состоянии нагревают до 200—300° в присутствии воздуха или другого окисляющего газа и подвергают затем швелеванию, дегазации и активированию до увеличения в нем содержания O_2 не менее, чем на 9%. При использовании малозольных продуктов к ним добавляют связующее. Пример: 100 ч кузнечного угля с размером частиц 1—5 мм (содержание $\text{O}_2 \sim 6\%$) в тонком слое нагревают в токе воздуха в течение 3 час. до 270° и далее выдерживают при этой т-ре 30 час. Полученный продукт содержит 15—18% O_2 ; его дегазируют при 600°, после чего вес угля снижается до 80% от исходного. По окончании дегазации продукт нагревают до 900°, пропуская при этой т-ре водяной пар до тех пор, пока вес полученного угля не будет составлять $\sim 50\%$ от исходного. Готовый продукт по свойствам соответствует древесному активированному угляю.

С. Гордон

5264 П. Метод и аппаратура для получения активированного обесцвечивающего угля. Пашке, Еняк (Verfahren und Vorrichtung zur Herstellung von aktiver Entfärbungskohle. Paschke Erhard, Jaenicke Max). Пат. ГДР 11583, 7.05.56

Предложено при активировании углеродистых материалов (кокс, полукок и др.), с размером частиц < 10 мм, на раскаленную (800—950°) угольную по-

поверхность разбрызгивать воду с целью создания слоя водяного пара, защищающего уголь от воздействия горючих газов; для этой цели может быть использована отбросная вода с предварительной промывки активируемого материала. Активация продолжается до тех пор, пока основное кол-во сульфатов щел. и щел.-зем. металлов не восстановится в сульфиды, которые перед дальнейшей обработкой угля вымываются из него водой.

Н. Кельцев
5265 П. Активированный уголь, обладающий высокой абсорбционной способностью по отношению к ацетилену. Фурукава, Одзаса (アセチレンの吸着速度大なる觸媒用活性炭の製造法. 古川淳二, 小笹英夫), 財団法人日本化学繊維研究所, [Дзайдан ходзин нихон кагаку сэнги канкюсё], Японск. пат. 8665, 28.12.54 [Chem. Abstrs, 1956, 50, № 13, 9722]
25 ч. угля из скорлупы кокосовых орехов смешивают с 25 ч. S и нагревают в графитовом тигле в течение 1 часа при 400° без доступа воздуха. Полученный остаток (28 ч.) погружают на 8 час. в 0,2-М р-р $(\text{CH}_3\text{COO})_2\text{Zn}$, фильтруют и высушивают. 1 г полученного продукта при 200° поглощает C_2H_2 со скоростью 1,73 мл/мин. Для аналогичного продукта, полученного без S, эта величина составляет 0,3 мл/мин.

Э. Тукачинская

См. также: Катализатор для получения ароматич. углеводородов 5542. Пирофорный FeO-катализатор для получения дициклопентадиенил железа 5543. Адсорбционная способность глины 5307, 5309. Окись никеля и гидрид щел. металла как катализатор для полимеризации этилена 6415. Катализатор гидрогенизации нитрилов 3902. Приготовление Cu-катализатора 3903. Получение титаносиликагелей 4016

ЭЛЕКТРОХИМИЧЕСКИЕ ПРОИЗВОДСТВА.

ЭЛЕКТРООСАЖДЕНИЕ.

ХИМИЧЕСКИЕ ИСТОЧНИКИ ТОКА

Редактор М. М. Мельникова

5266. Изучение электролитов гальванических элементов. VII. Явление растворения $\text{Zn}(\text{NH}_3)_2\text{Cl}_2$. Такахаши, Сасаки (乾電池用電解液に關する研究. 第7報. $\text{Zn}(\text{NH}_3)_2\text{Cl}_2$ の溶解現象について. 高橋武彦, 佐々木熊三), 電気化学, Дэнки кагаку, J. Electrochem. Soc. Japan, 1956, 24, № 11, 516—520 (японск.; рез. англ.)

Изучение изменений потенциала Zn-электрода, рН электролита и абсорбционных спектров в электролитах гальванич. элементов, состоящих из 20%-ного р-ра NH_4Cl и ZnCl_2 в кол-ве 0—30,5 г/л, при добавлении в них различных кол-в $\text{Zn}(\text{NH}_3)_2\text{Cl}_2$ (I) или NH_3 позволило предложить схему растворения I в указанных электролитах, основанную на том, что выделяющийся в свободном виде NH_3 соединяется координационной связью с ионом Zn^{2+} , замещающий ион Cl^- : $\text{I} + \text{NH}_3 \rightleftharpoons [\text{Zn}(\text{NH}_3)_3\text{Cl}]^+ + \text{Cl}^-$, $[\text{Zn}(\text{NH}_3)_3\text{Cl}]^+ + \text{NH}_3 \rightleftharpoons [\text{Zn}(\text{NH}_3)_4]^2 + \text{Cl}^-$. Растворимость I в изучаемом электролите будет расти с увеличением конц-ии ZnCl_2 так как растет кол-во NH_3 , присоединенное к иону Zn^{2+} координационной связью. С увеличением конц-ии NH_4Cl в электролите растворимость в нем I будет падать, так как замена аммиаком иона Cl^- происходит труднее, чем замена молекулы координационной воды. Часть VI см. РЖХим, 1957, 64004.

В. Левинсон

5267. Влияние примесей в ваннах с ртутным катодом, применяемых для получения хлора и каустической соды. VI. Исследование влияния частиц графита на разложение амальгамы и на катодный вы-

ход по току. Ангель, Бренланд, Далеерус (Influence of impurities in the electrolyte in chlorine-caustic electrolysis by the mercury cell process. VI. Investigation of the influence of graphite particles on amalgam decomposition and cathodic current efficiency. Angel Gösta, Brännland Rolf, Dahlerus Stig), J. Electrochem. Soc., 1957, 104, № 3, 167—170 (англ.)

Исследовано влияние наличия частиц графита в ванне с Hg-катодом для произ-ва хлора и каустич. соды. Опыты проводились путем измерения скорости разложения амальгамы Na при смешивании ее с буферными р-рами NaCl, а также путем изучения ВТ_к. Установлено, что в чистых рассолах наличие небольших (< 3 г/л) кол-во графита практически не влияет на ВТ_к. Если в рассоле присутствуют примеси Mg и Al в конц-иях, обеспечивающих образование слоя гидроксида на катоде (т. е. > 5 мг/л), частицы графита вызывают дополнительное выделение водорода, что снижает ВТ_к на 40%. Меньшие конц-ии Mg и Al влияния на процесс не оказывают. Присутствие графита в рассоле, содержащем V (< 0,1 мг/л), Fe (10 мг/л) или Ca (25 мг/л), не влияет на ВТ_к. Добавка в рассол Na_2SiO_3 или Na_2SnO_3 в кол-ве 10—50 мг/л Si или Sn замедляет влияние частиц графита. Сообщение V см. РЖХим, 1956, 47646.

В. Левинсон

5268. Образование дендритов при электролитическом осаждении металлов и рост кристаллов. II. Кикүти (金屬の Dendrite 電着とその成長. II. 菊池實), 電気化学, Дэнки кагаку, J. Electrochem. Soc. Japan, 1956, 24, № 10, 480—485 (японск.)

Обзор. Библ. 36 назв. Сообщение I см. РЖХим, 1957, 45171.

М. Мельникова

5269. Природа некоторых механически полированных поверхностей металла как причина явления эпитаксии. Самюэлле (The nature of some mechanically polished metal surfaces as evidenced by epitaxial phenomena. Samuels L. E.), J. Inst. Metals, 1957, 85, № 5, 177—184 (англ.)

На основании изучения микрошлифов установлено, что кристаллы электролитич. осадков различных металлов, осажденных на механически полированную (стандартными методами) поверхность Cu, α-латуни, Sn, Zn, Ag и Fe, ориентируются кристаллами основания, т. е. служат их продолжением (явление эпитаксии). В случае шлифовки или грубой полировки явления эпитаксии может не быть вследствие наличия дезориентированной зоны у основания в результате деформации. Из этого делается заключение, что присутствие слоя Бейлби мало вероятно или он носит прерывистый характер и имеет толщину ~ 10 Å. Обсуждается вероятная природа механически полированной поверхности металла. Библ. 63 назв.

А. Вячеславова

5270. Сглаживание. Определение, измерение и исследование. Томас (Leveling... Definition, measurement and understanding. Thomas James D.), Techn. Proc. Amer. Electroplaters' Soc., 1956, 60—66 (англ.)

Рассматриваются явление сглаживания шероховатостей поверхности металла в процессе электроосаждения и методы измерения; приводятся результаты исследования влияния степени шероховатости и ее формы, состава электролита, условий электролиза и толщины осадка на степень сглаживания. Показано, что максим. сглаживающий эффект получается для углублений с углом 90°, при уменьшении угла до 45° или увеличении до 167° сглаживание уменьшается. В зависимости от угла углубления глубина его оказывает различное влияние на сглаживание поверхности (для угла 167° сглаживание происходит лишь при

глубине впадины ниже 250 μ , при большей — равномерное осаждение, а для угла 90° при глубине ~ 500 μ наблюдается максим. сглаживание, уменьшающееся при увеличении и уменьшении глубины впадины). Показано, что в Ni-электролите, содержащем блескообразователь, повышение D_k и конц-ии

Ni увеличивает, а повышение т-ры уменьшает сглаживание. В электролитах с перемешиванием сглаживание увеличивается. В Ni-электролите без органич. добавок сглаживания не происходит. Сравнивается сглаживающий эффект в различных Ni- и Cu-электролитах. Оптич. методом изучена толщина диффузионного слоя у поверхности электрода в Ni-электролите и показано, что повышение D увеличивает, а повышение т-ры уменьшает толщину диффузионного слоя. Толщина диффузионного слоя в сглаживающих электролитах несущественно отличается от толщины его в несглаживающих электролитах. Обсуждается механизм процесса сглаживания (роль толщины диффузионного слоя и адсорбция органич. в-в на вершинах шероховатостей) и высказывается мнение о первичной роли органич. в-в, адсорбирующихся на пиках поверхности и замедляющих осаждение металла на них по сравнению со впадинами. З. Соловьева

5271. Напряжения в электролитических осадках. Пиннер (Stress in electrodeposits. Pinner R.), *Electroplat. and Metal Finish.*, 1957, 10, № 1, 7—11 (англ.)

В продолжение предыдущих работ (РЖХим, 1957, 38320) рассматривается влияние различных добавок, т-ры, D , pH р-ра и переменного тока на внутренние напряжения Ni-осадков, а также влияние ряда условий электролиза на напряжения Cr- и Zn-осадков, и обсуждается значение величины внутренних напряжений для сцепления, растрескивания и коррозионной стойкости электролитич. осадков. Библ. 55 назв. З. Соловьева

5272. Конструкция и рабочие характеристики новой электролитической ячейки для изучения плотности тока. Уолтон, Гилмонт (Construction and operating characteristics of a new electroplating cell for current density studies. Walton Robert F., Gilmont Roger), *Techn. Prod. Amer. Electroplaters' Soc.*, 1956, 239—245 (англ.)

Описан принцип построения и конструкция новой электролитич. ячейки, в которой ток распределяется линейно вдоль поверхности катода, и приведены эксперим. результаты исследования — кислого и щелочного электролита для меднения, сернистого и хлористого электролита для никелирования, цианистого электролита для серебрения. Ячейка представляет собой сосуд, ограниченный двумя плоскими стенками (одна из них — катод), соединенных под углом 45°, и двумя гиперболич. (одна из них, находящаяся против катода — анод), снабженный диафрагмой, параллельной катоду. Обе гиперболич. стороны ортогональны одна относительно другой и относительно плоских стенок. Принцип построения ячейки основан на теории линейного соотношения между действительной плотностью тока (i) и расстоянием вдоль поверхности катода, выражающимся ур-нием: $i = 2J/LA \cdot X$, где J — общий ток; A — общая поверхность электроосаждения; L — общая длина катода; X — расстояние, измеренное вдоль поверхности катода, от точки, где $D_k = 0$. Плотность тока в любой точке катода можно рассчитать, исходя из общего тока и потенциала ячейки. Ячейка проверена экспериментально, и показано, что в пределах ошибок опыта ток распределяется линейно по поверхности катода от нуля до максимума. Поляризационные явления могут вызвать отклонения от линейного распределе-

ния тока. Ячейка рекомендуется вместо ячейки Хулла. З. Соловьева

5273. Очистка с помощью ультразвука. Этерн (Metallreinigung durch Ultraschall. Oetegen, K. A. v.), *Lab.-Praxis*, 1956, 8, № 10, 111—112 (нем.) Приведено описание основных параметров и режимов работы ультразвуковых установок для очистки металлов и сравнение их с хим. и механич. способами очистки. Я. Ланни

5274. Обработка в барабанах — когда и как ее применять. Спенсер (Barrel finishing-how and when to use it. Spencer Lester F.), *Metal Finish.*, 1957, 55, № 5, 48—54 (англ.)

Рассматриваются влияние различных факторов на механич. обработку металлич. деталей в барабанах, применяемое оборудование, абразивные материалы и среды. З. Соловьева

5275. Новое в электролитической полировке металлов и сплавов. Федуркин В. В., *Материалы по обмену опытом и научн. достиж. в мед. пром-сти*, 1957, № 3, (22), 65—67

Исследованы условия возникновения питтинга при электрополировке ряда металлов (алюминий, нержавеющие стали и др.). Локальное травление с образованием питтинга наблюдается, когда на поверхности анода образуются плотные и компактные окисные пленки. При этом растворение металла происходит преимущественно на участках, где произошел разрыв или пробой пленки. Для устранения этого рекомендуется проводить процесс полирования с периодич. изменением направления тока. В этом случае окисная пленка, образовавшаяся при анодном направлении тока, разрушается при катодном, вследствие чего она не может служить препятствием к равномерному (без питтинга) растворению металла. Периодич. удаление окисной пленки при помощи изменения направления тока значительно упрощает ведение процесса электрополировки, так как при этом отпадает необходимость соблюдения строгого контроля за составом электролита и режимом процесса. Приведена таблица, в которой указаны составы электролитов и режимы электрополировки Al, хромоникелевых и хромистых нержавеющих сталей с применением реверсивного тока. П. Щиголов

5276. Механизм электрополировки углеродистой и нержавеющей стали. IV. Выделение газа на углеродистой стали в растворе H_3PO_4 . Нииомиа, Сасаки (炭素鋼および不銹鋼の電解研磨機構に関する研究. 第4報. ガス発生効率について. 二宮清, 佐々木熊三), *工業化学雑誌*, Korô kaaku daissai, J. Chem. Soc. Japan, Industr. Chem. Sec., 1955, 58, № 8, 551—554 (японск.)

При электрополировке углеродистой стали (0,15% C) в водн. р-ре H_3PO_4 было установлено, что в слабом р-ре H_3PO_4 при сравнительно низкой D_a ВТ кислорода было все время почти постоянным, отполированная поверхность имела пепельно-серый цвет, блеск — слабый. При полировке, обеспечивающей получение блестящей полированной поверхности, вначале ВТ > 90%, но затем по мере продолжения электролиза ВТ снижался по логарифмич. кривой и примерно в тот момент, когда пластина приобрела ровный блеск, ВТ стал почти постоянным. Сразу же после конца электролиза на поверхности пластины образовалась прочная пассивная окисная пленка. ВТ тем ниже, чем выше т-ра электролиза, причем это сужение идет по прямой; при низкой D по мере ее уменьшения происходит и резкое снижение ВТ; при D , обеспечивающей получение блестящей полированной поверхности, ВТ увеличивается почти пропорционально увеличению D , при конц-ии H_3PO_4 55—82% наимень-

ший ВТ имел место при 64%-ной конц-ии H_3PO_4 . Часть III см. РЖХим, 1957, 55012. З. Завьялов

5277. К вопросу о контроле оптимальных условий электролитической полировки полупроводников. Эпельбуэн, Фроман (Sur le contrôle des conditions optima du polissage électrolytique des semi-conducteurs. Epelboin I., Froment M.), J. phys et radium, 1957, 18, № 3, Suppl., 60—61 (франц.)

Предлагается использовать оптич. микроскоп для контроля качества электролитич. полировки полупроводников. Приведены микрофотографии поверхности полукристаллич. и монокристаллич. Ge, полученные для разного режима полировки в смеси состава (в см³): глицерин 500, H_2O 50, C_2H_5OH 50 и $KF \cdot HF$ до насыщения. Показано, что лучшие результаты дает полировка при т-ре 80°, напряжении 50 в и $D_a = 0,5$ а/см². Н. И.

5278. Химическая и электрохимическая обработка поверхности алюминиевых отражателей с получением диффузного и диффузнонаправленного отражения света. Осипова Е. В., Материалы по обмену опытом и научн. достиж. в мед. пром-сти, 1957, № 3 (22), 60—64

Для изготовления отражателей с диффузным отражением рекомендуется применять технич. Al (АОО) и сплавы АМ-М и АМц-М; для отражателей с диффузно-направленным отражением технич. Al (АОО) и сплав АМц-М. Для матирования поверхности отражателей хим. способом рекомендуются 2 р-ра: 1) цел. р-р состава (в г/л): Na_3PO_4 30, Na_2CO_3 50, Na_2SiO_3 1; 2) кислый р-р состава (в вес. %): H_3PO_4 75, H_2SO_4 19,3, HNO_3 4,5, H_3BO_3 0,4, $Cu(NO_3)_2$ 0,5. Т-ра 1-го р-ра 70°; матовая поверхность с диффузным отражением получается при обработке в р-ре в течение 8—10 мин., полуматовая поверхность с диффузно-направленным отражением — в течение 3—4 мин. Т-ра 2-го р-ра 40°, продолжительность обработки 40 мин. Получается полуматовая поверхность. Для защиты химически матированной поверхности отражателей от коррозии и придания ей механич. прочности рекомендуется анодирование в 18—20%-ном р-ре H_2SO_4 при стандартном режиме (т-ра 18—20°, $D_a = 1—1,5$ а/дм², время обработки 10 мин.) и последующее уплотнение анодной пленки в р-ре жидкого стекла. П. Щиголов

5279. К вопросу о химической полировке алюминия и его сплавов. Матулис Ю. Ю., Валентис Л. Ю., Тр. АН ЛитССР, Liet. TSR moksly Akad. darbai, 1957, 2Б, 33—39 (рез. лит.)

Проведено исследование полирующих свойств некоторых электролитов, рекомендуемых для хим. полирования алюминия и его сплавов. Опыты по хим. полированию техн. алюминия и дуралюмина проводились в р-рах, состоящих из смесей H_3PO_4 , HNO_3 и CH_3COOH , причем процесс осуществлялся с покоящимися и вращающимися образцами. Для хим. полирования техн. Al рекомендуется электролит состава (в г): H_3PO_4 1000 (кристаллич.), CH_3COOH (лед.) 120—130, HNO_3 (уд. в. 1,385) 100 мл, H_2O 250 мл. Т-ра 110—120°, время полирования 1,5—2 мин. Для полирования дуралюмина при той же т-ре необходимо увеличить конц-ии HNO_3 и CH_3COOH . В этом случае установлен следующий оптимальный состав электролита (в г): H_3PO_4 (кристаллич.) 1000, CH_3COOH (лед.) 180—200, HNO_3 (уд. в. 1,385) 200 мл и H_2O 250 мл. Продолжительность полирования 2 мин. Скорость растворения металла равна $2,3 \cdot 10^{-3}$ г/см² мин. Блеск поверхности улучшается при добавлении в электролиты до 0,5 г/л $Cu(CH_3COO)_2$ или $Ce(NO_3)_3$. Исследовано влияние т-ры, времени выдержки и скорости вращения образца на процесс растворения поверхности металла и качество полировки. Растворение Al и дуралюмина во время полировки происходит с раз-

личной скоростью. Процесс полирования нарушается при вращении образца. При медленном вращении блеск поверхности ухудшается, а при скорости вращения 1500 об/мин глянец полностью исчезает и на поверхности появляются питтинг и язвы. Наряду с этим скорость растворения металла значительно увеличивается. На основании проведенных опытов высказывается предположение о вероятном механизме хим. и электролитич. полирования металлов. Основными факторами, обуславливающими сглаживание поверхности, являются неоднородность окисной пленки на выступах и впадинах и различие в скоростях процесса диффузии участвующих в р-ции в-в на выступах и во впадинах. П. Щиголов

5280. К вопросу блестящего анодирования алюминия. Хеллинг, Нейнциг (Zur Frage der Glanzeloxierung des Aluminiums. Helling W., Neunzig H.), Metall, 1957, 11, № 6, 490—498 (нем.)

Исследовано изменение микропрофиля и структуры поверхности алюминия и его сплавов [Al(99,7%), Al(99,99%), Al-Mg(0,65% Mg), Al-Si-Mg(0,4% Si)] при хим. электролитич. и механич. полировании и влияние различных видов обработки на качество окисных пленок, получаемых анодированием в р-ре H_2SO_4 . Предложено объяснение механизма полирования Al в ванне Эрфтверк. Опыты по хим. полированию Al в ванне Эрфтверк, в которую добавлялась соль радиоактивного Pb, показали, что имеет место быстрый процесс осаждения металлич. Pb на поверхности и его последующее растворение в электролите. Быстрое растворение выделяющегося тяжелого металла является необходимой предпосылкой для осуществления процесса гляцевания. Предполагается, что подобные процессы происходят и при хим. полировании Al в ванне Алуноль V, содержащей соли Cu и других тяжелых металлов. Показано, что при анодировании Al и его сплавов, отполированных пастами сухим способом, наблюдается травление поверхности и уменьшение прозрачности анодных пленок. Этого не наблюдается в том случае, когда удается избежать внедрения полировочного материала в поверхностный слой Al. Чистая и гладкая поверхность, на которой образуются прозрачные и хорошего качества анодные пленки, получается при условии, если после полировки сухим способом применяется кратковременное травление в 10%-ном р-ре NaOH при 80° и затем мокрое полирование. П. Щиголов

5281. Свойства непрозрачных покрытий (на алюминии и его сплавах), полученных путем анодирования в хромовой кислоте. Брейс, Пик (Production and properties of opaque coatings by chromic acid anodising. Brace A. W., Peek R.), Light Metals, 1957, 20, № 230, 166—167 (англ.)

Исследовано влияние напряжения, т-ры, продолжительности анодирования и конц-ии CrO_3 на скорость роста окисной пленки на Al и его сплавах. Изучены также свойства анодных пленок (механич. свойства, коррозионная стойкость и др.). Непрозрачные окисные пленки белого цвета на Al и его сплавах могут быть получены в 10%-ном р-ре CrO_3 при напряжении 30 в и т-ре 54,5°, $D_a = 1,2$ а/дм². При этих условиях пленка толщиной 5 м получается за 20 мин. анодирования, а толщиной 10 м — за 1 час. Увеличение конц-ии свободной CrO_3 от 10 до 15% оказывает малое влияние на скорость роста пленки, но уменьшение свободной CrO_3 до 7,8% вызывает уменьшение скорости роста пленки (3,5 м за 20 мин.). Сплавы, содержащие Cu, и сплавы типа Al-Zn-Mg-Cu можно анодировать по видоизмененному способу, по которому напряжение понижается до тех пор, пока не будет достигнута плотность тока $\sim 1,3$ а/дм². (Это соответствует напряжению 15—20 в). Большинство литейных сплавов

можно также анодировать этим способом. Полученные анодные пленки хорошо окрашиваются и при этом приобретают красивый эмалеподобный вид. Продолжительность окрашивания составляет 10–15 мин. После анодирования или анодирования и окрашивания рекомендуется производить наполнение пленки в дистилл. воде. Наиболее интересным свойством анодных пленок является их высокая эластичность. Листы с анодной пленкой толщиной 6–8 μ можно гнуть вокруг стержня diam. 25,4 мм без образования трещин. Износостойкость пленок несколько ниже, чем пленок, полученных в р-ре H_2SO_4 . При нагревании анодированных изделий до т-ры 580° не наблюдается видимых повреждений пленки. Сернокислотные же пленки дают трещины при нагревании > 130°. Коррозионная стойкость в атмосферных условиях таких пленок значительно выше, чем сернокислотных.

П. Шиголов

5282. Сцепляемость электролитических покрытий с титаном. Стэнли, Бреннер (The adhesion of electroplated coatings to titanium. Stanley Connie L., Brenner Abner), Techn. Proc. Amer. Electroplaters' Soc., 1956, 123–127 (англ.)

Разработаны условия осаждения на Ti, Cr- и Cu-покрытий, обладающих сцеплением. При обычной подготовке поверхности Ti осадки Cu, Ni, Fe, Zn, Mn, Cr, Co не сцепляются с Ti. Предварительное осаждение Zn-слоя, травление в органич. р-рителях, металлизация и ультразвуковая обработка не дали положительных результатов. Хорошая сцепляемость Cr-покрытия с Ti получена при обработке Ti в р-ре HF в CH_3COOH (125 мл/л 48%-ной HF) в течение 10–15 мин., при которой на поверхности Ti образуется пленка. Через 10–15 мин. на образце в этом же р-ре накладывается переменный ток (60 периодов) $D = 1,5–3,0$ а/дм² и напряжением 40 в. Через 10 мин. образец быстро вынимается, промывается и хромируется в ванне состава (в г/л): CrO_3 400, H_2SO_4 4; при т-ре 85° и $D_K = 120$ а/дм². При термич. обработке хромированного Ti в течение 2 мин. при т-ре 800° в инертной атмосфере сцепляемость значительно усиливается (при т-ре 450° сцепляемость не получается такой высокой). Отмечается, что р-р HF в CH_3COOH при стоянии на воздухе теряет HF и энергичнее реагирует с Ti. Устранение первой (хим.) или второй (электрохим.) стадии обработки Ti в смеси HF- CH_3COOH ухудшает сцепляемость. При этой обработке на поверхности образуется фтористый Ti, не растворяющийся в H_2O , слабо реагирующий со слабыми к-тами и растворяющийся в сильных к-тах. Высушенная пленка содержит 37% Ti и 54% F, что близко к соединению TiF_4 . Аналогичная обработка Ti перед никелированием дает среднюю сцепляемость (меньше чем с Cr), Cu-покрытие сцепляется лишь после термич. обработки при 800° в атмосфере He в течение 1 мин. Отмечается, что для хорошего сцепления металлич. покрытий с Ti необходим тщательный контроль условий эксперимента. З. Соловьева

5283. Электроосаждение алюминия из раствора хлористого алюминия в органическом веществе. Мерфи, Думас (A new organo-aluminum chloride bath for deposition of aluminum. Murphy Nelson F., Dumas Arthur C.), Techn. Proc. Amer. Electroplaters' Soc., 1956, 162–163 (англ.)

Приведены результаты исследования процесса электроосаждения Al из р-ра $AlCl_3$ в смеси *n*-бутиламина и диэтилового эфира. Электролит готовится добавлением небольших порций $AlCl_3$, растворенного в эфире, к р-ру амина в эфире при охлаждении. Ячейка закрывается и снабжается отсосом. Аноды — Al. Т-ра мало влияет на процесс, ванна удовлетворительно работает в интервале от комнатной т-ры до

т-ры кипения электролита. При больших т-рах электролит менее вязок и более электропроводен, осадки несколько более гладкие и блестящие. Для осаждения пригодны все смеси трех компонентов, представляющие одну жидкую фазу (по диаграмме состояния). BT_a — теоретический. Аноды склонны к хим. растворению. $BT_K = 50–65\%$, поэтому состав электролита меняется в процессе электролиза. Применять нерастворимые аноды нельзя вследствие окисления компонентов электролита. Для корректирования часть электролита удаляется, соединения Al удаляются кристаллизацией или выпариванием р-рителя и добавляется достаточное кол-во реагентов для корректирования состава всей ванны. Для смеси, содержащей (в мол. %) $AlCl_3$ 25,6, 2-этил-гексил-амин 15,2 и диэтил-эфира 59,2, блестящие сцепляющиеся осадки Al получают при $D_K = 2–12$ а/дм². При более низкой D_K получаются полосатые осадки или вообще не осаждаются металл. Применение реверсированного тока дает более блестящие осадки на стальных образцах, но не дает удовлетворительных осадков на Cu (можно применять реверсированный ток, если постоянным током получен достаточный слой Al на Cu). Предварительное осаждение тонкого слоя Zn на сталь улучшает сцепляемость Al-осадков. З. Соловьева

5284. Катодное осаждение индия из растворов этилендиаминтетрауксусной кислоты. Бремер, Алха (Die katodische Ausfällung des Indiums aus EDTA-Lösungen. Brehmer T., Alha P.), Suomen kemistiseuran tiedonantoja, 1956, 65, № 3–4, 95–104 (нем.; рез. англ.)

Состав р-ра (в г/л): In 11,5; комплексон II 29, декстроза 6; аноды — Pt или In, катоды — Ag, pH = 8–10 (регулируется с помощью NH_4OH). BT с повышением D_K вначале растут, а затем уменьшаются. С увеличением pH BT уменьшаются. При повышении т-ры In быстро растворяется в этилендиаминтетрауксусной к-те (I) и BT_K уменьшается. Структура осадков мелкокристаллич. (тоньше, чем в цианистых ваннах). PC р-ра очень хорошая. Изменение катодного потенциала с D_K имеет полулогарифмич. зависимость. Отмечается, что даже из разб. I можно получать металлич. осадки In с $BT \sim 40\%$. З. Соловьева

5285. «Проматирование» — новый высокопроизводительный метод кадмирования. Кноль (Promat-Glanzcadmium — ein neues Hochleistungsbad. Knoll Emil), Maschinenmarkt, 1957, 63, № 45, 5–6 (нем.) Изучена работа цианистой ванны для кадмирования с патентованной добавкой (Promat), позволяющей получать блестящие и коррозионностойкие Cd-покрытия при $D_K = 3–8$ а/дм². Состав добавки не приведен. З. Соловьева

5286. Влияние условий электролиза и состава электролита на пористость гальванических никелевых покрытий. Ротинян А. Л., Федотьева Н. П., Мищенко Е. Е., Дё Ду-хо, Ж. прикл. химии, 1957, 30, № 5, 716–723

Исследовано влияние компонентов электролита и условий электролиза на пористость (П) Ni-покрытий. Ni осаждался из электролита состава (в г/л): $NiSO_4 \cdot 7H_2O$ 166, H_3BO_3 30, $Na_2SO_4 \cdot 10H_2O$ 50, $MgSO_4 \cdot 7H_2O$ 20, NaCl 20. П определялась микроскопически после обработки образца в р-ре NaCl 10 г/л + $K_3Fe(CN)_6$ 10 г/л в течение 10 мин., а затем в р-ре $K_3Fe(CN)_6$ (40 г/л). Установлено, что миним. П получается при конц-ии $NiSO_4 \cdot 7H_2O$ 0,7–0,9 М/л, H_3BO_3 0,45 М/л, наименьшей конц-ии Cl-ионов и pH 4–5. Добавление в р-р Na_2SO_4 , $MgSO_4$ и NaF увеличивает П. Примеси Cu, Zn и Pb увеличивают П при тех же

конц-иях, когда они начинают ухудшать качество Ni-осадка. С повышением толщины и т-ры П уменьшается. Начиная с толщины 20 м и т-ры 50°, П меняется мало. П минимальна при $D_K = 1,5 \text{ а/дм}^2$. Осадки, обладающие миним. П, имеют повышенную коррозионную стойкость. Рекомендуются следующие оптимальные условия электроосаждения Ni-осадков с миним. П (в г/л): $\text{NiSO}_4 \cdot 7\text{H}_2\text{O}$ 220, NaCl 10 (или NiCl_2 10—15), H_2BO_3 30, pH 4,2—4,6. $D_K = 1,5 \text{ а/дм}^2$, т-ра 50°, толщина 20 м.

З. Соловьева
5287. Изучение влияния некоторых органических добавок на твердость и остаточные напряжения в никелевых осадках. Ньюэлл (A study of the effect of several organic addition agents on the hardness and residual stress in nickel deposits. Newell I. Laird, Techn. Proc. Amer. Electroplaters' Soc., 1956, 101—104 (англ.))

Изучено влияние *n*-толуолсульфамида (I), сахарина (II) и нафталина (III) на твердость (Т) и остаточные напряжения (Н) Ni-осадков из сульфатных ванн. Установлено, что в присутствии добавки I (1—2 г/л) при т-ре 32° Н резко увеличиваются с повышением D_K , а при т-ре 55° — не зависят от D_K . Т больше зависит от т-ры, чем от D_K . При т-ре 32° и D_K 4,2 а/дм² можно получить осадки, Т которых соответствует 500 ед. по Виккерсу, а при большей т-ре такая Т не достигается даже при D_K 8 а/дм². Добавка II больше влияет на Т, чем добавка I, но применять высокие D_K нельзя из-за подгорания осадка и разложения II. Н при т-ре 20° сильнее меняются с D_K , чем с добавкой I, а при повышении т-ры не становятся независимыми от D_K , а продолжают возрастать, хотя по величине Н остаются низкими. Несмотря на большую Т осадков в присутствии II, применение этой добавки ограничено из-за подгорания и хрупкости осадков. Влияние добавок III (4—12 г/л) особенно значительно. При любой т-ре увеличение конц-ии III уменьшает изменение Н с D_K . Высокую Т можно получить лишь при низкой конц-ии. Показано, что при определенных условиях (в зависимости от природы и конц-ии добавок) Ni-осадки из сульфатных ванн могут иметь $T > 550$ ед. по Виккерсу и Н сжатия $> 350 \text{ кг/см}^2$, оставаясь совершенно пластичными.

З. Соловьева
5288. Осаждение никеля и его сплавов. Кастелл (Nickel and nickel alloy deposits. Castell H. C.), Metal Ind., 1956, 89, № 26, 536—540 (англ.)

Рассматриваются различные способы получения Ni-покрытий, влияние различных факторов (pH, D_K , т-ры, конц-ии Cl-ионов и различных добавок) на механич. свойства (твердость, внутренние напряжения, удлинение, силу растяжения) и приводятся данные, характеризующие механич. свойства осадков Ni и его сплавов с Co и Sn, осажденных из стандартных ванн. Обсуждается также уменьшение остаточной прочности никелированной стали. З. Соловьева

5289. Блестящее никелирование литого железа. Развитие производственного процесса. Аларн (Bright nickel plating on cast iron. Development of a production process. Alary E.), Electroplat. and Metal Finish., 1957, 10, № 7, 227, 230 (англ.)

Описан способ подготовки поверхности деталей с дефектами перед осаждением Cu-подслоя и блестящего Ni-покрытия. З. Соловьева

5290. Некоторые характеристики электролитических осадков железа. Макс, Ван-Хаутенк (Some characteristics of electroformed iron deposits. Max A. M., Van Houten G. R.), Techn. Proc. Amer. Electroplaters' Soc., 1956, 136—150 (англ.)

Изучено влияние состава р-ра и условий электро-

лиза на ВТ_к, внутренние напряжения (ВН), силу растяжения, удлинение, хрупкость осадков Fe и пitting-образование. Электроосаждение Fe проводилось из р-ра состава (в г/л): $\text{FeCl}_2 \cdot 2\text{H}_2\text{O}$ 300, CaCl_2 150. Показано, что основным фактором, влияющим на ВТ, является кислотность р-ра, а т-ра и перемешивание влияют меньше. В кислых р-рах (0,5 н. HCl) ВТ составляет ~7%, а в 0,05 н. — 96%. При низкой т-ре осадки имеют высокие ВН. Миним. т-ра 90°, повышение т-ры улучшает механич. свойства осадков. Увеличение конц-ии Fe^{3+} уменьшает образование пitting-ов, но увеличивает ВН, так же как кислотность. Для ограничения пitting-образования необходимо 0,5 г/л Fe^{3+} и pH 1,4, но ВН осадков при этих условиях — на максим. пределе. Изменение D_K 1—18 а/дм² мало влияет на физ. свойства осадков. Перемешивание чопышает ВТ, но лишь при низкой т-ре. Наличие CaCl_2 в электролите уменьшает потери испарения и улучшает пластичность осадков. Присутствие Cu вызывает образование грубых губчатых осадков, уменьшает ВН. Mn и Ni (1 г/л) увеличивают удлинение осадков (с 3 до 7%) и пitting-образование. В больших конц-иях Mn и Ni вредны. Оптимальные условия электроосаждения Fe: т-ра не < 90° (желательно 104°), $D_K = 12 \text{ а/дм}^2$ при 93°, конц-ия Fe^{3+}

0,5 г/л, pH 1,2—1,6. Допустимая конц-ия Mn и Ni 1,0 г/л, Cu < 0,02 г/л.

З. Соловьева
5291. Электроосаждение хрома на необычные сплавы. Левин (Electroplating chromium on unusual alloys. Levy Charles), Techn. Proc. Amer. Electroplaters' Soc., 1956, 219—222 (англ.)

Изучены условия подготовки поверхности ряда жаростойких сплавов перед электроосаждением Cr из р-ра, содержащего 250 г/л CrO_3 + 2,5 г/л H_2SO_4 , при т-ре 55°. Установлено, что качество осадки Cr на поверхности стали SAE 4240, Mo и нержавеющей стали 502 получаются при следующей подготовке: погружение в 50%-ный р-р HCl на 1 мин., после холодной промывки — погружение в электролит на 30 сек. без тока, а затем анодная обработка при $D_a = 15,8 \text{ а/дм}^2$ в течение 20 сек., после чего включается $D_K = 31,6 \text{ а/дм}^2$. Поверхности изделий из сплава V-36, инконеля X, S-816 и Хастеллой С требуют следующей подготовки: погружение в р-р 50%-ной HCl на 1 мин., после холодной промывки — анодная обработка в р-ре, содержащем 240 г/л NiCl_2 и 150 см³/л HCl, при 2 в в течение 20 сек. (5,3 а/дм²), катодная обработка в этом же р-ре при тех же условиях в течение 2 мин., затем погружение в электролит на 30 сек. без тока с последующим наложением $D_K = 31,6 \text{ а/дм}^2$. Сплав Хастеллой В, стеллит 21 и нержавеющей сталь 19-9 DL нужно после обработки в 50%-ном р-ре HCl погрузить в горячий р-р (71°) конц. HNO_3 на 30 сек., после чего следует погружение в электролит без тока на 30 сек., а затем электролиз при $D_K = 31 \text{ а/дм}^2$. При указанных обработках сцепляемость осадков толщиной в 50—75 м удовлетворительная. З. Соловьева

5292. Электроосаждение хрома на орудийные стволы. Лам, Янг (Chromium plating of gun bores. Lamb V. A., Young J. P.), Techn. Proc. Amer. Electroplaters' Soc., 1956, 260—266 (англ.)

Рассматриваются физ. свойства, предъявляемые к покрытиям орудийных стволов, и степень соответствия этим требованиям покрытий Cr и других металлов и сплавов. Описан способ подготовки поверхности орудийных стволов перед электроосаждением, обеспечивающий получение качествен. Cr-покрытий, отличающихся операцией электрополировки, проводимой в р-ре состава (в вес.%): H_3PO_4 35—40, H_2SO_4 45—55,

H_2O_2 10—15 при t -ре 40—60° и $D_a = 25—50$ a/dm^2 , при которой снимается от 75 до 150 μ стали в час. Указывается, что при меньшей скорости снятия удаление металла по длине орудия происходит более равномерно. Описаны особенности проведения процесса хромирования, вызванные специфич. формой катода и необходимостью получения равномерной и точной толщины покрытия, в частности, требования, предъявляемые к анодам и перемешиванию электролита, и рассматриваются факторы, влияющие на равномерность покрытия (сопротивление анода, конц-ия Cr^{3+} и Fe в электролите, D_k , эксцентricность расположения анода и т. д.). Отмечается, что увеличение D_k уменьшает относительную толщину осадка на верхнем конце ствала. З. Соловьева

5293. Электроосаждение сплавов золото-медь. Крайков Б. С., Ж. прикл. химии, 1957, 30, № 5, 799-802

При электроосаждении сплава Cu-Au из цианистых электролитов в зависимости от D_k можно получить сплавы различного цвета. Оптимальные условия: состав электролита (в г/л). Au металлич. 8—2; Cu металлич. 18—20; KCN своб. 18, t -ра 62°, аноды — чистое Au, $D_k = 1,1—2,2$ a/dm^2 . Вначале $D_k = 2,2—1,8$ a/dm^2 и осадок содержит 41—45 вес. % Cu, затем D_k уменьшается до 1,1—1,3 a/dm^2 и верхний слой осадка содержит 29—34 вес. % Cu, отвечая по цвету золоту 583 пробы. Сплав Cu-Au тверже, чем чистое Au (на 40—60%), и более износостоек. С увеличением D_k уменьшается ВТ (от 80 до 10%) и увеличивается содержание Cu в осадке (до 50 вес. % Cu). Покрытия при толщине 2,5 μ полублестящие, без матовости и пуждаются в полировке или крацевании. Я. Ланин.

5294. Покрытие стальных, обложенных алюминием втулок подшипников. Биб, Ротшильд, ЛеБрасе (Overlay plating of steel-back aluminum-lined sleeve bearings. Beebe A. H., Jr, Rothschild B. F., LeBrasse G. J.), Techn. Proc. Amer. Electroplaters' Soc., 1956, 164—171 (англ.)

Описан метод электроосаждения сплава Pb на поверхность стальных, обложенных Al втулок подшипников, обеспечивающий хорошее сцепление, низкую диффузию, небольшое изменение размеров в процессе очистки и травления, невысокую стоимость и высокую производительность. После обезжиривания в перхлорэтилене поверхность травится в р-ре NaOH 125 г/л при t -ре 55° в течение 2 мин. При этом удаляется слой толщиной 3,7—5 μ , при меньшем удалении не обеспечивается достаточная сцепляемость. Наилучшие результаты дает последующее травление в р-ре 28—35 г/л CrO_3 + 260—300 г/л H_2SO_4 при комнатной t -ре и перемешивании в течение 1 мин. Затем следует обработка в цинкатном р-ре уд. ~ 540 г/л в течение 30 сек. при t -ре 40—43° (большая и меньшая t -ры дают худшую сцепляемость). На Zn осаждается тонкий слой Cu из цианистой ванны, содержащей 80—90 г/л Cu, < 5 г/л свободного цианида, pH 10,0—10,2 при t -ре 26—32°, $D_k = 4,3—5,4$ a/dm^2 в течение 2 мин. (толщина 2,5 μ) для предотвращения растворения Zn в последующей операции осаждения сплава. Затем производится нейтр-ция в р-ре HBF_4 для удаления остатков р-ра Cu и осаждение сплава состава (в %): Cu 2,0—2,5, Sn 9—11, Pb — остальное толщиной 25,4 μ из р-ра, содержащего (в г/л): Pb [в виде $Pb(BF_4)_2$] 135—150, Sn [в виде $Sn(BF_4)_2$] 9—11, Cu [в виде $Cu(BF_4)_2$] 1,5—2,5, HBF_4 20—40, H_3BO_3 — почти до насыщения, гидрохинон 1,0—1,3, желатина 0,5 или меньше; pH 0,2—0,3; $D_k = 5,4—10,8$ a/dm^2 , t -ра комнатная. Аноды — 10% Sn + 90% Pb. Аноды обязательно погружать в чехлы или диафрагмы. Между каждой операцией — промывка. З. Соловьева

5295. Полный полярографический анализ цианистых ванн для цинкования. Коллард, Лю (Complete polarographic analysis of cyanide zinc plating baths using a simplified apparatus. Collard T. H., Jr, Liu David K. H.), Techn. Proc. Amer. Electroplaters' Soc., 1956, 56—59 (англ.)

Новый полярограф, использующий упрощенную схему, делает возможным определение кол-ва Zn, $NaCN_{общ}$, NaOH и Na_2CO_3 без предварительной обработки р-ра. Перед определением $NaCN_{общ}$ в р-р вводится Na-соль этилендиаминтетрауксусной к-ты для освобождения CN-ионов из комплекса. Конц-ия Na_2CO_3 этим методом определяется менее точно, чем конц-ия остальных компонентов. В качестве фонов используются р-ры KNO_3 , NH_4Cl-NH_4OH , $(C_2H_5)_4NOH$. Полный анализ проводится вдвое быстрее по сравнению с хим. методами. З. Соловьева

5296. Быстрый анализ цианистых электролитов. Мьюрака (Rapid analysis of cyanide plating baths. Murgas R. F.), Techn. Prod. Amer. Electroplaters' Soc., 1956, 223—229 (англ.)

Описан новый манометрич. способ анализа цианистых электролитов на содержание кол-ва свободного и общего цианида, основанный на р-ции с гипохлоритом, при которой образуется азот. Описан прибор, в котором производится р-ция и собирается газообразный продукт, давление которого служит колич. мерой содержания цианида в р-ре, и проведение анализа с предварительным снятием калибровочных кривых. Метод дает возможность определить содержание свободного цианида в таких электролитах, в которых это нельзя сделать хим. способом. З. Соловьева

5297. О работе анодов гальванических ванн. Дезерьев Г. П., Изв. Казанск. фил. АН СССР. Сер. хим. н., 1957, вып. 3, 57—61

Рассматривается влияние различных факторов на протекание анодного процесса различных гальванич. ванн (влияние pH и Cl-ионов на работу Ni-анодов, свободного цианида и pH на работу анодов в ваннах латунирования) и обсуждается механизм этого влияния. З. Соловьева

5298. Растворенные газы в электролитических ваннах. Таккер, Бьюкман (Dissolved gases in plating baths. Tucker W. M., Beuckman F. O.), Techn. Proc. Amer. Electroplaters' Soc., 1956, 118—122 (англ.)

Изучена роль растворенных в электролите газов (O_2 , H_2 , N_2) в образовании питтинга на поверхности электролитич. осадков и описан анализатор для колич. определения их в электролитах. Показано, что электролиты содержат значительное кол-во растворенных газов, которые при достижении насыщения или вытеснении образующимся при электролизе водородом являются причиной появления питтингов. Рекомендуется проводить периодич. обезгаживание части электролита с целью поддержания общего кол-ва газов в р-ре ниже растворимости присутствующих газов. З. Соловьева

5299. Определение толщины металлических покрытий. П. Бермудес-де-Кастро-и-Москера (Determinación del espesor de capa en recubrimientos metálicos. II parte. Bermudez de Castro y Mosquera José M.), Bol. Sindic. nac. metal., 1957, 16, № 177, 9—12 (исп.)

Описаны общие методы определения толщины металлич. покрытий. Часть I см. РЖХим, 1957, 64032.

А. Гутмаир

5300. Электролитический титан. Сайбер, Стейнберг (Electrolytic titanium. Sibert M. E., Steinberg M. A.), J. Metals, 1956, 8, № 4, 1162—1168 (англ.)

Обзор работ по электролитич. получению Ti из расплавленных окисных и галонидных соединений Ti, а также процессов с растворимыми анодами (для рафинирования) и их оценка. Библ. 54 назв.

З. Соловьева

5301 Д. Исследование электролитического осаждения сплава никель — фосфор применительно к ремонту деталей тракторов и автомобилей. Потапов Г. К. Автореф. дисс. канд. техн. н., Моск. ин-т механики и электрифик. с. х., М., 1957

5302 П. Скользящие детали машин и способ их изготовления. Габриэль, Штратман (Gleitende Maschinenteile und Verfahren zu ihrer Herstellung. Gabriel Alois, Strattmann Hermann) [Alois Gabriel, Hans Schäfer, Hermann Strattmann]. Пат. ФРГ 952953, 22.11.56

На скользящие поверхности деталей машин из высоколегированной хромистой стали наносят покрытие, твердость которого уменьшается от внутренних слоев к наружным. Твердость наружного слоя ≤ 40 HR. Это покрытие состоит из Cr, или является многослойным (Cr-Cu-Cd или Cu-Cd-Ag). Получение Cr-покрытия с меняющейся твердостью осуществляют путем изменения режима электролиза: D, т-ры, pH и т. д. По другому варианту хромированную поверхность скользящих деталей протравливают (р-ром HCl, анодно в кислой или щел. ванне) и затем гальванизируют, путем нанесения покрытия из других металлов необходимой твердости. Л. Херсонская

См. также: Состав изоляции кожуха аккумуляторной батареи 6468. Конструкция лабор. ванны для электролиза хлористого натрия 4440. Определение качества гальванич. покрытий 5018. Электрохим. методы испытаний оловянных покрытий 5017. Причины зависимости скорости электроосаждения Cu от т-ры 3962. Электролитич. осаждение металлов в бесциантовых электролитах током переменной полярности 3985. Распределение тока в электролизерах 3960. Структура электролитич. Ag 3961. Внутренние напряжения покрытий 3964. Анодный эффект при получ. Al 3972. Получение: Ti 3973, 3974; Ta 3975. Прибор для измерения эластичности анодных пленок 4441.

КЕРАМИКА.

СТЕКЛО. ВЯЗУЩИЕ ВЕЩЕСТВА. БЕТОНЫ

Общие вопросы

Редакторы П. П. Будников, С. И. Горелкина, А. С. Пантелеев

5303. Современное состояние исследований и предстоящие задачи в области силикатов. Дитцель (Die angewandte Silikatforschung, ihr derzeitiger Stand und ihre Probleme. Dietzel A.), VDI-Zeitschrift, 1956, 98, № 36, 1975—1986. Diskuss., 1984—1986 (нем.)

5304. Стабильность алюмосиликатов. Флад, Кнапп (Stability of the aluminum silicates. Flood H., Knapp W. J.), J. Amer. Ceram. Soc., 1957, 40, № 6, 206—208 (англ.)

Исходя из тройных систем Al_2O_3 — SiO_2 с CaO, MgO или FeO, авторы показывают, что величины свободной энергии образования кинанта, андалузита и силлиманита по р-ции $Al_2O_3 + SiO_2 = Al_2O_3 \cdot SiO_2$ находятся в пределах от 0 до 10 ккал, вместо до сих пор принятых 40—45 ккал. Этот результат может быть также при рассмотрении зависимости величин свободной энергии образования от ионного потенциала

силикатообразующего катиона. Это подтверждается диаграммой, выражающей эту зависимость для некоторых силикатов, карбонатов и сульфатов. А. Говоров

5305. Изучение реакции взаимодействия между кислородом и смесями каолинита и некоторых хлоридов металлов при повышенных температурах. Додсон (A study of the reaction between oxygen and mixtures of kaolinite and certain metal chlorides at elevated temperatures. Dodson Vance H.), Ohio J. Sci., 1957, 57, № 1, 29—37 (англ.)

Рентгенографическим и дифференциальным термич. анализом определен состав конечных твердых продуктов при взаимодействии кислорода и смесей прокаленного при 650° каолинита (I) из Алабамы (его хим. состав (в %): SiO_2 46,69%, Al_2O_3 39,67, H_2O 12,60) с х. ч. NaCl (II) и $CaCl_2$ (III) в следующих соотношениях: I: II = 1:1; I: II = 1:2; I: III = 1:1; I: III = 1:2; I: III = 2:1; I: II: III = 1:1:2; I: II: III = 1:2:4; (I прокаленный при 1000°): II: III = 1:2:4. Т-ра процесса 600, 700, 800° . Помимо состава твердых продуктов, приведены кол-ва выделившегося при р-циях Cl_2 и константы скорости р-ции первого порядка при различных скоростях потока O_2 (2,86; 4,68; 7,68 л/час). Установлено, что каолинит является не только акцептором для образующихся окислов Na и Ca, но также служит катализатором при замещении иона Cl в хлоридах металлов. М. Карапетьянц

5306. Изучение условий образования силикатов стронция. Глушкова В. Б., Келер Э. К., Ж. прикл. хим., 1957, 30, № 4, 517—523

Комплексным термич. анализом, а также хим. и рентгенографич. анализами изучено поведение при нагревании смесей различного состава в системе $SrCO_3$ — SiO_2 . Подтверждено существование соединений: Sr_2SiO_6 , Sr_2SiO_4 , $SrSiO_3$. Установлено, что в смесях $SrCO_3$ с SiO_2 (аморфная SiO_2) независимо от соотношения исходных компонентов первоначально образуется ортосиликат. Образование ортосиликата начинается при 900° . При нагревании смеси $SrCO_3$: SiO_2 = 1:1 также сначала образуется Sr_2SiO_4 , и лишь при 1300° наблюдается быстрое образование метасиликата. В смесях, богатых $SrCO_3$, при 1100° наряду с ортосиликатом происходит образование Sr_2SiO_6 . Образование ортосиликата и трехстронциевого силиката не вызывает изменения объема образца, в то время как образование метасиликата связано с ростом образца. В. Кушаковский

5307. Об адсорбционных и отбеливающих свойствах некоторых болгарских природных силикатов. Димитров, Русчев, Беличев, Дончев (Върху адсорбционните и избелващите свойства на някои български природни силикати. Димитров Д., Русчев Д., Беличев П., Дончев М.), Годишник Хим.-технол. ин-т, 1955 (1956), 2, № 1, 113—125 (болг.; рез. русск., нем.)

Исследовано 14 болгарских природных силикатов (глины, каолины, трасс и кизельгур) после термич. активирования в температурном интервале от 110 до 400° и после кислотного активирования HCl или H_2SO_4 с конц-ией от 1 до 20%. Адсорбционная способность проверялась по бензольному методу, а отбеливающая способность — по фактору обесцвечивания. Оптимальная т-ра термич. активирования различна для отдельных природных силикатов и изменяется от 150 до 400° , а оптимальная конц-ия к-ты при кислотном активировании колеблется от 1 до 10%. Р. Рыжиков

5308. Стабилизация глинистых растворов декстрином. Беньковский В. Г., Каганская К. А., Сухарев С. С., Изв. АН КазССР. Сер. хим. 1957, вып. I, 76—82 (рез. казах.)

Изучено стабилизирующее действие декстрина на суспензии маатской, ушканской и бентонитовой глин (даны их валовые хим. анализы и анализ воды. вытя-

жек). Приведены графики, характеризующие влияние на адсорбцию декстрина, времени взаимодействия, т-ры, конц-ии декстрина, конц-ии NaCl в р-ре. Для глинистых р-ров до и после их обработки декстрином (1,2,3,4, 5%) определены уд. вес, вязкость по СПВ-5 в 1 сек. водоотдача в 1 см³ за 30 мин., отстой в процентах, толщина корочки в мм. Проведено промышленное испытание р-ров, стабилизированных декстрином, при бурении двух крепких и двух глубоких скважин. Установлено: величина адсорбции зависит от природы глины; адсорбция заканчивается в течение нескольких минут и пропорциональна конц-ии декстрина; оптимальная т-ра адсорбции 10—20°; обработка глинистых р-ров декстрином (особенно майсовым) в условиях высокой солёности жидкой и твердой фаз значительно облегчает и ускоряет проходку скважин.

М. Карапетянц

5309. Сравнение адсорбционных способностей некоторых белорусских глин. Барон Н. Л., Голосова А. П., Данилов И. Н., Карпечкина В. И., Лавровская А. С., Малащенко К. Е., Першина А. Г., Сергеевич И. П., Сб. студ. науч. работ. Белорусск. политехн. ин-т, 1957, вып. 3, 170—171

Произведено сравнение адсорбции метиленового синего из р-ра красителя 4 глинами различных месторождений Белоруссии и одним монтмориллонитом при конц-иях р-ра 0,1; 0,25; 0,3; 0,5; 0,75; 1,0; 1,5; 2,0 мг/мл красителя. Навески глин 0,05 и 0,1 г (результаты приведены к 1 г глины). Изменение кол-ва красителя после 20—25-минутного встряхивания и трехсуточного отстаивания в темном месте оценивалось по определению равновесной конц-ии с помощью фотоэлектрокалориметра. Кол-ва красителя, необходимые для предельного насыщения поверхности 1 г адсорбента, определялись по изотермам адсорбции. Установлено, что монтмориллонит высаливает метиленовый синий из р-ров, а исследованные глины по адсорбционной способности можно расположить в следующем порядке: Бобруйская глина > глина месторождения «Лука» > глина Минского черепичного з-да > Витебская глина.

М. Карапетянц

5310. Поляризационный микроскоп и его применение в керамике. Феттер (Das Polarisationsmikroskop und seine Anwendung in der keramischen Industrie. Vetter Hans), Euro-Ceramic, 1957, 7, № 5, 122—124 (нем.)

5311. Метод концентрирования без коагуляции разбавленных глинистых суспензий. Маккензи, Фаркуарсон (A method for concentration of dilute clay suspensions without coagulation. Mackenzie R. C., Farquharson K. R.), Clay Minerals Bull., 1956, 3, № 15, 7 (англ.)

Для концентрирования сильноразб. глинистых суспензий, полученных после процесса электрофореза, предложен метод вакуумной перегонки, не приводящий к коагуляции. Т-ра процесса 30°.

М. Карапетянц

5312. Влияние легкоподвижного алюминия и силиция на структурную вязкость и предельное напряжение сдвига глинистых суспензий. Папуашвили С. Н., Шишнинишвили М. Е., Агладзе Л. Д. (ადგილობრივი ალუმინისა და სილიციუმის გავლენა თხილს სუსპენზიების სტრუქტურულ სიბლანტესა და ძვრის ზღვრულ წინაღობაზე. პაპუაშვილი ს., შიშინიშვილი მ., აგლაძე ლ.), ქიმიის ინ-ტის შრომები, Тр. Ин-та химии. АН ГрузССР, 1957, 13, 3—16 (груз.; руск.)

Изучены структурные явления в водн. суспензиях из электродиализованного аскангеля и из предварительно обработанных щелочью аскангеля и иорской глины при изменении кол-ва Al и Si. Установлено, что при возрастании кол-ва обменного Al в суспензиях электродиализованного аскангеля уменьшаются структурная вязкость (СВ) и динамика. напряжение сдвига

(ДНС) и резко возрастает водоотдача (ВО), что связано с постепенным уменьшением гидрофильности и электрокинетич. потенциала поверхности частиц аскангеля. При обработке суспензий аскангеля и иорской глины возрастающим кол-вом щелочи до pH < 10 соединений легкоподвижного Al и Si образуется мало и за счет обогащения обменного комплекса глин ионами Na возрастают СВ и ДНС и уменьшается ВО. При pH > 10 резко возрастают кол-ва образовавшихся легкоподвижных Al и Si и соответственно понижаются СВ и ДНС и растет ВО.

М. Карапетянц

5313. Изучение зависимости цвета и некоторых физико-механических свойств черепка от состава массы и условий обжига. Яговдик Н. К., Кисель И. И., Сб. научн. работ. Н.-и. ин-т стройматериалов М-ва пром-сти строит. материалов БССР, 1957, вып. 5, 76—89

Для 2 белорусских глин изучено влияние на цвет и некоторые физ.-мех. свойства черепка изменение содержания CaO (добавка 5,10,15 и 20% CaCO₃ в виде известкового молока), т-ры обжига (850, 950, 1000, 1050 и 1100°) и газовой среды (окислительная и восстановительная). Установлено: повышение т-ры обжига во всех случаях вызывает изменение цвета, но характер его и интенсивность различны в зависимости от содержания CaO и среды обжига; содержание CaO влияет на изменение цвета очень резко при обжиге на 1050—1100°, при более низких т-рах сказывается лишь незначительно; содержание свободной CaO растет с ростом добавки CaCO₃, достигая ~ 1,8%, и уменьшается с повышением т-ры обжига; при обжиге на 1050—1100° и при высоком содержании CaO материал полностью перерождается в изотропную светло-окрашенную массу волокноподобного строения.

М. Карапетянц

5314. Материалы по исследованию кирпичных глин некоторых месторождений Молотовской области. Воскресенский В. К., Уч. зап. Молотовск. ун-та, 1956, 10, № 2, 185—208

Исследована пригодность для произ-ва кирпича и кровельной черепицы глин 11 месторождений Пермской обл. Произведены: хим. и механич. анализы по Сабанину — Робинзону; определение нормального водоудержания; потери воды на воздухе, в термостате при 105° и при прокаливании на 825°; определение линейной усадки при сушке и обжиге (на 825°) и пластичности по Аттербергу. Рациональный анализ проведен по методу Лунге и Мильберга, теоретич. огнеупорность подсчитана по ф-лам Шуэна и Новопашина.

М. Карапетянц

5315. Сравнительное изучение спекающихся глин некоторых месторождений Франции и Германии. Никола (Etude comparative de quelques argiles du Westerwald, du Palatinat et de la region de Chateaubriant. Nicolas J.), Bull. Soc. franç. céram., 1957, № 35, 127—134. Discuss., 134 (франц.; рез. англ., нем.)

Результаты хим. термич. и рентгеновского анализа показывают, что французская глина состоит, подобно германским, из смеси каолинита и гидрослюд с примесью кварца.

А. Говоров

5316. Содержание гумуса в глинах и влияние на некоторые коллоидные свойства их обработки перекипью водорода. Сираки (粘土に含まれている腐植の量と過酸化水素水処理による諸性質の變化. 木本洋一), 農業協會誌, Eigō kōkai, J. Ceram. Assoc., Japan, 1957, 65, № 735, 55—65 (японск.; рез. англ.)

Определено содержание гумуса в 7 разновидностях японских глинистых материалов. Установлено: исследованные материалы в большинстве случаев содержат значительные кол-ва гумуса, но не существует какой-либо зависимости между содержанием гумуса и окраской глин, значениями их pH или величиной набухания; степень разложения гумуса перекипью водорода не

висит от концентрации гумуса; обработка H_2O_2 не только разрушает комплекс глина — гумус, но также и снижает кол-во растворимых солей, увеличивает дисперсность и вязкость; обработанные H_2O_2 глины имеют малую скорость осаждения и большой объем осаждения; гумус в глинах разлагается примерно при $250-550^\circ$; при добавлении H_2O_2 в шликер ускоряется разложение соединений железа под действием SO_2 ; обработанная H_2O_2 глина имеет большее термич. расширение в интервале разложения, но гораздо большее сжатие при $100-200^\circ$ благодаря поглощенной влаге. См. РЖХим. 1957, 27592.

5317. Минералогический состав и свойства осадочных глин из Лебрихи (Испания). Гарсия, Каллизо, Гарсия (Mineralogical composition and properties of sedimentary clays from Lebrija (Spain). Garcia F. Gonzalez, Callizo A. Peyro, Garcia S. Gonzalez, Clay Minerals Bull., 1956, 3, № 16, 62—67 (англ.))

Для нескольких образцов отбеливающих глин из Лебрихи (глины целиком и их фракции $> 1,12 \mu$; $1,12-0,3 \mu$; $< 0,3 \mu$) проведены: хим. анализ, дифференциальный термич. анализ, снятие кривых дегидратации, рентгенографии, и электроноскопич. определения. Установлено, что эти глины состоят из примерно равных кол-в аттапульгита и иллита.

5318. Методы обогащения каолина. Баума (Kaolin előkészítési eljárások. Bauma Viktor, Bányász. lapok, 1957, 12, № 1, 37—41 (венг.))

Краткое описание различных методов обогащения каолина.

См. также: Определение SiO_2 4311. Определение катионов, способных к обмену в глинах и слюдах 4333. Анализ шлаков глин 4334

Керамика. Полупроводники

Редакторы С. В. Глебов, С. И. Горелкина, В. В. Клыкова

5319. Исследование поведения спекшихся материалов при высоких температурах. Мейер-Хартвиг (Der Stand der Hochtemperatur-Sinterwerkstoff-Forschung. Meyer-Hartwig Eberhard, Jahrb. Wiss. Ges. Luftfahrt, 1955. Braunschweig-Berlin, 1956, 332—341 (нем.; рез. англ., франц.))

Изложено содержание проведенных до 1945 г. в Германии и Италии работ в области жаропрочных пористых керамич. и металлокерамич. материалов для лопаток газовых турбин и сопел для ракет. При применении керамич. материалов для лопаток возник ряд трудностей, связанных с различием коэф. расширения керамич. деталей и металл. оснований, к которым они крепятся. В связи с этим были разработаны лопатки с переменным по высоте составом материала, у которых основание выполняли из металла, затем следовал участок «полуметалла», состоящий из смеси керамики и металлов, а верхняя часть из одной керамики (напр., для лопаток колеса турбины масса «полуметалла» состояла (в вес. %): SiC 50, Fe 47, Ni 3; (спекание в атмосфере $50\% H_2 + 50\% N_2$ при 1250°). Приведены некоторые свойства «полуметаллов». Описана методика и оборудование для определения свойств при высокой т-ре и термостойкости лопаток. Приведены соображения о дальнейших путях развития «полуметаллов», в частности рассмотрен способ спекания. См. РЖХим. 1956, 75738.

5320. Образование керамических поверхностей вследствие действия поверхностного натяжения шликера.

Салманг, Ден, Врумен (Die Gestaltung der keramischen Oberfläche durch Auswirkung der Tonoberflächenspannung. Salmang H., Deen W., Vroemen A.), Ber. Dtsch. keram. Ges., 1957, 34, № 2, 33—38 (нем.)

Медленным вливанием воды шликера в гипсовую форму можно получить керамич. изделия с ярко выраженной внешней гофрированной поверхностью. При вливания фарфорового шликера в течение 8 час. ширина горизонтальных полос достигает 2,5 мм. Эти полосы являются результатом образования на поверхности шликера пленки, богатой тонкодисперсными частицами глины. Пленка высыхает частью вследствие местного отсасывания воды гипсом, частью вследствие ее испарения. Таким образом, на поверхности шликера действует как физ. поверхностное натяжение, так и натяжение, вызванное высыханием и отсасыванием воды. Тиксотропные шликера имеют недостаточно плотную пленку, хорошо разжиженные шликера — прочную пленку. Наличием этой пленки можно объяснить образование гладкой поверхности изделия со стороны шликера, образование горизонтальных полос на внешней стороне отлитого изделия, неоднородность поверхности шликера по сравнению с остальной массой, образование черепка, действие добавок, улучшающих смачивание, пластичность и вязкость шликера.

5321. Вадутие при обжиге изделия. Боден (Produits boursoufflés à la cuisson. Bodin Victor), Ind. céram., 1957, № 487, 203—205 (франц.)

Рассматриваются неповерхностные вадутия в виде прыщей или пузырьков, а вадутия, природу которых бывает не легко установить, в виде крупных желваков, изменяющих конфигурацию изделий. Рассматриваются возможности образования вадутий от следующих причин: при образовании сернистого газа от разложения сульфатов, при образовании уголекислоты от разложения карбонатов, воздуха, удержанного массой, и паров воды от недостаточной сушки и дегидратации глин. $Al_2(SO_4)_3$ разлагается при 700° , $MgSO_4$ при $800-900^\circ$, $CaSO_4$ — ниже 1200° в окислительной атмосфере и разрушается в восстановительной среде в пределах $950-1000^\circ$. Пирит может быть причиной вадутий поверхности изделий, если поры черепка закрываются от разложения сульфатов. Для устранения пороков необходимо отсортировать слои глины с большим содержанием пирита или подвергать такую глину зимованию на открытом воздухе. Пирит при этих условиях окисляется в $FeSO_4 \cdot 7H_2O$, а последний легко растворяется и уносится дождевыми водами. Карбонаты легко разлагаются в пределах $500-800^\circ$ и не могут являться причиной описываемых вадутий. Воздух, заключенный в массе, может вести к вадутиям поверхности изделий лишь при их пережоге и быстром подъеме т-р. Практикой отмечено, что недостаточно предварительно высушенные кафели иногда при обжиге покрываются вадутиями. При вскрытии поверхности последних обнаруживается черная сердцевина с кавернами. Причиной образования С может быть содержание в глине органич. в-в, напр. лигнита. При быстром обжиге и уплотнении поверхностного слоя в изделии остаются заключенными воздух, С и пары воды. Кол-во воздуха недостаточно для сжигания С, и основная р-ция С происходит с парами воды. При этом из одного объема паров воды образуются два объема газообразных продуктов. Оба газа являются сильными восстановителями и переводят окись Fe в закись, вызывая образование метасиликата Fe. Следовательно, если внешние слои массы являются окисленными, то внутренние слои являются восстановленными и более легкоплавкими, и под влиянием газообразных продуктов легко вслучиваются и вызывают образование крупных желваков. Во

избежание вздутий рекомендуется изделия перед обжигом хорошо высушивать и обжиг вести только в окислительной среде с медленным подъемом т-р. С. Т. 5322. Влияние формы и расположения глинистых частиц на усадку изделий. Ефремов Г. Л., Стекло и керамика, 1957, № 6, 14—17

Растрескивание и деформация фарфоровых изделий рассматриваются как следствие ориентации чешуйчатых и удлиненных минер. частиц в фарфоровой массе. Для изучения ориентации частиц в просьяновском каолине, часов-ярской, глуховской и латненской глинах были изготовлены на поршневом прессе опытные стерженьки диам. 5 мм. Протяжка массы производилась при рабочей влажности. Степень ориентации чешуйчатых и удлиненных частиц характеризовалась разницей в усадке по длине и диаметру образцов. Установлено, что разница в усадке возрастает с увеличением степени ориентации частиц при формовке. Замена воды керосином при затворении часов-ярской глины уменьшает разницу в общей усадке с 24 до 8,9%. Величина усадки связана с минералогич. составом и размером частиц. Указывается, что ориентация частиц зависит от различной скорости движения потоков пластичной массы или жидкого шликера при их формовании. Пользуясь методикой общего и местного окрашивания фарфорового шликера 1% окисью Со, был изучен характер движения окрашенной струи по сравнению с направлением и расположением трещин на опытных образцах после сушки и обжига. Установлено, что основной причиной деформации и растрескивания изделий при сушке и обжиге является разница в усадке по разным направлениям, связанная с определенной ориентацией покрытых водн. пленкой чешуйчатых и удлиненных частиц на отдельных участках изделий. Указываются способы искусств. улучшения структуры черепка, которые целесообразно применять при разработке методов пластичного формования и литья керамич. изделий.

Г. Масленникова
5323. Керамика в самолетостроении. Стерри (Ceramics holds key to aircraft development. Sterry W. M.), Ceramic Ind., 1957, 68, № 5, 92—94, 113 (англ.)

Перед пром-стью самолетостроения возникает проблема преодоления термич. барьера. Наиболее перспективным является применение керамики на самолете (С) в виде защитных покрытий для высокопрочных низколегированных и высоколегированных сталей. Они должны наноситься тонким слоем, сохранять стойкость до 430° и защитные свойства в течение 5—10 лет. Керамич. покрытия для защиты от газовой коррозии при 700—820° нужны для деталей, близких к С двигателям, если в этих зонах применяется Ti и его сплавы, использованию которых препятствует их азотная и кислородная хрупкость при длительном нагревании > 650°; для них могут быть использованы типовые эмалевые покрытия, как для листовой стали. Применяемое хромирование износостойких деталей С неудовлетворительно из-за снижения твердости при нагревании и может быть заменено покрытиями из чистых окислов, эмалями или керметами. Возможно также применение керамич. материалов для теплоизоляционных покрытий, для смазки при прессовании деталей из Ti-сплавов, для нанесения многочисленных надписей на горячих деталях и для арматуры.

В. Злочевский
5324. Применение дифференциального термического анализа для определения точки Кюри. Блум, Паладино, Рубин (Differential thermal analysis technique for determining Curie points. Blum S. L., Paladino A. E., Rubin L. G.), Amer. Ceram. Soc., Bull., 1957, 36, № 5, 175—177 (англ.)

Точка Кюри ферромагнитных в-в, т. е. т-ра их превращения в парамагнитные, обычно определяется из-

мерением магнитной проницаемости при нагреве. Это измерение связано с эксперим. трудностями, когда точка Кюри находится при высокой т-ре, как у ферритов ~ 600°. Так как точка Кюри характеризуется также резким изменением теплоемкости в-ва, на кривой дифференциального термич. анализа наблюдается эндотермич. эффект, позволяющий легко определять точку Кюри у ферромагнитных в-в. У ферроэлектрич. же в-в эта точка находится обычно при низких т-рах и соответствует весьма малым термич. эффектам, что затрудняет применение термич. анализа. Все же для BaTiO₃ и PbTiO₃ т-ра Кюри достаточно высока и определена термич. анализом. Описывается установка для термич. анализа в нейтр. атмосфере и даются результаты нескольких определений сравнительно с обычными методами.

А. Говоров
5325. Образование прочности связи при обжиге. Новый подход к проблеме и его приложение к технологии. Хаусман (The development of bond strength during firing. A new approach and its technological implications. Houseman D. H.), Refractories J., 1957, 33, № 4, 146—158. Discuss. 154—156, 158 (англ.)

Для изучения процесса образования прочности связи в огнеупорах при обжиге был определен $\sigma_{сж}$ динаса, силламанита, магнезита и хромомagneзита в процессе нагревания. Образцы сырца высотой 75 мм, с поверхностью 9,7—12,9 см² устанавливали в вертикальной печи с нагревателями из SiC, смонтированной на плите пресса, дающего усилие при сжатии до 2,3 т; максим. т-ра печи 1450°. Образцы нагревали до заданной т-ры t , со скоростью 10 град/мин, выдерживали при ней в течение 2 час., прилагали нагрузку и определяли $\sigma_{сж}$; т-ру t последовательно повышали до тех пор, пока не получали макс. $\sigma_{сж}$ и последующее его снижение. Результаты выражались в виде кривых: $\sigma_{сж} = f(t)$ в итоге испытаний по описанному методу было обнаружено, что для динаса макс. $\sigma_{сж}$ (~ 90 кг/см²) наступает при т-ре 1350—1400°, а дальше снижается, для силламанитового сырца на глинистой связке при 1050° (> 200 кг/см²), для хромомagneзита — в интервале 200—800° (~ 70 кг/см²), при 1000° наблюдается падение $\sigma_{сж}$ при 1200° $\sigma_{сж}$ вновь доходит до прежней величины и затем падает. Упрочнение образцов при т-ре макс. $\sigma_{сж}$ объяснено развитием связи при их спекании. Изучено также влияние перерывов в кривой нагрева на прочность возникающей связи. Оказалось, что перерывы кривой в интервалах 600—500° и 1200—1000° вредно сказываются на макс. $\sigma_{сж}$ динаса, что объясняется модификационными превращениями кварца в первом и связи во втором интервале. По этой причине обжиг динаса в интервале 500—600° предложенно производить быстро. Приведены кривые изменения $\sigma_{сж}$ огнеупорного сырца в функции т-ры обжига при всех трех методах испытания и высказано предположение, что наиболее ценным из исследованных огнеупоров с точки зрения сохранения прочности связи, возникшей при высокой т-ре, является динас из чистой кремневой гальки мелового возраста, изготовляемый в Англии, за ним следует хромомagneзит. В дискуссии оспаривался вывод в быстром подъеме т-ры обжига динаса в интервале 500—600°.

В. Злочевский
5326. О предварительно сжатой керамике для крыльев самолетов. Шанли, Напп, Нидем (How about prestressed ceramics for airplane wings? Shanley F. R., Knapp W. J., Needham R. A.), Ceramic Ind., 1956, 66, № 6, 113—116 (англ.)

Значительное повышение механич. характеристик предварительно напряженного бетона открывает возможность его применения и в конструкции крыла

самолета, особенно при использовании тонкой стальной проволоки высокой прочности. Описываются результаты поведения при сжатии опытных крыльев с различными хордовидными керамич. элементами. Все опытные образцы при сжатии дали продольные трещины, и потенциальные прочности керамич. материалов в испытаниях не были достигнуты. Причины таких результатов представляются не ясными. Они могут происходить как от неравномерного распределения напряжений по сечению керамич. элементов, так и от одностороннего расширения самого материала, влияния эластичных прокладок и малой прочности отдельных керамич. элементов. Отмечается необходимость дальнейшего детального изучения этих моментов и опробования в целях устранения указанного недостатка и облегчения веса крыла из материала с ориентированной прочностной структурой.

С. Туманов
5327. Керамические шпунки для соединения дорожных бетонных плит. Кунце (Keramik-Verdübelungselemente für Betonfahrbahn-Deckenplatten. Kunze Walter), Bauplanung und Bautechnik, 1957, 11, № 4; Strassentechnik, 5, № 4, 37—41 (нем.)

Приведены результаты испытаний шпунков из твердого фарфора для соединения между собой бетонных плит. Установлена возможность замены стальных шпунков фарфоровыми.

Е. Штейн
5328. Примеры использования в промышленности строительной керамики результатов, достигнутых при помощи некоторых лабораторных методов. Альвизе (Exemples d'applications dans l'industrie de la terre cuite des résultats obtenus à l'aide de certaines méthodes de laboratoire. Alviset L.), Bull. Soc. franç. céram., 1957, № 35, 69—93. Discuss., 93—94 (франц.; реза. англ., нем.)

Изложены результаты применения в промышленности керамики новых или заимствованных из других отраслей методов лабор. испытаний. Испытание морозостойкости (М) методом пропитки под вакуумом позволило выявить раздельное влияние сырья или методов формовки на М и наметить пути улучшения М введением отощенной глины. Изучение модуля упругости (МУ) (без разрушения образцов) позволило обнаружить изменение его значений в процессе замораживания и оттаивания образцов; поскольку МУ влияет на термостойкость, его изучение представляет особый интерес для кирпича дымовых труб. Определение рН и кривых нейтр-ции глин позволило улучшить произ-во керамики из тощих глин. Вычерчивание кривых пластичности позволяет оценивать изменение формуемости масс при их обработке Na_2CO_3 , при введении пластификаторов или отощителей. Определение кривых расширения при нагревании в сочетании с определениями МУ позволило изучить и улучшить термостойкость кирпича для дымоходов. Описана лабор. методика искусств. получения выцветов на керамике в процессе сушки и при складировании. Описаны методы анализа CaO и растворимых солей, вызывающих выцветы; они позволили ликвидировать образующиеся в некоторых случаях выцветы путем применения BaCO_3 и Na_2CO_3 , CaF_2 , силиконов или благодаря выбору цемента надлежащего качества. Замораживание сырья по выходе из формовочной машины позволяет выявить слоистость его структуры и устранить ее путем введения отощающих добавок. В. Злочевский

5329. Определение оптимальной температуры сушки, чувствительности и времени сушки кирпичных изделий. Подгурский (Ustalenie optymalnej temperatury suszenia, wrażliwości i czasu suszenia wyrobów ceglarskich. Podgórski Roman), Mater. budowl., 1957, 12, № 5, 157—160 (польск.)

Проведены лабор. опыты сушки кирпичной глины Рацибож (ПНР) в чистом виде и с добавками

(в вес. %): песка 10—20, шлака угольного 10—20 или пыли из дымоходов 5—10. Состав глины (в вес. %): SiO_2 75, Al_2O_3 11,9, Fe_2O_3 3,4, и.п.п. 4,2; частиц < 60 μ ~ 90. Образцы формовали пластичным способом при влажности 21,6—26,2%. Сушку производили горячим воздухом с относительной влажностью 30—40% при t -рах 45, 95, 70 или 60° до остаточной влажности 8%. В ходе опытов образцы непрерывно взвешивали на весах. Появление на образцах трещин или посечек считалось признаком непригодности принятого режима сушки. В результате опытов установлено, что глина Рацибож мало чувствительна к сушке; кирпич из одной этой глины может быть высушен при 60° за 33—34 часа. При добавке к глине до 10% песка получается (при t -ре обжига 960°) кирпич со средним $\sigma_{\text{сж}} = 135 \text{ кг/см}^2$. Добавка 20% отощающих материалов ведет к получению кирпича с $\sigma_{\text{сж}} < 100 \text{ кг/см}^2$. Для установления оптимальной t -ры сушки и чувствительности кирпичных глин к сушке рекомендуется способ Нортона, использованный автором в данной работе.

С. Глебов
5330. Некоторые предложения о развитии гончарной промышленности в Индии на основе практики кустарных производств. Вахаб (Some suggestions for the development of pottery industry in India practiced on cottage industry scale. Wahab M. A.), Trans. Indian Ceram. Soc., 1957, 15, № 4, 238—242 (англ.)

5331. Опыты с брусками Корхарта марки Зас при варке боросиликатного стекла. Хартвиг (Erfahrungen mit Corhart-Zac-Material beim Schmelzen von Borosilikat-Glas. Hartwig Jürgen), Sprechsaal. Keramik, Glas, Email, 1956, 89, № 1, 1—3, № 2, 26—28 (нем.)

Описаны свойства и состав брусков Корхарт Зас и опытная ванна для их испытания на стеклоустойчивость.

С. Иофе
Приведены результаты опытов с циркониево-корундовыми брусками Зас, из которых были выложены стены бассейна небольшой ванной печи (2,0 × 1,5 м) для варки боросиликатного стекла. В течение 1-й кампании было выплавлено 242,5 т стекла; бруска оказались разведенными на уровне стекломассы на отдельных участках, где условия службы были особенно тяжелы (под горелками, у загрузочного кармана), только на 10—20 мм, на других участках и ниже уровня стекломассы — еще меньше. Кол-во ZrO_2 , перешедшего в стекло из огнеупора, содержавшего 33% ZrO_2 , составило в среднем за кампанию 0,018%. Бруска были оставлены в печи на 2-ю кампанию, продолжавшуюся 13 недель (остановка печи не была вызвана разведением огнеупора). T -ра 1510—1520° (на поверхности стекломассы) и 1620—1630° (на поверхности свода), производительность печи 584 кг/м^2 сутки. Даже при незначительном воздушном охлаждении наружной поверхности бруска Зас раздвигаются мало, при отсутствии охлаждения разведение значительно ускоряется. А. Полинковская

5332. Качественный контроль на кирпичном заводе. Грин (Quality control in a brick plant. Greene Charles F.), Amer. Ceram. Soc. Bull., 1957, 36, № 6, 210—211 (англ.)

Контроль произ-ва включает в себя контроль сырья (усадка, минералогич. состав, цвет после обжига, пластичность и т. д.), контроль величины зерен после измельчения, определение влажности сырья перед приготовлением смесей и формовкой, определение влажности сырья, установление режима обжига и охлаждения, контроль за составом печных газов и установление среды обжига, контроль готовых изделий (цвет, размер, текстура, влагопоглощение и т. д.). Отмечается, что влажность сырья перед обжигом не должна быть > 0,5—1%.

В. Кушаковский

5333. Производство кирпича в Тегеране. Робинсон (Brickmaking in Teheran. Robinson J. S.), Brit. Clayworker, 1957, 66, № 784, 144—147 (англ.)

5334. Опыты с подовым калорифером в кольцевой печи. Марко (Erfahrungen mit der Sohlkalorifere im Ringofen. Marco Fritz de), Ziegelindustrie, 1957, 10, № 10, 336 (нем.)

Под подом 16-камерной кольцевой печи были проложены каналы, через которые по направлению движения огня вентилятором просасывался воздух, т-ра которого достигала 300°. Расход топлива на обжиг увеличился незначительно, он намного меньше, а скорость огня больше, чем ранее при влажном поде. См. также РЖХим, 1957, 55081.

И. Мушлян

5335. Совместная работа печей и сушилок. Симин Г., Строит. материалы, 1957, № 1, 14—16

Для увеличения производительности большеобъемных кольцевых печей и устранения перепадов т-р по высоте их необходимо повышение скорости газового потока. С этой целью на Нижне-Котельском з-де сечение дымовых очелков печи было увеличено с 0,31 до 0,64 м², установлены дополнительные дымовые конуса в каждой печной камере, сечение дымового канала увеличено с 1,52 до 2,33 м², все отходящие газы (ОГ) стали подаваться в центральный канал сушилки, прекратился подогрев сушилки через подтопки, стал производиться сосредоточенный отбор ОГ из последней камеры зоны подготовки через 2 дымовых конуса и 3 конуса жарового канала. Максим. т-ры обжига сдвинулись до границы зоны дыма. При этом подогрев, обжиг и охлаждение стали производиться равномерно по всему сечению печи. Дополнительный кольцевой канал печи, соединенный с вентилятором подачи топливных газов, обеспечивает интенсивное охлаждение кирпича (К) и снижение т-ры на выгрузке до 30—40°. Расход условного топлива на сушку и обжиг 1000 шт. К снизился до 170 кг против 235 кг по норме. Сушка стала производиться до влажности 10—12% вместо 8%, что позволило сократить срок сушки с 44 час. до 30 час. Досушка К повышенной влажности в печи происходит с более интенсивной влагоотдачей (0,55 кг/см² вместо 0,2 кг/см² при досушке в сушилке). Приводится схема тепловой блокировки печи и сушилки.

Т. Раховская

5336. Специальная туннельная печь для обжига кирпича со сжиганием топлива непосредственно в среде материала. Мир (Ein Spezialziegel-Tunnelofen mit Einstreueuerung. Miehr Wilhelm), Ziegelindustrie, 1956, 9, № 12, 437—438 (нем.)

Обзор спец. и патентной литературы, доказывающий отсутствие новизны в предложенной инженером Фростерусом туннельной печи с сжиганием топлива непосредственно в среде материала. Библ. 7 назв. См. РЖХим, 1956, 65746.

П. Беренштейн

5337. Специальная туннельная печь со сжиганием топлива в среде материала. Возражение Вильгельму Миру. Фростерус (Ein Spezialziegel-Tunnelofen mit Einstreueuerung. Entgegnung zur Stellungnahme von Wilhelm Miehr. Frosterus Erik G.), Ziegelindustrie, 1956, 9, № 17, 618 (нем.)

Доказывается оригинальность предложенной автором туннельной печи со сжиганием топлива в среде материала.

П. Беренштейн

5338. Изучение огнеупорных свойств двух глин Андры. Мисра, Субраманиям (Study of the refractory properties of two Andhra clays. Misra M. L., Subramaniam A. V.), Trans. Indian Ceram. Soc., 1956, 15, № 4, 221—237 (англ.)

Изучены хим. и минералогич. состав, физ. и керамич. свойства 2 разновидностей огнеупорных глин из 2 месторождений штата Андры (Индия) с точки зрения их использования в огнеупорной пром-сти. Приведены

свойства образцов огнеупорных изделий из этих глин с отощением их шамотом (40—60%), изготовленных по пластичному методу. Установлено, что образцы из глины Bommu с огнеупорностью 1710°, с более высоким содержанием Al₂O₃ (~31% на сухое в-во) обладают лучшими керамич. и физ. свойствами.

В. Злочевский

5339. Исследование возможности обогащения огнеупорных пластичных глин Ипельской долины. Томшу (Výzkum možnosti úpravy žáruvzdorných jílů Ipeľské doliny. Tomáš František), Rudy, 1957, 5, № 5, 176—181 (чешск.; рез. русск., нем.)

В лаборатории з-да Ловинобана (Чехословакия) была исследована возможность мокрого обогащения пластичных огнеупорных глин горы Купной Ипельской долины, где добываются 4 разновидности: весьма пластичные темно-серые глины с огнеупорностью 1710° марки SIM (I), пластичные серые 1690° IM (II), серые пластичные IG 1630—1650° (III) и желтовато-серые сильнопесчаные KS 1610—1630° (IV). В огнеупорной пром-сти Чехословакия используются лишь глины I и II, разновидности III и IV лишь частично применяются для произ-ва кирпича и черепицы. Содержание частиц < 1 м (в вес. %): I 59, II 41, III 12,5, IV 15,5; то же > 60 м I 1, II 3, III 19, IV 31. Для обогащения глин был применен способ многократной седиментации в воде, причем все 4 вида глин были разделены на 4 фракции < 1 м, 1—5 м, 5—60 м и > 60 м. Для каждой фракции был сделан хим. и дифференциально-термич. анализ и определена огнеупорность. В результате исследования было установлено, что все 4 вида глин каолининового типа; в виде примесей встречаются преимущественно кварц (в грубых фракциях) и мусковит (в средних). Обогащение глин повышает огнеупорность фракции < 1 м до 1750° и фракции 1—5 м до 1690—1750°. Мокрое обогащение глин III и IV от примесей > 10 м повышает их огнеупорность на ~1100°, но выход концентрата составляет всего ~50%. Обогащение глин I и II экономически нецелесообразно.

С. Галебо

5340. О сырьевой базе огнеупорной промышленности Китайской Народной Республики. Федосеев А. Д. Огнеупоры, 1957, № 5, 233—236

Дан краткий обзор огнеупорной пром-сти КНР. Приведен хим. состав высокоглиноземистых пород, глин, кварцитов, жильного кварца, магнезитов и доломитов. КНР особенно богата высокоглиноземистым сырьем (диаспоры); содержание Al₂O₃ + TiO₂ в нем доходит до 84,5%. Выявленные запасы огнеупорных глин составляют много млн. т и могут полностью удовлетворить потребности пром-сти КНР.

В. Злочевский

5341. Кварциты Лозенской горы как сырье для диаска. Монева, Виденова, Милевский (Кварцитите от Лозенската планина като суровина за диасков огнеупор. Монева Г., Виденова Р., Милевски Д.), Годишник Минно-геол. ин-т, 1954—1955 (1956), 2, № 1, 169—178 (болг.; рез. русск., франц.)

Исследованы 3 разновидности кристаллич. кварцитов 3 месторождений Лозенской горы (Болгария) — темно-красные, розовые и светло-серые, содержащие (в вес. %): SiO₂ 94,7—97,8, Al₂O₃ 1,94—1,15, Fe₂O₃ 0,6—2,3, R₂O 0,22—0,84; об. в. 2,58—2,63 г/см³, огнеупорность 1680°. После обжига при 1450° в течение 2 ч уд. вес образцов кварцитов оказался равным 2,36—2,40. Из средних проб молотых кварцитов с зернами (в вес. %): 0—0,8 мм 40—60, 0,8—3 мм 30—40 и 3—5 мм 8—20, на связке из 2% CaO, были изготовлены 90 образцов диаскового кирпича, в том числе 12 образцов из смеси кварцитов Лозенской горы и месторождения с Борима Троянско. Образцы были обожжены в периодич. круглой фарфоровой печи при т-ре ~1400°, длительность обжига ~130 час. Свойства получен-

го динаса: уд. в. 2,37—2,42, содержание (в вес. %): SiO_2 94,2—95,1, Al_2O_3 1,15—1,67, CaO 2,3—3,4, пористость 23—28%, $\sigma_{\text{сж}}$ 104—239 кг/см^2 . Наилучшими образцами оказались изготовленные из смеси лозенских и троянских кварцитов (уд. в. 2,37, $\sigma_{\text{сж}}$ 201 кг/см^2). По приведенным данным полученный динас отвечает требованиям II сорта ГОСТ СССР. Из результатов работы сделан вывод, что кварциты Лозенской горы, особенно в смеси с кварцитами Троянско, могут быть использованы для организации в Болгарии произ-ва динаса, который до сих пор там не изготовлялся. С. Глебов

5342. Проблемы обжига огнеупоров. Робсон (How to solve refractory firing problems. Robson J. T.), Brick and Clay Rec., 1956, 129, № 3, 82—83, 86 (англ.).

5343. Развитие огнеупоров: сверхогнеупоры и керметы. Такворян (Evolution des réfractaires: super-réfractaires et cermets. Tasvorian M.), Ind. céram., 1957, № 486, 139—149 (франц.).

Сделана попытка провести параллель между историей развития огнеупорных материалов и металлургии. Развитие огнеупоров привело в настоящее время к получению сверхогнеупоров методами металлургии или точнее «кераметаллургии». Методы изучения продуктов кераметаллургии, получившие развитие в работах лаборатории О.Н.Е.Р.А. (Франция): изучение непрерывной усадки при обжиге, керамография или изучение микроструктуры керметов, определение электропроводности при спекании, целью которого является установление условий образования металл. скелета в керметах, изучение механич. свойств, термостойкости и спекание методом активации поверхности. Дан обзор и анализ ранее выполненных работ в области термостойких конструкционных материалов на основе окислов металлов и керметов — карбид — металл и окись металла — металл (РЖХим, 1954, 24129). В качестве примеров приведены данные о свойствах керметов (в вес. %): I — TiC 75—35, сплав Ni-Co-Cr (60:20:20) 25—65 и II — хромалит: Al_2O_3 50, Cr 50 (марок АВ5, АВ7 и АВФ5). Составление отношения: центробежное усилие/усилие при разрушении, в функции от т-ры, для рабочих лопаток турбореактивного двигателя Marboré, при 22 тыс. об/мин, выполненных соответственно из II (марки АВФ5, зерно Al_2O_3 1—5 μ , Cr 2—5 μ) и из I показывает, что при одинаковых нагрузках I может работать при 950°, а II при 1130°. II марки АВФ5 обладает следующими свойствами: об. в. 5 г/см^3 , коэф. линейного расширения в интервале т-р 0—1000° 8,9·10⁻⁶, $\sigma_{\text{из}}$ при 20—1000° 38—40 кг/мм^2 , $\sigma_{\text{разр}}$ при 20° 26—28 кг/мм^2 , при 1100° 18—20 кг/мм^2 , предел усталости при 20° 22 кг/мм^2 , стойкость против окисления — после 100 час. при 1000° вес неизменен, ползучесть при 7 кг/мм^2 после 300 час. при 1100° нулевая, твердость по Виккерсу 600—800, ударная термостойкость — «крит. порог» (РЖХим, 1957, 9021) 225°, уд. сопротивление 1500 $\mu\text{м.см}$. Ударная вязкость II в 3—4 раза больше, чем у стекла и фарфора, но в 2,5 раза меньше чугуна; вязкость повышается при переходе к мелкозернистому II. При испытании 10 лопаток двигателя из II марки АВ5 ни на одной не было обнаружено трещин после 1500 циклов нагрева — охлаждения воздухом; при охлаждении расплавленной водой после 500 циклов появлялась небольшая трещина у корня некоторых лопаток. Проблемы обработки поверхности изделий из II разрешены применением электроэрозии.

5344. Применение динамических методов выслушивания для контроля качества огнеупорных изделий. Деплюс (Méthodes d'auscultation dynamique appliquées au contrôle de qualité des produits réfractaires. Deplus C.), Ind. céram., 1957, № 486, 162—175 (франц.).

Изложена теория явлений резонанса и распространения ультразвуковых колебаний в связи с неоднородностью строения и дефектами изделия. Экспериментально исследована возможность использования динамич. методов для определения модуля упругости E и дефектоскопии огнеупоров (О) способом резонанса (I) при звуковой частоте 5,3—7,2 кгц и способом периодич. посылки ультразвуковых волн (II), с последующими определениями отражения ультразвука (эхолот) при 800 кгц (II-1), или скорости распространения ультразвуковых волн при 200 кгц (II-2), или уменьшения величины переданной энергии при 100 кгц (II-3). Проведенные на муллитовых и многошамотных О опыты показали, что способ I пригоден для определения E с точностью $\pm 2,5\%$, но требует использования образцов определенной формы и без расслоений. Способ II-1 непригоден для изучения О ввиду того, что ультразвуковые волны малого размера отражаются от зерен О. Способы II-2 и II-3 позволяют определять E и выявлять неоднородность строения различных зон изделия размерами до 1 м. Способом II-2 скорость ультразвука в готовых изделиях и в сырце можно измерить достаточно точно, если расстояние между датчиком и приемным устройством > 50 мм. Мелкие дефекты оказывают заметное влияние на скорость ультразвука; при увеличении числа дефектов скорость падает, почему способ II-2 может быть использован для изучения влияния мелких дефектов и технологич. факторов произ-ва. Так, при помощи способа II-2 было определено влияние давления прессования на E многошамотных О и расклассифицированы по E и $\sigma_{\text{сж}}$ 22 опытных изделия; результаты классификации совпали в 8 случаях из 10. Способ II-3 оказался пригодным для дефектоскопии О по более крупным дефектам (расслоения 0,1—0,5 мм), однако он представляет ряд трудностей: необходимо повторять измерения несколько раз в одной и той же точке, так как плохой контакт между датчиком и О искажает результаты измерения. Предполагается продолжить исследования с прибором, позволяющим измерять скорости распространения ультразвуковых волн при 200—500 кгц .

5345. Определение модуля упругости огнеупоров при высоких температурах. Лейкин, Уэст (Determination of the modulus of elasticity of refractories at high temperatures. Lakin J. R., West C. S.), Trans. Brit. Ceram. Soc., 1957, 56, № 1, 8—13 (англ.).

Модуль упругости E динаса и хромомagneзита при высоких т-рах был определен динамич. методом с применением ранее описанной установки (см. РЖХим, 1957, 64099), дополненной нагревательной печью, для т-р до 1450° с силовыми стержнями, для более низких т-р — с проволоочной обмоткой. Образец $230 \times 76 \times 38$ мм устанавливали в печи на 2 призматич. опорах из плавленной Al_2O_3 , расположенных в узлах колебаний образца. Колебания от вибратора передавались верхней плоскости образца посредством тонкого стержня из плавленной Al_2O_3 , пропущенного через охлаждаемую водой плиту на вершину печи. Резонансные колебания снимали 2 адаптерами при помощи аналогичных тонких стержней: один в середине образца, другой — в конце, противоположном точке касания стержня вибратора. Приведены кривые изменения значений E и $1/E$ для 4 марок динаса (Д) в интервале т-р до 700° и 4 марок хромомagneзита (ХМ) при т-рах до 1450°, измеренных при подъеме т-ры со скоростью 2,5° и 7°, соответственно. Кривые обнаружили резкое падение и минимум значений E у всех 4 марок Д при т-рах превращения тридимита и кристобалита (при 200—300°), после чего E вновь растет. Это явление, по-видимому, связано со снятием напряжений, возникших в связи с фазовыми превращениями SiO_2 . В образце

одной из марок Д, состоящего в основном из кварца и кристобалита с незначительным содержанием тридимита, при 590° наблюдался резкий рост *E*; дальнейшее увеличение *E* после превращения кварца объясняется ростом внутренних напряжений. С повышением *t*-ры *E* у ХМ непрерывно растет до некоторого максимума, после чего быстро снижается. При 1400—1450° четкого резонанса ХМ не обнаруживается. *T*-ры, при которых *E* достигает максимума, колеблются от 1000 до 1280°.

В. Злочевский

5346. Влияние температуры обжига шамота и готовых изделий на сопротивление ползучести (крипа) при высоких температурах огнеупорных алюмосиликатных изделий. Летор (Influence de la température de cuisson de la chamotte et des produits finis sur la résistance au fluage à haute température des produits réfractaires silico-alumineux. Letort Y.), *Silicates industr.*, 1956, 21, № 11, 435—446; *Discuss.*, 446 (франц.)

Изложены результаты определения ползучести (П) нормальных и легковесных шамотных изделий под нагрузкой при высоких *t*-рах. Для нормальных многошамотных изделий полусухого прессования (89% шамота + 11% глины) была использована огнеупорная глина, содержащая 40% Al_2O_3 (на прокаленное в-во) с огнеупорностью 1740°. Шамот был предварительно обожжен при 1300, 1400 и 1450°, изделия — при 1380, 1400 и 1450°. Определения П производили при *t*-ре 1350° на образцах диам. 50, высотой 50 мм, на приборе (РЖХим, 1956, 13665), под нагрузкой 2 кг/см². Высокая *t*-ра обжига шамота и изделий уменьшает их П. Легковесные шамотные изделия были изготовлены из двух глин: 1) 35% Al_2O_3 , огнеупорность 1700°, 2) 38% Al_2O_3 , огнеупорность 1720°, об. вес изделий 0,33—0,83 г/см³, *t*-ра обжига 1330 и 1450°. При определении П нагрузка на легковесные изделия колебалась в зависимости от об. веса изделий от 0,5 до 1,2 кг/см²; *t*-ра испытания 1000, 1100 и 1200°. Легковесные огнеупоры малого об. веса (<0,53 г/см³) имели большую П, их деформация в течение 1 часа составляла 4—18% и была тем выше, чем больше нагрузка. Наибольшее влияние на П имеет *t*-ра обжига легковесных изделий; чем она выше, тем меньше П (деформация). В. Злочевский

5347. Измерение упругих последствий при прессовании магнетитовых масс. Иванов Е. В., Чупринин Ф. И., Минский Я. М., *Огнеупоры*, 1957, № 3, 120—122

Приводятся результаты определения упругого последствия при прессовании магнетитовых масс на 100-т гидравлич. прессе, оборудованном спец. прибором (приводится описание прибора конструкции Ф. И. Чупринина). Упругие последствия исследовались на образцах 125 × 115 × 74 мм, готовившихся из шихт с различным содержанием пылевидной фракции при постоянном соотношении крупной и средней фракций. Установлено, что оптимальное (с точки зрения упругого последствия) содержание пылевидной фракции составляет ~50—60%. Было определено уд. сопротивление, развивающееся от трения о стенки пресс-формы при выталкивании изделия. Уменьшение содержания пылевидной фракции в шихте при примерно постоянном соотношении крупной и средней фракций приводит к уменьшению величины уд. трения образца о стенки пресс-формы. Минимум трения достигается при ~40% пылевидной фракции. См. также РЖХим, 1955, 32226.

Г. Масленникова

5348. Разъедание огнеупоров во вращающихся цементных печах. Часть I. Физические и минералогические изменения. Брисбейн, Сегнит (The attack on refractories in the rotary cement kiln. Part

I. Physical and mineralogical changes. Brisbane S. M., Segnit E. R.), *Trans. Brit. Ceram. Soc.*, 1957, 56, № 5, 237—252 (англ.)

Изучены изменения минералогич. состава 2 видов магнезитохромитовых (7,3 и 17,2% Cr_2O_3) (МО), 2 видов высокоглиноземистых (52 и 67% Al_2O_3) (ВО) огнеупоров в зоне спекания и полукислых огнеупоров (ПО) в зоне кальцинации вращающихся цементных печей. У МО и ВО наиболее интенсивному распаду щелочами и CaO клинкера подвергается магнезитовая связка. Скорость и масштабы разложения МО и ВО существенно отличны. Щелочи из клинкера быстро проникают в поверхностные слои ВО на глубину 0,5—0,8 см и сильно с ним взаимодействуют, глубже содержание R_2O быстро падает; в МО щелочи проникают на глубину до 7—8 см, но реагируют со связкой слабее. Проникновение R_2O в футеровку сильно повышает коэф. теплового расширения ВО и МО. В случае ВО важно, чтобы клинкерная обмазка образовалась раньше, чем будет достигнута наивысшая *t*-ра образования клинкера. По мере наращивания обмазки *t*-ра футеровки в зоне *r*-дий снижается и первоначально образовавшаяся жидкость кристаллизуется. Трещинообразование по границам вон ВО не наблюдается. В случае МО, даже при наличии высокой начальной *t*-ры, образуется лишь относительно небольшое кол-во жидкой фазы и разложение незначительно за счет форстерита. Рекристаллизация периклаза и развитие крупных кристаллов $2CaO \cdot SiO_2$ способствует образованию обмазки на МО, однако в этом случае наблюдается растрескивание по границам зон. Трещины усиливаются механич. напряжениями, возникающими при вращении печи. ПО в зоне кальцинации служат удовлетворительно. Для повышения срока службы футеровки следует применять мероприятия, ведущие к снижению термич. и механич. напряжений.

В. Злочевский

5349. Новые высокостойкие огнеупоры для футеровки вращающихся печей. Ильина Н., *Строит. материалы*, 1957, № 5, 17—18

Средняя стойкость огнеупорной футеровки зон выскоих *t*-р вращающихся печей (ВП), несмотря на применение хромомагнезита, остается невысокой (~100 суток). Для увеличения производительности ВП рекомендуется опробовать новые марки огнеупоров, в частности в зоне обжига — магнезитохромитовые (обожженные и безобжиговые), форстеритовые, периклазошпинелидные и в контактных зонах — высокоглиноземистые. Испытания и сравнительную оценку технико-экономич. показателей огнеупоров новых марок предстоит осуществить в ближайшее время на ряде з-дов. Даны некоторые рекомендации по выпоению футеровки и эксплуатации печей в процессе испытаний.

В. Злочевский

5350. Последние исследования в области химии огнеупоров для сводов мартеновских печей и их значение для стойкости сводов. Уайт (Recent research on the chemistry of open-hearth roof refractories and its bearing on durability. White J.), *J. W. Scotland Iron and Steel Inst.*, 1955—56 [1956], 63, 99—131, *Discuss.*, 132—137 (англ.)

Рассмотрены работы 1936—1956 гг. в области химии, относящиеся к диносовым (ДО) и хромомагнезитовым (ХО) огнеупорам для сводов мартеновских печей. Большое влияние на снижение стойкости ДО оказывает даже небольшое кол-во примесей. Рассмотрено взаимодействие окислов Fe и SiO_2 в ДО во время службы свода и явления миграции окислов. Сделан анализ свойств ХО и их зависимости от различных факторов. Если у ДО разрушение происходит преимущественно вследствие проникновения расплава вглубь ДО, то у ХО происходит скалывание горячий

стороны огнеупора. Рассмотрены диаграммы состояния $\text{CaO}-\text{MgO}-\text{FeO}-\text{SiO}_2$ и в свете фазовых соотношений в этой системе разъяснены принципы распределения различных фаз в ХО. Определяющим признаком является отношение $\text{CaO}:\text{SiO}_2$; если оно ≤ 2 , то содержащиеся в ХО R_2O_3 входят в состав шпинелей, которые находятся в них вместе с периклазом и ортосиликатами. Если $\text{CaO}:\text{SiO}_2 > 2$, то все R_2O_3 вступают в соединение с CaO . Рассмотрены изменения, происходящие в ХО под влиянием поглощения ими окислов Fe, в частности, явления разбухания зерен хромита и возникновения хрупкости. Последняя является следствием попеременного окисления и восстановления $\text{FeO} \rightleftharpoons \text{Fe}_2\text{O}_3$ под влиянием атмосферы печи. У ХО указанные недостатки устраняются добавкой тонкодисперсной Al_2O_3 , которая, по-видимому, уменьшает ее тенденцию к разбуханию. См. также РЖХим, 1956, 36801, 40835. В. Злочевский

5351. Огнеупорная футеровка трубчатых печей. Виктора, Завеский (Zárovzdorné vyzdívky hrdkovačích pecí. Viktora Eugen, Závěský Václav), Hutnické listy, 1957, 12, № 5, 417—423 (чешск; рез. русск., нем., англ., франц.)

Рассмотрены вопросы стойкости огнеупорной футеровки (ОФ) вращающихся печей для прямого получения Fe из руд. Исходя из состава шлаков процесса, рекомендуется преимущественное использование для ОФ полукислых огнеупоров с содержанием $> 72\%$ SiO_2 ; кроме того, хорошо зарекомендовал себя плавный муллит с содержанием $> 58\%$ Al_2O_3 , а также корундовые огнеупоры с пористостью $\sim 22\%$. Хим. состав ОФ имеет сравнительно меньшее влияние на ее стойкость, чем ее пористость. Описаны способы выполнения ОФ вращающихся печей и, в частности, выходного конца, особенно часто страдающего от вылаживания фасонных кирпичей; приведен чертеж усовершенствованной кладки выходного конца печи, показавшего себя в службе удовлетворительно. Пористость полукислого кирпичика для ОФ должна быть $< 16\%$, желательно $\sim 10\%$. С. Глебов

5352. Опыт применения плавнено-литых цирконо-муллитовых изделий в кессонах мартеновской печи. Маранц А. Г., Каменчик А. Э., Огнеупоры, 1957, № 4, 145—152

Описан опыт изготовления на Ереванском муллитовом з-де пробной партии (18 т) литого цирконо-муллитового огнеупора (ЦМ) сложной конфигурации (по 52—72 кг/шт) и промышленного испытания его в кессонах 380-т мартеновской печи. Приведены данные о хим. составе, физ.-керамич. свойствах и структуре ЦМ до и после службы и о результатах службы. ЦМ отличается особо высоким сопротивлением истиранию (0,44 г на 100 см² при нормальной т-ре и 13,3 — при 1050°), в 40 раз превышающим истираемость динаса; недостатком ЦМ является высокое содержание флюирующих окислов ($\sim 7-7,5\%$), а следовательно, и стекловидной фазы. Износ ЦМ при службе в кессонах оказался повышенным по сравнению с хромомagneзитом и плотным периклазо-шпинелидным кирпичом (соответственно 0,71; 0,45 и 0,38 мм на плавку). В. Злочевский

5353. Магнезиальный цирконо-муллитовый электроплавненный огнеупор для стекловаренных печей. Соломин Н. В., Галдина Н. М., Тр. Всес. н.-и. ин-та стекла, 1957, вып. 37, 36—43

В лабор. условиях разработана технология получения модифицированного цирконо-муллитового огнеупора с добавкой MgO (2—3%) вместо красящих окислов Fe_2O_3 и TiO_2 . Выпущена опытная партия магнезиального циркономуллита, прошедшая производственное испытание в кладке стен бассейна стекловаренной печи Гомельского стекольного з-да. Данный

огнеупор содержит $\leq 1\%$ суммы окислов — красителей стекла Fe_2O_3 и TiO_2 , не выделяет пузырей и мошки в стекломассу и отличается от улучшенного цирконо-муллитового огнеупора пониженным коэф. расширения. И. Михайлова

5354. Как обработать динас, чтобы устранить опасность пыления. Клайн, Блум (How to treat silica brick to eliminate dust hazard. Cline C. E., Bloom R. A.), Foundry, 1956, 84, № 10, 256—258 (англ.)

Описан способ пропитки динасового кирпича, принятый на з-де Timken Roller Bearing Co. (Кантон, США) путем погружения его на $\frac{1}{2}$ —1 мин. в 12%-ный водн. р-р лигносульфоната аммония. При размешивании р-ра добавляют антипенное в-во. Пропитка устраняет вредное для здоровья рабочих пыление динаса при транспортировке, резке, укладке, не сказываясь на свойствах его в службе. На з-де с успехом обработали описанным способом динас для кладки сводов > 50 электр. дуговых печей.

5355. Опыты применения минерализаторов при производстве динаса. Поточный (Mineralizátor adagolási kísérletek sziliká tüzállósanyagok gyártásánál. Potocsny Gyula), Épitőanyag, 1957, 9, № 1, 29—35 (венг.)

В лабораторных условиях проведены опыты по обжигу динасовых образцов при 600, 900, 1300, 1400, 1470 и 1550° из мадского кварцита (в вес. %): SiO_2 96—97,5, Al_2O_3 0,8—1,4, CaO 0,5—0,7, R_2O 0,1—0,2, к которому добавляли различные минерализаторы (М) (в вес. %): CaO 1—4, тальк 1—6, доломит 1—3, Fe_2O_3 1—3, пиролизит (45% MnO_2) 1—3, костяная мука 2—6, пиролизит + 2% CaO , костяная мука + 2% CaO . Приведены кривые зависимости уд. веса динаса от кол-ва добавки и т-ры обжига. Наиболее сильным действием в качестве М обладает доломит, затем следует тальк и пиролизит. Лучшие результаты для получения динаса с низким уд. весом достигнуты при применении кварцита тонкого помола и комбинированных М ($\text{M} + 2\%$ CaO). С. Типольт

5356. Новые направления в технологии динаса для сводов мартеновских печей. Павловский (Nowe kierunki w technologii wyrobów krzemionkowych na sklepienia pieców martenowskich. Pawłowski Stanisław), Wiadom. hutn., 1957, 13, № 2, 40—45, (польск.)

Обзор последних достижений теории и практики произ-ва динаса для сводов мартеновских печей. Рассмотрены вопросы чистоты кварцитов, способы произ-ва ответственного динаса (ОД) и сделан обзор новейших патентов для улучшения качества динаса. Содержание $\text{Al}_2\text{O}_3 + \text{TiO}_2 + \text{R}_2\text{O}$ в кварцитах для произ-ва ОД должно быть $\leq 0,5\%$, для чего в большинстве случаев приходится подвергать кварциты сухому или мокрому обогащению. Приведены данные о свойствах ОД СССР, США, Англии, Испании и ФРГ. Среди патентов отмечен пат. ФРГ (РЖХим, 1956, 26492), по которому предусмотрено введение H_3PO_4 в кварциты, загрязненные глинистыми включениями. Образующийся $\text{Al}_2(\text{PO}_4)_3$ обладает высокой огнеупорностью, вследствие чего ОД из указанной шихты имеет высокую т-ру начала деформации под нагрузкой. С. Глебов

5357. Деформация динаса под нагрузкой при высоких температурах. Лар, Харди (The refractoriness-under-load properties of silica bricks. Lahr H. R., Hardy C. W.), Refractories J., 1957, 33, № 1, 12—14; Trans. Brit. Ceram. Soc., 1957, 56, № 8, 369—383. Discuss., 383—388 (англ.)

Описаны результаты 64 определений т-ры начала быстрой деформации ($T_{\text{од}}$) сводового динаса для мар-

теновских печей под нагрузкой $3,5 \text{ кг/см}^2$. Полученные результаты нанесены на диаграмму в координатах: содержание в динасе Al_2O_3 (в %) — $T_{\text{бд}}$, град. Зависимость получена линейная: чем меньше содержание в динасе Al_2O_3 , тем выше $T_{\text{бд}}$. При содержании в динасе $0,2\% \text{ Al}_2\text{O}_3$ $T_{\text{бд}}$ 1705° , при $1,2\% \text{ Al}_2\text{O}_3$ $T_{\text{бд}}$ 1595° . Сделан вывод, что определяющим признаком стойкости сводового динаса является $T_{\text{бд}}$. См. также РЖХим, 1956, 40348. В. Кушаковский

5358. Микроструктура бадделито-корундового электроплавленного огнеупора до и после службы в стекловаренной печи. Соломин Н. В., Галдина Н. М., Ланин В. В., Огнеупоры, 1956, № 6, 268—274

Электроплавленные бадделито-корундовые брусья, сокращено «бакор» (Б), были испытаны в кладке верхнего ряда стен стекловаренной печи. После 20-месячной работы на сульфатно-содовой шихте были отобраны образцы для хим. и петрографич. исследования из центральной части бруса Б, который оказался более устойчивым, чем улучшенный циркономулит. До службы Б состоял в основном из рельефных таблитчатых кристаллов корунда и участков стекла с кристаллизированными в нем цепочкообразными образованиями бадделита. Наибольшее разделение Б в службе наблюдалось на уровне зеркала стекломассы. Микроскопич. методом в Б выделены 3 зоны: а) неизменная, близкая по хим. составу и микроструктуре к исходному Б; б) переходная с несколько повышенным содержанием бадделита за счет частичного разделения зерен корунда расплавом; в) реакционная горячая с еще большим разведением зерен корунда и наличием больших участков, обогащенных ZrO_2 . Разрушение Б в условиях службы объясняется воздействием стекломассы в первую очередь на стекловидную фазу огнеупора, затем на корунд и в последнюю очередь на бадделит. См. также РЖХим, 1957, 23965. Н. Година

5359. О влиянии конфигурации пробок на их стойкость в службе. Шварцман И. Ш., Огнеупоры, 1957, № 4, 169—173

В условиях мартеновского цеха Верх-Исетского металлургич. з-да произведено сравнение термостойкости шамотных пробок для разлива стали двух конфигураций — болтовых и винтовых. На основании данных испытания выведено заключение о зависимости растрескивания пробок от их конфигурации и для увеличения стойкости предложено уменьшать толщину сферич. части винтовых пробок. В. Злочевский

5360. Корректирование рецептуры капсельных масс. Ольшевский Б. Н., Стекло и керамика, 1957, № 6, 19

Рекомендуется использовать проверенный в течение ряда лет в заводской практике способ регулирования кол-ва вводимых в капсельную массу добавок при повторном использовании капсельного боя, уже насыщ. этими добавками. По этому способу вычисляются поправочные показатели, учитывающие содержание добавок в капсельном бое, перерабатываемом в шмот. При корректировании шихтового состава насыщенность капсельной массы добавками остается стабильной, что позволяет сохранить достигнутую оборачиваемость капселей и способствует снижению себестоимости изготавливаемой продукции. Г. Масленикова

5361. Новое о рекристаллизованном карбиде кремния. Ван-дер-Бек, О'Коннор (What's new in recrystallized silicon carbide. Van der Beck Roland R., O'Connor John), Ceramic Ind., 1957, 68, № 5, 96—98 (англ.)

Приведены некоторые данные о свойствах изделий из рекристаллизованного SiC, главным образом электронагревательных стержней (ЭС). Кажущаяся пористость их $\sim 30\%$. ЭС изготавливают из зеленого или смеси зеленого и черного SiC; длина ЭС для промышленных печей достигает в настоящее время $2,35 \text{ м}$, форма может быть весьма сложной (приведены фото специальных ЭС). Зеленый SiC имеет низкое сопротивление и положительный температурный коэф. сопротивления при $540\text{—}800^\circ$; черный SiC имеет отрицательный температурный коэф. У изделий из рекристаллизованного SiC $\sigma_{\text{изг}}$ растет до 1500° , а не падает, как у большинства других керамич. изделий. Коэф. термич. расширения ЭС ($\text{см/см(град} \times 10)$): $20\text{—}500^\circ$ $3,06$; $20\text{—}1000^\circ$ $4,53$; $20\text{—}1350^\circ$ $4,98$. Причиной выхода ЭС из строя является их старение от постепенного окисления SiC на воздухе до SiO_2 . В. Злочевский

5362. Кислотоупорный кирпич полусухого прессования из местной глины. Браверман М. Р., Стекло и керамика, 1957, № 6, 18

Описывается опыт изготовления партии кислотоупорного кирпича на Буньковском з-де керамич. изделий из местной глины методом полусухого прессования. Была использована местная глина, неоднородная по керамич. свойствам и структуре с запесоченностью $10\text{—}29\%$. Огнеупорность глины $1350\text{—}1460^\circ$. Подготовка порошков проводилась на обычной технологич. линии произ-ва кирпича полусухим способом. Шихта состояла из 70% глиняного порошка и 30% шамота, обожженного при $1060\text{—}1080^\circ$ из этой же глины. Прессование кирпича производилось при давл. $100\text{—}110 \text{ кг/см}^2$, обжиг — в туннельной печи в течение 48 час. до $1060\text{—}1080^\circ$. Полученные изделия полностью отвечали требованиям ГОСТ 474-41 ко второму сорту. Г. Масленикова

5363. Применение сортирующих кулачковых бронеплит в шаровых мельницах. Арефьев В., Черненко А., Строит. материалы, 1957, № 7, 8—9

5364. Кинетика размол в барабанных мельницах. Товаров В. В., Тр. совещания по применению вибропомола в пром-сти строит. материалов. М., Промстройиздат, 1957, 90—104

5365. Применение лигнина в керамических массах. Берджесс (The use of lignin in ceramic processes. Burgess D. Gordon), Amer. Ceram. Soc. Bull., 1957, 36, № 5, 168—171 (англ.)

Изучалось влияние растворимого лигнина в малых добавках в глинистые шликеры или пластичные массы на технологич. свойства. Добавка лигнина, растворимого в воде в присутствии $10\% \text{ NaOH}$, к каолиновым шликерам сильно уменьшает их вязкость. Пластичные массы с добавкой растворимого лигнина требуют при шнековом формовании более высоких давлений прессования, чем без добавок, при равном влажностном содержании. Но добавка лигнина совместно с обычными пластификаторами, как олеат Na и др., может снизить давление прессования, а также ускорить сушку, уменьшить деформации при сушке, увеличить механич. прочность сухого сырца. А. Говоров

5366. Проблема формования керамических изделий через мунштук. Алт (Extrusion die problems. Alt Leslie R.), Amer. Ceram. Soc. Bull., 1957, 36, № 4, 137—138 (англ.)

В произ-ве строительных керамич. изделий пластичным методом серьезные требования предъявляются к качеству мунштука (М), особенно при произ-ве глазурированных изделий, на поверхности которых ясно заметны бороздки глубиной уже $\sim 0,12 \text{ мм}$, происходящие от неравномерного износа внутренней поверхности М. Необходимо улучшение качества М и тщательный контроль за их изнашиваемостью. По опыту одного из з-дов США рекомендуется применять для

заготовки М легированные стали, с содержанием (в вес. %): С 1,5—2,5, Cr 12—13, V 1—4 и небольших количеств Mo, Si и Mn. Эти стали обладают высокой абразивной стойкостью, тонкозернистой структурой после закалки и допускают машинную обработку. Поверхностная твердость составляет 62 единицы Роквелла и может достигать 65—66. Для повышения износостойчивости после закалки можно подвергать их азотированию. Производительность М из такой стали достигает 800—900 тыс. шт. пустотелых изделий (300 мм) вместо 182 для М из закаленной плужной стали и 160 для литого М. Необходим тщательный периодич. контроль за состоянием М; центр М должен находиться на одной оси с центром шнека, что осуществляется совмещением знаков на головке пресса и М. Большое влияние на качество изделий оказывает положение роликов на столе пресса. Смещение их вверх или вниз вызывает выпуклость или вогнутость готовой продукции. С. Туманов

5367. Новые керамические формы для литейного производства. Дикинсон (New ceramic moulds for foundry work. Dickinson Thomas A.), Ceramics. 1956, 8, № 93, 264, 265, 267 (англ.)

Особенность процесса изготовления новых керамич. литейных форм состоит в применении ртутной модели для получения на ней намораживанием керамич. оболочки, которую затем обжигают и применяют обычным способом. Формы, изготовленные таким образом, особенно пригодны для точного литья изделий сложной конфигурации. Модели для изготовления форм отливают из х. ч. ртути в стальных или алюминиевых наложниках при комнатной т-ре и затем охлаждают до т-ры затвердевания ртути, погружая в ацетоновую ванну. Модели сложной формы отливают в виде серии простых деталей, которые после затвердевания ртути соединяют под давлением при т-ре ниже нуля. Готовые ртутные модели погружают в керамич. шликер, приготовленный из муллита или циркона и органич. смолистой связки на легко испаряющейся жидкости вместо воды. После того, как на модели образовалась керамич. «скорлупа», отливку согревают до комнатной т-ры и выливают из нее ртуть. Полученные формы обжигаются при 1000°. После охлаждения отлитого в форму металла керамич. скорлупа разбивается. Отливки, изготовляемые в таких формах, отличаются гладкой поверхностью, высокой точностью размеров, отсутствием дефектов, обычно свойственных отливкам сложной формы. Т. Ряховская

5368. Эффективная сушка глинистых шликеров. Браун, Вильямсон (Efficient drying of clay slurries. Brown Raymond J., Williamson John T.), Ceramic Age, 1957, 69, № 4, 26—29 (англ.)

Описана конструкция высокопроизводительной распылительной сушилки с автоматич. контролем т-ры камеры и влажности продукта, работающей свыше трех лет на каолиновом з-де, и приведены ее основные характеристики (влажность и т-ра питающего шликера, число оборотов, скорость питания, влажность продукта и т. д.). М. Карапетьянц

5369. О влиянии вида топлива на экономичность туннельных печей. Гацке (Über den Einfluß der Brennstoffarten auf die Wirtschaftlichkeit von Tunnelöfen. Gatzke P.), Maschinenbau und Wärme-wirtschaft, 1957, 12, № 1, 15—17 (нем.)

На примере работы 2 туннельных печей, одной для бисквитного обжига фарфора, с потребностью 1000 ккал/кг и другой для глазурного обжига фарфора с потребностью 4700 ккал/кг, сделан расчет стоимости обжига для условий ФРГ, Австрии и США.

Н. Згонник

5370. Применение газообразного топлива в керамических печах способствует повышению качества из-

делий. Селлорс (How gas improves product in ceramic kilns. Sellors John, Jr), Industr. Gas, 1956, 35, № 3, 6—9, 22, 23 (англ.)

Применение газообразного топлива в керамич. печах различных конструкций позволяет соблюдать нужный температурный режим, получать изделия высокого качества при снижении эксплуатационных расходов. Газовый обогрев туннельных печей осуществляется группой небольших горелок, равномерно распределяющих тепло по обеим сторонам печи. Печные газы из высокотемпературной зоны с помощью вентиляторов направляются навстречу движущимся на вагонетках изделиям. Основная проблема обогрева печей состоит в том, чтобы получать продукцию одинакового качества со всех участков печи. Исследование показало, что передача тепла от пламени к периферич. рядам садки осуществляется конвекцией, а во внутренних рядах с меньшей скоростью — путем теплопроводности и излучения. Если организовать конвекцию теплоносителя внутри садки с такой же эффективностью, с какой обогреваются периферич. ряды, то можно получить значительное повышение выпуска продукции. Газовое отопление дает возможность решить эту проблему. В отношении избыточного воздуха указывается, что он благоприятно сказывается на конвекции, но кол-во его ограничивается уровнем максим. т-ры в печи. Оборудование для газового обогрева печей не является сложным и затраты для его монтажа вполне окупаются выгодами, связанным с увеличением выпуска и повышением качества изделий. Е. Глиндаич

5371. Замер температуры в шахтных шамотообжигательных печах. Мир (Schamotte-Schachtbrennöfen und deren Einrichtungen zur Temperaturmessung. Miehrg W.), Sprechsaal Keramik, Glas, Email, 1956, 89, № 8, 165—167 (нем.)

Замер т-ры в шахтных шамотообжигательных печах (ШП) с помощью термопар затруднителен, так как опускающийся вниз обжигаемый материал ломает выступающие из стен концы термопар. Ранее были описаны способы определения наивысших т-р в ШП путем совместного обжига с шамотом пустотелых закрытых шаров и кубов из высокоогнеупорных масс, внутри которых находятся образцы с известной т-рой плавления и размягчения (РЖХим, 1956, 2976; Пат. ФРГ 937312). Автор рекомендует делать в стенках ШП отверстия для термопар не под углом 90° к вертикали, а под углом 60—20°. Находящиеся в таких гнездах термопары не могут подвергаться опасности поломки опускающимся материалом. Для т-р >1000° можно применять, вместо термопар, пирометры полного излучения. Отверстия в стенках ШП можно также использовать для отбора проб на газовый анализ. А. Новиков

5372. Автоматическое регулирование газовых печей в Институте керамики Франции. Менере (Régulation automatique des fours à gaz de l'Institut de céramique française. Meneret J.), Silicates industr., 1957, 22, № 5, 280—284 (франц.)

В Институте керамики в Севре (Франция) осуществлено автоматич. регулирование нагрева газовых лаборатор. печей. Детально описывается система регулирования печи, предназначенной для испытаний огнеупоров под постоянной нагрузкой при высоких т-рах. Регулировка вводится с 1000°. Т-ра печи замеряется при помощи фотоэлектрич. пирометра, ток которого, превращенный в переменный ток, затем усиленный, подается на программный регулятор подъема т-ры, который, замеряя т-ру каждые 10 сек., соответственно действует на вентили, установленные на трубах, подводящих газ и воздух. Спец. механизм аннулирует эффекты инерции печи и колебания т-ры, вызванные вентилями, не превышают 2°. Осуществленная автоматич. регулировка на много точнее ручной. Подобная

регулировка осуществлена также на печи с 6 газовыми горелками, действующими попарно. А. Говоров

5373 К. Реконструкция кольцевой печи в туннельную. (С совмещением процессов сушки и обжига). Зайка И. Н. Киев, Госстройиздат УССР, 1957, 88 стр., илл., беспл.

3574 К. Эффективная строительная керамика. Черняк Я. Н. М., Промстройиздат, 1957, 151 стр., илл., 3 р. 90 к.

5375 К. Комплексная механизация на огнеупорных заводах. Зецев Я. М. М., Металлургиядат, 1957, 312 стр., илл. 11 руб.

5376 Д. Процессы минералообразования, происходящие при нагревании неорганической части кукурузы и твердении сланцевых зол. Галибина Е. А. Автореф. дисс. канд. хим. н., Ленингр. техн. ин-т им. Ленсовета, Л., 1957

5377 П. Изготовление электрических сопротивлений. Оба (電気抵抗體の製造法. 大場昭信). Японск. пат. 7334, 12.10.55

Порошок SiO_2 , Al_2O_3 , MgO , окиси железа или других каких-либо неорганич. окислов помещают в кварцевый или шамотный тигель и нагревают под вакуумом или в атмосфере инертных газов, не содержащей кислорода, при т-ре выше 700° , а затем пропускают через порошок какой-либо газ, содержащий С. Этот газ разлагается, и содержащийся в нем С покрывает зерна порошка. Идентичный с указанным выше порошок нагревают до 700° и пропускают сквозь него водн. р-р металлич. солей, напр. Sn или In, при этом зерна порошка покрываются пленкой окислов этих металлов. Оба эти порошка смешивают, добавляют какой-либо связующий материал, напр. фенольную смолу, формируют под давлением и обжигают. М. Гусев

5378 П. Магнитные материалы из окислов марганца, цинка и титана. Карасава, Исимота, Наката (Mn, Zn, Ti 系酸化物磁性材料. 柄澤忠義, 井下田眞, 中田昌弘), Токио Дэнки Кагаку Когё Кабусики Кайся. Японск. пат. 7484, 17.10.55

Берется смесь (в %): Fe_2O_3 50—75, MnO 6—20, ZnO 10—20, TiO_2 0,1—3 и MgO 0—5 — все это хорошо перемешивается, формируется, обжигается в течение нескольких часов при 1200 — 1450° в атмосфере нейтр. газа и затем охлаждается. Приведены составы смесей для изготовления магнитных материалов и их характеристики. М. Гусев

5379 П. Магнитные металлические окислы. Такэи, Сугимото (酸化金属磁石. 武井武, 杉本光男) [株式会社科学研究所, Кабусики Кайся Кагаку Кэнкюсё]. Японск. пат. 6982, 29.09.55

Берется 10—35 вес. ч. окиси Co, остальное окислы Fe. К полученной смеси добавляют 0,05—0,7% окиси висмута, формируют и сплавляют. Напр., к магнитному материалу, состоящему из смеси металлич. окислов (CoO 30 вес. ч. остальное окись железа), добавили 0,1—1,0% окиси висмута (BiO , Bi_2O_3 , BiO_2 , Bi_2O_5 или BiO_3), хорошо перемешали, спрессовали в виде пластины размером $5 \times 5 \times 50$ мм. Пластины в течение 3 часов прокалывали в вакууме (при давл. 1 мм рт. ст.) при 1000° , затем охладили в магнитном поле напряжением 300—1000 э и получили магнитный материал. Приводится зависимость между кол-вом Bi_2O_3 и максим. ВН. М. Гусев

5380 П. Магнитные материалы из ферритов меди, никеля, марганца и цинка. Карасава, Исимота, Наката (Cu, Ni, Mn, Zn 系亜鉄酸鹽磁性材料. 柄澤忠義, 井下田眞, 中田昌弘) [東京電気化学工業株式会社, Токио Дэнки Кагаку Когё Кабусики Кайся]. Японск. пат. 7634, 21.10.55

Берется смесь (в %): MnO 15—21, ZnO 8—18, остальное Fe_2O_3 . Смесь сплавляется при 1200° и измельчается. Затем берется смесь, состоящая из 20—50% $\text{CuO} \cdot \text{Fe}_2\text{O}_3$ и 80—50% $\text{NiO} \cdot \text{Fe}_2\text{O}_3$, которая сплавляется при 1000° и измельчается. К первой смеси добавляют порошок второй смеси в кол-ве 0,2—13%. Смесь сплавляется при 1100 — 1350° и из расплава отливается изделия требуемой формы. В смесь иногда необходимо добавление Ti, Th и Zr в кол-ве до 3%. М. Гусев

5381 П. Магнитные металлические окислы. Такэи, Сугимото (酸化金属磁石. 武井武, 杉本光男) [株式会社科学研究所, Кабусики Кайся Кагаку Кэнкюсё]. Японск. пат. 6981, 29.09.55

К магнитному материалу, состоящему из смеси окиси кобальта 30% и окиси железа 70%, добавляют 0,05—10% As_2O_3 , все это хорошо перемешивают, формируют в виде пластин размером $5 \times 5 \times 50$ мм, обжигают под вакуумом (1 мм рт. ст.) в течение 3 час. при 1000° и охлаждают в магнитном поле напряжением 300—1000 э. Дана зависимость остаточного магнетизма от кол-ва As_2O_3 в составе. М. Гусев

5382 П. Окислы с высокой магнитной проницаемостью. Карасава, Комацу (高導磁率酸化物系磁石. 小松正一), [東京電気化学工業株式会社, Токио Дэнки Кагаку Когё Кабусики Кайся]. Японск. пат. 8588, 25.11.55

Берется смесь из (в мол. %): порошка MnO 10—35, ZnO 10—28, LiBO_3 0,05—5 и остальное Fe_2O_3 ; смесь сплавляется при 1000 — 1250° . Сопротивление таким окислов в тех случаях, когда смесь не содержит LiBO_3 , равняется 20—100 ом, а сопротивление окислов, содержащих LiBO_3 , 10—50 ом. Вместе с понижением сопротивления значительно повышается и их первоначальная магнитная проницаемость. Вместо LiBO_3 могут в качестве добавки применяться бораты Ti, Ag, щел. металлов, Be, Mg или же карбонаты в смеси с H_3BO_3 . М. Гусев

5383 П. Постоянные магниты из фриттованных смешанных окислов. Медведев (Aimants permanents en oxydes mixtes frittés. Medvedieff Serge) [Audax]. Франц. пат. 1114010, 6.04.56

Постоянные магниты состоят из смеси окислов Fe, Cr и одного из щел.-зам. металлов или Pb, т. е. представляют собой фритты щел.-зем. металлов или Pb, в которых часть ионов Fe^{3+} замещена ионами Cr^{3+} . Ba и Cr могут быть введены одновременно в смесь в виде BaCrO_4 . Условия фриттования, т-ра и длительность ее воздействия на смесь не являются критич. Напр., продолжительность воздействия т-ры может быть в течение часа и т-ра при этом может находиться в пределах 900—1400°. С. Туманов

5384 П. Получение смешанного карбида вольфрама и титана с помощью порошка окиси железа. Абэ (粉末酸化鉄を用いるタングステン・チタンの複炭化物製造法. 阿部嘉蔵). Японск. пат. 3916, 9.06.55

Берется смесь (в %): порошок окиси вольфрама 40—80, окиси Ti 5—30, окиси Fe 3—15 и газовой сажи 15—30. Все это под давлением прессуется в железной форме, после чего помещается в графитовую трубу диам. 35 мм и высотой 10 мм, засыпается угольным порошком и все это в течение 7—10 час. обжигается в потоке водорода при 1600 — 1750° , после чего происходит карбонизация. Затем науглероженную смесь превращают в порошок, обрабатывают к-той и удаляют Fe и карбид Fe, после чего промывают тяжелой жидкостью или водой и удаляют уголь. Полученный смешанный карбид помещают в вакуумную сушилку и обезвоживают. Затем пропускают через сито 325 меш, добавляют 4—15% Co, все это хорошо перемешивают в шаровой мельнице и под давлением пресс-

суют в формах, затем помещают в вакуумную печь и в течение 30—90 мин. прокалывают при 1350—1450°.

М. Гусев

5385 П. Рельсы для туннельных печей, обеспечивающие герметичность смотрового канала. Транзер (Chemin de roulement hermétique pour four à tunnel céramique. Tranzer Francois-Eugène). Франц. пат. 1110834, 17.02.56

Предлагается устанавливать рамы вагонеток туннельных печей на ролики особой формы, направляемые рельсами в форме уголков и погруженные в жароупорное масло на основе силиконов. Это обеспечивает улучшение герметичности смотрового канала к проникновению горячих газов, а также исключает возможность аварий. Рамы с изделиями легко накладываются на ролики у входа в печь и снимаются с них у выхода.

А. Говоров

5386 П. Туннельная печь для обжига керамических изделий. Кремер (Tunnel kiln for firing ceramic articles. Cremer Gottfried Maria Josef). Пат. США 2736943, 6.03.56

В туннельной печи с открытыми торцами, имеющей зоны подогрева, обжига и охлаждения, обжигаются наряду с изделиями из тонкой керамики и огнеупорные также кровельная черепица, каменная посуда. Печное пространство за все время движения вагонеток остается изолированным от сообщения с внешним воздухом у входного и выходного концов печи посредством поперечных подвижных металл. щитов, имеющих очертание, соответствующее периметру внутреннего сечения печного канала, и опирающихся на вагонетки. Щит выходит из печи и после поворотного движения возвращается по подвесному рельсу в печь и устанавливается в щели, сделанной в боковой стене. Две таких щели имеются в зоне охлаждения и одна (вводящая) — между зонами подогрева и обжига. Зона охлаждения разделяется на 4 участка. На 1-м участке, примыкающем к зоне обжига, т-ра резко падает с 1400 до 600—700° и охлаждение происходит с помощью металл. теплообменников с подогретым воздухом, причем последние могут быть изолированы (частично или полностью) от рабочей камеры выдвижными керамич. потолочными шиберами, а отработанное тепло утилизируется в зоне подогрева или в горелках; на 2-м участке охлаждение продолжается (до 500°) обычным путем; на 3-м — охлаждение снова форсируется с использованием более мощных теплообменников с водой, соединенных с первыми; наконец, на 4-м участке охлаждение заканчивается в замедленном темпе, за счет пропускания свежего воздуха, заосаженного на конце печи за щитом. Охлаждающий воздух по пути подогревается и предварительно используется в зоне подогрева. Непроницаемость для воздушного потока у стен печного канала достигается применением гибкого (стальные щетки) уплотнения по краям щитов и на внутренних боковых стенах туннеля, на уровне пода вагонеток, и соответствующим сцеплением их. Движение вагонеток производится гидравлич. толкателем, причем введение щитов в щели совершается за время возвратного хода толкателя. Показаны чертежи печи и приводится кривая охлаждения обожженной продукции.

В. Роговцев

5387 П. Средство и способ очистки поверхностей. Хаусер (Abrasive cleanser and method of scouring surfaces. Houser Alfred C.). Пат. США 2708157, 10.05.55

Порошок для чистки кухонных принадлежностей состоит из смеси нерастворимого в воде светлого абразивного материала и светлого детергента; к этой смеси добавляют порошкообразный, растворимый в

воде синий ультрамарин в кол-ве 0,1—2 вес. ч. на 100 ч. смеси. На очищаемую поверхность наносят эту смесь и смачивают (для окрашивания поверхности в синий цвет) и затем трут до исчезновения синей окраски.

В. Злочевский

См. также: Определение $\text{Na}_2\text{O} + \text{K}_2\text{O}$ в огнеупорах 4280

Стекло

Редакторы О. К. Ботвинкин С. И. Горелкина, С. И. Иофе

5388. Современные представления о структуре стекла в Японии. Саваи (Current Japanese concepts of glass structure. Sawai Ikutaro), Glass Ind., 1957, 38, № 4, 197—208, 234 (англ.)

Обзор работ современных японских ученых. Библ. 26 назв.

Ю. Шмидт

5389. Термостойкость стекла при охлаждении. Бартенев Г. М., Розанова В. И., Изв. АН СССР, Отд. техн. н., 1957, № 5, 62—69

Приводятся результаты исследования термостойкости стекла при охлаждении. При испытаниях образцы прогревались при постоянной т-ре и затем охлаждались в воде или в струях воздуха. Подъем т-ры ступенчатый, через 5°. Т-ра, при которой образец разрушался, принималась за показатель термостойкости. Для испытания применялись листовое стекло вертикального вытягивания и прокат различных толщин и линейных размеров. Показано влияние на термостойкость стекла различных факторов: условий охлаждения на краях и механич. обработки краев, интенсивности теплоотдачи и охлаждающей среды, размеров образцов. Приводится расчет термостойкости плоского стекла и ф-ла для определения термостойкости: $v = [p \cdot (1 - \sigma) / \beta E] (1 / ha \cdot S_m)$, где v — термостойкость, p — прочность стекла, β — коэф. линейного расширения, E и σ — модуль Юнга и коэф. Пуассона, ha — критерий Био $N_{\text{В}}$, S_m — функция критерия $N_{\text{В}}$. Проведено сопоставление теории с экспериментом.

Г. Масленникова

5390. Влияние поляризации структурных ионов на фотоупругое двойное лучепреломление стекла. Тасиро (The effects of the polarisation of the constituent ions on the photoelastic birefringence of the glass. Tashiro Megumi), J. Soc. Glass Technol., 1956, 40, № 195, T353—T362 (англ.)

Изучалось влияние свойств структурных ионов на фотоупругое двойное лучепреломление (ДЛ) простых стекол при добавлении окислов щел.-зем. и др. металлов и фторидов к свинцовосиликатным и свинцово-фосфатным стеклам. Установлено, что не только PbO , но также BaO , SrO и Ti_2O изменяют величину ДЛ в отрицательном направлении. Кол-во PbO , необходимое для понижения ДЛ до нуля, зависит от исходного хим. состава стекла. Отношение ионов Pb^{2+} к ионам Si^{4+} , необходимое для получения нулевого ДЛ, больше отношения Pb^{2+} к P^{5+} . Щел. окислы делали ДЛ стекла более положительным и их влияние возрастало в порядке $\text{Li}_2\text{O} < \text{Na}_2\text{O} < \text{K}_2\text{O}$. Среди щел.-зем. окислов MgO и CaO делали ДЛ более положительным, в то время как SrO и BaO отрицательным, причем влияние BaO было сильнее, чем SrO . Результаты работы подтвердили изображение Вейля о том, что ДЛ напряженного стекла является результатом переменной поляризации всех анионов и катионов. Знак и величина ДЛ стекла являются результатом двух противоположных эффектов: деформации поляризуемых анионов и де-

формации поляризуемых катионов. 1-й делает ДЛ положительным, 2-й — отрицательным. А. Бережной

5391. Некоторые вопросы технологии варки стекла.

Дубина Н. И., Стекло и керамика, 1957, № 6, 6—8
Основными взаимосвязанными факторами, влияющими на режим работы ванной печи и машинного канала, являются кол-во сульфата и восстановителя в шихте, давление и характер атмосферы печи. Соотношение угля и сульфата в шихте должно обеспечивать оптимальное состояние зеркала стекломассы. Уменьшение соотношения Na_2SO_4 и угля ведет к очищению зеркала от пены (варка укорачивается) и, следовательно, к нарушению режима потоков. Окислительная среда способствует быстрому выгоранию угля и вызывает необходимость повышения кол-ва восстановителя в шихте. Однако основным фактором является давление в печи. Указывается, что стабильный режим газовой среды и т-ры ванной печи возможен только при положительном или нейтр. давлении.

Г. Масленникова

5392. Путь следования стекломассы в ванной печи.
Дубровский В. А., Стекло и керамика, 1957, № 6, 1—6

Исследовано движение потоков стекломассы в бассейне ванной печи при непрерывной подаче шихты методом меченых атомов с использованием $\text{Sr} 89$ в качестве радиоактивного изотопа. Опыты проводились в ванной печи непрерывного проката стекла, дающей суточный сьем стекломассы 32—33 т. Предложена следующая схема движения стекломассы, образованной из одной порции шихты: куча шихты, внесенная в сыпной карман бассейна печи, сразу подвергается интенсивному действию тепла и на ее поверхности образуется жидкая стекломасса, частично стекающая на зеркало и вовлекаемая в поверхностный поток, проходящий от зоны сыпки до зоны выработки со скоростью 60—70 м/час. Главная часть относительно холодной стекломассы погружается на некоторую глубину и следует там со скоростью 1,3 м/час до зоны температурного максимума, где она поднимается вверх и разделяется на 3 части. Первая направляется обратно к зоне сыпки, а две другие — к зоне выработки: одна — со скоростью 60 м/час, а другая — 7,3 м/час. В зоне выработки некоторое кол-во стекломассы вытягивается из бассейна печи, а большая часть возвращается в зону температурного максимума, где снова происходит деление на 2 потока. Этот цикл повторяется многократно. Стеклomасса, поступившая в зону сыпки, делится на 2 части, одна из которых начинает циркулировать вблизи зеркала стекла со скоростью 15 м/час, а вторая погружается на определенную глубину и следует в зону температурного максимума, что приводит к образованию в районе от сыпки до температурного максимума печи второго цикла движения стекломассы с периодом обращения 4,5—5 час. Установлено, что стекломасса, находящаяся в бассейне печи до зоны максим. т-ры, в течение суток обращается ~ 30 раз в верхнем конвекционном цикле и ~ 5 раз в нижнем. При встрече в районе температурного максимума потоков из разных зон часть стекломассы переходит «температурный барьер» и поступает на выработку.

Г. Масленникова

5393. Влияние некоторых конструктивных и технологических параметров стекловаренной печи на качество стекла. Швальбе (Some aspects of furnace design and operation which effect glass quality and control. Schwalbe F. G.), Centr. Glass and Ceram. Res. Inst. Bull., 1956, 3, № 3, 136—140 (англ.)

Для сооружения ванн стекловаренных печей в США широко применяются различные электроплавляемые огнеупоры из стекломассы, стойкой к эрозии, они при надлежащем охлаждении позво-

ляют вести варку при весьма высокой т-ре. Увеличенные теплопотери, вызванные значительной теплопроводностью электроплавляемых огнеупоров, полностью окупаются большими съемами стекломассы. В результате уд. расход топлива на 1 т стекломассы получается ниже, чем, напр., при использовании обычных огнеупоров. В стекловаренных печах электроплавляемые огнеупоры применяются для кладки стен огневого пространства, «аубьев» и подвесных стен, деталей горелок, стены с протоком. Обогрев печей высококалорийным генераторным газом позволяет получить стекло высокого качества. Содержание S в топливе не должно превышать 2%. Горелки, работающие на газе в правильно сконструированной печи с боковым отоплением, должны занимать $\geq 37\%$ длины варочной части печи. Необходимо также стремиться к тому, чтобы пламя горелок омывало наибольшую площадь зеркала стекломассы. Живое сечение каналов насадочных регенераторов должно обеспечивать т-ру газов 1350°, при входе в насадку и скорость 15,7—18,6 м/сек. Высота генераторов в современных печах лежит в пределах от 3 до 4,2 м. Толщина насадочного кирпича колеблется от 6,25 до 7,5 см. Для повышения долговечности печи давление газов в печи должно поддерживаться постоянным и быть весьма близким к атмосферному. Указываются условия, при которых оправдывается применение приборов автоматич. регулирования давления, подачи топлива и воздуха и их правильного пропорционирования.

Е. Гляндина

5394. Скорость изменения концентрации компонентов стекла в стекловаренных печах непрерывного действия. Хикс (Time rate of change of concentration in continuous glass melting furnaces. Hicks John F. G.), Amer. Ceram. Soc. Bull., 1956, 35, № 12, 469—470 (англ.)

Описывается графо-аналитич. метод вычисления конц-ии компонента стекла в выпускном отверстии по величине конц-ии его в стекломассе у сыпки (загрузочных карманах). При этом допускается, что: 1) в варочном и в выработочном бассейнах происходит быстрое перемешивание стекломассы; 2) изменением конц-ии в любой момент времени можно пренебречь; 3) загрузочный карман не рассматривается как отдельная часть ванной печи; 4) шихта состоит из одного компонента. При таких условиях можно ограничиться упр-нием разбавления второго порядка (вывод которого приводится). Получаемая при этом функциональная зависимость справедлива при постоянной скорости загрузки. Практически часто бывает необходимо изменять конц-ию компонентов шихты без изменения скорости загрузки (производительности). Прилагается расчетная таблица данных испытания малой эталонной печи (таблица изменения времени в часах и конц-ии в %) в случае однокомпонентной шихты (Sb_2O_3) при постоянной скорости загрузки. Конц-ии сурьмы в месте сыпки вычисляются по графикам в данным расчетной таблицы. Предлагается числовой пример, и применительно к вычисленным результатам строится кривая зависимости конц-ии от времени, на которой отмечаются измеренные и скорректированные (при отсутствии в сурьме галондов) величины. Кривая, за исключением части ее, построенной на основании данных конца испытания, обнаруживает почти полное совпадение теоретич. и эксперим. результатов.

В. Роговцев

5395. Теплопередача излучением в стекловаренных печах. — (Thermal transmissivity by radiation in glass furnaces.—), Glass Ind., 1955, 36, № 11, 575—581, 592—593 (англ.)

Дан обзор работ, посвященных изучению теплового излучения огнеупоров и его значения для работы стекловаренных печей, а также измерений т-ры, про-

пускания ИК-лучей стекломассой в зависимости от т-ры и наличия в ней красящих окислов. Приводятся результаты исследования Бельгийского н.-и. ин-та о влиянии шероховатости поверхности огнеупоров на эмиссию тепла и т-ры на общую и монохроматич. эмиссию. Указывается, что оптич. (радиационные) пирометры, измеряющие т-ру по монохроматич. эмиссии, дают меньшие показания, чем пирометры, измеряющие т-ру по общему излучению; эта разница уменьшается с повышением т-ры. Утверждается, что промышленные печи не излучают подобно черному телу, и что такое допущение ошибочно. При поправках показаний оптич. пирометров следует пользоваться значениями монохроматич. эмиссии для длины волны 0,655 μ и общей эмиссии для различных видов огнеупоров. Приводится описание методик и кратко излагаются результаты исследований пропускания различными промышленными стекломассами ИК-лучей до т-ры 1400°, проведенных Черни, Генцелем и Нейротом, Тернером и др. Е. Глиндзич

5396. Автоматическое переключение регенеративных камер в стекловаренных печах. Мартин (Automatische Kammerumsteuerung bei Glasschmelzöfen. Martin Horst), Silikattechnik, 1957, 8, № 5, 186—189 (нем.; рез. англ., русск.)

Описываются различные системы переключения регенеративных камер как полуавтоматич., так и автоматич. и подчеркивается преимущество последних. Указывается, что наиболее экономичным является автоматич. переключение по времени, позволяющее стекловару легко и просто управлять переводом клапана. Переключение по максим. т-ре в насадках камер имеет лишь частичные преимущества и применяется только в тех ваннах печах, которые характеризуются равномерным ходом процесса варки. Переключение по разности т-р в обеих насадках может быть рекомендовано лишь для печей периодич. действия, в которые кол-во проходящих газов меняется по времени, а также для печей, несимметрично построенных, регенераторы которых работают одностронне.

М. Степаненко

5397. Применение электроварки и вспомогательного электрообогрева в производстве стекла. Ла-Бюрт, Борель, Пьолян (Contributions of electric melting and boosting to glass technology. La Burthe P., Borel E., Piolenc G. de), Amer. Ceram. Soc. Bull., 1957, 36, № 1, 18—25 (англ.)

Кратко изложена история электроварки стекла за период 1900—1957 гг., приведены экономич. показатели работы электр. ванн стекловаренных печей и детально разобраны принципиальные схемы конструкции их. Подробно описаны материал электродов, плотность тока на них и значение расположения их в ванне с точки зрения процесса варки и гомогенизации стекломассы. Указывается на тесную зависимость между конфигурацией и типом электрода (графитовый, железный, платиновый, жидкий) и получающимися конвекционными потоками, способствующими получению качеств. стекла. Приводятся ряд конструкций печей с пристенными и придонными электродами и описывается температурный режим стекломассы в различных типах печей. Подчеркивается выгодность такого расположения электродов, при котором возникает интенсивная конвекция. Приведены техно-экономич. показатели работы малых и больших электр. печей для выработки белой и цветной стекломассы, а также зависимость их к.п.д. от производительности (увеличение сьема на 22% уменьшает расход электроэнергии с 1,6 квт/кг до 0,53 квт/кг). Автор особо останавливается на газозлектр. печах, анализируя экономич. условия их применения. Указывая, что в настоящее время работает 60 газозлектр. печей

различной мощности, автор детально описывает схему рационального размещения электродов, приводя и данные по результатам моделирования подобных печей. Путем дополнительного электрообогрева возможно повысить сьем печей на 30% и даже на 100%, затратив на каждый 1 кг добавочной производительности всего лишь 0,12 квт/ч, без усиления износа огнеупора и с улучшением качества стекла. Указываются несомненные преимущества электроварки при условии надлежащего расположения электродов.

М. Степаненко

5398. Служба огнеупоров при варке технического стекла в ваннах печах непрерывного действия. Хмелевский В. И., Минаков А. Г., Огнеупоры, 1957, № 6, 275—282

К технич. стеклу (ТС) непрерывного проката предъявляются требования высокой светопрозрачности и малого содержания свилы и камней; варка ТС ведется при более высоких т-рах, чем оконного. Были проведены лабор. исследования стеклостойкости 5 марок огнеупоров: непрозрачного кварцевого стекла (КС), его же, но перерожденного в кристобалит и частично в тридимит, шамотного стенового бруса Лисичанского стеклозавода, то же Константиновского з-да и каолинового бруса Часов-Ярского з-да. Наиболее стойким оказалось кристобалитизированное КС. Поведение брусьев из КС в процессе службы изучали в стенах ванной печи непрерывного действия в течение 2 кампаний при составе ТС (в вес.%): SiO₂ 75,0, CaO 8,5, Na₂O 15; соотношение соды и сульфата 95:5. Применение высокоглиноземистых огнеупоров и брусьев из КС для кладки стен при варке ТС, содержащего $\geq 15\%$ Na₂O, позволило получать ТС высокой светопрозрачности, но не обеспечивало высоких выходов бесцветного ТС; продолжительность службы брусьев из КС составила всего ~6 месяцев. Брусья из КС, закристаллизованного до начала эксплуатации, оказались более устойчивыми, чем не кристаллизованные. Даны рекомендации по способу кладки бассейна печи для варки бесцветного ТС.

В. Злочевский

5399. Структурные изменения в силикатных стеклах в процессе отжига. Тилтон (Structural rearrangements in silicate glasses during annealing. Tilton Leroy W.), J. Soc. Glass Technol., 1956, 40, № 195, T338—T352 (англ.)

Исследовался температурный ход изменения равновесного показателя преломления n или оптич. чувствительность к длительному отжигу (ДО) для 23 силикатных стекол, как функция хим. составов, выраженных через некремнеземную составляющую (НС) каждого стекла. Ионную долю НС автор определяет как отношение некремнеземных атомов к сумме атомов Si плюс некремнеземные атомы (исключая атомы O). Время тепловой обработки составляло от нескольких месяцев до 1 года и выше. n и плотность d силикатных стекол могут увеличиваться в процессе отжига при низкой т-ре и могут уменьшаться на соответствующую величину при повышении т. ДО автор характеризует величиной изменений n , d , электропроводности, коэф. расширения и вязкости при снижении т на 1°. Установлено, что ход изменения температурных коэф. $\Delta n/\Delta t$ или $\Delta d/\Delta t$, выраженный как функция мол. доли НС, приближался к наклонной прямой для стекол с высоким содержанием SiO₂. Оптич. чувствительность при ДО рассчитывается автором по эмпирич. ф-ле: $dn/dt = 0,00010 \Sigma$ некремнезем. частиц/Σ частиц. Данному соотношению не подчинялись некоторые боро- и свинцовосиликатные стекла, для которых ход изменения dn/dt давал отклонения от прямой. Полученные автором данные согласуются с той точкой зрения, что в процессе отжига силикатных стекол тетраэдрич. каркас посте-

ценно подвергается медленному и ограниченному разрушению или «складыванию», сопровождающемуся изменением ориентации кремнекислородных связей Si-O-Si. При этом изменения в расстояниях Si-Si составляют только 0,3%, вследствие чего они не могут быть обнаружены рентгеновским или спектральным анализом. Установлено, что более длительный и низкотемпературный отжиг не обязательно должен дать более однородное оптич. стекло. Библ. 36 назв.

А. Бережной

5400. Модернизация отжигательной печи ЛН-18Х1000.

Инденбом В. Л., Юрков Л. Ф., Стекло и керамика, 1957, № 5, 22—24

Опыт ряда з-дов показывает, что печи ЛН-18Х1000 не пригодны для отжига холодного стекла, изделий сложной конфигурации, сварных оболочек и изделий других типов. Во всех случаях из-за резкого уменьшения кол-ва тепла, вносимого изделиями, нарушается расчетный тепловой баланс печи, и попытки увеличить подвод тепла ведут к перегреву и быстрому износу пода печи, возникновению недопустимых перепадов т-р (до 60° и более) в поперечном сечении рабочей камеры, а также к нарушению оптимального распределения т-р вдоль оси печи. В связи с этим на Московском электроламповом з-де по предложению авторов проведена модернизация печи ЛН-18Х1000. Для этого вокруг секций с 8 по 26 изготовлен второй изоляционный кожух и общая толщина диатомитовой засыпки в зоне выдержки и плавного охлаждения была доведена до 250 мм. В результате величина вертикального перепада т-р в рабочей камере была снижена с 60 до 10° и цикл отжига экранов телевизионных колб сокращен в 2 раза. Кроме этого, в печи ЛН-18Х1000 проведено устройство верхнего муфеля нагрева, что обеспечило интенсивную подачу тепла к отжигаемым изделиям в головной части лера. Модернизация печи позволила вести отжиг крупногабаритных и толстостенных изделий со сварочными и закалочными напряжениями при сокращенном режиме.

Н. Павлушкин

5401. Применение стеклянных трубопроводов. Паркер (Let's look into glass piping. Parker Garrett S.), Plant Engng, 1957, 11, № 3, 136—140, 297 (англ.)

5402. О продуктах осаждения, получающихся из растворов солей магния и жидкого стекла. Хинц, Кунт (Über die Fällungsprodukte von Magnesiumsulfat- und Wasserglaslösungen. Hinz Wilhelm, Kunth Peter-Olaf), Silikattechnik, 1957, 8, № 4, 148—156 (нем.; рез. англ., русск.)

Исследовано осаждение силикатов Mg из вод. р-ров хлорида и сульфата Mg р-ром силиката Na с соотношением $\text{Na}_2\text{O} : \text{SiO}_2$, равным 1:3,23, от 1:3,205 до 1:0,814. Осаждение проводили при комнатной т-ре и при 100°. Осадки, полученные на холоду, отделяли от р-ра при помощи центрифуги, а при 100° — фильтрованием. Установлено, что при комнатной т-ре имеют место только адсорбционные связи между гидроокисью Mg и кремнекислотой, причем осаждение происходит за счет обоюдной коагуляции. Свежеосажденный осадок аморфен по отношению к рентгеновским лучам. При продолжительном старении при комнатной т-ре или осаждении при 100° гидроокись Mg реагирует с кремнекислотой с образованием соединения, рентгенограмма которого напоминает рентгенограммы, полученные с минералов глины — антигорита и гекторита. Соотношение $\text{MgO} : \text{SiO}_2$ в осадке, в грубом приближении, эквивалентно соотношению $\text{Na}_2\text{O} : \text{SiO}_2$ в р-ре. При проведении осаждения в промышленных масштабах, конц-ию р-ров можно повысить настолько, чтобы применять неразб. щелочи для изменения соотношения $\text{Na}_2\text{O} : \text{SiO}_2$.

К. Кушаковский

5403. Технология шлакового литья и пути его развития. Жилин А. И. В сб.: Доменные шлаки в стр.-м. Киев, Госстройиздат УССР, 1956, 271—280

Краткий обзор исследований по структуре и кристаллизации доменного шлака. Рассмотрены работы уральского политехн. института и намечены перспективы развития. Библ. 26 назв.

И. Смирнова

5404. Пороки, наблюдаемые на глазурованных изделиях, их признаки, причины и устранение. Куре (Fehler, die an der glasierten Ware der Produktion zu erkennen sind, ihre Merkmale, Ursachen und Verhinderung. Kure Franz), Keram. Z., 1957, 9, № 4, 171—174 (нем.)

Рассматриваются влияние состава черепка и т-ры обжига на появление матовых налетов на поверхности глазурованных изделий, различные виды трещин на глазури, причины ее отслаивания, явления побеления и разрушения подглазурных красителей под действием расплавленной глазури, газовой среды и т-ры обжига. Глухие белые оловянные глазури могут окрашиваться в розовый цвет от следов хрома, прозрачные свинцовые глазури при недостаточном содержании SiO_2 , K_2O , Na_2O , ZnO , B_2O_3 окрашиваются в желтый цвет. Светлые глазури, содержащие соединения Ti и Fe, окрашиваются по краям изделий в коричневые тона, пары хрома при обжиге придают грязно-зеленый оттенок многим светло-окрашенным глазурям, которые часто вызывает черное окрашивание глазури. В заключение разбираются случаи появления разноокрашенной мушки на глазурованных изделиях — зеленой от попадания медной пыли, синей от кобальтовой, белой по цинковым глазурям от разложения цинка пылью SiC , ZnO , коричневой от загрязнения сырых материалов глазури соединениями Fe или пылью этого металла. Предыдущее сообщение см. РЖХим, 1957, 64136.

С. Тушаков

5405. Взаимодействие бессвинцовой и безборной глазури с черепком. Плата, Упенекс (Bezsvina un bezbora fajansa glazuras iedarbiba uz drumstalu. Plata R., Upeneks U.), Studentu zinātniskie darbi. Latv. Univ., Научн. студ. работы Латв. ун-та, 1957, сб. 2, 27—33 (лат.; рез. русск.)

Исследовались свойства и значение промежуточного слоя между черепком (Ч) и бессвинцовой и безборной глазурью (Г). Установлено, что промежуточный слой более развит у тех образцов, на которые Г нанесена на необожженный Ч. Г на необожженном Ч менее хрупки и термически более устойчивы. При исследовании микрохрупкости (МХ) и микротвердости (МТ) промежуточного слоя между Г и Ч обнаруживается, что МТ уменьшается постепенно, от поверхности Г к Ч, наоборот, МХ возрастает от Ч к Г. Термич. устойчивость однократно обожженного глазурованного изделия больше, чем двухкратно обожженного, что объясняется образованием более развитого промежуточного слоя.

И. Михайлова

5406. Об определении силы сцепления эмалей. Франке (Beitrag zum Ermitteln des Haftvermögens von Emails. Franke Ernst A.), Sprechsaal Keramik, Glas, Email, 1957, 90, № 14, 347—348 (нем.)

Для определения сцепления эмали (Э) на цилиндрич. поверхностях предложен метод, состоящий в том, что из изделия вырезают несколько колец параллельно ду сосуда. Кольцо разрезают на несколько частей, очищают концы образцов от Э. Прочность сцепления определяют или на разрывной машине, или при помощи пресса. Образец выпрямляется под действием определенной нагрузки. При малом радиусе изделия Э обычно отслаивается во время распрямления образца. При большом радиусе испытание продолжают до появления отскоков, о прочности судят по величине нагрузки. Для внутренней и наружной поверхности получаются раз-

личные результаты, так как распределение напряжений в слое Э на выпуклой и вогнутой поверхностях различно. Предыдущее сообщение см. РЖХим, 1957, 66785. М. Серебрякова

5407. Приборы для измерения толщины слоев эмалей. Элс (Schichtdicken-Meßgeräte. Oehler G.), Mitt. Vereins Dtsch. Emailfachleute, 1957, 5, № 6, 41—47 (нем.)

Описываются приборы, выпускаемые промышленностью для измерения толщины эмалевого слоя на эмалированных металлических изделиях. Они принадлежат двум основным типам. Приборы первого типа основаны на измерении силы, которую нужно приложить, чтобы оторвать наметившуюся часть прибора от эмалированной поверхности (смайлтометры). Их точность $\leq 10\%$. Приборы второго типа основаны на измерении тока, индуцированного в обмотках магнитов (пермаскопы, лептоскопы). А. Говоров

5408. Принудительный конвективный нагрев при обжиге улучшает качество эмалирования. Раш (Forced convection firing leads the way to finer porcelain enameling. Rush R. F.), Ceramic Ind., 1957, 68, № 4, 112—113, 182 (англ.)

Появление низкотемпературных фритт для эмалей приводит к освоению эмалировочной печи, имеющей новую систему нагрева — принудительную конвекцию (ПК). Применение ПК нагрева в эмалировочных печах вызывает тем, что проблема получения равномерной т-ры в печи усложняется, так как радиация теряет свою эффективность при более низкой т-ре и должна дополняться ПК. Если для 700° и выше основным способом нагрева является излучение, то ниже 700° требуется комбинация излучения и ПК. Идеальными условиями конвекционного нагрева металлич. изделия является погружение его в воздушный поток большой скорости с постоянной т-рой. Хорошая типовая конструкция печи с ПК может приблизиться к этим идеальным условиям. ПК должна быть организована с помощью управляемой системы средств принудительной вентиляции. Рассматриваются различные типы конвективных печей. В U-образной печи непрерывного действия обжигались банные тазы, кухонные шкафчики и др. изделия; при этом получены очень хорошие результаты по достижению однородной т-ры, а экономия топлива на печи этого типа достигала 10—20%. Прямокальная печь, оборудованная нагревательной системой ПК, дала значительное улучшение качества изделий по цвету и деформации; экономия топлива также составляет 10—20%. Важным является конвективный обжиг также в печах периодич. действия для разнообразного вида продукции в широком температурном интервале $537\text{—}870^\circ$. Производительность последнего типа печи почти в два раза превышает производительность обычной установки. При конвективном обжиге вызывают опасения: сокращение длительности службы металлич. труб и вентиляторов, возможность образования огнеупорной пыли и загрязнений, увлекаемых в печную атмосферу, и возможность образования окалины на трубах и увлечения ее воздушным потоком.

Т. Лекарева

5409. Способ нанесения эмалей на алюминий. Хапперт (How aluminum enamels are applied. Huppert Paul A.), Ceramic Ind., 1957, 68, № 4, 116—117, 186 (англ.)

Эмалирование по алюминию может производиться пульверизацией, вручную и автоматическим, а также электростатич. способом, для которого необходимым условием является тонкое измельчение эмалей. Эмали для алюминия требуют более тщательной очистки поверхности от загрязнений, чем эмали для стали. Толщина покрытия на автомате регулируется уд. весом эмалевого суспензии, кол-вом и размером мундштуков

пульверизатора, скоростью конвейера и давлением в резервуарном баке для эмалевого суспензии. Гладкость и ровность поверхности эмалей зависит от распыляющего давления, размера и типа сопел мундштука пульверизатора и расстояния между головкой мундштука и изделием. Тип фритты, тонкость измельчения, коагулирующие и диспергирующие в-ва также влияют на качество эмалей для алюминия. Менее благоприятные характеристики текучести эмалей для алюминия не позволяют использовать окунающие или поливающие через выпускную щель. Метод роликового покрытия в настоящее время является наиболее обещающим для эмалирования алюминиевых листов. Положительными особенностями этого метода являются совершенный контроль толщины слоя, полное отсутствие потерь материала и экономия труда. При покрытии толщиной $< 0,01$ мм улучшаются временное сопротивление на удар, термостойкость, эластичность и т. д. При чрезмерно тонком покрытии только вполне просветляющие или сильно насыщ. краски имеют удовлетворительный вид. Современное направление состоит в получении эмалей пастельных тонов и глухих белых. Пром-сть предпочитает одно покрытие толщиной $\sim 0,1$ мм. Большое значение приписывается сушке полуфабриката. Правильный выбор сушильного оборудования в большой степени зависит от уд. веса эмалевого суспензии. Рекомендуется производить операцию сушки независимо от обжига. Простейшим и наиболее чистым способом сушки являются ИК-лампы или ИК-ленточные нагреватели. Нанесение эмалей для алюминия с низкой т-рой плавления может производиться методом шелковой сетки. На непрерывном эмалировочном автомате могут выпускаться в массовом масштабе классные доски из алюминированной стали, алюминиевая фольга, покрытая фарфоровой эмалью, и алюминиевая черепица. Т. Лекарева

5410 К. Растворимость стеклообразных силикатов натрия. Матвеев М. А. М., Промстройиздат, 1957, 96 стр., илл., 3 р. 65 к.

5411 Д. Исследование технологических и физико-химических свойств золотого рубина. Ковтуненко Г. А. Автореф. дисс. канд. техн. н., Белорусск. политехн. ин-т, Минск, 1957

5412 Д. Процессы стеклообразования и кристаллизации в модельных фторобериллатных системах. Макарова Т. А. Автореф. дисс. канд. техн. н., Ленингр. технол. ин-т им. Ленсовета, Л., 1957

5413 П. Впаивание тонких стеклянных трубок в полый стеклянный сосуд. Мията (中空硝子體に硝子細管の接續法. 宮田久吉) [宮田繁太郎, Мията Сигэтаро]. Японск. пат. 1742, 16.03.55

Для впаивки тонкой стеклянной трубки в полый стеклянный сосуд в нем прогревают место спайки, введенной внутрь газовой горелкой. Когда стенка сосуда размягчается, к ней приплавляется снаружи конец стеклянной трубки. Затем подают через последнюю сжатый воздух, под давлением которого в размягченной стенке сосуда образуется отверстие.

С. Вонсевер

5414 П. Способ нанесения на стеклянные поверхности пленок, понижающих отражение. Менхен (Verfahren zum Erzeugen reflexionsvermindernder Schichten auf optisch wirksamen Glas- oder ähnlichen Flächen. Maennchen Kurt) [Ernst Leitz G. m. b. H.]. Пат. ФРГ 940138, 8.03.56

Пленки, понижающие отражение, получают с помощью поверхности стекла р-рами силикатов, коллоидальных оксидов Si, Ti, Al или их гидроксидов. Ускорение полимеризации этих в-в достигается путем добавки к исходному р-ру двух- или многооснов-

ных к-т или ненасыщ. углеродистых соединений, как спирты, альдегиды, кетоны, углеводороды и т. п.

Д. Левин

5415 П. Покрытие стеклом и эмалью. Исин (硝子或は珪瑯質物の鍍射被覆方法。石井轉), Японск. пат. 2635, 14.05.54

Стекло или глазурь нагревают в печи до 600° и вытягивают их в виде отдельных волокон, которые затем скручивают по несколько штук и получают таким образом нити нужной толщины. Стекланные или глазурные нити помещают в распылитель типа пульверизатора, соединенный с газовой горелкой, и под давлением наносят в расплавленном виде на поверхность покрываемого предмета. Настоящий метод покрытия стеклом или глазурью может применяться для нанесения как грунтовой, так и покровной эмали.

В. Зломанов

5416 П. Способ обесцвечивания алмазов. Ньюсбаум (Traitement du diamant. Nussbaum Jakob). Франц. пат. 1109528, 30.01.56

Предлагается способ обесцвечивания природных алмазов, состоящий в нанесении на поверхность алмаза тонкого защитного покрытия из кристаллич. углерода с уд. в. 1,86—2,07 и твердостью 8 по шкале Мооса и в обработке алмаза через указанную защитную оболочку водородом под давлением или ультразвуковыми колебаниями, или тем и другим одновременно по режиму, зависящему от формы кристаллов алмаза.

В. Полляк

См. также: Прочность и усталость стекла при низких т-рах 3727. Определение Со в стеклах 4308.

Вязущие вещества. Бетоны и другие силикатные строительные материалы

Редакторы Ю. М. Бутт, А. С. Пантелеев

5417. Почему молотая известь-кипелка не поддается гидрофобизации? Хигерович М. И., Сб. Моск. инж.-строит. ин-т, 1957, № 15, 141—152

Работами ряда исследовательских организаций показано, что известь, обработанная мылонафтом, несмотря на наличие так называемых внешних признаков гидрофобизации, не способна сохранить свою активность при хранении. Подобное явление объясняется тем, что гидрофобная пленка, непроницаемая для жидкой фазы, проницаема для паров воды и углекислого газа. При проникновении в глубь зерна по микротрещинам паров воды происходит увеличение объема и разрушение гидрофобной пленки. Автором рекомендуется введение нефтяных или высших жирных к-т не с целью стабилизации, а для интенсификации помола и пластификации тощих растворяемых смесей.

Э. Эршлер

5418. Применение сепарации для улучшения качества высокоактивной извести-пушонки. Джоглекар, Бхучар, Субрамания (Verbesserung von hochprozentigem Kalkhydrat durch Sichtung. Joglekar G. D., Bhuchar V. M., Subramanian N. R.), Zement-Kalk-Gips, 1957, 10, № 5, 202—204 (нем.; рез. англ., франц.).

Известь-пушонка с величиной частиц < 30 м, полученная путем отвеивания на лабор. воздушном сепараторе, почти не содержит примесей кремнезема, окислов железа и глинозема, а также карбоната кальция. Получаемый продукт характеризуется высокой степенью белизны, малым объемным весом и большой уд. поверхностью. Аналогичные результаты получены при просеве извести через сито с диаметром отверстий 170 м. Последний способ является более простым и более дешевым.

Е. Штейн

5419. Теория и опыт эксплуатации известеобжигающей шахтной печи, работающей на жидком топливе. Эйген (Theorie und Praxis des ölbeheizten Kalkschachtofens. Eigen H.), Zement-Kalk-Gips, 1957, 10, № 6, 239—246; Zucker, 1957, 10, № 11, 254—257 (нем.; рез. англ., франц.).

Рассматриваются печи (II), при эксплуатации которых не используется тепло отходящих газов. Как правило, высокая т-ра в таких II ведет к частым повреждениям футеровки, а также к пережогу извести. Производительность такой II невелика — 8—20 т за сутки. Вместе с тем расход тепла чрезвычайно высок: 1900—2000 ккал/кг извести. Несколько лучшие показатели имеют II с наклонной зоной обжига (применяемые в Австрии для обжига магнезита). Расход жидкого топлива для указанного типа II составляет 17—20% от веса обожженной извести. В отличие от введенных выше типов, II, работающие с использованием тепла отходящих газов, дают значительный экономич. и производственный эффект. Так, расход тепла в II с центральными и боковыми факультетами составляет 1440 ккал/кг CaO, включая прона-во паров, или 1340 ккал/кг извести, содержащей 93% CaO. Использование отходящих газов обеспечивает высокое качество обжига при длительной сохранности футеровки. Значительный эффект получен при эксплуатации спроектированной Азбе шахтной II, где также используется тепло отходящих газов. В этой II 1/3 всего кол-ва газов, отходящих из зоны обжига при 900°, поступает в зону подопрева, где т-ра газов понижается до 113°. Термич. к. п. д. печи составляет 65%. Производительность II равна 50—80 т извести в сутки. Конструктивные особенности II позволяют обжигать куски известняка крупностью 50—100 мм. При рациональном режиме II расход тепла может быть уменьшен с 1071 до 862 ккал/кг извести.

Г. Копелянский

5420. К проблеме известеобжигающей шахтной печи, работающей на угольной пыли. Эйген (Zum Problem des kohlenstaubbeheizten Kalkschachtofens. Eigen H.), Zement-Kalk-Gips, 1957, 10, № 5, 184—187 (нем.; рез. англ., франц.).

Предлагается конструкция печи с разделительной стенкой на всю высоту шахты. Посредством ряда каналов, встроенных в стенку печи и в разделительную стенку, угольная пыль вдвигается в шахту. Согласно проведенным подсчетам, расход тепла в такой печи при условии обеспечения хорошей теплоизоляции стен составляет 850 ккал/кг извести с содержанием 93% свободной CaO, что соответствует примерно расходу 70 кг угольной пыли на 1 т известняка. Предполагается, что производственная мощность указанной печи небольшого диаметра будет в несколько раз превышать мощность обычных печей, работающих на коксе. Отмечается, что в США эксплуатируется ряд известеобжигающих шахтных печей, работающих с применением многоступенчатого сжигания газа. Сточная производительность таких печей составляет 27 т извести на 1 м² сечения печи.

Е. Штейн

5421. Исследования в области расчетов при контроле известково-обжигающих и цементных печей по составу отходящих газов. Соколов П. В., Тр. Вост. н.-и. ин-т строит. керамики, 1957, вып. 12, 85—130. Указывается, что по величине соотношения $CO_2'_{изв} : RO_2'$ (топливо), где $CO_2'_{изв} = RO_2$ (газ) — RO_2 (топливо) % и $RO_2' = (CO_2 + SO_2)$ %, возможно судить об экономичности печных установок и о режиме их работы. Автором предложены приближенные ф-лы для определения CO_2 (газ) и RO_2 (топливо) по данным анализа отходящих газов и основанные на получаемых данных ф-лы для определений: уд. расхода топлива на обжиг извести

и цементного клинкера; производительности известковообжигательных и цементных печей; кол-ва тепла, затрачиваемого на разложение карбонатов, и т. п. Д. Г. Копелянский

5422. Силикатно-известковые материалы в строительстве. Михаил (Materiale de zidărie silico-calcare. Mihail N.), Ind. construcțiilor și mater. constr., 1957, № 2, 114—121 (рум.)

Обзор работ, проведенных в Румынии, по технологии произ-ва силикатно-известковых материалов. Рассматриваются вопросы выбора сырья, влияния содержания SiO_2 и глины в песке, гранулометрич. состава песков, природы и кол-ва добавляемой извести и воды, а также влияние способа смешения, уплотнения и обработки в автоклаве на качество получаемых тяжёлых силикатно-известковых строительных материалов. Отмечается целесообразность произ-ва пустотелых кирпичей и небольших блоков. Я. Матлис

5423. Влияние добавок гипса и отходов содового производства на прочность известково-силикатных изделий. Хрипкова Г. А., Науч. тр. Новочеркасский политехн. ин-т, 1957, 38 (52), 89—97

Исследовано влияние добавок $\text{Na}_2\text{SO}_4 \cdot 10\text{H}_2\text{O}$; CaCl_2 ; отходов содового произ-ва (ОСП) и гипса на прочность известково-песчаных изделий (ИПИ) автоклавной обработки, а также влияние CaCO_3 , ОСП, опок и смеси ОСП с опоккой на прочность ИПИ, твердеющих на воздухе. При добавлении в шихту 6% гипса прочность ИПИ автоклавной обработки повысилась на 78%, 5% $\text{Na}_2\text{SO}_4 \cdot 10\text{H}_2\text{O}$ — на 41% и 2% CaCl_2 — на 26%. При изготовлении ИПИ, твердеющих на воздухе, целесообразно 30—40% шихты размалывать до уд. поверхности 4000 $\text{см}^2/\text{г}$. Наибольшее повышение прочности через 28 суток воздушного твердения наблюдалось при введении 6% ОСП (+300%), 15% опок или 20% CaCl_2 (+120%) и 6% гипса (+70%). Рекомендуется комбинированная добавка ОСП и опок. Указывается на возможность произ-ва ИПИ из сырья с содержанием гипса до 6%. Г. Копелянский

5424. Гидротермальное твердение строительных материалов на новых видах сырья. Будников П. П., Бутт Ю. М., Ж. прикл. химии, 1957, 30, № 5, 787—791

Установлено, что при взаимодействии доломита, серпентинита и дунита с известью при гидротермальном обработке возникают кол. новообразования (Н), провизанные некоторым кол-вом весьма мелких кристаллов Н. В результате этого взаимодействия изделия на основе исследованных материалов приобретают прочность, позволяющую применять их в строительстве. Подтверждена возможность получения автоклавных строительных материалов на основе глины и трепела в результате взаимодействия их с известью при гидротермальном твердении. Последующая после запарки сушка значительно повышает прочность изделий, что объясняется уплотнением гелеобразных масс Н и дополнительной кристаллизацией цементирующего в-ва. Добавка песка в сырьевую смесь повышает прочность изделий, способствуя увеличению содержания гидросиликатов Са, являющихся весьма активным цементирующим в-вом. М. Степанова

5425. Гидравлический гипс. Опыты с пластическими растворами. Парепяну (Ipsosul hidraulic. Incercări pe mortare plastice. Parepeanu G. H.), Ind. construcțiilor și mater. constr., 1957, № 2, 121—123 (рум.)

Лабораторные опыты показали, что добавка к строительному гипсу различного кол-ва извести и трасса придает ему гидравлич. свойства. Механич. испытания образцов-кубов со стороной 7,07 см, изготовленных из смеси, состоящей из 75% гипса, 20% трасса и 5% негашеной тонкомолотой извести, и выдержанных во

влажной среде в течение 28 дней, показали сопротивление сжатию, равное 68,3 $\text{кг}/\text{см}^2$. При выдержке образца на воздухе в течение 28 дней сопротивление сжатию составляло 146 $\text{кг}/\text{см}^2$. Дальнейшие опыты, проводимые с целью установления возможности использования смеси гипс-известь-трасс в качестве вяжущего для строительных р-ров, показали, что добавка замедлителя схватывания, состоящего из 10% костного клея и 90% Na_2CO_3 , замедляет начало схватывания на 50—55 мин. Оптимальное кол-во замедлителя находится в пределах 1,2—1,3%. Рекомендуется оптимальный состав вяжущего: гипс 72,4%, известь 6,7%, трасс 20% и замедлитель схватывания 1,3%. Я. Матлис

5426. Влияние лигносульфоната кальция на свойства цементных паст. Молдован (Influența lignosulfonatului de calciu asupra proprietăților pastelor de ciment. Moldovan V.), Hidrotehnica, 1957, 2, № 1, 4—7 (рум.; рез. русск., нем.)

Изучено влияние лигносульфоната Са (I) на скорость седиментации водн. суспензий, на конечный объем осадка и на схватывание цементных паст нормальной консистенции. Опыты производились с цементами в чистом виде и с добавками доменного гранулированного шлака. Ко всем цементам добавлялось от 0,05 до 3% I. Скорость седиментации изучалась в градуированных цилиндрах с притертыми пробками емк. 100 см^3 , в которые вводилось 50 г вяжущего и 50 мл воды. Смесь тщательно перемешивалась в течение 10 мин. и затем подвергалась вакуумированию в течение 5 мин. с помощью водоструйного насоса и устанавливалась в водяную баню с т-рой 20°. При этом определялись величина падения уровня осадка в зависимости от времени, а также конечный объем осадка. Полученные результаты показали, что наличие I во всех случаях увеличивает стабильность водн. суспензии вяжущего и заметно снижает скорость седиментации цементных частиц. Добавка к цементам шлака или трасса во всех случаях увеличивает конечный объем осадка. Добавка небольших кол-в I к суспензиям чистого цемента (до ~1%) увеличивает объем осадка, при больших кол-вах I объем осадка уменьшается. Влияние I на схватывание цемента изменяется в зависимости от минералогич. состава цемента и природы добавки. Небольшие добавки I к чистым цементам уменьшают срок начала схватывания. После явно выраженного минимума, соответствующего содержанию ~0,75% I, наблюдается увеличение срока начала схватывания. Для смешанных цементов минимум начала схватывания наблюдается при 0,8—1,5% I, конец схватывания непрерывно растет с увеличением содержания I и при 0,8% I превышает предел, допустимый стандартом. Я. Матлис

5427. Задачи в области исследований цемента. Бог (Aufgaben auf dem Gebiet der Zementforschung. Bogue R. H.), Zement-Kalk-Gips, 1957, 10, № 5, 162—166 (нем.; рез. англ., франц.)

Исследовательские работы в цементной пром-сти должны развиваться в трех направлениях: 1) изучение соединений, из которых состоит цемент, с применением аналитич. способов и статистич. методов исследования, а также с исследованиями фазового равновесия и термодинамич. процессов; 2) исследование влияния составляющих клинкеров (К) на важнейшие свойства цемента, р-ра и бетона; 3) изучение процесса образования различных фаз в К (начальных, промежуточных и конечных) с применением рентгенографии, электрономикроскопии, а также электронной дифракции. Г. Копелянский

5428. О результатах испытаний портландцемента, проведенных весной 1955 г. на острове Кюсю. Йосида (昭和30年度夏期における九州所在工場産ポルトラ

ンドセメントの比較試験研究。吉田彌七), セメント技術年報, Сэменто гидзюцу нэмпо, Proc. Japan Cement Engng Assoc., 1956, 10, 341—349 (японск.)

5429. Регулирование текучести шлама, Хрипкова Г. А., Научн. тр. Новочеркасский политехн. ин-т, 1957, 38 (52), 127—135

При увеличении влажности шлама (Ш), изготовленного на мелово-глинистом и мергелевом сырье, от 39,5 до 47% предельное напряжение сдвигу уменьшилось приблизительно на 82%. Текучесть шлама (ТШ) изменяется непропорционально приложенной нагрузке. Наличие в воде растворимых солей способствует уменьшению толщины сольватных оболочек и увеличению ТШ. Уменьшение содержания карбонатных компонентов обуславливает уменьшение ТШ. Меловые Ш с частицами < 0,03 мм при конц-ии твердой фазы > 54% являются структурирующими дисперсными системами. При уменьшении диаметра меловых частиц от 0,003 до 0,005 мм ТШ при водосодержании 45% уменьшается на 95%. Изменение дисперсности кварцевых и полевошпатовых компонентов не оказывает влияния на ТШ. Текучесть мергелистого Ш повысилась при увеличении т-ры от 5 до 80° на 30%, а при добавлении 0,5% сульфитно-спиртовой барды (ССБ) — на 13%. При использовании мелово-глинистого сырья, нагреваемого от 5 до 50° и добавлении 0,5% ССБ, ТШ не изменилась, а при нагреве до 80° и добавлении 1% ССБ — уменьшилась на 28%. Поэтому при регулировании ТШ изменением т-ры необходимо учитывать и характер минералогич. состава Ш и наличие добавки разжижителя. Влияние ССБ наиболее эффективно при Ш из грубодисперсного набухающего сырья (мела, известняка, высокоизвестнякового мергеля). Разработан метод установления зависимости между «нормальной текучестью» Ш, его влажностью, тонкостью помола и величиной добавки ССБ.

5430. К вопросу об обжиге высококачественного портландцементного клинкера в автоматической шахтной печи. Бюс (Über das Brennen von hochwertigem Portlandklinker im automatischen Schacht-ofen. Bues A.), Zement-Kalk-Gips, 1957, 10, № 5, 187—194 (нем.; рез. англ., франц.)

Обзор условий эксплуатации автоматич. шахтной печи. Г. Копелянский

5431. Морозостойкость и минералогический состав цемента. Колобов Е. М., Докл. Львовск. политехн. ин-та, 1957, 2, № 1, 129—130

Испытана морозостойкость 12 цементов различного минералогич. состава, включая 4 одноминеральных. За критерий морозостойкости принято отношение прочности при изгибе после определенного числа циклов к аналогичной характеристике до начала испытания. Приведены результаты испытаний.

5432. Добавки к цементу. Томсон (R/ready mix. Cement types and blends deserve consideration. Thomson Marry F.), Pit and Quarry, 1956, 48, № 9, 219, 222, 261 (англ.)

Замена 1/3 части цемента (Ц) золой-уносом снижает на 10—20% прочность бетона (ПБ) в возрасте 7 дней. Через 28 дней ПБ на смешанном Ц равна или несколько ниже, а через 60 дней несколько выше ПБ на чистом Ц. Снижение т-ры твердения с 21 до 7° снижает ПБ, изготовленных как на чистых, так и на смешанных Ц. Добавка золы уноса повышает, а роман-цемента — понижает морозостойкость бетона. Снижение т-ры твердения на морозостойкость не влияет. Смешанные Ц отличаются меньшим тепловыделением и лучшей сульфатостойкостью, чем чистые Ц. Даны рекомендации по применению различных Ц в дорожном строительстве, массивных и канализационных сооружениях и при зимних работах.

В. Довжик

5433. Обжиг цемента в опытной печи. Ламмер, Леу, Ватерман, Волфе (Het branden van cement-klinker op semi-industriële schaal. Lammer S., Leeuw K. L. A. van der, Waterman H. I. Wolfs P. M. J.), Ingenieur (Nederl.), 1957, 69, № 4, Ch 65 — Ch 71 (гол.; рез. англ.)

Описана работа опытной вращающейся печи для обжига клинкера производительностью 7 кг/час.

5434. О возможности применения летучей золы от сжигания пылевидного угля для производства строительных материалов. Смит, Эренбург (Enige mogelijkheden tot verwerking van poederkool-vlieg-as in bouwmaterialen. Smit G. B., Ehrenburg J. P.), Bouwbedrijf en openbare werken, 1957, 34, № 10, 83—88 (гол.; рез. англ.)

Обзор. Библ. 22 назв.

5435. Некоторые данные о механической прочности вяжущих веществ сверхтонкого измельчения. Гудвич Л. А., Пороцкий Е. М., Сообщ. Сахалинск. комплекс. н.-и. ин-та. АН СССР, 1956, вып. 4, 74—78

При вибропомоле цемента в мельнице М-200 в течение 50 мин. и повышении уд. поверхности с 3040 до 6150 см²/г прочность образцов из р-ра пластичной консистенции на сжатие увеличивается в суточном возрасте в 9 раз и в 28-суточном — на 70%; а прочность образцов из р-ра жесткой консистенции — соответственно вдвое и на 14%. При вибропомоле смеси негашеной извести и котельных шлаков с активностью смеси 19% прочность стандартно изготовленных образцов составляет через 28 суток 134 кг/см², а прочность шлакобетонных образцов с содержанием известково-шлакового вяжущего в 185 кг/м³ бетона соответствует марке 35. При помолу известково-песчаной смеси с активностью 22,5% до уд. поверхности 7750 см²/г прочность на сжатие пресованных образцов состава 1:1 (молотая смесь: песок), подвергнутых автоклавной обработке, составила 520 кг/см². Рекомендуется применение вибропомолу для восстановления прочности тампонажного цемента, транспортируемого на Сахалин с материка.

Г. Копелянский

5436. Современные транспортные устройства на цементных заводах. Беймер (Neue Förderanlagen auf Zementwerken. Beumer B.), Zement-Kalk-Gips, 1957, 10, № 5, 194—196 (нем.; рез. англ., франц.)

5437. К вопросу получения быстротвердеющих гидравлических вяжущих на небокситовом сырье. Будников П. П., Захаров Л. А., Укр. хим. ж., 1957, 23, № 2, 239—242

Показана возможность получения быстротвердеющих глинозисто-белитовых цементов на основе анорита и известняка-травертина при обжиге смеси ~1100°. Характерным свойством полученных цементов является не только быстрота твердения, но благодаря наличию белита неуклонное наращивание прочности, особенно в период 3—6 месяцев.

М. Степанов

5438. Цемент из нефелинового шлама. Почивалов В., Строит. материалы, 1957, № 5, 15—16

Приведен опыт работы цементного цеха Волховского алюминиевого завода.

М. Степанов

5439. Некоторые вопросы технологии производства пластичного шлакового цемента. Малиновский (Wybrane zagadnienia technologii produkcji cementu żuźlowego plastycznego. Malinowski Roman), Cement. Wapno. Gips, 1957, 13, № 4, 69—78 (польск.)

Предлагается оценивать активность шлаков, используемых для изготовления шлаковых вяжущих (ШВ), по величине прочности образцов смешанного вяжущего из шлака и активизатора (портланд-цемента). На основе результатов многочисленных опытов установлены 3 класса шлаков по активности в зависи-

мости от дозирования активизатора и прочности ШВ. Подтвердилось положительное действие пропаривания и добавки CaCl_2 на свойства бетона из ШВ. Испытание различных активизаторов (гипса, гашеной и негашеной извести, портланд-цемента и их смесей) показало, что в зависимости от их характера и дозирования можно изготовить ШВ с заданными физ. свойствами. На основе ШВ можно получить обычный бетон марок «90», «110» и «120» и шлакобетон марок «70» и «90». Тонкость помола ШВ зависит не только от продолжительности измельчения, но и от кол-ва воды в мельнице. См. также РЖХим, 1957, 20190. Б. Левман

5440. Местный цемент для строек Татарии. Незинов В. Н., Стр-во предприятий нефт. пром-сти, 1957, № 6, 12—13

5441. Использование бентонита в качестве добавки к цементу. Намэката, Сакауэ (セメント混合材としてのベントナイトについて, 行方文吾, 坂上成永), 農業土木研究, Ноё добоку кэнкю, J. Agric. Engng Soc. Japan, 1956, 24, № 2, 1—4 (японск.)

В результате проведенных опытов установлено, что добавление бентонита к цементу в кол-ве до 5% улучшает качество последнего. Повышение содержания бентонита ведет к снижению прочности цемента, что объясняется повышенным водосодержанием образцов при постоянной пластичности р-ра. М. Гусев

5442. Гидравличность основного кремнеземистого цемента. Феррари (L'idraulicità del cemento silicobasico. Ferrarì F.), Cemento, 1956, 53, № 11, 3—5; № 12, 3—9 (итал.)

Обзор работ по твердению цемента. Рассмотрено влияние добавок ускорителей и замедлителей твердения и сульфата Са. Библи. 89 назв. Начало см. РЖХим, 1956, 72489. И. Смирнова

5443. Вакуум-бетон. Клаузен (Vakuumbeton. Clausen H. P.), Beton, 1957, 7, № 5, 142—145 (нем.)

Описаны свойства и указаны возможные области применения. В. Штейн

5444. Постоянно совершенствовать методы зимнего бетонирования. Миронов С. А., Бетон и железобетон, 1956, № 11, 377—381

Описаны результаты опытов по влиянию замораживания (З) при т-рах до -150° на свойства бетона. Установлено, что прочность бетона в замороженном состоянии с понижением т-ры увеличивается. После оттаивания бетон сохраняет прочность, приобретенную им до З, а затем продолжает твердеть. Прочность бетона после замораживания тем выше, чем позднее он был подвергнут З. Т-ра З на дальнейший рост прочности практич. влияния не оказывает. Для зимних работ желательно использовать высокоактивные быстротвердеющие тонкомолотые цементы. Наряду с использованием «холодного бетона» (особенно с добавками хлористых солей) необходимо широко применять утепление и обогрев конструкций в первую очередь при помощи электропрогрева. В. Довжик

5445. Различные виды бетона и их прочность. — (Les différents types de béton et leur résistance. — Bull. ciment, 1957, 25, № 16, 4 p.) (франц.)

По нормам, принятым в Шотландии, различают три вида бетона: обычный, высокопрочный и спец. Они характеризуются маркой при заданном расходе цемента. Предел прочности при сжатии не является единственным показателем для оценки бетона. Необходимо также обращать внимание на пористость, морозостойкость и др. свойства бетона. И. Смирнова

5446. Бетоны и растворы для защиты от радиации. 1. Сираяма (遮蔽用コンクリートおよびモルタルの性能 1 白山和久), 建築技術, Кэнтику гидзюцу, Build. Engng, 1957, № 70, 48—60, 23; № 71, 52—60, 23 (японск.; рез. англ.)

Приведены результаты испытаний, проведенных автором с 1955 г. В качестве вяжущего использовался портланд-цемент с умеренным тепловыделением; в качестве заполнителя — железная руда, барит, борокальцит, колеманит, куски железа, вермикулит и т. д. Измерен свинцовый эквивалент бетона на этих заполнителях. М. Степанова

5447. Цемент и заполнители для экранов в установках по производству атомной энергии. Дейвис (Cement and aggregates for shielding in atomic energy plants. Davis Harold S.), Mining Engng, 1957, 9, № 5, 544—548 (англ.)

Для бетона защитных экранов наиболее пригодными заполнителями являются барит (уд. в. $> 4,2$), магнетит (уд. в. $> 4,4$), лимонит (уд. в. $> 3,4$) и геотит. Очень хорошие результаты дает применение феррофосфора — побочного продукта в произ-ве фосфора. Заполнители должны быть чистыми, прочными и не содержать в-в, отрицательно влияющих на качество бетона. Содержание BaSO_4 в барите должно быть $> 90\%$, а железа в лимоните и магнетите соответственно > 55 и 60% . Заполнители для передвижных экранов должны содержать ограниченное кол-во некоторых элементов, которые в нейтронном поле становятся сильно радиоактивными. Для увеличения содержания водорода в бетоне с целью замедления быстрых нейтронов к смеси иногда добавляют гидратированные железные руды. В последнее время разработаны спец. цементы, из которых наиболее перспективным является оксихлорид магния в сочетании с инертным заполнителем, напр. феррофосфором. Приведены данные о содержании связанной воды в различных заполнителях при т-ре до 1200° и о водосодержании различных элементов при т-ре до 107° . Для больших энергетич. установок расход заполнителя составляет 3 т на квт энергии. И. Смирнова

5448. Бетон с воздухововлекающими добавками. Кондо, Хидэсима (AEコンクリートに関する 2,3 の實驗的研究。近藤泰夫, 秀島節實), セメント技術年報, Сэмэнто гидзюцу нэмпо, Proc. Japan Cement Engng Assoc., 1956, 10, 177—182 (японск.)

5449. О выборе режима пропаривания при изготовлении защитных плит-оболочек. Попов Н. А., Невский В. А., Домокеев А. Г., Сб. Моск. инж.-строит. ин-т, 1957, № 15, 117—127

В результате проведенных опытов авторы пришли к выводу, что пропаренные плиты-оболочки имеют пониженное качество. Э. Эршлер

5450. Вибрирование бетона в гидротехнических сооружениях. Поспишил (Vibrace betonu vodních staveb. Pospíšil Oldřich), Inžen. stavby, 1957, 5, № 4, 189—196 (чешск.; рез. русск., нем., англ.)

Рассмотрено влияние условий обработки бетонной смеси вибраторами на качество бетона. Е. Стефановский

5451. Рассеивание прочностных показателей при монолитном бетонировании. Вигель (Massenbeton und Streuungen. Wiegell R.), Allgem. Bau-Ztg, 1957, 12, № 548, 2—6 (нем.)

Рассеивание прочностных показателей при испытании бетона (Б) достигает $\pm 10—14\%$. Величина рассеивания зависит от ряда факторов и в очень многом от способа приготовления бетонной смеси (БС). Указывается, что напр. при пневматич. подаче цемента происходит его значительное насыщение воздухом, в связи с чем при обычно принятой длительности приготовления БС понижается плотность бетона и его прочность (ПБ). При использовании гидравлич. добавок весьма затрудняется получение БС равномерной структуры и равномерной клеящей способности и наряду с этим наблюдается значительное налипание разнородной смеси на стенку мешалки. Часть воды

затворения адсорбируется на поверхности крупных заполнителей, часть поглощается песком и вяжущим. Неравномерное распределение в БС воды и цемента способствует развитию внутренних напряжений (усадочных, термич.), которые обуславливают наличие значительного рассеивания прочностных показателей. Увлажненные поверхности зерен заполнителей удерживают на себе некоторое кол-во цементных зерен, не участвующих в образовании цементного клея. Этот дефект может быть устранен применением трехступенчатого приготовления БС: сухое смешение цемента и песка, смешение цементно-песчаной смеси с водой затворения и последующее смешение с крупным заполнителем. Указывается, что повышение ПБ на сжатие к 7—12-суточному возрасту составляет 9—10%, а повышение ПБ на растяжение к 28-суточному возрасту при В/Ц = 0,5 17% и В/Ц = 0,45 31%; при трехступенчатом смешении достигается также значительное уменьшение поверхностных напряжений. Однако этот способ применим только для чисто клинкерных цементов, не содержащих гидравлич. или хим. добавок. Весьма целесообразно внедрение бетономешалок принудительного смешения, при которых не только достигается большая равномерность смешения, но и обеспечивается уменьшение водопотребности БС приблизительно на 15% и возможность уменьшения длительности вибрирования. Указывается, что ранее отмеченные дефекты приготовления БС в мешалках свободного падения не могут быть устранены увеличением длительности смешения, что в ряде случаев, в результате явлений комкования и расслаивания, вызывает уменьшение ПБ.

Г. Копелянский

5452. Бетонные камни для мостовых. Штейнхаге (Beton-Pflastersteine. Die vorgefertigte Betonstraße. Steinhage Gerhard), Betonstein-Ztg, 1957, 23, № 5, 324—326 (нем.; рез. англ., франц.)

Рассматриваются технология произ-ва и укладки шестиугольных бетонных камней для мощения дорог.

Е. Штейн

5453. О плотности бетона. Ротфукс (Über die Dichtigkeit des Betons. Rothfuchs D.), Bauwirtschaft, 1957, 11, № 19, 557—560 (нем.)

Рассмотрено влияние дозировки воды и цемента, а также зернового состава заполнителей и степени уплотнения смеси на изготовление плотного бетона (Б). Приведены таблицы для подбора состава Б и даны общие указания по изготовлению таких Б.

М. Маянц

5454. Особенности применения мелких песков в гидротехническом бетоне. Домокеев А. Г., Невский В. А., Домокеева А. И., Сб. Моск. инж.-строит. ин-т, 1957, № 15, 103—115

Рекомендуется подбор состава бетона на мелкозернистом песке производить лишь по показателю удобоукладываемости, полученному в условиях виброуплотнения. Отмечается, что введение поверхностноактивных добавок, особенно гидрофобизирующих, значительно повышает удобоукладываемость бетонов на мелкозернистых песках.

Э. Эршлер

5455. Дозировка заполнителей для бетона. Козак (Sand- und Kieslieferung — raum- oder gewichtsmäßig? Kosack Walter), Bauwirtschaft, 1957, B11, № 18, 530—532 (нем.)

Ввиду значительного колебания объемного веса сырых и влажных заполнителей для бетона целесообразно дозировать их по весу. Дозировка воды должна назначаться с учетом влажности материалов. Приведены описания некоторых конструкций весовых дозаторов и приборов для определения влажности материалов.

М. Маянц

5456. Опилки Донбасса — заполнитель бетона. Орловская С., Строит. материалы, 1957, № 5, 14

Легкие бетоны с заполнителями из опилок пригодны для изготовления наружных стеновых конструкций, а также для теплоизоляции. Приведен оптимальный гранулометрический состав заполнителей для бетонов пористой структуры.

5457. Состав асфальтобетонов. Хагеман (Samstellen van asfaltmengsels. Hageman J. H.), Polytechn. tijdschr., 1957, B12, № 17-18, 298—303. Дискус. 303—305 (гол.)

Обзорный доклад о методах расчета состава. К. I. **5458. Новые возможности применения битумных эмульсий.** Бюжон (Évolution des émulsions de bitume. Nouvelles possibilités d'emploi. Bugeon Roger), Rev. gén. routes et aérodr., 1957, 27, № 30, 79—82 (франц.)

Область применения битумных эмульсий в дорожном строительстве может быть расширена в связи с появлением активированных эмульсий (катионных и анионных), которые дают возможность улучшить сцепление вяжущего с заполнителем.

И. Смирнов

5459. Об исследовании влияния химических добавок на спеление битума с каменными материалами. Амброс Р. А., Тр. Таллинск. политехн. ин-та, 1956, А, № 69, 1—17

См. РЖХим, 1957, 48778

5460. К вопросу устройства улучшенных грунтовых дорог на лесовых породах Ростовской области методом гидрофобизации. Кейльман В. А., Тр. Ростовск. и/Д инж.-строит. ин-та, 1957, вып. 7, 64—72

Обработка лесового земляного полотна водн. эмульсии мылонафта в смеси с порошком известняка придает покрытию гидрофобные свойства.

М. Маянц

5461. Уплотнение грунтов битуминозными связующими веществами. Темме (Die Bodenverfestigung mit bituminösen Bindemitteln. Temme), Bitum. Teere, Asph., Peche und verw. Stoffe, 1957, 8, № 1, 164—170 (нем.)

Отмечается целесообразность использования отходов произ-ва щебня для стабилизации грунтовых смесей. Добавка битуминозных в-в улучшает свойства грунтов, в особенности глинистых.

Н. Гагарин

5462. Стабилизация грунта с помощью цемента. Пельтье (La stabilisation des sols au ciment. Peltier R.), Rev. gén. routes et aérodr., 1957, 27, № 30, 37—44, 47—54, 57—60 (франц.)

Даны теоретич. основы процесса стабилизации грунтов с помощью цемента и указаны требования к грунтам (гранулометрия, пластичность, содержание органич. в-в и сульфатов). Рассмотрены свойства цементогрунтовых смесей, требования к цементу и оборудованию, применяемое при строительстве цементогрунтовых дорожных оснований, способ улучшения свойств грунтов введением 3—6% цемента с целью стабилизации.

И. Смирнов

5463. Башни тушения кокса из литых шлаковых камней. Тамарин М. Д., Целуйко М. К., Бюл. строит. техники, 1956, № 11, 23—25

Изложены результаты промышленного испытания в башнях тушения кокса литых камней из расплавленных доменных шлаков. Об. в. камня 2,5 г/см³, $\sigma_{сж.} \sim 700 \text{ кг/см}^2$.

А. Леонов

5464 К. Пески для бетонов. Гордон С. С. М., Простройиздат, 1957, 120 стр., илл., 4 р. 15 к.

5465 Д. Установление оптимальных составов и условий доменной плавки глиноземисто-цементных клинкеров. Соколовский А. Д. Автореф. дис. канд. техн. н., Ленингр. политехн. ин-т, Свердловск, 1957

5466 Д. Автоклавный пенобетон на некоторых основах промышленности, содержащий двухкальциевый

силикат. Сатин М. С. Автореф. дисс. канд. техн. н., Ленингр. инж.-строит. ин-т, Л., 1957

5467 Д. Асбесто-смоляные плитки для полов (исследования). Беженуца Л. П. Автореф. дисс. канд. техн. н., Киевск. инж.-строит. ин-т, Киев, 1957

5468 П. Изготовление легких теплоизоляционных материалов. Отома (輕量保温材の製造法. 馬駿音) 日本アスベスト株式会社 [Нихон Асубэсудо Кабусики Кайся]. Японск. пат. 7338, 12.10.55

Через воду. суспензию $Mg(OH)_2$ при низкой т-ре (12–14°) пропускают CO_2 и получают $MgCO_3 \cdot 5H_2O$, который нагревают до т-ры 40–80° и получают $MgCO_3 \cdot 3H_2O$. Последний смешивают с волокнистым материалом, вторично подогревают и получают $MgCO_3$, формуют, полученные блоки высушивают при 200°.

5469 П. Производство штукатурного гипса высокой прочности. Наган, Сэкиитани (高強度焼石膏製造法. 永井彰一郎, 關谷道雄), Японск. пат. 4213, 22.06.55

300 ч. природного кристаллич. гипса, измельченного до 300 меш, смешивают с 450 ч. 5%-ного воды. р-ра $Al(NO_3)_3$. Смесь помещают в герметически закрытый сосуд и подогревают до 123°, осторожно перемешивая. Примерно через 1 час т-ру понижают до 100°, затем до 90°. Когда т-ра р-ра понизится до 90°, р-р фильтруют и отделяют гипс. После фильтрации гипс тщательно промывают чистой водой, предварительно подогретой до 95°, затем в течение нескольких часов просушивают при той же т-ре 95°. Физ. свойства полученного штукатурного гипса, измельченного до 100 меш, следующие: водопоглощение 90%, форма кристаллов пластинчатая, водо-гипсовое отношение 0,40, начало схватывания 5,5 мин., конец схватывания 24–25 мин., прочность на растяжение по истечении 3 час. 18,2 кг/см², прочность на сжатие сухого гипса 385 кг/см².

М. Гусев

5470 П. Способ получения водорастворимого связующего. Мурен (Förfaringssätt för beredning av vattenlösliga bindemedelskompositioner och enligt sättet framställt komposition. Morén R. E.) [MO och Domsjö AB]. Шведск. пат. 155354, 24.07.56

На поверхность частиц носителя, напр. песка, глины, бентонита, каолина, древесной муки и др., наносят слой нерастворимого в воде пластика, синтетич. или натурального каучука, искусств. или естественной смолы в виде дисперсий; такой связующий состав (СС) можно комбинировать с известными водорастворимыми связующими и к СС добавить ингибитор коррозии металлов, поверхностноактивное в-во или водорастворимую модификацию отвержденной смолы. Пример. 50 ч. песка смешивают с 20 ч. 50%-ной водн. дисперсии полиметилакрилата и добавляют 40 ч. карбоксиметилцеллюлозы в порошке. Высушенный СС применяют как крепитель литейных стержней.

К. Герцфельд

5471 П. Вращающаяся печь для непрерывного обжига вермикулита и обсидиана. Накано (蛭石又は黒曜石等の様な焼成により軽量となるものの連続焼成装置. 中野寛作). Японск. пат. 8473, 21.11.55

Патентуется горизонтальная цилиндрич. с большим числом оборотов вращающаяся печь для обжига вермикулита и обсидиана, в которой обеспечивается большая поверхность соприкосновения газа с обжигаемым материалом. Полученный материал размалывается и добавляется к цементу.

М. Гусев

5472 П. Средство для снятия металлической опалубки. Даймлер (Entschalungsmittel für metallische Schalungen. Daimler Karl) [Farbwerke Hoechst A.-G. vormals Meister Lucius & Brüning]. Пат. ФРГ 930980, 28.07.55

Состав, облегчающий снятие с бетонных сооружений металлической опалубки, содержит водн. конц. р-р $ZnCO_3$, $NaNO_2$ и аммиак. Видоизмененный состав содержит, помимо указанных компонентов, смачивающую добавку и соль лигнинсульфоновой к-ты.

Е. Зарецкий

5473 П. Способ получения искусственного камня из глины без обжига (Sätt att utan bränning framställa konststen av lera) [A. Leht]. Шведск. пат. 155398, 24.07.56

Способ получения из глины искусств. камня отличается тем, что смесь тонкомолотой высушенной при 300° глины, р-ра $MgSiF_6$ или $MgSiF_6 \cdot NH_4Al(SO_4)_2$, $NaCl$ или $CaCl_2$, наполнителя (песка), цемента или извести прессуют в кирпич под высоким давлением и дают отвердеть. Пример. 75 ч. тонкомолотой обезвоженной при 300–400° глины смешивают с 15 ч. 10%-ного $NaCl$ и 10 ч. 5%-ного $MgSiF_6 \cdot 6H_2O$; к этой смеси добавляют 10 ч. песка, 10 ч. цемента и 5 ч. извести. Смесь прессуют под давл. 100 кг/см² и дают отвердеть 24 часа.

К. Герцфельд

См. также: Нейтронографич. изучение гидрата окиси Са 3651. Тепловыделение цемента 4045. Автоматизация вращающихся печей 4943. Коррозия бетона 4988. Защита бетонных конструкций 4989. Коррозия металлических деталей железобетон. сооружений 4990. Бетонные трубы, армированные стекловолокном 6390

ПОЛУЧЕНИЕ И РАЗДЕЛЕНИЕ ГАЗОВ

Редактор В. Г. Фастовский

5474. Схема низкого давления для получения больших количеств газообразного технологического кислорода и вопросы осушки и очистки воздуха от CO_2 . Будневич С. С., Кондряков И. К., Тр. Ленингр. технол. ин-та холодильн. пром-сти, 1957, 13, 128–134

Предложена схема воздухоразделительной установки (ВУ), основанная на принципе ступенчатой ректификации. Воздух (В) сжимается турбокомпрессором под давл. 5 атa, проходит регенераторы и при давл. 4,5 атa распределяется по трем направлениям: а) 10% В расширяются в турбодетандере с 4,5 до 1,3 атa и поступают для разделения в колонну низкого давления; б) 46% В поступают в трубное пространство конденсатора-испарителя колонны низкого давления, где сжимаются под давл. 4,5 атa, отдавая тепло жидкому кислороду, кипящему в межтрубном пространстве, а затем направляется в колонну высокого давления; в) 44% В расширяются во втором турбодетандере с 4,5 атa до 2,7 атa и поступают в колонну высокого давления; здесь В делится на жидкий азот, используемый для орошения колонны низкого давления, и жидкость с 35% кислорода, которая дросселируется в межтрубное пространство конденсатора колонны высокого давления, испаряется там, вызывая конденсацию азота, и поступает для разделения в колонну низкого давления. Расход энергии на получение 1 м³ 99%-ного кислорода оценивается в 0,463 квт-ч, что на ~10% ниже, чем по схеме с колонной двойной ректификации. В ВУ, работающих по схеме с двумя давлениями, предлагается исключить аппаратуру для осушки В высокого давления и очистки его от CO_2 . Для этого необходимое кол-во В низкого давления, прошедшего регенераторы, направляется через теплообменник в дожимающий компрессор, откуда через тот же теплообменник возвращается в блок глубокого охлаждения. Незамерзаемость регенераторов обеспечивается отбором части В из промежуточного сечения

и очисткой его в переключающихся силикагелевых адсорберах.

5475. Очистка азота. Рейх, Каренекас (Nitrogen purification. Reich Murray, Каренекас Naggy), Industr. and Engng Chem., 1957, 49, № 5, 869—873 (англ.)

Исследован процесс очистки N_2 от примесей O_2 при барботаже через слой р-ра дитионита натрия (I). Рабочий р-р (PP) приготавливался следующим образом: 7,7%-ный р-р $ZnSO_4$ в воде при миним. перемешивании приливался к 72%-ному р-ру K_3PO_4 в воде, а затем эта смесь добавлялась к 65%-ному водн. р-ру K_3PO_4 . В смесь р-ров $ZnSO_4$ и K_3PO_4 постепенно добавлялся I и при этом над р-рами поддерживалась атмосфера, свободная от O_2 . После полного растворения I этот р-р переводили, также избегая контакта с O_2 , в хранилище PP, где перед этим составлялся 20%-ный р-р Na_3PO_4 . Конечный PP содержал на 100 кг воды: поглотителя — 7,2 кг I, 12,6 кг K_3PO_4 и 14,6 кг Na_3PO_4 , которые являются буфером для поддержания достаточно высокого значения рН, а также 0,77 кг $ZnSO_4$, который предупреждает образование в PP растворимых сульфидов. Опыты проводились в лабор. установке, а также на полупромышленном аппарате с абсорбером диам. 200 мм и высотой ~4,5 м — полом и засыпным кольцами Рашига диам. 25 мм. Найдено, что при высоких конц-ях I (> 5%) из-за чрезмерной вязкости PP над слоем поглотителя образуется туман из мельчайших капель, уносимых газом. Абсорбционная емкость по O_2 более разбавленных р-ров в полый колонне быстро уменьшается с увеличением скорости азота G за счет проскока крупных пузырей. В колонне с насадкой резко уменьшается диам. пузырей, увеличивается время их контакта с PP и более эффективная очистка может быть получена при повышенном значении G. При работе опытного скруббера за одну кампанию было очищено 1140 м³ технич. азота, содержащего 0,142% O_2 , причем PP не заменялся в течение 12 дней, а содержание O_2 в продукте не превышало 0,03%. А. Ровинский

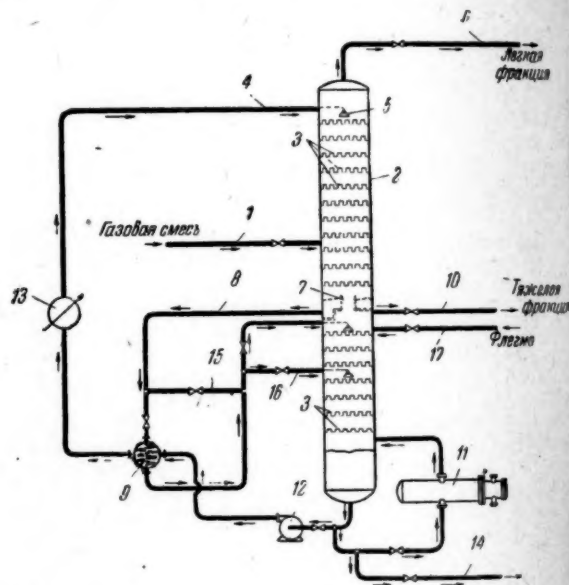
5476. Сосуды для хранения и транспортировки жидкого водорода. Бермингем, Браун, Класс, Шмидт (Vessels for the storage and transport of liquid hydrogen. Birmingham B. W., Brown E. H., Class C. R., Schmidt A. F.), J. Res. Nat. Bur. Standards, 1957, 58, № 5, 243—253 (англ.)

Хранение и перевозка (в частности, авиатранспортом) больших кол-в жидкого водорода (ЖВ) производится в спец. сосудах с высоковакуумной изоляцией. Материалом служат главным образом Al-сплавы, из которых выполняются внутренний резервуар, экран и связанный с ним резервуар для жидкого азота, а также наружный кожух; коммуникации изготавливаются из трубок легированной стали аустенитового класса. Для уменьшения радиационного потока тепла поверхности полируются. Большое внимание уделяется подвеске внутреннего резервуара в кожухе, так как сосуды испытывают сильную вибрацию, резкие ускорения и толчки; применяются спец. опорные конструкции, выполненные из большого числа тонких металлич. пластинок (толщиной 0,05—0,1 мм): теплопроводность таких опор, находящихся в вакуумном пространстве, в 50—200 раз меньше, чем для металла, из которого они изготовлены. Соединение элементов из алюминиевых сплавов и легированной стали производится пайкой мягким припоем, причем применяются 4 способа пайки: 1) предварительно алюминиевая поверхность омедняется; 2) используется спец. ультразвуковая аппаратура, удаляющая в процессе пайки окисную пленку на алюминиевой поверхности; 3) осуществляется пайка под давлением; 4) используются переходные

медные втулки. Для эвакуации ЖВ из сосуда служит циркуляционная система, включающая диафрагменный компрессор мощностью 0,3 л. с., который засасывает холодные пары водорода, нагревающиеся по пути к компрессору, сжимает их и направляет в нижнюю часть внутреннего резервуара. При заполненном сосуде таким способом в течение 3 мин. давление повышается с атмосферного до 1 атм; слив ЖВ производится со скоростью до 2000 л/час. Сосуд, вмещающий 440 л ЖВ, содержит также 220 л жидкого азота; при хранении потери ЖВ составляют 0,56% содержимого в сутки (при вакууме 1×10^{-5} мм рт. ст. и т-ре наружного кожуха 15,5°), расход азота 33,5 л в сутки. Модернизированный сосуд емк. 500 л ЖВ также содержит 220 л жидкого азота, расход которого уменьшен до 15,8 л/сутки; потери ЖВ — 0,26% в сутки. Сосуд для хранения 840 л ЖВ вмещает 810 л жидкого азота, расход которого оценивается в 63,2 л/сутки; потери ЖВ — 0,8% в сутки. Приведены конструктивные чертежи сосудов, описаны их детали, а также изложены основы теплового расчета. Ю. Петровский

5477 П. Установка для разделения газовой смеси. Адамс (Means for separating a mixed gaseous feed stream. Adams George F.) [Universal Oil Products Co.] Пат. США 2742103, 17.04.56

Установка отличается объединением в одном аппарате процессов абсорбции и отпарки. Пропанбутановая фракция, содержащая C_3 , C_4 , а также более летучие: H_2 , H_2S , C_1 , C_2 , при т-ре ~38° поступает по линии



1 в колонну 2, по всей высоте которой установлены контактные тарелки 3. Орошение 2 производится нефтяной фракцией, характеризующейся изменением т-ры кипения в пределах 150—200°, которая подается по линии 4 на верх 2 через распределитель 5. Стекающий по 3 поглотитель растворяет C_3 и C_4 , а H_2 , H_2S , C_1 и C_2 выводятся из 2 сверху по линии 6. В средней части 2 расположена спец. перегородка 7, при помощи которой насыщ. поглотитель отбирается по линии 8 и через теплообменник 9, где нагревается до 105°, поступает в отпарную секцию 2, расположенную ниже 7; в этой секции происходит отпарка C_3 и C_4 из поглотителя по мере стекания его вниз по колонне. Газообразные C_3 и C_4 выводятся по линии 10. К нижней

части 2 присоединен испаритель 11, обогреваемый водным паром: через 11 рециркулирует часть поглотителя, который нагревается до 320° . Основное кол-во поглотителя насосом 12 через теплообменник 9 и холодильник 13, а затем по линии 4 подается на верх 2 при т-ре 38° . Линия 14 служит для вывода поглотителя из 2; байпасная линия 15 позволяет регулировать температурный режим отпарной секции 2. В некоторых случаях целесообразна дополнительная ректификация поглотителя; для этого он вводится в отпарную секцию ниже обычного по линии 16, а флегма подается на верхнюю тарелку этой секции по линии 17.

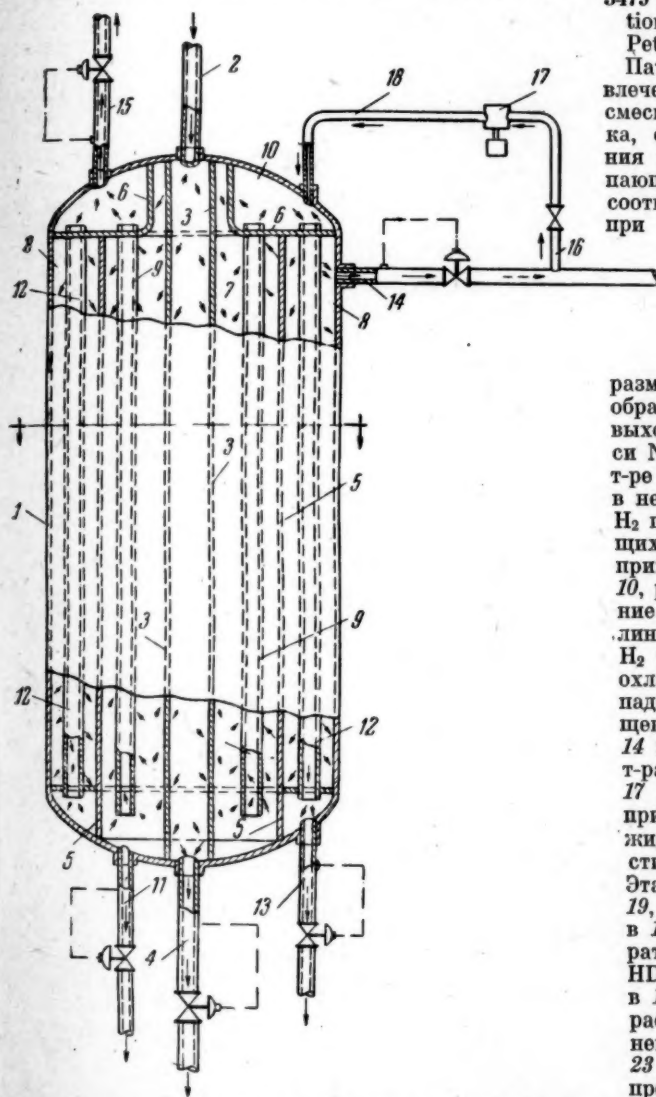
Ю. Петровский
5478 П. Разделение газов. Джонс (Separation of gases. Jones Evan A.) [Universal Oil Products Co.]. Пат. США 2734592, 14.02.56

Запатентован аппарат для разделения газовых смесей диффузионным методом, который представляет

газовые фракции, не успевшие продиффундировать сквозь стенки 3. Концентрично 3 расположена цилиндрич. перегородка 5, также из газопроницаемого материала (неглазурованного фарфора, пористой стали и т. п.), которая вместе с верхней перегородкой 6 делит внутреннее пространство аппарата на секции: центральную 7 с находящимися в ней пористыми трубками 9; периферийную 8 с такими же трубками 12 и верхнюю 10. Газы, прошедшие первую ступень сепарации (трубу 3), разделяются газопроницаемыми поверхностями 5, 9 и 12. Более тяжелые фракции отводятся снизу через трубы 11 и 13; более легкие — через отвод 14 или через трубу 15. Из газовой смеси может быть отобрано до 5 фракций. Для повышения концентрации фракций часть газа из выходной линии 14 по патрубку 16 компрессором 17 по трубе 18 возвращается в распределительное пространство 10 и вновь диффундирует через 9 и 12.

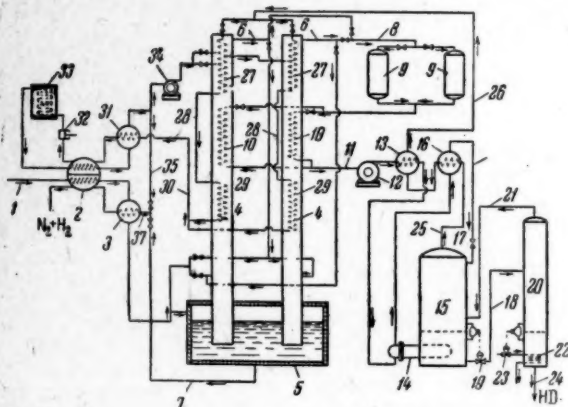
Ю. Скорепский
5479 П. Фракционирование газов. Хакмут (Fractionation of gases. Nachmuth Karl H.) [Phillips Petroleum Co.]. Пат. США 2760352, 28.08.56

Патентуется технологич. схема установки для извлечения гидроксида дейтерия (HD) из азото-водородной смеси ($N_2 + H_2$), предназначенной для синтеза аммиака, отличающаяся применением глубокого охлаждения и фракционирования при низких т-рах. Поступающая по линии 1 смесь содержит N_2 и H_2 в весовом соотношении 4,64:1 и находится под давл. 36 ата и при т-ре $\sim 27^{\circ}$, общее кол-во $N_2 + H_2$ составляет 17 т/час. В теплообменнике 2 $N_2 + H_2$ охлаждается до т-ры $91,8^{\circ}K$, а в теплообменнике 3 — до т-ры $70^{\circ}K$, после чего поступает в один из переключающихся аппаратов 4, которые со временем забиваются твердым N_2 и поэтому должны переключаться. Нижняя часть 4 размещена в резервуаре 5 и погружена в жидкий N_2 , образуя гидравлич. затвор. Сверху из 4 по линиям 6 выходит относительно чистый H_2 , содержащий примеси N_2 , а из 5 выводится по линии 7 жидкий N_2 при т-ре $70^{\circ}K$ и давл. 24,5 ата в кол-ве ~ 14 т/час, причем в нем содержится ~ 38 кг H_2 . Вышедший из 4 сверху H_2 по линиям 6 и 8 поступает в один из переключающихся угольных адсорберов 9, где освобождается от примесей N_2 , а затем направляется в теплообменник 10, расположенный в 4: здесь происходит его нагревание до т-ры $53^{\circ}K$, после чего H_2 под давл. 24,5 ата по линии 11 поступает в турбодетандер 12, где давление H_2 понижается до 4,5 ата, а т-ра до $31^{\circ}K$. Далее H_2 охлаждается до т-ры $28^{\circ}K$ в теплообменнике 13 и попадает в конденсатор-испаритель 14 фракционирующего аппарата 15, где происходит сжижение H_2 . Из 14 жидкий H_2 направляется в теплообменник 16, где т-ра его понижается до $25^{\circ}K$, а затем через вентиль 17 дросселирует в верхнюю часть 15, поступая туда при т-ре $21,7^{\circ}K$. В 15 происходит фракционирование жидкого H_2 с получением в нижней части 15 жидкости с содержанием $\sim 4\%$ HD, имеющей т-ру $25,1^{\circ}K$. Эта жидкость по линии 18 через автоматич. вентиль 19, поддерживающий постоянный уровень жидкости в 15, переводится во второй фракционирующий аппарат 20, где происходит дальнейшее концентрирование HD. Верхний продукт из 20 по линии 21 возвращается в 15 для уменьшения потерь HD. В нижней части 20 расположен нагреватель 22: кол-во поступающего в него теплоносителя регулируется автоматич. вентилем 23 в зависимости от уровня жидкости в 20. Нижний продукт аппарата 20 содержит ~ 50 мол.% HD и выводится по линии 24 в кол-ве, эквивалентном 5 мм³/час HD. В 15 число теоретич. контактных тарелок равно 50 шт., а в 20 оно равно 35 шт. Газообразный H_2 , из которого извлечен HD, выводится из 15 по линии 25



собой закрытую цилиндрич. камеру 1 с входным штуцером 2, соединенным с внутренней пористой трубой 3, проходящей по всей длине камеры и заканчивающейся штуцером 4, через который выводится тяжелые

при t -ре $21,7^\circ \text{K}$ и поступает в **16**, где нагревается до t -ры 25°K , а затем проходит **13** и направляется по линии **26** в дефлегматор **27**. Тепловая нагрузка **13** и **16** составляет $1500\text{--}2000 \text{ ккал/час}$ на 1 т N_2 , поступающе-



го через **1**. В **27** происходит нагревание N_2 с 41° до $44,5^\circ \text{K}$, после чего N_2 по линии **28** попадает в теплообменник **29**, где нагревается до t -ры 65°K . Теплообменники **10**, **27** и **29** выполняют роль фракционирую-

щих конденсаторов и служат для возможно более полного удаления N_2 ; их тепловые нагрузки составляют соответственно $11\,400$, 7600 и $10\,100 \text{ ккал/час}$ на 1 т N_2 , поступающего через **1**. Поток N_2 из **29** по линии **30** поступает в теплообменник **31**, где нагревается до t -ры $86,2^\circ \text{K}$; тепловая нагрузка **31** составляет $10\,000 \text{ ккал/час}$ на 1 т N_2 . Затем в теплообменнике **2** происходит нагревание N_2 до t -ры $\sim 16^\circ$, и под давл. $1,05 \text{ атa}$ газ поступает в компрессор **32**, где сжимается до давл. 23 атa , охлаждается до t -ры $\sim 27^\circ$ в водяном холодильнике **33** и вновь охлаждается в **2** до t -ры $91,8^\circ \text{K}$, после чего возвращается в **31**, где охлаждается до t -ры $73,5^\circ \text{K}$. Часть N_2 из **31** поступает в турбодетандер **34**, где расширяется до давл. $1,4 \text{ атa}$, и при t -ре 35°K направляется в **27**, улучшая условия выделения N_2 ; остальное кол-во N_2 из **31** по линии **35** через дроссельный вентиль **36** присоединяется к потоку жидкого N_2 , идущему из **5**. Газо-жидкостная смесь ($\text{H}_2 + \text{N}_2$) по линии **37** поступает в **3** под давл. $19,2 \text{ атa}$ и при t -ре $67,1^\circ \text{K}$, а выводится при t -ре $89,4^\circ \text{K}$; тепловая нагрузка **3** составляет $43\,200 \text{ ккал/час}$ на 1 т N_2 ; дальнейшее нагревание смеси $\text{H}_2 + \text{N}_2$ до t -ры 16° осуществляется в **2**, тепловая нагрузка которого равна $432\,000 \text{ ккал/час}$ на 1 т N_2 . Целесообразно исходную смесь подвергнуть предварительной осушке и очистке от CO_2 , CO , CH_4 ; небольшие примеси He и Ne не нарушают процесса. Установка обеспечивает извлечение 35% дейтерия, содержащегося в поступающем водороде.

Ю. Петровский

РЕФЕРАТИВНЫЙ ЖУРНАЛ ХИМИЯ

Рефераты 5480—6807

№ 2

25 января 1958 г.

IV

ХИМИЧЕСКАЯ ТЕХНОЛОГИЯ. ХИМИЧЕСКИЕ ПРОДУКТЫ И ИХ ПРИМЕНЕНИЕ (Часть 3)

ПРОМЫШЛЕННЫЙ ОРГАНИЧЕСКИЙ СИНТЕЗ

Редакторы С. З. Тайц, Б. П. Фабричный

5480. Химические продукты из акролеина. Баллард С. А., Финч Г. де В., Гейер Б. П., Херн (в подл. Хирн. Г. В.), Смит К. В., Уэтстон Р. Р. (Ballard, Finch, Geuer, Hearne, Smith, Whetstone) В сб.: 4-й Междунар. нефт. конгресс. 5. М., Гостоптехиздат, 1956, 181—196

Обзор важнейших р-ций акролеина, изучавшихся с целью расширения областей его применения. Рассмотрены р-ции присоединения по двойной связи (хлорирование, гидрирование, присоединение HCl, воды, спиртов, меркаптанов, органич. к-т, NaHSO_3 и в-в, содержащих активную связь C—H), р-ции карбонильной группы (гидрирование и восстановление, окисление, дисмутация в аллилакрилат, присоединение ангидридов к-т и кетена, р-ции с HCN, NH_3 , аминами и иминами), р-ции по Дильсу—Альдеру (термич. димеризация и р-ции димеров, присоединение этиленовых соединений, р-ции образующихся 3,4-дигидро-2Н-пиранов, р-ции с диенами). Приведены некоторые физ. константы чистого акролеина. Библ. 75 назв.

О. Черныцов

5481. Продукты химической переработки ацетона. Шервуд (Chemische Weiterverarbeitung von Aceton. Sherwood Peter W.), Erdöl und Kohle, 1955, 8, № 12, 884—888 (нем.)

Обзор промышленных методов переработки ацетона с целью получения диацетонового спирта и его производных (окись мезитила, метилизобутилкетон, метилизобутилкарбинол, изофорона, мезитилена, уксусной к-ты, ацетонциангидрина, бисфенола А (4,4'-изопропилидендифенол). Характеризуется область применения перечисленных продуктов. Библ. 19 назв.

Б. Энглин

5482. Пути научных исследований и закономерности получения мономеров для синтетических каучуков. Баладин А. А. В сб.: Хим. переработка нефт. углеводородов. М., АН СССР, 1956, 625—631

Основными путями являются исследования по теории и кинетике процессов переработки нефтяных газов в полупродукты для СК. В технологии особенно перспективно применение пылевидных катализаторов. Дается обзор работ лаборатории автора по каталитич. дегидрогенизации бутана в бутилен, бутилена в бутадии и этилбензола в стирол.

И. Тугорский

5483. Основные пути химической переработки метана. Тревиссой, Маццей (Sui principali usi chimici del metano. Trevissoi C., Mazzei I.), Metano, 1956, 10, № 5, 239—252 (итал.)

Обзор работ по окислению метана под высокими давлениями и по хлорированию метана. Библ. 26 назв. См. также РЖХим, 1957, 42181.

К. З.

5484. Исследования в области хлорирования газообразных парафиновых углеводородов и некоторых превращений алкилхлоридов. Топчиев А. В., Кренцель Б. А., В сб.: 4-й Междунар. нефт. конгресс. 5. М., Гостоптехиздат, 1956, 123—141

Доклад, излагающий некоторые результаты исследований авторов в области хлорирования бутана и пропана, имеющие общее значение при рассмотрении процессов хлорирования парафиновых углеводородов и их реализации в промышленных условиях.

О. Черныцов

5485. Получение синтетического глицерина. Сергеев П. Г., Виноградов А. А., Букреева Л. М., Хим. наука и пром-сть, 1956, 1, № 3, 281—286

Обзор. Библ. 51 назв.

Г. Фрид

5486. Синтетический глицерин. Мартрер (La glycérine de synthèse. Martre M.), Alcool et dérivés, 1957, № 64, 5—6 (франц.)

Дана характеристика основных этапов промышленного синтеза глицерина (I): 1) пропилен → дихлорпропилен → хлористый аллил → дихлоргидрин → I; 2) пропилен → хлористый аллил → аллиловый спирт → монохлоргидрин → I; 3) акролеин (окисление H_2O_2) → глицериновый альдегид → I; новые патенты: 4) обработка аллилового спирта HCOOH и H_2O_2 → формиат I → I; 5) обработка водн. акролеина четырехокисью осмия и H_2O_2 → гидрогенизация → I. Приведены методы получения акролеина.

Е. Смольянинова

5487. Непрерывный способ производства изопропилнитрата. Дессень (Procédé de fabrication du nitrate d'isopropyle en continu. Desseigne Gégard), Mém. poudres, 1955, 37, 97—110 (франц.)

В р-цию вводят 61%-ную HNO_3 и 95%-ный $\text{C}_3\text{H}_7\text{OH}$ (I), насыщ. мочевиной (II) в среде кипящей 50%-ной HNO_3 в реакторе из нержавеющей стали типа Virgo IIDSS (Шнейдер Крез). Оба реагента поступают одновременно в нитратор нагретыми до 30° , причем спирт стекает по поверхности кипящей реакционной смеси, а к-та вводится через трубку на 2 см ниже поверхности реакционной смеси. Объем последней в нитраторе поддерживается на постоянном уровне путем непрерывного удаления избытка оста-

точной к-ты ~ 150 г/час при поступлении за этот срок 1 моля спирта и 2 молей к-ты) через низ нитратора и отгонки *изо*- $C_3H_7NO_3$ (III), реакционной воды и части I, который отделяют от III противоточной промывкой 1%-ным водн. Na_2CO_3 . Перемешивание реакционной смеси осуществляют с помощью сжатого воздуха, который к тому же облегчает удаление нестойких летучих в-в. Опытами с нитратором полезной емк. 500 мл (600 г остаточной к-ты) установлены следующие оптимальные условия проведения р-ции: мол. соотношение поступающих в нитратор HNO_3 ($40^\circ B^e$): I $\cong 2$ при дебите I 120 г/час; дебит воздуха ~ 50 л/час, конц-ия II в нитрационной среде 4 вес. %. В этих условиях конверсия I составляет 80,5%, выход III 90,5% от израсходованного I, производительность нитратора 170 г/час III. При более высоком дебите I (180 г/час) производительность нитратора повышается (190 г/час), но выход III понижается до 76%; при более высоком дебите воздуха понижается и конверсия I, и выход III, и производительность нитратора. Оптимальную конц-ию II поддерживают непрерывным введением в реакционную среду [600 г остаточной к-ты, состоящей из 50 вес. % HNO_3 (4,76 моля), 46 вес. % воды (276 мл) и 4 вес. % II (24 г)] в указанных условиях соотношения и дебита реагентов (нагретых до 30° во избежание кристаллизации II). 61%-ной HNO_3 , свободной от нитрозных газов и содержащей 1 вес. % II, и 95%-ного I, содержащего в р-ре 6,25 вес. % II и получаемого смешением 1000 г безводн. I с горячим р-ром 70 г II в 50 мл воды. Приведены схема и описание лаб. установки и материальный баланс синтеза III, согласно которому на образование 100 кг III расходуется 252 кг 61%-ной HNO_3 (без учета остаточной к-ты), 63 кг безводн. I (или 74 кг при отсутствии рекуперации непрореагировавшего спирта) и 7,7 кг II. Рекуперация остаточной к-ты (концентрированием) дает 144 кг 61%-ной HNO_3 , что снижает расход ее до 108 кг на 100 кг III.

Я. Кантор

5488. Теоретическое и опытное исследование неполного окисления метана кислородом. Падовани С., Сальви Г., Фиумара А. (Padovani, Salvi, Fiumara). В сб.: 4-й Междунар. нефт. конгресс. 5. М. Гостоптехиздат, 1956, 91—108

Лабораторное изучение кинетики каталитич. окисления CH_4 показало, что даже при окислении CH_4 воздухом в кол-ве, близком к стехиометрич. для получения CO и H_2 , в присутствии обычных Ni-катализаторов образуются продукты полного сгорания, при этом р-ция проходит через промежуточные стадии и связана с весьма высокими местными перегревами. Вслед за экзотермич. ступенью следует эндотермич. взаимодействие продуктов полного сгорания с избыточным CH_4 до установления соответствующего равновесия.

Б. Энглин

5489. Окисление полиэтиленгликолей и их монометаллов эфиров азотной кислотой. Принг Джэксон, Аш, Аоки (Nitric acid oxidation of polyethylene glycols and their monomethyl ethers. Earing Mason, Jackson Donald R., Ash Arthur, Aoki Kenneth), Industr. and Engng Chem., 1956, 48, № 9, Part 1, 1467—1468 (англ.)

Окислением HNO_3 полиэтиленгликолей (I) и их монометаллов эфиров получают соответствующие ди- и монокарбоновые к-ты. В загруженную HNO_3 вводят NO_2 до отчетливой оранжевой окраски, нагревают при размешивании до 45° и в течение 5 мин. со скоростью, обеспечивающей энергичное течение р-ции, при $45-50^\circ$ по каплям приливают ~ 20 мл I; при окислении выделяются окислы N. Наиболее важным фактором р-ции является т-ра, которая не должна превышать 70° во избежание разрушения гликольной цепи;

на каждую присутствующую гидроксильную группу должно применяться ≥ 3 молей HNO_3 . Эфиры полученных карбоновых к-т с высшими алифатич. спиртами обладают заметными поверхностноактивными свойствами, напр., моноэфир продукта окисления I (мол. в. 200) с технич. лауриловым спиртом понижает поверхностное натяжение воды и способствует образованию очень стойких эмульсий керосина с водой.

В. Уфимцев

5490. Получение гуанидина из мочевины, хлористого аммония, сульфата алюминия и аммиака под давлением. Буавен (The preparation of guanidine from urea, ammonium chloride, aluminum sulphate, and ammonia under pressure. Bovin Jean L.), Canad. J. Chem., 1955, 33, № 10, 1467—1472 (англ.)

Разработан синтез гуанидина (I) из $(NH_4)_2CO$ (II), NH_4Cl (III) и $Al_2(SO_4)_3$ (IV) под давлением NH_3 (V) применительно к технологич. процессу. Смесь компонентов нагревают под давлением при 300° , кипячением реакционной массы с водн. V осаждают $Al(OH)_3$ (VI), фильтрат упаривают досуха, остаток обрабатывают жидким V и отфильтровывают $(NH_4)_2SO_4$ (VII). Испаряют V, насыщ. водн. р-р сырого I обрабатывают эквивалентным кол-вом NH_4NO_3 , отделяют нитрат I, остаток упаривают досуха и нагревают до 250° ; получают III, который может быть использован в следующем цикле. Выделенные VII и VI нагревают до 350° , причем регенерируются IV и V. Повышение конц-ии IV (от 0,0166 до 0,05 моля на 0,1 моля II и 0,1 моля III; 70 ат, 30 мин.) повышает выход I; оптимальная т-ра 300° (при более высокой т-ре в значительных кол-вах образуется меламина). Оптимальная конц-ия II 0,1 моля на 0,1 моля III и 0,05 моля IV; с увеличением времени нагревания (от 30 до 120 мин.) смеси 0,1 моля II, 0,1 моля III, 0,033 моля IV при 70 ат выход I возрастает (79% при 300° за 30 мин.), то же — с увеличением давления при 300° (72% при 140 ат и 68% при 70 ат за 30 мин.).

О. Охлюбыстин

5491. Алкилсульфонаты. Матяш (Alkylsulfonаты. Mat'aš Michal), Chem. průmysl, 1955, 5, № 12, 505—507 (словац.)

Краткий обзор. Даны общие сведения об алкилсульфонатах (I), — поверхностноактивных в-вах с общей ф-лой $R_1R_2CHSO_3Na$, об их свойствах, получении и применении. Для получения I через сульфохлориды применяют оцищ. нефтяные фракции с т. кип. $250-330^\circ$. Библ. 10 назв.

З. Бобырь

5492. Получение галоидалкилбензолов и превращение их в галоидстиролы. Мамедальев Ю. Г., Велиев Ш. В. В сб.: 4-й Междунар. нефт. конгресс. 5. М., Гостоптехиздат, 1956, 142—148

Описаны результаты исследования р-ций алкилирования галоидбензолов олефинами в присутствии H_2SO_4 или алюмосиликатов и дегидрирования галоидалкилбензолов над окисными катализаторами. В качестве алкилирующих агентов применялась пропилен-пропановая фракция газов пиролиза, содержавшая 76,9% пропилена, бутилен и этилен.

О. Чернецов

5493. Электролитическое восстановление фталевой кислоты. Кондит (Electrolytic reduction of phthalic acid. Condit Paul C.), Industr. and Engng Chem., 1956, 48, № 8, 1252—1257 (англ.)

Описаны высокопроизводительные электролитич. ванны периодич. и непрерывного действия с Hg-катодом для восстановления фталевой к-ты (I) в циклогексадиен-3,5-дикарбоновую-1,2 к-ту (главным образом *транс*-изомер). Анодом служит свернутый в трубку листовой свинец, катодом — 5%-ная H_2SO_4 , являющаяся хорошим р-рителем для I, конц-ия которой поддерживается на уровне 4,48% (40 г фталевого ангидрида на 1 л разб. H_2SO_4), а анолитом — также

5%-ная H_2SO_4 , конц-ия которой в ходе процесса постепенно повышается вследствие миграции SO_4 -ионов из католита; т-ра ванны 85° . Приведены данные о преимуществах описываемых ванн перед ванной с Pb-катодом, а также результаты применения ванны непрерывного действия для восстановления глюкозы (продукты р-ции — сорбит и маннит), малеинового ангидрида (в янтарную к-ту), пиридина (в пиперидин), кофеина (в дезоксикофеин), *n*-нитроанилина (в *n*-фенилендиамин), и бензойной к-ты (отрицательные результаты).

5494. Основные задачи в области разработки реакции алкилирования. Паушкин Я. М. В сб.: Хим. переработка нефт. углеводородов. М., АН СССР, 1956, 381—384

После краткого перечисления освоенных пром-стью способов алкилирования ароматич. углеводородов и изопарафинов (изобутана) олефинами и использования получаемых продуктов для получения моторных топлив, в качестве сырья для хим. пром-сти, пром-сти синтетич. каучука, моющих средств и т. д., намечена тематика дальнейших работ в этой области: использование новых видов циклич. сырья, рационализация существующих и разработка новых процессов, изучение кинетики и механизма кислотного катализа.

Э. Левина

5495. Получение фталевого ангидрида из нефти. Шервуд (Die Herstellung von Phthalsäureanhydrid aus Erdöl. Sherwood Peter W.), Erdöl und Kohle, 1956, 9, № 10, 683—686 (нем.)

Обзор путей использования фталевого ангидрида в пром-сти и его промышленного получения окислением нафталина и *o*-ксилола.

Е. Покровская

5496. Получение 1-винилкарбазола. Соломон, Ионеску, Чута (Darstellung von Vinylcarbazol I. Solomon Ozias, Ionescu Coman, Ciutá Ion), Chem. Technik, 1957, 9, № 4, 202—204 (нем.)

1-винилкарбазол (I) получают при винилировании карбазола технич. ацетиленом при $140-180^\circ$, начальном давл. $12-20$ ат в присутствии 2,25% катализатора и 60 г р-рителя в течение 4 час. Исследовано влияние типа р-рителя (циклогексан, бензол, различные фракции румынского бензина), катализатора (KOH, NaOH, ZnO, CaC_2 , цинкат калия) и следов воды на р-цию винилирования. Найдено, что I получается с хорошим выходом при применении определенных видов румынского бензина, с катализатором NaOH (выход 92—94%). Следы воды оказывают нежелательное действие.

Л. Волкова

5497 П. Стабилизация галоидированных углеводородов. Стивенс (Stabilization of halogenated hydrocarbons. Stevens Henry C.) [Columbia-Southern Chemical Corp.]. Пат. США 2724883, 25.10.55

Способ стабилизации галоидированных алифатич. углеводородов, содержащих до 3 атомов C, заключается в добавлении к ним небольшого кол-ва *n*-метилморфолина.

А. Виппер

5498 П. Выделение окисленных соединений. Моррелл, Смит, Карлсон (Separation of oxygenated compounds. Morrell Charles E., Smith Paul V., Jr., Carlson Carl S.), [Esso Research and Engineering Co.]. Канад. пат. 516518, 13.09.55

Смеси водн. окисленных органич. в-в с 1—5 атомами C в молекуле, содержащие ≥ 2 нормальных первичных спиртов, разветвленные спирты и нейтр. в-ва, отличного от спиртов характера, разделяют путем непрерывной ректификации. Смесь этих в-в вводят в среднюю часть 1-й зоны ректификации (ЗР), непре-

рывно добавляют в эту зону в точке, лежащей значительно выше места введения смеси органич. в-в, воду в кол-ве, достаточном для поддержания внутреннего обратного тока вниз жидкости с содержанием 65—99 мол. % воды. Смесь паров окисленных в-в движется в направлении, противоположном току воды. Из верхней части 1-й ЗР удаляют водн. отгон, содержащий нейтр. окисленные в-ва отличного от спиртов характера, а из нижней части зоны — водн. р-р к-т, содержащий также нормальные первичные и разветвленные спирты. Отгон из 1-й ЗР вводят в среднюю часть 2-й ЗР, непрерывно добавляют во 2-ю ЗР в точке, лежащей значительно выше места введения отгона, водн. к-ту из нижней части 1-й ЗР в кол-ве, достаточном для поддержания внутреннего обратного тока жидкости, с содержанием 65—99 мол. % воды. Из верхней части 2-й ЗР удаляют отгон, содержащий в-ва, кипящие в области т-р кипения нормальных спиртов с 1—3 атомами C, а из нижней части — фракции, содержащие в-ва, кипящие в области т-р кипения нормальных спиртов с 3—5 атомами C. Аналогично разгонку полученных фракций проводят в 3 и 4 ЗР. Приведена схема технологич. процесса.

В. Уфимцев

5499 П. Получение полифункциональных соединений. Грешам (Preparation of polyfunctional compounds. Gresham William F.) [E. I. du Pont de Nemours and Co.]. Канадск. пат. 523962, 17.04.56

Полифункциональные O-содержащие органич. в-ва (в том числе этиленгликоль), получают исключительно из CO и H_2 при $150-400^\circ$ (преимущественно $180-300^\circ$), $1500-5000$ ат (преимущественно 3000) в присутствии катализатора — соли Co и карбоновой к-ты (напр., ацетат Co), растворимой в ≥ 1 компоненте реакционной смеси, напр. в воде. Р-ция идет по ур-нию $2CO + 3H_2 \rightarrow HOCH_2CH_2OH$. Из реакционной смеси выделяют гликоль и его формат.

Ю. Голынец

5500 П. Метод получения масляного альдегида паровыми восстановлением водородом кротонового альдегида. Фукумото, Итикава, Фудзивара (クロトンアルデヒドの氣相水素添加によるブチルアルデヒド製造法. 福元武雄), 市川正, 藤原照久, [新日本窒素肥料株式会社, Син Нихон тиссо хирё кабусики кайся]. Японск. пат. 1271, 11.03.54

Восстановление кротонового альдегида (I) водородом на Ni-катализаторе приводит не только к получению масляного альдегида (II), но и к нежелательному образованию бутанола (III). Повышение избирательности достигается добавлением к Ni некоторого кол-ва Cr. В этом случае результаты р-ции следующие: непрореагировавший I 5—10%, II 80—90%, III < 5%. Р-ция проходит при $150-200^\circ$. Для снижения т-ры в катализатор рекомендуется добавлять Mn и проводить р-цию при $105-125^\circ$. Приготовление катализатора: в р-р нитратов Ni, Cr и Mn (соответственно 35,4 г, 6,1 г, 0,8 г) добавляют водн. р-р Na_2CO_3 , осадок промывают в воде и наносят на зерна пемзы (размером с боб). Зерна сушат и при $400-430^\circ$ восстанавливают в токе H_2 . Соотношение Ni:Cr:Mn = 9:1:0,2. Пример. В железную трубку диам. 25,4 мм и длиной 400 мм, подогреваемую масляной баней, закладывают 100 мл катализатора, нагревают до 125° . В верхнюю часть впускают пары I (30 мл) и H_2 8 л/сек. Выход II 89,6%, I 3,4%, III 3,7% и полимеров 3,3%.

В. Гужавин

5501 П. Способ выделения нерастворимых в воде алифатических дикарбоновых кислот и их смесей с другими нерастворимыми в воде веществами. Штейн (Verfahren zur Abtrennung von wasserunlöslichen aliphatischen Dicarbonsäuren aus ihren Ge-

mischen mit anderen wasserunlöslichen Stoffen. Stein Werner) [Henkel & Cie. G. m. b. H.]. Пат. ФРГ 952630, 22.11.56

Способ основан на переходе свободных дикарбоновых к-т общей ф-лы $R(COOH)_2$ (R — алифатич. остаток с 4—35 атомами С) при обработке р-рами Na_2 -солей дикарбоновых к-т при нагревании в растворимое состояние с образованием р-ров соответствующих Na -солей и последующем выделении при охлаждении свободных дикарбоновых к-т. Приведены диаграммы, характеризующие условия кристаллизации себадиновой (I), декандикарбоновой и брассиловой (II) к-т из р-ров их Na -солей. Приготавливают р-р II и Na_2 -соли III (III — лимонная к-та) в горячей воде, соответствующую по расчету смеси Na -соли II и Na_2 -соли III, по охлаждению р-ра выделяется свободная II. Из горячего р-ра моно- $N(CH_3)_2H_2$ -соли II [приготовленного из II и ди- $N(CH_3)_2H_2$ -соли II] при охлаждении выкристаллизовывается II, приведены данные о чистоте II. При аналогичной обработке I горячими р-рами Na_2 -солей павелевой, янтарной, адипиновой, фталевой к-т или I получают р-ры, содержащие 3,8—5,5% I и характеризующиеся pH 4,6—5,5; при охлаждении их выделяют 95—99% I. 1000 г смеси жидких дикарбоновых к-т (полученной окислением C_8O_3 ненасыщ. жирных к-т и освобожденной от монокрбоновых к-т отгонкой до 130°/2 мм; смесь содержит ~80% дикарбоновых к-т, в основном II) при 95° обрабатывают ~15 мин. р-ром 160 г $NaOH$ в 30 л воды, отстаиванием отделяют масляный слой от воды. р-ра, по охлаждению воды. р-ра отфильтровывают II, а фильтрат используют в качестве р-ра Na_2 -солей дикарбоновых к-т для последующей обработки исходной смеси, взятой в порциях по 500 г; из 5500 г исходной смеси таким образом выделяют 3850 г II и 850 г жирных к-т, в окончательном фильтрате содержится 680 г Na_2 -солей дикарбоновых к-т. Аналогично из смеси олеиновой к-ты, 7% дикарбоновых к-т (преимущественно I) с помощью воды. р-ра Na_2 -соли адипиновой к-ты выделяют 98%-ную I. В. Уфимцев

5502 II. Способ получения α,β -ненасыщенных карбоновых кислот и их эфиров. Ислер, Рюэгг (Verfahren zur Herstellung von α,β -ungesättigten Carbonsäuren und deren Estern. Isler Otto, Rüegg Rudolf) [F. Hoffmann-La Roche & Co. A.-G.]. Пат. ФРГ 949886, 27.09.56

α,β -Ненасыщенные карбоновые к-ты (НKK) и их эфиры получают р-цией галоидвиниловых эфиров с амидом щел. металла в жидком NH_3 , причем образующееся соединение этинилового эфира со щел. металлом без выделения конденсируют в жидком NH_3 с альдегидом или кетоном, продукт конденсации гидролизуют, перегруппировывают в присутствии к-ты и, в случае надобности, омыляют; причем NH_3 удаляют до кислотной обработки. Получаемые НKK пригодны в качестве промежуточных продуктов, напр., для получения каротиноидных соединений. В 500 мл сухого жидкого NH_3 прибавляют 100 мг $Fe(NO_3)_3$ и через несколько минут при размешивании 300 мг Na , в течение 1 мин. пропускают воздух и постепенно вносят 13,8 г Na , ожидая после каждого прибавления исчезновения синей окраски р-ра. При хорошем размешивании приливают 37,5 г β -хлорвинилэтилового эфира (I) и в течение 10 мин. 31 г 6-метилпентен-5-ола-2 (II), размешивают 40 час., медленно прибавляют 45 г NH_4Cl и испаряют NH_3 , прибавляют 800 мл петр. эфира и фильтруют; перегонкой фильтрата выделяют 10 г II и 26 г 1-этокс-3-окс-3,7-диметилпентен-6-ина-1 (III), т. кип. ~80°/0,05 мм. Р-р 26 г III в 300 мл эфира встряхивают 16 час. при 20° с 100 мл 10%-ной H_2SO_4 , разбавляют водой и извлекают эфиром, удалением р-рителя выделяют 21 г этилового эфира IV (IV—3,7-диметилпентен-2,6-ола-1 к-та). Смесь 21 г этилового эфира IV, 350 мл CH_3OH , 35 мл воды и 12,5 г $NaOH$ кипятят 2 часа, разбавляют 1 л воды, промывают эфиром, водн. слой подкисляют разб. H_2SO_4 и извлекают эфиром, водн. слой подкисляют разб. H_2SO_4 и пропускают 1 мин. сухой воздух и постепенно вносят 4,1 г Li , ожидая исчезновения синей окраски р-ра после каждого прибавления Li . При хорошем размешивании прибавляют 37,5 г I и в течение 10 мин. р-р 51 г 4-(2',6',6'-триметилциклогексен-1'-ил)2-метилбутен-2-ола-1 в 100 мл абс. эфира, размешивают 20 час., медленно прибавляют 45 г NH_4Cl и испаряют NH_3 . К остатку прибавляют 800 мл абс. эфира и фильтруют, эфир. р-р упаривают до 500 мл и встряхивают 16 час. при 20° с 200 мл 10%-ной H_2SO_4 , перегонкой эфир. слоя выделяют 65 г этилового эфира V [V—6-(2',6',6'-триметилциклогексен-1'-ил)-4-метилгексадиен-2,4-ола-1 к-та]. Смесь 65 г этилового эфира V, 700 мл CH_3OH , 70 мл воды и 25 г р-ра $NaOH$ кипятят 2 часа, разбавляют 2 л воды и промывают эфиром, водн. слой подкисляют разб. H_2SO_4 и извлекают эфиром 41,7 г V, выход 67%, λ_{max} (в сп.) 255 мμ ($E_1^{1\%}$ см 617); метиловый эфир V, т. кип. 116°/0,07 мм, n_D^{21} 1,5242, λ_{max} (в сп.) 268 мμ ($E_1^{1\%}$ см 608). Аналогично из C_6H_5CHO получают коричную к-ту; из 2,6,6-триметилциклогексен-2-ола-1-(2',6',6'-триметилциклогексен-2'-илиден)-уксусную к-ту, т. пл. 53—55° (из петр. эф.), λ_{max} (в сп.) 252,5 мμ ($E_1^{1\%}$ см 575); из пропионового альдегида — пентен-2-овую к-ту, т. кип. 94°/10 мм, т. пл. —2°, n_D^{25} 1,4382, λ_{max} (в сп.) 212,5 мμ ($E_1^{1\%}$ см 750); из метилэтилкетона — 3-метилпентен-2-овую к-ту, т. кип. 99—102°/10 мм, n_D^{25} 1,4556, λ_{max} (в сп.) 218 мμ ($E_1^{1\%}$ см 860); из апетифенона — β -метилкоричную к-ту, т. кип. 105—108°/0,05 мм, λ_{max} (в сп.) 251,5 мμ ($E_1^{1\%}$ см 503); из дегидроизоандростеронацетата — 3β-окси-5,17 (20)-прегнадиен-21-овую к-ту, т. пл. 244°, λ_{max} (в сп.) 221 мμ ($E_1^{1\%}$ см 330). В. Уфимцев

5503 II. Способ получения алифатических или циклоалифатических амидов щелочных металлов. Хамфрис (Verfahren zur Herstellung von aliphatisch oder cycloaliphatisch substituierten Alkalimetallamiden. Humphreys David Druen) [The Pennsylvania Salt Manufacturing Co.]. Пат. ФРГ 954154, 13.12.56

Указанные амиды, замещ. щел. металлами, общей ф-лы $R-NH^+M^-$ (M — щел. металл, R — алкил, незамещ. или алкилзамещ. циклоалкил) получают р-цией в общей ф-лы MNH_2 (напр., $NaNH_2$) с первичными аминами общей ф-лы RNH_2 , причем образующийся NH_3 удаляют из зоны р-ции. Р-цию необходимо проводить осторожно во избежание возможного воспламенения и взрыва. $NaNH_2$ получают из жидкого NH_3 и 23 г металлич. Na , избыток NH_3 удаляют, а затем N_2 вытесняют остаток воздуха и NH_3 , приливают 500 мл очин. изопропиламина, смесь размешивают и нагревают при т-ре кипения амниа; в течение 121 часа выделяется 96% от теоретически рассчитанного кол-ва NH_3 , получают 78 г изопропиламида Na . Аналогично к $NaNH_2$, полученному из 23 г Na , приливают смесь 200 мл n -бутиламина и 500 мл толуола, нагревают 17,5 час. при 97°, 41,5 час. при 104,5° и 4,5 часа при 107°; в конце р-ции т-ра поднимается до 109°, выделяется 96,3% теоретич. кол-ва NH_3 , избыток n -бутиламина отгоняют и остаток охлаждают в атмосфере природного газа, фильтруют в атмосфере N_2 .

сушат в вакууме, получают 70 ± 87%-ного *n*-бутиламида Na в виде коричневой массы с пирофорными свойствами. Приведены примеры аналогичного получения циклогексиламида Na, *n*-октиламида Na, трет-амиламида Na и этиламида Na. В. Уфимцев

5504 П. Способ выделения избыточного аммиака в производстве мочевины. Хирано, Сумида, Иси-ма (尿素製造に於ける過剰アンモニア分離法) 平野正男, 角田誠, 石間壬生彌 [住友化学工業株式会社, Сумитома кагаку когё кабусики кайся]. Японск. пат. 6568, 6569, 15.10.54

Пат. 6568. Мочевину (I) получают р-цией NH_3 и CO_2 в автоклаве под давлением, продукт из автоклава пропускают в ректификационную колонну, из верхней части которой удаляют NH_3 и возвращают в автоклав, а из нижней удаляют р-р, содержащий I, воду, NH_3 и CO_2 , который подвергают дальнейшей переработке. В автоклав вводят NH_3 и CO_2 в молярном соотношении 6:1; CO_2 входит в р-цию на 75%, получают I 133, воды 133, NH_3 798 и CO_2 44 моля в 1 час. Р-р из автоклава при 105–116°/15 ат пропускают в ректификационную колонну (диам. 200 мм, высота 2050 мм) с холодильником в верхней части и кипятильником в нижней, охлаждают до 44° (т-ра холодильника 40°) и получают газ, содержащий 974 моля в 1 час NH_3 и 2–4·10⁻⁶ ч. CO_2 ; из этого NH_3 278 ч. конденсируют и возвращают в колонну, а остаток 696 ч. возвращают в автоклав. Из нижней части колонны удаляют продукт, содержащий I 133, воды 133, NH_3 102 и CO_2 44 моля в 1 час. Аналогично при введении NH_3 и CO_2 в молярном соотношении 3:1 CO_2 входит в р-цию на 60%, получают I 170, воды 170, NH_3 510 и CO_2 113 молей в 1 час. Р-р из автоклава при 110–122°/17 ат пропускают в колонну, охлаждают до 48° (т-ра холодильника 45°) и получают газ, содержащий 256 молей в 1 час NH_3 и 2–5·10⁻⁶ ч. CO_2 , который возвращают в автоклав; из нижней части колонны удаляют продукт, содержащий I 170, воды 170, NH_3 254 и CO_2 и 113 молей в 1 час. Приведена схема технологич. процесса.

Пат. 6569. Уходящий из ректификационной колонны NH_3 -газ направляют в холодильник и конденсируют при низкой т-ре под давлением; большую часть его выводят из системы, а остальную часть возвращают для орошения колонны. В автоклав вводят NH_3 и CO_2 в молярном соотношении 6:1 (CO_2 входит в р-цию на 77%) и получают смесь, содержащую I 7,80, воды 2,34, NH_3 12,82 и CO_2 1,71 кг/час. Смесь при 110°/12 ат вводят в ректификационную колонну, уходящие из головной части колонны пары вводят в холодильник и охлаждают до 33°/12 ат; конденсируется 14,13 кг/час NH_3 , содержащего 2·10⁻⁶ ч. CO_2 , из которого 11,33 кг/час выделяют, а 2,8 кг/час возвращают в колонну. Из нижней части колонны удаляют продукт, содержащий I 7,80, воды 2,33, NH_3 1,49 и CO_2 1,71 кг/час, который подвергается дальнейшей переработке. Приведена схема технологич. процесса.

5505 П. Способ получения β-аминовинилкарбонильных соединений. Пазедах, Зефельдер, Шпеллинг, Вейкман (Verfahren zur Herstellung von β-Aminovinylcarbonylverbindungen. Pasedach Heinrich, Seefelder Matthias, Spänig Hermann, Weickmann August) [Badische Anilin- & Soda-Fabrik A.-G.]. Пат. ФРГ 948871 6.09.56

Алкинолы общей ф-лы $\text{R}-\text{C}\equiv\text{C}-\text{CHOH}-\text{R}'$ (R и R'—H, алкил или арил) вводят в р-цию с NH_3 , первичными или вторичными аминами в присутствии окислителей. В смесь 56 ч. пропаргилового спирта (I), 75 ч. диэтиламина и 750 ч. C_6H_6 при 20–30° вносят ~ 500 ч. активированной $\text{MnO}(\text{OH})_2$ до прекращения повышения т-ры и размешивают еще 12 час. при 20°, от-

фильтровывают шлам пиролюзита (II) и дважды извлекают C_6H_6 , экстракт упаривают и перегонкой остатка выделяют 111 ч. β-(N,N-диэтиламино)-акролеина ф-лы $(\text{C}_2\text{H}_5)_2\text{N}-\text{CH}=\text{CH}-\text{CHO}$, выход 86%, т. кип. 160–161°/12 мм. В качестве окислителя применяют также II и PbO_2 . Смесь 185 ч. $\text{C}_6\text{H}_5\text{NO}_2$, 129 ч. дибутиламина, 20 ч. CuO и 212 ч. толуола кипятят с азеотропной отгонкой воды и возвращением обратно отогнанного р-рителя, постепенно при 135° прибавляют 56 ч. I и кипятят еще ~ 90 мин., осадок отфильтровывают и несколько раз извлекают горячим $\text{C}_6\text{H}_5\text{NO}_2$, перегонкой выделяют 52 ч. β-(N,N-дибутиламино)-акролеина, т. кип. 148–150°/41 мм. Аналогично получают: из бутин-1-ола-3—β-(N,N-диэтиламино)-винилметилкетон $(\text{C}_2\text{H}_5)_2\text{N}-\text{CH}=\text{CHCOCH}_3$, т. кип. 130–132°/6 мм; и 1-изобутиламинобутен-1-он-3, т. кип. 60–63°/2,5 мм; из 1-фенилпропин-2-ола-1—1-фенил-3-пиперидинопропен-2-он-1, т. пл. 90°; из I—β-(дициклогексиламино)-акролеин, т. пл. 127°. Получаемые соединения пригодны в качестве промежуточных продуктов, в особенности вместо мало устойчивых и трудно доступных ацетиленкарбонильных соединений, напр., для синтеза фармацевтич. препаратов.

5506 П. Способ производства ε-капролактама. Новотный (Způsob výroby ε-kaprolaktamu. Novotný Alois). Чешск. пат. 85505, 1.02.56

ε-Капролактam получают нагреванием при 160° смеси нитроциклогексана (I), гидроксилсульфата (II) и H_2SO_4 или олеума. К р-ру 131 г II в 200 г конц. H_2SO_4 при 115° прикапывают при постоянном перемешивании 125 г I, причем после добавки 1/4 этого кол-ва в смесь вводится 150 г 20%-ного олеума, т-ра поддерживается при 120°. После окончания выделения газов смесь оставляют при этой т-ре 15 мин., и после охлаждения приливают к конц. водн. NH_3 до слабощел. р-ции. Верхний слой перегоняют в вакууме. Выход ε-капролактама 74%. Процесс может быть непрерывным.

5507 П. Способ и устройство для непрерывного омыления хлоргидрата аминокислотсульфохлорида. Фейхтингер, Пушхоф (Verfahren und Vorrichtung zur kontinuierlichen Verseifung von Aminoalkylsulfochloridhydrochloriden. Feichtinger Hans, Puschhof Siegfried) [Ruhrchemie A.-G.]. Пат. ФРГ 939287, 20.09.56

Указанное омыление проводят перегретым водяным паром, причем с одного конца удаляют гидролизат, а с другого конца, образующуюся HCl (к-ту). Аппарат состоит из трубки (колонки) для гидролиза, приемника, отводной трубки и конденсатора для HCl (к-ты). Трубка для гидролиза устанавливается вертикально, наклонно или спирально и заполнена насадкой из спиралей, колец, седел или других элементов, применяемых для дистилляционных или абсорбционных колонн. Приемник может быть выполнен с перетоком. Приведена схема аппаратуры. 200 г 50%-ного водн. р-ра хлоргидрата 1-аминобутансульфохлорида через делительную воронку вводят в хорошо изолированную колонку (высота 50 см, диам. 3 см, насадка — стеклянные кольца диам. 3 мм); через укрепленный снизу приемник вводят 500 г/час водяного пара, перегретого до 130°, противотоком к медленно стекающему р-ру. Гидролизат с сильным выделением HCl стекает в приемник в форме конц. водн. р-ра. Выделяющийся HCl конденсируют в форме HCl (к-ты). В приемнике в течение 1 часа собирают 82 г 81%-ного жидкого р-ра 1-аминобутансульфокислоты, выход 91%. В. Уфимцев

5508 П. Способ получения четвертичных аммониевых оснований. Энгельбрехт (Verfahren zur Herstellung von quaternären Stickstoffverbindungen. Engelbrecht Heinz-Joachim) [Dehydag Deutsche

Hydrierwerke G. m. b. H.). Пат. ФРГ 918982, 11.10.54 [Chem. Zbl., 1955, 126, № 22, 5214 (нем.)]

Четвертичные аммониевые соединения, обладающие поверхностноактивными свойствами и являющиеся промежуточными продуктами для произ-ва текстильных вспомогательных средств, получают р-цией эквивалентных кол-в амидов высокомолекулярных карбоновых или сульфокислот или эфиров карбаминовой к-ты в присутствии галоидоводородных к-т с в-вами, отщепляющими оксосоединения, с последующей конденсацией этих продуктов взаимодействия с четвертичными органич. основаниями. Октадециловый эфир карбаминовой к-ты обрабатывают триоксиметиленом в бензоле в присутствии HCl при 50–60° до получения прозрачного р-ра. Полученный воскообразный продукт путем воздействия пиридина в бензольном р-ре при 40–50° переводят в N,N'-диоктадецилоксикарбо-N-хлорметилметиленадиаминпиридин, представляющий собою белый порошок.

К. Маркузе

5509 П. Способ получения N,N'-дитио-бис-сульфамидов. Кюле, Веглер, Шнейдер (Verfahren zur Herstellung von N,N'-Dithio-bis-sulfonsäureamiden. Kühle Engelbert, Wegler Richard, Schneider Paul) [Farbenfabriken Bayer A.-G.]. Пат. ФРГ 951719, 31.10.56

Вещества общей ф-лы $[R-SO_2-N(R')-S-]_2$ получают р-цией N-замещ. сульфамидов общей ф-лы $R-SO_2-N(R')M$ с S_2Cl_2 (R — алкил, арил, аларкил или диалкиламиногруппа; R' — алкил, арил или аларкил; M — катион, напр., щел. металла или остаток третичного основания). N,N'-дитио-бис-сульфамиды пригодны для борьбы с вредителями растений, в качестве фармацевтич. средств и серотонических реагентов для вулканизации каучука. 323 г метансульфохлорида превращают в метиламид метансульфокислоты (I) введением на холоду NH_2CH_3 , выход I 62,8%, т. кип. 153–154°/15 мм. Na-соединение I (Ia) получают прибавлением к I рассчитанного кол-ва р-ра NaOH в CH_3OH и упариванием досуха в вакууме при 130°. K 102 г Ia в 300 мл толуола при 50–60° при размешивании прибавляют 52,5 г S_2Cl_2 , размешивают 1 час и отфильтровывают $[CH_3SO_2N(CH_3)S-]_2$, выход 71,2%, т. пл. 136° (из CH_3OH). В р-р 143,5 г диметиламинсульфохлорида в 200 г толуола в течение 4 час. при 0° вводят 4 моля NH_2CH_3 , размешивают 2 часа при 90° и по охлаждении отфильтровывают $NH_2CH_3 \cdot HCl$, испарением р-рителя выделяют 132 г метиламида диметиламинсульфокислоты (II), т. кип. 142–144°/11 мм. K 111,5 г Na-соединения II в 250 мл толуола при размешивании прибавляют 47 г S_2Cl_2 в 100 мл толуола, 2 часа размешивают при 100°, по охлаждении отфильтровывают NaCl и испарением толуола выделяют $[(CH_3)_2N-SO_2-N(CH_3)S-]_2$, т. пл. 61° (из CH_3OH). Na-соединение, полученное из 204 г метиламида бензолсульфокислоты и CH_3ONa , суспендируют в 300 мл C_6H_5Cl , обрабатывают при 40–50° 81 г S_2Cl_2 , размешивают 1 час при 70°, по охлаждении отфильтровывают и кристаллизацией из спирта выделяют $[C_6H_5-SO_2-N(CH_3)-S-]_2$, т. пл. 113–115°.

В. Уфимцев

5510 П. Способ и установка для непрерывного производства соединений типа $RMgX$ (реактивов Гриньяра) постоянной концентрации. Бажа́нт, Кадлец, Шорм, Ваврушка (Způsob a zařízení na nepřetržitou výrobu sloučenin typu $RMgX$ (Grignardových činidel) o stálé koncentraci. Bažant Vladimír, Kadlec Miroslav, Šorm František, Vavruška Miroslav). Чехосл. пат. 83572, 1.04.55

Для непрерывного произ-ва реактивов типа $RMgX$ (R — алкил, X — Cl или Br) постоянной конц-ии избыток газообразных алкилгалогенидов (I) вводят в р-цию с Mg с применением р-рителей, напр. диэтилового эфира. Процесс проводят под манометрич. давлением

до 5 ат, причем I вводят в р-цию в токе чистого р-рителя; непрореагировавшая часть I возвращается в реакционную смесь. Установка отличается тем, что реактор, состоящий из двух concentричных труб, соединен в замкнутой системе с холодильником, отделителем и насосом, рециркулирующим газообразный I. Приведено описание установки и ее действие. Производительность установки 120 л р-ра $RMgX$ в час, конц-ия 2,5 моля/л. Выход $RMgX$ в пересчете на R — Cl составляет 96%.

5511 П. Способ приготовления эфиров кремневой кислоты. Шель, Шмидт (Verfahren zur Herstellung von Kieselsäureestern. Scheel Kurt, Schmidt Hans-Werner) [Kali-Chemie A.-G.]. Пат. ФРГ 946893, 9.08.56

Для приготовления эфиров кремневой кислоты (ЭК) на спирты действуют SiF_4 и NH_3 или аминами, взятыми в таких колич. отношениях, что наряду с ЭК в качестве побочного продукта р-ции образуется $(NH_4)_2SiF_6$ или соответствующая соль амина. Из последних взаимодействием с труднотлетучими к-тами (лучше H_2SO_4 или H_3PO_4) в присутствии SiO_2 вновь получают SiF_4 и направляют его в процесс. Вначале можно получить продукт присоединения NH_3 к SiF_4 и затем проводить р-цию со спиртом.

В. Шацкий

5512 П. Выделение триметилхлорсилана из азеотропа. Хантер, Серве (Recovery of trimethyl silicon chloride from azeotrope. Hunter Melvin J., Servais Philip C.) [The Dow Chemical Co.]. Канад. пат. 511554, 5.04.55

Для выделения $(CH_3)_3SiCl$ из азеотропной смеси с $SiCl_4$ последнюю обрабатывают триметилэтоксисилоном (I); спирт, содержащийся в I, частично этерифицирует $SiCl_4$, превращая его в $(C_2H_5O)SiCl_3$; выделяющийся HCl служит катализатором р-ции взаимодействия $SiCl_4$ и I с образованием $(CH_3)_3SiCl$ и $(C_2H_5O)SiCl_3$. По окончании процесса смесь фракционируют.

А. Жданов

5513 П. Способ получения замещенных органических соединений 4-валентного олова. Мак, Паркер (Procédé de préparation de dérivés stanniques organosubstitués. Mack Gerry P., Parker Emery) [Advance Solvents & Chemical Corp.]. Франц. пат. 1078569, 19.11.54 [Chimie et industrie, 1955, 74, № 5, 982–983 (франц.)]

Мономерные замещ. органич. соединения Sn^{IV} получают действием органич. соединений с активными атомами Н в отсутствие воды или ангидридов дикарбоновых к-т в присутствии небольших кол-в соединений со свободными оксигруппами на соединения общей ф-лы $R'_m R''_n Sn(OR)_{4-(m+n)}$, где R' и R'' — одинаковые или различные 1-валентные углеводородные радикалы, R — алкил с ≤ 3 атомами C, предпочтительно CH_3 , $m+n=2$ или 3, а m и n — целые числа между 0 и 3. В первом случае предпочтительно проводить р-цию при т-ре, при которой перегоняется образующийся спирт.

Я. Кантор

5514 П. Способ разделения органических соединений (Process for separating organic compounds) [Standard Oil Co.]. Англ. пат. 727564, 6.04.55

Для выделения соединений, образующих аддукты (A) с мочевиной (I) из их смеси с другими органич. соединениями (смесь содержит ингибитор образования указанных A), подвергают I предварительной обработке в присутствии воды (пара) инициатором образования A, представляющим собой алифатич. органич. соединения, способное образовывать твердый A с I. Таким образом можно выделять соединения с прямой цепью — углеводороды, спирты, альдегиды, кетоны, карбоновые к-ты, меркаптаны, дисульфиды и сложные эфиры, содержащие 6 и более атомов C, и сложные

эфиров с разветвленной цепью с одной группой CH_3 , содержащие 4 и более групп CH_2 в прямой цепи, из смесей с другими соединениями с разветвленной цепью и (или) циклич. соединениями. Обработку можно производить в разбавителе и в реакционной колонне, содержащей I, предварительно обработанную паром и инициатором образования A, напр. цетаном, и смешанную с пробкой, древесным углем или фарфором. A промывают одним из указанных р-телей. Обработку с применением I можно производить путем образования массы A с последующим фильтрованием, либо по методу подвижного слоя. A разлагают нагреванием, контактированием с р-рителем для I, водой или метанолом, нагреванием с вышеуказанными р-рителями или отгонкой органич. в-ва в вакууме. Часть выделенного в-ва подается на рециркуляцию и может быть предварительно очищена адсорбцией на SiO_2 , глине или древесном угле, либо экстрагированием конц. водн. р-ром сильной неорганич. к-ты, напр. H_2SO_4 или HF. Е. Покровская

5515 П. Способ получения β -амино-(N-сульфо)-карбоновых кислот, а также их эфиров и солей. Граф (Verfahren zur Herstellung von β -amino-(N-sulfosäure)-carbonsäuren bzw. deren Estern und Salzen. Graf Roderich) [Farbwerke Hoechst A.-G. vormals Meister Lucius & Bruning]. Пат. ФРГ 950912, 18.10.56

Указанные в-ва получают р-цией N-сульфохлорида лактама β -аминокарбоновой к-ты с соединением, содержащим по крайней мере одну оксигруппу, в присутствии в-в, связывающих HCl. В р-р 23 ч. Na в 800 ч. CH_3OH при 20—30° и размешивании приливают 245 ч. N-сульфохлорида лактама 2-амино-ФК (ФК — 2-фенилэтанкарбоновая-1 к-та) (I) или к смеси 245 ч. I и 400 ч. CH_3OH при 20° приливают р-р 23 ч. Na в 400 ч. CH_3OH . По окончании р-ции отфильтровывают NaCl и отгоняют в вакууме CH_3OH , остаток содержит 272 ч. метилового эфира 2-амино-N-сульфометокси-ФК ф-лы $\text{CH}_3\text{OSO}_2\text{NHCH}(\text{C}_6\text{H}_5)\text{CH}_2\text{COOCH}_3$ (II), который очищают извлечением CH_2Cl_2 и удалением р-рителя в вакууме, выход ~95%, т. пл. 47—48°. При омылении II избытком р-ра NaOH при нагревании получают 2-амино-N-сульфометокси-ФК, т. пл. 137—138° (из водн. CH_3OH). Аналогично получают этиловый эфир 2-амино-N-сульфотокси-ФК, сироп. К смеси 246 ч. $\text{C}_6\text{H}_5\text{CH}_2\text{OH}$, 245 ч. I и 800 ч. C_6H_6 при 20° в течение 1 часа приливают р-р 79 ч. пиридина в 200 ч. C_6H_6 , органич. слой промывают водой и отгоняют в вакууме р-ритель, получают 410 ч. бензильного эфира 2-амино-N-сульфобензокси-ФК, т. пл. 81—82° (из CH_3OH). К смеси 116 ч. фенолята Na, 94 ч. фенола и 1000 ч. C_6H_6 (полученной азеотропной отгонкой воды из смеси 188 ч. фенола, 1000 ч. C_6H_6 и 100 ч. 40%-ного NaOH) при 40—50° приливают р-р 197 ч. N-сульфохлорида лактама 2-амино-2-метилпропан карбоновой-1 к-ты в 600 ч. C_6H_6 и непродолжительно размешивают при 50°, органич. слой промывают водой и отгонкой C_6H_6 выделяют 340 ч. фенилового эфира 2-амино-(N-сульфобензокси)-2-метилпропанкарбоновой-1 к-ты, т. пл. 88—89° (из водн. CH_3OH). Аналогично с применением *n*-хлорфенола получают *n*-хлорфениловый эфир 2-амино-(N-сульфо-*n*-хлорфенокси)-2-метилпропанкарбоновой-1 к-ты, т. пл. 79—80°; из эквимолекулярных кол-в I, фенолята-Na и фенола получают фениловый эфир 2-амино-(N-сульфобензокси)-ФК, т. пл. 122—124° (из CH_3OH); частичным омылением последнего р-ром NaOH получают 2-амино-(N-сульфобензокси)-ФК, т. пл. 134—135°. 245 ч. I при 40—50° размешивают до растворения с р-ром 120 ч. NaOH в 2000 ч. воды, упаривают до начала кристаллизации и подкислением при 0° конц. HCl выделяют кислоту Na-соль 2-амино-N-сульфо-ФК. Полученные продукты пригодны в качестве текстильных вспомо-

гательных в-в, средств для борьбы с вредителями и промежуточных продуктов. В. Уфимцев

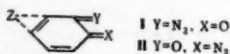
5516 П. Способ получения 8-(2',6',6'-триметилциклогексенил-1')-2,6-диметилотатриен-2,4,6-али-1. Ис-лер, Монтавон, Рюэгг, Целлер (Verfahren zur Herstellung des 8-[2',6',6'-Trimethylcyclohexen-(1')-yl]-2,6-dimethylotatrien-(2,4,6)-als-(1). Isler Otto, Montavon Marc, Rüegg Rudolf, Zeller Paul) [F. Hoffmann-La Roche & Co. A.-G.]. Пат. ФРГ 946895, 9.08.56

8-(2',6',6'-триметилциклогексенил-1')-2,6-диметилотатриен-2,4,6-али-1 (I) получают последовательным рядом р-ций: 4-(2',6',6'-триметилциклогексенил-1')-2-метилбутен-2-али-1 (II) конденсируют с газоидуксусным эфиром с образованием эфира III [III — 6-(2',6',6'-триметилциклогексенил-1')-4-метилгексен-4-ол-3-оая-1 к-та], эфир III дегидратируют до эфира IV [IV — 6-(2',6',6'-триметилциклогексенил-1')-4-метилгексадиен-2, 4-оая-1 к-та], эфир IV восстанавливают до 6-(2',6',6'-триметилциклогексенил-1')-4-метилгексадиен-2, 4-ола-1 (V), окисляют V до 6-(2',6',6'-триметилциклогексенил-1')-4-метилгексадиен-2,4-али-1 (VI), конденсацией VI с эфиром α -галоидпропионовой к-ты получают эфир VII [VII — 8-(2',6',6'-триметилциклогексенил-1')-2,6-диметилотатриен-4,6-ол-3-оая-1 к-та], эфир VII дегидратируют до эфира VIII [VIII — 8-(2',6',6'-триметилциклогексенил-1')-2,6-диметилотатриен-2, 4, 6-оая-1 к-та], эфир VIII восстанавливают до 8-(2',6',6'-триметилциклогексенил-1')-2,6-диметилотатриен-2,4,6-ола-1 (IX) и окисляют IX до I. I является промежуточным продуктом для синтеза физиологически активных полиеновых соединений, напр. каротина. К р-ру 206 г II и 175 г $\text{BrCH}_2\text{COOC}_2\text{H}_5$ в 1 л абс. спирта при размешивании и постоянном кипении прибавляют 90 г Zn-пыли, кипятят еще 5 мин., по охлаждении выливают на смесь льда и 1 л 3 н. H_2SO_4 , эфирный слой отделяют, промывают водой, 5%-ным р-ром NaHCO_3 и водой, перегонкой выделяют этиловый эфир (ЭЭ) III, выход 88%, т. кип. 130—135°/0,02 мм, n_D^{25} 1,4935. 140 г ЭЭ III в 500 мл толуола кипятят 2 часа в присутствии 1,4 г *n*-толуолсульфокислоты, причем отгоняют 200 мл толуола с реакционной водой, по охлаждении промывают 5%-ным р-ром NaHCO_3 и водой, перегонкой выделяют ЭЭ IV, выход 90,5%, т. кип. 118—119°/0,04 мм, n_D^{25} 1,5237, $\lambda_{\text{макс}}$ (в сп.) 272,5 мк (ε 23 600). К р-ру 66 г ЭЭ IV в 400 мл абс. эфира при 0° прибавляют постепенно р-р 9 г LiAlH_4 в 100 мл абс. эфира и кипятят 30 мин., по охлаждении медленно приливают 30 мл $\text{CH}_3\text{COOC}_2\text{H}_5$, выливают смесь на лед и 800 мл 3 н. H_2SO_4 , эфир. слой промывают 5%-ным р-ром NaHCO_3 и водой и перегонкой выделяют V, выход 95%, т. кип. 120°/0,04 мм, n_D^{25} 1,5312, $\lambda_{\text{макс}}$ (в сп.) 237,5 мк (ε 24 500). 51,5 г V в 500 мл сухого петр. эфира (т. кип. 30—60°) встряхивают 12 час. при 20° с 250 г MnO_2 , фильтруют, осадок промывают 1 л эфира и испарением р-рителя выделяют VI, выход 75%, т. пл. 78—79° (из петр. эф.), $\lambda_{\text{макс}}$ (в сп.) 285 мк (ε 31 000). 23,2 г VI и 19,5 г $\text{CH}_3\text{CHBrCOOC}_2\text{H}_5$ в 100 мл абс. эфира кипятят 2,5 часа с 8 г Zn-пыли, выливают на лед и 200 мл 3 н. H_2SO_4 , эфир. слой промывают 5%-ным р-ром NaHCO_3 и водой и испарением эфира выделяют ЭЭ VII, выход 97%, n_D^{25} 1,5125, $\lambda_{\text{макс}}$ (в сп.) 239 мк (ε 30 000). 32 г ЭЭ VII в 200 мл толуола кипятят 2 часа в присутствии 0,3 г *n*-толуолсульфокислоты, причем отгоняют 100 мл толуола с реакционной водой, по охлаждении промывают 5%-ным р-ром NaHCO_3 и водой и перегонкой выделяют ЭЭ VIII, выход 77,5%, т. кип. 132°/0,015 мм, n_D^{25} 1,5425, $\lambda_{\text{макс}}$ (в сп.) 310 мк (ε 24 600). К р-ру 19,6 г ЭЭ VIII в 80 мл абс. эфира при 0° прибавляют р-р 2,35 г LiAlH_4 в 70 мл абс. эфира и

кипятят 30 мин., по охлаждении прибавляют 10 мл $\text{CH}_3\text{COOC}_2\text{H}_5$ и смесь выливают на лед и 100 мл 3 н. H_2SO_4 , эфир. слой промывают 5%-ным р-ром NaHCO_3 и водой и испарением эфира выделяют IX, выход 100%, n_D^{20} 1,5503, $\lambda_{\text{макс}}$ (в сп.) 278,5 мμ (ε 28 000). 16,5 г IX в 200 мл сухого петр. эфира встряхивают 12 час. при 20° с 80 г MnO_2 , фильтруют и осадок промывают 500 мл эфира, испарением р-рителя выделяют I, выход 60%, т. пл. 62–63° (из петр. эф.), $\lambda_{\text{макс}}$ (в сп.) 328 мμ (ε 45 500).

В. Уфимцев

5517 П. Способ получения циклически замещенных циклопентадиенкарбоновых кислот и их продуктов декарбоксилирования. 3 ю с (Verfahren zur Herstellung cyclisch substituierter Cyclopentadiencarbonsäuren und deren Decarboxylierungsprodukten. Süs Oskar) [Kalle & Co. A.-G.] Пат. ФРГ 939327, 23.02.56 о-Хинондиазиды ф-лы (I) или (II), в которых Z — конденсированный при 1 и 2 атомах C дикарбоциклич. или гетероциклич. остаток, освещают, предпочтитель-



но лучами с λ 2000–4000 Å (для чего особенно пригодны Hg-лампы высокого давления), в присутствии воды и к-ты с последующим декарбоксилированием продукта р-ции. Так, 4 г фенантренхинон-1,2-диазида-1 (т. пл. 151° с разл.), полученного действием амилнитрита при т-ре ~ 20° на 1-амино-2-оксифенантренхлоргидрат в ~ 16%-ной HCl, растворяют в смеси 950 мл диоксана и 60 мл 50%-ной CH_3COOH и р-р освещают 2 часа при помешивании и охлаждении льдом погруженной Hg-лампой высокого давления, после чего фильтруют через активный уголь, фильтрат упаривают при 40° до 50 мл и выпавшую 6,7-бензинденкарбоную-3 к-ту перекристаллизовывают из лед. CH_3COOH с добавкой небольшого кол-ва активного угля, выход чистой к-ты 0,7 г, т. пл. 249–250° (с разл.). При осторожном нагревании суспензии полученной к-ты в диметилформамиде выделяется CO_2 и образуется р-р, из которого водой осаждается 6,7-бензинден, который после очистки эфиром плавится при 42–43° и перегоняется без разложения. Аналогично получены 6,7-нафтиден (циклопентадиенофенантрен), т. пл. 164–165°, 2-фенил-4,5-(циклопентадиен-2',4')-триазол-1,2,3, т. пл. 70–71° и 3-сульфокс-4,5-пиридинокциклопентадиен-2,4-карбоновая-1 к-та, т. пл. 292° (разл.). Соединения применимы в качестве полупродуктов в фармацевтич. промышленности (синтезе стероидов) и в качестве азокромов в произве красителей.

Я. Кантор

5518 П. Способ получения этилциклогексилдикарбоновых кислот общей формулы $\text{C}_{10}\text{H}_{16}\text{O}_4$ из бутадиена. Бюхнер, Мейс (Verfahren zur Herstellung von Äthylcyclohexyldicarbonsäuren mit der Summenformel $\text{C}_{10}\text{H}_{16}\text{O}_4$ aus Butadien. Büchner Karl, Meis Josef) [Ruhrchemie A.-G.] Пат. ФРГ 949466, 20.09.56 Указанные к-ты ф-лы $\text{C}_{10}\text{H}_{16}\text{O}_4$ получают конденсацией бутадиена (I) в присутствии вспомогательной жидкости до 1-винилциклогексена-3 (II), после чего по обеим этиленовым связям вводят CO и H_2 в присутствии Со-соединений; полученные продукты р-ции, содержащие альдегиды, каталитически восстанавливают H_2 до метилольных соединений и полученные диметилольные соединения отделяют перегонкой от монометилольных соединений, а затем переводят в дикарбоновые к-ты окислением HNO_3 или щел. плавлением с последующим подкислением. В автоклав загружают 1 л додекана и 5 г Fe-порошка, удаляют воздух продуванием N_2 , приливают 610 г технич. I и нагревают до ~ 200° (давление в автоклаве при 20° 12 ат, при 203° 53 ат), через 1 час охлаждают и перегонкой 1378 г жидкого продукта на колонке (высота 1 м, на-

садка — кольца Рашига) выделяют 34 г I и 504 г II, выход 87,5%. Смесь 200 мл II и 800 мл C_6H_6 нагревают 2 часа при 155° и давлении водяного газа 280 ат в присутствии 500 мл CoSO_4 — MgSO_4 -р-ра, 20 г Fe-порошка и 1 г гидрохинона, по охлаждении отделяют 970 мл масляного слоя, нагревают 2 часа при 210° с 300 мл воды, фильтруют и отделяют от воды. Для дальнейшей обработки применяют 880 мл масляного слоя, который гидрируют при 153°/200 ат H_2 в присутствии 10 об.% восстановленного катализатора состава 100 ч. Со, 10 ч. MgO и 100 ч. кизельгура, после чего выделяют 75 г β-(метилолциклогексил)-пропилового спирта (III) и 68 г циклогексилпропилового спирта, 50 г III в течение 1 часа вводят при 25–30° при помешивании в смесь 240 мл 64%-ной HNO_3 и 64 г NH_4VO_3 и размешивают 5 час., получают 18,1 г дикарбоновой к-ты, т. пл. 255–266°; к отработанной 46,2%-ной HNO_3 прибавляют 50 мл 64%-ной HNO_3 , после чего ее применяют для последующего окисления 50 г III, получают 12,5 г дикарбоновой к-ты, т. пл. 255–266°, извлечением маточного фильтрата эфиром выделяют еще 69 г дикарбоновой к-ты с т. заст. +5°. Смесь 220 г III и 250 г октадекана сплавляют 1 час в медной автоклаве со 180 г KOH при 250°/45 ат, плав разбавляют 2 л воды, водн. слой отделяют, подкисляют HCl (к-той) до pH 6 и обрабатывают в автоклаве при 200°/150 ат H_2 в присутствии Ni-катализатора (100 ч. Со, 10 ч. MgO, 100 ч. кизельгура), при подкислении полученного р-ра HCl (к-той) выделяют 127 г дикарбоновой к-ты, т. пл. 100–200°, из фильтрата извлечением эфиром выделяют еще 69 г жидких дикарбоновых к-т.

В. Уфимцев

5519 П. Производство циклогексилсульфаминовой кислоты. Сайто, Кунимацу (シクロヘキシルスルファミン酸の製造方法。齊藤孝次郎, 國松芳郎), [三菱化成工業株式会社, Мицубиси касэй когё кабусики кайся]. Японск. пат. 830, 18.02.54

При правильном мол. соотношении циклогексилamina (I) и хлорсульфоновой к-ты циклогексилсульфаминовую к-ту получают с 89%-ным выходом. В реакционный сосуд с мешалкой помещают 23 ч. хлорсульфоновой к-ты, охлаждают до 5° и, помешивая, в течение 2 час. вводят 40 ч. I и затем размешивают еще 30 мин. Полученное в-во вливают в водн. NaOH (200 ч.: 16 ч.) и отфильтровывают полученный осадок Na_2SO_4 . Фильтрат перегоняют, воду удаляют вместе с непрореагировавшим I, оставшуюся жидкость выпаривают, осадок сушат, экстрагируют 80%-ным этанолом и получают 24 ч. Na-соли циклогексилсульфаминовой к-ты. В. Г.

5520 П. Способ получения циклогексилсульфаминовой кислоты. Зодер, Шнелль (Verfahren zur Herstellung von Cyclohexylsulfaminsäure. Soder Günther, Schnell Hermann) [Farbenfabriken Bayer A.-G.] Пат. ФРГ 950369, 11.10.56

Для получения циклогексилсульфаминовой к-ты (I) суспензию циклогексильгидроксиламина (II) в нейтр. дисперсионной среде подвергают взаимодействию с SO_2 , напр., вносят в жидкий SO_2 . Пример. 19 вес. ч. II суспендируют в 50 объемн. ч. бензола и прибавляют по каплям к 200 объемн. ч. жидкого SO_2 при –10° в перемешивании. Из полученного гомог. р-ра через некоторое время выкристаллизовывается I, которая отфильтровывается, промывается жидким SO_2 и высушивается в вакууме, выход теоретич., т. пл. 76°.

А. Равкин

5521 П. Способ непрерывного алкилирования ароматических углеводородов. Маташ (Spůsob nepřetržité alkylování aromatických uhlíkovodíků. Mátas Michal). Чехосл. пат. 85511, 1.02.56

Смесь ароматич. углеводородов с алкилхлоридами пропускают через слой активированного Al-катализатора, после чего направляют на обычную обработку.

Катализатором может быть активированный металл. Al в форме кусков (гранул, колец). Катализатор в начале процесса должен быть активирован безводн. галогеноводородными к-тами или галогенидами металлов, известными в качестве катализаторов алкилирования, напр. безводн. $AlCl_3$. По варианту патента процесс алкилирования проводят при повышенной т-ре, напр. 60—120°, в теплоизолированном аппарате, снабженном обогревающим устройством; аппарат заполнен Al-катализатором, активированным безводн. $AlCl_3$; в нижнюю часть аппарата вводят реагирующую смесь, а сверху отводят через затвор продукт алкилирования. Дана схема. К. З.

5522 П. Способ очистки высокомолекулярных ароматических алкилпроизводных. Ро, Бройх, Хармс (Verfahren zum Reinigen von höhermolekularen Alkylaromaten. Roh Nikolaus, Broich Franz, Harms Johann) [Chemische Werke Hüls A.-G.]. Пат. ФРГ 946706, 2.08.56

Для очистки алкилароматич. углеводородов (I), полученных по Фриделю—Крафтсу из RCl (R — углеводородный радикал, содержащий > 10 атомов C) и ароматич. углеводородов, I в присутствии газообразных HCl или HBr обрабатывают $AlCl_3$ или $AlBr_3$; затем отделяют двойные соединения (II) галогенидов Al, а очищ. I обрабатывают обычным образом. Можно также I ректифицировать и очищать лишь последние 30% погона. В описываемом примере очистке подвергается алкилбензол (III), т. кип. 195—203°/20 мм, полученный из бензола и смеси хлорпроизводных парафинов и нафтен. 2000 кг III при т-ре ~ 20° в отсутствие влаги насыщали HCl , добавляя 10 кг $AlCl_3$ и при перемешивании пропускали (2 часа) слабый ток HCl . После отделения 30 кг II очищ. III промывали до нейтр-ции разб. $NaOH$. В случае необходимости III можно предварительно обработать сорбентом типа «тонсил». После перегонки получено 1965 кг чистого III, т. кип. 195—202°/20 мм. II содержит 65% органич. в-в, 30% галогенидов Al и 5% галогеноводородов. Приведена схема очистки и еще 2 примера. М. Энглин

5523 П. Конверсия газообразных углеводородов в этилен и ароматические углеводороды. Хесс, Картер (Conversion of gaseous hydrocarbons into ethylene and aromatics. Hess Howard V., Carter Norman D.) [The Texas Co.]. Пат. США 2735876, 21.02.56

Газообразные углеводороды (I) (C_2H_6 , C_3H_8 , C_4H_{10} или смесь их) превращают в C_2H_4 и жидкие ароматич. углеводороды (II) пропусканием I через крекинг-трубку (КТ), изготовленную из не содержащей Ni хромо-вой стали и имеющую отношение уд. поверхности к объему свободного пространства $L = 65,8 \text{ м}^2/\text{м}^3$. Газы пропускают с такой скоростью, чтобы время контакта равнялось 0,5—2 сек. Т-ра в КТ поддерживается равной 730—840°; газы, нагретые до этой т-ры, вводят в реакционную камеру (РК), где они находятся 10—40 сек., преимущественно 12—25 сек. Конверсия I > 97%. При выпуске продуктов р-ции из РК при т-ре 593—704° улучшается выход II. Продукты конверсии разделяются на фракцию, богатую C_2H_4 , и на II. РК целесообразно изготовлять из не содержащей Ni хромо-вой стали. Конверсия пропана: КТ имеет $L = 92,4 \text{ м}^2/\text{м}^3$ и т-ру 816°. Время контакта 1,2 сек. Газ после КТ содержал 9,4% C_2H_4 и 11,7% C_3H_6 . Время контакта в РК 34,4 сек. Продукты конверсии выводили из РК при 649°. Состав продуктов конверсии (в вес.%): H_2 1,7, CH_4 36,6, C_2H_4 27,9, C_2H_6 7,0, C_3H_8 1,9, жидких продуктов, включая C_4 и II, 24,73. Состав жидких продуктов (в об.%): бутадиев 5, пентадиен 1, циклопентадиен 12, бензол (предгон) 4, бен-

зол 38, толуол 8, нафталин 8, тяжелая ароматич. фракция 24. Описана технологич. схема. М. Энглин

5524 П. Метод выделения дурола (Method of recovering durene) [Esso Research & Engineering Co.]. Англ. пат. 736447, 7.09.55

Дурол (I) выделяют из фракции углеводородов с т. кип. 176—232° (182—201°), охлаждая ее до т-ры от —45 до —84° (при содержании I 17—40% желателен верхний предел) для образования кашицы кристаллов I в маточном р-ре. Кристаллы отфильтровывают, нагревают до 46—79° и для вторичного получения кашицы кристаллов охлаждают до т-ры 0—46° (преимущественно 37, 8°) и центрифугируют. При первом охлаждении применяют охладитель с поверхностью, снабженной скребком. Маточный р-р можно подвергнуть рециркуляции. Е. Покровская

5525 П. Получение 1,3,5-трихлорбензола из неиспользуемых изомеров гексахлорциклогексана. Джонсон (Production of 1,3,5-trichlorobenzene from waste isomers of benzene hexachloride. Johnson Arnold N.) [Commercial Solvents Corp.]. Пат. США 2742508, 17.04.56

Отходы произ-ва γ -ГХЦГ — α -, β -, δ - и ϵ -изомеры гексахлорциклогексана (I) перерабатывают в полихлорбензолы (II) 1,3,5-трихлорбензол (III), 1,2,4,5-тетрахлорбензол (IV), пентахлордифенил (V), гексахлордифенил (VI). Для этого 0,5—8 моль I, 1 моль катализатора Фриделя—Крафтса и 5—10 моль инертного стабильного р-рителя, напр. 1,2,4-трихлорбензола (VII), нагревают при 200—210° в течение 24—16 час. в закрытом реакционном сосуде в присутствии HCl , выделяющейся в процессе р-ции, и получают II. Напр., 233 г α - и β -изомера I, 725 г VII и 107 г $AlCl_3$ нагревают 20 час. при 200° при начальном давл. HCl 5 ат, получают 514 г II (общий выход 85%), содержащих 128 г III, 65,6 г IV и 35 г V и VI, а также VII. При нагревании 440 г смеси α -, β -, δ - и ϵ -изомеров I с 30 г $AlCl_3$ при 210° 16 час. при начальном давл. HCl 5 ат получают 165 г смеси VII и III, содержащей 41 г III. Показано, что при нагревании в данных условиях VII не изомеризуется в III. Л. Волкова

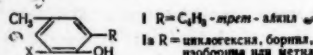
5526 П. Способ получения 4,4'-дизэфиров трифенилкарбинола. Шлоккерман, Це (Verfahren zur Herstellung von 4,4'-Diäthern des Triphenylcarbinols. Schlockermann Walter, Zeh Walter). Пат. ГДР 12468, 7.12.56

Кипятят с водой или с р-рами разб. щелочей 4,4'-дизэфиры трифенилхлорметана, полученные взаимодействием бензотрихлорида (I) с 10%-ным избытком фенольных эфиров (анизол, фенол, бензилфениловый эфир) при повышенных т-рах в присутствии конденсирующих средств, напр., $ZnCl_2$ (II). К смеси 1,08 кг анизол и 1 кг безводн. II при 90—100° прикапывают при перемешивании в течение 2 час. 0,93 кг I, перемешивают еще 24 часа при этой т-ре, подщелачивают насыщ. р-ром Na_2CO_3 , отгоняют с водяным паром избыток анизол, при этом полученный 4,4'-диметокситрифенилхлорметан переходит в 4,4'-диметокситрифенилкарбинол (III), реакционную смесь охлаждают, добавляют 10%-ную HCl для растворения карбоната Zn и отделяют III декантированием от р-ра II; для дальнейшей очистки от следов II III кипятят с водой и затем обезвоживают в вакууме. Если подщелачивают р-ром $NaOH$, то полученный после отгонки анизол III экстрагируют эфиром, эфирный р-р промывают водой, сушат Na_2SO_4 , отгоняют эфир, получают III в виде желто-коричневого сиропа, после перекристаллизации из лигроина в кристаллич. виде. Аналогично получают 4,4'-диэтокситрифенилкарбинол. 35,5 г бензилфенилового эфира (IV) и 20 г II нагревают на водяной бане и прикапывают в течение 2 час. 18 г I, нагревают еще 15 час., подщелачивают разб. р-ром $NaOH$, отгоняют

с водяным паром избыток IV, декантацией отделяют воду и получают 4,4'-дифенилэфир трифенилкарбинола, который перекристаллизовывают из лигрована. Аналогично получают 4,4'-диизопропиловый эфир трифенилкарбинола. Л. Волкова

5527 П. Новые асимметричные дифенилметаны. Ламберт (New asymmetric diphenylol methanes. Lambert Arthur) [Imperial Chemical Industries Ltd]. Пат. США 2732406, 24.01.56

2,2'-Диокси-5,5'-диметилдифенилметаны, связанные в положении 3 с третичным атомом С трет.-алкильной группы с 4—8 атомами С, а в положении 3', содержащие циклогексил, борнил, изоборнил или метил, получают взаимодействием равномолекулярных кол-в двух замещ. крезолов, строение которых соответствует общему ф-лам (I и Ia) (один X — Н, другой X — CH₂ОН



или CH₂Cl). Эти дифенилметаны получают также р-цией 1 моля замещ. крезолов общей ф-лы (I и Ia, X = Н) с 1 молем CH₂O в присутствии основного катализатора или безвод. HCl и последующим взаимодействием полученного крезолов, замещ. CH₂ОН- или CH₂Cl-группой, с 1 молем крезолов другого типа. Смесь 31,7 ч. 2,4-диметилфенола и 22,2 ч. 35%-ного р-ра CH₂O размешивают с пастой из 9 ч. Ca(OH)₂ и 7 ч. воды, т-ра не должна подниматься выше 35°, р-ция заканчивается в течение ~ 30 мин.; продукт подкисляют разб. CH₃COOH и извлекают эфиром, после сушки отгоняют эфир и кристаллизацией остатка из петр. эфира выделяют 2-окси-3,5-диметилбензиловый спирт, т. пл. 53—54°. 18 ч. этого спирта и 25 ч. 2-трет-бутил-4-метилфенола (I) смешивают и сплавляют при 90°, плав охлаждают до 30° и при перемешивании обрабатывают 5,9 ч. HCl, уд. в. 1,18, после затухания р-ции нагревают 1 час при 100°, извлекают C₆H₆, промывают водой до нейтр. р-ции и перегонкой выделяют 2,2'-диокси-3-трет-бутил-3',5,5'-триметилдифенилметан, т. кип. 172—194°/0,1 мм, т. пл. 83—84° (из петр. эф.). Аналогичные результаты получают с I и 2-окси-3,5-диметилбензилхлоридом; аналогично получают 2,2'-диокси-3-трет-амил-3',5,5'-триметилдифенилметан. Р-р 42 ч. 2-(1,1,3,3-тетраметилбутил)-4-метилфенола и 29 ч. 2-окси-3,5-диметилбензилового спирта в 50 ч. петр. эфира с 0,5 ч. конц. HCl кипятят при размешивании 3 часа при 60°, выливают в эфир, промывают водой и перегонкой выделяют 2,2'-диокси-3-(1,1,3,3-тетраметилбутил)-3',5,5'-триметилдифенилметан, т. кип. 170—184°/0,1 мм. 41 ч. I суспендируют в 14 ч. NaOH и 20 ч. воды, приливают 25 ч. 35%-ного CH₂O и перемешивают с прибавлением CH₃ОН в кол-ве, достаточном для полного растворения, после 16 час. стояния выливают в воду и переводят осевшее масло в эфир, эфирный р-р промывают водой и перегонкой выделяют 2-окси-3-трет-бутил-5-метилбензиловый спирт, масло. Р-р 30 ч. этого спирта в 25 ч. C₆H₆ обрабатывают 30 ч. 2-циклогексил-4-метилфенола и 6 ч. конц. HCl, размешивают 2 часа при 50—60° и 16 час. при 20°, отстоявшееся масло переводят в 20 ч. C₆H₆ и отгоняют 2,2'-диокси-3-трет-бутил-3'-циклогексил-5,5'-диметилдифенилметан, т. кип. 210—222°/0,4 мм; из 2-втор-бутил-4-метилфенола получают также 2-окси-3-втор-бутил-5-метилбензиловый спирт (II), масло. 40 ч. II в 100 ч. эфира размешивают 16 час. при 0° с 250 ч. конц. HCl, извлекают эфиром, эфирный р-р сушат, прибавляют 31 ч. I и через 16 час. перегонкой выделяют 2,2'-диокси-3-трет-бутил-3'-втор-бутил-5,5'-диметилдифенилметан, т. кип. 178—180°/0,02 мм. Из II и 2-изоборнил-4-метилфенола получают 2,2'-диокси-3-трет-бутил-3'-изоборнил-5,5'-диметилдифенилметан, т. кип. 176—220°/0,05 мм. Получаемые в-ва применяют

в качестве противостарителей для масел, жиров и восков, подвергающихся под действием O₂ порче.

В. Уфимцев
5528 П. Улучшения в области получения новых производных бензофенона. Дей, Хасли, Форстер (Perfectionnements relatifs à la préparation de nouvelles benzophénones. Day Harold M., Haslip Victor, Forster Warren Schuman) [American Cyanamid Co.]. Франц. пат. 1098344, 22.07.55 [Teintex, 1956, 21, № 2, 159 (франц.)]

Производные бензофенона общей ф-лы R-O-C₆H₃(OH)-CO-C₆H₄XZ (I) (R — алкил с 1—4 атомами С, X и Z — атомы Н, галогены, алкилы или алкоксигруппы с 1—4 атомами С (Z — также OH), применяемые для защиты волокон и других изделий из полиэфирных смол от пожелтения под действием УФ-лучей, получают конденсацией (при т-ре между 0 и 50°, предпочтительно между 20 и 50°, и в присутствии катализаторов типа AlCl₃) соединений C₆H₄XZ и ROC₆H₃(OH)-COZ', где R' — алкил, Z' — галоген, а X, Z и R имеют вышеуказанные значения и находятся в тех же положениях, что и в ф-ле I.

Я. Кантор
5529 П. Продукты конденсации нафтоновых кислот с фенолами и способ их получения. Брандес, Хамфри (Condensation product of naphthenic acids and phenols and methods of making same. Brandes Oliver L., Humphrey Earl L.) [Gulf Research & Development Co.]. Пат. США 2731491, 17.01.56

Смесь нафтоновых к-т (НК) и по крайней мере одного фенола (Ф) ф-лы R₅C₆OH (R — Н или алкил с 1—12 атомами С; причем по крайней мере один R — Н), напр., *m*- или *n*-крезол, 2,6-ди-(трет-бутил)-4-метилфенол, или нафтолов, или бис-фенолов (с мостиками —S—, —SS— или —CR₂—), прибавляют к катализатору Фриделя — Крафта в р-рителе при т-ре ≥ 149° и кипятят до завершения р-ции; лучшие результаты получаются при соотношениях на 1 моль НК 1—2,7 молей Ф и 0,05—0,25 молей катализатора. Смесь 400 г НК с мол. в. ~ 292, 400 г *n*-крезола, 64 г AlCl₃ и 1500 мл р-рителя Стоддарда медленно кипятят (149—177°) при размешивании 5 час. и выливают на смесь льда с конц. HCl; слой р-рителя для удаления Al-соединений несколько раз промывают 10—15%-ной HCl, а затем водой до нейтр. р-ции, р-ритель отгоняют с паром и перегонкой выделяют продукт с мол. в. 427. Приведены аналогичные примеры получения продуктов конденсации с применением изопропилфенола, *m*- и *n*-крезолов, октилфенола или технич. смесей гомологов фенола. Продукты конденсации пригодны в качестве промежуточных в-в для получения моющих средств из минер. масел или для получения смазочных в-в. В. У.

5530 П. Способ получения ароматических карбоновых кислот. Рекке, Блазер, Штейн, Ширп (Verfahren zur Herstellung aromatischer Carbonsäuren. Raacke Bernhard, Blaser Bruno, Stein Werner, Schirp Hubert) [Henkel & Cie G. m. b. H.]. Пат. ФРГ 945627, 12.07.56

Ароматические карбоновые к-ты, в особенности терефталевую к-ту (I), получают нагреванием при высокой т-ре (~ 350—550°) цел. солей бензолдикарбоновых к-т, не содержащих карбоксильных групп в пара-положении, в присутствии катализаторов, содержащих Cd, и лучше в атмосфере CO₂. В автоклаве с мешалкой смесь 150 г фталевого ангидрида, 140 г безвод. поташа и 10 г CdO нагревают 6 час. при 400°/190 ат (начальное давление CO₂ 50 ат), по охлаждению получают 249 г продукта. 100 г продукта растворяют кипячением с 600 мл воды, осадок промывают, фильтрат и промывные воды подкисляют HCl (к-той) и выпавшую к-ту несколько раз извлекают по 500 мл кипящей воды; в остатке — I, выход 77,4%. Приведено еще 25 различных примеров получения I, с выходами 6,5—82,1%, с приме-

нением в качестве исходных в-в фталевого ангидрида, фталата Na и K, изофталата K и смесей его с фталатом K и различных форм Cd. В обогреваемой газом, вращающейся печи (емк. 130 л), заполненной фарфоровыми шарами (диам. 5 см), 30 кг фталата K смешивают с 4,5 кг CdO, нагревают 3 часа до 400° и 4 часа при 400° с пропусканием CO₂; из продукта р-ции выделяют в осадке I, выход 80%, а из маточного фильтрата смесь бензойной и тримезиновой к-т, общий выход ~ 4%.

В. Уфимцев

5531 П. Способ получения алкилированных в ядро ароматических аминов. Штро, Эберсбергер, Хаберланд (Verfahren zur Herstellung von kernalkylierten aromatischen Aminen. Stroh Rudolf, Ebersberger Josef, Haberland Hans) [Farbenfabriken Bayer A.-G.]. Пат. ФРГ 951501, 31.10.56

Ароматич. амины вводят в р-цию с oleфинами в присутствии Al или Al-сплава при нагревании под давлением (200—350°/100—200 ат). Получаемые алкилированные ароматич. амины пригодны в качестве промежуточных продуктов для различных целей. 300 г свежеперегнанного анилина (I), 7,5 г Al-бронзы, 0,3 г HgCl₂ после удаления воздуха нагревают с C₂H₄ 3 часа при 200°, образующийся H₂ удаляют и нагревают до 300°, вводят C₂H₄ до давл. 170 ат, через 6 час. поглощается ~ 170 г C₂H₄, после чего перегонкой с водяным паром, извлечением C₆H₆ и перегонкой органич. слоя выделяют 377,7 г 2,6-дигилянлина (II), т. кип. 240—244°, из 300 г м-толуидина, 6 г Al-бронзы, 0,3 г HgCl₂ (3,5 часа, 340—350°, C₂H₄ до давл. 200 ат) — продукт присоединения 2 молей C₂H₄ к 1 молю м-толуидина, выход 83%, т. кип. 112—114°/3,5 мм (ацетильное производное, т. пл. 153—154°); из п-толуидина аналогично получают 2,6-дигилян-4-метиланилин, т. кип. 113—115°/4,5 мм (ацетильное производное, т. пл. 167°); из 1 моля несимм-м-ксилидина и 1 моля C₂H₄ — 6-этил-2,4-диметилаанилин, т. кип. 102—104°/3,5 мм (ацетильное производное, т. пл. 156°, из разб. сп.); из 8 кг I, 140 г Al-порошка и C₂H₄ получают смеси переменного состава (в зависимости от условий) с преобладанием 2-этиланилина (III) (т. кип. 78—80°/5 мм; ацетильное производное, т. пл. 114—116°; бензоильное производное, т. пл. 153—154°) или II; из I и циклогексена — 2-циклогексиланилин, т. кип. 125°/2,5 мм (ацетильное производное, т. пл. 101—102°); из III и бутилена — 2-этил-6-бутиланилин, выход 30%, т. кип. 129°/10 мм, бензоильное производное, т. пл. 195—196°; из 200 г I, 10 г AlNi-сплава и 1 г HgCl₂ (4,5 часа, 340—350°, C₂H₄ до давл. 200 ат) — III и II.

В. Уфимцев

5532 П. Клешиобразующие соединения, содержащие монофенилалкиленполиаминопикарибоновые кислоты и их соли. Берсуэрт (Metal ion chelating compounds consisting of monophenyl alkylene polycarboxylic acids and salts. Bersworth F. C.). Англ. пат. 719901, 8.12.54

Предложен ряд способов синтеза в-в общей ф-лы C₆H₅[N(A)—R—]_nNA₂ (n = 1—5; A—CH₂COOMe или CH₂CH₂COOMe, где Me — H, щел. металл, аммоний, замещ. аммоний; X — H, OH, галогид, алкил или алкоксил, причем от 1 до 3 X — галогид), применяющихся в качестве реагентов для получения клешиобразных комплексов с металлами. NO₂C₆H₄Cl конденсируют с H₂N(CH₂)_nNH₂, полученное соединение карбоксиметилируют действием ClCH₂COONa, либо смеси NaCN и CH₃O с образованием N-(п-нитрофенил)-этилендиаминотриуксусной к-ты, в которой затем NO₂-группу известными методами замещают на Cl или OH-группу. Полученные соединения можно затем хлорировать в ядро. 2,4,6-Трихлоранилин конденсируют с хлорэтилендиуксусной к-той, а продукт р-ции карбоксиметилируют действием ClCH₂COONa, получая 2,4,6-трихлорфенилэтилендиаминотриуксусную к-ту. Аналогично полу-

чают: N-(1,6-дихлор-4-метилфенил)-этилендиаминотриуксусная к-та, п-хлорфенилпропилендиаминотриуксусная к-та, п-хлорфенилдиэтилендиаминотетрауксусная к-та и ряд других соединений.

Л. Герман

5533 П. Ароматические аминокетоны (Aromatic amino-ketones) [F. Hoffman-La Roche & Co. Akt.-Ges.]. Австрал. пат. 164700, 8.09.55

Ароматич. аминокетоны общей ф-лы (Ia и Ib): 2,3,4-R¹R²R³=C₆H₂—CH=CH—CO—C₆H₄OR⁴ (Ia: R¹, R² и R³—H, галогид, низший алкоксил или нитрогруппа; R⁴=R⁵=R⁶; R⁵—низший алкилен; R⁶—вторичная аминокетонная группа, связанная с низшим алкиленом своим атомом N) получают р-цией щел. солей оксифенилэтилендиаминотриуксусной ф-лы Ib (R¹, R² и R³ как указано выше; R⁴—щел. металл) с галогидными алканами, содержащими остаток вторичного амина и соответствующими общей ф-ле X—R⁵=R⁶ (X—галогид). Указано также получение солей Ia.

В. Уфимцев

5534 П. 2-хлор-4-нитрофенилдиметилфосфат. Флетчер (2-Chloro-4-nitrophenyl dimethyl phosphate. Fletcher John H.) [American Cyanamid Co.]. Канад. пат. 515665, 16.08.55

Реакцией диметилхлорфосфата с 2-хлор-4-нитрофенолятом щел. металла получают и выделяют 2-хлор-4-нитрофенилдиметилфосфат. В частности, указано проведение р-ции: а) при ~ 30—150°, и б) в присутствии р-рителя.

В. Уфимцев

5535 П. Способ получения смешанных эфиров ароматических дикарбоновых кислот. Клейне, Маццара, Вилот (Verfahren zur Herstellung von Mischestern aromatischer Dicarbonsäuren. Kleine Johannes, Macura Carl, Wiloth Fritz, [Vereinigte Glanzstoff-Fabriken A.-G.]. Пат. ФРГ 950283, 4.10.56

Смешанные эфиры дикарбоновых к-т, содержащие в качестве спиртовых компонент, с одной стороны, остаток многоатомного спирта, а с другой — остаток одноатомного спирта, получают нагреванием (до 300°) металлч. солей моноалкильных эфиров ароматич. дикарбоновых к-т с полиметилхлоргидрином в присутствии органич. разбавителей (эфиров, напр., дифеноксида (I) или смесей эфиров с другими органич. разбавителями), а также при размешивании. 120 г К-соли монометилового эфира (или Na-соли моноэтилового эфира) II (II — терефталевая к-та) и 185 мл свежеперегнанного этиленхлоргидрина (III) в 130 мл I (или 150 мл β-нафтолметилового эфира) нагревают 8—10 час. при 180°, фильтруют и удаляют в вакууме III, после прибавления C₆H₆ осаждают петр. эфиром, отфильтровывают, многократно промывают петр. эфиром, сушат, растворяют в C₆H₆ и дважды фильтруют через нейтр. Al₂O₃, получают смешанный этиленгликольметилэтиловый эфир II, выход 82—85%, т. пл. 82° (из C₆H₆) или этиленгликольэтиловый эфир II соответственно. Из К-соли монометилового эфира II и пропиленхлоргидрина-1,2, получают смешанный пропиленгликольметилэтиловый эфир II, т. пл. 74—75°. Из К-соли монометилового эфира п-фенилендиуксусной к-ты и III получают смешанный этиленгликольметилэтиловый эфир п-фенилендиуксусной к-ты, т. кип. 177°/0,001 мм.

В. Уфимцев

5536 П. Способ получения производных кумарона. Дани (Verfahren zur Herstellung von Cumaronderivaten. Danni Otto). Пат. ФРГ 952980, 22.11.56

4,7-Диалкокси-6-оксикумароны получают р-цией 3-оксо-4,7-диалкокси-6-оксикумаранов с NH₂OH, восстановлением полученного оксима и отщеплением NH₃ из образовавшегося амина. Смесь из 42 г 3-оксо-4,7-диметокси-6-оксикумарана (I), 750 мл чистого CH₃OH, р-ра 36 г NH₂OH·HCl в небольшом кол-ве воды и 48 г тонкорастертого безводн. ацетата Na размешивают 10 час. при 40—50° и 10 час. при 20°, отфильтровывают,

осадок оксима и промывают водой для удаления минер. солей. Упариванием фильтрата в вакууме и разбавлением водой выделяют дополнительное кол-во оксима I, общий выход 37 г, т. разл. 198° (из сп. или водн. CH_3OH). В суспензию 30 г оксима I в 600 мл абс. спирта и 80 мл лед. CH_3COOH при 40–50 при размешивании в течение 4 час. вносят по частям 1,5 кг 2,5%-ной амальгамы Na и одновременно приливают лед. CH_3COOH , поддерживая кислую р-цию. Смесь размешивают еще 12 час. при 20°, отделяют Hg, и осадок выпавших солей растворяют прибавлением воды. Hg промывают встряхиванием с водой, а затем с ацетоном. Соединенные р-ры, содержащие соль 3-амино-4,7-диметокси-6-оксикумарона, почти полностью упаривают в вакууме, разбавляют 500 мл воды и кипятят 2 часа, р-р извлекают эфиром, отгоняют р-ритель и 2-кратной перегонкой маслообразного остатка в вакууме выделяют 14 г 4,7-диметокси-6-оксикумарона, т. кип. 145°/1,2 мм, n_D^{22} 1,5721. 4,7-Диалкокси-6-оксикумароны являются промежуточными продуктами для синтеза келлина и родственных соединений.

В. Уфимцев

5537 П. Способ получения алкенилпиридинов. Мейхан (Process for the production of alkenyl pyridines. Mahan John E.) [Phillips Petroleum Co.]. Пат. США 2728770, 21.12.55

Алкилпиридин (I) подвергают каталитич. дегидрогенизации, катализатор делят на 2 порции: алкенилпиридин и смесь непрореагировавшего I с небольшим кол-вом полимеризующегося алкенилпиридина; смесь полимеризуют, отделяют образовавшийся полимер от I и возвращают отделенный I в зону дегидрогенизации.

О. Магидсон

5538 П. Способ получения продуктов полимеризации синильной кислоты. Гёц (Verfahren zur Herstellung von festen Polymerisationsprodukten der Blausäure. Götz Franz) [Röhm & Haas G. m. b. H.]. Пат. ФРГ 950911, 18.10.56

Твердые продукты полимеризации (ПП) HCN получают с применением в качестве катализаторов водн. р-ров солей циановой к-ты (I), обладающих щел. р-цией, а также смеси с другими щел. катализаторами; смешанные катализаторы могут быть применены также для непрерывной полимеризации HCN, причем последняя при этом значительно ускоряется. Смесь 1,5 кг HCN, 0,09 кг NH_4 -соли I и 2,97 кг воды нагревают при размешивании до 40°, 15 мин. при 40°, еще через 145 мин. полимеризация заканчивается; фильтруют и сушат, получают 1,38 кг нерастворимого в воде ПП, а упариванием фильтрата выделяют 0,09 кг растворимого в воде ПП. Приведены также примеры с применением К-соли I и $\text{Ca}(\text{OH})_2$.

В. Уфимцев

5539 П. 2-Метил-4-амино-5-ацетаминотетрагидропиримидин и способы его получения. Томита, Уео, Такеда, Такамизава, Маэда (2-méthyle-4-amino-5-acétaminométhyle-pyrimidine et procédés de preparation. Tomita Masao, Uyeo Shojiro, Takeda Kenichi, Takamizawa Akira, Maeda Ryo-zo) [Shionogi & Co. Ltd.]. Франц. пат. 1108121, 9.04.56

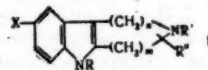
2-Метил-4-амино-5-ацетаминотетрагидропиримидин (I), важный промежуточный продукт при получении витамина B_1 , получается при р-ции *транс*-алкокси(или аралкокси)метилена-β-алкокси(или аралкокси)пропионитрила с ацетамидином или ацетиминоэфиром, NH_3 и конденсирующим агентом. Можно также исходить из *цис*-изомера, который под действием NaOH в водн. CH_3OH или $\text{C}_2\text{H}_5\text{OH}$ (1:1) переходит в *транс*-изомер. Если исходным в-вом служит смесь обоих геометрич. изомеров, образуется 2,7-диметил-5,6-дигидропиримидо (4,5-*d*)пиримидин (т. пл. 104–106°, пикрат, т. пл. 202–203°), который при продолжении р-ции гидролизует-

ся с образованием I. 14 г хлоргидрата ацетиминоэфир вводят в р-р $\text{C}_2\text{H}_5\text{ONa}$ (140 мл $\text{C}_2\text{H}_5\text{OH}$ и 14 г Na), прибавляют 10 г *транс*-α-бензилоксиметилена-β-этоксипропионитрила, выдерживают 2 часа с охлаждением, потом 2 часа при 40°, после чего нейтрализуют 0,2 г Na, отделяют NaCl и оставляют на некоторое время. После отгонки р-рителя в вакууме кристаллич. остаток обрабатывают C_6H_6 , нерастворимый остаток высушивают и растворяют в 30 мл CH_3OH , р-р при охлаждении насыщают NH_3 , отгоняют CH_3OH , остаток нагревают 2 часа при 40° с 10 мл 10%-ного водн. NaOH, оставляют на некоторое время и отделяют выпавшие кристаллы I (полугидрат, т. пл. 203–204°); из маточного р-ра после обработки 50%-ной водн. NaOH выделяют дополнительное кол-во I. Общий выход 4,4 г. При кислотном или щел. гидролизе (напр., нагреванием на водяной бане 5 г продукта со смесью из 200 мл спирта и 15 мл 20%-ной HCl) I почти количественно переходит в 2-метил-4-амино-5-аминометилпиримидин, т. пл. 265° (разл.).

Я. Кацтор

5540 П. Производные β- и γ-карболинов (Derivatives of β- and γ-carbolines) [Farbenfabriken Bayer]. Англ. пат. 721171, 29.12.54

1,2,3,4-Тетрагидро-β- (Т-β-К) и γ-карболины (Т-γ-К) общей ф-лы (I), применимые в качестве антигистаминных средств (X—H или галогид; R—алкил, алкиламиноалкил, алкилмеркаптоалкил, аралкил или одоядерный арил или ароматич. одоядерный гетероциклич. остаток, связанный непосредственно или через



алкиленовый мостик; R' и R—одинаковые или различные заместители: H или $\text{C}_1\text{—C}_4$ -алкил; $m + n = 3$), получают: а) р-цией соответствующих соединений, содержащих щел. металл вместо R, с галогидными соединениями или реакционноспособными эфирами спиртов или фенолов, соответствующими остатку R; б) р-цией N,N-замещ. фенилгидразинон с солью N-алкилпиридона-4 в р-ре минер. к-ты с образованием Т-γ-К ($n=1$, $m=2$); в) конденсацией триптана, замещ. у щелочного атома N, с CH_2O или CH_3CHO с замыканием кольца и образованием Т-β-К ($n=2$, $m=1$). Примеры: а) хлоргидраты I (I—N-фенил-N-бензилпиридин) и N-метилпиридона-4 кипятят в спирт. HCl, получают 2-метил-5-бензил Т-γ-К (II), выделяемый в форме хлоргидрата; б) II в форме сульфата или соли с 1,5-нафталиндисульфокислотой получают прибавлением метилиминодизетилдипропионата к р-ру $\text{C}_2\text{H}_5\text{ONa}$ в спирте, отгонкой спирта в вакууме, кипячением остатка с разб. H_2SO_4 до окончания выделения CO_2 и дальнейшим кипячением полученного продукта с 1 н. H_2SO_4 ; в) аналогично N,N-дифенилгидразин превращают в 2-метил-5-фенил-Т-γ-К; г) 2-метил-Т-γ-К (получен из хлоргидрата фенилгидразина и хлоргидрата N-метилпиридона-4) кипятят с NaNH_2 в ксилоле, полученное Na-производное кипятят с диэтиламиноэтилхлоридом в ксилоле с образованием 2-метил-5-диметиламиноэтил-Т-γ-К, описано также получение его из леата; д) метансульфонат N-(n-хлорбензил)-N-(n-хлорфенил)-гидразина превращают, как описано в примере «а», в 2-метил-8-хлор-5-(n-хлорбензил)-Т-γ-К, выделяемый в форме хлоргидрата или метансульфоната; е) аналогично хлоргидрат N-(пиридил-2')-N-фенилгидразина дает 2-метил-5-(пиридил-2')-Т-γ-К, а N-фенил-Т-β-К метилируют CH_2O и HCOOH и полученное 1,2,3,4-тетрагидро-γ-карболин, малеат которого опустят; ж) 1-метил-Т-β-К метилируют CH_2O и HCOOH и полученное 1,2-метилпроизводное обрабатывают аналогично примеру «г», получают 1,2-диметил-9-диметиламиноэтил-Т-β-К.

описана его соль с 1,5-нафталиндисульфокислотой; в) 1-бензилтриптамин (из I и диэтилацетата γ -амино-бутиральдегида) нагревают с CH_3CHO в разб. HCl , получают 1-метил-9-бензил-Т- β -К. Последний метилируют в положение 2 действием CH_3O и HCOOH , описанникрат этого метилпроизводного; и) N-(n -хлорбензил)-N-фенилгидразин при обработке аналогично примеру а) дает 2-метил-5-(n -хлорбензил)-Т- γ -К; к) аналогично получен 2-метил-8-хлор-9-(n -метоксibenзил)-Т- γ -К и из N-этилмеркаптоэтил-N-фенилгидразина — 2-метил-9-(β -этилмеркаптоэтил)-Т- γ -К, описан его малеат; л) из N-(α -пиридилметил)-N-фенилгидразина аналогично получают хлоргидрат 2-метил-5-(α -пиридилметил)-Т- γ -К. N,N-дизамещ. гидразины получают восстановлением оснований Шиффа, полученных из n -хлоранилина (III) и n -хлорбензальдегида (IV), анилина (V) и IV, III и анисового альдегида или V и α -формилипиридина, обработкой HNO_2 полученных продуктов и восстановлением введенной нитрозо-группы. N-(пиридил-2)- и N-этилмеркаптоэтил-N-фенилгидразины получают нитрозированием и восстановлением 2-фениламинопиридина (из V и 2-бромпиридина) и этилмеркаптоэтиланилина (из V и β -хлордиэтилсульфида). В. Уфимцев

5541 П. Способ загрузки реакционных печей для каталитического гидрирования окиси углерода. Роттиг, Вишерман (Verfahren zur Füllung von Reaktionsöfen für die katalytische Kohlenoxydhydrierung. Rottig Walter, Wischermann Walter) [Ruhrchemie A.-G.]. Пат. ФРГ 933448, 29.09.55

Способ касается загрузки трубчатых печей высотой > 4 м, в частности 4—20 м, восстановленными осажденными катализаторами, в особенности из Fe, Co или Ni, с размером зерна 0,5—7, в частности 1—6 мм, с удалением пыли из катализаторов непосредственно перед загрузкой с помощью просеивающего приспособления (III). Способ отличается тем, что у III впускной патрубков перед ситом имеет сечение, равное 0,8—0,4 сечения загрузочного патрубка после сита; во время загрузки печи через III пропускают слабую струю газа (скорость 1—50, предпочтительно 5—25 см/сек). Трубы, в которых протекает синтез, заполнены жидкостью (предпочтительно углеводородными продуктами гидрирования CO), уровень которой в трубах во время загрузки их катализатором не должен подниматься выше 10 см, предпочтительно 100 см, от верхнего края труб; по завершении загрузки избыточный катализатор из верха реакционных труб отсасывается струей инертного газа. Приложены 3 схемы III. Я. Кантор

5542 П. Получение ароматических углеводородов и их производных (Production of aromatic hydrocarbons and derivatives thereof) [Imperial Chemical Industries, Ltd.]. Англ. пат. 735300, 17.08.55

Катализатор процесса с атомным соотношением $\text{Zn}:\text{Fe}:\text{Cr} = 80:20:100$ получают осаждением NH_3 водн. р-ра $\text{Zn}(\text{NO}_3)_2$, $\text{Fe}(\text{NO}_3)_3$ и CrO_3 . Осадок сушат, прокалывают при 350° , таблеттируют с графитом и перед применением восстанавливают H_2 при 400° . Катализатор с атомным соотношением $\text{Cd}:\text{Cr} = 1:1$ получают осаждением водн. р-ра нитратов водн. р-ром NaHCO_3 . Осадок прокалывают при 400° и таблеттируют с графитом. Ю. Гольнец

5543 П. Процесс получения диклопентадиенил-железа (Process for the preparation of dicyclopentadienylniron) [Du Pont de Nemours & Co.]. Англ. пат. 737780, 28.09.55

Пирофорный FeO -катализатор для получения диклопентадиенилжелеза готовят разложением при нагревании Fe^{2+} -соли H_2CO_3 или незамещ. насыщ. карбоновой к-ты с ≤ 6 атомами C (муравьиной, щаве-

левой), напр., в инертной атмосфере. Применяют смешанные оксалаты FeNH_4 , FeCd , FeZn , FeSn . Ю. Гольнец 5544 П. Способ каталитического гидрирования окиси углерода. Роттиг (Verfahren zur katalytischen Kohlenoxydhydrierung. Rottig Walter) [Ruhrchemie A.-G.]. Пат. ФРГ 939448, 23.02.56

Гидрирование проводят при $\sim 195\text{--}233^\circ$ и давл. $\sim 10\text{--}20$ ат над неподвижным Fe-катализатором с величиной зерна 0,5—1 мм при скорости синтез-газа через слой катализатора $10\text{--} > 1000$ л/час на 1 л катализатора, восстановленного, предпочтительно при т-рах между 200 и 350° и скорости газа-восстановителя (H_2) $\sim 60\text{--}100$ см/сек (в холодном состоянии и прямолинейном потоке). Предпочтительны замкнутый процесс с частичной рециркуляцией в реактор остаточных газов и пропускание синтез-газа через слой катализатора снизу вверх. Кол-во O-содержащих соединений (наряду с углеводородами) в продуктах р-ции превышает 45 вес.%. Указаны состав, размер зерен и условия восстановления катализаторов. Наилучшие результаты получены на катализаторе с величиной зерна 0,5—1 мм: после 200 час. работы при 218° прореагировало 69% CO. Удовлетворительные результаты получены и на катализаторе с величиной зерна 1—2 мм (52% прореагировавшей CO), тогда как с более грубыми катализаторами кол-во прореагировавшей CO не превышало 41% даже при повышении т-ры на $\sim 30^\circ$. В 1-м случае выход O-содержащих продуктов был на 20% выше, чем в опытах с катализаторами с величиной зерна 2—3 и 3—4 мм. Я. Кантор

См. также: Парафины, алкилирование 5979. Адетилен, свойства 4487, 4504—4509. Винилариловые эфиры 4569. Акрилонитрил, свойства 4502. Ароматич. углеводороды, окисление 4489. Алкилнафталины 4567, 2,6-лутидин, синтез 4606. Алкилпиридины 4602. Пиридин, C-ацилирование 4605. Пиперидин, производные 4597, 4598. Винилтиофены, синтез 4589. Кремнийорганич. соединения 4682—4684

ПРОМЫШЛЕННЫЙ СИНТЕЗ КРАСИТЕЛЕЙ

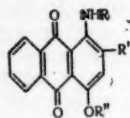
Редактор Н. А. Медызовская

5545. Дисперсные красители, их развитие и применение. Фортесс (The disperse dyes — their development and application. Fourness R. K.), J. Soc. Dyers and Colourists, 1956, 72, № 11, 513—527 (англ.). Обзор. Вибл. 64 назв. В. У.

5546. Фторированные аминантрахиноновые красители. Дикки, Таун, Блум, Тейлор, Уоллес, Сагал, Мак-Колл, Хедберг (Fluorinated aminoanthraquinone dyes. Dickey J. B., Towne E. B., Bloom M. S., Taylor G. J., Wallace D. J., Sagal John, Jr., McCall M. A., Hedberg D. G.), Industr. and Engng Chem., 1956, 48, № 2, 209—213 (англ.)

С целью получения антрахиноновых красителей для ацетатного шелка, обладающих высокими прочностями к свету (ПС) к действию обесцвечивающих газов (ПГ), исследованы F-содержащие красители двух типов: содержащие атомы F в алкильной цепи у аминогруппы, общей ф-лы (I) и содержащие CF_3 -группу, общей ф-лы II ($n = 2\text{--}4$). I являются красителями от розового (Р) до фиолетового (Ф) цвета, их получают нагреванием лейкохинизарина (1,4,9,10-антрагетрола) (III) с соответствующими фторалкиламинами и последующим окислением полученного лейкосоединения I. В качестве фторалкиламинов применены в-а общей ф-лы RNH_2 (IV), у которых $\text{R} = \text{a) CF}_3\text{CH}_2$; б) CHF_2CH_2 ; в) $\text{CF}_3\text{CH}(\text{CH}_3)$; г) $\text{CHF}_2\text{CH}_2\text{CH}_2$; д) $\text{CH}_3\text{CF}_2\text{CH}_2$;

е) $\text{CH}_3\text{CF}_2(\text{CH}_2)_3$; $\text{CF}_3\text{CH}_2\text{CH}_2\text{NH}_2$ с III красителей не образует. Таким образом получены следующие I (указаны заместитель, цвет окраски, ПС и ПГ по 5-балльной системе: превосходная 5, очень хорошая 4, хорошая 3, умеренная 2, плохая 1): Ia, Р-Ф, 5,5; Ib, красно (К)-Ф, 5,5; Ic, Р-Ф, 5,5; Id, Ф, 3,2; Ie, К-Ф, 3,3; If, сине (С)-Ф, 2,3; NH₂, Р-Ф, 3,3; C₂H₅NH₂, Ф-С, 3,2; HOCH₂CH₂NH₂, Ф-С, 3,2. Исследованы также свойства исходных



I R-алкил, R'=R''=H;

II R=H; R'=CF₃;

R''=C₆H₄(OCH₂CH₂)_nOH

фторалкиламинов. II (R—CF₃) получены кипячением 1-амино-4-бром-2-трифторметилантрахинона (V) с или *n*-(оксиполиэтокс)-анилинами в течение 1,5 часа в амилловом спирте (VI) в присутствии CH_3COOK и небольшого кол-ва CuSO_4 ; они являются яркими синими красителями для ацетатного шелка и обладают выдающимися ПС и ПГ. Получены следующие II (приведены R', *n*, положение оксиполиэтоксигруппы в фенильном остатке, интенсивность и тон окраски красителя на ацетатном шелке, ПС и ПГ): IIa, CF₃, 4, *n*-, 5, темно (Т)-С, 5,3; IIб, CF₃, 3, *n*-, 4, голубой, 5,3; IIв, CF₃, 3, *o*-, 3, голубой, 3,3; IIг, CONH₂, 3, *n*-, 4, Т-С, 3,2; IIд, CN, 3, *n*-, 2, чистый С-зеленый, 3,3; IIе, SO₂CH₃, 3, *n*-, 1, слабый серо-зеленый, 2,3; IIж, SCH₃, 3, *n*-, 2, тупой Т-С, 3,2; IIз, CH₃, 2, *n*-, 1, тупой слегка Ф-С, 3,2. II (R—CF₃) по яркости и прочностям превосходят II (R не CF₃); наибольшей интенсивностью окраски отличается IIа. Смесь 35,8 г хинизарина, 14,5 г III и 24,8 г IVa в 400 мл бутилового спирта (VII) нагревают 8 час. при 150—160° под давлением, избыток IVa отгоняют, прибавляют 200 мл VII, лейкосоединение красителя окисляют воздухом в течение 6 час. при кипении, ~50% VII отгоняют, а остаток выливают в 12-кратный объем воды, получают Ia, выход 97%, т. пл. 158—160° (из кислоты). 2,42 г III, 0,85 г IVб кипятят 20 час. в 15 мл C₂H₅OH, прибавляют несколько капель пиперидина и несколько кристаллов ацетата Си и окисляют воздухом 7 час. при кипении, получают Ib, выход 89%, т. пл. 141—142° (из VII). 2,42 г III, 2,03 г IVв в 20 мл VI нагревают 6 час. в запаянной трубке при 125—135°, прибавляют немного пиперидина и ацетата Си и окисляют воздухом 7 час. при 100°, по охлаждении отфильтровывают продукт, удаляют из него Ib извлечением C₂H₅OH, VI и CCl₄, получают 1,4-бис-(2,2'-дифторэтилмино)-антрахинон, т. пл. 242—243°. 2,42 г III, 1,14 г IVд в 40 мл VII кипятят 7 час., по охлаждении прибавляют 5 мл воды и 2,31 г NaBO₃·4H₂O, нагревают 2 часа, выливают на 600 мл горячей воды, после отгонки VII отделяют Id, выход 60%, т. пл. 135—138° (из сп.). 2,42 г III, 1,41 г IVв в 20 мл VII нагревают в запаянной трубке 24 часа при 150°, прибавляют 3 мл воды и 2,31 г NaBO₃·4H₂O и размешивают 3 часа при 90—95°. Разбавлением 400 мл горячей воды выделяют Iv, выход 75%, т. пл. 143—145° (из кислоты). 1,2 г III и 0,5 г IVг кипятят 18 час. в 50 мл VII, по охлаждении прибавляют 5 мл воды и 1,2 г NaBO₃·4H₂O, кипятят 1 час, выливают в 1 л 5—10%-ной HCl, отделяют Ig и кристаллизуют из VII. 1,4 г III и 0,75 г IVе кипятят 17 час. в 20 мл VII, по охлаждении прибавляют 3 мл воды и 1,34 г NaBO₃·4H₂O и нагревают 3 часа, выливанием в горячую воду выделяют Ie, выход 43%, т. пл. 128—130° (из сп.). 450 г 28%-ного NH₄OH и 1 г вспомогательного в-ва Nассонol NR охлаждают до -20°, прибавляют 134 г 2-хлор-1,1,1-трифторэтана, т. кип. 6° (или 2-бром-1,1,1-трифторэтана), и нагревают 29 час. при 185—190° под давлением, затем охлаждают до 0—5° и перегонкой

в колбе с насадочной колонкой высотой 61 см выде-
ляют IVa, выход 53%, т. кип. 35—36°. Аналогично по-
лучают IVб, т. кип. 68—69° (и 2,2,2',2'-тетрафтордипи-
амин, т. кип. 122—123°); IVг, т. кип. 92—94°, n_D^{20}
1,3650 и 3,3,3',3'-тетрафтордипропиламин, т. кип. 91—
94°/50 мм, n_D^{20} 1,3744; IVд, т. кип. 76—77°, n_D^{25} 1,3622;—
IVе, т. кип. 125—130°, n_D^{25} 1,3864, и небольшое кол-во
4,4,4',4'-тетрафтордипентиламина, т. кип. 190—240°
 n_D^{25} 1,3920. 30 г трифторацетона, 18,8 г NH₄OH·HCl
и 22 г ацетата Na в 100 мл воды нагревают 6 час.
при 90—100° под давлением, по охлаждении извлекают
эфиром и перегонкой экстракта выделяют оксим три-
фторацетона, выход 70%, т. кип. 90—106°. 24 г этого
оксима в эфирном р-ре гидрируют 15 час. под давл.
H₂ 140 ат (в конце давление падает до 8 ат), после
сушки CaSO₄ насыщением HCl (газ) выделяют хлор-
гидрат IVв, выход 30%, основание IVв, т. кип.
46—47°, n_D^{20} 1,3210. 24,3 г 3-хлор-1,1,1-трифторпропила
и 37 г фталимида калия нагревают 20 час. при 180—
200° под давлением, получают N-(3,3,3-трифторпропи-
л)фталимид, т. пл. 112—113° (из лигроина). Гидролизом
его конц. HCl 24 часа при 200° под давлением, разло-
жеием 50%-ным р-ром КОН и перегонкой выделяют
IVж, т. кип. 67°, n_D^{20} 1,3316. 1200 г 2-метилантрахинона,
1250 г SO₂Cl₂ и 37,5 г J₂ в 1660 мл сухого C₆H₅NO₂ ки-
пятят 18 час. при размешивании, отгоняют избыток
SO₂Cl₂ и по охлаждению выделяют 1-хлор-2-метил-
антрахинон, выход 56%, т. пл. 158—159,5° (из лед.
CH₃COOH). 1735 г 1-хлор-2-метилантрахинона в 1700 мл
безводн. о-дихлорбензола хлорируют Cl₂ 56 час. при
170—175° при облучении 200-ваттной лампой накаль-
вания (пока проба продукта, промытого CH₃OH, не
будет плавиться при 185—195°), по охлаждении от-
фильтровывают и кристаллизацией из хлорбензола и
промывкой CH₃OH выделяют 1-хлор-2-трихлормети-
лантрахинон, выход 55%, т. пл. 203—205°. 153 г послед-
него и 400 г безводн. HF нагревают при перемешива-
нии 18 час. при 150°, по охлаждении автоклава до 80°
из него удаляют HCl и избыток HF, поглощая их
р-ром NaOH; по охлаждении автоклава до 20° отфи-
льтровывают и промывают CH₃OH 1-хлор-2-трифторме-
тилантрахинон, выход 70%, т. пл. 208°. 172 г 1-хлор-
2-трифторметилантрахинона и 500 мл 28%-ного NH₄OH
нагревают 10 час. при 140—150° и по охлаждении
отфильтровывают 1-амино-2-трифторметилантрахинон,
выход 97%, т. пл. 144—146°. 50 г 1-амино-2-трифторме-
тилантрахинона в 300 мл 96%-ной H₂SO₄ при переме-
шивании выливают в р-р 2,5 г FeSO₄ и 2,5 г FeCl₃
в 2,5 л воды и при 50—55° приливают 30 г Br₂, на-
гревают 18 час. при 60—70° и отфильтровывают V, выход
60%, т. пл. 175—177° (из VII). 6,4 г V, 5,6 г *n*-(2-(2-
2-оксиполиэтокс)-этокс)-этокс)-этокс)-анилина, 2 г
плавленного CH₃COOK и 0,2 г CuSO₄ кипятят 1,5 часа
в 32 мл VI, по охлаждении выливают в 1 л воды, раз-
мешивают 1 час и отфильтровывают IIa, выход 67%,
т. пл. 110—115° (из кислоты). В. Уфимин

5547 П. Способ получения моноазокрасителей, не-
растворимых в воде. Круккенберг (Verfahren
zur Herstellung von wasserunlöslichen Monoazofar-
bstoffen. Kruckenberg Winfried) [Farbenfab-
riken Bayer A.-G.] Пат. ФРГ 928902, 13.06.55

Моноазокрасители, нерастворимые в воде, получают
сочетанием диазотированных циананилинов, которые
могут содержать в ядре в качестве заместителей только
алкильные группы или галоиды, с сочетающимися в
пара-положение ароматич. аминами, у последних один
атом Н аминогруппы замещен оксиалкилом, а другой
Н—алкилом или оксиалкилом; при этом компоненты
не должны содержать карбоксильных или сульфогрупп.
Полученные красители окрашивают ацетилцеллюлозные
(АЦВ) и полиамидные волокна (ПВ) в почти одина-

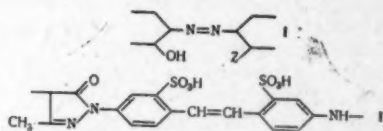
вые от желто-оранжевых до бордо-красных тона, прочие к свету и мокрому обработкам. Р-р 15,3 ч. 3-хлор-4-циананилина (I) в 50 мл конц. HCl при охлаждении диазотируют 35 ч. 20%-ного р-ра NaNO₂, фильтруют, нейтрализуют разб. р-ром NaOH или соды до слабощелочной р-ции на конго и сочетают с р-ром 19,5 ч. N,N-диоксидэтил-3-метиланилина (II) в разб. HCl, после начала сочетания прибавляют р-р ацетата Na, а затем отфильтровывают краситель, окрашивающий АЦВ и ПВ в чистый желтовато (ЖВ)-красный (КР) цвет. Приведены аналогичные красители (указаны диазо- и азосоставляющие и цвета окраски на АЦВ и ПВ): 2-метил-4-циан-6-броманилин (III) → II, оранжевый (ОР), ОР; 2-циан-5-хлоранилин (IV) → N-бутил-N-оксидэтил-3-метиланилин (V), красновато(КРВ)-ОР, КРВ-ОР; 2,6-дибром-4-циананилин (VI) → II, ОР, ОР; I → N-этил-N-оксидэтиланилин (VII), ОР, ОР; I → V, ало-(А) КР, А-КР; I → N-бутил-N-оксидэтил-2-метоксид-5-метиланилин (VIII), —, синевато (СВ)-КР; VI → VIII, —, СВ-КР; VI → V, —, ЖВ-КР; 2,4-дибром-6-циананилин (IX) → II, ЖВ-ОР, КРВ-ОР; IX → N-бутил-N-оксидэтиланилин (X) или VII, ЖВ-ОР, ЖВ-КР; III → II, ОР, КРВ-ОР; III → V, —, КРВ-ОР; III → VII, ЖВ-ОР, ОР; III → N,N-диоксидэтиланилин (XI) или X, ЖВ-ОР, ОР; III → VIII, ЖВ-ОР, КР; 3-хлор-4-циан-6-броманилин (XII) → V, —, СВ-КР; XII → XI, ОР, ЖВ-КР; XII → VII, А-КР, ЖВ-КР; XII → X, А-КР, КР; XII → II, А-КР, СВ-КР; XII → VIII, —, бордо-КР; 2,6-дихлор-4-циананилин (XIII) → V, —, интенсивный ЖВ-КР; XIII → II, интенсивный КРВ-ОР, интенсивный ЖВ-КР; XIII → VIII, —, СВ-КР; XIII → X, интенсивный ЖВ-ОР, —; XIII → XI, ОР, —; IV → X, ОР, ОР; IV → V, КРВ-ОР, КРВ-ОР; IV → VII, —, КР; IV → II, VII или XI, ОР, ОР; 4-хлор-3-циананилин (XIV) → V, —, ЖВ-ОР; XIV → II, VII, X или XI, ЖВ-ОР, ЖВ-ОР; XIV → VIII, ОР, КРВ-ОР; 2-метил-4-циананилин (XV) → VII, ЖВ-ОР, ЖВ-ОР; XV → II, —, ОР; XV → VIII, —, СВ-А; XV → V или XI, ОР, ОР; XV → X, ЖВ-ОР, ОР; 2,3,4-трихлор-6-циананилин (XVI) → VII, —, СВ-КР; XVI → V, —, КР; XVI → VIII, —, КР-Ф.

В. Уфимцев

5548 II. Дис- и полиазокрасители и способ их получения (Dis and polyazo dyes and a process for their preparations) [Sandoz, Ltd]. Англ. пат. 738598, 19.10.55

Патентуются азокрасители общей ф-лы [A—CO—C(Y)=C(Y)—CO—A']_m, содержащие остатки 2 одинаковых или различных аминоазосоединений А и А'. Остаток А соответствует общей ф-ле (R²—N=N—N—R²—N=N—N—R'—NH₂ один Y—H, другой Y—H, Cl, Br или метил; R', R², R²—однойдерный или двухдерный остаток бензольного или остаток нафталинового ряда, причем 2 ядра двухдерного остатка соединены простой связью или мостиками —NH—, —NH—CO—, —CO—NH— или —NH—CO—NH—, а R² и R² еще и —CH=CH—, с соответствующей азогруппой остатка соединены простой связью или через остаток пиразолона или ацетоацетиламидогруппы; M—Cu или Ni; m=1,2,3 или 4, если группа R²—N=N—N—R'—NH— является остатком 2-амино-6-(2'-окси-5'-сульфобензил)-5-нафтол-7-сульфокислоты или 2-амино-6-(2'-окси-3'-нитро-5'-сульфобензил)-5-нафтол-7-сульфокислоты или 2-амино-6-(2'-окси-5'-сульфамидбензил)-5-нафтол-7-сульфокислоты или еще равен 0, если указанная группа не является таковой, n=0 или 1 и содержит по крайней мере 1 металлизиремую группу общей ф-лы (I) (Z—OH, COOH, OCH₃ или OCH₂—COOH). Остаток А' одинаков с А или является остатком другого аминоазосоединения, за исключением содержащих группировку общей ф-лы (II), связанную с остатком дикарбоновой к-ты через —NH-мостик. Оба

остатка А и А' совместно содержат не больше 6 азогрупп и достаточное для сообщения красителю растворимости в воде кол-во таких групп, как SO₃H, COOH, SO₃NH₂, SO₃NR₂. Азокрасители получают следующими способами: а) конденсируют 2 моля аминоазосоединения общей ф-лы (A) M_p (p=0,1 или 2), содержащего по крайней мере 1 группировку I, или 2 моля смеси 2-х различных таких аминосоединений в выбранных соотношениях, или 2 моля смеси одного такого аминоазо-



соединения и другого аминоазосоединения, кроме содержащих группировку II, с 1 молем дигалогидангидрида дикарбоновой к-ты общей ф-лы X—CO—C(Y)=CH—CO—X (X—Cl или Br). Напр., 1 моль дихлорангидрида фумаровой к-ты (III) конденсируют с азосоединениями: 1) 2 моля 1-фенил-3-метил-5-пиразол-4'-сульфокислоты (IV) + 2-амино-5-нитробензойная к-та (V) (восстановление нитрогруппы (BH)) → м-толуидия (VI); 2) 2 моля IV + 2-амино-5-(4'-нитробензоил-амино)-бензойная к-та (BH) → VI; 3) 2 моля 2-амино-5-ацетиламиноанизол-4-сульфокислоты → 2-нафтол-6-сульфокислота (гидролиз ацетильной группы); 4) 1 моль антралиновой к-ты (VII) → 2-[4'-(4'-амино-3'-сульфобензил)-фениламино]-5-нафтол-7-сульфокислота и 1 моль 4-окси-4'-аминоазобензол-3-карбоновой к-ты (VIII); 5) 1 моль IV + V (BH) → VI и 1 моль 3-карбоксит-4-оксиданилин-5-сульфокислоты → м-аминоацетанилид; 6) 1 моль 3-карбоксит-4-оксиданилин-5-сульфокислоты → м-аминоацетанилид и 1 моль 2-амино-5-сульфобензойной к-ты (IX) → 1-(4'-аминофенил)-3-метил-5-пиразолон (X); 7) 1 моль 2-амино-5-ацетиламиноанизол-4-сульфокислоты → 2-нафтол-6-сульфокислота (гидролиз ацетильной группы) и 1 моль 2-амино-6-хлорфенол-4-сульфокислоты (XI) → X; 8) 2/3 моля 1-амино-8-нафтол-3,6-дисульфокислоты (XII) → дианизиды → 1,8-диоксинафталин-3,6-дисульфокислота и 1 1/3 моля VIII; 9) 2 моля V → IV (BH); 10) 2 моля 2-амино-5-сульфамидбензойной к-ты → X; 11) 1 моль 2-амино-5-сульфобензойной к-ты → X и 1 моль VII → X; 12) 1 моль 2'-карбокситфениламид IX → X и 1 моль V → 2-ацетоацетиламинобензойная к-та (BH); 13) 1 моль VII → 2-амино-5-нафтол-7-сульфокислота (XIII) и 1 моль VIII; 14) 1 моль XI → XIII (Cu-комплекс) и 1 моль XI → м-анизидия (Cu-комплекс); 15) 1 моль 2-аминофенол-4,6-дисульфокислоты → XIII и 1 моль 1-амино-2-нафтол-4-сульфокислоты (XIV) → XIII; 16) 1 моль XI → XIII и 1 моль XIV → XIII; 17) 2 моля IX → 4-ацетоацетиламино-4'-карботоксинамиостильбен-2,2'-дисульфокислота (с предварительным омылением карботоксинаминогруппы); б) диазотируют или бисдиазотируют моноамин или диамин общей ф-лы H₂N—R'—NH—CO—C(Y)=C(Y)—CO—NH—R'—W (W—амино- или нитрогруппа или легко восстанавливающаяся или омыляющаяся ациламиногруппа) и сочетают с азосоставляющей общей ф-лы [(R²—N=N—N—R²)M_r (r=0 или 1), затем освобождают (если W—нитро-или ациламиногруппа) аминогруппу путем восстановления или омыления, диазотируют и сочетают с азосоставляющей общей ф-лы [(R²—N=N—N—R²)M_r или другого строения. При этом, если в 1-й азосоставляющей n=0 и R² содержит аминогруппу, после сочетания можно диазотировать полученное аминоазосоединение и сочетать с азосоставляющей общей ф-лы R²N до и после превращения W,

а если 2-я азосоставляющая содержит аминогруппу, конечный продукт можно диазотировать и сочетать с R^3N или другой азосоставляющей. Напр., 1 моль III конденсируют с 2 молями 2-нитро-5-аминобензойной к-ты, восстанавливают нитрогруппу, бисдиазотируют и сочетают с IV; в) сочетают 1 моль диоксисоединения общей ф-лы $R^4-NH-CO-C(Y)=CH-CO-NH-R^4$ (R^4 — одинаковые или различные остатки, содержащие способный к азосочетанию атом С и являющиеся одноядерным или двоядерным оксibenзольным или нафтольным остатком или остатком бензольного или нафталинового ряда, содержащим пиразолоновую или ацетоацетиламидную группировку) с 2 молями диазотированного амина общей ф-лы $[(R^3-N=N-)]_n R^2-NH_2$ (M_r , (отличного от 2-аминофенол-4-сульфокислоты и ее 6-нитропроизводного и амида) или с 2 молями смеси диазотированных указанного амина и другого, одновременно или в любой последовательности. Напр., из ди-(5'-окси-7'-сульфонафтил-2')-амида фумаровой к-ты сочетанием: 1) с диазотированной XI, а затем с диазотированным дианизидином → 1-нафтол-3,8-дисульфокислотой; 2) с 2 молями диазотированной 2-окси-3,5'-дикарбокси-4'-аминодифенилмочевина-5-сульфокислоты; 3) с диазотированным 4-нитро-4'-амино-стильбен-2,2'-дисульфокислота → 2-метокси-5-метиланилин; 4) с диазотированными XI и VII; 5) с диазотированными XI и IX; 6) с диазотированными XI и 2-аминофенол-4,6-дисульфокислотой; 7) с диазотированными о-аминофенолом и IX; 8) с диазотированным 2-аминоанизол-4-сульфокислотой и VII; 9) с диазотированными 2-амино-4-хлорфенолом и VII, а также 10) продукт конденсации 1 моля III с 2 молями XII сочетают с диазотированным 4-оксанилин-3-карбоновой к-ты → 2-метокси-5-метиланилин; 11) ди-(4'-ацетоацетиламино-2,2'-дисульфостильбенил-4)-амид фумаровой к-ты сочетают с диазотированной VII; г) 1 моль монооксисоединения общей ф-лы $W-R^1-NH-CO-C(Y)=C(Y)-CO-NH-R^4$ сочетают с 1 молем диазотированного амина общей ф-лы $[(R^3-N=N-)]_n R^2-NH_2$ (M_r , а затем диазотируют (если нужно с предварительным превращением W в амин) и сочетают с азосоставляющей общей ф-лы $[(R^3-N=N-)]_n R^2$ (M_r ; причем, если во 2-й азосоставляющей $n=0$ и R^2 содержит аминогруппу, можно провести дальнейшее азосочетание, причем диазотированный амин ф-лы $[(R^3-N=N-)]_n R^2-NH_2$ (M_r или азосоставляющая ф-лы $[(R^3-N=N-)]_n R^2$ (M_r может быть заменена на другой амин или азосоставляющую. Напр. 1 моль III конденсируют с ~1 молем XIII и ~1 молем 4-нитро-4'-амино-стильбен-2,2'-дисульфокислоты, восстанавливают нитрогруппу, сочетают с диазотированной XI, диазотируют и сочетают с 1-фенил-3-метил-5-пиразолоном. Описано превращение некоторых красителей в СО- или Ni-комплексы, а также приведены некоторые другие исходные в-ва. Красители могут быть превращены в металлч. комплексные соединения непосредственно или на волокне.

В. Уфимцев 5549 П. Способ получения полнлазокрасителей. Хусс, Зиберт, Вейсерт (Verfahren zur Herstellung von Polyzofarbstoffen. Huss Richard, Siebert Arthur, Weissert Josef). [Farbwerke Hoechst Akt.-Ges. vormals Meister Lucius & Brüning]. Пат. FRG 927041, 28.04.55

Полнлазокрасители (ПАК) общего состава амин → 1-аминонафтол-8-моно-или-дисульфокислота + $H_2N-C_6H_4-X-C_6H_4-NH_2$ → 3,3'-диоксидифениламин (I) + (амин) получают сочетанием 1 моля бисдиазотированного диамина общей ф-лы $H_2N-C_6H_4-X-C_6H_4-NH_2$ (X — простая дифенильная связь, —CH=CH—, —NH—CO—NH—, —CO—, —O—, —S—, —NH—

или —CONH—, причем оба фенильных остатка могут содержать еще заместители) в кислой среде с 1 молем 1-аминонафтол-8-моно-или-дисульфокислоты, дальнейшим сочетанием полученного монодиазоазосоединения с 1 молем подходящего диазо- или диазоазосоединения и с 1 молем I; полученный ПАК можно сочетать дальше с подходящим диазо- или диазоазосоединением. Предложенные ПАК хорошо растворимы в воде и пригодны для крашения кожи в фиолетовые (Ф), темно (Т)-зеленые (З), Т-синие (С) и черные (Ч) цвета, отличающиеся своей устойчивостью к действию мыльной и органич. к-т, а также щелочей и CH_2O . 18,4 ч. диазотированного бензидина (II) в течение 16 час. сочетают в кислой среде с 34,1 ч. Na-соли 1-аминонафтол-8-дисульфокислоты-3,6 (III) с прибавлением 3,5 ч. мела для нейтр-ции образующейся к-ты; прибавляют сразу диазосуспезию из 17,3 ч. диазотированной сульфаниловой к-ты (IV) и 36 ч. безводн. соды, через 30 мин. прибавляют слабощел. р-р 20,1 ч. I и проводят сочетание при pH 10 с прибавлением 50 об. ч. 2 н. NaOH, размешивают 4 часа, подкисляют 100 об. ч. 2 н. CH_3COOH , высаливают NaCl и выделяют краситель, окрашивающий хромированную кожу в глубокий (Г) красновато(КРВ)-черный (Ч) цвет. Приведено еще 6 вариантов получения этого тетракаксизокрасителя строением IV → III → II → I, дающие 4 красителя различных оттенков в зависимости от порядка и условий сочетания. 18,4 ч. диазотированного II сочетают в кислой среде с 34,1 ч. III с прибавлением 3,5 ч. мела, по окончании сочетания прибавляют сразу диазосуспезию из 17,3 ч. IV и 150 об. ч. 2 н. NaOH для поддержания pH 10, после 30 мин. размешивания приливают р-р 10 ч. I в 100 ч. воды и 10 ч. 10 н. NaOH, размешивают 16 час., подкисляют до кислой на конго р-ции и отфильтровывают гексаксизокраситель, окрашивающий кожу в глубокий Ч с синим оттенком цвет. Приведен еще 1 вариант получения этого красителя. Получены аналогичные полнлазокрасители, строение которых отвечает общему составу (указаны состав красителя и цвет выкраски на коже): 1) IV → III → 4,4'-диаминостильбен (V) → I → IV, ГЧ; 2) IV → III → II → I → о-толидин (VI) → 1-амино-8-нафтол-4,6-дисульфокислота (VII) → 4-хлоранилин-3-сульфокислота (VIII), синевато(СВ)-Ч; 3) 4-ацетаминанилин-2-сульфокислота → III → II → I, С-Ч (С — синий); 4) 2-метил-3-хлоранилин-5-сульфокислота (IX) → III → II → I, Ч; 5) 4-амино-4'-нитродифениламин-2'-сульфокислота (X) → III → II → I, КРВ-Ч; 6) IV → VII → II → I, Ч; 7) 4-метиланилин-3-сульфокислота (XI) → III → II → I, зеленовато (ЗВ)-Ч; 8) метаниловая к-та (XII) → III → II → I, Ч; 9) 4-амино-1,1'-азобензол-4'-сульфокислота (XIII) → III → II → I, С-Ч; 10) 2-нафтиламин-5,7-дисульфокислота → III → II → I, С-Ч; 11) 3-хлоранилин-4-сульфокислота → III → II → I, КРВ-Ч; 12) VIII → III → II → I, Ч; 13) хлортолуидинсульфокислоты (смесь) → III → II → I, КРВ-Ч; 14) 1-нафтиламин-6(+7)-сульфокислота (смесь) (XIV) → III → II → I, СВ-Ч; 15) IX → III → II → I → IX, Ч; 16) XIV → III → II → I → XIV, С-Ч; 17) XI → III → II → I → XI, зеленовато (ЗВ)-Ч; 18) IV → VII → II → I → IV, Ч; 19) о-анилинсульфокислота (XV) → III → II → I → XV, ЗВ-Ч; 20) XII → III → II → I → XII, ЗВ-Ч; 21) IV → III → VI → I → IV, Ч; 22) анилин-2,5-дисульфокислота (XVI) → III → II → I → XVI, СВ-Ч; 23) 4-хлоранилин-2-сульфокислота (XVII) → III → II → I → XVII, С-Ч; 24) IV → 1-амино-8-нафтол-4-сульфокислота (XVIII) → III → II → I → IV, Ф; 25) 3-нитроанилин-4-сульфокислота (XIX) → III → II → I → XIX, С-Ч; 26) анилин, 3,5-дисульфокислота (XX) → III → II → I → XX, ЗВ-Ч; 27) IV → III → 4,4'-диамино-3,3'-динитродифенил → I → IV, Т-З; 28) X → III → II → I → X, Ч; 29) IV → III → II → I → л-нитроанилин, ЗВ-Ч; 30) X → III → II → I → IV, ЗВ-Ч; 31) анилин → III → II → I → анилин, Ч; 32) XVI → III → II → I → XVI, Ч; 33) IV → III

→ V → I → IV, Ч; 34) IV → III → 4,4'-диамино-3,3'-дихлордифенил → I → IV, 3В-Т-С; 35) IV → III → дианилидин → I → IV, Ф; 36) IV → III → 4,4'-диаминостильбен-2,2'-дисульфокислота → I → IV, Т-З; 37) IV → III → 4,4'-диаминодифенилмочевина → I → IV Т-коричневый; 38) IV → III → 4,4'-диаминобензофенон → I → IV, 3В-Ч; 39) IV → III → 2,4'-диаминодифенил → I → IV, 3В-Ч; 40) IV → III → 4,4'-диаминодифениловый эфир → I → IV, Т-З; 41) IV → III → 4,4'-диамино-(дифениловый эфир)-2,2'-дисульфокислота → I → IV, Т-С; 42) IV → III → 4,4'-диаминодифенилсульфид → I → IV, Ч; 43) IV → III → 4,4'-диаминодифениламин → I → IV, С-красный; 44) IV → III → 1-амино-4-(л-амино-бензоиламино)-бензол → I → IV, 3В-или КВ-Ч; 45) IV → III → 1-амино-3-(л-аминобензоиламино)-бензол → I → IV, 3В-Ч; 46) IV → III → 1-амино-4-(л-аминобензоиламино)-бензол → I → IV, коричневат-Ч; 47) IV → III → II → I → XIII, Ч; 48) IV → III → II → I → II → III → IV, С-Ч; 49) VIII → III → II → I → II → III → VIII, Ч; 50) IV → III → II → I → II → VII → IV, СВ-Ч; 51) IX → III → II → I → II → VII → IX, С-Ч; 52) IV → XVIII → II → I → XVIII → IV, Ф; 53) 2-хлоранилин-4-сульфокислота (XXI) → III → II → I → II → III → XXI, Ч; 54) XIX → III → II → I → II → III → IV, СВ-Ч; 55) VIII → III → II → I → II → III → XIII, СВ-Ч; 56) антрахиновая к-та (XXII) → III → II → I → II → III → XXII, Т-С; 57) XVI → III → 4,4'-диаминодифенил-3,3'-дикарбонная к-та → I → XII, С-Ч; 58) IV → III → 4,4'-диамино-3,3'-дифеноксисукусная к-та → I → IV, Т-С. В. Уфимцев

5550 П. Способ получения индигоидных кубовых красителей. Хёльцле, Камбли (Verfahren zur Herstellung indigoide Küpenfarbstoffe. Hoelzle Kurt, Kampli Eduard) [Ciba A.-G.]. Пат. FRG 886946, 20.08.53 [Chem. Zbl., 1955, 126, № 26, 6145—6146 (нем.)]

Индигоидные красители, пригодные для крашения и набивки животных и растительных волокон в коричневые (К), серые (СР), бордо (Б) и темно (Т)-синие (С) цвета, обладающие хорошими прочностями к стирке, хлору и свету и превращающиеся в соли сернокислых эфиров лейкосоединений при обработке по известному способу, получают р-цией дигалоиднафтииндоксила или его реакционных производных с компонентами, пригодными для получения индигоидных красителей; образующиеся продукты можно затем галоидировать. Хлоргидрат 5,8-дихлорнафтиламина-1 диазотируют, подвергают р-ции с К-ксантогенатом, омыляют ксантогеновокислый эфир, полученное меркаптосоединение конденсируют с ClCH_2COOH , выделенную путем подкисления 5,8-дихлорнафталин-1-тиогликолевую к-ту [бесцветные иголочки, т. пл. 131—131,5° (из бал.)] превращают в хлорангидрид, и подвергают циклизации приливанием при 40° к суспензии AlCl_3 в тетрачлорэтано с образованием 5,8-дихлор-1,2-нафтииндоксила (I) [желтые иголочки, т. пл. 183—184° (разл., из лед. CH_3COOH или бал.)]. 269 ч. I и 282 ч. тионафтенхинон-2-(4'-диметиламино)-анила (II) [толстые фиолетовые блестящие кристаллы, т. пл. 255° (из хлорбензола)] нагревают несколько часов при 100° в 5000 ч. лед. CH_3COOH , получают фиолетовый (Ф) порошок красителя, растворимый в конц. H_2SO_4 с зеленой (З) окраской и окрашивающий волокна хлопка из К куба в гранатовый цвет. Аналогично получены следующие красители (приведены исходные продукты, окраска порошка красителя, цвета р-ра в конц. H_2SO_4 , куба и окраски хлопкового волокна): а) I и 4-метил-6-хлортионафтенхинон-2-(4'-диметиламино)-анил, красно (КР)-К, С-З, желто (Ж)-К, Б; б) I и 1-хлор-2,3-нафтиозин-(4'-диметиламино)-анил, индиго-СР, З, К, красновато (КРВ)-СР; в) I и 6-этокситионафтенхинон-2-(4'-диметиламино)-анил, КР-К, чисто-С, К, КРВ-К; г) I и 5,7-дибромизатин (III), К-Ф, Ф-КР, 3-Ж, Т-К; д) I и 6-хлор-7-метилизатин, Б, С, Ж-К, КР-К; е) α-хлорид

III и I (нагревание в хлорбензоле при 70°), Ф-С, С, Ж, КРВ-С; ж) 5,8-дихлор-2,1-нафтииндоксил (IV) [получен превращением 5,8-дихлор-2-нафтиламина в 5,8-дихлорнафталин-2-тиогликолевую к-ту, серебристые листочки, т. пл. 136—137° (из бал. или хлф.) и циклизацией ее хлорангидрида при обработке AlCl_3 с образованием IV, желтоватые призмы с Ф блеском, т. пл. 186° (из лед. CH_3COOH)] и II, КР-К, 3-С, оранжево (ОР)-К, КР-К; з) IV и аценафтенхинон, ОР листочки, синий, оливково-К, Ж-ОР; и) α-хлорид III и IV, К-Ф, С, КР-ОР, Ф-розовый; к) III и IV, КР, КР, светло-Ж, ОР-К; л) 4,8-дихлор-2,1-нафтииндоксил [светло-коричневатые кристаллы, т. пл. 190—192° (из диоксана)]; получен из 4,8-дихлорнафталин-2-тиогликолевой к-ты, бесцветные листочки, т. пл. 129—130° (из бал.) и 1-хлор-2,3-нафтиинизатин-(4'-диметиламино)-анил, Ф, серо-Ф, КР, Ф-розовый; м) 4,8-дихлор-2,1-нафтииндоксил и III, светло-К, С-Ф, Ж-ОР, Ж-К; н) 5,8-дибром-2,1-нафтииндоксил [светло-К кристаллы, т. пл. 209—210° (из диоксана)]; получен восстановлением 5,8-дибромнафталин-2-сульфохлорида до меркаптана, конденсацией последнего с ClCH_2COOH до 5,8-дибромнафталин-2-тиогликолевой к-ты, бесцветные листочки, т. пл. 145—145,5° (из хлф.), и циклизацией хлорангидрида последней при обработке AlCl_3 и V, КР-К, С-Ф, ОР-КР, желтовато-К; о) 1-бром-6-хлор-2,3-нафтииндоксил [3-Ж порошок; получен из 1-бром-6-хлорнафталин-2-тиогликолевой к-ты, бесцветные иголочки, т. пл. 164—165° (из бал.+ацетона)] и α-хлорид 4-метил-5-хлор-7-метоксизатина, Ф-С, З, ОР, С; п) 1-бром-6-хлор-2,3-нафтииндоксил и II, Б, серо-Ф, ОР, Б и р) 1,2-нафтииндоксил и 5,8-дихлор-1,2-нафтиинизатин α-(4'-диметиламино)-анил, Т-Ф, К, ОР, —. Приведены также примеры бромирования 2 красителей и пример крашения.

В. Уфимцев
5551 П. Способ получения кубовых красителей. Зафтии, Антон (Verfahren zur Herstellung von Küpenfarbstoffen. Saftien Karl, Anton Ernst) [Badische Anilin- & Soda-Fabrik A.-G.]. Пат. FRG 923028, 31.01.55

Кубовые красители получают р-цией дикарбоновых к-т общей ф-лы $\text{HOOC}-\text{A}-\text{X}-\text{B}-\text{COOH}$ (А и В — одинаковые или различные ароматич. остатки; X — 5- или 6-членное гетероциклич. кольцо по крайней мере с 2 атомами С; причем А и В связаны непосредственно с атомами С гетероциклич. кольца), лучше в форме хлорангидридов, с аминсоединениями антрахинонового ряда. В частности, применяют аминсоединения антрахинонового ряда, содержащие в о-положении к NH_2 -группе другую NH_2 , OH , или SH -группу или 1 атом галоида. После р-ции переводят полученные амиды карбоновых к-т в соответствующие азолы. Полученные кубовые красители окрашивают растительные волокна и волокна регенерированной целлюлозы из теплого или горячего куба в желтые до синих тона с очень хорошими прочностями. 24,5 ч. хлорангидрида 2,5-дифенил-1,3,4-оксидазолдикарбоновой-4',4'' к-ты (I), 30,8 ч. 1-аминоантрахинона (II) и 350 ч. сухого нитробензола при размешивании нагревают 3 часа при 150°, по охлаждению выделяют краситель, окрашивающий хлопчатобумажные волокна из сине (С)-красного (К) куба в интенсивный желтый (Ж) цвет. Описано получение аналогичных красителей (приведены исходные продукты, цвета куба и выкраски красителя): I, 1-амино-5-бензоиламиноантрахинон (III), С, красновато (КВ)-Ж; I, 4-амино-1,9-антрапиримидин, КВ-С, чистый Ж; I, 1-меркапто-2-аминоантрахинон, С-фиолетовый (Ф), чистый Ж; I, 2-(1,4-диаминоантрахинонил-2)-антрахиноно-2' (N), 3'-4,5-тиазол, С-Ф, С; хлорангидрид 2,5-дифенил-1,3,4-тиодиазольдикарбоновой-4',4'' к-ты (IV), II, Ф, КВ-Ж; IV, III, С, КВ-Ж; 3,6-дифенил-1,2,4,5-тетразиндикарбоновая-4',4'' к-та, II, SOCl_2 ,

Ф, Ж; хлорангидрид 3,5-дифенилпиразолдикарбоновой-4,4" к-ты (V), II, синевато-К, желтый; V, III, С-К, КВ-Ж; 2,5-дифенилфурандикарбоновая-4,4" к-та (VI), II, SOCl_2 , К-Ф, КВ-Ж; VI, III, SOCl_2 , С-Ф, оранжевый; 2-(*n*-карбоксифенил)-5-(*n*-карбоксидифенил)-1,3,4-оксидиазол, III, SOCl_2 , С, Ж; хлорангидрид 2,5-дифенил-1,3,4-оксидиазолдикарбоновой-3',3" к-ты III, С-К, Ж; 2,5-дифенил-1,3,4-триазолдикарбоновая-4,4" к-та, III, SOCl_2 , С-К, Ж; хлорангидрид 4,5-дифенилимидазолон-2-дикарбоновой-4,4" к-ты, II, С-К, Ж.

В. Уфимцев

5552 П. Способ получения кубовых красителей. Антон (Verfahren zur Herstellung von Küpenfarbstoffen. Anton Ernst) [Badische Anilin- & Soda-Fabrik A.-G.]. Пат. ФРГ 941381, 12.04.56

Кубовые красители получают р-цией диалкоксибензол-*m* (или *n*)-дикарбоновых к-т (лучше в форме их хлорангидридов) с 2 одинаковыми или различными ароматич. аминами, по крайней мере один из которых может переходить в куб, с образованием соответствующих амидов. В частности, указано применение аминов антрахинонового ряда, содержащих в орто-положении к аминогруппе HS -, HO - или H_2N -группу или атом галогена; при этом первоначально полученные амиды одновременно или отдельной р-цией превращают в соответствующие азолы. Смесь 26 ч. дихлорангидрида 2,5-диметокситерефталевой к-ты (I; к-та-Ia), 46 ч. 1-аминоантрахинона (II) (или эквивалентное кол-во 1-амино-6-хлор- или 1-амино-5-метоксиантрахинона) и 800 ч. сухого $\text{C}_6\text{H}_5\text{NO}_2$ (III) нагревают несколько часов при 130° , образующийся краситель отфильтровывают и промывают III и спиртом; он окрашивает хлопковые волокна из красного (КР) куба в желтый (Ж) цвет с превосходными прочностями (в дальнейшем при характеристике красителей указаны цвета куба и выкраски на хлопковых волокнах). Аналогично из 2,9 ч. дихлорангидрида 2,5-диэтокситерефталевой к-ты (IV) и 4,5 ч. II получают краситель (КР, Ж). К р-ру 6,8 ч. 1-амино-5-бензоиламиноантрахинона (V) при 100 – 110° в 200 ч. III прибавляют р-р 2,6 ч. I в 30 ч. III, смесь нагревают ~ 5 час. при 130° и по охлаждению до $\sim 70^\circ$ выделяют краситель (КР, интенсивный красновато-Ж). Аналогично из 5,8 ч. IV и 13,8 ч. V получают краситель (КР, Ж). К р-ру 5,2 ч. I в 350 ч. сухого трихлорбензола (VI) при 150 – 160° при размешивании приливают р-р 10,2 ч. 1-меркапто-2-аминоантрахинона в 300 ч. VI и размешивают ~ 5 час. при 150 – 160° , выделяют краситель и подвергают обычной гипохлоритной очистке (коричневато-КР, оранжевый); краситель содержит тиазоловые кольца. К р-ру 4,9 ч. 4-амино-1,9-антрапиримидина (VII) в 100 ч. III и 1,8 ч. пиридина при 100 – 110° приливают р-р 2,9 ч. I в 30 ч. III и нагревают ~ 5 час. при 130 – 140° , по охлаждению выделяют краситель (КР, Ж). Аналогично из 3,5 ч. IV и 4,9 ч. VII получают краситель (КР, Ж); из 2,9 ч. дихлорангидрида 4,6-диметоксиизофталевой к-ты (VIII) и 4,9 ч. VII — краситель (КР, интенсивный Ж). К смеси 6,8 ч. 4-аминоантрахинон-2,1 (N)-4',2' (N)-бензол-акридола и 200 ч. III при 150° при размешивании прибавляют р-р 2,9 ч. I в 30 ч. III и 1,8 ч. пиридина и нагревают несколько часов при 150° , по охлаждению выделяют краситель (синевато-КР, интенсивный синий). К р-ру 13,4 ч. II в 200 ч. III при 110° при размешивании приливают р-р 7,8 ч. VIII в 75 ч. III и размешивают 4 часа при 130° , выделяют краситель (КР, Ж). Аналогично из 2,6 ч. VIII и 6,8 ч. V получают краситель (КР, Ж). 2,3 ч. 2,3-диметокситерефталевой к-ты (IX), 25 ч. III и 3,6 ч. SOCl_2 при размешивании при 100° нагревают до растворения, избыток SOCl_2 удаляют в вакууме и прибавляют нагретый до 130° р-р 4,5 ч. II в 75 ч. III и размешивают несколько часов при 130° , выделяют краситель (КР, Ж). Аналогично из 2,3 ч. IX

и 6,8 ч. V в 150 ч. III (4 часа, 130 – 140°) получают краситель (КР, Ж); из 7,6 ч. IX и 14,7 ч. VII в 300 ч. III (4–5 час., 140°) получают краситель (коричнево-Ж, интенсивный Ж). Диэтиловый эфир 2,5-диокситерефталевой к-ты метилируют диметилсульфатом и омылением спирта. КОН превращают в Ia, затем нагреванием Ia с SOCl_2 в III получают I. Аналогично при применении диэтилсульфата получают IV; из диэтилового эфира 4,6-диоксизофталевой к-ты получают VIII; диэтиловый эфир 2,3-диокситерефталевой к-ты превращают в IX. Получаемые кубовые красители дают на растительных волокнах чистые желтые до оранжевых окраски и печать, обладающие хорошими до очень хороших прочностями; они пригодны также в качестве пигментов и для получения растворимых сернистых эфиров их лейкосоединений.

В. Уфимцев

5553 П. Способ получения кубовых красителей. Эбель, Келлер (Verfahren zur Herstellung von Küpenfarbstoffen. Ebel Friedrich, Keller Warten) [Badische Anilin- & Soda-Fabrik A.-G.]. Пат. ФРГ 921533, 20.12.54 [Chem. Zbl., 1955, 126, № 2, 6401–6402 (нем.)]

Кубовые красители, окрашивающие волокна природной и регенерированной целлюлозы, а также шеламидов (II) из холодного или теплого куба в равном от интенсивно-красного до черного тона с очень хорошими прочностями к хлору, получают р-цией 1-амино-2-ацетилантрахинонов, содержащих по крайней мере еще 1 аминогруппу в α -положении и могущих содержать еще другие заместители, с галогидангидридами карбоновых к-т или гетероциклич. соединениями, содержащими по крайней мере 1 группировку $-\text{CX}-$ ($\text{X} = \text{N}$ — (X — галогид) в кольце, или соединениями, содержащими указавшую группировку в молекуле. Р-цию можно проводить в инертном высококипящем р-рителе, без р-рителя запеканием смеси исходных в-в или в избытке ацилирующего реагента при t -ре 70 – 250° (обыкновенно при 120 – 210°). 28 ч. 1,4-диамино-2-ацетилантрахинона (I) при нагревании растворяют в 800 ч. *o*-дихлорбензола, охлаждают до 100° и нагревают 2 часа с 14 ч. $\text{C}_6\text{H}_5\text{COCl}$ (II) при размешивании при 180° ; переосаждением из конц. H_2SO_4 получают в тонкодисперсном состоянии краситель, окрашивающий хлопковые волокна (ХВ) из коричнево (К)-красный (КР) холодного куба в чистый синий (С) цвет, прочный к хлору. Аналогично получают следующие красители (указаны исходные в-ва, цвета куба и окраска на соответствующих волокнах): I и хлорангидрид изфталевой к-ты (III), К-КР, прочный С, ХВ; I и хлорангидрид антрахинонкарбоновой-2 к-ты, К, красновато-фиолетовый (Ф), прочный С, ХВ; I и 2,4-дихлор-6-метилпиримидин, оливо-зеленый (О)-зеленый (З), прочный С, ХВ; I и 2,4-дихлор-6-фенилпиримидин, О-З, чистый С, ХВ; I и 2,4-дихлорхиназолин (IV), О-З, С, ХВ; I и 2,4,6-трихлорхиназолин, —, С, ХВ; I и 2,4-дихлор-6,7-бензхинолин, —, С-З; I и 2,6-дихлор-8,9-бензптеридин (зелено-черный (Ч) краситель), О-З, З-Ч; I и дихлорфлазидин, —, фиолетово (Ф)-К, ХВ; I и хлористый диамин (V), О-З; интенсивный КРВ-С, ХВ; I, IV и 1-аминоантрахинон (по 1 моллю) (серый (СР) тонкокристаллич. краситель), К, нейтр. СР, ХВ; 1,5-диамино-2-ацетилантрахинон (VI) [коричневые иглы с зеленоватым блеском, т. пл. 255° ; получен нитрованием 2-этилантахинона до 1,5-динитро-2-этилантахинона (VII) (капеечно-желтый порошок, т. пл. 302 – 303°) вместе с 1,8-динитросоединением (VIII), остающимся в матном р-ре; VII превращает через промежуточно образующийся изоксазол в коричневый 1-амино-5-нитро-ацетилантрахинон (IX) и восстанавливают IX до VI и хлорангидрид фумаровой к-ты (красный кристаллич. краситель), Ф, яркий КР, II и ХВ; VI и смесь III и

хлорангидрида терефталевой к-ты, бордо-Ф, КР-К, ХВ; VI и хлорангидрид 1-хлоризофталевой-2,4 к-ты, —, КР, ХВ; VI и хлорангидрид дифенилдикарбоновой-3,3' к-ты, —, КР-К с синеватым оттенком, ХВ; VI и хлорангидрид 1-нитроантрахинонкарбоновой-2 к-ты (краситель — Ф-К порошок), КР, КР, ХВ; VI и хлорангидрид 3,4-фталондиакридонкарбоновой-7 к-ты, темно-Ф, КР-К, ХВ; VI и IV, Ф, рубиново-КР, ХВ; 1 моль VI, 0,5 моля V и 0,5 моля анилина, К-Ф, Ф-К, ХВ; 1 моль VI 0,5 моля хлорангидрида 2-хлорхинолинкарбоновой-4 к-ты и 0,5 моля анилина, —, КР с Ф-К оттенком, ХВ; 1,5-диамино-4-хлор-2-ацетилантрахинон (X) [получен из IX (т. пл. 294–295°) обработкой SO_2Cl в $\text{C}_6\text{H}_5\text{NO}_2$ и восстановлением полученного 1-амино-4-хлор-5-нитро-2-ацетилантрахинона (XI) (т. пл. 285°) действием Na_2S до X, т. пл. 272°] и III, Ф, рубиново-КР, ХВ; X и IV, —, бордо-КР, ХВ; 1,4,5-триамино-2-ацетилантрахинон (XII) [получен из XI превращением с помощью n -толуолсульфамида в 1,4-диамино-5-нитро-2-ацетилантрахинон (т. пл. 255°) и последующим восстановлением до XII, т. пл. > 320°] и II (т. пл. красителя 269–270°), Ф, С-СР, ХВ; 1,5-диамино-8-окси-2-ацетилантрахинон (получен из 1,5-динитро-2-ацетилантрахинона путем 2 час. обработки при 20° 65%-ным олеумом и последующей обработкой полученного соединения, выделенного разбавлением водой, посредством FeSO_4 и Na_2S , КР-К кристаллы, возгоняющиеся при ~300° с С окраской) и III (Ф краситель), —, ярко-Ф, ХВ, окраски непрочны к хлору и мокрым обработкам; 1,8-диамино-2-ацетилантрахинон (получен аналогично VI, из VIII через 1,8-динитро-2-ацетилантрахинон, т. пл. 238–240°, последовательной обработкой олеумом, FeSO_4 и Na_2S , К кристаллы с 3 блеском, т. пл. 234–235°) и III О-Ч, яркий рубиново-КР, ХВ; I и 2-фенил-4-хлор-6,7-фталонилхинолин, О-К, З, ХВ; I и 2-(4'-хлорфенил)-4,6-дихлор-1,3,5-триазин (краситель тонкокристаллич. С порошок, растворимый в конц. H_2SO_4 с К окраской), глубоко-КР, КРВ-С, ХВ и П. В. Уфимцев

5554 П. Получение 10-бензоил-3,7-бис (диметиламино)-фентиазина (Manufacture of 10-benzoyl-3, 7-bis-(dimethylamino) phenothiazine) [National Cash Register Co.]. Англ. пат. 725275, 2.03.55

Бензоилированное лейкосоединение метиленового голубого, получают восстановлением метиленового голубого в водно-щел. среде прибавлением восстанавливающей соли, бензоилированием восстановленного красителя и извлечением неочищ. продукта неполярным р-рителем. Двойную соль метиленового голубого с ZnCl_2 при 20° при перемешивании растворяют в воде, прибавляют NaOH и смесь оставляют стоять до окончания растворения, затем для восстановления красителя прибавляют $\text{Na}_2\text{S}_2\text{O}_4$ и восстановленный краситель бензоилируют $\text{C}_6\text{H}_5\text{COCl}$ при перемешивании. Для обеспечения завершения р-ции продолжают перемешивание, прибавляют NaOH , затем $\text{Na}_2\text{S}_2\text{O}_4$ и $\text{C}_6\text{H}_5\text{COCl}$, реакционную смесь размешивают еще некоторое время, отфильтровывают тонкодисперсный продукт р-ции и промывают водой. Отфильтрованную пасту продукта растворяют в горячем толуоле и выделяют продукт испарением р-рителя. Продукт может быть очищен обработкой отбелительной землей в неполярном р-рителе, в частности, аттапулгитом в толуоле. Вместо $\text{Na}_2\text{S}_2\text{O}_4$ можно применять $\text{Na}_2\text{S}_2\text{O}_3$ или другие восстанавливающие соли, вместо NaOH — соду или другие обычные щелочи, вместо $\text{C}_6\text{H}_5\text{COCl}$ — бензойный ангидрид, а в качестве неполярных р-рителей — C_6H_6 , ксилол и хлорированный ксилол. В. Уфимцев

5555 П. Трехядерные мероцианиновые красители, содержащие в цепи алкоксильную группу. Нотт (Trinuclear merocyanine dyes containing a chain alkoxyl group. K. Nott Edward B.) [Eastman Kodak Co.]. Пат. США 2728766, 27.12.55

Патентуются полиметиновые красители общей ф-лы $\text{ZNR}-(\text{CH}=\text{CH})_{n-1}-\text{C}(\text{CR}'-\text{CR}^2)_{m-1}=\text{C}(\text{U}')-\text{CO}-$
 $-\text{U}-\text{C}=\text{CH}-\text{C}(\text{OR}^3)=\text{C}-\text{CO}-\text{Q}$ (R и R^3 — алкил об-

щей ф-лы C_qH_{q+1} ; $\text{R}'-\text{H}$ или алкил общей ф-лы $\text{C}_p\text{H}_{2p+1}$; p и q = 1, 2 или 3; R^2-H или алкил общей ф-лы $\text{C}_q\text{H}_{2q+1}$; фенил, толил или алкоксил с 1–2 атомами С, причем по крайней мере одна из групп R^1 или R^2 есть Н; Z — неметаллич. атомы, необходимые для замыкания гетероциклич. цикла тиазолового, бензотиазолового, нафто-тиазолового, оксазолового, бензоксазолового, нафтоксазолового, селеназолового, бензоселеназолового, нафтоселеназолового, тиазолинового, тиафено-7',6',4,5-тиазолового, 2-хинолинового, 4-хинолинового, 1-изохинолинового, 3-изохинолинового, бензимидазолового, 3,3-диалкилиндоленинового или пиридинового ряда; U и U' совместно — неметаллич. атомы, необходимые для образования тиазолидинового цикла; m и n = 1 или 2; Q — неметаллич. атомы, необходимые для замыкания 5-членного гетероциклич. цикла, 3 из которых являются атомами С, один атом N и последний атом — N, O или S. В. Уфимцев

См. также: Исслед. азокрасителей 4294; цианиновых красителей 4661

ЛЕКАРСТВЕННЫЕ ВЕЩЕСТВА. ВИТАМИНЫ. АНТИБИОТИКИ

Редактор Н. А. Медызовская

5556. Проблемы фармацевтической химии. Будешинский (Problémy farmaceutické chemie. Buděšinský Zdeněk), Vesmir, 1955, 34, № 4, 116–118 (чешск.)

Обзор развития и современного состояния фармацевтич. химии и работ в области синтетич. лекарственных препаратов. Б. Адамец

5557. Лечебные средства и красители для них. Гротте (Arzneimittel und das Farbstoffproblem. Grote Benn), Dtsch. Apoth.-Ztg, 1957, 97, № 3, 41–44 (нем.)

Исследование 135 лекарственных препаратов, выпускаемых в ФРГ, показало, что 42 препарата окрашены красителями, не разрешенными к применению. Рассмотрены действующие правила, нормирующие применение красителей для окраски лекарственных препаратов. В. Уфимцев

5558. Ресистентность кристаллических веществ к газовой стерилизации. Абботт, Коктон, Джонс (Resistance of crystalline substances to gas sterilisation. Abbott C. F., Cockton I., Jones W.), J. Pharmacy and Pharmacol., 1956, 8, № 10, 709–719. Discuss., 719–720 (англ.)

Показано, что многие в-ва (соль Рошеля, гексамин, тартрат этилендиамина, лактоза, глицин, гексаметинобромид), полученные в кристаллич. виде из р-ров, зараженных спорами *B. subtilis*, не поддаются стерилизации при действии газообразного CH_2O . Высказано мнение, что часть спор оказывается включенной внутри кристаллов, которые защищают их от действия бактерицидного газа. А. Травин

5559. Сушильный прибор ЛП. Драб (Dehydratační přístroj LP. Dráb Karel), Českosl. farm., 1955, 4, № 8, 434–435 (чешск.)

Приведено описание прибора для лиофильной сушки крови, сыворотки, препаратов, содержащих витамины и др. Б. Адамец

5560. Изучение азотистых гетероциклических соединений и синтез их кислородных производных. Лин Си-цзи (氧化氮雜環化合物及合成其衍生物之研計・凌錫戎), 化學世界, Хуасюэ шицзе, 1955, № 6, 271—272 (кит.)

Описано окисление хинолина и γ -пикололина в никотиновую и изоникотиновую к-ты, а также получение амидов и гидразидов последних.

5561. Диваскол, Мелих (Divascol. Melich Heftman), Ceskosl. farmas., 1955, 4, № 8, 440 (чешск.)

Обзор свойств и применений хлоргидрата 2-бензил-имидазолина. Библ. 3 назв.

5562. Авакан в рецептуре Эрнст (Avacan in der Rezeptur. Ernst Günther), Dtsch. Apoth.-Ztg, 1956, 96, № 35, 792—794 (нем.)

Даны рецептурные прописи, а также таблицы совместимости с другими препаратами дихлоргидрата изоамилового эфира α -[N-(β -диэтиламиноэтил)-амино-фенилуксусной к-ты (авакана) $C_6H_5CH(COOC_2H_5)NH-CH_2CH_2N(C_2H_5)_2 \cdot 2HCl$]. Он нашел широкое применение в медицине как спазмолитик, обладающий одновременно свойствами атропина и папаверина. В аптечной практике его используют для приготовления микстур (в частности — антигипертензивной), пилюль и других лекарственных форм.

5563. Получение морфина из отходов культуры мака, Ионеску, Кринга, Стефания (Extragerea morfinei din deșeurile culturilor de mac. Ionescu C. N., Creangă E., Ștefania Enache), Comun. Acad. RPR, 1956, 6, № 1, 47—49 (рум.; рез. русск., франц.)

При исследовании общепринятых способов экстракции морфина из маковых коробочек изучено также несколько оригинальных методов экстракции. Наилучшие результаты получены со смесью хлф. с 10% спирта, а также при применении способа Кабая, измененного авторами, что позволило значительно повысить выход.

5564. Оценка продажного хлоргидрата эметина. Сообщение I. Алкалоиды ипекакуаны. Ауэрхофф, Диц (Die Beurteilung handelsüblicher Emetinhydrochloride. I. Mitt. Ipecacuanha-Alkaloide. Auerhoff H., Dietz H.), Arch. Pharmazie, 1956, 289/61, № 8, 422—427 (нем.)

Для оценки образцов хлоргидрата эметина (I) пользовались: 1) способом хроматографирования на бумаге, 2) флуорометрич. методом и 3) р-цией сочетания с диазотированными ароматич. аминами. Эти пробы позволяют определить примеси других алкалоидов к I. Результаты хроматографич. анализа представлены в таблице. Для флуорометрич. оценки представлялись постоянным наличием в продажном I O-метилпсихотрина, легко образующегося как продукт окисления. В УФ-свете O-метилпсихотрин в отличие от чистого I интенсивно флуоресцирует. Для проведения диазореакции исследуемый хлоргидрат I растворяют в диазореактиве (ДАВ-6), осаждают 2 н. NaOH и разбавляют водой. Появляется оранжево-красное окрашивание с различными максимумами поглощения, позволяющими определить характер примеси к I.

5565. О приготовлении фармацевтических препаратов, содержащих действующие вещества *Rauwolfia serpentina* и о некоторых реакциях для их идентификации. Поджи, Матту, Алькуати (Sulle preparazioni farmaceutiche contenenti i principi attivi della *Rauwolfia serpentina* e su alcune loro reazioni di riconoscimento. Poggi A. Raoul, Mattu Flavio, Alquati Mario), Chimica, 1956, 32, № 6, 240—247 (итал.)

Описано приготовление настоев, экстрактов, сиропов, помад, содержащих алкалоиды из *Rauwolfia ser-*

pentina. Приведены хим. ф-лы основных алкалоидов и способы определения и идентификации данных компонентов хроматографированием на бумаге и цветными р-циями в настояках или в каплях, таблетках, а в других фармацевтич. препаратах, полученных из данного растения, и указаны различные случаи их применения.

5566. Источник ошибки при анализе солей стрихнина или стрихнинных препаратов. Кос, Фостер (A source of error in the assay of strychnine salts and preparations containing strychnine. Caws A. C., Foster G. E.), J. Pharmacy and Pharmacol., 1956, 8, № 10, 790—798. Discuss., 798—799 (англ.)

При испытании стрихнина (I) стандартными методами обнаружено расхождение между результатами весового и объемного определения. Найдено, что I реагирует в процессе определения с $CHCl_3$, применяемым в качестве р-рителя; выделено Cl-производное I (II), присутствие которого является источником ошибки. Предложено видоизменение стандартного метода, основанное на устранении операции нагревания I с $CHCl_3$. Показано, что присутствие II не препятствует колориметрич. определению I.

5567. Проблема упаковки опийных препаратов применительно к требованиям контроля. Хансен (Probleme der Verpackung von Opiaten unter besonderer Berücksichtigung der Kontrollmaßnahmen. Hansen Karl), Pharmaz. Ind., 1956, 18, № 11a, 470—474 (нем.)

Об упаковке, обеспечивающей контроль за сохранностью.

5568. О способах экстракции при приготовлении инфузов и декоктов. Трандафилов, Бояджиева (Върху екстрактивната динамика на техниката за инфузиране и декоктиране. Трандафилов Тр., Бояджиева М.), Фармация (Бълг.), 1956, 6, № 3, 31—34 (болг.)

Проведена работа по сравнению методик, описанных в Фармакопеех VII и VIII. Установлено, что по способу FVIII при приготовлении декоктов и инфузов удается извлечь более высокий процент алкалоидов белладонны, чем по FVII, а именно до 96,66% содержащегося в белладонне кол-ва. Время нагревания не следует удлинять выше указанного в Фармакопее предела. Кол-во к-ты, рекомендуемое FVIII, не имеет практического значения для увеличения выхода алкалоидов белладонны. Перемешивание во время нагревания для извлечения алкалоидов не оказывает решающего влияния на выход. Фарфоровую инфузирку для инфузов не требуется заменять стеклянной посудой или медицинским стеклом.

5569. Получение из моркови препарата с высоким содержанием каротина. Цукер (Výzkum zpracování karotky na preparát a vysokým obsahem karoténu. Cuker Karel), Průmysl potravin, 1955, 6, № 7, 364 (чешск.)

Изучен улучшенный способ извлечения препарата из моркови с целью использования метода для получения бета-каротина из люцерны и крапивы, которые содержат больше каротина (K), чем морковь. Из выжатой моркови выжимают 50—60% сока. Сок нагревают при 85—90° до получения pH 4,5—6,0. Добавляя к соку коагулирующие белки, задерживают почти весь K. Белковый осадок занимает 1/10—1/20 часть всего объема сока. Сок сливают, осадок высушивают до получения темно-коричневой массы с содержанием 65 000 γ на 100 г. Масса мелется и порошок используется для витаминизации. Из высушенной сердечины с помощью экстракции бензином получают K и из него концентрат в масле до получения определенного титра. Преимуществом этого способа являются малые

потери К (на 50% менее, чем при других способах). По советским нормам потери К достигают 40%, в то время как потери К в описанном методе составляют 15—25%. Б. Адамец

5570. Получение пенициллина. Определение влияния добавок масла на опытной установке по ферментации. Андерсон, Тернквист, Питерсон (Penicillin production. Effect of oil in pilot plant fermentations. Anderson Ralph F., Törnquist Erik G. M., Peterson William H.), J. Agric. and Food Chem., 1956, 4, № 6, 556—559 (англ.)

При проведении ферментации периодич. добавление жира, смешанного с 6% «Alkaterge C», дает прирост содержания пенициллина с 1400 ед/мл до 2000. Прибавленное сало в конц-ии до 0,1% подвергается метаболизму, стимулируя развитие плесени, удлиняя фазу накопления пенициллина. Ненасыщ. жирные к-ты быстрее метаболизируют, чем насыщ. Прибавление масла не влияет на утилизацию лактозы, но увеличивает рост мицелия на 15%. О. Магидсон

5571. Свойства и методы определения тетрациклина, неомицина и ауреомицина. Пина (Caratteri generali e metodi di dosaggio della «tetraciclina» «neomicina» e «aureomicina». Pina Salvatori), Chimica, 1956, 32, № 6, 255—256 (итал.)

Тетрациклин (I) определяют цветной р-цией с FeCl₃ в разб. р-ре и кислой среде или сравнением характерных полос в УФ-спектре после действия разб. щелочей и изучением цветных р-ций продуктов разложения I. Описан спектрофотометрич. метод определения I, а также ряд приемов, осуществляемых для определения I в присутствии других антибиотиков. Неомицин, в отличие от других антибиотиков, дает в р-ре специфич. цветную р-цию с р-ром нингидрина при pH 5,5—7 (сине-фиолетовое окрашивание). Ауреомицин растворим в воде в кол-ве 14 мг в 1 мл, а также в ацетоне, CH₃OH и слабо в сп. Осаждается пикриновой к-той, молибдатом аммония; образует соли с к-тами и щелочами. Он нестойк при нагревании и при pH 7, стойк при pH 2,5. Хлоргидрат его представляет собой желто-лимонного цвета прозрачные кристаллы ромбич. формы. Л. Михельсон

5572. Азулены в фармации и косметике. Горак (Azuleny ve farmácii a kosmetice. Horák Pavel), Farmácia, 1955, 24, № 4, 114—117 (чешск.)

Азулены получают из растений (полынь, *Matricaria Chamomilla* и др.), выделяя из них высшие ненасыщ. углеводороды, которые очищают хроматографически. Полученные таким образом азулены образуют синие или фиолетовые кристаллы. Определение содержания азуленогенных в-в в растениях производится путем 4-часовой дистилляции с водяным паром в аппарате Унтра. Полученный экстракт разбавляется до определенного объема и интенсивность синего окрашивания измеряется колориметрически. I применяют в фармации для прекращения воспалительных процессов. Азулен снижает или совсем прекращает раздражающее действие на кожу некоторых экстрактов (терпентинового, розмаринового и др.). В косметике применяется при изготовлении кремов (в кол-ве 1—2%), а также для изготовления вод для полоскания рта и зубных паст, воды для волос и т. д. I хорошо растворим в жирах, маслах, восках, парафинах и плохо растворим в воде. Б. Адамец

5573. Повысить качество жидкого гематогена. Гуров В., Мясная индустрия СССР, 1956, № 2, 15—16

Изложены состав и способ произ-ва жидкого препарата типа гематогена (биогеомофирина), изготовляемого в НРБ из ферментных элементов дефибринированной крови крупного рогатого скота с добавлением солей Mn, Fe и Cu. В. Г.

5574. Новый метод приготовления геминнов. Гамсик, Гофман (Nová metoda k přípravě heminů. Hamsík Antonín, Hofman Miroslav), Casop lékařů českých, 1956, 95, № 28-29, 740—741 (чешск.; рез. русск., франц., нем.)

Описан новый метод получения геминнов без применения спирта или ацетона. Нагревают смесь гемолизированной дефибринированной крови с 85%-ной HCOOH при 85° и отфиговывают формат гемина, кристаллизуют и используют как исходное в-во для получения остальных геминнов и протопорфирина. Аналогично получают фосфорноватистокислую соль, применяя 36%-ную молочную к-ту и фосфорноватистокислый натрий. О. Магидсон

5575. Научные основы изготовления лекарственных форм. Фишберн (A scientific approach to drug formulation. Fishburn A. G.), Pharmac. J., 1956, 177, № 4841, 105—107 (англ.)

Доклад о поверхностноактивных в-вах диоктил-Н-сульфосукцинате, лаурил-сульфате Na, сульфированном касторовом масле, цетомакроголе 1000, октилфенокси-полиэтоксизтаноле, полиоксил 40 стеарате, глицерил-монастеарате, полисорбате 80, бензалконий хлориде, бензетоний хлориде, цетримиде, о полиглицколях, водорастворимых чолимерах, применяемых в качестве подводящих средств. Л. Михельсон

5576. Влияние смачивающих веществ на измельчение. Гётч, Зопф (The role of levigating agents in particle size determination. Goettsch Robert Wayne, Zopf Louis C.), J. Amer. Pharmac. Assoc. Pract. Pharmacy Ed., 1956, 17, № 6, 396—400 (англ.)

Изучено влияние полиэтиленгликоля 400, его моностеарата (I), полиэтиленгликоля 600 (II), его монолаурата (III), твин 20 (IV), твин 60 (V), твин 80 (VI), глицерина, пропиленгликоля (VII), ланолина (VIII), препарата Атлас G-1441 (IX), вазелинового масла и других смачивающих в-в на величину частиц лекарственного препарата при изготовлении различных мазей на основе, содержащей 3% холестерина, 3% хлопкового масла и 94% белого петролатума. Применение указанных смачивающих в-в оказывает значительное, но неодинаковое влияние на измельчение и распределение лекарственного препарата в мази. При изготовлении серной мази могут быть рекомендованы I, III, IV, V, VI, VIII и IX; для дегтярной мази наилучший результат получен при применении I и IV, для резорциновой мази — VII, для мази, содержащей перуанский бальзам — I, II, III, IV и V. А. Травин

5577. Применение и испытание концентрированного раствора сорбита (карiona жидкого и карiona Ф жидкого) в фармации. Брейслих (Anwendung und Prüfung von konzentrierter Sorbitlösung (Karion flüssig und Karion F flüssig) in der Pharmazie. Breinlich J.), Dtsch. Apoth.-Ztg., 1956, 96, № 31, 709—711 (нем.)

Карион Ф жидкий и карион жидкий представляют собой сиропообразные, бесцветные, 70%-ные р-ры сорбита (I). Первый из них используется для наружного употребления, заменяя глицерин. Указаны многочисленные возможности применения I. Предложен ряд рецептур с I, а также методы их испытания для включения в Фармакопею. Л. Михельсон

5578. Комбинированное действие кобальта-60 и хлорбутанола при стерилизации офтальмологических растворов. Уэбб, Хейс (Combining the effects of cobalt-60 and chlorobutanol for sterilizing ophthalmic solutions. Webb John W., Hayes C. V.), Bull. Amer. Soc. Hospital Pharmacists, 1956, 13, № 5, 466—471 (англ.)

Стерилизация 0,25%-ного р-ра салицилата физиостигмина (I) и 2,2%-ного р-ра флуоресцеин-Na (II)

комбинированным действием ионизирующей радиации (Co-60) и хлорбутанола (III) при продолжительном γ -облучении р-ра I приводит к частичному разрушению препарата. Добавление к р-ру 0,5% III сокращает потребное для стерилизации время. В присутствии III в р-рах I и II после 2-часового воздействия Co-60 не обнаружено заметных изменений.

А. Травин

5579. Изготовление ампул с сухими веществами в малом производственном масштабе. Дольдер (Herstellung von Trockenampullen im Kleinbetrieb. Dolder R.), Pharm. acta helv., 1956, 31, № 6, 335—338 (нем.; рез. англ., франц., итал.)

Лекарственный препарат растворяют в возможно малом кол-ве воды или соответствующего р-рителя (с низкой т-рой кипения, хорошо растворяющий препарат и образующий его стабильный р-р). Р-р фильтруют до полной прозрачности и немедленно наполняют им предварительно вымытые, простерилизованные, сухие ампулы (А). Поместив А в термостат с установленной т-рой или в вакуум-термостат, упаривают р-ры досуха; при этом в А остается чистое кристаллич. в-во, не дающее при растворении в воде суспендированных частичек. А тщательно запаивают и еще раз выдерживают при т-ре, убивающей микроорганизмы.

Л. Михельсон

5580. Исследование устойчивости сухих препаратов. I. Устойчивость различных солей тиамин в препаратах. Ямамото, Такахаши, Харада (粉末性製剤の安定性に関する研究. 第1報. 製剤中の諸種ビタミンB₁の安定性. その1. 山本隆一, 高橋哲也, 原田正男), 薬學雜誌. Якугаку дзасси, J. Pharmac. Soc. Japan, 1956, 76, № 7, 853—855 (японск.; рез. англ.)

Для стабилизации тиамин (I) в различных сухих препаратах и выяснения соотношения между свойствами и устойчивостью разных солей I приготовлен ряд солей I с различной растворимостью в воде и кислотностью; устойчивость водн. р-ров этих препаратов обусловлена, в качестве главного фактора гидролиза и окислительного разложения соли, pH р-ра соли I. Кислые соли I устойчивы, нейтр. соли I, как правило, не устойчивы.

Ю. Вендельштейн

5581. Идентификация таблеток по цветным пятнам на бумаге. I. Комплексы с медью и кобальтом. Купер (Tablet identification by spot tests on paper. I. Complexes with copper and cobalt. Cooper Peter), Pharmac. J., 1956, 177, № 4838, 53—54 (англ.)

Способ основан на образовании цветных пятен на бумаге при обработке 1%-ными водн. р-рами $(\text{CH}_3\text{COO})_2\text{Cu}$ (I) и $(\text{CH}_3\text{COO})_2\text{Co}$ (II) и 10%-ным р-ром изопропиламина в ацетоне. Для соединений, содержащих амино- или иминогруппу, характерными являются следующие цветные р-ции (указан цвет пятна соответственно с I и с II): барбитураты и тидантоны — сине-фиолетовый и фиолетовый (Ф); тиобарбитураты и тиюрацилы — зеленый (З) и З; тиосемикарбазоны — З и З; семикарбазоны — оранжевый (О) и О; гидразиды — З и О; имидазолины — Ф и от сине-го до Ф; ксантины — от Ф до пурпурного (с обоними реактивами); сульфонамиды — З и пурпурный.

А. Травин

5582. Влажные и сухие методы покрытия таблеток. Купер, Гансел (Tablet coating... wet and dry. Cooper Jack, Günsel William), Drug and Cosm. Ind., 1956, 79, № 1, 38—39, 108, 118, 120—121, 124 (англ.)

Описание методов покрытия и различных покрытий (стеариновая к-та, толуанский бальзам, таурохолат натрия, шеллак, цетиловый спирт, толуанский сандарак, кератин, зеин, жиры и жирные к-ты, ацетатфталат целлюлозы).

Л. Михельсон

5583. Покрытия, стойкие к желудочному соку. V. Метилцеллюлозо- и этилоксиэтилцеллюлозо-моноэфиры. Какэми, Уно, Куседа, Ида (エンテリックコーティングの研究. 第5報. Methylcellulose Dihydrogen Dicarbonates 並びに Ethylhydroxyethyl cellulose Dihydrogen Dicarbonates について. 掛見喜一郎, 宇野三, 楠田冬樹, 伊田忠夫), 薬學雜誌, Якугаку дзасси, J. Pharmac. Soc. Japan, 1955, 75, № 2, 197—200 (японск.; рез. англ.)

Моноэфиры метилцеллюлозы с фталевой к-той (I) и янтарной (II), и соответствующие моноэфиры этилоксиэтилцеллюлозы: (III) и (IV) были приготовлены и изучались в отношении их способности служить кишечными покрытиями (КП). Оказалось, что I и III являются очень хорошими КП при обычном способе обработки в дражировочном котле в р-ре дихлорэтана, или этанола, или этанола с хлороформом для I и III и ацетона и этанола для III. Ввиду того что II и IV практически нерастворимы в органич. р-рителях их применяли в виде водн. р-ра. Найдено, что IV может служить КП, II набухает от влаги и не годится для покрытия.

О. Магдсон

5584. Физические методы при испытании жировых основ. Сорддрагер (Fysisch onderzoek van vetten. Sorgdrager P.), Pharmac. weekbl., 1956, 91, № 22, 809—812 (гол.; рез. англ.)

Описан опыт применения стандартного метода «проникания конуса» для испытания употребляемых в фармацевтич. препаратах жировых основ (вазелин и ланолин). Найдено, что для достижения максимума проникания 60-ти предусмотренных методом ударов недостаточно. Подвергнутые испытанию образцы очень медленно приобретают свою первоначальную консистенцию; их «температура капли» не изменяется. Высказано мнение, что метод может быть применен для испытания мазевых основ, особенно нового типа (силиконы, карбовакс), а также для оценки и улучшения существующих рецептов мазей.

А. Травин

5585. Метилцеллюлоза в качестве основы. Троттер, Хоккинс, Парротт (Methyl cellulose as a troche base. Trotter G. F., Hawkins D. B., Parrott E. L.), Amer. J. Pharmacy, 1956, 128, № 2, 50—56 (англ.)

Предложена рецептура прессованных таблеток (I) с метилцеллюлозой (70%) в качестве основы, содержащих 25% тончайшего порошка сахара и 5% трисиликата магния. Эти I тверже и медленнее выделяют включенную в их состав краску, чем I на сахарной основе. Результаты исследования in vivo и in vitro показали, что метилцеллюлозные I растворяются в 10 раз медленнее, чем I на сахарной основе. По мере растворения метилцеллюлозных I повышается их вязкость, способствующая более длительному контакту лекарственного препарата со слизистой оболочкой рта.

Л. Михельсон

5586. Гибкая желатиновая капсула. Ноттон (The flexible gelatin capsule. Notton H. E. F.), Pharmac. J., 1956, 177, № 4839, 69—70 (англ.)

В состав оболочки капсулы (I) входят желатина, пластификатор (обычно глицерин), предохраняющее в-во и различное кол-во воды. От содержания воды в I зависит ее гибкость и ряд других свойств. Так, напр. шарообразная I имеет хорошую гибкость при 40—50% влажности, становится твердой при 20% и слишком мягкой при 80—90% влаги. Описано обращение с I, содержащими витамины. Указана необходимость прибавления к витаминам в I антиокислителей и стабилизирующих в-в. О подходящей влажности I судят по степени их гибкости, определяемой в сотых долях миллиметра во время сжатия I между двумя параллельными поверхностями в течение 20 сек. с примене-

нием стандартной сжимающей силы. Указаны условия и способы упаковки готовых I. Л. Михельсон
5587. Применение хроматографии на бумаге при контроле медикаментов. Якубец, Лашкова, Сламова (Použití papírové chromatografie při kontrole magistraliter připravovaných prášků. Jakubec Ivo, Lašková Věra, Slámová Eva), Farmácia (Ceskosl.), 1956, 25, № 5, 137—143 (чешск.; рез. русск., нем.)

В качестве наиболее подходящего реактива рекомендуют смесь хлорного железа с р-ром железосинеродистого калия в предложенной модификации из-за большой реакционной чувствительности смеси и возможности общего применения ее в отношении аспирин, пирамидона, антипирина, атофана фенацетина, хинина и в некоторых случаях кодеина, содержащихся в рецептурных порошках. Л. Михельсон

5588. Рентгенографический анализ алкалоидов и синтетических продуктов с наркотическим действием. Карелли (L'analisi roentgenografica nella ricerca tossicologica de alcaloidi e sintetici ad azione stupefacente. Carelli V.), Farmaco Ed. scient., 1956, 11, № 4, 317—335 (итал.; раз. англ.)

Метод применен для идентификации алкалоидов и синтетич. наркотиков в порошкообразном виде. Изучались спектры порошков указанных в-в, взятых как в свободном виде, так и в виде хлоргидратов, а также для их производных, полученных осаждением реактивом Майера или пикриновой к-той. Метод представляет возможность качеств. анализа смесей наркотиков даже при наличии чрезвычайно малых кол-в в-в. Л. Михельсон

5589. Полярографическое определение эндаина. Волкова, Иха (Polarografické stanovení endiainu. Volková Věra, Icha František), Ceskosl. farmac., 1956, 5, № 7, 406—408 (чешск.; рез. русск., англ., нем.)

Предложен метод полярографич. определения эндаина (I) (смеси 5,7-дихлор-8-оксихинолина и 5-хлор-8-оксихинолина) в таблетках и мазях, при pH > 8. Экстракцию I производят 2 M р-ром HCl, прибавляют спирт, нейтрализуют на метловый красный и прибавляют фосфатноборатный буфер (pH 7,8). Чтобы удержать конц-ию I на уровне 10^{-3} M, содержание спирта в р-ре не должно быть < 40%. При анализе мазей извлечение I производят из расплавленной мази или ее р-ра в C_6H_6 . При применении для экстракции полярографически чистого диоксана эфир-ция является излишней. Для различения I от 8-оксихинолина применяют буферный р-р с pH 12. А. Травин

5590. Прямое определение методом титрования элементарной серы в фармацевтических препаратах. Грунтова, Душинский (Priame titračné stanovenie elementárnej síry vo farmaceutických prípravkoch. Gruntová Z., Dušínský G.), Ceskosl. farmac., 1956, 5, № 5, 275—277 (словацк.; рез. русск., англ., нем.)

Способ основан на р-ции S (I) с KCN в смеси вода-ацетон. Определение было ускорено прибавлением небольшого кол-ва CS_2 при растворении I в среде, содержащей ацетон. В таблетках и порошках I определяют следующим образом: к навеске образца, содержащей 10 мг I, прибавляют 1 мл CS_2 ; нагревают, затем прибавляют 20 мл ацетона. Отфильтровывают нерастворившиеся в-ва на стеклянном фильтре — ионы тяжелых металлов, образуя комплексные соединения с цианидом, могут помешать титрованию — к прозрачному фильтру прибавляют 4 мл воды. Титрование ведут при нагревании на электр. плитке (в качестве индикатора прибавляют 6 капель 0,1% спирт. р-ра бром-крезолкрасного) до изменения окраски с желто-зеленой в сине-фиолетовую. Титруют 0,05 молярным р-ром

NaCN. Содержание I в таблетках и порошках было описанным способом определено в присутствии сантонина, ZnO , H_3BO_3 , белой глины и основного нитрата висмута. I в серной мази (Чехословацкая Фармакоп., 2-е издание) и в промышленном продукте каптосульфид, содержащем CS_2 , CCl_4 , $CHCl_3$, эфир и касторовое масло, определялась аналогичным способом. При определении I в мазях фильтрация необязательна. Время анализа (с растворением препарата) — 10 мин., точность метода — 1,5%. Л. Михельсон

5591. Определение этианамина. Какач, Вейдлек (Stanovení ethiasinu (2-hydroxyethylesteru kyseliny nikotinové). Kakáč Bohumil, Vejdělek Zdeněk J.), Ceskosl. farmac., 1956, 5, № 3, 140—146 (чешск.; рез. русск., англ., нем.)

При действии никотиноилхлорида на этиленгликоль кроме главного, нужного продукта-этианамина, β -окс-этилникотината, (I) образуется также диникотинат этиленгликоля (II) и никотиновая к-та (III). Ввиду того, что II делает инъекционные р-ры I неустойчивыми, был разработан полярографич. метод определения I в присутствии II, а также III. После отделения I и III от II на основе различной растворимости в щел. среде, II может быть также определен полярографически с точностью до 0,1%; III определяют объемным методом. О. Магидсон

5592. Идентификация и количественное определение метиландростендиола в таблетках. Ледвинова, Гайе (Důkaz a stanovení methylandrostendiolu v tabletách. Ledvinová Z., Hais I. M.), Ceskosl. farmac., 1956, 5, № 7, 404—406 (чешск.; рез. русск., англ., нем.)

Идентификацию метиландростендиола (I) в таблетках производят методом хроматографии на бумаге в системе $HCONH_2$ — хлф — бзн. (проявитель — H_2SO_4). Предложен также способ колич. определения I хроматографич. или (в присутствии других хромогенов) фотокolorиметрич. путем (в последнем случае при помощи цветной р-ции с H_2SO_4). А. Травин

5593. Определение хлорамфеникола методом диазотирования. Ван Цзы-хун (氯霉素含量测定法的研究(二)快速重氮化法. 王子鴻), 藥學學報, Яосюэ сюэбао, 1956, 4, № 3, 201—207 (кит.; рез. англ.)

Навеску 0,3 г хлорамфеникола обрабатывают 10 мин. на водяной бане при т-ре не ниже 85° , 2 г Zn-пыли, 20 мл воды и 20 мл разб. HCl (1:1), охлаждают, фильтруют, промывают водой, к фильтрату прибавляют 10 мл HCl и 2 г KBr и титруют 0,05 M $NaNO_2$ при т-ре < 27° до устойчивого посинения йодкрамного индикатора в течение 5 мин.; 1 мл 0,05 M $NaNO_2$ эквивалентен 0,01616 г хлорамфеникола. Определение продолжается 30 мин. Результаты воспроизводимы с средним отклонением $\pm 0,15\%$. Ю. Вендельштейн

5594. Испытание качества пластырей. Рыбарж (Kontrolní hodnocení lepicích náplastí. Rybář Dalibor), Ceskosl. farmac., 1956, 5, № 5, 296—299 (чешск.; рез. русск., англ., нем.)

Для определения качества пластырей, по способу, описанному по Американской Фармакопее 14, предложено усовершенствование, дающее возможность непрерывно прижимать пластырь к подкладке из бакелита. Кратко описаны конструкция аппаратуры и метод определения, который автор предлагает включить в число Чехословацких государственных стандартов. Л. Михельсон

5595. Количественное определение действующих веществ в лекарственных материалах по Чехословацкой Фармакопее 2. I. Алкалоидное и глюкозидное сырье. II. Дубильные, горькие, слизистые и прочие материалы. Бесварт, Блажек (Stanovení obsahu drog v CsL 2. I. Drogy alkaloidní a glykosidní. II. Drogy trislovinne, horečinné, slizové a různými obsa-

hovými latkami. Bös wart J., Blažek Zd.), Českosl. farmac., 1955, 4, № 7, 363—368; № 8, 431—433 (чешск.)

I. Обзор указанных методов для 14 видов алкалоидного и 19 видов глюкозидного сырья.

II. Методы для 5 видов дубильных, 6 видов горьких и 2 видов слизистых в-в. В статье дан также обзор по аналогичным испытаниям, приведенным в Фармакопеех различных стран.

Б. Адамец
5596. Дополнение к главе о сиропах в Чехословацкой Фармакопее 2. Филип (Přispěvek k lékopisným sýrům. Filip Alexander), Farmácia, 1955, 24, № 5, 148—153 (чешск.)

Сиропы, особенно малоконцентрированные, являются хорошей питательной средой для микроорганизмов (бактерий, плесени и т. д.). Для консервирования сиропов применяют муравьиную к-ту, SO_2 , салициловую к-ту, эфиры пара-оксибензойной к-ты, а также используют олигодинамич. действие серебра и ультразвук. Хранить сиропы необходимо при низкой т-ре и в сухом помещении.

Б. Адамец

5597 Д. Обработка таблеток скользящими веществами и количественное определение скользящих веществ для таблеток. Стрикленд (A study of the fundamental aspects of tablet lubrication and the quantitative evaluation of tablet lubricants. Strickland William Alexander, Jr. Doct. diss. Univ. Wisconsin, 1955), Dissert. Abstrs, 1955, 15, № 12, 2517 (англ.)

5598 Д. Исследование эмульгаторов для фармацевтических эмульсий. Сирагуса (A study of some emulsifiers for pharmaceutical emulsions. Siragusa Josephine Marie. Doct. diss. Univ. Florida, 1955), Dissert. Abstrs, 1955, 15, № 12, 2517 (англ.)

5599 Д. Вопросы промышленного использования никотина. Сантан (A narkotin ipari hasznosításának kérdesei. Szántay Czaba. Opiánsavbol kiinduló szintezisek. — Kand. értekezés tezisei. Tudományos Minősítő Bizottság. Budapest, 1956, 51), Magyar nemzet. bibliogr., 1956, № 5, 155 (венг.)

5600 П. Соли дихлорацетоксинамипропанола и способ их получения (Dichloroacetoxy-aminopropanol salts and process for the manufacture thereof) [Parke, Davis and Co.]. Англ. пат. 728682, 27.04.55

Соли *трео*-1-(4'-нитрофенил)-1-дихлорацетокси-2-амино-3-оксипропана с минер. к-тами получают обработкой *Д-трео*-2-дихлорметил-4-оксиметил-5-(4'-нитрофенил)-оксазолина минер. к-той в органич. р-рителе, содержащем малое кол-во воды. Продукты обладают свойствами хлорамфеникола, в который они переходят при действии щелочи. В примерах приведено действие спирт. р-ра HCl на р-р оксазолина в несущем ацетоне, содержащем H_2O и конц. HCl , на р-р оксазолина в спирте.

О. Магидсон

5601 П. Холиновые соединения (Choline compounds) [Nepere Chemical Co., Inc.]. Англ. пат. 736443, 7.09.55

Соединения общей ф-лы $[(\text{CH}_3)_2\text{NC}_2\text{H}_4\text{OH}]X$, (X — остаток диалкилксантина, в котором алкил содержит ≤ 2 атомов C , а в положении 8 может стоять некий заместитель) получают р-цией холина с диалкилксантином. Эти продукты, особенно производные диметилксантина, имеют терапевт. значение. Холинхлорид обрабатывают р-ром KOH в CH_3OH и после отделения KCl р-р нагревают с изопропаноловой суспензией теофиллина, или 8-бромтеофиллина, или 8-хлортеофиллина, или 8-нитротеофиллина дигидрата. В других примерах диалкилксантином служит теобромин-1,7-диметилксантин, диэтил-, метилэтилксантин, а также их 8-производные.

О. Магидсон

5602 П. Способ получения О-ацильных производных оксифенилтиомочевины. Шрадер (Verfahren zur Herstellung von O-Acylderivaten der Oxyphenylthioharnstoffe. Schrader Gerhard) [Farbenfabriken Bayer A.-G.]. Пат. ФРГ 932064, 28.08.55

Для получения указанных в-в оксифенилтиомочевину обрабатывают хлорангидридом в присутствии разбавителей и в-в, связывающих к-ту. 7,5 г Na суспендируют в 40 мл C_6H_6 и прибавляют 130 мл абс. спирта. К перемешиваемому р-ру прибавляют р-р 51 г *п*-оксифенилтиомочевины (I) в 750 мл абс. спирта при 55—60° прибавляют по каплям 60 г монохлорангидрида О-диэтилтиофосфорной к-ты (II), после чего нагревают 1 час при 70°. Охлаждают, отделяют NaCl и отгоняют спирт: эфир диэтилтиофосфорной к-ты и т. пл. 109° из бэл.+ петр. эфир, выход 52%. *о*-Оксифенилтиомочевина и II \rightarrow О-эфир диэтилтиофосфорной к-ты и *о*-оксифенилтиомочевины, т. пл. 119° (из бэл.+ петр. эф.), выход 45%; *м*-оксифенилтиомочевина и II \rightarrow О-эфир диэтилтиофосфорной к-ты и *м*-оксифенилтиомочевины, т. пл. 69° (из CHCl_3 + петр. эфир); 51 г I и хлорангидрид диэтилового эфира фосфорной к-ты \rightarrow О-эфир этой к-ты и I (31 г), т. пл. 105° (из C_6H_6 + CHCl_3); I и хлорангидрид диметилкарбамино-вой к-ты \rightarrow О-эфир диметилкарбаминовой к-ты и I, т. пл. 174° (из сб. сп.), выход 20%; 51 г I и 23 г метансульфохлорида \rightarrow 10 г О-эфира метансульфокислоты и I; I и $\text{ClCOOC}_2\text{H}_5$ \rightarrow карбэтоксизтиловый эфир I, т. пл. 125—127°, выход 50%; I и CH_3COCl в присутствии водн. $\text{NaOH} \rightarrow$ О-ацетильное производное I, т. пл. 162°. Продукты обладают сильным бактериостатич., в частности туберкулостатич. действием, некоторые из них могут применяться для защиты растений от вредителей.

В. Красев

5603 П. Способ получения терапевтически ценных производных сульфаниламида. Дорн, Дидрих (Verfahren zur Herstellung von therapeutisch wertvollen Mitteln der *p*-Aminobenzolsulfonamid-Reihe. Dohn Max, Dierich Paul) [Schering A.-G.]. Пат. ФРГ 933340, 22.09.55

Для получения соединений общей ф-лы: $n\text{-NH}_2\text{C}_6\text{H}_4\text{SO}_2\text{NHX}$ (X — остаток 2-пиримидина, незамещ. или 4- и 6-замещ. ≤ 2 CH_3 , а также 4-связанный 2,6-диметилпиримидин) молекулярное кол-во амида бензосульфокислоты, имеющего 4-заместитель, способный превращаться в NH_2 -группу, конденсируют с замещ. или незамещ. 2-галоидпиримидином, или с 4-галоидо-2,6-диметилпиримидином, а затем переводят в соединения с свободной NH_2 -группой. По другому варианту замещ. бензолсульфохлорид конденсируют с соответствующим аминопиримидином в присутствии конденсирующих средств или же без них, после чего переводят в соединения с NH_2 -группой. Нагревают 26,4 г 4-карбэтоксисульфанилхлорида (I) с 12,3 г 2-амино-4,6-диметилпиримидина в 50 мл пиридина при 80—90° 15 мин.; осаждают водой кристаллич. осадок карбэтоксисоединения, т. пл. 194° (из сп.), которое нагревают 1 час с 4 молями 2 н. NaOH при 80° и выделяют 2-сульфаниламид-4,6-диметилпиримидин, т. пл. 198—200° (из сп.). Аналогично из 26,4 г I и 12,3 г 4-амино-2,6-диметилпиримидина (ксанметина) получают продукт конденсации с т. пл. 246° (из сп.), из которого описанным выше способом выделяют 4-сульфанил-2,6-диметилпиримидин, т. пл. 240°; из 24,6 г I и 9,5 г 2-аминопиримидина получают промежуточное карбэтоксисоединение с т. пл. 237° (из воды), а из него 2-сульфанилпиримидин, т. пл. 255—256° (из сп.).

О. Магидсон

5604 П. Способ получения ацилгидразонов циклоалканонкарбоновых кислот (Process for the preparation of cycloalkanoncarboxylic acid acylhydrazones) [Lepetit Soc. Per Azioni]. Англ. пат. 738547, 12.10.55

Соединения общей ф-лы: $A-\text{CONHN}=\text{CCH}_2(\text{CH}_2)_n$,

содержащие карбоксил, в которых А — моновалентный остаток насыщ. или ненасыщенного с нормальной или разветвленной цепью углеводорода, или арил, или алициклич. или гетероциклич. радикал, который может содержать галогид или нитрогруппу, $n=1-5$, получают в форме солей конденсацией соответствующей циклоалканонкарбоновой к-ты в р-ре гидроксида щел. или щел.-зем. металла с гидразидом $A-\text{CONHNH}_2$. В примерах приведено получение изоникотинилгидразона 2-циклогексанонкарбоновой к-ты, n -нитробензоилгидразона 3-циклопентанонкарбоновой к-ты, 2-теонилгидразона 4-циклогексанонкарбоновой к-ты и изоникотинилгидразона 3-циклопентанонкарбоновой к-ты.

5605 П. Способ получения водорастворимых солей n -аминоазобензол- ω -метансульфоновой к-ты и их гомологов. Эттель, Гекбий (Způsob přípravy ve vodě rozpustných soli kyseliny p -amino-azobenzen- ω -methansulfonové a jejich homologů. Ettel Viktor, Hebký Jaromír). Чехосл. пат. 84847, 2.10.55

Соответствующее исходное амино-азосоединение (I) конденсируют с избытком формальдегидбисульфита (1,1—1,2 моля на 1 моль) в метаноле или этаноле при т-ре кипения с обратным холодильником. Процесс ведут до тех пор, пока продукт конденсации не станет полностью водорастворимым, после чего при охлаждении выделяют продукт, который в случае надобности очищают перекристаллизацией. Пример. В 18,6 кг водн. 37%-ного CH_2O при постоянном перемешивании вводят 62,8 кг бисульфитного р-ра плотностью 1,33, после чего реакционную смесь нагревают до 50°, прибавляют р-р 45,0 кг ω -аминоазотолуола в 230 л 96%-ного спирта и смесь кипятят до полного растворения отобранной пробы в избытке воды. После охлаждения смеси выкристаллизовавшуюся часть продукта отсасывают, а маточный р-р сгущают для дальнейшей кристаллизации продукта. Обе части кристаллич. продукта соединяют и кристаллизуют из горячей воды или разб. ~75%-ного этанола. Выход чистого продукта составляет 55 кг (80,6% от теории), т. пл. 206—207°. В сравнении с исходным (I) продукт в гораздо большей степени обладает заживляющим и бактерицидным действием при лечении ран, а также применим в качестве основы для мазей, содержащих воду. И. Е.

5606 П. Способ получения смесей сложных эфиров n -бутиламинобензойной кислоты с монометилловыми эфирами полиэтиленгликолей (Verfahren zur Herstellung eines Gemisches von p -Butylaminobenzoessäureestern von Polyäthylenglykolmonomethyläthern) [Ciba A.-G.]. Швейц. пат. 298677, 16.07.54 [Chem. Zbl., 1955, 126, № 21, 4885 (нем.)]

Указанные эфиры ф-лы $\text{C}_4\text{H}_9\text{NHC}_6\text{H}_4\text{COO}(\text{CH}_2\text{CH}_2\text{O})_{18}\text{CH}_2\text{CH}_2\text{OCH}_3$ (в этой ф-ле индекс 18 является характерным средним мол. вес) применяются в качестве терапевтич. средств. Нагревают монометилловый эфир полиэтиленгликоля (средний мол. в. 900) с этиловым эфиром n -бутиламинобензойной к-ты в вакууме при 140—145°, охлаждают, прибавляют 2 н. CH_3ONa в CH_3OH и нагревают еще раз в вакууме при 140—145°, получают мягкую бесцветную воскообразную массу, растворимую в воде и большинство органич. р-рителей, кроме алифатич. углеводородов. В. Уфимцев

5607 П. Способ получения оптически активной (2-кето-10-метил-2,3,4,5,6,7,8,10-октагидронафтил-7)-уксусной кислоты и ее гомологов. Або, Харукава, Исигава, Мики, Цуно, Тога (光學的活性 2-ケト-10-メチル-2,3,4,5,6,7,8,9,10-オクタヒドロナフチル-9-酢酸及びその同族体の製造法. 阿部泰夫, 春川忠二, 石川尚, 三木卓一, 角正夫, 梅正), 武田薬品工業株式会社, Такада якухин когё кабусики кайся]. Японск. пат. 5221, 21.08.54

Являющиеся аналогами сантонина α -(2-кето-10-метил-2,3,4,5,6,7,8,10-октагидронафтил-7)-уксусную к-ту и ее $\text{C}_{(1)}$ - и $\text{C}_{(11)}$ -замещенные разлагают на оптич. изомеры обработкой солями оптически активных органич. оснований. 12 г α -(2-кето-1,10-диметил-2,3,4,5,6,7,8,10-октагидронафтил-7)-пропионовую к-ту (I) нагревают с р-ром 22 г бруцина и 30 мл спирта, оставляют р-р несколько часов стоять при 20°, отфильтровывают и несколько раз промывают холодным CH_3OH 15 г труднорастворимой бруциновой соли I (Ia), т. пл. 125°. Частичным упариванием в вакууме маточного филтратата выделяют еще 0,6 г Ia. 15 г Ia разлагают обработкой 15 г 5%-ного р-ра NaOH, отфильтровывают и извлекают остаток бруцина CHCl_3 и подкислением HCl водн. щел. р-ра выделяют и кристаллизуют из CH_3OH 5,5 г d-I, т. пл. 121—122°, $[\alpha]_D^{25}$ (в сп.) +91°. Из маточного р-ра от Ia полностью удаляют в вакууме р-ритель и обработкой остатка водн. р-ром NaOH выделяют к-ту, к 5,1 г которой прибавляют р-р 3,3 г d-эфедрина в 25 мл этилацетата, слегка подогревают до растворения и охлаждением р-ра выделяют 8,2 г d-эфедриновой соли I (16), кристаллизацией которой несколько раз из этилацетата получают 4,5 г чистой 16, иглы, т. пл. 123°. $[\alpha]_D^{25}$ (в сп.) -37°. Разложением 4,5 г 16 получают 2,8 г l-I, палочки, т. пл. 121—122° (из CH_3OH), $[\alpha]_D^{25}$ -90°. К р-ру 0,36 г NaHCO_3 в 8 мл воды постепенно прибавляют 1,2 г α -(2-кето-1,10-диметил-2,3,4,5,6,7,8,10-октагидронафтил-7)-метилмалоновой к-ты (II; т. разл. 192°), к полученному р-ру прибавляют 1,5 г хлоргидрата хинина в 20 мл воды и выделяют полутвердую хининовую соль II; водн. слой удаляют, остаток растворяют в горячем CH_3OH и по охлаждении получают 1,5 г хининовой соли II (IIa), т. пл. 182° (разл.), $[\alpha]_D^{25}$ -101,2°. Аналогичным разложением IIa (с применением эфира в качестве р-рителя для удаления хинина) выделяют 0,5 г d-II, т. пл. 195° (разл., из водн. CH_3OH), $[\alpha]_D^{25}$ (в сп.) +25,7°. К маточному р-ру от IIa прибавляют 5%-ный р-р NaOH и эфир для извлечения хинина, подкислением водн. щел. слоя выделяют и несколько раз кристаллизуют из водн. CH_3OH l-II, $[\alpha]_D^{25}$ (в сп.) -25°. С. П.

5608 П. Алкиламиноалкильные эфиры оксиксиклогексилбензойных кислот. Саюн, Фост (Alkylaminoalkyl esters of hydroxycyclohexyl benzoic acid. Sahyun Melville, Faust John A.) [Sahyun Laboratories]. Пат. США 2730544, 10.01.56

Эфиры общей ф-лы 3-, 4-, или 5- C_6H_{11} -2- $\text{HOCC}_6\text{H}_4\text{COOC}$ n .

H_2N NR₂ (I) (Ia — 3- C_6H_{11} , Ib — 4- C_6H_{11} , Ic — 5- C_6H_{11}), где R — CH_3 , C_2H_5 , C_3H_7 , *изо*- C_4H_9 , *н*- C_4H_9 , *етор*- C_4H_9 , *трет*- C_4H_9 , C_5H_{11} , *изо*- C_5H_{11} и т. д., а C_nH_{2n} — этилен (Э), пропилен, изопропилен (И), бутилен, *етор*-бутилен, *трет*-бутилен и т. д., получают гидрированием соответствующей фенилсалициловой к-ты в водн. CH_3COOH при 60—90° (лучше 70—80°) и 2—4,7 атм (лучше 3,4 атм) над Pt (из PtO_2) с последующей обработкой R_2NC n H_{2n} X, где X — Cl и Br, напр. в *изо*- $\text{C}_3\text{H}_7\text{OH}$ (II), лучше при кипячении. I очищают через хлоргидрат (ХГ). Получены соли I с HCl и другими к-тами в среде II или смеси спирт-этилацетат. I при разбавлении $1/10000$ обладают гермицидным и бактерицидным действием, очень активны против *Trichophyton rubrum*. Суспензию 10,7 г 5-фенилсалициловой к-ты в 150 мл лед. CH_3COOH гидрируют 3 часа над 0,2 г Pt (из PtO_2) при 70—80° и 3,4 атм, получают 2-окси-5-циклогексилбензойную к-ту (III), выход 80—85%, т. пл. 149—150°. 2,2 г III и 1,4 г β-диэтиламиноэтилхлорида кипятят 12 час. в 50 г II, получают ХГ Ib, где R — C_2H_5 , C_nH_{2n} — Э, выход 60%, т. пл. 167—168° (из II-эф.). Аналогично получены ХГ Ib, R — *изо*- C_3H_7 , C_nH_{2n} — Э, т. пл. 163—164°; ХГ Ic R — CH_3 , C_nH_{2n} — И, т. пл. 203—204°; ХГ Ib R — C_2H_5 ,

C_nH_{2n} — Э, т. пл. 161—162°; ХГ 16 R — CH_3 , C_nH_{2n} — И, т. пл. 162—164°; ХГ 16 R — *изо*- C_3H_7 , C_nH_{2n} — Э, т. пл. 167—168°; ХГ 16 R — CH_3 , C_nH_{2n} — Э, т. пл. 196—197°; ХГ 1a, R — *изо*- C_3H_7 , C_nH_{2n} — Э, т. пл. 166—167°; ХГ 1a, R — CH_3 , C_nH_{2n} — Э; т. пл. 206—207° (разл.); ХГ 1a R — C_2H_5 , C_nH_{2n} — Э, т. пл. 191—192°; ХГ 1a, R — CH_3 , C_nH_{2n} — И, т. пл. 189—190°. Р-р 3,5 г ХГ 1a, R — C_2H_5 , C_nH_{2n} — Э, в 125 мл воды экстрагируют эфиром, водн. р-р подщелачивают небольшим избытком NaOH. Щел. смесь обрабатывают эфиром, эф. экстракт сушат. Перегонкой получают 1a, R — C_2H_5 , C_nH_{2n} — Э, т. кип. 165—166°/0,5 мм. К р-ру 1,9 г этого продукта в CH_3OH добавляют р-р 0,9 г $(CHONCOOH)_2$ в CH_3OH . Остаток после отгонки р-рителя в вакууме перекристаллизуют из $(CH_3)_2CO$; получают с 79%-ным выходом битарtrat 1a, R — C_2H_5 , C_nH_{2n} — Э, т. пл. 87—98°. Аналогично получают пикрат, т. пл. 123—124°. И. Шалавина

5609 П. Способ изготовления спазмолитически и антигистамино-активного дифенилметил-β-пиперидиноэтилового эфира. Иллек, Протива (Způsob přípravy spasmolytický a antihistaminově účinného difenylmethyl-β-piperidinoethyletheru. Jílek Jiří, Protiva Miroslov). Чехосл. пат. 85561, 15.02.56. Конденсируют β-пиперидиноэтанол с дифенилметилгалогенидом в присутствии безводн. щел. соли угольной к-ты. 207 г безводн. K_2CO_3 и 129 г β-пиперидиноэтанола нагревают при размешивании на масляной бане до 100° и приливают по каплям 202 г дифенилметилхлорида в течение 1 часа при 100°. Затем нагревают в интервале 130—150° в течение 10 час. Отфильтровывают выпавшие после охлаждения KCl и K_2CO_3 , фильтрат подвергают вакуумному фракционированию и собирают фракцию дифенилметил-β-пиперидиноэтанолового эфира с т. кип. 187—189°/2 мм; выход 75%; хлоргидрат, т. пл. 168—169° (из этилацетата); бромгидрат, т. пл. 141—143°; йодметилат, т. пл. 183—185° (из сп.). Б. Адамец

5610 П. 2-метил-3-амино-4,5,6-пиридинтрикарбоновая кислота (2-Methyl-3-amino-4:5:6-pyridinetricarboxylic acid) [Lilly and Co., E.] Англ. пат. 736344, 7.09.55

Обрабатывают триэфир 2-метил-3-циан-4,5,6-пиридинтрикарбоновой к-ты (I) H_2SO_4 , чтобы превратить циан-группу в амид или имид (в зависимости от т-ры р-ции), затем обрабатывают солями хлорноватой к-ты и получают 2-метил-3-амино-4,5,6-пиридинтрикарбоновую к-ту (II) дигидрат. Триэтиловый эфир I обрабатывают 97%-ной H_2SO_4 при 25—40°, полученный триэтиловый эфир 2-метил-3-карбоксамидо-4,5,6-пиридинтрикарбоновой к-ты после обработки $NaClO$ дает II. Триэтиловый эфир I обрабатывают при 85—90° 97%-ной H_2SO_4 , образуется диэтиловый эфир 2-метил-3,4-карбоксимидо-5,6-пиридиндикарбоновой к-ты, который с $NaClO$ дает II. О. Магидсон

5611 П. Триэфир 2-метил-3-циан-4,5,6-пиридинтрикарбоновой кислоты (Tri-esters of 2-methyl-3-cyano-4:5:6-pyridinetricarboxylic acid) [Lilly and Co., E.] Англ. пат. 733139, 6.07.55

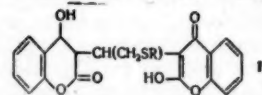
Триэфир 2-метил-3-циан-4,5,6-пиридинтрикарбоновой к-ты получают р-цией триэфира α-кето-γ-алкоксинакитовой к-ты с диацетонитрилом, причем для этерифицирующей группы предпочтительны алкилы, содержащие ≤ 4 атомов С. Так, из триметилового эфира α-кето-γ-этоксинакитовой к-ты и диацетонитрила образуется соответствующий эфир 2-метил-3-циан-4,5,6-пиридинтрикарбоновой к-ты. О. Магидсон

5612 П. Способ получения производных 5-нитрофурфурола. Уоути, Такан (5-ニトロフルフラール誘導体の製造法. 卯尾田秀隆, 高井明) [富山化学工業株式会社, 富田家カガクコゲカブシキカイシャ]. Японск. пат. 1734, 16.03.55

Имеющие лечебное применение производные 5-нитрофурфурола (I) общей ф-лы $O-C(NO_2)=CH-CH=C-CH=N-N-CX-NHCOCH_2$ (X — O или S) полу-

чают р-цией I или диацетата I с этиловым эфиром N'-карбаминилгидразиноуксусной к-ты (II) или этиловым эфиром N'-тиокарбаминилгидразиноуксусной к-ты (III) в инертном органич. р-рителе. Полученное соединение подвергают циклизации в присутствии минер. к-ты. Подкисленный CH_3COOH , водн. р-р 0,55 г II смешивают с р-ром 0,7 г I в 10 мл C_2H_5OH , недолго нагревают при 100° и получают 1,2 г этилового эфира N'-карбамил-N² - (5-нитрофурфуриден-2)-гидразиноуксусной к-ты (IV), желтые иглы, т. пл. 178°. IV растворяют в ~ 10 мл C_2H_5OH , CH_3OH или CH_3COOH , подкисляют 10%-ной H_2SO_4 до слабокислой р-ции, нагревают на водяной бане и выделяют 1 г N-(5-нитрофурфуриден-2)-1-аминогидантоина (V), желтые иглы, т. пл. 26° (разл.). К р-ру 3 г хлоргидрата этилового эфира гидантоиноуксусной к-ты в 5 мл CH_3COOH прибавляют 2 г KCN и нагревают ~ 30 мин. при 100°, нейтрализуют HCl со слабокислой р-ции, прибавляют 3,5 г диацетата I, 10 мл C_2H_5OH и 15 мл конц. HCl, кипятят ~ 1 час, по охлаждению отфильтровывают и промывают водой и спиртом 3 г V, 0,5 г III и 0,8 г I в 20 мл CH_3OH растворяют при непродолжительном нагревании на водяной бане, по охлаждению выделяют этиловый эфир N'-тиокарбамил-N²-гидразиноуксусной к-ты (VI), желтые пластинки, т. пл. 183—184°. К реакционной массе, содержащей VI, прибавляют 2 мл 10%-ной HCl и недолго кипятят, получают 1,3 г N-(5-нитрофурфуриден-2)-1-амино-2-тиогидантоина (VII), желтые кристаллы, т. пл. 232° (разл.). Смесь 3 г VI и 2,5 г KCNS сплавляют при нагревании в течение ~ 1 час при 120—130°, по охлаждению прибавляют 10 мл C_2H_5OH , 3,5 г диацетата I и 30 мл 30%-ной H_2SO_4 нагревают на водяной бане и выделяют 3 г VII.

С. Петрова
5613 П. Способ получения новых антикоагулянтов производных 4-оксикумарина. Фучик, Шарпан (Způsob přípravy nových antikoagulačně účinných odvozenin 4-hydroxykumarinu. Fučík Karel, Šarhan Jaroslav). Чехосл. пат. 85514, 1.02.56. Указанные соединения ф-лы (I): получают конденса-



цией 4-оксикумарина (II) с алкилмеркаптоацетатами. 3,24 г II растворяют при кипячении в 350 мл воды. К кипящему р-ру добавляют 1,7 г метилмеркаптодиэтилацетата и 1 мл конц. HCl. Выход 2,7 г, т. пл. 158° (в водн. CH_3COOH). Аналогично из этилмеркаптодиэтилацетата получают 1,1-(2-оксихромонил-3)-(4-оксикумаринил-3) этилсульфид, т. пл. 160°; монодиэтиламиновую соль, т. пл. 150°. Б. Адамец

5614 П. Эфиры акридонов и тиаксантонов основного характера. Стейгер (Basic ethers of acridones and thiaxanthones. Steiger Norbert) [Hoffmann-La Roche Inc.]. Пат. США 2732374, 24.01.56

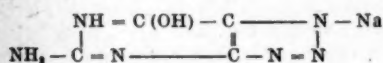
Патентуются соединения, их соли с к-тами и четвертичные соли акридонов и тиаксантонов, имеющие заместители в ядре Н, низшие алкилы, 1- или 2-ди- или триалкиламиноалкоксигруппы, 1 или 2 галогена. Они обладают антигельминтными, противогрибковыми и противопротозойными свойствами. Нагревают смесь 52 г 1-метил-4-окс-6-хлор-9 (10 Н)-акридола, 500 г C_6H_5Cl (I), 100 мл CH_3OH и 16 г CH_3ONa до 131°, пока не отгонится CH_3OH , охлаждают до 100° и прибавляют 35 г $(C_2H_5)_2NCH_2-CH_2Cl$ (II), кипятят 4 часа при

130°, охлаждают, приливают 500 мл H_2O и 20 мл 40%-ного р-ра $NaOH$, отделяют 1-слой, высушивают Na_2SO_4 и упаривают в вакууме, выделяют 1-метил-4-(β -диэтиламиноэтоксид)-6-хлор-9-(10 H)-акридон, т. пл. 175–176°. Аналогично из 1-хлор-4-оксиакридона и II в I при 4 час. нагревания при 130–132° получают 1-хлор-4-(β -диэтиламиноэтоксид)-9-(10 H)-акридон, т. пл. 115°; из 1-хлор-4-окситиаксантона — 1-хлор-4-(β -диэтиламиноэтоксид)-тиаксантон, желтое масло, которое растворяют в ацетоне и осаждают 35%-ной HCl в спирте хлоргидрат, т. пл. 227° (из CH_3OH), монотартрат, т. пл. 185–187° (из 80% сп.); из 1,6-дихлор-4-оксиакридона — 1,6-дихлор-4-(β -диэтиламиноэтоксид)-9-(10 H)-акридон, т. пл. 174–175°. Прибавляют к 360 г 96%-ной H_2SO_4 при перемешивании 42 г тиосалициловой к-ты, 32 г 4-хлор-3-метиланизола и нагревают 4 часа при 45–50°, затем прибавляют 50 мл дымящей (5% SO_3) H_2SO_4 и нагревают 30 мин. при 80°. После выливания на лед и обработки выделяют 1-хлор-2-метил-4-окситиаксантон, из которого аналогично предыдущему получают хлоргидрат 1-хлор-2-метил-4-(β -диэтиламиноэтоксид)-тиаксантон, т. пл. 240–242° (из 90% сп.). Кипятят в 225 мл ампового спирта 60 г К-соли о-хлорбензойной к-ты, 32 г 2-хлор-4-метокси-5-аминотолуола с 4,5 г K_2CO_3 и 2 г Су-порошка 9 час. По охлаждению прибавляют 30 мл 40%-ного р-ра $NaOH$ и 600 мл H_2O , отгоняют алкоголь паром, водн. р-р фильтруют горячим на смесь льда и 50 мл конц. HCl . Собирают 2-(2-метокси-4-хлор-5-метиланилино)-бензойную к-ту т. пл. 200–202° (из водн. CH_3COOH). Нагревают 65 г последней с 650 г полифосфорной к-ты 9 час. при 100°, выделяют после обработки 1-метил-2-хлор-4-метокси-9-(10 H)-акридон (III), который очищают нагреванием при 85° в 1000 мл H_2O + 15 мл 40% $NaOH$ в течение 30 мин., т. пл. 193–195°. В 450 мл C_6H_5Cl кипятят 59 г III с 95 г $AlCl_3$ 5 час., выделяют 1-метил-2-хлор-4-окси-9-(10 H)-акридон (IV), который очищают пересаживанием из р-ра $NaOH$, т. пл. 312–314°. Из IV аналогично предыдущему получают 1-метил-2-хлор-4-(β -диэтиламиноэтоксид)-9-(10 H)-акридон (V), т. пл. 143–145° (из лигр.-бэл.), хлоргидрат, т. пл. 241–243°. Из 1,7-дихлор-4-окситиаксантона получают по предыдущему 1,7-дихлор-4-(β -диэтиламиноэтоксид)-тиаксантон; масло, хлоргидрат из ацетона, т. пл. 222–224° (из 96% сп.). Растворяют 5 г V в 50 мл ацетона, фильтруют, к фильтрату прибавляют при 10–15° 10 мл 25% р-ра CH_3Br в ацетоне. Через 24 часа выкристаллизовывается бромметилат V.

О. Магидсон

5615 П. Способ получения кристаллической натриевой соли 8-азагуанина. Тэ с и м а (結晶性 8-アザグアニン・ナトリウム鹽の製造方法, 手嶋裕). Японск. пат. 5632, 6.09.54

Na-соль 8-азагуанина ф-лы (I):



получают суспендированием 8-азагуанина (II) в воде, прибавлением р-ра $NaOH$ до его растворения и кристаллизацией при охлаждении. Р-р 15 г II в 6 л разб. H_2SO_4 или HCl нагревают с небольшим кол-вом активированного С, фильтруют, к фильтрату прибавляют разб. р-р $NaOH$ или KOH до pH 3,8–6,2, осадок II отфильтровывают и суспендируют в ~ 600 мл горячей воды, прибавляют разб. р-р $NaOH$ до полного растворения и охлаждением выделяют I. Подкислением CH_3COOH маточного фильтрата до pH 3,8–6,2 выделяют и отфильтровывают осадок II, его суспендируют в горячей воде, растворяют прибавлением р-ра $NaOH$ и охлаждением выделяют I. Всего получают ~ 17 г I, выход 95%, иглы. Инъекции 160–300 мг I в день пред-

охраняют от заболевания различными формами саркомы. С. Петрова

5616 П. Метод получения производных индола при помощи ионообменных смол. Ямада, Тибата, Цурун (イオン交換樹脂によるインドール誘導体の製造法, 山田俊一, 千畑畑一郎, 鶴井龍也) [田邊製薬株式会社. Танаба сэйяку кабусики кайся]. Японск. пат. 1284, 11.03.54

Гидразоны нагревают с анионообменными смолами и получают производные индола. Пример: из 1,7-г-метилэтилкетона и 2,3-г-фенилгидразина получают фенилгидразон, который вводят в водн. р-р (30 мл) во взаимодействие с анионообменными смолами (20–30 г), заранее обработанными органич. к-тами и промытыми в воде. После встряхивания в течение нескольких часов нагревают до 100°, охлаждают, отфильтровывают кристаллы и смолы, экстрагируют спиртом, добавляют воды и получают 2,3-диметилиндол, т. пл. 104–106°. Таким же способом получают этил- α -ацетамид- α -карбоэтоксид- β -(3-индол)-пропионат, т. пл. 158–160° и 1,2,3,4-тетрагидрокарбазол, т. пл. 116–117°. В. Гужавин

5617 П. Получение производных оксазолина (Manufacture of oxazoline derivatives and oxazoline derivatives obtained thereby) [Parke, Davis and Co.]. Англ. пат. 728705, 27.04.55

Этерифицируют *трео*- β фенилсерин (I) алкоголем, эфир конденсируют с дихлорацетиминозифром. Полученный *трео*-2-дихлорметил-4-карбалкоксиметил-5-фенилоксазолин восстанавливают $LiAlH_4$ в *трео*-2-дихлорметил-4-оксиметил-5-оксазолин (II). Последний является ценным промежуточным продуктом при синтезе биологически активных препаратов. Этиловый эфир L-(—)-I вазальтывают с хлоргидратом дихлорацетиминозифрилового эфира в спирте, продукт восстанавливают $LiAlH_4$ в D-II. Аналогично получают L-*трео*-2-дихлорметил-4-карбометокси-5-фенилоксазолин. L-(—)-I получают ацетилированием по аминогруппе DL-формы и фракционной кристаллизацией хининовой соли из воды с последующим разложением менее растворимой фракции щелочью и деацетилированием продукта.

О. Магидсон

5618 П. Способ получения сульфизоксазоловых соединений. Хоффер (Verfahren zur Herstellung von neuen acylierten Sulfisoxazolverbindungen. Hoffer Max) [F. Hoffman-La Roche & Co. A.-G.]. Пат. ФРГ 945238, 5.07.56

Ацилированные производные I (I-сульфизоксазол) общей ф-лы $n-H_2NC_6H_4SO_2N(R)C=C(CH_3)C(CH_3)=N-O$ (R — ацил) получают р-цией I ф-лы $n-H_2NC_6H_4SO_2NH-C=C(CH_3)-C(CH_3)=NO$ с ацилирующим средством

в присутствии третичного органич. основания в безводн. среде. В частности, указывается применение для ацилирования свободного I ангидрида карбоновой к-ты, а для ацилирования Ag-соли I — галогенангидрида карбоновой к-ты. К суспензии 267 г I в 400 мл ацетона и 79 г сухого пиридина при 20–25° при размешивании в течение 3 мин. прибавляют 132 г $(CH_3CO)_2O$, причем т-ра поднимается до 39–40°, размешивают 15–30 мин. при 42–43°, размешивают еще 5 час. и оставляют стоять 10 час., прибавляют 1 л 2,5–3%-ного охладж. до 0° водн. NH_3 и немного льда, отфильтровывают и промывают осадок при 0° 1 л 1%-ного водн. NH_3 , 1 л воды и 200–300 мл спирта, сушат при 70° и получают N'-ацетилсульфизоксазол, т. пл. 193–194°. Аналогично из 26,7 г I, 50 мл ацетона, 8 г пиридина и 16 г ангидрида масляной к-ты получают N'-бутирилсульфизоксазол, т. пл. 174–175° (из этилацетата или сп.); из I и ангидрида пропаноной к-ты — N'-пропионилсульфизоксазол, т. пл. 178° (из сп.); из 27 г I, 40 мл ацетона, 8 г пиридина и 25 г ангидрида фенилуксусной к-ты —

N'-фенацетилсульфизоксазол, т. пл. 180° (из сп.). Кипятят 6 час. 90 г лауриновой к-ты и 30 г $(\text{CH}_3\text{CO})_2\text{O}$ (II), избыток II отгоняют при 100° в вакууме 12 мм рт. ст.; полученный ангидрид лауриновой к-ты приливают к суспензии 54 г I, 80 мл ацетона и 16 г пиридина, размешивают 12 час. при 25–30°, прибавляют 200 мл воды и 200 мл лигроина (т. кип. ~ 85–100°) и после стояния при 0° отделяют выкристаллизовавшийся N'-лаурилсульфизоксазол, т. пл. 122° (из сп.); аналогично из 120 г олеиновой к-ты, 50 г II, 54 г I, 80 мл ацетона и 16 г пиридина получают N'-олеилсульфизоксазол, т. пл. 79–80° (из CH_3OH). К суспензии 37,4 г Ag-соли I (полученной осаждением р-ра I в 1%-ном NH_3 рассчитанном кол-вом 10%-ного р-ра AgNO_3) в 100 мл ацетона и 10 мл пиридина постепенно приливают 14 г $\text{C}_6\text{H}_5\text{COCl}$, размешивают 1 час, прибавляют насыщ. р-р 25 г $\text{Na}_2\text{S}_2\text{O}_3$ и выделяют N'-бензилсульфизоксазол, т. пл. 207° (из лед. CH_3COOH). N'-ацилированные I активны против грамположительных и грамотрицательных бактерий (напр., стрептококков, пневмококков, стафилококков, *Salmonella*). В противоположность свободным I ацилированные производные не обладают вкусом и могут применяться перорально.

В. Уфимцев

5619 П. Соли фенантридиния (Phenanthridinium salts) [May & Baker, Ltd]. Англ. пат. 735438, 24.08.55

Патентуется хлористый 2,7-диамино-9-фенил-10-этилфенантридиний (I) в качестве терапевтически активного соединения. I получают р-цией 2,7-нитро-, ациламино- или карбалкоксаминино-9-фенил-, фенантридина с этиловым эфиром сильной к-ты для образования 10-этил-четвертичной соли, после чего указанные 2,7-заместителя превращают в аминогруппу, а анион превращают в Cl-анион. I можно приготовить из других солей 2,7-диамино-9-фенил-10-этилфенантридиния путем замены аниона или из его четвертичной гидроокиси, или псевдооснования обработкой HCl, или хлоридом летучего основания.

В. Уфимцев

5620 П. Фентиазиновые производные и способы их получения (Phentiazine derivatives and process for their preparation) [Soc. des Usines Chimiques Rhone-Poulenc]. Англ. пат. 731966, 15.06.55

Патентуются монохлорпроизводные N-(3'-диэтиламинопропил)-фентиазина и их соли, имеющие атом Cl в положении 1 или 3, получаемые известными методами из соответствующих дифениламинов. Промежуточный 1- или 3-хлорфентиазин конденсируют с 1-диэтиламино-3-хлорпропаном (I) или его солью преимущественно в присутствии связывающего к-ту в-ва (NaNH_2 , Na и пр.) и в среде органич. неионного р-рителя, напр. ксилола. В отсутствие связывающих к-ту в-в приливают р-р I к расплавленному хлорфентиазину. Можно также конденсировать N-(3'-галоидопропил)-хлорфентиазин с $(\text{C}_2\text{H}_5)_2\text{NH}$. Описано получение N-(3'-диэтиламинопропил)-1-хлорфентиазина и соответствующего 3-хлорфентиазина.

О. Магидсон

5621 П. 2-(Арилсульфамидо)-1,3,5-триазины и способ их получения (2-(arylsulphonamido)-1,3,5-triazines and process of producing same) [Osterreichische Stickstoffwerke A.-G.]. Англ. пат. 733717, 20.07.55

Указанные триазины, которые могут быть замещены в 4- NH_2 -группе на CH_3CO , а в 4 и 6 положениях содержать алкоксины, получают р-цией соли сульфида с алкоксигруппой в положении 2 триазина. При этом выделяется соответствующий спирт, и полученный продукт может быть выделен из соли. Напр., 4-аминобензолсульфамид Na реагирует с триметокси-S-триазином, образуя 2,4'-аминобензолсульфамидо-4,6-диметокси-S-триазин, который при ацетилировании дает такой же продукт, как и при р-ции N'-ацетил-4-амино-бензолсульфида с триметокси-S-триазином. Na-соль этого продукта образуется при действии натрия. Анало-

гично получают 4-аминометилбензолсульфамидную соль.

5622 П. Производные колхицина (Colchicine derivatives) [Ciba A.-G.]. Австрал. пат. 165854, 17.11.54

Патентуются амиды N-метилтриметилколхициновой к-ты и их соли с к-тами.

5623 П. Стероидные соединения и способ их получения. Абильтгор-Эллинг (Steroid compounds and processes of producing same. Abildgaard-Elling K.) [Lovens Kemiske Fabrik Ved A. Kongsted]. Англ. пат. 734422, 3.08.55

Сложные эфиры 21-оксипроизводных прегнена и прегнена с карбоновыми к-тами (2-кетогулоновой и моно- и диацетонпроизводными, глюкуроновой, галактуроновой, пировиноградной, 1-окси-2-альдопропионовой, глиоксильной), способными выделять металлическое Ag из аммиачных р-ров Ag-солей, получают р-цией соответствующих 21-йодированных стероидного ряда с Ag-солями указанных к-т.

5624 П. Стероиды и их получение (Steroids and the preparation thereof) [Pfizer and Co., Inc. C.]. Англ. пат. 732836, 29.06.55

5,6-Дигидростероины получают гидрированием 5,7-дигидростероидов (эргостерин, 7-дегидростигмастерин и дегидроэргостерин), их простых или сложных эфиров, неполярного органич. р-рителе, H_2 в присутствии скелетного Ni. Р-рителем могут служить эфир, диоксан, диэтиловый эфир, тетрагидрофуран, или насыщ. углеводород (гексан).

5625 П. Стероидные соединения (Steroid compounds) [Upjohn Co.]. Англ. пат. 739175, 26.10.55

17(20)-Окси-3,11а, 20-три-ацетоксипрегнаны, в которых ацетоксигруппы, одинаковые или различные и, предпочтительно, происходят от незамещ. органич. карбоновых к-т, содержащих от 1 до 8 атомов C, получают р-цией соответствующего 3,11а, 20-ацетокси-17(20)-прегнена с перкислотой (I) или H_2O_2 . Р-цию ведут предпочтительно в органич. р-рителе и в смеси эфира с хлороформом, содержащих небольшое кол-во соли щел. металла, напр. CH_3COONa . 3а, 11а, 20-триацетокси-17(20)-прегнен в хлороформе при т-ре ниже 5° обрабатывают перуксусной к-той, содержащей апарат Na, смесь разбавляют CH_2Cl_2 , промывают водн. р-ром NaOH и 17(20)-окси-3а, 11а, 20-триацетоксипрегнан выделяют, упаривая р-ритель. Для тех же целей применяют пербензойную к-ту в бензоле. В других примерах приводят получение 3а, 11а, 20-трипропионокси-, 3а, 11а-диацетокси-20-пропионокси- и 3а, 11а, 20-триацетокси-17(20)-оксидопрегнан. Перечислены другие 17(20)-окси-3а (или β), 11а, 20-триацетоксипрегнаны. Необходимые исходные в-ва: 3а, 11а, 20-триацетокси-, 3а, 11а, 20-трипропионокси-, 3а, 11а-диацетокси-20-пропионокси- и 3а, 11а, 20-триацетокси-17(20)-прегнаны получают из соответствующих 3,11а, 20-оксипрегнанов-20 (или 11а, или 3,11а-эфиров) обработкой n-толуолсульфоновой к-той и соответствующим ангидридом к-ты. Описано также получение 11а-оксипрегнан-3,20-диона и его 11а-ацетата; 3а, 11а-диоксипрегнана-20 и его 11а- и 3,11а-эфиров.

Л. Михайлов

5626 П. Стероидные кетали (Steroid ketals) [Upjohn Co.]. Англ. пат. 739597, 2.11.55

Патентуются 3,20-дикетали 11β-оксипрогестерона, содержащие в 3 и 20 положениях остатки дикетали общей ф-лы $\text{RHC}(\text{CH}_2)_n\text{—O—O—}$ (R—H или алкил,

содержащий от 1 до 6 атомов C, $n = 1$ или 2; общее кол-во атомов C в полиметилendioкси — остатке должно превышать 8) и способ их получения, основанный на обработке соответствующего 11-кето-3,20-дикетали восстанавливающим соединением: смешанным гидридом металла или H_2 в присутствии катализатора.

если применяют гидрид (Li-Al-гидрид, Li-B-гидрид или Na-B-гидрид), продукт р-ции гидролизуют водой. 11 β -оксипрогестерон-3,20-этиленгликольдикеталь (I) получают из соответствующего 11-кетосоединения восстановлением Li-Al-гидридом в эфире или бензоле. В других примерах описано получение соответствующих 11 β -окси-3,20-дикеталей, в которых полиметилendioкси-остаток образуется из пропан-1,2- или 1,3-диола; бутан-1,3-диола и октан-1,2-диола. I получают также, применяя Na-B-гидрид в водн. изопропанол и Li-B-гидрид в водн. этаноле в качестве восстанавливающих в-в. Перечислены другие 3,20-дикетали 11 β -оксипрогестерона.

Л. Михельсон

5627 П. Способ получения кетостероидов (Process for the preparation of ketosteroid compounds) [American Syntex, Inc.]. Англ. пат. 736970, 14.09.55

Патентуется 12-циклоэтиленмеркаптол 22-изоаллоспиро-3-он-11 и способ получения 3-ол-11-кетостероидов, основанный на окислении 3,12-диол-11-кетостероидов окисью висмута в присутствии низшей жирной к-ты. Получают смесь соответствующих 3-ол-11,12-дионов и их 11-енольных производных. Затем удаляют 12-кетогруппу или 1) обработкой смеси гидразингидратом в присутствии щелочи и этиленгликоля, или 2) обработкой смеси алкандитиолом, в частности этандитиолом; образуется соответствующее 12-циклоалкиленмеркаптольное производное, которое десульфировать скелетным Ni. Способ применим к соединениям ряда сапонины и к соединениям, имеющим в положении 17 оксиалкильную, оксиалкиленовую, кетоалкильную, кетоалкиленовую, карбоксиалкильную, карбоалкоксиалкильную, алкильную, алкиленовую, $\text{CH}_2\text{CH}(\text{OH})$ - или $\text{CH}_2\text{CH}(\text{OR})$ -группу (R — этерифицирующая группа). В примерах: 1) метиловый эфир 3 α ,12 β -диокси-11-кетохеноловой к-ты кипятят с окисью висмута в CH_3COOH и продукт ацетилируют $(\text{CH}_3\text{CO})_2\text{O}$ в пиридине. Получают метиловый эфир 3 α ,11-диацетокси-12-кетод- Δ^9 (11)-хеноловой к-ты. Аллопрегнен-3 β ,12 β -диол-11,20-дион в таких же условиях дает диацетат Δ^9 (11)-аллопрегнен-3 β ,11-диол-12-она; (2) 22-изоаллоспиро-3 β ,12 β -диол-11-он окисляют, как указано в (1), получают смесь 22-изоаллоспиро-3 β ,12-дион-3 β -ол и Δ^9 (11)-22-изоаллоспиро-3 β ,11-диол-12-он, который выделяют в виде диацетата; (3) смесь, полученную в (2), кипятят с гидразингидратом в этиленгликоле, затем нагревают в присутствии KOH, получают 22-изоаллоспиро-3 β -ол-11-он вместе с небольшим кол-вом соответствующего 3 β ,11 β -диола; (4) охлажд. р-р смеси, полученной в (2), в этаноле обрабатывают сухим HCl-газом; получают 12-циклоэтиленмеркаптол 22-изоаллоспиро-3 β -ол-11,12-дион, который при кипячении со скелетным Ni в этаноле дает 22-изоаллоспиро-3 β -ол-11-он.

Л. Михельсон

5628 П. β — α -ненасыщенные-11-кетостероиды и способ их получения. Талл (β , α -unsaturated-11-ketosteroids and process of preparing them. Tull Roger J.) [Merck & Co., Inc.]. Канадск. пат. 523743, 10.04.56

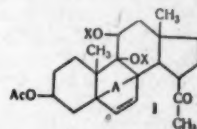
Взаимодействием галогеноводорода с эпоксидом Δ^9 (8), Δ^9 (11)-циклопентанполигидрофенантеном в безводн. среде получают соответств. Δ^9 (8), 7,11-дигалоид-циклопентанполигидрофенантены, последний вводят в р-цию с водн. р-ром соли металла, содержащей катион, образующий нерастворимые в воде галоидные соединения и анион, не реагирующий со стероидным соединением; при этом образуется соотв. соединение 11-кетод-циклопентанполигидрофенантена (I), содержащее двойную связь между атомом C в положении 8 и рядом находящихся атомом C и в положении γ по отношению к 11-кетозаместителю; I может содержать в положении 17 стероидную боковую цепь, а также цепь желчной к-ты, деградированной желчной к-ты, сапонины или ацетильный остаток. Патентуется также

получение Δ^9 (14), 22 и Δ^7 (8), 22-3-ацетокси-11-кетостероидов.

Е. Зиллер

5629 П. Гидролиз стероидных эпоксидов (Hydrolysis of steroid epoxides) [Upjohn Co.]. Англ. пат. 723778, 9.02.55

Аддукты 3,9,11-триацилокси-5,7-прегнадиенона-20 общей ф-лы (I): (Ac — ацильный остаток незамещ. монокарбоновой C_{1-8} к-ты, X — остаток алифатич. C_{1-8} к-ты, A — присоединенный радикал малеиновой к-ты, ее ангидрида или диэфира, содержащего 1—8 атомов C в этерифицирующих группах). I получают р-цией при -50° до $+50^\circ$ аддукта 3-замещ. 9,11-оксидо-5,7-прегнадиенона-20 с избытком ангидрида алифатич. к-ты, содержащей ≤ 16 атомов C, в присутствии каталитич. кол-в SnCl_2 . В примерах приведено получение 3,9,11-



триацетокси-5,7-прегнадиенона-20 (далее II означает 5,7-прегнадиенон-20) 3-бензилокси-9,11-диацетокси-II, 3-гептаилокси-9,11-диацетокси-II, 3-ацетокси-9,11-дипропилокси-II аддукт с малеиновым ангидридом, 2,9,11-триацетокси-II аддукт с диметилмалеатом, 3-ацетокси-9,11-дибутирокси-II, 3-бензилокси-9,11-дипропилокси-II и 3-пропилокси-9,11-диацетокси-II и их аддукты с малеиновым ангидридом, к-той и диэфирами малеиновой к-ты. Аддукт диметилмалеата с 3 β -ацетокси-5,7,9(11)-прегнатиеноном-20 получают обработкой аддукта малеинового ангидрида р-ром CH_2N_2 в CH_2Cl_2 . Аддукты малеинового ангидрида, к-ты и ее диэфира с 3-окси- или 3-ацилокси-9,11-оксидо-5,17-прегнадиеноном получают окислением соответствующего аддукта 3-окси или 3-ацилокси-5,7,9(11)-прегнатиенона-20 органич. надкислотой или конц. H_2O_2 .

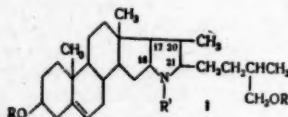
О. Магидсон

5630 П. Галокетоны (Haloketones) [Upjohn Co.]. Англ. пат. 732577, 29.07.55

Предложены 11(α)-ацилокси-17-бром- или хлор-прегнаноны-20 и способ получения α -галокетона, основанный на смешивании эпоксициклопентана, кетона с гипогалоидной к-той. Энол-ацетат в органич. р-рителе реагирует при т-ре $0-80^\circ$ с водн. р-ром гипогалоидной к-ты, образующейся при р-ции минер. к-ты с N-галойдосукцимидом. В примерах описано получение продуктов присоединения малеинового ангидрида (I) к 3(α), 11(α)-диацетокси-, -дипропилокси-, -дибутирокси-, -диформилокси-, -дивалерилокси-, -дигексаноилокси-, -дигептаноилокси- и диоктаноилокси-17-хлор или бромпрегнону-20; 11(α)-ацетокси-, формилокси-, валерилокси-, гексаноилокси-, гептаноилокси- и октаноилокси-14,17-дигром или дихлорпрегнандиону-3,20, 3(β)-ацетокси-, -бензилокси-, -гептаноилокси-, -формилокси-, -пропилокси-, -бутирокси-, -валерилокси-, гексаноилокси-, и октаноилокси-9(11)-оксидо-21-хлор или бром-5,7-прегнадиенону-20; α -хлор или бромциклопентанона, α -хлор или бромциклопентанона, алкилзамещ. α -галойдоциклопентанона, алкилзамещ. α -галойдоциклопентанона, α -хлорциклопентанона; бромацетона, α -Cl-диэтилкетона, 3-бромбутанона, α -Cl-метил-трет-бутилкетона и 5-метокси-3-хлорпентанона. 3 α , 11 α , 20-триацетокси-прегнен-17, 20 получают обработкой 3 α , 11 α -диокси-прегнена-20 $(\text{CH}_3\text{CO})_2\text{O}$ в присутствии *n*-толуолсульфоновой к-ты. Таким же способом получают 3 α , 11 α , 20-триформилокси-, трипропилокси-, трибутирокси-, тривалерилокси-, тригексаноилокси-, тригептаноилокси-, триоктаноилокси-прегнены-17(20). Продукты при-

соединения I к β -ацетокси-9(11)-оксидопрегнадиен-5,7-ону-20 получают обработкой аддукта I и β -ацетокси-5,7,9(11)-прегнадиенона-20 в лед. CH_3COOH с помощью H_2O_2 . Также получают аддукты I и β -формилокси-, -пропионил-, -бутирил-, -валерил-, -гексанойл-, -гептанойл-, -октанойл- и -бензойл-окси-9(11)-оксидо-5,7-прегнадиенона-20. Аддукты I и β , 20-диацетокси-9(11)-оксидо-5,7,20-прегнадиенона получают обработкой β -ацетокси-9(11)-оксидо-5,7-прегнадиенона-20 аддуктом I и изопропилацетата в присутствии *n*-толуолсульфоновой к-ты. Также получают аддукты I и 3-формилокси-, -пропионил-, -бутирил-, -валерил-, -гексанойл-, -гептанойл-, -октанойл- и -бензойл-окси-20-ацетокси-9(11)-оксидо-5,7,20-прегнадиенона.

Л. Михельсон
5631 II. 3,26-Диокси-16,22-имино-5-холестены, 3,26-диокси-16,22-имино-5,16,20(22)-холестатриены и их производные. Мюллер (3,26-dihydroxy-16-22-imino-5-cholestenes, 3,26-dihydroxy-16,22-imino-5,16,20(22)-cholestatrines and derivatives thereof. Mueller George P.) [C. D. Searle & Co.] Пат. США 2740781, 3.04.56 Патентуются соединения общих ф-л (I) и (II), причем II отличается от I наличием двойной связи в положении 16,17. [R и R' — низший алкил или низший



алкил-СО — радикал]. Указанные соединения образуют не токсичные в терапевтич. дозах, фармацевтически ценные соли с неорганич. или сильными органич. к-тами. Новые соединения регулируют сердечную деятельность и гипертонию. Примеры: а) смесь 10 г криптогенина, 38,5 г NH_3 и 80 г спирта нагревают 4 часа в автоклаве (конечное давл. 33 ат); по охлаждении размешивают с древесным углем, фильтруют, фильтрат упаривают при 20° в среде N_2 , осадок дважды кристаллизуют из ацетона и получают II при R и R' — H, т. пл. 196,8—199°, $[\alpha]_D^{25} - 251^\circ$; максимум поглощения (МП) в ИК-свете при 2,98—3,02, 5,88 и 6,02 μ ; б) к холодной смеси 105 г конц. NH_3 и 80 г HCOOH прибавляют 4,3 г криптогенина и медленно перегоняют в среде N_2 до 134—137°, которую затем поддерживают 2 часа; по охлаждении отделяют осадок, промывают водой, растворяют в 55 г спирта и нагревают 1 час на паровой бане в среде N_2 с р-ром 30 г КОН в 20 г воды, разбавляют водой и экстрагируют эфиром, эфирный р-р промывают водой, р-ром NaCl, сушат над Na_2SO_4 и удаляют р-ритель в вакууме, остаток растворяют в смеси хлф. и бэл., хроматографируют в колонке с 150 г Al_2O_3 , элюируют последовательно 1000 г 25%-ного р-ра хлф. в бэл., 700 г 20%-ного р-ра этилацетата (III) в бэл. и 900 г 40%-ного р-ра III в бэл.; последний сначала удаляет смолистые в-ва, затем элюирует кристаллич. в-во, которое после перекристаллизации из III дает соединение I при R и R' — H, т. пл. 176,5—177,8° $[\alpha]_D^{25} - 29^\circ$, МП в ИК-свете при 2,86, 3,06 и 9,51 μ ; в) р-р 1 г β -2-диокси-16,22-ацетилиминохолестатриена-5,16,20(22) в 55 г $(\text{CH}_3\text{CO})_2\text{O}$ кипятят 30 мин., выливают в холодную воду, экстрагируют эфиром, эфир. экстракт промывают водн. NaHCO_3 , водой, насыщ. р-ром NaCl, сушат, фильтруют, упаривают, остаток дважды кристаллизуют из низкипящего петр. эфира и получают соединение I (R и R' — COCH_3), начинающее плавиться при 97—98° и плавящееся при 103°, $[\alpha]_D^{25} - 37,6^\circ$, МП в ИК-свете при 5,76, 5,79, 6,09, и 8,05 μ . В других примерах описано получение соединения II при R — H, R' — CH_3 , т. пл. 223,3—224,2° (из

CH_3OH); соединения I при R — H, R' — CH_3 , т. пл. 213,5—214,4° (из III), $[\alpha]_D^{25} - 54^\circ$; соединения I при R — COCH_3 и R' — CH_3 , т. пл. 98,5—100,4° (из петр. эф.). МП в ИК-свете при 5,79 и 8,03 μ ; соединения II при R — H, R' — C_2H_5 , МП в УФ-свете при 230—240 м μ , МП в ИК-свете при 3,01, 5,89, 8,07, 9,45 и 10,48 μ ; соединения I при R — H, R' — C_4H_9 , МП в ИК-свете при 3,01, 6,90, 7,27 и 9,52 μ .

Ю. Вендельштейн

5632 II. Способ извлечения хлортетрациклина

Пред'Ом (Verfahren zur Extraktion von Chlortetracyclin. Preud'Homme Jean) [Soc. des Unions Chimiques Rhone-Polenc] Пат. ФРГ 936410, 15.12.56 В доп. к пат. ФРГ 923454 (РЖХим, 1957, 103169), которому извлечение хлортетрациклина (I) производится изопропанолом, предлагается извлекать *n*-пропанолом или третичным бутанолом. Пример. 30 л культуральной жидкости, содержащей 960 ед. I в 1 л, подкисляют до pH 1,5, прибавляют 0,5 кг вспомогательного фильтровального в-ва (II) и фильтруют. Осадок промывают 15 л воды, подкисленной до pH 2. Фильтрат и промывные воды подщелачивают NaOH до pH 8—9, прибавляют 250 г II и фильтруют, промывают осадок 3 л H_2O . Осадок суспендируют в 1,5 л *n*-пропанола, подкисляют H_2SO_4 до pH 1,5, перемешивают, фильтруют, осадок промывают 1 л 70%-ного *n*-пропанола, прибавляют к р-ру 0,4 кг NaCl, дают постоять, разделяют слой, водн. слой вторично извлекают 0,5 л *n*-пропанола, экстракт фильтруют, прибавляют 0,3 л этанола и выпаривают в вакууме ~ 35° до объема 0,2 л. Выпавшие кристаллы промывают 20 мл 80%-ного этоксиэтанола и 20 мл H_2O . После дальнейшей очистки получают 20 г хлоридрата хлортетрациклина с содержанием 980 $\mu/\text{г}$.

О. Магидсон
5633 II. Дигидрострептомициновая соль 1-изоникотинил-2-(1-оксн-1-карбокснэтил)-гидразина (Dihydrostreptomycin salt of 1-isonicotinyl-2-(1-hydroxy-1-carboxyethyl)-hydrazine) [Lepetit S. P. A.] Австрал. пат. 201155, 29.03.56

Соль ф-лы: $[\text{C}_6\text{H}_5\text{NCONHNHC}(\text{CH}_3)(\text{OH})\text{COOH}] \cdot \text{дигидрострептомицин}$ получают взаимодействием указанных компонентов.

О. Магидсон

5634 II. Вещества с противовирусной активностью и их получение (Anti-virus agents, and the preparation thereof) [Pfizer and Co., Inc., C.] Англ. пат. 720477, 22.12.54

Вещество (I) с противовирусной активностью получают выдерживанием р-ра окситетрациклина в мылких щел. условиях до тех пор, пока р-р не приобретет противовирусную активность (испытание против микроорганизма — вируса инфлюэнцы). Р-рителем является вода, смешивающееся с водой органич. соединения, напр. спирт, или их смесь. Рекомендуются pH среды от 10 до 12 и т-ра от 20 до 100°. Чем выше т-ра, тем короче время выдержки. При 20—35° это время составляет 2—10 дней, при 90—100° — от 30 мин. до 3 час. При более низкой т-ре получают наиболее активный продукт. I выделяют из р-ра сушкой, вымораживанием или подкислением р-ра до pH 2—4 с последующим фильтрованием. Исходный р-р подщелачивают органич. или неорганич. основанием, предпочтительно гидратом окиси щел. металла. Для подкисления можно пользоваться любой сильной к-той, но предпочитают H_3PO_4 , H_2SO_4 или HCl. I активно против вируса А инфлюэнцы; I мало растворимо в разб. водн. к-те; кислая форма растворима в ацетоне, метаноле, бутаноле и пиридине, но нерастворима в эфире, хлороформе, диоксане и ацетонитриле. Активность I против *Klebsiella pneumoniae* на 10% меньше активности окситетрациклина. I может быть использовано терапевтически в сочетании с другими антибиотиками.

Л. Михельсон

5635 II. Кристаллизация пенициллина (Crystallization of

insulin) (Novo Terapeutisk Lab. A/S.] Австрал. пат. 201018, 22.03.56

Инсулин (I) кристаллизуют из водн. среды при изменении pH до уровня, близкого к изоэлектрич. точке I, и в присутствии I, высушенного методом вымораживания. А. Травин

5636 П. Получение стойких инсулиновых препаратов (Method for the production of insulin preparations with protracted effect) [Roskilde Medical Co., Ltd]. Англ. пат. 737961, 5.10.55

Альбумины с частично введенными в них сложноэфирными и амидными группами применяют для получения инсулиновых препаратов. Эстерифицируют действием: алифатич. или ароматич. диазосоединений спиртов в присутствии крепких к-т или сложных эфиров, типа метилсульфата, или соответствующего производного галоидоводорода. Амидируют аммиаком, аминами и амидами. Примеры. 1. Человеч. или бычий альбумин суспендируют в эфире, метилируют диазометаном, метилальбумин экстрагируют из высушенной реакционной массы 0,01 н. HCl-к-той. 2. Водн. 6%-ный р-р альбумина обрабатывают при 10° метиламином; реакционную массу оставляют стоять, осветляют центрифугированием, прибавляют абс. спирт, амидированный альбумин отделяют, промывают 50%-ным спиртом, растворяют в воде, и лиофилизируют при pH 4. 3. 6%-ный водн. р-р альбумина, pH 9, обрабатывают при 40° этилиодидом, перемешивают, охлаждают до -5° и этилальбумин осаждают спиртом.

Е. Зиллер
5637 П. Способ получения стимулирующих средств из бактериальных полисахаридов для медицинского употребления (Process for preparing stimulating agents for medical use from bacterial polysaccharides) [Wander A.-G. Dr. A.]. Англ. пат. 733459, 13.07.55

Ацилируют пирогенные полисахариды, извлеченные из грамотрицательных бактерий, напр. укусным ангидридом. Вместо полисахаридов можно употребить высушенные и освобожденные от липоидов бактерии, содержащие указанные полисахариды. Продукты эти являются полезными стимуляторами питуитарно-адреноретикулярной системы, обладая ничтожными побочными действиями. Для снижения последних ацилирование должно продолжаться ≥ 5 час. Приведены примеры обработки пирогенных полисахаридов кишечной палочки укусным или пропионовым ангидридом в пиридине и воде или в пиридине и формамиде, а также экстракция кишечной палочки хлороформом и спиртом, ацилирование $(CH_3CO)_2O$ в пиридине и воде с последующим извлечением хлороформом и спиртом. Упомянуты также полисахариды из других бактерий.

О. Магидсон
5638 П. Способ получения кератината натрия-кальция-меди. Вулфинг (Process for the production of sodium calcium copper keratin compounds. Wülfig R. von) [Wülfig and Co., trading as Wülfig T. A. (Firm of)]. Англ. пат. 728826, 27.04.55

Гидролизат, полученный при обработке волос разбавленными к-тами с последующим диализом и выпариванием досуха, нейтрализуют в водн. р-ре смесью 1 ч. NaOH и 3—4 ч. CaO до pH 9, затем восстанавливают формальдегидсульфоксидом Na или $Na_2S_2O_4$ и обрабатывают Cu-солью, напр. $CuSO_4$ или CuO , с тем чтобы атом Н образовавшейся SH-группы заместился на Cu. Полученный р-р с установленным pH 7—9 выливают при перемешивании в избыток спирта, выпадает кератинат Na-Ca-Cu. Препарат в виде водн. р-ра пригоден для инъекций против ревматич. болей. О. М.

5639 П. Водные фармацевтические растворы резерпина для парентерального применения (Aqueous pharmaceutical solutions of reserpine for parenteral administration) [Ciba A.-G.]. Англ. пат. 739800, 2.11.55

К водн. 0,01 до 1%-ному р-ру резерпина (I) прибавляют от 5 до 20% (лучше всего 10%) аскорбиновой к-ты (II) и 1—2% Na-соли (III). На одну дозу требуется 0,1—10 мг I, II—50—200 мг (лучше всего 100 мг), III—10—20 мг. Л. Михельсон

5640 П. Способ получения стойких водных растворов фенилртутных солей. Хеймонс, Крон (Verfahren zur Herstellung haltbarer, wäßriger Lösungen von Phenylquecksilbersalzen. Heymons Albrecht, Croom Helmut) [Riedel-de Haen A.-G.]. Пат. ФРГ 941844, 19.04.56

Отличающиеся сильными гермидными, бактерицидными и фунгицидными свойствами, стойкие при длительном хранении прозрачные водн. р-ры фенилртутных солей, в особенности солей органич. к-т, при слабом щел. pH получают добавлением к этим р-рам нитрилотриуксусной к-ты (I), а также в виде щел. соли, в первую очередь NH_4 -соли, в кол-ве >4 и не $>15\%$ (в большинстве случаев 5—10%) от веса фенилртутной соли. Так, 1000 г водно-метанолового р-ра, содержащего 250 г фенилртуцацетата (II), и pH которого с помощью NH_3 и H_3BO_3 находится на уровне 8—9, смешивают с р-ром 25 г I в 75 мл воды, pH которого с помощью NH_3 доведен до того же уровня, что pH II. Полученный р-р может быть разбавлен любым кол-вом недиств. воды без помутнения, образования хлопьев или осадка. При разбавлении того же 25%-ного р-ра II в отсутствие I любым кол-вом недиств. воды немедленно появляется молочная муть, которая быстро превращается в хлопья и осадок. Я. К.

5641 П. Способ повышения физической устойчивости водных суспензий соединений пенициллина (Process of increasing the physical stability of aqueous suspensions of penicillin compounds) [Novo Terapeutisk Lab. Aktieselskab]. Англ. пат. 737242, 21.09.55

Устойчивость суспензий пенициллиновых соединений повышается удалением O_2 воздуха из незаполненного пространства сосудов с пенициллиновыми препаратами до и после наполнения. Воздух может быть также замещен инертным газом: N_2 , H_2 , CO_2 , или редкими газами: He, Ar, или смесью газов, особенно H_2 и N_2 . Указаны следующие соединения пенициллина (I): прокаин (новокаин)-I, N,N-дибензилэтилендиамин-I, оксипрокаин-I, 2-хлоропрокаин-I, йодгидрат диэтиламиноэтилового эфира I. О. Магидсон

5642 П. Вязкая композиция и способ ее получения. Фроматер, Шумейкер (Viscous composition and method of making the same. Frohmader Stanley H., Shoemaker Milton J.) [Research Products Corp.]. Канадск. пат. 519032, 29.11.55

Патентуется тиксотропная смесь, содержащая лекарственное в-во, минер. масло и полиэтилен и обладающая улучшенными свойствами в отношении консистенции и устойчивости. Полиэтилен с мол. весом не <3500 растворяют в минер. масле в кол-ве 25—50% от суммарного веса обоих компонентов; растворение производят при т-ре, лежащей выше точки замутнения р-ра, смешивают его с лекарственным в-вом и охлаждают со скоростью не $<30^\circ$ в 1 мин. до 35—50°, сохраняя на постоянном уровне конц-ию полиэтилена. А. Т.

5643 П. Получение препарата пантотената кальция высокой плотности. Гарбарини (Preparation of high density calcium pantothebate. Garbarini John Joseph) [American Cyanamid Co.]. Пат. США 2717267, 6.09.55

Для увеличения объемного веса пантотената кальция (I), по крайней мере до 0,5 г в 1 мл, встряхивают кристаллы I в необходимой жидкой среде ≥ 8 мин.

Л. Михельсон
5644 П. Способ получения устойчивых масляных растворов эстрона. Рихтер (Verfahren zur Herstellung stabiler ölgiger Lösungen von Oestron. Richter

Hans) [Schering Akt.-Ges.]. Пат. ФРГ 947335, 16.08.56. Устойчивые при 20° масляные р-ры эстрогена (I) со сравнительно высоким содержанием I получают применением в качестве р-рителя этилового эфира молочной к-ты (II) с добавленным к нему касторовым маслом (KM). Растворимость I в II ~ 7 мг/мл, I в KM — приблизительно в 5 раз меньше; смесь равных объемов II и KM растворяет при 20° 5,1 мг/мл I.

Ю. Вендельштейн

5645 П. Лечебные противобактерийные композиции (Therapeutic antibacterial composition) [Laboratoire d'Actino-Biologie Lourencon & Cie]. Англ. пат. 738623, 19.10.55

Композиции состоят из 2,5-динитро-4-хлорбензола и инертного проводника из твердого адсорбента (кизельгур, тальк и др.) и полутвердого органич. материала (вазелин и ланолин) или воды вместе с эмульгатором (полиоксиэтиленовые эфиры жирных алкоholes, таких как рицинолевый алкоголь). Водн. композиции находятся в форме гидрозоля, к которому прибавлен стабилизатор, как то: мочевины, уретан, миндальное масло. Активное начало может быть введено в адсорбент в виде р-ра в ацетоне или спирте.

О. Магидсов

5646 П. Соединение с противоглистной активностью. Крейдж (Anthelmintic compositions. Craige Arthur H., Jr) [Allied Lab., Inc.]. Канадск. пат. 514771, 19.07.55

В состав препарата для борьбы с цестодами, аскаридами и кокцидиями входит нетоксичный носитель и диспергированное в нем активное в-во (≥ 50 мг на 1 кг), имеющее ф-лу ZCYU'A (Z — низший алкил, Y и Y' — фенильные радикалы \geq чем с 1 атомом галоида (в частности Cl) и одной группой OH; A — H или алкил). Фенильные радикалы имеют заместители (X)n' и (OH)n, где X = галоид; n = 1 или 2; n' = 1, 2, 3 или 4; Соединения вышеуказанной ф-лы могут вместо (X)n' иметь (X)m, а вместо (OH)n — (OH)m, причем m = 1, 2 или 3.

Л. Михельсон

5647 П. Эфиры гексилрезорцина и содержащая их противоглистная композиция (Hexylresorcinol esters and anthelmintic compositions containing them) [Strong Cobb and Co., Inc.]. Англ. пат. 729826, 4.05.55

Предложены обладающие противоглистной активностью 1- и 3-моноэфиры 4-гексилрезорцина (I) и способ их получения, основанный на р-ции I не больше чем с эквимолекулярным кол-вом соединения, имеющего ф-лу RCOX (R — ацильный радикал, X — галоид или какой-нибудь другой анионный кислотный атом или радикал). Нагреванием I с ацетилхлоридом в гектане получают 1-ацетат и небольшое кол-во 3-ацетата, который выделяют в виде кристаллов; 1-ацетат получают в виде масла, упаривая маточный р-р; при подобных же условиях с капроилхлоридом получают 1-капроат. Так же получают эфиры пропионовой, масляной, каприновой, лауриновой и миристиновой к-т.

Л. Михельсон

5648 П. Инъекционные препараты. Гротто (Preparations for injection into the human body. Grotto M.). Англ. пат. 736103, 14.09.55

Указанный препарат содержит стероидный гормон (тестостерон, прогестерон) в органич. р-рителе напр. пропиленгликоле и др. (приводится перечень). Р-р содержит 0,1—0,5% арилалкилполиэтоксизанола, напр. этилфенил-, или этилбензилполиэтоксизанола, известных под названием «Triton» X-100, X-45 и X-155. При инъекции гормон распределяется в теле в виде мелких кристаллов, образуя «депо».

О. Магидсов

5649 П. Инклюзионные препараты и способ их приготовления. Фрйденберг, Плинигер, Крамер (Inclusion products and method of making same. Freudenberg Karl, Plieninger Hans, Cramer Friedrich) [Knoll A.-G. Chemische Fabriken]. Канадск. пат. 519219, 6.12.55

Патентуются препараты диалкиламиноалкильных эфиров п-аминобензойной к-ты, мол. размеры которых не превышают размеров свободного пространства внутри циклов декстрина Шрадингера (циклогликана). К горячему насыщ. р-ру циклогликана в воде прибавляют эквимолекулярное кол-во аминоэфира. При медленном охлаждении из р-ра выпадает осадок циклогликана с включенным в свободные пространства его циклов аминоэфиром (1:1 моля). Препарат содержит ~ 2% азота, мало растворим в воде и не обладает токсич. действием.

А. Трапп

См. также: Лекарств. в-ва: органич. 4514, 4546, 4550, 4556, 4561, 4604, 4609, 4610, 4634, 4639, 4657, 4665, 4702, 4797; 1836Бх, 1838Бх, 1842Бх, 1847Бх, 1849Бх, 1850Бх, 1902Бх; 2607Бх, 2627Бх, 2631Бх, 2643Бх, 2646Бх, 2675Бх. Алкалоиды 4773—4775; 2003Бх, 2005Бх, 2014Бх, 2621Бх. Природные в-ва растит. происхожд. 4768, 4778, 1837Бх, 1853Бх, 2010Бх, 2637Бх, 2689Бх. Глюкозиды 2011Бх, 2012Бх. Витамины 4382, 4755, 4782; 1641Бх, 1651Бх, 1652Бх, 1671Бх, 1826Бх, 2447Бх, 2515Бх. Гормоны 4383, 4759—4761, 4764—4767; 1441Бх, 1450Бх, 1516Бх, 1691Бх, 1729Бх, 1732Бх, 1753Бх, 2320Бх. Антибиотики 4784—4787; 1861Бх, 1864Бх, 1865Бх, 1867Бх, 1873—1875Бх, 1879Бх, 1882 Бх, 1898Бх, 1901Бх, 1903Бх, 1959Бх, 1960Бх. Методы анализа 4348, 4367, 4368, 4377, 4386, 4389—4392, 1447Бх, 1449Бх.

ПЕСТИЦИДЫ

Редакторы Ю. А. Баскаков, Н. Н. Мельников

5650. Достижения в области изучения борьбы с вредителями. Широкие исследования во многих областях знания. Томас (Developments in pest control research. Scientific investigations cover many fields. Thomas F. J. D.), Pastoral Rev. and Graziers' Rec., 1957, 67, № 4, 391—392 (англ.)

Обзор. Рассмотрены вопросы разработки новых пестицидов, изучения и преодоления устойчивости и использования атомной энергии для борьбы с некоторыми вредными насекомыми.

Ю. Фадеев

5651. Важнейшие средства защиты растений. Блэшик (Die wichtigsten Pflanzenschutzmittel. Blaszyk P.), Lohnunternehmen Land- und Forstwirtschaft, 1957, 12, № 1, 9—10; № 2, 28 (нем.)

Дана краткая характеристика важнейших инсектицидов (ДДТ, ГХЦГ, хлорированных терпенов, органич. соединений фосфора и инсектицидов, получаемых диметил синтезом) и гербицидов (2,4-Д, 2,4,5-Т, 2М = 4М и их эфиров, динитробутилфенола, хлор-ИФК, СС-СООNa, далапона и СМУ).

А. Трапп

5652. Современные способы борьбы с насекомыми и паразитами животных. Цангери (Moderni mezzi di lotta contro i principali insetti ed acari parassiti del bestiame. Zangheri Sergio), Inform. zootech., 1957, 4, № 11, 169—174 (итал.)

5653. Пестициды, применяемые на розах. Уэсткотт (Rose pests. Westcott Cynthia), Amer. Rose Mag., 1957, 14, № 5, 18—21 (франц.)

Приводится список препаратов, выпускаемых для этой цели различными фирмами, с указанием формы препарата и содержания действующего начала.

Л. Бочаров

5654. Оценка гидроокиси триэтилолова и ее солей в качестве инсектицидов. Блум, Бауэр (The evaluation of triethyl tin hydroxide and its esters as insecticides. Blum Murray S., Bower Frank A.), J. Econ. Entomol., 1957, 50, № 1, 84—86 (англ.)

Из гидроокиси триэтилолова (I) и ряда органич. к-

или их ангидридов путем кратковременного нагревания (в спирт. р-ре, если к-та твердая) получены соли I, все они являются инсектицидами и в малых дозах быстро убивают комнатных мух, как восприимчивых (B), так и устойчивых (Y) к ДДТ. Указаны выход в %, т. пл. в °C (из петр. эф.), LD₅₀ в γ на 1 муху соответственно для B и Y для следующих солей I: триэтил-станинформат, 76, 55—57, 0,25 и 0,45; ацетат, 60, 130,5—131, 0,30 и 0,54; акрилат, 100, 111—112, 0,42 и 0,70; бензоат, 70, 73—75, 0,52 и 0,74; бис-(*n*-хлорфенил)-ацетат, 93, 112—113, 0,76 и 1,28; *d*-транс-хризантемат, 100, 129—129,5, 0,51 и 0,93. LD₅₀ для I равна 0,31 и 0,40. Соли I не являются ингибиторами холинэстеразы; однако они полностью блокируют проводимость изолированной нервной цепочки черного таракана.

Г. Швиндлерман
5655. Изменение токсичности синтетических контактных инсектицидов. Александри (Varietăți insecticidelor sintetice de contact. Alexandri A. I. V.), Probl. agric., 1957, 9, № 3, 95—97 (рум.) Рассмотрено влияние влажности, кислотности почвы, вида культуры, возраста насекомых и других факторов на эффективность применения контактных инсектицидов.

З. Хаимский
5656. Поисковые работы НИУИФ в области фосфорорганических инсектицидов. Мельников Н. Н. В сб.: Химия и применение фосфорорган. соединений. М., АН СССР, 50—61

Приведены результаты поисковых работ НИУИФ в области синтеза и применения фосфорорганич. инсектицидов. Из неописанных ранее в-в упомянуты соединения с ф-лами (C₂H₅O)₂ PSSCNHNH₂, т. пл. 83—85°, (C₂H₅O)₂ PSSCH₂CH₂SCNHNH₂, т. пл. 85°, (изо-C₄H₉O)₂ PSSCH₂CH₂SCNHNH₂, т. пл. 146—148°, синтезированные действием диэтилхлортиофосфата или β-хлорэтилдиалкилдитиофосфатов на Na-соли изотомочевины, а также S-этокси- и S-изопропокси-метил-0,0-диэтилдитиофосфаты, т. кип. 73—74°/0,18 мм и 71—73°/0,15 мм, n_D²⁰ 1,5029 и 1,5021, d₄²⁰ 1,1484 и 1,1427, полученные р-цией диэтилдитиофосфата Na с этил-изопропилхлорметил-овыми эфирами. Приведены константы ранее описанных (РЖХим, 1953, 4613, 4614; 1954, 21661, 46340, 46341; 1956, 3953) аналогов системокса, диазинона и продуктов р-ции дитиофосфорных к-т с эфирами малеиновой, итаконовой, цитраконовой и хлормалеиновой к-т, а также с уретанами и CH₂O или CH₃CHO. А. Грапов

5657. Синтез меченного по C¹⁴ пиперонилбутоксида и его судьба в организме тараканов *Leucophaea maderae* (F.). Шмидт, Дам (The synthesis of C¹⁴-labeled piperonyl butoxide and its fate in the Madeira roach. Schmidt Claude H., Dahm Paul A.), J. Econ. Entomol., 1956, 49, № 6, 729—735 (англ.)

Осуществлен синтез меченного C¹⁴ пиперонилбутоксида (α-2-(*n*-бутоксизтокси)-этокси-4,5-метилендиокс-2-пропилтолуол-α-C¹⁴). (I) и изучена его судьба в организме тараканов. Смесь (в ч.): дигидросафрала 2, параформальдегида (II) 0,45 и конц. HCl 3,2 в течение 2 час. при перемешивании нагревают до 80° и выдерживают при этой т-ре 4 часа, отделяют центрифугированием образовавшийся хлорметилдигидросафрол и р-цией последнего (118—120°, 2 часа) с сухой Na-солью *n*-бутилового эфира диэтиленгликоля (получена из 5 г моноэфира и 0,6 мл 25 м р-ра NaOH с последующей сушкой в вакууме) получают 98%-ный I, т. кип. 160°/0,5 мм, n_D²⁵ 1,4993, уд. активность 1 мкюри/миллимоле. Выход по радиоактивному II — 61,8%. При хроматографии на бумаге (р-рители CH₃CN + CH₃OH — вода) получены следующие значения R_f для I; 0,874 ± 0,009 (радиометрич. анализ), 0,872 ± 0,004 (спектрофотометрич.) R_f для нерадиоактивного I — 0,871 ± 0,007. Изучено поглощение и выведение I при поверхностной обработке им самцов и самок тараканов *Leucophaea*

maderae. При дозе 80 мг на 1 таракана I почти полностью поглощался в течение 1 недели и на 88% — в течение 3 дней. Около 50% радиоактивности в течение 7 дней обнаруживалось в экскрементах и 50% из этого кол-ва относилось к I, а остальное к продуктам его распада. Наибольшее кол-во радиоактивности накапливалось в экскрементах (258 000 импульсов в 1 мин. на 1 г веса). Распределение радиоактивности в тканях самок тараканов (импульсы в 1 мин. на г веса): мозг и грудные ганглии — 2430, передняя кишка — 521, средняя кишка и мальпигиевы сосуды — 465, средняя кишка — 79, жир — 55 и остальные — 122. Поскольку в остальных тканях обнаружена незначительная радиоактивность, постулировано, что разрушение I происходит в основном в нервных тканях передней и средней кишки и в мальпигиевых сосудах.

Ю. Фадеев
5658. О проникновении гексахлорциклогексана (ГХЦГ) и изменении его в растительных тканях. Богдарина А. А. Физиол. растений, 1957, 4, № 3, 254—258 (рез. англ.)

При опудривании семян 12%-ным dustом ГХЦГ в дозе 1 кг на 1 ч семян в растениях пшеницы в фазе 2 листьев, выращенных на сильно увлажненной и недостаточно увлажненной почвах, содержание ГХЦГ было равно соответственно 1,58 и 0,50 мг/кг, причем при высокой влажности наблюдалась стимуляция, а при пониженной — угнетение растений. Внесение в почву 12%-ного dustа ГХЦГ в дозе 200 кг/га вызывало угнетение растений как при высокой, так и при низкой влажности почвы, а содержание ГХЦГ в растениях было соответственно 5,50 и 1,44 мг/кг. Водн. экстракты из наклонувшихся семян не оказывали влияния на введенный в экстракт ГХЦГ, а при добавлении ГХЦГ к экстрактам из проростков, колеоптиля, 1-го и 2-го листьев за 17—21 час. инкубации разрушалось до 50% введенного ГХЦГ.

Ю. Фадеев
5659. Борьба с саранчой в Кувейте. Маноча, Гупта (Locust control in Kuwait. Manocha B. D., Gupta D. S.), Indian J. Entomol., 1956, 18, № 3, 211—218 (англ.)

Обсуждаются роль резерваций саранчи в Кувейте для близлежащих стран и проводимые мероприятия по борьбе с ней. Основным методом борьбы является опрыскивание ГХЦГ, а также приманки, содержащие 3% агроцида. Приведены размеры обработанных площадей в 1955 г., кол-во израсходованных инсектицидов и затраты труда.

Ю. Фадеев
5660. Токсичность ацетонового и масляного растворов ДДТ для комнатных мух. Баркер, Абд-эр-Рахман Раухи (Toxicity of DDT in acetone and in oil to adult house flies. Barker Roy J., Rawhy Abd-El-Rahman), J. Econ. Entomol., 1957, 50, № 1, 105 (англ.)

В лабор. опытах токсичность ацетоновых р-ров ДДТ при нанесении на комнатных мух выше, чем масляных, — в 4,2 раза. Кривые доза — смертность были непараллельны, и для устойчивых мух при дозе 0,8 γ на муху токсичность масляного р-ра была выше, чем ацетонового.

Ю. Фадеев
5661. О плодоярках, повреждающих сливу в Молдавии, и влиянии химических обработок в борьбе с ними на плодовых клещей. Верещагина Б. В., Верещагина В. В. Сб. тр. Молд. ст. Всес. ин-та защиты раст., 1957, вып. 2, 115—120

При трехкратном опрыскивании сливовых деревьев 0,3%-ной эмульсией ДДТ для борьбы со сливовой *Laspresia funebrana* Тт. и яблонной плодоярками наблюдается массовое размножение боярышниковых паутиного и бурого плодового клещей. При опрыскивании эмульсией смеси хлортена и ДДТ (1% и 0,05%) получены такие же результаты. Для борьбы с обилием видами плодоярок целесообразно применять 4%-ную

суспензию ДДТ, полученную из 5,5%-ного дуста ДДТ с добавкой 0,1% тиофоса.

И. Мильштейн
5662. Методика и результаты токсикологических исследований по применению препаратов ДДТ в борьбе с яблонной плодовой гнилью. Гончаренко М. А. Сб. тр. Молд. ст. Всес. ин-та защиты раст., 1957, вып. 2, 181—191

Проведено выяснение условий эффективного применения препаратов ДДТ в борьбе с яблонной плодовой гнилью (ЯП). При опрыскивании яблоневых деревьев 0,2%-ной эмульсией ДДТ с 1% дизельного топлива (ДТ) смертность гусениц ЯП достигает 70%, длительность действия 21—24 дня. При применении 0,2%-ной суспензии дуста ДДТ и 0,3%-ного арсената Са смертность гусениц ЯП ниже, повышение концентрации ДДТ до 0,4% незначительно увеличивает длительность действия препаратов. На деревьях, подвергавшихся обработке препаратами ДДТ, в течение 5 лет не обнаружено появления устойчивых к ДДТ форм ЯП. При аэрозольном методе нанесения 10—15%-ного р-ра ДДТ в ДДТ смертность гусениц ЯП составляет 39,5—64,9%.

И. Мильштейн
5663. Гептахлор для борьбы с саранчой в Аргентине. Бегус (Heptachlor for grasshopper control in Argentina. Begus Stefan Mr.), Agric. Chemicals, 1957, 12, № 5, 37—38, 123 (англ.)

Хорошие результаты в борьбе с саранчой дает применение эмульсий гептахлора в дозе 70 г/га, считая на действующее начало.

Ю. Фадеев
5664. Новая техника борьбы с личинками майского жука и шелкоухов с помощью удобрений, содержащих инсектициды. Таризель (Une nouvelle technique de lutte contre les vers blancs et les taupins à l'aide des engrais composés insecticides. Taziel Pierre), Rev. internat. tabacs, 1957, 32, № 293-294, 135—136 (франц.)

Для борьбы с личинками майского жука и шелкоухов рекомендовано вносить в почву удобрения, содержащие альдрин (I). На 1 га земли вносят 600—800 кг удобрения, содержащего 0,5% I, или 1500—2000 кг удобрения, содержащего 0,2% I (3—4 кг I на 1 га). Дозы I зависят от вида вредителя (личинки шелкоухов более устойчивы к I, чем личинки майского жука), от степени заражения почвы вредителями и от плотности почвы (более плотная почва хуже пропускает пары I, требуя большей дозы инсектицида).

К. Бокарев
5665. Нормальный уровень устойчивости комара *Anopheles funestus* (Giles) к инсектицидам. Рамакришна, Эллиотт (Normal resistance-level of *Anopheles funestus* Giles to insecticides. Ramakrishna V., Elliott R.), Nature, 1957, 179, № 4570, 1140—1141 (англ.)

Определена нормальная степень устойчивости к ДДТ, γ-ГХЦГ и дильдрину (I) комара *Anopheles funestus* — второго по значению переносчика малярии в Африке. Определение проводилось на выловленных в природных условиях самках из района, не подвергавшихся обработкам инсектицидами. Средние смертельные концентрации ДДТ и γ-ГХЦГ были соответственно 1,32% (1,39 и 1,24) и 0,0033% (0,0040 и 0,0027%). При изучении токсичности I получен значительный разброс данных; средняя смертельная концентрация, очевидно, лежит в пределах 0,05 и 0,1%. Полученные данные свидетельствуют, что *A. funestus* несколько более устойчив к ДДТ и значительно менее устойчив к γ-ГХЦГ и I, чем *A. gambiae*.

Ю. Фадеев
5666. Предварительное изучение гранулированных инсектицидов против паутинного клеща. Ланкастер (Preliminary studies of granular insecticides against the lone star tick. Lancaster J. L., Jr.), J. Kansas Entomol. Soc., 1957, 30, № 2, 41—42 (англ.)

В лабор. опытах изучена эффективность обработки

почвы инсектицидами дильдрин (I), гептахлор и хлордан в дозах соответственно 1,12, 1,12 и 2,24 кг/га против паутинного клеща. Высокую и устойчивую эффективность после дождя и увлажнения обработанных площадей обнаружил I. При дождевании почвы I вымывался в нее, а при увлажнении почвы со дна инсектицид в ней не передвигался.

Ю. Фадеев
5667. Роль почвенных инсектицидов в сельском хозяйстве. Фоллуэлл (The role of soil insecticides in agriculture. Follwell J. H.), Agric. Inst. Rev., 1957, 12, № 3, 19—20, 22 (англ.)

Рассматриваются достоинства и целесообразность применения почвенных инсектицидов (ДДТ, ГХЦГ, альдрин, дильдрин, хлордан, гептахлор и эндрин).

Ю. Фадеев
5668. Критическое изучение инсектицидов. I. Влияние температуры на токсичность и сравнительную эффективность некоторых современных противосаранчовых инсектицидов. Прути (Critical studies on insecticides. I. Effect of temperature on the toxicity and comparative efficacy of some modern antilouse insecticides. Pruthi Hem Singh), Indian J. Entomol., 1956, 18, № 3, 273—295 (англ.)

Токсичность альдрина (I) и ГХЦГ для имаго и личинок перелетной саранчи возрастает с повышением температуры (до 33,3°) и, по-видимому, с повышением относительной влажности. Поэтому для борьбы с саранчой в теплых странах, напр., Индии, эффективными будут дозы I и ГХЦГ много меньше обычно применяемых. Нокдаунное действие ГХЦГ проявляется лучше, чем I и дильдрин (II) как в виде дустов, так и эмульсий, хотя токсичность I и II более или менее равна токсичности ГХЦГ. Нокдаунное действие ГХЦГ выше, чем линдана, и, следовательно, не является результатом действия γ-изомера. Остаточное действие ГХЦГ выше, чем I. Для борьбы с саранчой нет необходимости применять высокие дозы I и ГХЦГ, обеспечивающие быструю гибель насекомых, так как значительно меньшие дозы обладают нокдаунным действием и гибель насекомых наступает немного позже, но парализованные насекомые не питаются и не могут причинить вреда.

Ю. Фадеев
5669. Борьба с листоедом [*Diabrotica longicornis* (Say)] с уменьшенными дозами инсектицидов. Алл (Reduced dosages of insecticides for corn rootworm control. Apple J. W.), J. Econ. Entomol., 1957, 50, № 1, 28—30 (англ.)

В борьбе с живущими в почве личинками листоеда *Diabrotica longicornis* на кукурузе изучали эффективность пониженных доз инсектицидов, применяемых путем рассеивания по поверхности почвы. При обычном рекомендуемом расходе 1,12 кг/га альдрин (I) и гептахлор (II) одинаково эффективны, а в половинной дозе II показывает лучшие результаты. Хлордан (III) (1,87 кг/га), γ-ГХЦГ (0,33 кг/га) и эндрин (0,56 и 0,84 кг/га) равны по эффективности I и II в дозах 1,12 кг/га. При применении совместно с подкормкой удобрениями III при расходе 1,12 кг/га равен по эффективности I и II в дозе 0,56 кг/га.

Ю. Фадеев
5670. Борьба с насекомыми с помощью фосфорных инсектицидов. Планес-Гарсия, Риверо (Contribucion a la lucha contra los dipteros con insecticidas fosforados por medio de cebos azucarados. Planes Garcia S., Rivero J. M. del), Bol. Inst. nat. invest. agron., 1957, 17, № 36, 69—84 (исп.)

5671. Синтетические инсектициды. Эфиры тиофосфорной кислоты: паратон. Вальехо-Вальехо (Insecticidas de sintesis. Esteres tiofosforicos: Parathion. Vallejo Vallejo Esteban), Ion, 1957, 17, № 192, 366—370 (исп.)

Обзор. Хим., инсектицидные и токсикологич. свойства паратона. Библ. 22 назв.

Ю. Басианов

5672. Фосфорорганические соединения в борьбе с мухами. Клича (Organiczne połączenia kwasów fosforowych w walce z muchami. Klicza Leonard), Polskie pismo entomol., 1957, В, № 1, 53—56 (польск.)

5673. Борьба с пухоедами у кур при помощи самообработки их дустом малатиона. Родригес, Рил (Control of the chicken body louse on hens by self-treatment with malathion dust. Rodriguez J. L., Jr., Riehl L. A.), J. Econ. Entomol., 1957, 50, № 1, 64—67 (англ.)

Для борьбы с пухоедами *Menacanthus stramineus* 2—4%-ные дусты малатиона рассыпали по всей поверхности подстилки или на части поверхности ее (в местах «купания» птиц), или в специально устроенных для купания птиц ящиках. При этом достигается уничтожение пухоедов на срок 35—70 дней. А. Кухто

5674. Метод опрыскивания малатионом для борьбы с персидским клещом. Родригес, Рил (Malathion spray for fowl tick control. Rodriguez J. L., Jr., Riehl L. A.), J. Econ. Entomol., 1957, 50, № 1, 41—43 (англ.)

Хороший эффект в борьбе с персидским клещом получен при однократном опрыскивании птичников, из которых предварительно удалили птиц, 1%-ным р-ром малатиона (I). Кол-во клещей значительно снизилось в течение первой недели, а на 49-й день они полностью исчезли. Неудовлетворительные результаты получены при применении 0,5—0,25%-ных р-ров I.

В. Сковронский

5675. Сравнение эффективности малатиона и паратиона против червеца *Planococcus citri* (Risso) на винограде. Криглер (Malathion versus parathion for the chemical control of the mealybug, *Planococcus citri* (Risso) on vines. Kriegler P. J.), J. Entomol. Soc. South. Africa, 1957, 20, № 1, 187—188 (англ.)

Эмульсии паратиона (I) и малатиона (II) в равных количествах (0,03%) изучены в борьбе с червецом *Planococcus citri* на винограде. Обработки I дали значительно лучшие результаты, чем II, даже одно опрыскивание I более эффективно, чем 2-кратное опрыскивание II.

Ю. Фадеев

5676. Справка об испытаниях, проведенных с помощью химических средств, с целью уничтожения гусениц свекловичной моли *Phthorimaea ocellatellum* Bond на высадках и предотвращения гниения в период складирования. Христова (Zpráva o pokusech provedených chemickými prostředky ke zničení housenek řepného mola v sazečkách a k zábraně hnití v době jejich skladování. Christova Eleonora), Listy cukrovarn., 1957, 73, № 6, 128—131 (чешск.; рез. русск., нем.)

Обработка неповрежденной свеклы 0,03%-ным E 605 (I) и 0,5%-ным CuSO_4 (II) благоприятно влияет на складское хранение свеклы и препятствует процессу гниения. Р-р I + II готовился путем погружения полиэтиленовых мешочков с II в р-р I. Применение перезана удовлетворительных результатов не дало. Кормовая свекла более чувствительна к инсектофунгицидам. При применении перечисленных препаратов высадки свеклы развивались нормально.

Ю. Фадеев

5677. Новые фосфорорганические препараты — инсектициды внутрирастительного действия. Покровский Е. А., Седых А. С. В сб.: Химия и применение фосфорорганических соединений. М., АН СССР, 1957, 438—449

Изучена активность 76 новых фосфорорганических инсектицидов. Препараты в концентрации 0,25% испытаны на паутином клещике *Tetranychus urticae* Koch. Из 22 эфиров амидтиофосфорной к-ты общей ф-лы $(\text{R'O})_2\text{PSNR}'_2$, где $\text{R}' = \text{CH}_3, \text{C}_2\text{H}_5, \text{C}_3\text{H}_7, \text{изо-C}_3\text{H}_7,$

$\text{C}_4\text{H}_9, \text{R}'' = \text{H}, \text{CH}_3, \text{C}_2\text{H}_5$, наиболее активен диметилловый эфир амидтиофосфорной к-ты. Из 9 гидразидов и фенилгидразидов тиофосфорных к-т наиболее активен (приблизительно равен по активности октаметилу (I)) гидразид диметилтиофосфорной к-ты. Диэтаноламиды и фенилэтиламиды диалкилтиофосфорных к-т менее эффективны, чем I. Среди продуктов конденсации диалкилдитиофосфорных к-т с различными уретанами и CH_2O или CH_3COH общей ф-лы $(\text{R'O})_2\text{PSSCHNR}''$

I

$(\text{COOC}_2\text{H}_5)$, где $\text{R} = \text{H}, \text{CH}_3; \text{R}' = \text{CH}_3, \text{C}_2\text{H}_5, \text{C}_3\text{H}_7, \text{изо-C}_3\text{H}_7, \text{C}_4\text{H}_9, \text{R}'' = \text{H}, \text{CH}_3, \text{C}_2\text{H}_5$, наиболее эффективен $(\text{C}_2\text{H}_5\text{O})_2\text{PSSCH}_2\text{NHCOOC}_2\text{H}_5$ (II). На горензии от $(\text{C}_2\text{H}_5\text{O})_2\text{PSSCH}_2\text{CONHCONH}_2$ (III) и I в конц-ии 1,0% погибло соответственно 99 и 70%. *T. urticae*. Из соединений с ф-лами: $(\text{C}_2\text{H}_5\text{O})_2\text{PSOCH}_2\text{COOC}_2\text{H}_5$ (IV), $[(\text{CH}_3)_2\text{N}]_2\text{PSOPO}[(\text{CH}_3)_2\text{N}]_2$ (V), $[(\text{CH}_3)_2\text{N}]_2\text{PSOPS}[(\text{CH}_3)_2\text{N}]_2$, $(\text{C}_2\text{H}_5\text{O})_2\text{PONCH}_2\text{PO}(\text{OC}_2\text{H}_5)_2$, $\text{CH}_3\text{OPO}(\text{OPS}(\text{OC}_2\text{H}_5)_2)_2$, $[(\text{CH}_3)_2\text{N}](\text{C}_2\text{H}_5\text{O})\text{POOPS}(\text{OC}_2\text{H}_5)_2$ (VI), $[(\text{CH}_3)_2\text{N}]_2\text{POOPS}(\text{OC}_2\text{H}_5)_2$ (VII), $(\text{C}_2\text{H}_5\text{O})_2\text{PSOPS}[(\text{CH}_3)_2\text{N}]\text{OC}_2\text{H}_5$ (VIII), $\text{C}_2\text{H}_5\text{OPS}[(\text{C}_2\text{H}_5)_2\text{N}](\text{OCH}_3)$ (IX), $[(\text{CH}_3)_2\text{N}]_2\text{POOPS}(\text{OC}_2\text{H}_7\text{-изо})$ (X), $(\text{CH}_3)_2\text{NPS}(\text{OC}_2\text{H}_7\text{-изо})_2$, $(\text{C}_2\text{H}_5\text{O})_2\text{PSSCH}(\text{CH}_3)\text{SC}_2\text{H}_5$ (XI), $(\text{C}_4\text{H}_9\text{O})_2\text{PSSCH}(\text{CH}_3)\text{SC}_2\text{H}_5$, $(\text{C}_2\text{H}_5\text{O})_2\text{POOPS}(\text{OC}_2\text{H}_5)_2$, $[(\text{C}_2\text{H}_5)_2\text{N}]\text{PSOPS}(\text{OC}_2\text{H}_5)_2$ и $(\text{C}_2\text{H}_5\text{O})_2\text{POCH}(\text{CCl}_3)\text{OPO}(\text{OC}_2\text{H}_7\text{-изо})$ (XII), IV, V, XI по токсич. действию близки к I; VI—X значительно превосходят по токсичности I. Испытания в природных условиях на красном цитрусовом клеще *Metatetranychus citri* (Mc.) показали, что II, III и VI по действию примерно равны I; VIII, IX, X — менее эффективны. II, VI, VII и VIII обладают высокой контактной токсичностью для *M. citri*. XII дал наилучшие результаты против гусениц третьего возраста кольчатого шелкопряда *Malacosoma neustria* L.

А. Грапов

5678. Испытание фосфорорганических соединений на взрослых особях и яйцах *Pediculus humanus humanus* L. Кол, Берден (Phosphorus compounds as ovicides and adulticides against body lice. Cole M. M., Burden G. S.), J. Econ. Entomol., 1956, 49, № 6, 747—750 (англ.)

Растворы в ацетоне или дусты на пиррофилите 73 фосфорорганических соединений испытаны на *Pediculus humanus humanus* L. как овициды по методу Эдди (Eddy G., War Medicine, 1944, 6, 319—322) и как инсектициды по методу Бушланда (Bushland R. C., J. Parasitol., 1944, 30, 377—387). Приведены названия соединения и инсектицидная активность (LD_{100} в %): паратион (I), 0,00005; параксон (II), 0,0005; диазинон (III), 0,00001; сульфотеп (IV), 0,0000025; О,О-диэтил-S-изопропилмеркаптометилдитиофосфат (V), 0,0004; шрадан, 0,001; Байер 21/200, 0,005; систокс, 0,01; малатион (VI), 0,001; Shell OS 1808 (VII), 0,005; хлортион (VIII), 0,001; О,О-диэтил-S-н-пропилмеркаптометилдитиофосфат, 0,000025; пиразинон, 0,0001; NPD, 0,00005; ЭПН (IX), 0,00025; позатан, 0,001; соединения общей ф-лы $(\text{C}_2\text{H}_5\text{O})_2\text{P}(\text{S})\text{OR}'$, (дается R и LD_{100} в %): C_6H_{11} , 0,0005; $\text{CH}_2\text{C}_6\text{H}_{11}$, 0,0005; $\text{CH}_2\text{CH}_2\text{CH}_2\text{CH}_2\text{O}$, 0,0005; $3,4\text{-Cl}_2\text{C}_6\text{H}_3\text{CH}_2$, 0,0005; o-CH_3 -

$\text{OC}_6\text{H}_4\text{CH}(\text{CH}_2\text{CH}=\text{CH}_2)$, 0,001; α -аллилпириперонил, 0,001; $\text{C}_6\text{H}_5\text{CH}_2$, 0,0005; α -(карбаллилокси)-бензил, 0,0005; $\text{CH}(\text{C}(\text{O})\text{OC}_2\text{H}_5)\text{CH}_3$, 0,0001; $\text{CH}(\text{CH}_3)\text{CH}_2\text{CH}_2\text{CO}_2\text{C}_2\text{H}_5$, 0,0025; $\text{CH}(\text{C}_3\text{H}_7)\text{C}_6\text{H}_4\text{Cl-n}$, 0,0025; C_6H_{11} , 0,001; 2-[7,7-диметилбицикло (3,1,1) гептен-2-этил], 0,0025; $\text{CH}_2\text{C}_6\text{H}_4\text{-изо-C}_3\text{H}_7\text{-n}$, 0,0005; $\text{CH}_2\text{C}_6\text{H}_4\text{OCH}_3\text{-n}$, 0,001; $\text{C}_6\text{H}_4\text{OC}_2\text{H}_5$, 0,0005; 5-фенилпентил, 0,0025; α -пропилализил, 0,001; аллетролизил, 0,0025; о-вератрил, 0,0025; бензагидрил, 0,01; 1,1-бис-($n\text{-ClC}_6\text{H}_5$)C(CH₃), 0,01; $\text{o-Cl-C}_6\text{H}_4\text{CH}_2$, 0,0025; 7-(3-хлор-4-метилкумаринил), 0,00025; 3-($\text{o-Cl-C}_6\text{H}_4$)- C_3H_6 , 0,001; 3-($n\text{-ClC}_6\text{H}_4$) C_3H_6 , 0,001; $\text{o-Cl-C}_6\text{H}_4$ -(C_3H_7)CH, 0,0005; 4,4'-дихлорбензагидрил, 0,01; 2,4-

$\text{Cl}_2\text{C}_6\text{H}_3$, 0,005; $\text{C}_6\text{H}_5\text{CH}_2\text{CH}_2$, 0,0025; 2-(1- C_{10}H_7) C_2H_4 , 0,025; 1- $\text{C}_{10}\text{H}_7\text{CH}_2$, >1; α -(3-фенилпропил)-пиперонил, 0,0025; $\text{C}_6\text{H}_5(\text{C}_6\text{H}_7)\text{CH}$, <0,0025; вератрил, 0,001. Соединения общей ф-лы: $(\text{C}_2\text{H}_5\text{O})_2\text{P}(\text{S})-\text{NHR}$ (даны R , LD_{100}): 1-($\text{CO}_2\text{C}_2\text{H}_5$) C_6H_4 (X), 0,00005; 2-($\text{CO}_2\text{C}_2\text{H}_5$) C_6H_4 (XI), 0,001; $\text{CH}_2\text{CO}_2\text{C}_2\text{H}_5$, 0,001; 1-($\text{CO}_2\text{C}_2\text{H}_5$) C_3H_6 , 0,00025; 2-($\text{CO}_2\text{C}_2\text{H}_5$) C_3H_6 , 0,0001. Соединения общей ф-лы $(\text{CH}_3\text{O})_2\text{P}(\text{S})\text{NHR}$ (даны R , LD_{100}): $\text{CH}_2\text{CO}_2\text{C}_2\text{H}_5$, 0,01; 2-($\text{CO}_2\text{C}_2\text{H}_5$) C_3H_6 , 0,1. Соединения общей ф-лы $(\text{C}_2\text{H}_5\text{O})_2\text{P}-\text{R}$ (даны R , LD_{100}): $\text{C}_6\text{H}_4\text{Cl}-n$, 0,25; $\text{C}(\text{O})\text{N}(\text{C}_2\text{H}_5)_2$, 0,25; C_6H_7 , 0,25; $\text{CH}(\text{OH})\text{CCl}_3$, 0,25; $(\text{C}_2\text{H}_5\text{O})-(\text{C}_2\text{H}_5)\text{NCOPC}_2\text{H}_5$, 0,1, а также (даны соединения, LD_{100}): Байер L 13/59, 0,0025; Shell OS 1836, 0,0025; DDVP, 0,005; $(\text{C}_2\text{H}_5\text{O})_2\text{P}(\text{O})\text{OC}(\text{O})\text{N}(\text{C}_2\text{H}_5)_2$, 0,01, димефокс (XII), 0,0025; $(\text{CH}_3\text{O})_2\text{P}(\text{S})\text{O}-2\text{-Cl}-4\text{-NO}_2\text{-C}_6\text{H}_3$, 0,0001 (XIII) Shell OS 2046, 0,0025, TEPP, 0,0025; тетраэтиловый эфир тиопирофосфорной к-ты (XIV), 0,00025; фенотиазидиэтилтиофосфат, 0,0025. Овидицидная активность LD_{100} в %: I, 0,0025; II, 0,005; III, 0,01; IV, 0,025; V, 0,05; VI, 0,1; IX, 0,25; X, 0,5; XI, 1; XII, >1; XIII, >1. Лучшим овидицидом является I, лучшим инсектицидом — IV. Наиболее перспективны в виду малой токсичности для теплокровных VI и VIII, которые в виде дуста убивают 97% яиц в конц-ии 0,5 и 1% соответственно. Овидицидная эффективность VI прямо пропорциональна относительной влажности и возрасту яиц, 0,1%-ные дусты VI и VIII на пиррофилите полностью убивают взрослых особей в течение 14 дней. Сульфоксид оказался синергистом только для XIV. Взрослые особи и яйца устойчивых к ДДТ швейцарских чувствительны к фосфорорганич. соединениям, как и неустойчивые.

К. Швецова-Шилова
5679. Изучение избирательной токсичности. III. Бензолсульфоанилиды как синергисты ДДТ. Ниман, Мер, Цвиллих, Модьяно, Закс (Studies in selective toxicity. III. Benzene-sulphonanilides as DDT-synergists. Neeman M., Mer G. G., Cwillich R., Modiano A., Zacks S.), J. Sci. Food and Agric., 1957, 8, № 1, 55—64 (англ.)

Изучен синергизм (С) бензолсульфоанилидов и N-алкилбензолсульфоанилидов с ДДТ по отношению к резистентным комнатным мухам. Испытаны как добавки к ДДТ бензолсульфоанилиды общей ф-лы 4,2,1- $\text{C}_6\text{H}_3\text{R}'\text{R}''\text{SO}_2\cdot\text{NHC}_6\text{H}_4\text{R}'''$ -4, где R' , R'' , R''' соответственно: CH_3 , H , H ; H , CH_3 , H ; Br , H , H ; CH_3 , H , CH_3 ; CH_3 , H , Cl ; CH_3 , H , Br ; H , CH_3 , Br (I); Br , H , CH_3 ; F , H , F (II); Cl , H , Cl (III); Br , H , Br ; Cl , H , F (IV); Cl , H , Br ; Br , H , Cl . I, II и IV ранее не описаны. Приведены т. пл. в-в: I 123,5°, II 101,2°, IV — 113,2°. N-алкилбензолсульфоанилиды общей ф-лы 4- $\text{C}_6\text{H}_4\text{R}'\text{SO}_2\cdot\text{NR}''\text{C}_6\text{H}_4\text{R}'''$ -n, где R' , R'' , R''' — соответственно Cl , Cl , CH_3 ; Br , Cl , CH_3 ; Cl , Cl , C_2H_5 ; Br , Cl , C_2H_5 ; Cl , Cl , $n\text{-C}_3\text{H}_7$; Br , Cl , $n\text{-C}_3\text{H}_7$ (V); Cl , Cl , $n\text{-C}_4\text{H}_9$ (VI); Br , Cl , $n\text{-C}_4\text{H}_9$ (VII); Cl , Cl , $n\text{-C}_5\text{H}_{11}$ (VIII); Br , Cl , $n\text{-C}_5\text{H}_{11}$; Br , Cl , $изо\text{-C}_5\text{H}_{11}$; Cl , Cl , $n\text{-C}_6\text{H}_{13}$; Br , Cl , $n\text{-C}_6\text{H}_{13}$; Cl , Cl , $n\text{-C}_7\text{H}_{15}$ (IX); Br , Cl , $n\text{-C}_7\text{H}_{15}$ (X); CH_3 , H , $n\text{-C}_8\text{H}_{17}$; Cl , Cl , $n\text{-C}_8\text{H}_{17}$ (XI); Br , Cl , $n\text{-C}_8\text{H}_{17}$ (XII); Cl , Cl , $n\text{-C}_9\text{H}_{19}$; Br , Cl , $n\text{-C}_9\text{H}_{19}$; Cl , Cl , $n\text{-C}_{10}\text{H}_{21}$; Br , Cl , $n\text{-C}_{10}\text{H}_{21}$; CH_3 , H , $n\text{-C}_{12}\text{H}_{25}$ (XIII); Cl , Cl , $n\text{-C}_{12}\text{H}_{25}$ (XIV); Br , Cl , $n\text{-C}_{12}\text{H}_{25}$ (XV) и бис-(n-хлорфенил)-метилкарбинол. Бензолсульфоанилиды с галовидом в пара-положении, N-алкил заместителями или N-алкил радикалами с C_1-C_9 не токсичны или мало токсичны для комнатных мух, но являются активными синергистами ДДТ против резистентных комнатных мух. Наиболее активны II и III. Более высоким СД обладают V—VIII, IX, X, XI и XII. Замечено, что С от заместителя находится в следующей зависимости: 4- $\text{Cl}-4'-\text{Cl}>4\text{-Br}-4\text{-CH}_3-4'-\text{Cl}=4\text{-CH}_3-4'-\text{Br}>2\text{-CH}_3$. Отсутствует С у в-в с заместителем с длинной цепью (C_{12}) (XIII—XV), или когда оба заместителя CH_3 . Часть II см. РЖХим, 1957, 19146.

М. Галашина

5680. Новые синергисты для пиретрума. Фейс, Боденштейн, Бероза (New pyrethrum synergist. Fales J. H., Bodenstein O. F., Beron Morton), Soap and Chem. Specialties, 1957, 33, № 2, 79—82 (англ.)

В опытах с *Musca domestica* (L.), *Blatella germanica* (L.), *Anopheles quadrimaculatus* (Say), *Culex pipiens* L. и *Popillia japonica* Newm. в качестве синергистов для пиретринов (I), аллетрина и циклетрина испытаны β -(β' -этоксизетокси)-этил-3,4-метилendioксифенилальдегид (ENT-20871, сезоксан). Во всех случаях вызывает больший нокдаун-эффект и более высокую смертность, чем добавка пиперонилбутоксида (II) или сульфоксида (III). По инсектицидной активности равен II и III, но нокдаун-эффект меньше.

К. Швецова-Шилова

5681. Новые вещества, токсичные для комнатных мух. Золотарев Е. Х., Вестн. Моск. ун-та. Сер. биол., почвовед., геол., геогр., 1957, № 1, 141—146

При отборочных испытаниях выделили 4 в-ва, обладающие высокой токсичностью для комнатных мух: полная гибель мух наступала при контакте с поверхностью, обработанной этими препаратами в дозе 100 мг/м². Все эти в-ва (МГУ-22, -32, -132 и -52) принадлежат к классу внутриклеточных металлокомплексов соединений. В состав МГУ-52 входит бериллий, являющийся ядом для теплокровных животных, поэтому дальнейшие испытания этого препарата прекращены. Изучено изменение токсичности препарата МГУ-22 и -32 от т-ры и влажности. Повышенная т-ра и влажность ускоряют потерю токсичности, в связи с чем гидрофобные масляные р-ры их более стабильны. МГУ-22, -32 и -132 легко растворимы в растительном, вазелиновом, велемашинном масле, в автоне, в мазуте. Токсичность водно-масляных эмульсий в течение 1—2 суток не изменялась.

Ю. Фадеев

5682. Вещество для отравления мух, устойчивых к ДДТ. Золотарев Е. Х., Линева В. А., Вестн. Моск. ун-та. Сер. биол., почвовед., геол., геогр., 1957, № 1, 147—152

Изучена сравнительная токсичность ДДТ и нового инсектицидного в-ва МГУ-22 (I) для комнатных мух, устойчивых и восприимчивых к ДДТ. Средние смертельные конц-ии для восприимчивых и устойчивых мух были равны соответственно ДДТ 16 и 300 γ на 1 муху, а I — 16 и 32 γ на 1 муху. Токсичность I, разбавленным маслом, выше, чем чистого препарата. LD_{100} для обоих препаратов примерно в 2 раза выше, чем LD_{50} . У половозрелых самок, получивших летальную дозу, торможения половой функции не происходило, и они были способны до наступления смерти откладывать жизнеспособные яйца.

Ю. Фадеев

5683. Новое в борьбе с вредителями табака. Матвеев Т. М., Сб. научн.-исслед. работ Всес. на-и-та табака и махорки, 1956, вып. 149, 289—293. См. РЖХим, 1957, 48533.

5684. Системные инсектициды для хлопчатника. Симон (Insecticidas sistemicos en el algodón. Simon Juan E.), Bol. trimestr. experim. agror., 1955, 4, № 4, 9—12 (исп.)

5685. Итоги испытания ядов внутрирастительного действия на хлопчатнике. Журавская С. А., Старостин С. Г., Защита раст. от вредит. и болезней, 1957, № 3, 33—34

Изучена сравнительная эффективность и продолжительность действия препаратов меркаптофос (I), октаметил и М-74 на хлопчатнике в борьбе с паутинным клещиком. Наиболее эффективен и экономичен в дозе 1 кг/га, который дает надежную защиту хлопчатника от клеща в течение 30 дней. Проводившееся одновременно авиаопыливание смесью S и ГХП (25 кг/га) дало снижение численности клеща через

дней лишь на 57,1%, а через 10 дней было отмечено значительное нарастание их кол-ва в сравнении с исходным.

Ю. Фадеев
5688. Выявление и ликвидация очагов колорадского жука. Оболенский В. Н., Защита раст. от вредит. и болезней, 1957, № 3, 56—57

Рассмотрены карантинные мероприятия, направленные на выявление и ликвидацию очагов колорадского жука, и приведены соответствующие практич. рекомендации.

Ю. Фадеев
5687. Мероприятия против тлихуса на люцерне. Иванова Р. В., Защита раст. от вредит. и болезней, 1957, № 3, 42—43

Рассмотрены особенности биологии тлихуса-семееда, *Tychius flavus* и приведены рекомендации по борьбе с ним.

Ю. Фадеев
5688. Защита черной смородины от опасных вредителей. Цыганков С. К., Защита раст. от вредит. и болезней, 1957, № 3, 46—48

Приведены рекомендации по борьбе с вредителями черной смородины: галлицами, смородинной стеклянницей и почковым клещиком. Наряду с некоторыми агротехнич. мерами рекомендуется вносить в почву 50—60 кг/га 12%-ного дуста ГХЦГ не позднее периода разрыхления почки; против клещика перед началом цветения опрыскивать кусты 1—1,5% ИСО, по окончании цветения опрыскивание повторить с добавкой 0,1% тиофоса или 0,2% ДДТ; если клещика нет, то после цветения для борьбы с листовой и стеблевой галлицами опрыскивать 5,5%-ным dustом ДДТ в дозе 50 кг/га, опрыскивание повторить через 15—20 дней (против галлиц и стеклянницы) и после сбора урожая.

Ю. Фадеев
5689. Вредители клевера и меры борьбы с ними. Кокорин А. Н., Защита раст. от вредит. и болезней, 1957, № 3, 40—42

5690. Секрет успеха в борьбе с вредителями плодовых культур. Савидж, Банта, Тайтус, Крейн (Fruit pest control. Savage E. F., Banta Eldon S., Titus Harold, Crane Francis G.), Amer. Fruit. Grower, 1957, 77, № 2, 16—17, 42, 44—46, 63 (англ.)

Предлагаются системы мероприятий по хим. борьбе с яблоневой плодовой жоркой и др. вредителями и болезнями яблони, а также насаждений персиков и вишен. Каптан (0,24%) эффективен против бурой плесени и парши персиков.

Л. Бочарова
5691. Опрыскивание виноградников на Востоке США. Таменберг (Spraying grapes in the East. Taschenberg E. F.), Amer. Fruit. Grower, 1957, 77, № 2, 58—59 (англ.)

Основными инсектицидами являются: против листовертки — ДДТ, против мильды — медьсодержащие фунгициды, против черной гнили — фербам. При последнем опрыскивании ДДТ заменяется паратионом, ЭПН или метоксихлором. Не отмечено появления устойчивости вредителей к пестицидам.

Л. Бочарова
5692. Применение пестицидов на кофейных плантациях Робусты. Дессель (Traitements phytosanitaires dans les plantations de caféiers Robusta. Decelle J.), Bull. agric. Congo Belge, 1957, 48, № 2, Bull. inform. INEAC, 93—99 (франц.)

Для борьбы с гусеницами, объедающими листья (*Dichocrocis crocodora*, *Epicampoptera* spp., *Cephanodes hylas*), применяют эмульсии и суспензии ДДТ (2—2,5 кг/га) или эндрина (I) (0,25—0,3 кг/га). Минирующие гусеницы (*Leucopetra*) в листьях уничтожают паратионом (II) (0,5 кг/га). Против короеда семян (*Stephanoderes hampei*) эффективны I (0,5 кг/га) и ГХЦГ (0,75 кг/га). Для уничтожения сверлильщиков ствола (*Bizadus sierricola*) в ходы, проделанные вредителем, вводят ГХЦГ или $n\text{-C}_6\text{H}_4\text{Cl}_2$ или CS_2 , или сма-

зывают стволы 0,50%-ной эмульсией дильдрина (III). Различные виды муравьев уничтожают опрыскиванием 0,5%-ной эмульсией хлордана. Альдрин, ГХЦГ и III также эффективны. Червец уничтожают обработкой светлым маслом или II или их смесью. Против *Habrochila placida* применяют II (0,25 кг/га), малатион (0,5 кг/га) или диазинон (0,4 кг/га). Против болезни, вызываемой *Rhizoctonia salani*, обрабатывают почву этилмеркурхлоридом (10 г/м²) или обрабатывают этим препаратом семена. Больные растения опрыскивают медьсодержащими (МФ) или ртутноорганич. фунгицидами. Различные болезни листьев лечат опрыскиванием хлорокисью Cu, основным сульфатом Cu или Cu_2O , а болезнь, вызываемую *Corticium salmonicolor*, — с помощью МФ или смесью МФ и цинеба. Срезы и ушибы смазывают растительным маслом.

К. Бокарев
5693. Значение химической борьбы со свекловичным долгоносиком в летний период. Житкевич Е. Н., Защита раст. от вредит. и болезней, 1957, № 3, 38—40

5694. Опыты с инсектицидами в камере опрыскивания на листовничном пилильщике (*Pristiphora erichsonii* (Htg.)). Друз (Spray chamber insecticide. Tests on the larch sawfly (*Pristiphora erichsonii* (Htg.)). Drooz A. T.), Canad. Entomologist, 1957, 89, № 4, 183—187 (англ.)

В лабор. условиях изучена сравнительная токсичность препаратов (содержащих в %): ДДТ 100, ГХЦГ 43,5 и малатиона (I) 95 для личинок листовничного пилильщика, *Pristiphora erichsonii*. Обработка проводилась путем опрыскивания в камере концами 0,121, 0,03, 0,015, 0,0076 и 0,00378% при расходе, эквивалентном 9,4 л/га. В кон-ции 0,121% все препараты убивают при контакте личинок 1-го и 2-го возраста. В кон-ции 0,015% ДДТ не дает желаемых результатов, а ГХЦГ и I эффективны. Против личинок 4-го и начала 5-го возраста ДДТ в кон-циях 0,03 и 0,015% был также не эффективен. СК_{50} ГХЦГ и I для личинок 4-го и начала 5-го возраста равны соответственно 0,00139 и 0,00577%, а СК_{50} — соответственно 0,015 и 0,0206%. Устойчивость в конце 5-го возраста резко возрастает; точного определения не проводилось.

Ю. Ф.
5695. Устойчивый к дильдрину клещ *Boophilus microplus* (Canestrini) в Квинсленде. Стоун, Мейерс (Dieldrin-resistant cattle ticks, *Boophilus microplus* (Canestrini), in Queensland. Stone B. F., Meyers R. A. J.), Austral. J. Agric. Res., 1957, 8, № 3, 312—317 (англ.)

В Квинсленде обнаружена устойчивость клеща *Boophilus microplus* к дильдрину (I). Через 48 час. после опрыскивания 0,05%-ным I скота, искусственно зараженного клещом, 98% насосавшихся кровью самок откладывали жизнеспособные яйца. Опрыскивание 0,05%-ным диазиноном уничтожает питающихся клещей. В лабор. опытах 50%-ная смертность личинок клеща устойчивой и восприимчивой рас наступала при кратковременном погружении их в р-ры I в кон-циях соответственно 0,33 и 0,00016%.

Ю. Фадеев
5696. Отравленные ловчие пояса в борьбе с яблонной плодовой жоркой. Гонтаренко М. А., Сб. тр. Молд. ст. Всес. ин-та защиты раст. 1957, вып. 2, 173—180

Высоким токсич. действием на гусениц яблонной плодовой жорки (ЯП) обладают отравленные пояса (П), пропитанные β -нафтолом, однако при его применении наблюдаются ожоги коры деревьев. При пропитке П 20%-ной эмульсией (Э) ДДТ в дизельном топливе (ДТ), 20%-ной Э ДДТ в ДТ с добавкой дихлорэтана, 20%-ной Э ГХЦГ в ДТ, 50%-ной суспензией дуста тиофоса (I) смертность гусениц ЯП ниже, чем при применении β -нафтола. Хорошие результаты показав-

ли II, пропитанные смесью 60%-ной суспензии дуста I и 15–20%-ного р-ра ДДТ в ДТ. Смертность ЯП в этом случае составляет 91,5–100%, действие II сохраняется в течение всего сезона. Эти II высокоэффективны против паутинового боярышничкового клеща и других вредителей.

И. Мильштейн
5697. Опыты по борьбе с бобовой мушкой *Agromyza phaseoli*. Брейтуэйт (An experiment for the control of bean fly. Braithwaite B. M.), Agric. Gaz. N. S. Wales, 1957, 68, № 2, 95–97 (англ.)

В борьбе с мушкой *Agromyza phaseoli* на фасоле эффективно опрыскивание эмульсиями (в %): ДДТ 0,05, диазинона 0,025, дильдрина 0,03, паратиона 0,025 и ДДД 0,05. Опыскивание проводилось 4 раза: через 3 дня после выхода личинок, еще через 3 дня и затем последовательно через 7 и 12 дней. Суспензия, состоящая из хлорпарацита (0,05%), дуст ДДТ (1%) + S (50%) и эмульсия хлорбензилата (0,05%) неэффективны.

Ю. Фадеев
5698. Искоренение «капрского жука». Шеперд (Khaphra beetle eradication. Shepherd D. R.), Agric. Chemicals, 1957, 12, № 5, 32–33 (англ.)

Для борьбы с «капрским жуком» наиболее эффективна газовая фумигация CH_3Br , который уничтожает все стадии жука при дозе от 48 до 64 г/м³. Концентрация газа должна быть ≥ 32 г/м³ в течение 24 час. из всего 48-часового периода фумигации. В качестве предохранительной меры против распространения насекомых проводят опрыскивание территории, прилегающей к зданиям в радиусе 30 м, 0,6%-ным р-ром малатиона в дизельном топливе. Из 471 выявленных очагов заражения с общим объемом 4112472 м³ обработано 416 очагов объемом 3377716 м³.

Ю. Фадеев
5699. Борьба с капустной совкой [*Trichoplusia ni* (Hbn.)]. Уин (Cabbage looper control. Wene George P.), J. Econ. Entomol., 1957, 50, № 1, 39–41 (англ.)

В трехлетних мелкоделяночных опытах в борьбе с гусеницами *Trichoplusia ni* хорошие результаты показали дусты эндрина (1,5%), токсафена (20%), ДДТ (5%), паратиона (2%), малатиона (3, 5 и 7,5%) (I), пиперонилбутоксид (0,9%), пиретринов (II) (0,06%), II + N-октилбизциклопентендикарбоксимида (0,1 + 0,1%), ротенона (III) + I (0,75 + 2%), препарата Шелл OS 2046 (2%). III (1%), II (0,1%) и препарат Байер 17147 неэффективны. Обработку необходимо проводить против гусениц младших возрастов.

Ю. Фадеев
5700. Лабораторный метод изучения препаратов для защиты зерна против амбарного клеща. Кранц (A laboratory method for testing grain protectants against the grain mite. Krantz Gerald W.), J. Econ. Entomol., 1956, 49, № 6, 813–814 (англ.)

Метод основан на визуальном наблюдении за продвижением зоны заражения клещом в массе муки, помещенной в стеклянные пробирки. Верхний слой муки обрабатывается исследуемым препаратом, и на поверхность обработанного слоя помещают клещей.

Ю. Фадеев
5701. Фумигация бромистым метилом горизонтальных штабелей кукурузы в хранилищах. Джофф, Нолт (Methyl bromide fumigation of horizontally stored bulk maize. Joffe A., Nolte M. C. A.), J. Entomol. Soc. South. Africa, 1957, 20, № 1, 144–153 (англ.)

Описан метод фумигации (Ф) CH_3Br (I) горизонтальных штабелей кукурузы в хранилищах, при котором штабели покрываются газонепроницаемыми полотнами и в замкнутое пространство вводится фумигант. Ф проводится без принудительной циркуляции воздуха. Штабели общим весом 4000 т и высотой до 5 м были успешно обеззаражены при однократной Ф

I в дозе 48 г/м³. Эффективность обработки проверялась путем подсадки насекомых *Calandra oryzae*, *Tribolium confusum* и *Rhizopertha dominica*. Через 2 месяца после Ф в контрольных образцах зерна весов 40 г вывелось в среднем 127 жуков *C. oryzae*, а в обработанных — 0.

Ю. Фадеев
5702. Фтористый сульфурил — новый фумигант для борьбы с термитом *Kaloterms minor* Хаген. Стюарт (Sulfuryl fluoride — a new fumigant for control of the drywood termite *Kaloterms minor* Hagen. Stewart Doane), J. Econ. Entomol., 1957, 50, № 1, 7–11 (англ.)

По токсичности для термитов *Kaloterms minor* SO_2F_2 близок к CH_3Br . Преимуществами SO_2F_2 являются невоспламеняемость, высокая проникающая способность, удобство обращения, отсутствие запаха и коррозионных свойств.

Ю. Фадеев
5703. Оценка трех препаратов для местной фумигации. Уайт, Уокден, Нелсон (Evaluation of three spot fumigation formulations. White G. D., Walkden H. H., Nelson H. D.), Milling Prod., 1957, 22, № 5, 1, 16–20 (англ.)

Для местной фумигации (Ф) мукомольных мельниц (аппаратуры и муки) испытаны 3 фумигантные смеси: дибромэтан (I) + дихлорэтан (II) + CCl_4 (III) (20,4 + 19,6 + 60 об.%); III + акрилонитрил (66 + 34 об.%); I + II + III (59 + 8,5 + 32,5 вес.%). Испытанные препараты при местной Ф не дают полного уничтожения насекомых. Полная Ф всех помещений каждым из препаратов обеспечивает достаточно низкий уровень заражения вредителями в течение нескольких месяцев. При Ф образуются опасные концентрации газов, поэтому рабочие должны быть защищены противогазами.

Р. Бокарев
5704. О защите от насекомых и солнца. Шварц (Über Insekten- und Sonnenschutz. Schwarz Hans), Riechstoffe und Aromen, 1957, 7, № 2, 40–41 (нем.)

Изучено отпугивание насекомых йодосерным мылом (ИСМ). ИСМ получают смешиванием р-ра 450 г NaOH (38° Bé), 50 г KJ, 50 г $\text{Na}_2\text{S}_2\text{O}_3$ и 70 г кристаллич. Na_2CO_3 и расплавленной смеси 400 г кокосового масла, 400 г животного жира, 150 г касторового масла и 50 г безводной шерстяной жира. Масляные р-ры (1:10) хлорофилла (X) и алканнина (красящее в-во из корней *Alcanna tinctoria*) (A) и эфирное масло из корней *Baeckea frutescens* обладают репеллентным действием. Для защиты людей рекомендуется следующий состав: 3 г лэйкхтола, 4 г A (1:10), 12 г X, 5 г пятигреневого масла, 5 г розмаринового масла, 2 г светлого эфирного масла березового дёкта, 10 г миррола, 1 г амилацетата и 4 г геранилацетата. Из 40 г этого состава готовят 1 кг масла или крема.

А. Гралов
5705. Пестициды и их совместимость. Нейсундер (Pesticides and compatibility. Neiswander R. B.), Amer. Rose Mag., 1957, 14, № 3, 10–12 (англ.)

Приведены данные о возможности совместного применения различных пестицидов.

Л. Вольфсон
5706. О наполнителях для фосфорорганических дустов, применяемых в борьбе с вредной черепашкой. Пайкин Д. М., Гампер Н. М. В сб.: Химия и применение фосфорорг. соединений. М., АН СССР, 1957, 503–510

Изучены токсичность и продолжительность действия дустов тифоса (1%) на тальке, тальке и активированном угле, шиферной муке и тальке с опоккой, а также в комбинации с хлортоном (1%), ДДТ (0,25%) и О-этил-4,4-динитродифенилфосфатом (1%). Активность дуста быстро падает при освещении и повышении т-ры. Длительность действия дуста на опоне

вышло 2,5%-ный дуст метафоса на шиферной муке разлагается медленнее. Добавление к тиофосу других инсектицидов не повышает эффективности.

И. Мильштейн
5707. Характеристика инертных материалов, применяемых в сочетании с хлорированными инсектицидами. Гарсия-Гильнита (Características de las materias inertes empleadas en mezcla con insecticidas clorados. García Guillinta Manuel J.), Bol. trimestr. experim. agropec., 1955, 4, № 4, 24—28 (исп.)

5708. Определение взвешиваемости смачиваемых инсектицидных порошков. Алессандрини, Кьяри (Prove sulla sospensività di polveri bagnabili insetticide. Alessandrini Maria E., Chiari Ida), Rend. Ist. super. sanità, 1956, 19, № 11, 978—1000 (итал.; рез. франц., англ., нем.)

Предложены метод и аппарат для определения концентрации суспензий из инсектицидных порошков (ИП). Аппарат представляет собой стеклянный цилиндр (на 250 мл) с отрезком, имеющим кран на уровне метки 25 мл; в цилиндр вносят ИП в кол-ве, соответствующем содержанию 2,5 г активного в-ва в 100 мл суспензии, добавляют 125 мл воды, встряхивают, прибавляют воды до метки 250 мл, встряхивают 1 мин. и после 30 мин. покоя суспензию сливают через кран до метки 25 мл; в остатке определяют содержание ИП. По описанному методу получены более низкие кон-ции, чем по другим; но воспроизводимость результатов определения лучше.

К. Герцфельд
5709. Применение аэрозолей в борьбе с вредителями плодовых культур. Зоценко Л. Н., Жигальцева М. И., Сб. тр. Молд. ст. Всес. ин-та защиты раст., 1957, вып. 2, 89—102

В борьбе с листогрызущими и сосущими вредителями плодовых культур в Закарпатской области испытаны аэрозоли р-ра 10% ДДТ и 20% хлортена в дизельном топливе, 1%-ной эмульсии ДДТ с добавкой 1% бордосской жидкости. При норме расхода ≈ 30 л/га обработка садов вызвала 82—100% смертности гусениц старших возрастов, листоверток, акациевой тли, подвижных клещей, боярышницы и ряда других вредителей и эффективно действовала на яйца вредных насекомых. Дальнейшие опыты направлены на выявление новых пестицидов и р-рителей, установление оптимальных дозировок и ширины захвата сада против отдельных групп вредителей и болезней.

Б. Акимов
5710. Электроопыление. Шрив (Electroducting. Shreeve N. G.), World Crops, 1957, 9, № 5, 205—206 (англ.)

Рассматривается принцип и техника электрораспыления дустов пестицидов, при котором частицы дуста, обладающие высокими адгезионными свойствами, прилипают к обеим сторонам листьев.

З. Соловьева
5711. Применение машины-протравливателя универсального Давыдова (ПУ-1) для бактеризации семян фосфоробактерином. Давыдов П. Г., Кварацхелия М. Т., Докл. ВАСХНИЛ, 1957, № 5, 44—48

5712. Результаты испытания ПУ-3.0. Парийчук М. М., Защита раст. от вредит. и болезней, 1957, № 3, 16—17

5713. Универсальный протравливатель ПУ-3.0. Грицаев К. Б., Яковлев Г. Я., Защита раст. от вредит. и болезней, 1957, № 3, 17

5714. Засеивание оранжерей тканью, пропитанной инсектицидами, для борьбы с трипсами. Карлин, Негеле, Джонсон (Screening greenhouses with insecticide-impregnated cloth for thrips control. Karlin Edward J., Naegle John A., Johnson George V.), J. Econ. Entomol., 1957, 50, № 1, 55—58 (англ.)

С целью предотвращения проникновения трипсов в

оранжереи, где выращивали розы, боковые и верхние вентиляционные окна закрывали сетками, пропитанными дильдрином (I), гентахлором или малатионом или без инсектицидов. Засеивание значительно снижает численность трипсов в оранжерее. Из испытанных инсектицидов только I показал постоянное и существенное дополнительное снижение численности трипсов. Удовлетворительные результаты дает также опрыскивание сеток I в течение вегетационного периода. Т-ра в оранжереях при применении сеток поднималась на 5,5°, что не оказывало отрицательного влияния на рост роз.

Ю. Фадеев
5715. Изучение генерирования цианистого водорода фумигационной машиной ФЧН-2. Церуашвили Г. Е., Сельхозмашина, 1957, № 8, 12—14

5716. Воздействие современных инсектицидов на качество продуктов. Эммер (Možnosti ovlivnění jakosti potravin moderními insekticidy. Emmer Vladimír), Průmysl potravin, 1957, 8, № 4, 204 (чешск.)

5717. Средства защиты растений и их токсичность для пчел. Кленчар (Srodki owadobójcze stosowane do ochrony roślin i ich toksyczność na pszczoły. Kłęczarz Jan), Pszczelarstwo, 1957, 8, № 2, 40—42 (польск.)

5718. Профилактика при борьбе с вредителями — необходимость в санитарии. Эднгер (Pest prevention — A sanitation necessity. Edinger Ellis), Canad. Baker, 1957, 70, № 2, 38, 40 (англ.)

5719. О фармакологических и токсикологических свойствах тиофосфорных соединений. Реут А. В. В сб.: Химия и применение фосфорорганических соединений. М., АН СССР, 1957, 313—317, дискус. 317

Изучены фармакологич. и токсикологич. свойства тиофосфорных соединений: $C_2H_5O-P(=S)N(C_2H_5)_2$ (I), $(C_2H_5)(n-C_3H_7O)P(=S)N(C_2H_5)_2$ (II), $(C_2H_5O)_2P(=S)-OCH_2COOC_2H_5$ (III), $(C_2H_5)(n-C_4H_9O)P(=S)-OCH_2COOC_2H_5$ (IV), $(C_2H_5)(C_2H_5O)P(=S)N(C_2H_5)_2$ (V), $(C_8H_{17}O)_2P(=S)-OCH_2OC_2H_5$ (VI), $(C_2H_5)(C_2H_5O)-P(=S)-OCH_2COOC_2H_5$ (VII), $(C_2H_5)(изо-C_4H_9O)P(=S)-OCH_2-COOC_2H_5$ (VIII). При подкожном введении белым мышам р-ров I и II токсичность их равна нескольким мл на 1 кг живого веса; III—VIII тысячным долям мл на 1 кг. При введении р-ров I—VIII в полость желудка токсичность снижается в 2,4—3,8 раза. III в 84,3 раза менее ядовит, чем фосфакол. Сульфат атропина (0,5 мг/кг), введенный собакам после смертельных доз III, IV, VII, VIII, способен предотвратить смертельный исход. III, IV, VII, VIII являются активными ингибиторами холинэстеразы сыворотки крови собак и обладают сильным миотич. действием. Наиболее значительным гипотензивным действием обладают III и VIII.

И. Мильштейн
5720. К характеристике инсектицидных и токсикологических свойств октаметила. Изотова Т. Е., Неклесова И. Д., Горюшин В. А., Кудрина М. А. В сб.: Химия и применение фосфорорганических соединений. М., АН СССР, 1957, 491—502

На посевах пшеницы, засеянных семенами (С), обработанными 0,5%-ным р-ром октаметила (I) (64,7%-ный препарат), отмечено снижение поврежденности растений шведской мухой в 2—5 раз. На участке без удобрений снижение поврежденности растений и продолжительность их токсичности по отношению к насекомым больше. Поврежденность растений проволочниками в 1,5—2 раза меньше по сравнению с контролем. Авторы считают, что в последнем случае поврежденность снижается за счет отпугивающего действия I. Предпосевная обработка С делает горох токсичным для тлей в течение 1—1,5 месяцев, численность тлей снижается в 2—15 раз. Стимулирующее или угнетающее действие I определяется видовыми особенностями растений, их функциональным состоянием и комплексом условий окружающей среды. Хим. и биологич.

анализ показывает безопасность употребления в пищу гороха и пшеницы, полученных из С, обработанных перед посевом.

И. Мильштейн
5721. Антиэстеразная активность некоторых фосфорных эфиров с инсектицидными свойствами. Шүто, Винь, Караманьян, Табо (Sur l'activité anti-estéracique de certains esters organophosphoriques complexes à propriétés insecticides. Chouteau Jacques, Vigne Jacques Paul, Karamanian Aurege, Tabau Robert Louis), Compt. rend. Soc. biol., 1956, 150, № 10, 1773—1777 (франц.)

Примеси к технич. диазинону (I) и чистый I обладают близкой антихолинэстеразной активностью, поэтому токсичность присуща самому I, а не только его примесям. I быстро метаболизируется, и продукты его расщепления не токсичны.

К. Бокарев
5722. Исследование сельскохозяйственных фунгицидов. II. Соединения, структурно родственные трихлорметилтиосульфатам. III. Реакция между трихлорметансульфенилхлоридом и бензойной кислотой. Уленбрук и Коппманс (Investigations on agricultural fungicides. II. Compounds structurally related to trichloromethyl thiolsulphonates. Uhlenbroek J. H., Koopmans M. J.), Recueil trav. chim., 1957, 76, № 7, 657—665 (англ.)

II. Получен и исследован ряд соединений, структурно близких к трихлорметилтиосульфатам общей ф-лы $\text{RSO}_2\text{SCCl}_3$ (I). В частности, получены *n*-толуолтиосульфаты типа $\text{H}_3\text{CC}_6\text{H}_4\text{SO}_2\text{SR}'$ (II) и тиосульфаты типа $2\text{-X-4-Y-C}_6\text{H}_3\text{SO}_2\text{SR}'$ (III). II и III с алифатич. R' готовились взаимодействием $\text{C}_6\text{H}_5\text{SO}_2\text{SK}$ и соответствующего $\text{R}'\text{NaI}$; таким путем получены II со следующими R' : CH_3 (IIa), выход 77%, т. пл. 57—58°; $\text{CH}_2\text{COOC}_2\text{H}_5$ (IIб), выход 88%, слабоокрашенное масло, при 0,5 мл рт. ст. вследствие разложения не перегоняется. II и III, в которых R' — арил, получены из *N*-соли *n*-толуолсульфиновой к-ты и хлорангидридов соответствующих сульфеновых к-т нагреванием в течение 1 часа в инертном р-рителе (сп., бzl.); этим способом получены II (перечислены R' , выход, т. пл.): C_6H_5 (IIв), 66% (неочищ.), 74° (из *n*-гексана); $2\text{-NO}_2\text{C}_6\text{H}_4$ (IIг), 81%, 96—98°; $2,4\text{-(NO}_2)_2\text{C}_6\text{H}_3$ (IIд), 76%, 182—183°. Из *n*-толуолсульфохлорида и водн. р-ра КОН, насыщ. H_2S , получен II с $\text{R}' = \text{K}$, выход 68%; аналогично из соответствующих сульфохлоридов получены III, в которых $\text{R}' = \text{K}$ (даны X, Y, выход, т. пл.): CH_3 , CH_3 (IIIa), 45%, 232° (с разложением); Cl, H (IIIб), 59%, 227° (с разл.); CH_3O , H (IIIв), 41%, 212—214° (разл.). Фунгитоксичность (Ф) у IIa, IIб, IIв и IIг заметно более низка, чем у соответствующих соединений типа I, Ф которых усиливается благодаря наличию SCCl_3 -группы. При $\text{R}' = \text{K}$ или $2,4\text{-(NO}_2)_2\text{C}_6\text{H}_3$ Ф не наблюдалась, а при $\text{R}' = \text{CH}_3$ Ф была примерно такой же, как и при $\text{R}' = \text{C}_6\text{H}_5$ или $2\text{-NO}_2\text{C}_6\text{H}_4$; по-видимому, электроотрицательный характер R' мало влияет на Ф тиосульфатов. Встряхиванием водн. р-ра щел. соли арилтиосульфокислоты с ClSCCl_3 при комнатной т-ре получены арилсульфонилтрихлорметилдисульфиды общей ф-лы $\text{RSO}_2\text{SSCCl}_3$ (IV), напр. (перечислены R, выход, т. пл.): $4\text{-CH}_3\text{C}_6\text{H}_4$ (IVa), 71%, 50,5—51,5°; $2,4\text{-(CH}_3)_2\text{C}_6\text{H}_3$ (IVб), 82%, бесцветное масло при 0,1 мм рт. ст. вследствие разложения не перегоняется, n_D^{20} 1,6230; $4\text{-ClC}_6\text{H}_4$ (IVв), 87%, 48—50° (из сп.); $4\text{-CH}_3\text{OC}_6\text{H}_4$ (IVг), 85%, бесцветное масло, n_D^{20} 1,6349. Исследованные IV при различных R обладали сильной Ф и, кроме того, проявляли фитотоксичность; в IV (как и в I) характер R мало влияет на Ф. УФ-спектры поглощения IV и I мало отличаются друг от друга; напр., IVa и родственный ему $\text{CH}_3\text{C}_6\text{H}_4\text{SCCl}_3$ имеют $\lambda_{\text{макс}}$ (в изоктане) 237 мμ. Была изучена Ф арил(алкил)-трихлорметилдисульфидов общей ф-лы RSSCCl_3 (V); в отличие от IV Ф у V сильно зависит

от характера R. Так, при $\text{R-C}_6\text{H}_5$ V имеет малую Ф, но она резко возрастает при введении в фенил NO_2 -группы в орто- или пара-положения.

III. Нагреванием $\text{C}_6\text{H}_5\text{COONa}$ и ClSCCl_3 в абс. C_6H_6 получен обладающий слабой Ф и заметной фитотоксичностью смешанный ангидрид бензойной и трихлорметилсульфеновой к-т $\text{C}_6\text{H}_5\text{COOSCCl}_3$, выход 51%, т. кип. 113—117°/0,01 мм, УФ-спектр (в изоктане) $\lambda_{\text{макс}}$ 237 мμ ($\epsilon_{\text{макс}}$ 29800); легко разлагается водой с выделением свободных к-т. Получить смешанные ангидриды трихлорметилсульфеновой и алифатич. карбоновых к-т не удалось. Сообщение I см. РЖХим, 1957, 54984.

Г. Швиндлерман
5723. Инсектофунгицидное действие органических, кремнеорганических и неорганических роданидов. Марова М. Я., Воронков М. Г., Дюгов Б. Н., Ж. прикл. химии, 1957, 30, № 4, 650—652

Изучена фунгицидная и бактерицидная активность следующих алкилизотиоцианатосиланов: $\text{CH}_3\text{Si}(\text{NCS})_3$, $\text{C}_2\text{H}_5\text{Si}(\text{NCS})_3$, *n*- $\text{C}_4\text{H}_9\text{Si}(\text{NCS})_3$, *n*- $\text{C}_6\text{H}_{13}\text{Si}(\text{NCS})_3$ (I), $(\text{CH}_3)_2\text{Si}(\text{NCS})_2$ (II), $(\text{C}_2\text{H}_5)_2\text{Si}(\text{NCS})_2$ (III), $(\text{n-C}_4\text{H}_9)_2\text{Si}(\text{NCS})_2$, $(\text{CH}_3)_3\text{SiNCS}$, $(\text{C}_2\text{H}_5)_3\text{SiNCS}$ (IV) и $(\text{n-C}_4\text{H}_9)_3\text{SiNCS}$, полученных взаимодействием алкилхлорсиланов с безводн. NH_4SCN в сухом C_6H_6 (РЖХим, 1955, 40190). Добавка 0,3—1% I, II, III или IV к питательной среде задерживает развитие плесени *Macrosporium* и *Cladosporium* и бактерий на срок до 1 года. Пары II и IV в конц-ии 0,2 г/л также подавляют рост плесени. Пары II обладают также инсектицидным действием на клопа-черепашку. Зависимости между хим. строением алкилизотиоцианатосиланов и пестицидным действием не обнаружено. Дироданметан (V), 1,2-дироданэтан (VI) и 1,2,3-трироданэтан (VII) по фунгицидным и бактерицидным свойствам превосходят тиофос, $\text{C}_6\text{Cl}_5\text{ONa}$ и кремнефтористый Na и равны по действию сулеме. Они могут быть рекомендованы для защиты клеев и красок от плесени и бактерий. $\text{Cu}(\text{SCN})_2$ и $\text{C}_6\text{H}_5\text{NCS}$ менее активны, NH_4SCN и CH_3CHNCS неактивны. V (т. пл. 102°), VI (т. пл. 90°) и VII (т. пл. 126°) получены р-цией бромистых алканов с роданистыми Na или аммонием.

К. Бокарев
5724. Антибактериальное и противогрибковое действие веществ лишайника и их производных. Фудзикава, Хитоса, Яги, Накадзава, Омацу (地衣成分、その分解産物、並びに誘導体の *Sarcina lutea* 及び *Candida albicans* M_{20} に対する抗菌、抗黴作用に就いて. 藤川福二郎, 人長有平, 八木代志子, 中澤昭三, 尾松徳五郎), 薬学雑誌, Якугаку дзасси, J. Pharmac. Soc. Japan, 1957, 77, № 3, 307—309 (японск.; реангл.)

Изучены антибактериальная активность и противогрибковое действие 128 родственных лишайниковых в-в, их производных и 73 родственных продуктов разложения этих в-в. Анвизаковая и оливеторовая к-ты подавляют рост *Sarcina lutea* в разбавлении 1:160 000—1:320 000, метиловый эфир анвизаковой к-ты (I), эверновая, рангиформовая к-та и изопропиловый эфир оливетолкарбоновой к-ты при разбавлении 1:160 000, диметиловый эфир коллатолона, изоамиловый эфир триацетилдифенолоровой к-ты, скваматовая к-та, тенуорин и изоамиловый, гексилорный, октиловый и бензиловый эфиры орсеялиновой к-ты при разведении 1:80 000. Все испытанные соединения, за исключением I, не подавляют рост *Candida albicans* M_{10} при разбавлении 1:80 000.

К. Бокарев
5725. Дополнительное сообщение об антигрибковом факторе красного клевера. Виртанен, Хизтала (Additional information on the anti-fungal factor in red clover. Virtanen Artturi I., Hietala Pentti K.), Suomen kem., 1957, 30, № 4, B99 (англ.)

Выделенное из красного клевера антигрибковое

в-во ф-лы $C_{15}H_{14}O_6$, очаш. возгонкой, имеет т. пл. 217° и максимум поглощения 262—263 мμ (повышается до 278—280 мμ от прибавления щелочи). Установлено наличие двух бензольных колец, одной фенольной ОН-группы, одной группы OSN_3 ; при сплавлении со щелочью получена п-оксибензойная к-та; при нагревании с насыщ. р-ром $Ba(OH)_2$, а также при окислении $KMnO_4$, выделена анисовая к-та; при нагревании с 10%-ным $NaOH$ образуется фенол. Предполагается, что исследованное в-во представляет собой производное 3,6-диокси-γ-пирона.

Г. Швиндлерман
5726. Предварительные результаты изучения действия фунгицидов на болезнь кофейного дерева, вызываемую *Omphalia flavida* Rangel. Рейес (Resultados preliminares de un estudio comparativo de fungicidas en el control del «ojo de gallo» (*Omphalia flavida* Rangel) en almacigos de cafeto. Reyes V. Matias), Bol. trimestr. experim. agropec., 1955, 4, № 3, 15—17 (исп.)

5727. Гербицидные препараты. Кирт (Herbicide stoffer. Kirt Edmund), Ingeniøren, 1957, 66, № 23, 609—615 (датск.)

Краткий обзор гербицидов (неорганич. соединения, масла, алифатич. и ароматич. к-ты, их амиды и имиды, фенокси-кислоты, эфиры карбаминных к-т, производные мочевины, галогидфеноксиэтиловые спирты, фенолы, гетероциклич. соединения и др.). Ю. Баскаков

5728. Влияние пестицидных продуктов на рост обработанных ими растений. Аскоэ (L'action des produits pesticides sur la végétation des plantes traitées. Nascot M.), Cahiers ingrs agron., 1957, № 116, 25—34 (франц.)

Обзор. Механизм фитотоксич. действия инсектицидов (нефтяных масел, производных мышьяка, ГХЦГ и фосфорорганич. соединений) и фунгицидов (карбаматов, соединений меди и соединений серы). Факторы, влияющие на физиологич. действие инсектицидов и фунгицидов: состав препаратов (действующее начало, величина частиц, компонентов, вспомогательные в-ва), способ, время и частота обработки, дозы, комбинирование с другими пестицидами. Факторы, изменяющие устойчивость обработанных растений.

К. Бокарев
5729. Химическая борьба с овсягом в США и Канаде. Смирнов Б. М., С. х. Поволжья, 1957, № 8, 92
5730. Борьба с сорняками в лесах. Литл (Weed control in forests. Little E. C. S.), N. Z. Timber J., 1957, 3, № 9, 37—38 (англ.)

Для уничтожения сорняков в питомниках сосны применяются цианаты К и Na. Травы и папоротники, отмирающие к лету и создающие опасность пожаров, искореняются препаратами общего действия: арсеном Na, смесью хлората Na и $CaCl_2$, СМУ. Эти же препараты применимы для очистки строевого леса от сорняков. Вредные сорняки — крестовник и ежевика — уничтожаются препаратами типа регуляторов роста.

Л. Стонов
5731. Влияние современных инсектицидов на рост растений. Мак-Лаган (Effects of modern insecticides on growth of plants. MacLagan D. Stewart), Nature, 1957, 179, № 4571—1198 (англ.)
При опудривании семян пастернака γ-ГХЦГ (I) и дильдрином (II) в дозе 2,5% к весу семян отмечено угнетающее действие обработок, выражающееся в уменьшении длины корешков и изменении характера кривой частоты распределения длин корешков. В дозе 2% по весу семян до 14-дневного срока угнетает, а в дальнейшем стимулирует рост корешков пастернака. При обработке семян свеклы препаратами I, II и альдрином в дозах 0,35% к весу семян во всех случаях наблюдалось стимулирование роста корешков. Характер кривой частоты распределения

длины корешков также несколько изменялся. Высокий эффект на урожай, который оказывает опудривание семян в дозе 0,06% против совки *Agriotes* spp. и долгоножки *Tipula* spp. и который трудно объяснить одним лишь инсектицидным действием, может быть результатом стимулирующего действия инсектицидов.

Ю. Фадеев

5732. Борьба с зарастанием Невинномысского канала с помощью гербицидов. Королев Л. Н., Старосельский Я. Ю., Стонов Л. Д., Гидротех. и мелиорация, 1957, № 7, 31—36

5733. Эффективность контактных гербицидов против повилки на посевах люцерны. Михайлянц Р. С., Защита раст. от вредит. и болезней, 1957, № 3, 58—59
Обработка стерни люцерны 6%-ным р-ром арсенита Na с нормой расхода 500 л/га или 4%-ным р-ром с расходом 750 л/га вызывает полное уничтожение повилки, увеличивая урожай люцерны в 1,5—2 раза. Препарат № 125 (4%-ный р-р) и пентахлорфенолят Na (I) (3—4%-ный р-р) весьма эффективны. Однако I вызывал некоторое угнетение люцерны: медленное отрастание, хлороз. В опыте с препаратом № 125 урожай люцернового сена составил 204% к контролю, а с I — 157%.

Л. Стонов

5734. Метод оценки уничтожения водных сорняков гербицидами. Ходжсон (A method for evaluating the control of waterweeds with herbicides. Hodgson Jesse M.), Weeds, 1957, 5, № 2, 138—140 (англ.)
Для уничтожения растущих под водой в ирригационных каналах рдестов (*Potamogeton* spp.) применялись металлич. коробки, наполненные гербицидами. Хорошие результаты дает о-дихлорбензол. Ароматич. р-рители и RADA (ацетат дегидроабиетиламина) менее токсичны. Гербицидные масла не поражают рдест.

Л. Стонов

5735. Применение гербицида 2,4-Д в борьбе с сорняками в посевах кукурузы. Коробатов В., (Гарғыдалы экин ләриндә алағла мубаризәдә гербицид 2,4-Д тәтбиғи. Коробатов В.), Соц. с. х. Азербайджана, 1957, № 5, 43—45; Азерб. союзист кәнд тәсәруфаты, 1957, № 5, 44—47 (азерб.)

5736. Новые исследования по борьбе с кустарником в Арканзасе. Рей (New developments in chemical brush control in Arkansas. Ray Hurlon), Proc. Soc. Amer. Foresters Meet., 1956, Memphis, Tennessee, 1957, 55—58 (англ.)

Хорошие результаты дает авиационная обработка эфирами 2,4-Д, 2,4,5-Т и соответствующих пропионовых к-т, взятыми в дозе 2,24 кг/га (в пересчете на к-ту). Ива, персиммон, американский лавр и тополь трехгранный лучше поражаются смесью (1:1) эфиров 2,4-Д и 2,4,5-Т (доза 2,8 кг/га). В период октябрь — март особенно эффективно опрыскивание нижней части стеблей кустарников эфирами 2,4,5-Т в дозе 4,48 кг/га (в пересчете на к-ту). Применяют также инъектирование препаратов внутрь кустарников. Л. С.
5737. Исследования по использованию эфиров 2,4,5-Т для уничтожения карликового дуба путем опрыскивания оснований стволов. Уэрли. Брамбл, Бернс (Investigations of the use of 2,4,5-T esters as a basal spray in the control of bear oak. Worley D. P., Bramble W. C., Burnes W. R.), Weeds, 1957, 5, № 2, 121—132 (англ.)

Хорошие результаты получены при опрыскивании корневой шейки деревьев ранней зимой (ноябрь — январь) 1,5—2%-ными р-рами эфиров 2,4,5-Т в масле в дозе 6,72—8,96 кг/га из расчета на свободную к-ту.

Л. Стонов

5738. Избирательные гербицидные свойства некоторых замещенных феноксиалкилкарбонных кислот. Шоу, Гентнер (The selective herbicidal properties of several variously substituted phenoxyalkylcar-

boxylic acids. Shaw W. C., Gentner W. A.), Weeds, 1957, 5, № 2, 75—92 (англ.)

Изучена гербицидная активность (дозы 0,56 кг/га) 2,4-Д, 2М-4Х, 2,4,5-Т, 3,4-дихлор-, 4-хлорфеноксисукусной и соответствующих α - и β -феноксипропионовых и α - и γ -феноксимасляных (I) к-т. I, незамещ. в положении 2, отличаются по избирательности гербицидного действия от других изученных в-в. γ -(2,4-дихлор-(II)) и γ -(2-метил-4-хлор-(III)) и γ -(2,4,5-трихлорфеноксис)-масляные к-ты оказались активными в качестве послевсходовых гербицидов для уничтожения широколистных сорняков в посевах злаков с подсевом фуражных бобовых культур, в элитных посевах бобовых, во льне, а также вблизи хлопчатника и винограда, особо чувствительных к замещ. феноксисукусным и α -феноксипропионовым к-там. При довсходовой обработке II и III хорошо уничтожают однолетние двудольные сорняки и однолетние травы без ущерба для кукурузы, хлопчатника, сои, арахиса и сорго. Л. С. 5739.

Фитотоксичность четырех гербицидов производных фенилмочевины в почве. Шитс, Крафтс (The phytotoxicity of four phenylurea herbicides in soil. Sheets T. J., Crafts A. S.), Weeds, 1957, 5, № 2, 93—101 (англ.)

Биологическим методом определялась первоначальная и остаточная фитотоксичность N-п-хлор-, N-3,4-дихлор-, N-фенил-N',N'-диметилмочевины (I) и N-(3,4-дихлорфенил)-N'-метилмочевины. Гербициды в 5 конц-иях от 0,5 до 8 мг/л смешивались с образцами почв, стерилизованных в автоклаве и нестерилизованных, а также подвергавшихся постоянному промачиванию и сухой. Токсичность гербицидов скорее утрачивалась в нестерильной и в постоянно смачивающейся почве. I инактивировался быстрее других в нестерилизованной почве. Гербициды разрушались микроорганизмами или продуктами их жизнедеятельности. Л. Стонов

5740. Использование некоторых активаторов роста при тепличном выращивании помидоров. Даскалов, Дилов, Попова (Исползуване на някои растени активатори при оранжерийното отглеждане на домати. Даскалов Христо, Дилов Христо, Попова Добра), Селскостоп. мисъл, 1957, 2, № 3, 154—166 (болг.)

5741. Гиббереллины. Уиттуэр (Gibberellins. Witter S. H.), Farm Chemicals, 1957, 120, № 5, 55—57 (англ.)

Гиббереллины (I) преодолевают карликовый рост растений, ускоряют цветение и созревание, в дозе 70 г/га повышают урожай ряда культур. Овощи, растущие в условиях длинного дня, под действием I зацветают на несколько недель раньше. I вызывает немедленное прорастание свежесобранных клубней картофеля. Обработка семян гороха и бобов р-ром, содержащим I в кол-ве 10—25 мг/л, повышает их энергию прорастания. Л. Стонов

5742 Д. Фитотоксичность и реакции α,α -дихлорпропионовой кислоты. Холстун (Phytotoxicity and reactions of 2,2-dichloropropionic acid. Holstun John Tucker, Jr. Abstr. doct. diss., Iowa State Coll., 1955), Iowa State Coll. J. Sci., 1957, 31, № 3, 443—444 (англ.)

5743 Д. Кинетика гербицидного действия. Франс (Kinetics of herbicidal action. Frans Robert E. Abstr. doct. diss., Iowa State Coll., 1955), Iowa State Coll. J. Sci., 1957, 31, № 3, 412—413 (англ.)

5744 П. Способ получения хлорированных бензильных эфиров тиол- или тионтиолфосфорных кислот. Шрадер, Лоренц (Verfahren zur Herstellung von chlorierten Benzylestern der Thiol-bzw. Thiono-

thiolphosphorsäuren. Schrader Gerhard, Lorenz Walter) [Farbenfabriken Bayer A. G.] Пат. ФРГ 949.231, 13.09.56

Указанные эфиры получают конденсацией солей (предпочтительно аммониевых) O,O-диалкилтиол- или O,O-диалкилдитиофосфорных к-т с хлорированными бензилхлоридами, возможно в присутствии третичного основания для связывания к-ты. Р-цию предпочтительно проводят в среде органич. р-рителя, напр. C_6H_6 , ацетона или спирта. Так, 50 г 94%-ной O,O-дметилдитиофосфорной к-ты растворяют в 200 мл C_6H_6 , нейтрализуют 25 г C_6H_5N , обрабатывают по каплям при 40—50° р-ром 48 г п-хлорбензилхлорида в 50 мл C_6H_6 , нагревают в течение 1 часа до 60—65°, после остывания отсасывают $C_6H_5N \cdot HCl$, промывают бензольный р-р разб. HCl, потом водой, высушивают над Na_2SO_4 и путем дробной перегонки получают O,O-дметил-S-п-хлорбензилдитиофосфат, бесцветное масло с т. кип. 98—100°/0,01 мм; выход 33 г. Аналогично получают O,O-ди-п-пропил- (т. кип. 107°/0,01 мм) и O,O-диизопропил-п-хлорбензилдитиофосфат, т. кип. 120°/0,4 мм. Описано также получение (приведено соединение и т. пл. в °C/мм): O,O-диэтил-S-п-хлорбензилдитиофосфат (I), 105—107/0,01, O,O-диэтил-S-п-хлорбензилдифосфат (II), 177/3, O,O-диэтил-S-о-хлорбензилдифосфат (III), 169—171/2, O,O-диэтил-S-о-хлорбензилдифосфат (IV), 171/2, O,O-диэтил-S-3,4- (V), (180/2) и O,O-диэтил-S-2,6-дихлорбензилдифосфат (VI), 182/2, O,O-диэтил-S-3,4- (VII) (190/2) и O,O-диэтил-S-2,6-дихлорбензилдифосфат (VIII), 183/3. Приведены данные по токсичности для теплокровных и инсектицидной активности полученных соединений. Указаны соединения: их LD_{100} в мг/кг для крыс, гибель паутинного клеща в процентах при конц-ии в-в в процентах и то же для гли: I, 1000, 100, 0,001, 100, 0,1; II, 250, 100, 0,001, 100, 0,01; III, 1000, 100, 0,01, 100, 0,1; IV, 500, 100, 0,01, 100, 0,01; V, 1000, 100, 0,001, 100, 0,1; VI, 500, 100, 0,01, 70, 0,1; VII, 500, 100, 0,01, 70, 0,1; VIII, 250, 100, 0,001, 0, 01. Известные нитробензильные эфиры тех же тиофосфорных к-т более токсичны и значительно менее эффективны в качестве инсектицидов. Я. Кантор

5745 П. Способ получения производных оксазолина (Fremgangsmåde til fremstilling af oksazolinderivater.) [Imperial Chemical Industries Ltd.] 79860, 19.09.55; Дат. пат. 79920, 3.10.55; 79921, 3.10.55

Производные оксазолина общей ф-лы $2-OHC_6H_4-C=NCH(R)CH(R')O$ (I), где R и R'—H или алкил, содержащий ≤ 3 атомов C, причем R и R' могут быть одинаковы или различны, фенильное ядро должно иметь в качестве заместителя по крайней мере 1 атом галоида, а остальными заместителями могут являться атомы галоида и (или) алкилы, содержащие ≤ 3 атомов C, получают, действуя на соответствующие замещ. о-оксибензойные к-ты соединением общей ф-лы $H_2NCH(R)-CH(R')OH$ в присутствии галогенида фосфора, галогидоокиси фосфора или $SOCl_2$. Смесь 20 ч. 3,5-дихлор-2-оксибензойной к-ты и 6 ч. моноэтилоламина нагревают 10 мин. при 90—95°, затем охлаждают до 60—70° и в течение 30 мин. прибавляют 15 ч. $POCl_3$. Смесь нагревают до 90—95° и выдерживают 15 мин., затем постепенно прибавляют при перемешивании к 250 ч. 3 н. водн. Na_2CO_3 при 70—80° и выдерживают при этой т-ре 30 мин. Твердое вещество отфильтровывают, промывают водой и экстрагируют 160 ч. кипящего C_2H_5OH 2-(3,5-дихлор-2'-оксифенил)-оксазолин (II), т. пл. 142—143°, который высушивают при 60° (пат. 79860). Соединения общей ф-лы I, где заместители имеют вышеуказанные значения, получают, действуя на соответствующие о-оксибензильные эфиры общей ф-лы $2-OHC_6H_4C(OR')=NH$ (III), где

Р-алкил, содержащий ≤ 3 атомов С, β -аминоспиртом ф-лы $\text{H}_2\text{NCH(R)CH(R')OH}$, после чего нагреванием продукта р-ции получают желаемое производное оксазолина. 20 ч. 3,5-дихлор-2-оксibenзаминотилового эфира прибавляют к р-ру 8 ч. моноэтаноламина в 100 ч. воды. Смесь оставляют на ~ 16 час., осадок отфильтровывают и нагревают при 180° до прекращения выделения NH_3 . Получают II т. пл. $141-142^\circ$ (из CH_3OH) (пат. 79920). Соединения общей ф-лы I, где заместители имеют значения, указанные в пат. 79860, получают, обрабатывая галоидирующим агентом соединения общей ф-лы $2\text{HOC}_6\text{H}_4\text{C}=\text{NCH(R)CH(R')O}$

(IV), где фенильное ядро имеет в качестве заместителей алкилы, содержащие ≤ 3 атомов С, и (или) атомы галогена, причем по крайней мере одно из 3-х 5-положений в фенильном ядре должно быть незамещенным. К перемешиваемому р-ру 8 ч. 2-(2'-окси-фенил)-оксазолина и 9 ч. безводн. CH_3COONa в 80 ч. безводн. CH_3COOH при $20-30^\circ$ в течение 30 мин. прибавляют р-р 16 ч. Br_2 в 20 ч. лед. CH_3COOH . Продукт выливают в 500 ч. воды, осадок отфильтровывают и промывают водой. Получают 2-(3',5'-дибром-2'-окси-фенил)-оксазолин, т. пл. $149-150^\circ$. Если вместо 16 ч. Br_2 применяют 7 ч. Cl_2 , то получают II (пат. 79924). Получаемые производные оксазолина обладают сильным бактерицидным, акарицидным и фунгицидным действием. Б. Фабричный

5746 П. Извлечение из *Digenea* средств, отпугивающих насекомых. Ватанабэ, Накано, Такамо, Моримото (海人草より驅虫作用ある成分を抽出する方法. 渡邊久社, 中野浩, 高野忠義, 森本明) [藤澤薬品工業株式会社, Фудзисава якухин когё кабуши кайся]. Японск. пат. 347, 24.01.55; 348, 24.01.55 1 кз *Digenea* 3 раза экстрагируют 4 л воды, экстракт концентрируют в вакууме до 150 мл, охлаждают и отфильтровывают осадок. Р-р снова концентрируют до густоватого состояния, добавляют 300 мл CH_3OH , отфильтровывают примеси, удаляют CH_3OH и к остатку добавляют р-р 8 г $\text{Pb}(\text{CH}_3\text{COO})_2$ в 80 мл воды и с помощью аммиачной воды доводят рН смеси до 6,8. Выделившийся осадок взвешивают в 50 мл воды, навесь насыщают H_2S и отфильтровывают осадок PbSO_4 . Фильтрат разбавляют 120 мл воды и пропускают через колонку с 850 cm^3 амберлита IR-4B. Через колонку пропускают 600 мл р-ра каустич. соды и потом 600 мл воды. Затем оба р-ра пропускают через колонку с 800 cm^3 амберлита IRC-50, после промывки которой водой р-ры сливают, концентрируют в вакууме до 10 мл, охлаждают и получают 260 мг кристаллов, имеющих т. пл. 253° . Согласно пат. 348, после удаления CH_3OH к остатку добавляют воду до общего объема 1200 мл, р-р пропускают через колонку с диоритом (700 cm^3), колонку промывают водой (500 мл), а затем водн. р-ром NaOH (600 мл). Щел. р-р пропускают через слой амберлита IR C-50 (800 cm^3), промывают водой. Затем р-р концентрируют в вакууме до 10 мл, добавляют CH_3OH , охлаждают и выделяют 232 мг бесцветных кристаллов. В. Гужавин

5747 П. Аппарат для уничтожения комаров и других насекомых. Никодо (Appareil pour la destruction des moustiques et autres insectes. Nicodéau Pierre). Франц. 1114048, 6.04.56

Насекомые, привлекаемые светом лампы (помещенной внутри аппарата), проходящим через диск из прозрачного материала (плексиглас, родоид, пирекс и т. д.), на который насыпан dust ДДТ или другого инсектицида, садятся на этот диск и погибают. Для освещения можно применять лампы различного типа, даже керосиновые (в этом случае необходимо пользоваться пирексовым диском и обеспечивать доступ воздуха к лампе). К. Бокарев

5748 П. Обработка растений для уничтожения возбудителей болезней. Хакман (Behandlung von Pflanzen zwecks Bekämpfung von Krankheitserregern. Hackmann Johannes Thomas) [N. V. De Bataafsche Petroleum Maatschappij]. Пат. ФРГ, 937497, 5.01.56

В качестве системных фунгицидов (Ф) активны в-ва общей ф-лы $(X)(R_1)\text{N}-\text{C}(\text{O})-\text{N}(\text{Y})(R_2)$ (I), где X — галоидацильная группа (ГГ), могущая содержать и другие заместители; Y — H или алкил, арил или замещ. ГГ; R_1, R_2 — H или алкильные или арильные группы. В I содержится ≤ 9 атомов С. I применяются в виде водн. р-ров в конц-ии 0,01—1%, преимущественно в конц-ии 0,1—0,5%. I могут применяться в смеси с другими Ф, инсектицидами, акарицидами, стимуляторами роста, удобрениями; к I могут быть добавлены смачиватели (алкилсульфаты, алкиларилсульфонаты, сульфосукцинаты, эфиры полиэтиленгликоля и алкилфенолов) и прилипатели. Составы наносятся на наземные или подземные части или семена растений, они могут быть также введены в землю вблизи растений или непосредственно в растения через разрезы или отверстия. Хлорацетилмочевина в конц-ии 0,3% подавляет *Cladosporium fulvum* на томатах (Т) на 95%, *Phytophthora infestans* на картофеле на 50%, *Septoria apii graveolentis* на сельдерее на 83%, а I в конц-ии 0,5% подавляет на бобах *Colletotrichum Lindemuthianum* на 100%. Испытаны против *Cl. fulvum* на Т различные I (перечисляются I, конц-ия в %, степень подавления *Cl. fulvum* через 1—3 недели после обработки): N-хлорацетил-N'-фенилмочевина, 0,05, 85 N,N'-ди-(хлорацетил)-мочевина, 0,05 70; N-трихлорацетил-N'-ацетилмочевина, 0,1, 90; N-хлорацетил-N'-изопропилмочевина, 0,05, 70; N-хлорвалеронилмочевина, 0,05, 75. И. Мильштейн

См. также: Инсектициды: произ-во 5515, 5525; анализ 4266. Действие на дрожжевую флору 6179. Бактерициды и фунгициды: предохранение древесины 6022—6031, 6034; пищевых продуктов 6333; действие 1836—1840Бх, 1849—1851Бх; механизм действия 1848Бх; токсикология 6206. Регуляторы роста: обзор 2046Бх; синтез 4630; анализ 1799Бх; механизм действия 2047Бх, 2048Бх, 2056Бх; поведение в растениях 2049Бх; действие 2050—2052Бх, 2055Бх, 2077Бх

ДУШИСТЫЕ ВЕЩЕСТВА. ЭФИРНЫЕ МАСЛА

ПАРФЮМЕРИЯ И КОСМЕТИКА

Редактор В. Н. Белов

5749. Новое в области эфирных масел. Трейбс (Neuere Entwicklungen auf dem Gebiet der ätherischen Öle. Treibs Wilhelm); Wiss. Ann., 1956, 5, № 11, 873—893 (нем.)

Обзор. Библ. 76 назв. Н. Д. 5750. Промышленность эфирных масел и душистых веществ в Португалии. Лоран, Морейра-Рато (L'industrie des huiles essentielles et parfums au Portugal. Laurant A., Moréira-Rato J.), Inds Parfum., 1957, 12, № 3, 99—103 (франц.)

Описаны свойства масел: герани, лаванды *Lavandula pedunculata* и *L. stoechas*, *Mentha pulegium* и *M. pimenta*, *Rosmarinus officinalis*, *Tymus capitatus*. Указано на произ-во ладанника, дубового мха и серой амбры. Приведены размеры экспорта эвкалиптового масла. Описано состояние парфюмерной и косметич. пром-сти Португалии (приведены кол-ва выпускаемых парфюмерных и косметич. препаратов). Отмечается невысокий уровень техники в этих отраслях пром-сти Португалии. Предыдущее сообщение см. РЯХим, 1957, 61924. Е. Смольянинова

5751. Попытка культивации и перегонки эфирного масла *Aetheroleum Menthe piperitae* в Югославии. Туцаков (Essais de culture et de distillation de Menthe poivrée en Yougoslavie. Tuckakov J.), Ann. pharm. franc., 1955, 13, № 12, 753—760 (франц.). См. также РЖХим, 1957, 5994.

5752. Эфирные масла некоторых хеморас дикорастущей мяты Армянской ССР. Хримлян А. И., Бюл. Ботан. сада АН АрмССР, 1957, № 16, 107—109 (рез. арм.).

Масло (М) четырех хеморас дикорастущей мяты длиннолистной *Mentha longivolia*, полученное из свежей зеленой массы, собранной в период цветения и начала плодоношения в районе г. Горис и классифицированной по запаху [сладколипаоловая № 4 (М—1) имеет аромат сладкого ландыша и апельсина, канушерная № 6 (М—2), липаолово-масляная № 9 (М—3), имеет аромат ландыша и апельсина с оттенком свежего сливочного масла, и фекальная № 14 (М—4)]. Длительность перегонки 1,5 часа. М высушивают и фильтруют, а М—4, кроме того, омыляют р-ром NaOH и вторично перегоняют, после чего фекальный запах, вызванный, по-видимому, наличием белковых в-в, исчезает. Константы полученных М: n_D^{20} 1,4663; 1,4735; 1,4650; 1,4718; d_{20}^{20} 0,9059; 0,9279; 0,8825; 0,9450; $[\alpha]_D^{20}$ (для М—4) 28,44°; кислотное число 1,68; 23,39; 7,0; 3,49; эфирное число (ЭЧ) 11,20; 86,40; 33,6; 88,40; ЭЧ после ацетилирования 84,0; 196,0; 170,8; —; общее содержание ментола (%) 24,57; 57,32; 51,96; —; содержание связанного ментола (%) 3,12; 24,08; 9,36; —; число омыления 12,88; 109,85; 40,6; 91,89; для М—1, М—2, М—3 и М—4, соответственно. Полученные данные указывают на резкое различие исследованных образцов, которые являются совершенно самостоятельными видами мятных М, несмотря на то, что они выделены из одного и того же вида мяты, собранной в одном месте и в одно время. Н. Любошиц

5753. Исследование японской мяты. VII. Хроматограмма составных частей масла японской перечной мяты. Ито, Вакамацу, Кавахара (ハツカに關する研究. 第7報. ハツカ油成分のクロマトストリッフ, 伊藤昌明, 若松茂, 川原風策), 日本化学雑誌, Нихон гакаку дзаси, J. Chem. Soc. Japan, Pure Chem. Sec., 1954, 75, № 4, 413—416 (японск.). Предыдущее сообщение. См. РЖХим, 1957, 28479.

5754. Присутствие ментофурана в эфирном масле перечной мяты. Лемли (The occurrence of menthofuran in oil of peppermint. Lemli J. A. J. M.), J. Pharmacy and Pharmacol., 1957, 9, № 2, 113—117 (англ.).

Ментофуран (I) образуется в молодых частях растения, где обмен в-в наиболее активен. Масло самых молодых растений имеет самое высокое содержание I, с развитием растения кол-во I уменьшается, но увеличивается с образованием цветочных почек и уменьшается еще более после цветения. После определенного возраста I больше не образуется, и находящийся в железах I медленно окисляется воздухом в оксилантон. А. Баскакова

5755. Корни ветиверии из Британской Гвианы. Ковни, Пиккеринг (Vetiver roots from British Guiana. Coveney R. D., Pickering G. B.), Colon. Plant and Animal Prod., 1956, 6, № 1, 63—66 (англ.).

Масло, полученное из измельченных в интеграторе корней, исчерпывающей дистилляцией с паром и извлеченное с помощью *n*-гексана (выход 4,6% из воздушно-сухих корней, содержащих 4,3% влаги), имеет n_D^{20} 1,5252, $d_{15,5}^{15,5}$ 1,0412, $[\alpha]_D^{20}$ +34,05°, кислотное число 69,3, эфирное число (ЭЧ) 14,3, ЭЧ после ацетилирования 188,1, растворяется в равном объеме 80%-ного спирта при 15,5°, давая прозрачный р-р. Хотя

по запаху и свойствам масло отличается от явного и бурбонского, однако, оно представляет несомненный интерес для парфюмерной пром-сти. Н. Любошиц

5756. Летучие масла. Лейендейк (Vluchtige oliën. Luyendijk E. N.), Chem. en pharm. techn., 1955, 10, № 12, 210—211 (гол.).

Обзор. Библ. 5 назв.

5757. О парфюмерных лишайниках. Гутцайт, Б. Л., Моисеева Е. Н., Полчанинов Л. М., Рассадина К. А., Савич В. П., Успенский К. Ф., Тр. Ботан. ин-та АН СССР. Сер. 2, 1956, вып. 10, 385—392

Выяснена природа «нерастворимого осадка» (НО), получаемого при растворении резиноида (I) дубового мха (DM) в спирте. Показано, что этот осадок является балластом в произ-ве I. Приготовлены образцы I в различных условиях настаиванием DM *Evernia prunastri* при ~20° и экстракцией при 70° 96%-ным этиловым спиртом. Для очистки I DM и удаления НО применимы различные органич. р-рители в разных вариантах. Испытания образцов I DM в духах «Шипр» показали, что при уменьшении в I НО вдвое, по сравнению с производственным образцом, качество запаха сохраняется. Получены I из лишайников *Evernia thamnoides* (Flof.) Arn., *E. furfuracea* (L.) Mann., *Cetraria islandica* (L.) Ach. Испытанием их в духах «Шипр» установлено, что первые два лишайника по запаху представляют интерес для парфюмерной пром-сти.

5758. Исследование полученных холодным прессованием масел флоридского апельсина, мандарина, грейпфрута и персидского лайма в ультрафиолетовом. Хендриксон, Кестерсон, Эдуарде (Examination of coldpressed Florida orange tangerine grapefruit and Persian lime oil in ultraviolet. Hendrickson R., Kesterson J. W., Edwards G. J.), Amer. Perfumer and Arom., 1957, 69, № 4, 27—31 (англ.).

При исследовании большого кол-ва образцов (0,25; масла (М) в 100 мл 95%-ного спирта толщина слоя для апельсинового и мандаринового М 10 мм, для М грейпфрута и лайма (род лимона) 1 мм) продажных М найдено, что М апельсина имеет максимум поглощения ($\lambda_{\text{макс}}$) при 330 мμ (величина оптич. плотности D 0,42—0,68), М мандарина имеет $\lambda_{\text{макс}}$ при 325 мμ (D 1,05—1,28) и при 270 мμ (D 1,27—1,43), М грейпфрута имеет $\lambda_{\text{макс}}$ при 319,5—320 мμ (D 0,317—0,365) и М лайма при 320 мμ (D 1,37—1,59). Исследование М Temple orange, происхождение которого не установлено, показало, что оно имеет $\lambda_{\text{макс}}$ при 327 мμ (промежуточное значение между $\lambda_{\text{макс}}$ для М апельсина и мандарина), что указывает на то, что Temple orange является гибридом апельсина настоящего и мандарина. УФ-спектры позволяют также определить фальсификацию цитрусовых М α -лимоном двойной ректификации, присутствие которого уменьшает D (особенно при $\lambda = 330$ мμ) и примесь одного М к другому. Приведены УФ-спектры исследованных М и смеси М апельсина с *d*-лимоном и М грейпфрута. Н. Любошиц

5759. Спектроскопическое исследование эфирных масел. Часть I. Количественная оценка сандалового масла при помощи инфракрасной спектроскопии. Балакришнан, Дасгупта, Бхаттачарья (Spectroscopic investigation of essential oils. Part I. Quantitative evaluation of sandalwood oil through infrared spectroscopy. Balakrishnan V. K., Dasgupta Sharda, Bhattacharyya S. C.), Petroleum and Essent. Oil Rec., 1956, 47, № 11, 383—386 (англ.).

Исследованием 20 образцов санталового масла (М) показана возможность колич. оценки М по содержанию циклопропанового кольца, определяемому по величине поглощения в области 3,2—3,3 и 9,8—10 м. Для спектрального анализа используют р-ры исходного М и М после ацетилирования в CS_2 . Уменьшение содержания циклопропанового кольца указывает на наличие посторонних примесей. Приведены ИК-спектры различных образцов М до и после ацетилирования.

Н. Любошиц

5760. Ацетали изомасляного альдегида. Панрадль (Die Acetale des Isobutyraldehyds. Panrad R.), Riechstoffe und Aromen, 1956, 6, № 2, 33—34; № 3, 65—66 (нем.)

Указано, что ацетали изомасляного альдегида (приведена общая методика получения), приготовленные в присутствии конц. H_2SO_4 или HCl -газа с добавкой небольшого кол-ва конц. H_2SO_4 , обладают более характерным для каждого из них запахом, чем ацетали, полученные в присутствии HCl -газа. Приведены физ.-хим. константы, хим. строение, характеристика запаха и вкуса ацеталей изомасляного альдегида.

Е. Шепеленкова

5761. Зависимость скорости испарения душистых веществ от величины давления их насыщенного пара. Войткевич С. А., Любошиц Н. Ю., Масл.-жир. пром-сть, 1957, № 4, 20—27

По опытным данным составлена таблица давлений пара 36 душистых в-в (ДВ) в области 15—60° (с интервалом в 5°), содержащая также константы ур-ния $\lg p = B - A/T$, рассчитанные по эксперим. данным. Применением графич. метода экстраполяции к литературным данным найдены давления пара еще 29 ДВ. Дана классификация ДВ по скорости испарения, причем ДВ объединены по величинам условных коэф. испарения ($p_0 MV \bar{D}_{20}$), где p — давление насыщ. пара в-в при т-ре испарения, M — мол. вес. испаряемого в-ва, D — коэф. диффузии паров в-ва в следующие группы: I группа — в-ва, практически нелетучие ($p_0 MV \bar{D}_{20} < 2 \cdot 10^2$); II группа — в-ва с очень малой летучестью $2 \cdot 10^2 < (p_0 MV \bar{D}_{20}) < 2 \cdot 10^3$; III группа — малолетучие в-ва $2 \cdot 10^3 < (p_0 MV \bar{D}_{20}) < 6,67 \cdot 10^3$; IV группа — в-ва средней летучести $6,67 \cdot 10^3 < (p_0 MV \bar{D}_{20}) < 2 \cdot 10^4$; V группа — легколетучие в-ва ($p_0 MV \bar{D}_{20} > 2 \cdot 10^4$). Классификация основана на чисто физ. явлениях испарения и не учитывает силы запаха ДВ.

М. Землянухина

5762. Ускорение отстаивания парфюмерных жидкостей. Виноградова И. В., Масл.-жир. пром-сть, 1957, № 6, 29—34

Предложено три способа: 1) отстаивание жидкостей в виде концентратов, в которых содержание композиций в несколько раз больше, чем в обычных парфюмерных жидкостях; 2) предварительная обработка некоторых эфирных масел и настоев животного происхождения растворением их в разб. спирте и последующей фильтрацией; 3) отстаивание при охлаждении до т-ры от -2 до +3° с заменой воды, требующейся по рецептуре одеколона, льдом.

Е. Кабошина

5763. Применение аэрозолей в парфюмерии. Демиллье, Гутзац (Use of aerosols in perfumery. Demilliers A., Gutsatz Y.), Amer. Perfumer and Arom., 1956, 68, № 2, 38—42

5764. Новое в косметической промышленности США. Наварр (Progrès récents dans l'industrie cosmétique aux États-Unis. Navarre Maison G.), Inds. parf. et cosmét., 1957, 12, № 4, 115, 117, 118 (франц.)

5765. Современные тенденции в косметической промышленности. Ковальский (Tendințe actuale în

industria cosmetică. Covalschi Traian), Rev. ind. aliment. prod. vegetale, 1957, № 1, 1—2 (рум.)

Краткий обзор. Приведены рецепты ряда косметич. препаратов.

А. Марин

5766. Смягчающие свойства сорбита. Нейрат (The emollient properties of sorbitol. Neirath Margaret), Perfum. and Essent. Oil Rec., 1955, 46, № 10, 347—350 (англ.)

5767. Технологии современных препаратов для окраски волос на основе окислительной реакции. Часть 3. Касс (Technology of modern oxidation hair dyes. Part 3. Kass Gus S.), Amer. Perfumer and Arom., 1956, 68, № 3, 47—50 (англ.)

Рассмотрены отбеливающие красители для волос и проявители. Приведены рецептуры красок для волос. Сообщение 2 см. РЖХим, 1957, 32427. И. Вольфензон

5768. Средства ухода за головой и волосами. 3. Средства для перманентной завивки. Бёсс (Kopf- und Haarpflegemittel. 3. Dauerwellmittel. Böss Julius), Seifen — Öle — Fette — Wachse, 1955, 81, № 19, 543—546; № 20, 589; № 21, 616; № 22, 644; № 23, 679; № 24, 704; № 25, 731—732; № 26, 765—767 (нем.)

Обзор патентов, касающихся средств для перманентной завивки. Предыдущее сообщение см. РЖХим, 1957, 35787.

Н. Любошиц

5769. Антисептические и противогрибковые средства в косметике и гигиене. Морелль (Antifongiques et antiseptiques en cosmétique et en hygiène. Morelle Jean), Inds. parf., 1957, 12, № 3, 91—95 (франц.)

Обзор. Библ. 60 назв.

М. 3.

5770. Новое противогрибковое средство на основе молочного белка. Шмидт (Ein neues Antimykotikum auf Milcheiweißbasis. Schmidt Hans Walter), Parfüm. und Kosmetik, 1955, 36, № 10, 496—497 (нем.; рез. англ., франц.)

5771. Лак для ногтей. Бёльке (Gibt es den idealen Nagellack? Boelcke U.), Parfüm. und Kosmetik, 1957, 38, № 2, 100—101 (нем.)

Указываются недостатки лаков для ногтей, обусловленные составляющими компонентами (р-рителями, мягчителями, смолами и т. п.) и рецептурой приготовления. Испытание 16 различных лаков показало, что почти все они одинаковы по качеству.

Е. Ш.

5772. Косметика и спорт. Шварц (Kosmetik und Sport. Schwarz Hans), Seifen-Öle-Fette-Wachse, 1956, 82, № 1, 11—13 (нем.; рез. англ., франц. исп.)

Обсуждается состав и применение средств для загара, против действия УФ-лучей и для втирания. Приведена рецептура крема для загара. Масло для загара получают смешением 1 ч. масляного экстракта (1:10) алыканни с 3 ч. масляного экстракта хлорофилла (1:10) и хранят в темных бутылках. Средства для защиты от действия УФ-лучей готовят с окисью титана, титановыми белилами и охрой. Практич. применение находит 2%-ный р-р оксикумаринуксусной к-ты, растворимой в воде и спирте, защищающий от действия лучей с длиной волны 320—290 мμ при толщине 0,035 мм. Целесообразно применять нежировой крем, содержащий тилозу IB 600. В состав средств для втирания вводят эфирное масло из свежих листьев *Pimenta acris*, янтарное, скипидарное, тиаминное, хвойное масла. Добавление малых кол-в этилового эфира муравьиной к-ты придает этим средствам приятный запах.

А. Войцеховская

5773. Новая рецептура для каламинового лосьона. Датта (A new formula for calamine lotion. Dutta A. B.), Indian J. Pharmacy, 1955, 17, № 2, 31—34 (англ.)

Предложена новая пропись для каламинового лосьона (KJL), в которую вместо бентонита вводят слизь (C) из местного растения *Isabgul*. Этот состав KJL совместим с медикантами, применяемыми при дер-

матозах, после хранения легко вновь диспергируется взбалтыванием, дает липкую пленку, быстро высыхающую даже на гладкой коже, не раздражает.

И. Горбовицкий

5774. Физические основы применения аэрозолей в медицине. Дри на гль (Physikalische Grundlagen bei medizinischer Anwendung von Aerosolen. Dri na gl Karl), Parfüm. und Kosmetik, 1956, 37, № 12, 673—677 (нем.)

Дана физ. и кол. характеристика аэрозолей, применяемых в медицине и рекомендуемых для применения в парфюмерии.

И. Милованова

5775. Стекланная упаковка для аэрозолей, содержащих антисептические средства. Май на (Glass aerosols for antiseptics. Mina Francis A.), Soap and Chem. Specialties, 1955, 31, № 10, 163—165, 197 (англ.)

5776. Парфюмерные продукты в аэрозолях. Швейсхеймер (Parfüm in aerosols. Schweisheimer W.), Seifen-Öle-Fette-Wachse, 1957, 83, № 1, 11—12 (нем.)

Указывается значение применения аэрозольных упаковок для парфюмерных и косметич. продуктов с целью увеличения их сбыта.

Е. Кабошина

5777. Предохранение косметических препаратов от окисления. Рейс (Die Oxydationsverhütung in kosmetischen Präparaten. Ruys A.), Parfüm. und Kosmetik, 1957, 38, № 3, 149—151 (нем.)

Испытано антиокислительное действие «антразина 20» (А) (смеси (в %) 10 ди-трет-бутил-п-крезола, 10 трет-бутилоксианизола, 6 додецилгаллата, 4 лимонной к-ты и 70 гексиленгликоля). Добавка 0,04% к натуральному маслу авокадо повышает устойчивость (по Свифту) с 5,25 до 12 час., введение 0,4% А — до 86 час. Введение 1 ч. меди на млн. в жир черепахи, масло авокадо и свиной жир снижает устойчивость с 21 до 2 час. Добавление 0,05% А к указанным маслам, не содержащим меди, повышает устойчивость до 75 час., содержащих 1 ч. меди на млн. — до 44 час. и содержащих 2 ч. меди на млн. — до 28 час. А, введенный в масло земляного ореха (М), содержащее 2% свежего лимонного масла, сильно повышает устойчивость М и очень мало влияет на М, содержащее старое лимонное масло.

А. Войцеховская

5778 П. Способ получения фенилацетальдегида (Procédé pour la préparation de la phénylacétaldéhyde) [Deutsche Gold- und Silber-Scheideanstalt vormals Roessler]. Франц. пат. 1111933, 6.03.56

Фенилацетальдегид получают изомеризацией окиси стирола (I) в газовой фазе при t -ре $> 100^\circ$ в присутствии катализаторов, содержащих окислы элементов II, III и IV групп периодической системы, их смесей друг с другом или с другими в-вами. Пары I пропускают над катализатором вместе с инертным газом. 100° ч. I пропускают при t -ре 150° над кусочками активированной Al_2O_3 в вакууме. Получают продукт, содержащий 35% фенилацетальдегида. Проводя р-цию при 170° , получают выход $\sim 100\%$.

В. Красева

См. также: Исследование в области синтеза душистых в-в 4544.

ФОТОГРАФИЧЕСКИЕ МАТЕРИАЛЫ

Редактор В. С. Чельцов

5779. Исследование влияния составных частей фотографических эмульсий с видимой печатью на образование изображения. Ферг (Untersuchungen über den Einfluß der verschiedenen Komponenten von

photographischen Auskopieremulsionen auf die Bildentstehung. Fergg Berthold), Z. wiss. Photogr., 1957, 52, № 1—3, 24—54 (нем.)

Так как в желатиновой среде происходят побочные р-ции желатины с $AgNO_3$, в качестве связующей среды брали коллодий. Для исследования применяли слой Гольдберга (СГ), приготовляемые из р-ров: А. LiCl кристаллич. 5 г, воды дистил. 20 мл, спирт 96%-ный 70 мл; Б. $AgNO_3$ 24 г, воды дистил. 30 мл, спирт 96%-ный 60 мл; В. лимонная к-та 12 г, спирт 96%-ный 50 мл, эфир 50 мл; на 14 см каждого р-ра прибавляли 100 мл 2%-ного р-ра коллодия. Эмульсии готовили сливанием 3 ч. А, 3 ч. Б и 4 ч. В без промывания. Экспонирование слоев проводили ртутной лампой высокого давления. Вымыванием в-в из слоев опытами с диффузией их из слоя в контактирующей слой желатины доказано наличие свободных Ag^+ в слое. Изучением краевого эффекта, вызываемого действием электрич. напряжения, установлена подвижность ионов в слое. Значение избытка $AgNO_3$ для построения изображения доказано следующими опытами. Готовые СГ снимали со стекла в дистил. воду и промывали. Эти коллоидные пленки с зернами $AgCl$ переносили в 2%-ный р-р $AgNO_3$ или в такой же р-р с лимонной к-той в кол-ве 10%; контрольные пленки оставляли в воде. При экспонировании в таком р-ре можно получить большие почернения, чем с обычными СГ, в которых почернение ограничивается имеющимся избытком $AgNO_3$. Лимонная к-та повышает чувствительность и мелкозернистость, не увеличивая контраста. Повышение чувствительности лимонной к-той объясняется большой степенью дисперсности фотолитич. Ag и уменьшением фотометрич. эквивалента. Кривые экстинкции фиксированных СГ показывают типичные полосы абсорбции колл. Ag .

К. Мархленец

5780. О механизме химической сенсibilизации в образовании скрытого изображения в присутствии солей золота. Штейгман (Sur les mécanismes de la sensibilisation chimiques et de la formation de l'image latente en présence des sels d'or. Steigmann Albert), Sci. et inds. fotogr., 1955, 26, № 8, 289—304 (франц.)

Исследовано влияние различных факторов на образование скрытого изображения в присутствии солей золота в фотографич. эмульсиях с прямым почернением при кол. размерах галлоидного серебра. Для исследования роли желатины в некоторых опытах применяли поливиниловый спирт. В качестве индикаторов окислительно-восстановительных процессов применяли феррицианид железа и краситель метиленовый голубой, а также проводили argentометрич. измерения. Основную роль при образовании скрытого изображения играют не зародыши Ag или Ag_2S , а имеющиеся в нарушениях кристаллич. решетки поляризованные ионы Ag^+ и Br^- , а при сенсibilизации золотом — ионы Au^+ . Первой стадией является восстановление солей окисного золота до соединений закисного золота. Желатина и тормозители замедляют восстановление ионов Au^+ и Ag^+ вследствие образования устойчивых комплексов. Основными восстановителями являются ионы галлоидов, служащие донорами электронов, а ионы Au^+ , адсорбированные на центрах сенсibilизации, являются акцепторами их. Желатина и ее серебряные комплексы являются акцепторами атомарных галлоидов. Уменьшение конц-ии Ag^+ при одинаковом кол-ве тормозителей снижает эффект «золотой» сенсibilизации вследствие того, что большее кол-во ионов Au^+ переводится в устойчивые комплексы. Основную роль в сенсibilизации солями золота играют ионы Au^+ , адсорбированные на центрах чувствительности зерен галлоидного серебра.

Н. Спасокукоцкий

5781. Исследование проявителей для черно-белых кинонегативов. Антонов С. М., Антонова О. Ц., Тр. Всес. н.-и. кинофотоин-та, 1957, вып. 5 (15), 18—23

Проявители испытывали сенситометрич. методом на черно-белой негативной пленке тип А для 18° и для 20°. Исходными проявителями служили агфа-12 и Д-76. В обоих проявителях $\gamma = 0,65$ при 18° достигалась за 12 мин. В случае Д-76 характеристич. кривая имеет некоторый изгиб при оптич. плотности $\approx 1,5$, чего не наблюдается для агфа-12. Авторы считают это преимуществом Д-76 в отношении улучшения копирования кинонегативов. Недостатком Д-76 является большая чувствительность к КВг. Различия в фотографич. свойствах рабочего и исходного Д-76 практически неощутимо при увеличении скорости подачи добавка. Рекомендуется следующий состав видоизмененного Д-76: метола 2 г, гидрохинона 5 г, сульфата натрия безводн. 100 г, буры 8 г, борной к-ты 4 г, воды 1 л. Добавок того же состава; скорость подачи 100 мл/м пленки. Производственное опробование дало удовлетворительные результаты. Проявители типа агфа-12 более стабильны и экономичны, но не обеспечивали изгиба характеристич. кривой.

К. Мархилевич

5782. Компенсирующие проявители. Андреани (Révélateurs compensateurs. Andréani Robert), Photo rev., 1957, 69, 195—200 (франц.)

Описываются несколько способов компенсирующего или выравнивающего проявления, при котором проявление сильно экспонированных участков задерживается, а слабо экспонированных — протекает полностью, что улучшает качество негативов. Некоторые способы рекомендованы для повышения светочувствительности, т. е. для проявления недодержанных снимков. Проявление с чередующейся промывкой. Проявитель: Na_2SO_3 2,5 г, α -аминофенол 0,5 г, вода до 100 мл; времена последовательного проявления 30, 50 и 80 сек.; после каждого проявления — промывка 2 мин. 2-Растворное проявление. После проявления в р-ре: воды до 100 мл, 10%-ного р-ра NaHSO_3 10 мл, α -аминофенола 1 г (3 мин.) — пластинку переносят в 20%-ный р-р Na_2SO_3 на 3 мин. при энергичном перемешивании. Дубящее проявление. Проявитель: воды 560 мл, пирогаллол 2,4 г, $\text{K}_2\text{S}_2\text{O}_8$ 3,3 г, Na_2SO_3 2 г, Na_3PO_4 (кристалл) 5 г, Na_2HPO_4 8 г. Проявление 8—12 мин. при 18°. Экспозиция — нормальная. Указана литература по способам компенсирующего проявления.

К. Мархилевич

5783. Способ извлечения серебра из фиксажа. Иман (寫真定着液から銀の回收法. 今井弘), 化學の領域, Кагаку-но рэйки. J. Japan. Chem., 1954, 8, № 11, 62—64 (японск.)

Способ основан на извлечении Ag осаждением Na_2S .

К. Мархилевич

5784. Исследование зависимости расхода вещества в реакторе от объема раствора при проявлении и ослаблении кинопленки. Блюмберг И., Булочникова Г., Солодовникова Н., Ж. прикл. химии, 1957, 30, № 7, 1016—1021

Исследование влияния объема рабочего р-ра в реакторе в отношении увеличения расхода реагирующих в-в в связи с ходом бесполезных р-ций (БР) проводилось в отношении фотографич. процессов ослабления и проявления. Выводится математич. ф-ла константы скорости БР, из которой видно, что скорость БР повышается с увеличением объема р-ра в реакторе. Опыты проводились в спец. приборе, в котором р-ры из двух сосудов подавались в третий сосуд — реактор с постоянным уровнем жидкости. Приводятся результаты опытов по окислению тиосульфата железосинеродистой солью, окислению гидрохинона O_2 и окислению дитил-л-фенилендиамина O_2 . В отношении тиосуль-

фата и железосинеродистого калия подтвердилось положение об увеличении расхода в-в на БР. Для проявляющих в-в наблюдается обратное явление: кол-во проявляющего в-ва, окисляемого O_2 , не зависит от объема р-ра, а определяется поверхностью соприкосновения р-ра с воздухом. Увеличение объема рабочего р-ра ведет к росту расхода его компонентов в случае отбеливающего р-ра персульфатного ослабителя, но не повышает расхода в-в проявляющих р-ров и фиксажей для черно-белых и цветных пленок.

К. Мархилевич

5785. Контроль и унификация процессов обработки цветной и черно-белой пленок. Антонов С. М., Антонова О. Ц., Савушкина Е. П., Тр. Всес. н.-и. кинофотоин-та, 1957, вып. 5 (15), 24—26

Контроль процессов обработки (ПО) на различных киностудиях и кинофабриках, а также кинопленочных ф-ках показал, что на одном и том же предприятии ПО недостаточно постоянны, и расхождения в ПО на различных предприятиях велики, напр. время проявления черно-белой позитивной пленки до $\gamma = 2,10$ колеблется от 1 мин. 25 сек. до 30 мин. 40 сек. Наиболее стабилен ПО цветной негативной пленки. Значительно непостоянен ПО позитивной цветной пленки. Между предприятиями имеются существенные различия в величинах γ цветной позитивной пленки, составе проявителей, т-ре проявления и фиксирования, кратности циркуляции проявителя и изменении турбулентности. Приводятся количеств. данные по отдельным предприятиям и рекомендации по рецептуре и режимам обработки для унификации ПО на предприятиях.

К. Мархилевич

5786. Строение фотографических материалов. Зеликман В., Сов. фото, 1957, № 8, 46—49

Сведения о галогдосеребряных желатиновых эмульсиях и о строении черно-белых и цветных фотографич. материалов.

К. Мархилевич

5787. О фотографической зернистости и гранулярности. Хабу (現像銀の粒状測定法について. 羽生誠待), 小西六レビュー, Konishiroku Rev., 1957, 8, № 1, 1—14 (японск.)

Обзор исследований зернистости и гранулярности проявленных фотографических слоев. Дается определение этих понятий и описываются методы измерения зернистости по Джонсу и Дишу и по Дишу и Хитгинсу, а также методы измерения гранулярности Ван-Кревельда, Гетца и Гоулда, Сельвина, Ромера и Сельвина, Эггерта и Кюстера. Приводятся кривые зависимости зернистости, определенной по методу Джонса и Диша, и гранулярности, определенной указанными методами, от оптич. плотности почернения. Описывается новый метод измерения зернистости и гранулярности Джонса и Хитгинса и результаты испытаний, устанавливающих определенное соотношение между зернистостью и гранулярностью.

К. Мархилевич

5788. Чувствительность фотографических слоев к β -излучению различных энергий. Картужанский А. Л., Солтицкий Б. П., Ж. научн. и прикл. fotogr. и кинематогр., 1957, 2, № 4, 241—242

Исследование велось при помощи ряда сенситометров с источниками β -излучения C^{14} , S^{35} , Ca^{45} , Co^{60} , Sr^{90} и P^{32} . Приводятся характеристики сенситометров и в графич. форме для восьми различных фотографич. материалов результаты определения зависимости $\lg S$ от $\lg E$, где S — светочувствительность для $D = 1,0 + D_0$, а E — средняя энергия излучения. Результаты сопоставляются с ф-лой Поддара.

К. Мархилевич

5789. Диазотинный процесс. Бенбрук (The diazo-type process. Benbrook S. H.), Amer. Docum., 1957, 8, № 2, 81—88 (англ.)

Обзор. Библ. 35 назв.

К. М.

5790. Цветная многослойная киноплёнка с повышенной светочувствительностью для съёмок при освещении лампами накаливания (ЛН-3). Клинский И. М., Тр. Всес. н.-и. кинофотоин-та, 1957, вып. 5 (15), 43—46

Описываются свойства цветной плёнки ЛН-3 с повышенной чувствительностью. Препятствием к повышению чувствительности являлась высокая пурпурная вуаль (ПВ) среднего слоя при использовании высокочувствительных аммиачных эмульсий. Установлено, что ПВ может быть предотвращена применением между фильтровым слоем и средним эмульсионным слоем желатиновой прослойки со спец. недиффундирующим восстановителем. Кроме этого изменены условия приготвления эмульсий, применяемых для новой плёнки. Плёнка ЛН-3 чувствительнее плёнки ЛН-2 в $2\frac{1}{2}$ —3 раза; по другим сенситометрич. показателям плёнки ЛН-3 и ЛН-2 практически одинаковы. Проверена пригодность плёнки ЛН-3 для съёмок при освещении дневным светом, с применением желтого светофильтра (агфа-1). Получены удовлетворительные результаты.

К. Мархилевич

5791. Раздельная обработка цветной позитивной плёнки. Кириллов Н. И., Стрельникова А. П., Антонов С. М., Тр. Всес. н.-и. кинофото ин-та, 1957, вып. 5 (15), 36—42

Производственное испытание процесса обработки цветных плёнок с раздельным отбеливанием изображений (I) и процесса с повторным проявлением отбеленной фонограммы (II) проводили на бесфильтровых плёнках агфа-5 и ЦП-6. Установлено, что качество звука и изображения, а также стабильность процессов I и II практически одинаковы, но при процессе I производительность выше на 40%. Проведено исследование раздельного отбеливания изображения в процессе I и установлено, что изменение в широких пределах кислотности фиксажа и конц-ии $K_3Fe(CN)_6$ в отбеливающем р-ре не влияет существенно на D и γ различных слоев плёнок, и для поддержания pH отбеливающего р-ра целесообразно вводить р-р буферных фосфатных смесей. Приводятся дополнительные данные об испытаниях в производственных условиях усовершенствованного процесса II и дается сравнительная оценка его с процессом I.

К. Мархилевич

5792. Новый процесс обработки фотографических слоев путем нанесения на них обрабатывающих растворов. Масленкова Н. Г., Кириллов Н. И., Тр. Всес. н.-и. кинофотоин-та, 1957, вып. 5 (15), 27—35

Исследовалось нанесение на фотографич. слой фиксирующих р-ров с $Na_2S_2O_3$, с $(NH_4)_2S_2O_8$ и с тиомочевой. В графич. форме приводятся данные о зависимости скорости фиксирования от конц-ии маловязких р-ров $Na_2S_2O_3$ и NH_4CNS и от т-ры. Удовлетворительные результаты получены также с р-рами тиомочевы при обыкновенной и повышенной т-ре. Исследовалась кинетика проявления черно-белой позитивной плёнки нанесением вязкого проявителя по сравнению с обычным проявлением. Рецепт проявителя: метол 1,25 г, гидрохинон 5,0 г, Na_2SO_3 25 г, NaOH 16,5 г, KBr 6, 5 г, бензотриазол 0,5 г, смачиватель СВ-133 (кислый диалкилэтилендиаминный эфир октаглицерида алкенилэтантарной к-ты) 2,8 г, вода до 1 л; для вязкости добавлялась натриевая соль карбоксиметилцеллюлозы (Na—КМЦ). Зависимость γ и D от времени проявления для испытуемого и обычного проявления аналогичны, но γ_{max} больше, и D₀ растёт быстрее при обычном проявлении. Опыты с негативными черно-белой и цветной плёнками дали удовлетворительные результаты. Более детально исследовалось проявление цветной позитивной плёнки нанесением вязкого проявителя: диэтил-п-фенилдиаминсульфат 5,5 г, Na_2SO_3 2,0 г, гидроксиметилсульфат 1,5 г, K_2CO_3 80 г, KOH 6,0 г, KBr

0,5 г, ди-Na-соль этилендиаминтетрауксусной к-ты 2,4, Na—КМЦ 40 г, СВ-133 2,8 г, вода до 1 л. Проведена проверка разрабатываемого способа в производственных условиях на позитивной черно-белой и цветной плёнках с удовлетворительными результатами.

К. Мархилевич

5793. Цветовоспроизведение в цветной фотографии и компоненты. Огути (天然色寫真における色再現とカプラー. 小口正信), 油脂化学協會誌, Юки госэй кагаку кёкайси, J. Soc. Organ. Synth. Chem. Japan, 1955, 13, № 9, 406—412 (японск.)

Обзор. Библ. 12 назв.

К. М.

5794 П. Состав из смешанных эфиров целлюлозы для получения плёнки. Фордайс, Грамми (Cellulose mixed ester film-forming composition and a film made therefrom. Fordyce Charles R., Gramke Bruce E.) [Eastman Kodak Co.]. Пат. США 2739070, 20.03.56

При отливке основы киноплёнки для любителей применяют ацетпропионат целлюлозы (АПЦ) (23—31% CH_3COO -групп и 13—15% C_3H_7COO -групп), растворенный в смеси пропиленхлорида и метанола (I). Патентуется получение плёнки из р-ров указанного эфира или ацетобутирата целлюлозы (АБЦ) (30—32% CH_3COO -групп и 12—14% C_4H_9COO) в р-рителе, состоящем из 80—90% CH_2Cl_2 (II), 5—15% n-бутанола (III) и 3—10% I, причем на 100 ч. смешанного эфира целлюлозы применяют 428—510 ч. смеси р-рителей. Общее содержание спирта должно быть $\geq 10\%$ и $\leq 20\%$. Патентуемые составы позволяют ускорить процесс отливки плёнки и сообщают ей повышенную прочность, меньшую продольную и поперечную усадку и повышенную способность удерживать р-ритель. Напр., 100 вес. ч. АПЦ, содержащего 14% C_3H_7COO - и 30% CH_3COO -групп прибавляют смесь 434 ч. II, 25 ч. I и 51 ч. III, после полного растворения АПЦ прибавляют 8 ч. трифенилфосфата (IV) в качестве пластификатора; т-ра поверхности цилиндра при отливке 27°, плёнку толщиной 0,14 мм снимают через 4,6 мин. Приведен также пример со смесью АБЦ. По каждому примеру приведены таблицы прочностей получаемой плёнки в продольном и поперечном направлении и процент удерживаемого ею р-рителя (2,2—3,2%). В составы можно вносить красители и окрашенные в-ва или таковые или в виде р-ров в тех же р-рителях, или окрашивать плёнки р-рами красителей в р-рителях, не растворяющих плёнки. В качестве пластификатора, помимо IV, имеющего преимущества невоспламеняемости, применяют трикрезилфосфат, диэтилфталат, дибтилфталат и трипропионин или их смеси с IV.

Ю. Вендельштейн

5795 П. Фотографические эмульсии из сложных эфиров целлюлозы. Хилборн (Cellulose ester photographic emulsions. Hilborn Edwin H.) [Eastman Kodak Co.]. Пат. США 2748022, 29.05.56

К сложному эфиру целлюлозы, используемому в качестве связующей среды для галогенного серебра, прибавляют $(NH_4)_2CO_3$ или NH_4HCO_3 , или их смесь. При этом материал не скручивается, не требует нанесения подслоя, легко склеивается и может обрабатываться в р-рах при повышенной т-ре с сокращенным временем обработки. $(NH_4)_2CO_3$ или NH_4HCO_3 при нагревании до 35,5° во время сушки нанесенного на подложку слоя эмульсии разлагается с выделением CO_2 и NH_3 , в результате чего получается пористый эмульсионный слой, легко проникаемый для р-ров. Для приготовления эмульсионных слоев можно применять целлюлозные эфиры различных органич. к-т, в особенности сложные эфиры с содержанием того ацильного остатка, который содержится в сложных эфирах подложки данного материала. Пример. Р-р А. Смесь

ацетилцеллюлозы с содержанием ацетильных групп 30% и пропионильных групп 0,6—2%, бикарбоната аммония 35% и метилхлорида 63% помещают в шаровую мельницу на 4 часа и затем разбавляют равным объемом смеси этилендихлорида и метанола (4:1). Р-р Б: ацетилцеллюлоза того же типа 2%, AgNO_3 1,25%, вода 3%, метилцеллозоль 7%, метанол 10% и соответствующее кол-во этилендихлорида. Р-р В: ацетилцеллюлоза того же типа 2%, KBr 1%, вода 0—3%, метилцеллозоль 7%, метанол 10% и соответствующее кол-во этилендихлорида. Э получают смешиванием в темноте равных частей А, Б и В, прибавляя В к Б и полученную смесь — к А, наносит на подложку из бумаги или из сложных эфиров целлюлозы и сушат горячим воздухом. Экспонированный материал проявляют в метологидрохиноновом проявителе и фиксируют в дубящем фиксаже.

К. Мархилевич

5796 П. Метод приготовления дисперсного галогидного серебра. Лоу, Минск, Кенъон (Method of preparing silver halide dispersions. Lowe Wesley G., Minsk Louis M., Kenyon William O.) [Canadian Kodak Co. Ltd]. Канадск. пат. 611769, 12.04.55

Водорастворимые серебряную и неорганич. галогидную соли растворяют порознь в разб. водн. р-ре смеси сополимеров, после чего р-ры солей смешивают. Пригодную смесь сополимеров получают полимеризацией: 1) смеси акриловой к-ты (I), акриламида (II) и акрилонитрила (III). Состав смеси: I 2—15% от общего кол-ва смеси; остальные II и III в соотношении III:II от 1:5 до 1:1; 2) смеси I, II и метилвинилкетона (IV); состав смеси: I 2—15% от общего кол-ва смеси; остальные IV и II в соотношении IV:II от 1:12 до 1:5; 3) смеси 24 ч. II, 2 ч. IV и 2—4 ч. I. Для изготовления галогидосеребряных эмульсий с поливинилалкоголем получение дисперсного галогидного серебра проводят вышеописанным способом, после чего в качестве защитного коллоида добавляют поливинилалкоголь.

К. Мерц

5797 П. Способ повышения реакционной способности фотографических проявителей. Жимковский (Verfahren zur Verbesserung der Reaktionsfähigkeit photographischer Entwickler. Bzymkowski Johannes). Пат. ФРГ 932836, 8.09.55

В проявляющий р-р вводят небольшие кол-ва хиноновых красителей циклич. строения, образующих семикхиноны. В качестве таких красителей можно применять производные феназина, оксазина, тиазина, селеназина и акридина. Напр., тиазиновый краситель тионин при отдаче двух H^+ образует 2-валентный анион лейкотионина и может применяться как катализатор для сокращения индукционного периода проявления фотографич. слоев. В-ва, образующие радикал семикхинона, быстро преодолевают, вследствие их структуры, потенциальный барьер на поверхности экспонированного кристалла галогидного серебра. Отрицательные ионы проявляющего в-ва легко достигают поверхности кристалла, благодаря чему значительно сокращается индукционный период процесса проявления. Эти новые катализаторы оказывают свое действие как на неорганич., так и органич. проявители. Если введение этих в-в увеличивает вуаль, следует добавлять противувальирующие в-ва; бромистый калий, нитробензилмезол, аурамин, акридиноранж и т. п. Введение указанных катализаторов в проявитель повышает контрастность крайних участков характеристики. кривой и сообщает проявляющему р-ру большую устойчивость, понижая чувствительность его к накоплению Br^- ионов при длительном использовании. На 100 мл обычного щавелево-железного или другого проявителя добавляют, напр., 2 мл 0,5%-ного р-ра тионина в 60%-ном спирте, что позволяет использовать

проявитель при накоплении Br^- ионов в конц-ии до 1%. Для предотвращения выпадения хиноновых красителей или их лейкооснований рекомендуется добавка защитных коллоидов или органич. р-рителей (напр., ацетона до конц-ии 5%).

К. Мерц

5798 П. Способ улучшения белых тонов фотографических изображений, изготовленных диффузионным переносом серебряных солей. Вейде (Verfahren zur Verbesserung der Weißen von nach dem Silbersalz-Diffusionsverfahren hergestellten photographischen Bildern. Weyde Edith) [Agfa A.-G. für Photofabrikation]. Пат. ФРГ 946327, 26.07.56

Применяют восстанавливающие в-ва, дающие бесцветные продукты окисления и обесцвечивающие окрашенные продукты окисления проявителя. Для этой цели пригодны соединения с группировками $\text{CO}-\text{CHOH}$ или $\text{CON}=\text{CON}$ в кольце или открытой цепи, напр. аскорбиновая, изоскорбиновая, окситетроновая и диоксималеиновая к-ты, редуктон и их производные. Эти в-ва вводят в слой для переноса при его изготовлении или же после переноса. Пример 1. Галогидосеребряный слой, содержащий проявляющее в-во, напр. гидрохинон, после экспонирования под оригиналом одновременно с бумагой для переноса, которая содержит центры проявления, тиосульфат Na и аскорбиновую к-ту в кол-ве 5 г на 1 м^2 , обрабатывают р-ром 20 г NaOH в 1 л воды. Полученный позитив имеет белый тон, не изменяющийся при длительном хранении. Пример 2. Слой для переноса содержит тиосульфат Na и центры проявления. После экспонирования слой обрабатывают р-ром, содержащим в 1 л 20 г NaOH и 12 г аскорбиновой к-ты.

К. Мархилевич

5799 П. Светочувствительный слой для получения задубленных рельефных изображений. Нейгебауер, Рейхель (Lichtempfindliche Schicht für die Herstellung von Gerbildern. Neugebauer Wilhelm, Reichel Maximilian Karl) [Kalle & Co. A.-G.]. Пат. ФРГ 954308, 13.12.56

Слой состоит из полиамида (ПА), полученного поликонденсацией ≥ 3 реакционных компонентов, и содержит в качестве светочувствительного дубящего в-ва ароматич. азид (I) ф-лы $\text{n-N}=\text{N}=\text{N}-\text{S}_6\text{H}_5(\text{X})-\text{CH}=\text{C}(\text{Y})(\text{R})-\text{n}$, где R-алкил, арил или NO_2 -группа; X — группа, образующая водорастворимую соль щел. металла, или сульфонамидная группа; Y — H, ацильная или COOH -группа. Слой стабилен при хранении и дает прочное задубленное изображение при экспонировании. Рельеф получают отмытием неэкспонированных участков слоя смесью воды и низшего алифатич. спирта. Пригодные ПА получают поликонденсацией ω , ω' -диамина, ω , ω' -дикарбоновой к-ты или ее соли и аминокислотной к-ты или ее производного (сложного эфира, амида или лактама). Напр., проводят конденсацию гексаметилендиамина, адипиновой к-ты и ϵ -капролактама без воздуха при высокой т-ре. Приведен перечень подходящих I, напр. Na- и ди-Na-соли 4,4'-диазидостильбен-2,2'-дисульфокислоты и др. и способы получения некоторых из них. Пример. 90 мл 10%-ного р-ра ПА, полученного из адипиновокислого гексаметилендиамина (3 ч.) и ϵ -капролактама (2 ч.), в 80%-ном этиловом спирте смешивают с 2,5 г Na-соли 4,4'-диазидостильбен-2,2'-дисульфокислоты и 10 мл 50%-ного гликольмонометилового эфира. Светочувствительный р-р (45—50°) наносят на подложку и высушивают при 90—100°. Этот стабильный материал экспонируют через оригинал (экспозиция 1—2 мин. от угольной дуговой лампы (18 а) на расстоянии 70 см; предпочтительно экспонировать до желто-коричневой или коричнево-красной окраски). Для удаления неизмененного I материал промывают 2—3 мин. в воде

при 45—50°, после чего без сушки обрабатывают в 65%-ном р-ре этилового спирта при 45—55°.

С. Бонгард

См. также: Оптич. сенсibilизаторы 4661, 5555. Ядерная фотография 4442. Свойства фотографич. материала 4426. Цветная фотография 4451, 4470

ПЕРЕРАБОТКА ТВЕРДЫХ ГОРЮЧИХ ИСКОПАЕМЫХ

Редакторы И. Ф. Богданов, М. О. Хайкин

5800. Направления исследований по углю в США. Макфарлан (Some aspects of coal research in the United States. Macfarlane W. A.), J. Inst. Fuel, 1955, 28, № 170, 109—113 (англ.)

Доля угля в энергетич. балансе США за 50 лет снизилась с 90 до 50%. Исследования имеют целью вернуть углю его прежнее значение, особенно в связи с перспективой истощения запасов нефти и газа. Задача увеличения потребления угля для бытовых целей решается путем разработки конструкций печей и малогабаритных паровых котлов, требующих миним. ухода. Резко упавшее потребление угля железнодорожными дорогами будет ликвидировано при положительном решении проблемы использования газотурбинных локомотивов с к.п.д. 18,7%, работающих на угле. Проблема жидкого топлива решается тремя путями — сухой перегонкой сланцев, гидрогенизацией угля и синтезом по Фишеру-Тропшу. Для использования бурых углей оказался весьма эффективным процесс Парри. По этому способу уголь подсушивают и подвергают полукоксованию в псевдооживленном состоянии, после чего полукокс сжигают непосредственно под котлами электростанции.

Н. Лапидес

5801. Физико-химические и коксующие свойства петрографических составляющих некоторых углей как функция степени их метаморфизма. Альперн (Propriétés physico-chimiques et cokéfiantes des macéraux de quelques charbons en fonction de leur degré de houillification. Alpern B.), Proc. Internat. Comm. Coal Petrol., 1956, № 2, 43—45. Discuss., 45—46 (франц.)

См. также РЖХим, 1957, 45397

5802. Бирманские угли третичного периода и их использование. Асаи, Танио, Наканаяги (ビルの第三紀炭とその有効利用について. 浅井一彦, 丹野晴彦, 中柳靖夫), Танкэн, J. Coal Res. Inst., 1955, 6, № 7, 1—10 (японск.)

Приведено описание угольных шахт и потребления угля в Бирме. Для получения коксо-брикетов из коксующегося угля, бурый уголь месторождения Калева измельчают до крупности 5 мм, подвергают низкотемпературному коксованию при 550—600°, смешивают с 7% пека (или битума) и 15% сильноспекающегося угля, формируют в брикеты при 100° и 100—200 кг/см² и быстро коксуют при 1100—1200°. Полученный кокс характеризуется показателем по барабанной пробе 89—91%.

Э. Тукачинская

5803. Решение вопроса о происхождении лигнитов на основе их теплоемкостей. Террес, Дене, Нанди, Шейдель, Траппе (Die Entscheidung der Frage der Entstehung von Faserkohle auf Grund ihrer spezifischen Wärmen. Terres Ernst, Dähne Heinz, Nandi Biswanat, Scheidel Curt, Trappe Klaus), Brennstoff-Chemie, 1956, 37, № 19-20, 342—347 (нем.)

Приводится эксперим. материал по лигнитам из залежей северного полушария, подтверждающий образование их при т-рах порядка 700—1000°, т. е. в результате лесных пожаров. Изучено 7 нем., 3 англ.,

6 с.-амер. и 3 индийских угля. Предыдущее сообщено см. РЖХим. 1957, 52130.

5804. Исследование венгерских каменных углей на содержание ванадия и молибдена. Доклад о связи этих металлов с органической массой угля. Алмашши, Салаи (Analitikai vizsgálatok a kőszénnek vanádium- és molibdéntartalmára vonatkozólag. A két fém szénhez — kötött állapotban igazolása. Almássy Gyula, Szalay Sándor), Magyar tud. akad. Kém. tud. oszt. közl., 1956, 8, № 1, 39—45 (венг.)

Исследованы венгерские каменные угли различных марок на содержание Мо и V. Для определения V (содержание V в золе угля 0,01—0,1%), сплавы из золы, 2 г K₂CO₃ и 2 г Na₂CO₃ растворяли в HCl, упаривали досуха, сухой остаток окисляли конц. HNO₃. Определение V основано на том, что полученный продукт окисления в присутствии оксалат-ионов способен окислять анилин с образованием продуктов синего-зеленого цвета. Анализ Мо в золе углей (<0,01%) проведен хроматографич. методом по Алмашши-Штрауберг, 0,5—1 г золы смешивали в платиновом тигле с конц. HCl и HF, к полученному р-ру добавлена HCl (и-та), р-р упарен досуха, остаток растворен в 1 мл конц. HCl при добавлении небольшого кол-ва дистил. воды. В полученном р-ре определялся Мо. Найдено, что если из угля выделить золую часть, то уголь заметно обогащается Мо и V; следовательно, эти компоненты связаны с органич. в-вом угля.

А. Хаусман

5805. Особенности южноуральских бурых углей и пути их промышленного использования. Сообщение 4. Дробное экстрагирование южноуральских бурых углей. Левин И. С., Барникова Т. А., Тр. Уральского политехн. ин-та, 1957, сб. 59, 119—123

Разработан метод дробного экстрагирования (3) углей, состоящий в том, что при ~20° Э извлекаются только смолы, а при охлаждении горячего экстракта выделяются воски. После отгонки р-рителя из филтрат горячего Э получается фракция, близкая по составу к битумам. В качестве р-рителя рекомендуется дихлорэтан, обладающий большей избирательной способностью по отношению к смолам, высокое содержание которых в битумах является одной из причин плохой сплавляемости сырых битумов с парафином. Фракции дробного Э характеризуются т-рами плавления, содержанием смол и сплавляемостью с парафином. Метод дробного Э может быть использован не только для бурых углей с высоким выходом смолы, но и для других углей типа украинских. Сообщение 3 см. РЖХим, 1957, 66954.

5806. Влияние предварительного окисления и нагревания углей на их растворимость в органических растворителях. Тутурин В. В., Тр. Иркутского горно-металлург. ин-та, 1955, вып. 7, 49—51

Бурые и каменные угли Иркутского бассейна окисляли при 20—90° р-рами HNO₃ различной конц-ии и экстрагировали спирто-бензолом, фенолом и пиридином. Окисление повышало растворимость углей (в пиридине до 100%). Нагревание углей в токе CO₂ при 250—500° в течение 3 мин. снижало растворимость.

А. Шакин

5807. Определение удельного веса свежедобывтого и воздушно-сухого торфов. Зегеберг (Untersuchungen über die Verwendung grubenfrischer und lufttrockener Torfe bei der Bestimmung ihrer spezifischen Gewichte. Segeberg H.), Z. Pflanzenernähr., Düng., Bodenkunde, 1957, 76, № 1, 47—54 (нем.)

Проведены определения уд. веса различных сырых и воздушно-сухих торфов Северной и Северо-восточной Германии. В обоих случаях получены совпадающие результаты. Средний уд. вес воздушно-сухого и свежедобывтого торфа найден ~2,00.

Г. Стальман

5808. О реологии угольных смесей. Лавренчиц (Zur Rheologie der Kohlenmischungen. Lavrenčič Boris), Brennstoff-Chemie, 1957, 38, № 5-6, 77-82 (нем.)

Особые реологич. свойства углей из Ибара (ФНРЮ) — индекс вспучивания +9, объемное расширение 600-1000%, потребовали разработки спец. методов их исследования. Проведены определения давления вспучивания (ДВ) при постоянном объеме в экспандометре Недельмана. Показано резкое влияние на ДВ прибавки в 6-10% лигнитов. Предложена схема испытаний угольных смесей при определении их коксующих свойств.

Н. Гаврилов
5809. Опыты пирогенетического разложения углей. Герен, Марсель (Sur quelques essais de pyro-généation des houilles. Guérin Henri, Marcel Paul), Bull. Soc. chem. France, 1956, № 8-9, 1212-1220 (франц.)

Исследован пиролиз по методу Лебо 6 образцов коксующихся и некуксующихся углей, причем изучали состав газа пиролиза и твердых остатков. Из данных о ходе выделения летучих в-в выявлена вероятность протекания процессов превращения углей в естественных условиях на протяжении геологич. периодов в направлении выделения слабо связанного О в виде ОН и СООН и прочно связанного О, входящего в цикл, или соединяющего два цикла. Наличие в угле прочно связанного О существенно для коксообразования, чем и объясняется различное поведение при пиролизе саарского угля, давшего кокс, и лотарингского некуксующегося угля, хотя по содержанию летучих в-в эти угли мало отличались (36 и 38%). Авторы считают, что выявленная Жилле для русских углей аналогия в поведении углей при пиролизе и в ходе естественных превращений в геологич. периоды неприменима без привлечения других факторов — давления, влияния присутствия воды и пр.

Н. Гаврилов
5810. Новый коксохимический завод в Англии. — (South Bank coking plant. New coking and by-product plant for South Bank Works of Dorman Long—), Collety Guard., 1957, 194, № 5019, 621-624; Coke and Gas, 1957, 19, № 216, 180-186; Engng and Boiler House Rev., 1957, 72, № 6, 201-203 (англ.)

Описание крупнейшего в Англии нового коксохимич. з-да близ Мидлсбруха (Middlesbrough) с еженедельной переработкой 25 000 т угля.

Д. Цикарев
5811. Обогащение углей в Англии. Галигузов Н. С., Уголь, 1957, № 5, 40-43

Обзор. Библ. 5 назв.
5812. Обогащение угля месторождения Комла. Мартинь (A komlói szén előkészítése. Martiny Károly), Bányász, lapok, 1956, 11, № 11-12, 728-735 (венг.)

Освещены технологич. и экономич. вопросы, описана обогатительная машина пневматич. типа, пригодная для обогащения этих углей.

А. Хаусманн
5813. Определение оптимальной степени обогащения угля. Делл (Determining the optimum degree of coal-washing. Dell C. C.), Colliery Engng, 1957, 34, № 397, 105-109 (англ.)

Предложено использовать кривые обогатимости Майера для графич. определения оптимальной степени обогащения углей. В основу построения графика положен выход угля с нулевым содержанием золы, как эквивалента. Приведены примеры графич. оценки обогащения и определения экономич. эффективности его, а также обсужден вопрос о качестве промпродуктов и об их переобогащении.

С. Гордон
5814. Шламовое загрязнение угля во флотационных пульпах. Джоуэтт, Эль-Синбави, Смит (Slime coating of coal in flotation pulps. Jowett A.,

El-Sinbawy H., Smith H. G.), Fuel, 1956, 35, № 3, 303-309 (англ.)

Шлак тонкоизмельченной породы образует на поверхности зерен угля при флотации тонкую пленку, превращающую неполярную поверхность его в гидрофильную. Это снижает выход концентрата и уменьшает эффективность процесса. Приводится обзор теорий образования пленок на угольных зернах и результаты измерений электр. потенциала Z двойного ионного слоя, образующегося на разделе фаз частица-вода по ф-ле: $Z = 4\pi M\eta/D$, где M — подвижность заряженной частицы (скорость отнесения к градиенту потенциала), η — вязкость и D — диэлектрич. постоянная суспензии. Электр. подвижность частиц измеряется посредством электрофореза. Для предотвращения налипания шлама на зерна угля необходимо добавлять в флотационную пульпу электролит с учетом хим. свойств коллектора и пенообразователя. В опытах в качестве электролита использовался Na_2HPO_4 .

У. Андреас
5815. Дробление угля. II. Применение матричного анализа для исследования процесса дробления. Бродбент, Коллкотт (Coal breakage processes. II. A matrix representation of breakage. Broadbent S. R., Callicott T. G.), J. Inst. Fuel, 1956, 29, № 191, 528-539 (англ.)

Показано, что сложные процессы дробления могут быть анализированы при помощи простых арифметич. расчетов с применением матричного анализа. Последний позволяет легко исследовать дробление с рециркуляцией, а также различные случаи селективного дробления. Сообщ. I см. РЖХим, 1958, 2452.

В. Загребельная
5816. Развитие техники производства буроугольных брикетов, в частности брикетов, пригодных для загрузки буроугольных коксовых печей. Радемахер (Entwicklung der Verfahrenstechnik der Braunkohlen-Briketterzeugung unter besonderer Berücksichtigung der Herstellung von Einsatzbriketts für die Braunkohlen-Kokereien. Rademacher Werner), Freiburger Forschungsh., 1956, A, № 48, 35-52, Diskuss. 142-154 (нем.)

В ближайшем будущем > 40% производимых в ГДР брикетов будут использоваться в процессах обогащения топлива. К буроугольным брикетам, используемым для газификации, сухой перегонки и, особенно, для получения металлургич. кокса предъявляются повышенные требования в отношении прочности на истирание (ПИ) при проходе через шахту. По данным заводских испытаний повышенная ПИ достигается при пониженной скорости высушивания. Повышенное содержание ксилита в буреугольном угле (БУ) резко снижает ПИ. Исследования показали, что ксилитный показатель можно рассчитывать по данным о содержании золы и прочности брикетов на раздавливание. Для повышения качества брикетов разработан метод выделения из буроугольного ксилита, основанный на присутствии его преимущественно в крупных частицах, меньшем уд. весе, длинной, плоской, стеблеобразной форме частиц. Основным требованием для получения прочного кокса является использование при брикетировании мелкозернистого материала не крупнее 1 мм. Согласно производственным данным, повышение содержания в брикуемой массе частиц 0,06-0,25 мм положительно влияет на свойства кокса; однако увеличение фракции 0-0,006 мм сказывается отрицательно. На свойства кокса влияет конструкция пресса, производительность, число оборотов. Риншель и Кнаут предложили математич. способ определения условий прессования для получения брикета оптимального качества. Изложено содержание дискуссии по докладу.

Н. Гаврилов

5817. Коксование углей в Англии. Ли, Грехэм (Carbonisation in Great Britain with special reference to coke oven plant. Lee G. W., Graham J. P.), Gas J., 1956, 287, № 4858, 456, 459—460, 465 (англ.)

В настоящее время суточная производительность коксовой установки составляет 1500—2000 т угля, причем лучший по качеству металлургич. кокс производится из углей Дархема и Южного Уэльса; ширина камер современных печей варьирует в пределах 400—450 мм. Намечается тенденция увеличения в шихтах для коксования содержания углей с высоким выходом летучих в-в. Большое внимание уделяется повышению насыпного веса шихты, в частности, путем смачивания ее углеводородными жидкостями; добавление 1,5 л масла на 1 т шихты увеличивает производительность коксовых печей на 4%. В опытно-промышленном масштабе исследуются процессы двухступенчатого коксования, позволяющих расширить ассортимент используемых углей. Перспективна предварительная обработка в кипящем слое малометаморфизированных углей. Примеси оказывают значительное каталитич. влияние на реакционную способность кокса, особенно велико влияние добавок соды. Сухое тушение кокса позволяет радикально улучшить тепловой баланс коксования.

5818. Улучшение коксуемых свойств углей Нового Южного Уэльса (Австралия) добавками пека и пековых смол. Дрейкотт, Томпкинс (Improvement of coking properties of certain New South Wales coals using pitch and pitch resins. Draycott A., Tompkins D. K.), Chem. Ind. and Engng, 1957, 9, № 3, 26—31 (англ.)

Проведены лабор. опыты коксования низкосортных углей с добавками каменноугольного дегтя ($d_{15}^{15} 1,044$; отгоняется до 300° 34,5%; остаток > 300° 65,5%) и смолы — порошкообразного в-ва, полученного высаживанием из р-ра дегтя в бензоле петрол. эфиром. Установлено, что для получения кокса удовлетворительного качества требуется введение до 40% дегтя. Добавка смолы в кол-ве ~ 5% дает кокс хорошего качества. Смесь угля и смолы предварительно размалывалась до размера 44 меш. Приведены данные опытов с клареновыми, дореновыми и другими углями.

5819. Изучение основных факторов процесса коксования. Левинтер М. Х., Сб. тр. Уфимск. нефт. ин-та, 1956, вып. 1, 251—271

В лабор. реакторах 40 × 80 и 80 × 80 мм проведены опыты коксования гудрона туймазинской нефти (уд. в. 1,055; т. пл. 31°; т-ра кипения > 500°) при 440, 460 и 494°. Определен выход дистиллята и коксового остатка и дана их характеристика. Высказаны рекомендации о наилучших методах подвода тепла и подачи сырья при коксовании нефтепродуктов.

5820. Механизм термохимических превращений пирита железа в процессе коксования угля и шихт. Медведев К. П., Изв. АН СССР, Отд. техн. н., 1955, № 4

Опыты коксования углей различной степени метаморфизма при т-рах до 900° с добавкой к углю FeS₂ (I), содержащего радиоизотоп серы S³⁵, показали, что в FeS (II) превращается < 50% пиритной S, причем в углях начальной (Д) и конечной стадии метаморфизма (ПС и Т) 37—40, а в углях средней стадии метаморфизма (ПЖ и К) только 19—27%. Установлено, что, чем лучше спекается уголь, тем меньше пиритной S превращается в II в процессе коксования. В окисленном угле в II превращается ~ 11% исходной пиритной S, в неокисленном ~ 28%. Установлено, что I начинает разлагаться с выделением H₂S при т-ре ~ 350°; наибольшая интенсивность разложения проис-

ходит в зоне пластич. состояния при 450°. При этом с летучими удаляется 21%, а в твердом остатке остается в виде I — 33, в виде II — 24 и в органич. массе полукокка — 20% пиритной S. Предложена схема термохим. превращений I через промежуточный комплекс FeS₂N.

5821. Готовность кокса и режим коксования. Оу-сайтис Б. А., Турченко П. И., Гайнанов С. И., Тр. Ин-та горючих ископаемых АН СССР, 1954, 3, 59—77

5822. Роль связующих материалов при коксовании неспекающихся углей. Хелзлер (A kötbányag szterepe nemsülő szenek kokszolásánál. Helzler László), Magyar energiagazd., 1956, 9, № 10, 369—376 (венг.)

Обзор. Библ. 6 назв.

5823. Обессеривание кокса. I. Ловречек, Бауман. II. Ловречек, Бауман, Строчал (Uklanjanje sumpora iz koksa. I. Lovreček Ivan, Bauman Egon. II. Lovreček Ivan, Bauman Egon, Strohale Petar), Kemija u industriji, 1956, 5, № 4, 61—63; № 10, 244—246 (сербо-хорв.; реф. франц., англ., нем.)

На лабор. установке изучено обессеривающее действие газобразного NH₃ на угли месторождения Раша и Лашко-Раша в процессе их коксования. Кокс из угля Раша без обработки NH₃ содержал S 7,51%, а после коксования в атмосфере NH₃ 6,34%; из угля Лашко-Раша соответственно 2,39 и 1,55%. Испытано действие на полученный кокс перегретого водяного пара. Снижение содержания S было больше у кокса, полученного в атмосфере NH₃ (7,23% вместо 7,82 в коксе из угля Раша).

5824. Современные способы переработки смолы (II). Верникке (Die moderne Teerverarbeitung (II). Wernicke Heinz), Lab.-Praxis, 1955, 7, № 8, 85—89 (нем.)

Кратко изложены методы перегонки каменноугольной смолы, получаемые продукты и их дальнейшая переработка. Приводятся технологич. схема переработки смолы, а также выходы всех продуктов, данные по кол-ву смолы, переработанной в ФРГ в 1953 г., к кол-ву важнейших из полученных при этом продуктов. Библ. 28 назв. Сообщение I см. РЖХим, 1956, 16970.

5825. Обзор исследований каменноугольной смолы за 1956 год. Амэмия, Андо (1956年におけるコールタール研究の趨勢. 雨宮登三, 安藤宏), コールタール Кору тару, Coal Tar, 1957, 9, № 4, 173—176 (японск.)

5826. Об улучшении качества смолы на коксохимических заводах. Липчинский (O poprawie jakości smoły w koksoowniach. Lipczyński Stefan), Koks, smoła, gaz, 1957, 2, № 2, 55—57 (польск.; реф. русск., англ. нем.)

Рассмотрены практич. мероприятия по изменению технологич. режимов работы цехов по улавливанию хим. продуктов на польских коксохим. з-дах с целью улучшения качества смолы.

5827. Удельная теплоемкость дистиллятов каменноугольной смолы. Бриггс, Поппер (The specific heat of coal tar distillates. Briggs D. K. H., Popper F.), J. Appl. Chem., 1957, 7, № 7, 401—405 (англ.)

Определены уд. теплоемкости (C_p , большого числа фракций) дистиллята каменноугольной смолы. Показано, что величина C_p является линейной функцией содержания в ней к-т и оснований. На основе исследования 137 проб выведено общее ур-ние, позволяющее определить C_p дистиллятов каменноугольной смо-

лы в пределах 20—180° с точностью $\pm 5\%$. Приведена схема аппаратуры и методика определения C_p Д. Ц.

5828. Пек для брикетирования. Вишневский (Pak brykietowy. Wiszniewski Kazimierz), Koks, smola, gaz., 1957, 2, № 2, 77—81 (польск.; рез. русск., англ., нем.)

Обзор. Библ. 11 назв. К. З.
5829. Выделение фенолов из генераторной буроугольной смолы методом селективной экстракции метанолом. Джобадзе С. А., Газ. пром-сть, 1957, № 7, 15—18

Установлена возможность непосредственного селективного извлечения фенолов из буроугольной смолы, полученной при газификации подмосковных углей в генераторах высокого давления. При трехкратной экстракции 65—70% водн. р-ром метанола может быть вывлечено ~70% фенолов от содержащихся в смоле; содержание нейтр. соединений в фенолах после отгонки метанола составляет при этом 20—25%. При отмывке экстракта бензином «калоша» можно получить фенолы с содержанием нейтр. масел 9—10%, которые могут быть использованы для произ-ва фенол-формальдегидного клея. Остаточное содержание фенолов в смоле составляет 2,4—2,5%. Остаточная смола может быть использована как жидкое котельное топливо. И. Руденская

5830. Циклопентадиен в легком масле. Дзифуку, Судзумура (輕油中のシクロペンタジエンに就いて. 地福重人, 鈴村基), コールタール, Кору тару, Coal Tar, 1956, 8, № 7, 15—22 (японск.)

Для определения циклопентадиена (I) в легком каменноугольном масле применяют малеиновый ангидрид (II), избыток которого оттитровывают щелочью. Приведена кривая т-р плавления бинарной системы II и продукта присоединения его к чистому I. Изучена р-ция димеризации I. Э. Тукачинская

5831. Упрощенная конструкция зонта сатуратора. Олявинников Е. Е., Соркин М. М., Межуева Е. А., Кокс и химия, 1957, № 1, 37—38

Сообщается о замене фаолитового зонта в сатураторе сульфатного отделения зонтом упрощенной конструкции, состоящего из цилиндрич. патрубка длиной, равной высоте зонта, прикрепленного к газоподводящей трубе; на патрубке наварены 30 направляющих лопаток. Такой зонт обеспечивает улавливание NH_3 и пиридиновых оснований; уноса к-ты и маточного р-ра из сатуратора не наблюдается. Н. Кельцев

5832. Использование тепла раскаленного кокса на коксовых установках и газовых заводах. Херше (Rückgewinnung der Glühkokswärme in Kokereien und Gaswerken. Hersche Willia, Maschinenbau und Wärmewirtsch., 1956, 11, № 2, 33—45 (нем.)

Для з-дов с производительностью > 4000 т кокса в сутки проблема использования тепла раскаленного кокса имеет большое значение. Выбор схемы установки по использованию тепла кокса зависит от конкретных условий произ-ва. Принцип действия их заключается в работе газовой или паровой турбины за счет энергии горячего газа или пара, продуваемых через установку для охлаждения кокса. Автор приводит описание схем установок для охлаждения кокса в комбинации с паровой и газовыми турбинами высокого и низкого давления, установки с использованием тепла выходящего из газовой турбины воздуха для сушки влажного угля перед загрузкой в печи и установки с подогревом воздуха, предназначенного для сжигания жидкого, газообразного или пылевидного топлива. Приводятся чертежи и фото установок. Начало см. РЖХим, 1957, 75247.

И. Марьясин
5833. Новый коксохимический завод в Лимбурге (Голландия). Кваньел, Янсен (De nieuwe Coeksfabriek Emma van de Staatsmijnen in Limburg.

Quanjel H. E., Jansen Th. P.), Ingenieur (Nederl.), 1956, 68, № 44, М. 41—М. 48 (гол.; рез. англ.)
Вместо устаревшего построен новый з-д «Эмма». Предусмотрены хранение и подготовка угля. Суточная мощность 3000 т. М. Пасманик

5834. К вопросу об остаточных смолах в полукоксе. Зар (Zur Trage des Restteeres in Schmelkoks. Sahr Ernst), Freiburger Forschungsh., 1954, А, № 28, 22—32 (нем.)

5835. Техно-химическая характеристика кукуерского сланца западного крыла Эстонского сланцевого бассейна. Раудсепи Х. Т., Фомина А. С., Торпан Б. К., Норман Х. К., Тр. Таллинского политех. ин-та, 1954, серия А, № 57, 3—21

5836. Сухая перегонка колорадских сланцев в движущемся слое. Выход и свойства продуктов. Тайен, Браун, Дженсен, Тайсот, Мелтон, Мерфи (Product yields and properties. Tihen S. S., Brown J. F., Jensen H. B., Tisot P. R., Melton N. M., Murphy W. I. R.), Industr. and Engng Chem., 1955, 47, № 3, Part 1, 464—468 (англ.)

Определены выходы и состав (перегонка при 540—900°): газа, бензина, легкого и тяжелого масел, полученных в разных температурных интервалах и результаты отнесены к сланцу с выходом дегтя по Фишеру 112 л/т. В работе даны выходы легкого и тяжелого газойли и остатка и приведены их состав и свойства. Предыдущее сообщение см. РЖХим, 1956, 40599.

М. Энглин
5837. Опыт работы установки по скоростной переработке сланцевой мелочи с твердым теплоносителем. Кунаков Н. Е., Эпштейн С. Л., Тягунов Б. И., Кивит А. А. В сб.: Вопр. техн. и экон. пром. полукоксования горючих сланцев. Л., Гостоптехиздат, 1957, 293—307

Приведены технологич. схема и результаты работы опытно-промышленной установки на сланцехим. комбинате «Кивийли». Производительность установки 250 т сланцевой мелочи (фракция 25 м) в сутки. Сланец подсушенный и нагретый в аэрофонтанной сушилке до 140—150°, подвергается термич. разложению при 450—480°. Теплоноситель — сланцевая зола, получаемая при сжигании образующегося полукокса. Избыток ее идет на произ-во цемента. Установка дает газ теплотворностью 9000—11 000 кал/м³, смолу (20%), состоящую из легкого и тяжелого масла и фусов, полукокс (~70%) и другие продукты. Легкое масло на 75—80% состоит из бензиновой фракции, тяжелое — близко к стандартному топочному маслу.

Д. Цикарев
5838. Опыт очистки парогазовой смеси от пыли на установке полукоксования сланцевой мелочи с твердым теплоносителем. Арабажи И. Н., Шипков Н. Н., Чикул В. В. В сб.: Вопр. техн. и экон. пром. полукоксования горючих сланцев. Л., Гостоптехиздат, 1957, 315—324

Испытаны различные конструкции сухих пылеотделителей. Предложен многоступенчатый способ очистки парогазовой смеси от пыли: циклон — электрофильтр и (возможно) масляный ороситель. Особенно хорошо очищаемой смеси является присутствие паров смолы и наличие до 80% и более частиц размером $< 10 \mu$. Д. Цикарев

5839. Исследование возможностей использования фенолов и тяжелых фракций сланцевой смолы для синтеза ионообменного вещества — катионита. Вильбок Х. О., Тр. Таллинского политех. ин-та, 1954, серия А, № 57, 68—81

5840. Обзор техники газификации. Пиларж, Недома, Хольцбемера (Přehled zplyňovací techniky. Pilař V., Nedoma W., Holzbecher Kr.), Paliva, 1957, 37, № 4, 130—136 (чешск.)

Рассмотрены современные газогенераторы и даны классификация и сравнительная оценка их.

Н. Зарембо

5841. Исследование газификации углей основных месторождений КНР. У Цзин-вэй, Лю Юй-пу (我國幾個主要煤區的煤的氣化性質. 吳景微, 劉玉璞), 燃料學報, Жаньяло сюэбао, Acta focalia sinica, 1956, 1, № 2, 143—146 (кит.)

Лабораторией углей Академии наук Китая были проведены испытания по газификации китайских углей в газогенераторах Вельмана и Чепмана. Исследованы угли: фушунский, хаоганский, татунский, аганчжэньский, тунчуаньский, хуайнаньский, янцюаньский и коксующийся шахты Ванфен. Зольность в исследованных углях колебалась от 4,67 до 12,89 и влажность от 0,85 до 6,06%; содержание летучих в-в у первых четырех углей составляло 25,7—45,5% и для остальных углей 6,8—15,8%. Из всех углей выход газа составлял 3,0—3,78%; состав газа (в %): CO_2 2,4—6,9; CO 24,8—31,6; H_2 11,2—18,3; CH_4 0,7—2,3; N_2 46,8—54,2; высшая теплотворность 1300—1600 ккал/м³. Выход смолы для первых четырех углей 2,8—5,3%.

А. Зоннтаг

5842. Ангренский уголь как сырье для подземной газификации. Зыбалова Г. П., Подземн. газификация углей, 1957, № 2, 110—113

Опыты по газификации целиков ангреного угля на лабор. модели 100 × 100 × 400 мм. При оптимальном расходе дутья (кислорода) ~ 8 л/мин теплотворность полученного газа достигала 1280 ккал/м³.

Н. Гаврилов

5843. Успехи газификации в Чехословакии. Семин Н. С., Газ. пром-сть, 1957, № 7, 39—40

Производство газа в Чехословакии увеличилось с 1946 по 1955 г. на 84%, в то время как в период до 1940 г. произ-во газа за 20 лет, начиная с 1920 г., увеличилось только на 54%. За последние 9 лет снизилась плата за 1 м³ газа по сравнению с 1930 г. в 3—6 раз. По потреблению газа на душу населения Чехословакия стоит рядом с Бельгией, Голландией, Данией.

Г. Марголина

5844. Газификация слабоспекающихся каменных углей. Хада (Kis sülfóképességű kőszének elgázosítása. Háda Sándor), Magyar energiagazd., 1956, 9, № 8, 306—310 (венг.)

Краткий обзор типов газогенераторов для газификации низкосортных углей. Библ. 6 назв.

А. Х.

5845. Взаимодействие водяного пара с углеродом топлива. Палеев И. И., Юдин В. Ф., Газ. пром-сть, 1957, № 5, 10—16

Приведены результаты лабор. изучения скорости суммарной р-ции взаимодействия водяного пара с углеродом топлива. Наблюдалась скорость газификации углерода водяным паром, протекающим через кольцевой канал, образованный наружной поверхностью цилиндрич. образца из электродного угля и внутренней поверхностью реакционной трубки, и в условиях выгорающей засыпки слоя измельченного электродного угля и кокса: эксперименты проводились в диапазоне т-р 575—950° при атмосферном давлении; скорость газификации определялась по выходу и составу газа; анализ газа проводился весовым методом поглотителями для воды — $\text{Mg}(\text{ClO}_4)_2$, для CO_2 — аскарит, с раздельным дожиганием газовых составляющих над окисью меди. Показано, что скорость газификации сильно зависит от т-ры процесса и от степени выгорания углерода: в начальный период скорость возрастает и затем уменьшается, что объясняется противоположным действием разгара пор и озолением топлива. Кажущиеся энергии активации процесса составили: для электродного угля 43 300, для кокса печерского угля 37 100 ккал/моль. Отношение CO_2 : CO

в продуктах р-ции падает с увеличением степени выгорания углерода.

5846. Установка Рочдал-процесса на газовом заводе в Партингтоне (Англия). Придди, Робинсон (The Rochdale process installation at Partington gas works. Priddy A. J., Robinson W. E. G.), Process Control and Automat., 1955, 2, № 10, 373—378 (англ.)

Описано применение Рочдал-процесса — метода быстрого полукоксования угля в вертикальных роторных печах с внешним обогревом, заключающемся в том, что для охлаждения выгружаемого полукокса, вместо пара, подается холодный водяной или полукоксовый газ. Подробно описаны контрольно-измерительные и регулирующие приборы и гидравлич. система управления работой печи.

Н. Лапидус

5847. Столетие варшавского газового завода. Фучс (Sto lat istnienia Gazowni Warszawskiej. Fuchs K. rol), Koks, smola, gaz, 1957, 2, № 1, 1—3 (польск.)

5848. Станция по очистке и компримированию газа в Лабюссьер (Франция). Люс (La station de traitement et de compression de gaz de Labussière. (P. de Calais). Luce Etienne), Modernisation, 1956, № 22, 45—54 (франц.)

5849. Итоги работы и ближайшие задачи института ВНИИПодземгаз. Гаркуша И. С., Подземн. газификация углей, 1957, № 1, 10—15

5850. Научные исследования по подземной газификации топлива, проведенные институтами Академии Наук СССР за период 1950—1955 гг. Терпигорев А. М., Корш М. П., Подземн. газификация углей, 1957, № 1, 3—9

Краткое изложение результатов.

Б. Энгель

5851. Усилить научно-техническую пропаганду подземной газификации. Лещинер Р. Е., Юрченко В. П., Подзем. газификация углей, 1957, № 1, 83—89

Краткий обзор имеющейся в СССР научно-техн. литературы по подземной газификации. Отмечается необходимость увеличения выпуска научно-популярных и спец. работ, а также капитальной монографии в этой области. Указывается на необходимость ежемесячного издания бюллетеня «Подземная газификация углей».

Д. Цикарев

5852. Днепровский буроугольный бассейн — крупная сырьевая база для строительства станций подземной газификации. Королев И. В., Подземная газификация углей, 1957, № 1, 80—87

Рассмотрены геолит. строение Днепровского буроугольного бассейна, гидрогеолит. условия залегания месторождений, характеристика углей и дано обоснование народнохозяйственной целесообразности разработки месторождений методом подземной газификации. Представлен перечень первоочередных месторождений и участков, рекомендуемых для строительства станций подземной газификации с общей годовой выработкой газа ~ 45 млрд м³.

Д. Цикарев

5853. Основные технико-экономические показатели новых станций «Подземгаз». Лещинский Б. Ф., Маркман Л. М., Подземная газификация углей, 1957, № 1, 68—72

Представлены сырьевая база, технологич. схемы и основные технико-экономич. показатели проектируемых станций «Подземгаз»: Северо-Тульской, Грязловской (Сталинградской), Южно-Абинской, Сталинской и Южно-Кузбасской. Общая годовая выработка перечисленных станций 19,6 млрд м³ товарного газа. Себестоимость (в пересчете на уголь) от 27,5 до 65,8 — для Мосбасса и 33,0—39,3 руб за 1 т — для Кузбасса. Общие капиталовложения составят 1030,4 млн. руб.

Д. Цикарев

5854. Подземная газификация углей и задачи автоматизации и контроля. Фарберов И. Л. В сб.

Сессия АН СССР по научн. пробл. автоматиз. произ-ва. Комплексн. автоматиз. произв. процессов. М., АН СССР, 1957, 231—239

Краткий обзор успехов подземной газификации углей (ПГУ) в СССР и перечень задач по автоматизации подготовительных работ и технологич. процесса ПГУ. М. Робин

5855. К вопросу о методике расчета потерь дутья, угля и газа в процессе подземной газификации (В порядке обсуждения). Нусинов Г. О., Подземн. газификация углей, 1957, № 1, 22—28

5856. Первый опыт бесшахтной подземной переработки горючих сланцев. Питин Р. Н., Спорнус А. З., Фарберов И. Л., Тр. Ин-та горючих ископаемых. АН СССР, 1957, 7, 44—60

На опытной установке для подземной газификации истонского сланца было пробурено 56 скважин, из них 19 рабочих (дутьевых и газоотводящих) диам. 270 мм, на расстоянии ~ 2 м друг от друга; скважинами была ооконтурена площадь ~ 50 м² с запасом сланца ~ 200 т; глубина залегания сланца с прослойками известняка ~ 10 м. Холодные испытания показали, что средний коэф. проницаемости промышленной пачки сланца 9,0—26,9 дарси, что указывает на наличие в ней трещиноватости; а также возможность, с целью уменьшения утечек газа, работать при избыточном давлении на дутьевых и при разрежении на газоотводящих скважинах. При горячих испытаниях разработан метод создания начального очага горения и показана возможность его продвижения в сланцевом целике и поддержания процесса продолжительное время (опыты до 4 суток). При прекращении подачи воздушного дутья наблюдалось выделение газа и смолы; теплопроводность этого газа колебалась в пределах 1900—4900 ккал/м³. Сделан вывод о принципиальной возможности процесса подземной газификации пластов сланца. В. Кельцев

5857. О технических требованиях, предъявляемых к дорожной смоле. Маллисон (Betrachtung zu den Beschaffenheitsvorschriften für Straßenteer. Mallison H.), Strasse und Verkehr, 1957, 43, № 5, 216—219 (нем.)

5858. Катионообменная смола из индийского угля. Почхан (Cation exchanger from Indian coal. Pochhain L.), Sci. and Culture, 1954, 20, № 4, 194—195 (англ.)

Для получения смолы к угля крупностью 30—50 меш с содержанием 4,5% влаги, 30,0% летучих в-в и 15,5% золы добавили олеум с содержанием 40% SO₃ в таком кол-ве, чтобы на 1 ч. угля приходилось 3—4 ч. SO₃, и через ночь нагревали на масляной бане при 180° в течение 5 час. Остывшую смесь промывали водой до удаления ионов SO₄ и сушили в вакуум-эксикаторе. Обменная емкость Н-формы полученной смолы определяли многократным промыванием насыщ. р-ром NaCl и 1 п. CaCl₂ до полного вымывания к-ты с последующим титрованием последней. Обменная емкость была соответственно 2,2 и 2,4 м экв. на 1 г.

Г. Стельмах
5859. Составы для покрытия кровли на основе буровых смол. Гундерман (Dachanstrichmittel auf der Grundlage von Braunkohlenteerölen. Gundermann E.), Chem. Technik, 1955, 7, № 1, 20—26 (нем.)

5860. Определение активности сероочистной массы. Свифт (Determination of oxide activity. Swift S. V.), Gas J., 1955, 281, № 4783, 318—319 (англ.)

Описывается методика определения активности очистной массы, применяемой для очистки газа от H₂S. См. также РЖХим, 1956, 51940. В. Кельцев

5861. Характеристики горения и теплоизлучения пламени нефти и коксового газа. Тринг (The com-

bustion and radiation characteristics of oil and coke-oven gas jet flames. Thring M. W.), J. W. Scotland Iron and Steel Inst., 1953—1954, 61, 165, 182 (англ.)

5862. Плоские диффузионные пламена в ограниченном пространстве. Кунуги, Дзинно, Фуруми, Морита, Накано (燃焼室内の平らたい擴散焰について. 功刀雅長, 神野博, 希留宮晃, 守田研吾, 中野勝彌), 燃料協會誌, Нэнрё кёкайси, J. Fuel Soc. Japan, 1956, 35, № 346, 85—90 (японск.; рев. англ.)

Исследовались плоские диффузионные пламена, образующиеся при горении городского газа и воздуха, подаваемых отдельными струями вверх из прямоугольных отверстий в ограниченное пространство камеры горения. Найдены зависимости: 1) скорости горения от соотношений газа и воздуха; 2) коэф-ци компонентов в различных сечениях пламени от расстояния до выходного отверстия; в ряде случаев в средней (по времени) пробе найдены водород и кислород.

И. Рафалькес
5863. Использование тепла (при каталитическом дожигании дымовых газов). Рафф (Catalytic heat recovery use grows. Ruff R. J.), Gas. Age, 1955, 116, № 5, 36—39, 77—78 (англ.)

Приводится 8 схем различного назначения и пример расчета. Ю. Коган

5864. Замечания к исследованиям по горению. Ямадзак (燃焼の研究についての見聞. 山崎毅六), 化学工業, Катаку то когё, Chem. and Chem. Ind., 1955, 8, № 9, 358—364 (японск.)

5865. Использование ионного обмена для быстрого определения содержания серы и хлора в угле. Гао Дэ-мин (用離子交換劑同時快速測定, 煤中硫及氯含量. 高德明), 化学世界, Хуасюэ шицзе, 1956, № 10, 512—514 (кит.)

После обработки пробы топлива по методу Эшке содержащиеся в нем S и Cl полностью переходят в растворимые в воде соли. Полученный после выпечивания сплава водой р-р проходит катионитовый обменный аппарат. При этом образуются соляная и серная к-ты. Титрованием определяют общее кол-во к-т. В качестве ионита применяется смола Amberlite IR-120 (Нг). Далее в титрованный р-р добавляют реактив Hg(OH)CN; в результате р-ции его с NaCl в р-ре образуется соответствующее содержанию Cl кол-во щелочи. Р-р титруют стандартным р-ром к-ты и находят содержание Cl. Из общего кол-ва к-т и кол-ва Cl вычисляют содержание S. А. Зонитат

5866. Окисление органических соединений (Сообщение 9). Определение активного кислорода в твердом топливе. Рафиков С. Р., Сибирякова Н. Я. (Сообщение 10). О механизме процессов самоокисления и самовозгорания углей. Рафиков С. Р., Изв. АН КазССР. Сер. хим., 1956, № 9, 13—22; 75—91

9. Показана непригодность йодометрич. определения активного О в углях, вследствие различной адсорбционной способности углей по отношению к йоду. Предложен метод определения перекисных соединений в углях, основанный на колич. взаимодействии перекисей с гидрохиноном (I) с образованием хинона, количественно определяемым йодометрически. Адсорбированный, но не связанный химически О, не определяется предложенным методом. Метод проверен на нескольких окисленных и неокисленных образцах бурых и каменных углей.

10. Давая критич. обзор имеющихся теоретич. представлений о механизме самоокисления и самовозгорания углей (У), автор наиболее обоснованным считает трактовку этого механизма с позиции перекисной теории Баха—Энглера и цепной теории Н. Н. Семенова с учетом специфич. особенностей микроструктуры У

с высокоразвитой внутренней поверхностью. Образование перекисных соединений при самоокислении У констатировано с помощью хингидронного метода. Одновременно с образованием перекисей идет их распад с возрастающей при повышении т-ры скоростью. Основными мероприятиями по борьбе с самоокислением и самовозгоранием У в штабелях являются изоляция У (гудроном, глиной и т. п.) от действия воздуха, улучшение теплоотвода (укладка на холодный грунт, орошение водой). Библ. 35 назв. Сообщение 8 см. РЖХим, 1955, 45991.

Н. Гаврилов
5867. Точное определение теплотворности твердых топлив. Ли Ен Пхун (고척. 연료의 발열량의 정확한 측정법 리 용 중), 과학과 기술 (과학현), Кхваха ка кисуль (хвахахпхён), 1956, № 11, 50—57 (кор.)

Обзор. Описан прибор системы Крекера, методика определения и расчета теплотворности твердых топлив.

Ю. Ермаков
5868. Определение истинной органической массы прибалтийского горючего сланца-кукерсита. Раудсенн Х. Т. В сб.: Вопр. техн. и экон. пром. полукочкования горючих сланцев. Л., Гостоптехиздат, 1957, 27—34

Установлено, что стандартный метод вычисления содержания органич. массы (ОМ) по золе и минер. CO_2 непригоден, так как дает сильно заниженные результаты с величиной ошибки до 8%. Предложенный автором метод расчета ОМ в сланце по золе, минер. CO_2 и сульфатам золы дает результаты, совпадающие с другими точными методами.

А. Шахов
5869. Изучение горения топлива в калориметрической бомбе по изменению давления. I. Паттерсон, Парр-Бемэн (The combustion of fuel in the bomb calorimeter as indicated by changes in the pressure system. I. Patterson W. S., Parr-Burman H. B. A.), J. Appl. Chem., 1957, 7, № 5, 239—243 (англ.)

Исследован процесс горения различных топлив в калориметрич. бомбе по изменению давления, фиксируемого с помощью емкостного датчика и осциллографа в виде непрерывной фотозаписи кривой давление — время. Показано, что характер изменения давления и его величина зависят от вида топлива (дизельное топливо, угли, кокс), степени углефикации и т-ры коксования в случае углей и кокса. Отмечено влияние стенок тигля, в который загружалось топливо, на величину максим. давления и характер кривой. Рекомендовано загружать топливо не в тигель, а на подвешенную крышку его.

А. Цикарев
5870 К. Вопросы экономической эффективности обогащения энергетических углей. Шишов А. Н. М., Углетехиздат, 1957, 104 стр., илл., 3 р. 10 к.

5871 К. Исследование по брикетированию бурых углей. Лурье Л. А., Бойцова Г. Ф., Равич Б. М. М., Углетехиздат, 1957, 144 стр., илл., 5 р. 25 к.

5872 К. Новые способы газификации топлива кислородом. Илек Яромир. Перев. с чешск. М., Гостоптехиздат, 1957, 363 стр., илл., 19 р. 10 к.

5873 К. Подземная газификация углей в СССР и за рубежом. Бакулев Г. Д. М., Углетехиздат, 1957, 66 стр., илл., 2 р. 15 к.

5874 К. К вопросу о развитии подземной газификации углей. (Материалы дискуссии). Афондинов Н. Н., Буялов С. И. М., АН СССР, 1957, 38 стр.

5875 К. Экономический анализ подземной газификации углей. Бакулев Г. Д., М., АН СССР, 1957, 134 стр., илл., 7 р. 30 к.

5876 Д. Химический состав подсмольной воды термического разложения прибалтийского сланца и ме-

тоды ее промышленной переработки и очистки. Иванов Б. И. Автореф. дисс. докт. техн. н. Ленингр. техн. ин-т им. Ленсовета, Л., 1957

5877 Д. Исследование процесса взаимодействия водяного пара с углеродом топлива. Бойков В. И. Автореф. дисс. канд. техн. н., Моск. хим.-техн. ин-т им. Д. И. Менделеева, М., 1957

5878 П. Способ и устройство для сепарации конденсирующихся из газа паров (Procédé et dispositif pour la séparation de vapeurs condensables à partir de gaz) [Ruhrgas A.-G.]. Франц. пат. 1111451, 27.02.56

Предложен способ удаления конденсирующихся примесей из горючих газов (коксового природного), подлежащих передаче на большие расстояния, путем ступенчатого сжатия газа при охлаждении ниже давления в сети с последующим расширением с произв. работы. Из сборного коллектора газ поступает в несколько параллельных 2-ступенчатых компрессоров, проходя после каждой ступени сжатия охлаждаемой водой холодильники и сепаратор, где освобождается от образовавшегося конденсата. Затем газ подается в детандер, где за счет расширения его получают желаемое понижение т-ры вплоть до точки замерзания конденсата. Конденсат отделяется фильтром с насадкой из пористых материалов. Детандер соединен с мотор-генератором, работающим либо как двигатель, либо как динамо-машина.

Ю. Скорещий
5879 П. Способ очистки каменноугольной смолы. Шмаленбах, Пуммер, Гедде (Verfahren zur Reinigung von Steinkohlenteer. Schmalenbach Adolf, Pummer Herbert, Götde Franz) [Heinrich Koppers Ges. mit beschränkter Haftung. Ges. für Teerverwertung mit beschränkter Haftung.]. Пат. ФРГ 953804, 6.12.56

Перед непрерывным фракционированием смолы, нагретая до легко подвижного состояния, подвергается обработке электрич. током высокого напряжения, после чего в смолоотделителе из смоловодной эмульсии отделяется водн. р-р NH_4Cl . Пример. Смолы с содержанием 5,6% воды обезвоживается под давл. 9,1 ат при 121° до содержания воды 1,6—1,9%. Затем для лучшего обессоливания добавляется 1,25 м³ воды на каждые 10 т/час, причем содержание воды в смоле повышается до 13,5%. Водн. смола обрабатывается электрич. током 910 в 12 а и после прохода через водоотделитель под давл. 8,37 атм при 114° обезвоживается до 0,96%. Время пребывания смолы в отделителе под давлением сокращается по сравнению с обычной обработкой до 2,5 часов.

Н. Гаврилов
5880 П. Получение кокса из флотационных остатков (Process for the production of coke from flotation sludge) [Koppers Ges., Н.]. Англ. пат. 726301, 16.03.55

Флотационные остатки после обогащения антрацита сушат до остаточного содержания влаги < 15% и смешивают с углеродистым топливом, содержащим большое кол-во летучих и не плавящимися при т-ре коксования; содержание топлива в смеси может достигать до 20%. Спрессованную смесь коксуют при 800° и получают легко сгорающий кокс. Рекомендуется применение штыба бурого угля с размером зерна ~ 3 мм, однако его можно заменить мелко раздробленным высушенным торфом или древесными отходами.

М. Пасмани
5881 П. Способ выделения п-этилфенола из фенолов различных смол, в частности из буроугольных фенолов. Прейссе (Verfahren zur Abscheidung und Gewinnung von p-Äthylphenol aus Teerphenolen, insbesondere Braunkohlenteerphenolen. Preiss Siegfried) Пат. ГДР 10818, 1.12.55

Способ выделения *n*-этиленфенола (I) из соответствующих фенольных фракций (Ф) смол, в особенности буроугольных, заключается в обработке Ф при 70—110° безводн. щавелевой к-той (II). При этом I выделяется в виде кислого эфира II, через последующее омыление которого водой при нормальной т-ре или при нагревании получается чистый I. II может быть регенерирован из водн. р-ра после омыления. Пример: 100 кг кислородной Ф с т. кип. 216—218° обрабатывают при 103—105° безводн. II при интенсивном перемешивании в течение 6 час. Получающийся кислый щавелевокислый эфир I кристаллизуется при охлаждении и продолжающемся перемешивании и отделяется центрифугированием. Продукт промывают C_6H_6 и нагревают на водяной бане с 320 л воды. Всплывшее масло I отделяют, промывают водой и кристаллизуют при охлаждении, выход 35 мг, т. пл. 44°. Повторной перекристаллизацией из 18 кг чистого C_6H_6 или 150 кг бензина с т. кип. 90—150° получают 33 кг чистого I с теоретич. т. пл. 46°. Очистку I можно проводить перегонкой.

Н. Гаврилов
5882 П. Непрерывный способ получения дегтя из сланца в псевдооживленном состоянии. Барр (Kontinuerligt förfarande för utvinning av olja ur skiffer i fluidiserat tillstånd. Barr F. T.) [Standard Oil Development Co.]. Швед. пат. 149636, 19.04.55

Мелко измельченный сланец в псевдооживленном (II) состоянии, обеспечиваемом подачей газа, смешивают с окисляющим газом, полученную смесь вводят в нижнюю зону реактора, в которой сгорает горючая часть II сланца, за счет чего т-ра повышается до 425—540°. Газ и конденсируемые продукты отводят непрерывно из верхней части реактора, а II остаток сланца непрерывно выводят из нижней части реактора. К. Герцфельд

5883 П. Очистка коксового газа. Голмар (Coke oven gas purification. Gollmar Herbert A.) [Koppers Co., Inc.]. Канадск. пат. 517179, 4.10.55

Очистку коксового газа от H_2S производят абсорбцией р-ром 4—6% K_2CO_3 и 10—15% $KHCO_3$ с общей щелочностью 10—15% в пересчете на K_2CO_3 . Абсорбируется > 80% H_2S . Щел. р-р регенерируется пропусканием колошникового газа, содержащего 10—15% CO_2 , и возвращается снова в цикл.

А. Зоннтаг
5884 П. Усовершенствованный метод очистки смолистых газов (Perfectionnements apportés aux procédés pour purifier des gaz goudronneux) [Dr. C. Otto and Co., G. m. b. H., Do-We Niederschachtöfen Gesellschaft m. b. H. M. Walter Fuchs]. Франц. пат. 110975, 1.02.56

Метод очистки газов, получающихся напр., при полудожковании или газификации битуминозных углей от смолистых в-в (СВ), обычно удаляемых охлаждением и (или) промывкой, состоит в том, что газ, содержащий СВ в виде пара или тумана, контактируют с катализаторами (К), состоящими из нескольких неметаллич. в-в, напр., смеси кокса и монтмориллонита, способствующих разложению СВ уже при относительно низких т-рах. Неразложившиеся высококипящие СВ, находящиеся в термически обработанном газе, разлагаются пропусканием над сильно активными металлич. К на легкие углеводороды с низкими т-рами кипения. Применяемый К из неметаллич. компонентов или активный металлич. К можно вводить в тонко распыленном состоянии в очищаемый и затем механич. отделять от него. Подлежащий очистке газ можно пропускать также и через неподвижный или турбулентный слой К. Г. Марголина

ПЕРЕРАБОТКА ПРИРОДНЫХ ГАЗОВ И НЕФТИ. МОТОРНОЕ И РАКЕТНОЕ ТОПЛИВО. СМАЗКИ

Редакторы И. М. Руденская, М. О. Хайкин

5885. Новые направления нефтепереработки в Англии. Ломакс (New refining trends in the United Kingdom. Lomax E. Lawson), World Petroleum, 1956, 27, № 8, 134, 136, 138, 140 (англ.)

Программа строительства новых установок и реконструкции старых на нефтеперерабатывающих з-дах.

Н. Кельцев
5886. Химия в современной нефтяной промышленности. Эглов (Die Chemie in der modernen Ölfeldindustrie. Egloff Gustav), Erdöl und Kohle, 1955, 8, № 4, 236—243 (нем.)

Приводятся описание технологич. схемы, р-ций и режима платформинга и юнифайнинга. Дается характеристика продуктов, получаемых из различного сырья.

Б. Энглин
5887. К вопросу о разнообразии состава нефтей отдельных свит продуктивной толщи Апшеронского полуострова. Ашумов Г. Г. Элли эсэрлэр. Азерб. унив., Уч. зап. Азерб. ун-та, 1957, № 2, 67—78 (рез. азерб.)

На основании изучения 50 индивидуальных нефтей указанного района автор утверждает, что нефти различных свит отличаются глубиной природного процесса каталитич. обработки первичной нефти алюмосиликатными породами, протекавшего в условиях больших давлений, относительно низких т-р на протяжении геологич. истории контакта между нефтью и алюмосиликатами. Различия, наблюдаемые между нефтями, обусловлены степенью каталитич. активности алюмосиликатов, давлением и др. факторами в каждой свите, а не природой исходного органич. в-ва.

Г. Марголина
5888. Общая характеристика нефтей Изабербаша. Гецеу В. В. В сб.: Геол. и геохимия, 1 (7), Л., Гос-топтехиздат, 1957, 192—197

Эти нефти в большинстве относятся к типу легких, уд. веса их при 20° колеблются от 0,8331 до 0,8466, n_{D}^{20} 1,4715—1,4748, динамич. вязкость 6—10 спуз при 20°, т-ра застывания от +4 до +12°, содержание твердых парафинов 10—11% (без деструкции), силикагелевых смол 4,4—6,3%, асфальтенов 0,3—0,6%, содержание серы не превышает 0,23%, кислотность 0,08—0,25 мг КОН на 1 г. Суммарный выход бензино-лигроиновой фракции (до 200°) 25—30%. Г. Марголина

5889. О люминесценции нефти и ее компонентов. Альперович Л. И., Уч. зап. Тадж. ун-та, 1957, 10, 138—143

Были получены сходные со спектрами других нефтей, содержащих смолы, спектры люминесценции образца сырой таджикской нефти и двух ее фракций 350—400° и 400—450°, а также спектры трех различных видов смол, экстрагированных бензолом, CCl_4 и ацетоном. В спектре нефти и смол имеются характерные максимумы ($\lambda = 610$ мк, 540 мк), которые могут служить для установления наличия смол в масляных фракциях. Люминесценция последних обусловлена присутствием ароматич. и сернистых соединений. Парафино-нафтенная часть практически не люминесцирует.

Г. Марголина
5890. Спектрально-люминесцентный анализ нефти Дагестана. Амирханов Х. И., Шанин Л. Л., Баширов Р. И. Азерб. ССР элмэр акад. Мәрузәләр, Докл. АН АзССР, 1954, 10, № 11, 752—758 (рез. азерб.)

5891. Соотношение между групповым углеродным составом, вязкостно-весовой константой и интерцептом рефракции для вязких нефтяных фракций.

См. также: Горение газа 4879. Сточные воды газовых з-дов 5128, 5129, 5131

Курц, Кинг, Стаут, Партиян, Скрабек (Relationship between carbon-type composition, viscosity-gravity constant, and refractivity intercept of viscous fractions of petroleum. Kurtz Stewart S. Jr., King Richard W., Stout William J., Partikian Dorothy G., Skrabek E. A.), *Analyt. Chem.*, 1956, 28, № 12, 1928—1936 (англ.)

Разработана треугольная диаграмма для определения в вязких нефтяных фракциях содержания ароматич. атомов С, содержания нафтеновых атомов С и кол-ва парафиновых атомов С по значениям вязкостно-весовой константы и интерцепта рефракции, которые рассчитывают по кинематич. вязкости, уд. весу и показателю преломления. Показано применение диаграммы для исследования изменения состава фракции при гидрогенизации и селективной очистке. А. Равикович

5892. Синтез, свойства и идентификация сернистых соединений нефти. (Тема 48-ая Американского нефтяного института). Болл, Бордуэлл, Смит, Уоддингтон, Сейфрид (API research project 48—Synthesis, properties, and identification of sulfur compounds in petroleum. Ball J. S., Bordwell F. G., Smith H. M., Waddington G., Seyfried W. D.), *Proc. Amer. Petrol. Inst.*, 1954, Sec. 6, 34, 106—147 (англ.)

5893. Широкий ассортимент продукции нефтеперерабатывающего завода. Рисен (Custom refining is Cosden's speciality. Resen Larry), *Oil and Gas J.*, 1957, 55, № 8, 101—105 (англ.)

Cosden Petroleum Corp. в Зап. Техасе имеет установки перегонки, термич. крекинга Даббса, каталитич. крекинга, платформинга, рексформинга, юнифайнинга, алкилирования, полимеризации, Юдек. Перерабатывая 4500 м³ в сутки нефти, з-д выпускает 14 сортов бензинов. Фракционирование сырья платформинга, рексформинга и алкилирования дает высокооктановые топлива, не содержащие пентана, и позволяет использовать в качестве сырья максим. кол-во газового бензина. Приведены схема и баланс переработки.

5894. Из опыта Куйбышевского нефтеперерабатывающего завода. Афонин А. А., Кантерман Л. Б., *Химия и технол. топлива и масел*, 1957, № 7, 63—65

Экспериментально-конструкторской группой по автоматизации усовершенствованы потенциометры ЭПП-09, для которых сконструирована масляная ванна, куда помещают контактирующие части реохорда и переключателя для защиты от окисления; регуляторы 24-МС-610 для автоматич. поддержания уровня в колоннах; для предупреждения закоксовывания печей крекинг-установок в случае срывов горячих сырьевых насосов введена автоматич. блокировка и т. д.

5895. Хранение нефтепродуктов без потерь от испарения. Киндерман, Луте (Mineralölspeicherung ohne Abdampfverluste. Kinderman Gerhard C., Luth A.), *Erdöl und Kohle*, 1957, 10, № 6, 382—385 (нем.)

Одним из наиболее эффективных способов борьбы с потерями нефтепродуктов от испарения при хранении является применение плавающих крыш. Однако затруднение в этих системах представляет собой уплотнение зазора между крышей и стенами резервуара. Описана новая конструкция затвора и дан эскиз. Для уменьшения испаряемости нефтепродуктов при хранении рекомендовано покрытие зеркала их пористыми материалами.

5896. Результаты смешения нефти и легких продуктов в трубопроводе. Янг, Каллахан (What happens when you mix crude oil and light ends in pipeline? Young Ray J., Callahan Sterling A.), *Oil and Gas J.*, 1957, 55, № 7, 157—159 (англ.)

Приведены данные лабор. работ по определению физ. свойств смесей нефти с легкими продуктами в виде графиков для определения объема, упругости паров, уд. веса и вязкости смесей нефти, бензина и бутана в зависимости от содержания компонентов в смеси. Представленные эксперим. данные дают возможность удовлетворительно рассчитать потери напора в трубопроводах для транспорта смеси продуктов, подтвержденные эксплуатационными испытаниями.

5897. Современные тенденции в переработке нефти. Кавасэ (最近の石油精製の動向. 川瀬義和), *化学工業*, Kagaiku kōgō, *Chem. Ind. (Japan)*, 1957, № 3, 19—30 (японск.)

Обзор. Библ. 37 назв.

5898. Перспективы нефтяной промышленности. Дейвидсон (The petroleum industry's future hydrogen processing. Davidson Robert L.), *Petrol. Process.*, 1956, 11, № 11, 115—138 (англ.)

Дан перечень установок нефтепереработки с применением H₂ в США и Канаде с указанием фирм, местонахождения, производительности и других данных. Библ. 88 назв.

5899. Установки для крекинга с платиновым катализатором. Хориз (プラチナフォーミング装置について. 堀江不器雄), *化学工業*, Kagaiku kōgō, *Chem. Ind. (Tokyo)*, 1955, 6, № 7, 591—594 (японск.)

Популярная статья. А. Н. **5900. Каталитическая конверсия ароматических углеводородов.** Такэгами (芳香族炭化水素の触媒の變換反應. 武上善信), *コールタール*, Кору тару, *Coal Tar*, 1955, 7, № 11, 9—13 (японск.)

Приведены результаты экспериментов автора и других исследователей.

Chem. Abstrs, 1956, 50, № 22, 17399c. М. Пасман

5901. История каталитического крекинга в нефтяной промышленности. Удри, Жозеф (Histoire du cracking catalytique dans l'industrie du pétrole. 18 avril 1956. Houdry E., Joseph A.), *Bull. Assoc. franc. techniciens pétrole*, 1956, № 117, 177—217 (франц.; англ.)

Доклад во французском Обществе технологов нефтяников по истории развития каталитич. крекинга Гудри.

5902. Каталитический крекинг с максимальным выходом бензина. Дэйвидсон, Шут, Сикор (Operate your cat cracker for maximum yield of catalytic naphtha. Davidson R. C., Shute R. S., Secor R. B.), *Oil and Gas J.*, 1956, 54, № 57, 81—85 (англ.)

На опытной установке проведено сравнение синтетич. и природного (филтрома) катализаторов (К) в процессе непрерывного каталитич. крекинга при t = ~ 500° тяжелого нефтяного сырья (отгоняется 50% до 350°; и 80% до 420°) с рециклом газойля. Установлено, что при равной общей конверсии и равном конечном октановом числе продукта синтетич. К обеспечивает больший выход бензина за счет меньшего выхода углеводородов C₃ и C₄. При подаче на крекинг всего продукта прямойгонки может быть получен выход бензина 85% с конечным октановым числом 92,2 для природного и 9,4 для синтетич. К при октановом числе бензина реформинга 85. Приводится сравнение экономики процесса на разных типах К.

5903. Определение ароматизирующей активности катализаторов каталитического реформинга. Суэмов А. Д., Агафонов А. В., Орочко Д. И., *Химия и технол. топлива и масел*, 1957, № 5, 14—16

Метод определения относительной активности ароматизирующего алюмомолибденового катализатора (К) по отношению фиктивных времен реагирования других К при одном и том же выходе целевого продукта для

возможность более полно определить активность испытуемого К в сравнении со стандартным. Для этого необходимо иметь кинетич. кривые выхода ароматич. углеводорода на стандартном К и определять активность испытуемого К на «восходящем» участке кинетич. кривой в заданных условиях. Численное значение относительной активности испытуемого К равно отношению фиктивных времен реагирования, обратных объемным скоростям, при одинаковом выходе ароматич. углеводорода. Ароматизирующую активность алюмополибензенового К рекомендуется определять в следующих условиях: давл. 20 атм, мол. отношение H_2 к сырью 3:1, длительность рабочего цикла 6 час., объемная скорость подачи сырья 0,75 час.⁻¹, т-ра 480, 500, 520°, сырье — гептаметилциклогексановая фракция из восточных нефтей (ромашкинской или туймазинской). Г. Марголина

5904. Изомеризация *n*-пентанов и *n*-гексанов.

Грейс, Одзава, Уэррелл (Isomerization adds to you. Crane H. R., Ozawa J. K., Worrell G. R.), Oil and Gas J., 1957, 55, № 20, 132—136 (англ.)

Описан процесс Пентафайнинг (П)-катализит. изомеризация нефтяной фракции 25—80°, содержащей в основном C_5 и C_6 . П проводится на комбинированном катализаторе, состоящем из Pt , SiO_2 , Al_2O_3 . За один цикл *n*-пентан, изомерируясь, дает 58,9 вес. % изопентана, *n*-гексан — 67,3% изогексана. Октановое число фракции C_6 при этом повышается с 46,8 до 70,4 и с 59,8 до 73,3. П позволяет получать на нефтеперерабатывающих з-дах высокооктановые компоненты топлив с хорошими антидетонационными свойствами.

Г. Марголина
5905. Процесс «Удекс». Ватанабэ (UDEXプロセスについて. 渡邊伊三郎), 化学工業, Kagaku kōgō, Chem. Ind. (Tokyo), 1955, 6, № 7, 599—601 (японск.)

Популярная статья. А. Н.
5906. Установка для платформинга газового бензина Коке, Килгор (Natural gasoline plant platformer. Cox R. F., Killgore R. H.), Petrol. Process., 1956, 11, № 11, 102—107 (англ.)

На з-де Дубач (Техас, США) по проекту UOP была пущена первая платформинг-установка для переработки 318 м³ в сутки сырья с получением бензина, характеризующегося октановым числом по исследовательскому методу 95 (с добавкой тетраэтилсвинца 0,8 м.л./л). Описывается схема установки, приводятся данные ее работы, качество сырья и получаемых продуктов, температурные режимы и другие показатели.

Ю. Коган
5907. Основное назначение гидрогенизационной опытной установки. Мани, Бойнтон, Соуби (General purpose hydrogenation pilot plant. Manne R. S., Boynton H. G., Souby A. M.), Industr. and Engng Chem., 1957, 49, № 4, 640—645 (англ.)

Подробное описание технологич. схемы и работы гидрогенизационной опытной установки фирмы Humble Oil and Ref. Co. с переработкой 80—480 л/сутки жидкого сырья; условия работы могут варьировать в пределах: давление до 55 ат, т-ра до 450°, объемная скорость 0,5—4, циркуляция газа 0—1000 м³ на 1 м³ сырья. Используется чистый H_2 или остаточный газ реформинга с 80—90% H_2 . Получаемые продукты разгоняются на двух колоннах: I, работающей при атмосферном давлении и т-ре 300—340°, и II — для вакуумной разгонки при 3 мм р.ст. и т-ре 30—340°. Приведены результаты гидрогенизации с молибдатом Со на Al_2O_3 газойля, сырой нефти, нефтяных остатков, нефтяного битума. Содержание S в газойле (вес. %) снижалось с 2,1 до 0,18, сырой нефти с 2,04 до 0,12, нефтяных остатках атмосферной перегонки с 2,65 до 0,42 и вакуумной перегонки с 3,86 до 1,95, битуме с 2,95

до 1,20. В случае газойля активность катализатора не снижалась и регенерация его отпадает. При работе с сырой нефтью и нефтяными остатками регенерация необходима после 20 час. работы. Срок службы катализатора достигает 3000 час., а при работе с битумом 500 час. В. Кельцев

5908. Улучшение качества пентаановой фракции методом каталитической дегидрогенизации. Шалит, Керш, Бригс, Меркер (Upgrading pentanes with catalytic dehydrogenation. Shalit Harold, Kirsch F. W., Briggs W. S., Maerker J. B.), Petrol. Refiner, 1957, 36, № 5, 183—185 (англ.)

Путем каталитич. дегидрогенизации над $Cr_2O_3-Al_2O_3$ -катализатором Гудри октановое число (ОЧ) фракции C_5 может быть повышено с 92,3 до 99 (по исследовательскому методу) при выходе 97%. В качестве сырья на опытной установке исследовались смеси *n*- и изопентанов с большим содержанием последних. Термич. дегидрогенизация также дает возможность повышать ОЧ пентаановых смесей, однако при этом получаются более низкие выходы. Изомеризация смесей пентанов позволяет получать с хорошими выходами продукт, равноценный по ОЧ изопентану, но этот процесс менее гибок по сравнению с каталитич. дегидрогенизацией и более ограничен в отношении выбора сырья. Целесообразно сочетание процессов дегидрогенизации и изомеризации; при этом из смеси 61% *n*-пентана и 39% изопентана с ОЧ 75 получается продукт с ОЧ 99 (без тетраэтилсвинца) с выходом 95%. И. Рожков

5909. Дегидрирование пентана. Шалит, Керш, Бригс, Меркер (Pentane dehydrogenation. Shalit H., Kirsch F. W., Briggs W. S., Maerker J. B.), Oil and Gas J., 1957, 55, № 20, 150, 153—154 (англ.)

См. предыдущий реф. Г. М.
5910. Газобензиновая установка. Бэрд (The gas plant... another largest of its kind. Baird H. A.), Oil and Gas J., 1957, 55, № 21, 176—177 (англ.)

Установка для переработки парогазовых потоков с шести секций нефтеперерабатывающего з-да состоит из трех секций: абсорбции и дистилляции, гидроочистки (от серы) и переработки. Мощность (по сырью) 2,6 млн. м³ газа в сутки. Конечными продуктами являются пропан-пропиленовая, бутан-бутиленовая фракции, бензин, газ и H_2S . Приведены схема и описание процесса.

И. Большов

5911. Влияние давления на вязкость крекинг-остатков. Геллер З. И., Энерг. бюл., 1957, № 8, 25—26

Влияние давления на вязкость крекинг-остатков (КО) изучалось на вискозиметре высокого давления ВВД-1. Две серии опытов (в интервале давлений 1—20 атм и т-ре 104—151° и 1—150 атм и 175°) показали, что при обычно применяемых в топках паровых котлов давлениях (15—20 атм) вязкость КО увеличивается на 2,5—3,5% по сравнению с вязкостью при атмосферном давлении; температурный коэф. вязкости КО повышается с увеличением давления. А. Н.

5912. Крекинг нефтяного сырья для удовлетворения пиковых нагрузок в потреблении газа — на примере коксогазового завода Берлин — Мариендорф. Бауш (Ölsplattung zur Spitzengaserzeugung am Beispiel der Gaskokerei Berlin — Mariendorf. Bausch H.), Neue DELIWA-Z., 1956, № 5, 142—149; Gaswärme, 1956, 5, № 5, 174—178 (нем.)

Крекинг нефтяного сырья на з-де фирмы Демаг позволяет получать газ, который по теплоте сгорания и другим свойствам близко подходит к обычному бытовому газу. Установка рассчитана на произ-во 100 000 м³ крекинг-газа в сутки и состоит из двух генераторов. Мазут или смесь его с крекинг-остатками, смешанная с паром, подается в камеру крекинга, необходимое для процесса тепло вводится в период сжи-

гания в генераторе крекинг-смола на подогретом воздухе. Получаемый газ проходит холодильник, электрофильтр, конечный холодильник, используемый как нафталиновый промыватель. Теплота сгорания газа составляет 4200 ккал/м³; он содержит > 50% H₂ и < 6% CO₂.

5913. Опыты стабилизации дорожных смол битумом. Бояновский, Статечна (Prace nad stabilizacją smół drogowych asfaltem. Bojanowski Józef, Statieczna Maria), Koks, smoła, gaz, 1957, 2, № 1, 29—30 (польск.; рез. русск., англ., нем.)

Дан анализ состояния произ-ва стабилизированных смол в ПНР и указаны затруднения, связанные с недостатком применяемых для этой цели битумов. Указаны способ получения нового вида битума при очистке машинных масел и его свойства, в частности сцепляемость с каменным материалом и дорожной смолы.

5914. Применение реакции Густавсона — Фриделя — Крафта для получения смазочных масел из экстрактов. Радзевенчук И. Ф., Ж. прикл. химии, 1957, 30, № 6, 966—971

Изучалась р-ция алкилирования экстрактов автолов хлорированным парафином в присутствии AlCl₃. Алкилированные экстракты могут быть переработаны в смазочные масла, индекс вязкости которых может достигать 101. В случае высоковязких экстрактов целесообразно алкилировать не сам экстракт, а его отгон с паром.

5915. Разогревание жидких топлив. Ларсен (Du rechauffage des combustibles liquides. Larsen J.), Chauffage mazoute, 1956, № 1, 35—40 (франц.)

Кратко сообщается о способах разогрева топлив в емкостях, при прокачке, в трубопроводах и при подаче в форсунки.

5916. Регулирование дыма. Мартин (Low-cost, practical smoke control. Martin Herschel), Oil and Gas J., 1957, 55, № 8, 116, 118 (англ.)

Описано устройство бездымного факела, применяемое на нефтезаводах Petroleum Co, в восточных штатах Америки. Бездымное сгорание углеводородов, поступающих на факел при срабатывании предохранительных клапанов на установках, достигается впрыском воды под давл. 4,2 атм в пламя факела.

5917. Значение и преимущества предварительного подогрева воздуха при сжигании углеводородных топлив. Медичи (Importanza e vantaggi del preriscaldamento dell'aria comburente per una buona combustione degli idrocarburi. Medici Mario), Calore, 1956, 26, № 12, 534—537 (итал.)

Дается подсчет получаемой при предварительном подогреве воздуха экономии топлива и отмечается необходимость учета содержания S в топливе для регулировки режима работы подогревателя.

5918. Отложения на поверхностях нагрева котлов, работающих на мазуте. Джэклин, Андерсон, Томпсон (Fireside deposits in oil-fired boilers. Jacklin Clarence, Anderson Donald R., Thompson Harris), Industr. and Engng Chem., 1956, 48, № 10, 1931—1934 (англ.)

Изучен состав золы различных остаточных котельных топлив; приведены максим. кол-ва элементов, считая на окислы. Поверхность нагрева котла разбита на 5 зон (радиантная и конвекционная секция, пароперегреватель, экономайзер и воздухоподогреватель), дана их термич. характеристика и приведены кривые состава отложений в этих зонах (средние данные из нескольких сотен анализов). В зоне с высокой т-рой в отложениях содержится главным образом V₂O₅ (30—40%), в зонах с низкой т-рой — в основном суль-

фаты Fe. Обсуждается механизм образования отложений в указанных зонах.

5919. Химическая обработка нефтяных продуктов. Мюллер (Die chemische Behandlung und Fertigung der Erdölprodukte. Ein Beitrag zur Erdölraffination. Müller Gerhard), Lab.—Praxis, 1957, 9, № 4, 41—42 (нем.)

Рассмотрены различные методы очистки и хим. обработки нефтяных фракций: обработка H₂SO₄ для удаления смолистых в-в, удаление S-соединений процессами окисления (обработка CuCl₂, гипохлоритом, плумбитным р-ром), экстракцией щелочью с добавкой промоторов (соли изомасляной к-ты, алкилфенол, метанол, нафтеновые к-ты, таннин).

5920. Установка по гидрообессериванию в Стрейлему (Англия). Секьюлее (World's first hydrodesulfurizer. Sekules Walter), Petrol. Engr, 1956, 28, № 11, C17—C18 (англ.)

Жидкое высокосернистое сырье в распыленном виде подается на слой стационарного Co-Mo-катализатора (на Al₂O₃) с объемной скоростью 1,27—1,59, при т-ре 540°, давл. 56 атм и низком коэф. рециркуляции H₂. Для отвода тепла из реактора используется перерабатываемое сырье, вводимое в кол-ве 20%. Производительность установки 0,75—1 т в сутки. Попутно получается бензин с о. ч. ~ 100 (5%) и H₂S, что улучшает на 15—20% экономичность процесса, по сравнению с парофазной гидрогенизацией. Степень обессеривания 85—90%.

5921. Успехи в области обессеривания нефтяных фракций. Хара (石油脱硫法の發達. 原伸宜), 化学工業, Kagaku kogō, Chem. Ind. (Japan), 1957, 8, № 5, 19—26 (японск.)

5922. Обессеривание и очистка лигроинов металлическим натрием. Вандербилт (Desulfurization and refining of naphthas by metallic sodium. Vandebrilt B. M.), Industr. and Engng Chem., 1957, 49, № 4, 696—703 (англ.)

Изложены результаты лабор. исследования процесса обессеривания лигроинов (Л) при помощи металла Na. Исследовался жидкофазный процесс (ЖП) при суспендировании Na в обрабатываемом Л и парофазный процесс при контактировании паров Л с Na, нанесенном на твердом носителе. Приведена методика работы и характеристика получаемых продуктов.

5923. Вопросы экстракционной очистки моторных масел. I. Основы крезольной очистки. Ньюл, Вомош, Закар (Az oldószeres motorolajfinomítási módszerű kérdesei. I. (Krezolos finomítási módok). Nyul Gyula, Vámos Endre, Zakar Pál), Magyar kémik. lapja, 1955, 10, № 12, 366—369 (венг.)

При очистке крезолом (I) с 5% воды масло требуемой вязкости получается с выходом 53% при 50—40° (головная и донная соответственно) и соотношении масло:р-ритель 1:3,4. При работе с безвод. I достаточна т-ра 29—25° (соотношение 1:1,5; выход 44%). Аналогичные данные получены с I с влажностью ~1%. С безвод. I и при вводе снизу колонны 8% воды выход 59% при 22—21° и соотношении 1:3,3. Таким образом, если важно максим. использование оборудования, выгоднее работать с I с влажностью до 1%, если желательно получить максим. выход масла — с вводом воды снизу колонки. При работе с безвод. I путем добавки к экстракту 3% воды и выдержке 24 часа при 20° можно получить 9% вторичного продукта (более низкого качества), добавлением 5% воды — 32% продукта очень низкого качества.

5924. Пути улучшения фильтруемости после тактовой очистки при получении авиационного масла

МК-22. Кулиев А. М., Кулиев Р. Ш., Дрейзман М. М., Мехтиев М. З., Гусейнов Ф. И., Чикарѣва Н. И., Санамова Р. А., Кеворкова И. С. В сб.: *Вопр. исслед. нефтей и нефтепродуктов, разработки процессов переработки нефти и обслед. заводов, установок.* Вып. 1. Баку, 1957, 69—72. Установлено, что основной причиной, вызывающей

нарушение фильтруемости, является характер сульфокислот, образующихся в процессе сернокислотной очистки. Фильтруемость может быть восстановлена за счет мероприятий, способствующих разрушению сульфокислот. Разработан метод оценки скорости фильтрации по времени фильтрации 500 мл продукта в строго определенных условиях. Г. Марголина

5925. Получение низкозастывающих масел с помощью мочевины. Хоппе, Франц (Low pour oils made by urea process. Норре А., Франц Н.), Petrol. Refiner, 1957, 36, № 5, 221—224 (англ.)

Описание промышленной установки в Гайде (Германия), на которой с помощью мочевины депарафинируются веретенные дистилляты. 100 объемн. ч. исходного дистиллята и 100 ч. хлористого метилена смешиваются со 100 ч. водн. р-ра мочевины, т-ра поддерживается около 40°. Образование аддукта мочевины происходит очень быстро, выход рафината 75%, т-ра застывания масла снижается с +14° до -24°. Дана схема установки. Г. Марголина

5926. Схема однократного фильтр-прессования в парефиновом производстве. Колдовкин А. Я., Бодан А. И., Химия и технол. топлива и масел, 1957, № 7, 31—39

Внедрение процесса однократной фильтрации позволяет увеличить производительность существующих установок на 30—40% при снижении себестоимости парафина, примерно на 20%. Г. Марголина

5927. Исследования по разделению и характеристике асфальтовых нефтепродуктов. Фукс, Неттесхайм (Untersuchungen über Zerlegung und Kennzeichnung asphaltartiger Erdölprodukte. Fuchs Walter, Nettessheim Gottfried). Erdöl und Kohle, 1957, 10, № 1, 15—20 (нем.)

Два остаточных асфальтовых битума различного происхождения (Б) и битум, полученный окислением (ОБ), хроматографировали на силикагеле с зернением 0,3—0,4 мм в р-ре моноклорбензола (МХБ). Десорбцию проводили последовательно *n*-гексаном, гексан-бензольной смесью, бензолом, смесью бензола с метилэтилкетонам (МЭК) 1:1, МЭК, МХБ и метанолом. Для полученного элюата определяли элементарный состав, мол. вес (по Расту), n_D^{20} , исследовали процесс плавления, снимали УФ- и ИК-спектры. Важнейшие классы, входящие в получаемые фракции: бесцветные алкилнафтен, бензольные, нафталиновые, фенантроновые и более высококонденсированные ароматич. углеводороды (АУ); ароматич. кетоны, а также, вероятно, ароматич. кетоны с мостиком О или S. Оба Б имеют лишь очень небольшую разницу в содержании АУ и асфальта, в то время как в ОБ содержание АУ очень низко, а хрупких асфальтенов почти вдвое выше, чем в Б. Таким образом АУ можно рассматривать как исходный материал для образования асфальтенов при окислении. Б. Энглин

5928. Исследования битумов в Национальном бюро стандартов США. Снок (Asphalt research at the National Bureau of Standards. Sнок H. R.), ASTM Bull., 1957, № 220, 41—43 (англ.)

Установлено, что устойчивость битумных кровельных материалов к атмосферным влияниям растет с увеличением толщины покрытия и конц-ии минер. наполнителя, но главным образом зависит от природы битума. Для выявления механизма процесса разложения битума и создания основ для правильной оценки

его как кровельного материала разработан хроматографич. метод разделения битума на компоненты и определения продуктов его разложения. Сконструированный прибор для фото-окисления битума позволяет определять скорость его разложения в зависимости от длины волны светового луча, толщины битумной пленки, т-ры и конц-ии кислорода. Э. Левина

5929. Применение надъледельского битума. Закар (A nagylenyeli bitumen felhasználása. Zakar Pál), Műszaki élet, 1956, 11, № 7, 21—23 (венг.)

5930. Водорастворимые продукты разложения битума. Шристейм, Гринфелд (Water-soluble degradation products of asphalt. Schriesheim Alan, Greenfield Sidney H.), ASTM Bull., 1957, № 220, 43—47 (англ.)

Исследованы продукты разложения (ПП) пленки продуктового кровельного битума толщиной 0,6 мм, подвергнутой ускоренному старению под действием света в присутствии воздуха в течение 550—850 час. В результате изучения УФ- и ИК-спектров поглощения и пропускания света, а также качеств. проб на органич. соединения установлено наличие в полученных ПП ~2,4 карбоксильных групп в молекуле, присутствие фенолов, замещенных в пара-положении и полиоксифенолов, тиокетонов или меркаптанов, аминов, аминокислот и в-ва способного конденсироваться в присутствии H_3PO_4 с образованием фурфурольного кольца. Э. Левина

5931. Влияние каучука на хрупкость и вязкость битуминозных материалов. Мейсон, Троруэр, Смит (The influence of rubber on the brittleness and viscosity of bituminous materials. Mason P., Thrower E. N., Smith L. M.), J. Appl. chem., 1957, 7, № 8, 451—459 (англ.)

Показано, что добавка 5% каучука увеличивает вязкость битумов с пенетрацией 60 и 40 соответственно с $3,1 \times 10^6$ до 25×10^6 и с 9,4 до 167 пуаз при 25°. Предел прочности на растяжение песчаного асфальта при 0° повышается при добавке 5% каучука с 44 кг/см² до 67 кг/см² и с 53 кг/см² до 80 кг/см²; битумные материалы становятся более стойкими к деформации и менее хрупкими при низких т-рах. Влияние каучука на вязкость и хрупкость битумов объясняется, во всяком случае частично, мол. дисперсией каучука в битуме. Г. Марголина

5932. Практическое применение битумов в нефтяной промышленности. Уилдон (Practical applications of bitumen in the oil industry. Wheelton K. A.), Inst. Petrol. Rev., 1957, 11, № 128, 220—224 (англ.)

Описано применение битумов на нефтеперерабатывающих з-дах для термозоляции, изоляции зданий, строительства дорог и устройства оснований резервуаров. И. Руденская

5933. Увеличение производства природного газа за 10 лет на 800%. Гофредо (Natural gas up nearly 800 per cent in 10 years. Goffredo Lorenzo), Oil and Gas J., 1955, 54, № 5, 102—105 (англ.)

Приведены данные по росту добычи природного газа в Италии, его транспорту и использованию. Н. Кельцев

5934. Научные данные по сепарации нефти и газа. Уэрли, Лоренс (Oil and gas separation in a science. Worley M. Steve, Laurence Lawton L.), J. Petrol. Technol., 1957, 9, № 4, 11—16 (англ.)

Рассмотрены методы механич. разделения газа и жидкости: сепарация частиц с различными уд. весом (вертикальные, горизонтальные и сферич. сепараторы), центробежные сепараторы (циклоны), ударные сепараторы (вентиляторного и насадочного типа). Рассмотрены факторы, влияющие на эффективность сепарации: размер частиц жидкости, содержание

жидкости в газе, скорость газа, плотность жидкости и газа, давление и т-ра, поверхностное натяжение, вязкость. С. Розеноер

5935. Разделение природного газа и жидких углеводородов. Обзор методов и экономики. Кемпбелл (A summary of process and economic factors separation of natural gas and hydrocarbon liquids. Campbell John M.), Canad. Oil and Gas Inds., 1954, 7, № 11, 39—45 (англ.)

5936. Исследование процесса обезвоживания природного газа с использованием условий естественного охлаждения газа в трубопроводах. Одельский Э. Х., Тр. Ин-та энергетики АН БССР, 1955, № 2, 96—107

Естественное охлаждение газа в трубопроводах происходит в зависимости от часовой производительности, диаметра газопровода, коэф. теплопередачи и других факторов. Выведена кривая, показывающая изменение давления по трассе. На основе этих данных определяется расстояние в км от компрессорной, где возможно выпадение гидратов (напр. $\text{CH}_4 \cdot 7\text{H}_2\text{O}$) по ф-ле: $x/d = \varphi \cdot (\text{Re}/\text{Ki})$, где x — расстояние в км, $\varphi = 0,575 \times \lg[(t_1 - t_{\text{гр}})/(t - t_p)]$; Re и Ki — критерии Рейнольдса и Кирпичева. Изменение температуры и давления по трассе представлено на кривых, пересечение которых дает место началу образования гидратов. До точки пересечения происходит резкое охлаждение газа и выпадение влаги, что приводит к самоосушке его и уменьшает дополнительные затраты на обезвоживание в точках выпадения гидратов. В. 3.

5937. Природный и технический метан. Монти (Metano naturale e metano tecnico. Monti Mario), Idrocarburi, 1956, 5, № 9, 13—16 (итал.)

5938. Конверсия метана с водяным паром. Массимилла, Тревиссой (Ancora sulla conversione del metano con vapor d'acqua. Massimilla L., Trevissoi C.), Metano, 1955, 9, № 8, 493—496 (итал.; рез. англ., нем., франц., исп.)

Предыдущее сообщение см. РЖХим, 1957, 58492.

5939. О качестве бензина в 1960 г. Мокси (What will gasoline be like in 1960? Моксеу J. G., Jr), Petrol. Refiner, 1956, 35, № 5, 230—234 (англ.)

Показано изменение октанового числа, упругости паров и других свойств бензина за период с 1946 г. по 1955 г. и дан прогноз до 1960 г. Н. Кельцев

5940. Будущее синтетических жидких и газообразных топлив. Батчелдер, Нелсон (Future of synthetic liquid and gaseous fuels. Batchelder H. R., Nelson H. W.), Combustion, 1955, 27, № 5, 49—53 (англ.)

5941. Исследования в области синтеза жидких топлив в Китае. Лоу Нань-чуань (Research on the synthesis of liquid fuels in China. Lou Nanch'uan.), Chem. Age India, 1957, 8, № 2, 145—149 (англ.)

Исследования в области синтеза жидких топлив из CO и H_2 начались в Китае в 1950 г. Приводятся данные о работе опытной установки, перерабатывающей 500 м³ газа в день на псевдооживленном катализаторе, состоящем из сплавленного нитрида железа.

Г. Марголина

5942. Получение сырья для каталитического реформинга гидрогенизацией сланцевой смолы. Готтингам, Уайт, Фрост (Hydrogenating shale oil to catalytic reforming stock. Gottingham P. L., White E. R., Frost C. M.), Industr. and Engng Chem., 1957, 49, № 4, 679—684 (англ.)

Описание лабор. процесса гидрогенизации колорадской сланцевой смолы при 210 ат и объемной скорости 1 с катализатором (K) — молибдатом кобальта. Состав бензина, полученного при 405—480°, примерно состоит из: 60% парафинов, 23% нафтен, 15% арома-

тич. и 1—2% олефиновых углеводородов. При более высоких т-рах снижается содержание парафинов и нафтен и повышается содержание ароматич. углеводородов (в опыте при 545° 37%). Качество бензина в процессе до 480° постоянно, октановое число (ОЧ) 47—50 (с 0,8 мл/л ТЭС 72—74), а при более высоких т-рах повышается (ОЧ, по исследовательскому методу в опытах при 545° достигает 79,0 и 92,4 с добавкой 0,8 мл/л ТЭС). Содержание S в исходном сырье 0,07, N 2,10 вес. %; содержание S в бензине во всем исследованном интервале т-р 0,01—0,02 вес. %, в то время как содержание N уменьшалось с 0,13 при т-ре опыта 405° до 0,01% при 480° и выше. При т-рах > 480° выход суммы жидких продуктов снижается (55 об. % при 543°) в результате крекинга до газа. Максим. выход бензина 65 об. % достигнут при 515°, при т-ре 543° он снижается до 49 об. %. В промышленных условиях рекомендуется получать бензин при 480°, так как при этом наблюдается наилучшее соотношение между выходом жидких продуктов и свойствами бензина, идущего в дальнейшем на реформинг. Рециркуляцией жидкого продукта достигнут выход углеводородов C_4 — C_6 99%. Содержание S в бензине 0,06 вес. %, N 0,01 вес. %, нафтен 22—23 об. %, т. е. в ~ 5 раз выше, чем в бензине термич. крекинга. Получаемый газ на 65% состоит из CH_4 и C_2H_6 . Дана схема эксперим. установки. Н. Кельцев

5943. Производство бензина из каменноугольных смол. Клаф (Gasoline production from coal tar oils Clough Harry), Industr. and Engng Chem., 1957, 49, № 4, 673—678 (англ.)

Изложены результаты эксплуатации гидрогенизационного з-да в Биллингеме (Англия), перерабатывающего в авто- и авиабензин креозотную фракцию каменноугольной смолы, выкипающую в пределах 200—340°, имеющую средний мол. в. 160—170 и содержащую 8—8,5% H_2 . Процесс ведется под давл. 250 атм, 385—420° в реакторах с внутренним диам. 1,2 м, высотой 15 м. В качестве катализаторов применялись: WS_2 , Fe на активированном HF монтмориллоните, Ni на SiO_2 и Al_2O_3 . Приводятся сравнительные данные работы на этих катализаторах. Выход бензина от сырья 107—123 вес. %, октановое число бензина 68—76 (моторный метод), добавка ТЭС повышает октановое число до 78—87,5. Приведена технологич. схема з-да. В. Кельцев

5944. Термокаталитическая полимеризация смолистых шахтных генераторов. Валлас (Generators for thermopolymerisation. Vallas K.), ENSV Teadus Akad. toimetus. Tehn. ja füüs.—matem. teaduste seer., Изв. АН ЭстССР. Сер. техн. и физ.-матем. н., 1956, 5, № 4, 286—296 (эст.; рез. русск., англ.)

Приведены данные по каталитич. переработке смолистых шахтных генераторов и туннельных печей на бензин, дизельное топливо и смазочные масла. При оптимальных условиях процесса выход смазочных масел достигает 60%. В 1-й стадии исходное сырье очищают от смолистых в-в, применяя ZnCl_2 . Получены индустриальные смазочные масла и фракция, выкипающая до 325°, являющаяся исходным сырьем для 2-й стадии — полимеризации. Оптимальные условия 1-й стадии: т-ра 120°, продолжительность нагрева 10 час. Во 2-й стадии катализатором служит AlCl_3 или смесь AlCl_3 и ZnCl_2 . При работе с 8% AlCl_3 оптимальными условиями являются: т-ра 100° и продолжительность 5—7 час.; при 5% ZnCl_2 и 5% AlCl_3 120°, продолжительность нагрева 7 час. При работе со смесью AlCl_3 + ZnCl_2 происходит меньшее комплексобразование. При 2-ступенчатой каталитич. переработке генераторной смолы можно получить 25% дизельного топлива, 30% авиационного, 20% швейного и 8% цилиндрового масел. Остальная часть в основном со-

держит кислородные соединения. В 1-й стадии процесса происходит удаление диолефинов, кислородных соединений и конденсированных ароматич. углеводородов, во 2-й стадии смазочное масло синтезируется путем полимеризации и алкилирования. Дизельное топливо не содержит непредельных и кислородных соединений.

А. Н. 5945. Применение присадок к тяжелым топливам. Карлс (Pick the right additive to stretch your plant's fuel-oil dollar today. Carls William H. Jr), Power, 1956, 100, № 9, 108—109, 198, 200, 202, 204, 206, 208 (англ.)

Рассматривается возможность снижения осадкообразования, коррозии, нагарообразования, дымности выхлопа и др. при помощи присадок (дициклопентадиенилжелезо, окислы Al, Ca или Mg), добавляемых к тяжелым топливам. Приводится описание лаб. методов оценки эффективности действия присадок.

А. Вишнер 5946. Осадкообразования в топливах для газотурбинных двигателей. Чертков Я. Б., Зрелов В. Н., Маринченко Н. И., Шагин В. М., Химия и технол. топлива и масел, 1957, № 7, 57—63

Источниками образования осадков, нерастворимых в топливе, являются продукты взаимодействия активных сернистых и кислородных соединений с медью в окислительной среде; продукты глубоких окислительных превращений соединений, присутствующих в топливах и содержащих S, N и O; продукты глубокого окисления углеводородов в основном ненасыщ.; продукты глубокой полимеризации и конденсации ненасыщ. соединений, протекающих с обуглероживанием молекулы; различного рода минер. примеси и т. д. Предотвращение или ограничение доступа кислорода воздуха к топливу может снизить скорость образования и общее кол-во нерастворимых осадков.

Г. Марголина 5947. Сгорание в дизелях, некоторые перспективы. Брэдбери (Combustion in diesel engines: some further aspects. Bradbury C. H.), Techn. J. Brush Group, 1955, 3, № 3, 2—6 (англ.)

Повышение расхода масла на смазку двигателя снижает расход топлива (Т). Анализ механич. потерь показывает, что это снижение расхода Т не может быть объяснено только уменьшением трения от улучшения смазывания. Автор приходит к выводу, что пленка масла, остающаяся на стенках цилиндра после такта выпуска, каталитич. ускоряет сгорание Т и этим повышает коэф. полезного действия Т. А. Равикович

5948. Рациональная классификация смазочных материалов. Томас (Lubricant code ends confusion. Thomas D. P.), Steel, 1955, 136, № 3, 78, 80 (англ.)

Автор предлагает подразделять смазочные материалы на группы: минер. масла, высоковязкие смазочные материалы, смазки для защиты механизмов; смазки, предупреждающие ржавление; смазочно-охлаждающие масла; масла для спец. целей; консистентные смазки, загущенные Са- и Na-мылами; водонепроницаемые смазки и смазки для высоких давлений. Для каждой из указанных групп даются символ и краткая характеристика.

Л. Андреев 5949. Основы очистки смазочных масел. Часть I. Долл-Стейнберг (Principles of refining lubricating oil. (Part I). Doll-Steinberg A.), Chem. and Process Engng, 1957, 38, № 7, 291—294 (англ.)

Популярная статья. Г. Марголина

5950. Температурная зависимость вязкости смазочных масел. Введение фундаментального вязкостно-температурного индекса (ФВТИ). Корнелиссен, Ватерман (Temperature dependence of the viscosity of liquids, especially lubricating oils. Introduction of the fundamental viscosity temperature index

F. V. T. I. Cornelissen J., Waterman H. I.), J. Inst. Petrol., 1956, 42, № 386, 62—66 (англ.)

Измерения кинематич. вязкости 24 смазочных масел и 5 силиконовых жидкостей при 20, 40 и 70° показали, что вязкостно-температурная зависимость (ВТЗ) этих жидкостей хорошо согласуется с ф-лой авторов $\lg v = (A/T^x) + B$, где v — кинематич. вязкость в сст, T — абс. т-ра в °К, A , B и x — константы. Для смазочных масел значения x колеблются в пределах 3—4; для расчетов может быть принято $x = 3.5$ для масел и $x = 1.0$ для силиконовых жидкостей. ВТЗ данной жидкости характеризуется значением фундаментального вязкостно-температурного индекса (ФВТИ) = $\lg(v_{20}/v_{70}) = A[(1/T_{20}^x) - (1/T_{70}^x)]$, который предлагается для оценки ВТЗ взамен других показателей, напр. индекса вязкости.

А. Равикович 5951. Окисление минеральных масел. I. Изучение старения не ингибированных трансформаторных масел. II. Старение ингибированных трансформаторных масел. Пёльль, Пасс, Шрам (Die Oxydation von Mineralölen. I. Zur Kenntnis der Alterungseigenschaften von nicht inhibierten Transformatorölen. II. Die Alterungseigenschaften von inhibierten Transformatorölen. Pöll H., Pass F., Schram A.), Erdöl und Kohle, 1954, 7, № 11, 717—720; № 12, 823—826 (нем.)

5952. О явлениях старения моторных смазочных масел. Фрёйд (Über Alterungserscheinungen von Motorenschmierölen. Freund Michael), Erdöl und Kohle, 1955, 8, № 10, 712—718 (нем.)

Рассмотрены явления старения моторных смазочных масел и масляных добавок. Л. Андреев

5953. Контроль отработанных масел химическими и физико-химическими методами. Хадфи (Éaradt olajok ellenőrzése újabb kémiai és fizikai-kémiai módszerekkel. Hadfy Kovács Iván), Közlekedéstud. szemle, 1956, 6, № 5, 174—177 (венг.)

Пра хроматографии отработанного масла на бумаге (капля масла наносится на фильтровальную бумагу) образуется ядро из более полярных соединений, образовавшихся в процессе работы. Измеряется поглощение света этим ядром на электрофотометре по силе проходящего через фотоэлемент тока. Между логарифмами числа Конрадсона и силы тока имеется линейная зависимость (дан пример калибровочной прямой). Хроматограммы отработанных масел с осадками дают представление о дисперсности осадка, о содержании воды и пр. Содержание в маслах Fe определяется колориметрически по окраске роданистого Fe, полученного растворением прокаленной золы в HCl-кте.

Г. Юдкович 5954. Эволюция смазки. Бантё (L'évolution de la lubrification. Bencteux Michel), Mach.—outil franç., 1956, 21, № 113, 91, 93, 95 (франц.)

Описываются свойства MoS₂, метод и аппаратура для оценки его смазывающего действия. В. Щекин

5955. Структура, состав и основные свойства консистентных смазок. Часть II. Мак-Гроган (Lubricating grease; its structure, composition, basic properties. Part II. McGrogan John F.), Plant, 1956, 13, № 4, 59—61 (англ.)

Обзор применения смазок различной консистенции и оценка основных свойств. Часть I см. РЖХим, 1957, 42226.

Е. Покровский 5956. Влияние физико-химических свойств смазочных масел на потери энергии в шестеренчатой передаче. Климов К. И., Виленкин А. В., Химия и технол. топлива и масел, 1957, № 7, 39—42

Для уменьшения вязкостных сопротивлений необходимо применять масла с минимально допустимым, с точки зрения износа, уровнем вязкости и возможно

более пологой кривой зависимости вязкости от т-ры. Закон изменения потерь энергии от вязкости масла является общим для различных шестеренчатых агрегатов.

Г. Марголина
5957. Смазки. Изучение ее действия при непрерывной деформации металла. Часть I. Батлер (Lubrication. A study of its action in continuous metal deformation. Part I. Butler L. H.), Steel Process. Convers., 1957, 43, № 5, 269—275, 285 (англ.)

Рассматриваются механизм трения при деформации металла, типы применяемых смазок и предъявляемые к ним требования. Библ. 26 назв. М. Пасманик

5958. Факторы, влияющие на трение и износ при твердых смазках. Питерсон, Джонсон (Factors influencing friction and wear with solid lubricants. Peterson M. B., Johnson R. L.), Lubricat. Engng, 1955, 11, № 5, 325—330 (англ.)

Сообщаются результаты исследования смазочной эффективности ряда твердых материалов, преимущественно в виде порошков. При подборе твердых смазок критериями служат кристаллич. структура, низкое сопротивление срезу и сцепление со смазываемой поверхностью.

А. Равикович
5959. Факторы, влияющие на результаты испытания в камере влажности. Хартунг (Factors influencing humidity cabinet tests results. Hartung H. A.), Lubricat. Engng, 1955, 11, № 5, 332—335 (англ.)

Испытания на ржавление стальных образцов, покрытых защитными смазками, в обычной камере влажности (над водой) дают большое расхождение результатов в зависимости от местонахождения образца в камере и от условий внешней среды. Значительно лучшую сходимости результатов дает описываемая автором камера тумана (КТ). Исследовалось влияние вязкости масла, обработки поверхности стали и проч. на получаемые результаты.

А. Равикович
5960. Закалочные масла для больших закалочных установок. Шпонхейер (Härte- und Vergüteöle für Großhärteanlagen. Sponheuer Alfred), Erdöl und Kohle, 1956, 9, № 1, 30—34 (нем.)

Испытано воздействие различных закалочных ванн на физ. свойства кусков Cr—Mo-стали диам. 200 мм. В качестве охлаждающей среды применялись 5 различных масел, сильно различающиеся по вязкости, и для сравнения вода. Взаимосвязи между кривыми, полученными пробой на серебряный шарик и воздействием закалочных ванн, установить не удалось.

Б. Энглин
5961. Эмульсии в качестве огнестойких трансмиссионно-гидравлических жидкостей. Кокер, Франсис (The place for emulsions as fire-resistant power transmission fluids. Coker G. T., Francis C. E.), Lubricat. Engng, 1956, 12, № 5, 323—326 (англ.)

В качестве таких жидкостей для отливочных машин, электросварочных автоматов и дверных печей разработаны дешёвые эмульсии типа вода в масле (~40% воды), смазывающая способность которых значительно выше, чем у применяемых эмульсий типа масло в воде, и которые могут использоваться в высоконагруженных узлах. Описываются свойства новых эмульсий.

А. Равикович
5962. Применение хроматографии для исследования высокомолекулярных фракций нефти. Меликадзе Л. Д., Элиава Т. А., Тр. Ин-та химии. АН ГрузССР, 1957, 13, 145—164

Обзор. Библ. 65 назв.
Г. М.
5963. Дорожные и лабораторные методы оценки антидетонационных свойств топлив. Вишневский (Appréciation des qualités indétonantes des carburants en utilisation et au laboratoire. Vichnevsky R.), J. Soc. ingrs automob., 1956, 29, № 5, 227—236 (франц.)

Рассматриваются основы методов, интерпретируются

получаемые результаты и поясняется их практ. значение.

В. Шенки
5964. Об оценке антидетонационных свойств топлива выше 100 единиц. Мур (What's all the controversy about antiknock scales over 100? Moore L. W.), Petrol. Refiner, 1956, 35, № 7, 162—165 (англ.)

Величина сортности топлива позволяет потребителю представить ту мощность, которую можно получить от двигателя на данном топливе, а производителю — стоимость продукции. Приводится определение стоимости произ-ва бензинов с детонационной стойкостью > 100 ед.

И. Розиков
5965. Определение бензола в техническом бензине. Шедивец, Флек (Stanovení benzenu v technických benzinech. Sedives Václav, Flek Jan), Pracovní lékař., 1957, 9, № 3, 190—195 (чешск.; русск., англ.)

Предложено два метода определения бензола в технич. и моторном бензине, основанные на нитровании всего кол-ва ароматич. углеводородов, селективном окислении продуктов нитрования толуола и ксилола и экстрагировании неизмененного динитробензола нитридом из сильнооцел. среды или бутаном из нейтр. среды. В первом случае динитробензол определяют полярографически, во втором — фотометрически. Проверка методов дала хорошие результаты.

А. Н.
5966. Анализ выхлопных газов. Применение пентоксида йода при исследовании работы бензиновых двигателей. Уэйчал (Exhaust gas analysis. The application of an iodine pentoxide method in petrol engine research. Wachal A. L.), Automob. Engng, 1955, 45, № 7, 295—300 (англ.)

Для контроля состава топливно-воздушной смеси, поступающей в цилиндр двигателя внутреннего сгорания, по составу выхлопных газов (ВГ) с целью обеспечения наибольшей эффективности процесса сгорания, предлагается метод колич. окисления CO в CO₂ с последующим определением суммарного кол-ва CO₂ в окисленном ВГ по уменьшению объема газа после поглощения CO₂ 30%-ным р-ром КОН. Окисление CO в CO₂ производится с помощью J₂O₅, растворенной в H₂SO₄ (1 ч. J₂O₅ + 12 ч. 10%-ной дымащей H₂SO₄) согласно ур-нию: J₂O₅ + 5CO → 5CO₂ + J₂. По суммарному содержанию CO₂ в окисленном ВГ, пользуясь графиком, выражающим аналитич. зависимость между составом горючей смеси (отношение воздух: топливо) и содержанием CO₂ в сухом окисленном ВГ для углеводородных топлив с различным соотношением C и H, находят состав смеси, поступающей в цилиндр двигателя. Приведены данные, характеризующие достоинства метода и два аппаратных варианта его применения.

З. Векслер
5967. Новый метод оценки противозносных свойств масел на четырехшариковой машине трения. Климов К. И., Фомина А. М., Новости нефт. тех. Нефтепереработка, 1955, вып. 6, 3—7

Для оценки противозносных свойств масел (ПСМ) при их испытании на четырехшариковой машине трения обычно пользуются зависимостью величин износа шаров от нагрузки Р при одноминутных испытаниях. На основании исследования кинетики износа шаров и характера изменения при этом коэф. трения μ разработана новая методика обработки результатов опытов, позволяющая более правильно оценивать ПСМ. Образец масла испытывается на указанной машине по одноминутной методике при нескольких значениях Р, из опыта определяется диаметр след износа и зависимость μ от времени испытания. Полученные эксперим. данные используют для определения оценочных параметров: критич. нагрузки, вызывающей начало заедания шаров $P_{кр}$ (кг/см²), и зависимости средней скорости износа шаров $v_{ср}$ (мм³/сек)

при нагрузках больших $P_{кр}$ от P . Последняя зависимость имеет линейный характер и может быть выражена постоянными v_0 (средняя скорость износа шара при $P_{кр}$) и K (тангенс угла наклона прямой $v_{кр} = f(P)$ к оси P). Воспроизводимость определения оценочных параметров: $P_{кр} \pm 6\%$, $v_0 \pm 16\%$ и $K \pm 19\%$.

В. Синицын

5968. К вопросу о методах оценки эксплуатационных свойств моторных масел. Юрченко П. Ф., Химия и технол. топлива и масел, 1957, № 7, 49—55

Применяемые для отборочных испытаний масел одноцилиндровые двигатели (ИТ9-2, ИТ9-3 и др.) нуждаются в усовершенствовании и оснащении современными контрольными приборами. Однократные стендовые испытания на серийных двигателях не могут служить средством для надежной оценки эксплуатационных свойств масел; необходимо проводить длительные стендовые испытания на нескольких серийных полномерных двигателях по научно обоснованной методике. Предыдущее сообщение РЖХим, 1957, 58526.

Г. Марголина

5969. К вопросу о методах оценки эксплуатационных свойств моторных масел. Данилов И. Н., Химия и технол. топлива и масел, 1957, № 7, 55—57

Указана необходимость организации выпуска специализированных одноцилиндровых установок для определения противозносных свойств моторных масел, их окисляемости, коррозионности, а также нагаро-, смоло- и лакообразования. Для тех же целей целесообразно создание отсеков (один-два цилиндра) полномерных двигателей. Отмечается необходимость в кратчайший срок создать установки, позволяющие надежно оценивать эксплуатационные качества не только моторных, но и других смазочных масел. Предыдущее сообщение см. РЖХим, 1957, 58526.

Г. Марголина

5970. Об определении температуры размягчения по Кремер — Сарнову. Шлоссер, Штапель (Über die Bestimmung des Erweichungspunktes nach Kraemer — Sarnow. Schlosser F., Stapel S.), Bitum., Teere, Asph., Pechе und verw. Stoffe, 1957, 8, № 5, 180—181 (нем.)

Отказ от применения метода Кремер — Сарнова (КС) при лабор. испытаниях битумов в пользу американского метода кольца и шара (КШ) и исключение этого метода из вновь выпускаемых в Германии норм испытаний битумов является необоснованным, поскольку за 25-летнее применение метода КС не обнаружено случаев отравления ртутью, а с другой стороны метод КШ требует в 7 раз большего кол-ва материала, чем метод КС и нуждается в предварительных разведочных опытах. Приведен новый вариант метода КС, представляющий преимущества перед методом КШ.

Н. Гаврилов

5971. График время — температура для определения срока складского хранения котельного топлива. Милсом, Рескорла (Time — temperature chart. Milsom Daniel, Rescorla A. R.), Petrol. Process., 1957, 12, № 2, 94—98 (англ.)

Эксперим. установлено, что зависимость между логарифмом времени хранения, достаточного для достижения содержания смол в топливе 2 мг на 100 мл, и величиной, обратной т-ре хранения (выраженной в ° Ранкина), имеет линейный характер. На основании этих данных предложен простой метод определения срока хранения топлива путем проведения краткосрочного лабор. определения времени смолообразования (до предельного содержания 2 мг на 100 мл) при повышенной т-ре (до 100°). По полученной величине проводится графоаналитич. расчет времени, потребного для достижения аналогичного предельного содержания смол в температурных условиях склад-

ского хранения. Применимость метода подтверждается опытыми данными.

И. Большов

5972 К. Топливо и смазочные материалы для лесотранспортных машин. Крашенинников Е. М., Петрозаводск, Госиздат, КарАССР, 1957, 87 стр., илл., 1 р. 70 к.

5973 К. Исследования в области переработки тяжелых нефтяных остатков и химических использование ее продуктов. Нагиев М. Ф., Баку, АН АзербССР, 1957, 347 стр., илл., 19 р. 70 к.

5974 П. Конверсия углеводородов для получения непредельных и бензина с применением инертной насадки. Джаниг, Браун (Conversion of hydrocarbons for the production of unsaturates and gasoline with the use of inert solids. Jahning Charles E., Brown James W.) [Esso Research and Engineering Co.] Пат. США 2.731.508, 17.01.56

При двухступенчатом процессе конверсии нефтяных остатков (НО), содержащих компоненты, которые при обычных давлениях не испаряются без разложения, в первой ступени НО в турбулентном потоке пропускают через зону р-ции вместе с нагретой инертной насадкой (ИН), в результате чего т-ра НО повышается до $\geq 650^\circ$. В качестве ИН можно применять частицы кокса, образующегося в процессе, или другие твердые тела: каменноугольный кокс, кремнезем, отработанный катализатор крекинга, песок и т. п. с размером частиц 35—100 меш. Скорость потока 3—30 м/сек, продолжительность контакта 0,1—10 сек. выбирается с таким расчетом, чтобы в продуктах содержалась требуемая доля низкомолекулярных олефиновых углеводородов, в том числе C_2H_4 ; конц-ия ИН в НО 8—300 г на 1 л, давление 1—7 атм (лучше 0,7—3,5 атм). К продуктам р-ции добавляют второй поток НО в таком соотношении, чтобы понизить т-ру до 510—650° и прекратить крекинг низкомолекулярных олефиновых углеводородов; одновременно происходит крекинг второго потока сырья до углеводородов, соответствующих по выкипаемости бензину. Т-ру поддерживают в заданном интервале вводом дополнительного кол-ва ИН. Продукты р-ции отделяют от ИН, которую подогревают и по крайней мере частично возвращают в обе ступени. По качеству НО в отдельных ступенях могут быть различны: во второй — менее термостойкие, чем в первой.

Н. Кельцев

5975 П. Процесс термического крекинга углеводородов. Бьютер, Голдтуэйт (Hydrocarbon conversion process. Beuther Harold, Goldthwait Richard G.), [Gulf Research & Development Co.] Пат. США 2.766.177, 9.10.56

Высококипящие углеводороды (ВУ), содержащие асфальтовые в-ва, контактируют с фракцией газообразных углеводородов (ГУ) $C_1—C_4$ при 16—79° (38—60°) и давл. 10,5—28 атм, достаточном для предотвращения испарения ГУ $C_3—C_4$. Отношение контактируемых объемов сжиженных ГУ $C_1—C_4$ к ВУ составляет 1:1—4:1. Из смеси ВУ и ГУ испаряют ГУ $C_1—C_2$ и отделяют осадившуюся смесь асфальта (СА) и ГУ $C_3—C_4$ от смеси деасфальтированных ВУ и ГУ $C_3—C_4$. Эту смесь крекируют при 524—593° (554—577°) и давл. 14—141 (70—105) атм для получения бензина, углеводородов, тяжелее бензина, и ГУ. После крекирования давление снижают до 10,5—28 атм и прекращают р-цию крекинга подкачкой охлаждающего нефтепродукта. СА крекируют отдельно при 454—538° (496—510°) и давл. 10,5—70 (14—28) атм для получения жидких углеводородов и ГУ. После крекирования СА давление снижают до величины, равной давлению после крекирования смеси деасфальтированных ВУ, и таким же путем прекращают р-цию крекирования. Оба

потока продуктов крекирования объединяют, охлаждают и фракционируют с выделением ГУ C_1-C_4 , которые рециркулируют для контактирования с ВУ. Присутствие в крекируемых продуктах ГУ C_3-C_4 и раздельное крекирование снижают коксообразование и повышают выход бензина и его октановое число. А. Р.

5976 П. Охлаждение крекинг-газов водой и удаление из них смолы. Килпатрик (Water quench and tar remover for cracked gases. Kilpatrick Myron O.) [Phillips Petroleum Co.] Пат. США. 2747680. 29.05.56

Для охлаждения крекинг-газа (КГ) и удаления из него смолы КГ, имеющий т-ру 259—537°, проходит вверх через зону охлаждения (30), контактируясь с водой в нижней части 30. В верхней части 30 КГ контактируется с ароматич. маслом (напр., антраценовым маслом и др.). Охлажд. до 10—93° и очищ. КГ выводят из верхней части, а из нижней части 30 жидкую смесь. Последняя расслаивается, образуя масляный, водяной и смоляной слои. Водяной слой и (частично) масляный слой циркулируют через 30. Смоляной слой выводят из системы. Аппарат (А) для охлаждения КГ и удаления из него смолы имеет ввод для КГ в нижней части и устройство (У) для вывода КГ из верхней части, разбрызгиватель для воды в средней части и масла в верхней части, У для вывода жидкости из нижней части, емкость для расслоения, связанную с У для вывода жидкости, У для раздельного возвращения масла и воды в А, У для удаления смолы из емкости для расслоения. В верхней части А расположены тарелки для обеспечения контакта между газом и жидкостью. Разделение воды, масла и смолы расслоением производится в горизонтальной емкости, имеющей с одного конца ввод для жидкости. В верхней части емкости расположен сборник жидкости (масла), имеющий две боковые стенки, дно и У для удаления жидкости из сборника. Одна боковая стенка соединена с верхней частью емкости и дном сборника, другая боковая стенка прикреплена к дну сборника и ее верхний край не доходит до верха емкости. В дне имеются У для вывода смолы и выходы жидкости (воды), отделенные одно от другого вертикальной перегородкой, соединенной с дном во избежание попадания смолы в У для вывода жидкости. Дан чертеж аппарата. М. Павловский

5977 П. Гидроформинг (Hydroforming) [Esso Research a. Engineering Co., Standard Oil Development Co.] Англ. пат. 737907, 5.10.55

Лигроин прямой гонки с преобладающим содержанием нафтеновых углеводородов контактируют в реакторе при повышенных т-ре и давлении с H_2 и псевдоожигенным слоем катализатора (К). Продукты удаляют из пространства над слоем К, который выводят из реактора, регенерируют окислением в зоне регенерации, и затем возвращают в реактор. Процесс отличается дополнительным вводом в реактор 0,3—6,0 мол. % (на лигроин) O_2 или пара. В качестве К рекомендуется MoO_3 на активированной Al_2O_3 , которая может содержать ≤ 5 вес. % SiO_2 . В качестве носителя может применяться Zn-шпатель, а в К можно добавлять HF. Пар или O_2 вводят в нижнюю часть реактора с H_2 -содержащим газом в кол-ве 0,5—1,0 мол. %. Ввод можно производить с регенерированным К вместе или без рециркулирующего H_2 , через катализаторопровод из регенератора. Н. Кельцев

5978 П. Процесс гидроформинга бензина (Verfahren zur Hydroformierung von Rohbenzin) [Standard Oil Development Co.] Пат. ФРГ 949587, 20.09.56

Гидроформинг бензина проводят в присутствии H_2 в аппаратуре, включающей реактор (Р) и регенератор (РГ) катализатора. В Р процесс ведут в псевдоожигенном слое частиц катализатора (ЧК) размером, преимущественно, 40—150 м. ЧК из Р подают в РГ, где

смешивают в псевдоожигенном слое с мелкими порциями (3) монель металла, нержавеющей стали, мушкетера, Fe, Cu, Al_2O_3 и (или) TiO_2 , размер 400—600 м преимущественно. Через слой ЧК и 3 в РГ пропускают O_2 -содержащий газ для обжига ЧК и выделяющегося при этом тепло обогревает смесь ЧК и 3 до 590—635°. Смесь регенерированных ЧК и 3 из РГ поступает на нагреватель, куда также идут ЧК из Р, последние нагреваются смешением с ЧК и 3 из РГ; затем ЧК отделяют от 3 струей газа, выносящей вверх ЧК, и направляют обратно в Р, а 3 в РГ. Как катализатор можно применять окиси металлов VI группы на Al_2O_3 . В нагревателе могут быть вес. отношения 3: ЧК = 1—4, ЧК из РГ: ЧК из Р = 1—6. Условия процесса в Р: катализатор 10% MoO_3 на Al_2O_3 , т-ра 480—510°, давл. 12—18 $кг/см^2$, вес. отношение ЧК: сырье 0,8—1,5, 535—891 $л/м^3$ циркулирующего газа (с 60—70% H_2) на 1 м сырьем; в РГ: т-ра 590—635°, давл. 12—18 $кг/см^2$, продолжительность пребывания ЧК 5—15 мин., состав 3: мушкетер, Al_2O_3 или TiO_2 , вес. отношение 3: ЧК = 3—5; в нагревателе т-ра 590—635°, давл. 12—18 $кг/см^2$, вес. отношение 3: ЧК из Р = 1—2. А. Р.

5979 П. Процесс алкилирования углеводородов. Дей (Process for the alkylation of alkylatable hydrocarbons. Day Roland B.), [Universal Oil Products Co.] Канад. пат. 509.784, 1.02.55

В процессе алкилирования парафиновых углеводородов олефинами в зоне р-ции (ЗР), содержащей жидкий комплекс (К) AlX_3 —углеводород (X—галоген), К образуется в ЗР при взаимодействии части указанных углеводородов с AlX_3 . Реакционная масса удаляется из ЗР и К отделяется от углеводородных продуктов алкилирования. Основная часть выделенного К возвращается в ЗР. Р-р свежего AlX_3 в несущей жидкости (напр., в парафиновом углеводороде), не реагирующей в основном с AlX_3 , вводится в ЗР в таком кол-ве, чтобы во время р-ции алкилирования в К содержалось 60—85 вес. % AlX_3 . Если процесс алкилирования осуществляется при 10—80°, то при пониженной активности К, находящегося в ЗР, добавляют свежий $AlCl_3$ в кол-ве, достаточном для непрерывного производства алкилата, который содержит ≥ 80 об. % парафинов C_4 (главным образом 2,3-диметилбутан). М. Павловский

5980 П. Печь для конверсии нефтяных газов. Та-рудзак, Фукусима (石油系統の變成ガス発生炉. 横崎升, 副島秀雄), Японск. пат. 734, 6.02.56

Предложена вертикальная печь для конверсии нефтяных газов и легких нефтепродуктов, имеющая цилиндрич. реакционную камеру, в которой установлены полки с катализатором. Окружающее камеру кольцевое пространство разбито вертикальными перегородками на 8 отсеков; в 4 из них (через один) сверху подается сырье и воздух, предварительно подогреваемый в камере, расположенной в нижней части печи. Смесь сырья с воздухом идет по отсеку сверху вниз. В нижнюю часть каждого из этих отсеков подается пар, после чего смесь попадает снизу в реакционную камеру, проходя через катализатор. Полученный газ выходит из верхней части реакционной камеры, проходит по остальным 4-м отсекам сверху вниз и попадает в канал, соединяющий эти отсеки и окружающий камеру для нагрева воздуха. Из канала газ направляется в котел-утилизатор. Печь работает под небольшим вакуумом. Ю. Ермаков

5981 П. Трубчатая печь для нагрева жидкостей (Tubular furnaces for heating fluids) [Universal Oil Products Co.] Англ. пат. 728266, 13.04.55

Печь для нагрева нефтяных фракций (напр., лигроина) для процесса каталитич. реформинга их в высокооктановый продукт в трех реакторах имеет прямоугольное сечение и разделена в плане одной продольной и одной поперечной перегородками, не доходя-

щими до верха печи на три зоны: одну большую и две меньших. В нижней части печи вдоль обеих сторон продольной перегородки имеется ряд горелок, направляющих факелы пламени на эту перегородку. По боковым стенкам каждой зоны размещены радиантные секции труб и в сводовой части печи, над перегородками — конвекционная секция труб. Т-ра в каждой зоне горения регулируется горелками, поток дымовых газов — шиберами, установленными в сводовой части печи на выводах дымовых газов. В печи может одновременно нагреваться три отдельных потока продуктов: исходный продукт проходит последовательно конвекционную секцию труб и радиантную секцию в большой зоне и поступает в 1-й реактор; частично превращенный продукт проходит для подогрева радиантную секцию труб одной из меньших зон и поступает во 2-й реактор; продукт после прожигания 2-го реактора поступает для подогрева в радиантную секцию труб второй меньшей зоны и затем в 3-й реактор. Печь может иметь и больше, чем три отдельные зоны горения при наличии дополнительных перегородок. Приведена схема. В. Кельцев

5982 П. Производство горючего газа из жидких топлив. Тоцек, Линдер (Method for the production of fuel gas from liquid fuels. Totzek Friedrich, Linder Willy) [Koppers Co., Inc.]. Пат. США. 2734811, 14.02.56

Изложен непрерывный процесс получения горючих газов (Г) с высокой калорийностью, практически не содержащих N_2 , путем конверсии жидких топлив (ЖТ) водяным паром (ВП). Процесс ведут в системе из двух регенераторов подогрева (РП), снабженных камерами сгорания, и регенератора тепла р-ции (РТ). ВП сначала поступает в 1-й горячий РП, нагревается и переходит в РТ, где в ток пара вырывается под давлением ЖТ и протекает р-ция. Продукты р-ции проходят 2-й РП, где отдают тепло. Остывший 1-й РП далее подогревается подачей снизу воздуха и подачей ЖТ в камеру сгорания, газы горения проходят РТ и 2-й РП. Затем цикл повторяют в обратном направлении. Для получения водяного Г в РТ поддерживают т-ру 1250 и 1050° при получении городского Г с калорийностью 4000 ккал/м³. Система может работать на газообразном топливе. Пример. Остаточный Г нефтепереработки состава C_1-C_4 с калорийностью 17800 ккал/м³ подвергнут р-ции с 1,5 м³ 95%-ного O_2 и 1,05 кг ВП на каждый м³ исходного Г. Получено на каждый м³ исходного Г 5,75 м³ Г состава (в %): CO_2 —4,2; CO —36,7; H_2 —56,9; N_2 —1,3 и остальных $G < 1$. Даны схема и описание регенераторов. М. Э.

5983 П. Аппарат для получения газа из нефтепродуктов. Котак, Като (油ガス発生装置. 小高榮, 藤加部夫), Японск. пат. 9332, 21.12.55

Предложен аппарат для получения газа из тяжелого малоценного нефтяного сырья. Последнее распыляется форсункой в верхней части цилиндрич.-конич. камеры из огнеупорного материала; воздух подается по каналу, окружающему форсунку, а пар поступает по кольцевой трубе, расположенной ниже входа сырья и воздуха. Вначале для разогрева катализатора подается сырье и воздух; цикл длится 2—3 мин., причем катализатор разогревается до т-ры 700—950°. Затем при подаче пара следует цикл газификации, воздух во время этого цикла не подается. Катализатор зажат между внутренней и внешней стенками катализаторной коробки, установленной на поду камеры. Стенки коробки имеют многочисленные отверстия. Газы направляются по узкому проходу между внешней стенкой коробки и стенкой камеры, разбитому вертикальными перегородками на направляющие отсеки, проходят через катализатор и попадают в отводной канал в центре катализаторной коробки. Оттуда

по каналам, продолженным в поду камеры, газы сгорания во время цикла подогрева катализатора направляются в котел-утилизатор, а целевой газ во время цикла газификации проходит в гидрозатвор. Ю. Е.

5984 П. Аппарат для непрерывного производства газа из нефтяного сырья. Хаяси (油瓦斯連續發生装置. 林盛四郎), [東京瓦斯株式會社, Tokai Gas Kabushiki Kaisha]. Японск. пат. 6478, 13.09.55

Вертикальная стальная труба с гладкой поверхностью заключена в камеру разложения (КР), изготовленную из огнеупорного материала. В трубе идет окисление и активация газифицируемого сырья в холодном пламени при 400—450°; окончательная газификация происходит в КР при 710—850°. Нижняя часть трубы во избежание перегрева покрыта теплоизолирующим материалом. Подача сырья осуществляется в верхнюю часть трубы, выступающую из камеры, с помощью форсунки; паровоздушная смесь при подаче проходит через турбинку и, благодаря полученному вращательному движению, хорошо перемешивается с парами сырья. Перед газификацией сырье и паровоздушная смесь подогреваются до 300—350°. Кокс с внутренней поверхности трубы счищается скребком, подвешенным на тросах, и затем удаляется из нижней части КР. Полученный газ отбирается через отверстие в верхней части КР. При газификации в предложенном аппарате (длина трубы 4700 мм, внутренний диам. 680 мм) под давл. 15 кг/см² пропуске 2640 л/час легкого масла при подаче 2700 м³/час воздуха и 630 кг пара на 1000 л сырья из каждых 1000 л сырья получено 1510 м³ газа с теплотворностью 4593 ккал/м³. Состав газа (в %): CO_2 1,8; CO 13,2; CH_4 8,6; C_2H_4 7,8; C_2H_6 4,4; H_2 2,7; O_2 1,0; N_2 60,5. Ю. Ермаков

5985 П. Камеры для сжигания жидкого топлива. Аллен, Стокс (Liquid fuel combustion chambers. Allen Sidney, Stokes Morris A.) [Armstrong Siddeley Motors Ltd]. Канадск. пат. 518189, 8.11.55

Топка для сжигания жидкого топлива (ЖТ), имеет на одной из стенок патрубок для ввода в топочную камеру с большой скоростью воздуха и внутри камеры дискообразное тарелочное устройство (ТУ), вращающееся вокруг оси, параллельно оси воздушного патрубка. ТУ составлено из концентрич. колец, образующих ступенчатую поверхность усеченного конуса, служащую для испарения ЖТ, которое вводится в топочную камеру через щели между кольцами. Вращение ТУ распыляет ЖТ на поверхности в виде пленки, причем неспарившаяся часть на одной ступени перетекает на другую, а пары смешиваются с подающимся воздухом и сгорают. В. Кельцев

5986 П. Устройство для предварительной обработки нефти перед очисткой. Сасаки (鑽油清淨機の清浄前處理装置. 佐々木二郎), Японск. пат. 8427, 21.12.54

Для отделения продуктов окисления смесь нейтрализующего агента (5%-ный р-р NaOH) и обрабатываемого продукта распыляется с помощью пара или горячего воздуха в полный сосуд. Из нижней части этого сосуда смесь насосом прокачивается через смеситель, разделенный перегородками на ряд камер; в каждую камеру через барботёр подается пар для лучшего перемешивания и поддержания постоянной т-ры. Смесь проходит последовательно через все камеры и после смесителя направляется на очистку от механич. примесей. При обработке на данной установке нефтепродукта с кислотным числом 0,80 получают снижения последнего до следующих значений: после распыления 0,50; после смесителя 0,23; после фильтрации 0,18. Ю. Ермаков

5987 П. Очистка нефтепродуктов. Кубота, Сугахара (酸油處理法. 桑田勉, 菅原勇次郎), Японск. пат. 632, 04.02.54

Для уменьшения кислотности и улучшения цвета нефтепродуктов, подвергшихся сернокислотной очистке, предложено обрабатывать их отбеливающей глиной (3—5% от веса нефтепродукта), предварительно обработанной р-ром кремнекислого или алюминиевокислого Na или какого-нибудь синтетич. коллоидообразующегося в-ва. Пример. К машинному маслу, подвергнутому сернокислотной очистке, добавлено 5% отбеливающей глины, предварительно обработанной р-ром Na-алюмината, а затем высушенной. После перемешивания 20 мин. при 100° и последующей фильтрации кислотное число масла 0,063, при хранении цвет масла практически не изменяется. Ю. Ермаков

5988 П. Процесс гидрокаталитического обессеривания нефтяных углеводородов. Портер, Хаусам (Procédé de désulfuration hydrocatalytique d'hydrocarbures de pétrole. Porter Frederik William Bertram, Housam Ernest Carlton) [Anglo-franç. oil Co. Ltd]. Франц. пат. 1115325, 23.04.56

Сырье контактируют с катализатором (окислы Co и Mo, нанесенные на Al_2O_3 , активированный фтором) в условиях автогидроочистки (400—426°, скорость подачи сырья 1—5 объемов на 1 объем катализатора в 1 час). Затем в цикл вводят газ, богатый H_2 , отделенный от обрабатываемого сырья, и обработку ведут до установления в зоне р-ции равновесного давления, которое затем поддерживают добавлением H_2 . Пример. Смесь, состоящую из газойля прямой гонки и каталитич. крекинга (80:20), содержащую 1,52% S, подвергали обработке в присутствии указанного катализатора при 426°, равновесном давлении, скорости подачи сырья 1 объем на 1 объем катализатора в 1 час, скорости рециркуляции H_2 56 $л/м^3$ на 163 л при 7 $кг/см^2$. После 125 час. работы полученный продукт содержал 0,1% S. В тех же условиях из более легкого сырья (85—285°), состоящего из керосина, лигроина и легких фракций каталитич. крекинга с содержанием 0,93% S, после 100 час. работы полученный продукт содержал 0,01% S. З. Векслер

5989 П. Усовершенствование процесса обессеривания крекированных лигроинов. (Perfectionnements à un procédé d'adoucissement de naphtas craqués) [Standard Oil Co.]. Франц. пат. 1115568, 26.04.56

Лигроин контактируют при 48,8° (21,1—32,2°) в присутствии свободного O_2 , взятого в кол-ве 84—252 $м^3$ на 0,453 кг меркаптановой серы, с гранулированным катализатором, состоящим в основном из хлорида меди ($CuCl_2$), 5—30 вес. % воды (15—25%) и носителя (фуллерова земля), весовое отношение носителя и $CuCl_2$ по меньшей мере 10:1 (12:1, 15:1, 20:1). После контактирования отделяют в значительной степени обессеренный продукт от катализатора и добавляют в него ингибитор окисления (фенилендиамин, NN' -дибутил-(втор)- n -фенилендиамин) и металл. дезактиватор в кол-ве 0,226 и 2,267 кг соответственно на 159 л.

Г. Марголина

5990 П. Устройство для очистки смазочного масла. Латтер (Oil cleaners. Latter S. C.). Англ. пат. 714254, 25.08.54

Масло очищается от металл. частиц с помощью устройства, состоящего из магнита, крепящегося пружинным зажимом на масляном отстойнике или на каком-либо месте циркуляционной системы; магнит может крепиться на пластинке из немагнитного металла, приклеенной к пробке отстойника, для чего в середине магнита сделана выемка. Пружинный зажим может привариваться, либо привинчиваться к кожуху отстойника. Можно очищать масло коробок скоростей или картера дифференциала, вмонтировав описанное устройство в масляный трубопровод. Патент предусматривает также использование электромагнита. Н. Лапидес

5991 П. Выделение легких углеводородов из углеводородных фракций (Light ends recovery from hydrocarbon fractions) [Standard Oil Development Co.]. Англ. пат. 733726, 20.07.55

Для выделения углеводородов (У), соответствующих по выкипаемости моторному топливу, из смеси паровых образных У, содержащей значительное кол-во Bz и низкокипящих У, исходную смесь в первичном сепараторе разделяют на газовую фазу (низкокипящие У и H_2 вместе с некоторым кол-вом бензиновых У) и конденсат (К), не содержащий H_2 . Из К в зоне стабилизации выделяют низкокипящие У. Затем К разделяют в зоне дистилляции на две фракции — легкую и тяжелую, причем часть последней используют в качестве сорбента в зоне адсорбции. Продукт, выходящий сверху зоны стабилизации, охлаждают, после чего из него выделяется во вторичном сепараторе дополнительное кол-во К. Несконденсированные У из вторичного сепаратора вводят вниз, а из первичного сепаратора — в середину абсорбционной зоны. В результате противоточного контакта паров и сорбента бензиновые У поглощаются; сверху абсорбционной зоны отводят H_2 и У с т-рой кипения ниже интервала кипения моторного топлива. Насыщ. абсорбент вводят в зону стабилизации. Процесс может быть применен для выделения У из смеси газов и H_2 , получаемой при гидроформинге. В этом случае газообразную смесь из зоны гидроформинга перед поступлением в первичный сепаратор охлаждают. В качестве сорбента рекомендуется фракция с т. кип. 163—221°. Н. Кельман

5992 П. Способ фракционирования масел и других органических жидкостей. Гролл (Sätt att fraktionera olor och andra organiska ämnen. Groll P. A.) [Svenska Oljeslageri AB.]. Шведск. пат. 451340, 30.08.55

Способ фракционирования масел экстракцией селективным р-рителем, из которого фракции выделяют при т-ре и давлении, близких к критич. параметрам этого р-рителя, отличающийся тем, что перед концентрированием т-ры, вызывающей выделение из р-рителя экстрагированной им фракции, повышают гидравлич. давление в этом р-рителе. К. Герцифелд

5993 П. Аппарат для разделения компонентов органических смесей. Уитни (Apparatus for separating components of an organic mixture. Whitney William B.) [Phillips Petroleum Co.]. Пат. США 273888, 20.03.56

Для разделения смеси (С) компонентов, напр. смазочное масло, обрабатывают адсорбентом (А), например силикагелем, который затем последовательно промывают р-рителями, растворяющими преимущественно отдельные компоненты С, в частности для масла, рафинированного углеводородом, ароматич. углеводородом и спиртом. Процесс ведется в аппарате, состоящем из бесконечной горизонтальной ленты (Л) из фильтровальной ткани, движимой, напр., двумя валами в концах. Над Л вдоль расположено несколько головок для разбрызгивания р-рителей, под Л расположены всасывающие ящики для приема р-рителей после промывки слоя А на Л, так что под участком каждой головки имеется отдельный ящик. С одного конца (вначале) сверху расположены два сосуда с разделителями взвеси А на Л: из 1-го сосуда отлагается на Л слой А, смоченный р-рителем (подкладной), в 2-го сосуда отлагается слой А с С (или вместе с р-рителем). На другом конце Л расположен ящик для приема с Л отмытого А. Сверху Л может быть установлена 2-я движущая Л, которая покрывает 1-ую за исключением начального участка, где отлагается А, и слой А движется между обоими Л. Аппарат может иметь два сосуда-мешалки для смешивания А с р-рителем и с С, из которых взвеси А поступают

нают в сосуды с распределителями, и емкости для А, С и р-рителей, расположенные так, чтобы продукты шли или самотеком.

5994 П. Получение микрокристаллического нефтяного парафина. Хасимото, Тогова, Судзуки, Нэгоро (パラフィンの結晶組織を變化せしめる方法 橋本實, 戸川嘉正, 鈴木正, 根来一夫), [日本煉業株式会社, Нихон когё кабусики кайся]. Японск. пат. 2193, 23.04.54

Парафин обрабатывают 0,05—1,0% полиэтилена или полиизобутилена и получают продукт с микрокристаллич. структурой.

Э. Тукачинская
5995 П. Битумные композиции, содержащие небольшие количества хлорсульфополиэтилена. Болт, Ван Вейк (Asphalt compositions containing small amount of chlorosulfonated polyethylene. Bolt John A., Van Wyk Joseph W.) [Standard Oil Co.]. Пат. США 2752316, 26.06.56

Композиция состоит в основном из битума и небольшого кол-ва — ≤ 10 вес.% (2—5%) хлорсульфополиэтилена. Композиция может содержать окисленный битум и 3 вес.% хлорсульфополиэтилена.

Г. Марголина
5996 П. Указатель уровня для жидкости с высокой вязкостью, например для битумов. Хамерак, Бёмер (Flüssigkeitsstandanzeiger für hochviskose Flüssigkeiten, heispielsweise für Bitumina. Hamerak Kurt, Böhmer Heinz) [Feltens & Guilleaume Carlsberg A.-G.]. Пат. ФРГ 947645, 23.08.56

Указатель состоит из отнесено повешенных поплавков и оптич. указателя, причем поплавки размещены на длинных плечах, а ртутные переключающие трубки — на коротких плечах двухплечного маятника. Для направления движения маятников служат металлические направляющие. Дан эскиз устройства.

В. Кельцев
5997 П. Способ и аппаратура для хранения, транспорта и использования природного газа. Моррисон (Procédé et installation d'emmagasinage, de transport et d'utilisation de gaz naturel. Morrison Wilford Langdon). Франц. пат. 1108798, 17.01.56

Способ, включает: редуцирование поступающего из скважины или дальнего газопровода газа в ≥ 2 ступенях для снижения его давления и т-ры до значений, требуемых для перевода в жидкое состояние; очистку газа перед его сжижением от конденсирующихся и других загрязняющих примесей; сепарацию и хранение сжиженного газа под атмосферным давлением в изотермич. условиях; подогрев внешним теплом части испарившегося сжиженного газа для получения энергии, требуемой для продувок и перемещения сжиженного газа по системе до места его использования в качестве газообразного топлива. По вариантам патента предложено: компримировать и охлаждать часть несжиженного газа, а затем редуцировать его с целью сжижения дополнительного кол-ва газа; компримировать и охлаждать часть очищ. газа и после смешения со сжатым исходным газом редуцировать и сжижать; в процессе редуцирования использовать часть энергии для компримирования несжиженного газа; охлаждение газа вести до —160°; использовать замерзающие углеводородные компоненты газа для продувок системы и заполнения свободного пространства хранилищ сжиженного газа. Дано описание технологич. схемы и аппаратуры, с приложением эскизов, для случая сжижения природного метанового газа и размещения аппаратуры и хранилищ на шаландах, пришвартованных к пристани.

Е. Робиневич
5998 П. Топливо для двигателей внутреннего сгорания. Кобата, Аран, Хара, Ямаваки (掃氣性内燃機用燃料. 小幡武三, 荒井猛彦, 原真次, 山脇正男) [三菱石油株式会社, Мицубиси сэкию кабусики кайся]. Японск. пат. 4540, 30.06.55

В качестве присадок к этилированному бензину предложено применять соли органич. к-т (стеараты, линолеаты, олеаты и 2-этиленгексилаты Cr, Ni и Co) в кол-ве 0,5 г/л и фосфорорганич. соединения (трикрезил- и трифенилфосфат, трифенилтриниофосфат, трихлорфенолфосфат, трифенилмонониофосфат, триэтилфосфаты) в кол-ве 1,5—2 г на галлон. Стендовые и эксплуатационные испытания на автомобильных моторах показали, что такие присадки резко снижают нагарообразование, отложение соединений Pb и коррозию деталей. Расход топлива, содержащего 0,05 г/л 2-этиленгексилата Co, 2 г трикрезилфосфата и 3 мл тетраэтилсвинца на галлон, на 15% меньше, чем топлива, содержащего только тетраэтилсвинец.

Ю. Ермаков
5999 П. Горючее для ракетного двигателя. Парсонс (Drivladdning för raketmotorer. Parsons J. W.) [Aerojet-General Corp.]. Шведск. пат. 149876, 3.05.55

Горючее состоит из термопластич. смеси асфальта с тонкоизмельченным твердым окислителем. Смесь характеризуется числом пенетрации 6—100 (выраженной в десятых долях мм под нагрузкой иглы в 100 г и времени испытания 5 сек.).

К. Герцфельд
6000 П. Нитропарафиновое ракетное топливо. Ханнум (Nitro-paraffin propellant. Hannum John A.) [Borg-Warner Corp.]. Пат. США 2721792, 25.10.55

Однокомпонентное жидкое ракетное топливо для газотурбинных двигателей на основе стехиометрич. смеси окислителя (нитрата или перхлората аммония), диспергированного в тонкоизмельченном виде в горючем компоненте, напр. нитрометане, нитроэтаноле, 1-нитро-, 2-нитро-, 1,1-динитро-, 2,2-динитро-, 1,2-динитро-, 1,3-динитропропане, 1,1-динитроэтаноле, тринитропропане или их смеси. Топливо допускает подачу в жидком виде непосредственно до места образования факела пламени в камере сгорания.

В. Шекин
6001 П. Способ растворения нафтенатов в углеводородах, в том числе в смазочных маслах и моторном горючем, а также моторное горючее, полученное по этому способу. Керн, Шейер, Крупке, Цорн (Sätt att lösa naftensura salter i kolväten, bland annat smorjoljor och motorolja samt på så sätt framställt motorolja. Kern R., Scheurer H., Kruppke E., Zorn H.) [Rhein Chemie G. m. b. H. Chemische Fabrik]. Шведск. пат. 149766, 26.04.55

Растворение ведут с помощью вспомогательного р-рителя, напр. полиалкиленгликоля общей ф-лы: $XO(RO)_nRO_Y$, где R — алкилен с 2 или 3 атомами C; n — 1—20 (преимущественно 2—7); X — углеводородный или ацильный остаток, содержащий > 6 (лучше > 8) атомов C; Y — H, углеводородный или ацильный остаток с любым числом атомов C.

К. Герцфельд
6002 П. Процесс сепарации масло-водных смесей, содержащих мелкие твердые частицы. Глейзер (Process for separating water-oil mixtures containing fine solids. Glazier Edwin M.) [Gulf Research & Development Co.]. Пат. США 2740804, 3.04.56

Запатентованы метод и аппаратура для сепарации частично сконденсировавшихся продуктов процесса синтеза углеводородов по Фишеру — Троппшу. Эмульсия содержит углеводороды, воду, окисленные органич. соединения и суспендированные тонкие твердые частицы катализатора. Эмульсия разрушается последовательной промывкой сначала относительно большим объемом воды (минимум вдвое больше содержания воды в эмульсии), а затем водн. р-ром каустика. Разделение эмульсии ведут в сосуде, у которого нижняя часть является водо-смесительной зоной (ВЗ), а верхняя часть — каустик-смесительной зоной (КЗ). Обе зоны разделены перегородкой, в которой имеется перфорированный стояк. По нему поднимается выделен-

ное из эмульсии масла. Загрузка эмульсии, воды и р-ра NaOH производится по трубам. КЗ заполнена насадкой из колец Рашига.

Ю. Скоренский

6003 II. Метод повышения качества низкосортных тяжелых масел. Сосаки (低質重油の改質處理方法, 佐々木二郎), Японск. пат. 7236, 04.11.54

Масло, предварительно подогретое до 50—90°, фильтруют через волокнистый материал на основе целлюлозы, характеризующийся наличием капиллярных отверстий. Фильтрация ведется под давл. ~ 25 атм, причем из масла удаляются механич. примеси размером < 1 м. После такой обработки масло вязкостью 60 сст при 50° с содержанием твердых частиц 0,13% и воды 3,5% имеет вязкость 46 сст, механич. примесей 0,03% и следы воды.

Ю. Ермаков

6004 II. Присадка к минеральным смазочным маслам.

Вульфрам, Мантёйфель (Zusatz zu Mineral-schmierölen. Wolfgram George, Mantuffel Allan) [The Pure Oil Co.]. Пат. ФРГ 948811, 6.09.56

Растворимая в масле присадка состоит из: 1) 3—5 вес. ч. осерненного сложного эфира к-т таллового масла и спирта с прямой цепью (напр., метилового эфира) с содержанием S 3—10 предпочтительно 6—26%; 2) некоторого кол-ва продукта р-ции P_2S_5 с глицеринолеатом, этилен-, пропилен- или бутиленглицеролеатом или свиным салом с низким содержанием к-т с более чем одной ненасыщ. связью (содержание Р в продукте р-ции 0,6—2,5, предпочтительно 1,26%) и 3) 5—10% дибензилсульфида. Смесь добавляется к смазочным минер. маслам в таких кол-вах, чтобы общее содержание в композиции составляло: Р 0,02—0,06; S 0,5—1,5, дибензилсульфида 0,5—1%. Пример состава композиции (в вес. %): а) смеси, содержащей 83,3% осерненного метилового эфира к-т таллового масла и 16,6% фосфорированного олеата глицерина, 12; б) дибензилсульфида 1,0; в) полимера эфира метакриловой к-ты и высокомолекулярного спирта 0,5 и г) смазочных масел Н и L—60,0 и 26,5. Характеристики масел соответственно: уд. вес. 0,9083 и 0,8772; т-ра вспышки 287,87 и 210°; вязкость в °Е при 37,78°—85,8 и 5,97 и при 98,89°—4,51, и 1,49; содержание S—0,78 и 0,38%.

Г. Марголина

6005 II. Консистентные смазки, содержащие мыла жирных кислот. Зиммер (Fatty acid soap grease compositions. Zimmer John C.) [Esso Research and Engng. Co.]. Канадск. пат. 523696, 10.04.56

Безводные, щел. консистентные смазки, содержащие минер. смазочное масло, по крайней мере одно металлическое мыло насыщ. жирной к-ты (напр., стеариновой), избыток 0,1—1% (0,5%) щелочи и 0,01—1% (лучше 0,1%) фенил-α-нафтиламина.

О. Сладкова

6006 II. Смазка, применяемая при волочении проволоки. Сато, Фуруя, Симпо (伸線用潤滑剤の製法. [佐藤豊二郎, 古谷謙治, 新保赴夫], 東京製鋼株式会社, Токё сэико кабусики кайся). Японск. пат. 1023, 15.02.56

Цинковое, калиевое или алюминиевое мыло сплавляется при 250—280° с твердым парафином или воском (в кол-ве 1/3 от веса взятого мыла), к расплаву подмешивается 10—25% (от веса предыдущих компонентов) окиси Zn, окиси Ti или талька измельчением 200—250 меш. Приведены следующие составы (в вес. ч.): 75 Са-мыла, 25 твердого парафина, 10 смеси окиси Ti и талька, содержащей талька 50%; 80 Zn-мыла, 20 горного воска, 15 смеси окиси Zn и талька, содержащей талька 40%; 80 Al-мыла, 20 горного воска, 5 окиси Zn, окиси Ti или талька.

Ю. Ермаков

6007 II. Смазка для форм. Петер, Фроманди (Formsmörjmedel. Peter J., Fromandi G.) [Fazbenfabriken Bayer A.-G.]. Шведск. пат. 150301, 14.06.55

Смазка для форм состоит из смеси масла кремнийорганич. характера и поверхностноактивного в-ва,

получаемого взаимодействием высших жирных к-т, их производных или солей, и содержащих OH, NH₂ или галоген, производных этансульфонокислоты или этановой к-ты, или ангидрида последней.

К. Герцифелд

6008 II. Закалочное масло. Сато, Фудзимура

Ватанабэ (焼入用冷却油の製造法. 佐藤知雄, 渡邊伊三郎), [三菱石油株式会社, Мицуоми сэкию кабусики кайся]. Японск. пат. 4752, 3.08.54

Минеральное масло, содержащее 40—80 об. % ароматич. углеводородов, имеющих > 15 атомов С, и применяющееся для закаливания твердых сортов стали.

Э. Тукачинский

6009 II. Жидкости, применяемые при обработке металлов, из натуральных или синтетических смазочных масел. Мертенс, Дитрих, Веттер (Metallbearbeitungsflüssigkeiten aus natürlichen oder synthetischen Schmierölen. Mertens Hans-Joachim, Dietrich Wilhelm, Wetter Fritz) [Chemische Werke Huls Akt.-Ges.]. Пат. ФРГ 947419, 16.08.56

Состав жидкости (в вес. %), считая на смазочное масло: органич. S-соединения 1—15; растворимого в масле кислого эфира к-т фосфора 0,001—0,05; высоковязкого продукта взаимодействия спиртов и алкилоксидов с мол. в. > 1000 0,02—2; антикоррозионной присадки (диглицольмоноолеат, пентаэритритмонолеат и др.) 0,1—2. Пример: осерненного стирола 8; монолаурилфосфата 0,08; монооктилового эфира полипропиленгликоля с мол. в. 1050 0,75; диглицеринолеата 0,5; остаток до 100% — минер. масло с вязкостью 15,9 сст, при 50°.

Г. Марголина

6010 II. Гидравлическая и смазочная жидкость (Middel til kraftoverføring og smøring) [Douglas Aircraft Co., Inc.]. Датск. пат. 79749, 22.08.55

Жидкость состоит из одного или смеси нескольких моноалкилдиарилфосфатов (I) и 0,2—10% полимера алкилметакрилата со средним мол. в. 8000—12 000. Арми в I: фенил, крезил или ксилл, алкил содержит 1—10 (предпочтительно 8—10) атомов С. В качестве I применяют моноалкилдиарилфосфат или смесь изомерных октилдиарилфосфатов, напр., 2-этилгексилдиарил- и 6-метил-гептилдиарилфосфатов. Преимущество предлагаемых жидкостей состоит в их негорючести (т. воспл. > 500°) и низкой т-ре застывания (—50° и ниже).

К. Герцифелд

См. также: Происхождение нефти и природных газов 4241. Свойства природных газов 4238. Хим. переработка нефти и газа 5483, 5495. Нефтезаводское оборудование 4941, 4942. Коррозия нефтезаводской аппаратуры 4974, 4975, 4992, 4995. Битумы 4994, 5004, 5176. Анализ нефтепродуктов 4342, 4393, 4934, 5020. Сточные воды нефтепереработки 5124—5126

ЛЕСОХИМИЧЕСКИЕ ПРОИЗВОДСТВА. ГИДРОЛИЗНАЯ ПРОМЫШЛЕННОСТЬ

Редактор А. П. Хованская

6011. Полиурониды водных экстрактов пихтовой коры. Котасек (Polyuronidy vodných výluhů smrčové kůry I. (Předběžné sdělení). Kotásek Zdeněk). Věda a výzk. v průmyslu kožeděln., 1956, 1, 47—62 (чешск.; рез. русск., англ.)

В осадках, выделяемых этиловым спиртом и ацетоном из разбавленных (2—3% сухого остатка) и водных экстрактов коры *Picea excelsa* при их кислотном гидролизе методами хроматографии на бумаге обнаружены d-галактуроновая к-та, арабиноза, глюкоза и галактоза; получены данные в пользу возможного присутствия ксиллозы и рамнозы.

Ю. Чельцов

6012. Неиспользованные возможности химической переработки древесины. Калинин А. И., Вестн. АН СССР, 1956, № 4, 41—46.

Указаны пути эффективного использования отходов древесины. М. Ш.

6013. Техничко-экономические предпосылки по переработке неликвидной древесины путем газификации. Элькин Д. И. Сб. статей по результатам исслед. в обл. лесн. х-ва и лесн. пром-сти в таежн. зоне СССР. М.—Л., АН СССР, 1957, 257—264.

6014. Энергетическое использование отходов лесозаготовительных и деревоперерабатывающих предприятий. Лямин В. А. Сб. статей по результатам исслед. в обл. лесн. х-ва и лесн. пром-сти в таежн. зоне СССР. М.—Л., АН СССР, 1957, 237—248.

Описаны энергохим. схемы использования лесотходов с применением агрегата конструкции А. К. Славянского, газогенераторной топкой В. В. Померанцева, установки и метода В. А. Лямина. Даны рекомендации по дальнейшим работам в этой области. А. Х.

6015. Экономическое использование отходов сельского хозяйства. Предварительный гидролиз и обугливание. Асиро-Саес (Aprovechamiento economico de residuos agrícolas. Prehidrólisis y carbonización. Consideraciones previas. Asero Sáez Eduardo), Ion, 1956, 16, № 182, 524—530 (исп.).

Рекомендуется перерабатывать отходы сельского и лесного х-ва методом пентозного гидролиза и сухой перегонки остатка после гидролиза. Г. Логинова

6016. Брикетирование измельченных древесных отходов. Минин А. Н., Лесн. пром-сть, 1957, № 8, 20—23. Описана технология брикетирования измельченной древесины или гидролизного лигнина и приведена схема брикетной установки. А. Х.

6017. Система воздухоочистки в формалиновом производстве. Скворцов С. О., Данилюк П. П., Гидролизная и лесохим. пром-сть, 1957, № 5, 22—23. Описана схема щел. воздухоочистки с применением метанольного р-ра щелочи, обеспечивающая эффективное улавливание механич. пыли и загрязнений (SO_2 , H_2S), вредных для контактного процесса. А. Х.

6018. Характеристика смол Алзинского завода. Водзильская А. Н., Тищенко Д. В., Гидролизная и лесохим. пром-сть, 1957, № 5, 9—11.

Исследованы отстойная и экстрагированная из жижки смолы, полученные термоллизом древесины в вертикальной непрерывнодействующей реторте с внутренним обогревом. Из отстойной смолы (при 165—170°/11—15 мм рт. ст. паров на выходе) получено 59% масел в пересчете на безводн. смолу, а из экстракционной (т-ра паров на выходе 200°) — 69%. В маслах отстойной смолы найдено (в %): 41 фенолов, 26 нейтр. в-в, 14 к-т; в маслах растворимой смолы соответственно: 30; 9; 22 и 35. Приведена методика разделения масел на составные части и физ.-хим. характеристика выделенных фракций. Глубокое гидрирование нейтральных в-в смолы с восстановлением сложных эфиров (без удаления к-т) даст смеси, содержащие ≥ 80 —85% спиртов, обладающие высокими флотуирующими свойствами. К-ты из масел отстойной смолы представляют собой сложную смесь высококипящих к-т. А. Хованская

6019. Исследование состава сухоперегонного котельного скипидара из осмола кедр корейского (*Pinus koraiensis sieb. et. Zucc.*). Уварова Н. И., Бардышев И. И., Ж. прикл. химии, 1957, 30, № 7, 1105—1108.

Скипидар был получен сухой перегонкой «колотникового» осмола указанного кедр в вятском котле, его d_4^{20} 0,8920, n_D^{20} 1,4862, кислотное число (КЧ) 18,50. После отгонки фракции с т. кип. 155—190°, последующей ее очистки водн. р-ром щелочи и перегонки паром был получен очищ. скипидар d_4^{20} 0,8541, n_D^{20}

1,4726; $[\alpha]_D^{20}$ —20,8°, с КЧ 0,3; эфирным числом 5,8. Очищ. скипидар состоит (в %) из l-α-пинена 25, l-камфена 7, циклодигидромирцена 5 (не идентифицирован.), d-Δ³-карена 13, l-лимонена с дипентеном 25, n-цимола 3; терпеновых спиртов 4 и высококипящих составных частей, природа которых не была исследована, 14. А. Хованская

6020. Влияние на состав пшеничной соломы гидро модуля при предгидролизе соляной кислотой. Димов, Беловежов (Влияние на гидро модуля върху състава на пшеничена слама при предгидролиз със солна киселина. Димов Кирил, Беловежов Г.), Химия и индустрия, 1957, 29, № 4, 24—25 (болг.).

6021. Работы по защите лесных материалов в США за 1955—1956 г. Хатфилд (Activities in the field of wood products preservation in the United States in 1955—56. Hatfield Ira), Forest Prod. J., 1957, 7, № 2, 54—60 (англ.).

Обзор (новые антисептики, способы их введения). Библ. 124 назв. Н. Рудакова

6022. Повреждение древесины и ее предохранение. Эдуардс (The decay of timber and its prevention. Edwards W. A.), Industr. Finish. (London), 1955, 8, № 81, 141—142, 144, 145, 150 (англ.).

См. также РЖХим, 1957, 46312.

6023. Защита древесины от гниения в Финляндии в 1956 г. Виролайнен (Lahonsuojau vuonna 1956. Virolainen E.), Tekn. kem. aikakauslehti, 1957, 14, № 9, 187 (финск.; рез. англ.).

Выпущен новый безвредный препарат, пригодный для консервирования сырой неокоренной древесины путем пропитки под вакуумом и под давлением. Н. Рудакова

6024. Исследование возможностей использования тяжелых масел эстонских горючих сланцев для консервирования древесины. Кикерпиль Э., Тр. Таллинск. политехн. ин-та, 1957, А, № 80, 16 стр.

6025. Соль Вольмана (Tanalith) для защиты древесины. Ганнасон (Wolman (Tanalith) wood preservative. Gunnason Jan), Wood worker, 1955, 74, № 1, 12, 39 (англ.).

6026. Защитная обработка строительных лесоматериалов упрощенным диффузионным способом. Тамблин (Preservative treatment of building timbers by a simplified diffusion process. Tamblin N.), S. Afric. Build. and Timber Trades J., 1956, 6, № 10, 29 (англ.).

Сырой лесоматериал погружают в холодный р-р солей (напр., соединений бора и фтора), взятых в соотношениях, при которых образуются сильно растворимые борофториды и пентабораты; для повышения токсичности добавляют соединения Cr и As (при 20° р-р содержит > 80% солей). Затем материал складывают в штабели, защищенные от высыхания, и выдерживают несколько часов. Соли диффундируют вглубь древесины не менее чем на 12 мм; затем древесину высушивают. При обработке древесины, предназначенной для эксплуатации в условиях возможного выпелачивания, добавляют фиксирующие соли меди или других тяжелых металлов. Н. Рудакова

6027. Испытания консервированных столбов в эксплуатационных условиях. Хоф (Buitenproeven met geconserveerde palen. Hof T.), Nederl. boschbouw — tijdschr., 1956, 28, № 9, 207—215 (гол.; рез. англ.).

Столбы из дугласовой пихты, японской лиственницы, ситхинской ели, тополя и ветлы были обработаны различными способами креозотовым маслом, карболинеумом, пентахлорфенолом, CuSO_4 , HgCl_2 , ZnCl_2 и др. Группы столбов были врыты в землю, помещены в воду у берега пруда и вбиты в берег при укреплении.

судоходного канала. Приведена таблица испытаний столбов разной обработки и из разных древесных пород, простоявших в земле с 1947 по 1956 год. Лучшие результаты дали креозотовое масло и пентахлорфенол, растворенный в тяжелом масле. Консервирующие средства, растворимые в воде, дали различные результаты в зависимости от их состава, концентрации и методов обработки. М. Нагорский

6028. Срок службы бревен в морской воде. Арон (The durability of timber in sea water. Aaron J. R.), Wood, 1955, 20, № 2, 48—50 (англ.)

6029. Распределение пентахлорфенола в балках из дугласовой пихты, обработанных под давлением и без давления. Хайно, Джейкоби, Претти-Павлетта (Distribution of pentachlorophenol in pressure and non-pressure treated douglas fir crossarms. Hines Edward, Jacobi L. J., Pretti-Pavletta W. H.), Forest Prod. J., 1955, 5, № 1, 81—91 (англ.)

6030. База для антисептирования древесины. Козлов С. И., Автомоб. дороги, 1955, № 1, 24—25

6031. Предварительное изучение проникновения растворов арсенита натрия и монохлорацетата натрия в стволы желтой березы и красной ели. Уилкоккс (Preliminary study of the penetration of sodium arsenite and sodium monochloroacetate solutions into trunks of yellow birch and red spruce. Wilcox Hugh), Bot. Gaz., 1954, 116, № 1, 73—81 (англ.)

6032. Обработка рудничной стойки на руднике Dome Mines. Хонер, Дейвис (Timber treating at Dome Mines. Honer W. E., Davis B.), Canad. Mining J., 1955, 3, № 76, 65—68 (англ.)

6033 К. Химия древесины. Никитин Н. И. Перев. с русск. (Chémie dřeva. Nikitin N. I. Z rus. orig. Praha, SNTL, 1956, 552 s., il., 72,70 Kčs.) (чешск.)

6034 П. Средство для пропитки древесины, бумажной массы и т. п. Морли (Imprägniermittel für Holz, Papiermasse u. dgl. Morley John Selwyn) [Imperial Chemical Inds Ltd]. Пат. ФРГ 942718, 9.05.56

Патентуются соединения общей ф-лы $O(OH)C_6H_4C \times (-R'')NHCH(R)CH(R')R'''$, (R и R'—H или низший алкил, и могут означать одинаковые или разные заместители, фенил замещен одним или несколькими атомами галоида, R''—O или NH, R'''—Cl, если R''—O и OH если R''—NH. Примером таких соединений служат производные 3,5-дихлор-2-оксибензойной к-ты (I): 100 ч. N-β-оксиэтиламида-I прибавляют при 75—80° и размешивания в течение 30 мин. к 62 ч. POCl₃, смесь приливают к р-ру 160 ч. безводн. соды в 1000 мл воды при < 30° и фильтруют полученный N-β-хлорэтиламид-I, т. пл. 95—96°, применяемый в виде NH₄-соли. Опыты хранения сосновых дощечек, смоченных р-рами этой соли и р-рами пентахлорфенолята-Na разных конц-ий (от 0,125 до 2,0%), но одинаковых в параллельных опытах, показали, что патентуемая соль примерно в 3 раза активнее пентахлорфенолята-Na в защите от синей гнили и поверхностного заплесневания, а также совершенно прекращает рост различных видов плесени в конц-ях 0,005%. Аналогичные результаты получены с хлоргидратом N-β-оксиэтиламина-I. Ю. Вендельштейн

См. также: История 3453, 3457. Химия древесины: австралийского черного дерева 4830; черной ольхи 4832; Eucalyptus 1989Бх. Придание огнестойкости древесине 5184. Техника безопасности 5177. Сточные воды 5139, 5140.

ЖИРЫ И МАСЛА. ВОСКИ. МЫЛА. МОЮЩИЕ СРЕДСТВА. ФЛОТОРЕАГЕНТЫ

Редактор А. А. Зиновьев

6035. Жиры и масла: современное положение и перспективы.— (Oils and fats: today's position and tomorrow's trends.—), Food Manufacture, 1956, 31, № 9, 385—388 (англ.)

Содержание трех докладов, представленных 34 конгрессу Международной ассоциации масложиводчиков. Г. Фрид

6036. Технология получения растительных масел в Бекеше. Бокор (A békési növényolajipari vállalat technológiai eljárása. Bokor András), Olaj, szappan, kozmetika, 1955, 4, № 2, 5—7 (венг.)

Описаны улучшения в технологии (улучшение хранения и транспортировки сырья, повышение производительности при обрушивании семян, увеличение емкости сушилок с 2 до 6 м³, улучшение прессования, уменьшение расхода электроэнергии). В. Игнатченко

6037. Активная вентиляция масличных семян. Стойкулеску (Ventilarea activă a semintelor oleaginoase. Stoiculescu P.), Rev. ind. aliment. prod. vegetale, 1957, № 1, 3—5 (рум.)

Обсуждаются сушка семян подсолнечника с применением технологич. схемы и аппаратуры, предложенных Краснодарским ин-том

6038. Быстрый метод определения жира в масличных семенах. Лекузи (Méthode rapide pour le dosage de l'huile dans les graines et fruits oléagineux. Lecoisi R.), Oléagineux, 1956, 11, № 7, 456—457 (франц.)

Метод основан на определении уд. веса р-ра, в зависимости от кол-ва растворенного в нем жира. Тонко измельчают 50 г испытуемого образца в 100 мл р-рителя (рекомендуется применение о-дихлорбензола) быстро отсасывают р-р, определяют уд. вес его и определяют содержание жира в исходном сырье по графику (Г). Предварительно на основе полученных опытных данных для каждого вида масличных семян строят Г. Продолжительность определения 10—15 мин. Точность определения ±0,3%. Метод рекомендован для производственного контроля, при приеме сырья и т. д. Приведен Г для сурепного масла. Т. Сабурова

6039. Определение содержания масла в мякоти авокадо *Elaeis guineensis*. Дезасси (La détermination de la teneur en huile de la pulpe de fruit d'Elaeis guineensis. Desassis A.), Oléagineux, 1955, 10, № 11, 739—743 (франц.)

6040. Проращивание семян как показатель возможного содержания свободных жирных кислот в кукурузном масле. Кинман, Айберт (Seed germination as an index of potential free fatty acid content of sesame oil. Kinman Murray L., Ibert Edward R.), J. Amer. Oil Chemists' Soc., 1956, 33, № 12, 637—639 (англ.)

Установлено наличие зависимости между жизнеспособностью семян при уборке и содержанием свободных жирных к-т в масле из этих семян по истечении различных периодов их хранения после уборки. Г. Фрид

6041. Охлаждение шнекпрессового масла. Бегдан П. Т., Маслоб.-жир. пром-сть, 1957, № 5, 34—35

Описана внедренная на Янги-Юльском масложивод № 4 схема быстрого охлаждения шнекпрессового масла. Масло из шнековых прессов поступает в желоб цепного транспортера, охлаждаемого водной рубашкой, затем стекает на вибросито и оттуда поступает в фузовешалку, в которой происходит окончательное охлаждение масла водой, циркулирующей в нем.

змеевикам. Из фузошешалки масло перекачивают на фильтр-пресс и далее в бак. Испытания показали, что на транспортере т-ра масла понижается на 30—35°, на вибросите на 2°, на фузошешалке — на 24—30° и на фильтр-прессе — на 30°. В результате получается легко-рафинируемое масло. М. Землянухина

6042. Переработка семян сои с получением высококачественных фосфатидов. Сергеев А. Г., Масл.-жир. пром-сть, 1957, № 5, 11—13

Рекомендуется рациональная схема переработки, которая исключает воздействие на соевые семена, масло и фосфатиды т-ра выше 100°, исключает соприкосновение масла и фосфатидов с воздухом, исключает и развитие в них микрофлоры. Кроме масла и фосфатидов, схема предусматривает получение также и пищевой дезодорированной соевой муки. М. Землянухина

6043. Применение ферментов при экстракции оливкового масла. Сороа-и-Пинеда (Emploi des enzymes dans l'extraction de l'huile d'olive. Soroa y Pineda José Maria de), Oléagineux, 1954, 9, № 12, 865—868 (франц.)

6044. Рапсовое масло как пищевой продукт. Бир (Rapeseed oil as a food. Beare Joyce L.), Food Manufacture, 1957, 32, № 8, 378—384 (англ.)

6045. Наблюдения над некоторыми характеристиками оливкового масла «В». Галлавризи, Капелла (Osservazioni su alcune caratteristiche degli olii di oliva rettificati R. Gallavresi P., Capella P.), Olii miner., grassi e saponi, colori e vernici, 1957, 34, № 5, 227—229 (итал.; рез. англ., исп., нем., франц.)

Подтверждается (на основании собственных экспериментов и данных эксперим. лаборатории жиров и масел), что этерифицированные масла обладают показателем рефракции выше нормы. Л. Фрейдкин

6046. Характерная реакция оливкового масла, полученного из жмыхов. Христопулос, Томопулос (Sur une réaction caractéristique de l'huile de grignons d'olive. Christopoulos Pan., Thomopoulos Chr.), Rev. franç. corps gras, 1957, 4, № 1, 27—30 (франц.)

Предложен новый метод открытия в оливковом масле (М) масла, полученного экстракцией оливковых жмыхов (МЖ), при содержании последнего ≥ 10 —20%. 2 мл анализируемого М при перемешивании термометром, опущенным в масло, нагревают до 180°, затем слегка охлаждают и добавляют каплю р-ра AgNO₃ в ацетоне, сильно перемешивают и снова нагревают. В присутствии МЖ в М последнее окрашивается в красно-коричневый цвет, в отсутствие МЖ цвет М переходит в темно-желтый или желто-оранжевый. М слегка мутнеет и часто флуоресцирует на поверхности. Другие растительные масла в этих условиях вызывают сильное помутнение и яркое окрашивание, переходящее в серый цвет. Е. Смольянинова

6047. Некоторые данные о красящих веществах хлопковых масел. Семендяева Т. К., Масл.-жир. пром-сть, 1957, № 4, 7—10

Показано изменение интенсивности окраски хлопковых масел в зависимости от наличия в них продуктов изменения госсипола и других производных. Н. Фрумкина

6048. Очистка хлопкового масла. Чэнь Жу-хуан (毛棉籽油之的碱煉. 陳汝煥), 化學世界, Хуасюэ шицзе, 1954, 9, № 11, 499—500 (кит.)

6049. Вибрирующие сита. Бедой (Vibrating screens: They're now streamlined for new high performance. Bedouy A. G., Jr), Food Engng, 1957, 29, № 3, 107—108, 111 (англ.)

Приводятся технич. характеристика, спецификация,

а также примеры применения вибрирующих сит. Напр., Компания по произ-ву хлопкового масла в Техасе (США) перерабатывает 140—160 т семян в сутки, применяя гидравлич. прессы и экспеллеры. Масло из прессы рециркулирует через экспеллер для охлаждения. Для удаления из масла твердых взвешенных частиц, содержащихся в кол-ве 1—2%, его направляют на вибрирующие сита (100 меш), с помощью которых снимают ~50% этих частиц. А. Емельянов

6050. Отстойник непрерывного действия для гидратированного масла. Науменко П. В., Масл.-жир. пром-сть, 1957, № 4, 31—32

Указанный отстойник для отделения от фосфатидов и воды имеет производительность 1 т сырого масла в 1 час. Е. Шепеленкова

6051. Некоторые уточнения по вопросу рафинации и гидрогенизации хлопкового масла. Шлакман (Citeva precizări în legătură cu rafinarea și solidificarea uleiului de bumbac. Şlacman M.), Rev. ind. aliment. prod. vegetale, 1956, № 2, 32 (рум.)

Критика статьи Стойкулеску. См. РЖХим, 1956, 56459. А. Марин

6052. Быстрое установление расхода щелочи при нейтрализации растительных масел. Шлакман (O metodă rapidă de stabilire a consumului de leşie la neutralizarea uleiului. Şlacman M.), Rev. ind. aliment. prod. vegetale, 1957, № 3, 24—25 (рум.)

Выведены ф-лы для подсчета кол-ва NaOH, необходимого для нейтр-ции 1 т растительного масла $[L = 4000 J (100 + E)/56 \text{ pc}; L - \text{л р-ра технич. NaOH}; J - \text{кислотное число}; p - \text{кг х. ч. NaOH в } 100 \text{ кг технич.}; c - \text{кг NaOH в } 100 \text{ л р-ра}]$, а также для выражения кислотности масла в % олеиновой к-ты ($A = \text{кислотное число}/2; A - \% \text{ олеиновой к-ты}$). Построена номограмма с 6 переменными величинами, позволяющая быстро установить расход технич. щелочи (содержат 95%-х. ч. NaOH) на нейтр-цию растительных масел. Приведена номограмма и схема пользования ею. А. Марин

6053. Из опыта работы по получению пищевого арахисового жмыха. Гулезов Ю. А., Акопян З. Г., Грабан В. М., Масл.-жир. пром-сть, 1957, № 5, 39—40

Описан метод получения светлого арахисового жмыха. Арахис с влажностью 8—8,5% очищают на сепараторах (диаметры отверстий сит: подситок 18 мм, первое сито 12 мм, второе сито 3 мм). Частицы ядра, прошедшие через сита с размером отверстий 3 мм, хранятся отдельно и перерабатываются на кормовой жмых. Вентилятор сепаратора не работает во избежание потерь отделенной семенной оболочки. Дробление арахиса перед обрушиванием производят при помощи парной вальцовки с диаметром валков 400 и 450 мм и числом оборотов 325 (большой валок) и 300 (меньший валок). Затем арахис поступает на семенорушку с 350 об/мин. и на семеновойки. Набор сит россева: первый ярус 6,5 и 8 мм, второй — 5 и 6 мм, третий — 2,5 и 4 мм. Первая фракция, состоящая из половинок арахиса, направляется для повторного обрушивания на отдельную рушку; вторая, третья и пятая фракции веики — на вальцы; четвертая фракция, состоящая в основном из зародыша, — на хранение в отдельный склад для последующей переработки на кормовой жмых. Туда же направляются мелкая сечка с мелкими частицами оболочки и следы минер. пыли, а также вся семенная оболочка из лузговых карманов веек и нагнетательных фильтров. При сорности до очистки 0,1% бобы арахиса после очистки имеют сорность 0,00%, лузжистость ядра, поступающего на вальцы, 0,7—0,9%, содержание полезных отходов (зародыш, сечка, часть мелкой оболочки) — 15—16%. Производительность агрегата рушка-вейка 55 т семян в сутки.

Измельчение ядра производится на пятивальцовых станках через три прохода. Прессовый цех работает по схеме фораппарат инж. Коваленко — шнекпресс МД. Под каждой парой фораппаратов имеется четырехчанная жаровня, а над каждой парой прессов — шестичанная жаровня. Для получения светлого жмыха подготовка мезги в основных жаровнях производится под вакуумом: во всасывающем патрубке вентилятора $p = 180$ мм рт. ст., а внутри чанов над мезгой — 60–65 мм вод. ст.

Е. Киселева
6054. Повышение ценности метиловых эфиров — побочных продуктов, получаемых при извлечении каротина из пальмового масла. Жоран (La valorisation des esters méthyliques sous-produit de l'extraction du carotène de l'huile de palme. Jorand J., Oléagineux, 1955, 10, № 3, 193–196 (франц.))

Метиловые эфиры пальмового масла могут быть использованы для приготовления жирных спиртов путем восстановления с помощью металлич. На или гидрогенизацией под давлением. В 1-м случае получают смесь спиртов (в %): миристинового 6, цетилового 27, стеаринового 15, олеилового 50, линолеилового 2. При восстановлении водородом получают только насыщ. спирты. Приведены данные о растворимости алкилсульфатов натрия и кальция при 25°. Предыдущее сообщение см. РЖХим, 1956, 37917. Ф. Неволли

6055. Использование побочных продуктов сельского хозяйства. Индустриализация процесса изготовления масла из оливковых выжимок. Саэнс — Лакалье (El aprovechamiento de subproductos agrícolas como factor de productividad. Industrialización del aceite de orujo de aceituna. Sáenz Lacalle Alfredo), Dyna, 1955, 30, № 8, 502–519 (исп.)

Разбор методов переработки оливковых выжимок в Испании на старом оборудовании. Рекомендуются современное оборудование и дается его детальное описание. Предлагаются некоторые усовершенствования и новшества. Детально рассматривается экстракция, рафинация, получение жирных спиртов. Г. Логниова

6056. К вопросу о механическом удалении растворителя из шрота. Мацук Ю. П., Курдюмов В. Н., Малый Г. Д., Безуглов М. И., Маслоб. жир. пром-сть, 1957, № 3, 6–7

Исследовалось влияние уд. давлений на степень отжима р-рителя из шрота. Испытанию подвергались три образца шрота (подсолнечный, соевый и из хлопчатника) с различной влажностью и маслячностью. Опыты проводились на лабор. гидравлич. прессе при 20° с применением в качестве р-рителей экстракционного бензина и дихлорэтана. Для каждого образца шрота и р-рителя проводилось по три опытных отжима при соответственно заданном давлении. После каждого отжима определялось остаточное содержание р-рителя с влагой и рассчитывался процент отжима р-рителя из шрота относительно первоначального его содержания. Найдено оптимальное уд. давление для отжима р-рителя из шрота (для отжима бензина 35 кг/см², для отжима дихлорэтана 45 кг/см²). При дальнейшем увеличении давления на шрот степень отжима растет незначительно. А. Войцеховская

6057. Определение содержания остаточного бензина в шроте. Конечный (Stanovení zbytkového benzínu ve šrotu. Korecký Antonín), Průmysl potravin, 1957, 8, № 6, 311–314 (чешск.; рез. русск., англ., нем.)

Приводятся описание и результаты проверки метода, основанного на применении в заключительной стадии анализа термич. кондуктометра. Данные, полученные этим методом и методом Пардун (Pardun H., Seifensieder-Ztg., 1947, 731, 101, 121, 141), совпали. Преимущества нового метода — быстрота определения.

А. Емельянов

6058. Фосфатиды. Блезе, Мелле (Les phosphatides. Blaizot P., Mellier M.-T.), Oléagineux, 1957, 12, № 5, 295–298 (франц.)

Обсуждается строение и хим. состав фосфатидов, находящихся в растительных маслах (соевом, арахисовом, хлопковом, суреповом) и в животных жирах. Описаны промышленные методы выделения лецитинов (экстракция бензолом или смесью изомеров октана, осаждением гидратированных лецитинов). Выделение фосфолипидов хроматографированием на Al_2O_3 в р-ре $CHCl_3$. Указана способность фосфолипидов конденсироваться с альдегидной группой. Лецитин (55–65% фосфатидов и 35–45% растительного масла) применяется в качестве эмульгатора в красках, текстильной, кондитерской, косметич. и пищевой пром-сти.

Е. Смольянинов
6059. Состав жира макрелешуки. I. Состав насыщенных и мононасыщенных жирных кислот. Хидака, Уэно (サンマ油脂脂肪酸成分について. 第1報. 主として固體脂肪酸およびオレイン酸列脂肪酸について. 日高徹, 上野誠一), 油脂化学協会誌, Юси кататейкайси, J. Oil Chemists' Soc. Japan, 1955, 4, № 313–318 (японск.)

Определены следующие показатели для жира Cololabis saira: n_D^{20} 1,4736, d_4^{15} 0,9358; кислотное число 24,6; число омыления 183,6; йодное число (Вильм) 126,4; окси-кислот 0,76%; жирных к-т (ЖК) 90,31%, в том числе образующих полибромиды 26,44% (содержание Br 67,46%); неомыляемых 4,14%. Смесь ЖК содержит 22,5% твердых к-т (число нейтр-ти (ЧН) 214,2, ИЧ 25,9) и 77,5% жидких к-т с ЧН 183, ИЧ 161,4. Фракция пальмитиновой к-ты составляет > 60% твердых к-т; следующая по кол-ву — стеариновая к-та; насыщ. к-ты C_{10} , C_{22} , C_{24} и C_{14} присутствуют в миним. кол-вах. Среди ненасыщ. к-т с двойной связью много к-т C_{18} и C_{20} , мало C_{16} и C_{22} и меньше C_{24} . Присутствует также высоконасыщ. к-ты.

Н. Соловьев
6060. Витамин А рыбьих жиров. Его природа, биологические колебания, обработка печени рыб. Креаш (La vitamine A des huiles de poisson. Origine, variations biologiques, traitement des foies. Créach P. V.), Oléagineux, 1955, 10, № 801–811 (франц.)

Обзор. Библ. 57 назв. см. также РЖХим, 1957, 1046

В. М.
6061. Новые продукты из рыбьих жиров. II. Полиаминокислоты, полученные из рыбьего жира. МакДоналд, Гругер (New products from fish oil Part II-Polyamino fatty acids derived from fish oil. McDonald R. N., Gruger Edward H., J. Comm. Fish. Comm. Fisheries Rev., 1956, 18, № 9, 7–11 (англ.))

На примере олеиновой к-ты рассматриваются три метода превращения непредельных к-т рыбьего жира в соответствующие полиаминокислоты: 1) аминированием жидким аммиаком галоидокислот, полученных из ненасыщ. к-т присоединением HJ , HBr , HBr_2 ; 2) восстановлением нитрокислот, полученных при взаимодействии ненасыщ. к-т с тетранитрометаном; 3) обработкой галоидокислот К-фталимидом — синтез Габриэля. Часть I см. РЖХим, 1957, 56180. Н. Кологривов

6062. Реакция Тортелли — Яффе для обнаружения рыбьего жира. Бигони (Reazione Tortelli-Jaffe per la ricerca dell'olio di pesce. Bigoni Giuseppe), Olii miner., grassi e saponi, colori e vernici, 1955, 32, № 9, 193–194 (итал.)

Указано, что р-ция Тортелли — Яффе (и Тоззонотти) не специфична для рыбьего жира, поскольку аналогичная окраска получается для неомыляемой фракции оливкового масла. Р-цию Тоззонотти проводят следующим образом: в градуированный цилиндр наливают

2,5 мл масла или жира, 2,5 мл дихлорметана, 8 капель 99%-ной муравьиной к-ты, перемешивают и добавляют 5 капель брома. Л. Фрейдкин

6063. К рефрактометрии жиров. VI: обнаружение примеси посторонних жиров в свином жире. Кауфман, Тиме (Zur Refraktometrie der Fette VI: Nachweis von Fremdfetten in Schweineschmalz. Kaufmann H. P., Thieme J. G.), Fette, Seifen, Anstrichmittel, 1955, 57, № 9, 726—734 (нем.; рез. англ., франц., исп.)

Ранее описанным методом многофазной рефрактометрии (РЖХим, 1956, 27485 и 27486) исследована зависимость коэф. преломления от т-ры для разных сортов чистого свиного жира (СЖ), в том числе с примесью других жиров (говяжьего, гидрированного СЖ, пальмового масла, масла земляного ореха, кокосового и гидрированных масел: соевого, маисового и макаового). Показано, что наблюдаемые при наличии в СЖ примеси указанных жиров отклонения коэф. преломления не выходят за пределы, которые имеют коэф. преломления для разных сортов чистого СЖ. Исследована зависимость коэф. преломления от т-ры для выделенной прессованием твердой фазы СЖ разных сортов, как таковой, а также с добавлением указанных других жиров. Показано, что в этом случае наблюдается существенное различие в значениях коэф. преломления. Описан рефрактометрич. метод предварительного исследования СЖ с целью обнаружения в нем примеси посторонних жиров. Часть V см. РЖХим, 1957, 64977. Н. Зеленецкий

6064. Уравнение Лорентца — Лоренца и новая аналитическая константа для жиров (топленого масла) и масел. Часть II. Топленое масло. Чаттарджи, Чандра (Lorentz-lorenz expression as a new analytical constant for fats (ghee) and oils. Part II — Ghee. Chatterji A. C., Chandra Umesh), Z. analyt. Chem., 1957, 156, № 1, 1—7 (англ.)

Предложенный для оценки степени фальсификации топленого масла (М) горчичным М рефрактометрич. метод (часть I см. РЖХим, 1957, 62304) применен для обнаружения добавок в М гидрированного, кунжутного, кокосового, сафлорового М и М семян *Bassia latifolia*. Миним. кол-во гидрированного М, открываемого рефрактометрич. методом 4,5%. Т. Леви

6065. Противоокислительные свойства масла семян кресс-салата и масла дикой горчицы. Мустафа, Хуссейн, Абдель-Азиз (The antioxidant properties of garden cress (lipidium sativum) and wild mustard (sinapsis arvensis) oils. Moustafa Lotfy, Hussein Aref, Abdel Aziz Hussein), J. Amer. Oil Chemists' Soc., 1957, 34, № 3, 96—100 (англ.)

Найдено, что масло семян кресс-салата и масло дикой горчицы препятствуют окислению льняного масла. Из обоих масел выделена активная фракция, идентифицированная как α -токоферилаллофанат с т. пл. 159°. Эти фракции и α -токоферилацетат имеют одинаковые УФ-спектры с $\lambda_{\text{макс}}$ 290 мμ и $\lambda_{\text{миним.}}$ 225,5 мμ. Противоокислительное действие выделенной фракции аналогично действию х. ч. α -токоферилацетата. И. Вольфензон

6066. Аса-катехин (из *Acacia Catechu*) — новый антиокислитель. Часть II. Хусайни, Рао, Салеторе (Aca-catechin — a new antioxidant. Part II. Husaini S. M., Rao S. K., Saletore S. A.), J. Scient. and Industr. Res., 1957, A16, № 3, 128—129 (англ.)

Указано, что Аса-катехин является хорошим и дешевым антиокислителем для масел и жиров, удлиняющим сроки хранения их примерно вдвое. Добавка аса-катехина увеличивает также сроки хранения

бисквитов и жареного картофеля. Часть I см. РЖХим, 1956, 14654. Н. Кологривова

6067. Удельное преломление многокомпонентных систем. Сообщение II. Старение жирных масел. Людде (Die spezifische Refraktion von Mehrstoffsystemen. II. Mitteilung. Die Alterung von fetten Ölen. Lüdde K. H.), Pharmazie, 1956, 11, № 4, 254—261 (нем.)

Указано, что коэф. преломления (n), плотность (d), уд. рефракция (R) и показание барабана компенсатора (T) по Гордиенко (Gordijenko A., Chem. Zbl. 1951, 1, 3571) зависят не только от сорта масла, но и от длительности хранения его. Свежие масла характеризуются сравнительно высоким значением R и небольшой величиной T . Если старение масла обусловливается аутоокислением, то наряду с уменьшением R и ИЧ, n , d и T возрастают. Однако, оптич. поведение масел при старении индивидуально. Величина n лучше характеризует сорт масел (в том числе и состарившихся), чем R . В результате гидрирования двойных связей величины n , d и R уменьшаются. По величине R можно судить о составе масел. Сообщение I. см. РЖХим, 1955, 26382.

Н. Полянский
6068. Изменение животного жира в производственных условиях. Нечаев М., Мясная индустрия СССР, 1957, № 4, 26—28

Проведено сравнительное исследование свиного жира, вытопленного в горизонтальных вакуум-котлах и на центробежной машине (конструкции Ануфриева, Вечканова и Земляникова). В пробах жира, отбираемых после каждой операции, начиная с подготовки сырья и кончая охлаждением жира перед разливом в тару, определяли перекисные, кислотные и йодные числа (ИЧ), а также эпигидриновый альдегид и эпоксидный кислород. В образцах жира, вытопленных указанными способами, не обнаружено эпоксидного кислорода, эпигидринового альдегида и уменьшения ИЧ. Положительная р-ция Крейса и уменьшение ИЧ наблюдались на более поздних ступенях окисления, а эпоксидный кислород появлялся к моменту полной порчи жира. Установлено, что только перекисные числа характеризуют изменения жиров при их вытопке в производственных условиях. Определение же кислотных чисел имеет большое значение для контроля качества и режима хранения жира-сырца.

А. Емельянов
6069. Ароматизация линолевой кислоты палладиевым катализатором. Флойд, Пашке, Уилер, Болдуин (The aromatization of linoleic acid with palladium catalyst. Floyd E. Paschke R. F., Wheeler D. H., Baldwin W. S.), J. Amer. Oil Chemists' Soc., 1956, 33, № 12, 609—614 (англ.)

200 г метиллинолеата (I), выделенного из метиловых эфиров сафлорового масла, нагревают при $270 \pm 5^\circ$ в течение 6 час. с 5% катализатора (10% палладия на древесном угле) в 1-л ампуле, эвакуированной при 150° и плотно закупоренной. Обработкой продукта р-ции мочевиной в метаноле и дистилляцией выделяют ~7% полимера, 18% метилстеарата, 40% моноолефинов, 30% метилового эфира жирноароматич. к-ты. При окислении ароматич. продукта получают фталевую к-ту. Высказаны предположения о механизме ароматизации I.

И. Вольфензон
6070. К вопросу о характеристике «активности» гидрогенизационных катализаторов. Тютюнян Б. Н., Маслоб.-жир. пром-сть, 1956, № 5, 25—26

Обсуждение методов, предложенных для определения активности катализаторов, применяемых при гидрировании ненасыщ. масел. Автор считает, что метод, предложенный Зиновьевым (РЖХим, 1955, 6695), не пригоден для заводской практики. В. Красева

6071. Хроматографический метод определения содержания тринасыщенных глицеридов в частично ги-

- дрогенизированных жирах. Колесников Г. И., Тр. Краснодарск. ин-та пищ. пром-сти, 1916, вып. 13, 27—31.
- Показана применимость метода для исследования частично гидрогенизированных жиров. С. Вирезуб
6072. Исследование процесса гидрогенизации жиров. Покорный, Янчик (Sledování průběhu ztužování. Pokorný Jan, Jančík Vladimír), Průmysl potravin, 1957, 8, № 7, 356—361 (чешск.; рез. русск., англ., нем.)
- В результате проверки различных методов контроля процесса гидрогенизации масел найдено наиболее целесообразным одновременное определение т-ры плавления и показателя преломления при условии точного соблюдения установленного режима гидрогенизации (кол-во катализатора, т-ра, время, давление и однородность сырья). Для автоматизации контроля рекомендуется определение показателя преломления и диэлектрич. постоянной. А. Емельянов
6073. Теория производства моноглицеридов. Демарк (Aspects théoriques de la fabrication des monoglycérides. Demarcq M.), Rev. franç. corps gras, 1956, 3, № 5, 336—351 (франц.)
- Описана теория гидролиза с рассмотрением влияния действия катализатора, состава реакционной смеси, т-ры, кол-ва катализатора, состава жирных к-т жира, загрязнений и ингибиторов, а также вопроса образования в ходе гидролиза β-моноглицеридов.
- А. Верепагин
6074. Непрерывное расщепление жиров под высоким давлением без катализатора в системе «Грилли». (Scissione continua dei grassi ad alta pressione senza catalizzatore «sistema Grilli».), Olii miner., grassi e saponi, colori e vernici, 1957, 34, № 5, 249—250 (итал.)
- В установке системы «Грилли» жир и вода, с целью максим. контакта, вводятся с большой скоростью по касательной к окружности стенки колонны. Давл. 40 атм, т-ра >240°. Как только начинает образовываться свободная к-та, расщепление начинает проходить в гомог. фазе. Реализованы 2 важных условия: удлинение пути реагентов, путем устройства диафрагм, и наличие противотока. Расход пара: 200 кг на 500 кг жира. Расход электрич. энергии: 3 квч на 1 кг жира. Дана схема установки. Л. Фрейдкин
6075. Применение алкилсульфонатов в промышленности жиров и бытовой химии. Либе (Alkilsulfonat alkalmazása a növényolaj és háztartásvegyiparban. Liebe Ottó), Olaj, szappan, kozmetika, 1955, szeptember-október, 6—7 (венг.)
- Лабор. исследования показали, что использование алкилсульфонатов вместо ранее применявшегося в венгерской пром-сти катализатора FAG при расщеплении говяжьего жира по Твитчелю позволяет достигнуть той же глубины расщепления в 2 раза быстрее.
- В. Игнатюченко
6976. Дистилляция жирных кислот. Витка (Zur Destillation der Fettsäuren. Wittka F.), Seifen-Öle-Fette-Wachse, 1956, 82, № 11, 290—291; № 12, 330—331 (нем.)
- Обзор конструкций дистилляционных аппаратов. Предыдущее сообщение см. РЖХим, 1957, 6406. Г. Ш.
6077. Дистилляция жирных кислот. Ли (Trends in fatty acid distillation. Lee C. A.), Chem. Engng, 1956, 63, № 7, 189—194 (англ.)
- Обсуждаются различные приемы разделения жирных к-т (смеси ~45% стеариновой и ~55% пальмитиновой к-т с небольшими кол-вами олеиновой к-ты и низших гомологов). Показаны преимущества и недостатки различных узлов схем и пути их усовершенствования. Начало см. РЖХим, 1957, 43098. О. Сладкова
6078. Хроматография в промышленности жиров. Звольский, Редлих (Chromatografie v tukovém

- průmyslu. Zvolský K., Redlich P.), Průmysl potravin, 1955, 6, № 11, 559 (чешск.)
- Показана возможность разделения хроматографич. методом 7 чистых жирных к-т (лауриновой, миристиновой, пальмитиновой, стеариновой, масляной, линолевой и эруковой). М. Юржик
6079. Окисление олеиновой кислоты окисью ртути. Варламов В. С., Тр. Всес. н.-и. ин-т жиров, 1957, вып. 16, 109—112
- Окисление олеиновой к-ты (I) (кислотное число 198,5; йодное число (ИЧ) 90,5) окисью ртути, взятой в кол-ве 1 моля окиси на 1 моль к-ты, осуществляли при нагревании и перемешивании в атмосфере CO₂ до 180° (всего 10 час.) и затем охлаждали до ~20°. Получившуюся массу обрабатывали разб. HCl для разложения образовавшихся Hg-солей I, промывали водой и высушивали под вакуумом в атмосфере CO₂. При р-ции выделяется металлич. Hg. Установлено, что окисление происходит в направлении образования гидроксильных групп, что приводит к получению оксикислот. Незначительное понижение ИЧ (74,7) показывает, что окисляются преимущественно группы —CH₂—, а не —CH=CH—, что объясняется большой активностью атомарного O, а также и большим числом метиленовых групп. И. Вольфензон
6080. К анализу линолевой и линоленовой кислот. Францке, Итрих (Zur Analytik der Linol- und Linolensäure. Franzke Cl., Ittrich G.), Seifen-Öle-Fette-Wachse, 1957, 83, № 17, 477—478 (нем.; рез. англ., франц. исп.)
- Обзор методов определения линолевой и линоленовой к-т: 1) по продуктам окисления ненасыщ. жирных к-т, 2) бромированию. А. Емельянов
6081. Точки затвердевания некоторых бинарных смесей производных стеариновой кислоты. Сасин, Батт, Сасин (Solidification points of some binary mixtures of derivatives of stearic acid. Sasin George S., Butte Walter A., Jr., Sasin Richard J.), Amer. Oil Chemists' Soc., 1957, 34, № 2, 76—77 (англ.)
- Определены точки затвердевания бинарных смесей стеариновой к-ты (I)-амид I; I-нитрил I; I-1-октадеканол; нитрил I-амид I. Ошибка определения <0,1°.
- И. Вольфензон
6082. О получении пищевого саломаса повышенного качества. Якубов М. К., Маслоб.-жир. пром-сть, 1957, № 7, 12—15
- Проведенными опытами подтверждено влияние влажности водорода (I) и т-ры гидрогенизации на образование саломасного запаха и специфич. вкуса гидрогенизированных жиров. Указано, что применение относительно сухого I (влажность 4—4,4 г/м³) уменьшает возможность побочных р-ций и повышает избирательность гидрогенизации. Малый избыток I при большой степени диспергирования понижает скорость протекания побочных р-ций и способствует получению саломаса без специфич. вкуса и запаха. Максим. диспергирование I способствует селективной гидрогенизации по непредельным к-там и глицеридам. Деактивация катализаторов (никелевого и медно-никелевого) замедляется при применении I с повышенной влажностью. А. Емельянов
6083. Влияние триглицеридного состава жира на его всасывание. Исмаилов М. Н., Докл. АН УзССР, 1957, № 3, 61—65 (рез. узб.)
- Изучалась всасываемость говяжьего жира (в смеси с указанным процент высокоплавких триглицеридов) (3) олеоговяжьего (5), маргарина (17) и сливочного масла (14). Найдено, что с увеличением в жире высокоплавких триглицеридов всасываемость его понижается. Маргарин, изготовленный из гидрогенизированного хлопкового масла, по всасыванию приближается

сливочному маслу. Для повышения пищевой ценности говяжьего жира необходимо снизить в нем кол-во высокоплавких триглицеридов.

И. Вольфензон

6084. Обогащение растительных жиров витаминами. Челиковский (Vitaminování rostlinného tuku. Čelíkovský Jaroslav), Průmysl potravin, 1955, 6, № 12, 590—594 (чешск.; рез. русск., англ., нем.)

Описаны результаты двух заводских опытов по витаминизации растительного масла (М) концентратом витамина А (I), содержащим 300 000 м. е. в 1 г. Чистота и биологич. активность концентрата проверялась спектрофотометром. Концентрат добавляли к М из расчета содержания 25 м. е. I в 1 г готового продукта. Опыты показали: 1) вкусовые свойства витаминизированного М не отличались от невитаминизированного; 2) распределение I в готовом продукте оказалось достаточно хорошим; 3) общие потери I в произ-ве и после 2 месяцев хранения готовой продукции составили 20% от первоначального кол-ва, в том числе 8—9% производственных потерь.

Е. Шнайдер

6085. Октадекадиеновые кислоты шортингов и маргаринов. Сринивасан, Браун (Octadecadienoic acids of shortenings and margarines. Sreenivasan B., Brown J. B.), J. Amer. Oil Chemist's Soc., 1956, 33, № 8, 341—344 (англ.)

Определено содержание линолевой к-ты в типичных шортингах и маргаринах и изучена природа других содержащихся в них октадекадиеновых к-т. Приведена методика исследования. Найдено, что эти жиры содержат 25—40% транс-моноэтиленовых к-т, 2—8% линолевой к-ты и практически одинаковые кол-ва 9,12-цис, транс или транс-, цис и изолированных цис, транс-изомеров линолевой к-ты. При исследовании применен спектрофотометрич. метод.

Г. Фрид

6086. Исследование устойчивости маргарина во время хранения на складе. Гофман (Margarinok tartósági vizsgálata tárolás alatt. Hoffmann Géza), Olaj, szappan, kozmetika, 1955, szeptember-október, 3—6 (венг.)

Показана необходимость микробиологич. анализа маргарина (М) на всех стадиях его произ-ва. Эксперим. данные (приведены в таблице) показывают, что для продления гарантийного срока хранения необходимо обеспечивать правильный жировой состав М, а также наиболее благоприятный температурный и световой режим хранения.

В. Игнатушенко

6087. Точка плавления гидрированного арахисового масла. Фюллер (Der Schmelzpunkt des Oleum Arachidis hydrogenatum Ph. Helv. V. Füller W.), Pharm. acta helv., 1956, 31, № 2, 104—107 (нем.; рез. англ., франц. итал.)

Показано, что установленная в Швейцарской фармакопее т-ра плавления гидрированного арахисового масла 38—41° неправильна. Эта т-ра в действительности соответствует т-ре начала каплеобразования, определяемой по Уббелоду. Предложено для жиров, вазелинов, а также для парафинов и восков определять т-ру начала каплеобразования, так как она лучше характеризует т-ру неустойчивой формы.

А. Зеленецкая

6088. Подготовка воды для маргарина. Сергеев А. Г. Маслоб.-жир. пром-сть, 1957, № 7, 11—12

Обсуждаются мероприятия по предупреждению загрязнения воды минер. маслом и продуктами его распада по удалению из воды газов и различных хим. в-в, а также по уничтожению в ней микроорганизмов.

А. Емельянов

6089. Новое в химии ланолина. Дитрих (Progres récents dans la chimie de la lanoline. Dietrich Paul), Inds parfum. et cosmet., 1957, 12, № 5, 177—180 (франц.)

Обзор работ, посвященных изучению состава ланолина. Библ. 28 назв.

Е. Смольянинова

6090. Исследование восков. Фукс (Untersuchungen über Esterwachse. Fuchs W.), J. prakt. Chem., 1956, 4, № 1—2, 1—18 (нем.)

Обзор работ автора по воскам. Описан метод определения аналитич. характеристики восков и синтетич. соединений посредством непрерывного измерения электропроводности реакционной смеси. Этим способом быстро и надежно определяются: число омыления, кислотное, эфирное, скорость р-ции и точка равновесия обычных и темно окрашенных восков. Описаны хроматографич. способ разделения смеси натуральных восков и синтез высших нормальных жирных к-т от C_{22} до C_{34} с четным числом атомов С. Даны схема синтеза пентакозановой к-ты, рисунки аппаратов, ИК-спектры нормальных карбоновых к-т и графики результатов исследований.

Г. Шураев

6091. Воск сахарного тростника. Торричелли (La cera di canna da zucchero. Torricelli G.), Ind. vernice, 1957, 11, № 1, 8—10 (итал.)

Физические и хим. свойства воска сахарного тростника характеризуются следующими данными: т. пл. 68—80°, d_{15}^{20} 0,963—0,985, число омыления 27—135, кислотное число 9,6—23,4, йодное число 19,8—31,5; растворимость (в %) в различных р-рителях. Упомянутые показатели сильно изменяются от способа извлечения воска — органич. р-рителями или горячей водой. По своим технич. свойствам воск сахарного тростника почти идентичен пчелиному.

А. Верещагин

6092. Воск сахарного тростника. II. Осветление неочищенного воска сахарного тростника. Джоши, Махаскар, Кулкарни (Sugarcane wax. Part II. Bleaching of crude sugarcane wax. Joshi B. N., Mahaskar V. V., Kulkarni A. B.), J. Scient. and Industr. Res., 1954, 13, № 11B, 812—814 (англ.)

Изучена эффективность применения ацетона, активированного бентонита или угля, H_2O_2 , Na_2O_2 , HNO_3 , H_2O_2 , $KClO_3$, H_2CrO_4 и $K_2Cr_2O_7$ с H_2SO_4 для осветления воска сахарного тростника (выход 80—90%), полученного экстракцией лигроном (т. кип. 150—170°) шлам после отжима сока. Лучшие результаты получены с $K_2Cr_2O_7$ и H_2SO_4 (выход ~ 80%).

С. Кустова

6093. Изучение восков. XII. Химическое видоизменение воска сахарного тростника. Хатт, Ламбертон (Studies in waxes. XII. The chemical modification of sugarcane wax. Hatt H. N., Lachberton J. A.), Austral J. Appl. Sci., 1956, 7, № 3, 224—232 (англ.)

Изучено значение хим. видоизменений воска сахарного тростника для полировки. Улучшенные эфирные воски получают при добавлении дихлорсоединения алифатич. к-ты к отбеленному тростниковому воску и этерификации смеси гликолем. Предыдущее сообщение см. Proceedings Queensland Soc. of Sugar-Cane Technologist. 20 th Conference, 1953, стр. 29

В. Белобородов

6094. Адсорбционное разделение восков и продуктов окисления парафина. III. Шпенглер, Хауф (Über die Adsorptionstrennung von Wachsen und Paraffin-Oxydationsprodukten III. Spengler G., Hauff G.), Fette, Seifen, Anstrichmittel, 1955, 57, № 7, 474—478 (нем.; рез. англ., франц., исп.)

На модельной смеси показана возможность колич. определения парафина хроматографированием на силикагеле и элюированием CS_2 . Модельная смесь состояла (в мг): 100 парафина, 100 стеариновой к-ты, 50 нонадеканола, 50 октадеканала, 50 стеаринстеарилового эфира, 50 стеарилового спирта, 50 оксистеаринового — γ -лактона. Такая смесь может быть количественно разделена применением ряда р-рителей: петр. эфир для элюирования парафина, CCl_4 для эфира и кетона, $CHCl_3$ для спиртов и CH_3OH для к-т. Найдено, что в р-рах высокомолекулярных углеводов, спиртов и эфиров в CS_2 показатель преломления

изменяется с конц-ией линейно. Мол. вес анализируемых в-в не сказывается заметно на показателе преломления и колич. анализ можно производить на основе кривой показателя преломления. Кол-во карбоновых к-т в смеси определяют адсорбцией на силикагеле, предварительно обработанном CH_3COOH (1%-ный р-р в CS_2). Сначала вместе отделяются углеводороды, спирты и эфиры, а затем в виде отдельной фракции к-ты. Разделение эфиров к-т и оксикислот и спиртов осуществлено количественно на активированном угле. На этом адсорбенте разделяются эфиры насыщ. и ненасыщ. к-т. Разработанные на модельных смесях методики разделения предложено применять для технич. продуктов — восков и окисленного парафина. Предыдущее сообщение см. РЖХим, 1957, 36176. Н. Маньковская

6095. Способы быстрого определения содержания шерстяного жира. Орсак (Gyors gyapjúsírtartalom megállapítási módszerek. Ország Mihály), Magyar textiltechn., 1955, № 7, 258—260 (венг.)

Описаны 3 способа быстрого определения содержания шерстяного жира в заводских условиях. Приводится подробная методика. Эти способы позволяют точно и быстро определить содержание шерстяного жира на всех стадиях мойки шерсти. В. Игнатченко

6096. Характеристика фильтров для воска. Джексон (Optimum performance of wax filters. Jackson T. M., Jr., Soap and Chem. Specialties, 1957, 33, № 3, 143, 145, 147, 192, 193, 201, 203 (англ.)

Обсуждение конструкций и способов монтажа различных фильтров для фильтрации расплавленных натуральных восков и очистки восковых эмульсий. В. Б.

6097. Производство мыла в КНДР. Ким Чон Ин (우리 나라 비누 공업의 제문제점 중 인), 과학과 기술 (과학편), Квахак ка киюль (хвахак — пхен), 1956, № 3, 17—26 (кор.)

6098. Производство мыла по Маззони. Лантери (The Mazzoni process of soap-making. Lanteri A.), Chem. Age India, 1956, 7, № 1, 97—99 (англ.)

Перечислены технологич. достоинства и экономич. преимущества данного способа: 1) возможность использования дешевого сырья с обеспечением 90—100% β-фазы, обладающей моющей способностью, в 5 раз превышающей Ω-фазу и превосходящую последнюю также по пенообразующей способности, твердости и блеску, 2) возможность изготовления наполненных и ненаполненных мыл с содержанием от 30 до >80% жирных к-т, а также прозрачных мыл без добавления глицерина, сахара и т. п., 3) устойчивость мыла против прогоркания вследствие отсутствия атмосферного влияния в процессе его высушивания, 4) однородность продукта, обеспечивается автоматизацией процесса, 5) экономия рабочей силы, пара и электроэнергии, 6) экономия душистых в-в при произ-ве туалетного мыла, вследствие известной дезодорации мыла в вакуум-аппарате, 7) общая высокая культура произ-ва. Г. Фрид

6099. Замена пищевых жиров в мыловаренной промышленности. Штейн (Inlocuirea grăsimilor alimentare folosite în industria săpunului. Stein Sandu), Rev. ind. aliment. prod. vegetale, 1957, № 1, 6-9 (рум.)

Указаны источники сырья, могущего заменить пищевые жиры в мыловаренной пром-сти, а именно: отходы жирных к-т от рафинации растительных масел, кож, кишок, костей, касторовое масло, очищ. нафтен-вые к-ты, талловое масло, синтетич. жирные к-ты, полученные окислением парафина, алкиларилсульфонаты, алкилсульфонаты, сульфаты вторичных спиртов жирного ряда, сульфированные моноглицериды синтетич. и природных жирных к-т, а также к-т канифоли или нафтен-вых к-т. На 3-де Стелла синтетич. жирные к-ты C_{10} — C_{20} разделяют на фракции C_{10} — C_{14} и C_{14} —

C_{20} , из которых первая содержит синтетич. жирные к-ты, близкие по свойствам к кокосовому маслу и используется для изготовления туалетных мыл.

6100. Применение недиетилированных синтетических кислот в мыловарении. Галинский (Zastosowanie surowych kwasów syntetycznych w mydlarstwie. Galiński K.), Przem. spożywczy, 1957, 11, № 4, 169 (польск.)

Сообщается о применении в мыловарении неочищ. синтетич. к-т (СК) состава C_4 — C_{25} . Их смешивают с натуральными жирными к-тами (ЖК) в соотношении 2:8. Для отбеливания применяют хлорную известь. В мыло добавляют NaCl , Na_2SiO_3 , NH_4CO_3 и др. Вод. р-ры мыла из СК имеют более высокое поверхностное натяжение, чем водн. р-ры мыла из ЖК. Описаны некоторые технологич. приемы. С. Кустова

6101. Изучение семян Annona squamosa Linn. Часть IV. Мылообразующие свойства. Бходжрад-Найду, Салеторе (Studies on Annona squamosa (Linn) Seed. (Custard apple seed). Part IV. The Soap Making properties. Bhojarj Naidu N., Saletore S. A.), Indian Soap J., 1954, 20, № 6, 141—147 (англ.)

Изучены мылообразующие свойства масла (М) из семян *Annona squamosa* Linn, что было выполнено посредством приготовления различных типов мыл из М в смеси с арахисным и кокосовым маслами по общепринятым схемам мыловаренного произ-ва. Найдено, что жидкое мыло удовлетворительного качества получается при добавке 40% М к смеси касторового и кокосового масел. Часть III см. J. Indian Chem. Soc., Ind. and News Ed., 1953, 16, 179. Н. Любощина

6102. Нормы при обработке туалетного мыла. Коатти (Norme sulla lavorazione del sapone pilato da toilette. Coatti Guido), Riv. ital. essenze profumi, piante officin., olii veget., saponi, 1957, 39, № 3, 141—143 (итал.)

Указано, что пластичность мыла зависит от содержания в нем солей пальмитиновой к-ты и от характера интенсивности механич. обработки при его изготовлении. Даны некоторые практич. советы. Л. Фрейджин

6103. Сушка туалетной мыльной основы. Вебер (Toilette-Grundseifentrocknung. Weber K. L.), Parfüm. und Kosmetik, 1955, 36, № 1, 16, 19—21 (нем.; рез. англ., франц.)

Перечислены недостатки и причины их возникновения в процессе сушки мыльной основы. Дана краткая характеристика рекомендуемых сушильных аппаратов. Н. Фрумкина

6104. Поверхностноактивные вещества из нефти. Ямада (石油と界面活性劑. 山田省二), 油化學, Абура кагаку, J. Japan Oil Chemists Soc., 1956, 5, № 2, 1—9 (японск.)

6105. Хлорированные нефтепродукты. В. Синтезы детергентов из монохлорированного керосина и метилнафталина. Кунуги, Кудо (鹽素化石油に關する研究. 第5報. 灯油—鹽化物とメチルナフタリン油より洗淨劑の合成. 功刀泰碩, 工藤裕久), 工業化學雜誌, Korô kagaku dzasshi, J. Chem. Soc. Japan. Industr. Chem. Sec., 1954, 57, № 10, 728—731 (японск.)

Хлорированный керосин конденсировали с 5-метилнафталином: а) в присутствии 0,3 М безводн. AlCl_3 при 45° в течение 30 мин.; б) в присутствии кислой глины при 180 — 200° в течение 3 час. и в) в присутствии 5% AlCl_3 и 15% Al_2O_3 или $\text{Al}(\text{OH})_3$ при 180° в течение 3 час. Выход алкилпроизводных 75—80, 70—80 и 80—88,6% соответственно. Их сульфировали посредством H_2SO_4 (97—98%) в мол. отношении 3,0—3,5 при 60° в течение 5 час. Выход сульфированного продукта 96—98%. Испытывалось влияние соотношения нафталинов и парафинов в исходном керосине на детергентное дей-

ствие солей полученных сульфокислот. [Chem. Abstrs, 1955, 49, № 14, 99411]. Часть IV, см. РЖХим, 1957, 9311.

Katsuya Inouye

6106. Природа и свойства сульфонов жирных спиртов. Рихтер (Wissenswerte Betrachtung über Fettsäurekoholsulfonate. Richter Rudolf), Chemisch-reiniger und Färber, 1957, 10, № 7, 100—101 (нем.)

Обзор. Структура, р-ции образования, основные свойства, методы произ-ва и промышленного применения сульфонов жирных спиртов. Н. Гарденин

6107. Изучение фазового состава системы синтетическое мыло — хлористый натрий — вода. Блоккер (Phase studies of the systems synthetic soap-sodium chloride-water. Blocker P. C.), J. Amer. Oil Chemists Soc., 1955, 32, № 4, 216—220 (англ.)

6108. Метод определения первичных и вторичных высших спиртов жирного ряда в их смесях. Банширов А. Н., Камзолкин В. В., Сокова К. М., Андреева Т. П., Химия и технология топлива и масел, 1957, № 4, 7—11

Метод основан на окислении высших алифатич. спиртов хромовым ангидридом в лед. CH_3COOH . В трехгорлую колбу, снабженную мешалкой, обратным холодильником и капельной воронкой вносят лед. CH_3COOH , взятую в 20-кратном размере по отношению к навеске анализируемого в-ва. Колбу нагревают на водяной бане и в нее вносят навеску 2—5 г, в которой предварительно определяют гидроксильное и карбонильное числа. Затем при помешивании прибавляют по каплям р-р CrO_3 в CH_3COOH (навеска CrO_3 растворяется в 1—2 мл воды и разбавляется 20-кратным кол-вом CH_3COOH) с такой скоростью, чтобы реагирующая смесь оставалась зеленой. CrO_3 берется из расчета 2 моля CrO_3 на 3 моля спирта с 10%-ным избытком. Продолжительность окисления 30—40 мин. Затем реакционную массу разбавляют охлажд. водой (1 л), экстрагируют эфиром и, после промывки эфирного р-ра водой, сушки его над Na_2SO_4 и отгонки эфира, определяют карбонильное число. Содержание вторичных спиртов высчитывается по ф-ле: $P_2 = (B_2 - B_1 - 0,123 A) 100 / 0,734 A$, где P_2 — содержание вторичных спиртов в мол. процентах в исходной смеси спиртов, B_2 — карбонильное число продукта окисления, B_1 — карбонильное число исследуемого продукта (в мг КОН на 1 г в-ва), A — гидроксильное число исследуемого продукта (в мг КОН на 1 г в-ва). Коэф. в расчетном ур-нии найдены эмпирически. Они зависят от выхода к-т, получающихся при окислении первичных спиртов, и выхода кетонов из вторичных спиртов. Содержание первичных спиртов: $P_1 = 100 - P_2$. Метод апробирован на ряде высших индивидуальных спиртов и их смесей. Точность метода ~ 5%.

6109. Поверхностное натяжение и поверхностно-активные вещества. Финиция (La tensioattività ed i tensioattivi. Finizia Antonio), Riv. ital. essenze, profumi, piante offic., olii veget., saponi, 1956, 38, № 12, 583—587 (итал.)

Обзор. Библ. 6 назв. А. Верещагин

6110. О моющем действии алкилполиэтиленоксидов. П. Керен, Рёш (Über die Waschwirkung von Alkylpolyäthylenoxyden. P. Keren M., Rösch M.), Melland Textilber., 1956, 37, № 11, 1308—1312 (нем.)

Описана методика оценки моющих свойств указанных продуктов. Шерстяную ткань равномерно обрабатывают загрязняющей смесью из пигментов (каолин, окис железа, сажа), минер. масла и жира. Промывку образцов производят в стандартных условиях на лабораторном приборе. Эффективность моющего действия определяют по относительному изменению степени белизны образца. Испытано значительное число препаратов, являющихся производными различных жирных спир-

тов (с кол-вом атомов С от 8 до 18) и содержащих этиленоксидную цепочку разной длины (со степенью полимеризации от 3 до 25). Часть I см. РЖХим, 1957, 59338.

О. Голосенко

6111. Определение эффективности промышленных моющих средств для рук при помощи радиоактивных препаратов. Эрделен (Die Beurteilung der Reinigungswirkung von Industriehandwaschmitteln mit Hilfe von radioaktiven Substanzen. Erdelen Gert), Atompraxis, 1957, 3, № 3, 97—99 (нем.)

Проводились опыты отмывания рук, искусственно загрязненных пастой, содержащей препараты с радиоактивными изотопами. Коэф. относительного удаления грязи (R) вычисляется по степени радиоактивного излучения кожи. Приведены составы применявшихся грязей и радиоактивных препаратов и величины R в зависимости от кол-ва наносимой на руки пасты и числа последовательных отмываний.

Н. Гарденин

6112. Возможность организации производства флотореагентов в Болгарии. Герасимов, Русчев (Възможности за организиране производство на флотационните реагенти у нас. Герасимов Михаил, Русачев Димитър), Тежка пром-ст, 1957, 6, № 3, 33—36 (болг.)

Указано на большое экономическое значение произ-ва флотореагентов (Φ) для некоторых отраслей болгарской пром-сти в особенности для металлургии цветных металлов (Zn , Sn). Перечисляются дешевые источники сырья, на основе которых может быть создано произ-во Φ . Приведены физ.-хим. характеристики некоторых высококачеств. Φ , полученных из доступного и дешевого сырья (отходы некоторых произ-в).

А. Марин

6113. К вопросу о применении весьма растворимых в воде пенообразователей. Плаксин И. Н., Околович А. М., Раухваргер Е. Л., Шихова-Негинская В. В., Тр. ин-та горн. дела АН СССР, 1956, 3, 239—246

В качестве хорошо растворимого в воде пенообразователя (Π) исследован советский детергент ДС анионного типа (алкиларилсульфонат Na). Синтез ДС разработан в Ин-те нефти АН СССР. Исследование флотации (Φ) чистых сульфидов и их смесей показало, что ДС обладает по отношению к PbS , CuFeS_2 и ZnS не только хорошим пенообразующим, но также и коллектирующим действием. На основании проведенных исследований сделан вывод о перспективности практич. применения весьма растворимых в воде Π вообще и ДС в особенности благодаря его недефицитности и низкой стоимости.

М. Липец

6114. Устойчивость пены и вспенивающая способность пенообразователей. Ямагути (起泡剤の起泡率並びに泡の壽命について. 山口吉郎), 日本産業會誌, Нихон корё кайся, J. Mining Inst. Japan, 1956, 72, № 817, 407—412 (японск.; реф. англ.)

Результаты исследования пенообразователей (Π), применяемых во флотационной практике (сосновое масло, камфора, лимонное и каменноугольное масла и др.). Водн. р-р Π наливали в открытый сосуд и пену получали путем поступательного возвратного движения системы из волосяных сит через границу раздела жидкость-воздух. Вспенивающая способность характеризовалась высотой слоя пены в начальный момент и данными, характеризующими кинетику разрушения пен. Сняты кривые «время — высота столба пены».

М. Липец

6115 П. Способ производства нетоксичных жмыхов касторового масла (Procédé de fabrication de tourteau de ricin non toxique) [ORGANICO]. Франц. пат. 1109588, 31.01.56

Для устранения токсичности шрота и жмыхов, получаемых при произ-ве касторового масла, их нагревают острым паром при 120° в течение 2 час., после чего шрот и жмыхи можно применять в качестве корма.

В. Красева

6116 П. Фракционирование спермацетового жира. Брабетс, Главачек, Фриц (Sperm oil fractionation. Brabets Robert I., Hlavacek Robert J., Fritz Earle) [Swift & Co.]. Пат. США 2730538, 10.01.56

Патентуется получение жидкого воскообразного продукта из неочищ. спермацетового масла (М) и побочного продукта, полученного при горячем прессовании М. Описана технологич. схема противоточной экстракции М сжиженными углеводородами (этан, изобутан, бутан или их смесь, лучше пропан), в соотношении 1:20 (или 1:25) при 96—102° и давл. 42—49 кг/см². Выделенный из экстракта малоокрашенный продукт содержит жидкие воска с примесью ≤ 10% глицеридов, 1,0—1,5% свободных жирных к-т, имеет ИЧ 55—65 и меньшую вязкость, чем исходное М. После гидрирования продукт успешно заменяет спермацет в косметике.

О. Сладкова

6117 П. Выделение олеиновой кислоты из смеси жидких жирных кислот. Яя, Комори, Сигэно (液体混合脂肪酸よりオレイン酸を分取する方法. 八谷泰造, 小森三郎, 滋野吉廣), Японск. пат. 4281, 15.07.54
100 г смеси жидких жирных к-т из рисового масла и 25 г (=CHCO)₂O нагревают 20 мин. при 190° в атмосфере CO₂, полученный продукт фракционируют и получают 39,6 г олеиновой к-ты, т. кип. 205—210°/5 мм, 9,1 г фракции с т. кип. 120—140°/0,0001 мм (число нейтр-ции 354,8, ИЧ 75,7); 26,3 г фракции с т. кип. 241—257°/0,0001 мм (число нейтр-ции 429,1, ИЧ 67,6).

Э. Тукачинская

6118 П. Способ разделения жирных кислот (Procédé de séparation d'acides gras) [Union chimique Belge, Soc., An.]. Франц. пат. 1116355, 7.05.56

Для разделения твердых и жидких при +15° жирных к-т применяют изопропиловый спирт в качестве р-рителя, содержащего избыток КОН, небольшого (до 0,9%) кол-ва воды и охлаждение р-ра для кристаллизации образующихся калиевых солей твердых к-т. Конц-ия обрабатываемого жира в реакционной смеси может достигать 40%, охлаждение при кристаллизации калиевых солей твердых к-т несколько < 0°, для ускорения омыления жиров следует применять механич. перемешивание. Разделение осадка и маточного р-ра, содержащего жидкие к-ты, регенерация р-рителя и выделение к-т из их солей выполняется общезвестными приемами.

В. Красева

6119 П. Способ приготовления искусственного масла. Осима, Осима I (人造バターの製造法. 大芝嘉一, 大芝徳子), Японск. пат. 1385, 27.02.56

Для приготовления искусств. масла смесь пастеризованного коровьего молока, твердого жира и растительного масла гомогенизируют под давл. ~ 1,7 кг/см². По окончании гомогенизации проводят брожение при ≤ 15°. После промывания водой для удаления водорастворимых в-в, придающих маслу плохой запах и вкус, образующихся в 1-ой стадии брожения, смесь подвергают 2-ой стадии брожения. Для улучшения питательных и вкусовых качеств масла в исходную смесь добавляют витамины В₁ и С₁.

Ю. Ермаков

6120 П. Новый антиоксидант и ингибированный восковый состав. Робертсон (Novel antioxidant and inhibited wax composition. Robertson James M.). [The Texas Co.]. Пат. США 2741563, 10.04.56

Патентуется антиоксидант, содержащий бутилоксианизол, пропилгаллат, лимонную и аскорбиновую к-ты. Рекомендованные кол-ва этих ингредиентов

несколько колеблются в зависимости от вида жира или материала, которые подлежат стабилизации. Для стабилизации воска применяют напр. 0,0008% смеси (в ч.) 3—6 бутилоксианизола, 0,5—2 пропилгаллата, 0,5—2 лимонной и 0,5—2 аскорбиновой к-ты.

Б. Хомутов

6121 П. Производство твердого, лишенного запаха мыла из низкосортных жиров. Аппун (Manufacture of hard odorless soap from low grade fats and oils. Appuhn Klaus) [Compania Industrial]. Пат. США 2739163, 20.03.56

Патентуется непрерывный способ получения ценного мыла из низкосортных жиров (отходы при рафинации масел, рыбий жир и жиры морских животных). Жиры расщепляют, полученные жирные к-ты сушат под вакуумом, затем последовательно обрабатывают 2% отбелочной земли и 0,2% активированного угля, после чего фильтруют. Жирные к-ты нагревают с безводн. каустич. содой при 300—350°. В результате получается свободное от запаха мыло. Входящие в его состав жирные к-ты имеют более низкое йодное число по сравнению с жирными к-тами исходного жира и более низкий средний мол. вес.

Ф. Немолов

6122 П. Метод приготовления твердого калийного мыла. Шили, Глини (Method of producing solid soap products from potash soaps and products obtained thereby. Sheely Madison L., Glynn Emmett P.) [Armour and Co.]. Пат. США 2738335, 13.03.56

Установлено, что если калийное мыло будет содержать ≤ 2,5—3,5% H₂O, то оно теряет свою гигроскопичность и может быть выпущено в виде твердых кусков. Для приготовления такого мыла применяют ся животные жиры без добавки кокосового масла, с титром 43—47°. Технология приготовления: жирные к-ты смешивают в спец. аппарате с соответствующим кол-вом КОН, при нагревании глухим паром. Затем мыло с содержанием ~ 21% H₂O поступает на охлаждающие вальцы (т-ра охлаждающей воды 2—4,5°). Охлажд. мыло подают в сушилку, где оно подсушивается до содержания 2,5—3,5% H₂O, после чего оно подвергается обычной механич. обработке.

Ф. Немолов

6123 П. Детергентный состав. Стрейн (Detergent composition. Strain Bruce) [The Procter & Gamble Co. of Canada, Ltd.]. Канад. пат. 51000, 8.02.55

Моющая смесь, состоит из поверхностноактивных солей, полученных из продуктов сульфирования. В их составе должны быть алкильный радикал (12—18 атомов С) и радикал алкилсерной или серной к-ты и полуторакратное по весу кол-во смеси фосфатов, состоящей в основном из триполифосфата Na и 10—35% продуктов термич. разложения Na-триполифосфата, которые получают при нагревании Na-триполифосфата > 100°. Моющая смесь должна содержать также щелочь или карбонат щел. металла для создания в р-рах моющего средства pH 8,8—10.

А. Зеленецкая

6124 П. Антисептические детергенты (Détersifs antiseptiques) [D. Med Josef Ellendorf & Co.]. Франц. пат. 1103395, 2.11.55 [Teintex, 1956, 21, № 6, 50 (франц.)]

В состав указанных детергентов, непортящих ткани и лишенных неприятного запаха входят при поверхностноактивных и вспомогательных в-в. В производное толуолсульфобромамина в кол-ве, соответствующем 0,05—5% активного брома по весу детергента.

О. Маркис

6125 П. Способ изготовления тиоэфиров поливинилпирролидона. Олин (Verfahren zur Herstellung von

Polyäthylenglykolthioäthern. Olin John Frank)
[Skarples Chemicals Inc.]. Пат. ФРГ 913773, 21.06.54
(Chem. Zbl., 1955, 126, № 15, 3514 (нем.))

Соединение ф-лы $RS(O')_nH$ (R — алкил с 8—24 атомами C , R' — этиленовый остаток, $n=2-28$) получают конденсацией окиси этилена (I) с трет-алкилмеркаптаном, полученным из соответствующего олефина и H_2S в соотношении от 2:1 до 28:1; лучше от 4:1 до 16:1. Из 99,6%-ного трет-додецилмеркаптана (полученного из триизобутилена и H_2S) и I в присутствии сухого метилата Na при $t=165^\circ$ и давл. $\sim 4,1$ атм получают трет-додецилмонотиозифир додекаэтилэтиленгликоля, содержащий 4,6% серы, поверхностное натяжение его находится между значениями для технич. белого минер. масла и дистил. воды. Аналогично получают и другие подобные продукты, являющиеся поверхностноактивными в-вами, очищающими и смачивающими средствами. Зеленецкая
6126 П. Способ получения эмульсии для очистки рук без применения воды. Вебер (Verfahren zur Herstellung einer zur Händereinigung ohne zusätzliche Verwendung von Wasser geeigneten Emulsion. Weber Helene, geb. Wolf). Пат. ФРГ 948911, 6.09.56

Патентуемую эмульсию типа «масло в воде» получают с применением одного или нескольких гидрофобных органич. р-рителей и мылоподобных или синтетич. смачивающих в-в с применением агар-агара, альгиновой к-ты или ее солей и гидрофильных производных целлюлозы. Содержание сухого в-ва в препарате $\sim 3,2\%$. Препарат позволяет шоферу в пути, в сельской местности, при отсутствии воды, очистить сильно загрязненные маслом и пылью руки, смазав их 5 мл эмульсии и вытерев тряпкой. Пример. 150 г агар-агара растворяют при кипячении в 10 кг воды, охлаждают, не давая застыть, прибавляют при размешивании 100 г сульфоната жирного спирта, 3 кг перхлорэтилена и, охладив эмульсию, гомогенизируют ее, добавив 70 г карбоксиметилцеллюлозы. Ю. Вендельштейн

См. также: Реактив Вайса для определения йодного числа жира 4376. Получение синтетич. глицерина 5485, 5486. Технология полировочных восков 6510. Хим. компоненты японского воска 4818. Сточные воды 5141

УГЛЕВОДЫ И ИХ ПЕРЕРАБОТКА

Редактор М. С. Гарденин

6127. Анализ глюкозы и мальтозы методом сбраживания торговыми хлебопекарными дрожжами. Морита (市販パン用酵母を用いる葡萄糖と麦芽糖の分別定量法に就いて. 森田正英), 醸酵工學雜誌, Хакко когаку дзасси, J. Ferment Technol., 1956, 34, № 11, 533—537, 37 (японск.; рез. англ.)

Некоторые японские хлебопекарные дрожжи сбраживают мальтозу и глюкозу при брожении по методам Somogyi и Rap только после выдержки 5 г свежих дрожжей одной из этих рас. Так, были помещены в 40 мл суслу, содержащего 2% мальтозы, и оставлены бродить при 30° на 2—3 часа. После этого активность дрожжей в отношении сбраживания мальтозы и глюкозы сильно увеличилась и суспензия активированных дрожжевых клеток полностью удаляла эти сахара из р-ра в результате брожения указанными двумя методами. Рекомендуются при брожении сусло непрерывно встряхивать. А. Кононов

6128. Морфология сахарной свеклы, качество стружки и диффузия. Драховская, Шандера (Мор-

fologie cukrovky, jakost řízku a difuze. Drachovská Miroslava, Šandera Karel), Listy cukrovarn., 1957, 73, № 4, 79—84 (чешск.; рез. русск., нем.)

Кондуктометрич. кривые диффузии пластинок свеклы, нарезанных перпендикулярно оси корня, показали на 25% большую скорость процесса, чем у стружки, нарезанной параллельно оси. Для кормовой свеклы такая разница составила 10%. Такие же исследования были проведены со стружкой мералой свеклы, и со стружкой различной формы и длины. Результаты показаны на кондуктометрич. кривых. Получаемые этим методом диффузионные кривые могут служить характеристикой свеклы и работы резок.

Н. Баканов

6129. Получение сока из свеклы путем разрыва клеток свеклы. Браунелл, Зиминский, Ли (Recovery of juice from sugar beets by rupture of the beet cells. Brownell L. E., Zieminski S. A., Lee T. H.), Chem. Engng Progr., 1956, 52, № 8, 314—318 (англ.)

В предварительных опытах было установлено, что в свекловичной стружке, быстро нагретой насыщ. паром, быстро помещенной в пространство с повышенным давлением, а затем с нормальным атмосферным давлением, клетки разрываются и сок извлекается относительно просто. По такой схеме был осуществлен непрерывный процесс получения сока в ползаводском масштабе в Мичиганском ун-те. Сравнительные исследования показали, что качество сока было одинаково с соком, полученным обычным диффузионным способом (доброкачественность 89,7—90,2); после очистки известью и CO_2 доброкачественности соков также оказались одинаковыми (93,3—94,0), скорость фильтрации сока 1-й сатурации, содержание Са-солей и цветность сока 2-й сатурации мало различались между собой.

Г. Бенин

6130. Ускоренный метод определения редуцирующих сахаров при производственном контроле. Любин Б. О. (速原糖の快速分析法. Любин Б. О.), 化學世界 Хуасюэ шицзе, 1955, № 7, 344 (кит.)

Перевод. См. РЖХим, 1953, 3535.

6131. Разделение аминокислот диффузионного сока и густого сиропа производства 1954/55 года, методами хроматографии и электрофореза. Павлас, Мелунова-Хейслерова (Chromatografické a elektroforetické pozdělení aminokyselin difusních a těžkých stáv, z kampaně 1954/1955. Pavlas P., Melounova-Häuslerova O.), Listy cukrovarn., 1956, 72, № 2, 35—37 (чешск.; рез. русск., англ.)

Разделение производилось хроматографией на бумаге и электрофорезом. Установлены колебания в содержании аминокислот и амидов в пробах в зависимости от месторождения и условий произрастания свеклы и времени ее переработки; дефекация и сатурация устраняют из диффузионного сока ряд аминокислот.

Н. Баканов

6132. Сушильные установки в сахарной промышленности. Швигер (Trocknungsanlagen in der Zuckerindustrie. Schwieter Arthur), Z. Zuckerrind., 1957, 7, № 5, 209—216 (нем.; рез. англ., франц.)

Обзор. Библ. 11 назв.

Н. Г.

6133. О тепловом режиме барабанных сушилок. Вернер (Zur Wärmewirtschaft der Trommeltrocknung. Werner W.), Zucker, 1957, 10, № 13, 295—298 (нем.)

Сообщаются нормативы и расчетные ф-лы для определения различных параметров работы барабанных газовых сушилок для свекольной стружки. В частности, даны нормативы для расчета кол-ва и скорости воздуха (основного и добавочного) и газов, т-ры

теплоносителя, ее изменения в процессе сушения, а также производительности 1 м³ барабанов различных размеров, выраженной в суточной выработке сухой стружки.

Н. Баканов
6134. Вибрационные сита в сахарной промышленности. Фрэйденберг (Erfahrungen mit Vibrations-Siebmaschinen in der Zuckerindustrie. Freudenberg Roderich), Z. Zuckerind., 1957, 7, № 5, 225—227 (нем.)

Рассматривается применение вибрационных сит на немецких сахарных з-дах. Описаны технич. затруднения, возникшие в процессе внедрения этих сит в произ-во. Даны рекомендации по выбору сит и вспомогательного оборудования при проектировании установок для просеивания сахара и рафинированных продуктов.

Н. Гарденин
6135. Образование накипи в пароперегревателе и отложение солей в турбине. Брукнер (Verkrustung und Versalzung von Überhitzer und Turbine. Bruckner Brunolf), Zucker, 1957, 10, № 10, 223—225 (нем.)

Описан случай отложения солей в турбине на одном из сахарных з-дов, несмотря на соблюдения основных правил эксплуатации котельной установки, питавшейся конденсатом выпарной станции. Приведены ф-лы для расчета оптимальной величины рН питательной воды. Отмечено, что эти ф-лы не учитывают влияния структуры металла котла и органич. примесей в конденсате на величину поверхностного натяжения воды и, следовательно, на ее свойство пениться. Рекомендуется устанавливать водоотделитель на паропроводе между котлом и пароперегревателем.

Н. Гарденин
6136. Фракционирование полисахаридов. Эрскин, Джонс (Fractionation of polysaccharides. Erskine A. J., Jones J. K. N.), Canad. J. Chem., 1956, 34, № 6, 821—826 (англ.)

Описана методика и результаты исследования по извлечению, очистке, фракционированию и определению полисахаридов в семенах или коре растений. Изолированные из вытяжек полисахариды определяются поляризационным методом и после гидролиза — хроматографией на бумаге. Приведены результаты исследования полисахаридов льняного семени и семян *Plantago ovata* и *Plantago arenaria*.

Н. Баканов
6137. Бактерицидное действие молочной кислоты на некоторые микроорганизмы. Зелинка, Зелинкова (Baktericidný účinok kyseliny mliečnej na niektoré mikroorganizmy. Zelinka J., Zelinková E.), Průmysl potravin, 1957, 8, № 5, 261—262 (словацк.; рез. русск., англ., нем.)

Установлено, что при помощи 0,25 н. р-ра молочной к-ты при 75° все исследованные микроорганизмы, встречающиеся в крахмале и пищевых продуктах, уничтожались через 15 мин. Этот метод очистки от вредных микроорганизмов рекомендуется для обработки крахмала, входящего во многие пищевые продукты.

Н. Баканов
6138. Исследования йодных реакций крахмала. Холло, Сейтли (Untersuchung der Jod-Reaktion von Stärke. Holló J., Szejtli J.), Fette, Seifen, Anstrichmittel, 1957, 59, № 2, 94—98 (нем.)

Описаны методика работы, аппаратура и результаты исследований р-ций картофельного крахмала с J.

Н. Баканов
6139. К вопросу изучения восстанавливающих веществ в кукурузном экстракте. Зелинка, Якаб, Заплетал (Prispevok k štúdiu redukujúcich látok v kukuričnom výluhu. Zelinka J., Jakab J., Zapletal J.), Chem. zvesti, 1956, 10, № 8, 536—542 (словацк.; рез. русск., нем.)

Проведено исследование различных образцов кукурузного экстракта в части содержания в них восстанавливающих сахаров с целью качеств. оценки экстракта для ферментативных целей. Отмечается, что содержание редуцирующих сахаров в кукурузном экстракте, полученном современным методом, не может служить показателем его качества.

Н. Баканов
6140. Источники крахмала в колониальных странах.

И. Саговая пальма. Джонсон, Реймонд (Sources of starch in colonial territories. I. The sago palm. Johnson R. M., Miss, Raymond W. D.), Colon. Plant and Animal Prod., 1956, 6, № 1, 20—32 (англ.)

Описана технология получения крахмала и саговой крупы из саговой пальмы (Северное Борнео, Малайя и др.) Дан хим. состав сагового крахмала различных сортов и характеристика их вязкости. Указаны размеры экспорта саговых продуктов.

Н. Баканов
6141. Фильтрация сахарных растворов через среду из гранулированного материала. Рамондт (Filtration von Zuckerlösungen über ein Medium aus losen Körnchen. Ramondt D.), Stärke, 1957, 9, № 1, 1—4 (нем.; рез. англ.)

Описан принцип работы фильтра с гранулированной фильтрационной средой и результаты его испытания на паточных нейтрализованных сиропсах. Приведен результат ситового анализа песочного и каменноугольного наполнения фильтров. При испытании на сиропе с активированным углем фильтр диам. 1,4 м, высотой 3,1 м, с фильтрующим слоем в 2,0 м работал непрерывно 20,5—21,1 час. и пропустил 78900—81600 л сиропа, выделив из него 580—620 кг активированного угля, без участия фильтрипрессов.

Н. Баканов
6142. К вопросу о повышенном обезвоживании крахмала при его высушивании инфракрасными лучами. Ширбаум, Ульман (Zur Frage der Überentwässerung bei der Infrarot-trocknung von Stärke. Schierbaum F., Ullmann M.), Stärke, 1957, 9, № 3, 48—50 (нем.; рез. англ.)

В результате многочисленных опытов и составления кривых динамики сушки различных сортов картофельного крахмала подтверждена практич. пригодность метода высушивания проб крахмала ИК-лучами, т. к. обезвоживание до постоянного веса наступает примерно на 8—10-й минуте высушивания; явление карамелизации лишь после 40 мин. облучения.

Н. Баканов
6143. Электрофорез крахмалов и декстринов. Дакс (Electrophoresis of starches and dextrines. Dux Eric F. W.), Stärke, 1957, 9, № 3, 51—53 (англ.; рез. нем.)

Исследовалась возможность применения электрофореза для распознавания и анализа крахмала и его дериватов. Изученный способ (приведена методика) пригоден для анализа крахмала и его дериватов, для классификации декстринов, для разделения и последующего колич. определения крахмала, декстрина и простых углеводов, а также для обнаружения кислотных групп, образующихся в щел. набухающих крахмалах.

Н. Баканов
6144. Применение осветляющего реагента Карреза при поляриметрическом определении крахмала. Шаруди (Anwendung des Klärungsreagens nach Carrez bei der polarimetrischen Bestimmung der Stärke. Sarudi I. (v. Stetina), Z. Lebensmittel-Untersuch. und Forsch., 1957, 106, № 2, 142—144 (нем.)

Показано, что р-р Карреза дает очень хорошие результаты даже в случаях, когда фосфорновольфрамная соль оказывается недействительной.

Н. Баканов
6145. Простой метод определения содержания крахмала в батате. Разбор метода определения содержания крахмала по влажности батата. Маэдзани

Окубо, Хаякава (甘藷藏粉餉の簡易測定法. 水分を測定して藏粉餉を推定する方法の検討. 前澤辰雄, 大久保 増太郎, 早川幸男), 醸酵工學雜誌, Хакко кога ку дзасси, J. Ferment Technol., 1957, 35, № 1, 9—12- (японск.; рез. англ.)

Разработан новый метод определения влаги в бататах с применением ИК-ламп при пониженном давлении. Способ исключает подгорание образца и сокращает время определения до 15 мин. Н. Баканов

6146. Предварительное исследование производства патоки из пшеничного крахмала. Хонш (Preliminary work for the manufacture of wheat starch glucose. Honsch W. M.), Stärke, 1957, 9, № 3, 45—47 (англ.; рез. нем.)

Установлено, что из неочищенного от белков и посторонних примесей пшеничного крахмала невозможно приготовить патоку, отвечающую по качеству рыночному продукту. Улучшение качества сырья снижает расход к-ты и осветлителей и повышает качество патоки. Н. Баканов

6147. Некоторые вопросы по определению качества и рафинации фруктозного сиропа. Шпачек (K některým otázkám kvality, zkoušení a čištění fruktosového syrobu. Spaček Miroslav), Průmysl potravin, 1957, 8, № 6, 320—325 (чешск.; рез. русск., англ., нем.)

Рассмотрены методы определения качества фруктозного сиропа (определение сухих в-в и их состав, степени кислотности, содержания золы). Показано, что пикнометрич. и рефрактометрич. методы определения сухих в-в дают неточные результаты, что зависит главным образом от соотношения фруктозы и глюкозы. Поляриметрич. метод так же ненадежен, так как учитывает лишь два этих сахара. Показано, что кондуктометрич. метод определения здесь неприемлем. Описаны эксперим. работы по очистке фруктозного сиропа ионообменниками и активированным углем; этот метод очистки обеспечивает получение бесцветных, беззольных сиропов. Н. Баканов

6148 П. Способ и оборудование для использования жомовых и прессовых вод в свеклосахарном производстве. Шланиц (Procédé et dispositif de remise en circuit des eaux résiduaires et des eaux d'essorage dans la fabrication du sucre de betteraves. Schlantz Ferdinand) [Tullner Zuckerfabrik A.-G.], Франц. пат. 1110173, 7.02.56

Воды с жомовых прессов направляют в резервуар — коллектор и прокачивают через промежуточный сборник с вертикальной перегородкой для отделения грязи и песка, а также для удаления заключенного в воде воздуха, затем через сборник — смеситель, служащий для смешивания со свежей водой; отсюда воду под давлением подают в диффузор для экстракции и, частично, для его промывки. Поступление жидкости в резервуары автоматически регулируется регуляторами уровня по установленному верхнему уровню, а выпуск воды из резервуаров регулируется по установленному нижнему уровню. Для дезинфекции к воде прибавляют реактив (преимущественно гипохлорит натрия — NaOCl), который поддерживает pH в требуемых пределах. Дезинфицирующий реактив добавляют в трубопровод, от резервуара — коллектора на всасывающей стороне насоса на этом трубопроводе. Приведены схемы и описаны рычажные регуляторы, управляющие перекачиванием жидкости в установке для использования жомовых вод.

Г. Таращанский

6149 П. Аппарат для варки крахмала. Мартин (Starch cooking apparatus. Martin Furman H.) [The Springs Cotton Mills]. Пат. США 2730468, 10.01.56

Аппарат предназначен для заваривания крахмального клейстера при атмосферном давлении. Особенность аппарата заключается в наличии отдельно установленной паровой заварочной камеры, соединенной с баком для клейстера и принудительной циркуляционной системой с центробежным насосом. В заварочной камере пар в клейстер барбатируется через вертикальную дырчатую трубу. Установка снабжается терморегулятором, автоматически управляющим подачей в аппарат пара; возможно применение в аппарате прибора для определения вязкости клейстера и включение этого прибора в автоматич. системы управления подачи пара и работы электромотора циркуляционного насоса. Последние обеспечивают клейстеру постоянную и равномерную его вязкость. Даны схемы устройства аппарата. Н. Баканов

См. также: Методы определения сахаров 4373, 4374, 6185. Хим. очистка выпарных аппаратов 4880. Сточные воды сахарных заводов 5145. Воски сахарного тростника 6091—6093

БРОДИЛЬНАЯ ПРОМЫШЛЕННОСТЬ

Редакторы А. М. Емельянов, Г. А. Новоселова

6150. Использование процессов брожения в промышленности. Каденас-Бергуа (Las fermentaciones en la industria. Cadenas Bergua Eduardo), Ion, 1957, 17, № 192, 371—374 (исп.) Обзор. Библ. 28:

6151. Бродильная промышленность США. Ковач (Przemysł fermentacyjny w USA. Kovats Jan), Przem. spożywczy, 1957, 11, № 6, 264—265 (польск.)

6152. Сообщение о деятельности Научно-исследовательского института бродильной промышленности за 1956 год. Барта (Zpráva o činnosti Výzkumného ústavu kvasného průmyslu za rok 1956. Barta J.), Kvasný průmysl, 1957, 3, № 7, 159—163 (чешск.)

Приведен список опубликованных в 1956 г. статей, докладов, заявленных патентов и научных заграничных командировок. Изучались вопросы непрерывного брожения, сушки картофеля, произ-ва крахмала и глюкозы, механизации процессов, разработки методов контроля, рационального хранения картофеля и утилизации отходов, произ-ва спирта, дрожжей и крахмала. Сообщается о разработке и патентовании комбинированной переработки картофеля в крахмал и спирт или р-рители, разрешающей одновременно проблему обезвреживания сточных вод крахмального завода и полного использования отходов (межи, соковой воды и ямного крахмала). Н. Баканов

6153. Основы производительности дрожжей. Виндш (Die Grundlagen der Leistungsfähigkeit von Hefen. Windisch S.), Branntweinwirtschaft, 1956, 78, № 5, 102—106 (нем.)

При нарушении нормального солевого питания и при наличии в среде сахара дрожжи накапливают жирные в-ва и приходят при этом в неактивное состояние. Помимо жира, дрожжи могут вырабатывать и другие защитные в-ва: спирт, CO₂, органич. к-ты для борьбы с другими микроорганизмами, или антибиотики для более эффективной борьбы с посторонней микрофлорой; оболочка клеток способна к слизевобразованию, что предохраняет дрожжи от высыхания и гибели в неблагоприятных условиях. Хлебопекарные дрожжи длительно размножаются вегетативно с сохранением активности; воздействием ядовитых химреагентов на протоплазму клеток получают мутанты с пониженной дыхательной активностью и усиленной способностью к брожению, что имеет большое производственное значение. Г. Горювич

6154. Влияние аэрации на рост дрожжей. I, II. Охаси (非流加通氣培養における通氣と酵母増殖との關係, その1, 2 大橋實), 工業化學雜誌, Koré kaquku dзасси, J. Chem. Soc. Japan. Industr. Chem. Sec., 1956, 59, № 8, 966—970; 970—973 (японск.)

В условиях опыта эффективно продувание (0,6—0,7) · 10⁻³ М О₂ на 1 л среды в 1 мин. Комбинирование перемешивания и продувания повышает выход дрожжей.

Ким Су Ен

6155. Роль мелассы и пропашных культур в производстве спирта. Висневская, Свенцкий (Udział melasy i roślin okopowych w produkcji spirytusu. Wiśniewska Jadwiga, Święcicki Andrzej), Przem. rolny PGR, 1957, 2, № 4, 4—16 (польск.)

Обзор. Библ. 34 назв.

6156. Критическая оценка общепринятых способов применения дрожжей на спиртовых заводах. Зеленка (Kritické ocenění běžných způsobů zkvašování a kvasinek používaných v zemědělských lihovarech. Zelenka Stanislav), Kvasný průmysl, 1957, 3, № 4, 81—84 (чешск.; рез. русск., нем., англ., франц.)

На основе опытных данных работы с пивными, хлебопекарными и спирт. маточными дрожжами, а также с дрожжами чистой культуры рекомендуется повсеместное применение чистых культур спирт. дрожжей в спирт. произ-ве.

В. Платонова

6157. Расщепление крахмала в процессе спиртового производства. Деккенброк (Zum Problem des Stärkeabbaues während des Brennereiprozesses. Deckenbrock Walter), Branntweinwirtschaft, 1957, 79, № 11, 213—219 (нем.)

Выявлены существенные отличия в ходе процессов осахаривания и брожения в зависимости от применения дачменного солода (ЯС) или грибного солода (ГС). Процессы осахаривания с ЯС, в основном, протекают за первые 10 мин. и практически заканчиваются за 60 мин., причем образуется главным образом мальтоза (~66%), немного глюкозы (~4%), трисахариды (~10%) и олигосахариды. При осахаривании с ГС образуется значительное кол-во глюкозы, мальтозы, три- и олигосахаридов, причем кол-во глюкозы возрастает с продолжительностью процесса, тогда как кол-во остальных углеводов снижается. При использовании ЯС брожение протекает медленно, по мере образования глюкозы из мальтозы, а доосахаривание олигосахаридов начинается только после сбраживания ~1/3 исходной мальтозы в сусле, тогда как при использовании ГС, брожение, также как доосахаривание, протекает с самого начала более интенсивно, благодаря наличию большого кол-ва глюкозы и заканчивается быстрее. В заторе, осахаренном ЯС, содержится меньше непосредственно несбраживаемых углеводов, чем при ГС, однако уже после первых часов брожения наблюдается обратное явление.

Г. Опшьян

6158. Борьба с потерями спирта при перегонке. Маслов В. А., Виноделие и виноградарство СССР, 1957, № 5, 11—14

Опытами перегонки виноматериала (крепостью 10,2—10,5 об. %), и фракционированной перегонки сырца (крепостью 22,3—33,0 об. %) (на паровом аппарате двойной сгонки шарантского типа) установлено, что потери спирта при любом способе перегонки летом выше, чем зимой. В любых условиях, чем больше скорость перегонки, тем меньше потери. При простой перегонке потери ниже, чем при фракционированной, при последней особенно велики неопределимые потери. Перегонку сырья нельзя затягивать на теплое время года, а при продлении сезона проводить только форсированную перегонку сырца. Необходимо

всеми мерами снижать т-ру воды и воздуха в перегонке, форсировать перегонку сырца до 0,8 л/мин (за час — полтора до окончания перегонки уменьшать скорость вытекания струи из спирт. фюары до 0,35—0,45 л/мин), воздушник спирт. фюары присоединять к спиртоволушке.

Г. Новоселов

6159. Выделение и идентификация стеринглюкозида из виски. Браус, Эк, Мюллер, Миллер (Isolation and identification of a sterol glucoside from whiskey. Braus Harry, Eck J. W., Mueller W. M., Miller F. D.), J. Agric. and Food Chem., 1957, 5, № 6, 458—459 (англ.)

Выявлено, что выпадающий в бутылочном виски осадок представляет собой ситостерин β-d-глюкозид (I) характеризуемый следующими свойствами: растворим в пиридине и амилловом спирте; слабо растворим в этаноле, метаноле, бензоле, хлороформе и этилацетате; растворим в воде и разб. к-тах и щелочах; оптич. вращение I (в пиридине) [α]_D²⁵ 41,6; т-ра плавления ацетилированного I 167°. В спирт. вытяжке из древесины белого дуба также обнаружен I. Приведена структурная ф-ла I. По-видимому помутнение бутылочного виски обусловлено присутствием I, который образуется в ходе произ-ва при взаимодействии жирных в-в сырья и продуктов жизнедеятельности дрожжей в процессе перегонки и за счет I, экстрагируемого из клеек при выдержке сырого виски в дубовых бочках.

6160. Определение различных органических веществ, добавленных в виски. VII. Спектрофотометрическое определение карбамида. Про, Нелсон, Матерс (Determination of distinctive organic materials added to whisky as markers. VII. Spectrophotometric determination of carbamide. Pro Maynard J., Nelson Raymond A., Mathers Alex P.), J. Assoc. Offic. Agric. Chemists, 1957, 40, № 1, 309—315 (англ.)

Описан метод определения содержания карбамида в виски путем осаждения р-ром ксантгидрола, растворения образовавшегося дисантилкарбамида в Н₂SO₄ и спектрофотометрич. определения при 430 мμ. Для построения калибровочной кривой используют р-ры, содержащие до 60 γ/г дисантилкарбамида. Метод позволяет определять содержание карбамида от 4 до 10 γ/г. При добавлении 10 γ/г карбамида к пробам виски, не содержащим его, определено в среднем 90,2% добавленного кол-ва. Часть VI см. РЖХим, 1957, 6240.

Г. Новоселов

6161. Изучение механизированного способа производства искусственного сака. Часть I. Выбор культур плесневых грибов и среды для ее культивирования глубинным способом. Инда, Носэ, Йосидэ (合成清酒の香味液醸造の機械化化に関する研究. 第1報. 麹菌の選擇及びその培養について (要約). 飯田孝一, 能勢三郎, 吉田弘), 日本醸造協會雜誌, 1956, № 4, 81—82 (японск.)

Подобраны три штамма аспергиллов, обладающие высокой амилалитич. активностью. В качестве субстрата выбран р-р, содержащий (в %) соевого казеина 0,5, рисовой муки 1,0, КН₂РО₄ 0,5—0,7, MgSO₄ · 7H₂O 0,5—0,7 при начальном рН 6,0.

Ким Су Ен

6162. Наличие и происхождение орнитина в сакэ. Такахаси, Носэ (清酒中の Ornithine の産生及びその生因に就て. 高橋晴, 能勢三郎), 醸造工學雜誌, 1957, № 5, 167—170, 15 (японск.; рез. англ.)

Изучением азотистых в-в сакэ, особенно пептидов, выявлено наличие в их составе орнитина (I) в виде пептида и в свободном состоянии. Установлено, что I образуется в сакэ из аргинина под воздействием аргиназы койи в ходе процессов брожения.

Г. Опшьян

6163. Успехи хроматографического метода анализа. Применение хроматографии для исследования сакэ

Акияма (クロマトグラフ分析法の成果. I. 清酒に對する分析成果. 秋山裕一), 日本醸造協會雜誌, Нихон дайдо кёкай дзасси, J. Soc. Brew. Japan, 1955, 50, № 10, 39—47 (японск.)

6164. Извлечение многоатомных спиртов из сброженных дрожжами сред. Роксберг, Спенсер, Салланс (Recovery of polyhydric alcohols from yeast fermentations. Roxburgh J. M., Spencer J. F. T., Sallans H. R.), Canad. J. Technol., 1956, 34, № 5, 248—253 (англ.)

Исследован способ извлечения глицерина, *d*-арабита, эритрита и маннита из сред, сброженных погруженными культурами осмофильных дрожжей, из которых одни образуют в основном глицерин и *d*-арабит, а другие — эритрит и небольшие кол-ва маннита. После первичного осветления подкисленной бражки выпаривали воду, добавляли горячий спирт, отделяли фильтрованием осадок камеи и обесцвечивали фильтрат активированным углем. Эритрит и *d*-арабит легко выкристаллизовываются из спирт. р-ра на холоду и отделяются фильтрованием. После отгона спирта, при атмосферном давлении, извлекают из остатка глицерин методом вакуум-перегонки. Маннит кристаллизуется вместе с эритритом и отделяется методом фракционированной кристаллизации. Упомянутые многоатомные спирты извлекали из синтетич. сред при разных колич. соотношениях компонентов и спирта и установили предельные выходы продуктов. См. также РЖХимБх, 1957, 15297.

Г. Ошмян

6165. К вопросу повышения качества пива. Плуденник (W sprawie poprawy jakości piwa. Piściennik Jan), Przem. spożywczy, 1957, 11, № 5, 197—200 (польск.)

Рассматриваются организационно-технологич. мероприятия, направленные на повышение качества вырабатываемого в Польше пива.

Г. Ошмян

6166. Современные методы анализа солода и их значение для пивоваренной и солодовенной промышленности. Хейльмейер (Die moderne Malzanalyse als wichtige Aussage für Brauer und Mälzer. Heilmeyer Franz), Brauwelt, 1954, В, № 103—104, 1522—1525 (нем.)

6167. Определение содержания компонентов горьких веществ хмеля. Булгаков Н. И., Шмидт Л. Г., Тр. Всес. н.-н. ин-та пивовар. пром-сти, 1957, вып. 6, 67—87

Дается критич. разбор методов анализа хмеля Вельмера, Форда и Тайта, Уолкера и Гастингса, а также метода Винге и Йенсена (ОСТ 528) и результатов определения горьких в-в хмеля по этим методам. Рекомендуемая модификация метода Уолкера и Гастингса: высушивание мягких смол (МС) ведется по способу Вельмера с добавлением определения твердых смол (ТС). Навеску измельченного хмеля (10 г) экстрагируют 10—20 мин. встряхиванием с безводн. метиловым спиртом (I), экстракт фильтруют и после добавления 2%-ного водн. р-ра NaCl экстрагируют 4 раза петр. эфиром (II), отгоняют последний при 70° и остаток взвешивают. Вес остатка, умноженный на 100, дает процентное содержание горьких к-т и МС на воздушно-сухое в-во, которое затем пересчитывают на сухое в-во.

А. Емельянов

6168. Пивоваренные дрожжи в свете современных научных данных. Кречмер (Die Bierhefe im Lichte neuer Forschungsergebnisse. Kretschmer Karl Fr.), Brauwelt, 1955, 95, № 103—104, 1719—1726 (нем.)

С помощью микроманипулятора можно получать триплоидные и тетраплоидные дрожжевые клетки с большим числом хромозом. Эти культуры дрожжей состоят обычно из клеток больших по размеру с большей ферментативной активностью и иными производ-

ственными признаками. В процессе жизнедеятельности дрожжи быстро поглощают из питательной среды витамины и стимуляторы роста и тем самым препятствуют развитию посторонней микрофлоры. Однако при дображивании в стадии лагерного хранения пива происходит автолиз дрожжевых клеток с обогащением среды продуктами распада белков, пантотеновой к-той и ниацином, что способствует развитию микроорганизмов — вредителей пива, в том числе и сарцин. Прямые опыты не подтвердили предположения о происхождении сарцин из дрожжевых клеток. Наблюдалось образование цепочек стрептококков из тетрад сарцин, что подтверждает высказывания Шимуэлла о тождественности *Streptococcus damnosus* и пивоваренной сарцины. Библ. 33 назв. М. Плевако

6169. Участие CH_3COOH и CO_2 в биосинтезе пивных дрожжей и образование дрожжами веществ, вызывающих помутнение пива при хранении. Весселов И. Я., Покровская Н. В., Рылкин С. С., Тр. Всес. н.-н. ин-та пивовар. пром-сти, 1957, вып. 6, 141—149

Опытами с радиоактивной уксусной к-той и CO_2 , вводимых в сбраживаемое сусло, показано, что 12—28,2% (в зависимости от кол-ва) органич. к-т потребляется на синтез дрожжей. Высокая радиоактивность дрожжей обусловлена C^{14} в метильной или в карбоксильной группе, который обнаруживается в различных в-вах дрожжей, при этом фракция, экстрагируемая петр. эфиром, содержит C^{14} в несколько раз больше белковой фракции. Подсчитано, что относительная значимость органич. к-т в синтезе дрожжей в 100 раз больше значимости аминокислот, белковых в-в и углеводов сусла. Синтезированные клеткой азотистые в-ва при использовании уксусной к-ты при брожении выделяются в сусло и входят в комплекс в-в, образующих помутнение пива при хранении. А. Емельянов

6170. Скрещивание пивоваренных дрожжей. Оппенорт (Kreuzungsversuche mit Bierhefen I. Oppenorth W. F. F.), Brauwissenschaft, 1956, № 4, 106—110 (нем.; рез. англ.)

Скрещивали чистые культуры дрожжей, полученные из одной клетки, выделенной из производственных дрожжей низового и верхового брожения. Гибриды получали по методу Винге при помощи микроманипулятора. Полученные культуры дрожжей изучали по основным признакам: способности сбраживать мелибиозу и образовывать осадок, как это свойственно низовым дрожжам, или давать пылевидные дрожжи, не сбраживающие мелибиозу, как это характерно для дрожжей верхового брожения. Исследование большого кол-ва штаммов, полученных гибридизацией, показало преобладание в гибридах свойств дрожжей верхового брожения; способность сбраживать мелибиозу сохранили единичные штаммы. Библ. 17 назв. М. Плевако

6171. Образование хлопьев пивными дрожжами. Гиллiland (The flocculation of brewing yeast. Gilliland R. B.), Wallerstein Labs Commun., 1957, 20, № 68, 41—71 (англ.; рез. франц., исп., нем.) См. также РЖХим, 1956, 63560.

6172. Оценка пивоваренных дрожжей. Хельм (Die Beurteilung von Brauereihefen. Helm Erik), Brauerei, 1957, 11, № 43—44, 266—267 (нем.; рез. англ., франц., исп.)

Разработаны методы оценки дрожжей по их активности и степени бактериальной чистоты. Дрожжи характеризуются по способности и хлопьеобразованию (оседанию), бродильной энергии, скорости брожения и органолептич. показателям. Скорость брожения отдельных штаммов величина не постоянная и зависит от содержания N в дрожжах. Для обнаружения бактериального загрязнения в дрожжах даются практич.

приемы, включающие постановку накопительных культур на трех различных средах; одна из них является селективной для развития дрожжей, две другие ускоряют развитие бактерий. Среда позволяет обнаружить в дрожжах педиококки и различные типы бактерий. Установлены нормы загрязнения и оценки качества семенных дрожжей: 0—5 микробов в 1 мл — отличные, 5—100 — хорошие, но дрожжи необходимо проверить при следующем брожении; 100—5000 — дрожжи не следует применять и при содержании 5000 и более микроорганизмов дрожжи необходимо уничтожить. Разрешается применять дрожжи с содержанием ≥ 100 бактерий в 1 мл.

А. Жвирблянская

6173. Асептический разлив пива. Якобсон (Aseptisches Abfüllen von Bier. Jacobson Baltzar), Brauwelt, 1957, B97, № 43—44, 704—710 (нем.; рез. англ., франц.)

Описан способ «балансирующего» разлива пива, применяемый в течение двух лет на пивоваренном заводе Стокгольма. С помощью дополнительного провода поток пива в пластинчатом пастеризаторе остается постоянным, в то время как в разливной машине он может колебаться от 0 до наивысшей производительности. При этом пиво прямо из лагерьных бочек можно пропускать через фильтр (сепаратор) и пастеризационный аппарат в разливную машину без применения промежуточной емкости. В 6 тыс. бутылок пива, отобранных от разлитых этим способом 79 тыс., после 75 дней выдержки не обнаружено роста микроорганизмов.

А. Жвирблянская

7174. Химико-технологические методы и оборудование в пивоваренном производстве. Мак-Нил (Chemical engineering in the brewing industry. McNeill R. A.), Trans. Instn Chem. Engrs, 1957, 35, № 3, XXXVIII, XL, XLII (англ.)

6175. Десять лет развития пивоваренного завода в Ванкувере. Вильямсон (Ten years of development at Vancouver Breweries. Williamson Allan G.), Canad. Bever. Rev., 1956, 26, № 2, 24—26, 28, 30 (англ.)

В результате реконструкции создано новое предприятие, оснащенное современным оборудованием и аппаратурой, производительностью 320 000 гл пива в год. Приведены 13 фотографий.

М. Плевако

6176. Приготовление и хранение белых сладких вин. Пено (La vinification et la conservation des vins blancs doux. Peunaud E.), Vignes et vins, 1956, № 52, 11—13 (франц.)

Готовые белые сладкие вина из разных подвалов, хранившиеся в разных условиях, исследовали на присутствие дрожжей. Вина, хранившиеся в дубовых бочках, содержали втрое больше дрожжевых клеток, чем в цементных чанах, облицованных стеклом. До $\frac{1}{2}$ всех дрожжевых клеток было живых, даже при содержании SO_2 до 132 мг/л. После фильтрации кол-во дрожжевых клеток значительно снижается. Из выделенных дрожжей 40% относятся к *Saccharomyces oviformis*, вызывающих в большинстве случаев забраживание готовых сладких вин. Они образуют хересную пленку и найдены также в шампанском. *Sach. acidifaciens* составляют 26% всех найденных дрожжей, также являются причиной забраживания, но лишь при крепости вин $\leq 12^\circ$. *Sacch. ellipsoideus* найдено 16%, они редко являются причиной забраживания вина, почти не встречаются в старых винах. *Sacch. ludwigii* найдены лишь в белых сладких винах, редко являются причиной их забраживания, характерны для сульфитированных соков. Другие виды дрожжей найдены лишь в красных винах. Дрожжи, вызывающие помутнение сухих вин и забраживание сладких, наравне с бактериями снижают качество вина. Охарак-

теризованы 132 штамма, выделенные из дрожжей винных подвалов.

Н. Простосердов

6177. Применение чистых культур дрожжей в практике виноделия. Фихтер (Die Verwendung von Reihhefe in der Kellereipraxis. Fiechter A.), Schweiz. Z. Obst- und Weinbau, 1956, 65, № 17, 385—390 (нем.)

Описан способ применения чистой культуры дрожжей в виде пасты для сбраживания виноградных и плодово-ягодных соков: небольшого кол-ва пасты достаточно для быстрого получения 5 гл засевных дрожжей на пастеризованном соке при $\sim 20^\circ$. Чистая культура дрожжей в виде пасты вырабатывается в научно-исследовательской лаборатории в Вединсвиле (Швейцария); препарат при $+2$ — $+5^\circ$ в течение 6 недель сохраняет ферментативную активность. Применение чистых культур дрожжей в виде пасты в практике виноделия дало хорошие результаты.

Г. Горюнов

6178. Идентификация винных дрожжей, хранившихся в Японии. Гото, Йокоцука (國內に保存されているブドウ酒酵母の分類. 第1報. 外國産ブドウ酒酵母. 後藤昭二, 横塚勇), 醸造工學雜誌, 1956, 34, № 11, 537—542, 37 (японск.; рез. англ.)

Старые культуры винных дрожжей, хранившиеся в виде спор, культивировали на свежем виноградном соке и других средах. При определении 52 образцов дрожжей были отнесены к следующим видам: *Saccharomyces cerevisiae* Hansen — 29 штаммов, *Sacch. cerevisiae* var. *ellipsoideus* (Hansen) Dekker — 14 штаммов, *Sacch. oviformis* Osterwalder — 5 штаммов, *Sacch. fermentati* (Saito) Lodder et Van-Rij — 2 штамма, *Sacch. rosei* (Guill.) Lodder et Van-Rij — 1 штамм.

Н. Простосердов

6179. Действие некоторых инсектицидов и фунгицидов на дрожжевую флору суслу и некоторые компоненты вина. I. Действие некоторых видов на дрожжевые клетки винограда. Пьерри (Intorno all'influenza di alcuni insetticidi ed anticrittogamici sulla flora blastomycetica delle uve, sulla fermentazione dei mosti e su alcuni componenti del vino. Contributo I. Azione dei diversi prodotti sulla flora blastomycetica delle uve. Pierri Giuseppe), Ann. sperim. agrar., 1956, 10, № 2, 545—554 (итал.; рез. англ.)

См. РЖБиол., 1957, 41863.

М. Г.

6180. Применение охлаждения при обработке вин и плодовых соков. Джэйсин (The use of refrigeration in the treatment of wines and fruit juices. Gysin W.), Lod. Refrig., 1954, № 681, 444, 445—446 (англ.)

6181. Фильтрационные материалы. Майер-Оберплан (Von den verschiedenen Schichten. Meyer Oberplan M.), Dtsch. Weinbau, 1957, 12, № 5, 119—120 (нем.)

Популярное изложение принципов фильтрации соков и вин и практич. указания по применению различных видов фильтрационного материала в целях осветления или обеззараживания продукта. Г. Опман

6182. Иониты и их использование в виноделии. Малчик (Uměle pryskyřice jako měničové ionty a jejich využití ve vinařství. Malčík Zdeněk), Vinařství, 1957, 50, № 3, 43—44 (чешск.)

Изучена возможность удаления железа из вина катионитами (KV-1 и SBS) и анионитами (EDE-10). Навеску катионита после набухания в дистил. воде (1—2 часа) промывали 5%-ным р-ром HCl, а затем 2%-ным р-ром KCl или NaCl и водой. Аналогично приготавливали аниониты при использовании 2%-ного р-ра NaCl или KCl и 2%-ного р-ра лимонной или винной к-ты. Установлено, что железо успешно извлекает-

ся из плодовых и виноградных вин анионитами и не извлекается катионитами. Ян Сливка

6183. Использование виноградных семян для осветления вин. Смутьская О. П., Виноделие и виноградарство СССР, 1957, № 5, 22—25

Измельченные виноградные семена, введенные в вино вместе с р-ром желатина (Ж), обладают более сильным осветляющим действием, чем галлотанин и Ж. Для осветления 1 гл вина требуется 130—170 г семян (содержащих 5% дубильных в-в) и 4—6 г Ж. В вино при 18—20° вводят измельченные, промытые холодной водой и высушенные семена винограда любого сорта. Вино тщательно перемешивают в течение 10—15 мин., добавляя 0,5%-ный р-р Ж и вновь перемешивают. 500—600 л вина выдерживают на оклеивающих материалах в течение 2 час. и фильтруют. Осветленное вино имеет высокую степень прозрачности, вкус его не ухудшается, стойкость при хранении более высокая чем при обработке галлотанином. Метод рекомендуется для испытания в произ-ве Г. Н.

6184. Разделение и количественное определение кетокислот в вине методом распределительной хроматографии на бумаге. Егоров И. А., Борисова Н. Б., Биохимия виноделия, сб. 5, 1957, 253—258. См. также РИХИМ, 1956, 27590

6185. Об определении восстанавливающих сахаров. Электролитический метод определения одновалентной меди, выделенной из жидкости Фелинга. Применение этого метода при анализе вин и пищевых консервов. Кланчингг (Sul dosaggio degli zuccheri riduttori. Determinazione elettrolitica del rame separato come ossidulo dal liquido di Fehling. Applicazione ai vini e alle conserve alimentari. Klantschingg Piero), Ann. sperim. agrar., 1956, 10, № 5, 1405—1415 (итал.; рез. англ.)

Описан метод определения восстанавливающих сахаров (ВС) посредством определения Cu^+ , выделенной из жидкости Фелинга действием ВС. Полученные результаты сравнены с данными йодометрич. метода. Порцию анализируемого вина предварительно нейтрализуют прибавлением ~ 2 г CaCO_3 на каждые 100 мл вина и смешивают с 25 мл р-ра Фелинга А и 25 мл р-ра Фелинга В. Полученную смесь разбавляют водой до 100 мл, нагревают до кипения, кипятят 2 мин. и разбавляют водой (100 мл). Выделенную Cu_2O отфильтровывают с отсасыванием через фарфоровый тигель SPM A-3 с порами 8μ, промывают 3 раза по ~ 9 мл воды и растворяют в 20 мл HNO_3 (смесь 6 мл конц. HNO_3 и 14 мл воды). Полученный р-р разбавляют водой до ~ 150 мл и подвергают электролизу в течение 30 мин. при 2,5 в и 0,6 а с применением катода Винклера и вращающегося анода. Приведен также пример анализа пищевых консервов или мармелада.

Н. Туркевич

6186. К исследованию физико-механических свойств шампанской пробки. Платонов И. Б., Фуражкина Н. Е., Тр. Краснодарск. ин-та пищ. пром-сти, 1957, вып. 9, 85—87

6187. Пути улучшения коньячных спиртов из гибридов прямых производителей. Малтабар В. М. (Кэиле пентру ымбунэзэциря спиртурилор де коньяк дин гибризы продукторь дирекць. Малтабар В. М.), Грэднэрикул, виерикул ши винэрикул Молдовей, 1957, № 3, 43—45 (молд.), Садоводство, виноградарство и виноделие в Молдавии, 1957, № 3, 44—46

Установлено, что поздние сборы винограда гибридных сортов повышают качество и выход коньячного спирта (С). Необходимо снижение содержания в сусле красящих и дубильных в-в, ухудшающих качество С. Для улучшения вкуса С следует быстро отделять сусло от мезги и брожение вести по белому

способу. При перегонке гибридного С на шарантских аппаратах (ША) необходимо отбирать головную фракцию в объеме 2,5—3%. На ША при двойной перегонке и кипячении вина в течение 7 час., а сырца 9—10 час., получен С лучшего вкуса и аромата, чем на аппаратах с дефлегмационными тарелками (Писториуса). Г. Новоселова

6188. Роль дубовой древесины в созревании коньячных спиртов. Шприцман Э. М., Новохатко Д. А., Садоводство, виноградарство и виноделие Молдавии, 1956, № 4, 47—50

Хроматографич. исследованием установлено, что таннид дуба состоит из ≥ 3 близких по своему строению в-в, хорошо растворимых в спирте и этилацетате. Не обнаружено наличия простейших полифенолов, не участвующих, следовательно, в процессах созревания коньяков. Сахара представлены в-вом, имеющим R, глюкозы. Исследованием изменений дубильных в-в в течение 10 лет выдержки выяснено, что в экстракте коньячных спиртов дубильные в-ва составляют основную часть, причем их кол-во возрастает только в первые годы выдержки, оставаясь затем почти постоянным в пределах 0,3—0,4 г/л. В стеклянной таре кол-во дубильных в-в в коньячном спирте в присутствии O_2 снижается в течение года на 25—30%. В ходе выдержки коньячных спиртов в бочках устанавливается определенное колич. равновесие между экстрагируемыми из клепки дубильными в-вами и окисляемой их частью. Дубильные в-ва играют значительную роль в созревании коньячных спиртов. Г. Опмян

6189. Столовые и пищевые плодово-ягодные вина. Чаленко Д. К., Малаяк З. С., Качановская З. И., Гуревич Н. З., Тр. Белорусск. н.-и. ин-та пищ. пром-сти, 1957, вып. 1, 39—53

Вывялены лучшие плодово-ягодные вина из яблок Антоновка и крыжовника. Для легких, пищучих вин (ШВ) наиболее пригодны яблоки (особенно Антоновка), крыжовник и брусника. Ключевые виноматериалы в купаже с черничным, брусничным, малиновым и яблочным дали хорошие ШВ (особенно с сахаристостью до 10%). Виноматериалы из малины требуют доработки, из вишни — тяжелы и малоприспособны для произ-ва ШВ. Составлены и проверены в произ-ве схемы технологич. режима произ-ва столовых и ШВ. Рекомендуется произ-во плодово-ягодных ШВ на з-дах Белвентреста. Г. Новоселова

6190. Безалкогольные ароматные напитки, их история и характеристика. Битти (Soft drink flavours, their history and characteristics. Beattie George B.), Perfum. and Essent Oil Rec., 1956, 47, № 12, 437—442 (англ.)

Приведены состав орехов кола и рецептуры напитков из них. С. Корэ

6191. Разработка технологии получения концентрата квасного сусла. Чекал Л. И., Черкасова А. А., Буковский П. И., Тр. Всес. н.-к. ин-та пивовар. пром-сти, 1957, вып. 6, 97—113

В результате лабор. и заводских опытов предложена технологич. схема произ-ва концентратов квасного сусла, представляющих густую сиропообразную жидкость (70—72% сухих в-в) с хлебным ароматом и сладковатым вкусом, хорошо растворимую в теплой воде и выдерживающую хранение в укупоренном виде в течение 7 месяцев при $\leq 20^\circ$. Применение концентратов в произ-ве кваса обеспечивает работу квасоваренных цехов в осенне-зимний период и ускоряет его изготовление в летние месяцы. А. Емельянов

6192. Влияние степени сбраживания на органолептические показатели кваса и новый метод определения спирта в квасе. Чекал Л. И., Кипарисова Т. А., Комраз А. М., Тр. Всес. н.-и. ин-та пивовар. пром-сти, 1957, вып. 6, 114—121

Дегустацией (по 5-балльной шкале) образцов кваса, приготовленных в одинаковых условиях, но с различным содержанием спирта (I) (0,2—1,0 вес.%), высшая оценка в 4,7 балла дана квасу с 0,6—0,64 вес.% I; квас с 0,2—0,22 вес.% I признан неудовлетворительным. Установлено, что для нормализации вкусовых качеств квас должен содержать $\geq 0,3$ вес.% I. Предложено снизить т-ру хранения кваса при определении его стойкости с 20°, предусмотренных ГОСТ, до 17°. Приводятся результаты проверки и описание нового метода определения I в квасе с помощью денсиметра, с четвертым знаком после запятой в пределах шкалы 1,0120—1,0230.

А. Емельянов

6193 К. Технология дрожжей. Уайт Джон. Перев. с англ., М., Пищепромиздат, 1957, 391, стр., илл., 18 руб.

6194 К. Дрожжевые и спиртовые заводы. Т. II. Технология. Ван-ден-Нортгаат (Levurerie et distillerie. T. II. Technologie. Van Den Noortgaat C. H. Bruxelles—Paris, Ed. «Erasme», 1956, V, 145 p., ill., 175 fr.) (франц.)

6195 К. Исследования области перегонки, производства спирта, водок и ликеров, спиртометрии, ареометрии и брагоперегонной аппаратуры. Дюжарден (Recherches rétrospectives sur l'art de la distillation, historic de l'alcool, de l'eau-de-vie, des liqueurs, de l'alcoolmétrie, de l'aréométrie, de l'alambic, par l'image. Dujardin Jules. Paris, Dujardin—Saller, 1955, 144 p., ill.) (франц.)

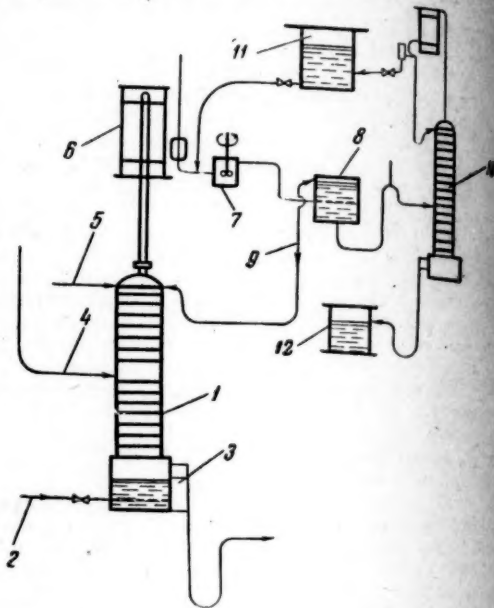
6196 К. Официальные расчетные таблицы для определения истинной крепости в объемных процентах и объема спиртовых растворов и спирта при 15°. Указания по пользованию спиртомером и таблицами для пересчета объемных процентов в весовые и обратно. Изд. 2-е. (Reduktionstabellen zur Bestimmung der wahren Stärke in Volumenprozent und des Volumens von Alkohollösungen Spiritus für die Normaltemperatur 15 Grad Celsius. Mit einer Anweisung zum Gebrauche d. Alkoholmeter u. d. Reduktionstabellen sowie Tafeln zur Umrechnung v. Volumen—in Gewichtsprozent u. umgekehrt. 2. Aufl. (Bundesamt Eich-u. Vermessungswesen. Wien, Österr. Staatsdruck. 1955, 63 S. 15.—Sch.) (нем.)

6197 К. Искусственная очистка вина. Курдгелашвили М. В. (ვინის ხელოვნური გაწმენდა. კურდგელაშვილი მ. ვ., თბილისი, საქ. სსრ მეცნ. აკად. გამ-ბა, 1956, 38 გვ. ილ., 50 კ.). Тбилиси, АН ГрузССР, 1956, 38 стр., илл., 50 к. (груз.)

6198 П. Способ и аппаратура для очистки спиртов. Гино (Procédé et appareillage pour l'épuration des moûts alcooliques. Guinot Henri-Martin). Франц. пат. 1109190, 23.01.56

Патентуется способ очистки спиртов или водн. р-ров органич. в-в от слаборастворимых в воде летучих примесей (эфир, высшие спирты, фурфурол) методами: перегонки в колонне, орошаемой сверху потоком горячей воды; последующей обработки дистиллата слаборастворимым в воде р-рителем, способным экстрагировать нежелательные примеси, не извлекая при этом спирт и ему подобные продукты; отвода водн. слоя обратно в верхнюю часть колонны; перегонки слоя р-рителя в спец. колонке с отбором р-рителя из верхней части колонки для повторного использования, а примесей — из нижней части колонки. Перегонная колонна 1 обогревается острым паром по трубе 2, эфирот отводится через 3, очищаемая жидкость поступает в середину 1 через 4, к вершине 1 подводится через оросительное приспособление 5 горячая вода в кол-ве, соответствующем колич. и качеств. показателям очищаемой жидкости, пары конденсируются в 6,

конденсат смешивается с р-рителем в 7 (10% объема конденсата), декантируется в 8, водн. слой отводится обратно в 1 через 9, слой р-рителя направляется в



середину колонки 10, пары р-рителя отбираются из верхней части 10, конденсируются, конденсат направляется в сборник 11, откуда он вновь возвращается в 7, примеси отбираются из нижней части 10 в сборник 12. В качестве р-рителей используют серный эфир, изопропиловый эфир, хлористый метил, метилэтилкетон.

Г. Ошанин

6199 П. Производство газированного напитка. Дени (Procédé de fabrication d'une boisson gazeuse et boisson obtenue par ce procédé. Denis Joseph). Франц. пат. 1115491, 25.04.56

Сухую измельченную цедру цитрусовых, листья хмеля заливают горячей водой, кипятят 5—15 мин, охлаждают, смешивают с холодным сахарным сиропом, добавляют цитрусовый сок для возникновения самопроизвольного брожения, оставляют бродить 72 часа при 25°, по окончании брожения полученный игристый напиток фильтруют. Примерная рецептура: 15 г сухой апельсиновой цедры, 5 г сухой лимонной цедры, 15 г сушеных апельсиновых листьев, 4 г хмеля, 300 г сахара, 75 г апельсинового сока. Выход напитка 5 л.

Т. Сабуров

См. также: Спиртовое брожение 1783Бх. Созревание коньячных спиртов 2575Бх. Лимоннокислое брожение 3464; 1792Бх. Ректификационные колонны 4889. Спиртные воды бродильной промышленности 5146—5148

ПИЩЕВАЯ ПРОМЫШЛЕННОСТЬ

Редакторы А. М. Емельянов, Г. А. Новоселова, А. Л. Прогорова

6200. Основные направления в развитии пищевой промышленности. Никкиля (Elintarvike-teknologian suuntaviivoja. Nikkilä Olavi E.), Maatalous 1957, 50, № 9, 235—236 (финск.)

6201. Решающее значение правильной технологии Вейл (Food technology solves your problems. Vail Gladys E.), J. Amer. Diet. Assoc., 1956, 32, № 1, 13—18 (англ.)

Иложены основные правила заготовки, хранения и кулинарной обработки пищевых продуктов для массового использования содержащихся в них питательных веществ.

Т. Сабурова
6202. **Технология и исследовательские работы по вопросам питания.** Раушер (Technologie und Ernährungswissenschaft. Rauscher K.), Wiss. Z. Karl-Marx- Univ. Leipzig, 1956—1957, 6, № 1, 13—16 (нем.)

6203. **Охлаждение пищевых продуктов.** Куормби (The growth of refrigeration. Quarmby Ben.), Food Manufacture, 1957, 32, № 7, 325—326 (англ.)
Рассмотрено развитие консервирования пищевых продуктов холодом — от применения льда до использования современных скоростных холодильных машин непрерывного действия.

С. Светов
6204. **Исследования в области консервной промышленности, проведенные в Польше.** Пияновский (Polskie badania z zakresu przemysłu konserwowego. Pijanowski Eugenius), Przem. spożywczy, 1957, 11, № 8, 321—325 (польск.)
Обзор. Библ. 26 назв.

А. П.
6205. **Ядовитые элементы в пищевых продуктах.** Канахара (食品中の有害元素. 金原松次), 薬局, Якёку, Pract. Pharmacy, 1957, 8, № 1, 14—16 (японск.)

Указаны роль и действие в организме человека и максимум нормы содержания в пищевых продуктах As, Pb, Cu, Fe, Sn. Норма As в твердых пищевых продуктах 1,4 мг/кг (США, Англия, Канада), в жидких 0,14 мг/л (США, Англия), 0,1 мг/л (Канада), в плодах и овощах 3,5 мг/кг (США, Япония). Норма Pb в пищевых продуктах не более 2,56 мг/кг (США, Канада), в плодах и овощах 7,15 мг/кг (США, Канада), 7 мг/кг (Япония). Норма Cu в желатине 30 мг/кг, в напитках 0,2 мг/л (США), в плодах и овощах 50 мг/кг (Канада, Япония).

Ю. Козловский
6206. **Химические вещества, применяемые в сельском хозяйстве и пищевой промышленности.** Хейлтон (Agricultural and food chemicals. Hazleton Lloyd W.), J. Agric. and Food Chem., 1957, 5, № 5, 336—339 (англ.)

В общих чертах изложен план испытания на безвредность для человека и животных хим. в-в, впервые применяемых в пищевой или с. х. пром-сти.

Т. Сабурова
6207. **О добавлении к пищевым продуктам посторонних веществ.** Тейфель (Artfremde Substanzen als Lebensmittelzusätze in der Sicht des Lebensmittelchemikers und -Technologen. Täufel K.), Nahrung, 1957, 1, № 1, 23—39 (нем.; рез. англ., франц., русск.)

Физиологически неприемлемые в-ва, а также в-ва, действие которых на организм не проверено, должны быть безусловно запрещены. При безвредности добавляемых в-в необходимо проверить, нельзя ли достичь тех же результатов без их применения, или применения в-ва, содержащиеся в других пищевых продуктах.

А. Емельянов
6208. **О хранении проб.** Ликарж, Шмельхаус (K otázce způsobu uložení vzorků. Líkař O., Smelhaus V.), Průmysl potravin, 1957, 8, № 7, 349—350 (чешск.; рез. русск., англ., нем.)

Рассмотрено значение правильного хранения отобранных для исследования проб на результаты анализов.

А. П.
6209. **Определение состава зольных продуктов, содержащих сахара.** Дюбур (Détermination de la teneur en cendres des produits sucrés. Dubourg I.), Sucrerie franç., 1954, 95, № 11, 363—366 (франц.)

6210. **Оценка метода определения количества белков в пищевых продуктах по Джермилло — Бабиню —**

Мусерскому. Кацитадзе В. Ф., Зурабашвили М. И., Вопр. питания, 1957, 16, № 4, 81

Проверка точности усовершенствованного метода Джермилло колич. определения белков в пищевых продуктах сравнением с методом Кьельдаля показала, что разница при определении белков этими методами составляет от -0,8 до +3,8%. Метод рекомендуется для внедрения в практику.

А. Прогорович
6211. **Значение pH образцов пищевых продуктов, растворенных в различных растворителях.** Хеллер (The pH values of food samples diluted with various diluents. Heller C. L.), Lab. Practice, 1957, 6, № 7, 388—389 (англ.)

Рассматривается вопрос о бактерицидном действии, наблюдаемом при смешивании образцов пищевых продуктов с различными р-рителями, особенно при выдержке их в течение некоторого времени перед посевом на питательные среды. Готовились серии разведенных образцов — апельсиновый сок, мясной рассол, йогурт, молоко и яичный белок — в различных р-рителях (дистил. вода, фосфатный буфер, вода водопроводная и из артезианских скважин и др.). Значения pH колебались в широких пределах для образцов (3,0—9,2) и для р-рителей (5,6—9,45). Поскольку изменение pH влияет на микрофлору образца и на хим. состав р-рителя, это должно быть учтено при рассмотрении бактериальных стандартов.

А. Жавирбянская
6212. **Новые виды жиров для пищевых концентратов.** Чиненова Э. Г., Минквиц М. Л., Консервн. и овощесуш. пром-сть, 1957, № 5, 6—9

Рекомендуется применение при произ-ве концентрата пшенной каши сухого сливочного масла (ССМ) (полученного высушиванием сливок, содержащих 50% сухих в-в, или эмульсии топленого масла в обезжиренном молоке) и гидрожира повышенной твердости (ГПТ), а при произ-ве концентрата каши гречневой — ГПТ и ССМ, а также порошкообразного саломаса с эмульгаторами.

Г. Новоселова
6213. **Влияние различных продуктов, входящих в рецептуру супов, на рост бактерий.** Лонгре, Паддем, Уайт, Уэйсман (Effect of ingredients on bacterial growth in soups. Longree Karla, Padham Rose F., White James C., Weisman Brenda A.), J. Milk and Food Technol., 1957, 20, № 6, 170—177 (англ.)

Исследованы условия роста *Micrococcus pyogenes* var. *aureus* на курином бульоне, к которому добавляли в различном кол-ве тонко измельченные овощи, мясо и съедобные моллюски. На основании полученных результатов проведены опыты приготовления супов в кафетерии, причем исключение из рецептуры гороха и увеличение содержания томатов, моркови и зеленого сладкого перца дало хорошие результаты.

А. Емельянов
6214. **Выбор холодильной установки для пищевого предприятия.** Нелман (A basic guide to food refrigeration requirements. Knelman F. H.), Food in Canada, 1956, 16, № 7, 9—11 (англ.)

Общие сведения о распространенных способах охлаждения и замораживания пищевых продуктов. Приведены ф-лы для приближенных расчетов потребности в холоде.

Г. Любовский
6215. **Пищевые отравления, вызванные сальмонеллами.** Больте (Bakterielle Nahrungsmittelvergiftungen durch Salmonellen. Bolte A.), Zucker- und Süßwaren-Wirtsch., 1957, 10, № 3, 103—106 (нем.)

Описаны возможности и случаи заражения сальмонеллами ряда пищевых продуктов, наблюдавшиеся за последние 10 лет в ФРГ. Указаны признаки пищевых отравлений и меры борьбы с ними.

В. Гурни

6216. Кондиционирование, сушка и обеззараживание зерна и крупы токами высокой частоты. Суворов С. С., Румянцев П. Д., Тр. Всес. н.-и. ин-та зерна и продуктов его переработки, 1957, вып. 33, 99—123

Приводятся описания, фотоснимки и схемы высокочастотной сушильной установки и цилиндрич. конденсаторов для сушки и дезинсекции зерна, а также нормы и режимы нагрева и указания по технологии кондиционирования, сушки и обеззараживания зерна, разработанные ВНИИЗ в результате соответствующих опытов. Установлено, что уничтожение клещей и насекомых в зерне ВЧ-токами требует 1—2 мин., при нагреве в зерносушилках (50—55°) для этого требуется 10—30 мин., а при газации — несколько суток.

А. Емельянов

6217. Типы муки и их использование. Сквухольт (Flour types and how to use them. Skovholt Oscar), Food Engng, 1957, 20, № 4, 140, 143—144, 146, 149—150 (англ.)

Рассматриваются хлебопекарные свойства различных сортов пшеничной муки из различных типов пшеницы и их оценка в зависимости от назначения муки (применительно к стандартам США) для хлебо-булочных изделий из дрожжевого теста, для мучных изделий, изготовляемых из теста на хим. разрыхлителях и теста для макаронных изделий. С. Светов

6218. Исследование муки с посторонним запахом. I. Качественное и количественное определение остаточных количеств фенолов и крезолов. Чарро-Ариас (Estudios sobre harinas con olores extranos. I. Investigacion y determinacion de residuos fenolicos. Charro Arias A.), Bull. Soc. pharmacie Bordeaux, 1955, 94, N special, 184—192; An. Real acad. farm., 1956, 22, № 3, 239—254 (исп.)

Анализ продезинфицированной фенолами и крезолами муки показал содержание в ней до 18 мг/кг этих в-в. Она стойко удерживаются мукой и иногда сохраняются в ней после 30-дневного проветривания. Не рекомендуется применять их для дезинфекции складов для муки и других продуктов с высокой абсорбционной способностью. Описан метод определения фенолов и крезолов в муке. Г. Вигдорович

6219. Обнаружение муки мягкой пшеницы (Ricerca degli sfarinati di grano tenero nelle paste alimentari), Italia e cereali, 1957, 12, № 4, 187—190 (итал.)

Скорость фильтрации (время фильтрации 50 мл болтушки) суспензий муки из мягких сортов колебалась в пределах 5,3—11 мин., для муки из твердых сортов 14—21 мин. Считают, что при скорости фильтрации водн. суспензий какого-либо мучного изделия <14 мин. изделия изготовлены не из чистой муки твердой пшеницы. А. Марин

6220. Современный рефлектометр для муки и близких к ней белых веществ. Кент-Джонс, Эймос, Мартин, Скотт, Элайас (A modern reflectometer for flour and near-white substances. Kent-Jones D. W., Amos A. J., Martin W., Scott R. A., Elias D. G.), Chemistry and Industry, 1956, № 50, 1490—1493 (англ.)

Описан прибор Кент-Джонса и Мартина (2-я серия) для измерения яркости муки по отраженному свету. См. также РЖХим, 1957, 39743. В. Базарнова

6221. О применимости измерения цвета в производстве продуктов из теста. Штаудт (Über die Anwendung der Farbmessung bei der Herstellung von Teigwarengrieß und Teigwaren. Staudt E.), Mühle, 1957, 94, № 32, 408—409 (нем.)

Необходимо предварительно установить крупноту крупки на ситах, затем произвести ее размол и определить цвет одним из существующих способов. Для устранения влияния пигментов их удаляют из муки

петр. эфиром, а из теста — *n*-бутиловым спиртом, насыщ. водой. Разница в содержании пигментов указывает на окисление их при переработке крупки.

6222. Канадская лаборатория по исследованию зерна. Андерсон, Эйткен (Canada's Grain research laboratory. Anderson J. A., Aitken T. R.), Cereal Sci. Today, 1957, 2, № 5, 106—111 (англ.)

6223. Влияние заражения при хранении нута (*Cicer arietinum* L.) и маша (*Phaseolus radiatus* L.) насекомыми вредителями. Пингале, Кадкол, Свамнатхан (Effect of insect infestation on stored bengal gram (*Cicer arietinum* L.) and green gram (*Phaseolus radiatus* L.). Pignale S. V., Kadkol S. B., Swaminathan M.), Bull. Centr. Food Technol. Inst. Mysore, 1956, 5, № 9, 211—213 (англ.)

Показано, что при хранении при 27° нута и маша экспериментально зараженных личинками *Brachy chinnensis* L., зерна тернут в весе, уменьшается их всхожесть, понижается содержание тиамина, увеличивается кислотность жира и изменяется состав белков.

Т. Сабуров

6224. Мукомольная и хлебопекарная промышленность Англии в 1956 г. Амос (Milling and baking. Amos A. J.), Food Manufacture, 1957, 32, № 1, 65—69 (англ.)

6225. Хлеб и вода. Бюре (Pain et eau. Bure J.), Techn. meunière, 1957, № 61, 1—6 (франц.)

Краткое изложение основ технологии приготовления теста. А. Емельянов

6226. Грибные ферментные препараты в хлебопечении. Джаканелли (Enzimi fungali nella panificazione. Giacanelli E.), Selez. tecn. molit., 1957, 8, № 6, 49—52 (итал.)

Приводятся предварительные результаты опытов выпечки хлеба из муки с выдержкой 0,10, 20, 30, 40 и 50 дней без добавления молочной к-ты и из смесью смолотой муки с добавкой в тесто (в % к тесту) 0,1, 0,2 и 0,5 х. ч. молочной к-ты. Из изготовленных образцов хлеба лучшие органолепич. и физ.-хим. показатели дал хлеб с содержанием 0,1% молочной к-ты.

А. Марин

6227. Сульфгидрильные и дисульфидные группы белков клейковины и их связь с хлебопекарными свойствами муки. Гольдштейн (Sulphydryl- and Disulfidgruppen der Klebereiweisse und ihre Beziehung zur Backfähigkeit der Brotmehle. Goldstein S. Mitt. Geb. Lebensmitteluntersuch. und Hyg., 1957, 4, № 2, 87—93 (нем.; рез. англ., франц.)

Блокированием SH-групп клейковины различными добавками устраняют реакцию SH → S—S и улучшают хлебопекарные свойства пшеничной муки. В качестве добавок испытаны аскорбиновая к-та и др.; измерены растяжимости теста велись на экстенсографе Брандлера. А. Емельянов

6228. Измерение скорости проникновения тепла при выпечке сухарей и печенья. Менгер (Untersuchungen über die während des Ausbackens in Backwaren herrschenden Temperaturverhältnisse. Menger A.), Brot und Gebäck, 1957, 11, № 7, 150—155 (нем.)

Установлены три стадии перехода теста в печенье: 1) нагревание до т-ры кипения воды (на скорость проникновения тепла влияет т-ра печи, объем теста, степень его разрыхления); 2) испарение воды, скорость которого влияет влажность мякиша и его проницаемость поверхностного слоя печенья; 3) обжаривание коричневого цвета, имеющее значение для некоторых видов печенья, зависит от теплоемкости сухого в-ва. Т-ра, до которой прогревается тесто, является функцией его влажности или влажности

киша. Она значительно возрастает $>100-110^\circ$ после уменьшения влажности до $\sim 12-15\%$. А. Емельянов 6229. Автоматически регулируемое замораживание хлебо-булочных изделий. Кобл, Мердо (Freezing baked goods automatically. Cauble J. L., Murdough R. S.), Baker's Digest, 1956, 30, № 2, 56—59 (англ.)

Замораживание хлебо-булочных изделий получает в США дальнейшее развитие в связи с усовершенствованием непрерывно действующей, автоматически регулируемой холодильной установки, способной с большой скоростью производить одновременное или раздельное замораживание различных продуктов. Производительность такой установки (с туннелем 18,3 м длины, 4,3 м ширины и 3,4 м высоты) составляет >3500 батонов хлеба или до 6000 мелкоштучных изделий в час. Приведена характеристика и температурный режим установки. Проведенными ранее опытами замораживания хлеба было установлено, что лучшими условиями сохранения свежести хлеба являются возможно быстрое охлаждение его до примерно -7° и дальнейшее хранение его при -18° . В условиях данной установки было определено, что т-ра $-6, 7^\circ$ внутри хлеба, завернутого во влагонепроницаемую обертку, достигается в течение 90 мин. пребывания его на конвейере. Размораживание хлеба должно быть произведено наиболее быстро с доведением т-ры до 18° (черствение хлеба наиболее интенсивно происходит при т-ре в пределах от -7° до 18°). Оптимальными условиями размораживания являются: т-ра 38° , относительная влажность 50%, миним. скорость движения воздуха 61 м/мин.

С. Светов 6230. Меры борьбы с картофельной болезнью хлеба. Молдовану (Noi măsuri eficace și practice pentru combaterea îmbolnăvirii pâinii de «intinder». (Boala cartofului). Moldoveanu G. H.), Rev. ind. aliment. prod. vegetale, 1956, № 12, 8—11 (рум.)

Приводится описание методов борьбы с картофельной болезнью хлеба, рекомендуемых А. Д. Пумпянским (Картофельная болезнь хлеба и мероприятия по ее предотвращению. Пищепромиздат, 1955). А. Марин 6231. Производство бисквитов поточным методом. — (Versatile biscuit factory. —), Food Manufacture, 1955, 30, № 12, 487—491 (англ.)

Описано оборудование высокотехнологизированной бисквитной ф-ки, выпускающей бисквиты поточным методом. Организация работы отличается большой гибкостью, оборудование легко переключается с одного ассортимента на другой.

Т. Сабурова 6232. Влияние процесса выпечки на уничтожение сальмонелл в некоторых кондитерских изделиях, содержащих яичный белок. Найт, Коппок (The influence of the baking process on the destruction of salmonellae in certain baked products containing egg albumen. Knight R. A., Coppock J. B. M.), Roy. Soc. Promot. Health, J., 1957, 77, № 8, 528—532 (англ.)

Опытными выпечками и бактериологич. анализом изделий, в рецептуру которых включены яичные белки, зараженные *Salmonella thompson* и *abderdeen*, показано, что в обычных условиях выпечки эти микроорганизмы были уничтожены в различных сортах кекса и меренг. А. Емельянов 6233. Влияние потемневших зерен пшеницы на качество муки. Андерс, Феллер (Einfluß gebräunter Weizenkörner auf die Mehlsqualität. Anders E., Feller K.), Mühle, 1957, 94, № 36, 463—464 (нем.)

Проведены определения содержания золь в зерне и муке, цвета муки, кол-ва и качества клейковины, всхожести зерна 3 образцов пшеницы: 1) с содержанием 16% зерен, потемневших в результате самосогревания, 2) той же пшеницы, но после удаления потемневших зерен, 3) одних только потемневших зерен. Установле-

но, что примесь потемневших зерен ухудшает качество клейковины и цвет муки.

А. Емельянов 6234. Новый пищевой продукт и оборудование для его производства. Йовелл, Хейвигхорст (New product — new process. Yowell Hillman, Havighorst C. R.), Food Engng, 1957, 29, № 4, 70—71, 90 (англ.)

Описана технология переработки фиников для получения гранулированного продукта, применяемого в США при изготовлении смесей для кексов. Приведена схема размещения оборудования и 4 фотографии.

С. Светов 6235. Ферментация бобов какао. Суэйн (Cacao fermentation. Swain T.), Chemistry and Industry, 1957, № 18, 543—545 (англ.)

Обзор. Библ. 25 назв.

Т. Ермакова.

6236. Консистенция шоколада. Кох (Die Konsistenz der Schokolade. Koch J.), Gordan, 1957, 57, № 1359, 16, 18 (нем.)

Консистенция шоколада (Ш) определяется главным образом наличием масла какао (МК) и воды. Излишняя влага создает грубую структуру, но повышает точку плавления Ш, что благоприятно в тропич. условиях. Определение точки плавления жира в Ш дает возможность контролировать наличие посторонних жиров. При смешивании МК с другими жирами изменяется консистенция Ш. Изучая влияние различных жиров, входящих в состав Ш, на структуру его, консистенцию и т-ру плавления можно получать Ш, пригодный для различных климатич. условий. Т. Ермакова 6237. Растворимые углеводы в сырье шоколадной промышленности. I. Олигосахариды ферментированных бобов какао. II. Олигосахариды орехов и миндаля. Талер (Die löslichen Kohlenhydrate einiger Rohstoffe der Schokoladenindustrie. I. Mitt. Die Oligosaccharide der fermentierten Kakaobohnen. II. Mitt. Die Oligosaccharide von Nüssen und Mandeln. Thaler H.), Z. Lebensmittel-Untersuch. und Forsch., 1957, 105, № 2, 73—77; № 3, 198—200 (нем.)

Методом хроматографии на бумаге определяли кол-во растворимых сахаров в ферментированных бобах какао различных сортов. Во всех пробах найдена стахиоза ($<1\%$), не всегда присутствовали рафиноза ($<1\%$) и сахароза, фруктоза обнаружена лишь в 3 пробах, следы глюкозы — в двух. Различными методами были исследованы ядра орехов на содержание редуцирующих и нередуцирующих сахаров. Методом хроматографии на бумаге в ядре орехов найдены: стахиоза (за исключением грецкого ореха, где обнаружены ее следы), рафиноза (отсутствует только в кокосовом орехе), сахароза (содержится во всех орехах в достаточном кол-ве), следы глюкозы и фруктозы (последняя только в лесном орехе и арахисе).

В. Гурни 6238. Конширование шоколадной массы (Over de uitwerking van het conchieren van chocolademassa. A. J.), Cacao, chocolade, suikerwerken, 1956, 24, № 1, 8—11 (гол.)

Конширование шоколадной массы на конш-машине (КМ) с круговым движением гранитного катка за 24 час. уменьшило величину частиц до $0,7-0,8 \mu$, а на КМ с возвратно-поступательным движением катка до $1,28 \mu$ и через 72 час. до $0,78 \mu$, (тоже при замене гранитного катка полым металлич. луженым). Улучшение аромата и вкуса шоколадной массы достигается только длительной обработкой возвратно-поступательным движением катка КМ.

К. Герцфельд 6239. Поточный способ производства маршмеллоу и нуги. — (Marshmallow and nougat-non-stop. —), Food Engng, 1957, 29, № 4, 104—107 (англ.)

Описаны установки (приведены схемы) для непрерывного приготовления маршмеллоу и нуги. Отмеренные кол-ва кукурузной патоки, сорбита, сахара и на-

бушей желатины перемешивают в смесителе с помощью горизонтальной 3-лопастной мешалки (250 об/мин.). Для перекачивания массы применяют трубу с электрообогревом для предупреждения оседания желатины. Производительность установки для маршмеллоу 1633 кг/час. «Фрепп» и сахарный р-р («боб») при приготовлении нуги готовят раздельно. «Фрепп» готовят в непрерывнодействующем смесителе (патока в течение ~ 45 мин. смешивается с пенообразователем) производительностью 909 л/мин. Сироп (сорбит, сахар, мед и вода), уваренный до т. кип. 115—127°, непрерывно смешивают с «фреппом», добавляют краску, жир, вкусовые и ароматич. в-ва. Готовую массу подают в отливочную машину и на глазировку.

В. Никифорова

6240. Автоматическая упаковка кондитерских и других пищевых продуктов. Либиг (Automatisches Verpacken von Süßwaren und anderen Lebensmitteln. Der Zwang zur Kleinpäckung — Material und Arbeitsmethode. Liebig A. Walter), Verpackungsrundschau, 1956, 7, № 11, 604—605; Rev. internat. chocolat, 1956, 11, № 8, 359—360 (нем.)

Описан автомат для расфасовки пищевых продуктов Transwar-Maschine тип 125 фирмы Hansella-Werke. Фотоэлектрич. управление обеспечивает точность дозирования. Производительность, в зависимости от вида упаковки и продукта, 25—60 пакетов в 1 мин. (размер пакетов 60—180 × 60—180 мм). Приведен перечень пищевых продуктов, пригодных для автоматич. упаковки и упаковочных материалов. Обслуживает машину 1 человек. Уход за машиной сводится к минимуму, т. к. все части ее закрыты, смазка централизована.

Н. Токмачева

6241. Борьба с загаром яблок. Холл (Control of apple scald. Hall E. G.), Food Preserv. Quart., 1957, 17, № 1, 2—6 (англ.)

Изучены условия, способствующие и препятствующие развитию загара при холодильном хранении яблок. Установлено, что загар вызывается скоплением в ткани плодов и в окружающей атмосфере летучих ароматич. в-в, выделяемых яблоками. Изучение хим. состава и влияния на плоды указанных в-в показало, что гексиллацетат вызывает загар яблок. Обработка плодов перед закладкой на хранение дифениламином полностью устраняет последующий загар. Проверяется возможность применения дифениламина с точки зрения его токсичности для человека. Понижение содержания O_2 в окружающей атмосфере до 2% уменьшает развитие загара. Укладка плодов в ящики, выстланные полиэтиленовой пленкой, понижает содержание O_2 и создает внутри ящиков атмосферу, благоприятствующую сохранению плодов. Завертывание плодов в бумагу, пропитанную минер. маслом ($\geq 15\%$ масла), препятствует развитию загара.

Т. Сабурова

6242. Определение степени зрелости зеленого горошка. Цорн (Wann sind Schotenerbsen pflückreif? Zorn Christa), Industr. Obst- und Gemüseverwert., 1956, 41, № 6, 127—130 (нем.)

Обсуждаются вопросы применимости текстурометра для определения консервной стадии зрелости зеленого горошка и зависимость полученных результатов от конкретных условий.

Т. Сабурова

6243. Теоретические обоснования предварительного охлаждения плодов и овощей. Хикс (Theoretical considerations on the precooling of fruit and vegetables. Hicks E. W.), Refrig. J., 1957, 10, № 8, 35—38 (англ.)

Приведены примеры теоретич. расчетов скорости охлаждения плодов холодным воздухом. Следует учитывать способ укладки плодов в ящики, форму и размеры ящиков, способ укладки штабелей и теплоту, выделяемую плодами при дыхании.

Т. Сабурова

6244. Изоляция деревянных плодохранилищ с искусственным охлаждением. Роу (The insulation of timber cool rooms for the storage of fruit. Rowe A. L.), Refrig. J., 1955, 9, № 6, 9, 11 (англ.)

Отмечается расширение использования в США металлических плодохранилищ непосредственно при плодовых садах. Описаны конструкции и методы изоляции стен плодохранилищ указанного типа, обуславливающие большую рентабельность хранения.

Т. Сабурова

6245. Опыты по хранению картофеля. Фишбеин, Тилебейн (Neue Erkenntnisse über die Lagerung von Kartoffeln. Fischnich O., Thielebein M.), Kartoffelbau, 1956, 7, № 7, 136—138; № 8, 158—159 (нем.)

Изучены способы хранения картофеля в подземных овощехранилищах в спец. боксах с естественной и принудительной вентиляцией с применением различных материалов для изоляции стен и потолка в отдельных отсеках плодохранилища. Приведены кривые зависимости колебания т-ры внутри овощехранилища от т-ры наружного воздуха и изменений т-ры картофеля. Сортировки по качеству в поле немедленно после уборки, а не в овощехранилище, значительно сокращают следующие потери картофеля при хранении. Картофель значительно лучше хранится и позже прорастает в боксах с принудительной вентиляцией. Приведено описание конструкции боксов и способов их разгрузки.

Т. Сабурова

6246. Способы производства картофельного порошка (сухого картофельного пюре). Яницкий, Неварович, Риве, Древняк (Metody produkcji proszku ziemniaczanego (purée). Janicki J., Niewiarowicz A., Rieve I., Drewniak E.), Przem. spożywczy, 1957, 11, № 6, 239—244 (польск.; рез. русск., нем., франц.)

Обзор. Библи. 34 назв.

А. П.

6247. Сохранность маринованных огурцов в упаковке из полиэтилена. Олер (Haltbarkeit von Gewürzgurken in Polyäthylenbeuteln. Ohler), Verpackungsrundschau, 1956, 7, № 10, 518 (нем.)

Часто наблюдаемое появление мути в рассолах огурцов при их продолжительном хранении в упаковке из полиэтилена объясняют молочнокислым брожением, вызванным проникновением через полиэтилен бактерий из воздуха.

С. Свердлов

6248. Химико-технологическое сортоиспытание зеленого горошка для консервной промышленности Белоруссии. Калер Л. Б., Крутеlev Ф. М., Барановская В. А., Манциводо Н. И., Тр. Белорусск. н.-и. ин-та пищ. пром-сти, 1957, вып. 1, 34—38

Исследованы сорта зеленого горошка, предложенные для промышленного размножения Государственной комиссией по сортоиспытанию, и сорта, рекомендуемые ВНИИКОпом. Приводится перечень рекомендаций для зон консервной пром-сти Белоруссии перспективных сортов.

6249. Химико-технологическое исследование томата с целью отбора наиболее пригодных сортов для консервной промышленности Белоруссии. Калер Л. Б., Барановская В. А., Манциводо Н. И., Тр. Белорусск. н.-и. ин-та пищ. пром-сти, 1957, вып. 1, 24—33

Приведены данные урожайности и хим. состава томатов различных сортов. Рекомендованы для цельноплодного консервирования мелкоплодные сорта: Мелютка 101/2, Белорусский 225, С-948 и Гибрид 11-30; для произ-ва томатного сока и других томатопродуктов — высококачественные и высокоурожайные сорта: Маяк 12/20—4, Белорусский 225, Гибрид 244, Гибрид 256, Гибрид 119, Гибрид 53/9—11, Штабмовый 5 и Провосходный 176.

Г. Новоселов

6250. Использование различных видов растительных масел при изготовлении овощных консервов. Гржи-
во В. С., Немец С. М., Архангельская А. П.,
Берх М. С., Консервн. и овощесуш. пром-сть, 1957,
№ 4, 17—20

Результаты опытов показали, что применение нера-
финированных растительных масел при изготовлении
овощных консервов дает хорошие результаты. Дегу-
стация этих консервов перед закладкой на хранение и
после хранения в течение 12 и 42 месяцев показала,
что все консервы, за исключением образцов, пригото-
вленных с соевым гидратированным, горчичным и са-
лотным маслами, имеют хорошие органолептич. оцен-
ки. Указано, что при применении нерафинированных
масел в производственных условиях необходима пред-
варительная гидратация их.

И. Вольфензон

6251. Новые виды консервов из грибов и овощей.
Калер Л. Б., Барановская В. А., Шиндлер
З. Г., Тр. Белорусск. н.-и. ин-та пищ. пром-сти, 1957,
вып. I, 5—10

По питательности грибы равноценны овощам и пло-
дам. Грибы содержат сахар и гликоген. Белорусским
н.-и. ин-том пищевой пром-сти разработаны рецептуры
и технологич. режим изготовления ряда грибных кон-
сервов. В зависимости от вида консервов разработаны
режимы стерилизации от 25—40—25 до 25—60—25 мин.
при 116° и 2 атм противодавления. Для консервов Вине-
грет с грибами оптимальный режим 25—10—25 мин.
при 116° и 2 атм.

Г. Новоселова

6252. Получение натуральных и купажированных со-
ков из овощей и дикорастущих ягод. Калер Л. Б.,
Шапиро Д. К., Манциводо Н. И., Тр. Белорусск.
н.-и. ин-та пищ. пром-сти, 1957, вып. I, 11—23

Разработаны технологич. схемы произ-ва высоко-

качеств. натуральных морковного и свекольного соков,
яблочного и сока из клюквы и брусники, голубичного пюре,
морковно-клюквенного напитка и свекольно-клюквен-
ного сока.

Г. Н.

6253. Определение осадка в плодовых и ягодных
соках. Назарова А. И., Консервн. и овощесуш.
пром-сть, 1957, № 5, 37—39

Разработан весовой метод определения осадка в со-
ках. 50 мл сока оставляют на 30—40 мин., после оседа-
ния грубых взвешенных частиц сок сливают на высу-
шенный фильтр диам. 8—10 см, затем на тот же фильтр
переносят осадок, промывают на фильтре 3 раза
(~ 100 мл) горячей дистил. водой (для удаления к-т,
сахаров и солей). Осадок с фильтром сушат при 95—
100° до постоянного веса и вычисляют кол-во осадка.
Приведены результаты определения кол-ва осадка в
различных соках.

Г. Новоселова

6254. Металлические примеси в плодовых соках. II.
Природа некоторых медьсодержащих комплексов в
яблочном соке. Тимберлейк (Metallic components
of fruit juices. II The nature of some copper complexes
in apple juice. Timberlake C. F.), J. Sci. Food
and Agric., 1957, 8, № 3, 159—168 (англ.)

Установлено, что медь образует комплексные соеди-
нения, главным образом с яблочной к-той сока (и в не-
значительных кол-вах с аминокислотами). С фенолами
медь образует растворимые комплексы при значениях
рН сока, способствующих переходу Cu^{2+} в Cu^{+} и
осаждению меди и частично деградировавших фенолов.
Часть I см. РЖХим, 1957, 59574.

Г. Новоселова

6255. Виды бомбажа в консервной промышленности.
Часть II. Грабакова-Звоничкова (Rozlišení
bombáží v konzervářském průmyslu. Část II. Hra-
báková-Zvoníčková Alena), Obaly, 1956, 2,
№ 2, 41—44 (чешск.; рез. русск., англ.)

Показано, что в большинстве случаев бомбаж пло-
дов и овощных консервов вызывается развитием ми-
кробов при недостаточной стерилизации или негерме-

тичности банок. Часть I см. Obaly, 1955, 1, 7. Об ана-
лизе бомбажных газов см. РЖХим, 1954, 18572

Т. Сабурова

6256. Изучение технологии производства сока и
сквоча из плодов пассифлоры. Прутки, Лал (Stu-
dies on the technological aspects of the manufacture of
passion fruit juice and squash. Pruthi J. S., Lal
Girdhari), Chem. Age India, 1955, 6, № 2, 37—48
(англ.)

6257. Хранение сульфитированного подслащенного
апельсинового сквоча в крупной таре. Сиддаппа,
Бхатия (Bulk storage of orange squash preserved
with sulphur dioxide. Siddappa G. S., Bhatia
B. S.), Indian Food Packer, 1956, 10, № 10, 11—14;
Bull. Centr. Food Technol. Res. Inst. Mysore, 1956,
5, № 15, 354—355 (англ.)

В течение 6 месяцев при 24—30° подслащенный сквоч,
содержащий 50% растворимых сухих в-в и 0,035% SO_2 ,
хорошо сохраняется в герметич. металлич. банках, по-
крытых внутри парафином или пчелиным воском или
их смесью. Банки, не покрытые восковым составом,
сильно корродируют. Сквоч делается непригодным для
употребления.

Т. Сабурова

6258. Быстрый колориметрический метод одновремен-
ного определения в цитрусовых соках общего содер-
жания редуцирующих сахаров и фруктозы. Дин
(Rapid colorimetric methods for simultaneous deter-
mination of total reducing sugars and fructose in
citrus juices. Ting S. V.), J. Agric. and Food Chem.,
1956, 4, № 3, 263—266 (англ.)

Применяют феррицианидный метод, причем обра-
зующийся ферроцианид, дает с арсеномолибдатом ге-
лубое окрашивание и определяется колориметрически.
При нагревании испытуемого р-ра в течение 10 мин.
при 100° одновременно полностью окисляются глюкоза
и фруктоза. При нагревании в течение 30 мин. при 55°
фруктоза окисляется полностью, а глюкоза на 11—12%.
Отсюда вычисляют кол-во каждого сахара в смеси.
При анализе апельсиновых соков сравнительное опре-
деление сахаров этим и другими методами дает хорошо
совпадающие результаты.

Т. Сабурова

6259. Термоустойчивые грибы в производстве вино-
градных соков. Люти, Феч (Über das Vorkommen
thermoresistenter Pilze in der Süßmosterei. Lüthi
Hs., Vetsch U.), Flüssiges Obst, 1956, 23, № 1,
1/4—1/7 (нем.)

6260. Изучение возможностей производства виногра-
дного сока в Марокко. Патрон, Свинцов, Ми-
шель (Recherches sur les possibilités de fabrication
de jus de raisin au Maroc. Patron A., Swinzow
H., Michel F.), Fruits et prim. Afrique Nord, 1956,
26, № 277, 124—131 (франц.)

6261. Изучение летучих кислот плодовых соков. Ме-
лиц, Матчик (Zur Kenntnis der in Obstsaften
vorkommenden flüchtigen Säuren. Mehlitz Al-
fred, Matzik Bernhard), Industr. Obst- und
Gemüseverwert., 1956, 41, № 11, 227—229 (нем.)

Описаны методы, примененные для исследования со-
ков: яблочного, грушевого, вишневого, земляничного,
малинового, смородинового, крыжовенного, ежевичного,
виноградного и цитрусового.

Т. Сабурова

6262. Молочная промышленность Московской обла-
сти. Костыгов В., Молочн. пром-сть, 1957, № 8,
41—43

6263. Буферность молока и молозива. Рао, Дастур
(Buffer value of milk and colostrum. Rao M. Bhim-
sena, Dastur Noshir N.), Indian J. Dairy Sci.,
1956, 9, № 1, 36—43 (англ.)

Установлено, что буферность (Б) молока и молозива
выше в кислой зоне, чем в щел., причем в этой зоне Б
молока и молозива буйволиц большая, чем коровьего
молока. В щел. зоне Б постепенно уменьшается с повы-

шением pH. Максимум Б отмечался при pH 5,1—5,2 в коровьем молоке и 4,9—5,1 в молоке буйволиц. Б кипяченого молока выше, чем сырого. При всех значениях pH Б молозива выше, чем Б молока. Л. Карунина

6264. Оптические свойства молока. Озимов Б. В., Воробьева Л. В., Тр. Ленингр. технол. ин-та холо-
дильн. пром-сти, 1957, 13, 28—34

Спектры отражения молока (М) и сливок (С) в различных разведениях показывают подъемы в коротковолновой части спектра от 400 до 540 мμ, что объясняется отражательной способностью жировых шариков. При разбавлении М и С водой подъемы сглаживаются, а при больших разведениях исчезают. Кривые спектров отражения цельного М и восстановленного М по сравнению с фоном (MgO) имеют максимум при длине волны 400—540 мμ. Кривая отражения восстановленного М дублирует кривую цельного М, но на более низком уровне, что объясняется изменением структуры М во время сушки. Наибольший максимум отражения в коротковолновой части спектра дают С, затем цельное М и наименьший ацидофильное М.

А. Прогорович

6265. Качество молочных продуктов и перспективы молочной промышленности. Кларк (Quality and the future of the dairy industry. Clark H. C.), Austral. J. Dairy Technol., 1956, 11, № 2, 93—97, Discuss. 97 (англ.)

Отмечено, что пониженное качество австралийского масла и сыра объясняется худшим состоянием первичной обработки молока на фермах сравнительно с другими странами. Обсуждены мероприятия по технич. переоборудованию фермы и другие вопросы, связанные со стимулированием произ-ва молока высокого качества.

Г. Титов

6266. Влияние облученного молока, как среды, на жизнедеятельность молочнокислых бактерий. Головкин Н. А., Черняк Б. И., Тр. Ленингр. технол. ин-та холодильн. пром-сти, 1957, 13, 3—6

Развитие молочнокислых бактерий в молоке, облученном УФ-лучами от ртутной лампы бактерицидного типа, происходит замедленно и зависит от кол-ва затраченной лучистой энергии на облучение. Воздействие низких т-р (—7°) на облученное молоко не уничтожает бактерицидных свойств, сообщенных УФ-лучами.

А. Прогорович

6267. Молоко, ароматизированное плодовыми соками. Ло (Melk met vruchtensmaak. Loo L. G. W. v. d.), Zuivel, 1956, 62, № 13, 247, 249—250; № 14, 267, 269, 271 (гол.)

Ароматизацию молока плодовыми соками проводят добавлением 1 ч. последних на 9—19 ч. пастеризованного молока. Для получения соответствующего аромата применяют соки, эфирные масла или синтетич. фруктовые эссенции, переносящие условия пастеризации и не снижающие pH молока < 5,1. К. Герцфельд

6268. Влияние оборудования молочного сборного пункта на микробиологическое загрязнение молока. Свобода, Шалпахта (Vztahy mezi zařizením mléčné sběrný (mléčnice) a mikrobiologickým znečištěním mléka. Svoboda Miloslav, Šalplachta Jaromír), Průmysl potravin. 1957, 8, № 7, 382—385 (чешск.; рез. русск., англ., нем.)

Рассмотрена правильная организация мойки и дезинфекции оборудования молочного сборного пункта, показана микробиол. обсемененность молока при правильно и неправильно проводимой дезинфекции. А. П.

6269. Методы оценки эффективности уничтожения спор при заводской стерилизации молока ультравысокой температурой. I. Опыты с водной суспензией спор. Вильямс, Франклин, Чапман, Клегг (Methods of assessing the sporicidal efficiency of an ultra-high-temperature milk sterilizing plant. I. Experi-

ments with suspensions of spores in water. Williams D. J., Franklin J. G., Chapman Helen R., Clegg L. F. L.), J. Appl. Bacteriol., 1957, 20, № 4, 43—49 (англ.)

Опыты проводили на воде, обсемененной спорами *Bacillus subtilis*. После воздействия ультравысокой т-ры (135°) в течение 3—4 сек. погибали практически все споры.

В. Богданов

6270. Подсчет и предварительная идентификация микрофлоры молока на агаре с индикатором. Ричардс, Вандерзандт (Enumeration and preliminary identification of the microbial flora of milk with an indicator agar. Richards H. L., Vanderzant C.), Food Technol., 1957, 11, № 6, 347—348 (англ.)

К 1 л стандартного агара, в котором глюкоза заменена равным кол-вом лактозы, добавляют 120 мг фенолового красного, 50 мг бромкрезольного пурпурного и 4,5 г сухого обезжиренного молока; устанавливается pH среды 6,8—7,0. По росту на этой питательной среде устанавливают способность микроорганизмов вызывать свертывание или гидролиз белков. При кислой р-ции в результате жизнедеятельности микроорганизмов среда вокруг колонии окрашивается в желтый цвет, при щел. р-ции среда приобретает пурпурный, при нейтр.—красный цвет. При анализе сырого и пастеризованного молока кол-во колоний на этой среде было близким к стандартному агару.

В. Богданов

6271. Дальнейшее сообщение об определении титра кишечной палочки в молоке. Клейн (Ein weiterer Beitrag zur Coli-Titer-Bestimmung der Milch. Klein H.), Berliner und münchener tierärztl. Wochenschr., 1955, 68, № 9, 143—145 (нем.; рез. англ.)

Для указанной цели лучшей средой является бромтимолблау-триафлавин-лактоза-агар, так как на других наряду с бактериями группы кишечной палочки, растут также и другие грамотрицательные бактерии. Начало см. РЖХим, 1957, 67809.

Е. Жданов

6272. Определение ксантиноксидазы в молоке с применением хлористого трифенилтетразолия. Зитц, Делламоника, Кастер, Радд (Determination of xanthine oxidase in milk with triphenyl tetrazolium chloride. Zittle C. A., Dellamonica E. S., Caster J. H., Rudd R. K.), J. Dairy Sci., 1956, 39, № 5, 522—527 (англ.)

Описан метод определения ксантиноксидазы (КО) в молоке с применением хлористого трифенилтетразолия (I), основанный на восстановлении I в окрашенный (в красный цвет) форму, экстракция его толуолом и спектрофотометрич. определении. Ферментативную р-цию осуществляют в токе N₂, все последующие стадии — подкисление CH₃COOH, экстракция окрашенной формы I толуолом и спектрофотометрирование, проводят в обычных условиях. В цельном сыром молоке обнаружена КО: в обезжиренной части 25 ед./мл, а в отстаившемся слое сливок (25% жира) 140 ед./мл. При нагревании обезжиренного молока до 55—75° КО разрушается. Библ. 17 назв.

А. Годлев

6273. Применение экспресс-метода Хиллига для определения водонерастворимых кислот в свежем молоке. Фриман, Луаллен (Applying Hillig's rapid method for waterinsoluble acids to fresh milk. Freeman T. R., Lewallen W. F.), J. Dairy Sci., 1956, № 2, 219—220 (англ.)

Для определения водонерастворимых жирных к-т в молоке по методу Хиллига рекомендуется нагревать молоко в течение 30 мин. при 71° для инактивации к-тазы.

А. Оран

6274. Замораживание и размораживание творога брусками. Демуров М., Бутин В., Молоч. пром-сть, 1956, № 4, 19—23

Производственные испытания способа замораживания творога в крупных брусках для промышленной

переработки и в мелких (до 1 кг) для реализации населению показали, что наиболее желательна расфасовка по 500 г при помощи машины, формирующей творог в предварительно сложенный пакет пергамента. Для упаковки творога рекомендуются складные картонные коробки из одного целого листа отштампованной бумаги. Коробку необходимо парафинировать. Для закрывания брусков творога весом ~ 8 кг лучше применять парафинированные крафт-бумагу и посудную бумагу. Лучшие результаты получаются при замораживании жирного творога до -12° , нежирного до -18° и хранении при тех же т-рах. Опыты по размораживанию брусков творога весом 8 кг в аппарате системы Шеффера в течение 4,5 час. при средней т-ре подведенной воды 30° показали, что размороженный творог полностью сохраняет свои первоначальные свойства.

А. Прогорович

6275. Полуавтомат для расфасовки сметаны. Милевич А., Молочн. пром-сть, 1957, № 8, 36—38

Подробно описано устройство вновь сконструированного полуавтомата (производительность 2 т в смену) для расфасовки сметаны в парафинированные стаканы. Полуавтомат в 4 раза повышает производительность труда, снижает потери продукта и улучшает санитарные условия произ-ва. Приведены 4 схемы.

А. Прогорович

6276. Влияние пенициллина на морфологию молочнокислых бактерий в йогурте и закваске. Галеслот (Invloed van penicilline op de morfologie van yoghurt- en zuurselbacterien. Galesloot Th. E.), Nederl. melk- en zuiveltijdschr., 1956, 10, № 1, 64—70 (гол.; рез. англ.)

Найдено, что бактериостатич. конц-ии пенициллина в молоке вызывают типичные морфологич. изменения молочнокислых бактерий в йогурте и заквасках (*Streptococcus thermophilus*, *S. lactis*, *S. cremoric*, *Lb. bulgaricus* и бетабактерии), а также подавление их кислотообразующей способности.

А. Травин

6277. Производство мороженого в Швеции. Ханнер (Hilsen fra Sveriges glassindustriens riksförbund. Han-ner Eric), Meieriposten, 1957, 46, № 34, 673—675 (шведск.)

6278. Производство мороженого в Дании. Лангелунд (Iskremproduktionen i Danmark. Lange-lund Johs), Meieriposten, 1957, 46, № 34, 667—670 (датск.)

6279. Производство мороженого в Финляндии. Хелениус (Hilsen fra Jäätelöteollisuus. r. y. Hele-nius A. V.), Meieriposten, 1957, 46, № 34, 670—673 (шведск.)

6280. Качество сгущенного с сахаром и стерилизованного молока при длительном хранении. Гурьев А., Лебедева Н., Молочн. пром-сть, 1957, № 8, 23—26

При хранении сгущенного молока с сахаром в течение 6—7 лет при $18-24^{\circ}$ пороки вкуса и запаха (стародойный, кисловатый и нечистый) усиливаются, цвет постепенно темнеет и переходит в темно-кремовый или кофейный, консистенция становится неоднородной с повышенной вязкостью, молочный сахар выпадает в осадок и смешивается с белком; молоко, независимо от способа его изготовления, может быть использовано только как технич. брак. При хранении в тех же условиях сгущенного стерилизованного молока как с сахаром, так и без него, установлено, что стерилизованное молоко, хранившееся 2,5 года, по органолептич. показателям не изменилось, а по истечении 6 лет молоко без сахара имело кисловатый вкус, ослабленный аромат и привкус горечи, а молоко с сахаром — ослабленный аромат и нормальный или кисловатый вкус, темно-кремовый цвет и более вязкую консистенцию. Р 2,5 годам хранения в стерилизованном молоке без

сахара кол-во олова превышало установленную норму. Предельный срок хранения стерилизованного молока без сахара 2 года, молока с сахаром ~ 3 лет.

А. Прогорович

6281. Методы контроля кристаллизации лактозы в сгущенном молоке с сахаром. Чекулаева Л. В., Тр. Вологодск. молочн. ин-т, 1956, вып. 14, 217—221

Рекомендованы следующие методы контроля массовости и однородности кристаллизации. Для определения массовости кристаллизации рассчитаны средние постоянные отношения для кристаллов лактозы, представленных чаще всего в виде усеченных пирамид: высоты пирамиды к длине ребра нижнего основания, высоты пирамиды к длине ребра верхнего основания и длины ребра нижнего основания к длине ребра верхнего основания. По одному из измерений кристаллов под микроскопом рассчитывались 2 других и объем кристалла. Делением общего объема, занимаемого кристаллами лактозы ($0,07 \text{ мм}^3$), на объем одного кристалла рассчитывалось общее кол-во кристаллов 1 мм^3 продукта. Однородность кристаллизации может быть оценена коэф. однородности по ф-ле Фигуровского (Фигуровский Н. А., Седиментометрич. анализ, 1948): $U = \Delta a \sqrt{\frac{2\pi}{\Delta n \cdot v^2}}$, где U — коэф. однородности кристаллизации, a — размеры кристаллов в μ , Δa — предел размера кристаллов в μ , n — частота кристаллов соответствующих размеров, v — расхождение данного размера кристаллов со средним в μ .

А. П.

6282. Содержание и потери витаминов в сухом молоке. Давидов Р. Б., Вопр. питания, 1957, 16, № 4, 35—40 (рез. англ.)

В процессе произ-ва сухого молока содержание витаминов понизилось по сравнению со сложим молоком: витамина А (I) на 10%, витамина Е (II) на 22%, тиамина (III) на 5,3% и рибофлавина (IV) на 17%. В сухом молоке, приготовленном в разные периоды года в условиях Западной Сибири, содержание I составляет (в мг/кг) 1,12—2,64, в среднем 1,96; II 4,2—6,4, в среднем 5,4; III 1,8—4, в среднем 2,7; IV 9,4—26,2, в среднем 17,88. При хранении молока в герметич. таре при $7-10^{\circ}$ в течение 2 лет содержание I снизилось (в %) на 40, II на 20—22, III на 4, IV на 35—37.

А. Прогорович

6283. Сравнительные исследования процесса созревания сливок, сквашенных чистыми культурами. Томка (Összehasonlító vizsgálatok az „elkülönített” tej-színérlelési eljárásal. Tomka Gábor), Elelm. ipar, Изложены результаты изучения нового способа 1955, 9, № 12, 378—380 (венг.; рез. русск., нем., англ.)

Изложены результаты изучения нового способа произ-ва масла.

Г. Ю.

6284. Обзор констант молочного жира США. I. Числа Рейхерта-Мейссля, Поленске и коэффициент рефракции. Зерен, Джексон (A survey of United States butterfat constants. I. Reighert — Meissl, Polenske, and refractive index values. Zehren V. L., Jackson H. C.), J. Assoc. Offic. Agric. Chemists, 1956, 39, № 1, 194—212 (англ.)

Исследованы колебания чисел Рейхерта-Мейссля (ЧР-М), Поленске (ЧП) и коэф. рефракции (КР) молочного жира, определяемых при подозрении на фальсификацию молочных продуктов посторонними жирами. Методами статистич. анализа результатов было установлено, что средние колебания констант по месяцам не одинаковы для разных районов. Отмечено, что КР имеет тенденцию к нарастанию при снижении ЧР-М и ЧП. Максимум ЧР-М и ЧП в среднем приходится на конец зимы, а минимум на середину лета. Максимум КР наблюдается в июле, а минимум в марте. ЧР-М колебалось в пределах 24,24—33,55, ЧП 1,12—2,95 и КР 1,4531—1,4557.

А. Годель

6285. Экономическая эффективность производства масла поточным способом. Кац А., Молочн. пром-сть, 1957, № 8, 29—31

Сравнением экономич. показателей обычного и поточного способов произ-ва масла при условии полного использования реально возможной производительности линий установлено, что при поточном способе выработка масла в общем увеличивается в 2,1 раза, а на 1 м² используемой площади маслодельного цеха в 3,8 раза; производительность труда рабочих маслодельного цеха возрастает в 2,1 раза, а всех рабочих эда и сепараторных отделений, участвующих в выработке масла, на 80,4%; годовая экономия на 1 эд составляет 441 тыс. руб.

А. Прогорович

6286. Выработка кисломолочного масла. Червяков А., Молочн. пром-сть, 1957, № 8, 31

Режим работы при произ-ве кисломолочного соленого масла поточным способом: т-ра высокожирных сливок 45°, входящей воды 2°, выходящей 4°, т-ра масла, поступающего из первого цилиндра 20°, на выходе 14°, производительность маслообразователя 300—350 кг/час. Консистенция получаемого масла властная, не крошливая.

А. Прогорович

6287. Развитие сыродельной промышленности в Финляндии. Саломаа (Osthanterings utveckling i vårt land. Salomaa Santeri), Mejeritidskrift, 1956, 18, № 5, 128—134 (шведск.)

6288. Влияние рассола на созревание обезжиренного сыра. Нагасава, Танахаси, Кудзутани (ブライン浸漬が脱脂チーズの熟成に及ぼす影響. 長澤太郎, 棚橋保, 谷葛泰雄), 畜産の研究, Тикусан-но кэнкю, Animal Husbandry, 1957, 11, № 2, 311—313 (японск.)

Для получения обезжиренного сыра с хорошим вкусом, запахом и консистенцией содержание соли в рассоле должно быть 8%. По мере созревания сыра в рассоле содержание белков и жира в нем уменьшается, зольность повышается пропорционально повышению содержания соли; влажность увеличивается в обратной зависимости от концентрации рассола. Для предупреждения излишнего размягчения поверхности сыра при созревании в рассоле pH последнего должен быть в пределах 4,6—4,9.

Ю. Козловский

6289. Об изменениях поверхности мягких сыров и образовании цветной корки под воздействием *Penicillium funiculosum*. Кейлинг, Казали, Савиньяк, Дюбрёй (Sur une altération superficielle des fromages a pate molle et croute fleurie provoquée par «*Penicillium funiculosum*»). Keilling J., Casalis J., Savignac G., Dubreuil G., Lait, 1956, 36, № 355-356, 241—250 (франц.)

Образование фиолетовых пятен на поверхности мягких сыров вызвано плесенью *P. funiculosum*. Эта плесень не устойчива к нагреванию; при содержании в среде 39 мг активного Cl₂ споры плесени не прорастают. Оптимальный рост и образование пигмента плесенью наблюдались при pH 4,0—5,0. Споры *P. funiculosum* прорастают быстрее спор *P. candidum*. Источниками *P. funiculosum* могут быть молоко, вода и воздух. Для предупреждения возникновения порока, вызываемого *P. funiculosum*, следует применять массивное обсеменение поверхности сыров спорами *P. candidum*.

В. Богданов

6290. Нейтральные карбонильные соединения в сырах, созревающих с участием плесеней. Морган, Андерсон (The neutral carbonyl compounds in blue-mold type cheese. Morgan M. E., Anderson E. O.), J. Dairy Sci., 1956, 39, № 3, 253—260 (англ.)

Вкус и аромат сыров, в созревании которых участвует *Penicillium roqueforti*, обусловлен содержанием некоторых метилкетонов. Описан простой метод обнаружения метилкетонов в сырах, основанный на пере-

гонке в вакууме водн. экстрактов из относительно малых навесок сыра (50 г) и хроматографич. разделения на бумаге смеси карбонильных производных 2,4-динитрофенилгидразонов. В сырах с типичным вкусом и ароматом во всех случаях были обнаружены ацетальдегид, ацетон, пентанон-2, гептанон-2 и нонанон-2 и ундеканон-2.

А. Годен

6291. Случай ослабления кислотообразования у одной расы *Streptococcus cremoris*. Фиган, Хасен (An occurrence of slowness in acid production specific to one strain of *Streptococcus cremoris*. Feagan J., Hussey F.), Austral. J. Dairy Technol., 1957, 12, № 1, 15—17 (англ.)

Наиболее сильное подавление кислотности у *Str. cremoris* C₇ наблюдалось в период январь—май месяца. При выработке сыра чеддар подавление кислотообразования наблюдалось на ранних стадиях выработки, тогда как у чувствительной расы (MLI) подавление было наиболее отчетливым на стадии чеддаризации. Сыры, в которых имело место подавление развития *Str. cremoris* C₇, были плохого качества.

В. Богданов

6292. Новая технология производства качкавала. Гиргинов (Нова технология за добиване на качкавал. Гиргинов Т.), Научн. тр. Висп. ин-т хранит. и вкус. пром-ст. Пловдив, 1956, 3, 145—146 (болг.; рез. русск., англ.)

Разработана технология произ-ва сыра качкавала из пастеризованного овечьего молока с применением кваски из чистых культур. Продолжительность процесса произ-ва сокращается в ~ 2 раза, повышается выход сыра.

А. П

6293. Технологический процесс производства сыра горгонзола. Йичинский (Technologický proces výroby syru gorgonzola. Jičinský Václav), Potravin. průmysl, 1956, 7, № 10, 456—459 (чешск.; рез. русск., англ., нем.)

Рассмотрены условия получения молока, его свертывания для произ-ва сыра горгонзола и подробно описан процесс его приготовления. Дан обзор наиболее распространенных пороков этого сыра.

А. П

6294. Молочнокислые палочки, выделенные из нормальной и ослизой корки сыра стилтон. Шарп, Бриндли (Lactobacilli isolated from the surface of normal and slipcoat Stilton cheese. Sharpe M. E., Sabeht, Brindley Marjorie), J. Dairy Res., 1956, 23, № 3, 361—362 (англ.)

Из 32 штаммов, наиболее многочисленными (26 штаммов) были *Lactobacillus plantarum*, отнесенные к серологич. типам C₃ (24 штамма) и P₆ (1 штамм). Остальные штаммы относились к *L. brevis* (4), *L. casei* (1); 2 штамма не изучены полностью. Наличие одного и того же типа молочнокислых палочек в сырах различных эдов дает основание предполагать наличие общего источника загрязнения.

В. Богданов

6295. Приготовление шведского сыра. Беккер (Die Herstellung von Svecia-Käse. Beckert Rolf), Molk.- und Käser.-Ztg., 1956, 7, № 3, 65—66 (нем.)

Краткое описание способа произ-ва.

Е. Я.

6296. Качество голландского сыра в зависимости от сезона выработки. Данилова Л. Ф., Тр. Вологод. молочн. ин-т, 1956, вып. 14, 185—206

Сыр, выработанный из молока летнего периода, при пастбищном содержании коров и обильном скармливании зеленой массы (до 70—75 кг в сутки на корову), быстро созревал (в 2 месяца), но оказался непригодным к длительному хранению вследствие быстрого перезревания. Из летнего молока получен наибольший выход сыра. Молоко осеннего сезона при обильном кормлении животных кормовой капустой оказалось сычужновязлым. Выдержка сыра в подвале до 6 месяцев улучшила его вкусовые качества. Сыры зимней

и весенних выработок были высокого качества. Выход сыра в зимний период на 12% меньше летнего, что по-видимому связано с понижением содержания казеина в молоке.

А. Прогорович
6297. Полипептиды и фосфоросодержащие соединения голландского сыра и их связь с процессом созревания. Климовский И., Тихомирова Т., Чекалова К., Шляпникова Н., Молочн. пром-сть, 1957, № 3, 30—32

При созревании голландского сыра образуются фосфолипиды и простые полипептиды и интенсивно возрастает кол-во органич. небелкового Р (на 390% за 3 месяца созревания). Фосфолипиды сыра характеризуются высоким относительным содержанием Р. Кол-во неорганич. Ф в растворимой части сыра остается на одном уровне, что указывает на отсутствие фосфатазной активности, сопровождающейся разрывом эфирных связей полипептидов с H_2PO_4 . Протеолитич. распад молекул параказеина не происходит до полного освобождения всех аминокислот, составляющих молекулу.

А. Прогорович
6298. Особенности созревания голландского сыра, помещенного в тару. Шергин А. Л., Тр. Вологодск. молочн. ин-т, 1956, вып. 14, 161—183

При созревании сыра в таре сырная корка не образуется, упраздняются операции по уходу за ней и связанные с ними потери сырной массы. Влажность сыра при созревании не уменьшается. Установлено более медленное увеличение кол-ва молочнокислых бактерий до момента максимума в результате полной посолки сыра в тесте, а также медленное увеличение концентрации молочной к-ты и активной и титруемой кислотности. В конце созревания сыра отмечено более высокое содержание молочной к-ты (на 32—39% в пересчете на сухое в-во) и более высокий уровень титруемой кислотности, отнесенной к сухому в-ву (на 50—67° Тернера). В сыре, созревающем в таре, значительно быстрее накапливаются летучие к-ты и продукты расщепления белка. Сыр имеет вкусовые отличия, снижающие его качество: до 3-месячного возраста он сохраняет кислый вкус, переходящий при дальнейшем созревании в нечистый и затхлый.

А. Прогорович
6299. Случай газообразования в американском сыре коттедж. Бейтсон, Корфилд (A case of symbiotic gas production in an American type cottage cheese. Bateson M., Corfield E. Anne), Dairy Inds., 1956, 21, № 8, 617—619 (англ.)

Процесс образования газа протекает следующим образом: под воздействием *Pseudomonas* молочный сахар разлагается с образованием $HCOOH$, последняя разлагается кишечной палочкой с образованием CO_2 и H_2 . Источником загрязнения сыра этими возбудителями порока являлось сухое молоко.

В. Богданов
6300. Вопросы санитарии в производстве сыра коттедж. Бойд (Sanitation problems in the manufacture of cottage cheese. Boyd J. C.), J. Milk and Food Technol., 1957, 20, № 6, 157—160 (англ.)

Обзор. Библ. 13 назв. А. П.
6301. Молочный завод в Тунисе. Колье (La Centrale laitière de Tunis. Caulier A.), Rev. gén. froid, 1956, 33, № 5, 453—467 (франц.)

Описание крупнейшего в Тунисе молочного з-да, вырабатывающего пастеризованное и стерилизованное молоко, молочные консервы, сыр и масло.

Н. Славина
6302. Новый способ нанесения защитного слоя на молочные бутылки. Аррандейл, Ро, Кроули (New Thatcher bottle coating process. Arrandale Roy S., Roe Sheldon F., Jr., Growley Eugene), Certified Milk, 1956, 31, № 6, 14—15 (англ.)

Указано, что за 10 недель работы бой бутылок, наружная часть которых покрыта слоем силикона, снизилась на 43%, производительность бутылоразливочной линии повысилась на 4,5%. Обработка бутылок силиконом производится распылительным устройством на конвейере по выходе их из бутылочного агрегата.

Г. Титов
6303. Некоторые основные положения очистки и дезинфекции (Einige Grundlagen zum Thema der Reinigung und Desinfektion. Н. Л.), Schweiz. Z. Obst- und Weinbau, 1955, 64, № 23, 453—456 (нем.)

Рассмотрены моющие и дезинфицирующие средства, применяемые для мойки бутылок в молочной пром-сти.

А. П.
6304. Опыты по удалению молочного камня с посуды молочных ферм. Родериг, Клегр, Чапман, Рук, Хой (Some experiments on descaling farm dairy utensils. Roderig H., Clegg L. F. L., Chapman Helen R., Rook J. A. F., Hoy W. A.), J. Soc. Dairy Technol., 1956, 9, № 2, 75—80 (англ.)

Микрохимическими анализами установлено, что состав молочного камня (МК) меняется в широких пределах. Лучшим средством для удаления МК с алюминиевой посуды является «Descaler X», содержащий нитрат мочевины. Для очистки от МК поверхности аппаратуры и посуды из нержавеющей стали предлагается бисульфат натрия или фосфорная к-та. Посуду, луженую оловом, изредка разрешается обрабатывать H_2PO_4 .

Б. Хавкина
6305. Мясная промышленность Дании. (Впечатления о поездке по стране). Станковский (Dánský masový priemysel (Poznatky zo študijnej cesty). Stankovský I.), Veterin. časop., 1957, 6, № 3, 247—257 (словацк.)

6306. Об обескровливании мелкого рогатого скота. Мискарян Н., Ройтберг В., Дегтярев Г., Мясная индустрия СССР, 1957, № 4, 23

Внедрение нового способа обескровливания мелкого рогатого скота (см. РЖХим, 1957, 6724) увеличило выход крови от одного животного более чем на 500 г, выработка альбумина возросла в > 1,5 раза. Приведен эскиз положения рук рабочего при обескровливании новым способом.

В. Долговский
6307. Опытное хранение мороженого мяса в камере с теплозащитной воздушной рубашкой. Алексеев П., Холодильная техника, 1957, № 2, 41—44

Естественные потери говядины, хранившейся в камере с теплозащитной воздушной рубашкой в течение 5,5 месяцев, в весенне-летний период составили 0,59% и баранины — 0,72%. Убыль говядины оказалась меньше нормативной в 1,9 раза и баранины в 1,8 раза и была вызвана теплопритоком не через наружные стены, а через ограждения камеры от смежных камер и от внутренних источников тепла. При автоматич. поддержании одинаковой т-ры воздуха в смежных камерах и в их теплозащитных рубашках убыль в весе мяса не будет зависеть от времени года и по расчетам должна быть $\leq 0,034\%$ в месяц.

В. Долговский
6308. Автоматизированный аппарат для замораживания пельменей. Курылев Е., Розенгауз В., Мясная индустрия СССР, 1957, № 4, 13—16

Сконструированы автоматизированные морозильные аппараты интенсивного действия производительностью 10 т в смену, включенные в поточное произ-во пельменей. Морозилка имеет зону охлаждения и зону замораживания, каждая из них охлаждается от своего воздухоохладителя. Т-ра воздуха, циркулирующего в этих зонах, одинакова и составляет $-25, -30^\circ$. Подробно описан режим работы и принцип действия аппарата. Приведены эскиз и план его расположения в цехе. Внедрение морозильных аппаратов на Ленинградском мясокомбинате в 2,5 раза повысило произ-

водительность пельменного цеха, в 3—4 раза сократило потери веса пельменей и снизило брак при замораживании до 3,1%.

В. Долговский

6309. Дегустация блюд из мороженого мяса, направленного на тепловую обработку после оттаивания и без оттаивания. Кочевар (Taste testing frozen meat cooked before and after thawing. Kotschevar Lendal H.), J. Amer. Diet. Assoc., 1956, 32, № 5, 444—449 (англ.)

Рассмотрены вопросы методики и техники органолептических испытаний мяса. Методы дегустации классифицированы на 2 группы: 1) предпочтения и 2) дискриминации (выявления различия). Методы 2-й группы более надежны и широко применяются в пищевой промышленности, из них в работе применен треугольный метод. Органолептическое исследование показало, что разница между блюдами из оттаявшего и неоттаявшего мяса могла быть выявлена лишь сопоставлением совокупности оценок. Блюда из отдельных отрубов, кроме тушеной говядины, жареных свиных отбивных и запеченной свинины, были неразличимы. Оценка вкусовой предпочтительности в общем была в пользу мяса, подвергавшегося тепловой обработке без оттаивания.

Г. Любовский

6310. Пересмотр вопроса о полезности мясных экстрактов. Бендер, Вуд (Meat extract — a reevaluation. Bender A. E., Wood T.), Food Manufacture, 1956, 31, № 6, 223—227 (англ.)

Указано, что с открытием витаминов повысилась роль экстрактов в диетическом питании. Отмечено, что 2/3 в-в из состава мясных экстрактов не идентифицированы, дальнейшие исследования имеют важное значение для изучения проблемы обмена в-в в мышечной ткани животных. Библи. 22 назв.

Г. Любовский

6311. Определение плотности рассолов в мясной промышленности. Фунфалек (Měření hustoty láků v masném průmyslu. Funfálek Augustin), Průmysl potravin, 1957, 8, № 7, 377—379 (чешск.; русск., англ., нем.)

Отмечены существенные расхождения результатов определения, обусловленные применением разных видов ареометров. Обоснована необходимость определения в рассолах не только содержания NaCl, но также нитритов и нитратов. Указано на несоответствие калибровки лабор. посуды при 20° и калибровки ареометров при 15°.

А. Прогорович

6312. Нежность бекона. IV. Процентное содержание соединительной ткани. Харт, Вен (Onderzoekingen omtrent de zachtheid van bacon. IV. Spekhardheid en bindweefselgehalte. Hart P. C., Veen H. E. van der), Landbouwkund. tijdschr., 1957, 69, № 4, 343—355 (гол.; рус. англ.)

Верхний слой хребтового шпига имеет более высокое йодное и родановое числа и по составу неоднороден. Жир с большим содержанием ненасыщ. жирных к-т располагается ближе к шкуре. Повышенное содержание ненасыщ. жирных к-т в верхнем слое шпига объясняется медленным отложением жира в период роста молодого организма животного, твердость его наощупь — высоким содержанием в нем соединительной ткани. Содержание соединительной ткани в хребтовом шпиге «твердых» бековых свиной меньше, чем в шпиге «мягких» животных, а у взрослых животных ниже, чем в молодяке. Бековые половинки, в которых имеется средняя линия, более твердые, чем те, в которых она отсутствует, из-за образования пучков из волокон соединительной ткани. Часть III см. РЖХим, 1957, 59610.

В. Крылова

6313. Способ приготовления образцов и лабораторной вытопки ветчинного жира и характеристика ветчины и жира при их хранении. Кемп, Мак-Кемпбелл, Грейнджер (Procedure for sampling and

laboratory rendering of ham fat and characteristics of hams and fat during aging. Kemp James D., McCampbell Harry C., Grainger Robert B.), Food Technol., 1957, 11, № 6, 321—323 (англ.)

Ветчину, приготовленную сухим посолом с последующим копчением из окороков 25 свинок и 10 боронов известного происхождения, хранили 6 месяцев при 21,1° и относительной влажности воздуха 50—54%, периодически отбирая образцы жировой ткани и определяя в вытопленном жире йодные (ИЧ) и перекисные (ПЧ) числа и содержание свободных жирных к-т (СЖК). Для сравнения испробованы два способа вытопки жира: 1) открытый при 120° в течение 1 часа и 2) в вакууме в атмосфере N₂ при 120° в течение 20 мин. ПЧ образцов жира, полученных по 2-му способу, оказались значительно ниже, чем в образцах, полученных по 1-му способу; способ вытопки не влияет на величину ИЧ и содержание СЖК. Кол-во СЖК значительно возрастало по мере хранения.

А. Емельянов

6314. Производство мясных консервов с макаронными изделиями или бобовыми. Хейнце (Probleme bei der Herstellung von Fertiggerichten aus Teigwaren oder Hülsenfrüchten. Heintze K.), Industr. Obst- und Gemüseverwert., 1956, 41, № 19, 429—430 (нем.)

Указывается на трудности стерилизации и производства высококачественных и стойких мясных консервов с макаронными изделиями и бобовыми. Рекомендуется предварительное энергичное прогревание мяса для разрушения спорообразующих микроорганизмов и добавление томатных и других соусов, понижающих pH консервов.

Т. Сабурова

6315. Обработка шерстных субпродуктов на Московском мясокомбинате. Лаврушин А., Ольшанский И., Мясная индустрия СССР, 1957, № 4, 19—20

Субпродукты по спуску поступают в промывочный барабан, затем загружаются в центрифугу для шпарки и предварительной очистки от волоса, через загрузочный лоток поступают во вращающийся барабан опалочной печи, где подсушиваются и опаливаются. На приемном столе субпродукты окончательно очищают и затем промывают в машине. Приведены схемы поточномеханизированных линий обработки свиных ножек и путového сустава. Описаны особенности и преимущества центрифуг и опалочных печей, сконструированных и изготовленных на Московском мясокомбинате. Увеличена пропускная способность субпродуктового цеха, улучшено его санитарное состояние; производительность труда возросла в среднем на 30%.

В. Долговский

6316. Отходы бойни и возможности их использования. Кендерешки (Klanični otpaci i mogućnosti njihovog iskorišćavanja. Kendereski Svetozar), Tehnika, 1956, 11, № 8, 1221—1224 (сербо-хорв.; рус. нем.)

Описаны способы использования: крови, костей, щетины, волоса, хвостов, желчи, рогов, копыт и других боенских отходов. Кровь можно использовать не только как продукт питания в свежем виде, но и в кулинарии, для произ-ва кровяной и других видов колбас, как заменитель яиц в произ-ве различных препаратов (протамина, протоплазмина, эупротана, роберина, гемозы, гемогалла и др.), а также для откорма скота и в произ-ве медикаментов. Кости используются для получения жира, суповых экстрактов, клея, желатины, муки, искусств. удобрений и др.

Л. Михельсон

6317. Технические пути развития рыбной промышленности Исландии [1930—1955 гг.]. Турбьярнарссон (Den islandske fiskeindustri tekniske udvikling. Thorbjarnarson T.), Tekn. ukebl., 1956, 103, № 39, 883—891 (норв.)

Обзор. Библи. 20 назв.

Л. К.

6318. Проблемы охлаждения и замораживания в рыбной промышленности. Мамерен (Koel- en vriesproblemen in de visserij. Mameren J. van), Meded. Nederl. verenig. koeltechn., 1957, № 124, 10—19 (гол.).

6319. Применение антиокислителей при хранении мороженой рыбы. Переплетчик Р. Р., Рыб. х-во, 1956, № 10, 80—86

В качестве антиокислителей, добавляемых в наносимую на рыбу глазурь, применялись: глутаминовая к-та (I), Na-глутамат (II) и смесь аскорбиновой и лимонной к-т (AЛ). Установлено, что лучше всего предохраняют рыбу от порчи II и AЛ в концентрации 0,2%. Салака, глазированная р-рами этих антиокислителей, хорошо сохраняется при -15° в течение 9, а при $-25^{\circ} > 10$ месяцев. Салака, глазированная 0,1%-ным р-ром I, сохраняется при -25° в течение 7, а при -15° 5 месяцев. Мороженая в брикетах килька, глазированная р-ром II или AЛ, хорошо сохраняется при -15° в течение 6 месяцев, тогда как глазирование водой при хранении в аналогичных условиях предохраняет ее от порчи только 2 месяца.

В. Долговский

6320. Эффективность хлортетрациклина (ауреомитина) при хранении тихоокеанской сельди *Etrumeus micropus*. Томиама, Куроки, Маэда, Хамада, Хонда (Aureomycin によるウルメイワシの鮮度保持. 富山哲夫, 黒木俊一, 前田傳喜, 浜田盛治, 本田彰), 日本水産学会誌, Нихон суйсан гаккайси, Bull. Japan. Soc. Scient. Fish., 1956, 22, № 2, 120—127 (японск.; рез. англ.)

На основании органолептических исследований и определения содержания летучих оснований и гистамина установлено, что хлортетрациклин (10 мг/л морской воды и 5 мг/кг льда) увеличивает длительность хранения рыбы по сравнению с контрольным образцом при $15-20^{\circ}$ на 90% и при $-1-2^{\circ}$ на 40%.

Г. Мелешкина

6321. Исследование характерного запаха каракатицы. II. Происхождение и регулирование характерного запаха вареного мяса каракатицы. Яманиси, Ямасита, Ямадзак, Токуэ. III. Вещества, обуславливающие неприятный запах сушеной каракатицы, увлажненной дождем. Яманиси, Миура (イカ肉の特臭に関する研究. II. 煮熱臭の発生部分及び発臭抑制について. 山西貞, 山下幸子, 山崎明子, 徳江洋子. III. 雨イカの悪臭成分について. 山西貞, 三浦和子), 日本水産学会誌, Нихон суйсан гаккайси, Bull. Japan. Soc. Scient. Fish., 1956, 22, № 8, 480—485; 486—489 (японск.; рез. англ.)

При кипячении водн. экстракта мяса каракатицы (K) получены в-ва, обладающие характерным запахом (содержащие серу амины с пиперидиновым ядром). Из экстрактов, лишенных белков, получены только триметиламин и NH_3 . Интенсивность запаха уменьшается (или он отсутствует) при обработке рубленого мяса K перед варкой к-тами, щелочами, H_2O_2 , феруловой к-той. Вареное мясо K, хранившееся в течение 6 месяцев при 25° , приобретало лишь незначительный характерный запах. Образование его обусловлено присутствием водорастворимых белков или низкомолекулярных соединений, адсорбированных на белках. При увлажнении мяса K дождем в процессе сушки получается продукт пониженного качества. Из него 70%-ным этанолом извлечены в-ва, обладающие неприятным запахом: ненасыщ. жирные, муравьиная, уксусная и изомасляная к-ты, а также NH_3 , триметиламин, пиперидин, индол, и два неидентифицированных амина. Часть I см. РЖХим, 1957, 6731. Г. Новоселова

6322. Посол и вяление рыбы. Санни (Pengolahan dan pengawetan. Sanin H.), Berita perikanan, 1954, 6, № 6, 83—84 (индонез.)

6323. Производственная проверка способа двуступенчатой стерилизации консервов в стеклянных банках. Юдицкая А. И., Воскресенский Н. А., Информ. сб. Всес. н.-и. ин-т морск. рыб. х-ва и океаногр., 1957, № 1, 86—87

Проверка ф-лы двуступенчатого способа стерилизации рыбных консервов в томатном соусе в стеклянных банках N 83—5: 25(30/120)10(20/110)25 (при давл. 2,2—2,3 атм), сокращающей время стерилизации на 25 мин. по сравнению с обычной ф-лой, показала, что обеспечивается стерильность консервов, срыва крышек не наблюдается, бой банок не превышает нормы (0,3%). По органолептическим данным качество консервов, стерилизованных по двуступенчатой ф-ле, выше качества консервов, подвергшихся обычной стерилизации.

А. Прогорович

6324. Замораживание речных раков и их холодильное хранение. Головкин Н. А., Першина Л. И., Зимица Н. А., Рыб. х-во, 1957, № 8, 46—47

Внешний вид раков всех способов холодильной обработки при краткосрочном и длительном хранении не отличается от вида свежих раков. Вкус и аромат раков не портились при долгосрочном хранении (4—6 месяцев). Наилучшая консистенция мышечной ткани отмечена у раков, замороженных на воздухе. Для длительного хранения мороженных раков наиболее благоприятной т-рой является -25° при воздушном способе замораживания. В этом случае целесообразна предварительная расфасовка раков в мелкую тару. При краткосрочном хранении (1—2 месяца) допустимы т-ры от -6 до -10° .

А. Прогорович

6325. Опыт работы лаборатории Таллинского рыбо-вецкого комбината в борьбе за повышение качества продукции. Красницкая (Tallinna kalakombinaadi laboratooriumi töökogemusi võitluses väljalastava toodangu kvaliteedi eest. Krasnitskaja R. I.), Tehnika bulletin, 1957, № 2, 12—16 (эст.)

6326. Достижения в производстве кофе. Сильвен (Advances in coffee production technology. Sylvain Pierre G.), Coffee and Tea Inds, 1956, 79, № 11, 103, 172—174 (англ.)

При произ-ве мытого кофе для отделения плодовой мякоти от зерен применяют NaOH или Ca(OH)_2 и аэлу или удаляют ее механич. путем (машины с фрикционной передачей); для сортировки используют электронные устройства.

В. Гурни

6327. Достижения в распылительной сушке кофе. Меткаф (Progress in spray drying. Metcalfe Lyne S.), Coffee and Tea Inds, 1956, 79, № 12, 28—29, 62 (англ.)

Изложены преимущества распылительного метода сушки кофейного экстракта для приготовления растворимого кофе.

В. Гурни

6328. Содержание минеральных веществ в кофейном напитке. Кантхарадж-Урс, Натараджан, Бхатия (Mineral nutrients in coffee brew. Kantharaj Urs M., Natarajan C. P., Bhatia D. S.), J. Scient. and Industr. Res., 1955, (B—C) 14, № 2, 60 (англ.)

В зависимости от сорта в молотом кофе содержится кальция 0,92—0,95 мг/г, фосфора 2,10—2,37 мг/г, железа 74—80 $\mu\text{г}$. При заваривании кофе в кофейный напиток переходит 67—76% содержащегося в кофе фосфора, 40% железа и $< 10\%$ кальция.

Т. Сабурова

6329. Достижения в культивировании и производстве чая. Дёсс (Progrès dans la culture et la préparation du thé. Deuss J. J. B.), J. agric. trop. et bot appliq., 1956, 3, № 7-8, 402—411 (франц.)

О чайных плантациях и ф-ках Японии, Цейлона, Явы, Вьетнама и СССР. На передовых плантациях механизированы процессы расчистки и подготовки участка, внесены удобрения, обработки чайного куста инсек-

тицидами и фунгицидами, сбор листа и транспортирование его до ф-к. На чайных ф-ках механизированы процессы подачи листа в цехи, завяливание, скручивание, просеивание, подсобные работы в цехах ферментации, сушка, сортировка, развес и упаковка чая. Приведена возможная схема поточного произ-ва чая.

В. Гурни

6330. Химическое и органолептическое исследование постороннего привкуса фальсифицированного перца. Уик, Кэрикросс (A chemical and flavor study of off-flavor due to artificial pepper. Wick Emily L., Cairncross Stanley E.), Food Technol., 1956, 10, № 9, 423—427 (англ.)

Неприятный привкус некоторых торговых образцов молотого черного перца обусловлен необычным составом эфирных масел. В-ва, вызывающие привкус, найдены как в летучей фракции (ЛФ), содержащей ароматич. в-ва, так и в нелетучей фракции (НФ), содержащей в-ва, определяющие жгучий вкус перца. Из ЛФ выделен сесквитерпеновый углеводород, сообщающий перцу посторонний запах. В НФ обнаружено вдвое меньшее кол-во, чем у нормального перца, пиперина. Недостающее кол-во последнего компенсировано добавкой синтетич. препарата 1-циннамилпиперидина, сообщающего перцу необычную для него едкость вкуса.

В. Гурни

6331. Определение содержания капсаицина. Шпаньяр, Кевен, Кисел (Bestimmung des Capsaicin gehaltes. Spányár P., Kevei E., Kisszel M.), Acta chim. Acad. sci. hung., 1957, 11, № 1—2, 137—149 (нем.; рез. русск., англ.)

См. РЖХим, 1957, 13270

6332. Пищевые кислоты, применяемые в консервной промышленности. Зергер (Die Genußsäuren in der Konservindustrie. Serger Hermann), Konserventechn. Inform., 1957, 8, № 89, 2714—2716 (нем.)

Отмечены преимущества применения лимонной к-ты при консервировании плодов и овощей: нелетучесть, отсутствие запаха, антиокислительные свойства (препятствует переходу Fe^{2+} в Fe^{3+} в воде, плодовых соках и сиропах), способность осветлять соки и предотвращать потемнение или изменение окраски плодов (яблок, груш, персиков) и овощей (цветной капусты, спаржи), чистота и мягкость вкуса, хорошо согласующаяся с естественным ароматом и вкусом плодов и овощей. На втором месте при консервировании стоит винная к-та. Молочная к-та незаменима при произ-ве мармелада.

В. Гурни

6333. Консервирование пищевых продуктов химическими препаратами. Рейт, Моссел (Het verduurzamen door toevoeging van chemische verbindingen. Reith J. F., Mossel D. A. A.), Conserva, 1957, 5, № 11, 328—332 (гол.)

Перечислены хим. в-ва, разрешенные для применения в качестве консервантов пищевых продуктов. Изложены механизм и эффективность их бактерицидного или бактериостатич. действия, указано допустимое содержание в пищевых продуктах SO_2 и бензойной к-ты. Отмечены недостатки некоторых новых консервирующих препаратов.

К. Герцфельд

6334. Азокрасители как индикаторы на присутствие консервирующих веществ. Эйзенбранд, Клаук, Пфейль (Azofarbstoffe als Indikatoren für den Nachweis von Konservierungsmitteln und verwandten Stoffen im mikrobiologischen Ansatz. Eisenbrand J., Klauck A., Pfeil D.), Naturwissenschaften, 1956, 43, № 22, 519—520 (нем.)

Из 14 азокрасителей, изученных в качестве индикаторов для открытия консервантов в пищевых продук-

тах, наиболее пригодными оказались азорубин и яркий черный (BN, байер). 20 мл кипяченого молока смешивают с 1 мл свежего обезжиренного молока и 1 мл 0,1%-ного р-ра азокрасителя; к одной пробе прибавляют испытуемое консервирующее в-во, другая служит контролем. Пробы термостатируют при 42°. Сохраняющаяся окраска испытуемой пробы при обезживании контроля является показателем консервирующего действия. Приведены результаты испытания консервирующего действия ряда в-в.

В. Уфимцев

6335. Бутылки и тубы из полиэтилена и других синтетических материалов для пищевых и химических продуктов. Елитто (Flaschen, Tuben und Hohlkörper aus Polyäthylen und anderen Kunststoffen. Jelitto Rudolf), Verpackungsrundschau, 1956, 7, № 9, Eingeh. Beil., 72—75 (нем.)

Краткое описание методов произ-ва, окраски и упаковки тары из полиэтилена, полиамидов, полистирола.

Т. Сабурова

6336. Об упаковке рыбных продуктов. Лудорф (Über einige Verpackungsprobleme bei Fischwaren. Ludorff W.), Verpackungsrundschau, 1956, 7, № 11, 566, 569, 570, 572, 573 (нем.)

Рассмотрены вопросы лужения и лакирования консервных банок спец. лаками для предупреждения бумбажа. Рассмотрены хим., ложный и бактериологич. бумбаж консервов, а также вопросы упаковки рыбных продуктов в банки из пластмассы с последующей обработкой УВЧ-токами.

Л. Кондратьева

6337. Производство жевательной резинки. Вильямс (For the nation's sweet tooth, in twelve assorted colors and flavors. Williams Roy F.), Industry, 1957, 22, N 9, 22—23 (англ.)

6338. Производство жевательной резинки, обогащенной тиаминном. Хино (ビタミン B₁ 強化チウソガムの製造に関する研究. 日野絵常), ビタミン, Битамин, Vitamins, 1957, 12, № 5, 392—394 (японск.; рез. англ.)

Наиболее пригоден тиаминдигетилсульфат, 90% которого растворяется и извлекается из резинки при жевании в течение 7 мин. Резинка, обогащенная им, не имеет запаха и вкуса.

А. Коновов

6339 П. Хранение свежих орехов кола. Венсо (Procédé de conservation à l'état frais des noix de kola. Vinsot Jean-Georges). Франц. пат. 1113426, 29.03.56

Патентуется метод хранения частично подсушенных орехов кола в герметич. пакетах, мешках из прозрачной цветной эластичной пленки; внутри мешка создается вакуум за счет поглощения воздуха орехами. Пленка служит одновременно светофильтром, предотвращающим изменение окраски орехов под воздействием некоторых световых лучей. В случае заражения орехов кола насекомыми-вредителями *Balanogastriis Koloe* последние погибают в течение нескольких дней вследствие недостатка воздуха. Пленка защищает орехи от дальнейшего высыхания при длительном хранении.

Т. Сабурова

См. также: Развитие отраслей пищевой пром-сти Ленинграда 3460—3464. Пищевая ценность риса 2225Бх. Вкусовые в-ва бурых морских водорослей 2530Бх. Созревание сыра 2576Бх. Исследование полифенолов табака хроматографией на бумаге 2019Бх. Исследование липидных в-в чеснока 4831. Приготовление искусственного масла 6119. Сточные воды молочной пром-сти 5143, 5144. Сточные воды мясокостной 5142. Пластмассы в произ-ве упаковки 6363

ХИМИЧЕСКАЯ ТЕХНОЛОГИЯ. ХИМИЧЕСКИЕ ПРОДУКТЫ И ИХ ПРИМЕНЕНИЕ (Часть 4)

СИНТЕТИЧЕСКИЕ ПОЛИМЕРЫ. ПЛАСТМАССЫ

Редакторы А. А. Жданов, Н. С. Левкина

6340. Пластмассы и смолы. Годовой обзор. Мак-Сунни, Кропа (Plastics and resins. Annual review. McSweeney E. E., Kropp E. L.), Industr. and Engng Chem., 1956, 48, № 1, 22A—23A, 26A—27A (англ.)

Основные достижения пром-сти пластмасс в США за 1955 г. Л. П.

6341. Промышленность пластмасс в Германии. Пардуччи (L'industria delle materie plastiche in Germania. Parducci M.), Materie plast., 1956, 22, № 10, 785—789 (итал.)

В 1955 г. в ФРГ было выпущено ~429 000 т пластмасс, в том числе ~201 000 т полимеризационных пластиков, 174 000 т конденсационных пластмасс и 54 000 т целлюлозных пластиков; в ГДР в 1955 г. выпуск пластмасс составил ~92 000 т, в том числе было изготовлено 67 000 т поливинилхлоридных материалов, 13 000 т целлюлозных пластмасс и 10 000 т амипластов. Л. Песин

6342. Международное совещание по пластмассам. (Берлин, 9—17, апр. 1957 г.). Гарбар М. И., Хим. пром-сть, 1957, № 4, 59

6343. Сырье для синтетических полимеров и их производство. Сунден (Plastråvaror och plastframställning. Sunden Olof), Tekn. tidskr., 1956, 86, № 42, 969—974 (швед.)

Обзор. Л. П.
6344. Химические и физические аспекты пластмасс. Бертело (Aspect chimique et physique des matières plastiques. Berthelot J. J.), Techn. appl., 1956, № 30, 14—19, 21—29 (франц.)

Обзор методов переработки пластмасс литьем под давлением, прямым прессованием, литьевым прессованием, шприцеванием. Приведена характеристика промышленных термоактивных пластиков (фенопластов, аминопластов, эпоксидных, полиэфирных, кремнийорганических), термопластов (поливинилхлорида, полиэтилена, фторопластов, полиметилметакрилата, эфиров целлюлозы, полиамидов) и различных типов слоистых пластиков. Л. Песин

6345. Недостатки и преимущества листов и полос из пластмасс, применяемых в промышленности. Мабб (Some limitations and advantages of plastics sheet and strip for industrial use. Mabb P.), Machinery (Engl.), 1956, 89, № 2292, 892—897 (англ.)

Обзор. Кратко рассмотрены изготовление, свойства и применение слоистых, казеиновых, ацетилцеллюлозных, акриловых пластиков, а также поливинилхлорида, полистирола, полиэтилена, нейлона, полиорганосилоксанов, политетрафторэтилена, полиэтилен-терефталата. С. Свердлов

6346. Пластмассы как конструкционные материалы. Адаме (Plastics' engineering materials. Adams C. H.), J. Engng Mech. Div. Proc. Amer. Soc. Civil Engrs, 1956, № 4, 1072-1—1072-24 (англ.)

Обзор. Рассмотрены физ.-мех. свойства основных типов пластмасс и приведено сравнение их с металлами и другими конструкционными материалами. Библ. 23 назв. Л. Песин

6347. Применение пластических масс для осветительных устройств. Ребске (Kunststoffe erhöhen die Betriebssicherheit von Leuchten. Rebske Ernst), Ind.-Anz., 1956, 78, № 103-104, 1551—1552 (нем.)

Отмечены хорошие результаты применения пластмасс для осветительных устройств (ОУ) в помещениях, где материалы подвержены сильному корродирующему действию (хим. запах, гальвано-технич. установках и др.). Приведены примеры применения пластмасс для ОУ. Е. Хургин

6348. Пластмассы в надземном строительстве. Эйхлер (Kunststoffe im Hochbau. Eichler Friedrich), Bauzeitung (Leipzig), 1955, 9, № 9, 175—178; № 12, 231—236 (нем.)

6349. Шестерни из пластмасс. Ульмер (Das Zahnrad aus Kunststoff. Ulmer Arnold), Neue Uhrmacher-Ztg, 1956, 10, № 21, 28—30 (нем.)

Обзор методов изготовления небольших шестерен (в частности, часовых зубчатых колес) из слоистых фенопластов, полиамидов и полистирола. Л. Песин

6350. Пластмассы в полиграфии. Палаццо (Le materie plastiche al servizio delle industrie grafiche. Palazzolo F.), Materie plast., 1956, 22, № 11, 898—905 (итал.)

Обзор. Л. П.
6351. Свойства и применение упаковочных пленок из пластмасс. Герман (Eigenschaften und Anwendung der wichtigsten Verpackungsfolien aus Kunststoffen. Herrmann O.), Verpackungs Rundschau, 1956, 7, № 10, 79—84 (нем.)

Описаны свойства, преимущества и недостатки, а также области применения пленок из целлофана, поливинилхлорида, полиэтилена, ацетилцеллюлозы, гидрохлорида каучука, поливинилбутирала, поливинилиденхлорида, полиэтилен-терефталата и суперполиамида. Б. Коростылев

6352. Применение пластмасс для упаковки. Манджини (Le più recenti applicazioni delle materie plastiche nell'imballaggio. Mangini Luigi), Imballaggio, 1956, № 35, 16—19 (итал.)

Приведен перечень пластмасс, примененных в упаковочном деле Италии за период 1952—1955 гг.

А. Марин
6353. Обзор некоторых современных методов анализа пластических масс. Фаника (Aperçus sur quelques méthodes modernes d'analyse des matières plastiques. Fànica L.), Chim. analyt., 1956, 38, № 10, 353—361 (франц.)

6354. Экспресс-метод определения процентного содержания низкополимерной фракции поливинилхлоридных смол. Хорошая Е. С., Ковригина Г. И., Гордонова Р. Д., Петрова А. П., Митрофанова Е. Н., Легкая пром-сть, 1956, № 11, 39—40

Метод основан на установлении зависимости величины коэф. набухания (отношение объема набухшей в ацетоне (I) смолы к объему ее в сухом виде) смолы в I за 5 мин. от процентного содержания низкополимерной фракции. Для определения коэф. набухания смолы в I 3 г смолы, уплотняют в мерном цилиндре, отмечают объем, наливают 10 мл I, размешивают в течение 1 мин. и через 5 мин. отмечают объем набухшей смолы. При коэф. набухания 1,20; 1,40; 1,60; 1,80 и 2,00 содержание низкополимерной фракции (%) соответственно 14,15; 17,30; 21,70; 30,85; 46,00. Полученные результаты находятся в хорошем соответствии (максим. расхождение 3,5% абс) с результатами, полученными по методу (длительность определения 4 часа), применяемому ранее. Л. Песин

6355. Магнитный ядерный и электронный резонанс — методы для исследования пластических

масс. Брюгель (Magnetische Kern- und Elektro-
nen-Resonanz. Zwei neue Verfahren der Kunststoff-
Untersuchung. Brügel W.), Kunststoffe, 1956, 46,
№ 8, 366—371 (нем.; рез. англ., франц., исп.)

Первый метод применяется главным образом для
определения кристаллич. и аморфных составных ча-
стей и для установления переходов из одного состоя-
ния в другое; второй метод — при исследовании пла-
стич. масс, облученных γ -лучами или другими лу-
чами высокой энергии. Е. Хургин

**6356. Определение хлора в полимерах и сополиме-
рах винилхлорида. Стандартный метод. Лардера**
(Determinazione del cloro nei polimeri e copolimeri
di cloruro di polivinile. Proposta di un metodo stan-
dard. Lardera M. Rosa), Materie plast., 1956, 22,
№ 10, 804—808 (итал.)

Обзор. Предложен стандартный метод определения
хлора (I), основанный на сжигании полимера в при-
сутствии платинового катализатора в токе кислорода
с последующим определением I по Фольгарду или с
помощью потенциометра. Обсуждены возможности
применения метода. Библ. 10 назв. Т. Кастерина

**6357. Новый простой способ определения переход-
ных точек у твердых полимеров. Ито** (高分子固
体の熱転移点の新しい簡易測定法. 伊藤勝彦), 日本機
械學會誌, Нихон кикай гаккайси, J. Japan Soc.
Mech. Engrs, 1955, 58, № 434, 263—269 (японск.)

Температуру плавления фенольных, полиэфирных
и других полимерных соединений определяли путем
измерения твердости по Роквеллу в процессе повы-
шения т-ры исследуемого полимера со скоростью 2°
в мин. В. Иоффе

**6358. Определение теплопроводности пластических
масс. Неринг** (Zur Ermittlung von Wärmeleit-
zahlen von Kunststoffen. Nehrung O.), Technik, 1956,
11, № 12, 821—824 (нем.)

Приведены расчеты для определения теплопровод-
ности пластич. масс для различных случаев т-р на-
гревающего и охлаждающего тела и проложенного
между ними пластич. материала. Е. Хургин

**6359. Метод определения паропрооницаемости упа-
ковочных пленок. Либерти** (The chester bag me-
thod of testing water vapor transmission of films.
Liberty Gene), Paper, Film and Foil Converter,
1955, 29, № 12, 29—31 (англ.)

Из 2 полос испытуемой пленки свариванием с 3 сто-
роной изготовляют открытый пакет, в который вводят
бумажный мешочек с 20 г обезвоженного CaCl_2 , по-
сле чего сваривают 4-ю сторону. Пакет выдерживают
в камере с относительной влажностью 92—95% при
38° в течение 96 час., затем открывают и определяют
увеличение веса CaCl_2 с точностью до 0,001 г. Метод
применим только для пленок, свариваемых термич.
способом. В. Гурни

**6360. Измерение прочности склейки пластмассовых
пленок. Фойгт** (Die Messung der Klebekraft spe-
ziell bei Kunststoff-Folien. Voigt Wilfried),
Arch. techn. Messen, 1956, № 250, 245—246 (нем.)

Значение прочности склейки, определяемое заме-
рами, зависит от величины угла, образуемого разде-
ляемыми поверхностями, и скорости разделения.
Обычно применяемые машины для испытания проч-
ности клеевых швов не обеспечивают постоянства
скорости разделения (рычажные), технически слож-
ны (электрические) и имеют большую инерцию при
замере поверхностных сил слияния (пневматич. ма-
шины). Описан новый пневматич. прибор с вращаю-
щимся поршнем, простой по конструкции, с весьма
малым трением, свободный от указанных выше не-
достатков. Постоянство скорости разделения клеевого
шва обеспечивается тем, что один конец склеивае-

ленты сматывается с помощью валика, приводимого в
действие от электродвигателя.

**6361. Склеивание металлов и оценка этого метода
соединения для применения на практике. Лиз**
(Die Metallklebverbindung und ihre Bewertung für
den praktischen Einsatz. Litz E.), Luftfahrttechnik,
1956, 2, № 9, 162—168 (нем.)

Рассмотрены факторы (форма образцов для испы-
таний, размеры образцов, изготовление образцов, об-
работка поверхности перед склеиванием, условия
склеивания, условия испытаний и др.), связанные с
прочностью клеевых соединений металлов, для реше-
ния вопроса о допустимости такого метода соеди-
нения металлов в авиационной пром-сти ФРГ.

**6362. Современное развитие уплотнительных про-
кладок. Беннер** (Recent developments in clo-
thing materials. Benner J. A.), Glass Packer, 1956,
35, № 11, 34—35 (англ.)

Изложены требования, предъявляемые к уплот-
нительным прокладкам, и описаны свойства уплот-
нительных материалов (сарана, полиэтилена, поливи-
нилхлорида, полиэфирных пленок, полифторэтилена
и др.). С. Иоффе

**6363. Пластмассы в американском упаковочном де-
ле. Коуденхове-Калерги** (Kunststoffe in der
amerikanischen Verpackungsindustrie. Coude-
nhove-Kalergi J.), Chem. Rundschau, 1956, 4,
№ 23, 521—523 (нем.)

Обзор. Отмечено, что полиэтилен (I) занимает од-
но из ведущих мест среди пластиков, используемых
в упаковочном деле. 80% всей выпускаемой из I плен-
ки потребляется либо самостоятельно, либо в виде
покрытия по бумаге или целлофану для упаковки
пищевых продуктов, высококоротных текстильных ма-
териалов и др. Составная пленка из I и майлара приме-
няется для герметич. упаковки пищевых фабрикатов.

6364. Полиэтилен линейной структуры. Такахаши
(直鎖状ポリエチレン. 高橋正夫); 東洋レーヨン株式
會社集報, Тоё раён кабусики кайся сёхо, Scient.
Repts. Toyo Rayon Co., 1957, 12, № 1, 22—23 (японск.)

Обзор. Библ. 63 назв.

**6365. Синтез линейного полиэтилена по свобод-
норадикальному механизму при сверхвысоких давле-
ниях. Хайнз, Брайант, Ларчар, Пиз** (Synthesis
of linear polyethylene by a free radical route at
very high pressures. Hines R. A., Bryant W. M. D.,
Larchar A. W., Pease D. C.), Industr. and
Engng. Chem., 1957, 49, № 7, 1071—1074 (англ.)

Новый тип полиэтилена, имеющий свойства жест-
кого пластика, часто неправильно называют «поли-
этиленом низкого давления». В данной работе описы-
но получение линейного полиэтилена, в основном сво-
бодного от коротко- и длинноцепных разветвлений и
низкомолекулярных примесей, полимеризацией C_2H_4
в бензоле при давл. 3500—7700 ат и т-рах 50—80° в
присутствии 0,009—0,56% α, α' -азо-бис-изобутиронитри-
ла или другого катализатора свободно-радикального
типа. Показано, что линейные полиэтилены равного
среднемолекулярного мол. веса имеют, независимо от спо-
соба синтеза, сходные свойства, если они не загряз-
нены остатками катализатора или «смазкой» (низкомо-
лекулярными примесями). Линейные полиэтилены в
сильной степени отличаются от разветвленных вла-
дностью, плотностью, кристаллическостью, т-рой пла-
вления, жесткостью и прочностью. В. Пахомов

6366. О полиэтилене. Годжин, Тейер, Чини
(Plain talk on polyethylene. Goggin W. C., Thayer
G. B., Cheney G. W.), Plastics Ind., 1956, 44,
№ 1, 36—39; Plastics Technol., 1956, 2, № 2, 85—88,
108 (англ.)

Сравниваются условия полимеризации, мол. структура и физ.-мех., реологич. и формовочные свойства, стойкость к старению полистирола (I), разветвленно-го полиэтилена (РП) и линейного полиэтилена (ЛП). Приведены результаты сравнения: степень полимеризации, мол. вес, степень кристалличности (%), уд. вес, степень разветвленности, т-ра размягчения, текучесть, скорость кристаллизации в прессформе, усадка, жесткость, морозостойкость, химстойкость и др. Рассмотрены методы стабилизации к действию света, тепла и окислению, условия получения и свойства изделий из I, РП, ЛП. С. Каменская

6367. Влияние наполнителей на свойства полиэтилена. Оиси (ポリエチレンに各種ファイラーを添加した場合の影響について. 尾石研介), *ラバーダイジェスト*, Раба дайджесту, *Rubber Digest*, 1957, 9, № 1, 49—62 (японск.)

Изучено влияние 26 наполнителей на свойства полиэтилена (I). Установлено, что максим. предел прочности при растяжении (210 кг/см^2 при 23°) достигался при применении стекловолокна (100 вес. ч. на 100 вес. ч. I), нарубленного в виде обрезков длиной 12,7 мм и обработанного силиконовой смесью. Максим. удлинение (630% при 23°) достигалось при использовании в качестве наполнителя 20 вес. ч. карбоната кальция. Приведены подробные данные о влиянии наполнителей на физ.-мех. свойства полиэтиленовых композиций. В. Иоффе

6368. Опыты с полиэтиленовыми пленками. Рамшпек (Erfahrungen mit Polyäthylen — Folien. Ramspack Ernst), *Chem. Ind.*, 1956, 8, № 11; *Sonderdienst*, 146—147 (нем.)

В результате испытания механич. прочности и паропроницаемости (П) упаковочных полиэтиленовых пленок [не бывших в употреблении (НБУ) и бывших (БУ)] найдено, что прочность на разрыв у пленок БУ незначительно снижается по сравнению с прочностью пленок НБУ, П пленок БУ толщиной 0,1 мм также мало изменяется, П пленок БУ, толщиной 0,05 мм существенно увеличивается по сравнению с П пленок НБУ. Установлено, что для упаковки следует применять полиэтиленовые пленки толщиной $\geq 0,1 \text{ мм}$. Л. Песин

6369. Гибкие пластмассовые трубы в сельском хозяйстве за рубежом. Филиппов Ю. Г., *Гидротехн.* и мелиорация, 1957, № 7, 58—60

Отмечены преимущества полиэтиленовых и бутиратовых труб и методы их применения. Н. Л.

6370. Полистирол с повышенной прочностью на удар и улучшенной теплостойкостью. Часть I, II. Песарро (Slagen warmtevast polystyreen. I, II. Pezargo S.), *Plastica*, 1956, 9, № 5, 252—257; № 6, 319—323 (гол.; рез. англ., франц., нем.)

Часть I. Приведены краткая история развития производства полистирола (I), его производных и сополимеров стирола (II), механич., физ., термич., оптич. свойства, химстойкость и другие свойства нормального I и I с повышенным мол. весом, сополимера II с акрилонитрилом (А), стирол А-бутадиенового сополимера, сплава I с сополимером II с бутадиеном, сплава сополимера II с А и сополимера бутадиена с А.

Часть II. Рассмотрены свойства сплавов I и сополимеров II (с А и бутадиеном) с синтетич. каучуком (бутадиенстирольным и бутадиен-А), переработка сплавов в изделия и применения. Приведены фирменные названия 30 марок пластиков этого типа. Л. Песин

6371. Стойкость к старению модифицированных полистиролов. Гилман, Каролан, Резник (Durability of modified polystyrenes. Gilman L., Carolan Kenneth T., Resnick Milton), *Mod. Plastics*, 1956, 34, № 1, 176, 178, 180, 185 (англ.)

Сополимер стирола с акрилонитрилом, модифицированный бутадиенакрилонитрильным каучуком (пластик-I), имеет исходную прочность на удар и стойкость к старению более высокую, чем полистирол, модифицированный бутадиенстирольным каучуком (пластик-II). После трех лет экспозиции в Нью-Джерси ударная прочность у образцов из I (на брусках с надрезом) совершенно не изменилась, у образцов из II — уменьшилась от 30 до 70%, после трех лет выдержки при 71° ударная прочность у образцов из I понизилась на 20%, у образцов из II — в пределах от 25 до 90%. Л. Песин

6372. Аппарат для сушки поливинилхлорида в кипящем слое. Есаян (Uscător de clorură de polivinil în strat fluidizat. Esayan L.), *Rev. chim.*, 1956, 7, № 10, 590—592 (рум.; рез. русск., нем.)

В Румынии на опытной установке производительностью в 6000-кг в месяц отработана техника сушки эмульсионного поливинилхлорида (I) с влажностью в 50—60% до остаточной влажности 0,15—0,2%. Цикл сушки 30 кг влажного I в сушилке диам. 0,27 м и высотой $\sim 3 \text{ м}$ — 8 час. (в том числе 7,5 час. при т-ре в слое I $33\text{—}34^\circ$); расход воздуха (т-ра на входе 100°) 96 кг/час. Л. Песин

6373. Трубопроводы из жесткого поливинилхлорида на оросительной системе в Северных Аппенинах. Исидоро, Фускани (Tubazioni di vipla rigida in un impianto di fertilizzazione nell'Appennino settentrionale. Isidoro G., Fuscagni G.), *Materie plast.*, 1956, 22, № 11, 913—916 (итал.)

Описано применение труб диаметром от 29 до 92 мм, рассчитанных на давление до 6 атм. Л. Песин

6374. Способы переработки политетрафторэтилена. Кобаяси (ポリ四弗化エチレンの成型加工. 小林朗郎), *プラスチックス*, Пурасутиккуску, *Japan Plastics*, 1956, 7, № 6, 25—35 (японск.)

Методы прессования изделий из политетрафторэтилена. В. Иоффе

6375. Пленки из полиэтилентерефталата. Ройен (Films van polyaehtereftalaat. Rooijen B. van), *Plastica*, 1956, 9, № 10, 596—600 (гол.)

Методы получения пленки майлар, физ.-мех. и диэлектрич. свойства и применения. Л. Песин

6376. Изыскание недефицитных смол для оболочковых форм. Ткаченко К. М., *Обмен техн. опытом Всес. проектно-технол. ин-та*, 1956, вып. 16, 20—28

Разработаны высококачеств. смолы для оболочковых форм литейных произ-в из буроугольных и сланцевых фенолов с характеристиками, близкими к пульвербакелиту (смола № 2 на основе буроугольных фенолов) или к смолам № 17 и 235 (на основе технич. ксилоленов и сланцевых фенолов). Образец оболочковых форм из смесей на указанных смолах имел предел прочности на изгиб $75\text{—}100 \text{ кг/см}^2$. Добавка (0,5—1%) смолы № 180 (II-5) к смоле из сланцевых фенолов или к смоле из технич. ксилоленов ускоряет процесс отверждения в 2 раза и повышает механич. прочность на 35—40%. Повышенная связующая способность этой смолы позволяет сократить ее содержание в составе смеси с 7,5 до 4,5—5%, сохранив те же показатели механич. прочности. Отмечено, что кроме экономии смол, при этом уменьшается газовыделение. Л. Песин

6377. Изготовление смол из высших гомологов фенола и формальдегида для производства плит из древесной стружки на деревообрабатывающем заводе. Цегледи-Янко (A forgáslapgyártáshoz felhasznált fenolhomolog-formaldehid műgyanták faipari üzemben történő előállításáról. Czeglédi-Jankó Géza), *Faipar*, 1956, 6, № 4, 96—100 (венг.)

Так как смола «ХУ-МН», получаемая конденсацией высококипящих ксиленолов с формальдегидом в присутствии $\text{Ca}(\text{OH})_2$ (венг. пат. 143171), относительно мало стабильна при хранении и транспортировке и уже через 2—3 суток использование ее затруднено, рекомендуется изготовлять ее непосредственно на деревообрабатывающих заводах тем более, что технология ее произ-ва проста (т-ра конденсации не превышает 70°; «ХУ-МН» не пуждается в упарке).

Г. Юдкович

6378. Силиконы и их применение. Планета (Silikon i ich zastosowanie. Planeta Natalia), Szkło i ceram., 1956, 7, № 11, 326—330 (польск.)

Обзор методов получения кремнийорганич. полимеров (КП). Отмечено, что польский ин-т стекла и керамики совместно с ин-том пластмасс разработали метод гидрофобизации гипса (ГГ) с помощью КП (водопоглощение ГГ через 48 час. выдержки в воде 8,8% против 21,5% у контрольного образца). Л. Песин

6379. Роданит S. Спазье (La rhodanite S. Spazier), Plast. inform., 1956, 7, № 146, 1—3, 8, 9 (франц.)

«Роданит S» — ацетилцеллюлозный пластик, перерабатываемый в изделия методом литья под давлением при $t_{\text{ре}} \geq 165$ —175°. Изделия характеризуются высокой стабильностью размеров в тропич. условиях, а также большой прочностью на удар. Л. Песин

6380. Пластификаторы для поливинилхлорида. I. Применяемые на практике пластификаторы. Филлис, Ю. Д. II Новые разработки. Чандуик (Plasticizers for P. V. C. I. Types in current use. Phillips I., Youde P. G. II. Future developments. Chadwick E.), Brit. Plast., 1956, 29, № 9, 337—342; 342—343 (англ.)

I. Кратко описаны обычно применяемые пластификаторы для поливинилхлорида (I), методы определения пластификаторов в I. Подробно исследованы физ., мех., электрич. и др. свойства образцов I, пластифицированных ди-(2-этилгексил)фталатом, ди-(2-этилгексил)себацатом, триэтилфосфатом, полипропилен-адипатом и др. С. Каменская

II. Обзор патентов за 1948—1953 гг. по произ-ву пластификаторов (II) фталатных (применяют октиловый и дециловый спирты оксо-синтеза; эфиры их обладают свойствами несколько лучшими, чем диэтилгексилфталат); смешанных фталатов (преимущественно бутилбензилфталата (I); замена 5% диоктилфталата равным кол-вом I уменьшает экстракцию II кетосином с 36% до 11%); из одноосновных к-т (в частности дибензойных эфиров диэтиленгликоля и дипропиленгликоля, а также эпоксицированных глицеридных масел); полимерных II [в том числе полимера октена-1 с аллилпропионатом (мол. в. ~1000)]. Библ. 30 назв. Л. Песин

6381. К исследованию гранулометрического состава древесной муки. Жиге, Амар (Contribution a l'étude granulométrique des farines de bois. Giger A., M-me, Namard P.), Ind. plast. mod., 1956, 8, № 9, 58, 61—66 (франц.)

Исследовано влияние влажности древесной муки (ДМ), примесей, скорости вращения сита и времени просева на результаты гранулометрич. анализа ДМ. Отмечено, что при ситовом анализе ДМ следует учитывать погрешность за счет свойлачивания ДМ. Л. Песин

6382. Техника литья под давлением тонкостенных изделий из полистирола.— (Sprøjtestøbningsteknik ved tyndvæggede emner af polystyren.—), Plastic, 1956, 6, № 11, 150—154, 160 (датск.)

Рассмотрены основные принципы литья под давлением изделий из полистирола и описано применяемое для литья оборудование. Л. Песин

6383. Способы формирования матов из стекловолокна в США. Томпсон, Адамс (Preforming-methods in U. S. A. Thompson W. W., Adams R. G.), Plastic, 1957, 7, № 1, 2—6 (датск.)

О способах изготовления пневматич. путем матов из стеклянного волокна в произ-ве слоистых стеклопластиков. К. Герцфельд

6384. Зависимость между адгезионными свойствами стекла и механическими свойствами стеклопластика. Акита, Курихара (ガラス板の接着強度とガラス繊維強化プラスチックの機械的性質との関連性について. 秋田務, 栗原尚美), 日本機械學會誌, Нихон гаккайси, J. Japan Soc. Mech. Engrs, 1957, 60, № 450, 258—262 (японск.)

В результате исследования установлено, что при высоких адгезионных свойствах стекла полученные стеклопластики (СП) характеризуются значительным сопротивлением изгибу. Отмечено, что механич. прочность СП, изготовленных на основе эпоксидных смол, выше, а усадка меньше, чем у СП на основе полиэфирных смол. В. Иоффе

6385. Термические свойства слоистых стеклопластиков. О'Брайен, Оггсби, Кавингтон (Thermal properties of laminates. O'Brien F. R., Oglesby Sabert, Jr., Covington P. C.), Mod. Plastics, 1956, 33, № 12, 158—159, 162, 164, 232 (англ.)

Изучали теплоемкость, теплопроводность и термич. расширение 15 слоистых стеклопластиков, изготовленных различными фирмами 4 видов стеклотканей с 6-ю типами смол. Содержание смолы колебалось в пределах 24—44%. Приведены результаты изучения и методы, применяемые для определения теплоемкости, теплопроводности и термич. расширения. С. Иоффе

6386. Свойства стеклопластиков при высоких температурах. Кац, Голдберг (Elevated temperature properties of reinforced plastics. Katz J., Goldberg J.), Mater. and Methods, 1956, 44, № 5, 130—133 (англ.)

Проведены кривые изменения величин предела прочности и модуля упругости при разрыве, сжатии и изгибе от $t_{\text{ры}}$ (в интервале 150—540°) и длительности выдержки (до 1000 час.) для стеклопластиков, изготовленных на основе фенольных (I), полиэфирных модифицированных триаллилциануратом (II) и кремнийорганич. (III) смол. При ~20° прочностные характеристики стеклопластиков понижаются в ряду I → II → III, при кратковременной выдержке в условиях высоких $t_{\text{р}}$ в ряду I → III → II и при длительной выдержке при высоких $t_{\text{р}}$ в ряду III → II → I. Л. Песин

6387. Новый материал — искусственные смолы, армированные стеклянным волокном. Бейер (Claserverstärkte Kunstharze — ein neuer Werkstoff. Beyer Wademar), Umschau, 1956, 56, № 16, 481—484 (нем.)

Смолы армированы стеклянными нитями диам. 5 и 9 м с прочностью на растяжение соответственно 240—280 и 120—140 кг/мм². Указано, что величина предела прочности на сжатие армированной смолы (АС) зависит от свойств смолы (в частности, от величины модуля упругости). Отрицательным свойством АС является уменьшение прочности нитей при длительном нахождении в воде. Однако при применении бесцветного стекла и пропитке винилтрихлорсианом понижение предела прочности даже при длительном нахождении АС в воде не превышает 10%. АС применяют для изготовления металлообрабатывающих инструментов, шаблонов, а также баков и ванн для к-т и масел. В электротехнике АС широко применяются, в частности, для изготовления колпаков для радиолокаторов; в судостроении — для надводн. частей. Так как АС не притягивают магнитные мины и почти не улавли-

работы локатором, они использованы в опытном строителе тральщиков длиной до 32 м. Отмечено также широкое применение АС в автомобильной и авиационной пром-стях.

Е. Штейн
6388. Пластмассы в самолетостроении. Гордон (Plastics for aircraft structure. Gordon J. E.), Rubber and Plast. Age, 1956, 37, № 8, 535—538 (англ.)
 Даны соображения о теоретич. прочности материалов по сравнению с их фактич. прочностью и приведены примеры получения высоких прочностей у слюды, металл. и стеклянных волокон и др. Прочность и жесткость пластиков (П), армированных элементарным волокном (ЭВ), колеблется в пределах $\frac{1}{3}$, а при высоком содержании смолы составляет $\frac{1}{5}$ — $\frac{1}{6}$ прочности ЭВ. П, армированные тонкими пластинками, обладают в 4—5 раз большей прочностью и жесткостью, чем армированные волокном. Отмечено, что в США применяют тончайшие стеклянные чешуйки в качестве армирующего материала и если бы удалось устранить напряжения на краях чешуек, то прочность стеклопластиков повысилась бы в 3—4 раза. Подчеркивается необходимость получения высокопрочных и теплостойких конструкционных материалов, удовлетворяющих нуждам современного самолетостроения.

С. Иофе
6389. Полиэфирные смолы как основа конструктивных пластиков. Оутс (Polyester resins for plastic construction. Oates A. E.), Ship and Boat Builder and Naval Architect, 1956, 9, № 7, 218—220 (англ.)
 Рассмотрены методы изготовления стеклопластиков на основе полиэфирных смол, формование их и комбинирование их с деревом для корпусов лодок и шлюпок.

Л. Песин
6390. Бетонные трубы, армированные стекловолокном с полиэфирной смолой. (Glass polyester reinforced concrete pipe.—), Brit. Plast., 1956, 29, № 8, 298—299 (англ.)

Бетонные трубы (БТ) для канализации армируют путем спиральной намотки на них ряда слоев стеклальной ровницы (СР), при одновременной пропитке СР полиэфирной смолой, отверждающейся на холоду. Установка (дан снимок) для намотки СР на БТ состоит из длинной станины токарного станка, между центрами которой закреплена БТ длиной 3,6 м, стойки для шпуль со СР и приспособления для пропитки СР смолой. Равномерную раскладку СР на БТ обеспечивает гребенка; угол спиральной намотки (обычно 30—60°) определяется скоростью движения стойки относительно БТ. Кол-во наматываемых слоев изменяется в зависимости от диаметра БТ. Для пропитки применяют отверждающуюся на холоду спец. бакелитовую смолу с жизнеспособностью 3 часа. После намотки СР (от 5—15 слоев для труб диам. 152—1220 мм) смола желатинизируется, а затем отверждается в течение 6 час. при $\sim 38^\circ$. Испытания показали, что такие трубы могут работать при внутреннем давлении до 18 кг/см^2 и разрушаются при давл. 28—35 кг/см^2 . Сопротивление армированных стеклопластиков БТ внешнему давлению составляет 280—560 кг/см^2 , в зависимости от диаметра, т. е. они в 4—8 раз прочнее неармированных БТ.

С. Иофе
6391. Слоистые пластики и их роль в промышленности. Тайтус (Laminated plastics — their role in industry. Titus Robert R.), Yale Scient. Mag., 1956, 31, № 2, 37—38, 41—42, 44, 46 (англ.)
 Рассмотрены развитие произ-ва слоистых пластиков (СП); наполнители и типы смол, применяемые для изготовления СП, а также области применения СП. Приведены размеры листовых материалов, стержней и труб. Отмечено, что трубы могут быть круглого, квадратного, прямоугольного, овального и другого, более сложного сечения.

С. Иофе

6392. Жесткие слоистые пластики из виниловых смол. Де-Камп-Крейтер (Laminates of vinyls to rigid materials. De Camp Crater Willard), Rubber and Plast. Age, 1956, 37, № 5, 309—310 (англ.)

Непластифицированный винипласт «Marvinol» (М) (преимущества по сравнению с поливинилхлоридом: большая теплостойкость, меньшая деформация под нагрузкой, устойчивость при повышенной влажности, сопротивление истиранию и пробиванию, огне- и хорошая хим. стойкость), приклеенный в виде тонкой пленки к металл. листам, образует слоистые металловиниловые (МВ) материалы, которые легко поддаются всем видам механич. обработки при небольших изменениях в технологии, принятой для металлов, а также легко соединяются торцевой сваркой без повреждения М. Из МВ листов изготовляют футляры для пишущих и счетных машин, каркасы для телевизоров, панельные обшивки стен, покрытая хим. оборудованием и др. Ткани с нанесенными на них М применяют для покрытия стен в квартирах и особенно в заводских помещениях. Покрытия из М, нанесенные на металл. трубы, защищают последние лучше, чем окраска. Для получения прочной пленки на некоторых металл. поверхностях металлизуют полиэфирную пленку, которую сочетают с виниловой, а затем прочно приклеивают к металлу.

С. Иофе
6393. Алюминиево-пластмассовые фольги. Брокманн, Шнелль (Aluminium-Kunststoff-Verbundfolien. Broockmann Karl, Schnell Rolf). Kunststoffe, 1956, 46, № 6, 244—249. Carl Hanser Zeitschriftenverl. G. m. b. H., München (нем.; рез. англ., франц., исп.)

Описаны свойства и методы испытания алюминиево-пластмассовой фольги, а также слоистого материала, состоящего из: поливиниловая пленка — алюминиевая фольга — поливиниловая пленка — ткань; поливиниловая пленка — алюминиевая фольга — полиэтиленовая пленка — ткань; полиэтиленовая пленка — алюминиевая фольга — ткань. Даны способы нанесения пластмасс на алюминиевую фольгу (дисперсий, распыла, порошка или органозолей), их сцепка между собой (горячим прессованием, посредством клеев), а также методы герметизации термопластич. упаковки (обыкновенным прогревом, тепловым импульсом, ВЧ-токами). Кроме упаковки пищевых продуктов, эти материалы применяются для упаковки хим. и фармацевтич. продуктов и ценных металл. деталей, а также для изготовления спец. конденсаторов и светящихся вывесок.

С. Иофе
6394. Пластирив-мел. Строительный, отделочный и конструкционный материал. (Il plastiriv-mel. Nuovo materiale per l'edilizia, per l'arredamento e per le costruzioni civili.—), Riv. RIV, 1953, 1, № 3, 15—24 (итал.; рез. англ., нем., франц., исп.)

Слоистый пластик «пластирив-мел» (I) состоит из внутренних слоев длиноволокнистой целлюлозы, пропитанных фенольной смолой, и наружных слоев из целлюлозы, пропитанной меламиновой смолой и покрытых практически чистой меламиновой смолой (общая толщина наружных слоев 0,3—0,5 мм). I выпускают толщиной 1,5—5 мм, с твердостью от 60 до 110 по Викерсу (нагрузка 1 кг), уд. в. 1,42, пределами прочности (кг/см^2): на растяжение 1300, изгиб 1500, сжатие 3200 с уд. ударной вязкостью ($\text{кг}\cdot\text{см/см}^2$) 40 (до 50), твердостью по Роквеллу (шкала F) 65, водопоглощением за 24 часа 0,5—1%; I выдерживает длительное воздействие т-р 100—120°. I применяют для отделки торговых помещений, изготовления мебели (кресла для вагонов трамвая) и жилищ (гарнитуры спальни), кухонного оборудования и др. I приклеивают столярным или синтетич. клеем с предварительной подго-

товкой тыловой поверхности листов (промыывание бензином и абразивная обработка).

Л. Песин
6395. Линолеум. Баев (Линолеум. Баев К. Р. Хр.), Строительство, 1956, 3, № 7, 26—28 (болг.).

Дана характеристика сырья, применяемого для изготовления линолеума (I). Описана технология производства I и свойства I.

Л. Песин
6396. Изготовление пенопластов из поливинилхлорида и их применение. Часть 1, 2. Миямура (エラストマー法による硬化ビニルフォームについて. 1, 2. 宮村信行), Раба дайдзусо, Rubber Digest, 1957, 9, № 2, 2—12; № 3, 39—50 (японск.).

Часть 1. Пенопласты (II) из поливинилхлорида изготавливали методом, применяемым для получения поливинилхлоридных эластомеров. Приведены физ.-мех. свойства II и области применения.

Часть 2. Описаны основные хим. свойства II и рассмотрено применение их для изготовления сидений в автомашинах, пассажирских вагонах, мебели и других изделий. Библ. 31 назв.

В. Иоффе
6397. Роль клеев в промышленности. Бадли (The role of adhesives in industry. Badley S. R.), Trans. and J. Plast. Inst., 1956, 24, № 58, 337—345 (англ.).

Обзор свойств и применения в промышленности животных, растительных, каучуковых, казеиновых и синтетических (термореактивных и термопластичных) клеев.

Л. Песин
6398. Успехи в области клеев и склеивания. Марра (Developments in glues and gluing. Magra Alan A.), Forest Prod. J., 1956, 6, № 2, 54—57 (англ.).

Наибольшее применение для изготовления клеев для древесины имеют: поливинилацетатные (I), фенольные (II), резорциновые (III), мочевиновые (IV) и меламиновые (V) смолы. II — клеи горячего отверждения обладают наибольшей атмосферостойкостью, III — холодного отверждения, применяют обычно для склейки крупногабаритных узлов, V по своей атмосферостойкости сравним с II и III, но менее стоек к длительной экспозиции при повышенных т-рах. IV применяют в чистом виде или наполненные мукой, швы из IV достаточно прочны, даже будучи выдержаны в воде при $\sim 20^\circ$, но частично теряют прочность в условиях повышенной влажности и повышенных т-р. В последнее время применяют: смеси клеев IV и V, значительно повышающих атмосферостойкость чистыми IV; смеси II с соевой мукой; улучшенный клей из I путем сополимеризации и смешения с IV; усовершенствованный клей на основе IV путем модификации латексом (уменьшается время выдержки в зажимном приспособлении, клеевой шов получается более эластичным) или фуриловым спиртом (улучшается смачивание, уменьшается тенденция к растрескиванию клеевого шва); клеи на основе эпоксидных смол. Для более надежной оценки прочности и стабильности клеевого шва разработан ряд новых методов испытания, в частности определение уд. ударной вязкости клеевых швов при низких т-рах, холодной текучести швов, стойкости к старению при переменных циклах и др. В технологии склейки все большее распространение получает ВЧ-нагревание.

Л. Песин
6399. Водостойкость и стойкость к растворителям клеевых швов в склеенном металле. Бурштын (Wasser- und Lösungsmittelbeständigkeit von Metallverklebungen (vorläuf. Mitt.). Bursztyn I.), Plaste und Kautschuk, 1956, 3, № 11, 261—262 (нем.).

Испытаны прочности клеевых швов из карбинольного клея, эпоксидных смол (ЭС), поливинилбутирала и фенолформальдегидных смол (ФС), совмещенных с поливинилбутиралем, и ФС, совмещенной с поливинилформалем (П) после одного месяца выдержки в воде (дистил. и морской) и в 6 р-рителях. Лучшие результаты получены с ЭС горячего отверждения —

прочность клеевого шва почти во всех средах не изменилась (исключение составляет морская вода, в которой отмечено некоторое понижение прочности), а также с одним из типов П. Для большинства смол морская вода оказалась одной из наиболее агрессивных сред.

Л. Песин
6400. Зависимость прочности склейки от вязкости фенолформальдегидных смол различной конденсации. Содхи (Die Abhängigkeit der Bindfestigkeit von Phenol-Formaldehyd-Harzen verschiedener Kondensationsstufen von der Viskosität. Sodhi Jagdip Sing), Holz Roh- und Werkstoff, 1956, 16, № 8, 303—307 (нем.).

При исследовании 4 образцов фенольных смол, полученных по одинаковой рецептуре и отличающихся различной длительностью конденсации, установлено, что при увеличении глубины конденсации прочность склейки возрастает. Так при вязкости 4000, 6000, 8500 и 12000 *спуз* прочность склейки образцов из смол составляла соответственно 54, 67, 78 и 88 кг/см^2 и бука — 48, 75, 95 и 115 кг/см^2 .

Л. Песин
6401. Клеи на основе меламиновых смол для склейки древесины. Энциенбергер (Colles aux résines de mélamine pour l'industrie du bois. Enzensberger Walter), Transform. bois, 1956, 11, № 1, 6—7, 9—12, № 2, 45—46, 49—53 (франц.).

Описаны свойства меламиновых смол и клеев на их основе. Клеевые швы (КШ) меламиновых клеев (МК) выдерживают многонедельное кипячение в воде без снижения их прочности. В качестве наполнителя к МК применяют крахмал, при этом КШ получается более эластичным и достаточно водостойким. Оптимальная влажность древесины, применяемой для склейки МК 5—13%, расход МК 130—200 г/м^2 (в расчете на легкий клей), давление при прессовании 5—8 (для смолистых и мягких пород) до 15—20 кг/см^2 (для твердых пород). МК применяют в качестве добавки к клеям на основе мочевиновых смол в кол-ве 20—30%, что обеспечивает получение КШ, стойкого к действию кипящей воды. В последнее время отверждение МК производят с помощью ВЧ-прогрева. Приведены характеристики марок меламиновых смол, выпускаемых промышленностью.

Л. Песин
6402. Пленочные клеи для мебельной промышленности. Плотникова Г. П., Миркович Р. А., Забродкин А. Г., Деревообработ. пром-сть, 1956, № 7, 7—9

Получен пленочный клей (ПК) путем пропитки спец. бумаги р-ром мочевиномеламиноформальдегидной смолы (ММФС) и последующей сушки ее в пропиточно-сушильном агрегате с наклонным транспортером. ММФС синтезировали при мол. соотношениях между мочевиной (I) и меламином (II) 1:0,096 до 1:0,024 или непосредственно из I без введения II. Кол-во формалина составляло $\sim 1,5$ моль на 1 моль I и ~ 3 моль на 1 моль II. В качестве катализатора применяли уротропин. В начальной стадии процесса рН среды равнялся 7,5—8, в конце р-ции конденсации $\sim 6,5$. Конденсацию проводили при 70° в 1-й стадии и при 85° во 2-й. Продолжительность каждой стадии ~ 20 мин. Описаны технологич. процесс пропитки и сушки ПК, основные параметры реакции склеивания, результаты физ.-мех. испытаний пленки, склеенной пленкой и преимущества применения ПК.

Н. Левина
6403. Термопластичные материалы и их значение в электротехнической промышленности. Странд (nyere termoplastiske materialers betydning for elektrotekniske industri. Strand Sverre), Tekn. ukebl., 1957, 104, № 2, 21—26 (норв.).

Обзор физ.-мех. свойств основных типов современных термопластов. Описаны методы переработки и

дана и применение в электротехнике полистирола, полиэтлена, поливинилхлорида, полиамидов, фторполимеров, полиметилметакрилата, эфиров целлюлозы и полиагидтерепфталата.

Л. Песин
6404. Физические, химические и электрические свойства полимеров этилена «марлекс». Джонс, Бек, Кларк (Physical, chemical and electrical properties of Marlex ethylene polymers. Jones R. Vernon, Boeke Paul J., Clark Walter R.), Wire and Wire Prod., 1956, 31, № 6, 661—662, 717—719 (англ.)

Полимер этилена «марлекс 50» (I) получен при низком давлении и отличается по своим свойствам от полиэтлена высокого давления (II) и от полиэтлена, полученного по способу Циглера (III). I по сравнению с II и III обладает наибольшими плотностью (0,96), степенью кристалличности (до 95%), относительной жесткостью (4), т-рой размягчения (127°), прочностью на разрыв (300 кг/см²), стойкостью к истиранию и наименьшими удлинением (28%) и уд. ударной вязкостью. Облучение одной и той же дозой энергии оказывает на I меньшее влияние, чем на II. Приведены рекомендации применения I для изоляции проводов и кабелей. Недостаток покрытия из I — образование трещин после нескольких часов выдерживания под нагрузкой при т-ре 121°, который устраняется в лабор. условиях тремя путями: кондиционированием; введением в I других смол; применением сополимеров I. Поведение I под действием р-рителей аналогично поведению других полимеров этилена; для защиты от окисления при повышенных т-рах и от фотоокисления при нормальных условиях применяются антиокислители и газовая сажка. I мало проницаем для газов (H₂, CO₂, O₂, H₂O) и жидкостей (спиртов, кетонов, сложных эфиров и т. д.). Электрич. свойства I аналогичны свойствам II за исключением несколько более высокой диэлектрич. проницаемости.

С. Шишкин
6405. Производство облученного полиэтлена. Адамс (Irradiated polythene production. Adams J. C.), Electr. Times, 1956, 130, № 3377, 165—167 (англ.)

Хайрад (I) получен обработкой полиэтлена (II) мощным потоком электронов. I можно применять в электронных схемах для изоляции проводов и кабелей и изготовления деталей электронного оборудования. При облучении изоляции провода из II, последняя для максим. использования энергии радиации проходит в потоке электронов дважды над роликами и под роликами через все уровни интенсивности радиации и, кроме того, медленно вращается вокруг своей оси, что обеспечивает однородность материала. Доза необходимого облучения устанавливается контрольными опытами. I имеет уд. объемное сопротивление ~ 10¹⁹ ом. см, прочность на разрыв выше, чем у обычного II, диэлектрич. проницаемость 2,3 до т-ры 150°, диэлектрич. потери < 0,0005, повышенную стойкость к углеводородным р-рителям, устойчив к растрескиванию и не обладает текучестью на холоду, не коробится при температурных колебаниях. В инертной атмосфере I может работать до 350°, при т-ре ~ 450° наступает разложение, но продукты деструкции не токсичны и не вызывают коррозии. Электрич. прочность I ~ 40 кВ/мм при толщине 0,25 мм и ~ 28 кВ/мм при толщине 1,14 мм. Перед облучением II наносится на проводник или в виде твердого материала, или в виде порошка, после облучения провод экранируется. Приведены свойства монтажных проводов, изолированных I. I можно применять также для изготовления труб для горячей воды, пара низкого давления, углеводородов, к-т, соляных р-ров.

С. Шишкин
6406. Применение гостафана в электропромышленности. Андерс (Hostaphan für die Elektroindustrie.

Anders Heinz), Maschinenmarkt, 1956, 62, № 68, 6—7 (нем.)

Гостафан (I) (пленочный материал на основе гликолевых эфиров терефталевой к-ты) обладает высокими электроизолирующими свойствами и хорошей нагревостойкостью. После 4-месячного выдерживания при 130° I не обнаружил хрупкости и лишь несколько снизил удлинение при разрыве, а при меньших механич. нагрузках устойчив и при более высокой т-ре. I можно применять для изоляции электрич. машин, аппаратов, трансформаторов и проводов, а также в композиции с прессшпаном, асбестовой или стеклянной бумагой. При изолировании обмоточных проводов пленка из I конкурирует с эмальными, так как не имеет пор. По диэлектрич. потерям ($\tan \delta = 4 \cdot 10^{-3}$) и диэлектрич. проницаемости ($\epsilon = 3,2$) пленка уступает некоторым другим диэлектрикам, однако превосходит их по нагревостойкости и может применяться в конденсаторостроении, в частности в сочетании с Al-фольгой. Пленка имеет высокую электрич. прочность (160 кВ/мм при толщине 40 м) и поэтому может применяться в виде очень тонких слоев. I обладает хорошими технологич. свойствами и высокой прочностью на надрыв, большим удлинением при разрыве, хорошим сопротивлением изгибу, морозостойкостью, устойчивостью к действию р-рителей и хим. реагентов, малой водопоглощаемостью.

С. Шишкин
6407. Формованные эпоксидные смолы. Свойства и применение в электротехнике. — (Ethoxylene resin moulding. Properties and electrical applications. —), Electr. Rev., 1956, 159, № 6, 241—242 (англ.)

«Этокс» (I) — эпоксидная смола с наполнителем, не создает проводящих мостиков и может применяться в конструкциях дугогасящих и переключающих устройств. Водопоглощаемость I < 1% после выдержки 1 год при 40° без снижения механич. прочности. I применяется для герметизации трансформаторов тока (напр. на 11 кВ), полностью удовлетворяя требованиям к применяемому для этой цели изоляционным материалам. Стойкость эпоксидных смол к 32%-ной аккумуляторной H₂SO₄ позволяет применять их для произ-ва прозрачных аккумуляторных ящиков. Эти смолы полностью устойчивы к минер. маслу при 50°, к соляному туману. Выдержка в атмосфере промышленных газов свыше 3 лет не снижает прочности на изгиб. Хорошая адгезия смолы к меди, латуни, алюминию позволяет применять ее для маслoneпроницаемых проходных изоляторов на напряжение до 15 кВ. Достаточная механич. прочность смолы сохраняется при т-рах до 120°.

С. Шишкин
6408. Усовершенствование слоистых фенопластов, применяемых для изготовления реле. Огава, Накано, Коминэ (Improvement of phenolic laminates sheets for relay. Ogawa Tateo, Nakano Hazime, Komine Akio), Repts Electr. Commun. Lab., Nippon Telegr. and Teleph. Public Corp., 1956, 3, № 11, 51—54 (англ.)

К слоистым фенопластам (СФ) для электрич. реле предъявляют повышенные требования, в особенности, к постоянству размеров при расширении и сокращении материала под влиянием влаги. Установлено, что это изменение размеров реле при ~ 20° определяется, в основном, взаимодействием между смолой и бумажной основой (БО) в СФ. Приведены требования, предъявляемые к фенольной смоле и к БО, а также данные о текучести смолы в зависимости от ее концентрации и т-ры; показана зависимость постоянства размеров СФ от текучести смолы и качества БО.

С. Иофе
6409. Формы для литья пластмасс под давлением. Райт, Фанк (Plastic injection molds. Wright John P., Funke Bertil T.), Amer Machinist, 1956, 100, № 10, 137—152 (англ.)

Рассмотрены вопросы конструирования и изготовления форм для литья пластмасс под давлением: выбор линии разреза; расположение гнезд формы; выбор толкающей системы и рекомендации по устройству толкающих шпилек; гравировка оформляющих частей формы; система водяного охлаждения; вентиляция форм. Приведены данные по допускам для деталей из пластмасс и величины усадки для полистирола, полиэтилена, целлюлозы, нейлона. Отмечено, что для нейлона наиболее надежно определять усадку опытным путем. Даны практич. указания по конструированию различных типов литников и рекомендации по выбору и обработке сталей для форм в зависимости от типа полости для оформления изделия. Рассмотрено устройство отдельных узлов и целых форм на ящик радиоприемника, воздушный диффузор, текстильную шпильку, детали с внутренней и наружной резьбой, с автоматич. отрывом литника. В. Лапшин

6410. Промышленность пластмасс и прессформы, изготовленные электроформованием. — (プラスチック工業とエレクトロ・フォーミング金型), プラスチックス, Пурасутиккусу, Japan Plastics, 1956, 7, № 6, 48—49 (японск.)

Приведена краткая характеристика металлич. прессформ, изготовленных методом электроформования и применяемых для переработки различных пластич. масс. В. Иоффе

6411 К. Виниловые полимеры. Шилдкнехт Перев. с англ. (Polimery winylowe. Schildknecht C. E. Tlum, z angielsk. Warszawa, Państw. Wydawn. Techn., 1956, 722, 1 nlb. s., il., 74 zł) (польск.) См. РЖХим, 1957, 62076.

6412 К. Армированные пластики. Изак, Лапорт (Les plastiques armés. Uzac Roger, Laporte François. Paris, Dunod, 1957, XXIV, 335 p., ill., 3.300 fr.) (франц.)

Подробно см. РЖХим, 1957, № 22, стр. 416.

6413 К. Обработка и сварка пластмасс. Винидур, децелит и игелит. Практические вопросы и их решение. Шрадер Перев. с нем. (Zpracování a svařování plastických hmot. Vinidur, decelit a igelit. Praktické problémy a jejich řešení. Schrader Werner. Z něm. orig. Praha, SNTL, 1956, 282 s., 9.98 Kčs.) (чешск.)

6414 П. Коагуляция полимеров (Coagulating polymers) [N. V. de Bataafsche Petroleum Maatschappij]. Австрал. пат. 200615, 9.02.56

Коагуляты полимеров ненасыщ. олефиновых соединений обрабатывают в прессе во влажном состоянии. Вода отжимается, а полимер затем измельчают.

Ю. Васильев

6415 П. Окись никеля и гидрид щелочного металла, как катализатор для полимеризации этилена. Феллер, Филд (Nickel oxide and alkali hydride catalyst for ethylene polymerization. Feller Morris, Field Edmund) [Standard Oil Co.]. Пат. США 2717888, 13.09.55

Твердый полимер получают полимеризацией этилена при 25—250° на катализаторе, полученном добавлением 0,1—20 вес. % (от Ni) гидрида щел. металла к NiO/C-катализатору. Ю. Васильев

6416 П. Полимеризация этилена с катализатором из NiO и гидрида бора. Феллер, Филд (Polymerization of ethylene with a nickel-oxide and metal borohydride catalyst. Feller Morris, Field Edmund) [Standard Oil Co.]. Пат. США 2717889, 13.09.55

Твердый полимер получают при контакте этилена с катализатором, приготовленным добавлением гидрида В, способного реагировать с водой при т-ре поли-

меризации с выделением H₂, к катализатору, состоящему из NiO/C. Полимеризацию проводят при 25—250°. Ю. Васильев

6417 П. Изготовление полиэтиленовой пленки. Хемперли, Смит (Polyethylene film manufacture. Hemperly William F., Smith Nelson R.) [Union Carbide and Carbon Corp.]. Канадск. пат. 520122, 27.12.55

Пластичную пленку, состоящую из твердого полиэтилена, имеющего средний мол. в. ≥ 15000 , небольшого кол-ва смазки и ингибитора окисления, получают, пропуская полимер через нагретые валы каландра при т-ре выше т-ры размягчения. Полученный лист толщиной $\geq 0,1$ мм снимают в направлении по касательной вниз с последнего вала каландра, вытягивают его в длину при той же т-ре (130—140°) для уменьшения толщины и быстро охлаждают растянутую пленку погружением в неастворяющую жидкость, имеющую т-ру $< 80^\circ$. Ю. Васильев

6418 П. Ускорение натриевой полимеризации. Гамсон, Нелсон (Accelerating sodium polymerizations. Gleason Anthony H., Nelson Joseph F.) [Esso Research and Engineering Co.]. Пат. США 2732412, 24.01.56

Смесь 75—85% бутадиена и 25—15% стирола полимеризуют в присутствии 50—500 вес. ч. (на 100 ч мономеров) углеводородного р-рителя и 1—100 вес. ч. простых алифатич. эфиров, содержащих 4—8 атомов С (напр., диоксана, диэтилового эфира, метили этилдиоксана). Р-цию проводят при 40—95°, применяя в качестве катализатора 1,2—8 ч. тонкодиспергированного Na. При замедлении полимеризации (при $\sim 40\%$ -ной конверсии) в смесь вводят 0,1—1,5% металлич. К, который резко ускоряет процесс. В полимеризующейся смеси может также присутствовать до 0,3 вес. ч. изопропилового спирта. С. Басс

6419 П. Модификаторы полимеризации и способ полимеризации моновинилароматических соединений (Polymerization modifiers and method of polymerizing monovinyl aromatic compounds) [Dow Chemical Co.]. Англ. пат. 725869, 9.03.55

Ненасыщенные моноолефиновые соединения, содержащие $\geq 85\%$ моновинилароматич. производных, полимеризуют в присутствии 0,001—5% ненасыщ. димера α -метилстирола (I), а также димеров замещ. I. Исходными мономерами являются стирол и его замещ. в ядре, *o*-, *m*- или *p*-этилвинилтолуол, винилфталлин и их смеси. Вторым сополимеризующимся в-вом может быть винил- или винилиденхлорид, этилакрилат, метилметакрилат, акрилонитрил, винилацетат, метилизопропенилкетон и α -метил- или *n*-метил- α -метилстирол. Модификатор вводят до или в процессе полимеризации. Эти модификаторы (получены см. пат. США 2429719) используют в виде смеси с I или 2-пентеном, которая может также содержать насыщ. димеры (производные индана). Полимеризацию осуществляют в блоке в присутствии обычных органич. перекисей или в водн. эмульсии в присутствии H₂O₂, K₂S₂O₈ или (NH₄)₂S₂O₈. Полимер коагулируют действием NaCl, Al₂(SO₄)₃ или HCl. Б. Киселев

6420 П. Композиции для формования. Слай (Moulding composition. Sly G.). Австрал. пат. 166742, 16.02.56

Композицию из полистирола (I), пригодную для изготовления грампластинок, получают размолом частиц карбонунда и (или) карбида В с малым кол-вом I для сглаживания острых углов частиц, после чего вводят в смесь остальное кол-во I. Ю. Васильев

6421 П. Сополимеры трифторхлорэтилена (Trifluorochloroethylene copolymer) [Firestone Tire & Rubber Co.]. Англ. пат. 728557, 20.04.55

Сополимеры, используемые в виде пленок, покрытий или при изготовлении химстойких изделий (труб, прокладок, плиток и т. п.), получают сополимеризацией смеси, состоящей из 75–95% трифторхлорэтилена и 5–25% винилхлорида, в водн. эмульсии в присутствии инициаторов (H_2O_2 , KBO_3 , $(NH_4)_2S_2O_8$, перекиси ацетила, перуксусной или пербензойной к-ты), ионов многовалентных металлов и восстановителя. Часть винилхлорида присутствует в смеси мономеров с начала полимеризации, часть вводится в ходе процесса. Эмульгатором могут быть олеинат Na, стеарат K, алкилсульфаты и -сульфонаты Na, содержащие 8–22 атома C, Na-сульфонаты ароматич. и алкилированных ароматич. соединений, содержащих 8–22 атома C, или ди-(2-этилгексил)-сульфосукцинат. Полимеризацию можно также проводить в блоке или в р-ре, напр. в среде фторуглеродов или фторхлоруглеродов. Сополимеры растворимы в циклогексаноле, толуоле, бутилацетате, хлороформе, этилендиол-этере и могут быть пластифицированы соволом, ацетилированным метилтриолеатом или ди-(3,5,5-триметилгексил)-дигликолятом.

6422 П. Получение поливинилхлорида для пластмасс сушкой распылением. **Фурман** (Spray-drying process for making plastisol grade vinyl chloride polymers. **Fuhrman Albert W.**) [United States Rubber Co.]. Пат. США 2721859, 25.10.55

Поливинилхлорид, используемый для произ-ва пластмасс, получают сушкой распылением отдельных порций поливинилхлоридного латекса при различных температурах в пределах от 93 до 287° с интервалами по крайней мере в 5°. Высушенный материал тонко размалывают до среднего размера частиц 5–15 м и смешивают так, чтобы каждая порция порошка, полученная сушкой при той или иной т-ре, входила в смесь в кол-ве $\geq 20\%$.

Ю. Васильев
6423 П. Полимеризация виниловых соединений. **Суйма, Вада** (ビニル化合物の重合方法. 陶山英成, 羽田育三) [三菱レイヨン株式会社, Митсубиси райён кабусики кайся]. Японск. пат. 5540, 2.09.54

Винилацетат (I) и метилметакрилат (II) полимеризуют в присутствии перекиси о-метоксibenзоила (III). Напр., к 100 г I добавляют 150 мл воды и 0,23 г III и полимеризуют в суспензии при 70° в течение 17 мин. Полученный поли-I со средней степенью полимеризации 4520 омыляют обычным методом, получая поливиниловый спирт со степенью полимеризации 1620. При добавлении 0,12 г III и проведении полимеризации в суспензии при 60° в течение 45 мин. получают поли-I со степенью полимеризации 10 000. При полимеризации II в присутствии 0,0004 моль I при 50° выход поли-II составляет 90%. **В. Иоффе**

6424 П. Растворы полиакрилонитрила в смеси этиленкарбоната и воды. **Джонс, Тодд** (Compositions of matter comprising acrylonitrile polymers dissolved in mixtures of ethylene carbonate and water. **Jones Evan Islwyn, Todd Stanley Minor**) [Imperial Chemical Inds Ltd.]. Пат. США 2734041, 7.02.56

Полиакрилонитрил или его сополимеры с виниловыми производными (напр., с винилпиридином) растворяют в смеси, содержащей $> 60\%$ этиленкарбоната (I) в воду. Можно также предварительно смешать полимер с водой и растворить в горячем I. Напр., 20 ч. измельченного полиакрилонитрила смачивают 45 ч. воды при $\sim 20^\circ$; смешивают 135 ч. I с 0,27 ч. солициловой к-ты; нагревают при сильном перемешивании до 70° и вводят влажный порошок полимера, который быстро диспергируется и растворяется. Р-р нагревают до 95° и мешают 30 мин. при 95–100° до получения прозрачного гомог. р-ра, имеющего вязкость (по

падению шарика) 59 пуаз при 88° и пригодного для прядения волокна или изготовления пленки.

Ю. Васильев
6425 П. Полимеры акрилонитрила, стабилизированные N-алкилоксиацетамидами (Acrylonitrile polymers stabilized with certain N-alkyl hydroxyacetamides) [Dow Chemical Co.]. Англ. пат. 739644, 2.11.55

Полиакрилонитрил или его сополимеры с метилакрилатом, изобутиленом, винилацетатом, винилхлоридом или винилпиридином, а также его тройной сополимер с изобутиленом и аллиловым спиртом (все сополимеры содержат $\geq 60\%$ связанного акрилонитрила) стабилизируют введением 1–20% одного из соединений: N,N-диметил- или N,N-диэтилоксиацетамида; N-этилоксиацетамида, и N-этил-N-метилоксиацетамида. Напр., при стабилизации сополимера акрилонитрила с изобутиленом стабилизатор вводят в ацетоновый р-р, после чего отливают пленки.

А. Дабагова
6426 П. Смеси смол (Resinous compositions) [Distillers Co., Ltd.]. Англ. пат. 731545, 8.06.55

Композиция для получения волокна и пленки состоит из смеси полиакрилонитрила (или сополимера, содержащего $\geq 85\%$ акрилонитрила) и $\leq 10\%$ неотвержденного растворимого эпоксидного производного фенола. Эпоксидное производное получают этерификацией низкомолекулярного продукта конденсации фенола производными многоатомного спирта, содержащего по крайней мере один реакционноспособный атом галоида и ≥ 1 эпоксигруппы. Эти в-ва (напр., эпихлоргидрин, эпибромгидрин, α - или β -дихлор- или дибромгидрин глицирина) могут взаимодействовать с фенольной OH-группой в щел. среде с образованием простой эфирной связи. Сополимеры акрилонитрила получают, используя в качестве второго компонента акриловой, метакриловой, малеиновой или итаконовой к-ты, их эфиров, нитрилов или амидов, винилацетата или бензоата, винилалкилкетон, простых виниловых эфиров, винилиденгалогенидов и винилпиридина. Эпоксипроизводные синтезируют из продуктов конденсации фенола, крезолов, ксиленолов, *n*-трет-бутил-, *n*-амил-, *n*-н-октил-, или *n*-н-нонилфенолов с низшими алифатич. альдегидами или кетонами. Композицию готовят, растворяя полиакрилонитрил и эпоксипроизводные в диметилформ- или -ацетамиде, этиленкарбонате, N-метил-2-пирролидоне, γ -бутиролактоне, N,N-диметилметокси- или N,N-диметилцианацетамиде, диметилцианамиде, этиленциангидрине и других, обычных для полиакрилонитрила р-рителях.

В. К.
6427 П. Способ крашения (Dyeing process) [Distillers Co., Ltd.]. Англ. пат. 731056, 1.06.55

Пленки и волокно на основе полимеров, содержащих $> 85\%$ связанного акрилонитрила (напр., из полиакрилонитрила или его сополимеров), окрашивают, предварительно смешивая исходный полимер с $< 10\%$ плавкой, растворимой фенолальдегидной смолы. Полученную смесь полимеров превращают в изделия и окрашивают их обычными способами. Фенолальдегидную смолу получают при конденсации фенола (крезола, ксиленола, *n*-трет-бутилфенола, *n*-октилфенола или резорцина) с формальдегидом, ацетальдегидом или пропиональдегидом. Смесь полимера со смолы получают при конденсации фенола с альдегидом в водн. эмульсии полимера или при растворении компонентов в общем р-рителе (диметилформ- или -ацетамиде, диметилметокси- или диметилцианацетамиде, диметил- β -цианопропионамиде, этиленкарбонате, γ -бутиролактоне, N-метил-2-пирролидоне, диметилцианамиде, малонитриле, этиленциангидрине, тетраметилсульфоне, N-формилпирролидоне N-формилморфолине или N,N-тетраметилфосфонамиде).

В. К.
6428 П. Полиэлектролиты на основе сополимеров винилароматических соединений и алкилвинилпир-

диниевых производных. Кларк (Polyelectrolytes comprising copolymers of vinyl aromatic compounds and compounds containing alkyl vinyl pyridinium. Clarke John T.) [Ionics, Inc.]. Пат. США 2732350, 24.01.56

N-алкилвинилпиридиниевую соль полимеризуют вместе с винилароматич. соединениями в среде р-рителя до образования растворимых или нерастворимых полимеров. Исходными в-вами служат стирол, винилтолуол, хлорстирол, α-метилстирол или п-метил-α-метилстирол и винилпиридиниевые соли ф-лы $[\text{CH}_2=\text{CHC}_5\text{H}_4\text{NR}]\text{X}$, где R — алкил (напр., CH_3) и X — анион (напр., SO_4 , Cl, Br). Полимеризацию проводят в р-рителе при 20—150° (лучше при 60—110°). Нерастворимые полимеры получают при сополимеризации алкилвинилпиридиниевой соли с дивинилбензолом, диизопропенилбензолом или другими ароматич. соединениями, имеющими 2 или несколько винильных групп, связанных с ароматич. ядром. Кол-во р-рителя при сополимеризации составляет 20—70 об. %. Соотношение компонентов составляет 2—8 молей соли на 1—9 молей винильных групп винилароматич. соединения. Линейные полимеры обладают бактерицидными свойствами и применяются в качестве антисептиков, бактерицидных пленок и коагулянта для отрицательно заряженных коллоидов. Сшитые полимеры обладают отличными ионообменными свойствами и используются для получения гранулированных анионообменных смол или мембран для электродиализа с избирательной проницаемостью для анионов. Мембраны могут содержать 20—70% сольватирующей жидкости и наполнителя. Б. Киселев

6429 П. Полимеры N-алкил-N-винилбензамидов. Морнер, Лонгли (Polymers of N-alkyl-N-vinylbenzamides. Morner Richard, Longley Raymond I., Jr.) [Monsanto Chemical Co.]. Пат. США 2717886, 13.09.55

Патентуется полимер • N-алкил-N-винилбензамида. Ю. В.

6430 П. Полимеры (Polymers) [Celanese Corp. of America]. Англ. пат. 728353, 20.04.55

Полимеры и сополимеры N-бензилакриламида с ненасыщ. этиленовыми соединениями (акрилонитрилом, метакрилонитрилом, метилакрилатом и метакрилатом или винилацетатом), применяемые для изготовления пленок и волокон, получают способом блочной, лаковой или эмульсионной полимеризации. Для проведения процесса используют, напр., водн. среду, которая может содержать в качестве р-рителя диметилформамид, инициатор ($(\text{NH}_4)_2\text{S}_2\text{O}_8$ или $\text{K}_2\text{S}_2\text{O}_8$) и восстановитель (Na_2SO_3 , $\text{Na}_2\text{S}_2\text{O}_5$, $\text{K}_2\text{S}_2\text{O}_5$ или SO_2). Для получения волокон и пленок применяют сополимеры, содержащие ≥ 50 мол. % акрилонитрила, в р-ре диметилформамида или в смеси диметилформамида по крайней мере с равным объемом нитрометана или циклогексанона. В качестве р-рителей можно применять этиленкарбонат (также в смеси с ацетонитрилом или нитрометаном), нитрометан (также в смеси с циклогексаном или ацетонитрилом) или муравьиную к-ту, в смеси с нитрометаном или диметилсульфоном. Выбор р-рителя или смеси р-рителей зависит от содержания акрилонитрила в полимере. Б. Киселев

6431 П. Полимеры N-ациламиноалкиламидных акриламидов. Дикки (Polymers of N-acylaminoalkyl acrylamide compounds. Dickey Joseph B.) [Canadian Kodak Co., Ltd.]. Канадск. пат. 519390, 13.12.55

Патентуется сополимер 1—99 мол. % в-ва общей ф-лы $\text{CH}_2=\text{C}(\text{R})-\text{CO}-\text{N}(\text{X})-\text{R}_1-\text{NH}-\text{A}$ и соответствующего кол-ва другого мономера. В ф-ле R — метил, этил, или ацилоксигруппа насыщ. жирной к-ты, содер-

жащей ≤ 4 атомов C; R_1 — насыщ. углеводородный бирадикал, имеющий 2—4 атома C; X — H, ацил или группа ф-лы $-\text{R}_1-\text{NH}-$; A — остаток насыщ. жирной к-ты или алкилсульфокислоты, имеющих ≤ 4 атомов C, остаток бензолкарбоновой к-ты, или бензолсульфокислоты. В качестве второго компонента служат винилацетат и др. (перечислено еще 30 соединений). В частности патентуются сополимеры 1—99 мол. % в-ва ф-лы $\text{CH}_2=\text{CH}-\text{CO}-\text{NH}-\text{C}_6\text{H}_4-\text{NH}-\text{A}$ (A — остаток алкилсульфокислоты, содержащей ≤ 4 атомов C) и 99—1 мол. % акрилонитрила, а также сополимеры (в тех же соотношениях) метилкетона и в-ва ф-лы $\text{CH}_2=\text{CH}-\text{CO}-\text{N}(\text{A})-\text{C}_6\text{H}_4-\text{NH}-\text{A}$, где A — остаток насыщ. жирной к-ты, содержащей ≤ 4 атомов C или остаток бензолсульфокислоты. С. Сосни

6432 П. Сополимеры винилхлорида, высших алкил-акрилатов и акрилонитрила. Вулф, Николай (Inherently processable interpolymers of vinyl chloride, a higher alkyl acrylate and an acrylic nitrile. Wolf Robert, Nicolay Anthony A.) [B. F. Goodrich Co.]. Канадск. пат. 519714, 20.12.55

Для получения сополимера полимеризуют в водн. эмульсии смесь мономеров, состоящую (в вес. %) из 35—90 (или 40—85) винилхлорида, 5—65 (или 10—50) алкилакрилата, в котором алкильная группа имеет 5—15 атомов C (напр., октил- или 2-этилгексил-акрилата) и 2—40 (или 2—30) акрилонитрила. С. Сосни

6433 П. Эпоксидные смолы, отверждаемые многоатомным алифатическим спиртом. Гринли (Epoxy resin cured with a polyhydric aliphatic alcohol. Greenlee Sylvan Owen) [Devco & Raynolds Co., Inc.]. Пат. США 2731444, 17.01.56

Отверждение происходит вследствие образования поперечных сшивок в результате взаимодействия OH-групп спирта с эпоксигруппами смолы. Соотношение между эпоксидной смолой и многоатомным спиртом (пентаэритритом, полиэтиленгликолем) может быть таким, что кол-во эпоксигрупп в эпоксидной смоле по крайней мере равно первичным OH-группам спирта. Кол-во спирта может также превышать содержание эпоксидной смолы; в этом случае продукт содержит еще не вступившие в р-цию эпоксигруппы и OH-группы спирта; при малом кол-ве спирта продукт содержит непрореагировавшие эпоксигруппы. Процесс взаимодействия смолы и спирта можно прерывать до окончания р-ции или завершать его в присутствии щел. катализатора до получения неплавкого и нерастворимого продукта. Применяемая эпоксидная смола является полиэфирным производным двукратного фенола, имеет концевые эпоксигруппы и не содержит иных функциональных заместителей кроме эпоксигрупп и алифатич. OH-групп. Многоатомный алифатич. спирт состоит только из атомов C, H и O и содержит ≥ 2 первичных спиртовых OH-групп. Напр., 626 ч. эпоксидной смолы с т. пл. 40—45° и эпоксисэквивалентом 313 нагревают с 136 ч. пентаэритрита при энергичном перемешивании и т-ре 250° до получения прозрачной пробы. Полученный продукт имеет т. пл. (по Дюррану) 95—100°, эпоксисэквивалент 995 и ацетильное число 470. После повторного нагревания в течение 1 час. при 240° продукт переходит в неплавкое, нерастворимое состояние. Б. Киселев

6434 П. Термореактивные полимеры стирола (Thermoset styrene polymers) [Canadian Industries (1954), Ltd.]. Англ. пат. 731946, 15.06.55

Термореактивные, неплавкие и нерастворимые полимеры получают сополимеризацией $\geq 0,05$ ч. винилпиридина со 100 ч. мономерной смеси, содержащей > 50 ч. стирола и ≥ 5 ч. акриловой или метакриловой к-ты. Сополимер затем нагревают при 100—150° с ди-

глицидным эфиром дифенилолпропана или с низкомолекулярным продуктом конденсации последнего с эпихлоргидрином, который содержит $\geq 7,5$ вес. % оксидных групп, имеет т. пл. $\leq 75^\circ$ и вязкость $\leq 1,65$ пуаз в виде 40%-ного р-ра в монобутиловом эфире этиленгликоля. Соотношение эпоксипроизводного и сополимера таково, что на каждую свободную COOH-группу приходится 1 эпоксигруппа. В сополимеризации могут быть введены также другие мономеры. Желательно, чтобы полимеризующаяся смесь содержала ≥ 15 ч. низших алкилакрилатов. Полимеризацию можно проводить в ксилоле или его смеси с толуолом в присутствии перекиси бензоила, гидроперекиси трет-бутила или их смеси. При нагревании с эпоксипроизводными в композицию можно добавлять пигмент (TiO_2) и применять эту смесь для покрытия металлич. поверхностей. С. Басс

6435 П. **Ароматические карбоновые кислоты, их производные и способ их получения** (Aromatic carboxylic acids and their derivatives and processes for preparing same) [N. V. de Bataafsche Petroleum Maatschappij]. Англ. пат. 730890, 1.06.55

Для получения линейных полимеров применяют ароматич. карбоновые к-ты, содержащие 3—12 ароматич. ядер, разделенных 2-валентными алифатич. группами, и имеющие ≥ 2 COOH-групп, связанных с разнотипными ядрами. Можно также применять эфиры, соли или амиды указанных карбоновых к-т, или продукты их гидрирования; некоторые из них используют в качестве стабилизаторов или пластификаторов. Многоядерные ароматич. к-ты используют для получения полиэфиров в сочетании с алиловым, метилловым, этилдиловым или хлораллиловым спиртом и 3-гексанолам. При нагревании полиэфиров с перекисью бензоила получают твердые прозрачные листовые материалы. Так, для получения смол используют полиэфиры из этиленгликоля и дибензилбензолдикарбоновой к-ты. В качестве пластификатора и стабилизатора для поливинилхлорида служат дигексилловый эфир дибензилбензолдикарбоновой к-ты или дикарбамиддибензилбензол. Соединения, применяемые в качестве пластификаторов, получают этерификацией к-т спиртами, диолами или триолами, содержащими 1—10 атомов С, или используют в качестве пластификаторов амиды и замещ. амиды, имеющие в качестве заместителя алкил, содержащий 1—12 атомов С. Со, Fe-, Mn- или Pb-соли используют в качестве стабилизаторов для поливинилхлорида. Б. Киселев

6436 П. **Способ получения сложных эфиров** (Method of forming esters) [Pittsburgh Plate Glass Co.]. Англ. пат. 737528, 28.09.55

Алкидные смолы переэтерифицируют по свободным OH-группам нагреванием с эфирами β -кетокислотных к-т (имеющими ≥ 1 атома Н в α -положении) и низших алифатич. одноатомных спиртов. Напр., смолу, полученную из соевого масла, пентаэритрита, глицерина и фталевого ангидрида нагревают с метилацетоацетатом и хлорируют полученный продукт. Аналогично, смолу из льняного масла, глицерина и фталевого ангидрида нагревают с метилацетоацетатом, после чего обрабатывают параформальдегидом, кротоновым альдегидом, акролеином, фурфуролом или ацетальдегидом. А. Дабагова

6437 П. **Модифицированные маслом алкидные смолы** (Oil-modified alkyd resins) [Berger & Sons Ltd, L.]. Англ. пат. 729590, 11.05.55

Указанные быстровысыхающие смолы дополнительно этерифицируют, добавляя от $\frac{1}{3}$ до $\frac{2}{3}$ необходимого для этерификации кол-ва ароматич. дикарбоновых к-т и нагревая смесь при $215-270^\circ$. После снижения кислотности до 0 уменьшают т-ру до $162-191^\circ$ и вводят от 100 до 300% (от веса к-т) ароматич. моновини-

ловых соединений. После окончания сополимеризации т-ру поднимают до $215-270^\circ$ и продолжают этерификацию, используя оставшееся кол-во к-т до тех пор, пока кислотное число не достигнет значений < 50 . Алкидные смолы получают из фталевого или нафталевого ангидридов или изофталевой, терефталевой, ортофталевой и дифеновой к-т и глицерина, пентаэритрита или дипентаэритрита. Смолы модифицируют (до степени полимеризации масла 5—10) льняным, соевым, сафлоровым или подсолнечным маслами, также обработанными многоатомными спиртами в присутствии PbO или CaO. В качестве моновинилароматич. соединений применяют стирол, α -метилстирол, винилтолуол, винилнафталин. В качестве катализаторов полимеризации могут быть использованы перекиси бензоила или трет-бутила и гидроперекись кумола. А. Жданов

6438 П. **Маслорастворимые полимеры** (Oil-soluble polymeric compounds) [Berger & Sons, Ltd, L.]. Англ. пат. 729424, 4.05.05

Алкидные смолы получают нагреванием поликарбоновой к-ты, многоатомного спирта и ненасыщ. монокарбоновой к-ты. Многоатомные спирты частично представляют собой арилполиоксипропиленовые эфиры и получают с р-цией алкиленгалоидгидринов или окисей алкиленов с фенолами (резорцином, гидрохиноном, пирокатехином, орсином, флороглюцином, пирогаллолом или оксигидрохиноном) или с многоатомными многоядерными фенолами (дифенилолпропаном), полученными при конденсации фенола или нафтаола с альдегидом или кетоном. Для получения смол, напр., используют бис-(β -оксиксиксиксифенил)-метан, бис-(оксипропоксипропоксифенил)-диметилметан и подобные в-ва. Для получения смол используют также насыщ. алифатич. дикарбоновые к-ты или их ангидриды, содержащие 4—36 атомов С, оксикислоты, циклич. к-ты и аддукты диеновых синтезов. В качестве одноосновных к-т применяют ненасыщ. к-ты высыхающих или полувсыхающих масел, также в форме полных или неполных эфиров многоатомных спиртов. Одноосновные к-ты могут быть полностью или частично заменены канифолью или талловым маслом. В состав реакционной смеси вводят этиленгликоль, глицерин или пентаэритрит. Полученные смолы можно смешивать с высыхающими маслами, другими синтетич. смолами, производными целлюлозы, пигментами, красителями или пластификаторами. Напр., глицерин нагревают с дегидрированным касторовым маслом в присутствии PbO, добавляя фталевый ангидрид, бис-(оксипропоксифенил)-диметилметан, ксилит и завершают р-цию, нагревая с обратным холодильником. Б. Киселев

6439 П. **Производство полимеризующихся полиэфиров** (Production of polymerized polyester resin materials) [Allied Chemical and Dye Corp.]. Англ. пат. 727566, 6.04.55

Пресскомпозиция содержит амфиболовые волокна, состоящие в основном из силикатов 2-валентных металлов, полимеризующиеся ненасыщ. полиэфиры на основе многоатомных спиртов и поликарбоновых к-т и жидкие полимеризующиеся мономеры, состоящие только из атомов С, Н, О. Отношение волокнистого наполнителя к полиэфире находится в пределах от 1:100 до 3:1, а отношение полиэфира к мономеру в связующем составляет 70—95 к 5—25. Полиэфиры получают р-цией малеиновой, фумаровой, итаконовой, цитраконовой или мезактоновой к-ты с двухатомными спиртами или р-цией насыщ. дикарбоновых к-т с многоатомными спиртами, содержащими 2 или 3 OH-группы и ~ 1 или 2 остатка алилового или метиллилового спирта, связанных простой эфирной связью с многоатомным спиртом. Приведен перечень используемых

мономеров. Полимеризацию инициируют перекисью бензоила и другими органич. перекисями или их смесью. Композиция содержит в качестве наполнителя волокна антофиллита, тремолита, актинолита, асбеста, а также каолина, целлюлозу, кварц, слюду, окиси, гидроксиды, алкогидраты или карбонаты Ca, Ba, Sr, Mg, Zn, Cd или Hg. Б. Киселев

6440 П. Производство самозатухающих формованных изделий (Production of self-extinguishing moulded articles) [Allied Chemical and Dye Corp.]. Англ. пат. 721341, 5.01.55

Термореактивная пресскомпозиция содержит Sb_2O_3 и ненасыщ. алкидную смолу, в которой кислотные остатки связаны с хлорированным бензольным ядром $\geq 20\%$ кислотных остатков содержат 2,3-евдиольные группы. Содержание Cl составляет 6–20% от органич. части композиции, а содержание Sb_2O_3 находится в пределах от 1% до 3х, где х — содержание Cl в %. Алкидную смолу получают из смеси, содержащей ≥ 20 мол. % малеиновой, фумаровой, итаконовой, цитраконовой или мезаконовой к-ты и моно-, ди-, три- или тетрахлорзамещ. фталевой, изофталевой или терефталевой к-ты. В качестве многоатомных спиртов используют гликоли от этилен- до декаметилеогликоля, моноацетат или моноформат глицерина, простые моноэферы глицерина или пентаэритрита. Часть дикарбоновых к-т можно заменить насыщ. алифатич. к-тами (от щавелевой до себазиновой), бензол-, нафталин- или циклогександикарбоновой к-той или резорциндиуксусной к-той. До 5 мол. % двуатомных спиртов можно заменить глицерином или пентаэритритом, так же как и до 5 мол. % дикарбоновых к-т можно заменить лимонной к-той. В смесь можно вводить ≤ 10 мол. % одноосновных к-т, одноатомных спиртов или смоляных к-т. Композиция может также содержать наполнитель — α-целлюлозу, каолин, обрезки ткани, хлопок, древесные или стеклянные волокна, пропитанные и покрытые азотсодержащими (меламиновыми или полиамидными) смолами. Пресскомпозиция содержит также полимеризующиеся мономеры — стирол, α-метилстирол, диаллил- и диметаллилтолилфосфат, диаллилтетрахлорфталат и подобные в-ва. Б. Киселев

6441 П. Получение смолотипных продуктов конденсации. Дейкстра, Йонге (Method of producing a resinous condensation product. Dijkstra Rinse, Jonge Jelis de) [Hartford National Bank and Trust Co.]. Пат. США 2735838, 21.02.56

Смолу фенолальдегидного типа получают смешением 1 моля фенола (I), 1 моля фурфурола (II) и $< 0,1$ моля щел. катализатора (гидроксиды щел. металлов, напр. $Ca(OH)_2$, NH_4OH , первичных аминов, напр. этилендиамина). Смесь нагревают до 120–170° в течение 3 час., добавляя катализатор в кол-ве, не превышающем суммарно 0,1 моля на 1 моль I. Р-цию заканчивают, когда отслаивается < 1 моля воды на 1 моль I. Напр., 2 моля I смешивают с 12 г воды, 1,8 моля II и 2,5 г $Ca(OH)_2$ в круглодонной колбе с мешалкой и холодильником. Смесь быстро нагревают до 100° и далее медленно, поднимая т-ру за 1 час до 160° и поддерживая ее до окончания р-ции. Через 30 мин. после поднятия т-ры до 100° вводят 1 г $Ca(OH)_2$ и повторяют эту операцию 3 раза через каждые 15 мин. После введения последней порции продолжают нагревание еще 1 час, затем выливают продукт р-ции в плоский сосуд. В р-цию вступает с выделением воды 0,77 моля II. В случае введения всего катализатора за один прием р-ция длится ~ 8 час. и дает вязкий, трудно перерабатываемый продукт. Ю. Васильев

6442 П. Продукты конденсации фенолов, альдегидов и аминов. Барр (Phenol-aldehyde-amine condensa-

tion products. Barr Eugene A., Jr) [Union Carbide Canada Ltd.]. Канадск. пат. 512579, 3.05.55

Термореактивная композиция состоит из термореактивной фенолформальдегидной смолы и обессмоленного плавкого продукта конденсации двуатомного фенола, незамещ. в орто- и пара-положениях, формальдегида и ароматич. амина ф-лы $ArNH_2$, где Ar — фенил, о- и п-дифенил или о- и п-толил (напр., анилина), взятых в мол. соотношении 1:3:3. Продукт р-ции не реагирует с гексаметилентетрамин, растворим в ацетоне и нерастворим в воде и спирте. Ю. Васильев

6443 П. Производство фрикционного материала (Production of friction material) [Raybestos-mantecan, Inc.]. Англ. пат. 721219, 5.01.55

Патентуется состав из коротких волокон асбеста, наполнителя и связующего, представляющего собой 50–80%-ный водн. р-р термореактивной, частично конденсированной фенолформальдегидной смолы, полученной со щел. катализатором. 50%-ный р-р можно разбавлять водой до соотношения 1 ч. р-ра на 3–8 ч. воды. Для изготовления смолы используют фенолы или их смеси, а также формальдегид или его полимеры из расчета 2,5 моля CH_2O на 2 моля фенолов. В качестве катализатора применяют 30–40%-ный водн. р-р NaOH или KOH. Напр., фенол и формальдегид загружают в аппарат, нагревают до 65°, добавляют в течение 1 часа 5 ч. р-ра каустич. соды, в результате чего т-ра поднимается и смесь закипает. В процессе р-ции отбирают пробы для определения степени конденсации по растворимости в воде; по достижении нужной степени конденсации р-цию прекращают. Далее смешивают 29,7 вес. ч. 53,3%-ного р-ра смолы, 42,2 ч. асбестовых волокон, 28,1 ч. фрикционного наполнителя (барита, PbO или графита), вводят в смесь смазку и ускорители отверждения смолы. Таблетированный материал выдерживают при ~ 20°, размазывают и раскатывают в виде лент, которые армируют сеткой из проволоки. Ленты затем режут на определенную длину и отверждают при 250°. В смолу можно добавлять р-р НК или СК в углеводородах. Б. Киселев

6444 П. Модифицированные диаминотриазинидные смолы и материалы на их основе. Лиденфейсер, Килтау (Modified diaminotriazine — aldehyde resinous compositions and products comprising the same. Lindenfeiser Richard Kilthau Martin Katherine) [American Cyanamid Co.]. Пат. США 2732325, 24.01.56

Композиция, применяемая для изготовления двуративных слоистых пластмасс, состоит из смеси жидкой термореактивной смолы на основе продукта взаимодействия альдегида (CH_2O) и 4,6-диаминотриазина (бензогуанамина, толугуанамина, фенилаэтилгуанамина, N,N-диаллилмеламина) и 10–50 вес. % поливинилового пластификатора — поливинилбутираля или частично гидролизованного поливинилацетата, содержащего 3,5–25% OH-групп. В состав композиции можно вводить отвердитель. Плавкую смолу получают при нагревании водн. CH_2O и 4,6-диаминотриазина, взятых в молекулярном соотношении 1:1–4:1, при pH 4–9 и 60–200° до получения гомогенного продукта конденсации, но прекращая процесс не ранее того, как будет получен продукт с пластичностью по методу «Cyanamid» 1,5–50%-ный спирт. р-р смолы при 20–25° стабилен в течение времени ≥ 5 час. Применяемый 4,6-диаминотриазин имеет незамещ. аминогруппы, связанные с атомами С в положении 4 и 6, и атом С в положении 2, связанный с ациклич. алифатич. углеводородным радикалом, содержащим 3–9 атомов С, циклич. алифатич. радикалом, аралкилом, арилом или с мо-

или диамещ. аминорадикалом, заместители в котором, связанные с атомом N, являются арилами или ациклич. алифатич. углеводородными радикалами. Полученную смолу используют для создания на слоистых декоративных пластиках твердого, прозрачного, абразивостойкого поверхностного слоя. Для получения диаминотриазинальдегидной смолы 18,7 ч. бензогуанидина, 16,2 ч. 37%-ного CH_2O и 0,06 ч. 2 н. NaOH кипятят при 94° в течение 3 час. 35 мин. После помутнения вводят еще 0,04 ч. 2 н. NaOH (рН смеси 8,1), снижают т-ру до 71°, вакуумируют при 500 мм рт. ст., постепенно повышая т-ру бани до 120° (не более 10 мин.). Готовую смолу охлаждают, измельчают и просеивают. 150 ч. полученной смолы, 50 ч. поливинилбутираля, содержащего 70% OH-групп и 0,4 ч. фталевого ангидрида растворяют в 200 ч. абс. спирта. Р-р наносят на облицовочную бумагу, пропитанную меламиноформальдегидной смолой, высушивают (содержание смолы в листе ~ 0,02 г/см², летучие 4,7%) и напрессовывают на слоистый пластик на основе фенолформальдегидной смолы. Б. Киселев

6445 П. Полиэфирные смолы, модифицированные комплексными металлофеноло-азотистыми соединениями. Уэйкфилд, Шульц, Ричардсон (Polyester resins modified with complex metal-phenol-nitrogen compounds. Wakefield Harold F., Schultz Sidney J., Richardson Stanley H.) [Union Carbide Canada Ltd]. Канад. пат. 512580, 3.05.55

Патентуется растворимый в феноле комплексный продукт р-ции, содержащий: 1) соль, окись или гидроксид многовалентного металла (напр., Cd) в качестве сиккатива; 2) фенол, не имеющий других реакционно-способных групп, кроме COOH-групп и фенольных OH-групп, в кол-ве ≥ 4 (или ≥ 3) фенольных OH-групп на 1 атом металла; 3) азотсодержащее соединение, имеющее замещаемый атом Н при азоте; к числу таких в-в относятся NH_3 , NH_4OH , мочевины, первичные алкиламины и алкиленполиамины, не имеющие других реакционно-способных групп, кроме NH_2 и NH. Кол-во этих в-в достаточно для образования с металл. соединением и фенолом (после нагревания до 220° для удаления не вступивших в р-цию исходных в-в) гомог. продукта. В р-цию вводят на 1 атом металла ≥ 3 групп NH_2 (в случае мочевины или алкиленполиамины), ≥ 3 молекул в случае NH_3 и ≥ 5 молекул в случае NH_4OH . Ю. Васильев

6446 П. Реакция полимочевины с формальдегидом и гидролиз полученного продукта. Дитрих, Джейкобсон (Reaction of polyureas and formaldehyde and hydrolysis, and the products. Dietrich Melvin A., Jacobson Henning W.) [E. I. du Pont de Nemours & Co.]. Пат. США 2709694, 31.05.55

Формованные плоские изделия изготовляют из материала, полученного р-цией в сильной кислородсодержащей к-те с константой диссоциации $\geq 1 \times 10^{-4}$ следующих в-в: а) высокомолекулярной полимочевины, имеющих $\geq 50\%$ группировок $-\text{NHCONH}-$, характеристич. вязкость $\geq 0,7$ (в 98%-ной H_2SO_4 при конц-ии 0,5 г в 100 мл р-ра) и не содержащей атомов Н у ароматич. атома С, активированного сильными орто- или пара-направляющими группами; б) 0,2—1,0 моля CH_2O на каждый моль $-\text{NHCONH}-$ группы. Полученную реакционную смесь формуют и коагулируют. Далее, модифицированный CH_2O полимер гидролизуют обработкой водн. минер. к-той до тех пор, пока $\geq 80\%$ связанного CH_2O будет удалено из полимера и $\geq 0,15\%$ групп мочевины перейдет в форму уровневых групп. Ю. Васильев

6447 П. Модифицированные аминопласти (Modified aminoplasts) [Monsanto Chemical Co.]. Австрал. пат. 166718, 9.02.56

Патентуется продукт конденсации следующих в-в: 1) содержащего азот органич. соединения, имеющего несколько радикалов, производных от NH_3 ; 2) альдегидов или кетонов и 3) отрицательно заряженного полиэлектrolита, лишенного амино-, амидо-, имино- или имидогрупп. Ю. Васильев

6448 П. Способ производства продуктов смешанной конденсации. Портер (Process for producing mixed condensation product. Porter Rotheus B.) [American Cyanamid Co.]. Канад. пат. 518693, 22.11.55

Меламин (I), крезол (II) и формальдегид конденсируют в водн. р-ре до образования гидрофобного продукта, который затем эмульгируют в присутствии 5—10% (от веса меламина) казеината щел. металла (напр., казеината К) и смеси лаурил- и миристилсульфата Na. В эмульсию затем добавляют анилин (III) при механич. перемешивании. Кол-во CH_2O составляет 1,5—3,5 моля на 1 моль I; II и III вместе составляют 20—40% от общего веса I, II и III. Содержание II равно 25—40% от веса II и III. Б. Киселев

6449 П. Способ получения полиамидов. Майтон (ポリアミドの製造方法, マイトンハワード, アール) [イー, アイ, デュボン, Д, Нью-Йорк, Компани, E. I. du Pont de Nemours Co.]. Японск. пат. 7744, 22.11.54

Полиамиды получают полимеризацией лактамов (ε-капролактама) с использованием в качестве катализаторов гидридов щел. металлов. ε-Капролактam предварительно сушат в течение 25 час. при 25° и остаточном давл. 0,1 мм рт. ст. Содержание воды в высушенном продукте должно составлять $\leq 0,005\%$. Напр., 50 вес. ч. ε-капролактама и 0,0176 вес. ч. (0,5 мол.%) порошкообразного гидроксида Li перемешивают в автоклаве в атмосфере N_2 и затем нагревают до 255°. После плавления мономера полимеризация заканчивается в течение 3—5 мин. При этом уд. вязкость полученного полимера составляет 2,28. При увеличении продолжительности полимеризации вязкость полимера уменьшается. В. Иоффе

6450 П. Продукты присоединения сульфенилгалогенидов к полимерам. Хеллер (Sulphenyl halide-polymer addition products and their preparation. Heller Frank J.) [Phillips Petroleum Co.]. Пат. США 2709715, 31.05.55

Патентуется продукт присоединения жидкого полимера диена, имеющего в молекуле 4—6 атомов С и сульфенилгалогенида ф-лы $\text{R}-\text{S}-\text{X}$ или $\text{R}-\text{S}-\text{X}$, где R—алкил, содержащий ≤ 16 атомов С и X—Cl или Br. Кол-во сульфенилгалогенида не должно превышать 1 моля на каждую диеновую группу. Ю. Васильев

6451 П. Пластические композиции на основе целлюлозы (Cellulosic plastic compositions) [Soc. des Usines Chimiques Rhone—Poulenc]. Англ. пат. 729183, 4.05.55

Композиции, применяемые для получения волокна, пленок и других материалов, окрашиваемые кислотными и Fe-содержащими красителями, состоят из смеси простых или сложных эфиров целлюлозы и полимерного аминэтилвинилового эфира ф-лы $[-\text{CH}_2-\text{CH}(\text{OCH}_2\text{CH}_2\text{NR}'\text{R}'')-]_n$, где R' и R''— атом Н, насыщ. или ненасыщ. алифатич. углеводородные радикалы, подобные радикалам у винильной группы, содержащие или не содержащие атомы N или замещ. гетероциклы. Эфиры целлюлозы и виниловые эфиры можно растворять в общем р-рителе или суспендировать в подходящей среде. Р-ритель удаляют из композиции испарением. Материал окрашивают кислотными и хромовыми красителями подобно шерсти. Для совмещения с эфирами целлюлозы можно также использовать сополимеры нескольких эфиров, также в форме солей

серной, уксусной, муравьиной, трихлоруксусной, хлорной или фторборной к-т. Содержание полимера в композиции составляет 1—20% от веса производных целлюлозы. Волокно получают мокрым или сухим прядением и используют для изготовления равномерно окрашенных полшерстяных тканей. Напр., р-р ацетата целлюлозы в ацетоне, содержащий 5% полимерного диэтиламиноэтилвинилового эфира, подвергают прядению и полученное волокно окрашивают при обработке горячим р-ром Цианола экстра в HCOOH . В другом примере пленку погружают в р-р Цианола экстра в CH_3COOH , поднимают т-ру до 97° в течение 15 мин., выдерживают 15 мин. при этой т-ре, добавляют H_2SO_4 , выдерживают еще 30 мин., затем пленку извлекают из р-ра и промывают.

Б. Киселев

6452 П. Стабилизированные, окрашенные формовочные композиции из ацетобутирата целлюлозы, содержащие пропилгаллат. Де-Крос, Тамблин (Stabilized pigmented cellulose acetate-butyrate molding compositions containing propyl gallate. De Croes George C. Tamblin John W.) [Eastman Kodak Co.]. Пат. США 2735782, 21.02.56

Указанную композицию стабилизируют введением 1 ч. пропилгаллата и 2 ч. пигмента (TiO_2 в форме анатаза) на 100 ч. эфира целлюлозы. Образцы пленки, приготовленной из смеси 100 ч. ацетобутирата целлюлозы (37% бутиратных и 13% ацетатных групп), 12 ч. дибутилсебацата, 1 ч. пропилгаллата и 2 ч. анатаза выдерживают > 4700 час. циклич. испытаний на везерометре, тогда как нестабилизированная пленка становится ломкой после 150 час.

Ю. Васильев

6453 П. Пластификация сложных и простых эфиров целлюлозы. Ито (纖維素エステル又はエーテルの可塑化方法. 伊藤久雄, 財団法人野口研究所, Дзайдан ходзин погуги кэнкюсё). Японск. пат. 8297, 15.12.54

10 ч. ацетата целлюлозы (степень замещения 56%) и 5 ч. глицеринформальацетата в 120 ч. $(\text{CH}_3)_2\text{CO}$ образуют прозрачную пленку с сопротивлением разрыву $4,30 \text{ кг/мм}^2$ и относительным удлинением 33,98%.

Э. Тукачинская

6454 П. Поливинилхлорид, содержащий эфиры таллового масла и одноатомных фенолов. Поллак (Vinyl chloride resin composition containing tall oil esters with monohydric phenols. Pollack Maxwell A.). Канад. пат. 518165, 8.11.55

Композиция содержит поливинилхлорид и фракцию сложных эфиров таллового масла и одноатомного фенола, свободную от в-в, перегоняющихся до $220^\circ/2 \text{ мм}$ и содержащую все эфиры, кипящие выше этой точки.

Ю. Васильев

6455 П. Метилловые эфиры полихлоркарбонных жирных кислот, стабилизированные эпоксидами жирными маслами, и их смеси с поливиниловыми смолами. Робичек, Сторман (Methylpolychloro fatty acid esters stabilized with epoxidized fatty oil and compositions thereof with polyvinyl resins. Robitschek Paul, Stormon Dean B.) [Hooker Electrochemical Co.]. Пат. США 2731431, 17.01.56

Патентуются композиции, стойкие к действию повышенных т-р и содержащие поливинилхлорид (или сополимер винилхлорида с винилиденхлоридом, винилацетатом или винилбензоатом), метилполихлорстеарат, имеющий 3—6 атомов Cl в молекуле (напр., метилпентахлорстеарат), и стабилизатор на основе эпоксида жирного масла, содержащего по крайней мере одну эпоксидную группу в кислотном остатке (напр., метил-9,10-эпоксистеарат, метил-9,10-эпокси-12-оксистерат, продукты эпоксидирования соевого или

льняного масла). Для стабилизации обычно вводят 5% эпоксида жирных масел. Метилполихлорстеараты получают при хлорировании метилстеарата, полученного этерификацией продажного стеарина, вместо которого можно применять смесь олеиновой и линолевой к-т.

Б. Киселев

6456 П. Полимеры акрилонитрила, стабилизированные β -алкиламинопропионитрилом. Стантон, Элерс (Acrylonitrile polymers stabilized with certain beta-alkylaminopropionitriles. Stanton George W., Ehlers Forrest A.) [The Dow Chemical Co.]. Пат. США 2735834, 21.02.56

Тепло- и светоустойчивая композиция состоит из полимера, содержащего ≥ 60 вес.% связанного акрилонитрила, и имеет в качестве стабилизатора 1—20 вес.% (или 5—15%) соединения ф-лы $(\text{R})(\text{R})\text{NCH}_2\text{CH}_2\text{CN}$, где один R — алкил, имеющий 1—4 атома C , а другой R — тот же алкил или H . В качестве стабилизаторов применяют, напр. β -диметиламинопропионитрил, β -изопропиламино-, β -этиламино-, β -диэтиламино-, или β -бутиламинопропионитрил. Напр., эмульсию сополимера 80% акрилонитрила и 20% изобутилена коагулируют р-ром MgCl_2 , промывают, высушивают, растворяют в ацетоне и к р-ру (конц-ия 15%) добавляют 15% (от веса сополимера) стабилизатора. Отливший из р-ра получают светостойкие пленки. Ю. Васильев

6457 П. Получение высокополимеров в форме, удобной для транспортировки (Preparation of particulate highly polymeric materials in a form suitable for transport) [British Celanese, Ltd]. Англ. пат. 736956, 14.09.55

Измельченный органич. высокополимер (приводится перечень) спрессовывают при т-ре ниже т-ры размягчения в блоки, имеющие плотность $\leq 85\%$ (обычно 75%) истинной плотности материала. На поверхность блока наносят незначительное кол-во р-рителя и затем удаляют его, благодаря чему на блоке образуется цементирующая корка. Плотность материала до прессования составляет $\leq 0,5$ истинной его плотности. Отформованный блок должен иметь округленные ребра. Р-ритель должен проникать в блок на глубину 0,125—2,5 мм и затем удаляться испарением. Напр., растворимый в ацетоне ацетат целлюлозы с об. в $\sim 0,4 \text{ г/см}^3$ размалывают и спрессовывают при $\sim 20^\circ$ в цилиндрич. форме при давл. 222 кг/см^2 . Полученный блок имеет плотность $0,8 \text{ г/см}^3$. Поверхность блока обрызгивают ацетоном и быстро испаряют его при обдувании теплым воздухом. Полученный материал хорошо транспортируется и легко измельчается при переработке.

Б. Киселев

6458 П. Формование полимеров (Moulding of polymeric materials) [Imperial Chemical Industries, Ltd]. Англ. пат. 721326, 5.01.55

Термопластичный материал (полиамиды; полиэфиры, полиэтилентерефталат, политрифторхлорэтилен) завертывают в лист, фольгу или пленку из материала, способного защищать полимер от окисления на воздухе; пакет помещают в цилиндр пресса, нагревая или не нагревая его предварительно, и затем подвергают давлению для выдавливания полимера из цилиндра в форму через соединяющий их канал. Приспособление имеет устройство для прорезания оболочки, содержащей полимер, в точке, находящейся над каналом. Желательно, чтобы винт ручного винтового пресса, если таковой применяется, был многозаходным.

Е. Хурган

6459 П. Изготовление формованных изделий из волокнистых материалов и смол (Procédé de fabrication d'articles moulés et durcis à partir d'une matière fibreuse contenant une résine) [American Cyanamid Co.]. Швейц. пат. 295458, 1.03.54 [Kunststoffe, 1956, 46, № 7, 333 (нем.)]

При изготовлении изделий из волокнистой пульпы ее пропитывают феноло-, мочевино- и меламиноформальдегидными или природными смолами, битумами или лаками на основе ацетил- или нитроцеллюлозы. Р-ители, введенные со смолами, удаляют при отверждении. Напр., заготовку, соответствующую по форме окончательному изделию, готовят из сваленного волокна, пропитанного триазинальдегидной смолой (триметилполмеламином), высушивают и пропитывают насыщен. полиэфиром (напр., продуктом р-ции этиленгликоля и диэтиленгликоля с фумаровой к-той и фталевым ангидридом, диспергированным в диаллилфталате), после чего отверждают при нагревании. Таким способом готовят коробки, футляры и т. п.

Ю. Васильев

6460 П. Производство слоистых листовых материалов (Manufacture of laminated sheet material) [American Siskraft Corp.]. Англ. пат. 728044, 13.04.55

Клеевая эмульсия, превращающаяся в гель и не обладающая текучестью при высокой т-ре, содержит в качестве дисперсной фазы воды, латекс природного или синтетич. каучукоподобного полимера, а в качестве дисперсионной среды — органич. в-ва, придающие липкость. Каучукоподобным полимером, не обладающим текучестью при т-ре эмульгирования ($\leq 100^\circ$), служит сополимер бутадиена со стиролом или бутилкаучук, а в качестве в-ва придающего липкость — смоляной экстракт тяжелой ароматич. нефти, кумарониденовая смола или их смесь. Эти в-ва перед смешением с латексом можно нагревать до $80-100^\circ$ и затем эмульгировать в горячем состоянии. Готовая эмульсия содержит 1—10 ч. смолы на 1 ч. эластомера. Клей может также содержать в качестве наполнителя сланцевую пыль, мел, воск, S, CaO, Ca(OH)₂, буру, NH₄Cl, крахмал, казеин и др.

Б. Киселев

6461 П. Производство пленок из органических термопластичных материалов (Manufacture of films of organic thermoplastic materials) [Imperial Chemical Industries, Ltd.]. Англ. пат. 732894, 29.06.55

Расплавленный материал непрерывно выдавливают через кольцевой мундштук, раздувают трубку до ее охлаждения и пропускают через ванну с охлаждающей жидкостью. Над поверхностью охлаждающей жидкости расположены зажимные валки, вместо которых можно использовать столб жидкости, вводимой в трубку. Последнюю слегка охлаждают снаружи потоком воздуха, обдувающим трубку на пути от головки экструдера до охлаждающей жидкости, в качестве которой обычно используют воду при т-ре по крайней мере на 20° ниже т-ры размягчения термопластичного материала. Охлаждающая жидкость может содержать растворенные или диспергированные смазывающие в-ва и деаэризаторы. Подача газа (воздуха) для раздувания осуществляется через отверстие в центре мундштука. Далее раздутая трубка протягивается через конич. башмак, погруженный в охлаждающую ванну и снабженный острым ножом, разрезающим трубку по образующей. Пленка протаскивается затем через второй формирующий башмак, также находящийся в ванне, который уменьшает кривизну пленки, и проходит между направляющими валками, расположенными над ванной. Движение пленки осуществляется с помощью пары захватывающих валков, расположенных над ванной. Напр., трубку из полиэтилена выдавливают при 145° и протягивают с помощью зажимных валков через ванну с водой при 15° . Поверхность ванны расположена на 450 мм ниже уровня мундштука, а валки — на 25 мм ниже поверхности ванны. При прохождении между мундштуком и ванной трубку охлаждают воздухом, подаваемым через кольцевой охладитель с внутренним

диам. 150 мм, расположенный на 125 мм ниже мундштука.

Б. Киселев

6462 П. Пропитанные листовые материалы и составы для их изготовления. Холл, Уолтон (Impregnated sheet materials and compositions suitable for use in preparing same. Hall A. M., Walton E. H.) [B. B. Chemical Co., Ltd.]. Англ. пат. 726657, 23.03.55

Состав для пропитки хлопчатобумажных тканей состоит из 1—9 ч. каучука и 3 ч. новолачной смолы. Смола, содержащую значительное кол-во гексаметилен-тетрамина, растворяют в этилацетате и полученный р-р (конц-ия 50%) эмульгируют в воде. Каучуковый латекс предварительно стабилизируют р-ром мочевины и казеина по англ. пат. 674885. Напр., новолачную смолу, содержащую 10 вес.% уротропина, растворяют в этилацетате, и р-р эмульгируют в воде в присутствии казеина и эмульгатора. Стабилизатор для латекса получают при взаимодействии мочевины и казеина в водн. р-ре. По окончании р-ции добавляют аммиак и глицин, стабилизатор смешивают с латексом, добавляют избыток формальдегида и смешивают эмульсию в таком кол-ве, чтобы отношение каучука к смоле составляло 2:1. Полученным составом пропитывают ткань и сушат на воздухе.

Б. Киселев

6463 П. Способ отделки поверхности гладких пластических материалов и изготовление приводных ремней. Лефлон (Procédé pour garnir la surface des matières plastiques lisses et son application, notamment aux courroies de transmission. Leflon (H.)). Франц. пат. 1104134, 16.11.55 [Teintex, 1956, 21, № 7, 589 (франц.)]

Приводные ремни из полиамидов покрывают фрикционной набивкой из поливинилхлорида: поверхность ремня покрывают соответствующим клеем или размягчают ее действием р-рителя и фиксируют на ней фрикционный слой.

Я. Кантор

6464 П. Изготовление безуточных лент. Даунинг (Weftless ribbons and process for forming same. Downing John) [British Celanese Ltd.]. Пат. США 2734012, 7.02.56

Нетканый материал получают из параллельно расположенных нитей из целлюлозы или ее производных и (или) ацетилцеллюлозы, скрепляя их между собой водн. р-ром поливинилового спирта, пластифицированного 50—100% от веса полимера дицетата диэтиленгликоля. Воду испаряют при т-ре $< 100^\circ$. Напр., движущуюся основу шириной 12,7 мм, состоящую из 80 нитей окрашенной ацетилцеллюлозной пряжи в 150 денье с 5—10 витками на 25 мм, покрывают при 60° р-ром (в ч.): поливинилового спирта 100, дицетата диэтиленгликоля 80, воды 720, красителя для хлопка цвета пряжи 0,5. Кол-во наносимого р-ра равно весу материала. Сушку производят при 70° . Частично высушенную ленту пропускают через трехвальцовый полирующий каландр при 90° на входе и 100° на выходе и сухую ленту сматывают в моток.

Ю. Васильев

6465 П. Гидроизоляция. Манро (Flashing. Munro Allison G.). Пат. США 2724819, 25.10.55

Многослойная, гибкая, эластичная гидроизоляция для каменных стен состоит из внутреннего влагонепроницаемого листа термопластичной, поливиниловой смолы и бумажных листов, покрывающих внутренний лист с обеих сторон и скрепленных с ним под действием нагревания. Этот составной лист гофрируют в двух направлениях и покрывают, заполняя впадины гофра, эластичным слоем битума. Материал легко изгибается и растягивается и может быть использован для защиты каменных конструкций.

Ю. Васильев

6466 П. Изготовление тонкостенных трубок из кристаллических полимеров. Франсис, Мак-

Интайр (Process for producing thin walled tubes from normally crystalline polymers. Francis Kenneth L. G., McIntire John W.) [The Dow Chemical Co.]. Пат. США 2717424, 13.09.55

Упругий кристаллич. полимер винилиденхлорида расплавляют и выдавливают в виде трубки со стенками толщиной $\geq 0,13$ мм. Трубку проводят через охлаждающую ванну, причем скорость подачи охлаждаемой трубки в ванну и извлечения из нее должны быть равны, во избежание ее растяжения. Трубка проходит через зажимающие ролики в охлаждающей ванне, поддерживающие внутри трубки столбик инертной жидкости высотой от точки зажима до места входа трубки в жидкость. Охлажд. трубку затем проводят через другую ванну с инертной жидкостью, нагретой до $t_{\text{ры}} \geq 60^\circ$, но ниже $t_{\text{ры}}$ размягчения полимера. Часть трубки, погруженная в эту жидкость, остается заполненной той же жидкостью. Скорости подачи трубки в эту ванну и выхода из нее также равны. Ю. Васильев

6467 П. Нанесение покрытий на стержни. Монкрифф (Covering. Moncrieff Leslie J.) [British Celanese Ltd]. Канадск. пат. 515443, 9.08.55

Трубу из термопластичного материала, поперечное сечение которой меньше наибольшего поперечного сечения стержня, натягивают в размягченном состоянии на оправку, которая постепенно расширяет трубу до указанного максим. поперечного сечения, а затем и на стержень; при этом на внутреннюю поверхность трубы действует давление газа, вводимого через пустотелую оправку или через сквозное осевое отверстие в стержне, если таковое имеется. Е. Хургин

6468 П. Электрические аккумуляторные батареи (Electric storage batteries) [Auto-lite Battery Corp.]. Англ. пат. 729465, 4.05.55

Для изоляции кожуха батареи при укреплении в контейнере используют композицию, отверждающуюся при нагревании и состоящую из 98% фенольной смолы, содержащей катализатор, 1,5% спирта и 0,5% черного красителя. В композицию можно вводить 15—30% наполнителя (инфузорную землю, асбестовое волокно или муку из ореховой скорлупы). Место соединения между кожухом и контейнером можно вначале уплотнить пастой, состоящей из смолы, смешанной с асбестовым порошком или кварцем. А. Дабагова

6469 П. Способ вспенивания полимеров разложением п-карбометоксибензазидов. Фуллер (Method of expanding polymeric compositions by the decomposition of p-carbomethoxy benzazide. Fuller Mack F.) [E. I. du Pont de Nemours and Co.]. Пат. США 2732353, 24.01.56

п-Карбометоксибензазид (I) смешивают с органич. эластомером или смолой и нагревают смесь при $93-204^\circ$ в течение времени, достаточного для разложения I и выделения газа, вызывающего вспенивание полимера. Время нагревания должно быть достаточным для отверждения или вулканизации полимера. Напр., смесь (в ч.) 100 СК (неопрена W), 5 ZnO, 2 антиоксиданта, 15 масла, 3 петролатума, 4 MgO, 0,5 ускорителя и 7 I вальцуют в течение 15 мин. при 50° , загружают в форму diam. 75 мм и высотой 6,25 мм, прессуют при давл. 225 кг/см^2 , нагревая в течение 6 мин. паром с давл. 4,2 атм. При снятии давления из формы выскакивают диски вспененного неопрена, имеющие объем, в 6 раз превышающий объем формы. Б. Киселев

6470 П. Способ улучшения свойств пенопластов. Клингхольтц (Verfahren zum Verbessern von künstlichen Schaumstoffen mit gegeneinander geschlossen Zellen. Klingholz Rudolf) [Grünzweig & Hertmann A.-G.]. Пат. ФРГ 945188, 12.07.56

Пенопласты, имеющие каналы в промежутках между отдельными пузырьками пены, обрабатывают под давлением низковязким водостойким в-вом, которое проникает внутрь пор и застывает там, образуя барьер, препятствующий проникновению влаги. Для подобной цели используют, напр. жиры, смолы, парафин или полисилоксаны. А. Казакова

6471 П. Покрытие для труб. Джей (Pipe covering. Jaye Richard C.) [The Jaye Corp.]. Пат. США 2717848, 13.09.55

Для защитного покрытия труб применяют две идентичные секции-половинки из пенопласта, дающие в сложенном виде полую форму, плотно охватывающую покрываемую трубу. Секции имеют сопряженные поверхности, на которые накладываются склеивающие покрытия для скрепления половинок между собой. Между ними закладывается защитный слой для предупреждения склеивания при хранении, удаляемый при соединении секций между собой. Ю. Васильев

6472 П. Пенопласты (Compositions cellulaires) [E. I. du Pont de Nemours]. Франц. пат. 1097345, 4.07.55 [Chimie et industrie, 1956, 75, № 6, 1339 (Франц.)]

В смоле или каучуке, не подвергавшихся термич. обработке, тщательно диспергируют N-нитрозамид ароматич. карбоновой к-ты и нагревают, получая пенопласт с равномерными порами. Я. Кантор

6473 П. Гранулированные ионообменные смолы, содержащие наполнитель, и способ их получения. (Weighted ion exchange resin granules and method of making same) [Dow Chemical Co.]. Англ. пат. 732817, 29.06.55

Мелкоиздробленные твердые частицы песка, кварца, стекла, порошкообразные Fe, Ni, Cr, Mo, монацитовый песок, окись или силикат Zn обрабатывают гидрофобизирующим в-вом (приводятся перечень), смешивают 5—53 объема ч. наполнителя с 47—97 ч. моноалкенилароматич. углеводорода, имеющего винильную или изопропенильную группу, соединенную с ароматич. ядром (напр., со стиролом, α -метилстиролом, нитолуолом, винилксиллолом или этилвинилбензолом), добавляют небольшое кол-во дивинилбензола и перемешивают смесь в среде нерастворяющей жидкости, имеющей при 80° вязкость 20—250 сантипуаз (напр. в среде глицерина, полиэтиленгликоля, их смесей с водой или в водн. р-рах солей, загущенных метилцеллюлозой, или р-ром солей карбоксиметилцеллюлозы). Полученную дисперсию полимеризуют при нагревании в присутствии перекиси бензоила или лаурилола. Полученные гранулы затем сульфатируют, получая катионообменные смолы, или хлорметилируют с последующей обработкой аммиаком или аминами, получая анионообменные смолы. Применяемые в качестве носителя твердые частицы имеют уд. в. $\geq 2,5$, размер ≤ 80 меш, в исходном состоянии смачиваются водой, нерастворимы и химически инертны по отношению к винилароматич. соединениям или их полимерам. Б. Киселев

6474 П. Катионообменные смолы (Cation exchange resins) [Farbenfabriken bayer A.-G.]. Англ. пат. 726782, 23.03.55

Доп. к англ. пат. 700867 (РЖХим, 1956, 80729). Катионообменные смолы получают конденсацией одного или нескольких ароматич. соединений, имеющих различные катионообменные группы с альдегидами или в-вами, выделяющими альдегиды. Применяемые ароматич. соединения содержат простую эфирную связь, производную от фенольной ОН-группы. Процесс проводят в кислой среде при повышенной t для образования геля, который затем высущивают. Наиболее желательными в-вами для конденсации с альдегидами являются продукты взаимодействия 1 моля ароматич. альдегида, содержащего ≥ 1 COOH-группу,

с 2 молями ароматич. сульфоновых к-т, имеющих >1 этерифицированной фенольной ОН-группы, а также производные трифенилметана ф-лы $\text{HO}_2\text{SC}_6\text{H}_4\text{CH}(\text{C}_6\text{H}_4\text{OCH}_2\text{COOH})_2$, полученные конденсацией 2 молей феноксиуксусной к-ты с 1 молем бензальдегид-2,4-дисульфоновой к-ты; для конденсации применяют также смесь феноксиуксусной к-ты и сульфокислот нафтилич. углеводородов (нафталина, аценафтена) или простых ароматич. эфиров (дифенилового эфира, анизола, дифенилоксида и т. д.). Напр., Na-соль бензальдегид-2,4-дисульфокислоты и феноксиуксусную к-ту смешивают с 70%-ной H_2SO_4 , вводят необходимое дополнительное кол-во феноксиуксусной к-ты и по окончании конденсации обрабатывают формальдегидом. В. Киселев

6475 П. Полимеры с анионообменными свойствами (Polymeric compounds with anionexchange properties) [Directie Van de Staatsmijnen in Limburg]. Англ. пат. 737924, 5.10.55

Сильно основные аниониты, представляющие собой нерастворимые неплавающие смолы со множеством третичных сульфониновых групп, каждая из которых содержит ≥ 2 связанных с S алкоксиарилных групп, получают: а) р-цией CH_2O в присутствии к-ты с третичной сульфониновой солью, содержащей ≥ 2 алкоксиарилных групп, или со смесью алкоксиарилпроизводного с третичной сульфониновой солью, содержащей одну алкоксиарилную группу; б) р-цией CH_2O в присутствии к-ты с диалкоксиарилсульфидом и последующим нагреванием продукта р-ции с диалкилсульфатом; в) конденсацией диалкоксиарилсульфоксида с CH_2O в присутствии к-ты и последующей обработкой продукта р-ции конц. H_2SO_4 и алкоксиарилпроизводным. Аниониты особенно пригодны для удаления ионов кремневой к-ты из р-ров и регенерируются щелочью. Их можно измельчать в порошок, гранулировать или получать в виде шариков диспергированием реагирующих в-в в инертной жидкости. Их можно также формировать шприцеванием или распылением до их полной желатинизации. Пленки, листы и пластины из них могут содержать упрочняющие элементы. В приведенных примерах трианизилсульфонийхлорид и H_2SO_4 смешивают с р-ром параформальдегида в H_2SO_4 при 0° , и поддерживая т-ру р-ции < 80° . Гель после затвердения измельчают, просеивают и промывают р-ром соды для удаления ионов SO_4 . Твердость продукта можно регулировать введением в реакцию новую смесь трифункциональных ингредиентов — анизола, фенола или дифенилоксида. Я. Кантор

6476 П. Стабилизированные α -цианакрилатные клеи. Кувер, Дикки (Stabilized alpha-cyanoacrylate adhesive compositions, Coover Harry W., Dickey Joseph B.) [Eastman Kodak Co.]. Пат. США 2765332, 2.10.56

Клей содержит мономерный эфир α -цианакриловой к-ты ф-лы $\text{CH}_2=\text{C}(\text{CN})\text{COOR}$ (R — алкил с 1—16 атомами C, циклогексил или фенил) и стабилизатор — 0,001—0,01 вес. % SO_2 и 0,001—0,05% гидрохинона. Подобный стабилизатор предупреждает, напр., полимеризацию метил- α -цианакрилата в течение 498 час. при 40° . При использовании мономера в качестве клея открытая выдержка смазанной мономером поверхности приводит к улетучиванию SO_2 . Остаточный гидрохинон не препятствует полимеризации. А. Казакова

6477 П. Способ склеивания винилиденхлоридных смол с металлами. Ниснока, Такахаеи (ニリデン樹脂と金属との接着方法、西岡正光、高橋明), 昭和護謄株式会社, Сэва гому кабусики кайся. Японск. пат. 4734, 9.07.55

На очищ. (при помощи органич. р-рителя) поверхность металла наносят тонкий слой клея, приготовленного из нитрильного каучука и фенольной смолы.

После сушки на этот слой наносят тонкий слой 30%-ного р-ра винилиденхлоридной смолы (степень полимеризации 400) в хлорбензоле. В случае отверждения при 100° образуется пленка толщиной 0,2 мм, адгезия которой к металлу составляет $\sim 120 \text{ кг/см}^2$. В. Иоффе

6478 П. Производство клеев и материалов с клеевым покрытием (Manufacture of adhesives and materials with adhesive coatings) [Warren Co., S. D.]. Англ. пат. 729739, 11.05.55

Клей, приобретающий липкость при нагревании, состоит из однородной смеси мелкодисперсных частиц двух компонентов. Первый компонент (I) получают при охлаждении гомог. расплава смолы с твердым пластификатором, кол-во которого значительно больше, чем совмещающееся со смолой при $\sim 20^\circ$. Второй компонент (II) получают при охлаждении гомог. расплава аналогичной или другой смолы с меньшим кол-вом пластификатора. Смолы и пластификатор выбираются такими, чтобы при нагревании клея частицы сплавились и образующийся сплав имел бы т-ру размягчения значительно более низкую, чем составляющие исходной смеси. Клей можно готовить в виде водн. дисперсии, которая содержит диспергаторы (приводятся перечень), дополнительные связующие (клея животного происхождения, декстрины, растворимый казеин, натуральный латекс, низкомолекулярный полистирол, поливиниловый спирт, или различные сополимеры) и основной клеящий состав, содержащий 55—99 вес. % (лучше 60—95%) I и соответственное кол-во II. В составе I находится 70—95 вес. ч. кристаллич. пластификатора и 5—30 вес. ч. смолы; II содержит 5—25 ч. кристаллич. пластификатора и 95—75 ч. смолы. I получают сплавлением дифенилфталата, инденовой смолы и производных канифоли (по крайней мере частично растворимых в щелочи), в вес. соотношении 80:5:15. II получают при сплавлении этих же в-в, взятых в соотношении 15:79:6. В качестве пластификаторов можно использовать также ацетанилид, дициклогексилфталат или твердые ароматич. фосфаты, а в качестве смол — поливинилацетат, полистирол, эфиры пентаэритрита и полимеризованных смоляных к-т, полимеризованную канифоль, природные смолы или продукты присоединения малеинового ангидрида к сложному эфиру пентаэритрита или глицерина и канифоли. Б. Киселев

6479 П. Аппарат для вальцевания пластических масс. Суоллоу, Андерсон (Plastic milling process and apparatus. Swallow Herbert A., Anderson Henry H.) [Union Carbide and Carbon Corp.]. Канадск. пат. 514021, 21.06.55

Аппарат для вальцевания пластич. масс состоит из двух параллельных вальцов с взаимосцепляющимися правой и левой резьбой. Зазор между вальцами в зоне резьбы делается таким, чтобы образовался промежуток для захвата пластич. материала. На резьбовой части каждого вальца (в середине) имеется несколько кольцевых проточек, которые расположены друг против друга. Вальцы плотно охвачены корпусом; против кольцевых выточек на вальцах корпус имеет дугообразные выступы, охватывающие наибольшую часть кольцевых проточек для образования криволинейных каналов, в которых пластич. материал плавится и вальцуется. Е. Хуртин

6480 П. Аппарат для получения лент и профилей из слоистых пластиков. Кейль (Vorrichtung zur Herstellung formgepreßter Bänder und Profile aus Kunstharz-Schichtpreßstoffen. Keil Alfred). Пат. ГДР 10850, 5.12.55

Листовой пропитанный материал с отдающего вала проходит через систему направляющих валков, затем разрезается на продольные полосы, которые с направ-

ляющих роликов попадают в профилирующую форму, нагретую до соответствующей т-ры. После необходимого времени формирования прессформа открывается, спец. зажимное устройство протаскивает готовый профиль на длину, близкую к длине прессформы, и процесс повторяется. По другому варианту прессформа расположена на подвижном основании и в процессе прессования перемещается по столу. В конце пути прессформа открывается, возвращается в исходное положение и цикл повторяется. Г. Бабкин

6481 П. Червячный пресс для пластических масс (Schneckenpresse für organische plastische Massen) [Hermann Berstorff Maschinenbau-Anstalt G. m. b. H.]. Пат. ФРГ 938441, 2.02.56

Для увеличения степени заполнения червячного пресса и его производительности диаметр червяка под загрузочным отверстием и в близко примыкающей к нему зоне делают меньше, чем в остальной его части, где диаметр червяка равен диаметру цилиндра. Е. Хургин

6482 П. Способ сварки и резки листов пластика. Шельдаль (Method of heat sealing and severing plastic sheets. Schjeldahl Gilmore T.) [Herb-Shelly-Inc.]. Пат. США 2735797, 21.02.56

Для получения уплотненного сварного шва на нескольких слоях термопластичного материала (полиэтилена или поливиниловых смол) верхний слой пластика сплавляют с нижним узкой полосой с помощью нагреваемого электричеством инструмента, похожего на паяльник с затупленным концом. Место сварки имеет несколько меньшую толщину, чем свариваемые листы, вместе взятые. Затем, применяя другой нагретый острый инструмент, концентрирующий тепло на небольшом пространстве, разрезают листы с образованием утолщенных закругленных краев на каждом из разделяемых листов. Ю. Васильев

6483 П. Способ печати на пластических материалах. Хувер (Printed plastics and method for producing same. Hoover Keith S.) [A. B. Dick Co.]. Пат. США 2721821, 25.10.55

Пластик, не поглощающий ИК-лучей, приводят в контакт с клише из не поглощающего ИК-лучи материала, поверхность которого, соприкасаясь с пластиком, покрывают рисунком из поглощающего ИК-лучи и выделяющего тепло в-ва. Радиацию, богатую ИК-лучами, направляют на клише в кол-ве, достаточном для образования узора, соответствующего рисунку, благодаря размягчению участков термопластичного материала, находящихся в контакте с рисунком, в то время, как остальные части пластика остаются неизменными. Ю. Васильев

См. также: раздел Химия высокомолекулярных веществ и рефераты: Общие вопросы 6336, 6504, 6523, 6626. Анализ 4346, 4360, 4371. Полимеризац. смолы 3992, 4454, 4655, 5796, 6335, 6506, 6628, 6751. Полиэфир, применение 4992, 6485, 6487, 6515. Резорцинформальд. смолы 4040. Мочевинформальдегидные смолы 6696, 6712. Полиамиды 6738. Кремнийорганич. полимеры 6627. Пластмассы на основе природных полимеров 5794. Ионообменные смолы 4036, 4041, 4303, 4307, 4309, 4332, 5616. Техника безопасности 5189

ЛАКИ. КРАСКИ. ЛАКОКРАСОЧНЫЕ ПОКРЫТИЯ

Редактор М. Ф. Сорокин

6484. Изопфталева кислота в производстве лаков. Флейтер (Isophthalsäure auf dem Lackgebiet. Fleiter L.), Fette, Seifen, Anstrichmittel, 1956, 58, № 12, 1081—1083 (нем.)

Сравнение свойств изо-(I) и орто-фталевой к-ты при изготовлении алкидных смол, модифицированных маслами, показывает, что фталевый ангидрид (II) менее реакционноспособен, несмотря на свойство быстро образовывать полуэфиры в начальной стадии процесса. I, по сравнению с II, менее летуч, что сокращает ее расход при изготовлении алкидных смол и позволяет повысить т-ру р-ции до 300°. I дает возможность за счет увеличения загрузки масла сократить расход глицерина или пентаэритрита-фталата. Модифицированные изопфталевыми алкидными смолами, по сравнению с фталевыми, содержат больше высокомолекулярных полимеров и дают быстротвердеющие пленки с высокой погодостойкостью. Н. Гарднер

6485. О влиянии пентаэритрита на получение алкидных смол, модифицированных маслами. Мюллер (Über das Verhalten von Pentaerythrit bei der Verarbeitung auf ölmodifizierte Alkydharze. Müller H.), Fette, Seifen, Anstrichmittel, 1956, 58, № 10, 839—844 (нем.; рез. англ., франц., исп.)

Исследовано влияние содержания золь в различных сортах технич. пентаэритрита (I), а также влияние катализаторов ускорения процесса переэтерификации при получении модифицированных алкидных смол (II) на степень окраски получаемых продуктов. I в широких пределах термически устойчив при небольшом содержании золь. Присутствующие активные составные части золь I катализируют переэтерификацию при получении II; одновременно они вызывают непредусмотренные побочные р-ции, приводящие к образованию темно-окрашенных и мутных II. Для получения II можно применять обладающие достаточной термич. устойчивостью сорта I с большим содержанием золь, а также высокоактивные катализаторы, но при этом нельзя получить II, обладающие светлой окраской. Не обнаружено разницы в поведении I, содержащего и не содержащего примеси пентаэритрита. В. Уфимцев

6486. Краски на основе хлоркаучука — аллопрен. Россер (Alloprene chlorinated rubber paints. Rosser R. A.), Corros. Prevent. and Control, 1960, 3, № 11, 44—46 (англ.)

Аллопрен (I) (торговая марка хлоркаучука) содержит 65—68% хлора и представляет собой белый порошок без вкуса и запаха. I растворим в толуоле, ксилоле, сольвене-нафте, производных нафталина, кетонах и сложных эфирах. В качестве разбавителя может применяться уайт-спирит. Р-ры I образуют невоспламеняющиеся бесцветные пленки, стойкие к воде, щелочам, к-там, отбеливающим в-вам и окислителям, не обрастающие плесенью. Недостатком I является его хрупкость, которая устраняется введением пластификаторов: диоктилфталата, трикремнефосфата, растительных масел и для химстойкости покрытий — хлорированных парафинов. I применяется в виде лаков и эмалей на пигментах: рутильной TiO₂, окиси хрома, железистоокисных, фталоцианиновых и др. Эмали на I очень чувствительны к наличию мелкодисперсного Fe и быстро желатинируют, поэтому перетит пигментов должен производиться в малых дозах со стеатитовыми шарами. Желатинизация I в присутствии заметных кол-в Zn или Al предотвращается введением 1% эпихлоргидрина, или глицидных эфиров. Водонепроницаемость пленок I аналогична полиэфирным. Покрытия на I применяются для защиты от коррозии наружных поверхностей аппаратов хим. з-дов, газ-ванич. ванн и емкостей для агрессивных сред, а также для морских сооружений. Они могут наноситься непосредственно на цемент, бетон, штукатурку, асбест-цемент. Добавка I к алкидным смолам улучшает блеск, твердость, прочность на истирание, водостойкость и солестойкость. К. Бельков

6487. Эпоксидные покрытия для отделочных работ. Части 1, 2. Глейсер, Уивер, Бромстед (Epoxy coatings for finishes. Part 1, 2. Glaser M. A., Weaver G. L., Bromstead E. J.), Nat. Lithographer, 1956, 63, № 3, 69—70; № 4, 67—68 (англ.)

Рассмотрен вопрос о применении эпоксидных покрытий для отделки и этикетировки по металлу, напр. металлич. банок. Испытания показали преимущества таких покрытий, особенно эпоксисмолевых составов по сравнению с другими; лучшую гибкость и хим. стойкость, чем подобные алкидные составы, показали составы на основе эпоксифиров. Значительное применение получили более новые, каталитически (при помощи полиамидов) отверждаемые эпоксидные смолы. Б. Шемякин

6488. Лаки на основе комбинаций полиамидных и эпоксидных смол. Уиткофф (Verven op basis van combinaties van polyamideharsen en aethoxylineharsen. Wittcoff Harold), Verfkroniek, 1956, 29, № 10, 265—271 (гол.; рез. англ.)

Описаны свойства связующих, состоящих из различных комбинаций полиамидных смол с эпоксидными. Б. Брейтман

6489. Сильно гидролизированные ацетаты целлюлозы. Мам, Барки, Сало, Мей (Far-hydrolyzed cellulose acetates. Cellulose derivatives. Malm C. J., Barkey K. T., Salo Martin, May D. C.), Industr. and Engng Chem., 1957, 49, № 1, 79—83 (англ.)

Указанные в-ва (I), полученные омылением высших ацетильных соединений целлюлозы при 40—60° водн. р-рами CH_3COOH в присутствии H_2SO_4 , представляют интерес для применения их в качестве устойчивых, бесцветных высокополимеров, растворимых в воде или водн. смесях органич. р-рителей. Указаны примеры применения I с различным содержанием ацетильных групп для покрытий толщиной 0,025—0,125 мм, механич. и физ.-хим. свойства пленок как таковых и обработанных пластификаторами или сшивающими в-вами. Приведены другие примеры возможного применения I. Ю. Вендельштейн

6490. Полистирольная эмульсия. Арабер (Styrene type emulsion. Agaber R. C.), Offic. Digest, 1956, 28, № 381, 890—895 (англ.)

Отмечаются хорошие пленкообразующие свойства красок на полистирольном латексе (I), включающие высокую водостойкость, прочность на истирание, длительную сохранность блеска и возможность нанесения на свежешпакатуренные поверхности. I представляет собой подвижную жидкость (сухой остаток 40—42%) молочно-белого цвета с pH 8,8—9,2. Диаметр частиц полимера = 0,075—0,2 м, I обладает электроотрицательным характером и благодаря этому совмещается с непониженными и анионными материалами, с каучуковыми и стирольно-бутадиеновыми латексами и с отделочными алкидными смолами. I не совмещается с поливинилацетатом. Процесс приготовления красок на I обычный. При этом используются следующие вспомогательные материалы: пластификатор — дибутилфталат в кол-ве 30—50% на сухое в-во; стабилизатор — аммоний полиметакрилат, а также этил-, метил-, карбоксиметилцеллюлозы и полиакрилаты; диспергирующий агент — монолауринат полиэтиленгликоля; смачивающий агент — алкиларилсульфонат. Для улучшения розлива вводится небольшая добавка ксилола или амилбензола. Наиболее качеств. белая краска (приведена типовая рецептура) получается при применении смеси TiO_2 с 20% наполнителя: слюды мокрого помола или каолина в соотношении пигмент/связующее 1,5:1,0 и в случае повышенных требований к укрывистости — 2,5:1,0. Такие пигменты, как ZnO и CaCO_3

должны быть исключены. Для подцветки могут применяться фталоцианиновые пигменты. К. Беляева

6491. Соображения об употреблении термина «латекс» в лакокрасочной промышленности. Де-табль (Considération sur l'emploi du terme «latex» dans l'industrie des peintures. Destable André), Peintures, pigments, vernis, 1956, 32, № 11, 992 (франц.)

Термин «латексные краски», употребляемый в США для обозначения красок на основе СК, в Англии — на основе стирольно-бутадиеновых эмульсионных полимеров, также может относиться к краскам на основе НК, модифицированного НК, хлорированного каучука. Б. Брейтман

6492. Современные поливинилацетатные дисперсии. Ризе (Moderne Polyvinylacetat-Dispersionen. Riese W. A.), Chem. Rundschau, 1957, 10, № 5, 97—98 (нем.)

Общие сведения о поливинилацетатных латексах и эмульсионных красках на их основе. К. Беляева

6493. Кадмиевая киноварь — новый класс пигментов. Пфлейдерер (Cadmiumzinnober, eine neue Klasse von Pigmenten. Pfleiderer H., Fette, Seifen, Anstrichmittel, 1956, 58, № 12, 1073—1076 (нем.; рез. англ., франц., исп.)

В качестве заменителя кадмиевой красной, применение которой ограничивается высокой стоимостью, Se, был разработан метод получения нового пигмента, состоящего из CdS и HgS и названного кадмиевой киноварью. Пигмент, видимо, содержит компоненты в форме смешанных кристаллов, на что указывают предварительные рентгенологич. исследования. Цвет пигмента, в зависимости от соотношения CdS к HgS , имеет диапазон от светло-оранжевого до очень темного каштанового. Пигмент имеет высокую укрывистость, хорошую светостойкость, может применяться при т-ре ниже т-ры сублимации HgS (580°). Пигмент не токсичен, так как ртуть в нем находится в виде сернистой соли. Н. Гарденин

6494. Влияние растворителей на диспергирование и сгущивание пигментов. Даниэль (The influence of solvents on pigment dispersion and seeding. Daniel Frederick K.), Offic. Digest, 1956, 28, № 381, 837—857 (англ.)

При перетире в шаровых мельницах обычно загружается полное по рецептуре кол-во пигмента, часть связующего и основная масса р-рителя. Производилась проверка степени сгущивания TiO_2 после введения недостающего по рецептуре кол-ва связующего — алкидной смолы с 60—70% сухого остатка к полностью перетертому пигменту, при условии варьирования природы р-рителя, как при перетире, так и в р-ре алкида. Обнаружено, что при перетире TiO_2 на ксилоле (I) происходит сильное сгущивание вплоть до выпадения плотного неразмешивающегося осадка, на уайт-спирите (II) — меньшее и наименьшее — на р-рителе без запаха (III), т. е. на уайт-спирите, очищ. от ароматич. углеводородов. Дальнейшие опыты по перетиру на III с последующим введением алкида на I показали полное отсутствие сгущивания, в то время как при перетире на I с последующим введением алкида на III сгущивание наблюдалось. Автор связывает это явление не только с активностью р-рителей, но и с величиной их поверхностного натяжения, которое для I равно 27,2, для II — 25,1 и для III — 23,4 дин/см. Дают практ. рекомендации производить перетир на наименее активном р-рителе с наименьшим поверхностным натяжением, напр. на II, а потом вводить алкид в р-ре в активном р-рителе, напр. I. Приведенные данные меняют обычные представления о целесообразности применения во всех случаях наиболее активных р-рителей и, кроме того, обнаруживают еще одну при-

чину сгущивания пигмента в эмалях, помимо общеизвестной, приписывающей это явление главным образом повышенной кислотности связующего.

К. Беляева

6495. О порошкообразном цинке как пигменте в красках. Балби (A proposito dello zinco in polvere come pigmento per pitture. Balbi Giorgio), Pitture e vernici, 1957, 13, № 1, 47—50 (итал.)

Металлический Zn (I) чистотой 94—97% (обычно, со средним диаметром частиц 4—8 м, в особых случаях со средним диам. 1—3 м и предельными диам. 0,5—10 м) успешно применяют в качестве пигмента в масляных и алкидных красках, а также красках на основе полистирола, хлоркаучука и поливинилацетата, чаще всего в смеси с ZnO в соотношении 80:20. В ряде случаев лакокрасочные покрытия с I, характеризующиеся высокой абразивостойкостью и водостойкостью, заменяют гальванич. цинкование. Достоинством красок с I является также возможность илучения относительно ярких тонов, в частности, при сочетании с хромовыми пигментами, а также их высокая термостойкость, достигающая 480—540°. Одно из наиболее важных применений красок с I — покрытие внутренних поверхностей хранилищ питьевой воды и защита корпусов судов.

Л. Песин

6496. Оценка веществ, предотвращающих образование пленок на поверхности не пигментированных связующих. — (An evaluation of antiskinning agents in clear vehicles.—), Offic. Digest, 1956, 28, № 382, 1083—1088 (англ.)

Испытывалось 8 различных в-в, предотвращающих образование пленок на поверхности («анти-скиннинг-гов») (I) в 4 связующих: двух лаках на тунговом масле с фенольной смолой и пентаэритритовым эфиром канифоли и двух пентафталевых смолах: на льняном и соевом маслах 25 и 35% жирности, соответственно. Приведены результаты испытаний в течение 45 дней, включающие изменение вязкости, цвета, запаха и времени высыхания при условии введения различных кол-в I, а именно $\frac{1}{16}$, $\frac{1}{8}$, $\frac{1}{4}$, $\frac{1}{2}$ и 1% I, считая на сухое связующее. Полученные результаты не позволяют оценить сравнительную эффективность отдельных I по отношению ко всем связующим, а свидетельствуют о том, что для каждого данного связующего должен быть экспериментально подобран тип I и его дозировка.

К. Беляева

6497. Катионные поверхностноактивные вещества в лакокрасочном производстве. Басс (Cationic surface-active agents in paint manufacture. Bass D.), Paint Manufact., 1957, 27, № 1, 5—9 (англ.)

Катионные поверхностно-активные в-ва (I), очень сильно адсорбируясь на твердых поверхностях, образуют более или менее непрерывную мономолекулярную пленку; применяются для смачивания и диспергирования пигментов, улучшения стойкости вододисперсионных красок при т-ре замерзания — таяния, для составов, образующих снимающиеся, свободные пленки, для очистки кистей для задержки развития коррозии и для бактерицидных красок. Одним из интересных применений I является широкое использование «флашинг-процесса» пигментов, т. е. перевода последних из водн. фазы в масляную без сушки и измельчения, основанного на покрытии частиц пигмента водоотталкивающим слоем, придающим пигменту лиофильные свойства, при которых происходит предпочтительное смачивание маслом. Приведены два типовых грунтовочных состава на основе свиного жира — льняного масла и красной окиси железа — алкидной смолы, к которым, для улучшения адгезии и противокоррозионных свойств добавляли I в виде N-триметилендиаминдиолеата, легко растворимого в указанных связующих и неполярных р-рителях. Ис-

пытания показали, что такие составы можно наносить прямо на влажные металлич. поверхности без уменьшения их ингибитивной силы против ржавления и применять для покрытия судов, пирсов (пристаней) и мостов.

Б. Шемякин

6498. Некоторые вопросы пластифицирования лакокрасочных пленок. Неде (Quelques aspects de la plastification des films de vernis et de peintures. Ne de y Georges), Peintures, pigments, vernis, 1957, 33, № 2, 122—132 (франц.)

Рассматриваются вопросы пластифицирования высыхающих лакокрасочных пленок в зависимости от природы связующего. Библи. 26 назв.

Б. Шемякин

6499. К действию пластификаторов. Енкель (Zur Wirkung der Weichmacher. Jenckel Ernst), Dtsch. Farben-Z., 1957, 11, № 4, 135—144 (нем.)

Обзорная статья о действии пластификаторов на пленкообразующие в-ва.

Б. Шемякин

6500. Правила, регулирующие скорости испарения разбавителей для красок при смешивании двух нефтяных компонентов (разбавителей). Уотерс (The principle of directed effect in the blending of two petroleum paint thinners to adjust evaporation rate. Waters George W.), Paint Ind. Mag., 1956, 71, № 10, 22, 26 (англ.)

Испарение 40—60% разбавителей из лакокрасочных составов имеет большое значение для характеристики высыхания пленки. Необходимо максимально регулировать скорость испарения первых 50 объемн. %, так как добавление тяжелых, более медленно улетучивающихся разбавителей к быстро испаряющимся разбавителям, в большей степени влияет на последние 50 объемн. % разбавителя, чем на первые 50 объемн. %. Добавление легких разбавителей к тяжелым, наоборот, более значительно влияет на первую половину общего времени испарения и в меньшей степени на вторую половину, т. е. влияет на наиболее существенную часть кривой испарения. Для иллюстрации графически рассматриваются 6 систем, каждая из которых состоит из двух разбавителей. Практически разбавитель следует выбирать во взаимосвязи с желаемой скоростью высыхания покрытий.

Б. Шемякин

6501. Обнаружение следов активной серы в разбавителях. Хубер (Nachweis von Spuren aktiven Schwefels in Lösungsmitteln. Huber Max), Schweiz. Arch. angew. Wiss. und Techn., 1957, 23, № 3, 95 (нем.)

Для лаков, применяемых в часовой пром-сти, рекомендуется использовать только такие р-рители (I), которые не действуют на серебро, т. е. не содержат вызывающей коррозию S. Для обнаружения следов, содержащих S соединений, наиболее чувствительным методом является метод испытания I на серебряной пластинке, которая чернеет в случае содержания в I соединений S.

Б. Шемякин

6502. Покрытия из пластмасс, наносимые газопламенным напылением, и их применение. Санчес (Los plásticos proyectados por pistola y sus aplicaciones. Sanchiz E. Jr), Rev. plást., 1956, 7, № 30, 147—148 (исп.)

Обзор антикоррозионных свойств полиэтилена, ацетилцеллюлозы, полиамидов, полистирола и различных видов каучука, а также методов их газопламенного напыления на аппаратуру, работающую в агрессивных средах.

Л. Песин

6503. Разрушение защитных покрытий от действия плесени и бактерий (литературный обзор) [Deterioration of protective coatings due to molds and bacteria (Bibliographic study)], Offic. Digest, 1956, 28, № 382, 954—962 (англ.)

6504. О лакировании легких металлов. Бейлер, Шнейдер (Über die Lackierung von Leichtmetallen,

Beyeler Emil, Schneider Walter), Aluminium Suisse, 1956, 6, № 6, 193—200 (нем., франц.)

Дан обзор лаков, применяемых для защиты от коррозии и для декорирования легких металлов и их сплавов, в частности Al в виде литых изделий, листов и фольги.

Б. Брейтман

6505. Покрытия зданий красками в тропиках. Мадесклер (Les revêtements peintures «batiments» en atmosphère tropicale. Madesclaire Jean), France outremer, 1956, 33, № 320, 51, 53 (франц.)

В тропич. условиях (действие солнца, влаги), где особенно активно развиваются плесень и различные бактерии, получают распространение современные эмульсионные краски, в частности латексные краски на основе стирольнобутадиеновых сополимеров. Они отличаются легкостью применения и ухода, быстрой сушкой, высокой конц-ией при низкой вязкости, стойкостью к истиранию, хим. стойкостью и сохранением гибкости пленок, отсутствием токсичных и воспламеняющихся элементов. Их можно наносить непосредственно на многие поверхности, кроме железной (требуется антикоррозионное покрытие). Поливинилацетатные эмульсии дают нестойкие краски, полихлорвиниловые — содержат пластификатор, который мигрирует в подложку, полиакриловые эмульсии дороги. Рекомендуют нанесение очень тонких (0,1 м) силиконовых пленок для придания несмачиваемости поверхности, но на такие пленки нельзя наносить другие краски.

Б. Брейтман

6506. Полиметилен и лакированный полиэтилен. Пинский (Polymethylene und lackierte Polyäthylene. Pinsky Jules), Verpackungs Rundschau, 1956, 7, № 10, Beilage, 77—78 (нем.)

Лакировкой (состав лака не указан) полиэтиленовой тары (бутылок, фольги и др.) для пищевых продуктов, косметич. и фармацевтич. препаратов, а также освоением для этих целей нового материала — полиметилена, удалось достигнуть значительного снижения ее проницаемости. Приведены сравнительные данные по проницаемости различных р-рителей, масел, воды и кремов при хранении в таре из полиметилена и полиэтилена (как обычного, так и лакированного).

К. Беляева

6507. Обработка поверхности и лакировка жести при промышленной переработке. Андерс (Oberflächenbehandlung und Lackierung von Blechen in der industriellen Blechverarbeitung. Anders Heinz), Blech, 1957, 4, № 2, 42—44 (нем.)

Для лакировки жести после ее фосфатирования применяют кислотно-отверждаемые лаки на основе мочевиновых, меламиновых, чистых фенолформальдегидных или модифицированных мочевино- и меламино-алкидных смол. В качестве защитных противокоррозионных лаков для облицовки жестяных коробок применяют, как правило, неаодовитые материалы — лаки на виниловых, фенольных, эпоксидных смолах и масляные лаки. Рассматриваются общие вопросы внутренней лакировки коробок и применяемые материалы.

Б. Шемякин

6508. Прибор для измерения летучести разбавителей. Мак-Гайган (Thin film evaporometer. McGuigan J. P.), Paint and Varnish Prod., 1956, 46, № 12, 31—35 (англ.)

Для оценки летучести и общего действия разбавителей и р-рителей, применяемых для автомобильных лаков, используют спец. прибор-измеритель испарения из толких пленок, в который подается поток кондиционированного воздуха (относительная влажность равна 0, т-ра воздуха 21°).

Б. Шемякин

6509. Огнезащитные краски. Дюраффура (Essais de réaction au feu peintures ignifuges. Duraffour

F.), Peintures pigments, vernis, 1956, 32, № 11, 983—989 (франц.)

Описан аппарат для проведения опытов по определению горючести материала (краски), представляющий собой камеру, в которой находится образец (30 × 40 см), закрепленный под углом 45° к тепловым лучам, попадающим в камеру через выходное отверстие от электрич. кварцевого излучателя. Мощность излучения 320 Вт, т-ра — 805°. Т-ра измеряется термпарой у входного отверстия. Образец получает 0,972 кал/см²/сек. Опыт продолжается 10 мин. Регистрируют время до загорания экспонируемой стороны, продолжительность горения, загорание неэкспонируемой стороны, максим. высоту огня, средний подъем т-ры. Приведены графики изменения т-ры для каждого вида материалов.

Б. Брейтман

6510. Технология полировальных восков и методы испытания. Джонс (Wax polish technology and testing methods. Jones C. L.), Paint Technol., 1957, 21, № 233, 43—48 (англ.)

Кратко описаны различные полировальные композиции и основные требования к ним, в зависимости от их назначения (для кожевенных товаров, для полов и др.). Приведена методика определения блеска, теплоустойчивости, способности к удерживанию р-рителя и др. Для определения консистенции, вязкости и тиксотропности применяются вискозиметры ротационный и крутильный. Твердость пасты определяется с помощью пенетрометра. Дано описание этих приборов. Приведен подробный перечень требований к полировальным материалам по действующим технич. условиям: стабильность, содержание твердого в-ва, глина, водо- и абразивная стойкость, отсутствие отшлипа и др.

М. Ваньян

6511. Современные направления в составлении рецептур мастик для пола. Вассерман (Modern trends in wax formulations. Wasserman Kurt J.), Paint and Varnish Prod., 1956, 46, № 9, 36—39, 68 (англ.)

6512. Процессы перемешивания. Капитани (Il processo di mescolazione. Capitani Andrea), Ind. vernice, 1956, 10, № 8, 201—205 (итал.)

Описание и специфика современных перемешивающих устройств, преимущественно быстроходных турбинных мешалок и др., применяемых в частности в лакокрасочном произ-ве.

Л. Песин

6513 П. Фениламинопропандиолы и их производные (Phenylaminopropanediols and their derivatives) [Lepetit Soc. per Azioni]. Англ. пат. 731397, 8.06.55

Сополимеры аллилглицидного эфира и стирола, сополимеризованные через мономерные олефиновые связи и содержащие 65—90 вес. % сополимеризованного стирола, получают полимеризацией (напр., в блоке), смеси мономеров в присутствии катализатора — O₂, воздуха, перекиси бензоила, ди-трет-бутилперекиси, 2,2-бис-(трет-бутилперокси)-бутана или α, α'-азодиизо-бутиронитрила; стирол можно вводить в реакционную смесь частями. Эфиры этих сополимеров с ненасыщ. к-тами высыхающих масел (приводится перечень масел), получают нагреванием сополимера с к-той или высыхающим маслом в присутствии NaOH. Р-ры сополимеров и в особенности их эфиров в органич. р-рителе (ксилоне), смешанные с сиккативами и пигментами (TiO₂), применяются для покраски поверхностей.

Я. Кантор

6514 П. Материал для покрытий горячей сушки для электрокабелей Фурукава (電線等の焼付塗料の製造方法. 古川 六). Японск. пат. 3491, 15.06.54

140 ч. поливинилформала в 700 ч. фурфурола смешивают с 10 ч. полиэфирамида и 150 ч. C₆H₅Cl.

Э. Тукачинская

6515 П. Производство модифицированных алкидных смол (Production of modified alkyd resins) [Rohm and Haas Ges.]. Англ. пат. 731447, 8.06.55

Смешивают низкомолекулярные полимеры или сополимеры эфиров (I) акриловой к-ты и одноатомных спиртов и (или) их α -замещ. продуктов с моно- или диэфирами (II) жирных масляных к-т и многоатомных спиртов, и с одной (или более) поликарбоновой к-той или ее ангидридом и затем нагревают смесь. Смешивание можно делать и при нагревании. II добавляют пока смола неомогенна. Отношение уд. вязкости I к конц-ии I в г/л (в хлф. при 20°) должно быть 0,02. Многоатомные спирты, используемые при изготовлении II, содержат 3 или более ОН-групп (глицерин, 1,2,4-бутантриол, триметилпропан) или представляют смесь 2-атомных спиртов (гликолей) с одним спиртом, содержащим более трех ОН-групп. Полученная смола растворима в ароматич. соединениях (кетоле, бал.), эфирах одно- или полиатомных спиртов (этилацетате), кетонах; совмещается с основными пигментами (ZnO), нитроцеллюлозой и может быть эмульгирована. Пример: полиметилметакрилат смешивается с моноглицеридом льняного масла. К неомог. смеси сразу, или после нагревания до 220° и охлаждения до 120°, добавляется фталевый ангидрид и окись свинца и смесь нагревается 10 час. при 270°.

Б. Киселев

6516 П. Процесс производства лаков, красок и покрытий на их основе. Яффе (Procédé de fabrication de laques, vernis et peintures et produits obtenus par leur application. Jaffe Fritz) [Scado Kunstharsindustrie N. V.]. Франц. пат. 1110320, 10.02.56

Патентуется способ получения лаков, красок и связующего для них из эпоксидных смол и сочетаний их с полиизоцианатами. По одному из примеров готовят р-р 217 г эпоксидной смолы типа «эпикот 1001», 75 г метилизобутилкетона, 75 г целлозольвата и 175 г толуола. Р-р смешивают с 420 г противокоррозионного пигмента — свинцового сурика. Полученный грунтовочный состав смешивают непосредственно перед применением с 84 г р-ра полиизоцианата (десмодура ТН) с 75%-ным содержанием сухих в-в. Грунтовка пригодна для применения по железу, быстро высыхает и образует пленки с хорошей адгезией, очень водостойкие. Описаны пигментированные и чистые лаки — белой эмали пигментированной рутилом TiO_2 , лака для нанесения способом распыления, пигментированного литопном, тетрахромоном цинка и Al-пудрой с подцветкой сажки и др.

Б. Шемякин

6517 П. Порошкообразная красочная композиция. (Composition de peinture en poudre) [Chimie et bâtiment]. Франц. пат. 1115163, 20.04.56

Композиция содержит не менее 10 вес. % казеина и не менее 7 вес. % активированной извести. Остальную часть ее составляют природный карбонат кальция, окрашивающие в-ва и терпинеол. Казеин преимущественно используют молочный, белый, тонкоизмельченный. Активированную известь получают обработкой (гашением) негашеной извести свежеприготовленным р-ром каустич. соды и воды. Применяемые пигменты должны быть стойки к извести. Кол-во терпинеола составляет 0,5% от веса активированной извести. Его вводят для удаления влажности порошка. Активированная известь фиксирует казеин, делая его непортящимся и краску после применения моющей. Компоненты краски смешивают в краскотерке. Перед применением краску разводят водой. Пример (в %): казеина 11, активированной извести 7,7, литопона 10, синего пигмента 0,3, карбоната кальция 71. При смешивании компонентов добавляют 0,5 терпинеола, от общего веса активированной извести.

Б. Брейтман

6518 П. Усовершенствованный продукт для ухода за покрытиями. Генар (Produit d'entretien perfectionné. Guenard Jean-Marie-François-Xavier) [Stéarinerie Dubois fils]. Франц. пат. 1110467, 13.02.56

Продукт для ухода за покрытиями паркета, линолеума и пр. содержит, помимо обычных продуктов (напр., воска), определенное кол-во смолы типа полиакрилата или полиметакрилата (приведен перечень) в форме эмульсии или р-ра, соответственно состоящих из основных продуктов. Пластификаторы, р-рители, эмульсионные среды подбирают с учетом совместности компонентов. Изобретение применимо для мастичаобразных, жидких и порошкообразных. Пример (в вес. ч.): карнаубский воск 13, олеиновая к-та 2,7, вода 77,6, морфолин 1,7, поли- α -циклогексилфенилметакрилат (в виде латекса) 5.

Б. Брейтман

6519 П. Получение нерастворимых отливок типографской краски при взаимодействии их с эфиром титана или циркония (Insolubilisation de l'encre d'imprimerie par réaction sur un ester de titane ou de zirconium) [E. I. du Pont de Nemours and Co.]. Франц. пат. 1109569, 31.01.56

Метод улучшения качества и получения нерастворимых, быстровысыхающих отливок типографской краски состоит во введении в состав краски способного к полимеризации органич. полигидроксильного в-ва с мол. весом не < 500 (напр., нитроцеллюлозы, бифенолэпихлоридина или касторового масла), которое в последующем вступает во взаимодействие в стехиометрич. соотношении немедленно после нанесения краски в жидком состоянии на поверхность и получения отливок, с вводимым в краску алкогولاتом титана или циркония с алифатич. спиртом, содержащим 1—8 атомов С (напр., изопропилтитанатом или циракатом, этил- или бутилтитанатом).

Б. Шемякин

См. также: Синтетич. глицерин 5485, 5486. Алкидные смолы 6437, 6438. Гетероцепные полиэфиры 6800—6802. Очистка хлопкового масла 6048. Антиоксиданты 6120. Подготовка поверхности 4983. Антикоррозионные покрытия 4947, 4977, 4989, 4992, 4994—5003. Хроматография фенолов 4362. Анализ непредельных к-т 6080. Определение COOH-групп в полиэфирах 4346. Рефрактометры 4410, 4411

КАУЧУК НАТУРАЛЬНЫЙ И СИНТЕТИЧЕСКИЙ РЕЗИНА

Редактор Д. М. Сандомирский

6520. Об образовании полостей в губчатых изделиях из латекса. Гилс, Кларксон (Sur la production de cavités dans les objets en mousse de latex. Gils G. E. van, Clarkson H.), Rev. gén. caoutchouc, 1957, 34, № 3, 251—253, 279, 292, 294, 295 (франц.; рез. англ., нем., исп., итал.)

Одной из возможных причин образования полостей является разложение ускорителей типа дитиокарбаматов, напр. диэтилдитиокарбаматов Na (вулканизатор SDC), Zn (ZDC), этилфенилдитиокарбамата Zn (Р-стра N) и др. с выделением CS_2 . В отсутствие дитиокарбаматов, а также в присутствии каптакса полостей и пустоты не образуются.

Ю. Марголин

6521. Синтетический каучук. Болэм (Synthetic rubber. Bolam S. E.), Plastics, 1957, 22, № 28, 265—267 (англ.)

Обзор. Библ. 8 назв.

6522. Тенденции развития промышленности синтетического каучука. Рубенсала (Trends in synthetic rubber. Rubensala), Trends in synth.

tic rubber growth. Ruebensaal Clayton F.), Petrol. Refiner, 1957, 36, № 3, 144—147 (англ.)

Обзор.
6523. Успехи промышленной химии углеводородных макромолекул. Бани (Achievements of industrial chemistry-hydrocarbon macromolecules. Bani C. W.), Chemistry and Industry, 1957, № 14, 404—410 (англ.)

Популярная лекция по истории и новейшим достижениям в области химии и технологии высокополимеров. В. Кулезнев

6524. Газовые сажи в смесях из нитрильного каучука. Ригби (Carbon blacks in nitrile rubber compounds. Rigbi Z.), Rubber Age, 1957, 81, № 2, 284—286 (англ.)

Исследованы физ.-мех. свойства вулканизатов из нитрильного каучука, наполненного разными сортами газовой сажи (MT, SEF, FEF) в различных комбинациях. Построены трехугольные диаграммы, характеризующие сопротивление разрыву, модуль, твердость, относительное удлинение, теплоустойчивость, а также стоимость саж и их комбинаций. По этим диаграммам можно выбрать наиболее экономичную комбинацию саж, обеспечивающую требуемые физ.-мех. свойства смеси. Л. Золотаревская

6525. Разработка рецептуры маслостойких при высоких температурах резин на основе нитрильного каучука с окисью магния. Кларк, Гиллен (Development of magnesia-loaded nitrile rubber composition for high-temperature oil resistance. Clark R. A., Gillen W. H.), Rubber World, 1957, 135, № 2, 220—231 (англ.)

Резины из нитрильного каучука, наполненные MgO (вместо сажи), дают высокое сопротивление старению. Старение (до 500 час.) исследовали на трубках, наполненных маслом «Turbo Oil-15», при доступе воздуха и $t = 176^\circ$. Сопротивление разрыву (CP) резин с сажой HAF уже после 72 час. старения падает с 280 до 70 кг/см^2 , а сопротивление растрескиванию становится ниже допустимого. Резина состава (в вес. ч.): хайкар 1001 100; MgO 100; стеариновая к-та 1,5; S 0,5; ZnO 5; тетраметилтиурамдисульфид 0,25 дает CP 149 кг/см^2 до старения и 168 кг/см^2 после 168 час. старения. Относительное удлинение соответственно изменяется при 0; 70 и 168 час. старения от 360 до 200 и 160%. Несколько повышена степень набухания (17% по сравнению с 10% у сажевой резины). Другие песажные наполнители не дают такого эффекта, как MgO. Сопротивление старению резины не улучшается при замене S на окислы Ca, Cd, Pb, перекисные соединения или динитробензол. Применение обычных антиоксидантов, а также регуляторов полимеризации и агентов обрыва цепей не привело к существенному улучшению старения резин. Несколько лучшие результаты дало введение в смесь больших доз (до 15—20%) антиоксидантов (флектол Н и полимеризованный триметилгидрохинолин — смола эджейт D) при одновременном введении 1% антиоксиданта в масло. Пластификаторы и мягчители также не улучшают сопротивление старению. Исследовали влияние содержания нитрильных групп (18—80%). Лучшее сочетание свойств резины получается при содержании акрилонитрила 40—45%.

А. Лукомская
6526. Влияние некоторых соединений металлов на вулканизацию бутилакрилового каучука. Татаиши, Судзуки (アクリルゴムの架橋に及ぼす金属化合物の影響. 立道秀磨, 鈴木重成), 工業化学雑誌, Roré karaku dзасси, J. Chem. Soc. Japan. Industr. Chem. Sec., 1957, 60, № 2, 224—227 (японск.)

Для выяснения влияния кислородных соединений и солей ряда металлов на вулканизацию (В) под дей-

ствием триэтилентетрамина (I) образец сополимера бутилакрилата и акрилонитрила (в соотношении 84,5:15,5) размером $10 \times 10 \times 1$ мм, содержащий 1,68% I и испытуемое соединение металла, погружали на 72 часа в бензол при 30° и определяли степень набухания и растворимость образца. В проводили при 120, 150 и 180° . При содержании в смеси одного I с увеличением продолжительности В вначале происходит уменьшение набухания и растворимости, прекращающееся после 5 час. При 120° В не достигает равновесия. Изучено влияние на В различных окислов металлов при дозировке 5%. Время В в этом случае 2—4 часа. Окислы Fe, Cu, Sn, Ti, Al влияния на В не оказывают. Наиболее препятствуют В окислы Zn, Mn, Pb, Mg; меньшим действием обладают окисы Ni, перекиси Na и Ca. Слабым ускоряющим действием обладают CaO и SnO. Дозировка солей составляла 2%; $t = 150^\circ$. Сернокислые соли Sn, Al, Zn, Fe^{3+} , Cu, Pb, Mn, Mg, Ca, Na, Co препятствуют В (ряд расположен в порядке уменьшения влияния). AlCl_3 меньше замедляет В, чем $\text{Al}_2(\text{SO}_4)_3$. Стеараты Fe, Cd, Cu, Zn, Pb, Ca, Ba (в порядке возрастания влияния) ускоряют В. ZnSO_4 в кол-ве до 1% не влияет на В, при 2% наблюдается наибольшее замедляющее действие. Стеарат Zn начинает тормозить В при дозировках $\sim 5\%$. Предполагается, что действие соединений металлов на В связано с образованием молекулярных соединений между ними и I. Ю. Ермаков

6527. Теплоустойчивость, старение и химическая стойкость бутилкаучука энджей. Уагнер (Heat, aging and chemical resistance of Enjay butyl rubber. Wagner Charles E.), Rubber Age, 1957, 81, № 2, 291—293 (англ.)

Обзорная статья. Л. З.
6528. Клен из натурального каучука. Штехер (Naturkautschuk-Klebstoffe. Stecher Heinz), Seifen-Öle-Fette-Wachse, 1957, 83, № 12, 345—347 (нем.; рез. англ., франц., исп.)

Обзор.
6529. Смешение и применение масляного каучука с улучшенными свойствами. Гейл, Гаррис, Килбанк (Mixing characteristics and use of an improved oil-extended rubber. Gale E. E., Harris I. W. E., Kilbank S. C.), Trans. and Proc. Instn. Rubber Ind., 1957, 33, № 2, 33—57 (англ.)

При смешении в резиносмесителе со скоростью ротора 77 об/мин в течение 4 мин. сажевая смесь из масляного бутадиенстирольного каучука (K) (Polysar Krynol, I) имеет вид отдельных кусков, из масляного K с улучшенными свойствами (Polysar Krynol 651, II) — более однородной массы, из обычного K низкотемпературной полимеризации (Polysar Krylene, III) достигается наилучшее качество смешения. Усадка при вальцевании и скорость шприцевания смесей из I или II меньше, чем смесей из III. Кривые расхода энергии при смешении имеют два максимума после добавления сажи (C), расстояние между которыми по времени уменьшается с улучшением технологич. свойств K в ряду: I—II—III. Кривые растяжения плохо обрабатываемых сырых смесей имеют пикообразный характер, у хорошо обрабатываемых смесей пики сглаживаются и смещаются в область более высоких удлинений. Пластич. течение смесей увеличивается с возрастанием в них диспергирования C. Максимум на кривых распределения мол. весов смещается в область малых мол. весов, и содержание низкомолекулярных фракций увеличивается с возрастанием диспергирования C в K в ряду: I—II—III. С увеличением содержания масла в K способность последнего к диспергированию C уменьшается, что связано с увеличением среднего мол. веса. Масляные K с успехом заменяют III при изготовлении покрышек и резино-

технич. изделий, при этом уменьшается стоимость изделий. Протекторные резины из II имеют твердость по Шору на 5—7 единиц ниже, чем резины из I, меньшее теплообразование при многократных деформациях и большее сопротивление многократному изгибу. Сопротивление износу покрышек из масляного K при дорожных испытаниях несколько ниже, чем покрышек из III. При более жестких условиях работы покрышки (на ведущих колесах) по сопротивлению износу масляный K приближается или даже превосходит III. Смеси из масляных K, вследствие хорошей растекаемости, могут применяться для изготовления формовых изделий. Высокое сопротивление истиранию и многократному изгибу делает II перспективным для изготовления подожженных резин.

И. Тугорский
6530. Поведение различных сортов активированных углей в резиновой смеси. Николлинский, Воденичарова (Върху отнасянето на активния въглен в каучуковата смес. Николлински П., Воденичарова Н.), Годишник Хим.-технол. ин-т, 1954, 1, 37—42 (болг.; рез. нем.)

Исследовано влияние на свойства вулканизата состава (в вес. ч.): НК 100 S 3, ZnO 5, стеариновая к-та 1, каптакс 1, сажа «карбомет» 40, замены сажи активированным углем (АУ): липовым, из ореховой скорлупы и горького миндаля, активированного ZnCl₂, карборафина, гранулированного, обработанного перегретым паром, АУ адсорбируют из смеси S и каптакс. Для получения нормальных вулканизатов с АУ требуется повышение дозировок S до 3% и каптакса до 2% и времени вулканизации при 142° с 10 до 20 мин. АУ удерживают большое кол-во газа, что приводит к образованию пористых вулканизатов. Для устранения этого необходим прогрев АУ при 250° в вакууме. Дегазированные АУ дают вулканизаты с невысокой прочностью (до 85 кг/см²). Смесь с сажей имеет сопротивление разрыву ~ 185 кг/см². Нагрев АУ при 600—800° повышает сопротивление разрыву резин на 30%. Электронномикроскопич. снимки АУ показывают нерегулярную ребристую форму их частиц, со средним diam. 1 м. Частицы сажи «карбомет» круглые, с diam. 0,05 м.

А. Лукомская
6531. Сажа. Канальные сажи SRF и FEF. Снайдер (Carbon black—the channel, SRF and FEF blacks. Snyder John W.), Rubber Age, 1957, 81, № 3, 471—473 (англ.)

Обзор.

6532. Сажа. Сажи HAF, ISAF и SAF. Стюдера-бекер (Carbon black—the HAF, ISAF, and SAF blacks. Studebaker Merton), Rubber Age, 1957, 81, № 3, 473—474 (англ.)

Обзор.

6533. Кремнеземы. Вулф (Silicas. Wolf Ralph F.), Rubber Age, 1957, 81, № 3, 475—479 (англ.)

Обзор применения силикагеля в резиновых смесях кремнезема и его комбинаций с сажей. Л. З.

6534. Тюбориль — специальный наполнитель для бутилкаучука. Дюмонтье (Une charge spéciale pour le butyl-caoutchouc: le tuboryl. Dumonthier Jean), Rev. gén. caoutchouc, 1957, 34, № 5, 469—471, 493, 498, 500, 502 (франц.; рез. англ., нем., исп., итал.)

Тюбориль — безводн. алюмосиликат состава (в %): SiO₂ 65—67, Al₂O₃ 29—33, Fe₂O₃ 1,5—1,8, TiO₂ 0,3—0,4; MnO₂ и CuO не обнаружены; прочих 2—4. Размер частиц ~ 2 м, уд. в. 2,8; очень мало гигроскопичен. Смесям можно придавать различную окраску. При дозировке 100 вес. ч. (на 100 вес. ч. каучука) дает сопротивление разрыву 134 кг/см², относительное удлинение 700%, модуль (300%) 36 кг/см², твердость 48, сопротивление раздиру 18 кг/см. Вулканизация 10 мин. при 160°.

М. Лурье

6535. О подвижности серных связей в резине и ните. Блох Г. А., Чуприна Л. Ф., Докл. АН СССР, 1954, 99, № 5, 757—760

6536. Инфракрасный спектр стеарата цинка и вулканизация натурального каучука. Эллис, Брайан (The infrared spectrum of zinc stearate and the vulcanization of natural rubber. Ellis Bryan, Puzos H.), J. Polymer Sci., 1956, 22, № 101, 348—350 (англ.)

При вулканизации смесей из НК интенсивность поглощения при 6,5 м, соответствующей поглощению стеарата Zn, уменьшается. Так как спектр чистого стеарата Zn при нагревании не меняется, то уменьшение интенсивности связано с взаимодействием стеарата Zn с каучуком.

И. Тугорский
6537. Невыцветающий вулканизующий агент для получения теплостойких резин из натурального и синтетических каучуков. Кранкер, Перри (A non-blooming high temperature resistant vulcanizing agent for natural and synthetic rubbers. Crancker K. R., Perrine V. H.), Rubber Age, 1957, 81, № 1, 113—116 (англ.)

Вулканизующий агент VA-7 (I) представляет собой жидкий органич. полисульфид с ф-лой —R—S_n—R, где R — алифатич. эфир, а n = 4,5. Механизм вулканизации заключается в распаде I на бирадикалы, производящие сшивание молекул каучука. I можно применять в дозировках 1,25—2 вес. ч. (на 100 вес. ч. каучука) для вулканизации смесей из НК, GR-S или нитрильных каучуков с ускорителями метилдимером, Selenac, Ledate или Monex. С увеличением n от 3 до 4,5 модули вулканизатов возрастают, остаточное сжатие уменьшается. I хорошо диспергируется в смеси и не выцветает, вследствие чего не вызывает коррозии токоведущих жил кабелей и может применяться в кабельной пром-сти. I можно применять также при изготовлении тормозных манжет, протекторов для ремонта шин и белых боковин покрышек. Резины с I отличаются высокими температуростойкостью и сопротивлением тепловому старению. Смесей с I и ускорителями обладают склонностью к преждевременной вулканизации и требуют применения замедлителей.

И. Тугорский

6538. Действие свободных радикалов на каучук. VII. Производные дибензоилдисульфида как новый вулканизующий агент для натурального каучука. VIII. Четвертичные аммониевые соли как новый вулканизатор каучука. IX. Четвертичные аммониевые соли как новый ускоритель вулканизации каучука. Фурукава, Ямасита, Ямаваки (ゴムに対する遊離ラジカル作用. 第7報. 新しい加硫剤としてのベンゾイルジサルファイド類. 第8報. 新しい素練り促進剤としての第四級アンモニウム鹽. 第9報. 新しい加硫促進剤としての第四級アンモニウム鹽. 古川淳二, 山下晋三, 山崎良一, 日本ゴム協会誌, Нихон гому кёкайси, J. Soc. Rubber Ind., 1957, 30, № 3, 180—185, 243—244; 186—190, 244; 190—195, 244 (японск.; рез. англ.)

VII. Дибензоилдисульфид (I) и его *n*,*n*-производные оказывают вулканизующее действие на НК в присутствии ZnO, уменьшающееся в зависимости от заместителя в ряду: CH₃O, Cl, CH₃, H, NO₂. Вулканизаты с производными I по механич. свойствам и сопротивлению старению превосходят вулканизаты с перекисью бензоила, за исключением *n*,*n*-динитропропильного I. На один моль поперечных связей требуется 3 моля I и 6 молей ZnO. По эффективности вулканизующего действия I уступает тиураму.

VIII. Бинарные смеси алифатич. или ароматич. аминов с алифатич., ароматич. или аллилалкилхлоридами, хлорагидридами к-т, или сульфохлоридами, а также соответствующие четвертичные аммониевые соли являются эффективными агентами пластикации НК и

СК. Наиболее эффективны соли диметиланилина. Соли, в которых бензольное кольцо связано непосредственно с атомом N, не являются ускорителями вулканизации, а также уменьшают эффективность действия наптанса как ускорителя.

IX. Четвертичные аммониевые соли, имеющие длинные углеводородные цепи (напр., лаурильдиметилбензиламмонийхлорид), являются ускорителями вулканизации и хорошо диспергируются в смесях. Соли могут применяться как самостоятельные ускорители или в комбинации с каптаксом.

И. Турский
6539. О механизме вулканизации в присутствии 2-меркаптобензотиазола. Догадкин Б. А., Турский И. А., Певзнер Д. М., Докл. АН СССР, 1957, 112, № 3, 449—452

При помощи 2-меркаптобензотиазола (I), меченного S^{35} в тиазоловом кольце, изучали кинетику присоединения I к каучуку при вулканизации. В случае незаполненных смесей из очищ. НК при 121° р-ции присоединения S и I к каучуку протекают параллельно. В присутствии ZnO наблюдается более интенсивное присоединение I. Небольшое кол-во I присоединяется к каучуку уже на вальцах при смешении. Кол-во присоединившегося I возрастает с уменьшением мол. веса фракций, что объясняется присоединением I к полимерным радикалам, образующимся при механич. разрыве цепей каучука. Дополнительное введение S в вулканизат путем его набухания в 2%-ном р-ре S в бензоле приводит к новому ускорению р-ции присоединения I к каучуку. Константа скорости присоединения S, рассчитанная по ур-нию первого порядка, линейно зависит от конц-ии I. Энергия активации р-ции присоединения S к СКБ равна 20,6 ккал/мол. На один акт присоединения I в главном периоде вулканизации приходится около 2 актов поперечного сшивания. Взаимодействие S, I и каучука имеет сопряженный характер и идет по механизму, предложенному ранее (РЖХим, 1957, 35823).

И. Турский
6540. Структура каучука и проблема противостарителей. Уч. зап. Белорусск. ун-та, вып. 20, 1954, 153—164

6541. Определение 2-меркаптобензимидазола. Зейн (Le dosage du 2-mercaptobenzimidazole. Zijp J. W. H.), Rev. gén. caoutchouc, 1957, 34, № 4, 366—370, 397, 399, 404, 406 (франц.; рез. англ., исп., итал.)

Для идентификации 2-меркаптобензимидазола (I) пользуются методом хроматографии на бумаге, для колич. определения — аргентометрич. титрованием. Образцы анализируемых резин не должны содержать в-в, дающих не растворимые в воде соли Ag, напр. наптанса.

Ю. Марголина
6542. Автоматизация процесса вулканизации деталей низа обуви. Матвеев В. В., Легкая пром-сть, 1957, № 3, 20—22

Описан карусельный пресс полуавтомат, предназначенный для изготовления резиновых каблучков или подошв. Пресс состоит из горизонтальной карусели, по периферии которой установлено 18 прессточек, механизма привода карусели, снабженного вариатором, обеспечивающим изменение длительности цикла в диапазоне 4—15 об/час, и масляного гидравлич. привода. Каждая прессточка представляет собой одноэтапный гидравлич. пресс, мощностью в 40 т, снабженный индивидуальным дистрибутором. Управление дистрибуторами осуществляют два неподвижных кошара, на которые набегают ролики дистрибуторов при вращении карусели. Плиты прессточек обогреваются паром. Давление пара 6—12 кг/см². Подвод масла от гидропривода к цилиндрам прессточек, а также подвод пара к плитам и отвод конденсата осуществляют через соответствующие кольцевые гидравлич. кол-

лекторы. При работе пресса карусель вращается непрерывно, и обслуживающая пресс работника должна находиться на позиции выгрузки, где она вручную удаляет из открывшейся формы готовые изделия и вкладывает в формы заготовки. Производительность пресса 306 пар подошв или 650 пар каблучков в час. Габариты пресса: наружный диам. 3700 мм, высота 2270 мм, вес 14 т, мощность двигателя привода 1,7 кВт.

Р. Торнер
6543. Увеличение производительности путем совместной работы агрегата Бенбери высокого давления — шприцмашина. Гоньер (How Voit Rubber increased productive capacity through installation of a high pressure Banbury-extruder combination. Gonyer G. R.), Rubber Age, 1957, 81, № 1, 75—82 (англ.)

Подробно описано устройство механизированного подготовительного отделения небольшого з-да протекторной резины, изготовляющего до 25 различных типов смесей, с пропускной способностью 340 т/мес. Основным оборудованием является скоростной резиносмеситель высокого давления бенбери № 3А, скомбинированный с листовальной шприцмашиной (диаметр червяка — 240 мм). Все вспомогательные работы, связанные с навеской и транспортировкой сырья, механизированы. На крыше спец. одноэтажного корпуса установлен пятисекционный бункер для 4 типов саж. Применяющиеся в произ-ве протекторной резины древесные опилки также хранятся в этом бункере. Бункер соединен системой ленточных транспортеров с автоматич. весами. От весов сажа транспортируется к бункеру резиносмесителя ленточным транспортером. Каучук разрезается гильотинным ножом, развешивается и укладывается на качающиеся чашки подвижного конвейера, который подходит непосредственно к бункеру резиносмесителя. Для автоматич. дозировки и подачи жидких мягчителей (масел) установлен мерный цилиндр, смеситель и впрыскивающее устройство, позволяющее подать в смесь комбинацию из трех масел. Управление процессом смешения и развески сосредоточено на пульте управления, на котором установлены органы дистанционного управления автоматич. весами, селектор выбора типа саж, мягчителей и наполнителей, приборы контроля и управления резиносмесителем и шприцмашиной. Полная продолжительность цикла смешения, включая загрузку и выгрузку, ~2,5 мин. Пластфикация каучуков ~4 мин. Введение сажи в смесь ≤ 1,5 мин. Разрезка ленты на листы и укладка их на стеллажи механизирована.

Р. Торнер
6544. Конструкция и материал уплотнений. Невеский (Dichtungen nach Bauart und Stoff. Nebesky W.), Gummi und Asbest, 1957, 10, № 5, 284—289 (нем.)

Обзор. Библ. 10 назв.

М. Х.
6545. Микропористая подошва. Морган (Tälpí microporoase. Morgan P.), Ind. uşoara, 1957, 4, № 3, 115—121 (рум.; рез. русск., нем.)

Приведен ряд свойств микропористой резиновой подошвы и рассмотрены факторы, обеспечивающие ее высокое качество. Указаны рецепты смесей на буну S, НК и на сочетании НК и дуранила 30. В качестве порообразователя применяют динитроэпентаметилтетрамин, наполнителя — коллоидный каолин. Уд. вес вулканизированной подошвы 0,36—0,61, твердость по Шору 35—55.

М. Монастырская
6546. Метод технологической оценки асбофрикционных масс. Тараненко Н. Т., Каучук и резина, 1957, № 6, 37—38

Разработан метод ускоренного контроля технологич. свойств и постоянства рецептурного состава формовочных масс на основе каучука, предназначенных для

произ-ва асбофрикционных изделий. На пластометре конструкции Канавца определены вязкотекучие свойства, напряжение сдвига и скорость структурирования при 180°. Пластометр Канавца может быть использован для изучения роли каждого компонента формовочной массы.

Л. Золотаревская
6547. О физико-механических свойствах протекторных резин с регенератором. Каплунов Я. Н., Шохин И. А., Поварова З. Г., Тр. Моск. ин-та тонкой хим. технол., 1956, вып. 6, 131—140

Экспериментальной проверкой протекторных резин (ПР) на основе СКБ и СКС-30 различной пластичности с добавками регенерата (Р) подтвержден общий принцип построения рецептуры резино-регенератных смесей, рекомендованный НИИРПом (РЖХим, 1956, 8088). Основные физ.-мех. показатели ПР при введении в них Р с последовательной заменой 50% каучука каучуковым в-вом Р изменяются незначительно. Меньше всего влияет на физ.-мех. показатели ПР введение Р, полученного по методу растворения. При введении Р, полученного по водонейтральному методу из ПР на основе СКБ, вызывает наибольшее ухудшение этих показателей в связи с плохим распределением Р в смеси из-за наличия в нем большого кол-ва слабо деструктурированного геля.

Л. Золотаревская
6548. К вопросу о механизме девулканизации. II. Стаффорд, Олкрофт, Сарджент (Contributions to the mechanism of devulcanisation. II. Stafford W. E., Allcroft J. B., Sargent D. T.), Rubber J., 1957, 132, № 18, 576, 578—580, 582 (англ.)

При регенерации ненаполненных вулканизатов из НК, содержащих в качестве ускорителя трименовые основания, щел. методом (3%-ный р-р NaOH, 24 часа при 191°) без удаления свободной S или с ее удалением при помощи Na₂SO₃ наблюдается уменьшение кол-ва связанной S. Отношение S, нерастворимой в CHCl₃ (Q), к S, растворимой в CHCl₃ (P), сохраняется таким же, как и при регенерации вулканизатов с кап-таксом (см. часть I). При регенерации ненаполненных вулканизатов из GR-S 16 час. при 191° (среда набухания — дипентен, агент регенерации — фенолсульфид) увеличивается содержание ZnS. Отношение Q/P сохраняется таким же, как и для вулканизатов из НК без применения агента регенерации, что указывает на то, что последний не влияет на механизм девулканизации каучука. При регенерации вулканизатов из бутилкаучука горячей водой 16 час. при 191° увеличивается содержание ZnS и уменьшается кол-во общей S. Предварительное удаление свободной S экстракцией метилэтилкетом не устраняет образования ZnS при регенерации. Состав вулканизирующей группы исходного вулканизата оказывает существенное влияние на физ.-мех. свойства резин из регенерата. Часть I см. РЖХим, 1956, 73063. И. Туторский

6549. Пластичность по Вильямсу. Инахара, Ямасита (ウィリアムス可塑性に於ける研究. 稲原藤太郎, 山下晋三), Япон. Гом. Ассоциация, J. Soc. Rubber Ind., 1957, 30, № 3, 173—179, 243 (японск.; рез. англ.)

При определении пластичности каучука на пластометре Вильямса нельзя пренебречь вязко-эластическими свойствами материала. Значение n в уравнении Скотта для пластичности по Вильямсу значительно $< 0,25$ и определяется как функция коэф. пластичности по Вильямсу. Уравнение Скотта, касающееся формы образца, было экспериментально проверено на резино-вых смесях. В случае ньютоновского течения, когда $n > 0,20$, можно вычислить вязкость каучука. Энергия активации течения составляет 10,9—11,4 ккал/моль.

М. Хромов
6550. Испытание резино-тканевых транспортных лент. Маттинг, Хейдеман (Zur Prüfung von

Gummi-Textil-Fördergurten. Matting A., Heide mann A.), Kautschuk und Gummi, 1956, 9, № 20, 255, 256, 258—260, 262 (нем.)

Методика включает в себя испытание на жесткость (определение прогиба ленты под действием груза); ударную прочность при растяжении и изгибе (маятниковым копром определяется работа разрушения); стойкость к многократным ударам (по натянутому полотну ударяет падающий груз); выносливость к знакопеременному изгибу и многократному растяжению. На примере данных, полученных при испытании некоторых ремней, рассмотрены способы оценки их работоспособности. Стойкость лент к отдельным видам нагружения лучше характеризовать кривыми типа Велера (зависимость работоспособности от деформации или нагрузки). Ввиду зависимости работоспособности лент от многих факторов предлагается проводить лабор. оценку посредством определения числа добротности G по ф-ле: $G = (V_1 \cdot V_2 \dots V_n)^{1/n}$, где n — число лабор. испытаний, $V = N_{\min} \cdot b/N'$, N_{\min} — наименьшее значение показателя отдельного испытания для одной ленты, N' — среднее для всех лент значение наименьших показателей отдельного испытания, b — коэф., характеризующий частоту отдельного нагружения и его значение в изломе ленты.

М. Хромов
6551. Определение эластичности трипсометром Дебло. I. Метод испытания резины и влияние на эластичность условий опыта. Тобинси, Мацудзудзимото. II. Влияние ингредиентов на эластичность резины (I). Действие сажи. Тобинси, Фудзимото, Ямамото (Dunlop Tripsometerによるリジリテンス測定について. 第1報. 加硫ゴムのリジリテンス試験法及びリジリテンスに及ぼす試験条件の影響. 飛石大二, 松井末光, 藤本勝也. 第2報. 加硫ゴムのリジリテンスに及ぼす配合剤の影響. その1. カーボンブラック. 飛石大二, 藤本勝也, 山本博美). Япон. Гом. Ассоциация, Нихон гому кёкайси, J. Soc. Rubber Ind., 1957, № 2, 87—112, 163 (японск.; рез. англ.)

I. При изучении эластичности резин с помощью трипсометра Дебло применяли статистич. метод обработки результатов. Исследовали влияние на эластичность — t -ры, угла прибора, условий вулканизации и старения и определена статистич. корреляция. Найдена также корреляция между данными, полученными на трипсометре, эластометре Шоба и маятнике Дебло. Определение степени вулканизации с помощью трипсометра, сравнивали с изменением других физ. свойств резины.

II. Эластичность резин является аддитивной величиной в отношении процентного содержания НК и GR-S; увеличение содержания сажи и уменьшение содержания каучука приводит к уменьшению эластичности; чем меньше частицы сажи, тем больше прочность и меньше эластичность; сопротивление истиранию, разрыву и раздиру при высоких t -рах коррелируют с эластичностью. Полученные результаты позволяют определить состав смеси по эластичности и наоборот.

М. Хромов
6552. Применение радиоактивных изотопов в резиновой промышленности. Каплунов М. Я., Герасова З. Н., Каучук и резина, 1957, № 3, 15—18. Обзор. Библ. 33 назв.

6553 П. Эластичные волосные детали и способ их изготовления. Орсер, Клапп (Resilient fiber and method of making same. Orser Keith L., Clapp Richard D.) [Columbian Rope Co.] Пат. США 2746894, 22.05.56

Для равномерной пропитки волоса (шерсть, синтетический или копра) его обрызгивают смесью из натуральных

или синтетич. латекса в тот момент, когда волосной слой попадает на движущийся транспортер. Затем образуют другую сторону волокнистого слоя. Кольцо латекса рассчитывают так, чтобы не забить поры, но образовать пленку на одной или обеих сторонах волосного слоя.

М. Монастырская
6554 П. Продукт реакции гидрированного каучукоподобного полимера с акрилонитрилом. Джонс, Кантерино (Reaction products of hydrogenated rubbery polymers with acrylonitriles. Jones Rufus V., Canterino Peter I.) [Phillips Petroleum Co.] Пат. США 2731439, 17.01.56

Для получения каучукоподобного термопластичного материала р-р частично (на 15—90%) гидрированного полимера приводят во взаимодействие с 0,1—5 эквивалентами (на каждый атом С полимера, находящийся в α-положении к двойной связи) акрилонитрила или метакрилонитрила, при 51,5—149° (рекомендуется 65—93°) в присутствии 2—10% (от веса полимера) органич. перекисных или гидроперекисных катализаторов. Полученный продукт содержит 0,1—16 вес. % N. Пример. К р-ру 10 г гидрированного полибутадиена (непределенность 35,9%) в 300 см³ бензола добавляют 5 г акрилонитрила и 0,8 г перекиси бензоила. Р-р нагревают 2 час. при 82°. Через 0,5 час. наблюдается желатинирование, в конце р-ции вязкость гели уменьшается. Продукт выделяют при выливании р-ра в изопропиловый спирт, с последующим высушиванием под вакуумом. Полученный термопластичный материал формуют 5 мин при 93° и 190 кг/см². При этом твердость достигает 80 (у исходного полимера 69), и объемное набухание (смесь изоктаана и толуола в отношении 70/30) 310% (исходный полимер растворяется).

Б. Киселев
6555 П. Стабилизация каучука 1,7-диоксинафталином. Уитмор, Гофман (Stabilization of rubber by adding thereto 1,7-dihydroxynaphthalene. Whitmore Harry E., Hoffman Alfred E.) [Universal Oil Products Co.] Пат. США 2752408, 26.06.56

В качестве антиоксиданта для НК, СК, пластмасс, смол, клеев из них и т. п. применяют 0,0001—2% 1,7-диоксинафталина.

М. Лурье
6556 П. Губчатые уплотнители с тканевым усилением и способ их изготовления. Опп (Fabric-backed sponge gasket and method of making same. Orr Marcus O.) [The B. F. Goodrich Co.] Пат. США 2744847, 8.05.56

Сырой резиновой смесью ((в вес. ч.) GR-S 100, мел 80, сажа 20, NaHCO₃ 15, S 3, ZnO 5, тетраметилураммоносульфид 1, стеариновая к-та 10 и тяжелое масло 80) частично заполняют полость пресс-формы, поверх смеси накладывают слой из ориентированного волокна так, чтобы волокна располагались вдоль резиновой полоски. Вулканизация 15 мин. при 163°. Увеличение объема 300—600%. Волокно прочно сцепляется с резиной, придает твердость поверхности и улучшает адгезию прокладки с металлом при монтаже.

М. Монастырская
6557 П. Печатная доска и способ ее изготовления. Кук, Тимс (Printer's blanket and method of making same. Cooke Giles B., Timbs Mordesai N.) [Crown Cork & Seal Co., Inc.] Пат. США 2752280, 26.06.56

На металлич. бронзовый лист накладывают покрытие, состоящее из промежуточного эластичного резинового слоя из НК и слоя, содержащего (в вес. ч.): тиокола 100, неопрена 25, сажа 45, стеариновой к-ты 1 и перекиси Zn 6. Этот слой служит для защиты резины из НК от действия типографской краски. Для повышения адгезии эластичного слоя к металлу последний промазывают клеем или латексом. Тиоколовый слой наносят на НК таким образом, что закры-

вают его со всех сторон. Вулканизация в прессе 10—15 мин. при 149°.

М. Монастырская

См. также: Латекс: краски 6491, 6505; клеи 6398, 6460, 6462, 6478; для искусств. кожи 6751; латексно-цементные смеси 4989. Гидрохлорид каучука 6351. Хлоркаучук 6486. Непределенность, определение 6782. Получение мономеров 5482. На-бутадиеновый каучук, термич. окисление 6761. Бутадиенстирольный каучук, полимеризация 6418. НК и гуттаперча, фотоэластич. св-ва 6785. Резиновые клеи 6397, 6477. СК, смеси с полистиролом 6370, 6371. Губка 6489, 6472. Применение антикоррозийных покрытий 4977, 6502

ИСКУССТВЕННЫЕ И СИНТЕТИЧЕСКИЕ ВОЛОКНА

Редактор В. А. Дерезицкая

6558. Искусственные волокна как отечественная сырьевая база для текстильной промышленности Польши. Ливовский (Włókna sztuczne jako krajowa baza surowcowa dla przemysłu włókienniczego. Liwowski J.), Przem. chem., 1956, 12, № 9, 502—505 (польск.)

Отмечено, что в Польше запланировано к 1960 г. довести потребление волокна до 10 кг на душу населения в год (вместо ~ 6 кг в 1951 г.), в том числе до 3 кг искусств. волокна (уд. вес синтетич. волокон до 1960 г. планируется небольшим).

Л. Песин

6559. Синтетические волокна. Основы производства. Крашение — аппретирование — набивка. I. Поцца (Les fibres synthétiques. Principes de fabrication. Teinture — apprêts — impression. I. Pozza Girolamo), Rev. text., 1957, 56, № 3, 173—184 (франц.)

Общие сведения об образовании в природе или получении и свойствах природных и синтетич. полимеров — целлюлозы и ее производных и других полисахаридов, полипептидов, каучуков, фено- и аминокластов, полиамидов, полиуретанов, глифталей, полисиликонов, виниловых и акриловых полимеров и сополимеров, полиэфиров. Краткая историч. справка о развитии произ-ва синтетич. волокон в США и странах Европы.

Р. Муромова
6560. Определение азота в полиакрилонитриле. Бартельс (Zur Stickstoffbestimmung in Polyacrylonitril. Bartels Ursula), Faserforsch. und Textiltechnik, 1957, 8, № 5, 194—195 (нем.)

Определение обычно производится по методу Кьельдаля (К), так как сжигание по Дюма часто дает заниженные результаты. Из проверки описанных в литературе вариантов ускорения процесса К следует, что с применением H₂O₂, HClO₄, KMnO₄ или Se р-ция протекает быстрее, но возрастают потери азота соответственно до 2,15, 2,37, 1,85 и 0,95% от теоретич. Наилучшие результаты получены в случае применения K₂SO₄ и CuSO₄ (для повышения точки кипения) в соответствии с классич. методом К, который и рекомендуется для контроля произ-ва. В этом случае отклонения найденных значений от теоретич. составляют 0,22%.

Р. Нейман
6561. Исследование процесса полимеризации капролактама методом фракционирования полимеров. Кудрявцев Г. И., Каторжинов Н. Д., Крутикова А. Д., Научно-исслед. тр. Всес. н.-и. ин-т искусств. волокна, 1957, вып. 3, 65—71

Исследован фракционный состав поликапроамида, полученного в производственных условиях, методом распределения полимера между двумя несмешивающимися р-рителями — крезолом и бензином, предложенным Гордиенко (РИХим, 1955, 12935; 1956, 2484). Найденно, что распределение мол. весов поликапроамида отличается от «нормального» распределения и

приближается к распределению, полученному Коршаком. Фракционный состав поликапроамида почти не изменяется при увеличении продолжительности конечной стадии процесса полимеризации — «дегазации», а также при повторном переплавлении смолы капрон.

А. Волохина
6562. Синтетическое волокно фторлон. Зазулина З. А., Марцинковская Р. Н., Роговин З. А., Текстильн. пром-сть, 1957, № 5, 6—7

Для получения волокна использованы фторсодержащие полимеры, растворимые в ацетоне, имеющие средний мол. в. 400 000—600 000, содержащие 5—10% фракций с мол. в. <100 000. Для формования волокна фторлон (Ф) применены 12—14%-ные р-ры в ацетоне с вязкостью 60—120 сек. по падению шарика. Эти р-ры, устойчивые в течение длительного времени, формовались по мокрому способу на воде, содержащей 4—6% ацетона. Свежеспряденное волокно способно вытягиваться при нормальной т-ре примерно в 4 раза. После вытягивания непосредственно на прядильной машине на 300—350% Ф имеет прочность 40—50 кг/мм² (уд. вес Ф 2,16), при удлинении 18—22%; упрочненный дополнительным вытягиванием на 300—500% при т-ре 135—142° Ф имеет прочность 100—130 кг/мм² и удлинение 8—10%, повышающееся до 17—20% в процессе терморелаксации при 120—130° в течение 1 часа. Комплексные исследования прочности, удлинения, хемостойкости, устойчивости к действию светопогоды, характера кривой нагрузка—удлинение, величины начального модуля показали, что Ф имеет более высокую хемостойкость и термостойкость, чем волокно хлорин, и наивысшую светостойкость, превосходящую таковую для полиакрилонитрильного волокна. Ф при 100% влажности воздуха поглощает только 0,04% воды, механич. свойства его в мокром состоянии не изменяются.

Р. Нейман
6563. «Такрил». История развития шведского химического волокна. Сунден (Tactyl. Die Entwicklung einer schwedischen Chemiefaser. Sundén Olof), Melland Textilber., 1957, 38, № 5, 481—483 (нем.; рез. англ., франц., исп.)

История, способ получения, свойства и применение шведского волокна «такрил» (Т). Полимер, из которого формуют Т, состоит в основном из акрилонитрила с добавкой нескольких процентов какого-либо другого мономера, придающего способность окрашиваться основными и дисперсными красителями. Т формуют по мокрому способу из р-ра в диметилформамиде или диметилсульфоксиде в керосин, подвергают 4—8-кратной вытяжке на горячих вальцах, промывают водой и обрабатывают паром для удаления остатков керосина. Р-ритель и керосин разделяют при охлаждении до 20—30° и регенерируют. Т имеет исключительно высокий коэф. трения, прочисть 3,2—5 г/дене, удлинение 40—25%, модуль 0,5—0,6 г/дене и, как и другие акриловые волокна, обладает высокими теплоизоляционными свойствами, шерстистостью и приятным грифом, устойчивостью к светопогоде, бактериям и плесени, р-рителям и к-там (кроме конц. H₂SO₄ и HNO₃). Т выпускают только в виде штапеля для изготовления тканых изделий, в чистом виде и в смесях с шерстью и вискозным волокном. Т найдет применение для произ-ва верхней одежды, теплого белья, постельного белья, набивки для стеганых одеял, подушек и т. п., шерстяных одеял, искусств. меха, ковров, а также в некоторых областях техники, напр. для спец. фильтров, канатов.

Р. Муромова
6564. Новый завод волокна терилен в Канаде. Грайндрод (New Canadian «Terylene» plant. Grindrod John), Indian Text. J., 1957, 67, № 801, 524—533 (англ.)

Описание технологич. процесса и расположения зданий; стоимость з-да 22 млн. канад. долл.; производительность 5000 т/год; число рабочих и служащих 500.

6565. Новый способ получения вискозных растворов в одном аппарате. Могилевский Е. М., Алексин Н. Я., Хургина Р. А., Лаврушин Ф. И., Лотарев Б. М., Гинзберг М. А., Текстильн. пром-сть, 1957, № 5, 11—14

При разработке метода был разрешен ряд проблемных вопросов, как напр. сокращение предварительного созревания щел. целлюлозы путем ускорения процесса деструкции целлюлозы (I) и совмещения его с мерсеризацией расчетным кол-вом NaOH при т-ре 55—60°, что позволило устранить операцию отжима щел. I. Установлено, что дальнейшее ускорение деструкции при повышенной т-ре достигается добавками окислителей, напр. H₂O₂, в кол-ве 0,5—1,0% от веса сухой I, при этом наблюдается несколько меньшее снижение α-целлюлозы в щел. I, чем при деструкции без добавок окислителей. Повышение т-ры ксантогенирования значительно сокращает цикл получения вискозы в одном аппарате. Ксантогенирование подвергается охлажд. до 22—25° щел. I и полученный тестообразный ксантогенат разбавляется охлажд. водой. Длительность всего процесса в аппарате снижается до 6 час. при загрузке 1100—1400 кг I. Полученная в аппарате масса поступает в дозаворитель и далее подвергается обычным операциям подготовки прядильных р-ров. Пропускная способность фильтроматериалов на первой фильтрации для штапельного потока составляет 300—400 л/м² и для шелка 400—600 л/м² при средней скорости 30 л/м² в час. С применением ступенчатого растворения пропускная способность превышает 1000 л/м² при скорости 40—60 л/м² в час. Р-ры готовятся с содержанием 8—8,8% I и 7% NaOH, при несколько повышенном расходе CS₂. Имеются большие возможности снижения расходов NaOH и CS₂, зависящие главным образом от подбора качественных I с высокой реакционной способностью, как напр. подвергнутая обработке на дифференциальных вальцах и листопроточных станах под высоким давлением. Полидисперсность и физ.-мех. показатели волокон, получаемых по классич. и новому способам, практически одинаковы.

Р. Нейман
6566. Осаждение соединениями железа геммиделюлоз из отжимных щелоков при получении щелочной целлюлозы. Козмал (Zrážanie hemmideľulóz z odpadových lúhov pri výrobe alkalickéľulózy zľúčeniami železa. Kozmál František), Chem. zvesti., 1955, 9, № 7, 444—458 (словацк.; рез. русск., нем.)

Предложен способ осаждения действием р-ра Na₂FeO₄, полученного путем электролиза железного анода в 40%-ном р-ре NaOH при 35°. При обработке щелоков этим р-ром получается нерастворимый осадок, который легко отделяют фильтрованием или центрифугированием. Прозрачный фильтрат содержит √ 20 мг/л Fe, степень очистки при начальной конц-и Fe 2—4 г/л достигает 18%, при конц-и 15 г/л — 90%. Свойства полученного осадка позволяют использовать геммиделюлозу (I) для дальнейшей хим. или биохим. переработки. Оптимальными условиями были сравнительно высокое содержание I в р-ре и конц-ия NaOH в р-ре феррата 190—220 г/л. Новый способ экономичен, так как устраняет необходимость в диализе, снижает потери I на 60—70%, позволяет возвращать отжим щелока в цикл и выделять из них в-ва, могущие служить сырьем для других отраслей пром-сти. З. Бобырь
6567. Выпаривание и нагрев осадительной ванны путем контакта с дымовыми газами. Барочина Б. Я., Литвак А. К., Текстильн. пром-сть, 1957, № 6, 22—24

Приводится принципиальная схема и краткое описание опытной производственной установки, работающей по принципу противотока. Кол-во выпариваемой влаги и т-ра ванны регулируются кол-вом и т-рой газов, пропускаемых через скруббер. Пробная эксплуатация установки проводилась на действующем з-де и показала достаточно близкую сходимост факт. показателей с основными расчетными данными. При контакте с дымовыми газами не уменьшается прозрачность и не меняется содержание солей Са и органич. в-в в осадительной ванне. Сравнительно с вакуумным контактный метод дает в эксплуатации, примерно при одинаковых капитальных затратах, значительный экономич. эффект и позволяет на з-де, выпускающем 100 т волокна в сутки, сохранить в год до 60 т латуни и 10 т свинца.

Р. Нейман
6568. Определение серы в вискозном волокне. Хургина Р. А., Фролов С. С., Николаева С. С., Научно-исслед. тр. Всес. н.-и. ин-та искусств. волокон, 1957, вып. 3, 42—47.
См. также РЖХим, 1957, 2732.

6569. Новые синтетические волокна. Дорсет (Current progress with synthetic fibres. Dorset B. C. M.), Text. Manufacturer, 1957, 83, № 991, 360—364 (англ.)
Обзор.

6570. Свойства и область применения синтетических волокон. Фурвик (Syntetifibren — egenskaper och användningsområden. Furvik Bertil), Plastvärlden, 1955, 5, № 12, 241—249 (швед.)
Обзор.

6571. Измерение силовой вытяжки, ее применение и оценка. Вегенер, Бехленберг (Die Verzugskraftmessung — ihre Anwendung und Auswertung. III. Wegener Walther, Bechlenberg Heinz), Reyon, Zellwolle und and Chemiefasern, 1955, № 3, 142—155 (нем.)
Предыдущие части см. РЖМаш, 1956, 17686.

6572. Влияние температуры на мокрый вискозный шелк. Часть 1. Поглощение влаги и набухание. Кларк, Престон (Some effects of temperature on wet viscose rayon. Part 1. Water imbibition and swelling. Clark I. F., Preston I. M.), J. Text. Inst. Trans., 1956, 47, № 8, 413—416 (англ.)

Для определения набухания вискозного шелка и хлопка в воде использован метод центрифугирования. Для обоих волокон миним. набухание наблюдается после нагрева в воде до 50—60°. После нагревания вискозного шелка наблюдаются необратимые изменения. После 10 мин. нагревания волокна до 100° заметно снижается набухание в воде. Хлопок при таких т-рах не изменяется.

А. Пакшвер
6573. Методы анализа волокна. Берншюльд (Fiberanalysmetoder. Bernskiöld Arnold), Text. och konfekt., 1955, 12, № 5-6, 30—32 (швед.)

Обзор методов количеств. анализа волокон на основе целлюлозы, ацетилцеллюлозы, казеина, растительного белка и синтетич. волокна (полиамидного, полиэфирного, поливинилхлоридного и т. д.).

В. Дашунин
6574. Разделение волокон в смеси. Линдли (Separation and examination of fibre blends. Lindley F. W.), Canad. Text. J., 1957, 74, № 12, 66—68 (англ.)

Описаны методы разделения различных природных, искусств. и синтетич. волокон в смеси по уд. весу. Особое внимание обращено на флотационный метод в смеси двух жидкостей. В качестве наиболее удачной пары называется пентахлорэтанксилол.

А. Пакшвер
6575. Количественное определение полиамидных волокон в смеси с шерстью, хлопком или штапельным волокном. Фризер (Die quantitative Bestimmung von Polyamidfasern neben Wolle, Baumwolle oder Zellwolle. Frieser Erich), Z. ges. Textilind., 1957, 59, № 6, 200—202 (нем.)

Сопоставлены три способа определения полиамидного волокна (ПВ) с шерстью: растворением шерсти в 5%-ном р-ре КОН, растворением ПВ в 85%-ной НСООН и растворением ПВ в 30%-ной Н₂SO₄. Все три метода имеют достаточную точность. При проверке во всех случаях выведены поправочные коэф. на р-имость не растворяемого компонента смеси волокон. Способ и определения в смеси с хлопком основаны на растворении ПВ в соляной к-те умеренной конц-ии при 32°, или в 85%-ной НСООН. Последний проще по выполнению и точней. Эти методы применимы и для смесей со штапельным волокном. Кроме того, в этом случае можно с большой точностью удалять гидратцеллюлозные волокна путем растворения в цинкате натрия.

Р. Нейман
6576. Проба текстильных волокон на сжигание.

Кунц (Textilfasern in der Brennprobe. Kunz H.), Werkzeugzeitung Schweiz. Ind., 1957, 25, № 2, 24—25 (нем.)
Рекомендуется проба, при которой наблюдают: поведение волокна до и во время сжигания, появление запаха, а также свойства и вид остатков после сжигания. Приводятся микрофото таких остатков, как эталоны для сравнения. Описано поведение различных текстильных волокон при пробе.

Р. Нейман
6577. Применение синтетических волокон для упрочнения парусины. Бадфорд (Newer synthetic fibers make stronger duck fabrics. Bradford Charles R.), Text. World, 1957, 107, № 3, 104—106 (англ.)

6578. О выработке ленты из штапельного волокна в один переход. Шулешко И. С., Текстильн. пром-сть, 1957, № 5, 21—25

Впервые систематически изучалась распрямленность (Р) штапельного волокна (В), влияющая на процесс переработки. Испытаниям на Р подвергалось В из кнп, холстов, чесальной ленты и из ленты с трех переходов ленточной машины, при этом применялась обычная методика, установленная для хлопка. Найдено, что Р вискозного штапельного В выше, чем хлопкового В в кипах, чесальной ленте и ленте с первой головки ленточной машины. На следующих переходах ленточной машины Р штапельного В увеличивается мало; но значительно возрастает неровнота, обгоняя этот показатель для хлопка.

Р. Нейман

6579 К. Важнейшие химические волокна. Общие вопросы, химическое строение, классификация, основные технические свойства, быстрые методы распознавания, практические примеры. Клавель (Les principales fibres chimiques. Généralités, constitution chimique, classification, propriétés techniques essentielles, méthode rapide de différenciation, exemples appliqués à la pratique courante. Clavel Jules. Saint-Pierre-les Elbeuf, Soc. chim. élbeuvienne Syntorga, 1956, 160 p., ill.) (франц.)

6580 Д. Действие веществ, вызывающих набухание, на полиамидные волокна, в частности на полиакролатамные. Грошоп (Über die Wirkung von Quellmitteln auf Polyamid — Fasern, insbesondere aus Poly-caprolactam. Groschopp Heinz. Diss., Dokt. Naturwiss., Techn. Hochsch. Stuttgart, 1956, 139 S., ill.) (нем.)

6581 П. Процесс экструзии (Extrusion process) [Imperial Chemical Industries, Ltd]. Англ. пат. 735345, 17.08.55

При прядении из расплава линейных конденсационных полимеров (полиэтилентерефталат, нейлон) фильтр-блок рекомендуется размещать на рифленной перфорированной пластинке, желоба которой расположить со стороны фильтра; они могут быть направлены под прямым углом, концентрично или радиально.

Напр., при прядении волокон из расплава полиэтилен-терефталата рифленая перфорированная пластинка с желобами шириной 1,56 мм, глубиной 1,56 мм и расстоянием между желобами 3,12 мм устанавливается под металлич. сеткой (50 меш), на которой находится кварцевый фильтр. Скорость роста давления во времени в этом случае в 5 раз меньше, чем в случае применения нерифленой пленки. А. Волохина

6582 П. Способ получения прядильных растворов из полимеров или сополимеров акрилонитрила. Хунгар, Мёллер (Verfahren zur Herstellung von Spinnlösungen aus Polyacrylnitril oder dessen Copolymeren. Hunyag A., Möller Wolfgang). Пат. ГДР 12476, 27.12.56

Для получения указанных р-ров, содержащих $\geq 85\%$ акрилонитрила, в диметилформамиде или других органич. р-рителях, в р-ритель добавляются 1–5% (преимущественно 2–3%) от общего кол-ва р-ра воды или водн. р-ра органич. или неорганич. к-т или солей. Это снижает растворяющую способность органич. р-рителя в таком образом ограничивает возможность образования набухших комков полимера, причем в случае применения водн. р-ров к-т или солей вязкость прядильных р-ров не увеличивается. Одновременно с этим к-та, введенная в р-ритель, нейтрализует содержащийся в нем свободный диметиламин, вследствие чего уменьшается возможность потемнения прядильного р-ра при нагревании. Приведены примеры получения 18%-ных прядильных р-ров полиакрилонитрила в диметилформамиде с добавками 2% воды, 3% 20%-ной соляной к-ты, 2% 9%-ного водн. р-ра щавелевой к-ты.

6583 П. Получение изделий из растворов целлюлозы в концентрированном растворе $\text{Ca}(\text{CNS})_2$. Бектольд, Уэрниц (Dispersions of cellulose et procédé de fabrication d'objets de cellulose en forme à l'aide de ces dispersions. Bechtold Max Fredrick, Werntz James Herbert) [E. I. du Pont de Nemours and Co.]. Франц. пат. 1107863, 5.01.56

Описано применение 9–30%-ных (по весу) р-ров целлюлозы (I) (напр., древесной I с диаметром волокон 1–2 м и длиной 35–165 м или хлопковой I с диаметром волокна 0,1–100 м и длиной < 700 м, предварительно химически активированной обработкой разб. р-ром сильной к-ты) со степенью полимеризации ≥ 150 , нерастворимой в воде. I растворяют в 40–75%-ном водн. р-ре тиоцианата Ca (II), при соотношении II : I $\geq 1,15$: 1. Из этого р-ра I получают изделия формованием при 100–150° и давл. $\geq 0,7$ атм или выдавливанием при 100–135° под давл. 0,7–70 атм в изделия бесконечной длины; в обоих случаях затем следует обработка в коагуляционной ванне из $\sim 25\%$ -ного р-ра NaCl , промывка водой и сушка. Напр., 10 ч. волокон химически очищ. древесной I, тонко измельченных с диам. 3–50 м и длиной 50–170 м, растворяют в 90 ч. водн. 57,6%-ном (по весу) р-ре II, оставляют на 6 час., нагревают до 110° и охлаждают до застывания; 3 г геля помещают между двумя листами Al 15×15 см в гидравлич. пресс при 100°; при погружении в воду пленка сама отделяется от листа Al . Пленку промывают, погружают на 0,5 часа в 20%-ный водн. р-р глицирина, отжимают и сушат, получая гибкий, твердый и полупрозрачный материал или полученный гель помещают в нагретый до 125° цилиндр с отверстием диам. 0,8 мм в дне, снабженный поршнем с поверхностью $0,81 \text{ см}^2$ и при 3,7 атм выдавливают эластичную и прозрачную нить, которую промывают водой и сушат 0,5 часа на воздухе, после чего нить становится твердой, прозрачной, с сопротивлением растяжению 1050 кг/см^2 . В других примерах описана обработка полученных пленок и нитей р-рами NaCl и ацетата Na . Приведены механич. прочности изделий, полученных

при разных т-рах и давлениях. Регенерируемый из промывных р-ров II можно использовать вторично.

6584 П. Получение извитого волокна из регенерированной целлюлозы. Николл (Cellulose filaments and methods of producing same. Nicoll William D.) [E. I. du Pont de Nemours and Co.]. Канад. пат. 512495, 3.05.55

Для получения сильно извитого вискозного волокна применяется осадительная ванна, содержание H_2SO_4 в которой определяется ф-лой: $A = (\text{KCN} : 100) \cdot x$, где A — вес. % H_2SO_4 в ванне; K — коэф., равный 1,9–2,5; C — вес. % целлюлозы в вискозе, равный $\sim 7\%$; N — вес. % NaOH в вискозе $\geq 3,5\%$ (3,5–5%); x — вес. % H_2SO_4 в ванне, при котором набухание волокна минимально. $A < x$. Осадительная ванна содержит 0,1–3,0% ZnSO_4 и $\leq 11,5\%$ H_2SO_4 и 15–30% Na_2SO_4 , нити в ванне ≥ 1250 мм, т-ра ванны 40–75°. Зрелость вискозы по солевому индексу 1,5–6,0. Во время прядения нити испытывают натяжение $\geq 0,5$ г/дене и вытягиваются не менее, чем на 40%. После прядения нити дают свободную усадку в жидкости, вызывающей набухание при т-ре 0–120°. Ванна для вытяжки волокон не содержит щелочей, содержание $\text{H}_2\text{SO}_4 \leq 3\%$, т-ра ванны от 50° до кипения.

6585 П. Термостойкие изделия из полиамидов. Розевир (Heat resistant polyamide structure. Rosevere William Earl) [E. I. du Pont de Nemours and Co.]. Пат. США 2733162, 31.01.56

Для повышения устойчивости различных полиамидных изделий (волокно бесконечной длины, штапельно и кордное волокно, пряжа, ткань и т. п.) к действию повышенных т-р (напр. 150°) в эти изделия вводят тонкодисперсные порошки легко окисляющихся металлов (Mg , Al , Sr и Ca) в кол-ве 0,2–2% от веса текстильного материала. При т-ре $\sim 150^\circ$ эти металлы реагируют с O_2 и влагой воздуха, образуя основания, являющиеся также ингибиторами процесса разрушения полиамидов под действием тепла. Степень повышения термостойкости полиамидов пропорциональна кол-ву введенного металла. Напр., образцы шпинного корда, полученного из гексаметилендиамида обычным путем, нагревали при 150° 16 час. в закрытых трубках в атмосфере воздуха в присутствии 3,4% влаги. В результате этой обработки потеря прочности составила 60%. При аналогичной термообработке образцов, предварительно обработанных суспензий Mg в воде (содержания Mg 1% от веса корда), потеря прочности $< 25\%$. Суспензия металла приготавливают не только в воде, но и в циклогексане, бензоле, каучуковом латексе. Приведены также другие способы нанесения металла на волокно. В случае обработки полиамидных материалов каучуковым латексом с целью повышения термостойкости также целесообразно вводить в них металлы (перед или во время пропитки латексов). А. Волохина

См. также: Сырье 6424, 6426, 6427, 6430, 6432, 6440, 6451, 6456. Анализ сырья 4346, 6356. Свойства белковых волокон 6657. Обработка готового волокна 6713. Стойкие воды произ-ва вискозного волокна 5154

ЦЕЛЛЮЛОЗА И ЕЕ ПРОИЗВОДНЫЕ. БУМАГА

Редактор А. П. Хованская

6586. Очистка древесной массы на центрифугах. Флора (Groundwood centri-cleaning at Anglo-Canadian Pulp and Paper Mills, Limited. Flora A. L.). Pulp and Paper Mag. Canada, 1957, 58, № 1 149–151 (англ.)

Описана новая технологич. схема 3-да, оборудованного 28 дефибрерами Ватерус. Согласно этой схеме отходы от вторичных и рафинерных сортировок сгущают на аппарате Импеке и направляют в бассейн. Отсюда массу подают насосом на 4 центриклинера № 623 первой ступени. Отходы от них подают на 2 центриклинера № 606 второй ступени. Очищ. массу после них снова возвращают на центриклинеры первой ступени вместе с отходами целлюлозного произ-ва. Приведены данные о кол-ве и конц-ии потоков массы в различных стадиях очистки на центриклинерах, о производительности аппаратов и качестве очищ. массы. Установлено, что на первичных центриклинерах удаляется 68% загрязнений.

С. Иванов
6587. Производство целлюлозы из химически окоренной древесины. Пражак (Výroba buničiny z chemicky odkorněného dřeva. Pražák J.), Papír a celulóza, 1957, 12, № 5, 100—102 (чешск.; рез. русск., нем., англ.)

Установлено, что окоренная с применением соединения As древесина содержит незначительное кол-во As, не влияющего на произ-во целлюлозы.

А. Х.
6588. Новая система сушки и упаковки целлюлозы в кипы. — (New system of drying and baling pulp.), Canad. Pulp and Paper Ind., 1957, 10, № 6, 48 (англ.)

Целлюлозу (Ц), обезвоженную обычным способом на вакуум-фильтрах до 14—17% сухого в-ва, отжимают до 40—50% сухого в-ва на вальцовом или винтовом прессе и направляют на дисковый рафинер, где отжатые комки рыхлятся и пневматически струей воздуха направляются на сушку. Сушку производят в трехходовой вращающейся сушилке до содержания 25—5% влаги в Ц. Высушенную Ц пневматически подают в киповочный пресс, который делает кипы размером 0,6 × 0,6 × 1,2 м весом 310—360 кг. Такая Ц более суха, меньше подвержена биологич. разложению, перевозка ее обходится дешевле. Кипы имеют высокую плотность и не требуют спец. упаковки. Система работает автоматически и не требует много рабочих. Установка производительностью 150 т в сутки требует помещение площадью 220 м² и высотой 9 м. С. Иванов
6589. Целлюлоза и бумага из отходов сельскохозяйственных культур. Митра (Pulp and paper from agricultural residue. Mitra D. N.), Chem. age, 1955, 72, № 1861, 637—641 (англ.)

См. также РЖХим, 1955, 30506.
6590. Новые данные по теории сульфитной варки целлюлозы и их значение для практики. I. О сульфировании лигнина растворенным SO₂. Элиашберг М. Г., Парфенова А. И., Тихомирова Е. В., Бум. пром-сть, 1955, № 9, 3—13; № 10, 5—7

Показано, что основным сульфлирующим агентом варочной к-ты является не бисульфит, а растворенный SO₂. Этот вывод подтвержден разработкой способа получения высококачественной целлюлозы (Ц) при варке еловой древесины с водн. р-рами SO₂. Для предотвращения уплотнения лигнина при нагревании в кислой среде древесную щепу предварительно пропитывали 15%-ным р-ром SO₂ при 50° в течение 72 час. и варили при 145°. В этих условиях древесина быстро дефибрируется. Ц получается не деструктурированная, высококачественная, с высоким выходом от древесины. Ц при 10-минутной варке имела жесткость 50° по Бьеркману, высокие показатели механич. прочности, выход 60%. При 15-минутной варке получена очень светлая, мягкая Ц (35°Б), с выходом 49%.

М. Шпунтова

6591. О сульфитном способе варки вискозной целлюлозы III. IV. Славик (O sulfitolovom varení viskozovej celulózy. III. IV. Slávik Ivan), Chem. zvesti,

1955, 9, № 2, 129—147; № 10, 624—637 (словацк.; рез. русск., нем.)

Продолжено исследование по изучению качества вискозной целлюлозы (α-целлюлоза, пентозаны, полидисперсность и т. д.) в зависимости от присутствия в варочной к-те различных в-в (уксусная, муравьиная, лигносульфовая к-ты, восстанавливающие в-ва, фурфурол, тиосульфаты, л-цимол, ацетон, CH₃OH и др.) и условий варки. Отмечается вредное влияние HCOOH и терпенов, в особенности первой, при низком отношении CaO:SO₂. Часть II см. РЖХим, 1955, 33328.

Л. Песин

6592. Влияние температуры и кислотности на периодатный лигнин ели в условиях сульфитной варки. Каботт, Перве (The effect of temperature and acidity in the pulping of spruce periodate lignin by the sulphite process. Cabott I. M., Purves C. B.), Pulp and Paper Mag. Canada, 1956, 57, № 4, 151—158 (англ.)

Лигнин (Л), свободный от углеводов, был выделен из обессмоленной еловой древесной муки водн. р-ром Na₂H₂IO₆ при pH 4 и 20° и последующим кипячением с водой при pH 6,5. Для изучения влияния сульфирования, т-ры и pH на Л в процессе сульфитной варки его нагревали в течение 4 час. с буферными р-рами при pH 1—10 и 100°, 120° и 150°, при этом растворялось 5—22% Л; минимум растворимости наблюдался при pH 4—5 при всех т-рах. Образцы Л, предварительно обработанные при pH 2,2 и 135° или 160° и затем окисленные в жестких условиях щел. р-ром KMnO₄, дают ~5,6% сырой фенил-1,2,4,5-тетракарбонной (пиромеллитовой) к-ты и фенилпентакарбонную к-ту. Предположено, что при т-ре и кислотности промышленной варки возможно образование дополнительных С—С-связей, вероятно сетчатой структуры, в процессе р-ции, которая препятствует растворению Л, и что наблюдаемые явления связаны с хим. изменениями самого Л.

Ю. Вендельштейн

6593. Нейтральные сульфитные полухимические варки. Хьюз (Neutral sulfite semichemical pulping. Hughes W. F.), Paper Ind., 1955, 37, № 6, 533—534 (англ.)

Предприятия, вырабатывающие целлюлозу нейтр. сульфитным способом, оснащают непрерывно действующими варочными котлами и шнек-прессами, отжимающими щепу из котла. Отработанный щелок содержит ~20% сухих в-в; с целью извлечения хим. реагентов его смешивают с отработанным щелоком крафт-целлюлозного произ-ва, упаривают и обрабатывают таким же образом, как черный щелок.

Л. Михеева

6594. О некоторых вопросах теории и практики ускоренных варок сульфатной целлюлозы. Розенбергер Н. А. (Une le probleme ale teoriei și practicii fierberii rapide a celulozei sulfat. Rosenbergher N. A.), An. Rom.-Sov. Ser. silvicult. inden. lemn. și hirt., 1954, 8, № 4, 87—99 (рум.)

Перевод. См. РЖХим, 1957, 36049.

6595. Опыт выработки целлюлозы высокого выхода. Исерлис Я. И., Бум. пром-сть, 1957, № 7, 14—16
На сульфатно-целлюлозном 3-де «Кехра» произ-во указанной целлюлозы осваивали путем постепенного сокращения расхода активной щелочи на варку и уменьшения конечной т-ры варки с 171 до 165°.

А. Хованская

6596. Исследования по разработке технологии производства вискозных сульфатных целлюлоз из сосновой древесины. Пустельник, Суревич (Badania nad opracowaniem technologii wyrobu mas celulozowych siazki czanowych wiskozowych z drewna sosnowego. Pustelnik Czesław, Surewicz

Włodzimierz), Prace Inst. celul.-papiern., 1957, 6, № 1, 1—15 (польск.; рез. русск., англ., нем.)

Показана возможность получения целлюлозы (Ц) с содержанием 93—95% α -целлюлозы при применении предгидролиза к-тами или водяного пара или при облагораживании Ц щелочами холодным способом. Фильтруемость р-ра вискозы из указанной Ц по сравнению с изготавливаемой из сульфитной Ц ниже. Отмечается, что в настоящее время отсутствуют методы произ-ва сульфатных вискозных Ц, удовлетворяющие современным технико-экономич. требованиям.

Ю. Чельцова

6597. Система регенерации извести в St. Regis pulp and paper mill. Гутшик (Lime recovery system used at St. Regis pulp and paper mill. Gutschick Kenneth A.), Pit and Quarry, 1955, 47, № 12, 120—122 (англ.)

6598. Усовершенствования процессов непрерывной быстрой варки. Мак-Гаверн (Developments in rapid continuous pulping. McGovern J. N.), Indian Pulp and Paper, 1956, 11, № 2, 117—118 (англ.) См. также РЖХим, 1957, 6269. М. Б.

6599. Успехи в области получения бумажной массы в США. Черраджиоли (Progressi nella produzione di paste da carta negli Stati Uniti. Ceragioli Giorgio), Ind. carta, 1956, 10, № 3, 31—36 (итал.)

Обзор новых американских методов переработки древесины лиственных пород: полухим., нейтр., хим., с измельчением древесины, щел. холодный. З. Бобырь

6600. Получение полуцеллюлоз из древесины тополя забуференной и восстановительной варкой. Яйме, Нишк (Die Darstellung von Halbzellstoffen aus Pappelholz durch gepufferten und reduzierenden Aufschluß. Jaume Georg, Nischk Raimund), Wochenbl. Papierbar., 1957, 85, № 1, 7—9 (нем.)

Проведен ряд опытных варок древесины тополя (содержание лигнина (Л) 21,4%) при 170° с различным содержанием Na_2SO_3 (I) 0, 2, 4, 6, 10, 14 и 18% и соответственно Na_2CO_3 (II) 0, 1, 2, 3, 4, 5, 6 и 10% в течение 7 час., включая пропитку 2 часа при 110° и варку 2 часа при максим. т-ре с последующим размолом 30 мин., выходы полуцеллюлозы (ПЦ) колебались в пределах 63—78%, а содержание Л 9,5—19% в зависимости от кол-ва реактивов в р-ре; степень белизны (Б) полученных ПЦ 10—43%. При одинаковом кол-ве I выходы, содержание Л и Б и прочности проходят через максимумы (в зависимости от повышающихся кол-в II), лежащие при pH отработанных щелоков 6,5—6,7. Влияние максим. т-р (160, 150, 140, 130 и 110°) изучено при 14% I и 2 или 3% II, а также при 10% I и 4 или 6% II; установлено, что для получения ПЦ с высокими выходами и с повышенной Б т-ра варки не должна превышать 150°. Проведены варки с 6, 10, 14 и 18% $\text{Na}_2\text{S}_2\text{O}_4$ (III) и 2, 4, 6 и 8% II в течение 7 час. и последующим размолом 30 мин. ПЦ получены с выходом 76—85% при содержании Л 11—14% и Б 49—62%. При варке с смесями I и $\text{Na}_2\text{S}_2\text{O}_3$ (в сумме 10%) и 4% II 7 час. при 150° повышается Б по мере замены сульфита III. Максимум Б при одном III 59%. Применение III целесообразно при получении небеленых ПЦ с высокой Б. При отбелке этих ПЦ установлено, что ПЦ, полученные с помощью III или его смесями с I, отбеливаются хуже, чем полученные с помощью чистого I. Прочности небеленых ПЦ, полученных с помощью I, на 10% выше, полученных с применением III; после отбелки наблюдается обратная зависимость. Отбелка значительно повышает прочность: для ПЦ с применением I разрывная длина увеличивается с 7760 до 8760 м, число двойных перетягов с 1084 до 2625; для ПЦ с применением III соответственно с 7000 до 9550 м и с 230 до 3604.

Ю. Вендельштейн

6601. Исследования в области использования лиственной древесины для производства целлюлозы и бумаги. Сейдл (Research on hardwoods for pulp and paper. Seidl R. J.), Proc. Soc. Amer. Foresters Meet. 1956. Memphis, Tennessee, 1957, 145—152 (англ.) Обзор. Отмечается перспективность переработки древесины лиственных пород полухимич. способом и способом холодной натронной варки, а также изготовление древесноволокнистых плит сухим способом.

Н. Рудакова

6602. Береза в качестве сырья для получения целлюлозы. XI. Отбелка березовой сульфатной целлюлозы ClO_2 в различных условиях. Предварительное исследование. Енсен, Линдхольм, Бергбум (Björk som råmaterial för massaframställning. XI. Blekning av björksulfatmassa med klorjordioxid under olika betingelser. Förberedande försök. Jensen Waldemar, Lindholm Bo., Berghom Henrik), Papperi ja puu, 1957, 39, № 4a, 139—141 (швед.; рез. англ.)

Березовая сульфатная целлюлоза (БСЦ), предварительно отбеленная до 78% по Хунтеру (хлорирование, щел. промывка, хлорирование, щел. промывка, обработка гипохлоритом), отбеливалась ClO_2 (I), причем все исследования проводились в незабуференных р-рах. Приведены кривые: а) зависимости степени белизны (Б) от времени обработки при постоянной т-ре (60°), 4%-ной конц-ии БСЦ и различных конц-иях I (0,3; 0,6 и 1,0%), б) влияния времени обработки на Б при той же конц-ии БСЦ, конц-ии 0,6%-ной I и т-рах 40, 50, 60, 70 и 78° в) зависимости Б от кол-ва I (до 1%) при 4%-ной конц-ии БСЦ и продолжительности обработки 3,5 часа при 50°; 3 часа при 60° и 2,5 часа при 70°. Наибольшая достигаемая Б ~88%. См. часть X РЖХим, 1957, 3268.

Ю. Вендельштейн

6603. Изучение зависимости между пожелтением целлюлозы и содержанием в ней карбонильных групп. Юлландер, Бруне (Study of the relation between brightness reversion and carbonyl content in cellulose pulp. Jullander Ingvar, Bruno Kurt), Acta chem. scand., 1957, 11, № 3, 570—571 (англ.)

Воздушно-сухую целлюлозу (беленая сульфатная из сосны, беленая сульфитная из ели, вискозная элевая сульфитная, беленая холодной щел. обработки сульфитная из ели, беленый хлопковый пух) перемешивали при помощи механич. мешалки с водой, в которой был растворен Na-боргидрид в кол-ве 0,1—10% из расчета на целлюлозу. Смесь выдерживали в течение 3 час. при 50°, слабощел. р-р отсасывали, целлюлозу промывали несколько раз водой, подкисляли CH_3COOH ; затем снова промывали водой до pH ~6,5 и высушивали на воздухе при т-ре ~20°. Медное число определяли по Braidy. Для измерения белизны отлитых листов целлюлозы применяли прибор Elgerpho. Пожелтение выражали величиной «post-color» (р-с-значение), которая может рассматриваться как относительная мера кол-ва красящих в-в, образующихся в течение тепловой обработки. Наибольшее медное число определено у целлюлозы, обработанной только водой. Содержание С-О групп снижается с увеличением кол-ва Na-боргидрида. Из полученных данных следует, что содержание групп С-О соответствует примерно половине величины пожелтения.

А. Хованский

6604. Распределение нитратных групп в азотнокислых эфирах целлюлозы. Деревицкая В. А., Федорова А. Ф., Роговин З. А., Научно-исслед. тр. Моск. текстильн. ин-та, 1956, 18, 82—86

Раздельно исследована реакционная способность гидроксильных групп в р-ции образования азотнокис-

ного эфира целлюлозы и в р-ции его омыления. Нитрацию проводили безводн. 3-компонентной смесью (HNO_3 , H_2PO_4 , уксусный ангидрид) как в гетерог., так и в гомог. средах. Структура целлюлозного материала оказывает большое влияние на распределение эфирных групп между первичными и вторичными атомами С. Так, если отношение числа эфирных групп у первичного атома С к числу эфирных групп, приходящихся в среднем на один вторичный атом С, в случае хлопка составляет 1,1, то для инклюдированного хлопка это отношение составляет 2,2. При нитрации в гомог. среде распределение эфирных групп аналогично их распределению в случае инклюдированного хлопка. В этих случаях реакционная способность первичных ОН-групп примерно в 2 раза выше, чем у вторичных. Скорость омыления эфирных групп у вторичного атома углерода при омылении как в кислой, так в щел. среде выше, чем у первичных.

Ю. Васильев
6605. Использование побочных продуктов и отходов сульфат-целлюлозного производства. Лето-мьяки М. Н. Сб. статей по результатам исслед. в обл. лесн. х-ва и лесн. пром-сти в таежн. зоне СССР, М.—Л., АН СССР, 1957, 289—299

Приведены характеристики отечественного таллового масла, способы его выделения из таллового мыла и методы разделения его компонентов. Описана очистка сульфатного скипидара-сырца и указаны основные направления в использовании щел. лигнина.

А. Хованская
6606. Определение объемного веса целлюлоз. Токер (Oznaczenie ciężaru objętościowego mas celulozowych. Tokier Bernard), Prace Inst. celuloz. papier., 1957, 6, № 1, 39—45 (польск.; рез. русск., англ., нем.)

Описан метод определения объемного веса целлюлозы (Ц) в приборе, имеющем сообщающиеся сосуды. Объем ртути, вытесняемый исследуемой Ц из первого сосуда, измеряют по увеличению уровня ртути в другом сосуде — бюретке, с точностью до 0,05 мл. Образцы, отобранные из разных мест листа, имели различный объемный вес, что может быть связано с неодинаковой структурой листа и влиянием условий хранения. Исследовано влияние относительной влажности воздуха на объемный вес прессованной бленой Ц. Не обнаружено правильной зависимости между объемным весом, линейным расширением и абсорбцией бленой Ц 17,5%-ного р-ра NaOH. Ю. Чельцова

6607. Модификация быстрого метода определения средней степени полимеризации целлюлозы по Дёрингу. Коцевар, Поганчик, Поводен (Eine Modifizierung der Schnellmethode zur Bestimmung des Durchschnittspolymerisationsgrades von Cellulose nach H. Doering. Kočevár Franjo, Pogačnik Mirko, Povoden Viljem), Das Papier, 1957, 11, № 13-14, 301—303 (нем.; рез. англ., франц.)

Модификация заключается в более тщательном отборе образцов, подвергнутых предварительному увлажнению, добавлении больших кол-в глюкозы к р-ру целлюлозы в медно-аммиачном р-ре, в упрощении порядка выполнения определений, в некотором изменении конструкции капиллярного вискозиметра. Расчет средней степени полимеризации производят по ф-ле Штаудингера, дополненной Шульцем и Бляшке. Результаты определений точны и воспроизводимы с очень малыми отклонениями. Д. Кантер

6608. Содержание мышьяка в целлюлозе, полученной из химически окоренных деревьев. Смит, Матиссен (Arsenic content of pulp from chemically debarked trees. Smith Robert F., Mathiesen Karsten), Tappi, 1954, 37, № 10, 451—453 (англ.)

6609. Об определении лигнина в вискозной бленой целлюлозе. Славик, Куннак (O stanovení lignínu v bielenéj viskózoj celulóze. Slávik I., Kuniak L'), Chem. zvesti, 1957, 11, № 5, 285—292 (словацк.; рез. русск., нем.)

Для определения фактич. содержания лигнина предложено проводить предварительное экстрагирование образца эфиром для удаления присутствующих в нем смол. А. Х.

6610. Производство целлюлозы и бумаги в Германии. Цурюк (Developments in pulp and paper production in Germany. Zurück Kehr), Paper Trade J., 1957, 141, № 11, 42—43 (англ.)

В Зап. Германии используют для целлюлозно-бумажного произ-ва сухую древесину с влажностью 18—20%. Окорку баланса на коробдирках трения не применяли, пока не был разработан метод предварительной обработки баланса в течение 2—3 час. паром при 88°. Главное внимание там сосредоточено на произ-ве древесной массы и бумаги (Б) (целлюлоза в основном импортируется). В значительных кол-вах используется макулатура, возврат которой составляет 36,2%. Для нужд картонной пром-сти применяют бурую древесную массу, произ-во которой широко развито. Бумажные ф-ки специализированы на произ-ве в основном высокосортных, более дорогих Б. В 1956 г. было выработано 2007 тыс. т Б и 678 тыс. т картона. Приведены данные о выработке Б по сортам. С. Иванов

6611. Механические свойства бумаги. Часть III. Бротон, Ван (The mechanical properties of paper—part III. Broughton Geoffrey, Wang James P.), Tappi, 1955, 38, № 7, 412—415 (англ.)

Приведены результаты испытаний мех. свойств листов бумаги, сформованных в стандартных условиях из одной партии бленой сульфатной целлюлозы (из дутласовой пихты) и высушенных в различных условиях (обычно, вымораживанием, вытеснением воды органич. р-рителями или водн. р-рами поверхностноактивных в-в). Полученные результаты рассмотрены в свете образования водородных связей между волокнами. Часть II см. РЖХим, 1956, 8368. Л. Михеева

6612. Производственные затруднения при работе цилиндрической машины. Пеккем (Operating difficulties of cylinder machines. Peckham Charles L.), Paper Trade J., 1957, 141, № 21, 38—40 (англ.)

При работе двух цилиндрических машин на макулатуре за 1956 г. было потеряно ~7% рабочего времени машин из-за производственных неполадок, в том числе из-за неполадок в массе-подготовительном отделе ~47%, на мокрой части машины ~19%, сушильной части ~17,7% и прочих причин ~16,1%. Главными причинами потерь явились: загрязнения бумажной массы и необходимостью промывки и очистки оборудования, недостатки в подготовке массы, перемена сорта бумаги, нарушение процесса обезвоживания и мокрой части машины, неоднородность бумажной массы в связи с недостатками контроля за ее приготовлением и выпадение ворса из шестяных сукоп. С. Иванов

6613. Изучение работы отсасывающего гауч-вала. Шмидт (Studien an einer Siebsaugwalze. Schmidt Karl), Das Papier, 1957, 11, № 13-14, 293—301 (нем.; рез. англ., франц.)

Для достижения высокой начальной прочности во влажном состоянии бумажного полотна требуется высокий вакуум в камере гауч-вала и мощный вакуум-насос, гарантирующий надежную работу быстрого бумажноделательной машины. Просос воздуха необходим не только для удаления влаги из бумаги, но также и для удаления воды из отверстий

рубашки гауч-вала против центробежной силы. Воздухопроницаемость бумаги зависит от степени помола бумажной массы, веса 1 м² бумаги, равномерного распределения волокон и действия отжимного валика. Для правильной оценки качества бумажной массы на быстроходной машине необходимо контролировать натяжение бумажного полотна между сеткой и первым прессом. Высокий вакуум в гауч-вале достигается хорошим уплотнением в камере вала. Изучение проводили на быстроходной машине, оборудованной двухкамерным отсасывающим гауч-валом. Описана установка и методика измерений.

С. Иванов

6614. Поверхностная проклейка на бумагоделательной машине. Лунд (Ytlimning i pappersmaskin. Lund Paul), Svensk papperstidn., 1957, 60, № 14, 505—508 (шведск.; рез. англ., нем.)

Особо отмечается способ проклейки бумаги непосредственно на бумагоделательной машине при помощи клеильного пресса, конструкции которого рассматриваются. Указаны материалы, применяемые для валов клеильного пресса, расположение валов на машине и требующаяся бомбировка валов. Отмечается зависимость между восприятием клея бумажным полотном, свойствами бумаги и содержанием в ней сухого в-ва.

С. Иванов

6615. Добавление в бумажную массу при ее размоле полиакрилатных латексов в анионной и катионной форме. Ливитт, Андриус, Станнетт (The heater addition of anionic and cationic ethyl polyacrylate latices. Leavitt F. C., Andrews W. J., Stannett V.), Tappi, 1955, 38, № 11, 664—668 (англ.)

Рассмотрены некоторые факторы, обуславливающие удержание в бумажной массе латекса в катионоактивной форме и механич. прочность получаемой бумаги при применении латексов в анионо- и катионоактивной форме. На волокно их высаживают прибавлением в массу сернокислого аммония, до pH 4,5. Лучшие результаты получены при применении системы сернокислый алюминий — латекс в анионоактивной форме.

М. Белецкая

6616. О микробиологическом воздействии на бумажную массу на бумагоделательной машине. Кальтенбах (Über die mikrobiologische Auswirkung der Faserstoffaufbereitung auf der Papiermaschine. Kaltenbach Josef), Das Papier, 1957, 11, № 13-14, 266—274 (нем.; рез. англ., франц.)

Слизь, присутствующая в потоке бумажной массы, поступающей на сетку бумажной машины, вызывают загрязнения бумажного листа; бактерии и зародыши грибов, погибающие в процессе сушки листа, менее опасны для бумаги, но они накапливаются в мокром сукне машины и действуют на последнее. Спорообразующие формы сохраняются и после сушки.

С. Иванов

6617. Факторы, обуславливающие гладкость бумаги. Вульч (Faktoren, die die Glätte des Papiers beeinflussen. Wulsch Ferdinand), Allgem. Papier — Rundschau, 1957, № 12, 607, 609, 610, 612, 614, 616, 618 (нем.)

Процесс каландрирования бумаги (Б) определяется свойствами волокнистого полуфабриката, наполнителями и добавками, влажностью или сухостью Б при каландрировании и условиями каландрирования (давление между валами, т-ра и др.). Установлено, что хорошая односторонняя гладкость Б достигается при содержании в ней 55% сухого в-ва. Понижение и повышение от этой нормы резко снижает гладкость Б. Гладкость Б после каландрирования резко снижается в первые два часа, а затем остается более или менее устойчивой. Эффект каландрирования можно также значи-

тельно повысить разогревом валов и добавкой к бумажной массе 0,6% бацидина.

С. Иванов

6618. Повреждение крафт-целлюлозы из южной сосны при хранении массы высокой концентрации. Эр (Deterioration of southern pine kraft pulp in high density storage. Ayer James E.), Tappi, 1956, 39, № 5, A183—A185 (англ.)

Введение антиоксид. добавки (А) (10%-ный р-р фенолмеркурацетата и 50%-ный р-р трихлорфенолата калия) в массу 12%-ной конц-ии из сосновой крафт-целлюлозы в кол-ве 0,01 и 0,02% при ее хранении при 20° не оказывало заметного влияния на физ. свойства целлюлозы. Время размола через 14 суток для пробы, содержащей 0,02% А, равнялось 66, без А с 0,01% А 49 мин. Микрофлора в массе с 0,02% А снижалась до 76%.

Н. Рудаков

6619. Борьба с потерями с оборотными водами на бумажной фабрике. Мартин (Controlling white water losses in a paper mill. Martin Neal L.), Tappi, 1957, 40, № 3, A82, A84 (англ.)

Основные мероприятия для снижения потерь волокон и наполнителей следующие: снижение конц-ии оборотных вод; использование в-в, способствующих повышению удержания волокон и наполнителей; разработка рациональной схемы использования оборотных вод; организация отдельной схемы по лучшему использованию титановых наполнителей путем установки баки для осаждения наполнителя и флотировочных башек; контроль за потерями со сточными водами.

С. Иванов

6620. Энергия и пар для бумажных предприятий. Керкпатрик (Power and steam for paper mills. Kirkpatrick A.), South. Pulp and Paper Manufacturer, 1957, 20, № 4, 104, 106, 108, 137 (англ.)

См. РЖХим, 1957, 42981.

6621. Современное производство печатной бумаги. Гизе (Moderne Druckpapierfertigung. Giese Ernst), Zellstoff und Papier, 1957, 6, № 4, 108—115 (англ.)

Очерк развития бумажного произ-ва, классификация печатных бумаг и их свойства. Рассмотрено применяемое сырье и химреактивы: древесная масса, целлюлоза, бумажный брак; приведены схемы подготовки бумажной массы и отлива бумаги на бумагоделательной машине, а также наиболее важные усовершенствования в конструкции бумагоделательных машин для произ-ва газетной и печатной бумаги. Библ. 31 назв. С. Иванов

6622. Химическая древесная масса из березы в композиции газетной бумаги. Енсен, Нурдман, Эравуо (Chemigroundwood from birch in newsprint furnishes I. 1:st Communication on birch pulp as a rawmaterial for paper. Jensen Waldemar, Nordman Lars, Eravuuo Veljo), Paperi ja puu, 1957, 39, № 4a, 165—169 (англ.)

Изучено в лабор. условиях обезвоживание и прочность во влажном состоянии бумажной массы для газетной бумаги, в композиции которой была березовая хим. древесная масса (БХДМ), еловая древесная масса и небеленая сульфитная целлюлоза. Испытано 4 различных образца БХДМ, отличающихся условиями произ-ва. В смеси с еловой древесной массой БХДМ улучшает обезвоживание; тонкая БХДМ имеет достаточно хорошую влагонепрочность и прибавление ее в композицию в размере 30—40% от общего кол-ва древесной массы частично сообщает газетной бумаге более высокую влагонепрочность, нежели каждый ее компонент. Условия произ-ва БХДМ: т-ра 140—160°, конц-ия марочного р-ра из Na₂SO₃ и Na₂CO₃, взятыми в соотношении 7:1, 125 г/л, считая на Na₂CO₃; продолжительность варки 2 часа, давл. 10 атм. Вакуумизацию проводили при давлении ниже 50 мм рт. ст. в течение 30 мин, подъем т-р до 140—160° продолжался 2 часа.

С. Иванов

6623. Новое в области переработки газетного брака. Гамми (Developments in newsprint broke handling. Gamme A. P.), Paper Making, 1957, 76, № 2, 29—34 (англ.)

По новой схеме мокрый брак после гауча направляют в мешалку и перекачивают двумя насосами (один из них работает периодически во время обрывов) в сборник-аккумулятор (СА). Мокрый брак с прессов подает конвейером в бассейн прессового брака, разбивают лопастной мешалкой и циркуляционным насосом и также перекачивают в СА. Для переработки сухого брака применяют разбиватели типа Гревина с мощными циркуляционными насосами. После роспуска сухого брака последний перекачивают в СА. Последний обладает большим объемом, так как в нем хранится весь брак от машины при конц-ии ~1,5%. Распущенный в волокна брак направляют на сгустители, для увеличения конц-ии до 3—3,5%, а затем в бассейн сгущенного брака. Отсюда с помощью дозаторов бумажный брак через регулятор конц-ии массы непрерывно поступает в поток бумажной массы. Достоинством описанной схемы является точная и постоянная дозировка брака с постоянной конц-ией, что обеспечивает постоянный вес бумаги. Потребность в рабочей силе сокращается.

С. Иванов

6624. Производство бумаги, устойчивой к стиранию. Негреску (Fabricarea unei hirtii pentru desen rezistente la radere la fabrica de celuloză și hirtie «Steaua Rosie». Negrescu H.), Celuloză și hirtie, 1956, 5, № 10, 278—282 (рум.; рез. русск., нем.)

Приведены данные о фабричном произ-ве рисовальной бумаги, высокоустойчивой к стиранию. Указаны применяемые волокнистые полуфабрикаты, проклеивающие в-ва, и технология массы и бумажного полотна, устойчивого к 3—4 стираниям туши на одном и том же месте.

Ю. Чельцова

6625. Лабораторные исследования по применению цинковых белил в качестве наполнителей бумаги. Маковская, Винчакевич (Badania laboratoryjne nad stosowaniem bieli cynkowej do wypelniania papieru. Makowska Anna, Winczakiewicz Andrzej), Prace Inst. celul.-papieru, 1956, 5, № 1, 31—37 (польск.; рез. русск., англ.)

На лабор. аппаратуре отлит ряд пробных листов бумаги № 1, 2 и 3 весом 30 г/м², наполненной цинковыми (2 вида) и титановыми белилами в таком кол-ве, чтобы влажность готового продукта составляла 15%. При проклейке бумаги смоляным клеем в кол-ве 2% с добавкой 1% крахмала и введении сперва наполнителя, затем смоляного клея, крахмала, р-ра сернокислого глинозема, удерживаемость наполнителя 39,8%. Механич. свойства бумаги № 3 (содержание наполнителя ~15%, вес 30 г/м², толщина 26 м, белизна по Оствальду 85,6%) удовлетворительны.

А. Х.

6626. Бумаги с поверхностным покрытием из синтетических смол, их свойства и обработка. Шох (Kunststoffbeschichtete Papiere Ihre Eigenschaften und ihre Verarbeitung. Schoch Walter), Verpackungsgrundschau, 1956, 7, № 12, Eingehaftete Beil. 93—98 (нем.)

Приведены требования к бумагам с поверхностным покрытием, используемым в качестве упаковочных материалов. Рассмотрена сопротивляемость таких бумаг с различными пластич. покрытиями прохождению пара, масла, жиров, запахов и т. д. Описаны основные принципы обработки упаковочных бумаг.

М. Белецкая

6627. Силиконы как средство облагораживания бумаги. Оль (Silicone als Mittel der Papierveredlung. Ohl Fritz), Wochenbl. Papierfabr., 1957, 85, № 13, 517—519 (нем.)

Рассмотрены основные свойства кремнийорганич.

соединений и их применение в бумажном произ-ве для придания бумаге спец. свойств.

С. Иванов

6628. Добавка в ролл акрилатов. Влияние свойств полимера на прочность бумаги. Келли, Мак-Лафлин (Beater addition of acrylic polymers relation of polymer properties to paper strength. Kelley L. E., McLaughlin P. J.), Tappi, 1957, 40, № 3, 192—196 (англ.)

Приведена характеристика добавок в ролл (акрилаты) и рассмотрено влияние их на свойства бумаги (повышение влагопрочности, сопротивления излому и прочности кромок на надрыв). Дано сравнение с другими эластомерами.

С. Иванов

6629. Требования к коробочному картону, предназначенному для гравюрной печати. Кернан (Boxboard specifications for gravure printing. Kernan J. M.), Tappi, 1956, 39, № 10, A42, A44, A46, A48. Discuss., A48, A50, A52, A54 (англ.)

Картон должен быть хорошо сформован, иметь ровную, гладкую поверхность, хорошо воспринимать типографскую краску, иметь постоянную толщину и обладать хорошей сжимаемостью; требуется наличие на картоне мягкого поверхностного слоя, наполнитель должен отличаться хорошей сжимаемостью, поверхность проклейки или должна отсутствовать, или быть незначительной, не должно быть следов от сетки.

М. Нагорский

6630. Производство древесностружечных плит в ГДР. Стерлин Д. М., Деревообработ. пром-сть, 1957, № 6, 27—29

Приведены схемы технологич. потока подготовки дробленки и стружек, барабанной сушилки; потока участка прессования плит.

А. Х.

6631. Старые и новые установки для переработки макулатуры и сравнение их технических характеристик. Брехт, Керн, Ленце (Alte und neue Aufbereitung — Aufbereitungsanlagen im versuchstechnischen Vergleich. Brecht Walter, Kern Theodor, Lentze Max), Das Papier, 1957, 11, № 13-14, 274—280 (нем.; рез. англ., франц.)

Обследованы 10 бумажных предприятий, имеющих установки для переработки макулатуры, в том числе 5 старого типа (бегуны, сортирование размоленной на бегунах макулатуры, массеный размог в роллах, очистка на песочнице и узлоловителях) и 5 нового типа (роспуск макулатуры на гидроразбивателе, очистка на вихревых очистителях, вибрационных сортировках или круглых сортировках, сгущение, рафинирование). Установки нового типа требуют меньше рабочей силы и площади, лучше обезвоживают бумажную массу на машине и дают бумагу большей жесткости, несмотря на ее меньший вес. Недостатки этих установок: больший уд. расход энергии и худший роспуск волокон (наличие неразбитых комочков в массе).

С. Иванов

6632. Изучение размола бумажной массы для конденсаторной бумаги при помощи гидромельницы. Мельхорн, Эйхлер (Versuche zur Mahlung von Kondensatorenpapierstoff mit Hilfe der Hydromühle. Melhorn H., Eichler H.), Zellstoff und Papier, 1957, 6, № 3, 83—85 (нем.)

Для интенсификации размола массы для конденсаторной бумаги (КБ) предложен новый размалывающий аппарат непрерывного действия — гидромельница (тип НМ2). Гидромельница была снабжена ножами из стали марки V2A толщиной 6 мм на статоре и роторе, работа от мотора 63 квт при числе оборотов 900 об/мин. Размол массы для КБ производили в две ступени: предварительный размол до 85° ШР в роллах и конечный до 93—94° ШР в гидромельнице. Размол в мельнице проводили от 13,5 до 28 мин. при давл. 1,4—2,7 кг/см², при этом степень помола повышали с 87 до 92° ШР (массу пропускать через мельницу от 1 до 6 раз). По-

лученная масса отличалась более коротким волокном, легче обезвоживалась и требовала меньшего нагрева. Изготовленная КБ обладала удовлетворительными свойствами, но имела худшую структуру, которую можно улучшить применением более толстых пожей. Расход энергии на размол был ниже, чем при размоле в одних роллах. С. Иванов

6633. Сообщение о закрытых колпаках над сушильной частью бумагоделательной машины завода Thorold Ontario paper Co. Ltd. Савидж (Report on the closed hood installation at Thorold. Savage V. L.), Pulp and Paper Mag. Canada, 1955, 56, № 3, 252—258 (англ.)

6634. Паровая турбина, допускающая автоматический отбор пара трех различных давлений. Буш, Фаррар (Union bag's triple-automatic-extraction turbine. Bush Charles C., Farrar Glenn D.), Tappi, 1955, 38, № 3, 153—156 (англ.)

6635. Контроль состояния измерительных приборов. Соучек (Kontrola stavu a funkce běžných zkušebních přístrojů. Souček M.), Papír a celuloza, 1957, 12, № 3, 59—62 (чешск.; рез. русск., нем., англ.)

Показана необходимость систематич. контроля за состоянием приборов для испытания бумаги. Приведены методы контроля для определения степени точности и сравнимости результатов, даваемых приборами, а также правильности их клеймения. Ю. Чельцова

6636. Контроль размола при помощи сепаратора системы Имсет. Брехт, Поль (Kontrolle des Mahlverlaufs mit dem Imset—Faser—Separator. Brecht Walter, Pohl Alfred), Das Papier, 1956, 10, № 17-18, 409—412 (нем.; рез. англ., франц.)

Указанный сепаратор (О. Имсет, Норвегия) дает возможность при проведении одного испытания определить два показателя. Один из показателей соответствует средней длине волокна, а другой — способности массы удерживать воду. При помощи сепаратора Имсет можно сравнить эффективность работы различных размалывающих устройств и аппаратов. М. Белецкая

6637. Прибор для измерения влажности по атометрическому методу. Нуки (A new moisture meter. Principles of the atometer method. Nuki Robert P.), World's Paper Trade Rev., 1955, 143, № 11, 900, 905—906 (англ.)

Основным элементом прибора является кислото- и жароустойчивый гигроскопич. стержень, закрытый в перфорированную хромированную коробку, обеспечивающую свободное движение вокруг него воздуха. Стержень помещают над движущимся полотном бумаги за последним сушильным цилиндром и он меняет свое электрич. сопротивление в зависимости от содержания влаги, поглощаемой им в кол-вах, зависящих от содержания воды в полотне бумаги. Стержень соединен с усилителем электронного типа и индикатором. Содержание влаги отсчитывается непосредственно на циферблате, для чего шкала индикатора калибруется путем определения влажности бумаги весовым методом. М. Нагорский

6638. Фильтрация при постоянном давлении как показатель степени разделения на волокна. Мартени, Олсон (Constant pressure filtration as an indication of degree of fiberizing. Marteny W. W., Olson K. E.), Tappi, 1956, 39, № 7, 515—517 (англ.)

Описана схема аппарата и методика испытания, рекомендуемые для определения степени разделения грубой массы на волокна. Испытание основано на определении уд. сопротивления массы фильтрации. Приведены данные анализов волокнистых масс на предлагаемом аппарате и Канадском стандартном приборе. С. Иванов

6639. Новый регистрирующий турбидиметр для измерения мутности воды и концентрации массы в бумаж-

ной промышленности. Бизли, Майкелсон (New recording turbidimeter for measuring water turbidity and low consistency slurries in the paper industry. Beazley E. H., Mikelson W.), Pulp and Paper Mag., Canada, 1956, 57, № 12, 165—168 (англ.)

Для измерения низких конц-ий массы разработан прибор, испытанный на сульфитной целлюлозе и древесной массе. Прибор предназначен для непрерывного определения конц-ии массы в потоке. Он измеряет при помощи фотоэлемента отношение кол-ва рассеянного света (S) к кол-ву света, проходящего (T) через пробу. Мутность $= S/T$. При отсутствии в жидкости взвешенных частиц свет проходит через нее без рассеяния и отношение равно нулю. По мере увеличения мутности светорассеивание возрастает и отношение растет. Дано описание прибора, его принципиальной схемы и применения. Чувствительность прибора при конц-ии массы 0,6% равняется $\pm 0,03\%$. С. Иванов

6640. Методы использования инфракрасных лучей в химии бумаги. Батлер (Infrared use and methods in paper chemistry. Butler John P.), South Pulp and Paper Manufacturer, 1957, 20, № 4, 124—125 (англ.)

ИК-спектроскопию применяют для определения различных эфиров целлюлозы (простых и сложных), полистиролов, поливинила, различных эластомеров, полистирола и других высокополимеров и добавок, применяемых при произ-ве бумаги, а также для определения природы пятен и посторонних включений, содержащихся в бумаге. С. Иванов

6641. Гигроскопичность бумажного полотна и ее измерение. Шмидт Г., Бум. пром-сть, 1957, № 8, 27—29

6642. Исследование пыления печатных бумаг. Липко, Нерыхлевский (Badanie pylenia papierów do druku. Lipko Sabina, Nieruchlewski Tadeusz), Prace Inst. celul.-papiern., 1957, 6, № 1, 48—51 (польск.; рез. русск., англ., нем.)

Склонность бумаги (B) к пылению (P) определяется в приборе взвешиванием пыли, стертой с поверхности B в стандартизованных условиях. Приведены результаты измерений P для ряда печатных B . Установлена зависимость P от давления ножа на B , кол-ва наполнителя и отделки поверхности B . Приведены требования к важнейшим печатным B в отношении их склонности к P . Ю. Чельцова

6643. Определение содержания комочков массы в волокнистой суспензии. Брехт, Циппель (Die Ermittlung des Stippengehaltes von Faserstoffsuspensionen. Brecht Walter, Zippel Fridolin), Wochenbl. Papierfabr., 1956, 84, № 18, 727—731 (нем.)

Приведены результаты сравнительного испытания различных методов определения (Вейсхаупта, Шмидта, Мюллера — Рида, Вултша и Афленцера, Байгана и стандартного метода дефибрирования) неразбившихся комочков массы в суспензии на трех образцах массы: 1) из длиноволокнистой сульфатной целлюлозы, 2) из коротковолокнистой целлюлозы бука и 3) из макулатуры, содержащей 75% сульфитной еловой и 25% соломенной целлюлозы. С. Иванов

6644 К. Современное целлюлозно-бумажное производство. Уитм, Ред. Калкин. Изд. 3-е, перераб. (Modern pulp and paper making. Witham George Strong. 3rd ed. rev. Ed. Calkin John B. New York, Reinhold, London, Chapman and Hall, 1957, vii, 549 pp., ill., 80sh.) (англ.)

6645 С. Бумаги печатные. Бумага для способов глубокой печати (Hirtie pentru tipar. Hirtie pentru rotol-heliografură), Стандарт PHP STAS № 2748: 1956 (рум.)

6646 П. Способ получения растворов целлюлозы.

Фойгт (Verfahren zur Herstellung von Celluloselösungen. Voigt Walter). Пат. ФРГ 937255, 29.12.55

Раствор целлюлозы получают обработкой ультразвуком с частотой ~ 50 кГц замороженной водн. суспензии различных препаратов целлюлозы (напр., природной целлюлозы, гидратцеллюлозы, оксидцеллюлозы и целлюлозы, содержащей лигнин) при t -ре от 0° до -5°. Аппарат с источником ультразвука погружают в суспензию, замораживают и приводят в действие.

Ю. Вендельштейн

6647 П. Способ гидролиза первичных эфиров целлюлозы. Уэнцл (Method for the hydrolysis of primary cellulose esters. Wenzl H. F. J.). Англ. пат. 739319, 26.10.55

Для ускорения гидролиза двухфазную реакционную смесь из p -ра первичного эфира целлюлозы (ЭЦ), не смешивающегося с водой, и водн. гидролизующего p -ра подвергают механич. обработке, увеличивающей степень дисперсности и поверхность соприкосновения в диспергированной фазе, применяя гомогенизирующие и эмульгирующие аппараты, кол. мельницы или аппараты для продавливания смеси через сопла. Высокую степень дисперсности смеси можно поддерживать непрерывностью механич. обработки или добавлением защитного коллоида, напр. алкилцеллюлозы, сульфированного касторового масла или циклогексанола и его гомологов. Гидролиз можно проводить ступенчато, с отделением ЭЦ между двумя стадиями гидролиза. В различных стадиях гидролиза можно применять различные гидролизующие p -ры и варьировать механич. обработку. Напр., целлюлозу предварительно обрабатывают CH_3COOH и этерифицируют $(\text{CH}_3\text{CO})_2\text{O}$ в присутствии H_2SO_4 и CH_2Cl_2 или CCl_4 ; получают p -р триацетилцеллюлозы, содержащей 50—60 вес. % CH_2Cl_2 или CCl_4 . Для гидролиза прибавляют водн. p -р H_2SO_4 и нагревают смесь в автоклаве, причем часть смеси непрерывно выдвигают из автоклава насосом и продавливают под большим давл. через щели нужного размера и возвращают в автоклав, продолжая указанный процесс до получения ЭЦ с требуемыми свойствами. Защитные коллоиды или диспергирующие v -ва прибавляют до или во время прокачивания насосом; часть CH_2Cl_2 отгоняют из смеси в процессе гидролиза или после его завершения. Описанным способом можно получить ацетилцеллюлозу, растворимую в ацетоне, ЭЦ других алифатич. или ароматич. k -т или смешанные ЭЦ. В случае получения смешанных ЭЦ гидролиз проводят в 2 стадии: в 1-й стадии создают условия для гидролиза одного вида эфирных групп, прекращают диспергирование к концу 1-й стадии, первый гидролизующий p -р заменяют другим, новую смесь вновь диспергируют и гидролизуют эфирные группы другого вида.

Ю. Вендельштейн

6648 П. Папиросная бумага. Шер, Левин (Cigarette paper. Schur Milton O., Levy Robert M.) [Ecusta Paper Corp.]. Пат. США 2738791, 20.03.56

Папиросную бумагу с улучшенным строением и качеством водяных знаков получают прибавлением к волокну карбонатного наполнителя (Н), напр. 8—30% CaCO_3 и 0,1—1% от веса сухого Н v -ва, способного менять электрич. заряд на обратный и меняющего положительный заряд наполнителя на отрицательный и, вследствие этого, препятствующего образованию агломератов Н с отрицательно заряженными волокнами и обеспечивающего более равномерное распределение частиц Н и волокон в листе. В качестве v -ва, меняющего знак заряда, применяют растворимый в воде полифосфат, напр. Na_4 -пирофосфат, Na_6 -метафосфат, Na_4 -фосфат, Na_3 -полифосфат, ди- и тетра- Na -этилендиаминтетраацетат и другие. К массе добавляют также 0,01—2% камеди, диспергирующей волокна. Пример.

Смешанную сосновую, еловую и пихтовую беленую kraft-целлюлозу размалывают при конц-ти 6% ~ 4 час. до средней длины волокон ~ 1 мм и садности ~ 100° по ШР. Перед перекачиванием на сетку машины массу разбавляют оборотной водой, прибавляют CaCO_3 с добавленным к нему 1% от его веса Na_4 -пирофосфата и 1%-ный водн. p -р частично деацетилированной камеди карая (0,1% камеди от веса сухой бумаги). Получаемая высушенная бумага весит 20 г/м², содержит 26% CaCO_3 (от веса сухой бумаги) и обладает отличными качествами, в том числе прозрачностью водяного знака. В отсутствие камеди получают бумагу высокого качества, но с менее прозрачным водяным знаком.

Ю. Вендельштейн

6649 П. Изделия, содержащие экстрактивные вещества древесины. Лайтхолл, Андерсон (Wood extractive-containing composite products. Lighthall Albert C., Anderson Arthur B.). Канадск. пат. 523573, 10.04.56

Патентуется волокнистый состав картона из размолотой лигноцеллюлозы хвойных деревьев, соединенной с таким кол-вом размолотой лигноцеллюлозы пней, сучков и сердцевин деревьев (напр., *Pondersapine*), богатой растворимыми в ацетоне v -вами, что общее кол-во растворимых в ацетоне v -в составляет 5—45% (предпочтительно 8—25%) от веса сухого картона.

Ю. Вендельштейн

6650 П. Декоративная стеновая плита и способ получения. Камп (Decorated wallboard and method of making the same. Camp Thomas P.) [Canadian Gypsum Co. Ltd.]. Канадск. пат. 519920, 27.12.55

Декоративный рисунок и покровный материал на белковой основе, получаемый варкой p -ра белка (напр., казеина, альбумина, белка бобов сои, земляного ореха или зеина) при t -ре не ниже 77° и не выше 100° в течение ≥ 20 мин., наносят на листы бумаги; листы высушивают и накладывают на мокрую гипсовую плитку; образовавшуюся слоистую плитку нагревают для удаления по крайней мере части воды в виде пара, проходящего через покрытие без образования пузырей или отставания поверхности. Получаемое покрытие устойчиво к проникновению масел и цветных пигментов и образует легко моющуюся и очищаемую поверхность.

Ю. Вендельштейн

См. также: Улавливание дурнопахнущих v -в сульфатного произ-ва 3481. Св-ва целлюлозы и ее p -рители 4010, 4011, 6776. Св-ва и применение эфиров целлюлозы: сложных 6772, 5795; простых 6769, 5585. Применение: лигнина в керамич. массах 5365; лигносульфонатов кальция в цементных пастах 5426. Методы анализа: волокна 6573. Действие защитных коллоидов суспензий глин и талька 4050. Древесностружечные плиты 6377

КРАШЕНИЕ И ХИМИЧЕСКАЯ ОБРАБОТКА ТЕКСТИЛЬНЫХ МАТЕРИАЛОВ

Редакторы К. М. Маркузе, А. И. Матецкий

6651. Влажность хлопка. Колтун, Нелсон, Грант (Moisture regain of cotton. Koltun Stanley P., Nelson Mary L., Grant James N.). Press, 1957, 58, № 9, 26—27 (англ.)

При машинной уборке хлопка для поддержания чистоты шпинделей машины применяют смачивающие v -ва. Выявлено, что наличие небольших кол-в указанных v -в (конц-ии их в p -рах 0,1 и 1,0%; колебания относительной влажности от 11 до 86%) практически не оказывает влияния на влагосодержание хлопка как

при высоких, так и при низких значениях относительной влажности. С. Светов

6652. Изучение новых растительных волокон. Триоло (La valorizzazione di nuove fibre vegetali. Studi ed iniziative tendenti ad arricchire il patrimonio di fibre tessili e cellulosa. Triolo Rosario), Tinctoria, 1956, 53, № 3, 95—97 (итал.)

Установлена пригодность и разработана технология использования волокон из таких растений, как дрок, для получения пряжи для ковровых дорожек и легких мешков. Д. Кантер

6653. Кокосовое волокно и его переработка. Балли (Die Kokosfaser und ihre Aufbereitung. Bally W.), Ciba Rundschau, 1956, № 125, 30—33 (нем.)

Сведения об основных способах (мочка в воде) переработки кокосового волокна и качестве канатов из него. Г. Б.

6654. Применение электронного микроскопа для исследования шерсти. Барла, Шполарич (Elektronmikroszkóp a gyapfűkutatás szolgálatában. Barla Endréné, Spolarich János), Magyar textiltechn., 1955, № 8, 282—284 (венг.)

Обзор. Г. Юджович

6655. О химико-физическом строении шерсти. Гросс (Ancora sulla struttura chimico-fisica della lana. Gross Amelio Janutolo), Laniera, 1956, 70, № 2, 147—151, 153, 155, 157, 159, 161—163 (итал.)

Обзор. Библ. 44 назв. Д. Кантер

6656. Влияние электролитов на растворимость шерсти в щелочи. Симидзу, Юку (羊毛のアルカリ溶解度に及ぼす電解質の影響. 清水周典, 正巳), Сэнгэ гаккайси, J. Soc. Text and Cellulose Inds, Japan, 1957, 13, № 3, 135—138 (японск.; реф. англ.)

Исследования растворимости шерсти в 0,1 и NaOH и 0,1 н. KOH при 65° в присутствии NaCl, KCl, KBr, KNO₃, NaNO₃, K₂SO₄, Na₂SO₃ показали, что, если ионная крепость $\mu < 1,8$, устанавливается эмпирич. зависимость $\lg S = \lg s_0 + k_1 \sqrt{\mu} - k_0 \mu$ (s_0 и s — показатели растворимости исходной и в присутствии электролитов; k_1 и k_0 — константы). А. Матейский

6657. Связь между строением белков и полезными свойствами белковых волокон и изделий из них. Форт, Саксон, Суки (Protein structure in relation to some desirable fiber and fabric properties. Fourn Lyman, Saxon Robert, Sookne Arnold M.), Amer. Dyestuff Reporter, 1956, 45, № 8, 215, 237, 238 (англ.)

Обзор. Библ. 14 назв. А. М.

6658. Исследование некоторых факторов шлихтования хлопчатобумажной пряжи на шлихтованной ровнице. Зилахи, Келен (A ramutirezés egyes tényezőinek vizsgálata írezett előfonalak segítségével. Zilahy Márton, Kelen István), Magyar textiltechn., 1956, № 10, 366—370 (венг.)

При шлихтовании ровницы ее прочность на разрыв повышается с 5—12 г до 2—3 кг, сопротивление износу становится измеримым, поэтому влияние отдельных факторов процесса легче выявить не на пряже, а на ровнице. Лучшие результаты получены при применении р-ра с максим. содержанием крахмала (35,7 кг в 500 л). Максим. прочность на разрыв получают при обработке при 66°, максим. сопротивление износу — при 86°. При увеличении т-ры уменьшается вязкость р-ра, что сначала приводит к уменьшению поглощения шлихты (Ш) волокном. Но при т-рах от 74 до 94° происходит усиленное проникновение Ш внутрь волокна (данные микроскопирования), чем обусловлен второй максимум поглощения Ш волокном при 85°. При повторном шлихтовании (без высушивания волокна) происходит преимущественно покрытие волокна Ш. Г. Юджович

6659. Беление хлопчатобумажных тканей хлоритом. Петерман, Фрицш (Die Breitbleiche mit Natriumchlorit in der Baumwollveredlung. Petermann Rudolf, Fritzsche Heinrich), Dtsch. Textiltechn., 1957, 7, № 3, 223—224 (нем.)

Приведены рецепты и режимы обработки. В. Штурмер

6660. Перекисное беление тканей. Клиббене (Peroxide bleaching. Clibbens D. A.), J. Text. Inst., 1954, 45, № 11, 1871—1872 (англ.)

6661. Оптические белители, их развитие, значение и применение. Вальтер (Optische Aufheller — Entwicklung, Bedeutung, Anwendung. Walter Edmund), Wäscherei-Techn. und -Chem., 1957, № 4, 254, 256, 258—260, 262 (нем.)

Описание принципа действия оптич. белителей, их практич. значения в технич. промышленности и домашней стирке, а также некоторых затруднений, связанных с их применением. В. Штурмер

6662. Состав ванны для мерсеризации ткани. Хуан Юань-Кай (濕布絲光絲光槽供給液の計算. 黃元楷), 染化, Жаньхуа, 1955, № 8, 322 (кит.)

Для расчета концентрации используемых при мерсеризации р-ров NaOH с учетом их истощения и систематич. подкреплений применимы зависимости, приведенные в советской технической литературе. А. Зонит

6663. Некоторые усовершенствования на красильно-отделочных фабриках. Чжан Вэнь-сюэ (印染廠中幾項小改進. 張文學), 染化, Жаньхуа, 1955, № 8, 347 (кит.)

Даны схемы подогревателя для горизонтальных парочных котлов, шеточных валиков для повышения эффективности промывки в проходных аппаратах после крашения, вакуум-фильтра для красковаров. А. Зонит

6664. Обработка шелка кислотой и ее влияние на качество получаемой ткани. Чжу Цзи-сяня, Минь Най-тун, Чжу Бао-гэнь (絲綢維用酸處理和對絹絲織品質量的試驗及分析. 朱積愷, 展乃同, 朱保銀, 中國紡織, Чжунго фанчжи, 1955, № 19, 24—30 (кит.)

Обработка шелка к-той (H₂SO₄) повышает прочность волокон и выход в процессе чесания, а также увеличивает скорость последующего крашения на ~20% и интенсивность окраски. Рекомендуемые условия обработки: т-ра 45°, рН 2, длительность 7 мин., без последующей промывки. А. Зонит

6665. Технологические процессы обработки хлопчатобумажной ткани. 2. Крашение. — (棉布加工處方有實例. (二) 染色之部), 染化, Жаньхуа, 1955, № 1, 51—53 (кит.)

Приведены рецепты и режимы крашения нерастрированными азокрасителями. А. Зонит

6666. Ручное крашение пряжи индантреновыми и нерастворимыми азо-красителями. Пу Шэнь (陰丹士林和納夫妥染料手工染紗的介紹. 浦深), 染化, Жаньхуа, 1955, № 3, 119—121 (кит.)

Описание крашения хлопчатобумажной пряжи (режимы и рецепты). А. Зонит

6667. Свойства антразолевых красителей. Сюй Шэнь (蒽醌系染料的性能. 徐士珍), 染化, Жаньхуа, 1955, № 4, 136—141 (кит.)

При крашении антразолевыми красителями (АН) окислительно-проявительная обработка действием NaNO₂ (I) может проводиться либо раздельно после взаимодействия с красителем, либо при введении в красильную ванну (в условиях более высокой т-ры). Для АК: алого НВ, фиолетовых АВВФ, ИРН, желтого НСГ, зеленого ИВ, оранжевой пасты ИРК и anthranol ОАВ рекомендуется 2-й способ. Некоторые АК очень чувствительны к избыточному кол-ву I, вызывающим изменение окраски. Рекомендуется применять регулирующую скорость процесса окисления препараты, замедляющие

антравелевую соль NO. Следует устранять прямое действие солнечных лучей на красильный р-р. А. Зонитгас (Ricerca sui naftol AS. Modena Giorgio), Ricerca scient., 1956, 26, № 5, 1451—1464 (итал.; рез. англ., нем., франц.)

Была исследована с помощью спектрофотометрич. методов субстантивность (С) по Петерсу и Симонсу (РКХМ, 1956, 10854) некоторых м- и п-замещ. арилов 2-окси-3-нафтойной к-ты $C_{10}H_6(OH)-CO-$ $-NH-Ar-X$, где $X=H, CH_3, Cl, OCH_3, NHCOCH_3, N(CH_3)_2, CO(CH_3)_2, NO_2$. Выявлено, что С для м-производных возрастает почти независимо от их природы, причем в случаях $X=CH_3, OCH_3, N(CH_3)_2$ увеличено С для м- и п-производных практически одинаково, для других продуктов замещения С п-производных заметно выше, чем для соответствующих м-производных. А. Сергеев

6669. Улучшение качества хлопчатобумажных тканей термоанлинового крашения. — (關於精元 (阿尼林元) 布改進品質的經驗), 中國紡織學 Чжунго фанчжи, 1955, № 3, 45—47 (кит.)

Опыты крашения показали наибольшую эффективность способа с использованием совместно с $CuSO_4$ и $NaClO_2$ также $NaNO_2$. А. Зонитгас

6670. Опытные данные о применении красителей, проявляющихся в процессе окисления. Руснак, Мартон (Néhány vizsgálati adat az oxidációs textilszínezékek újabb felhasználásáért kapcsolatban. Rusznák István, Marton Endre), Magyar textiltechn., 1955, № 8, 285—287 (венг.)

Исследовались условия образования на ткани анлинового черного. В отсутствие минер. к-т черная окраска не получается. Действие УФ-лучей повышает глубину окисления. В качестве красителя, при окислении которого минер. к-та образуется лишь в необходимом для дальнейшего окисления кол-ве (во избежание разрушения волокна), предложены соли фенилсульфаминовой к-ты (I) (10—15%-ные р-ры). Черная окраска получена при крашении аммониевой солью I в присутствии $KClO_3$ (5%-ный р-р) и ваната аммония (2 г/л) с последующей сушкой при 50° и обработкой в кислом зрельнике. Получаемая при применении п-толилсульфаминовокислого аммония окраска характеризуется высокой прочностью. Г. Юдкович

6671. Крашение и отделка текстильных волокон и изделий из них. Форнелли (Note sulla tintura e finitura delle fibre tessili. Fornelli D.), Tintoria, 1956, 53, № 4, 160—163 (итал.)

Обзор. Д. К. 6672. Крашение на плюсовке прямыми красителями. Дикманн (Foulardfärbungen mit Direktfarbstoffen. Dickmanns Kurt), Textil-Praxis, 1957, 12, № 6, 592—594, 10 (нем.; рез. англ., франц., исп.). В некоторых случаях невыгодно применять непрерывный плюсовочно-запарной способ крашения тканей прямыми красителями. В таких случаях рекомендуется ткань после плюсования и прополаскивания обрабатывать р-ром Na_2SO_4 или $NaCl$ на джигтере. Описывается режим крашения и даются рекомендации по выбору красителей для получения на мерсеризованных хлопчатобумажных и вискозных тканях различных оттенков с хорошей прочностью. И. Козлов

6673. Прочные окраски на шерсти. Бил (Fast shades on wool. Beal W.), Dyer, 1956, 115, № 12, 934—938; Text. Manufacturer, 1956, 82, № 979, 362—365 (англ.)

Прочность к мокрым обработкам окрасок на поврежденных волокнах шерсти относительно снижается для всех красителей (К). К, обеспечивающие

получение на шерсти прочных окрасок, делится на:

1) не требующие последующей обработки, но проявляющие низкую миграцию (пурпуровые, иргалановые, метакромовые); 2) требующие последующей обработки (эриохромовые и кубозолевые). Равномерное окрашивание К 1-й группы достигается лишь при обеспечении малой и равномерной скорости миграции. Крашение в бобинах при быстрой и равномерной циркуляции дает лучшие результаты, чем крашение пряжи в мотках. Классификация К по значениям критич. т-ры крашения позволяет регулировать скорость подъема т-ры на разных этапах крашения и получать ровные окраски смесями К. Правильный подбор выравнивателей для отдельных К или их групп способствует равномерности окрасок. Хороший результат для иргаланов дает иргазол ДА. Эриохромовые К, используемые по метакромовому способу, проявляют снижение миграции при т-ре комплексообразования (80°); поэтому для получения ровного крашения необходимо замедлить нагревание до достижения 80°. Для К, требующих последующей обработки и характеризующихся высокой миграцией, хромирование следует начинать при т-ре $\leq 85^\circ$. Скорость крашения зависит от применяемого оборудования. К подбираются по свойствам для разных видов оборудования. Неполное растворение К приводит к повышенному расходу к-ты и снижению прочности окраски к трению. Для крашения неравномерно обеспеченной, а также поврежденной в карбонизации шерсти, рекомендуется применять К с содержанием в молекуле не более одной сульфогруппы или иргалановые. А. Болденко

6674. Новые технические достижения в крашении шерсти. Дорсет (Wool dyeing: some recent interesting technical developments. Dorset B. C. M.), Text. Manufacturer, 1957, 83, № 988, 194—198 (англ.)

Своеобразный пестрый «кряпчатый» эффект на трикотажных изделиях и меланжевых тканях достигается добавлением вспомогательных в-в (ВВ) в красильную ванну при применении специально подобранных красителей. ВВ, вступая в р-цию с аммоногидратными остатками кератина, по-разному снижают сродство отдельных участков волокон к кислотным, кислотно-хромовым, металлосодержащим красителям (К). ВВ являются продуктами конденсации CH_2O с ароматич. сульфокислотой, мочевиной или меламином или производными дигалловой к-ты. Увеличения скорости крашения при сохранении однородности окраски достигают повышением адсорбционных свойств шерсти за счет устранения отрицательного влияния чешуйчатого слоя и в особенности эпикуткулы. Для этого применяют, напр., обработку спирт. р-ром КОН. Добавление в красильную ванну гидрофобных в-в (бутилового, амиллового спиртов, тимола) позволяет быстро окрашивать шерсть при низких т-рах. Эти в-ва образуют тонкий слой, покрывающий эпикуткулу, который растворяет К и способствует их проникновению в волокна. Поглощение зависит от степени сульфирования К. При добавлении 3% амиллового спирта выделение возрастает у К, не содержащих сульфогрупп, в 100 раз, у моносульфокислот в 10 раз, у дисульфокислот в 4 раза и не изменяется при применении трисульфокислот. А. Болденко

6675. Крашение шерсти в защитный цвет кислотно-хромовыми красителями по методу с одновременным хромированием. Споденкевич (Barwienie wełny na kolor khaki barwnikami kwasowo-chromowymi metodą metachromową. Spodenkiewicz A.), Przem. włókienniczy, 1957, 11, № 3, Biul. Inst. włókiennictwa, 6 (польск.)

Успешно проведено крашение по методу с одновре-

менным хромированием некарбонизованной и карбонизованной шерсти смесью кислотно-хромовых красителей: желтого 2 Г, бордо В и синие-черного антрахинонового С. Ткань обнаружила прочность на 15% выше сравнительно с тканью из шерсти, окрашенной по способу с последующим хромированием.

И. Фодиман

6676. Крашение шерсти лишенинами и веществами, содержащими лишенины. Сульберг (Dyeing of wool with lichens and lichen substances. Solberg Yngve Johannes), Acta chem. Scand., 1956, 10, № 7, 1116—1123 (англ.)

Проведены опыты крашения шерсти (Ш) лишенинами (Л) лишайников, в-ами, содержащими Л, и продуктами их распада. Из Л, не являющихся орсидами, окрашивают Ш только Л, содержащие альдегидные группы. По-видимому, яркие окраски на Ш из р-ров Л в органич. р-рителях обусловлены образованием азометиновых соединений из альдегидных групп лишениновых к-т и свободных аминогрупп Ш. Углубление цвета от желтой при $\sim 20^\circ$ до красно-коричневой при 100° свидетельствует об усложнении процесса.

А. Болденко

6677. Крашение смесей шерстяных и полиакрилонитрильных волокон. Янчевский (Het verven van vezelmengsels uit wol-en polyacryl nitrilvezel. Janczewski M. v.), Tex., 1956, 15, № 10, 1420—1422 (гол.)

Смеси шерстяных и акрилонитрильных волокон окрашивают основными красителями «астра» или «астрозон» по однованному или двухванному способу в присутствии вспомогательного (неионогенного) препарата «аволан IW».

Л. Песин

6678. Крашение акрила и смесей шерсти с акриланом. Уотерхаус (Dyeing acrilan and wool-acrilan unions. Waterhouse F. M.), Dyer, 1957, 117, № 9, 713—715, 717—719 (англ.)

Для акрилана (А) наиболее пригодны дисперсные сетацilloвые красители (К). Широко применяют также кислотные, кислотно-хромовые и металлсодержащие К в условиях длительной (1 час) обработки в кипящем р-ре в присутствии H_2SO_4 для обеспечения глубины прокрашивания А и хорошей прочности окраски к трению. Крашение кислотными и акрилановыми К начинают в присутствии $HCOOH$, добавляя в конце процесса 5% H_2SO_4 . Для крашения смесей шерсти и А применяют иргалановые, эриолановые, эриохромовые и кислотные К по двум методам: 1) при длительной обработке в кипящем р-ре в присутствии 4—5% H_2SO_4 и 2—3% тинегала W, 2) в присутствии 2% H_2SO_4 и тинегала W после предварительной 20-минутной обработки в кипящем р-ре H_2SO_4 (2 г/л) и промывки. Тинегаль W замедляет крашение шерсти и способствует переходу К с шерсти на А. Хромирование проводят в свежей ванне. Крашение в светлые тона смесью иргалановых и сетацilloвых К проводят по однованному методу в слабокислой ванне.

А. Болденко

6679. Крашение полиэфирного волокна терилена. Барлоу, Ферн (La tintura del terilene fibra poliestere. Barlow A., Fern A. S.), Tintoria, 1956, 53, № 3, 102—107 (итал.)

Обзор.

Д. К.

6680. Об экономии загустки для печатной краски. Чэнь Цзянь-чжун (關於節約印花漿料的幾點報導. 沈堅中), 染化, Жаньхуа, 1955, № 5, 194 (кит.)

Экономия загустителей достигается за счет использо-

вания еще 2 часа). Рекомендуется также уменьшать глубину гравировки рисунка на печатных валах и пользоваться загусткой следующего состава (в вес. ч.): крахмальный клей 35; 3%-ный р-р $NaOH$ 5; антрахинон 1; ронгалит 15; вода 44.

6681. Прямая печать. Шэнь Вэнь (直接印花的兩點討論. 沈文), 染化, Жаньхуа, 1955, № 11, 480—481 (кит.)

При прямом печатании тканей с одновременным применением некоторых индигозоль и азоаминов с диазольем синим В часто наблюдается переход в рисунке синего цвета в фиолетовый. Это связано по-видимому с образованием в диазольем красителе на ткани нитрозогрупп под действием применяемой для проявления индигозоль HNO_2 . Для предупреждения отмеченного дефекта следует проводить окислительное проявление при $t-ре \leq 60^\circ$, применяя совместно с H_2SO_4 некоторое кол-во $HCOOH$, а также добавляя мочевины (до 5 г/л). Целесообразно перед проявлением индигозоль проводить в течение 1—2 мин. декатировку при 100° . Следует учитывать также возможность образования в некоторых случаях красно-коричневого осадка на белом фоне в результате взаимодействия HNO_2 с не вступившим в реакцию азотом. Рекомендуется при промывке пользоваться разб. H_2SO_4 , после промывки р-ром Na_2CO_3 менять в последней ванне добавку 0,5%-ной CH_3COOH .

6682. Колористические свойства печатных тканей.

Инь Юэ-тань (單面直接印花法印深色花布的試驗. 印月漂), 中國紡織, Чжунго фанчжи, 1955, № 3, 57—59 (кит.)

Приведена рецептура для односторонней прямой печати тканей с применением нерастворимых азо- и индигозоль красителей, а также достигаемые показатели прочности окраски.

А. Зонин

6683. Опыты по повышению эффективности использования красителей и ронгалита при печатании кубовыми красителями. Тао Чжи-мин, Тэнь Юнь-юй (還原染料拔染印花提高染料及離白粉利用試驗. 陶志明, 湯萬瑜), 染化, Жаньхуа, 1955, № 3, 100—103 (кит.)

Факторами, определяющими эффективность использования, являются состав печатной краски и способ ее приготовления, а также условия обработки (температура, влажность) в зрельнике.

А. Зонин

6684. Повышение качества печати кубовыми красителями путем правильного выбора загустителей. Ши-Инь (適當選擇糊料, 提高還原染料印花給色量. 顧), 中國紡織, Чжунго фанчжи, 1955, № 20, 21—22 (кит.)

При печатании восстанавливающимися в слабощелочной среде кубовыми красителями (КК) хорошие результаты дает применение загустки из кукурузного крахмала. Для КК, восстанавливающимися в сильнокислой среде, рекомендуется совместное использование в качестве загустителей кукурузного крахмала и индиго. Загустка для КК броминдигго должна состоять из крахмала и траганта.

А. Зонин

6685. Печатание кубозольными красителями с применением хлорноватокислого алюминия. Мао Юй-чжун (可溶性還原染料氟酸鋁防拉明防染. 茅於中), 染化, Жаньхуа, 1955, № 11, 470—471 (кит.)

При печатании хлопчатобумажных тканей с применением нерастворимых азо- и кубозольных красителей рекомендуется способ с окислением последних в волокне хлорноватокислым алюминием, образующимся при взаимодействии $NaClO_3$, наносимого при промывании, и $Al_2(SO_4)_3$, вводимого в состав печатной краски. Приведены соответствующие рецепты.

А. Зонин

6686. Технология печатания с помощью сетчатых шаблонов. Ван Жуй-чунь (篩框印花的實際操作報導. 王瑞春), 染化, Жаньхуа, 1954, № 12, 15—16, 14 (кит.).

Описание оборудования, загусток, составов печатных красок и режимов. А. Зоннтаг

6687. Практическое осуществление метода печатания с помощью сетчатых шаблонов. Сунь И-цзин (篩框印花感光製版實際工作. 宋亦璟), 染化, Жаньхуа, 1955, № 4, 169—171 (кит.).

Описание оборудования и процесса печатания, а также способов приготовления шаблонов. А. Зоннтаг

6688. Прочная печать с помощью сетчатых шаблонов. Цзинь Шань (不褪色的篩框印花. 金山), 染化, Жаньхуа, 1955, № 1, 22—24 (кит.).

Приведены рецепты загусток и печатных красок и способы печатания тканей. А. Зоннтаг

6689. Ручная набивка синим сернистым красителем. Дай Жунь-шэнь (硫化藍手工防染印花介紹. 戴潤生), 染化, Жаньхуа, 1955, № 7, 303 (кит.).

Описание способа набивки хлопчатобумажной ткани при применении сернистого синего красителя марки «Лянмэнь», китайского произ-ва. А. Зоннтаг

6690. Вытравная ручная печать на тканях, окрашенных прямыми красителями. Шэнь Пин (直接染料地色手工拔染印花法. 沈平), 染化, Жаньхуа, 1955, № 11, 487—489 (кит.).

Описаны рецепты и режимы вытравной печати, основанные на применении ронгалита. А. Зоннтаг

6691. Быстрая сушка пряжи по методу Авеста — Каррер. Мельгрэн, Викари (L'asciugamento rapido dei filati secondo il sistema Avesta — Carrer. Mellgren P. G., Vicari Giuseppe), Tintoria, 1957, 54, № 2, 58—59 (итал.).

Изделия после отварки или крашения направляют в сушилку без предварительного центрифугирования. Механич. удаление воды и сушку проводят последовательно в две фазы. В сушилке продувкой и сжатием осуществляют отжим избыточной влаги и проводят интенсивную сушку в токе горячего воздуха. Процесс проводят непрерывно при пропуске через автоклав, аппарат для отдувки и отделитель воды. Система обеспечивает возможность полной регенерации тепла. И. Фодиман

6692. Некоторые вопросы производства текстильных материалов и бумаги (применение газовой сушки и термообработки). Ван-Кампен (Solving problems in textile and paper making. Van Kampen G. R.), Industr. Gas (USA), 1955, 34, № 1, 9, 10, 22, 23, 24 (англ.).

Обзор. С. С.

6693. Применение в отделке веществ, придающих изделиям мягкость. Янежич (Primená omekšivača u oplemenjivanju tkanina. Janežić Zitomir), Tekstil. ind., 1955, 3, № 12, 7—13 (серб.; рец., англ., франц., нем.).

Обзор (строение, свойства и применение природных и синтетич. в-в; сапонины катион- и анионактивные; лаурилпиридинлаурат; полиглицеринстеарат). Библ. 5 назв. 3. Бобырь

6694. Вещества, применяемые в процессах отделки для придания тканям блеска. Барбера, Буснелли (Sostanze che conferiscono lucentezza impiegate nell'apparecchiatura dei tessuti. Barbera Aldo, Busnelli Armando), Laniera, 1955, 69, № 11-12, 965, 967, 969, 971—973, 975 (итал.).

В процессах отделки в составе аппрата применяют воск, парафин, камедь и масла. Повышение блеска может быть достигнуто также за счет механич. воздействий при каландровании и прессовании. Д. Кантер

Д. Кантер

6695. Трудности, связанные с применением комбинированной пропитки, придающей водоупорность и устойчивость к загниванию. Фур (Die kombinierte wasserdicht-fäulnishemmende Ausrüstung; Komplikationen und Variationen. Fuhr Herbert), Textil — Praxis, 1957, 12, № 2, 158—161, 8 (нем.; рец. англ., франц., исп.).

На образование плесени на хлопчатобумажной ткани влияют: чрезмерное содержание влаги, т-ра, отсутствие света, pH пропитанной ткани, способность удерживать пыль и грязь. Ткань должна храниться в светлом помещении при т-ре ниже оптимальной для развития плесени; пропитанная ткань должна быть нейтр. и содержать миним. кол-во жиров и восков. Комбинированная пропитка проводится многократным способом (раздельное нанесение соли Cu, или Na и жирных к-т и солей Al, которые на ткани образуют, аломиниевое мыло). Недостатки метода — большое содержание жиров и восков; pH 4,5—7, что благоприятствует росту плесени; образование медных мыл, гидрофобизирующее действие которых незначительно. Более перспективен однократный способ обработки эмульсией, содержащей гидрофобизирующие компоненты и высокоактивный фунгицид. Представляют интерес также методы, основанные на применении полиизоцианатов, эмульсий нафтената меди и др. И. Фодиман

6696. Об улучшении свойств продуктов конденсации мочевиноформальдегидных смол. Майзнер, Ендрусик (O poprawianiu właściwości kondensatów moczniakowo — metanalowych. Majzner Józef, Jedrusiak Zenon), Przem. włókienniczy, 1956, 10, № 7, 319—321 (польск.).

Описаны два варианта конденсации мочевины с CH_2O при образовании смесей моно- и диметилмочевины, рекомендуемых для обработки вискозных тканей в целях улучшения их внешнего вида и снижения сминаемости. С. Войткевич

6697. Антисептики в отделке тканей. Барбера, Бузнелли (Le sostanze antisettiche nell'apparecchiatura. Barbera Aldo, Busnelli Armando), Laniera, 1956, 70, № 3, 239, 241, 243, 245, 247, 249—251, 253—255, 257 (итал.).

Обзорная статья, посвященная в-вам, применяемым для придания текстильным изделиям устойчивости к действию плесени и микроорганизмов, а также для предупреждения повреждений шерсти молю. Л. М.

6698. Защита шерсти от моли и кожеедов. Шпаринг (Začíta vune od moljaca i kukaca. Sparing Oton), Tekstil, 1956, 5, № 8, 672—677 (серб.-хорв.).

Рекомендуется обработка препаратом митин FF.

6699. Технология нетканых текстильных материалов. Ловин, Уэнзель (Technology of nonwoven fabrics. Lovin L. G., Wenzell L. P.), Amer. Dyestuff Reporter, 1957, 46, № 9, 326—328 (англ.).

Широкое распространение нетканых изделий в США вызвало увеличение потребления для них сырья в 1955 г. до 22700 т при предполагаемом увеличении к 1960 г. еще в 2,5 раза. Основные процессы применяемой технологии: 1) разрыхление и смешивание сырья, 2) формирование холста, 3) связывание волокон, 4) сушка и термич. обработка, 5) отделка. С. Светов

6700. Симпозиум «Стирка, химическая чистка и крашение одежды». 23 сентября 1955 г. Атлантик — Сити I. Вводные замечания председателя. Мунн. П. Измерение отбеливающего эффекта, достигаемого при применении флуоресцирующих красителей и пербората. Ферри, Бенсинг. III. Подвергающиеся стирке в 1955 г. текстильные изделия. Джонсон. IV. Проблемы окраски и отделки при химиче-

ской чистке. Парсли. V. Крашение одежды в США. Тейкнер. VI. Заключительные замечания председателя. Мунн (Symposium «Laundering, drycleaning and garment dyeing», Sept. 23, 1955, Atlantic City, N. J. I. Introductory remarks by the chairman. Mooney W. J. II. Measuring the whitening effects of fluorescent dyes and perborate bleaches on cotton. Furry Margaret S., Bensing Phyllis L. III. Launderable textiles in 1955. Johnson George H. IV. Color and finishing problems in drycleaning. Parsley John V. Garment dyeing in the United States today. Teichner Arthur. VI. Closing remarks of the chairman. Mooney W. J.), Amer. Dyestuff Reporter, 1956, 45, № 5, P120—P133 (англ.)

Содержание заслушанных докладов (проблемы окраски и отделки, возникающие при стирке и хим. чистке одежды, рекомендации для обработки изделий из синтетич. волокон; оборудование, методы обработки, спец. условия работы предприятий, проводящих стирку и хим. чистку).

Л. Бельский

6701. Общие методы получения важнейших текстильных вспомогательных средств. Хейзер (Allgemeine Herstellungsverfahren der wichtigsten Textilhilfsmitteltypen. Heuser), Z. ges. Textilind, 1954, 56, № 23, 1445—1448 (нем.)

6702. Методы анализа упрочняющих окраску препаратов. Гуан (固色劑的分析·光), 染化, Жаньхуа, 1956, № 2, 69—70 (кит.)

Разработаны методы колич. анализа препаратов, упрочняющих окраску, китайского произв-ва, являющихся продуктами конденсации дигидрадиамида и CH_2O с содержанием CH_3COOH (в одном) и CH_3COOH и $\text{Cu}(\text{CH}_3\text{COO})_2$ (в другом). А. Зоннтаг

6703 II. Метод упрочнения пряжи и ткани, состоящих в основном из волокна капока. Сакаянаги (カボック繊維を主體とした糸、織物の耐久處理法. 坂柳聰明). Японск. пат. 544, 29.01.55

Для повышения прочности и улучшения прядильных свойств волокна капока (K) обрабатывают эмульсией следующего состава (в вес. ч.): лаурил-пиридинийхлорида 2, воды 55, лед. CH_3COOH 0,2, триметиламмонийхлорида 7, сирокисана 35,8. Сирокисан — сополимер, получаемый совместным гидролизом и конденсацией 900 молей метилгидроксиэтилхлорсилана и 5 молей триметилхлорсилана. Разбавленную водой (1:100) эмульсию распыляют на волокна K. Потом проводят сушку и термич. обработку при 130° в течение 5 мин., обработанные волокна K смешивают с шерстью (80:20) и перерабатывают в пряжу, а затем в ткань. Последнюю вновь обрабатывают вышеуказанной эмульсией, разбавляемой 20—30-кратным кол-вом воды, высушивают и подвергают термич. обработке при 130° в течение 3—5 мин.

Син Мен Хен

6704 II. Способ придания устойчивости к высокой температуре амилазы, применяемой в текстильной промышленности. Сато, Моримото, Сасаки (纖維用アミラーゼの熱安定性附與方法. 佐藤忠徳・森本健子, 佐々木崇), 繊維紡績株式会社, Канзафутти бо-сэки кабусики кайся. Японск. пат. 1347, 26.02.55

Добавка к применяемому для распыливания р-ру амилазы солей Са повышает устойчивость амилазы к действию высокой т-ры. При этом образуется нерастворимое кальциевое мыло в результате взаимодействия Са с жирным в-вом волокна. При использовании для этой цели комплексной соли, получаемой при взаимодействии этилендиаминтетраацетата Na и CaCl_2 достигается в два раза большая устойчивость амилазы к высокой т-ре сравнительно с наблюдаемой при использовании обычных солей Са. Это позволяет

проводить ускоренную распылировку при высокой т-ре с миним. расходом амилазы.

Син Мен Хен

6705 II. Способ отбеливания неомогенной волокнистой массы (Bleichverfahren für nicht homogene Fasern) [A. B. I. Azienda Brevetti Industriali]. Пат. ФРГ 939725, 1.03.56

Массе предварительно придают однородность по величине составляющих ее частиц, удаляя минер. примеси, очень малые частицы, а также частицы жира, масел, чернил и т. п. и обрабатывают требующимся для белины кол-вом Cl_2 (I) в присутствии щелочей. Обработку проводят в 2 стадии, из которых 1-я имеет избирательный характер в отношении примесей и проходит в течение ограниченного времени (< 2 час.) при $\text{pH} < 3$, для чего прибавляют необходимое кол-во HCl ; эту операцию иногда повторяют с меньшим кол-вом реагентов. Во 2-й стадии р-ция проходит самопроизвольно при pH 6,5—10 (добавка NaOH , CaO , или Na_2CO_3). Физ. и хим. гомогенизацию проводят механич. путем — рафинированием и промывкой от растворимых примесей. Для удаления жирных в-в в массе при гомогенизации прибавляют эмульгаторы. Пример. 100 кг хлопчатобумажного линтера слегка рафинируют и одновременно промывают до тех пор, пока промывная вода не будет чистой и величина нецеллюлозных частиц будет равной величине частиц, образующих обрабатываемую массу. В случае сильно загрязненного линтера прибавляют эмульгаторы в-ва. Затем массу спускают в сосуд, где сначала разбавляют до содержания твердых в-в 0,4%, а затем повышают ее конц-ию до 3—4% упариванием. К массе быстро прибавляют 6—9 кг I при одновременном размешивании, поддерживая добавкой HCl значение $\text{pH} < 2,5$. По истечении 1 часа потребление I достигает 40—50%, причем практически I действует исключительно на примеси, напр., на остатки семенных коробочек хлопка, не затрагивая целлюлозу. Затем, по возможности, быстро прибавляют рассчитанное кол-во известии или другой щелочи для повышения pH до 6,5—8,5. Обычно требуется 8—11 кг CaO . При этом массу непрерывно размешивают и нагревают до t -ры ≤ 49 — 50° до полного потребления I и получения чисто-белого цвета массы. Эта операция длится обычно 2—3 часа. Далее массу промывают и слегка подкисляют.

О. Славина

6706 II. Способ повышения качества нитей и тканей. Комата (糸、布類の改質法・小侯菊治). Японск. пат. 8549, 24.11.55.

Для придания изделиям (II) из целлюлозных волокон вида льняных их обрабатывают конц. H_2SO_4 . Для лучшего эффекта обработки сушкой при 100—110° снижают влажность II до 2%, проводя последующее охлаждение в помещении с регулируемой влажностью и т-рой. Затем II пропускают в течение 10 сек. через 63%-ный р-р H_2SO_4 , промывают водой, обрабатывают 1%-ным р-ром NaOH , снова промывают водой и сушат. После такой обработки II приобретает вид льняного, повышенные прочность и сродство к красителям, несминаемость и малоусадочность.

Син Мен Хен

6707 II. Метод придания целлюлозным волокнам способности окрашиваться кислотными красителями. Фудзимуро (纖維素纖維の酸性染料染色性を改善する方法. 藤村敏一) [山梨, 大學長・Яманаси Дайгакүтсү]. Японск. пат. 540, 29.01.55

Изделия погружают в 10%-ный р-р H_2SO_4 на 30 мин. при t -ре $\sim 20^\circ$, а затем обрабатывают 10%-ным р-ром капролактама в толуоле в течение 5 час. при 80° , промывают водой и сушат на воздухе. При окрашивании обработанного волокна р-ром, содержащим 0,1% красителя кислотного сине-черного, 0,2% Na_2SO_4 и 0,05% H_2SO_4 , при модуле ванны 1:60, t -ре 100° , в течение

1 часа, получается темно-синяя окраска, устойчивая к действию горячей воды.

Син Мен Хен 6708 П. Крашение природных, искусственных и синтетических волокон и пленок с помощью аминно-галлоидосоединений. Ямада, Симия (反應性アミノ化合物と反應性ハロゲン化合物による天然、人造及び合成繊維或はそれ等の皮膜の染色方法. 山田仁徳, 四宮知郎). Японск. пат. 5582, 9.08.55

Для получения окраски пользуются, напр., первичными и вторичными аминсоединениями алифатич. и ароматич. рядов, алифатич. и ароматич. соединениями, имеющими иминогруппы, пиридином и его производными, а также ароматич. галлоидосоединениями, имеющими в ядре в орто- и пара-положениях нитро- и сульфогруппы или ароматич. и алифатич. соединения с содержанием групп $-\text{COX}$, $-\text{SO}_2\text{X}$, $-\text{CO}-\text{CH}_2\text{X}$, $o-\text{NO}_2(\text{C}_6\text{H}_4)\text{CH}_2\text{X}$, где X — галлоид. Пример: сначала погружают в р-р $1/5000$ моля солянокислой соли аминсоставляющего, в 20 мл воды — 1 г волокна, обрабатывают 10 мин. при 90° , затем нейтрализуют Na_2CO_3 . Далее добавляют $1/5000$ моля галлоидосоединения и выдерживают 50 мин. при 90° , после чего обрабатывают р-ром мыла 10 мин. при 90° . Прочность окраски в баллах: к свету 5, к мыльной обработке 3.

Син Мен Хен 6709 П. Способ крашения тканей с получением цветных эффектов. Ямагиси (折付注染に依る濃淡模様植物染色法. 山岸勝蔵). Японск. пат. 5583, 9.08.55

Для получения тканей из целлюлозных волокон с цветными эффектами выработывают суровую ткань из отваренной и отбеленной основы и утка, окрашенного нерастворимым азокрасителем (нафтол AS или азоамин бордо). Суровую ткань отваривают в кипящем цел. р-ре для удаления шпикты и других примесей, промывают водой, пропитывают алиларниновым маслом и смачивателем и сушат. Высушенную ткань пропусают р-ром из 3 ч. нафтола ASOL, 1 ч. алиларнинового масла, 1 ч. 16%-ного р-ра NaOH и 95 ч. горячей воды, после чего сушат. По нафтолированной ткани печатают краской, состоящей из 9 ч. основания азоамин бордо, 0,2 ч. ZnCl_2 и 90,8 ч. загустки, и затем обрабатывают азоамином оранжевым GR или другими азоамины с последующей промывкой водой. Далее ткань обрабатывают 4—5%-ным р-ром NaHSO_3 , промывают водой, пропускают через разб. р-р HCl , промывают водой и сушат.

Син Мен Хен 6710 П. Способ получения тканей с цветными эффектами. Ямагиси (濃淡模様顯出法. 山岸勝蔵). Японск. пат. 5585, 9.08.55

Нити основы красят сернистым коричневым 3R. В качестве утка берут два вида пряжи: А и Б. Для получения А обычную пряжу погружают в р-р соли Mn , после чего пропускают через р-р NaOH , а последующим окислением на воздухе и промывкой. Б получают обработкой р-ром, содержащим в 100 ч. воды 15 ч. индигозола 0, 2 ч. β -нафтола, 2 ч. NaOH , 15 ч. NaNO_2 , оставляя краситель не проявленным. При изготовлении ткани уточные нити А и Б должны чередоваться. Полученную ткань печатают последовательно, нанеся сначала состав из 5 ч. щавелевой к-ты и 95 ч. загустки, а затем состав из 10 ч. $\text{Na}_2\text{S}_2\text{O}_3$ и 90 ч. загустки. После печати ткань оставляют на некоторое время (20—30 мин.). Затем ее пропускают через р-р, состоящий из 5 ч. анилиновой соли, 1 ч. H_2SO_4 и 94 ч. воды, затем через р-р $\text{K}_2\text{Cr}_2\text{O}_7$ до полного окисления анилина, промывают водой и сушат. При такой последовательности обработки на участках, где нанесена первая печатная краска, основные нити остаются без изменения, а уточные нити А становятся белыми в то время, как уточные нити Б получают темно-синюю окраску под действием щавелевой к-ты. В результате этих р-ций, а также действия на соот-

ветствующие участки второй печатной краски и анилиновой соли на ткани получают различные цветные эффекты.

Син Мен Хен 6711 П. Способ печатания тканей. Такэнага (織物捺染法. 武長章夫), [福染興業株式会社. Фукусэн когё кабусики кайся]. Японск. пат. 3990, 11.06.55

Применение нитроцеллюлозы при печатании пигментными красителями придает хрупкость наносимым пленкам. Этот недостаток устраняется при использовании печатной краски, состоящей из смеси следующих двух составов. Состав А (в г): пигменты 0,5, окись титана 2,0, метилированный метилолмеламин 50%-ный 1,5, триэтанолламин 0,2. Состав Б (в г): продукты сульфирования лауриновой кислоты 0,25, триэтанолламин 0,05, гексаметилентетрамин 0,05, эмульсия поливинилацетата 5,95. Печатают на печатной машине с применением кнризы и подкладки и сушат сначала теплым воздухом, а затем на сушильных барабанах.

Син Мен Хен 6712 П. Способ обработки текстильных изделий синтетическими смолами с одновременным крашением. Мияи, Мацуура (染色を同時に行う樹脂加工法. 宮井恭一, 松浦多賀夫), [旭化成工業株式会社, Асахи касэй когё кабусики кайся]. Японск. пат. 3987, 11.06.55

Для приготовления применяемого продукта начальной конденсации смолы смесь 2,66 кг мочевины, 10 л формалина (40%-ного) и 0,4 л аммиака (28%-ного) нагревают 15 мин. при 70° и потом быстро охлаждают. рН р-ра 8,0. Для приготовления р-ра для крашения ткани берут 30 л р-ра приготовленной смолы, разб. водой в соотношении 1:3, 0,15 кг прямого красителя, 0,09 кг Na_2CO_3 и 0,015 кг эмульгатора 408. Для крашения пряжи пользуются аналогичным р-ром, но при разбавлении р-ра смолы водой в соотношении 1:8. В красильный р-р погружают 3 кг пряжи или ткани при т-ре $\sim 20^\circ$, затем нагревают р-р до 90° и при этой т-ре красят 30 мин. При этом нужно не допускать попадания кислых в-в, ускоряющих конденсацию смолы и вызывающих образование нерастворимого осадка. Затем проводят отжим и сушку при $70-80^\circ$ (для пряжи в течение 3 час., а для ткани 10—20 мин.). После сушки ткань обрабатывают 0,3%-ным р-ром NH_4Cl (рН 3,6), отжимают и проводят т-мич. обработку для пряжи 40 мин. при 105° , а для ткани 3 мин. при $150-160^\circ$. Далее проводят нейтр-цию р-ром, содержащим 0,5% мыла и 0,1% Na_2CO_3 , промывку водой и сушкву.

Син Мен Хен 6713 П. Способ повышения прочности и водоупорности волокон. Танака (纖維の耐久防水處理法. 田中博), [日清紡績株式会社, Ниссай босэй кабусики кайся]. Японск. пат. 3999, 11.06.55

Обработка волокон алкилалтиленмочевинной $\text{RNHCO}-\text{N}-(\text{CH}_2)_n$ (I) повышает их водоупорность при одновременном ослаблении и придании жесткости. Обработка волокон I с добавкой CH_3COONa или Na_2CO_3 с последующей сушкой при $80-130^\circ$ приводит к повышению прочности и водоупорности волокон в результате полимеризации и фиксирования I. Пример. В дисперсию из 3 ч. октадецилтиленмочевины (т. пл. $67-68^\circ$), 1 ч. кристаллич. CH_3COONa , 0,1 ч. препарата моноген, 0,01 ч. поливинилового спирта и 96 ч. воды погружают расщепленную хлопчатобумажную ткань при т-ре $\sim 20^\circ$, отжимают и сушат при 80° , а затем 120° (30 мин.), промывают водой и снова сушат.

Син Мен Хен 6714 П. Придание трикотажным изделиям водоупорности (Jersey imperméable) [Ets Pierany]. Франц. пат. 1106803, 27.07.55 [Bull. Inst. text. France, 1956, № 60, 146 (франц.)]

Изделия подвергают: каландрированию, пропитке

в течение 30 мин. при 40° в р-ре, содержащем горячую воду (85°), холодную воду и гидрофобизирующее в-во, сушке, вытягиванию при 40° в течение 4 час. и повторному каландрированию.

И. Фодима
6715 II. Способ обработки шерсти. Максимиа (羊毛纖維處理法. 牧島邦*) [田中毛糸紡績合資會社, Танака кэито босэки госи кайся]. Японск. пат. 7049, 30.09.55

В процессе обезжиривания и снижения способности и усадке шерсти ее экстрагируют органич. р-рителями (нефть, бензин, лигроин, уайт-спирит, сольвент-нафта, бал. и др.), промывают и сушат. Затем проводят обработку, напр. р-ром SO_2Cl_2 в неактивном р-рителе, или спирт. р-ром едкой щелочи, или смесью р-ров гипохлорита и перманганата. Пример. Шерсть помещают на 10 мин. в бензин (1:20—50), отжимают и на 10—20 мин. погружают в р-р, содержащий в 100 ч. бензина и 10—20 ч. этилового спирта 0,5—5 ч. КОН, отжимают и высушивают при 90—100°. В процессе обработки можно добавлять в р-р 5—20% шерстного жира для придания мягкости. В. Гужавин

6716 II. Оспособ отделки трикотажного полотна. Кимото (メリヤス生地の處理加工法. 木本變陽三) Японск. пат. 7946, 29.10.55

Для возможности использования трикотажного полотна в качестве мебельной ткани сначала наносят на его прикромочные участки эмульсию поливинилацетатной смолы или крахмал и сушат на воздухе. Это обеспечивает правильное закрепление кромок на цепях машины при последующем ширении, в процессе которого на полотно наносят при помощи ракля последовательно эмульсию винилацетатной смолы (для выравнивания поверхности) и состав, приготовляемый следующим образом. Готовят смолу А, содержащую (в вес. ч.): бутилакриловой к-ты 135, винилацетата 135, акриловой к-ты 5, персульфата калия 5, воды 250, пластификатора 5 и параллельно пасту из 5 ч. талька, 5 ч. каолина и 10 ч. воды. Смолу А и пасту смешивают и добавкой поливинилового спирта устанавливают нужную конц-ию и вязкость. Затем полотно сушат сначала при 65° и в конце при 130—140°. По окончании обработки срезают прикромочные участки полотна. Син Мен Хен

6717 II. Покрывтия на текстильных материалах (Textile cot) [Dayton Rubber Co.]. Англ. пат. 730517, 25.05.55

Рукава для валков прядильных машин имеют рабочую поверхность из маслостойкого вулканизированного синтетич. каучука (СК), смешанного с поливиниловым спиртом (ПС). В качестве СК применяют сополимеры бутадиена или изопрена с акрилонитрилом и полихлоропреном. Содержания ПС — 10—100 ч. на 100 ч. СК. Взамен ПС может быть применен гидролизированный частично или полностью поливинилацетат. Могут присутствовать также обычные наполнители, пластификаторы, липкие и вулканизирующие в-ва. О. Славина

См. также: Разделение волокон в смесях 6574, 6575. Отделка изделий из синтетич. волокон 6559. Сточные воды текстильного произ-ва 5137

КОЖА. МЕХ. ЖЕЛАТИНА. ДУБИТЕЛИ. ТЕХНИЧЕСКИЕ БЕЛКИ

Редактор О. В. Матвеева

6718. Кибернетика и кожевенная промышленность. Тюо (La cybernetique et les industries du cuir. Thuau Urbain J.), Rev. techn. inds cuir, 1957, 49, № 3, 45—46, 48, 50—51 (франц.)

Рассмотрено применение автоматизации в хим. и кожевенной пром-сти и возможность дальнейшей автоматизации следующих процессов кожевенного произ-ва: консервирование кожсырья, дубление и крашение хромового оюйка. По окончании пикелевания, дубления и нейтр-ции кожи выбрасываются из барабана в вагонетки и доставляются по назначению. Для крашения кожи проходят через автоматич. систему крашения и сушки. Н. Феленер

6719. Кожевенная промышленность Японии. Ямагути (我が國の皮革工業. 山口壽男), 日本農藝化學會誌, Нихон ногай кагаку кайся, J. Agric. Chem. Soc. Japan, 1957, 31, № 4, A43—A47 (японск.)

6720. К вопросу о наличии ретикулина в шкурах животных. Кюнцель (Über die Frage des Vorhandenseins von Retikulin in der tierischen Haut. Kritische Übersicht über neuere Literatur. Küntzel A.), Leder, 1957, 8, № 4, 73—80 (нем.; рез. англ. франц., исп.). Критический обзор. Библ. 29 назв. Н. О.

6721. Состав эпидермиса. Боуз, Эллотт (The composition of epidermis. Bowes J. H., Elliott R. G.), J. Soc. Leather Trades' Chemists, 1957, 41, № 3, 87—93 (англ.)

Определение аминокислотного состава эпидермиса, выделенного из неповрежденной бычьей шкуры, показало, что по составу и свойствам эпидермис отличается от нормального кератина. Е. Лившиц

6722. Интенсификация обработки и консервирования шкур. Синицын К., Мясная индустрия СССР, 1957, № 4, 21—23

Описаны организационно-хозяйственные мероприятия, позволяющие упростить и улучшить качество обработки и консервирования шкур. Приведена схема установки. О. Матвеева

6723. Об экономии рыбования свиных хромовых кож. Испириян Г. П., Широков Б. Г., Легкая пром-сть, 1957, № 8, 7—9

Для повышения качества свиных хромовых кож предложено рыбовать эти кожи в процессе произ-ва, чтобы использовать «рыбки» (Р) для верха обуви, а распиленные полты — для подкладки. Проверено влияние рыбования на расход сырья и использование кож при раскрое. Рыбкование и разделочная обработка Р и пол дает экономию сырья, уменьшающуюся с увеличением развеса сырья с 5 до 7 кг. По сравнению с цельными кожей сортность Р возрастает, а сорность пол падает. В целом сортность кож повышается. Использование Р при раскрое возрастает примерно на 1,5%, а использование пол снижается на 5—6%. О. Матвеева

6724. Исследование условий зольения. Часть 3. Влияние температуры. Лассерр (Etude des conditions du pelanage; influence de la température. III partie. Lasserre R.), Bull. Assoc. franç. chimistes inds cuir, 1956, 18, № 11-12, 243—247 (франц.)

Исследовано зольение шкур в зольнике, содержащем 15 г/л CaO , 5 г/л Na_2S (I) при разных т-рах, а также вариант дозольки шкуры в чисто известковом зольнике. В голье нельзя было установить заметной разницы между действием зольника, содержащего известь и I, и действием чистого I по скорости обезволакивания, растворению стержня волоса с сохранением ядерной волоса в волосной сумке и подготовленности к чистке лица (в обоих случаях ниже средней). Гистологич. исследование голы после обезволки установило, что зольник, содержащий известь и I, обуславливает значительную разделенность волокон и волоконца, но в меньшей степени, чем I. Повышение т-ры зольника способствует разволокненности и разрыхленности структуры голы. Дозолька в чисто известковом зольнике не оказывает заметного влияния на

структуру дермы и на потерю гольевого в-ва. Часть 2 см. РЖХим, 1957, 62571. М. Люксембург

6725. Обработка голья серой. Матвеева Л. В., Легкая пром-сть, 1957, № 4, 36—37

Серная обработка голья применяется для получения кожи повышенной прочности, эластичности и мягкости. Голье пикелуют, затем обрабатывают р-ром тиосульфата. Получающаяся при разложении тиосульфата сера отлагается на волокнах. Рассмотрены условия обработки голья серой (I). Присутствие I в голье снижает т-ру сваривания дермы. Это указывает на ослабление межмолекулярного взаимодействия в структуре коллагена. I здесь действует подобно гидротропному в-ву. Гидротропное действие I проявляется также в увеличении способности структурных элементов голья к склеиванию. I не является дубящим в-вом; можно допустить, что I адсорбируется на элементах структуры дермы и ослабляет связи между ними, оказывая диспергирующее действие.

Р. Колчина
6726. Потери танинов при разварке экстракта в зависимости от букета дубителей. Метелкин А. И., Научно-исследоват. тр. Центр. н.-и. ин-та кож-обувн. пром-ти, 1956, сб. 26, 41—49

Потери танинов определяли как разность между сырым кол-вом танинов в твердых экстрактах и кол-вом танинов, обнаруженных путем анализа в равоваренных соках. Изучены дубовый и еловый экстракты, синтан АН и дубитель ПЛ. Измельченные и смешанные в соотношениях, предусмотренных принятыми букетами, экстракты разваривали на водяной бане в стеклянной колбе с воздушным обратным холодильником в течение трех часов. Сока выдерживали в термостате в течение суток. Исходные экстракты и приготовленные из них дубильные р-ры анализировали по ВЕМ и по методу Вильсона-Керна. При совместной разварке растительных экстрактов с синтаном АН наблюдаются потери танинов, определенных по методу Вильсона-Керна. Эти потери больше при разварке экстракта дуба и меньше при разварке елового экстракта. Потери танинов, определенных по ВЕМ, имеются только при разварке дубового экстракта и отсутствуют при разварке елового. При совместной разварке дубового экстракта, синтана АН и дубителя ПЛ потери танинов по ВЕМ значительно сокращаются.

Р. Колчина
6727. Дубление кож для приводных ремней. Дзежа (O garbowaniu skór na pasy pędne. Dzieża Remigiusz), Przegl. skórzanu, 1956, 11, № 12, Biul. Inst. przemysłu skózanego, 17—20 (польск.)
Важными показателями кожи для приводных ремней являются предел прочности при растяжении и удлинение. Первому требованию в наибольшей мере отвечают кожи хромовые чанового дубления с содержанием $\text{Cr}_2\text{O}_3 \leq 2,5\%$. Однако кожа хромового дубления имеет повышенную тягучесть. Устранение этого недостатка достигается обработкой голья до пикелевания р-ром $\text{Na}_2\text{S}_2\text{O}_3$ и последующим дублением хромовыми квасцами при pH 3,9. Повышение физ.-мех. свойств хромовых кож обусловлено эффектом «сшивания» боковых цепей коллагена остатками полииновок к-т, причем карбоксильные группы остаются свободными. Приводится опытная методика полииноково-хромового дубления, варианты жирования кожи и данные ее физ.-мех. испытаний и хим. анализа.

М. Люксембург
6728. Достижения в области альдегидного дубления. Селигбергер, Садлир (New developments in tanning with aldehydes. Seligsberger L., Sadlier C.), J. Amer. Leather Chemists Assoc., 1957, 52, № 1, 2—14. Discuss., 14—16 (англ.)

Исследовалось дубящее действие алифатич. диваль-

дегидов с неразветвленной цепью атомов С. Полученные кожи испытывали на т-ру сваривания, pH, наличие альдегида и удлинение при разрыве. Глюксаль обладает наилучшими дубящими свойствами, которые близки к дубящим свойствам CH_2O . Оптимальное значение pH для дубления обоими альдегидами 9—10. При одинаковой прочности на продавливание кожа, продубленная в присутствии NaOH и Na_2SO_4 , в два раза тоньше кожи, продубленной в 2 н. Na_2CO_3 . Пикелевание при дублении CH_2O и глюксалем повышает прочность на продавливание более чем на 20%. Оба альдегида дают прочную и мягкую кожу с гладким лицом. Формилуксусный и янтарный альдегиды оказывают лучшее дубящее действие при pH 3,5—4,5. Кожа, выдубленная янтарным альдегидом, отличается особенно гладким лицевым слоем и по полноте превосходит любую другую кожу альдегидного дубления. Глутаровый альдегид проявляет хорошие дубящие свойства в широком интервале pH. При pH 10 и выше глутаровый альдегид дает кожу с т-рой сваривания 84° .

Н. Флепепер
6729. Изучение механизма образования жирового налета. I. Миттон, Панкхерст (A study of the mechanism of fatty spue formation. I. Mitton R. G., Pankhurst K. G. A.), J. Soc. Leather Trades' Chemists, 1957, 41, № 4, 128—155 (англ.)

Налет образуется вследствие миграции жира в толще кожи, причем на лицевом слое происходит кристаллизация жиров благодаря меньшей кислотности и более низкому содержанию солей хрома. Условия миграции различны для отдельных компонентов жира: налет жирных к-т образуется при низких т-рах ($< 20^\circ$) и при высокой относительной влажности, он исчезает при повышении т-ры и низкой влажности; налет триглицеридов образуется при высокой т-ре ($\sim 40^\circ$) и низкой влажности, но может медленно исчезать при высокой влажности. Образование налета зависит от следующих факторов: 1) природы жирующих в-в; 2) вида дубления: на кожах хромового дубления жировой налет образуется легче, чем на кожах растительного дубления; 3) условий проведения нейтр-ции: при повышении в конце нейтр-ции pH до 8, образование налета значительно уменьшалось; 4) кол-ва применяемой протравы: налет увеличивался в результате применения больших кол-в протравы; 5) кол-ва применяемого красителя: с увеличением кол-ва красителя наблюдалось большее образование налета; 6) от условий хранения (т-ра, влажность).

Н. Флепепер
6730. Действие глюкозы на кожу хром-растительного дубления при наполнении. Щукина Н. Г., Шестакова И. С., Изв. тр. Моск. техн. ин-та, легкой пром-сти, 1957, сб. 8, 12—17

Наполнение кожи смесью глюкозы (I) и MgSO_4 приводит к снижению усадки и повышению термостойкости кожи. Изучено влияние наполнения I на свойства кожи. С увеличением кол-ва I уменьшается коэф. дубности вследствие повышения агрегативной устойчивости танинов, находящихся в коже, под действием I. С увеличением кол-ва I в коже наблюдается рост содержания аминного азота и повышение т-ры сваривания. Эти показатели характеризуют изменение тонкой структуры кожи при наполнении. Наблюдается также изменение микроструктуры кожи, которое сопровождается распрямлением волокон и повышением пластич. свойств кожи.

Р. Колчина
6731. Определение адгезии отделочной покрывной пленки к коже для верха обуви. Эймос, Томпсон (Adhesion of finish to upper leather. Amos G. L., Thompson G. W. H.), J. Soc. Leather Trades' Chemists, 1957, 41, № 1, 23—32 (англ.)

Опыты проводят на кожах с водн. покрывными

красками. Образцы для испытания вырезают из кожи в виде полосок размером $25,4 \times 50,8$ мм, начиная от хребтовой линии перпендикулярно к ней. Из полученной полоски вырезают два образца размером $9,5 \times 50,8$ мм. На лицевую поверхность половины полоски, обращенной к полё, наносят тонкий слой клея (напр., ту же смесь, которая нанесена на кожу в качестве покрытия или мездровый клей). Этим же клеем тонко намазывают поверхность предметного стекла. Обе полоски концами, намазанными клеем, накладывают на клеюю поверхность предметного стекла поперек его на некотором расстоянии друг от друга, слегка прижимают и накрывают другим предметным стеклом, на которое помещают груз по 500 г на каждую полоску и оставляют на 15 мин. После этого стекло с наклеенными полосками кожи помещают для кондиционирования в атмосферу с относительной влажностью воздуха 65% при т-ре 25°. В свободные концы полосок кожи вставляют медные S-образные крючки. Стекла с наклеенными полосками кожи подвешивают в горизонтальном положении. На крючок навешивают кольцевые грузы, постепенно повышая нагрузку по 25 г, а к концу определения по 5 г до отрыва полоски кожи от стекла. При этом покрытие остается на стекле. Метод дает хорошо воспроизводимые результаты. Адгезия пленки зависит от топографич. участка кожи, типа связующего в краске, степени шлифовки поверхности кожи, природы красителя, степени додубливания при комбинированном дублировании, кол-ва аммиака в нижних слоях, покрытия, содержания казеина в краске.

И. Этингер

6732. Метод определения небольших количеств хрома дифенилкарбазидом. Девасси (Note on the estimation of small quantities of chromium by diphenyl carbazide. Devassy T. J., Bull. Centr. Leather Res. Inst., 1957, 3, № 6, 252 (англ.)

1,0 мл 2,5% р-ра основного сульфата хрома наносят на фильтровальную бумагу, которую высушивают и озоляют в платиновом тигле. Зола сплавляют со смесью равных частей Na_2CO_3 и NaClO_3 (0,05 г каждого). После остывания массу растворяют в миним. кол-ве 2 н. H_2SO_4 . Затем добавляют еще 5 мл 2 н. H_2SO_4 , 2 мл 0,2%-ного спиртового р-ра дифенилкарбазида, перемешивают и разбавляют до 50 мл. Полученный р-р колориметрируют. Кол-во хрома определяют по стандартной кривой. Метод дает очень точные и воспроизводимые результаты. С. Бреслер

6733. Расход патоки при наполнении жестких кож. Бланшей Ф. Б., Легкая пром-сть, 1957, № 8, 17—18

Нормы расхода патоки и других сахаросодержащих материалов для наполнения подошвенных кож не учитывают содержание в них сахаристых в-в (СВ). Предложен метод определения СВ в патоке, основанный на окислении их $\text{Na}_2\text{Cr}_2\text{O}_7$ в присутствии H_2SO_4 . Зная процентное содержание СВ (в пересчете на глюкозу), можно рассчитывать расход глюкозы для наполнения кожи в соответствии с нормами. При этом кол-во патоки будет меняться в зависимости от содержания в ней СВ. О. Матвеева

6734. Методы определения степени измельчения гольевого порошка. Курт (Methoden zur Bestimmung des Zerkleinerungsgrades von Hautpulver. Kurth H.-J., Leder, 1957, 8, № 3, 49—56 (нем.; рез. англ., франц., исп.)

Определения проводят: 1) осаждением в жидкости, 2) просеиванием, 3) измерением поверхности по методу BET, 4) измерением воздухопроницаемости (В). Первые два метода оказались непригодными из-за специфич. свойств гольевого порошка (ГП). Третий метод требует очень громоздкой и дорогостоящей ап-

паратуры и большой затраты времени. Наиболее простым и одновременно очень чувствительным оказался четвертый метод. Известно, что при определенной пористости В зависит от тонкости помола. Для измерения В препаратов ГП сконструирован спец. прибор. Исследованы 4 типа ГП. Хромированный ГП, предназначенный для анализов по методу фильтрования, должен иметь В 32—40. Н. Фленер

6735. Современные проблемы облагораживания меховой овчины. Бруггер (A juh- és bálnyászat nemesis és indószert kérdése. Brugger Frigyes, Bőrt- és szőtechnika, 1957, 7, № 1, 8—9 (венг.) Обзор. Библ. 4 назв. Г. Ю.

6736. Крашение меха кислотными красителями. Тюммель (Colouring of furs with acid dyes. Thummel Holger), Text. J. Australia, 1956, 31, № 10, 1236, 1238—1239 (англ.)

При всех видах крашения особое значение имеет степень очистки шкур от грязи и жира. Приведен рецепт состава для мойки шкур и методики проведения мойки. Описана методика поддубливания меха кислотными красителями после алюминиевого дубливания. Приводится перечень рекомендованных для этой цели красителей. Поддубленные шкуры по прочности окраски уступают окрашенным, поэтому возможности их применения ограничены. Остевые волосы при поддубливании не закрашиваются. В случае крашения при высокой т-ре рекомендуется хромоное дубливание. Шкуры алюминиевого дубливания нужно дублировать солями хрома. Приведена рецептура и методика такого додубливания. Перечислены красители, применяющиеся для получения меха ярких цветов. Е. Липини

6737. Влияние некоторых органических кислот на растворы основных сульфатов циркония. Порте (Influence de quelques acides organiques sur les solutions de sulfates basiques de zirconium. Étude d'électromigration. Portes Pierre), Bull. Assoc. franc. chimistes inds cuir, 1956, 18, № 4, 71—81 (франц.)

Для исследования применяли препарат ZT 45, содержащий основной сульфат циркония и сульфат натрия. Приведены кривые нейтр-ции 10%-ным водн. р-ром NaHCO_3 водн. р-ров, содержащих 2,5% ZrO_2 и Na_2SO_4 с добавлением увеличивающихся кол-в уксусной (I), молочной (II) и муравьиной к-т; рН точки флуклюации повышается лишь с увеличением кол-ва I и II. Соли I и II действуют аналогично. Добавление I или II ослабляет необратимую р-цию сульфата циркония и коллагена, что дает возможность более равномерного и быстрого дубливания при рН 5. К-ты, дающие устойчивые комплексы с цирконием, ослабляют его дубящие свойства. При прибавлении I и II между рН 2 и 7 цирконий находится в комплексном анионе. Н. Фленер

6738. Замена гольевого порошка при определении танинов сорбентом из синтетического полиамида капрон. Френкель П. Я., Михайлов А. И. Научно-исслед. тр. Центр. н.-и. ин-т, кож-обуш. пром-сти, 1956, сб. 26, 26—41

Полиамиды, получаемые переосаждением и частичным гидролизом смолы капрон в форме высокодисперсных порошков, могут быть применены в качестве сорбентов при колич. определении танинов и их заменителей. Описан метод получения стандартных препаратов порошкообразного сорбента. Особенности метода — непосредственное осаждение тонкодисперсных высокосорбирующих порошков (не требующих размолла) и обогащение препаратов при частичном гидролизе свободными аминогруппами. Сорбция танинов и других дубящих соединений ароматич. разн. протекает очень интенсивно (10—30 млн.). Результа-

ты отличаются воспроизводимостью. Дана методика определения танинов с применением полиамидного сорбента в дубильных экстрактах и соках.

П. Френкель
6739. Новый метод количественной характеристики свойств растительных и синтетических дубителей. Бреслер С. М., Михайлов А. Н., Научно-исслед. тр. Центр. н.-и. ин-т кож.-обув. пром.-сти, 1956, сб. 26, 20—25

Описан прибор и методика определения поглощения дубителя (Д) гольевым порошком (ГП). Поглощение Д рассчитывается по разности сухих остатков начального и отработанного р-ров. При построении графика поглощения по оси абсцисс откладывается суммарное кол-во Д, поглощенное ГП из всех порций р-ра Д, пропущенных через него. По оси ординат откладывается Δ/Δ_0 , Δ_0 — прирост поглощения в результате пропускания одной порции р-ра. Поглощение Д выражено прямыми линиями, положение которых является характерным для каждого вида дубителя. Тангенс угла наклона прямой может служить колич. характеристикой способности Д к поглощению ГП. Значения тангенсов углов для экстрактов: квебра 5,4, древесины дуба 6,6, ивы (сульфитированной) 7,2, синтана ПЛ 27,5, синтана СПС 40,0, сульфитно-спиртовой барды 38,5. Предложенную методику можно использовать и для определения формирующей способности Д. ГП, через который был пропущен исследуемый Д, извлекают из аппарата и высушивают. Площадь его продольного сечения вычисляется в процентах к площади продольного сечения такого же кол-ва высушенного ГП, через который вместо Д была пропущена вода.

С. Бреслер
6740. Применение ионитов в дубильно-экстрактовом производстве. Карпман М. И., Легкая пром.-сть, 1957, № 8, 37—38

Исследовано применение ионитов КУ₁ и КУ₂ для фильтрования диффузионных еловых и ивовых соков. Исходные показатели ивового сока: pH 4,4, зольность 1,529 г/л, CaO 0,439 г/л, MgO 0,070 г/л. После фильтрования через Na-катионит тот же сок имел: pH 4,3, зольность 2,128 г/л, CaO 0,098 г/л и MgO 0,046 г/л. Для еловых соков получены аналогичные результаты. При пропускании сока последовательно через H-катионит и Na-катионит снижается не только содержание CaO и MgO, но и зольность. Рекомендуется применять ионит КУ₂, емкость которого в 3,5 раза больше емкости ионита КУ₁. Составлена примерная схема ионитового цеха дубильно-экстрактового з-да и рассчитана потребность в ионите КУ₂.

О. Матвеева
6741. Количественные характеристики растительных дубильных соков. Бертон (Die zahlenmäßige Bewertung der Eigenschaften von pflanzlichen Gerbstoffen. Burton D.), Leder, 1954, 5, № 11, 261—265 (нем.; рез. англ., франц., исп.)

6742. Дубильное производство в Болгарии и перспективы его развития. Стоянов (Дъбилната индустрия и перспективите за нейното развитие. Стоянов Васил), Природа (Бълг.), 1957, 6, № 2, 3—7 (болг.)

6743. О хранении и выщелачивании скумпии (изменчивость танинов сумачовых). Ваго Рети, Маловец, Варга (A cserszömörce tárolási és kivágási problémáirol a szömörce tanninjának változékonyága). Vágó György, Réti János, Malovecz István, Varga Lászlóné), Bőr- és cipőtechnika, 1957, 7, № 1, 1—3 (венг.)

Содержание танинов (Т) в древесине исследованного куста скумпии *Rhus cotinus* (возраста 50 лет) было выше, чем в молодых побегах и в коре. Т древесины окрашивает гольевой порошок в желтый цвет (Т коры в коричнево-серый), не дает осадка с CH₂O

(Т коры — обильный осадок), с FeCl₃ дает синее окрашивание (Т коры — зеленое). Т сумачовых менее стабилен, чем Т китайских орешков. Т листьев *Rh. cotinus* и *coriaria* содержит пирогаллол, кол-во которого увеличивается при хранении и нагревании. При разложении Т, кроме того, образуется нерастворимый в воде и спирте осадок гуминового характера. При хранении листьев скумпии в течение двух недель при 90° содержание Т падает. Некоторое повышение стабильности наблюдается при добавке к листьям во время выщелачивания 2% (от сухих в-в) нафталинсульфокислоты или синтанола (одновременно понижается выход). Максим. выход Т получается при т-рах выщелачивания 70—100°, с повышением т-ры растет кол-во нерастворимого осадка. Г. Юдкович

6744. Получение *n*, *n*'-диоксидифенилсульфона из *n*, *n*'-дихлордифенилсульфона. Макаров-Землянский Я. Я., Научн. тр. Моск. техн. ин-та легкой пром.-сти, 1957, сб. 8, 315—319

Сульфоны применяют для синтеза искусств. дубителей. Разработан способ получения *n*, *n*'-диоксидифенилсульфона (I) из хлорбензола на основе доступных и дешевых продуктов дегидрирования нафтенных нефтей вместо обычного способа получения I из дефицитного кристаллич. фенола. Схема получения: хлорбензол → *n*-хлорсульфохлорид (выход 81,7%) → *n*, *n*'-дихлордифенилсульфон (II) → *n*, *n*'-диаминодифенилсульфон (III) → I (выход 88%). При гидролизе III разб. серной к-той при 200° был получен I с выходом ~ 100%. По описанному методу I получают без применения твердого NaOH. При сilyвлении II с твердым NaOH, атомы Cl частично замещаются OH-группами. Установлено, что SO₂-группа и сульфогруппа в орто-положении в II не активируют подвижность атомов Cl. Для замены обоих атомов Cl в II на NH₂-группы применена обработка II аммиаком с добавкой медного купороса и медного порошка в автоклаве при 150° в течение 5 час. с перемешиванием.

П. Френкель
6745. Амфотерные дубители. Диошади, Тот (Az amfoter cserszanyagok. Diószady Pál, Tóth Béla), Bőr- és cipőtechn., 1956, 6, № 5, 107—109 (венг.)

Описано получение синтетич. дубителей из анилина, формальдегида и многоатомных фенолов. Получаются нерастворимые смолы, которые при обработке достаточным кол-вом HCl становятся полностью растворимыми в воде. Хлоргидрат α-нафтиламина реагирует быстрее ароматич. и алифатич. аминов. Р-ция проходит также с NH₄Cl, но получаются в-ва с низким мол. весом и более высоким pH, чем у продуктов конденсации с ароматич. аминами. Из альдегидов наиболее выгоден CH₂O. Можно обрабатывать аналогичным образом (конденсация) растительные дубители. Опыты дубления показали удовлетворительное качество полученных кож. Г. Юдкович

Начало см. РЖХим., 1957, 59665

6746. Метод контроля реакции конденсации в производстве фенольных синтетических дубителей. Топоровская Х. С., Лакриц Б. Я., Научно-исслед. тр. Центр. н.-и. ин-т кож.-обув. пром.-сти, 1956, сб. 26, 12—20

Метод заключается в определении свободного пирокатехина (I) в пирокатехинформальдегидной смоле. I определяют окислением его водн. р-ром FeCl₃ до о-бензохинона с последующим извлечением хинона из водн. р-ра хлороформом и восстановлением хинона до I йодистым водородом. Содержание I определяется йодометрически по кол-ву выделившегося йода. Перед определением получают водн. р-р I путем многократной отмывки смолы дистил. водой при 65—70°. Испытуемая смола не должна содержать свободного

CH_2O (качеств. р-ция с AgNO_3). Предлагаемый метод отличается достаточной чувствительностью. Показана зависимость степени чувствительности от дозировки CH_2O , т-ры и продолжительности р-ции конденсации.

П. Френкель

6747. Изучение дубящих свойств модифицированных отработанных сульфитных щелоков. Матхур, Барат, Дас (Studies on the tanning characteristics of modified waste sulphite liquors. Mathur K. B., Barat S. K., Das B. M.), Bull. Centr. Leather Res. Inst., 1956, 3, № 1, 23—34 (англ.)

Описаны способ получения и дубящие свойства модифицированного лигносульфоната, представляющего собой растворимый продукт конденсации резорцина с лигносульфонатом натрия. Конденсация проводилась при 100—140° с кислотным катализатором в течение 3—4 час. с обратным холодильником. Выход продукта конденсации ~100% (по лигнину). Модифицированный резорциллигносульфонат натрия обладает хорошими дубящими свойствами. Показано влияние условий конденсации, pH и конц-ии дубильных р-ров на дубящие свойства синтана. Оптимальные пределы т-ры конденсации 120—140°. При т-ре конденсации 130° достигается максим. степень дубности кожи. Максим. т-ра сваривания готовой кожи (72°) достигается при дублении продуктом конденсации, полученным при 135°. Оптимальные значения pH дубильных р-ров: для проникновения синтана в голю 6, для связывания дубящих 2,5.

П. Френкель

6748. Определение сульфитцеллюлозного экстракта в синтанах. Балф (Estimation of sulphite-cellulose extract in syntans. Balfe M. P.), J. Soc. Leather Trades'Chemists, 1957, 41, № 4, 118—119 (англ.)

Цинхонидиновый метод определения сульфитцеллюлозного экстракта в присутствии синтанов не дает удовлетворительных результатов. Более верный расчет содержания сульфитцеллюлозного экстракта в синтанах может быть сделан по определению метоксильных групп, если принять, что содержание этих групп составляет $\frac{1}{7}$ часть сухого в-ва сульфитцеллюлозного экстракта.

П. Френкель

6749. К пересмотру стандарта на костный клей. Мехтиева Т. Н., Архангельская В. А., Деревообработ. пром-сть, 1957, № 6, 15

Приведены некоторые критич. замечания по проекту нового ГОСТа на костный клей. О. Матвеева

6750. Второстепенные факторы, влияющие на растворимость казеина. Хиггинс (Secondary factors in the solubility of casein. Higgins H. G.), Austral. J. Appl. Sci., 1956, 7, № 4, 379—382 (англ.)

На растворимость казеинового препарата влияет диэлектрич. постоянная, pH и т-ра р-рителя, а также конц-ия белка, условия получения и последующей обработки казеинового препарата, не вызывающие глубоких хим. изменений казеина. Приведена таблица зависимости растворимости от условий щел. обработки казеина. Отмечена связь растворимости обработанного щелочью казеина с его микроструктурой.

Е. Лившиц

6751. Значение эмульсий сополимеров поливинилацетата в производстве искусственных кож. Турзо (Kopolimer és polivinilacetát emulziók rostműb-

ripari jelentősége. Thurzó György), Bőr-és cipő-techn., 1957, 7, № 1, 4—6 (венг.)

При увеличении содержания винилхлорида (I) в сополимере прочность искусств. кожи (ИК) уменьшается. Применялись соотношения I и винилацетата (II) 30:70, 50:50, 70:30. При составе латекса 30% I и 70% II оптимальной является добавка 25—35% мягчителя DBF (мягкость ИК сравнима с мягкостью ИК на латексе игтекс S_3). Работа велась с коллагеновыми волокнами хромового дубления (2%-ная суспензия) и эмульсией латекса конц-ии 5—10% при pH 8; латекса добавлено из расчета 25% от сухого веса ИК, при необходимости производилась коагуляция латекса 2%-ным р-ром $\text{Al}_2(\text{SO}_4)_3$. При работе с химически модифицированным волокном растительного дубления оптимальными были соотношения I:II = 40:60, 50% DBF, однако для ремонта подошв подходит ИК на латексе с соотношением I:II = 30:70, 35% DBF.

Г. Юдкович

6752 Д. О дубящих веществах коры мангрове. Зависимость между дубящими и красящими веществами и влияние синтетических дубителей на дубящие вещества коры мангрове. Ваксман (Über den Gerbstoff der Mangrovenrinde. Die Beziehungen zwischen Gerbstoff und Farbstoff und der Einfluss synthetischer Gerbstoffe auf den Gerbstoff der Mangrovenrinde. Wachsmann Hubert. Diss. Dokt. Naturwiss. Techn. Hochsch. Stuttgart, 1957, 76 S., ill.) (нем.)

6753 С. Кожа для верха обуви растительного дубления. (Specification for russet leather. U. D. C. 675. 3, 685.312.4 (0830.75) (54) Инд. стандарт I S № 622: 1956

6754 С. Кожа из овчины для газовых счетчиков (E. I. sheep skin leather for gas meter diaphragms). Англ. стандарт B. S. № 2797, 1956

6755 П. Способ производства пергамента. Пектор, Гула (Způsob výroby bubnových pergamentů. Pektor Vladimír, Hůla Lumír). Чехосл. пат. 83915, 1.05.55

Вместо телячьих и козьих шкур используют шкуры свиней, которые после предварительного удаления извести натягивают на деревянную раму в мокром состоянии, намазывают растворимым стеклом с обеих сторон, высушивают и разглаживают под давлением при нагревании с лицевой стороны. Пример. Сильное голю толщиной 1 мм обрабатывают 15 мин. в барабане смесью воды (38°, 400%) и 60%-ной молочной к-ты (1% по отношению к весу голя); кожу охлаждают водой до 20°, в мокром состоянии натягивают на деревянную раму, с двух сторон втирают в нее растворимое стекло (36° Bé), сушат при 25° и разглаживают под давл. 150 ат при 50°. Полученный таким образом пергамент превосходит по своим качествам пергамент из козьей и телячьей кожи. Б. Адамс

См. также: Строение и св-ва белков 4046; 1531Б. Взаимодействие основных хлоридов хрома с коллагеном 4047. Изучение танидов мимозы 4820. Замена кожи 6545, 6797. Сточные воды мехового пром-ва 5138

ХИМИЯ ВЫСОКОМОЛЕКУЛЯРНЫХ ВЕЩЕСТВ

Редакторы Х. С. Багдасарьян, Ю. С. Липатов

6756. IX Международная конференция по проблемам химии и физики высокомолекулярных соединений. Порейко (IX Międzynarodowa konferencja

dotycząca problemów chemii i fizyki związków wielkocząsteczkowych. Poręcko S.), Przem. chem. 1957, 13, № 5, 297—298 (польск.)

6757. Девятая конференция по высокомолекулярным соединениям (полимерам). Козлов П. В., Хим. наука и пром-сть, 1957, 2, № 3, 380—381; Вестн. Моск. ун-та. Сер. матем., механ., astron., физ., химии, 1957, № 2, 243—246

6758. Макромолекулярные вещества и ядерные излучения. I. Михалку, КонстантINESКУ (Substanțele macromoleculare și radiațiile nucleare (I). Mihalecu M., Constantinescu O.), Ind. uşoara, 1957, 4, № 5, 212—214 (рум.; рез. русск., нем.) Обзор. Библ. 21 назв.

6759. К вопросу систематизации в области макромолекулярных продуктов. Сообщение III. Тепловая стабильность — критерий систематизации. Костеску (Contribuții la sistematizarea domeniului produselor macromoleculare. Nota III. Stabilitatea termică drept criteriu de sistematizare. Costescu Dan Const. C.), Rev. chim., 1957, 8, № 4, 261—264 (рум.; рез. русск., нем.)

Рассматривается возможность систематизации макромолекулярных продуктов путем определения связи, существующей между структурой и свойствами. Предлагается систематизация на основе энергии связи, причем для образования стабильных полимеров нижний предел определяется в 50 ккал на 1 связь.

Резюме автора

6760. Превращение фибриногена в фибрин. XXI. Структура полимера и термодинамические взаимодействия в целочных свертывающихся системах, ингибированных гексаметиленгликолем. Касацца, Биллик (The conversion of fibrinogen to fibrin. XXI. Polymer structure and thermodynamic interactions in alkaline clotting systems inhibited by hexamethylene glycol. Casassa Edward F., Billick Irwin H.), J. Amer. Chem. Soc., 1957, 79, № 6, 1376—1382 (англ.)

Растворы частично полимеризованного фибриногена (Ф) в NaCl-глициновом буфере pH 9,5 и ионной силы 0,45, с добавкой 0,5 M гексаметиленгликоля для предотвращения образования фибринового геля, исследовались в ультрацентрифуге и методом рассеяния света. Из данных по седиментации следует, что при начальной конц-ии Ф 4 г/л за 12 час. при 25° под действием тромбина, содержащегося в конц-ии 1 ед/мл, полимеризуется ~80% Ф. При учете термодинамич. неидеальности р-ров угловое распределение интенсивности света совпадает с теоретически предсказанным для системы цилиндрич. стержней с длиной $L \sim 5000 \text{ \AA}$ и M/L (M — масса), в 2,3 раза превосходящим M/L для Ф — мономера, который также предполагается стержневидным. Термодинамич. взаимодействия между компонентами р-ра оценивались по изменению концентрационной зависимости рассеянной интенсивности от угла рассеяния Θ . Взаимодействие между полимерными молекулами представляет собой отталкивание; эффективное взаимодействие полимерных молекул с мономерными носит характер притяжения. Часть XX см. РЖХим, 1957, 71839.

С. Френкель

6761. Исследование структурных изменений натрийбутиadiенового каучука в процессе термического окисления методом инфракрасной спектроскопии. Салимов М. А., Постовская А. Ф., Кузьминский А. С., Татевский В. М., Вестн. Моск. ун-та. Сер. матем., механ., astron., физ., химии, 1957, № 1, 164—169

Путем изучения ИК-спектров термически окисленного натрийбутиadiенового каучука при 140° (окисление 60 мин.) было установлено, что в процессе окисления в нем образуются кислородсодержащие группы: гидроперекиси, спирты, сложные и простые эфиры, альдегиды, кетоны и к-ты. При окислении через

20 мин. появляется полоса поглощения групп —OON и —ОН у 3380 см^{-1} , интенсивность которой возрастает со временем окисления, а максимум поглощения смещается к 3450 см^{-1} (через 60 мин.); интенсивность полосы поглощения карбонильных групп $\text{C}=\text{O}$ у 1700 см^{-1} увеличивается, и в области 1000—1400 см^{-1} появляются полосы поглощения групп $\text{R}_1-\text{C}(=\text{O})-\text{OR}$ у 1240 см^{-1} и $\text{R}_1-\text{O}-\text{R}$ (простых эфиров) у 1165 см^{-1} . Установлено, что вновь возникающие полосы поглощения у 810 и 880 см^{-1} принадлежат не перекисям, как предполагалось ранее, а олефинам, имеющим строение 1,1,2-триалкилэтилена $\text{R}_1\text{R}_2\text{C}=\text{CHR}_3$ и 1,1-диалкилэтилена $\text{R}_1\text{R}_2\text{C}=\text{CH}_2$. В процессе окисления интенсивность полос поглощения двойных связей $\text{C}=\text{C}$ 1,2 (910 и 992 см^{-1}), 1,4-транс (965 см^{-1}) и 1,4-цис (680 см^{-1}) значительно уменьшается; аналогичное уменьшение интенсивностей наблюдается у полос поглощения двойных связей $\text{C}=\text{C}$ у 1640 см^{-1} и валентных колебаний $\text{C}-\text{H}$ двойных связей у 2979, 3019 и 3080 см^{-1} ; уменьшение интенсивности полос поглощения метиленовых групп $-\text{CH}_2-$ у 720, 2856 и 2929 см^{-1} свидетельствует о том, что атомы О помимо двойной связи присоединяются и к атомам С, расположенным в α -положении к двойной связи. Увеличение интенсивности полосы поглощения 3400 см^{-1} связано с образованием не гидроперекисных, а гидроксильных групп, что подтверждается данными йодометрич. метода.

Е. Покровский

6762. Энтропия смешения разбавленных растворов полимеров. Эмери (Entropy of mixing of dilute polymer solutions. Emery Alden H., Jr), J. Chem. Phys., 1957, 26, № 5, 1254—1258 (англ.)

Вычислена энтропия смешения разб. р-ров полимеров с использованием модели Флори (Flory P. J., J. Chem. Phys., 1945, 13, 453) и иного статистич. метода расчета. Для парц. мол. энтропии р-рителя $\Delta \bar{S}_1$ получено ур-ние $\Delta \bar{S}_1/R = 4v_2^2/xv^1 + (v^1/8xg)\ln \times \times (1 + 8gv_2/v^1)$. Здесь v_2 — объемная доля полимера в р-ре, x — число сегментов в полимерной молекуле, v^1 — доля объема полимерной молекулы в р-ре, занятая полимером ($v^1 = 2,5/100 \text{ q}[\eta]$, где q — плотность сухого полимера, $[\eta]$ — характеристич. вязкость), g — отношение статистич. усредненных чисел внутренней конфигурации молекул с одним перекрыванием другими молекулами и без перекрываний. При малых v_2 полученное ур-ние переходит в ур-ние Флори (цитир. работа), справедливое при бесконечно малых конц-иях. Получено выражение для осмотич. давления π , не содержащее произвольных параметров: $\pi/c = (RT/100 M) [0,04 c/v^1 + (qv^1/0,08 gc)\ln(1 + 0,08 gc/qv^1)]$ (c — конц-ия полимера в г на 100 мл, M — мол. вес. полимера). Это ур-ние удовлетворительно согласуется с литературными данными по конц-ии зависимости π р-ров полистирола в толуоле и полиизобутилена в циклогексане.

О. Птицын

6763. Рассеяние света и вязкость полиметилметакрилата в гептане. Цзянь Жэнь-юань, Ши Лян-хэ (Lichtstreuung und Viscosität von Polymethylmethacrylat in Heptan. Chien Jen-yuan, Shih Liang-ho), Z. phys. Chem. (DDR), 1957, 207, № 1-2, 60—69 (нем.)

Измерено светорассеяние и вязкости в гептане фракций полиметилметакрилата и установлена зависимость: $[\eta] = 3,51 \cdot 10^{-4} M^{0,56} (\text{дл}/\text{г})$. Из данных по асимметрии светорассеяния определены размеры молекул и виральные коэф. в зависимости от мол. веса. Сопоставление полученных данных с данными для полиметилметакрилата показывает, что при равной степени полимеризации средний размер молекулы полиметилметакрилата в ~2 раза больше, чем для полиметилметакрилата.

Ю. Липатов

6764. Стандарт рассеяния света для определений молекулярного веса. Ремп, Бенуа (Light scattering standard for molecular weight determinations. Rempp P., Benoit H.), J. Polymer Sci., 1957, 24, № 105, 155—156 (англ.)

С целью определения абс. значения τ мутности бензола (используемой как стандарт при определении мол. веса полимеров методом светорассеяния) исследовано рассеяние света р-ров ряда образцов полиоксиэтиленгликоля в метиловом спирте. Сделан вывод, что верным является значение $\tau = 16,3 \cdot 10^{-6}$ (Carr, Zimm, J. Chem. Phys., 1950, 18, 1616), так как мол. веса, определенные из светорассеяния с помощью этого значения, согласуются с мол. весами, вычисленными по титрованию конечных OH-групп, в то время как для значения $\tau = 10,6 \cdot 10^{-6}$ (Cabannes, Daure, C. r. Acad. sci., 1927, 184, 520) это не имеет места.

О. Птицын

6765. О взаимодействии между поливинилацетатом и пластификаторами. Хартман (Über die Wechselwirkung zwischen Polyvinylacetat und Weichmachern. Hartmann A.), Kolloid-Z., 1957, 153, № 2, 157—164 (нем.)

Исследованы диэлектрич. потери на частоте 10^5 гц для смесей поливинилацетата с 11 пластификаторами (II) и установлено, что существует крит. конц-ия II, при которой появляется 2-й максимум потерь, связанный с наличием выше крит. конц-ии свободных молекул II. Средние значения мол. отношения полимера и II, при которых появляется 2-й максимум, близки к найденным ранее для поливинилхлорида (РЖХим, 1956, 32683). Показано, что эффективность II зависит от строения молекул II и их внутренней подвижности.

Ю. Липатов

6766. Термодиффузия макромолекул в растворах. Лангхаммер (Thermodiffusion von Makromolekülen in Lösung. Langhammer Hans-Günther), Svensk kem. tidskr., 1957, 69, № 6-7, 328—342 (нем.)

Рассмотрена теория термодиффузионного метода разделения жидкостей и приведены эксперим. данные по термодиффузии поливинилпирролидона (I) в воде и полистирола (II) в толуоле. Для I разделение идет тем быстрее, чем выше мол. вес. Зависимость приведенного отношения разделения $j = C_n / C_v - 1$ (C_v и C_n — конц-ии в верхней и нижней камерах) от расстояния между горячей и холодной стенками в логарифмич. шкале дает кривую с максимумом. Установлена линейная зависимость между j и временем разделения. Отношение разделения в стационарном состоянии не зависит от разности $t-r$ и пропорционально конц-ии для I и независимо от конц-ии для II. Природа р-рителя оказывает существенное влияние на разделение. Найдено, что коэф. Сорета $S = D'/D$ (D и D' — коэф. изотермич. диффузии и термодиффузии) для I связан с конц-ией и мол. весом соотношением: $s \cdot 10^3 = 1,92 + 0,54 \cdot 10^{-5} M + (7,6 + 6,00 \cdot 10^{-5} M) c$. Для II нет линейной зависимости s от M , но с ростом M s достигает граничного значения. В свете полученных данных обсужден вопрос о фракционировании полимеров методом термодиффузии и приведены кривые распределения I и II по мол. весам, полученные при фракционировании термодиффузией.

Ю. Липатов

6767. Соотношение между молекулярным весом и характеристической вязкостью и распределение молекулярных весов полиэтиленов, полученных при низком давлении. Дун (Molecular weight — intrinsic viscosity relationship and molecular weight distribution of low pressure polyethylenes. Tung L. H.),

J. Polymer Sci., 1957, 24, № 107, 333—348 (англ.; франц., нем.)

Методом частичного осаждения полиэтилена (II) в ксилоловых р-ров триэтиленгликолем при 130° выделен ряд фракций из образцов I, полученных при высоком давлении по Циглеру, из I типа Марлекс 50 и полиметилена, полученного разложением диазометана. Определена характеристич. вязкость фракций $[\eta]$ при 130° в тетралине и измерен их мол. вес M эбуллиоскопич. методом в метилциклогексане с осмометрич. методом в о-ксилоле при $105-110^\circ$. Для всех фракций с $M > 3750$ удовлетворительно соблюдается соотношение $[\eta] = 5,10 \cdot 10^{-4} M^{0,725}$. Распределение мол. весов для трех изученных препаратов I весьма широко, расширяется с ростом M и не может быть описано предположившимися различными авторами ур-ниями с двумя параметрами. Все образцы содержат значительное кол-во низкомолекулярного полимера.

И. Слоян

6768. К вопросу о декстране. II. Определение среднего молекулярного веса частично деградированного декстрана йодометрическим методом. Ладко, Малек (O dextranu. II. Stanovení číselného průměru molekulové váhy částečně degradovaného dextranu metodou jodometrickou. Lado L. J. Malak J. J.), Chem. listy, 1957, 51, № 1, 47—50 (чешск.)

Исследован метод определения средних мол. весов декстрана, основанный на йодометрич. окислении алдегидных групп. Мол. веса можно определить экстраполяцией полученных данных к нулевому избытку окислителя. Для проверки метода на диффузионных р-рах декстранов, продуцированных различными штаммами *Leuconostoc mesenteroides*, сравнены значения, полученные описанным методом, с значениями, полученными восстановительным (РЖХим, 1954, 37727) и осмометрич. методами. Наилучшее совпадение с осмометрич. методом найдено в области низких мол. весов (~ 25000). Часть I см. РЖХим, 1955, 23440.

Л. Матусек

6769. Реология растворов Na-карбоксиметилцеллюлозы. Де-Батс, Хьюди, Эллиотт (Rheology of sodium carboxymethylcellulose solutions. DeButts E. H., Hudy J. A., Elliott J. H.), Industr. and Engng Chem., 1957, 49, № 1, 94—98 (англ.)

Показана практич. ценность реологич. измерений р-ров карбоксиметилцеллюлозы (I) для выбора типа I и способов приготовления ее р-ров. Центры гели, возникающие из кристаллич. части естественной целлюлозы, приводят к тиксотропии в р-рах I, причем важным фактором в определении наличия таких центров является равномерность распределения заместителей вдоль цепи целлюлозы. Реологич. поведение р-ров I обусловлено наличием указанных центров, электростатич. сил и водородных связей. Влияние ионизованных катионов на повышение тиксотропии, способность к гелеобразованию, осаждаются и результаты опытов центрифугирования подтверждают разную мол. картину течения р-ров I. Ю. Вендельштейн

6770. О неьютоновской вязкости разбавленных растворов полимеров. Серф (On the non-newtonian viscosity of dilute polymer solutions. Cerf Roger), J. Polymer Sci., 1957, 25, № 109, 247—250 (англ.)

Приводятся новые эксперим. данные, подтверждающие развитую автором теорию гидродинамич. свойств разб. р-ров полимеров (РЖХим, 1956, 16289, 6170, 75097; 1957, 41318, 57709, 69030).

Ю. Липатов

6771. Сдвиговая зависимость вязкости полиметакрилата в бензоле. II. Параметры соотношения между характеристической вязкостью и молекулярным весом, определенные методом светорассеяния.

Дань Жэнь-юань, Ши Лян-хэ, Ши Гуань-и (聚甲基丙烯酸甲酯的苯溶液粘度對切變速度的依賴性. II. 用光散射法測定特性粘數分子重量關係 錢人元 黃良和, 史觀一), 化學學報, Хуасюэ сюэбао, Acta chim. sinica, 1957, 23, № 3, 215—222 (кит.; рез. англ.)

При различных скоростях сдвига определены вязкости 5 фракций полиметилметакрилата при помощи вискозиметра Убеллоде. Для мол. весов $0,2-4,5 \cdot 10^6$, определенных методом светорассеяния, установлены следующие соотношения: в отсутствие внешнего давления $[\eta] = 3,80 \cdot 10^{-3} M^{0,79} \text{ мл/г}$, при $S = 55 \text{ дн/см}^2$ $[\eta] = 12,6 \cdot 10^{-3} M^{0,70}$ при $D = 5000 \text{ сек.}^{-1}$ $[\eta] = 8,37 \cdot 10^{-3} M^{0,73}$ где S и D — напряжение и градиент скорости сдвига. Установлено существенное влияние скорости сдвига на показатель степени M . Константы наклона k' и β показывают незначительную зависимость от S и D . Приведены данные по значениям второго вириального коэф. и среднеквадратичного размера для фракций полиметилметакрилата.

Часть I см. РЖХим, 1957, 41328. Резюме авторов

6772. Вязкость разбавленных растворов ацетата целлюлозы. Мур, Рассел (Viscosities of dilute solutions of cellulose acetate. Moore W. R., Russell J.), J. Colloid Sci., 1954, 9, № 4, 338—346 (англ.)

Определена характеристическая вязкость $[\eta]$ в р-рах CHCl_3 , $\text{Cl}_2\text{CHCHCl}_2$, CH_2Cl_2 и о и т — $\text{MeC}_6\text{H}_4\text{OH}$ триацетата целлюлозы, полученного из ацетата целлюлозы. Определены объемы $C_6\text{H}_4$ и толуола, требуемые для проведения начального фазового разделения. $[\eta]$ во всех случаях ниже полученной предварительно для диацетата целлюлозы; значения $[\eta]$ для триацетата составляют ~60% для $[\eta]$ диацетата в случае крезолов, растворителей, которые являются общими для обоих ацетатов. Широкие колебания $[\eta]$, наблюдаемые с триацетатом в различных растворителях, и различия в степени ацетилирования объяснены изменением цепной конфигурации целлюлозы, возникающей из-за различных степеней внутримолекулярного водородного связывания Chem. Abstr., 1954, 48, № 20, 12401.

Н. К. Livingston

6773. Исследования цианоэтиловых поливиниловых простых эфиров. II. Вязкости поливинилцианоэтиловых эфиров в разбавленных водных растворах. Нагиси, Сэкигута, Сираиси, Окада (ポビニルシアノエチルエーテルに関する研究. 第2報. ポビニルシアノエチルエーテル稀薄水溶液の粘度に関する研究. 根岸道治, 関口一郎, 白石通夫, 岡田定行), 高分子化学, Кобунси какаку, Chem. High Polym., 1956, 13, № 130, 69—76 (японск.; рез. англ.)

Показано, что характеристич. вязкость $[\eta]$ частично этилированного цианом (0—40 мол. %) поливинилового спирта в разб. водн. р-рах понижается с повышением т-ры (в интервале 5—60°); максимум $[\eta]$ приходится на продукт, этилированный цианом на 20—25 мол. %.

Л. Песин

6774. Вязкость разбавленных растворов сильного полиэлектролита (сульфат полистирола). Батлер, Робинс, Шутер (The viscous behaviour of dilute solutions of a strong polyelectrolyte (polystyrene sulphonate). Butler J. A. V., Robins A. B., Shooter K. V.), Proc. Roy. Soc., 1957, A241, № 1226, 299—310 (англ.)

Исследована концентрационная зависимость приведенной вязкости $\eta_{уд}/c$ для водн. р-ров полисульфата полистирола и его натриевой соли и влияние на эту зависимость добавок NaCl. Для проводящей неперегнанной воды наблюдается резкий максимум $\eta_{уд}/c$ при $c = 0,001\%$; для дважды перегнанной воды — пологий максимум при 0,004—0,01%. С увели-

чением кол-ва добавленного NaCl значения $\eta_{уд}/c$ уменьшаются и максимум исчезает. В области быстрого изменения вязкости проведены определения эквивалентной электропроводности и показано, что она незначительно зависит от конц-ии. В р-ре в 0,2 M NaCl определены константы седиментации S и найдено средневесовое значение S_0 при бесконечном разбавлении. По методу (РЖХим, 1957, 11414) вычислена кривая распределения коэф. седиментации. Из значений $[\eta]$ при нулевой скорости сдвига и S_0 по ф-ле Флори — Манделкерна вычислен мол. вес нейтральной фракции и среднеквадратичная длина цепи; вычислены также значения длины цепи для точки максимума на кривых вязкости. По мнению авторов, наличие максимума на кривых вязкости не доказывает того, что уменьшение $\eta_{уд}/c$ при конц-иях ниже критической связано с уменьшением взаимодействия между молекулами. Смещение максимума к более низким конц-иям с увеличением чистоты воды указывает на то, что $\eta_{уд}/c$ может зависеть от наличия остаточных ионов в воде или противоионов полиэлектролита. Размеры молекул ниже крит. конц-ии малы по сравнению с длиной полностью вытянутой цепи (~0,1), что подтверждает наличие взаимодействия даже в сильно разб. р-рах. С ростом ионной силы р-ра размер молекулы уменьшается. Вязкость к-ты заметно выше вязкости соли, хотя степень диссоциации первой значительно ниже; поэтому нельзя допустить больших ее размеров по сравнению с размерами молекулы соли; это объясняется наличием взаимодействия частиц с образованием водородной связи между сульфогруппами. Независимость эквивалентной электропроводности от конц-ии р-ра объяснена тем, что диссоциация водородных ионов определяется непосредственно окружением кислотных групп в р-ре, а не числом молекул в р-ре.

Ю. Липатов

6775. Зависимость константы седиментации поливинилпирролидона от концентрации. Шольтан (Konzentrationsabhängigkeit der Sedimentationskonstanten von Polyvinylpyrrolidon. Scholtan W.), Makromolek. Chem., 1957, 23, № 2-3, 128—133 (нем.; рез. англ.)

Измерена вязкость, константа седиментации в ультрацентрифуге s и коэф. диффузии для двух фракций поливинилпирролидона (I) с мол. в. $M = 945\,000$ и $2\,700\,000$. В водн. р-рах фракции I с характеристич. вязкостью $[\eta] = 27,5 \cdot 10^{-2} \text{ л/г}$ константа седиментации меняется с конц-ией с по ур-нию $s_c = s_0/(1 + Kc^{0,75})$.

Для гомополярных макромолекул $1/s_c$ — меняется обычно линейно с c ; отклонение р-ров I от этого правила автор объясняет взаимодействием полярных групп в молекуле I. В фосфатном буфере с pH 7 полярные группы I экранируются, и наблюдается линейная зависимость $1/s_c$ от c . Вязкость водн. р-ров, по-видимому, менее чувствительна к взаимодействию полярных групп, чем скорость седиментации: $[\eta]$ растет с c линейно. Для обеих изученных фракций, т. е. вплоть до $M = 3 \cdot 10^6$, соблюдается найденная автором ранее (Makromolek. Chem., 1952, 7, 209) для низкомолекулярных фракций I зависимость $[\eta] = 1,4 \cdot 10^{-5} M^{0,70}$.

И. Слоним

6776. Комплексные основания кадмия и амина в качестве растворителя целлюлозы. Ййме, Нейсхэффер (Cadmiumaminkomplexbasen als Lösungsmittel für Cellulose. Jaime Georg, Neuschäffer Karlheinz), Makromolek. Chem., 1957, 23, № 1, 71—83 (нем.; рез. англ.)

Исследована растворимость целлюлозы (II) в $[\text{Cd}(\text{NH}_3)_6](\text{OH})_2$ и $[\text{Cd}(\text{en})_3](\text{OH})_2$ (I) (en — этиленди-

амин) в зависимости от условий получения комплексных соединений и их состава. Р-ры I, содержащие > 4 вес. % Cd и 20—35 вес. % этилендиамина (II), даже при комнатной т-ре переводят в р-р $\sim 4\%$ -ной Ц. Для получения р-ров I наиболее целесообразно применять CdO. Основной хлорид и гидроксид Cd при 0° также растворяются в II с образованием I. При обработке небеленой Ц р-ром I большая часть Ц и часть лигнина переходят в р-р, который приобретает желтый или коричневый цвет. Хорошо растворяется в I сульфатная Ц. Р-ры Ц в I бесцветны и устойчивы при комнатной т-ре.

С. Зеликман

6777. Ширина линий и величина кристаллитов в полимерах. Хоземан, Бонарт (Linienbreite und Kristallitgröße bei Hochpolymeren. Hosemann R., Bonart R.), Kolloid-Z., 1957, 152, № 1, 53—57 (нем.)

В реальных некристаллич. телах имеют место области паракристалличности. На примере искусств. двумерных структур показано, что статистика распределения размеров и форм паракристаллич. областей, нарушение структуры внутри этих областей, а также пространственное расположение паракристаллитов в макрорешетке находят свое выражение в картинах интерференции света, рассеиваемого на этих структурах. Анализ интерференционных диаграмм дает возможность судить о параметрах паракристаллитов — размерах их ребер, степени нарушения решетчатости.

Э. Казбеков

6778. Дополнительные отражения на рентгенограммах полиэтилена и полиметилена (Extra reflections in the X-ray diffraction pattern of polyethylenes and polymethylenes. Teare P. W., Holmes D. R.), J. Polymer Sci., 1957, 24, № 107, 496—499 (англ.)

При рентгенографич. изучении полиметилена, подвергнутого попеременному растяжению на холоду во взаимно перпендикулярных направлениях, найдено 9 новых рефлексов, отвечающих расстояниям 4,56, 3,80, 3,55, 3,26, 2,70, 2,55, 2,33, 1,98, 1,56 Å. Возникновение этих рефлексов объясняется авторами частичным превращением полимера в новую модификацию, которая по аналогии с мономерными парафинами с длинной цепью ($C_{12}H_{26}$), возможно, принадлежит к триклинной кристаллич. форме. При индифференции найденных рефлексов в предположении триклинной ячейки найдены параметры a 4,05 Å, b 4,85 Å, c 2,54 Å, $\alpha = \beta \approx 90^\circ$, $\gamma = 105^\circ$, которые удовлетворительно соответствуют параметрам парафина $C_{12}H_{26}$.

О. Ив

6779. К определению степени кристалличности полимеров по ядерному магнитному резонансу. Сликтер, Мак-Колл (Note on the degree of crystallinity in polymers as found by nuclear magnetic resonance. Slichter W. P., McCall D. W.), J. Polymer Sci., 1957, 25, № 109, 230—234 (англ.)

Подчеркивается, что степень кристалличности полимера может быть определена по ядерному магнитному резонансу лишь в том случае, если существует такая т-ра, для которой среднее время корреляции молекулярного движения в кристаллич. области полимера значительно больше 10^{-4} сек., а соответствующее время корреляции для аморфной области меньше 10^{-4} сек. В этом случае кривая ядерного магнитного резонанса является суперпозицией широкого и узкого резонансов, а площади под кривыми пропорциональны кол-ву аморфной и кристаллич. фаз. Отношение площадей является мерой кристалличности.

Ю. Панов

6780. Электронографическое исследование клея. Ямагучи (An electron diffraction study of an ad-

hesive. Yamaguchi Shigeto), J. Polymer Sci., 1957, 25, № 108, 118—119 (англ.)

При электронографич. изучении поверхности приклеиваемой стали, покрытой при 130° тонким слоем ($\sim 1 \mu$) эпоксидной смолы, найдено параллельное поверхности отражение, отвечающее расстоянию 7,44 Å, которое соответствует наибольшему расстоянию C—C в радикалах $C_6H_5-C_6H_5$, $CH_2-C_6H_5-O-CH_2$ и присутствующих в молекуле полимера. Наличие такис указывает на существование взаимодействия между сталью и клеем.

6781. Ультрафиолетовые спектры поглощения экстрактов (метанол + *n*-гексан) из поливинилхлорида. Банкс, Фазакерли, Кей, Смит (Ultraviolet absorption spectra of methanol and *n*-hexane extracts of polyvinyl chloride tubing. Banks A., Fazakerley S., Keay J. N., Smith J. G. M.), Chemistry and Industry, 1957, № 29, 1013—1014 (англ.)

Получены УФ-спектры экстрактов поливинилхлорида. Экстракция образцов (1,0 г) велась метанолом насыщенным *n*-гексаном (50 мл), при комнатной т-ре в течение 65 час. и позволила получить бесцветное вязкое масло, в котором наблюдались следующие полосы поглощения (μ): 204; 225; 275. Е. Покровский

6782. Определение неперспективности пространственных полимеров каучука с помощью инфракрасных спектров. Сеткина О. Н., Охрименко И. С., Ленингр. технол. ин-та им. Ленсовета, 1957, № 37, 91—97

По полосам поглощения 910 и 970 см^{-1} была исследована зависимость содержания двойных связей в полимерах 1,2 и 1,4 в натрийдивиниловом каучуке (СКБ) от условий термообработки. При обработке СКБ при давл. 10 000 $\text{кг}/\text{см}^2$ и 160° относительная кон-ция групп $-\text{CH}=\text{CH}-$ постепенно уменьшалась за 8 час. от 100 до 28% и групп $-\text{CH}=\text{CH}_2$ от 100 до 8%. Описана методика приготовления образцов переставляемых полимеров для ИК-анализа. Е. Покровский

6783. Ориентация высокополимеров и ее влияние на их физико-химические свойства. Липатов Ю. С., Успехи химии, 1957, 26, № 7, 768—800. Обзор. Библ. 172 назв.

Ю. Липатов

6784. Зависимость спектров механической релаксации линейных аморфных полимеров от молекулярно-вещного распределения. Фудзита, Ниями (Dependence of mechanical relaxation spectra of linear amorphous polymers on the distribution of molecular weights. Fujita Hiroshi, Niiyama Kazuhiko), J. Polymer Sci., 1957, № 106, 233—260 (англ.; рез. нем., франц.)

Рассмотрено влияние молекулярно-вещного распределения полимеров $\varphi(M)$ на распределение времен механической релаксации $\Phi(\lg \tau)$. Это влияние описывается интегралом

Фредгольма 1-го рода: $\Phi(\lg \tau) = \int_0^\infty \varphi(M) \times (\lg \tau) \varphi(M) dM$, которое приближенно решается

предположением, что $\Phi_M(\lg \tau)$ в области высокоэластичности описывается прямоугольной функцией, а вязкость монодисперсного образца при стационарном течении пропорциональна $M^{3.4}$ (если M больше некоторой величины M_c) и что релаксационный модуль \bar{E} в начале области высокоэластичности не зависит

от M и может быть вычислен с помощью теории Аллена. Разработанный метод позволяет вычислить $\varphi(M)$ из экспериментальной кривой $\Phi(\lg \tau)$, если известны M_c , \bar{E} и z — среднее

молекулярное вес \bar{M}_z образца. Проверка теории проведена на данных по релаксации напряжений в нефракционированных полистироле (I) и поливинилацетате. В области

случаях кривые $\phi(M)$, вычисленные из $\Phi(\lg \tau)$, удовлетворительно совпадают с кривыми $\phi(M)$, полученными путем дробного фракционирования (за исключением области малых M). Полученные авторами данные по релаксации напряжения I покрывают интервал τ от 78,7 до 154,5°. Кажущаяся энергия активации релаксационного процесса достигает максим. значения (10 ккал/моль) при τ -ре $92 \pm 1^\circ$, которая лежит в середине области стеклования I.

О. Птицын
6785. Фотоэластические свойства спитых аморфных полимеров. Часть 3. Интерпретация результатов по полиэтилену, полиметилэну, натуральному каучуку и гуттаперче. Сондерс (The photoelastic properties of crosslinked amorphous polymers. Part 3. Interpretation of results on polythene, polymethylene, natural rubber and gutta percha. Saunders D. W., Trans. Faraday Soc., 1957, 53, № 6, 860—870 (англ.).

Полученные автором из исследования фотоэластич. эффекта (ч. I и II см. РЖХим, 1957, 57722) значения оптич. анизотропии $\alpha_1 - \alpha_m$ статистич. сегментов полиметилена (I), НК (II) и анизотропии $\beta_{xx} - \beta_{yy} = (\beta_{yy} + \beta_{zz})/2$ гуттаперчи (III) сопоставлены со значениями оптич. соответствующих мономерных единиц, вычисленными по аддитивной схеме для полностью вытянутых конфигураций. Отношения $q = (\alpha_1 - \alpha_m) / (\beta_{xx} - \beta)$ для I, II и III равны соответственно 48,5; 2,24 и 5,05. Величина q имеет смысл числа мономерных единиц, входящих в оптич. статистич. сегмент и характеризует жесткость цепи. Обсуждается связь q с числом n звеньев цепи, входящих в геометр. статистич. элемент, которое представляет собой другую меру жесткости цепи. Пользуясь теорией оптич. анизотропии цепей типа I с фиксированными валентными углами и заторможенным внутренним вращением (Kubo, J. Phys. Soc. Japan, 1949, 4, 319; РЖХим, 1957, 44742) автор получает для I $n = 38,1$ или 48,5, а для разности энергий между поворотными изомерами I (повернутым и транс) $U = 2340 - 2540$ ккал/моль, что значительно выше значений для низкомолекулярных парафинов (500—800 ккал/моль).

Для I, II и III q соответственно в 16,3 и 4 раза больше, чем q , вычисленные для случая свободного вращения. Это указывает на большую жесткость цепей III по сравнению с II и на весьма большую жесткость цепей I.

О. Птицын
6786. Проведение реологических измерений для характеристики высокополимеров. Эдельман, Хорн (Die Durchführung rheologischer Messungen zur Charakterisierung von Hochpolymeren. Edelmann Kurt, Horn Edith, Gummi und Asbest, 1957, 10, № 8, 456—460 (нем.).

Описана методика измерений структурной вязкости при помощи капиллярного вискозиметра Умштеттера и даны примеры расчетов и построения кривых течения. Показано, что точка перегиба на кривых течения, определяющая крит. градиент скорости сдвига, является материальной константой, зависящей только от мол. веса полимера.

Ю. Липатов
6787. Измерение изменения силы во времени при одновременном разрыве пластмасс методом детонации взрывчатых веществ. Кёйфер, Кристман (Die Messung des Kraftverlaufs beim kurzzeitigen Zerreißen von Kunststoffen durch eine Sprengstoffdetonation mittels Dehnungsmeßstreifen. Käufer H., Christmann W., Kolloid-Z., 1957, 152, № 1, 18—23 (нем.).

Описана аппаратура для измерения прочности пластмасс при очень малых временах действия силы. В основу аппаратуры положен метод передачи ударной волны от детонации взрывчатых в-в непосредственно на испытуемый образец. Время до разрыва образца

достигает $5 \cdot 10^{-5}$ сек; точность измерений 10%. Предложенным методом исследованы полиуретаны, полиамиды, поливинилхлорид и полистирол. Получены данные об изменении напряжения во времени и зависимости разрывной прочности от времени испытаний (за разрывную прочность принято наибольшее значение напряжения в ходе разрыва). Показано, что если для полиуретанов и полиамидов прочности при обычных временах воздействия (10—100 сек.) равны, то при малых временах воздействия они сильно различаются как по величине, так и по характеру их изменения со временем действия сил. Такая же картина наблюдается и для других указанных материалов. Таким образом, различные пластмассы характеризуются различной зависимостью прочности от времени испытаний.

Ю. Липатов
6788. Некоторые аспекты прямой и сенсбилизированной циклогексанон фотополимеризации винилхлорида. Валентин (Some aspects of the direct and cyclohexanone-sensitized photopolymerization of vinyl chloride. Valentine L., J. Polymer Sci., 1957, 24, № 107, 439—443 (англ.; реф. франц., нем.).

Фотополимеризация винилхлорида (I) в кварцевом dilatометре под действием нефилтрованного УФ-света при 25° протекает с непрерывно уменьшающейся скоростью вследствие осаждения полимера на передней стенке реакционного сосуда. Поворот dilatометра на 180° вокруг вертикальной оси после достижения глубины превращения 4% приводит к заметному возрастанию скорости р-ции. При облучении dilatометра светом с $\lambda > 2500 \text{ Å}$ (полимер не осаждается на передней стенке) р-ция протекает с возрастающей во времени скоростью (Во втором случае скорость значительно меньше, чем в первом). При проведении фотополимеризации ($\lambda > 2950 \text{ Å}$) в присутствии циклогексанона (II) — р-рителя для полимера, а также сенсбилизатора — скорость р-ции медленно возрастает во времени до глубины $\sim 6\%$ и затем остается постоянной до глубины $\sim 20\%$. При конц-ии I 4—8 моль/л (конц-ия II 7,3—4,2 моль/л) скорость полимеризации практически не зависит от конц-ии мономера. Дальнейшее увеличение конц-ии I быстро уменьшает скорость р-ции, причем величина ее становится пропорциональной интенсивности света в степени 0,60. II является малоэффективным сенсбилизатором, что объясняется синглетным состоянием пентаметилена, образующегося после отщепления CO от II.

А. Праведников
6789. Передача цепи при ионной полимеризации *n*-метоксистирола. Каматх, Хас (Chain transfer in the ionic polymerization of *p*-methoxystyrene. Kamath Pandurang M., Haas Howard C., J. Polymer Sci., 1957, 24, № 105, 143—146 (англ.).

Изучалась полимеризация *n*-метоксистирола (I) в смеси нитробензола и CCl_4 в присутствии $\sim 10^{-3} \text{ M}$ SnCl_4 при 0° . Мол. вес полимера не зависит от глубины превращения, пропорционален конц-ии SnCl_4 , а зависимость его от конц-ии I подчиняется ур-нию: $1/P = k_0/k_p M + k_n/k_p$, где P — средняя степень полимеризации, M — конц-ия I, k_0 , k_p , k_n — соответственно константы скоростей р-ций обрыва, роста и передачи цепей. Найдено, что $k_n/k_0 = 0,64 \cdot 10^{-3}$ и $k_0/k_p = 1,39 \cdot 10^{-3}$. Соотношение k_0/k_n близко к найденному для стирола (РЖХим, 1954, 49607; 1956, 29245). В соответствии с этим, при добавке *n*-метиланизола передача цепей при полимеризации I происходит менее эффективно. Исследования ИК-спектров полимеров I показывают, что молекулы их имеют линейное строение. В соответствии с величинами k_n/k_p для I и стирола сделан вывод о том, что введение метоксигруппы в молекулу мономера увеличи-

вает реакционную способность двойной связи в 4 раза по сравнению с увеличением реакционной способности бензольного ядра.

Т. Гриценко

6790. Полимеризация этилена под нормальным давлением производными алкилалюминия. Михаил, Битман, Стоенеску, Корляну (Polimerizarea etilenei la presiune normală cu derivați de alchil-aluminii. Mihaile R., Bittman Silvia, Stoienescu Felicia, Corlăteanu P.), Rev. chim., 1957, 8, № 6, 399—406 (рум.; рез. русск., франц., нем., англ.)

Указываются способы получения в лаборатории полутораклористого этилалюминия, монохлорида диэтилалюминия и триэтилалюминия, а также метод анализа этих в-в. Органометаллич. производные использованы для полимеризации этилена под атмосферным давлением. Указываются условия р-ции и описывается вискозиметрич. метод анализа полученных полимеров, а также результаты проведенных опытов.

Резюме авторов

6791. Исследования катионной полимеризации. О реакции полимеризации стирола, катализированной серной кислотой. Мима (Cation 重合に関する研究. Styrene の硫酸による重合反応について. 美馬精一), 大阪工業技術試験所季報, Osaka kōgō gijyū kōron sikkōshō kiko, Bull. Osaka Industr. Res. Inst., 1955, 8, № 1, 8—11 (японск.; рез. англ.)

Полимеризация стирола в присутствии конц. H_2SO_4 протекает в фазе H_2SO_4 , и скорость р-ции определяется диффузией стирола в фазу H_2SO_4 . Р-ция протекает по механизму «истинного» карбониевого иона. Обсужден механизм р-ции и определена структура полимера.

Резюме автора

6792. Полимеризация этилена под нормальным давлением. Сообщение II. Неницеску, Хух, Хух, Думитреску, Гавэт (Polimerizarea etilenei la presiune normală. Nota II. Nenițescu C. D., Huch Cireșica, Huch A., Dumitrescu N., Gavăț Maria), Rev. chim., 1957, 8, № 6, 395—399 (рум.; рез. русск., франц., нем., англ.)

Сообщаются результаты эксперим. работ по полимеризации этилена под нормальным давлением в присутствии алкилнатрия. Предыдущее сообщение см. РЖХим, 1957, 54604.

Резюме авторов

6793. Аномальное поведение винилиденцианида при совместной полимеризации. Хэм (Anomalous behavior of vinylidene cyanide in copolymerization. Ham George E.), J. Polymer Sci., 1957, 24, № 107, 349—352 (англ.; рез. франц., нем.)

Из данных о составе полимеров, полученных при совместной полимеризации винилиденцианида (I) с различными мономерами, с помощью ур-ния Барба (РЖХим, 1954, 32239) рассчитаны константы совместной полимеризации r_1 и r_1' (последнее и предпоследнее звено в радикале соответственно одинаковы и неодинаковы) для систем акриловая к-та—I 0,168, 0,193; 2,5-дихлорстирол—I 0,022, 0,032; винилиденхлорид—I 0,010, 0,012; 2-хлорбутадиев—I 0,000, 0,057.

А. Праведников

6794. Исследование совместной полимеризации на новых мономерях, содержащих кремний. Метакрилоксиметилпентаметилдисилоксан. Меркер, Скотт (Copolymerization studies on a new monomer containing silicon: methacryloxymethylpentamethyldisiloxane. Merker Robert L., Scott Mary Jane), J. Polymer Sci., 1957, 25, № 108, 116—117 (англ.)

Из данных о составах полимеров, полученных при совместной полимеризации метакрилоксиметилпентаметилдисилоксана (I) с различными виниловыми мономерами (инициатор—динитрил азодизомасляной к-ты; т-ра 50°), рассчитаны константы совместной по-

лимеризации для систем I—акрилонитрил 1,44, 0,19, I—стирол 0,58, 0,77, I—винилацетат 24, 0,16, I—метилметакрилат 1,13, 0,93. Из этих данных следует, что I по своей реакционной способности близок к метилметакрилату.

А. Праведников

6795. Скорость роста частиц при полимеризации, инициированной персульфатом. Ро, Брасс (The rate of particle growth in persulfate initiated emulsion polymerization. Roe Charles P., Brass P. D.), J. Polymer Sci., 1957, 24, № 107, 401—416 (англ.; рез. франц., нем.)

Уточнен теоретич. анализ (Smith W. V., Ewart R. H., J. Chem. Phys., 1948, 16, 592) кинетики эмульсионной полимеризации применительно к системам с относительно крупными частицами (Ч) полимера с учетом возможности одновременного сосуществования в одной Ч шести растущих полимерных цепей. С целью проверки полученной зависимости проведено электронномикроскопич. исследование 9 образцов стирольных и дивинилстирольных латексов на разных стадиях полимеризации, инициированной $K_2S_2O_8$. Скорость роста Ч зависит от их величины и от концентрации инициатора (в отличие от систем с мелкими Ч). Эксперим. точки достаточно точно ложатся на теоретич. кинетич. кривые, полученные в предположении, что образование свободных радикалов, инициирующих полимеризацию, происходит вблизи межфазной поверхности. Данные показывают, что в крупных Ч одновременно могут находиться >6 растущих полимерных цепей.

А. Лебедев

6796. Полимеризация в канальных клатратных соединениях. Сообщение I. Данные для системы диметилбутадиевнотомочевина. Клазен (Polymerisation in einer Kanaleinschlußverbindung. 1. Mitt: Nachweis vom System Dimethylbutadien-Thioharnstoff. Cläsen Hermann), Z. Elektrochem., 1956, 60, № 9-10, 982—987 (нем.)

Показано рентгенографически, что канальные клатратные соединения углеводородов с тиомочевинной (I) обычно разлагаются на воздухе в течение нескольких часов. Гексагон. решетка клатратного соединения (РЖХим, 1955, 9097) переходит в ромбич. решетку свободной I. Однако если клатратное соединение поддерживать в течение долгого времени в среде в-ва, образующего включение, напр. диметилбутадиев, I довести до постоянного веса при повышенной т-ре, происходит полимеризация включенного в-ва. При удалении I растворением в воде остаются плавающие хлопья полимеризата. Скорость полимеризации зависит от чистоты применяемых в-в.

Е. Шугин

6797. О возможных направлениях процесса механической деструкции высокополимеров. Барбойм Н. К., Научн. тр. моск. техн. ин-та легкой пром-сти, 1956, сб. 7, 46—53

Особенности механич. деструкции при прочих равных условиях определяются физ. состоянием полимера. См. также РЖХим, 1957, 60774.

Р. Колчин

6798. Ультразвуковая деструкция полистирола в частоте 1 Мгц. Лангтон, Вон (The ultrasonic degradation of polystyrene at a frequency of 1 Mc. Langton N. H., Vaughan P.), Brit. J. Appl. Phys., 1957, 8, № 7, 289—292 (англ.)

Экспериментально исследована ультразвуковая (частота 1 Мгц) деполимеризация фракционированного полистирола, растворенного в бензоле. Поглощением акустич. мощности составляла ~7 ст. Озвучивание вызывает уменьшение степени полимеризации полистирола, которая определялась на основании измерения вязкости р-ров. Кинетика ультразвуковой деполимеризации описывается ур-нием $dp/dt = -k(P - P_\infty)$, P —степень полимеризации в момент времени t , P_∞ —пре-

дельная величина степени полимеризации, k — постоянная.

Б. Кудрявцев
6799. К вопросу о разветвленности поливинилацетата. I. Патат, Починков (Zur Verzweigung von Polyvinylacetat. I. Patat F., Potchin-ков J. A.), Makromolek. Chem., 1957, 23, № 1, 54—59 (нем.; реф. англ.)

Поливинилацетат получен фотополимеризацией винилацетата в присутствии динитрила азодизомасляной к-ты при t -рах от -38 до $+30^\circ$. Из данных по изменению мол. веса при омылении и последующем ацетилировании рассчитана степень разветвленности полученных полимеров. Разветвленность быстро возрастает при увеличении t -ры полимеризации и глубины превращения. При глубине полимеризации 16%-ная разветвленность обнаружена уже при -38° .

А. Праведников
6800. О гетероцепных полиэфирах. Сообщение 1. О полиэфирах изомерных фталевых кислот. Коршак В. В., Виноградова С. В., Беляков В. М., Изв. АН СССР, Отд. хим. н., 1957, № 6, 730—736

Синтезированы и исследованы полиэферы (ПЭ) фталевой (I), изофталевой (II) и терефталевой к-т (III) с гликолями: $\text{HO}(\text{CH}_2)_n\text{OH}$, где $n = 2$ (IV), 3 (V), 4 (VI), 5 (VII), 6 (VIII), 10 (IX), 20 (X), пропиленгликолем (XI), бутандиолом-1,3 (XII), ди-(XIII) и триэтиленгликолями (XIV). ПЭ получены поликонденсацией IV—XIV с диметиловыми эфирами I—III в присутствии PbO . Перечисляются исходные в-ва для синтеза ПЭ, $\eta_{\text{уд}}$ 0,5% р-ра ПЭ в крезоле, t -ра плавления ПЭ $^\circ\text{C}$, t -ра перехода в вязко-жидкое состояние ПЭ $^\circ\text{C}$, t -ра текучести ПЭ в $^\circ\text{C}$, ρ -римость ПЭ в C_6H_6 и спирте в г/г: III, IV, 0,37, 256, —, 0, 0; III, V, 0,20, 217—218, —, —, —; III, VI, 0,37, 222—223, —, —, 0,1, 0; III, VII, 0,27, 134—140, —, —, 2,2, 0,8; III, VIII, 0,45, 148—154, —, —, 0,9, 0; III, IX, 0,54, 123—127, 109, —, 0,6, 0; III, X, 0,2, 108—113, 113, —, 1,9, 0,3; III, XI, 0,13, 106—111, 84, 97, >50, 1,6; III, XII, 0,41, 82—87, 28,5, 37, >50, 3,6; III, XIII, 0,44, 65—70, 34, 51, 15,1, 1,2; III, XIV, 0,48, 60—65, 4, 17, 11,3, 1,1; II, IV, 0,24, 103—108, 73, 89, 2,25, 0,2; II, V, 0,20, 92—96, 43, 74, —, —; II, VI, 0,27, 88—94, 47, 60, 0,96, 0,4; II, VII, 0,25, 76—82, 28, 40, >125, 1,2; II, VIII, 0,31, 75—80, 32, 80, >125, 1,4; II, IX, 0,20, 34—36, 25, 29, >125, 4,9; II, X, 0,08, 47—49, 45, 48, >50, 3,0; II, XI, 0,11, 80—87, 54, 67, >50, 4,9; II, XII, 0,12, 50—55, 25, 33, >50, 4,5; II, XIII, 0,20, 55—60, 24, 30, >125, 3,3; II, XIV, 0,13, 60—65, 33, 64, >50, 9,5; I, IV, 0,09, 63—65, 37, 46, 38,9, 2,8; I, VI, 0,12, 17—18, —14, >50, 16,0; I, VII, 0,16, 6—9, —19,5, >50, 2,6; I, VIII, 0,20, 0—2, —14, 2, >50, 2,1; I, IX, 0,1, —27 + —26, —42, —29, >50, 9,7; I, X, 0,10, 47—52, —, —, —; I, XI, 0,13, 45—50, 33, 42, >50, 10,5; I, XII, 0,12, —8—0, —19, —6, —, —; I, XIII, 0,08, 10—11, —25, 7, >50, 8,0; I, XIV, 0,12, —8 + —7, —28, —12, >50, 9,3. Сопоставлением между собой свойств ПЭ I—III, а также ПЭ I—III с соответствующими ПЭ янтарной (XV), глутаровой и адипиновой (XVI) к-т, обсужден вопрос о влиянии строения исходных в-в на свойства ПЭ. Различие в t -рах плавления, t -рах перехода, растворимости, кристалличности ПЭ I—III связано с различной степенью симметрии молекул I—III и вытекающей из этого более или менее плотной упаковки молекул. Наибольшими t -рами плавления обладают ПЭ III, затем ПЭ II и наименьшими — ПЭ I. Введение в молекулу ПЭ ароматич. ядра не всегда сопровождается увеличением t -ра плавления полимеров. Более высокие t -ры плавления ПЭ III по сравнению с ПЭ XVI, по-видимому, связаны с более плотной упаковкой макромолекул ПЭ III, вызываемой или более сильным межцепным взаимодействием за счет благоприятного со-

четания карбонильной группы с бензольным ядром, или большей жесткостью цепи из-за наличия в ней n -фениленовых звеньев. Более высокие t -ры плавления ПЭ XV по сравнению с ПЭ I объяснены нарушением плотности упаковки полимерных цепей за счет несимметричного строения I. Уменьшение t -ра плавления ПЭ III по мере роста числа $-\text{CH}_2-$ групп в IV, VI, VIII—X связано с увеличением гибкости полимерной цепи ПЭ за счет уменьшения в ней уд. веса n -фениленовых звеньев. Введение в молекулу исходного гликоля боковой CH_2 -группы, простой эфирной связи (ПЭ XI—XIV) уменьшает t -ры плавления ПЭ и увеличивает их растворимость. С. Виноградова

6801. О гетероцепных полиэфирах. Сообщение 2. Полиэферы изомерных дифенилдикарбоновых кислот. Коршак В. В., Виноградова С. В., Беляков В. М., Изв. АН СССР, Отд. хим. н., 1957, № 6, 737—745

С целью изучения влияния на свойства полиэфиров (ПЭ) симметрии полимерной цепи и наличия в ней ароматич. ядер синтезированы и исследованы ПЭ дифеновой (I), m,m' - (II) и p,p' -дифенилдикарбоновых к-т (III) и гликолей: $\text{HO}(\text{CH}_2)_n\text{OH}$, где $n = 2$ (IV), 3 (V), 4 (VI), 5 (VII), 6 (VIII), 10 (IX), 20 (X), пропиленгликоля (XI), бутандиола-1,3 (XII), ди-(XIII) и триэтиленгликолей. Перечисляются: исходные в-ва для синтеза ПЭ, t -ра плавления ПЭ $^\circ\text{C}$, t -ра перехода в вязко-жидкое состояние ПЭ в $^\circ\text{C}$, t -ра текучести ПЭ в $^\circ\text{C}$, ρ -римость ПЭ в спирте и C_6H_6 в г/г, $\eta_{\text{уд}}$ 0,5% р-ра ПЭ в крезоле: III, IV, 330—333, —, —, 0, 0, —; III, V, 246—249, —, —, —, 0, 13; III, VI, 255—260, —, —, —, —; III, VII, 160—170, —, —, —, 0,9, 3,3, 0,15; III, VIII, 195—200, —, —, —, —, 0,08; III, IX, 126—132, —, —, —, 0,06; III, X, 112—115, —, —, —, 0,07; III, XI, 130—140, —, —, —, 3,3, 5,3, 0,05; III, XII, 125—135, —, —, —, 0,05; III, XIII, 117—119, —, —, 2, 3, 5,5, 0,05; III, XIV, 86—93, —, —, —, 0,05; II, IV, 119—122, —, 100,0, 2,0, 0,109; II, V, 76—78, 49, 67, —, —, 0,04; II, VI, 62—66, 30, 79, —, —, 0,06; II, VII, 57—60, 30, 42, —, 16, 0,086; II, VIII, 52—56, 25, 39, —, —, 0,094; II, IX, 86—90, 86, 96, —, —, 0,079; II, X, 89—91, 87, 96, —, —, 0,079; II, XI, 93—97, 53, 95, 1,9, 49,7, 0,094; II, XII, 85—87, 34, 78, —, —, 0,093; II, XIII, 69—75, 42, 63, 1, 44,5, 0,11; II, XIV, 43—46, 18, 36, —, —, 0,105; I, IV, 96—98, 50, 88, 1,6, >50, 0,10; I, V, 70—78, 47, 60, —, —, 0,08; I, VI, 34—36, 24, 33, —, —, 0,08; I, VII, 8—13, —11, 8, 6, 1, >50, 0,06; I, VIII, 4—9, —, —, —, 0,98; I, IX, —7 + —3, —, —, —, 0,10; I, X, —18 + —16, —, —, 0,08; I, XI, 51—55, 24, 36, 25, >50, 0,04; I, XII, 36—38, 24, 35, —, —, 0,06; I, XIII, 54—59, 38, 51, 2,5, >50, 0,16; I, XIV, 38—41, 17, 33, —, —, 0,16. Сопоставлением свойств ПЭ I—III между собой, а также с соответствующими ПЭ изомерных фталевых, себациновой, пробковой и адипиновой к-т обсужден вопрос о влиянии строения ароматич. дикарбоновой к-ты (АДК) на свойства ПЭ. Если ПЭ получен из симметрично построенной АДК, наличие в молекуле ПЭ ароматич. ядра способствует увеличению его t -ры плавления по сравнению с соответствующим ПЭ алифатич. дикарбоновой к-ты; t -ра плавления ПЭ будет возрастать и с увеличением числа ароматич. ядер в молекуле к-ты. Закономерности изменения t -ра плавления в зависимости от строения гликоля в этом случае будут аналогичны тем, которые имеют место в ряду ПЭ соответствующих алифатич. дикарбоновых к-т. Если ПЭ получен из АДК, в которой карбоксильные группы находятся не в пара-, а в орто- или мета-положении, наличие в полимерной цепи ароматич. ядра не всегда достаточно для получения более высокоплавкого ПЭ по сравнению с соответствующим

ПЭ алифатич. дикарбоновой к-ты. Не всегда возрастает т-ра плавления ПЭ и при увеличении числа ароматич. ядер в к-те с одного до двух. Это может быть объяснено нарушением плотности упаковки полимерной цепи за счет возникающей несимметричности макромолекулы. Чем более несимметрична полимерная цепь, тем ниже т-ра плавления полимера. Влияние несимметричности полимерной цепи у ПЭ АДК, имеющих карбоксильные группы в орто- и мета-положении, настолько велико, что подавляет влияние на свойства ПЭ видоизменения строения гликоля, что проявляется в отсутствии фактора четности, в незначительном изменении т-р плавления ПЭ гликолей, содержащих в молекуле боковые CH_3 -группы, простую эфирную связь, по сравнению с ПЭ полиметилгликолей. Нарушение плотности упаковки полимерных цепей в случае ПЭ I и II по сравнению с ПЭ III проявляется в изменении способности ПЭ к кристаллизации. Большинство ПЭ I и II представляют собой прозрачные, аморфные в-ва. ПЭ I—III получают поликонденсацией диметилловых эфиров I—III с IV—XIV в присутствии LiOH в качестве катализатора. I синтезируют из антралиновой к-ты по методу Аккинсона и Лоулера (Синтезы органич. препаратов, сб. 1, ИЛ, 1949, 209), выход 72%, т. пл. 225—228°. Этерификацией I 15-кратным избытком CH_3OH в присутствии HCl (газа) получают диметилловый эфир I, выход ~80%, т. пл. 73—74°. Синтез II осуществляют по схеме: *m*-толуидин → *m*-бромтолуол → *m*-магнийбромтолуол → 3,3-дифенил-П (III синтезируют аналогично, исходя из *n*-толуидина). *m*-(XV) и *n*-бромтолуолы (XVI) получают по методу Бигелова (Синтезы органич. препаратов, сб. 1, ИЛ, 1949, 137). Выход XV 53—56%, т. кип. 49—51°/2—3 мм; выход XVI 77—82%, т. пл. 25—26°. Выход *m,m'*-дитолила (XVII) 49,5%, т. кип. 118—120°/2—3 мм; выход *n,n'*-дитолила (XVIII) ~50%, т. кип. 145°/7 мм, т. пл. 121°. II и III получают из XVII соответственно XVIII окислением $\text{K}_2\text{Cr}_2\text{O}_7$ в нейтр. среде в автоклаве под давлением (1 час при 275°). Выход II 62—67%, т. пл. 345°; выход III 80%. Диметилловый эфир II синтезируют из II и CH_3OH в присутствии HCl (газа), выход 73—80%, т. кип. 205—210°/3—5 мм, т. пл. 102—103°. Диметилловый эфир III получают через хлорангидрид III с выходом ~65%, т. пл. 213—214°.

С. Виноградова
6802. О гетероцепных полиэфирах. Сообщение 3. О полиэфирах β -метиладипиновой и β (*n*-нитрофенил) глутаровой кислот. Коршак В. В., Виноградова С. В., Изв. АН СССР. Отд. хим. н., 1957, № 6, 746—749

С целью выяснения влияния на свойства полиэфиров (ПЭ) наличия в дикарбоновой к-те боковых групп синтезированы и исследованы ПЭ β -метиладипиновой (I) и β -(*n*-нитрофенил)-глутаровой к-т (II) и гликолей: $\text{HO}(\text{CH}_2)_n\text{OH}$, где $n = 2$ (III), 3(IV), 4(V), 5(VI), 6(VII), 10(VIII), 20(IX), пропиленгликоля (X), бутандиола-1,3 (XI), ди-(XII) и три-(XIII) этиленгликолей. Перечисляясь исходные к-ты и гликоль, т-ра плавления ПЭ в °C, т-ра перехода в вязко-жидкое состояние ПЭ в °C, т-ра текучести ПЭ в °C, растворимость ПЭ в спирте и в C_6H_6 в г/л, мол. вес ПЭ по вязкости: I, III, —31÷—27, —46, —28, 11,7, —, 1200; I, IV, —35÷—31, ниже —56, —, 17, —, 1290; I, V, —, —43÷—38, ниже —60, —47, 24,7, 0,5 г в 5 мл, 1030; I, V, —43÷—38, —, 9,9, —, 4380; I, VI, —46÷—42, ниже —60, —47, 33, 0,5 г в 5 мл, 1200; I, VI, —45÷—40, ниже —60, —41, 13,8, —, 5000; I, VI, —45÷—41, ниже —60, —, 16,2, —, 3500; I, VII, —47÷—42, ниже —50, —43, 6,9, 55,2, 3700; I, VIII, —3÷—2, 2, 8,

4,3, 0,5 г в 5 мл, 5100; I, IX, 57—60, 64, 65, 0,7, 48, 7100; I, X, —25÷—21, ниже —40, —23, 28,7, 0,5 г в 5 мл, 1940; I, XI, —34÷—30, —51, —37, 51,5, 0,5 г в 5 мл, 1840; I, XII, —29÷—24, ниже —50, —32, 16,7, 0,5 г в 5 мл, 1790; I, XIII, —42÷—38, ниже —58, —30, 18,8, 0,5 г в 5 мл, 1730; II, III, 73—76, 16, —, —, 2300; II, VI, —, 9, 37, —, —, 3100; II, VII, —, —, —, 5200; II, IX, 42—46, 38, 39, —, —, 4900. Составлением ПЭ I и II с соответствующими ПЭ адипиновой (XIV) и глутаровой (XV) к-т обсужден вопрос о влиянии боковых заместителей в I и II на свойства ПЭ. Введение в XIV боковой CH_3 -группы приводит к значительному уменьшению т-р размягчения ПЭ и к уничтожению фактора четности гликоля. Изменения строения гликоля (наличие в гликоле боковой группы, простой эфирной связи) в случае ПЭ I не оказывает существенного влияния на изменение его свойств, в противоположность ПЭ XIV, что, по-видимому, связано с преобладающим влиянием на свойства ПЭ CH_3 -группы в I. Полиэфиры I и нечетночленных гликолей лучше растворимы в спирте, чем ПЭ I и четночленных гликолей. Введение в XV боковой $n\text{-NO}_2\text{C}_6\text{H}_4$ -группы приводит к увеличению т-р размягчения ПЭ II по сравнению с ПЭ XV, что, очевидно, связано с увеличением жесткости полимерной цепи ПЭ II благодаря наличию в ней сильно полярных $n\text{-NO}_2\text{C}_6\text{H}_4$ -групп. Понижение т-р плавления ПЭ II в VI, VII, IX по сравнению с ПЭ III обусловлено уменьшением действия $n\text{-NO}_2\text{C}_6\text{H}_4$ -группы с увеличением числа $-\text{CH}_2$ -групп в гликоле. Аморфность ПЭ II уменьшается по мере роста в гликоле $-(\text{CH}_2)_n$ -групп.

С. Виноградова

6803 К. О теории процессов полимеризации и полимеризация ацетилена. Соломон (Despre teoria proceselor de polimerizare și polimerizarea acetilenei Solomon O. F. (Bibliot. chim., № 1). București, Ed. Acad. RPR, 1957, 232 p., il.) (рум.)

6804 Д. Исследование диэлектрической поляризации полимеров. Бурштейн Л. Л. Автореф. дисс. канд. физ.-матем. н., Ин-т высокомолекул. соединений. АН СССР, Л., 1957

6805 Д. О свойствах смешанных полиамидов в растворах и в твердом состоянии. Мёшле (Über die Eigenschaften von Mischpolyamiden in Lösung und im festen Zustand. Möschle Anton. Diss., Dokt. Naturwiss., Techn. Hochschule Stuttgart, 1956 (нем.)

6806 Д. Исследования применения α -замещенных тиоэфиров и меркаптанов в качестве исходных веществ для полимеризации метилметакрилата. Илиопулос (Untersuchungen über die Verwertung α -substituierter Thioäther und Mercaptane als Startmittel bei der Polymerisation von Methylmethacrylat. Iliopoulos Miltiadis Ioannis. Diss., Dokt. Naturwiss., Techn. Hochschule Stuttgart, 1956 (нем.)

6807 Д. I. Реакции формамида в газовой фазе. II. Серусодержащие соединения как катализаторы полимеризации. Мейзель (I. Reaktionen von Formamid in der Gasphase. II. Schwefelhaltige Verbindungen als Polymerisationskatalysatoren. Meißel Hans Gerhard. Diss., Dokt. Naturwiss., Techn. Hochschule Stuttgart, 1956 (нем.)

См. также разделы: Каучук натуральный и синтетический. Резина. Синтетические полимеры. Пластмассы и рефераты: Физ. св-ва высокополимеров 4011, 4046. Кинетика и механизм поликонденсации 3858

АВТОРСКИЙ УКАЗАТЕЛЬ

А

Абас заде А. К. 3728
Абрамов М. К. 4328
Абрыкосов Н. Х. 3798,
3799
Або К. 5384 II
Або Я. 5607 II
Абонин В. П. 3480
Абрамова В. 4025
Агафонов А. В. 5903
Агафьев Л. Д. 5312
Агранович В. М. 3674
Агранович Е. З. 5102
Адамкулов К. А. 4116 Д
Адрами 4095
Адрова Н. А. 3511, 4655,
4737
Ада 4860
Адаборн 3906
Адашов Н. Н. 3459
Адашова А. И. 4293
Адаш 6384
Адашова П. А. 3575
Адаш 4722
Адашова 6163
Адашова З. Г. 6053
Адрамов С. Т. 4781
Адашова Г. И. 3605
Адашова Н. Г. 4425
Адашова П. 6307
Адашова Ф. А. 4231,
4232
Адашова А. В. 4002
Адашова Н. Я. 6565
Адашова Л. 4903 К
Адашова Л. И. 5889
Адашова А. Д. 4857
Адашова Р. А. 5459
Адашова Х. И. 5890
Адашова 5825
Адашова А. А. 4136
Адашова 5825
Адашова Е. 5225 II
Адашова В. В. 3826
Адашова И. В. 4589
Адашова Т. П. 6108
Адашова Л. Н. 3972
Адашова Т. В. 3907
Адашова С. М. 5781, 5785,
5791
Адашова О. Ц. 5781,
5785
Адашова А. С. 3642

Арабажи И. Н. 5838
Араи Т. 5998 II
Ардашев Б. И. 4545
Арендариу А. П. 4788
Арефьев В. 5363
Архангельская А. П.
6250
Архангельская В. А.
6749
Асан 4782
Асан 5802
Асано 4341
Афанасьев А. С. 4950
Афанасьев Г. Д. 4158
Афондинов Н. Н. 5874
Афонин А. А. 5894
Ашанин В. В. 5076
Ашинузи З. К. 4921
Ашумов Г. Г. 5887
Аэров М. Э. 4887

Б

Багадур К. 3909
Багдасаров К. Н. 4306
Баев Кр. Хр. 6395
Баженов В. А. 3704
Байрамов М. М. 5078
Байченко А. А. 4928
Бакулев Г. Д. 5873 К,
5875 К
Бакуменко Т. Т. 3965
Баладин А. А. 3903,
5482
Баллард С. А. 5480
Барабанов В. Ф. 4173
Барамбойм Н. К. 6797
Барановская В. А. 6248,
6249, 6251
Бардышев И. И. 4747,
6019
Барянова Т. А. 5805
Барон Н. Л. 5309
Барон Н. М. 3828, 3829
Барочина В. Я. 6567
Барсанов Г. П. 4141
Бартенев Г. М. 5389
Бартини Г. Р. 4407
Бахтин В. И. 4924
Башкиров Р. И. 5890
Башкиров А. Н. 6108
Башкирцева А. А. 4339
Бегдаш П. Т. 6041
Беженуца Л. П. 5467
Безуглов М. И. 6056

Белевцев Я. Н. 4168
Беличев П. 5307
Белов В. Н. 4570, 4763
Беловенков Г. 6020
Белянов В. М. 6800,
6801
Беньковский В. Г. 5308
Бергельсон Л. Д. 4467
Бергман А. Г. 3818
Берж М. С. 6250
Беринг Б. П. 3995, 4014
Беродзе Б. Е. 4253
Беус А. А. 4186
Бибиков Н. Н. 3985 Д
Билибина Т. В. 4151
Вилий М. У. 3518
Благовидова Ю. А. 3469
Бланшей Ф. Б. 6733
Влюх С. С. 5070
Влох Г. А. 6535
Блюмберг И. 5784
Бобович Я. С. 3572
Богданова А. В. 4569
Богдарина А. А. 5658
Боголюбский А. Ф.
4441
Бодан А. И. 5926
Бойков В. И. 5877 Д
Бойцова Г. Ф. 5871 К
Бойлухин А. И. 4516
Вондар О. Г. 4256
Вонштедт-Куллетская
Э. М. 4138
Борисова Н. Б. 6184
Боровский И. Б. 3660
Бородин Л. С. 4161
Борсук А. М. 4158
Бояджиева М. 5568
Браверман М. 5362
Бреслер С. М. 6739
Бугай П. М. 3528
Будимирович М. 5096
Будневич С. С. 5474
Будников П. П. 5424,
5437
Будовский Э. И. 4788
Буюковский П. И. 6191
Букреева Л. М. 5485
Бунур К. 4579
Булгаков Н. И. 6167
Булочникова Г. 5784
Булыгин А. К. 5076
Бурсер Е. С. 4257
Бурутто И. В. 3464

Бурштейн Л. Л. 6804 Д
Бусев А. И. 4261
Бутин В. 6274
Бутт Ю. М. 5424
Бушин А. Н. 3905
Буялов С. И. 5874
Быков И. Е. 3980

В

Вада 3923
Вада И. 6423 II
Вайнштейн Б. К. 3647
Вайсберг А. 4498 К
Вайсберг Н. С. 4842
Ванамацу 4283, 4301
Вамамацу 5753
Ваки 4332
Валентелис Л. Ю. 5279
Ван Ю. 4784, 4787
Ванаг Г. Я. 4617
Ван Жуи-чунь 6686
Ван Цан-хун 5593
Ван Чжэнь-шу 4267
Варламов В. С. 6079
Варнелло В. А. 5076
Васильев Б. Н. 3995
Васильев В. П. 4081
Вассоевич Н. Б. 4194
Ватанабе 3902
Ватанабе 4614
Ватанабе 5905
Ватанабе И. 6008 II
Ватанабе Т. 5746 II
Велиев Ш. В. 5492
Величко Ф. К. 4674
Вердеревская Н. Д. 4048
Верещагин В. В. 5661
Верещагина В. В. 5661
Верещинский В. М. 4921
Веселов Н. Я. 5169
Виденова Р. 5341
Виленин А. В. 5956
Вильсон Х. О. 5839
Виноградов А. А. 5485
Виноградов А. В. 4299
Виноградов А. П. 4219
Виноградов В. Л. 4513
Виноградова А. П. 4218
Виноградова И. В. 5762
Виноградова С. В. 6800—
6802
Винтман Е. Я. 4928
Виткина М. А. 4298
Вихерт А. В. 4154

Воденичарова Н. 6530
Воденинская А. Н. 6018
Воеводина К. 5064
Вовдвигенский Г. С.
3968
Возная Н. Ф. 5152
Воинов А. Н. 3865
Войтевич С. А. 4570,
5761
Волченкова З. С. 3974
Вольнштейн Ф. Ф.
3891
Воробьев Н. И. 4239
Воробьева Л. В. 6264
Ворожков М. Г. 5723
Ворожков О. С. 3458
Воскресенский В. К.
5314
Воскресенский Н. А.
6323
Вяткина А. М. 4240

Г

Гагаринский Ю. В. 3766
Гаек Ю. В. 3749
Гайнанов С. И. 5821
Галахов Ф. Я. 3806
Галдина Н. М. 5353,
5358
Галибина Е. А. 5376
Галигузов Н. С. 5811
Гампер Н. М. 5706
Гао Дэ-мин 5865
Гарбар М. И. 6342
Гарнави М. Ю. 4233
Гаркуша И. С. 5849
Гейер Б. П. 5480
Гейта Л. С. 4617
Геллер З. И. 5911
Гельперин И. И. 5217
Гельперин Н. И. 4888
Гельперин Э. Н. 4888
Герасимов М. 6112
Гетте 5461
Гецеу В. В. 5888
Гинаберг М. А. 6565
Гинабург А. И. 4135
Гинабург О. Ф. 4631,
4634
Гиршинов Т. 6292
Гладков А. М. 5079 К
Гладышев В. П. 4324
Глигорьевич Я. 5096
Глух Е. К. 4197

Глухов Е. Е. 4940
Глушкова В. Б. 4059, 5306
Годнев Т. Н. 3537
Голованова Л. П. 4887
Головина О. А. 3897, 3898
Головкин Н. А. 6266, 6324
Голосова А. П. 5309
Голубев И. Ф. 3831
Гольберт К. А. 4002
Гольдберг Ц. М. 4631
Гоникберг М. Г. 3472
Гонтаренко М. А. 5662, 5696
Гордон Л. В. 5140
Гордон С. С. 5464
Гордонова Р. Д. 6354
Горецкая Е. Н. 4131
Горленко И. И. 4456
Горнев С. У. 5229
Гороновский И. Т. 5062
Горюшин В. А. 5720
Гото 3916
Гото 6178
Готтих Б. П. 4788
Гохштейн Я. П. 4436
Грабан В. М. 6053
Грачева Т. И. 4408
Греков А. П. 4358
Григиво В. С. 6250
Григал В. П. 4425
Григоров О. Н. 4037
Григорьев А. Т. 3791
Григорьев Д. П. 4142
Григорьев Е. П. 3477
Грицаев К. Б. 5713
Грум-Гринмайло С. В. 3670
Грушевой В. Г. 4146
Грязнов В. И. 4198, 4199
Гуан 6702
Гудович Л. А. 5435
Гулаев Ю. А. 6053
Гун Юй-лей 4053
Гуревич М. А. 3793
Гуревич Н. З. 6189
Гуров В. 5573
Гуров К. П. 3660
Гурьев А. 6280
Гусейнов Ф. И. 5924
Густова Л. В. 3477
Гуткин Т. И. 3730
Гутцайт В. Л. 5757
Гудалюк В. Г. 4445

Д

Давидов Р. Б. 6282
Давыдов В. И. 3765
Давыдов П. Г. 5711
Дай Жунь-шен 6689
Данилов И. Н. 5309, 5969
Данилова Л. Ф. 6296
Данилюк П. П. 6017
Дасналов Х. 5740
Дашневич В. Н. 4578, 4601
Дашкова А. Д. 4151
Дворцова К. И. 4131

Деведжиев М. 5228
Дегтярев В. Ф. 4615
Дегтярев Г. 6306
Дё Ду-хо 5286
Дезидерьев Г. П. 5297
Дейчмейстер М. В. 4661
Демирханов Р. А. 3730
Демуров М. 6274
Денисов Е. Т. 3855
Деревницкая В. А. 6604
Дернач Г. И. 4694
Детков С. П. 3796
Джобадзе С. А. 5829
Дзено-Литовский А. И. 4233
Дзинно 5862
Дайфуну 5830
Дикарева Л. М. 3642
Дилов Х. 5740
Димитров Д. 5307
Димов К. 6020
Дин Вэй-юй 4784
Дин Хун-сюнь 4784
Дмитриев М. Т. 3914
Дмитровский Е. В. 3630
Добровольский В. В. 4229
Добровольский Н. Ф. 4287
Догадкин Б. А. 6539
Докучина Е. С. 3898
Долгов В. Н. 5723
Домарев В. С. 4196
Домбровский А. В. 4551
Домнин Н. А. 4515
Домонеев А. Г. 5449, 5454
Домонеева А. И. 5454
Дончев М. 5307
Дорохов В. В. 3730
Дрейзана М. М. 5924
Друблянец Э. 5139
Дубина Н. И. 5391
Дубинин М. М. 3995, 4012, 4014, 4015
Дубровский В. А. 5392
Дудкин Л. Д. 3799
Дунова Е. Д. 3694
Дегути 4597
Дянков А. И. 5231

Е

Евдокимов В. А. 4241
Евреинова Э. Б. 4632
Егоров А. Г. 4516
Егоров И. А. 6184
Егоров Ю. П. 4513
Егоршин П. И. 5082
Елович С. Ю. 3888
Еловская Л. В. 4233
Емельяненко Г. А. 3962
Емельянов В. А. 4228
Емельянов Ю. М. 3982
Еникеев М. Р. 4207
Еникеева М. Г. 3670
Ерафеу В. В. 3884
Ермолаев Е. В. 4280
Ермоленко Н. Ф. 6540
Есин О. А. 3814, 3971
Ефремов Г. Л. 5322
Ефремова Р. В. 3537

Ж

Желудев И. С. 3684, 3685
Живилова Л. М. 5160
Жигальцева М. И. 5709
Жилин А. И. 5403
Житневич Е. Н. 5693
Жуковская Е. Г. 4014
Журавская С. А. 5685

З

Забродний А. Г. 6402
Заверина Е. Д. 4015
Засуллина З. А. 6562
Зайка И. Н. 5373
Заславский А. И. 4412
Захаров Л. 5437
Звонкова З. В. 3601
Зеликман В. 5786
Зелянская А. И. 3980
Зецеров Я. М. 5375
Зимина Н. А. 6324
Зинкова Э. В. 3981
Зиновьев Ю. М. 4690
Золотавин А. В. 3477
Золотарев Е. Х. 5681, 5682
Золотов Ю. А. 4258
Зоденко Л. Н. 5709
Зрелов В. Н. 5946
Зубова Г. А. 4286
Зурабашвили М. И. 6210
Зыбалова Г. П. 5842

И

Иванов Б. И. 5876
Иванов Г. В. 5142
Иванов Е. В. 5347
Иванова З. А. 4217
Иванова З. Г. 5139
Иванова Р. В. 5687
Ивановский Л. Е. 3796
Иванютин М. И. 4261
Ивевская Н. Д. 4981
Ида 5583
Идзунин 3906
Иевиньш А. Ф. 4093
Изюков В. И. 4427
Изютова Т. Е. 5720
Инда 4554
Инда 6161
Инеда 4870
Илек Я. 5872 К
Ильина Н. 5349
Ильясов И. И. 3818
Илющенко Н. Г. 3796
Имаи 5783
Инагани 4056
Инахара 6548
Инденбом В. Л. 5400
Иноуэ 4714
Инубуси 4464
Инъ Юв-тань 6682
Иовшиц В. И. 3957
Исаков И. Е. 4842
Исерлис Я. И. 6595
Исибаси 4325
Исидзава 3515
Исин Т. 5415 П
Исинава Х. 5607 П
Исима М. 5504 П
Исимота М. 5378 П, 5380 П

Исмаилов М. Н. 6083
Исомо 4818
Испирян Г. П. 6723
Итигава 4794
Итигава М. 5500 П
Ито 5753
Ито 6357
Ито Х. 6453
Иггори К. 5994

И

Июкоцука 6178
Июкояма 4250
Июсида 4782
Июсида 5428
Июсида 6161
Июсимура 4332
Июсимура 4636

К

Кабачник М. И. 3468, 4691
Кавабата 4966
Каваниси 4775
Кавасаэ 5897
Кавахара 5753
Каганская К. А. 5308
Кадагер Л. И. 4982
Казакова Н. Д. 4445
Канэми 5583
Калер Л. В. 6248, 6249, 6251, 6252
Калинин П. Ф. 4576
Калинина Э. П. 4576
Калининьш А. И. 6012
Кадюжный В. А. 4193
Каменчик А. Э. 5352
Камволкин В. В. 6108
Камитанэ 5259
Камуро 4706
Камеда 4792
Кананива 4818
Канахара 6205
Канканиан А. Г. 4112
Кантерман Л. Б. 5894
Каныгина А. В. 5050
Канада 4620
Капитальный Н. Г. 5032
Каплунов М. Я. 6552
Каплунов Я. Н. 6547
Карасава Т. 5378 П, 5380 П, 5382 П
Каретников Г. С. 4407
Карлов Н. Н. 3456
Карнаухов А. С. 3824
Карпейский М. Я. 4788, 4796
Карпекина В. И. 5309
Карпенко Г. В. 4951
Карпман М. И. 6740
Картуганский А. Л. 4426, 5788
Карюкина В. Н. 4143
Карякина А. В. 3912
Касахара 4610
Кастальский А. А. 5095, 5157
Катаока 4782
Каторников Н. Д. 6561
Катченнов С. М. 4218
Кау А. 6285
Каунтадзе В. Ф. 6210

Качановская З. И. 9199
Кварацхелия М. Т. 5711
Квят Э. И. 4631
Кеворнова И. С. 5924
Кейльман В. А. 5400
Келер Э. К. 4059, 5306
Кёрбль И. 4684
Кибоку 4275
Кивит А. А. 5837
Киёми К. 5225 П
Кикерпиль Э. 6024
Кикути 5268
Килинский И. М. 5709
Ким В. А. 4160
Кимото И. 6716 П
Кимура 4335
Кимура 4792
Ким Чон Ин 6097
Кипарисова Т. А. 6102
Кириллов Н. И. 5709, 5792
Кирипкин В. А. 4000
Кирсанов А. В. 4000
Кисель И. И. 5313
Кита 4487
Китаока 4714
Классен В. И. 4020
Клевне В. А. 3820
Клейнштейн Л. С. 4405
Климов К. И. 5956
Климовский И. 6207
Кляровский В. М. 4170
Кобата Т. 5996 П
Кобаяси 6374
Кобанцев В. Б. 6300
Кобозев Н. И. 3945
Кобус Г. Л. 3953
Коваленко П. Н. 4306
Коваль А. Г. 3502
Ковбуз М. А. 4044
Ковнер М. А. 3533
Ковригина Г. И. 6304
Ковтуненко Г. А. 6411
Кодазима 4318
Колодов И. В. 4844
Козаренко П. М. 4301
Козаренко Т. Д. 3803
Козлов А. С. 4405
Козлов В. И. 5060
Козлов П. В. 6757
Козлов С. И. 6090
Козлова А. В. 4425
Козлова Н. Л. 5070
Кокорин А. Н. 5669
Колдобский Я. М. 3400
Колдовкин А. Я. 4300
Колесников Г. И. 6070
Колесников В. М. 413
Колобов Е. М. 4420
Комата К. 6706 П
Комацу 5007
Комацу М. 5382 П
Комерс Р. 4684
Комори С. 6117 П
Комраз А. М. 6102
Кондо 5448
Кондратов И. К. 440
Коннов Л. П. 4201
Коновеевский С. Т. 300
Константинова В. 1
3679
Конторович Л. М. 300

Асторский указатель

5180
 5191
 5202
 5213
 5224
 5235
 5246
 5257
 5268
 5279
 5290
 5301
 5312
 5323
 5334
 5345
 5356
 5367
 5378
 5389
 5400
 5411
 5422
 5433
 5444
 5455
 5466
 5477
 5488
 5499
 5510
 5521
 5532
 5543
 5554
 5565
 5576
 5587
 5598
 5609
 5620
 5631
 5642
 5653
 5664
 5675
 5686
 5697
 5708
 5719
 5730
 5741
 5752
 5763
 5774
 5785
 5796
 5807
 5818
 5829
 5840
 5851
 5862
 5873
 5884
 5895
 5906
 5917
 5928
 5939
 5950
 5961
 5972
 5983
 5994
 6005
 6016
 6027
 6038
 6049
 6060
 6071
 6082
 6093
 6104
 6115
 6126
 6137
 6148
 6159
 6170
 6181
 6192
 6203
 6214
 6225
 6236
 6247
 6258
 6269
 6280
 6291
 6302
 6313
 6324
 6335
 6346
 6357
 6368
 6379
 6390
 6401
 6412
 6423
 6434
 6445
 6456
 6467
 6478
 6489
 6500
 6511
 6522
 6533
 6544
 6555
 6566
 6577
 6588
 6599
 6610
 6621
 6632
 6643
 6654
 6665
 6676
 6687
 6698
 6709
 6720
 6731
 6742
 6753
 6764
 6775
 6786
 6797
 6808
 6819
 6830
 6841
 6852
 6863
 6874
 6885
 6896
 6907
 6918
 6929
 6940
 6951
 6962
 6973
 6984
 6995
 7006
 7017
 7028
 7039
 7050
 7061
 7072
 7083
 7094
 7105
 7116
 7127
 7138
 7149
 7160
 7171
 7182
 7193
 7204
 7215
 7226
 7237
 7248
 7259
 7270
 7281
 7292
 7303
 7314
 7325
 7336
 7347
 7358
 7369
 7380
 7391
 7402
 7413
 7424
 7435
 7446
 7457
 7468
 7479
 7490
 7501
 7512
 7523
 7534
 7545
 7556
 7567
 7578
 7589
 7600
 7611
 7622
 7633
 7644
 7655
 7666
 7677
 7688
 7699
 7710
 7721
 7732
 7743
 7754
 7765
 7776
 7787
 7798
 7809
 7820
 7831
 7842
 7853
 7864
 7875
 7886
 7897
 7908
 7919
 7930
 7941
 7952
 7963
 7974
 7985
 7996
 8007
 8018
 8029
 8040
 8051
 8062
 8073
 8084
 8095
 8106
 8117
 8128
 8139
 8150
 8161
 8172
 8183
 8194
 8205
 8216
 8227
 8238
 8249
 8260
 8271
 8282
 8293
 8304
 8315
 8326
 8337
 8348
 8359
 8370
 8381
 8392
 8403
 8414
 8425
 8436
 8447
 8458
 8469
 8480
 8491
 8502
 8513
 8524
 8535
 8546
 8557
 8568
 8579
 8590
 8601
 8612
 8623
 8634
 8645
 8656
 8667
 8678
 8689
 8700
 8711
 8722
 8733
 8744
 8755
 8766
 8777
 8788
 8799
 8810
 8821
 8832
 8843
 8854
 8865
 8876
 8887
 8898
 8909
 8920
 8931
 8942
 8953
 8964
 8975
 8986
 8997
 9008
 9019
 9030
 9041
 9052
 9063
 9074
 9085
 9096
 9107
 9118
 9129
 9140
 9151
 9162
 9173
 9184
 9195
 9206
 9217
 9228
 9239
 9250
 9261
 9272
 9283
 9294
 9305
 9316
 9327
 9338
 9349
 9360
 9371
 9382
 9393
 9404
 9415
 9426
 9437
 9448
 9459
 9470
 9481
 9492
 9503
 9514
 9525
 9536
 9547
 9558
 9569
 9580
 9591
 9602
 9613
 9624
 9635
 9646
 9657
 9668
 9679
 9690
 9701
 9712
 9723
 9734
 9745
 9756
 9767
 9778
 9789
 9800
 9811
 9822
 9833
 9844
 9855
 9866
 9877
 9888
 9899
 9910
 9921
 9932
 9943
 9954
 9965
 9976
 9987
 9998
 10000

Копалейшвили Т. 3479	Куроки 4870	Максима К. 6715 П	Миникин В. И. 4545	Накаянаги 5802
Копельзон И. М. 3787	Куроки 6320	Маклецова В. И. 4547	Минский Я. М. 5347	Налчаджян С. 5027 Д
Коренман И. М. 4294	Курочкин Н. И. 4691	Максимович Г. А. 4211	Минь Най-тун 6664	Намэката 5441
Кормилицын В. С. 4158	Куршакова Р. Д. 3621	Малащенко К. Е. 5309	Миркович Р. А. 6402	Нарбутт К. И. 3667
Корнеева В. С. 5123	Курылев Е. 6308	Малкова М. Е. 4440	Миронов В. Ф. 4685	Нарисада 3565
Корнев К. А. 4531	Кусуда 5583	Малтабар В. М. 6187	Миронов С. А. 5444	Нателис Л. В. 4093
Корнетова В. А. 4166	Кучер Р. В. 4044	Малый Г. Д. 6056	Миронова И. К. 4741	Науменко П. В. 6050
Корнилов И. И. 3790	Кучеров И. Я. 3674	Малюков И. М. 3810	Миснария Н. 6306	Невойса Г. Г. 4215
Коробатов В. 5735	Кучерова Н. Ф. 4796	Малыко З. С. 6189	Митрофанова Е. Н. 6354	Невский В. А. 5449, 5454
Коробейникова Л. А. 4531	Кушаковский Л. Н. 5134	Мамедалиев Ю. Г. 5492	Миура 6321	Нежута Е. И. 4530
Корова Л. А. 4280		Мамуна А. У. 4921	Михайлов А. Н. 6738, 6739	Неимов В. Н. 5440
Королев И. В. 5852	Л	Мануйлова М. М. 4153		Неймарк И. Е. 4016
Королев Л. И. 5732	Лабазин Г. С. 4133	Манчиводо Н. И. 6248, 6249, 6252	Михайлов Р. К. 3905	Неклесова И. Д. 5720
Королева В. И. 4287	Лабунцов А. Н. 3698	Мао Юй-чжун 6685	Михайляц Р. С. 5733	Немец С. М. 6250
Корш М. П. 5850	Лаврищева Л. Н. 4570	Маранц А. Г. 5352	Мишеннова Е. Е. 5286	Неницеску К. Д. 4579
Коршак В. В. 4685, 6800—6802	Лаврухина А. К. 5192	Марголис Л. Я. 3888	Мишин В. П. 4048	Несмеянов А. Н. 4674
Коршунов В. Г. 3815	Лаврушин Ф. И. 6565	Маринченко Н. И. 5946	Мищенко К. П. 3754	Нефедов В. Д. 3735
Кост А. Н. 4632	Лаворин С. Н. 5132	Маркевич А. М. 3841	Мияи К. 6712 П	Нечаев М. 6068
Костыков В. 6262	Лакрич Б. Я. 6746	Маркман А. Л. 3981	Миямура 6396	Никитин В. И. 3465
Котика С. 5983 П	Лапин В. Р. 5358	Маркман Л. М. 5853	Мията Х. 5413 П	Никифоров Г. Н. 5080
Котон М. М. 3511, 4589, 4655	Ласовская А. С. 5309	Марова Б. Н. 5723	Миятанэ 4706	Николаев Л. А. 3849
Кофман А. Н. 5216	Латышев В. К. 4406	Марцинковская Р. Н. 6562	Могилевский Е. М. 6565	Николаев Н. С. 3810
Кохомяная В. В. 4747	Лебедева Н. 6280	Масин А. Х. 4982	Модестину А. 3904	Николаева С. С. 6568
Коцуна 3776	Лебединский В. И. 4162	Масленкова Н. Г. 5792	Моисеева Е. Н. 5757	Николеску И. В. 3904
Кочетков Н. К. 4788, 4796	Левин И. С. 5805	Маслов В. А. 6158	Мокров П. М. 4423	Николинскы П. 6530
Колма К. 5225 П	Левина С. Д. 4423	Маслова М. А. 4527	Молчанова Т. В. 4156	Никоненко А. С. 3779
Крапов Л. А. 3537	Левина Р. Я. 4410	Мастрюкова Т. А. 4691	Монев Г. 5341	Нисельсон Л. А. 5203
Красивский С. П. 4912	Левинтер М. Х. 5819	Матвеев В. В. 6542	Мори 4095	Нисиди 4304
Красиков В. С. 5293	Левноев И. И. 4661	Матвеев М. А. 5410	Моримото 4811	Ниспока М. 6477
Красильникова Г. К. 4569	Летонмяки М. Н. 6605	Матвеев Л. В. 6725	Моримото А. 5746 П	Новикова Е. Н. 4351
Краснов В. П. 5123	Лещинер Р. Е. 5851	Матвеева Н. М. 3790	Моримото К. 6704 П	Новохатко Д. А. 6188
Кращик В. 3477	Лещинский Б. Ф. 5853	Матвеевко Т. М. 5683	Морита 4300	Номура 4553
Красенников Е. М. 5972 К	Лившиц В. Д. 5219	Матулис Ю. Ю. 5279	Морита 5862	Нономия 5276
Крефель Е. А. 5484	Лившиц Г. Л. 4928	Маэда 6320	Морита 6127	Нономура 4810
Кретов А. Е. 4564	Ли Ён Пхун 5867	Маэдзава 6145	Мория 4056	Норман Х. К. 5835
Крупеникова К. А. 4547	Линева В. А. 5682	Мацуи 6551	Мория 4308	Носэ 6161
Крулик Л. И. 3502	Лин Си-цан 5560	Мацук Ю. П. 6056	Морозенко Н. К. 4146	Носэ 6162
Кругтев Ф. М. 6248	Линшиц Л. Р. 3837 Д	Мацумото 4535	Моссур Е. А. 4177	Нуидов Ф. И. 4878
Крутикова А. Д. 6561	Липкин Е. В. 5071 К	Мацуока 4811	Моссур П. М. 4177	Нурмухамедов Ф. Н. 4050
Крылова М. И. 4634	Литвак А. А. 6567	Мацуура 4318	Мотина Г. Л. 4887	Нусинов Г. О. 5855
Кубота 3895	Литвиненко А. У. 4215	Мацуура 6712	Мошанский В. А. 3605	
Кубота 5201	Литвиненко Л. М. 4358, 4472	Машина А. В. 4489	Мулер Л. И. 4690	О
Кубота Ц. 5987 П	Литвинов Н. 5043	Машнева Н. 5072	Мураки 4290	Оба А. 5377 П
Кудзутани 6288	Литвинович А. Н. 4179	Медведев К. П. 5820	Мурата 4606	Оболеский В. Н. 5686
Кудо 6105	Литвяк И. 4085	Медведев Р. И. 4939	Мураяма 4611	Огава 4706
Кудрина М. А. 5720	Лифшиц Э. В. 4661	Межуева Е. А. 5831	Мурон 4518	Огневич В. А. 4939
Кудряцев Г. И. 6561	Ли Ши-чжо 4267	Мелик-Гайказян В. И. 4928	Мусина Т. К. 4319	Огути 5793
Кудряшов Л. И. 4788	Лозовский М. Р. 4238	Мельников Н. Н. 5656	Мута 4077	Ода 4537
Кузнецов Ю. А. 4147	Ломоть К. И. 4217	Мельникова А. Н. 3920	Мясников И. А. 3889	Одельский Э. Х. 5936
Кузнецов Ю. В. 4930	Лосев Б. И. 3920	Мельникова С. С. 4306		Одаса Х. 5265 П
Кузнецова Г. П. 3821	Лотарев Б. М. 6565	Мендзелев Л. Т. 3884	Н	Одо 4794
Кузьмин М. Г. 4510	Лотарейчик С. М. 4634	Меркулова М. С. 3731	Нава 4811	Озимов Б. В. 6264
Кузьминский А. С. 6761	Лукиянова О. И. 4045	Метелкин А. И. 6726	Нагам С. 5469 П	Оиси 6367
Кулев А. М. 5924	Лурье Л. А. 5871 К	Мехтиев М. З. 5924	Нагасава 6288	Окада 6773
Кулеп Р. Ш. 5924	Любошиц Н. Ю. 5761	Мешеряков Н. В. 3831	Нагнев М. Ф. 5973 К	Околович А. М. 6113
Куланов Н. Е. 5837	Людимсон М. И. 5250	Мидзогути 4303	Назаров И. М. 3739 Д	Окубо 4397
Кунимацу И. 5519 П	Людикс С. Е. 3814	Мидси 4797	Назаров И. Н. 4467	Окубо 6145
Кукути 5862	Лю Ю-пу 5841	Мики Т. 5607 П	Назарова А. И. 6253	Оловянных Е. Е. 5831
Кукути 6105	Лямин В. А. 6014	Миклухин Г. П. 4471	Найто 4809	Ольдекоп Ю. А. 4672
Кукина Н. А. 3926	М	Милевич А. 6275	Накагава 4281	Ольшанский И. 6315
Курацев П. А. 3463	Мавродиев Г. Т. 3984	Милевский Д. 5341	Накадзава 4611	Ольшевский В. Н. 5360
Курдгелашвили М. В. 6197 К	Маганьян И. Г. 4188	Милованов Л. В. 5123	Накадзава 5724	Омаду 5724
Курдюмов В. Н. 6056	Мазанко Г. М. 5034	Миловский А. В. 4175	Накадзима 4835	Онда 4775
Курдюмова К. Н. 4708 Д	Майтон Х. Р. 6449 П	Мима 6791	Накамори 4811	Ониси 4126
Курихора 6384	Манаров-Землянский Я. Я. 6744	Минаков А. Г. 5398	Нанао 4300	Онодера 4714
	Манев О. В. 4230	Миначев Х. М. 4513	Нанао 5862	Онусайтис Б. А. 5821
	Манин А. В. 3824	Минин А. Н. 6016	Нанао С. 5471 П	Опарин А. И. 3467
		Минкиц М. Л. 6212	Нанао Х. 5746 П	Орехов В. Д. 3908
			Наката М. 5378 П, 5380 П	Орехов С. Я. 4202
				Орими 5234

Орловская С. 5456
Орловский С. Т. 4221
Ормонт Б. Ф. 3793
Оробченко Е. В. 4601
Орочно Д. И. 5903
Осиба 6119
Осипова Е. В. 5278
Отнаи 4614
Отома Т. 5468 II
Оу Фен 5176
Охаси 6154
Охрименно И. С. 6782

II

Павлов Г. Д. 5076
Павлуцкая Т. И. 4953
Падовани С. 5488
Пайкин Д. М. 5706
Палатник Л. С. 3787
Палеев И. И. 5845
Палкин А. П. 3816
Пальгуев С. Ф. 3974
Памфилов А. В. 3961
Панов Ю. Н. 3511
Пантелеев И. Я. 4252
Папуашвили С. Н. 5312
Парийчук М. М. 5712
Парфенова А. И. 6590
Паушкин Я. М. 5494
Певзнер Д. М. 6539
Пентия Ю. А. 3844
Перемышлин В. А. 5129
Переpletчик Р. Р. 6319
Перлина А. М. 5070
Пермская Е. М. 5080
Першин А. Г. 5309
Першина Л. И. 6324
Песин В. Г. 4664
Петриак К. А. 3480
Петров А. А. 3571
Петров А. Д. 4685
Петрова А. П. 6354
Петрова Л. Н. 4351
Печковский В. В. 3753
Пигулевский Г. В. 4737, 4741
Пивиснер З. Г. 3647
Пиовтновская М. А. 4016
Питин Р. Н. 5856
Планкин И. Н. 6113
Платонов И. Б. 6186
Плате А. Ф. 4411
Плотникова Г. П. 6402
Плюшев В. Е. 3821, 3823
Поварова З. Г. 6547
Подюгин А. К. 4200
Повдияк Н. А. 4524
Повдышев В. А. 3844
Покровская Н. В. 6169
Покровский Е. А. 5677
Полещук Т. В. 3477
Политковская Н. В. 5150
Полковников Б. Д. 4412
Половинкина Ю. И. 4149, 4172
Полторан О. М. 3965
Полчанинов Л. И. 5757
Полубояринов Г. Н. 5130
Полянов В. П. 4358
Полянов М. В. 3892
Полянов П. И. 4405
Полякова А. М. 4685

Полякова О. П. 4185, 4190, 4191
Пономарева В. В. 4224
Попавов Д. И. 4226
Поперека М. Я. 3964
Попов Е. М. 4691
Попов М. М. 3759, 3766
Попов Н. А. 5449
Попова Д. 5740
Порай-Копиц М. А. 3642, 4634
Пороцкий Е. М. 5435
Порошин К. Т. 3858
Постников И. С. 4937
Постовская А. Ф. 6761
Постовский И. Я. 4546, 4615
Потапов Г. К. 5301
Потапова С. А. 3731
Почивалов В. 5438
Пржиялговская Н. М. 4570
Проскурнин М. А. 3908
Прохоров В. А. 4425
Пурасутинкусу 6410
Пуховицкая З. Н. 3460
Пу Шень 6666
Пшеницкий С. Я. 3914
Пятницкий В. Н. 3791

P

Равич Б. М. 5871 K
Радзевенчук И. Ф. 5914
Радневич Е. А. 4132
Разуваев Г. А. 4672
Разумовский В. В. 4491
Рамбиди Н. Г. 3573
Ранганаяки С. 3909
Рапапорт Л. И. 4368
Рапопорт Л. Л. 5217
Рапопорт С. Р. 4930
Рассадина К. А. 5757
Рассонская И. С. 3802
Растрепенко А. И. 4016
Раудсепп Х. Т. 5835, 5868
Раухваргер Е. Л. 6113
Рафиевко Н. И. 4192
Рафинов С. Р. 4526, 5866
Ребиндер П. А. 4045
Резник М. Б. 4831
Рейбель И. М. 3848
Ренашева А. Ф. 4471
Реут А. 5719
Рогинский С. З. 3897, 3898
Роговин З. А. 6562, 6604
Родакллер И. Д. 5050
Родионов Н. П. 4691
Розанова В. И. 5389
Розгачев К. И. 3485
Розенгауз В. 6308
Розенфельд И. Л. 4953
Ройтберг В. 6306
Романов А. М. 3999
Ронов А. Б. 4212, 4219
Росихин В. С. 3505
Ротинян А. Л. 5286
Рощина Р. В. 4294
Руднева А. В. 3630
Рунештейн Е. 3928
Румянцев П. Д. 6216

Румянцева Т. А. 4214
Русанов М. П. 4178
Рустамов П. Г. 3817
Русчев Д. 5307, 6112
Рылькин С. С. 6169
Рябинин Ю. Н. 3841

C

Савицкий А. В. 4530
Савушкина Е. П. 5785
Савченко П. С. 4237
Саготелли Э. А. 4180
Сайкати 4636
Сайто К. 5519 II
Саканьбара 4797
Сакаи 4790
Сакауэ 5441
Саканяги С. 6703 II
Сакураи 3906
Салимов М. А. 6761
Салис К. Ю. 3754
Сальви Г. 5488
Сальдау Э. П. 3617
Самойлович Д. М. 4442
Самсонов Г. В. 3762
Санамова Р. А. 5924
Сарахов А. И. 4014
Сарычева Е. А. 3905
Сасани 5266, 5276
Сасани Д. 5986 II, 6003 II
Сасани К. 5226 II
Сасани Т. 6704 II
Сатин М. С. 5466
Сато 4282
Сато К. 6006 II
Сато Т. 6008 II
Сато Т. 6704 II
Сахаров М. М. 3897, 3898
Свет Д. Я. 4434
Седалова Е. Е. 4045
Селых А. С. 5677
Селиванова Н. М. 4286
Семендяева Т. К. 6047
Семенов А. И. 4134
Семенов Г. И. 3571
Семян Н. С. 5843
Сенатский Н. Д. 5133
Сенин М. Д. 3759
Сергеев А. Г. 6042, 6088
Сергеев П. Г. 4540, 5485
Сергеева Н. Е. 4206
Сергеевич И. П. 5309
Серебряков Н. Б. 5081
Серпинский В. В. 3995, 4014
Серпухов В. И. 4134
Сеткина О. Н. 6782
Сибата 4095
Сибата 4325
Сибирякова Н. Я. 5866
Сигмацу 4325
Сигэно Е. 6117 II
Сидоров И. П. 5218
Сидоров Т. А. 3546, 3547
Сильвестрова Н. А. 3815
Симанов Ю. П. 3621
Симидзу 6656
Симия Г. 5335
Симия Т. 6708 II

Симпо Т. 6006 II
Синицын К. 6720
Синицына М. Д. 3907
Синодзани 5006
Син Хён Сон 5260
Син Ци-ни 4520
Синяков Е. В. 3779
Сираи 4537
Сираиси 6773
Сираиси 4461 II
Сираи 5316
Сираяма 5446
Ситёко Р. Я. 3685
Скворцов С. О. 6017
Скопидинов А. П. 4788
Скопинцев Б. А. 4249
Скуридин В. П. 4911 K
Слабоспицкий Р. П. 3502
Сладков А. М. 4540
Смахтин Л. А. 3836 D
Смигельский О. 3928
Смирнов А. А. 4242
Смирнов А. Г. 3457
Смирнов Б. М. 5729
Смирнов Н. А. 3460
Смирнов М. В. 3796, 3974
Смирнова Н. В. 4788
Смит К. В. 5480
Смолинкова А. Ф. 3461
Смольская О. П. 6183
Смыслов В. В. 4857
Соболев В. С. 3804, 4148;
Соболев Н. Н. 3546, 3547, 4433
Соборовский Л. З. 4690
Соколов П. В. 5421
Соколова К. М. 6108
Соколовская Е. М. 3791
Соколовская А. В. 3919
Соколовский А. Д. 5465
Соловьев В. М. 4796
Солодовникова Н. 5784
Соломахин И. И. 5118
Соломин А. В. 4445, 4526
Соломин Н. В. 5353, 5358
Солтицкий Б. П. 4426, 5788
Сонгина О. А. 4319
Сопов Н. П. 3571
Соркин М. М. 5831
Со Че Хон 5232
Спицын В. И. 5192
Спориус А. Э. 5856
Спрысков А. А. 4474
Станевич Л. О. 4208
Станко В. И. 4511
Стародубцев С. В. 3999
Старосельский Я. Ю. 5732
Старостин С. Г. 5685
Стаховский Р. И. 4936 K
Степаненко Н. Н. 3766
Степанов Б. В. 4875
Степанов О. Д. 4451
Стерлин Д. М. 6630
Стонов Л. Д. 5732
Стоянов В. 6742
Стрельникова А. П. 5791
Стрижевский И. В. 5025 K

Стручков Ю. Т. 3646
Суворов В. В. 4520
Суворов С. С. 6210
Сугасава 4597
Сугахара 4484
Сугахара Ю. 5987 II
Сугимото М. 5379 II, 5381 II
Судзуки 3699
Судзуки 4614
Судзуки 5206
Судзуки 6526
Судзуки М. 5994 II
Судзумура 5830
Сулима Л. В. 4471
Сулимов А. Д. 5903
Сумаронова Т. 4085
Сумида М. 5504 II
Суми Н. 4740
Сунагава 4611
Сун И-цань 6687
Сурков В. Н. 4254
Сузарев С. С. 5909
Суэмицу 4835
Суяма Х. 6423 II
Сэкигута 6773
Сэкигута М. 5469 II
Сэно 4791
Сюй Гуан-сянь 3483
Сюй Гуан-цзинь 4730
Сюй Чин-фан 4816
Сюй Шин-чжень 6667
Сюй Юань-ю 4784

T

Тагиров К. Х. 3630
Танаи А. 5612 II
Танано Т. 5746 II
Танаути 4282
Танахаси 5266
Танахаси 5580
Танахаси 6162
Танахаси 6364
Танэгами 5900
Танэи Т. 5379 II, 5381 II
Танэнага А. 6711 II
Танэути 4361
Тамарин М. Д. 5463
Тамм И. И. 3841
Танака 4281
Танака 4606
Танака Х. 6713 II
Тананаев И. В. 3946
Танахаси 6288
Танияма 4797
Танно 5802
Тан Юнь-юй 6683
Тао Чин-мин 6683
Тао Чин-э 4757
Тараненко И. Т. 664
Тарасова З. Н. 668
Тарудзани Б. 5980
Татаринов В. П. 598
Татевский В. М. 3944
Татэи 6761
Татэи 6526
Темкин М. И. 5218
Теньковцев В. В. 481
Теодорович Н. Л. 481
Тешкин Е. К. 4187
Теплицкая Н. В. 418

- Торентьева В. В. 3453
Торшгорев А. М. 5850
Тосленко-Пономаренко
Ф. Ф. 4843
Тетенин П. 3903
Тибата Н. 5616 П.
Тигунов Б. И. 5837
Тило Е. 4069
Тиман Б. Л. 3749
Тимофеев Д. П. 4015
Титов М. А. 4939
Тихомирова Е. В. 6590
Тихомирова Т. 6297
Тихомилова К. П. 4037
Тихонин Д. 4740
Тихонин Д. В. 6018
Тихачев С. Ф. 4843
Тихаченко К. М. 6376
Тюбинский 6551
Товаров В. В. 5364
Тота М. 5607 П.
Тоталева Е. 5994 П.
Токуз 6321
Толмачев С. С. 4412
Толстиков Г. А. 4324
Толстой Н. А. 3673
Томилкина 6320
Томилкович Д. К.
5025 К
Топалов Л. И. 4268
Топорисев Г. А. 3971
Топоровская Х. С. 6746
Топчиев А. В. 5484
Торопова В. Ф. 4087
Торопова М. А. 3735
Торпан В. К. 5835
Трандафилов Т. 5568
Трифилова Л. Ф. 4546
Троценко А. Т. 4588
Тув И. А. 5092
Тулинова В. В. 3823
Тулуб Т. П. 3572
Турашев А. И. 3968
Турова-Поляна М. В. 4527
Туровский С. Д. 4163
Турченко П. И. 5821
Турчинский М. Ф. 4261
Турский И. А. 6539
Ту-хуань 4784
Тутурин В. В. 5806
Тутушин Н. Г. 5077
Тудина 4722
Турасима 5105
Тасима И. 5615 П.
Турян Н. Г. 3972
Турлев И. Я. 3905
Тухонин Б. Н. 6070
- У
Уайт Джон 6193
Узаров И. П. 5140
Узарова Н. И. 6019
Уайт Я. А. 3816
У Жень-цзе 4410
Умидий Л. И. 3452
Уно 5583
Уотти Х. 5612 П.
Уразов Г. Г. 3825
Усатенко Ю. И. 4298
Усков И. А. 4034
Успенский К. Ф. 5757
Утца 4797
- Ухова Л. И. 4747
У Цзинь-вай 4053, 5841
Уэмацу 3916
Уэно 4811
Уэно 6059
Уэтстон Р. Р. 5480
Уэянаги 4811
- Ф
Фабрикант В. А. 3485
Файдин О. М. 3674
Файзуллоев Ф. С. 4433
Фарберов И. А. 5854,
5856
Фёдоров П. И. 3813
Федорова А. Ф. 6604
Федосеев А. Д. 5340
Федотьев Н. И. 5286
Федуркин В. В. 4985,
5275
Федякин Н. Н. 3986,
3989
Фелингер А. К. 4406
Фефилов В. А. 3460
Фефилов В. В. 3453
Филиппов И. В. 5131
Филиппов Ю. В. 3982
Филиппов Ю. Г. 6369
Финкель М. Я. 5250
Финкельштейн А. И.
4277
Финч Г. 5480
Фиумара А. 5488
Фишер А. М. 4277
Фишман М. В. 4159
Флид Р. М. 4487
Флис И. Е. 3754
Флоринский Ф. С. 3511,
4655
Фогель Я. М. 3502
Фомина А. С. 5835
Фоминных А. 5073
Фрейдлин Л. Х. 4512
Фрейдлина Р. Х. 4674
Френкель С. Я. 6738
Фролов С. С. 6568
Фронтасев В. П. 4411
Фуданвара Т. 5500 П.
Фудани 3906
Фуданикава 5724
Фудзимото 6551
Фудзимура Д. 6008 П.
Фудзимура Т. 6707 П.
Фудинава 4894
Фукуда 4610
Фукумото Т. 5500 П.
Фукусима Х. 5980
Фуражкина Н. Е. 6186
Фуракава 6538
Фурукава Д. 6514 П.
Фурукава Н. 5265 П.
Фурумия 5862
Фуруя К. 6006 П.
Фэн Хуэй-минь 4784
- Х
Хабу 5787
Халецкий А. М. 4664,
4831
Хамата 6320
Хамана 4620
- Ханафуса 4966
Хара 5921
Хара С. 5998 П.
Харада 5580
Харукава Т. 5607 П.
Хасимото С. 5994 П.
Хасегава 4706
Хатано Т. 5225 П.
Хаттори 4446
Хахам И. Б. 3848
Хаякава 6145
Хаяси 4791
Хаяси С. 5984 П.
Хейфил Л. А. 4763
Херн 5480
Хигероич М. И. 5417
Хидана 6059
Хидэсима 5448
Хино 6338
Хирано М. 5504 П.
Хиро 4290
Хироев 4810
Хирота 3915
Хитаров Н. И. 4139
Хитоса 5724
Хиура 4835
Хлывов А. Н. 3453
Хмельский В. М. 5398
Хмура М. И. 4526
Хо И-чжэнь 4267
Хонда 4281
Хонда 6320
Хоригути 4544
Хорие 5899
Хорлин А. Я. 4788
Хорошая Е. С. 6354
Хорошева Д. П. 4199
Хосидэ 4620
Холянова Т. Л. 3645,
3646
Храмыхин П. П. 3462
Хрговий Н. 5096
Хримляк А. И. 5752
Хрипкова Г. А. 5423,
5429
Хуан Вэй-юй 4744
Хуан Мин-лун 4757,
4758
Хуан Цзин-цзянь 4784
Хуан Юань-най 6662
Хуан Яо-даи 4784
Хургин Ю. И. 3858
Хургина Р. А. 6565, 6568
- Ц
Цагарели К. К. 4253
Цай Цзю-юнь 4758
Цветков А. И. 3804
Целуйко М. К. 5463
Церушвили Г. Е. 5715
Цеханович Е. Ю. 4615
Цзинь шань 6688
Цзинь Шэн 4520
Цзи Цинь-юй 4338
Цзян Ю-хэ 4816
Цинлис Д. С. 3809, 5216
Цикора И. Л. 3505
Цинман А. И. 3961
Цитович С. И. 4937
Цицшвили Н. 3466
Цубани 4308
Цугэ 4636
- Цудан 4714
Цуерман С. В. 4472
Цуно М. 5607 П.
Цурикова А. П. 4249
Цурун Т. 5616 П.
Цутида 4103
Цыганков П. С. 4889
Цыганков С. К. 5688
Цянь Жэнь-юань 4410,
6771
- Ч
Чаленко Д. К. 6189
Чанкова Е. Н. 4950
Чаплыгин М. И. 4145
Частухина В. И. 3731
Чекалова К. 6297
Чекан Л. И. 6191, 6192
Чекулаева Л. В. 6281
Червяков А. 6286
Череп В. И. 4578
Черасова А. А. 6191
Черасова В. А. 4515
Черненко А. 5363
Чернецкая А. М. 4358
Чернов А. А. 3694
Чернов В. А. 4224
Чернов В. Ф. 5230
Чернова А. И. 3908
Чернышева М. А. 3686
Черняк В. И. 6266
Черняк Я. И. 5374
Чешко Р. С. 4472
Чжан Вэнь-сюэ 6663
Чжан Пан 4802
Чжан Цзы-гао 3455
Чжан Ци-юнь 3813
Чжао Чжи-чжун 4664
Чжао Сюэ-Чжуан 3483
Чжу Бао-гэнь 6664
Чжу Цзи-сюань 6664
Чинарева Н. И. 5924
Чикул В. И. 5838
Чиненова Э. Г. 6212
Чирикова А. В. 4487
Чубинский О. В. 3477
Чуприна Л. Ф. 6535
Чупринин Ф. И. 5347
Чэнь Жу-хуан 6048
Чэнь Цзянь-чжун 6680
- Ш
Шабаров Ю. С. 4510
Шабля А. В. 3912
Шамес С. И. 4441
Шамрай И. А. 4202
Шанин Л. Л. 5890
Шапиро Д. К. 6252
Шахов А. 5063
Шварцман И. Ш. 5359
Шевелева В. А. 4141
Шевелкина Т. С. 3731
Шевцова З. Н. 3825
Шелечник М. М. 5236
Шелков А. К. 3451
Шерегин А. Л. 6298
Шестанова И. С. 6730
Шехоян Т. А. 4222
Шеянова Ф. Р. 4294
Ши Гуань-и 6771
Ши Ин 6684
Ши Лян-хэ 4410, 6771
- Шимановский Л. А. 4241
Шимелевич Ю. С. 4231
Шиндлер Э. Г. 6251
Шипнов Н. Н. 5838
Ширневич М. Г. 3751
Широков Б. Г. 6723
Ширяева А. 5063
Шихашвили Т. Г. 4253
Шихова-Негинская В. В.
6113
Шинков К. Н. 4228
Шимова В. Н. 5218
Шипловский О. А. 3518
Шипишашвили М. Е.
5312
Шипов А. Н. 5870 К
Шляпникова Н. 6297
Шмидт Г. 6641
Шмидт Л. Г. 6167
Шостановский М. Ф. 4569
Шохин И. А. 6547
Шпинель В. С. 4299
Шприцман М. Л. 5147
Шприцман Э. М. 6188
Шрайбер Л. С. 4411
Штейнберг Д. С. 4200
Шувалов Л. А. 3684
Шуйкин Н. И. 4513,
4524
Шулеши И. С. 6578
Шумиловский Н. Н.
4936 К
Шуныо А. Д. 4310
Шэн Хуай-юй 4784
Шэнь Вэнь 6681
Шэнь Де-хэ 4410
Шэнь Лин 6690
Шэнь Шоу-пэн 4410
- Щ
Щагин В. М. 5946
Щерлова Е. П. 3945
Щербина В. В. 4128
Щукина Н. Г. 6730
- Э
Эвентова М. С. 4489
Эйдус Я. Т. 3897, 3898
Элиава Т. А. 5962
Элиашберг М. Г. 6590
Элькин Д. И. 6013
Эльпинер И. Е. 3919,
3920
Эмануэль Н. М. 3855
Эпштейн С. Л. 5837
Эрона Ж. 5191
- Ю
Юдин В. Ф. 5845
Юдицкая А. И. 6323
Юнусов С. Ю. 4781
Юрганов Н. Н. 4195
Юргенсон И. А. 5159
Юрин В. А. 3679
Юрков Л. Ф. 5400
Юрченко В. П. 5851
Юрченко П. Ф. 5968
Юрьев Ю. К. 3575
Юхно Э. К. 3642
- Я
Яблонский А. С. 3460
Яворовский А. А. 4044

- Яги 5724
Яговдин Н. К. 5313
Якимец Е. М. 4339
Яковлев Г. Я. 5713
Яковлев Ю. В. 4258
Якубов М. К. 6082
Ямаваки 6538
- Ямаваки М. 5998 II
Ямагути 4790
Ямагути 4859
Ямагути 6114
Ямагути 6719
Ямагиси К. 6709 II,
6710 II
- Ямада 4535
Ямада 6104
Ямада М. 6708 II
Ямада С. 5816 II
Ямадзани 5864
Ямадзани 6321
Ямадзаво 4792
- Ямамото 5580
Яманиси 6321
Ямасита 6321
Ямасита 6538, 6548
Ямаути 4056
Ян Тхэ Хо 4663
- Януцевич Ф. П. 4832
Янцмский Я. Я. 4836
Яхонтов Л. Н. 4806
Яхонтова Л. К. 4806
Яя Я. 6117 II
- A**
Aaron J. R. 6028
Abbott C. F. 5558
Abbrecht P. H. 4863
Abdel Aziz Hussein 6065
Abel F. W. 4677
Abildgaard-Elling K. 5623 II
Abramov M. K. 4328
Acero Sáez E. 6015
Acrivios A. 4898
Adams C. H. 6346
Adams G. F. 5477 II
Adams J. C. 6405
Adams R. G. 6383
Adamson D. W. 4604
Addy J. 3900
Adlerova E. 4561
Agabeg R. C. 6490
Agarwal S. P. 4108
Aggarwal R. C. 4084
Ahluwalla V. K. 4825
Althal V. S. 4137
Aitken T. R. 6222
Akagi S. 4753
Akimov A. I. 4293
Alary E. 5289
Alcaniz L. M. 3493
Alder K. 4517, 4522, 4574
Alessandrini M. E. 5708
Alexandri A. V. 5655
Alha P. 5284
Allcroft J. B. 6549
Allen J. F. 4695
Allen S. 5985 II
Allen W. S. 4766
Almáasy G. 5804
Alpern B. 5801
Alpert W. 4457
Alquati M. 5565
Alt L. R. 5366
Alviset L. 5328
Amonkar N. S. 4644
Amos A. J. 6220, 6224
Amos G. L. 6731
Amstutz E. D. 3523
Amy J. W. 3578
Anders E. 6233
Anders H. 4972, 5084,
6406, 6507
Anderson A. B. 6649 II
Anderson D. R. 5918
Anderson E. O. 6290
Anderson H. H. 4686
Anderson H. H. 6479 II
Anderson J. A. 6222
Anderson J. M. 4729
Anderson O. L. 4454
Anderson P. 4017
Anderson R. F. 5570
Anderson T. F. 3653
- Anderson W. K. 5204
Andréani R. 5782
Andreatch P. 4454
Andrews J. H. 3733
Andrews W. J. 6615
Angel G. 5267
Angliker E. 4735
Anno T. 3492
Anton E. 5551 II, 5552 II
Aoki K. 5489
Apple J. W. 5669
Appuhn K. 6121 II
Archer S. 4776
Archer W. A. 5254
Armarego W. L. F. 4563
Arrandale R. S. 6302
Arthur J. R. 3867
Asendorf E. 5224 II
Ash A. 5489
Ashinuma K. 3655
Asmussen R. W. 3509
Ašperger S. 4483
Aspinall G. O. 4736
Atkinson G. 3949
Austländer J. 3764
Austin F. L. 4581
Auterhoff H. 5564
Ayer J. E. 6618
- B**
Baars J. K. 5109
Babcock H. M. 4251
Baccacci M. 3470
Bach F. 5227 II
Bachman G. B. 4605
Bačić I. 3785
Bacon G. E. 3611, 3648
Baddar F. G. 3532
Badley S. R. 6397
Bădoi R. 5211
Baer E. 4801
Bagdassarov K. N. 4306
Bahner C. T. 4650
Bähr G. 4698
Baird H. A. 5910
Balaceanu J. C. 3997
Balakrishnan V. K. 5759
Balbi G. 4998, 6495
Baldwin W. S. 6069
Balle M. P. 6748
Ball J. S. 5892
Ballard 5480
Ballard R. G. 4927
Ballun A. T. 4697
Bally W. 6653
Baltes J. 4536
Banerjee B. 4080
Banks A. 6781
Banta E. S. 5690
Bantle W. 3594
Baran E. C. 4945 II
Barat S. K. 6747
- Barbera A. 6694, 6697
Barbolani di Montauto E. 3827
Bardoděj L. 4326, 5163,
5165, 5166
Barker R. J. 5660
Barkey K. T. 6489
Barla E. 6654
Barlow A. 6679
Barltrop J. A. 4645
Barnes R. A. 4730
Barr E. A. 6442 II
Barr F. T. 5882 II
Barrett P. A. 4604
Barta J. 6152
Bartels U. 6560
Bartik M. 4313
Bartlett P. D. 4480, 4481
Barua A. K. 4749, 4768
Basak N. G. 3896
Basiński A. 3947, 4289
Bass A. M. 3840
Bass D. 6497
Bassett J. Y. 4073
Batchelder H. R. 5940
Bateson M. 6299
Bauma V. 5318
Bauman E. 5823
Baumgärtel E. 4088
Bausch H. 5912
Bažant V. 5510 II
Beal W. 6673
Beare J. L. 6044
Beattie G. B. 6190
Beazley E. H. 6639
Bechlenberg H. 6571
Bechtold M. F. 6583 II
Becker K. 3589
Becker R. J. 5054
Becker U. 4121, 4123
Beckert R. 6295
Beckett A. H. 4017, 4580
Bederke G. 5143
Bedoy A. G. 6049
Beebe A. H. 5294
Begos S. 5663
Beke D. 4779
Belcher R. 4705
Bellucci I. 4376
Benbrook C. H. 5789
Bencteux M. 5954
Bender A. E. 6310
Benedetti-Pichler A. A. 4274
Beneš J. 4046
Benger H. 4387
Benner J. A. 6362
Bennett M. C. 4880
Bennett O. F. 4700
Benoit H. 6764
Benson J. E. 3901
Bensing P. L. 6700
- Benson S. W. 4806
Ben-Yair M. P. 4101
Beránek J. 4853
Beranova D. 4362
Berck W. F. 4946 II
Berg C. H. O. 4910 II
Berg H. 4437
Bergbom H. 6602
Berger H. 4780
Berisso B. 4264
Berlad A. L. 3859
Bermudez de Castro y Mosquera J. M. 5299
Bernsköld A. 6573
Bernstein S. 4759
Bernstein S. 4766
Beroza M. 5680
Berry V. J. 4891
Bersworth F. C. 5532 II
Bersztel J. 4386
Berthelot J. 6344
Beton J. L. 4750
Betz L. D. 5044
Betz W. H. 5044
Beuckman F. O. 5298
Beumer B. 5436
Beun J. A. 3476
Beuther H. 5975
Bevan C. W. L. 3857
Beyeler E. 6504
Beyer W. 6387
Bhargawa P. N. 4658
Bhatia B. S. 6257, 6258
Bhatia D. S. 6328
Bhattacharyya S. C. 5759
Bhojarj Naidu N. 6101
Bhuchar V. M. 5418
Bible R. H. 4767
Bicelli L. 3633
Bieber P. 4503
Biétry L. 4394
Bigoni G. 6062
Bilancio D. E. 4650
Billick I. H. 6760
Billinghurst J. W. 4604
Billman J. H. 4548
Binar J. 5074
Binon F. 4808
Birca-Gáláteanu D. 3554,
3569
Birmingham B. W. 5476
Biró-Sugár E. 3881
Biserte G. 4449
Bischof C. A. 5044
Bittman S. 6790
Bjerkle J. W. 3874
Bjorklund L. J. 4251
Björnerud E. K. 3862
Blachere H. 4312
Błaciak E. 5223
Blackburn M. 4586
Blagovidova Y. A. 3469
- Blazit P. 6058
Blanco R. E. 5199
Blank R. H. 4766
Blaser B. 5530 II
Blaszyk P. 5651
Blažek Z. 5595
Blessin C. W. 4858
Blix G. 4828
Blokker P. C. 6107
Bloksma A. H. 4038
Blom A. V. 5249
Blood A. E. 4637
Bloom M. S. 5546
Bloom R. A. 5354
Blum M. S. 5654
Blum S. L. 5324
Blunt R. F. 3677
Bobrownicki W. 5223
Bock W. 4723
Bockris J. O. M. 3906
Bode H. J. 3602
Bodenstein O. F. 5006
Bodin V. 5321
Boeke P. J. 6404
Boelcke U. 5771
Boer J. H. 4008
Bogotko W. 4289
Bogue R. H. 5427
Boheman J. 4026
Bohlmann F. 3533
Böhmer H. 5996 II
Bolvin J. L. 5490
Bojanowski J. 5913
Bokor A. 6036
Bolam S. E. 6521
Bolt J. A. 5995 II
Bolte A. 6215
Bonart R. 6777
Bonastre J. 4343
Bond G. C. 3900
Bonenti T. 5173
Bonilla C. F. 4809
Bonnemay M. 3956
Bonner T. G. 3906
Bordwell F. G. 5802
Borel E. 5397
Borenfreund E. 4374
Borgen O. 3581
Borkowska M. 4170
Born H. J. 4270
Bornstein J. 4700
Borovička M. 4777
Bořš G. 5175
Borzeszkowski E. 4066
Bosch A. H. 3535
Bose A. N. 3934
Bose B. B. 4247
Bose S. 4774
Böss J. 5768
Bostrup O. 3509
Böswart J. 5595

- Böttiger G. 4970
Boudart M. 3510
Boute C. 4124
Boutillon G. 4033 II
Bovet O. 4991
Bowen W. M. 4909 II
Bower F. A. 5654
Bowers J. H. 6721
Boyd J. C. 6300
Boynton H. G. 5907
Brabets R. I. 6116 II
Brace A. W. 5281
Bradbury C. H. 5947
Bradford C. R. 6577
Bradley D. C. 4075, 4666
Bradley W. 4596
Bradsher C. K. 4780
Bralbanti A. 3643
Brain E. G. 4630
Braithwaite B. M. 5697
Bramble W. C. 5737
Brandes O. L. 5529 II
Brannen C. G. 4567
Brännland R. 5267
Brass P. D. 6795
Brasseur H. 3626
Braunholtz J. T. 4627
Brau H. 6159
Braverman M. M. 4363
Brecht W. 6631, 6636, 6643
Breck D. W. 3638
Brehmer T. 5284
Breinlich J. 5577
Brenner A. 5282
Brenner H. 4856
Breslow R. 4469
Bretsmajder S. 5223
Breusch F. L. 3568
Briggs D. K. H. 5827
Briggs W. S. 5908, 5909
Brindley M. 6294
Bringer R. P. 4864
Brisbane S. M. 5348
Brisi C. 4140
Brito F. 4086
Brittin W. E. 3741
Broadbent S. R. 5815
Brochhagen F. 4522
Brockhouse B. N. 3662
Broich F. 5522 II
Bromstead E. J. 6487
Brook P. R. 4626
Brooke M. 5103
Bro-Rasmussen F. 4382
Broughton G. 6611
Brown D. M. 4728
Brown E. H. 5476
Brown G. M. 4851
Brown G. W. 5127
Brown J. B. 3720, 3721
Brown J. B. 6085
Brown J. F. 5836
Brown J. K. 5044
Brown J. W. 5974 II
Brown R. J. 5368
Brown T. L. 3542
Brownell L. E. 6129
Brü L. 3635
Brubaker C. H. 3948
Brügel W. 6355
Brugger F. 6735
Brukner B. 6135
Brune K. 6603
Bruylants A. 4470
Brzostowski W. 3774
Bubáková R. 3669
Bucher R. 4285
Büchner K. 5518 II
Buckingham A. D. 3587, 3710
Buckley R. P. 4494
Bucksteeg W. 5053
Buděšinský B. 4259
Buděšinský Z. 5556
Budzanowski A. 3591
Bues A. 5430
Bugeon R. 5458
Bullock M. W. 4642
Bünning R. 4726
Bunn C. W. 6523
Bunton C. A. 4476
Burchart J. 4171
Burden G. S. 5678
Buré J. 6225
Burg F. A. W. 3723
Burger K. 4364
Burgess D. G. 5365
Burnet G. 5252
Burns E. A. 3943
Burr J. G. 3489
Bursztyn I. 6399
Burt R. 4488
Burton D. 6741
Buser W. 3878
Bush C. C. 6634
Bushkovitch A. V. 3576
Busing W. R. 3651
Busnelli A. 6694, 6697
Butler J. A. V. 6774
Butler J. P. 6640
Butler L. H. 5957
Butte W. A. 6081
Buu-Hoi N. P. 3513
Buzza E. 4389
Bye G. C. 3857
Byrnes W. R. 5737
- C**
- Cabannes-Ott C. 3549
Cabott I. M. 6592
Cahur B. 5757
Cacciari A. 5195
Cadenas Bergua E. 6150
Cahnmann H. J. 3562
Cairncross S. E. 6330
Calas R. 4678
Calaway W. T. 5117
Calcote H. F. 3861
Caldirola P. 4006
Calkin J. B. 6644
Callahan S. A. 5896
Callcott T. G. 5815
Callen H. B. 3691
Callizo A. P. 5317
Callomon J. H. 3577
Callow R. K. 4765
Calvert L. D. 3800
Calvert N. 5220
Cameo-Bosoo M. 3543
Camil J. 5167
Cammack H. Z. 5208
Camp T. P. 6650
Campbell D. J. 4379
Campbell I. R. 5169
Campbell J. M. 5935
Campbell N. 4587
Campbell T. W. 4660
Cannon K. J. 3883
Cano Ruiz J. 4018
Canterino P. J. 6554 II
Capella P. 6045
Capitani A. 6512
Caracudovici V. 5235
Carelli V. 5588
Carlisle O. B. 5089
Carls W. H. 5945
Carlson C. S. 5498 II
Carlström D. 3636
Carolan K. T. 6371
Carroll P. K. 3506
Carter N. D. 5523 II
Carter R. M. 4995
Casalis J. 6289
Casassa E. F. 6760
Caspi E. 4769
Cass J. S. 5169
Cassidy H. 4030
Castell H. C. 5288
Caswell L. R. 4548
Cates V. E. 4263
Caulbe J. L. 6229
Caulier A. 6301
Cavalca L. 3643
Caws A. C. 5566
Čelíkovský J. 6084
Ceragioli G. 6599
Ceresna I. 3733
Ceri R. 6770
Cernal E. 5207
Chabudziński Z. 4742
Chaddock J. B. 4868
Chadwick E. 6380
Chakravarti B. N. 4666
Chakravarti D. 4768
Chakravarti R. N. 4768
Chalmers W. J. 5002
Chalupa J. 5037
Chambré P. L. 4898
Chandra U. 6064
Chanley E. S. 3958
Chapelle J. 3680
Chapin D. S. 3893
Chapman D. 3564
Chapman H. R. 6269, 6304
Chapman J. 3921
Charro A. A. 6218
Chasanov M. G. 4082
Chateau M. H. 4079
Chatt J. 4557
Chatterjee A. K. 4666
Chatterji A. C. 6064
Chaudron G. 3805
Cheavens T. H. 4602
Chen R. F. 4078
Cheney G. W. 6366
Chen Ho Ju-Yu 4548
Cheroff G. 4443
Chiari I. 5708
Chiba T. 3590
Chien Jen-yuan 6763
Chi Yuoh-Fong 4640
Chládek O. 4350
Chládková R. 4350
Cholak J. 5169
Chollot B. 3680
Chopin J. 4585, 4813
Chopra K. L. 3720
Chouteau J. 5721
Chowdhury J. B. 4302
Chrétien A. 3783
Christian J. D. 4635
Christiansen R. G. 4760
Christiansen R. M. 4849
Christie O. H. J. 3807
Christmann W. 6787
Christopoulos P. 6046
Christova E. 5676
Chromeček R. 4543
Chu Chiao-min 4863
Chu Ju Chin 4886
Churchill S. W. 4863
Čičibabin A. E. 4497 K
Cihla Z. 4885
Cimler L. 4777
Ciutá I. 5496
Claeson G. 3833
Clapp R. D. 6553 II
Clark H. C. 4063, 6265
Clark J. F. 6572
Clark L. W. 3856
Clark R. A. 6525
Clark W. R. 6404
Clarke J. T. 6428 II
Clarkson H. 6520
Clasen H. 6796
Class C. R. 5476
Class I. 4901
Clausen H. P. 5443
Clavel J. 6579
Clegg L. F. L. 6269, 6304
Clibbens D. A. 6660
Cline C. E. 5354
Clinton R. O. 4760
Clough H. 5943
Coatti G. 6102
Cobble J. W. 4064
Coburn S. K. 4967
Cockton J. 5558
Coekelbergs R. 4841
Cohen H. L. 4598
Cohen P. 3737
Cohen S. 3719
Cohen S. 4703
Cohn W. E. 4800
Coker G. T. 5961
Cole M. M. 5678
Coleman E. H. 5182
Coleman L. E. 3526
Collard T. H. 5295
Collenille Y. 4119 II
Collins L. E. 3702
Comings E. W. 4848
Condit P. C. 5493
Conn G. K. T. 4422
Constantinescu O. 6758
Conway B. E. 3966
Cook E. B. 3871
Cooke G. B. 6557 II
Cooke N. E. 3786
Cooper H. C. 5035
Cooper J. 5582
Cooper P. 5581
Coover H. W. 6476 II
Coppock J. B. M. 6232
Corbier M. 4565, 4566
Cordes H. F. 4271
Corfield E. A. 6299
Corish P. J. 3564
Corlateanu P. 6790
Cormac P. B. 4989
Cornelissen J. 5950
Cornwall H. R. 4144
Costescu D. C. C. 6759
Cott W. J. 4701
Cottingham P. L. 5942
Cotton F. A. 3504
Coudenove-Kalergi J. 6363
Coutts H. H. 4450
Covašchl T. 5765
Coveney R. D. 5755
Covington P. C. 6385
Cowlard T. 4996
Cox R. F. 5906
Crabill M. P. 5054
Crafts A. S. 5739
Craig P. N. 4657
Craige A. H. 5646 II
Cramer F. 5649 II
Cramer W. H. 3712
Crane F. G. 5690
Cragg L. C. 4785
Cranker K. R. 6537
Crawford R. J. 4485
Créac'h P. V. 6060
Creangă E. 5563
Cremer G. M. J. 5386 II
Crnčević V. 4977
Cromer D. T. 3616
Croon H. 5640 II
Cropper W. V. 5020
Crouch M. L. 3693
Crowe R. W. 3983
Crowley E. 6302
Crundall S. F. W. 5151
Crützen J. L. 3832
Csajághy G. 4234
Cubero M. 3635
Cuculescu V. 4054
Cuker K. 5569
Cumbell-Glova N. 4956
Cunningham J. 3918
Curtin D. V. 4485
Curtis G. C. 4057
Curtiss C. F. 3707
Custer J. H. 6272
Čuťa F. 3522
Cwillich R. 5679
Czamanske G. K. 3618
Czeglédi-Janko G. 6377

D

- Dacey J. R. 4001
Daglish H. N. 4422
Dahlerus S. 5267
Dahm P. A. 5657
Dahms H. 4110
Dähne H. 5803
Daimler K. 5472 II
Dalvi V. J. 4559
Daly P. J. 3506
Daniel F. K. 6494
Daniels L. S. 4845
Dann O. 5536 II
D'Ans J. 3822
Dapigny J. 3717
DaRe P. 4583, 4584, 4599
Das B. M. 6747

- Dasgupta S. 5759
Dassler H. G. 4832
Dastur N. N. 6263
David M. M. 4890
David S. 4746
Davidek J. 4384
Davidson R. C. 5902
Davidson R. L. 5898
Davion M. 3784
Davis B. 6032
Davis D. S. 3819, 5238
Davis H. S. 5447
Davis W. W. 4460 II
Dawson I. M. 3652
Dawson L. R. 3932
Day H. M. 5528 II
Day R. B. 5979 II
Deal B. E. 3882
Deal C. H. 5242 II
De Boer J. H. 4908 II
DeButts E. H. 6769
De Camp Crater W. 6392
Decelle J. 5692
Deckenbrock W. 6157
DeCrescente M. 4421
De Croes G. C. 6452 II
Deen W. 5320
Deevey E. S. 4243
DeFord D. D. 4347
Defrenne G. 3606
DeGori R. 4376
Delbner L. 4070
De Leone R. 5195
Delest P. 4575
Dell C. C. 5813
Dellamonica E. S. 6272
Delmon B. 3997
Delsing A. M. G. 3722, 3724
Demarcq M. 6073
Demblinski W. 3940
Demeilliers A. 5763
Demkovich P. A. 5020
Demuynck J. 3478
Denbigh K. G. 3883
Denholm E. W. 5056
Denis J. 6199 II
Depireux J. 3556
Deplus C. 5344
Desassis A. 6039
Dess H. M. 4090
Dessaigne G. 5487
Destable A. 6491
Desty D. H. 4393
Deuss J. J. B. 6329
Devassy T. J. 6732
Devins J. C. 3983
Dewald J. T. 3683
DeWalt C. W. 4577
Dewar M. J. S. 4475
Dey B. B. 3970
Dholakia S. C. 5233
Dialer K. 3789
Dickens P. 4986
Dickey J. B. 5546,
6431 II, 6476 II
Dickinson T. A. 5367
Dickmanns K. 6672
Diedrich P. 5603 II
Dietrich M. A. 6446 II
Dietrich P. 6089
Dietrich W. 6009 II
Dietz H. 5564
Dietzel A. 5303
Di Gerónimo G. E.
5256 II
Dijkstra R. 6441 II
Dillinger J. R. 4432
Dilliplane R. J. W. 5104
Dimitrescu R. 4155, 4157
Dionisie R. 5177
Diosady P. 6745
Dische Z. 4374
Diskowski H. 3842
Dittmer D. O. 4481
Dixit V. K. 3934
Djerassi C. 4555, 4772
Dodson V. H. 5305
Dognon A. 4052
Doherty D. G. 4800
Dohnalik K. 5086
Dohrn M. 5603 II
Dokoupil Z. 3726
Dolder R. 5579
Doll-Steinberg A. 5949
Domingo R. 3495
Donahoo W. P. 4371
Donia R. A. 4383
Donnay G. 4409
Donnay J. D. H. 4409
D'Or L. 3548
Dorabialska A. 3780
Dorfman R. I. 4769
Dorleyn M. 5179
Dorset B. C. M. 6569,
6674
Doucet Y. 4429
Douglas K. J. 4500 II
Doulmas A. C. 5283
Downing J. 6464 II
Dráb K. 5559
Drachovská M. 6128
Drake N. 4383
Draycott A. 5818
Drewniak E. 6246
Drews R. J. 5039
Drinagl K. 5774
Drooz A. T. 5694
Drossbach P. 3959, 3975
Dubourg J. 6209
Dubreuil G. 6289
Duchemin J. 4746
Duckworth W. H. 5202
Dujardin J. 6195 K
Dumartin M. 3910
Dumitrescu N. 6792
Dumonthier J. 6534
Dunitz J. D. 3624
Dupré H. 5246 II
Duraffour F. 6509
Durham K. 3993
Durif S. 4051
Durovič S. 3598
Dušinský G. 5590
Dutta A. B. 5773
Duwez P. 3794
Dux E. F. W. 6143
Dwight A. E. 3795
Dymek W. 4550
Dzieza R. 6727
E
Earing M. 5489
Ebeld F. B. 4488
Ebel F. 5553 II
Ebersberger J. 5531 II
Ebnöther A. 4819
Eck J. W. 6159
Eckert E. R. G. 4850
Eckstein Z. 3557
Edelmann K. 6786
Edgell W. F. 3578
Edinger E. 5718
Edsall J. T. 4078
Edson S. N. 4284
Edward J. T. 3933
Edward J. T. 4713
Edwards G. J. 5758
Edwards J. W. 5255 II
Edwards W. A. 6022
Egami F. 4733
Egerton G. S. 3671
Egloff G. 5886
Ehlers F. A. 6456 II
Ehrenburg J. P. 5434
Ehringhaus P. 4106
Eichert G. 4929
Eichler F. 6348
Eichler H. 6632
Eidt S. H. 4501 II
Eigen H. 5419, 5420
Eijnsbergen J. F. H. 4978
Eisenbrand J. 6334
Eistert B. 4612
Eitel W. 4140
Ekholm R. 3991
Ekiert F. 4182
Ekwall P. 3991
Elderfield R. C. 4707 K
Eldred V. W. 4057
Elias D. G. 6220
Eliason M. A. 3501
Elie E. L. 4465
Elkin H. F. 5125
Ellfolk N. 3852
Ellingboe J. L. V. 4117 II
Elliott I. W. 4625
Elliott J. H. 6769
Elliott R. 5665
Elliott R. G. 6721
Ellis B. 6536
Emeleus C. H. 4164
Emeleus H. J. 4063
Emery A. H. 6762
Emmer V. 5716
Engelbrecht H. J. 5508 II
Engelbrecht R. M. 4371
Enzensberger W. 6401
Epelboin I. 5277
Epstein J. 5088
Eravuo V. 6622
Erd R. C. 4189
Erdelen G. 6111
Ericksen G. E. 4176
Erlenmeyer H. 3851,
4662, 4824
Ernst G. 5562
Erskine A. J. 6136
Esayan L. 4022, 6372
Esayan M. 4022
Eshman A. N. 4961
Ettel V. 5605 II
Ettinger M. B. 5033
Eugster C. H. 4783
Evans H. T. 4189
Eversole W. G. 3638
Exley C. S. 4164
Eyraud C. 3781
Eyring H. 3497
Eyring L. 4067
F
Fabre R. 5178
Faigen H. L. 5008
Fair G. 5158
Fairbairn A. R. 3866
Fairbrother F. 3942
Faizullov F. S. 4433
Fales J. H. 5680
Falk B. 5143
Falkenhagen H. 3950
Fallab S. 3851, 4824
Fallis J. G. 4892
Fancher T. W. 4329
Fang F. T. 4465
Fanica L. 6353
Farkas L. 4829
Farquharson J. 4420
Farquharson K. R. 5311
Farr H. K. 4458
Farrar W. D. 6634
Faust J. A. 5608 II
Fazakerley S. 6781
Feagan J. 6291
Feaster G. R. 3687
Fecko J. 4386
Feher F. 4072
Feher I. 4107
Feichtinger H. 4272
Feichtinger H. 5507 II
Feitknecht W. 3878
Fejes P. 4005
Feldman L. I. 4766
Feller K. 6233
Feller M. 6415 II, 6416 II
Fenyés J. G. E. 3559
Fergg B. 5779
Ferguson E. E. 3553
Ferguson I. F. 4004
Fern A. S. 6679
Fernández Alonso J. I.
3493, 3495
Fernández Biarge J. 3550
Fernandez-Bolaños J.
4725
Ferrari F. 5442
Ferraro J. R. 4089
Ferroni E. 3782, 3827
Ferry P. 4312
Fiechter A. 6177
Field E. 6415 II, 6416 II
Field K. 3942
Figdor S. K. 4772
Filjoka P. 4346
Filip A. 5596
Finar I. L. 4630
Finch 5480
Finch G. I. 3879
Finizia A. 6109
Fireman E. L. 4125
Fischer E. 4991
Fischer E. O. 4699
Fischnich O. 6245
Fisárová-Bergerová V.
5163, 5164, 5166
Fishbein L. 4468
Fishbein L. 4720
Fishburn A. G. 5575
Flumara 5488
Fizzotti C. 5195
Fleiter L. 6484
Flek J. 5965
Fletcher J. H. 5504 II
Fletcher W. H. 4946 II
Flitcroft T. 3756
Flood H. 5304
Flora A. L. 6586
Floyd E. 6069
Flum Z. 4317
Follwell J. H. 5667
Fordyce C. R. 3794 II
Foresti B. 3899
Forgrieve J. 4886
Forland T. 3952
Fornelli D. 6671
Forster W. S. 5528 II
Forward F. A. 5194
Foster G. E. 5566
Foster P. K. 3801
Fourness R. K. 5545
Fourt L. 6657
Fox S. H. 4389
Fraenkel G. K. 3579
Franc J. 4360
Francis C. E. 5961
Francis J. L. 4992
Francis K. G. 6464 II
Frank E. A. 5406
Franklin J. G. 6269
Frans R. E. 5743 II
Franz H. 5925
Franzke C. 6080
Fred M. 3486
Frederikse H. P. R. 3677
Freeman T. R. 6270
Freudenberg K. 5640 II
Freudenberg R. 6194
Freund H. E. 3822
Freund M. 5952
Frey F. W. 4092
Friedrich M. 5183
Frieser E. 6575
Frink E. P. 3794
Frisch K. C. 4696
Fritz E. 6116 II
Fritz G. 4683
Fritzsch H. 6659
Frizel D. E. 3846
Frohman S. H. 5640 II
Fromandi G. 6007 II
Froment M. 5277
Frost C. M. 5942
Frosterus E. G. 5337
Fruchart R. 3613
Frueh A. J. 3618
Frush H. L. 4719
Fuchs K. 5847
Fuchs W. 5927, 6099
Fučík K. 5613 II
Fuger J. 3548
Fuhr H. 6695
Fuhrman A. W. 6423 II
Fujimoto M. 4305, 4309
Fujita H. 6784
Fuller M. P. 6469 II
Fuller W. 6087
Fupfalek A. 6311
Funke B. T. 6409
Funke W. 5026 II
Furry M. S. 6700

- Purrik B. 6570
Puscagni G. 6373
- G**
- Gabaglio M. 5195
Gabriel A. 5302 II
Gabrielli G. 3782, 3827
Gale E. E. 6529
Galesloot T. 6276
Galiński K. 6100
Galkiewicz T. 4183
Gallavreal P. 6045
Gallo A. 4839
Gammie A. P. 6623
Gańczarczyk J. 5061
Gandhi B. S. 4380
Ganguli N. C. 3896
Garavelli C. L. 4204
Garbarini J. J. 5643 II
Garcia F. C. 5317
Garcia S. C. 5317
Garden J. F. 4572
Gardner G. S. 5008
Gardner P. D. 3761
Garner W. E. 4029 K
Gasperin M. 3620
Gastambide B. 4761
Gatow G. 3631
Gatzke P. 5369
Gaudin A. M. 4055 K
Gautsch O. 5024
Gavat M. 6792
Gaydon A. G. 3866
Geballe T. H. 4431
Gebhardt E. 3792
Gee R. E. 4847
Gehatia M. 4799
Gehman H. 4984
Geisler A. H. 3649
Geissman T. A. 4817, 4821, 4822
Gentner W. A. 5738
Georgescu I. 3764
Gerdil R. 3530
Gerecht J. F. 4798
Gerischer H. 4958
Gerow C. W. 4687, 4709 D
Gerrard W. 4677
Geulen H. 4693
Geyer 5480
Geyer J. H. 4984
Gheorghita-Oancea C. 3569
Ghetti G. 5174
Ghosh S. 4035, 4049
Giacanelli E. 6226
Gibbons A. J. 4688
Gibson G. L. 5008
Gibson J. E. 4904
Giese E. 6621
Giger A. 6381
Gillen W. H. 6525
Gilliland R. B. 6171
Gilman H. 4539, 4567, 4590, 4594, 4595, 4669, 4679, 4682, 4687, 4689
Gilman L. 6371
Gilmont R. 5272
Gills G. E. 6520
Ginsburg D. 4519
Gist L. A. 4689, 4711 D
- Gladyshev Y. P. 4324
Glaser M. A. 6487
Glass J. J. 4165
Glazier E. M. 6002 II
Gleason A. H. 6418 II
Glénat R. 3558
Glinicki Z. 5068, 5069
Glynn E. P. 6122 II
Gödde F. 5879 II
Goertz W. 5189
Goettsch R. W. 5576
Goffredo L. 5933
Goggin W. C. 6366
Goldberg J. 6386
Goldenson J. 3566
Goldschmidt S. 4804
Goldsmith J. R. 4205
Goldstein J. H. 3544
Goldstein S. 6227
Goldthwait R. G. 5975
Gollmar H. A. 5883 II
Gomer R. 3656, 3657
Gonyer G. R. 6543
Goodman B. B. 3746
Goodrich B. F. Co. 6556
Gordon J. A. 4379
Gordon J. E. 6388
Gore P. H. 3531
Gorham E. 4244
Gorsich R. D. 4669
Gorter C. J. 3476, 3723—3725
Gosselain P. 4841
Goto K. 5038
Götz F. 5538 II
Gower J. A. 3640
Gracheva T. I. 4408
Graf D. L. 4205
Graf L. 3880
Graf R. 5515 II
Graft-Petersen P. 4235
Graham J. P. 5817
Grainger R. B. 6313
Gramkee B. E. 5794 II
Grane H. R. 5904
Granger R. 4565, 4566
Grant E. H. 3713
Grant J. N. 6651
Graue A. 3481
Gravel L. 3973
Gray P. 3860
Greene C. F. 5332
Greenfield S. H. 5930
Greenlee S. O. 6433 II
Greenwood N. N. 3755
Gregorowicz Z. 4342
Gresham W. F. 5499 II
Griffiths E. M. 5029 II
Grigorov O. N. 4037
Grindrod J. 6564
Grob C. A. 3939
Groenou A. B. 3725
Groll H. P. A. 5992 II
Gropsianu Z. 3773, 3937
Groschopp H. 6580 D
Grosjean M. 3597 D
Gross A. 5016
Gross A. J. 6655
Grosskinsky O. 5263 II
Grossman J. 4555
Grossman L. M. 3744
Grosso R. 4886
- Grote B. 5557
Grotowski K. 3591
Grotto M. 5648 II
Gruger E. H. 6061
Gruner J. 3871
Gruntová Z. 5590
Gruszyk H. 4181
Gube M. 4770
Guérin H. 5809
Guinot H. M. 6198 II
Gundermann E. 5859
Gunnason J. 6025
Gunsel W. 5582
Gupta D. S. 5659
Gupta R. K. 4865
Gupta S. L. 4040, 4041
Gurd F. R. N. 4078
Guskova V. N. 5138
Gustavson K. H. 4047
Guter G. A. 4118 D
Gutmann V. 4269
Gutsatz Y. 5763
Gutschick K. A. 6597
Guymon B. E. 5113
Guzman de Fernandez-Bolaños R. 4725
Gysin W. 6180
- H**
- Haack E. 4770
Haas C. 3584
Haas H. C. 6789
Haas J. W. 4373
Haase R. 3742
Haber R. G. 4819
Haberland H. 5531 II
Hachmuth K. H. 5479
Hackmann J. T. 5748 II
Háda S. 5844
Hadfy K. I. 5953
Hadwick T. 4476
Hageman J. H. 5457
Hagemann F. T. 5210 II
Hahn B. 3887
Hais I. M. 5592
Halász I. 4005, 4013
Halfawy M. 4019
Hall A. M. 6462 II
Hall D. M. 4417
Hall E. G. 6241
Hall G. G. 3488
Hall W. S. 5008
Halpern J. 3475, 5194
Halsall T. G. 4750
Ham G. E. 6793
Hamard P. 6381
Hamerak K. 5996 II
Hampson D. C. 5168
Hamsik A. 5574
Hand J. J. 4642
Hanle F. 3598
Hanner E. 6277
Hannum J. A. 6000 II
Hans W. 3979
Hansen K. 5567
Hansen R. S. 4007
Hanson H. P. 3504
Hanson K. R. 4826
Hanway J. J. 4223
Happ G. P. 5035
Happel J. 4856
- Harborne J. B. 4821, 4822, 4823
Harder B. 4075
Hardy C. W. 5357
Harker R. I. 3808
Harms J. 5522 II
Harris I. W. E. 6529
Harrison S. E. 3691
Harshbarger F. C. 3869
Hart H. 3542
Hart P. C. 6312
Hartmann A. 6765
Hartmann H. 3763
Hartnett J. P. 4850
Hartung H. A. 5959
Hartwig J. 5331
Hascoet M. 5728
Hasin V. 5528 II
Hassett N. J. 4918
Hastings S. H. 3747
Hatfield I. 6021
Hatfield R. 5108
Hathaway C. E. 4352
Hatt H. H. 6093
Hauck G. 3979
Hauenstein H. W. 5121
Hauf G. 6094
Hausman W. 4785
Havighorst C. R. 6234
Havir J. 4278
Hawkins D. B. 5585
Hawthorne J. O. 4577
Hawthorne M. F. 4479
Hayatsu R. 4753
Hayes C. V. 5578
Hazleton L. W. 6206
Heal H. G. 3918
Heaney H. 4668
Hearne 5480
Heavens O. S. 3702
Hebert G. R. 3720
Hebký J. 5605
Hedberg D. G. 5546
Heertjes P. M. 3811
Helde H. G. 3627
Heldemann A. 6550
Heikes R. R. 3678, 3692
Hellbronner E. 3530
Hellmann R. 3558
Hellmeier F. 6166
Heininger S. A. 4618
Heintze K. 6314
Heinzelman E. 4983
Heliter W. 3498
Helbig H. 4942
Helenius A. V. 6279
Heller C. L. 6211
Heller F. J. 6450 II
Heller M. 4759, 4766
Helling W. 5280
Hellman N. N. 5210 II
Hellwege K. H. 3675
Helm E. 6172
Helzler L. 5822
Hemily P. W. 3623
Hemmerich P. 4824
Hemperly W. F. 6417 II
Henbest H. B. 4673
Hendrickson R. 5758
Henke J. 4413
Henriques A. 3615, 4167
- Herak M. J. 4102
Herbanz J. 3541
Herbert D. W. M. 5111
Herbert G. 4600
Heritsch H. 3639
Herman M. A. 3573
Hermans M. E. A. 5193
Herout V. 4745
Herran J. 4772
Herranz J. 3550
Herrmann O. 6351
Hersche W. 5832
Herucu 6773
Hervier B. 4079
Herzfeld C. M. 3840
Hess H. V. 5523 II
Heubel J. 3783
Heuser 6701
Heyding R. D. 3800
Heymons A. 5640 II
Hicks E. W. 6243
Hicks J. F. G. 5394
Hickson D. A. 4007
Hiebsenthal F. 5066
Hieber W. 4091
Hiebert G. L. 3778
Hietala P. K. 5725
Higgins H. G. 6750
Higgins W. F. 5001
Higson H. M. 4728
Hilborn E. H. 5795 II
Hiller J. E. 3619
Hines E. 6029
Hinich R. E. 5093
Hinz W. 5402
Hiopulos M. 6806 D
Hirabayashi M. 3612
Hiral E. 4867
Hirakawa K. 3614
Hires J. 3585
Hirone T. 3688
Hirschfelder J. O. 3501
Hirst E. L. 4736
Hixson A. N. 4849
Hjarde W. 4382
Hochheiser S. 4363
Hodgkinson R. J. 2664
Hodgson J. M. 5734
Hoelzle K. 5550 II
Hof T. 6027
Hoffer M. 5618 II
Hoffman A. E. 6555 II
Hoffman D. E. 3514
Hoffmann G. 6086
Hofman M. 5574
Höhling H. 3847
Holfeld W. 4730
Hollander M. 4499 D
Holló J. 6138
Holloway J. H. 4073
Holmes B. G. 4009
Holmes D. R. 6778
Holmes R. R. 3932
Holstun J. T. 5742 D
Holt N. B. 4719
Holubek J. 4377
Holysz R. P. 4762
Holz W. 4071
Holzach U. 4712
Holzbecher K. 5840
Hommelen J. 3988
Honer W. E. 6032

- Honeycutt J. B. 4594, Imhoff W. G. 4980
4595
Honsch W. M. 6146
Hoover K. S. 6483 II
Hopkins G. J. 5114, Inoye Y. 4714
5145
Hoppe A. 5925
Hoppe W. 3607, 3608
Horák P. 5572
Horn E. 6786
Hornig D. F. 3584, 3778
Horrocks D. L. 4115 II
Horvick E. W. 4979
Hosemann R. 6777
Hosman L. J. 5135
Houdry E. 5901
Houff W. H. 4652
Housam E. C. 5988 II
Houseman D. H. 5325
Houser A. C. 5387 II
Howell W. C. 4701
Hower J. 4329
Hoy W. A. 6304
Hrabákoba-Zvoníčko-
vá H. 6255
Hrbek A. 3729
Hsing Chi-yi 4520
Huang K. 3471
Hubbard A. W. 5015
Hüber M. 6501
Hubert-Habart M. 3513
Huch A. 6792
Huch C. 6792
Hückel W. 4477
Hudeček S. 4362
Hudis J. 3734
Hudson J. C. 4964
Hudswell F. 4075
Hudy J. A. 6769
Huetz-Aubert 3750
Hughes R. R. 4846
Hughes W. P. 6593
Hulsigen R. 4478
Hulsman J. W. 3535
Hóla L. 6755 II
Hull G. W. 4431
Hullings W. Q. 5205
Hume D. N. 3943
Humphries S. 4650
Humphrey E. L. 5529 II
Humphreys D. D.
5503 II
Hunt E. B. 4891
Hunter M. J. 5512 II
Hunyar A. 6582 II
Huppert P. A. 5409
Hur J. J. 5104
Husajni S. M. 6066
Huss R. 5549 II
Hussein A. 6065
Hussey F. 6291
Huttel H. C. 3863
Hyde C. 5202
Hyde K. R. 4452
Hykan E. H. 5168
- I
Ibert E. R. 6040
icha F. 4348, 5589
ida S. 3603
ikeda T. 3682
imhoff K. 5158
- Jacklin C. 5918
Jackson C. J. 5146
Jackson D. R. 5489
Jackson H. C. 6284
Jackson T. M., Jr 6096
Jacobi L. J. 6029
Jacobs M. B. 4363
Jacobs R. B. 4424
Jacobson H. W. 6446 II
Jacobsson B. 6173
Jadhav G. V. 4559, 4560
Jaenicke M. 5264 II
Jaffe F. 6516 II
Jahn W. 3752
Jahnig C. E. 5974 II
Jakob J. 6139
Jakubec I. 5587
James V. H. T. 4765
Jančík V. 6072
Jancsó H. 3585
Janczewski M. 6677
Janežic Z. 6693
Janicki J. 6246
Janik J. A. 3591
Janikowa J. 3987
Jannke P. J. 4349
Jansen T. P. 5833
Janusz T. P. 3692
Janz G. J. 4421
Janz G. K. 3748
Jaquiss D. B. 4826
Jarolim V. 4745
Jaskólski S. 4216
Jatzek H. A. 4945 II
Jaye R. C. 6471 II
Jayne G. 6600
Jędrusiak Z. 6696
Jefferson E. G. 5261 II
Jellitto R. 6335
Jenckel E. 6499
Jensen H. B. 5836
Jensen W. 6602, 6622
Jentzsch H. 5184
Ježo I. 4778
Jičinský V. 6293
Jilek J. 5609 II
Jilek J. O. 4514, 4541,
4556
Jiriček V. 4715
Joffe A. 5701
- Joglekar G. D. 5418
Johnson A. N. 5525 II
Johnson A. W. 4827
Johnson G. H. 6700
Johnson G. R. A. 3917
Johnson G. V. 5714
Johnson J. L. 4726
Johnson R. G. 4845
Johnson R. L. 5958
Johnson R. M. 6140
Johnson W. S. 4761
Johnston H. L. 3893
Johnston W. D. 3678,
3692
Jonassen H. B. 4092
Jones C. L. 6510
Jones E. A. 5478 II
Jones E. I. 6424 II
Jones E. R. H. 4750
Jones J. K. N. 6136
Jones R. 6404
Jones R. H. 4480
Jones R. N. 3559, 4395,
4756
Jones R. V. 6554 II
Jones T. S. G. 4604
Jones W. 5558
Jonge J. 6441 II
Jongkind J. C. 4389
Jorand J. 6054
Jordan J. 4101
Joseph A. 5901
Josepovits G. 4439
Joshi B. N. 6092
Joshi D. V. 4644
Joshi K. M. 3967
Jost W. 3832
Jowett A. 5814
Juchniewicz R. 5012
Jullander I. 6603
Jungermann E. 4798
Juračka P. 4543
Jureček M. 4350
Jürges W. 5030 II
Jüttner B. 5263 II
Juza R. 4058
- K
Kabara J. J. 3738
Kabler P. W. 5040
Kadkol S. B. 6223
Kadlec M. 5510 II
Kahler H. L. 5044
Kaiser A. 3939
Kaiser C. 4522
Kaiser E. 4387
Kaiser F. 4770
Kakač B. 5591
Kalinowski K. 4386
Kalle K. 4248
Kaltenbach J. 6616
Kaltwasser H. 4495
Kaluszyner A. 4703
Kamath P. M. 6789
Kambli E. 5550 II
Kanda S. 4100
Kantharaj Urs M. 6328
Kapadnis D. G. 3726
Kapenekas H. 5475
Kapetunidis I. 4262
Kapitanczyk K. 4292
- Kaplan H. 3490
Kapoustinsky A. F. 3757
Karabinos J. V. 4647,
4697
Karamanian A. 5721
Karamata S. 4152
Karchmer J. H. 4354
Karlin E. J. 5714
Karrer P. 4626, 4783
Kary R. M. 4696
Kass G. S. 5767
Katchalski E. 4799
Katz A. 4771
Katz D. L. 4865
Katz I. 6386
Katz W. 5017
Katzin L. I. 5210 II
Käuffer H. 6787
Kaufmann E. 3822
Kaufmann H. P. 6063
Kawanishi M. 4775
Kaye W. I. 4021
Kazato K. 3655
Keating R. J. 5135
Keay L. N. 6781
Keeler W. R. 5242 II
Keen N. J. 4452
Kehlan H. V. 3935,
3936
Kehoe R. A. 5169
Kehren M. 6110
Keil A. 6480 II
Keilling J. 6289
Kelen I. 6658
Keller M. 3654, 3661
Keller S. P. 4443
Keller W. 5553 II
Kelley L. E. 6628
Kellmann A. 3911
Kemp J. D. 6313
Kempni K. 4404
Kemula W. 4419
Kendereski S. 6316
Kennedy K. K. 5200
Kent-Jones D. 6220
Kenyon J. 4463
Kenyon W. O. 5796 II
Keppler H. H. 4830
Kermicle H. A. 4420
Kern R. 6001 II
Kern T. 6631
Kernan J. M. 6629
Kerslake J. E. 5065
Kesterson J. W. 5758
Kevel E. 6331
Kharbada O. P. 5221
Khubchandani P. G.
3632
Kick H. 4285
Kieffer J. 3717
Kieffer L. J. 3576
Kilbank S. C. 6529
Killgore R. H. 5906
Kilpatrick M. O. 5976
Kilthau M. K. 6444 II
Kindermann G. C. 5895
King H. G. 4820
King I. R. 3861
King R. W. 5891
Kingcome J. C. 5003
King Sheng 4520
Kingsley H. A. 4896
- Kini K. A. 3896
Kinman M. L. 6040
Király J. 4005
Kirkov P. 4956
Kirkpatrick A. 6820
Kirsch F. W. 5906,
5909
Kirt E. 5727
Kishida Y. 4753
Kiss A. I. 3524
Kister L. R. 4251
Kiszel M. 6331
Kitaoka S. 4714
Kittel G. 5052
Kitzes A. S. 5205
Kivel B. 3482
Klantschnigg P. 6185
Klappert E. 4528
Klatte H. 3880, 4850
Klauck A. 6334
Kleber W. 3634, 3700
Kleczar J. 5717
Klein H. 6271
Klein L. 5155
Kleine J. 5535 II
Klemm L. H. 4568
Klicza L. 5672
Kliffmüller R. 4295
Klingholz R. 6470 II
Klumpar I. 4853
Knoch J. 4920
Knacke O. 3954
Knapp W. J. 5304,
5326
Knelman F. H. 6214
Knight C. 3618
Knight R. A. 6232
Knížek J. 4360
Knoll E. 5285
Knoll H. 4061
Knop L. 3732
Knott E. R. 5555 II
Knox J. H. 4492
Knox K. 4073
Kobayashi S. 3484
Kočevar F. 6607
Koch J. 6236
Kocourek J. 4715
Koeck W. 5048
Kogon I. C. 3593
Kohn J. A. 3703
Kohn J. P. 4428
Kolczynski J. R. 3959
Kolling O. W. 4105
Kolthaff I. M. 3976
Koltun S. P. 6651
Komine A. 6408
Koneczna M. 3947
König P. 4986
Könnecke H. G. 3831
Konobeevskij S. T. 3901
Konstantinova-Taskova
D. 4956
Kool J. 5197
Koopmans M. J. 5721
Koops J. 4399
Kopecký A. 6057
Korenman I. M. 4391
Körös E. 4107
Koruzo J. E. 5120
Kosack W. 5455
Kotásek Z. 6011

Kotschevar L. H. 6309
Koutecký J. 3885, 3886
Kováč S. 4003
Kovalenko P. N. 4306
Kovářík M. 4296
Kovats J. 6151
Kovats M. A. 4044
Kozłowska M. 4169
Kozłowski Z. 4430
Kozmál F. 6566
Krajewski R. 4184
Krilik P. 4003
Kramers H. C. 3723
Kranen-Piedler U. 4817
Krantz G. W. 5700
Krasnitskaja R. I. 6325
Krause A. 4065
Krause R. 5028 II
Krause H. L. 4804
Krebs H. 4071
Krempaský J. 3666
Krems I. J. 4798
Kresze G. 3589
Kretschmer C. B. 4353
Kretschmer K. F. 6168
Kriegler P. J. 5675
Kriessman C. J. 3691
Kriessman P. S. 5240
Kristan J. 3732
Krivocova M. 4326,
5163, 5165, 5166
Krogh-Moe J. 3952
Kroh J. 3780
Kropa E. L. 6340
Kropschot R. H. 3727
Kronpa F. 3583
Krukenberg W. 5547 II
Krum P. 3994
Kruppke E. 6001 II
Kubota T. 4815
Kucher R. V. 4044
Kuczyński H. 4742
Kühle E. 5509 II
Kühn L. 3634
Kuhn R. 4482
Kuhn S. 4525
Kühnhold U. 4061
Kukačková V. 4326
Kulkarni A. B. 4644,
6092
Kulkarni V. G. 4558,
4560
Kumnick L. R. 5125
Kuniak L. 6609
Kunth P. O. 5402
Küntzel A. 6720
Kunz H. 6576
Kunze W. 5327
Kunzler J. E. 4431
Kupka J. 4313
Kurata F. 4428
Kure P. 5405
Kuroya H. 3641
Kurth H. J. 6734
Kurti N. 3745
Kurtz S. S. 5891
Kurza Z. 4292
Kusnetzov Y. A. 4147
Kusuda T. 4874
Kutina J. 3599
Kutzeligg A. 5018
Kwan T. 3901

L

Laakso P. V. 4649
La Burthe P. 5397
Lacko L. 6768
Lagergren C. 3636
Lahiri A. 3896
Lahr H. R. 5357
Laitone E. V. 3708
Lakin J. R. 5345
Lakodey P. 3781
Lal G. 6256
Lamb V. A. 5292
Lambert A. 5527 II
Lambert J. L. 4263
Lambert V. 4925
Lamberton J. A. 4826,
6093
Lambooy J. P. 4793
La Mer V. K. 4039
Lammers S. 5433
Lancaster J. L. 5666
Lang H. 5041
Lange P. W. 4336
Lange W. 5263 II
Langhammer H. G. 6766
Langlund J. 6278
Langton N. H. 6798
Lanteri A. 6098
Lapidus L. 4897
Laporte F. 6412 K
Lappert M. F. 4677
Lardera M. R. 6356
Larsen J. 5915
Lasater J. A. 4009
Lašková V. 5587
Laskowski S. C. 4760
Lasserre R. 6724
Lastovica J. E. 4892,
4893
Latter S. C. 5990
Laue W. 4072
Laurence L. L. 5934
Lautensack H. 4876
Laurent P. A. 5750
La Vecchia A. 3633
Lavrenčić B. 5808
Law J. T. 4952
Lawroski S. 5198
Laxdal V. 4803
Lazović M. 5212
Lear J. B. 4372
Leavitt F. C. 6615
Le Brasse G. J. 5294
Lecoin R. 6038
Lederer E. 4031 K
Lederer M. 4031 K
Ledvinová Z. 5592
Lee C. A. 6077
Lee J. F. 3876
Lee G. W. 5817
Lee T. H. 6129
Lee Put-Kum 4039
Lee Shao-lin 3876
Leeuw K. L. A. 5433
Leflon H. 6463 II
Lehmann J. 4734
Lehmann J. 5042
Lehovec K. 3665
Lehto E. A. 4670
Leinblitz E. 3834
Leineweber G. 3629

Lell E. 3596 II
Lemli J. A. J. M. 5754
Lenhard R. H. 4766
Lentze M. 6631
Lenz I. 4346
Leone S. A. 4700
Leonhardt J. 3628
Leopold K. F. 4862
LeRoy G. V. 3738
Lešek F. 4938
Letort Y. 5346
Levi L. 4381
Levy C. 5291
Levy H. A. 3650, 3651
Levy R. M. 6648 II
Lewallen W. F. 6273
Lewicki W. 4000
Lewis J. S. 4021
Lewis K. G. 4582
Lewis T. R. 4776
Liberty G. 6359
Liebe O. 6075
Liebig A. W. 6240
Liedtke H. 4058
Light D. 5009
Lighthall A. C. 6649 II
Likar O. 6208
Lindenfelser R. 6444 II
Lindenfors S. 4542
Linder W. 5982 II
Lindgren E. R. 3718
Lindhölm B. 6602
Lindley F. W. 6574
Lindsey P. B. 4987
Ling Youh-Chern 4640
Linhard M. 3516
Linke W. 4871
Lipczyński S. 5826
Lipilina I. I. 3757
Lipko S. 6642
Lippman A. E. 4772
Lipscomb W. N. 3600
Littell R. 4766
Little E. C. S. 5730
Litz E. 6361
Liu D. K. H. 5295
Livengood J. C. 3864
Liowski J. 6558
Llambias H. 5237
Llopis J. 3992
Lochet R. 3910
Lochte H. L. 4602
Lockhart J. C. 3938
Logan W. R. 4833
Lomax E. L. 5885
Long F. A. 3853
Longley R. 6429 II
Longree K. 6213
Loo L. G. W. 6267
López A. 3635
Lord R. C. 3570
Lord S. S. 4369
Lordley H. E. 5091
Lorenz W. 5744 II
Lornitzo P. A. 4486
Lossing F. P. 3499
Loudfoot I. H. 4803
Louis L. 5067
Lou Nan-ch'uan 5941
Lo Vecchio G. 3494
Lovin L. G. 6699
Lovreček B. 3966

Lovreček I. 5823
Lowe R. A. 5011
Lowe W. G. 5796 II
Lu C. Y. 3771
Luce E. 5848
Lüdde K. H. 6067
Ludorff W. 6336
Lüdy-Tenger F. 4378
Lueck B. F. 5046
Lukyanova O. I. 4045
Lund H. 4764
Lund P. 6614
Lundberg C. V. 5021
Lundy R. 3657
Lupan S. 5211
Luthe A. 5895
Luthi H. 6259
Lüttke W. 3563
Luyendijk E. N. 5756
Lynch C. 4373
Lynch C. C. 4082
Lyon J. B. 4847

M

Maas E. 4375
Mabb P. 6345
McArthur I. K. H. 3993
McBee E. T. 4352
McCall D. W. 6779
McCall M. A. 5546
McCallum S. R. 4587
McC Campbell H. C. 6313
McCarley R. E. 4096
McCasland G. E. 4592
McConnell J. D. M. 4004
McDonald I. R. C. 4266
McDonald R. N. 6061
MacDonald S. F. 4591
McDougall H. J. 4001
MacDougall M. 4718
Mc Ewen W. E. 4676
Macfarlane W. A. 5800
McGilvray D. I. 4732
McGovern J. N. 6598
McGrogan J. F. 5955
McGriff R. B. 4625
McGulgan J. P. 6508
Mach M. 5031
Macher L. 5101
Mc Intire J. W. 4666 II
Macintyre J. R. 4927
Mack G. P. 5513 II
McKay H. A. C. 3930
Mackenzie D. J. 4587
Mackenzie R. C. 5311
McKinney V. L. 5205
MacLagan D. S. 5731
MacLaren J. F. 5110
McLaughlin P. J. 6628
McNary J. 4486
McNelle R. A. 6174
Mc Sweeney E. 6340
Macura C. 5535 II
McWeeny R. 3487
Madden A. J. 4881
Madden P. R. 4941
Madesclaire J. 6505
Maeda R. 5539 II
Maeda S. 3688
Maennchen K. 5414 II
Maerker J. B. 5908, 5909
Magee J. S. 3514
Mahan J. E. 5537 II
Mahaskar V. V. 6092
Maheshwary N. K. 4532
Maier A. F. 4900
Maier W. 3534
Maine P. A. D. 3520
Maiti P. C. 4749
Maitlis P. M. 4475
Majumdar A. K. 4302
Majzner J. 6696
Mak E. Y. K. 4568
Makeev O. W. 4230
Makowska A. 6625
Malan W. C. 5146
Malčík Z. 6182
Málek J. 6768
Malinowski R. 5439
Malkus Z. 4327
Mallatt R. C. 5020
Mallison H. 5857
Malm C. J. 6489
Malovecz I. 6743
Mameren J. 6318
Manchester F. D. 3721
Mandziuk W. 5137
Mangini L. 6352
Maniawski F. 3591
Manly D. G. 3523
Mann F. G. 4627
Mann H. 5111
Manne R. S. 5907
Mannhardt H. J. 3533
Manocha B. D. 5659
Manteuffel A. 6004 II
Manton J. 3872
Marcoli K. 4370
Marcel P. 5809
Marco F. 5334
Marcus Y. 4083
Margenau H. 3482
Mariani L. 5174
Markham A. H. 4432
Markizow W. I. 5156
Maros L. 4107
Marra A. A. 6398
Marsh T. P. 4316
Marston A. L. 3570
Marteny W. W. 6638
Martin F. H. 6149 II
Martin H. 3842
Martin H. 5396
Martin H. 5916
Martin J. J. 3863
Martin N. L. 6619
Martin W. 6220
Martins da Silva J. 4213
Martiny K. 5812
Martorano G. 5172
Marton E. 6670
Martosné-Bárczai M.
4779
Martraire M. 5486
Maruszewska-Wieczor-
kowska E. 4692
Marutake M. 3682
Maskow H. M. 5186
Masdupuy E. 4066
Mason P. 5931
Massimilla L. 5938
Małach M. 5491, 5521 II
Matejec R. 3676
Mateos J. L. 3521

[illegible]

— 496 —

Авторский указатель

Panish M. B. 3768
 Pankhurst K. G. A. 6729
 Panrati R. 5760
 Paoletti P. 3736
 Paoletti R. 3736
 Paparelle G. A. 5094
 Papetti S. 4680
 Pappas M. A. 4945 II
 Pappo R. 4761
 Pardo G. 3737
 Parducci M. 6341
 Parepeanu G. 5425
 Parham W. E. 4493
 Parke T. V. 4460 II
 Parker E. 5513 II
 Parker G. S. 5401
 Parr-Burman H. B. A. 5869
 Parrott E. L. 5585
 Parry R. W. 4090
 Parsley J. 6700
 Parsons J. W. 5999 II
 Partikian D. G. 5891
 Paschke E. 5264 II
 Paschke R. F. 6069
 Pascu M. 5171
 Pasdach H. 5505 II
 Pass F. 5951
 Patat F. 6799
 Patel S. Z. 4380, 4388
 Patron A. 6260
 Patterson A. L. 4414
 Patterson C. S. 3941
 Patterson W. S. 5869
 Patton F. L. M. 4701
 Patton H. W. 4021
 Patton R. H. 4675
 Paul J. 4920
 Paulitsch P. 3639
 Paunce R. 3491
 Pavlas P. 6131
 Pavlik M. 5031
 Pawlowski S. 5356
 Payens T. A. J. 3990
 Peckham C. L. 6612
 Pederson R. L. 4762
 Pedretti A. 5207
 Peek K. 5281
 Pektor V. 6755 II
 Pelikán J. 5180
 Pelnář R. 5170
 Peltier R. 5462
 Pélououx A. 3740
 Penner S. S. 3862
 Peoples R. S. 4962
 Pepinsky R. 3644
 Percival E. 4729
 Perkins K. L. 3576
 Perkins P. C. 3755
 Perold C. W. 4656
 Perret J. 4991
 Perrine V. H. 6537
 Peski-Tinbergen T. 3723
 Petcov R. 4311
 Peter J. 6007 II
 Petermann R. 6659
 Peterson D. L. 3527
 Peterson M. B. 5958
 Peterson S. W. 3650
 Peterson W. H. 5570
 Pett G. 3788
 Petrick P. 3975

Petuely F. 4400
 Petzow G. 3792
 Peynaud E. 6176
 Pezarro S. 6370
 Pfahl A. 4415
 Pfeil D. 6334
 Pfeleiderer H. 6493
 Phillips D. D. 4752
 Phillips I. 6380
 Phillips P. C. 4750
 Piccardi G. 4121, 4122
 Picha F. 4326
 Pickering G. B. 5755
 Pieri G. 6179
 Pietrokowsky P. 3794
 Pigman W. 4727
 Pijanowski E. 6204
 Pilař V. 5840
 Pina S. 5571
 Pinchas S. 4365
 Pingale S. V. 6223
 Pinner R. 5271
 Pinsky Z. G. 3647
 Pinsky J. 6506
 Pisolenc G. 5397
 Piper D. B. 4858
 Piret E. L. 4881
 Pisecký J. 3522
 Pittzer E. R. 4949
 Placek C. 4767
 Planes Garcia S. 5670
 Planeta N. 6378
 Plata R. 5404
 Plati J. T. 4616
 Pleninger H. 5649 II
 Pliva J. 4745
 Plocennik J. 6165
 Plumier R. 3626
 Poch T. 4447
 Pochhall L. 5858
 Podgórski R. 5329
 Pogacnik M. 6607
 Poggi A. R. 5565
 Pohl A. 6636
 Pohl H. 4935
 Pointeau R. 4343
 Poirier J. C. 3705
 Pokorný J. 4391
 Pokorný J. 6072
 Pöll H. 5951
 Poll J. D. 3722
 Pollack M. A. 6454
 Pönninger R. 5115
 Popa I. 5175
 Pöpel F. 5106
 Pople J. A. 3496
 Popoff K. 3835
 Poppema O. J. 3476
 Popper F. 5827
 Porch W. 4650
 Poreyko S. 6756
 Porter F. W. B. 5988
 Porter G. 3839
 Portes P. 6737
 Porter R. B. 6448 II
 Pospíšil O. 5450
 Pospíšil V. 5148
 Post H. W. 4680
 Potchinkov J. A. 6799
 Potocsny G. 5355
 Potocz A. E. 3859
 Potter O. E. 3473

Potvin R. J. A. 3973
 Povoden V. 6607
 Powell H. N. 3868, 3877
 Pozza G. 6559
 Prager S. 3977
 Prakash D. 4333
 Prausnitz J. M. 4884
 Pražák J. 6587
 Preiss S. 5881 II
 Preston J. M. 6572
 Pretti-Pavletta W. H. 6029
 Prettre M. 3781
 Preud'Homme J. 5632 II
 Prevorsek D. 3561
 Prévost C. 3838
 Price C. C. 4638, 4641
 Priddy A. J. 5846
 Priesing C. 4755
 Prijs B. 4662
 Prilleux M. 4975
 Pro M. J. 6160
 Probsthain K. 3619
 Proskow S. 4592
 Protiva M. 4514, 4541, 4561, 4777, 5609 II
 Pruthi H. S. 5668
 Pruthi J. S. 6256
 Puckett J. P. 4943
 Pugh N. J. 5055
 Pummer H. 5879 II
 Purnell J. H. 4026
 Purves C. B. 6592
 Puschhof S. 5507 II
 Pustelnik C. 6596
 Pye D. J. 5243 II
 Pyszora H. 6536

Q

Quanjel H. E. 5833
 Quarmby B. 6203
 Quirk J. F. 5202

R

Raabe B. 4683
 Rademacher W. 5816
 Răducanu G. 4311
 Raecke B. 5530 II
 Raemaekers R. 4315
 Rakintzis M. T. 4113
 Ramakrishna V. 5665
 Ramondt D. 6141
 Ramsay D. A. 3508
 Ramsden H. E. 4688
 Ramspeck E. 6368
 Rao M. B. 6263
 Rao M. N. 3772
 Rao S. R. 6066
 Rao V. N. K. 3772
 Raseman C. J. 5196
 Rast N. 3696
 Rausch R. 4600
 Rauscher K. 6202
 Ravoux J. P. 4429
 Rawhy Abd-El-Rahman 5660
 Rawlings E. G. 5126
 Ray A. K. 4062
 Ray H. 5736
 Ray M. 5122
 Ray N. H. 4023
 Ray P. 4080, 4099

Raybould R. D. 5112
 Raymond W. D. 6140
 Rebollo D. V. 3992
 Rebske E. 6347
 Redlich P. 6078
 Reed R. 4702
 Reed T. B. 3638
 Rehblinder P. A. 4045
 Reich M. 5475
 Reiche F. V. K. 4656
 Reichel M. K. 5799 II
 Reid D. G. 5200
 Reilly J. 4651
 Reissmann H. 3752
 Reith J. F. 6333, 6334
 Rempp P. 6764
 Renier J. J. 4114 II
 Renk E. 3939
 Renner H. 3595 II
 Renz J. 4735
 Reppe W. 4504—4509
 Rescorla A. R. 5971
 Resen L. 5893
 Resnick M. 6371
 Réti J. 6743
 Reyes V. M. 5726
 Reynolds J. E. 5253
 Reynolds W. L. 3977
 Rice F. A. H. 4720
 Richards C. G. 4645
 Richards H. L. 6270
 Richards R. B. 5019
 Richards R. J. 4424
 Richardson F. 3738
 Richardson J. M. 3839, 3873
 Richardson S. H. 6445
 Richter D. H. 4189
 Richter H. 5644 II
 Richter J. 4367
 Richter R. 6106
 Riecken F. F. 4227
 Rieckhoff K. 4723
 Riehl A. P. 4941
 Riehl L. A. 5673, 5674
 Riese W. A. 6492
 Rieve I. 6246
 Rigbi Z. 6524
 Riggs N. V. 4717
 Rijswijk de Jong W. E. 5193
 Ritter J. J. 4659
 Rivero J. M. 5670
 Rivers H. M. 5100
 Roach A. G. 3671
 Robbins D. 4109
 Roberts C. W. 4352
 Roberts D. H. 4402
 Roberts G. 3567
 Robertson A. 4586
 Robertson A. 4826
 Robertson J. M. 6120 II
 Robins A. B. 6774
 Robinson A. E. 4580
 Robinson J. S. 5333
 Robinson R. 4649
 Robinson W. E. G. 5846
 Robitschek P. 6455 II
 Robson J. T. 5342
 Rocchiccioli C. 3551
 Rochow E. G. 3931
 Röck H. 3946

Rockwell T. 5205
 Roderig H. 6304
 Rodger W. A. 4861, 5168, 5198
 Rodriguez J. L. 5673, 5674
 Roe C. P. 6795
 Roe S. F. 6302
 Roeder A. 3767
 Roedig A. 4528
 Rogers M. T. 3768
 Roh N. 5522 II
 Rohrman F. A. 3733
 Rollingson W. R. 4371
 Rolínski J. 4419
 Rollefson R. 3586
 Roman M. 5068, 5069
 Romaňuk M. 4745
 Rommert L. 4739
 Rooljen B. 6375
 Rook J. A. F. 6304
 Rösch M. 6110
 Röschke K. 4401
 Rosen L. 4727
 Rosenberg H. M. 3668
 Rosenberg S. D. 4688
 Rosenbergher N. A. 6594
 Rosenfelder W. J. 4519
 Rosenthaler L. 4378
 Roseveare W. E. 6585 II
 Roshchina R. V. 4294
 Rosser R. A. 6486
 Rossi G. 4006
 Roth E. M. 3958
 Roth R. S. 3622
 Roth W. 4522
 Rothe R. 3946
 Rothe W. 3789
 Rothfuchs D. 5453
 Rothschild B. F. 5294
 Rottig W. 5541 II, 5544 II
 Rousset A. 3910
 Rowe A. L. 6244
 Rowe L. S. 4971
 Roxburgh J. M. 6164
 Royer L. 3701
 Rubin L. G. 5324
 Rudd R. K. 6272
 Rudloff E. 4344
 Ruebensaal C. F. 6522
 Rüegg R. 5502 II, 5516 II
 Ruf J. 4710 II
 Ruff R. J. 5863
 Rundel W. 4667
 Runge F. 4346
 Runtl C. 4552
 Rush R. F. 5408
 Rushton J. H. 4864
 Ruske W. 4648
 Russell J. 6772
 Russell K. E. 4574
 Rusznak I. 6670
 Ruth B. F. 4855
 Rutkowski J. 3875
 Ruys A. 5777
 Rybak B. 3910
 Rybář D. 5594
 Rzyany H. 3591
 Rzymkowski J. 5797 II

S

Sabatier G. 3803
 Sadler C. 6728

- Sado A. 3492
Saenger 5185
Saenz Lacalle A. 6055
Sattien K. 5551 II
Sagal J. 5546
Sagner Z. 4366
Sahr E. 5834
Sahyun M. 5608 II
Saito Y. 3641, 4100
Sakamoto T. 4220
Sakan T. 4789, 4790
Saletore S. A. 6066, 6101
Sallans H. R. 6164
Salman H. 5320
Salo M. 6489
Salomaa P. 3854
Salomaa S. 6287
Salplachta J. 6268
Salvi 5488
Salvinen J. 3474
Samollov O. J. 3757
Sams C. E. R. 4926
Samuels L. E. 5269
Sanchiz E. 6502
Sanda V. 4384
Sander K. 6128
Sandhu S. S. 4532
Sandri J. M. 3542
Sangster R. C. 3693
Sanin H. 6322
Sankey G. B. 4586
Sanz Burata M. S. I. 4643
Sapper D. I. 4533
Saraga-ter-Minassian L. 4032
Sargent D. T. 6549
Sarhan J. 5613 II
Sarudi I. 6144
Sasaki H. 4042, 4043
Sasin G. S. 6081
Sasin R. 6081
Sata N. 4042, 4043
Sato T. 4873
Sauer M. C. 4036
Sauermilch W. 4619
Sauerwald F. 4110
Sauman Z. 4279
Saunders D. W. 6785
Saunders W. H. 4483
Saupe A. 3534
Savage E. F. 5690
Savage V. L. 6633
Savage W. E. 4826
Savignac G. 6289
Savolainen J. E. 5199
Sawal I. 5388
Sawhney P. L. 4825
Sawicki E. 3525
Sawires Z. 3532
Saxena R. S. 4094
Saxon R. 6657
Schaeffer R. 3503
Schaffler A. 5227 II
Schauer W. 4622
Schay G. 4005, 4013
Scheel K. 5511 II
Scheidel C. 5803
Scheller W. A. 4851
Schellhammer C. W. 4608
Scheske F. A. 4356
Schetelich O. 5239
Scheurer H. 6001 II
Schiedt U. 3568
Schierbaum F. 6142
Schiff H. J. 3500
Schildknecht C. E. 6411 K
Schilt A. A. 4098
Schink H. 4913
Schirp H. 5530 II
Schisla R. M. 4605
Schjeldahl G. 6482 II
Schläfer H. L. 3517
Schlanitz F. 6148 II
Schleyer P. 4521
Schlockermann W. 5526 II
Schlögl K. 4805
Schlosser F. 5970
Schmalenbach A. 5879 II
Schmassmann H. 5045
Schmid H. 4819
Schmidt A. F. 5476
Schmidt C. H. 5657
Schmidt H. 4907 II
Schmidt H. W. 5511 II
Schmidt H. W. 5770
Schmidt K. 6613
Schmidt N. O. 4880
Schmidt O. 4885
Schmidt O. J. 5059
Schmidt O. T. 4712
Schmitz-Jösten R. 4574
Schneider H. E. 4273
Schneider K. 5030 II
Schneider P. 5509 II
Schneider W. 6504
Schnell H. 5520 II
Schnell R. 6393
Schock R. U. 4623
Schoch W. 6626
Schoeneck H. 4396
Schoeni K. 3665
Schofield P. 3496
Scholtan W. 6775
Schölzel K. 3763
Schön W. 4812
Schöpf C. 4600
Schowalter K. A. 4577
Schrader G. 5602 II, 5744 II
Schrader W. 6413 K
Schram A. 5951
Schreiner S. 4699
Schriesheim A. 5930
Schröder G. 4600
Schulek E. 4107, 4364
Schüller H. 3913
Schultz S. J. 6445
Schulz K. F. 4102
Schulze G. E. R. 4413
Schulz-Falkenhain H. 5119
Schumann E. 5097
Schunko A. D. 4310
Schuz M. O. 6648 II
Schurin B. 3586
Schuster L. 5028 II
Schwab G. M. 4345
Schwalbe F. G. 5393
Schwarz H. 5704, 5772
Schwarz J. C. P. 4718
Schwarz L. 5028 II
Schwarz M. 4646
Schwarz R. 4693
Schwarzer D. 4125
Schweishelmer W. 5776
Schwemler F. J. 5057
Schwen R. 4477
Schwiete H. E. 4986
Schwiete A. 6132
Scott A. D. 4223
Scott F. L. 4651
Scott J. W. 3969
Scott M. J. 6794
Scott R. A. 6220
Scott R. H. 5046
Scrocco M. 3944
Sears P. G. 3932
Secor R. B. 5902
Šedivec V. 5965
Šedivý Z. 4777
Seefelder M. 5505 II
Seehof J. M. 4806
Seekamp 5185
Segall B. 3663
Segalova E. E. 4045
Segeberg H. 5807
Segers J. 4470
Segnit E. R. 5348
Selden J. 3711
Seidl G. 4478
Seidl R. J. 6601
Selkel M. K. 4821
Sekera A. 4391
Sekowski S. 4419
Sekules W. 5920
Sela M. 4799
Selenyi Z. 4255
Seligsberger L. 6728
Selivanova M. N. 4286
Sellers J. 5370
Sen A. K. 4638
Senecal V. E. 4899
Senfite F. E. 4019
Sengupta N. 4099
Senoh S. 4789
Senter E. B. 4650
Senger H. 6332
Servais P. C. 5512 II
Seshadri T. R. 4825
Setty T. H. V. 3963
Seyfried W. D. 5892
Shah S. M. 4886
Shalit H. 5908, 5909
Shankar J. 3632
Shanley F. R. 5326
Sharma N. N. 4357
Sharpe E. E. V. 4996
Sharpe M. E. 6294
Shaw W. C. 5738
Shaw W. H. R. 3850
Sheely M. L. 6122 II
Sheets T. J. 5739
Shepherd D. R. 5698
Sheppard C. S. 4577
Sherwood P. W. 5481, 5495
Sherwood T. K. 3786, 4895
Sheyanova F. R. 4294
Shih Liang-ho 6763
Shimomura K. 3582
Shimozawa T. 3590
Shirley D. A. 4670
Shiro T. 3641
Shoemaker M. J. 5642 II
Shohara W. 4523
Shooter K. V. 6774
Shoppee C. W. 4754
Shpinel V. S. 4299
Shreeve N. G. 5710
Shreir L. L. 3969
Shuler K. E. 3839
Shute R. S. 5902
Sibert M. E. 5300
Siddappa G. S. 6257, 6258
Sidlow R. 5151
Sidorov T. A. 3546, 3547
Sibert A. 5549 II
Siedel W. 4795
Sieg L. 3832
Sieglaft C. L. 4067
Šimačková O. 4334
Simon J. E. 5684
Simon W. 3530, 4444
Simons E. M. 4963
Simons J. H. 3712, 4675
Simpson J. A. 4120
Simpson P. K. 4917
Simpson W. T. 3527
El-Sinbawy H. 5814
Singer J. M. 3871
Singh R. P. 4658
Sinha K. P. 3879
Siragusa J. M. 5598
Sittl M. 5241
Skertchly A. R. B. 4416
Skinner H. A. 3756
Skoludek H. 3517
Skovholt O. 6217
Skowrońska A. 4692
Skrabek E. A. 5891
Skrzec A. E. 4893
Slacman M. 6051, 6052
Slámová E. 5587
Slavik I. 6591, 6609
Slee L. J. 4274
Slichter W. P. 6779
Sloan J. C. 5214 II
Sly G. 6420 II
Šmelhaus V. 6208
Smellie R. H. 4039
Smiley R. A. 3529
Smisssman E. E. 4466
Smit G. B. 5434
Smith 5480
Smith A. G. 5124
Smith C. R. 4772
Smith G. F. 4098
Smith H. G. 3814
Smith H. M. 5892
Smith J. G. M. 6781
Smith J. M. 4629
Smith J. M. 4864
Smith L. M. 5931
Smith N. D. P. 4996
Smith N. R. 6417 II
Smith O. J. M. 4919
Smith P. A. 4534
Smith P. V. 5498 II
Smith R. C. 5261 II
Smith R. F. 6608
Smith R. P. 4704
Sneck T. 4988
Snoke H. R. 5928
Snow C. I. 4996
Snow R. 3497
Snow W. B. 5085
Snyder J. W. 6531
Sobolev N. N. 3546, 3547, 4433
Sobótka W. 3557
Soder G. 5520 II
Sodhi J. S. 6400
Soest G. 3726
Sokol L. 4265
Solonet P. 5215 II
Solberg Y. J. 6676
Solms J. 4716
Solomon O. 5496
Solomon O. P. 6808 II
Somer E. 5190
Sookne A. M. 6657
Sorgdrager P. 5584
Sorm F. 4745, 5510 II
Soroa y Pineda J. M. 6043
Souby A. M. 5907
Souček M. 4350
Souček M. 6635
Southgate B. A. 5051
Southwick P. F. 4036, 4533
Špaček M. 6147
Spänig H. 5505 II
Spanyár P. 6331
Sparing O. 6698
Spazier 6379
Speirs J. L. 3768
Spencer J. F. T. 6161
Spencer L. P. 5274
Spengler G. 6094
Spiegler K. S. 4036
Spindler H. 5023
Spingler H. 4770
Spodenklewicz A. 6675
Spolarich J. 6654
Sponheuer A. 5960
Sprague J. M. 4665
Sprague J. W. 4568
Spring F. S. 4748
Spurr R. A. 4330
Sreenivas B. L. 4299
Sreenivasan B. 6085
Srivastava R. D. 4071
Srivastava T. N. 4109
Srpová B. 4350
Staab H. A. 4473
Staats P. A. 3544
Staatz M. H. 4165
Stackelberg M. 3979
Stafford W. E. 6549
Stander G. J. 5116
Stanfield K. 3519
Stanford G. 4223
Stankovský I. 6305
Stanley C. L. 5282
Stannett V. 6615
Stănoiu I. 5175
Stanonis D. J. 4609
Stanton G. W. 6456 II
Stapel S. 5970
Stateczna M. 5913
Staudt E. 6221
Stecher H. 6528
Steckl J. 3769, 3770
Steenland M. J. 3470

Асторский указатель

- Stefania E. 5563
Steiger N. 5614 II
Steigmann A. 5780
Stein S. 6099
Stein W. 5501 II, 5530 II
Steinberg M. A. 5300
Steiner M. 4375
Steinhage G. 5452
Stephen M. J. 3587
Stephenson E. F. M. 4621
Stěrbaček Z. 5136
Sternberg M. 4385
Sterry W. M. 5323
Stetter H. 4608, 4646
Stevens B. 3510
Stevens H. C. 5497 II
Stewart F. H. C. 4549
Stewart D. 5702
Stewart D. W. 5035
Stiles A. B. 5261 II
Stockburger M. 3913
Stoenescu F. 6790
Stolcheff B. P. 3577
Stolculescu P. 6037
Stokes M. A. 5985
Stokes R. H. 3922
Stokstad E. L. R. 4642
Stolar S. M. 4759, 4766
Stone B. F. 5695
Stormon D. B. 6455 II
Stough D. W. 4962
Stout W. J. 5891
Strahn R. D. 4479
Strain B. 6123 II
Strand S. 6403
Strandt F. 4723
Stratmann H. 5302 II
Strebel P. 4671
Strese G. 3954
Strickland W. A. 5597
Stroh R. 5531 II
Strohal P. 5823
Studebaker M. 6532
Stump W. E. 3761
Stupegia D. C. 3706
Sturt B. A. 3696
Styan G. E. 3927
Stys Z. S. 5222
Subrahmanya R. S. 3978
Subramaniam A. V. 5338
Subramanian N. R. 5418
Suelu S. N. 3877
Sugaike S. 3777
Sugawara S. 4873
Suhrmann R. 3887
Sullivan W. F. 4700
Sulser H. 3530
Summa A. F. 4349
Sumner F. H. 4416
Sundaram P. S. 4879
Sundaramma K. 3690
Sundberg F. 4639
Sunden O. 6343, 6563
Suplett J. E. 5127
Suppan B. 4947
Suquet P. 4052
Surewicz W. 6596
Sis O. 5517 II
Susskind H. 5196
Suval M. L. 4876
Svatos G. P. 3566
Svec H. J. 3503, 3882
Svejda H. 4403
Svobod M. 6268
Swain T. 6235
Swaine J. W. 5214 II
Swalin R. A. 3649
Swallow H. A. 6479 II
Swami D. R. 3772
Swaminathan M. 6223
Swayampati D. R. 4590
Świącicki A. 6155
Świętoslawski W. 3769, 3774
Swift S. V. 5860
Swinarski A. 3940
Swinnow H. 6260
Sykes A. 4705
Sylvain P. G. 6326
Symons G. E. 4948
Synek L. 4320
Szabó Z. G. 3881
Szadeczy-Kardoss E. 4129, 4150
Szalay S. 5804
Szántay C. 4529, 5599
Szejtli J. 6138
Széky-Fux V. 4187
Szentjóni O. 4024
Szkatula A. 3591
Szmuszkowicz J. 4593
Szöcs J. 4255
Szwarc M. 4494
- T
- Tabau R. L. 5721
Tabuchi D. 3843
Tacvorian M. 5343
Tait C. W. 4271
Takahashi N. 3655
Takahashi N. 4733
Takamizawa A. 5539 II
Takeda K. 5539 II
Takauchi Y. 3637, 3644
Talibudeen O. 4018
Tamblyn J. W. 6452 II
Tamblyn N. 6026
Tamen E. E. 4486
Tanlewska-Osinska S. 4430
Tariel P. 5664
Taján I. 3695
Tarnowski K. 4837
Taschenberg E. F. 5691
Tashiro M. 5390
Tate R. 4973
Tatlow J. C. 4704, 4705
Täufel K. 6207
Taurins A. 3559
Tausk P. 5136
Taylor G. J. 5546
Taylor S. R. 4164
Teare P. W. 6778
Technical assets, Inc. 5479
Teichner A. 6700
Teitel A. 3588
Teitel R. J. 3797
Tenkovtsev V. V. 4321
Teodorescu L. 4562
Teodorovich I. L. 4328
Terres E. 3752, 5803
Thaker K. 4463
Thaler H. 6237
Thayer C. H. 4906 II
Thayer G. B. 6366
Theander O. 4355
Thiele H. 5053
Thielebein M. 6245
Thieme J. G. 6063
Thilo E. 4068
Thodos G. 3775
Thomas A. B. 3931
Thomas D. P. 5948
Thomas F. J. D. 5650
Thomas H. A. 5040
Thomas J. D. 5270
Thomas T. L. 3638
Thomas W. J. 3998
Thomaschek G. 5154
Thomopoulos C. 6046
Thompson G. W. H. 6731
Thompson H. 5918
Thompson L. H. 5112
Thompson W. W. 6383
Thompson A. K. G. 4858
Thompson C. 4453
Thompson H. F. 5432
Thompson R. H. 4572
Thorbjarnarson T. 6317
Thring M. W. 5861
Thrower E. 5931
Thuau U. J. 6718
Thuemmel H. 6736
Thurzó G. 6751
Tichomírová V. 4334
Tißen S. S. 5836
Tikhomolava K. P. 4037
Tillmanns E. J. 4659
Tilton L. W. 5399
Timberlake C. F. 6254
Timbs M. N. 6557 II
Ting S. V. 6259
Tipson R. S. 4633
Tisot P. R. 5836
Titus H. 5690
Titus R. R. 6391
Todd S. M. 6424 II
Todo N. 3894
Toffoli F. 3470
Toker B. 6606
Tollin B. C. 3503
Tolstikov G. A. 4324
Tomassi W. 3758
Tomita M. 5539 II
Tomka G. 6283
Tomkins F. S. 3486
Tomlinson T. B. 3672
Tompkins D. K. 5818
Tomšů F. 5339
Toong Tau-Yi 3863
Toor H. L. 3714
Topsom R. D. 4573
Törnqvist E. G. M. 5570
Torriceili G. 6091
Toth B. 6745
Totzek F. 5982 II
Toušek J. 4331
Toušková A. 4331
Towne E. B. 5546
Trägårdh K. F. 5000
Trambouze P. 4932
Tramer A. 3539, 3540, 3545, 3574
Tranzer F. E. 5385 II
Trappe K. 5803
Traynard P. 3558
Trča J. 5136
Treiber H. 5143
Treibs W. 5749
Tremaine B. K. 5181
Trevissol C. 5483, 5938
Trice V. G. 4861
Triolo R. 6652
Trkal V. 3580
Trotman-Dickenson A. F. 4492
Trotter C. F. 5585
Trujillo R. 4086
Trumpy B. 3481
Tschapek M. 4225
Tscharner Ch. 4783
Tsuiki S. 4721
Tsuji T. 4714
Tucakov Y. 5751
Tucker W. M. 5298
Tuites D. E. 4752
Tull R. J. 5628 II
Tulloch D. S. 5013
Tunell G. 3743
Tung L. H. 6767
Turner B. M. 4448
Turner E. E. 4563
Tuttle O. F. 3808
Twelve R. R. 4493
Tyree S. Y. 3941, 4073
Tyrrell H. J. V. 3921
- U
- Ubbelohde A. R. 3839
Uchida H. 3894
Udupa H. V. K. 3970
Ueno K. 3552
Uhlenbroek J. H. 5722
Ulbricht H. 3950
Ulbricht T. L. V. 4641
Ulmann M. 6142
Ulmer A. 6349
Ulrich E. A. 5097
Umanszkij J. S. 3658
Ungar F. 4769
Ungnade H. E. 3529
Unser M. J. 4776
Upenieks U. 5404
Urbański T. 3557
Uskov I. A. 4034
Utlaut W. F. 3733
Uyeo S. 5539 II
Uzac R. 6412 K
- V
- Vacca G. N. 5021
Vágó G. 6743
Vail G. E. 6201
Vainstein B. K. 3647
Valade J. 4678
Valentine L. 6788
Vallarino L. 4097
Vallas K. 5944
Vallejo Vallejo E. 5671
Valentyne J. R. 4246
Vallini A. 4990
Valtr Z. 4331
Vamos E. 5923
Vana C. A. 5256 II
Van Arkel A. E. 4111 K
Van Beneden G. 5049, 5153
Van Den Noortgaete C. H. 6194 K
Van der Beck R. R. 5361
Vanderbilt B. M. 5922
Van der Kelen G. P. 3573
Van der Velde B. 3478
Vanderzant C. 6270
Van Houten G. R. 5290
Van Kamper G. R. 6692
VanWyk J. W. 5995 II
Varga L. 6743
Varma K. T. 3925
Vastagh G. 4390
Vaughan J. 4573
Vaughan P. 6798
Vavruška M. 5510 II
Večeřa M. 4320
Veen H. E. 6312
Vejdělík Z. J. 5591
Vencov S. 3569
Venkateswarlu D. 4879
Venne M. 4841
Verderevskaya N. D. 4048
Verhaeghe J. 3478
Verlicchi L. 4583; 4584
Vetsch U. 6259
Vetter H. 5310
Vicari G. 6691
Vichnievsky R. 5963
Vidotto L. 4838
Vig O. P. 4532
Vigne J. P. 5721
Viktora E. 5351
Vinas J. 4565, 4566
Vincent C. C. 5262 II
Vink H. 4076
Vinogradov A. V. 4299
Vinsot J. G. 6339 II
Virolainen E. 6023
Virtanen A. I. 3852, 4834, 5725
Vladimirov G. E. 3450
Vleegkens J. M. 4008
Vodar B. 3717
Voigt A. F. 4060
Voigt W. 6360
Voigt W. 6646
Volbert F. 4536
Volke J. 4377
Volková V. 4348, 5589
Vřetál J. 4278
Vries G. 4653
Vroemen A. 5320
- W
- Waber J. T. 4957
Wachal A. L. 5966
Wachsmann H. 6752
Wachtell G. P. 3870
Waddington G. 5892
Waddington T. C. 3860
Wacser B. 4914
Wagner S. 3996
Wagner C. E. 6527
Wagner C. 3960
Wagner E. 5247 II
Wahab M. A. 5330
Wahba M. 4010

Авторский указатель

- Wahrburg G. 4968
Walde H. C. 5196
Wait S. C. 3748
Wakefield H. F. 6445
Walch F. 3911
Walitz E. M. 3639
Walkden H. H. 5703
Walker D. G. 3850
Walker E. A. 3536
Walker R. E. 3715
Wallace D. J. 5546
Wallaeys R. 3805
Walldén S. 5213
Wallenfels K. 4734
Wallis R. F. 3659
Walter E. 6661
Walter L. 4915, 4916
Walton E. H. 6462 II
Walton R. F. 5272
Wandrewala H. P. 4649
Wang J. P. 6611
Wanlc A. 3591
Wanninger W. 4396
Wansink D. H. N. 3726
Wardlaw W. 4666
Warren B. E. 3611
Wartburg A. 4735
Washburn W. H. 4356
Wasserman K. J. 6511
Watanabe H. 3688
Watanabe J. 3697
Watanabe M. 3655
Watanabé T. 3609
Waterhouse F. M. 6678
Waterman H. I. 5433, 5950
Waters G. W. 6500
Watson C. C. 4266
Watson D. H. 3652
Watt G. W. 4096
Weaver G. L. 6487
Webb D. P. D. 4416
Webb F. H. 5161 II
Webb J. 4996
Webb J. S. 4629
Webb J. W. 5578
Webb M. S. W. 4337
Weber H. 6126 II
Weber K. L. 6103
Wedler G. 3887
Wegener W. 6571
Wegler R. 5509 II
Wegner A. 5187
Wei J. C. 4895
Weickmann A. 5505 II
Weigel M. 3516
Weinberg F. J. 3709
Welpert E. A. 4539
Weiser D. 4482
Weiser H. J. 4314
Weisiger J. R. 4785
Weisman B. A. 6213
Weiss J. 3917
Weiss R. 3628
Weissert J. 5549 II
Welch A. J. E. 3801
Wells A. A. 5188
Wencke K. 4013
Wendlandt W. W. 3812, 4297
Wene G. P. 5699
Wenger P. E. 4262
Weniger S. 3507
Wenner W. 4616
Went A. J. 4904
Wenzel F. 3568
Wenzell L. P. 6699
Wenzl H. F. J. 6647
Werber T. 4955
Werner J. 4828
Werner R. 4091
Werner W. 6133
Wernicke H. 5824
Wernitz J. H. 6583 II
Wessely F. 4805, 4538
Wessely K. 4723, 4724
West C. S., 5345
Westcott C. 5653
Westenberg A. A. 3715
Westermarck T. 4840
Westhelmer F. H. 7607
Westkaemper L. E. 4883
Wetter F. 6009 II
Wetzel 4398
Weyde E. 5798 II
Weyerer H. 3610
Whalley W. B. 4586
Wheeldon K. A. 5932
Wheeler D. H. 6069
Wheeler O. H. 3521, 3531
Whetstone 5480
White C. E. 3514
White D. E. 4751
White E. A. D. 3672
White E. M. 4227
White E. R. 5942
White G. D. 5703
White J. 5350
White J. C. 6213
White R. R. 4883
Whitesel H. A. 4852
Whiting M. C. 3756
Whitmore H. E. 6555 II
Whitney W. B. 3993 II
Whittingham D. J. 4656
Whyman B. H. F. 4393
Wilberg E. 4671
Wick E. L. 6330
Wiebe R. 4353
Wieses J. 3723
Wiederhold W. 5066
Wiegel 5451
Wieland T. 4812
Wienhaus H. 4832
Wierzbicki J. 5144
Wierchowski K. L. 3539, 3540, 3545
Wiggins L. 4880
Wiklander L. 4028
Wilcox H. 6031
Wiley A. J. 5046
Wilhelm I. 3491
Wilhelm R. H. 4884
Wilhoit E. D. 3932
Wilken P. H. 4465
Willems J. 4613
Williams A. A. 4557
Williams A. E. 4933
Williams D. J. 6269
Williams R. 3512
Williams R. F. 6337
Williamson A. G. 6175
Williamson J. T. 5368
Wiloth F. 5535 II
Wilson E. B. 3592
Wilson F. C. 4872
Wilson J. 4650
Wilson P. J. 3921
Winczakiewicz A. 6625
Windisch S. 6153
Winkel P. 3722, 3724, 3725
Winkhaus G. 4072 —
Winkermann W. 5541 II
Wise W. S. 4880
Wiseman G. C. 3687
Wiśniewska J. 6155
Wisniewski T. F. 5046
Wisniewski K. 5828
Witham G. 6644 K
Wittcoff H. 6488
Wittka F. 6076
Wittwer S. H. 5741
Wohl A. 5251
Woldich H. 4805
Wolf R. 6432 II
Wolf R. F. 6533
Wolff I. A. 4731
Wolfram G. 6004 II
Wolfrom M. L. 4716
Wolfs P. M. J. 5433
Wolski W. 4065
Wood T. 6310
Woods J. W. 4727
Woodward E. R. 5098
Woodward R. L. 5040
Worley D. P. 5737
Worley M. S. 5934
Worms K. H. 4071
Wormser G. 3737
Wormwell F. 4964
Worrell G. R. 5904
Worsham J. E. 3650
Wortman R. 3657
Wright J. P. 6409
Wright W. B. 4629
Wrigley D. A. 5104
Wrinch D. 4786
Wu P. C. 3864
Wulfert K. 5162
Wulfring R. 5638 II
Wulfsch F. 6617
Wurn J. G. 3973
Wyllie M. R. J. 4036
Wyman G. M. 3560
- Y
Yadava K. L. 4035, 4049
Yakovlev Y. V. 4258
Yamaguchi M. 4790
Yamaguchi S. 6780
Yamamoto M. 3697
Yang C. N. 3471
Yang H. H. 4855
Yavorovskii A. A. 4044
Yayme G. 6776
Yeo D. 4450
Youde P. G. 6380
Young D. M. 4001
Young F. E. 3830
Young F. J. 4890
Young J. P. 5292
Yuong J. R. 3536
Young R. J. 5896
- Z
Zacks S. 5679
Zagar L. 4986
Zakrzewski J. 5069, 5929
Zakrzewski J. 5068
Zanden J. M. 4653
Zangheri S. 5652
Zapletal J. 6139
Zaromb S. 3951
Záveský V. 5951
Zbiral E. 4538
Zdražil J. 4326
Zeh W. 5526 II
Zehren V. L. 6284
Zeiss H. H. 4490
Zelenska S. 6156
Zelinka J. 6137, 6139
Zelinkova E. 6137
Zeller P. 5516 II
Zemanik J. 4778
Zemplén G. 4829
Zichy E. 4024
Zięborak K. 3774
Zieminski S. A. 6129
Zijl J. W. H. 6541
Zikmund M. 4438
Zilahi M. 6658
Zimmer J. C. 6005
Zimmerman J. R. 4099
Zinke-Allmang C. 4713
Zinner H. 4723, 4724
Zippel F. 6643
Zittle C. A. 6272
Zoeche G. 4698
Zöllner E. 4390
Zolotov Y. A. 4258
Zopf L. C. 5576
Zorn C. 6242
Zorn H. 6001 II
Zubova G. A. 4286
Zuleeg R. 3665
Zurück K. 6610
Zvlnč E. 5175
Zvolsky K. 6078
Zwanzig F. R. 4490
Zwický H. 4999
Zwierchowski Z. 4966
Zýka J. 4276
Zyl P. C. N. 5116
Zymalkowski F. 4622
- Yowell H. 6236
Yuzuri M. 3688

ივლიძე ლ. 5312

კურდღელაშვილი მ. 6197

პაპუაშვილი ს. 5312

შენიშაშვილი მ. 5312

ციცუშვილი ნ. 3466

丁宏助 4784
丁維鈺 4784
三木卓一 5607 II
三好文彦 4797
三枝樹昭道 4291
三浦和子 6321
上柳次三郎 4811
上野誠一 6059
上島義雄 4811

中川義矩 4281
中田昌弘 5788 II, 5380 II
中守律夫 4811
中柳靖夫 5802
中野允 4300
中野浩 5746
中野勝彌 5862
中野實作 5471
中澤昭三 5724

丹野晴彦 5802
久保田正雄 5201
伊藤勝彦 6357
二宮清 5276
井下田眞 5378 II, 5380 II
人長有平 5724
今井弘 5783
伊田忠夫 5583

伊藤久雄 6453 II
伊藤昌明 5753
伊藤勝彦 6357
佐々木一雄 5226 II
佐々木二郎 5986 II, 6003 II
佐々木崇 6704 II
佐々木熊三 5266, 5276
佐藤知雄 6008 II

佐藤忠徳 6704
佐藤清 4282
佐藤慶二郎 6006 II
何怡貞 4267
光 6702
内田馨 4797
内藤俊 4809
八木代志子 5724
八谷泰造 6117 II

渡邊久禮 5560
出口義雄 4597
前田博喜 6320
前澤辰雄 6145
前島秀雄 5980 II
關玉美 5841
加室仁 4706
加藤郁 5983 II
功刀泰碩 6105
功刀雅長 5862
千畑一郎 5616 II
印月源 6682
卯尾田秀隆 5612 II
原田正男 5580
原仲宜 5921
原真次 5998 II
古川基六 6514 II
古川淳二 5265 II, 6538
古谷盛治 6006 II
史順一 6771
吉田弘 6161
吉田彌七 5428
吉田茂 4782
吉村和樹 4636
吉村均 4332
合衆修一 4860
吳人潔 4410
吳晉偉 4053
吳景微 5841
和田八三久 3923
喜多久博 4484
四宮知郎 6708 II
關松芳郎 5519 II
地福重人 5830
坂上成永 5441
坂柳聖明 6703 II
堀口博 4537
大久保斤二 4397
大久保増太郎 6145
大戸敏二郎 4794
大芳徳子 6119 II
大芝嘉一 6119 II
大西寛 4126
大嶋昭信 5377 II
大橋實 6154
奥正巳 6656
妹尾四郎 4790
安藤宏 5825
安藤能久 5225 II
宇野豐三 5583
守田研吾 5862
守屋茂雄 4056
守屋喜郎 4308
宋永環 6687
室井忠 4518
宮井恭一 6712 II
宮田久吉 5413
宮村信行 6306
宮武一夫 4706
富山哲夫 6320
寺島重雄 5105
小口正信 5793
小川弘 4706
小山克家 5225 II
小松正一 5382 II
小松秀生 5007
小林朝郎 6374
小侯菊治 6706 II
小島登生 4318
小高榮 5983 II
小笹英夫 5265 II

小森三郎 6117 II
小塚多吉 3776
小幡武三 5998 II
尾石研介 6367
尾松徳五郎 5724
山下晋三 6538, 6548
山下幸子 6321
山口吉郎 6114
山口良一 4859
山口卓也 4056
山口壽男 6719
山田俊一 5616 II
山田仁徳 6708 II
山田省二 6104
田中忠彦 4535
山本隆一 5580
山本博美 6551
山西貞 6321
山岸勝蔵 6709 II, 6710 II
山脇正男 5998 II
山脇武 6538
山崎明子 6321
山崎毅 5864
山添寛 4792
岡田定行 6773
川西正純 4775
川原鳳策 5753
川瀬義和 5897
川端六郎 4966
工藤裕久 6105
市川正 5500 II
市川英一 4794
布留宮晃 5862
平井英二 4867
平野正男 5504 II
廣田鋼藏 3915
廣瀬良男 4810
張子高 3455
張文學 6663
張啓運 3813
張滂 4802
張德綸 4410
行方文吾 5441
徐士珍 6667
徐元耀 4784
徐光憲 3483
徐冠羣 4743
後藤信行 3916
德江洋子 6321
恩田政行 4775
成定昌幸 3565
戴潤生 6689
戸川嘉正 5994 II
手嶋格 5615 II
手島節三 4722
折美壽 5234
堀江不器雄 5899
掛見喜一郎 5582
新保赴夫 6006 II
施良和 4410, 6771
施穎 6684
日色和夫 4290
日高徹 6059
日野常松 6338
早川幸男 6145
春川忠 5607 II
菅馬峻 5468 II
星出安雄 4620
服部正敏 4446
木卜光夫 4275

木村行 4792
木村伸 4335
本田彰 6320
本田繁 4281
朱保根 6664
朱積煊 6664
村勇夫 4290
村田二郎 4606
杉本光男 5381 II, 5379 II
李詩緯 4261
松本幸 4535
松井末光 6551
松岡敏郎 4811
松浦二郎 4318
松浦多實夫 6712 II
林盛四郎 5984 II
林雄二 4791
柄澤忠義 5378, 5380 II, 5382 II
柘植乙彦 4636
柴田正三 4325
柴田村治 4095
柴弘 4361
栗原尚美 6384
桑田勉 5987 II
梅正 5607 II
根來一夫 5994 II
根岸道治 6773
綿洛 4069
森元七 4095
楠本明 5746 II
森本浩 4811
森本健子 6704
森田正英 6127
森田清 4300
森橋保 6288
棚松卓史 3916
植田冬樹 5583
椿勇 4308
楠崎升 5980 II
樋田龍太郎 4103
楠原榮一 4797
橋山時秋 4250
橋本榮 5994
櫻井節二 3906
歐風 5176
武上善信 5900
安井武 5379 II, 5381 II
武内次夫 4361
武長章夫 6711 II
武藤米一郎 4077
水谷義彦 5036
水井彰一郎 5469 II
池田美登 4870
汪猷 4784, 4787
汲勤玉 4338
沈文 6681
沈平 6690
沈堅中 6680
沈壽彭 4410
泉美治 3906
徐通源 4784
浦深 6666
浜田盛治 6320
浜名政和 4620
清水周 6656
清水和夫 5225 II
淺井一彦 5802
淺井素次 4782
淺野千秋 4341

渡邊久禮 5746 II
渡邊伊三郎 5905, 6008 II
渡邊智夫 4614
渡邊健一 3902
湯蘊瑜 6683
溝口修一郎 4303
滋野吉廣 6117 II
片岡滿 4782
牧島邦夫 6715 II
犬伏康夫 4464
王子鴻 5593
王植樞 4267
王瑞春 6686
田中孝 4281
田中博 6713 II
田中誠 4606
白山和久 5446
白井秀明 4537
白石武 4461
白石通夫 6773
盛儀禹 4784
石川尚 5607 II
石井轉 5415 II
石坂哲夫 3515
石間王生彌 5504 II
石橋雅義 4325
磯野照子 4818
神武博 5259
神野博 5862
福元武雄 5500 II
福田英臣 4610
秀島節治 5448
炭田務 6384
秋谷七郎 4722
秦野拓也 5225 II
稻垣藤 4056
稻原藤太郎 6548
立道秀磨 6526
笠原宏造 4610
篠崎市郎 5006
素木洋一 5316
織田範一 4537
美馬精一 6791
羽田育三 6423 II
羽生順侍 5787
能勢惟一 6162
能勢繁三郎 6161
脇博查 4332
舟阪渡 4291
花房政三 4966
茅於中 6685
若松茂 5753
若松茂雄 4283, 4301
荒井猛彦 5998 II
莊原和 4523
助純治 4095
菊池實 5268
菅原悟郎 4484
菅原勇次郎 5987 II
菅澤重彦 4597
落合英二 4614
葛谷泰雄 6288
蔣幼和 4816
蔡祖憚 4758
藤川福二郎 5724
藤井康男 3906
藤本勝也 6551
藤村全戒 6008 II
藤村敏一 6707 II
藤原照久 5500 II
藤羅勝彦 4894

西田宏 4304
西岡正光 6477
西海枝東雄 4636
角田誠 5504 II
角正夫 5607
許植方 4816
谷山兵三 4797
費多洛夫 3813
赤堀四郎 3906
趙學莊 3483
近藤泰夫 5448
那波速男 4811
重松恒信 4325
野々村進 4810
野村祐次郎 4558
金山 6688
金田旭立 4620
金原松次 6205
金庭延慶 4818
鈴木正 5994 II
鈴木平 3699
鈴木弘茂 5206
鈴木幸子 4614
鈴木重成 6526
鈴村基 5830
錢人元 4410, 6771
長谷川賢 4706
長澤太郎 6288
関乃同 6664
關口一郎 6773
關谷道雄 5469 II
阿部泰夫 5607 II
阿部嘉藏 5384 II
陳汝規 6048
陶山英成 6423 II
陶正煥 4757
陶志明 6683
雨宮登三 5825
飛石大二 6551
飯田弘忠 4554
飯田茂次 6161
馮韻民 4784
高井明 5612 II
高内啓一 4282
高野忠義 5246 II
高橋明 5865
高橋正夫 6364
高橋明 6477
高橋武彦 5266
高橋哲也 5580
高橋唯 6162
鶴井龍也 6616 II
黃元愷 6662
黃渭漁 4744
黃敬聖 4784
黃鳴龍 4757, 4758
黃耀曾 4784
黒木俊一 6320
黒木隆夫 4870
齋藤孝次郎 5579
龍雨雷 4053
龜田幸雄 4792
ゴロン、ジ、5191
マイトン、ハ、6449 II
김재인 6097
양대호 4663
리용봉 5867
서재홍 5232
신현서 5260

УКАЗАТЕЛЬ ДЕРЖАТЕЛЕЙ ПАТЕНТОВ

- Advance Solvents & Chemical Corp. 5513
 Aerojet-General Corp. 5999
 Agfa Akt. Ges. für Photofabrikation 5798
 Allied Chemical & Dye Corp. 5214, 6439, 6440
 Allied Lab., Inc. 5646
 American Cyanamid Co. 5528, 5534, 5643, 6444, 6448, 6459
 American Siskraft Corp. 6460
 American Syntex, Inc. 5627
 Anglo-Iranian Oil Co. Ltd 5988
 Armour and Co. 6122
 Armstrong Siddeley Motors Ltd 5985
 Audax 5383
 Auto-Little Battery Corp. 6468
 Azlenda Brevetti Industrial 6705
 Badische Anilin & Soda-Fabrik Akt. Ges. 5551—5553, 5505
 Bažant V. 5510
 B. B. Chemical Co. Ltd 6462
 Berger L. & Sons, Ltd 6437, 6438
 Bergwerksverband zur Verwertung von Schutzrechten der Kohlentechnik G. m. b. H. 5263
 Berstorff H. Maschinenbau-Anstalt G. m. b. H. 6481
 Bersworth F. C. 5532
 Borg-Warner Corp. 6000
 Boström A. G., Ek S. Y., Lindner L. M. A. 5248
 British Celanese Ltd 6457, 6464, 6467
 British Oxygen Co. Ltd 5245
 Brodie R. N. Co 4946
 Canadian Industries Ltd 6434
 Canadian Kodak Co., Ltd 5796, 6431
 Canadum Gypsum Co. Ltd 6650
 Celanese Corp. of America 6430
 Chemische Werke Hüls Akt. Ges. 5522, 6009
 Chimie et bâtiment 6517
 Ciba Akt. Ges. 5550, 5606, 5622, 5639
 Cie Industrial 6121
 Columbian Rope Co. 6553
 Columbia-Southern Chemical Corp. 5497
 Commercial Solvents Corp. 5525
 Cremer G. M. J. 5386
 Crown Cork and Seal Co. Inc. 6557
 Dann O. 5536
 Dayton Rubber Co. 6717
 Dehydag Deutsche Hydrierwerke G. m. b. H. 5508
 Denis J. 6199
 Deutsche Gold-und Silber-Scheidanstalt vormals Roessler, 5224, 5247, 5778
 Devos & Reynolds Co. Inc. 6433
 Dick A. B. Co. 6483
 Directie Van de Staatsmijnen in Limburg 6475
 Distillers Co. Ltd 6426, 6427
 Douglas Aircraft Co., Inc. 6010
 Dow Chemical Co. 5512, 5243, 6419, 6425, 6456, 6466, 6473
 Du Pont de Nemours E. I. and Co. 5261, 5499, 5543, 6446, 6449, 6469, 6472, 6519, 6583—6585
 Eastman Kodak Co. 5555, 5794, 5795, 6452, 6476
 Ecusta Paper Corp. 6648
 Ellendor & Co. 6124
 Entreprise Rehé et Jean Moritz 5215
 Esso Research and Engineering Co. 5498, 5524, 5974, 6005, 6418
 Ets Pierany 6714
 Ettel V. 5605
 Farbenfabriken Bayer Akt. Ges. 5509, 5520, 5531, 5540, 5547, 5602, 5744, 6007, 6474
 Farbwerke Hoechst Akt. Ges. vormals Meister Lucius & Brüning 4907, 5472, 5515, 5549
 Felten & Guilleaume Carlswerk Akt. Ges. 5996
 Ferro Corp. 5256
 Firestone Tire & Rubber Co. 6421
 Fučík K. 5613
 Gabriel A., Schäfer H., Stratzmann H. 5302
 Garcia Guillint M. J. 5707
 Ges. für Teerverwertung m. b. H. 5879
 Goldschmidt Akt. Ges. 5246
 Goodrich B. F. Co. 6432
 Grotto M. 5648
 Grünzweig und Hertmann Akt. Ges. 6470
 Guinot H. M. 6198
 Gulf Research & Development Co. 5529, 5975, 6002
 Hartford National Bank and Trust Co. 6441
 Henkel & Cie G. m. b. H. 5501, 5530
 Herb-Shelly-Inc. 6482
 Hoffmann-La Roche F. & Co. Akt. Ges. 5502, 5516, 5533, 5614, 5618
 Hooker Electrochemical Co. 6455
 Houser A. C. 5387
 Imperial Chemical Industries Ltd. 5262, 5527, 5542, 5745, 6034, 6424, 6458, 6461, 6581
 Ionics Inc. 6428
 Jay Corp. 6471
 Jilek J. 5609
 Kali-Chemie Akt. Ges. 5511
 Kalle & Co. Akt. Ges. 5517, 5799
 Kell A. 6480
 Knoll A. G. Chemische Fabriken 5649
 Koppers Co., Inc. 5883, 5982
 Koppers H. G., m. b. H. 5879, 5880
 Lab. D'Actino-Biologie Laurencon & Cie. 5645
 Leht A. 5473
 Leitz E. G. m. b. H. 5414
 Lepetit Soc. Per Azioni 5604, 5633, 6513
 Lilly E. & Co. 5610, 5611
 Lovens Kemiske Fabrik Ved. Kongsted. 5623
 Mařas M. 5521
 May & Baker, Ltd 5619
 Merck & Co., Inc. 5628
 Metallgesellschaft Akt. Ges. 5028
 Monsanto Chemical Co. 5244, 5255, 6429, 6447
 Mo och Domsjö AB 5470
 National Cash Register Co. 5554
 National Glass Co., Inc. 5029
 Nepera Chemical Co., Inc. 5601
 Novo Terapeutisk Lab. A/S. 5635, 5641
 Novotný A. 5506
 Nussbaum J. 5316
 N. V. De Bataafsche Petroleum Maatschappij 5242, 5748, 6414, 6435
 N. V. Philips'Gloeilampenfabrieken 5209, 5257
 Ohmart P. 4460
 Österreichische Stickstoffwerke Akt. Ges. 5621
 Otto C. and Co., G. m. b. H. 5884
 Oxy-Catalyst, Inc. 4909
 Parke, Davis & Co. 5600, 5617
 Paschke E. 5264
 Pektor V. 6755
 Pennsylvania Salt Manufacturing Co. 5503
 Pfizer C. & Co., Inc. 5624, 5634
 Phillips Petroleum Co. 4905, 5479, 5537, 5976, 5993, 6450, 6554
 Pittsburgh Plate Glass Co. 6436
 Preiss S. 5881
 Procter & Gamble Co. of Canada Ltd 6123
 Pure Oil Co. 6004
 Raybestos-manhattan, Inc. 6443
 Research Products Corp. 5442
 Rhein Chemie G. m. b. H. Chemische Fabrik 6001
 Rheinische Schmirgel-Werke Beuel-Bonn. G. m. b. H. 5030
 Riedel-de Haen Akt. Ges. 5640
 Röhm & Haas G. m. b. H. 5530, 6515
 Roskilde Medical Co., Ltd 5636
 Ruhrchemie Akt. Ges. 5501, 5518, 5541, 5544
 Ruhrgas Akt. Ges. 5878
 Sandoz. Ltd 5548
 Schäffler A. 5227
 Schering Akt. Ges. 5603, 5614
 Schlockermann W. 5526
 Searle G. D. & Co. 5631
 Sehyun Laboratories 5608
 Shionogi & Co. Ltd 5539
 Skarplies Chemicals Inc. 6125
 Sly G. 6420
 Soc. des Usines Chimiques Rhone Poulenc 5620, 5632, 6451
 Springs Cotton Mills 6140
 Stamicarbon N. V. 4908
 Standard Oil Co. 4945, 5514, 5989, 5995, 6415, 6416
 Standard Oil Development Co. 5882, 5977, 5978, 5991
 Stéarinerie Dubois fils 6510
 Strong Cobb & Co., Inc. 5647
 Sun Oil Co. 4906
 Svenska Oljeslageri AB 5902
 Swift & Co. 6116
 Sylvania Electric Products, Inc. 5258
 Tesa Soc. Anon. 4944
 Texas Co. 5523, 6120
 Tranzer F. E. 5385
 Tuilner Zuckerfabrik Akt. Ges. 6148
 Union Carbide Canada Ltd 6442, 6445
 Union Carbide and Carbon Corp. 6417, 6479
 Union chimique Belge, Soc. Anon. 6118
 Union Oil Co. of California 4910
 Universal Oil Products Co. 5477, 5478, 5979, 5981, 6555
 Upjohn Co. 5625, 5626, 5630, 5630
 U. S. A. US Atomic Energy Commission 5210
 U. S. Rubber Co. 6422
 Vereinigte Glanzstoff-Fabriken Akt. Ges. 5535
 Vinsot J. G. 6339 II
 Wandee A. A.-G. 5637
 Warren Co. 6478
 Webb F. H. 5161
 Wülling A. & Co. 5638

Указатель держателей патентов

Абе К. 5384	Мицубиси касэй ногё кабу- синки найся 5519	Сакаянаги С. 6703	Токио дэнки катаку ногё набусинки найся 5378, 5380, 5382
Асахи касэй ногё набусинки найся 6712	Мицубиси рэйён набусинки найся 6423	Сасаки Д. 6003	Токио сэйно набусинки найся 6006
Дзайдан ходзин нихон нага- ку с энги кэнкюсё 5265	Мицубиси сэнкио набусинки найся 5998, 6008	Сасаки К. 5226	Тосима И. 5615
Дзайдан ходзин ногуту кэн- кюсё 6453	Мията С. 5413	Сёва гому набусинки найся 6477	Унами дэнки набусинки най- ся 4461
Исид Т. 5415	Нагаи С. 5469	Син нихон тиссо хирё кабу- синки найся 5500	Фудзисава якухин ногё кабу- синки найся 5746
Кагаку кэнкюсё набусинки най- ся 5379, 5381	Накане С. 5471	Сумитомо нагану ногё кабу- синки найся 5504	Фудзияма нагану ногё кабу- синки найся 5612
Каногасути босэки набусинки найся 6704	Ниссэй босэки набусинки най- ся 6713	Танака якухин ногё кабу- синки найся 5607	Фукусэн ногё набусинки най- ся 6711
Когё гидзюцу интё 5225	Нихон асубэсуто набусинки найся 5468	Танабэ сэйяку набусинки най- ся 5616	Фурукава Д. 6514
Комата К. 6706	Нихон ногё набусинки найся 5994	Танана кэито босэки госи найся 6715	Яманаси дайганутё 6707
Котана санаэ, катэ нкю 5983	Оба А. 5377	Токио гасу набусинки найся 5984	
Lilly E. and Co. 4460	Осиба токуно 6119		

Технический редактор С. А. Литвак

Подписано к печати 13/II 1958 г.
Печ. л. 51,66

Тираж 4125
Бум. л. 15³/₄

Формат бумаги 84×108³/₁₆.

Занав 33

Уч.-изд. л. 94,3

2-я тип. Издательства АН СССР. Москва, Шубинский пер., д. 10

REFERATIVNYI ZHURNAL KHIMIYA

EDITOR: *V. V. Serpinskiy*

EDITORIAL BOARD: *D. A. Bocharov, V. V. Kafarov, W. L. Kretovich,
D. N. Kurasanov, K. S. Topoliev, N. A. Fuchs*

EXECUTIVE SECRETARY: *N. A. Terentjev*

CONTENTS

GENERAL

Technology, History, Scientific Institutions and Conferences. Teaching, Bibliography and Scientific Documents. 1

New Journals 1

PHYSICAL CHEMISTRY

General 2

Subatomic Phenomena 2

Atoms 3

Molecular Chemical Bond 3

Crystals 23

Liquids, Amorphous Substances, Gases 26

Radiochemistry, Isotopes 40

Thermodynamics, Thermochemistry, Equilibria, Physico-chemical Analysis, Phase Transitions 41

Kinetics, Combustion, Explosions, Topochemistry, Catalysts 53

Radiation Chemistry, Photochemistry, Theory of Photographic Process 62

Solutions, Theory of Acids and Bases 64

Thermochemistry 68

Surface Phenomena, Adsorption, Chromatography, Ion Exchange 73

Colloid Chemistry, Disperse Systems 79

INORGANIC CHEMISTRY, COMPLEX COMPOUNDS 82

COSMOCHEMISTRY, GEOCHEMISTRY, HYDROCHEMISTRY 90

ANALYTICAL CHEMISTRY

General 104

Analysis of Inorganic Substances 106

Analysis of Organic Substances 118

LABORATORY EQUIPMENT, INSTRUMENTATION 127

ORGANIC CHEMISTRY

Theoretical Organic Chemistry 131

Organic Synthesis 142

Natural Compounds and Their Synthetic Analogues 214

CHEMICAL TECHNOLOGY, CHEMICAL PRODUCTS AND THEIR APPLICATIONS: (Part 1)

General 245

Chemical Engineering 245

Instrumentation and Automation 257

Corrosion, Corrosion Control 262

Water Treatment, Sewage 270

Hygiene and Sanitation 285

CHEMICAL TECHNOLOGY, CHEMICAL PRODUCTS AND THEIR APPLICATIONS: (Part 2)

Chemical and Technological Aspects of the Nuclear Industry 297

Elements, Oxides, Mineral Acids, Bases, Salts 299

Sulphuric Acid, Sulphur and Its Compounds 299

Nitrogen Compounds Production 291

Soda Production 298

Other Elements, Oxides, Mineral Acids, Bases, Salts 293

Fertilizers 296

Luminescent Materials 296

Catalysts and Sorbents 298

Electrochemical Industries, Electroplating, Galvanic Cells 297

Ceramics, Glass, Binding Materials, Concrete 303

General 308

Ceramics 305

Glass 315

Binding Materials, Concrete and Other Silicate Building Materials 320

Production and Separation of Gases 325

CHEMICAL TECHNOLOGY, CHEMICAL PRODUCTS AND THEIR APPLICATIONS: (Part 3)

Industrial Organic Synthesis 329

Industrial Synthesis of Dyes 341

Pharmaceutical, Vitamins, Antibiotics 347

Pesticides 360

Perfumes and Cosmetics, Essential Oils 371

Photographic Materials 374

Explosives, Pyrotechnical Compounds, Chemical Defence Agents 374

Chemical Processing of Solid Fossil Fuels 378

Chemical Processing of Natural Gases and Petroleum, Motor and Rocket Fuels, Lubricants 385

Chemical Wood Products, Hydrolysis Industry 396

Fats and Oils, Waxes, Soaps and Detergents, Flotation Agents 400

Carbohydrates and Their Processing 409

Fermentation Industry 411

Food Industry 416

CHEMICAL TECHNOLOGY, CHEMICAL PRODUCTS AND THEIR APPLICATIONS: (Part 4)

Synthetic Polymers, Plastics 429

Laquers, Paints, Coatings 446

Caoutchouc, Natural and Synthetic Rubber 450

Artificial and Synthetic Fibres 455

Cellulose and Its Derivatives, Paper 458

Dyeing and Chemical Treatment of Textile Materials 465

Leather, Fur, Gelatine, Tanning Material, Industrial Products 472

HIGH POLYMER CHEMISTRY 476

NEW BOOKS 485

AUTHOR INDEX 485

INDEX OF PATENTERS 502

Item 31 p. 50 a.

7372

Printed in the USSR

